

CORRELACIÓN CON BIOLOGÍA MOLECULAR Y CELULAR





8.ª EDICIÓN

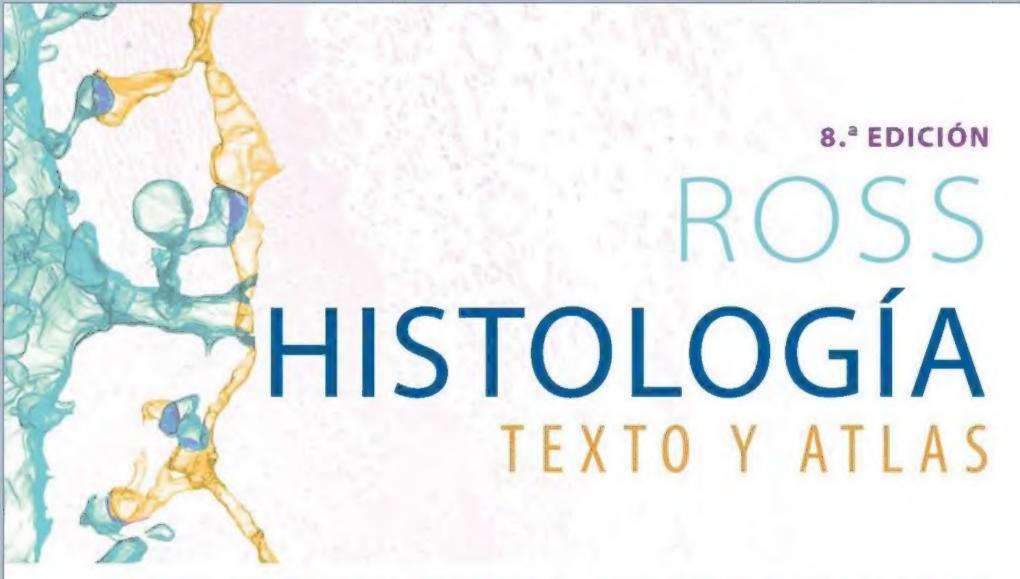
ROSS HISTOLOGÍA TEXTO Y ATLAS

CORRELACIÓN CON BIOLOGÍA MOLECULAR Y CELULAR



Wojciech Pawlina

Conduciendo su clásico Buick Skylark 1972 rojo convertible mientras contempla estructuras histológicas rojas: eritrocitos, pulpa roja del bazo, médula ósea roja, fibras musculares rojas, borde bermellón del labio... y una ardilla roja corriendo entre los árboles (fuera del plano de visión).



CORRELACIÓN CON BIOLOGÍA MOLECULAR Y CELULAR

WOJCIECH PAWLINA, MD, FAAA Professor of Anatomy and Medical Education Fellow of the American Association of Anatomists Chair, Department of Anatomy Department of Obstetrics and Gynecology Director of Procedural Skills Laboratory Mayo Clinic College of Medicine and Science Rochester, Minnesota MICHAEL H. ROSS, PhD (fallection) Professor and Chairman Emeritus Department of Anatomy and Cell Biology University of Florida College of Medicine Gainesville; Florida





Av. Carrilet, 3, 9.º planta, Edificio D - Ciutat de la Justícia 08902 L'Hospitalet de Llobregat, Barcelona (España) Tel.: 93 344 47 18 Fax: 93 344 47 16 e-mail: consultas@wolterskluwer.com

Traducción de la 8.ª edición: Gustavo Arturo Mezzano, Arturo Alberto Peña Reyes, Pedro Sánchez Rojas y Néstor Zumaya Cárdenas Traducción de la 7.ª edición: Alejo Alday y Mirta Giacomucci

Revisión científica

Agradecemos la inestimable y valiosa colaboración de los destacados académicos que participaron en la revisión científica de esta edición:

Dr. Juan José López-Costa. Facultad de Medicina, Universidad de Buenos Aires, Argentina.

Dr. Roberto Ponzio. Facultad de Ciencias de la Salud, Universidad de Ciencias Empresariales y Sociales, Argentina.

Dr. Guillermo Rivera Cardona. Facultad de Ciencias de la Salud, Pontificia Universidad Javeriana, Colombia.

MSc. Jovita Besa Huerta. Facultad de Medicina, Pontificia Universidad Católica de Chile, Chile.

Dr. Pedro Gallardo Munizaga. Facultad de Medicina, Universidad Finis Terrae, Chile.

Dr. Francisco J. Alcain. Facultad de Medicina de Ciudad Real, Universidad de Castilla-La Mancha, España.

Dr. Miguel Ángel Ortega Núñez. Facultad de Medicina y Ciencias de la Salud, IRYCIS-Universidad de Alcalá, España.

Dr. Guillermo Garita Fernández. Facultad de Medicina, Benemérita Universidad Autónoma de Puebla, México.

Dra. Indira Raquel Reyes. Laboratorio de Ciencias Morfológicas y Anatomía Humana, Escuela Médico Naval, México.

Dra. Paola Gabriela Valdez Patzy, MCS. Escuela de Ciencias de la Salud, Universidad Autónoma de Baja California, México.

Dra. María Dolores Álvarez Rodríguez. Facultad de Medicina, Universidad Autónoma de Guadalajara, México.

Dra. Aracely García García. Facultad de Medicina, Universidad Autónoma de Nuevo León, México.

Dra. María de Jesús Loera Arias. Facultad de Medicina, Universidad Antónoma de Nuevo León, México.

Dr. Roberto Montes de Oca Luna. Facultad de Medicina, Universidad Autónoma de Nuevo León, México.

Dr. Humberto Rodríguez Rocha. Facultad de Medicina, Universidad Autónoma de Nuevo León, México.

Dra. Odila Saucedo Cárdenas. Facultad de Medicina, Universidad Autónoma de Nuevo León, México.

Dr. Adolfo Soto Domínguez. Facultad de Medicina, Universidad Autónoma de Nuevo León, México.

Dr. Jesús Alberto Cortez Hernández. Facultad de Medicina, Universidad Autónoma de Sinaloa, México.

Dra. Sandra Acevedo Nava. Facultad de Medicina, Universidad Nacional Autónoma de México, México.

Dr. Miguel Ángel Herrera Enríquez. Facultad de Medicina, Universidad Nacional Autónoma de México, México.

Dr. Andrés E. Castell Rodríguez. Facultad de Medicina, Universidad Nacional Autónoma de México, México.

Dirección editorial: Carlos Mendoza Editora de desarrollo: Núria Llavina

Gerente de mercadotecnia: Stephanie Manzo Kindlick

Coordinadora de la revisión científica: Dra. Paola Gabriela Valdez Patzy

Cuidado de la edición: Doctores de Palabras Diseño de portada: Jesús Esteban Mendoza

Impresión: C&C Offset Printing Co. Ltd. / Impreso en China

Se han adoptado las medidas oportunas para confirmar la exactitud de la información presentada y describir la práctica más aceptada. No obstante, los autores, los redactores y el editor no son responsables de los errores u omisiones del texto ni de las consecuencias que se deriven de la aplicación de la información que incluye, y no dan ninguna garantía, explícita o implícita, sobre la actualidad, integridad o exactitud del contenido de la publicación. Esta publicación contiene información general relacionada con tratamientos y asistencia médica que no debería utilizarse en pacientes individuales sin antes contar con el consejo de un profesional médico, ya que los tratamientos clínicos que se describen no pueden considerarse recomendaciones absolutas y universales.

El editor ha hecho todo lo posible para confirmar y respetar la procedencia del material que se reproduce en este libro y su copyright. En caso de error u omisión, se enmendará en cuanto sea posible. Algunos fármacos y productos sanitarios que se presentan en esta publicación sólo tienen la aprobación de la Food and Drug Administration (FDA) para uso limitado al ámbito experimental. Compete al profesional sanitario averiguar la situación de cada fármaco o producto sanitario que pretenda utilizar en su práctica clínica, por lo que aconsejamos consultar con las autoridades sanitarias competentes.

Derecho a la propiedad intelectual (C. P. Art. 270)

Se considera delito reproducir, plagiar, distribuir o comunicar públicamente, en todo o en parte, con ánimo de lucro y en perjuicio de terceros, una obra literaria, artística o científica, o su transformación, interpretación o ejecución artística fijada en cualquier tipo de soporte o comunicada a través de cualquier medio, sin la autorización de los titulares de los correspondientes derechos de propiedad intelectual o de sus cesionarios.

Reservados todos los derechos.

Copyright de la edición en español © 2020 Wolters Kluwer

ISBN de la edición en español: 978-84-17602-65-9

Depósito legal: M-35713-2019

Edición en español de la obra original en lengua inglesa Histology: A Text and Atlas: with Correlated Cell and Molecular Biology, 8.4 edición, editada por Michael H. Ross y Wojciech Pawlina, publicada por Wolters Kluwer.

Copyright © 2020 Wolters Kluwer

Two Commerce Square 2001 Market Street Philadelphia, PA 19103 ISBN de la edición original: 978-14-96383-42-6 Esta edición está dedicada a Teresa Pawlina, mi esposa, colega y mejor amiga, cuyo amor, paciencia y resistencia crearon un refugio seguro para trabajar en este libro de texto

7

a mis hijos Conrad Pawlina y Stephanie Pawlina Fixell y su esposo Ryan Fixell, cuyo estímulo y emoción siempre son contagiosos.

PREFACIO

Esta 8.ª edición de Histología: texto y atlas. Correlación con biología molecular y celular continúa su tradición de introducir a los estudiantes de ciencias de la salud al mundo de la histología. Además, para comprender mejor la naturaleza de las células y los tejidos, el conocimiento de histología presentado está inmerso en anatomía, embriología y fisiología básicas, y viene acompañado por comentarios clínicos relevantes. Como en ediciones previas, este libro es una combinación de "atlas-texto" en el sentido de que las descripciones estándar de los conceptos histológicos de los libros de texto se complementan con una serie de esquemas, imágenes de tejidos y células y fotografías clínicas. Cada capítulo concluye con secciones de tipo atlas independientes para proporcionar láminas etiquetadas y de gran formato con leyendas detalladas que resaltan y resumen los elementos de la anatomía microscópica. Histología: texto y atlas es, por lo tanto, "dos libros en uno".

Esta edición de Histología: texto y atlas. Correlación con biología molecular y celular está destinada a servir como un recurso confiable para aquellos que buscan comprender la histología tanto desde la ciencia básica como desde la perspectiva clínica. La înclusión de información actual y actualizada proporciona un marco sólido sobre el cual continuar la exploración científica y la aplicación clínica. Como recurso para estudiantes, no debe abordarse con el objetivo de memorizar hechos detallados, sino más bien como una guía y explicación de conceptos clave que servirán para futuras actividades académicas.

En esta edición se han realizado las siguientes mejoras:

Las secciones de "Histología 101" han sido revisadas y rediseñadas. Estas secciones contienen resúmenes claros y concisos para una revisión rápida del material presentado en un formato de "notas adhesivas" al final de cada capítulo. El formato de viñeta está diseñado específicamente para estudiantes que necesitan una revisión rápida y es muy útil para la preparación de exámenes. Estas secciones fáciles de leer permiten la recuperación rápida de información con conceptos y hechos agrupados en notas adhesivas separadas. El diseño de notas adhesivas tiene un amplio espacio libre que proporciona a los estudiantes espacio para escribir sus propias notas a fin de complementar los puntos con viñetas.

Todas las figuras en este libro ban sido cuidadosamente revisadas y actualizadas. Se han añadido varias figuras nuevas para mostrar la última interpretación de conceptos importantes con base en descubrimientos recientes en investigación molecular y celular. Todas las ilustraciones mantienen un estilo uniforme en todos los capítulos, con una paleta de colores agradable a la vista. Varios dibujos conceptuales se han alineado lado a lado con las microfotografías, una característica transmitida de ediciones anteriores que ha recibido gran reconocimiento de revisores, estudiantes y docentes.

Se actualizó el contenido en biología molecular y celular. El texto presentado en la 7.º edición se ha actualizado para incluir los últimos avances en biología molecular y celular, biología de células madre, marcadores celulares y señalización celular. La 8.ª edición se centra en conceptos objetivo para ayudar a los estudiantes con la comprensión general del tema. Para introducir las sugerencias de los revisores, la 8.º edición integra nueva información en biología celular con correlaciones clínicas, que los lectores verán como nuevos elementos de información clínica resaltados en texto azul y en "Cuadros" clínicos. Por ejemplo, dentro del análisis sobre la formación del hueso, el lector también puede descubrir una nueva explicación de la biología celular relacionada con las vesículas de la matriz secretadas en el proceso de mineralización ósea. Entre muchos temas que se complementaron y actualizaron, se pueden hallar nuevos análisis sobre el transporte vesicular en la célula, el citoesqueleto en las células nerviosas y las uniones tricelulares en las células epiteliales. También se ha añadido un análisis básico sobre los nuevos desarrollos en la preparación de tejidos y los métodos de microscopía de súper resolución que llevan la microscopía óptica al nivel subcelular.

Se han implementado innovaciones fáciles de leer. Al igual que en las ediciones anteriores de este libro, el objetivo es proporcionar acceso inmediato a conceptos importantes e información esencial. Los cambios introducidos en ediciones anteriores, como términos clave en negrita, información clínica en texto azul, páginas con bordes codificados por colores y un nuevo diseño para los cuadros de correlación clínica, fueron validados con entusiasmo por la nueva generación de usuarios de libros de texto y se han mantenido en esta edición. Los términos esenciales dentro de cada sección específica se introducen dentro del texto en una fuente llamativa, de gran tamaño, negrita y roja. El texto que contiene información clínica y los últimos hallazgos de la investigación se presentan en azul, con terminología relacionada con enfermedades, alteraciones, síntomas o mecanismos causales en letra azul negrita de gran tamaño. Cada Cuadro contiene texto clínico actualizado con aún más ilustraciones y dibujos, y se encuentra fácilmente dentro de cada capítulo. Un nuevo diseño de texto brillante y enérgico que resalta las nuevas ilustraciones y fotografías hace que la navegación del texto sea aún más fácil que antes. Todos estos elementos visualmente atractivos mantendrán a los lectores pasando página tras página.

Como en ediciones anteriores, todos los cambios se han hecho con los estudiantes en mente. El equipo de autores-editores se esforzó por obtener claridad y concisión, para así ayudar a los estudiantes a comprender el tema, familiarizarse con la información más reciente y aplicar los nuevos conocimientos.

Wojciech Pawlina

AGRADECIMIENTOS

Sigo agradecido con el creador de este libro, el Dr. **Michael H. Ross**, mi mentor, colega y querido amigo, por la capacidad de continuar con su visión de enseñar histología. En la última década, más o menos, se han producido muchos cambios en la educación sobre histología. Sin embargo, la visión del doctor de proporcionar un texto de histología de la mejor calidad, con imágenes superiores integradas con los avances más recientes en biología molecular y celular, así como datos clínicos de apoyo, permanece sin cambios. En los planes de estudios médicos actuales, a medida que los cursos de Histología siguen perdiendo su identidad a medida que se integran en bloques didácticos más grandes, existe la necesidad de un libro de texto integral del que los estudiantes puedan elegir pequeños fragmentos de conocimiento para sus tareas de aprendizaje específicas. Mientras editaba y escribía nuevas secciones para esta 8.º edición, siempre me preguntaba cómo el Dr. Ross explicaría determinado concepto o idea. Él siempre estará presente en mi corazón y mis pensamientos.

Los cambios en la 8.º edición surgen en gran medida de los comentarios y las sugerencias de estudiantes de todo el mundo que se han tomado el tiempo y el esfuerzo de enviarme correos electrónicos de lo que les gusta del libro y, lo que es más importante, de cómo podría mejorarse para ayudarlos a aprender mejor la histología. También he recibido comentarios reflexivos de mis estudiantes de primer año, que a menudo me dirigen a explorar nuevos descubrimientos y logros en los muchos campos relacionados con la histología. Les agradezco el agudo sentido con el cual mejoran este trabajo.

Además, muchos de mis colegas, quienes imparten cursos de Histología, Biología Celular, Inmunología y Fisiología en todo el mundo, han sido de ayuda para mejorar esta nueva edición. Muchos han sugerido un mayor énfasis en la relevancia clínica y los nuevos descubrimientos, en especial en las áreas de biología molecular y celular, que me esfuerzo continuamente por integrar a medida que se dan a conocer nuevas investigaciones. Otros han proporcionado nuevas microfotografías ópticas y electrónicas, acceso a sus colecciones de diapositivas virtuales o nuevas tablas, o han señalado dónde se deben volver a trazar los diagramas y las figuras existentes.

Específicamente, debo agradecer a los siguientes revisores, que han dedicado su tiempo a brindarme comentarios constructivos al planificar esta edición.

Stefanie Attardi, PhD

Oakland University William Beaumont School of Medicine Rochester, Michigan

Baris Baykal, MD

Gülhane Military Medical Academy Ankara, Turquía

Paul B. Bell, Jr., PhD

University of Oklahoma Norman, Oklahoma

Jalaluddin Bin Mohamed, MBBS, PhD

National Defence University of Malaysia Kuala Lumpur, Malasia

David E. Birk, PhD

University of Florida College of Medicine Tampa, Florida

Christy Bridges, PhD

Mercer University School of Medicine Macon, Georgia

Craig A. Canby, PhD

Des Moines University Des Moines, Iowa

Stephen W. Carmichael, PhD

Mayo Clinic College of Medicine and Science Rochester, Minnesota

Pike See Cheah, PhD

Universiti Putra Malaysia Seri Kembangan, Selangor, Malasia

Kevin N. Christensen, MD

Winona Health Winona, Minnesota

John Clancy, Jr., PhD

Loyola University Medical Center Maywood, Illinois

Rita Colella, PhD

University of Louisville School of Medicine Louisville, Kentucky

Iris M. Cook, PhD

State University of New York Westchester Community College Valhalla, New York

Dongmei Cui, MD, PhD

University of Mississippi Medical Center Jackson, Mississippi

Andrea Devrup, MD, PhD

University of South Carolina School of Medicine Greenville Greenville, South Carolina

Jennifer Eastwood, PhD

Burrell College of Osteopathic Medicine Las Cruces, New Mexico

Rodrigo Enrique Elizondo-Omaña, MD, PhD

Facultad de Medicina de la Universidad Autónoma de Nuevo León

Monterrey, Nuevo León, México

Tamira Elul, PhD

Burrell College of Osteopathic Medicine Vallejo, California

Francis A. Fakoya, MBChB, MSc, PhD

Mercer University School of Medicine True Blue, Granada, Caribe

Bruce E. Felgenhauer, PhD

University of Louisiana at Lafayette Lafayette, Louisiana

G. Ian Gallicano, PhD

Georgetown University School of Medicine Washington, DC

Joaquin J. Garcia, MD

Mayo Clinic College of Medicine and Science Rochester, Minnesota

Mathangi Gilkes, MBBS, MSc

Mercer University School of Medicine True Blue, Granada, Caribe

Ferdinand Gomez, MS

Florida International University, Herbert Wertheim College of Medicine Miami, Florida

Amos Gona, PhD

University of Medicine & Dentistry of New Jersey New Brunswick, New Jersey

Ervin M. Gore, PhD

Middle Tennessee State University Murfreesboro, Tennessee

Joseph P. Grande, MD, PhD

Mayo Clinic College of Medicine and Science Rochester, Minnesota

Joseph A. Grasso, PhD

University of Connecticut Health Center Farmington, Connecticut

Brian H. Hallas, PhD

New York Institute of Technology Old Westbury, New York

Arthur R. Hand, DDS

University of Connecticut School of Dental Medicine Farmington, Connecticut

Charlene Hoegler, PhD

Pace University - Pleasantville Campus Pleasantville, New York

Christopher Horst Lillig, PhD

University of Greifswald Greifswald, Alemania

Michael Hortsch, PhD

University of Michigan Medical School Ann Arbor, Michigan

Jim Hutson, PhD

Texas Tech University Lubbock, Texas

John-Olov Jansson, MD, PhD

University of Greifswald Gotemburgo, Suecia

Cynthia J. M. Kane, PhD

University of Arkansas for Medical Sciences Little Rock, Arkansas

G. M. Kibria, MD

National Defence University of Malaysia Kuala Lumpur, Malasia

Thomas S. King, PhD

University of Texas Health Science Center at San Antonio San Antonio, Texas

Penprapa S. Klinkhachorn, PhD

West Virginia University Morgantown, West Virginia

Bruce M. Koeppen, MD, PhD

Quinnipiac University
Frank H. Netter MD School of Medicine
North Haven, Connecticut

Andrew Koob, PhD

University of Wisconsin-River Falls River Falls, Wisconsin

Beverley Kramer, PhD

University of the Witwatersrand Johannesburgo, Sudáfrica

Craig Kuehn, PhD

Western University of Health Sciences Pomona, California

Nirusha Lachman, PhD

Mayo Clinic College of Medicine and Science Rochester, Minnesota

Gavin R. Lawson, PhD

Western University of Health Sciences Pomona, California

Susan LeDoux, PhD

University of South Alabama Mobile, Alabama

Karen Leong, MD

University of Florida College of Medicine Philadelphia, Pennsylvania

Kenneth M. Lerea, PhD

New York Medical College Valhalla, New York

Frank Liuzzi, PhD

Burrell College of Osteopathic Medicine Bradenton, Florida

Donald J. Lowrie, Jr., PhD

University of Florida College of Medicine Cincinnati, Ohio

Kuo-Shyan Lu, PhD

National Taiwan University College of Medicine Taipéi, Taiwán

Andrew T. Mariassy, PhD

Nova Southeastern University College of Medical Sciences Fort Lauderdale, Florida

John P. Marinelli, MD

Mayo Clinic College of Medicine and Science Rochester, Minnesota

Geoffrey W. McAuliffe, PhD

Rutgers Robert Wood Johnson Medical School Piscataway, New Jersey

Kevin J. McCarthy, PhD

Louisiana State University Health Sciences Center Shreveport Shreveport, Louisiana

David L. McWhorter, PhD

Georgia Campus - Philadelphia College of Osteopathic Medicine Suwanee, Georgia

Fabiola Medeiros, MD

University of Southern California Keck School of Medicine Los Angeles, California

William D. Meek, PhD

Oklahoma State University, College of Osteopathic Medicine Tulsa, Oklahoma

Björn Meister, MD, PhD

Karolinska Institutet Estocolmo, Suecia

Amir A. Mhawi, DVM, PhD

Mercer University School of Medicine Saba, Caribe holandés

Siobhan Moyes, PhD

University of Plymouth Plymouth, Reino Unido

Christine E. Niekrash, DMD

Quinnipiac University
Frank H. Netter MD School of Medicine
North Haven, Connecticut

Diego F. Nino, PhD

Louisiana State University Health Sciences Center, Delgado Community College New Orleans, Louisiana

Sasha N. Noe, DO, PhD

Saint Leo University Saint Leo, Florida

Mohammad (Reza) Nourbakhsh, PhD

University of North Georgia Dahlonega, Georgia

Ivón T. C. Novak, PhD

Universidad Nacional de Córdoba Córdoba, Argentina

Joanne Orth, PhD

Mercer University School of Medicine Downingtown, Pennsylvania

Fauziah Othman, DVM, PhD

Universiti Putra Malaysia Seri Kembangan, Selangor, Malasia

Claus Oxvig, PhD

Aarhus University Aarhus C, Dinamarca

Scott Paterson, PhD

University of Bristol Plymouth, Reino Unido

Nalini Pather, PhD

University of New South Wales Sídney, Australia

Thomas E. Phillips, PhD

University of Bristol Columbia, Missouri

Stephen R. Planck, PhD

Oregon Health & Science University Portland, Oregon

Harry H. Plymale, PhD

San Diego State University San Diego, California

Rebecca L. Pratt, PhD

Oakland University William Beaumont School of Medicine Rochester, Michigan

Margaret Pratten, PhD

University of Michigan Medical School Nottingham, Reino Unido

Rongsun Pu, PhD

Kean University East Brunswick, New Jersey

Edwin S. Purcell, PhD

University of Medicine and Health Sciences Basseterre, San Cristóbal y Nieves

Romano Regazzi, PhD

University of Lausanne, Faculty of Biology and Medicine Lausana, Suiza

Herman Reid, DVM, MD

Mercer University School of Medicine Saba, Caribe holandés

Mary Rheuben, PhD

Michigan State University East Lansing, Michigan

Michael S. Risley, PhD

Albert Einstein College of Medicine-Jack and Pearl Resnick Campus Bronx, New York

Kem A. Rogers, PhD

Western University, Schulich School of Medicine and Dentistry London, Ontario, Canadá

Melvin G. Rosenfeld, PhD

Mercer University School of Medicine New York, New York

Jeffrey L. Salisbury, PhD

Mayo Clinic College of Medicine and Science Rochester, Minnesota

David K. Saunders, PhD

University of North Georgia Cedar Falls, Iowa

Roger C. Searle, PhD

Newcastle University, School of Medical Sciences Plymouth, Reino Unido

Allen A. Smith, PhD

Barry University Miami Shores, Florida

Carles Solsona, PhD

Facultad de Medicina de la Universidad Barcelona Barcelona, España

Anca M. Stefan, MD

Georgia Regents University Augusta, Georgia

Kathy Svoboda, PhD

Texas A&M College of Dentistry Dallas, Texas

Jamil Talukder, DVM, PhD

University of Wisconsin-River Falls Menomonie, Wisconsin

Sehime G. Temel, MD, PhD

Universidad Uludag Bursa, Turquía

Barry Timms, PhD

Sanford School of Medicine, University of South Dakota Vermillion, South Dakota

James J. Tomasek, PhD

University of Oklahoma Health Science Center Oklahoma City, Oklahoma

John Matthew Velkey, PhD

University of Michigan Ann Arbor, Michigan

Suvi Kristiina Viranta-Kovanen, PhD

Helsingin yliopisto Helsinki, Finlandia

Robert Waltzer, PhD

Belhaven University Jackson, Mississippi

Scott A. Weed, PhD

Mercer University School of Medicine Morgantown, West Virginia

Anne-Marie Williams, PhD

Newcastle University, School of Medical Sciences Hobart, Australia

Joan W. Witkin, PhD

Columbia University, College of Physicians and Surgeons New York, New York

Robert W. Zajdel, PhD

State University of New York Upstate Medical University Syracuse, New York

Renzo A. Zaldivar, MD

Oculofacial & Plastic Surgery Consultants Morrisville, North Carolina Algunos colegas han hecho contribuciones especialmente notables a este libro de texto. Estoy extremadamente agradecido con el Dr. Joaquín J. García, de la Mayo Clinic College of Medicine and Science, por proporcionar imágenes histológicas originales de la más alta calidad de varias muestras clínicas; con la Dra. Ivón T. C. Novak, de la Universidad Nacional de Córdoba en Argentina, por realizar una revisión detallada del sistema inmunitario con muchas sugerencias útiles para mejoras; con el Dr. Michael Hortsch, de la University of Michigan Medical School, por brindar orientación para obtener permiso para usar su excepcional colección de diapositivas de microscopía virtual y microfotografías electrónicas; con el Dr. Kevin N. Christensen, de Winona Health, por proporcionar imágenes histológicas originales de muestras extraídas durante los procedimientos de cirugía micrográfica de Mohs (fue la inspiración para crear una nuevo cuadro de correlación clínica sobre este procedimiento incluido en el capítulo sobre tegumentos); con la Dra. Nirusha Lachman, de la Mayo Clinic College of Medicine and Science, quien me dio ideas para realizar mejoras; y a los muchos otros médicos e investigadores que me dieron autorización para utilizar sus imágenes originales y únicas de reconstrucción digital y microfotografías ópticas y electrónicas en esta edición. Agradezco a todos las leyendas apropiadas de las figuras.

Cuando Crystal Taylor, editora principal de adquisiciones de Wolters Kluwer, me pidió que trabajara en esta 8.º edición, me dio un gran incentivo. Ella simplemente dijo: "La señorita K volverá". Kathleen H. Scogna, dueña de Hunter Editorial Services LLC en Baltimore, Maryland, a quien llamo cariñosamente "la señorita K", fue mi editora favorita de ediciones previas de este libro. La fotografiaron en la 4.º edición de este libro (2003) con el equipo del autor en el paseo Splash Mountain de Disneyland en Orlando, Florida. Ella hizo un trabajo increíble entonces y ha hecho un trabajo increíble ahora. La señorita K se aseguró de que el texto fuera legible y fluido de principio a fin. Con sus ojos frescos y su perspicacia, brindó comentarios honestos y consejos constructivos. Para cualquier autor, una relación basada en el respeto mutuo con un editor de confianza es esencial para un libro de texto exitoso. Tuve la suerte de experimentar esa relación mientras trabajaba con la señorita K.

Una vez más tuve el privilegio de que **Rob Duckwall**, de Dragonfly Media Group (Baltimore, Maryland), uno de los ilustradores médicos más talentosos de hoy en día, a quien me he referido en una edición anterior como el "Miguel Ángel de la Capilla Sixtina de Histología", y quien acordó trabajar en esta edición. Rob añadió varias ilustraciones nuevas y mejoró muchas de las antiguas en esta edición. Su compromiso y disposición para trabajar como equipo proporcionó una dinámica creativa sin precedentes que marcó la diferencia. Rob ha hecho de todas y cada una de las ilustraciones una obra de arte incomparable.

También deseo extender mi agradecimiento especial a Jennifer Clements, la directora de arte, por brindarme el apoyo continuo para volver a etiquetar y reemplazar imágenes en las secciones de texto y atlas de este libro. También estoy agradecido con Andrea Vosburgh, editora de desarrollo, por su ayuda con el diseño de la hermosa y singular portada de esta nueva edición. Un agradecimiento especial a Crystal Taylor, editora principal de adquisiciones, por su apoyo durante el desarrollo de este libro. Por último, mi sincero agradecimiento a Harold Medina, gerente de proyecto de Absolute Service, Inc. (Towson, Maryland), y su equipo de talentosos creadores por un trabajo excelente para llevar a buen término esta desafiante publicación.

CONTENIDO

Prefacio vi Agradecimientos vii



Técnicas 1

FUNDAMENTOS DE LAS TÉCNICAS UTILIZADAS **EN HISTOLOGÍA / 1** PREPARACIÓN DEL TEJIDO / 2 HISTOQUÍMICA Y CITOQUÍMICA / 3 MICROSCOPÍA / 12

Cuadro 1-1 Correlación clínica: biopsias por congelación / 4 Cuadro 1-2 Consideraciones funcionales: microespectrofotometria de Feulgen / 7

Cuadro 1-3 Correlación clínica: anticuerpos monoclonales en medicina / 9

Cuadro 1-4 Consideraciones funcionales: uso correcto del microscopio óptico / 17

HISTOLOGIA 101 / 26



Citoplasma celular 28

FUNDAMENTOS DE LA CÉLULA Y EL CITOPLASMA / 28 ORGÁNULOS MEMBRANOSOS / 31 **ORGÁNULOS NO MEMBRANOSOS / 62 INCLUSIONES / 77** MATRIZ CITOPLASMÁTICA / 79

Cuadro 2-1 Correlación clínica: enfermedades de almacenamiento lisosómico / 48 Cuadro 2-2 Correlación clínica: anomalías en los microtúbulos y los filamentos / 76 Cuadro 2-3 Correlación clínica: duplicación anómala

de centriolos y el cáncer / 79

HISTOLOGÍA 101 / 80



Núcleo celular / 82

FUNDAMENTOS DEL NÚCLEO / 82 COMPONENTES NUCLEARES / 82 RENOVACIÓN CELULAR / 92 CICLO CELULAR / 92 **MUERTE CELULAR / 99**

Cuadro 3-1 Correlación clínica: pruebas citogenéticas / 87 Cuadro 3-2 Correlación clínica: regulación del ciclo celular y tratamiento del cáncer / 88

HISTOLOGÍA 101 / 104



Tejidos: conceptos v clasificación / 106

FUNDAMENTOS DE LOS TEJIDOS / 106 EPITELIO / 107 **TEJIDO CONJUNTIVO / 108 TEJIDO MUSCULAR / 108 TEJIDO NERVIOSO / 109**

HISTOGÉNESIS DE LOS TEJIDOS / 110 **IDENTIFICACIÓN DE LOS TEJIDOS / 113**

Cuadro 4-1 Correlación clínica: teratomas ováricos / 112

HISTOLOGIA 101 / 114



Tejido epitelial 116

FUNDAMENTOS DE LA ESTRUCTURA Y LA FUNCIÓN EPITELIAL / 116

CLASIFICACIÓN DE LOS EPITELIOS / 117

POLARIDAD CELULAR /118

ESPECIALIZACIONES DE LA REGIÓN APICAL / 120

REGIÓN LATERAL Y SUS ESPECIALIZACIONES

EN LA ADHESIÓN CELULAR / 133

REGIÓN BASALY SUS ESPECIALIZACIONES EN LA ADHESIÓN CÉLULA-MATRIZ EXTRACELULAR / 147 **GLÁNDULAS / 157**

RENOVACIÓN DE LAS CÉLULAS EPITELIALES / 160

Cuadro 5-1 Correlación clínica: metaplasia epitelial / 120 Cuadro 5-2 Correlación clínica: discinesia ciliar primaria (sindrome de los cilios inmóviles) / 133

Cuadro 5-3 Correlación clínica: complejos de unión como diana de agentes patógenos / 142

Cuadro 5-4 Consideraciones funcionales: terminología de la membrana y lámina basales / 150

Cuadro 5-5 Consideraciones funcionales: membranas mucosas y serosas / 161

HISTOLOGIA 101 / 162

Láminas del atlas

LÁMINA 1 Epitelios planos y cúbicos simples / 164 LÁMINA 2 Epitelios simples y estratificados / 166 LAMINA 3 Epitelios estratificados y tejidos epitelioides / 168



Tejido conjuntivo 170

FUNDAMENTOS DEL TEJIDO CONJUNTIVO / 170 TEJIDO CONJUNTIVO EMBRIONARIO / 170 TEJIDO CONJUNTIVO DEL ADULTO / 172 FIBRAS DEL TEJIDO CONJUNTIVO / 174 **MATRIZ EXTRACELULAR / 186** CÉLULAS DEL TEJIDO CONJUNTIVO / 190

Cuadro 6-1 Correlación clínica: colagenopatías / 181 Cuadro 6-2 Correlación clínica: exposición al sol y cambios moleculares en la piel fotoenvejecida / 186

Cuadro 6-3 Correlación clínica: función de los miofibroblastos en la cicatrización / 196

Cuadro 6-4 Consideraciones funcionales: sistema fagocitico mononuclear / 197

Cuadro 6-5 Correlación clínica: función de los mastocitos y los basófilos en las reacciones alérgicas / 198

HISTOLOGIA 101 / 202

Láminas del atlas

LÁMINA 4 Tejido conjuntivo denso irregular y laxo / 204 LÁMINA 5 Tejido conjuntivo denso regular, tendones y ligamentos / 206

LÁMINA 6 Fibras v láminas elásticas / 208

Tejido cartilaginoso 210

FUNDAMENTOS DEL TEJIDO CARTILAGINOSO / 210
CARTÍLAGO HIALINO / 210
CARTÍLAGO ELÁSTICO / 217
FIBROCARTÍLAGO / 217
CONDROGENESIS Y CRECIMIENTO DEL CARTÍLAGO / 218
REPARACIÓN DEL CARTÍLAGO HIALINO / 219

Cuadro 7-1 Correlación clínica: artrosis / 211
Cuadro 7-2 Correlación clínica: tumores malignos
del cartílago (condrosarcomas) / 220

HISTOLOGIA 101 / 222

Láminas del atlas

LÁMINA 7 Cartilago hialino / 224 LÁMINA 8 Cartilago y esqueleto en desarrollo / 226 LÁMINA 9 Cartilago elástico / 228 LÁMINA 10 Fibrocartilago / 230



Tejido óseo 232

FUNDAMENTOS DEL TEJIDO ÓSEO / 232
ESTRUCTURA GENERAL DE LOS HUESOS / 233
TIPOS DE TEJIDO ÓSEO / 235
CÉLULAS DEL TEJIDO ÓSEO / 237
FORMACIÓN DEL HUESO / 246
MINERALIZACIÓN BIOLÓGICA Y VESÍCULAS
MATRICIALES / 253

ELTEJIDO ÓSEO COMO DIANA DE LAS HORMONAS ENDOCRINAS Y COMO ÓRGANO ENDOCRINO / 255 BIOLOGÍA DE LA REPARACIÓN ÓSEA / 258

Cuadro 8-1 Correlación clínica: artropatías / 235
Cuadro 8-2 Correlación clínica: osteoporosis / 256
Cuadro 8-3 Correlación clínica: factores nutricionales
en la osificación / 258
Cuadro 8-4 Consideraciones funcionales: regulación

HISTOLOGIA 101 / 262

Láminas del atlas

LÁMINA 11 Hueso desgastado / 264 LÁMINA 12 Tejido óseo y huesos / 266 LÁMINA 13 Osificación endocondral I / 268 LÁMINA 14 Osificación endocondral II / 270 LÁMINA 15 Osificación intramembranosa / 272

hormonal del crecimiento óseo / 259



9 Tejido adiposo 274

FUNDAMENTOS DEL TEJIDO ADIPOSO / 274
TEJIDO ADIPOSO BLANCO / 274
TEJIDO ADIPOSO PARDO / 279
TRANSDIFERENCIACIÓN DEL TEJIDO ADIPOSO / 284

Cuadro 9-1 Correlación clínica: obesidad / 281 Cuadro 9-2 Correlación clínica: tumores del tejido adiposo / 283

Cuadro 9-3 Correlación clínica: tomografía por emisión de positrones e interferencia del tejido adiposo pardo / 285

HISTOLOGIA 101 / 286

Láminas del atlas LÁMINA 16 Tejido adiposo / 288



PLASMA / 291
ERITROCITOS / 293
LEUCOCITOS / 297
TROMBOCITOS / 309
HEMOGRAMA / 312
FORMACIÓN DE LAS CÉLULAS DE LA

FUNDAMENTOS DE LA SANGRE / 290

FORMACIÓN DE LAS CÉLULAS DE LA SANGRE (HEMATOPOYESIS) / 313 MÉDULA ÓSEA / 323

Cuadro 10-1 Correlación clínica: sistemas de grupos sanguíneos ABO y Rh / 295

Cuadro 10-2 Correlación clínica: hemoglobina en pacientes con diabetes / 297

Cuadro 10-3 Correlación clínica: alteraciones de la hemoglobina / 298

Cuadro 10-4 Correlación clínica: alteraciones hereditarias de los neutrófilos (enfermedad granulomatosa crónica) / 303

Cuadro 10-5 Correlación clínica: degradación de la sangre e ictericia / 305

Cuadro 10-6 Correlación clínica: celularidad de la médula ósea / 324

HISTOLOGIA 101 / 326

Láminas del atlas

LÁMINA 17 Eritrocitos y granulocitos / 328 LÁMINA 18 Agranulocitos y médula ósea roja / 330 LÁMINA 19 Eritropoyesis / 332 LÁMINA 20 Granulocitopoyesis / 334



11 Tejido muscular 336

FUNDAMENTOS Y CLASIFICACIÓN DEL MÚSCULO / 336 MÚSCULO ESQUELÉTICO / 337 MÚSCULO CARDÍACO / 354 MÚSCULO LISO / 358

Cuadro 11-1 Consideraciones funcionales: metabolismo muscular e isquemia / 342

Cuadro 11-2 Correlación clínica: distrofias musculares. Distrofina y proteínas asociadas / 345

Cuadro 11-3 Correlación clínica: miastenia grave / 350 Cuadro 11-4 Consideraciones funcionales: comparación entre los tres tipos de músculo / 364

HISTOLOGÍA 101 / 366

Láminas del atlas

LÁMINA 21 Músculo esquelético i / 368

LÁMINA 22 Músculo esquelético II y microscopía electrónica / 370

LÁMINA 23 Unión miotendinosa / 372 LÁMINA 24 Músculo cardíaco / 374

LÁMINA 25 Músculo cardíaco y fibras de Purkinje / 376 LÁMINA 26 Músculo tiso / 378

.

2 Tejido nervioso 380

FUNDAMENTOS DEL SISTEMA NERVIOSO / 380 COMPOSICIÓN DEL TEJIDO NERVIOSO / 381 NEURONA / 381 CÉLULAS DE SOSTÉN DEL SISTEMA NERVIOSO: NEUROGLÍA / 395 ORIGEN DE LAS CÉLULAS DEL TEJIDO NERVIOSO / 405 ORGANIZACIÓN DEL SISTEMA NERVIOSO PERIFÉRICO / 406

ORGANIZACIÓN DEL SISTEMA NERVIOSO AUTÓNOMO/408 ORGANIZACIÓN DEL SISTEMA NERVIOSO CENTRAL / 412 RESPUESTA DE LAS NEURONAS A UNA LESIÓN / 416

Cuadro 12-1 Correlación clínica: enfermedad de Parkinson / 390

Cuadro 12-2 Correlación clínica: enfermedades desmielinizantes / 397

Cuadro 12-3 Correlación clínica: formación de cicatrices en el sistema nervioso central (gliosis reactiva) / 419

HISTOLOGÍA 101 / 420

Láminas del atlas

LÁMINA 27 Ganglios simpáticos y de la raíz dorsal / 422

LÁMINA 28 Nervio periférico / 424

LÁMINA 29 Cerebro / 426

LÁMINA 30 Cerebelo / 428

LÁMINA 31 Médula espinal / 430

13 Sistema cardiovascular 432

FUNDAMENTOS DEL SISTEMA CARDIOVASCULAR/ 432 CORAZÓN / 433

CARACTERÍSTICAS GENERALES DE LAS ARTERIAS Y LAS VENAS / 440

ARTERIAS / 447

CAPILARES / 452

ANASTOMOSIS ARTERIOVENOSAS / 455

VENAS / 455

VASOS SANGUÍNEOS ATÍPICOS / 458

VASOS LINFÁTICOS / 459

Cuadro 13-1 Correlación clínica: ateroesclerosis / 442

Cuadro 13-2 Correlación clínica: hipertensión / 448

Cuadro 13-3 Correlación clínica: coronariopatía / 460

HISTOLOGIA 101 / 462

Láminas del atlas

LÁMINA 32 Corazón / 464

LÁMINA 33 Aorta / 466

LÁMINA 34 Arterias musculares y venas medianas / 468 LÁMINA 35 Arteriolas, vénulas y vasos linfáticos / 470

14 Sistema inmunitario y tejidos y órganos linfáticos 472

FUNDAMENTOS DE LOS SISTEMAS INMUNITARIO Y LINFÁTICO / 472

CÉLULAS DEL SISTEMA INMUNITARIO / 474
TEJIDOS Y ÓRGANOS LINFÁTICOS 488

Cuadro 14-1 Consideraciones funcionales: origen de los nombres de los linfocitos T y B / 479

Cuadro 14-2 Correlación clinica: reacciones de hipersensibilidad / 480

Cuadro 14-3 Correlación clínica: virus de la inmunodeficiencia humana y síndrome

de inmunodeficiencia adquirida / 491

Cuadro 14-4 Correlación clínica: linfadenitis reactiva

(inflamatoria) / 505

HISTOLOGIA 101 / 510

Láminas del atlas

LÁMINA 36 Amígdalas palatinas / 512 LÁMINA 37 Ganglio linfático I / 514 LÁMINA 38 Ganglio linfático II / 516 LÁMINA 39 Bazo I / 518 LÁMINA 40 Bazo II / 520 LÁMINA 41 Timo / 522

15 Sistema tegumentario 524

FUNDAMENTOS DEL SISTEMA TEGUMENTARIO / 524 ESTRATOS DE LA PIEL / 525

CÉLULAS DE LA EPIDERMIS / 529

ESTRUCTURAS DE LA PIEL / 536

Cuadro 15-1 Correlación clínica: tipos de cáncer de origen epidérmico / 527

Cuadro 15-2 Correlación clínica: cirugía micrográfica de Mohs / 537

Cuadro 15-3 Consideraciones funcionales: color de la piel / 543

Cuadro 15-4 Consideraciones funcionales: crecimiento y características del pelo / 544

Cuadro 15-5 Correlación clínica: sudoración y enfermedad / 544

Cuadro 15-6 Correlación clínica: reparación cutánea / 550

HISTOLOGÍA 101 / 552

Láminas del atlas

LÁMINA 42 Piel I / 554

LÁMINA 43 Piel II / 556

LÁMINA 44 Glándulas sudoriparas apocrinas y ecrinas / 558

LÁMINA 45 Glándulas sudoriparas y sebáceas / 560

LÁMINA 46 Piel y receptores sensoriales / 562

LÁMINA 47 Folículo piloso y uña / 564

16 Sistema digestivo I: cavidad bucal y estructuras asociadas 566

FUNDAMENTOS DEL SISTEMA DIGESTIVO / 566

CAVIDAD BUCAL / 567

LENGUA / 569

DIENTES Y SUSTEJIDOS DE SOPORTE / 573

GLÁNDULAS SALIVALES / 585

Cuadro 16-1 Correlación clínica: el fundamento genético del gusto / 575

Cuadro 16-2 Correlación clinica: clasificaciones de las denticiones permanente (secundaria) y decidual (primaria) / 578

Cuadro 16-3 Correlación clínica: caries dentales / 586 Cuadro 16-4 Correlación clínica: tumores de las glándulas salivales / 592

HISTOLOGÍA 101 / 594

Láminas del atlas

LÁMINA 48 Labio y unión mucocutánea / 596

LÁMINA 49 Lengua I / 598

LÁMINA 50 Lengua II. Papilas foliadas y corpúsculos gustativos / 600

LÁMINA 51 Glándula submandibular / 602

LÁMINA 52 Glándula parótida / 604

LÁMINA 53 Glándula sublingual / 606

17 Sistema digestivo II: tubo digestivo 608

FUNDAMENTOS DEL TUBO DIGESTIVO / 608 ESÓFAGO / 611 ESTÓMAGO / 613 **INTESTINO DELGADO / 626 INTESTINO GRUESO / 635**

Cuadro 17-1 Correlación clínica: anemia perniciosa y enfermedad ulcerosa péptica / 617

Cuadro 17-2 Correlación clínica: síndrome de Zollinger-Ellison / 618

Cuadro 17-3 Consideraciones funcionales: sistema endocrino gastrointestinal / 619

Cuadro 17-4 Consideraciones funcionales: funciones digestivas y absortivas de los enterocitos / 624

Cuadro 17-5 Consideraciones funcionales: funciones inmunitarias del tubo digestivo / 633

Cuadro 17-6 Correlación clínica: patrón de distribución de los vasos linfáticos y enfermedades del intestino grueso / 639

Cuadro 17-7 Correlación clínica: cáncer colorrectal / 641

HISTOLOGIA 101 / 642

Láminas del atlas

LAMINA 54 Esófago / 644

LÁMINA 55 Esófago y estómago, región del cardías / 646

LAMINA 56 Estómago I / 648

LÁMINA 57 Estómago II / 650

LAMINA 58 Unión gastroduodenal / 652

LÁMINA 59 Duodeno / 654

LÁMINA 60 Yevuno / 656

LÁMINA 61 lleon / 658

LÁMINA 62 Colon / 660

LÁMINA 63 Apéndice / 662

LÁMINA 64 Conducto anal / 664

18 Sistema digestivo III: hígado, vesícula biliar y páncreas 666

HIGADO / 666 VESICULA BILIAR / 680 PÁNCREAS / 683

Cuadro 18-1 Correlación clínica: lipoproteínas / 668 Cuadro 18-2 Correlación clínica: insuficiencia cardíaca congestiva, sobredosis de paracetamol y necrosis hepática / 674

Cuadro 18-3 Correlación clínica: producción de insulina y enfermedad de Alzheimer / 690

Cuadro 18-4 Consideraciones funcionales: síntesis de insulina, un ejemplo de procesamiento postraduccional / 691

HISTOLOGIA 101 / 692

Láminas del atlas LAMINA 65 Higado I / 694 LAMINA 66 Higado II / 696

LÁMINA 67 Vesícula biliar / 698 LÁMINA 68 Páncreas / 700



Sistema respiratorio 702

FUNDAMENTOS DEL SISTEMA RESPIRATORIO / 702 CAVIDADES NASALES / 703 FARINGE / 708 LARINGE / 708 TRÁQUEA / 710 **BRONQUIOS / 715 BRONQUIOLOS / 716** ALVÉOLOS / 719

IRRIGACIÓN SANGUÍNEA / 724 VASOS LINFÁTICOS / 725 INERVACIÓN / 725

Cuadro 19-1 Correlación clínica: afecciones frecuentes de la mucosa nasal / 715

Cuadro 19-2 Correlación clínica: metaplasia escamosa en las vias respiratorias / 717

Cuadro 19-3 Correlación clínica: asma / 718

Cuadro 19-4 Correlación clínica: fibrosis quistica / 725 Cuadro 19-5 Correlación clínica: enfermedad pulmonar obstructiva crónica y neumonia / 726

HISTOLOGIA 101 / 728

Láminas del atlas

LÁMINA 69 Mucosa olfatoria / 730

LÁMINA 70 Laringe / 732

LAMINA 71 Tráquea / 734

LÁMINA 72 Bronquiolos y vías aéreas terminales / 736 LAMINA 73 Bronquiolo terminal, bronquiolo respiratorio y alvéolos / 738

Aparato urinario 740

FUNDAMENTOS DEL APARATO URINARIO / 740 ESTRUCTURA GENERAL DEL RINÓN / 741 **FUNCIÓN TUBULAR RENAL / 756** CÉLULAS INTERSTICIALES / 761 HISTOFISIOLOGÍA DEL RIÑÓN / 762 **IRRIGACIÓN SANGUÍNEA / 763 VASOS LINFÁTICOS / 765 INERVACIÓN / 765 URETER, VEJIGAY URETRA / 766**

Cuadro 20-1 Consideraciones funcionales: riñón y vitamina D / 741

Cuadro 20-2 Correlación clínica: glomerulonefritis inducida por anticuerpos antimembrana basal glomerular (sindrome de Goodpasture) / 754

Cuadro 20-3 Correlación clínica: sistema reninaangiotensina-aldosterona e hipertensión / 755

Cuadro 20-4 Correlación clínica: uroanálisis (examen general de orina) / 756

Cuadro 20-5 Consideraciones funcionales: estructura y función de los canales de acuaporina / 762

Cuadro 20-6 Consideraciones funcionales: regulación de la función del conducto colector por la hormona antidiurética / 763

HISTOLOGIA 101 / 770

Láminas del atlas

LAMINA 74 Riñón I / 772 LAMINA 75 Riñón II / 774

LÁMINA 76 Riñón III / 776

LÁMINA 77 Riñón IV / 778

LAMINA 78 Uréter / 780

LÁMINA 79 Vejiga / 782

Organos endocrinos 784

FUNDAMENTOS DEL SISTEMA ENDOCRINO / 784 HIPÓFISIS (GLÁNDULA PITUITARIA) / 787 HIPOTÁLAMO / 797 **GLÁNDULA PINEAL / 798 GLÁNDULA TIROIDES / 799 GLÁNDULAS PARATIROIDES / 806 GLÁNDULAS SUPRARRENALES / 808**

Cuadro 21-1 Consideraciones funcionales: regulación de la secreción hipofisaria / 788

Cuadro 21-2 Correlación clínica: fundamentos de las endocrinopatías / 796

Cuadro 21-3 Correlación clinica: enfermedades relacionadas con la secreción de vasopresina / 796 Cuadro 21-4 Correlación clínica: función tiroidea anómala / 805

Cuadro 21-5 Correlación clínica: células cromafines y feocromocitoma / 814

Cuadro 21-6 Consideraciones funcionales: biosíntesis de las hormonas suprarrenales / 816

HISTOLOGIA 101 / 818

Láminas del atlas

LÁMINA 80 Hipófisis 1 / 820

LÁMINA 81 Hipófisis II / 822

LÁMINA 82 Glándula pineal / 824

LÁMINA 83 Glándulas paratiroides y tiroides / 826

LÁMINA 84 Glándula supramenal I / 828

LÁMINA 85 Giándula supramenal II / 830

22 Aparato reproductor masculino 832

FUNDAMENTOS DEL APARATO REPRODUCTOR MASCULINO / 832

TESTÍCULOS / 832

ESPERMATOGÉNESIS / 839

TÚBULOS SEMINÍFEROS / 845

CONDUCTOS INTRATESTICULARES / 850

SISTEMA DE LAS VÍAS ESPERMÁTICAS / 850

GLÁNDULAS SEXUALES ACCESORIAS / 854

PRÓSTATA / 855

SEMEN / 859

PENE / 860

Cuadro 22-1 Consideraciones funcionales: regulación hormonal de la espermatogénesis / 839

Cuadro 22-2 Correlación clínica: factores que afectan la espermatogénesis / 840

Cuadro 22-3 Correlación clínica: antígenos específicos de los espermatozoides y respuesta inmunitaria / 849

Cuadro 22-4 Correlación clínica: hipertrofia prostática benigna y cáncer de próstata / 857

Cuadro 22-5 Correlación clínica: mecanismo de la erección y disfunción eréctil / 860

HISTOLOGÍA 101 / 862

Láminas del atlas

LÁMINA 86 Testiculo I / 864

LÁMINA 87 Testículo II / 866

LÁMINA 88 Conductillos eferentes y epididimo / 868

LÁMINA 89 Cordón espermático y conducto deferente / 870

LÁMINA 90 Próstata / 872

LÁMINA 91 Vesículas seminales / 874

23 Aparato reproductor femenino 876

FUNDAMENTOS DEL APARATO REPRODUCTOR FEMENINO / 876

OVARIOS / 877

TROMPAS UTERINAS / 891

ÚTERO / 893

PLACENTA / 901

VAGINA / 906

GENITALES EXTERNOS / 907

GLÁNDULAS MAMARIAS / 909

Cuadro 23-1 Correlación clínica: poliquistosis ovárica / 884

Cuadro 23-2 Correlación clínica: fecundación in vitro / 890

Cuadro 23-3 Consideraciones funcionales: resumen

de la regulación hormonal del ciclo ovárico / 894

Cuadro 23-4 Correlación clinica: la placenta / 905

Cuadro 23-5 Correlación clínica: citología de cuello

uterino (prueba de Papanicoláu) / 908

Cuadro 23-6 Correlación clínica: cáncer de cuello uterino e infecciones por virus del papiloma humano / 914

Cuadro 23-7 Consideraciones funcionales: lactancia

e infertilidad / 915

HISTOLOGIA 101 / 916

Láminas del atlas

LÁMINA 92 Ovarios I / 920

LÁMINA 93 Ovarios II / 922

LÁMINA 94 Cuerpo lúteo / 924

LÁMINA 95 Trompas uterinas / 926

LÁMINA 96 Útero I / 928

LÁMINA 97 Útero II / 930

LÁMINA 98 Cuello uterino / 932

LAMINA 99 Placenta I / 934

LÁMINA 100 Placenta II / 936

LAMINA 101 Vagina / 938

LÁMINA 102 Glándula mamaria sin estimulación / 940

LAMINA 103 Glándula mamaria en etapa proliferativa avanzada y lactancia / 942

24 Ojo 944

FUNDAMENTOS DEL 0J0 / 944

ESTRUCTURA GENERAL DEL 0J0 / 944

ESTRUCTURA MICROSCÓPICA DEL OJO / 947 ESTRUCTURAS ACCESORIAS DEL OJO / 969

Cuadro 24-1 Correlación clínica: glaucoma / 954

Cuadro 24-2 Correlación clinica: desprendimiento

de retina / 955

Cuadro 24-3 Correlación clinica: degeneración macular relacionada con la edad / 956

Cuadro 24-4 Correlación clínica: imágenes clínicas de la retina / 961

Cuadro 24-5 Correlación clínica: daltonismo / 964

Cuadro 24-6 Correlación clínica: conjuntivitis / 968

HISTOLOGIA 101 / 972

Láminas del atlas

LÁMINA 104 Ojo I / 974

LÁMINA 105 Ojo II: retina / 976

LÁMINA 106 Ojo III: segmento anterior / 978

LÁMINA 107 Ojo IV: esclerótica, córnea y cristalino / 980

1 25 Oído 982

FUNDAMENTOS DEL OÍDO / 982

OIDO EXTERNO / 982

OÍDO MEDIO / 983

OIDO INTERNO / 987

Cuadro 25-1 Correlación clínica: otoesclerosis / 988

Cuadro 25-2 Correlación clínica: hipoacusia (disfunción vestibular) / 996

Cuadro 25-3 Correlación clínica: vértigo / 1001

HISTOLOGIA 101 / 1002

Láminas del atlas

LÁMINA 108 Oido / 1004

LÁMINA 109 Conducto coclear y órgano de Cortî / 1006

Índice alfabético de materias 1008

TÉCNICAS

FUNDAMENTOS DE LASTÉCNICAS UTILIZADAS EN HISTOLOGÍA / 1 PREPARACIÓN DEL TEJIDO / 2

Tincion con hematoxilina-eosina con fijación en formalina / 2 Otros fijadores / 3

HISTOQUÍMICA Y CITOQUÍMICA / 3

Otras técnicas de tinción / 3

Composicion quimica de las muestras histologicas / 4

Fundamentos químicos de la tinción / 5

Digestion enzimatica / 7

Histoquimica enzimática / 7

Inmunocitoquimica / 7

Técnicas de hibridación / 10

Autorradiografia / 11

Microscopia de expansion / 12

MICROSCOPÍA / 12

Microscopia optica / 12
Estudio de un preparado histológico
en el microscopio optico / 14

Otros sistemas ópticos / 15

Microscopia de superresolución / 21

Microscopia electrónica / 21

Microscopia de fuerza atómica / 23

Microscopia virtual / 23

Cuadro 1-1 Correlación clínica: biopsias

por congelación / 4

Cuadro 1-2 Consideraciones funcionales: microespectrofotometría de Feulgen / 7

Cuadro 1-3 Correlación clínica: anticuerpos

monoclonales en medicina / 9

Cuadro 1-4 Consideraciones funcionales: uso correcto del microscopio óptico / 17

HISTOLOGÍA 101 / 26



■ FUNDAMENTOS DE LASTÉCNICAS UTILIZADAS EN HISTOLOGÍA

El objetivo de un curso de histología es lograr que el estudiante comprenda la microanatomía de las células, los tejidos y los órganos, así como correlacionar estas estructuras con su función.

La histologia (gr., histos, tejido; gr., logia, ciencia), también llamada anatomia microscópica, es el estudio científico de las estructuras microscópicas de los tejidos y los órganos del cuerpo. La histología moderna no es solo una ciencia descriptiva, sino que también incluye numerosos aspectos de la biología molecular y celular, que ayudan a describir la organización y la función celular. Las técnicas utilizadas por los histólogos son muy diversas. La mayoría de los contenidos de un curso de histología se pueden formular en términos de la microscopía óptica. En la actualidad, los estudiantes en los laboratorios de histología utilizan ya sea microscopios ópticos o, con mayor frecuencia, microscopía virtual, en la que se pueden observar muestras microscópicas sobre la pantalla de un equipo

informático o dispositivo móvil. Antes se realizaba una interpretación más detallada de la microanatomía con microscopio electrónico (ME), tanto con el ME de transmisión (MET) como con el ME de barrido (MEB). Hoy en día, el microscopio de fuerza atómica (MFA) también puede proporcionar imágenes de alta resolución que son comparables o incluso mejores que las obtenidas con el MET. Tanto el ME como el MFA, debido a su resolución mayor y aumento más útil, suelen ser el último paso en la adquisición de datos a partir de muchas técnicas auxiliares de la biología celular y molecular. Sin embargo, el empleo de técnicas de superresolución se está incrementando en la investigación biológica celular y molecular, en gran parte porque se pueden obtener imágenes de alta resolución directamente de las células vivas mediante microscopía de fluorescencia. Estas técnicas auxiliares incluyen:

- Varios métodos de tinción (que mejoran el contraste de las imágenes microscópicas)
- Hîstoquímica y citoquímica
- Técnicas de inmunocitoquímica y de hibridación
- Autorradiografía

- Cultivo de tejidos y órganos
- Separación de células y orgánulos por centrifugación diferencial
- Preparación tisular especializada (p. ej., en la microscopía de expansión)
- Técnicas microscópicas especializadas (p. ej., microscopía de superresolución)
- Sistemas ópticos especializados (p. ej., microscopios de polarización, de barrido confocal o de fluorescencia de lámina de luz)

Los estudiantes pueden sentirse ajenos a estas técnicas y procedimientos experimentales debido a que no suelen tener una experiencia directa con ellos en los programas actuales de la asignatura. Sin embargo, es importante conocer estos procedimientos especializados y los datos que proporcionan. Este capítulo ofrece un resumen de las técnicas y una explicación de cómo los datos aportados por estas pueden ayudar al estudiante a comprender mejor la función de las células, los tejidos y los órganos.

Un problema que enfrentan los estudiantes de histología es comprender la naturaleza de la imagen bidimensional del preparado histológico de una microfotografía electrónica y cómo esta imagen se relaciona con la estructura tridimensional de la cual proviene. Para salvar esta brecha conceptual, primero es necesario presentar una descripción de las técnicas mediante las cuales se producen los preparados y las muestras de la microscopía electrónica.

■ PREPARACIÓN DEL TEJIDO

Tinción con hematoxilina-eosina con fijación en formalina

El corte habitual teñido con hematoxilina-eosina es la muestra que se utiliza con mayor frecuencia.

El conjunto de preparados que se entrega a cada estudiante junto con el microscopio óptico en general contiene muestras fijadas con formalina (formol), incluidas en parafina y teñidas con hematoxilina-eosina (H&E). Casi todas las microfotografias ópticas en la sección del Atlas de esta obra son de preparados de estos grupos de estudio. Además, la mayoría de las microfotografias utilizadas para ilustrar tejidos y órganos en la cátedra y las conferencias de histología son de estos preparados. A veces se emplean otras técnicas de tinción para mostrar componentes específicos de las células y los tejidos; varias de estas técnicas se describen más adelante.

El primer paso en la preparación de una muestra de tejido u órgano es la fijación para conservar la estructura.

La fijación, que en general se logra mediante una sustancia química o una mezcla de estas, conserva de forma permanente la estructura del tejido para tratamientos posteriores. Las muestras deben sumergirse en el fijador inmediatamente después de extraerse del cuerpo. La fijación sirve para:

- Detener el metabolismo celular.
- Impedir la degradación enzimática de las células y los tejidos por autólisis (autodigestión).
- Destruir microorganismos patógenos, como bacterias, hongos o virus.
- Endurecer el tejido como resultado de la formación de enlaces cruzados o de la desnaturalización de moléculas de proteínas.

El fijador más habitual es la formalina, una solución acuosa de formaldehído al 37% (formol), en diluciones variadas y en combinación con otras sustancias químicas y amortiguadores. El formalde-

hído conserva la estructura general de la célula y de los componentes extracelulares al reaccionar con los grupos amino de las proteínas (a menudo, con los enlaces cruzados de residuos de lisina). Como el formaldehído no altera de forma significativa la estructura tridimensional, las proteínas mantienen su capacidad para reaccionar con anticuerpos específicos. Esta propiedad es importante en los métodos inmunocitoquímicos de tinción (véase p. 7). La solución comercial estándar de formaldehído amortiguado con fosfatos (pH 7) actúa con lentitud, pero penetra bien en el tejido. Sin embargo, como no reacciona con los lípidos, es un mal fijador de las membranas celulares.

En el segundo paso, la muestra se prepara para su inclusión en parafina con el fin de permitir su corte.

Para examinar una muestra, se requiere de su infiltración con un medio de inclusión que permita realizar cortes muy finos, en general en el rango de 5-15 μm (1 micrón [μm] equivale a 1/1000 milímetros [mm]; tabla 1-1). Después de la fijación, la muestra se lava y se deshidrata en una serie de disoluciones de alcohol cuya concentración se incrementa al 100% para remover el agua. En el siguiente paso, el aclaramiento, se utilizan solventes orgánicos como el xileno o el tolueno, que son miscibles tanto en alcohol como en parafina, para extraer el alcohol antes de la infiltración de la muestra con la parafina fundida.

Cuando la parafina fundida se ha enfriado y endurecido, se corta para formar un bloque de tamaño adecuado. Este bloque se coloca en una máquina cortadora especial, el microtomo, que lo secciona con una cuchilla de acero. Los cortes obtenidos se montan sobre un portaobjetos de vidrio utilizando un medio de montaje como adhesivo. El medio de montaje es una solución que se endurece en un montaje permanente y mantiene la muestra unida al vidrio, lo que evita su deterioro con el tiempo (oscurecimiento, desvanecimiento, disolución, cristalización, etc.). Los medios de montaje permanente no acuosos empleados con mayor frecuencia son resinas sintéticas basadas en tolueno (Permount^o), bálsamo de Canadá (una trementina hecha de la resina del abeto balsámico) y muchos otros. Los medios de base acuosa se usan a menudo en inmunocitoquímica e incluyen productos a base de glicerol y gelatina.

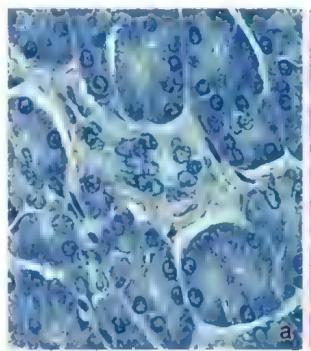
En el tercer paso, la muestra se tiñe para permitir su observación.

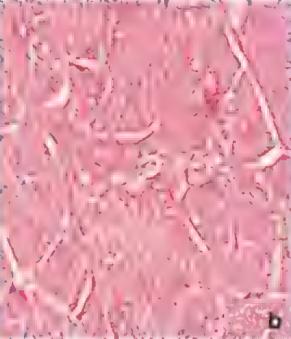
Como los cortes en parafina son incoloros, la muestra todavía no está lista para su observación bajo el microscopio óptico. Para teñir los cortes histológicos, la parafina debe disolverse y extraerse, otra vez con xileno o tolueno, y los tejidos deben rehidratarse mediante una serie de disoluciones de alcohol con concentración decre-

Equipment de e

Equivalentes lineales de empleo frecuente

=	0.01 angstrom (Å)
=	0.1 nanómetro (nm)
-	1 nanómetro
=	1 000 picómetros (pm)
=	1 micrón (µm)
=	1 milimetro (mm)
	=





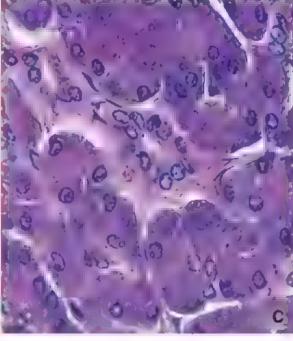


FIGURA 1-1. Tinción con hematoxilina-eosina (H&E). Este conjunto de muestras del páncreas son secciones en serie (adyacentes) que permiten observar el efecto de la hematoxilina y la eosina utilizadas solas y en combinacion a. Esta microfotografía solo revela la tinción con hematoxilina. Aunque hay una tinción global de la muestra, los componentes y las estructuras que tienen una alta afinidad por el colorante se tinen con mayor intensidad (p. ej., el ADN nuclear y las áreas de la célula que contienen ARN citoplasmático). b. En esta microfotografía, la eosina (la contratinción) también tiene un efecto de tinción global cuando se usa sola. Sin embargo, se aprecia que el nucleo es menos visible que en la muestra tenida solo con hematoxilina. Una vez que la muestra está tenida con hematoxilina y se prepara para ser tenida con eosina en una discrución de alcohol, la hematoxilina que no está estrechamente unida se pierde y la eosina tine aquellos componentes con los que tiene una alta afinidad. c. En esta microfotografía se aprecia el efecto de la tinción combinada de H&E. 480×.

ciente. A continuación, el tejido sobre el portaobjetos se tiñe con hematoxilina en agua. Debido a que el colorante de contraste, la eosina, es más soluble en alcohol que en agua, se vuelve a deshidratar la muestra a través de una serie de disoluciones alcohólicas de concentración creciente y después se tiñe con eosina en alcohol. En la figura 1-1 se presentan los resultados de la tinción con hematoxilina sola, con eosina sola y con ambos colorantes. Una vez teñida, la muestra se pasa por xileno o tolueno y se le coloca un medio de montaje no acuoso encima antes de cubrirla con un cubreobjetos para obtener un preparado permanente.

Otros fijadores

La formalina no preserva todos los componentes de las células y los tejidos.

Si bien los cortes teñidos con H&E de muestras fijadas en formalina resultan prácticos, ya que muestran adecuadamente las características estructurales generales, no permiten dilucidar la composición química específica de los elementos celulares. Además, muchos componentes se pierden durante la preparación de la muestra. Para conservar estos componentes y estructuras, se deben utilizar otras técnicas de fijación. En general, estas técnicas se fundamentan en un conocimiento sólido de la química implicada. Por ejemplo, los alcoholes y solventes orgánicos que se usan en preparados de rutina diluyen los lípidos neutros.

Para conservar los lípidos neutros, como los de las células adiposas, deben emplearse cortes por congelación de tejido fijado en formalina y colorantes que se disuelvan en grasa; para conservar las estructuras de la membrana, se utilizan fijadores especiales con metales pesados, como permanganato y osmio, que se unen a los fosfolípidos (cuadro 1-1). El uso rutinario de **tetróxido de osmio** como fijador en la microscopía electrónica es la razón principal del excelente estado de conservación de las membranas en las microfotografías electrónicas.

Otras técnicas de tinción

La hematoxilina y la eosina se usan principalmente para observar las características estructurales.

A pesar de las ventajas de la tinción con H&E, el procedimiento no permite ver de forma adecuada ciertos componentes estructurales de los cortes histológicos, como la elastina, las fibras reticulares, las membranas basales y los lípidos. Cuando se desea observar estos componentes, se pueden utilizar otros métodos de tinción, en su mayoría selectivos. Estos procedimientos incluyen la orceína y la fucsina-resorcina para el material elástico y la impregnación argéntica para las fibras reticulares y las membranas basales. Las bases químicas de muchos métodos de tinción no se entienden por completo. Comprender los conceptos básicos de un procedimiento de tinción es a menudo más importante que conocer con precisión todos los pasos que están involucrados en ese proceso.

■ HISTOQUÍMICA Y CITOQUÍMICA

Los procedimientos químicos específicos pueden proporcionar información acerca de la función de las células y de los componentes extracelulares de los tejidos.

Los procedimientos histoquímicos y citoquímicos pueden basarse en la unión específica de un colorante, en el uso de anticuerpos marcados con un colorante fluorescente para un componente celular en particular o en la actividad enzimática inherente de un elemento constitutivo de la célula. Además, muchas macromoléculas presentes en las células pueden detectarse mediante una autorradiografía, en la cual precursores moleculares marcados radioactivamente se agregan a las células y los tejidos antes de la fijación. Muchos de estos procedimientos pueden emplearse en preparados tanto para la microscopía óptica como para la electrónica.

CORRELACION CLÍNICA: BIOPSIAS POR CONGELACIÓN

Algunas veces se solicita a un patólogo que evalue inmediatamente el tejido obtenido durante la cirugía, en especial cuando el diagnóstico patológico instantáneo puede determinar cómo procederá la operación. Hay varias indicaciones para realizar una evaluación de este tipo, conocida habitualmente como corte por congelación o cortes congelados. Lo más frecuente es que un cirujano en el quirófano pida un corte por congelación cuando no tiene un diagnóstico preoperatorio o cuando se deben identificar hallazgos intraoperatorios inesperados. Además, el cirujano puede querer determinar si se ha extirpado toda una masa patológica dentro del límite de tejido sano y si el margen de la resección quirúrgica está libre de tejido enfermo. Los cortes por congelación también se emplean en combinación con otros procedimientos como la endoscopia o la biopsia con aguja fina para confirmar si el material de biopsia obtenido se podrá utilizar en estudios patológicos adicionales.

En la preparación de los cortes por congelación hay tres pasos principales involucrados:

 Congelación de la muestra de tejido. Las muestras pequeñas de tejido se congelan usando dióxido de carbono comprimido o mediante inmersión en un líquido frío (isopentano) a una temperatura de -50°C. La congelación puede lograrse en un refrigerador especial de alta eficiencia. La congelación vuelve sólido el tejido y permite la sección con un microtomo.

- Corte del tejido congelado. El corte se realiza, en general, dentro de un criostato, un compartimento refrigerado que contiene un microtomo. Como el tejido está congelado, se pueden efectuar cortes extremadamente finos (5-10 μm). Las secciones se montan sobre un portaobjetos.
- Tinción de los cortes. La tinción se lleva a cabo para diferenciar los núcleos celulares del resto del tejido. Las tinciones más utilizadas para las secciones congeladas son H&E, azul de metileno (fig. C1-1-1) y ácido peryódico de Schiff.

El proceso completo de preparación y evaluación de los cortes congelados puede finalizarse en solo 10 minutos. El tiempo total para obtener resultados depende en gran medida del tiempo de transporte del tejido desde el quirófano al laboratorio de patología, la técnica histológica utilizada y la experiencia del patólogo. Luego, los hallazgos se comunican directamente al cirujano que espera en el quirófano.

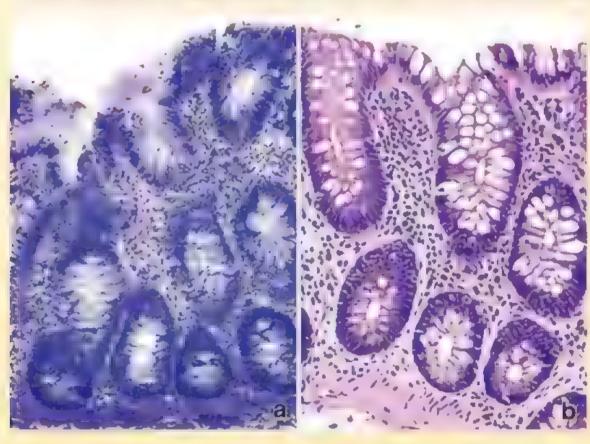


FIGURA C1-1-1. Evaluación de una muestra obtenida durante una cirugia mediante la técnica de corte por congelación, a. En esta microfotografía se observa una muestra obtenida del intestino grueso que se preparó mediante la técnica de corte por congelación y se tinó con azul de metileno 160× b. Parte de la muestra se fijo en formalina y se proceso como una preparación rutinaria de H&E El estudio del corte por congelación reveló que era normal. Este diagnostico se confirmó más tarde al examinar la muestra de H&E preparada de forma rutinaria 180 x (cortesia del Dr. Daniel W. Visscher)

Antes de analizar la química de las tinciones de rutina y de las técnicas histoquímicas y citoquímicas, es conveniente describir brevemente la naturaleza de un corte histológico de rutina.

Composición química de las muestras histológicas

La composición química de un tejido listo para una tinción de rutina difiere de la composición del tejido vivo.

Los componentes que permanecen después de la fijación son principalmente moléculas grandes que no se disuelven con facilidad, en especial después de aplicar el fijador. Estas moléculas, sobre todo aquellas que reaccionan con otras moléculas grandes para formar complejos macromoleculares, en general se conservan en una sec-

ción de tejido. Los siguientes son ejemplos de estos grandes complejos macromoleculares:

- Nucleoproteínas formadas por ácidos nucleicos unidos a proteínas.
- Proteinas intracelulares del citoesqueleto en complejos con proteínas asociadas.
- Proteinas extracelulares en grandes agregados insolubles, unidos a moléculas similares mediante enlaces cruzados de moléculas vecinas, como ocurre en la formación de las fibras de colágeno.
- Complejos de fosfolipidos y proteínas (o hidratos de carbono) en las membranas.

Estas moléculas constituyen la estructura de las células y los tejidos, es decir, son los elementos celulares del tejido. Son la base de la organización del tejido que se observa con el microscopio. En muchos casos, un elemento estructural es al mismo tiempo una unidad funcional. Por ejemplo, en el caso de las proteínas que forman los filamentos contráctiles de las células musculares, estos son los componentes estructurales visibles y además participan en el proceso de contracción. El ácido ribonucleico (ARN) del citoplasma aparece como parte de un componente estructural (p. ej., el ergastoplasma o retículo endoplásmico rugoso [RER] de las células secretoras o el cuerpo de Nissl de las neuronas) y es también el participante activo en las síntesis de proteínas.

Muchos de los componentes tisulares desaparecen durante el proceso de preparación de rutina de los cortes teñidos con hematoxilina-eosina.

Aunque los ácidos nucleicos, las proteínas y los fosfolípidos en su mayoría se conservan en los cortes tisulares, también se pierden de forma considerable. Las proteínas y los ácidos nucleicos pequeños, como los ARN de transferencia, en general desaparecen durante la preparación del tejido. Como ya se mencionó, los lípidos neutros suelen disolverse en los solventes orgánicos utilizados en la preparación de tejidos. También pueden perderse otras moléculas grandes, por ejemplo, al ser hidrolizadas como consecuencia del pH desfavorable de las soluciones fijadoras. Algunos ejemplos de moléculas que se pierden durante la fijación de rutina en fijadores acuosos son:

- Glucogeno (hidrato de carbono intracelular abundante en el hígado y las células musculares).
- Proteoglucanos y glucosaminoglucanos (hidratos de carbono complejos extracelulares que se encuentran en el tejido conjuntivo).

Sin embargo, estas moléculas pueden conservarse si se utilizan fijadores no acuosos para el glucógeno o se añaden agentes ligadores especiales a la solución fijadora que preserven las moléculas extracelulares que contienen hidratos de carbono.

También se pierden componentes solubles, iones y moléculas pequeñas durante la preparación de muestras de parafina.

Se pierden metabolitos intermedios, glucosa, sodio, cloro y sustancias similares durante la preparación de muestras de rutina en parafina teñidas con H&E. Muchas de estas sustancias pueden estudiarse en preparados especiales, a veces con una pérdida considerable de la integridad estructural. Estos iones y pequeñas moléculas solubles no constituyen los elementos celulares de un tejido; participan en procesos de síntesis o reacciones celulares. Cuando pueden conservarse y detectarse mediante técnicas específicas, aportan información muy valiosa sobre el metabolismo celular, el transporte activo y otros procesos vitales de las células. El agua, una molécula muy versátil, participa en estas reacciones y procesos y contribuye a estabilizar la estructura macromolecular a través de uniones de hidrógeno.

Fundamentos químicos de la tinción

Colorantes ácidos y básicos

La hematoxilina y la eosina son los colorantes de uso más frecuente en la histología.

Un colorante **àcido**, como la **eosina**, tiene una carga neta negativa en su parte coloreada y se describe con la fórmula general [colorante Na⁺].

Un colorante basico tiene una carga neta positiva en su parte coloreada y se describe con la fórmula general [colorante CIT].

La hematoxilina no es exactamente un colorante básico, pero tiene propiedades muy semejantes a las de estos. El color de un colo-



Algunos colorantes básicos y ácidos

Colorantes	Color	
Básicos		
Verde de metilo	Verde	
Azul de metileno	Azul	
Pironina G	Rojo	
Azul de toluidina	Azul	
Ácidos		
Fucsina ácida	Rojo	
Anılına azul	Azul	
Eosina	Rojo	
Naranja G	Naranja	

rante no está relacionado con el hecho de que sea ácido o básico, como lo demuestran los ejemplos de colorantes ácidos o básicos presentados en la tabla 1-2.

Los colorantes básicos reaccionan con los componentes aniónicos de las células y de los tejidos (que tienen una carga neta negativa).

Los componentes aniónicos incluyen los grupos fosfato de los ácidos nucleicos, los grupos sulfato de los glucosaminoglucanos y los grupos carboxilo de las proteínas. La capacidad de estos grupos aniónicos para reaccionar con un colorante básico se denomina basofilia (afinidad por bases o álcalis). Los componentes tisulares que se tiñen con hematoxilina también exhiben basofilia.

La reacción de los grupos aniónicos varía según el pH:

- Con un pH alto (cerca de 10), los tres grupos están ionizados y disponibles para la reacción con el colorante básico mediante uniones electrostáticas.
- Con un pH ligeramente ácido a neutro (de 5 a 7), los grupos fosfato y sulfato están ionizados y disponibles para reaccionar con el colorante básico a través de uniones electrostáticas.
- Con un pH bajo (inferior a 4), solo los grupos sulfato se mantienen ionizados y reaccionan con colorantes básicos.

Por lo tanto, la tinción con colorantes básicos a un pH determinado se puede utilizar para centrar el estudio sobre grupos aniónicos específicos; como estos grupos predominan en ciertas macromoléculas, la tinción sirve como un indicador de estas.

Como se mencionó anteriormente, la hematoxilina no es un colorante básico en sentido estricto: se emplea con un mordiente (un intermediario entre el componente del tejido y el colorante). El mordiente hace que la tinción se parezca a un colorante básico. La unión en el complejo tejido-mordiente-hematoxilina no es un simple enlace electrostático; cuando los cortes se colocan en agua, la hematoxilina no se disocia del tejido. La hematoxilina es adecuada para aquellos procedimientos tintoriales en los que dicha tinción viene seguida por soluciones acuosas de colorantes ácidos. A diferencia de la hematoxilina, los colorantes básicos verdaderos no suelen utilizarse en secuencias en las que estos van seguidos por un colorante ácido. Los colorantes básicos verdaderos tienden a disociarse del tejido durante los lavados en soluciones acuosas entre las dos soluciones de tinción.

Los colorantes ácidos reaccionan con los grupos catiónicos en las células y los tejidos, en particular, con los grupos amino ionizados de las proteínas.

La reacción de los grupos catiónicos con un colorante ácido recibe el nombre de acidofilia (afinidad por los ácidos). Las reacciones de los componentes celulares y tisulares con los colorantes ácidos no son tan específicas ni tan precisas como las reacciones con los colorantes básicos.

Aunque el enlace electrostático es el factor principal en la unión primaria de un colorante ácido con el tejido, no es el único; por ello, los colorantes ácidos a veces se utilizan en combinación para teñir selectivamente distintos componentes tisulares. Por ejemplo, en la tácnica de tinción de Mailory se emplean tres colorantes ácidos: anilina azul, fucsina ácida y naranja G. Estos colorantes tiñen de forma selectiva el colágeno, el citoplasma (en general) y los eritrocitos, respectivamente. La fucsina ácida también tiñe los núcleos.

En otras técnicas con varios colorantes ácidos, la hematoxilina se emplea para teñir primero los núcleos y luego se aplican colorantes ácidos para teñir selectivamente el citoplasma y las fibras extracelulares. La tinción selectiva de los componentes del tejido por los colorantes ácidos es atribuible a factores relativos, como el tamaño y el grado de acumulación de las moléculas del colorante, así como la permeabilidad y la "densidad" del tejido.

Los colorantes básicos también pueden utilizarse en combinación o de forma secuencial (p. ej., verde de metilo y pironina para estudiar la síntesis y la secreción de proteínas), pero estas combinaciones no son de uso tan difundido como las de los colorantes ácidos.

Hay pocas sustancias dentro de las células y en la matriz extracelular que presentan basofilia.

Entre estas sustancias se incluyen:

- Heterocromatina y nucléolos en el núcleo (principalmente por los grupos fosfato ionizados en los ácidos nucleicos de ambos).
- Componentes citopiasméticos, como el ergastoplasma (también por los grupos fosfato ionizados en el ARN ribosómico).
- Materiales extracelulares, por ejemplo, los hidratos de carbono complejos de la matriz del cartilago (por los grupos sulfato ionizados).

La tinción con colorantes ácidos es menos específica, pero más sustancias dentro de las células y en la matriz extracelular presentan acidofilia.

Entre estas sustancias se incluyen:

- La mayoría de los filamentos citoplasmáticos, en especial los de las células musculares.
- La mayoría de los componentes membranosos intracelulares y gran parte del citoplasma no especializado.
- La mayoría de las fibras extracelulares (principalmente debido a grupos amino ionizados).

Metacromasia

Ciertos colorantes básicos reaccionan con componentes tisulares que cambian su color normal de azul a rojo o púrpura; este cambio de la absorbancia se llama *metacromasia*.

El mecanismo subyacente para la metacromasia es la presencia de polianiones en el tejido. Cuando estos tejidos se tiñen con una solución colorante básica concentrada, como el azul de toluidina, las moléculas del colorante están lo suficientemente cerca como para formar agregados diméricos y poliméricos. Las propiedades de absorción de estos agregados difieren de las propiedades individuales de absorción de las moléculas no agregadas de colorante.

Las estructuras celulares y tisulares que tienen altas concentraciones de grupos sulfato y fosfato ionizados, como la sustancia fundamental del cartílago ionizado, los gránulos de heparina de los mastocitos y el retículo endoplasmático rugoso de los plasmocitos, exhiben metacromasia. Por lo tanto, el azul de toluidina se observará de púrpura a rojo cuando tiña estos componentes.

Grupos aldehído y el reactivo de Schiff

La capacidad de la fucsina básica decolorada (reactivo de Schiff) para reaccionar con los grupos aldehido causa la aparición de un color rojo distintivo y es la base de las reacciones de ácido peryódico de Schiff y de Feulgen.

La reacción de ácido peryódico de Schiff (PAS, periodic acid-Schiff reaction) tiñe hidratos de carbono y macromoléculas con abundancia de estos. Se usa para mostrar el glucógeno en las células, el moco en diversas células y tejidos, y la membrana basal subyacente en epitelios y fibras reticulares en el tejido conjuntivo. El reactivo de Schiff también se utiliza en la reacción de Feulgen, basada en una hidrólisis débil con ácido clorhídrico para teñir el ácido desoxirribonucleico (ADN).

La reacción de PAS tiene los siguientes fundamentos:

- Los anillos de hexosa de los hidratos de carbono contienen carbonos contiguos, cada uno de los cuales lleva un grupo hidroxilo (-OH).
- Las hexosaminas de los glucosaminoglucanos contienen carbonos contiguos, uno de los cuales lleva un grupo -OH, mientras que el otro lleva un grupo amino (-NH₂).
- El ácido peryódico escinde la unión entre estos átomos de carbono contiguos y forma grupos aldehído.
- Estos grupos aldehído reaccionan con el reactivo de Schiff para dar un color púrpura distintivo.

La tinción PAS de la membrana basal (fig. 1-2) y las fibras reticulares se basa en el contenido o asociación de proteoglucanos (hidratos de carbono complejos asociados con un núcleo proteínico). Esta tinción es una alternativa a los métodos de impregnación argéntica, que también se basan en la reacción con las moléculas de sacáridos en los proteoglucanos.

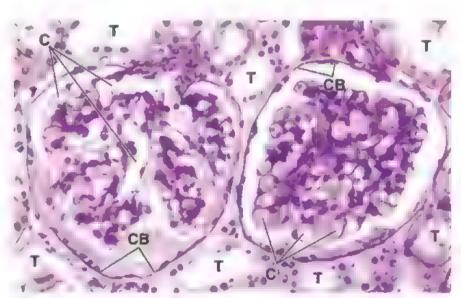


FIGURA 1-2. Microfotografía de tejido renal teñido con el método del ácido peryódico de Schiff (PAS). En este método histoquímico se muestran y localizan los hidratos de carbono y las macromoléculas ricas en estas sustancias. Las membranas basales son positivas al PAS, como lo muestra el color magenta de estos sitios. Los túbulos renales (7) están delimitados por la membrana basal teñida que rodea los túbulos. Los capilares glomerulares (C) y el epitelio de la cápsula de Bowman (CB) también presentan membranas basales PAS positivas. La tínción de contraste de la muestra, con hematoxilina, permite visualizar los núcleos celulares, 320×.

CONSIDERACIONES FUNCIONALES MICROESPECTROFOTOMETRÍA DE FEULGEN

La microespectrofotometria de Feulgen es una técnica creada para estudiar los aumentos de ADN en las células en desarrollo y para analizar la ploidia, es decir, la cantidad de veces que se multiplica el contenido normal de ADN de una célula (se dice que una célula normal, sin división, es diploide; un espermatozoide o un óvulo son haploides). Para cuantificar el ADN nuclear se utilizan dos técnicas: citometría estática para las secciones de tejido y citometría de flujo para las células individuales.

La citometría estática de las muestras de tumores teñidas con Feulgen utiliza microespectrofotometría junto con un sistema de imágenes digitalizadas para medir la absorción de luz emitida por las células y los grupos celulares en una longitud de onda de 560 nm. Por otra parte, la citometría de flujo emplea instrumentos capaces de detectar solo células individuales que pasan por un sensor en un medio líquido. Esta técnica proporciona un análisis rápido y cuantitativo de una sola célula para medir la emisión de luz fluorescente.

Actualmente, la microespectrofotometría de Feulgen se utiliza para estudiar los cambios en el contenido de ADN en células en división que experimentan diferenciación. También se emplea en la clínica para analizar cantidades anómalas de cromosomas (patrones de ploidía) en células malignas. En cuanto a las células malignas que tienen un patrón en gran parte diploide, se dice que están "bien diferenciadas"; los tumores con estos tipos de células tienen un mejor pronóstico que los tumores aneuploides (que no son múltiplos de la cantidad haploide de ADN) y las células tetraploides. La microespectrofotometría de Feulgen ha sido particularmente útil para estudiar adenocarcinomas específicos (cánceres epiteliales) y cáncer de mama, riñón, colon (y otros cánceres digestivos), endometrio (epitelio uterino) y ovario. Es una de las herramientas más valiosas para los patólogos al momento de evaluar el potencial metastásico de estos tumores y durante la toma de decisiones de pronóstico y tratamiento.

La resoción de Feulgen se basa en la escisión de las purinas de la desoxirribosa del ADN mediante una hidrólisis ácida débil; el anillo sacárido se abre y se forman grupos aldehído. Una vez más, los grupos aldehído recién formados reaccionan con el reactivo de Schiff para generar el color púrpura característico (cuadro 1-2). La reacción del reactivo de Schiff con el ADN es estequiométrica, lo que significa que el producto de esta reacción es mensurable y proporcional a la cantidad de ADN. Por consiguiente, se puede usar en los métodos espectrofotométricos para cuantificar la cantidad de ADN en el núcleo de una célula. El ARN no se tiñe con el reactivo de Schiff porque carece de desoxirribosa.

Digestión enzimática

La digestión enzimática de una sección adyacente de un componente específico teñido (como glucógeno, ADN o ARN) puede usarse para confirmar la identidad del material que se tiñe.

El material intracelular que se tiñe mediante la reacción de PAS puede identificarse como glucógeno a través del tratamiento previo de los cortes con diastasa o amilasa. La falta de tinción después de este tratamiento identifica de manera positiva el material teñido como glucógeno.

Del mismo modo, el pretratamiento de los cortes histológicos con una desoxirribonucleasa (ADNasa) impedirá la tinción de Feulgen en esos cortes; el tratamiento de las muestras de epitelios secretores de proteínas con una ribonucleasa (ARNasa) evitará la tinción del ergastoplasma con colorantes básicos.

Histoquímica enzimática

Las técnicas histoquímicas también se utilizan para identificar y localizar enzimas en células y tejidos.

Para localizar enzimas en cortes histológicos, se debe tener un cuidado especial en la fijación con el fin de preservar la actividad enzimática. En general, la fijación aldehídica leve es el método preferido. En estos procedimientos se detecta el producto de reacción de la actividad enzimática y no la enzima propiamente dicha. En general, se utiliza un reactivo de captura, ya sea un colorante o un metal pesado, para atrapar o fijar el producto de la reacción de la enzima mediante su precipitación en el sitio de reacción. En una

reacción típica para detectar una enzima hidrolítica, el corte histológico se coloca en una solución que contiene un sustrato (AB) y un agente de captura (T), el cual precipitará uno de los productos de la siguiente manera:

$$AB + T \xrightarrow{enzima} AT + B$$

En esta fórmula se muestra que AT es el producto final capturado y B es el sustrato hidrolizado.

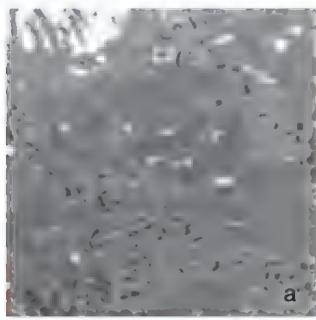
Por medio de estas técnicas fue posible correlacionar el lisosoma (identificado por primera vez en estudios celulares de centrifugación diferencial) con un componente vacuolar visible en microfotografías electrónicas. En los tejidos sometidos a una fijación débil, las hidrolasas ácidas y las esterasas contenidas en los lisosomas reaccionan con un sustrato adecuado. La mezcla reactiva también contiene iones de plomo que se precipitan (p. ej., fosfato de plomo derivado de la acción de la fosfatasa ácida). Entonces, el producto reactivo precipitado puede observarse tanto con un microscopio óptico como con uno electrónico. Se han desarrollado procedimientos histoquímicos similares para mostrar la fosfatasa alcalina, las adenosinas trifosfatasas (ATPasas) de varios tipos (incluida la Na⁺/K⁺ ATPasa, que es la base enzimática de la bomba de sodio en células y tejidos), diversas esterasas y numerosas enzimas respiratorias (fig. 1-3a).

Uno de los métodos histoquímicos más habituales (empleado con frecuencia junto con la inmunocitoquímica) usa una peroxidasa de rábano para la detección de antígenos mediada por enzimas. Un sustrato ampliamente utilizado para la peroxidasa de rábano es la 3,3'-diaminobenzidina (DAB), un compuesto orgánico incoloro que genera un producto insoluble de color pardo en el sitio de la reacción enzimática (fig. 1-3b). El producto de esta reacción enzimática se puede localizar de manera simple en las células, con lo que produce imágenes de alta resolución tanto en un microscopio óptico como en uno electrónico.

Inmunocitoquímica

La especificidad de la reacción entre el antígeno y el anticuerpo es el fundamento de la inmunocitoquímica.

Los anticuerpos, también denominados inmunogiobulinas, son glucoproteínas producidas por células específicas del sistema inmunitario como respuesta a una proteína extraña o antigeno.



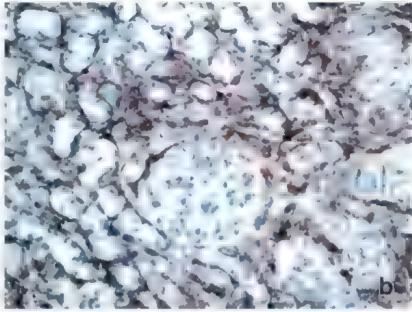


FIGURA 1-3. Procedimientos histoquímicos con microscopía de luz y electrónica. a. En esta microfotografía electrónica se muestra la localización de la ATPasa de membrana en celulas epiteliales de la vesicula biliar de un conejo. Las áreas oscuras visibles en la microfotografía electrónica muestran la ubicación de la enzima ATPasa. Esta enzima se detecta en la membrana plasmática en los dominios laterales de las celulas epiteliales, que corresponden a la ubicación de las bombas de sodio. Estas celulas epiteliales están involucradas en el transporte activo de moleculas a través de la membrana plasmática. 26 000 × b. Esta microfotografía muestra los macrófagos teñidos con un método histoquímico utilizando anticuerpos marcados con peroxidasa y reactivo DAB. Se tinó una sección incluida en paraf na de rinón de ratón con hipertensión vascular renal en busca de la proteina marcadora específica F4/80 +, expresada solo en la superficie de los macrófagos. Inicialmente, los cortes fueron expuestos a anticuerpos de rata antirratón primarios F4/80 +, seguido de la incubación con anticuerpos IgG de cabra antirrata secundarios marcados con peroxidasa de rábano picante. La muestra fue lavada y tratada con un amortiguador (solución tampón o buffer) que contenía DAB. En las áreas donde hay macrófagos puede observarse un precipitado marrón (producto de la oxidación del DAB por la peroxidasa de rábano picante). La tinción de contraste de la muestra, con hematoxilina, permite visualizar los nucleos celulares. 400 × (cortesia del Dr. Joseph P. Grande)

En el laboratorio, los anticuerpos pueden purificarse de la sangre y conjugarse (asociarse) con un colorante fluorescente. En general, los colorantes fluorescentes (fluorocromos) son productos químicos que absorben la luz de diferentes longitudes de onda (p. ej., luz ultravioleta) y luego emiten luz visible de una longitud de onda específica (p. ej., verde, amarillo, rojo). La fluoresceina, el colorante más utilizado, absorbe la luz ultravioleta y emite luz verde. Los anticuerpos conjugados con fluoresceina pueden emplearse en cortes de tejidos congelados o ligeramente fijados en un portaobjetos de vidrio para localizar un antígeno en células y tejidos. La reacción del anticuerpo con el antígeno puede entonces observarse y fotografiarse con un microscopio de fluorescencia o un microscopio confocal que produce una reconstrucción tridimensional de los tejidos examinados (fig. 1-4).

En la inmunocitoquímica se utilizan dos tipos de anticuerpos: poticionales, producidos por animales inmunizados, y monocionales, sintetizados por líneas celulares inmortalizadas que se duplican continuamente.

En un procedimiento típico, una proteína específica, como la actina, se aísla a partir de una célula muscular de una especie (p. ej., una rata) y se inyecta en la circulación de otra (p. ej., un conejo). En el conejo inmunizado, el sistema inmunitario del conejo reconoce las moléculas de actina de la rata como un antigeno extraño. Este reconocimiento desencadena una cascada de reacciones inmunitarias que activan múltiples grupos (clones) de células inmunitarias llamadas IInfocitos B. Los clones de linfocitos B finalmente conducen a la producción de anticuerpos antiactina. En conjunto, estos anticuerpos policionales representan mezclas de diferentes anticuerpos producidos por muchos clones de linfocitos B, en los que cada clon reconoce diferentes regiones de la molécula de actina. Los anticuerpos son retirados de la sangre, purificados y conjugados con un colorante fluorescente. Entonces, pueden utilizarse para localizar moléculas de actina en tejidos o células de rata. Si la actina se encuentra presente en una célula o tejido, como un fibroblasto en el tejido conjuntivo, el anticuerpo marcado con fluoresceína se une a la actina y la reacción puede verse con el microscopio de fluorescencia.

Los anticuerpos monocionales (cuadro 1-3) son aquellos producidos por una línea celular productora de anticuerpos formada por un solo grupo (clon) de linfocitos B. Se observa un único clon que

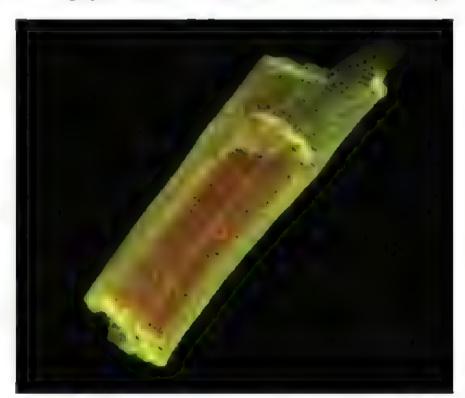


FIGURA 1-4. Imagen microscópica confocal de una célula muscular cardiaca de rata. Esta imagen se obtuvo con un microscopio confocal con el método de inmunofluorescencia indirecta. Se usaron dos anticuerpos primarios. El primero reconoce un transportador de lactato específico (MCT1) y es detectado con un anticuerpo secundario conjugado con rodamina (rojo). El segundo está dirigido contra la proteína transmembrana CD147, estrechamente relacionada con MCT1 Este anticuerpo fue detectado por un anticuerpo secundario marcado con fluoresceína (verde). Se puede ver el color amarillo en el punto donde los dos anticuerpos secundarios marcados se ubican conjuntamente y con precisión dentro de la célula muscular cardíaca. Esta imagen tridimensional muestra que ambas proteínas están distribuidas en la superficie de la célula muscular, mientras que el transportador de lactato solo es visible en la profundidad, alejado de la membrana plasmática. Cortesía de los Dres. Andrew P. Halestrap y Catherine Heddle.

CORRELACION CLÍNICA: ANTICUERPOS MONOCLONALES EN MEDICINA

Los anticuerpos monoclonales se utilizan de manera amplia en las técnicas inmunocitoquímicas y también tienen muchas aplicaciones clínicas. Los anticuerpos monoclonales conjugados con compuestos radioactivos se emplean para detectar y diagnosticar metástasis tumorales, diferenciar subtipos de tumores y etapas de su diferenciacion, y en el diagnóstico de enfermedades infecciosas al identificar microorganismos en la sangre y los líquidos tisulares. En la actualidad se utilizan anticuerpos monoclonales conjugados con inmunotoxinas, fármacos quimioterápicos o radioisótopos para administrar agentes terapéuticos a células tumorales específicas en el cuerpo.

se convierte en una línea celular en individuos con mieloma multiple, un tumor derivado de una sola célula plasmática productora de anticuerpos. Los pacientes con mieloma múltiple producen una gran población de anticuerpos homogeneos e identicos con una especificidad idéntica contra un antigeno. Para producir anticuerpos monoclonales contra un antigeno específico, se inmuniza un ratón o rata con ese antígeno. Entonces, los linfocitos B activados se aíslan del tejido linfático (bazo o ganglios linfáticos) del animal y se fusionan con una línea celular del mieloma. Esta fusión produce un hibridoma, una línea celular individual inmortalizada que secreta anticuerpos. Para obtener anticuerpos monoclonales contra las moléculas de actina de rata, por ejemplo, los linfocitos B de los órganos linfáticos de conejos inmunizados deben fusionarse con células de mieloma.

Para localizar un antígeno diana en células y tejidos, se utilizan métodos inmunocitoquímicos directos e indirectos.

La técnica de inmunocitoquímica más antigua utilizada para identificar la distribución de un antígeno dentro de las células y los tejidos se conoce como *inmunofluorescencia directa*. Esta técnica emplea un anticuerpo primario marcado con fluorocromo (ya sea policional o monocional) que reacciona con el antígeno dentro de la muestra (fig. 1-5a). Como procedimiento de un solo paso, este método involucra un único anticuerpo marcado. La visualización de las estructuras no es ideal por la baja intensidad de la emisión de la señal. Debido a la sensibilidad subóptima, los métodos indirectos están reemplazando cada vez más a los métodos de inmunofluorescencia directa.

La inmunofluorescencia indirecta proporciona una sensibilidad mucho mayor que los métodos directos y a menudo recibe el nombre de "técnica del emparedado" o "de la capa doble". En lugar de conjugar un fluorocromo con un anticuerpo (primario) específico dirigido contra el antígeno de interés (p. ej., una molécula de actina de rata), el fluorocromo se conjuga con un anticuerpo secundario dirigido contra el anticuerpo primario de rata (p. ej., un anticuerpo de cabra dirigido contra el anticuerpo de rata; fig. 1-5b). Cuando la fluoresceina se conjuga directamente con el anticuerpo primario específico, el método es directo; cuando la fluoresceina se conjuga con un anticuerpo secundario, es indirecto. El método indirecto aumenta de forma considerable la emisión de la señal de fluorescencia del tejido. Una ventaja adicional del método de marcaje indirecto es que un solo anticuerpo secundario se puede utilizar para localizar la unión específica de tejido de diferentes anticuerpos primarios (fig. 1-6). Para los estudios microscópicos, el anticuerpo secundario puede conjugarse con diferentes colorantes fluorescentes, de modo que se vezn múltiples marcas en el mismo corte de tejido (véase fig. 1-4). Las desventajas de la inmunofluorescencia indirecta son que es costosa, requiere de mucho trabajo y no se adapta fácilmente a los procedimientos automatizados.

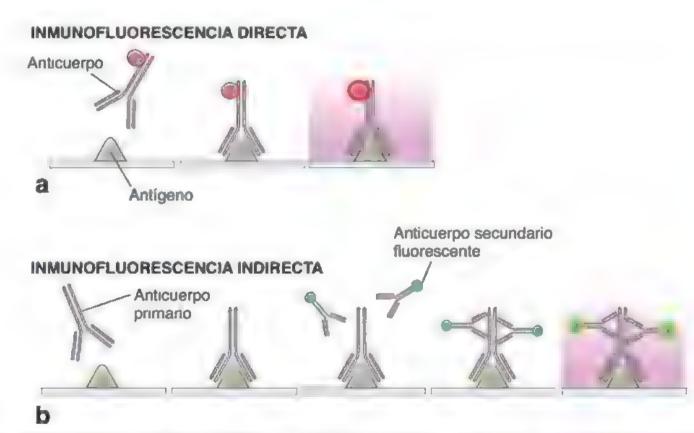


FIGURA 1-5. Inmunofluorescencia directa e indirecta. a. En la inmunofluorescencia directa, un anticuerpo primario marcado con fluorocromo reacciona con un antigeno específico dentro de la muestra de tejido. Las estructuras marcadas se observan después en el microscopio de fluorescencia, en el que una longitud de onda de excitación (en general, luz ultravioleta) desencadena la emisión de otra longitud de onda Esta longitud de onda depende de la naturaleza del fluorocromo utilizado pará el marcado de anticuerpos. b. El método indirecto implica dos procesos. Primero, los anticuerpos primarios específicos reaccionan con el antigeno de interés. En segundo lugar, los anticuerpos secundarios, que están marcados con fluorocromo, reaccionan con los anticuerpos primarios. La visualización de estructuras marcadas dentro del tejido es la misma en ambos métodos y requiere el microscopio de fluorescencia.



FIGURA 1-6. Microtúbulos e histonas específicas del núcleo visualizados por métodos inmunocitoquímicos utilizando microscopía de expansión. La distribución de los microtúbulos (elementos del citoesqueleto celular marcados en verde) y de las historia H3 fosfoniada (Ser10) específicas del núcleo (marcadas en magenta) obtenidas de la línea celular del cáncer cervical humano HeLa se puede estudiar in vitro usando el microscopio de fluorescencia. Los microtúbulos se marcaron mediante técnicas de inmunofluorescencia indirecta con anticuerpos primarios policionales de conejo anti-o-tubulina, y se visualizaron mediante anticuerpos de cabra conjugados secundarios anticonejo con colorante fluorescente verde (Alexa Fluor 488). Las historias se marcaron con anticuerpos primarios antihistoria H3 fosforilada (anti-Ser10) monoclonales de ratón y se visualizaron mediante anticuerpos secundarios antirratón conjugados de cabra con colorante fluorescente (CF633). Se realiza una tinción de contraste del ADN de los nucleos con coloración azul inespecífica (tinción DAPI). La red de microtúbulos está bien visualizada debido a la alta resolución proporcionada por el procedimiento de microscopia de expansión (factor de expansión: 4.2). Microfotografía cortesia de los Dres. Yongxin Zhao y Edward S. Boyden, Massachusetts Institute of Technology, Cambridge, MA.

También se pueden conjugar anticuerpos policionales o monocionales con otras sustancias, como enzimas (p. ej., peroxidasa de rábano), que convierten sustratos incoloros (p. ej., DAB) en un producto insoluble de un color específico que precipita en el sitio de la reacción enzimática. La tinción que resulta de este método de inmunoperoxidasa puede observarse en el microscopio óptico (véase fig. 1-3b), con técnicas inmunocitoquímicas directas o indirectas. En otra variante, el oro coloidal o la ferritina (una molécula que contiene hierro) pueden unirse a la molécula de anticuerpo. Estos marcadores electrodensos pueden observarse directamente con el microscopio electrónico.

Técnicas de hibridación

La hibridación es un método de localización de ARN mensajero (ARNm) o ADN mediante la hibridación de la secuencia de interés a una hebra complementaria de una sonda de nucleótidos.

En general, el término hibridación describe la capacidad de las moléculas monocatenarias de ARN o ADN para interactuar (hibridar) con secuencias complementarias. En el laboratorio, la hibridación requiere el aislamiento del ADN o ARN, que se mezcla a continuación con una secuencia de nucleótidos complementaria (denominada **sonda de nucleótidos**). Los híbridos se detectan con mayor frecuencia mediante un marcador radioactivo adherido a un componente del híbrido.

La unión de la sonda y la secuencia puede tener lugar en una solución o en una membrana de nitrocelulosa. En la hibridación in situ, la unión de la sonda de nucleótidos a la secuencia de ADN o ARN de interés se realiza dentro de células o tejidos, como células cultivadas o embriones completos. Esta técnica permite la localización de secuencias de nucleótidos específicas tan pequeñas como 10 o 20 copias de ARNm o ADN por célula.

Se utilizan varias sondas de nucleótidos en la hibridación *in satu*. Las **sondas de oligonucleótidos** pueden ser tan pequeñas como de 20-40 pares de bases. Las sondas de ADN monocatenario o bicatenario son mucho más largas y pueden contener hasta 1000 pares de bases. Para la localización específica del ARNm, se utilizan sondas de ARN complementarias. Estas sondas están marcadas con isótopos radioactivos (p. ej., ³²P, ³⁵S, ³H), un nucleótido específicamente modificado (digoxigenina) o biotina (un marcador covalente multipropósito). Las sondas radioactivas se pueden detectar y visualizar mediante una autorradiografía. La digoxigenina y la biotina se detectan mediante métodos inmunocitoquímicos y citoquímicos, respectivamente.

La fuerza de los enlaces entre la sonda y la secuencia complementaria depende del tipo de ácido nucleico en las dos cadenas. Se forma un enlace más fuerte entre una sonda de ADN y su cadena complementaria y uno más débil entre una sonda de ARN y su cadena complementaria. Si se espera que una muestra de tejido contenga una cantidad mínima de ARNm o un transcrito vírico, pueden emplearse una amplificación mediante la reaccion en cadena de la polimenasa (PCR, polymerase chain reaction) para el ADN o una PCR con transcripción inversa (RT-PCR, reverse transcription-PCR) para el ARN. Los transcritos amplificados obtenidos con estos procedimientos en general se detectan con sondas de nucleótidos complementarias marcadas con técnicas estándares de hibridación in situ.

Recientemente, se han combinado tinciones fluorescentes con sondas de nucleótidos, por lo que es posible visualizar múltiples sondas al mismo tiempo (fig. 1-7). Esta técnica, llamada técnica de hibridación in situ con fluorescencia (FISH), tiene un uso muy difundido en la clínica para estudios genéticos. Por ejemplo, se puede utilizar



FIGURA 1-7. Ejemplo de la técnica FISH utilizada en las pruebas de diagnóstico prenatal. Núcleos en interfase de células obtenidas de muestras de líquido amniótico hibridadas con dos sondas de ADN específicas. La sonda naranja (LSI 21) es específica del locus para el cromosoma 21, y la sonda verde (LSI 13) es específica del locus para el cromosoma 13. El núcleo de la derecha es de una muestra de liquido amniótico normal y revela dos senales verdes y dos naranjas, que indican dos copias de los cromosomas 13 y 21, respectivamente. El núcleo de la izquierda tiene tres señales naranjas, que indican trisomía 21 (síndrome de Down). Se ha realizado una tinción de contraste del ADN de los núcleos con un colorante azul inespecífico (tinción DAPI) para hacer visible el nucleo. 1250× (cortesía del Dr. Robert B. Jenkins)

una sonda hibridada con cromosomas en metafase para identificar la posición cromosómica de un gen. La técnica FISH se emplea para examinar simultàneamente los cromosomas, la expresión génica y la distribución de productos génicos, como proteinas patológicas o anómalas. En la actualidad, hay en el mercado numerosas sondas fluorescentes específicas que se utilizan en la clinica para los procedimientos de cribado para el cáncer de cuello uterino o para la detección de células infectadas con VIH. La técnica FISH también se utiliza en pruebas de diagnóstico prenatal para visualizar cromosomas en células fetales obtenidas mediante amniocentesis o muestreo de vellosidades coriónicas a fin de detectar anomalías cromosómicas. Además, esta tecnica también se puede utilizar para evaluar los cromosomas de los linfocitos de los astronautas y estimar la dosis de radiacion absorbida durante su estadía en el espacio. La frecuencia de translocaciones cromosómicas en los linfocitos es proporcional a la dosis de radiación absorbida.

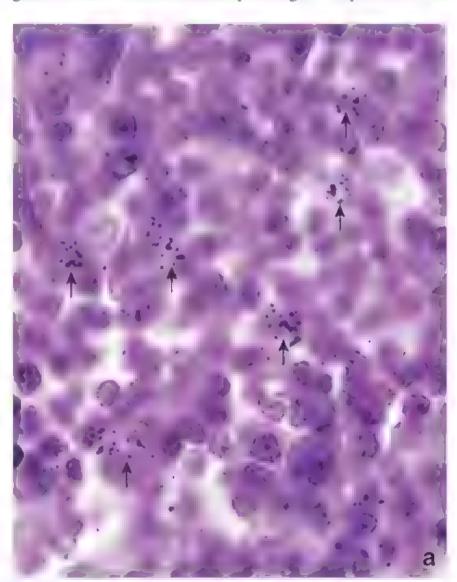
Autorradiografía

La autorradiografía utiliza una emulsión fotográfica que se coloca sobre un corte histológico para localizar material radioactivo en los tejidos.

Numerosos precursores moleculares pequeños de moléculas más grandes, como los aminoácidos que integran las proteínas o los

nucleótidos que forman los ácidos nucleicos, pueden marcarse mediante la incorporación de uno o varios átomos radioactivos en su estructura molecular. A continuación, se detecta la radioactividad para localizar las moléculas más grandes en células y tejidos. Es posible inyectar moléculas precursoras marcadas en animales o introducirlas en células o cultivos de órganos. Por ejemplo, se pueden introducir precursores radioactivos del ADN (3H-timidina) o el ARN (3H-uridina) en células vivas para estudiar la síntesis de ADN y la posterior división celular, o la síntesis de ARNm para encontrar la síntesis de proteínas en la célula. Otros precursores radioactivos pueden mostrar la secreción celular de proteínas y localizar productos sintéticos dentro de las células y en la matriz extracelular.

Los cortes de las muestras que han incorporado material radioactivo se montan en un portaobjetos. En condiciones de oscuridad, este se sumerge en una emulsión fotográfica líquida, produciendo de este modo una película fotográfica delgada sobre su superficie. Después de la exposición adecuada en una cámara oscura, por lo general durante días o semanas, la emulsión expuesta se revela con las técnicas fotográficas habituales y el portaobjetos con la muestra se monta de forma permanente con un cubreobjetos. Los preparados se pueden teñir antes o después de la exposición y el revelado. Con este procedimiento, se exponen y se revelan los gránulos de plata en la emulsión sobre las moléculas marcadas radioactivamente y aparecen como puntos oscuros que recubren el sitio de la emisión radioactiva cuando la muestra se examina con el microscopio óptico (fig. 1-8a).



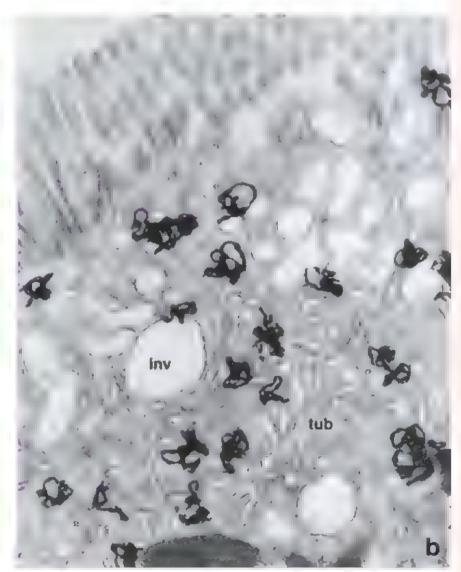


FIGURA 1-8. Ejemplos de autoradiografía utilizados en microscopía óptica y electrónica. a. Microfotografía de un corte de ganglios linfáticos de un animal inyectado con [³H]-timidina. Algunas de las células muestran agregados de gránulos de plata metalicos, que aparecen como pequenas particulas negras (flechas). Estas celulas sintetizaron el ADN en preparación para la división celular y han incorporado la [³H]-timidina en el ADN recien formado. Con el tiempo, las partículas radioactivas de baja energia emitidas por la [³H]-timidina golpean cristales de haluro de plata en una emulsión fotográfica que cubre la muestra (exposición) y crean una imagen latente (muy parecida a una película fotográfica en una cámara). Durante el revelado fotográfico de la placa con su emulsión de recubrimiento, la imagen latente (en realidad, el haluro de plata activado en la emulsión) se reduce a plata metálica, que luego aparece como granos negros en el microscopio. 1200× (muestra original cortesia del Dr. Ernst Kallenbach). Autorradiografía microscopica electrónica de la región apical de una celula de absorción intestinal. En esta muestra se inyectó yodo-125 (¹I-5¹) unido al factor de crecimiento nervioso (NGF, nerve growth factor) en un animal, y el tejido se extrajo 1 h más tarde. La muestra se preparó de manera similar a la de la microscopía optica. El tamaño relativamente pequeño de los gránulos de plata ayuda a la localización precisa de los complejos ¹¹²5¹I-NGF. Debe tenerse en cuenta que los gránulos de plata se concentran sobre las invaginaciones apicales (inv) y ios endosomas tempranos de forma tubular (tub). 32 000× (microfotografía electrónica cortesia de la Dra. Marian R. Neutra)

Estos gránulos pueden emplearse simplemente para indicar la ubicación de una sustancia o pueden contarse para proporcionar información semicuantitativa sobre la cantidad de determinada sustancia en un sitio específico. Por ejemplo, después de inyectar timidina tritiada a un animal, las células que han absorbido este nucleótido en su ADN antes de dividirse tendrán aproximadamente el doble de gránulos de plata sobre sus núcleos que las células que se han dividido después de la incorporación del nucleótido marcado.

La autorradiografía también puede realizarse sobre cortes finos de material incluido en plástico para su observación con el ME. En esencia, se emplean los mismos procedimientos; sin embargo, como ocurre con todas las técnicas de preparación de MET, los procesos son mucho más delicados y difíciles; no obstante, también tienen una resolución mucho mayor y una detección más precisa (fig. 1-8b).

Microscopía de expansión

La microscopía de expansión es un método para mejorar la resolución de la microscopía óptica mediante la implementación de una preparación específica que expande físicamente la muestra.

La microscopia de expansión (MEx) es un proceso en el que las muestras se infiltran con polímeros expansibles (hidrogeles: materiales muy absorbentes que se encuentran frecuentemente en los pañales para bebés), los cuales forman redes de polímeros hidrófilos que pueden absorber grandes cantidades de agua y aumentar sus volúmenes. La estructura y la integridad física de estas redes se deben a la presencia de enlaces cruzados fuertes y estables que permiten al hidrogel resistir las fuerzas de expansión generadas por la adición de agua, estabilizando así el gel. Como resultado de la expansión isotrópica de la muestra, las moléculas dentro de las células, la membrana plasmática y la matriz extracelular están separadas entre sí por igual en todas las direcciones. La preparación de la muestra para MEx implica los siguientes pasos (fig. 1-9):

- Fijación. El proceso de fijación para la MEx es el mismo que para los protocolos de inmunotinción con microscopía óptica.
- Anciaje. La estructura celular de interés se marca con una sonda molecular (p. ej., anticuerpos conjugados con tinción de fluoresceina, proteínas fluorescentes y otros) y se incuba con un reactivo de anclaje que expresa sitios de unión específicos para sondas moleculares y con monómeros de gel. Además, algunas moléculas (p. ej., proteínas o ARN) también se pueden anclar directamente al gel.
- Gelificación (conversión de un sol en gel). La muestra se infiltra con monómeros de gel (acrilato de sodio) que se polimerizan dentro de las células y los tejidos. Los polímeros resultantes (poliacrilato de sodio) forman una matriz tridimensional densa que está firmemente anclada a las moléculas celulares a través de los sitios de unión en el reactivo de anclaje.
- Homogeneización mecánica. La muestra incluida en polímero es sometida a una homogeneización mecánica. Este proceso, que rompe las células, implica la desnaturalización o digestión de moléculas estructurales por proteasas específicas.
- Expansión. Se agrega un solvente a la muestra (agua en el caso de los polímeros de poliacrilato de sodio), lo que ocasiona la expansión de la muestra en las tres dimensiones (más de 100 veces en volumen).

Después de esta preparación, la muestra expandida está lista para ser examinada usando microscopía de fluorescencia estándar.

La microscopía de expansión, que utiliza productos químicos de bajo costo y microscopios ópticos estándar, proporciona imágenes de superresolución al aumentar el tamaño de la muestra observada.

La principal ventaja de la MEx radica en su capacidad para separar moléculas que inicialmente no eran detectables como estructuras independientes debido a la resolución innata del microscopio óptico y las limitaciones de la difracción. En las muestras expandidas, estas moléculas se separan lo suficiente como para observarse con facilidad sin cambiar los límites de la resolución del instrumento óptico. Se puede lograr una expansión lineal de 4.5 veces, lo que se correlaciona con un aumento en la resolución en el rango de 60-70 nm. Es interesante que, después de una expansión inicial, la muestra puede someterse a expansiones repetidas con una segunda red de polímero expansible. Este proceso, llamado microscopia de expansión iteratíva (MExI), puede emplearse para expandir muestras biológicas hasta 20 veces y obtener imágenes de células y tejidos con una resolución de aproximadamente 25 nm cuando se observan con microscopía de fluorescencia convencional (fig. 1-10).

Recientemente, se han aplicado los protocolos de la MEx a preparaciones de H&E de muestras patologicas para convertir los portaobjetos de vidrio en preparaciones compatibles con la MEx. Este método, conocido como patología de expansión (PatEx), permite el análisis y el diagnóstico con microscopio óptico de enfermedades que previamente requerían microscopia electrónica.

■ MICROSCOPÍA

Microscopía óptica

Un microscopio, ya sea simple (una sola lente) o compuesto (lentes múltiples), es un instrumento que amplifica una imagen y permite ver más detalles de lo que es posible a simple vista. El microscopio más simple es una lupa o un par de gafas o anteojos para leer.

El poder de resolución del ojo humano, es decir, la distancia a la que deben estar dos objetos para que se vean separados (0.2 mm), está determinado por el espacio que hay entre células fotorreceptoras contiguas de la retina. La función de un microscopio es ampliar una imagen a un nivel en el que la retina pueda resolver la información que, de otro modo, estaría por debajo de su límite de resolución. La tabla 1-3 compara la resolución del ojo con la de diversos microscopios.

El poder de resolución es la capacidad de una lente de microscopio o sistema óptico para obtener imágenes separadas de objetos que están muy cerca unos de otros.

La resolución depende no solo del sistema óptico, sino también de la longitud de onda de luz y de otros factores, como el espesor de la muestra, la calidad de la fijación y la intensidad de la tinción. Con una luz con longitud de onda de 540 nm (véase tabla 1-1), una luz proveniente de un filtro verde a la cual el ojo es muy sensible, y con lentes objetivo y condensador apropiados, la máxima resolución posible con un microscopio de campo claro sería de alrededor de 0.2 µm (véase cuadro 1-4, p. 17 para una descripción del método de cálculo). Esta es la resolución teórica y, como se ha mencionado, depende de que todas las condiciones sean óptimas. La lente ocular aumenta la imagen producida por la lente objetivo, pero no puede incrementar la resolución.

Hoy en día, la investigación en el campo de la biología dispone de varios microscopios ópticos para el uso general y especializado. Sus diferencias radican, en gran medida, en factores como

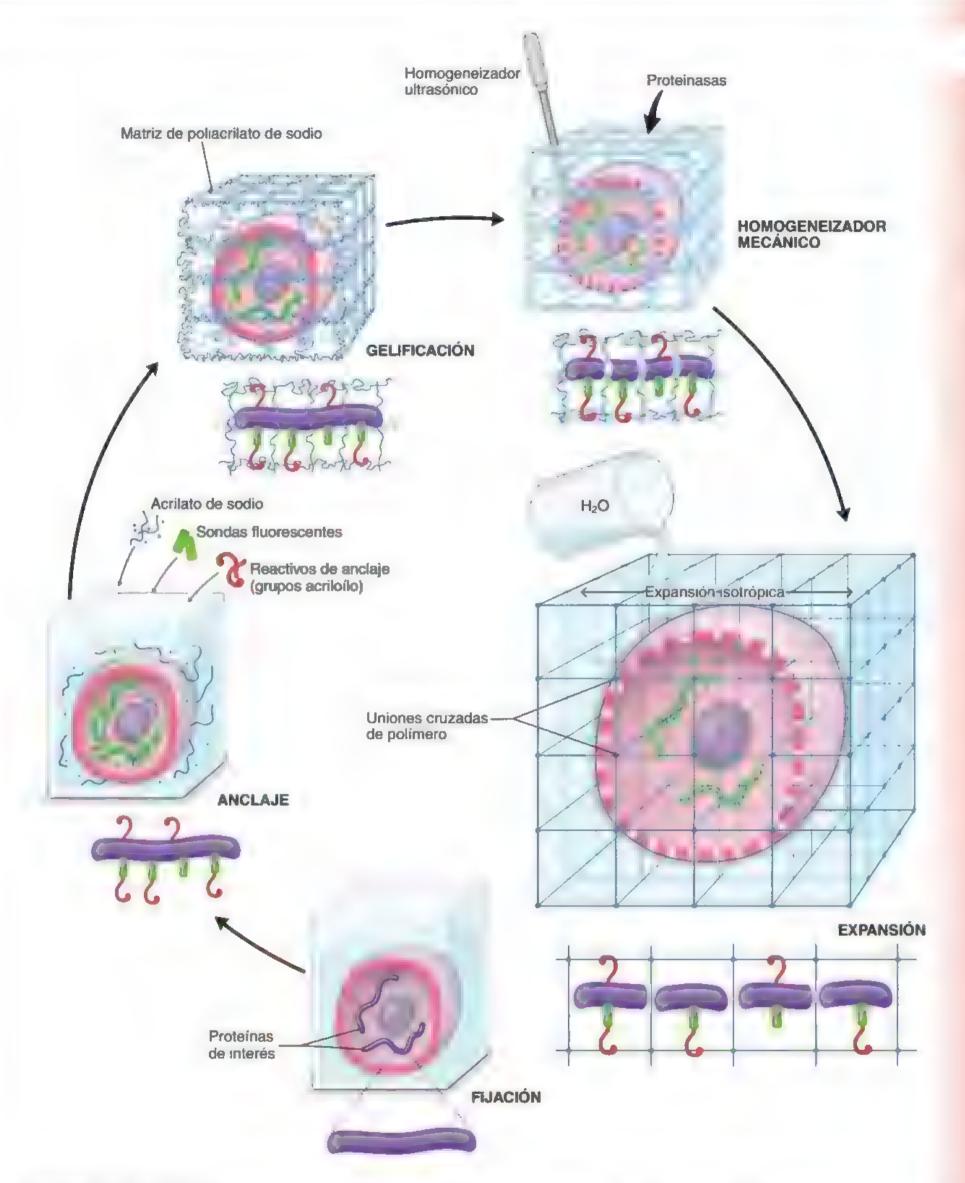


FIGURA 1-9. Pasos en el procesamiento de tejidos para la microscopía de expansión. En este diagrama se muestran los pasos consecutivos de la preparación de una muestra para la microscopia de expansión. Después de la fijación convencional (en formaldehído), la muestra se trata con reactivos de anclaje que se unen a proteinas u otras moléculas de interes y sondas moleculares conjugadas con marcadores fluorescentes. La adición de monómeros de acrilato de sodio desencadena el desarrollo de una matriz de polimero de hidrogel tridimensional densa. Después de la homogeneización mecánica que permite que las células se rompan, la muestra, ahora incluida en una matriz de hidrogel, está lista para la expansión fisica mediante la adición de agua. Las proteínas de interés permanecen conectadas a la red de polímeros expandidos, que las separa. La integridad del gel expandido se mantiene mediante enlaces cruzados fuertes y estables que resisten las fuerzas de expansión generadas por la adición del agua. Después de la expansión (unas 4.5 veces), la muestra está lista para ser observada con el microscopio de fluorescencia.

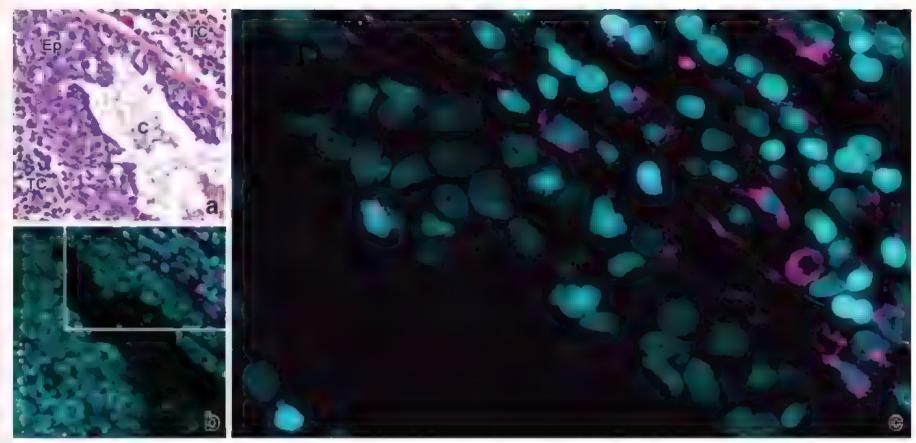


FIGURA 1-10. Comparación de microfotografías de glándula mamaria a partir de microscopía óptica, microscopía de fluorescencia y microscopía de expansion. Todas las imágenes se obtuvieron de secciones seriadas del mismo tejido y se procesaron de acuerdo con tecnicas de microscopia especificas. Todas se obtuvieron con las mismas lentes objetivo de 40 × a. En esta microfotografía de una sección de rutina con H&E se muestra el conducto mamario (C) y el tejido conjuntivo circundante (TC). Hay un aumento notable de las capas ceiulares dentro del epitelio ductal (Ep), que es indicativo de hiperplasia ductal habitual (HDH). Los nucleos se tinen de azul con hematoxilina, y la linea rosa alargada debajo del epitelio representa las fibras de tejido conjuntivo tenidas con eosina. Los nucleos pequeños y más intensamente tenidos dentro del TC pertenecen a linfocitos infiltrantes. 460 × b. Esta imagen inmunofluorescente se obtuvo de la sección teñida para filamentos intermedios de vimentina. Las proteinas vimentinas teñidas en magenta se marcaron con anticuerpos policionales primarios de pollo antivimentina y se visualizaron mediante anticuerpos secundarios conjugados de cabra antipollo con colorante fluorescente (Alexa Fluor 488). El ADN se ha contratenido con un colorante azul inespecífico (tinición DAPI) para hacer visible el nucleo. 1 250 × Con este aumento, muchos nucleos son difíciles de discernir porque la resolución esta en el limite. 460 × c. La seccion advacente del mismo tejido que se muestra en la imagen b se proceso para microscopia de expansión. La muestra se incluyó en el polimero de poliacrilato y se expandió 4.25 veces. La imagen muestra a parte de la sección incluida dentro del rectangulo en la imagen b que se fotograf ó con la misma ampliación de 460 ×. Debido a la expansión del tejido, la resolución de esta imagen mejora notablemente en comparación con la de inmunofíuorescencia de rutina tomada con el mismo aumento (microfotografia cortesía de los Dres. Yongxin Zhao y Edward S. Boyden, Massachusetts Instit

la longitud de onda con la que se ilumina la muestra, la alteración física de la luz que entra o sale de la muestra y los procesos analíticos específicos que pueden aplicarse a la imagen final. En esta sección se describen brevemente estos instrumentos y sus aplicaciones.

El microscopio utilizado por la mayoría de los estudiantes e investigadores es el microscopio de campo claro.

El microscopio de campo ctaro es el descendiente directo de los mícroscopios de uso muy difundido en el siglo xix, e înició la primera

Resolución ojo vs. instrumento

gran era de la investigación histológica. Básicamente, los componentes del microscopio de campo claro (fig. 1-11) son los siguientes:

- Una fuente de luz para la iluminación de la muestra (p. ej., una lámpara en la base del microscopio).
- Una tente condensadora para enfocar el haz de luz a la altura de la muestra.
- Una platina sobre la que se coloca el portaobjetos.
- Una lente objetivo para recoger la luz que ha atravesado la muestra.
- Una tente ocutar (o un par de lentes oculares en los microscopios binoculares, de uso más frecuente) a través de la cual se puede examinar directamente la imagen formada por la lente objetivo.

Para que una muestra pueda examinarse con el microscopio de campo claro, debe ser lo suficientemente fina para que la luz pase a través de ella. Si bien algo de luz es absorbida al atravesar la muestra, el sistema óptico del microscopio de campo claro no produce un grado útil de contraste en la muestra no teñida. Por esta razón, se utilizan los diversos métodos de tinción que se analizaron antes.

Distancia entre puntos de resolución

Distancia entre puntos de resolucion		
Ojo humano	0.2 mm	
Microscopio de campo claro	0.2 µm	
Microscopio óptico de superresolución	10-100 nm	
MEB	2 5 nm	
MET Teórica Sección de tejido	0.05 nm 1 nm	
Microscopía de fuerza atómica	50 pm	

MEB, microscopio electronico de barrido, MET, microscopio electronico de transmisión.

Estudio de un preparado histológico en el microscopio óptico

Los órganos son tridimensionales, mientras que los cortes histológicos solo tienen dos dimensiones.

Como se mencionó en la sección anterior Preparación del tejido, toda muestra de tejido preparado para su observación por microscopía

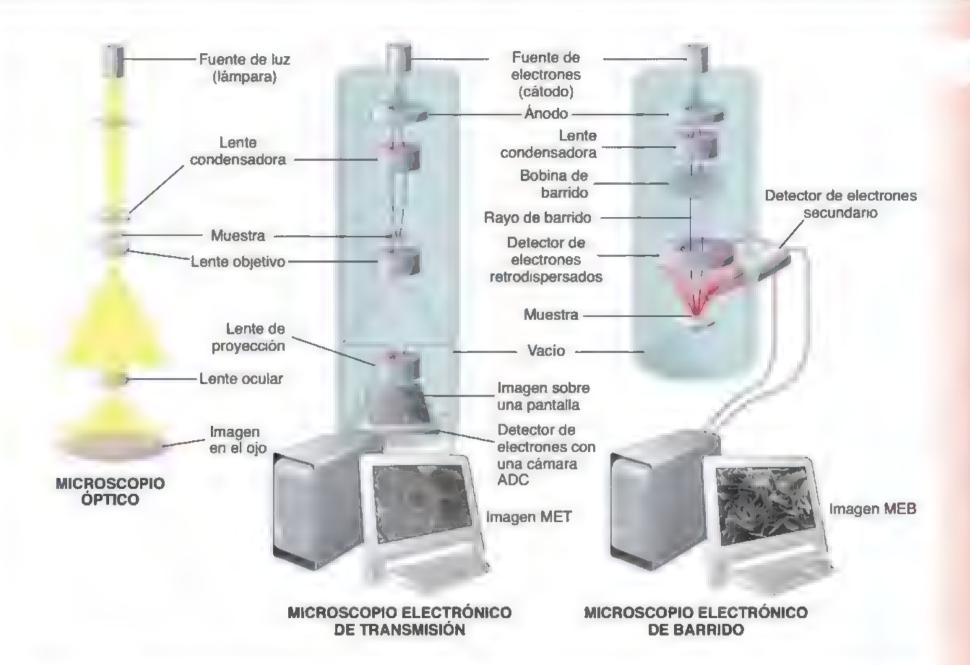


FIGURA 1-11. Diagrama que compara la formación de la imagen en diferentes tipos de microscopios. Para una mejor comparación entre los tres tipos de microscopio, se muestra el microscopio óptico (*rzquierda*) como si estuviera invertido. Debe tenerse en cuenta que tanto en el microscopio electrónico de transmisión (*MET*) como en el microscopio electrónico de barrido (*MEB*) las muestras deben incluirse en un ambiente de alto vacío (de 10⁻⁴ a 10⁻⁷ Pa)

óptica debe cortarse en secciones muy finas. Por lo tanto, de una muestra tridimensional de tejido se obtienen cortes bidimensionales. Uno de los mayores desafíos para los estudiantes de histología es tratar de reconstruir mentalmente la tercera dimensión "faltante".

Por ejemplo, en la figura 1-12 se ilustran cortes en diferentes planos a través de una naranja. Debe considerarse que cada superficie de corte (indicada por la línea punteada) de la naranja entera exhibe diversos tamaños y patrones de superficie según la orientación del corte. Así, al examinar un corte determinado de la naranja, es importante ser capaz de reconstruir mentalmente la organización de la estructura y de sus componentes. Un ejemplo de una estructura histológica, en este caso un corpúsculo renal, se muestra como aparecería en diferentes planos de corte (véase fig. 1-12). Obsérvese la marcada diferencia de tamaño, orientación y organización alrededor del tejido en cada corte del corpúsculo renal. Mediante el estudio de una serie de estos cortes bidimensionales, es posible imaginar la configuración tridimensional de la estructura examinada.

En todas las etapas de la preparación del tejido pueden generarse artificios en los preparados histológicos.

La realización de un preparado histológico requiere de una serie de pasos que comienzan con la obtención de la muestra y terminan con la colocación del cubreobjetos. En cada paso puede introducirse un ortificio (un error en el proceso de preparación). En general, los artificios que aparecen en el preparado terminado están vinculados con la metodología, el equipo o los reactivos utilizados durante la preparación. Una baja pureza de las sustancias químicas

y de los reactivos utilizados en el proceso (fijadores, reactivos y tinciones), las imperfecciones en la ejecución de la técnica (intervalos de fijación demasiado cortos o demasiado largos, deshidratación, inclusión, coloración o descuidos en el montaje y la colocación del cubreobjetos) o un equipo inadecuado (p. ej., un microtomo con una hoja defectuosa) pueden producir artificios en el preparado final. Es importante que los estudiantes adviertan que no todos los preparados de su colección son perfectos y que estén familiarizados con los artificios más habituales.

Otros sistemas ópticos

Además del microscopio de campo claro de uso habitual en el estudio de rutina de los preparados histológicos, en los laboratorios clínicos y de investigación se aplican otros sistemas ópticos (que se describen a continuación). Algunos se utilizan para aumentar el contraste sin teñir (como el microscopio de contraste de fase), mientras que otros están diseñados para visualizar estructuras mediante el empleo de técnicas específicas, como la înmunofluorescencia (microscopios de fluorescencia y confocales; véase fig. 1-11).

El microscopio de contraste de fase permite observar células y tejidos no teñidos; además, es especialmente útil para estudiar células vivas.

El microscopio de contraste de fase aprovecha las pequeñas diferencias en el índice de refracción que hay en diferentes partes de una muestra de células o tejidos. La luz que atraviesa regiones de índice de refracción relativamente alto (las zonas más densas) se refracta y

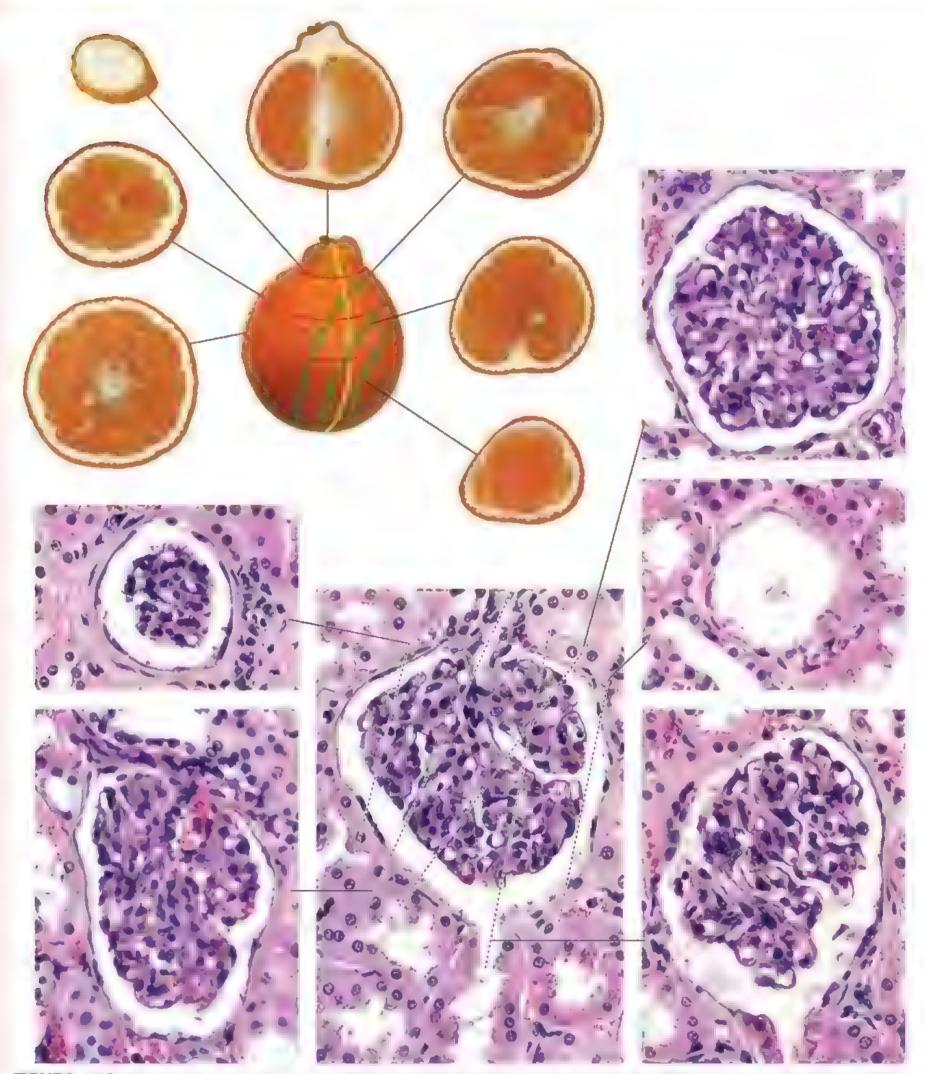


FIGURA 1-12. Ejemplos de cortes de una naranja y un corpúsculo renal. Las líneas punteadas dibujadas sobre la naranja entera indican el plano de corte que se correlaciona con cada superficie seccionada. Del mismo modo, los diferentes cortes a través de un corpusculo renal, que también es una estructura esferica, exhiben diferencias en su aspecto. El tamano y el aspecto de la estructura interna son un reflejo del plano de corte.

queda fuera de fase con respecto al haz de luz que ha pasado por la muestra. El microscopio de contraste de fase capta las longitudes de onda que están fuera de fase y las dirige a través de una serie de anillos ópticos en las lentes condensador y objetivo, con lo que en esencia se elimina la amplitud de la porción del haz refractado inicialmente y se produce un contraste en la imagen. Las partes oscu-

ras de la imagen corresponden a las regiones densas de la muestra; las claras, a regiones menos densas. El microscopio de contraste de fase se utiliza para examinar células y tejidos vivos (como las células de un cultivo) y también se emplea con frecuencia para examinar cortes semifinos no teñidos (de alrededor de 0.5 µm) de material incluido en plástico.

CONSIDERACIONES FUNCIONALES: USO CORRECTO DEL MICROSCOPIO ÓPTICO

Esta breve introducción al uso adecuado del microscopio óptico está dirigida a aquellos estudiantes que utilizarán esta herramienta para el análisis de rutina de los tejidos. Si los siguientes comentarios parecen elementales, es solo porque la mayoría de los usuarios del microscopio no pueden aprovechar todas sus ventajas. A pesar del excelente equipamiento actual, es relativamente escasa la instrucción formal sobre el uso correcto del microscopio óptico.

Los sistemas ópticos costosos y muy corregidos solo pueden funcionar de forma óptima cuando los trayectos de los haces de iluminación y de observación están centrados y apropiadamente ajustados. Trabajar con los ajustes y alineamientos adecuados contribuirá sustancialmente a reconocer detalles diminutos en la muestra y a presentar de forma fidedigna los colores para la visión directa o mediante la microfotografía.

La iluminación Köhler es una de las claves de la microscopía de calidad y está incorporada en el diseño de prácticamente todos los microscopios modernos que se utilizan en los laboratorios o en la investigación. La figura C1-4-1 muestra el típico trayecto de la luz y los controles para ajuste de un microscopio moderno; es necesario seguir las instrucciones que se brindan a continuación para obtener una iluminación adecuada en el microscopio.

Los **pasos de ajuste** necesarios para conseguir una buena iluminación Kóhler son pocos y sencillos:

- Enfocar la muestra.
- · Cerrar el diafragma de campo.
- Enfocar el condensador moviéndolo hacia arriba o hacia abajo hasta que el contorno de su diafragma de campo aparezca nítido y enfocado.

- Centrar el diafragma de campo con los controles correspondientes en la subplatina (donde está el condensador).
 Después, se abre el diafragma de campo hasta que el haz luminoso cubra todo el campo observado.
- Retirar el ocular (o se utiliza un telescopio de centrado o un accesorio telescópico de fase si se dispone de ellos) y observar la pupila de salida del objetivo. Así se podrá ver un campo circular iluminado cuyo radio es directamente proporcional a la apertura numérica del objetivo. A medida que se cierra el diafragma del condensador, su contomo aparecerá dentro de este campo circular. En la mayoría de los preparados teñidos, el diafragma del condensador debe cerrarse hasta cubrir aproximadamente dos terceras partes de la apertura del objetivo. El resultado de este ajuste es el mejor equilibrio entre la resolución y el contraste (que no es más que la diferencia de intensidades entre las regiones claras y oscuras de la muestra).

Si se ponen en práctica estos cinco consejos simples, la imagen obtenida será la mejor que permita el sistema óptico del microscopio. Ahora se verá por qué.

Primero, ¿por qué ajustamos el diafragma de campo para cubrir solo el campo observado? Iluminar el campo más grande que el sistema óptico puede "ver" solamente conduce a reflexiones internas o a una pérdida de luz, lo cual trae como consecuencia más "ruido" o una disminución del contraste de la imagen.

Segundo, ¿por qué se pone énfasis en el ajuste del diafragma del condensador o, en otras palabras, en la apertura de iluminación? Este diafragma ejerce gran influencia sobre la resolución y el contraste con los que se pueden observar ciertos detalles de la muestra.

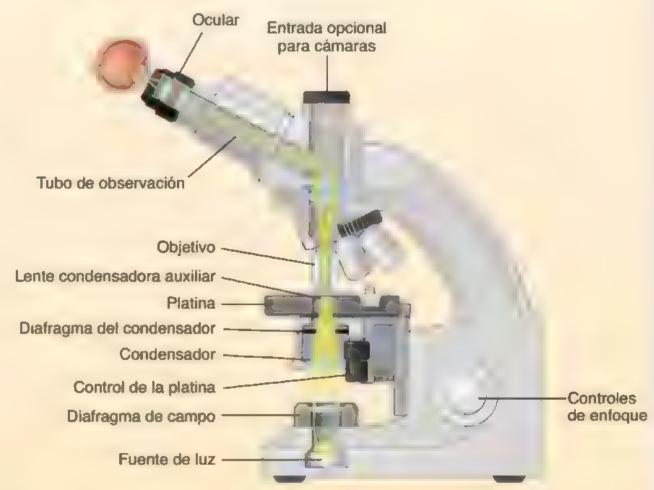


FIGURA C1-4-1. Diagrama de un microscopio óptico típico. En esta ilustración se muestra un corte transversal de un microscopio, sus componentes operativos y la trayectoria de la luz.

CONSIDERACIONES FUNCIONALES: USO CORRECTO DEL MICROSCOPIO ÓPTICO (CONTINUACIÓN)

Para la mayoría de las aplicaciones prácticas, la **resolución** está determinada por la ecuación:

$$d = \frac{\lambda}{AN_{objetivo} + AN_{condensador}}$$

Donde:

d = distancia entre los puntos del detalle resuelto (en nm).
 λ = longitud de onda de la luz utilizada (verde = 540 nm).
 AN = apertura numérica o seno del semiánquio capitado

AN = apertura numérica o seno del semiángulo captado por el objetivo o el condensador de un punto central de la muestra multiplicado por el índice de refracción del medio comprendido entre el objetivo o el condensador y la muestra.

¿Cómo influyen directamente la longitud de onda y la apertura numérica en la resolución? Las estructuras de la muestra difractan la luz. El ángulo de difracción es directamente proporcional a la longitud de onda e inversamente proporcional al espaciado de las estructuras. Según el físico Ernst Abbé, un espacio estructural dado puede resolverse solamente cuando el sistema óptico de observación (objetivo) puede ver parte de la luz difractada producida por el espaciado. Cuanto mayor es la apertura del objetivo, más difractada está la luz que participa en la formación de la imagen, lo que proporciona una mejor resolución de los detalles más pequeños e imágenes más nítidas.

Sin embargo, nuestra sencilla formula muestra que la apertura del condensador es tan importante como la apertura del objetivo. Este punto solo es lógico cuando se considera el ángulo de difracción para un haz oblicuo o uno de mayor apertura. Este ángulo permanece esencialmente constante, pero

se presenta al objetivo de tal manera que se puede corregir con facilidad.

¿Cómo afecta al contraste el ajuste de la apertura? En teoria, la mejor transferencia de contraste del objeto a la imagen se obtendría gracias a la interacción (interferencia) entre los frentes de onda difractados y no difractados.

Para lograr una transferencia de contraste entre la transmisión total y la absorción completa en una muestra, la relación de intensidad entre la luz difractada y no difractada tendría que ser 1:1 para obtener una interferencia destructiva total (negro) o una interferencia constructiva total (brillo). Cuando la apertura del condensador coincide con la apertura del objetivo, la luz no difractada ingresa en el objetivo con la máxima intensidad, pero solo puede ingresar una parte de la luz difractada, lo que produce un contraste menor. En otras palabras, cerrar la apertura del condensador en dos tercios de la apertura del objetivo hace que la relación de intensidad entre la luz difractada y no difractada se acerque a 1:1 y, por lo tanto, optimiza el contraste. Cerrar la apertura del condensador (o bajar el condensador) más allá de este equilibrio producirá fenómenos de interferencia o artificios de la imagen, como anillos de difracción o líneas artificiales alrededor de las estructuras de la muestra. La mayoría de las técnicas de microscopia utilizadas para mejorar el contraste (p. ej., campo oscuro, iluminación oblicua, contraste de fase o contraste de modulación) se basan en el mismo principio (suprimen o reducen la intensidad de la luz no difractada para mejorar un contraste inherentemente bajo de la muestra).

Si se siguen los pasos descritos y se mantienen las lentes limpias, la calidad y la fidelidad de las imágenes visuales variarán solo en función de la capacidad de rendimiento del sistema óptico.

Dos modificaciones del microscopio de contraste de fase son el microscopio de interferencia, que también permite la cuantificación de la masa tisular, y el microscopio de interferencia diferencial (usando la óptica de Nomarski), que es especialmente útil para valorar las propiedades de la superficie de las células y otras muestras biológicas.

En la microscopia de campo oscuro, la lente objetivo no capta la luz directa proveniente de la fuente de iluminación.

En la mieroscopia de campo oscuro, solo la luz refractada por las estructuras de la muestra penetra en el objetivo. El microscopio de campo oscuro está equipado con un condensador especial que ilumina el preparado con mucha intensidad y de forma oblicua. Así, el campo de visión aparece como un fondo oscuro en el que las pequeñas partículas en la muestra que reflejan parte de la luz en el objetivo aparecen brillantes.

El efecto es similar al que producen las partículas de polvo en el haz luminoso de un proyector de diapositivas en una habitación oscura. La luz reflejada por las partículas de polvo llega a la retina del ojo y eso las hace visibles.

La resolución del microscopio de campo oscuro no puede ser mejor que la del microscopio de campo claro, dado que ambos utilizan luz de la misma longitud de onda. No obstante, en las imágenes de campo oscuro pueden detectarse partículas individuales más pequeñas debido al mayor contraste obtenido.

El microscopio de campo oscuro es útil en el estudio de autorradiografías, en las que los gránulos de plata revelados aparecen blancos en un fondo oscuro. En la clínica, la microscopia de campo oscuro se emplea para la detección de cristales en la orina, como los de ácido úrico y oxalato, así como para la identificación de bacterias específicas, como las espiroquetas, en particular, Treponema pallidum, el microorganismo causante de la sífilis, una enfermedad de transmisión sexual.

El microscopio de fluorescencia aprovecha la capacidad de ciertas moléculas para fluorescer bajo la luz ultravioleta.

Una molécula que fluoresce emite luz de longitudes de onda dentro del espectro visible cuando se expone a una fuente ultravioleta (UV). El microscopio de fluorescencia se utiliza para la detección de moléculas con fluorescencia natural (autofluorescencia), como la vitamina A y algunos neurotransmisores. Sín embargo, como no hay muchas moléculas autofluorescentes, la aplicación principal de este microscopio consiste en examinar la fluorescencia secundaria, como en la detección de antígenos o anticuerpos en los procedimientos de tinción inmunocitoquímica (véase fig. 1-6). También pueden inyectarse moléculas fluorescentes específicas (fluoróforos) en un animal

o directamente en las células y utilizarse como marcadores. Estos métodos han sido útiles en el estudio de uniones intercelulares (de tipo nexo), en la localización del trayecto de fibras nerviosas en neurobiología y en la detección de marcadores fluorescentes del crecimiento de los tejidos mineralizados. Entre la fuente de luz UV y la muestra se insertan varios filtros para producir una luz monocromática o cuasimonocromática (de una sola longitud de onda o de longitud de onda de banda estrecha). Un segundo conjunto de filtros colocados entre la muestra y el objetivo permite que solo la estrecha banda de longitud de onda de la fluorescencia llegue al ojo o a un sensor de un dispositivo de registro o grabado digital.

El microscopio de fluorescencia de lámina de luz utiliza un plano fino de luz para seccionar ópticamente una muestra transparente marcada con moléculas fluorescentes.

El microscopio de fluorescencia de lámina de luz (MFLL) utiliza una lámina de luz que está formada por un haz de láser plano. Esta fina témina de luz se genera en el plano focal y secciona ópticamente una muestra transparente marcada con colorantes fluorescentes. La luz fluorescente emitida desde la muestra es recogida perpendicularmente a la trayectoria de la luz por el objetivo del microscopio y se registra mediante un sensor de imágenes (p. ej., un dispositivo de carga acoplada [CCD, charge-coupled device]). La muestra se ilumina solo en un plano focal a la vez, evitando la excitación de las áreas fuera de foco de la muestra. La lámina de luz por sí sola puede formarse de manera estática o dinámica al mover un haz de láser que se parece a una hoja de luz durante un corto período. Al

mover la muestra por la lámina de luz pueden registrarse imágenes en distintos planos y reconstruirse de forma tridimensional (fig. 1-13).

En la actualidad, la microscopía de fluorescencia es una de las técnicas más potentes y versátiles disponibles para los estudios de muestras biológicas.

La mayoría de los laboratorios de investigación modernos utilizan la microscopía de fluorescencia como herramienta principal en la investigación biológica. Se han diseñado moléculas fluorescentes (fluoróforos) para absorber la luz en una longitud de onda específica y para emitir luz en una longitud de onda más larga. Estas moléculas aparecen muy brillantes y son fácilmente distinguibles en las secciones de tejido de otras señales de fondo. Además, con el desarrollo de proteínas fluorescentes (PF) codificadas genéticamente, ha sido posible visualizar y crear imágenes de expresión, localización y actividad de proteínas en células vivas. La combinación de técnicas de microscopía de fluorescencia y confocal con un sistema informático de procesamiento de datos rápido permite a los investigadores representar las imágenes en tres dimensiones.

El microscopio ultravioleta utiliza lentes de cuarzo con una fuente de luz ultravioleta.

La imagen en el microscopio ultravioleta (UV) depende de la absorción de luz UV por las moléculas en la muestra. La fuente de luz UV tiene una longitud de onda de alrededor de 200 nm. Así, el microscopio UV puede llegar a una resolución de 0.1 µm. El principio general de la microscopía UV se asemeja al funcionamiento de un

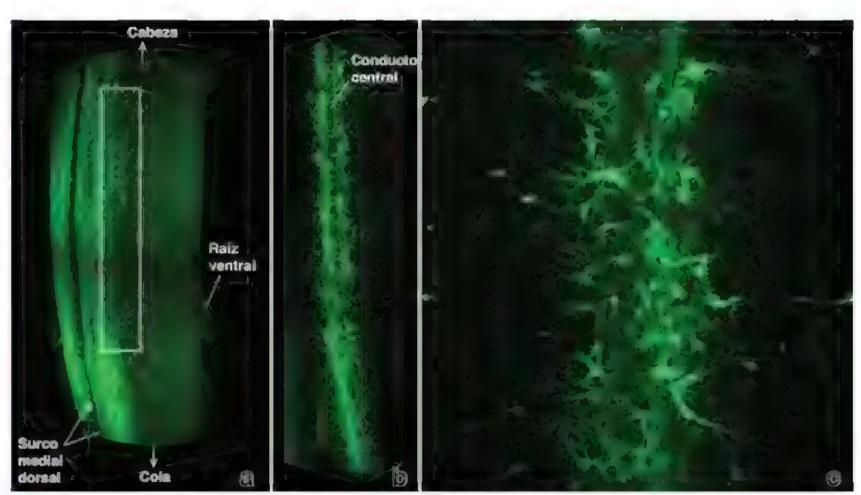


FIGURA 1-13. Imágenes con microscopia de fluorescencia de lámina de luz (MFLL) de células que expresan el neuropéptido galanina en la médula espinal de una rata macho adulta. a. En esta microfotografía se muestra una representación tridimensional (3D) de una imagen de MFLL de la médula espinal de rata en los niveles vertebrales L3 y L4. Dentro del rectangulo puede observarse el marcado inmunofluorescente del neuropéptido galanina expresado en las células espinotalamicas. Este neuropéptido se detectó mediante el método de inmunofluorescencia indirecta usando anticuerpos policionales de conejo antigalanina y después se visualizó con anticuerpos secundarios de cabra anticonejo conjugados con fluoresceína (Alexa Fluor 647). Después de la inmunotinción, la muestra se lavó con dibencil éter (DBE) y el tejido transparente se observó en el plano horizontal utilizando MFLL bidireccional. Los conjuntos de imágenes TIFF se obtuvieron a intervalos opticos de 4 µm y se unieron mediante un programa de imágenes especializado. La imagen reconstruida fue coloreada artificialmente en verde La representación 3D permite girar y examinar la imagen desde todas las direcciones posibles 10× b. En esta imagen se representa un mayor aumento de las células espinotalámicas positivas para galanina están muy cerca del conducto central 22×. c. Vista de gran aumento de células espinotalámicas que expresan galanina y muestran su patrón de interconexión. 110× (cortesía de los Dres. Aleisha M. Moore, Michael N. Lehman y Lique M. Coolen)

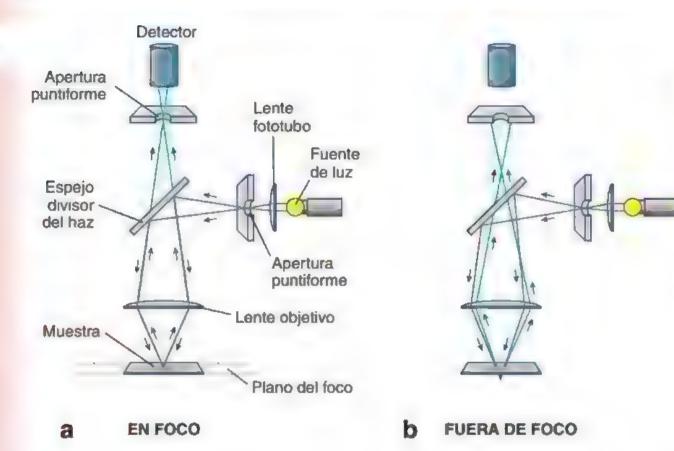


FIGURA 1-14. Diagrama de la luz emitida en foco y fuera de foco en el microscopio confocal, a. En este diagrama se muestra la trayectoria del rayo láser y la luz emitida cuando la estructura está directamente en el foco de la lente. La pantalla con un orificio puntiforme en el otro lado del sistema óptico del microscopio confocal permite que la luz de la estructura enfocada pase a través del orificio. La luz es transformada en una imagen mediante un sistema informático. Como el punto focal de la lente objetivo del microsсорю forma una imagen nitida en el nivel en el que se encuentra el orificio, estos dos puntos se denominan puntos confocales. b. Este diagrama muestra la trayectoria del rayo láser y la luz emitida, que está fuera de foco en relación con el orificio. Así, la luz de la muestra bioqueada por el onficio nunca se detecta.

espectrofotómetro; los resultados se registran de forma fotográfica. La muestra no se puede inspeccionar de manera directa a través de una lente ocular, ya que la luz UV no es visible y puede lastimar el ojo.

La microscopía UV es útil para la detección de ácidos nucleicos, específicamente las bases de purina y pirimidina de los nucleótidos. También es útil para la detección de proteínas que contienen ciertos aminoácidos. Las mediciones espectrofotométricas UV de longitudes de onda específicas permiten al microscopio UV determinar de forma cuantitativa la cantidad de ADN y ARN en las células. Como se describe en el cuadro 1-2 de la página 7, la microespectrofotometria de Feulgen se emplea en la clínica para evaluar el grado de ploidía (múltiplos de la cantidad de ADN normal) en muestras tumorales.

El microscopio confocat de barrido combina componentes de un microscopio óptico de campo ctaro con un sistema de barrido para diseccionar una muestra ópticamente.

El microscopio confocal de barrido permite la visualización de una muestra biológica en tres dimensiones. Las dos lentes del microscopio confocal (objetivo y fototubo) están perfectamente alineadas para enfocar la luz proveniente del punto focal de una lente hasta el punto focal de la otra. La diferencia principal entre un microscopio convencional y uno confocal es la adición de un detector de apertura (orificio puntiforme), que está en conjunción con el punto focal de la lente; por ello es confocal. Este orificio de posición precisa solamente permite que pase la luz "en foco" hacia el dispositivo fotomultiplicador (detector), mientras que la luz "fuera de foco" tiene bloqueada la entrada al detector (fig. 1-14). Este sistema genera una capacidad de resolución (0.2-0.5 µm) y una claridad excepcionales para un corte fino en una muestra biológica simplemente por eliminar la luz fuera de foco.

La fuente de luz en un microscopio confocal proviene de un sistema de iluminación láser que es fuertemente convergente y, por lo tanto, produce una luz excitadora de alta intensidad en la forma de un punto de exploración superficial. Se utiliza un sistema de espejos para mover el láser a través de la muestra, de manera que se ilumina un solo punto a la vez (fig. 1-15). Se exploran numerosos puntos individuales en el mismo plano focal y un programa informático reconstruye la imagen a partir de los datos registrados durante la exploración. En este aspecto, la microscopía confocal se asemeja a la tomografía computarizada (TC).

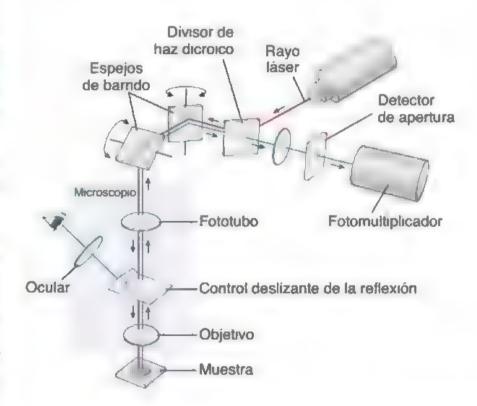


FIGURA 1-15. Estructura del microscopio confocal y diagrama de la trayectoria del haz. La fuente de luz para el microscopio confocal proviene de un láser. El rayo láser (línea roja) viaja a la muestra de tejido mediante un divisor de haz dicroico y luego a dos espejos de exploración móviles; estos espejos barren el rayo láser a través de la muestra en las direcciones x e y. Por último, el láser ingresa en el microscopio de fluorescencia y viaja por medio de su sistema óptico para iluminar una muestra de tejido. La luz emitida por la muestra de tejido iluminada (línea azul) regresa por el sistema óptico del microscopio, a través de ambos espejos de exploración, pasa a través del divisor de haz y es enfocada en el orificio. La luz que atraviesa el orificio es recibida y registrada por el detector conectado a un sistema informático que construye la imagen de un pixel a la vez.

Por otra parte, al emplear solo la profundidad estrecha de la imagen enfocada, se pueden crear múltiples imágenes de diferentes profundidades dentro de la muestra. Así, es posible diseccionar, literalmente, capa por capa todo el espesor de la muestra. También puede utilizarse un sistema informático para realizar reconstrucciones tridimensionales de una serie de estas imágenes. Como cada imagen situada a una profundidad específica dentro de la muestra es muy precisa, la imagen tridimensional resultante tiene las mismas características de nitidez. Además, una vez que el equipo ha ensamblado cada imagen seccionada, la imagen tridimensional reconstruida puede rotarse para su visualización en el sistema informático o a través de Internet desde cualquier ángulo deseado (véase fig. 1-4).

El microscopio de polarización se basa en el hecho de que las moléculas o los conjuntos de moléculas bien ordenados pueden rotar el ángulo del plano de la luz polarizada.

El microscopio de polarización es una simple modificación del microscopio óptico de campo claro en el cual se coloca un filtro de polarización, llamado *polarizador*, entre la fuente de luz y la muestra, y un segundo filtro, denominado *analizador*, se instala entre la lente objetivo y el observador.

Tanto el polarizador como el analizador pueden rotarse; la diferencia entre sus ángulos de rotación se utiliza para determinar el grado en el que una estructura afecta el haz de luz polarizada. La capacidad de una matriz de cristal o sustancias paracristalinas para rotar el plano de luz polarizada se conoce como binotringencia (refracción doble). El músculo estriado y las inclusiones cristaloides en las células intersticiales testiculares (células de Leydig), entre otras estructuras frecuentes, presentan birrefringencia.

Microscopía de superresolución

Los microscopios ópticos convencionales tienen una limitación inherente en la potencia de resolución debido a la longitud de onda de la luz. La resolución, que se define como la distancia mínima de punto a punto entre dos detalles distinguibles, está restringida por el límite de difracción de la luz. La difracción hace que la señal luminosa de la muestra se propague a medida que se desplaza al ojo del observador u otros dispositivos detectores de luz. Como se vio antes, la resolución de un microscopio óptico con una alineación óptima del objetivo y las lentes del condensador se limita a 0.2 µm; por lo tanto, es incapaz de mostrar con detalle muchas estructuras celulares.

Las nuevas técnicas de microscopía de superresolución son capaces de superar el límite de resolución de la microscopía de luz convencional.

Durante décadas, los investigadores han estado en busca de técnicas que permitan exceder el límite de resolución del microscopio óptico. Los recientes avances conceptuales y la innovación técnica dieron origen a aumentos en la resolución óptica de 0.2 μm a ~10 nm. Cualquier técnica de microscopía que incremente la resolución de un microscopio óptico convencional dictada por la barrera de difracción en al menos un factor de 2 se denomina microscopía de superresolución.

Se han desarrollado varias técnicas de microscopía de superresolución para estudiar células vivas bajo microscopía de luz fluorescente. En general, en la microscopía de superresolución se emplean tres métodos:

 Metodos de localización de una sola molécula, que incluyen microscopía de localización fotoactivada (PALM, photoactivated localization microscopy), microscopía de localización fotoactivada por fluorescencia (FPALM, fluorescence photoactivated localization microscopy) y microscopía de reconstrucción óptica estocástica (STORM, stochastic optical reconstrucción microscopy). Estos métodos implican el empleo de moléculas fluorescentes fotoactivables y fotoconmutables que pueden cambiar el estado de emisión oscura a brillante cuando son expuestas a longitudes de onda lumínicas específicas. El análisis computarizado de los datos combinados obtenidos de miles de perfiles de intensidad de moléculas individuales y el perfil de difracción del microscopio se convierten en una imagen con una resolución de entre 10 y 20 nm.

- Metodos de microscopia de iluminación estructurada (SIM, structurad illumination microscopy), que se basan en extraer detalles estructurales finos de la interferencia de una estructura con patrones de iluminación predeterminados. Como este método utiliza frecuencias espaciales, que también están limitadas por la difracción, la microscopia SIM solo puede mejorar la resolución por un factor de 2 (resolución ~100 nm).
- Metodos de barrido puntual, que incluyen la microscopía de agotamiento de la emisión estimulada (STED, stimulated emission depletion) y la microscopía de agotamiento isotrópico de la emisión estimulada (isoSTED, isotropic stimulated emission depletion). Estos métodos se basan en la microscopía confocal de barrido láser, pero se agrega un agotamiento láser, que estimula las moléculas excitadas para volver a su estado fundamental. Con la microscopía STED se puede obtener una resolución de imagen de 30-80 nm.

Los métodos de microscopía de superresolución ofrecen nuevas oportunidades para observar detalles de estructuras celulares en células vivas a una resolución más alta que resultaba inalcanzable con la microscopía de fluorescencia convencional.

Microscopía electrónica

Hay dos tipos de microscopios electrónicos que proporcionan datos morfológicos y analíticos de las células y los tejidos: el MET y el MEB. La ventaja principal del ME sobre el microscopio óptico es que la longitud de onda del haz del ME es unas 2000 veces menor que la del haz de luz del microscopio óptico, lo que aumenta la resolución por un factor de 10³.

El MET utiliza la interacción entre un haz de electrones y una muestra para producir una imagen.

El concepto óptico del microscopio electrónico de transmisión es, en principio, similar al del microscopio óptico (*véase* fig. 1-11), pero el MET utiliza un haz de electrones en lugar de un haz de luz. El principio del microscopio es el siguiente:

- Una fuente de electrones (cátodo, cañón de electrones), como un filamento de rungsteno calentado, emite electrones.
- Los electrones son atraídos hacia un ánodo.
- Una diferencia de potencial entre el cátodo y el ánodo proporciona a los electrones un voltaje de entre 20 000 y 200 000 V, de manera que genera el haz de electrones.
- El haz pasa a través de una serie de lentes electromagnéticas que cumplen la misma función que las lentes de cristal de un microscopio óptico.

La lente condensadora le da forma y cambia el diámetro del haz de electrones que alcanza el plano de la muestra. Luego, el haz que ha pasado a través de la muestra es enfocado y aumentado por una lente objetivo para después volver a ser aumentado por una o más lentes proyectoras. La imagen final se observa en una pantalla fluorescente recubierta de fósforo o se captura en una placa

fotográfica. Las partes de las muestras que han sido atravesadas por los electrones aparecen claras; las zonas oscuras de la muestra han absorbido o dispersado los electrones debido a su densidad inherente o a la adición de metales pesados durante la preparación. A menudo se coloca un detector de electrones con un sensor de luz, como un sensor tipo CCD, por encima o por debajo de la pantalla de visualización para observar la imagen en tiempo real en un monitor. Esto permite archivar sin complicaciones imágenes o videos en formato digital en sistemas informáticos.

La preparación de las muestras para la microscopía electrónica de transmisión es similar a la de la microscopía óptica, aunque se requieren métodos más refinados.

Los principios empleados para la preparación de los cortes para su visualización con el MET son, en esencia, los mismos que se utilizan en la microscopía óptica, con la restricción adicional de que en cada paso hay que trabajar con muestras de tres a cuatro órdenes de magnitud más pequeñas o más finas que en las de la microscopía óptica. El MET, cuyo haz de electrones tiene una longitud de onda de alrededor de 0.1 nm, cuenta con una resolución teórica de 0.05 nm.

Debido a la excepcional resolución del MET, la calidad de la fijación, es decir, el grado de conservación de la estructura subcelular, debe ser la mejor que se pueda lograr.

La preparación de rutina de muestras para microscopia electrónica de transmisión comienza con la fijación en glutaraldehido seguida de un enjuague en una solución amortiguadora y la fijación con tetróxido de osmio.

El glutaraldehido, un dialdehido, preserva constituyentes proteínicos mediante enlaces cruzados; el tetróxido de osmio reacciona con los lípidos, en particular los fosfolípidos. El osmio también proporciona densidad electrónica a las estructuras celulares y tisulares, ya que es un metal pesado, por lo que mejora la formación ulterior de la imagen en el MET.

Lo ideal es que los rejidos sean perfundidos con glutaraldehído equilibrado con un amortiguador antes de extirparse. En general, las piezas tisulares fijadas para el MET no miden más de 1 mm³ (muy pequeñas si se comparan con las piezas para el microscopio óptico, que pueden medirse en centímetros). El proceso de deshidratación es idéntico al que se utiliza en la microscopía óptica, y el tejido se infiltra con una resina monomérica, en general una resina epóxica, que después se polimeriza.

El tejido incluido en plástico se corta en microtomos de diseño especial con hojas de diamante.

Dada la limitada capacidad de penetración de los electrones, los cortes para la microscopía electrónica de transmisión de rutina oscilan entre 50 y 150 nm. Además, como ya se dijo, debido a que los abrasivos que se emplean para afilar las cuchillas de acero dejan rayas inaceptables en los cortes para el MET, se utilizan hojas de diamante con un afilado casi perfecto. Los cortes obtenidos por las hojas de diamante son demasiado finos para ser manipulados; se hacen flotar desde el borde de la hoja hacia la superficie de una cubeta llena de líquido y se recogen de la superficie sobre rejillas de cobre revestido en plástico. Las rejillas tienen 50-400 orificios por pulgada cuadrada o ranuras especiales para ver cortes seriados. El haz atraviesa la muestra y después los orificios de la rejilla de

cobre, y la imagen es enfocada en la pantalla, en el CCD o en la película fotográfica.

En la MET, para aumentar el contraste inherente de modo que los detalles de la estructura celular sean fáciles de ver y fotografiar, también se requiere una tinción.

En general, los cortes para el MET se tiñen mediante la adición a la muestra de materiales de gran densidad, como iones de metales pesados. Los iones de metales pesados pueden unirse a los tejidos durante la fijación o la deshidratación, o durante la inmersión de los cortes, una vez realizados, en soluciones de estos iones. El tetróxido de osmio, que se utiliza de manera rutinaria en el fijador, se une a los fosfolípidos de las membranas, lo que les da una densidad adicional.

A las soluciones de alcohol utilizadas en la deshidratación suele añadirse nitrato de uranilo para aumentar la densidad de los componentes de las uniones intercelulares y de otros sitios. La inmersión secuencial en soluciones de acetato de uranilo y citrato de plomo se emplea para teñir los cortes antes de verlos con el MET, lo cual proporciona a las micrografías electrónicas alto contraste y mayor resolución.

En ocasiones, se requiere una tinción especial para visualizar los resultados de las reacciones histocitoquímicas o inmunocitoquímicas con el MET. Los procedimientos de la fosfatasa y la esterasa se usan con este propósito (véase fig. 1-3). La sustitución de un compuesto que contiene un metal pesado por el colorante fluorescente que se ha conjugado con un anticuerpo permite la adaptación de las técnicas inmunocitoquímicas al MET. Del mismo modo, se han refinado las técnicas de autorradiografía para su uso con el MET (véase fig. 1-8b). Estos métodos han sido particularmente útiles para determinar las fuentes celulares y las vías intracelulares de ciertos productos de secreción, la localización en la superficie celular de receptores específicos y la ubicación intracelular de fármacos y sustratos ingeridos.

La criofractura es una técnica especial de preparación de muestras para MET; es especialmente importante en el estudio de las membranas.

La eriofractura rompe fisicamente (fractura) una muestra congelada para revelar sus estructuras internas. El tejido que se examinará puede estar fijado o no; si se ha fijado, entonces el fijador se retira de la muestra antes. Se deja que un crioprotector, como el glicerol, infiltre el tejido y a continuación este se congela rápidamente a unos –160°C. La formación de cristales de hielo se evita usando crioprotectores, mediante la congelación rápida y gracias a lo diminuto de las muestras. El tejido congelado se coloca en el aparato de criofractura, que tiene una cámara de vacío, y se incide con el borde de una hoja.

El plano de fractura pasa preferentemente a través de la parte hidrófoba de la membrana plasmática, de manera que queda expuesto en su interior.

La fractura de la membrana plasmática produce dos superficies nuevas. La superficie de la membrana que atrás tiene el espacio extracelular se llama cara E; la superficie que tiene atrás el protoplasma (citoplasma) se denomina cara P. Después, la muestra se recubre, en general con platino evaporado, para crear una réplica de la su-

perficie de fractura. Después, el tejido se descarta y la réplica de la superficie, no el tejido en sí, se coloca sobre la rejilla para examinarse con el MET. Esta réplica muestra vistas planas de la organización interna de las membranas con detalles a nivel macromolecular (véase fig. 2-5, p. 34). Uno de los usos más frecuentes de la técnica de fractura por congelación es examinar la zónula ocluyente, donde las proteínas integrales de la membrana se unen a las células (véase fig. 5-15c, p. 135).

En la microscopía electrónica de barrido (MEB), el haz de electrones no atraviesa la muestra, sino que explora (barre) su superficie.

En muchos sentidos, las imágenes obtenidas con la MEB se parecen más a las que se observan en una pantalla de televisión que a las del monitor del MET. Parecen tridimensionales y muestran la estructura superficial de la muestra examinada. Para el análisis de la mayoría de los tejidos, la muestra se fija, se deshidrata por desecación de punto crítico, se cubre con una película de oro-carbono evaporado, se monta en un soporte de aluminio y se coloca en la cámara para muestras del MEB. En los tejidos mineralizados, se pueden eliminar todas las partes blandas con un removedor y examinar las características estructurales del mineral.

El barrido se consigue con el mismo tipo de ráster que hace recorrer el haz de electrones sobre la superficie de un tubo de televisión. Los electrones reflejados desde la superficie (electrones retrodispersados) y los electrones que son expulsados de la superficie (electrones secundarios) son recogidos por uno o más detectores y reprocesados para formar una imagen de alta resolución tridimensional de la superficie de la muestra. En los primeros modelos de microscopios, las imágenes se capturaban en un tubo de rayos catódicos (TRC) de alta resolución o en placas fotográficas; sin embargo, los instrumentos modernos capturan imágenes digitales utilizando detectores sensibles y CCD para su observación en un monitor de alta resolución.

Se pueden utilizar otros detectores para medir los rayos X emitidos desde la superficie, la catodoluminiscencia de moléculas en el tejido debajo de la superficie y los electrones Auger emitidos en la superficie.

El microscopio electrónico de transmisión-barrido (METB) combina características del MET y del MEB para permitir el microanálisis de rayos X por sondas electrónicas.

La configuración del MEB puede usarse para producir una imagen de transmisión mediante la inserción en un portarrejillas a la altura de la muestra, de manera que se recogen los electrones de transmisión con un detector y se reconstruye la imagen en un TRC. Esta última configuración del MEB o microscopio electrónico de transmisión-barrido (METB) facilita el empleo del instrumento para microanalisis de rayos X con sonda electrónica.

Se puede equipar el microscopio con detectores para recoger los rayos X emitidos cuando el haz bombardea el corte; con analizadores adecuados, se puede confeccionar un mapa que muestra la distribución de los elementos con un número atómico superior a 12 y con una concentración suficiente para producir una cantidad adecuada de rayos X para analizar. Pueden deducirse datos semicuantitativos de elementos que tengan una concentración suficiente. De esta manera, tanto el MET como el MEB pueden convertirse en instrumentos analíticos sofisticados, además de ser instrumentos "ópticos".

Microscopía de fuerza atómica

El microscopio de fuerza atómica se ha convertido en una de las herramientas más poderosas para el estudio de la topografía superficial con resolución molecular y atómica.

Un microscopio más nuevo que ha demostrado ser de gran utilidad para los estudios biológicos es el microscopio de fuerza atómica (MFA). Se trata de un microscopio no óptico que funciona de la misma manera que las puntas del dedo, que tocan y sienten la piel de nuestra cara cuando no podemos verla. La sensación captada por las puntas del dedo es procesada por nuestro cerebro, que es capaz de deducir la topografía superficial de la cara mientras los dedos la tocan.

En el MFA, una sonda puntiaguda muy fina (púa), cuyo extremo tiene casi el tamaño de un solo átomo, explora la muestra mientras sigue líneas paralelas a lo largo del eje x, repitiendo la exploración en breves intervalos a lo largo del eje y. La púa fina está montada en el extremo de un soporte voladizo extremadamente flexible, de manera que mueve el soporte a medida que encuentra la "fuerza atómica" en la superficie de la muestra (fig. 1-16). La superficie superior del soporte es reflectora, y un haz láser es dirigido desde allí hacia a un diodo. Esta distribución funciona como una "palanca óptica" porque desviaciones diminutas del soporte se magnifican de manera considerable en el diodo. El MFA puede funcionar con la punta del soporte tocando la muestra (modo de contacto) o con la púa dando golpecitos a través de la superficie (modo de percusión) de forma muy parecida a como lo haría el bastón de una persona ciega (véase fig. 1-16, recuadros).

Cuando la púa sube o baja en el eje z a medida que atraviesa la muestra, los movimientos se registran en el diodo como movimientos del haz láser reflejado. Un dispositivo piezoeléctrico debajo de la muestra se activa en un circuito de retroalimentación sensible con el diodo para subir y bajar, de modo que el haz láser se enfoque en el diodo. Cuando la púa se hunde en una depresión, el dispositivo piezoeléctrico eleva la muestra para compensar, y cuando la púa se eleva sobre una prominencia, el dispositivo compensa bajando la muestra. La corriente hacía el dispositivo piezoeléctrico se interpreta como el eje z, que, junto con los ejes x e y, representan la topografía de la muestra con una resolución molecular y, a veces, atómica (fig. 1-17).

Una ventaja importante del MFA para el estudio de muestras biológicas es que, a diferencia de los instrumentos ópticos de alta resolución (MET o MEB), la muestra no tiene que estar en el vacío; incluso puede estar sumergida en agua. Así pueden obtenerse imágenes de las células vivas y de su medio circundante.

Microscopía virtual

La microscopía virtual es un procedimiento digital que representa una alternativa a la observación de portaobjetos de vidrio en un microscopio óptico.

La microscopía virtual integra la microscopía óptica convencional con la tecnología digital. Los preparados histológicos se exploran utilizando sistemas de adquisición de imágenes ópticas con enfoque automático, para crear archivos digitales de dos dimensiones que generalmente se almacenan en los servidores virtuales dedicados a microscopía (fig. 1-18). El proceso de exploración implica la obtención de imágenes a partir de un preparado histológico. Los diferentes sistemas adquieren imágenes ya sea como mosaicos o como tiras



FIGURA 1-16. Diagrama de un microscopio de fuerza atómica (MFA). Una punta extremadamente aguda (pua) en un soporte voladizo se mueve sobre la superficie de una muestra biológica. El mecanismo de retroalimentación provisto por los dispositivos piezoelectricos permite mantener la punta con una fuerza constante sobre la superficie de la muestra. La punta se extiende hacia abajo desde el extremo de un soporte voladizo láser reflejante. El rayo láser se enfoca en el soporte voladizo. A medida que la pua barre la superficie de la muestra, moviendose hacia atriba y hacia abajo con el contorno de la superficie, el rayo láser se mueve del puente voladizo hacia un fotodiodo. El fotodiodo mide los cambios en las intensidades del haz láser y despues convierte esta información en una corriente electrica. La retroalimentación del fotodiodo es procesada por un sistema informático como una imagen de superficie y también regula el disposit vo piezoelectrico. En el modo de contacto (recuadro izquierdo), las fuerzas electrostáticas o de tensión superficial arrastran la pua de barrido sobre la superficie de la muestra. En el modo de percusión (recuadro derecho), la punta del soporte voladizo oscila. El ultimo modo permite visualizar muestras blandas y frágiles mientras logra una alta resolución

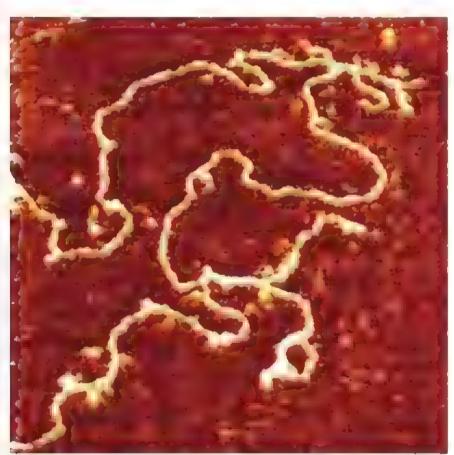


FIGURA 1-17. Microscopía de fuerza atómica de una sola molécula de ADN. Esta imagen se obtuvo en el modo de contacto, en el que la púa de exploración "golpea" hacia arriba y hacia abajo a medida que se mueve hacia adelante y hacia atrás sobre la superficie de la muestra. La muestra se encuentra en una superficie de mica ultrasuave. Una molécula de ADN produce con facilidad una protrusión que puede detectarse. Los abultamientos a lo largo de la molécula de ADN son causados por proteínas unidas a la molécula, y estos producen un movimiento aún mayor de la púa de bámdo. El campo de bamdo mide 540 × 540 nm. La longitud de la molécula de ADN varía de 0 a -40 nm. 185000× (cortesía de la Dra. Gabriela Bagordo, JPK Instruments AG, Berlín, Alemania).

lineales que se unen para crear una diapositiva virtual. La muestra virtual es una representación digital de un preparado, que se puede ver de forma remota sin un microscopio óptico. En general, los preparados histológicos se digitalizan en un solo plano focal (p. ej., 40× lente objetivo), pero pueden capturarse en planos multifocales.

Hay numerosos programas llamados *microscopios virtuales* que proporcionan acceso a Internet para explorar preparados digitales en cualquier dispositivo de una manera similar a la microscopía óptica. Los microscopios virtuales ofrecen nuevas posibilidades para la visualización y manipulación de muestras que no están disponibles en un microscopio óptico estándar. Estas incluyen:

- Visualización remota de cualquier muestra digitalizada en cualquier dispositivo de red (p. ej., ordenadores, tabletas, teléfonos inteligentes, etc.) que contengan un visor de microscopía virtual.
- Acercamiento o alejamiento progresivo de la imagen sin problemas (en general, van desde 0.06 hasta 40×).
- Facilidad para cambiar entre aumentos muy bajos y de alta potencia sin alterar el campo de visión o el plano de enfoque.
- Una imagen de orientación (de navegación) en miniatura de toda la muestra que exhibe la ubicación de la imagen de la pantalla principal en la diapositiva en tiempo real (esta orientación de imagen permanece en la pantalla, incluso cuando se acerca o aleja),
- Una imagen aumentada en miniatura que muestra la ampliación digital adicional de la región correlacionada con la posición del puntero en la pantalla.
- Características adicionales, como arrastre, giro y herramientas de medición, matrices de ajuste de color y una función de enfoque para elegir entre diferentes planos en las imágenes capturadas en planos multifocales.



Laboratorio de histología y dispositivos móviles

FIGURA 1-18. Microscopía virtual. Los preparados se registran mediante un escáner automático de diapositivas de alta resolución para crear archivos digitales que se almacenan en servidores dedicados a la microscopía virtual. El preparado virtual es una representación digital de un portaobjetos y se puede visualizar con un programa especializado llamado microscopio virtual. Los preparados virtuales se distribuyen a través de una red informática o Internet para su visualización remota. Los preparados virtuales se pueden ver individualmente o en grupos en cualquier dispositivo móvil, como tabletas o teléfonos inteligentes, con aplicaciones de microscopía virtual.

Desde el punto de vista educativo, los estudiantes que utilizan microscopios virtuales pueden comparar imágenes de diferentes tejidos o de los mismos tejidos teñidos con diferentes colorantes. Una característica importante que no tienen los microscopios ópticos es que los estudiantes o profesores pueden hacer anotaciones personalizadas en cada preparación virtual, que incluyen desde dibujos a mano alzada hasta textos escritos. Estas anotaciones pueden guardarse fácilmente como archivos superpuestos en los preparados

de microscopía virtual. Además, la microscopía virtual facilita los métodos de aprendizaje colaborativos y en equipo entre varios estudiantes que comparten un microscopio virtual en un entorno de laboratorio (*véase* fig. 1-18).

La microscopia virtual también se utiliza en la enseñanza y práctica de la patología (telepatología). De igual forma, puede emplearse en un entorno virtual, compartiendo preparados virtuales en línea entre los especialistas en la materia.



TÉCNICAS

FUNDAMENTOS DE LAS TÉCNICAS UTILIZADAS EN HISTOLOGÍA

 La histologia (gr., histos, tejido; logia, ciencia), también llamada anatomia microscópica, es el estudio científico de las estructuras microscópicas de los tejidos y órganos del cuerpo.

La microscopia óptica (observar los preparados histológicos) y la microscopía virtual (observar muestras histológicas digitalizadas en la pantalla de un sistema informático o un dispositivo móvil) son los métodos utilizados con mayor frecuencia para examinar células, tejidos y órganos en los cursos de histología.

PREPARACIÓN DEL TEJIDO

- Los preparados de rutina de cortes histológicos fijados en formalina y teñidos con hematoxilinaeosina (H&E) son las muestras utilizadas con mayor frecuencia para los estudios histológicos con el microscopio óptico.
- El primer paso en la preparación de una muestra histológica es la fijación, que conserva la estructura y previene la degradación enzimática.
- En el segundo paso, la muestra se deshidrata, se lava y se incluye en parafina o resinas epóxicas para permitir su corte.
- En el tercer paso, la muestra se monta en un portaobjetos de vidrio y se tiño para poder examinarla con el microscopio óptico.
- Para la microscopía de expansión (MEx) se requieren preparaciones específicas, en las que las muestras se infiltran con hidrogeles que provocan su expansión física.
- Los pasos en la preparación de las muestras para el microscopio electrónico de transmisión (MET) son similares a los de la microscopía óptica, excepto que requieren diferentes fijadores (glutaraldehído y tetróxido de osmio), métodos de inclusión (resinas plásticas y epóxicas) y tinciones (metales pesados).

TÉCNICAS DE TINCIÓN

- La eosina es un colorante ácido (rosado) y tiene una carga neta negativa. Reacciona con grupos catiónicos cargados positivamente en células y tejidos, en particular con los grupos amino de las proteínas (estructuras eosinófilas).
- La hernatoxilina acrúa como un colorante básico (azul) y tiene una carga neta positiva.
 Reacciona con grupos fosfato ionizados cargados negativamente en los ácidos nucleicos (estructuras basófilas).
- El ácido peryódico de Schiff (PAS) tiñe hidratos de carbono y moléculas ricas en hidratos de carbono de un color púrpura característico. Se utiliza para mostrar el glucógeno en las células y moco en las células y tejidos, así como la membrana basal y las fibras reticulares en el tejido conjuntivo.
- La inmunocitoquímica se basa en la especificidad de una reacción entre un antígeno y un anticuerpo que está conjugado ya sea con un colorante fluorescente (para la microscopia óptica) o con partículas de oro (para la microscopia electrónica). Tanto el método inmunocitoquímico directo como el indirecto se utilizan para localizar un antígeno diana en células y rejidos.
- La histoquímica y la citoquímica se basan en la unión específica de un colorante con un componente celular en particular que muestra actividad enzimática inherente.
- La hibridación es un método de localización de ARN mensajero (ARNm) o ADN mediante la hibridación de la secuencia de interés a una hebra complementaria de una sonda de nucleótidos.
- La técnica de hibridación in situ con fluorescencia (FISH) emplea colorantes fluorescentes combinados con sondas de nucleótidos para visualizar múltiples sondas al mismo tiempo. Esta técnica es muy utilizada en pruebas genéticas.
- La autorradiografía emplea una emulsión fotográfica que se coloca sobre un corte histológico para localizar material radioactivo en los tejidos.

MICROSCOPÍA

- La interpretación correcta de las imágenes microscópicas es muy importante, ya que los órganos son tridimensionales, en tanto que los cortes histológicos son bidimensionales.
- El poder de resolución es la capacidad de una lente de microscopio o un sistema óptico para obtener imágenes separadas de objetos que están muy cerca unos de otros. El poder de resolución de un microscopio óptico de campo claro (de uso frecuente entre estudiantes e investigadores) es de alrededor de 0,2 μm.
- Además de la microscopía de campo claro, otros sistemas ópticos incluyen la microscopía de contraste de fase, microscopía de campo oscuro, microscopía de fluorescencia, microscopía de barrido confocal, microscopía ultravioleta y microscopía de luz ultravioleta.
- Los microscopios electrónicos de transmisión (MET; potencia teórica de resolución de 0.05 nm) emplean la interacción de un haz de electrones con una muestra para producir una imagen.
- Los microscopios electrónicos de barrido (MEB; poder de resolución de 2.5 nm) utilizan electrones reflejados o forzados a salir de la superficie de la muestra que son recolectados por los detectores y reprocesados para formar una imagen de la superficie.
- Los microscopios de fuerza atómica (MFA; poder de resolución de 50 pm) son microscopios no ópticos que utilizan una púa ultrafina (soporte voladizo) que se barre a través de la superficie de una muestra. Los movimientos hacía arriba y hacía abajo del soporte voladizo se registran y transforman en una imagen gráfica.

2 CITOPLASMA CELULAR

FUNDAMENTOS DE LA CÉLULA Y EL CITOPLASMA / 28

ORGANULOS MEMBRANOSOS / 31

Membrana plasmática / 31

Procesos de senalización / 35

Transporte de membrana y transporte vesícular / 36

Endosomas / 43

Lisosomas / 45

Degradación mediada por proteasomas / 50

Reticulo endoplasmático rugoso / 51

Reticulo endoplasmático liso / 55

Aparato de Golgi / 56

Mitocondria / 59

Peroxisomas (microcuerpos) / 61

ORGÁNULOS NO MEMBRANOSOS / 62

Microtúbulos / 62

Filamentos de actina / 65

Filamentos intermedios / 68

Centriolos y centros organizadores

de microtubulos / 71

Cuerpos basales / 75

INCLUSIONES / 77

MATRIZ CITOPLASMÁTICA / 79

Cuadro 2-1 Correlación clínica: enfermedades

de almacenamiento lisosómico / 48

Cuadro 2-2 Correlación clinica: anomalias en los microtúbulos y los filamentos / 76

Cuadro 2-3 Correlación clínica: duplicación anomala

de centriolos y el cáncer / 79

HISTOLOGÍA 101 / 80



■ FUNDAMENTOS DE LA CÉLULA Y EL CITOPLASMA

Las células son las unidades estructurales y funcionales básicas de todos los organismos multicelulares.

Los procesos que generalmente asociamos con las actividades diarias de los organismos (proteoción, ingestión, digestión, absorción de metabolitos, eliminación de residuos, movimiento, reproducción e incluso la muerte) son todos el reflejo de procesos similares que ocurren dentro de cada una de las miles de millones de células que constituyen el cuerpo humano. En gran medida, las células de diferentes tipos utilizan mecanismos similares para sintetizar proteinas, transformar energía y mover sustancias esenciales hacia la célula. Usan los mismos tipos de moléculas para contraerse y duplican su material genético de la misma materia.

Las funciones específicas se identifican con componentes y dominios estructurales específicos dentro de la célula.

Algunas células desarrollan una o más de estas funciones con un grado tal de especialización que se identifican por la función y las estructuras oclulares relacionadas con esta. Por ejemplo, si bien todas las células contienen proteínas de filamentos contráctiles, algunas, como las células muscularos, presentan grandes cantidades de estas proteínas en una organización específica. Esto les permite realizar su función especializada de contracción tanto a escala celular como

tisular. La actividad o función especializada de una célula puede ser un reflejo no solo de la presencia de una gran cantidad del componente estructural específico que lleva a cabo la actividad, sino también de la forma de la célula, su organización respecto de otras células similares y sus productos (fig. 2-1).

Las células pueden dividirse en dos compartimentos principales: el citoplasma y el núcleo.

En general, el citoplasma es la región de la célula localizada fuera del núcioo. El citoplasma contiene orgánulos u organelos ("pequeños órganos"), un citoesqueleto (proteínas polimerizadas que forman microrúbulos, filamentos intermedios y filamentos de actina) e Inclusiones suspendidas en un gel acuoso denominado matriz citoplasmatica. La matriz está formada por varios solutos, que incluyen iones inorgánicos (Na⁺, K⁺, Ca²⁺) y moléculas orgánicas, como metabolitos intermedios, hidratos de carbono, lípidos, proteínas y ARN. La célula controla la concentración de solutos dentro de la matriz, lo que influye en el ritmo de actividad metabólica dentro del compartimento citoplasmático.

El núcleo es el orgánulo más grande dentro de la célula y contiene el genoma junto con las enzimas necesarias para la replicación de ADN y la transcripción de ARN. El citoplasma y el núcleo no solo desempeñan diferentes papeles funcionales, sino que también trabajan en conjunto para mantener la viabilidad celular. La estructura y la función del núcleo se describen en el capítulo 3.

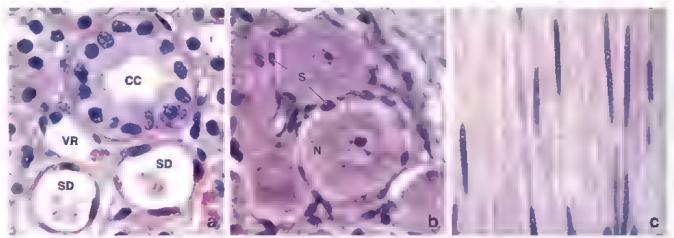


FIGURA 2-1. Características histológicas de distintos tipos celulares. En estas tres microlotograf as se muestran diferentes tipos de celulas de tres órganos del cuerpo. Las características distintivas incluyen tamano forma, or entación y conten do criopiasmático que se pueden relacionar con la actividad o función especial zada de cada célula. A. Células epitelaies del rimón. Obsérvense las formas variadas de las células epitelaies del rimón. Obsérvense las formas variadas de las células epitelaies del rimón. Obsérvense las formas variadas de las células epitelaies del rimón. Blook b. Celulas de ganglio de la netrona y celulas incluso mas aplanadas que recubren los vasos sanguineos, los vasos rectos (v.R) en el rimón. 380 x. b. Celulas de ganglio de la riaz dorsal. Obsérvese el gran tamano de astos cuerpos de celulas necionas y sus nucleos (N) grandes y palidos teucromáticos) con nucléolos distintos. Cada células ganglionar está rodeada por células satel te (S) aplanadas. El tamano de la célula ganglionar y la presencia de un nucleo eucromático, un nucléolo prominente y cuerpos de Nissi irreticulo endopiasmático rugoso visible como gránulos más oscuros dentro de la tepiasma) refle an la enorme actividad sintética requerida para mantener las largas prolongaciones (axones) de estas células 380 x. c. Células musculares lisas del intest no deligado. Obsérvese que estas células suelen ser alargadas, tener forma fusiforme y estar organizadas en una disposición paraleia. Los nucleos también se alargan para adaptarse a la forma general de la célula. 380 x.

Los orgánulos se describen como *membranosos* (limitados por una membrana) o *no membranosos*.

Los orgánulos incluyen los sistemas membranosos de la célula y los compartimentos limitados por una membrana que llevan a cabo las funciones celulares metabólicas, dependientes de energía y generadoras de energía, así como componentes estructurales no membranosos. Todas las células tienen el mismo conjunto básico de orgánulos, que pueden clasificarse en dos grupos: 1) orgánulos membranosos con membranas plasmáticas que separan el ambiente interno del orgánulo del citoplasma y 2) orgánulos no membranosos carentes de membrana plasmática.

Las membranas de los orgánulos membranosos adoptan formas vesiculares, tubulares y otros patrones estructurales en el citoplasma que pueden ser enrollados (como en el retículo endoplasmático liso) o plegados (como en la membrana mitocondrial interna). Estas formas de organización de la membrana aumentan en gran medida la superficie en la que tienen lugar las reacciones fisiológicas y bioquímicas esenciales. Los espacios encerrados por las membranas de los orgánulos constituyen los microcompartimentos intracelulares, en los que se aíslan o concentran los sustratos, productos y otras sustancias. Además, cada tipo de orgánulo contiene un grupo de proteínas específicas; en los orgánulos membranosos, estas proteínas se encuentran incorporadas en sus membranas o en su espacio interno. Por ejemplo, las enzimas de los lisosomas están separadas de la matriz citoplasmática por una membrana específica resistente a enzimas debido a que su actividad hidrolítica podría ser perjudicial para la célula. En los orgánulos no membranosos, sus proteínas específicas a menudo se autoensamblan en polímeros que forman los elementos estructurales del citoesqueleto

Además de los orgánulos, el citoplasma contiene inclusiones, estructuras que en general no están rodeadas por una membrana plasmática. Estas consisten en diferentes materiales como cristales, gránulos de pigmento, lípidos, glucógeno y otros productos de desecho almacenados (para más detalles, *véase* p. 77).

Los orgánulos membranosos incluyen:

 Membrana piasmática (celular), una bicapa lipídica que forma el límite de la célula, así como los límites de muchos orgánulos dentro de la célula.

- Reticulo endoplasmático rugoso (RER), una región del retículo endoplasmático asociada con ribosomas, en donde se sintetizan y modifican proteínas.
- Reticulo endoplasmático liso (REL), una región del retículo endoplasmático carente de ribosomas implicada en la síntesis de lípidos y esteroides.
- Aparato de Golgi, un orgánulo membranoso compuesto por múltiples cisternas aplanadas responsables de la modificación, la clasificación y el empaquetado de proteínas y lípidos para su transporte intracelular o extracelular.
- Endosomas, compartimentos limitados por membrana que participan en los mecanismos de endocitosis, cuya función principal es la de clasificar las proteínas que le son enviadas por las vesículas endocíticas y redirigirlas a diferentes compartimentos celulares que serán sus destinos finales.
 - Lisosomas, orgánulos pequeños con enzimas digestivas que se forman a partir de endosomas mediante la producción dirigida de proteínas de membrana especificas del lisosoma y enzimas lisosómicas.
- Vesiculas de transporte (inclindas las pinociticas, las endociticas y aquellas con cubierta), que están involucradas en la endocitosis y la exocitosis y varían en cuanto a su forma y el material que transportan,
- Mitocondries, orgánulos que proporcionan la mayor parte de la energía a la célula al producir trifosfato de adenosina (ATP, udenosine triphosphate) en el proceso de fosforilación oxidativa.
- Peroxisomes, pequeños orgánulos involucrados en la producción y degradación de H₂O₂ y en la degradación de ácidos grasos.

Los orgánulos no membranosos son:

- Microtubulos, que junto con los filamentos de acuna e intermedios forman elementos del citoesqueleto y constantemente se alargan (mediante la adición de dímeros de tubulina) y se acortan (mediante la extracción de dímeros de tubulina), una propiedad conocida como inestabilidad dinamica.
- Filamentos, que también son parte del citoesqueleto y pueden clasificarse en dos grupos: filamentos de actina, que son cadenas flexibles de moléculas de actina, y filamentos intermedios, que son fibras parecidas a cuerdas formadas por diversas proteínas;

- ambos grupos proveen resistencia a la tracción para soportar la tensión y confieren resistencia contra las fuerzas de cizallamiento.
- Centriolos, un par de cortas estructuras cilíndricas que se encuentran en el centro de organización de microtubulos (MTOC, microtubulo-organizing center) o centrosoma, y cuyos derivados originan los cuerpos basales de los cilios.
- Ribosomas, estructuras esenciales para la sintesis de proteínas, compuestas por ARN ribosómico (ARNr) y proteínas ribosómi-
- cas (incluídas las proteínas adhendas a membranas del RER y las proteínas libres en el citoplasma).
- Proteasomas, complejos de proteínas que degradan enzimáticamente proteínas dañadas o innecesarias en polipéptidos pequeños y aminoácidos.

En la tabla 2-1 se describen las principales características de los orgánulos y las inclusiones celulares. En la tabla 2-2 se resumen las funciones normales de los orgánulos y las alteraciones relacionadas.



Revisión de orgánulos e inclusiones citoplasmáticas: claves para la identificación con microscopía óptica y electrónica

Organulo	Tamaño	Características en la microscopia	Características en la microscopía
o inclusión	(µm)	óptica	electrónica
Núcleo	3-10	Es el orgánulo más grande de la célula, con lími- tes bien definidos Suelen verse los nuclécios y la distribución de la cromatina	Rodeado por dos membranas (envoltura nuclear) con complejos de poros y un espacio de cisterna perinuclear Regiones con patrones de cromatina condensada y difusa (heterocromatina y eucromatina)
Nuciéolo	1-2	Una región basóf.la más o menos circular dentro del nucleo Visible en las células vivas con el microscopio de interferencia durante toda la interfase	Estructura densa no membranosa que contiene ma- tenal fibrilar y granular
Membrana plasmática	0 008-0 01	No visible	Membrana externa y otras que rodean los orgánu- los membranosos de la célula, dos capas elec- trodensas, interna y externa, separadas por una capa intermedia electrolucida
RER	Área de ~5-10	A menudo se observa como una región citoplas- mática basófila llamada <i>ergastoplasma</i>	Láminas aplanadas, sacos y tubos de membrana con ribosomas adosados
REL	En todo el citoplasma	No visible El citoplasma en la región del REL puede mostrar una eosinofilia distinta	Láminas aplanadas, sacos y tubos de membrana sin ribosomas adosados
Aparato de Golgi	Área de ~5-10	A veces se observa como una región de "tinción negativa" Aparece como una red en preparaciones con me- tales pesados Visible en las células vivas con el microscopio de interferencia	Pila de láminas de membrana aplanadas, a menudo adyacentes al núcleo
Vesiculas secretoras	0 05-1	Se observan solo cuando las vesículas son muy grandes (p. ej., gránulos de cimógeno en el páncreas)	Muchas vesículas relativamente pequeñas, delimitadas por membranas, de diámetro uniforme, a menudo polarizadas en un lado de la célula
Mitocondrias	0 2-7	Algunas veces se ven en situaciones favorables (p. ej., hígado o células nerviosas) como puntos minusculos, oscuros, visibles en las células vivas teñidas con colorantes vitales (p. ej., verde Jano)	Sistema de dos membranas, una externa y otra in- terna dispuesta en numerosos pliegues (crestas) En las células productoras de esteroides, la mem- brana interna está dispuesta en crestas tubulares
Endosomas	0 02-0 5	No visible	Estructuras tubulovesiculares con luz subdividida que contiene material electrolucido u otras vesicu- las más pequeñas
Lisosomas	0 2-0 5	Visible solamente después de un tratamiento his- toquímico enzimático especial	Vesículas limitadas por membranas, a menudo elec- trodensas
Peroxisomas	0 2-0 5	Visible solamente después de un tratamiento his- toquímico enzimático especial	Vesículas limitadas por membranas, a menudo con inclusiones cristaloides electrodensas
citoesqueleto		Visibles solamente cuando se organizan en es- tructuras grandes (p. ej , fibrillas musculares)	Patrón de tinción lineal alargado con espesor y carac terísticas específicas para cada tipo de filamento
Ribosomas	0 025	No visibles	Pequeños puntos oscuros, a menudo asociados con el RER
Proteasomas Glucógeno	0.010-0.040	No visibles Se observa como una región citoplasmática de metacromasia de color "purpura opalescente" en muestras teñidas con azul de toluid na	Difíciles de diferenciar de otras proteínas de matriz Inclusiones no membranosas, extremadamente den sas, en forma de racimos
Gotitas lipidicas	0.2-5, hasta 80	Fácilmente visibles cuando son grandes (p. ej., en los adipocitos) Aparecen como grandes espacios vacios en el corte (los solventes que se usan en la prepara- ción de la muestra eliminan los lípidos)	Inclusiones no membranosas En general, aparecen como un vacio en el corte



Orgánulos e inclusiones citoplasmáticas: funciones y enfermedades

Organuto o inclusión	Función	Enfermedades
Núcleo	Almacenamiento y uso del genoma	Enfermedades genéticas hereditarias, mutaciones inducidas por el medio ambiente
Nucléolo	Sintesis de ARNr y ensamblado parc al de subunida- des ribosómicas Implicado en la regulación del ciclo celular	Sindrome de Werner (enfermedad de envejeci- miento prematuro) Carcinogénesis por errores en el ciclo celular
Membrana plasmática	Transporte de iones y nutrientes Reconocimiento de señales del entorno Adhesiones célula-célula y célula-matriz extracelular	Fibrosis quística Síndromes de malabserción Intelerancia a la lactosa
RER	Fijación de ribosomas que intervienen en la traducción del ARNim para proteinas destinadas a su secreción o inserción en la membrana. También participa en las modificaciones químicas de las proteinas y en la síntesis de ifpidos de membrana.	Seudoacondroplasia Enfermedad por depósito de cristales de dihidrato de fosfato de calcio (seudogota)
REL	Participa en el metabolismo de lipidos y esteroides	Enfermedad por almacenamiento en el reticulo en- doplasmático hepático
Aparato de Golgi	Modificación química de las proteinas Clasificación y empaquetado de moléculas para secre- ción o transporte a otros orgánulos	Enfermedad de las células de inclusión imucol pedosis (I) Poliquistosis renal
Vesiculas secretoras	Transporte y almacenamiento de proteinas de secre- ción hacia la membrana plasmática	Cuerpos de Lewy de la enfermedad de Parkinson Diabetes proinsulfinica
Mitocondria	Producción aerobia de energia (fosforilación oxidativa, ATP) Comienzo de la apoptosis	Miopatias mitocondinales como EMAFRR, a MELAS, a sindrome de Keams-Sayre y atrofia op- tica hereditaria de Leber
Endosomas	Transporte del material endocitado Biogénesis de lisosomas	Insuficiencia del receptor de M-6-P
Lisosomas	Digestión de macromoléculas	Enfermedades de almacenamiento lisosómico (véase cuadro 2-1, Correlación clinica enferme- dades de almacenamiento lisosómico)
Peroxisomas	Digestión oxidativa (p. ej., ácidos grasos)	Sindrome de Zeilweger
Elementos del citoesqueleto	D versas funciones, entre ellas mot lidad celular ad- hesión celular y transporte intracelular y extracelular Conservación del citoesqueleto	Sindrome de cilios immóviles enfermedad de Alzheimer, epidermólisis ampollar
Ribosomes	Sintesis de proteínas mediante la traducción de las secuencias codificadoras contenidas en el ARNm	Disfunción ribosomica en la enfermedad de Alzhei- mer, ariemia de Diamond-Blackfan Muchos antibióticos actúan de forma selectiva sobre los ribosomas bacterianos, como las tetraciclinas y los aminoglucósidos (gentamicina, estreptomicina)
Proteasomas	Degradación de las proteínas innecesarias y dañadas rotuladas para su destrucción con ubicurtina	Enfermedades caracterizadas por la acumulación de proteínas mal formadas enfermedad de Parkinson, enfermedad de Alzheimer, síndrome de Angelman, miopatias por cuerpos de inclusión
Glucógeno	Almacenamiento a corto plazo de la glucosa en la forma de un polimero ramificado. Se encuentra en el hígado, en el sistema osteomuscular y en el tejido adiposo.	Diversas enfermedades por almacenamiento de glucógeno, incluidos importantes grupos fisiopatológicos hepaticohipoglucémicos y musculoenergéticos
Gotitas lipidicas	Amacenamiento de formas estenficadas de ácidos gra- sos como moleculas de alto contenido energetico	Enfermedades de almacenamiento lipidico, como las de Gaucher y Niemann-Pick y cirrosis hepatica

^{*}Epi epsia mioclónica asociada con fibras rojas rasgadas.

ARNM, ARN mensajero. ARN/ ARN ribosómico. ATP, tritosfato de adenosina, REL reticulo endoplasmático liso, RER, reticulo endoplasmático riugoso.

■ ORGÁNULOS MEMBRANOSOS Membrana plasmática

La membrana plasmática es una estructura de bicapa lipídica visible con microscopia electrónica de transmisión.

La membrana plasmática (membrana celular, plasmalema) es una estructura dinámica que participa de forma activa en muchas acti-

vidades fisiológicas y bioquímicas esenciales para el funcionamiento y la supervivencia de la célula. Cuando la membrana plasmática se fija, se secciona, se tiñe y se observa de manera apropiada con el microscopio electrónico de transmisión (MET), se aprecia como dos capas electrodensas separadas por una capa intermedia electrolúcida (no tenida) (fig. 2-2). El espesor total de la membrana plasmatica es de alrededor de 8-10 nm.

^aMiopatía mitocondrial, encefalopatía, acidosis láctica y síndrome de episodios similares a ictus



FIGURA 2-2. Microfotografia electrónica de las microvellosidades en la superficie apical de una cétuta absortiva. En esta microfotografia se muestra la porción apical de las células absortivas con microvellosidades. Obsérvese que, con este aumento, la membrana plasmática muestra su aspecto característico de dos líneas electrodensas separadas por una capa electrofucida intermedia. Las glucoproteinas del giucocáliz pueden extenderse desde los extremos de às microveltosidades hacia la luz. La relación entre la hojuela externa de la membrana plasmática y el glucocáliz es especialmente clara. Las glucoproteinas del glucocáliz incluyen enzimas digest vas terminales, como dipeptidasas y disacaridasas. 100000× (cortesía del Dr. Ray C. Henrikson)

La membrana plasmática está compuesta por una capa de lipidos anfipáticos que contiene proteínas integrales incrustadas y proteínas periféricas adheridas a su superficie.

La interpretación actual de la organización molecular de la membrana plasmática consiste en el llamado modelo de mosaleo fluido modificado (fig. 2-3). La membrana está compuesta principalmente por moléculas de fosfolipidos, colesterol y proteinas. Las moléculas de lípidos forman una bicapa lipidica de carácter antipático (tanto hidrófoba como hidrófila). Las cadenas de ácidos grasos de las moléculas lipidicas se enfrentan entre sí, tornando hidrófoba (que

no tiene afinidad por el agua) la porción interna de la membrana. Las superficies de la membrana están formadas por los grupos polares de las cabezas de las moléculas lipídicas, haciendo de este modo que las superficies se vuelvan hidrofilas (con afinidad por el agua). Los lípidos se distribuyen de manera asimétrica entre las hojas interna y externa de la bicapa lipidica, y su composición varía considerablemente entre las diferentes membranas biológicas.

En la mayoría de las membranas plasmáticas, las moléculas de proteína constituyen aproximadamente la mitad de la masa total de la membrana. La mayoría de las proteínas están incluidas en la bicapa lipidica o la atraviesan totalmente. Estas proteínas se llaman proteinas integrales de membrana. Los otros tipos de proteínas (periféricas de membrana) no están incluidas dentro de la bicapa lipídica. Estas últimas se asocian con la membrana plasmática por medio de interacciones iónicas fuertes, principalmente con proteínas integrales en la superficie extracelular e intracelular de la membrana (véase fig. 2-3). Además, en la superficie extracelular de la membrana plasmática, los hidratos de carbono pueden adherirse a las proteínas, y así formar glucoproteinas, o a los lípidos de la bicapa, y crear glucolipidos. Estas moléculas de superficie producen una capa en la superficie de la célula que se conoce como cubierta celular o glucocáliz (véase fig. 2-2). Contribuyen a establecer microambientes extracelulares en la superficie de membrana que cumplen funciones específicas en el metabolismo y en el reconocimiento y la asociación celular; asimismo, sirven como sutos receptores para bormonas.

Los microdominios de la membrana plasmática, conocidos como balsas lipidicas, controlan el movimiento y la distribución de las proteínas dentro de la bicapa lipidica.

La fluidez de la membrana plasmática no puede observarse en microfotografías electrónicas estáticas. Ciertos experimentos revelan que la membrana se comporta como si fuera un líquido lipidico bidimensional. Durante muchos años se creyó que las proteinas inregrales de la membrana se movían libremente dentro del plano de la membrana; este movimiento se comparó con el de los témpanos de hielo que floran en el océano (véase fig. 2-3). Sin embargo, algunos estudios recientes muestran que la distribución y el movimiento de las proteínas dentro de la bicapa lipídica no son tan aleatorios como se creía. La membrana plasmática parece ser irregular, con dominios localizados que tienen diferentes funciones y estructuras y varian en espesor y composición. Estos dominios localizados contienen altas concentraciones de colesterol y glucoesfingolipidos, y se conocen como balsas lipidicas. Debido a la alta concentración de colesterol y la presencia de cadenas largas de ácidos grasos altamente saturados, la superficie de la balsa lipídica es más gruesa y muestra una menor fluidez que la membrana plasmática circundante (fig. 2 4). El colesterol es el "pegamento" dinámico que mantiene unida a la balsa; la eliminación de dicha balsa produce la dispersión de los lípidos y de las proteínas asociadas con ella.

En general, existen dos tipos de balsas lipídicas:

- Las baisas lipidicas planas contienen una familia de proteínas de 47 kDa conocidas como flotilinas, además de una composición específica de lípidos y colesterol. Las flotilinas son los marcadores moleculares de las balsas lipídicas y se consideran proteínas de andamiaje. También participan en el reclutamiento de proteínas específicas de la membrana en las balsas y trabajan como socios activos en varios procesos de señalización.
- Las balsas caveolares, o caveolas (lat. caveolae, pequeñas cuevas), son pequeñas invaginaciones de la membrana plasmática en forma de botella (50-100 nm de diámetro), enriquecidas con pequeñas proteínas integrales de membrana (18-24 kDa) llamadas caveolinas. Estas proteínas tienen la capacidad de unirse

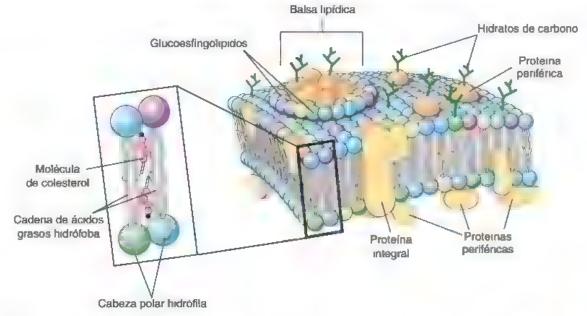


FIGURA 2-3. Diagrama de una membrana plasmática donde se muestra el modelo del mosalco fluido modificado. La membrana plasmática es una bicapa lipidida formada principa mente por moléculas de fosfolipidos, colesterol y proteinas. Las cadenas hidrófobas de ácidos grasos se enfrentan entre si para formar la porción interna de la membrana, mientras que las cabezas poiares hidrófobas de los fosfolipidos conforman las superficies extracelular e intrace ular de la membrana. Las moléculas de colesterol son incorporadas de manera equivalente dentro de las brechas entre los fosfolipidos en ambos, ados de la membrana. Obsérvese el area sobreelevada de la balsa I pidica, que se caracteriza por una altá concentración de glucoesfingolipidos y colesterol. Contiene una gran cantidad de proteínas integrales y perifericas de la membrana. La balsa de las cabezas de los fosfolipidos distribuidos asimétricamente en la bicapa de la membrana (indicada por los diferentes colores de las cabezas de los fosfolipidos). Las cadenas de hidratos de carbono se unen tanto a las proteinas de membrana integrales y perifericas (para formar glucoproteínas) como a las cabezas polares de los fosfolipidos (para producir glucolipidos).



FIGURA 2-4, Imagen de balsas lipidicas obtenida con microscopio de fuerza atómica (MFA) en modo de percusión. En la imagense muestra una bicapa i pidica de 5 nm de espesor extendida sobre un soporte de mica. La biçapa está compuesta por dioleoi fosfatidificolina. (dioleoil-PC) estingome na y colesteroi La estingomielina, junto con el colesterol, forma balsas lipidicas, representadas en la imagen por las áreas rosadas, las áreas azul-púrpura son el fondo de la bicapa que no corresponde a las baisas lipid cas. Dado que las moieculas de esfingomiel na son más largas que las de dioteoil-PC, las balsas sobresalen unos 0.8 nm por encima dei nivel basat y et MFA tiene la sensibilidad suficiente para detectar esta protrusión. Las regiones negras son el soporte de mica. La imagen también muestra moiéculas de la toxina VacA de Helicobacter pylon (particulas blancas), que se unen preferentementa a los receptores proteínicos en las áreas de las balsas. La superficie ilustrada en esta imagen mide 800 nm² (cortesia de los Dres. Nicholas A. Gelsse, Timothy L. Cover Robert M. Henderson y J. Michael Edwardson)

al colesterol y a una variedad de proteinas que participan en la transducción de señales. Las invaginaciones formadas por las balsas caveolares inician la formación de vesículas en la micropinocitosis, un proceso descrito más adelante en la sección sobre endocitosis (p. 37).

Las balsas lipídicas contienen una variedad de proteínas de membrana integrales y periféricas implicadas en la señalización celular. Pueden considerarse como "plataformas de señalización" que flotan en el océano de lípidos. Cada balsa individual está equipada con todos los elementos necesarios (receptores, factores de acoplamiento, enzimas efectoras y sustratos) para recibir y transmitir señales específicas. La transducción de las senales en las balsas lipidicas ocurre con mayor rapidez y de forma más eficiente debido a la estrecha proximidad de las proteínas que interactúan. Además, las diferentes balsas de señalización permiten la separación de las moléculas de señalización específicas.

En infecciones bacterianas y víricas, el contacto inicial del microorganismo con la célula se produce en la balsa. Algunas bacterias (p. ej., Shigella flexneri, Salmonella typhimurium) secuestran las balsas con sus mecanismos de senatización y las usan para permitir su propia entrada en la célula. Muchas bacterias utilizan las balsas para evitar la fagocitosis y la subsecuente destrucción en los lisosomas. En otros casos, las bacterias invasoras emplean receptores asociados con la balsa para generar vacuo as formadas con componentes de la balsa. Estas vacuolas sirven para transportar bacterias dentro de la célula sin el riesgo de ser detectadas por los compartimentos fagociticos.

Las proteínas integrales de la membrana pueden visualizarse mediante criofractura, una técnica especial de preparación histológica.

La presencia de proteínas dentro de la sustancia de la membrana plasmática (proteínas integrales) fue confirmada por una tecnica

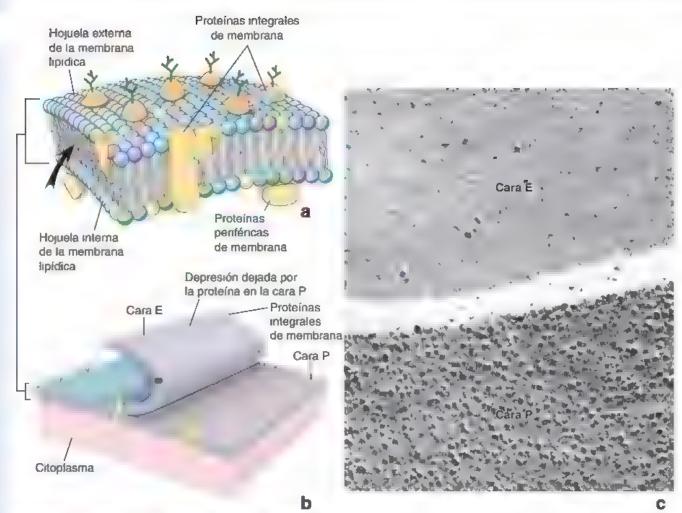


FIGURA 2-5. Estudio de la membrana plasmática mediante criofractura, a V sta de la membrana plasmática desde e borde, donde la flecha señala el plano de fractura preferencial de la bicapa lipidica a lo largo de la porción hidrófoba de la membrana. Cuando la membrana se quiebra algunas proteinas se transportan con la hojueia externa, aunque la mayorla se retienen dentro de la hojueia interna. b. vista de la membrana plasmática con las hojueias separadas a lo largo del plano de fractura. Las superficies de la membrana fracturada se recubren y forman réplicas las réplicas se separan del tejido y se examinan bajo el microscopio electrónico de transmisión. Las proteinas aparecen como prominencias. La réplica de la hojueia interna se llama cara P detrás de ella se encuentra el espacio extracelular c. Microfotográfia electrónica de la replica de una criofractura en donde se muestra la cara E de la membrana de una cé una epitelial y la cara P de la membrana de la cérula contigua. El plano de fractura ha salfado de la membrana de una célula a la membrana de otra como lo indica el espacio claro tespacio interce unarlique atraviesa la mitad de la figura. Obsérvese al escasez de particulas en la cara E en comparación con la cara P desde la cual se proyectan la mayoria de las proteinas integrales de la membrana (cortesia de la Dra. Giuseppina d. El la Raviola).

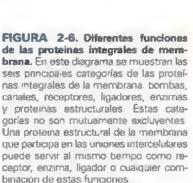
llamada *criofractura*. Cuando se prepara el tejido para la microscopía electrónica con el procedimiento de criofractura (fig. 2-5a), generalmente las membranas se parten o dividen a lo largo del plano hidrófobo (entre las dos capas lipídicas) para exponer las dos caras internas de la membrana (E y P) (fig. 2-5b). Para obtener detalles sobre la preparación de tejidos mediante la técnica de criofractura, véase el capítulo 1, *Técnicas*, página 22.

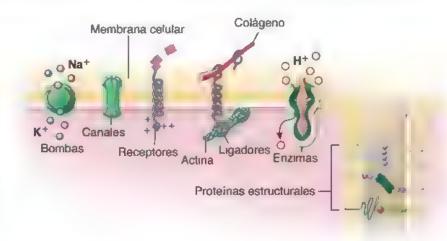
La cara E tiene por detrás el espacio extracelular, mientras que la cara P tiene por detrás el citoplasma (protoplasma). Las numerosas partículas observadas con el MET en las caras E y P representan las proteínas integrales de membrana. La cara P suele exhibir más partículas (y, por lo tanto, más proteínas) que la cara E (fig. 2-5c).

Las proteinas integrales de membrana cumplen funciones importantes en el metabolismo, la regulación, la integración y la señalización celular.

Se han definido seis grandes categorías de proteínas de membrana desde el punto de vista funcional: bombas, canales, receptores, de enlace, enzimas y proteínas estructurales (fig. 2-6). Las categorías no son mutuamente excluyentes (p. ej., una proteína de membrana estructural puede desempeñarse de forma simultánea como receptor, enzima, bomba o cualquier combinación de estas funciones).

- Las bombes sirven para transportar activamente ciertos iones, como el Na⁺, a través de las membranas. También transportan precursores metabólicos de macromoléculas, como aminoácidos y monosacáridos, a través de las membranas, ya sea de forma individual o ligados a una bomba de Na⁺.
- Los canales permiten el paso de iones y moléculas pequeñas, así como agua, a través de la membrana plasmática en cualquier dirección (por difusión pasiva). Las uniones de hendidura, formadas por canales alineados en las membranas de células contiguas, permiten el paso de iones y moléculas pequeñas implicadas en los procesos de señalización desde el citoplasma de una de las células hasta el citoplasma de células adyacentes.
- Las proteinas receptoras permiten el reconocimiento y la unión específica de ligandos (moléculas que se unen a la superficie extracelular de la membrana plasmática) en procesos como la estimulación hormonal, la endocitosis de vesículas con cubierta y las reacciones con anticuerpos. Los receptores que se unen a





moleculas de señalización transmiten la señal a través de una secuencia de interruptores moleculares (segundos mensajeros) a los mecanismos de señalización internos, de manera que inician una respuesta fisiológica.

- Las proteinas ligadoras fijan el citoesqueleto intracelular a la matriz extracelular. Ejemplos de estas proteínas incluyen la familia de las integrinas, que vinculan los filamentos de actina del citoplasma con una proteína de la matriz extracelular (fibronectina).
- Las enzimes menen una gran variedad de funciones. Las adenosinatrifosfatasas (ATPasas) tienen papeles específicos en el hombeo de iones: la ATP-sintasa es la principal proteína de la membrana mitocondrial interna, y las enzimas digestivas, como las disacaridasas y dipeptidasas, son proteínas integrales de membrana.
- Las proteinas estructurales se visualizan mediante la técnica de criofractura, especialmente donde forman uniones con células advacentes. A menudo, ciertas proteínas y lípidos se concentran en regiones localizadas de la membrana plasmática para cumplir funciones específicas. Algunos ejemplos de dichas regiones pueden verse en las células pofarizadas, como las células epiteliales.

Las proteínas integrales de membrana se desplazan dentro de la bicapa lipidica de la membrana.

Las partículas unidas a la membrana pueden desplazarse en la superficie de la célula; incluso algunas proteínas integrales de la membrana, como las enzimas, pueden desplazarse de una superficie de la célula a otra (p. ej., desde la superficie apical a la lateral) cuando se alteran las barreras al flujo, como son las uniones celulares. La fluidez de la membrana es una función de los diferentes tipos de fosfolípidos en la membrana y las variaciones en sus concentraciones locales.

Como se mencionó, las balsas lipídicas que contienen proteínas integrales de membrana pueden desplazarse hacia diferentes regiones de la membrana plasmática. El movimiento de una proteína integral anclada en una balsa lipídica hace que la señalización sea más precisa y evita interacciones inespecíficas. La migración lateral de las proteínas suele estar limitada por conexiones físicas entre las proteínas de la membrana y las estructuras intracelulares o extracelulares. Estas conexiones se pueden ver entre:

- Proteínas asociadas con elementos del citoesqueleto y dominios de proteínas de la membrana que se extienden dentro del citoplasma contiguo.
- Dominios citoplasmáticos de proteínas de la membrana.
- Proteínas periféricas asociadas con la matriz extracelular y dominios de proteínas integrales de la membrana que se extrenden desde la superficie celular (el dominio extracelular).

A través de estas conexiones, las proteínas pueden quedar localizadas en o restringidas a regiones especializadas de la membrana plasmática o desempeñarse como ligadores transmembrana entre los filamentos intracelulares y extracelulares (véase la siguiente sección).

Una lesión celular suele manifestarse como cambios morfologicos en la membrana plasmática celular, lo que causa la
vesiculación de la membrana plasmática. Estas vesiculas son
protrusiones celulares dinámicas de la membrana plasmática,
que suelen observarse en lesiones celulares agudas, en células
en división o en proceso de muerte y durante el desplazamiento
celular. La vesiculación se debe al desprendimiento de la membrana plasmática de los filamentos de actina subyacentes del
citoesqueleto celular. Las toxinas del citoesqueleto que actuan
sobre los filamentos de actina, como la faloidina y la citocalasina B, causan una vesiculación generalizada de la membrana.

Procesos de señalización

Las proteinas integrales de la membrana (p. ej., canales y receptores de superficie celular) participan en los procesos de señalización.

La señalización celular es el proceso por el cual las células reciben, procesan y transminen los estimulos extracelulares para regular sus propias respuestas fisiológicas. Una sola célula puede recibir muchas señales diferentes al mismo tiempo y necesita integrar toda la información en un plan de acción unificado. Los procesos de señalización a menudo participan de la regulación de la expresión de genes, la exocitosis, la endocitosis, la diferenciación, el crecimiento y la muerte celular, la reorganización del citoesqueleto, el movimiento, la contracción o la relajación celular. Las células individuales también envían moléculas de señalización a otras células cercanas (p. ej., neurotransmisores en la sinapsis nerviosa) y lejanas (p. ej., hormonas que actúan en células distantes).

Las vius de transducción de senales son mecanismos mediante los cuales las células responden al ambiente externo. Son cascadas jerarquicas de eventos moleculares que median la especificidad celular y trisular, con lo que permiten la amplificación y la modulación de la señal, y están involucadas en la regulación bioquímica y fisiológica. Son inducidas por moléculas de sonalización externas (también conocidas como mensajoros primarios o ligandas) que pueden ser solubles, actuar localmente (control autocrino o paracrino, como se describe en el cap. 21) o ser transmundas a dianas celulares a través de la sangre (señalización endocrina). También pueden ser insolubles o estar adhendas a las membranas celulares o localizadas en la matriz extracelular. Las moléculas de señalización en los sistemas sensitivos suelen ser de origen exógeno (p. ej., odorantes, señales mecánicas, vibración, luz).

La mayoría de los procesos de setalización son iniciados por la unión de mensajeros primarios a receptores específicos, los cuales se encuentran en un estado inactivo cuando no hay ligandos. Las señales que se originan desde los receptores son transminidas a moléculas diana dentro de la célula por el sistema de segundos mensajeros. Los receptores en general se clasifican en tres grupos, que se describen en secciones previas y en capítulos posteriores: canades (p. 34), receptores intracelulares y receptores de la superficie celular (véase cap. 21, Organos endocrinos). El último grupo incluye miembros de la familia de receptores acoplados a la proteína G (véase cap. 21), la familia de receptores ligados a procesos asociados con enzimas (catalíticos; véase cap. 21) y la familia de integrinas de receptores de la matriz extracelular-célula (véase cap. 5, Tejido epitelial).

La activación de los receptores de la superficie celular lleva a modificaciones postraduccionales, que ayudan a amplificar la señal.

Las proteínas intracelulares experimentan varias modificaciones postraduccionales que ayudan a amplificar la señal que recibe la célula. Estas incluyen lo siguiente:

- Fosforilación (adición de grupos fosfato, PO³⁺)
- Glucosilación (adición de diferentes monosacáridos)
- Acetilación (adición de grupos acetilo funcionales, COCH₃)
- Metilación (adición de grupos metilo, CH₃)
- Nitrosilación (reacción de ácido nímico [NO con residuos de cisteínas libres])
- Ubicultinación (agregado de proteínas ubicultina)
- SUMOlinción (agregado de la proteína pequeña modificadora telacionada con la ubicultura [SUMO, small ubiquitin-related modifier])

Junto con la activación de los receptores de superficie celular, se produce una activación de cascadas de reacciones intracelulares ligadas a la cinasa. Las cinasas y las fosfatases son familias de enzimas que median la fosforilación y la desfosforilación de las proteínas celulares, respectivamente. La fosforilación de residuos serilo, treonilo y tirosilo pueden alterar la actividad, las concentraciones o la ubicación subcelular de las proteínas.

Existen varias proteínas cinasas en las células y se clasifican del sigutente modo.

- Protennas-cinasas dependientes del primer mensajero, como la proteína-cinasa A dependiente del monofosfato de adenosma (AMP, adenosme monophosphate; véase fig. 13-12) cíclico, la proteína-cinasa G dependiente del progenitor granulocítico/monocítico cíclico (véase fig. 13-12) y la cinasas dependientes de calcto/calmodulina, incluso la muosma-cinasa de cadena ligera (MLCK, myoun light-chain kinase; véase fig. 11-28).
- Proteínas-cinasas dependientes del segundo mensajero, como las enzimas de la cascada de proteína-cinasa activada por mitógeno (MAPK, mitogen-activated proteín kinase), las cinasas dependientes de ciclina y las tirosinas-cinasas.

Así, los patrones espacio-temporales intracelulares de eventos de fosforilación específicos están estrechamente vinculados con muchas de las respuestas celulares que se describen en los siguientes capítulos.

Transporte de membrana y transporte vesicular

Las sustancias que entran o salen de la célula deben atravesar la membrana plasmática.

Algunas sustancias (moléculas liposolubles pequeñas sin carga y gases) cruzan la membrana plasmática por difusión simple o posivo a favor de su gradiente de concentración, sin gasto de energía metabólica y

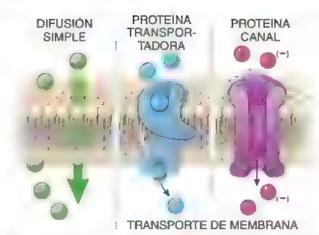


FIGURA 2-7. Movimiento de las moléculas a través de la membrana plasmática. Las moiéculas liposolubles y otras moléculas pequenas sin carga (en verde) atraviesan la membrana plasmática por difusión simple a favor de su gradiente de concentración. Otras moiéculas necesitan proteínas de transporte de membrana que les ayuden a atravesar la membrana plasmática. Las pequeñas moléculas hidrosolubles (en azul) necesitari proteinas transportadoras muy selectivas para ser transfendas a través de la membrana plasmática Una vez unida a una molécula, la proteína transportadora pasa por una serre de cambios de conformación y libera la molécula del otro lado de la membrana. Si el proceso necesita energia, se llama transporte. activo (p. ej. transporte de iones H° contra su gradiente de concentración). Si el proceso no requiere energía, se denomina transporte pasivo (p. ej , el transporte de glucosa). Los iones y otras moléculas pequeñas cargadas (en púrpura) son transportados a través de la membrana plasmática por proteinas de canales selectivas de iones En las neuronas, por ejemplo, el transporte de iones está regulado por los potenciales de membrana (canales ión cos dependientes de voitaje), en las células del músculo esquelètico, las uniones neuromusculares tienen canales iónicos activados por ligando.

sin ayuda de proteínas de transporte (fig. 2-7). Todas las otras moléculas necesitan **proteínas de transporte de membrana** que les proporcionen un paso individual a través de la membrana plasmática.

Por lo general, hay dos clases de proteínas de transporte:

- Proteinas transportadoras, que transfieren moléculas hidrosolubles pequeñas; son altamente selectivas y con frecuencia transportan solo un tipo de molécula. Después de unirse a una molécula destinada al transporte, la proteína transportadora es sometida a una serie de cambios de conformación y libera la molécula al otro lado de la membrana (vésse fig. 2-7). Algunas proteínas transportadoras, como la bomba de Na⁺/K⁺ o la bomba de H⁺, requieren energía para el transporte activo de las moléculas en contra de su gradiente de concentración. Otras proteínas transportadoras, como los transportadores de glucosa, no requieren energía y participan en el transporte pasivo.
- Canales, que también transfieren moléculas hidrosolubles pequeñas. En general, los conductos están formados por proteínas transmembrana con varios dominios transmembrana que crean canales hidrófilos a través de la membrana plasmática. Con frecuencia, los canales contienen un dominio de poro que penetra parcialmente la bicapa de la membrana y sirve como filtro selectivo de iones. El dominio de poro es responsable de su alta selectividad iónica, que se logra regulando su estructura tridimensional (véase fig. 2-7). Los canales son específicos para cada ion y son regulados según las necesidades de la célula. El transporte realizado por el canal puede regularse a través de potenciales de membrana (p. ej., canales iónicos activados por voltaje en las neuronas), neurotransmisores (p. ej., canales iónicos activados por ligandos, como los receptores de acetilcolina en las células musculares) o por tensión o estiramiento mecánico (p. ej., canales iónicos activados por fuerzas mecánicas en el oído interno)

El transporte vesicular mantiene la integridad de la membrana plasmática y también contribuye con la transferencia de moléculas entre los diferentes compartimentos celulares.

Algunas sustancias îngresan y salen de la célula a través del transporte vesicular, un proceso que implica cambios de configuración en la membrana plasmática en sitios localizados y la consecuente formación de vesículas a partir de la membrana o de la fusión de vesículas con ella (fig. 2-8).

El mecanismo principal por el cual las moléculas grandes ingresan, salen y se desplazan dentro de la célula se denomina brotación o germación vesicular. Las vesiculas formadas por brotación desde la membrana plasmática de un compartimento se fusionan con la membrana celular de otro compartimento. Dentro de la célula, este proceso garantiza la transferencia del contenido de la vesícula entre compartimentos.

El transporte vesicular que implica a la membrana celular también puede describirse en términos más específicos:

- Endocitosis es el término general para los procesos de transporte vesícular en los cuales las sustancias ingresan en la célula. En general, la endocitosis controla la composición de la membrana plasmática y la respuesta celular a los cambios en el ambiente externo. También cumple funciones clave en la incorporación de nutrientes, señalización celular y cambios en la forma celular.
- Exocitosis es el término general para los procesos de transporte vesicular en los cuales las sustancias salen de la célula, También es el proceso mediante el cual todas las células hacen que la membrana plasmática intracelular (que forma vesículas citoplasmá-

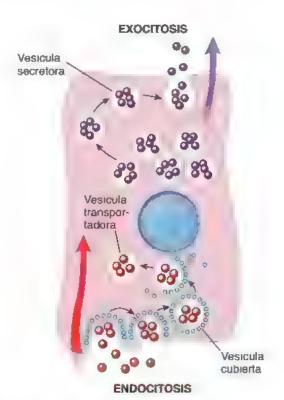


FIGURE 2-8. Endocitosis y exocitosis. Estos procesos son las dos formas principales de transporte vesicular. La endocitosis introduce moléculas y otras sustancias en la célula. En la exocitosis, las moléculas sintetizadas y otras sustancias salen de la célula. La endocitosis se asocia con la formación y gernación de vesículas desde la membrana plasmática, la exocitosis se relaciona con la fusión de vesículas que se originan a partir de orgánulos intracelulares con la membrana plasmática y es una modalidad secretora primaria.

ticas) pase a la superficie de la célula. Ambos procesos pueden observarse con el microscopio electrónico.

La exocitosis y la endocitosis se combinan: cuando se suprime la primera, no se produce endocitosis.

La fusión de una vesícula con la membrana plasmática libera su carga de proteínas en el espacio extracelular. Después de la exocitosis, la membrana vesícular y sus proteínas asociadas se recuperan de la membrana plasmática a través de endocitosis, la cual recicla las vesículas e impide que las células secretoras se hinchen o se encojan. Algunos estudios experimentales recientes revelaron que las neurotoxinas tetánicas o botulínicas que bloquean la exocitosis también bloquean la endocitosis en las terminales nerviosas. Estos estudios indican que la exocitosis y la endocitosis están telacionadas y que las proteínas que median la exocitosis y la fusión de la membrana vesicular (las proteínas SNARE; véase p. 40) desempeñan un papel en la miciación de la endocitosis.

Endocitosis

La endocitosis es el proceso celular que facilita la captación de proteínas de membrana, líquidos, nutrientes, lípidos y moléculas de señalización del entorno extracelular hacia la célula a través de vesículas endocíticas. Después de la endocitosis, el contenido de las vesículas endocíticas y sus componentes de membrana son reciclados de la superficie celular o transportados a los endosomas tardíos para su futura degradación.

La captación de líquidos y macromoléculas durante la endocitosis depende, en general, de tres mecanismos diferentes.

Algunos mecanismos endocíticos requieren proteínas especiales durante la formación de vesículas. La proteína más conocida que interactúa con la membrana plasmática en la formación de vesículas es la clatrina. Aunque la clatrina es importante, muchas vesículas se forman independientemente de su presencia utilizando diferentes proteínas (p. ej., caveolinas o flotilinas). Por lo tanto, la endocitosis puede clasificarse en función de si es dependiente o independiente de la clatrina. En general, se reconocen tres mecanismos de endocitosis en la célula: la pinocitosis (gr., la célula bebe), la fagocitosis (gr., la célula come) y la endocitosis mediada por receptores. La pinocitosis se puede producir a través de dos vías diferentes, la micropinocitosis y la macropinocitosis, que se analizan por separado a continuación.

 La micropinocitosis se refiere a la ingesta inespecífica de líquidos y moléculas proteínicas pequeñas a través de pequeñas vesículas, en general de un diámetro menor de 150 nm. Casi todas las células del cuerpo realizan micropinocitosis, que es constitutiva (implica una formación dinámica continua de pequeñas vesículas en la superficie de la célula; fig. 2-9a). La formación de vesículas en la micropinocitosis suele relacionarse con la presencia de las proteínas caveolina y flotilina, que se encuentran en las balsas lipídicas. La caveolina 1 y la caveolina 2 se hallan en todas las células no musculares, excepto las neuronas y los linfocitos, mientras que la caveolina 3 es específica de las células musculares. Las florilinas 1 y 2 se encuentran en vesículas distintas de las cavéolas. Además, las mecanoenzimas como la GTPasa (dinamina) participan en la escisión de las vesículas pinocíticas (el proceso de desprendimiento de la membrana plasmática). Las vesículas pinocíticas son visibles con el MET y presentan una superficie lisa. Estas vesículas pinocíticas lisas son especialmente numerosas en el endotelio de los vasos sanguíneos (fig. 2 9b) y en las células musculares lisas. Como la caveolina 1 forma complejos (de 14-16 monómeros) que producen cambios en la curvatura de la membrana que conducen a la formación de

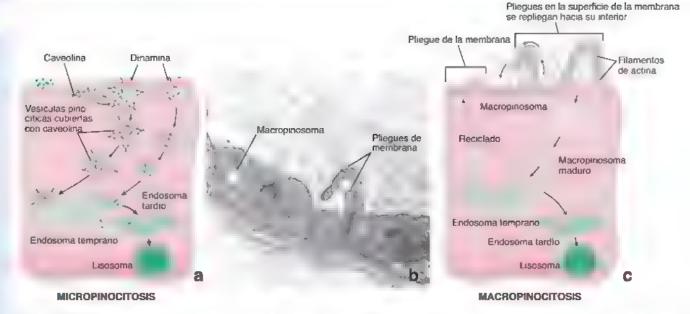


FIGURA 2-9. Pinocitosis. a. La pinocitosis implica la formación dinámica de pequeñas vesiculas en la superficie celular. En primer lugar, las sustancias que son pinocitadas (p. ej., proteinas solubles pequeñas, marcadores coloidales) entran en contacto con la superficie extracelular de la membrana plasmática, después la superficie se invagina y por ultimo la porción invaginada de la membrana se desconecta de la superficie para convertirse en una vesicula pinocitica dentro de la celula. La pinocitosis de cuertas sustancias puede estar asociada con la caveolina. b. Esta microfotografia electrón ca muestra numerosas vesiculas pinociticas de superficie lisa (flechas) dentro de citoplasma de las celulas endotellares de un vaso sanguineo. En está imagen fambien se ven los pliegues de la membrana. Son esencial es en la formación de grandes macropinosomas de la membrana de la superficie que atrapan grandes volumenes de liquido extracelular. Las vesiculas grandes (macropinosomas) ingresan en el citoplasma de la superficie que atrapan grandes volumenes de liquido extracelular. Las vesiculas grandes (macropinosomas) ingresan en el citoplasma de la superficie que atrapan grandes volumenes de liquido extracelular. Las vesiculas grandes (macropinosomas) ingresan en el citoplasma de la superficie que atrapan grandes volumenes de liquido extracelular las vesiculas grandes (macropinosomas) ingresan en el citoplasma de la superficie que atrapan grandes volumenes de liquido extracelular las vesiculas para su recicia, el citoplasma de la superficie celular superficie extracelular las procesorios de la citopla de la cit

vesículas, la micropinocitosis no necesita clatrina. La micropinocitosis tampoco requiere la remodelación del citoesqueleto de actina y, por lo tanto, puede denominarse endocitosis independiente de clatrina e independiente de actina.

- La mecropinocitosis es un mecanismo de captación inespecífico para líquidos extracelulares, solutos, nutrientes y antigenos. En este proceso dependiente de la actina, el citoesqueleto de actina se reordena en la membrana plasmática, lo que lleva a la formación de pllegues en la membrana de superficie. Los pliegues de la membrana se alargan y luego se repliegan hacia su interior para atrapar el líquido extracelular. Producen vacuolas endocíticas grandes (> 0,2 µm de diámetro) llamadas mecropinosomes (fig. 2-9c). Las células del sistema inmunitario (p. ej., los macrófagos y las células dendríticas) utilizan la enorme capacidad para albergar líquidos de los macropinosomas para tomar todas las muestras posibles de su entorno extracelular. La cantidad de solutos y membranas internalizados durante la macropinocitosis supera la de cualquier otra vía endocitica. Este es un proceso regulado y se presenta en respuesta a vanos factores de crecimiento, como el factor 1 estimulante de colonias de macrófagos, el factor de crecimiento epidérmico (EGF, epidermal growth factor) o el factor de crecimiento derivado de las plaquetas. Los macropinosomas pasan por una secuencia definida de erapas de maduración en la que su contenido es degradado en endosomas tardíos o en lisosomas, o se recicla de nuevo a la membrana plasmática. Debido al incremento inicial en la remodelación del citoesqueleto de actina en distintas regiones de la superficie celular que conduce a la formación de pliegues de la membrana plasmática, la macropinocitosis se conoce como endocitosis independiente de clatrina pero dependiente de actina
- La fagocitosis es la ingesta de partículas grandes, como residuos celulares, bacterias y otros materiales extraños. En este proceso

no selectivo, la membrana plasmática emite seudópodos que rodean las partículas a fagocitar formando vesículas grandes (de más 250 nm de diámetro) llamadas fagosomes. La fagocitosis es realizada principalmente por un grupo especializado de células que perrenecen al sistema fagocítico mononuclear (SFM). En general, la fagocitosis es un proceso mediado por receptores en el que receptores en la superficie celular reconocen dominios que no se unen al antígeno (fragmentos Fe) de los anticuerpos que recubren la superficie de un microorganismo o de una célula invasora (fig. 2-10a). La fagocitosis también es desencadenada por los petrones moleculares asociados con patógenos (PAMP, pathogen-associated molecular patterns), que en general se expresan sobre las superficies de los parógenos a través de receptores de tipo Toll (p. 301). El reconocimiento de PAMP conduce a la activación del factor de transcripción del factor nuclear de transcripción kappa B (NF-KB), que regula los genes que controlan las respuestas celulares en la fagocitosis. Los materiales no biológicos, como las partículas con carbono, los polvos inorgánicos y las fibras de asbesto inhalados, así como los residuos biológicos de la inflamación, la cicatrización de las heridas y las células muertas, son secuestrados por las células del SFM sin la participación de receptores de F_c (fig. 2-10b). Este proceso no requiere clatrina para la formación de fagosomas, Debido a la extensión inicial de seudópodos por la membrana plasmática que contribuyen con la formación del fagosoma, el citoesqueleto de actina debe reorganizarse en un proceso que requiere la despolimerización y la repolimerización de los filamentos de actina. Por lo tanto, la fagocitosis es una endocitosis independiente de clatrina pero dependiente de actina.

 La endocitosis mediada por receptores permite el ingreso de moléculas específicas en la célula. En este mecanismo, los receptores para moléculas específicas, denominados receptores de carga, se acumulan en regiones bien definidas de la membrana

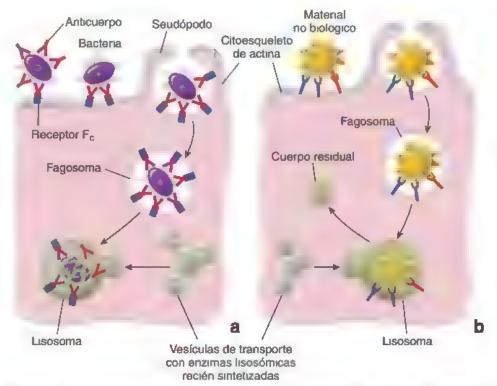


FIGURA 2-10. Fagocitosis a. En esta ilustración se muestran los pasos en la fagocitosis de una particula grande, como una bacteria que ha sido destruida como resultado de una respuesta inmunitaria. La bacteria es rodeada por anticuerpos unidos a los antigenos de la superficie bacteriana. Los receptores F_c en la superficie de la membrana plasmática de las células fagociticas reconocen la porción F_c de los anticuerpos Esta interacción desencadena la reorganización del citoesqueleto de actina. Las despol menzaciones y repo imerizaciones de los filamentos de actina producen proyecciones tempora es de la membrana plasmática llamadas seudópodos. Estos rodean la particula fagocitada formando un fagosoma. Gracias a la legada dirigida de enzimas I sosómicas, un fagosoma madura en un lisosoma, que digiere sus contenidos fagocitados **b.** Los materia es no biológicos, como las particulas de carbono. los polvos norganicos y las fibras de asbesto inhalados las como los desechos de unes resultantes de la infiamación, son internalizados sin la participación de anticuerpos y receptores fig. Estas particulas se unen a multiples receptores en la membrana plasmática.

celular. Estas regiones, que están representadas por las balsas lipídicas en la membrana plasmática, finalmente se convierten en fositas recubiertas (fig. 2-11a). El nombre de fositas recubiertas deriva del aspecto de estas regiones en el microscopio electrónico como una acumulación de material electrodenso que representa la aglomeración de moléculas de ciatrina en la superficie citoplasmática de la membrana. Los receptores de carga reconocen y se unen a moléculas específicas que entran en contacto con la membrana plasmática. Luego, las moléculas de clatrina se agrupan para armar una jaula, similar a un cesto, que ayuda a cambiar la forma de la membrana plasmática en una invaginación similar a una vesícula (fig. 2-11b). La clatrina interactúa con el receptor de carga a través de proteínas adaptadoras a clatrina (adaptina, AP180), que desempeña un papel decisivo en la selección de las moléculas de carga apropiadas para el transporte hacía las células. De este modo, la carga de proteínas unidas a sus receptores es llevada desde el espacio extracelular hacia la luz de una vesícula en formación. La megaenzima GTPasa (100 kDa) llamada dinamina media la liberación de las vesículas recubiertas de clatrina desde la membrana plasmática durante la endocitosis mediada por receptores. El tipo de vesícula, formada como resultado de la endocitosis mediada por receptores, se denomina vesícula recubierta y el proceso en sí mismo se conoce como endocitosis dependiente de clatrine. Las vesículas recubiertas de clatrina también participan en el desplazamiento del material de carga desde la membrana plasmática hacia los endosomas tempranos y desde el aparato de Golgi hacia los endosomas tempranos y tardíos.

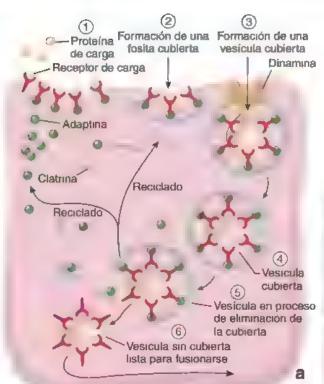
Exocitosis

El movimiento de las vesículas secretoras hacia la membrana plasmática es esencial para lograr una función celular normal. La fusión de las vesículas secretoras con la membrana plasmática es un proceso complejo e implica varios tipos de proteínas y lípidos. Comprender los mecanismos moleculares subyacentes en la exocutosis y la fusión de membranas proporciona una base sólida para el tratamiento farmacológico de muchas enfermedades,

La exocitosis es el proceso por el cual una vesícula se mueve desde el citoplasma hacia la membrana plasmática, donde descarga su contenido en el espacio extracelular.

Diversas moléculas producidas por la célula para su exportación son enviadas inicialmente desde el sitio de su formación hacia el aparato de Golgi. El siguiente paso implica la clasificación y el empaquetado del producto de secreción en vesículas transportadoras que están destinadas a fusionarse con la membrana plas mática en un proceso conocido como exocitosis. El transporte intracelular de estas vesículas se logra mediante proteínas específicas en su superficie (coatómeros, como COP I y COP II) que median sus movimientos (véase p. 54). Las moléculas que viajan por esta vía a menudo experimentan modificaciones químicas (p. e)., glucosilación, sulfatación) conforme atraviesan diferentes compartimentos celulares. La porción membranosa de la vesícula que se añade a la membrana plasmática con la exocitosis se recupera hacia el compartimento citoplasmático mediante un proceso de endocitosis. Existen dos vías generales para la exocitosis:

 En la via constitutivo, las sustancias designadas para su exportación son enviadas de forma continua hacia la membrana



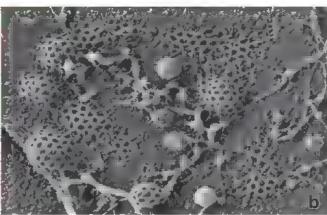


FIGURA 2-11. Endocitosis mediada por receptores, a En este diagrama se muestran los pasos de la endocitosis mediada por receptores un mecanismo de transporte que permite la entrada se ectiva de moléculas en la célula Los receptores de carga reconocen y se unen a moiéculas especificas que entran en contacto con la membrana plasmática. Los complejos moiécula-receptor de carga son reconocidos por la adaptina una proteina que ayuda a sereccionar y rei unir complejos apropiados en áreas específicas de la membrana plasmática para transportanos adentro de asicilidades. Después, as moiéculas de clatrina se unen ai complejo adaptina-receptor de carga-molécula para ser embaladas a manera de jaulia similiar a un cesto poco profundo, y formar una fosita cubierta. Después, las interacciones de la clatrina ayudan a cambrar la forma de la membrana plasmática para que se constituya una depresión profunda una fosita cubierta totalmente desarro lada que se desprende de la membrana plasmática para que se constituya una depresión profunda una fosita cubierta totalmente desarro lada que se desprende de la membrana plasmática para que se constituya una depresión profunda una fosita cubierta totalmente desarro lada que se desprende de la membrana plasmática por la acción de complejo proteinico de dinamina como una vesicula cubierta totalmente desarro lada que se desprende de la gemación y la incorporación de la vesicula a las proteinas de la cubierta son separadas y recicladas para su uso ulterior La vesicula desnuda viaja hacia su destino para fusionarse con un organulo citopiasmático b. Microfotografía electrónica de la superficie citopiasmática de la membrana plasmática de celulas A431 i preparadas con la técnica de congelación rapida y grabado profundo. En esta imagen se muestran fositas y vesiculas con cubierta de clatrina se forman en regiones desprovistas de filamentos de actina. Las pequenas vesiculas princorhicas uniformes no tienen una cubierta de clatrina se forman en regiones disamentos de actina. 200000 × (cortesia del D

plasmática en las vesículas de transporte. Las proteínas que salen de la célula mediante este proceso son secretadas inmediatamente después de su sintesis, y viajan desde el aparato de Golgi, como se observa en la secreción de inmunoglobulinas de los plasmocitos y de procolágeno de los fibroblastos. Este mecanismo está presente en algún grado en rodas las células. El MET revela que estas células no tienen gránulos secretores.

• En la via de secreción regulada, ciertas células especializadas, como las células endocrinas y exocrinas o las neuronas, concentran proteínas de secreción y las almacenan temporalmente en vesículas secretoras dentro del citoplasma (fig. 2-12). En este caso, para que se produzca la secreción, debe activatse un fenómeno regulador (estímulo hormonal o nervioso), como ocurre con la liberación de las vesículas secretoras por las células principales de la mucosa gástrica y las células acinares del páncreas. Los estímulos de señalización provocan la entrada transitoria de Ca²⁺ en el citoplasma, lo cual estimula las vesículas secretoras para que se fusionen con la membrana plasmánica y descarguen su contenido (fig. 2-13). Antes, las vesículas secretoras que contenían precursores inactivos (cimógenos) se conocían como gránulos de cumógeno.

Además de los mecanismos de excreción, las proteínas pueden ser transportadas entre el aparato de Golgí y otros orgánulos siguiendo la vía endosómica. Estas vías se utilizan para llevar proteínas específicas de orgánulos, como las proteínas estructurales lisosómicas, a sus destinos apropiados.

La dirección precisa que toman las vesículas hacia el compartimento celular apropiado está bajo el control inicial de las proteínas de acoplamiento, y la especificidad está garantizada por interacciones entre receptores de proteínas de fijación soluble de factor sensible a la N-etilmaleimida (NSF, N-ethylmaleimide-sensitive factor).

Como se analizó antes, las vesículas neoformadas que brotan desde la membrana donante (como la membrana celular o las cisternas de Golgi) pueden fusionarse con muchas membranas dianas distintas dentro de la célula. Poco después de brotar y desprenderse de su cubierra de clatrina, la vesícula debe orientarse hacia el compartimento celular apropiado. El mecanismo de fijación de objetivos puede compararse con un taxi en una gran ciudad que lleva con éxito a un pasajero en la dirección correcta. En la célula, esta dirección es reconocida por una Rab-GTPasa unida a la membrana de la vesícula que migra. La Rab-GTPasa interactúa con las proteínas de anclaje ubicadas en la membrana diana. Esta interacción micial permite el reconocimiento de la vesícula y recluta la cantidad necesaria de proteínas de anclaje para el acoplamiento de la vesícula que llega. El complejo de acoplamiento entre la Rab-GTPasa y su receptor inmoviliza la vesícula cerca de la membrana diana (fig. 2-14)

La familia de pequeñas proteínas transmembrana SNARE (Soluble NSF Attachment REceptor) se expresa tanto en las vesículas como en las membranas diana para mediar el tráfico preciso de vesículas y

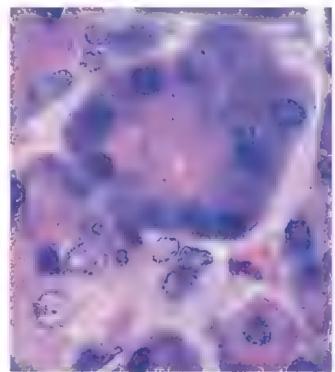


FIGURA 2-12. Microfotografía de células secretoras del páncreas. Obsérvese que algunas vesículas secretoras con proteínas listas para ser secretadas llenan la porción apical de las células. Este proceso requiere un mecanismo de señalización externo para que la célula descargue los gránulos acumulados 860×

la subsiguiente fusión de la membrana. Las SNARE se agrupan originalmente según su ubicación dentro de la vesícula o la membrana diana. Una vesícula SNARE especifica llamada v-SNARE (v. vesícula) interactúa con la membrana plasmática diana que contiene una diana SNARE específica llamada t-SNARE (t. target). Cuando una vesícula alcanza su membrana de destino, ambos grupos de proteínas SNARE localizadas sobre membranas separadas se deben reconocer unas a las otras y ensamblarse en una configuración ti-hélice denominada complejo trans-SNARE. El ensamblado exitoso del complejo trans-SNARE garantiza la especificidad de la interacción entre una vesícula particular y su membrana diana. También une la vesícula y la membrana plasmática, con lo que inicia una fusión de membrana.

Después de que la membrana se fusiona, las proteínas de los complejos trans-SNARE se localizan en esta única membrana fusionada y ahora se denominan complejo cis-SNARE. Estos complejos son desmantelados con el apoyo de otro complejo proteínico conocido como NSF/a-SNAP y son reciclados para su empleo en otra ronda de fusión vesicular.

Las proteínas SNARE y sus interacciones han sido ampliamente estudiadas en las uniones neuromusculares y otras terminales nerviosas. En las terminales nerviosas, tres proteínas SNARE específicas controlan el tráfico y la fusión de vesículas sinápticas (que contienen neurotransmisores) con la membrana plasmática presináptica:

- La sinaptobrevina es una proteína integral de la membrana, pesa 18 kDa y se encuentra en las vesículas sinápticas (v-SNARE).
- La sintaxina es una proteína integral de la membrana, pesa 33 kDa y se halla en las membranas plasmáticas presinápticas (t-SNARE).
- La SNAP-25 es una proteína periférica de la membrana de 23 kDa unida a la superficie intracelular presinápuca a través de una modificación lipídica llamada palmitoilación. Se considera una proteína t-SNARE.

Las interacciones de estas tres proteínas SNARE son necesarias para la formación de complejos trans-SNARE y la liberación de neurotransmisores. Sus dominios intracelulares pueden adoptar una forma helicoidal enrollada. Las tres proteínas SNARE contribuyen con sus propias regiones helicoidales enrolladas para la formación del complejo trans-SNARE, creando un haz paralelo de cuatro hélices. La sinaptobrevina y la sintaxina contribuyen cada una con una sola región helicoidal, y SNAP-25 contribuye con dos regiones helicoidales para formar el complejo.

Cualquier error en el funcionamiento de estas tres proteinas provoca defectos en la liberación de neurotransmisores en las terminaciones nerviosas. Por ejemplo, la neurotoxina botulmica, producida por la bacteria anaerobia Clostridium botulinum, bloquea la transmisión neuromuscular. Esta toxina

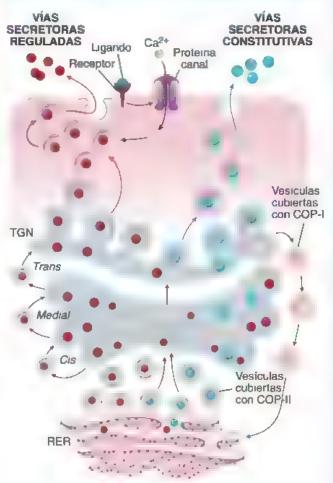


FIGURA 2-13. Diagrama que muestra dos vías para la exocitosis. Las proteínas son sintetizadas en el retículo endoplasmático rugoso (RER). Después de su modificación postraduccional inicial, se envian en vesículas recubiertas con COP-II al aparato de Golgi. Después de otras modificaciones en el aparato de Golgi y de su clasificación y empaquetado, el producto final de secreción se transporta hacia la membrana plasmática en vesículas formadas en la red trans-Golgi (TGN). Obsérvese que hay un transporte retrógrado entre las cisternas del aparato de Goigi, mediado por la vesícula con cubierta de COP-I Existen dos vías diferentes. Las flechas azulas señalan la via constitutiva, por la cual las proteínas salen de la céluia inmediatamente después de su síntesis. En las células que usan esta via, casino se acumula producto de secreción y, por lo tanto, se encuentran pocas vesiculas secretoras en el citopiasma. Las flechas rojas indican la via regulada, en la cual la secreción protexnica es controlada por estímulos hormonales o nerviosos. En las células que utilizari esta vía, como las células acinares pancreáticas de la figura 2-12, las proteinas secretoras se concentran y almacenan transitoriamente en vesículas secretoras dentro del citopiasma. Después de la estimulación apropiada, las vesículas secretoras se fusionan con la membrana plasmática y descargan su contenido.

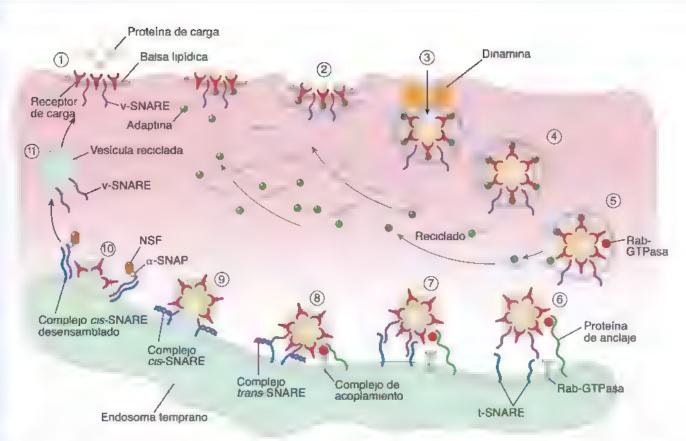


FIGURA 2-14. Pasos en la formación, orientación, acoplamiento y fusión de las vesículas de transporte con la membrana diana.

1 Balsa horida con receptores de carga lista para interactuar con la proteina de carga. Obsérvese la presencia de la proteina de orientación especifica v-SNARE. 2. Paso inicial en la formación de la vesicula la unión del complejo de adaptina y la diatrina forman una fosita con cubierta. 3. Formación de una vesicula con cubierta completamente ensambiada (gemación). 4. Transporte de una vesicula con cubierta a su destino. 5. Desensambiado de la cubierta de clatrina. Obsérvese la expresión de la actividad de la Rab-GTPasa. 6. Unión de la vesicula a la membrana diana por la interacción entre la Rab-GTPasa y las proteinas de ancla e. 7. Comienzo del proceso de acoplamiento treclutamiento de las proteinas de anclaje). 8. Formación del complejo de acoplamiento entre la Rab-GTPasa y su proteina en la membrana diana las v-SNARE en la membrana diana para formar e complejo trans-SNARE. 9. Fusión de la vesicula a la membrana diana, trans-SNARE se convierte en el complejo cis-SNARE. 10. Desvinculación de la proteina de carga en el compartimento endosómico temprano y desensambiado del complejo cis-SNARE. 10. Desvinculación de la proteina de carga en el compartimento endosómico temprano y desensambiado del complejo cis-SNARE. 10. Desvinculación de vesículas.

se une a la membrana de la célula neuronal y luego es endocitada. A continuación, la toxina penetra en la membrana de la vesicula endocitica para ingresar en el citopiasma de la terminal nerviosa en la unión neuromuscular. Hay siete serotipos distintos de toxina botulínica (A-G), y cada una escinde las proteinas SNARE en diferentes sitios. Esto evita la liberación del neurotransmisor acetifcolina desde la terminal neuromuscular y la despolarización de la célula muscular. Los serotipos B, D, F y G escinden la sinaptobrevina, los serotipos A, C y E escinden la SNAP-25, y el serotipo C escinde la sintaxina. En los humanos, los serotipos A, B y E son responsables del botulismo, una enfermedad potencialmente mortal caracterizada por una debilidad muscular progresiva. Los sintomas incluyen paralisis descendente que comienza en los musculos que controlan los movimientos del ojo, la expresión facial y la deglución, y luego se extiende a los miembros superiores, el tórax (musculos respiratorios) y los miembros inferiores. La parálisis de los musculos respiratorios (p. ej , el diafragma) dificulta la respiración y, finalmente, produce insuficiencia respiratoria

Los serotipos A y B de la toxina botulinica se utilizan terapeuticamente para tratar a pacientes con alteraciones nerviosas y musculares. La inyección de una pequeña cantidad de toxina botulínica en musculos específicos se emplea en oftatmología para tratar el blefaroespasmo (parpadeo excesivo) o el estrabismo (ojos no alineados). En el estrabismo, la toxina se usa para paralizar el musculo en el lado del ojo que está tirando hacia una posición anómala. En los trastomos del movimiento, como en la distonía, las contracciones musculares esqueléticas repetitivas, asi como los espasmos del musculo liso y de los esfinteres gastrointestinales, también se tratan con inyecciones de toxina botulinica. Además, la inyección de cantidades extremadamenta pequeñas de toxina botulinica (onabotulinumtoxina A o botox) en los musculos de la expresión facial se emplea como tratamiento estético para las arrugas

Otra bacteria anaerobia, Clostridium tetani, produce la toxina tetanoespasmina, que causa el tétanos. La tetanoespasmina escinde la sinaptobrevina (proteina v-SNARE) y evita la liberación de los transmisores inhibitorios (principalmente glicina y acido y-aminobutírico [GABA]) en las vesículas sinápticas de las terminaciones nerviosas motoras inhibitorias en el sistema nervioso central. La función fisiológica de los neurotransmisores inhibitorios es disminuir y modular la actividad excitadora de las motoneuronas. Al perder esta inhibición, las motoneuronas estimulan de manera excesiva las contracciones musculares, produciendo rigidez (especialmente en los musculos de la mandibula y el cuello), contracciones musculares dolorosas y espasmos musculares.

Es importante mencionar que las proteínas SNARE también participan en el inicio de la endocitosis. Por ejemplo, la sinaptobrevina se une a la proteína adaptadora de clatrina (AP180); la SNAP-25 se une a la intersectina, una proteína que coordina el tráfico de vesículas endocíticas; y la sintaxina se une a la dinamina.

Endosomas

El MET revela la presencia de compartimentos limitados por membranas en el citoplasma, los cuales están relacionados con todas las vías endocíticas ya descritas (fig. 2-15). Estos compartimentos, denominados endosomas tempranos, se limitan a una porción del citoplasma cerca de la membrana celular, donde se fusionan las vesículas que se originan en la misma membrana. Desde aquí, muchas vesículas regresan a la membrana plasmática. Sin embargo, un gran número de vesículas que se forman en los endosomas tempranos viajan a estructuras más profundas en el citoplasma conocidas como endosomas tardíos. Estos últimos, en general, se convierten en lisosomas.

Los endosomas pueden considerarse orgánulos citoplasmáticos estables o estructuras transitorias formadas como resultado de la endocatosis.

Algunos hallazgos experimentales recientes de los mecanismos de la endocitosis conducidos *in vitro* e *in vivo* sugieren dos modelos diferentes para explicar el origen y la formación de compartimentos endosómicos en la célula-

El modelo del compartimento estable describe los endosomas tempranos y tardíos como orgánulos celulares estables conectados mediante el transporte vesícular con el entorno externo de la célula y el aparato de Golgi. Las vesículas con cubierta formadas en la membrana plasmática se fusionan solo con los endosomas tempranos, debido a su expresión de receptores de superficie específicos. El receptor sigue siendo un componente residente de la membrana endosómica temprana.



FIGURA 2-15. Microfotografía electrónica de un endosoma temprano. En esta microfotografía electrónica de grabado profundo se muestra la estructura de un endosoma temprano en un hongo Dictyostelium. Los endosomas tempranos se encuentran cerca de la membrana plasmática y, como en muchos otros compartimentos de clas ficación, tienen una típica estructura tubulovesicular. Las porciones tubulares contienen la mayoría de las proteínas integrales de membrana destinadas a reciclado de las membranas, mientras que las porciones luminales recogen proteínas de carga secretoras. La luz del endosoma se subdivide en varios compartimentos, o cisternas, gracias a la invaginación de su membrana y experimenta cambios frecuentes en la forma. 15000× (cortesía del Dr. John E. Heuser, Washington University School of Medicine)

En el modelo madurativo, los endosomas tempranos se forman de novo a partir de las vesículas endocíticas que se originan en la membrana plasmática. Por consiguiente, la composición de la membrana endosómica temprana cambia de forma progresiva a medida que se reciclan algunos componentes entre la superficie celular y el aparato de Golgi. Este proceso de maduración conduce a la formación de endosomas tardios que después se fusionan con los lisosomas. Los receptores específicos presentes en los endosomas tempranos (p. ej., para vesículas con cubierta) se eliminan por reciclaje, degradación o mactivación conforme madura este compartimento.

En realidad, ambos modelos se complementan más que contradecirse en la descripción, la identificación y el estudio de las vías de las moléculas interiorizadas.

Los endosomas destinados a convertirse en lisosomes reciben las enzimas lisosómicas neosintetizadas, que son dirigidas a través del receptor de manosa-6-fosfato (M-6-P).

Algunos endosomas también se comunican con el sistema de transporte vesicular del RER. Esta vía proporçiona un suministro constante de enzimas lisosómicas recién sintetizadas, o hidrolasas. Una hidrolasa se sintetiza en el RER como un precursor enzimáticamente inactivo llamado prohidrolasa. Esta proteína extremadamente glucosilada se pliega de una manera específica, por lo que se forma una región de señal que se expone en su superficie. Esta señal de reconocimiento se crea cuando ciertos ammoácidos específicos se acercan mucho por el plegamiento tridimensional de la proteína. La región de señal en una proteína destinada a un lisosoma es modificada después por varias enzimas que añaden manosa-6-fosfato (M-6-P) a la superficie de la prohidrolasa. La M-6-P actúa como diana para proteinas que tienen un receptor de M-8-P. Estos receptores se pueden encontrar en los endosomas tempranos y tardíos, los lisosomas y el aparato de Golgi, que están involucrados en la clasificación y recuperación de las prohidrolasas secretadas cuyo destino es el transporte hacia los endosomas (fig. 2-16). El medio ácido de los endosomas tardíos produce la liberación de las prohidrolasas desde los receptores de M-6-P. Después, las prohidrolasas se activan por escisión y por la extracción de los grupos fosfato de los residuos de manosa.

Los endosomas tempranos y tardíos difieren en cuanto a su ubicación en la célula, su morfología y su estado de acidificación y función.

Los endosomas tempranos y tardíos se localizan en diferentes áreas de la célula. Los **endosomas tempranos** se pueden encontrar en el citoplasma más periférico, mientras que los tardíos a menudo se hallan cerca del aparato de Golgi y el núcleo. Un endosoma temprano tiene una estructura tubulovesicular: su luz se subdivide en cisternas que están separadas por la invaginación de su membrana. Tiene un entorno solo ligeramente más ácido (pH 6.2-6.5) que el citoplasma celular.

En cambio, los endosomes tardios poseen una estructura más compleja y con frecuencia muestran membranas internas con aspecto de cebolla. Su pH es más ácido, con un promedio de 5.5. Los estudios realizados con MET revelan vesículas específicas que transportan sustancias entre los endosomas tempranos y los tardíos. Estas vesículas, llamadas cuerpos multivesiculares (CMVe), son transportadores muy selectivos. Dentro de los endosomas tempranos, las proteínas, cuyo destino es el transporte hacia los endosomas tardíos, se clasifican y se separan de las proteínas destinadas al reciclaje y el empaquetado dentro de los CMVe (fig. 2-17). En general, las sustancias transportadas a los endosomas tardíos con el tiempo se degradan en los lisosomas en un proceso predeterminado que no requiere señales adicionales. Como los endosomas tardíos maduran

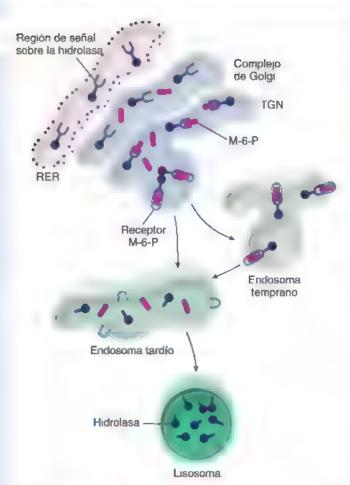


FIGURA 2-16. Vías para el transporte de enzimas lisosómicas recién sintetizadas. Las enz mas lisosómicas (como las hidrolasas) se sintetizan y glucosilan dentro del reticulo endoplasmático rugoso (RER). Luego, estas enzimas se pliegan de una manera específica para formar una región de señal a la que se agrega M-6-P Esta modificación adicional permite dingir la enzima a proteinas específicas que tienen actividad para el receptor de M-6-P Los receptores de M-6-P se encuentran en la red trans-Golgi (TGN) del aparato de Golgi, donde las enzimas isosómicas se clasifican y empaquetan en vesiculas que después se transportan a endosomas tempranos y tardos

hasta convertirse en lisosomas, se denominan *prelisosomas*. Los lisosomas tardíos pueden fusionarse entre sí o con lisosomas maduros. La videomicroscopía permite a los investigadores observar el complejo comportamiento de estos orgánulos.

La función principal de los endosomas tempranos es clasificar y reciclar las proteínas interiorizadas por vías endociticas.

Los endosomas tempranos clasifican proteínas que han sido incorporadas mediante procesos endocíticos. La forma y la geometría de los rúbulos y las vesículas emergentes del endosoma temprano crean un entorno en el cual los cambios localizados en el pH constituyen la base del mecanismo de clasificación. Este mecanismo incluye la disociación de los ligandos de su proteína receptora; por lo tanto, en el pasado, se conocía a los endosomas tempranos como compartimentas de receptores de desacople y ligandos (CURL, compartments of uncoupling receptors and ligando). Además, el estrecho diámetro de los túbulos y las vesículas también puede ayudar a clasificar moléculas grandes, lo que evita mecánicamente que ingresen en compartimentos de clasificación específicos. Después de la clasificación, la mayoría de las proteínas se reciclan con rapidez y el exceso de membrana se devuelve a la membrana plasmática.

El destino del complejo ligando-receptor endocitado depende de la capacidad del endosoma temprano de clasificar y reciclar.

Las siguientes cuatro vías para procesar complejos de ligando-receptor internalizados están presentes en la célula:

• El receptor se recicia y el ligando se degrada. Los receptores de superficie permiten que la célula incorpore sustancias de forma selectiva a través del proceso de endocitosis. Este es el mecanismo más frecuente en la célula; es importante porque permite el reciclaje de los receptores de la superficie. La mayoría de los complejos ligando-receptor se disocian en el pH ácido del endosoma temprano. El receptor, muy probablemente una proteína integral de membrana (véase p. 34), se recicla hacia la superficie por medio de las vesículas que brotan de los extremos de los túbulos de diámetro estrecho del endosoma temprano. Los ligandos suelen quedar secuestrados en la parte vacuolar esferoidal del endosoma que más tarde formará los CMVe que transportarán el ligando hacia los endosomas tardíos para su degradación adicional en el lisosoma (fig. 2-18a). Esta vía es utilizada por los complejos de lipoproteina de baja densidad (LDL, low-density).

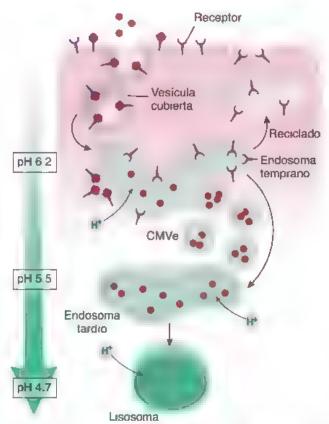


FIGURA 2-17. Diagrama de los compartimentos endosómicos de la célula. En este diagrama se illustra el destino de las proteinas (circulos rojos) endocitadas desde la superficie celular dirigidas a la destrucción lisosómica. Las proteinas primero se encuentran en las vesículas endocíticas (con cubierta) que las envían a los endosomas tempranos abicados en la parte periférica del citoplasma Debido a la capacidad de clasificación de los endosomas tempranos, los receptores suelen reciclarse hacia la membrana plasmática, y las proteínas incorporades por endocitosis se transportan vía los cuerpos mu tivesiculares (CMVe) a los endosomas tard os ubicados cerca de aparato de Golgi y del núcleo. Las proteínas transportadas hacia los endosomas tardios finalmente se degradan en lisosomas. Obsérvese la escala de acidificación (izquierda) que lustra los cambios en el pH desde los endosomas tempranos hasta los lisosomas. La acidificación se logra mediante el transporte activo de protones hacia los compartimentos endosómicos

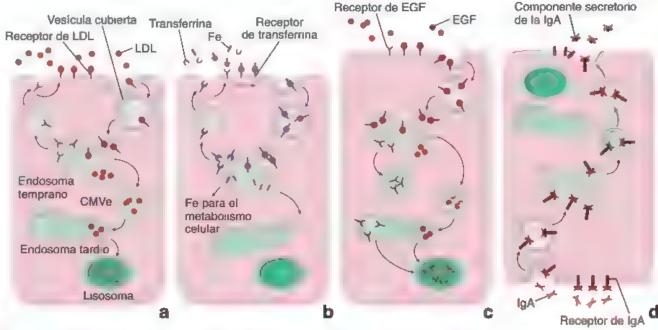


FIGURA 2-18. Destino del receptor y el ligando en la endocitosis mediada por receptores. En este diagrama se muestran las cuatro vias principales a través de las cuales se determina el destino de los compie os ligando-receptor internalizados a. El compie o ligando-receptor internalizado se disocia e receptor se recicla a la superficie celular y el ligando se transporta a los endosomas tardios y, finalmente se degrada dentro de los isosomas. Esta via de procesamiento es usada por el compiejo receptor. D., el complejo de receptores de insulina-GLUT y una variedad de complejos receptor hormonas peptidicas. CMVe cuerpos multivesiculares. LDL poproteina de baja densidad. b. Tanto el receptor como el ligando se recician. La disociación de complejo ligando-receptor no se produce y todo el complejo se recicia hacia la superficie. Un ejemplo de esta via es el compiejo hietro-transferrina-receptor de transferrina-receptor de transferrina-receptor de transferrina-receptor de transferrina regresa a la superficie celular, donde se libera la transferrina. C. El complejo il gando-receptor internalizado se discuale en endosoma temperario. El gando libre y el receptor se envian al compart mento endosómico tardio para su degradación ad ciona. Este mecanismo es empleado por muchos factores de crecimiento (p. e. el complejo EGF-receptor). EGF factor de crecimiento epidermico. d. El complejo ligando-receptor internalizado se transporta a través de la celula. La disociación no se produce y todo el complejo se somete a transcitosis y se libera en un sito diferente de la superficie celular. Esta via se utiliza para la secreción de inmunoglobulinas (IgA secretora) en la saliva. El complejo de anticuerpo IgA-receptor se internaliza en la superficie basa de las células celulas comparatores en la glandula saliva y se libera en la superficie apical. IgA, inmunoglobulina A.

lipoprotain)-receptor, receptor de insulina-transportador de glucosa (GLUT) y varias hormonas peptidicas y sus receptores.

- Tanto el receptor como el ligando se reciclar. La disociación del complejo ligando-receptor no siempre acompaña el reciclaje del receptor. Por ejemplo, el pH bajo del endosoma disocia el hierro de la proteína transportadora de hierro transferrina, pero esta última permanece asociada con su receptor. No obstante, una vez que el complejo transferrina-receptor regresa a la superficie celular, se libera la transferrina. Con un pH extracelular neutro, la transferrina debe unitse nuevamente al hierro para ser reconocida por su receptor y poder fijarse a él. Un mecanismo similar ocurre con las moléculas l y li del complejo mayor de histocompatibilidad (MHC, major histocompatibility completo), las cuales se reciclan hacia la superficie celular con una proteína antigénica foránea unida a ellas (fig. 2-18b)
- Tanto el receptor como el ligando se degradan. Este mecanismo se ha identificado para el EGF y su receptor. Como muchas otras proteínas, el EGF se fija a su receptor en la superficie celular. El complejo es endocuado y transportado hacia los endosomas tempranos. Aquí, el EGF se disocia de su receptor y ambos son clasificados, empaquetados en CMVe separados y transferidos hacia el endosoma tardío. Desde allí, tanto el ligando como el receptor se transfieren hacia los lisosomas, en donde serán degradados (fig. 2-18c)
- Tanto el receptor como el ligando se transportan a través de la célula. Esta vía se utiliza para la secreción de inmunoglobulinas

(19A secretore) en la saliva y la leche materna. Durante este proceso, con frecuencia conocido como transcitosis, las sustancias pueden verse alteradas a medida que se transportan a través de la célula epitelial (fig. 2-18d). El transporte de inmunoglobulina G materna a través de la barrera placentaria hacia el feto también sigue una vía similar.

Lisosomas

Los lisosomas son orgánulos digestivos que se descubrieron solo después de haber usado procedimientos histoquímicos para detectar enzimas hisosomicas.

Los lisosomas son orgânulos ricos en enzimas hidrolíticas, como proteasas, nucleasas, glucosidasas, lipasas y fosfolipasas. Un lisosoma representa el compartimento digestivo principal en la célula que degrada macromoléculas derivadas de mecanismos endocíticos, así como de la célula misma en un proceso conocido como autofugia (eliminación de componentes citoplasmáticos, en particular orgânulos limitados por membrana, mediante su digestión dentro de los lisosomas). Para más información sobre la autofagia, véase la página 47.

La taoria original acerca de la biogéneais lisosómica, formulada hace casí medio siglo, postulaba que los lisosomas se originaban por brotación como orgánulos completos y funcionales desde el aparato de Golgi. Estos lisosomas recién formados se denominaron lisosomas primarios en contraste con los lisosomas secundarios, que ya se habían fusionado con endosomas. Sin embargo, la teoría de los

lisosomas primarios y secundarios ha demostrado tener poca validez, dado que los datos de las nuevas investigaciones han permitido comprender de mejor manera los detalles de los mecanismos de secreción proteínica y del destino de las vesículas endocíticas. Hoy en día se acepta que los lisosomas se forman a través de una serie compleja de mecanismos que convergen en los endosomas tardíos, que se transforman en lisosomas. Estas vías son responsables del suministro dirigido de las enzimas lisosomicas neosintetizadas y de las proteinas estructuradas de la membrana lisosomica a los endosomas tardios. Como se comentó antes, las enzimas lisosómicas se sintetizan en el RER y se clasifican en el aparato de Golgi de acuerdo con su capacidad de unión a los receptores M 6-P (véase p. 43).

Los lisosomas tienen una sola membrana, que es resistente a la digestión hidrolítica que ocurre en su luz.

Los lisosomas contienen un cúmulo de enzimas hidrolíticas y están rodeados por una membrana única resistente a la hidrólisis de sus propias enzimas (fig. 2-19). La membrana lisosomica tiene una estructura fosfolipidica poco habitual que presenta colesterol y un lípido exclusivo denominado ácido lisobifosfatidico. La mayoría de las proteínas estructurales de la membrana lisosómica se clasifican en proteinas de membrana asociadas con lisosomas (LAMP, lysosome-associated membrane proteins), glucoproteinas de membrana lisosomica (LGP, lysosomal membrane glycoproteins) y proteinas integrales de membrana lisosómica (LIMP, lysosomal integral membrane proteins). Estas representan más del 50% del total de las proteínas de la membrana lisosómica y están muy glucosiladas en la superficie luminal. Hay moléculas de sacáridos que cubren casi la totalidad de la superficie luminal de estas proteínas, protegiéndolas de la digestión por las enzimas hidrolíticas. Los ácidos lisobifosfatídicos dentro de la membrana lisosómica podrían desempeñar un papel importante en la restricción de la actividad de las enzimas hidrolíticas dirigida contra la membrana. La misma fami-

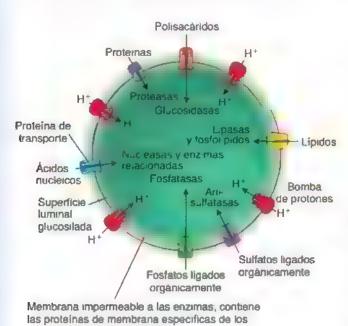


FIGURA 2-19. Diagrama de un lisosoma. En este diagrama se muestran algunas enzimas lisosómicas seleccionadas que residen en un lisosoma y sus respectivos sustratos También se presentan las principa es proteinas específicas de la membrana lisosómica, así como algunas otras proteinas relacionadas con el transporte de membrana.

lisosomas LAMP, LIMP y LGP

lia de proteínas de membrana también se detecta en los endosomas tardíos. Además, los lisosomas y los endosomas tardíos contienen bombas de protones (H¹) que transportan iones H¹ hacia la luz lisosómica, lo que mantiene un pH baĵo (~4.7). La membrana lisosómica también contiene proteínas transportadores que llevan productos finales de la digestión (aminoácidos, sacáridos, nucleótidos) hacia el citoplasma, donde se utilizan en los procesos sintéticos de la célula o experimentan exocitosis.

Ciertos fármacos pueden afectar la función lisosómica. Por ejemplo, la cloroquina, un medicamento que se utiliza en el tratamiento y la prevención del paludismo, es un lisosomotrópico que se acumula en los lisosomas. Eleva el pH del contenido lisosómico, inact vando de este modo muchas enzimas lisosómicas. La acción de la cloroquina sobre los lisosomas es la causa de su actividad antipalúdica; el fármaco se concentra en la vacuola digestiva ácida del perásito paludico (Plasmodium falciparum) e interfiere con los procesos digestivos, lo que finalmente lo mata.

Las proteínas lisosómicas de la membrana se sintetizan en el RER y tienen una señal específica que las orienta hacia el lisosoma.

Como ya se mencionó, el transporte intracelular que lleva muchas enzimas lisosómicas solubles a los endosomas tardíos y a los lisosomas involucra a la señal M-6-P y a su receptor. Todas las proteínas de la membrana destinadas a los lisosomas (y a los endosomas tardíos) se sintetizan en el RER y se transportan hacia el aparato de Golgi para su clasificación. Sin embargo, no contienen las señales M-6-P y deben ser llevadas hacia los lisosomas por un mecanismo diferente. La señal de reconocimiento o importación para las proteínas integrales de membrana consiste en un dominio citoplasmático C-terminal corto, que es reconocido por complejos proteínicos de adaptina y empaquetado en vesículas cubiertas de clatrina. Estas proteínas alcanzan su destino mediante uno de estos dos mecanismos:

- En la via secretora constitutiva, las LIMP salen del aparato de Golgi en vesículas recubiertas y se envían hacia la superficie celular. Desde allí, se incorporan por endocitosis y, a través de los compartimentos endosómicos tempranos y tardíos, finalmente alcanzan los lisosomas (fig. 2-20).
- En la vía secretora de vesiculas cubiertas derivadas de Golgi, las LIMP, después de su clasificación y empaquetado, salen del aparato de Golgi en vesículas cubiertas de clatrina (véase fig. 2-20). Estas vesículas de transporte viajan y se fusionan con endosomas tardios como resultado de la interacción entre los componentes v-SNARE específicos del endosoma y las proteínas de acoplamiento t-SNARE (véase p. 41).

Tres mecanismos diferentes envian material para la digestión intracelular en los hisosomas.

Según su naturaleza, el material para la digestión dentro de los lisosomas llega por diferentes mecanismos (fig. 2-21). En el proceso de digestión, la mayor parte del material digerido proviene de procesos endocíticos; sin embargo, la célula también utiliza lisosomas para digerir sus propias partes obsoletas, organulos no funcionales y moléculas innecesarias. Existen tres mecanismos para la digestión:

 Las particulas extracelulares grandes, como bacterias, derntos celulares y otros materiales extraños, son engullidos mediante el proceso de fagocitosis. Un tagosoma, formado a medida que el material se internaliza en el citoplasma, recibe enzimas hidrolíticas para convertirse en un endosoma tardio, el cual madura hasta convertirse en un lisosoma.

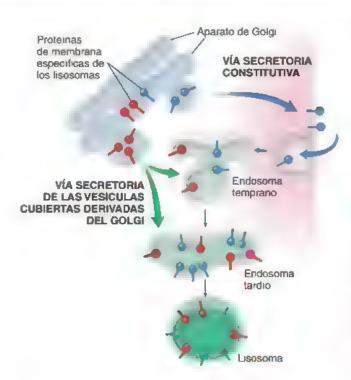


FIGURA 2-20. Biogénesis del lisosoma. En este diagrama se ilustran las vías regulada y constitutiva para el transporte de las proteinas específicas de la membrana lisosómica hacia los endosomas temprano y tardio. La membrana lisosómica tiene proteínas de membrana específicas muy glucosiladas que la protagen de la digestión por enzimas asosómicas. Estas proteínas especificas del isosoma se sintetizan en el retículo endoplasmático rugoso, se transportan hacia el aparato de Golgi y alcanzan su destino final por dos vías. Las flechas azules indican la vía de secreción constitutiva, en la que ciertas proteinas de la membrana lisosómica salen del aparato de Golgi y llegan. a la superficie celular. Luego, son endocitadas y, a través de los compartimentos endosómicos temprano y tardio, finalmente alcanzan os lisosomas. Las flechas verdes senalan la via endosómica de secreción. de vesiculas con cubierta denvadas del aparato de Golgi. En este caso, otras proteínas lisosómicas, una vez clasificadas y empaquetadas, salen del aparato de Golgi en vesículas con cubierta de clatrina para fusionarse con los endosomas temprano y tardío

- Las particulas extracelulares pequeñas, como proteínas extracelulares, proteínas de la membrana plasmática y complejos ligando-receptor, se incorporan por pinocitosis y endocitosis mediada por receptores. Estas partículas siguen la vía endocítica a través de los compartimentos endosómicos temprano y tardío y, finalmente, se degradan en lisosomas.
- Las particulas intracelulares, como orgánulos enteros, proteínas ciroplasmáticas y otros componentes celulares, son aisladas de la matriz citoplasmática por las membranas del retículo endoplasmático, transportadas hacia los lisosomas y degradadas. Este proceso se denomina autofagia (véase p. 47).

Además, algunas células (p. ej., osteoclastos que participan en la resorción ósea y neutrófilos que intervienen en la inflamación aguda) pueden liberar enzimas lisosómicas directamente hacia el espacio extracelular para digerir los componentes de la matriz extracelular

Los lisosomas de algunas células se reconocen en el microscopio óptico debido a su cantidad, tamaño o contenidos.

Los abundantes gránulos azurófilos de los neutrófilos (leucocitos) son lisosomas y se reconocen como aglomeraciones por su unción

específica. En los macrófagos, con frecuencia se identifican lisosomas que contienen bacterias fagocitadas y fragmentos de células dañadas.

La degradación hidrolítica de los contenidos de los lisosomas produce frecuentemente una vacuola llena de detritos denominada cuerpo residuel, que puede perdurar toda la vida de la célula. Por ejemplo, en las neuronas, los cuerpos residuales se llaman pigmento de desgaste o gránulos de lipofuscina. Los cuerpos residuales son una característica normal del envejecimiento celular. La ausencia de cuertas enzimas lisosómicas puede causar la acumulación patológica de sustratos no digeridos en los cuerpos residuales. Esto puede conducir a alteraciones graves que, de forma colectiva, se denominan enfermedades por deposito lisosomico (cuadro 2-1).

Autofagia

La nutofagia es el principal mecanismo celular por el cual varias proteínas citoplasmáticas, orgánulos y otras estructuras celulares se degradan en el compartimento lisosómico (fig. 2-22). Este importante proceso mantiene un equilibrio bien controlado entre las funciones celulares anabólicas y catabólicas, y permite que la célula elimine los orgánulos innecesarios o no deseados. Los componentes digendos de los orgánulos son reciclados y reutilizados para el crecimiento y el desarrollo normal de la célula.

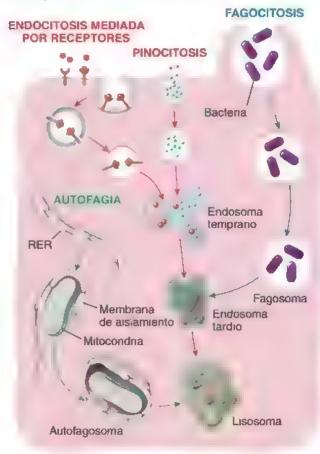


FIGURA 2-21. Vias de captación de materiales para la digestión en tisosomas. La mayoría de las particulas extracelulares pequeñas son internalizadas tanto por endocitosis mediada por receptores como por pinocitosis. Estas dos vías endociticas están marcadas con flechas royas. Las partículas extracelulares grandes, como las bectenas y los desechos celulares, son entregadas a la digestión celular a través de la vía fagocítica (flechas azules). La célula también emplea lisosomas para digenir sus propios orgánulos y otras proteínas intracelulares a través de la vía autofágica (flechas verdes). Las partículas intracelulares quedan aisladas de la matriz citoplasmática por la membrana de aislamento del reticulo endoplasmático liso (REL), se transportan a los lisosomas y, postenormente, se degradan.

CORRELACIÓN GLÍNICA: ENFERMEDADES DE ALMACENAMIENTO LISOSÓMICO

Se han identificado numerosas alteraciones genéticas en individuos que tienen mutaciones en un gen que codifica proteínas fisosómicas. Estas enfermedades se denominan enfermedades de almacenamiento lisosómico (EAL) y se caracterizan por presentar fisosomas disfuncionates. En la mayoría de los casos, la proteína defectuosa es una enzima hidrolítica o su cofactor, con menor frecuencia, las proteínas de la membrana lisosómica o las que participan en la clasificación, direccionamiento y transporte de proteínas fisosómicas son las defectuosas. El resultado es la acumulación en las células de productos específicos que las enzimas fisosómicas utilizan como sustratos en sus reacciones. Estos productos acumulados no digendos interrumpen la función normal de la célula y ocasionan su muerte

Hoy en día, se conocen 49 EAL, con una incidencia colectiva de aproximadamente 1 de cada 7 000 nacidos vivos. La esperanza de vida en todo el grupo de personas con estas alteraciones es de 15 años. La primera EAL fue descrita en 1881 por el oftalmólogo británico Warren Tay, quien informó anomalías retinianas en un lactante de 12 meses de edad con sintomas neuromusculares graves. En 1896, el neurólogo estadounidense. Bernard Sachs describió a un paciente con síntomas oculares similares a los encontrados antes por Tay. Esta enfermedad se conoce actualmente como de Tay-Sachs. Es causada por la ausencia de una enzima, una galactosidasa lisosómica (β-hexosaminidasa 3) que cataliza un paso en la descomposición. fisosómica de los gangliósidos en las neuronas. La acumulación resultante del gangliósido GM2 que se encuentra dentro de estructuras laminares concéntricas en los cuerpos residuales de las neuronas interfiere con la función celular normal.

Los niños que nacen con una EAL suelen parecer normales al nacer, sin embargo, pronto muestran signos clínicos de la enfermedad. A menudo, tienen un crecimiento lento, muestran cambios en los rasgos faciales y desarrollan deformidades óseas y articulares que conducen a restricciones importantes en el movimiento. Pueden perder habilidades ya alcanzadas, como el habla y la capacidad de aprendizaje. Pueden aparecer problemas del comportamiento, así como una discapacidad intelectual grave. Son propensos a infecciones puimonares y cardiopatías frecuentes. Algunos niños presentan órganos internos agrandados, como el higado y el bazo (hepatoesplenomegalia) Las EAL más frecuentes en los niños son la enfermedad de Gaucher, el síndrome de Hurler (MPS-i, mucopolisacandosis f), el síndrome de Hunter (MPS-II) y la enfermedad de Pompe

Hasta hace poco, las EAL se consideraban alteraciones neurodegenerativas sin tratamiento posible. En las ultimas dos décadas ha habido un éxito limitado en el tratamiento de los sintomas de las EAL. Se ha dedicado un esfuerzo considerable. a la investigación genética y la busqueda de métodos para reemplazar las enzimas faltantes que causan varias formas de EAL. La terapia de reemplazo enzimático, que requiere la administración celular de una enzima recombinante fabricada, está disponible para algunas EAL, como la distinosis y la enfermedad de Gaucher También se ha logrado la sustitución de enzimas mediante el trasplante de médula ósea que contiene genes normales de una persona no afectada. El éxito de la terapia de reemplazo de enzimas a menudo está limitado por una biodistribución insuficiente de enzimas recombinantes y sus aitos costos. Las nuevas estrategias para el tratamiento de las EAL incluyen la terapia con chaperonas farmacológicas, en la que se administran moléculas chaperonas a las células afectadas. En algunos casos, las chaperonas sintéticas pueden ayudar at plegamiento de enzimas mutadas para mejorar su estabilidad y lograr que alcancen los lisosomas. En el futuro, le combinación de diferentes terapias como el reemplazo de enzimas, las chaperonas farmacológicas y las terapias de transferencia de genes, aunado al desarrollo de pruebas de detección para recién nacidos, permitirá la detección temprana y mejorará los resultados clínicos de los pacientes con estas enfermedades

Resumen de las enfermedades de almacenamiento lisosómico más frecuentes

Enfermedad	Deficiencia proteínica	Producto acumulado (o proceso defectuoso)				
Trastornos de la degradacion de esfingolipidos						
Enfermedad de Gaucher	Glucocerebrosidasa	Glucosilceramida				
Enfermedad de Tay-Sachs	β-hexosamınıdasa, subunıdad α	Gangliósido GM ₂				
Enfermedad de Sandhoff	β-hexosamınıdasa, subunidad β	Gangliósido GM ₂ , oligosacáridos				
Enfermedad de Krabbe	Galactosilceramidasa	Gal-ceramida, gal-esfingosina				
Enfermedad de Niemann-Pick A, B	Esfingomielinasa	Esfingomielina				
Trastomos por degradación de las glucoprote	inas					
Aspartilglucosamınuria	Aspart Iglicosamınıdasa	Oligosacáridos N4igados				
α-manosidosis	α-manosidasa	α-manósidos				
Trastomos por degradacion de los glucosaminoglicanos						
Sindrome de Hurter (mucopolisacandosis i, MPS I)	α-L∗idJronidasa	Dermatán-sulfato, heparán- sulfato				
Sindrome de Hunter (MPS II)	L-iduronato sur [†] atasa	Dermatán-sulfato, heparán- sulfato				
Sindrome de Maroteaux-Lamy (MPS IV)	GalNAc 4-su fatasa/arrisulfatasa B	Dermatan-sulfato				

(continua en la p. 49)

CUADRO 2-1 - CONTROL EN CONTROL DE ALMACENAMIENTO LISOSÓMICO

CONTINUACIÓN

Otras afteraciones por insuficiencia monoenzimatica

Enfermedad de Wolman (xantomatosis fam liar) Lipasa ácida Ésteres de colesterol, triglicéndos

Enfermedad de Canavan (deficiencia de aspartoa- Aspartoacilasa Ácido Macetilaspártico

Alteraciones de la biogenesis lisosomica

Enfermedad de células de inclusión (células I), mucolipidosis II GlcColipidosis II

clasificación deficiente de la mayorla de las enzimas lisosómicas

hidroliticas solubles

Las hidrólisis lisosómicas no están presentes en los lisosomas

Alteraciones de las membranas lisosomicas

Enfermedad de Danon LAMP2 Presencia de vacuolas autofágicas

Cistinosis Cistinosina (transportador de cistina) Cistina

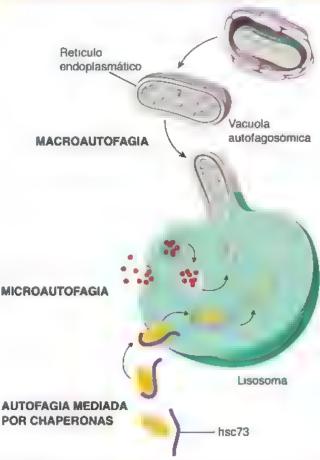


FIGURA 2-22. Tres vias autofágicas para la degradación de los constituyentes citoplasmáticos. En una macroautofagia una porción del citoplasma o un orgánulo son rodeados por una membrana intracefular del retículo endoplasmático para formar una vacuola autofagosómica de doble membrana. Después de la fusión con un fisosoma, la membrana interna y los contenidos de la vacuola se degradan. En la microautofagia, las proteínas citoplasmáticas solubles pequeñas son incorporadas dentro de los tisosomes por invaginación de la membrana tisosómica. La autofagia mediada por chaperonas es el proceso más selectivo para la degradación de proteínas citoplasmáticas específicas. Requiere la ayuda de proteínas famadas chaperonas. La chaperona (hsc73) se une a la proteína y ayuda a transportarla hacia la uz lisosómica, donde finalmente se degrada.

Las proteínas citoplasmáticas y los orgánulos son sustratos para la degradación lisosomica en el proceso de autofagia.

La autofagia desempeña un papel esencial durante la privación de nutrientes, la diferenciación, la muerte y el envejecimiento de las células. Mediante pruebas de detección genética desarrolladas originalmente para levaduras, los investigadores han descubierto varios (unos 33) genes relacionados con la autofagia (genes Atg) en el genoma de las células de mamíferos y han podido rastrear la activación o inhibición de estos genes en condiciones específicas. La presencia de nutrientes y factores de crecimiento adecuados estimula la actividad enzimática de una serma/treonina-cinasa conocida como diana de la rapamicina en mamiferos (mTOR, mammalian target of rapamycin). La actividad intensa de la mTOR ejerce un efecto inhibidor sobre la autofagia. Lo opuesto ocurre con la privación de sustancias nutritivas, la hipoxia y las temperaturas altas, cuando la falta de actividad de la mTOR provoca la activación de los genes Atg. Esto produce la formación de un complejo regulador de la autolagia por la proteina-cinasa Atg1 que inicia el proceso de autofagia. En general, la autofagia puede dividirse en tres mecanismos bien caracterizados:

La macroautofagia, o simplemente autofagia, es un proceso mespecífico en el cual una parte del citoplasma o un orgánulo completo en primer lugar es rodeado por una membrana intracelular doble o multilaminar del retículo endoplasmático, denominada membrene de eistamiento, para formar una vacuola llamada sutofagosoma. Este proceso es asistido por proteínas codificadas por varios genes Aig. Al principio, el complejo que contiene proteines Atg12-Atg5-Atg16L se fija a una parte del retículo endoplasmático y localiza la membrana de aislamiento. A continuación, se recluta la Atg8 y se fija a la membrana. En conjunto, modifican la forma de la membrana de aislamiento, la cual se dobla para rodear y sellar un orgánulo destinado a la digestión dentro de la luz del autofagosoma. Una vez que el autofagosoma está completo, el complejo Atg12-Atg5 Atg16L y la Atg8 se disocian de esta estructura. Después del suministro dirigido de enzimas lisosómicas, el autofagosoma madura y se convierte en un lisosoma. La membrana de aislamiento se desintegra dentro del compartimento hidrolítico de

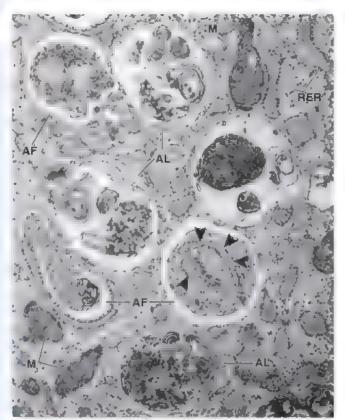


FIGURA 2-23. Microfotografía electrónica de fibroblastos embrionarios de ratón sin nutrientes. En esta microfotografía electrónica se muestran varios autofagosomas (AF). Obsérvese que los autofagosomas son estructuras de doble membrana que contienen orgánulos intracelulares no digeridos, como mitocondinas o fragmentos del retículo endoplasmático (puntas de flecha). Una vez que el autofagosoma se fusiona con un lisosoma, se forma un autolisosoma (AL) que degrada los matenales incluidos, y también la membrana interna autofagosómica. M., mitocondina, RER, retículo endoplasmático rugoso. 26300× (cortesía de los Dres. Chieko Kishi-Itakura y Noboru Mizushima).

un lisosoma. La macroautofagua aparece en el hígado durante las primeras etapas de la manición (fig. 2-23).

- La microautofagia rambién es un proceso inespecífico en el cual las proteínas citoplasmáticas se degradan en un proceso lento y continuo en condiciones fisiológicas. En la microautofagia, las proteínas citoplasmáticas solubles pequeñas son incorporadas dentro de los lisosomas por invaginación de la membrana lisosomica.
- La autofagia mediada por chaperonas es el único proceso selectivo de degradación proteínica y requiere la colaboración de chaperonas cirosólicas específicas, como la proteina chaperona de choque tórmico denominada "hac73". Este proceso es activado durante la privación de sustancias nutritivas y requiere la presencia de señales de reconocimiento en las proteínas que se han de degradar y de un receptor específico en la membrana lisosómica. El transporte directo mediado por chaperonas se asemeja al proceso de importación de proteínas hacia otros orgánulos celulares: la hsc73 se une a la proteína y ayuda a su transporte a través de la membrana lisosómica hacia la luz, donde finalmente se degrada. La autofagia mediada por chaperonas es responsable de la degradación de aproximadamente el 30% de las proteínas citoplasmáticas en órganos como el hígado y el riñón.

Degradación mediada por proteasomas

Además del mecanismo lisosómico de degradación proteínica, las células pueden destruir proteínas sin la participación de los lisosomas. Este proceso ocurre dentro de grandes complejos proteínicos citoplasmáricos o nucleares denominados protessomas. Estos son complejos de proteasas dependientes de ATP que destruyen proteínas que han sido marcadas específicamente para este proceso. Las células utilizan la degradación mediada por protessomas para destruir proteínas anómalas que están mal plegadas, desnaturalizadas o que contienen aminoácidos anómalos. Este mecanismo también degrada proteínas reguladoras normales de vida corta que deben ser mactivadas y degradadas con rapidez, como las ciclinas mitóticas que regulan la progresión del ciclo celular, los factores transcripcionales y los supresores o promotores de tumores.

Las proteinas destinadas a la degradación mediada por proteasomas deben ser reconocidas y marcadas especificamente por la cadena de poliubicuitina

La degradación de una proteína en la vía mediada por proteasomas implica dos pasos sucesivos:

- Poliubicuitinización. Las proteínas destunadas a la destrucción son marcadas repetidas veces por medio de uniones covalentes de una proteína pequeña (8.5 kDa) llamada ubicuitina. La reacción de marcado es catalizada por tres ubicuitina-ligasas denominadas anzimas activadoras de ubicuitina E1, E2 y E3. En una cascada de reacciones enzimáticas, la proteína diana es marcada primero con una sola molécula de ubicuitina. Esto crea una señal para la unión consecutiva de otras moléculas de ubicuitina, lo que da como resultado una cadena lineal de conjugados de esta enzima. Una proteína destinada a la destrucción dentro del proteasoma debe ser marcada con al menos cuatro moléculas de ubicuitina en la forma de una cadena de poliubicuitina que sirve como señal de degradación para el complejo de proteasomas.
- Degradación de la proteina marcada por el complejo proteasoma 26S. Cada proteasoma está formado por un cilindro hueco, moldeado como un barril, que contiene una particula central (CP, core particle) 20S que facilita la actividad multicatalítica de la proteasa en la cual las proteínas poliubicuitinizadas se degradan en pequeños polipéptidos y aminoácidos. En ambos extremos del cilindro de la CP hay dos partículas reguladoras (RP, regulatory partícles) 19S. Una de las RP, que forma la cubierta del barril, reconoce la marca de poliubicuitina, desdobla la proteína y regula su ingreso en la cámara de destrucción. La RP ubicada en el lado opuesto (en la base) del barril libera péptidos cortos y aminoácidos después de completarse la degradación de la proteína. Las moléculas de ubicultina son liberadas por enzimes desubicuitinizantes (DUB) y se reciclan (fig. 2-24).

Dos grupos de patologias se asocian con el fracaso de la degradación mediada por protessomas. El primer grupo de enfermedades se debe a la pérdida de la función protessomica debido a mutaciones en el sistema de enzimas activadoras de la ubicultina. Esto lieva a una reducción en la degradación proteinica y su posterior acumulación en el citoplasma celular (p. ej., en el sindrome de Angelman y en la enfermedad de Alzheimer). El segundo grupo es causado por la sobreexpresión de proteinas involuciadas en la ruta de la degradación mediada por proteasomas que causa la degradación acelerada de proteinas celulares (p. ej., infecciones por vírus del papiloma humano) El empleo de un inhibidor específico del proteasoma ha tenido

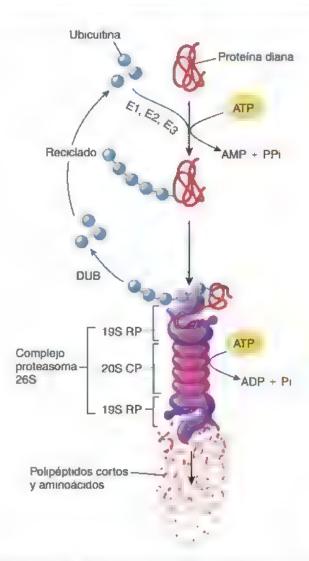


FIGURA 2-24. Degradación mediada por proteasomas. Esta vía de degradación implica la marcación de proteinas destinadas a su destrucción por una cadena de policibicultina y su posterior degradación. en un complejo de proteasoma con liberación de las moléculas de ubicultina reutilizables. En presencia de trifosfato de adenosina (ATP), la obicultina es activada por un complejo de tres enzimas activadoras de ubicultina (£1, £2 y £3) para formar una unica cadena de poljubicuit na que sirve como senai de degradación para el complejo proteasoma 26S. La particula reguladora (19S RP) que forma la cubierta de la principal cámara de destrucción proteínica (partícula central 205) reconoce las marcas de la poliubicurtina, desphega la proteína e inserta y regula su entrada en la cámara de destrucción. En el lado opuesto de l la cámara, la partícula reguladora libera polipéptidos cortos y aminoácidos una vez que se completa la degradación proteinica. Las moléculas de abicumna son liberadas por las enzimas desubicuminizantes (DUB). y se reciclan. ADP, difosfato de adenosina

exito en el tratamiento del mieloma multiple, y los investigadores esperan desarrollar inhibidores adicionales para el tratamiento de otras enfermedades

Retículo endoplasmático rugoso

El sistema de sintesis proteínica de la célula está formado por el retículo endoplasmático rugoso y los ribosomas.

El citoplasma de una gran variedad de células que participan principalmente en la síntesis proteínica se tiñe de forma intensa con tinciones básicas. La tinción basófila es causada por la presencia de ARN. La porción del citoplasma que se tiñe con una tinción básica se

denomina ergastoplasma. El ergastoplasma en las células secretoras (p. ej., células acinares pancreáticas) es la imagen microscópica óptica del organulo ilamado reticulo endoplasmático rugoso (RER)

En el MET, el RER aparece como una sene de sacos membranosos aplanados e interconectados denominados cistornas, con partículas adosadas a la superficie exterior de la membrana (fig. 2-25). Estas partículas, conocidas como ribosomas, están adheridas a la membrana del RER por proteínas de acoplamiento ribosómico. Los ribosomas tienen un diámetro de 15-20 nm y se componen de una subunidad menor y una subunidad mayor. Cada subunidad contiene ARN ribosómico (ARNr) de diferentes longitudes, así como varios tipos de proteínas diferentes. En muchos casos, el RER se continúa con la membrana externa de la envoltura nuclear (véase la siguiente sección). Los grupos de ribosomas forman arregios espirales cortos que reciben el nombre de polimibosomas o polisomas (fig. 2-26), en los que muchos ribosomas están adosados a una hebra de ARN mensajero (ARNm).

La sintesis proteinica implica la transcripción y la traducción.

La producción de proteínas por la célula comienza dentro del núcleo con la transcripción, en la cual el código genético para una proteína

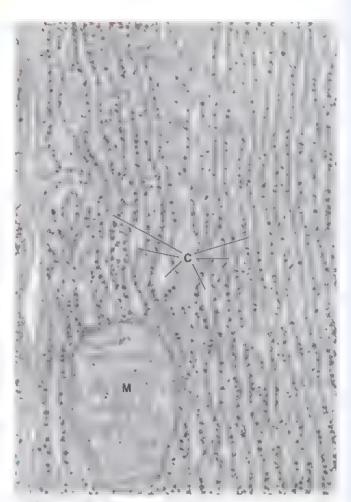


FIGURA 2-25. Microfotografía electrónica del retículo endoplasmático rugoso (RER). En esta imagen del RER en una célula principal de estómago se muestran las cisternas membranosas (C) estrechamente empaquetadas en formaciones paralelas. En la superficie citoplasmática de la membrana se ven polimibosomas que rodean las cistemas. El aspecto de una membrana compuesta por ribosomas es el origen del término retículo endoplasmático rugoso. Se ven algunos ribosomas libres en el citoplasma. M, mitocondna 50000×



FIGURA 2-26. Microfotografía electrónica del reticulo endoplasmático rugoso y los complejos polirribosómicos. En esta imagen se muestra un sector pequeño del RER adyacente al nucleo seccionado en dos planos. El retículo está curvado dentro del corte Por lo tanto, en los ángulos supenores derecho e izquierdo, las membranas del retículo han sido seccionadas en un ángulo recto a su superficie. En el centro, el retículo está retorcido y se muestra como en una vista aérea (desde amba de la membrana). Las grandes agrupaciones citoplasmáticas espiraladas (flechas) son cadenas de ribosomas que forman polimibosomas que participan activamente en la traducción de la molécula de ARNm. 38000×

se transcribe desde el ADN hacia el pre-ARNm. Después de las modificaciones postranscripcionales de la molécula de pre-ARNm (que incluye el corte del ARN, la escisión de intrones, el empalme de exones y la formación de un capuchón mediante la adición de poliadenosinas en el extremo 3º y un capuchón de menlguanosina [M(7)] GPPP) en el extremo 5'), la molécula de ARNm resultante sale del núcleo y migra hacia el citoplasma (fig. 2-27). La transcripción viene seguida por la traducción, en la que el complejo ribosómico lee el mensaje codificado contenido en el ARNm para formar un polipéptido. Una molécula típica de ARNm se fija a numerosos ribosomas que quedan separados a una distancia de 80 nucleótidos, de manera que forman un complejo polimibosómico o polisoma. Un polisoma adosado a la superficie citoplasmática del RER puede traducir una molécula de ARNm y, de forma simultánea, producir muchas copias de una proteina particular. Por el contrario, los ribosomas libros residen en el citoplasma; no están asociados con ninguna membrana intracelular y son estructural y funcionalmente idénticos a los polisomas del RER.

Las diferencias entre la estructura de los ribosomas procarioticos (bacterianos) y los eucarioticos fueron aprovechadas por los investigadores, quienes descubrieron compuestos quimicos (antibróticos) que se fijan a los ribosomas bacterianos y matan bacterias sin danar las celulas de la persona infectada. Varios tipos de antibróticos, como aminoglucósidos (estreptomicina), macról dos (entromicina), lincosamidas (clindamicina), tetraciclinas y cloranfenicol, inhiben la sintesis proteinica mediante su unión a diferentes porciones de los ribosomas bacterianos.

Los péptidos de señalización dirigen el transporte postraduccional de una proteina.

La mayoría de las proteínas que se sintetizan para exportación o para converurse en una parte de orgánulos específicos (como la membrana plasmática, la matriz mitocondrial, el retículo endoplasmático o el núcleo) requieren de señales de clasificación que las dirijan a sus destinos correctos. Estas secuencias de señalización (péptidos de señalización) suelen encontrarse en la secuencia del primer grupo de 15-60 aminoácidos en el extremo amino terminal de la proteína neosintetizada. Las secuencias de señales se pueden comparar con las etiquetas de las aerolíneas en el equipaje. Del mismo modo que las etiquetas aseguran que el equipaje sea trasladado correctamente de un avión a otro en los aeropuertos, los pépudos de señalización garantizan la identificación adecuada de la proteína recién sintetizada a medida que pasa a través de los orgánulos de la célula. Durante este tránsito, se produce una serie de acontecimientos sintéticos y modificaciones postraduccionales antes de que los polipéptidos lleguen finalmente a su destino.

Por ejemplo, casi todas las proteínas que son transportadas al retículo endoplasmático tienen una secuencia de señal compuesta por 5-10 aminoácidos hidrófobos en su extremo amino terminal. La secuencia de señal del péptido naciente interactúa con una particula de reconocimiento de señales (SRP, signal recognition particle), que detiene el crecimiento de la cadena del polipéptido. El complejo que contiene el polirnbosoma SRP que detiene la síntesis del polipéptido se reubica en la membrana del RER. La unión de la SRP a una proteina de acoplamiento en la superficie citoplasmática. del RER alinea el ribosoma con el translocador, una proteína integral de membrana del RER. La unión del ribosoma al translocador proteínico provoca la disociación del complejo SRP proteína de acoplamiento del ribosoma y de la membrana del RER, lo cual libera el bloqueo traduccional y permite que el ribosoma reanude la síntesis proteínica (véase fig. 2-27). La proteína translocadora inserta la cadena de polipéptidos en su poro acuoso, lo que permite a la proteína neosintetizada entrar en la luz de la cisterna del RER.

En el caso de las proteínas de secreción simple, el polipéptido sigue siendo insertado por el translocador en la luz conforme se sintetiza. La secuencia de señalización es escindida del polipéptido por la pepndasa de señal que se encuentra en la cara luminal de la membrana del RER, aun antes de que se haya completado la sintesis de toda la cadena. En el caso de las proteínas integrales de membrana, las secuencias a lo largo del polipéptido pueden instruir a la proteína en formación para que atraviese una y otra vez la membrana, creando dominios funcionales que la proteína exhibirá en su membrana. Una vez completada la síntesis proteínica, el ribosoma se separa de la proteína translocadora y queda nuevamente libre en el citoplasma.

La modificación postraduccional y el secuestro de proteínas dentro del RER es el primer paso en la exportación de proteínas destinadas a salir de la célula.

A medida que los polisomas unidos a la membrana sintetizan las cadenas de polipéptidos, la proteína se introduce en la luz de la cisterna del RER, donde experimentan más modificaciones postraduccionales por la acción de enzimas. Estas modificaciones incluyen la glucosi-

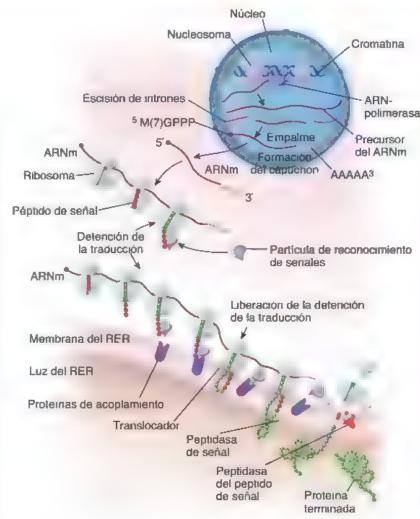


FIGURA 2-27. Resumen de los acontecimientos durante la síntesis de proteinas. La síntesis proteinica comienza dentro dei nucleo con la transcripción, durante la cual el código genético de una proteina es transcrito desde e ADN hacia los precursores de ARNm. Después de las modificaciones postranscripcionales de la molécula de preAFINm (que incluye el corte de ARN, la escisión de intrones, el empalme de exones y la formación de un capuchón mediante la adición de colas de poliadenosina en el extremo 3' y la formación de un capuchón de metilguanosina en el extremo 5'), la molécula de ARNm resultante sale del nucleo e ingresa en el citoplasma. Allí, el complejo ribosómico les la secuencia del ARNim durante el proceso de traducción para formar una cadena polipeptídica. El primer grupo de 15-60 aminoácidos en el extremo ammo del polípéptido recién sintetizado forma una secuencia de señalización (péptido de señalización) que dirige la proteína a su destino (p. ej., a la luz del RER). El peptido de señalización interactua con una particula de reconocimiento de señales (SRP), que detiene el crecimiento de la cadena polipeptidica hasta su reubicación sobre la membrana dei RER. La unión de la SRP a una proteína de acopiamiento en la superficie citoplasmática del RER alínea el ribosoma con la proteina translocadora. La unión del ribosoma con el translocador proyeca la disociación del complejo SRP-proteína de acoplamiento, el cual se aleja del ribosoma, y se reanuda la síntesis proteinica. La protema translocadora guia la cadena polipeptidica hacia la luz de la cisterna del RER. La secuencia de señalización es escindida del polipéptido por la peptidasa de senalización y luego digenda por las peptidasas del péptido de senalización. Al completarse la síntesis proteínica, el ribosoma se separa de la proteina translocadora

lación central, la formación de enlaces hidrogenados internos y de puentes disulfuro, el plegamiento de la proteína neosintetizada con la colaboración de chaperonas moleculares y el armado parcial de la subunidad. Entonces, las proteínas se concentran dentro de la luz de las cisternas del RER vecinas o son transportadas hacia otra parte de la célula por los conductos continuos del RER.

Con excepción de unas pocas proteínas que quedan como residentes permanentes de las membranas del RER y de aquellas proteínas que son secretadas por mecanismos constitutivos, las proteínas neosintetizadas generalmente pasan al aparato de Golgi a los pocos minutos. Algunas enfermedades se caracterizan por la incapacidad del RER para exportar de forma postraduccional una proteína modificada al aparato de Golgi. Por ejemplo, en la insuficiencia de tr-1 antitripsina (A1AT), la sustitución de un solo aminoácido hace que el RER sea incapaz de exportar la A1AT. Esto conduce a la disminución de la actividad de la A1AT en la sangre y los pulmones, y al depósito anómalo de la A1AT defectuosa dentro del RER de los hepatocitos, provocando enfisema (enfermedad pulmonar obstructiva crónica) y la alteración de la función hepática

En las células en las que la vía constitutiva es dominante (en las células plasmáticas y en los fibroblastos activados), las proteínas recientemente sintetizadas pueden acumularse en las cisternas del RER, lo que hace que se dilaten y se distiendan.

El RER también sirve como punto de control de calidad en el proceso de producción de proteínas. Si las proteínas neosintetizadas no han sido modificadas postraduccionalmente de forma adecuada o están mal plegadas, se exportan desde el RER de vuelta al citoplasma mediante el mecanismo de retrotranslocación. Allí, las proteínas defectuosas son desglucosiladas, poliubicuitinizadas y degradadas en los proteasomas (véase p. 50).

El RER está bien desarrollado en las células secretoras activas.

El RER está particularmente bien desarrollado en las células que sinterizan proteínas destinadas a ser secretadas (células secretoras) y en aquellas con una membrana plasmática de gran tamaño, como las neuronas. Las células secretoras incluyen las células glandulares, los fibroblastos activados, los plasmocitos, los odontoblastos, los ameloblastos y los osteoblastos. No obstante, el RER no se limita a las células secretoras y a las neuronas. Prácticamente todas las células del cuerpo contienen cisternas de RER. Sin embargo, estas pueden ser escasas, un reflejo de la cantidad de secreción proteínica, y estar dispersas de modo que, bajo el microscopio óptico, no aparezcan como regiones basófilas.

El RER está más desarrollado en las células secretoras activas porque las proteínas secretoras son sintetizadas exclusivamente por los ribosomas del RER. Sin embargo, en todas las células, los ribosomas del RER producen proteínas que se convertirán en componentes permanentes de los lisosomas, el aparato de Golgi, el RER o la envoltura nuclear (estas estructuras se describen posteriormente) o en componentes integrales de la membrana plasmàtica.

Los coatómeros median el tránsito bidireccional entre el RER y el aparato de Golgi.

Hay dos clases de vesículas cubiertas involucradas en el transporte proteínico desde y hacia el RER. Una cubierta proteínica similar a la clatrina rodea las vesículas que transportan proteínas entre el RER y el aparato de Golgi (p. 40). Sin embargo, a diferencia de las clatrinas, que median el transporte bidireccional desde y hacia la membrana plasmática, solo una clase de proteínas interviene en el transporte anterogrado desde el RER hacia la red cis-Golgi (CGN, cis-Golgi network), las cisternas de Golgi más cercanas al RER. Otras clases de proteínas median el transporte retrógrado desde la CGN de regreso al RER (fig. 2-28). Estas dos clases de proteínas reciben el nombre de coatómeros o COP (coatomer proteín)

- COP4 media las vesículas de transporte originadas en la CGN que regresan al RER (fig. 2-29a). Este transporte retrógrado regula la operación de salvamento que devuelve al RER las proteínas transferidas por error a la CGN durante el transporte anterógrado normal. Además, el COP-1 también es responsable de mantener el transporte retrógrado entre las cisternas del aparato de Golgi.
- COP-II se encarga del transporte anterógrado y forma las vesículas de transporte del RER cuyo destino es la CGN (fig. 2-29b). El COP-II contribuye a la deformación física de las membranas del RER para que aparezcan brotes de curvas muy pronunciadas y a la separación ulterior de las vesículas de la membrana del RER. La mayoría de las proteínas en el RER utilizan vesículas con cubiertas de COP II para alcanzar la CGN.

Poco después de la formación de las vesículas con cubiertas de COP I o COP II, las cubiertas se disocian de las vesículas recién formadas, lo que permite que estas últimas se fusionen con su diana. Los componentes de la cubierta se reciclan a su sitio de origen.



FIGURA 2-29. Microfotografía electrónica de vesículas recubiertas con COP-I y COP-II. a. En esta imagen se muestran las vesiculas cubiertas con COP-I que inician el transporte retrógrado desde la red cis-Golgi (CGN) hacia el RER. En esta imagen, tomada de células preparadas por la técnica de grabado profundo, congelación rápida se puede ver la estructura de la CGN y las vesículas emergentes. 27 000×b. Imagen de las vesiculas cubiertas con COP-II responsables del transporte anterógrado. Obsérvese que la capa superficial de estas vesículas es diferente de la de las vesículas cubiertas con ciatrina. 50 000× (cortesia del Dr. John E. Heuser, Washington University School of Medicine)

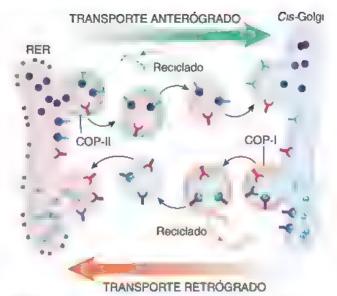


FIGURA 2-28. Transporte anterógrado y retrógrado entre el reticulo endoplasmático rugoso (RER) y la red cis-Golgi. Hay dos clases de vesiculas cubiertas involucradas en el trasporte proteínico desde y hecia el RER. Estas vesiculas están revestidas por comprejos de proteínias de cubierta COP-I y COP-II, respectivamente. El COP-II interviene en el transporte anterógrado desde el RER hacia la red cis-Golgi (CGN) y el COP-I interviene en el transporte retrógrado desde la CGN hacia el RER. Después de la formación de una vesicula, los componentes de la cubierta perteinica del COP-I también participa en el transporte retrógrado entre las cistemas dentro del aparato de Golgi (véase fig. 2-13).

Los ribosomas "libres" sintetizan las proteínas que permanecerán en la célula como elementos citoplasmáticos estructurales o funcionales.

Las proteínas destinadas al núcleo, la mitocondría o los peroxisomas se sintetizan en ribosomas libres y luego se liberan en el citosol. Si no hay una secuencia de señalización, las proteínas que son sintetizadas en ribosomas libres permanecen en el citosol. La basofilia



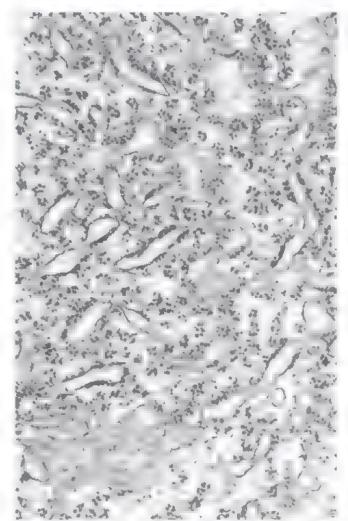


FIGURA 2-30. Microfotografía electrónica del cuerpo de una célula nerviosa que muestra el retículo endoplasmático rugoso (RER). En esta imagen se muestran perfiles del RER, así como numerosos nibosomas libres ubicados entre las membranas del RER. En conjunto, los ribosomas libres y aquellos unidos a la membrana son los responsables de la basofilia citoplasmática caracteristica (cuerpos de Nissi) observada en el microscopio óptico en el citoplasma perinuciear de las neuronas 45 000×

citoplasmática se asocia con células que producen grandes cantidades de proteínas que permanecerán en el interior de ellas. Ejemplos de estas células y sus productos son los eritrocitos en desarrollo (hemoglobina), las células musculares en formación (las proteínas contráctiles actina y miosina), las neuronas (neurofilamentos) y los querarinocitos de la piel (queratina). Además, la mayoría de las enzimas de la mitocondria son sintetizadas por polisomas libres y transfendas a ese orgánulo.

La basofilia en estas células, antes denominada ergastoplasma, es consecuencia de la presencia de gran cantidad de ARN. En este caso, los ribosomas y los polisomas están libres en el citoplasma (no están unidos a las membranas del retículo endoplasmático). Los grandes corpúsculos basófilos de las neuronas, llamados eorpusculos de Nissi, están compuestos por el RER y una gran cantidad de ribosomas libres (fig. 2-30). Todos los ribosomas contienen ARN; son los grupos fosfato del ARN de los ribosomas, no el componente membranoso del retículo endoplasmático, los responsables de la tinción basófila del citoplasma.

Retículo endoplasmático liso

El REL está compuesto por túbulos cortos anastomosados que no están asociados con los ribosomas.

Las células con gran cantidad de reticulo endoplesmático seo pueden mostrar una eosmofilia citoplasmática (acidofilia) bien definida cuando se observan con el microscopio óptico. El REL es semejante al RER en su estructura, pero carece de proteínas de acoplamiento ribosómico. El REL tiende a ser tubular en lugar de sacular y puede estar separado del RER o ser una extensión de este. El REL es abundante en células que participan en el metabolismo de los lípidos (células que sintetizan ácidos grasos y fosfolípidos) y prolifera en los hepatocitos cuando se estimula a los animales con fármacos lipófilos. El REL está bien desarrollado en las células que sintetizan y secretan esteroides, como las de la corteza suprarrenal y las intersticiales resticulares (de Leydig) (fig. 2-31). En las células osteomusculares y cardíacas, el REL también se llama reticulo sarcoplasmatico. Este retículo secuestra el Ca2+ que es esencial para el proceso de contracción y está en estrecho contacto con las invaginaciones de la membrana plasmática que conducen los impulsos contráctiles al interior de la célula

El REL es el principal orgánulo que interviene en la desintoxicación y en la conjugación de sustancias nocivas.

El REL está especialmente bien desarrollado en el hígado y contiene una gran variedad de enzimas desintoxicantes relacionadas con el citocromo P450, las cuales están ancladas directamente en las membranas plasmáticas de este orgánulo. Estas modifican y desintoxican compuestos hidrófobos, como pesticidas y carcinógenos, convirtiéndolos en productos conjugados hidrosolubles que pueden ser eliminados del organismo. El grado en el que el hígado interviene en la desintoxicación en cualquier momento puede calcularse teniendo en cuenta la cantidad de REL presente en los hepatocitos. El REL también participa en:

- El metabolismo de lípidos y esteroides
- El metabolismo del glucógeno
- La formación y el reciclado de la membrana

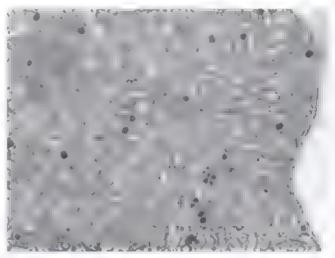


FIGURA 2-31. Microfotogrefia electrónica del retículo endoplasmático liso (REL). En esta imagen se muestran numerosos perfiles de REL en una célula interstacia del testículo (Leydig), la cual produce hormonas esteroideas. El REL que se observa es un sistema complejo de tubulos anastomosados. Los objetos pequeños y densos son partículas de glucógeno. 60000×

Debido a estas funciones tan dispares, muchas otras enzimas se relacionan con el REL, como hidrolasas, metilasas, glucosa-6-fosfatasa, ATPasa y oxidasas de lípidos, según su papel funcional.

Aparato de Golgi

El aparato de Golgi está bien desarrollado en las células secretoras y no se tiñe con hematoxílina-eosina.

El aparato de Golgi fue descrito hace más de 100 años por el histólogo Camillo Golgi. En estudios realizados sobre neuronas impregnadas con osmio descubrió un orgánulo que formaba retículos alrededor de los núcleos. También se comprobó que estaba bien desarrollado en las células secretoras. Los cambios en la forma y la ubicación del aparato de Golgi relacionados con su estado secretor fueron descritos aun antes de haberse observado con el microscopio electrónico y de haberse establecido su relación funcional con el RER. El orgánulo es activo tanto en las células que secretan proteína por exocitosis como en las que sintetizan grandes cantidades de membrana y proteínas asociadas con la membrana, como las neuronas.

En la microscopía óptica, las células secretoras que tienen un aparato de Golgi muy desarrollado (p. ej., plasmocitos, osteoblastos y células del epidídimo) generalmente muestran un área clara rodeada por el ergastoplasma (fig. 2-32). En las microfotografías electrónicas, el orgánulo aparece como una serie apilada de sacos o cisternas de membrana aplanadas (rimeros) y extensiones tubulares incluidas en una red de microtúbulos cerca del centro organizador de los microtúbulos (p. 71). Asociadas con las cisternas, se observan vesículas pequeñas que participan en el transporte vesicular.

El aparato de Golgi está polarizado morfológica y funcional mente. Las cisternas aplanadas localizadas más cerca del RER representan la cara formadora, o red cis-Golgi, las cisternas ubica-

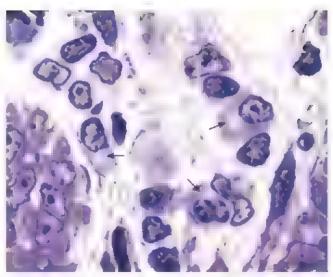


FIGURA 2-32. Microfotografía de cálulas plasmáticas. En esta microfotografía de una muestra noluida en plástico se observa la lámina propia del intestino delgado tenida con azul de toluidina. Las cálulas plasmáticas (plasmocitos), cuando se orientan de forma adecuada, muestran un área clara en el citoplasma cerca del núcleo. Estas regiones teñidas negativamente (flechas) representan un cumulo de cisternas membranosas que pertenecen al aparato de Golgi. El citoplasma circundante se tiña intensamente de forma metacromática debido a la presencia de ribosomas asociados con el gran retículo endopiasmático rugoso. 1200×

das más lejos del RER representan la cara madurativa, o rod trans-Golgi (TGN, trans-Golgi network) (figs. 2-33 y 2-34). Las cisternas ubicadas entre la TGN y la CGN suelen denominarse rod intermedia del Golgi.

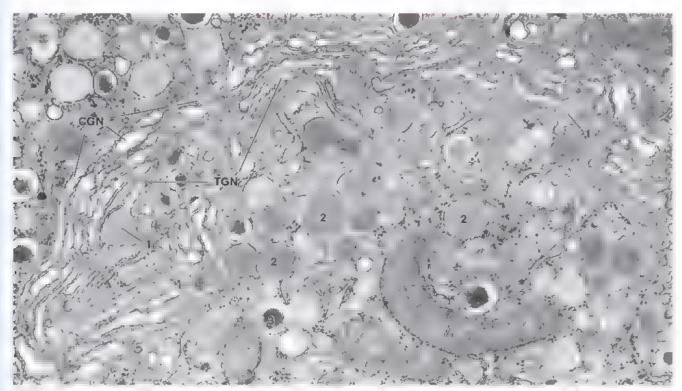


FIGURA 2-33. Microfotografia electrónica del aparato de Golgi. En esta microfotografia electrónica se muestra el extenso aparato de Golgi en una celula de los isiotes pancreáticos. Los sacos membranosos aplanados de aparato de Golgi estan dispuestos en capas. La redicis-Golgi (CGN) está representada por las vesiculas aplanadas en la superficie convexa externa, mientras que las vesiculas aplanadas de la región convexa interna constituyen la redictrans-Golgi (TGN). Hay varias vesiculas brotando de la TGN (1). Estas vesiculas son liberadas (2). Finalmente se convierten en vesículas secretoras (3). 55000×



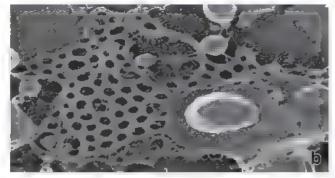


FIGURA 2-34. Microfotografia electrónica de cistemas del Golgi. a. En esta microfotografia electrónica de transmisión se muestra una réplica con congelación rápida de laparato de Golgi de una linea celular de lovano de un hámister chino de cultivo. Las cistemas trans-Golgi están en proceso de formación de vesiculas recubiertas. b. La incubación de la cistema trans-Golgi con el citosol carente de coatómero muestra una disminución en la actividad de formación de vesiculas. Obsérvese la falta de vesiculas y la forma fenestrada de la cistema trans-Golgi. 85 000 × (cortesía del Dr. John E. Heuser, Washington University School of Medicine)

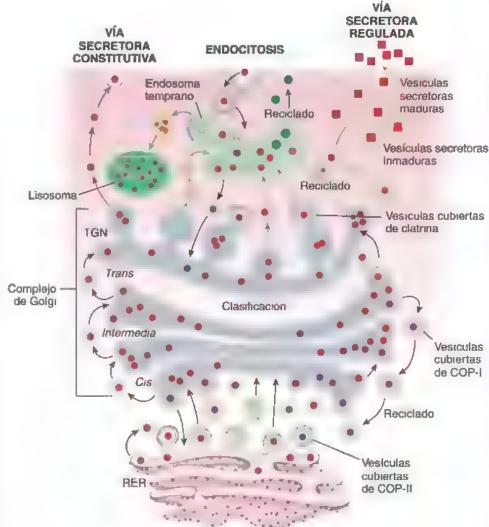
El aparato de Golgi participa en la modificación postraduccional, la clasificación y el empaquetado de las proteínas.

Pequeñas vesiculas de transporte con cubierta de COP-II transportan proteinas neosintetizadas (tanto de secreción como de membrana) desde el RFR hacia la CGN. Desde allí, las proteinas se desplazan dentro de las vesiculas de transporte desde una cisterna hasta la siguiente. Las vesículas brotan desde una cisterna y se fusionan con la cisterna contigua (fig. 2-35).

A medida que las proteínas y los lípidos viajan a través de los rimeros de Golgi, experimentan una serie de modificaciones postraduccionales que incluyen el remodelado de los oligosacandos agados a N previamente agregados en el RER. En general, los oligosacandos de las glucoproteínas y los glucolipidos son recortados y translocados.

La glucosilación de proteínas y lípidos utiliza varias enzimas procesadoras de hidratos de carbono que agregan, retiran y modifican ciertos monosacaridos de las cadenas de oligosacaridos. Aquellas





proteínas destinadas a viajar a los endosomas tardios y a los lisosomas reciben M-6-P (p. 43). Además, las glucoproteínas son fosforiladas y sulfatadas. La escisión proteolítica de ciertas proteínas también se aucia dentro de las cisternas.

Cuatro vías principales de secreción proteínica desde el aparato de Golgi dispersan las proteínas hacia los diversos destinos celulares.

Como se mencionó, las proteínas salen del aparato de Golgi desde la TGN. Esta red y sus formaciones tubulovesiculares asociadas sirven como estación de clasificación para las vesículas de transporte que llevan proteínas a los siguientes sirios (fig. 2-36):

Membrana plasmática apical. Se envían numerosas proteínas extracelulares y de membrana a este sitio. Es muy probable que esta vía constitutiva utilice vestculas sin cubierta de clatrina. En la mayoría de las células, las proteínas secretoras destinadas a la membrana plasmática apical tienen señales clasificatorias específicas que guían su proceso de clasificación en la TGN. A continuación, las proteínas son enviadas a la superficie celular apical.

MEMBRANA PLASMÁTICA APICAL



MEMBRANA PLASMÁTICA BASAL

FIGURA 2-36. Resumen de acontecimientos en el tráfico de proteines de la red trans-Golgi. El conjunto tubulovesicular de la TGN sirve como estación de clasificación para el transporte de vesículas que llevan proteínas a los siguientes destinos. 1. Membrana plasmática apical (células epiteliales) 2. Región apical del citoplasma, donde las proteinas se almacenan en vesiculas secretoras (células secretoras) 3. Compartimentos endosómicos tempranos o tardios. 4. Proteínas sereccionadas con senales lisosómicas que están dirigidas a los lisosomas 5. Membrana plasmática lateral (células epite iales) 6. Membrana plasmática basal (cérulas epiteliales). 7. Proteínas destinadas a las superficies apical, basal y lateral de la membrana plasmática, enviadas a la membrana basal (hepatocitos) 8. Todas las proteínas endocitadas y clasificadas en los endosomas tempranos 9. Membrana plasmática apical aportada por endosomas tempranos. 10. Membrana plasmática lateral. Membrana plasmática basal. Obsérvense los dos mecanismos de direccionamiento de proteínas a diferentes superficies de la membrana plasmática. En las cé ulas epiteliales, las proteinas se dirigen directamente del TGN a la superficie celular apropiada, como se muestra en los pasos 1, 5 y 6. En los hepatocitos, todas las proteinas son secretadas primero a la superficie basal de la célula, después de lo cual se distribuyen a la superficie celuiar apropiada a través del compartimento endosómico, como se muestra en los pasos 7-11

- Membrana plasmática basolateral. Las proteinas enviadas al dominio basolateral también tienen una señal de clasificación específica que se agrega en la TGN. Esta vía constitutiva utiliza vesículas con cubierta de alguna proteína singular que se asocia con una proteína adaptadora específica del epitelio. Las proteínas de transporte de membrana son incorporadas continuamente en la superficie celular basolateral. Este tipo de importación está presente en la mayoría de las células epiteliales polarizadas. Sin embargo, en los hepatocitos, el proceso de clasificación proteínica en los dominios basolateral y apical es un poco diferente. Todas las proteínas integrales de la membrana plasmática destinadas a las regiones basolateral y apical primero se transportan desde la TGN hasta la membrana plasmática basolateral. Desde allí, ambos tipos de proteínas experimentan endocitosis y se clasifican en compartimentos endosómicos tempranos. Las proteínas basolaterales se reciclan a la membrana basolateral, mientras que las proteínas apicales se transportan a través del citoplasma hacia la membrana celular apical mediante transcitosis.
- Endosomas y lisosomas. La mayoría de las proteínas destinadas a los orgánulos presentan secuencias de señal específicas. Se clasifican en la TGN y se envían a los orgánulos específicos. Sin embargo, los mecanismos de clasificación de la TGN nunca son completamente precisos. Por ejemplo, en lugar de viajar directamente a los endosomas tempranos o tardios, cerca del 10% de las proteínas integrales de la membrana lisosómica (LIMP) toman una ruta más extensa a través de la membrana plasmática apical (véase fig. 2-20) y desde allí regresan por la vía endosómica. Las enzimas destinadas a los lisosomas que utilizan los marcadores de M 6-P (véase p. 43) son enviadas a los endosomas tempranos y tardíos a medida que estos se convierten en lisosomas maduros.
- Citoplasma apical. Las proteínas que fueron agregadas o cristalizadas en la TGN como consecuencia de cambios en el pH y en la concentración de Ca²⁺ se almacenan en grandes vesículas secretoras. Estas vesículas pasan por un proceso madurativo en el cual las proteínas de secreción son retenidas dentro de la vesícula. Todas las demás proteínas no secretoras se reciclan hacia el compartimento endosómico o la TGN en vesículas con cubierta de clatima (vease fig. 2-35). Por último, las vesículas maduras se fusionan con la membrana plasmática para liberar el producto de secreción por exocitosis. Este tipo de secreción es característico de las células secretoras muy especializadas que se encuentran en las glándulas exocrinas.

La clasificación y el empaquetado de las proteínas en vesículas de transporte ocurren en la red trans-Golgi.

Las proteínas que llegan a la TGN se distribuyen hacia sitios intercelulares diferentes dentro de las vesículas de transporte. Los destinos intercelulares de cada proteína dependen de las señales de clasificación incorporadas dentro de la cadena polipeptídica de la proteína. La clasificación y el empaquetado de las proteínas en la TGN dependen principalmente de sus señales clasificadoras y sus propiedades físicas.

- Las señales clasificadoras consisten en la sucesión lineal de aminoácidos o hidratos de carbono asociados. Este tipo de señal es reconocido por la maquinaria de clasificación y dinge la proteína hacia la vesícula de transporte con la cubierta adecuada.
- Las propiedades físicas son importantes para el empaquetado de los complejos proteínicos funcionalmente asociados. Estos grupos de proteínas primero se dividen en balsas lipídicas separadas que más tarde serán incorporadas a vesículas de transporte destinadas al orgánulo diana.

Mitocondria

Las mitocondrias son abundantes en las células que generan y gastan gran cantidad de energía.

Las mitocondrias también eran conocidas por los primeros cirólogos, quienes las observaron en células con colorante verde de Jano B. Hoy en día, se sabe que las mitocondrias aumentan su cantidad mediante división durante toda la interfase y que sus divisiones no están sincronizadas con el ciclo celular. La videomicroscopía confirma que estos orgánulos pueden tanto cambiar su ubicación como experimentar cambios temporales en su forma. Por lo tanto, pueden compararse con generadores de energía móviles, ya que migran de una región celular a otra para suministrar la energía necesaría.

Debido a que las mitocondrias generan ATP, son más abundantes en las células que utilizan grandes canudades de energía, como las musculares estriadas y aquellas involucradas en el transporte de líquidos y electrólitos. Las mitocondrias también se ubican en sitios de la célula donde la energía es necesaria, como la pieza intermedia del espermatozoide, los espacios intermiofibrilares en las células musculares estriadas y los sitios adyacentes a los pliegues de la membrana plasmática basolateral en las células del túbulo contorneado proximal del riñón.

La mitocondria evolucionó a partir de bacterias aerobías que se încorporaron en las células eucarióticas.

Se considera que las mitocondrias evolucionaron a partir un procariota aerobio (eubacterium) que vivía en simbiosis dentro de las células eucarióticas primitivas. La teoría recibió apoyo con la confirmación de que las mitocondrias tienen su propio genoma, aumentan su número mediante división y sintetizan algunas de sus proteínas (constitutivas) estructurales. El ADN mitocondrial es una molécula circular cerrada que codifica 13 enzimas que participan en el proceso de fosfonlación oxidativa, dos ARNr que son componentes esenciales de su propio aparato de traducción y 22 ARN de transferencia (ARNt) utilizados en la traducción del ARNm mitocondrial

Las mitocondrias tienen un sistema completo para la síntesis de proteínas, que incluye la síntesis de sus propios ribosomas. El resto de las proteínas mitocondriales es codificado por el ADN nuclear; los polipéptidos nuevos son sintetizados por ribosomas libres en el citoplasma y luego son importados a la mitocondria con la ayuda de dos complejos proteínicos. Estos incluyen la translocasa de la membrana mitocondrial externa (complejos TOM) y la translocase de la membrana mitocondrial interna (complejos TIM). La translocación de proteínas a través de las membranas mitocondriales requiere energía y la asistencia de varias proteínas chaperonas especializadas.

Hay mitocondrias en todas las células, excepto en los eritrocitos y los queratinocitos terminales.

La cantidad, la forma y la estructura interna de las mitocondrias con frecuencia son características de tipos celulares específicos. Cuando se encuentran en grandes cantidades, las mitocondrias contribuyen a la acidofilia del citoplasma debido a la gran cantidad de membrana que contienen. Las mitocondrias pueden teñirse especificamente mediante procedimientos histoquímicos que detectan algunas de sus enzimas constitutivas, como aquellas que intervienen en la síntesis de ATP y en el transporte de electrones.

Las mitocondrias tienen dos membranas que delimitan compartimentos bien definidos.

Las mitocondrias tienen formas variadas: esferas, bastones, filamentos largos y hasta hélices o solenoides. A diferencia de otros orgánulos descritos antes, las mitocondrias tienen dos membranas (fig. 2-37). La membrana mitocondrial interna rodea el espacio denominado matriz. La membrana mitocondrial externa está en estrecho contacto con el citoplasma. El espacio entre las dos membranas recibe el nombre de aspacio intermembrana. Los siguientes componentes estructurales de las mitocondrias tienen características específicas relacionadas con sus funciones.

- Membrana mitocondrial externa. Esta membrana lisa de 6-7 nm de espesor contiene numerosos canales anionicos dependientes de voltaje (también llamados porinas mitocondriales). Estos grandes conductos (con un diámetro aproximado de 3 nm) son permeables a moléculas sin carga de hasta 5 000 Da. Por ello, las moléculas pequeñas, iones y merabolitos pueden entrar en el espacio intermembrana, pero no pueden penetrar la membrana interna. Así, el entorno del espacio intermembrana es similar al del citoplasma con respecto a los iones y moléculas pequeñas. La membrana externa tiene receptores para las proteínas y los polipeptidos translocados en el espacio intermembrana. También contiene varias enzimas, como la fosfolipasa A2, la monoaminooxidasa y la acetilcoenzima A (CoA) sintasa.
- Membrana mitocondrial interna. El MET muestra que esta membrana es más fina que la membrana mitocondrial externa. Está dispuesta en numerosas crestas (pliegues) que incrementan de forma significativa el área de la membrana interna (véase fig. 2-37). Estos pliegues se proyectan hacia la matriz que compone el compartimento interno del orgánulo. En algunas células que participan en el metabolismo de los esteroides, la membrana interna puede formar evaginaciones tubulares o vesiculares en la matriz. La membrana interna es rica en el fosfolípido cardiolipina, que la hace impermeable a los iones. La membrana que forman las crestas contiene proteínas que cumplen tres funciones principales: llevar a cabo las reacciones de oxidación de la cadena respiratoria de transporte de electrones, sintetizar ATP y regular el transporte de metabolitos dentro y fuera de la matriz. Las enzumas de la cadena respiratoria están unidas a la membrana interna y proyectan componentes hacia la matriz (véase fig. 2-37, recuadro). En el MET, estas enzimas aparecen como estrucruras con forma de raqueta de tenis denominadas particulas elementales. Sus cabezas miden unos 10 nm de diámetro y contienen enzimas que llevan a cabo la fosforilación oxidativa, la cual genera ATP.
- Espacio intermembrana. Este espacio se encuentra entre las membranas interna y externa, y contiene enzimas específicas que utilizan el ATP generado en la membrana interna. Estas enzimas incluyen la creatina-cinasa, la adenilato-cinasa y el eitoeromo e. Este último es un factor importante en el inicio de la apoptosis (véase p. 100)
- Matriz. La matriz mitocondrial está rodeada por la membrana mitocondrial interna y contiene las enzimas solubles del ciclo del ácido cítrico (ciclo de Krebs) y las enzimas involucradas en la β-oxidación de los ácidos grasos. Los productos principales de la matriz son CO₂ y dinucleótido de nicotinamida y adenina reducido (NADH, nicotinamide adenine dinucleotide), que es la fuente de electrones para la cadena de transporte electrónico. Las mitocondinas contienen gránulos matriciales denaos que almacenan Ca² y otros cationes divalentes y trivalentes. Estos gránulos aumentan su cantidad y tamaño cuando se incrementa la concentración de cationes divalentes (y trivalentes) en el citoplasma. Las trutocondinas pueden acumular cationes contra su gradiente de concen-

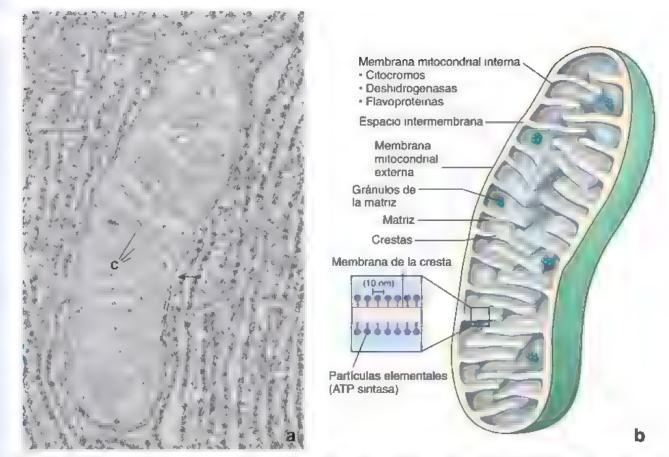


FIGURA 2-37. Estructura de la mitocondria, a. En esta microfotografia electrónica se muestra una mitocondria en una célula acinar parcreática. Obsérvese que la membrana mitocondria interna forma las crestas (C) a través de una sene de plegamientos internos como se ve en la región de la flecha. La membrana mitocondria, externa es una envoltura continua isa que está separada y esidistinta de la membrana interna 200,000 × b. En el diagrama se muestran los componentes de una mitocondria. Nótese la ubicación de las particulas elementa es (recuadro) cuya forma refleja la estructura indimensional de la ATP sintasa.

tración. Por lo tanto, además de producir ATP, las mitocondrias también regulan la concentración de ciertos iones de la matriz citoplasmática, una función que comparten con el REL. La matriz también contiene ADN mitocondrial, ribosomas y ARNt.

Las mitocondrías contienen el sistema de enzimas que genera ATP mediante el ciclo del ácido citrico y la fosforilación oxidativa.

Las mitocondrias generan ATP en varios procesos metabólicos, incluidos la fosforilación oxidativa, el ciclo del ácido cítrico y la βoxidación de ácidos grasos. La energía generada en estas reacciones, que tienen lugar en la matriz mitocondrial, está representada por los iones de hidrógeno (H+) derivados del NADH. Estos iones son impulsados por una serie de bombas de protones localizadas dentro de la membrana mitocondrial interna que transfieren H⁺ desde la matriz hacia el espacio intermembrana (fig. 2-38). Estas bombas constituyen la cadena de transporte de electrones de las enzimas respiratorias (vésse fig. 2-37). La transferencia de H⁺ a través de la membrana mitocondrial interna establece un gradiente electroquímico de protones. Este gradiente crea una gran fuerza motriz protónica que provoca el movimiento de H⁺ a favor de su gradiente electroquímico a través de una enzima voluminosa unida a la membrana llamada ATP-sintasa. La ATP-sintasa proporciona una vía a través de la membrana mitocondrial interna en la cual se utilizan los iones de H* para impulsar las reacciones energéticamente desfavorables para la síntesis de ATP. Este retorno de protones hacia

la matriz mitocondrial se conoce como acoplamiento quimiosmótico. El ATP recién producido es transportado desde la matriz hacia el espacio intermembrana por la proteina intercambiadora de ATP/ ADP impulsada por gradientes de voltaje, localizada en la membrana mitocondrial interna. Desde aquí, el ATP sale de la mitocondria a través de canales aniônicos dependientes de voltaje (VDAC, voltage-dependent anion channels) en la membrana externa para ingresar en el citoplasma. Al mismo tiempo, el difosfato de adenosina (ADP, adenosine diphosphate) producido en el citoplasma ingresa rápidamente en la mitocondria para ser recargado.

Diversos defectos mitocondriales se relacionan con defectos en las enzimas que producen ATP Los tejidos metabolicamente activos que utilizan grandes cantidades de ATP, como las células musculares y neuronas, son los más afectados. Por ejemplo, la epilepsia mioclónica asociada con fibras rojas rasgadas (EMAFRR) se caracteriza por debilidad muscular, ataxia, convulsiones e insuficiencias cardíaca y respiratoria. La observación microscópica del tejido muscular de los pacientes afectados muestra conglomerados de mitocondrias anómalas que le dan un aspecto rasgado a las fibras musculares rojas. La EMAFRR es ocasionada por una mutación del gen que codifica el ARNt para la lisma en el ADN mitocondrial. Este defecto produce dos complejos anómalos en la cadena de transporte de electrones de las enzimas respiratorias que afectan la producción de ATP.

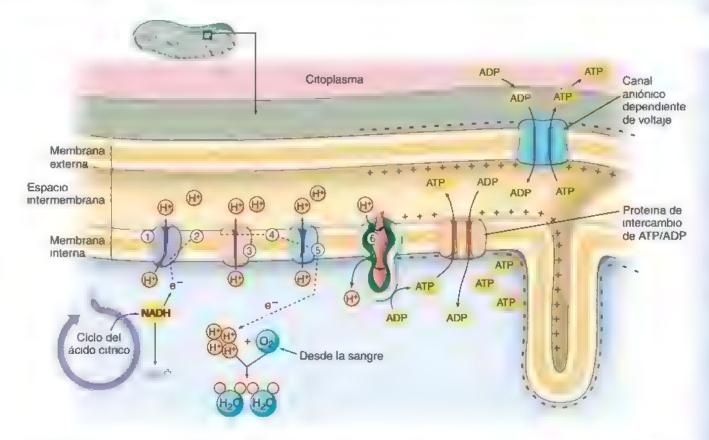


FIGURA 2-38. Diagrama en el que se flustra la generación de energía en las mitocondrias. En el diagrama se muestra el compiejo de la trifostato de adenosina (ATP)-sintasa y la cadena de proteinas de transporte de electrones ubicado en la membrana mitocondrial interna La cadena de transporte de electrones genera un gradiente de protones entre la matriz y el espacio intermembrana que se usa para producir ATP Los numeros representan proteinas secuenciales involucradas en la cadena de transporte de electrones y la producción de ATP 1. Compiejo NADH-desh drogenasa 2. Ubicu nona 3. Complejo de citocromos b-c₁ 4. Citocromo c 5. Compiejo de la citocromo-oxidasa 6. Complejo de la ATP-sintasa ADP, difosfato de adenosina

Las mitocondrias deciden si la célula vive o muere.

Los estudios experimentales indican que las mitocondrias perciben el estrés celular y son capaces de decidir si la célula vive o muere iniciando la apoptosis (muerte celular programada). El principal acontecimiento de muerte celular generado por las mitocondrias es la liberación de citocromo e desde el espacio intermembranoso mitocondrial hacia el citoplasma celular. Los cambios en los VDAC en la membrana mitocondrial externa son responsables de esta liberación. Este acontecimiento, regulado por la familla de proteinas proapoptóticas Bel-2 (véase p. 100), inicia la cascada de reacciones enzimáticas proteolíticas que conducen a la apoptosis. La familia de proteínas Bcl 2 controla la muerte celular principalmente mediante la regulación de la permeabilidad de la membrana mitocondrial externa, lo que conduce a la liberación irreversible de citocromo c, la activación posterior de la caspasa y la apoptosis. Sin embargo, en ciertas condiciones (p. ej., las modificaciones en la traducción), las proteínas Bel-2 pueden actuar como agentes antiapoptóticos.

Las mitocondrias experimentan cambios mortológicos relacionados con su estado funcional.

Los estudios realizados con MET muestran las mitocondrias en dos configuraciones bien definidas. En la configuración ortodoxa, las crestas son prominentes y el compartimento de la matriz ocupa una gran parte del volumen mitocondrial total. Esta forma mitocondrial energizada se observa en células sarias. En esta configuración, la

mayor parte del citocromo c está secuestrado dentro de las crestas y es resistente a la liberación por agentes que rompen la membrana externa mitocondrial. El remodelado de la matriz a la configuración condensada provoca la despolarización de las membranas mitocondriales. Esta forma se caracteriza por crestas no plegadas que no se reconocen con facilidad en el MET. La matriz se reduce en volumen y parece más concentrada, mientras que el espacio intermembrana aumenta hasta un 50% del volumen total del orgánulo. Estos cambios exponen el citocromo c al espacio intermembrana, de manera que facilitan su liberación de las mitocondrias durante la apoptosis.

Peroxisomas (microcuerpos)

Los peroxisomas son orgánulos limitados por una membrana y que contienen enzimas oxidativas.

Los peroxisomes (microcuerpos) son pequeños orgánulos esféricos (0.5 μm de diámetro) limitados por una membrana y que contienen enzimas oxidativas, en particular catalasa y otras peroxidasas. Prácticamente todas las enzimas oxidativas producen peróxido de hidrógeno (H₂O₂) como producto de la reacción oxidativa. El peróxido de hidrógeno es una sustancia tóxica. La catalasa, universalmente presente en los peroxisomas, regula con precisión el contenido celular de peróxido de hidrógeno y lo degrada para proteger la célula. Además, los peroxisomas contienen to-aminoácido-oxidasas, enzimas de la β-oxidación y varias otras enzimas.

Las enzimas oxidativas son particularmente importantes en las células hepáticas (hepatocitos), donde realizan varios procesos de desintoxicación. Los peroxisomas de los hepatocitos se encargan de la desintoxicación del alcohol ingendo mediante su conversión en acetaldehído. La poxidación de los acidos grasos también es una función importante de los peroxisomas. En algunas células, la oxidación peroxisómica de los ácidos grasos puede igualar la de las mitocondrías. Las proteínas contenidas en la luz y en la membrana de los peroxisomas son sintetizadas en los ribosomas citoplasmáticos e importadas hacia el orgánulo. Una proteína destinada a los peroxisomas debe tener una señal de reconocimiento peroxisómico unida a su extremo carboxiterminal.

Si bien son más abundantes en las células hepáticas y renales, los peroxisomas se encuentran también en la mayoría de los tipos oelulares. La cantidad de peroxisomas presente en una célula se încrementa en respuesta a la dieta, los fármacos y la estimulación hormonal. En la mayoría de los animales, pero no en los seres humanos, los peroxisomas también contienen urato-oxidasa (uricasa), que con frecuencia aparece como una inclusión cristaloide (nucleoide) característica.

Diversas alteraciones metabólicas humanas son causadas por la incapacidad para importar proteinas peroxisómicas al orgánulo como consecuencia de una senal de reconocimiento peroxisómico defectuosa o de anomalias en su receptor. Algunas alteraciones graves se asocian con peroxisomas no funcionales. En el síndrome de Zellweger, la enfermedad hereditaría más frecuentemente relacionada con peroxisomas no funcionales (y que conduce a una muerte precoz), los orgánulos pierden su función debido a la carencia de enzimas necesarias. La alteración es causada por una mutación en el gen que codifica para el receptor de la señal de reconocimiento del peroxisoma que no reconoce la señal Ser-Lys-Leu en el extremo carboxiterminal de las enzimas destinadas a los peroxisomas. Hasta el momento, los tratamientos para las alteraciones peroxisómicas no han sido satisfactorios.

■ ORGÁNULOS NO MEMBRANOSOS

Microtúbulos

Los microtúbulos son tubos huecos no ramificados y rígidos de proteínas polimerizadas que pueden ensamblarse y desmontarse con rapidez. En general, los microtúbulos se encuentran en el citoplasma, donde se originan desde el centro organizador de microtúbulos (MTOC, microtubule organizing center). Crecen desde el MTOC ubicado cerca del núcleo y se extienden hacia la peníeria de la célula. Los microtúbulos también están presentes en los cilios y los flagelos, donde forman el axonema y su cuerpo basal de anclaje, en los centriolos y el huso mitótico, así como en prolongaciones celulares (como las de los axones en crecimiento).

Los microtúbulos están involuciados en varias funciones celulares esenciales.

- Transporte vesícular intraceiutar (p. ej., el movimiento de las vesículas secretoras, los endosomas y los lisosomas). Los microtúbulos crean un sistema de conexiones dentro de la célula, a menudo comparado con las vías del ferrocarril que se originan desde una estación central, a lo largo de las cuales ocurre el movimiento vesícular.
- Movimiento de cilios y flagelos.
- Unión de los cromosomas al huso mitótico y su movimiento durante la mitosis y la meiosis.
- Conservación de la forma de la célula, en especial su asimetría.
- Efecto regulador sobre la elongación celular y el movimiento (migración)

Aunque los microtibulos pueden ejercer un efecto regulador sobre la elongación y el movimiento de las células, no son esenciales para estas funciones, que son mediadas por la polimerización de la actina (véase p. 67). Los microtúbulos desempeñan un papel indirecto al regular la polimerización de la actina, organizar el transporte de las vesículas al borde principal de las células en migración y facilitar el desmantelamiento de las adhesiones focales (véase p. 155). Además, pueden restringir la locomoción celular al disminuir la retracción del borde posterior (cola) de la célula en migración, lo que influye en la dirección de la migración celular.

Los microtúbulos son estructuras poliméricas alargadas compuestas de partes iguales de tubulina α y β .

Los mierotúbulos miden 20-25 nm de diámetro. Su pared tiene un espesor aproximado de 5 nm y está formada por 13 moléculas globulares diméricas de la proteína tubulina dispuestas en forma circular. El dímero de tubulina tiene un peso molecular de 110 kDa y se forma a partir de una molécula de tubulina α y una de tubulina β, cada una de ellas con un peso molecular de 55 kDa (fig. 2-39). Los dímeros se polimerizan extremo con extremo, cabeza con cola, y la molécula α de un dímero se une con la molécula β del siguiente en un patrón de repetición. Los contactos longitudinales entre los dímeros los unen en una estructura lineal denominada protofilamento. La periodicidad axial que se observa a lo largo de los dímeros de 5 nm de diámetro se corresponde con la longitud de las moléculas de proteínas. Un segmento corto de 1 μm de microtúbulo contiene alrededor de 16 000 dímeros de tubulina.

Los microtúbulos crecen a partir de anillos de tubulina y dentro del MTOC que sirve como sitio de nucleación para cada microtubulo.

La formación de nucrotúbulos se puede rastrear a cientos de anillos de tubulina γ que forman parte integral del MTOC y funcionan como plantillas para el ensamblado correcto de los microtúbulos. Su patrón de nucleación, iniciado en el MTOC, se puede estudiar *in vitro* (fig. 2-40). Los dímeros de tubulinas α y β se agregan a un anillo de tubulina γ extremo con extremo. El modelo más simple utilizado en el pasado describía el ensamblado de microtúbulos como un proceso de adición de dímeros de tubulina uno por uno en el extremo en crecimiento de un microtúbulo completamente formado. Sin embargo, varios estudios experimentales con microscopía crooelectrónica han demostrado que el ensamblado inicial se produce a partir de una lámina curva hecha de dímeros de tubulina, que a su vez se cierra en un tubo en el extremo en crecimiento del microtúbulo (*véase* fig. 2-39).

La polimerización de los dímeros de tubulina requiere la presencia de trifosíato de guanosina (GTP, guanosine triphosphate) y Mg²⁺. Cada molécula de tubulina se une al GTP antes de ser incorporada en el microtúbulo en formación. Los dímeros de tubulina que contienen GTP presentan una conformación que favorece interacciones laterales más fuertes entre los dímeros que causan la polimerización. En algún momento, el GTP se hidroliza a difosfato de guanosina (GDP, guanosine diphosphate).

Como consecuencia de este patrón de polimerización, los microtúbulos son estructuras polares, dado que todos los dímeros en cada protofilamento tienen la misma orientación. Cada microtúbulo tiene un extremo sin erocimiento (-) que corresponde a la tubulina θ; en la célula, suele estar încluido en el MTOC y con frecuencia es estabilizado por proteínas de casquete (véase fig. 2-39). El extremo con crecimiento (+) de los microtúbulos corresponde a la tubulina β y se alarga hacia la periferia celular. Los dímeros de tubulina se disocian de los microtúbulos en el estado estable, lo que proporciona una reserva de dímeros de tubulina libres en el citoplasma. Esta reserva se encuentra en equilibrio con la tubulina polimerizada en los microtúbulos; por lo tanto, la polimerización y la

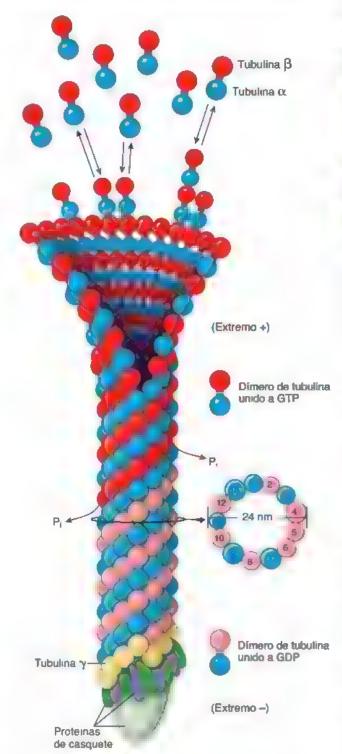


FIGURA 2-39. Polimerización de los microtubulos. A la izquierda del diagrama se muestra el proceso de polimerización de los dimeros de tubulina durante el ensamblado de los microtubulos. Cada dimero de tubulina está formada por una subunidad di y una β. El extremo positivo (+) del microtubulo es el extremo en crecimiento, en el que los dimeros de tubulina unidos al tinfosfato de guanosina (*GTP*) son incorporados en una lámina curva, que a su vez se cierra en un tubo. Los dimeros de tubulina incorporados hidrolizan el GTP, que libera los grupos fosfato para formar polimeros con moiéculas de tubulina-difosfato de guanosina (*GDP*). El extremo negativo (+) de los microtúbulos contiene un anillo de tubulina γ, necesaria para la nucleación de los microtubulos. Este extremo en general está incluido dentro del centro organizador de microtubulos (MTOC) y trene numerosas proteinas de cobertura. A la *derecha* hay un diagrama que muestra que cada microtubulo contiene 13 dimeros de tubulina dentro de su corte transversal

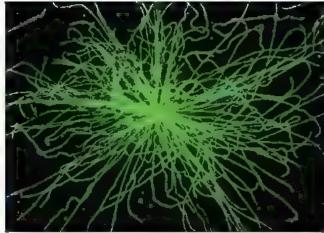


FIGURA 2-40. Actividad de nucleación de los microtubulos observada in vitro usando metodos inmunocitoquimicos. El comportamiento de los microtubulos de las cérulas de cáncer de mama humano puede estudiarse in vitro midiendo su actividad de nucleación Los microtubulos fueron marcados con una mezda de anticuerpos monoclonares anti-tubulina α y anti-tubulina β (anticuerpos primarios) que se visualizaron mediante anticuerpos secundarios conjugados con tinción de fluoresceina (inmunoglobulina G de cabra antirratón-isotiocianato de fluoresceina). La polimenzación de los dimeros de tubulina es responsable de la formación de más de 120 microtubulos visibles en esta imagen. Se originan en el centro organizador de microtubulos (MTOC) y se extienden hacia el exterior unos 20-26 μm en una disposición radial uniforme. 1400× (microfotografía cortesía de los Dres. Wilma L. Lingle y Vivian A. Negron)

despolimerización están en equilibrio. El equilibrio puede desviarse hacia el lado de la despolimerización por la exposición de la célula o de los microtúbulos aislados a temperaturas bajas o una presión alta. La exposición repetida a temperaturas altas y bajas alternadas es el fundamento de la técnica de punificación de la tubulina y los microtúbulos. La velocidad de polimerización o despolimerización también puede modificarse gracias a la interacción con proteínas asociadas a microtúbulos (MAP, microtúbule-associated proteíns) específicas. Estas proteínas, como las MAP 1, 2, 3 y 4, MAP-t y TOG-p, regulan el ensamblado de los microtúbulos y los anclan a orgánulos específicos. Las MAP también son responsables de la extetencia de poblaciones estables de microtúbulos no despolimerizables en la célula, como los que se encuentran en los cilios y los flagelos.

La longitud de los microtúbulos cambia dinámicamente a medida que se añaden o se extraen los dimeros de tubulina en un proceso de inestabilidad dinámica.

Los microtubulos de células de cultivo que se observan con videomicroscopía en tiempo real parecen crecer sin cesar hacia la periferia celular mediante la adición (polimerización) de dímeros de tubulina y, luego, acortarse súbitamente hacia el MTOC por la extracción (despolimenzación) de dímeros de tubulma (fig. 2-41). Este proceso de remodelado constante, conocido como inestabilidad dinámica, se encuentra ligado a un patrón de hidrólisis del GTP durante el proceso de ensamblado y desensamblado del microtúbulo. Los dímeros de tubulma unidos a GTP en el extremo con crecimiento (+) del micronibulo lo protegen de su desensamblado. En cambio, los dímeros de tubulina unidos a GDP son propensos a la despolimenzación que conduce a un rápido desensamblado del microrúbulo y a su contracción. Durante el desensamblado, los dímeros de tubulina unidos a GDP pierden su interacción lateral y los protofilamentos de los dímeros de tubulina se enrollan, alejándose del extremo del microrúbulo, y producen lo que se denomina "extremos divididos" (véase fig. 2-41) El proceso de cambio de un microrúbulo en crecimiento a uno en contracción suele recibir el nombre de catastrofe microtubular

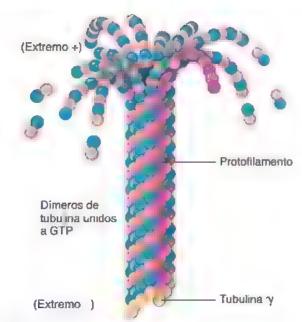


FIGURA 2-41. Despolimenzación de los microtubulos. Los microtubulos son estructuras dinámicas implicadas en el proceso de remodelación constante conocido como inestabilidad dinámica. Estas estructuras se alargan mediante la adición (polimenzación) de los dimeros de tubulina unidos a GTP y después, de forma repentina disminuyen su tamaño mediante la eliminación (despolimenzación) de los dimeros de tubulina que hidrolizan GTP Los dimeros de tubulina unidos a GDP son propensos a la despolimenzación a través de la pérdida de interacciones laterales entre si. Esto permite que los protofilamentos se encosquen lejos del extremo del microtubulo. Obsérvese la disposición de dimeros de tubul na en un único protofilamento resaltado en rosa GDP, difosfato de guanosina; GTP, trifosfato de guanosina.

El MTOC se puede comparar con la forma de alimentación del camaleón, el cual dispara su larga lengua proyectable para hacer contacto con el alimento. Después, el camaleón retrae su lengua otra vez hacia su boca y repite este proceso hasta que tiene éxito en la cacería.

La misma estrategia de "disparar" microtúbulos dinámicos desde el MTOC hacia la periferia celular y luego retraerlos permite que los microtúbulos exploren el citoplasma. Cuando el microtúbulo disparado encuentra factores de estabilización (como las MAP), es capturado y cambia su comportamiento dinámico. Este proceso de estabilización selectiva permite que la célula establezca un sistema organizado de microtúbulos que vinculan orgánulos y estructuras periféricas con el MTOC.

Como ya se mencionó, la asociación de un microtúbulo con las MAP (p. ej., dentro del axonema de un cilio o de un flagelo) bloquea con eficacia esta inestabilidad dinámica y estabiliza los microtúbulos. En ciertas células, como las neuronas, algunos microtúbulos nucleados en el MTOC pueden liberarse por la acción de una proteina que desensambla microtúbulos llamada hatanina. Entonces, los polímeros de microtúbulos cortos e independientes son transportados a lo largo de los microtúbulos existentes por proteínas moleculares motoras como las cinesinas,

La estructura y la función de los microtúbulos en la mitosis y en los cilios y flagelos se describen más adelante en este capítulo y en el capítulo 5, *Tejudo epitelual*.

Los microtúbulos pueden observarse con una gran variedad de metodos de imagen.

El microscopio electrónico es una herramienta esencial para examinar la estructura y la función tanto de los microtúbulos aislados in vitro como de los microtúbulos in vitro dentro del citoplasma celular. Los microtúbulos pueden verse fácilmente con el MET, como se muestra en la figura 2-42. Se han obtenido imágenes de alta resolución de los microtúbulos con el microscopio crioelectrónico con ayuda de la reconstrucción tomográfica de su estructura molecular única (fig. 2-43). Además, también pueden obtenerse imágenes de alta resolución de los microtúbulos utilizando un microscopio de fuerza atómica. En el pasado, los microtúbulos se observaban con el microscopio óptico mediante tinciones especiales, de polarización u ópticas de contraste de fase. Debido a la resolución limitada del microscopio óptico, los microtúbulos



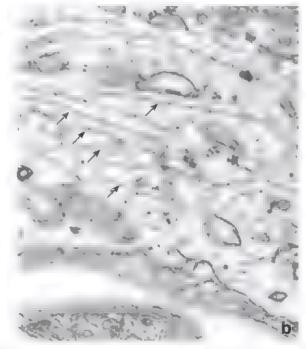


FIGURA 2-42. Microfotografía electrónica de los microtúbulos. a. Microfotografía en la que se muestran los microtúbulos (flechas) del huso mitólico en una cé ula en división. A la derecha, los microfubulos están unidos a los cromosomas. 30000× b. Microfotografía de microtúbulos (flechas), en el axón de una célula nerviosa. En ambas células los microtúbulos se ven en perfit lorigitudinai. 30000×

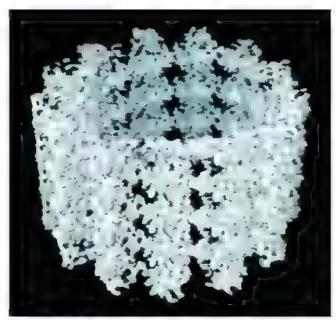


FIGURA 2-43. Reconstrucción tridimensional de un microtubulo intacto. Esta imagen se obtuvo utilizando microscopía choelectrónica. Se tomaron imagenes tomográficas de un microtubulo hidratado congelado y se reconstruyeron digitalmente a una resolución de 8 Å. En este aumento se puede reconocer la estructura helicoida de las moléculas de tubulina α. 3250.000× (cortesia del Dr. Kenneth Downing)

ahora se pueden distinguir fácilmente de otros componentes del citoesqueleto celular mediante métodos inmunocitoquímicos que utilizan anticuerpos de tubulina conjugados con colorantes fluorescentes (fig. 2-44)

El movimiento de los orgánulos intracelulares es generado por proteínas moleculares motoras asociadas con microtúbulos.

En las actividades celulares que involucran el movimiento de orgánulos y otras estructuras citoplasmáticas, como las vesículas de transporte, la mitocondría y los lisosomas, los microtúbulos sirven como guías hacia sus destinos correctos. Las proteínas moleculares motoras se adhieren a estos orgánulos o estructuras y los arrastran a lo largo de las guías microtubulares (fig. 2-45). La energia necesana para el movimiento de arrastre deriva de la hidrólisis del ATP. Se han identificado dos familias de proteínas moleculares motoras que permiten el desplazamiento unidireccional:

- Las dineinas constituyen una familia de motores moleculares. Se desplazan sobre los microtúbulos en dirección a su extremo negativo (-) (sin crecimiento). De esta manera, las dineínas citoplasmáticas pueden transportar organulos desde la penferia celular hacia el MTOC. Un miembro de la familia de las dineínas, la dineína axonémica, está presente en los cilios y en los flagelos. Se encarga de producir el deslizamiento de un microtúbulo contra otro contiguo en el axonema, lo que permite su movimiento ciliar o flagelar.
- Las cinesínas, miembros de la otra familia, se desplazan sobre los microrúbulos en dirección a su extremo positivo (+) (con crecimiento); así, son capaces de desplazar orgánulos desde el centro celular hacia la periferia de la célula.

Tanto las dineinas como las cinesmas participan en la mitosis y en la meiosis. En estas actividades, las dineínas mueven los cromosomas a lo largo de los microrúbulos del huso mitótico. Las

cinesinas participan al mismo tiempo en el movimiento de los microrúbulos polares. Estos microrúbulos se extienden desde un polo del huso, rebasan la placa ecuatorial de la metafase y se superponen con los microrúbulos que provienen del polo fusal opuesto. Las cinesinas ubicadas entre estos microrúbulos generan un movimiento de deslizamiento que reduce la superposición y, en consecuencia, los dos polos del huso se apartan empujados hacia cada célula hija (fig. 2-46)

Filamentos de actina

Hay filamentos de actina en casi todos los tipos celulares.

Las moléculas de actina (42 kDa) son abundantes y pueden constituir hasta el 20% de las proteínas de algunas células no musculares (fig. 2-47). De manera similar a lo que ocurre con la tubulina en los microtúbulos, las moléculas de actina también se ensamblan de forma espontánea mediante la polimerización en una estructura lineal helicoidal para formar filamentos de 6-8 nm de diámetro. Son más finas, cortas y flexibles que los microtúbulos. Las moléculas de actina libres en el citoplasma se denominan actina globular (actina G), en contraste con la actina polimerizada del filamento, que se conoce como actina filamentosa (actina F). Un filamento de actina o microfilamento es una estructura polarizada; su extremo de crecimiento rápido se llama activamo positivo (espiculado) y su extremo de crecimiento lento se conoce como extremo negativo (puntiagudo)

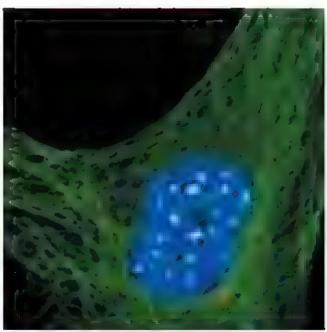


FIGURA 2-44. Tinción de los microtubulos con colorante fluorescente. En esta imagen de inmunofluorescencia confocal se muestra la organización de los microtubulos dentro de una célula epitella en un cultivo de tejido. En este ejemplo, la muestra primero se tiño mediante inmunotinición con tres anticuerpos primarios contra tubulina (verde), centrina (rojo) y cinetocoros (celeste), y después se incubó con una mezcla de tres anticuerpos secundanos marcados con diferentes colorantes fluorescentes que reconocian los anticuerpos primarios. Los nucleos se tiñeron (azul oscuro) con una molécula fluorescente que se intercala en la doble hêvice del ADN. Obsérvese que los microtubulos se concentran en el MTOC o centrosoma (rojo), ubicado junto al nucleo. La célula está en la fase S. del ciclo celular como lo indica la presencia tanto de grandes cinetocoros no duplicados como de pares más pequeños de cinetocoros duplicados. 3 000 « teortesía de los Dres. Wilma L. Lingle y Vivian A. Negron)

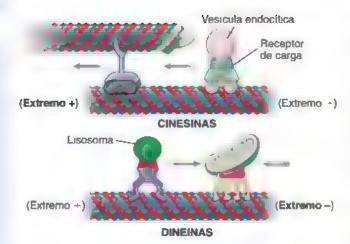


FIGURA 2-45. Proteinas motoras moleculares asociadas con los microtubulos. Los microtubulos sirven como guias para las proteinas motoras moleculares. Estas proteinas motoras asociadas con los microtubulos impulsadas por el trifosfato de adendisna están unidas a estructuras móviles (como los orgánulos) a las que traccionan a lo largo de una pista tubular. Se han identificado dos tipos de motores moleculares las dineinas, que se mueven a lo largo de los microtubulos hacia su extremo negativo (--) (hacia el centro de la célula), y las cinesinas, que se mueven hacia su extremo positivo (+) (hacia la perifera de la célula).

La actina se añade preferentemente al extremo positivo del filamento de actina y se disocia del extremo negativo.

El proceso dinámico de la polimerización de la actina, que ocurre principalmente en el extremo positivo, necesita la presencia de K*, Mg²* y ATP. Una vez que todas las moléculas de actina G se han in corporado al filamento, el ATP se hidroliza en ADP. Sin embargo, la

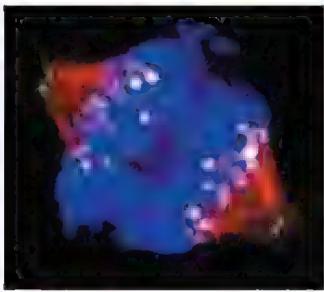


FIGURA 2-46. Distribución de una proteina motora de tipo cinesina en el huso mitótico. En esta imagen de inmunofluorescencia confocal se muestra una célula epitelial de una glándula mamaria durante la anafase de la mitosis. Cada poio del huso mitótico contiene. dos centriolos (verde). Una molécula de tipo cinesina específica de la mitosis liamada "Eg5" (roja) se asocia con el subgrupo de microtubulos del huso mitótico que conecta los cinetocoros (blanco) con los polos del huso. La acción motora de la Eg5 es necesaria para separar las cromatides hermanas (azul) en las cé ulas hijas. En primer lugar lesta célula se inmunotiño con tres anticuerpos primarios contra Eg5 (roja), centrina (verde) y cinetocoros (blanca) y después se incubó con tres anticuerpos secundanos marcados con diferentes colorantes fluorescentes, que reconocen los anticuerpos primanos. Los cromosomas se tiñeron con una moiécula fluorescente que se intercala en la doble hélice del ADN 3500× (cortesia de los Dres. Wi ma L. Lingle. v Vivian A. Negron.)

liberación del grupo fosfato de la hidrólisis del ATP no es inmediata, y la forma transitoria de la actina se une al ADP y el grupo fosfato libre persiste en los filamentos (fig. 2–48)

En condiciones fisiológicas, las moléculas de actina G se incorporan preferentemente en el extremo positivo y se disocian del extremo negativo del filamento de actina. Así, cada nueva molécula de actina G que se agrega al extremo positivo viaja a lo largo del filamento de actina a medida que se agregan moléculas de actina adicionales detrás de él y, finalmente, sale del filamento de actina por el extremo negativo. Este fenómeno se conoce como intercambio rotatorio (véase fig. 5-5).

Cuando la velocidad a la que se agrega la actina G libre en el extremo positivo es mayor que la tasa de pérdida de la subunidad en el extremo negativo, el filamento parece crecer. A la inversa, cuando la velocidad a la que se agrega la actina G libre es más baja que la de pérdida de la subunidad, el filamento de actina parece reducirse Cuando la velocidad a la que se agrega la actina G es igual a la velocidad de su disociación en el extremo negativo, la longitud del filamento no cambia. Este estado se conoce como estado estacionano del intercambio rotatorio

El control y la regulación del proceso de polimerización depende de la concentración local de la actina G y de la interacción de las proteinas de union a actina (ABP, actin-binding proteins), lo que puede prevenir o mejorar la polimerización

Diversas toxinas naturales que se han encontrado y aislado de hongos y esponjas se unen a los filamentos de actina y afectan su polimerización y desensamblado. La faloidina, un polipéptido de siete aminoácidos que se encuentra en el hongo de la muerte u oronia mortal (Amanita phalloides), inhibe el desensamblado del filamento de actina al estabilizar moléculas de actina adyacentes dentro del filamento. Debido a su fuerte unión a la actina F, las moleculas de faloidina unidas a marcadores fluorescentes se utilizan como reactivos de tinción para la visualización microscópica de los filamentos de actina. Las citocalasinas producidas por una variedad de hongos se unen al extremo positivo de los filamentos de actina e impiden el ensambiado del filamento de actina y el desensamblado en ese extremo. La latrunculina A, una toxina producida por la esponja del Mar Rojo, Latrunculia magnifica, se une a los monómeros de actina G para inhibir su polimerización en filamentos de actina. El jasplakinolida, un pequeno compuesto presente en la esponja marina Jaspis johnstoni, encontrada en las islas Fijî y Palau, estabiliza los monómeros de actina, por lo que mejora la polimerización y el ensambiado de los filamentos de actina-

Las proteínas de unión a actina son las responsables del ensamblado, el desensamblado y la organización de los filamentos de actina.

Además del control de la velocidad de polimerización de los filamentos de actina, las ABP son responsables de su organización. Por ejemplo, varias proteínas pueden modificar o actuar sobre los filamentos de actina para dotarlas de diversas características específicas:

- Las proteinas formadoras de fasciculos de actina establecen enlaces cruzados entre los filamentos de actina para que adopten una disposición paralela y así se formen fascículos. Un ejemplo de esta modificación ocurre dentro de las microvellosidades, donde los filamentos de actina establecen enlaces cruzados con proteínas formadoras de fascículos denominadas fascina y fimbrina. Estos enlaces cruzados proporcionan sosten y rigidez a las microvellosidades.
- Las proteinas cortadoras de filamentos de actina cortan los largos filamentos de actina en fragmentos cortos. Un ejemplo de este tipo de proteínas es la gelsolina, una ABP de 90 kDa que

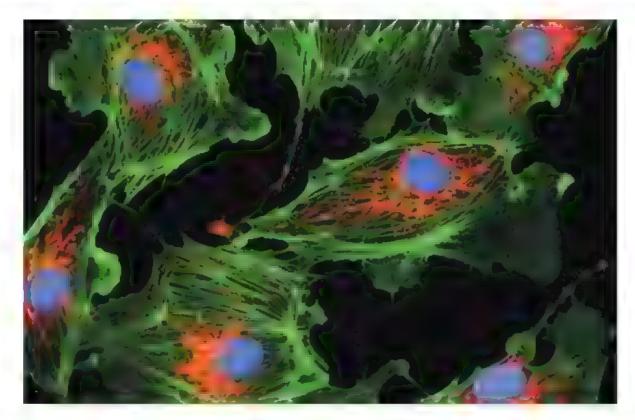


FIGURA 2-47. Distribución de los filamentos de actina en células endoteliales de la arteria pulmonar en cultivo. Las células se tiñeron con NDB fa acidina conjugada con el colorante fluoresceina. La falacidina se une a los filamentos de actina y los estabiliza, con lo que evita su despolimenzación. Obsérvese la acumulación de filamentos de actina en la periferia de la célula justo por debajo de la membrana plasmática. Estas celulas también se tiñeron con dos colorantes adiciona es uno selectivo para mitocondrias (MitoTracker Red), que permite la visualización de la mitocondria (rojo) en el medio de la célula y DAPI, que reacciona con el ADN y exhibe una fluorescencia azul sobre el nucleo. 3000 × (cortesia de Molecular Probes, Inc., Eugene, OR)

en general inicia la polimerización de la actina pero que, cuando hay concentraciones elevadas de Ca²⁺, produce la fragmentación de los microfilamentos y convierte el gel de actina en un estado mas fluido. La cofilina, una proteína de 18 kDa implicada en la remodelación rápida del citnesqueleto de actina, corta los filamentos de actina creando extremos libres positivos y negativos que están disponibles para la polimerización o despolimerización de moléculas de actina libres.

 Las proteinas formadoras de casquetes bloquean la adición de mas moleculas de actina al unirse al extremo libre de un microfilamento. Un ejemplo es la tropomodulina, que puede aislarse en celulas musculares cardiacas y esqueléticas. La tropomodulina se fija al extremo libre de los miofilamentos de actina, con lo que regula la longitud de los filamentos en un sarcómero

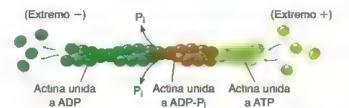


FIGURA 2-48. Polimerización de los filamentos de actina. Los filamentos de actina son estructuras polarizadas. Su extremo de crecimiento se reconoce como positivo (+) o espiculado, el extremo de crecimiento lento se reconoce como extremo negativo (-) o puntagudo. El proceso dinámico de la polimenzación de la actina requiere energía en la forma de una molécula de ATP, que se hidroliza en ADP cuando se incorpora una molécula de actina Gien el filamento. Los grupos fosfato (P_i) no son liberados de manera inmediata, por lo tanto, en el filamento puede detectarse una forma transitona de actina unida a ADP-P_i.

- Las proteinas formadoras de enlaces cruzados en la actina son las encargadas de establecer los enlaces cruzados entre los filamentos de actina. Un ejemplo de estas proteínas puede encontrarse en el citoesqueleto de los entrocitos. Diversas proteinas, como la espectrina, la aductina, la proteina 4.1 y la proteina 4.9, participan en la formación de enlaces cruzados de los filamentos de actina.
- Las proteinas motoras de la actina pertenecen a la familia de la miosina, que hidroliza ATP para proporcionar la energía necesaria para el desplazamiento a lo largo de los filamentos de actina desde el extremo negativo hacía el extremo positivo. Algunas células, como las musculares, se caracterizan por el tamaño, la cantidad y la naturaleza de los filamentos y las proteínas motoras de actina que contienen. Existen dos tipos de filamentos (miofilamentos) en las células musculares: los filamentos de actina de 6-8 nm (denominados filamentos finos; fig. 2-49) y los filamentos de miosina II de 15 nm (llamados filamentos gruesos), que es la proteína predominante en las células. La miosina II es una molécula con dos cabezas y una cola alargada como una varilla. Las relaciones específicas de estructura y función entre la actina, la miosina y otras ABP en la contracción muscular se analizan en el capítulo 11, Tendo muscular

Además de miosina II, las células no musculares contienen miosina I, una proteína con un solo dominio globular y una cola corta que se une a otras moléculas o a organulos. Algunos estudios exhaustivos han revelado la presencia de una variedad de otras isoformas de miosina no musculares que son responsables de las funciones motoras en numerosas células especializadas, como melanocitos, células absortivas renales e intestinales, conos de crecimiento nervioso y células ciliadas del oído interno.

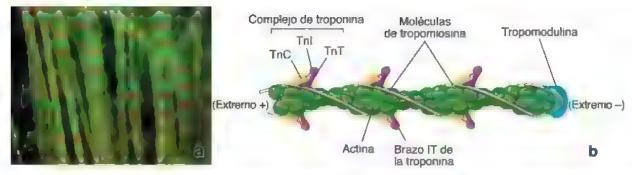


FIGURA 2-49. Organización y estructura de los filamentos finos en las células cardiacas, a Microfotografia inmunof corescente de un microto cardiaco de polio para identificar la actina (verde) se observanan los filamentos finos y la tropomodulina rojo) que muestra la ubicación de los extremos de crecimiento lento (-) de estos filamentos la tropomodulina se observa como estras regulares debido a las longitudes y los alineamientos uniformes de los filamentos finos en los sarcómeros 320 × b. Diagrama de un filamento fino. La polaridad de un filamento fino esta indicada por el extremo de crecimiento rápido (+) y el extremo de crecimiento lento (-). Para mayor ciandad solo se mujestra un segmento del filamento. La tropomodulina se une a la actina y alla tropomiosina en el extremo de crecimiento lento (-). El complejo de tropomina se une a cada molécula de tropomiosina cada siete monômeros de actina a lo largo del filamento fino (cortes a de los Dres ivelia filamento fino (cortes a de los Dres ivelia filamento fino (cortes a de los Dres ivelia).

Los filamentos de actina participan en una gran variedad de funciones celulares.

Los filamentos de actina con frecuencia se agrupan en fascículos cerca de la membrana plasmática. Las funciones de estos filamentos de actina asociados con la membrana incluyen las siguientes:

- Anclaje y movimiento de proteinas de la membrana. Los filamentos de actina se distribuyen en redes tridimensionales por toda la célula y son utilizados como estructuras de anclaje dentro de las uniones celulares especializadas, como los contactos o adhesiones focales.
- Formación del nucleo estructural de las microvellosidades en las células epiteliales absortivas. Los filamentos de actina también contribuyen a mantener la forma de la superficie celular apical (p. ej., la red terminal de los filamentos de actina en la región apical sirve como un conjunto de cables de rensión bajo la superficie celular).
- Locomoción celular. La locomoción se logra mediante la fuerza ejercida por los filamentos de actina al polimerizarse a la altura de sus extremos de crecimiento. Muchas oélulas que migran (en particular, las células transformadas de turnores invasivos) utilizan este mecanismo. Como consecuencia de la polimerización de la actina en su borde de avance, las células extrenden prolongaciones desde sus superficies empujando la membrana plasmática por delante de los filamentos de actina en crecimiento. Mientras el borde de avance se extiende, los filamentos de actina en el borde terminal (cola) de la célula se despolimenzan, lo que provoca su retracción. Las extensiones del borde de avance de las células reptantes reciben el nombre de tarnelipodios, y contienen fasciculos organizados de filamentos de actina en proceso de alargamiento que orientan sus extremos positivos hacia la membrana plasmática.
- Emisión de evaginaciones celulares. Este proceso puede observarse en muchas otras células que exhiben pequeñas protrusiones denominadas filopodios, ubicados alrededor de su superficie. Como en los lamelipodios, estas protrusiones contienen aglomeraciones laxas de 10-20 filamentos de actina dispuestos en la misma dirección, de nuevo con sus extremos positivos dirigidos en dirección de la membrana plasmática. Los filamentos de actina también son esenciales para los flujos citoplasmáticos (el movimiento del citoplasma en la forma de corrientes líquidas que puede observarse en las células cultivadas).

En la listeriosis, una infección causada por el patógeno Listeria monocytogenes, la maquinaria de polimerización de actina de la celula puede ser secuestrada por el patógeno invasor y utilizada para su desplazamiento intracetular y la diseminación por todo el tejido. Después de su incorporación en el fagosoma hospedero (vease fig. 2-21), L. monocytogenes lisa la membrana del fagosoma y escapa al citoplasma. Dentro del citoplasma, un extremo de la bacteria dispara la polimerización de los filamentos de actina de la célula hospedera, lo que la empuja como un cohete espacial, dejando una cola característica de actina polimerizada detrás. La polimerización de la actina permite que las bacterias pasen a la célula vecina formando protrusiones en la membrana plasmática del hospedero

Filamentos intermedios

Los filamentos intermedios cienen una función de sostén o estructural general. Estos filamentos resistentes se llaman intermedios por que su diámetro de 8-10 nm es intermedio entre el de los filamentos de actina y el de los microtúbulos. Casi todos los filamentos intermedios están formados por subunidades con un peso molecular de unos 50 kDa. Hay evidencia que sugiere que muchas de las proteínas estructurales estables en los filamentos intermedios evolucionaron a partir de enzimas muy conservadas, solo con modificaciones genéticas menores.

Los filamentos intermedios están formados por subunidades filamentosas intermedias no polares y muy variables.

A diferencia de las subunidades proteínicas de los microfilamentos y de los microfúbulos, las de los filamentos intermedios muestran una diversidad y especificidad tisular considerable. Además, no tienen actividad enzimática y forman filamentos no polares. En general, los filamentos intermedios tampoco desaparecen y se vuelven a formar de un modo continuo característico de la mayoría de los microfúbulos y los filamentos de actina. Por estas razones, se considera que este tipo de filamentos cumple principalmente una función estructural dentro de la célula y forma el eslabón citoplasmático dentro de un continuo de filamentos citoplasmáticos, nucleares y extracelulares extendido a todos los tejidos (fig. 2-50).

Las proteinas de los filamentos intermedios se caracterizan por un dominio en forma de varilla central muy conservado con dominios globulares muy variables en cada extremo (fig. 2-51). Si bien las diversas clases de filamentos intermedios difieren en cuanto a la secuencia de aminoácidos del dominio en forma de varilla y muestran alguna variación con respecto a sus pesos moleculares, comparten una región homóloga que es importante para el autoensamblado de los filamentos. Los filamentos intermedios se ensamblan a partir de un par de monómeros helicoidales que se en-

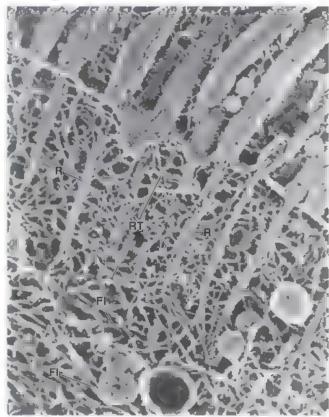


FIGURA 2-50. Microfotografia electronica de la parte apical de una célula epitelial que muestra filamentos intermedios. En esta microfotografia electrónica, obtenida mediante la técnica de congelación rápida y grabado profundo, se muestra la red terminal (RT) de una célula epitelial y los filamentos intermedios subyacentes (FT) Los largos nucleos rectos de filamentos de actina o raicillas (RT) que se extienden desde las microvellosidades establecen uniones cruzadas con una densa red de filamentos de actina que combene abundantes proteinas fijadoras de actina. La red de filamentos intermedios puede observarse por debajo de la red terminal a la que se fijan los filamentos de actina de las microvellosidades 47000× (reimpreso con autorización de Hirokawa N, Keller TC 3rd, Chasan R et al. Mechanism of brush border contractility studied by the quick-freeze, deep-etch method. J Celi Biol 1983:96 1325-1336)

roscan entre sí para formar dímeros superenrollados. Después, dos dímeros superenrollados se enroscan entre sí de modo antiparalelo (paralelo, pero apuntando en direcciones opuestas) para generar un tetrámero escatonado de dos dímeros superenrollados, con lo que queda formada una unidad no polarizada de filamentos intermedios (véase fig. 2-51). Cada tetrámero, que actúa como una unidad individual, se alínea a lo largo del eje del filamento. Los extremos de los tetrámeros se unen para formar los extremos libres del filamento. Este proceso de ensamblado proporciona una formación helicoidal escalonada estable en la cual los filamentos son empaquetados y estabilizados adicionalmente por interacciones laterales de unión entre tetrámeros adyacentes.

Los filamentos intermedios son un grupo heterogéneo de elementos del citoesqueleto que se encuentran en varios tipos celulares.

Los filamentos intermedios están organizados en seis clases principales según su estructura génica, su composición proteínica y su distribución celular (tabla 2-3).

 Clases 1 y 2. Estos son los grupos más diversos de filamentos intermedios y reciben el nombre de queratinas (citoqueratinas)
 Estas clases contienen más de 50 isoformas diferentes y representan la mayoría de los filamentos intermedios (cerca de 54 genes de un total de 70 que codifican filamentos intermedios humanos

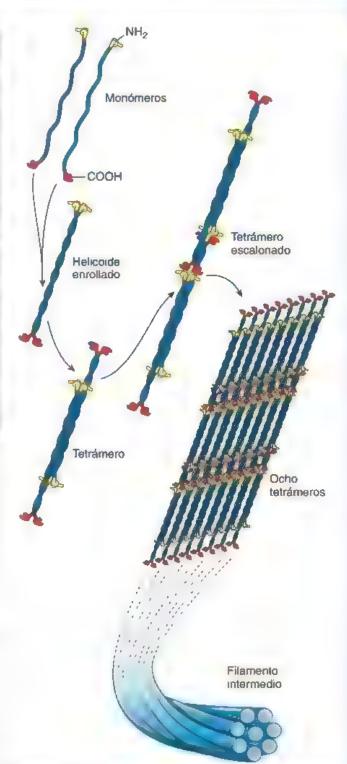


FIGURA 2-51. Polimerización y estructura de los filamentos intermedios. Los filamentos intermedios se autoensamblan a partir de un par de monómeros he icoidales que se enroscan entre si de forma paralela para producir dimeros estables. Dos dimeros superenrollados se enroscan entre si de modo antiparalelo para generar un tetrámero escalonado de dos dimeros superenrollados. Este tetrámero forma la unidad no polarizada de los filamentos intermedios. Cada tetrámero, que actúa como una unidad individual, se alínea a lo largo del eje del filamento y se une al extremo libre de la estructura en proceso de alargamiento. Esta matriz helicoidal escalonada es estabilizada adicionalmente por interacciones ligadoras laterales entre tetrámeros contiquos.

están vinculados con las moléculas de queratina). Las queratinas solo se arman en forma de heteropolímeros; una molécula de citoqueratina ácida (clase 1) y una molécula de oltoqueratina básica (clase 2) forman un heterodímero. Cada par de queratinas

	Peso			
Tipo de	molecular		Ejemplos de enfermedades	
proteina	(kDa)	Ubicación	asociadas	
Clases 1 y 2 ⁻ quera	tinas			
Citoqueratinas ácidas	40-64	Todas las células epitel ales	Epidermólisis ampoliosa simple	
Citoqueratinas basicas	52-68	Todas las células epiteliales	Trastomos queratodérmicos causados por mutaciones de la queratina Distrofia corneana de Meesmann	
Clase 3: vimentina	y seudovimenti	na		
Vimentina	55	Células de origen mesenquimatoso (como células endoteliales, miofibroblastos, algunas células musculares lisas) y algunas células de origen neu- roectodérmico	Miopatia relacionada con la desmina (MRD) Miocardiopatía dilatada Enfermedad de Alexander Escierosis lateral amiotrófica (ELA)	
Desmina	53	Células musculares; se polimeriza con nestina, sine- mina y paranemina		
Proteina ácida fibrilar glial (GFAP)	50-52	Células de la glia (sobre todo astrocitos y, en menor medida, células ependimarias), células de Schwann, células gliales entéricas, células satélite de los ganglios sensitivos y pituicitos		
Periferina.	54	Neuronas periféricas		
Clase 4: neurofilam	entos			
Neurofilamentos L (NF-L)	68	Neuronas Se copolimenzan con NF-M o NF-H	Enfermedad de Charcot-Marie-Tooth Enfermedad de Parkinson	
Neurofilamentos M (NF-M)	110	Neuronas Se copolimenzan con NF-L		
Neurofilamentos H (NF-H)	130	Neuronas Se copolimenzan con NF-L		
Nestina	240	Células madre neurales, algunas células de origen neuroectodérmico, células musculares Se copolimerizan con desmina		
α-intemexina	68	Neuronas		
Sinemina α/β*	182	Células musculares Se copolimenzan con desmina		
Sincoilina	64	Células musculares		
Parazemina	178	Células musculares Se copolimenzan con desmina		
Clase 5: laminas				
Lamina A/C ^b	62-72	Nucleos de todas las células nucleadas	Distrofia muscular de Emery-Dreifuss	
Lamina B	65-68	Nucleos de todas las células nucleadas	Distrofia muscular de las cinturas es- capulares y pélvicas	
Clase 6: filamentos	perlados			
Faquinina (CP49)°	49	Fibras celulares del cristalino Se copolimerizan con filesina	Cataratas de inicio juvenil Cataratas congénitas	
Filensina (CP115)	115	Fibras celulares del cristalino Se copolimenzan con faquinina		

^{*}Las sineminas α y β son dos transcritos alternativos del gen DMN

es característico de un upo particular de epitelio; sin embargo, algunas células epiteliales pueden expresar más de un par. Los filamentos de queratuna se encuentran en diferentes células de origen epitelial y se dividen en tres grupos de expresión: queratinas de epitelio simple, queratinas de epitelio estratificado y queratinas estructurales, también llamadas queratinas duras. Estas últimas se encuentran en los apéndices de la piel, como el

cabello y las uñas. Los filamentos de queratina abarcan todo el citoplasma de las células epiteliales y, mediante los desmosomas, se conectan con los filamentos de queratina de las células adyacentes. Las subunidades de queratina no se copolimerizan con otras clases de filamentos intermedios; por lo tanto, forman un sistema de reconocimiento citoespecífico e histoespecífico bien definido.

ºLa lamina C es un producto de corte y empalme de la lamina A.

^cEl peso moiecular dei heterodimero de filesina/faquinna es de 131 kDa

- Clase 3. Este grupo contiene cuatro proteínas: la vimentina, la proteína de filamento intermedio de distribución más amplia en el cuerpo, y las proteínas similares a la vimentina, como la desmina, la GFAP y la periterina. Estas representan una familia diversa de filamentos citoplasmáticos encontrada en numerosos tipos de células. A diferencia de las queratinas, las proteínas de clase 3 (con excepción de la desmina) forman preferiblemente filamentos homopoliméricos que contienen un solo tipo de proteína intermedia. La vimentina es el filamento intermedio más abundante y se encuentra en todas las celulas derivadas del mesodermo, incluidos los fibroblastos (fig. 2-52); la desmina es característica de las células musculares; la GFAP se encuentra en las células de la glía (muy específicas para los astrocitos), y la periferina está presente en muchas neuronas periféricas.
- Clase 4. Históricamente, este grupo se denominó neurofilamentos; contienen proteínas de filamentos intermedios que se expresan sobre todo en los axones de las neuronas. Los tres tipos de proteínas de neurofilamentos tienen peso molecular diferente. NF-L (proteína de pesos molecular bajo), NF-M (proteína de peso.

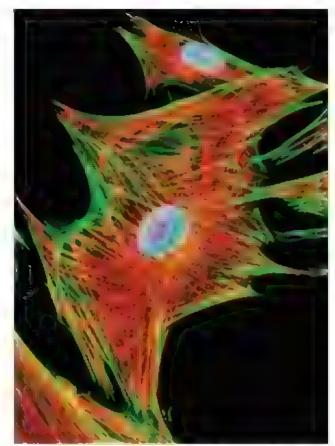


FIGURA 2-52. Distribución de los filamentos intermedios en fibroblastos pulmonares fetales humanos. La distribución de la vimentina (rojo) y los filamentos de actina (verde) se muestra en fibroblastos cultivados de pulmón fetal humano. La vimentina es una proteina de flamento intermedio expresada en todas las células de origen mesenquimatoso. En fibroblastos cultivados, los filamentos de vimentina se ven en el centro del citoplasma celular, mientras que los filamentos de actina se agrupan principalmente cerca de la superficie celular. La imagen inmunofluorescente se obtuvo mediante técnicas de inmunofluorescencia indirecta en las que los filamentos de vimentina fueron tratados con anticuerpos primarios antivimentina de ratón, seguidos por anticuerpos secundarios de cabra antimatón. conjugados con el colorante fluorescente rojo Texas. Los filamentos de actina recibieron una coloración de contraste con faloidina conjugada con un colorante fluorescente verde. Los nucleos se trieron de azul con colorante fluorescente de Hoechst 3500× (reimpreso con autorización de Michael W. Davidson, Florida State University)

- molecular medio) y NF-H (proteína de peso molecular alto). Se copolimerizan para formar un heterodímero que contiene una molécula de NF-L y una de las otras dos proteínas. Las tres proteínas en conjunto forman neurofilamentos que se extienden desde el cuerpo celular hacia los extremos de los axones y las dendritas, proporcionando así sostén estructural. Sin embargo, los genes para las proteínas de clase 4 también codifican otras proteínas de filamentos intermedios. Estas incluyen la nostina y la intermexima-ti en las neuronas, así como la sinemina, la sineoilina y la paranemina en las células musculares. Los miembros de este grupo copolimerizan preferentemente como heteropolímeros.
- Clase 5. Las laminas, específicamente las nucleares, forman una estructura de ripo reticular que está relacionada con la envoltura nuclear. Las laminas están representadas por dos tipos de proteínas: la lamina A y la lamina B. A diferencia de otros tipos de filamentos intermedios encontrados en el citoplasma, las laminas se localizan dentro del nucleoplasma de casi todas las células diferenciadas en el cuerpo. En la página 88 se describen su estructura y función.
- Clase 6. Este es un grupo específico de filamentos intermedios del cristalino del ojo o "filamentos perlados" que contienen dos proteínas: faquinina y filensina. El aspecto superficial pertado penódico de estos filamentos se atribuye a la estructura globular del extremo carboxiterminal de la molécula de filensina, que se proyecta hacia afuera del centro del filamento ensamblado.

Las proteínas asociadas con los filamentos intermedios son esenciales para la integridad de las uniones célula-célula y célula-matriz extracelular.

Diversas proteinas relacionadas con los filamentos intermedios funcionan dentro del citoesqueleto como partes integrales de la arquitectura molecular de las células. Algunas proteínas, como la familia de las plectinas, tienen sitios de unión para filamentos de actina, microrúbulos y filamentos intermedios y, por lo tanto, son importantes para el ensamblado correcto del citoesqueleto. Las laminas, los filamentos intermedios situados en el núcleo, se asocian con muchas proteínas de la membrana nuclear interna, incluyendo la emerina, el receptor de lamina B, la nurima y varios polipeptidos asociados con la proteina de la lamina. Algunas de estas proteínas tienen sitios de unión múltiples para filamentos intermedios, actina, cromatina y proteinas de señalización, por lo tanto, cumplen funciones en la organización cromatínica, en la expresión génica, en la arquitectura nuclear y en la señalización celular, y proporcionan un enlace indispensable entre el nucleoesqueleto y el citoesqueleto. Otra importante familia de proteínas asociadas con los filamentos intermedios está constituida por las desmoplaquinas, proteinas similares a desmoplaquinas y placoglobinas. Estas proteínas for man las placas de adhesión para los filamentos intermedios, una parte esencial de los desmosomas y los hemidesmosomas. La interacción de los filamentos intermedios con las uniones célula-célula y célula-matriz extracelular proporciona rigidez y resistencia mecánica contra las fuerzas extracelulares. En la tabla 2-4 (p. 77) se resumen las características de los tres tipos de filamentos del citoesqueleto.

Centriolos y centros organizadores de microtúbulos

Los centriolos representan el punto focal alrededor del cual se ensamblan los MTOC.

Los centriolos, visibles con el microscopio óptico, son un par de cilindros citoplasmáticos cortos, con forma de varilla, formados por nuevo tripletes de microstábulos. En las células en reposo, los

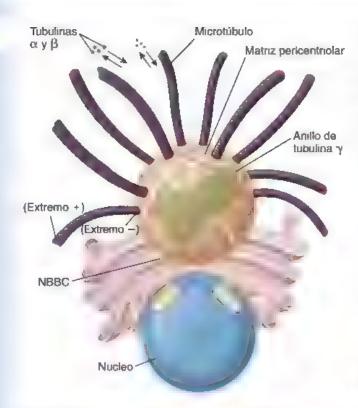


FIGURA 2-53. Estructura del centro organizador de microtubulos (MTOC). En este diagrama se muestra la ubicación del MTOC en relación con el nucleo y el aparato de Golgi. En algunas especies, el MTOC está unido a la envoltura nuclear mediante una proteina contráctil el NBBC. El MTOC contiene los centriolos y una matriz proteinica amorfa con abundantes anillos de tubulina y Cada anillo de tubulina y sirve como sitio de nucleación para el crecimiento de un solo microtubulo. Obsérvese que el extremo negativo (-) del microtubulo permanece unido al MTOC y el extremo positivo (+) representa el extremo de crecimiento onentado hacia la membrana plasmática. NBBC, conector nucleo-cuerpo basal

centriolos presentan una orientación ortogonal: un centriolo del par se dispone en ángulo recto con respecto al otro. Los contriolos suelen encontrarse cerca del núcleo, a menudo parcialmente rodea dos por el aparato de Golgi y asociados con una zona de material pericentriolar denso y amorfo. La región de la célula que contiene los centriolos y el material pericentriolar recibe el nombre de centro organizador de los microtúbulos o centrosome (fig. 2-53). El MTOC es la región donde se forma la mayor parte de los microtúbulos y desde donde se dirigen a sus destinos específicos dentro de la célula. Por lo tanto, el MTOC controla la cantidad, polaridad, dirección, orientación y organización de los microtúbulos formados durante la interfase del ciclo celular. Durante la mitosis, los MTOC duplicados sirven como polos del huso mitótico. El desarrollo del MTOC en sí mismo depende solo de la presencia de centriolos. Cuando no hay centriolos, los MTOC desaparecen y la formación de los microtúbulos experimentan alteraciones graves (cuadro 2-2; p. 76)

La matriz pericentriolar del MTOC contiene numerosas estructuras con forma de anillo que comienzan la formación de microtúbulos.

El MTOC contiene centriolos y una matriz pencentriolar amorfa de más de 200 proteínas, incluida la tubulina y que se organiza en estructuras con forma de anillo. Cada anillo de tubulina y sirve como punto de inicio (sitio de nucleación) para el crecimiento de un microtúbulo que es ensamblado a partir de los dímeros de tubulina; los dímeros de tubulina α y β son añadidos con una orientación

específica al anillo de tubulina γ. El extremo negativo del microtúbulo queda fijado al MTOC y el positivo representa el extremo de crecimiento durigido hacia la membrana plasmática (véase fig. 2-53)

Los centriolos proporcionan cuerpos basales para los cilios y los flagelos y almean el huso mitotico durante la división celular.

Si bien los centriolos fueron descubiertos hace más de un siglo, sus funciones precisas, su replicación y su forma de ensamblarse siguen siendo objeto de una intensa investigación. Las funciones conocidas de los centriolos pueden organizarse en dos categorías:

• Formación de cuerpos basales. Una de las funciones importantes del centriolo es formar los cuerpos basales, necesarios para el ensamblado de los cilios y los flagelos (fig. 2-54). Los cuerpos basales se producen por la formación de navo sin contacto con los centriolos preexistentes (mecanismo acentriolar) o por la duplicación de centriolos existentes (mecanismo centriolar). Cerca del 95% de los centriolos se forman a través de la vía acentriolar. Ambas vías dan lugar a múltiples precursores inmediatos de los centriolos, conocidos como procentriolos, que maduran a medida que migran al sitio apropiado cerca de la membrana celular apical, donde se convierten en cuerpos basales (fig. 2-55). El

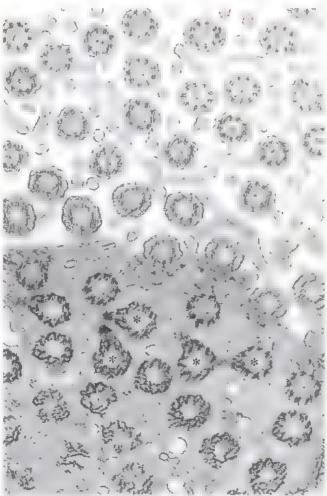


FIGURA 2-54. Cuerpos basales y cilios. En esta microfotografia electrónica se muestran los cuerpos basales y los cilios seccionados transversalmente como se observan en un corte obliculo a través de la región apical de una célula cuada de las vías respiratorias. Obsérvese la disposición de los microtúculos de los cilios en un patrón 9 + 2, en el que 9 microtubulos en la periferia de los cilios rodean a 2 microtubulos centrales. Los cuerpos basales carecen del par tubular central En varios cortes transversales se puede observar que desde el cuerpo basal se proyecta lateralmente el pediculo basal (astenscos). 28 000× (cortesía de Patrice C. Abell-Aieff)

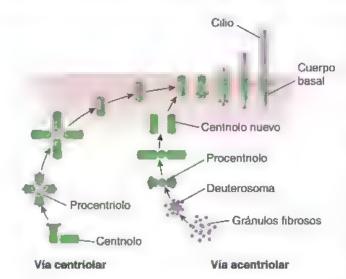


FIGURA 2-55. Dos vias para la formación de los cuerpos basales. En la vía centriolar, un par de centriolos existentes sirven como centro organizador para la dupi cación de nuevos centriolos. A través de esta vía, las células caladas tienen la capacidad de ensamblar una gran cantidad de centriolos cerca de un centriolo maduro. En la vía acentriolar, que desempeña un papel importante en la formación de cuerpos basales en las células citadas, se forman nuevos centriolos de novo a partir de gránulos fibrosos ubicados cerca de estructuras no microtubulares llamadas deuterosomas. Ambas vías dan lugar a procentriolos, que maduran a medida que migran al sitio apropiado cerca de la membrana celular apical, donde se convierten en cuerpos basales. Los gránulos fibrosos contribuyen a la formación de la raicilia estriada (basado en Hagiwara H, Ohwada N, Takata K. Ceil biology of normal and abnormal chiogenesis in the ciliated epithelium. Int Rev Cytol 2004,234 101-1391

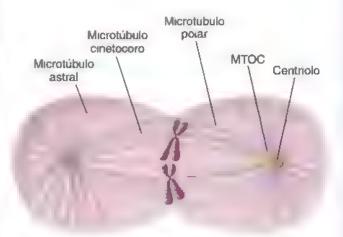
cuerpo basal actúa como un centro organizador para un cilio. Los microtúbulos crecen hacia arriba desde el cuerpo basal, em pujan la membrana celular hacia afuera y se alargan para formar el cilio maduro. El proceso de duplicación del centriolo se describe más adelante en la página 75

Formación del huso mitótico. Durante la mitosis, la posición de los centriolos determina la ubicación de los polos del huso mitótico. Los centriolos también son necesarios para la formación de un MTOC completamente funcional, el cual nuclea los microtúbulos asociados con el huso mitótico. Por ejemplo, los microtubulos astrales se forman alrededor de cada centriolo distribuidos en forma de estrella. Estos son cruciales para establecer el eje del huso mitótico en desarrollo. En algunas células animales, el mismo huso mitótico (principalmente los microrúbulos cinetocóricos) se forma mediante mecanismos independientes del MTOC y está compuesto por microtúbulos que se originan a partir de cromosomas. Datos experimentales recientes indican que, en ausencia de centriolos, los microtúbulos astrales no se desarrollan, causando errores en la orientación del huso mitótico (fig. 2-56). Por lo tanto, el papel principal de los centriolos en la mitosis es posicionar adecuadamente el huso mitótico mediante el reclutamiento del MTOC, desde el cual pueden crecer los microtúbulos astrales y establecer el eje para el huso en desarrollo.

La característica más importante de los centriolos es la organización cilindrica en tripletes de microtúbulos con proteinas asociadas.

El MET muestra que cada centriolo con forma de varilla tiene unos 0.2 mm de largo y está formado por nueve tripletes de microtubulos que se orientan paralelos al eje mayor del orgánulo y que corren en haces ligeramente retorcidos (fig. 2-57). Los tres microtúbulos del triplete están fusionados y comparten una pared en común con los microtúbulos contiguos. El más interno, o **microtúbulo A**, es un antilo completo de 13 protofilamentos que contienen dímeros de tubulina α y β ; el intermedio y el externo, los **microtúbulos B** y C, respectivamente, tienen forma de "C" porque comparten los dímeros de tubulina entre sí y con el microtúbulo A. Los microtúbulos de los tripletes no tienen la misma longitud. El microtúbulo C del triplete suele ser más corto que el A y el B.

Los tripletes de microtúbulos del centrolo rodean una luz interna. La parte distal de la luz (alejada del núcleo) contiene una proteína fijadora de 20 kDa de Ca²⁺, la centrina (fig. 2-58). La parte proximal de la luz (cercana al núcleo) está recubierta de tubulina y, que proporciona la plantilla para la organización del triplete de microtúbulos. Además, una familia de moléculas de tubulina o, e, g y n descubiertas recientemente, así como los complejos proteínicos de pericentrina, también se localizan en los centriolos. Otras proteínas, como la proteína p210, forman un antilo de moléculas que al parecer vinculan el extremo distal del centriolo con la membrana plasmática. Se han identificado conexiones filamentosas entre el par de centriolos en los linfocitos humanos. En otros organismos, dos



Orientación apropiada del huso mitótico



FIGURA 2-56. Huso mitótico durante la división celular normal y en células que carecen de centriolos. a. En este diagrama se muestra la onentación del huso mitótico en una célula normal en mitosis. Obsérvense las posiciones de los centriolos y la distribución de los microtubulos del huso. MTOC, centros organizadores de microtubulos b. En una célula sin centriolos, la mitosis ocurre, pero se forma un huso mitótico que contiene solo microtubulos cinetocóricos. Así, ambos polos del huso mitótico carecen de microtubulos astrales que lo posicionen en el plano apropiado durante la mitosis. Este huso ma orientado se denomina huso bipolar anastral (basado en Marshall WF, Rosenbaum JL. How centrioles work: lessons from green yeast Curr Opin Celí Biol 2000; 12.119-125).

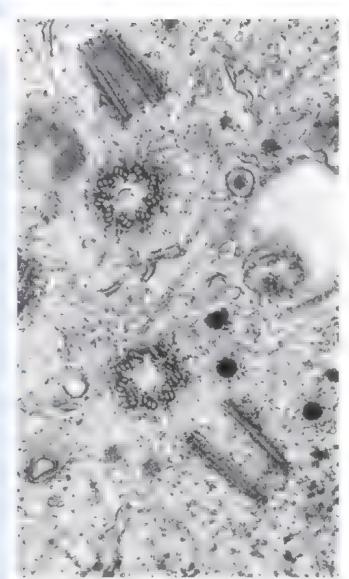


FIGURA 2-57. Micrografía electrónica donde se muestran centriolos padre e hijo en un fibroblasto. Obsérvese que el corte transversal del centrolo en cada par revela la configuración de tripletes de microtubulos. El centriolo *abajo* a la derecha representa una sección longitudinal medial, mientras que el centriolo *arriba a la izquierda* se seccionó también longitudinalmente, pero a lo largo del plano de su pared 90000× (cortesía de los Dres Manley McGill, D. P. Highfield, T. M. Monahan y Bill R. Brinkley)

puentes proteínicos, las fibras de conexión proximales y distales, conectan entre sí los centriolos en un par (véase fig. 2-58).

En las células en división, estas conexiones participan en la distribución de los centriolos hacia cada célula hija. En algunos organismos, el extremo proximal de cada centriolo está fijado a la envoltura nuclear por medio de proteínas contráctiles denominadas conectores nucleo-cuerpo basal (NBBC, nucleus-basal body connectors). Su función es unir el centriolo con los polos del huso mitótico durante la mitosis. En las células humanas, la conexión núcleo-centrosoma parece mantenerse mediante estructuras filamentosas del citoesquelero. Una característica distintiva de los centriolos de los manuferos es la diferencia entre los centriolos individuales en el par. Un centriolo (denominado centriolo meduro) contiene procesos satélites pediculados y apendices laminados cuyas funciones aún se desconocen (véase fig. 2-58). El otro centriolo (conocido como centriolo immeduro) no tiene satélites ni apéndices.

La duplicación del centrosoma está sincronizada con los acontecimientos del ciclo celular y vinculada con la ciliogênesis.

La dinámica centrosómica, como la duplicación o la formación de cuerpos basales para la ciliogénesis, está sincronizada con la progresión del ciclo celular. Los cilios se ensamblan durante la fase G₁; son más abundantes en G₀ y se desensamblan antes de que la célula ingrese en la fase M del ciclo celular. Estos fenómenos están representados en la figura 2-59, donde se muestra una asociación entre la duplicación del centrosoma, la formación de cilios primarios y la progresión a lo largo del ciclo celular.

Dado que la célula hija recibe solo un par de centriolos después de la división celular, las células hijas deben duplicar los centriolos existentes antes de dividirse. En la mayoría de las células somáticas, la duplicación de los centriolos comienza cerca de la transición entre las fases G₁ y S del ciclo celular. Este acontecimiento está estrechamente asociado con la activación del **complejo ciclina E-Cdk2** durante la fase S del ciclo celular (*véase* fig. 3-11). Este complejo fosforila directamente la proteína chaperona nuclear nucleofosmina/B23, que es responsable del inicio de la duplicación de los centriolos.

En la mayoría de las células, la duplicación comienza con la división del par de centriolos, seguida de la aparición de una pe-

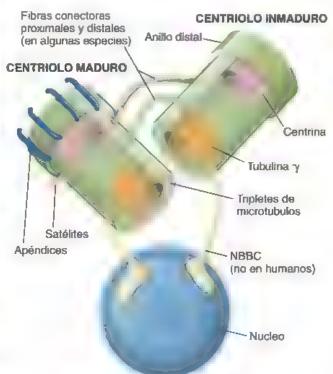


FIGURA 2-58. Estructura esquemática de los centriolos. En las células que no están en división, los centriolos se disponen en pares en los que un centriolo se alinea en ángulo recto con el otro. Un centriolo también es más maduro Igenerado al menos dos ciclos celulares antes) que el otro, que fue generado en el ciclo celular previo. El centriolo maduro se caracteriza por la presencia de satélites y apéndices Los centriolos se ubican muy cerca del nucleo. Los componentes básicos de cada centriolo son tripletes de microtubulos que forman la estructura cilindoca que rodea la luz interna. La parte proximal de la luz está revestida de tubulina y, la cual proporciona el patrón para la nucleación y la organización de los tripletes microtubulares. La parte distal de cada luz contiene la proteina centrina. En algunas especies, dos puentes proteinicos, el proximal y el distal que conectan fibras, conectan cada centriolo en un par. En algunas especies, pero no en los seres humanos, el extremo proximal de cada centriolo está unido a la cubierta nuclear mediante la proteina contráctil conocida como conector nucleo-cuerpo basal (NBBC)

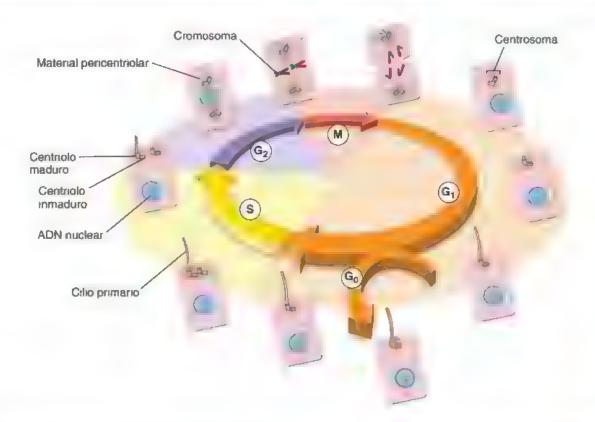


FIGURA 2-59. Relación de la duplicación del centrosoma y la formación del cilio primario con el ciclo celular. Una vez que una célula emerge de la mitosis i tiene un solo centrosoma (centro organizador de microtubu os [MTOC]) rodeado de material pericentriolar amorfo. La formación primaria del cilio ocurre primero durante la fase G₁ en la cual el centrosoma migra hacia la membrana de cilio primario (9 + 0) se producen y activan directamente en la parte superior del centricio maduro. Durante el final de la fase G₁ asi como en G₀ el cilio primario funciona como una antena receptora externa que detecta e interpreta las senales del entorno extracelular. En la mayoria de las celulas somaticas la duplicación de los centricios comienza cerca de la transicion entre las fases G₁ y S del cicio celular. Durante la fase tardia de G₂ los centricios alcanzan su piena madurez, mientras que el cilio primario es desensamblado. Esto permite que los centricios migren fuera de la membrana de ciliar y participen en la formación del huso mitótico. Una vez que se completa la división celular los centricios pueden proceder al reensamblado ciliar en la fase G₁ (basado en Santos N. Reiter JF. Building it uplanditaking it down the regulation of vertebrate ciliogenesis. Dev Dyn 2008,237:1972-1981).

queña masa de material fibrilar o granular en el extremo proximal lateral de cada centriolo original. Dado que el par de centriolos existente sirve como centro para la formación del nuevo orgánulo, este proceso de duplicación centriolar se conoce como via contriolar (véase fig. 2-55).

En esta vía, los granulos fibrosos se fusionan en estructuras esféricas densas llamadas deuterosomas, que dan lugar al procentriolo (o brote), el cual se alarga gradualmente para formar un apendice en ángulo recto respecto del progenitor (véase fig. 2-55). Los microtúbulos comienzan a desarrollarse a medida que crece la masa de gránulos fibrosos (en general, durante la fase S y el final de la fase G2 del ciclo celular) y aparecen primero como un anillo de nueve rúbulos simples, luego como dobletes y por último como tripletes. A medida que los procentriolos maduran durante las fases S y G2 del ciclo celular, cada par progenitor-hijo migra alrededor del núcleo. Antes del inicio de la mitosis, los centriolos con material pericentriolar amorfo alrededor de ellos se posicionan en lados opuestos del núcleo y producen microtúbulos astrales. Al hacerlo, definen los polos entre los cuales se desarrolla el huso mitótico bipolar.

La diferencia importante entre la duplicación de los centriolos durante la mitosis y la ciliogénesis radica en que, durante la mitosis, un solo centriolo hijo brota del sector lateral del orgánulo progeni-

tor, en tanto que, durante la ciliogénesis, pueden desarrollarse hasta 10 centriolos alrededor del progenitor.

Cuerpos basales

El desarrollo de los cifios en la superficie celular requiere la presencia de cuerpos basales, estructuras derivadas de los centriolos.

Cada cilio requiere un euerpo basal. La generación de centriolos, que ocurre durante el proceso de ciliogénesia, es la responsable de la producción de cuerpos basales. Los centriolos recién formados migran a la superficie apical de la célula y sirven como centros organizadores para el ensamblado de los microtúbulos del cilio. La estructura central (axonema) de un culio móvil está compuesta por un conjunto microtúbular complejo que presenta dos microtúbulos centrales rodeados por nueve dobletes microtúbulares (configuración 9 + 2). La función organizadora del cuerpo basal difiere de la del MTOC. Los dobletes de microtúbulos del axonema se continúan con los microtúbulos A y B del cuerpo basal, a partir de los cuales se desarrollan mediante la adición de dímeros de tubulina α y β en el extremo positivo en crecimiento. El capítulo 5, Tejido epitelial, brinda una descripción detallada de la estructura de los cilios, los cuerpos basales y el proceso de ciliogénesis (cuadro 2-3; p. 79).

CORRELACIÓN GLÍNICA: ANOMALÍAS EN LOS MICROTÚBULOS Y LOS FILAMENTOS

Las anomalías relacionadas con la organización y la estructura de los microtubulos, la actina y los filamentos intermedios son la causa de una gran vanedad de alteraciones patológicas. Estas anomalías conducen a defectos en el citoesqueleto y pueden producir diversas alteraciones relacionadas con el transporte vesicular intracelular, la acumulación intracelular de proteinas patológicas y el detenioro de la movilidad de la célula.

Microtúbulos

Los defectos en la organización de los microtubulos y sus proteínas asociadas pueden inmovilizar los citios de las vías aéreas y, así, interferir con la capacidad del aparato respiratorio para eliminar las secreciones acumuladas. Esta enfermedad, conocida como síndrome de Kartagener (véase p. 133), también causa la disfunción de microtubulos que afecta la motifidad de los espermatozoides y provoca estentidad masculina. También puede causar infertilidad en las mujeres debido a las alteraciones en el transporte ciliar del óvulo a través de la trompa uterina.

Los microtubulos son esenciales para el transporte vesicular (endocitosis y exocitosis), así como para la movilidad. celular. Ciertos fármacos, como la colchicina, se unen a las moléculas de tubulina e impiden la polimerización. Este medicamento se utiliza en el tratamiento contra los episodios. graves de gota, para evitar la migración de neutrófilos y reducir su capacidad de respuesta ante el depósito de cristales de urato en los tejidos. La vinblastina y la vincristina representan otra familia de fármacos que se fijan a los microtubulos. e inhiben la formación del huso mitótico, esencial para la división celular. Estos fármacos se emplean como agentes antimitóticos y antiproliferativos en el tratamiento oncológico. Otro fármaço, el paclitaxel, se usa en la guimioterapia contra el câncer de mama. Estabiliza los microtubulos, evitando que se despoirmerican (una acción opuesta a la de la colchicina). con lo que detiene las células cancerígenas en distintas etapas de la división celular

Filamentos de actina

Los filamentos de actina desempeñan funciones esenciales en varias etapas de la migración de leucocitos, así como las funciones fagocíticas de varias células. Algunas sustancias químicas aisladas de hongos, como la citocalasina B y la citocalasina D, evitan la polimenzación de la actina al unirse al extremo positivo del filamento de actina e inhibir la migración de los linfocitos, la fagocitosis y la división celular (citocinesis) Diversas toxinas de los hongos venenosos, como la faloidina, también se unen a los filamentos de actina, de manera que los estabilizan y evitan su despolimenzación. Conjugados con colorantes de fluoresceina, los derivados de la familia de las fatotoxinas (p. ei., la falacidina NDB) se usan con frecuencia en er laboratorio para teñir los filamentos de actina (véanse figs. 2-47 y 2-52) La exposición prolongada de la célula a estas sustancias puede alterar el equilibrio dinámico entre la actina Fivila actina G. causando la muerte celular

Filamentos intermedios

Como se indicó, la estructura molecular de los filamentos intermedios es específica para el tejido y consiste en muchos tipos diferentes de proteinas. Diversas enfarmedades son causadas por defectos en el ensamblado adecuado de los filamentos intermedios. Estos defectos también han sido

inducidos experimentalmente mediante mutaciones en genes de los filamentos intermedios en animales de laboratorio. Los cambios en los neurofilamentos dentro del tej do cerebral son característicos de la enfermedad de Alzheimer, que produce ovillos neurofibrilares que contienen neurofilamentos y otras proteínas relacionadas con los microtúbulos

Otra alteración del sistema nervioso central, la enfermedad de Alexander, se asocia con mutaciones del gen GFAP La característica patológica de esta enfermedad es la presencia de fibras de Rosenthal, pequeñas masas que contienen la proteína del filamento intermedio GFAP y otras proteínas que se acumulan dentro del citoplasma de los astrocitos. La GFAP anomala evita el ensamblado no solo de los filamentos. intermedios, sino también de otras proteínas que contribuyen con la integridad estructural y la función de los astrocitos. Además, los haces de fibras de Rosenthal interfieren con la finalización exitosa de la mitosis de los astrocitos y la división celular. Los lactantes con enfermedad de Alexander desarrollan. leucoencefalopatias (infecciones en el cerebro) con macrocefalia (cabeza inusualmente grande), convulsiones y detenoro psicomotor, lo que lleva a la muerte, en general en la primera década de la vida.

Una característica prominente de la **cirrosis hepática al- cohólica** es la presencia de inclusiones intracitoplasmáticas eosinófilas compuestas predominantemente por filamentos intermedios de queratina. Estas inclusiones, llamadas *cuer-* **pos de Mallory**, son visibles bajo microscopía óptica dentro del citoplasma de hepatocitos (fig. C2-2-1).

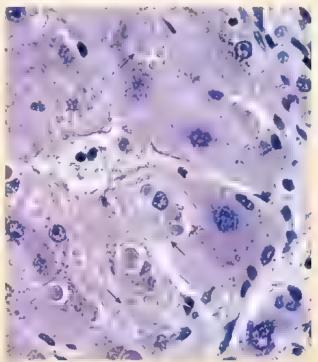


FIGURA C2-2-1. Microfotografia de los cuerpos de Mallory. La acumulación de filamentos intermedios de queratina que forman inclusiones intercelulares se asocia frecuentemente con lesiones celulares específicas. En la cimosis hepática alcohólica, los hepatocitos exhiben estas inclusiones (flechas), que se conocencomo cuerpos de Mallory. Los linfocitos y macrófagos, responsables de una reacción inflamatoria intensa, rodean a las células que contienen cuerpos de Mallory 900×



	Filamentos de actina		
	(microfilamentos)	Filamentos intermedios	Microtúbulos
		Julianilla Comment	MANAGE
Forma	Organización lineal helicoidal de doble cadena	Fibras trenzadas a manera de cuerdas	Cilindros huecos largos no ramificados
Diámetro (nm)	6-8	8-10	20-25
Subunidad proteinica básica	Monómero de actina G (PM 42 kDa)	Diversas proteinas de filamento intermedio (PM ~50 kDa)	Dimeros de tubulina α y β (PM 54 kDa), la tubulina y que se encuentra en el MTOC es necesana para la nucleación de microtúbulos, las tubulinas ε, δ, ξ y η están asociadas con el MTOC y los cuerpos basales
Actividad enzimatica	Actividad hidroiftica del ATP	Ninguna	Actividad hidrolítica del GTP
Polaridad	Sf; el extremo negativo (-) o pun- tiagudo es de crecimiento lento El extremo positivo (+) o espicu- lado es de crecimiento rápido	Estructuras no polares	SI, el extremo negativo (-) no crece y está incluido en el MTOC El extremo positivo (+) se encuentra en crecimiento
Proceso de ensamblado	Se añaden monómeros de actina G al filamento en crecimiento La polimerización requiere la presencia de K.* Mg** y ATP, el cual es hidrolizado en ADP una vez que cada mo écula de actina G es incorporada en el filamento	Dos pares de monómeros forman dos dímeros superenrollados que se enroscan entre si para generar un tetrámero escalonado, que se alinea a lo largo del eje del filamento y se une al extremo libre de la estructura en proceso de alargamiento	En el sitio de nucleación, dímeros de tubulina α y β se agregan al anillo de tubulina y Cada dímero de tubulina se une at GTP antes de que sea incorporado en el microtubulo en presencia de Mg ²⁺ Despues de la polimerización, el GTP se hidroliza en GDP
Fuerrte de energia requerida para el ensamblado	ATP	N/A	GTP
Caracteristicas Proteinas asociadas	Filamentos finos flexibles Varias ABP con diferentes funciones fascina = agrupación, gelsolina = sección de los filamentos; proteína CP = formación de casquetes espectrina = formación de enlaces cruzados; miosinas I y II = funciones motoras	Estructuras estables fuertes Proteinas asociadas con los fila- mentos intermedios, plectinas fijadoras de microtubulos, actina y filamentos intermedios, des- mopiaquinas y placog obinas que unen filamentos intermedios a desmosomas y hemidesmosomas	Muestran inestabilidad dinàmica Proteínas asociadas con microtubulos MAP-1, MAP-2, MAP-3, MAP-4, MAP-1 y TOG-p regulan el ensamblado; estabili zen y ancian los microtúbulos a orgánu- los específicos las proteinas motoras (dineínas y cinesinas) son necesarias para el movimiento de los orgánulos
Ubicación en la	Centro de las microveliosidades	Se extienden a través del cito-	Centro de los cilios
célula	Velo o red terminal Concentrados bajo la membrana plasmática Elementos contráctiles de los musculos		Emergen del MTOC y se distribuyen hacia la perifena de la céluia Huso mitótico Centrosoma
Euratana	Anilio contráctil en las células en división	Dranava anna anhibit u rassitanta	Descriptions of add / or also comes
Funciones	Proporcionan componentes esen-	Proporcionan solidez y resistencia	Proporcionan una red ("carr les") para e

ABP proteina ligadora de actina, ADP difosfato de adenosina, ATP tintosfato de adenosina. GDP difosfato de guanosina. GTP tintosfato de guanosina. kDa. kilodation: MAP, proteina asociada con el microtubulo. MTOC, centro de organización de microtubulos, N/A, no aplicable: PM, peso molecular

ciales (sarcómeros para las célu- mecánica a las fuerzas de cizalla-

■ INCLUSIONES

principales

Las inclusiones contienen productos de la actividad metabólica de la célula y consisten principalmente en granulos de pigmento, gotitas lipidicas y glucogeno.

las musculares)

Las inclusiones son extructuras citoplasmáticas o nucleares con propiedades de tinción características, formadas por productos metabólicos de la célula. Se consideran componentes celulares sin movimiento y sin vida. Algunas de ellas, como los gránulos de pigmento, están rodeadas por una membrana plasmática; otras (p. ej., las gotitas lipídicas o el glucógeno), en cambio, residen dentro de la matriz nuclear o citoplasmática.

la célula

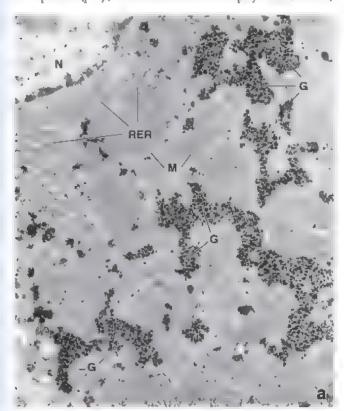
movimiento de los orgánulos dentro de

Brindan movimiento a los cílios y a los cromosomas durante la división ceiular

 La lipoluscina es un pigmento pardo dorado visible en preparados de rutina teñidos con hematoxulina-eosina (H&E). Se puede observar fácilmente en células que no se dividen, como neuronas y células musculares cardíacas y esqueléticas. La lipofuscina se acumula durante años en la mayoría de las células eucarióticas como resultado de la senectud celular (envejecimiento); por lo tanto, a menudo recibe el nombre de pigmento "de desgaste". La lipofuscina es un conglomerado de lípidos, fosfolipidos, metales y moléculas orgánicas oxidados que se acumulan dentro de las células como consecuencia de la degradación oxidativa mitocondrial y de la digestión lisosómica. Las células fagocíticas (p. ej., macrófagos) también pueden contener lipofuscina, que se acumula por digestión de bacterias, partículas extrañas, detritos celulares y los propios orgániulos. Algunos experimentos recientes señalan que la acumulación de lipofuscina podría ser un indicador preciso de estrés celular.

- La hemosiderina es un complejo de almacenamiento del hierro que se encuentra dentro del citoplasma de muchas células. En general, se forma por los residuos no digenbles de la hemoglobina, y su presencia se relaciona con la fagocitosis de los entrocitos. La hemosiderina se detecta con mayor facilidad en el bazo, donde se fagocitan los eritrocitos envejecidos, pero tambien se puede encontrar en los macrófagos alveolares del tejido pulmonar, en especial después de una infección pulmonar acompanada de una hemorragia leve en los alvéolos. En el microscopio óptico se observa como gránulos pardos oscuros, casi indistinguibles de los de la lipofuscina. Los gránulos de hemosiderina pueden tentrese de forma diferencial utilizando métodos histoquímicos para la detección de hierro.
- El giucógeno es un polímero muy ramificado que se usa para almacenar la glucosa. No se tiñe con las técnicas de preparación de rutina que usan H&E. Sin embargo, puede observarse con el microscopio óptico si se aplican procedimientos de fijación y tinción especiales (p. ej., azul de toluidina o ácido peryódico de Schiff).

- Los hepatocitos y las células musculares estradas, que suelen contener grandes cantidades de glucógeno, pueden mostrar regiones vacías donde se localiza el glucógeno. En la microscopía electrónica, el glucógeno aparece como gránulos con un diámetro de 25-30 nm o como aglomeraciones de estos gránulos que con frecuencia ocupan porciones importantes del citoplasma (fig. 2-60).
- Las inclusiones lipidicas (gotitas de grasa) son numentes que proporcionan energía para el metabolismo celular. Las gotitas lipídicas pueden aparecer en la célula durante un breve período (p. ej., en las celulas intestinales absortivas) o residir durante un período prolongado (p. ej., en los adipocitos). En los adipocitos, las inclusiones lipídicas ocupan con frecuencia la mayor parte del volumen citoplasmático y comprimen los otros orgánulos, de manera que forman un reborde citoplasmático delgado en la periferia celular. Las gontas lipídicas suelen ser extraídas por medio de los solventes orgánicos que se aplican en la preparación de tejidos para la microscopía tanto óptica como electrónica. Lo que se observa como una gorita de grasa en el microscopio óptico es en realidad un hueco en el citoplasma que representa el sitio del cual se extrajo el lípido. En las personas con defectos genéticos en las enzimas que participan en el metabolismo lipidico, las gotitas lipidicas pueden acumularse en sitios no habituales o en cantidades anomalas. Estas alteraciones se clasifican como enfermedades por almacenamiento de lipidos.
- En ciertas células pueden observarse inclusiones eristalinas con el microscopio óptico. En los seres humanos, estas inclusiones se encuentran en las células de Sertoli (sustentaculares) y en las células de Leydig (intersticiales) del testículo. Con el MET, se han detectado inclusiones cristalinas en muchos tipos de células y en casi todas las partes celulares, incluso en el núcleo y en



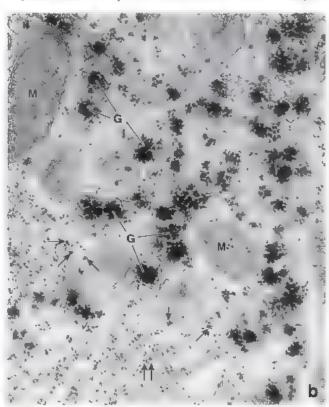


FIGURA 2-60. Microfotografias electrónicas de una célula hepática con inclusiones de glucógeno, a Microfotografia electrónica de bajo aumento donde se muestra una porción de un hepatocito con parte del nucleo (N. parte superior izquierda). El glucógeno (G. se observa como masas irreguiares electrodensas ulos perfiles de reticulo endoplasmático rugoso (RER y las mitocondrias (M) también son evidentes $10000 \times b$. Este mayor aumento de microscopio electrónico muestra el glucógeno (G) como agregados de pequenas particulas. Incluso ios agregados más pequenos (fiechas) parecen estar compuestos por varias particulas de glucógeno más pequenas. La densidad del glucógeno es considerablemente mayor que la de los ribosomas (abajo a la izquierda). 52 000 ×

CORRELACIÓN CLÍNICA: DUPLICACIÓN ANÓMALA DE CENTRIOLOS Y EL CÁNCER

Uno de los componentes críticos de la división celular normal es la redistribución precisa de los cromosomas y otros orgánulos celulares durante la mitosis. Tras la replicación del ADN cromosómico en la fase S del ciclo celular los centriolos experimentan una unica ronda de duplicación que está estrechamente coordinada con la progresión del ciclo celular. Durante la mitosis, los centriolos son responsables de formar el husomitótico bipolar, que es esencial para la segregación equitativa de los cromosomas entre las células hijas. Las alteraciones de los mecanismos que regulan la duplicación de centrolos pueden llevar a la multiplicación y anomalías de los centriolos y los centrosomas circundantes (MTOC). Las células con centrosomas multiples que superan la detención del ciclo celular mediada por la proteína supresora de tumores (p53) y la inhibición del punto de control del ensamblado del huso pueden dividirse, pero presentan distorsiones del huso mitótico (la presencia de haces multipolares o mal orientados) (fig. C2-3-1), lo que fleva a una ciasificación anómala de los cromosomas durante la división celular. Las divisiones celulares multipolares producen aneuploidia, lo que conduce a la muerte celular

Sin embargo, algunas células cancerosas pueden agrupar sus centrosomas adicionales en dos polos y luego realizar una división celular que produce células hijas viables. La agrupación de los centrosomas, que depende de la interacción de los microtúbulos astrales con la membrana celular, puede provocar aneupicidía y una división celular asimétrica defectuosa. La agrupación de centrosomas es probablemente un requisito singular para la supervivencia de ciertas células tumorales en las que se observa con frecuencia un mayor número de centrolos.

Además, los centrosomas adicionales pueden perder proteínas de la matriz pericentnoiar esenciales para la nucleación de los microtubulos (tubulina y). Este proceso silencia la actividad del MTOC en los centrosomas adicionales, bloqueando su participación en la formación del huso.

Los cambios resultantes en el numero cromosómico pueden aumentar la actividad de los oncogenes o disminuir la protección de los genes supresores de tumores. Estos cambios son conocidos por promover la transformación de células malignas.

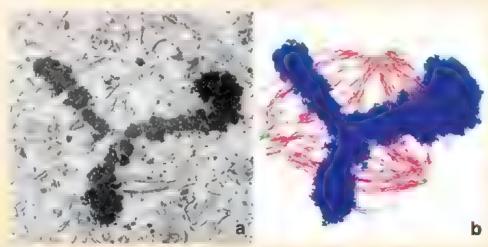


FIGURA C2-3-1. Huso mitotico multipolar en una celula tumoral, a. Microfotografía electrónica de una célula tumoral mamana invasora donde se muestra un huso mitótico tripolar simétrico anómalo en a metafase de la división cel una 16000 × b. En esta lustración, compuesta por trazos de color de microfubulos vojol, polos de huso mitótico (verde) y cromosomas en metafase (azul), obtenida de seis secciones en sene no adyacentes de cel ulas tumoraies en división) se muestra con mayor claridad la organización de este huso mitótico acidenado este ado y la reconstrucción tridimensional del huso revelaron que cada polo del huso tenia al menos dos centricios y que el polo del huso estaba compuesto por dos focos de microfubulos distritos pero adyacentes (reimpreso con autorización de una legie Vu., Salisbury JL. Altered centrosome structure is associated with abnormal mitoses in human breast tumors. Am J Path 1999 155 1941-19511.

la mayoría de los orgánulos erroplasmáricos. Si bien algunas de estas inclusiones contienen proteínas víricas, material de almacenamiento o metabolitos celulares, la importancia de otras aún no se ha dilucidado.

■ MATRIZ CITOPLASMÁTICA

La matriz citoplasmática es un gel acueso concentrado compuesto por moléculas de diferentes tamaños y formas.

La matriz citoplasmática (sustancia fundamental o citosol) muestra una estructura poco específica con la microscopia óptica o con la microscopia electrónica de transmisión convencional, y se ha descrito tradicionalmente como una solución acuosa concentrada que connene moléculas de diferentes tamaños y formas (p. ej., electrólitos, metabolitos, ARN y proteínas sintetizadas). En la mayoría de las células, es el compartimento más grande. La matriz citoplasmática es el sitio de procesos fisiológicos fundamentales para la existencia celular (síntesis y degradación proteínica, degradación de sustancias nutricias). Los estudios con microscopía electrónica de alto voltaje de secciones de 0.25-0.5 µm muestran una compleja red estructural tridimensional de finas hebras microtrabeculares y ligadores oruzados. Esta red proporciona un sustrato estructural sobre el cual ocurren las reacciones citoplasmáticas, como aquellas en las que participan ribosomas libres, así como el transporte citoplasmático y el desplazamiento regulado y dirigido de los orgánulos.



CITOPLASMA CELULAR

FUNDAMENTOS DE LA CELULA Y EL CITOPLASMA

- Las célules son las unidades estructurales y funcionales básicas de todos los organismos
- Las celulas tienen dos compartimentos principales el citopiasma (que contiene orgánulos e inclusiones rodeadas por una matriz citopiasmática) y el nucleo (que contiene el genoma)
- Siones rodeadas por una matriz estopiosmatida y estábilidade de la sectivos que se clasifican como

 Los orgánulos son comparimentos complejos o metabólicamente activos que se clasifican como

 membranosos y no membranosos.

MEMBRANA PLASMÁTICA

- La membrana plasmática es una estructura de bicapa lipídica visible con microscopía electrónica de transmisión. Está
 compuesta por fosfolípidos, colesteros, proteinas integrales incluidas en la membrana y proteinas perifericas asociadas con la
 membrana.
- Las proteinas integrales de la membrana cumplen funciones importantes en el metabolismo, la regulación y la integración celular. Estas incluyen bombas, canales, proteinas receptoras, proteinas de enlace, enzimas y proteínas estructurales.
- Las balsas lipidicas representan microdominios en la membrana plasmática que contienen altas concentraciones de colesterol
 y glucoesfingolipidos. Son plataformas de señalización moviles que transportan proteínas integrales y perifericas de membrana
- La membrana plasmatica se invagina, lo que permite que las vesiculas broten. La brotación de la vesícula permite que las moléculas entren (endocitosis) y salgan de la celula (exocitosis), o viajen dentro del citoplasma celular en vesículas de transporte.

TRANSPORTE DE MEMBRANA Y TRANSPORTE VESICULAR

- Las moleculas pequeñas (liposolubles, sin carga) y los gases atraviesan la membrana plasmática mediante difusión simple
 (pasiva) sin gasto de energía. Todas las otras moléculas necesitan proteínas de transporte de membrana que les proporcionen
 un pasaje individual a través de la membrana plasmática.
- El transporte activo requiere energia porque las moléculas son transportadas a través de la membrana plasmatica contra su
 concentración o gradiente electroquímico. El transporte pasivo requiere proteinas transportadoras, pero no consume energía.
- La endocitosis es la captación celular de liquidos y macromoleculas. Depende de tres mecanismos diferentes pinocitosis (captación de liquidos y solutos por micro y macropinocitosis en vesiculas pequenas o grandes, respectivamente), fagocitosis (captación de particulas grandes) y endocitosis mediada por receptores (captación de moleculas especificas que se unen a los receptores)
- La formación de vesiculas durante la endocitosis mediada por receptores implica la interaccion con la proteina clatrina que se ensambla en jaulas similares a cestas visibles en la microscopia electronica como fositas recubiertas o vesículas cubiertas.
- La exocitosis es el proceso de secreción celular en el cual las vesiculas de transporte, cuando se fusionan con la membrana plasmatica, descargan su contenido en el espacio extracelular. Las proteinas SNARE son necesarias para la fusión de la membrana en la exocitosis y para la iniciación de la endocitosis.
- La exocitosis constitutiva es un proceso continuo en el que los contenidos de las vesiculas de transporte son llevados hacia la membrana plasmatica y descargados continuamente. En la exocitosis secretora regulada, el contenido de las vesiculas es almacenado dentro de la célula y liberado de acuerdo con la estimulación hormonal o neural.

DEGRADACIÓN DE PROTEÍNAS

- Los lisosomas son organulos digestivos que contienen enzimas hidrolíticas que degradan sustancias derivadas de la endocitosis y de la propia celula (autofagia). Fienen una membrana unica hecha de proteinas estructurales específicas resistentes a la digestión hidrolítica.
- Los lisosomas se desarrollan a partir de endosornas recibiendo proreínas lisosómicas recien sintetizadas (enzimas y
 proteinas estructurales) que son dirigidas por la vía de señales de reconocimiento hisosomicas de la manosa-6-fosfato (M-6-P).
- Los proteasomas son organulos no membranosos que también cumplen una funcion en la degradación de proteinas. Representan complejos de proteinas citoplasmáticas que destruyen proteínas dañadas (mal plegadas) o innecesarias que se han etiquetado para su destrucción con ubicuitina sin la participación de los lisosomas.

RETÍCULO ENDOPLASMÁTICO

- El RER representa una región del retículo endoplasmático asociado con los ribosomas. Es el sitio de la sintesis de proteínas y
 modificación postraduccional de las proteínas recien sintetizadas. El RER esta mas desarrollado en células secretoras activas y es
 visible bajo microscopía óptica como una región basófila (ergastoplasma).
- El REL esta compuesto por tubulos anastomosados que no estan asociados con los ribosomas. Contiene enzimas desintoxicantes (higado) y enzimas para el metabolismo del glucógeno y los lipidos. El REL también surve como reservorio para el Ca²⁺ en las células musculares esqueléticas.

APARATO DE GOLGI Y OTROS ORGANULOS MEMBRANOSOS

- El aparato de Golgi es una serie de cisternas apiladas y aplanadas, y cumple una función en la modificación postraduccional, clasificación y empaquerado de proteinas dirigidas a cuatro destinos celulates principales: la membrana plasmàtica apical y basolateral, los endosomas, los lisosomas y el citoplasma apical (para almacenamiento o secrecion)
- Las mitocondrias son orgánulos móviles alargados que contienen la cadena de transporte de electrones de enzimas
 respiratorias para generar ATP Son abundantes en celulas que generan y gastan grandes cantidades de energía y regulan la
 apoptosis (muerte celular programada).
- Los peroxisomas son orgánulos pequeños involucrados en la producción y degradación del H-O2, y en la degradación de ácidos grasos.

MICROTÚBULOS

- Los microtubulos son tubos buecos rigidos y alargados (20-25 nm de diametro) compuestos por tubulina α y β. Se originan
 en anillos de tubulina γ dentro del MTOC, y su longitud cambia dinámicamente a medida que los dimeros de tubulina son
 agregados o eliminados en un proceso de remodelación constante conocido como inestabilidad dinámica.
- Los microrúbulos forman vías para el transporte vesícular intracelular y los husos mitóticos; también son responsables del movimiento de los cilios y los flagelos, así como del mantenimiento de la forma de la célula.
- El movimiento de los orgánulos intracelulares junto con los microrúbulos es generado por proteínas moleculares motoras (dineinas y cinesinas).
- Los centriolos son un par de calindros enoplasmaticos cortos y en forma de varilla formados por nueve tripletes de microtúbulos. Representan el punto focal alrededor del cual se reúne el MTOC, proporcionan los cuerpos basales para cilios y flagelos, y alinean el huso mitotico durante la division celular.

FILAMENTOS DE ACTINA

- Los filamentos de actina (nucrofilamentos) son más finos (6-8 nm de diametro), mas cortos y más flexibles que los nucrorúbulos. Están compuestos por actina G (actina globulina) polumenzada que forma la actina F (actina filamentosa)
- Los filamentos de actina también son responsables de la unión célula-matriz extracelular (adhesiones focales), los
 movimientos de las proteinas de membrana, la formación del núcleo estructural de las microvellosidades y la movilidad celular
 a través de la creación de extensiones celulares (lamelipodios y filopodios)
- Las proteinas motoras de actina (familia de la miosina), que hidrolizan el ATP para proporcionar energia para el movimiento a lo largo del filamento de actina, son responsables de la contracción muscular.

FILAMENTOS INTERMEDIOS

- Los filamentos intermedios tienen forma de cuerda (8-10 nm de diametro), agregan estabilidad a la celula e interactuan con las uniones celulares (desmosomas y hemidesmosomas).
- Los filamentos intermedios se forman a partir de subunidades de filamentos intermedios no polares y altamente variables
 que incluyen queratinas (que se encuentran en las células epiteliales), vimentina (celulas derivadas del mesodermo), desmina (celulas musculares), proteinas de los neurofilamentos (células nerviosas), laminas (núcleo) y proteínas de
 los filamentos perlados (cristalino del ojo).

INCLUSIONES

Las inclusiones contienen productos de la actividad metabolica de la célula y consisten principalmente en granulos de pigmento (la lipofuscina es el pigmento "de desgaste" mas frecuente), gotitas lipidicas y glucogeno

3 NÚCLEO CELULAR

FUNDAMENTOS DEL NUCLEO / 82 COMPONENTES NUCLEARES / 82

Cromatina / 82 Nucleolo 86 Envoltura nuclear / 88 Nucleoplasma / 92

RENOVACION CELULAR / 92 CICLO CELULAR / 92

Fases y puntos de control del ciclo celular / 92 Regulación del ciclo celular / 94

Mitosis / 95 Meiosis / 95

MUERTE CELULAR / 99

Apoptosis / 100

Otras formas de muerte celular programada / 102

Cuadro 3-1 Correlación clínica: pruebas

citogenéticas / 87

Cuadro 3-2 Correlación clínica: regulación del ciclo celular y tratamiento del cáncer / 88

HISTOLOGIA 101 / 104



■ FUNDAMENTOS DEL NÚCLEO

El núcleo es un compartimento limitado por una membrana, el cual contiene el genoma (información genética) en las células eucariotas.

El núcleo contiene información genética, junto con la maquinaria para la duplicación del ADN y la transcripción y el procesamiento del ARN. El núcleo de una célula que no está dividiéndose, periodo conocido como *interfaso*, está formado por los siguientes componentes:

- La cromatina es el material organizado como aucromatina o heterocromatina. Contiene el ADN asociado con una masa aproximadamente igual de proteínas nucleares diversas (p. ej., las histonas), que son necesarias para su función.
- El nucléolo es una región pequeña dentro del núcleo que contiene ADN en forma de genes de ARN ribosómico (ARNr) transcripcionalmente activos, ARN y proteínas. El nucléolo es el sitio de síntesis del ARNr y contiene proteínas reguladoras del ciclo celular.
- La envoltura nuclear es un sistema de doble membrana que rodea el núcleo de la célula. Se encuentra formada por una membrana interna y otra externa separadas por un espacio o cisterna perinuclear y perforada por poros nucleares. La membrana externa de la envoltura nuclear es continua con el retículo endoplasmático rugoso (RER), y a menudo presenta ribosomas adheridos (fig. 3-1).
- El nucleoplasma es todo el contenido nuclear que no es cromatina ni nucléolo.

Un examen microscópico simple del nucleo proporciona gran cantidad de información acerca del adecuado funcionamiento de la cálula. La evaluación del tamaño, la forma y la estructura nuclear desempeña un importante papel en el diagnostico del cáncer. Por ejemplo, las cálulas en proceso de muerte tienen alteraciones nucleares visibles. Estas incluyen:

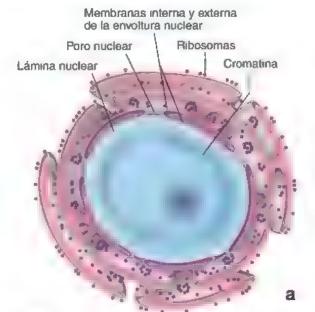
- Cariólisis o desaparición del nucleo debido a la disolución total del ADN por el incremento de la actividad de la desoximbonucleasa (ADNasa)
- Picnosia o condensación de la cromatina que conduce a la retracción de los nucleos (estos aparecen como masas básófilas densas)
- Cariorrexis o fragmentación de los nucleos (estos cambios suelen estar precedidos por la picnosis).

■ COMPONENTES NUCLEARES

Cromatina

La cromatina es un complejo de ADN y proteínas responsable de la basofilia característica del nucleo.

Cada célula eucariota contiene cerca de 6000 millones de bits de información codificados en la estructura del ADN, el cual tiene una longitud total aproximada de 1-8 m. La longitud de la molécula de ADN es unas 100 000 veces mayor que el diámetro nuclear. Por lo tanto, el ADN debe estar muy plegado y compactado en el núcleo de la célula. Esto se logra mediante la formación de un complejo singular de nucleoproteínas denominado cromatina.



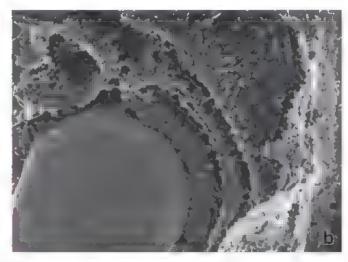


FIGURA 3-1. Relación entre el nucleo y el retículo endoplasmático rugoso (RER) a. La envoltura nuclear es un sistema de doble membrana que rodea el nucleo. La membrana externa se continua con la luz del RER, La membrana interna es adyacente a los filamentos intermedios nucleares que forman la lamina nuclear b. Microfotografia electrónica preparada mediante la técnica de congelación rápida y grabado profundo en la que se muestra el nucleo del gran objeto estérico rodeado por la envoltura nuclear). Obsérvese que la membrana externa tiene ribosomas y se continua con el RER 12 000× (cortesia del Dr. John E. Heuser Washington University School of Medicine).

El complejo de cromatina está compuesto por ADN y proteínas estructurales. Un plegado adicional de la cromatina, como el que ocurre durante la mitosis, produce estructuras llamadas eromosomas. Cada célula humana contiene 46 cromosomas. Las proteínas de la cromatina incluyen cinco proteínas básicas denominadas histonas, además de otras proteínas no histonas. Una propiedad del empaquetado de la cromatina es que facilita el acceso de la maquinaria de transcripción a las regiones génicas que necesiten ser transcritas.

La secuenciación del genoma humano se completó con éxito en el año 2003.

El genome humano comprende toda la longitud del ADN humano que contiene la información genética incorporada en 46 cromosomas. La secuenciación del genoma humano tardó unos 13 años y fue finalizada en el año 2003 por el Human Genome Project. El genoma humano contiene una secuencia de nucleótidos de 2850 millones de pares de bases que se encuentran organizados en unos 23 000 genes codificadores de proteínas. Durante muchos años se pensó que el genoma tenía únicamente dos copias de cada gen. Sin embargo, descubrimientos recientes han revelado que grandes segmentos de ADN pueden variar en el número de copias. Por ejemplo, los genes que se creía que aparecían siempre en dos copias por genoma, algunas veces tienen una, tres o más copias. Estas variaciones en el número de copias (CNV, copy number variations) están ampliamente difundidas en el genoma humano y muy probablemente lleven a desequilibrios genéticos. La definición previa de gen era un segmento del ADN implicado en la producción de la cadena de polipéptidos; no obstante, se ha actualizado recientemente y hoy en día se dice que es la unión de secuencias genómicas que codifican un conjunto coherente de productos funcionales con posible superposición.

En general, en el núcleo hay dos formas de cromatina: una forma condensada llamada heterocromatina y una forma dispersa conocida como eucromatina.

En la mayoría de las células, la cromatina no tiene un aspecto homogéneo; por el contrario, hay cúmulos de cromatina densamente teñida incluidos en un fondo de tinción más claro. El material densamente teñido es cromatina muy condensada llamada heterocromatina, y el material de tinción más claro (donde se localizan la mayoría de los genes transcripcionalmente activos) es una forma dispersa denominada eucrometina. Los grupos fosfato del ADN son responsables por la basofilia característica de la cromatina (véase p. 6).

Existen dos tipos identificables de heterocromatina: la constitutiva y la facultativa. La heterocromatina constitutiva contiene las mismas regiones de secuencias muy repetitivas y genéticamente inactivas del ADN, que están condensadas y consistentemente incorporadas en las mismas regiones del cromosoma cuando se compara con otras células. En los cromosomas cercanos a los centrómeros y a los telómeros hay grandes cantidades de heterocromatina constitutiva. La heterogromatina facultativa también está condensada y no participa en el proceso de transcripción. A diferencia de la heterocromatina constitutiva, la facultativa no es repetitiva y su ubicación nuclear y cromosómica varía cuando se compara con otros tipos de células. La heterocromatina facultativa puede experimentar transcripción activa en ciertas células (véase la descripción del corpúsculo de Barr en la p. 86) debido a condiciones específicas, como ciertas etapas del ciclo celular, los cambios en la ubicación nuclear (la migración desde el centro a la perifena) o la transcripción activa de un solo alelo de un gen (expresión monoalélica del gen).

La heterocromatina se distribuye en tres regiones (fig. 3-2):

- La cromatine marginal se encuentra en la periferia del núcleo; la
 estructura que los microscopistas ópticos antes llamaban membrana nuclear en realidad consiste, en su mayor parte, en cromatina marginal.
- Los cariosomas son cuerpos discretos de cromatina de tamaño y forma irregular que se hallan en todo el núcleo.
- La cromatina asociada con el nucleolo es cromatina vinculada con el nucléolo.

La heterocromatina se tiñe con hematoxilina y colorantes básicos; también se observa bien con la técnica de Feulgen (una reacción histoquímica específica para la desoxirribosa del ADN, véase p. 6) y con colorantes fluorescentes vitales, como los de Hoechst y el

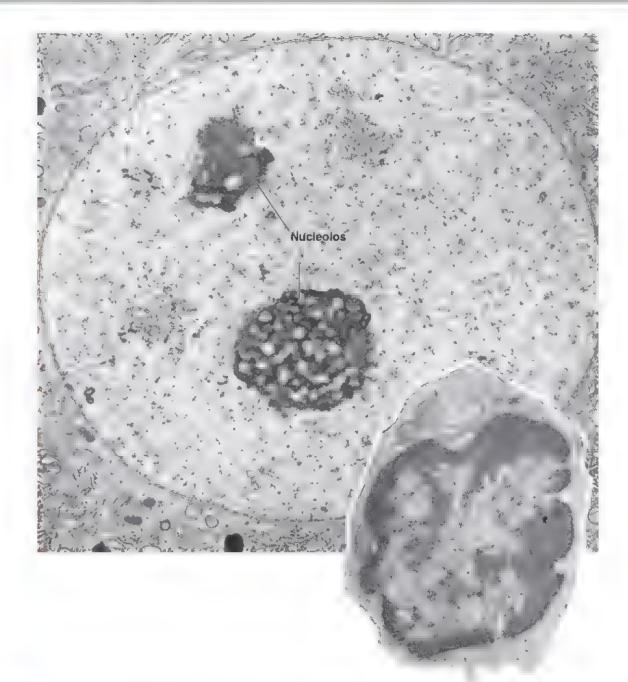


FIGURA 3-2. Microfotografías electrónicas de núcleos de dos tipos de células diferentes. En la microfotografía electrónica grande se muestra el nucleo de una célula nerviosa. Se incluyen dos nucleolos en el plano de sección. El nucleo de esta célula activa lexicidad so succión los nucleos de esta célula activa lexicidad so succión los nucleos de esta célula activa lexicidad so succión la nucleo de esta célula activa excitadad 10000 x. Recuadro. El nucleo más pequeño pertenece a un infocto circulante (toda la célula se muestra en la microfotografía). Es una célula relativamente inactiva. Obsérvese la escasez de citopiasma y orgániu os citopiasmáticos la cromatina en el nucleo está muy condensada (heterocromatina). Las zonas más claras representan la eucromatina. 13000 x.

yoduro de propidio. La heterocromatina es la que permite la tinción del núcleo en preparaciones con hematoxilina-eosina (H&E).

La eucromatina no se detecta con la microscopía óptica. Está presente dentro del nucleoplasma en las regiones "claras" entre la heterocromatina y alrededor de ella. En las microfotografías electrónicas de rutina no se observa una delimitación precisa entre la eucromatina y la heterocromatina; ambas tienen un aspecto filamentoso y granular, pero la eucromatina está menos compactada.

La eucromatina indica cromatina activa, es decir, aquella que se extiende de manera que la información genética en el ADN pueda leerse y transcribirse. Es prominente en células metabólicamente activas, como las neuronas y los hepatocitos. La heterocromatina predomina en las células metabólicamente inactivas, como en los linfocitos pequeños circulantes y en los espermatozoides, o en las células que sintetizan un producto principal, como las células plasmáticas.

Las unidades más pequeñas de la estructura de la cromatina son los complejos macromoleculares de ADN e historias, llamados nucleosomas.

Los nucleosomas se encuentran tanto en la eucromatina como en la hererocromatina y los cromosomas. Estas partículas de 10 nm de diámetro representan el primer nível de plegado de la cromatina y se forman por el enrollamiento de la molécula de ADN alrededor de un núcleo proteínico. Este paso acorta unas siete veces la

molécula de ADN en relación con la molécula de ADN desplegada. El centro del nucleosoma se compone de ocho moléculas de histonas (denominadas octámero). La molécula de ADN gira dos veces (unos 146 pares de nucleótidos) alrededor del octámero central. El ADN se extiende entre cada partícula como un filamento de 2 nm que se une con nucleosomas adyacentes. Cuando se extrae la cromatina del núcleo, la subestructura nucleosómica de la cromatina es visible en el microscopio electrónico de transmisión (MET) y con frecuencia se describe como "cuentas de un collar" (fig. 3-3a)

En el paso siguiente, una larga hebra de nucleosomas se enrolla para producir una fibrita de cromatina do 30 nm. Seis nucleosomas completan una vuelta en la espiral de la fibrilla de cromatina, la cual es casi 40 veces más corta que el ADN desplegado. Algunos segmentos largos de fibrillas de cromatina de 30 nm se organizan adicionalmente en dominios de bucles (que contienen 15 000-100 000 pares de bases), que se anclan al armazón cromosómico o matriz nuclear, compuesta por proteínas no historias. En la heterocromatina, las fibrias de cromatina están fuertemente compactadas y plegadas entre sí; en la eucromatina, las fibrillas de cromatina están organizadas de forma menos compacta.

En las células en división, la cromatina está condensada y organizada en cuerpos bien definidos denominados *cromosomas*.

Durante la división mitótica, las fibras de eromatina, formadas a partir de los dominios de bucles de cromatina ancladas a un armazón proteínico flexible, son sometidas a condensación para formar cromosomas (gr., chroma, color; soma, cuerpo). Cada cromosoma está formado por dos cromátides que están unidas en un punto llamado contrómero (fig. 3-3b). La naturaleza doble del cromosoma se produce en la fase precedente de síntesis (S) del ciclo celular (véase p. 92), durante la cual el ADN se replica anticipándose a la siguiente división mitótica.

El área ubicada en cada extremo del cromosoma se denomina telomero. Los telómeros se acortan con cada división celular. Al gunos estudios recientes señalan que la longitud del telómero es un indicador importante de la vida útil de la célula. Para sobrevivir de forma indefinida ("immortalizarse"), las células deben activar un mecanismo que mantiene la longitud del telómero. Por ejempto, en celulas que se han transformado en malignas, se encuentra una enzima conocida como telomerasa que añade secuencias de nucleotidos repetidos al extremo del telomero. Recientemente, la expresión de esta enzima ha demostrado extender la vida útil de las células y promover el crecimiento. Se esta estudiando la telomerasa como diana potencial para su empleo como tratamiento contra el cáncer

Con excepción de los gametos maduros, el óvulo y el espermatozoide, las células humanas contienen 46 eromosomas organizados como 23 pares homologos (cada cromosoma en el par tiene la misma forma y tamaño). Veintidós pares tienen cromosomas idénticos (cada cromosoma del par contiene la misma porción del genoma) y se llaman autosomas. El vigésimo tercer par de cromosomas está formado por los oromosomas sexualos, designados X o Y. Las mujeres tienen dos cromosomas X (46,XX); los varones tienen un cromosoma X y uno Y (46,XY).

Este número cromosómico, 46, se encuentra en la mayoría de las células somáticas del cuerpo y se le denomina número diploido (2n). A fin de simplificar la descripción del número cromosómico y los cambios en el ADN durante la mitosis y la meiosis, se utiliza la letra minúscula n para el número de cromosoma y la letra minúscula o para el contenido de ADN. Los cromosomas diploides tienen una cantidad de ADN (2d) inmediatamente después de la división celular. Asimismo, tienen el doble de esa cantidad (4d) después de la fase S (véase p. 98)

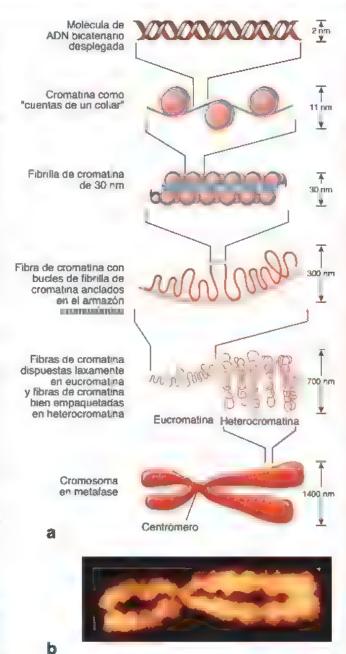


FIGURA 3-3. Empaquetado de la cromatina en la estructura cromosómica. a. En este diagrama se muestran los pasos secuenciales del empaquetado de la cromatina nuclear, comenzando con la dobre hélica del ADN y finalizando con la forma altamente condensada que se encuentra en los cromosomas b. Estructura de cromosoma 2 humano en metafase por microscopía de fuerza atómica. 20000× (cortesía del Dr Tatsuo Ush.ki)

Como consecuencia de la meiosis, los óvulos y espermatozoides tienen solo 23 cromosomas, un número haploide (1n), así como la cantidad haploide de ADN (1d). El número de cromosomas somáticos (2n) y la cantidad diploide (2d) de ADN se restauran en la fertilización mediante la fusión del núcleo del espermatozoide con el núcleo del ovocito.

En un cariotipo, los pares de cromosomas se clasifican de acuerdo con su tamaño, forma y color fluorescente emitido.

Una preparación de cromosomas derivada de la rotura mecánica de las células en división (que luego se fijan, se colocan en un

portanbjetos y se tiñen) recibe el nombre de extendido metafásico. En el pasado, los cromosomas se renían de forma rutinaria con el colorante de Giemsa; sin embargo, con el desarrollo reciente de las técnicas de hibridación in situ, para ver un extendido cromosómico hoy en día suele emplearse el procedimiento de hibridación in situ con fluorescencia (FISH, fluorescent in situ hybridization). Estos extendidos se observan con el microscopio de fluorescencia, y después se usan cámaras controladas por un sistema informático para capturar las imágenes de los pares cromosómicos. El programa de procesamiento de imágenes clasifica los pares cromosómicos de acuerdo con su morfología para formar un cariotipo (véase fig. F3-1-1a). En la actualidad, hay una gran variedad de sondas comercialmente disponibles en pruebas citogenéticas (cuadro 3-1) para diagnosticar alteraciones causadas por anomalias cromosómicas, como falta de disyunción, transposiciones (véase fig. C3-1-1a), deleciones (véase fig. C3-1-1b) y duplicaciones de sitios de genes específicos. Los cariotipos también se utilizan para la determinación prenatal del sexo fetal y para el diagnóstico prenatal de ciertas enfermedades geneticas (vease fig. 1-7).

El corpúsculo de Barr es una región de heterocromatina facultativa que puede utilizarse para identificar el sexo de un feto.

Algunos cromosomas están reprimidos en el núcleo en interfase y existen solo en la forma heterocromática muy compactada. En la mujer, el eromosoma X es un ejemplo de estos cromosomas y puede emplearse para identificar el sexo del feto. Este cromosoma fue descubierto en 1949 por Barr y Bartram en las neuronas de gatas, en las que aparecía un corpúsculo redondeado bien teúido adyacente al nucléolo, que hoy se conoce como corpusculo de Barr. En las mujeres, el corpúsculo de Barr representa una región condensada de heterocromatina facultativa que no participa en el proceso de transcripción. Durante el desarrollo embrionario, un cromosoma X elegido aleatoriamente en un cigoto femenino experimenta la condensación de la cromatina de todo el cromosoma y este estado se mantiene durante toda la vida

Si bien el corpúsculo de Barr se encontró originalmente en cortes de tejido, más tarde se demostró que cualquier cantidad relativamente grande de células preparadas por frotis (p. ej., células raspadas de la mucosa bucal dentro de las mejillas o neutrófilos de un frotis sanguíneo) puede emplearse para buscar estos corpúsculos. En las células de la mucosa bucal, el corpúsculo de Barr se encuentra adyacente a la envoltura nuclear. En los neutrófilos, el corpúsculo de Barr desarrolla un apéndice en forma de baqueta de tambor en uno de los lóbulos nucleares (fig. 3-4). Tanto en los cortes como en los frotis, se deben examinar gran cantidad células para encontrar aquellas cuya orientación sea la adecuada para observar el corpúsculo de Barr.

Nucléolo

El nucléolo es el sitio donde se produce la sintesis del ARN ribosómico (ARNr) y el armado inicial de los ribosomas.

El nucléoto es una región no membranosa del núcleo que rodea los genes de ARNr transcripcionalmente activos. Es el sitio primario de producción y ensamblado ribosómico. El nucléolo varía en tamaño, pero está particularmente bien desarrollado en células activas en la síntesis de proteínas. Algunas células contienen más de un nucléolo. Este orgánulo presenta tres regiones morfológicamente diferentes (fig. 3-5):

 Centros fibrilares. Contienen bucles de ADN de cinco cromosomas diferentes (13, 14, 15, 21 y 22) con genes de ARNr, ARN polimerasa I y factores de transcripción

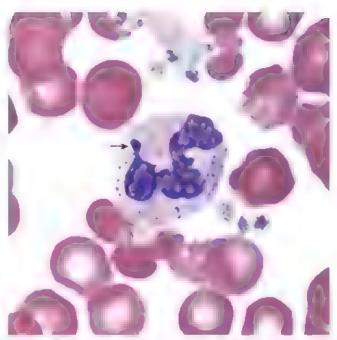


FIGURA 3-4. Microfotografía de un neutrofilo de un frotis sanguíneo de una paciente. El segundo cromosoma X de la paciente está reprim do en el núcleo en interfase y se puede ver en el neutrófilo como un apéndice con aspecto de baqueta (flecha) en un lóbulo nuclear 250×

- Material fibrilar (pars fibrosa). Contiene genes ribosómicos en proceso de transcripción activa y grandes cantidades de ARNr.
- Material granular (pars granulosa). Representa el sitio del armado ribosómico inicial y contiene partículas prerribosómicas densamente compactadas.

La red formada por los materiales granular y fibrilar se denomina nucleolonema. El ARNr está presente en ambos materiales, granular y fibrilar, y se organiza tanto en gránulos como en filamentos muy delgados y ĵuntos, respectivamente. Los genes para las subunidades ribosómicas están ubicados en los intersticios de esta red y son transcritos por la ARN polimerasa I. Después del procesamiento y de las modificaciones adicionales de los ARNr por los ARN nucleolares pequeños (ARNsno), las subunidades de ARNr

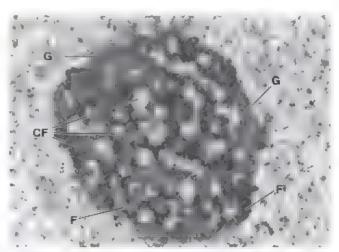


FIGURA 3-5. Microfotografia electrónica del nucléolo. Este nucléolo de una célula nerviosa muestra los centros fibritares (*CF*) rodeados por los materia es fibrilar (*F*) y granular (*G*). Dicha red de ambos materiales se conoce como *nucleolonema*. El ARNr, los genes que contienen ADN para el ARNr y las proteínas específicas se loca izan en los intersticios del nucleolonema. 15000×

CORRELACION GLÍNICA: PRUEBAS CITOGENÉTICAS

La prueba citogenética es un componente importante en el diagnóstico y la evaluación de alteraciones genéticas y se refiere al análisis de los cromosomas. Las anomalias cromosómicas se producen en aproximadamente el 0.5% de todos los nacidos vivos y se detectan en el 50% de los abortos espontáneos y en el 95% de varias células tumora es El análisis cromosómico se puede realizar en sangre periférica, médula ósea, tejidos (como la piel o las vellosidades conónicas obtenidas por biopsia) y células tomadas del líquido amniotico durante la amniocentes s

Los estudios cromosómicos comienzan con la extracción de cromosomas completos de los nucleos de las células en división. Luego, estos cromosomas se colocan en portaobjetos de vidrio, se hibridan con sondas de fluorescencia. especiales (técnica FISH) y se examinan bajo un microscopio Una unica sonda de ADN fluorescente produce una señal microscópica brillante cuando se hibrida con una parte específica de un cromosoma particular. Para obtener una imagen de todos los cromosomas, se utiliza una mezcla de diferentes sondas para producir diferentes colores en cada cromosoma. Los carrotipos marcados con este método permiten a los citogenetistas realizar un análisis exhaustivo de los cambios en el numero de cromosomas y las anomalias en estos, como adiciones o deleciones. Los cromosomas pareados están numerados en el cariotipo, y el sexo masculino está indicado por la presencia de los cromosomas X e Y (fig. C3-1-1a). En el recuadro blanco en la figura C3-1-1a se muestra un par de cromosomas XX característico del sexo femenino

Algunas veces, parte de un cromosoma se rompe y se adhiere a otro cromosoma. Cuando esto sucede, se conoce como translocación. En el recuadro rojo de la figura C3-1-1a se muestra una translocación entre los cromosomas 8 y 14 (t8, 14). En esta imagen a color es claramente visible que una parte del cromosoma 8 original (región celeste) ahora está unida al cromosoma 14, y una pequeña porción del cromosoma 14 (región roja) ahora es parte del cromosoma 8. Estas translocaciones cromosómicas están presentes en los linfomas (cáncer de células sanguíneas), como la leucernia mieloide aguda (LMA), el linfoma no hodgkiniano (LNH) y el (inforna de Burkit)

En la figura C3-1-1b, una propagación en metafase obtenida de linfocitos cultivados de un paciente con sospechade sindrome de Prader-Willi/Angelman (\$PW/\$A) se ha hibridado con varias sondas de ADN que reaccionan con el cromosoma 15 (un agrandamiento del par cromosómico del cromosoma 15 se muestra en el recuadro amanllo). La sonda verde (D15Z1) indica el centrómero del cromosoma. 15 La sonda naranja advacente (D15S10) reacciona con la región SPW/SA del cromosoma 15. La deleción de esta región está asociada con SPW/SA. Obsérvese que un homólogo del cromosoma 15 ha perdido esa región (no se ve ninguna señal naranja). La tercera sonda roja (PML) reconoce el brazo distal largo del cromosoma 15 y es visible en ambos cromosomas. Discapacidad intelectual grave, hipotonía muscular, baja estatura, hipogonadismo y diabetes resistente a la insulina son características del SPW/SA. Cuando la deleción se hereda de la madre, los pacientes desarrollan el síndrome de Angelman, cuando se hereda del padre, desarrollan el síndrome de Prader-Willi. Esta preparación se contrasta con DAPI, que reacciona con el ADN bicatenario y muestra una fluorescencia azul

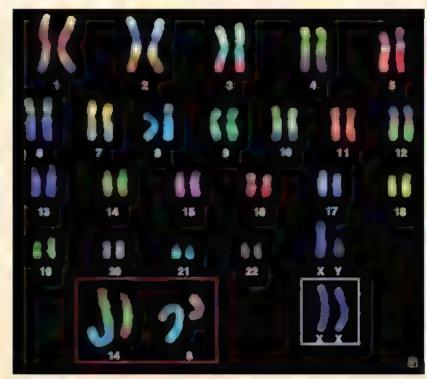




FIGURA C3-1-1. Carlotipos obtenidos con la técnica de hibridación *in situ* fluorescente (FISH), a. Carlotipo de un varón normal. En el recuadro blanco se muestra el par de cromosomas XX de una mujer normal. En el recuadro rojo se revela una anomalia en los cromosomas 14 y 8 (cortesia de Applied, maging International utid., Newcaste upon Tyne, UK). b. Preparación en metafase de un paciente con sindrome de Prader W. (Angelman. En el recuadro amarillo se muestra el par ampliado del cromosoma 15 (cortesia del Dr. Robert 8. Jenkins.).

se ensamblan utilizando proteínas ribosómicas importadas desde el citoplasma. Las subunidades ribosómicas parcialmente ensambladas (prerribosomas) son exportadas desde el núcleo a través de los poros nucleares para completar su ensamblado en el citoplasma, donde se convierten en ribosomas maduros.

El nucléolo participa en la regulación del ciclo celular.

La nucleostemina es una proteína que interacrúa con p53 para regular el ciclo celular e influye en la diferenciación celular (véase p. 94). A medida que avanza la diferenciación celular, la concentración de esta proteína se reduce. La presencia de la nucleostemina en células malignas sugiere que podria desempeñar un papel en su proliferación descontrolada (cuadro 3-2). Además, el ADN, el ARN, los retrovirus y sus proteinas víricas interactuan con el nucleolo y causan la redistribución del material granular y fibrilar durante el curso de una virosis. Estos vírus pueden utilizar componentes del nucleolo como parte de su propio proceso de replicación. La evidencia indica que los vírus podrian interactuar con el nucleolo y sus componentes para favorecer la transcripción y la traducción de proteinas víricas y, tal vez, alterar el ciclo celular para promover la replicación del virus.

El nucléolo se tiñe intensamente con hematoxilina y con colorantes básicos, y metacromáticamente con tionina.

La relación de la basofilia y la metacromasia del nucléolo con los grupos fosfato del ARN nucleolar se confirma mediante la digestión previa de las muestras con ribonucleasa (ARNsa), que anula la tinción. Como ya se mencionó, hay ADN en el nucléolo; sin embargo, su concentración está por debajo de la capacidad de detección de la reacción de Feulgen. Por lo tanto, cuando se examinan con el microscopio óptico, los nucléolos aparecen Feulgen negativos, aunque con frecuencia se hallan rodeados por material Feulgen positivo que corresponde a la cromatina asociada con el nucléolo.

Envoltura nuclear

La envoltura nuclear, formada por dos membranas con un espacio entre elfas, la cistema perinuclear, separa el nucleoplasma del citoplasma.

La envoltura nuclear proporciona una barrera membranosa permeable selectiva entre el compartimento nuclear y el citoplasma,

que encierra la cromatina. La envoltura nuclear se ensambla a par tir de dos membranas nucleares (externa e interna) con la cisterna perinuciear entre ellas. El espacio claro de la cisterna perinuclear se continúa con el espacio de la cisterna del RER (véase fig. 3-1). Las dos membranas de la envoltura nuclear contienen poros nucleares que median el transporte activo de proteínas, ribonucleoproteínas y ARN entre el núcleo y el citoplasma. Las membranas de la envoltura nuclear difieren en estructura y función:

- La membrana nuclear externa se parece mucho a la membrana del retículo endoplasmático y de hecho se continúa con la membrana del RER (fig. 3-6). A menudo, se observan polirinhosomas unidos a las proteínas de acoplamiento presentes en el lado citoplasmático de la membrana nuclear externa.
- La membrana nuclear interna es sostenida por una malla rígida de proteínas de filamentos intermedios unida a su superficie interna, denominada támina nuclear (fibrosa) (véase fig. 3-6). Además, esta membrana nuclear interna contiene receptores de laminas específicos y varias proteínas asociadas con las laminas que se unen con los cromosomas y aseguran la fijación a la lámina nuclear.

La lámina nuclear está formada por filamentos intermedios y es contigua a la membrana nuclear interna.

Debajo de la membrana nuclear se encuentra la lámina nuclear, una delgada capa reticular electrodensa de filamentos intermedios. Además de su función de sostén o "nucleoesquelética", la lámina nuclear es imprescindible en muchas actividades nucleares, como la duplicación y transcripción de ADN, y la regulación génica. Si el componente membranoso de la envoltura nuclear es destruido por la exposición a un detergente, la lámina nuclear permanece y el núcleo conserva su forma.

Mediante aislamiento bioquímico se determinó que los principales componentes de la lámina son las laminas del núcleo, un tipo especializado de filamento intermedio nuclear (véase p. 71), y proteinas asociadas con las laminas. La lámina nuclear está compuesta esencialmente por las proteínas lamina A y lamina C que forman filamentos intermedios. Estos filamentos establecen enlaces cruzados para formar una estructura ortogonal (véase fig. 3-6), que se une a la membrana nuclear interna principalmente por medio de la proteína lamina B a través de sus interacciones con los receptores

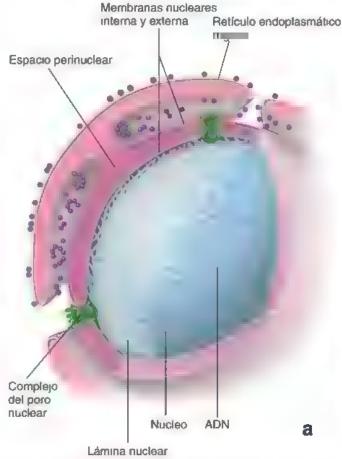
CUADIO 2-2

COHRELACION CLÍNICA REGULACIÓN DEL CICLO CELULARYTRATAMIENTO DEL CÁNCER

La comprensión de los detalles de la regulación del ciclo celular ha tenido un impacto en la investigación sobre el cáncer y ha contribuido al desarrollo de nuevos tratamientos. Por ejemplo, se ha demostrado que la inactivación de genes supresores de tumores tiene un papel en el crecimiento y división de las células cancerigenas. Las proteínas codificadas por estos genes son utilizadas por la cálula a lo largo de vanos puntos de control del daño del ADN. Por ejemplo, las mutaciones en el gen 1 de susceptibilidad al cáncer de mama (BRCA-1) y en el gen 2 de susceptibilidad al cáncer de mama (*BRCA-2*) se asocian con un aumento del nesgo de padecer cáncer de mama bilateral. Los productos proteínicos de ambos genes supresores de tumores (a saber, proteínas BRCA-1 y BRCA-2) participan directamente en multiples procesos celulares en respuesta al daño del ADN, incluidas la activación del punto de control, la transcripción de genes y la reparación de las roturas

de la doble hélice del ADN. Junto con la **proteina RAD-51**, que interviene en la recombinación homóloga y en la reparación de ADN, mantienen la estabilidad del genoma humano. Las proteínas BRCA defectuosas no pueden interactuar con la RAD-51. Al evaluar sistemáticamente a las pacientes para detectar mutaciones en estos genes, se puede ofrecer una majoría en la detección y las indicaciones de mastectomía profiláctica u ooforectomía a quienes dan positivo por estas mutaciones.

Hoy en día también se sabe por qué, en algunas personas, las **mutaciones de p53** hacen que sus tumores sean resistentes a la radioterapia. Los puntos de control del daño del ADN detectan el daño al ADN causado por los procedimientos radioterápicos que hace que las células cancerígenas detengan su ciclo celular. Sin embargo, estas células no monrán debido a la ausencia de p53 funcional, que es la encargada de desencadenar la apoptosis.



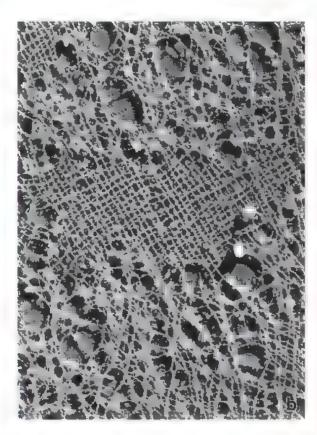


FIGURA 3-6. Estructura de una lámina nuclear, a En este diagrama se muestra la estructura de la lámina nuclear adyacente a la membrana nuclear interna. La ventana cortada en la lámina nuclear muestra el ADN dentro de nucleo. Obsérvese que la envoltura nuclear está perforada por complejos de poros nucleares, que permiten el transporte sejectivo bidireccional de moiéculas entre el nucleo y el citopiasma. b. Microfotografía electrónica de una porción de la lámina nuclear de un ovocito de *\text{\text{\text{\text{unopus}}}\$* Está formado por tilamentos intermed os taminas) dispuestos en una red cuadrada. 43 000× (adaptado de Aebi U. Cohn J., Buhie L., et al. The nuclear lamina is a meshwork of intermed ate-type filamentos. Nature 1986;323.560–564)

de lammas. La familia de receptores de laminas incluyen la emerina (34 kDa), que fija tanto la lamina A como la B; la nurima (29 kDa), que fija la lamina A; y un receptor de lemina B (LBR, lamin B receptor) de 58 kDa que, como su nombre lo indica, se une a la lamina B.

A diferencia de otros filamentos intermedios citoplasmáticos, las laminas se desensamblan durante la mitosis y se ensamblan de nueva cuenta cuando finaliza este proceso. Al parecer, la
lámina nuclear actúa como una especie de armazón para la croma
una, las proteínas asociadas con la cromatina, los poros nucleares
y las membranas de la envoltura nuclear. Además, participa en la
organización nuclear, la regulación del ciclo celular, la diferencia
ción y la expresión génica.

El deterioro de la arquitectura o la función de la lámina nuclear se asocia con ciertas enfermedades genéticas (laminopatias) y la apoptosis. Las mutaciones en la lamina A/C producen enfermedades especificas de los tejidos que afectan el musculo estriado, el tejido adiposo, los nervios periféricos y el desarrollo óseo, y producen envejecimiento prematuro. Dos formas hereditarias de la distrofia muscular de Emery-Dreifuss (DMED) se han relacionado con mutaciones en las laminas o sus receptores. La forma recesiva de la DMED ligada al cromosoma X es causada por mutaciones de la emerina, mientras que la forma autosómica dominante.

de la DMED se debe a mutaciones en la iamina A/C. En general, la DMED se caracteriza por la aparición temprana de contracturas de los tendones principales, debilidad muscular progresiva muy lenta, atrofia muscular de los miembros superiores e inferiores y miocardiopatías (debilidad del musculo cardiaco)

La envoltura nuclear presenta una serie de aberturas denominadas *poros nucleares*.

El par de membranas de la envoltura nuclear está perforado por "aberturas" de 70-80 nm en varios sítios. Estos poros nucleares se forman por la fusión de las membranas interna y externa de la envoltura nuclear. Con un MET común, se observa una estructura similar a un diafragma que cruza el poro (fig. 3-7). Con frecuencia, en el centro del poro nuclear hay un pequeño cuerpo denso (fig. 3-8). Como se considera que estos perfiles representan tanto a los ribosomas como a otros complejos de proteínas (transportadoras) capturados durante su pasaje a través del poro en el momento de la fijación, es frecuente que para describir esta característica se use el término tapón/transportador central.

Con técnicas especiales, como la tinción negativa y la microscopía electrónica de transmisión de alto voltaje, o recientemente, la tomografía crioelectrónica, el poro nuclear exhibe detalles estructurales adicionales (véase fig. 3-8). Ocho subunidades proteínicas

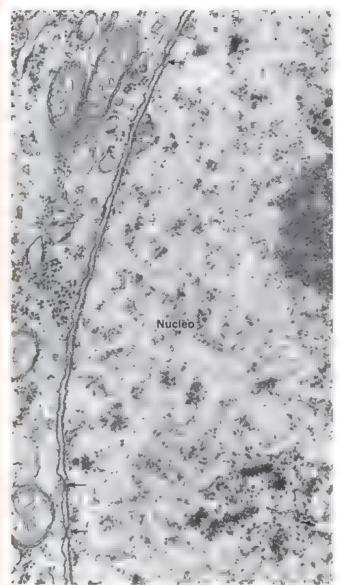


FIGURA 3-7. Microfotografía electrónica de la envoltura nuclear. Obsérvense los complejos del poro nuclear visibles (flechas) y las dos membranas que constituyen la envoltura nuclear. En la penferia de cada poro, las membranas externa e interna de la envoltura nuclear aparecen continuas. 30 000 ×

multidominto dispuestas en un armazón central octagonal en la periferia de cada poro forman una estructura similar a un cilindro conocida como complejo de poro nuclear (NPC, nuclear poro compleix). El NPC, que tiene una masa total estimada de 125 × 10⁶ Da, está compuesto por alrededor de 50 complejos de poros nucleares diferentes que reciben la denominación colectiva de nucleoporinas (proteinas Nup). Este armazón central está insertado entre el anillo citoplasmático y el anillo nuclear (fig. 3-9). Desde el anillo citoplasmático sobresalen hacia el citoplasma ocho fibrillas proteinicas cortas que apuntan hacia el centro de la estructura. El complejo de anillo nucleoplasmático fija la cesta nuclear (o "jaula" nuclear, que se asemeja a una trampa para peces) ensamblada a partir de ocho filamentos largos y delgados de 50 nm unidos en su extremo distal por un anillo terminal ajustable con un diámetro de 30-50 nm (véase fig. 3-9). El armazón central cilíndrico rodea el poro central

del NPC, que actúa como un diafragma bien ajustado o como un canal con compuerta. Además, cada NPC contiene uno o más canales acuosos para el transporte de moléculas pequeñas.

El complejo del poro nuclear media el transporte núcleocitoplasma bidireccional.

Varios experimentos han mostrado que el NPC regula el paso de proteínas entre el núcleo y el citoplasma. La importancia del NPC se puede ver fácilmente, puesto que en el núcleo no se realiza síntesis proteínica. Las proteínas ribosómicas son parcialmente ensambladas en subunidades ribosómicas en el nucléolo y transportadas hacía el citoplasma a través de los poros nucleares. En cambio, las proteínas nucleares (historias y laminas) son producidas en el citoplasma y transportadas a través de los poros nucleares hacía el núcleo. El transporte a través del NPC depende en gran parte del tamaño de las moléculas:

- Las moléculas grandes (como las proteinas de gran tamaño y los complejos macromoleculares) dependen de la presencia de una secuencia de señal unida llamada secuencia de localizacion nuclear (NLS, nuclear localization signal) para el paso a través de los poros. Las proteínas marcadas con NLS destinadas al núcleo se unen después a un receptor citosólico soluble denominado receptor de importación nuclear (importina) que las dirige desde el citoplasma hacia un NPC adecuado. Luego, son transportadas de forma activa a través del poro mediante un mecanismo dependiente de la energia del trifosfato de guanosina (GTP, guanosino triphosphato) La exportación de proteinas y ARN desde el núcleo es similar al mecanismo de importación hacia el núcleo. Las proteínas que tienen la secuencia de exportación nuclear (NES, nuclear export sequence) se unen en el núcleo a la exportina (una proteína que mueve moléculas desde el núcleo hacia el citoplasma) y a una molécula de GTP. Los completos proteína-exportina-GTP atraviesan el NPC hacia el citoplasma, donde se hidroliza el GTP y se libera la proteína. El NPC transporta proteinas y todas las formas de ARN, así como las subunidades ribosómicas completamente plegadas.
- Los iones y las moléculas hidrosolubles pequeñas (de menos de 9 Da) pueden atravesar los canales acuosos del NPC por difusión simple. Este proceso es inespecífico y no necesita proteínas de señal nuclear. El tamaño eficaz del poro es de alrededor de 9 nm para las sustancias que cruzan por difusión en lugar de la medida de 70-80 nm del diámetro del complejo total. Sin embargo, aun las proteínas nucleares más pequeñas que son capaces de difundir son transportadas de forma selectiva, presumiblemente porque la velocidad es mayor que en la difusión simple.

Durante la división celular, la envoltura nuclear es desensamblada para permitir la separación de los cromosomas y después vuelta a ensamblar al formarse las células hijas.

Al final de la profase de la división celular se activan las enzimas (cinasas) que causan la fosforilación de las laminas del núcleo y otras proteínas relacionadas con la lámina de la envoltura nuclear. Después de la fosforilación, las proteínas se vuelven solubles y se desensambla la envoltura nuclear. Luego, el componente lipídico de las membranas nucleares se disocia de las proteínas y queda retenido en vesículas citoplasmáticas pequeñas. A continuación, los cromosomas duplicados se adhieren a los microrúbulos del huso mitótico y son sometidos a movimientos activos.

La reconstitución de la envoltura nuclear comienza al final de la anafase, cuando las fosfatasas se activan para retirar los residuos de fosfato de las laminas del núcleo. Durante la telofase, las lami-

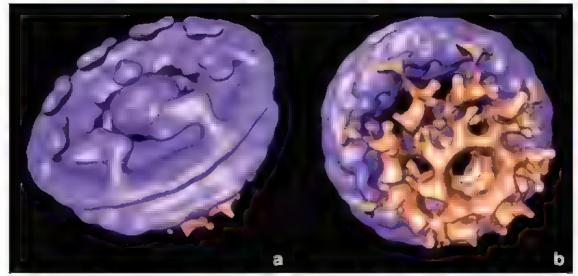


FIGURA 3-8. Tomografía crioelectrónica del complejo del poro nuclear (NPC). En estas representaciones de la superficie de tomogramas de electrones obtenidas de nucleos de *Dictyostelium* congelados e hidratados se muestra una estructura detállada del NPC 320,000 × a. La cara o topiasmática del NPC presenta ocho fibrillas de proteinas dispuestas alrededor del conducto central. Estas fibrillas sobresalen de las subunidades del anillo citopiasmático y apuntan hacia el centro de la estructura. Obsérvese la presencia del tapón central o transportador dentro del poro central, que representa ribosomas u otros transportadores protein cos capturados durante su paso a través del NPC b. La cara citopiasmático conectadas por filamentos nucleares con la cesta indicada en color mamón (adaptado de Beck M. Forster F. Ecke M., et al. Nuclear pore complex structure and dynamics revea ed by cryoelectrón tomography. Science 2004;306:1387–1390)

nas del nucleo comienzan la polimerización y forman el material de la lámina nuclear alrededor de cada grupo de cromosomas en las células hijas. Al mismo tiempo, las vesículas que contienen los componentes lipídicos de las membranas nucleares y los compo-

nentes proteinicos de estas membranas se fusionan y forman una envoltura en la superficie de la famina nuclear ya ensamblada. Al final de la telofase, se completa la formación de una envoltura nuclear en cada céfula hija.

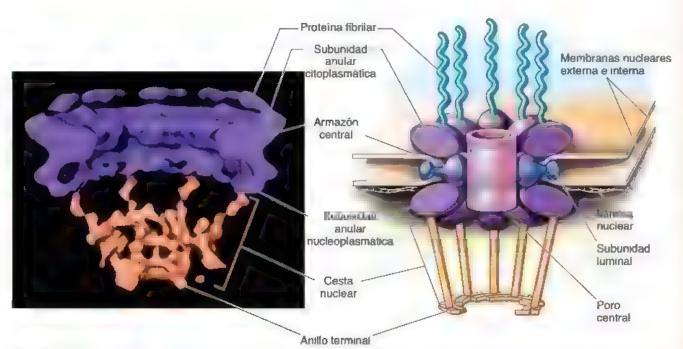


FIGURA 3-9. Corte transversal del complejo del poro nuclear. Tomografia criosi ectrónica de un corte transversal del complejo del poro nuclear (mostrado en la fig. 3-8) comparado con un esquema del complejo. Obsérvese que el tapón/transportador central se ha refirado de poro central 320,000 X. Cada poro contiene ocho subunidades de proteinas dispuestas en un armazón central octagonal en la penteria del poro Estas subunidades forman un compiejo del poro nuclear que se inserta entre os dos an llos citoplasmáticos y nucleoplasmáticos. Ocho fior llas de proteinas cortas sobresalen de os an llos citoplasmáticos hacia el citoplasma. El an ilo nuclear ancla una cesta ensamblada a partir de ocho filamentos delgados unidos dista mente en el ani o termina. El diámetro del anillo se puede ajustar para cumpir con los requisitos de transporte de los poros nucleares. El armazon central cultudirico rodea el poro central que actua como un diafragma ajustado tadaptado de Beck M, Forster F, Ecke M, et a. Nuclear pore complex structure and dynamics revea ed by cryoexectron tomography. Science 2004 306 1387–1390)

Nucleoplasma

El nucleoplasma es el material encerrado por la envoltura nuclear, con excepción de la cromatina y el nucleolo.

Si bien en el nucleoplasma algunas veces se encuentran inclusiones cristalinas, víncas y de otro tipo, hasta hace poco las técnicas morfológicas lo mostraban amorfo. Sin embargo, debe suponerse que muchas proteínas y metabolitos residen en el núcleo o pasan a través de él asociadas con la actividad de sintesis y metabolismo de la cromatina y el nucleolo. Recientemente, se han identificado nuevas estructuras dentro del nucleoplasma, entre las que se incluyen las formaciones basadas en laminas intranucleares, los filamentos proteínicos que emanan hacia el interior del núcleo desde el complejo de poro nuclear y la maquinaria de transcripción y procesamiento de ARN ligada a los genes activos.

■ RENOVACIÓN CELULAR

Las células somáticas en el cuerpo adulto pueden clasificarse de acuerdo con su actividad mitótica.

El nivel de actividad mitórica en un tipo celular puede evaluarse mediante el número de metafases mitóricas visibles en un solo campo de gran aumento del microscopio óptico o por medio de estudios autorradiográficos de la incorporación de timidina tritiada al ADN sintetizado antes de la mitosis. Con estos métodos, las poblaciones celulares pueden clasificarse como estáricas, estables o renovables:

- Las poblaciones estutares estáticas se componen de células que ya no se dividen (células posmitóticas), como las células del sistema nervioso central y las de los músculos esqueléticos y cardíacos. En determinadas circunstancias, algunas de estas células (músculo cardíaco) pueden entrar en división mitótica.
- Las poblaciones celulares estables se componen de células que se dividen de manera episódica y lenta para mantener una estructura normal en los tejidos y los órganos. Estas células pue-

den ser estimuladas por una lesión para volverse mitóticamente más activas. Las células del periostio y del pericondrio, las células musculares lisas, las células endoteliales de los vasos sanguíneos y los fibroblastos del tendo conjuntivo pueden incluirse dentro de esta categoría.

- Las poblaciones colutares renovables pueden ser de renovación lenta o rápida, pero exhiben una actividad mitótica regular. La división de estas células produce en general dos células hijas que se diferencian morfológica y funcionalmente, o dos células que permanecen como células madre. Las células hijas pueden dividirse una o dos veces más antes de alcanzar su estado de madurez. La célula diferenciada puede, en última instancia, salir del cuerpo.
- Las poblaciones catulares de renovación tenta incluyen las células musculares lisas de la mayoría de los órganos huecos, los fibroblastos de la pared uterma y las células epiteliales del cristalino del ojo. De hecho, las poblaciones de renovación lenta pueden incrementar lentamente su tamaño a lo largo de la vida, como lo hacen las células musculares lisas del tubo digestivo y las epiteliales del cristalino.
- Las pobleciones celulares de renovación rápida incluyen las células sanguíneas, las células epiteliales y los fibroblastos de la dermis de la piel, así como las células epiteliales y los fibroblastos subepiteliales del revestimiento de la mucosa del tubo digestivo.

■ CICLO CELULAR

Fases y puntos de control del ciclo celular

El ciclo cefular representa una secuencia autorregulada de fenómenos que controla el crecimiento y la división celular.

Para las poblaciones celulares renovables y proliferantes, incluidas las células embrionarias y las células en los cultivos de tejidos, el objetivo del ciclo celular (fig. 3-10) es producir dos células hijas, cada

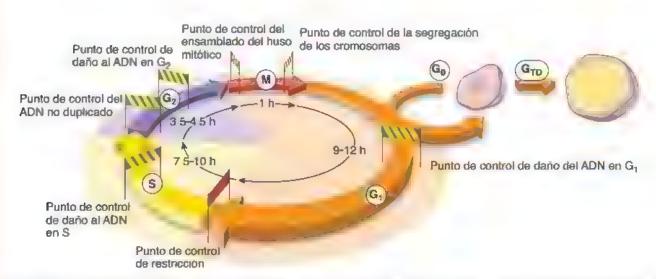


FIGURA 3-10. Ciclo celular y puntos de control. En este diagrama se illustra el ciclo celular de las células que se dividen ràpidamente en relación con la sintesis de ADN. Después de la mitosis la célula está en interfase. G_t representa el periodo durante el cual se produce una brecha en la sintesis de ADN. G_t representa una segunda brecha en la sintesis de ADN. G_t representa una segunda brecha en la sintesis de ADN. G_t representa una segunda brecha en la sintesis de ADN. G_t representa una segunda brecha en la sintesis de ADN. G_t representa una segunda brecha en la sintesis de ADN. G_t representa una segunda brecha en la sintesis de ADN. G_t representa una celula que ha dejado de divid res sin embargo esta célula que se encuentra en G_t puede experimentar una deferenciación termina (G_{TD}) y producir una población de células que no se dividen permanentemente (D_t), células grasas maduras. El trempo promedio de cada fase del ciclo celular se indica en el diagrama. Cada fase contiene varios puntos de control que garantizan que el sistema solo pase a la siguiente etapa una vez completada la fase anterior y que no se detecte daño en el ADN.

una de las cuales contrene cromosomas idénticos a los de la célula progenitora. El ciclo celular tiene dos fases principales: la interfase, que representa el crecimiento continuo de la célula, y la fase M (mitosis), caracterizada por la división del genoma. Otras tres fases, la G₁ (gap1), la S (sintosis) y la G₂ (gap2), subdividen la interfase.

Las poblaciones de células humanas de renovación rápida cumplen un ciclo celular completo en alrededor de 24 h. A lo largo de este ciclo, varios mecanismos internos de control de calidad o puntos de control, representados por vías bioquímicas, controlan la transición entre las diferentes etapas del ciclo celular. El ciclo celular se detiene en varios puntos de control, y solo puede proceder si se cumplen ciertas condiciones, por ejemplo, si la célula ha alcanzado un tamaño determinado. Los puntos de control verifican y modulan la progresión de las células a lo largo del ciclo celular en respuesta a senales intracelulares o del entorno.

La fase G₁ en general es la más larga y fa más variable del ciclo celular, y comienza a! final de la fase M.

Durante la fase G₁, la célula obtiene sustancias nutritivas y sinteriza el ARN y las proteínas necesarias para la síntesis del ADN y la duplicación cromosómica. El progreso celular a lo largo de esta fase se vigila a través de dos puntos de control: 1) el punto de control de restricción, que es sensible al tamaño celular, al estado de los procesos fisiológicos de la célula y a sus interacciones con la matriz extracelular, y 2) el punto de control de daño del ADN en G₁, el cual vigila la integridad del ADN recién duplicado. Por ejemplo, si el ADN presenta un daño irreparable, entonces el punto de control de daño del ADN en G₁ detecta concentraciones altas de proteina supresora de tumores p53 y no permite que la célula entre en la fase S. A continuación, la célula es propensa a presentar una muerte celular programada (apoptosis).

El punto de control de restricción (o "punto sin retomo") es el más importante del ciclo celular. En este punto, la célula evalúa su propio potencial de replicación antes de decidir si ingresa a la fase S y a la siguiente ronda de división celular o se retira y sale del ciclo celular. Una oélula que sale del ciclo celular en la fase G₁ en general comienza la diferenciación terminat (G₁₀) ingresando en la fase G₂ (0, porque se encuentra fuera del ciclo). Por lo tanto, la fase G₁ puede durar solo unas pocas horas (entre 9 y 12 h) en una célula que se divide con rapidez, o durar toda la vida como una célula que no se divide. Este punto de control es mediado por las interacciones entre la proteína de susceptibilidad al retinoblastoma (pfib) y una familia de factores de trenscripción esenciales (E2F). En las células normales, la interacción adecuada entre la pRb y los E2F desactiva muchos genes y bloquea la progresión del ciclo celular.

En la fase S se replica el ADN.

El inicio de la síntesis de ADN marca el comienzo de la fase S, que dura de 7.5 a 10 h. El ADN de la célula se duplica durante la fase S y se forman las nuevas cromátides que se harán evidentes en la profase o metafase de la división mitótica. La duplicación cromosómica se inicia en diferentes sitios, llamados replicones, a lo largo del ADN cromosómico. Cada replicón tiene un período que se asigna de forma específica para su duplicación durante la fase S. La presencia del punto de control de daño del ADN en esta fase vigifa la calidad de la duplicación del ADN.

En la fase G₂, la célula se prepara para la división celular.

Durante esta fase, la célula examina su ADN duplicado en preparación para la mitosis. Este es un período de crecimiento celular y de reorganización de orgánulos citoplasmáticos antes del ingreso al ciclo mitótico. La fase G₂ puede durar tan solo 1 h en las células de división rápida o puede tener una duración casi indefinida en algu-

nas células poliploides y en las células que se detienen en la fase G_2 durante periodos extensos, como el ovocito primario. Dos puntos de control verifican la calidad del ADN el punto de control del daño del ADN en G_2 y el punto de control del ADN no duplicado. Estos últimos puntos de control impiden la progresión de la célula hacía la fase M antes de completarse la sintesis del ADN

La mitosis se produce en la fase M.

La mitosis casi siempre incluye la carlocinesis (división del núcleo) y la citocinesis (división de la célula), y dura alrededor de 1 h. La mitosis tiene varias etapas que se describen a detalle más adelante. La separación de dos células hijas idénticas concluye la fase M. La fase M tiene dos puntos de control: el punto de control del ensamblado del huso mitótico, que impide la entrada prematura a la anafase, y el punto de control de la segregación de los cromosomas, que evita el proceso de citocinesis hasta que todos los cromosomas se han separado correctamente.

Una catástrofe mitótica causada por el mal funcionamiento de los puntos de control del ciclo celular puede conducir a la muerte celular y al desarrollo de células tumorales.

El mal funcionamiento de alguno de los tres puntos de control de daño del ADN en las fases G_1 , S y G_2 del ciclo celular y en el punto de control del ensamblado del huso mitórico en la fase M puede conducir a una catástrofo mitótica, que se define como un fallo en la detención del ciclo celular antes o durante la mitosis, que conduce a una segregación cromosómica anómala. En condiciones fisiológicas, la muerte de estas células ocurrirá por la activación de la apoptosis. Las células que no llevan a cabo la apoptosis por daño del ADN o del huso mitotico se pueden dividir asimétricamente en la siguiente división celular. Esto lleva a la generación de células aneuploides (células que contienen un número anómalo de cromosomas). Por lo tanto, la catastrofe mitotica puede considerarse uno de los mecanismos que contribuyen a la oncogénesis (desarrollo de células tumorates)

El mal funcionamiento del punto de control de restricción en la fase G1 también puede generar una transformación maligna de las células. Las células malignas pierden la inhibición por contacto, un proceso normal en el que las células inhiben su división cuando entran en contacto con otras. Las células malignas en cultivo siguen dividiéndose y pueden crecer unas sobre otras, en lugar de detener su crecimiento cuando la placa está cubierta completamente con una monocapa celular. El mal funcionamiento del punto de control de restricción puede ser facilitado por las proteínas de virus oncógenos, como el antigeno T del virus de simio (SV40) que se une a pRb. Esta unión altera la configuración del complejo pRbantígeno T y vuelve inoperable el punto de control de restricción, facilitando la progressón de la célula desde las fases G₁ y S del ciclo celular. Este mecanismo de carcinogenesis se presenta en el mesotelioma (cancer del epitelio de revestimiento de las cavidades pleurales en el tórax), el osteosarcoma (un tipo de câncer óseo) y el ependimoma (un tipo de tumor cerebral de la infancia).

La población de células madre de reserva puede activarse y reingresar en el ciclo celular.

Las células identificadas como cétulas madre de reserve pueden considerarse células en Go que pueden ser inducidas a reingresar al ciclo celular en respuesta a una lesión de los tendos corporales. La activación de estas células puede ocurrir en la curación normal de las heridas y en la repoblación del epitelio serminifero después de la exposición aguda intensa del testiculo a los rayos X, o durante la regeneración de un órgano, como el

higado, después de la extracción de una gran parte de él. Si el daño es muy grave, mueren incluso las células madre de reserva, y se pierde la capacidad de regeneración.

Regulación del ciclo celular

El paso a través del ciclo celular es impulsado por proteínas sintetizadas y degradadas de forma periódica durante cada ciclo.

Diversos complejos de proteínas citoplasmáticas regulan y controlan el ciclo celular. Algunas de estas proteínas funcionan como osciladores bioquímicos, cuya síntesis y degradación son coordinadas en fases específicas del ciclo. Los fenómenos celulares y moleculares inducidos durante el incremento y la reducción de diferentes concentraciones de proteínas son las bases de la "maquinaria" del ciclo celular. Otras proteínas verifican activamente la calidad de los procesos moleculares en los diferentes puntos de control distribuidos a lo largo del ciclo (descritos antes). Los complejos proteínicos en los puntos de control pueden impulsar a la célula a que entre o salga del ciclo celular, de manera que estimulan el crecimiento y la división cuando las condiciones son favorables y, a la inversa, detienen o reducen la velocidad de la división celular cuando las condiciones son adversas.

Un complejo de dos proteínas compuesto por una ciclina y una cinasa dependiente de ciclina (Cdk, cyclin dependent kinase) contribuyo a impulsar las células a través de los puntos de control de la división del ciclo celular.

El primer hito en la comprensión de la regulación del ciclo celular fue el descubrimiento de una proteína llamada factor promotor de la maduración (MPF, maturation promoting factor), a comienzos de la década de 1970. Se creía que el MPF controlaba el inicio de la mitosis. Cuando se inyectaba MPF en los núcleos de ovocitos inmaduros de ranas, los cuales generalmente están detenidos en G₂, las células procedían de inmediato con la mitosis. Posteriormente se comprobó que el MPF está compuesto por dos proteínas:

 Cde2 (también conocida como "Cdk-1"). Un miembro de 32 kDa de la familia de proteínas Cdk.

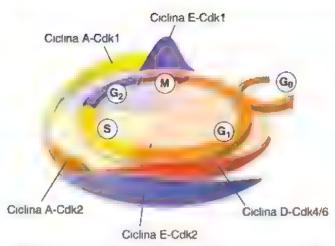


FIGURA 3-11. Regulación del ciclo celular por los complejos ciclina-Cdk. En este diagrama se muestra el patrón cambiante de las actividades de la ciclina-Cdk durante las diferentes fases del ciclo celular

 Ciclina B. Un miembro de 45 kDa de la familia de la ciclinas, que son los reguladores clave del ciclo celular. Las ciclinas son sinterizadas como proteínas constitutivas; sin embargo, durante el ciclo celular sus concentraciones son controladas por la degradación mediada por ubicultura.

Hoy en día se sabe que el complejo cicline-Cdk actúa en diferentes fases del ciclo celular y tiene como diana diferentes proteínas para controlar las funciones dependientes del ciclo celular. La tabla 3-1 muestra la combinación de los diferentes tipos de ciclinas con diferentes tipos de Cdk y cómo las interacciones entre estas dos proteínas afecran el progreso de la célula a través del ciclo celular. El paso a través del ciclo celular requiere un incremento en la actividad del complejo ciclina Cdk en algunas fases, seguido por el declive de esta actividad en otras fases (fig. 3-11). El aumento de la actividad del complejo ciclina-Cdk se logra mediante la acción estumuladora de las

TABLA 3-1

Resumen funcional de los complejos ciclina-Cdk que participan en la regulación del cíclo celular humano

Tipo de ciclina	Proteína cinasa dependiente de la ciclina asociada	Fase del ciclo celular sobre la que actúan	Proteínas efectoras sobre las que actúan
Ciclina D	Cdk4/6	Progresión de la fase G ₁	Proteína p53 supresora de tumores, proteína de susceptibilidad al retinoblastoma (pRb)
Ciclina E	Cak2	Ingreso en la fase S	Proteínas cinasas ATM o ATR, proteína supresora de tumores p53
Ciclina A	Cak2	Progresión de la fase S	Proteína de duplicación A, ADN-polimerasa, proteína de mantenimiento de minicromosoma
Ciclina A	Cdk1	Fase S a fase G ₂ y en- trada en la fase M	Fosfatasa Cdc25, cic ina B
Clclina E	Cdk1	Progresión de la fase M	Proteinas asociadas con la cromatina, histona H1; laminas del núcleo; proteínas reguladoras de la miosina, proteínas centrosómicas, factores de transcripción c-fos/jun, o-myb. act-1, SWI5, proteínas cinasas p60src; caseina cinasa. Il, proteínas cinasas c-mos

ciclinas y es equilibrado por la acción inhibitoria de proteínas como las inhibidoras de cinasas (Ink, inhibitors of kinase), las proteínas inhibidoras de Cdk (Cip, Cdk inhibitory proteinis) y las proteínas inhibidoras de cinasas (Kip, kinase inhibitory proteini).

Mitosis

La división celular es un proceso decisivo que aumenta la cantidad de células y permite la renovación de las poblaciones celulares y la reparación de las heridas.

La mitosis es un proceso de segregación cromosómica y división nuclear seguido por la división celular que produce dos células hijas con la misma cantidad de cromosomas y el mismo contenido de ADN que la célula progenitora.

El término *mitosis* se usa para describír la división equilibrada de los cromosomas replicados y sus genes en dos grupos idénticos. El proceso de división celular incluye la división tanto del núcleo (cariocinesis) como del citoplasma (eltocinesis). El proceso de citocinesis produce la distribución de orgánulos no nucleares en dos células hijas. Antes de entrar en la mitosis, las células duplican su ADN. Esta fase del ciclo celular se llama S o fase de sintesis. Al comienzo de esta fase, la cantidad de cromosomas es 2n y el contenido de ADN también es 2d; al final, la cantidad de cromosomas permanece en 2n y el contenido de ADN se duplica a 4d

La mitosis sigue a la fase S del ciclo celular y se divide en cuatro fases.

La mitosis tiene cuatro fases (fig. 3-12).

- La profase comienza a medida que los cromosomas replicados se condensan y se hacen visibles. Conforme los cromosomas siguen condensándose, cada uno de los cuatro cromosomas derivados de cada par homólogo aparece formado por dos eromátides. Las cromándes hermanas se mannenen juntas por un anillo de proteínas denominadas cohesinas y por el contrómero. En la última parte de la profase o prometafase (algunas veces identificada como una fase separada de la mitosis), la envoltura nuclear comienza a desintegrarse en pequeñas vesículas de transporte y se parece al retículo endoplasmático liso (REL). El nucléolo, que puede seguir estando presente en algunas células, también desaparece completamente en la prometafase. Además, un complejo proteínico altamente especializado llamado cinetocoro aparece en cada cromátide frente al centrómero (fig. 3-13). Los complejos proteínicos que forman los cinetocoros en la región del centrómero de la cromátide se fijan a secuencias de ADN repetitivas específicas conocidas como ADN satelite, que son similares en cada cromosoma. Los nucrotúbulos del huso mitórico en desarrollo se fijan a los cinetocoros y, por lo tanto, a los cromosomas.
- La metafasa (fig. 3-14) comienza cuando el huso muótico se organiza alrededor de los centros organizadores de microtúbulos (MTOC, microtubule-organizing centers) ubicados en los polos opuestos de la célula. El huso mitótico está formado por tres tipos de microtúbulos:
 - Microtúbulos astrales, que se originan (nuclean) a partir de anullos de tubulma γ en forma de estrella alrededor de cada MTOC (véase fig. 2-55). Son responsables de posicionar el huso dentro de la célula.
 - Microtúbulos polares, también originados del MTOC.
 Constituyen todos los microtúbulos que se encuentran entre los polos del huso que no están conectados con los

- cinetocoros, Los microtúbulos polares de polos opuestos interactúan entre sí a través de proteínas motoras de manera antiparalela, separando los polos del huso para asegurar su bipolaridad.
- Microtubulos cinetocóricos, que salen del MTOC para explorar el citoplasma en busca de cinetocoros. Cuando un cinetocoro finalmente es capturado por un microtúbulo cinetocórico, es transportado hacia el MTOC, en donde se fijan microtúbulos adicionales. El cinetocoro es capaz de fijar entre 30 y 40 microtúbulos a cada cromátide. En algunas especies, los microtúbulos cinetocóricos se forman por mecanismos independientes del MTOC en los que par ticipan los cinetocoros. Los microtúbulos cinetocóricos y sus proteínas motoras asociadas dirigen el movimiento de los cromosomas hacía el plano medio de la célula, que es la placa ecuatorial o de metafese.
- La anatase (fig. 3-15) comienza con la separación inicial de las cromátides hermanas. Esta separación se produce cuando se degradan las cohesinas que han mantenido las cromátides unidas. Entonces, las cromátides comienzan a separarse y son arrastradas hacia los polos opuestos de la célula mediante motores moleculares (dineinas), que se deslizan a lo largo de los microtúbulos cinetocóricos hacia el MTOC.
 - La telofase (fig. 3-16) está marcada por la reconstitución de la envoltura nuclear alrededor de los cromosomas de cada polo. Los cromosomas se desenrollan y no se pueden distinguir, excepto en las regiones que permanecen condensadas en el núcleo en interfase. Los nucléolos reaparecen y el citoplasma se divide (citocinesis) para formar dos células hijas. La citocinesis comienza con la formación de un surco en la membrana plasmática equidistante entre los polos del huso mitótico. La separación en el surco de escisión se logra mediante un aniño contractil compuesto por un fascículo muy fino de filamentos de actina posicionados alrededor del perímetro de la célula. Dentro del anillo, las moléculas de miosina II se ensamblan en pequeños filamentos que interactúan con los filamentos de actina, causando la contracción del anillo. A medida que el anillo se ajusta, la célula se comprime hasta quedar separada en dos células hijas. Como los cromosomas en las células hijas contienen copias idénticas del ADN duplicado, las células hijas son genéticamente idénticas y contienen el mismo tipo y cantidad de cromosomas. Las células hijas son 2d en cuanto al ADN y 2n en cuanto a la cantidad de cromosomas.

Meiosis

La meiosis incluye dos divisiones nucleares secuenciales, seguidas de divisiones celulares que producen gametos que contienen la mitad del número de cromosomas y la mitad del ADN encontrado en las células somáticas.

El cigoto (la célula que resulta de la fusión de un óvulo y un espermatozoide) y todas las células somáticas derivadas de él son diploides (2n) en cuanto a la cantidad de cromosomas; por lo tanto, sus células tienen dos copias de cada cromosoma y de cada gen codificado en este cromosoma. Estos cromosomas se llaman homólogos porque son similares pero no idénticos; un juego de cromosomas es de origen materno y el otro es de origen paterno. Los gametos, que tienen un solo miembro de cada par cromosómico, se describen como haploides (1n). Durante la gametogénesis, la reducción de la cantidad de cromosomas hasta el estado haploide (23 cromosomas

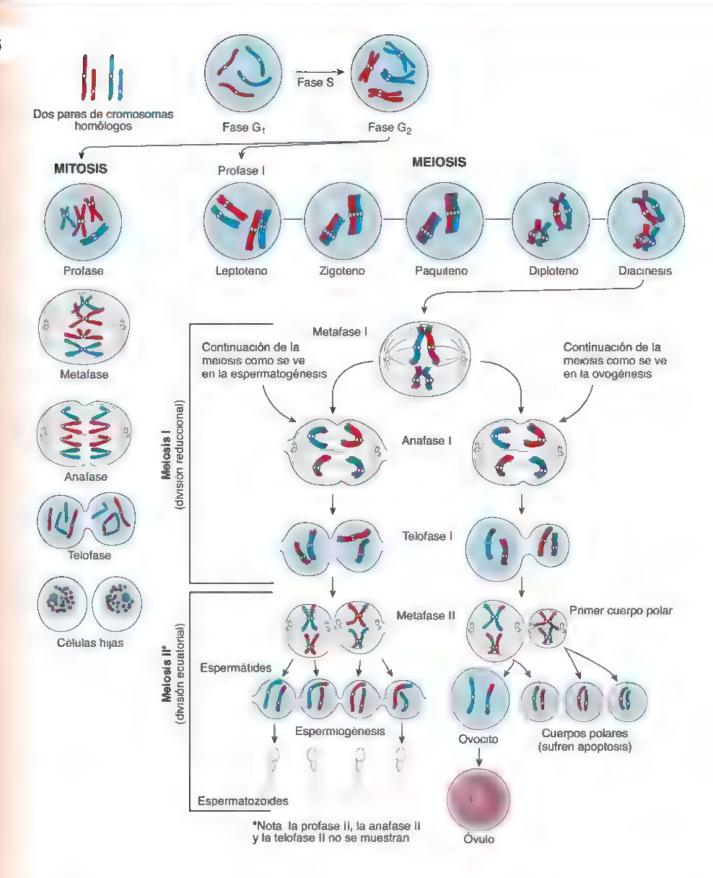


FIGURA 3-12. Comparación entre la mitosis y la melosis en una célula ideal con dos pares de cromosomas (2n). Los cromosomas de origen materno y paterno están representados en rojo y azul, respectivamente. La división mitótica produce células hijas que son genéticamente identicas a la célula progenitora (2n). La división meiótica que tiene dos componentes, una división reduccional y una división ecuatorial, da lugar a una celula que tiene solo dos cromosomas (1n). Además, durante el pareamiento cromosomico en la profase il de la meiosis, los segmentos del cromosoma se intercambian, lo que origina una mayor diversidad genética. Debe destacarse que, en los seres humanos, el primer cuerpo polar no se divide. Esto sí ocurre en algunas otras especies.

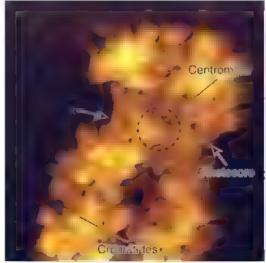


FIGURA 3-13. Imagen microscópica de fuerza atómica de la región centromérica de un cromosoma humano en metafasa. Se observan las superficies enfrentadas de dos cromátides hermanas visibles en esta imagen desde el centrómero, el punto de unión de ambas cromátides. En el lado opuesto al centrómero, cada cromátide muestra un compiejo proteinico especializado, el cinetocoro, que sirve como punto de unión para los microtubulos cinetocóricos del huso mitótico. Observese que la superficie del cromosoma tiene varios dominios de bucle que protruyen formados por fibrillas de cromatina ancladas en el armazón cromosómico. 40.000× (cortesa del Dr. Tatsuo Ushiki)

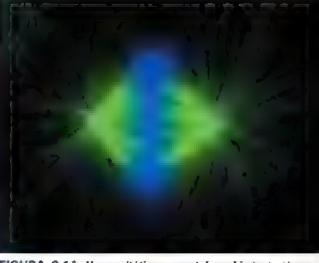


FIGURA 3-14. Huso mitótico en metafase. Mediante técnicas indirectas de inmunof porescencia se marcó el huso mitótico en una célula XI-177 de Xenopus con un anticuerpo antitubulana α conjugado con fluorescenia (verde). El ADN se tiño de azul con colorante DAPI fluorescente. En la metafase la membrana nuclear se desensambia el ADN se condensa en cromosomas y los microtubulos forman el huso mitótico. La acción de las proteinas motoras asociadas con los microtubulos ejercida sobre los microtubulos del huso mitótico crea la placa de metafase sobre la cual se alinean los cromosomas en el centro de la célula. 1400× (cortesia del Dr. Thomas U. Mayer).

en los seres humanos) se produce a través de la meiosis, un proceso que implica dos divisiones sucesivas, la segunda de las cuales no está precedida por una fase S. Esta reducción es necesaria para mantener una cantidad constante de cromosomas en una especie dada. La dismunución de la cantidad de cromosomas a 1n en la primera división meiótica viene seguida por la reducción en el contenido de ADN a su cantidad haploide 1d en la seguida división meiótica.

Durante la meiosis, el par cromosómico puede intercambiar segmentos, alterando la composición genética de los cromosomas. Este intercambio genético, llamado recombinación, y la distribución aleatoria de cada miembro de los pares cromosómicos en gametos haploides dan origen a una diversidad genética infinita.

Los fenómenos citoplasmáticos relacionados con la meiosis difieren en el hombre y la mujer.

Los fenómenos nucleares de la meiosis son los mismos en hombres y mujeres, pero los citoplasmáticos presentan una marcada diferencia. En la figura 3-12 se dustran los fenómenos nucleares y citoplasmáticos fundamentales de la meiosis como ocurren en la espermatogénesis y la ovogénesis. Los fenómenos de la meiosis hasta la metafase I son los mismos en ambos sexos. Por consiguiente, la figura ilustra las diferencias en el proceso a medida que aparece la divergencia después de la metafase I.

En los hombres, las dos divisiones meióticas del espermatocito primario producen cuatro espermátidos hapioldos con idéntica estructura, aunque genéticamente únicos. Cada espermátido tiene la



FIGURA 3-15. Huso mitótico en anafase. Esta imagen de inmunofluorescencia proviene del mismo tipo celular y de una preparación igual que la de la figura 3-14. Las conexiones que mantenen juntas a las cromátides hermanas se rompen en esta etapa. Después, as cromátides son arrastradas hacia los polos opuestos de la célula por los motores moleculares asociados con los microtubulos tchneinas y cinecinas que se des izan a lo largo de los microtubulos cinetocóricos hacia el centricio, y también son empujadas por los microtubulos polares (visibles entre los cromosomas separados) y, de ese modo, empujan los polos opuestos del huso mitótico en las células separadas 1400× (cortesia del Dr. Thomas U. Mayer).

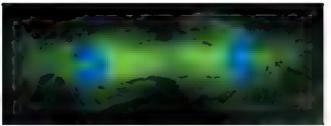


FIGURA 3-16. Huso mitótico en telofase. En esta fase se segrega el ADN y se reconstruye la envoltura nuclear alrededor de los cromosomas en cada polo del huso mitótico. La célula se divide en dos durante la citocinesis. En el medio de la célula se reunen la actina, las septinas, las miosinas, los microtubulos y otras proteinas a medida que la célula establece um anillo de proteinas que se contraerá para formar un puente entre los dos lados de lo que una vez fue una sola célula comosomas se desenrollan y se tornan poco definidos, excepto en las regiones que permanecen condensadas durante la interfase. Los tipos celulares y las preparaciones son los mismos que en las figuras 3-14 y 3-15 1400× (cortes a del Dr Thomas J. Mayer)

capacidad de diferenciarse en un espermatozoide. En cambio, en las mujeres, las dos divisiones meióticas de un ovocito primario producen un ovuto haploide y tres cuerpos polares haploides. El óvulo recibe la mayor parte del citoplasma y se convierte en el gameto funcional. Los cuerpos polares reciben muy poco citoplasma y se degeneran.

Los fenómenos nucleares de la meiosis son símilares en los hombres y en las mujeres.

La meiosis consiste en dos divisiones mitóricas sucesivas sin la fase S adicional entre las dos divisiones. Durante la fase S que precede a la meiosis, el ADN se duplica formando cromátides hermanas (dos hebras paralelas de ADN) unidas entre sí por el centrómero. El contenido de ADN se torna 4d, pero la canudad de cromosomas se mantiene igual (2n) Después, las células son sometidas a una división reduccional (meiosis I) y a una división ecuatorial (meiosis II).

Durante la moiosis I, como lo implica su nombre división reduccional, la cantidad de cromosomas se reduce de diploide (2n) a haploide (1n), y la cantidad de ADN disminuye de 4d a 2d. Durante la profase I, los cromosomas bicatenarios se condensan y los cromosomas homólogos (por lo general, uno heredado de la madre y otro del padre) se parean a la altura del centrómero. En este punto, puede ocurrir la recombinación del material genético entre los pares cromosómicos materno y paterno. En la metafase I, los cromosomas homólogos con sus centrómeros se alinean a lo largo del ecuador del huso mitótico, y en la anafase I se separan y se distribuyen en cada célula hija. Esto genera la reducción tanto de la cantidad cromosómica a 1n como del contenido de ADN a 2d

La meiosis II no viene precedida por la duplicación del ADN. La división durante la meiosis II es siempre ocuatorial, dado que la cantidad de cromosomas no cambia. Esta se mantiene en 1n, aunque el contenido de ADN representado por el número de cromátides se reduce a 1d. Durante la metafase II, cada cromosoma se alinea a lo largo del ecuador del huso mitótico, y en la anafase II, las cromátides hermanas se separan. Por lo tanto, cada cromosoma se divide en dos cromosomas de una hebra que después se distribuyen a cada célula hija haploide.

Las fases en el proceso de meiosis son similares a las fases de la mitosis.

Profase I

La profase de la meiosis I es una fase extendida en la cual se observa el pareamiento, la sinapsis (asociación estrecha de cromosomas) y la recombinación del material genético de cromosomas homólogos. La profase I se subdivide en las cinco etapas siguientes (véase fig. 3-12):

- Leptoteno. Esta etapa se caracteriza por la condensación de la cromatina y por la aparición de cromosomas. Las cromátides hermanas también se condensan y se conectan entre sí mediante complejos de cohesión específicos de la meiosis (Rec8p). En esta fase, se inicia el pareamiento de cromosomas homólogos de origen materno y paterno. El pareamiento homólogo puede describirse como un proceso en el que los cromosomas se buscan activamente. Después de encontrar su pareja, se alinean uno al lado del otro, dejando un espacio estrecho entre ambos.
- Cigoteno. La sinapsis (la estrecha asociación de los cromosomas homólogos) comienza en esta etapa y continúa durante el paquiteno. Este proceso implica la formación de un complejo

- sinaptonémico, una estructura tripartita que une a los cromosomas. El complejo sinaptonémico a menudo se compara con un tercer riel adictional en las vías de ferrocarril localizado en medio de los otros dos. Los durmientes bajo estos rieles son representados por los filamentos transversos que fijan el material del armazón de ambos cromosomas homólogos juntos.
- Paquiteno. En esta etapa, se ha completado la sinapsis. La recombinación génica ocurre al comienzo de esta fase e implica la transposición de segmentos de ADN entre dos cromosomas diferentes.
- Diploteno. En los inicios de esta etapa, el complejo sinapronémico se disuelve y los cromosomas se condensan más. Los cromosomas homólogos comienzan a separarse y parecen estar conectados por uniones recién formadas entre los cromosomas denominadas quiasmas. Las cromátides hermanas permanecen asociadas de forma estrecha. Los quiasmas indican que pudo haber ocurrido la recombinación génica.
- Diacinesis. Los cromosomas homólogos se condensan y se acortan para alcanzar su espesor máximo, el nucléolo desaparece y la envoltura nuclear se desintegra.

Metafase I

La metafase I es similar a la metafase de la mitosis, excepto que los cromosomas pareados están alineados en la placa ocuatorial con un miembro a cada lado. Los cromosomas homólogos se mantienen unidos por los quiasmas. Al final de la metafase, los quiasmas se escinden y los cromosomas se separan. Una vez que se desintegra la envoltura nuclear, los microtúbulos del huso mitótico comienzan a interactuar con los cromosomas a través de una estructura proteínica de capas múltiples llamada elnotocoro, que suele ubicarse cerca del centrómero (véase fig. 3-13). Los cromosomas son sometidos a movimientos para finalmente alinear sus centrómeros a lo largo del ecuador del huso mitótico.

Anafase I y telofase I

La anafaso I y la telofaso I son semejantes a las mismas fases de la mitosis, excepto que los centrómeros no se dividen. Las cromátides hermanas, sostenidas por complejos de cohesina y el centrómero, permanecen unidas. Un miembro materno o paterno de cada par de homólogos, ahora con segmentos intercambiados, se mueve hacia cada polo. La segregación o distribución eleatoria se presenta porque los cromosomas materno y paterno de cada par se alinean al azar en uno u otro lado de la placa de la metafase, lo que contribuye a la diversidad genética. Al término de la meiosis I, el citoplasma se divide. Cada célula hija resultante (un espermatocito secundario o un ovocito secundario) es haploide en cuanto a su cantidad de cromosomas (1n) y contiene un miembro de cada par cromosómico homólogo. La célula continúa siendo diploide en cuanto a su contenido de ADN (2d)

Meiosis II

Después de la meiosis I, las células entran rápidamente en meiosis II sin pasar por una fase S. La meiosis II es una división ecuatorial semejante a la mitosis. Durante esta fase, la proteasa llamada separasa rompe los complejos de cohesinas entre las cromátides hermanas. La escisión de los complejos de cohesinas en la región del centrómero rompe la unión entre ambos centrómeros. Esta escisión permite que las cromátides hermanas se separen en la anafase II y se muevan hacia los polos opuestos de la célula. Durante la meiosis II,

las células pasan a través de la profase II, metafase II, anafase II y telofase II. Estas etapas son esencialmente iguales a las de la mitosis, excepto que comprenden un juego haploide de cromosomas (1n) y producen células hijas que nenen contenido de ADN haploide (1d). A diferencia de las células producidas por la mitosis, que son genéticamente idénticas a la célula progenitora, las células producidas por la meiosis son genéticamente únicas.

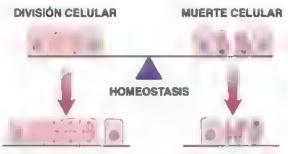
■ MUERTE CELULAR

En los humanos, como en todos los organismos multicelulares, los ritmos de proliferación y muerte celular determinan la producción celular neta. Una anomalía en cualquiera de estos ritmos puede causar atteraciones por acumulación celular (p. ej., hiperplasia, câncer, enfermedades autoinmunitarias) o atteraciones por pérdida celular (atrofia, enfermedades degenerativas, sida, lesión isquémica). Así, el equilibrio (homeostasis) entre la producción y la muerte celular debe ser mantenido con precisión (fig. 3-17).

La muerte celular puede presentarse como resultado de una lesión celular aguda o de un programa de suicidio codificado internamente.

La muerte celular puede ser el resultado de una lesión accidental de la célula o de mecanismos que provocan que la célula se autodestruya. Los dos principales mecanismos de muerte celular son la necrosis y la apoptosis.

La necrosis, o muerte celular accidental, es un proceso patológico. Se presenta cuando las células resultan expuestas a un entorno físico o químico desfavorable (p. ej., hipotermia, hipoxia, radiación, bajo pH, traumatismo celular) que causa una lesión celular aguda y un daño a la membrana plasmática. En los casos de alteraciones fisiológicas, el daño a la membrana plasmática también puede iniciarse por un virus o por las proteínas cono-



ALTERACIONES POR ACUMULACIÓN CELULAR:

- Cáncer
- Lupus eritematoso
- Glomerulonefritis
- Infecciones viricas

ALTERACIONES POR PÉRDIDA CELULAR:

- Sida
- Enfermedad de Alzheimer
- Enfermedad de Parkinson
- Anemia aplásica
- Infarto de miocardio

FIGURA 3-17. Representación esquemática donde se muestra la relación entre la muerte y la división celulares. En condiciones fisiológicas normales (homeostasis), los ritmos de división y muerte celular son similares. Si la velocidad de muerte celular es más a ta que la de división celular, entonces se presenta una pérdida neta de la cantidad de células. Estas alteraciones se clas fican como alteraciones por pérdida celular. Cuando la situación se invierte y la velocidad de división celular es más alta que la de muerte celular, entonces la ganancia neta de la cantidad de células será evidente y conducirá a diversas alteraciones por acumulación celular.



Resumen de las características distintivas entre la necrosis y la apoptosis

Características de las células moribundas	Necrosis	Apoptosis
Edema celular	4	-
Encogimiento celular	-	+
Daño a la membrana plasmática	+	-
Vesiculación de la membrana plasmática	-	+
Agregación de la cromatina	de	+
Fragmentación del núcleo	-	+
Fragmentación del ADN oligonu- c.eosómico	-	+
Degeneración del ADN al azar	+/-	-
Activación de la cascada de las caspasas	-	+

cidas como *performas*. Dos características típicas de este proceso son el edema colular rápido y la lisis colular.

La apoptosis (gr., caer desde, como los pétalos de las flores) también era conocida en el pasado como muerte celular programada. Hoy en día, el término muerte celular programada se aplica de manera más amplia a todo tipo de muerte celular mediada por un programa întracelular de muerte, de manera independiente del mecanismo desencadenante. La apoptosis representa un proceso fisiológico. Durante la apoptosis, las células que ya no son necesarias son eliminadas del cuerpo. Este proceso puede ocurrir durante el desarrollo embrionario u otros procesos fisiológicos normales, como la atresia folicular en los ovarios. Las células pueden iniciar su propia muerte a través de la activación de un programa de suicidio codificado internamente. La apoptosis se caracteriza por la autodigestión controlada, la cual mantiene la integridad de la membrana celular; por lo tanto, la célula "muere con dignidad" sin derramar su contenido para no dañar a sus vecinas.

Además, ciertas células o sus secreciones halladas en el sistema inmunitario son tóxicas para otras células (p. ej., los linfocitos T citotóxicos y los linfocitos citolíticos naturales (NK, natural killer)), estas células inician los procesos que destruyen las células des gnadas (p. ej., células transformadas por câncer o infectadas por un virus). A diferencia de lo que ocurre en la necrosis y la apoptosis, la muerte citotóxica no implica un mecanismo específico. Por ejemplo, la muerte celular mediada por linfocitos T citotóxicos combina algunos aspectos tanto de la necrosis como de la apoptosis. En la tabla 3-2 se muestra un panorama general de la apoptosis y la necrosis

La necrosis comienza con la pérdida de la capacidad de las células para mantener la homeostasis.

Como consecuencia de la lesión celular, el daño de la membrana celular conduce al ingreso de agua e iones extracelulares. Los orgánulos intracelulares, como la mitocondria, el RER y el núcleo, experimentan cambios irreversibles que son causados por el edema celular y la rotura de la membrana celular (hsis celular). Como consecuencia de la descomposición final de la membrana plasmática, el contenido citoplasmático, incluidas las enzimas lisosómicas, queda libre en el espacio extracelular. Por lo tanto, la muerte celular necrótica suele relacionarse con un daño extenso del tejido circundante y una respuesta inflamatoria intensa (fig. 3-18).

Apoptosis

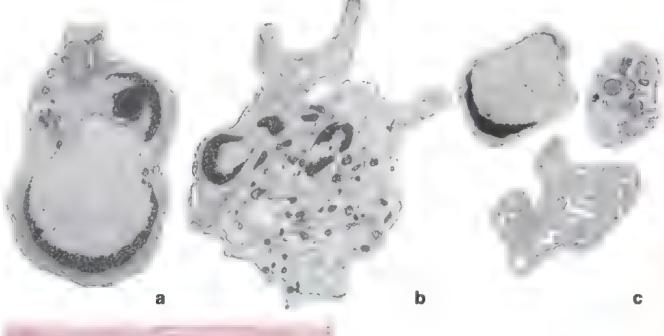
La apoptosis es una forma de muerte celular que se presenta en condiciones fisiológicas normales.

En la apoptosis, la célula es una participante activa en su propio deceso ("suicidio celular"). Este proceso es activado por varias señales extrínsecas e intrínsecas. Las células que experimentan apoptosis muestran las siguientes características morfológicas y bioquímicas típicas (véase fig. 3-18):

- La fragmentación del ADN ocurre en el núcleo y es un acontecimiento irreversible que predestina a la célula a morir. La fragmentación del ADN es la consecuencia de la activación de endonucleasas nucleares dependientes de Ca²⁺ y Mg²⁺. Estas enzimas escinden de forma selectiva el ADN, generando pequeños fragmentos oligonucleosómicos. Luego, la cromatina nuclear se aglomera y el núcleo puede dividirse en vartos fragmentos individuales limitados por la envoltura nuclear.
- La disminución del volumen celuler se logra mediante la retracción del citoplasma. Los elementos citoesqueléticos se reorganizan en haces paralelos a la superficie celular. Los ribosomas se aglomeran dentro del citoplasma, el RER forma una serie de espirales concéntricas y la mayoría de las vesículas endocíticas se fusionan con la membrana plasmática.
- La pérdida de la función mitocondrial es ocasionada por cambios en la permeabilidad de los conductos de la membrana mitocondrial. La integridad de las mitocondrias se ve comprometida, el potencial transmembrana disminuye de manera abrupta y se interrumpe la cadena de transporte de electrones. Las proteínas del espacio intermembranario, como el oltocromo 🗈 y SMAC/ DIABLO (segundo activador de caspasas derivado de la mitocondria/inhibidor directo de la proteína de fijación a apoptosis de bajo punto isoeléctrico [pI]), son liberadas hacia el citoplasma para activar una cascada de enzimas proteolíticas llamadas casposas, que son responsables de desmantelar a la célula. La liberación regulada de citocromo e y SMAC/DIABLO indica que las mitocondrias, bajo la influencia de proteinas Bel-2 (véase p. 101), son las que deciden el inicio de la apoptosis. Esta es la razón por la que muchos investigadores consideran a la mutocondria como "el cuarrel general para el líder de un escuadrón suicida" o como una "prisión de máxima seguridad para los cabecillas de un golpe militar".
- La vesiculación de le membrane es el producto de las alteraciones de la membrana celular. Una alteración está relacionada con la translocación de ciertas moléculas (p. ej., fosfatidilserina) desde la superficie citoplasmática hacia la superficie externa de la membrana plasmática. Estos cambios hacen que la membrana plasmática modifique sus propiedades físicas y químicas, lo que produce la formación de protuberancias sin la pérdida de integridad de la membrana (véase fig. 3-18).
- La formación de los cuerpos apoptóticos, el paso final de la apoptosis, tiene como consecuencia el rompimiento celular (fig. 3-19, a-c). Estas vesículas limitadas por una membrana se originan a partir de las protuberancias citoplasmáticas que contienen orgánulos y material nuclear. Son eliminadas con rapidez y sin dejar rastros por las células fagocíticas. La eliminación



FIGURA 3-18. Representación esquemática de los cambios que se producen en la necrosis y la apoptosis. Etapas principa es de la necrosis y la apoptosis. En la necrosis (lado izquierdo), la rotura de la membrana celular permite la entrada de agua e iones extracelulares, lo que produce alteraciones irreversibles en los orgánulos. Las enizimas lisosómicas son liberadas hacia el espacio extracelutar, lo que ocasiona daño en el tejido adyacente y una respuesta inflamatoria intensa. En la apoptosis (lado derecho), la célula muestra características morfológicas y bioquímicas específicas, como fragmentación de ADN, reducción en el volumen celular, vesiculación de la membrana sin pérdida de integridad y formación de cuerpos apoptóticos, que lievan a la rotura de la célula. Los cuerpos apoptóticos son eliminados más tarde por células fagocíticas sin producir una reacción inflamatoria.



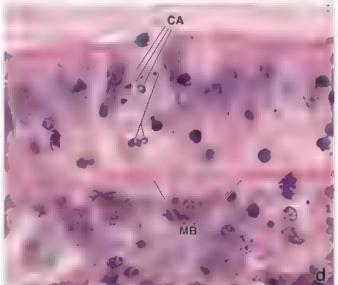


FIGURA 3-19. Microfotografía electronica de células apoptóticas, a. En está microfotografía electrónica se muestra una etapa temprana de la apoptosis en un linfocito. El nucleo ya está fragmentado y el proceso de fragmentación irreversible del ADN se ha iniciado. Obsérvense las regiones con heterocromatina condensada contiguas a la envoltura nuclear 5200× b. Mayor fragmentación del ADN. La heterocromatina en uno de los fragmentos nucleares (izquierda) comienza a brotar hacia afuera a través de la envoltura, con lo que se micia una nueva ronda de fragmentación suclear Obsérvense la reorganización del citoplasma y la brotación del citoplasma para producir cuerpos apoptóticos 5200× c. Los cuerpos apoptóticos contienen fragmentos del nucleo, orgánulos y citoplasma. Estos cuerpos serán finalmente fagocitados por células del sistema fagocítico mononuclear 5200× (cortesia del Dr. Scott H. Kaufmann) d. Esta microfotografía óptica del epitelio intest nal de colon humano. muestra cuerpos apoptóticos (CA) dentro de una capa simple de células absortivas MB, membrana basal. 750×

de los cuerpos apoptóticos es tan eficaz que no se produce una respuesta inflamatoria. La apoptosis ocurre con una rapidez 20 veces mayor que la mitosis; por lo tanto, es un desafío encontrar células apoptóticas en una preparación de rutina tenda con H&E (fig. 3-19d).

La apoptosis es regulada por estimulos externos e internos.

Los procesos apoptóticos pueden ser activados por diversos estímulos internos y externos. Algunos factores, como el factor de necrosis tumoral (TNF, tumor necrosis factor), al actuar sobre los receptores de membrana, desencadenan la apoptosis mediante el reclutamiento y la activación de la cascada de caspasas. En consecuencia, el receptor TNF es conocido como el "receptor de la muerta". Otros activadores externos de la apoptosis son el factor de crecimiento transformante β (TGF β , transforming growth factor β), ciertos neurotransmisores, los radicales libres, los oxidantes y las radiaciones UV e ionizantes. Los activadores internos de la apoptosis incluyen los oncogenes (p. ej., myc y rel), los supresores de tumores, como

la p53, y los antimetabolitos privadores de nutrientes (fig. 3-20). Las vías apoptóticas también son activadas por los fenómenos que conducen a la catástrofe mitótica, es decir, el mal funcionamiento de los puntos de control de daño específico del ADN en el ciclo celular (véase p. 93). La catástrofe mitótica viene acompañada por condensación de la cromatina, liberación mitocondrial del citocromo e, activación de la cascada de caspasas y fragmentación del ADN.

La apoptosis cambién puede ser inhibida por señales de otras células y del entorno a través de los llamados factores de supervivencia. Estos incluyen factores de crecimiento; hormonas como los estrógenos y los andrógenos; aminoácidos neutros; zinc, e interacciones con proteínas de la matriz extracelular. Diversas proteínas celulares y víricas actúan como inhibidores de las caspasas; por ejemplo, las neuronas contienen la proteína inhibidora de la apoptosis neuronal (NAIP, neuronal apoptosis inhibitory protein), que las protege de la apoptosis prematura. Sin embargo, la función reguladora más importante en la apoptosis se asigna a las señales internas de la familia de las proteínas Bel-2 (linforma de linfocitos B-2). Esta familia está compuesta por

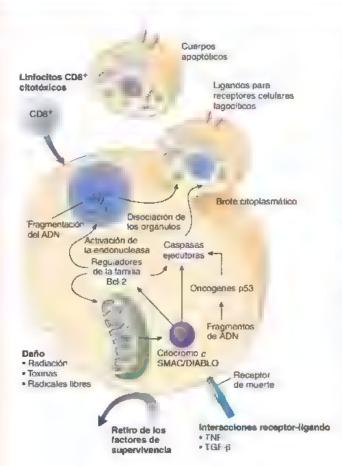


FIGURA 3-20. Representación esquemática de los mecanismos que conducen a la apoptosis. Los estimulos mitemos y externos pueden disparar la apoptosis mediante la activación de la cascada enzimática de las caspasas. Muchos activadores externos actuan sobre la célula para miciar señales que conducen a la apoptosis, obsérvese que el factor de necrosis tumoral (TNF) y el factor de crecimiento transformante β (TGF-β) actuan a través de un "receptor de muerte" La liberación controlada del citocromo dy del SMAC /DIABLO desde las mitocondrias es un paso interno importante en la activación de la apoptosis.

miembros antiapoptóticos y proapoptóticos que determinan la vida o la muerte de la célula. Entre los miembros proapoptóticos de la familia de proteínas Bcl-2 se hallan el promotor de muerte asociado con Bcl-2 (Bad, Bcl-2-associated death promoter), la proteína X asociada con Bcl-2 (Bax, Bcl-2-associated X proteín), el dominio de interacción con Bcl-2 (Bid, Bcl-2-interacting domain) y el mediador de la muerte celular en interacción con Bcl-2 (Bim, Bcl-2-interacting mediator of cell death). Estas proteínas interactúan entre sí suprimiendo o propagando su propia actividad al influir sobre la activación "corriente abajo" de los diversos pasos de ejecución de la apoptosis. También actúan de forma independiente sobre la mitocondria regulando la liberación de cirocromo e y SMAC/DIABLO, el más potente agente inductor de la apoptosis.

La anoiquis es una forma de apoptosis inducida por la ausencia de interacciones entre la célula y la matriz extracelular.

La anoiquis (gr., vagabundo sin hogar) es la apoptosis inducida por la pérdida de anclaje celular, la cual evita que las células desprendidas sigan creciendo y se adhieran a una matriz extracelular inadecuada. En estas condiciones, el ciclo celular se detiene y se inicia la apoptosis. Las señales de la matriz intercelular son percibidas por las integrines, que forman parte integral del anclaje de las uniones célula-matriz extracelular (véase p. 155). Debido a sus conexiones con el citoesqueleto celular, las întegranas participan en los mecanismos de señalización de la vía intrínseca que controla la apoptosis, las respuestas al daño al ADN y la función de los receptores de muerte, Los defectos en estos mecanismos de señalización conducen a la anoiquis, que se desencadena por la activación de la familia de proteínas proapoptóticas Bel-2. La anoiquis produce la liberación de citocromo e y SMAC/DIABLO hacia el citosol, que a su vez produce la activación de las enzimas caspasas y el inicio de la apoptosis. En el cáncer metastasico, las células desarrollan mecanismos para sobrevivir al proceso de anoiquis, incluyendo cambios en los tipos de receptores de integrina, activación de factores antiapoptóticos, activación oncogénica y señalización del receptor del factor de crecimiento.

Otras formas de muerte celular programada

En fechas recientes, se han identificado varias formas de muerte celular programada que son diferentes a la apoptosis o la necrosis.

Existen diferentes formas de muerte celular programada que no se ajustan al esquema clásico de apoptosis o necrosis, e incluyen las siguientes:

- La autotagia es un proceso celular regulado que permire a las células el recambio de su contenido mediante la degradación de sus propios componentes. Comienza cuando una membrana intracelular (con frecuencia parte de la cisterna del REL) se enrolla alrededor de un orgánulo o de una porción del extoplasma para formar una vesícula limitada por una doble membrana cerrada. Esta vesícula, llamada autotagosoma, inicialmente desprovista de cualquier enzima lisosómica, se fusiona con los lisosomas e inicia la digestión. Para una descripción detallada de las tres vías usadas en la autofagia, véanse las páginas 47 50.
- La catástrofo mitótica es un tipo de muerte celular que se presenta durante la mitosis. Se produce por una combinación de lesión celular y funcionamiento defectuoso de varios puntos de control del ciclo celular, como los puntos de control de lesión del ADN en G₁, S y G₂ o el punto de control del ensambiado del huso mitótico (p. 93). Si no se detiene el ciclo celular antes de la mitosis, aparecen problemas en la separación de los cromosomas que desencadenan el proceso apoptótico y la muerte celular.
- La paraptosis es una muerte celular no apoptórica alternativa que puede ser inducida por los receptores de los factores de crecimiento (p. ej., receptor del factor de crecimiento similar a la insulina 1). A diferencia de la apoptosis, la muerte celular no está mediada por caspasas, pero si por la proteina-cinasa activada por mitópenos. A nível celular, la paraptosis se caracteriza por la formación de múltiples vacuolas grandes dentro del citoplasma celular junto con edema mitocondrial.
- La piroptosis es una forma de muerre celular inducida por la infección por ciertos microorganismos que generan reacciones inflamatorias intensas. Este mecanismo depende únicamente de la enzima caspasa 1, la cual no participa en el cascada de caspasas de la muerte celular apoptôtica. La caspasa 1 activa citocinas inflamatorias, como la interleucina (IL) 1 y la IL-18, que median las reacciones inflamatorias intensas en el tejido circundante.
- La necroptosia es un mecanismo de muerte celular independiente de las caspasas que puede inducirse en diferentes tipos de células. Se inicia a través de la activación de los receptores del

factor de necrosis tumoral (TNFR o receptores de muerte) y el mecanismo de señalización de Fas. Si bien ocurre en condiciones reguladas, la muerte celular necroptótica se caracteriza por presentar las mismas características morfológicas que la muerte necrótica no regulada. La necrostatina 1 es un inhibidor específico de la necroptosis que reduce de manera significativa la lesión isquémica en los tejidos afectados.

 La entosis (gr., adentro) es una muerte celular programada no apoptótica en la cual una célula puede incorporar de forma activa una célula semejante separada de la matriz extracelular. Después de la internalización, la célula "engullida" permanece viva dentro de la célula hospedera hasta que es degradada a través del mecanismo lisosómico o es liberada. La entosis es un proceso regulado por receptores específicos que involucra a las cadherinas y a la formación de las uniones de anclaje intercelulares entre dos tipos celulares similares (p. ej., dentro del epiteño). Este proceso debería distinguirse del canibalismo celular, que es un proceso inespecífico observado en las metástasis tumorales que implica a células cancerígenas que "comen" y matan a las células inmunitarias que se dirigen contra ellas.

Los estudios microscópicos de células monbundas en tejidos revelan que diferentes formas de muerte celular pueden ocurrir de manera simultánea y que las células moribundas pueden compartir características de diferentes tipos de muerte celular.



NÚCLEO CELULAR

FUNDAMENTOS DEL NUCLEO

- El núcico es un compartimento limitado por una membrana, el cual contiene el genoma (información genética) en las células eucarioras.
- El núcleo de una célula que no se divide está formado por la cromatina (que contiene ADN) y los nucléolos (sirios de sintesis de ARNr), que están suspendidos en el nucleoplasma y rodeados por la envoltura nuclear.

CROMATINA NUCLEAR

- La cromatina, un complejo de ADN y proteínas asociadas, es responsable de la tinción basófila del núcleo en un preparado tenido con H&E.
- Por lo general, en el nucleo hay dos formas de cromatina, una forma condensada llamada heterocromatina y una forma dispersa denominada eucromatina.
- Los nucleosomas son las subunidades más pequeñas de la estructura cromatínica. Representan
 el primer nível de plegamiento de la molécula de ADN.
- En las células en división, la cromatina está condensada y organizada en cuerpos bien definidos conocidos como cromosomas.

NUCLÉOLOS

- El nucléolo es el sino de sintesis del ARNr y del armado unicial de los ribosomas y participa en la regulación del ciclo celular.
- Los nucleolos tienen tres regiones, los centros fibrilares (p. ej., los bucles de ADN de los cromosomas
 que contienen genes de ARNr), el material fibrilar (p. ej., los genes ribosomicos en proceso de transcripción activa) y el material granular (sitio del ensamblado inicial de los ribosomas).

ENVOLTURA NUCLEAR

- La envoltura nuclear, formada por dos membranas con un espacio entre ellas (la cistema perinuclear), separa el nucleoplasma del citoplasma. La membrana nuclear externa tiene ribosomas y se continua con la del RER. La membrana nuclear interna es sostenida por la lámina nuclear (fibrosa)
- La lémina nuclear está compuesta por láminas nucleares, un tipo especializado de filamentos intermedios, y por proteinas asociadas con la lamina. Las laminas se desensamblan durante la mitosis y se ensamblan cuando esta finaliza.
- La envoltura nuclear presenta una serie de aberturas llamadas poros nucleares. Los poros nucleares contienen una estructura cilindrica conocida como complejo del poro nuclear, que media el transporte nucleocitoplasmático bidireccional.

CICLO CELULAR

- El ciclo celular representa una secuencia autoriegulada de fenomenos que controlan el crecimiento y división celular. Diferentes puntos de control verifican la progresión de las células a traves del ciclo celular.
- La fase G₁ en general es la mas larga y más variable del ciclo celular, y comienza al final de la mitosis (fase M). Durante la fase G₁, la celula recolecta sustancias nutritivas y sintetiza el ARN y las proteinas necessarias para la síntesis del ADN y la duplicación cromosómica. En esta fase también se encuentra el punto de control más importante del ciclo celular, el punto de control de restricción, en el que la célula valora su propio potencial de replicación.
- En la fase S, el ADN se duplica y la calidad de síntesis del ADN se verifica en el punto de control
 del daño del ADN en S.
- En la fase G₂, la celula se prepara para la division durante la mitosis (fase M) y continúa su verificación de calidad del ADN recién sinterizado (en el punto de control del daño del ADN en G₂ y en el punto de control del ADN no duplicado).
- La mitosis ocurre en la fase M y es venficada en el punto de control del ensamblado del huso mitótico y en el punto de control de la segregación de los cromosomas.
- El paso a traves del ciclo celular es impulsado por un complejo de dos proteinas, compuesto por ciclina y una cinasa dependiente de ciclina. Estas proteinas son sintetizadas y degradadas a intervalos regulares durante cada ciclo.

MITOSIS

- La mitosis es un proceso de segregación cromosómica y división nuclear seguido por la división celular que produce dos celulas hijas con el mismo numero de cromosomas y el mismo contenido de ADN que la célula progenitora,
- La mitosis sigue a la fase S del ciclo celular y connene cuatro fases: la profase, durante la cual los cromosomas se condensan y se tornan visibles, la envoltura nuclear se desensambla y e, huso initotico se desarrolla a partir de microtúbulos; la metafase, que incluye la alineación de los cromosomas en la placa ecuatorial: la anafase, durante la cual las cromátides hermanas comienzan a separarse y son arrastitadas hacia los polos opuestos de la celula, y la telofase, que involucra la reconstitución de la envoltura nuclear y la división del citoplasma.
- La mitosis culmina con la formación de dos celulas huas que son genéricamente idénticas (ambas contienen la misma cantidad de cromosomas y de ADN).

MEIOSIS

- La meiosis incluye dos divisiones nucleares secuenciales seguidas de divisiones celulares que producen gametos que contienen la mitad del numero de cromosomas y la mitad del ADN encontrado en las células somáticas.
- Durante la profase de la meiosis I (división reduccional), los cromosomas homologos se parean y
 ocurre la recombinación del material genético entre los pares materno y paterno. Estos pares (con
 segmentos intercambiados) forman dos células hijas que contienen una cantidad haploide de cromosomas y una cantidad diploide de ADN.
- La meiosis II ocurre con rapidez sin pasar a través de la fase S. La segunda división meiótica separa
 las cromatides hermanas en dos células finales, cada una de las cuales contiene un número haploide
 de cromosomas y un número haploide de ADN

MUERTE CELULAR

- La muerte celular puede ocurrir como resultado de un daño celular agudo (necrosis) o de la muerte celular programada (apoptosis).
- La apoptosis se produce en condiciones fisiológicas para eliminar células defectuosas o innecesarias sin respuesta inflamatoria del tejido.
- La regulación molecular de la apoptosis implica una cascada de acontecimientos controlados por la familia de proteinas proapoptótica Bcl-2, que aumenta la permeabilidad de la membrana mitocondrial al liberar citocromo c y SMAC/DIABLO.
- El citocromo e y SMAC/DIABLO activan la cascada de proteasas citoplasmaticas denominadas caspasas. Estas desmantelan la célula digiriendo las proteínas entoplasmáticas.
- La anoiquis es una forma de apoptosis inducida por la ausencia de interacciones entre la célula y la matriz extracelular.

TEJIDOS: CONCEPTOS Y CLASIFICACIÓN

FUNDAMENTOS DE LOS TEJIDOS / 106
EPITELIO / 107
TEJIDO CONJUNTIVO / 108
TEJIDO MUSCULAR / 108
TEJIDO NERVIOSO / 109
HISTOGÉNESIS DE LOS TEJIDOS / 110

Derivados ectodérmicos / 110 Derivados mesodérmicos / 110 Derivados endodermicos / 111

IDENTIFICACIÓN DE LOS TEJIDOS / 113

Cuadro 4-1 Correlación clínica: teratomas ovaricos / 112

HISTOLOGIA 101 / 114



■ FUNDAMENTOS DE LOS TEJIDOS

Los tejidos son conjuntos o grupos de células organizadas para llevar a cabo una o más funciones específicas.

En el microscopio óptico, las cálulas y los componentes extracelulares de varios órganos del cuerpo muestran un patrón de organización reconocible y con frecuencia característico. Esta disposición organizada refleja el esfuerzo cooperativo de las células que desempeñan una función particular. Por lo tanto, un conjunto organizado de células que funcionan de forma colectiva recibe el nombre de tejido (fr., tissu, tejido, lat., texo, tejer)

Aunque suele decirse que la célula es la unidad básica funcional del organismo, en realidad son los tejidos los que, gracias a los esfuerzos cooperativos de sus células individuales, se encargan del mantenimiento de las funciones corporales. Las células de un mismo tejido se conectan entre si por medio de uniones de anclaje especializadas (uniones célula-célula, p. 107). Las células también perciben su entorno extracelular circundante y se comunican entre si mediante uniones intercelulares especializadas (uniones de hendidura, p. 107), lo que facilita la colaboración entre ellas y les permite operar como una unidad funcional. Otros mecanismos que permiten que las células de un tejido determinado funcionen de manera unificada incluyen receptores específicos de la membrana que generan respuestas a diversos estímulos (p. ej., hormonales, nerviosos o mecánicos).

A pesar de sus diferentes estructuras y propiedades fisiclógicas, todos los órganos están compuestos por solo cuatro tipos básicos de tejidos.

El concepto de tejido proporciona la base para comprender y reconocer los diferentes tipos celulares dentro del cuerpo y la forma en la que se interrelacionan. A pesar de las variaciones en el aspecto general, la organización estructural y las propiedades fisiológicas de los diversos órganos del cuerpo, los tejidos que los componen se clasifican en cuatro tipos básicos:

- El epitelio (tejido epitelial) cubre las superficies corporales, reviste las cavidades del cuerpo y forma las glándulas.
- El tejido conjuntivo subyace o sostiene estructural y funcionalmente a los otros tres tejidos básicos.
- El tojido muscular está compuesto por células contráctiles y es responsable del movimiento.
- El tejido nervioso recibe, transmite e integra información de los medios interno y externo para controlar las actividades del cuerpo.

Cada rejido básico está definido por un conjunto de características morfologicas generales o propiedades funcionales. Además, cada tipo puede subdividirse de acuerdo con las características especificas de sus diversas poblaciones celulares y de cualquier sustancia extracelular presente.

Para la clasificación de los tejidos se utilizan dos parámetros de definición diferentes. La base para definir los tejidos epitelial y conjuntivo es principalmente morfológica, mientras que para los tejidos muscular y nervioso es principalmente funcional. Además, los mismos parámetros se emplean en la designación de las subclases de tejido. Por ejemplo, el tejido muscular se define por su función; sin embargo, a su vez se subclasifica en las categorías de liso y estriado, una distinción puramente morfológica y no funcional. Otro tipo de tejido contráctil, el mioepitelio, funciona como el tejido muscular, pero en general se le designa como epitelio debido a su ubicación.

Por estas razones, la clasificación de los tejidos no puede reducirse a una simple fórmula. Más bien, se aconseja a los estudiantes que aprendan las características de las diferentes agrupaciones celulares que definen a los cuatro tejidos básicos y sus subclases.

■ EPITELIO

El tejido epitefial se caracteriza por la estrecha aposición de sus células y por su presencia en una superficie libre.

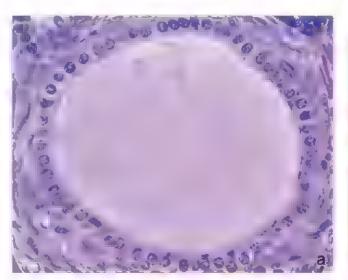
Las células opitoliolos, ya sea que se organicen en una capa simple o en múltiples capas, siempre son contiguas entre sí. Además, suelen estar adheridas unas con otras por medio de uniones intercelulares especializadas, que crean una barrera entre la superficie libre y el tejido conjuntivo adyacente. El aspacio intercelular entre las células epiteliales es mínimo y carece de estructura, excepto a la altura de las uniones intercelulares.

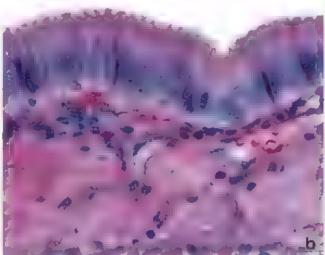
Las superficies libres son características del exterior del cuerpo, la superficie externa de numerosos órganos internos y el revestimiento de las cavidades, los tubos y los conductos corporales que se comunican con el exterior. Las cavidades corporales y los conductos cerrados incluyen las cavidades pleural, pericárdica y peritoneal, así como el sistema cardiovascular. Todas estas estructuras están cubiertas por tejido epitelial. El epitelio también forma las gión-

dulas y sus conductos, que ayudan a secretar productos hacia una superficie libre o hacia la luz de otro conducto.

Las clasificaciones del tejido epitelial en general se basan en la forma de las células y en la cantidad de capas celulares, más que en su función. Las formas celulares pueden ser planas (escamosas), cúbicas y cilíndricas. Con respecto a los estratos, pueden ser simples (una sola capa) o estratificados (capas múltiples). La figura 4-1 muestra el tejido epitelial de tres sitios. Dos de ellos (véanse figs. 4-1a y b) son epitelios simples (una capa celular) que delimitan una superficie libre expuesta a la luz de la estructura. La principal diferencia entre estos dos epitelios simples radica en la forma de las células: unas son cúbicas (véase fig. 4-1a) y otras cilíndricas (véase fig. 4-1b). El tercer ejemplo (véase fig. 4-1c) es un epitelio plano estratificado que contiene múltiples capas de células. Solo la capa superior de células escamosas está en contacto con la luz; las otras células están conectadas entre sí a través de uniones de anclaje intercelular especializadas o con el tejido conjuntivo subyacente (la capa inferior más oscura) por medio de uniones especializadas de anclaje célula-matriz extracelular.

La superficie libre del epitelio muestra modificaciones superficiales estructurales especiales que realizan funciones específicas. Los epitelios simples pueden tener microvellosidades, estereocilios o cilios. Los epitelios estratificados pueden ser queratinizados en el exterior del cuerpo o no queratinizados dentro de la luz de los órganos





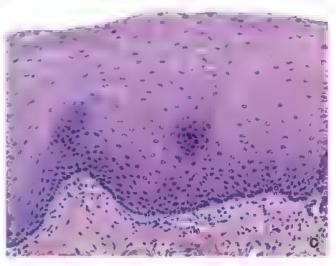


FIGURA 4-1. Epitelio simple. a. Corte teñido con hematoxilina y eosina (H&E) en el que se muestra un conducto pancreático cub erto por una capa simple de células epiteliales cubicas. La superficie libre de las célules está orientade hacia la luz, la superficie basal está en contacto con el tejido conjuntivo. 540x b. Corte teñido con H&E en el que se muestra una capa simple de células epitellales cilindricas altas cubriendo la vesícula biliar. Obsérvese que las células son mucho más altas que las que revisten el conducto pancreático. La superficie ibre de las células epiteliales está expuesta a la luz de la vesícula biliar y la superficie basal está en contacto con el tejido conjuntivo subvacente 540× c. Corte teñido con H&E en el que se muestra la pared del esófago cubierta por epitelio plano estratificado Solo la capa supenor de las células escamosas está en contacto con la luz. Obsérvese que no todas las células en este epitelio son planas. En la porción inferior del epitello, las células son más redondeadas, y en el limite entre el epitelio y el tejido conjuntivo, la capa de cé ulas basales aparece como una banda oscura debido al menor tamaño de las células y a la alta relación núcleo:citoplasma. 240×

internos. Todos los epitelios se apoyan sobre la lámina basal, el sitio de unión estructural para las células epiteliales suprayacentes y el tejido conjuntivo subyacente.

■ TEJIDO CONJUNTIVO

El tejido conjuntivo se define por su matriz extracelular.

A diferencia de las células epitebales, las del tejido conjuntivo están muy separadas entre sí. Los espacios intercelulares están ocupados por un material producido por las células. Este material extracelular recibe el nombre de matriz extracelular. La naturaleza de las células y de la matriz varía de acuerdo con la función del tejido. Por lo tanto, para la clasificación del tejido conjuntivo no solo se tienen en cuenta las células, sino también la composición y la organización de la matriz extracelular.

El tejido conjuntívo embrionario deriva del mesodermo, la capa germinal embrionaria media, y está presente en el embrión y dentro del cordón umbilical. Este da origen a varios tejidos conjuntívos del cuerpo.

Un tipo de tejido conjuntivo que se encuentra estrechamente relacionado con la mayoría de los epitelios es el tejido conjuntivo laxo (fig. 4-2a). De hecho, es el tejido conjuntivo sobre el que se apoyan la mayoría de los epitelios. La matriz extracelular del tejido conjuntivo laxo contiene fibras de colágeno laxamente distribuidas y abundantes células. Algunas de estas células, los fibroblastos, forman y mantienen la matriz extracelular. Sin embargo, la mayoría de las células migran del sistema vascular y desempeñan funciones relacionadas con el sistema inmunitario. En cambio, donde solo se requiere resistencia, las fibras de colágeno son más abundantes y están dispuestas de forma más densa. Además, las células son relactivamente escasas y se limitan a la célula generadora de fibras, el fibroblasto (fig. 4-2b). Este tipo de tejido conjuntivo se describe como tejido conjuntivo denso.

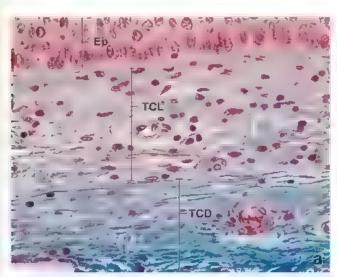
Algunos ejemplos de tejidos conjuntivos especializados son el hueso, el cartílago y la sangre. Estos tejidos conjuntivos se caracterizan por la naturaleza especializada de su matriz extracelular. Por ejemplo, el hueso tiene una matriz mineralizada con calcio y moléculas de fosfato asociadas con las fibras de colágeno. El cartílago tiene una matriz con gran cantidad de agua unida a los grupos hialurónicos. La sangre está compuesta por células y por una matriz extracelular en la forma de un líquido con abundantes proteínas denominado plasma, que curcula por todo el cuerpo. De nuevo, todos estos tejidos están definidos por el material extracelular y no por sus células.

■ TEJIDO MUSCULAR

El tejido muscular se define según una propiedad funcional: la capacidad contractil de sus células.

Las cétulas musculares se caracterizan por tener grandes cantidades de las proteínas contrácules actina y miosina en su citoplasma, y por su particular organización celular en el tejido. Para funcionar de manera eficiente al realizar movimientos, la mayoría de las células musculares se agrupan en diferentes haces que se distinguen fácilmente del tejido que los rodea. Las células musculares típicas son alargadas y están orientadas con sus ejes mayores en la misma dirección (fig. 4-3). La disposición de los núcleos también coincide con la otientación paralela de las células musculares.

Si bien la forma y la distribución de las células en los tipos musculares específicos (p. ej., músculos liso, esquelético y cardíaco) son bastante diferentes, todos los tipos musculares comparten una característica en común. La masa citoplasmática está compuesta por las proteínas contráctiles actina y miosina, las cuales forman miofilamentos finos y gruesos, respectivamente. Las células del musculo esquelético (véase fig. 4-3a) y del musculo cardíaco (véase fig. 4-3b) tienen estriaciones cruzadas producidas por una disposición específica de miofilamentos. Las células del músculo liso (véase fig. 4-3c)



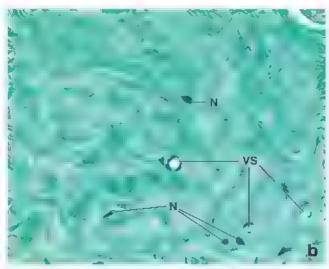
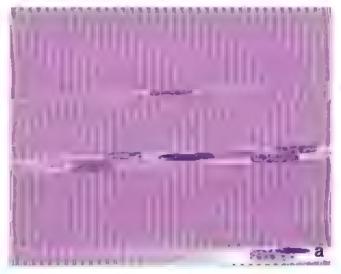


FIGURA 4-2. Tejido conjuntivo denso y taxo. a. Corte de la epiglotis teñido con Mailory-Azan en el que se muestra la parte inferior de su epite lo estratificado (Ερ), el telido conjuntivo laxo (ΤΕ) subyacente y el telido conjuntivo denso (ΤΕ) más profundo. En general, el tejido conjuntivo laxo contiene muchas céliulas de diferentes fipos. Sus nucleos varian en forma y tamano. Los nucleos alargados probablemente pertenecen a os fibroblastos. Como el tejido conjuntivo denso contiene haces gruesos de colágeno se tiñe de forma más intensa con el cologiante azul. Además, observese la menor cantidad relativa de nucleos 540× b. Corte de tejido conjuntivo denso teñido con Maliory en el que se muestra una región compuesta por abundantes fibras de colágeno muy compactas. Los pocos nucleos (Ν) visibles pertenecen a los fibroblastos la combinación de fibras muy compactas y la escasez de células caracterizan al tejido conjuntivo denso. En este corte también aparecen unos pocos vasos sanguineos (VS) pequeños. 540×



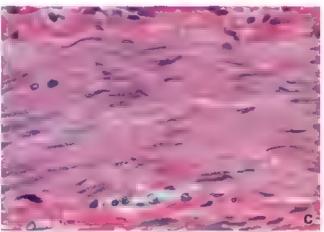




FIGURA 4-3. Tejido muscular, a. Corte teñido con H&E en el que se muestra una porción de tres fibras (células) musculares esquelétcas seccionadas de forma longitudinal. Dos características notables de estas células largas y grandes son las estriaciones transversales tipicas y los multiples nucleos localizados a lo largo de la penfena celular. 420× b. Corte teñido con Mallory en el que se muestran fibras musculares cardiacas que también presentan estriaciones. Estas fibras están compuestas por células individuales mucho más pequeñas que las del músculo esquelético y unidas extremo con extremo para formar fibras largas. La mayoría de las fibras tienen una distribución longitudinal. Esta distribución organizada (la disposición paralela de les fibras en el caso del tejido muscular) permite el esfuerzo colectivo en la realización de su función. Los discos intercalares (Rechas) marcan la unión de las células adyacentes 420× c. Corte teñido con H&E en el que se muestra una capa longitudinal de células musculares lisas de la pared intestinal. El tejido teñido con mayor intensidad en el extremo supenor y en el infenor de esta microfotografía representa el te, do con, untivo. Obsérvese que todos los núcleos de las células musculares lisas (en medio) son alargados y su citoplasma no presenta estriaciones transversales [512×]

no muestran estraciones cruzadas porque los miofilamentos no alcanzan el mismo grado de orden en su disposición.

Las proteínas contráctiles actina y miosina son ubicuas en todas las células, pero solo en las células musculares se presentan en cantidades tan grandes y en una disposición tan bien ordenada que su actividad contráctil puede producir el movimiento de un órgano completo o de todo un organismo.

■ TEJIDO NERVIOSO

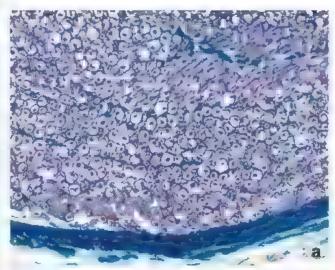
El tejido nervioso está formado por células nerviosas (neuronas) y los distintos tipos de células de sostén asociadas.

Si bien todas las células tienen propiedades eléctricas, las células nerviosas o neuronas están especializadas en la transmisión de impulsos eléctricos de un sitio a otro del cuerpo; también están especializadas para integrar esos impulsos. Las células nerviosas reciben y procesan información desde el entorno externo e interno y pueden tener receptores sensitivos y órganos sensoriales específicos para llevar a cabo esta función.

Las neuronas se caracterizan por dos tipos diferentes de procesos a través de los cuales interactúan con otras células nerviosas y con las células del epitelio y el músculo. Un solo axón largo (a veces de más de 1 m de longitud) transmite împulsos fuera del cuerpo o soma neuronal, el cual contiene los núcleos neuronales. Las múltiples dendritas reciben impulsos y los transmiten hacia el soma celular (en los cortes histológicos, suele ser imposible diferenciar los axones y las dendritas, ya que presentan el mismo aspecto estructural). El axón termina en la unión neuronal llamada sinapsis, en la cual los impulsos eléctricos son transferidos desde una célula a la siguiente mediante la secreción de neuromediadores. Estas sustancias químicas son liberadas en la sinapsis por una neurona para generar impulsos eléctricos en la neurona contigua.

En el sistema nervioso central (SNC), que incluye el encéfalo y la médula espinal, las células de sostén se denominan células de la glia. En el sistema nervioso periférico (SNP), que incluye los nervios en todo el resto del cuerpo, las células de sostén se denominan células de Schwann (neurilémicas) y células setélite. Las células de sostén cumplen varias funciones importantes. Separan las neuronas unas de otras, producen la vaina de mielina que aísla y acelera la conducción en ciertos tipos de neuronas, realizan la fagocitosis activa para eliminar los detritos celulares y contribuyen a la formación de la barrera hematoencefálica en el SNC.

En un corte habitual teñido con hematoxilina-eosina (H&E), el tejido nervioso puede aparecer en la forma de un nervio, que está compuesto por una cantidad variable de evaginaciones neuronales junto con sus células de sostén (fig. 4-4a). Los nervios con mucha



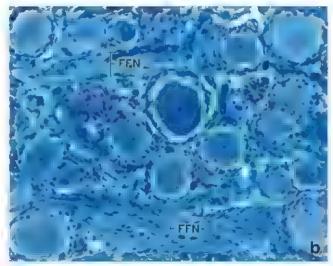


FIGURA 4-4. Tejido nervioso, a. Corte de un nervio periférico con tinción de Mafory El tejido nervioso está constituido por una gran cantidad de axones mielinicos en forma de fasciculos que se mantienen juntos gracias a Tejido conjuntivo. Los axones han sido cortados de forma transversa y aparecen como pequenos puntos rojos. El espacio claro que rodea a los axones antes tenia miel na, que se discivió y se perdió durante la preparación de la muestra. El telido conjuntivo está tenido de azul. Este tejido forma una redide cada afrededor de los axones mielinicos y vainas alrededor de cada fasciculo axonico com lo que se produce una unidad estructural el nervio. 270 mb. Corte de un ganglio nervios o tenido con Azan en el que se muestran los grandes cuerpos neuronales estéricos y los nucleos de las pequeñas céliu as satélite que rodean a las neuronas Los axones asociados con los cuerpos celulares nerviosos no están mielinizados. Aparecen como fasciculos de fibras nerviosas (FFN) entre las agromeraciones de cuerpos neuronales. 220×

frecuencia se observan en los cortes longitudinales o transversales del tejido conjuntivo laxo. Los somas neuronales en el SNP, incluido el sistema nervioso autónomo (SNA), aparecen en aglomeraciones que se denominan gangilos, en donde están rodeados por células satélite (fig. 4-4b).

Las neuronas y las células de sostén derivan del neuroectodermo, que forma el tubo neural del embrión. El neuroectodermo se forma por invaginación de una capa epitelial, el ectodermo dorsal del embrión. Algunas células del sistema nervioso, por ejemplo, las células ependimarias y las células de los plexos coroideos del SNC, conservan las funciones de absorción y secreción de las células epiteliales.

■ HISTOGÉNESIS DE LOS TEJIDOS

Durante el comienzo del desarrollo del embrión, en la fase de gastrulación, se forma un embrión trilaminar (disco germinal trilaminar) Las tres capas germinales son el ectodermo, el mesodermo y el endodermo, las cuales dan origen a todos los tejidos y órganos.

Derivados ectodérmicos

El ectodermo es la más externa de las tres capas germinales. Los derivados del ectodermo pueden dividuse en dos clases principales: los derivados del ectodermo de superficie y los derivados del neuro-ectodermo.

El ectodermo de superficie da origen a las siguientes estructuras:

- Epidemis y sus derivados (pelo, uñas, glándulas sudoriparas, glándulas sebáceas y el parénquima y los conductos de las glándulas mamanas)
- Epitelios de la cómea y el cristalino del ojo
- Organo del esmaite y esmaite dentario
- Componentes del oido interno
- Adenohipofisis (lóbulo anterior de la hipófisis)
- Mucosa de la cavidad bucat, así como partes inferiores del conducto anal

El neuroectodermo de superficie da origen a las siguientes estructuras:

- Tubo neural y sus derivados, incluidos los componentes del SNC, el epéndimo (epitelio que reviste las cavidades del encéfalo y de la médula espinal); la glándula pineal; el lóbulo posterior de la hipófisis (neurohipófisis); y el epitelio sensorial del ojo, el oído y la naria.
- Cresta neural y sus derivados, incluidos los componentes del SNP (ganglios craneales, espinales y autónomos, nervios periféricos y células de Schwann); células gliales (oligodendrocitos y astrocitos); células cromafines (medulares) de las glándulas suprarrenales; células enteroendocrinas, también llamadas células del sutema de captación y descarbocalación de precursores de aminas del sistema neuroendocrino difuso; melanoblastos, los precursores de los melanocitos; mesénquima cefálico y sus derivados (p. ej., los arcos faringeos que contienen músculos, tejido conjuntivo, nervios y vasos); odontoblastos, y endotelio vascular y de la córnea.

Derivados mesodérmicos

El mesodermo es la capa intermedia de las tres capas germinales primarias del embrión. Da origen a las siguientes estructuras:

- Tejido conjuntivo, incluido el rejido conjuntivo embrionario (mesénquima), el tejido conjuntivo propiamente dicho (tejido conjuntivo laxo y denso) y los rejidos conjuntivos especializados (cartilago, hueso, tejido adiposo, sangre, tejido hematopoyético y tejido linfático).
- Musculos estriados y músculos lisos
- Corazón, vasos sanguineos y vasos lintáticos, incluido su revestimiento endorelial.
- Bazo
- Riñones y gónadas (ovarios y testículos) con los conductos genitales y sus derivados (uréteres, trompas utermas, útero, conductos deferentes).
- Mesotelio, el revestimiento epitelial de las cavidades pericárdica, pleural y peritoneal.
- Corteza supramenal

Derivados endodérmicos

El andodermo es la más interna de las tres capas germinales. En el embrión temprano, forma la pared del intestino primitivo y da origen a porciones epiteliales o revestimientos de los órganos que surgen a partir del tubo digestivo primitivo. Los derivados del endodermo incluyen las siguientes estructuras:

- Epitelio del tubo digestivo (excepto el epitelio de la cavidad bucal y de la región distal del conducto anal, que son de origen ectodérmico)
- Epitelio de las glándulas digestivas extramurales (p. cj., hígado, páncreas y vesícula biliar)
- Revestimiento epitelial de la vejiga turnaria y de la mayor parte de la uretra

- Epítelio del sistema respiratorio
- Los componentes epireliales de las glandulas tiroides y paratiroides y el timo
- Parénquima de las amigdalas
- Epitello de revestimiento de la cavidad timpánica y de las trompas auditivas (de Eustaquio)

Las glándulas tiroides y paratiroides se desarrollan como invaginaciones epiteliales a partir del suelo y la pared de la faringe, posteriormente, pierden su comunicación con estos sítios de derivación iniciales. El timo crece como un brote epitelial de la pared faringea hacia el mediastino y también pierde su conexión original. En la figura 4-5 se resumen los derivados de las tres capas germinales.

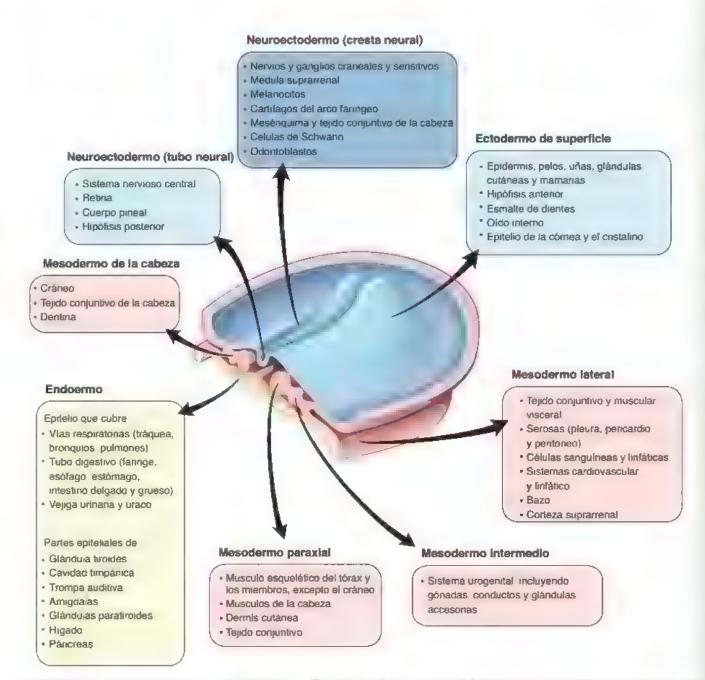


FIGURA 4-5. Derivados de los tres planos germinales. Il stración en la que se observan los derivados de las tres capas germinales le ectodermo e endodermo y el mesodermo Basado en Moore Kul Persaud TVN. The Developing Human, Clinically Oriented Embryology. Philadelphia: WB Saunders, 1998.

CORRELACION CLINICA: TERATOMAS OVÁRICOS

Es de interés clínico que, en ciertas condiciones, pueda ocurrir una diferenciación anómala que lleve a la producción de tumores. La mayoría de los tumores denvan de las células que se originan a partir de una sola capa de células germinaies. Sin embargo, si las células del tumor surgen de las células madre plunipotenciales, su masa puede contener células que se diferencian y se parecen a las que se originan a partir de las tres capas germinales. El resultado es la formación de un tumor que contiene diversos tejidos maduros dispuestos de un modo desorganizado. Estos tumores se denominan teratomas

Dado que las células madre pluripotenciales se encuentran principalmente en las gónadas, los teratomas casi siempre aparecen en estos órganos. En el ovario, estos tumores suelen desarrollarse como masas sólidas que contienen características de los tejidos básicos maduros. Si bien los tejidos no pueden formar estructuras funcionaies, con frecuencia pueden observarse estructuras semejantes a órganos (dientes, pelo, epidermis, segmentos de intestino, etc.). Los teratomas también pueden aparecer en los testículos, aunque es poco frecuente. Además, los teratomas ováricos en general son benignos,

mientras que los teratomas en los testículos están compuestos por tejidos menos diferenciados, que a menudo se malignizan. En el centro de la microfotografía de la figura C4-1-1
se observa un teratoma ovárico macizo que contiene tejidos
completamente diferenciados. El bajo aumento reveia la falta
de estructuras organizadas, pero no permite la identificación de
los tejidos específicos presentes. Sin embargo, con mayor
aumento, como se muestra en los recuadros (a-f), se ven los
tejidos maduros diferenciados. Este tumor representa un teratoma maduro del ovano, a menudo llamado quiste demoide.
Este tumor benigno tiene un cariotipo fermenino normal 46,XX,
segun estudios genéticos, se piensa que estos tejidos se orignan a partir del desarrollo partenogénico de un ovocito. Los teratomas maduros son tumores ováricos frecuentes en la niñez
y en el comienzo de la edad reproductiva.

El ejemplo de la figura C4-1-1 muestra que las características de los tejidos pueden identificarse con facilidad, aun en una estructura desorganizada. De nuevo, el punto importante es la capacidad para reconocer los conjuntos de células y determinar las características especiales que muestran

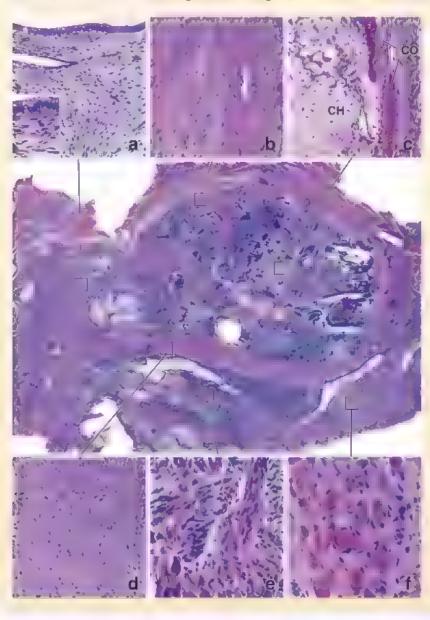


FIGURA C4-1-1. Teratoma ovárico. En el centro se observa un corte tendo con-H&E de un teratoma ovárico, visto con poco aumento. Esta masa está compuesta por varios tejidos básicos bien diferenciados y fàciles de identificar con un aumento mayor La característica anómala es la falta de organización de los tejidos para formar órganos funciona es. Los tejidos dentro de los recuadros se observan con mayor aumento en las microfotografías a-f El mayor aumento permite identificar algunos de los tejidos básicos presentes dentro de este tumor 10× Epitei o cilíndrico simple que cubre la cavidad de un guiste pequeño, 170× Recuadro. Mayor aumento del epitello y del tejido conjuntivo subvacente 320× b. Tejido conjuntivo denso regular que forma una estructura semejante a un tendón. 170× c. Región que contiene un cartilago halino (CH) y cordones áseos (CO) en formación, 170× d. Tejido encefálico con células de la gifa. 170× e. Fibras musculares cardiacas. 220× Recuadro. Mayor aumento que muestra discos intercalados (flechas) 320× f. Fibras musculares esqueléticas cortadas transversalmente 220 x

■ IDENTIFICACIÓN DE LOSTEJIDOS

El reconocimiento de los tejidos se basa en la presencia de componentes específicos dentro de las células y en relaciones celulares específicas.

Si se tienen en cuenta estos pocos datos y conceptos acerca de los cuatro tejidos fundamentales, se puede hacer más fácil la tarea de examinar e interpretar el material histológico. El primer objetivo es reconocer los grupos de células como tejidos y determinar las características especiales que presentan. Están las células presentes

en la superficie? ¿Están en contacto con las células vecinas o están separadas por una sustancia definida? ¿Pertenecen a un grupo con propiedades especiales, como el músculo o el nervio?

La estructura y la función de cada tejido fundamental se exploran en los capítulos siguientes. Al enfocar la atención en un único tejido específico, de algún modo estamos separando artificialmente los tejidos que constituyen los órganos. No obstante, esta separación es necesaria para comprender y apreciar la histología de los diversos órganos que forman el cuerpo humano, así como los medios a través de los cuales operan como unidades funcionales y sistemas integrados.



TEJIDOS: CONCEPTOS Y CLASIFICACIÓN

2001LAT 201 AD 2017AMADRUP

 Los tejidos son conjuntos o grupos de células organizadas para llevar a cabo una o más funciones especificas.

 Todos los órganos están formados por solo custro tipos de tajidos básicos: epitelio (tejido epitelial), tejido conjuntivo, tejido muscular y tejido netvica).

TEJIDO EPITELIAL

- El epítelio se caracteriza por la aposición estrecha de sus celulas y por su presencia en una superficie libre
- El tendo epitelial cubre las superficies del cuerpo, reviste las cavidades corporales y forma las glandulas.
- El epitelio se clasifica con base en sus características morfológicas: el numero de capas celulares (simple o estratificado) y la forma de las células (plano, cúbico y cilíndrico).
- Las superficies libres de las celulas epiteliales muestran modificaciones de la superficie (microvello sidades, estereocilios o cilios).
- Las células epiteliales descansan sobre la lámina basal.

TEJIDO CONJUNTIVO

- El tejido conjuntivo se define por su matriz extracelular. Subyace y sostiene (estructural y funcionalmente) a los otros tres tejidos básicos.
- El tejido conjuntivo se clasifica en tres categorias con base en el contenido de su matriz extracelular
 y las características de las células individuales, tejido embrionario, tejido conjuntivo propiamente
 dicho (laxo y denso) y tejido conjuntivo especializado
- Los ejemplos de los tejidos conjuntivos especializados son el hueso, el cartilago y la sangre.

TEJIDO MUSCULAR

- El tejido muscular se clasifica según la capacidad contráctil de sus células.
- Todos los tipos de celulas musculares contienen las proteínas contractiles actina y miosina, que se organizan en miofilamentos y se encargan de la contracción muscular.
- Las células del musculo esqueletico y del musculo cardiaco presentan estrucciones cruzadas producidas por la organización especifica de los miofilamentos. Las celulas del musculo tiso no muestran estrucciones.

TEJIDO NERVIOSO

- El tejido nervioso recibe, transmite e integra información de los medios interno y externo para controlar las actividades corporales.
- Las celutas nerviosas (neuronas) están especializadas en la transmisión de impulsos eléctricos. Una neurona típica está tormada por un cuerpo o soma celular, un solo axón largo que transmite impulsos desde el cuerpo celular y multiples dendritas que reciben impulsos y los transmiten hacia el cuerpo celular.
- Las neuronas se encuentran tanto en el sistema nervioso central (SNC), que incluye el encefalo y la medula espinal, como en el sistema nervioso periférico (SNP), que incluye los nervios y los ganglios.
- En el SNC, las células de sostén se llaman células de la glia. En el SNP, las células de sostén se denominan células de Schwann (neurilémicas) y células satélite

HISTOGENESIS DE LOS TEJIDOS

- Las tres capas germinales son el ectodermo, el mesodermo y el endodermo.
- Las estructuras derivadas del ectodermo se desarrollan a partir del ectodermo de superficie o neuroectodermo.
- El ectodermo de superficie da origen a la epidermis (y sus derivados), el epitelio de la córnea y
 del cristalino del ojo, el esmalte dentario, los componentes del oído interno, la adenohipófisis y la
 mucosa de la cavidad bucal y de la región distal del conducto anal.
- El neuroectodermo da origen al tubo neural, la cresta neural y sus derivados.
- El mesodermo da lugar al tejido conjuntivo, el tejido muscular, el corazón y los vasos sanguineos y linfáticos, el bazo, el hígado y las gónadas con los conductos genitales y sus derivados el mesotelio, que reviste las cavidades corporales; y la correza suprarrenal.
- El endodermo da origen al epiteño del tubo digestivo, el epitelio de las glandulas digestivas extramisrales (higado, páncreas y vesicula biliar), el epitelio de la vejiga urinaria y la mayor parte de la utetra,
 el epitelio del sistema respiratorio, las glandulas tiroides, paratiroides y timo, el parenquima de las
 amigdalas; y el epitelio de la cavidad timpánica y de las trompas auditivas (de Eustaquio).

5 TEJIDO EPITELIAL

Y LA FUNCIÓN EPITELIAL / 116
CLASIFICACIÓN DE LOS EPITELIOS / 117
POLARIDAD CELULAR / 118
ESPECIALIZACIONES DE LA REGIÓN APICAL / 120

FUNDAMENTOS DE LA ESTRUCTURA

Microvellosidades / 120 Estereocilios / 121 Cilios / 122

REGIÓN LATERAL Y SUS ESPECIALIZACIONES EN LA ADHESIÓN CELULAR / 133

Uniones ocluyentes / 135
Uniones adherentes / 139
Uniones comunicantes / 144
Especializaciones morfologicas de la región
lateral de las células / 147

REGIÓN BASALY SUS ESPECIALIZACIONES EN LA ADHESIÓN CÉLULA-MATRIZ EXTRACELULAR / 147

Estructura y función de la membrana basal / 147 Uniones célula matriz extracelular / 155 Modificaciones morfológicas de la membrana celular en la región basal / 157

GLÁNDULAS / 157 RENOVACIÓN DE LAS CÉLULAS EPITELIALES / 160

Cuadro 5-1 Correlación clinica, metaplasia epitelial / 120 Cuadro 5-2 Correlación clínica:

discinesia ciliar primaria (síndrome de los cilios inmóviles) / 133

Cuadro 5-3 Correlación clinica: complejos de unión como diana de agentes patógenos / 142

Cuadro 5-4 Consideraciones funcionales: terminología de la membrana y lámina basales / 150

Cuadro 5-5 Consideraciones funcionales: membranas mucosas y serosas / 161

HISTOLOGÍA 101 / 162



■ FUNDAMENTOS DE LA ESTRUCTURA Y LA FUNCIÓN EPITELIAL

El epitelio reviste la superficie del cuerpo, recubre les cavidades corporales y forma glándulas.

El opitolio es un tejido avascular que está compuesto por células que recubren las superficies externas del cuerpo y revisten las cavidades internas cerradas (incluido el sistema vascular) y los conductos corporales que comunican con el exterior (tubo digestivo, vías respiratorias y vías genitourinarias). El epitelio también forma la porción socratora (paranquima) de las giándulas y sus conductos excretores. Además, existen células epiteliales especializadas que funcionan como receptores sensoriales (olfato, gusto, oído y visión).

Las células que integran los epitelios poseen tres características principales:

 Están dispuestas muy cerca unas de otras y se adhieren entre si mediante moléculas que forman uniones Intercelulares especializadas (fig. 5-1).

- Tienen polandad funcional y morfológica. En otras palabras, las
 diferentes funciones se relacionan con tres regiones superficiales de morfología distinta; una superficie libre o región apical,
 una región laterel y una región basel. Las propiedades de cada
 región están determinadas por lípidos específicos y proteínas integrales de la membrana.
- Su superficie basal se apoya en una membrana basal subyacente, una capa no celular, rica en proteínas y polisacáridos, detectable con microscopio óptico mediante el empleo de técnicas histoquímicas (vésse fig. 1-2, p. 6).

En situaciones especiales, las células epiteliales carecen de una superficie libre (tejido epitelioide).

En algunos sitros, las células se agrupan estrechamente entre sí y carecen de una superficie libre. Aunque la estrecha cercanía de estas células y la presencia de una membrana basal permiten classificarlas como epitelio, la falta de una superficie libre hace más apropiada la clasificación de este conjunto celular como tejido epitelioide. Las células epitelioides derivan de células mesenquimatosas

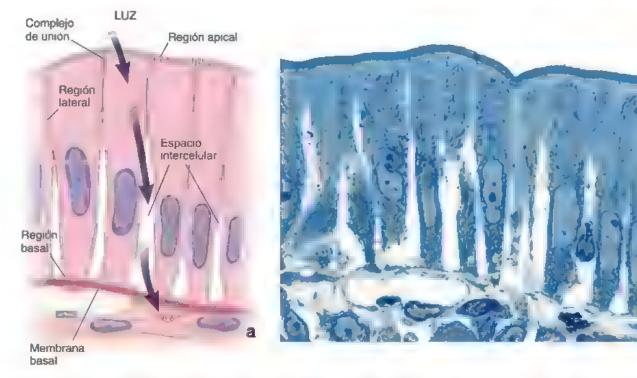


FIGURA 5-1. Diagrama de células epiteliales absortivas del intestino delgado, a. En este diagrama se muestran las tres regiones de una célula epite al tipica. El complejo de un on brinda adhesión entre las células adyacentes y separa el espacio lumina de lespacio intercelular limitando el movimiento de iguidos entre la luz y el te, do conjuntivo subyacente. La via intracelular de iguidos durante la absorción (hechas) discurre desde la luz intestina hacia el interior de la celula luego a traves de la membrana celular lateral al espacio intercelular y finalmente a través de la membrana basa hacia el tejido con untivo. En esta microfotográfia de un corte delgado de epitello intestina, tomada de una inclusión en piástico teñida con azul de toluidina, se muestra células involucradas activamente en el transporte de liquidos. A igual que en el dagrama adyacente, los espacios intercelulares son prominentes, mostrando el paso de liquido a través de ellos antes de pasar al tejido conjuntivo subyacente.

progenitoras (células no diferenciadas de origen embrionario encontradas en tejido conjuntivo). Ya sea que las células progenitoras de estos tejidos epitelioides hayan surgido de una superficie libre o que las células inmaduras hayan tenido una superficie libre en algún momento durante su desarrollo, en cualquier caso, las células maduras carecen de una región superficial o una conexión de superficie. La organización epitelioide es típica en la mayoría de las glándulas endocrinas, como las células intersticiales de Leydig de los testiculos (lám. 3, p. 166), las células luteínicas del ovario, los islotes de Langerhans del páncreus, el parénquima de la glándula suprarrenal y el lóbulo anterior de la glandula hipófisis. Las células epiteliales reticulares del timo también pueden incluirse en esta categoría. Los patrones epitelioides también están formados por cúmulos de macrofagos del tejido conjuntivo en respuesta a ciertos tipos de lesiones e infecciones, así como por diversos tumores derivados del epitelio.

El tejido epitelial crea una barrera selectiva entre el medio externo y el tejido conjuntivo subyacente.

Los epitelios de revestimiento forman una lámina celular continua que separa el tejido conjuntivo subyacente o adyacente del medio externo, las cavidades internas y el tejido conjuntivo líquido, como la sangre y la linfa. Este revestimiento epitelial funciona como una barrora selectiva que puede facilitar o inhibir el intercambio de sustancias específicas entre el medio externo (incluidas las cavidades corporales) y el compartimento de tejido conjuntivo subyacente

■ CLASIFICACIÓN DE LOS EPITELIOS

La clasificación tradicional de los epitelios es descriptiva y tiene su fundamento en dos factores: la cantidad de estratos celulares y la forma de las células superficiales. La terminología refleja solo la estructura y no la función. Así, el epitelio se describe de la siguiente manera:

- Simple, cuando tiene un solo estrato celular de espesor.
- Estratificado, cuando posee dos o más estratos celulares.

La composición del epitelio, de acuerdo con la forma de las células individuales, puede ser:

- Plano (escamoso, pavimentoso), cuando el ancho de las células es mayor que su altura.
- Cubico, cuando el ancho, la profundidad y la altura son aproximadamente iguales.
- Clindrico (columnar), cuando la altura de las células excede claramente el ancho (suele emplearse el término cilindrico bajo cuando la altura de la célula apenas excede las otras dimensiones).

De esta forma, al describir la cantidad de estratos celulares (simple o estratificado) y el aspecto morfológico de las células superficiales, resulta sencillo clasificar las diversas configuraciones del tejido epitelial. Las células en algunas glándulas exocrinas son más o menos piramidales y sus regiones apicales están orientadas hacia la luz. Sin embargo, se clasifican como cúbicas o cilíndricas según su altura en relación con el ancho en la base celular.

En un epitelio estretificado, la forma y la altura de las células suelen variar de un estrato a otro, pero solo la forma de las células que integran el estrato más superficial sirve para la clasificación del epitelio. Por ejemplo, el epitelio plano estratificado se compone de más de un estrato celular y el estrato más superficial contiene células planas o escamosas

En algunos casos, puede añadirse un tercer factor (la especialización de la región apical de la superficie celular) a este sistema de clasificación. Por ejemplo, algunos epitelios cilíndricos simples se clasifican como "cilíndricos simples ciliados" cuando la región celular apical contiene cilios. El mismo principio se aplica al epitelio plano estratificado, en el cual las células más superficiales pueden estar queratinizadas o no queratinizadas. Así, la epidermis se designa como un epitelio plano estratificado quentinizado (o cornificado) debido a la existencia de células queratinizadas en la superficie.

El epitelio seudoestratificado y el de transición son clasificaciones especiales de los epitelios

Existen dos categorías especiales de epitelio; el seudoestratificado y el de transición.

- El epitello seudoestratificado tiene un aspecto estratificado; a pesar de que no todas las células alcanzan la superficie libre, todas se apoyan sobre la membrana basal (lám. 2, p. 166). Por lo tanto, en realidad es un epitelio simple. La distribución del epitelio seudoestratificado en el organismo es limitada. Además, con frecuencia resulta dificil discernir si todas las células tienen contacto con la membrana basal. Por estas razones, la identificación del epitelio seudoestratificado suele depender del conocimiento de dónde se le encuentra de forma normal.
- Epitello de transición (urotello) es un término aplicado al epitelio que reviste las vías urinarias inferiores y se extiende desde los cálices menores del mión hasta el segmento proximal de la uretra. El urotelio es un epitelio estretificado con características morfológicas específicas que le permiten distenderse (lám. 3, p. 168). Este epitelio se describe en el capítulo 20, Apanato urinario.

Las configuraciones celulares de los distintos tipos de epitelios y sus nomenclaturas correctas se ilustran en la tabla 5-1.

El endotelio y el mesotelio son epitelios planos simples que revisten el sistema vascular y las cavidades corporales, respectivamente.

En ciertos sittos los epitelios reciben nombres específicos:

- Endotello. Epitelio que recubre los vasos sanguineos y linfáticos. Debido a su ubicación estratégica entre la sangre y los teridos, el endotello de los vasos sanguíneos se denomina a menudo como endotello vascular. Consta de oélulas planas simples altamente especializadas que regulan y supervisan el transporte celular, el tono del músculo liso vascular, las respuestas inmunitarias y la síntesis y secreción de una variedad de hormonas y metabolitos activos (para obtener información más detallada, véase cap. 13, Sistema cardiovascular).
- Endocardio. Epitelio que reviste los ventrículos y las aurículas del corazón.
- Mesotello. Epitelio que reviste las paredes y el contenido de las cavidades cerradas del cuerpo (abdominal, pericárdica y pleural; lámina 1, p.164).

Tanto el endotelio y endocardio como el mesotelio son casi siempre epitelios planos simples. Las células epiteliales uenen forma poligonal y generalmente están orientadas paralelas al eje del vaso, con excepción de las vénulas poscapilares de ciertos tejidos linfáticos, en las cuales el endotelio es cúbico. Estas vénulas se conocen como vénulas de endotelio alto. Otra excepción se encuentra en el bazo, en el cual las células endoteliales de los sinusoides venosos tienen forma alargada y se disponen como las tablas de un barril.

Un epitelio determinado puede realizar diferentes funciones de acuerdo con el tipo de células que lo forman.

Un epitelio puede realizar una o más funciones dependiendo del tipo de células que lo conforman:

- Secreción, como en el epitelio cilindrico del estómago y las glándulas gástricas.
- Absorción, como en el epitelio cilíndrico de los intestinos y los túbulos contorneados proximales del rinon
- Transporte, como en el transporte de materiales o células sobre la superficie de un epitelio por el movimiento ciliar (transporte de partículas de polvo en el árbol bronquial) o el transporte de materiales a través de un epitelio (pinocitosis o endocitosis) hacia o desde el rejido conjuntivo.
- Protección mecánica, como en el epitelio plano estratificado de la piel (epidermis) y el epitelio de transición de la vejiga urinaria.
- Función receptora, para recibir y transducir estímulos externos, como en los corpúsculos gustativos de la lengua, el epitelio olfatorio de la mucosa nasal y la retina del ojo.

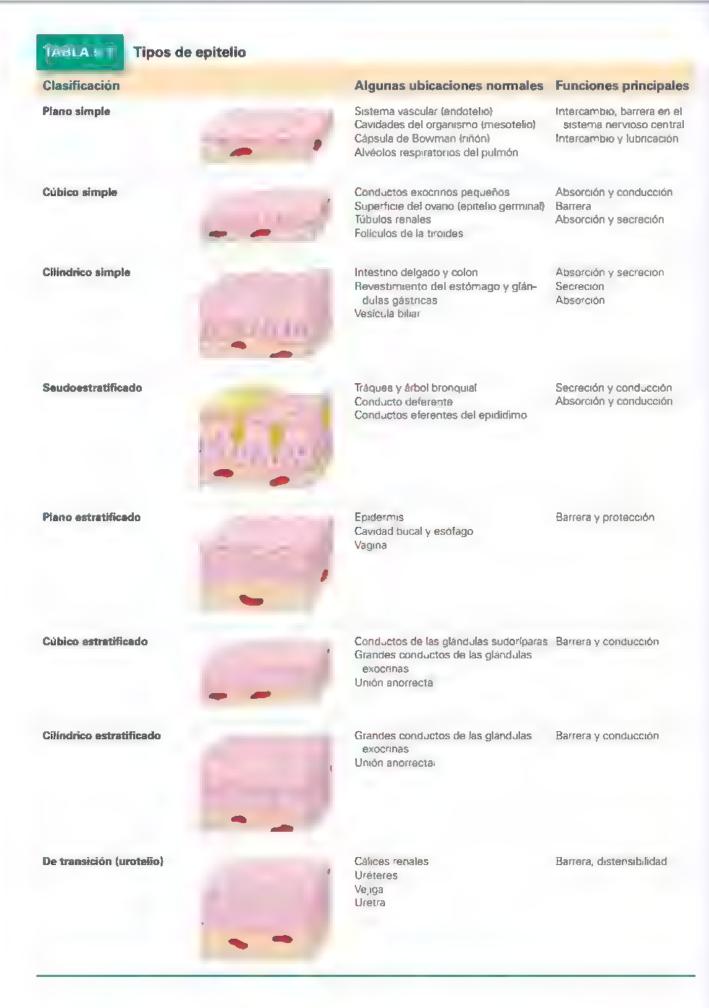
Los epitelios que intervienen en la secreción o absorción generalmente son simples o, en unos pocos casos, seudoestratificados. La altura de las células con frecuencia es un reflejo del grado de actividad secretora o de absorción. Los epitelios planos simples son compatibles con un ritmo acelerado de transporte transepitelial. La estratificación del epitelio suele correlacionarse con la impermeabilidad transepitelial. Por último, en algunos epitelios seudoestratificados, las células basales son las células madre que dan origen a las células funcionales maduras del epitelio, con lo cual se mantiene el recambio celular.

■ POLARIDAD CELULAR

Las células epiteliales presentan una polaridad bien definida. Tienen una región apical, una región lateral y una región basal. Cada región celular posee características bioquímicas específicas. Estas características y la disposición geométrica de las células en el epitelio determinan la polaridad funcional de las tres regiones celulares.

La región libre o apical está siempre dirigida hacia la superficie exterior o luz de una cavidad o conducto cerrados. La región lateral se comunica con células adyacentes y se caracteriza por áreas especializadas de adhesión. La región basal se apoya sobre la membrana basal, y fija la célula al tejido conjuntivo subyacente

El mecanismo molecular que establece la polandad en las célu las epiteliales es necesario, en primer lugar, para crear una barrera totalmente funcional entre células adyacentes. Los complejos de unión (que se comentan más adelante en este capítulo) se forman en las regiones laterales de las células epiteliales. Estos sitios de adhesión especializados no solo son responsables de la fijación firme entre las células, sino que también permiten que el epitelio regule los movimientos paracelulares de solutos a favor de sus gradientes electroosmóticos. Además, los complejos de unión separan la región apical de la membrana plasmática de la región basal y la región lateral y les permiten especializarse y reconocer diferentes senales moleculares.



■ ESPECIALIZACIONES DE LA REGIÓN APICAL

En muchas células epiteliales, la región apical presenta modificaciones estructurales especiales en su superficie para llevar a cabo diferentes funciones. Además, la región apical puede contener enzimas específicas (p. ej., hidrolasas), conductos iónicos y proteínas transportadoras (p. ej., transportadoras de glucosa). Las modificaciones estructurales de la superficie incluyen lo siguiente:

- Microvellosidades. Evaginaciones citoplasmáticas que contienen un núcleo de filamentos de actina.
- Estereocífios (estereovellosidades), Microvellosidades largas.
- Ciños. Evaginaciones citoplasmáticas que contienen haces de microtúbulos.

Microvellosidades

Las microvellosidades son evaginaciones citoplasméticas digitiformes en la superficie apical de la mayoría de las células epiteliales.

Como se comprueba con el microscopio electrónico (ME), las microvellosidades tienen un aspecto muy variable. En algunos tipos celulares, las microvellosidades son proyecciones cortas e irregulares con apariencia de buko. En otros ripos de células, son evaginaciones altas, uniformes y muy juntas que aumentan mucho la extensión de la superficie celular libre. En general, la cantidad y forma de las microvellosidades de un tipo celular dado se correlacionan con su capacidad de absorción. Así, las células que principalmente transportan líquidos y absorben metabolitos poseen muchas microvellosidades altas muy juntas. Las células en las que el transporte transepitelial es menos activo tienen microvellosidades más pequeñas y de forma más irregular.

En los epitelios que transportan líquidos (p. ej., los del intestino y los túbulos renales), con el microscopio óptico (MO) es fácil ver un borde bien definido de estriaciones verticales en la superficie apical de la célula que representa la asombrosa cifra de unas 15 000 microvellosidades dispuestas de forma paralela y muy juntas. En las células absortivas intestinales, esta estructura superficial originalmente se denominó borde estriado; en las células de los túbulos renales se conoce como borde (ribate) en capillo. Cuando no se observan modificaciones evidentes de la superficie con el microscopio óptico, las microvellosidades, si las hay, suelen ser cortas y poco abundantes; por ello, pueden pasar inadvertidas al MO. Las variaciones de las microvellosidades en los diversos tipos de epitelios se ilustran en

CUADRO 5-1

CORRELACION CLÍNICA METAPLASIA EPITELIAL

La metaplasia epitelial es una conversión reversible de un tipo de cérula epitelial madura en otro tipo de cérula epitelial. La metaplasia es, en general, una respuesta adaptativa al estrés, a la inflamación crónica o a otro estímulo anómalo. Las células originales son sustituidas por células que son mejores para el nuevo ambiente y más resistentes a los efectos de ese estímulo adverso. La metaplasia se produce como consecuencia de la reprogramación de las células madre epiteliales que cambian los patrones de su expresión génica.

La metaplasia epitelial más frecuente es cilindrica a plana y se presenta en el epitelio glandular, donde las células cilíndricas son reemplazadas por epitelio plano estratificado. Por ejemplo, la metaplasia escamosa ocurre a menudo en el epitelio seudoestratificado respiratorio de la tráquea y los bronquios en respuesta a la exposición prolongada al humo del cigamilo. También se presenta en el conducto cervical en mujeres con infecciones crónicas (p. ej., infección por el virus del papiloma humano). En este ejemplo, el epitelio cilíndrico simple del conducto cervical es reemplazado por el epitelio plano estratificado sin estrato córneo (fig. F5-1-1). Además, la metaplasia escamosa es notable en el urotelio (epitelio de transición) y se asocia con infecciones parasitarias crónicas, como la esquistosomosis.

También puede presentarse metaplasia epitelial escamosa a cilíndrica. Por ejemplo, como resultado del reflujo gastroesofágico, el epitelio plano estratificado sin estrato córneo del segmento infenor del esófago puede experimentar una transformación metaplásica en epitelio cilíndrico simple similar al intestinal que contiene células caliciformes, una alteración conocida como esófago de Barrett

La metaplasia suele ser un fenómeno reversible, y si el estímulo que la origina desaparece, los tejidos vuelven a su patrón normal de diferenciación. Si los estímulos anómalos persisten durante un período prolongado, las células planas metaplásicas pueden transformarse en carcinoma de células escamosas. Los cánceres de pulmón, cuello uterino y vejiga a menudo se originan en el epitelio plano metaplásico. El epitelio plano cilíndrico puede dar origen a adenocarcinomas glandulares

Cuando se diagnostica metaplasia, se deben dirigir todos los esfuerzos a la eliminación del estímulo patógeno (dejar de fumar, erradicar agentes infecciosos, etc.) y a la vigilancia del sitio metaplásico para venificar que no comiencen a desarrollarse los cambios cancerígenos

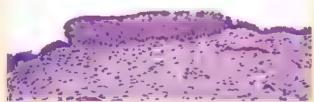
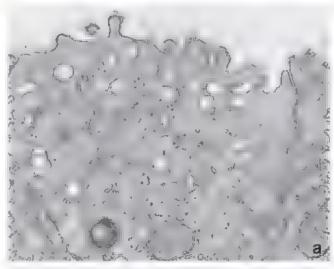
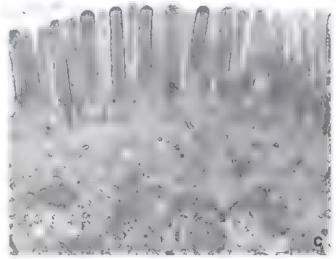


FIGURA C5-1-1. Metaplasia escamosa del cuello uterino. Microfotografía del conducto cervical revestido por epite o cirindrico simple. Obsérvese que el centro de la magen está ocupado por una isla que contiene epitelio plano estratificado. Este epitelio metaplásico está rodeado por ambos lados por un epitelio citindrico simple. Debido a que el detonante de la metaplasia es la reprogramación de células madre, las células planas metaplásicas tienen las mismas caracteristicas que el epite o plano estratificado normal. 240× (cortesia de la Dra. Fabiola Mede ros)

la figura 5-2. Las microvellosidades del epitelio intestinal (borde estriado) son las que están mejor organizadas y su aspecto es aún más uniforme que el de las que forman el borde en cepillo de las células renales,







HGURA 5-2. Micrografías electrónicas en las que se muestran variaciones en las microvellosidades de diferentes tipos de células. a. Célula epitelial de la giándula uterina, proyecciones pequeñas b. Sincipotrofoblasto de placenta, microvellosidades ramificadas irregulares. c. Células intestinales absortivas inumerosas microvellosidades uniformes dispuestas regularmente. Todas las irrágenes en 20000×

La estructura interna de las microvellosidades consiste en un centro de filamentos de actina unidos mediante enlaces cruzados por proteínas de unión a la actina.

Las microvellosidades contienen un centro visible formado por unos 20-30 filamentos de actina. Sus extremos positivos (+) están fijados a la villina, una proteína formadora de fascículos de actina de 95 kDa que está ubicada en la punta de la microvellosidad. El fascículo de microfilamentos se extiende hasta el citoplasma celular apical. Ahí, interactúa con una red horizontal de filamentos de actina, el velo terminal, que se encuentra justo por debajo de la base de las microvellosidades (fig. 5-3a). Los filamentos de actina dentro de la microvellosidad tienen enlaces cruzados con intervalos de 10 nm establecidos por otras proteínes formadoras de fasciculos de actina, como la fascina (57 kDa), la espina (30 kDa) y la fimbrina (68 kDa). Estos enlaces cruzados proveen sostén y rigidez a las microvellosidades. Además, el conjunto de los filamentos de actina está asociado con la miosina l, una molécula que fija estos filamentos de actina a la membrana plasmática de la microvellosidad. La adición de la villina a las células epiteliales que proliferan en los cultivos induce la formación de microvellosidades en la superficie apical libre.

El velo terminal está compuesto por filamentos de actina estabilizados por espectrina (468 kDa), que también sirve para fijarlo a la membrana celular apical (fig. 5-3b). La presencia de miosina N y de tropomiosina en el velo terminal explica su capacidad contráctil; estas proteínas disminuyen el diámetro de la región apical de la célula para que las microvellosidades, cuyos centros rígidos de actina están anclados en el velo terminal, se separen y así aumente el espacio intermicrovelloso.

Las características estructurales y funcionales de las microvellosidades se resumen en la tabla 5-2 (p. 124).

Estereocilios

Los estereocitios son microvellosidades inmóviles de una longitud

Los estereocitos no están ampliamente distribuidos entre los epitelios. En realidad, están limitados al epididimo, al segmento proximal del conducto deferente del aparato genital masculino y a las células sensoriales (ciliadas) del otdo interno. Se comentan en esta sección porque esta modificación poco frecuente de la superficie apical tradicionalmente se trata como una entidad estructural separada.

Los estereocition de las vías espermáticas son evaginaciones extremadamente largas que se extienden desde la superficie apical de la célula y facilitan la absorción. Entre sus características distintivas se encuentran una protrusión celular apical, desde la cual se originan, y porciones pedunculares gruesas que están interconecta das por puentes citoplasmáticos. Como la microscopía electrónica permite comprobar que su estructura interna es la de microvellosidades de una longitud poco habitual, algunos histólogos utilizan en la actualidad el término estereovellosidades (fig. 5-4a). Vistas con el microscopio óptico, estas evaginaciones suelen parecerse a las cerdas de una brocha debido a la manera en la que se reúnen en haces en punta.

Al igual que las microvellosidades, los estereocilios están sostenidos por fascículos internos de filamentos de actina que están vinculados por medio de filabrina. Los extremos positivos (+) de los filamentos de actina están orientados hacia la punta de los estereocilios, y los extremos negativos (-) lo están hacia la base. Esta organización del centro de actina en los estereocilios comparte numerosos principios estructurales con las microvellosidades; sin embargo, puede alcanzar una longitud de hasta 120 µm.

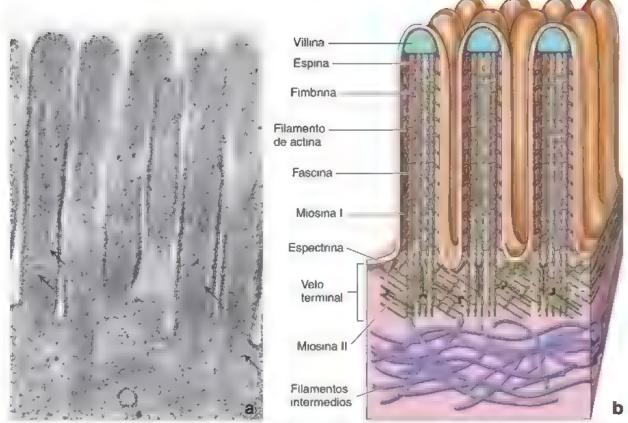


FIGURA 5-3. Estructura molecular de las microvellosidades, a. Aumento de las microvellosidades de la figura 5-2c. Obsérvese la presencia de los filamentos de actina en las microvellosidades (fiechas), que se extienden hacia el velo terminal del citopiasma apica. 80000 × b. En este esquema se muestra la estructura molecular de las microve osidades y la ubicación de proteinas específicas (firibrina, espina y fascina) que determinan que los filamentos de actina se organicen en fascico os. Obsérvese la distribución de la mios na identro de las microve losidades y de la miosina. Il dentro de ivelo terminal i las moléculas de espectrina estabilizan los filamentos de actina dentro del velo terminal y los filan en la membrana plasmática apical.

Los estereocilios se desarrollan a partir de microvellosidades por adición lateral de filamentos de actina al fascículo de actina, así como por el alargamiento de estos filamentos. Sin embargo, a diferencia de lo que ocurre con las microvellosidades, una proteína fijadora de actina de 80 kDa relacionada con la membrana plasmática de los estereocilios, la azrina, fija los filamentos a la membrana plasmática. Los pedúnculos de los estereocilios y las protrusiones celulares apicales contienen la proteína formadora de puentes cruzados actinina a (fig. 5-4b). Una diferencia notable entre las microvellosidades y los estereocilios, además del tamaño y el contenido de ezrina, es la falta de villina en los extremos de los estereocilios.

Los estereocilios del epitelio sensorial del oido tienen algunas características singulares.

Los estereocitios del epitelio sensorial del oído también derivan de las microvellosidades. Tienen una sensibilidad muy desarrollada para la vibración mecánica y sirven como mecanomeceptores sensoriales en lugar de funcionar como estructuras absorbentes. Son de un diámetro uniforme y están organizados en fascículos acanalados de alturas crecientes, con lo cual se forman patrones en escalera característicos (fig. 5-5a). Su estructura interna se caracteriza por la alta densidad de filamentos de actina vinculados por enlaces cruzados establecidos por la espina, lo cual es decisivo para la estructura

y la función normales de los estereocilios. Los estereocilios de los epitelios sensoriales no tienen ezrina ni actinina a.

Dado que pueden lesionarse con facilidad por sobreestimulación, los estereocilios cuentan con un mecanismo molecular para renovar de manera continua su estructura, la cual necesita mantenerse en condiciones funcionales durante toda la vida. Mediante el uso de moléculas de actina marcadas con fluorocromos, los învestigadores han descubierto que los monómeros de actina se añaden de forma constante en los extremos de los estereocilios y se eliminan en las bases mientras todo el fascículo de filamentos de actina se desplaza hacia la base del estereocilio (fig. 5-5b y c). Este efecto de recambio rotatorio (treadmilling) de la estructura central de actina tiene una regulación muy precisa y depende de la longitud del estereocilio.

En la tabla 5-2 se resumen las características estructurales y funcronales de los estereocilios en comparación con las de las microvellosidades y los cilios.

Cilios

Los cillos son modificaciones superficiales abundantes que se encuentran en casi todas las células del organismo. Son evaginaciones de la membrana plasmática apical que tienen el aspecto de pestañas y poseen un axonema, la estructura interna formada por microtúbu-

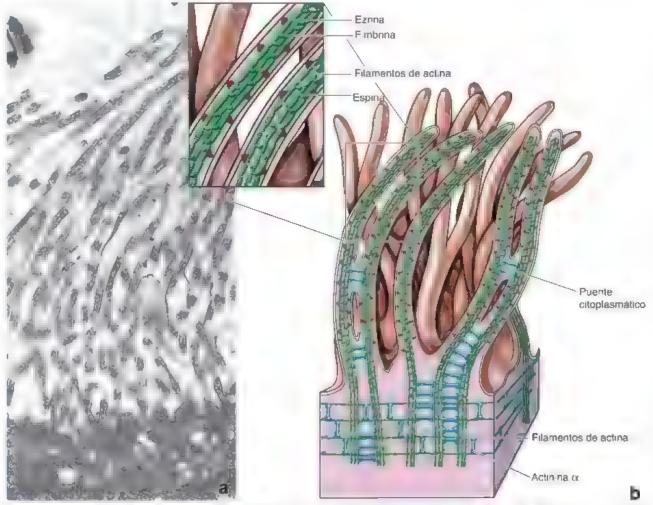


FIGURA 5-4. Estructura molecular de los estereocítics. a. Microfotografia electrónica de los estereocítics de epididimo. Las proyecciones citop asmáticas son similares a las microve los dades pero son extremadamente largas. 2000 x. b. En esta i ustración se muestra la estructura molecular de os estereocítics os cuales surgen de las protrusiones celulares apicales por lo que tienen pediculos gruesos interconectados por puentes citoplasmáticos. Obsérvese la distribución de los filamentos de actina en el centro del estereocític y de las proteinas asociadas con la actina, la fimbrina y la espina, en la porción aiargada (recuadro), y actinha di en el velo termina. Il a protrusión celular apical y los puentes citoplasmáticos ocasionales entre los estereocítics vecinos.

los. El axonema se extiende desde el cuerpo basal, un centro organizador de microtubulos (MTOC, microtubule-organizing center) derivado del centriolo y ubicado en la región apical de una célula ciliada. Los cuerpos basales se asocian con varias estructuras accesorias que contribuyen a su fijación en el citoplasma celular. Los cilios, incluidos los cuerpos basales y las estructuras relacionadas con estos últimos, forman el aparato ciliar de la célula.

En general, los cilios se clasifican como móviles, primarios o nodales.

De acuerdo con sus características funcionales, los cilios se clasifican en tres categorías básicas:

- Cilios moviles. Históricamente, han sido los más estudiados.
 Aparecen en grandes cantidades en la región apical de numerosas células epiteliales. Los cilios móviles y sus análogos, los flagelos, poseen una organización axonémica 9 + 2 tipico con proteínas motoras asociadas con los microtúbulos, que son indispensables para la generación de las fuerzas necesarias para inducir la motilidad
- Cillos primarios (monocillos). Son proyecciones solitarias que se encuentran en muchas células eucariotas. El término mono-

cilio implica que suele haber un solo cilio por célula. Los cilios primartos no tienen movilidad debido a una organización diferente de los microtúbulos en el axonema y a la falta de proteínas motoras asociadas con los microtúbulos. Funcionan como quimiorreceptores, osmorreceptores y median las percepciones luminosa, odorífera y sonora en numerosos órganos del cuerpo. En la actualidad, se acepta ampliamente que los cilios primarios de las células de los tejidos en desarrollo son indispensables para la morfogenesis tisular normal

• Cilios nodales. Se encuentran en el disco embrionario bilaminar durante la etapa de gastrulación. Están concentrados en la región que rodea al nódulo primitivo, de ahí su nombre de celios nodales. Tienen una constitución interna axonémica semejante a la de los cilios primarios, pero son diferentes en su capacidad para realizar movimientos rotatorios. Desempeñan un papel importante en el desarrollo embrionario inicial.

En la tabla 5-2 se reseñan las características estructurales y funcionales de los tres tipos de cilios.

Resumen de las modificaciones de la región apical en las células epiteliales

Estructura general

Microvellosidades

Estereocilios

...ongitud promedio de 1-3 µm haz de filamentos de actina filados en el velo terminal

Corte transversal





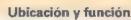


Centro de filamentos de actina vinculados por proteinas que forman fasciculos, diámetro: 50-100 rim



Travectoria del

Movimiento pasivo debido a la contracción del velo terminal



- Presentes en numerosas células enteliales
- Aumentan la superficie de absorción de la célula
- Visibles con MO en forma de borde estriado (células intestinales absortivastio borde en cepilio (celulas de los túbulos renales)
- Distribución limitada
- En el sistema genital mascufino (epididimo, segmento proximal del conducto deferente), tienen función de absorción
- En las cérulas ciradas sensonales del oldo interno, funcionan como mecanorreceptores



Considerablemente más largos, hasta. Centro de filamentos de actina. Movimiento pasivo debido 120 µm, haz de filamentos de actina fiados en el velo terminal; capaces de regeneración (oldo interno)



vinculados por proteinas que constituyen fasciculos, drámetro: 100-150 nm



al flujo de liquido (sistema genital) o la vibración de la endolinfa (oldo interno)



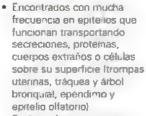
De 50 µm de longitud lios flageios en los espermatozoides son mucho más largos 50-100 µm. poseen axonema. cuerpos basaies con sus estructuras. asociadas, sistema de transporte intraflagelar específico para el desamollo y la función normal de los cilios



Centro de microtubulos organi- Movimiento activo, mozados en un patrón de 9 + 2 con proteinas motoras asociadas diámetro aproximado 250 nm



vimiento rápido anterógrado con goipe lento de recuperación (trayectoria semicónica)



Están en los espermatozodes en forma de flageios e + age o proporciona el movimiento anterógrado a espermatozoide



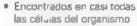
Longitud promedio de 2-3 µm, poseen Centro de microtubulos axonema, cuerpos basales, tienen con conductos de ingreso de calcio



organizados en un patrón de 9 + 0 diámetro aproximado 250 nm



Sin movimiento activo, inclinación pasiva debido al flujo de liquido



- Bien documentados en túbulos renales, epitelio de conductos biliares, glándula tiroides, timo, neuronas, célutas de Schwann, condrocitos, fibroblastos, corteza suprarrenal y células pituitarias
- Funcionan como una antena. Sensitiva
- · Generar y transmiten señales del espacio extracelular al interior de la célula
- · Se encuentran en el embnón durante la gastrulación en el disco bilaminar cerca de la región del nódulo primrtrvo
- Esenciales en el desarrollo de la asimetria izquierdaderecha de los órganos mtemos



membrana plasmática especia izada y sistema de transporte intraflagelar



Longitud aproximada de 5-6 µm, tienen estructura similar a los cilios primanos, con la excepción del movimiento activo



Centro de microtúbulos organizados en patrón de 9 + 0 con proteinas motoras asociadas, diámetro aproximado: 250 nm



Rotación activa (trayectoria cónica)

Primarios

Vodales

Polimerización v

Extremo

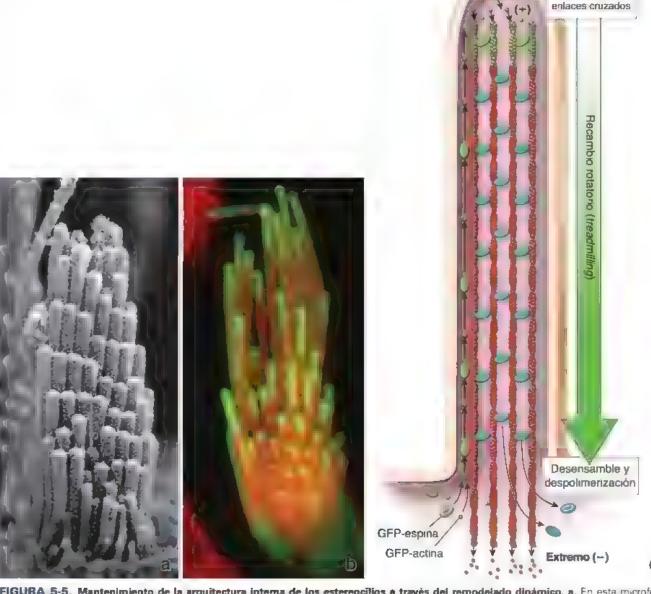


FIGURA 5-5. Mantenimiento de la arquitectura interna de los estereocitios à través del remodelado dinámico. a. En esta microfolografia electrónica de barrido se muestran los estereocitos del epitelio sensorial de oido interno. Estos son un formes en diámetro y están
organizados en haces acanalados de alturas crecientes. 47,000 × b. En está imagen de microscopia confoca se muestra la incorporación de
la proteina filiudrescente verde (GFP green fluorescent protein) actina β y GFP-espiña en el extremo de los estereocitos (verde). Los filamentos
de actina en a centro de los estereocitos están tenidos con coloración de contraste con rodamina/faloidina (rojo). 35,000 × c. En el diagrama
se illustra el mecanismo por el qual se remodela el centro de los filamentos de actina La polimentación de las cita na y los enfaces cruzados de
sepiña en el extremo (+) de los filamentos de actina se produce en el extremo de los estereocitos El desensamble y la despoi menzación de los
filamentos de actina ocurren en el extremo (+) del filamento de actina cerca de la base del estereocito. Cuando el ritmo de ensamblado en la punta
es equivalente al ritmo de desensamble en la base, las moléculas de actina experimentan un retroflujo interno o efecto de recambio rotatorio
manteniendo de esta manera el largo constante de estereocito (reimpreso con autorización de Rzadzinska AK. Schneider ME, Davies C. An actin
molecular treadmili and myos na maintain stereocia functional architecture and self-renewal.

□ Cel Biol 2004 164 887 897)

Los cilios móviles son capaces de mover líquido y partículas a lo largo de las superficies epiteliales.

Los cilios móviles poseen una estructura interna que les permite el movimiento. En la mayona de los epitelios cibados, como el de la tráquea, el de los bronquios y el de las trompas uterinas, las células pueden tener hasta varios centenares de cilios dispuestos en hileras ordenadas. En el arbol traqueobronquial, los cilios barren moco y particulas atrapadas hacia la bucofaringe, donde se degluten con la

saliva y así se eliminari del organismo. En las trompas uterinas, los cilios contribuyen a transportar ovulos y liquido hacia el utero.

Los cilios le dan un aspecto de "corte de cabello militar" a la superficie epitelial.

Con el microscopio óptico, los **cilios móviles** se observan como estructuras cortas y delgadas con apariencia de cabellos, de alrededor de 0.25 µm de diametro y 5-10 µm de longitud que surgen de la superficie libre de la célula (fig. 5-6). En la base de los cilios suele verse

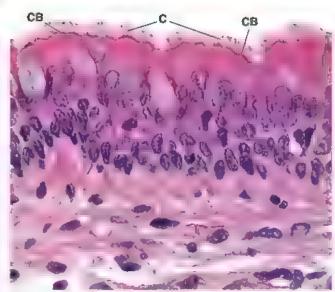


FIGURA 5-6. Epítelio seudoestratificado ciliado. Microfotografia de un corte de epitelio seudoestratificado ciliado de la tráquea teñido con hematoxilina-eosina (H&E). Los cilios (C) aparecen como evaginaciones similares a un cabello que se extrenden desde la superficie apica de las células. Los cuerpos basales (CB) asociados con los cilios producen la linea oscura inmediatamente inferior à las evaginaciones ciliares 750×

una fina banda de tinción oscura que se extiende desde un borde celular hasta el otro. Esta banda oscura corresponde a las estructuras conocidas como cuerpos basales. Estas estructuras captan el colorante y aparecen como una banda continua cuando se observan con el MO. En cambio, cuando se usa el ME, el cuerpo basal de cada cilio aparece como una estructura individual bien definida.

Los cilios móviles poseen un axonema, es decir, un centro organizado de microtubulos que se disponen con un patrón 9 + 2.

La microscopía electrónica de un cilio en corte longitudinal permite ver un centro interno de microtubulos, denominado axonema (fig. 5-7a). El corte transversal muestra una configuración característica de nueve pares o dobletes de microtúbulos dispuestos en círculo alrededor de dos microtúbulos centrales (fig. 5-7b).

Los microtúbulos que componen cada doblete están constituidos de manera que la pared de uno de los microtúbulos, llamado microtúbulo B, está en realidad incompleta; este microtúbulo comparte una parte de la pared del otro microtúbulo del doblete, el microtúbulo A. El microtúbulo A está formado por 13 protofilamentos de tubulina que se disponen uno junto al otro, mientras que el microtúbulo B contiene 10 protofilamentos de tubulina. Las moléculas de tubulina incorporadas en los microtúbulos ciliares están unidas con firmeza entre sí y experimentan modificaciones postraducciona les en los procesos de acetilación y poliglutamilación. Estas modificaciones garantizan que los microtúbulos del axonema ciliar sean muy estables y resistan la despolimenzación.

Cuando se observa un corre transversal con alta resolucion, cada doblete exhibe un par de "brazos" que contienen dineina citiar, una proteína motora asociada con los microtúbulos. Esta proteína motora utiliza la energía de la hidrólisis del trifosfato de adenosina (ATP, adenosine traphosphate) para moverse a lo largo de la superficie del microtúbulo contiguo (véase fig. 5-7). Los brazos de dineína aparecen con intervalos de 24 nm en toda la longitud del microtúbulo A y se extienden para formar puentes cruzados temporales

con el microtúbulo B del doblete contiguo. Un componente elástico pasivo formado por nexina (165 kDa) vincula de forma permanente el microtúbulo A con el microtúbulo B del doblete contiguo a intervalos de 86 nm. Los dos microtubulos centrales están separados entre sí, pero se encuentran encerrados parcialmente por una volna proteinica contral con intervalos de 14 nm a lo largo de todo el cilio (véase fig. 5-7). Se extrenden untaces radiales desde cada uno de los 9 dobletes hacia los dos microtubulos centrales con intervalos de 29 nm. Las proteínas que forman los enlaces radiales y las conexiones de nexina entre los dobletes periféricos hacen posible las oscilaciones de gran amplitud que describe el cilio.

Los cuerpos basales y las estructuras relacionadas fijan los cilios con firmeza en el citoplesma celular apical.

La organización microtubular 9 + 2 se mantiene desde la punta del cilio hasta su base, donde los dobletes periféricos se unen al cuerpo basal. El cuerpo basal es un centriolo modificado, el cual funciona como un MTOC que consiste en nueve tripletes de microtúbulos cortos organizados en un anillo. Cada uno de los dobletes del axonema cular (microtúbulos A y B) es continuo con dos de los microtúbulos de los tripletes del cuerpo basal. El microtúbulo C, tercer microtúbulo incompleto del triplete, se extiende desde la base hasta la zona de transición en la parte superior del cuerpo basal cerca de la transición entre el cuerpo basal y el axonema. Los dos microtúbulos centrales del cilio se originan en la zona de transición y se extienden hasta el extremo del axonema (véase fig. 5-7b). Por lo tanto, un corte transversal del cuerpo basal permite ver nueve tripletes microtubulares dispuestos en círculo, pero no los dos microtúbulos centrales separados que hay en el cilio.

Se han identificado varias estructuras asociades con los cuerpos basales, como las láminas alares (fibras transicionales), los pedículos basales y las raíces estriadas (fig. 5-8; *véase también* fig. 5-7).

- La lámina alar (fibra transicional) es una expansión en forma de cuello situada entre la zona de transición del cuerpo basal y la membrana plasmática. Se origina cerca del extremo superior del microtúbulo C del cuerpo basal y se inserta en la cara citoplasmática de la membrana plasmática. La lámina alar fija el cuerpo basal a la membrana plasmática apical (véase fig. 5-7).
- El pedículo basal es una estructura accesoria que suele encontrarse en la región media del cuerpo basal (véase fig. 5-8). Dado que en las células epiteliales ciliadas normales todos los pedículos basales están orientados en la misma dirección (fig. 5-9), se ha planteado la hipótesis de que actúan en la coordinación del movimiento ciliar. Lo más probable es que participen en el ajuste de los cuerpos basales mediante la rotación hasta la posición adecuada. La identificación de moléculas de miosina en asociación con los pedículos basales es congruente con esta hipótesis.
- La raiz estriada se compone de protofilamentos alineados en sentido longitudinal que contienen rootletina (una proteína de 220 kDa). La raíz estriada se proyecta profundamente en el citoplasma y fija con firmeza el cuerpo basal en el citoplasma celular apical (véase fig. 5-8).

El movimiento ciliar tiene su origen en el deslizamiento de los dobletes de microtúbulos, el cual es generado por la actividad de la ATPasa de los brazos de dineína.

La actividad citiar tiene su fundamento en el movimiento de los microtúbulos de un doblete y su interrelación. El movimiento ciliar es iniciado por los brazos de dineína (véase fig. 5-7b). La dineína ciliar, ubicada en los brazos del microtúbulo A, forma puentes cruzados temporales con el microtúbulo B del doblete contiguo.

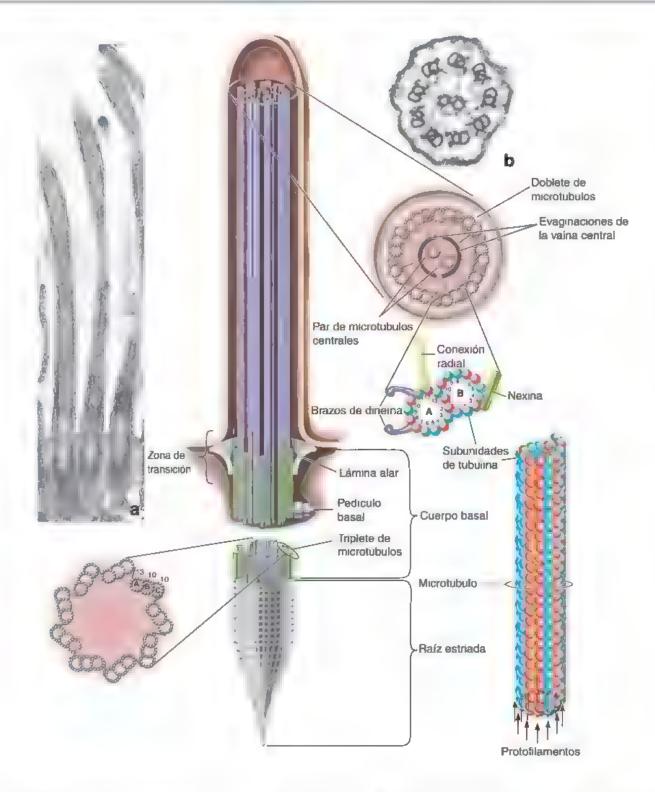


FIGURA 5-7. Estructura molecular de los cillos. En esta figura se muestra la disposición trid mensional de los microtubulos dentro del cilio y el cuerpo basal. El corte transversa del cilio (derecha) i ustra el par de microtubulos centrales y los nueve dobletes de microtubulos que o rodean (configuración 9 + 2). Abajo del corte transversal, se observa la estructura molecular del doblete de microtubulos. Notese que el microtubulo A del doblete está compuesto por 13 protofi amentos dispuestos lado con lado (abajo derecha), mientras que el microtubulo B está compuesto por 10 protofi amentos y adquiere los protofi lamentos falfantes del microtubulo A. Los brazos de dineina se extrenden desde el microtubulo A y forman puentes cruzados temporales con el microtubulo B del doblete advacente. El cuerpo basal está fijado por la raiz estriada dentro del citop asma celular. Observese la presencia del pediculo basa en la parte media de cuerpo basal. El corte transversal del cuerpo basal (abajo izquierda) muestra la disposición de nueve tripletes de microtubulos. Estas estructuras forman un antilio conectado por moieculas de nexina dobiete de microtubulos del cilio es una extensión de dos microtubulos interiores. A y B de tiriplete correspondiente. El microtubulo C es más corto y se extiende solo hasta la zona de transición. Recuadro al Microfotografía electrónica de cilios de la trompa ufer na en corte longitudina. Las estructuras internas dentro de los cilios son microtubulos una estención del cilio en la que se muestran las estructuras correspondientes a la illustración infenor. 180000×

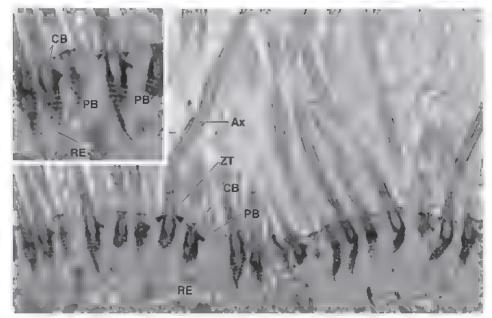


FIGURA 5-8. Superfice ciliada de la mucosa respiratoria. En la micrototografia se muestra un corte longitud nal de los chos del epiteto respiratorio de la cavidad nasa. En esta ampliación la mayoria de los cuerpos basales (CB) parecen vacios porque carecen del par centra de microtubulos en esta porción del cilio. Los detales estructura es de cuerpo basal y de las estructuras asociadas con él son fácilmente visibles en esta sección as como en la ampliación mayor. Obsérvese que cas itodos os cuerpos basales de esta sección tienen raices estriadas (RE) Estas fijan los CB en la profundidad del citoplasma ce ular apica. Cada cuerpo basal filene un pediculo basal (PB) asimétrico unico que se proyecta lateralmente vanos son fácilmente visibles en este corte. La zona de transición (ZT) se extiende desde extremo superior del cuerpo basal hasta el axonema (Ax), el cual está formado por una configuración de 9 + 2 microtubulos. En la mayoria de estos cortes se observa un par central de microtubulos. Además, una lámina alar (puntas de fiecha) provee una extensión en forma de ala entre la ZT y la membrana plasmática Los dos primeros CB de la derecha tienen táminas alares bien conservadas. 15000×. Recuadro superior izquierdo 25000×. (cortesia del Dr. Jeffrey L. Salisbury).

La hidrólisis del ATP produce un movimiento de deslizamiento del puente a lo largo del microtúbulo B. Las moléculas de dineína producen una fuerza de cizallamiento continua durante este desliza-

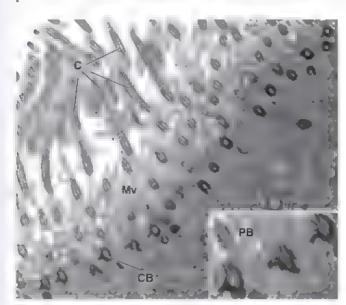


FIGURA 5-9. Cuerpos basales y cilios. En esta microfotografía electrónica de diagnóstico obtenida de una biopsia de la microsa nasal de un niño sometido a evaluación por discinesia ciliar primaria se muestran cuerpos basales (CB) y cilios (C) de apanencia normai Es un corte obliculo a través de la parte apical de las células ciliadas Los CB vistos en corte transversal parecen estructuras más densas que las de corte obliculo o longitudina de los cílios (C) supenores. Vanos perfiles de microvellosidades (Mv) son visibles en la superficie celular apical 11 000× Recuadro. Tras CB cortados a nivel de los pedículos basales (PB). Nótese que todos los pedículos basa es están orientados en la misma dirección. Es muy probable que roten el cuerpo basal a un ángulo deseado en un esfuerzo por coordinar el movimiento ciliar 24 000× (cortesia de Patrice C. Abeli-Aleff)

miento dirigido hacia la punta del cilio. Como consecuencia de esta fase dependiente de ATP, un cilio que permanece rígido describe un movimiento anterógrado rápido llamado golpe sfectivo. Al mismo tiempo, las conexiones elásticas pasivas proporcionadas por la proteína nexina y los enfaces radiales acumulan la energía necesaria para que el cilio retorne a su posición erecta. Entonces, los cilios se tornan flexibles y se inclinan lateralmente en el movimiento lento de retorno, denominado golpe de recuperación.

Sin embargo, si todos los brazos de dineína a todo lo largo de los microtúbulos A en los nueve dobletes intentaran formar puentes cruzados temporales al mismo tiempo, no se produciría el golpe efectivo del cilio. En consecuencia, se necesita la regulación de la fuerza de cizallamiento activa. Los datos actuales indican que el par de microtúbulos centrales en los cilios con patrón 9 + 2 rota con respecto a los nueve dobletes periféricos. Esta rotación sería impulsada por otra proteína motora, la cinesina, que está relacionada con el par de microtúbulos centrales. El par microtúbular central puede actuar como un "distribuidor" que regula la secuencia de interacciones de los brazos de dineína de manera progresiva para producir el golpe efectivo.

Los cilios baten de forma sincrónica.

Los cilios móviles con un patrón 9 + 2 realizan un movimiento ondulante sincrónico y preciso. Los cilios de hileras sucesivas comienzan a batir de manera que cada hilera está apenas más avanzada en su ciclo que la hilera siguiente, y así se crea una onda que barre a través de todo el epitelio. Como se comentó antes, lo más probable es que los pedículos basales de los cuerpos basales tengan a su cargo la sincronización del movimiento ciliar. Durante el proceso de la formación ciliar, todos los pedículos basales se orientan en la misma dirección del golpe efectivo mediante la rotación de los cuerpos basales. Esta orientación permite que los cilios adquieran un ritmo metacrónico que pueda desplazar moco sobre las superficies epite-

hales o de facilitar el flujo de líquidos y de otras sustancias a través de órganos tubulares y conductos.

Los cilios primarios son inmáviles y tienen un patrón de microtúbulos 9+0.

En contraste con los cilios móviles de patrón de microtúbilos 9 + 2, los cilios primarios o monocilios poseen una organización microtúbilar 9 + 0. Reciben el nombre de cilios primarios o monocilios porque cada célula posee habitualmente solo uno de estos cilios (fig. 5-10). Los cilios con este patrón tienen las siguientes características:

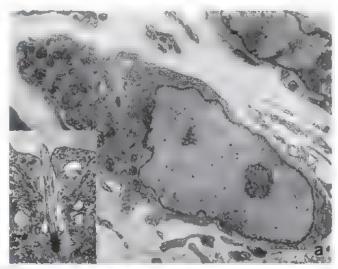
- Son inmóviles y se curvan de manera pasiva con el flujo del líquido que los baña.
- Carecen de las proteínas motoras asociadas con los microtúbulos necesarias para generar la fuerza motriz.
- Falta el par central de microtúbulos con proteínas circundantes.
- El axonema se origina en un cuerpo basal que se parece a un centriolo maduro de posición ortogonal con respecto a su análogo inmaduro.
- La formación del cilio primario está sincronizada con la progresión del ciclo celular y con los fenómenos de la duplicación centrosómica.

Los citios primarios están presentes en la mayoría de las células de los rejidos epitelial, conjuntivo, muscular y nervioso. También están presentes en las células madre y en casi todas las células durante la ambriogênesis y el desarrollo fetal. Además, aparecen en algunas células epiteliales, como en las de la red testicular del aparato genital masculino, las cuales revisten las trompas utermas (útero [endometrio]) y la vagina en el aparato reproductor de la mujer; las vias billares; los túbulos renales (véase fig. 5-10b); las células ependimarias que recubren las cavidades llenas de líquido del sistema nervioso central; el pedículo de conexión de las células fotorreceptoras de la retina; y las células cilsadas vestibulares del oído interno. La tabla 5-3 resume la ubicación de los cilios primarios en varios rejidos y órganos del cuerpo.

Al principio, los cílios primarios fueron clasificados como vestigios no funcionales producto de un desarrollo anómalo de cilios móviles con patrón 9 + 2. Los estudios experimentales de la última década elevaron la caregoría de los cílios primarios al nivel de dispositivos de señalización celular importantes. De manera semejante a una antena que capta información de satélites y le permite al receptor GPS calcular la posición exacta del usuario, los cilios primarios reciben estímulos químicos, osmóticos, lumínicos y mecánicos del medio extracelular. En respuesta a estos estímulos, los cilios primarios generan señales que se transmiten al interior de la célula para modificar procesos celulares en respuesta a cambios en el medio externo. En muchas células de mamifero, la señalización a través de los cilios primarios parece ser indispensable para la división celular controlada, la migración celular durante la regeneración tisular y la subsiguiente expresión de los genes

Los cilios primarios con un patrón de microtúbulos 9 + 0 funcionan como receptores de señales que perciben el flujo de líquido en los órganos en desarrollo.

Los cilios primarios cumplen la función de detectar el flujo de líquido en los órganos secretores, como los riñones, el hígado o el páncreas. Se extienden desde la superficie de las células epiteliales que revisten los conductos excretores hacia la luz extracelular (fig. 5-11). Por ejemplo, los cílios primanos hallados en el glomérulo y en las células de los túbulos renales funcionan como mecanorreceptores; el flujo de líquido a través del corpúsculo y los núbulos renales produce su inclinación, lo cual inicia la entrada de calcio en la célula (véase fig. 5-11). En los seres humanos, las mutaciones en los genes PKD1, PKD2 y PKHD1 parecen afectar el desarroflo de estos cilios primarios y son la causa de la enfermedad del riñón poliquistico (ERP) o poliquistosis renal. Las proteinas codificadas por estos genes, policistina 1 y policistina 2, respectivamente, son indispensables para la formacion de los conductos de calcio asociados con los cilios primarios (véase fig. 5-10b) El gen PKHD1 codifica la proteína de gran tamaño fibrocistina/poliductina, cuya diana es la región de unión de la policistina 2.



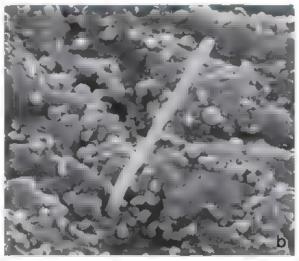


FIGURA 5-10. Cilios primarios en el tejido conjuntivo y el túbulo renal, a. En esta microfotografia electrónica se muestra un fibrobiasto rodeado por la matriz extracelular de tejido conjuntivo utenno que contiene un cilio primario. El cilio primario se caracteriza por un patrón de distribución microtubular 9 + 0. 45000×. En el recuadro izquierdo se observa una ampliación de cilio. Observense el cuerpo basal y os dobletes de microtubulos que emergen del cuerpo basa. 90000×. b. En esta microfotografía e ectronica de barrido se muestra, un cilio primario solo que se proyecta en la luz de un tubulo colector del mión. Los cilios primarios sobresalen en la superficie libre de las células de los tubulos colectores y funcionan como mecanorreceptores que se activan mediante el flujo de liquido a lo largo de los fubulos. La fiexibilidad pasiva de los cilios abre conductos del carcio e inicia cascadas de seña ización por el ingreso de calcio en el citopiasma celular. 65.000×. (cortesia de, Dr. Tetyana v. Masyuki.)

Ejemplos de tejidos y órganos que tienen células con cilios primarios

Tejido Ejemplos de células

Tejido epitelial Células epiteliales que revisten las siguientes estructuras

> Vasos sanguineos y linfáticos (endotelio) Vías aéreas (apitelio respiratorio y olfatorio)

Cavidad bucal (mucosa orai)

Lubulos renales

Árbol biliar (colangiocitos) Conductos pancreáticos

Aparato reproductor de la mujer (trompas uterinas, utero, vagina)

Aparato reproductor del hombre (glándulas de la próstata, conductillos eferentes ired testicular, vesiculas

seminales, células mioidesi

Conductos de la glándula mamana (incluidas células mioepiteriales)

Tejido conjuntivo Fibroblastos en todos los tipos de tejido conjuntivo

Tendinocitos en tendones

Osteoblastos y osteocitos en el hueso Condroblastos y condrocitos en el cartilago

Ameioblastos y odontoblastos en el diente en desarrollo

Células sinoviales en la cápsula articular

Telido muscular Células musculares I sas

Células de músculo esquelético

Tejido nervioso Neuronas

> Células de Schwann Células ependimanas

Organo Ejemplos de células

Piel Células basa es

> Queratinocitos Melanocitos

Fibroblastos (en la dermis)

Riñones **Podocitos**

> Células mesangiales Células intersticiales

Endotelio de los vasos sanguineos

Células epiteliales de los tubulos renales y la cápsula de Bowrnan

Testiculos Células de Leydig

Células mioides

Células epiteliales de la red testicular y los conductillos eferentes

Ovarios Epitelio germinal

> Células foliculares Células de la teca interna-Células del estroma

Bazo Células reticulares

Higado Colangiocitos

Células estrelladas hepáticas

Glándulas

Células secretoras de las glándulas suprarrena es, tiroides, paratiroides, hipófisis e islotes de Langerhans

endocrinas

(páncreas endocrino)

Órganos de los

Células fotorreceptoras en la retina Epitello olfatorio

santidos

Papilas gustativas Oido interno

Existen dos formas principales de ERP que se diferencian por la edad de presentación y su patrón de herencia. La forma autosomica dominante (ERPAD) afecta a 1 de cada 500-1000 personas y por lo general comienza en la edad adulta. Se caracteriza por multiples quistes en expansión en ambos riñones, que finalmente destruyen la corteza renal y producen insuficiencia renal. La forma autosómica recesiva (ERPAR) es mucho menos frecuente (estimado de 1 de cada 20000-40000 personas) e inicia después del nacimiento o al comienzo de la lactancia. Con frecuencia, esta forma es mortal al inicio de la vida.

Sin embargo, los pacientes con ERPAD padecen otras enfermedades no asociadas con el riñón, pero que hoy en día se atribuyen a anomalias ciliares. Estas alteraciones incluyen quistes en el pancreas e higado, que se acompañan de un agrandamiento y dilatación del árbol biliar. Otras alteraciones son la retinitis pigmentaria (anomalias de las células fotorreceptoras



FIGURA 5-11. El cilio primario como un sensor primario del flujo de líquido. Los cilios primarios en el mión funcionan como sensores del flujo de líquidos por los tubulos. La deflexión del cilio primario abre los conductos del calcio dei mecanorreceptor que están formados por proteinas asociadas con la enfermedad poliquistica renal (policistina 1 y policistina 2) Luego, esto da micio al ingreso de calcio en la célula liberando calcio intracelular adicional desde el retículo endoplasmático. En el recuadro de la microfotografia electrónica de barrido se muestran cilios primarios que se proyectan en la luz del tubulo colector 27 000× (cortesía del Dr. C. Craig Tisher)

de la retina que causan ceguera progresival, la hipoacusia neurosensorial, la diabetes y los trastornos del aprendizaje. Conocer las funciones de los citios primarios en el organismo podria contribuir a explicar muchas de las alteraciones patologicas que pueden afectar a los organos internos vitales.

Ourante el desarrollo embrionario inicial, los cilios nodales con un patrón de microtúbulos 9 + 0 establecen la simetría izquierdaderacha de los órganos internos.

Algunos estudios recientes indican que los citios primarios específicos hallados en los embriones, a pesar de su patrón de constitución 9 + 0, son móviles y cumplen una función importante en el desarrollo embrionario inicial mediante la generación de la asimetria izquierda-derecha en los órganos internos. Durante la gastrulación, se ha observado una rotación de estos cilios en el sentido de las agujas del reloj en la superficie ventral del disco embrionano bila minar en la región cercana al nódulo primitivo, de ahí el nombre de cilios nodates. Estos cilios contienen proteínas motoras (dineínas o cinesinas) y pueden realizar movimientos de rotación en sentido antihorario, tal como se describió antes. Lo más probable es que la falta de los pares centrales de microtúbulos sea la causa de este movimiento cuya trayectoria se parece a la de un cono completo en contraposición con la trayectoria de semicono observable en los cilios móviles con patrón 9 + 2 (véase tabla 5-2).

El movimiento de los cilios nodales en la región conocida como nodo o nódulo primitivo genera un flujo hacia la izquierda o "flujo nodal". Este flujo es detectado por receptores sensitivos en el lado izquierdo del cuerpo, los cuales inician entonces mecanismos de señalización que son diferentes de los del lado derecho del embnón. Cuando los cilios nodales son inmóviles o faltan, el flujo nodal no ocurre, lo que conduce a una ubicación aleatoria de los órganos internos del cuerpo. Por ende, la discineste ciliar primaria (síndrome de los ciltos inmóviles) con frecuencia genera un situs inversus, una alteración en la que el corazón y las visceras abdominales adoptan una posición invertida con respecto a la normal

La primera etapa de la ciliogénesis comprende la generación de centriolos.

La primera erapa de la formación del spareto citier (ciliogénesis) en las células en diferenciación incluye la generación de centriolos múltiples. Este proceso ocurre mediante la via contriolor (por duplicación de pares de centriolos existentes, véase p. 72, cap. 2) o con mayor frecuencia por medio de la via acentriolar, en la cual los centriolos se forman de nuevo sin participación de los centriolos existentes. Ambas vías dan origen a procentriolos múltiples, los precursores inmediatos de los centriolos. Los procentriolos maduran (se alargan) para former contriolos, uno para cada cilio, y migran hacia la superficie apical de la célula. Después de alinearse perpendicularmente y de fijarse a la membrana celular apical por medio de láminas alares (fibras transicionales), los centriolos adoptan la función de cuerpos basales. La siguiente etapa de la formación del aparato ciliar comprende la conformación de las restantes estructuras asociadas con los cuerpos basales, que incluyen los pedículos basales y las raíces estriadas. De cada uno de los nueve tripletes que componen el cuerpo basal, se eleva un doblete de microtúbulos por polimerización de moléculas de rubulina α y β. Se hace visible una proyección creciente de membrana celular apical, la cual contiene los nueve dobleres del cilio maduro. Durante la etapa de elongación de los cilios móviles, comienza el armado de los dos microtúbulos centrales individuales en la zona de transición a partir de los anillos de tubulina y. La polimerización subsiguiente de las moléculas de rubulina ocurre dentro del anillo de dobletes de microtúbulos, con lo que aparece la organización 9 + 2 característica. A continuación, el axonema crece hacia arriba desde el cuerpo basal y empuja la membrana celular hacia afuera para formar el cilio maduro.

La ciliogénesis depende del mecanismo de transporte intraflagelar bidireccional, el cual provee moléculas precursoras al cilio en crecimiento.

Durante el crecimiento y la elongación del cilio, las moléculas precursoras se envían desde el cuerpo celular hasta el extremo más distal del axonema en crecimiento por medio del transporte Intraflagelar (TIF). Dado que los cilios carecen de maquinaria molecular para la síntesis de proteínas, el TIF es el único mecanismo de entrega de las proteínas necesarias para el armado de los ciltos y su crecimiento. En algún sentido, el TIF puede compararse con el ascensor utilizado en una obra en construcción para subir y bajar los materiales y herramientas necesarios para la construcción del edificio. A medida que el edificio crece en altura, el alcance del ascensor también aumenta. De manera similar, el TIF utiliza pistaformas con aspecto de baisa ensambladas a partir de 17 diferentes proteinas de transporte intrafiagelar que se mueven hacia arriba y abajo del axonema en crecimiento entre los dobletes de microtúbulos exteriores y la membrana plasmática del cilio en elongación (fig. 5-12). Las moléculas que deben transportarse (incluidas moléculas de dineina citoplasmática inactiva) se cargan sobre la plataforma TIF mientras que esta se acopla cerca de la base del cilio. Con el uso de cinesina II como proteína motora, la plataforma completamente cargada se mueve hacia arriba hasta el extremo del cilio (transporte anterógrado). Los "materiales para la construcción" son descargados en el extremo del cilio (sitio de ensamble del axonema). Aquí, las partículas se dan vuelta y la plataforma regresa a la base del cilio (transporte retrógrado) después de levantar productos de recambio (incluida la cinesina II inactivada). Durante este proceso,

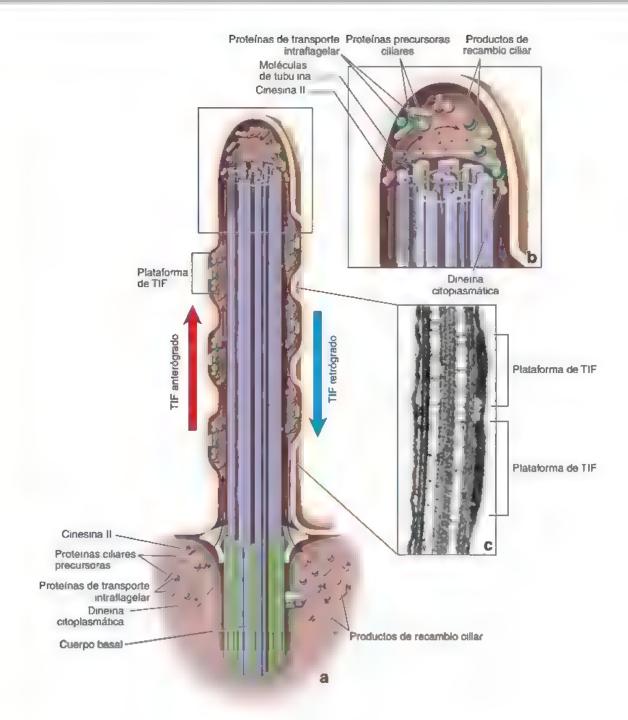


FIGURA 5-12. Mecanismo de transporte intraflagelar dentro del cilio. a. El ensamblado y el mantenimiento de los cilios depende del mecanismo de transporte intraflagelar (7/F) que utiliza plataformas en forma de baisa. Estas se mueven hacia amba y hacia abajo entre los dobietes de microtubulos externos y la membrana plasmática del cilio en elongación. Las moléculas que deben transportarse (que incluyen la dineina citopiasmática nactiva) se cargan en la plataforma TIF mientras está acopiada cerca de la base del cilio. Mediante el uso de cines na II como proteina motora, la plataforma completamente cargada se mueve hacia ambia en dirección al extremo (+) de los microtubilios en el extremo de cilio (transporte anterogrado). b. Después, la carga se vierte en la punta del cilio del ensamblado del axonema. Aqui las particulas se dan vuelta y la plataforma impulsada por la dineina citopiasmática vuelve a la base del cilio (transporte retrógrado) después de cargar productos de recambio incluida la cines na II inactivada). c. Microfotografía electrónica de corte longitudina de un fiagelo de Chlamydomonas con dos grupos de plataformas de TIF 55000× (reimpreso con autorización de Pedersen LB verand IR, Schroder JM et al. Assembly of primary cilia. Dev Dyn 2008,237 1993–2006)

CORRELACIÓN CLÍNICA: DISCINESIA CILIAR PRIMARIA (SÍNDROME DE LOS CILIOS INMÓVILES)

Los cilios están presentes en la mayoría de los órganos y tienen una función muy importante en el organismo humano. Existen cada vez más indicios de que la disfunción ciliar está presente en muchas alteraciones. Numerosas enfermedades hereditarias agrupadas bajo la denominación general de discinesta ciliar primaria (DCP), también conocida como sindrome de los cilios immóviles, afectan la función de los cilios. La DCP constituye un grupo de enfermedades hereditarias autosómicas recesivas que afectan a 1 de cada 20000 neonatos.

Las características clínicas de la DCP reflejan la distribución de los cilios móviles. Por ejemplo, el transporte mucocular que ocurre en el epitello respiratorio es uno de los mecanismos importantes que protegen al organismo de bacterias y otros agentes patógenos. Los cilios móviles que cubren el epitelio de las vias respiratorias son responsables de despejar las vias aéreas. En el síndrome de Kartagener ocurre un fallo en el sistema de transporte mucociliar como consecuencia de una anomalia estructural que se produce por la falta de brazos de dineína (fig. C5-2-1). Además, el examencon ME de los cuerpos basales de individuos con síndrome. de Kartagener a menudo revela pedículos basales desorientados que apuntan en distintas direcciones. El sindrome de Young, caracterizado por una malformación de enlaces radiales y de los brazos de dineína, también afecta la función ciliar. en las vías respiratorias. Los síntomas más sobresalientes de la DCP son insuficiencia respiratoria crónica (que incluye bronquitis y sinusitis), otitis media (inflamación de la cavidad del oído medio), tos persistente y asma. Las alteraciones respiratorias son causadas por la falta o disminución grave de la movilidad ciliar, lo que produce ausencia o reducción del transporte mucociliar en el árbol traqueobronquial

El flagelo del espermatozoide, los cilios de los conductos deferentes en los testículos y los cilios del aparato reproductor de la mujer comparten el mismo patrón de organización (9 + 2) con los cilios de las vías respiratorias. Por lo tanto, los varones con DCP son estériles debido a los flagelos inmóviles. En contraste, algunas mujeres que padecen el síndrome.

pueden ser fértiles, aunque aumenta la incidencia de embarazos ectópicos. En estas mujeres, el movimiento ciliar puede ser suficiente, aunque con cierto daño, para permitir el transporte del óvulo por las trompas uterinas.

Algunos individuos con DCP también pueden desarrollar síntomas de hidrocefalia interna (acumulación de líquido en el cerebro) o dilatación transitoria de los ventrículos cerebrales. Las céluias ependimarias que cubren el espacio donde circula el líquido cafalorraquídeo poseen citios móviles con un patrón microtubular 9 + 2. Estos citios pueden ser importantes para la circulación del líquido cefaiorraquídeo por los estrechos espacios existentes entre los ventrículos cerebraies.

Cerca del 50% de los pacientes con diagnóstico de DCP tienen situs inversus (afección en la que las visceras experimentan una transposición a través del plano sagital), lo que permite ver un vínculo entre la asimetría izquierda-derecha y los cilios nodales.

Se puede establecer el diagnóstico certero de DCP en pacientes con sindromes clínicos compatibles con la enfermedad mediante la ME (fig. C5-2-1)



FIGURA C5-2-1. Microfotografia electrónica de un citio en un paciente con discinesta ciliar primaria. Obsérvese en esta sección transversal la ausencia de brazos de dineína en los dobletes de microtúbulos. 180000× (cortesía de Patrice Abell-Aleff)

la dineína citoplasmática se activa y se utiliza como proteína motora para retornar la plataforma a la base del cilio (véase fig. 5-12). Diversas proteínas, incluyendo las proteínas en balsa del TIF (cinesina, dineína citoplasmática, polaris, IFT20, etc.), son importantes en la ciliogénesis y el subsiguiente mantenimiento funcional del cilio. Las mutaciones de genes que codifican estas proteínas causan la pérdida de los cilios o las disfunciones ciliares. Por ejemplo, la balsa proteínica IFT20 transporta proteínas de carga para la formación de los flagelos de los espermatozoides. Una mutación de este gen puede afectar la fertilidad de los hombres y la espermiogénesis.

■ REGIÓN LATERAL Y SUS ESPECIALIZACIONES EN LA ADHESIÓN CELULAR

La región lateral de las células epiteliales está en estrecho contacto con la región lateral opuesta de las células adyacentes. Como las otras

regiones, la lateral se caracteriza por la presencia de proteínas únicas, en este caso las moléculas de adhesión celular, que son parte de las especializaciones de las uniones. La composición molecular de los lípidos y proteínas que forman la membrana celular lateral difiere significativamente de la composición de aquellos que forman la membrana celular apical. Además, la membrana celular en la región lateral de algunos epitelios puede formar pliegues interdigitados entrelazados a través de las células adyacentes.

Vistas con el microscopio óptico, las barras terminales representan sitios de adhesión epitelial de célula a célula.

Antes del advenimiento del ME, la aposición estrecha de las células epiteliales era atribuida a la presencia de una sustancia adhesiva viscosa denominada cemento intercelular. Este cemento se tiñe profundamente en el margen superior apicolateral de la mayoría de las células epiteliales cúbicas y cilíndricas. Al observarlo en un plano perpendicular al de la superficie epitelial, el material teñido se presenta con la estructura de un punto. Sin embargo, cuando el plano de corte es paralelo a esa superficie epítelial y la incluye, este componente con aspecto de punto se observa como una barra o línea densa entre las dos células yuxtapuestas (fig. 5-13). Las barras, en realidad, forman una estructura (o banda) poligonal alrededor de cada célula para mantenerlas unidas. La disposición de esta banda puede compararse con los anillos plásticos que sostienen los grupos de seis envases de bebidas enlatadas.

Debido a su ubicación en la portión apical de la célula y su configuración similar a una barra, el material teñido visible en el microscopio óptico se denomina barra terminal. Entonces, resulta evidente que el cemento intercelular como tal no existe. Sin embargo, la barra terminal no representa un complejo estructural significativo. La microscopía electrónica ha demostrado que incluye un sitio especializado que une las células epiteliales (fig. 5-14a). Resulta ser también una fuerte barrera al paso (difusión) de sustancias entre las células epiteliales adyacentes. Los componentes estructurales específicos que constituyen la barrera y la adhesión se identifican claramente mediante microscopía electrónica y se denominan en su conjunto complejo de unión (véase tabla 5-5, p. 146). Estos complejos tienen



FIGURA 5-13. Barras terminales en el epitelio seudoestratificado. Microfotografía de un preparado teñido con H&E en la que se muestran las barras terminales en un epitelio seudoestratificado. La barra aparece como un punto (puntas de flecha) cuando se ha realizado un corte transversal. Cuando la barra es paraleta a la superficie de corte y come longitudinalmente en el espesor del corte, entonces se observa como una línea o una barra (flechas). 550×

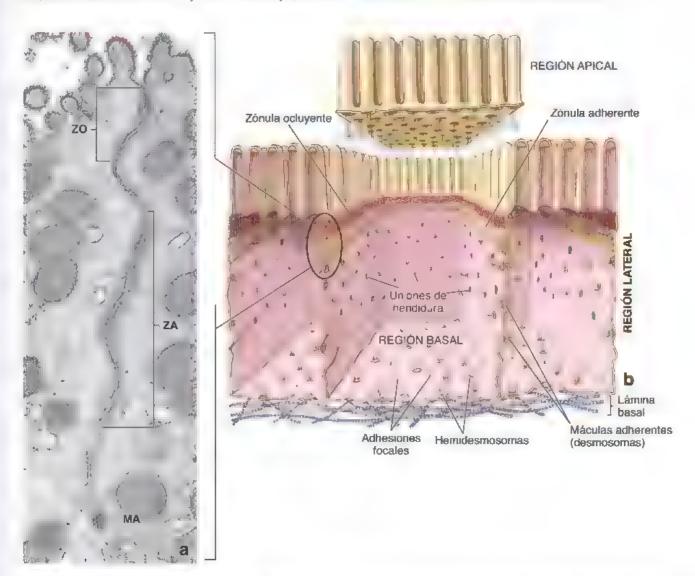


FIGURA 5-14. Complejo de unión a. Microfotografía electrónica de la porción apical de dos células epitelia es adyacentes de la mucosa gástica en la que se muestra el complejo de unión. Consiste en la zonula occuyente (ZO) zónula adherente (ZA) y mácula adherente (MA) 30000 x b. Diagrama de la distribución de las uniones de ulares en las tres regiones de las células epiteliaises cilindricas. La región apical con microvellosidades se ha levantado para illustrar mejor los espacios de los complejos de unión dentro de la célula.

a su cargo la unión de las células individuales. Existen tres tipos de complejos de unión (véase fig. 5-14):

- Las uniones ocluyentes, también denominadas uniones estrechas, son fundamentales para establecer una barrera entre los compartimentos del cuerpo y permiten que las células epiteliales funcionen como una barrera. Las uniones ocluyentes forman la principal borrera de difusión intercelular entre células adyacentes. Al eliminar el movimiento de agua y otras moléculas a través del espacio intercelular, mantienen la separación físico-química de los compartimentos tisulares. Dado que están ubicadas en el punto más apical entre las células epiteliales adyacentes, las uniones ocluyentes impiden la migración de lípidos y proteínas especializados de la membrana celular entre las superficies apical y lateral, manteniendo así la polaridad celular y la integridad de estas dos regiones. Además, las uniones ocluyentes atraen moléculas de señalización en la superficie celular y las vinculan a los filamentos de actina del citoesqueleto.
- Las uniones adherentes proporcionan establidad mecánica a las células epiteliales mediante la unión del citoesqueleto de una célula con el citoesqueleto de otra célula adyacente. Estas uniones son importantes en la creación y el mantenimiento de la unidad estructural del epitelio. Las uniones adherentes interactúan con la actina y los filamentos intermedios, y pueden encontrarse no solo en la superficie celular lateral, sino también en la región basal de las células epiteliales. Por su capacidad para transducir señales, las uniones adherentes también tienen un importante papel en el reconocumiento, la morfogénesis y la diferenciación célula-célula.

Las uniones comunicantes permiten una comunicación directa entre las células adyacentes por difusión de moléculas pequeñas (< 1.2 kDa; p. ej., iones, aminoácidos, monosacáridos, nucleótidos, metabolitos). Este tipo de comunicación intracelular permite la actividad celular coordinada que es importante para el mantenimiento de la homeostasis de los órganos.

Uniones ocluyentes

La zónula ocluyente (zonulae occludens) es el componente más apical en el complejo de uniones entre las celulas epiteliales.

La zónula ocluyente se crea por el sellado específico de las membranas plasmáticas de células adyacentes.

Al observar la zónula ocluyento o unión estrecho con el microscopio electrónico de transmisión (MET), se puede apreciar una región
angosta en la que las membranas plasmáticas de células adyacentes se ponen en contacto estrecho para sellar el espacio intercelular (fig. 5-15a). Con alta resolución, se ve que la zónula ocluyente
no constituye un sellado constante, sino una serie de fusiones focales entre las células. Estas fusiones focales se deben a la umón
en el espacio intercelular de células contiguas a través de proteínas
transmembrana (fig. 5-15b). La disposición de estas proteínas al formar el sellado se observa mejor mediante la técnica de criofiractura
(fig. 5-15c). Cuando la membrana plasmática se fractura en el sitio de
la zónula ocluyente, las proteínas de umón se observan en la cara P
de la membrana, donde aparecen como estructuras semejantes a una
cresta. La superficie opuesta de la membrana fracturada, es decir la
cara E, revela surcos complementarios que són consecuencia de

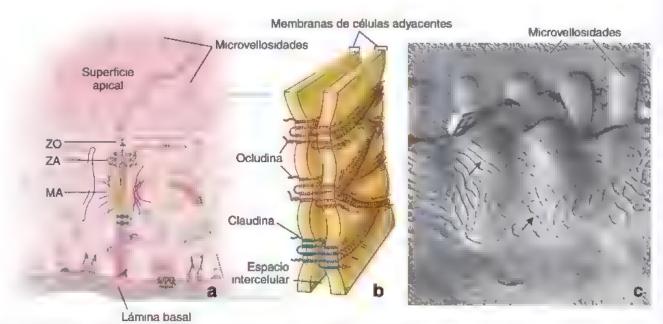


FIGURA 5-15. Complejo de unión a En este diagrama se muestra la localización de uniones adherentes epitelales célula-cálula El complejo de unión cerca de la superficie apical (luminal) comprende la zónula ocluyente (ZO) la zónula adherente (ZA) y la mácula adherente (MA) también denominada desmosoma. Por debajo de la MA se pueden observar las uniones comunicantes. Asimismo, las uniones celula-matriz extracelular (hemidesmosomas y adhesiones focales) son visibles en la membrana celular basal b. En el diagrama se muestra la organización y patrón de distribución de la proteina transmembrana ociudina dentro de la unión de ocludina. Se puede comparar el patrón linea de surcos con las crestas detectadas en la preparación mediante la técnica de criofractura a la derecha como se muestra en esta magen, permite observar una redianastomosada de crestas (flechas). Dicadas en la superficie de la membrana fracturada cerca de la parte apical de la celula nostraria un patrón complementario de surcos). Las crestas representan conjuntos lineales de prote nas transmembrana (mily probablemente ocludinas) que participan en la formación de la zónula ocluyente. La membrana de la celula opuesta contiene una redisimilar de proteinas en el mismo nive con las que interactuan con la primera celula. Estos sitios reales de interacción de proteinas entre las celulas forman la redianastomosada. 100.000 « reimpreso con autorización de Hull BE. Staehelin LA. Functional significance of the variations in the geometrical organization of tight, unction networks. Cel Biol 1976-68-688–704)

la separación de partículas de proteína de la superficie opuesta. Las crestas y los surcos se organizan como una red de hebras de perticulas anastomosadas que crean un cinturón de uniones que rodean a cada célula y sellan todo el espacio intercelular dentro de las láminas epiteltales. La cantidad de hebras y su grado de anastomosis varían en las diferentes células.

La zónula ocluyente experimenta modificaciones en áreas donde se encuentran las esquinas de tres células epiteliales.

La zónula ocluyente típicamente se ha descrito como una estructura de contacto bicelular debido a que solo sella el espacio entre dos células adyacentes. Sin embargo, como la mayoría de las regiones apr cales de las células epiteliales tienen forma poligonal, solo los lados de estas células forman una zónula ocluyente con su contacto bicelular típico con las células vecinas. Sus vértices forman una unión de zonula ocluyente tricelular en un contacto tricelular, donde se unen las esquinas de tres células epiteliales (fig. 5-16), A medida que la zónula ocluyente se acerca a una región de contacto iricelular, las extensiones apicales de las hebras de partículas intramembranosas que corren horizontalmente giran verticalmente para dirigirse a lo largo de la región lateral en la esquina de cada célula epitelial, formando así un par de hebras verticales. Estas dos hebras verticales se denominan elementos centrales de sellado (véase fig. 5-16) y contienen proteínas únicas, diferentes a las que se encuentran en los contactos bilarerales. Estos elementos mantienen la barrera epitelial de forma más eficaz en áreas específicas de los contactos tricelulares. Las esquinas de las membranas plasmáticas de las tres células nunca sellan completamente el espacio extracelular en sus puntos de encuentro. Estas esquinas que contienen elementos centrales de sellado bordean un espacio largo y angosto llamado tubo control, que es una parte integral del espacio extracelular. Debido a que el tubo central representa un punto débil para la bartera epitelial, se

necesitan proteínas únicas (p. ej., tricelulina) para sellar esta área y mantener la barrera de permeabilidad epitelial.

Varias proteínas participan en la formación de las hebras de la zónula ocluyente.

Las hebras de la aónula ocluyente corresponden a la ubicación de las filas de proteínas transmembrana. En la zónula ocluyente se encuentran cuatro grupos principales de proteínas transmembrana (fig. 5-17; tabla 5-4).

- Las claudinas conforman una familia de proteínas (20-27 kDa) que han sido identificadas recientemente como componentes que integran las hebras de la zónula ocluyente. Las claudinas forman la columna vertebral de cada hebra. Además, las claudinas (especialmente las claudinas 2 y 16) pueden formar conductos acuosos extracelulares para el paso paracelular de iones y otras moléculas pequeñas. Hasta la fecha, se han podido caracterizar cerca de 24 diferentes miembros de la familia de las claudinas. Las mutaciones en el gen que codifica la claudina 14 se han relacionado con la hipoacusia hereditaria humana. Una forma mutada de la claudina 14 produce un aumento de la permeabilidad de la zónula ocluyente en el órgano de Cortí (receptor de la audición), con lo cual se afecta la generación de potenciales de acción.
- La octudina, una proteína de 60 kDa, participa en la formación y mantenimiento de la barrera entre las células contiguas y sirve como una valla que restringe el movimiento de lípidos y proteínas entre las regiones apical y lateral. La ocludina está presente en la mayoría de las uniones ocluyentes. Sin embargo, varios tipos de células epiteliales carecen de ocludina en sus hebras, pero sí poseen zónulas ocluyentes bien desarrolladas y plenamente funcionales. Muchos virus explotan las uniones estrechas para

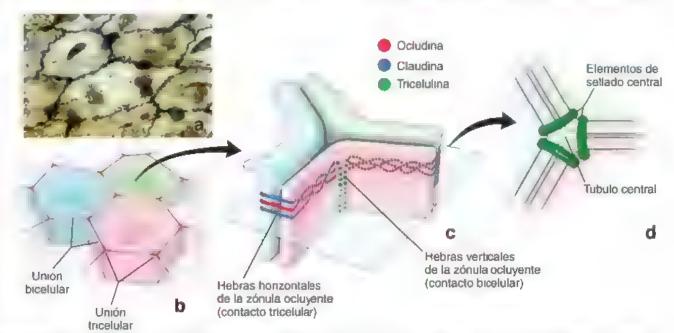


FIGURA 5-16. Uniones de la zónula ocluyente tricelular a. En esta imagen de la superficie apical de las células mesotetiales impregnadas con sales argénticas se observa claramente la forma poligonal de las células epitelia es. Sus limites están delineados por lineas negras marcadas por la plata precipitada. Nótese que además de las regiones donde las células se encuentran en una aposición cercana entre si también hay regiones donde las tres células se unen para formar contactos tricelulares. 700 × b. En este esquema se muestra la forma poi gonal de las células epite ales y las areas de los contactos tricelulares y bicelulares. c. Las hebras horizontares de la zónula ocluyente (formadas por ocudinas y claudinas) sellan solo el espacio entre dos células esta adyacentes. En las esquinas donde se encuentran tres células epite ales. Las hebras verticales de la zónula ocluyente que se acercan a este confacto tricelular giran vertica mente para correr a lo largo de la esquina de cada célula epite la!. Un par de estas hebras verticales se componen de prote nas unicas que incluyen tricelular di En esta sección transversal de una unión tricelular los elementos centrales de selado formados por hebras vertica es de trice ulinas bordean un espacio angosto entre las tres células. Este espacio, liamado tubo central, representa un lugar potencial para el paso intercelular (paracelular) de agua y solutos.



Sec6

Sec8

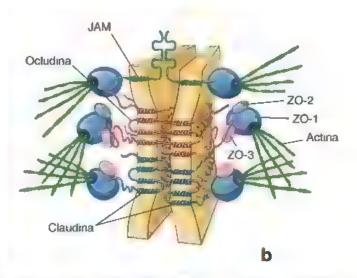


FIGURA 5-17. Zónula ocluyente, a. Microfotografía electrónica de la zónula ocluyente (ZO) en la que se muestra la aproximación estrecha de las membranas piasmáticas de celulas adyacentes. Las regiones extracelulares de proteínas ocludinas que participan en la formación de esta unión se observan como lineas individuales electrodensas (flechas). 100,000 × b. Diagrama en el que se muestran tres proteínas transmembrana que participan en la formación de la zónula ocludina diaudina y molécula adhesiva de la unión (LAM junctional adhesion molecule). La ocludina y la ciaudina tienen cuatro regiones transmembrana con dos assas extracellulares pero la JAM tiene solo una región transmembrana y su porción extracellular tiene dos assas similares a las de la inmunoglobulina. También se observan las principales proteínas asociadas de la unión de octudina y las interacciones entre si. Observese que una de las proteínas asociadas la ZO-1, interactua con los filamentos de actina del circosqueieto.

Principales proteínas ubicadas en la unión de la zónula ocluvente

Proteinas			
de la ZO	Proteinas asociadas	Función	
Claudina	Claudina, ZO-1, JAM	Forma la columna vertebral de las hebras de la 20, forma y regula conductos acuosos utilizados para la difusión paracelular	
Ocludin a	Odludina, ZO-1, ZO-2, ZO-3 Vap33, actina	Está presente en la mayoría de las uniones ocluyentes, mantiene la barrera entre las superficies celulares apical y lateral	
MAK	JAM, ZO-1, claudins	Presente en células endoteliales, media las interacciones adhesivas entre células endoteliales y monocitos	
lricelulina	Incelulina, angulinas, claudina, ocludina	Presente en partes específicas de la ZO en contactos tricelulares	
20-1	ZO-2, ZO-3 octudina, claudina, JAM cingulina, actina ZONAB, AS P. AF-6, afadina, catenina α	Enlace importante en la transducción de señales de todas las proteinas trans membrana interactua con los filamentos de actina, tiene acción supresora tumoral	
20-2	ZO-1, ocludina, cingulina, 4 1R	Necesaria para el mecanismo de señalización en el que participa el factor de crecimiento epidérmico y su receptor	
ZO-3	ZO-1, ocludina lactina	Interactua con ZO-1, ociudina y filamentos de actina del citoesqueleto	
AF-6	RAS, ZO-1	Pequeña proteíra que participa en el sistema de transporte molecular y la transducción de señales	
Cingulina	ZO-1, ZO-2 ZO-3, cingulina m osina II	Proteina ácida termoestable que establece enlaces cruzados de filamentos de actina formando complejos sedimentables	
Simplequine	CPSF-100	Proteína de ubicación doble lestá en la ZO y en las particulas intercromatinicas del carioplasma	
ASIP/Par3	PKC-ζ	Controla la reubicación de proteínas asimétricamente distribuidas	
Rab3b	GTPasa	Miembros de la familia de proteinas RAS que son productos de oncogenes,	
Rab13	δ- PDE	controlan el armado de complejos proteínicos para el acoplamiento de las vesículas de transporte	
Rab8	G/C cinasa, Sec4		
Sec4	Rab8	GTPasa necesaria para la entrega polarizada de vesículas con carga a la membrana plasmática	
Sec6	Sec8	Participa en la fusión de las vesículas de Golgi con la membrana plasmática	

AF factor anti-secretor. ASIP proteina de señalización agouti. CPSF factor de especificidad de escisión y poliadentación. G/C centro germinal. GTPasa, guanosina trifosfatasa, JAM moiécula adhesiva de la unión. LDLP lipoproteina de baja densidad. PDE fosfod esterasas. PKC proteina-cinasa C. RAS, sarcoma de rata. ZO zónula oc uyente, ZONAB, proteina de unión al acido nucleico asociado con la zónula oc uyente. 1

formación de la zónula ocluyente

Inhibe, a translocación basolateral de los receptores de LDLP después de la

invadir las células y tejidos al unirse a las proteinas de la zónula ocluyente (p. ej., virus de la hepatitis C, adenovirus). Por ejemplo, una proteina de la cubierta virica del virus de la hepatitis C se une a la ocludina para interrumpir la integridad de la zónula ocluyente, permitiéndole invadir la célula.

- La molécula adhesiva de la unión (JAM, junctional adhesion molecule) es una proteína de 40 kDa que perrenece a la superfamilia de las inmunoglobulinas (IgSF). La JAM no forma por sí sola una hebra de zónula ocluyente, pero sí está asociada con las claudinas. Es responsable del aumento de la resistencia eléctrica de la membrana celular, reduciendo así la permeabilidad paracelular. Participa en la formación de uniones ocluyentes entre las células endoteliales, así como entre células endoteliales y los monocitos que migran desde el espacio vascular hacia el tejido conjuntivo.
- La tricelulina, una proteína de 64 kDa, se localiza en áreas específicas de la zónula ocluyente en los contactos tricelulares. La tricelulma es un componente de la unión y es reclutada en esta unión por la familia de proteínas de la angulina (angulina 1, angulina 2 y angulina 3), cuyos miembros también están presentes en las esquinas donde coinciden tres células epiteliales. La tricelulina tiene una función fundamental en el mantenimiento de la barrera epitelial y la organización de los filamentos de actina en los contactos tricelulares, de manera que forma puntos cruciales que soportan las fuerzas de tensión generadas por el citoesqueleto de actina.

Las porciones extracelulares de estas proteínas transmembrana funcionan como una cremallera y sellan el espacio intercelular entre dos células contiguas, con lo que crean una barrera contra la difusión paracelular. Las porciones citoplasmáticas de las tres proteínas contienen una secuencia de aminoácidos exclusiva que atrae las proteínas reguladoras y de señal denominadas proteínas con dominio PDZ. Estas proteínas incluyen las proteínas de la zónula ocluyente

20-1, 20-2 y 20-3 (véase fig. 5-16). La ocludina y las claudinas interaccióan con el citoesqueleto de actina mediante ZO-1 y ZO-3. La proteína ZO-1 se une a las proteínas de la unión de la zónula adherente afadina y catenina a, proporcionando así un vínculo importante entre las uniones de la zónula ocluyente y la zónula adherente. Se ha postulado que todas las proteínas ZO cumplen funciones reguladoras durante la formación de la zónula ocluyente. Además, la proteína ZO-1 es un supresor tumoral y la proteína ZO-2 es necesaria en el mecanismo de señalización en el que interviene el factor de crecimiento y su receptor. La proteína ZO-3 interactúa con la ZO-1 y la región citoplasmática de las ocludinas. Las proteínas localizadas en la región de la zónula ocluyente se encuentran resumidas en la tabla 5-4. Muchos agentes patógenos, como el citomegalovirus, el virus del dengue y las toxinas del cólera, actúan sobre la ZO-1 y la ZO-2 para permear la unión

La zónula oclayente separa el espacio luminal del espacio intercelular y el compartimento del tejido conjuntivo.

Se hace entonces evidente que la zónulo ocluyento desempeña un papel esencial en el paso selectivo de sustancias de un lado al otro del epitelio. La capacidad del epitelio para crear una barrera de difusión está controlada por dos vias diferentes para el transporte de sustancias a través del epitelio (fig. 5-18a);

La via transcolular tiene lugar a través de la membrana plasmática de la célula epitelial. En la mayoría de estas vías, el transporte es activo y requiere proteinas y conductos de transporte especializados que se hallan en la membrana y que consumen energía. Estas proteinas y conductos permiten el movimiento de sustancias seleccionadas a través de la membrana plasmática apical hacia el citoplasma y luego a través de la membrana lateral, por debajo del nível de la umón ocluyente hacia el compartimento intercelular.

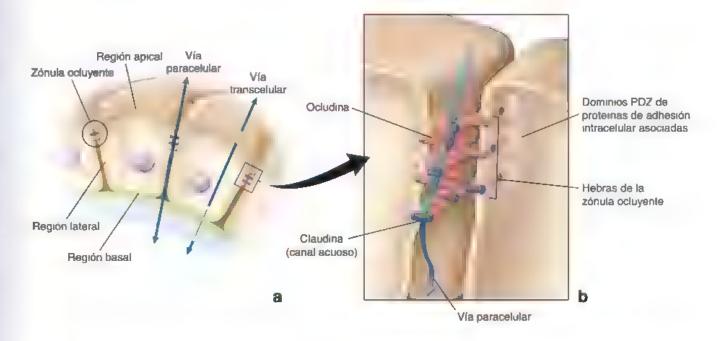


FIGURA 5-18. Vías transcelular y paracelular para el transporte de sustancias a través de los epítellos. a. La via transcelular cruza la membrana plasmática de la céluia epitellal y constituye un sistema de transporte activo que requiere proteinas y conductos de transporte transmembrana especializados dependientes de energia. La via paracelular cruza la zónula ocluyente entre dos cálulas epitellales. La cantidad de agua, etectrólitos y otras moléculas pequeñas transportadas a través de esta via depende de hermatismo de la zónula ocluyente. Estructura de las porciones extracelular y citop asmatica de las hibras de cierre de la union estrecha. Dos hebras de zónula ocluyente de células contiguas se fusionán a mánera de una crema era y crean una barriera al movimiento entre las células. Los poros acuosos permiten que el agua se mueva entre las células ula permeabilidad de la barrera depende de la mezcla de caudinas y ocludinas en el selto de la crema era ula porción citoplasmática de las hebras atrae proteínas con dominio PDZ que funcionan en la señalización celular.

La via paracelular tiene lugar a través de la zónula ocluyente entre dos células epiteliales. La cantidad de agua, electrólitos y otras moléculas pequeñas transportadas mediante esta vía depende del hermetismo de la zónula ocluyente y de las uniones tricelulares de la zónula ocluyente. La permeabilidad de una unión ocluyente depende de la composición molecular de las hebras de la zónula ocluyente y, así, de la cantidad de conductos acuosos activos en el sello (véase la siguiente sección). En condiciones fisiológicas adecuadas, las sustancias transportadas mediante esta vía pueden ser reguladas por el transporte transcelular o estar acopladas a él.

La permeabilidad de la zónula ocluyente depende no solo de la complejidad y la cantidad de hebras, sino también de las características de las proteinas involucradas en su formación.

El estudio de diferentes tipos de epitelios indica que la cantidad y la complejidad de las hebras que forman las zónulas ocluyentes son variables. En los epitelios en los que las hebras anastomosadas o los sitios de fusión son escasos, como en ciertos túbulos renales, la vía intercelular es parcialmente permeable al agua y a los solutos. En cambio, en los epitelios en los que las hebras son numerosas y están muy entrelazadas (p. ej., epitelio intestinal, epitelio de la vejiga urinaria), el espacio intercelular es muy impermeable.

Sin embargo, en algunas células epiteliales, la cantidad de hebras no guarda relación directa con el hermetismo del sellado. Las diferencias del hermetismo entre diferentes zónulas ocluyentes podrían explicarse por la presencia de poros acuosos en las hebras individuales de la zónula ocluyente (fig. 5-18b). Las claudinas no solo forman la columna vertebral de cada hebra de la zónula ocluyente, también son responsables de la formación de los conductos acuosos extracelulares. Algunos estudios recientes indican que la proteína claudina 16 funciona como un canal acuoso de Mg2+ entre células epiteliales específicas del riñón. De manera similar, la claudina 2 es responsable por la presencia de poros acuosos de alta conductividad en los epitelios renales más superficiales. De este modo, la combinación y proporción de claudinas y ocludinas, y de otras proteínas encontradas en las hebras apareadas individuales de la zónula ocluyente, determinan el hermetismo y la selectividad del sellado entre las células.

Las uniones de la zónula ocluyente tricelular son barreras de permeabilidad con una disposición única formadas en las esquinas de las células epiteliales. Como se comentó anteriormente, el tubo central en estas uniones representa un punto débil para la barrera epitelial y un conducto potencial para el paso paracelular de agua y solutos. El hermetismo de estas uniones es regulado por la tricelulina y otras proteínas estructurales que se encuentran en los elementos de sellado central (véase p. 136). Algunos estudios experimentales recientes con epitelios que no expresan moléculas de tricelulina (células con eliminación del gen de tricelulina) encontraron una disminución de la resistencia eléctrica transepitelial y una mayor permeabilidad al agua, los solutos y otras macromoléculas en estas células libres de tricelulina.

La zónula ocluyente establece regiones funcionales en la membrana plasmática.

Como umón, la zónula ocluyente no solo controla el paso de sustancias a través del estrato epitelial, sino que también restringe el movimiento de balsas lipidicas que contienen proteínas específicas dentro de la misma membrana plasmática. La célula secreta ciertas proteínas internas de la membrana en la superficie (libre) apical y restringe otras a las superficies lateral o basal. En el intestino, por ejemplo, las enzimas para la digestión terminal de péptidos y sacáridos (dipeptidasas y disacaridasas) están ubicadas en

la membrana de las microvellosidades de la superficie apical. La ATPasa de Na*/K* que impulsa el transporte de sal y agua transcelular, al igual que el transporte de aminoácidos y monosacáridos, se encuentra restringida a la membrana plasmática lateral debajo de la zónula ocluyente.

Uniones adherentes

Las uniones adherentes aportan adhesiones laterales entre las células epiteliales a través de proteínas que vinculan los citoesqueletos de las células adyacentes. En la superficie celular lateral, se pueden identificar dos tipos de uniones adherentes célula-célula.

- Zónulas adherentes (zonula adherens), que interacrúan con la red de filamentos de actuna dentro de la célula.
- Màculas adherentes (maculae adherens) o desmosomas, que interactúan con filamentos intermedios.

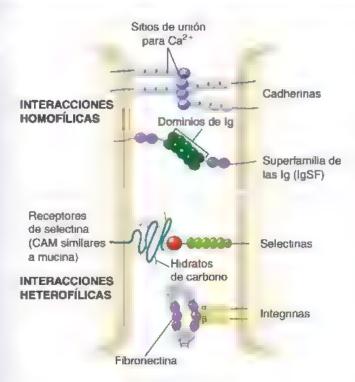
Además, se pueden encontrar otros dos tipos de uniones adherentes donde las células epiteliales se apoyan sobre la matriz del tejido conjuntivo. Estas adhesiones focales (contactos focales) y hemidesmosomas se estudian en la sección dedicada a la región basal (véante pp. 147-157).

Las moléculas de adhesión celular tienen un papel importante en las adhesiones célula-célula y célula-matriz extracelular.

Las proteínas transmembrana conocidas como moléculas de adhesion celular (CAM, cell adhesion molecules) forman una parte esencial de cada una de las uniones adherentes en las superficies lateral y basal de la célula. La región extracelular de las CAM interactúa con regiones similares que pertenecen a las CAM de las células adyacentes. Si el enlace ocurre entre diferentes upos de CAM, se describe como enlace heterotipico; el enlace homotipico ocurre entre CAM del mismo tipo (fig. 5-19). Las CAM confieren una adhesividad selectiva relativamente débil, lo cual permite que las células se unan y se disocien con facilidad.

Las regiones citoplesmáticas están enlazadas a los componentes del citoesqueleto a través de una vanedad de proteínas intracelulares. Por medio de la conexión del citoesqueleto, las CAM pueden controlar y regular diversos procesos intracelulares asociados con la adhesión, la proliferación y la migración celulares. Además, las CAM participan en muchas otras funciones celulares, como las comunicaciones intercelulares e intracelulares, el reconocimiento celular, la regulación de la barrera de difusión intercelular, la generación de respuestas inmunitarias y la apoptosis. Desde el desarrollo embrionario temprano, cada tipo de tejido en cada erapa de diferenciación está definido por la expresión de CAM específicas. Los cambios en los patrones de expresión de una CAM, o varias de ellas, pueden ocasionar alteraciones patológicas du rante la diferenciación y maduración tisular. Hasta la fecha, se han identificado y clasificado cerca de 60 CAM según la estructura molecular en cinco familias principales: cadherinas, nectinas, integrinas, selectinas y la superfamilia de las inmunoglobulinas (véase fig. 5-19)

Las codherinos son CAM transmembrana dependientes de Co²⁺ ubicadas, sobre todo, en la zónula adherente. En estos sirios, las cadherinas mantienen interacciones homotípicas con proteínas similares de la célula adyacente. Están relacionadas con un grupo de proteínas intracelulares (cateninas) que enlazan las moléculas de cadherina con los filamentos de actina del citoesqueleto. Mediante esta interacción, las cadherinas transmiten señales que regulan los mecanismos de crecimiento y diferenciación celular. Las cadherinas controlan las interacciones celula-celula y participan en el reconocimiento celular y la



Espacio extracelular

FIGURA 5-19. Moléculas de adhesión celular (CAM). Las cadherinas y la superfamilia de las inmunoglobulinas (IgSR) muestran enlaces homotípicos en los cuales interactuan dos moléculas idénticas de células advacentes. El enlace que tiene lugar entre diferentes tipos de CAM (p. ej., selectinas e integrinas) es considerado heterotípico (interacción entre dos moléculas no idénticas). Obsérvese que las integrinas se unen a las proteínas de la matriz extracerular (p. ej., fibronectina). Por razones de simplicidad de la ilustración, no se muestran las proteínas de adhesión intracelulares asociadas.

migración de células embrionarias. La cadherina epitelial, o cadherina E, el miembro más estudiado de esta familia, mantiene la unión de la zónula adherente entre las celulas epiteliales. También actua como un importante supresor de células tumorales epiteliales.

- Las nectinas están representadas por una familia de GAM transmembrana independientes de Ca³⁺ de tipo inmunoglobulina. A diferencia de las cadherinas, las nectinas pueden establecer tanto interacciones homofílicas con el mismo miembro de la familia como interacciones heterofílicas con miembros relacionados de la familia de la nectina. Tampoco pueden establecer uniones adherentes fuertes. Estos tipos de uniones más débiles podrían ser favorables para la regulación dinámica de la adhesión célula-célula durante el desarrollo embrionario, el remodelado rápido y la regeneración del tejido.
- Las integrinas están compuestas por dos subunidades de glucoproteínas transmembrana que consisten en cadenas 15α y 9β. Esta composición permite la formación de diferentes combinaciones de moléculas de integrina que pueden interactuar con varias proteínas (interacciones heterotipicas). Las integrinas interactúan con las moléculas de matriz extracelular (como colágenos, laminina y fibronectina) y con filamentos de actina y filamentos intermedios del citoesqueleto. Mediante estas interacciones, las integrinas regulan la adhesión celular, controlan el

- movimiento y la forma de las células y participan en el crecimiento y diferenciación celular.
- Las selectinas se expresan en los leucocitos (glóbulos blancos) y las células endoteliales y median el reconocimiento neutrófilocétula endotelial. Este enlace heterotípico inicia la migración neutrófila a través del endotelio de los vasos sanguíneos hacia la matriz extracelular. Las selectinas también participan en la orientación de los linfocitos hacia las acumulaciones de tejido linfático (un proceso llamado direccionamiento de linfocitos).
- Superfamilia de las inmunoglobulinas (IgSF, Immunoglobulin superfamily). Muchas moléculas que participan en las reacciones inmunitarias comparten un precursor común en su estructura. Sin embargo, otras moléculas sin función inmunitaria conocida también comparten el mismo elemento repetido. En conjunto, los genes que codifican estas moléculas relacionadas han sido definidos como la superfamilia de los genes de las inmunoglobulinas. Es una de las mayores familias de genes en el genoma humano, y sus glucoproteínas llevan a cabo una gran variedad de funciones biológicas importantes. Los miembros de la IgSF median las adhesiones homotípicas célula-célula y están representadas por la molécula de adhesión intercelular (ICAM), la molécula de adhesión célula-célula (C-CAM), la molécula de adhesión celular vascular (VCAM), la molécula de adhesión celular del síndrome de Down (DSCAM), las moléculas de adhesión de las plaquetas y células endoteliales (PECAM), las moléculas adhesivas de la unión (JAM) y muchas otras. Estas proteínas tienen un papel clave en la adhesion y diferenciación celular, la metástasis de tumores y cancer, la angroganesis (formación de nuevos vasos), la inflamación, las respuestas inmunitarias y la adhesión microbiana, así como en muchas otras funciones

La zónula adherente provee adhesión lateral entre las células epiteliales.

La integridad de las superficies epiteliales depende en gran medida de la adhesión lateral de las células entre sí y su capacidad para resistir la separación. Aunque en la zónula ocluyente existe una fusión de membranas celulares adyacentes, su resistencia al estrés mecánico es limitada. El refuerzo de esta región depende de una fuerte zona de uniones debajo de la zónula ocluyente. Al igual que la zónula ocluyente, esta adhesión lateral tiene una configuración en forma de banda continua similar a un cinturón alrededor de la célula; por ello, la unión de adhesión se denomina aónula adherente.

La zónula adherente está compuesta por dos familias de proteínas transmembrana: las cadherinas y las nectinas.

La zónula adherente en la mayoría de las células epiteliales se compone de la familia transmembrana de moléculas de adhesión celular, las cadherinas. Del lado citoplasmático, el extremo de la cadherina E está enlazada a las proteínas cateninas (catenina α γ β) (fig. 5-20a). El complejo cadherina E-catenina resultante se une a la vinculina γ la actinina α, γ es necesarto para la interacción de las cadherinas con los filamentos de actina del citoesqueleto. Los componentes extracelulares de las moléculas de cadherina E de células adyacentes están unidos por iones Ga²+ o una proteína de umón extracelular adicional. Los complejos de cadherina forman uniones adherentes fuertes; sin embargo, su integridad morfológica y funcional depende del calcio. Si falta el Ca²+, se disocian las moléculas de cadherina E y se destruye la unión. Además, el complejo cadherina E-catenina funciona como una molécula maestra al regular no solo la adhesión

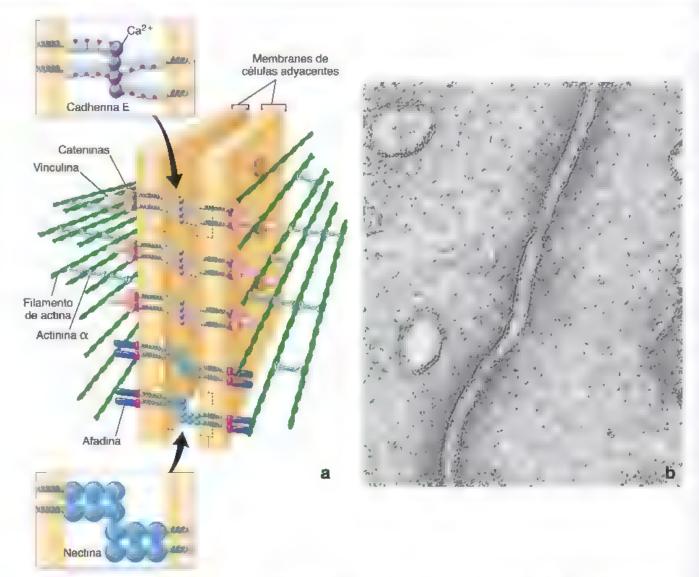


FIGURA 5-20. Zónula adherente a. Organización moiecular de la zónula adherente. Los filamentos de actina de las cétulas adyacentes están unidos al complejo de la cadherina E-catenina por actinina α y vinculina. El complejo cadherina E-catenina interactua con moléculas dénticas inmersas en la membrana piasmàtica de la célula adyacente lones de calcio regulan las interacciones entre las proteinas transmembrana Las nectinas que se muestran en la parte interior de la unión son miembros de una familia de proteinas transmembrana independiente de calcio. Sus interacciones no son tan fuertes como las de las cadherinas por lo tanto, son uniones adhe entes mucho más debiles encontradas en áreas especializadas expuestas a cambios dinámicos y remodelación rapida de fejidos. b. Microfotografia electrónica de la zónula adherente de la figura 5-14a con mayor aumento. Las membranas plasmàticas se observan separadas por un espacio intercellular relativamente uniforme. Este espacio se velolaro y muestra solo una escasa camilidad de sustancia electrodensa y difusal que representa las regiones extrace ulares de cadherina. El fado citopiasmático de la membrana plasmática presenta un material moderadamente electrodenso que contiene filamentos de actina. 100.000×

celular, sino también la polaridad, la diferenciación, la migración, la proliferación y la supervivencia de las células epiteliales.

Como se describió con anterioridad, en la mayoría de las células epiteliales, la zónula adherente está formada por complejos de cadherina E-catenina; sin embargo, en muchos casos, estas uniones intercelulares suelen contener CAM adicionales pertenecientes a la familia de la nectina (nectina 1, nectina 2, nectina 3 y nectina 4). Las nectinas son proteínas transmembrana y sus dominios extracelulares desarrollan asociaciones homofilicas y heterofilicas con proteínas de la membrana plasmática contigua. La extremo citoplasmático de la nectina se une a la afadina, una proteína de gran tamaño de unión a la actina (206 kDa) que une la nectina al citoesqueleto de actina (véase fig. 5-20a). En algunos sitios especializados de adhesión célula-célula, las cadherinas están ausentes y las necti-

nas funcionan como la molécula de adhesión celular primaria. Las zónulas ocluyentes cuya base es la nectina son fundamentalmente diferentes de las basadas en cadherina. Las moléculas de nectina no tienen la capacidad de proporcionar adherencias célula-célula fuertes. Estas uniones adherentes debiles a base de nectina se forman en áreas especializadas donde las uniones están expuestas a la regulación dinámica y la remodelación rápida del tejido. Este tipo de uniones incluyen las uniones de las células de Sertoli a las espermátides en los testículos, las uniones entre las células pigmentadas y no pigmentadas en el epitelio ciliar del ojo, y las uniones dentro de la papila dental y el tubo neural durante el desarrollo embrionano. Algunos estudios de investigación recientes indican que el complejo de nectina-afadina es una proteina diana esencial para el ingreso del virus del sarampión al epitelio respiratorio.

CORRELACIÓN CLÍNICA: COMPLEJOS DE UNIÓN COMO DIANA DE AGENTES PATÓGENOS

Los **epitelios** forman una barrera física que permite que el organismo mantenga la homeostasis interna y lo protegen, al mismo tiempo, de agentes patógenos dañinos provenientes del ambiente exterior. Para muchos virus, bacterias y parásitos, la manera más fácil de vulnerar con éxito la protección que brinda la capa epitelial es destruir los complejos de unión existentes entre las células epiteliales. Vanas proteínas encontradas en especia izaciones funcionales de la membrana celular experimentan el efecto dañino de las moléculas producidas o expresadas por estos agentes patógenos.

Bacterias

Una bacteria de aparición fracuente que causa intoxicación alimentaria, Clostridium perfringens, ataca la unión de la zónula ocluvente. Este microorganismo está diseminado en el ambiente exterior y se le encuentra en la microbiota humana y de muchos animales domésticos. Los síntomas de la intoxicación alimentaria se caracterizan por dolor abdominal y diarrea intensos que se producen dentro de las 8-22 h posteriores a la ingesta de alimentos contaminados. con esta bacteria. Los síntomas suelen atenuarse dentro de las 24 h. La enterotoxina producida por C. perlingens es una pequeña proteína de 35 kDa cuyo extremo carboxiterminal se une específicamente a las moléculas de claudina de la zónula ocluyente. Su extremo aminoterminal forma poros dentro de la región apical de la membrana plasmática. El enlace con las claudinas impide su incorporación en las hebras de la zónula. ocluyente y lleva a la disfunción y rotura de la unión. La deshidratación que tiene lugar en este tipo de intoxicación alimentaria es resultado del movimiento masivo de los líquidos hacia. la luz intestinal mediante la via paracelular

La bacteria Helicobacter pylori reside en el estómago y se fija en las regiones extracelulares de las proteínas de la zónula ocluyente. Durante este proceso, la proteína CagA de 128 kDa, expuesta a la superficie y producida por la bacteria, se traslada del microorganismo hacia el citoplasma, donde sus dianas son las proteínas ZO-1 y JAM. En consecuencia, la barrera de la zónula ocluyente se altera y su capacidad.

para la señalización mediada por tirosina-cinasas disminuye, lo que genera reorganizaciones del citoesqueleto. La bacteria *H. pylon* fesiona la barrera protectora de la mucosa del estórnago que puede denvar en el desarrollo de úlceras y carcinomas gástricos

Virus

El grupo específico de virus de ARN responsables de la enteritis (inflamación intestinal) infantil utiliza la vía de señalización intracelular de JAM. La adhesión y la endocitosis del reovirus se inician por interacción de su proteína vínca de adhesión con una molécula de JAM. Esta interacción activa la proteína de factor nuclear xB (NF-xB, nuclear factor-xB protein), que migra al nucleo y desencadena una cascada de fenómenos celulares que producen la apoptosis. Esto es un indicio de que las JAM se utilizan como moléculas de transducción de señales para transmitir impulsos desde el ambiente extenor hacia el núcleo de la célula.

Las proteínas asociadas con la zónula ocluyente que contienen la secuencia expresada PDZ son dianas del adenovirus y el papilomavirus oncogénicos. Las oncoproteínas producidas por estos virus se unen, mediante las regiones de unión a PDZ, a la ZO-2 y a la proteína 1 con PDZ multiples (MUPP-1). El efecto oncogénico de estas interacciones es atribuible, en parte, al secuestro y la degradación de la zónula ocluyente y de las proteínas supresoras tumorales asociadas con los virus

Percenting

Los ácaros del polvo doméstico, Dermatophagoides pteronyssinus, también destruyen las uniones de la zónula ocluyente. Pertenecen a la familia de los arácnidos, que incluye arañas, escorpiones y garrapatas. Cuando las partículas de heces se inhalan con las partículas de polvo, las peptidasas de serina y cistefna presentes en las partículas de heces cortan las proteínas ocludina y ZO-1, lo que lleva a la rotura de las uniones de la zónula ocluyente en el epiteílo respiratorio. La pérdida de la barrera de protección epiteílal en los pulmones los expone a los alérgenos inhalados e inicia una respuesta inmunitaria que puede derivar en ataques de asma graves

Este virus utiliza la via paracelular, y al unirse a la nectina se crea una abertura en la region lateral de la célula epitelial para una ràpida propagación en el epitelio de las vias respiratorias.

Las características de microscopía electrónica de la zónula adherente incluyen un espacio intercelular claro y placas horrosas a lo largo del lado citoplasmático de las membranas plasmáticas.

En la observación mediante el uso del MET, la zónula adherente se caracteriza por un espacio uniforme de 15-20 nm entre las membranas celulares contiguas (fig. 5-20b). El espacio intercelular es de baja densidad de electrones y parece casi transparente; sin embargo, está evidentemente ocupado por componentes extracelulares de moléculas de cadherina E adyacentes e iones Ca^{2*}. Dentro de los confines de la zónula adherente, a lo largo del lado citoplasmático de la membrana de cada célula, se encuentra un material moderadamente denso en electrones denominado piace filementosa. Este material corresponde a la ubicación del componente citoplasmático del complejo cadherina E-catenina y sus proteínas asociadas (actinina u, cateninas, vinculina y afadina) en las que se fijan los filamentos de

actina. También existen pruebas que señalan que la placa filamentosa es la sustancia que se tiñe en la microscopía óptica, es decit, la barra terminal. Asociado con el material con densidad electrónica, se encuentra un conjunto de filamentos de setins de 6 nm que se extiende a través del citoplasma apical de la célula epitelial, el llamado velo terminal.

La fascia adherente es una unión de tipo laminar que estabiliza los tejidos no epiteliales.

Las uniones físicas que se presentan entre las células en rejidos distintos de los epitelios no suelen ser prominentes, pero existe al menos una excepción notable. Las células del músculo cardíaco están dispuestas de extremo a extremo, formando unidades contráctiles similares a hilos. Las células están unidas entre sí por una combinación de desmosomas, o máculas adherentes, y placas de adhesión anchas que se parecen morfológicamente a las zónulas adherentes de las células epiteliales. Debido a que la unión no tiene forma de antilo, sino que tiene una cara ancha, se llama la fascia adherente (fig. 5-21) A nivel molecular, la estructura de la fascia adherente es

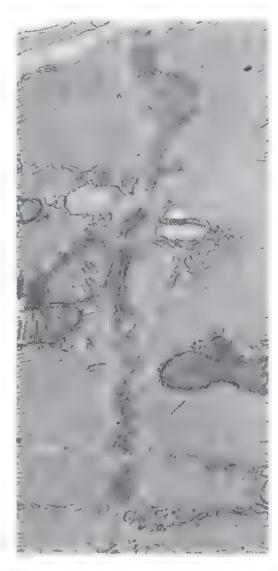


FIGURA 5-21. Fascis adherents. Microfotografia electrónica en la que se muestra la aposición extremo con extremo de dos células del musculo cardíaco. El espacio intercelular se ve como un área clara y ondulada. Del lado del citopiasma de la membrana plasmática de cada célula se observa un material denso, similar al que se percibe en la zónula adherente, que contiene filamentos de actina. Debido a que el sitto de adhesión, en este caso, comprende una porción del extremo de las dos células, se denomina fascia adherente. 38000×

similar a la de la zónula adherente; también contiene la proteína ZO-1 de la zónula ocluyente que se encuentra en las uniones estrechas de las células epiteliales.

La mácula adherente (desmosoma) favorece una unión puntual localizada entre las células epiteliales.

La mácula adherente [L. macula, mancha] constituye una unión adherente célula célula importante que brinda una adherencia particularmente fuerte, como se observa en estudios de micro-disección. La mácula adherente fue descrita originalmente en las células epidérmicas y se denominó desmosomo (gr desmós, unión + soma, cuerpo). Estas uniones están ubicadas en la región lateral de la célula, a la manera de múltiples puntos de soldadura (véase fig. 5-14a), y permiten el contacto célula-célula directo porque proporcionan sitios de adherencia para los filamentos intermedios. Cada vez existen más indicios que señalan que la mácula adherente, además de su función estructural, participa en la morfogenia y la diferenciación.

En el epitelio sumple formado por células cúbicas o cilíndricas, la mácula adherente se encuentra en conjunto con las uniones ocluyentes (zónula ocluyente) y adherentes (zónula adherente). Debido a que la mácula adherente ocupa sitios pequeños localizados en la superficie celular lateral, no es una estructura continua alrededor de la célula como la zónula adherente. Por lo tanto, un corte en sentido perpendicular a la superficie de una célula que pasa a través de toda la superficie lateral no suele incluir ninguna mácula adherente. No obstante, el corte siempre incluirá la zónula adherente.

En la región de la mácula adherente, las desmogleinas y las desmocolinas unen las membranas plasmáticas de las células contiguas.

La microscopía electrónica permite observar que la mácula adherente posee una estructura compleja. Del lado citoplasmánto de la membrana de cada célula contigua, se encuentra una estructura con forma de disco compuesta por un material muy denso denominada placa de adhesión del desmosoma. Esta estructura mide alrededor de 400 × 250 × 10 nm y a ella se unen filamentos intermedios (fig. 5-22a). Los filamentos parecen tener asas que se introducen a través de las placas de adhesión y vuelven a salir al citoplasma. Se piensa que en la disipación participan fuerzas físicas por toda la célula desde el sitio de adhesión. A escala molecular, cada placa de adhesión está compuesta por varias proteínas constitutivas, principalmente desmoplaquinas y placoglobinas, que son capaces de fijar filamentos intermedios (fig. 5-22b).

El especio interceiular de la mácula adherente es notablemente más ancho (hasta 30 nm) que el de la zónula adherente y está ocupado por una banda media densa, llamada lineo intermedia. Esta línea intermedia corresponde a porciones extracelulares de las glucoproteínas transmembrana, las desmoglesnas y las desmocolinas, que son miembros de la familia de las cadherinas, moléculas de adhesión celular dependientes de Ca24. En presencia de Ca24, las porciones extracelulares de desmogleinas y desmocolinas enlazan moléculas idénticas adyacentes pertenecientes a las células vecinas (unión homotípica) Los estudios de cristalografía de rayos X indican que el dominio de fijación extracelular de las proteínas de una célula interactúa con dos dominios cadherínicos adyacentes en una orientación antiparalela, con lo que se forma una cremellere de cartherine continua en la región del desmosoma (véase fig. 5-22b). Las regiones citoplasmáticas de las desmogleinas y las desmocolinas son componentes integrales de la placa de adhesión desmosómica. Interactúan con las placoglobinas y con las desmoplaquinas que intervienen en el armado del desmosoma y en la figación de los filamentos intermedios.

Las células de diferentes epitelios requieren diferentes tipos de adhesiones.

En los epuelios que funcionan como barreras fisiológicas, el complejo de unión es particularmente significativo porque lleva a la creación de una barrera de larga duración, lo que permite que las células formen compartimentos y restrinjan el paso libre de sustancias a través del epitelio. Si bien es la zónula ocluyente del complejo de unión la que afecta principalmente esta función, las propiedades adhesivas de las zónulas y las máculas adherentes son las que evitan la disrupción física de esa barrera. En otros epitelios se necesitan adhesiones que sean sustancialmente más fuertes entre las células en los distintos planos. En las células del epitelio estratificado de la epidermis, por ejemplo, numerosas máculas adherentes mantienen la adhesión entre las células adyacentes. En el músculo cardíaco, donde hay una necesidad similar de uniones celulares con potentes fuerzas adhesivas, la combinación de mácula adherente y fascia adherente cumple esta función.

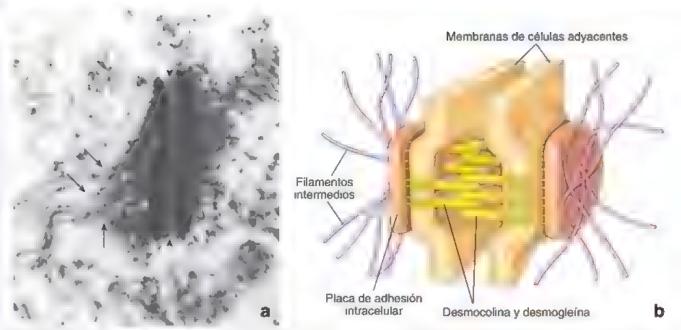


FIGURA 5-22. Estructura molecular de la mácula adherente (desmosoma), a. Microfotografia electrónica de una mácula adherente en la que se muestran los filamentos intermedios *flechas*) que se unen a la placa de adhes on intrace una densa ubicada en el adoic top asmático de la membrana plasmática. El espacio interce una ritambién está ocupado por un material electrodenso (puntas de flecha) que contiene desmoco nas y desmogle nas. El espacio interce ular por arriba y debajo de la mácula adherente no está bien definido debido a la extracción de la membrana plasmática para mostrar componentes de esta estructura 40000× (cortesia del Dr. Ernst Kallenbach). Diagrama en el que se muestra la estructura de la mácula adherente. Obsérvese la placa de adhesión intrace ular con filamentos intermedios adheridos. Las porciones extracelulares de las desmoco inas y desmogleinas de las células opuestas interactual entre si en la zona focalizada del desmosoma que forma la "cremallera" de cadherina.

Uniones comunicantes

Las uniones comunicantes, también llamadas uniones de hendidura o nexos, son las únicas estructuras celulares que permiten el paso directo de las moléculas de señalización de una célula a otra. Existen en una amplia variedad de tejidos, como el epitelio, el músculo liso y cardíaco y los nervios. Las uniones de hendidura son importantes en los tejidos en los que la actividad de las células contiguas debe estar opordinada, como en los epitelios implicados en el transporte de líquidos y electrólitos, en el músculo liso vascular y del intestino y en el músculo cardíaco. La unión de hendidura consiste en un cúmulo de conductos transmembrana o poros en un conjunto muy compacto; permite que las células intercambien iones, moléculas reguladoras y pequeños metabolitos a través de los poros. La cantidad de poros en una unión de hendidura puede variar ampliamente, como también puede variar la cantidad de uniones de hendidura entre células contiguas.

Se utiliza una variedad de métodos para estudiar la estructura y la función de las uniones de hendidura.

Se han implementado varios procedimientos para estudiar las uniones de hendidura, como la inyección de colorantes y compuestos fluorescentes o radiomarcados y la medición del flujo de corriente eléctrica entre las células. En los estudios con colorantes, se inyecta un colorante fluorescente en una célula mediante el empleo de una micropipeta. Poco después se puede ver el colorante en las células inmediaramente adyacentes. Los estudios de conductancia eléctrica permiten comprobar que las células contiguas que poseen uniones de hendidura exhiben una baja resistencia eléctrica entre ellas y que el flujo eléctrico es alto; por lo tanto, las uniones de hendidura se denominan también uniones de baja resistencia.

Las técnicas actuales de biología molecular permiten aislar clonas de ADN complementario (ADNc) que codifican una familia de proteínas de uniones de hendidura (conexinas) y las expresan en células de cultivo. Las conexinas expresadas en células transfectadas producen uniones de hendidura, que pueden aislarse y estudiarse por métodos

moleculares y bioquímicos, y también por técnicas mejoradas de generación de imágenes como la cristalografía electrónica y la microscopía de fuerza atómica.

Las uniones de hendídura están formadas por 12 subunidades de proteínas de la familia de las conexinas.

Cuando se examina con el MET, la unión de hendidura aparece como un área de contacto entre las membranas plasmáticas de células contiguas (fig. 5-23a). Para examinar la estructura de las uniones de hendidura, se han utilizado técnicas de generación de imágenes de alta resolución, como la microscopía crioelectrónica. Estos estudios permiten observar grupos de conductos muy juntos, cada uno formado por dos hemiconductos denominados conexones, que están incluidos en las membranas contiguas. Estos conductos están formados por pares de conexones que hacen de puente en el espacio extracelular entre las células adyacentes. El conexón en una membrana celular está alineado con precisión para acoplarse con el conexón coincidente de la membrana de la célula contigua, y así, tal como el nombre lo indica, permiter la comunicación entre las células

Cada conexón contiene seis subunidades simétricas de una proteína integral de la membrana denominada conexína (Cx), emparejada con una estructura similar de la membrana adyacente. Por lo tanto, el canal entero está constituido por 12 subunidades que están ubicadas en círculo y rodean un canal transmembrana cilíndrico de 10 nm de longitud con un diámetro de 2.8 nm (fig. 5-23b).

Se han identificado aproximadamente 21 miembros de la familia de las conexinas. Todos ellos atraviesan la doble capa de lípidos cuatro veces (tienen cuatro regiones transmembrana). La mayoría de los conexones se aparean con conexones idénticos (interacción homotípica) en la membrana plasmática adyacente. Estos conductos permiten que las moléculas pasen en ambas direcciones de manera uniforme; sin embargo, los conductos heterotípicos pueden tener una función asimétrica y permitir el paso de ciertas moléculas más rápido en una dirección que en la otra.

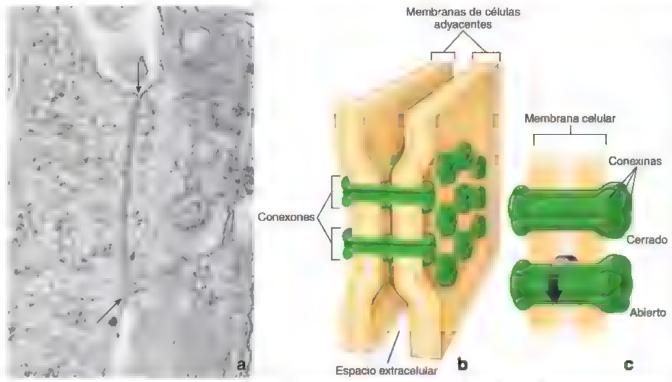
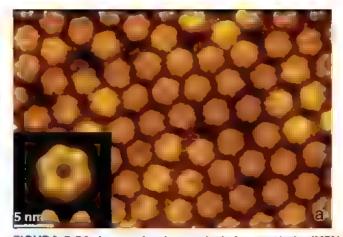


FIGURA 5-23. Estructura de una unión de hendidura. a. Microfotografía electrónica en la que se muestran las membranas plasmàticas de dos cérulas adyacentes que forman una unión de hendidura ulas unidades de membranas (fiechas) se acercan entre si por lo que reducen el espacio intercel·ular a unidiámetro de 2 nm. 76 000 · b. Illustración de una unión de hendidura en la que se observan las membranas de las cel·ulas adyacentes y los componentes estructura es de la membrana que forma conductos entre ambas cel·ulas. Cada canal está formado por una disposición circular de sels subunidades proteinas transmembrana con forma de clava que abarcan la membrana plasmàtica de cada cél·ula. Estos comple os denominados conexones, tienen una apertura central de aproximadamiente 2 nm de diámetro. Los conductos formados por la concidencia de los pares de conexones compiermentarios adyacentes permiten el fujo de pequenas moieculas a través del canal, pero no hacia el espacio interce ular pueden impregnar el área de la unión de hendidura fluyendo alrededor de los completos de conexones, pero no pueden entrar en los conductos. c. El diámetro del canal en un determinado conexón está regulado por cambios reversibles en la conformación de las conexinas individuales.

La microscopía de fuerza atómica ha permitido comprobar que los cambios en la conformación de las conexinas llevan a la apertura o cierre de los conductos de la unión de hendidura.

Estudios de microscopía electrónica anteriores realizados sobre uniones de hendidura aisladas indicaban que los conductos de las uniones de hendidura se abrían y se certaban por la torsion

de las subunidades de conexina (fig. 5-23c). Sin embargo, algunos estudios de microscopia de fuerza atomica recientes (fig. 5-24) proporcionan una vision dinámica de los cambios de conformación que tienen lugar en los conexones. Los conductos en las uniones de hendidura pueden cambiar rapidamente de abiertos a cerrados y viceversa mediante cambios reversibles en la conformación de las co-



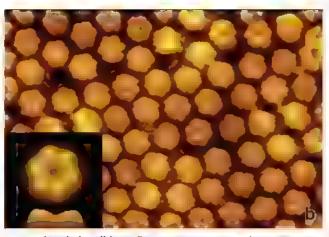


FIGURA 5-24. Imagen de microscopio de fuerza atómica (MFA) de una unión de hendidura. En estas imagenes se observa la superficie extracelular de una muestra de membrana plasmática de una inea de células HeLa. En el genoma de las células HeLa se incorporaron varias copias de genique codifica la conexina 26 para lograr una expresión excesiva de este gen. Estas proteinas se autoensamblan formando uniones de hendidura funcionales esto se observó con el MFA en dos soluciones reguladoras (buffen diferentes la Unión de hendidura concexones individuales en una solución reguladora sin calcio 500,000 - En el recuadro se muestra un solicionoción con mayor aumento. Observense las siluetas ciaras de las moléculas individuales de conexina armadas en el conexon También se ve el perfil del cambio de la conformación de las moléculas de conexina en una solución reguladora con Ca²⁺ 500,000 - Recuadro nótese que el cambio de la conformación de las moléculas de conexina ha causado el cierre dei canal y ha reducido la altura dei conexón 2,000,000 × (cortesia de la Dra Gina El Sosinsky)

Uniones adherentes

Unión de hendidura

Clasificación Zónula ocluyenta (unión hermética o estrecha) Unión ocluyente (célula-célula) Zónula adherente Uniones adherentes (célula-célula) Mácula adherente (desmosoma) Adhesión focal celula-matriz extracelular



Principales proteinas de enlace

celulares Octudinas, claus Octudinas, claus dinas, JAM dinas, JAM, tricelulina en tricelul na tuniones la célula advatricelulares) cente

Ligandos

extra-

Componentes del citoesqueleto

Filamentos de act na

Filamentos

Filamentos

de actina

Proteinas de adhesión intracelular asociadas

ZO-1, ZO-2, ZO-3, angulinas. AF-6, cinquima simplectina, ASIP/ Povr 3, Rab 36, 13, 8, Sec 4, 6, 8

Funciones

Sella el espacio entre las céluias advacentes, controla el paso de moléculas entre ellas ipermeabilidad), define la región apical de la membrana plasmática, participa en la seña ización celular

Actinina q. vinculina, caterinas, afadina

Acopla el citoesqueleto de actina a la membrana plasmática en regiones de adhesión cé ula-célula

Desmoplague nas, placoglobinas

Acopla los Mamentos intermedios a la membrana plasmática en regiones de adhesión cé ula-célula



Complejo

catenina

Cadherinas

ip ej, des-

mogleinas.

cadherina E-

Desmogreinas, desmocolinas en la célula adyacente desmocolinas)

Complejo

cente

cadherina E-

célula adya-

catenina en la

intermedios

Vinculina, talina, actinina

Fija el citoesqueleto de actina a la matriz extraceluar, detecta v transduce señales del extenor de la célula



integrinas

Proteinas de la matriz extracelular (p. ej., fibronectina)

Filamentos de actina

a, paxilina

Fija los filamentos intermedios a la matriz extracelular



integrinas (integrina $\alpha_6 \beta_4$). colágeno VII Proteina de la matriz extracelular (p. ej., laminina 332, colágeno IV)

intermedios (posibles microtubulos y filamentos de actina mediante la interacción de plectina)

Filamentos

Desconocidas

Proteinas

erbina

sim lares a

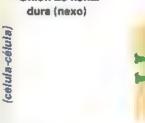
la desmo-

plaquina, BP

230, plectina,

Crea un conducto entre dos células adyacentes para el paso de pequeños iones y micromoiéculas de información

Unión de handidura (nexo)





Conexina

Conexina en la célula adyacente

Ninguno

nexinas individuales. El cambio de conformación de las moléculas de conexina, que causa el cierre de los conductos de la unión de hendidura en la superficie extracelular, parece ser inducido por iones Ca²⁺. Sin embargo, también se han identificado otros mecanismos de compuerta que no dependen del calcio y que son responsables del cierre y apertura de las regiones citoplasmáricas de los conductos de las uniones de hendidura.

Las mutaciones en los genes de las conexinas son factores patógenos importantes en varias enfermedades. Por
ejemplo, una mutación en el gen que codifica la conexina 26
(Cx26) se asocia con la hipoacusia congénita. Las uniones
de hendidura formadas por Cx26 se encuentran en el oido
interno y son responsables de recircular el K* en el epitelio
sensorial de la coclea. Se han identificado otras mutaciones
que afectan los genes Cx46 y Cx50 en pacientes con cataratas
hereditarias. Ambas proteínas se localizan dentro del cristalino del ojo y forman uniones de hendidura extensas entre
las células epiteliales y las fibras del cristalino. Estas uniones
tienen un papel fundamental en la entrega de sustancias nutritivas al medio avascular del cristalino y la eliminación de
metabolitos desde este

La tabla 5-5 presenta un resumen de las características de todas las uniones que se describen en este capítulo.

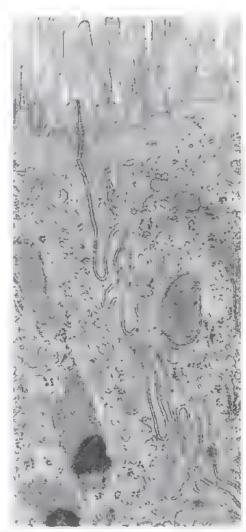


FIGURA 5-25. Interdigitaciones laterales. En esta microfotografía electrónica se muestran invaginaciones o interdigitaciones en la superficie lateral de dos células intestinales absortivas adyacentes 25000×

Especializaciones morfológicas de la región lateral de las células

Los pliegues de la región lateral de la célula (plicas) crean evaginaciones citoplasmaticas interdigitadas de las células contiguas.

Las regiones laterales de ciertas células epiteliales muestran un límite tortuoso como resultado de repliegues o plicas a lo largo del borde de cada célula con la célula contigua (fig. 5-25). Estos repliegues aumentan la superficie lateral de la célula y son particularmente prominentes en los epitelios que parneipan en el transporte de líquidos y electrólitos, como el epitelio intestinal y de la vesícula biliar. En el transporte activo de líquidos, la ATPasa de Na⁺/K⁺, que se encuentra en la membrana plasmática lateral, bombea los iones de sodio fuera del citoplasma a través de esta membrana lateral. Después, los aniones se difunden a través de la membrana hacia el interior para mantener la neutralidad eléctrica; el agua se difunde desde el citoplasma hacia el espacio intercelular llevada por el gradiente osmótico producido por la diferencia en la concentración de sales. El especio intercelular se dilata por la acumulación de líquidos que se mueven a través del epitelio, pero se puede dilatar solo hasta cierto limite debido a las uniones existentes en las regiones apical y basal de la célula. La presión hidrostática aumenta de manera gradual en el espacio intercelular e impulsa un líquido esencialmente isotónico desde este espacio hacia el tejido conjuntivo subyacente. La unión ocluyente en el extremo apical del espacio intercelular impide que los líquidos se muevan en la dirección opuesta. A medida que la acción de la bomba de sodio vacía el citoplasma de sal y agua, este se reabastece por difusión a través de la membrana plasmática apical. El área de superficie de la membrana plasmánica apical se ve enormemente incrementada por la presencia de microvellosidades, lo que permite el movimiento continuo de líquidos desde la luz (p. ej. intestino o vesícula biliar) hasta el tejido conjuntivo, siempre que la ATPasa de Na*/K* se encuentre activa.

■ REGIÓN BASALY SUS ESPECIALIZACIONES EN LA ADHESIÓN CÉLULA-MATRIZ EXTRACELULAR

La región basal de células epiteliales tiene las siguientes características:

- La membrana basal es una estructura especializada ubicada cerca de la región basal de las células epiteliales y el estroma del tejido conjuntivo subvacente.
- Las uniones célula-matriz extracelular fijan la célula a la matriz extracelular, se trata de adhesiones focales y hemidesmosomas.
- Los repliegues de la membrana celular de la región basal aumentan la superficie celular y facilitan las interacciones morfologicas entre las células adyacentes y las proteínas de la matriz extracelular.

Estructura y función de la membrana basal

El término membrana basal se asignó originalmente a una capa amorfa, densa, de grosor variable localizada en las superficies basales del epitelio. Si bien con tinción de hematoxilina-eosina (H&E) se puede observar una estructura prominente denominada membrana basal en unas pocas ubicaciones, como la tráquea (fig. 5-26) y, a veces, en la vejiga urinaria y los uréteres, esta requiere tinciones especiales para verse con el MO. Esto se debe, en parte, a su delgadez y al efecto de la eosina, que la torna indistinguible del tejido conjuntivo inmediatamente adyacente. En la tráquea, la estructura que suele describirse como membrana basal incluye no solo la verdadera membrana basal, sino también un estrato adicional de fibras colágenas poco espaciadas y bien alineadas que pertenecen al tejido conjuntivo.

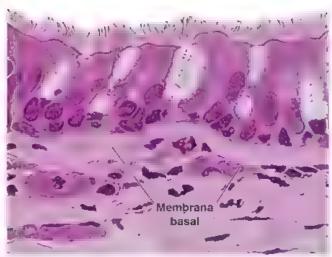


FIGURA 5-26. Membrana basal. Micrototografia de un corte de epitelio cilindrico seudoestratificado ciliado de la tráquea teñido con H&E. La membrana basal aparece como una capa homogénea y gruesa immediatamente debajo del epitelio. Es en realidad una parte del tejido conjuntivo y está compuesta en gran medida por fibrillas colágenas muy compactas. 450×

En contraste con la tinción de H&E (fig. 5-27a), la técnica de ácido peryódico de Schiff (PAS, periodic acid-Schiff) (fig. 5-27b) produce una reacción positiva a la altura de la membrana basal. Así, esta aparece como una delgada capa de color rojo púrpura bien definida entre el epitelio y el tejido conjuntivo. El colorante reacciona con las porciones de sacáridos de los proteoglucanos y se acumula en cantidad y densidad suficientes como para tornar visible la membrana basal en la MO. Las técnicas que comprenden la reducción de sales de plata por los sacáridos oscurecen la membrana basal y también se utilizan para mostrar esta estructura. Si bien la membrana basal suele asociarse exclusivamente con los epitelios, se puede comprobar que existen sitios similares PAS positivos y argentóficos alrededor de las células de sostén del sistema nervioso periférico, los adipocitos y las células musculares (fig. 5-28); esto contribuye a delinearlas mejor para que no se confundan con el tejido conjuntivo circundante en los cortes histológicos. Las células del tejido conjuntivo que no son adipocitos no exhiben positividad ante la técnica de PAS ni son argentófilas. Asimismo, el hecho de que la mayoría de las células conjuntivas no estén rodeadas de material de membrana basal concuerda con su falta de adhesión a las fibras del tejido conjuntivo. En efecto, para funcionar, tienen que migrar dentro del tejido en respuesta a los estímulos adecuados.

La lámina basal es el sitio de adhesión estructural para las células epiteliales suprayacentes y el tejido conjuntivo subyacente.

Las descripciones anteriores de la lámina basal correspondían a la investigación de muestras preparadas mediante técnicas de rutina para la microscopía electrónica. El examen del sitio de las membranas basales epiteliales con el ME permite comprobar la existencia de una capa bien definida de material de matriz electrodenso, de 40-60 nm de espesor, entre el epitelio y el tejido conjuntivo sub-yacente (fig. 5-29) llamada lámina basal o, a veces, lámina densa. Vista con alta resolución, esta capa exhibe una red de filamentos finos de 3-4 nm, compuestos por tamininas, una motécula de colágeno tipo IV y diversos proteoglucanos y glucoproteínas asociados. Entre la lámina basal y la célula hay un espacio relativamente claro o electrolúcido denominado támina kúcida (también de alrededor de



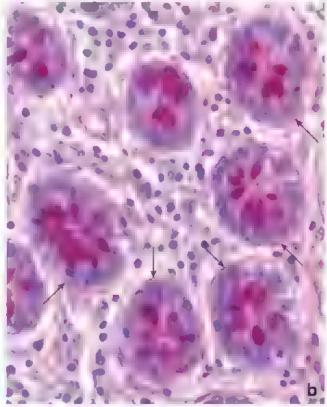


FIGURA 5-27. Microfotografía en la que se observan cortes seriados de las glándulas intestinales del colon. Las glándulas en esta muestra han sido seccionadas en sentido transversa y aparecen como estructuras reciondeadas. Este corte se tino con H&F. Obsérvese que no se han tenido la membrana basal ni la mucina de las células caliciformes. 550 × b. Este corte se tino con la técnica de PAS. La membrana basal se ve como una deligada, nea color rojo purpura (flechas) entre la base de las células epiteliales de las giándulas y el tejido conjuntivo contiguo. La mucina de las células caliciformes también es PAS positiva. 550×

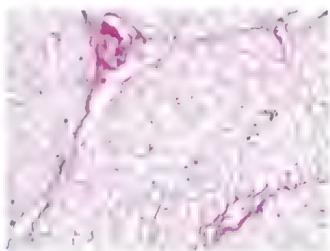


FIGURA 5-28. Lámina externa del musculo liso. En esta microfotografía se observa una muestra teñida mediante el método de PAS
y sometida a una coloración de contraste con hematoxil na (nucleos
pálidos). Las células musculares se observan en un corte transversal
y tienen perfites poligonales debido a la presencia de material de la
membrana basal PAS positivo afrededor de cada célula. El citoplasma
no está teñido. Al atravesar el plano del corte por cada una de las
células del musculo I so, puede o no pasar por la porción de la célula
que incluye el nucleo. Por lo tanto, los nucleos pueden verse solo en
algunos perfiles poligonales. 850×

40 nm de espesor). Este espacio definido por la lámina lúcida contiene porciones extracelulares de las CAM, en su mayoría receptores de fibronectina y de laminina. Estos receptores son miembros de la familia de las proteínas transmembrana denominadas integrmas

Con el desarrollo de nuevas técnicas de preparación para la ME, la lámina lúcida parace ser un artificio de fijación; en el estado vivo, la lámina basal está compuesta por una capa simple de lámina densa.

Si la muestra de tejido para la ME se fija utilizando métodos de congelación a baja temperatura y alta presión (HPF, high presiure

freezung), sin fijadores químicos, retiene mucho más tejido que los ejemplares fijados de rutina con glutaraldehído. El examen con el ME de estas muestras permite comprobar que la lámina basal está compuesta solo por la lámina densa. No se observa lámina lúcida. Esta última puede, entonces, ser un artificio de fijación química que aparece a medida que las células epiteliales se retraen y se alejan de una concentración elevada de macromoléculas depositadas cerca de la región basal de las células epiteliales. Es probable que la causa sea la rápida deshidratación que ocurre durante la preparación del tejido para la microscopía electrónica. Otras estructuras visibles con el microscopio electrónico tradicional tampoco aparecen cuando los tejidos son preparados con el método HPF (fig. 5-30),

La lámina basal en células no epiteliales recibe el nombre de lámina externa.

Las células musculares, los adipocitos y las células de sostén de los nervios periféricos poseen un material extracelular electrodenso que se parece a la lámina basal del epitelio. Este material también es PAS positivo, como se describió antes (véase fig. 5-28). Si bien en la MO el término membrana basal no suele aplicarse al material extracelular teñible de estas células no epiteliales, en la ME es habitual el uso de los rérminos támina basal o támina externa.

La lámina basal contiene moléculas que se unen para formar una estructura laminas.

Los análisis de láminas basales derivadas de los epitelios en muchos sitios (glomérulo renal, pulmón, córnea, cristalino del ojo) indican que están compuestos por 50 proteínas que pueden clasificarse en cuatro grupos: colágenos, lamininas, glucoproteínas y proteoglucanos. Las células epiteliales y otros tipos celulares que poseen una lámina externa sintetizan y secretan estas proteínas.

Colagenos. Hay al menos tres tipos de colágenos presentes en la lámina basal, que constituyen solo una parte de los 28 tipos que hay aproximadamente en el cuerpo humano. El principal componente, que comprende el 50% de rodas las proteínas de la lámina basal, es el colágeno tipo IV. En la siguiente sección se describen las características y funciones del colágeno tipo IV

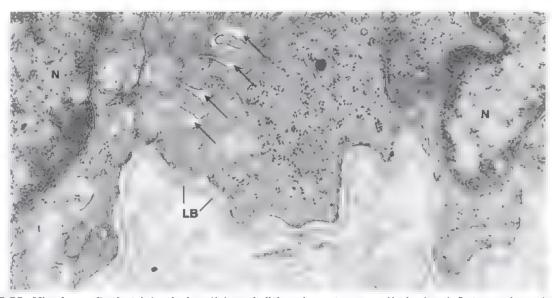


FIGURA 5-29. Microfotografía electrónica de dos células epítellales adyacentes con su lámina basal. En la microfotografía se muestra solo a porción basal de las dos celulas y parte de sus nucleos (N. El espacio interce ular está parcialmente oscurecido por las interdigitaciones laterales entre ambas de las (flechas). La lámina basal (LB) aparece como una capa delgada que sigue el contorno de la región basal de la célula superior. Por debajo de la lámina basal hay numerosas fibrilias de colágeno (reticulares) que se han seccionado en corte transversa. 30 000 x

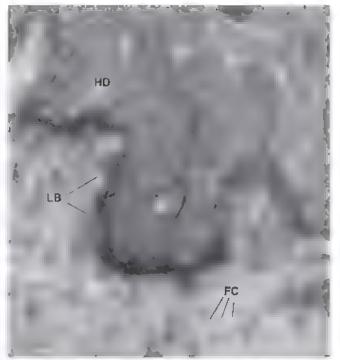


FIGURA 5-30. Microfotografía electrónica de células epitellales preservadas por congelación a baja temperatura y alta presión. En esta microfotografía electrónica se observa la región basal de una célula epitella obtenida de piel humana. La muestra fue preparada mediante congelación a baja temperatura y alta presión, método que conserva más componentes tisulares que la figación química. Notese que no se observa una lámina densa o lámina lucida separada en la preparación. La lámina lucida es un artificio que probablemente aparece a medida que la célula epitelas se aleja de una alta concentración de macromoléculas justo por debajo de la célula epitelial. Esta región de alta concentración de macromoléculas precipita en el artificio que se conoce como lámina densa. FC, fibrillas colágenas, HD, hemidesmosorna, LB, lámina basal. 55000× (cortesía de Douglas R. Keene)

como formador de la estructura de la lámina basal. La presencia de diferentes isoformas de colágeno tipo IV proporciona especificidad a la lámina basal asociada con diferentes tejidos. También se encuentran en la lámina basal dos tipos de colágenos no fibrilares, los denominados colágeno tipo XV y XVIII. El colágeno tipo XV desempeña un papel importante en la

- estabilización de la estructura de la lámina externa en las células de músculo esquelético y cardiaco, mientras que el tipo XVIII está presente principalmente en la lámina basal vascular y epitelial, y se piensa que participa en la angiogénesis. Además, el colágeno tipo VII forma fibrillas de anclaje que unen la lámina basal con la lámina reticular subyacente (que se describe más adelante).
- Lamininas. Estas glucoproteínas en forma de cruz (140-400 kDa) están compuestas por tres cadenas polipeptídicas. Son indispensables para iniciar el armado de la lámina basal. Las lamininas poseen sitios de unión para diferentes receptores de integrina en la región basal de las células epiteliales suprayacentes, Participan en numerosas interacciones célula-matriz extracelular También cumplen funciones vinculadas con el desarrollo, diferenciación y remodelado del epitelio. Hay aproximadamente 15 variaciones distintas de moléculas de laminina.
- Entactina/nidógeno. Esta pequeña glucoproteína (150 kDa) sulfatada y con forma de varilla sirve como vínculo entre la isminina y la red de colágeno tipo IV en casi todas las láminas basales. Cada molécula de entactina está organizada en distintas regiones que enlazan el calcio, respaldan la adhesión celular, promueven el quimiotactismo y la fagocitosis de los neutrófilos e interactúan con la laminina, el perlecano, la fibronectina y el colágeno tipo IV.
- Proteoglucanos. Es probable que la mayor parte del volumen de la lámina basal sea atribuible a su contenido de proteoglucanos. Los proteoglucanos consisten en un centro de proteina al que se unen cadenas laterales de heparán-sulfato (p. ej., perlecano, agrina), condroitin-sulfato (p. ej., bamacano) o demartánsultato Debido a su carácter altamente aniónico, estas moléculas están muy hidratadas. Poseen una gran carga negativa, lo que sugiere que los proteoglucanos desempeñan un importante papel en la regulación del paso de iones a través de la lámina basal. El proteoglucano de heparán-sulfato más frecuentemente encontrado en todas las láminas basales es el perfeceno (400 kD), una molécula grande de múltiples dominios. Este proteoglucano provee enlaces cruzados adicionales a la lámina basal mediante su unión a la laminina, el colágeno tipo IV y la entactina/nidogeno. La agrina (500 kDa) es otra molécula importante que se encuentra casì exclusivamente en la membrana basal glomerular del riñón. Cumple con una función destacada en la filtración renal y en las interacciones célula matriz extracelular,

e; Unit Hold ...

CONSIDERACIONES FUNCIONALES TERMINOLOGÍA DE LA MEMBRANA Y LÁMINA BASALES

Los términos membrana basal y lámina basal se utilizan de forma poco sistemática en la bibliografía. Algunos autores usan membrana basal cuando se refieren a imágenes de microscopía tanto óptica como electrónica. Otros prescinden del término membrana basal en absoluto y usan lámina basal en microscopía tanto óptica como electrónica. Debido a que el término membrana basal se originó con el microscopio óptico (MO), se emplea en este libro solo en el contexto de las descripciones de MO y solo en relación con los epitelios.

El término lámina basal de la microscopia electrónica (ME) está reservado para el contenido ultraestructural que denota la capa presente en la interfaz del tejido conjuntivo con las células epiteliales. En este contexto, el término membrana basal de la MO describe en realidad la lámina basal y la lámina reticular subyacente combinadas. El término lámina externa se utiliza para identificar la lámina basal cuando forma una cubierta penférica celular, como en las células musculares y las células de sostén de los nervios penféricos.

La estructura molecular del colágeno tipo IV determina su papel en la formación de la supraestructura reticular de la lámina basal.

La molécula de colágeno tipo IV es similar a la de otros colágenos porque contiene tres cadenas de polipéptidos. Cada cadena tiene un dominio aminoterminal corto (dominio 7S), un dominio helicoidal colágenoso intermedio largo (que interactúa con las dos cadenas restantes en la molécula completamente armada) y un dominio carboxiterminal globular no colagenoso (dominio NC1). Las seis cadenas conocidas de las moléculas del colágeno tipo IV (α1-6) forman tres conjuntos de moléculas helicoidales triples denominadas protomeros de colágeno. Se denominan protómeros [α1(IV)]₂ α2(IV); α3(IV) α4(IV) α5(IV); y [α5(IV)]₂ α6(IV) (véase tabla 6-2).

El armado de los protómeros comienza cuando los tres dominios NC1 se unen para formar un trimero NC1 (fig. 5-31). El siguiente paso en el armado de la estructura de la lámina basal es la formación de moléculas dimericas de colageno tipo IV. Esto se logra cuando dos trímeros NC1 interactúan para generar un hexámero NC1. A continuación, se unen cuatro dímeros en la región del dominio 7S para formar un tetrámero. El dominio 7S del tetrámero (denominado caja 7S) determina su geometría. Finalmente, se forma la estructura de colágeno tipo IV cuando otros tetrámeros de colágeno interactúan entre sí extremo con extremo. Esta estructura forma la supraestructura de la lámina basal. El armado de esta supraestructura está determinado genéticamente. Las que contienen protómeros [a1(IV)]2 a2(IV) se encuentran en todas las láminas basales. Aquellas que contienen protómeros α3(IV) α4(IV) α5(IV) aparecen sobre todo en los riñones y los pulmones, mientras que las provistas de protómeros [05(IV)], 06(IV) están restringidas a la piel, el esófago y la cápsula de Bowman en los riñones.

El autoensamblado de la lámina basal comienza con la polimerización de lamininas en la región celular basal y la interacción con la supraestructura de colágeno tipo IV.

Los componentes de la lámina basal se unen en un proceso de autoensamblaje para formar una estructura laminar. Tanto el colégeno tipo IV como las lamininas dan comienzo a este proceso. La secuencia primaria de estas moléculas contiene información para su autoarmado (otras moléculas de la lámina basal son incapaces de formar estructuras laminares por sí solas). Los estudios que utilizan lineas celulares han demostrado que el primer paso en el autoensamblado de la lámina basal es la polimerización dependiente de calcio de las moléculas de laminina en la superficie celular basal (fig. 5-32). Las moléculas de adhesión celular (integrinas) contribuyen con este proceso. Al mismo tiempo, la supraestructura de colágeno tipo IV se asocia con los polímeros de laminina. Estas dos estructuras se unen principalmente por puentes de entactina-nidógeno y son aseguradas de forma adicional por otras proteínas (perlecano, agrina, fibronectina, etc.). La estructura de colágeno tipo IV y lamininas provee el sitio para que otras moléculas de la lámina basal interactúen y formen la lámina basal completamente funcional.

Bajo la lámina basal existe una capa de fibras reticulares.

Aún no hay acuerdo sobre el grado en el que la lámina basal vista con el ME se corresponde con la estructura descrita como membrana basal en la MO. Algunos investigadores sostienen que la mombrana basal incluye no solo la támina basal, sino también una capa secundaria de pequeñas unidades fibrilares de colágeno tipo M (fibras reticulares) que forman la lámina reticular. La lámina reticular como tal pertenece al tejido conjuntivo y no es un producto del epitelio. Solía considerarse que la lámina reticular cra el componente que reaccionaba con plata, mientras que los

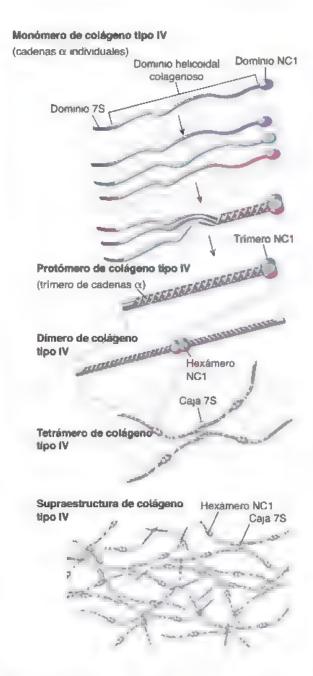


FIGURA 5-31. Formación de la supraestructura de colágeno tipo IV. Cada molécula de colágeno tipo IV tiene tres dominios, un extremo arminoterminal (dominio 75), un dominio helicoidal de colágeno intermedio y un extremo carboxiterminal (dominio NC1). El dominio NC1 inicia el ensamblado del protómero de colágeno tipo IV, que consta de tres moléculas. La formación del protómero actúa como una cremallera desde NC1 hacia 75, io que produce un protómero totalmente ensamblado. El siguiente paso es la dimerización de los protómeros de colágeno tipo IV. Dos de estos protómeros se conectan mediante sus dominios NC1 y sus dos trímeros NC1 se unen para formar un hexámero NC1 A continuación, se unen los cuatro dimeros por sus dominios 75 para formar tetrámeros conectados por la caja 75. Esto literámeros interactuan para formar la supraestructura de colágeno tipo IV mediante sus interacciones con los dominios 75 de otros tetrámeros y también por asociaciones laterales entre los protómeros.

polisacáridos de la lámina basal y la sustancia fundamental asociada con las fibras reticulares eran los componentes teñidos con la técnica de reacción de PAS. Sin embargo, se pueden elaborar argumentos convincentes que respaldan la reacción positiva de la

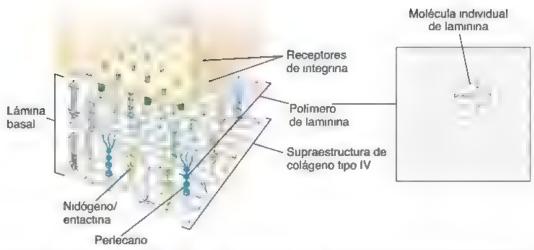


FIGURA 5-32. Componentes moleculares de la lámina basal. Para producir una lámina basal cada célula epitelia primero debe sintetizar y secretar sus componentes moleculares. El ensambiado de la iam na basal ocurre fuera de la célula en su dominio basal. La polimerización de las moleculas de iam nina dependiente de calicio que ocurre en la superficie basal de la célula inicia la formación de la iamina basal. A continuación los polímeros de laminina son fijados a la superficie celular por receptores de integrina. A mismo tiempo, la supraestructura de colágeno lipo IV se ensambla (vease fig. 5-31) en estrecha proximidad con los polímeros de laminina. Estas dos estructuras estan conectadas por puentes de entactina o nidógeno y son aseguradas además por otras proteinas (p. ej., perlecano). La estructura primaria de colágeno tipo i y conectada a los polímeros de iam pina proporciona el signo para interactuar con otras moléculas y constituir una lamina basal totalmente funcional.

lamina basal tanto al PAS como a la plata en varios sitios. En los glomérulos renales normales, por ejemplo, no hay fibras colágenas (reticulares) asociadas con la lamina basal de las celulas epiteliales (fig. 5-33), aunque se obtengan resultados positivos con las dos récnicas mencionadas. También en el bazo, donde la lámina

basal de los sinusoides venosos forma un patron unico de bandas anulares, en lugar de una capa similar a una vaina alrededor del vaso, las imagenes que se observan con las técnicas histologicas de PAS y de impregnacion argéntica, así como en el ME (fig. 5-34b) concuerdan con exactitud.

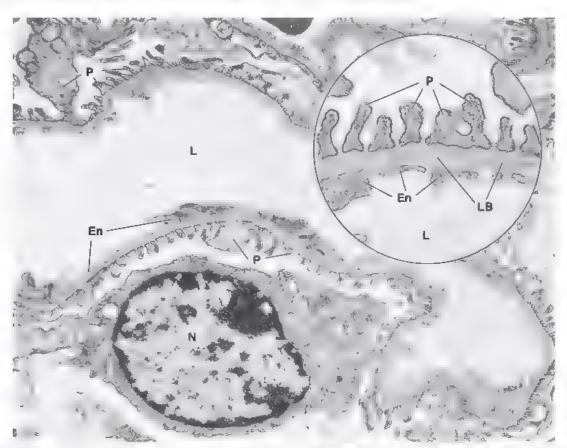


FIGURA 5-33. Lámina basal en el glomérulo renal. En esta microfotografia electrónica de un capitar glomerular renal se muestra la lámina basal (LB) interpuesta entre la célula endote la (En) del capitar y las evaginaciones citoplasmáticas (P podocitos) de las celulas epitelia es la célula epitelial se localiza en la superficie externa (abluminal). 12 000 × Detalle. Relación a mayor aumento. Debe considerarse que las células endote la esistán separadas por la lámina basal compartida y que no hay fibras de colágeno presentes. Li fuz de capitar, N, nucleo de la célula epitelial. 40 000 ×

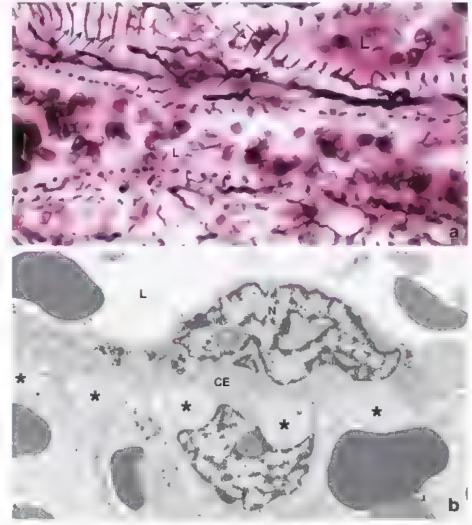


FIGURA 5-34. Material de la membrana basal en los vasos esplénicos, a Microfotografia de una impregnación con plata en la que se muestran dos sinuscides venosos esplénicos seccionados longitud nalmente. Estas estructuras vasculares están rodeadas por una membrana basal modificada que tiene la forma de una estructura anular similar a los aros metálicos de un barrill en lugar de una capa o famina continua. Los anillos están impregnados de plata y aparecen como bandas donde las paredes de los vasos han sido seccionados tangencialmente. *Fiechas* A la derecha el corte penetro de manera mas profunda en el vaso y muestra la luz (L, Aquillos bordes de los anillos seven a ambos lados de vaso. En el vaso inferior el anilio ha sido seccionado en un plano casi perpendicular y los anillos parecen como una serie de puntos. 400 x. b. Microfotografia el ectrónica de la pared de un sinuscide venoso en la que se observa una célula endotelia (CE) en un corte iongitud na. El nucleo (M) de la celula sobresale hacia la luz (L). El materia de la lámina basal (asteriscos) tiene la misma apariencia homogenea ta como se observa en la microscopia electrónica en otros siños, pero se distribuye en estructuras anulares en vez de la capa o lámina plana. Asimismo su ubicación y plano de corte corresponden a material reactivo a la plata y de aspecto punteado dei panel superior. 25,000 x.

Varias estructuras son responsables de la adhesión de la lámina basal al tejido conjuntivo subyacente.

En el lado opuesto de la lámina basal, el lado del tejido conjuntivo, varios mecanismos brindan adhesión entre la lámina basal y el tejido conjuntivo subyacente:

- Las fibrillas de anclaje (colageno tipo VII), en general, están asociadas estrechamente con los hemidesmosomas. Se extrenden desde la lámina basal hasta las estructuras denominadas placas de adhesión en la matriz del rejido conjuntivo o descríben asas para retornar a la lámina basal (fig. 5-35). Las fibrillas de anclaje atrapan fibras de colágeno tipo III (renculares) en el tejido conjuntivo subyacente, lo que asegura un anclaje epitelial firme. Las fibrillas de anclaje son cruciales para la función de las uniones adherentes; las mutaciones ocurridas en el gen que codifica el colageno tipo VII producen epidermólisis ampollosa distrófica, una enfermedad cutánea hereditaria caracterizada por la generación de ampollas, en la cual el epitelio se desprende por debajo de la membrana basal
- Las microfibrillas de fibrilina tienen un diámetro de 10-12 nm y fijan la lámina densa a las fibras elásticas. Las microfibrillas de fibrilina son conocidas por tener propiedades elásticas. Una mutación en el gen que codifica la fibrilina (FBN1) causa el síndrome de Merfan y otras alteraciones relacionadas con el tejido conjuntivo.
- Las proyecciones discretas de la lámina densa sobre el lado del rejido conjuntivo interactúan de manera directa con la lámina reticular para formar un sitio de fijación adicional con el colágeno tipo III.

Las moléculas órgano-específicas en la lámina basal realizan diversas funciones.

En los últimos años, la témina basal ha sido reconocida como un regulador importante del comportamiento celular y no solo un simple elemento estructural del tejido epitelial. Se han identificado moléculas específicas por órgano en la lámina basal. Si bien desde el punto de vista morfológico todas las láminas basales parecen similares, su composición molecular y funciones son específicas en cada

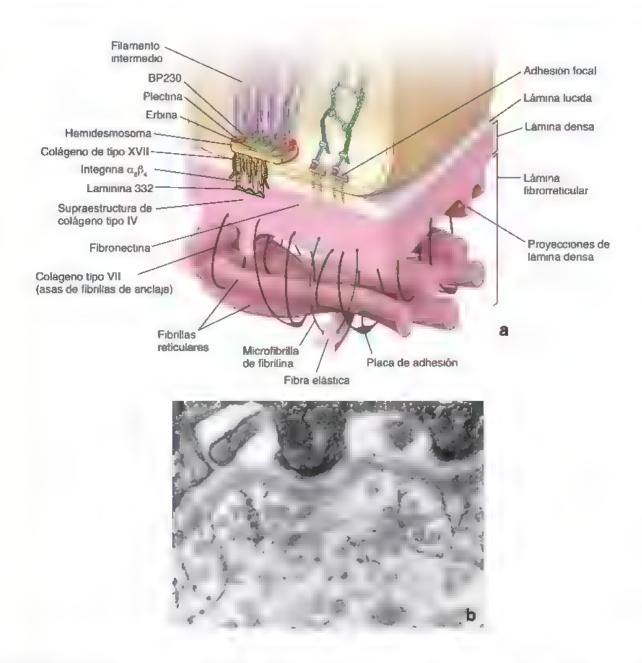


FIGURA 5-35. Diagrama y microfotografía electrónica de la región basal de una célula epitellal a. En este diagrama se muestran los componentes celulares y extracelulares que facilitan la adhesión entre las celulas epitella es y el tel do conjuntivo subyacente. En el lado de a lamina basal en contacto con el tejido conjuntivo las fibrilas de anciaje se extrenden desde la lámina basal hasta las fibrilas de colágeno (reticulares, de tejido conjuntivo, lo que proporciona adhesión estructura al sito. En el lado epitellal la laminina (verde) el colageno XVIII (rojo) y las integrinas tamarulo) están presentes en la lámina ducida y en la lámina densa, y permiten la adhesión entre la lámina basal y las placas de adhesión intracelular de los hemidesmosomas. En está microfotografía a ectrónica de gran aumento de la pie humana se observa la por ción basa de células epitel ales y su lámina basa subyacente. El espacio electrolucido es decir la lámina ucida ubicada justo por debajo de la membrana celular basal está ocupado por filamentos de anciaje formados por laminina par moléculas de colágeno tipo XVIIII. Los filamentos de anciaje son responsables de adherir la membrana celular basal a la lámina basal. Las fibras en asas originadas en la lámina basal corresponden a las fibrilas de anciaje de colágeno hobito vidadas en la lámina basal con las fibras reticulares (colágeno tipo XVIIII y con placas de adhesión ubicadas en la matriz extracelular. 200000× (cortesia de Douglas R. Keene)

tejido. En la actualidad, se atribuyen las siguientes funciones a la lámina basal

- Adhesión estructural. Como ya se mencionó, la lámina basal surve como una estructura intermediaria en la adhesión de células al tejido conjuntivo adyacente. Las células epiteliales están adheridas a la lámina basal por uniones célula-matriz extracelular, y la lámina basal se adhiere al tejido conjuntivo subyacente mediante fibrillas de anclaje y microfibrillas de fibrilina.
- Compartimentalización. Desde el punto de vista estructural, las láminas basal y externa separan o aíslan el tejido conjuntivo de los tejidos epitelial, nervioso y muscular. El tejido conjuntivo, incluidos todos sus tejidos especializados, como el óseo y el cartilaginoso (con excepción del tejido adiposo, ya que sus células poseen una lámina externa), puede considerarse como un solo compartimento continuo. En cambio, los epitelios, los músculos y los nervios están separados del tejido conjuntivo adyacente mediante láminas basales o láminas externas. Para que cualquier

- sustancia se pueda moverse de un tendo a otro (p. e), de un compartimento a otro), debe atravesar la lámina externa.
- Fitración. El movimiento de las sustancias desde el tejido conjuntivo y hacia él es regulado en parte por la lámina basal, principalmente por cargas iónicas y espacios integrales. La filtración está bien caracterizada en el riñón, donde el filtrado plasmático tiene que atravesar las láminas basales compuestas por capilares y células epiteliales adyacentes para alcanzar el espacio urinario dentro del corpúsculo renal.
- Armazón tisular. La lámina basal sirve de guía o estructura durante la regeneración. Las nuevas células formadas o las evaginaciones celulares en crecimiento utilizan la lámina basal que permanece después de la destrucción celular, con lo que se contribuye a mantener, de esta manera, la constitución original del tejido. Por ejemplo, cuando se presenta una lesión en los nervios, un axón en crecimiento establecerá nuevas uniones neuromusculares solo si la lámina externa permanece intacta después de la lesión. Las láminas basales también permiten que las células migren en condiciones fisiologicas; sin embargo, actuan como barreras contra la invasión de células tumorales.
- Regulación y señalización. Numerosas moléculas que residen en la lámina basal interactúan con los receptores de la superficie celular, lo que ejerce un efecto en el comportamiento de la célula epitelial durante la morfogénesis, el desarrollo fetal y la cicatrización de heridas por medio de la regulación de la forma, la prohíferación, la diferenciación y la movilidad de la célula, así como de la expresión génica y la apoptosis. Por ejemplo, hace poco se estableció que la lámina basal de las células endoteliales participa en la regulación de la angiogénesis tumoral

Uniones célula-matriz extracelular

La organización de las células en el epitelio depende del soporte proporcionado por la matriz extracelular sobre la que descansa la superficie basal de cada célula. Las uniones adherentes mantienen la integridad morfológica de la interfaz del epitelio y el tejido conjuntivo. Las principales uniones adherentes son:

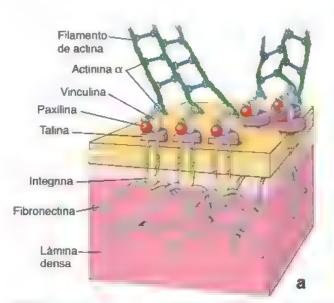
- Adhesiones focales, que fijan los filamentos de actina del citoesqueleto en la membrana basal.
- Hemidesmosomat, que fijan los filamentos intermedios del circesqueleto en la membrana basal.

Además, las proteínas transmembrana ubicadas en la región celular basal (principalmente relacionadas con la familia de las moléculas de adhesión denominadas integrinas) interactúan con la lámina basal

Las adhesiones focales crean un enlace dinámico entre ef citoesqueleto de actina y las proteínas de la matriz extracelular.

Las adhesiones focales forman un enlace estructural entre el citoesqueleto de actina y las proteínas de la matriz extracelular. Son
responsables de fijar largos haces de filamentos de actina (fibras de
estrés) en la lámina basal (fig. 5-36a). Las adhesiones focales desempeñan un papel importante durante los cambios dinámicos que
ocurren en las células epiteliales (p. ej., migración de las células
epiteliales en la reparación de heridas). El remodelado coordinado
del citoesqueleto de actina y la formación y el desmantelamiento
controlados de las adhesiones focales proporcionan las bases
moleculares para la migración celular. Las adhesiones focales también se encuentran en otras células no epiteliales, como los fibroblastos y las células musculares lisas.

Por lo general, las adhesiones focales consisten en una cara citoplasmática con la que están enlazados los filamentos de actina, una región transmembrana de conexión y una faz extracelular que se une a las proteínas de la matriz extracelular. La familia de las integrinas es el tipo principal de proteínas transmembrana que interviene en las adhesiones focales. Las integrinas se concentran en



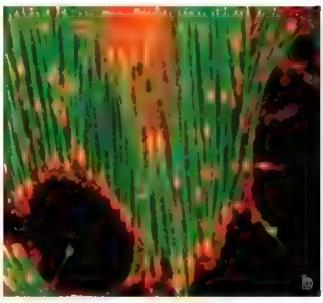


FIGURA 5-36. Estructura molecular de las adhesiones focales. a. Diagrama en el que se muestra la organización molecular de las adhesiones focales. En el lado citopiasmático, obsérvese la organización de diferentes proteinas que se unen a la actina. Estas proteinas interactuan con las integrinas que son las proteinas transmembrana cuyas regiones extracelulares se unen a las proteinas de la matriz extracelular que efitoronectina). Esta imagen se obtivo de un microscopio fluorescente y se muestran células cultivadas en una superficie cubierta de fibronectina tenidas con faiodina fluorescente para visua izar los filamentos de actina di bras de estrás, le verde. A continuación, utilizando técnicas de immunofluorescencia indirecta se marcaron las adhesiones focales con un anticulerpo primario monocional contra fosfotiros nas y se detectaron con un anticulerpo secundario marcado con rodamina (rojo). La fosfotirosina es un producto de la reacción de la trosina-cinasa en la que esta enzima fosfor a residuos de tirosina de las proteinas asociadas una tiros na-cinasa está estrechamente asociada con las moiéculas de adhesión focal de manera que la región donde se forman las adhesiones focales se marca de rojo. Nótese la relación de las adhesiones focales y los filamentos de actina en la periferia de la célula. 3000× (cortesía del Dr. Keith Burndge).

cúmulos en las regiones donde pueden detectarse las uniones. En la cara ciroplasmárica, las integrinas interactúan con las proteinas fljadoras de actina (actinina a, vinculina, talina, paxilina), así como con varias proteínas reguladoras, como la cinasa de adhesión local o la tirosina-cinosa (véase fig. 5-35b). En el lado extracelular, las integrinas se unen a las glucoproteínas de la matriz extracelular, en general, laminina y fibronectina.

Las adhesiones focales desempeñan un papel importante en la percepción y la transmisión de señales desde el medio extracelular hacia el interior de la célula.

Las adhesiones focales también son sitios importantes de percepción y transducción de señales. Pueden detectar fuerzas contráctiles o cambios mecánicos en la matriz extracelular y convertirlos en señales bioquímicas. Este fenómeno, conocido como mecanosensibilidad, permite que las células alteren sus funciones mediadas por la adhesión en respuesta a los estímulos mecánicos externos. Las integrinas transmiten esas señales al interior de la célula, donde afectan la migración, la diferenciación y el crecimiento celulares. Estudios recientes indican que las proteínas de adhesión focal también sirven como un punto común de ingreso para las señales causadas por la estimulación de varias clases de receptores del factor de crecimiento.

Los hemidesmosomas aparecen en los epítelios que necesitan una adhesión fuerte y estable al tejido conjuntivo.

Se puede encontrar una variante de la unión adherente similar al desmosoma en ciercos epitelios sujetos a la abrasión y las fuerzas mecánicas de cizallamiento que tienden a separar el epitelio del tejido conjuntivo subyacente. Este fenómeno es de típica aparición en la córnea, la piel y la mucosa de la cavidad bucal, el esófago y la vagina. En estos sitios, parece que estuviera presente medio desmosoma, de ahí el nombre de hemidesmosoma. Los hemidesmosomas se encuentran en la superficie celular besal, donde brindan mayor adhesión a la lámina basal (fig. 5-37a). Cuando se examina con el ME, el hemidesmosoma exhibe una placa de adhesión intracelular en el lado ciroplasmático de la membrana plasmática basal. La com-

posición proteínica de esta estructura es sumilar a la de la placa de desmosoma, ya que contiene una familia de proteínas similar a las desmoplaquinas, capaces de fijar los filamentos intermedros del citoesqueleto. Las tres proteínas principales que han sido identifica das en la placa son las siguientes:

- Plectina (450 kDa). Forma eulaces cruzados con los filamentos intermedios y los une a la placa de adhesión hemidesmosómica. Algunos estudios recientes indican que la plectina también interactúa con los microtúbulos, los filamentos de actina y la miosina II. Por lo tanto, la plectina entrecruza e integra todos los elementos del catoesqueleto.
- Proteina BP230 (230kDa). Fija los filamentos intermedios a la placa de adhesión intercelular. La falta de proteína 8P230 funcional causa el penfigoide ampolloso, una enfermedad caracter.zada clinicamente por la formación de ampollas. En las personas que padecen esta enfermedad, se detecta una concentración elevada de anticuerpos dirigidos contra los componentes del hemidesmosoma, incluidos los anticuerpos contra BP230 y el colágeno tipo XVII. Por esta razón, la BP230 se denomina antigeno 1 del penfigoide ampolloso (BPAG1, bullous pemphigoid antigen 1), y la molécula de colágeno tipo XVII, antigeno 2 del penfigoide ampolloso (BPAG2) o BP180
- Erbina (180kDa), Media la asociación de la BP230 con las integrinas.

En contraste con el desmosoma, cuyas proteínas transmembrana pertenecen a la familia de las cadherinas, dependientes de calcio, la mayoría de las proteínas transmembrana encontradas en el homidosmosoma forman parte de la clase de receptores de la matriz celular denominados integrinas. Estas proteínas incluyen las siguientes:

 La integrina «
 » es una molécula heterodimérica que contiene dos cadenas de polipéptidos. Su dominio extracelular ingresa en la lámina basal e interactúa con la supraestructura del colágeno

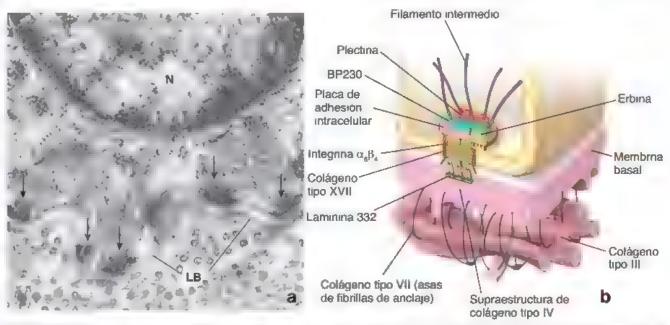


FIGURA 5-37. Estructura molecular del hemidesmosoma. a. Microfotografía electronica de la región basal de una celula epiteria gingiva. Por debajo de nucleo (N) los frámentos intermedios convergen hacia las placas de adhesión intracelulares (flechas) de los hemidesmosomas. Por debajo de la membrana plasmática se encuentran la lámina basal (LB) y las fibrillas de colágeno (reticulares) del tejido conjuntivo (la mayor a de ellas están cortadas transversalmente. 40000 x b. En este diagrama se muestra la organización molecular de un hemidesmosoma. La placa de adhesión intracelular está asociada con las moléculas de adhesión transmembrana, como las de la familia de las integrinas y las del colágeno transmembrana tripo XVII y contiene plectina, BP230 y erbina. Obsérvese que los framentos intermedios parecen originarse o terminar en la placa de adhesión intrace ular. Las porciones extracelulares de las integrinas se enlazan con la laminina 332 y eticolágeno tipo IV Con la ayuda de las fibrillas de andia, (colágeno tipo VIII), la laminina y la integrina la placa de adhesión está fijada a las fibras reticulares (colageno tipo II) de la matriz extracelular.

tipo IV que contiene lamininas (laminina 332), entactina/midógeno o perlecano. En la superficie extracelular del hemidesmosoma, moléculas de laminina forman filamentos de anclaje con apariencia de hilos que se extienden desde las moléculas de integrina hasta la estructura de la membrana basal (fig. 5-37b). La interacción entre la laminina 332 y la integrina «4», estabiliza los hemidesmosomas y es esencial para la formación del hemidesmosoma y el mantenimiento de la adhesión epitelial. La mutación de los genes que codifican las cadenas de laminina 332 causa la epidermolisis ampollosa de la unión, otra enfermedad cutanea hereditaria

- El colageno tipo XVII (BPAG2, BP180) es una molécula transmembrana (180 kDa) que regula la expresión y la función de la laminina. En modelos experimentales, el colageno tipo XVII inhibe la migración de células endoteliales durante la angiogénesis y regula la migración de queratinocitos en la piel (vease fig. 5-37b).
- La CD151 (32 kDa) es una glucoproteína que participa en el agrupamiento de receptores de integrina para facilitar las interacciones célula matriz extracelular

A pesar de la similirud de los nombres, los términos filamentos de anclaje y fibrillas de anclaje no describen la misma estructura. Los filamentos de anclaje están formados principalmente por laminina y moléculas de obligano tipo XVII; fijan la membrana celular de las células epiteliales a la lámina basal subyacente. Las fibrillas de anclaje están formadas por colageno tipo VII y fijan la lámina basal con las fibras reticulares subyacentes (véase p. 151).

Modificaciones morfológicas de la membrana celular en la región basal

Muchas células que transportan líquidos tienen pliegues internos en la membrana plasmática de su región basal. Estos aumentan la superficie de la región celular basal, lo que permite que haya más proteínas transportadoras y conductos. Estas modificaciones de la región basal son notables en las células que participan en el transporte activo de iones (p. ej., en los túbulos renales proximales y distales; fig. 5-38) y en ciertos conductos excretores de las glándulas salivales. Además, las mitocondrias están concentradas generalmente en este sitio basal para satisfacer los requenimientos de energía para el transporte activo. Las mitocondrias suelen estar orientadas en sentido vertical dentro de los pliegues. La orientación de las mitocondrias, junto con los repliegues de la membrana celular basal, da una apariencia estriada a la región basal de la célula cuando se observa con el MO. Debido a este fenómeno, los conductos excretores de las glándulas salivales que poseen estas células se denominan conductos estriados.

■ GLÁNDULAS

Por lo general, las glándulas se clasifican en dos grupos principales de acuerdo con la manera en la que se liberan sus productos (fig. 5-39):

- Las glándulas exocrinas secretan sus productos en una superficie, ya sea de forma directa o a través de conductos o tubos epiteliales que están conectados a la superficie. Los conductos pueden transportar el material de secreción sin alterar su composición o pueden modificarlo al concentrarlo, adicionar o reabsorber sustancias.
- Las glándules endocrines no poseen sistema de conductos. Secretan sus productos en el tejido conjuntivo, desde el cual entran al torrente sanguíneo para alcanzar las células diana. Los productos de las glándulas endocrinas se denominan hormones.

En algunos epitelios, las células individuales secretan sustancias que no alcanzan el torrente sanguíneo, sino que afectan otras células cercanas. Este tipo de actividad secretora se conoce como

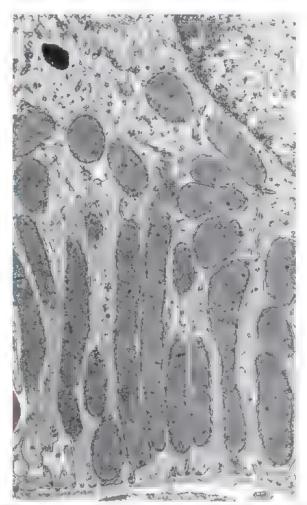


FIGURA 5-38. Pliegues internos de la región basal. Microfotografía electrónica de la región basal de célula de túbulo renai en la que se muestra pliegues internos de la membrana plasmática. Obsérvese las mitocondras alineadas. Los repliegues de la célula adyacente resultan en las interdigitaciones del citopiasma entre las dos células 25,000 ×

senalización paracrina (véase fig. 5-39). Las células que producen las sustancias paracrinas (células paracrinas) las liberan en la matriz extracelular subyacente. La secreción paracrina tiene un rango muy limitado de señalización; alcanza las células diana por difusión. Por ejemplo, las células endoteliales de los vasos sanguíneos impactan las células vasculares del músculo liso liberando múltiples factores que causan contracción o relajación de la pared vascular.

Además, numerosas células secretan moléculas que se unen a receptores en la misma célula que las libera. Este tipo de automensaje se denomina señalización autocrina (véase fig. 5-39). Muchas veces, las moléculas de señalización (autocrinas) inician vías de retroalimentación negativas para modular su propia secreción. Este mecanismo de señalización suele ser utilizado por células del sistema inmunitario e incluye la familia de las moléculas de señalización de las interleucinas.

Las células de las glándulas exocrinas presentan diferentes mecanismos de secreción.

Las células de las glándulas exocrinas tienen tres mecanismos básicos de liberación de sus productos de secreción (véase fig. 5-39)

Secreción meroarina. Los productos de la secreción llegan a la superficie de la célula en vesiculas limitadas por membranas. Aquí, las vesículas se fusionan con la membrana plasmática y vacían su contenido por exocitosis. Este es el mecanismo más frecuente de secreción y, por ejemplo, se encuentra en las células acinares pancreáticas.

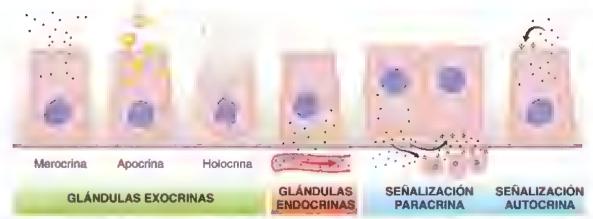


FIGURA 5-39. Tipos de glándulas y su mecanismo de secreción. En este diágrama se muestran dos tipos de glándulas (exocrina y endocrina) y dos tipos de mecanismos de senalización iparacrina y autocrina; utilizados para modificar el comportamiento de las células vecinas. Nótese que los tres tipos básicos de secreciones se observan en células de las glándulas exocrinas in a secreción merocrina es la más frecuente e incluye exocitosis del contenido vesicular en la membrana celular apical. El meior ejemplo de secreción holocrina que causa desintegración de las células secretoras se presenta en las glándulas sebáceas de los foliculos prosos, mientras que la secreción apochina se observa mejor en las células de lás glándulas marnarias que secretan gotas de lígidos hacia la teche

- Secreción apocrina. Se libera el producto secretado en la porción apical de la célula, todeado por una capa delgada de citoplasma cubierto por membrana plasmática. Este mecanismo de secreción se encuentra en la glandula mamaria lactanta, que es responsable de liberar grandes gotas de lípidos hacia la leche.
- Secreción holocine. El producto de la secreción se acumula dentro de la célula en maduración, la cual, al mismo tiempo, experimenta una muerte celular programada. Tanto los productos de secreción como los detritos celulares se eliminan hacia la luz de la glándula. Este mecanismo se presenta en las glándulas sebaceas de la piel y en las glándulas tarsales (de Meibomio) del párpado.

Las glándulas exocrinas se clasifican en unicelulares o multicelulares.

Las glandules unicolulares son las más simples en cuanto a estructura. La unidad secretora corresponde a células individuales distribuidas entre otras células no secretoras. Un ejemplo típico es la colula caliciforme, una célula secretora de moco ubicada entre otras células cilíndricas (fig. 5-40). Las células caliciformes se halían en el revestimiento superficial, en las glándulas del intestino y en ciertos segmentos de las vías respiratorias.

Las glándulas multicelulares están compuestas por más de una célula y tienen diversos grados de complejidad. Su estructura permite subclasificarlas de acuerdo con la disposición de las células secretoras (parénquima) y con la presencia o ausencia de ramificación de sus conductos secretores.

La organización más sencilla de una glándula multicelular es una lámina celular en la que cada célula de la superficie es una célula secretora. Por ejemplo, el epitelio que recubre el estómago y las fovéolas, fositas o criptas gástricas constituye una lámina de células que secretan moco (fig. 5-41).

Otras glándulas multicelulares suelen formar las invaginaciones rubulares desde la superficie. Los extremos de la glándula contienen las células secretoras; la porción de la glándula que conecta las células secretoras a la superficie hace las veces de conducto. Si el conducto no es ramificado, la glándula se denomina simple; si el conducto es ramificado, se conoce como compuesta. Si la porción secretora tiene forma de rubo, la glándula es tubuler; si presenta forma de matraz o uva, la glandula es atveolar o acinar; si el conducto termina en un saco dilatado, la glándula es tubuloscinar. Las glándulas tubulares pueden ser rectas, ramificadas o enrolladas; las glándulas alveolares pueden ser simples o ramificadas. En el organismo existen diversas combinaciones de conductos y formas glandulares. En la tabla 5-6 se muestra la clasificación y descripción de las glándulas exocrinas.

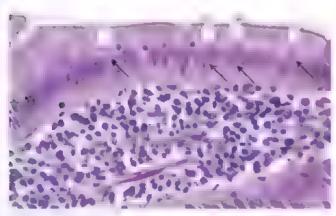


FIGURA 5-40. Glándulas unicelulares. Microfotografia del epitelio intestinal en la que se muestran cé ulas caliciformes individua es (flechas) dispersas entre las células de absorción. Cada célula caliciforme puede considerarse una glándula unicelular (el tipo más simple de glándula exocrina). 350×

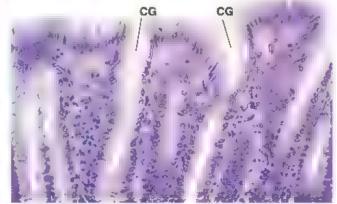


FIGURA 5-41. Células superficiales mucosas del estómago. Microfotografia de la superficia del estómago. Las células epiteliales que recubren la superficia son todas células mucosas, como lo son las células que recubren las criptes gástricas (CG). Las células de la fosa gástrica forman glándulas tubulares simples. 260×



Clasificación de las glándulas multicelulares

	Clasificación	Ubicación típica	Características
	Tubular simple	Intestino grueso, glándulas intesti- nales del colon	La porción secretora de la glándula es un tubo recto formado por las células secretoras (células caliciformes)
Glándulas simples	Tubular simple enrollada	Piel. glándulas sudoríparas ecrinas	La porción secretora es una estructura tubular enrollada que está ubicada en la profundidad de la dermis
	Tubular simple ramificada	Estómago, glándulas mucosas del piloro Útero: glándulas endometriales	Las glándulas tubulares ramificadas con una porción secretora ancha están formadas por las células se- cretoras y producen una secreción mucosa viscosa
	Acinar simpla	Uretra glåndulas parauretrales y penuretrales	Las glandulas acinares simples se de- sarrollan como una evaginación del epitelio de transición y están forma- das por una capa simple de células secretoras
	Acinar ramificada	Estómago, glándulas mucosas del cardias Piet glándulas sebáceas	Las glánduras acinares ramificadas con porciones secretoras están forma- das por células que secretan moco; un solo conducto corto se abre direc- tamente en la luz
Glándulas compuestas	Tubular compuesta	Duodeno glándulas submucosas de Brunner	Las giándulas tubulares compuestas con porciones secretoras enrolladas están ubicadas en la profundidad de la submucosa del duodeno
	Acinar compuesta	Páncreas: porción exocrina	Las giándulas acinares compues- tas, con unidades secretoras con forma alveolar, estár constituidas por células serosas piramidales
	Tubuloacînar compuesta	Región del cuello y la cavidad bucal glándulas salivales submandibulares	Las glándulas tubuloacinares compues- tas pueden tener unidades secretoras tubulares ramificadas mucosas y unidades secretoras acinares rami- ficadas serosas, tienen casquetes serosos (semilunas)

Según el tipo de secreción que produces, las glándulas pueden ser mucosas o serosas.

Las células secretoras de las glándulas exocrinas relacionadas con fos diversos conductos en el organismo (p. ej., el tubo digestivo, las vías respiratorias y el aparato urogenital) se describen con frecuencia como mucasas, serosas o mixtas.

Las secreciones mucosas son viscosas y babosas, mientras que las secreciones serosas son acuosas. Las células caliciformes, las células secretoras de las glándulas salivales sublinguales y las células superficiales del estómago son ejemplos de células de secreción mucosa. La índole mucosa de la secreción es consecuencia de la gran glucosilación de la proteína que la conforma con oligosacáridos aniónicos. Los gránulos de mucinógeno, el producto de secreción dentro de la célula, son, por lo tanto, PAS positivos (véase fig. 5-27a). Sin embargo, son solubles en agua y se pierden durante la preparación de rutina del tejido. Por tal motivo, el citoplasma de las células mucosas parece vacío en los cortes de parafina teñidos con H&E. Otra característica de una célula mucosa es que su núcleo suele estar aplanado contra la base de la célula debido a la acumulación de productos de la secreción (fig. 5-42).

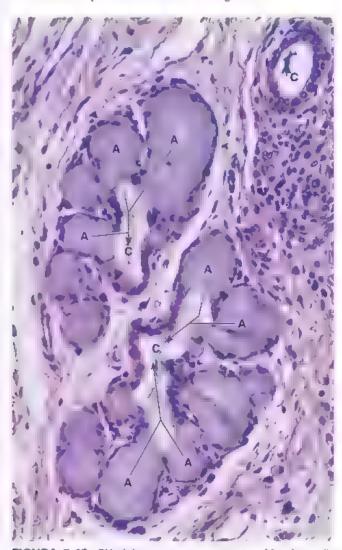


FIGURA 5-42. Glándulas mucosas compuestas. Microfotografía en la que se observan dos pequeños lóbulos de una glándula mucosa asociada con la laimige. Cada una muestra el comienzo de un conducto (C) en el cuar se secreta mucina (flechas). Las células secretoras ndividuales que forman el acino (A) son dificiles de definir. Sus núcleos (puntas de flecha) son planos y se ubican en la porción basa de la célula, tipico de las glándulas mucosas. El citopiasma está lleno de mucina retenida durante la preparación del tejido y aparece teñida. 350×

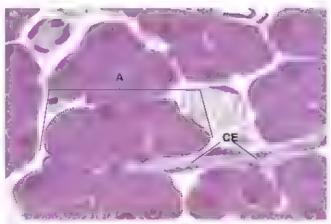


FIGURA 5-43. Glándulas serosas compuestas. Microfotografia del acino pancreático (A, delimitado por la línea punteada) con su conducto excretor (CE). Los pequeños objetos redondeados dentro de las células acinares representan los gránulos de cimógeno, precursor de? material de secreción almacenado. 320×

En contraste con las células secretoras de moco, las células serosas producen secreciones proteinicas no glucosiladas o con escasa glucosilación. El núcleo es generalmente redondeado u ovalado (fig. 5-43). El citoplasma apical suele teñirse intensamente con la eosina si los gránulos secretores se encuentran bien conservados. El citoplasma pennuclear en general aparece basófilo como consecuencia de un retículo endoplasmático rugoso abundante, característica de las células que sintetizan proteinas.

Las células serosas que contienen acinos se hallan en las glándulas parótidas y el páncreas. Los acinos de algunas glándulas, como las submandibulares, contienen células tanto mucosas como serosas. En la preparación de rutina de los rejidos, las células serosas están más alejadas de la luz del acino y tienen forma de luna creciente o semituno en la periferia del acino mucoso.

■ RENOVACIÓN DE LAS CÉLULAS EPITELIALES

La mayoría de las células epiteliales tienen un tiempo de vida finito menor que el del organismo como un todo.

Los epitelios superficiales y los de muchas glándulas simples pertenecen a la categoría de poblaciones celulares de renovación continua. El ritmo de recambio celular (la proporción de reemplazo de las células) es característico de un epitelio específico. Por ejemplo, las células que recubren el intestino delgado se renuevan cada 4-6 días en los seres humanos. Las células de reemplazo se producen por la actividad mitórica de células madre adultas autorrenovables. Se ubican en sítios denominados nichos. En el intestino delgado, los nichos de estas células adultas se ubican en la porción inferior de las glándulas intestinales. Después migran y se diferencian en cuatro tipos celulares principales. Los enterocitos (células de absorción cilíndricas), las células caliciformes (secretoras de moco) y las células enteroendocrinas (que regulan y secretan hormonas) continúan su diferenciación y maduración mientras migran por las vellosidades en dirección hacia la superficie de la luz intestinal. La migración de estas células nuevas sigue hasta que alcanzan los extremos de las vellosidades, donde experimentan apoptosis y se exfolian hacia la luz. El cuarto tipo celular, las células de Paneth, migran hacia abajo: y habitan en el fondo de la cripta. El factor de transcripción Math1, expresado en el epitelio intestinal, determina el destino de la célula. Las células destinadas al linaje secretor (que se diferencian en

CONSIDERACIONES FUNCIONALES: MEMBRANAS MUCOSAS Y SEROSAS

En dos ubicaciones generales, el **epítelio de revestimiento** y su tejido **conjuntivo subyacente** son considerados una unidad funcional denominada **membrana**. Los dos tipos de membrana son la **mucosa** y la **serosa**. El término *membrana* como se utiliza aquí no debe ser confundido con las membranas biológicas de las células, ni deben confundirse la designaciones *mucosa* y *serosa* con la naturaleza de la secreción, a diferencia de lo que se comentó antes en el texto

La membrana mucosa también denominada mucosa, recubre las cavidades que se comunican con el extenor del organismo, a saber, el tubo digestivo, las vías respiratorias y las vías genitourinarias. Consiste en un epitelio de superfície (con o sin glándulas), un tejido conjuntivo de sostén

denominado lámina propia, una membrana basal que separa el epitelio de la iámina propia y, a veces, una capa de musculo liso llamada capa muscular de la mucosa como la más profunda.

La membrana serosa, también denominada serosa, recubre las cavidades pentoneal, pencárdica y pleural. Estas cavidades se describen generalmente como cavidades cerradas del organismo, aunque en la mujer el peritoneo comunica con el exterior por las vías genitounnarias. Estructuralmente, la serosa consiste en un epitelio de revestimiento, el mesotelio, un tejido conjuntivo de sostén y una membrana basal entre ambos. Las membranas serosas no contienen glándulas, pero el líquido sobre su superficie es acuoso.

caliciformes, entercendocrinas y células de Paneth) tienen un aumento de la expresión de Math1. La inhibición de la expresión de Math1 caracteriza la vía de desarrollo por defecto hacia célu as intestinales de absorción (enterocitos)

De manera similar, el epitelio piano estratificado de la piel se reemplaza casi en su totalidad cada 47 días aproximadamente (véase cap. 15). Las células de la capa basal de la epidermis, denominadas precisamente astrato basal (gorminativo), experimentan mitosis para hacer efectiva la renovación celular. A medida que se diferencian, las células son empujadas hacia la superficie por nuevas células en la capa basal. Por último, las células se queratinizan y se exfolian. En los dos ejemplos anteriores se mantiene la estabilidad en el epitelio y las nuevas células reemplazan a las células exfoliadas en la misma proporción. Los descubrimientos recientes y la generación de celulas madre pluripotentes inducidas (iPS, induced pluripotent stem cells) de los queratocitos humanos demuestran que las células adultas somáticas pueden ser reprogramadas en un estado pluripotente mediante la expresión inducida de varios factores. de transcripción embrionarios. Las cálulas iPS derivadas de los queratinocitos parecen tener caracteristicas morfológicas

y funcionales identicas a las de las células madre embrionarias humanas. En el futuro, las células iPS pueden desempeñar un papel importante tanto para el tratamiento celular personalizado (recombinación homóloga en células madre y trasplante) como para la generación de modelos de enfermedades. Esto incluye la generación de células iPS de la epidermis del paciente, que pueden ser diferenciadas in vitro en tipos de cétulas afectadas por la enfermedad y valorarse para estimar su respuesta a los tratamientos con fármacos nuevos

En otros epitelios, en particular en glándulas más complejas, las células individuales pueden vivir durante un tiempo largo, y la división celular es rara una vez que alcanzan el estado de madurez. Estas células epiteliales son características de poblaciones celulares estables en las que existe actividad mitótica relativamente menor, como en el hígado. Sin embargo, la pérdida de cantidades importantes de tejido hepático por traumatismos físicos o destrucción tóxica aguda se recupera mediante una proliferación activa de células hepáticas sanas. En esencia, el tejido hepático se regenera por la actividad mitotica estimulada del tejido hepático sano



TEJIDO EPITELIAL

FUNDAMENTOS DE LAS ESTRUCTURAS EPITELIALES

- El epitelio es un rejido avascular que reviste las superficies del cuerpo, recubre las cavidades corporales y forma glándulas. Crea una barrera entre el medio externo y el tejido conjuntivo subyacente.
- Las células epiteliales poseen tres rasgos principales: están dispuestas muy cerca unas de otras y se adhieren entre sí por medio de uniones intercelulares específicas; tienen polaridad funcional y morfológica (las diferentes funciones se asocian con las regiones apical, lateral y basal) y su superficie basal está adherida a una membrana basal subyacente.

CLASIFICACION DE LOS EPITELIOS

- El epitelio que uene un solo estrato celular de grosor y descansa sobre la membrana basal se denomina epitelio simple. Las
 células de los epitelios simples varían en altura y ancho (planas, cúbicas y cilíndricas).
- Los epitelios que poseen dos o mas estratos de celulas de grosor se conocen como epitelios estratificados. La forma de las células sobre la superficie libre determina su clasificación.
- El epitelio seudoestratificado parece estratificado. Es un epitelio simple en el que todas las celulas descansan sobre la membrana basal, pero no todas ellas alcanzan la superficie epitelial libre.
- El epitelio transicional (urotelio) es estratificado y reviste las vias urmarias inferiores. Las células en su superficie libre varían de grandes, redondas, convexas a planas, según la distensión del órgano urinario.

REGIÓN APICAL

- La region apical exhibe modificaciones de su superficie para llevar a cabo funciones especificas.
- Las microvellosidades son pequenas evaginaciones citoplasmáticas digusformes con un nucleo de filamentos de acuna.
 Aumentan la superficie apical para la absorción y son visibles mediante MO como borde estriado o con borde en cepillo.
- Los estereocilios (estereovellosidades) son microvellosidades largas con distribucion limitada al aparato reproductor masculino (absorción) y al epitelio sensorial del oido interno (mecanomeceptores sensoriales)
- Los citros moviles son extensiones de la membrana plasmatica apical con apariencia de cabello que contienen un axonema, que es un nucleo de nucrotubulos en un patrón de organización 9 + 2. El movimiento ciliar se origina en el deslizamiento coordinado de los dobletes de microtubulos generado por la actividad de la dineina, la proteina motora del microtúbulo.
- Los cilios primarios (monocilios) tienen un patrón de organización microtubular de 9 ± 0, son inmoviles y funcionan como quimiorreceptores, osmorreceptores y mecanorreceptores. Estan presentes en casi todas las células eucariotas.

REGIÓN LATERAL: ADHESIÓN CÉLULA-CÉLULA

- La región lateral se caracteriza por la presencia de moléculas de adhesión celular (CAM) que forman complejos de unión (uniones ocluyentes, adherentes o comunicantes) entre las regiones laterales yuxtapuestas de las celulas vectuas.
- La unión (estrecha) de la zónula ocluyente se encuentra en los extremos mas apicales de la membrana lateral de las células adyacentes y restringe el paso de sustancias entre estas células (pasaje paracelular).
- Las uniones adherentes (zonula adherente y mácula adherente) permiten la adhesion entre las células epiteliales que
 urilizan CAM enlazadas al ciroesqueleto de las celulas advacentes. Todas las uniones adherentes emplean proteinas de la familia
 de las cadherinas dependientes de calcio. Algunas adhesiones especializadas celula-celula usan nectinas independientes de
 calcio como la molécula de adhesión primaria.
- La zónula adherente se ubica alrededor de cada célula inmediaramente por debajo de la unión estrecha y esta compuesta
 por complejos cadherina E-catenina que interactuan con los filamentos de actina. La mácula adherente (desmosoma) proporciona una unión discontinua, localizada y puntual, y está conformada por desmogleinas y desmocolinas
 que se adhieren a la placa desmosómica para fijar los filamentos intermedios.
- Las uniones comunicantes (de hendidura) consisten en un cumulo de conductos transmembrana (formada por dos
 medios conductos, los conexones) en un conjunto estrechamente organizado. Permiten el intercambio entre las células de
 iones, moléculas reguladoras y pequeños metabolitos.

REGION BASAL MEMBRANA BASAL Y ADHESION CELULA-MATRIZ EXTRACELULAR

- La region basal se caracteriza por la presencia de una membrana basal, uniones célula-matriz extracelular (adhesiones focales y hemidesmosomas) y pliegues de la membrana celular basal.
- La membrane basal (PAS positiva en MO) es una capa densa de proteinas especializadas de la matriz extracelular que consiste en una lámina basal (visible con ME) y una lámina reticular.
- La lamina basal consiste en una estructura de polímeros de laminina con una supraestructura de colágeno tipo IV subyacente que proporciona un sitio de interacciones a muchas moleculas de adhesion celular
- La lámina basal se admere a la lamina reticular subvacente (colágeno upo 111) mediante fibrillas de anclaje (colágeno upo VII) y a fibras elásticas mediante microfibrillas de fibrilina.
- La membrana basal cumple la función de sitio de adhesión del epitelio al tejido conjuntivo, compartimentaliza el
 tejido conjuntivo, filtra sustancias que pasan hacia el epitelio o que vienen de él, proporciona una estructura durante
 la generación de tejido y participa en la señalización celular.
- Las adhesiones focales son uniones adherentes dinamicas cuya base es la integrina, fijan los filamentos de actina
 a la membrana basal. Su formación y desmantelamiento rapidos proporcionan las bases de la migración celular
- Los hemidesmosomas son uniones adherentes estables cuya base es la integrina, fijan los filamentos intermedios
 a la membrana basal mediante placas intercelulares.

GLANDULAS

- Las glándulas se clasifican en dos grupos según la manera en la que se liberan sus productos de secreción exocrinas y endocrinas.
- Las glándulas exocrinas secretan sus productos directamente sobre una superficie o a través de los conductos epiteliales que pueden modificar su secreción (concentrarla, reabsorberla o agregarle otras sustancias).
- Las glandulas exocrinas se clasifican en mucosas, que producen secreciones mucosas, o serosas, que producen secreciones acuosas ricas en proteínas.
- Las celulas de las glandulas exocrinas tienen tres mecanismos de secreción merocrina (el producto de la secreción se libera
 por exocrtosis), apocrina (el producto de la secreción se libera en vestculas que contienen una capa delgada de citoplasma)
 y holocrina (el producto de la secreción está acompañado de detritos celulares de la célula secretora que muere)
- Las glándulas endocrinas no poseen sistema de conductos. Secretan sus productos (hormonas) en el torrente sanguíneo para alcanzar un receptor específico en células diana distantes.

RENOVACIÓN DE LAS CÉLULAS EPITELIALES

Las células epiteliales pertenecen a la caregoría de las poblaciones celulares de renovación continua. Las células
de reemplazo se producen por division mitotica de las células madre en los adultos, las cuales residen en diferentes sitios
(nichos) en varios epitelios.

LÁMINA 1 EPITELIOS PLANOS Y CÚBICOS SIMPLES

El epitelio consta de un grupo variado de tipos celulares, cada uno de los cuales tiene características funcionales específicas. Las células que conforman un determinado epitelio están organizadas en estrecha cercanía y suelen estar ubicadas en las superficies libres del cuerpo. Estas superficies incluyen el exterior del cuerpo, la superficie externa de muchos órganos internos y el revestimiento de cavidades, conductos y tubulos del organismo.

El epitelio se clasifica con base en la disposición y la forma de las células que lo componen. Si las células forman una sola capa, constituyen un epitelio simple. Si se disponen en multiples capas, conforman un epitelio estratificado. La forma de las células tipicamente se describe como plana si la célula es más ancha que alta, cúbica si su altura y ancho son aproximadamente similares, o cilindrica si la célula es más alta que ancha.



Epitelio plano simple, mesoovario, humano, H&E, 350×; recuadro 875×.

En la microfotografía se muestra el epitelio de superficie del mesoovario cubierto por el *mesotelio*, nombre dado al **epitelio plano simple** que recubre las cavidades internas del cuerpo. Las células mesoteliales (CM) son reconocidas por sus núcleos en esta imagen de menor aumento. Debajo de las células mesoteliales hay una delgada capa de tejido conjuntivo (TC) y células adiposas (A). El recuadro muestra con más aumento los núcleos (N) de las celulas mesoteliales.



Epitelio plano simple, mesenterio, rata, impregnación argéntica, 350×; recuadro 700×.

Esta es una imagen de aumento intermedio de una porción de mesenterio montada entera sin cortar. La muestra de mesenterio se colocó sobre el portaobjetos y se preparó para el examen microscópico. El microscopio se enfocó sobre la superficie

del mesenterio. Por medio de este metodo, los límites de las células mesobeliales de la superficie son líneas negras delineadas por la plata precipitada. Obsérvese que las células están en estrecha cercanía unas de otras y que menen forma poligonal. El recuadro muestra varias células mesoteliales, cada una de las cuales presenta un núcleo (N) redondeado u ovalado. Debido a la forma plana de las células mesoteliales, los núcleos no son esféricos, sino con forma de disco.



Epitelio plano simple, rinón, humano, H&E, 350×.

En esta microfotografía se muestra un corpusculo renal. La pared del corpúsculo renal, conocida como capa paneral de la cápsula de Bouman, es una estructura esférica y consiste en un opitolio plano simplo (EPS). El interior del corpúsculo con-

tiene una red de capilares que filtra líquidos que ingresan en el espacio urinario (EU) y después en el túbulo contorneado proximal (TCP). Los nucleos (N) de las **células planas** de la capa parietal de la cápsula de Bowman son ovoides y parecen sobresalir levemente hacia el espacio urinario. La región apical de este epitelio plano simple delimita el espacio urinario y la región basal de las células epiteliales descansa sobre una capa de tejido conjuntivo (TC).



Epitelio cúbico simple, páncreas, humano, H&E, 700×.

En esta microfotografía se muestran dos conductos pancreáticos (CP) que están revestidos por un epitelio cúbico simple. Los nucleos (N) de las células del conducto rienden a ser esfericos, una característica concordante con la forma cúbica de la célula. La región apical de las células epiteitales delimita la luz del conducto y la región basal descansa sobre el rejido conjuntivo (TC). El examen minucioso de la región apical de las células epiteliales revela algunas de las barras terminales (BT) entre células adyacentes.



Epitelio cúbico simple, pulmón, humano, H&E, 175×, recuadro 525×.

En esta microfotografía se muestra el epitelio de los bronquiolos pulmonares mas diminutos. El **epitelio cubico simple** está formado por células cúbicas (CC). En el recuadro se muestra una mayor ampliación de las **células cúbicas** (CC). Obsérvense los núcleos esféricos. Se trata de células pequeñas con citoplasma relativamente escaso; por lo tanto, los núcleos están cerca unos de otros. La región apical de las células epiteliales delimita la luz de la vía aérea (VA), mientras que la región basal de estas células descansa sobre su membrana basal y el tejido conjuntivo (TC) denso subyacente



Epitelio cúbico simple, higado, humano, H&E, 450×; recuadro 950×.

En esta microfotografía se muestran los cordones de **células cúbicas símples** conocidas como *hepatocitos* (H), que forman el parénquima hepático. Los cordones de hepatocitos

se encuentran principalmente separados por sinusoides (S) sanguíneos.

En el recuadro se muestra la imagen de un hepatocito a mayor aumento, lo que permite comprobar una característica poco habitual, y es que varias superficies de estas células poseen un surco que conforma un espacio apical libre. Cuando el surco de una célula se confronta con el surco de la célula adyacente, se forma el canalículo (C), una pequeña estructura con forma de canal. La bilis se secreta desde la célula hacia el canalículo.

A, células adiposas

BT, barra terminal

C, canaliculo biltar

CC, cétulas cúbicas CM, cétulas mesoteliales CP, conducto pancreático EPS, ep telio piano simple

EU, espacio ur nar o

H, hepatocitos

N, núcleo

S, sinuscide

TC, te do con untrvo

TCP, tubulo contorneado prex ma

VA, vía aérea

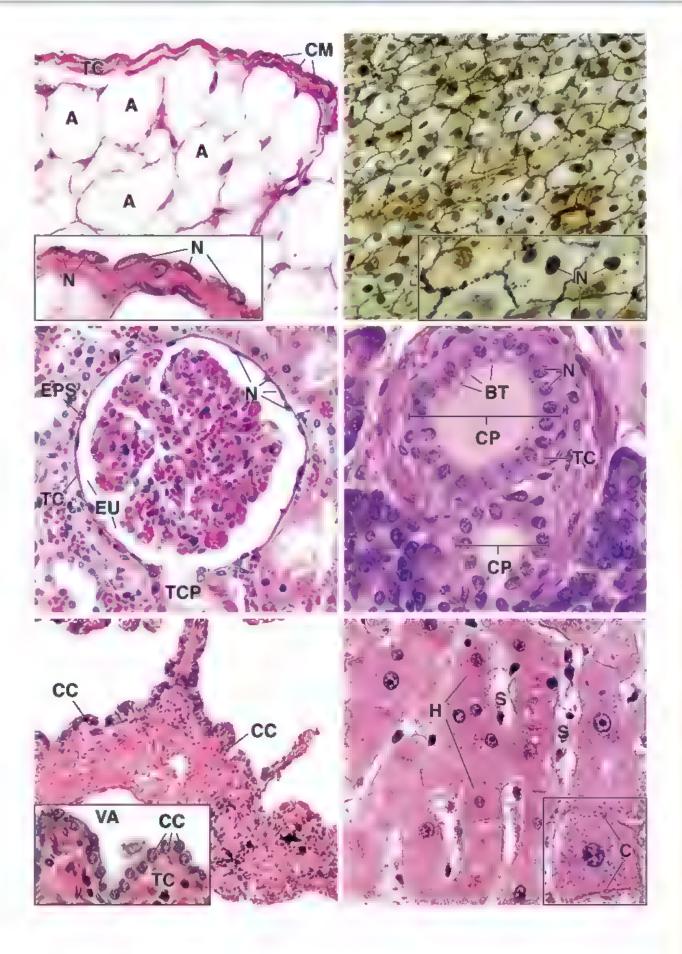


LÁMINA 2 EPITELIOS SIMPLES Y ESTRATIFICADOS

Los epitelios simples tienen una sola capa celular de grosor. Son característicos de los sistemas de órganos principalmente encargados del transporte, la absorción y la secreción, como el intestino, los vasos sanguineos, las glandulas digestivas y otras glándulas exocrinas y el riñón. Los epitelios estratificados tienen más de una capa celular de grosor y son tipicos de las superficies que están sometidas a estrés por fricción, como la piel y la mucosa de la boca, el esofago y la vagina.



Epitelio simple, páncreas exocrino, mono, H&E, 450×.

Se observan tres formas epiteliales. En el detalle hay un acino bien orientado, un grupo funcional de células secretoras, cada una de las cuales es de forma piramidal. Las células

secretoras constituyen una estructura esférica o tubular. La superficie libre de las células y la luz se ubica en el centro del detalle. La luz no es evidente aquí; sin embargo, sí es evidente en una organización celular similar en la imagen ubicada en la parte intermedia derecha (véase el

detalle). Debido a que la altura de las células (la distancia del borde del detalle a la luz) es mayor que el ancho, el epitelio es cilindrico simple. El segundo tipo epitelial está representado por un conducto pequeño en corte longitudinal (flechas) que se extiende por todo el campo. Está compuesto por células aplanadas (obsérvese la forma del núcleo), y en su base el epitelio es plano simple. Por último, hay un conducto de mayor tamaño en corte transversal (asterisco) dentro del cual entra el conducto más pequeño. Los núcleos de este conducto mayor tienden a ser redondos y las células tienden a ser cuadradas. Por lo tanto, las células de los conductos constituyen un epiteño cubico simple.



Epitelio cúbico simple, rinón, humano, H&E, 450×.

Este preparado presenta túbulos de diversos tipos en corte transversal. Los que se identifican con flechas son ejemplos

Epitelio cilíndrico simple, colon, humano, H&E, 350×.
El epitelio cilíndrico simple del colon que se

El **epitelio cilíndrico simple** del colon que se muestra aqui consiste en una capa de células absortivas y células que secretan moco (células caliciformes). Estas últimas pueden ser

reconocidas por su "cáliz" de coloración pálida (flechas) que contiene el



Epitelio cilíndrico seudoestratificado, tráquea, mono, H&E, 450×.

Además de las **células cilindricas** (CC) altas en este epitelio cilíndrico, hay una capa bien definida de **células basales** (CB). Las células cilíndricas que contienen núcleos

elongados y poseen cilios (C) se extrenden desde la superficie hasta la membrana basal (claramente visible en la tráquea como una región gruesa, acelular, homogénea, que es parte del tejido conjuntivo [TC]).

de epitelio cúbico simple. Las flechas señalan los límites celulares laterales; obsérvese que el ancho celular se aproxima a su altura. Las estructuras en sentido transversal marcadas con asterisco son otro tipo de túbulo; son más pequeñas en diámetro, pero también están formadas por un epitelio cúbico simple.

producto de secreción celular. El epitelio recubre la luz del colon y se extiende dentro en la profundidad del tejido conjuntivo para formar las glándulas intestinales (GI). Ambos tipos de células son altas con sus núcleos ubicados en la base de la célula. El tejido conjuntivo (TC) contiene numerosas células, muchas de las cuales son linfocitos y células plasmáticas.

Las células basales están esparcidas entre las células cilíndricas. Debido a que todas las células descansan sobre la membrana basal, parecen conformar una sola capa, no dos capas definidas una sobre la otra. Dado que el epitelio aparenta ser estratificado pero no lo es, se denomina epitelio ellíndrico seudoestratificado. El desalle en la microfotografia delinea una glándula traqueal similar al acino en el páncreas exocrino (detalle). Obsérvese que la luz de la glándula es claramente visible y los límites celulares también son evidentes. El epitelio glandular es cilíndrico simple.



Epitelio cilíndrico seudoestratificado, epidídimo, ser humano, H&E, 450×.

Este es otro ejemplo de **apitalio cilindrico saudoestrati- ficado** Nuevamente, se ve con claridad la existencia de dos capas de núcleos: los de las células basales (CB) y los de las células cilíndricas (CC). Como en el ejemplo anterior, sin embargo,

aunque no es evidente, las células cilíndricas descansan sobre la membrana basal; por lo tanto, el epitelio es seudoestratificado. Obsérvese que aquellos sitios donde el epitelio está orientado verticalmente, sobre la derecha de la microfotografía, parece haber más núcleos y el epitelio tiene mayor espesor. Esto se debe a que es un plano de corte tangencial Como regla práctica, se debe examinar la zona más delgada de un epitelio para poder apreciar su verdadera organización.



Epitelio plano estratificado, vagina, humano, H&E, 225×.

Este es un **opitolio plano estratificado** de la pared vagunal. Las células más profundas, particularmente aquellas de la capa basal, son pequeñas, con escaso citoplasma y, por ende,

los núcleos se ven compactos. Como las células se hacen más largas, tien-

den a achatarse, de manera que forman escamas con apartencia de disco. El citoplasma de las células epiteliales arriba de la capa basal parece vacío debido a la gran cantidad de glucógeno acumulado que se pierde durante la preparación de la laminilla. Dado que las células de superficie conservan esta forma, el epitelio se denomina plano estratificado. El tejudo conjuntivo (TC) subyacente contiene numerosos fibroblastos.

C, cilios

CB, célula basal

CC, célula cilindoca

GI, glándula intestinal

TC, terido conjuntivo

asterisco, conducto o tubu o con epitelio simple cúbico

fiechas, arriba a la izquierda, conducto compuesto de epitelio plano simple; arriba a la derecha, limites laterales de cé u as cubicas que forman el tubulo centro a la izquierda, cálices con moco de las células caliciformes

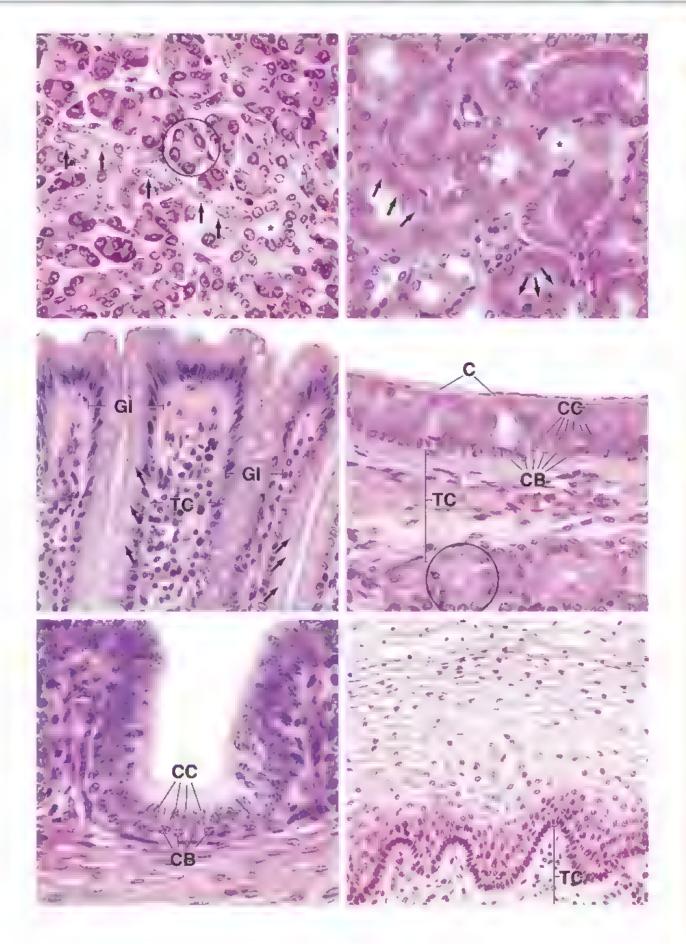


LÁMINA 3 EPITELIOS ESTRATIFICADOS Y TEJIDOS EPITELIOIDES

Los tejidos que se asemejan a un epitello pero que carecen de la característica superficie libre se denominan tejidos epitelloides. Esta es la estructura característica de los órganos endocrinos, que se desarrollan desde epitelios tipicos pero pierden su conexión a una superficie durante el desarrollo.



Epitelio estratificado, esofago, mono, H&E, 250×.

Esta parte de la pared del esófago muestra dos diferentes epitelios. A la *izquierda* de la imagen está el epitelio de revestimiento del esófago. Tiene múltiples capas con células

de superficie planas; por lo tanto, es un epitello plano estratificado



Epitelio estratificado, piel, humano, H&E, 450×.

En esta imagen se muestra una porción del conducto excretor de una glándula sudorípara antes de su ingreso en el epitelio plano estratificado (EPE) de la piel. La línea

punteada señala el trayecto del conducto en la epidermis. Este conducto



Epitelio de transición, unión anorrectal, humano, H&E, 300×.

La región que se muestra en esta imagen corresponde a la parte terminal del intestino grueso. El epitelio luminal sobre la *inquierda* es el tipico **opitelio cilindrico simple** (ECS)

del colon. Este epitello experimenta una abrupta transición (piona de flecha) hacia un epitello cúbico estratificado (ECuE) en el conducto



Epitelio de transición (urotelio), vejiga, mono, H&E, 400×.

El epitelio de la vejiga urinaria se denomina epitelio de transición, y es un epitelio que cambia de apariencia de acuerdo con el grado de distensión de la vejiga. En es-

tado no distendido, como en esta imagen, es de aproximadamente cuatro o cinco células de profundidad. Las células de la superficie son grandes y de forma cóncava (asterucos). Las células inmediatamente bajo las super-



Tejidos epitelioides, testículos, mono, H&E, 350×.

En esta imagen se muestran las **células intersticiales** de Leydig (CI) del testículo. Estas poseen ciertas características epiteliales. No tienen una superficie libre; sin em-



Tejido epitelioide, pancreas endocrino, humano, H&E, 450×.

Las células endocrinas (En) de los isiotes de Langerhans del pancreas tambien tienen una organización epitalioide. Las células están en contacto, pero carecen de una superficie libre, aunque se han desarrollado de una superficie epitelial

EPE, ep telio plano estratificado
Ex. células exocrinas
TC, tejido conjuntivo
asteriscos, células cóncavas

flechas, céfulas superficiales cubicas

(EPE). A la derecha se observa un conducto de una glándula esofágica con corres en varios planos. Al examinar una region donde el plano de corte se encuentra en ángulo recto respecto de la superficie, el verdadero carácter del epitelio se hace evidente. En este caso, el epitelio está constituido por dos capas con células cúbicas en la superficie; por ende, se trata de un **epitelio cubico estratificado** (ECuE).

también está formado por un **epitelio cúbico estratificado** (*ECuE*) de dos capas; las células de la capa más interna (las células superficiales) se ven más o menos cuadradas. Dado que las células epidérmicas superficiales no aparecen en este campo, la designación de plano estratificado no puede confirmarse a partir de la información ofrecida por la microfotografía.

anal. Obsérvese la forma general cúbica de la mayoría de las células de superficie (flechai) y la capa de células subyacentes. El epitelio cilindrico simple sobre la usquierda es parte de una glándula intestinal que se continúa con el **opitelio cilindrico simple** que reviste la superficie luminal del intestino. El tejido conjuntivo (TC) en este sitio se encuentra densamente infiltrado con linfocitos, lo que le da una apariencia totalmente distinta a la del tejido conjuntivo de las otras imágenes en esta lámina.

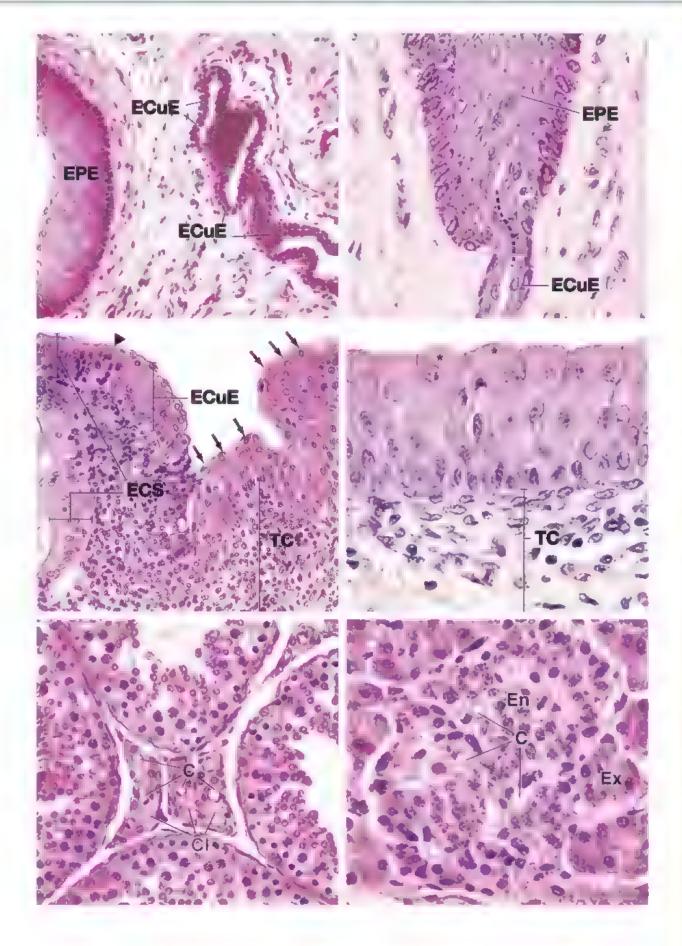
ficiales tienen forma de pera y son ligeramente más pequeñas. Las células más profundas son las más pequeñas y sus núcleos parecen más hacinados. Cuando la vejiga está distendida, las células superficiales se estiran y aplanan, y el grosor del epitelio se reduce hasta aproximadamente tres células de profundidad. La pared de la vejiga suele contraerse cuando se obtiene la muestra, a menos que se tomen precauciones especiales para preservar en ella un estado distendido. De esta manera, su apariencia es generalmente como la que se observa en esta imagen. Un gran número de fibroblastos son visibles en el rejido conjuntivo (TC) subyacente.

bargo, tampoco se desarrollan de una superficie; en su lugar, surgen de las células mesenquimatosas. Se les denomina células epitelioides porque hacen contacto con células vecinas similares, así como las células epiteliales hacen contacto entre sí. Las células de Leydig son de índole endocrina y están rodeadas por una rica red de capilares (C) y conductos linfáticos.

por invaginación. En contraste, los alvéolos de alrededor del páncreas exocrino (Er), que se desarrollan de la misma superficie epitelial, están constituidos por células con una superficie libre sobre la cual se descarga el producto de la secreción. En los tejidos endocrinos predominan los capitares (C). Se pueden observar ejemplos similares de tejido epitelioide en las glándulas suprarrenales, paratiroides e hipófisis, las cuales son todas endocrinas.

C, capitar
CI, células intersticiares (Leydig)
ECS, epitelio cilíndrico simple
ECUE, epitelio cúbico estratificado
En, células endocrinas

punta de flecha, transición de epitello cuindr co simple a cubico estratificado



6 TEJIDO CONJUNTIVO

FUNDAMENTOS DEL TEJIDO CONJUNTIVO / 170 TEJIDO CONJUNTIVO EMBRIONARIO / 170 TEJIDO CONJUNTIVO DEL ADULTO / 172 FIBRAS DEL TEJIDO CONJUNTIVO / 174

Fibras y fibrillas de colágeno / 174
Biosíntesis y degradación de las fibras
de colágeno / 177
Fibras reticulares / 181
Fibras elasticas / 182

MATRIZ EXTRACELULAR / 186 CÉLULAS DEL TEJIDO CONJUNTIVO / 190

Fibroblastos y miofibroblastos / 190 Macrófagos / 192 Mastocitos / 194 Basófilos / 199 Adipocitos / 199

Células madre adultas y pericitos / 199 Linfocitos, células plasmáticas y otras células

del sistema inmunitario / 200

Cuadro 6-1 Correlación clínica: colagenopatías / 181

Cuadro 6-2 Correlación clínica: exposición al sol y cambios moleculares en la piel fotoenvejecida / 186

Cuadro 6-3 Correlación clínica: función

de los miofibroblastos en la cicatrización / 196

Cuadro 6-4 Consideraciones funcionales: sistema fagocitico mononuclear/ 197

Cuadro 6-5 Correlacion clinica, funcion de los mastocitos y los basófilos en las reacciones alérgicas / 198

HISTOLOGIA 101 / 202

■ FUNDAMENTOS DELTEJIDO CONJUNTIVO

El tejido conjuntivo incluye un grupo diverso de células dentro de una matriz extracelular específica de un tejido.

En general, el tejido conjuntivo consta de células y una matria extracelular (MEC). La MEC incluye fibras proteínicas (de colágeno, elásticas y reticulares) y un componente amorfo que contiene moléculas especializadas (proteoglucanos, glucoproteínas multiad hesivas y glucosaminoglucanos) que constituyen la sustancia fundamental. El tejido conjuntivo forma un compartimento vasto y continuo por todo el cuerpo, delimitado por las láminas basales de los diversos epitelios y por las láminas externas de las células musculares y las células de sostén de los pervios.

Los diferentes tipos de tejido conjuntivo tienen a cargo una variedad de funciones.

Las funciones de los diversos tejidos conjuntivos son un reflejo de los tipos de células y fibras que se presentan dentro de dicho tejido y la composición de la sustancia fundamental de la MEC. Por ejemplo, en el tejido conjuntivo laxo existen muchos upos de células (fig. 6-1). Una de ellas, el fibroblasto, produce las fibras extracelulares que cumplen una tarea estructural en el tejido. Los fibroblastos también producen y mantienen la sustancia fundamental. Otros tipos celulares, como los linfocitos, las células plasmáticas, los macrófagos y los eosinófilos, están asociados con el sistema de

defensa del cuerpo y funcionan dentro de la MEC del tejido. Por el contrario, el tejido óseo, otra forma de tejido conjuntivo, contiene un solo tipo de célula, el osteocito. Esta célula produce las fibras que componen la mayor parte del tejido óseo. Una característica exclusiva del hueso es que sus fibras se organizan de una manera específica y se calcifican para crear la dureza característica de este tejido. De igual manera, en los tendones y los ligamentos, las fibras son la característica destacada del tejido. Estas fibras se organizan de forma paralela y se agrupan muy juntas para lograr la máxima resistencia.

La clasificación del tejido conjuntivo se basa principalmente en la composición y la organización de sus elementos extracelulares, así como sus funciones.

El tejido conjuntivo comprende una gran variedad de rejidos con distintas propiedades funcionales, pero con ciertas características comunes que les permiten agruparse. Para mayor facilidad, se clasifican de forma que se reflejen esas características. En la tabla 6-1 se presenta la clasificación de los tejidos conjuntivos, inclindos los subtipos.

■ TEJIDO CONJUNTIVO EMBRIONARIO

El mesénquima embrionario origina los diversos tejidos conjuntivos del cuerpo.

El mesodermo, la capa media de las tres que constituyen el embrión, da origen a casi todos los tejidos conjuntivos del cuerpo. Una

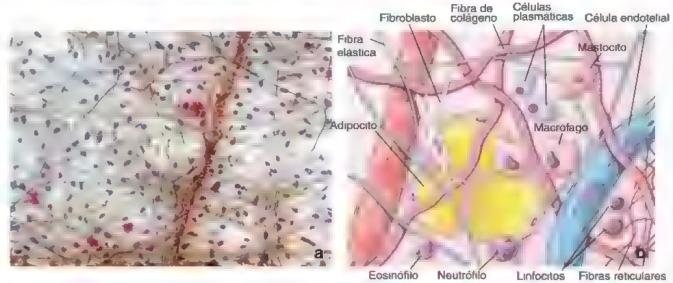


FIGURA 6-1. Tejido conjuntivo laxo. a. Microfotografia de un montaje entero de mesenterio ten do con hematox lina de Verhoeff para mostrar los nucleos y las fibras elásticas. La coloración de confraste consiste en safran na que permite dentificar los gránulos de os mastocitos y narama Gi que sirve para ten riotras proteínas (sobre todo fibras de colágeno). Las fibras elásticas aparecen como delgadas estructuras filiformes largas y ramificadas de color azul a negro sin un principio ni un fin discernibles. Las fibras de colágeno son bastante más gruesas que las fibras elásticas y se ven como situetas largas y rectas itenidas de color anaranjado. La mayor a de los nucleos visibles supuestamente corresponden a fibroblastos. También hay nucleos de otros tipos de células (p. e., Infocitos células plasmáticas y macrófagos), las cuales no pueden identificarse. Los mastocitos se reconocen por los granulos de color riojo brillante dentro de su citoplasma. Los eos not los y neutró filos cuando están presentes) se pueden identificar por sus nucleos segmentados de forma singuiar y por la presencia de gránulos especificos (rojizos en el caso del eosinófilo). Cabe adventir la presencia de un vaso sanguineo de pequeno calibre repleto de entrocitos. 150 × b. Diagrama en el que se calcular no componentes de tejido con untivo laxo. Se observa la asociación de diferentes tipos de células que sue en encontrarse en el tejido con juntivo laxo con la matriz extracellular circundante la cua contiene vasos sanguineos y tres tipos diferentes de fibras. El fondo homogéneo rosa de este diagrama corresponde a la sustancia fundamental.

excepción es la región de la cabeza, donde las células progenitoras específicas denvan del ectodermo por medio de las células de la cresta neural. Mediante la proliferación y migración de células mesodérmicas y otras específicas de la cresta neural, se establece en el embrión temprano un tejido conjuntivo primitivo conocido como mesénquimo (en la región de la cabeza, en ocasiones denominado octomosénquimo). La maduración y proliferación del mesénquima no solo origina los diversos tejidos conjuntivos del adulto, sino

tambien los sistemas muscular, vascular y urogenital; y las membranas serosas que revisten las cavidades corporales. La manera en la que proliferan y se organizan las células mesenquimatosas determina el tipo de tejido conjuntivo maduro que se formará en un sitio especifico.

El tejido conjuntivo embrionario está presente en el embrión y dentro del cordón umbilical.

El tejido conjuntivo embrionario se clasifica en dos subtipos:

- ➡ El mesenquima se halla principalmente en el embrión. Contiene pequeñas células fusiformes de aspecto relativamente uniforme (fig. 6-2a). Las evaginaciones se extienden a partir de estas células y entran en contacto con evaginaciones similares de las células adyacentes para formar una red celular tridimensional. En el sitio donde las evaginaciones entran en contacto hay uniones de hen didura. El espacio extracelular está ocupado por una sustancia fundamental viscosa. También hay presencia de fibras reticulares y de colágeno; son muy finas y relativamente escasas. La escasez de las fibras de colageno es congruente con el poco estrés físico al cual está sometido el feto en crecimiento.
 - El tojido conjuntivo mucoso se halla en el cordón umbilical. Consiste en una MEC especializada, de aspecto gelatinoso, compuesta principalmente por ácido hialurónico. La sustancia fundamental de este tendo suele denominarse geletina de Wherton. Las células fusiformes están bien separadas y se asemejan bastante a los fibroblastos del cordón umbilical de término (p. ej., las evaginaciones citoplasmáticas son muy finas y difíciles de observar en el preparado de rutina teñido con hematoxilina y eosina [H&E]). La gelatina de Wharton ocupa los grandes espacios intercelulares ubicados entre las fibras de colágeno finas y onduladas (fig. 6-2b). Algunas de las células aisladas de la gelatina de Wharton muestran cantidades importantes de marcadores de celulas madre mesenquimatosas y tienen

MALL IN

Clasificación del tejido conjuntivo

Tejido conjuntivo embrionario

Mesénguima

Tejido conjuntivo mucoso

Tejido conjuntivo del adulto

Teildo conjuntivo laxo

Tejido conjuntivo denso

Regular

Irregular

Tejido conjuntivo especializado*

Tejido cartilaginoso (cap. 7)

Tejido sanguíneo (cap. 10)

Tejido óseo (cap. 8)

Tejido hematopoyético (cap. 10)

Tejido adiposo (cap. 9)

Tejido linfático (cap. 14)

*Antes, las denominaciones tejido elástico y tejido reticular se clasificaban como categorias separadas del tejido conjuntivo especializado. Los tejidos que suelen mencionarise como ejemplos de tejido elástico son ciertos ligamentos asociados con la columna vertebral y la túnica media de las arrenas elásticas. El rasgo identificador del tejido reticular es la presencia de fibras y de células reticulares que, en conjunto, forman un estroma tridimensiona. El tejido reticular sirve como estroma del tejido hematopoyético (en especial, la médula ósea roja) y los órganos del tejido linfático (ganglios linfáticos y bazo, pero no así el timo)

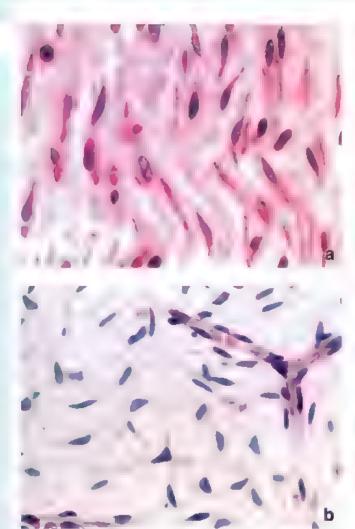


FIGURA 6-2. Tejido conjuntivo embrionario. a. Microfotografía de tejido mesenquimatoso de un feto en desarrollo teñido con H&E. Si bien desde el punto de vista morfológico aparecen como una población homogénea, las células mesenquimatosas dan origen a células que se diferenciarán en tipos celulares diversos. Sus evaginaciones citoplasmáticas suelen proporcionar a la célula una apanencia de huso o fusiforme. El componente extrace ular del tejido contiene fibras reticulares escasas y abundante sustancia fundamental. 480× b. Microfotografía de la gelatina de Wharton consiste en una sustancia fundamental especializada, cuasigelatinosa, que ocupa los espacios intercelulares grandes ubicados entre las células mesenquimatosas fusiformes. 480×

la capacidad de diferenciarse en condiciones adecuadas en osteocitos, condrocitos, adipocitos y células semejantes a las nerviosas. Estas celulas se llaman celulas madre mesenquimatosas de la gelatina de Wharton y podrian tener una aplicación terapéutica en al futuro.

■ TEJIDO CONJUNTIVO DEL ADULTO

Los tejidos conjuntivos pertenecientes a esta categoría se dividen en dos subtipos generales:

- Tejido conjuntivo laxo, también llamado tejido areolar.
- Tejido conjuntivo denso, que a su vez se puede dividir en dos tipos básicos de acuerdo con la organización de sus fibras de colágeno: tejido conjuntivo denso regular y tejido conjuntivo denso irregular.

El tejido conjuntivo laxo se caracteriza por sus fibras poco ordenadas y por una abundancia de células de varios tipos.

El tejido conjuntivo laxo es un tejido conjuntivo oclular con fibras de colágeno delgadas y relativamente escasas (fig. 6-3). Sin embargo, la sustancia fundamental es abundante. De hecho, ocupa más volumen que las fibras. Tiene una consistencia entre viscosa y gelatinosa y desempeña una importante función en la difusión de oxígeno y sustancias nutritivas desde los pequeños vasos que discurren por este tejido, así como también en la difusión del dióxido de carbono y los desechos metabólicos que vuelven a los vasos.

El tejido conjuntivo laxo está ubicado principalmente debajo de los epitelios que revisten la superficie externa del cuerpo y que recubren las superficies internas. También se relaciona con el epitelio de las glándulas y rodea los vasos sanguíneos más pequeños (lám. 4, p. 204). Así, este tejido es el primer sitio donde las células del sistema inmunitario enfrentan y destruyen a los agentes patógenos, como las bacterias que han logrado entrar por una superficie epitelial. La mayoría de los tipos de células del rejido conjuntivo laxo son células transitorias que migran desde los vasos sanguíneos locales al responder a estímulos específicos. Por lo tanto, el tejido conjuntivo es el sitio donde ocurren las reacciones inflamatorias e inmunitarias. Durante estas reacciones, el tejido conjuntivo laxo se inflama considerablemente. En las partes del cuerpodonde hay una presencia constante de sustancias extrañas, existe una gran cantidad de células del sistema inmunitario. Por ejemplo, la lámina propia, el tejido conjuntivo laxo de las membranas mucosas, como las de los sistemas respiratorio y digestivo, contiene grandes cantidades de estas células.

El tejido conjuntivo denso irregular se caracteriza por tener abundantes fibras y pocas células.

El tejido conjuntivo denso irregular o no modelado contiene sobre todo fibras de colágeno. Las células están dispersas y generalmente son de un solo tipo, el fibroblasto. Este tejido también presenta una

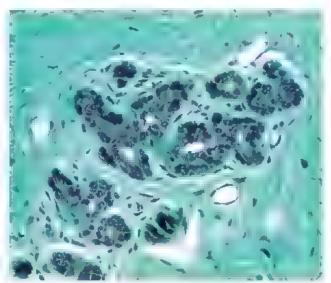


FIGURA 6-3. Tejido conjuntivo laxo y denso irregular. Microfotografia en la que se comparan los tejidos conjuntivos axo y denso irregular de la glándula mamaria, en un preparado terido con la técnica tricrómica de Masson. En el centro, el tejido conjuntivo axo rodea el epitelio glandular. El tejido conjuntivo laxo está compuesto por fibras de colágeno de disposición ondulada y muchas células. Cabe destacar la gran cantidad de nucleos visibles con este escaso aumento. En los ángulos superior izquierdo e infenor derecho de la figura aparece el tejido conjuntivo denso irregular. A diferencia del tejido conjuntivo laxo, se observari pocos núcleos en el tejido conjuntivo denso. Sin embargo, el colágeno es mucho más abundante y está compuesto por fibras muy gruesas. 100×

escasez relativa de sustancia fundamental (lám. 4, p. 204). Debido a su alta proporción de fibras de colágeno, el tejido conjuntivo denso irregular ofrece una solidez considerable. Las fibras por lo general se organizan en haces orientados en distintas direcciones (de allí el término irregular o no modelado) que resisten las fuerzas tensoras que actúan sobre órganos y estructuras. La piel contiene una capa relativamente gruesa de tejido conjuntivo llamada capa reticular (o capa profunda) de la dermis. La capa reticular brinda resistencia frente al desgarro como consecuencia de las fuerzas de estiramiento en distintas direcciones. De igual manera, los órganos huecos (p. ej., el intestino) poseen una capa distintiva de rejido conjuntivo denso irregular llamada submucosa, en la cual los haces de fibras discurren en planos variables. Esta estructura permite al órgano resistir el estiramiento y la distensión excesivos.

El tejido conjuntivo denso regular se caracteriza por tener formaciones densas y ordenadas de fibras y células.

El tejido conjuntivo denso regular o modelado es el principal componente funcional de los tendones, los ligamentos y las aponeurosis. Al igual que en el tejido conjuntivo denso irregular, las fibras de este tejido son su característica principal y hay poca presencia de MEC. Sin embargo, en el tejido conjuntivo denso regular, las fibras se disponen en haces paralelos y están muy juntas para ofrecer la mayor resistencia posible. Las células que producen y mantienen las fibras están comprimidas y alineadas entre los haces de fibras.

Los tendones son estructuras semejantes a un cable que se fijan al músculo y al hueso. Están formados por haces paralelos de fibras de colágeno. Entre estos haces se encuentran hileras de fibroblastos llamados tendinocitos (fig. 6-4 y lám. 5, p. 206). Los tendinocitos están rodeados por una MEC especializada que los separa de las fibrillas de colágeno de sostén. Al realizar un corte transversal del tendón con tinción de H&E, los tendinocitos presentan un aspecto estrellado. En las microfotografías electrónicas de transmisión (MET) de cortes paralelos al eje longitudinal de los tendones, se observa que las evaginaciones citoplasmáticas de la célula se ubican entre las fibras y aparecen como láminas citoplasmáticas delgadas. No obstante, en la mayoría de los cortes longitudinales con tinción de H&E, los tendinocitos aparecen apenas como filas de núcleos basófilos con su forma aplanada característica.

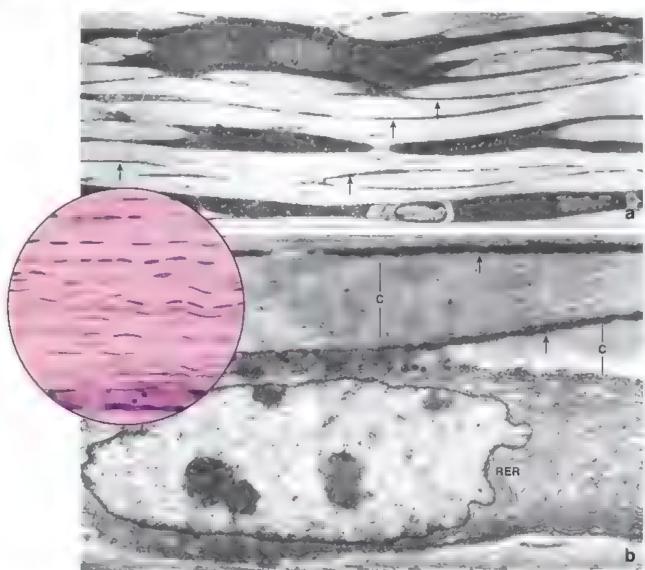


FIGURA 6-4. Tejido conjuntivo denso regular (tendón) a. Microfotografía electrónica de un tendón con podo aumento en la que se muestran los tendinocitos (fibrobiastos) y sus evaginaciones deigadas (*flechas*) entre los haces de colágeno 1600 × **b.** Tendinocito visto con mayor aumento en el que se observa un reticulo endoplásmico rugoso prominente. RER) Las fibras de colágeno (C) se ven compuestas por fibrillas de colágeno muy juntas. Las *flechas* senalar las evaginaciones de los tendinocitos 9500 × **Detalle.** Microfotografía de un fendón Observese la disposición ordenada y regular de los haces de fibras de colágeno. Los tendinocitos se alínean en hijeras entre las fibras de colágeno. 200 × (microfotografías electrónicas modificadas de Rhodin J. *Histology*. New York. Oxford University Press. 1974)

Las láminas citoplasmáticas que se extienden desde el cuerpo de los tendinocitos no suelen ser visibles en los corres longitudinales con HôtE, ya que se confunden con las fibras de colágeno. La sustancia del tendón está rodeada por una cápsula de tendo conjuntivo delgado, el **apitandón**, en la cual las fibras de colágeno no están tan ordenadas (lám. 5, p. 206). Por lo general, el tendón está subdividido en pequeños fascículos por el **andotandón**, una extensión de tejido conjuntivo del epitendón. Este contiene los pequeños vasos sanguíneos y nervios del tendón.

- Los ligamentos, al igual que los tendones, están compuestos por fibras y fibroblastos dispuestos de forma paralela. Sin embargo, las fibras de los ligamentos tienen una disposición menos regular que la de los tendones. Los ligamentos unen un hueso con otro, lo cual en ciertos lugares, como la columna vertebral, necesita cierto grado de elasticidad. Aunque el colágeno es la principal fibra extracelular de la mayoría de los ligamentos, algunos de los ligamentos asociados con la columna vertebral (p. ej., los ligamentos amanllos) contienen muchas más fibras elásticas y menos fibras de colágeno. Estos ligamentos se denominan ligamentos elásticos.
- Las aponeurosis se asemejan a tendones anchos y planos. En lugar de fibras dispuestas de forma paralela, las fibras de las aponeurosis se organizan en varias capas. Los haces de fibras de colágeno de una capa tienden a disponerse en un ángulo de 90° con respecto a los haces de las capas vecinas. Las fibras dentro de cada una de las capas están dispuestas en agrupaciones regulares. Por lo tanto, la aponeurosis es un tejido conjuntivo denso regular. Esta disposición ortogonal también está presente en la córnea del ojo y es la responsable de su transparencia.

■ FIBRAS DEL TEJIDO CONJUNTIVO

Las fibras del tejido conjuntivo se dividen en tres tipos principales.

Las fibras del tejido conjuntivo están presentes en distintas cantídades, según las necesidades estructurales o la función del tejido conjuntivo. Cada tipo de fibra es producida por los fibroblastos y se compone de proteínas de cadenas peprídicas largas. Las siguientes son los distintos tipos de fibras del tejido conjuntivo:

- Fibras de colágeno
- Fibras reticulares
- Fibras elásticas

Fibras y fibrillas de colágeno

Las fibras de colágeno son el tipo de fibra más abundante del tejido conjuntivo.

Las fibres de colágeno son el componente estructural más abundante del tendo conjuntivo. Son flexibles y tienen una resistencia tensora notable. Bajo el microscopio óptico, las fibras de colágeno aparecen generalmente como estructuras onduladas de espesor variable y longitud indeterminada. Se tiñen fácilmente con eosina y otros colorantes ácidos. También pueden colorearse con azul de anilina, utilizado en la técnica tricrómica de Mallory para el tejido conjuntivo, o con el verde luz, utilizado en la técnica de Masson.

Con la MET, las fibras de colágeno aparecen como haces de subunidades filamentosas finas. Estas subunidades son fibrillas de colágeno (fig. 6-5). Dentro de cada fibra, las fibrillas de colágeno tienen un diámetro relativamente uniforme. Sin embargo, en distintos sitios y en distintas etapas del desarrollo, las fibrillas varían de tamaño. En los tendos en desarrollo o inmaduros, las fibrillas pueden tener no más de 15 o 20 nm de diámetro. En el tejido conjuntivo denso regular que se encuentra en los tendones y en otros tejidos sujetos a una tensión considerable, pueden medir hasta 300 nm de diámetro.

Las fibrillas de colágeno presentan un patrón de bandas transversales de 68 nm.

Cuando las fibrillas de colágeno teñidas con ostiño ti otro metal pesado se examinan con el MET, muestran una secuencia de bandas transversales espaciadas regularmente y que se repiten cada 68 nm

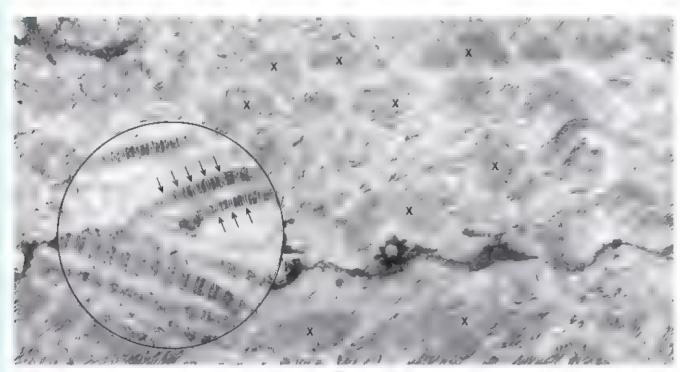


FIGURA 6-5. Fibrillas de colágeno en el tejido conjuntivo denso irregular. Microfotograf a electrónica del terdo conjuntivo denso irregular de la capsula festicular de un varón joven casif brillas de colágeno fil formes se agrupan en algunas regiones. (X) y forman haces bastante gruesos en otras regiones, las fibrillas están más dispersas. 9500×. Detalle. Cortes iongitudinales de fibrillas de colágeno de la misma muestra vistas con mayor aumento. Observese el patrón de bandas transversales. Las flechas indican el patrón de repetición de 68 nm. 75000×.

en toda su longitud (véase fig. 6-5, recuadro). Este patrón regular de bandas también se observa en la superficie de las fibrillas de colágeno cuando se examinan con el microscopio de fuerza atómica (MFA; fig. 6-6). El patrón de bandas es un reflejo de la estructura en subunidades de la fibrilla, específicamente del tamaño y la forma de la molécula de colágeno y la disposición de las moléculas que forman la fibrilla (fig. 6-7). La moléculo de colágeno (que antes se llamaba tropocolágeno) mide unos 300 nm de largo por 1.5 nm de espesor y tiene una cabeza y una cola. Dentro de cada fibrilla, las moléculas de colágeno se alinean cabeza con cola en hileras superpuestas con brechas entre las moléculas de cada hilera y un desfase de un cuarto de molécula entre las hileras contiguas. Las brechas se pueden ver con claridad con el MFA (vésse fig. 6-6). La resistencia a la tensión de la fibrilla es consecuencia de los enlaces covalentes que hay entre las moléculas de colágeno de hileras contiguas y no de las uniones cabeza con cola entre las moléculas de una hilera. El patrón de bandas transversales observado con el MET (véase fig. 6-5, recuadro) se debe en gran medida al depósito de osmio en el espacio que hay entre las cabezas y las colas de las moléculas en cada hilera.

Cada molécula de colágeno es una hélice triple compuesta por tres cadenas polipeptidicas entrelazadas.

Cada molécula de colágeno consiste en tres cadenas polipeptidicas llamadas endenases. Las cadenas u se entrelazan para formar una hélice triple dextrógira (véase fig. 6-7d). De cada tres aminoácidos de la cadena, uno es una molécula de glicina, excepto en los extremos de las cadenas u. Una hidroxiprolina o una hidroxilisma suele preceder a cada glicina en la cadena; y una prolina con frecuencia sigue a cada glicina de la cadena. Junto con la prolina y la hidroxiprolina, la glicina es indispensable para la conformación en triple hélice (véase fig. 6-7e). En asociación con la hélice, hay también grupos sacáridos unidos a los residuos hidroxilisílicos. Es por estos grupos sacáridos que el colágeno se clasifica propiamente como una glucoproteina.



FIGURA 6-6. Fibrillas de colágeno en el tejido conjuntivo denso irregular. Esta imagen de fibrillas de colágeno tipo I en el tejido conjuntivo, obtenida con el microscopio de fuerza atómica, permite observar el patrón de bandas en a superficie de las fibrillas de colágeno. Nótese la orientación desordenada de las fibrillas de colágeno están superpuestas y se entrecruzan en la matriz del tejido conjuntivo. 65 000× (cortesia de la Dra Gabriela Bagordo, JPK Instruments AG, Berlin, Alemania)

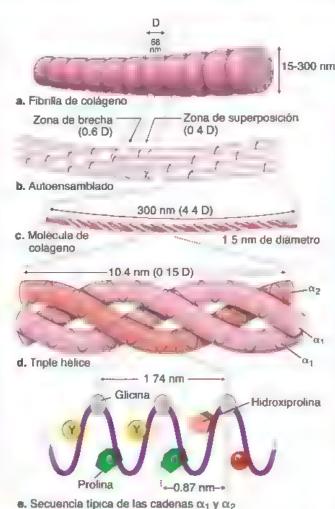


FIGURA 6-7. Diagrama en el que se ilustran las características moleculares de una fibrilla de colágeno tipo I en un orden de detalle estructural creciente a. Fibrilla de colágeno que exhibe bandas penódicas con una distancia (D) de 68 nm entre las bandas que se repiten b. Cada fibrilla se autoensamb a a partir de moléculas de colágeno dispuestas de forma escalonada, que presentan en aces cruzados covalentes con residuos de lisma e hidroxilis na en las moléculas adyacentes (enlaces purpuras) c. Cada molécula tiene alrededor de 300 nm de longitud y 1.5 nm de diámetro. d. La molécula de colágeno. es una triple hélica de unión cruzada por numerosos enlaces de hidrógeno entre las prolinas y las glicinas. e. La triple hélice consiste en tres cadenas o. Cada tercer aminoácido de la cadena o es una glicina. La posición X que sigue a la glicina suele ser una prolina, y la posición Y que precede a la glicina suele ser una hidroxiprolina. Algunos aminoácidos (p. ej , ácido glutámico, leucina, fenilalanina) prefieren la posición X y otros prefieren la posición Y (p. aj , arginina, glutamina, lisma, metionina y trechina)

Las cadenas α que conforman la hélice no son todas iguales. Su tamaño varía entre 600 y 3000 aminoácidos. Hasta ahora se han identificado al menos 42 tipos de cadenas α codificadas por diferentes genes cuyos *loci* se encuentran de distintos cromosomas. Se han categorizado unos 29 tipos de colágeno teniendo en cuenta las combinaciones de las cadenas α que contienen. Estos diversos colágenos se clasifican con números romanos del I al XXIX según su fecha de descubrimiento. Una molécula de colágeno puede ser homotrimérica (compuesta por tres cadenas α idénticas) o heterotrimérica (formada por dos o hasta tres cadenas α diferentes).

Por ejemplo, el **colágeno tipo I** que se encuentra en los tejidos conjuntivos denso y laxo es heterotrimérico. Dos de las cadenas α, identificadas como α1, son idéntificas, y una, identificada como α2, es diferente (tabla 6-2). Así, en la nomenclatura de los colágenos, se



Tipos de colágeno. Composición, ubicación y función

Tipo	Composición*	Ubicación	Funciones
1	a1(I)) ₂ a2(I)	Tejido conjuntivo de piel, hueso, tendones, ligamen- tos, dentina, esclera, fascias y cápsulas orgánicas (90% del colágeno del organismo)	Proporciona resistencia a fuerzas, tensiones y estramiento
II	[a1(II)] _a	Cartílago (hialino y elástico), notocordio y discos inter- vertebrales	Ofrece resistencia a la compresión intermitente
II	[α1(III)] ₃	Prominente en el tejido conjuntivo laxo de las vísceras (utero, hígado, bazo, rinón, pulmón, etc.), musculo liso, endoneuro, vasos sanguineos y piel fetal	Forma las fibras reticulares, organizadas en forma de una malla laxa de fibras delgadas i provee sos- tén estructural para las nelu as especializadas de decresos órganos y para los vasos sanguineos
IV.	(a1(IV)); a2(IV) o a3(IV) a4(IV) a5(IV) o (a5(IV)); a6(IV)	Láminas basales de los epitelios, glomérulos renales y cápsula del cristalino	Provee sostén y barrera de filtración
٧	[α1(V)]₂ α2(V) ο α1(V) α2(V) α3(V)	Distribución uniforme en todo estroma de tej do con- juntivo, podría estar relacionado con la red reticular se ubica en las fibras reticulares de la pulpa roja esplênica	Se ubica en la superficie de las fibrillas de colágeno tipo I unto con los colágenos tipos XII y X y pará modular las propiedades biomecánicas de la fibrilla
VI	[a1(VI)] ₂ a2(VI) o a1(VI) a2(VI) a3(VI)	Forma parte de la matnz cartifaginosa que rodea inme- diatamente los condrocitos	Fija el condrocito a la matriz, se une de forma co- valente a las fibrillas de colágeno tipo I
VI	[α1(VII)] ₃	Presente en las fibrillas de anclaje de la piel, los ojos, el utero y el esófago	Asegura la lámina basal a las fibras del tejido conjuntivo
VI	[a1(VIII)] ₂ a2(VIII)	Producto de las cálulas endoteliales	Facuta el movimiento de las células endoteliales durante la angiogénesis
IX	α1 IX) α2(IX) α3(IX)	Se encuentra en el cartílago asociado con las fibrillas de colágeno tipo	Establiza la red de fibras de colágeno tipo II del cartilago por interacción con las moléculas de profeogracanos en sus intersecciones
X	[α1(ΧΟ)]3	Producido por los condrocitos en la zona de hipertrofia del disco epiñisano normal	Contribuye con el proceso de mineralización osea af formar las redes hexagonales necesarias para organizar los colágenos tipos I, IX y XI dentro del cartilago
XI	[a1(Xb]; a2(Xl) o a1(Xb) a2(Xl) a3(Xl	Producido por los condrecitos se asocia con las fibrillas de colágeno tipo II, forma el centro de las fibrillas de colágeno tipo.	Regula el tamaño de las fibrillas de colágeno hpo II, es indispensable para las propiedades cohesivas de la matriz cartilaginosa.
ΧI	[a1 Xta] ₃	Aslado de piel y piacenta, abundante en telidos que deben soportar una gran tensión mecánica.	Se ubica en la superficie de las fibrillas de colà- geno i po llunto con el colageno tipos V y X vi para modit ar las propiedades biomecanicas de la fibrilla
XI	[α1{XI(I)] ₃	Colageno transmembrana no habitual detectado en hueso, cartilago, intestino, piel, placenta y musculo estriado	Se asocia con la lámina basal junto con el colágeno tipo VII
XIV	[α1(XIVI)] ₁	A slado de la placenta también se detecta en la mé- dula ósea	Se ubica en la superficie de las fibrillas de colá- geno tipo l' unto con los colagenos tipos vi y X I para modular las propiedades biomecanicas de la fibrilla iposee la propiedad de mediar la adhe- sión cerula-cel la firmemente
ΧV	[n1(XV)] ₃	Presente en tejidos derivados del mesénquima, se expresa en los musculos cardíaco y esquelético	Partic pa en la adhesión de la lámina basal al tejido conjuntivo subyacente
ΧV	[a1(XV II]3	Amplia distribución en el tejido, se asocia con los fibro- biastos y con las celulas musculares, sas arteriales, pero no con las fibrillas de colageno tipo i	Contribuye a la integridad estructural del tejido conjunt vo
XV I	[α1(XV I)] ₃	Otro colágeno transmembrana no habitual haliado en las membranas de las células epiteliales	Interactua con las integrinas para estabilizar ia estructura de hem desmosoma
XV II	α1(XVIII)] ₃	Se halla en la membrana basal epitelial y vascular	Representa un proteoglucano de heparán-sulfato de la membrana basal que se prensa inhibe la proliferación celular endote al y la angiogénesis
XIX	[a1(X X)]	Descubierto a partir de la secuencia de ADNc de rabdom osarcoma humano presente en fibroblastos e higado.	La pronunciada interacción con los vasos y el estroma indica una participación en la anglogênes s
XX	α1000 ₁₃	Descibierto a partir del telido embrionario de pollo, también se encuentra en el epitelic de la cornea en el cartilago del esternon y en los tendones.	Se une a la superticie de otras fibrillas de colageno



Tipos de colágeno. Composición, ubicación y función (continuación)

Tipo	Composición*	Ubicación	Funciones
XXI	a1(XXII) ₁	Se enquentra en las enclas los músculos cardiacoly esque ético, así como en otros telidos con fibrillas de colageno tipo	Cumple alguna función en el manten miento de la arquitectura tridimensiona, de los telidos conjun- tivos densos
XXII	σ1 XXIb] ₁	Se encuentra en las uniones miotendinosas en los musculos cardiaco y esqueietico len la unión del cartirago articular y el figuido sinoviar y en el limite entre los foliculos pilosos y la dermis	Perfenece a la familia FACIT se expresa en las transiciones entre telidos de la pie lintiluye en las interacciones en lei o-mesenquimatosas durante la morfogenesis y en el ciclo de los foliculos pilosos
XXIII	[α3(XXIII)] ₃	Descubierto en cé las de tumores metastásicos tam- bién se expresa en corazón, retina y células metastá- sicas del cáncer de próstata	Colágeno transmembrana, interactua con las proteinas de la MEC (colágenos tipos XII y XXV, fibronectina, heparina), su expresión aumenta en pacientes con metástasis de cáncer prostático
XXIV	[a1(XXIVI)3	Se detectó su coexpresión con el colágeno tipo I en el hueso en desarrollo y en el ojo	Colágeno de tipo fibrilar considerado como una mo ecula antigua que regula la fibrilogenesis de colágeno tipo , en el hueso y en el ojo durante el desarrollo fetal
XXV	[a1(XXV)] ₃	Es un colágeno transmembrana específico de cerebro descubierto en placas am loides de cerebros de pacientes con enfermedad de Alzheimer, se expresa en exceso en las neuronas	Se une al péptido amiioide (3 tibr izado de las pla- cas de amiioide en la enfermedad de Alzheimer

^{*}Cada molecula de colageno está compuesta por tres cadenas polipeptidicas o entrelazadas en una configuración helicoida. Los números romanos entre parentesis en la segunda columna desde la liguerda ("Composición") indican que las cadenas o poseen una estructura distint va que difiere de las cadenas con números romanos diferentes. Así, por ejempio, el colágeno tipo posee dos cadenas o indenticas y una cadena o el colágeno tipo posee tres cadenas o indenticas.

Colágeno fibrillar, FACIT; colágeno formador de membranas basales, colágeno formador de redes hexagonales
 colágenos transmembrana, multipliexinas

ADNo, ADN complementano; FACIT, colágenos asociados con fibrillas con triple hélice internimpida, MEC, matriz extracelular

designa [α1(I)]₂ α2(I). El solágeno tipo II es homotrimérico y está presente en el cartílago hialino y en el cartílago elástico, donde aparece en forma de fibrillas muy delgadas. Las moléculas de colágeno tipo II están compuestas por tres cadenas α idénticas. Puesto que estas cadenas α son diferentes de los otros colágenos, el colágeno upo II se designa [α1(II)]₃.

Según su patrón de polimerización, se pueden identificar varias clases de colágeno.

La mayoría de las moléculas de colágeno se polimerizan en agregados supramoleculares como fibrillas o redes, y se dividen en varios subgrupos según sus semejanzas estructurales o la secuencia de aminoácidos.

- Los colágenos fibrilares incluyen las moléculas de colágeno tipos I, II, III, V, XI y XXIV. Estos tipos se caracterizan por presentar repeticiones ininterrumpidas de glicina-prolina hidroxiprolina y se aglomeran para formar fibrillas con bandas de 68 nm (como se ilustra en la fig. 6-7a)
- Los colágenos asociados con fibrillas con helices triples Interrumpidas (FACIT, fibril-associated collagens with interrupted triple helices) tienen interrupciones en sus triples hélices que le aportan flexibilidad a la molécula. Se hallan en la superficie de las disturtas fibrillas y están representados por los colágenos tipos IX, XII, XIV, XVI, XIX, XX, XXI y XXII. Por ejemplo, la molécula de colágeno tipo IX se une e interacrúa con la tipo II en el cartílago, a la altura de las intersecciones con las fibrillas. Sirve para estabilizar este tejido mediante la unión de las fibrillas de colágeno tipo II con los proteoglucanos de la MEC.
- Los colágenos formadores de redes hexagonales están representados por los colágenos tipos VIII y X.
- Los colágenos transmembrana son los tipos XIII (que se hallan en las adhesiones focales), XVII (que se encuentran en los hemidesmosomas), XXIII (que aparecen en las células cancerígenas metastásicas) y XXV (un tipo de colágeno específico del encéfalo).

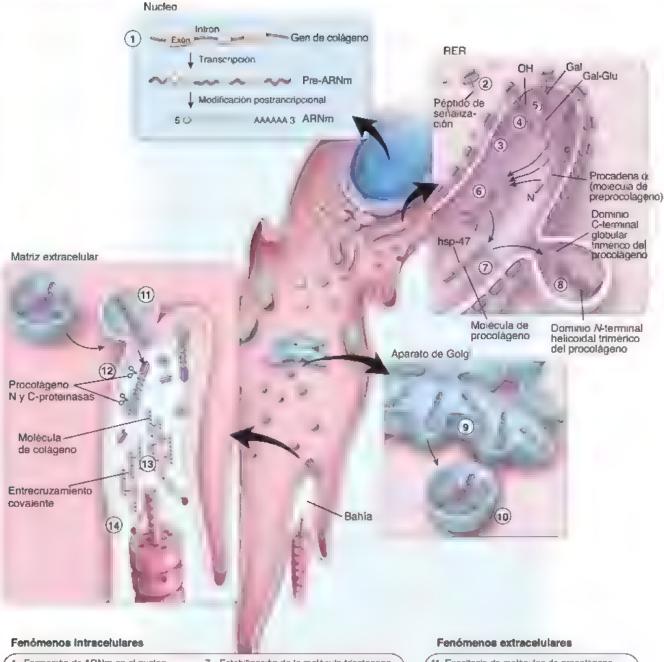
- Las multiplexinos (colágenos con dominios en triple hélice e interrupciones múltiples) comprenden los colágenos tipos XV y XVIII, que se hallan en las zonas de la membrana basal. Estas moléculas de colágeno poseen varios dominios de triple hélice corta conectadas por regiones únicas que no son hélices triples que confieren flexibilidad a la molécula de colágeno.
- Los colágenos formadores de la membrana basal incluyen el de tipo IV, que es el responsable de la supraestructura de colágeno en la membrana basal de las células epiteliales (p. 151); el de tipo VI, que forma los filamentos perlados, y el de tipo VII, que forma las fibrillas de anclaje que fijan la membrana basal a la MEC.

En la tabla 6-2 se presenta una lista de los colágenos descritos hasta el momento (1-XXV), incluidas sus variaciones estructurales y algunas de las funciones que se les ambuyen hoy en día. Los tipos de colágeno de identificación reciente (XXVI-XXIX) aún no se han descrito por completo y, por lo tanto, no se incluyen en la tabla.

Biosíntesis y degradación de las fibras de colágeno

La formación de fibras de colágeno consiste en fenómenos que ocurren dentro y fuera del fibrablasto.

La producción de colágeno fibrilar (I, II, III, V, XI y XXIV) incluye una serie de fenómenos dentro del fibroblasto que llevan a la genera ción de procolágeno, el precursor de la molécula de colágeno. Estos acontecimientos suceden en orgánulos limitados por una membrana dentro de la célula. La producción de la fibrilla propiamente dicha ocurre fuera de la célula e involucra la actividad enzimatica en la membrana plasmática para producir la molécula de colágeno, seguida por el armado de las moléculas en las fibrillas en la MEC, bajo la dirección de la célula (fig. 6-8)



- Formación de ARNm en el nucleo.
- 2. Inicio de la sintesis de procadenas a consecuencias de señal por ribosomas.
- 3. Sirtesis de procadena o en el RER.
- 4. Hidroxilación de los residuos de profina. y lisina, y escición de la secuencia de señal desde la cadena (L
- 5 Glucosilación de residuos especificos de la hidroxilisma en el REA
- 6. Formación de moiéculas tricatenanas de procolágeno desde una C-terminal hacia 10. Movimiento de las vesiculas hacia la una N-terminal, de forma similar a una cremaltera
- 7. Estabilización de la molècula tricatenana mediante la formación de puentes de hidrógeno y enlaces disulfuro proteinas intra- e intercatenarias (p. ej. hsp-47)
- Transporte de moleculas de procolágeno hacia el aparato de Golgi
- Empaquetado de moléculas de procolágeno por el aparato de Golgi dentro de vesiculas secretoras.
 - membrana piasmática, asistido por proteinas moleculares motoras que están asociadas con microfubulos.

- 11 Exocitosis de moléculas de procolágeno.
- 12 Escisión de los dominios C terminal globular frimérico y N-terminal helicoidal trimenco del procolágeno por las procolágeno N y C-protemasas.
- 13. Polimerización (autoensamblado) de las moléculas de colágeno dentro de las fibrillas de colágeno (dentro de la bahia de los fibroblastos) con desarrollo de entrecruzamiento covalente
- 14. Incorporación de otros tipos de colágeno (p. ej., V, FACIT, etc.) dentro de las fibrillas colágenas.

FIGURA 6-8. Biosíntesis del colágeno. Illustración de los fenómenos biosintéticos y los orgánillos que participan en la sintesis del colágeno. Los numeros en negritas corresponden a los fenómenos de la biosintesis del colageno que aparecen enumerados en la lista debajo de la figura

La biosintesis de la molécula de colágeno consiste en una serie de fenómenos intracelulares.

Los pasos de la biosíntesis de casi todos los colágenos fibrilares son semejantes, pero el colágeno tipo I ha sido estudiado con mayor detalle. En términos generales, el mecanismo de síntesis para las moléculas de colágeno es similar a otros mecanismos de secreción constitutivos utilizados por la célula. Las características singulares de la biosintesis del colágeno se expresan en los múltiples pasos del procesamiento postraduccional que son necesarios para preparar la molécula para el proceso de armado extracelular. Los acontecimientos del procesamiento intracelular son los siguientes:

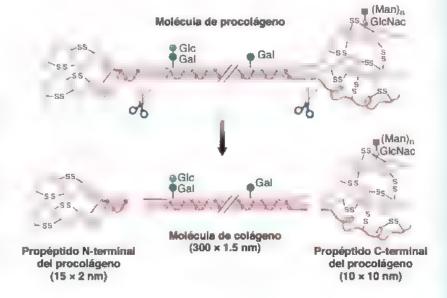
- Las cadenas o de colágeno se sintetizan en el RER en forma de precursores largos que contienen propéptidos globulares grandes en los extremos aminoterminal y carboxíterminal, llamados procadenas a (moléculas de proprocolágeno). Los polipéptidos recién sintetizados se depositan simultáneamente en las cisternas del RER, donde comienza el procesamiento intracelular.
- Dentro de las cisternas del RER, ocurren varias modificaciones postraduccionales de las moléculas de preprocolágeno, a saber.
 - Escisión del péptido de señalización aminoterminal.
 - Hidroxulación de residuos de protina y lisina mientras los polipéptidos continúan en la conformación no helicolidal. El ácido ascorbico (vitamina C) es un cofactor necesario para la adición de grupos hidroxilos a los residuos de prolina y lisina en las procadenas a por parte de las enzimas prohibidroxilasa y lisilhidroxilasa. Sin la hidroxilación de los residuos de prolina y lisina, no seria posible formar los puentes de hidrógeno esenciales para la estructura final de la molécula de colágeno. Esto explica por que las heridas no cicatrizan y se ve afectada la osificación en el escorbuto (insuficiencia de vitamina C)
 - Adición de grupos sacáridos O-ligados a algunos residuos de hidroxilisma (glucosilación) y sacáridos N-ligados a las dos posiciones terminales.
 - Formación de la estructura globular en el extremo carboxiterminal, la cual se estabiliza por enlaces disulfuro. La formación de esta estructura asegura la alineación correcta de las tres cadenas a durante la formación de la triple hélice.

- Formación de una triple hélice (con micio en el extremo carboxiterminal) por tres cadenas ti, excepto en los extremos donde las cadenas polipeptídicas permanecen sin enrollarse.
- Formación de puentes de hidrógeno y enlaces disulfuro intrae intercatenarios que influyen en la forma de la molécula.
- Estabilización de la molécula helicoidal triple mediante la unión de la proteina chaperona hisp47, que impide a su vez la aglomeración prematura de los trimeros dentro de la célula. La molécula resultante es el procolágeno.
- Las moléculas de procolágeno plegadas pasan al aparato de Golgi y comienzan a agruparse en pequeños conjuntos. Este agrupamiento se logra mediante asociaciones laterales entre los ex tremos no enrollados de las moléculas de procolágeno. Algunas moléculas de procolágeno libres y acumuladas en agregados pequeños se envasan en vesículas secretoras y se transportan hacia la superficie celular.

La formación de fibrillas de colágeno (fibrilogênesis) incluye acontecimientos extracelulares.

- A medida que es secrerado por la célula, el procolágeno es convertido en una molécula de colágeno maduro por la procolágeno-peptidasa asociada con la membrana celular, que escinde los extremos no helicoldales del procolágeno (fig. 6-9). Las concentraciones séricas del propéptido N-terminal del procolágeno tipo I (PNPI) se pueden cuantificar y utilizar como indicadores del metabolismo del colágeno tipo I. Una concentración elevada de PNPI indica un aumento en la producción de colágeno tipo I, el cual se asocia con metastasis óseas en el cáncer de mama y prostata
- Las moléculas de colágeno aglomeradas, entonces, se alinean para formar las fibrillas de colágeno definitivas en un proceso conocido como fibrilogénesis. La célula controla la disposición ordenada de las fibrillas neoformadas al dingir las vesículas secretoras a un sitio focalizado en la superficie para su descarga. A su vez, la célula crea sinos especializados de armado de colágeno llamados bahias. Estas invaginaciones de la superficie celular permiten que las moléculas se acumulen y se ensamblen (véase fig. 6-8). Dentro de la bahía, las moléculas de colágeno se almean en hilera y se autoensamblan de modo longitudinal cabeza con cola.

FIGURA 6-9. Escisión de la molécula de procolágeno. Esquema de una molécula de procolágeno con sus extremos N-terminal y C-terminal. Las tijeras en la parte superior de la ilustración senalan e sitio donde los extremos C y N-terminales son separados, por acción de la carboxipeptidasa y aminopeptidasa, respectivamente, de la molécula de procolageno para formar la molécula de colágeno. En el extremo C-terminal de la molécula, la subunidad de sacárido es GicNac (N-acetilglucosamina) unida a manosa (Man),. El propéptido N-terminal globular es más pequeño y posee dominios helicodales triples y no triples cortos, mientras que el propéptido C-terminal es más grande y posee un solo dominio helicoida, no triple



También se aglomeran lateralmente, escalonadas en un cuarto de su longitud (*véase* fig. 6-7). A continuación, las moléculas de colágeno establecen enlaces cruzados entre sí por medio de uniones covalentes que se forman entre los grupos aldeluído de lisina e hidroxilísma. La biogênesis del colágeno genera la formación de polímeros muy bien organizados llamados *fibrillas*. Las fibrillas, a su vez, se asocian entre sí para formar fibras de colágeno mayores, las cuales en relación con su peso tienen una resistencia tensora comparable a la del acero. Por ejemplo, una fibra de colágeno tipo I de 1 mm de diámetro puede soportar una carga de entre 10 y 40 kg antes de romperse

Las fibrillas de colágeno a menudo están compuestas por más de un tipo de colágeno.

En general, los distintos tipos de colágeno fibrilar se arman en fibrillas compuestas por más de un tipo de molécula de colágeno. Por ejemplo, las fibrillas de colágeno tipo I suelen contener pequeñas cantidades de los tipos II, III, V y XI. En la actualidad, los estudios indican que el armado de las fibrillas de colágeno tipo I está precedido por la formación de un centro fibrilar que contiene moléculas de colágeno tipos V y XI. A continuación, las moléculas de colágeno tipo I se depositan y polimerizan en la superficie de un centro fibrilar (fig. 6-10). Además, se incorporan pequeñas cantidades de moléculas de colágeno tipos II y III a las fibrillas de colágeno tipo I. Los colágenos tipos V y XI son importantes reguladores de la fibrilogénesis. Controlan el espesor de las fibrillas de colágeno tipo I por la limitación del depósito de moléculas de colágeno después de que la fibrilla ha alcanzado el diámetro deseado.

Las fibras de colágeno completamente maduras suelen asociarse con la familia FACIT de moléculas de colágeno que se hallan en su superficie. Por ejemplo, las fibrillas de colágeno tipo I se relacionan con los colágenos tipo XII y XIV. Estos colágenos colaboran con la organización tridimensional de las fibras dentro de la MEC. Las fibrillas de colágeno tipo II, que abundan dentro del cartilago, suelen tener un diámetro menor que las fibrillas de colágeno tipo I. No obstante, estas fibrillas también se asocian con el colágeno tipo IX (que también forma parte del subgrupo FACIT). El colágeno tipo IX se halla en la superficie de la fibrilla de colágeno tipo II y la fija a los proteoglucanos y a otros componentes de la MEC del tejido cartilaginoso (fig. 6-11).

Varios tipos de células del tejido conjuntivo y del tejido epitelial sintetizan las moleculas de colágeno.

Las moléculas de colágeno son sintetizadas en su mayoría por las células del tejido conjuntivo. Estas células constituyen los equiva-

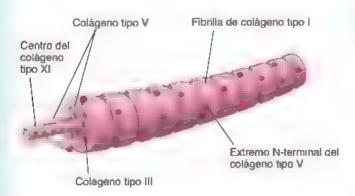


FIGURA 6-10. Fibrilla de colágeno tipo I. La fibrilla de colágeno tipo I contrene pequeñas cantidades de otros colágenos, a saber, los tipos II, III, V y XI. Obsérvese que el centro de la fibrilla contrene colágenos tipos V y XI, que contribuyen a iniciar el armado de la fibrilla de colágeno tipo I.

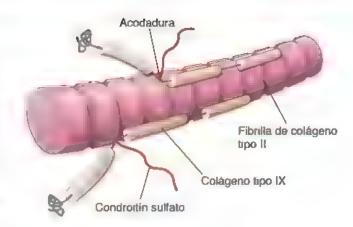


FIGURA 6-11. Fibrilla de colágeno tipo II. En este diagrama se ilustra la interacción entre las fibrillas de colágeno tipo II y las moléculas de colágeno tipo IX en la matriz cartiraginosa. El colágeno tipo IX proporciona el vínculo entre las fibrillas de colágeno y las moléculas de GAG, lo cual estabiliza la red de fibras cartilaginosas

lentes de fibroblastos en diversos tejidos (p. ej., los condrocitos en el cartílago, los osteoblastos en el hueso y los pericitos en los vasos sanguíneos). Además, las moléculas de colágeno de la membrana basal (véase p. 152) son producidas por las células epiteliales. La síntesis del colágeno es regulada por interacciones complejas que incluyen factores de crecimiento, hormonas y citocinas. Por ejemplo, el factor de crecimiento transformante β (TGF- β , transforming growth factor β) y el factor de crecimiento derivado de plaquetas (PDGF, plateles-derived growth factor) estimulan la síntesis de colágeno mediante los fibroblastos, mientras que las hormonas esteroideas (glucocorticoides) la inhiben.

Diversos mecanismos proteclíticos o fagocíticos degradan las fibras de colágeno.

Todas las proteínas del cuerpo se degradan y se resintetizan constantemente. Estos procesos permiten que los tejidos proliferen y experimenten remodelado. Las fibras de colágeno también atraviesan un proceso de reemplazo lento pero constante. La vida media de las moléculas de colágeno varía de unos pocos días a varios años (p. ej., en la piel y el cartilago). La fragmentación inicial de las moléculas de colágeno insolubles ocurre por el desgaste mecánico, la acción de los radicales libres o la escisión por proteinasas. La degradación adicional está a cargo de enzimas específicas llamadas proteinasas. Los fragmentos de colágeno generados son fagocitados por las células y degradados por sus propias enzimas lisosómicas. En diversas enfermedades se observa una degradación excesiva del colágeno (p. ej., degradación del colágeno del cartilago en la artritis reumatoide o del colágeno óseo en la osteoporosis). Las moléculas de colágeno secretadas se degradan principalmente por dos mecanismo diferentes:

• La degradación proteolítica tiene lugar fuera de las células mediante la actividad de las enzimas llamadas metaloproteínasas de la matriz (MMP, matrix metalloproteínasas). Estas enzimas son sintetizadas y secretadas hacia la MEC por distintos tipos de células del rejido conjuntivo (fibroblastos, condrocitos, monocitos, neutrófilos y macrófagos), algunas células epiteliales (queratinocitos de la epidermis) y células cancerosas. Las MMP incluyen colagenesas (que degradan los colágenos tipo l. II, III y X), gelatinasas (que degradan la mayoría de los colágenos desnaturalizados, laminina, fibronectina y elastina), estrometisinas (que degradan los proteoglucanos, la fibronectina y los colágenos desnaturalizados), matrilisinas (que degradan el colágeno tipo IV y los proteoglucanos), MMP de membrana (que son producidas por las células cancerosas y tienen una actividad fibrinolítica pe-

CORRELACIÓN GLÍNICA: COLAGENOPATÍAS

La importancia de la función de los colágenos en el organismo queda demostrada por las **colagenopatías** (enfermedades del colágeno), que son causadas por una insuficiencia o una anomalía en la producción de los colágenos específicos La mayoría de las colagenopatías se atribuyen a mutaciones en genes que codifican las cadenas α en los diversos colágenos. La mutación de los colágenos produce una amplia variedad de alteraciones genéticas que van desde leves hasta mortales según la mutación del gen y su efecto posterior sobre la estructura molecular del colágeno y su función en el organismo. En el futuro, el tratamiento genético puede llegar a emplearse para controlar el depósito de colágeno defectuoso o para revertir el proceso patológico ocasionado por los genes mutados. La siguiente tabla detalla las colagenopatías más frecuentes en los seres humanos

Colagenopatías humanas más frecuentes

Tipo de colágeno	Enfermedad	Sintomas
I	Osteogénesis imperfecta	Fracturas frecuentes después de traumatismos leves, huesos frágeles, anomalías dentanas, piel delgada, tendones débiles, escleróticas azules, hipoacusia progresiva
II	Displasia de Kniest, acondrogénesis de tipo 2	Baja estatura, restricción en la movilidad de las articulaciones, cam- bios oculares que llevan a la ceguera, metáfisis anchas y anomalias articulares observadas en las radiografías
П	Síndrome de hipermovilidad de Ehlers-Danlos, de tipo 3 (tiene una mu- tación adicional del gen de tenascina-X), síndrome vascular de Ehlers-Danlos, de tipo 4	Tipo 3: hipermovilidad de todas las articulaciones, dislocaciones, de- formidad en las articulaciones de los dígitos y aparición temprana de artrosis Tipo 4: piel delgada pálida y translucida, hematomas graves y mor- bilidad y mortalidad precoces (producto de la rotura de vasos y de órganos internos)
IV	Sindrome de Alport	Hematuria por alteraciones estructurales en la membrana basa, glo- merular del niñón, hipoacusia progresiva y lesiones oculares
V	Síndrome clásico de Ehlers-Danlos, de tipo 1 y 2 (incluye mutaciones adiciona- les del gen del colágeno tipo I)	Sintomas idénticos a los del tipo 3, pero con el añadido de problemas en la piel (fragilidad, hiperelasticidad, cicatrización tardía de heridas), el tipo 1 manifiesta anomalías dérmicas más graves que las del tipo 2
VII	Sindrome de Kindler	Cuadro grave con formación de ampollas y cicatrices en la piel después de traumatismos leves, producto de la falta de fibrillas de ancla e
IX	Displasia epifisaria multiple	Deformaciones óseas producto de displasia y alteraciones en la osi- ficación endocondral, enfermedad degenerativa prematura de las articulaciones
Х	Condrodisplasia metafisaria de Schmid	Deformaciones óseas caracterizadas por modificaciones de los cuer- pos vertebrales y condrodisplasia de las metáfisis de los huesos largos
XI	Síndrome de Weissenbacher-Zweymuller, síndrome de Stickler (incluye mutaciones adicionales del gen del colàgeno tipo II)	Características clínicas similares a las colagenopatías de tipo II, además de deformaciones craneofaciales y óseas, miopia grave, desprendimiento de la retina e hipoacusia progresiva
XVII	Ep dermó isis ampollosa ben gna atróf ca generalizada	Dermatopatia ampollosa con separación dermoepidérmica inducida mecan camente, la epidermólisis ampoliosa es producto de hemidesmosomas defectuosos, atrofia cutánea, distrofia ungueal y alopecia

ricelular muy potente) y metaloelastasas macrofágicas (que degradan la elasuna, el colágeno tipo IV y la laminina).

En general, las formas belicoidales triples no desnaturalizadas de las moléculas de colágeno son resistentes a la degradación de las MMP. En cambio, la mayoría de las MMP degradan el colágeno dañado o desnaturalizado (gelatina), con una prominente participación de las gelatinasas. La actividad de las MMP puede ser inhibida especificamente por los inhibidores tísulares de las metaloproteinasas (TIMP, tissue inhibitors of metalloproteinases). Puesto que las células tumorales invasoras (migrantes) secretan MMP, los investigadores estudian fármacos terapeuticos sinteticos que puedan inhibir la actividad de las MMP para controlar la expansion de las ce ulas cancerosas.

 La degradación fagocítica ocurre intracelularmente y comprende la actividad de los macrófagos para eliminar los componentes de la MEC. Los fibroblastos también pueden fagocitar y degradar las fibrillas de colágeno dentro de sus lisosomas.

Fibras reticulares

Las fibras reticulares proveen un armazón de sostén para los componentes celulares de los diversos tejidos y órganos.

Las fibras reticulares y las fibras de colágeno tipo I comparten una característica importante. Ambas están compuestas por fibrillas de colágeno. A diferencia de las fibras de colágeno, las fibras reticulares están conformadas por colágeno tipo III. Las fibrillas individuales que constituyen una fibra reticular muestran un patrón de

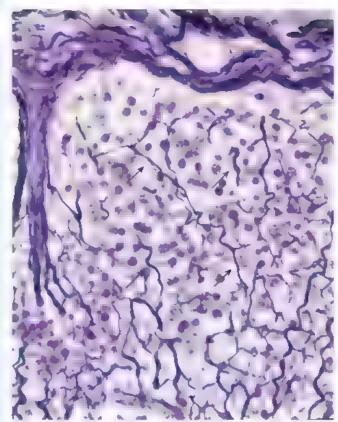


FIGURA 6-12. Fibras reticulares del ganglio linfático. Microfotografía de una impregnación argéntica en un ganglio linfático. Se observa la cápsula de tejido conjuntivo en la parte superior y una trabécula que se extiende desde ella en la parte izquierda. Las fibras reticulares (flechas) forman una red anastomosada irregular 650×

bandas transversales de 68 nm (el mismo que las fibrillas de colágeno tipo I). Las fibrillas tienen un diámetro reducido (unos 20 nm), presentan un diseño ramificado y generalmente no se agrupan para formar fibras más gruesas.

En los preparados de rutina tenidos con H&tE, no es posible identificar las fibras reticulares. Al ser observadas bajo el microscopio óptico con técnicas de tinción especiales, las fibras reticulares exhiben un aspecto filiforme. Dado que contienen una concentración mucho mayor de los mismos sacáridos que contienen las fibras de colágeno tipo I, las fibras reticulares se distinguen con facilidad si se utiliza la reacción del acido peryodico de Schiff (PAS, penodic acid-Schiff). También se detectan con procedimientos especiales de impregnación argéntica, como los métodos de Gomori y Wilder. Las fibras aparecen negras después del tratamiento con plata; por lo canto, se dice que son argirófilas (fig. 6-12). En estos preparados, las fibras de colágeno, que son más gruesas, se tiúten de color pardo.

Les fibres reticulares reciben su nombre por su organización en redes o malias.

En el tejido conjuntivo laxo, las redes de fibras reticulares se encuentran en la unión con el tejido epitelial, así como alrededor de los adipocitos, los vasos sanguíneos de pequeño calibre, los nervios y las células musculares. También se localizan en los tejidos embrionarios. La prevalencia de fibras reticulares es un indicador de madurez del tejido. Su presencia es importante en las primeras etapas de la curación de las heridas y de la formación del tejido cicatricial, donde aportan la fuerza mecánica inicial a la MEC recién sintetizada. A medida que progresa el desarrollo embrionario o la curación de la herida, las fibras reticulares son reemplazadas gradualmente

por las fibras de colágeno tipo I, que son más fuertes. Las fibras reticulares también funcionan como un estroma de sostén en los tejidos hematopoyético y linfático (pero no en el timo). En estos, un tipo especial de célula, la télula reticular, produce el colágeno de la fibra reticular. Esta célula tiene una relación unica con la fibra: la rodea con su citoplasma para así aislarla de los demás componentes del tendo.

En la mayoría de los demás sitios, las fibras reticulares son producidas por los fibroblastos. Algunas excepciones importantes a esta regla son el endoneuro de los nervios periféricos (donde las células de Schwann secretan fibras reticulares), la túnica media de los vasos sanguíneos y la muscular (capa muscular) del tubo digestivo (donde las células musculares lisas secretan fibras reticulares y colágenas).

Fibras elásticas

Las fibras elásticas permiten que los tejidos respondan al estiramiento y a la distensión.

Las fibras elásticas generalmente son más delgadas que las fibras de colágeno y están dispuestas de forma ramificada para generar una red tridimensional. Las fibras están entrelazadas con las fibras de colágeno para limitar la distensibilidad del tejido e impedir desgarros a causa de estiramientos excesivos (lám. 6, p. 208). Las fibras elásticas son producidas por muchas de las mismas células que forman colágeno y fibras reticulares, particularmente los fibroblastos, las células de músculo liso, las células endoteliales y los condrocitos.

Las fibras elásticas no se tiñen del todo bien con eosina, por lo cual no siempre se pueden distinguir de las fibras de colágeno en el preparado rutinario teñido con H&CE. Debido a que las fibras elásticas se vuelven algo refráctiles con ciertos fijadores, se pueden distinguir de las fibras de colágeno en aquellas muestras teñidas con H&CE cuando exhiben esta característica. Las fibras elásticas también pueden teñirse selectivamente con colorantes especiales como la orceína o la resorcina fuesina, como se observa en la figura 6-13.

El material elástico es una sustancia extracelular primordial en los ligamentos vertebrales, la laringe y las arterias elásticas.

En los ligamentos elásticos, el material elástico consiste en fibras gruesas entremezciadas con fibras de colágeno. Se encuentran ejemplos de este material en los ligamentos amarillos de la columna vertebral y el ligamento nucal del cuello. Las fibras más finas están presentes en los ligamentos elásticos de las cuerdas vocales de la laringe.

En las arterias elásticas, el material elástico está presente como laminillas fenestradas, que son láminas de elastina con huecos o aberturas. Las laminillas están dispuestas en capas concéntricas entre capas de células musculares lisas. Al igual que las fibras de colágeno en la túnica media de las paredes de los vasos sanguíneos, el material elástico de las arterias es producido por las células musculares lisas, no por los fibroblastos. A diferencia de las fibras elásticas, las láminas no contienen microfibrillas. En las microfotografías electrónicas solo se observa el componente de elastina amorfa.

La propiedad elástica de la molécula de elastina se relaciona con su esqueleto polipeptídico poco habitual, que causa el enrollamiento aleatorio.

La elastine (72 kDa) es una proteina que, como el colágeno, presenta abundancia de prolina y glicina. Se caracteriza por la presencia de regiones hidrófobas (que comprenden más del 80% de la estructura de la proteína completa) alternadas con regiones hidrófilas. A diferencia del colágeno, tiene poca hidroxiprolina y carece por completo de hidroxilisma. La distribución de los aminoácidos no polares, como glicina, valina, prolina y leucina, a menudo dis-



FIGURA 6-13. Fibras de colágeno y elásticas. Microfotografía de un montaje entero de mesenteno expandido teñido con resorcina-fucsina. El mesenterio es muy delgado y el microscopio puede enfocarse en todo el espesor del tejido. Las delicadas estructuras filiformes que se ramifican son fibras elásticas (E). También son visibles las fibras de colágeno (FC). Estas ultimas son mucho más gruesas y, si bien se entrecruzan, no son ramificadas. 200×

puestos en grupos repetitivos, hace que la molécula de elastina sea hidrófoba y permite el enrollamiento al azar de sus fibras. Esto permite que las fibras elásticas se "deslicen" unas sobre otras o que se estiren y después retornen a su forma original. Los dominios hidrófilos de la elastina son rícos en lisina y alanina, y participan en los enlaces cruzados.

La elastina también contiene desmosina e isodesmosina, dos aminoácidos grandes que solo se encuentran en la elastina y que son los responsables del enlace covalente existente entre las moléculas de elastina. Estos enlaces covalentes unen cuatro moléculas de elastina y forman vínculos cruzados de desmosina o isodesmosina (fig. 6-14). La elastina forma fibras de espesor variable o capas laminares (como en las arterias elásticas).

La elastina está codificada por uno de los genes más grandes del genoma humano. El gen de la elastina (ELN) consta de aproximadamente 48 kilobases de ADN genómico en el cromosoma 7. El análisis del gen ELN humano ha revelado que los dominios hidrófobos e hidrófilos funcionalmente distintos de la elastina están codificados en exones separados que se alternan en los genes. Debido a que el gen ELN tiene 34 exones con una relación exón/intrón de aproximadamente 1:20, menos del 10% de las kilobases llevan la secuencia que codifica la elastina.

Dado que los intrones del gen de la elastina contienen grandes cantidades de secuencias repetitivas, la probabilidad de errores de replicación es mayor. Estos errores pueden conducir a enfermedades como la estenosis aortica supravalvular y el sindrome de cutis laxo. En la estenosis aórtica supravalvular (EASV), la elastina mutada forma fibras elásticas más delgadas y laminillas elásticas desorganizadas en la pared de la aorta ascendenta. Esto desencadena una reacción de compensación en la que una mayor producción y deposición de musculo liso en la pared aórtica engrosa la pared de la arteria y estrecha progresivamente la luz. El cutis laxo es una enfermedad hereditaria o adquirida caracterizada por una piel arrugada, en exceso, flácida y sin elasticidad causada por una sintesis defectuosa de las fibras elasticas dérmicas. La mayoría de las formas hereditarias de cutis laxo causan anomalias asociadas de multiples sistemas de órganos debido a la prevalencia de elastina mutada en el cuerpo.

Las fibras elásticas están compuestas por moléculas de elastina entrecruzadas y una red de microfibrillas de fibralina con proteinas asociadas.

La fibrilina 1 (350 kDa) es una glucoproteína que se polimeriza en el espacio extracelular con una disposición de cabeza-cola para formar delgadas microfibrillas de fibrilina de entre 10 y 12 nm de diámetro. En la microscopía electrónica, una microfibrilla de fibrilina muestra densidades regulares (perlas) en intervalos de 56 nm, que probablemente se deben a la estructura molecular tridimensional

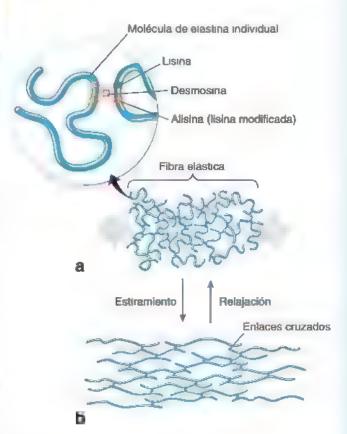


FIGURA 6-14. Diagrama de moléculas de elastina y su interacción. a. Se observan moléculas de elastina unidas por enlaces covelentes entre desmosinas e isodesmosinas (purpura) para formar, a su vez, una red entrelazada El detalle muestra la molécula de elastina amplificada en su conformación individual y enrollada al azar con el enlace covalente formado por la desmosina b. Se observa el efecto del estiramiento. Cuando la fuerza de,a de actuar, la red vuelve a su estado de relajación, tal como se observa en el panel a (modificado con autorización de Alberts B, y cols Essential Cell Biology, p. 153 Copyright 1997. Routledge, Inc., parte de The Taylor & Francis Group)

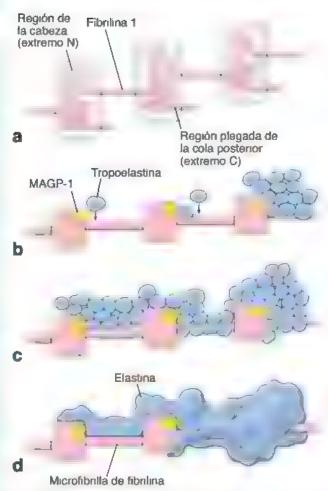


FIGURA 6-15. Diagrama de la elastogénesis. a. Las fibras elásticas se forman en la matriz extracelular del tejido conjuntivo. En este modero se muestra la estructura molecular de las microfibhillas fibrilares. La molécula de fibrilina 1 se polimenza en una disposición de cabeza a coia y forma microfibrillas de fibrilina. Debido a las interacciones entre el dominio de la cola del extremo C piegado hacia atrás. de una molécula de fibrilina 1 y el dominio de la cabeza (extremo N) de otra molécula, se forman densidades regulares (perlas). b. La formación de la fibra de elastina es iniciada por las moléculas MAGP-1, que están asociadas con las microfibrillas en la región de la perla. La presencia de MAGP-1 permite que la molécula de tropoelastina se deposite en la microfibrilla y forme enlaces cruzados con la microfibrilla de fibrilina y las moléculas de MAGP-1 e. Las moléculas de tropoelastina se depositan en pequeños cumulos. Estos forman enlaces cruzados por medio de la si-oxidasa d. Las fibras de elastina maduras muestran una fusión gradual de las moléculas de tropoelastina para formar fibras de elastina amorfas que incorporan microfibrillas de fibrilina en su estructura.

de fibrilina 1. Durante la polimerización, el dominio de la cola (C-terminal) de una molécula de fibrilina 1 se repliega cuando se reticula con el dominio de la cabeza (N terminal) de otra molécula (fig. 6-15). Durante las etapas iniciales de la elastogénesis, las microfibrillas de fibrilina se utilizan como sustratos para el armado de las fibras elásticas. Primero se forman las microfibrillas; después se deposita la elastina sobre la superficie de las microfibrillas. Tanto en la MET como con la microscopía electrónica de barndo (MEB), la elastina aparece como una estructura amorfa de baja densidad electrónica. Por el contrario, las microfibrillas de fibrilina son electrónicamente densas y son fácilmente observables incluso dentro de la matriz de elastina (fig. 6-16). En las fibras maduras, las microfibrillas de fibrilina se ubican dentro de la fibra elástica y en su penferia. La presencia de microfibrillas dentro de la fibra está aso-

ciada con el proceso de crecimiento; por lo tanto, a medida que la fibra se forma y se engrosa, las microfibrillas quedan atrapadas dentro de la elastina recién depositada.

Además de las microfibrillas de fibrilina, varias proteínas asocia das participan en la regulación y el ensamblado de las fibras de elastina. Estas incluyen las siguientes:

- La proteína localizada en la interfase elastina-microfibrillas 1
 (EMILIN-1, elastin microfibril interface-located protein 1; de
 106 kDa) es otra glucoproteína que se encuentra en la interfase
 elastina-microfibrillas de fibrillina y que es probable que regule el
 depósito de elastina durante la formación de las fibras.
- La glucoproteína asociada con microfibrillas 1 (MAGP-1, microfibril-essociated glycoproteín; 20-30 kDa), otra glucoproteína, es un componente de casi todas las microfibrillas de fibrilina relacionadas con la elastina. Se une a las moléculas de elastina, fibrilina 1 y varias proteínas de la matriz extracelular. La EMILIN 1 y la MAGP 1 trenen una función primordial en la regulación de la elastogénesis.

La falta de microfibrillas de fibrilina durante la elastogénesis provoca la formación de capas o láminas de elastina, como las que se encuentran en los vasos sanguineos. La expresión anómala del gen de la fibrilina (FBN1) se relaciona con el sindrome de Marfan, una alteración autosómica dominante compleja del tejido conjuntivo. La inmunofluorescencia de una biopsia de la piel de una persona que padece este sindrome muestra la falta de microfibrillas de fibrilina asociadas con la elastina. Una de las consecuencias de la enfermedad es un tejido elástico anómalo. Además, la mutación del locus del gen de la EMILIN-1 causa alteraciones en la estructura fina de las fibras elásticas y en la morfologia celular de las arter as elasticas.

La biosíntesis de las fibras de elastina resulta similar a las del colágeno.

Como se indicó, las fibres elásticas son producidas por los fibroblastos en el tejido conjuntivo, los condrocitos en el cartilago elástico y el músculo liso, y las cálulas endoteliales dentro de las paredes de los vasos.

La traducción del ARN mensajero (ARNm) se realiza en la superficie del RER, y las cadenas polipeptidicas de la tropoelastina se liberan en su luz. Entonces, la tropoelastina se transporta al aparato de Golgi, donde experimenta muy poca modificación posterior a la traducción 1, y posteriormente se secreta al espacio extracelular. La secreción de tropoelastina ocurre solamente en regiones específicas de la membrana plasmática. Estas regiones corresponden a la acumulación extracelular de microfibrillas de fibrilina que forman un andamio sobre el cual se deposita la elastina. En presencia de MAGP-1, la tropoelastina se deposita en pequeños grupos que se fusionan gradualmente para formar fibras de elastina amorfas que incorporan microfibrillas de fibrilina en su estructura (véase fig. 6-15).

La síntesis de elastina es paralela a la producción de colágeno; de hecho, ambos procesos pueden ocurrir de manera simultánea en una célula. La modificación ordenada y el ensamblado de procolágeno y proelastina, así como la síntesis de otros componentes del tendo conjuntivo, se controlan mediante secuencias de señales que se incorporan al comienzo de las cadenas polipeptidicas de cada una de las moléculas. Esta secuencia de señales garantiza que los componentes de procolágeno y proelastina permanezcan separados y se identifiquen de forma adecuada a medida que pasan a través de los orgánulos de la célula.

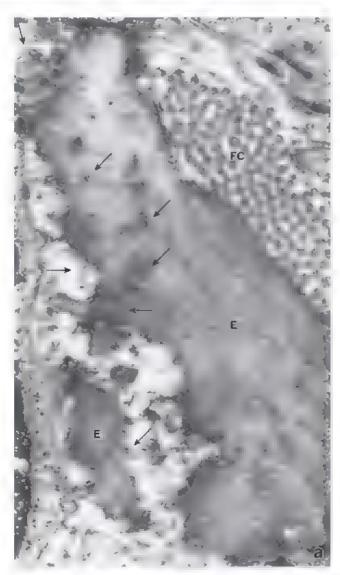
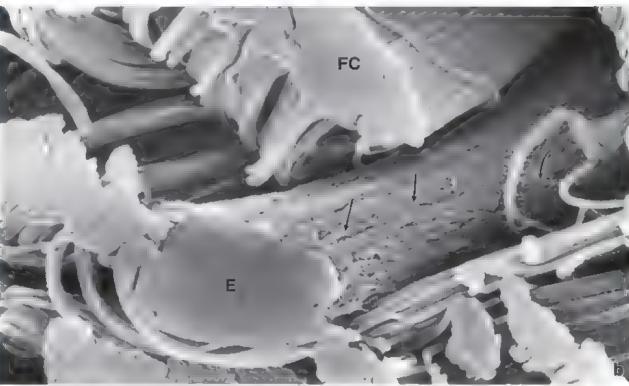


FIGURA 6-16. a. Microfotografía electrónica de una fibra elástica. La elastina (E) de la fibra posee un aspecto relativamente amorfo. Las microfibrillas de fibrilina (flechas) están presentes en la periferia y dentro de la sustancia de la fibra. En esta microfotografía electrónica también se observan algunas fibrillas de colágeno (FC) 40000× b. Microfotografía electrónica de barrido de una fibra elástica. En esta microfotografía de un tejido conjuntivo denso irregular de la dermis se muestra la estructura de la fibra elástica (E) y se ilustra su tamaño relativo en comparación con las fibrillas de colágeno (FC) circundantes. Cabe destacar la presencia de pequeñas microfibrillas de fibrillina (flechas) en la superficie de la fibra elástica. 40000× (cortesía de Douglas R. Keene)



CORRELACION CLÍNICA: EXPOSICIÓN AL SOLY CAMBIOS MOLECULARES EN LA PIEL FOTOENVEJECIDA

El envejecimiento cronológico de la piel es un proceso complejo asociado con cambios funcionales y estructurales dentro del epitelio plano estratificado (epidermis), así como del tajido conjuntivo subyacente de la dermis. Cuando se intensifican estos cambios por una exposición prolongada al sol o a la radiación ultravioleta (UV), el proceso se conoce como fotoenvejecimiento. La exposición crónica al sol envejece la piel a un ritmo acelerado, en especial en las zonas expuestas del cuerpo como el rostro, el cuello y la superficie dorsal de las manos y de los antebrazos. Los signos clínicos asociados con el fotoenvejecimiento incluyen despigmentación, efélides, amugas profundas, aumento de la laxitud y mayor riesgo de cánceres cutáneos

Los cambios más prominentes en la dermis de la piel fotoenvejecida se relacionan con las fibras del tejido conjuntivo.
En la piel envejecida normal, se observa una disminución en
la producción de fibras de colágeno tipos l y III. Sin embargo,
estas alteraciones son más pronunciadas en las zonas expuestas al sol. La exposición a la luz solar afecta la biogénesis
del colágeno porque altera los enlaces cruzados que se forman entre las moléculas de colágeno durante la fibrilogénesis
(véase p. 179). Estas alteraciones tienen como resultado la
formación de fibras de colágeno con estabilidad anómala y
disminución de la resistencia a la degradación enzimática.

La cantidad total de fibras elásticas también disminuye con la edad; sin embargo, en la piel fotoenvejecida aumenta el numero de fibras elásticas inusualmente gruesas y no funcionales. Algunos estudios recientes realizados con microfibrillas de fibrilina de piel fotoenvejecida permiten comprobar que la radiación solar afecta la red de microfibrillas. La exposición solar excesiva provoca cambios profundos en las microfibrillas de fibrilina. Se vuelven más escasas y truncadas, lo que conduce a la formación de una MEC con fibras elásticas aberrantes no funcionales que, finalmente, se degeneran y se convierten en masas amorfas y homogáneas con contenido de elastina

El fotoenvejecimiento (dermatoheliosis) también se caracteriza por una degradación anómala de la matriz del tejido conjuntivo asociada con la acumulación de componentes matriciales no funcionales. Los fibroblastos y los neutrófilos que se encuentran en las zonas cutáneas dañadas por la radiación secretari metaloproteinasas de la matriz (MMP-1 y MMP-9), elastasas y otras proteasas (catepsina G). Estas enzimas son moduladas por inhibidores tisulares de las metaloproteinasas (TIMP), que protegen las proteínas extracelulares de la degradación endógena. En la piel fotoenvejecida, las concentraciones de TIMP se reducen sensiblemente, lo cual contribuye aun más al daño actínico de la piel

La mejor estrategia para prevenir el daño causado por la radiación solar y por los rayos UV es el uso de filtros solares físicos o químicos para impedir la penetración UV en la piel También se utilizan otros métodos para tratar la piel dañada Estos incluyen la disminución de las reacciones inflamatorias cutáneas con fármacos antiinflamatorios, la inhibición de las actividades de la elastesa y otras MMP para evitar la degradación de la MEC, y la estimulación natural o la aplicación de inhibidores sintéticos de las MMP para controlar la destrucción de la MEC del tejido conjuntivo.

■ MATRIZ EXTRACELULAR

La matriz extracelular es una compleja e intrincada red estructural que rodea y sustenta las células dentro del tejido conjuntivo. Contiene una variedad de fibras, como las de colágeno y elásticas, que se forman a partir de los distintos tipos de proteínas estructurales. Además, la MEC contiene diversos proteoglucanos (p. ej., agrecano, sindecano, etc.), así como glucoproteinas multiadhesivas (p. ej., fibronectina y laminina) y glucoseminoglucanos (p. ej., dermatán-sulfato, queratán-sulfato, hialuronato). Los últimos tres grupos de moléculas componen la sustancia fundamental.

Todas las moléculas que se hallan en la MEC comparten los dominios comunes, y la función de la matriz tiene que ver principalmente con las interacciones entre estas moléculas. Cada célula del tejido conjuntivo secreta una proporción diferente de moléculas de la MEC que contribuyen a la formación de muchas organizaciones arquitectónicas diferentes; por lo tanto, la MEC posee propiedades mecánicas y bioquímicas características específicas del tejido en el que está presente. Por ejemplo, las propiedades de la MEC en el tejido conjuntivo laxo son diferentes de las que posee esa matriz en el tejido cartilaginoso o el hueso.

La matriz extracelular no solo proporciona sostén mecánico y estructural al tejido, sino que también influye en la comunicación extracelular.

La MEC proporciona sostén mecánico y estructural, además de fuerza tensora, al tejido. También se desempeña como una barrera bioquímica y colabora con la regulación de las funciones metabólicas de las células que rodea. La MEC fija las células en los tejidos

mediante moléculas de adhesión célula-matriz extracelular y ofrece vías para la migración celular (p. ej., durante la cicatrización de las heridas). Algunos estudios recientes indican que la MEC ejerce un efecto regulador en el desarrollo embrionario y en la diferenciación celular. La matriz también puede unir y retener factores de crecimiento que, a su vez, modulan la proliferación celular. Con la ayuda de las moléculas de adhesión celular, la MEC también influye en la transmisión de información a través de la membrana plasmática de las células del tejido conjuntivo. Por lo tanto, la opinión actual acerca de los componentes de la MEC (fibras y moléculas de la sustancia fundamental) es que forman un sistema dinámico e interactivo que informa a las células sobre los cambios bioquímicos y mecánicos de su entorno extracelular.

La sustancia fundamental es la parte de la matriz extracelular que ocupa el espacio entre las células y las fibras. Está compuesta por glucosaminoglucanos, proteoglucanos y glucoproteinas multiadhesivas.

La sustancia fundamental es una sustancia viscosa y transparente, resbalosa al tacto y con un alto contenido de agua. Bajo el microscopio óptico, la sustancia fundamental se observa amorfa en los cortes histológicos preservados por congelación y desecación o en aquellos obtenidos por congelación y teñidos con colorantes básicos o con la técnica de PAS. En el preparado de rutina teñido con H8CE, la sustancia fundamental siempre se pierde, porque se extrae durante la fijación y la deshidratación del tejido. El resultado es un fondo vacío; solo se aprecian las células y las fibras. Por lo tanto, en la mayoría de los preparados histológicos, el aspecto de la sustancia fundamental, o su falta de aspecto, disfraza su importancia funcional. La sustan-

cia fundamental está compuesta principalmente por tres grupos de moléculas: los proteoglucanos, macromoléculas de gran tamaño compuestas por un núcleo proteínico, las moléculas de gluconaminoglucanos (GAG), que están unidas de forma covalente a los proteoglucanos; y las glucoproteínas multiadhesivas. La magnitud y la estructura de los integrantes de los tres grupos de moléculas presentan una enorme variación.

Los GAG son responsables de las propiedades físicas de la sustancia fundamental.

Los GAG son los heteropolisacáridos más abundantes de la sustancia fundamental. Estas moléculas representan polisacáridos de cadenas largas, no ramificadas, compuestas por unidades de disacáridos que se repiten. Las unidades de disacáridos contienen una de dos hexosas modificadas, Macetilglucosamina (GalNAc) o Macetilglucosamina (GleNAc), y un ácido urónico, como el glucuronato o el iduronato. Las células del tejido conjuntivo sintetizan los GAG (excepto el hialuronato) en la forma de una modificación postraduccional covalente de proteínas llamadas proteoglucanos. Por ejemplo, la heparina se forma a través de la escisión enzimática del heparán-sulfato; de manera similar, el dermatán-sulfato se modifica a partir del condroitín-sulfato.

Los GAG trenen una carga altamente negativa debido a los grupos sulfato y carboxilo que se encuentran en muchos de los sacáridos, de allí su tendencia a tentrse con los colorantes básicos. La alta densidad de la carga negariva (polianiones) también atrae agua, con lo que se forma un gel hidratado. La composición gelatinosa de la sustancia fundamental permite una rápida difusión de las moléculas hidrosolubles. Al mismo tiempo, la rigidez de los GAG provee un armazón estructural para las cétulas. Los GAG se localizan principalmente en la sustancia fundamental y en la superficie de las cétulas de la MEC. De acuerdo con las diferencias en los residuos de sacaridos específicos, la índole de sus enlaces y el grado de sulfatación, se identifica una familia de siete GAG diferentes. En la tabla 6-3 se presenta una lista con sus nombres y algunas de sus características.

El hialuronato está siempre presente en la matriz extracelular como una cadena de hidratos de carbono libres.

El GAG denominado hiaturonato (ácido hiaturónico) merece atención especial, ya que se distingue de los otros GAG en varios aspectos. Se trata de una molécula rígida y muy larga, compuesta por una cadena de hidratos de carbono de miles de sacáridos en lugar de los varios centenares, o menos, de sacáridos que hay en los otros GAG. Los polímeros del hialuronato son muy grandes (100-10 000 kDa) y pueden desplazar un gran volumen de agua. Se sintetizan por medio de enzimas en la superficie celular; por lo tanto, no son modificaciones postraduccionales como todos los demás GAG. El hialuronato también es único porque no contiene sulfato alguno.

TABLA 6

Glucosaminoglucanos

Nombre	Peso molecula (kDa)	Composición disacárida	Ubicación	Funciones	
Hialuronato	100-10000	Ácido p-glucurónico + N-acetilglu- cosamina	Líquido sinovial, humor vítreo, MEC de los tejidos conjuntivos	Los polímeros grandes del hialuronato pueden desplazar un importante volumen de agua. Por lo tanto, este polímero es un excelente lubricante y amortiguador de golpes.	
Condroitin- 4-sulfato	25	Ácido p-glucurónico + N-acetilgalactosamina 4-sulfato	Cartilago, huesos, válvulas cardiacas	Los condroitín-sulfatos y el hialuronato son componentes fundamentales de agrecano que se localiza en el cartí- lago articular. El agrecano le otorga al cartílago erticular propiedades amor- tiguadoras de golpes.	
Condroitin- 6-sulfato	25	Acido p-glucuróпісо + Macetilgalactosamina 6-sulfato			
Dermatán- sulfato	35	Ácido L-idurónico + N-acetilgalactosamina 4-sulfato	Piel, vasos sanguí- neos, vá vulas cardiacas	Se ha postulado que los proteogluca- nos de dermatán-sulfato desempe- nan algun papel en la enfermedad cardiovascular, la oncogénesis, la infección, la curación de heridas, la fibrosis y la modulación del compor- tamiento celular	
Queratán- sulfato	10	Galactosa o galactosa 6-sulfato + //acetilglucosamina 6-sulfato	Hueso cartilago, córnea	Los proteoglucanos de queratán- sulfato intervienen en el recono- cimiento celular de los ligandos proteínicos, la guía axónica, la mo- vilidad celular, la transparencia de la cómea y la implantación del embrión	
Heparán- sulfato	15	Acido glucurónico o ácido "Idurónico 2-sulfato + N-sulfamilglucosamina o N-acetil- glucosamina	Lámina basal, compo- nente normal de la superficie celular	Favorece les interacciones con el factor de crecim ento fibroblástico (FGF, fibroblast growth factor) y su receptor	
Heparina	40	Acido glucurónico o ácido L-idurónico 2-sulfato + A-sulfamilglucosamina o A-acetil- glucosamina 6-sulfato	Solo en los gránulos de los mastocitos y los basófilos	Cumple funciones como anticoagu- lante y favorece las interacciones con ef FGF y su receptor	

Toda molécula de hialuronato siempre está presente en la forma de una cadena de hidratos de carbono líbres, es decir, no está unida de manera covalente a la proteína, por lo que no forma proteoglucanos. Sin embargo, por medio de proteínas de enlace especiales, los proteoglucanos se unen de forma indirecta al hialuronato para formar macromoléculas gigantes denominadas agregados de proteoglucanos (fig. 6-17). Estas moleculas abundan en la sustancia fundamental del cartílago. La presión, o turgencia, que ocurre en estos agregados de proteoglucanos hidrófilos gigantes es la responsable de que el cartílago tenga la capacidad de resistir la compresión sin afectar la flexibilidad, lo que las convierte en excelentes amortiguadoras de choque.

Otra función importante del hialuronato es la de inmovilizar ciertas moleculas en la ubicación deseada en la MEC. Por ejemplo, la MEC contiene sitios de unión para varios factores de crecimiento, como el TGF. La unión de los factores de crecimiento a los proteoglucanos puede provocar su agregación o su dispersión local, lo que a su vez inhibe o incrementa el movimiento de las macromoleculas, los microorganismos o las células cancerosas metastásicas migrantes en el medio extracelular Ademas, las moléculas de hialuronato se desempenan como aislantes eficaces, ya que las otras macromoléculas tienen dificultad para difundirse a través de la densa

red hialurónica. Al tener esta propiedad, el hialuronato (y otros polisacáridos) regula la distribución y el transporte de las proteinas plasmáticas dentro del tejido conjuntivo.

Los proteoglucanos están compuestos por GAG unidos de forma covalente a proteínas centrales.

La mayoría de los GAG del tejido conjuntivo están unidos a proteínas centrales para formar proteoglucanos. Los GAG se extienden en sentido perpendicular desde el eje central, en una estructura similar a las cerdas de un cepillo. La unión de los GAG con el centro proteínico implica la participación de un trisacárido específico compuesto por dos residuos de galactosa y un residuo de xilulosa. El trisacárido de enlace se acopla a través de una unión O-glucosidica al centro de la proteína, que es rico en residuos de serina y treonina, lo que permite la fijación de múltiples GAG. Los proteoglucanos se destacan por su diversidad (fig. 6-18). La cantidad de GAG unidos a la proteína central varía desde solo uno (decorna) hasta más de 200 (agrecano). Una proteína central puede tener unidos GAG idénticos (como es el caso del fibroglucano o el versicano) o moléculas de GAG diferentes (como en el agrecano o sindecano).

Los proteoglucanos se localizan en la sustancia fundamental de todos los tejidos conjuntivos y también como moléculas unidas a la membrana en la superficie de muchos tipos de células. Los pro-

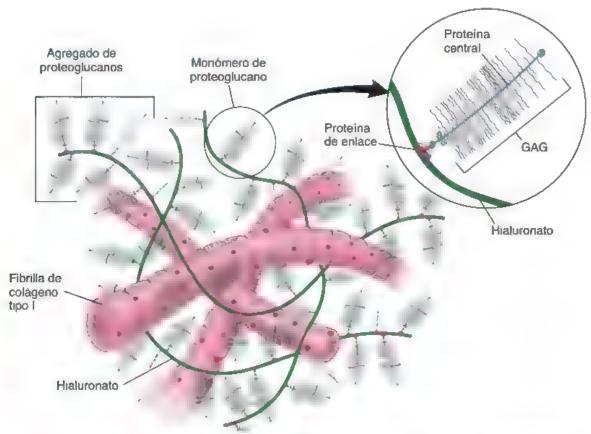


FIGURA 6-17. Estructura de un proteoglucano. En esta ilustración se muestra a la *derecha,* un monómero de proteoglucano y su relación com a molecula de ha uronato talicomo se representa en la sustancia fundamental del cartilago. El monómero de proteoglucano está compuesto por una proteina centra la la que se unen los *GAG* por enlaces covalentes. Está conformado por distintas cantidades de GAG unidas a la proteina central. El extremo de la proteina central del monómero del proteoglucano interactua con una proteina de enlace que fija el monómero al hialuronato para formar la agregación de proteoglucanos. A la *izquierda* las moléculas de hialuronato se encuentran en agregaciones fineales, cada una con numerosos monómeros de proteoglucanos, están entrelazadas con una red de fibrillas de colágeno.

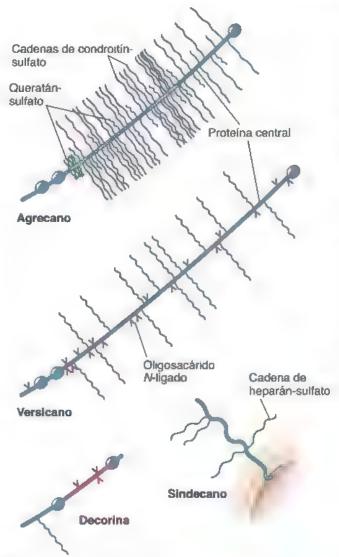


FIGURA 6-18. Monómeros de proteoglucanos frecuentes en la matriz del tejido conjuntivo. Obsérvese la diversidad de las moléculas de proteoglucanos. La cantidad de GAG unidos a la proteína central varia desde uno, en la deconná, hasta más de 200, en el agrecano. Nótese tamb én que el versicano posee moléculas de GAG idénticas (condroitín-sulfato) fijadas a una molécula central, mientras que el agrecano contiene una mezcla de condroitin-sulfato y queratán-sulfato adheridos a la prote na central. El sindecano es un proteoglucano transmembrana que fija la membrana cefular a la matriz extracejular.

teoglucanos transmembrana, como el sindecano, unen las células con las moléculas de la MEC (véase fig. 6-17). Por ejemplo, el sin decano se expresa en dos momentos diferentes en la superficie de los linfocitos B. Las moléculas de sindecano se expresan por primera vez durante el desarrollo inicial, cuando los linfocitos se adhieren a proteínas de la matriz de la médula ósea a medida que se diferencian. La pérdida de expresión de este proteoglucano coincide con la liberación del linfocito B hacia la circulación. La segunda vez que el linfocito B expresa el sindecano es durante su diferenciación como célula plasmática dentro del tejido conjuntivo. El sindecano fija la célula plasmática a las proteínas de la MEC del tejido conjuntivo.

El agrecano es otro proteoglucano extracelular importante. Sus moléculas están unidas de forma no covalente con la molécula larga del hialuronato (como las cerdas perpendiculares al eje central de un cepillo para limpiar botellas); esta unión se ve favorecida por las proteínas de enlace. A cada proteína central de agrecano se le unen de forma covalente numerosas cadenas de condroitín-sulfato y quetatán-sulfato a través de trisacándos de enlace. Los proteoglucanos más frecuentes se muestran en la tabla 6-4.

Las glucoproteinas multiadhesivas desempeñan un papel importante en la estabilización de la matriz celular y su vinculación con las superficies celulares.

Las glucoprotennas multiadhesivas son un grupo pequeño pero importante de proteínas que se localizan en la MEC. Se trata de moléculas con múltiples dominios y funciones que desempeñan un papel relevante en la estabilización de la MEC y en su vinculación con la superficie celular. Poseen sitios de unión para una gran variedad de proteínas de la MEC, como colágenos, proteoglucanos y GAG; también interactúan con receptores de la superficie celular, como los receptores de integrina y laminina (fig. 6-19). Las glucoproteínas multiadhesivas regulan y modulan las funciones de la MEC relacionadas con el movimiento y la migración de las células, además de estimular la proliferación y diferenciación celulares. Entre las glucoproteínas multiadhesivas mejor caracterizadas se encuentran las siguientes:

- La fibronectina (250-280 kDa) es la glucoproteína más abundante del tejido conjuntivo. Las fibronectinas son moléculas diméricas compuestas por dos péptidos semejantes unidos por enlaces disulfuro en el extremo carboxiterminal, para formar brazos de 50 nm de longitud (véase fig. 6-19). Cada molécula contiene varios dominios de fijación que interactúan con diferentes moléculas de la MEC (p. ej., heparán-sulfato, colágenos tipos I, II y III, fibrina, hialuronato y fibronectina) y con la integrina, un receptor de la superficie celular. La unión con un receptor de la superficie celular activa la fibronectina, la cual se arma después en fibrillas. La fibronectina tiene una función muy importante en la fijación de las células a MEC. Hasta ahora, se han identificado al menos 20 moleculas diferentes de fibronectina.
- La leminine (140-400 kDa) está presente en las láminas basales y en las externas. Posee sitios de unión para las moléculas de colágeno tipo IV, heparán-sulfato, heparina, entactina, laminina y para el receptor de laminina en la superficie celular. El proceso de ensamblaje de la lámina basal y la función de la laminina en este proceso se describen en el capítulo 5 (véase p. 151).
- La tanascina (280 kDa/monómero) aparece durante la embriogénesas; sin embargo, su síntesis se mactiva en los tejidos maduros. Reaparece durante la cicatrización de heridas y también se halla en las uniones musculotendinosas y en los turnores malignos. La tenascina es una molécula dimérica unida por enlaces disulfuro que está compuesta por seis cadenas unidas por sus extremos aminoterminales (véase fig. 6-19). Posee sitios de unión para el fibrinógeno, la hepanna y los factores de crecimiento similares al factor de crecimiento epidérmico (EGE, epidermal growsh factor), por lo tanto, participa en la adhesión de las células a la MEC.
- La osteopontina (44 kDa) está presente en la MEC ósea. Se une a los osteoclastos y los fija a la superficie ósea subyacente.
 La osteopontina desempeña un papel importante en el secuestro de calcio y en la promoción de la calcificación de la MEC.

En la tabla 6-5 se reseñan las glucoproteínas multiadhesívas más importantes halladas en la MEC del tejido conjuntivo.

Nombre	Peso molecular (kDa)	Composición molecular	Ubicación	Funciones
Agrecano	250	Moiécula lineal, se une al hialuro- nato a través de una proteína de enlace; contiene entre 100 y 150 moléculas de cadenas de quera- tán-sulfato y de condroitín-sulfato	Cartilago y condrocitos	Responsable de la hidratación de la rnatriz extracelular del cartílago
Decorina	38	Proteína pequeña que contiene solo una cadena de condroitin- su fato o dermatán-sulfato	Te,ido conjuntivo, fibrobiastos, cartílago y hueso	Cumple funciones en la fibrilogéne sis colágena porque se une a las moléculas de colágeno vecinas y contribuye a orientar las fibras, regula el espesor de la fibrilla e interactua con el TGF-β
Versi- cano	260	Asociado con una proteína de enlace, contiene oligosacáridos y 12-15 cadenas de condroitín- sulfato unidos a la proteína central	Fibroblastos, piel, musculo liso, encéfalo y células mesangiales del riñón	Posee dominios similares a EGF en la proteina central, participa er las interacciones céluia-célula y céluia-matriz extracelular, se une a la fibril na 1
Sindecano	33	Familia de al menos cuatro tipos diferentes de proteoglucanos transmembrana que contienen cant dades variables de moiéculas de heparán-sulfato y de condroitin-sulfato	Epitelios embrionarios, células mesenquima- tosas, cé ulas de los tejidos linfáticos en desarrollo, linfocitos y células plasmáticas	El dominio extracelular fija coláge- nos, heparina, tenascina y fibro- nectina. El dominio intracelular se une al citoesqueleto a través de la actina.

EGF, factor de crecimiento epitelial; kDa, kilodaltoris; TGFβ, factor de crecimiento transformante β

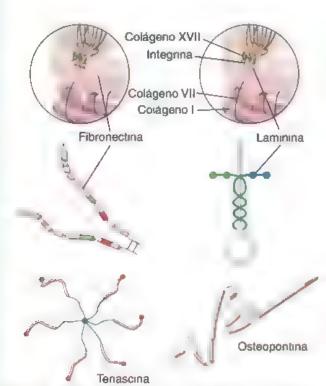


FIGURA 8-19. Glucoproteinas multiadhesivas más frecuentes. Estas proteinas residen en la matriz extracelular y son importantes para estabilizar la matriz y vincularla con la superficie celular. Son moléculas multifuncionales con diferentes formas y multiples sitios de unión para una vanedad de proteinas de la matriz extracelular, como colágenos, proteoglucanos y GAG. Téngase en cuenta que las proteinas multiadhesivas interactuan con los receptores de la membrana basal, como la integrina y los receptores de laminima.

■ CÉLULAS DEL TEJIDO CONJUNTIVO

Las células del tejido conjuntivo pueden ser residentes (fijas) o errantes (transitorias).

Las células que componen la población celular residente son relativamente estables; suelen mostrar poco movimiento y se consideran como residentes permanentes del tejido. Entre ellas se encuentran:

- Fibroblastos (y su pariente cercano, el miofibroblasto)
- Macrofagos
- Adipocitos
- Mastocitos
- Células madre adultas

La población colular erranta o transitoria consiste principalmente en células que han emigrado hacia el tejido desde la sangre en respuesta a estímulos específicos. Esta se compone de:

- Linfocitos
- Celulas plasmáticas
- Neutrófilos
- Eosmofilos
- Basófilos
- Monocitos

Fibroblastos y miofibroblastos

El fibroblasto es la célula principal del tejido conjuntivo.

Los fibroblestos son los encargados de la síntesis de las fibras de colágeno, elásticas y reticulares, así como de los hidratos de carbono complejos de la sustancia fundamental. Las investigaciones indican que un solo fibroblasto puede producir todos los componentes de la MEC.



Glucoproteinas multiadhesivas

Nombre	Peso molecular (kDa)	Composición molecular	Ubicación	Funciones
Fibronectina	250-280	Mo.écula dimérica for- mada por dos péptidos similares unidos por un enlace disulfuro	Presente en la MEC de mu- chos tejidos	Tiene a su cargo la adhesión celular e in- terviene en la migración, posee sitios de fijación para integrinas, colágeno tipo IV, hepanna y fibrina
Laminina	140-400	Mo écula en forma de X constituida por tres poli- péptidos (una cadena α y dos cadenas β)	Presente en las táminas ba- sales de todas las células epiteliales y en las táminas externas de las células musculares, los adipocitos y las células de Schwann	entactina, faminina y receptores de inte-
Tenascina	1680	Proteina gigante for- mada por seis cadenas conectadas por enlaces disulfuro	Mesènquima embrionario, pericondrio, periostio, uniones musculotendino- sas, heridas y tumores	Modula las adhesiones celulares a la MEC, posee sitios de fijación para fibronectina, heparina, factores de crecimiento similares a EGF, integrinas y CAM
Osteopon- tina	44	Polipéptido glucosilado monocatenario	Hueso	Se une a los osteoclastos, posee sitios de fijación para calcio, hidroxiapatita y receptores de integrina en la membrana del osteoclasto
Entactina/ nidógeno	150	Glucoproteina sulfatada monocatenana en forma de vanila	Proteina especifica de la ámina basal	Vincula la laminina y el colágeno tipo IV; posee sitios de unión para el perlecano y la fibronectina

CAM, molecula de adhesion ceruiar. ECM matriz extracelular. EGF factor de crecimiento epitelial. xDa. kilodaltons

Los fibroblastos se ubican muy cerca de las fibras de colágeno. Sin embargo, en los preparados de rutina teñidos con H&E apenas se suele ver el núcleo. Este aparece como una estructura alargada o en forma de disco, en ocasiones con un nucléolo visible. Las finas evaginaciones aplanadas y pálidas, que forman la mayor parte del volumen del citoplasma, no suelen ser visibles, en gran medida porque se confunden con las fibras de colágeno. En algunas muestras preparadas de manera especial, es posible distinguir el citoplasma celular de los componentes fibrosos (fig. 6-20a). Cuando se produce material de la MEC durante el crecimiento activo o en la cicatrización de heridas (en los fibroblestos activados), el citoplasma del fibroblasto es más extenso y puede presentar basofilia como consecuencia del aumento de la cantidad de RER, que se asocia con la síntesis de proteínas (fig. 6-20h). Al ser examinado con el MET, el citoplasma del fibroblasto muestra cisternas del RER y un aparato de Golgi prominente (fig. 6-21).

El miofibroblasto posee propiedades de los fibroblastos y de las células musculares lisas.

El miofibroblasto es una célula del tejido conjuntivo alargada y fusiforme que no se identifica con facilidad en los preparados de rutuna
teñidos con H&E. Se caracteriza por la presencia de fascículos de filamentos de actina con proteínas motoras asociadas, como la miosina
no muscular (véase p. 66). La expresión de la actina u de músculo
listo (u-SMA, a-smooth muscle actin; la isoforma de la actina hallada en los músculos lisos vasculares) en los miofibroblastos es regulada por el TGF-\$1. Los fascículos de actina atraviesan el citoplasma
celular, con origen y terminación en sitios opuestos de la membrana
plasmática. El sitio de fijación de las fibras de actina a la membrana plasmática también actúa como unión adherente entre la célula
y la MEC, y se denomina fibronexo. Este se parece a las adhesiones
focales que se encuentran en las células epiteliales (véase p. 155). Esta



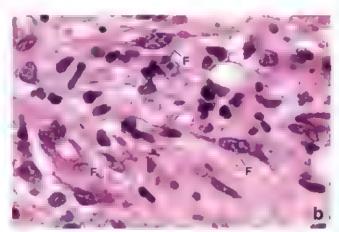


FIGURA 6-20. Microfotografia electrónica de fibroblastos. a. Microfotografia de una muestra de tejido con untivo en un preparado rutinario incluido en parafina y tenido con H&E, en la que se observan los nucleos de los fibroblastos (F) 600 - b. Durante la curación de las heridas, los fibroblastos activados (F) muestran un citoplasma más basófilo, que puede observarse bajo microscopia óptica. 500 x

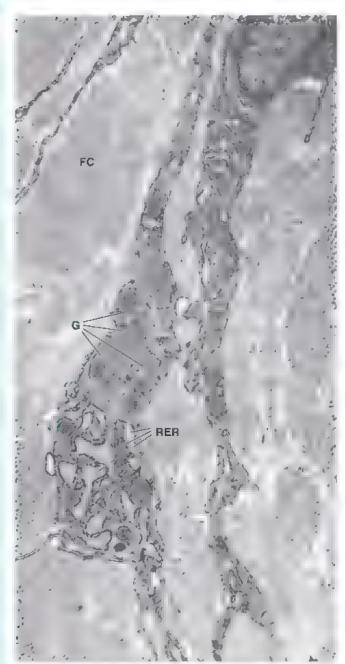


FIGURA 6-21. Microfotografía electrónica de fibroblastos. Se muestran las evaginaciones de vanos fibroblastos. El núcleo de uno de los fibroblastos aparece en la parte superior derecha de la foto. El citoplasma contiene si uetas visibles de RER. Las cisternas del retículo están distendidas, lo que indica una síntesis activa. Cerca del RER se observan las membranas del aparato de Golgi (G). Alrededor de las cérca as hay fibrillas de colágeno (FC), las cuales se han seccionado en sentido transversal casi en su totalidad y, por ello, aparecen como pequenos puntos con este aumento. \$1000 \times

organización es el fundamento del sistema de mecanotransducción en el que la fuerza generada por medio de la contracción de los fascículos de actina intracelulares se transmite a la MEC.

Al observarse con el MET, el miofibroblasto muestra características típicas del fibroblasto junto con las características de las células musculares lisas. Además de las cistemas del RER y Golgi, el miofibroblasto contiene fascículos de filamentos de actina dispuestos longitudinalmente y cuerpos densos similares a los que se observan en las células musculares lisas (fig. 6-22). Al igual que en la célula muscular lisa, el núcleo suele mostrar un perfil superficial ondulante, un fenómeno asociado con la contracción celular. El miofibroblasto

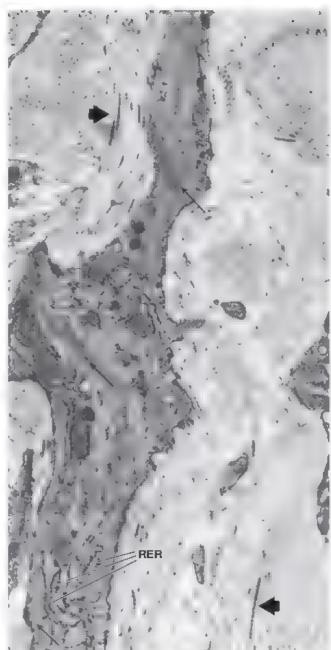


FIGURA 6-22. Microfotografía electrónica de un miofibroblasto. La célula muestra algunas características de un fibroblasto, como zonas con una cantidad moderada de RER Compárese con la figura 6-21. Sin embargo, otras regiones contienen agiomeraciones de filamentos finos y densidades citoplasmáticas (flechas), características propias de las células musculares lisas. Las puntas de flecha señalan siluetas long tudinales de fibrillas de colágeno. 11000×

se diferencia de la célula muscular porque carece de una lámina basal circundante (las células musculares lisas están rodeadas por una lámina externa). Además, generalmente existe como una célula aislada, aunque sus evaginaciones pueden entrar en contacto con las de otros miofibroblastos. En esos puntos de contacto hay uniones de hendidura, lo que indica la presencia de comunicación intercelular

Macrófagos

Los macréfagos son células fagocíticas derivadas de los monocitos que contienen abundante cantidad de lisosomas.

Los macrofagos del rejido conjuntivo, también conocidos como histiocitos, derivan de las células sanguíneas llamadas monocitos.

Los monocitos migran desde el torrente sanguíneo hacia el tejido conjuntivo, donde se diferencian en macrófagos.

Al observarse con el microscopio óptico y con tinciones convencionales, los macrófagos del tejido son difíciles de identificar, salvo que muestren claros indicios de actividad fagocítica (p. ej., material ingendo visible dentro de su citoplasma). Otra característica útil a la hora de identificar los macrófagos es un núcleo hendido o con forma de riñón (fig. 6-23a). Los lisosomas son abundantes en el citoplasma y pueden hacerse visibles con una técnica histoquímica para detectar la actividad de la fosfatasa ácida (tanto con el microscopio óptico como con el MET); una reacción positiva es una ayuda adicional para identificar el macrófago. Con el MET, la superficie del macrófago muestra numerosos pliegues y evaginaciones digitiformes (fig. 6-23b). Los pliegues de la superficie engloban las sustancias que serán fagocitadas. Los lisosomas del macrófago, junto con las evaginaciones citoplasmáticas superficiales, son las estructuras más indicativas de la capacidad fagocítica especializada de la célula. El macrófago también puede contener vesículas endocíticas, fagolisosomas y otros indicios de fagocitosis (p. ej., cuerpos residuales).

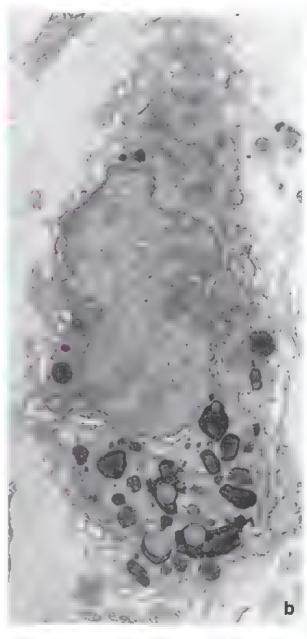
El RER, el retículo endoplasmánico liso y el aparato de Golgi mantienen la síntesis de las proteínas que intervienen en las funciones fagocíticas y digestivas, al igual que en las funciones secretoras de la célula. Los productos de secreción salen de la célula a través de los mecanismos de exocitosis, tanto constitutiva como regulada. La secreción regulada puede ser activada por la fagocitosis, los complejos inmunitarios, el complemento y las señales provenientes de los linfocitos (incluída la liberación de linfocinas, moléculas biológicamente activas que influyen en la actividad de las otras células). Entre los productos de secreción liberados por el macrófago, hay una gran variedad de sustancias relacionadas con la respuesta inmunitaria, la anafilaxía y la inflamación. La liberación de proteasas neutras y GAGasas (enzimas que degradan GAG) favorece la migración de los macrófagos a través del tendo conjuntivo.

Los macrófagos son células presentadoras de antigenos y tienen una función importante en las reacciones de la respuesta inmunitaria.

Si bien la principal función del macrófago es la fagocitosis, ya sea como actividad de defensa (p. ej., la fagocitosis bacteriana) o como







operación de limpieza (p. ej., la fagocitosis de detritos celulares), también desempeña un papel importante en las reacciones de la respuesta inmunitaria.

Los macrófagos poseen proteínas específicas en su superficie, conocidas como molécules del complejo meyor de histocompatibilidad II (MHC II, major histocompatibility complex II), que les permiten interactuar con los linfocitos T CD4' (cooperadores). Cuando los macrófagos fagocitan una célula extraña, los antígenos (polipéptidos cortos de 7-10 aminoácidos de longitud de la célula extraña) se muestran en la superficie de las moléculas del MHC II. Si un linfocito T CD4+ reconoce el antígeno presentado, se activa y desencadena una respuesta inmunitaria (véase cap. 14). Debido a que los macrófagos le "presentan" el antígeno a los linfocitos CD4' cooperadores, se denominan células presentadoras de antígenos.

Los macrófagos llegan al sitio de la lesión del tejido después de los neutrófilos y experimentan una diferenciación.

En el sitio de la lesión tisular, las primeras células en llegar a la zona lesionada son los neutrófilos. Estos son los primeros en reconocer los organismos extraños o agentes infecciosos y comenzar con su destrucción, ya sea por intermediarios reactivos al oxígeno o por mecanismos de muerte independientes del oxígeno (véase p. 302-304). Durante este proceso de destrucción, se generan en el sitio de la lesión grandes cantidades de secreciones y derritos celulares. Además, puede haber presencia de microorganismos que sobrevivieron a la acción de los neutrófilos. Después de 24 h, desde los vasos sanguíneos entran los monocitos en el sitio de la lesión y se diferencian en macrófagos, donde permanecen hasta que se resuelva la inflamación. Al comienzo, el objetivo de los macrófagos es destruir los microorganismos que hayan sobrevivido al ataque de los neutrófilos. De forma simultánea, los macrófagos se activan por la interacción con diversas moléculas producidas por los neutrófilos y los microorganismos invasores. Durante este proceso, los macrófagos experimentan una serie de alteraciones funcionales, morfológicas y bioquímicas desencadenadas por las diversas activaciones génicas.

Los macrófagos de activación clásica (macrófagos M1) promueven la inflamación, la destrucción de la MEC y la apoptosis.

La activación por interferón y (IFN-y), factor de necrosis tumoral α (TNF α, tumor necrosis factor α) o lipopolisacáridos (LPS) bacterianos origina un macrófago de activación clásica o macrófago M1 Estos macrófagos tienen la capacidad, a través de la producción de óxido nítrico (NO) y otros intermediarios, de destruir microorganismos en el sitio de la inflamación. También secretan interleucina (IL) 12, la cual actúa sobre los linfocitos T CD4⁺. A su vez, los linfocitos T cooperadores secretan IL-1, la cual estimula a los linfocitos T CD8⁺ para que lleguen al sitio de la inflamación. En resumen, los macrófagos M1 promueven la inflamación crónica y la lesión tisular. Cuando los macrófagos encuentran cuerpos extranos grandes, pueden fusionarse para formar una célula enorme que contiene hasta 100 núcleos y que fagocita el cuerpo extraño. Estas cálulas multinucleadas reciben el nombre de células gigantes de cuerpo extraño (células de Langhans).

De manera alternativa, el macrófago activo (macrófago M2) actúa para resolver la inflamación y promueve la reconstrucción de la MEC, la proliferación celular y la angiogénesis.

Cuando se elimina el estímulo inflamatorio del sitio de la lesión del tejido, el cuerpo entra en modo de reparación, el cual incluye la eliminación de los detritos celulares, la síntesis de los componentes de la nueva MEC y la revascularización del tejido lesionado. Durante este período, los macrófagos se activan por medio de las citocinas, como las IL 4, 5, 10 o 13. Estos ripos de células

se denominan macrofagos de activacion alternativa o macrófagos M2. Los macrófagos M2 son antiinflamatorios y colaboran en la resolución de la inflamación. Secretan IL-4 para promover la diferenciación de los linfocitos B en células plasmáticas y factor de crecimiento vascular endotelial (VEGF, wascular endothelial growth factor) para estimular la angiogénesis. Los macrófagos M2 también secretan componentes de la MEC (p. ej., fibronectina y otras glucoproteínas multiadhesivas); promueven la reparación de la lesión debido a sus acciones antiinflamatorias, angiogénicas y proliferativas, y son eficaces a la hora de combatir las infecciones parasitarias (la esquistosomosis). Además de sus actividades beneficiosas, los macrófagos M2 participan en la patogenia de la alergia y el asma.

Mastocitos

Los mastocitos se desarrollan en la médula ósea y se diferencian en el tejido conjuntivo.

Los mastocitos son células del rejido conjuntivo, ovoides y de gran tamaño (20 30 µm de diámetro) con un núcleo esferoidal y un citoplasma lleno de gránulos muy basófilos de gran tamaño. No se identifican con facilidad en los cortes histológicos humanos, excepto cuando se emplean fijadores especiales para conservar los gránulos. Después de realizar una fijación con glutaraldehído, los gránulos de los mastocitos se pueden observar con colorantes básicos, como el azul de toluidina. Con este colorante, los gránulos se tiñen de forma intensa y metacromática porque contienen heparina, un proteoglucano muy sulfatado (fig. 6-24a). El citoplasma contiene pequeñas cantidades de RFR, mitocondrias y un aparato de Gotgi. La superficie celular contiene abundantes microvellosidades y phegues.

El mastocito está emparentado con el basófilo, un leucocito que contiene gránulos similares (tabla 6-6). Ambos surgen de una célula madre hematopoyética (HSC, hemopoietic stem cell) en la médula ósea. Las células progenitoras de los mastocitos (MCP, mast cells progenstors) circulan inscialmente en la sangre persférica como células agranulares de aspecto monocítico. Después de migrar hacia el tejido conjuntivo, los mastocitos inmaduros se diferencian y producen sus gránulos característicos (fig. 6-24b) En cambio, los progenitores basófilos (BaPs) se diferencian y permanecen dentro del sistema circulatorio. La superficie de los mastocitos maduros expresa una gran cantidad de receptores Fo de alta afinidad (ForRi), a los cuales se fijan los anticuerpos de inmunoglobulina (lg) E. La unión de un antigeno especifico a las moléculas de anticuerpo de IgE expuestas en la superficie celular del mastocito conduce a la aglomeración de receptores F_C. Esto desencadena la activación del mastocito, la cual produce la exocitosis de los gránulos (desgranulación) y la liberación de su contenido hacia la MEC. Los mastocitos también pueden activarse por el mecanismo independiente de la IgE durante la activación de las proteinas del complemento.

Se han identificado dos tipos de mastocitos humanos según sus propiedades morfológicas y bioquímicas. La mayoría de los mastocitos del tejido conjuntivo de la piel, la submucosa intestinal y los ganghos linfáticos axilares y mamarios contienen gránulos citoplasmánicos con una estructura interna reticulada. Estas células contienen triprasa y quimasa en asociación con sus gránulos y se conocen como mastocitos MC_{TC} o mastocitos del tejido conjuntivo. En cambio, los mastocitos de los pulmones y de la mucosa intestinal tienen gránulos con una estructura interna enrollada. Estas células solo producen triptasa y reciben el nombre de mastocitos MC_T o mastocitos mucosos. En la mucosa nasal se pueden hallar concentraciones casi equivalentes de cada uno de estos tipos.



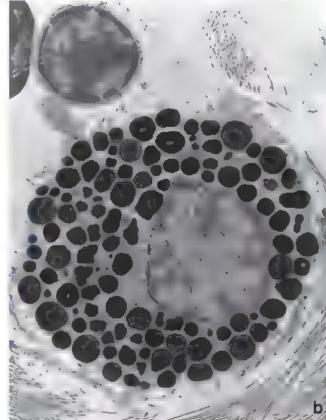


FIGURA 6-24. Mastocito, a. Microfotografia de un mastocito tenido con azul de toluidina. Los gránulos se tiñen de un azul intenso y, por su gran cantidad, tienden a lucir como una masa sólida en algunas zonas. La región pál da corresponde al núcleo de la cálula. 1250× b. En esta microfotografía electrónica se muestra el citoplasma de un mastocito prácticamente repleto de gránulos. Obsérvese la presencia de un pequeño linfocito en el ángulo superior izquierdo de la figura 6000×

Los mastocitos son especialmente abundantes en los tejidos conjuntivos de la prel y de las mucosas, pero no están presentes en el encefalo ni en la medula espinal.

Los mastocitos del tejido conjuntivo (mastocitos MC_{TC}) se distribuyen principalmente en el tejido conjuntivo de la piel, cerca de los vasos sanguíneos pequeños, los folículos pilosos, las glándulas sebáceas y las glándulas sudoríparas. También se encuentran en las cápsulas de los órganos y el tejido conjuntivo que rodea los vasos sanguíneos de los órganos internos. Una excepción notable es el sistema nervioso central. Si bien las meninges (cubiertes de tejido conjuntivo y que rodean el cerebro y la médula espinal) contienen mastocitos, el tejido conjuntivo que rodea los vasos capilares dentro del encefalo y de la medula espinal carece de estas

cétulas. La faita de mastocitos protege al encéfalo y a la médula de los efectos destructivos del potencial edema característico de las reacciones aférgicas. Los mastocitos también son abundantes en el timo y, en menor medida, en otros órganos linfáticos, pero no están presentes en el bazo.

La mayoria de los productos de secreción (mediadores de la inflamación) de los mastocitos se almacenan en gránulos y se liberan en el momento de la activación mastocítica.

Los mastocitos contienen gránulos muy basófilos que almacenan sustancias conocidas como *mediadores de la inflamacion*. Los mediadores producidos por los mastocitos se clasifican en dos categorias: los mediadores proformados, que se almacenan en gránulos

THE RELLEGIO

Comparación de las características distintivas entre los mastocitos y los basófilos

Caracteristicas distintivas	Mastocitos	Basonios
Origen	Célula madre hematopoyética	Célula madre hematopoyética
Sitio de diferenciación	Tejido conjuntivo	Médula ósea
Divisiones celulares	Sí (en ocasiones)	No
Células en circulación	No	Si
Longevidad	Semanas a meses	Dias
Temeño	20-30 μm	7-10 µm
Forma del núcleo	Redondeado	Segmentado (normalmente bilobulado)
Gránulos	Abundantes, grandes, metacromáticos	Escasos, grandes, basófilos
Receptores superficiales de alta afinidad para anticuerpos de la IgE (fc_ERI)	Presentes	Presentes
Marcador de actividad celular	Inptasa	Desconocido

CORRELACION CLÍNICA: FUNCIÓN DE LOS MIOFIBROBLASTOS EN LA CICATRIZACIÓN

Una función importante de los miefibroblastos se cumple durante el proceso de cicatrización de heridas, una incisión quirurgica cutánea limpia comienza el proceso de cicatrización cuando un coágulo sanguinao, que contiene fibrina y hematocitos, llena el espacio estrecho que hay entre los bordes de la incisión. El **proceso inflamatorio**, que comienza no antes de 24 h de producida la lesión limita el daño a una pequeña zona, contribuye a la eliminación de tejidos lesionados y muertos, e inicia el depósito de nuevas proteinas. de la MEC. Durante las primeras fases de la inflamación, los neutrófilos y los monocitos infiltran la les on (la infiltración máxima de neutrófilos ocurre en el primer o segundo día posterior a la lesión). Los monocitos se transforman en macrófagos (suelen reemplazar a los neutrófilos alrededor del tercer día después de la lesión, véase p. 192). Al mismo tiempo, en respuesta a factores de crecimiento locales, comienza la proliferación de fibroblastos y células endoteliales vasculares y su migración hacia la delicada matriz de fibrina del coágulo. sanguineo para formar así el tejido de granulación, un tipo especializado de tejido característico del proceso de reparación. En general, en el quinto día después de la lesión, e. te, do de granulación completamente desarrollado cubre la brecha de la incisión. Este tejido está compuesto sobre todo por grandes cantidades de pequeños vasos, fibroblastos y miofibroblastos, y por cantidades variables de otras células inflamatorias. Los fibroblastos migrantes ejercen fuerzas de

FIGURA C6-3-1. Fibroblastos y miofibroblastos en cultivo. En está imagen de animunofluorescencia se muestran fibroblastos 373 de tipo silvestre cultivados en una malia de colágeno. Por a estimulación con ciertos factores de crecimiento, como el TGF-β1, algunos fibroblastos se diferencian en miofibroblastos que expresan α -SMA, el marcador de la diferenciación miofibroblastica. Las células se tiñeron con faloidina marcada con fluoresceina para visualizar os filamentos de actina f (verde), mientras que la α -SMA se marcó con anticuerpos primarios contra α -SMA y se visua izó con anticuerpos secundarios de cabra anti-ratón conjugados con FITC (rojo). La colocalización de α -SMA con actina F está indicada en color amanllo. Observese que algunas células han completado su diferenciación, mientras que otras se encuentran en sus etapas iniciales. 1000× (cortesia de la Dra. Bons Hinz)

tracción sobre la MEC y la reorganizan a lo largo de las líneas de tensión. Por la acción de los factores de crecimiento, como el TGF-β1, y de las fuerzas mecánicas, los fibroblastos se diferencian en **miofibroblastos**. Este proceso se puede detectar analizando la sintesis de α-SMA. Este tipo de actina no está presente en el citoplasma de los fibroblastos (fig. C6-3-1). Los miofibroblastos generan y mantienen una fuerza contráctil estable (semejante a la que ejercen las células musculares lisas) que produce el acortamiento de las fibras del tejido conjuntivo y el cierre de la herida. Al mismo tiempo, los miofibroblastos sintetizan y depos tan fibras de colágeno y otros componentes de la MEC, que son responsables del remodetado tisular.

Durante la segunda semana de curación de la herida, disminuye la cantidad de células en el tejido en proceso de reparación, la mayoría de los miofibroblastos experimentan apoptosis y desaparecen para dejar una cicatriz conjuntiva con muy pocos elementos celulares. En algunas enfermedades, los miofibroblastos persisten y continuan el proceso de remodelado. Este remodelado continuo conduce a la formación de una cicatriz hipertrófica, que genera a su vez una contractura excesiva del tejido conjuntivo. Se encuentrangrandes cantidades de miof broblastos en la mayoría de las enfermedades contracturales del tejido conjuntivo (fibromatosis). Por ejemplo, la fibromatosis palmar tenfermedad de Dupuytren) se caracteriza por un engrosamiento de la aponeurosis parmar que conduce a una contractura de flexión progresiva de los dedos cuarto y quinto de la mano (fig. C6-3-2). Si el tejido cicatricial sobrepasa los limites de la herida origina y no involuciona, se denomina queloide. En los Estados Unidos su aparición es más frecuente en las personas afroamericanas que en aquellas con otro ongen étnico



FIGURA C6-3-2. Mano de un paciente con enfermedad de Dupuytren. La enfermedad de Dupuytren es un ejempio de una enfermedad que ocasiona una contractura del tejido conjuntivo de la palma. Las zonas más comunimenta afectadas, en el pliegue de la mano cerca de la base de los dedos meñ que y anuiar forman cordones fibrosos contrados, los cuales son infiltrados por una gran cantidad de miof brobiastos. La mayoría de los pacientes presentan problemas al tratar de apoyar la mano sobre una superficie plana. En los casos más graves, los dedos permanecen flexionados constantemente e interfieren con las actividades cotidianas, como lavarse las manos o meter la mano en el boisillo (cortesia de la Dra. Richard A. Bergeri)

CONSIDERACIONES FUNCIONALES: SISTEMA FAGOCÍTICO MONONUCLEAR

Las células incluidas en el **sistema fagocítico mononuclear** (SFM) derivan principalmente de los monocitos y conforman una población de **células presentadoras de antígenos** que participan en el procesamiento de sustancias extrañas Estas células pueden fagocitar con avidez colorantes vitales como el azul tripán y la tinta china, lo que las hace visibles y fáciles de identificar con el microscopio óptico. El origen común de las células del SFM a partir de los monocitos constituye la principal característica distintiva del sistema, si bien existen algunas excepciones (*véase* más adelante) Además, con excepción de los osteoclastos, las células del SFM presentan receptores para el complemento y el fragmento F₀ de las inmunoglobulinas. Las diversas células del SFM se detallan en la tabla de abajo.

La mayoria de las cérclas del SFM se asientan en tejidos específicos y pueden adoptar apariencias morfológicas variadas a medida que se diferencian. Las principales funciones de las células del SFM son la fagocitosis, la secreción (linfocinas), el procesamiento de los antígenos y la presentación de antígenos a otras células del sistema inmunitario

Algunas células fagociticas importantes desde el punto de vista funcional no derivan directamente de los monocitos Por ejemplo, la microglía está compuesta por pequeñas células estrelladas que se ubican principalmente a lo largo. de los capitares del sistema nervioso central y funcionan como células fagocíticas. Surgen de las células progenitoras hematopoyéticas reclutadas de los vasos sanguíneos para su diferenciación en el sistema nervioso central durante las etapas embrionaria y perinatal del desarrollo, a pesar de ello, se incluyen en el SFM. De igual manera, los osteoclastos derivados de la fusión de células progenitoras de granulocitos y macrófagos, que dan origen a linajes celulares de granulocitos y monocitos, también se incluyen en el SFM. Además, se ha observado que los fibroblastos de la capa subepitetial de la lámina propia del intestino y el endometrio uterino se diferencian en células con características morfológicas, funcionales y enzimáticas de los macrófagos del tejido conjuntivo

Células del sistema fagocítico mononuclear

Nombre de la célula Ubicación Sangre y médula ósea Monocito y sus precursores en la médula ósea. monoblasto y promonocito Macrófago Tejido conjuntivo, bazo, ganglios linfáticos, médula ósea y timo Macrófago perisinusoidal (célula de Kupffer) Higado Macrófago alveolar Pulmones Célula presentadora de antígenos placentaria fetal Placenta (celula de Hofbauer) Macrofago pleural y peritoneal Cavidades serosas Osteoclasto (con origen en las células progenitoras Hueso hematopoyéticas) Microglía (con origen en las células progenitoras Sistema nervioso central hematopoyéticas) Célula de Langerhans Epidermis de la piel, mucosa oral, epitelio genital femenino Macrófago derivado de fibroblasto (con origen en las Lámina propia del intestino, endometrio del útero células mesenguimatosas) Célula dendritica Ganglios linfáticos, bazo Células gigantes multinuc eadas ,p. ej , célu as gigantes. Granulomas patológicos, granuloma por sutura, tuberculosis de cuerpo extraño, células gigantes de Langhans, se originan a partir de la fusión de varios macrófagos)

de secreción y se liberan con la activación celular, y los mediadores neosintetizados (sobre todo lípidos y citocinas), que suelen estar ausentes en las células en reposo, aunque son producidos y secretados por los mastocitos activados.

Los mediadores preformados que se encuentran dentro de los gránulos de los mastocitos son los siguientes;

 Histamina. Amina biógena que aumenta la permeabilidad de los vasos sanguíneos de pequeño calibre y, con ello, provoca edema en el rejido circundante y una reacción curánea caracterizada por prunto. Además, aumenta la producción de moco en el árbol bronquial y desencadena la contracción del músculo. liso de las vias aéreas pulmonares. Los efectos de la histamina se pueden bloquear con farmacos antihistaminicos. Estos inhibidores competitivos poseen una estructura química similar y se unen a los receptores histaminicos sin desencadenar los efectos de la histamina.

Heparina. GAG sulfarado con efecto anticoagulante. Su expresión se restringe a los gránulos de los mastocitos y de los basófilos. Cuando la heparina se une con la antitrombuna III y el factor plaquetario IV, puede bloquear numerosos factores de coagulación. Por sus propiedades anticoagulantes, la heparina es util para el tratamiento de la trombosis. También

interactua con el factor de crecimiento fibroblastico (FGF, fibroblast growth factor) y con su receptor para inducir la transduccion de senales en las céluras

- Serina protensas (triptasa y quimasa). La triptasa se concentra de forma selectiva en los gránulos de secreción de los mastocitos humanos (pero no en los basófilos). Es secretada por los mastocitos junto con la histamina y sirve como marcador de la activación mastocítica. La quimasa tiene una función importante en la generación de la angiotensina II en respuesta a la lesión del tejido vascular. La quimasa del mastocito también activa las MMP e induce la apoptosis de las células musculares lisas vasculares, en particular en la zona de las lesiones ateroescleróticas.
- Factor quimiotàctico para aosinófilos (ECF, aosinophil chemotactic factor) y para neutrófilos (NCF, neutrophil chemotactic factor). Atraen eosinófilos y neutrófilos, respectivamente, hacia el situo de inflamación. Las secreciones de los eosinófilos contrarrestan los efectos de la histamina y los leucotrienos.

Los mediadores neosintetizados incluyen los siguientes:

• El toucotrieno C (LTC4) se libera del mastocito y después se escinde en la MEC para generar dos leucotrienos activos: D (LTD4) y E (LTE4). Pertenecen a una familia de lípidos modificados conjugados con glutatión (LTC4) o cisteína (LTD4 y LTE4). Los leucotrienos son liberados por los mastocitos durante la anafilaxia (para una descripción de la anafilaxia, véase cuadro 6-5) y promueven la inflamación, además de la migración del eosinófilo y el au-

mento de la permeabilidad vascular. Al igual que la histamina, fos leucotrienos desencadenan la contracción prolongada del musculo liso en las vias respiratorias pulmonares para que ocurra el broncoespasmo. Los efectos broncoconstrictores de los leucotrienos se desarrollan con mayor lentitud y duran mucho más que los de la histamina. El broncoespasmo causado por los leucotrienos puede ser evitado por los antagonistas del receptor de leucotrieno, pero no por los fármacos antihistaminicos. Los antagonistas del receptor de leucotrieno están entre los fármacos más indicados para el control del asma; se emplean tanto para tratar como para prevenir los ataques agudos de asma.

- El TNF-a es una citocina producida por los mastocitos. Aumenta la expresión de las moléculas de adhesión en las células endoteliales y posee efectos antitumorales.
- También se liberan diversas interleucinas (il. 4, 3, 5, 6, 8 y 16), factores de crecimiento (factor estimulante de colonias de granulocitos y macrófagos) y prostaglandina D₂ (PGD₂) durante la activación del mastocito. Estos mediadores no se almacenan en gránulos, sino que son sintetizados por la célula y liberados de inmediato hacia la MEC.

Los mediadores liberados durante la activación de los mastocitos, como resultado de las interacciones con los alergenos, son responsables de la gran variedad de signos y síntomas característicos de las reacciones alérgicas.

CUADRO 6-5

CORRELACIÓN CLÍNICA: FUNCIÓN DE LOS MASTOCITOS: Y LOS BASÓFILOS EN LAS REACCIONES ALÉRGICAS

Cuando una persona se expone a un antígeno específico (alérgeno) que reacciona con los anticuerpos de IgE unidos a la superficie de los mastocitos o basófilos a través de sus receptores de alta afinidad (FczRII), se inicia la activación de estas células. Este tipo de activación dependiente de la IgE desencadena una cascada de fenómenos cuyo resultado son las reacciones alérgicas. Estas pueden ocumir como reacciones de hipersensibilidad inmediata (por lo general, segundos o minutos después de la exposición al alérgeno), reacciones de fase tardía o infiamaciones alérgicas crónicas.

La reacción de hipersensibilidad inmediata implica la Liberación, por intervención de la IgE, de histamina y otros mediadores desde los mastocitos y los basófilos. Los síntomas clínicos causados por estos mediadores varían segun el órgano afectado.

La liberación de mediadores en las capas superficiales de la piel puede manifestarse como entema (enrojecimiento), hinchazón y prurito (picazón) o sensación de dolor. Los síntomas respiratorios incluyen estomudos, rinorrea (moqueo), mayor producción de moco, tos, broncoespasmo (construcción de los bronquios) y edema pulmonar. Las personas que presentan estos sintomas suelen manifestar una sensación de opresión torácica, falta de aire y sibilancias. El sistema digestivo también puede verse afectado con sintomas como náuseas, vómitos, diarrea y cólicos abdominales.

En las personas muy sensibles, el antigeno inyectado por un insecto puede desencadenar una liberación masiva de gránulos de mastocitos y basófilos que afectan a más de un sistema. Esta enfermedad se conoce como anafilaxia. La dilatación y el aumento en la permeabilidad de los vasos sanguíneos sistémicos pueden provocar un choque anafiláctico. Esta reacción, a menudo explosiva y potencialmente mortal, se caracteriza por hipotensión (disminución de la pre-

sión arterial) importante, reducción del volumen de sangre circulante (vasos permeables) y contracción de las células del músculo liso en el árboi bronquial. La persona afectada presenta dificultad para respirar y puede manifestar una erupción cutánea además de náuseas y vómitos. Los síntomas del choque anafiláctico suelen aparecer entre 1 y 3 min después de iniciada la exposición al aférgeno y es indispensable el tratamiento inmediato con vasoconstrictores, como la epinefrina. La valoración clínica de la activación de los basófilos en las reacciones anafilácticas sistémicas no es posible, ya que aun no se ha desarrollado un estudio para la detección de un marcedor celular específico (iberado por los basófilos (y no por otras células, como los mastocitos)

Una vez que se han resuelto los signos y síntomas de la reacción de hipersensibilidad inmediata, la persona efectada puede desarrollar **reacciones alergicas de fase tardía** entre 6 y 24 h después. Los síntomas de estas reacciones pueden incluir enrojecimiento, hinchazón persistente de la piel, secreción nasal, estomudos y tos, generalmente acompañados por un recuento elevado de leucocitos. Los síntomas de estas reacciones duran algunas horas y desaparecen en un día o dos después de la exposición inicial al alergeno. En el sistema respiratorio, se considera que la reacción de fase tardía es la responsable del desarrollo del asma persistente.

Si la exposición a un aférgeno es persistente (p. ej., el dueño de un perro que es alérgico a estos animales), puede generarse una **inflamación atérgica crónica**. Los tejidos de estas personas acumulan diversas células inmunitarias, como eosinófilos y linfocitos T, que provocan más daño tisular y prolongan la inflamación. Esto puede conducir a alteraciones funcionales y estructurales permanentes en el tejido afectado.

Basófilos

Los basófilos, que se desarrollan y diferencian en la médula ósea, poseen muchas características de los mastocitos.

Los basofilos son granulocitos que circulan en el torrente sanguíneo y constituyen menos del 1% de los leucocitos de la sangre periférica. En términos de desarrollo, su linaje está separado del de los mastocitos, a pesar de compartir una célula precursora en comun en la médula ósea. Los basófilos se desarrollan y maduran en la médula ósea y son liberados hacia la circulación como células maduras. Poseen también muchas otras características en común con los mastocitos, como los gránulos de secreción basófilos, la capacidad para secretar mediadores semejantes y una abundancia de receptores F. de atta ofinidad para los anticuerpos de IgE en su membrana celular. Participan en las reacciones alérgicas (véase cuadro 6-5) y, junto con los mastocitos, liberan histamina, heparina, heparán-sulfato, ECF, NCF y otros mediadores de la inflamación. A diferencia de los mastocitos, los basófilos no producen prostaglandina D2 (PGD2) ni IL-5. Los basófilos y sus características se desarrollan con mayor detalle en el capítulo 10, Tejido sanguineo.

Adipocitos

El adipocito es una célula del tejido conjuntivo especializada en el almacenamiento de lípidos neutros y la producción de una variedad de hormonas.

Los adipocitos se diferencian a partir de las células madre mesenquimatosas y acumulan lípidos de forma gradual en su citoplasma. Se localizan por todo el tejido conjuntivo laxo como células individuales y grupos de células. Cuando se acumulan en grandes grupos, se conocen como tejido adiposo. Los adipocitos también participan en la síntesis de varias hormonas, mediadores de la inflamación y factores de crecimiento. Este tejido conjuntivo especializado se trata más adelante en el capítulo 9, Tejulo adiposo.

Células madre adultas y pericitos

En varios tejidos y órganos se hallan nichos de células madre adultas.

En los adultos, muchos tejidos contienen depósitos de células madre denominados células madre adultas. A diferencia de las células madre embrionarias, estas células no se pueden diferenciar en linajes múltiples. Por lo general, solamente pueden diferenciarse en células de un linaje específico. Las células madre adultas se encuentran en muchos tejidos y órganos ubicadas en sitios específicos denominados nichos. Las células que residen dentro de los nichos de estos tejidos y órganos (con excepción de la médula ósea) se conocen como células madre tisulares. Se han identificado en diversas regiones del rubo digestivo como en el estómago (en el istmo de las glándulas gástricas) y los intestunos delgado y grueso (en la base de las glándulas intestinales). La médula ósea constituye un reservorio particular de células madre. Además de contener HSC, la médula ósea también contiene al menos dos poblaciones de células madre: una población heterogénea de células progenitoras adultas multipotentes (MAPC, multipotent adult progenitor ceils), que parecen tener grandes capacidades de desarrollo y células del estroma de la médula óses (BMSC, bone marrow stromal cells), que pueden generar condrocitos, osteoblastos, adipocitos, células musculares y células endoteliales. Las MAPC son las equivalentes adultas de las células madre embrionarias. Los nichos de las células madre adultas denominadas células madre mesenquimatosas se encuentran en el tejido conjuntivo laxo del adulto. Estas células dan origen a células diferenciadas que funcionan en

la reparación y la formación de nuevo tejido, como es el caso de la cicatrización de heridas y del desarrollo de nuevos vasos sanguíneos (neovascularización)

Los perícitos vasculares que se encuentran alrededor de los capilares y las vénulas son células madre mesenquimatosas.

Los pericitos, también llamados células adventicias o células perivesculares, se localizan, al menos en parte, alrededor de los capilares y las vénulas (fig. 6-25). Su núcleo adopta un aspecto semejante al de las células endoteliales (aplanado pero curvo para adaptarse a la forma tubular del vaso). Varios hallazgos sustentan la interpretación de que los pericitos vasculares son, en realidad, células madre mesenquimatosas. Los estudios experimentales demuestran que, al responder a estímulos externos, los pericitos expresan una cohorte de proteínas semejante a las de las células madre de la médula ósea. Los pericitos están rodeados por material de la lámina basal que se continúa con la lámina basal del endorelio capilar; por lo tanto, no están realmente ubicados en el compartimento del tejido conjuntivo. El papel de los pericitos como celulas madre mesenquimatosas ha sido confirmado en estudios que han demostrado su capacidad (en cultivos a partir de capilares retinianos: para diferenciarse en diversas células, incluyendo osteoblastos, adipocitos, condrocitos y fibroblastos.



FIGURA 6-25. Microfotografia electronica de un vaso sanguíneo de pequeño calibre. El nucleo que se observa cortado en el ángulo superior izquierdo pertenece a la célula endotelial que forma la pared del vaso. A la derecha se observa otra célula, un periorito, que está en relación estrecha con el endotelio. Nótese que la lámina basal (LB) que cubre la célula endotelial se extiende (flecha) para rodear el periorito. 11 000×

Los estudios con el MET demuestran que los pericitos que rodean las vénulas de calibre más pequeño poseen características citoplasmáricas casi idénticas a las de las células endoteliales del mismo vaso. Los pericitos asociados con las vénulas más grandes poseen características de las celulas musculares lisas de la túnica media de las venas de pequeño calibre. Al realizar un corte paralelo al eje longitudinal de las vénulas, las porciones distal y proximal del mismo pericito presentan las características de las células endoteliales y las células musculares lisas, respectivamente. Estos estudios indican que durante el desarrollo de nuevos vasos, las células con características de pericitos pueden diferenciarse en células musculares lisas de la pared vascular.

Los fibroblastos y los vasos sanguíneos de las heridas en proceso de cicatrización se desarrollan a partir de células madre mesenquimales asociadas con la túnica adventicia de las vénulas.

Mediante estudios autorradiográficos de cicarrización de heridas en pares de animales parabióticos (con circulación cruzada), se ha podido comprobar que las células madre mesenquimales ubicadas en la túnica adventicia de las vénulas y de las venas pequeñas son la fuente primana de células nuevas durante la cicatrización. Además, los fibroblastos, los pericitos y las células endoteliales en aquellos segmentos del rejido conjuntivo adyacentes a la herida se dividen y producen células adicionales que forman tejido conjuntivo y vasos sanguíneos nuevos.

Linfocitos, células plasmáticas y otras células del sistema inmunitario

Los linfocitos participan en las respuestas inmunitarias.

Los Infocitos del tejido conjuntivo son las más pequeñas de las células libres en el tejido conjuntivo (véase fig. 6-24b). Poseen un delgado reborde de citoplasma que rodea un núcleo heterocromático de tinción intensa. Con frecuencia, el citoplasma de los linfocitos del tejido conjuntivo no es visible. Por lo general, se encuentran pequeñas cantidades de linfocitos en el rejido conjuntivo de todo el organismo. Sin embargo, esta cantidad aumenta de manera considerable en los sittos de inflamación de los tejidos debido a la presencia de patogenos. Los linfocitos son los más numerosos en la lámina propia del tubo digestivo y de las vías respiratorias, donde participan en la inmunoviglancia contra patogenos y sustancias extrañas que se introducen en el organismo al atravesar el revestimiento epitelial de estos sistemas

Los linfocitos forman una población heterogénea que comprende al menos tres tipos celulares funcionales: linfocitos T, linfocitos B y linfocitos citolíticos naturales (NK, natural killer).

En el nivel molecular, los linfocitos se caracterizan por la expresión de moléculas específicas en la membrana plasmática, conocidas como proteínas de cúmulo de diferenciación (CD). Las proteínas CD reco-

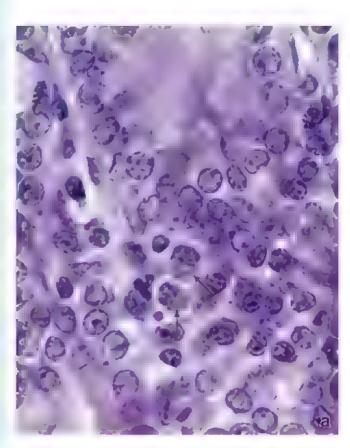
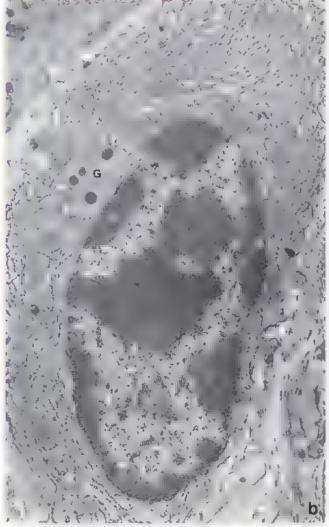


FIGURA 6-26. Célula plasmática. a. En esta microfotografía se pueden ver les características típicas de una célula plasmática en un preparado de nutina tenido con H&E. Nótense los cúmulos de heterocromatina penférica alternando con las regiones ciaras de eucromatina en el nucleo. Cabe destacar, además, el Golgi negativo (flechas) y el citopiasma basófilo 5000× b. En la microfotografía electrônica se muestra que un RER extenso ocupa la mayor parte del criopiasma de la célula plasmática. El aparato de Golgi (G) también es relativamente grande, lo cual es otro refiejo de la actividad secretora de la célula. 15000×



nocen ligandos específicos en las células diana. Debido a que algunas proteínas CD están solo en algunos tipos específicos de linfocitos, se consideran proteínas marcadoras específicas. Según estos marcadores específicos, los linfocitos se pueden clasificar en tres tipos funcionales:

- Los linfocitos T se caracterizan por la presencia de proteínas marcadoras CD2, CD3, CD5 y CD7, y de receptores de linfocitos T (TCR, T cell receptor). Estas células tienen una larga vida útil y son efectoras de la inmunidad mediada por células.
- Los linfocitos 8 se caracterizan por la presencia de proteínas CD9, CD19 y CD20, y de las inmunoglobulinas unidas IgM e IgD. Estas células reconocen a los antígenos, tienen una vida va riable y son efectoras de la inmunidad mediada por anticuerpos (inmunidad humoral)
- Los tinfocitos NK son linfocitos no T y no B que expresan las proteínas CD16, CD56 y CD94, que no se encuentran en otros linfocitos. Estas células no producen inmunoglobulinas ni expresan TCR en su superficie. Por lo tanto, los linfocitos NK no son específicos de antígeno. Sin embargo, de modo similar a la acción de los linfocitos T, destruyen las células infectadas por virus y algunas células neoplásicas por medio de un mecanismo citotóxico.

En respuesta a la presencia de antígenos, los linfocitos se activan y pueden dividirse varias veces para producir clones de sí mismos. Además, los clones de los linfocitos B maduran y se convierten en células plasmáticas. En el capítulo 14 se presenta una descripción de los linfocitos B y T, así como de sus funciones en las reacciones que se producen durante las respuestas inmunitarias.

Las células plasmáticas son células productoras de anticuerpos derivadas de los linfocitos B.

Las células plasmáticas o plasmocitos son un componente destacado del tendo conjuntivo laxo, a través del cual los antígenos tienden a introducirse en el organismo (p. ej., en el tubo digestivo o en las vías respiratorias). También son un componente normal de las glándulas salivares, los ganglios linfáticos y el tejido hematopoyético. Una vez que deriva de su finfocito B precursor, la célula plasmática tiene una capacidad migratoria limitada y una vida corta, de entre 10 y 30 días. La célula plasmática es una célula ovoide, relativamente grande (20 µm) y con una cantidad considerable de citoplasma. El citoplasma manifiesta una basofilia intensa debido al abundante RER (fig. 6-26a). El aparato de Golgi suele ser prominente a causa de su gran tamaño y la falta de tinción. En los preparados para la microscopía óptica aparece como una zona clara en contraste con el citoplasma basófilo.

El núcleo es esférico y está ligeramente desplazado o ubicado excéntricamente. Es pequeño, no mucho mayor que el núcleo del linfocito. Presenta grandes acumulaciones de heterocromatina periférica que alternan con regiones claras de eucromatina. Esta disposición se describe de forma tradicional como nueda decarreta o reloj analógico, en la cual la heterocromatina se asemeja a los rayos de la rueda o a los números del reloj (fig. 6-26b). El núcleo heterocromático de la célula plasmática sorprende en cierta medida debido a la participación de la célula en la síntesis de grandes cantidades de proteína. Sin embargo, dado que las células producen grandes cantidades de un solo tipo de proteína, un anticuerpo específico, solamente se expone una pequeña parte del genoma para la transcripción.

En el tejido conjuntivo también se observan eosinófilos, monocitos y neutrófilos.

Como consecuencia de la lesión de los rejidos, algunas células migran con rapidez desde la sangre hacia el rejido conjuntivo, en especial los neutrófilos y los monocitos. Su presencia suele indicar una reacción inflamatoria aguda. En estas reacciones, los neutrófilos migran en grandes cantidades hacia el tejido conjuntivo, seguidos de numerosos monocitos. Como ya se mencionó, los monocitos se diferencian posteriormente en macrófagos. En el capítulo 10 se describen estas células y sus funciones. El eosinófilo, que interviene en las reacciones alérgicas y en las infestaciones parasitarias, también se describe en ese capítulo. Los eosinófilos se pueden observar en el tejido conjuntivo normal, particularmente en la lâmina propia del intestino, como resultado de las respuestas inmunitarias crónicas que se producen en estos tejidos.



TEJIDO CONJUNTIVO

FUNDAMENTOS DEL TEJIDO CONJUNTIVO

 El tejido conjuntivo forma un compartumento continuo en todo el organismo que conecta y brinda sosten a los demás tejidos. Está rodeado por las láminas basales de los diversos epitelios y por las laminas externas de las células musculares y de las células de sostén del sistema nervioso.

 El rejido conjuntivo consta de un grupo variado de células dentro de una matriz extracelular (MEC) especifica del tejido. La MEC contiene fibras proteínicas y sus-

tancia fundamental.

 La clasificación del rejido conjuntivo nene su fundamento en la composición y la organizacion de sus elementos extracelulares, así como en sus funciones tejido conjuntivo embrionario, tejido conjuntivo propiamente dicho y tejido conjuntivo especializado

TEJIDO CONJUNTIVO EMBRIONARIO

 El mesénquima denva del mesodermo embrionano y da origen a los diversos tendos conjuntivos del cuerpo. Contiene una red laxa de células fusiformes, que se encuentran suspendidas en una sustancia fundamental viscosa que contiene fibras reticulares y de colágeno muy finas.

El tejido conjuntivo mucoso se halla en el cordon umbilical. Contiene células fusiformes muy separadas que están incluidas en una MEC gelatinosa, con abundante hialuronato, su sustancia fundamental se denomina gelatina de Wharton

TEJIDO CONJUNTIVO DEL ADULTO

- El tejido conjuntivo del adulto se divide en rejido conjuntivo laxo y denso. El rejido conjuntivo denso se subclasifica en rejido conjuntivo denso irregular (no modelado) y regular (modelado).
- 🏓 El tejido conjuntivo laxo se caracteriza por poseer una gran cantidad de celulas de varios tipos incluidas en una abundante sustancia fundamental gelaunosa con fibras poco ordenadas. Por lo general, rodea las glandulas, varios organos tubulares, los vasos sanguíneos y se encuentra debajo de los epitelios que revisten las superficies corporales internas y externas.

 El tejido conjuntivo denso irregular contiene pocas celulas (sobre todo, fibroblastos), grupos de fibras de colageno distribuidos de forma aleatoria y una estasez relativa de sustancia fundamental. Provee una gran resistencia y permite que los órganos resistan el estiramiento y la distensión excesivos.

 El tejido conjuntivo denso regular se caracteriza por poseer grupos de fibras de colageno ordenadas en haces paralelos comprimidos con células (tendinocitos) alineadas entre los haces de fibras. Es el principal componente funcional de los ten dones, los ligamentos y las aponeurosis.

FIBRAS DEL TEJIDO CONJUNTIVO

- Existen tres upos principales de fibras del tejido conjuntivo fibras de colágeno, reticulares y elásticas.
- Las fibras de colágeno son el componente estructural mas abundante del tejido conjuntivo. Son flexibles, tienen una resistencia tensora notable y estan formadas por fibrillas de colágeno que exhiben un patron de bandas característico de 68 nm
- La formación de la fibra de colageno incluye fenómenos que ocurren dentro de los fibroblastos (producción de moléculas
 de procolageno) y fuera de los fibroblastos en la MEC (polimenzación de las moleculas de colageno en fibrillas, las cuales se
 ensamblan para formar fibras de colágeno más grandes).
- Las fibras reticulares están compuestas por colágeno tipo III y proveen un armazón de sostén para las células de los diver sos rejidos y órganos (son abundantes en los rejidos linfáticos).
- En los rejidos linfatico y hematopoyético, las fibras reticulares son producidas por células reticulares especializadas. En la mayoría de los otros tejidos, las fibras reticulares son producidas por los fibroblastos.
- Las fibras elásticas son producidas por fibroblastos, condrocitos, celulas endoteliales y células musculares lisas. Permiten
 que los tejidos respondan al estiramiento y distensión.
- Las fibras elásticas estan formadas por moleculas de elastina con enlaces cruzados asociados con una red de microfibrillas de fibrilina, las cuales estan compuestas por fibrilina y proteinas relacionadas con esta (EMILIN y MAGP)

MATRIZ EXTRACELULAR

- La MEC provee el sostén mecánico y estructural al tejido conjuntivo, influye sobre la comunicación extracelular y ofrece vias
 para la migración celular. Ademas de las fibras proteinicas, la MEC contiene la sustancia fundamental, la cual es rica en proteoglucanos, glucosaminoglucanos (GAG) hidratados y glucoproteínas multiadhesivas
- Los GAG son los heteropolisacaridos más abundantes de la sustancia fundamental. Estas moléculas estan compuestas pot
 polisacaridos de cadena larga no ramificada y contienen muchos grupos sulfato y carboxilo. Se unen de forma covalente a las
 proteinas centrales para formar proteoglucanos, que son responsables de las propiedades físicas de la sustancia fundamental.
- La molecula de GAG mas larga y mas grande es el hialuronato. A traves de proteinas de enlace especiales, los proteoglucanos se unen indirectamente al hialuronato con el fin de formar macromoléculas gigantes llamadas agregados de proteoglucanos.
- La union de agua y otras moléculas (p. ej., factores de crecimiento) a los agregados de proteoglucanos regula el movimiento y
 la migración de macromoleculas, nucroorganismos o células neoplasicas (cancerosas) metastasicas en la MEC
- Las glucoproteinas multiadhesivas (p. ej., fibronectina, laminina y tenascina) son moleculas multifuncionales que poseen sitios de fijación para diversas proteinas de la MEC (p. ej., colagenos, proteoglucanos y GAG). También interactuan con los receptores de la superficie celular, como la integrina y los receptores de laminina.

CÉLULAS DEL TEJIDO CONJUNTIVO

- Las células del rejido conjuntivo se clasifican como parte de la población celular residente (relativamente estables, no migrantes) o de la poblacion celular errante (o transitoria) (sobre todo, cérulas que han emigrado desde los vasos sanguíneos).
- Las células residentes incluyen fibroblastos (y mitofibroblastos), macrofagos, adipocitos, mastocitos y celulas madre adultas. Las células errantes (transitorias) comprenden linfocitos, celulas plasmaticas, neutrofilos, eosinofilos, basofilos y monocitos (se describen en el cap. 10).
- Los fibroblastos son las celulas principales del tejido conjuntivo. Fienen a su cargo la síntesis del colageno y de otros componentes de la MEC.
- Los fibroblastos que expresan filamentos de actina y proteinas motoras asociadas con la actina, como la miosina no muscular, se denominan miofibroblastos.
- Los macrófagos son celulas fagociticas derivadas de los monocitos que contienen una abundante cantidad de lisosomas
 y desempeñan un papel importante en las reacciones de la respuesta inmunitaria.
- Los adipocitos son celulas especializadas del tejido conjuntivo que almacenan lípidos neutros y producen una variedad de hormonas (véase cap. 9).
- Los mastocitos se desarrollan en la medula ósea y se diferencian en rejido conjuntivo. Contienen granulos basofilos que almacenan mediadores de la inflamación. Al activarse, los mastocitos sintetizan leucotrienos, interleucinas y otras citocinas promotoras de la inflamación.
- Las celulas madre adultas residen en lugares específicos (llamados nichos) en diversos rejidos y organos. Son difíciles de distinguir de otras células del tejido conjuntivo.

LÁMINA 4 TEJIDO CONJUNTIVO DENSO IRREGULARY LAXO

Los tejidos conjuntivos denso irregular y laxo constituyan dos de los distintos tipos de tejido conjuntivo. Los otros son los tejidos cartilaginoso, óseo, sanguíneo, adiposo y reticular. El tejido conjuntivo laxo se caracteriza por una proporción relativamente alta de cálulas en una matriz de fibras de colágeno delgadas y escasas. En cambio, el tejido conjuntivo denso irregular contiene pocas cálulas, la mayoría de las cuales son los fibroblastos responsables de la formación y el mantenimiento de las abundantes fibras de colágeno que conforman la matriz de este tejido. Las células generelmente asociadas con el tejido conjuntivo laxo son los fibroblastos (células productoras del colágeno), las células que integran el sistema inmunitario y las del sistema de defensa general del organismo Por lo tanto, en el tejido conjuntivo laxo existen cantidades variables de linfocitos, macrófagos, eosinófilos, células plasmáticas y mastocitos.

Tejido conjuntivo laxo y denso irregular, glándula mamaria, humano, H&E, 175×; recuadros 350×.

Esta microfotografía muestra con poco aumento tanto el tejido conjuntivo laxo (TCL) como el tejido conjuntivo denso
irregular (TCDI) con fines comparativos. El **tejido conjuntivo laxo**rodea el epitelio glandular (FG). El **tejido conjuntivo denso irregular** consiste sobre todo en haces gruesos de fibras de colágeno con
poca presencia de células, mientras que el tejido conjuntivo laxo tiene

una escasez relativa de fibras y una cantidad considerable de células. El recuadro superior corresponde a un aumento mayor del tejido conjuntivo denso. Cabe destacar que solo hay unos pocos núcleos celulares en relación con la gran extensión de fibras de colágeno. El recuadro inferior, que incluye el epitelio glandular y el tejido conjuntivo laxo circundante, muestra muy pocas fibras, pero gran cantidad de células. Por lo general, el componente celular del tejido conjuntivo laxo contiene una proporción relativamente pequeña de fibroblastos, pero grandes cantidades de linfocitos, oélulas plasmáticas y otros tipos celulares del tejido conjuntivo.

Tejido conjuntivo laxo, colon, simio, tinción tricrómica de Mallory, 250×.

Esta microfotografía muestra un **tejido conjuntivo laxo** (TCL) muy celular, también llamado lámina propia, que se ubica entre las glándulas intestinales del colon. Las células secretoras de moco del epitelio simple que aparece aqui corresponden al tejido glandular. La técnica de Mallory tiñe los núcleos celulares de rojo y el

colágeno de azul. Cabe destacar cómo las células están rodeadas por un armazón de fibras de colágeno teñidas de azul. En esta microfotografía también se muestra una banda de musculo liso, la muscular de la mucosa (MM) del colon y, por debajo de ella, en vista parcial, el **tejido conjuntivo denso irregular** (TCDI) que forma la submucosa del colon. En general, las fibras de colágeno (FC) situadas justo debajo de las células epiteliales (Ep) que revisten la superficie luminal están más concentradas y, por lo tanto, son prominentes en esta microfotografía.



Tejido conjuntivo laxo, colon, simio, tinción tricrómica de Mallory, 700×.

Se muestra aquí, con más aumento, la zona incluida en el recuadro de la figura adyacente. Se observan las bases de

las células epiteliales (Ep) a cada lado de la microfotografía. Las **fibras de colágeno** (FC) aparecen como hebras delgadas que forman un estroma que rodea las células. La mezcla de células aquí presentes consiste en **linfocitos** (L), **células plasmáticas** (P), fibroblastos, células musculares lisas, macrófagos (M) y mastocitos ocasionales.

EG, epitelio glandular Ep, células epiteliales

FC, f bras de colágeno

L, linfocito
M, macrófago
MM, mascular de la mucosa

P, células plasmáticas TCDI, tejido con untivo denso irregular TCL, tejido conjuntivo axo

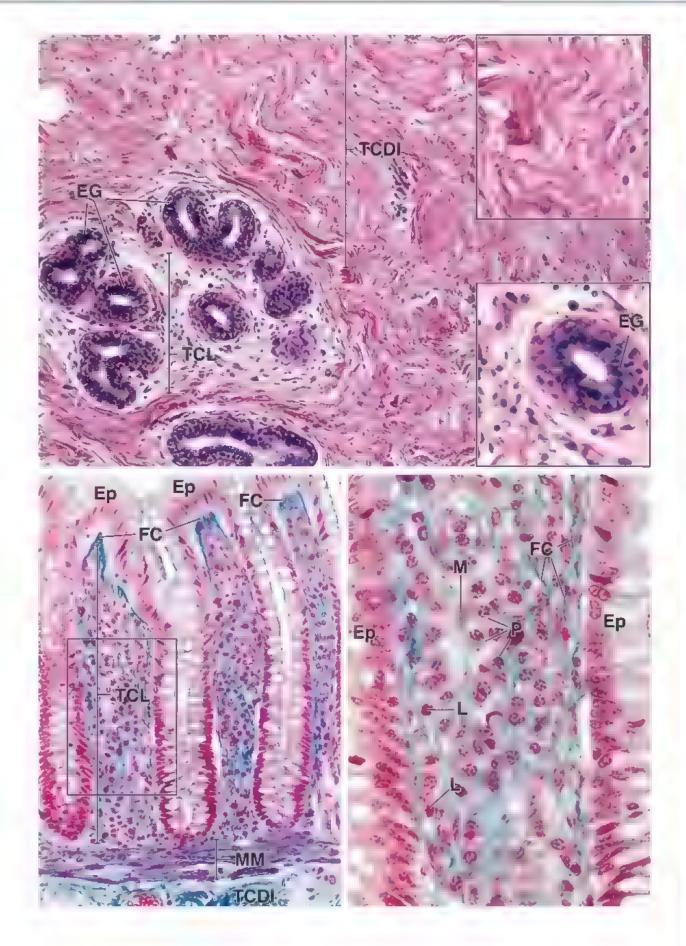


LÁMINA 5 TEJIDO CONJUNTIVO DENSO REGULAR, TENDONES Y LIGAMENTOS

El tejido conjuntivo denso regular se distingue porque sus fibras están agrupadas muy juntas y organizadas en haces o fasciculos paralelos. Las fibrillas de colágeno que componen las fibras también están dispuestas de forma paralela Los tendones, que unen los músculos a los huesos, y los ligamentos, los cuales unen los huesos entre si, son ejemplos de este tipo de tejido. Los ligamentos se parecen a los tendones en casi todos los aspectos, pero sus fibras y la disposición de los fasciculos tienden a ser menos ordenados. En los tendones, asicomo en los ligamentos, los fascículos están separados unos de otros por tejido conjuntivo denso irregular, el endotendon, por el cual discurren vasos y nervios. Además, un fasciculo puede estar dividido parcialmente por tabiques de tejido conjuntivo que se extienden desde el endotendón y contienen los vasos y los nervios más pequeños. Algunos de los fascículos pueden agruparse y formar unidades funcionales mayores por la acción de un tejido conjuntivo circundante más grueso, el peritendón.

Por ultimo, los fasciculos y los grupos de fascículos están rodeados por tejido conjuntivo denso irregular, el epitendón

Los fibroblastos, también llamados tendinocitos en los tendones, son células alargadas que poseen evaginaciones citoplasmáticas laminares muy delgadas que se ubican entre las fibras contiguas y las abrazan. Los bordes de las evaginaciones citoplasmáticas entran en contacto con las de los tendinocitos adyacentes y se forma así una red citoplasmática similar a un sincitio.

El tejido conjuntivo denso más modelado es el del estroma de la córnea (véase cap. 24). En este tejido, las fibrillas de colágeno se encuentran dispuestas en paralelo en laminillas que están separadas por grandes fibroblastos aplanados. Las laminillas adyacentes se disponen en ángulos casi rectos entre si y adoptan, de esta manera, una disposición ortogonal. Se piensa que la regularidad extrema del tamaño de la fibrilla y de los espacios entre las fibrillas en cada laminilla, junto con su disposición ortogonal, es la causa de la transparencia de la córnea.

Tejido conjuntivo denso regular, tendón, corte longitudinal, humano, H&E, 100×.

En esta muestra se incluye el tejido conjuntivo denso irregular que rodea al tendón, el **epitendón** (*Ept*). Los **fascículos tendinosos** (*FT*) que componen el tendón están

rodeados por un tejudo conjuntivo menos denso que el asociado con el epitendón. En los cortes longitudinales como este, el tejudo conjuntivo que rodea los fascículos individuales, el **endotendón** (Ent), parece desaparecer en ciertos sitios, cuyo resultado es la fusión aparente de un

fascículo con su vecino. Esto se debe al carácter oblicuo del plano del corte y no a una fusión real de los fascículos. El colageno que compone la mayor parte del fascículo tendinoso posee un aspecto homogéneo como consecuencia de la disposición ordenada y muy junta de las fibrillas de colágeno individuales. Los núcleos de los tendinocitos se observan como siluetas alargadas ordenadas en hileras. El citoplasma de estas células se confunde con el colágeno; por ello, los núcleos son la única característica representativa de las células.



Tejido conjuntivo denso regular, tendón, corte longitudinal, humano, H&E, 400×.

En esta microfotografía con mayor aumento se observa la disposición en una sola hilera de los **núcleos del tendinocito** (TeC) junto con las fibras de colágeno interpuestas. Estas últimas tienen un aspecto homogéneo. El citoplasma de las células no se distingue del colágeno, como es normal en los cortes incluidos en parafina y teñados con Hôt E. La variación en el aspecto del núcleo se debe al plano de corte y a la posición de los núcleos en el espesor del corte. También se observa en esta muestra un vaso sanguineo (V3) de pequeño calibre que discurre dentro del endotendón.



Tejido conjuntivo denso regular, tendón, corte transversal, humano, H&E, 400×.

Esta muestra se encuentra bien conservada y las fibras de colágeno agrupadas muy juntas aparecen como un campo homogéneo, aunque sea una vista de los extremos corta-

dos de las fibras. Los núcleos están dispersos de manera irregular, a

diferencia del patrón más uniforme en el plano longitudinal. Esto se explica al examinar la linea punteada de la figura de abajo a la isquierda, cuyo propósito es representar un corte transversal arbitrario del tendón. Cabe destacar el espacio irregular entre los núcleos que se hallan en el plano de corte. Por último, en el endotendón (Ent) que está dentro de un fascículo hay diversos vasos sanguíneos (VS) de pequeño calibre.

Ent, endotendón Ept, epitendón FT, fascículo tendinoso TeC, nucleos del tendimocito

Línes puntesda, corte transversal arbitrario del tendón

V\$, vaso sanguineo

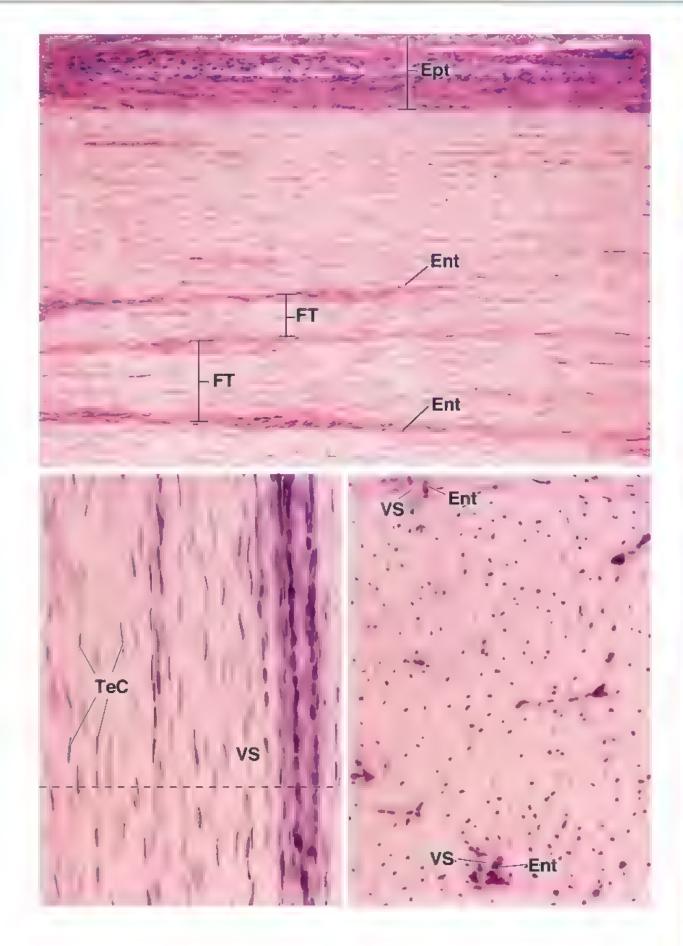


LÁMINA 6 FIBRAS Y LÁMINAS ELÁSTICAS

Las fibras elásticas están presentes en los tejidos conjuntivos denso y laxo de todo el organismo, pero en menor cantidad que las fibras de colágeno. Las fibras elásticas no son visibles en los cortes de rutina teñidos con H&E; sin embargo, si se observan fácilmente con técnicas de tinción especiales (las siguientes tiñen de manera selectiva el material elástico: la técnica de Weigert para fibras elásticas las tiñe de color violeta púrpura, la aldehido fucsina de Gomori las tiñe de azul negro, la hematoxilina de Verhoeff para tejido elástico las tiñe de negro y la orceina modificada de Taenzer-Unha las tiñe de pardo rojizo). Con una combinación de técnicas especiales y tinciones de contraste, como H&E, no solo aparecen las fibras elásticas sino también los otros componentes del tejido, lo que permite el estudio de las relaciones entre el material elástico y los demás componentes del tejido conjuntivo.

El material elástico se presenta tanto en forma de fibras como de láminas. En los tejidos conjuntivos laxo y



Fibras etásticas, dermis, simio, técnica de Weigert, 160×.

Aquí se observa el tejido conjuntivo de la piel, conocido como *dermis*, teñido para mostrar la índole y la distribución de las **fibras elásticas** (E), que aparecen de color

pirpura. Las fibras de colágeno (FC) se han teñido con eosina, y los dos tipos de fibras se diferencian con facilidad. El tejido conjuntavo en la parte superior de la figura, cercano al epitelio (la capa papilar de la dermis), contiene fibras elásticas delgadas (véate el ángulo superior tequerdo) y también fibras de colágeno menos gruesas. En la parte m-



Fibras elásticas, mesenterio, rata, técnica de Weigert, 160×.

Se muestra un mesenterio montado entero sin cortar, preparado para mostrar los elementos del tejido conjuntivo y teñido de manera diferencial para detectar las fibras elásti-



Láminas elásticas, arteria elástica, simio, técnica de Weigert, 80×.

El material elástico también se presenta en capas o láminas en lugar de fibras individuales. Esta figura muestra la pared de una arteria elástica (arteria pulmonar) que se tiñó

para mostrar el material elástico. Cada una de las líneas onduladas es una capa de material elástico que está organizado en forma de lámina o membrana fenestrada. El plano de corte es tal que las memdenso y en el cartilago elástico (véase lám. 9, p. 229), el material elástico se encuentra en forma de fibras. De igual manera, los ligamentos elásticos que conectan las vértebras cervicales, y que se destacan principalmente en los animales de pastoreo, tienen una mezcla de fibras elásticas y de colágeno dispuestas muy juntas. En las arterias principales de calibre mayor (p. ej., aorta, pulmonar, carótida común y otras ramas primarias de la aorta), la túnica media está compuesta por capas fenestradas de tejido elástico alternadas con capas que contienen células musculares lisas y tejido colagenoso. Esto permite que la distensión y la retracción de las fibras elásticas contribuyan a la propulsión de la sangre. Todas las arterias y la mayoria de las arteriolas más grandes tienen una membrana elástica interna que sustenta el delicado endotelio y su tejido conjuntivo subyacente inmediato. Cabe destacar que tanto los componentes colagenosos como los elásticos de la túnica media son producidos por las células musculares lisas de esta capa.

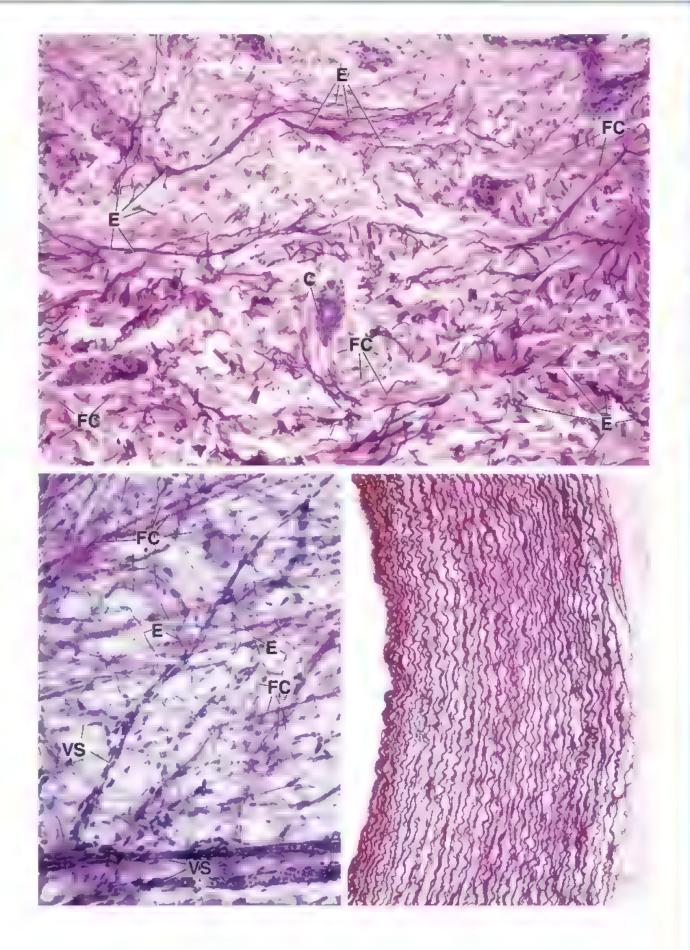
fertor de la figura se ven fibras elásticas y de colageno bastante más gruesas. También se observa que muchas de las fibras elásticas aparecen como siluetas rectangulares cortas. Estas siluetas simplemente representan fibras que discurren a través del espesor del corte en un ángulo oblicuo con respecto a la trayectoria de la cuchilla (del nucrotomo). Un examen minucioso permite descubrir unas pocas fibras que aparecen como siluetas semejantes a púntos. Estos representan fibras elásticas seccionadas en sentido transversal. En general, las fibras elásticas de la dermis adoptan una configuración tridimensional entrelazada, de ahi la variedad de formas.

cas. Las **fibras elásticas** (E) aparecen como hebras finas, largas, entrecruzadas y ramificadas, sin extremos discernibles y con un curso algo irregular. Nuevamente, las **fibras de colágeno** (FC) se tiñen con la eosina de la coloración de contraste y aparecen como siluetas largas, rectas y bastante más gruesas que las fibras elásticas.

branas elásticas se observan de perfil. Esta muestra no se tiñó posteriormente con H&E. Los espacios, en apariencia vacíos que se encuentran entre las capas elásticas contienen fibras de colágeno y células musculares lisas que, en esencia, permanecen sin teñirse. En la capa muscular del vaso sanguíneo, las células musculares lisas secretan elastina y colágeno.

Los tejidos del organismo que contienen grandes cantidades de material elástico tienen una distribución que se limita a las paredes de las arterias elásticas y a algunos ligamentos asociados con la columna vertebral.

C, conducto de la glándula sudoripara E, fibras elásticas FC, fibras de colágeno VS, vaso sanguineo



TEJIDO CARTILAGINOSO

FUNDAMENTOS DEL
TEJIDO CARTILAGINOSO / 210
CARTILAGO HIALINO / 210
CARTILAGO ELASTICO / 217
FIBROCARTILAGO / 217
CONDROGÉNESIS Y CRECIMIENTO
DEL CARTÍLAGO / 218
REPARACIÓN DEL CARTÍLAGO HIALINO / 219

Cuadro 7-1 Correlación clinica. artrosis / 211 Cuadro 7-2 Correlación clinica: tumores malignos del cartilago (condrosarcomas) / 220

HISTOLOGIA 101 / 222



■ FUNDAMENTOS DELTEJIDO CARTILAGINOSO

El tejido cartilagmoso o cartilago es una variedad de tejido conjuntivo compuesto por células llamadas condrocitos y una matriz extracelular muy especializada.

El cartilago es un tejido avascular compuesto por condrocitos y una matriz extracelular extensa. Más del 95% del volumen del cartilago corresponde a la matriz extracelular, que es un elemento funcional de este tejido. Los condrocitos son escasos pero indispensables para la producción y el mantenimiento de la matriz (fig. 7-1).

La matriz extracelular del cartílago es sólida y firme, pero también un tanto maleable, a lo que se debe su flexibilidad. Puesto que no existe una red vascular en el cartilago, la composición de la matriz extracelular es crucial para la supervivencia de los condrocitos. La gran proporción de glucosaminoglucanos (GAG) con respecto a las fibras de colágeno tipo II en la matriz del cartilago permite la difusión de sustancias desde los vasos sanguíneos del tejido conjuntivo circundante hasta los condrocitos dispersos dentro de la matriz, con lo que se mantiene la viabilidad del tejido. Existen interacciones estrechas entre dos clases de moléculas estructurales que poseen características biofísicas diferentes: la red de fibrillas de colágeno resistentes a la tensión y la gran cantidad de agregados de proteoglucanos muy hidratados. Estos últimos, muy débiles contra fuerzas de cizallamiento, preparan bien al cartilago para soportar peso, sobre todo en los puntos de movimiento como las articulaciones sinoviales. Debido a que mantiene esta propiedad, inclusive mientras crece, el cartilago es un rejido fundamental para el desarrollo del esqueleto fetal y para la mayoría de los huesos en crecimiento.

Según las características de su matra, se distinguen tres tipos de cartilago que difieren en cuanto a su aspecto y sus propiedades mecánicas.

- Cartilago hialino. Presenta una matriz con fibras de colágeno upo II, GAG, proteoglucanos y glucoproteínas multiadhesivas.
- Cartilago elástico. Contiene componentes comunes de la matriz de cartilago hialino con la adición de una red densa de fibras elasticas y láminas de material elástico que se interconectan
- Fibrocartilago. Contiene componentes comunes de la matriz de cartílago hialino con la adición de abundantes fibras de colágeno tipo I. La tabla 7-1 (véase p. 219) enumera las ubicaciones, las funciones y las características de cada tipo de tejido cartilaginoso.

■ CARTÍLAGO HIALINO

El cartílago hialino se distingue por presentar una matriz amorfa homogenea.

La matriz de cartilago hialino tiene un aspecto vítreo en el estado vivo, de ahí el nombre hialino (gr. hyalos, vidrio). En toda la extensión de la matriz cartilaginosa hay espacios llamados tagunas. Dentro de estas lagunas se encuentran los condrocitos. El cartilago hialino no es una sustancia simple, inerte y homogénea, sino un tejido vivo complejo. Provee una superficie de baja fricción, participa en la lubricación de las articulaciones sinoviales y distribuye las fuerzas aplicadas al hueso subyacente. Si bien su capacidad de reparación es limitada, en circunstancias normales, no exhibe indicios de desgaste abrasivo durante toda la vida. Una excepción es el cartilago articular, el cual, en muchas personas, se degrada con la adad (cuadro 7-1). Las macromoléculas de la matriz del cartilago



FIGURA 7-1. Estructura general del cartílago hialino. En esta microfotografía de un preparado de rutina teñido con H&E de cartílago hialino se muestran sus características generales. Obsérvese la gran cantidad de matriz extracelular que separa una pobiación escasa de condrocitos. 450×

hialmo consisten en colágeno (con predominio de fibrillas de colágeno tipo II y otras moléculas de colágeno específicas del cartilago), agregados de proteoglucanos que contienen GAG y glucoproteínas multiadhesivas (proteínas no colágenas). La figura 7-2 ilustra la distribución relativa de los diversos componentes que constituyen la matriz cartilaginosa.

La matriz del cartilago hialino es producida por los condrocitos y contiene tres clases principales de moléculas.

En la matriz del cartílago hualino se distinguen tres clases de moléculas.

 Moléculas de colágeno. El colágeno es la proteína principal de la matriz. Cuatro tipos de colágeno participan en la formación de

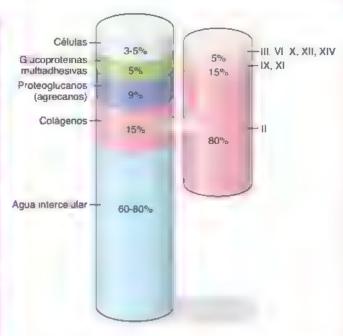


FIGURA 7-2. Composición molecular del cartilago hialino. Este cartilago contiene un 60-80% de peso humedo del agua intercelular que está un da a los agregados de proteoglucanos. Alrededor del 15% del peso total se atribuye a las moléculas de colágeno, de las cuales la más abundante es la de colágeno tipo II. Los condrocitos ocupan solo el 3-5% de la masa cartilaginosa total.

una red tridimensional de fibrillas matriciales cortas y bastante delgadas (20 nm de diámetro). La mayoría de las fibrillas están constituidas por eológeno tipo II (véase fig. 7-2); el cológeno tipo IX facilita la interacción de las fibrillas con las moléculas de proteoglucanos de la matriz; el cológeno tipo XI regula el tamaño de las fibrillas, y el cológeno tipo X organiza las fibrillas en una red hexagonal tridimensional que es decisiva para su función mecánica eficaz. Además, en la matriz también hay cológeno tipo VI, con predominio en la peníena de los condrocitos, en donde contribuye a la adhesión de estas células al armazón matricial. Dado que los tipos II, VI, IX, X y XI se encuentran en canudades importantes solo en la matriz del cartilago, se ha decidido llamarlos moléculas de cológenos específicos del cartilago. En la tabla 6-2 se describen los diferentes tipos de cológeno.

 Proteoglucanos. La sustancia fundamental del cartilago hialino contiene tres tipos de glucosaminoglucanos: hialuronato,

CUADRO 7-1

CORRELACIÓN CLÍNICA: ARTROSIS

La artrosis u osteoartritis, una artropatia degenerativa, es uno de los bpos más frecuentes de enfermedades articulares. La patogenia de la artrosis es desconocida, pero se relaciona con el envejecimiento y la lesión del cartílago articular. La mayoría de las personas muestran aigun indicio de esta enfermedad a la edad de 65 años. La enfermedad se caracteriza por dolor artícular crónico con diversos grados de deformidad de las artículaciones y destrucción del cartílago artícular. La artrosis suele afectar las articulaciones que soportan peso coxofemorales (cadera), femorotibiales (rodika), intervertebrales lumbares infenores y articulaciones de las manos y los pies. Hay una disminución en la cantidad de proteoglucanos que causa una reducción del contenido de agua intercelular en la matriz cartilaginosa. Los condrocitos también desempeñan un papel importante en la patogenia de la artrosis. Dado

que generan interleucina (IL) 1 y factor de necrosis tumoral a (TNF-at, tumor necrosis factor at), se estimula la producción de metaloproteinasas, mientras que la síntesis de colágeno tipo II y proteoglucanos por los condrocitos se inhibe. En las etapas tempranas de la enfermedad, la capa superficial del cartílago articular se destruye. Por último, la destrucción del cartílago se extiende hasta el hueso, donde el tejido óseo subcondral expuesto se convierte en la nueva superficie articular. Estos cambios traen como consecuencia una reducción progresiva de la movilidad y un aumento del dolor con los movimientos articulares. La artrosis no trene cura y el tratamiento se enfoca en el alívio del dolor y la rigidez para permitir un mayor rango de movimiento articular. La enfermedad se puede estabilizar con la edad, pero es más habitual que progrese con lentitud y cause una eventual discapacidad a largo plazo.

condroitin-sulfato y queratan-sulfato. Como en la matriz del tejido conjuntivo laxo, el condroitín-sulfato y el queratánsulfato de la matriz del cartilago se unen a una proteina contral para formar un monómero de proteoglucanos. El monómero de proteoglucanos más importante en el cartílago hialino es el agrecano. Tiene un peso molecular de 250 kDa. Cada molécula contiene alrededor de 100 cadenas de condroitin-sulfato y hasta 60 moléculas de queratán-sulfato. Debido a la presencia de grupos sulfato, las moléculas de agrecano poseen una carga negativa grande con afinidad por las moléculas de agua. Cada molécula lineal de hialuronato se asocia con una gran cantidad de moléculas de agrecano (más de 300), que están unidas al hialuronato por medio de proteínas de enlace en el extremo N-terminal de la molécula para formar grandes agregados de proteoglucanos. Estos agregados con mucha carga están unidos a las fibrillas de colágeno de la matriz por interacciones electrostáticas y glucoproteínas multiadhesivas (fig. 7-3) La acumulación de estos agregados dentro de la matriz intrincada de fibrillas de colágeno es la causa de las propiedades biomecánicas singulares del cartílago hialino. La matriz cartilaginosa también contiene otros proteoglucanos (p. ej., deconna, biglicano y fibromodulina). Estos proteoglucanos no forman agregados pero se unen a otras moléculas y contribuyen a estabilizar la matriz.

• Glucoproteinas multiedhesivas. También denominadas glucoproteinas no colágenas y glucoproteinas no ligadas a proteoglucanas, influyen sobre las interacciones entre los condrocitos y las moléculas de la matriz. Ejemplos de estas proteínas son la ancorina CII (anexina V del cartilago), una pequeña molécula de 34 kDa que funciona como un receptor de colágeno en los condrocitos, la tenascina y la fibronectina (véase tabla 6-5, p. 191), que también contribuyen a fijar los condrocitos a la matriz. Las glucoproteinas tienen valor clínico como marcadores del recambio y de la degeneración del cartilago.

La matriz de cartilago hiatino está muy hidratada para permitir la elasticidad y la difusión de metabolitos pequeños.

Como otras matrices del tejido conjuntivo, la matriz cartilagnosa está muy hidratada. El 60-80% del peso neto del cartilago hialino corresponde a agua intercelular (véase fig. 7-2). Gran parte de esta agua está fuertemente unida a los agregados de agrecano-hialaronato, lo que produce una alta presión osmótica. Estas extensas regiones hidromecánicas de la matriz son responsables de proporcionar elasticidad al cartilago. La red de fibrillas de colágeno tipo II no solo es responsable de la forma del cartilago hialino y de su resistencia a la tensión, sino que también provee un armazón para resistir la presión osmótica de las moléculas de agrecano. Cierta cantidad de agua se une de manera bastante laza como para permitir la difusión de pequeños metabolitos hacia los condrocitos y desde ellos.

En el cartilago articular se producen cambios transitorios y regionales del contenido acuoso durante el movimiento y cuando la articulación se somete a compresión. El alto grado de hidratación y el movimiento de agua son factores que permiten a la matriz cartilaginosa responder a cargas variables y contribuye a la capacidad del cartilago para soportar peso. A lo largo de la vida, el cartilago experimenta proceso continuo de remodelado interno a medida que las células van reemplazando las moléculas de la matriz

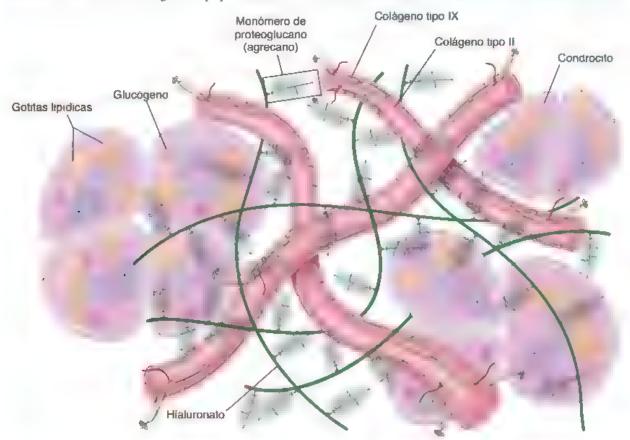


FIGURA 7-3. Estructura molecular de la matriz del cartilago hialino. En este diagrama se muestra la relación de los agregados de proteoglucanos con las fibrillas de colageno tipo i y los condrocitos en la matriz del cartilago hialino. Una molecula de hialuronato que forma un agregado ineal con muchos monómeros de proteoglucano esta entrelazada con una redide fibrillas de colágeno. Cada monómero de proteoglucano como el agrecano: consiste en unos 160 glucosaminoglucanos unidos a una proteina central. El extremo de la proteina central de proteoglucano se une al hialuronato a través de una proteina de eniace. Los grupos isógenos de condrocitos están dispersos en la matriz extracelular.

perdidas por degradación. El recambio normal de la matriz depende de la capacidad de los condrocitos para detectar los cambios en la composición matricial. Los condrocitos responden entonces con la sintesis de los tipos adecuados de moiéculas nuevas. Además, la matriz actua como un transductor de senal para los condrocitos incluidos en ella. Por lo tanto, las compresiones aplicadas al cartilago, como ocurre en las articulaciones sinoviales, crean señales mecánicas, electricas y químicas que contribuyen a dirigir la actividad sintética de los condrocitos. No obstante, a medida que al organismo envejece, la composición de la matriz cambia y los condrocitos pierden su capacidad para responder a estos estimulos.

Los condrocitos son células especializadas que producen y mantienen la matriz extracelular.

En el cartilago hialino, los condrocitos se distribuyen solos o en cúmulos llamados grupos uógenos (fig. 7-4). Cuando los condrocitos

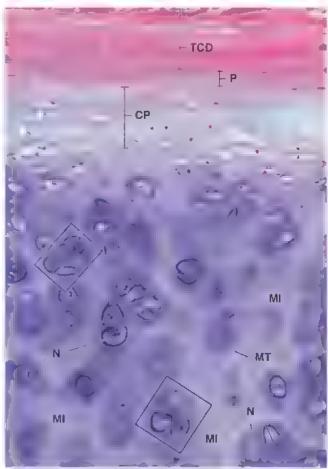


FIGURA 7-4. Microfotografía de una muestra de cartilago hialino tipico teñida con H&E. En la parte superior de la microfotografía se muestra el tejido conjuntivo denso (TCD) sobre apándose con el pencondrio (P) de este ultimo se derivan las células cartilaginosas nuevas. Una capa ligeramente basófila de cartilago proliferante (CP) bajo el pericondrio contiene condroblastos y condrocitos inmaduros que revelan podo más que el nucleo que reside en una laguna de aspecto vacío. Esta capa corresponde al depósito de cartilago nuevo (crecimiento por aposición) sobre la superficie del cartilago hialino preexistente. Los condrocitos maduros con nucleos (M) bien visibles se encuentran en las lagunas y están bien conservados en esta muestra. Producen la matriz cartilaginosa que exhibe la matriz capsular y la matriz territorial (M7) más teñida en la penfer a de las lagunas. La matriz interterritoria: (MI) está más alejada de las inmediaciones de los condrocitos y se tine con menos intensidad. El crecimiento desde el interior del cartilago (crecimiento intersticial) está reflejado por los pares y los cúmicos de condrocitos que forman los grupos isógenos (rectángulos) 480×

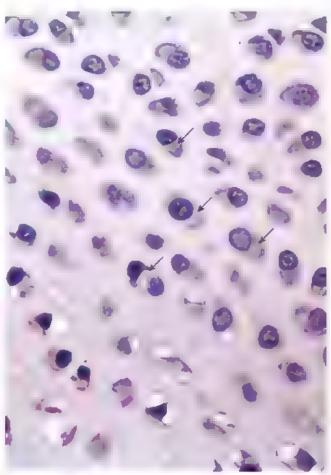


FIGURA 7-5. Microfotografía de cartilago joven en crecimiento. Esta muestra se fijó en glutaraldebido, se impregnó en plástico y se tinó con H&E. Los condroctos, en especial los de la parte supenor de la microfotografía, están bien conservados. El citopiasma se ha teñido con intensidad y presenta una basofilia bien definida y relativamente homogénea. Las regiones claras (flechas) corresponden a los sitios del aparato de Golgi. 520×

están presentes en los grupos isógenos, significa que son células que acaban de dividirse. Conforme sintetizan la matriz que los rodea, los condrocitos recién divididos se dispersan. También secretan metaloproteinasas, enzimas que degradan la matriz cartilaginosa para permitir que las células se expandan y se reubiquen dentro del grupo isógeno en crecimiento.

El aspecto del citoplasma de los condrocitos varía según la actividad de la célula. Los condrocitos que están activos en la producción de la matriz exhiben regiones de basofilia citoplasmática, que indican síntesis proteinica, así como también regiones claras, que corresponden al extenso aparato de Golgi (fig. 7 5). Los condrocitos no solo secretan el colágeno de la matriz, sino también todos sus glucosaminoglucanos y proteoglucanos. En las células más antiguas y menos activas, el aparato de Golgi es más pequeño; las regiones citoplasmáticas claras, cuando se observan, suelen indicar los sitios de los que se han extraído inclusiones lipídicas o depósitos de glucógeno. En estas muestras, los condrocitos también están bastante distorsionados por la retracción que ocurre después de la pérdida del glucógeno y de los lípidos durante la preparación del tejido. Con el microscopio electrónico de transmisión (MET), el condrocito activo revela muchas cisternas del retículo endoplasmático rugoso (RER), un aparato de Golgi prominente, gránulos de secreción, vesículas, filamentos intermedios, microtúbulos y microfilamentos de actina (fig. 7-6).

Los componentes de la matriz del cartilago hialino no están distribuidos de manera uniforme.

Dado que los proteoglucanos del cartílago hialino contienen una concentración elevada de grupos sulfato, la sustancia fundamental se tiñe con colorantes básicos y hematoxilina (lám. 7, p. 224). Por lo tanto, la basofilia y la metacromasia que se observan en los cortes de cartílago teñidos brindan información sobre la distribución y la concentración relativa de proteoglucanos sulfatados. No obseante, la matriz no se tiñe de manera homogénea. En cambio, se describen tres regiones de acuerdo con sus propiedades tintoriales (fig. 7-7):

 La matriz capsular (pericelular) es un anillo de matriz teíuda con mayor intensidad que se localiza justo alrededor del condrocito (véase fig. 7-4). Contiene la concentración más elevada de proteoglucanos sulfatados, hialuronato, biglicano y varias glucoproteínas multiadhesivas (p. ej., fibronectina y laminina).



FIGURA 7-6. Microfotografía electrónica de un condrocito joven activo y de la matriz que lo rodes. El nucleo (N) del condrocito es excéntrico, como los de la figura 7-5, y el citoplasma contiene abundantes cistemas del RER algo dilatadas, un aparato de Golgi (G) y mitocondrias (M). La gran cantidad de RER y el aparato de Golgi extenso indican que la célula está dedicada a la síntesis activa de matriz cartilaginosa. Las numerosas partículas oscuras en la matriz contienen proteoglucanos. Las partículas contiguas a la célula son especialmente grandes y están ubicadas en la región de la matriz que se identifica como cápsula o matriz territorial. 15000× (cortesía del Dr. H. Clarke Anderson)

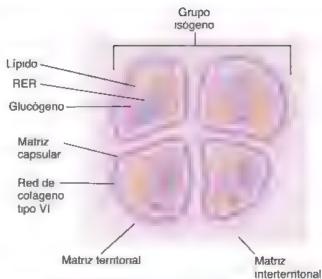


FIGURA 7-7. Diagrama de las matrices del cartilago Se deben observar las regiones de las matrices capsular, territona, e interterritorial. Las características de cada una de ellas se describen en el texto. *RER*, reticulo endop asmático rugoso.

La matriz capsular contiene, casi de forma exclusiva, fibrillas de colágeno tipo VI que forman una red compacta alrededor de cada condrocito. El colágeno tipo VI se une a receptores de integrina en la superficie celular y fija los condrocitos a la matriz. En la matriz capsular también hay una concentración alta de colágeno tipo IX.

- La matriz territorial es la región que se encuentra más retirada de la proximidad inmediata de los condrocitos. Rodea el grupo isógeno y contiene una red de distribución aleatoria de fibrillas de colágeno tipo II con pequeñas cantidades de colágeno tipo IX. Además, tiene una baja concentración de proteoglucanos sulfatados y se tiñe con menor intensidad que la matriz capsular.
- La matriz interterritorial es una región que rodea la matriz territorial y ocupa el espacio que existe entre los grupos de condrocitos.

Además de estas diferencias regionales en la concentración de los proteoglucanos sulfatados y la distribución de las fibrillas de colágeno, la disminución del contenido de proteoglucanos que se produce con el envejecimiento del cartilago también se refleja en diferencias de tinción.

El cartilago hialino provee un molde para el esqueleto en desarrollo del feto.

En las etapas iniciales del desarrollo fetal, el cartílago hialino es el precursor del tejido óseo que se origina por el proceso de osificación endocondral (fig. 7-8). Al principio, la mayoría de lo que serán los huesos largos no son más que moldes de cartílago que se asemejan a la forma del hueso maduro (lám. 8, p. 226). Durante el proceso de desarrollo, cuando gran parte del cartílago es reemplazado por hueso, el resto del tejido cartilaginoso en el limite proximal y distal del hueso sirve como sitio de crecimiento llamado placa epifisaria de crecimiento (disco epifisario). Este cartilago permanece funcional siempre y cuando el hueso crezca en longitud (fig. 7-9). En el adulto, el unico cartílago que queda del esqueleto embrionario se en-





FIGURA 7-8. Microfotografía de varios de los cartilagos que forman el esqueleto primitivo del pie. El cartilago hiafino de los huesos del tarso en desarrollo se reemplazará por tejido óseo a medida que avance la osificación endocondral. En esta etapa inicial del desarrollo, se están formando las articulaciones sinoviales entre los huesos del tarso en desarrollo. Obsérvese que las superficies no articulares de los moldes de cartilago hiafino de los huesos del tarso están cubiertas por pericondino, que también contribuye al desarrollo de las cápsulas articulares. Además, a la izquierda de la microfotografía en la escotadura del cartilago puede observarse un tendón (7) en desarrollo. 85×.

FIGURA 7-9. Microfotografía del extremo proximal de un hueso largo en crecimiento. Un disco de cartílago hia ino, el disco epifisario, separa la epifisis, de ubicación más proximal de la diáfisis distal con respecto al disco y de forma conoide. El cartílago articular en la superficie de la epifisis contribuye a la articulación sinovial y también se compone de tejido cartilaginoso hielino. El cartílago del disco epifisario desaparece cuando se completa el crecimiento en longitud de hueso, pero el cartílago articular permanece durante toda la vida. Los espacios que hay entre el hueso están ocupados por médula ósea 85×

cuentra en las articulaciones (cartilago articular) y en la caja torécica (cartilagos costales). También hay cartilago hialino en el adulto en las estructuras de sostén de la tráquea, los bronquios, la laringe y la nariz.

Un tejido conjuntivo adherido con firmeza, el pericondrio, rodea el cartilago bialino.

El pericondrio es un tejido conjuntivo denso irregular compuesto por células que no pueden distinguirse de los fibroblastos. En muchos aspectos, el pericondrio se asemeja a la cápsula que rodea las glándulas y muchos otros órganos. Además, funciona como una fuente de células cartilaginosas nuevas. Durante el crecimiento activo, el pericondrio aparece dividido en una capa interna celular, que da origen a células cartilaginosas nuevas y una capa externa fibrosa. Esta división no siempre es evidente, sobre todo en el pericondrio que no está produciendo activamente nuevo cartilago o cuando el tejido es de crecimiento muy lento. En la figura 7-4 se ilustran los

cambios que se presentan durante la diferenciación de condrocitos nuevos en el cartílago en crecimiento.

El cartilago hialino de las superficies articulares no posee pericondrio.

El cartilago hialino que cubre las superficies articulares de las articulaciones móviles (diartrosis) se denomina cartilago articular. En general, la estructura del cartilago articular es similar a la del cartilago hialino. No obstante, la superficie lubre o articular carece de pericondrio. Además, en la superficie opuesta, el tejido cartilaginoso está en contacto con el hueso y tampoco tiene pericondrio. El cartilago articular es un remanente del molde original de cartilago hialino del hueso en desarrollo y persiste durante toda la vida adulta. En los adultos, el cartilago articular mide 2-5 mm de espesor y se divide en cuatro zonas (figs. 7 10 y 7 11):

 Zona superficial (tangencial). Es una región resistente a la compresión cercana a la superficie articular. Contiene abundantes

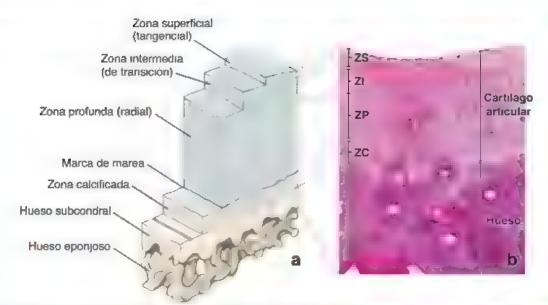


FIGURA 7-10. Diagrama y microfotografia del cartilago artícular a. En el diagrama se muestra la organización de la red de colageno y condroctos en las diversas zonas del cartilago artícular b. Microfotografia del cartilago artícular normal del adulto. La zona superficial (ZS) reveia condrocitos alargados y aplanados. La zona intermedia (ZI) contiene condrocitos redondeados. La zona profunda (ZP) presenta condrocitos dispuestos en columnas cortas. La zona calcificada (ZC) que i mita con el hueso subcondral, muestra condrocitos pequenos rodeados de la matriz calcificada. Además, esta zona es de bioción más pálida que la matriz de las zonas más superficiales. La marça de marea separa la zona calcificada de la zona radial. 160 ×

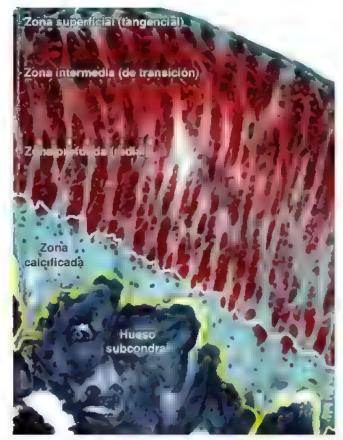


FIGURA 7-11. Microfotografia del cartilago articular obtenida de una superficie tibial de una articulación de rodilla de rata de 12 semanas de edad. Esta muestra se tine con safran na O verde rapido y hematoxi, na que se usan con frecuencia en el examen histológico del cartilago articular. La zona superficial itangencial) se tine de verde ciaro debido a una alta condensación de las fibrillas de colágeno i político de puestán dispuestas en fasciculos paraleles a la superficie en bre Tanto la zona intermed a (de transición) como la profunda tradial) se tinen de rojo intenso con safranina. O debido a una a la concentración de proteoglucanos especificos del cartilago (principa mente glucosam noglucanos sulfatados) ca zona calcificada se tine de color verde claro y contiene fibrillas de colageno incrustadas en la matriz calcificada con unos pocos condroc tos pequenos. Obsérvese que la zona calcificada está separada de la zona profunda por la marça de marea (unión condro-ósea) que está frazada por la linea blanca y por la linea de cemento de hueso subcondral que se indica con la linea amardía. El hueso subcondral que revela un patrón osteonal típico, se tiñe de azu profundo, 240 « (reimpreso con autor zación de Schultz M. Moligan J. Schon L., et al. Pathology of the calcified zone of articular cartilage in post-traumatic osteoarthritis in rat kniese. PLoS One 2015, 10(3): e0120949)

- condrocitos alargados y aplanados que están rodeados por una condensación de fibrillas de colágeno tipo II que se organizan en fascículos paralelos a la superficie libre.
- Zona intermedia (de transición). Está debajo de la zona superficial y contiene condrocitos redondos distribuidos al azar dentro de la matriz. Las fibrillas de colágeno se encuentran menos organizadas y se disponen en orientación ligeramente oblicua con respecto a la superficie.
- Zona profunda (radial). Se caracteriza por la presencia de condrocitos redondos de tamaño pequeño que se organizan en columnas cortas perpendiculares a la superficie libre del cartílago. Las fibrillas de colágeno están dispuestas entre las columnas paralelas al eje longitudinal del hueso (véase fig. 7-11).
- Zona estrificada. Se caracteriza por una matriz calcificada con la presencia de condrocitos pequeños. Esta zona está separada de la zona profunda (radial) por una línea lisa, ondulada y muy calcificada, que recibe el nombre de marca de marea (unión condroósea). Por arriba de esta línea, la proliferación de los condrocitos dentro de las lagunas del cartilago proporciona las células nuevas para el crecimiento intersticial. En la renovación del cartilago articular, los condrocitos migran desde esta región hacia la superficie de la articulación. La zona calcificada descansa sobre el hueso subcondral (una capa de hueso justo debajo del cartilago articular), y su unión está claramente definida por la línea de cemento (véase fig. 7-11). En respuesta a una lesión articular, se desencadena la calcificación activa en el hueso subcondral, lo que conduce a la formación de una placa ósea subcondral más gruesa.

El proceso de renovación del cartílago articular maduro es extremadamente lento. Este crecimiento lento es un reflejo de la red de colágeno tipo II muy estable y de la vida media prolongada de sus moléculas de proteoglucanos. Además, en el cartílago articular sano, la actividad de las metaloproteinasas (MMP 1 y MMP 13) es baja.

■ CARTÍLAGO ELÁSTICO

El cartílago elástico se distingue por la presencia de elastina en la matriz cartilaginosa.

Además de contener los componentes normales de la matriz del cartilago hialino, la matriz del cartilago elástico también presenta una densa red de fibras elásticas ramificadas y unidas entre sí, y láminas interconectadas de material elástico (fig. 7-12 y lám. 9, p. 228). Estas fibras y láminas de cartilago se visualizan con mayor facilidad en los cortes histológicos de parafina mediante el empleo de técnicas de coloración especiales, como la de resorcina fuesina y la de orceína. El material elástico confiere propiedades elásticas al tejido cartilaginoso, además de la distensibilidad y maleabilidad que son características del cartilago de tipo hialino.

El cartilago elástico se encuentra en el pabellón auricular, las paredes del conducto auditivo externo, la trompa auditiva (de Eustaquio) y la epiglotis de la laringe. El cartilago de todos estos sitios está rodeado por un pericondrio similar al que se encuentra alrededor de la mayoría de los cartilagos hialinos. A diferencia de lo que ocurre con la matriz del cartilago hialino, que se calcifica con la edad, la matriz del cartilago elástico no se calcifica durante el proceso de envejecimiento.



FIGURA 7-12. Microfotografía del cartilago elástico de la epiglotis. Esta muestra se tiño con orceína, que permite ver las fibras elásticas, teñidas de color pardo, dentro de la matriz cartilaginosa. Las fibras elásticas son de tamaños diversos y constituyen una parte importante del cartilago. Los nucleos de los condrocitos son visibles en muchas de las lagunas. El pericondrio es visible en la parte superior de a microfotografía. 180×

■ FIBROCARTÍLAGO

El fibrocartilago está constituido por condrocitos y su material de matriz en combinación con tejido conjuntivo denso.

El fibrocartilago es una combinación de tejido conjuntivo denso regular y cartilago hialino. Los condrocitos se pueden encontrar entre las fibrillas de colágeno, ya sea solos, en hileras o formando grupos isógenos (fig. 7-13 y lám. 10, p. 230). Su aspecto es similar al de los condrocitos del cartílago hialino; sin embargo, hay mucho menos material de matriz asociado con ellos. No hay pericondrio alrededor del tejido como en los cartílagos hialino y elástico. En los cortes de fibrocartílago es normal observar una población de octulas con núcleos redondeados y una pequeña cantidad de material de matriz amorfo circundante. Estos núcleos pertenecen a los condrocitos. Dentro de las regiones fibrosas se aprecian núcleos que están aplanados o alargados. Estos son los núcleos de los fibroblastos.

El cartílago fibroso es típico de los discos intervertebrales, la sinfisis del pubis, los discos artículares de las articulaciones esternoclavicular y temporomandibular, los meniscos de la artículación de la rodilla, el complejo fibrocartilaginoso triangular de la muñeca y ciertos sitios en donde los tendones se insertan en los huesos. La presencia del fibrocartílago en estos sitios es indicativa de que el tejido debe soportar fuerzas de compresión y distensión. El cartílago actúa como un amortiguador. El grado en el que inciden las fuerzas mencionadas se refleja en la cantidad de material de matriz que ha producido el cartílago.



FIGURA 7-13. Microfotografía del fibrocartílago de un disco intervertebral. Las fibras de colágeno aparecen de color verde en esta preparación teñida con la técnica tricrómica de Gomori. El tepido presenta un aspecto fibroso y contiene una cantidad bastante escasa de fibroblastos con nucleos alargados (flechas) y una mayor abundancia de condrocitos con nucleos redondeados oscuros. Los condrocitos están agrupados muy cerca unos de otros y se organizan en hueras, ya sea entre las fibras de colágeno o en grupos isógenos 60× Recuadro. Grupo isógeno visto con mayor aumento Los condrocitos se encuentran contenidos dentro de lagunas. Es normal que haya poca matriz cartilaginosa alrededor de los condrocitos. 700×

La matriz extracelular del cartilago fibroso se caracteriza por la presencia de fibrillas de colágeno tipo I y II.

Las células del cartílago fibroso sintetizan una gran variedad de moléculas de matriz extracelular no solo durante su etapa de desarrollo, sino también durante su etapa madura bien diferenciada. Esto permite que el fibrocartílago responda a los cambios en el medio externo (como fuerzas mecánicas, modificaciones nutricionales y concentraciones variables de hormonas y factores de crecimiento). La matriz extracelular del cartílago fibroso contiene cantidades importantes de colágeno tipo II (característico del cartílago halino).

Las proporciones relativas de estos colágenos pueden variar. Por ejemplo, los meniscos de la articulación de la rodilla contienen solo una pequeña canudad de colágeno tipo II, mientras que el disco intervertebral contiene cantidades iguales de fibrillas de colágeno tipo I y II. La proporción entre los colágenos de tipo I y II en el fibrocartílago varía con la edad. En las personas mayores, hay más colágeno tipo II debido a la actividad metabólica de los condrocitos, que producen fibrillas de este colágeno de manera constante y las secretan hacia la matriz circundante. Además, la matriz extracelular del fibrocartílago contiene una mayor cantidad de versicano (un monómero de proteoglucano secretado por

los fibroblastos) que de agrecano (generado por los condrocitos). El versicano también se puede unir al hialuronato para formar agregados de proteoglucanos muy hidratados (véase tabla 6-4, p. 188). La degeneración del disco intervertebral se relaciona con la degradación proteolítica de los agregados de proteoglucanos presentes dentro de la matriz extracelular del fibrocartilago

■ CONDROGÉNESIS Y CRECIMIENTO DEL CARTÍLAGO

La mayoría de los cartilagos se originan a partir del mesénquima durante la condrogénesis.

La condrogénesis, el proceso de desarrollo del cartilago, comienza con la aglomeración de células mesenquimatosas condroprogenitoras para formar una masa densa de células redondas. En la cabeza, la mayor parte del cartílago se origina en cúmulos de ectomesénquima derivado de células de la cresta neural. El sitio de formación del cartilago hialino se reconoce inicialmente por una aglomeración de células mesenquimatosas o ectomesenquimales conocida como nódulo condrogênico. La expresión del factor de transcripción SOX-9 desencadena la diferenciación de estas células en condroblastos, que secretan entonces la matriz cartilaginosa (la expresión de SOX-9 comerde con la secreción de colágeno tipo II). Los condroblastos se van separando de forma progresiva conforme depositan matriz a su alrededor. Una vez que el material de la matriz los ha rodeado por completo, reciben el nombre de condrocitos. El tejido mesenquimatoso que se encuentra justo alrededor del nódulo condrogénico origina el pericondrio.

La condrogênesis está regulada por muchas moléculas, entre las cuales hay ligandos extracelulares, receptores nucleares, factores de transcripción, moléculas adhesivas y proteínas de la matriz. Además, el crecimiento y el desarrollo del esqueleto de cartílago se ven afectados por las fuerzas biomecánicas. Estas fuerzas no solo regulan la forma, la regeneración y el envejecimiento del cartílago, sino que también modifican las interacciones célula-matriz extracelular dentro de este tejido.

El cartilago es capaz de realizar dos tipos de crecimiento: por aposición e intersticial.

Con el micio de la secreción de la matriz, el crecimiento del cartilago conunúa por una combinación de dos procesos:

- Crecimiento por aposición, en el cual se forma cartilago nuevo sobre la superficie de un cartilago preexistente.
- Crecimiento intersticial, mediante el proceso de formación de cartilago nuevo en el interior de un cartilago preexistente.

Las células cartilaginosas nuevas producidas durante el crecimiento por aposición derivan de la capa înterna del pericondrío circundante. Las células se asemejan a los fibroblastos en cuanto a su forma y función, y producen el componente de colágeno del pericondrio (colágeno tipo I). Sin embargo, cuando el crecimiento del cartílago se inicia, las células experimentan un proceso de diferenciación guiado por la expresión del factor de transcripción SOX-9. Las evaginaciones citoplasmáticas desaparecen, el núcleo se redondea y el citoplasma aumenta de tamaño y se torna más prominente. Estos cambios determinan la conversión de la célula en un condroblasto. Los condroblastos sintetizan la matriz cartilaginosa, incluida la secreción de colágeno tipo II. La nueva matriz aumenta la masa de cartílago, mientras que al mismo

CAPÍTULO 7. TEJIDO CARTILAGINOSO - REPARAC ÓN DEL CARTILAGO HIALINO

Características del tejido cartilaginoso

Características	Cartílago hialino	Cartílago elástico	Fibrocartilago
	3 6 6		. 40
Ubicación	Tejido esquelético fetal, discos ep fisanos, superficie articular de las diartrosis, cartilagos cos- tales, cartílagos de las cavida- des nasales, laringe (cartílagos tiroides, cricoides y aritenoides), anilios traqueales, placas cartila- ginosas bronquiales	Pabellón auricular, conducto auditivo externo, trompa audi- tiva (de Eustaquio) y algunos cartílagos laringeos (epiglo- tis, cartílagos corniculados y cuneiformes)	Discos intervertebrales, sínfisis del pubis, discos articulares (articularciones esternociavicular y temporomandibular), meniscos (rod.lla), complejo fibrocartilaginoso trangular (articulación de la muñeca) e inserciones tendinosas
Función	 Resistir la compresión Brindar amortiguación y superficie lisa y de baja fricción para las articulaciones Proveer sostén estructural en el sistema respiratono (laringe, tráquea, bronquios) Constituir el fundamento para el desarrollo del esquelato fetal, la osificación endocondral y el crecimiento de los huesos largos 	Proveer sostén flexible para tej- dos blandos	Resistir la deformación por fuerzas extremas
Presencia de pericondrio	SI (excepto en el cartílago articular y en los discos eprisarios)	S	No
Calcificación	Sí (p. ej., durante la osificación endocondral, durante el proceso de envejecimiento)	No	Si (p. ej., calcif cación del callo fibrocartilaginoso durante la repa- ración ósea)
Principales tipos celulares	Condroblastos y condrocitos	Condroblastos y condrocitos	Condrocitos y f broblastos
Componentes típicos de la matriz extra- celular	Fibrillas de colágeno tipo fi y mo- nómeros de agrecano (el proteo- glucano más importante)	Fibrillas de colágeno tipo II, fi- bras elásticas y monómeros de agrecano	Fibras de colágeno tipo I y II Monómeros de proteoglucano agrecano (secretado por condro- citos) y versicano (secretado por fibroblastos)
Crecimiento	Intersticial y por aposición, muy limitado en adultos		
Reparación	Capacidad muy limitada, en general forma una cicatriz que da lugar al f brocartilago		

tiempo se producen nuevos fibroblastos con el fin de mantener la población celular del pericondrio.

Las células cartilaginosas nuevas producidas durante el crecimiento intersticial surgen de la división de los condrocitos dentro de sus lagunas (véase fig. 7-4) Esto solo es posible porque los condrocitos retienen la capacidad de dividirse y la matriz cartilaginosa circundante es distensible, lo cual permite la actividad secretora adicional. Al principio, las células hijas de los condrocitos en división ocupan la misma laguna. A medida que se secreta una matriz nueva, se forma una división entre ambas células hijas; en este momento, cada célula ocupa su propia laguna. Conforme se secreta una cantidad mayor de matriz, las células se van separando cada vez más. En consecuencia, el crecimiento global del cartílago es el producto de la secreción intersticial del nuevo material de matriz por los condrocitos y de la aposición de matriz secretada por los condroblastos recién diferenciados (cuadro 7-2).

■ REPARACIÓN DEL CARTÍLAGO **HIALINO**

El cartilago tiene una capacidad limitada para repararse.

El cartilago tiene la capacidad de tolerar la acción de las fuerzas intensas y repetidas. Sin embargo, cuando se lesiona, manifiesta una notable incapacidad para sanar, incluso en las lesiones más leves. Esta falta de respuesta a la lesión se atribuye a la avascularidad del cartilago, la immovilidad de los condrocitos y la capacidad limitada de los condrocitos maduros para proliferar. Es posible cierto grado

CORRELACIÓN GLÍNICA: TUMORES MALIGNOS DEL CARTÍLAGO (CONDROSARCOMAS)

Los condrosarcomas son tumores malignos por lo géneral de crecimiento lento que se caracterizan por la secreción de matriz cartilaginosa. Alrededor del 3 6% de los tumores óseos primanos que se diagnostican cada año en los Estados Unidos son condrosarcomas. De los tumores de los huesos que producen matriz, los condrosarcomas son los segundos en frecuencia después de los osteosarcomas (tumores malignos formadores de tejido óseo). Ocurren con más frecuencia en los hombres que en las mujeres y suelen afectar a personas de 45 años de edad o más.

Los condrosarcomas se originan con predominio en el esquelato axial (y, por lo general, afectan las vértebras, los huesos de la pelvis, las costillas, las escápulas y el esternón) y en las metáfisis proximales de los huesos largos (sobre todo el fémur y el húmero). El síntoma más frecuente que referen los pacientes es un dolor profundo, a menudo de varios meses de duración y en general de carácter sordo. Dado que el tejido cartilaginoso está comprimido dentro del hueso, en la mayoría de los casos el crecimiento inicial del tumor no se puede palpar. Las radiografías, la tomografía computarizada y la resonancia magnética son indispensables para el diagnóstico inicial y, más tarde, para la valoración de la extensión de los tumores intramedulares profundos.

Los condrosarcomas se clasifican por grados que se correlacionan de forma estrecha con el pronóstico del paciente. Desde el punto de vista microscópico, el grado 1 corresponde al tumor menos agresivo, mientras que el grado 3 corresponde al más agresivo de los tumores. En patología, la mayoría (90%) de los condresarcomas se clasifican como convencionales (grados 1 y 2), rara vez producen metástasis y se componen de cartilago hialino que infiltra. la cavidad medular y rodea los cordones óseos existentes (fig. C7-2-1). En una sola laguna suelen verse condroblastos multiples que a menudo son binucidados y muestran pleomorfismo e hipercromasia nuclear. La matriz cartilaginosa también puede experimentar mineralización y una ulterior osificación endocondral. La diseminación metastásica a los pulmones y los ganglios linfáticos se relaciona con mayor frecuencia con las iesiones de grado 3

En años recientes, se ha utilizado la detección inmunohistoquímica de los tipos de colágeno para determinar la etapa de diferenciación tisular, que de hecho se correlaciona con el pronóstico del paciente. La presencia de colágeno tipo II y X y del proteoglucano agrecano en las biopsias indica tumores maduros asociados con un buen pronóstico. Por otro lado, la presencia de colágeno tipo I indica cambios en la matriz extracelular hacia los tipos indiferenciados (fíbrosos) del tumor, con un peor pronóstico. Además, en los condrosarcomas se



FIGURA C7-2-1. Microfotografía de un condrosarcoma (grado 1) proveniente de la epífisis de un hueso largo, tenido con H&E. En esta microfotografía se muestra una masa tisular de condrosarcoma que infiltra los espacios intertrabeculares de la médula ósea Obsérvese la presencia de condrocitos neoplásicos en vanas etapas de maduración. En el ángulo supenor izquierdo de la imagen puede verse una pequeña región de la médula ósea activa. 240× (cortesía de la Dra. Fabiola Medeiros).

expresa el **factor de transcripción SOX-9**, que es indispensable para la diferenciación de células mesenquimatosas en condroblastos durante el desarrollo fetal normal

El tratamiento de los condrosarcomas es principalmente quirurgico. El tumor se extirpa con amplitud. La quimioterapia y la radioterapia desempeñan papeles limitados en el tratamiento. Los pacientes con turnores de bajo grado de malignidad extirpados de forma adecuada tienen un lindice de supervivencia excelente.

de reparación, pero solo si el defecto comprende el pericondrio. En estas lesiones, la reparación es el resultado de la actividad de las células progenitores pluripotenciales ubicadas en el pericondrio. Inclusive en este caso son pocas, o ninguna, las células cartilaginosas que se producen. La reparación comprende sobre todo la producción de tejido conjuntivo denso.

A nivel molecular, la reparación de cartilago es un equilibrio tentativo entre el depósito de colágeno tipo I, en la forma de rejido cicatricial, y la restauración por la expresión de los colágenos específicos del cartilago. Sin embargo, en los adultos es frecuente que se formen vasos sanguíneos nuevos en el sitro de la herida en proceso de curación, lo cual estimula el desarrollo de rejido óseo en vez de una verdadera reparación del cartilago. La capacidad de autorreparación limitada del cartilago puede ocasionar problemas importantes en la cirugia cardiotorácica, como la cirugia de revascularización coronaria, porque se deben cortar los cartilagos costales para acceder a la cavidad torácica. Una variedad de tratamientos puede mejorar la cicatrización del cartilago

articular, entre los que se incluyen los injertos pericondrales, los trasplantes celulares autólogos, la inserción de matrices artificiales y la administración de factores de crecimiento.

El cartilago hialino calcificado es reemplazado por tejido óseo.

El cartilago hialino es propenso a calcificarae, un proceso en el que cristales de fosfato de calcio se depositan en la matriz cartilaginosa. La matriz del cartilago hialino generalmente experimenta calcificación en tres situaciones bien definidas

- La porción del cartílago articular que está en contacto con el tejido óseo en los huesos en crecimiento y en los de adultos, pero no la porción superficial, está calcificada
- La calcificación siempre ocurre en el cartílago que está por ser reemplazado por tejido óseo (osificación endocondral) durante el período de crecumiento de una persona.
- El cartilago hialino en el adulto se calcifica con el tiempo como parte del proceso de envejecimiento.

En la mayoría de estas situaciones, dando el tiempo suficiente, el cartilago que se calcifica es reemplazado por hueso. Por ejemplo, en las personas mayores, partes de los cartilagos traqueales a menudo son reemplazadas por tejido óseo (fig. 7-14). Por lo general, los condrocitos obtienen todas sus sustancias nutritivas y eliminan sus desechos por difusión de materiales a través de la matriz. Cuando la matriz se calcifica mucho, se impide la difusión y los condrocitos experimentan tumefacción y mueren. La consecuencia final de este fenómeno es la degradación de la matriz calcificada y su reemplazo por tejido óseo.

Algunos investigadores consideran que en el proceso de eliminación de cartilago interviene un upo celular específico denominado condroctasto. Esta célula se describe parecida a un osteoclasto, tanto en morfología como en función lítica. Los primeros estudios sobre la estructura y función de los condroclastos se realizaron con mandibulas en desarrollo, en las que la resorción del cartilago de Meckel no viene seguida por el reemplazo óseo (osificación endocondral). También se han observado condroclastos en la superficie profunda del cartilago articular reabsorbido en varias enfermedades articulares. Por ejemplo, estas células multinucleadas se hanidentificado en erosiones del cartilago articular, tanto calcificado como no calcificado, en la artritis reumatoide. Algunos estudios inmunocitoguimicos recientes sobre condroclastos obtenidos de muestras patologicas de articulaciones permitieron observar que los condroclastos expresan el fenotipo de tipo osteoclasto. Es probable que los condroclastos sean osteoclastos maduros, que son capaces de reabsorber cartilago y que se encuentran donde quiera que se esté eliminando cartilago.



FIGURA 7-14. Microfotografía del antillo traqueal de un adulto mayor, teñido con H&E. Las regiones más oscuras y basófilas en el lado *izquierdo* de la microfotografía corresponden a una matriz cartilaginosa (C) normal. Las regiones más ciaras y eosinófilas corresponden al tejido óseo (70) que ha reemplazado a la matriz cartilaginosa original. En el centro de la microfotografía puede verse una gran cavidad medular que se ha formado *dentro* de la estructura cartilaginosa. 75×



TEJIDO CARTILAGINOSO

FUNDAMENTOS DEL TEJIDO CARTILAGINOSO

- El tendo cartilaginoso es una forma sólida, firme y un tanto maleable de rejido conjuntivo compuesta por condrocitos y una matriz extracelular muy especializada (comprende el 95% del volumen del cartilago)
- Los condrocitos se alojan dentro de lagunas rodeadas por la matriz extracelular.
- El cartilago es una estructura avascular, por esta tazon, la composicion de la matriz extracelular es decisiva para la difusion de sustancias entre los condrocitos y los vasos sanguíneos del tejido conjuntivo circundante.
- Hay tres tipos principales de cartilago. cartilago hialino, cartilago elástico y cartilago fibroso o fibrocartilago.

CARTÍLAGO HIALINO

- La matriz extracelular homogenea y amorfa del cartilago hialino es producida por los condrocitos y tiene un aspecto vítreo.
- La matriz del cartilago hialino contiene tres clases de moléculas moléculas de colágeno (sobre todo colágeno tipo II y otros específicos del cartílago, es decit, los tipos VI, IX, X, XI); agregados de proteoglucanos, que contienen glucosaminoglucanos (GAG), y glucoproteínas multiadhesivas.
- La sustancia fundamental del cartilago hialino contiene tres tipos de GAG: hialuronato, condroitinsulfato y queratán-sulfato. Los dos últimos se unen a una proteína central para formar un monómero de proteoglucanos. El agrecano es el monomero de proteoglucanos mas abundante en el cartilago hialino.
- Las moleculas de hialuronato interactúan con una gran cantidad de moléculas de agrecano para formar grandes agregados de proteoglucanos. Sus cargas negativas se unen y contienen grandes cantidades de moléculas de agua.
- Los condrocitos se distribuyen solos o en agregados llamados grupos isógenos.
- La matriz extracelular que rodea los condrocitos individuales (matriz capsular) o el grupo isogeno (matriz territorial) varia en contenido de colageno y propiedades tintoriales. La matriz interterritorial rodea la matriz territorial y ocupa el espacio que hay entre los grupos isógenos.
- Un tejido conjuntivo adherido con firmeza, el paricondrio, rodea el cartilago hialino. Esta ausente en las superficies libres, o articulares, del cartílago articular en las diartrosis.
- El carrilago hialino es el rejido clave en el desarrollo del esqueleto feral (osificación endocondral) y en la mayoría de los huesos en crecimiento (placa epifisaria de crecimiento).

CARTÍLAGO ELÁSTICO

- El cartílago elástico contrene componentes normales de la matriz de cartílago hialino con la adicion de una red densa de fibras elásticas y láminas de material elástico que se interconectan.
- El cartilago elástico se disturgue por la presencia de elastina en la matriz cartilaginosa.
- Este cartilago se encuentra en el pabellón auricular, el oido medio y la laringe. El pericondrio siempre lo rodea.
- La matriz cartilaginosa elástica no se calcifica durante el proceso de envejecimiento.

FIBROCARTÍLAGO

- El fibrocartílago es una combinación de tejido conjuntivo denso modelado y cartílago hialino.
- Este se encuentra, en general, en los discos intervertebrales, en la sinfisis del pubis, en los sitios donde los tendones se insertan en los huesos y en las estructuras dentro de ciertas articulaciones (p. ej., meniscos de la articulacion de la rodilla).
- La matriz extracelular del fibrocartilago contiene cantidades variables de fibrillas de colágeno tipo I y II. Además, la sustancia fundamental contiene mayor cantidad de versicano que de agrecano.

CONDROGENESIS Y CRECIMIENTO DEL CARTILAGO

- La mayoria de los carrilagos se originan a partir del mesénquima durante la condrogénesis. La
 expresión del factor de transcripción SOX-9 desencadena la diferenciación de las celulas mesenquimatosas en cetulas productoras de cartilagos que se denominan condroblastos.
- El carrilago es capaz de realizar dos upos de crecumiento: crecimiento por aposición (forma nuevo cartilago sobre la superficie de un cartilago preexistente) y crecimiento intersticial (forma nuevo cartilago por medio de la división mitótica de condrocitos dentro de un cartilago preexistente).

REPARACIÓN DEL CARTÍLAGO HIALINO

- Debido a su indole avascular, el cartilago posee una capacidad de autorreparación limitada. La reparación consiste sobre todo en la producción de rejido conjuntivo denso.
- En el proceso de envejecimiento, el cartilago hialino es propenso a la calcificación y es reemplazado por tejido óseo.

LÁMINA 7 CARTÍLAGO HIALINO

El cartílago hialino es una forma avascular de tejido conjuntivo compuesto por células denominadas condrocitos
y una matriz extracelular de aspecto homogéneo muy
especializada. La matriz hialina contiene moléculas de
colágeno tipo II, agregados de proteoglucanos y glucoproteínas multiadhesivas. Además de colágeno tipo II,
que constituye la mayor parte de las fibrillas, la matriz
hialina contiene suficiente cantidad de colágeno de los
tipos VI, IX, X y XI que se denominan colágenos específicos del cartílago. Todas las moléculas de colágeno interactúan entre si en una disposición de tipo tridimensional. La
matriz está muy hidratada; más del 60% de su peso neto
consiste en agua, que en su mayoría se une a los agregados de proteoglucanos (monómeros de agrecano unidos
a una molécula de hialuronato larga)

En el adulto, el cartilago hialino sirve como armazón estructurel para la laringe, la tráquea y los bronquios, también se localiza en los extremos articulares de las costillas

y en las superficies de las articulaciones sinoviales. Además, el cartilago hialino constituye la mayor parte del esqueleto fetal y desempeña un papel importante en el crecimiento de la mayoría de los huesos. En casi todos las áreas del organismo, excepto en las superficies del cartilago articular, el cartilago hialino está rodeado por un tejido conjuntivo denso irregular que se denomina pericondrio.

En el cartilago hialino se lleva a cabo tanto un crecimiento por aposición, que es la adición de cartilago nuevo a su superficie por los condroblastos, como un crecimiento intersticial, que consiste en la división y diferenciación de condrocitos dentro de su matriz extracelular. Las células recién divididas producen una nueva matriz cartilaginosa y aumentan así el volumen del cartilago desde el interior. Por esta razón, el crecimiento total del cartilago es el producto de la secreción intersticial de nueva matriz por los condrocitos y de la secreción por aposición de matriz por los condroblastos recién diferenciados.

Cartilago hialino, tráquea, humano, H&E, 450×.

Esta microfotografía permite observar el cartilago hialino de la tráquea en una muestra preparada con técnica de rutina. El cartilago aparece como una extensión de material de matriz avascular en la que hay una población de células llamadas condrocitos (Co). Los condrocitos producen la matriz; el espacio que ocupa cada uno de ellos se denomina laguna (L). Alrededor del cartilago y en asociación estrecha con él hay una cubierta de tejido conjuntivo, el pericondrio (P). El pericondrio funciona como una fuente de condrocitos nuevos durante el crecimiento por aposición del cartilago. Con frecuencia, el pericondrio presenta dos capas bien definidas, una capa exterior más fibrosa y una capa interna más celular. La capa interna más celular, que contiene condroblastos y células condroprogenitoras, permite el crecimiento externo.

La matriz cartilaginosa contiene fibrillas de colágeno enmascaradas por la sustancia fundamental en la cual están incluidas; por lo tanto, las fibrillas no son visibles. Entre otros componentes, la matriz también contiene glucosaminoglucanos sulfatados que exhiben basofilia con la hematoxilina y con los colorantes básicos. Además, el material de matriz que rodea inmediatamente una laguna presenta la tendencia a teñirse con mayor intensidad con los colorantes básicos. Esta región se conoce como cápsula (Cap). No es raro que la matriz se tiña con mayor intensidad en regiones focalizadas (asteriacas) cuyo aspecto es muy parecido al de la matriz capsular. Esto se debe a que la cápsula ha quedado incluida en el espesor del corte, pero no así la laguna que rodea.

Con frecuencia, dos o más condrocitos se localizan muy cerca uno de otro, separados solo por un delgado tabique de matriz. Estos cúmulos celulares se denominan grupos isógenos y sus integrantes se originan de una única célula precursora. La proliferación de condrocitos nuevos por este medio, con la consecuente adición de matriz, produce el **crocimiento intersticial** del cartilago.



Cartílago hialino, tráquea, humano, H&E, 160×.

El cartilago hialino de esta microfotografía proviene de una muestra obtenida poco después del deceso y que se conservó a baja temperatura durante la fijación. Este procedimiento reduce la pérdida de los grupos sulfato con carga negativa; por ello, la marriz se tiñó más intensamente con

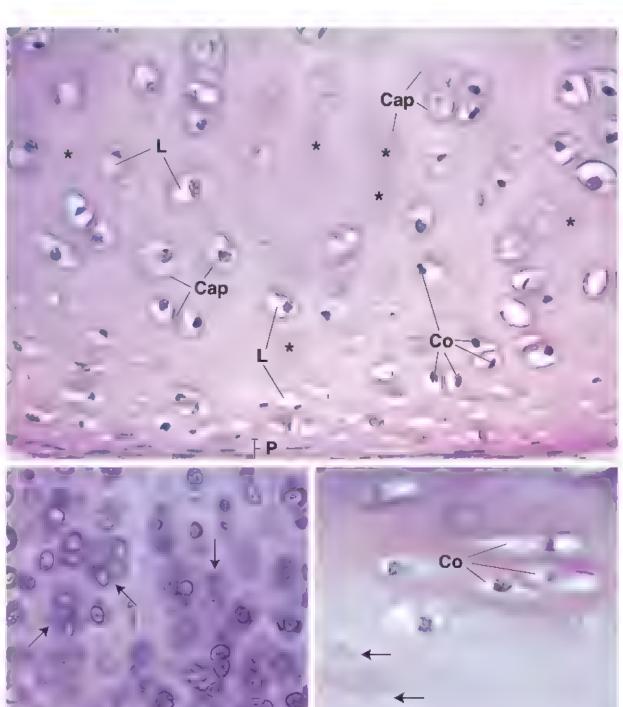
la hematoxilina. Nótense también las cápsulas (flechas) hien definidas y de tinción intensa que rodean los condrocitos. La cápsula es el sino donde los glucosaminoglucanos sulfatados se concentran más. En contraste con la basofilia de la matriz cartilaginosa, el **pericondrio** (P) tuvo mayor afinidad a la eosina. La región palida que se aprecia entre el pericondrio y la matriz basófila muy teñida es la matriz que todavía no ha madurado. Esta posee una cantidad menor de grupos sulfato.

Cartílago hialino, tráquea, humano, H&E, 850×.

En esta microfotografia puede verse con mayor aumento la región contenida en el rertángulo de la foto, a la requierda. Los condrocitos (Co) de la parte superior de la imagen

pertenecen a un grupo isógeno y están produciendo material de matriz para el crecimiento intersticial. Todavía no se observa una cápsula prominente. En la región basófila pálida hay condrocitos inmaduros (flechas) dentro del pericondrio. Adyacente a la matriz cartilaginosa, dentro del **paricondrio** (P), hay varios condrocitos con citoplasma apenas discernible y núcleos alargados (CoP). Estas células son condroprogenitoras que están comenzando, o lo harán en breve, a producir material de matriz. En cambio, los nucleos cercanos al borde infenor de la microfotografía pertenecen a los fibroblastos (Fib) que se ubican en la capa externa del pericondrio. Nótese lo delgado de sus núcleos en comparación con los núcleos de las células condroprogenitoras en la capa interna del pericondrio.

Cap, cápsula Co, condroctos CoP, condroprogenitoras Fib, fibroblastos L, laguna P, pencondrio asterisco, cápsulas lacunares, pero sin las lagunas ni sus condrocitos porque no se han incluido en el espesor del corte flechas, condrocitos inmaduros



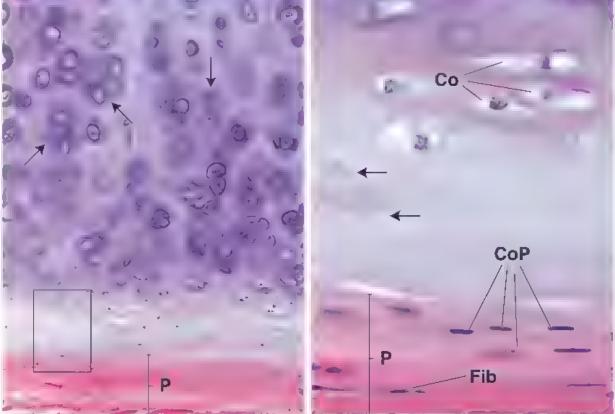


LÁMINA 8 CARTÍLAGO Y ESQUELETO EN DESARROLLO

El cartilago hialino está presente como un precursor de los huesos en desarrollo en el feto por el proceso de osificación endocondral. Este cartilago es reemplazado por tejido óseo, excepto en los sitios donde un hueso se pone en contacto con otro, como ocurre en las articulaciones móviles. En estos sitios, el cartilago persiste y cubre el extremo de cada hueso como cartilago articular, para proveer una superficie lisa y bien lubricada que permite al extremo de

un hueso deslizarse sobre otro en la artículación. Además, al ser capaz de tener un crecimiento intersticial, el cartílago persiste en los huesos que soportan peso y en otros huesos largos, como un disco o una placa epifisaria mientras continúe el crecimiento longitudinal. El papel del cartílago hialino en el crecimiento óseo se considera aquí de forma concisa y con mayor detalle en las láminas 13 y 14.

Esqueleto en desarrollo, pie fetal, rata, H&E, 85×.

Este corte muestra los cartílagos que en última instancia se convertirán en los huesos del pie. En varios sitios, se pueden observar ligamentos (L) en desarrollo que se unen a los cartílagos. Los núcleos de los fibroblastos dentro de los ligamentos son apenas perceptibles. Están alineados en hileras y separados de las otras hileras de fibroblastos por material de colágeno. El matiz y la intensidad del color de la matriz cartilaginosa, salvo en la periferia, se deben a la captación combinada de H&E. El colágeno de la matriz se tiún con cosina; sin embargo, la presencia de glucosaminoglucanos sulfatados favorece la tinción con hematoxilina. La matriz cartilaginosa que será reemplazada por matriz ósea, tal como se muestra aquí, se impregna con sales de calcio, y el calcio también se tiñe con hematoxilina. La cantidad de lagunas con mayor tamaño (que se observan como espacios claros dentro de la matriz en donde han desaparecido los condrocitos)

ciona con la calcificación de la matriz. Por lo tanto, donde hay lagunas grandes, es decir, en la región central del cartillago, la matriz se tiñe con mucha intensidad.

Esta imagen también muestra que el cartílago está rodeado por pericondrio, excepto donde delimita una cavidad articular (CA) Aquí, el cartílago desnudo forma una superficie articular. Obsérvese que la cavidad articular es un espacio situado entre los cartílagos cuyos límites se completan con tejido conjuntivo (TC). El rejido conjuntivo de la superficie de la cavidad es especial. En el adulto formará la membrana sinovial, que contribuirá a la producción de líquido lubricante (líquido sinovial) que está presente en la cavidad articular. Por lo tanto, todas las superficies que delimitarán la cavidad articular del adulto derivan originalmente del mesénquima. El líquido sinovial es una sustancia viscosa que contiene, entre otras cosas, hialuronaro y glucosaminoglucanos, se puede considerar un exudado de líquido intersucial. El líquido sinovial podría considerarse como una extensión de la matriz extracelular, ya que la cavidad articular no está revestida por un epitelio.



Esqueleto en desarrollo, dedo fetal, humano, tionina-ácido picrico, 30×.

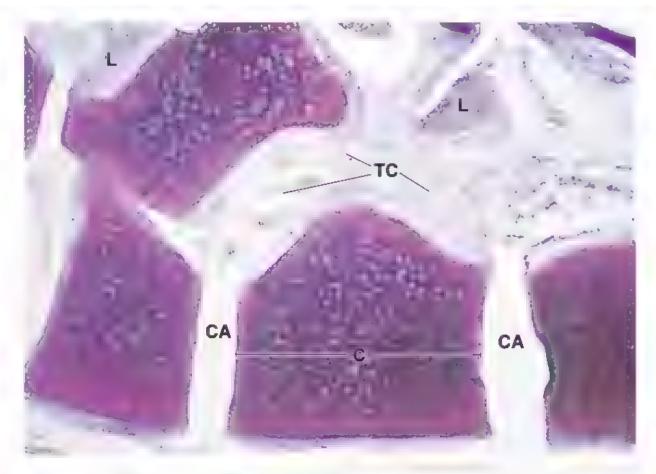
se debe a la hipertrofia de los condrocitos, un fenómeno que se rela-

Esta microfotografía muestra un hueso largo de un dedo en desarrollo y su articulación con los huesos distal y proximal. Antes de la etapa que se muestra aquí, cada hueso consis-

rantes de la erapa que se muestra aqui, cada nueso consistia por completo en una estructura cartilagunosa hialina similar a los cartílagos que aparecen en la imagen anterior, pero con la forma de los huesos largos en los que se habrían de convertir. Aquí, solo los extremos o epifisis del hueso permanecen como cartílago, el **cartilago opifisario** (C). El cuerpo o diáfisis se ha convertido en un cilindro de tejido óseo (TO) que rodea la cavidad medular (CM). La región oscura en los extremos de la cavidad medular es cartílago calcificado (puntas de flecha) que está siendo reemplazado por tejido óseo. El hueso en los extremos de la cavidad medular constituye la **metáfisis**. Con este método de tinción, el cartilago calcificado aparece de color pardo oscuro. El hueso metafisario recién formado, que está mezclado con el cartilago calcificado en degeneración y que es dificil de discernir con este aumento, tiene el mismo color pardo amarillento que el hueso diafisario. Debido a la proliferación continua del cartilago, el hueso crece en longitud. Más tarde, el cartilago se calcifica; entonces, se produce tejido óseo que ocupa el sitio del cartilago resorbido. Con el cese de la proliferación del cartilago y su reemplazo por tejido óseo, el crecimiento del hueso se detiene y solo queda el cartilago de la superficie articular. Los detalles de este proceso se explican en el comentario sobre osificación endocondral (láms. 13 y 14).

C, cartilago
CA, cavidad articular
CM, cavidad medular

L, ligamento TC, tajido conjuntivo TO, tajido ósao punta de flecha, cartilago calcificado



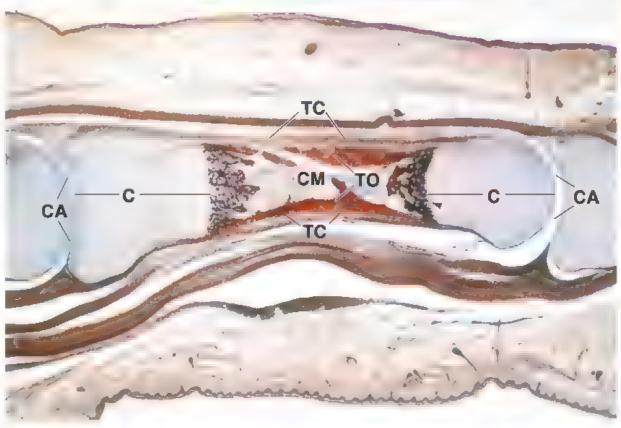


LÁMINA 9 CARTÍLAGO ELÁSTICO

El cartílago elástico tiene una matriz que contiene fibras y láminas elásticas además de colágeno tipo II y otros componentes que se encuentran en la matriz extracelular del cartílago hialino. Se localiza en el pabellón auricular, la trompa auditiva, la epiglotis y otras partes de la laringe (cartílagos cuneiformes, procesos vocales de los cartílagos aritenoideos) El material elástico brinda propiedades de elasticidad, a diferencia de la resistencia, que no se comparten con el cartilago hialino. El cartilago elástico está rodeado por pericondrio y también aumenta de tamaño por el crecimiento tanto intersticial como por aposición. Sin embargo, a diferencia del cartilago hialino, el cartilago elástico generalmente no experimenta el proceso de calcificación.



Cartilago elástico, epiglotis, humano, H&E v orceina, 80×.

En este corte de la epiglotis se observa la estructura central del **cartilago elástico** (CE) teñido de color púrpura. Los componentes esenciales del cartilago, es decir, la matriz que

componentes esenciales del cartilago, es decir, la matriz que contiene fibras elásticas que se tiñe de color purpura y las lagunas claras sin teñir rodeadas por matriz, son fácilmente visibles en esta microfotografía de poco aumento. El perímetro del cartilago está cubierto por pa-

ricondrio (PC); su carácter fibroso es apenas visible en esta imagen. La epiglotis contiene muchas pequeñas perforaciones (foramen epiglótico), nótese la presencia de tejido adiposo (TA) dentro de estos orificios. El tejido adiposo de esta microfotografía es visible dentro de los límites del cartilago elastico.

Tanto por encima como por debajo del cartílago elástico hay tejido conjuntivo y cada una de las superficies de la epiglotis está formada por epitelio plano estratificado sin estrato córneo (SE) En el tejido conjuntivo de la parte inferior de la imagen se observan glándulas mucosas (GM).



Cartilago elastico, epiglotis, humano, H&E y orceina, 250×; recuadro 400×.

En esta microfotografía se muestra una región del **cartí**lago elástico con mayor aumento. Las fibras elásticas aparecen como *líneas púrpuras* alargadas dentro de la ma-

triz. Son más evidentes en los bordes del cartilago, pero se pierden en ciertas partes más profundas de la matriz, donde se confunden con el material elástico que adquiere un aspecto de panal alrededor de las lagunas. Las **fibras elásticas** (E) también se hallan entre los adipocitos del tejido adiposo (TA).

Algunas lagunas en el cartílago están dispuestas en pares separadas por una delgada placa de matriz. La placa de matriz parece como una barra entre las lagunas contiguas. Esto es un reflejo del crecimiento intersticial del cartílago, porque las células cartílagmosas contiguas derivan de la misma célula progenitora. Estas se van separando por la

secreción de una placa de matriz cartilaginosa entre ellas para formar dos lagunas. La mayoría de los **condrocitos** (Co) que aparecen en esta imagen ocupan solo parte de la laguna. Esto se debe, en parte, a la retracción, pero también al hecho de que los condrocitos más antiguos contienen inclusiones lipídicas grandes que se pierden durante la preparación del tejido. La retracción de los condrocitos dentro de las lagunas o su desaparición del corte durante la preparación hace que las lagunas se destaquen como regiones claras sin teñir contra una matriz teñida con intensidad.

El recuadro muestra el cartílago elástico con un aumento aún mayor. Aquí, las fibras elasticas (E) otra vez son visibles como siluetas alargadas, sobre todo en los bordes del cartílago. La mayoría de los condrocitos en esta parte de la muestra han experimentado poca retracción. Muchas de las células exhiben núcleos redondos típicos y el citoplasma se puede apreciar bien. Se debe notar de nuevo que algunas lagunas contienen dos condrocitos, lo cual indica un crecimiento intersticial

CE, cartilago elástico Co, condrocitos E, fibra elástica EPE, epitelio plano estratificado sin estrato cómeo TA, tendo adiposo GM, glándula mucosa PC, pericondino

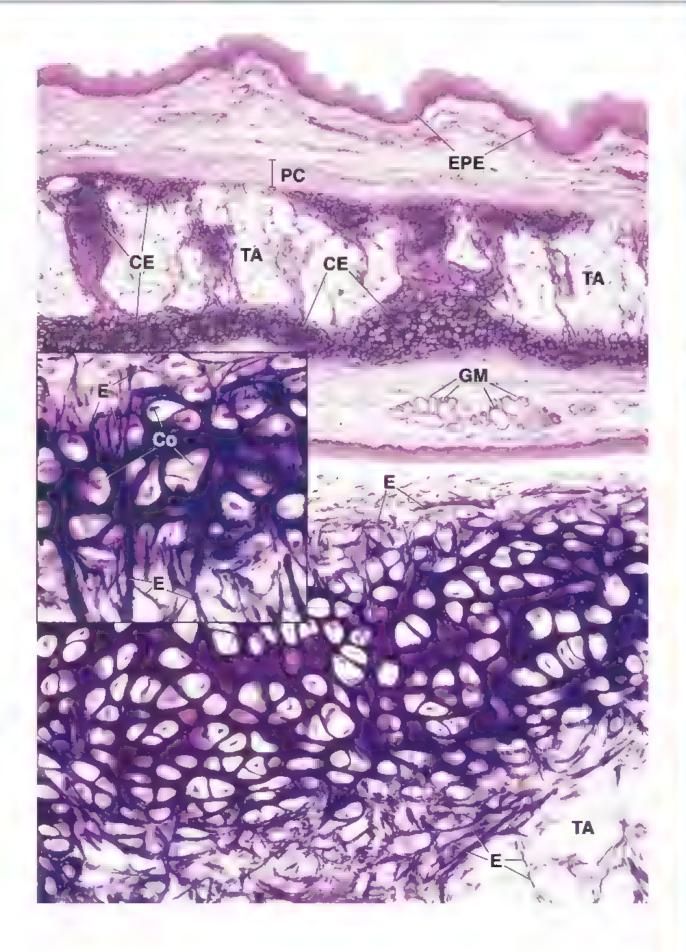


LÁMINA 10 FIBROCARTÍLAGO

El fibrocartilago es una combinación de tejido conjuntivo denso irregular y tejido cartilaginoso. Tiene una matriz con haces gruesos de cotágeno tipo I además de colágeno tipo II. La cantidad de cartilago varia, pero en la mayoría de los sitios, las células cartilaginosas y su matriz ocupan una porción menor de la masa tisular. El fibrocartilago se encuentra en los discos intervertabrales, la sínfisis del pubis, la articulación de la rodilla, la articulación temporomandibular, la articulación esternoclavicular y la articulación glenohumeral. También puede estar presente a lo largo de las correderas o inserciones de tendones y ligamentos. Su presencia se asocia con los sitios donde se

requiere cierto grado de elasticidad en el tejido conjuntivo denso para ayudar a absorber el impacto físico repentino, es decir, donde se necesita resistir la acción de fuerzas compresivas y distensoras sobre el tejido. Desde el punto de vista histológico, el fibrocartilago aparece como pequeños campos de cartilago que se mezclan de manera casi imperceptible con regiones de tejido conjuntivo fibroso denso. Suele identificarse por la presencia de aglomeraciones de condrocitos redondeados (grupos isógenos) entre haces de fibras colágenas y por la coloración basófila del material de matriz capsular y matriz territorial secretada por estas cálulas. No tiene pericondrio.



Fibrocartílago, disco intervertebral, humano, tricrómica de Mallory, 160×.

Esta es una vista con poco aumento del fibrocartílago. El método de Mallory tiñe el colágeno de azul claro. El rejido tiene un aspecto fibroso y, con este aumento, los núcleos de

los **fibroblastos** (F) aparecen como pequeños corpúsculos alargados o fusiformes. Hay pocos fibroblastos presentes, como es característico del

tejido conjuntivo denso. Los **condrocitos** (Co) son más abundantes y se agrupan muy juntos, es decir, forman **grupos isógenos**. Algunos de los condrocitos se presentan en grupos celulares alargados, mientras que otros aparecen en filas de una sola célula de espesor. El marerial de matriz que rodea inmediatamente a los condrocitos tiene una apariencia homogénea y, de este modo, se distingue del tejido conjuntivo fibroso.



Fibrocartílago, disco intervertebral, humano, tricrómica de Mallory, 700×.

Esta microfotografía muestra con mayor aumento la región contenida en el rectángulo de la imagen anterior. Los condrocitos están dentro de lagunas (flechas) y su citoplasma se

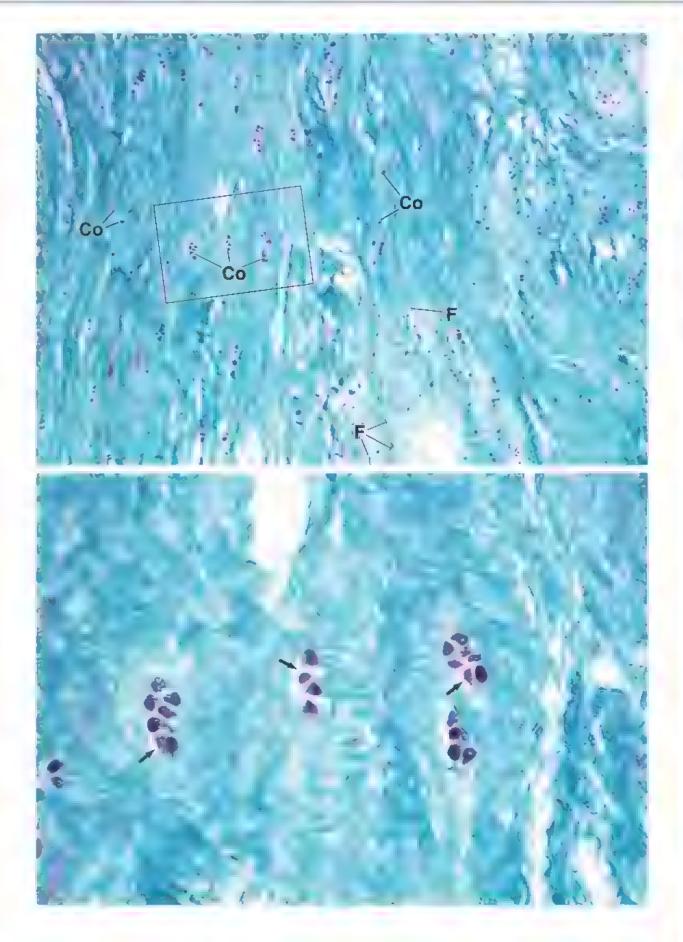
tiñe con intensidad. El material de **matriz cartilaginosa** que los rodea es escaso y se confunde con el tejido conjuntivo denso. El material de la

matriz cartilaginosa se puede evidenciar mejor al observar el grupo más grande de condrocitos a la *izquienda* de esta foto, y después se compara esta misma región en la microfotografía de atriba. Nótese la región clara homogénea alrededor del grupo celular en la foto de aumento menor Esta es la región de la matriz cartilaginosa. En el aumento mayor de esta imagen, es posible observar que algunas de las fibras de colágeno están incorporadas en la matriz, donde aparecen como haces ondulados.

Co, condrecites

E fibroblasto

flechas, lagunas



S TEJIDO ÓSEO

FUNDAMENTOS DEL TEJIDO ÓSEO / 232 ESTRUCTURA GENERAL DE LOS HUESOS / 233

El hueso como órgano / 233 Superficie externa de los huesos / 234 Cavidades óseas / 235

TIPOS DE TEJIDO ÓSEO / 235

Hueso maduro / 235 Hueso inmaduro / 236

CÉLULAS DEL TEJIDO ÓSEO / 237

Células osteoprogenitoras / 237
Osteoblastos / 239
Osteocitos / 241
Células de revestimiento óseo / 242
Osteoclastos / 243

FORMACIÓN DEL HUESO / 246

Osificación intramembranosa / 246 Osificación endocondral / 248 Crecimiento del hueso endocondral / 249 Desarrollo del sistema osteónico (de Havers) / 252

MINERALIZACIÓN BIOLÓGICA Y VESÍCULAS MATRICIALES / 253

ELTEJIDO ÓSEO COMO DIANA DE LAS HORMONAS ENDOCRINAS Y COMO ÓRGANO ENDOCRINO / 255

BIOLOGIA DE LA REPARACIÓN ÓSEA / 258

Cuadro 8-1 Correlación clínica: artropatías / 235
Cuadro 8-2 Correlación clínica: osteoporosis / 256
Cuadro 8-3 Correlación clínica: factores
nutricionales en la osificación / 258
Cuadro 8-4 Consideraciones funcionales: regulación
hormonal del crecimiento oseo / 259

HISTOLOGIA 101 / 262



■ FUNDAMENTOS DEL TEJIDO ÓSEO

El tejido óseo es un tejido conjuntivo que se caracteriza por una matriz extracelular mineralizada.

El tejido óseo es una forma especializada de tejido conjuntivo que, al igual que otros de estos tejidos, se compone de células y matriz extracelular. La característica que distingue al tejido óseo de otros tejidos conjuntivos es la mineralización de su matriz, que produce un tejido muy duro capaz de proporcionar sostén y protección. El mineral es el fosfato de calcio en la forma de cristales de hidroxiapetite [Ca₁₀(PO₄)₆(OH)₂].

En virtud de su contenido mineral, el te_rido oseo también sirve como sitio de almacenamiento de calcio y fosfato Tanto el calcio como el fosfato se pueden movilizar de la matriz ósea y ser captados por la sangre segun la necesidad para mantener las concentraciones apropiadas en todo el organismo. Por lo tanto, además de sostén y protección, el tejido óseo desempeña un papel secundario importante en la regulación homeostática de las concentraciones de calcio en la sangre

La matriz ósea contiene principalmente colágeno tipo l junto con otras proteinas (no colágenas) de la matriz.

El principal componente estructural de la matriz ósen es el colégeno tipo I y, en menor medida, el tipo V. En la matriz también se han

encontrado cantidades en trazas de otros ripos de colágeno, como los de tipo III, XI y XIII. Todas las moléculas de colágeno constituyen alrededor del 90% del peso total de las proteínas de la matriz ósea.

La matriz también contiene otras proteínas (no colágenas) que componen la sustancia fundamental del tejido óseo. Aún y cuando estas proteínas no colagenosas constituyen solo el 10% del peso total de las proteínas de la matriz ósea, son esenciales para el desarrollo, el crecimiento, el remodelado y la reparación ósea. Tanto el colágeno como los componentes de la sustancia fundamental se mineralizan para formar el tejido óseo. Los cuatro grupos principales de proteínas no colágenas que se encuentran en la matriz ósea son los siguientes:

- Macromoléculas de proteoglucanos, las cuales contienen una proteína central con cantidades diversas de cadenas laterales de glucosaminoglucanos (hialuronato, condroitín-sulfato y queratán-sulfato) unidos de forma covalente. Algunos proteoglucanos, como el queratán-sulfato, contienen osteoadherina, una proteína específica del hueso que se une con firmeza a los cristales de hidroxiapatita. Estos contribuyen a que el hueso ofrezca resistencia a la compresión. También son responsables de la fijación de los factores de crecimiento y pueden inhibir la mineralización. Los proteoglucanos se describen con detalle en el capítulo 6 (véase tabla 6-3, p. 185).
- Giucoproteinas multiadhesivas, que intervienen en la adhesión de las células óseas y las fibras de colágeno a la sustancia

fundamental mineralizada. Algunas de las glucoproteinas más importantes son la osteonectina, que sirve como adhesivo entre el colágeno y los cristales de hidromapatita; la podopisnina (E11), que es producida exclusivamente por los osteocitos en respuesta al estrés mecánico; la proteina de la matriz dentinaria (DMP, dentin matrix protein), que es crítica para la mineralización de la matriz ósca; y las sialoprotemas, como la osteopontina (BSP-1, bone sisioprotein 1), que media la adhesión celular a la matriz ósea, y la BSP-2, que regula la adhesión de las células e inucia la formación de fosfato de calcio durante el proceso de mineralización.

- Proteinas dependientes de vitamins K osteoespecíficas, incluida la osteocalcina, que captura el calcio de la circulación y atrae y estimula los osteoclastos en el remodelado óseo; la proteina S, que contribuye a eliminar las células que experimentan apoptosis; y la proteina Gla de la matriz (MGP, matrix Gla-protein), que participa en el desarrollo de las calcificaciones vasculares
- Factores de crecimiento y citocinas, que son pequeñas proteínas reguladoras, como el factor de crecimiento similar a insulina (IGF, insulin-like growth factor), el factor de necrosis tumoral a (TNF a, tumor necrosus factor a), el factor de crecimiento transformante β (TGF- β), transforming growth factor β). los factores de crecimiento derivados de plaquetas (PDGF, platelet-derived growth factors), las proteinas morfogénicas óseas (BMP, bone morphogenic proteins), la esclerostina (antagonista de BMP) y las interleucinas (IL-1, IL-6). Los miembros característicos de este grupo son las BMP, ya que inducen la diferenciación de células mesenquimatosas en osteoblastos, las células formadoras del hueso. La BMP-7 humana recombinante, también conocida como proteina osteogénica 1 (OP-1), hoy en dia se utiliza clinicamente para inducir el crecimiento óseo después de la cirugia por defectos óseos mayores, fusiones de la columna o en el implante de materiales de injerto

La matriz ósea contiene lagunas conectadas por una red de canaliculos.

En la matriz ósea hay espacios denominados lagunas, cada una de las cuales contiene una célula ósea u osteocito. El osteocito extiende una gran cantidad de evaginaciones hacia pequeños túneles llamados canaliculos. Los canaliculos atraviesan la matriz mineralizada, conectando lagunas contiguas y permitiendo el contacto entre las evaginaciones de los osteocitos advacentes (lám. 11, p. 264). De esta manera, se forma una red continua de canalículos y lagunas con sus células y evaginaciones en toda la masa de tejido mineralizado. La microscopía electrónica muestra que las evaginaciones de los osteocitos se comunican a través de uniones de hendidura. El tendo óseo depende de los osteocitos para conservar su viabilidad.

Además de los osteocitos, hay otros cuatro tipos celulares.

- Células osteoprogenitoras que derivan de las células madre mesenquimatosas y dan origen a los osteoblastos.
- Osteoblestos que secretan la matriz entracelular del hueso; una vez que la célula queda rodeada por la matriz secretada, se denomina osteocito.
- Células de revestimiento óseo que permanecen en la superficie ósea cuando no hay crecimiento activo. Se derivan de los osteoblastos que quedan después del cese del depósito óseo.
- Osteoclastos, células de resorción ósea presentes en las superficies donde el hueso ha sido eliminado, remodelado (reorganizado)

Las células osteoprogenitoras y los osteoblastos son precursores del desarrollo de los osteocitos. Los osteoclastos son células fagocíticas producto de la fusión de células progenitoras hematopoyéticas en

la médula ósea, que dan origen a los linajes granulocítico neutrófilo y monocítico. Cada una de ellas se describe con detalle más adelante.

ESTRUCTURA GENERAL **DE LOS HUESOS**

El hueso como órgano

Los huesos son los órganos del sistema esquelético; el tejido óseo es el componente estructural de los huesos.

En general, el hueso está compuesto por tejido óseo y otros tipos de tejido conjuntivo, incluyendo el tejido hematopoyético, el tejido adiposo, los vasos sanguíneos y los nervios. Si el hueso forma parte de una articulación movil, también llamada articulación sinovial, entonces tiene cartílago hialino. La capacidad del hueso para llevar a cabo su función esquelética se debe al tejido óseo, los ligamentos y, cuando está presente, el cartilago articular (hialino)

El tejido óseo se clasifica en compacto (denso) y esponjoso (trabecular).

Si se corta un hueso, pueden reconocerse dos arreglos estructurales distintos del rejido óseo (fig. 8-1 y lám. 12, p. 266). Una capa densa, compacta, forma la superficie ósea externa (hueso compacto); una



FIGURA 8-1. Epifisis de un hueso largo de adulto. En esta fotografía se muestra un corte longitudinal de la epifisis proximal de fémur después de que el hueso se procesó por hidrólisis alcalina. El interior del hueso presenta una configuración esponjosa y constituye el hueso esponjoso (trabeculado). Se compone de numerosas intercomunicaciones de trabéculas óseas separadas por un laberinto de espacios medulares intercomunicados. La orientación tridimensional de las trabéculas óseas no es aleatoria, sin embargo, se correlaciona con la magnitud y la dirección de las cargas de la articulación de la cadera (fuerzas que actuan sobre esta articulación y que se transmiten a la cabeza del férnur). La porción externa del hueso tiene una estructura sólida y representa un hueso compacto (denso), el cual se nota particularmente en la diáfisis, que encierra la cavidad de la médula òsea. El racuadro de la zona rectangular muestra la ampliación de la interfase entre el hueso esponjoso y el compacto

malia de aspecto esponjoso que está compuesta por trabéculas (delgadas espículas del tejido óseo anastomosadas) forma el interior del hueso (hueso esponjoso). Los espacios dentro de la malla están comunicados y, en el hueso vivo, contienen la médula y los vasos sanguíneos.

Los huesos se clasifican según su forma; la ubicación de los tejidos óseos compacto y esponjoso varía de acuerdo con la forma del hueso.

Los tejidos óseos compacto y esponjoso se encuentran en partes específicas de los huesos. La distribución de estos tejidos dentro de los huesos contribuye a su forma y es, por lo tanto, un factor importante para su clasificación. Según su forma, los huesos se pueden clasificar en cuatro grupos:

 Huesos largos, que tienen una longitud mayor que las otras dos dimensiones y consisten en una diáfisis y dos epifisis (p. ej., la

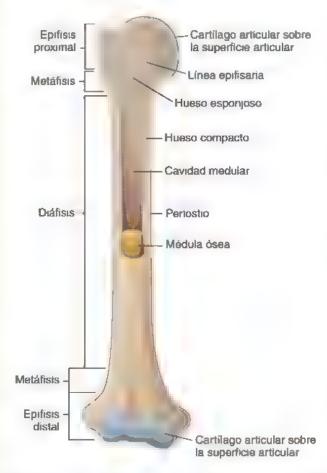


FIGURA 8-2. Estructura de un hueso largo típico. La diáfisis (ejel de un hueso largo en el adulto posee una médula ósea amarilla en una amplia cavidad medular rodeada por un tubo de pared gruesa de hueso compacto. La superficie interna del hueso compacto puede estar revestida por una cantidad pequeña de hueso esponjoso. Los extremos, o epiñsis, proxima y distal del hueso largo se componen principalmente de hueso esponjoso revestido por una delgada capa externa de hueso compacto. La metáfisis es la parte ensanchada que sirve de unión entre la diáfisis y las epifisis. Con excepción de las superficies articulares, cubiertas de cartillago (articular) hialino, indicado en azul, la superficie externa del hueso posee una capa fibrosa de tejido conjuntivo llamado periostio

- tibia y los metacarpianos). En la figura 8-2 se muestra un diagrama esquemático de un hueso largo cortado en sentido longitudinal a través de la diafisis.
- Huesos cortos, que tienen sus tres dimensiones casi iguales (p. ej., los huesos carpianos de la mano).
- Huesos planos, que son delgados y anchos (p. ej., los huesos del cráneo [bóveda craneal] y el esternón). Estos se encuentran formados por dos capas relativamente gruesas de rejido óseo compacto y una capa intermedia de tejido óseo esponjoso.
- Huesos irregulares, que poseen una forma que no permite clasificarlos dentro de ninguno de los tres grupos anteriores; la forma puede ser compleja (p. ej., vértebra) o el hueso puede contener espacios aéreos o senos (p. ej., etmoides).

Los huesos largos tienen un cuerpo llamado diáfisis y dos extremos expandidos que reciben el nombre de opifisis (véase fig. 8-2). La superficie articular de la epífisis está cubierta de cartílago hialino. La porción dilatada del hueso entre la diáfisis y la epífisis se denomina metafisis. Se extiende desde la diáfisis hasta la linea opifisaria. Una gran cavidad ocupada por la médula ósea, llamada cavidad medular, forma la parte interna del hueso. En la diáfisis, casi todo el espesor del rejido óseo es compacto; a lo sumo, solo una pequeña cantidad de hueso esponjoso rodea la cavidad. En las epífisis sucede lo contrario. Allí, el hueso esponjoso es abundante y el hueso compacto apenas forma una delgada cubierta externa (véase fig. 8-1).

Los huesos cortos poseen una corteza de tejido óseo compacto y en su interior hay tejido óseo esponjoso y espacios medulares. Estos suelen formar articulaciones móviles con sus vecinos; al igual que los huesos largos, sus superficies articulares están cubiertas por cartílago hialino. El resto de la superficie externa del hueso está cubierto por una cápsula de tejido conjuntivo fibroso, el periostio.

Superficie externa de los huesos

Los huesos se encuentran cubiertos por el periostio, una vaina de tejido conjuntivo fibroso que contiene células osteo-progenitoras.

Los huesos se encuentran revestidos por el periostio, excepto en las regiones donde se articulan con otro hueso. En este último caso, la superficie articular está cubierta por cartílago. El periostio que cubre al hueso en crecimiento activo se compone de una capa fibrosa externa, que se asemeja a otros tejidos conjuntivos densos, y una capa celular más interna, que contiene las células osteoprogenitoras. Cuando no se está formando tejido óseo en la superficie del hueso, la capa fibrosa es el componente principal del periostio y la capa interna no está bien definida. Sin embargo, con el estímulo apropiado, las relativamente pocas células que están presentes, las célutes del periostio, son capaces de atravesar el proceso de mitosis y diferenciarse en osteoblastos

En general, las fibras de colágeno del periostio son paralelas a la superficie del hueso y forman una cápsula. La naturaleza del periostio es diferente en los sitios donde los ligamentos y los tendones se unen al hueso. Las fibras de colágeno de estas estructuras se extienden de manera oblicua o en ángulos rectos al eje más largo del hueso, y se continúan con las fibras colágenas de la matriz extracelular. Estas fibras se denominan fibras perforadoras o de Sharpey, y se extienden hacia las laminillas intersticiales y circunferenciales externas, aunque generalmente no entran en las osteonas.

CORRELACIÓN CLÍNICA: ARTROPATÍAS

La inflamación de las articulaciones o **artritis** puede ser ocasionada por numerosos factores y puede producir grados variables de dolor y discapacidad. La artritis es causada por una respuesta patológica del cartilago articular ante las lesiones

El traumatismo simple de una articulación por un incidente único o por lesiones repetidas puede dañar el cartílago articular en un grado tal que se calcifica. Finalmente, el cartílago es reemplazado por tejido óseo. Este proceso puede conducir a la **anquilosis** (la fusión ósea en la articulación y la consiguiente pérdida de movimiento). Las articulaciones del tobillo y la rod lla en los corredores y los jugadores de futbol, y las asticulaciones de la muñeca y los dedos de músicos de instrumentos de cuerda son muy vulnerables a esta afección.

Las respuestas inmunitanas o procesos infecciosos que afectan las articulaciones, como ocurre en la **artifitis reuma-**toide o en la **tuberculosis** también pueden dañar los cartilagos

articulares y producir dolor articular intenso y anquilosis progresiva. El reemplazo quinurgico de la articulación dañada con una prótesis a menudo puede aliviar el dolor y restaurar la movilidad de la articulación en los pacientes con una limitación grave

Otra causa frecuente de lesión del cartilago articular es el depósito de cristales de ácido único en las articulaciones, particularmente las de los dedos de los pies y manos. Esta a teración se conoce como artiritis gotosa o, simplemente, gota. La gota se ha vuelto más habitual debido al uso generalizado de los diuréticos tiazídicos en el tratamiento de la hipertensión. En individuos con predisposición genética, la gota es el efecto colateral más frecuente de estos fármacos. La causa del dolor intenso e insoportable en la gota es el depósito de cristales de uratos afilados en la articulación. La irritación también contribuye a la formación de depósitos calcáreos que deforman la articulación y limitan sus movimientos.

En las articulaciones móviles (sinoviales), el hueso está protegido por el cartilago.

Cuando un hueso se une con otro, como en las articulaciones sinoviales, las superficies óseas de contacto se conocen como auporficios articulares. Estas superficies están cubiertas por cartilago hialmo, también denominado cartilago articular por su ubicación y función; el cartilago hialmo se encuentra expuesto en la cavidad articular. Este cartilago no está revestido por pericondrio. Las características del cartilago articular se comentan en el capítulo 7 (véase p. 214) y en el cuadro 8-1.

Cavidades óseas

Las cavidades óseas están revestidas por endostio, una capa de células de tejido conjuntivo que contiene células osteoprogenitoras.

El tejido de revestimiento, tanto del hueso compacto que delimita la cavidad medular como el de las trabéculas del hueso esponjoso, se conoce como endostio. El endostio suele ser solo de una capa de células de espesor y consiste en células osteoprogenitoras que pueden diferenciarse en células secretoras de matriz ósea, los osteoblastos, y células de revestimiento óseo. Las células osteoprogenitoras y las de revestimiento óseo son difíciles de distinguir a nivel microscópico. Ambas son aplanadas con núcleos alargados y características citoplasmáticas inespecíficas. Debido a su ubicación dentro de las cavidades óseas, suelen llamarse células del endostio.

La cavidad medular y los espacios del hueso esponjoso contienen médula úsea.

La méduta óson roja se compone de células sanguineas en diferentes etapas de diferenciación y una red de células reticulares y fibras que funcionan como un armazón de sostén para el desarrollo de células y vasos. Conforme el individuo crece, la cantidad de médula roja no aumenta en proporción con el crecimiento óseo. En etapas postenores del crecimiento y en los adultos, cuando la producción de células sanguíneas disminuye, la cavidad medular es ocupada en su mayor parte por tejido adiposo, y se le conoce como médula oson amarilla. En respuesta a estimulos adecuados, como una hemorragia grave,

la médula amarilla puede convertirse otra vez en médula roja En el adulto, la médula roja se restringe a muy pocos lugares de hueso esponjoso, como el esternón y las crestas ilíacas. Las muestras para el diagnóstico de médula osea, así como para el trasplante de medula, se obtienen de estos sitios

■ TIPOS DE TEJIDO ÓSEO

Hueso maduro

El hueso maduro está compuesto por unidades estructurales llamadas osteonas (sistemas de Havers).

El hueso maduro está compuesto, en gran parte, por unidades cilíndricas liamadas osteonas o sistemas de Havers (fig. 8-3). Las osteonas se componen de laminitlas concentricas de matriz ósea que rodean a un conducto central, el conducto de Havers (osteónico), que contiene el suministro vascular y nervioso de la osteona. Los canalículos que contienen las evaginaciones de los osteocitos generalmente se disponen sigurendo un patrón radial con respecto al conducto (véase lám. 11, p. 265). El sistema de canalículos que se abre al conducto de Havers también sirve para el intercambio de stistancias entre los osteocitos y los vasos sanguíneos. Entre las osteonas hay restos de laminillas concéntricas antiguas llamadas laminillas intersticiales (véase fig. 8-3). Debido a esta organización, el bueso maduro también se denomina hueso laminillar

El eje longitudinal de una osteona suele ser paralelo al eje longitudinal del hueso. Las fibras de colágeno de cada una de las laminillas concéntricas de una osteona son paralelas entre sí en toda laminilla dada, pero están orientadas en una dirección diferente a la que adoptan las fibras en las laminillas contiguas. Esta distribución le confiere un aspecto de madera terciada a la superficie de corte del hueso laminillar y le proporciona una gran resistencia a la osteona.

El hueso laminillar también se encuentra en otros sitios fuera de la osteona. Las leminilles circunferenciales siguen la totalidad de las circunferencias interna y externa de la diáfisis de un hueso largo, y son parecidas a los anillos de crecimiento de un árbol (véase fig. 8-3). Los conductos de Volkmann (perforantes) son túncles en el hueso

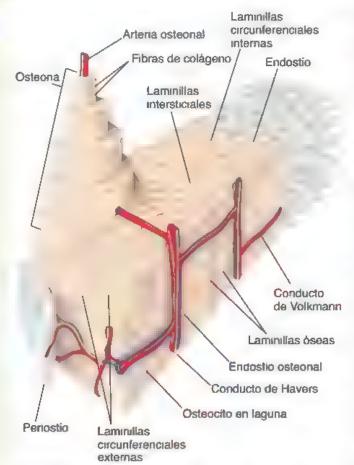


FIGURA 8-3. Diagrama de un bioque de hueso compacto extraido de la diáfisis de un hueso largo. Las laminillas concéntricas y el conducto de Havers al que rodean constituyen la osteona (o sistema de Havers). Uno de los sistemas de Havers de este diagrama. se ha dibujado como una estructura cilindrica alargada y escalonada. que sobresa e del piano superior del bioque. Consiste en varias laminidas concéntricas que se han eliminado parcialmente para mostrar la orientación perpendicular de las fibras de colágeno en las faminillas contiguas. Entre los sistemas de Havers hay laminillas intersticia es, que son restos de sistemas similares más antiguos que aparecencomo consecuencia del remodelado óseo. En las superficies interna y externa del hueso compacto de este diagrama, se observan taminilias adicionales (las laminillas circunferenciales internas y externas) que se distribuyen en capas gruesas. Tanto la laminilla circunferencial más interna como el hueso esponjoso de la superficie interna están cubiertos por una fina capa de endostio que se encuentra en contacto con la cavidad medular. La superficie externa del hueso está cubierta por periostro que contiene una capa más gruesa de tejido conjuntivo. En el interior de los conductos de Havers y Volkmann se han dibujado ramas de las arterias nutricias acompañadas de venas pequeñas. Estas artenas y vasos también irrigan el periostro y el endostro.

laminillar por los que pasan vasos sanguíneos y nervios desde las superficies del periostio y el endostio para alcanzar el conducto de Havers; también conectan estos conductos entre sí (fig. 8-4). Suelen extenderse de manera perpendicular al eje longitudinal de las osteonas y el hueso (véase fig. 8-3). Los conductos de Volkmann no están rodeados por laminillas concéntricas, una característica clave en su identificación histológica.

El hueso esponjoso maduro tiene una estructura similar al hueso compacto maduro.

El hueso esponjoso maduro es similar en estructura al hueso compacto maduro, excepto que el tejido se distribuye formando trabéculas o espiculas; en el tejido óseo están presentes abundantes espacios medulares de intercomunicación de diversos tamaños. La matriz del hueso es laminillar. La irrigación sanguinea de la diáfisis de los huesos largos está dada principalmente por arterias que entran en la cavidad medular a través del foramen nutricio.

El foramen nutricio es un orificio en el hueso a través del cual pasan los vasos sanguíneos para alcanzar la médula ósea. La mayoría de ellos se encuentran en la diáfisis y las epífisis (fig. 8-5). Las arterias metafisarias complementan la irrigación sanguínea del hueso. El drenaje venoso se produce por medio de venas que abandonan el hueso a través del foramen nutricio o a través del tejido óseo de la diáfisis y, luego, corren por el periostio.

Las arterias nutricias que irrigan la diáfisis y las epífisis aparecen durante el período de embriogénesis como los vasos principales de los brotes del periostio. Las arterias metafisarias, en cambio, tienen su origen en los vasos del periostio que se incorporan a la metáfisis durante el proceso de crecimiento (cuando el hueso crece en anchura)

La irrigación sanguínea del tejido óseo es en esencia centrifuga.

La sangre que nutre al tejido óseo sale de la cavidad medular bacia el hueso y después lo abandona a través de las venas del periostro; por lo tanto, su flujo es centrífugo. Con respecto a la nutrición del hueso, los conductos de Volkmann proporcionan la vía de entrada principal para los vasos que atraviesan el tejido óseo compacto. Los vasos sanguíneos más pequeños se introducen en los conductos de Havers, que contienen una arteriola y una vénula o un solo capilar. Una menor irrigación proviene de los vasos del periostio, que suelen irrigar solo la porción más externa del tejido óseo compacto (véase fig. 8-5). El tejido óseo carece de vasos linfáticos; solo el periostio posee drenaje linfático.

Hueso inmaduro

El rendo óseo que se forma primero en el esqueleto de un feto en desarrollo se denomina hueso inmeduro. Este difiere del hueso maduro en varios aspectos (fig. 8-6):

- El hueso inmaduro no muestra un aspecto laminillar organizado.
 Por la disposición de sus fibras de colágeno, esta variedad ósea se llama no teminillar. El hueso no laminillar también se conoce como hueso entretejido o fesciculado debido a la disposición entrelazada de las fibras de colágeno.
- El hueso inmaduro contiene una cantidad relativamente mayor de células por unidad de volumen que el hueso maduro.
- Las células del hueso inmaduro tienen la tendencia a distribuirse de forma aleatoria, mientras que en el hueso maduro las células se orientan con su eje mayor paralelo a las laminillas,
- La matriz del hueso inmaduro posee más sustancia fundamental que la del hueso maduro. La matriz del rejido óseo inmaduro se tiñe mejor con la hemaroxilina, mientras que la del hueso maduro se tiñe más intensamente con la eosina.

Aunque en cortes histológicos comunes no es evidente (fig. 8-7), el hueso inmaduro no se mineraliza completamente desde el inicio, en tanto que el hueso maduro atraviesa una mineralización secundaria prolongada. La mineralización secundaria del hueso maduro es evidente en las microrradiografías de preparados obtenidos por el método de desgaste, en las cuales se observa que los sistemas de Havers más recientes están menos mineralizados que los más antiguos (véase fig. 8-25).

El hueso inmaduro se forma con mayor rapidez que el maduro. Si bien el hueso maduro es claramente el principal tipo de hueso en el adulto y el hueso inmaduro el principal en el feto, en el adulto suelen aparecer regiones de tejido óseo inmaduro, en especial donde el hueso se está remodelando. Es frecuente encontrar hueso inmaduro en los alveolos den-

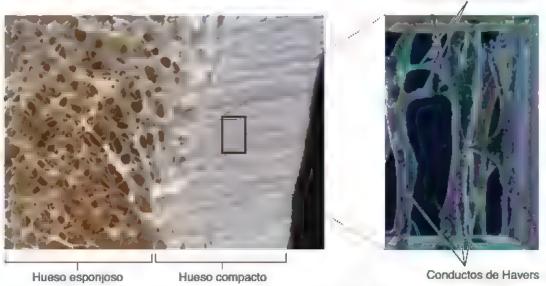


FIGURA 8-4. Reconstrucción tridimensional de los conductos de Havers y Volkmann de un hueso compacto, a. En esta fotografía se muestra la ampliación de la interfase entre el hueso compacto y el esponjoso de una diafisis de fémuri. b. Con el empleo de tomografía computarizada cuantitativa de alta resolución se obtuvo una reconstrucción tridimensional de los conductos de Havers y volkmann a partir de una pequena area del hueso compacto que se indica en la fotografía contigua. Nótese que fodos los conductos de Havers corren de forma paraleia entre si en la misma dirección y están intercomunicados por conductos de Volkmann orientados de forma perpendicular. 180 × (cortesia de Dr. Mark Knackstedt, Australian National University)

tarios de la cavidad bucal del adulto y en los sitios donde los tendones se insertan en los huesos. El hueso inmaduro de

los alveolos dentarios es el que hace posible las correcciones por ortodoncia, inclusive en los adultos.

Conductos de Volkmann

Arteria mutricia Arteria nutricia Hueso compacto

FIGURA 8-5. Diagrama de la irrigación de un hueso largo maduro. La arteria nutricia y las arterias eprisarias se introducen en el hueso a través de agujeros nutricios. Estas aperturas aparecen durante la embriogénesis como las vias de acceso para los vasos principales de los brotes del periostio. Las arterias metafisanas benen su origen en los vasos del periostio que quedan incorporados en la metáfisis conforme el hueso aumenta su diámetro.

■ CÉLULAS DELTEJIDO ÓSEO

Como se mencionó, los tipos celulares que existen en el tejido óseo son cinco: osteoprogenitoras, osteoblastos, osteocitos, de revestimiento óseo y osteoclastos. Con excepción del osteoclasto, cada una de estas células puede considerarse como una forma diferenciada del mismo tipo de célula básica (fig. 8-8). Cada una atraviesa una transformación desde una forma más inmadura a una más madura en relación con la actividad funcional (crecimiento óseo). En contraste, el osteoclasto se origina a partir de una línea celular diferente y actúa en la resorción ósea, una actividad relacionada con el remodelado de los huesos.

Células osteoprogenitoras

La célula osteoprogenitora se deriva de células madre mesenquimatosas.

La osteogénesis, el proceso de formación del hueso nuevo, resulta esencial para la función ósea normal. Esto requiere una población de células osteoprogenitoras renovables (células precursoras de osteoblastos) que son sensibles a los estímulos moleculares que las transforman en células formadoras de tejido óseo. Las células osteoprogenitoras derivan de células madre mesenquimatosas de la médula ósea que tienen el potencial de diferenciarse en distintos tipos celulares, incluyendo fibroblastos, osteoblastos, adipocitos, condrocitos y células musculares. El factor clave que desencadena la diferenciación de las células osteoprogenitoras es un factor de transcripción llamado factor fijador central α-1 (CBFA-1, core binding factor alpha-1) o factor de transcripción 2 relacionado con runt (RUNX2, runt-related transcription factor 2). Esta proteína induce la expresión de genes que son característicos del fenotipo del osteoblasto, Los IGF 1 e IGF-2 estimulan la proliferación de las células osteoprogenitoras y la diferenciación a osteoblastos. Como se mencionó en la página 233, las BMP

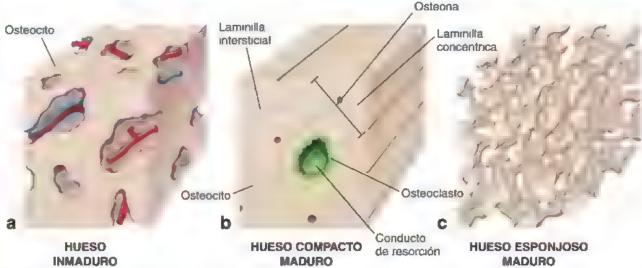


FIGURA 8-6. Diagrama de hueso inmaduro, maduro y esponjoso, a. Los huesos inmaduros (entrete, dos) no tienen un aspecto (aminiar organizado debido a la disposición de entrelazado de las fibras de colágeno. Las celulas tienden a distribuirse a lazar b. Las celulas de hueso compacto maduro se disponen siguiendo una forma circular que refleja la estructura lam niliar del sistema de Havers. Los conductos de resorción del hueso maduro están revestidos por osteoclastos len el corte de conos) y tienen sus ejes iongitudinales orientados en la misma dirección que los conductos de Havers. C. El hueso esponjoso maduro representa una maila de trabeculas (espiculas de anastomosis deligadas del tejido óseo). Los espacios dentro de la malia son continuos y, en un hueso vivo lestán ocupados por la médula ósea.

tambien desempenan un papel en la diferenciación de los osteoblastos. Varios estudios cun cos recientes han demostrado que la estimulación con campos electromagnéticos pulsados (ECEP) ayuda a a consocidación de fracturas óseas debido a un aumento en la regeneración del tejido oseo. Este efecto esta relacionado con el aumento de la diferenciación de las células osteoprogenitoras despues de la estimulación con un campo electromagnetico. Actualmente está siendo probada como una estrategia eficiente en la Ingenieria de tej dos para tratar defectos oseos lacelerar la reparación de fracturas y ayudar a la fusión de las vertebras despues de una cirugia de fusión.



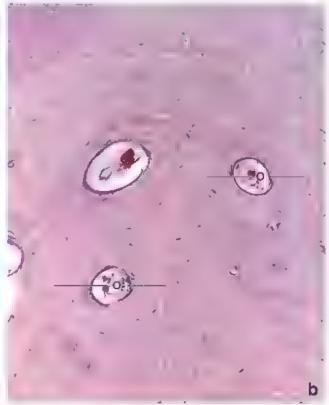


FIGURA 8-7. Microfotografias de huesos inmaduro y maduro descalcificados, a. Hueso inmaduro descalcificado tenido con hematoxilinaeos na (H&E) en donde se observa la relación de las células con la matriz extracelular. El hueso inmaduro tiene más células y la matriz no se organiza en laminitas osteónicas 130 / b. En este corte transversal de hueso compacto maduro descalcificado tenido con H&E se observan varias osteonas (O) con aminitas concentricas. Los conductos de Havers contienen vasos sanguineos nervios y tejido conjuntivo. Los osteocitos presentan una refracción considerable durante la preparación de muestras de rutina, por lo que dejan al descubierto las lagunas vacias con un pequeño nucleo adherido a sus paredes. El hueso maduro tiene menos osteocitos por unidad de volumen que el hueso inmaduro. Cabe destacar la presencia de famínicias intersticiales entre las osteonas adyacentes. 160 ×

FIGURA 8-8. Diagrama de las células asociadas con el hueso. Todas as células excepto os osteoclastos, se originar en las células madre mesenquimatosas que se diferencian en células osteoprogenitoras osteoplastos, osteoclos y finalmente células de revestimiento óseo ulas células de revestimiento oseo que están sobre las superficies externas del hueso son parte de periostro de ahi la denominación de celulas del periostro ulas del revestimiento óseo ubicadas en las superficies internas en general se denominan celulas del endostro. Debe tenerse en cuenta que las células osteoprogenitoras y las células de revestimiento óseo tienen un aspecto microscópico similar y suele ser dificil distinguir unas de otras. Los osteoclastos se originan a partir de células progenitoras hematopoyéticas, que se diferencian en células de resorción ósea Los detalles específicos de la diferenciación de osteoclastos se muestran en la figura 8-15

La célula osteoprogenitora es una célula en reposo que puede diferenciarse en un osteoblasto y secretar matriz ósea.

Las ociulas onteoprogenitoras se encuentran en las superficies externa e mterna de los huesos y también pueden residir en el sistema microvascular que irriga el tejido óseo. Desde el punto de vista morfológico, comprenden las eciulas del periostio que forman la capa más interna del periostio y las eciulas del endostio que revisien las cavidades medulares, los conductos de Havers y los conductos de Volkmann. En los huesos en crecimiento, las células osteoprogenitoras se observan aplanadas o escamosas un tanto pálidas, con un núcleo alargado u ovoide y un citoplasma acidófilo o ligeramente basófilo. Las microfotografías electrónicas permiten observar cisternas del retículo endoplasmático rugoso (RER) y ribosomas libres, así como un pequeño aparato de Golgi y otros orgánulos.

Osteoblastos

El osteoblasto es la célula formadora de bueso diferenciada que secreta la matriz ósea.

Al igual que sus panentes cercanos, el fibroblasto y el condroblasto, el osteoblasto es una célula secretora versátil que conserva la capacidad de dividirse. Secreta tanto el eológeno tipo I (que constituye el 90% de la proteína ósea) como las proteínas de la matriz ósea, que constituyen la matriz osea producidas por el osteoblasto incluyen proteínas de la matriz ósea producidas por el osteoblasto incluyen proteínas fijadoras de calcio, como la osteocalcina y la osteonectina; glucoproteínas multiadhesivas, como las sualoproteínas óseas (BSP 1 [osteopontina] y BSP 2); trombospondina; varios proteoglucianos y sus agregados, y la fosfatasa alcalina no específica de telido (TNAP, tissue nonspecífic alkaline phosphatase). Las concentraciones de TNAP y osteocalcina en la circulación sanguínea se utilizan en la clínica como marcadores de la actividad de los osteoblastos.

El osteoblasto también es responsable de la calcificación de la matriz ósea. El proceso de calcificación es iniciado por el osteoblasto mediante la secreción hacia la matriz de pequeñas vesículas matriciales de 50-250 nm de diámetro limitadas por una membrana. Las vesículas se secretan activamente solo durante el período en el que la célula produce la matriz ósea. La función de estas vesículas se comenta más adelante en este capítulo (véase p. 253).

Los osteoblastos se reconocen con el microscopio óptico por su forma cuboide o poliédrica y su distribución monoestratificada en la superficie donde se está formando el tendo óseo (fig. 8-9). La matriz recién sintetizada no es calcificada inmediatamente. Apenas se tiñe, si es que lo hace, en comparación con la matriz madura

mineralizada, la cual es teñida intensamente por la cosina. Debido a esta propiedad de tinción de la matriz recién formada, los osteoblastos parecen estar separados del hueso por una banda clara. Esta banda representa al osteoíde, la matriz no mineralizada.

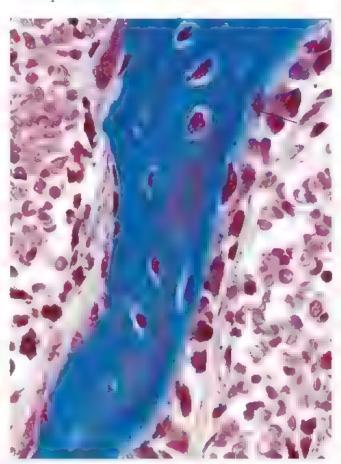


FIGURA 8-9. Microfotografía de una espícula ósea en crecimiento teñida con la técnica de Malfory-Azan. Los osteocitos están incluidos en la matriz ósea de a espícula, que se ha tenido de azul oscuro. Estas células són metaból camente activas y depositan la mátriz ósea no mineralizada (osteoide). Varios osteoblastos están alineados sobre la superficie derecha de la espícula. Entre estas células y la espícula del tejido óseo calcificado, hay una delgada capa de osteoida eque se tiña de azul pálido. Este es el material de matriz no calcificado que producen los osteoblastos. Una de las células (flecha) está prácticamente rodeada por el osteoide que ha producido, por lo tanto, puede llamarse osteocito. En la superficie izquierda de la espícula, de lado en el que ella no crece, hay osteoblastos nactivos. Estas células tienen nucleos aplanados y un citoplasma adelgazado. 550×

El citoplasma de un osteoblasto activo es notablemente basófilo, y el aparato de Golgi, debido a su tamaño, a veces se observa como una región clara junto al núcleo. Con la técnica del ácido peryódico de Schiff (PAS, penadic acid-Schiff) se observan gránulos positivos en el citoplasma, con las técnicas histoquímicas adecuadas puede detectarse una reacción intensa de TNAP asociada con la membrana celular.

En contraste con los osteoblastos secretores que se observan donde hay depósito activo de matriz, los osteoblastos inactivos son células aplanadas que revisten la superficte ósea. Estas células se parecen a las células osteoprogenitoras. Los osteoblastos responden a estímulos mecánicos para mediar los cambios en el crecimiento óseo y el remodelado de los huesos. A medida que se deposita la matriz osteoide, el osteoblasto queda finalmente rodeado por ella y, por lo tanto, se convierte en un osteocito.

No todos los osteoblastos llegan a diferenciarse en osteocitos. Solo el 10-20% de los osteoblastos se diferencian en osteocitos. La mayoría de los osteoblastos experimentan apoptosis. Otros se transforman en células inactivas y se convierten en células de revestimiento del endostio o periostio (véase fig. 8-8).

Las evaginaciones de los esteoblastos están en contacto con las de otros esteoblastos y esteocrtos por medio de uniones de hendidura.

Con el microscopio electrónico se observa que los osteoblastos poseen evaginaciones citoplasmáticas muy delgadas que se introducen en el osteoide producido por la célula y entran en contacto con las evaginaciones similares de osteocitos vecinos mediante uniones de hendidura. Esta formación inicial de uniones entre un osteoblasto y los osteocitos contiguos (así como entre los osteoblastos contiguos) permite que se comuniquen las células vecinas dentro del tejido óseo.

El citoplasma del osteoblasto se caracteriza por una gran cantidad de RER y ribosomas libres (fig. 8-10). Esto concuerda con su basofilia en la microscopía óptica, así como con su función en la síntesis de colágeno y proteoglucanos para la matriz extracelular. En el aparato de Golgi y en ciertas regiones del citoplasma, hay nume-

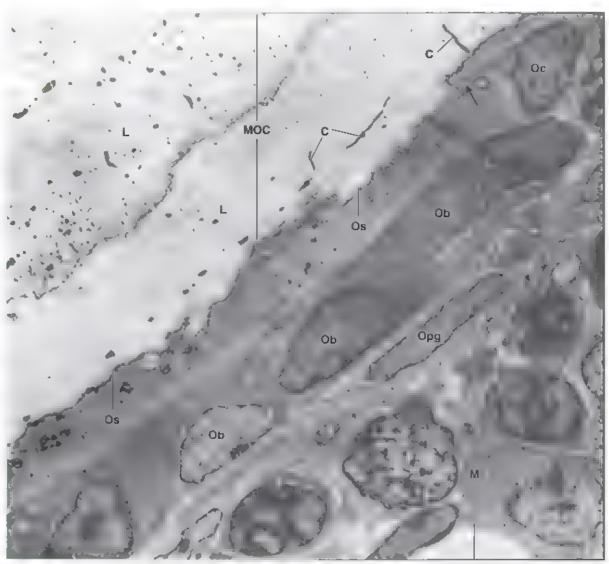


FIGURA 8-10. Microfotografia electrónica de formación ósea activa. En esta microfotografia electrónica se muestra una superficie de crecimiento similar a la de la espicula ósea de la microfotografia precedente (fig. 8-9). En el ángulo inferior derecho se observa la cavidad medular (M) con sus células sanguineas en desarrollo. Entre la médula y los osfeoblastos. Ob, son visibles las células osfeoprogenitoras (Opg), que tienen un nucleo alargado u ovoide. Los osfeoblastos aparecen a neados a o largo de la porción de crecimiento del hueso, que está cubierta por una capa de osfeo de (Os). En esta misma región una de las células (ángulo superior derecho) incluida en el osfeoide presenta una prolontografia (arriba a la izquierda). Esta célula, ya que está completamente rodeada de osfeoide puede llamarse osfeocito (Oc). El resto de la microfotografia (arriba a la izquierda) muestra la matriz ósea calcificada (MOC). Dentro de la mianziba y canaliculos (C) que contienen evaginaciones de osfeocitos. Él limite de las dos aminilias (L) óseas contiguas formadas previamente se aprecia como una linea oscura irregular 9000×

rosas vesículas con un contenido que se presume consiste en precursores de la matriz. Estas vesículas corresponden a los gránulos PAS positivos vistos en la microscopía óptica. Las vesículas matriciales, también producidas por el osteoblasto, parecen originarse por un mecanismo diferente, que consiste en la separación de evaginaciones esféricas de la membrana plasmática que quedan libres en la matriz. Otros orgánulos celulares incluyen abundantes mitocondrias en forma de bastón y, de forma ocasional, cuerpos densos y lisosomas.

Osteocitos

El osteocito es la célula ósea madura y está rodeada por la matriz ósea que secretó previamente como osteoblasto.

Una vez que el osteoblasto queda totalmente rodeado por el osteoide o la matriz ósea, cambia su nombre a osteocito (véase fig. 8-9) El proceso de transformación de osteoblastos a osteocitos se lleva a cabo en cerca de 3 días. Durante este lapso, el osteoblasto produce una gran canudad de matriz extracelular (casi tres veces su propio volumen celular), reduce su volumen en casi un 70% en comparación con el volumen original del osteoblasto, disminuye el tamaño y cantidad de orgánulos, y desarrolla largas evaginaciones celulares que se irradian de su cuerpo celular. Cada osteocito desarrolla en promedio alrededor de 50 evaginaciones celulares. Tras la mineralización de la matriz ósea, cada osteocito ocupa un espacio, o laguna, que se adapta a la forma de la célula. Los osteocitos extienden sus evaginaciones citoplasmáticas a través de los canalículos en la matriz (fig. 8-11). Se comunican mediante estas evaginaciones con los osteocitos vecinos y las células de revestimiento óseo, a través de las uniones de hendidura formadas por la familia de conexinas que se expresan en el repdo óseo. Los osteocitos también pueden comunicarse de forma indirecta con los osteoblastos, las células endoteliales del sistema vascular de la médula ósea, los pericitos de los vasos sanguíneos y otras células distantes a través de la expresión de diversas moléculas de señal, como el óxido nítrico y los transportadores de glutamato. Además de la comunicación intercelular típica (uniones de hendidura comentadas en el cap. 5, p. 143-146), los osteocitos contienen hemiconductos (la mitad sin contraparte de los conductos de uniones de hendidura) que permiten la comunicación entre las células y la matriz extracelular.

En los cortes teñidos con hematoxilina-eostia (H&E), los canalículos y sus evaginaciones no se logran observar. En cambio, en

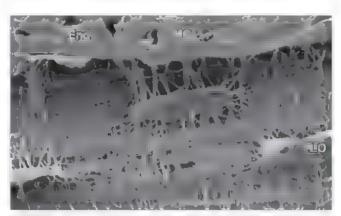


FIGURA 8-11. Lagunas de osteocitos con una extense rad de canaliculos. En esta microfotografía electrónica de barndo de un preparado de hueso, incluido en resina con la técnica de grabado ácido, de un ratón de 4 meses de edad, se muestra una rad de canalículos que interconecta tres lagunas de osteocitos (LO) y células del endostro. En este método, la resina llena los espacios de la laguna de osteocitos, los canalículos, los osteocidos y la médula ósea, pero no penetra la matriz mieralizada ósea. Se suele utilizar ácido fosfónico para eliminar el mineral, lo que permite obtener un molde de resina. En la parte superior de la irmagen se observan células de médula ósea (MO) que están separadas del tejido óseo por el endostro (End). 2000× (cortesta de la Dra. Lynda Bonewald)

las preparaciones de hueso realizadas con el método de desgaste, los canalículos son visibles (lám. 11, p. 264). Los osteocitos generalmente son más pequeños que sus precursores debido a la cantidad reducida de citoplasma permuclear. Con frecuencia, en las preparaciones microscópicas de rutina, la célula está muy distorsionada por la retracción y otros artefactos producto de la descalcificación de la matriz antes de realizar los cortes del hueso. En estos casos, el núcleo puede ser el único elemento característico observable. En muestras bien conservadas, los osteocitos exhiben menos basofilia citoplasmática que los osteoblastos, pero son pocos los detalles adicionales que pueden observarse (lám. 12, p. 267).

Los esteccitos son células metabólicamente activas y multifuncionales que responden a las fuerzas mecánicas aplicadas al hueso.

En el pasado, los osteocitos se consideraban células pasivas responsables únicamente del mantenimiento de la matriz ósea. Algunos descubrimientos recientes muestran que los osteocitos son células metabólicamente activas y mulnfuncionales. Intervienen en el proceso de mecanotransducción, en el cual estas células responden a las fuerzas mecánicas aplicadas al hueso. La disminución de los estímulos mecánicos (p. ej., inmovilidad, debilidad muscular, ingravidez en el espacio) causa pérdida ósea, mientras que el aumento de estos estímulos promueve la formación de hueso.

Debido a la poca flexibilidad ósea, las fuerzas mecánicas aplicadas (p. ej., al fémur o a la tibia durante la marcha) causan el flujo de líquido intersticial de los canalículos y las lagunas hacia el lado comprimido del hueso. El movimiento del líquido intersticial a través del sistema canalicular genera un potencial eléctrico transitorio (potencial de flujo) en el momento en el que se aplica la fuerza. El potencial de flujo abre los conductos de calcio dependientes del voltaje en las membranas de los osteocitos, sobre las que fluye el líquido tisular. Los aumentos ocasionados en el calcio intracelular, el trifosfato de adenosina (ATP, adenosine triphosphate), la concentración de óxido nítrico y la síntesis de la prostaglandina E2 (PGE2) alteran la expresión de los genes c-fos y cox-2 responsables de la formación de hueso. La fuerza de cizallamiento del flujo de líquido también induce la apertura de los hemiconductos, que permiten la liberación de moléculas intracelulares acumuladas hacia el espacio extracelular de los canalículos. Además, la expresión del gen IGF-1 genera un aumento de su propia producción, lo que promueve la conversión de células osteoprogenitoras en osteoblastos. Por lo tanto, las regiones óseas sobre las que se aplica más fuerza son las que tendrán un mayor depósito de hueso nuevo. Algunos estudios recientes indican una posible función del cilio primario, que también es parte del osteocito, en la detección del flujo de líquido intersticial dentro de la laguna; este puede intervenir en la sensibilidad mecánica y la señalización molecular (véase cap. 5, Tejido epitelial para más detalles de su estructura y función).

Un osteocito responde a una fuerza mecánica reducida al secretar metaloproteinasas de la matriz (MMP, matrix metalloproteinases). El espacio vacío que rodea los osteocitos se debe a la degradación enzimática de la matriz ósea por las MMP. El aumento de la fuerza mecánica activa los mecanismos moleculares similares a los encontrados en los osteocitos productores de matriz ósea. Por lo tanto, los osteocitos son responsables del remodelado reversible de su matriz ósea pericanalicular y perilacunar. Este proceso se denomina remodelado osteocitico.

Los ostocitos presentan diferentes estados funcionales durante el remodelado osteocítico de su microambiente perdagunar y pericanalicular.

La microscopía electrónica ha revelado osteocitos en varios estados funcionales asociados con el proceso de remodelación osteocitica

De hecho, existen indicios histológicos y microrradiológicos (aumento de las lagunas y disminución de la radiodensidad) de que los osteocitos tienen capacidad para remodelar la matriz ósea circundante. Como se mencionó antes, los osteocitos pueden modificar su microambiente (el volumen de sus lagunas o el diámetro de sus canalículos) en respuesta a estímulos ambientales. Dado que el área de superficie de las lagunas y los canalículos dentro del hueso es varias veces más grande que el área de superficie del hueso mismo, la eliminación de cantidades minúsculas de matriz mineralizada por cada osteocito tendría efectos significativos sobre las concentraciones de calcio y fosfatos en la circulación.

Con el empleo del microscopio electrónico se han identificado tres estados funcionales de los osteocitos, cada uno de ellos con una morfología característica:

- Ostrocitos latentes, que tienen escasez de RER y un aparato de Golgi muy reducido (fig. 8-12a). La lámina osmiofilica, que representa a la mauriz madura calcificada, se puede observar en cercana aposición a la membrana celular.
- Osteocitos formativos, que muestran indicios de formación de matriz y presentan ciertas características similares a las de los osteoblastos. Por lo tanto, el RER y el aparato de Golgi son más abundantes y se observa osteoide en el espacio pericelular dentro de la laguna (fig. 8-12b).
- Osteocitos de reabsorción, que al igual que los osteocitos formativos contienen una gran cantidad de cisternas del retículo endoplasmático y un aparato de Golgi bien desarrollado. Además, los lisosomas son bastante visibles (fig. 8-12c). La degradación ósea por las MMP secretadas por los osteocitos

de resorcion antes se denominaba osteolisis osteocitica. El concepto actual de remodelado osteocitico es que la función lítica de los osteocitos es responsable de la homeostasis del calcio y de los iones fosfato.

Los osteocitos son células de larga vida y su muerte podría atribuarse a la apoptosis, la degeneración/necrosis, la senescencia (vejez) o la actividad de temodelado óseo por los osteoclastos. La vida media de los osteocitos en los seres humanos se estima en alrededor de los 10-20 años. El porcentaje de osteocitos muertos en el hueso aumenta con la edad, desde el 1% al nacer hasta el 75% en la octava década de la vida. Se plantea la hipótesis de que cuando la edad de un individuo excede el límite superior de la vida útil de los osteocitos, estas células pueden morir (senescencia) y sus lagunas y canalículos pueden llenarse con tejido muneralizado.

Células de revestimiento óseo

Las células de revestimiento óseo derivan de los osteoblastos y revisten el tejido óseo que no se está remodelando.

En los sittos en los que no se está produciendo remodelado del tejido óseo, las superficies óseas están revestidas por una capa de células aplanadas con poco citoplasma y escasos orgánulos más allá de la región perinuclear (fig. 8-13a). Estas células se llaman simplemente células de revestimiento oseo. Las células de revestimiento óseo ubicadas en las superficies externas del hueso reciben el nombre de células del periostio y las que revisten las superficies internas con frecuencia se denominan células del endostio (nésse fig. 8-13).

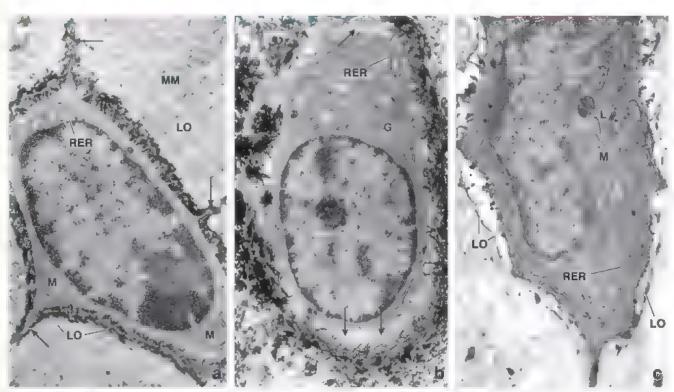


FIGURA 8-12. Microfotografías electrónicas de osteocitos en tres estados funcionales diferentes, a Osteocito relativamente latente que solo contiene unas pocas disternas de RER y mitocondrias (M) escasas, La celula ocupa practicamente toda la laguna en la que se encuentra las flechas senalan los sitios donde las evaginaciones citopiasmáticas se extienden dentro de los canaliculos. La mayoria de los cristales de hidroxiapatita han desaparecido de la matriz, que habitua mente esta mineralizada (MM) pero todavia pueden verse algunos en el espacio perice una fue contratore de hidroxiapatita ocultan las otras sustancias del espacio pericelular. La banda oscura que marca los irmites de la laguna es la ámina osmiofila (LO) 25000 × b. Osteocito formativo que contiene una mayor cantidad de RER y un aparato de Golgi (G) más grande. De igual importancia es la presencia de una pequena cantidad de osteoide en el espacio per celular dentro de la laguna. En el osteoide se observan las si letas de fibrillas de colágeno (flechas) sin mineralizar. La laguna de osteocitos formativos no está limitada por una lámina osmiófila 25000 × c. Osteocito resortivo que posee una cantidad abundante de RER, un gran aparato de Golgi, mitocondrias (M) y la sosomas (L) E espacio perice una carrece de fibrillas colagenas y puede contener un poco de material floculento. La laguna de los osteocitos resortivos está limitada por una lámina osmiófila (LO) menos evidente. 25000×

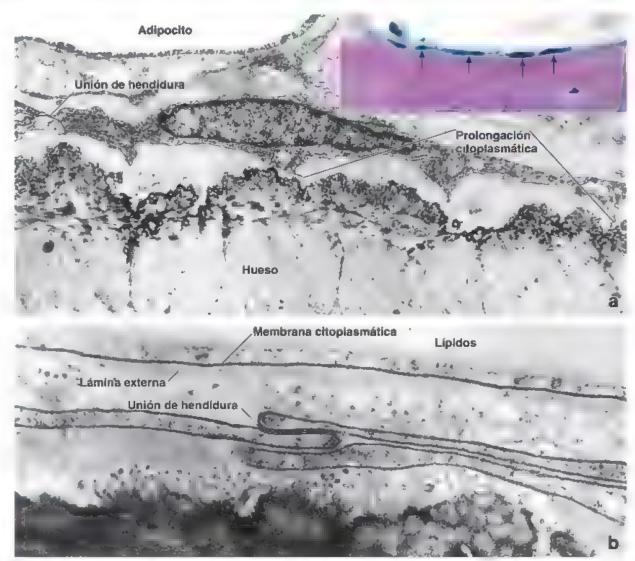


FIGURA 8-13. Microfotografias electrónicas de células de revestimiento óseo, a. El citoplasma de una cércia de revestimiento óseo ubcada en la superficie de una trabecula de hueso maduro está muy adelgazado y presenta escasos RER y ribosomas libres. Se observa una unión de hendidura entre dos células. Además las evaginaciones citoplasmáticas que atraviesan la matriz ósea no minera izada (osteoide) son muy visibles. En la microfotografia también aparece un adipocito de la médula ósea 8,900 « (reproducido con autorización de Miller SC Bowman BM Smith JM Jee W.S. Characterization of endostea bone-lining de la from fatty marrow bone sites in adult beagles. Anat Rec 1980, 198, 163–1731.

Recuadro. Microfotografia óptica de gran aumento de una trabécula ósea similar itenida con H&E, que se muestra con fines de orientación. Las células del endostro) en la superficie de la trabécula están senaladas por las fiechas. 350× b. Microfotografia electrónica de parte del citoplasma de dos células de revestimiento óseo a gran aumento. La unión de hendidura se aprecia en el sitio donde las dos células entran en contacto estrecho. En la parte superior de la magen aparece parte de un adipocito son muy evidentes sus pidos su delgado reborde de citoplasma, su membrana piasmática y su lámina externa. 27,000 «

En los sítios donde las evaginaciones de las células de revestimiento óseo entran en contacto entre sí, hay uniones de hendidura. Se piensa que intervienen en el mantenimiento y el soporte nutricional de los osteocitos incluidos en la matriz ósea subyacente, y que regulan el movimiento del calcio y el fosfato desde y hacia el hueso. Esto se basa en la observación de que los procesos celulares en las células de revestimiento óseo se extienden hacia adentro de los canalículos del hueso adyacente (véase fig. 8–13b) y se comunican por medio de uniones de hendidura con las evaginaciones de los osteocitos. En estos aspectos, las células de revestimiento óseo se parecen un poco a los osteocitos.

Osteoclastos

La función del osteoclasto es la resorción osea.

Los ostroclastos son células grandes multinucleadas que aparecen en los sirios donde ocurre la resorción ósea. Están apoyados directamente sobre la superficie ósea en proceso de resorción (fig. 8-14). Como resultado de la actividad de los osteoclastos, se forma una depresión llamada laguna de resorción (laguna de Howship) que se puede observar en el hueso directamente bajo el osteoclasto. La célula no solo es visible por su gran tamaño, sino también por su norable acidofilia. También exhibe una reacción histoquímica intensa para la fosfatasa ácida debido a los numerosos lisosomas que contiene. Una de estas enzimas, la fosfatasa ácida resistente al tartrato (TRAP, tartrate-resistant acid phosphatasa), que pesa 35 kDa y contiene hierro, se utiliza en la clinica como un indicador de la actividad y diferenciación de los osteoclastos.

Los estecclastes derivan de la fusión de células progenitoras hematopoyéticas mononucleares bajo la regulación de diversas citocinas.

A diferencia de lo que se pensaba antes, los osteoclastos no están relacionados con los osteoblastos. Estos derivan de la fusión de células progenitoras hematopoyéticas mononucleares, especificamente, células progenitoras de granulocitos/macrofagos (GMP)

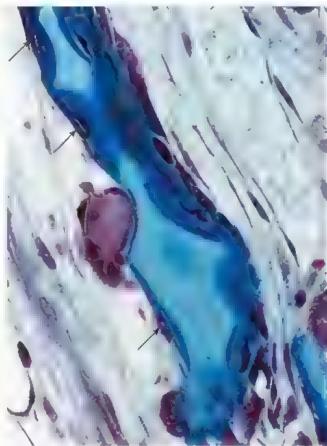


FIGURA 8-14. Microfotografía de un osteoclasto sobre una espicula ósea. En esta muestra tenida con la técnica de Mallory puede verse una espicula de cartilago calcificado (coloreada de azul pálido) con una cubierta de tejido óseo (teñido de azul oscuro). Un osteoclasto en el lado izquierdo de la espicula ha resorbido tejido óseo y ahora está en una depresión (laguna de Howship) de la superficie espicular. La estrecha zona clara que hay entre el osteoclasto y la espícula corresponde al borde festoneado de la célula. Las flechas en la superficie que no crece senalan el citoplasma de las células de revestimiento óseo (células osteoprogenitoras) inactivas. Por el contrario, en el lado opuesto de la espícula se está formando tejido óseo, como lo delata la presencia de osteoblastos activos en la superficie y de osteocitos rodeados de matriz recién formada justo debajo. 550×

[granulocyte/macrophage progenitor], CFU-GM [colony forming unit-granulocyte/monocyte]), que dan origen a los linajes de granulocitos y de monocitos (véase fig. 10-19). La formación de osteoclastos se produce en asociación estrecha con las células del estroma de la médula ósea. Estas células secretan citocinas esenciales para la diferenciación tanto de los osteoclastos como de los macrófagos a partir de células progenitoras GMP, que incluyen el factor estimulante de colonias de monocitos (M-CSF, monocyte colony stimulating factor), el TNF y varias interleucinas. En un principio, las células predestinadas a convertirse en osteoclastos (precursores osteoclásticos) expresan dos importantes factores de transcripción, o-fos y NF-xB; más tarde, una molécula receptora llamada receptor activador del factor nuclear xB (RANK) se expresa en su superficie. El receptor RANK interactúa con la molécula ligando de RANK (RANKL, RANK ligand) que se produce y se expresa en la superficie celular del estroma (fig. 8-15). El mecanismo de señalización RANK-RANKL es esencial para la diferenciación y maduración de los osteoclastos. De modo alternativo, durante la inflamación, los linfocitosT activados pueden producir moléculas de RANKL, tanto unidas a la membrana como solubles. Por lo tanto, los procesos inflamatorios pueden estimular la resorción ósea mediada por osteoclastos. Esta vía puede ser bloqueada por la osteoprotegerina (OPG), que funciona

como receptor "señuelo" para RANKL, La falta de ligando disponible afecta la vía de señalización de RANK-RANKL y actúa como un potente inhibidor de la formación de osteoclastos. Los osteoblastos son los productores principales de la OPG, regulada por numerosos metabolitos óseos, como IL-1, TNF, TGF-β y vitamina D. La PGE₂ es secretada por osteocitos estresados y estimula la producción de RANKL; sin embargo, los osteoblastos activos en la región de depósito óseo producen la OPG que mactiva el RANKL. Por lo tanto, las regiones donde los osteoblastos depositan hueso nuevo tendrán poca o ninguna actividad osteoclástica, en contraste con las regiones circundantes con mayor actividad osteoclástica. Todas las sustancias que promueven el remodelado óseo por diferenciación de los osteoclastos y la resorción ósea actúan a través del sistema OPG/RANKL en la médula ósea. Tanto la OPG como el RANKL se detectan en una forma libre en la sangre y sus concentraciones pueden medirse con fines de diagnóstico y para evaluar el tratamiento de muchas enfermedades óseas

Los osteoclastos recién diferenciados experimentan un proceso de activación para convertirse en células capaces de realizar la resorción ósea.

El **osteoclasto** recién formado tiene que activarse para convertirse en una célula de resorción ósea. Durante este proceso, se torna muy polarizado. Cuando los osteoclastos resorben hueso activamente se les distinguen tres regiones especializadas:

- Borde festoneado, que es la porción de la célula en contacto directo con el hueso. Contiene abundantes pliegues profundos de la membrana plasmática que forman estructuras del tipo de las microvellosidades y son responsables del aumento de la extensión de la superficie para la exocitosis de enzimas hidrolíticas y la secreción de protones por las bombas dependientes de ATP, al igual que para la endocitosis de los productos de degradación y los detritos óseos. El borde festoneado se tiñe con menos intensidad que el resto de la célula y, a menudo, aparece como una banda de luz contigua al hueso en el sitio de resorción (véase fig. 8-14). Con el microscopio electrónico, los cristales de hidroxiapatita de la matriz ósea se ven entre los procesos del borde festoneado (fig. 8-16). En el interior del borde festoneado y en las proximidades hay una gran cantidad de mitocondrias y lisosomas. Los núcleos se hallan generalmente en la región de la célula más alejada de la superficie ósea. En esta misma región se ven cisternas de RER, abundantes dictiosomas del aparato de Golgi y numerosas vesículas.
- Zone ciara (zona de sellado), un perímetro de citoplasma en forma de anillo contiguo al borde festoneado que delimita la superficie ósea en resorción. En esencia, la zona clara es un compartimento a la altura del borde festoneado donde se produce la resorción y degradación de la matriz. Contiene abundantes microfilamentos de actina, pero básicamente carece de otros orgánulos. Los microfilamentos de actina están dispuestos en una estructura en forma de anillo rodeada en ambos lados por proteínas asociadas con la actina, como la vinculina y la talina (fig. 8-17). La membrana plasmática a la altura de la zona clara contiene moléculas de adhesión célulamatriz extracelular que son responsables de proporcionar un sello hermético entre la membrana celular y la matriz ósea mineralizada. Diversas clases de receptores extracelulares de integrinas (receptor α, β, para vitronectina, receptor α2β, para colágeno tipo I o receptor α,β1 para vitronectina/fibrinógeno) contribuyen a mantener el sello hermético.
- Región basolaterat, que participa en la exocutosis del material digerido (véase fig. 8-17). Las vesículas de transporte con material óseo endocitado y degradado a nível del borde fesioneado se fusionan con la membrana celular para liberar su contenido. Den-

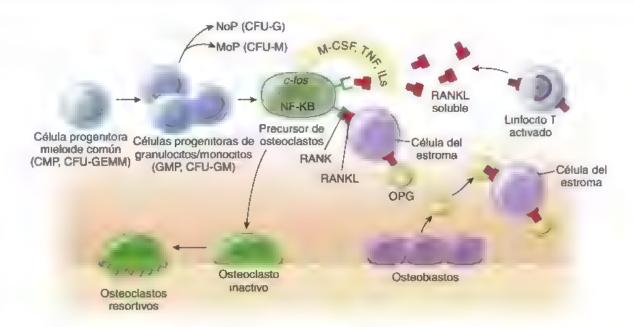


FIGURA 8-15. Origen de los osteoclastos. Los osteoclastos derivan de la fusión de células progenitoras de granulocitos/monocitos (GMP CFU GM) que provienen de células progenitoras mieroides comunes multipotencia es. CMP CFU GE MM). Las células GMP también dan origen a los inales de granulocitos y monocitos en la forma de células progenitoras de neutrófilos (NoP CFU-G) y progenitoras de los monocitos (MoP CFU-M). La formación de osteociastos tiene un fuerte y nculo con las celulas del estroma de la médula ósea que secretan el factor est mulante de colonias de monocitos. M-CSP) factor de necrosis tumora. (TNP) y vanas interieur nas (IL). Los precursores de los expresan c-fos, NFNB y moleculas receptoras l'armadas receptor activador del factor nuclear xB. RANK). La sena generada por la interacción de receptor RANK con la molecula ligando de RANK (RANK), es esencial para la diferencia ación y maduración de los osteoclastos. Durante la inflamación los infocitos T producen moléculas RANK. Itanto solubles como un das a la membrana, lo que aumenta la resorción ósea. La osteoprotegerina (OPG) puede bloquear estos mecanismos. Debe tenerse en cuenta que los infocitos T activados pueden estimular la formación de osteoclastos mediante la producción de moléculas RANKI, tanto unidas a la membrana como solubles.

tro de estas vesículas se ha detectado TRAP, lo que indica su papel en la fragmentación del material incorporado por endocitosis.

Los estecclastes reserben el tejido éseo mediante la liberación de protones e hidrolasas lisosómicas hacia el microambiente restringido del espacio extracelular.

Algunas, si no la mayoría, de las vesículas del osteoclasto son los lisosomas. Sus contenidos se liberan en el espacio extracelular de las hendiduras que hay entre los pliegues citoplasmáticos del borde festoneado, un claro ejemplo de enzimas tisosómicas que funcionan fuera de la célula. Una vez liberadas, estas enzimas hidrolíticas, que incluyen la entepeina K (una cisteína proteasa) y las metaloproteinasas de la matriz, degradan el colágeno y otras proteínas de la matriz ósea.

Sin embargo, antes de que pueda producirse la digestión, la matriz ósea tiene que descalcificarse a través de la acidificación de la superficie ósea, que micia la disolución de la matriz mineral. El citoplasma del osteoclasto contiene anhidrasa carbonica II, que produce ácido carbónico (H2CO3) a partir de dióxido de carbono y agua, A continuación, el ácido carbónico se disocia en bicarbonato (HCO3) y un protón (H'). Con la ayuda de las bombas de protones dependientes de ATP, los protones se transportan a través del borde festoneado, generando un pH bajo (4-5) en el microambiente de la laguna de reabsorción. Este ambiente ácido local, creado en el espacio extracelular entre el hueso y el osteoclasto, está protegido por la zona clara. Los conductos de cloro junto con las bombas de protones favorecen la electroneutralidad de la membrana del borde festoneado (véase fig. 8-17). El exceso de bicarbonato se elimina por intercambio pasivo con iones de cloro a través de proteines de intercambio doro carbonato ubicadas en la membrana basolateral.

El medio ácido inicia la degradación del componente mineral del hueso (principalmente hidroxiapatita) para convertirlo en iones de caicio, fosfatos inorgánicos sotubles y agua. Cuando la resorción del tejido óseo se ha completado, los osteoclastos experimentan apoptosis. Algunos estudios recientes indican que muchos fármacos utilizados para inhibir la resorción ósea en la osteoporosis (bisfosfonatos y estrógenos) promueven la apoptosis osteoclástica (cuadro 8-2, p. 256).

La función de los osteoclastos es regulada por muchos factores.

Los materiales digeridos del hueso resorbido se transportan en vesículas endocíticas por todo el osteoclasto. El contenido de las vesículas endocíticas que se originan en el borde festoneado se libera en la membrana basal (véase fig. 8-17), que, por lo general, está en contacto con los vasos sanguíneos. Por lo tanto, en el borde festoneado están presentes muchas depresiones y vesículas revestidas. Los osteoclastos se observan en los sitios donde se produce el remodelado óseo (el proceso de remodelado se describe con mayor detalle un poco más adelante). Así, en los sitios donde las osteonas están siendo alteradas o donde el hueso está experimentando cambios durante el proceso de crecimiento, los osteoclastos son relativamente abundantes.

La hormone paretiroidea (PTH, parethyroid hormone), secretada por las células principales de las glándulas parattroides, es el regulador más importante de las concentraciones de calcio y fosfato en el líquido extracelular. Debido a que los osteoclastos no tienen receptores de PTH, esta hormona solo ejerce un efecto indirecto sobre los osteoclastos. En cambio, los osteocitos, los osteoblastos y los linfocitos T tienen receptores para la PTH que activan la adenilato-ciclasa y producen el aumento de las concentraciones intracelulares de monofosfato de adenosina cíclico (cAMP, eyeluadenosine monophosphate). Una exposición a lapsos breves e intermitentes a la PTH aumenta la masa ósea a través de la vía del cAMP/ IGF-1 en osteocitos y osteoblastos. Sin embargo, la exposición



FIGURA 8-16. Microfotografía electronica de osteoclasto En esta microfotografía se muestra un segmento de la superficie de un hueso (H) y una porción de un osteoclasto que está en contacto estrecho con el te, do óseo que ha experimentado una digestión parcia. En el frente de resorción (FR), el osteoclasto exhibe numerosos repiegues de la membrana plasmàtica. Cuando se observa con el microscopio óptico, estos repliegues aparecen como un borde rugoso. Si el plano de corte es paralelo a los repliegues (astenscos), entonces se ve una ampira extensión de citoplasma no especializado. El citoplasma del osteoclasto contiene abundantes mitocondr as (M), muchos asosomas y un aparato de Golgi prominente, todos ellos vinculados desde el punto de vista funcional con la resorción y la degradación de la matriz ósea. En la parte supenor de la imagen se aprecian algunas de las fibrillas colágenas, las flechas señalan los sitos en los que son visib es las bandas transversales con una penod cidad de 68 nm. 10:000×

continua y prolongada a la PTH aumenta la produccion de RANKL por los linfocitos T (véase fig. 8-15) y los osteoblastos, lo que conduce a la hiperactividad de los osteoclastos y, finalmente, a la osteoporosis. Los estrógenos suprimen la produccion de RANKL por los linfocitos T. La calcitonina, secretada por las células parafoliculares de la glándula tiroides, tiene el efecto de reducir la actividad de los osteoclastos.

Otras moléculas que desempeñan un papel importante en la regulación de la actividad de los osteoclastos son la catepsina K, la anhidrasa carbónica II y las proteínas que codifican las bombas de protones (TCIRG1). La insuficiencia de estas proteínas causa osteopetrosis, una enfermedad congenita rara caracterizada por el aumento de la densidad osea y defectos en la función de los osteoclastos. En los individuos con osteope-

trosis, los osteoclastos no funcionan de manera adecuada, lo que hace que los huesos aparezcan densos en la radiografia, sin embargo, en realidad son muy fragiles y se fracturan con facilidad

Investigaciones recientes indican que tanto los osteocitos sanos como los que están en proceso de muerte pueden comunicarse con los osteoclastos y reclutarlos para el remodelado óseo. La muerte de los osteocitos por apoptosis que se produce en los sitios de lesión ósea genera cuerpos apoptóticos que expresan moléculas RANKL. Estas moléculas, que actúan a través de la vía de señalización RANK-RANKL, aumentan la actividad de los osteoclastos (tabla 8-1).

■ FORMACIÓN DEL HUESO

El desarrollo del hueso tradicionalmente se clasifica en endocondral o intramembranoso.

La distinción entre desarrollo endocondral e intramembranoso radica en si un modelo de cartílago sirve como el precursor óseo (osificación endocondral) o si el hueso está formado por un método más sencillo, sin la intervención de un cartílago precursor (osificación intramembranosa). Los huesos de las extremidades y las partes del esqueleto axial que soportan peso (p. ej., las vértebras) se desarrollan por osificación endocondral. Los huesos planos del cráneo y de la cara, la mandíbula y la clavícula se desarrollan por osificación intramembranosa.

La existencia de dos tipos distintos de osificación no implica que el hueso existente sea de membrana o endocondral. Estos nombres solo se refieren al mecanismo por el cual se forma micialmente un hueso. Debido al remodelado que se produce más tarde, el tejido óseo que inicialmente fue depositado por osificación endocondral o intramembranosa se reemplaza en poco tiempo. El tejido óseo de reemplazo crece por aposición sobre el hueso preexistente y es idéntico en ambos casos. Aunque se considera que los huesos largos se forman por osificación endocondral, en su desarrollo continuo se verifica la histogénesis tanto del hueso endocondral como del intramembranoso, donde este último es el producto de la actividad del tejido del periostio (membrana).

Osificación intramembranosa

En la osificación intramembranosa, la formación del hueso es iniciada por la acumulación de células mesenquimatosas que se diferencian en osteoblastos.

La primera evidencia de la osificación intramembranosa en los humanos se observa alrededor de la octava semana de gestación dentro del tejido conjuntivo embrionario, el mesénguma. Algunas células alargadas y de tinción pálida, las células mesenquimatosas, migran y se acumulan en áreas específicas (p. ej., la región de desarrollo de los huesos planos en la cabeza), donde forman los centros de osificación. Esta acumulación celular dentro del rejido mesenquimatoso inicia el proceso de osificación intramembranosa (fig. 8-18a). Las células mesenquimatosas en estos centros de osificación se alargan y se diferencian en células osteoprogenitoras. Estas células expresan el factor de transcripción CBFA1, que es esencial para la diferenciación de osteoblastos y para la expresión de los genes necesarios para la osificación tanto intramembranosa como endocondral. El citoplasma de las células osteoprogenitoras cambia de eosinófilo a basófilo, y el aparato Golgi se observa como una región clara muy evidente. Estos cambios tintoriales se deben al osteobiasto diferenciado que, entonces, secreta los colágenos (sobre todo moléculas de colágeno tipo I), las sialoproteínas óseas, la osteocalcina y los otros componentes de la matriz ósea



Características de osteoblastos, osteocitos y osteoclastos

Porcentaje celular total en el hueso Punción Depósitos de la matriz ósea, in cia la mineralización mediante la liberación de vesículas matriciales Celulas mononucleares, cubicas o pol gonales citoplasma basófilo Golgi negativo Célula osteoprogenitora Celulares extensos Célula osteoprogenitora Celulares extensos Células hematopoyéticas (Gligerenciación factores de transcripción Principales RANKL, receptores de PTH RANKL, receptores de PTH RANKL, receptores de fosfatasa resal tartrato Celulas matriz de dentina 1, podopianina iproteina E111 Fosfatasa resistente al tartrato Categoria de celular Categoria de celular Categoria de celular Categoria de resorción Celula mutiriu de a matriz de dentina 1, podopianina iproteina E111 Fosfatasa resistente al tartrato Categoria de celular Categoria de celular Categoria de resorción Celula mutiriu de a matriz de dentina 1, podopianina iproteina E111 Condition de recordión Celula mutiriu de la matriz de dentina 1, podopianina iproteina E111 Categoria de la matriz de dentina 1, podopianina iproteina E111 Categoria de la matriz de dentina 1, podopianina iproteina E111 Categoria de la matriz de dentina 1, podopianina iproteina E111 Categoria de la matriz de dentina 1, podopianina iproteina E111 Categoria de la matriz de dentina 1, podopianina iproteina E111 Categoria de la matriz de dentina 1, podopianina iproteina E111 Categoria de la matriz de dentina 1, podopianina iproteina E111 Categoria de la matriz de dentina 1, podopianina iproteina E111 Categoria de la matriz de dentina 1, podopianina iproteina E111 Categoria de la matriz de dentina 1, podopianina iproteina E111 Categoria de la matriz de dentina 1, podopianina iproteina E111 Categoria de la matriz de dentina 1, podopianina iproteina E111 Categoria de la matriz de dentina 1, podopianina iproteina 1, podopianina iproteina 1, podop	Característica	Osteoblasto	Osteocito	Osteoclasto
de los conductos de resorción desea conductor receptores de conductor receptores de conductor receptores de conductor receptores de resorción desea conductor receptores de conductor receptores de fosfatas resorción desea conductor receptores de resorción desea conductor receptores de conductor receptores de fosfatas resorción desea conductor receptores de resorción desea conductor receptores de conductor receptores de fosfatas resorción desea conductor receptores de conductor receptores de fosfatas resorción desea conductor receptores de conductor receptores de resorción desea conductor receptores de fosfatas resorción desea conductor receptores de conductor rec				Winning
Función Depósitos de la matriz ósea, in cia la mineralización mediante la liberación de vesículas matriciales Morfología celular Células mononucleares, cubicas o pol gonales citoplasma basófilo Golgi negativo Célula osteoprogenitora Célula osteoprogenitora Celulas celulares extensos Células procesos de diferenciación/ factores de transcripción Principales receptores hormonales/ reguladores Expectativa de vida Semanas (~12 días) Mantiene la matriz osea, detecta la tensión mecànica, regula la homeostasis de calcio y fosfato Célula mononuclear pequeña y ovalada, citoplasma páxido, procesos celulares extensos Célula mononuclear pequeña y ovalada, citoplasma páxido, procesos de plasma acidófilo borde fest laguna de Howship subyact Células hernatopoyéticas (Gillas hernatopoyéticas de diferenciación/ factores de transcripción Principales receptores de PTH RANKL, receptores de PTH RANKL, receptores de PTH RANKL, receptores de calcitor receptores de fosfatasa resultantar de dentra 1, podopianna iproteína E111) Posfatasa resistente al tratrato cateps na K, metaloproteína catego na Células na matriz de dentra 1, podopianna i proteína catego na matriz de dentra 1, podop	Ubicación	•	0	Superficie ósea, cono de corte de conductos de resorción
la mineralización mediante la liberación de vesículas matriciales Morfología celular Células mononucleares, cubicas o pol gonales citoplasma basófilo Golgi negativo Célula osteoprogenitora Célula mononuclear pequeña y ovalada, citoplasma pálido, procesos de laguna de Howship subyace Células hernatopoyéticas (Gl. CFU-GM) Celulas hernatopoyéticas (Gl. CFU-GM) Celulas hernatopoyéticas (Gl. CFU-GM) RANKL RANKL RANKL RANKL RANKL RANKL, receptores de PTH RANKL, receptores de PTH RANKL, receptores de calcitor receptores de fosfatasa res al tartrato Rankl Rank		> 5%	~95%	> 1%
pol gonales citoplasma basófilo Golgi negativo Células Célula osteoprogenitora Células Célula osteoprogenitora Células Célula osteoprogenitora Células osteoprogenitora CELIBRE CELIBR	Función	la mineralización mediante la libe-	tensión mecànica, regula la homeos-	Resorción ósea por hidról sis enzi- mática de la matriz ósea minera- lizada
Procesos de CBFA1 (RUNX2), IGF-1 Se desconocen los procesos de c-fos, NF-kB, señalización RA selección desde los osteoblastos RANK. Principales RANK., receptores de PTH RANKL, receptores de PTH RANKL, receptores de fosfatasa res al tartrato receptores hormonales/ reguladores Expectativa de vida Semanas (~12 días) Años (~10-20 años) Días (~3 días) Marcadores Osteoca cina sia oproteína ósea bioquimicos (BSP-2) Proteína de la matriz de dentina 1, podopianina iproteína E11) CF U-GM) c-fos, NF-kB, señalización RA RANKL RANKL RANKL RANKL RANKL ROPTOR RANKL RANKL ROPTOR ROPTOR RANKL ROPTOR ROPTOR RANKL ROPTOR	Mortología celular	pol gonales citoplasma basófilo	lada, citoplasma páido, procesos	Célula multinuclear grande, cito- plasma acidófilo borde festoneado, laguna de Howship subyacente
diferenciación/ factores de transcripción Principales RANKL, receptores de PTH RANKL, receptores de PTH RANKL, receptores de fosfatasa res hormonales/ reguladores Expectativa de vida Semanas (~12 días) Marcadores Osteoca cina sia oproteína ósea bioquamicos (BSP-2) Selección desde los osteoblastos RANKL RANKL, receptores de PTH RANKL, receptores de calcutor receptores de fosfatasa res al tartrato Días (~3 días) Fosfatasa resistente al tartrato cateps na K, metaloprote na categoria cateps na K, metaloprote na categoria cateps na K, metaloprote na categoria c	Células	Célula osteoprogenitora	Osteoblasto	Células hernatopoyéticas (GMP, CFU-GM)
receptores de fosfatasa res al tartrato reguladores Expectativa de vida Semanas (-12 días) Marcadores Osteoca cina sia oproteína ósea bioquimicos (BSP-2) Proteína de la matriz de dentina 1, podopianina iproteína E11) Fosfatasa resistente al tartrato receptores de fosfatasa resistente al tartrato al tartrato Días (~3 días) Proteína de la matriz de dentina 1, podopianina iproteína E11)	diferenciación/ factores de	CBFA1 (RUNX2), IGF-1	·	c-fos, NF-kB, seńalización RANK- RANK.
Marcadores Osteoca cinal sia oproteína ósea Proteína de la matriz de dentina 1, podopianina iproteína E11) Fosfatasa resistente al fartra cateps na K, metaloproteína	receptores hormonales/	RANK_, receptores de PTH	RANKL, receptores de PTH	RANK, receptores de calcitonina, receptores de fosfatasa resistente al tartrato
bioquimicos (BSP-2) podopianina iproteina E11) cateps na K, metaloproteina	Expectativa de vida	Semanas (-12 días)	Años (~10-20 años)	Días (-3 días)
escierostina, factor de crecimiento - matricial 9 fibroblástico 23		· ·	podopianina iproteina E11) escierostina, factor de crecimiento	Fosfatasa resistente al fartrato, cateps na K, metaloprote nasa matricial 9

CBFA1 factor fliador central e 1. GMP/CFU-GM célula progenitora de granulocitos/macrófagos. IGF1 factor de crecimiento insulnico 1. NEx.B. factor nuclear xB. PTH hormona paratiroidea, RANK, receptor activador del factor nuclear xB, RANK. Implecula ligando de RANK, RUNX2 factor de transcripción 2 relacionado con runt.

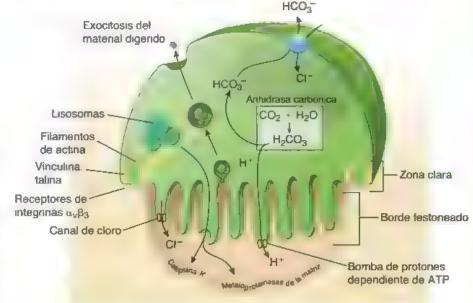


FIGURA 8-17. Diagrama de la estructura del osteoclasto con sus tres regiones borde festoneado, zona clara y región basolateral Obsérvese que la zona clara contiene abundantes microfilamentos organizados en una estructura anular rodeada en ambos lados por proteinas asociadas con actina, como la vinculina y la talina. La membrana celular en la región de la zona clara contiene moléculas de adhesión células-matriz extracelular (receptores de integrina) que forman un sello hermético entre la membrana plasmática y la matriz ósea mmeralizada. Én el texto se describen los mecan smos para el transporte de protones y cloro.

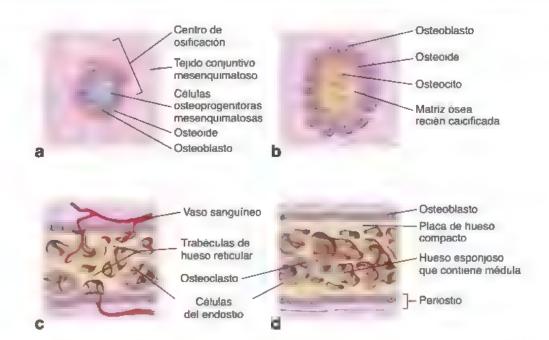


FIGURA 8-18. Osificación intramembranosa. a. En el tejido conjuntivo mesenquimatoso aparece un centro de osificación. Se compone de una aglomeración de celulas osteoprogenitoras, derivadas de celulas mesenquimatosas que además se diferencian en células óseas secretoras los osteoblastos. Com enzan a depositar la matriz osea mineralizada el osteoide. b. Los osteoblastos se acumulan en la periter a del centro de osificación y continuan secretando osteoide hacia el centro del nodu o. A medida que continua el proceso el osteoide se somete a la mineralización y los osteoblastos atrapados se convierten en osteocitos. Los osteocitos presentan procesos que se comunican entre si y con os osteoblastos. El tejido recién formado tiene una estructura microscópica de un hueso inmaduro (entrete ido) con trabéculas gruesas revestidas por osteoblastos y células del endost o d. El posterior crecimiento y remodelado el hueso produce la sustitución del tejido óseo por capas interiores y exteriores de hueso compacto con hueso esponjoso entre ellas. Los espacios entre las trabéculas quedan ocupados por células del endostio os vasos sanguineos. Debe tenerse en cuenta que un espacio esta revestido por células del endostio inactivas y el otro por osteoblastos, osteoclastos y células del endostio, una indicación del proceso de remodelado activo.

(osteoide). Los osteoblastos se acumulan en la periferia del centro de osificación y continúan secretando osteoide en el centro del nódulo. A medida que continúa el proceso, el osteoide se somete a una muneralización y los osteoblastos atrapados se convierten en osteocitos (fig. 8-18b). Dentro de la matriz ósea, los osteocitos se separan cada vez más unos de otros conforme se produce más matriz; sin embargo, permanecen en contacto a través de evaginaciones citoplasmáticas delgadas. Con el tiempo, la matriz se calcifica y los procesos citoplasmáticos intercomunicados de los osteocitos quedan contenidos dentro de los canalículos.

Inicialmente, la matriz ósea recién formada aparece en los cortes histológicos como pequeñas espículas y trabéculas de forma irregular.

En los cortes histológicos, la matriz ósea aparece como pequeñas espículas y trabéculas de forma irregular, que son características del hueso esponjoso. Algunas de las células osteoprogenitoras se adosan a las espículas formadas inicialmente, se transforman en osteoblastos y producen más matriz (fig. 8-19 y lám. 15, p. 273). Mediante este proceso, llamado *esseimiento por aposición*, las espículas aumentan de tamaño y se unen en una red trabecular que adquiere la forma general del hueso en desarrollo. Por medio de su actividad mitótica continua, las células osteoprogenitoras mantienen su cantidad y, por lo tanto, proporcionan una fuente constante de osteoblastos para el crecimiento de las espículas óseas. Los nuevos osteoblastos, a su vez, establecen la matriz ósea en capas sucesivas, dando lugar a un hueso inmaduro (fig. 8-18c). Este hueso inmaduro, que se comenta en la página 236, se caracteriza internamente por tener espacios interconectados que contienen tejido conjuntivo

y vasos sanguíneos. Con mayor crecimiento y remodelado posteriores, se produce la sustitución de hueso inmaduro por hueso compacto, en la periferia, y por hueso esponjoso, en el centro del hueso recientemente formado (fig. 8-18d). Los espacios entre las trabéculas son ocupados por células de la médula ósea que llegan a través de los vasos sanguíneos. El tejido óseo formado por el proceso que se acaba de describir se conoce como hueso membranoso o intramembranoso.

Osificación endocondral

La osificación endocondral también comienza con la proliferación y acumulación de células mesenquimatosas en el sitio donde se desarrollará el futuro hueso. Bajo la influencia de los factores de crecimiento de fibroblastos (FGF, fibroblaste growth factori) y diferentes proteínas morfogênicas óseas (véase p. 234), las células mesenquimatosas expresan inicialmente colágeno tipo II y se diferencian en condroblastos que, a su vez, producen matriz cartilaginosa.

Inicialmente, se desarrolla un modeio de cartilago hialino con la forma general del futuro hueso.

Una vez establecido, el modelo cartilaginoso (una versión en miniatura del hueso definitivo) experimenta crecimiento intersticial y por aposición (lám. 13, p. 268). El aumento en la longitud del modelo cartilaginoso se atribuye al crecimiento intersticial. El incremento en el espesor se debe, en su mayor parte, a la adición de matriz cartilaginosa producida por los nuevos condrocitos diferenciados a partir de la capa condrogénica del pericondrio que rodea la masa de cartilago. La *ilustración 1* de la figura 8-17 muestra un modelo cartilaginoso inicial.

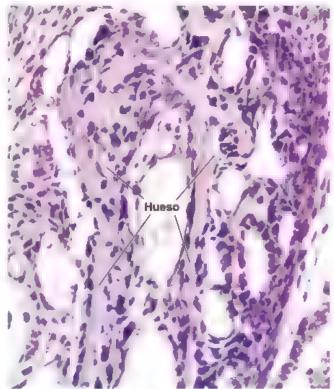


FIGURA 8-19. Corte de una mandíbula que se está formando por el proceso de osificación intramembranosa. En esta microfotografía se ve un corte de una mandíbula en desarrollo tenida con H&E En esta etapa más o menos temprana del desarrollo, la mandíbula está compuesta por espiculas óseas de formas y tamaños diversos Estas espiculas se anastomosan para formar trabéculas que le dan la forma general al hueso en desarrollo (no hay modelo de cartifago) uos abundantes osteoblastos que tienen a su cargo el crecimiento de esta región de espiculas se ven en la superficie del tejido óseo recién formado. La porción más antigua de las espiculas, que está calcificada, contiene osteocitos rodeados de matriz ósea. A la derecha de la foto, junto a las espiculas óseas, el tejido conjuntivo es muy celular y se está convirtiendo en el periostio nicial 250×

La primera señal de osificación es la aparición de una cubierta de tejido óseo alrededor del modelo cartilaginoso.

En esta etapa, las células del pericondrio en la región media del modelo cartilaginoso dejan de producir condrocitos. En su lugar, se originan osteoblastos. Por ende, el tejido conjuntivo que rodea esta porción del cartilago funcionalmente pa no es pericondrio, sino que, por su alteración funcional, ahora se denomina periostio. Además, las células dentro de esta capa se diferencian en osteoblastos, por lo que ahora se puede identificar una capa osteogénica en el periostio. Como consecuencia de estas modificaciones, se forma una delgada capa de tejido óseo alrededor del modelo cartilaginoso (lám. 13, p. 268). Este tejido puede clasificarse como perióstico o subpenóstico, por su ubicación, o intramembranoso, por su mecanismo de desarrollo. En el caso de un hueso largo, alrededor del modelo cartilaginoso en la porción de la diáfisis del hueso en desarrollo, se forma una cubierta distintiva de tejido óseo subperióstico, llamado coller óseo. El collar óseo se muestra en la idutiración 2 de la figura 8-20.

Con el establecimiento del coltar óseo perióstico, los condrocitos en la región media del modelo cartilaginoso se hipertrofian.

A medida que los condrocitos aumentan de tamaño, la matriz cartilaginosa circundante se resorbe, formando delgadas placas de cartilago urregulares entre las células hipertróficas. Estas células

comienzan a sintetizar fosfatasa alcalina; al mismo tiempo, la matriz cartilaginosa circundante se calcifica (*véase* fig. 8-20, *ilustración 3*). La calcificación de la matriz cartilaginosa no debe confundirse con la mineralización que se produce en el tejido óseo.

La matriz cartitaginosa calcificada impide la difusión de las sustancias nutritivas y causa la muerte de los condrocitos en el modelo de cartilago.

Con la muerte de los condrocitos, gran parte de la matriz se degrada y las lagunas adyacentes confluyen para formar una cavidad cada vez más grande. Mientras se producen estos fenómenos, uno o varios vasos sanguíneos proliferan a través del delgado collar óseo en la diáfisis para vascularizar la cavidad (véase fig. 8-20, slustración 4).

Las células madre mesenquimatosas migran hacia la cavidad junto con los vasos sanguíneos proliferantes.

Las células madre mesenquimatosas que residen en el períostio en desarrollo migran junto con los vasos sanguíneos invasores y se diferencian en células osteoprogenitoras en la cavidad medular. Las célules madre hematopoyétices también llegan a la cavidad a través del nuevo sistema vascular y abandonan la circulación para dar origen a la médula ósea, que incluye rodos los linajes de células sanguíneas. A medida que el cartilago calcificado se degrada y se elimina parcialmente, quedan restos con el aspecto de espículas irregulares. Cuando las células osteoprogenitoras se adhieren por aposición a las espículas residuales de cartilago calcificado, se convierten en osteoblastos y comienzan a sintetizar tejido óseo (osteoide) que se deposita sobre el armazón espicular. Por lo tanto, el hueso formado de esta manera se denomina hueso endocondral. Este primer sitio donde comienza a formarse rejido óseo en la diáfisis de un hueso largo se llama centro primerio de osificación (véase fig. 8-20, ulustrución 5). La combinación de tejido óseo, que en un principio solo era una capa delgada, con el cartilago calcificado subyacente forma lo que se conoce como espicula míxta.

Desde el punto de vista histológico, las espículas mixtas pueden reconocerse por sus características de tinción. El cartílago calcificado tiende a ser basófilo, mientras que el hueso es claramente eosinófilo. Con la técnica de tinción de Mallory, el tejido óseo se tiñe de un azul intenso y el cartílago calcificado de un azul pálido (fig. 8-21). Además, el cartílago calcificado ya no contiene células, mientras que en el hueso de reciente formación se pueden observar los osteocitos en la matriz ósea. Estas espículas persisten durante un corto tiempo antes de que se elimine el componente de cartílago calcificado. El componente óseo remanente de la espícula continúa su crecimiento por aposición, aumenta de tamaño y se torna más fuerte, o puede experimentar resorción a medida que se forman nuevas espículas.

Crecimiento del hueso endocondral

El crecimiento del hueso endocondral se inicia en el segundo trimestre de la vida fetal y continúa después del nacimiento hasta el princípio de la vida adulta.

Los fenómenos que se acaban de describir corresponden a la etapa micial de la osificación endocondral que se produce en el feto, la cual comienza alrededor de la duodécima semana de gestación. En la siguiente sección se describe el proceso de crecimiento continuo que se extiende hasta la edad adulta temprana.

El crecimiento en longitud de los huesos largos depende de la presencia de cartilago epifisario.

A medida que la cavidad medular de la diáfisis se agranda (véase fig. 8-20, ilustración 6), pueden reconocerse distintas zonas en el

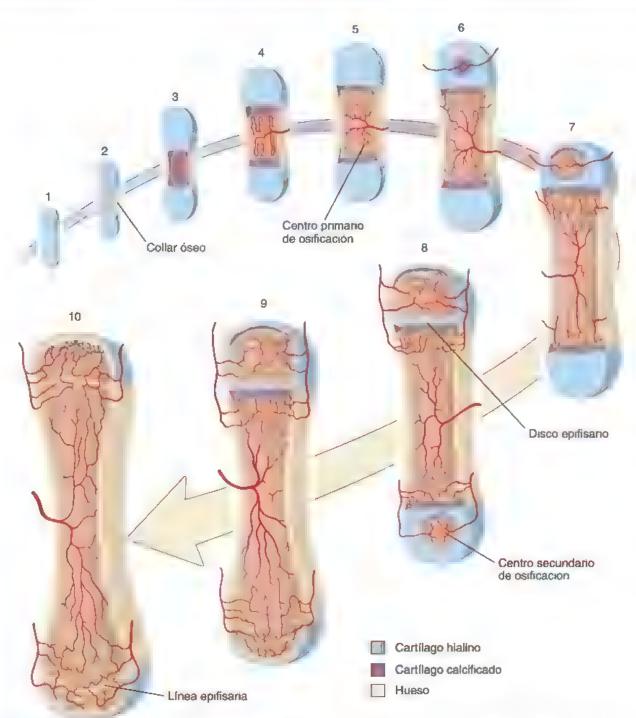


FIGURA 8-20. Diagrama dei desarrollo de un hueso largo. Las illustraciones (1-10) son cortes longitudinales del hueso largo. El proceso comienza con la formación de un modeio de cartí ago (1) a continuación, se forma un collar óseo subper óstico (subper condral) a rededor de la diáfisis del mode o cartilaginoso (2) después, la matriz cartilaginosa de la diáfisis comienza a carcificarse (3). Entonces el cartilago calcificado es erosionado e invacido por vasos sanguineos y células de te, do conjunt vo perivascular (4) y se crea una cavidad medular primitiva en la que quedan restos de espiculas de cartilago calcificado en sus extremos proxima y distal. A medida que se desarrolla un centro primario de osóficación el hueso endocondra se forma sobre las espiculas de cartilago calcificado. El tejido óseo en ambos extremos de la cavidad medular en desarrollo constituye la metafisis. Todavia se sigue formando hueso subperióstico (5). Puede reconocerse en los preparados histológicos debido a que no se acompana de eros ón cartilaginosa nise forma sobre espiculas de cartilago calcificado. Vásos sanguineos y células perivasculares invaden el cartilago en la epífisis proxima (6) y se forma un centro secundario de osificación (7). En la epífisis distal del hueso aparece otro centro de osificación (7). En la epífisis distal del hueso aparece otro centro de osificación (7) en cada una de las epífisis y la difísis. El donde estaban los discos epífisarios ahora solo quedan las (fineas epífisanas.

cartilago a cada extremo de la cavidad. El tejido cartilaginoso restante, denominado cartilago epifisario, muestra zonas bien definidas, como se ilustra en la figura 8-22 y en la lamina 14, en la pagina 270. Durante la osificación endocondral, el cartilago avas cular es reemplazado gradualmente por tejido oseo vascularizado.

Este reemplazo es iniciado por el factor de crecimiento endotelial vascular (VEGF, vascular endothelial growth factor) y se acompaña de la expresión de los genes responsables de la producción del colágeno upo X y de las metaloproteinasas de la matriz (enzimas responsables de la degradación de la matriz cartilaginosa). Las zonas del

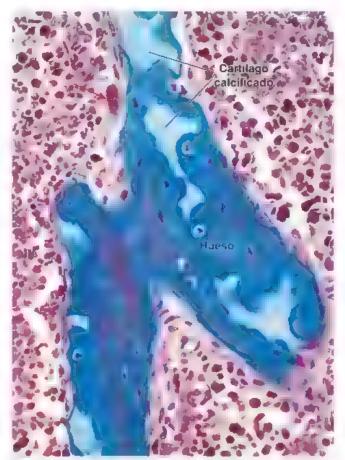


FIGURA 8-21. Microfotografía de una trabécula mixta formada durante la osificación endocondral. En este corte tenido con la técnica de Mallory-Azan se ve que se ha depositado tejido óseo sobre espiculas de cartilago calcificado. En el centro de la microfotografía las dos espiculas se anastomosan para formar una trabécula. Esta trabécula inicial todavía contiene restos de cartilago calcificado, como muestra la tinción de color azul claro de la matriz cartilaginosa calcificada en comparación con la tinción en azul oscuro del hueso. En la parte superior de la espícula, debe notarse el osteociasto solitario (flecha) alineado cerca de la superficie de la trabécula, donde está por micrarse el remodelado. 275×

cartilago epifisario, comenzando desde la más distal con respecto al centro de osificación de la diáfisis y prosiguiendo hacia ese centro, son las siguientes.

- Zone de cartilego de reserve, en la que no se comprueba proliferación celular ni producción activa de la matriz.
- Zona de proliferación, que es contigua a la zona de cartílago de reserva en dirección a la diáfisis. En esta zona, los condrocitos experimentan mitosis y se organizan en columnas bien definidas. Estas células son más grandes que las de la zona de reserva y sintetizan activamente colágeno (sobre todo de los tipos II y XI) y otras proteínas de la matriz cartilaginosa.
- Zona de hipertrofía, que contiene condrocitos cuyo tamaño ha aumentado mucho (hipertróficos). El citoplasma de estas células es claro debido al glucógeno que generalmente acumulan (el cual se pierde durante la preparación histológica de la muestra). Los condrocitos en esta zona permanecen metabólicamente activos; continúan la secreción de colágeno tipo II mientras aumentan la producción de colágeno tipo X. Los condrocitos hipertróficos también secretan VEGF, que inicia la invasión vascular. La matriz del cartílago se comprime para formar bandas lineales entre las columnas de células de cartílago hipertrofiadas,
- Zona de cateificación del cartilago, en la cual las células hipertrofiadas empiezan a degenerarse y la matriz se calcifica. El car-

- tilago calcificado sirve, entonces, como un armazón micial para el depósito de hueso nuevo. Los condrocitos situados en la parte más proximal de esta zona experimentan apoptosis.
- Zona de resorción, que es la zona más cercana a la diáfisis. En este punto, el cartilago calcificado está en contacto directo con el tejido conjuntivo de la cavidad medular. En esta zona, los vasos sanguíneos de pequeño calibre y las células osteoprogenitoras acompañantes invaden la región que anteriormente era ocupada por los condrocitos. Forman una serie de puntas de lanza (véase fig. 8-22) que deja el cartilago calcificado como espículas longitudinales. En un corte transversal, el cartilago calcificado aparece como un panal de abejas debido a la ausencia de las células cartilaginosas. Los vasos sanguíneos invasores son la fuente de las células osteoprogenitoras, que se diferencian en osteoblastos.

En las espiculas cartilaginosas, la formación de tejido óseo ocurre de la misma manera que se describe para el centro de la osificación inicial.

Conforme el tendo óseo se deposita en las espículas calcificadas, el carrílago se reabsorbe y al final queda hueso esponjoso primario. Este hueso esponjoso se reorganiza por actividad osteoclástica y adición de nuevo tendo óseo, adaptando el crecimiento contínuo y el estrés físico que se genera sobre el hueso.

Inmediatamente después del nacimiento, en la epífisis proximal aparece un centro secundario de osificación. Los condrocitos se hipertrofian y se degeneran. Al igual que en la diáfisis, la matriz se calcifica y hay invasión local de vasos sanguíneos y células osteogénicas provenientes del pericondrío, creando una nueva cavidad medular (véase fig. 8-20, ilustración 7). Más tarde se forma un centro de osificación epifisario similar en el extremo distal del hueso (véase fig. 8-20, ilustración 8). Este también es considerado un centro de osificación secundario, aunque aparezca después. Con el desarrollo de los centros secundarios de osificación, la única porción del tejido cartilaginoso que queda del modelo original es el cartílago articular en los extremos de los huesos y una placa transversal, lla mada disco opifisario, el cual separa las cavidades de la epífisis y de la diáfisis (lám. 13, p. 268).

El cartilago del disco epifisario tiene la función de mantener el proceso de crecimiento.

Para que un hueso conserve sus proporciones y forma únicas, debe ocurrir un remodelado tanto interno como externo cuando este crece en longitud. La zona de proliferación del disco epifisario genera el cartílago sobre el cual se desarrollará el hueso más adelante. En cuanto al proceso de crecimiento, es importante tener en cuenta lo siguiente:

- El espesor del disco epifisario se mantiene relativamente constante durante el crecumiento,
- La cantidad de cartílago nuevo producido (zona de proliferación) es igual a la cantidad de cartílago resorbido (zona de resorción).
- El carrilago resorbido es, desde luego, reemplazado por hueso esponjoso.

El alargamiento del hueso se produce cuando se sintetiza nueva matriz cartilaginosa en el disco epifisario. La producción de matriz cartilaginosa empuja la epífisis lejos de la diáfisis, alargando el hueso. Los acontecimientos que siguen a este crecimiento gradual (denominados *Inpertrofia*, calcificación, resorción y osificación) simplemente involucran los mecanismos por los que el cartilago recién formado es sustituado por tejido óseo durante el desarrollo.

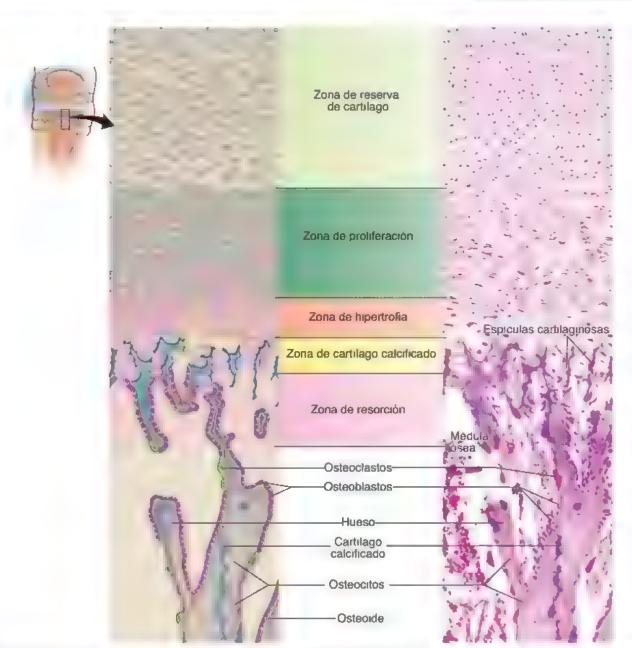


FIGURA 8-22. Corte longitudinal a lo largo del lado de la diáfisis del disco epifisario de un hueso metacarpiano fetal. En la microfotografia de la derecha se observa una formación ósea activa en el lado de la diáfisis del disco epifisario. La zonficación es evidente en esta muestra ten da con H&E (180 x) ya que los condrocitos experimentan divisiones hipertrofia y, finalmente apoptosis, lo que da espacio a las células invasoras de formación ósea. En la l'ustración de la equierda, las células de la médula ósea se han eliminado, lo que permite a osteoblastos i osteoclastos y células del endostro revestir las superficies internas del hueso. Debe tenerse en cuenta que el cartillago calcificado (azul) está presente en las espiculas óseas.

El hueso aumenta su ancho o diámetro cuando el crecimiento aposicional del nuevo hueso ocurre entre las laminillas corticales y el periostio. La cavidad de la médula se agranda por resorción ósea de la superficie del endostio de la corteza del hueso. A medida que los huesos se alargan, será necesaria su remodelación. Esta se compone de la resorción preferencial en algunas zonas del hueso y el depósito en otras zonas, como se comentó antes y como se ilustra en la fig. 8-23.

Cuando una persona alcanza su máximo crecimiento, finaliza la producción de cartílago en el disco epitisario.

Cuando la proliferación de un nuevo cartilago cesa, el cartílago que ya se ha producido en el disco epifisario continúa sometiéndose a los cambios que conducen al depósito de nuevo hueso hasta que, finalmente, desaparece por completo. En este punto, confluyen las cavidades medulares de la epífisis y la diáfisis. La eliminación del

disco epifisario se conoce como cierre epifisario. En la ilustración 9 de la figura 8-20 ya no hay cartilago epifisario; en la ilustración 10, ambos cartilagos epifisarios han desaparecido. El crecimiento se ha completado y el cartilago restante se encuentra solo en las superficies articulares de los huesos. En el sitio donde estaba el disco epifisario, perdura como un vestigio la linea epifisaria, la cual está compuesta por tendo óseo (véuse fig. 8-2).

Desarrollo del sistema osteónico (de Havers)

Las osteonas generalmente se forman en el hueso compacto preexistente.

El hueso compacto puede adoptar diferentes formas. Se puede generar a partir de hueso esponjoso fetal por depósito constante

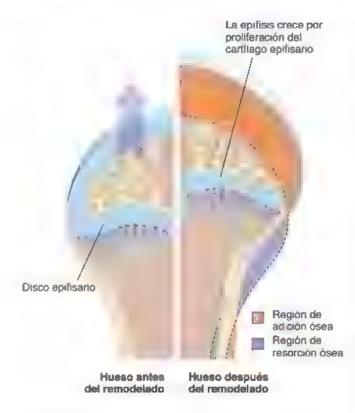


FIGURA 8-23. Diagrama del remodelado externo de un hueso. Se muestran dos periodos durante el proceso de crecimiento óseo. A la izquierda se observa un corte longitudinal del hueso más joven (antes del remodelado), a la derecha, uno de hueso más viejo (después del remodelado). Superpuesta en el lado derecho de la figura, está la silueta del hueso (solo la mitad derecha) como era antes. El hueso ahora es más largo, pero ha conservado su forma general. Para que un hueso crezca en longitud y retenga su forma general, es necesano que se resorba tejido óseo en algunas superficies y que se forme en otras, como se indica en este diagrama (basado en Ham AW. Some histophysiological problems peculiar to calcified tissues. J. Bone Joint Surg. Am. 1952,24A. 701–728)

de tejido óseo sobre las espículas; puede depositarse directamente como hueso compacto maduro (p. ej., las laminillas circunferenciales de un hueso adulto) o podría ser hueso compacto más antiguo compuesto por osteonas y laminillas intersticiales. El proceso por el cual se forman nuevas osteonas se conoce como remodelado interno.

Durante el desarrollo de osteonas nuevas, los osteosclastos perforan un túnel a través del hueso compacto.

La formación de una osteona nueva en el hueso compacto implica en un principio la creación de un espacio en forma de túnel, la cavidad de resorción, por acción de los osteoclastos. Esta cavidad de resorción tendrá las dimensiones de la osteona nueva. Cuando los osteoclastos han producido un túnel cilíndrico de tamaño apropiado mediante resorción del hueso compacto, los vasos sanguíneos junto con su tejido conjuntivo circundante ocupan su luz. Conforme se ocupa el túnel, casa de inmediato comienza la formación de tejido óseo nuevo. Estos dos aspectos de la actividad celular, es decir, la resorción osteoclástica y la síntesis osteoblástica, constituyen una unidad de remodelado óseo. La unidad de remodelado óseo consiste en dos partes distintas: un cono de corte que avanza (también llamado conducto de resorción) y un cono de cierre (fig. 8-24).

El extremo del cono de corte está formado por osteoclastos que avanzan, y a los que les siguen de cerca un asa capilar y pericitos. También contiene numerosas células en proceso de división celular que dan lugar a osteoblastos, pericitos adicionales y células endoteliales (es necesario recordar que los osteoclastos derivan de las células progenitoras hematopoyéticas mononucleares). Los osteoclastos perforan un conducto de unos 200 µm de diámetro. Este conducto establece el diámetro del futuro sistema osteónico (de Havers). El cono de corte constituye solamente una pequeña fracción de la longitud de la unidad de remodelado óseo; en consecuencia, se observa con una frecuencia mucho menor que el cono de cierre.

Una vez establecido el diámetro del futuro sistema de Havers, los osteoblastos empiezan a llenar el conducto mediante el depósito de matriz orgánica del hueso (osteoide) en sus paredes en laminillas su cesivas. Con el tiempo, la matriz ósea de cada una de las laminillas se mineraliza. Dado que las laminillas óseas sucesivas se depositan deide la periferia hacia el interior, el conducto alcanza por fin el diámetro relativamente angosto del conducto osteónico maduro.

El hueso compacto maduro contiene sistemas de Havers de diferente tamaño y antigüedad.

El análisis microtradiográfico de una preparación de hueso por desgaste revela que los sistemas de Havers más jóvenes muestran menos mineralización que los sistemas más viejos (fig. 8-25). Los sistemas de Havers se someten a una mineralización secundaría progresiva que continúa (hasta cierto punto) incluso después de que la osteona ha completado su formación. La figura 8-25 también ilustra el remodelado interno dinámico al que está sometido el hueso compacto. En el adulto, la formación ósea está en un delicado equilibrio con la actividad resortiva. En un adulto mayor, la resorción suele exceder la formación. Cuando este desequilibrio es demasiado intenso, entonces se desarrolla la osteoporosis (vease cuadro 8-2).

■ MINERALIZACIÓN BIOLÓGICA Y VESÍCULAS MATRICIALES

La mineralización es un fenómeno extracelular regulado por células bajo el control de los osteoblastos.

Las células formadoras de hueso producen la matriz ósea orgánica, el osteoide: osteoblastos en el hueso y ameloblastos y odontoblastos en los dientes en desarrollo. Una vez que se deposita el osteoide, los osteoblastos inician el proceso de mineralización, que se lleva a cabo en la matriz extracelular del hueso y el cartílago, así como en la dentina, el cemento y el esmalte de los dientes. La matriz de todas estas estructuras, excepto el esmalte, contiene fibrillas de colágeno y sustancia fundamental. La mineralización se produce al mismo tiempo en las fibrillas colágenas y en la sustancia fundamental que las rodea. En el esmalte, la mineralización se produce dentro de la matriz extracelular secretada por el órgano del esmalte.

Los osteoblestos sintetizan la mayoría de los componentes de la matriz extracelular y controlan el proceso de mineralización al secretar proteínas reguladoras como la osteocalcina, las sialoproteínas óseas y la osteocalherina. También modulan la concentración local de iones fosfato regulando la actividad de la fosfatasa alcalina no especifica de tejido (TNAP, tissue nonspecific alkalino phosphatoso), que hidroliza los grupos fosfato de diversos sustratos fisiológicos. A pesar de la ubicación extracelular de la mineralización biológica, este proceso está controlado por los

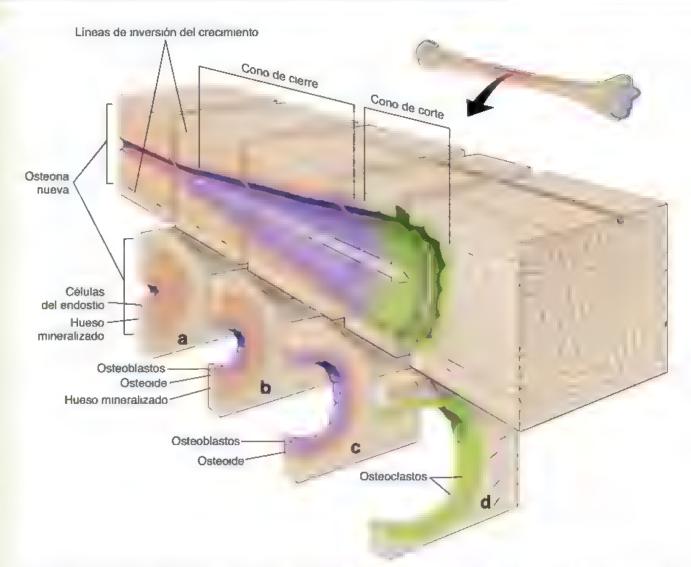


FIGURA 8-24. Diagrama de una unidad de remodelado óseo. Una unidad de remodelado óseo se compone de un cono de corte que avanza y un cono de cierre que lei siguie El cono de corte formado por osteoclastos se encarga de perforar el tunel o cavidad de resorción a través de hueso compacto. Su acción domienza dentro del hueso compacto en la parte izquierda del diagrama ten la zona que corresponde a la sección a). El cono de corte avanza a o iargo de las osteonas, en la dirección indicada por la flecha, hasta la región correspondiente a la sección di una sección di muestra un corte transversal a través del cono de corte revestido por los osteoclastos (células verdes). La cavidad de resorción es el sitio donde se formará la osteona por la acción de cono de cierre, que consiste en los osteoblastos (células purpuras). Estas cellulas comienzan a depositar el osteoide sobre las paredes del conducto en lamini las sucesivas. La formación gradual de tejido óseo nuevo re lena a cavidad de resorción. Debe tenerse en cuenta e depós to de osteoide profundo con respecto a los osteoblastos y sto en las secciones bly di y en las secciones aly bilia presencia del hueso mineralizado. Conforme se depositan aminitas óseas sucesivas el conducto por fin alcanza el diámetro relativamente estrecho del conducto de Havers maduro bordeado por las células dei endostio (celulas rosa), como las que se muestran en la sección a una inea de inversión de crecimiento que aparece en el limite externo de una osteona recién formada representa una frontera entre la actividad resortiva del cono de corte y la matriziósea no remodelada por esta actividad.

osteoblastos y está regulado por transportadores de membrana, enzimas y proteínas de la matriz extracelular circundantes.

La acumulación local de iones Ca² y PO₄ en la matriz extracelular es esencial para el inicio de la mineralización.

En los sitios donde se inicia la mineralización de hueso, carrílago, dentina y cemento, la concentración local de iones Ca²⁺ y PO₄ en la matriz debe exceder el nivel del umbral normal. Varios acontecimientos son responsables de esta mineralización: la fijación de Ca²⁺ extracelular por la osteocalcina y otras sialoproteínas genera una concentración local alta de este ion. La concentración elevada de Ca²⁺ estimula los osteoblastos para que secreten TNAP, que aumenta la concentración local de iones PO₄. La concentración alta de PO₄ estimula el aumento adicional de la concentración de Ca²⁺ en donde se iniciara la mineralización

La formación de cristales de hidroxiapatita inicia en la luz de la vesícula matricial y se disemina hacia la matriz extracelular.

En zonas con concentraciones extracelulares altas de Ca²⁺ y PO₄, los osteoblastos inician el proceso de mineralización liberando pequeñas vesiculas matriciales (50-200 nm de diámetro) hacia la matriz ósea. Estas vesículas de la matriz representan ectosomas que son liberados desde la membrana plasmática apical o las microvellosidades de los osteoblastos en la cercanía de la interfaz osteoblasto-osteoide. La membrana plasmática de las vesículas de la matriz contiene varios transportadores de membrana y enzimas, y su luz proporciona un microambiente de nutrición para la nucleación de fosfato de calcio y el subsiguiente crecimiento de cristales (cuadro 8-3, p. 258). Las vesículas de la matriz contienen anexinos, TNAP, anhidrasas carbónicas y pirofosfatasas, La TNAP y la anexina A5 expresadas en la



FIGURA 8-25. Microrradiografía del corte transversal de un hueso. En este corte transversal de 200 µm de grosor del hueso de un varón saludable de 19 años se muestran diversos grados de mineratización en diferentes osteonas. El hueso compacto maduro está reemplazando activamente el hueso inmaduro, que se ve en la superficie penóstica (amba). El grado de mineralización está reflejado por los tonos claros y oscuros de la microrradiografía. Por lo tanto, las zonas muy claras representan el tejido altamente mineralizado que desvia los rayos X y les impide que incidan sobre la película fotográfica Por el contrario, las zonas oscuras contienen menos mineral y, en consecuencia, son menos eficaces para desviar los rayos X. Nótese que las laminillas intersticiales (el hueso más artiguo) son muy claras, mientras que algunas de las osteonas son muy oscuras testas son las formadas más recientemente). Los conductos de Havers se ven negros porque solo contrenen tejidos blandos radiotransparentes. 157× (cortesia de la Dra. Jenifer Jowsey)

superficie de la vesícula de la matriz se unen al colágeno tipo I, que ancla la vesícula a la matriz extracelular. La anexina A5 es una proteína de canal para la entrada de Ca²⁺ en las vesículas de la matriz. El flujo entrante de Ca²⁺ en la matriz de la vesícula se acompaña del transporte simultáneo de tones PO₄ a través del cotransportador 3 de Na^{*}-fosfato (NPT3, Na-phosphate cotransporter 3).

La fase inicial de mineralización mediada por la vesicula de la matriz tiene lugar dentro de las vesículas de la matriz (fig. 8-26). En esta fase ocurren los siguientes acontecimientos:

- Las vesicules de la matriz acumulan iones de Ca²⁺ y PO₄ que causan un aumento del punto isoeléctrico local, lo cual lleva a la formación de partículas esféricas pequeñas (10 nm) no cristalinas de fosfato de calcio amorfo [Ca₅(HPO₄)(PO₄)₅(OH)], también llamado hidroxapatita deficiente en calcio.
- El fosfato de calcio amorfo experimentan una cristalización adicional a fosfato octacalcico [Ca₈H₂(PO₄)₆ · 5H₂O].
- En la presencia de una concentración elevada de iones Ca²⁺
 y PO₄, el cristal de fosfato octacálcico crece dentro de la vesícula de la matriz hasta formar cristales de hidroxiapatite

- [Ca₁₀(PO₄)₆(OH)₂] insolubles y con forma de aguja. Los enstales de hidroxiapatita se acumulan en la vesícula de la matriz.
- Las fosfolipasas perforan agujeros en la membrana plasmática de las vesículas de la matriz a través de los que salen los cristales de hidroxíapatita que están alargándose y comienzan a emerger desde la luz hacia la matriz extracelular circundante.

En la segunda fase de mineralización de colágeno que tiene lugar fuera de la vesícula de la matriz, los cristales de hidroxiapatita forman nódulos mineralizados (fig. 8-27). En esta fase ocurren los siguientes acontecimientos:

- Las concentraciones elevadas de iones Ca²⁺, PO₄ y proteínas ligadoras de Ca²⁺ (incluidas la osteopontina [BSP-1], la osteocalcina y la osteonectina) en la marriz extracelular proveen un entorno favorable para la nucleación continua de cristales de hidroximpatita.
- Los cristales de hidroxiapatita crecen rápidamente entre las fibrillas de colágeno y las moléculas de la sustancia fundamental del proteoglucano hasta que se unen a los cristales adyacentes producidos por otros nódulos mineralizados. De esta manera, una onda de mineralización recorre el osteoide.
- Más adelante en esta fase, se producen la rotura completa y la desintegración de las vesiculas de la matriz

■ ELTEJIDO ÓSEO COMO DIANA DE LAS HORMONAS ENDOCRINAS Y COMO ÓRGANO ENDOCRINO

El hueso sirve como reservorio corporal de calcio.

El mantenimiento de la concentración normal sanguínea de calcio es fundamental para la salud y la vida. Debido a que el hueso sirve como un depósito del calcio corporal, las hormonas endocrinas, como la PTH y la calcitonina, controlan estrechamente su liberación y recuperación desde la sangre. El calcio puede llevarse desde la matriz ósea hasta la sangre si la concentración de calcio circulante en la sangre disminuye por debajo de un punto crítico (rangos de concentración de calcio fisiológicos de 8.9 10.1 mg/dL). Por el contrario, si hay un exceso del calcio sanguíneo, este puede eliminarse de la sangre y almacenarse en el hueso.

Estos procesos están regulados por la PTH, secretada por las células principales de las glándulas paratiroides, y la colcitonino, secretada por las células parafoliculares de la tiroides (cuadro 8-4, p. 259).

- La PTH actúa sobre el hueso para elevar la baja concentración de calcio en sangre hasta alcanzar la normalidad. La liberación de PTH conduce a la movilización rápida de Ca²⁺ desde el hueso
- La calcitonina acrúa para disminuir la concentración elevada de calcio en sangre hasta llegar a la normalidad.

La PTH regula la distribución del Ca²⁺ toral del cuerpo. Esta hormona estimula a los osteocitos y los osteoclastos (de manera indirecta a través de vías de señalización de RANK RANKL, debido a que los osteoclastos no tienen receptores de PTH) para que resorban el hueso, lo que permite la liberación de calcio hacia la sangre. Como se comentó (véase p. 244-245), la resorción del hueso por los osteocitos se produce durante el remodelado osteocítico. La PTH también disminuye la excreción de calcio por el riñón y estimula la absorción de calcio por el intestino delgado. La PTH actúa para mantener la homeostasis mediante la estimulación del mñón para que elimine el exceso de fosfato producido por la resorción ósea.

La calcitorina inhibe la resorción ósea, específicamente mediante la inhibición de los efectos de la PTH sobre los osteoclastos. Es muy activa en las personas jóvenes; sin embargo, su actividad disminuye a medida que se envejece.

FIGURA 8-26. Diagrama de los procesos de mineralización y la función de las vesículas de la matriz. Las vesículas de la matriz de liberan desde el osteoblasto en la interfaz osteoblasto-osteo de La membrana plasmática de las vesículas de la matriz contiene varias proteínas indicipiendo cana eside Ca²* (anexinas) cotransportadores de Na +/- fosfato (NPT3) y fosfatasas alcaimas no específicas de tei do (TNAP). La TNAP aumenta la concentración extracelular de iones PO4, que se transportan a la vesicula a traves de cotransportadores NPT3. La anexina A5 permite la entrada de un fiujo de Ca²*. En la fase de minera ización mediada por las vesiculas de la matriz, se acumulan iones de Ca²+ y PO4 en la luz de la vesicula e inician un proceso gradua de formación de cristales de hidroxiapat ta Los cristales de hidroxiapat ta emergen desde la luz hacia la matriz extracelular a traves de orificios perforados en la membrana de la vesicula producidos por las fosfolipasas. A continuación la fase de mineralización del colágeno tiene lugar fuera de la vesicula de la matriz, lo que conduce a la organización de cristales de hidroxiapatita en nódulos mineralización cará la concentración de los cristales de lones de Ca²+ PO4 y proteínas ligadoras de Ca²+ en la matriz extracelular proporcionan un entorno favorabre para el crecimiento de los cristales de hidroxiapatita. Estos se amplian con rapidez a los espacios entre las fibrillas de colágeno hasta que confluyen con cristales adyacentes producidos por otros nódulos mineralizados. De esta manera, una onda de mineralización recorre el osteoide. BSP, sialoproteína ósea.

CORRELACIÓN CLÍNICA: OSTEOPOROSIS

La osteoporosis, que significa literalmente hueso poroso. es la enfermedad ósea más frecuente, se estima que afecta a 75 millones de personas en los Estados Unidos, Europa y Japón. Se caracteriza por la pérdida progresiva de la densidad ósea normal acompañada por el detenoro de su microarquitectura. Su causa es un deseguilibrio entre la resorción ósea mediada por osteoclastos y el depósito óseo mediado por esteoblastos, lo que produce disminución de la masa ósea, aumento de la fragilidad de los huesos e incremento del riesgo de fractura. En individuos sanos, la actividad de los osteoclastos está regulada principalmente por la PTH, y en menor medida por la IL-1 y el TNF Además, la diferenciación de precursores de osteoclastos se encuentra bajo la influencia del M-CSF y la IL-6. Las hormonas femeninas conocidas como estrógenos (especialmente estradiol) inhibenla producción de estas citocinas y, por lo tanto, limitan la actividad de los estecclastos. En las mujeres posmenopáusicas, en quienes las concentraciones de estrógenos están

reducidas, la secreción de estas citocinas aumenta, lo que genera una mayor actividad de los osteoclastos que conduce a la intensificación de la resorción ósea. Se calcula que la osteoporosis afecta a una tercera parte de las mujeres posmenopáusicas y a la mayor parte de la población de edad avanzada. Es la causa de más de 1.3 millones de fracturas anuales en los Estados Unidos.

Hay tres tipos generales de osteoporosis

- Osteoporosis primaria de tipo I, que se produce en mujeres posmenopáusicas. Debido a que este tipo aparece en una etapa más temprana de la vida que la de tipo II, su efecto a largo plazo suele ser más grave que la osteoporosis que se desarrolla en los años postenores de la vida.
- Osteoporosis primaria de tipo II, que ocurre en individuos de edad avanzada en su séptima u octava década de vida y es la causa principal de morbilidad grave y pérdida funcional en este grupo de edad.

CORRELACIÓN GLÍNICA: OSTEOPOROSIS (MONTRIMONOMIL





FIGURA C8-2-1. Microfotografía electrónica de barrido de hueso trabecular a. En esta imagen se muestra un corte de hueso trabecular obtenido de un cuerpo vertebral de una persona sana b. Esta muestra se obtivo del cuerpo vertebral de una mujer mayor y permite comprobar signos importantes de osteoporosis. Compárese el patrón de la arquitectura trabecular en la osteoporosis y en el hueso vertebral normal (cortesia de Dr. Alan Boyd).

 Osteoporosis secundaria, que surge como resultado del tratamiento con fármacos (corticoesteroides) o procesos patológicos que pueden afectar el remodelado óseo, incluyendo la desnutrición, la inmovilización prolongada, la ingravidez (con los viajes espaciales) y las osteopatias metabólicas (hiperparatiroidismo, cánceres metastásicos)

El hueso esteoperótico tiene la estructura histològica normal; sin embargo, hay menos masa tisular (fig. C8-2-1), lo que da lugar a huesos debilitados que son más propensos a las fracturas después de un traumatismo menor. Las fracturas de la cabeza y el cuello del fémur (conocidas frecuentemente como fracturas de cadera), las de la muñeca y aquellas causadas por compresión vertebral son lesiones habituales que a menudo incapacitan y confinan a una persona mayor a una silla de ruedas. Las personas que padecen fracturas se encuentran en mayor riesgo de muerte, no de forma directa por causa de la fractura, sino debido a las complicaciones de la hospitalización a causa de la inmovilización y un mayor nesgo de neumonía, trombosis pulmonar y embolia

El tratamiento tradicional de las personas con osteoporosis incluye una dieta adecuada con suprementos de vitamina D y calcio, así como ejercicio moderado para ayudar a frenar la pérdida ósea. Además de la dieta y el ejercicio, se utiliza el tratamiento farmacológico orientado a desacelerar la resorción ósea.

Existen varias opciones de tratamiento disponibles para las mujeres posmenopáusicas. La **terapia de reemplazo hormonal** (TRH) con estrógeno y progesterona está aprobada para la prevención de fracturas osteoporóticas en mujeres posmenopáusicas, pero no se considera una terapia de primera línea porque se asocia con un mayor nesgo de enfermedad cardiovascular, coágulos sanguíneos y cáncer de mama. La TRH se recomienda para la prevención de fracturas si una mujer también tiene síntomas intensos de la menopausia (como sofocos o bochomos) o si no puede tolerar otras tera-

pias y no tiene factores de riesgo o antecedentes de enfermedad cardiovascular o cáncer de mama

Los moduladores selectivos de los receptores de estrógeno (MSRE), como el raloxifeno, se unen a receptores de estrógenos y actuan como un agonista (que imita la acción estrogénica) en el hueso, en otros tejidos, actuan inhibiendo la acción del receptor de estrógeno (que funciona como antagonista de los estrógenos). La terapia con MSRE tiene el mismo efecto beneficioso que los estrógenos sobre el tejido óseo, pero no causa los mismos efectos adversos en otros tejidos (p. ej , el aumento del riesgo de cáncer de mama). Otros tratamientos no estrogénicos incluyen los bisfosfonatos (alendronato y risedronato), que inhiben la actividad osteoclástica mediante la inducción de la apoptosis de los osteoclástics.

El tratamiento hormonal en la osteoporosis incluye el uso de la hormona paratiroidea humana recombinante (tenparatida), que tiene la misma acción fisiológica sobre el hueso y los riñones que la hormona. En dosis intermitentes, promueve la formación ósea mediante el aumento de la actividad osteoblástica y la mejoría del espesor del hueso trabecular. La liberación de PTH es modificada por el ejercicio físico y depende de la intensidad y la duración de este El ejercicio de corta duración y alta intensidad, parecieran no tener impacto alguno en la secreción de PTH.

También están disponibles tratamientos que tienen como diana las moléculas de RANK, RANKL y OPG que controlan el desarrollo, el compromiso, la diferenciación y la función de las células del linaje de los osteoclastos. El denosumab, un antícuerpo monoclonal que neutraliza RANKL, disminuye la cantidad de osteoclastos en diferenciación mediante la inhibición de su activación y supervivencia, con lo que se impide la resorción ósea.

Los mecanismos a través de los cuales la PTH regula la concentración de calcio en suero y la resorción ósea son más complejos. La PTH tiene una acción anabólica (que aumenta la osificación) en contraste con su acción catabolica que causa la resorción ósea. En estudios clínicos en los que se administro PTH en dosis subcutaneas intermitentes a mujeres posmenopausicas con osteoporosis, se encontró un aumento significativo de la formación ósea y la densidad mineral de los huesos. Los aumentos en la cantidad de hueso esponjoso debido al tratamiento con PTH se han demostrado en hueso iliaco, cuerpos vertebrales y los ejes del radio y el fémur (véase cuadro 8-2) Los mecanismos probables detrás de la acción anabólica de la PTH,

CORRELACIÓN GLÍNICA: FACTORES NUTRICIONALES EN LA OSIFICACIÓN

Tanto los factores nutricionales como los hormonales afectan el grado de mineralización ósea. La insuficiencia de calcio durante el crecimiento causa raquitismo, una alteración en la que la matriz ósea no se calcifica con normalidad. El raquitismo puede causado por deficiencia de calcio en la dieta o falta de vitamina D (una prohormona esteroide), que es necesaria para la absorción de calcio en el intestino. La radiografía de un niño con raquitismo avanzado presenta signos radiológicos clásicos: genu valgo (curvatura de concavidad interna de los huesos largos de los miembros inferiores) y deformación torácica o craneal (a menudo con un aspecto "cuadrado" distintivo). Si el raquitismo no se trata mientras los niños todavía. se encuentran en etapa de crecimiento, las deformidades esqueléticas y la estatura baja pueden ser permanentes. En el adulto, en cambio, la misma insuficiencia nutricional o vitamínica produce osteomalacia. Si bien el raquitismo y la osteo-

malacia ya no son un problema importante en las poblaciones con alimentación adecuada, en muchos países en vías de desarrollo el raquitismo es una de las enfermedades más frecuentes de la infancia.

Además de su efecto sobre la absorción intestinal de calcio, la vitamina D también es necesaria para la calcificación normal. Otras vitaminas que se sabe que actúan sobre el hueso son la vitamina A y C. La insuficiencia de vitamina A suprime el crecimiento endocondral del hueso, mientras que su exceso produce fragilidad ósea y aumenta la frecuencia de las fracturas de huesos largos. La vitamina C es indispensable para la síntesis de colágeno, y su deficiencia causa escorbuto. La matriz ósea producida en el escorbuto no se puede calcificar. Otra forma de mineralización ósea insuficiente que ocurre con frecuencia en las mujeres posmenopáusicas es la osteoporosis (véase cuadro 8-2).

contraria a lo esperado, posiblemente se relacionen con su dosificación. El tratamiento corto o intermitente con PTH es anabólico; estimula el depósito óseo a través de las vías cAMP/IGF-1 en osteocitos y osteoblastos. Por el contrario, el tratamiento prolongado y continuo es catabólico; aumenta la producción de moléculas de RANKI, por los osteoblastos y los linfocitos T, lo que conduce a la activación de los osteoclastos y a la resorción ósea.

Las células óseas producen hormonas endocrinas que participan en la regulación del metabolismo del fostato y la glucosa.

Algunos descubrimientos recientes incluyen hormonas producidas por los osteoblastos y los osteocitos que afectan a los órganos endocrinos responsables de la homeostasis mineral y nutricional. Estas hormonas son las siguientes:

El factor de orecimiento de fibroblastos 23 (FGF-23), producido por los osteocitos, regula la concentración de fosfato sérico mediante la alteración de las cantidades de vitamina D activa y la actividad de los transportadores de fosfato específicos en el

riñón. El FGF-23 es un factor importante que colabora con la PTH para eliminar el exceso de fosfato liberado de las hidroxiapantas durante la resorción ósea.

 La oateocaleina, producida por los osteoblastos, está asociada con una vía de regulación energética y metabólica de la glucosa. Su objetivo son los adipocitos y las células productoras de insulma en el páncreas. Además, se ha demostrado que la osteocalcina induce la producción de testosterona en las células de Leydig de los testículos.

Tanto el FGF 23 como la osteocalcina funcionan como hormonas endocrinas clásicas, es decir, se producen exclusivamente en el tejido óseo y actúan sobre órganos diana distantes mediante un mecanismo regulador de retroalimentación. El entendimiento de la función endocrina del tejido óseo mejorará el diagnostico y el tratamiento de pacientes con osteoporosis, diabetes mellitus y otras alteraciones metabolicas.



FIGURA 8-27. Microfotografia electrónica de osteoide con nódulos mineralizados. En esta microfotografía se muestran varios nódulos mineralizados (NIM) en diferentes etapas de formación rodeados por fibrillas de colágeno en la fase de mineralización de colágeno del osteoide. Los nódulos mineralizados están formados por cistales de hidrogapatita que salen de la luz de las vesículas de la matriz y continuan creciendo entre las fibrilias de colágeno. Nótese que los nódulos mineralizados tienen multiples conexiones con las fibrilias de colágeno (puntas de flecha), que son restos de los sitios de unión al colágeno de las proteinas (TNAP y anexina A5) expresadas en la superficie de las vesículas de la matriz 30000× freimpreso con autorización de Amizuka N, Li M, Kobayashi M, et al Vitamin K2, a gamma-caboxylating factor of gla-proteins, normalizes the bone crystal nucleation impaired by Mignisufficiency. Histol Histopathol 2008,23:1353–1366)

■ BIOLOGÍA DE LA REPARACIÓN ÓSEA

El hueso puede repararse a sí mismo después de una lesión, ya sea por un proceso de curación ósea directa (primaria) o indirecta (secundaria).

La reparación de la fractura ósea puede ocurrir mediante dos procesos. la curación directa o indirecta del hueso. La curación ósea directa (primaria) se produce cuando el hueso fracturado se estabiliza quirúrgicamente con placas de compresión y se restringe por completo el movimiento entre los fragmentos fracturados del hueso. En este proceso, el hueso es sometido a un remodelado interno similar al del hueso maduro. Los conos de corte formados por los osteoclastos cruzan la línea de fractura y generan conductos de resorción longitudinales, que después se llenan con osteoblastos productores de hueso que residen en los conos de cierre (véase p. 260 para más detalles). Este proceso da lugar, de manera simultánea, a la generación de una unión ósea y a la restauración de los sistemas de Havers.

La curación ósea indirecta (accundaria) implica respuestas del periostio y de los tejidos blandos circundantes, así como la formación de hueso endocondral e intramembranoso. Este tipo de reparación ósea se produce en las fracturas que son tratadas con fijación ósea no rigida o semirrigida (tratamiento con yeso/escayolas, aparatos ortopédicos de fractura, fijación externa, enclavado intramedular o placas de metal sobre el espacio de fractura). Las principales etapas de la cicatrización ósea indirecta se muestran en la figura 8-28.

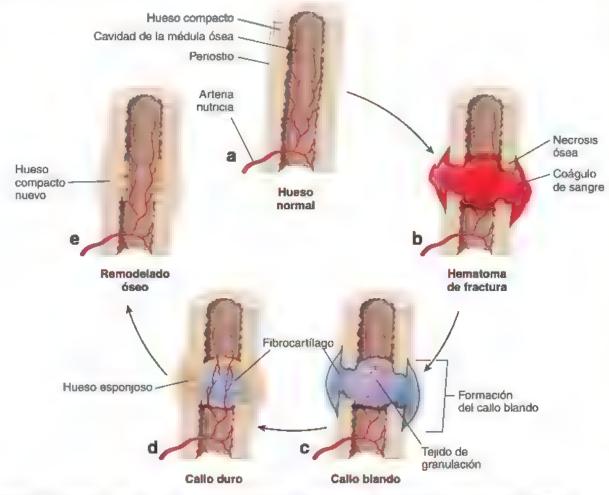


FIGURA 8-28 fractura osea y etapas del proceso de curación del hueso. a. Un hueso sano visto antes de la fractura b. La respuesta in dia la lesión produce un hematoma de fractura que rodea los extremos del hueso fracturado uos extremos de los tragmentos de hueso experimentan necrosis. Se desarrolla la reacción inflamatoria aguda y se manifiesta por la infiltración de neutrófilos y macrofagos la activación de fibrioblastos y la proinferación de capitares. É hematoma de fractura es reemplazado gradualmente por tejido de granulación c. A medida que el tejido de granulación se hace mayor se deposita la matriz hibrocartilago neoformado len el vacio en el siño de la fractura produciendo un callo biando. Esto estabiliza y une los extremos fracturados del hueso d. Las celulas osteoprogenitoras del periostio se diferencian en osteoblastos y comienzan a depositar hueso nuevo en la superficie exterior del calio (proceso intramembranoso) hasta que el hueso nuevo forma una envoltura osea sobre el da lo biando forma fractura con una calidad en el calio biando se da cifica y es sustituido de torma gradua por el hueso como en la osificación endocondra. El nuevo depósito de hueso forma un calidad con el calidad duro es sustituido de manera paulatina por la acción de los osteoclastos y los osteoblastos, lo que restaura el hueso a su forma original.

HINTOHOTES

CONSIDERACIONES FUNCIONALES: REGULACIÓN HORMONAL DEL CRECIMIENTO ÓSEO

Otras hormonas además de la PTH y la calcitonina tienen efectos importantes sobre el crecimiento óseo. Una de ellas es la hormona de crecimiento o somatotropina (GH, growth hormone), producida en la hipófisis. Esta hormona estimuia el crecimiento en general y en especial, el crecimiento del cartílago epifisario y del hueso. Actúa directamente sobre las células osteoprogenitoras y las estimula para que se dividan y se diferencien. Los condrocitos en los discos epifisarios son regulados por el IGF-I, que es producido principalmente por el figado en respuesta a la GH. Además del IGF-I, la insulina y las hormonas tiroideas también estimulan la actividad de los condrocitos. La hipersecreción (secreción excesiva) en la infancia, causada por un defecto del mecanismo regulador de la secreción de GH o un tumor productor de la hormona en la glándula hipófisis, produce gigantismo,

que se distingue por un aumento anómalo en la longitud de los huesos. La falta de GH o su secreción disminuida en los niños conduce a una detención del crecimiento de los huesos largos y a enanismo hipofisario. La carencia o la hiposecreción grave de la hormona tiroidea durante el desarrollo defeto y del lactante también lleva a una falta de crecimiento óseo y enanismo, una alteración que se conoce como hipotinoidismo congénito. Cuando la hipersecreción de GH ocurre en un adulto, los huesos no crecen en longitud a causa del cierre de los discos epificarios. En cambio, se comprueba un engrosamiento óseo anómalo y agrandamiento selectivo de las manos, los pies, la mandíbula, la nariz y los huesos intramembranosos del cráneo. Esta enfermedad, conocida como acromegalia, es producida por el aumento de la actividad de los osteoblastos en las superficies óseas.

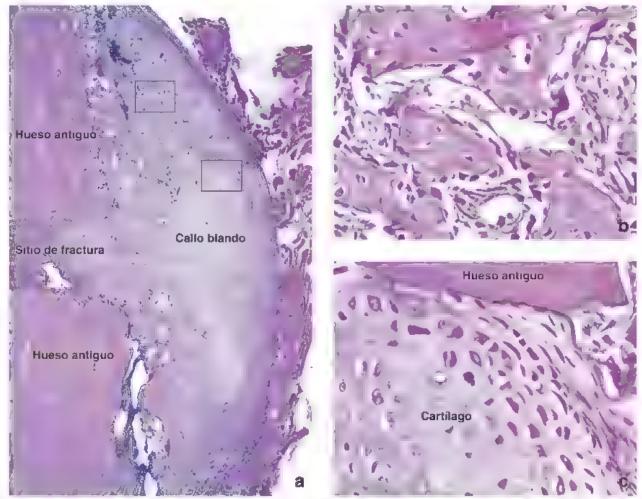


FIGURA 8-29. Microfotografia de un hueso largo fracturado en proceso de reparación a. En esta microfotografia de poco aumento, de un preparado de una fractura ósea de 3 semanas de evolución tendo con H&E se muestran los fragmentos de hueso separados por el fibrocartilago del callo suave. En esta etapa, el cartilago experimenta os ficación endocondral. Además los osteoblastos del periostio intervienen en la secreción de matriz ósea nueva en la superficie externa del callo. A la derecha de la foto, el callo fibrocartilaginoso está cubierto por periostio, que tambien si rive como sitio da filación para el musculo esqueletico 35 × b. Un mayor aumento de la región del callo contenida en el rectángulo superior de la figura al permite observar osteoblastos que revisten trabéculas ula mayor parte de la matriz fibrosa y cartilaginosa origina en este sitio ya ha sido reempiazada por tej do óseo. El hueso inicia se deposita en la forma de tej do óseo inmaduro, que luego es reempiazado por hueso compacto maduro. 300 × c. Mayor aumento de la región del cario contenida en errectangulo inferior de la imagen a. Un fragmento de hueso antiguo separado del sitio de la fractura cerca del periosto y contiguo al cartilago, será el minado por los osteociastos. El cartilago se calcificará y será reemplazado por trabéculas óseas nuevas, como se observa en la imagen b. 300 ×.

La fractura de hueso inicia una respuesta inflamatoria aguda que es necesaria para la cicatrización ósea.

La respuesta inicial a una fractura ónoa es similar a la respuesta frente a cualquier lesión que produce destrucción de rejido y hemorragia. Inscialmente, se forma un hematoma de fracture (acumulación de sangre que rodea los extremos de la fractura de los huesos) (véase fig. 8-28b) y se observa necrosis ósea en los extremos de los fragmentos del hueso fracturado. La lesión de los rejidos blandos y la desgranulación de las plaquetas de los coágulos sanguíneos son responsables de la secreción de citocinas (p. ej., TNF-0, IL-1, IL-6, IL-11, IL-18) y el inicio de la respuesta inflamatoria aguda. Este proceso se refleja por la infiltración de los neutrófilos seguida por la migración de los macrófagos. A continuación, los fibroblastos y los capilares proliferan y crecen en el sitio de la lesión. Además, las células madre mesenquimatosas específicas llegan al lugar de la lesión desde los tejidos blandos circundantes y la médula ósea. El hematoma de fractura, que en un principio contenía eritrocitos atrapados dentro de una red de fibrina, es sustituida de forma gradual por tejido de granulación, un tipo de tejido conjuntivo laxo recién formado que contiene fibras

de colágeno tipos II y III. Tanto los fibroblastos como las células del periostio participan durante esta fase de la cicatrización.

El tejido de granulación se transforma en callo blando fibrocartilaginoso, que contribuye a que la fractura tenga una estructura estable y semirrigida.

A medida que el tejido de granulación se vuelve más denso, los condroblastos se diferencian del revestimiento del penostio y la matriz del cartilago, recién producida, invade la penferia del tejido de granulación. El tejido conjuntivo denso y el cartilago recién formado crecen y cubren el hueso en el sitio de fractura y producen un eatlo blando (véate fig. 8-28c). Este callo se forma inclusive si las zonas fracturadas están en aposición inmediata la una de la otra y contribuye a estabilizar y unir el hueso fracturado (fig. 8-29).

El callo óseo reemplaza el fibrocartilago en el sitio de fractura y permite la carga de peso.

Mientras el callo se está formando, las células osteoprogenitoras del periosno se dividen y se diferencian en osteoblastos. Los osteoblastos recién formados comienzan a depositar osteoide en la superficie exterior del callo (proceso intramembranoso) a una distancia de la fractura. Esta nueva formación de hueso progresa hacia el sitio de la fractura hasta que el hueso nuevo forma una envoltura sobre el callo fibrocartilaginoso. Los brotes osteogénicos de este nuevo hueso invaden el callo y comienzan a depositar rejido óseo dentro de él, de manera que el callo fibroso y cartilaginoso original es reemplazado gradualmente por un callo duro (véase fig. 8-28d). Además, la proliferación y la diferenciación del endostio se producen en la cavidad medular, y el hueso crece desde ambos extremos de la fractura hacia el centro. Cuando este hueso se une, la unión ósea del hueso fracturado, producida por los osteoblastos y derivada tanto del periostio como del endostio, consiste en hueso esponjoso. Al igual que en la formación de hueso endocondral, el hueso esponjoso es reemplazado paulatinamente por tejido óseo. El callo duro se torna más sólido y mecánicamente rígido.

El proceso de remodelado restaura la forma original del hueso.

Aunque el callo duro tiene una estructura rígida que brinda esta bilidad mecánica a la zona de la fractura, no restaura por completo las propiedades del hueso normal. El callo duro se somete al remodelado óseo para transformar el depósito de nuevo tejido óseo en un hueso maduro laminillar. Después de ello, la cavidad de la médula ósea necesita restaurarse. Mientras se está formando hueso compacto, se eliminan los restos del callo duro por la acción de los osteoclastos, y el **remodelado óseo** gradual restaura el hueso a su forma original (*véase* fig. 8-28e).

En las personas sanas, la cicatrización ósea suele durar 6-12 semanas segun la gravedad de la fractura y el hueso específico que se haya fracturado. El proceso inflamatorio tiene una duración de casi 1 semana. Por lo general, se acompaña de dolor e inflamación, y conduce a la formación de tejido de granulación El callo blando se forma unas 2-3 semanas después de la fractura. El callo duro, en el que los fragmentos fracturados están firmemente unidos por hueso nuevo, requiere 3-4 meses para desarrollarse. El proceso de remodelado óseo puede durar de unos pocos meses a varios años, hasta que el hueso regresa por completo a su forma original Ajustar el hueso (devolverlo a la configuración anatómica normal) y mantener las piezas en su lugar por medio de fijación interna (con clavos, tornillos o placas) o externa (con férulas, yesos o tutores externos) acelera el proceso de cicatrización.



TEJIDO ÓSEO

FUNDAMENTOS DEL TEJIDO ÓSEO

- El tejido óseo es un ripo de rejido conjuntivo especializado que se caracteriza por una matriz extracelular mineralizada que almacena calcio y fosfato.
- El tejido óseo contribuye a la estructura esquelética, que soporta el cuerpo, protege las estructuras vitales, proporciona bases mecánicas para el movimiento corporal y alberga la médula ósea.

ESTRUCTURA GENERAL DE LOS HUESOS

- Los huesos se clasifican según su forma en largos, cortos, planos e irregulares.
- Los huesos largos son de forma tubular y se componen de dos extremos (epífisis proximal y distal) y un eje largo (diáfisis). La unión entre la diáfisis y las epífisis es la metáfisis.
- El hueso está cubierto por el periostio, una membrana de tejido conjuntivo que se adhiere a la superficie exterior mediante las fibras de Sharpey. El periostio contiene una capa de celulas osteoprogenitoras (celulas del periostio) que pueden diferenciarse en osteoblastos.
- Las cavidades óseas estan revestidas por el endostio, una sola capa de celulas que contiene celulas osteoprogenitoras (del endostio), osteoblastos y osteoclastos.
- Los huesos se articular con huesos vecinos mediante articulaciones sinoviales, una conexión móvil Las superficies
 articulares que forman zonas de contacto entre dos huesos estan cubiertas por cartilago hialino (articular)

ESTRUCTURA GENERAL DEL TEJIDO ÓSEO

- El tejido óseo formado durante el desarrollo se denomina hueso inmeduro (tejido). Se diferencia del hueso maduro (laminillar) en la disposición de las fibras de colágeno.
- El tejido óseo se clasifica ya sea como compacto (denso) o esponjoso (trabecular). El hueso compacto está por fuera y por debajo del periostio, mientras que una malla esponjosa interna de trabéculas forma el hueso esponjoso.
- El hueso maduro (laminillar) está compuesto principalmente por osteonas (sistemas de Havers). Estas estructuras, formadas por laminillas concentricas, se organizan alrededor de un conducto osteonal (de Havers) que contiene el suministro nervioso y vascular de la osteona. Los conductos de Volkmann (de perforación) estan dispuestos perpendicularmente y conectan los conductos osteonales entre si.
- Las lagunas entre las laminimas concentricas contienen osteocitos que estan intercomunicados con otros osteocitos y con
 el conducto osteonal mediante canalículos.

CÉLULAS Y MATRIZ EXTRACELULAR

- Las células osteoprogenitoras derivan de las células madre mesenquimatosas en la médula ósea. Bajo la influencia del factor de transcripción CBFA1 (RUNX2), se diferencian en osteoblastos.
- Los osteoblastos se diferencian a partir de celulas osteoprogenitoras y secreran osteoide, una matriz ósea no mineralizada que experimentan mineralización desencadenada por vesículas matriciales.
- Los osteocitos son celulas oseas maduras encerradas dentro de lagunas de la matriz ósea. Se comunican con otros osteocitos mediante una red de procesos celulares largos que ocupan canaliculos y responden a las fuerzas mecánicas aplicadas al hueso.
- Los osteoclastos se diferencian a partir de células progenitoras hematopoyeticas, resorben la matriz osea durante la formación y el remodelado del hueso. Se diferencian y maduran bajo el control del mecanismo de senalización de RANK-RANKI.
- La matriz ósea contiene principalmente colageno tipo I junto con otras proteinas no colagenas y proteinas reguladoras.

FORMACIÓN DEL HUESO

- El desarrollo de hueso se clasifica como osificación endocondral (en donde un modelo carrilaginoso suve como precursor oseo) u osificación intramembranosa (que carece de la participación de un precursor cartilaginoso).
- Los huesos planos del craneo, la mandíbula y la clavícula se desarrollan por osificación intramembranosa; todos los otros huesos lo hacen por osificación endocondral.
- En la osificación endocondral se forma el modelo de cartilago hialino. A commuación, las células osteoprogenitoras que rodean este modelo se diferencian en celulas formadoras de hueso que inicialmente depositan hueso en la superficie del cartilago (collar óseo periosteal) y despues penetran en la diáfisis para formar el centro de osificación primario.
- Los centros de osificación primario y secundario se desarrollan posteriormente dentro de las epífisis.
- Los centros primario y secundario de osificación están separados por el disco epifisario, que proporciona una fuente de cartilago nuevo implicado en el crecimiento óseo que se observa en niños y adolescentes.
- El disco epifisario tiene varias zonas (cartilago de reserva, proliferación, hipertrofia, cartilago calcificado y resorción). El cartilago calcificado y resorbido es sustituido por hueso.

CRECIMIENTO REMODELADO Y REPARACION OSEOS

- El alargamiento del hueso endocondral depende del crecimiento intersticial del cartílago en el disco epifisario.
- El hueso aumenta su ancho (diametro) mediante el crecimiento por aposición de nuevo hueso que se produce entre el hueso compacto y el periostio.
- El hueso esta en constante remodelación durante toda la vida por las unidades de remodelado óseo compuestas por osteoclastos y osteoblastos. Este proceso permite que el hueso cambie de forma en respuesta a la carga mecánica.
- El hueso se autorrepara despues de la lesion ya sea por un proceso de curación ósea directo (primario) o indirecto (secundario).
- Despues de la lesión, las células del periostio se activan para producir un callo blando (fibrocartílago), que es sustituido posteriormente por un callo duro (óseo).

ASPECTOS FISIOLÓGICOS DEL HUESO

- El hueso sirve como un depósito de Ca²⁺ en el cuerpo. El Ca²⁺ puede ser movilizado del hueso si su concentración en la circulación sanguínea disminuye por debajo del valor crítico. Asimismo, el exceso de Ca²⁺ puede removerse de la sangre y almacenarse en el hueso.
- El mantenimiento de la concentración sanguinea de Ca²⁺ esta regulado por la hormona paratiroidea (PTH), secretada por las glandulas paratificides, y la calcitonina, secretada por la glándula tiroides.
- La PTH estimula tanto los osteocitos como los osteoclastos (indirectamente a través de vías de señalización de RANK RANKL, ya que los osteoclastos no menen receptores de PTH) para resorber hueso, y aumentar, de este modo, la concentración sanguínea de Ca³⁻⁷.
- La calcitonina inhibe la resorción ósea mediante la inhibición de los efectos de la PTH sobre los
 osteoclastos, lo que disminuye la concentración sanguínea de Ca²⁺.

LÁMINA 11 HUESO DESGASTADO

El hueso es un tejido conjuntivo especializado que se caracteriza por una matriz extracelular mineralizada. El fosfato de calcio, en forma de cristales de hidroxiapatita [Ca₁₀(PO₄)₆OH₂], se deposita a lo largo de las fibrillas de colágeno y en la sustancia fundamental de proteoglucanos. El hueso sirve como sitio de almacenamiento de calcio y fosfato, que pueden liberarse en la sangre para mantener sus concentraciones homeostáticas. Los osteocitos residen en las lagunes de la matriz ósea y extrenden evaginaciones celulares finas a través de canalículos que las comunican, formando una red continua de células dentro del tejido mineralizado. Los huesos son órganos del sistema esquelético; el tejido óseo es el componente estructural de los huesos.

Los preparados de hueso por desgaste se obtienen sin el uso de fijadores, solo se deja que el tejido se seque.

Posteriormente, se cortan rebanades dalgadas de huesos secos con una sierra y se desgastan a una delgadez que permita su visualización con un microscopio óptico. Las muestras se pueden tratar con tinta china para definir los espacios que antes estuvieron ocupados por materia orgánica, como céfulas, vasos sanguineos y matriz no mineralizada. Una técnica más sencilla consiste en montar el tajido desgastado en un portaobjetos con un medio viscoso que conserve el aire atrapado en algunos de los espacios, como en la muestra de esta lámina. Aquí, algunos de los conductos osteonales y un conducto de perforación se llenaron con el medio de montaje, lo que los torna translúcidos en lugar de verse negros. El valor de las muestras preparadas de esta manera reside en que permiten ver la arquitectura del hueso compacto.



Hueso desgastado, hueso largo, humano, 80×.

Esta figura muestra un corte transversal de un hueso largovisto con poco aumento e incluye el aspecto extenor o periférico, identificado por la presencia de laminillas circun-

ferenciales (LC) (la superficie externa o perióstica del hueso no está incluida en la microfotografía). A la derecha están las osteonas (O) o los sistemas de Havers, que aparecen como siluetas circulares. Entre las osteonas estan las laminillas intersticiales (LI), que son los restos de osteonas antiguas.

Las osteonas, en esencia, son estructuras cilíndricas. En la diafisis de un hueso largo, el eje mayor de las osteonas está orientado en paralelo al eje mayor del hueso. Por lo tanto, un corte transversal a través de la diafisis de un hueso largo mostrará las osteonas en secciones transversales, como en esta figura. En el centro de cada osteona está el conducto osteonal (de Havers) (CH), que contiene vasos sangumeos, tejido conjuntivo y células que recubren la superficie del material óseo. Debido a que el material organico no se conserva en los preparados por desgaste, los conductos de Havers y otros espacios se verán en negro, como lo hacen aquí, si se llenan con tinta china o

aire, Las capas concéntricas de sustancia mineralizada, las laminillas concéntricas, que rodean el conducto de Havers se parecen a los anillos de crecimiento de un árbol. El conducto también está rodeado por lagunas en disposición concéntrica, que aparecen como pequeñas estructuras, oscuras y alargadas

Durante el período de crecimiento óseo y la vida adulta se produce un remodelado interno constante del bueso. Esto implica la destrucción de osteonas y la formación de otras nuevas. La degradación de una osteona suele ser incompleta; sin embargo, parte de ella puede permanecer intacta. Por otra parte, porciones de osteonas contiguas también pueden estar parcialmente destruidas. Una osteona nueva vuelve a ocupar el espacio creado por el proceso de degradación. Los restos de las osteonas anteriores se convierten en las laminillas intersticiales.

Los vasos sanguíneos llegan a los conductos de Havers desde la médula a través de otros trineles liamados conductos de Volkmann (perforantes) (CV). En algunos casos, como en este, los conductos de Volkmantt viajan de un conducto de Havers a otro. Los conductos de Volkmann pueden distinguirse de los conductos de Havers porque atraviesan las laminillas, mientras que los conductos de Havers están rodeados por anillos concéntricos de estas laminillas.



Hueso largo desgastado, osteona, humano, 300×.

Esta figura muestra una mayor ampliación de la microfotografia de la osteona señalada en la parte superior de la figura. Incluye algunos conductos de Havers (CH) rodeados

por laminillas y algunas de las laminillas intersticiales (LI), que ahora

se ven en la parte inferior de la microfotografia (la microfotografia se ha reorientado). Nótense las lagunas (L) y las finas proyecciones filiformes que emanan de ellas. Estas proyecciones representan los canalículos, espacios dentro de la matriz ósea que contienen evaginaciones citoplasmáticas del osteocito. Los canalículos de cada laguna estín comunicados con los de las lagunas adyacentes para formar un sistema de conductos en tres dimensiones a lo largo del hueso.



Hueso largo desgastado, humano, 400×.

En un aumento aun mayor, las laminillas circunferenciales se encuentran alrededor de la diáfisis del hueso largo en las superficies óseas externa e interna. Los osteoblastos

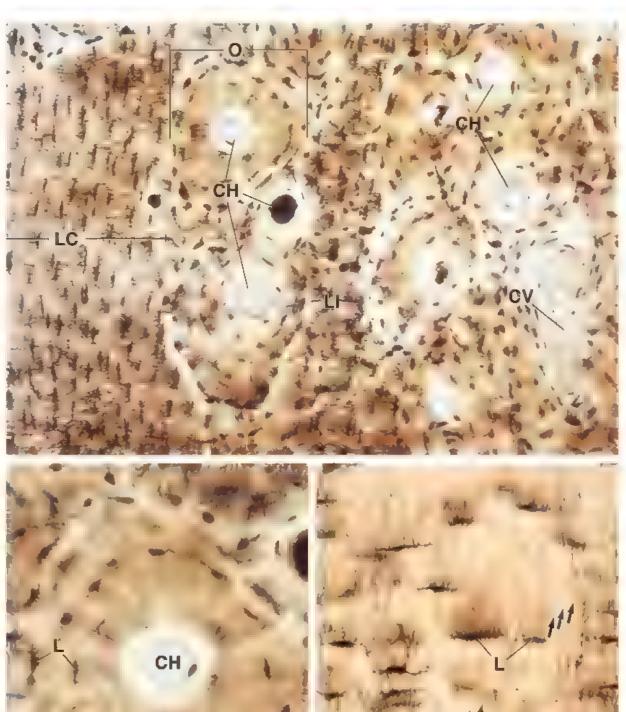
que contribuyen a la formación de laminillas circunferenciales en estos sitios provienen del periostio y el endostio, respectivamente, mientras que las osteonas son formadas por osteoblastos del conducto del sistema de Havers en desarrollo. Esta figura no solo revela las lagunas (L) y canalículos, sino también las laminillas del hueso. Estas últimas están apenas definidas por las líneas tenues (flechas) que se extienden por la microfotografía. Las fibras de colágeno en las laminillas vecinas están orientadas en diferentes direcciones. Este cambio de orientación es la causa de la línea tenue o interfaz entre las laminillas contiguas.

CH, conducto de Havers CV, conducto de Volkmann L, laguna

LC, laminillas circunferenciales LI, laminidas intersticiales

O, osteona

flechas, limites laminillares



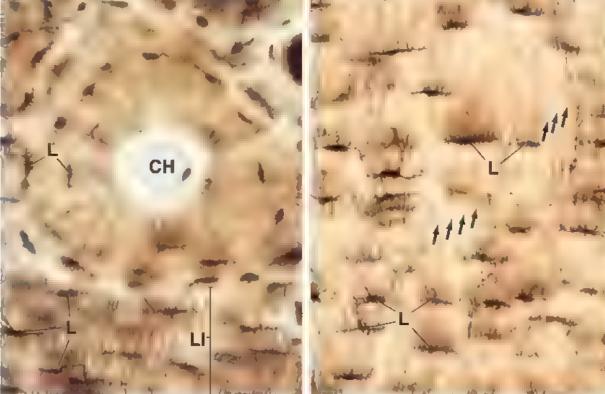
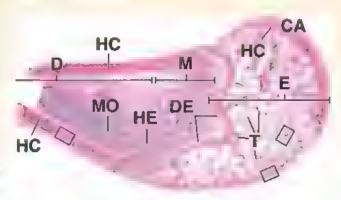


LÁMINA 12 TEJIDO ÓSEO Y HUESOS

El hueso representa uno de los tejidos conjuntivos especializados. Se caracteriza por una matriz extracelular mineralizada. La mineralización de la matriz distingue el tejido óseo de otros tejidos conjuntivos y lo convierte en un tejido muy duro capaz de proporcionar soporte y protección al cuerpo. El mineral es el fosfato de calcio en forma de cristales de hidroxiapatita. El hueso también proporciona un sitio de almacenamiento para el calcio y al fosfato. Ambos elementos pueden movilizarse desde la matriz ósea y ser captados por la sangre, para mantaner las concentraciones normales según la necesidad. La matriz ósea contiene colageno tipo I y, en pequeñas cantidades, varios tipos de colágeno (V, III, XI y XIII). Otras proteínas de la matriz constituyen la sustancia fundamental dei hueso, como macromolèculas de proteoglucanos, glucoproteinas multiadhesivas, factores de crecimiento y citocinas. El hueso generalmente se estudia en preparados histológicos en los que se ha eliminado el contenido de calcio (hueso descalcificado), lo que permite cortarlo como otros tejidos blandos.

Microfotografía de orientación. La microfotografía de orientación muestra el extremo proximal de un húmero descalcificado de un lactante El interior de la cabeza del hueso, la epifisis (E), consiste en hueso esponjoso (trabecular) compuesto por una red anastomosada de trabéculas (T) en forma de espiculas óseas. La porción externa consta

de una capa dense de tejido óseo conocido como hueso compacto (HC). Su espesor varia en diferentes partes del hueso. La porción más amplia del hueso adyacente al disco epifisario (DE), conocida como metáfisis (M), contiene hueso esponjoso (HE). El cuerpo de este hueso, la diáfisis (D), también se compone de hueso compacto (HC) y la cavidad está llena de médula ósea (MO), que en esta etapa de la vida se compone de tejido hematopoyético activo. El tejido cartilaginoso también es un componente del hueso y se encuentra como cartilago articular (CA) y como un disco epifisario (DE) de los huesos en crecimiento.



Superficie articular, hueso largo, humano, H&E, 178×.

Aquí se muestra con mayor aumento la superficie articular de la epifisis incluida en el rectángulo inferior derecho en la microfotografía de orientación que contiene cartilago articular y tejido óseo subyacente. La zona de tinción más clara es el cartilago articular (CA) de la articulación glenohumeral (hombro).

cartilago articular (CA) de la articulación glenohumeral (hombro). Obsérvese la presencia de grupos isógenos de condrocitos (Ca), un rasgo característico del cartilago en crectmiento. Por debajo del tejido cartilaginoso se localiza una zona de tinción más oscura de hueso

Hueso compacto, hueso largo, humano, H&E, 135×.

Aquí se muestra con mayor aumento el tejido óseo de la diáfisis en el rectángulo inferior izquierdo de la microfotografía de orientación. La superficie externa del hueso está cubierta por tejido conjuntivo denso conocido como periostío (P). El

Hueso esponjoso, hueso largo, humano, H&E, 135×.

> El área en el rectángulo superior derecho de la microfotografía de orientación contiene hueso esponjoso en la epifisis, que aqui se muestra con mayor aumento. Si bien el tejido oseo

en este sitio forma una estructura tridimensional que consiste en trabéculas ramificadas, su organización estructural y componentes son los mismos que los observados en el hueso compacto. Nótense los núcleos compacto (HC). Se puede distinguir del cartilago por la presencia de conductos de Havers (CH) y por la disposición de los osteocitos (Oc). Los osteocitos están dentro de la matriz ósea, pero generalmente solo se reconocen por sus núcleos. Debido a que la matriz ósea se establece en capas (laminillas), es característico que el hueso revele patrones lineales o circulares que rodean los conductos de Havera. Los espacios irregulares vistos en el tejido óseo son conductos de resorción (CR) que contienen, además de los vasos sanguíneos, los osteoclastos y los osteoblastos. La presencia de conductos de resorción indica un proceso activo de remodelado óseo.

tendo restante en la microfotografía es **hueso compacto** (HC). Los **conductos de Havers** (CH) están rodeados por **osteocitos** (Oc) y se identifican por sus núcleos dentro de la matriz ósea. Otra característica que vale la pena señalar en este hueso en crecimiento es la presencia de células de resorción ósea conocidas como **osteoclastos** (Ocl). Son grandes células multinucleadas localizadas en los sitios donde se está llevando a cabo el remodelado óseo (vease lámina 14)

de los **osteocitos** (Oc). A medida que el hueso madura, el tejido óseo se reorganiza y forma **osteonas** (O), que consisten en **conductos de Havers** (CH) y capas concéntricas (laminillas) de la matriz ósea. Los dos espacios circulares son los **conductos de resorción** (CR), en los que el tejido óseo se ha resorbido para ser reemplazado por tejido nuevo en forma de osteonas. Los espacios que rodean el hueso esponjoso contienen médula ósea que consiste principalmente en adipocitos. También están presentes otras células que tienen la capacidad de formar tejido óseo o hematopoyético.

CA, cartilego articular

CH, conducto de Havers

Co, condrocitos

CR, conducto de resorción

D. diáf sis

DE, disco epifisario

E, epif sis

HC, hueso compacto

HE, hueso esponjoso

M, metáfisis

MO, médula ósea

O, osteonas

Oc. osteocrtos

Ocl, osteoclastos

P. periostio

T, trabéculas

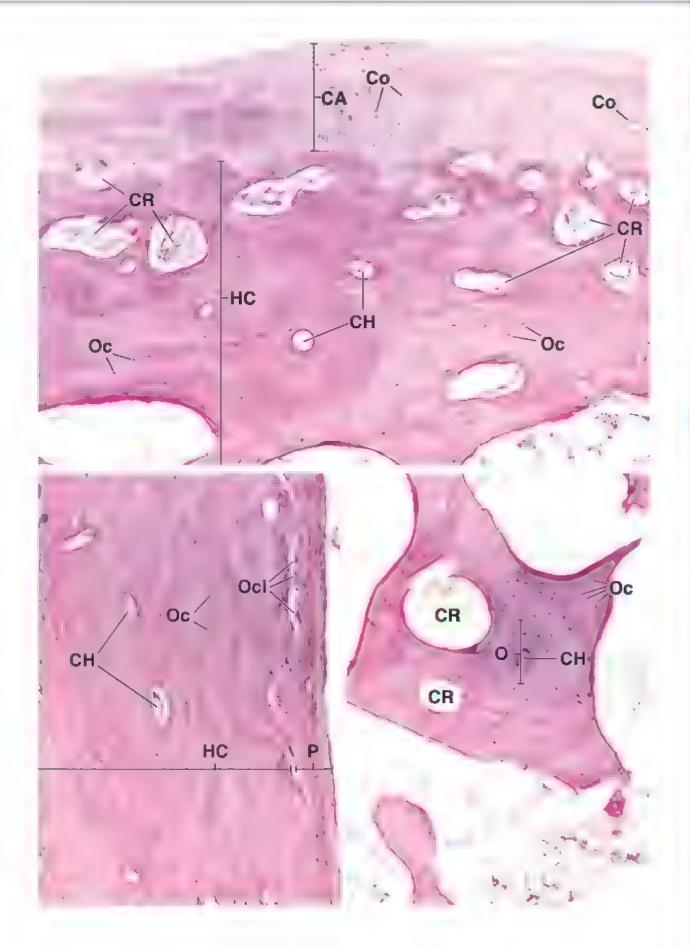


LÁMINA 13 OSIFICACIÓN ENDOCONDRAL I

La osificación endocondral implica un modelo de cartilago que representa un precursor cartilaginoso del hueso
recién formado. El modelo de cartilago aparece como una
versión en miniatura del hueso futuro. El hueso que surge
mediante este proceso se forma por la eliminación del modelo de cartilago y, al mismo tiempo, su sustitución por
tejido óseo. El primer signo de formación de hueso es la
aparición de cétulas formadoras de hueso alrededor del
cuerpo (diáfisis) del modelo de cartilago. Las cétulas formadoras de hueso, llamadas osteoblastos, derivan de las
cétulas osteoprogenitoras en el mesénquima circundante.
Los osteoblastos secretan colágenos, síaloproteínas óseas,
osteocalcina y otros componentes de la matriz ósea. El depósito inicial de estos productos se conoce como collar

óseo periosteal y contiene osteoide (hueso no mineralizado), que más tarde se mineraliza. Con el establecimiento inicial de este collar óseo periosteal, los condrocitos en el centro del modelo de cartílago se hipertrofian (véase fig. superior), lo que conduca a su muerte, y la matriz cartilaginosa en esta región se calcifica. Al mismo tiempo, los vasos sanguineos crecen a través del collar óseo delgado y vascularizan el centro de la diáfisis del hueso, lo que permite la infiltración de las células precursoras de la médula ósea. Las células osteoprogenitoras entran en la cavidad medular con los vasos sanguineos y se diferencian en osteoblastos. En los huesos largos, este proceso se repite en las epifisis del modelo de cartilago (véase microfotografía inferior). El proceso de depósito del hueso se describe y se illustra en la siguiente lámina.



Hueso en desarrollo, dedo fetal, simio, H&E, 240×.

En esta microfotografía se observa una etapa inicial en el proceso de formación de hueso endocondral en el dedo fetal. La **epífisis** (E) proximal y distal de este hueso en desarrollo están formadas por cartílago. Este hueso del dedo fetal está conectado por articulaciones con otros huesos; obsérvense las **cavidades articulares** (CA) en ambos bordes de esta microfotografía. La zona intermedia de este hueso largo revela **condrocitos** que han experimentado una **hipertrofía** marcada (CoH). El citoplasma de estos condrocitos aparece muy claro o desteñido. Sus núcleos, cuando

se incluyen en el plano de corte, parecen pequeños cuerpos basófilos condensados. Nótese cómo la marriz del cartilago en esta región se calcifica y se comprime en bandas lineales estrechas de tejido circundante a los condrocitos. La **matriz de cartilago calcificada** (MCC) se tiún más intensamente con hematoxilina en preparados de rutina con HötE y parece más oscura. En esta etapa del desarrollo, el tejido óseo se ha producido para formar el **collat óseo** periosteal (CollOs) alrededor del modelo de cartilago. Este tejido óseo se produce por el crecimiento por aposición de células formadoras de hueso que derivaron del mesénquima en el tejido que rodea el cartilago. Este proceso representa la formación de hueso intramembranoso, que se describirá más adelante.



Hueso en desarrollo, dedo fetal, humano, H&E, 60×.

El hueso que se muestra en esta microfotografía representa una etapa posterior del desarrollo. La mayor parte de la diáfisis del hueso contiene **cavidad medular ósea** (Cav)

llena de médula ósea, parte de la cual es altamente celular y representa las acumulaciones de **células de la médula ósea** (CMO) hematopoyéticas. Las zonas que no se tinen consisten en rejido adiposo, que ocupa la mayor parte del resto de la cavidad de la médula ósea. El collar óseo delgado que se vio antes ahora se ha convertido en una masa más

gruesa en la diáfisis del hueso (DH). La parte del hueso en el que el tejido óseo se está depositando por la formación de hueso endocondral (HEn) se observa en ambos extremos de la cavidad medular ósea. Debe tenerse en cuenta que su carácter eosinofilo es similar a la de la diáfisis del hueso. A medida que estos procesos continúan a lo largo del hueso, el cartilago (C) tanto en la epífisis proximal como distal está invadido por vasos sanguíneos y tejido conjuntivo a partir del periostio (brote perióstico), y experimenta los mismos cambios que se produjeron anteriormente en el cuerpo (excepto que no se forma el collar óseo periosteal)...



Hueso en desarrollo, epifisis proximal del hueso largo, humano, H&E 60×; recuadro, 200×.

Esta microfotografía muestra un considerable avance en el desarrollo óseo en relación con el hueso de la microfotografía anterior. Se ha establecido un centro de osificación secundario (CSO) en la epífisis proximal de este hueso largo. Un poco más tarde, se formará un centro de osificación epifisaria similar en el extremo distal del hueso. El proceso de formación de hueso endocondral se produce de la misma manera que en la diáfisis. Con el tiempo, estos centros de osificación epifisaria aumentarán de tamaño para formar cavidades mucho más grandes (linea discontinua). La consecuencia de esta

actividad es la formación de la placa apifisiaria de cracimiento (PE). Este disco, que consiste en tendo cartilaginoso, separa los centros de osificación secundarios en el extremo proximal del hueso del centro de osificación primaria formado en el cuerpo del hueso. Este disco cartilaginoso es esencial para el crecimiento longitudinal del hueso y persistirá hasta que cese el crecimiento. El recuidro muestra el centro de osificación secundario con mayor aumento. Dentro de esta zona, ya se está produciendo nuevo hueso andocondral (HEn). El hueso nuevo aparece eosinófilo en contraste con la apariencia más basófila del cartilago (C) circundante. Nótese que el patrón de tinción del hueso endocondral en el centro de osificación secundario es idéntico al del hueso endocondral (HEn) más abundante, que reemplaza al cartilago calcificado (CC) en el extremo superior de la diáfisis.

C, cartilago
CA, cavidad articular
Cav, cavidad mederar
CC, cartilago calcificado
CoH, condrocitos hipertróficos

CollOs, collar óseo
CSO, centro secundano de osificación
E, epif sis
HD, hueso diafisano
HEn, hueso endocondral

MCC, matriz de cartilago calcificada MO, médula ósea PE, placa epitisfaria de crecimiento línea discontinua, centro de osificación epitisana

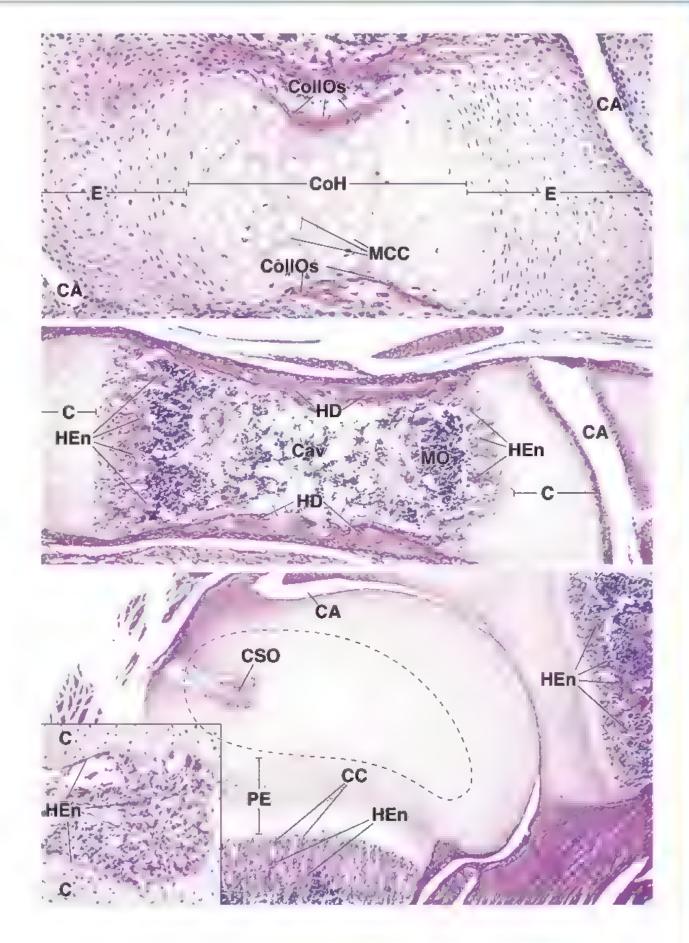


LÁMINA 14 OSIFICACIÓN ENDOCONDRAL II

La osificación endocondral es el proceso principal por el cual los huesos largos (p. ej., los huesos apendiculares y de los dedos) aumentan en longitud para alcanzar sus dimensiones adultas. Mientras haya un disco epifisario entre los centros primarios (diáfisis) y secundarios (epifisis) de osificación, el hueso seguirá creciendo en longitud. Durante el crecimiento del hueso, es posible identificar una zonificación definida en el disco epifisario en ambos extremos de la cavidad osea de formación inicial. En la parte del cartilago que está más alejada de la

cavidad medular ósea en ambos extremos de los huesos en crecimiento, los condrocitos individuales, separados por la matriz cartilaginosa, aún no han comenzado a participar en el proceso de osificación. Esta región se llama zona de cartilago de reserva. A medida que estos condrocitos experimentan cambios que llevan a su proliferación, hipertrofia y, finalmente, la muerte, su apariencia microscópica y los cambios en la matriz extracelular definen distintas zonas funcionales de la osificación endocondral



Osificación endocondral, epífisis de hueso largo, humano, H&E, 80×; recuadro, 380×.

Esta es una microfotografía de una epífisis vista con un aumento mayor que la observada en la lámina 13. Las diferentes zonas del cartifago del disco epifisario reflejan los cambios progresivos que se producen en el crecimiento endocondral activo del hueso. Estas zonas no están bien delineadas y los límites entre ellas son algo arbitrarios. Conducen hacia la cavidad medular ósea (CMO), de modo que la primera zona es la más alejada de la cavidad. Hay cinco zonas:

- Zona de cartilago de reserva (ZCR). Las células del cartilago de esta zona aún no han comenzado a participar en el crecimiento del hueso; por lo tanto, son células de reserva. Estas células son pequeñas, en general solo una por laguna, y no están agrupadas. En algún momento, algunas de estas células prohíferan y se someten a los cambios descritos para la siguiente zona.
- Zona de proliferación (ZP). Las células de esta zona se dividen y aumentan en cantidad, son un poco más grandes que los condrocitos en la zona de reserva del cartílago, están cerca de sus vecinas y comienzan a formar hileras.
- Zona de hipertrofia (ZH). Las células de esta zona están alineadas en hileras y tienen un tamaño bastante mayor que las células en la zona precedente.

 Zona de cartílago calcificado (ZCC). En esta zona, la matriz del cartílago se impregna con sales de calcio. El cartílago calcificado servirá como una estructura inicial para el depósito de hueso nuevo. Los condrocitos situados en la parte más proximal de esta zona pasan

por un proceso de apoptosis

 Zona de resorción (ZR) Esta zona está representada por el cartílago erosionado que está en contacto directo con el tejido conjuntivo de la cavidad medular. Los pequeños vasos sanguineos y las células osteoprogenitoras acompañantes invaden la región ocupada previamente por los condrocitos que mueren. Forman una serie de puntas de lanza, dejando ambos lados del cartilago calcificado (CC) como espículas longitudinales. Las células osteoprogenitoras dan lugar a osteoblastos que comienzan a revestir las superficies de las espículas expuestas. Luego, los osteoblastos depositan hueso endocondral (HEn) sobre las superficies de estas espículas de cartilago calcificado y forman, así, espículas mixtas como se ve en el recuadro. Nótense los osteoblastos (Ob), algunos de los cuales están empezando a producir hueso en aposición al cartilago calcificado (CC). La parte inferior derecha del recuadro muestra espleulas mixtas con hueso endocondral (HEn) y cartilago calcificado (CC) Varios osteoblastos (Ob) y un osteoclasto (Ocl) se encuentran en la superficie de las espículas. También se puede apreciar un osteocito (Oc) ya integrado en la matriz ósea.



Osificación endocondral, epífisis de hueso largo, humano, H&E, 150×; recuadro, 380×.

Se trata de un aumento mayor del área inferior de la figura anterior. Se muestran espículas de cartilago calcificado en

las que se ha depositado hueso. En la parte inferior de la imagen, las espículas ya han crecido para crear trabéculas (T) óseas que se anastomosan. Estas trabéculas iniciales todavía contienen restos de cartilago

calcificado, como señafa el color azulado de la matriz del cartilago (comparado con la tinción roja del hueso). Los **osteoblastos** (Ob) están alineados en la superficie de las espículas, donde la formación de hueso está activa. También pueden verse muchos **osteocitos** (Oc) ya incluidos en la matriz ósea. El recuadro revela varios **osteoclastos** (Ocl) con un aumento mayor. Están en aposición a las espículas, que son, en su mayoría, cartilago calcificado. Se observa una pequeña cantidad de hueso, que es el material teñido de rojo. El área clara (flecha) corresponde al **borde rugoso** de los osteoclastos.

CC, cartilago calorficado CMO, cavidad medular ósea HEn, hueso endocondral Ob, osteoblasto Oc. osteocito Oci, estenciasto
T, trabéculas
ZCC, zona de cartilago calcificado
ZCR, zona de cartilago de reserva
ZH, zona de hipertrofia

ZP, zona de proliferación ZR, zona de resorción Recha, borde rugoso de osteoclasto

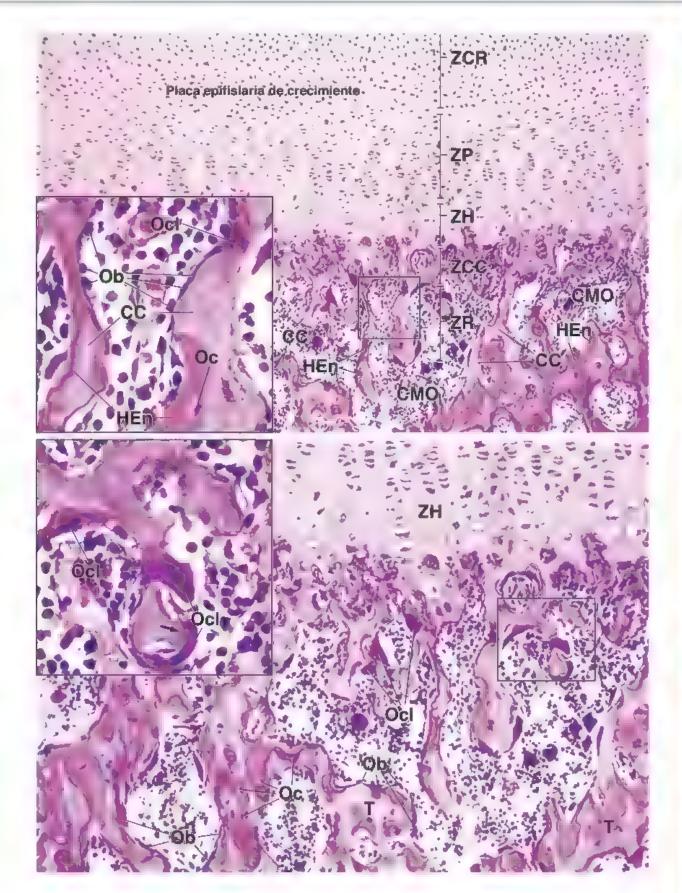


LÁMINA 15 OSIFICACIÓN INTRAMEMBRANOSA

La formación intermembranosa de hueso se límita a los huesos que no necesitan desempeñar una función temprana de sostén, por ejemplo, los huesos planos del cráneo. Este proceso requiere la proliferación y diferenciación de células del mesánquima para convertirse en osteoblastos, las células formadoras de hueso. Estas celulas producen la matriz extracelular específica del hueso. Esta matriz inicial, llamada osteoide, se calcifica para formar hueso.

A medida que los osteoblastos continúan secretando su producto, algunos quedan atrapados dentro de la matriz y comienzan a llamarse osteocitos. Estas cálulas son las encargadas del mantenimiento del tejido óseo recién formado. El resto de los osteoblastos continúan el proceso

de depósito de calcio en la superficie del hueso. Son capaces de multiplicarse para mantener una población adecuada para el crecimiento continuo.

Este hueso neoformado aparece primero como espículas que aumentan de tamaño y se conectan a medida que progresa el crecimiento, con lo que se forma una estructura trabecular tridimensional de forma semejante el futuro hueso maduro. Los intersticios contienen vasos sanguineos y tejido conjuntivo (mesenquima). Conforme el hueso continúa creciendo, se produce el remodelado. Este comprende la resorción de regiones focales de tejido óseo por los osteoclastos para mantener la forma adecuada en relación con el tamaño y permitir la irrigación vascular durante el proceso de crecimiento.



Osificación intramembranosa, cabeza fetal, humano, tricrómico de Mallory, 45×.

Un corte transversal de la mandíbula fetal, como se ve en esta etapa relativamente temprana del desarrollo, se compone de espículas óseas (EO) de formas y tamaños diversos. Las espículas óseas se interconectan y, en tres dimensiones, tienen la forma general de la mandíbula. Otras estructuras presentes que

sirven para la orientación incluyen los dientes en desarrollo (DD), el cartílago de Meckel (CM), visible en el lado azquiendo, y la cavidad bucal (CB). La superficie inferior de la muestra revela la epidermis (Ep) de la región submandibular del cuello. Una gran parte de la lengua en desarrollo se ve en la mitad superior de la figura. La lengua consiste principalmente en fibras musculares estriadas viscerales en proceso de desarrollo, que se organizan de forma tridimensional con una disposición ortogonal que es característica de este órgano.



Osificacion intramembranosa, cabeza fetal, humano, tricrómico de Mallory, 175×.

Esta vista con mayor aumento del contenido del rectangulo de la microfotografía superior muestra las interconexiones entre las **espéculas óseas** (EO) de la mandíbula en de-

sarrollo. En los especios delimitados por las espiculas en desarrollo y a

su alrededor hay tejido mesenquimatoro. Estas células de mesénquima contienen células madre que formarán los componentes vasculares del hueso, así como células osteoprogenitoras que darán origen a nuevos osteoblastos. El tejido conjuntivo (TC) denso se diferencia en el periostio en un lado de la mandíbula en desarrollo. Otras estructuras que se muestran en este campo incluyen numerosos vasos sanguineos (VS) y el órgano del esmalte de un **diente en desarrollo** (DD)

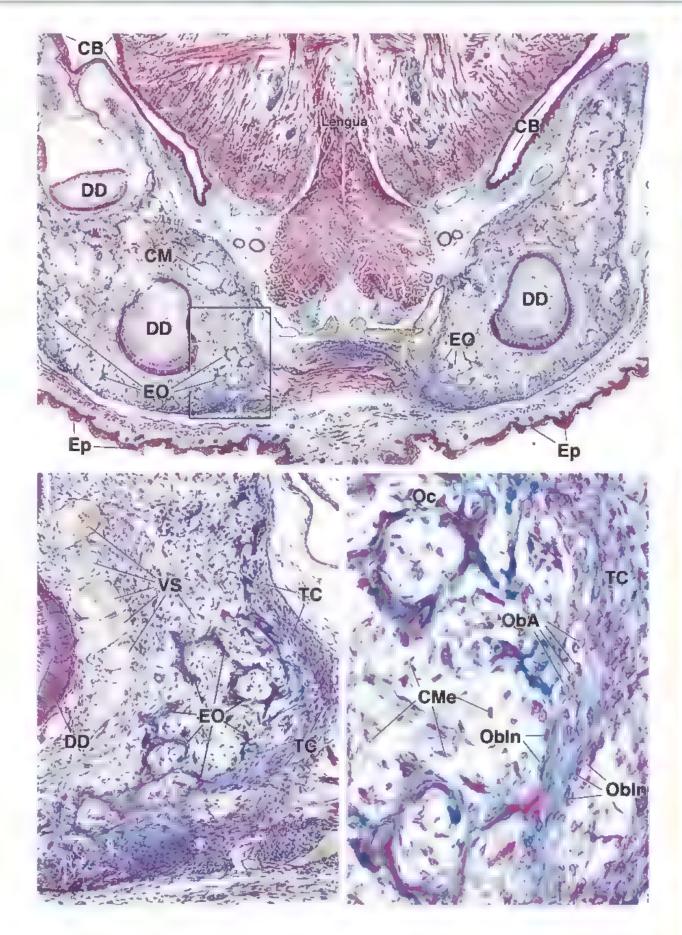


Osificación intramembranosa, cabeza fetal, humano, tricrómico de Mallory, 350 ·

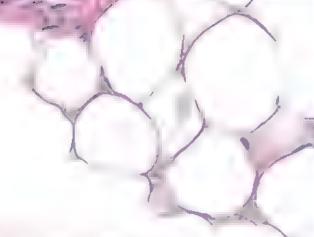
En esta microfotografía con mayor aumento de una parte del campo que aparece en la imagen inferior izquierda puede verse con claridad la diferencia entre el osteoide recién depositado, que se tiñe de azul, y el hueso mineralizado, que se tiñe de nyo. Los **osteoblastos** se ven en dos niveles diferentes de actividad. Los que son relativamente inactivos (Oblin) y están en aposición al osteoide bien formado exhiben un perfil alargado y parecen aplanados en la superficie del os-

teoide. Los osteoblastos que están secretando activamente nuevo osteoide (ObA) se presentan como células prismáticas altas, contiguas al osteoide Una de las espículas muestra una célula completamente rodeada por la matriz ósea; este es un osteoblasto que queda atrapado en sus propias secreciones y ahora es un osteoblasto (Oc). Con este aumento, se identifican bien las características de los tejidos embrionarios del mesénquima y la diseminación de las células mesenquimatosas (CMe). El tejido conjuntivo (TC) altamente celular sobre el margen derecho de la microfotografía es el pericondrio en desarrollo. Algunas de sus células tienen características de células osteoprogenitoras y se convertirán en osteoblastos para permitir el crecimiento óseo desde su superficie.

CB, cavidad bucal CM, cartilago de Meckel CMe, células mesenquimatosas DD, diente en desarrollo EO, espículas óseas Ep, epidermis OhA, osteoblasto activo Obin, osteoblasto inactivo Oc, osteocito
TC, tejido conjuntivo
VS, vasos sangulneos



9 TEJIDO ADIPOSO



FUNDAMENTOS DEL TEJIDO ADIPOSO / 274 TEJIDO ADIPOSO BLANCO / 274

Función del tejido adiposo blanco / 274
Diferenciación de los adipocitos / 275
Estructura de los adipocitos y el tejido adiposo / 276
Regulación del tejido adiposo / 277

TEJIDO ADIPOSO PARDO / 279
TRANSDIFERENCIACIÓN DEL TEJIDO
ADIPOSO / 284

Cuadro 9-1 Correlación clinica: obesidad / 281 Cuadro 9-2 Correlación clínica: tumores del tejido adiposo / 283

Cuadro 9-3 Correlación clinica: tomografía por emisión de positrones e interferencia del tejido adiposo pardo / 285

HISTOLOGIA 101 / 286



■ FUNDAMENTOS DELTEJIDO ADIPOSO

El tejido adiposo es un tejido conjuntivo especializado que desempeña una función importante en la homeostasis energética.

En el tejido conjuntivo laxo se encuentran células adiposas o adipocitos, solas o en grupos. El rejido en el que los adipocitos son el ripo celular primario se denomina **tejido adiposo**. Los adipocitos desempeñan un papel fundamental en la homeostasis energénica.

Para poder sobrevivir, el cuerpo necesita garantizar la entrega continua de energia a pesar del suministro variable de sustancias nutritivas desde el entorno. Para satisfacer la demanda de energia del cuerpo cuando hay escasez de alimentos, el tejido adiposo almacena con mucha eficiencia el exceso de energia. El organismo posee una capacidad limitada para almacenar hidratos de carbono y proteinas; por lo tanto, las reservas de energía se almacenan dentro de las gotitas lipidicas de los adipocitos como triglicáridos. Estos representan una forma dinámica de almacenamiento de energía que se incrementa cuando la ingesta de alimentos es mayor que el consumo energético, y se unliza cuando el consumo energético es mayor que la ingesta de alimentos. La energía depositada en los adipocitos puede liberarse con rapidez para emplearse en otros sitios del organismo.

Los triglicéridos son la principal forma de almacenamiento de energía metabólica disponible para el humano. Dado que carecen de agua, poseen alrededor del doble de la densidad energética de los hidratos de carbono y las proteínas. La densidad energética de los triglicéridos es de aproximadamente 37.7 kJ/g (9 kcal/g), en tanto que la de los hidratos de carbono y las proteínas es de 16.8 kJ/g (4 kcal/g). En el caso de la privación de alimentos (manición), los triglicéridos son una fuente esencial de agua y energía. Algunos ani males pueden depender solo del agua metabólica obtenida a partir de la oxidación de ácidos grasos para mantener el equilibrio hídrico. Por ejemplo, las jorobas de los camellos están formadas por tejido

adiposo, y a partir de ellas obtienen el agua y la energía necesarios para sobrevivir en el desierto.

Los adipocitos desempeñan otras funciones además de su papel como reservorio para el almacenamiento de grasa. También regulan el metabolismo energético mediante la secreción de sustancias paracrinas y endocrinas. El tejido adiposo es considerado un órgano endocrino importante. Existe evidencia que relaciona el incremento en la actividad endocrina de los adipocitos con las complicaciones metabólicas y cardiovasculares asociadas con la obesidad.

Existen dos tipos de tejido adiposo: blanco (unitocular) y pardo (multilocular).

Los dos tipos de tejido adiposo se denominan tejido adiposo bianco y tejido adiposo pardo debido a su color en estado vivo:

- El rejido adiposo blanco es el tipo predominante en el humano
 adules.
- El tejido adiposo pardo está presente en el humano en grandes cantidades durante la vida fetal. Disminuye a lo largo de la primera década de vida, pero continúa presente en cantidades variadas, especialmente alrededor de los órganos internos.

■ TEJIDO ADIPOSO BLANCO

El tejido adiposo blanco (unilocular) representa al menos el 10% del peso corporal total de un individuo saludable normal.

Función del tejido adiposo blanco

Las funciones del tejido adiposo blanco incluyen almacenamiento de energia, aislamiento térmico, amortiguación de los órganos vitales y secreción de hormonas.

El tejido adiposo blanco forma la capa adiposa de la fascia subcutaries (superficial) llamada panícula adiposo (lat. panniculus, tela fina) en el tejido conjuntivo subcutáneo. Dado que la conductividad térmica del tejido adiposo es de solo aproximadamente la mitad de la del músculo esquelético, la fascia subcutánea (hipodermis) provee un aislamiento importante contra el frío porque reduce la pérdida de calor. Este tejido adiposo se concentra bajo la piel del abdomen, la región glútea, las axilas y los muslos. El espesor de esta capa adiposa está influenciada por el sexo, esto determina las diferencias entre las silueras masculina y femenina. En ambos sexos, la nimohadilla grasa mamaria es un sitio preferencial para la acumulación del tejido adiposo; este tejido es el componente principal de la glandula mamaria no lactante. En la mujer lactante, la almohadilla grasa mamaria desempeña un papel importante en el sustento de la función de las mamas. Provee lipidos y energia para la producción de leche y lambién es un sitio de sintesis de diferentes factores de crecimiento que modulan las respuestas a los distintos esteroides, proteinas y hormonas que actuan sobre la función de la glandula mamaria

En los órganos internos, el tejido adiposo se localiza de forma preferencial en el omento mayor, el mesenterio y el espacio retropentoneal, donde suele ser abundante alrededor de los riñones. También se encuentra en la médula ósea y entre otros tejidos, donde rellena espacios. En la palma de las manos y la planta de los pies, por debajo del pericardio visceral (que reviste la superficie externa del corazón) y en la órbita, alrededor del globo ocular, el rejido adiposo funciona como una almohadilla protectora. Mantiene esta función estructural inclusive durante la ingesta calórica reducida, pues cuando el tejido adiposo de otros silios agota sus lipidos, el tejido adiposo estructural no disminuye.

El tejido adiposo blanco sacreta una variedad de adipocinas, que incluyen hormonas, factores de crecimiento y citocinas.

Los adipocitos sintetizan y secretan adipocitos, un grupo de sustancias biológicamente activas que incluyen hormonas, factores de crecimiento y citocinas (fig. 9-1). Por esta razón, el tejido adiposo es considerado muy importante en la homeostasis energética, la adipogénesis, el metabolismo de esteroides, la angrogénesis y la respuesta inmunitaria.

El miembro más importante de las adipocinas es la loptina (gr leptos, delgado), una hormona peptidica de 16 kDa descubierta en 1994. La leptina interviene en la regulación de la homeostasis

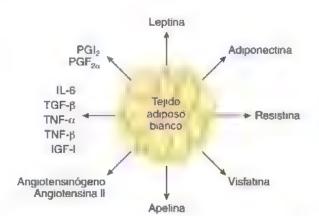


FIGURA 9-1. Adipocinas importantes secretadas por el tejido adiposo blanco. En este esquema se muestran varios tipos de adipocinas secretadas por el tejido adiposo blanco, que incluyen hormonas (p. ej., leptina), citocinas (p. ej., factor de crecimiento similar a la insulina) y otras moléculas con funciones biológicas específicas (p. ej., prostaglandinas)

energética y es un producto exclusivo de los adipocitos. También se producen pequeñas cantidades de leptina en otros órganos (p. ej., estómago, placenta, glándula mamaria y ovarios). La leptina inhibe la ingesta de alimentos y aumenta la tasa metabólica y la pérdida de peso corporal. De este modo, la leptina cumple los criterios de un factor de saciedad circulante que controla la ingesta de alimentos cuando el depósito de energia del organismo es suficiente. La leptina también participa en un mecanismo de señalización endocrino que comunica sobre el estado energético del tejido adiposo a los centros encefalicos que regulan la ingesta de alimentos. Actúa sobre el sistema nervioso central al unirse a receptores específicos ubicados principalmente en el hipotálamo. Además, la leptina comunica el estado energético de los adipocitos desde regiones de almacenamiento de grasa a otros tejidos metabólicamente activos. (p. ej. desde tejido adiposo al músculo en un lugar diferente).

Además de la leprina, el tejido adiposo secreta una variedad de adipocinas como adiponectina, resistina, proteína de unión a retinol 4 (RBP4, retinol-binding protein 4), visfatina, apelina, inhibidor del activador de plasminógeno 1 (PAI-1, plasminogen activator inhibitor-1), factor de necrosis tumoral (TNF, tumor necrosis factor), interleucina (IL) 6, proteína químiotáctica de monocitos 1 (MCP-1, monocyte chemotactic protein 1) y anglotensinógeno (AGE). La leptina también produce hormonas esteroideas (testosterona, estrógenos y glucocorricoides). Algunas adipocinas también se sintetizan en otros tejidos. Por ejemplo, el AGE se sintetiza en el higado, el aumento de la producción de este péptido hormonal contribuye a la hipertensión (presión arterial elevada), que es una complicación frecuente de la obesidad.

Los adipocitos también ayudan a regular la síntesis de las hormonas sexuales y los glucocorticoides. Un grupo de enzimas específicas expresadas en los adipocitos convierte las formas inactivas de estas hormonas en sus formas activas. Por consiguiente, estas enzimas pueden influir sobre el perfil de esteroides sexuales de las personas con obesidad. En la obesidad, el aumento de la secreción de factores de crecimiento (factor de necrosis tumoral o [TNF-α, tumor necrosis factor α], factor de crecimiento transformante β [TGF-β, transforming growth factor β] y factor de crecimiento insulinico 1 [IGF-1, insulin-like growth factor 1]) y citocinas (IL-6 y prostaglandinas) podría estar relacionado con alteraciones metabolicas y la aparición de diabetes. En la tabla 9-1 (véase p. 280) se resumen las moléculas más importantes producidas por los adipocitos y sus funciones.

Diferenciación de los adipocitos

Los adipocitos blancos se diferencian a partir de las cálulas madre mesenquimatosas bajo el control de los factores de transcripción PPARy/RXR.

Durante el desarrollo embrionario, los adipocitos blancos se forman a partir de las células madre mesenquimatosas perivasculares indiferenciadas que se encuentran en la adventicia de las pequeñas vénulas (fig. 9-2). La información actual sugiere que un factor de transcripción llamado receptor gamma activado por proliferador peroxisómico (PPARY, peroxisome proliferator-activated receptor gamma), en conjunto con el receptor X de retinoides (RXR), desempeña un papel decisivo en la diferenciación de los adipocitos. Este complejo induce la maduración de los lipoblastos (adipoblastos) tempranos o preadipocitos hacia células adiposas del tejido adiposo blanco. La mayoría de los genes diana del PPARY en el tejido adiposo ejercen un efecto sobre los mecanismos lipogénicos e inician el almacenamiento de triglicéridos. En consecuencia, el complejo PPARY/RXH se considera un regulador de tipo "interruptor maestro" en la diferenciación de los adipocitos blancos.

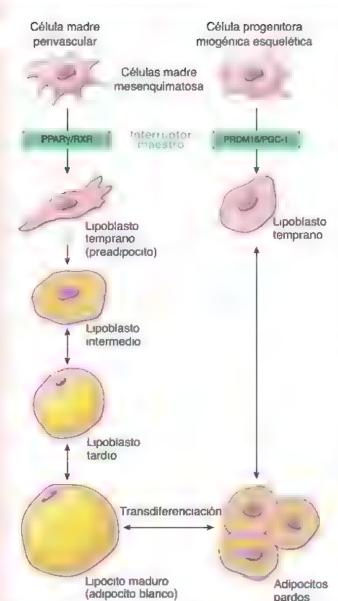


FIGURA 9-2. Desarrollo de las células del tejido adiposo. Las células adiposas blancas y pardas derivan de linajes celulares muy diferentes. Los adipocitos blancos derivan de cálulas madre mesenquimatosas perivasculares indiferenciadas, rejacionadas con la adventicia de las pequeñas vénulas. Mediante la expresión de los factores de transcripción PPARy/RXR, estas cé ulas se diferenciarán a lipoblastos tempranos (preadipocitos) destinados a seguir el desarrollo del linaje de los adipocitos blancos. Los adipocitos pardos también tienen un ongen mesenquimatoso; no obstante, derivan de cérulas progenitoras miogénicas esqueléticas comunes encontradas en los dermatomiotomas de los embriones en desarrollo. Mediante la expresión de los factores. de transcripción PRDM16/PGC-1, estas células se diferenciarán en lipoblastos tempranos dedicados a seguir el desarrollo del linaje de los adipocitos pardos. Los Spoblastos desarrollan una ámina externa (basal) y comierizan a acumular muchas gotitas lipidicas en su otoplasma. En el tejido adiposo blanco, estas gotitas confluyen para formar una sola inclusión lipidica grande, que en ultima instancia ocupa la mayor parte de la célula madura, y comprime el nucleo y el citoplasma con sus orgánulos en un borde delgado que rodea la inclusión. En el tejido adiposo pardo, las gotitas lipidicas individuales permanecen separadas.

El tejido adiposo blanco comienza a formarse en la vida fetal.

Los tipoblastos se desarrollan înicialmente en el feto a partir de células del estroma vascular situadas a lo largo de los vasos sanguíneos pequeños, y no poseen lípidos. Estas células están destinadas a convertirse en adipocitos ya en esta etapa temprana mediante la expresión de los factores de transcripción PPARy/RXR. En ocasiones, la agrupación de estas células se denomina órgenos ediposos primitivos. Se caracterizan por la presencia de lipoblastos tempranos y capilares que proliferan de forma activa. La acumulación de lípidos en los lipoblastos produce la morfología típica de los adipocitos.

Los lipoblastos tempranos se asemejan a los fibroblastos, pero desarrollan inclusiones lipidicas pequeñas y una lámina externa delgada.

Los estudios llevados a cabo con el microscopio electrónico de transmisión (MET) revelaron que los tipoblastos tempranos tienen una configuración alargada, evaginaciones citoplasmáticas múltiples y una gran abundancia de retículo endoplasmático y aparato de Golgi A medida que se inicia la diferenciación de los lipoblastos, aumenta la cantidad de vesículas y disminuye el retículo endoplasmático rugoso (RER). En un polo del citoplasma aparecen inclusiones lipídicas pequeñas. También aparecen vesículas pinocíticas y una támina externa. La presencia de una lámina externa es una característica que distingue aún más a los adipocitos de las células propias del tejido conjuntivo.

Los lipoblastos intermedios se tornan ovoides conforme la acumulación de lipidos cambia las dimensiones celulares.

Con el desarrollo continuo, los lipoblastos tempranos asumen una configuración oval. La característica más distintiva en esta etapa es una gran concentración de vesículas y de gotitas lipodicas abrededor del núcleo que se extienden hacia ambos polos de la célula. En la penfena de las inclusiones lipídicas se presentan particulas de glucógeno, y se toman más evidentes las vesículas pinocíticas y la lámina basal. Estas células se denominan lipoblastos intermedios.

El adipocito maduro se caracteriza por una sola inclusión lipídica muy grande rodeada por un reborde delgado de citoplasma.

En la etapa final de la diferenciación, las células aumentan de tamaño y se tornan más esféricas. Las gotitas lipídicas confluyen para formar una sola gotita lipídica grande que ocupa la porción central del citoplasma. El retículo endoplasmanco liso (REL) es abundante, en tanto que el RER es menos prominente. Estas células se denominan lipoblastos tarchos. Por último, la masa lipídica comprime el núcleo y lo desplaza hacia una posición excéntrica, lo cual produce el aspecto de un anillo de sello en las preparaciones teñidas con hematoxilina-eosina (H&E). Debido a que estas células poseen una sola inclusión lipídica, reciben el nombre de adipocitos unifoculares (las. loculus, sitio o lugar pequeño) o lipoeltos maduros.

Estructura de los adipocitos y el tejido adiposo

Los adipocitos uniloculares son células grandes, en ocasiones con un diámetro de 100 μm o más.

Cuando se encuentran aislados, los adipocitos biencos son esféricos, pero adoptan una forma ovalada o poliédrica al agruparse en el tejido adiposo. El gran tamaño de estas células se debe al lípido acumulado en ellas. El núcleo se aplana y se desplaza hacia un lado de la masa lipidica; el citoplasma forma un borde delgado alrededor del lípido. En las preparaciones histológicas de rutina, las grasas se disuelven por acción de los solventes orgánicos, como el xileno; por lo tanto, el aspecto del tejido adiposo es el de una delicada malla con diseños poligonales (fig. 9-3). La fina hebra de la malla que separa los adipocitos contiguos corresponde al citoplasma de ambas células y a una pequeña cantidad de matriz extracelular. No obstante, esta

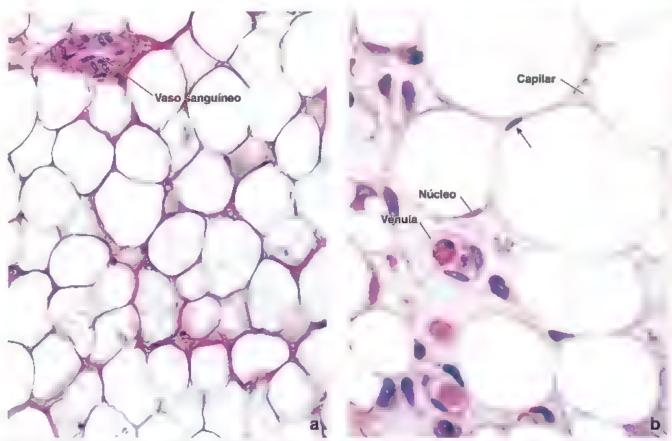


FIGURA 9-3. Tejido adiposo bianco, a. Microfotografia del tejido adiposo bianco en la que se muestra su aspecto característico de malia en un corte de parafina teñido con H&E. Cada uno de los espacios vacios representa una gota grande de lipido antes de que se disolviera en la celuia durante la preparación de la muestra. El material circundante tenido con eos na representa el citoplasma de las células contiguas y el tejido con un vo interpuesto entre las celulas 320 × b. Microfotografia de gran aumento de una muestra de tejido ad poso blanco fijado en guarda dehido e nola do en plastico fin arigunos situos se observa e o topiasma de los ad pocitos individuales y parte de nucleo de uno de ellos ha quedado en el plano de corte. Un segundo nucleo (*flecha), que aparece en relacion estrecha con una de las celulas ad posas en realidad puede pertenecer a un fibrobiasto aunque es dificil asegurarlo. Debido al gran tamano de los adipocitos es raro observar el nucleo en una ce ula dada. En esta microfotografía también se observa un capitar y una vénula. 950 ×

hebra suele ser ran delgada que sus componentes no se pueden determinar con el microscopio óptico.

El tejido adiposo recibe irrigación abundante a través de los vasos sanguíneos, y se observan capilares en los ángulos de la malla donde convergen adipocitos que se encuentran unos contra otros. Las tinciones argénticas muestran que los adipocitos están rodeados por fibras reticulares (colágeno tipo III), que son secretadas por estos. Otros métodos de microscopía especiales también revelan la presencia de fibras nerviosas amielínicas y gran cantidad de mastocitos. En la tabla 9-2 (p. 284) se resumen las características del tejido adiposo blanco.

La masa lipídica del adipocito no está rodeada por membrana calular.

El MET demuestra que la interfaz entre la grasa contenida y el citoplasma circundante del adipocito está compuesta por una capa de lípidos condensados de 5 nm de espesor, reforzada por filamentos de vimentino paralelos con un diámetro de 5-10 nm. Esta capa separa el contenido hidrófobo de la gotira lipídica de la matriz citoplasmática hidrófila.

El citoplasma perinuclear del adipocito contiene un aparato de Golgi pequeño, ribosomas libres, perfiles de RER cortos, microfilamentos y filamentos intermedios. En el reborde delgado de citoplasma que rodea la gotita lipídica también se encuentran formas filamentosas de mitocondrias y muchos perfiles de retículo endoplasmático liso (fig. 9-4).

Regulación del tejido adiposo

Es prácticamente imposible separar la regulación del tejido adiposo de los procesos digestivos y de las funciones del sistema nervioso central. El conjunto de señales hormonales y nerviosas interconectadas que surgen del tejido adiposo, el tubo digestivo y el sistema nervioso central dan lugar al eje encefaloenterosciposo, el cual regula el aperito, el hambre, la saciedad y la homeostasis energética (fig. 9-5).

La cantidad de tejido adiposo en una persona está determinada por dos sistemas fisiológicos: uno asociado con la regulación del peso a corto plazo y el otro relacionado con la regulación del peso a largo plazo.

La cantidad de tejido adiposo en una persona es regulada por dos sistemas fisiológicos. El primer sistema, que está asociado con la regulación del peso a corto plazo, controla de manera cotidiana el apetito y el metabolismo. Se han relacionado con este sistema dos hormonas peptidicas sintetizadas en el rubo digestivo, conocidas como gretina, un estimulante del apetito, y péptido YY (PYY), un supresor del apetito. El segundo sistema, que está relacionado con la regulación del peso a targo plazo, controla de manera continua (durante meses o años) el apetito y el metabolismo. Dos hormonas principales, la leptina y la insulina, ejercen su efecto sobre este sistema junto con

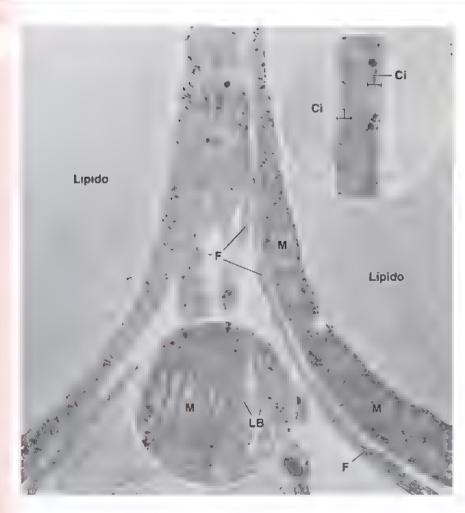


FIGURA 9-4. Microfotografía electrónica en la que se observan porciones de dos adipocitos contiguos. En el citoplasma de los adipocitos se encuentran mitocondrias (M). y glucógeno (este ultimo aparece en la forma de partículas muy electrodensas). 15 000× Detaile superior. Citoplasma (Cr) adelgazado de dos adipocitos contiguos. Las células están separadas por un espacio estrecho que contiene la lámina (basal) externa y una prolongación muy delgada de un fibroblasto 65 000× Detalle inferior. La lámina (basal) externa (LB) de los adipocitos aparece como una capa individual bien definida que separa las células de forma adecuada. F, evaginaciones del fibroblasto 30000×

otras hormonas, como las hormonas tiroideas, los glucocorticoides y las hormonas hipofisarias (véase fig. 9-5).

La grelina y el péptido YY controlan el apetito como parte del sistema de regulación del peso corporal a corto plazo.

El potente estimulante del apetito llamado grolina, descubierto hace poco tiempo, es un polipéptido pequeño de 28 aminoácidos producido por las células epiteliales gástricas. Además de su función estimulante del apetito, acrúa sobre el lóbulo anterior de la glándula hipófisis para que libere la somatotropina (hormona del crecimiento). En el humano, la grelina actúa a través de receptores ubicados en el hipotálamo para aumentar la sensación de hambre. Por lo tanto, se considera que es un factor "promotor de la alimentación". Una mutación genètica en el cromosoma 15 causa el sindrome de Prader-Willi, en el que una producción excesiva de gretina conduce a una obesidad morbida. En los individuos con este sindrome suale observarse una alimentación compulsiva y una obsesión por los alimentos desde muy jóvenes. El deseo de comer de estas personas es fisiológico y abrumador, y resulta muy dificil de controlar. Si no se tratan, estos pacientes mueren con frecuencia antes de los 30 anos de edadpor complicaciones atribuibles a la obesidad (cuadro 9-1).

La pequeña hormona gastrointestinal de 36 aminoácidos de longitud llamada páptido YY es producida por el intestino delgado y cumple una función importante en la promoción y el mantenimiento de la pérdida de peso, ya que induce una mayor sensación de saciedad poco después de una comida. También actúa a través de receptores en el hipotálamo que suprimen el apetito Dismínuye la ingesta alimentaria de las personas porque in-

duce la saciedad y el deseo de dejar de comer. En estudios clinicos experimentales, se ha demostrado que la infusión de PYY en seres humanos reduce la ingesta de alimentos en un 33% en un periodo de 24 h.

Dos hormonas, la leptina y la insulina, tienen a su cargo la regulación del peso corporal a largo plazo.

El descubrimiento de la teptina y su gen Ob(Lep), que en los bumanos está localizado en el cromosoma 7, ha mejorado los conocimientos sobre el mecanismo de la homeostasis energética, sirve como un punto de partida para el estudio de la parogenia de la obesidad y la respuesta biológica a la inanición, y permite comprender los mecanismos neuronales que controlan la alimentación

La leptina es una hormona del tejido adiposo que tiene un tamaño de 16 kDa y desempeña un papel importante en la homeostasis energética, el metabolismo y la regulación de las funciones neuroendocrinas. La circulación de leptina en el organismo es un indicador de la masa de tejido adiposo y la cantidad de energía almacenada. También regula el sistema nervioso central para mantener el equilibrio entre la ingesta de alimentos y el gasto energético. La leptina tiene un efecto inmediato en el encéfalo para regular el apetito, pues se une a los receptores de leptina en el hipotálamo. Este sistema neuroendocrino protege a las personas de los riesgos derivados de la inanición o la obesidad. Le leptina disminuye durante la manición (como en las personas con anorexia nerviosa) y desencadena respuestas adaptativas que conducen a la disminución del gasto energético (p. ej , cese de la menstruación, resistencia a la insulina o alteraciones de la función inmunitaria). En la obesidad, la mayoría de las personas cuen-

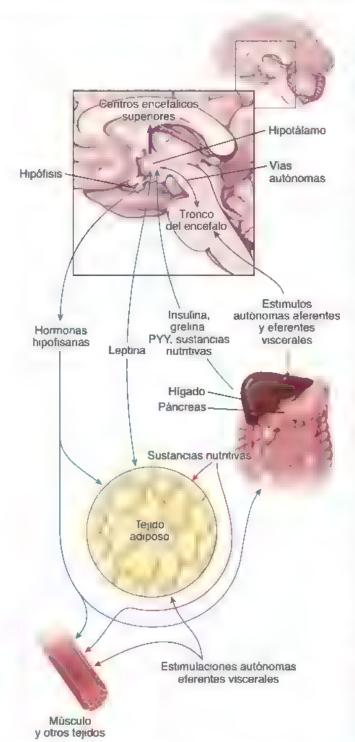


FIGURA 9-5. Regulación de la homeostasis energética. En este esquema se muestra la relación del tej do adiposo con el sistema nervioso central y el sistema digestivo en el eje encefalcentercadaposo, que tiene a su cargo la regulación de la homeostasis energética

tan con concentraciones elevadas de leptina endógena. Las mutaciones en los genes que codifican la leptina o su receptor derivan en obesidad intensa en los ratones y los humanos, y la administración de leptina se utiliza para el tratamiento de la obesidad en los pacientes con deficiencia de esta hormona

La insulina, la hormona pancreática que regula la concentración de glucosa en sangre (glucemia), también participa en la regulación del metabolismo del tejido adiposo. Estimula la conversión de glucosa en los triglicéridos de la gotita lipidica por el adipocito. Al igual que la leptina, la insulina regula et peso porque actúa sobre centros nerviosos superiores en el hipotálamo. A diferencia de la leptina, la insulina es necesaria para la acumulación de tejido adiposo En la actual dad, el diseño de fármacos contra la obesidad está centrado en sustancias que puedan inhibir los mecanismos de senalización de la insulina y la leptina en el hipotálamo.

Algunos factores neurales y hormonales influyen en el depósito y fa movilización de los lípidos.

Una de las principales funciones metabólicas del tendo adiposo consiste en la captación de ácidos grasos de la sangre y su conversión en triglicéridos dentro del adipocito. Después, los triglicéridos se almacenan en la gotita lipídica de la célula. Cuando el tejido adiposo es estimulado por mecanismos neuronales u hormonales, los triglicéridos se desdoblan en glicerol y ácidos grasos, un proceso denominado movilización. Los ácidos grasos atraviesan la membrana del adipocito para introducirse en un capilar. Aquí se unen a la proteína transportadora albumina y son llevados a otras células que utilizan los ácidos grasos como combustible metabólico.

La movilización por estimulo neuronal es de particular importancia durante los períodos de ayuno y de exposición al frío intenso. Durante las etapas iniciales de la manición experimental en roedores, las células de una almohadilla adiposa denervada continúan acumulando grasa. Los adipocitos de la almohadilla contralateral intacta movilizan los lípidos. En la actualidad, se sabe que la noradrenalina (hiberada por los axones de las neuronas del sistema nervioso simpático) inicia una serie de pasos metabólicos que conducen a la activación de la lipasa. Esta enzima desdobla los triglicéridos, que constituyen más del 90% de los lípidos almacenados en el adipocito. Esta actividad enzimática es uno de los primeros pasos en la movilización de los lípidos.

La movilización por estímulo hormonal comprende un sistema complejo de hormonas y enzimas que controla la liberación de ácidos grasos desde los adipocitos. Este sistema incluye la insulina, las hormonas tiroideas y los esteroides suprarrenales. La insulina es una hormona importante que promueve la síntesis de lípidos mediante la estimulación de la síntesis de enzimas de la lipogénesis (ácido graso sintasa, acetil CoA carboxilasa); además, suprime la degradación de lípidos debido a que inhibe la acción de la lipasa sensible a hormonas y bloquea así la liberación de ácidos grasos. El glucagón, otra hormona pancreática, y la somatotropina de la glándula hipófisis aumentan la utilización de los lípidos (lipolisis). Las hormonas tiroideas incrementan la lipogénesis (formación de lípidos), pues promueven las enzimas lipolíticas que descomponen los lípidos almacenados en los adipocitos en ácidos grasos libres. Los esteroides suprarrenales, como el cortisol, estimulan la lipólisis en los adipocitos para liberar los ácidos grasos libres y los triglicéridos para que se utilicen como energía. Además, las concentraciones elevadas del factor de necrosis tumoral a (TNF-a, tumor necrosis factor a) se han señalado como un factor causal en el desarrollo de la resistencia a la insulina relacionada con la obesidad y la diabetes.

■ TEJIDO ADIPOSO PARDO

El tejido adiposo pardo, abundante en los neonatos, se encuentra muy reducido en los adultos.

El tejido adiposo pardo es un rejido termogénico esencial que se encuentra presente en grandes cantidades en el neonato, lo que ayuda a protegerlo de una mayor pérdida de calor debido a una mayor proporción de su superficie con respecto a su masa y evita la hipotermita mortal (un importante tiesgo de muerte en los lactantes prematuros). En los neonatos, el tejido adiposo pardo representa casi el 5% de la masa corporal total y se localiza en el dorso,



Moléculas sintetizadas y secretadas por el tejido adiposo y sus funciones

Molécula

Adiponectina, también conocida como proteina del adipocito relacionada con el complemento o AdipoQ

Adipofilina

Adipsina

Angiotensinógeno (AGE) y angiotensina II (Angli)

Apelina

Factor de crecimiento insulínico 1 (IGF-1)

Factor de crecimiento transformante β (TGF-β)

Factor de necrosis tumoral α y β (TNF-α,TNF-β)

Inhibidor del activador del plasminógeno 1 (PAI-1) Interleucine 6 (IL-6)

Leptina

Prostaglandinas I₂ y F₂, (PGI₂ y PGF₂,)

Proteína estimulante de la acilación (ASP)

Proteína fijadora de retinol 4 (RBP-4)

Resistina

Visfatina

Función o efecto principal

Estimula la oxidación de los ácidos grasos en el higado y los músculos Disminuye las concentraciones plasmáticas de triglicéndos y glucosa, y aumenta la sensibilidad de las células a la insulina

Desempeña un papel en la patogenia de la hiperlipidemia combinada

Se correlaciona con la resistencia a la insulina y la hipennsulinemia.

Sirve como un marcador específico de la acumulación de lipidos en las células

Regula el metabolismo del tejido adiposo porque facilita el almacenamiento de los ácidos grasos y estimula la síntesis de triglicéridos

El AGE es el precursor de la Angli, una molécula vasoactiva que regula la presión arterial y la concentración sérica de los ejectrólitos, también participa en el metabolismo y la diferenciación del tejido adiposo.

La Angli inhibe la diferenciación de lipoblastos durante el desarrollo, en los adipocitos maduros, regula el almacenamiento lipidico.

Aumenta la contractifidad del musculo cardíaco.

Disminuye la presión arterial

Estimula la proliferación de una gran variedad de células y media muchos de los efectos de la somatotropina

Regula una amplia variedad de respuestas biológicas, entre ellas, proliferación, diferenciación, apoptosis y desarrollo

Interfiere con el mecanismo de señalización del receptor de insulina y es una causa probable dei desarrollo de resistencia a la insulina en la obesidad

Inhibe la fibrinótisis (proceso que degrada los coágulos sanguíneos). Interactúa con células del sistema inmunitario y regula el metabolismo

de la glucosa y los lípidos. Disminuye la actividad del tejido adiposo en el cáncer y en otras altera-

ciones debilitantes

Regula el apetito y el consumo energético del organismo

Envía señales al encéfalo acerca de los depósitos grasos del cuerpo Aumenta la formación de nuevos vasos (ang ogénesis)

Participa en el control de la tensión arterial porque regula el tono vascular Es un potente inhibidor de la osificación.

Contribuyen a la regulación de la inflamación, la coagulación de la sangre, la ovulación, la menstruación y la secreción de ácido-

Influye sobre la velocidad de la síntesis de los triglicéridos en el tejido. adiposo

Producida por el tejido adiposo visceral

Disminuye la sensibilidad a la insulina y altera la homeostasis de la alucosa

Aumenta la resistencia a la insulina

Está vinculada con la obesidad y la diabetes de tipo 2.

Producida por el tejido adiposo visceral; su concentración se correlaciona con la masa del tejido adiposo visceral.

Participa en la regulación del Indice de masa corporal

Disminuye la glucemia

Modificada de vázquez veta M£ Torres N. Tovar AR. White adipose tissue as endocrine organ and its role in obasity. Arch Med Res 2008,39,715–728

a lo largo de la mitad superior de la columna vertebral, y extendido hacia los hombros. La cantidad de tejido adiposo pardo disminuye de forma gradual a medida que el cuerpo crece, pero su distribución es amplia durante la primera década de la vida en las regiones cervical, axilar, paraverrebral, mediastínica, esternal y abdominal. Luego desaparece en casi todas partes, excepto alrededor de los riñones, las glándulas suprarrenales y los grandes vasos (p. ej., aorta), así como en regiones del cuello (cervical profunda y supraclavicular), el dorso (interescapular y paravertebral) y el tórax (mediastino). La tomografía por emisión de positrones (PET, positron emission tomography), que se utiliza para detectar células neoplásicas con base en su absorción de grandes cantidades de glucosa marcada radioactivamente (18F-fluorodesoxiglucosa [16F-FDG]), puede detectar patrones característicos del tejido adiposo pardo dentro de las regiones del organismo adulto que se mencionaron anteriormente (vease cuadro 9-3). Estos hallazgos se confirmaron con la biopsia del tejido

Los adipocitos del tejido pardo (multilocular) contienen muchas gotitas lipidicas.

Las células del tejido adiposo pardo (multilocular) son más pequeñas que las del rejido adiposo blanco (unilocular). El citoplasma de

CORRELACIÓN CLÍNICA: OBESIDAD

En los Estados Unidos, la **obesidad** es una epidemia. Segun los cálculos actuales de los National Institutes of Health (NIH), alrededor de dos terceras partes de los estadounidenses son considerados obesos y 300 000 mueren anualmente a causa de enfermedades metabólicas relacionadas con la obesidad (diabetes, hipertensión, enfermedades cardiovasculares y câncer). Una persona se considera obesa cuando el porcentaje de grasa corporal supera la media del porcentaje normal para la edad y el sexo. La prevalencia de la obesidad ha aumentado en la ultima década del 12% al 18%. El aumento se observa en ambos sexos y en todos los niveles socioeconómicos, con el mayor incremento detectado en el grupo de edades comprendidas entre los 18 y 29 años.

El índice de masa corporal (IMC), expresado como peso (kg)/altura(m²), tiene una estrecha correlación con la cantidad total de masa corporal y con frecuencia se utiliza para clasificar el sobrepeso y la obesidad en los adultos. Un IMC de alrededor de 25 kg/m² se considera normal. Un IMC mayor de 25-29 9 kg/m² se considera sobrepeso, mientras que uno mayor o igual a 30 kg/m² corresponde a obesidad. La obesidad se asocia con un niesgo elevado de mortalidad y con muchas enfermedades, como la hipertensión, las enfermedades cardiovasculares, la diabetes y el cáncer. Es una alteración crónica que surge como consecuencia de la interacción entre la constitución genética da una persona y su entorno.

Los **genes de la obesidad** codifican los componentes moleculares de los sistemas de regulación del peso a corto y a largo plazo, que incluyen la leptina, la grelina y otros factores reguladores del equilibrio energético. Además, varios de
estos factores moduran el metabolismo de la glucosa por el
tejido adiposo y contribuyen al desarrollo de la resistencia a
la insulina, la cual se relaciona con la diabetes de tipo 2. La
investigación exhaustiva centrada en las proteínas derivadas
de los adipocitos podrá aportar en el futuro fármacos que reduzcan la obesidad y superen la resistencia a la insulina.

La observación microscópica del tendo adiposo de una persona obesa muestra adipocitos hipertróficos con una inclusión lipídica enorme. Los restos de adipocitos dañados o muertos suelen observarse dispersos entre los adipocitos hipertróficos. Los adipocitos muertos se encuentran con una frecuencia 30 veces mayor en una persona obesa que en una que no lo es. Se observan macrófagos grandes que se infiltran en el terido adiposo obeso, sus funciones son retirar las células dañadas y los restos celulares, y alterar la secreción de adipocinas (fig. C9-1-1). Además, los macrófagos inhiben la diferenciación de adipocitos a partir de sus células progenitoras, conduciendo a la hipertrofia de las células adiposas existentes. Debido al gran tamaño de los macrófagos, así como al tiempo requerido para retirar los desechos celulares, el tejido adiposo obeso muestra signos de inflamación crónica de bajo grado. La cantidad de macrófagos se correlaciona de forma positiva con el tamaño de los adipocitos y coincide con el surgimiento de la resistencia a la insulina.



FIGURA C9-1-1. Cambios en el metabolismo de los adipocitos en la obesidad. Los adipocitos de las personas obesas son hipertroticos y producen una mayor cantidad de leptina. El aumento de la secreción de leptina hace que el tejido no adiposo se vuelva
resistente a está hormona. Los adipocitos hipertroficos fambién secretan gran cantidad de ácidos grasos y adipocinas que promueven
la resistencia a la insulina. E lo conduce a la acumutación patológica de lipidos en los órganos como en el nión potoxicidad renal) higado
(higado graso no a conólico), páncreas y corazón (moditicado de Vázquez-Veia MÉ Torres Ni Tovar AR White adipose tissue as endocrine
organiand its role in obesity. Arch Med Res 2008,39 715–728) TNF, factor de necrosis tumora. Il interleucina.

cada célula contiene muchas gotitas lipídicas, de ahi el nombre de multilocular, en oposición al adipocito blanco unilocular que contiene una sola gotita lipídica muy grande. En general, el núcleo del adipocito pardo maduro es excéntrico en el interior de la célula, pero no está aplanado como el núcleo del adipocito blanco. En los cortes de rutina teñidos con H&E, el citoplasma de los adipocitos pardos está compuesto sobre todo por espacios redondeados vacíos porque los lípidos que habitualmente ocupan esos espacios se pierden durante la preparación (fig. 9-6). Los adipocitos pardos sin contenido lipídico son más semejantes a las células epiteliales que a las células del tejido conjuntivo. El adipocito pardo contiene numerosas mi-

tocondrias esféricas grandes con una gran cantidad de crestas, un aparato del Golgi pequeño y solo pequeñas cantidades de RER y REL. Las mitocondrias contienen una gran cantidad de estocromo-oxidasa, la cual le confiere el color pardo a las células.

El tejido adiposo pardo está subdividido en lobulillos a través de tabiques de tejido conjuntivo, pero el estroma conjuntivo entre las células de un mismo lobulillo es escaso. El tejido posee un extenso suministro de capilares que realzan su color. Entre los adipocitos se encuentran abundantes fibras nerviosas amielínicas adrenérgicas del sistema nervioso simpático. Las características del tejido adiposo pardo se mencionan en la tabla 9-2 (p. 284).

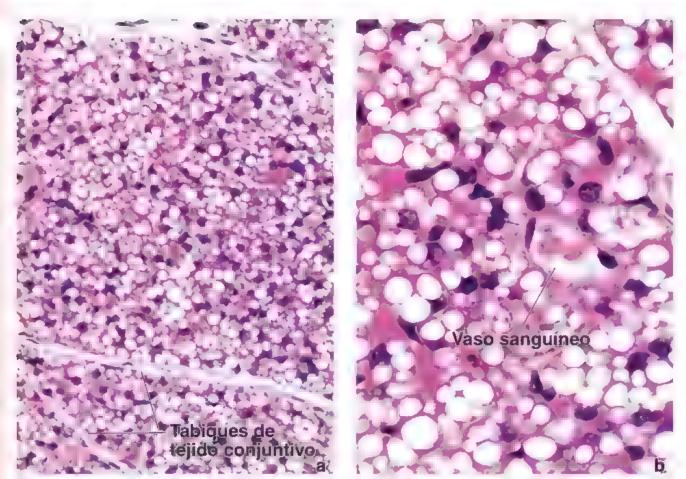


FIGURA 9-6. Tejido adiposo pardo. a. Micrototografía del tejido adiposo pardo de un neonato en un corte de parafina tenido con H&E. Las células contienen got las ipidicas de diversos tamaños. 150× b. En esta microfotografía de mayor aumento se observan los adipocitos pardos provistos de nucleos redondos y con frecuencia centrales. La mayoría de las células son poliédricas, están muy juntas y contienen abundantes gotas de ipidos. En aigunas células, las inclusiones lipidicas grandes desplazan el nucleo hacia la periferia celular. Los adipocitos pardos están rodeados por una redida fibras de colágeno y capitares. 320×

Los adipocitos pardos se diferencian a partir de las células madre mesenquimatosas bajo el control de los factores de transcripción PRDM16/PGC-1.

Los adipocitos pardos cambién derivan de las cálulas madra masenquimatosas, pero de un linaje distinto del que derivan los adipocitos blancos. Los experimentos de rastreo de linaje demuestran que el rejido adiposo pardo y el músculo esquelético derivan de células progenitoras miogénicas esqueléticas comunes presentes en los dermatomiotomas del embrión en desarrollo. A diferencia de lo que ocurre con los adipocitos blancos, la diferenciación de los adipocitos pardos está bajo el control directo de un par distinto de factores de transcripción. Cuando la proteína con dedos de zinc llamada proteina 16 con dominio PR (PRDM16, PR domain containing 16) se activa, las células progenitoras miogénicas sintetizan varios miembros de la familia coactivador 1 de PPARy (PGC-1, PPAR) coactivator-1) de factores de transcripción. En consecuencia, PRDM16/ PGC-1 se considera un regulador de tipo "interruptor maestro" de la diferenciación de los adipocitos pardos. Estos factores, a su yez, regulan la expresión de genes que codifican una proteína mitocondrial específica llamada proteina desacoptante (UCP-1, uncoupling protein 1) o termogenina (una proteína de 33 kDa de la membrana mitocondrial interna), que es indispensable para el metabolismo de los adipocitos pardos (termogénesis). Las observaciones clinicas confirman que, en condiciones normales, el tejido adiposo pardo puede expandirse en respuesta al aumento de la concentración sanguinea de noradrenalina. Ello se torna evidente

en los pacientes que tienen un feocromocitoma, un tumor endocrino de la medula suprarrenal que secreta cantidades excesivas de adrenalina y noradrenalina. En estos pacientes, el gen UCR1 se activa por la estimulación de la noradrenalina, que también protege a los adipocitos pardos mediante la inhibición de la apoptosis. Anteriormente se pensaba que las proteinas desacopiantes solo se expresaban en el tajido adiposo pardo. Se han descubierto varias proteinas desacoplantes similares en otros tejidos. La UCP-2 está vinculada con la hiperinsulinemia y la obesidad, y podría participar en la regulación del peso corporal. La UCP-3 se expresa en el musculo esquelético y podría ser la causa de los efectos termogénicos de la hormona tiroidea. Las UCP-4 y 5 son moléculas mitocondiriales especificas del encéfalo (cuadro 9-2)

El metabolismo de los lípidos en el tejido adiposo pardo genera calor en el proceso conocido como termogénesis.

Los animales que hibernan poseen una gran cantidad de tejido ediposo perdo. Este tejido les sirve como una fuente disponible de lípidos. Al oxidarse, produce calor para aumentar la temperatura de la sangre que circula a través de la grasa parda al momento de despertar de la hibernación y para mantener la temperatura corporal durante la exposición al frío. Este tipo de generación de calor se conoce como termogénesis sin escalofnos.

El tejido adiposo pardo también está presente en los animales que no hibernan y en los seres humanos, e igualmente sirve como fuente de calor. El sistema nervioso simpático estimula los

CORRELACIÓN CLÍNICA: TUMORES DEL TEJIDO ADIPOSO

El estudio de las numerosas variedades de **tumores adiposos** benignos y malignos proporciona conocimientos adicionales y, al mismo tiempo, la confirmación sobre la secuencia que sigue la diferenciación del tejido adiposo antes descrita Como ocurre con los tumores epiteliales y de origen fibroblástico, la gran variedad de tumores del tejido adiposo es un reflejo del patrón normal de diferenciación de este tejido Esto significa que se pueden describir tipos bien definidos de tumores cuyo componente primano son células que se parecen a las de una etapa dada en la diferenciación del tejido adiposo.

El tumor más habitual del tejido adiposo es el lipoma. Es más frecuente que todos los demás tumores de los tendos. biandos combinados. Los lipomas se subclasifican con base en la morfología de la célula predominante en el tumor. Por ejemplo, al lipoma convencional se compone de adipocitos blancos maduros. Un fibrolipoma posee adipocitos rodeados por un exceso de tejido fibroso, y un angiolipoma contiene adipocitos separados por una cantidad inusualmente grande de conductos vasculares. En la mayoría de los lipomas se observan alteraciones cromosómicas estructurales que comprenden reorganizaciones equilibradas, que con frecuencia afectan al cromosoma 12. Los lipomas suelen hallarse en el tejido subcutáneo de personas de mediana edad y de aduitos mayores. Se caracterizan como masas de adipocitos maduros bien definidas, blandas e indoloras, que suelen encontrarse en el tejido subcutáneo del dorso, el tórax y los segmentos proximales de los miembros superiores e inferiores. El tratamiento de los lipomas habitualmente consiste en la extirpación quirúrgica simple

Los tumores malignos del tejido adiposo, llamados IIposarcomas, no son frecuentes. Suelen detectarse en
las personas mayores y aparecen sobre todo en el tejido
adiposo profundo de los miembros superiores e inferiores, el
abdomen y la región del hombro. Los liposarcomas pueden
contener tanto adipocitos maduros bien diferenciados como
células indiferenciadas tempranas (fig. C9-2-1). Los tumores
que contienen más células en etapas de diferenciación más
temprana son más agresivos y generan metástasis con mayor

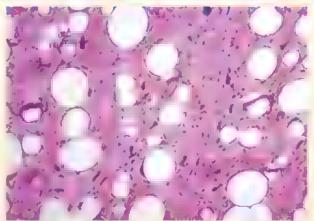


FIGURA C9-2-1. Liposarcoma bien diferenciado. Esta microfotografía se obtuvo de un tumor extripado del espacio retroperitoneal del abdomen mediante cirugía. El liposarcoma bien diferenciado se caracteriza por un predominio de adipocitos maduros que varían en cuanto a forma y tamaño. Se encuentran distribuidos entre anchos tabiques fibrosos de tejido conjuntivo que contienen células (fibroblastos en su mayoria) con un nucleo hipercromático al pico. En el tejido con untivo se encuentran relativamente pocas células fusiformes dispersas con núcleo hipercromático y pleomorfo. 340× (cortesía de Dra. Fabiola Medeiros).

frecuencia. Lo habitual es que los liposarcomas se extirpen quirurgicamente, sin embargo, si el tumor ya ha generado metástasis, se puede utilizar la quimioterapia y la radioterapia como tratamientos prequirúrgicos o posquirurgicos.

Si bien el término lipoma se relaciona principalmente con los tumores del tejido adiposo blanco, también se encuentran tumores del tejido adiposo pardo. No es de sorprenderse que estos tumores se denominen hibernomas. Los tumores del tejido adiposo pardo son blandos, benignos, de crecimiento lento y poco frecuentes, y aparecen sobre todo en la región periescapular, la fosa axilar, el cuello y el mediastino. La mayoría de los hibernomas contienen una miezcla de tejido adiposo blanco y pardo; los hibernomas puros son muy raros.

adipocitos pardos para movilizar los lípidos y generar calor, como ocurre en el tejido adiposo blanco. Esta proceso, que se conoce como respuesta de termogénesis adaptativa humana, es motivo de investigación en la actualidad. Los mecanismos para aumentar la diferenciación de tejido adiposo pardo pueden ser un objetivo atractivo para el tratamiento de la obesidad inducida por la dieta y por mecanismos geneticos

La actividad termógena del tejido adiposo pardo es facilitada por la UCP-1 que se encuentra en la membrana mitocondrial interna.

Las mitocondrias de las células eucarioras producen y almacenan energia en la forma de un gradiente electroquímico de protones a través de la membrana mitocondrial interna. Como ya se describió (véanse pp. 59-61), esta energía se utiliza para sinterizar trifosfato de adenosina (ATP, adenosine triphosphate) cuando los protones retornan a la matriz mitocondrial a través de la enzima ATP sintasa ubicada en la membrana mitocondrial interna.

Las mitocondrias características, grandes, redondeadas, que se encuentran en el citoplasma de las células del tendo adiposo pardo, contienen la proteina desacopianta (UCP-1, uncoupling

protein), que desacopla la oxidación de los ácidos grasos de la producción de ATP. De este modo, los protones pueden retornar desde el espacio intermembranoso hacia la matriz mitocondrial junto con el gradiente sin pasar a través de la ATP-sintasa y, por lo tanto, sin producir ATP. Esto puede ocurrir porque se encuentra disponible una vía alternativa para el retorno de los protones a través de la UCP-1, que facilita el transporte protónico a través de la membrana mitocondrial interna. La salida de los protones del espacio intermembranoso disipa el gradiente protónico mitocondrial, y así desacopla la respiración de la síntesis de ATP. La energía producida por la mitocondria entonces se disipa como calor en un proceso denominado termogénesis.

La actividad metabólica del tejido adiposo pardo es regulada por el sistema nervioso simpático y está relacionada con la temperatura ambiental exterior.

La actividad metabólica del tejido adiposo pardo es regulada, en gran medida, por la noradrenalina liberada por las terminales nerviosas simpáticas, la cual estimula la lipólisis y la hidrólisis de los triglicéndos y aumenta la expresión y la actividad de las moléculas de UCP-1 en las mitocondrias. En animales de experimentación, se

CAPÍTULO 9. TEJIDO ADIPOSO 🔳 TRANSD FERENCIAC ÓN DEL TEJ DO AD POSO

Tejido adiposo blanco



Ubicación

Función

Morfologia de los adipocitos

Células precursoras

Factores de transcripción de tipo "inte- PPARY/RXR muptor maestro" en la diferenciación

Expresión de genes UCP-1

Mitocondrias

Inervación

Vascularización Respuesta al estrés ambiental

(exposición al frío)

Proliferación y diferenciación



Capa subcutánea, glándula mamaria, omento mayor, mesenterios, espacio retropentoneal, pericardio visceral, órbitas (cavidades en el cráneo), cavidad medular ósea

Aimacenamiento de energía metabólica, aislamiento térmico, amortiquación de golpes, producción de hormonas, fuente de agua metabólica

Unifoculares, esferoideos, núcleo aplanado, Multifoculares, esféricos, nucleo excéntrico borde de citoplasma.

Dametro grande (15-150 µm)

Células madre mesenguimatosas perivasculares

Escasas, elongadas, filamentosas con cres- Abundantes, grandes, redondas, con crestas tas poco desarrolladas

Podas fibras nerviosas simpáticas

Escasos vasos sanguíneos Disminución de la lipogénesis Aumento de la actividad de la lipoproteína Lpasa.

Transdiferenciación a tejido adiposo pardo Durante toda la vida a partir de células vasculares del estroma

Puede experimentar transdiferenciación a tejido adiposo pardo

Tejido adiposo pardo



Gran cantidad en el neonato

Vestigios en los adultos en el espacio retroperitoneal, regiones cervical profunda y supraclavicular, regiones interescapular y paravertebral, mediastino

Producción de calor (termogénesis)

redondo

Diámetro más pequeño (10-25 µm)

Células progenitoras miogénicas esqueléticas

PRDM16/PGC-1

Si (exclusivos del tejido adiposo pardo)

bien desarrolladas

Gran densidad de fibras nerviosas simpáticas noradrenérgicas

Tejido muy vascularizado

Aumento de la lipogénesis

Disminución de la actividad de la lipoproteina

Aumento de la producción de calor

Durante el período fetal

Disminuye en la vida adulta (excepciones personas con feocromocitoma, hibernoma o exposición crónica al frío).

ha comprobado que la actividad de la UCP 1 aumenta durante la exposición al frío. En los humanos, la UCP-1 es responsable de la termogénesis adaptativa, que es la producción regulada de calor desencadenada por los cambios en el medio externo. Además, el frío estimula la utilización de la glucosa en los adipocitos pardos por la expresión excesiva de transportadores de glucosa (Glut-4). Algunos estudios clinicos que utilizaron PET en adultos han mostrado una relación directa entre la temperatura exterior y la cantidad de grasa parda acumulada en el organismo. Se ha encontrado un aumento de la cantidad de tejido adiposo pardo en el cuello y en la región supraclavicular durante los meses invernales, especialmente en las personas de gadas. Este fenómeno se sustenta tambien en los hallazgos de autopsias de una cantídad mayor de grasa parda en quienes traba,an a la intempene y se exponen al frio. En la actualidad, las técnicas modernas de obtención de imagenes moleculares permiten que los clínicos identifiquen con precisión los sitios de distribución de la grasa parda en el organismo, lo cual es indispensable para el diagnostico adecuado de las lesiones neoplásicas (cuadro 9-3).

■ TRANSDIFERENCIACIÓN DEL TEJIDO **ADIPOSO**

Los adipocitos experimentan cambios, de blanço a pardo y de pardo a blanco, según las necesidades termógenas de un organismo.

La exposición crónica a temperaturas frías aumenta las necesidades termógenas de un organismo. Algunos estudios han demostrado que, en estas condiciones, los adipocitos blancos maduros pueden transformarse en adipocitos pardos para generar calor corporal. De modo inverso, los adipocitos pardos pueden transformarse en adipocitos blancos cuando el equilibrio energético es positivo y el organismo requiere un aumento en la capacidad de almacenamiento de triglicéridos. Este fenómeno, conocido como transdiferenciación, se ha observado en animales de experimentación. Después de 3-5 días de exposición al frío, la acumulación de rejido adiposo blanco en los ratones experimenta el "fenómeno de pardeamiento" para producir bolsas de adipocitos multiloculares que contengan UCP-1. Este cambio en el fenotipo de los adipocitos ocurre en ausencia de

CORRELACIÓN CLÍNICA: TOMOGRAFÍA POR EMISIÓN DE POSITRONES E INTERFERENCIA DEL TEJIDO ADIPOSO PARDO

La tomografia de emisión de positrones (PET, positron emission tomography) es una herramienta diagnóstica que puede localizar células malignas en el organismo. Este método tiene su fundamento en la detección de los rayos gamma de alta energia generados cuando los positrones (partículas subatómicas de antimateria), producidos durante la desintegración de materiales radioactivos, se encuentran con electrones. El procedimiento requiere la invección de un material radioactryo, por le general 18-fluoruro-2-fluoro-2-desoxi-D-glucosa (1ºF-FDG) Este isótopo radioactivo de la glucosa se utiliza en la obtención de imágenes por PET porque las células neoplásicas metabolizan la glucosa a un ritmo más acelerado que las cérulas normales. Después de la inyección del isótopo, un detector recorre todo el organismo y registra la radiación emitida por et marcador ¹⁸F-FDG a medida que se incorpora a las células del cuerpo. Un sistema informático ensambla las señales en imágenes que constituyen mapas biológicos de la distribución del ¹⁸F-FDG en el organismo. Recientemente, dada la mayor precisión diagnóstica y los mejores métodos de biopsia, se utilizan con frecuencia la tomografía por emisión de positrones y la tomografía computarizada (PET/TC) en conjunto.

Una desventaja de la obtención de imágenes por PET es que muchos tej dos normales y tumores benignos también muestran un aumento en el metabolismo de la glucosa y, por lo tanto, pueden malinterpretarse como malignos. Por ejempto, el tejido adiposo pardo tiene una captación de glucosa. erevada que es mediada por una actividad intensa de los transportadores de glucosa, lo cual puede ser una fuente posible. de falsos positivos en la interpretación de los resultados con este método. Dado que el tejido adiposo pardo está en el cuello, incluida la región supradavicular, y en el mediastino (véase p. 280), es frecuente encontrario en la PET, especialmente en los pacientes con peso menor del normal y durante los meses invernates, cuando este tejido predomina más. Es muy probable que la captación de ^{fa}F-FDG corresponda a tejido pardo activado durante el aumento de la actividad de los nervios simpáticos en relación con la exposición al frío.

Una imagen de PET de la grasa parda suele ser bilateral y simétrica, sin embargo, en el mediastino la imagen puede ser asimétrica o focal y puede simular malignidad. Se han registrado resultados falsos positivos debido a la captación de ¹⁸F-FDG por la grasa parda de estas regiones en las mujeres jóvenes sometidas a procedimientos de obtención de imágenes, para diagnosticar y determinar el estadio de un cáncer mamano. En consecuencia, el conocimiento de que el tejido adiposo pardo puede mostrar ese aumento en la captación del marcador radioactivo es crucial para establecer un diagnóstico preciso y para evitar resultados falsos positivos (fig. C9-3-1)

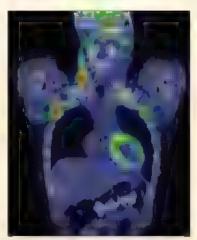


FIGURA C9-3-1. Imagen frontal de tomografía por emisión de positrones/tomografía computarizada de una mujer joven sens. Esta parte superior del corte frontal de una PET/TC de cuerpo entero muestra un aumento bilateral importante en la captación de ¹⁸F-FDG (color rojo) en el cuello, la región supraclavicular y la región axilar superior. Obsérvese que una captación moderadamente elevada del marcador radioactivo también es detectable en el miocardio (color amarillo). Las regiones de gran actividad metabólica se correlacionan con el patrón de distribución del tejido adiposo pardo de baja densidad. Las imágenes de PET/TC permiten la detección precisa de las regiones con aumento en la captación de ¹⁸F-FDG y la diferenciación entre la captación del marcador por el tejido ad poso pardo y los halfazgos en los tumores malignos (cortesía de Dra Jolanta Durski)

divisiones celulares (no hay aumento en el contenido de ADN) o apoptosis, indicando que los adipocitos blancos se transforman di rectamente en adipocitos pardos. Estos hallazgos también se confirman por la observación de diferentes expresiones genéticas. Los ratones con abundancia natural o inducida de tejido adiposo pardo son resistentes a la obesidad, mientras que los ratones genéticamente modificados sin adipocitos pardos funcionales son propensos a la obesidad y a la diabetes mellitus de tipo 2. Si el fenomeno de pardeamiento se produce por un mecanismo de reprogramación genómico, este mecanismo podría ser utilizado para desarrollar metodos terapeuticos futuros destinados a controlar la cantidad de tejido adiposo pardo en el organismo. Este descubrimiento puede conducir al control de la obesidad y la diabetes mellitus de tipo 2

La transdiferenciación de blanco a pardo del tejido adiposo es inducida por la exposición al frío y la actividad física.

La exposición al frío y la actividad física inducen la conversión de los adipocitos blancos a pardos, a través de diversas vías moleculares. El sistema nervioso central es sensible a las bajas temperaturas, lo que

causa un incremento en la estimulación del sistema nervioso simpáuco noradrenérgico. Algunos estudios recientes indican que la densidad de los nervios simpáticos que inervan el tejido adiposo blanco es uno de los factores más relevantes en la transdiferenciación de tejido blanco a pardo. La estimulación por el ejercicio físico es más complicada e implica la secreción de los péptidos auricular y ventricular en el miocardio que actúan sobre el riñón, lo que a su vez activa los factores de transcripción esenciales para la diferenciación de los adipocitos pardos. Otros activadores de la transdiferenciación incluyen la reprogramación de los genes del tejido adiposo mediante la activación de factores de transcripción específicos (reguladores maestros) y factores de crecimiento como el factor de crecimiento de fibroblastos 21 (FGF 21, fibroblast growth factor 21). Una gran cantidad de estudios epidemiológicos han mostrado que existe una relación inversa entre la cantidad de tejido adiposo pardo y el peso corporal, así como las complicaciones relacionadas con la obesidad. En el futuro, estas moleculas y vias de señalización involucradas en la transdiferenciación de adipocitos pueden abrir nuevos caminos en los tratamientos farmacológicos de la obesidad, la diabetes y otras enfermedades metabolicas



TEJIDO ADIPOSO

FUNDAMENTOS DEL TEJIDO ADIPOSO

- El tajido adiposo es un rejido conjuntivo especializado que desempeña un papel importante en la homeostasis energetica (almacena energia en gontas lipídicas en forma de trighoéridos) y en la producción de hormonas (adipocinas).
- Existen dos upos de tendos adiposos, blanco (unilocular) y pardo (multilocular)

TEJIDO ADIPOSO BLANCO

- El tejido adiposo blanco representa al menos el 10% del peso corporal en un adulto saludable norma. El tejido adiposo blanco con fibras de colageno y reticulares de sostén forma la fascia subcutánea; se concentra en las almohadillas de grasa mamaria y alrededor de varios órganos internos.
- Los adipocitos blancos son celulas muy grandes (con un diámetro de 100 μm o mas) con una sola gota lipidica (uniloculat) grande, un borde citoplasmatico delgado y un núcleo aplanado y desplazado hacia la periferia.
- La gotita lipidica unica dentro del adipocito blanco representa una inclusión citoplasmatica y no está unida a la membrana.
- El rejido adiposo blanco secreta una variedad de adipocinas, que incluyen hormonas (p. ej., leprina), factores de crecimiento y citocinas.
- El tejido adiposo blanco se diferencia a partir de las células madre mesenquimatosas bajo el control de los factores de transcripción PPARy/RXR ("interruptores maestros" para la diferenciación de los adipocitos blancos).
- La cantidad del tejido adsposo es regulada mediante dos vias hormonales, la via de regulación del peso a corto plazo (peptido YY y gretina) y la via de regulación del peso a largo plazo (leptina c insulina)
- Los trigliceridos almacenados en los adipocitos son liberados por las lipasas que se activan durante la movilización nerviosa (incluyendo a la noradrenalina liberada de los nervios simpaticos) o la movilización hormonal (incluyendo al glucagón y la somatotropina)

TEJIDO ADIPOSO PARDO

- El tejido adiposo pardo es abundante en los neonatos (un 5% de la masa corporal total), pero se reduce de forma contundente en los adultos.
- Los adipocitos pardos son mas pequenos que los blancos, contienen muchas gotitas lipidicas (multilocular) y un citoplasma con un núcleo redondo.
- Los adipocitos pardos se diferencian a partir de las celulas madre mesenquimatosas bajo el control de los factores de transcripcion PRDM16/PGC-1 ("interruptor maestro" para la diferenciación de los adipocitos pardos).
- Los adipocitos pardos expresan una proteina mitocondrial especifica llamada proteina desacoplante (UCP-1) o termogenina, que es esencial para el metabolismo de los adipocitos pardos.
- El metabolismo de los lipidos en el rejido adiposo pardo genera calor (termogénesis) al desacoplar la oxidación de ácidos grasos en la mitocondría a partir de la producción de ATP.
- La actividad metabólica del rejido adiposo pardo es regulada por la noradrenalina liberada de los nervios simpáricos y se relaciona con la temperatura ambiental exterior (el clima frio aumenta la cantidad de rejido adiposo pardo).

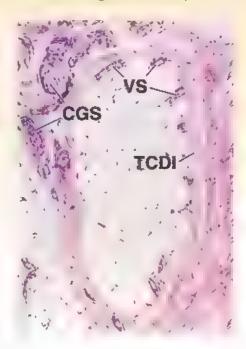
TRANSDIFERENCIACIÓN DEL TEJIDO ADIPOSO

- Los adipocitos pueden experimentar una transformación de blanco a pardo y de pardo a blanco (transdiferenciación) en respuesta a las necesidades termogenas del organismo
- La exposición al fino y la actividad física inducen la transdiferenciación de blanco a pardo.

LÁMINA 16 TEJIDO ADIPOSO

El tejido adiposo sa distribuye en todo el organismo y se encuentra en cantidades variables entre diferentes personas. Es un tejido conjuntivo especializado compuesto por células que almacenan triglicéridos, denominadas adipocitos. Los adipocitos catabolizan los triglicáridos, y cuando el gasto energetico supera la ingesta de energia, los **ácidos** grasos son liberados a la circulación. Además, el glicerol y los ácidos grasos liberados de los adipocitos participan en el metabolismo de la glucosa. Los adipocitos también secretan adipocinas. El tejido adiposo recibe un importante suministro de sangre que complemente sus funciones metabólicas y endocrinas. Se identifican dos tipos de tejido adiposo. El más frecuente y abundante se denomina tejido adiposo blanco. Sus adipocitos son células muy voluminosas cuyo citoplasma contiene una sola inclusión grande en la que se almacena la grasa en forma de triglicéridos. Cuando se examina en un corte típico teñido con H&E, el tejido adiposo blanco aparece como una estructura reticular (véase la microfotografia de orientación). El segundo tipo es el tejido adiposo pardo. Está compuesto por células más pequeñas. Su citoplasma se caracteriza por las numerosas gotitas lipidicas que ocupan una gran parte del volumen celular. También tiene una vascularización muy abundante. El tejido adiposo pardo se encuentra en los neonatos humanos, en los que contribuye a mantener la temperatura corporal adecuada

Microfotografía de orientación. Aquí se muestra el tejido adiposo blanco de la hipodermis de la piel. Consiste en muchos adipocitos muy juntos distribuidos en lobulillos. El tejido adiposo está rodeado por tejido conjuntivo denso irregular (*TCDI*). La pérdida de los lipidos del interior de la célula durante la preparación de rutina de un corte teñido con H&E de al tejido adiposo un aspecto reticulado. Observense los vasos sanguíneos (*VS*) pequeños en la periferia del tejido. Estos vasos proveen una red capilar abundante dentro del tejido adiposo. En el tejido conjuntivo denso también se observan varios conductos de glándulas sudoríparas (*CGS*).



70

Tejido adiposo blanco, humano, H&E, 363×; recuadro, 700×.

Esta es una microfotografía aumentada del **tejido adiposo blanco** de la muestra que aparece en la microfotografía de orientación. Revela porciones de varios lobulillos de las célu-

las adiposas. El tendo conjuntivo denso irregular (TCDI) separa los lobulillos de las estructuras circundantes. En muestras bien conservadas, los adipocitos (A) presentan un perfil esférico en el que se observa un borde de citoplasma muy delgado que rodea una sola inclusión lipídica grande. Dado que los lípidos se pierden durante la preparación del tejido, lo unico que se ve es el borde de citoplasma y un espacio casi transparente. Entre las células hay un delicado estroma de tejido conjuntivo muy fino que mantiene juntos a los adipocitos, y dentro del estroma hay vasos sanguíneos (VS) pequeños, sobre todo capilares y vénulas. La mayoría de los núcleos visibles en el tejido adiposo blanco pertenecen a fibroblastos, adipocitos o células de vasos sanguíneos pequeños. Sin embargo, suele ser difícil realizar la distinción entre los núcleos de los fibroblastos y los núcleos de los adipocitos. El detalle muestra un adipocito cuyo núcleo (N) es bastante fácil de identificar. Parece que está situado en el reborde del citoplasma (Ci), lo que le confiere al adipocito el aspecto clásico en "anillo de sello". Un segundo núcleo (N'), en parte fuera del plano de corte, da la impresión de estar ubicado entre el borde citoplasmático de dos células contiguas. Es probable que sea el nucleo de un fibroblasto. Debido al gran tamaño relativo de los adipocitos, el nucleo de estas células no suele quedar incluido en el plano de corte de una célula dada. Otras células que pueden observarse en el delicado estroma de tejido conjuntivo son los mastocitos (MC)



Tejido adiposo pardo, humano, H&E, 450×; recuadro, 1100×.

El **tejido adiposo pardo** que se muestra en este recuadro consiste en células pequeñas muy juntas con un mínimo de espacio intercelular. Debido a esta distribución, con este

aumento resulta dificil definir las células individuales. Con un aumento mayor (que no se ilustra aquí), es posible identificar algunas células individuales. Una linea punteada circunscribe una célula cuyos límites pudieron identificarse con un aumento mayor. Cada célula contiene muchas gouras lipiducas muy pequeñas incluidas en el citoplasma. En

este corte se observa el núcleo (N) de esta célula. Como ya se mencionó, el rejido adiposo pardo está muy vascularizado y en esta muestra pueden verse abundantes vasos sanguíneos (VS) identificados por los eritrocitos que contienen. La distinción entre los núcleos de los fibroblastos y los núcleos de los adipocitos dentro de los lobulillos es aún más dificil. Incluso con mayor aumento (detalle) no es fácil determinar qué núcleos pertenecen a cuáles células. En el setalle puede verse un capilar (C). Una vez más, se identifica por los eritrocitos que contiene. En el sitio en el que los lobulillos están apenas separados unos de otros (flechas) pueden reconocerse núcleos alargados pequeños. Estos pertenecen a fibroblastos en el tejido conjuntivo que forma los tabiques.

A, adipocitos

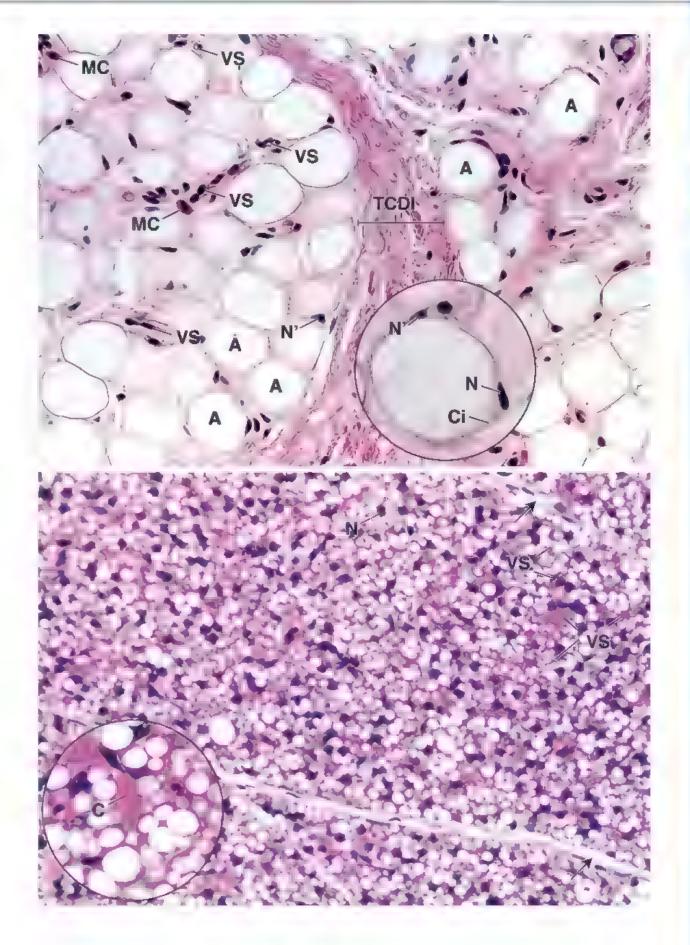
C, capitar

CGS, conductos de glándulas sudoriparas

Ct, citoplasma

MC, mastocitos
N, nucleo del adipocito
N', nucleo del fibroblasto
TCDI, tejido conjuntivo denso irregular

VS, vasos sanguineos flechas, tabiques de tejido conjuntivo



TEJIDO SANGUÍNEO

FUNDAMENTOS DE LA SANGRE / 290

PLASMA / 291

ERITROCITOS / 293

LEUCOCITOS / 297

Neutrófilos / 298

Eosinofilos / 304

Basófilos / 305

Linfocitos / 306

Monocitos / 309

TROMBOCITOS / 309

HEMOGRAMA / 312

FORMACIÓN DE LAS CÉLULAS DE LA SANGRE (HEMATOPOYESIS) / 313

Teoria monofilética de la hematopoyesis / 313
Formación de los eritrocitos (entropoyesis) / 315

Cinética de la eritropoyesis / 318 Formación de los trombocitos

(trombopovesis) / 318

Formacion de los granulocitos

(granulocitopoyesis) / 319

Cinética de la granulocitopoyesis / 319
Formación de los monocitos (monopoyesis) / 320

Formación de los linfocitos (linfopoyesis) / 320

MÉDULA ÓSEA / 323

Cuadro 10-1 Correlación clínica: sistemas de grupos sanguineos ABO y Rh / 295

Cuadro 10-2 Correlación clínica: hemoglobina en pacientes con diabetes / 297

Cuadro 10-3 Correlacion clinica: alteraciones de la hemoglobina / 298

Cuadro 10-4 Correlación clínica: alteraciones hereditarias de los neutrófilos (enfermedad granulomatosa crónica) / 303

Cuadro 10-5 Correlación clínica: degradación de la sangre e ictericia / 305

Cuadro 10-6 Correlación clínica: celularidad de la medula osea / 324

HISTOLOGIA 101 / 326



■ FUNDAMENTOS DE LA SANGRE

La sangre es un tejido conjuntivo líquido que circula a través del sistema cardiovascular.

Al igual que los otros tejidos conjuntivos, la sangre está formada por células y un componente extracelular. El volumen total de sangre en un adulto promedio es de altededor de 6 L, lo que equivale al 7-8% del peso corporal total. La acción de la bomba cardíaca impulsa la sangre a través del sistema cardíovascular para que llegue a los tejidos corporales. Algunas de las funciones de la sangre son las siguientes:

- Transporte de sustancias nutritivas y oxígeno hacia las células de forma directa o indirecta.
- Transporte de desechos y dióxido de carbono desde las células.
- Distribución de hormonas y otras sustancias reguladoras a las células y los tendos.
- Mantenimiento de la homeostasis porque actúa como amortiguador y participa en la coagulación y la termorregulación.
- Transporte de células y agentes humorales del sistema inmunitario que protege al organismo de los microorganismos patógenos, proteínas extrañas y células transformadas (p. ej., células cancerosas)

La sangre sa compone de cálulas y sus derivados, así como de un líquido con abundantes proteínas llamado *plasma.*

Las células sanguíneas y sus denvados incluyen:

- Eritrocitos (conocidos como globulos rojos o hematies)
- Leucocitos (rambién llamados gióbulos blancos)
- Trombocitos (también denominados plaquetas)

El plasma es el material líquido extracelular que le confiere a la sangre las propiedades de fluidez. El volumen relativo de células y el plasma en la sangre entera es de aproximadamente el 45 y el 55%, respectivamente. El volumen de los entrocitos compactados en una muestra de sangre se llama homaticato. El hematócrito se mide por medio de la centrifugación de una muestra de sangre a la que se ha añadido un anticoagulante y se calcula su porcentaje de acuerdo con el volumen que ocupan los eritrocitos en el tubo de centrifugación en comparación con el volumen sanguíneo total (fig. 10-1). Una lectura normal del homatocrito oscila entre el 39 y 50% en los hombres y entre el 35 y 45% en las mujeres; por lo tanto, el 39-50% y el 35-45% del volumen sanguineo para los hombres y mujeres, respectivamente, corresponde a entrocitos. Los resultados bajos del homatócrito a menudo reflejan un numero reducido de entrocitos circulantes (una alteración llamada

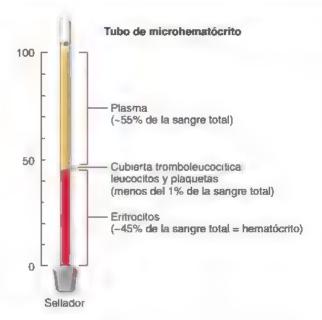


FIGURA 10-1. Composición sanguínea. La composición sanguínea es claramente visible después de centrifugar un pequeño volumen de sangre en el tubo de microhematócrito. El volumen de entrocitos compactos ocupa alrededor del 45% de la sangre total (esta fracción se denomina hematócrito). La capa delgada entre los entrocitos y el plasma contiene leucocitos y plaquetas, suele denominarse cubierta tramboleucocitica. El volumen restante (aproximadamente el 55%) se compone de un líquido color amanllo pálido y opaco que corresponde al piasma sanguíneo con un alto contenido de proteinas.

anemia) y puede indicar una pérdida importante de sangre causada por una hemorragia interna o externa.

Los leucocitos y las plaquetas constituyen solo el 1% del volumen sanguíneo. En una muestra de sangre que se ha centrifugado, la fracción celular (la parte de la muestra que contiene las células) está compuesta principalmente por eritrocitos compactados (~99%). Los leucocitos y las plaquetas están contenidos en una delgada capa de color blanco entre los eritrocitos y el plasma llamada capa tromboleucocitica (péase fig. 10-1). Como se indica en la tabla 10-1, hay

	Elementos	celulares de l	a sangre	
Elementos	Células/L en adultos			
celulares	Hombres	Mujeres	%	
Eritrocitos	4 3-5.7 × 10 ¹²	$3.9-5.0 \times 10^{12}$		
Laucocitos	3 5-10 5 × 10 ⁹	3.5-10.5 × 10 ⁹	100	
Agranulocitos				
Linfocitos	$0.9-2.9 \times 10^9$	0 9-2.9 x 10 ⁹	25 7-276*	
Monocitos	$0.3-0.9 \times 10^{8}$	$0.3-0.9 \times 10^{9}$	8.6*	
Granulocitos				
Neutrófilos	$1.7-7.0 \times 10^9$	$1.7-7.0 \times 10^9$	48 6-66 7ª	
Eosinófilos	0 05-0.5 × 10 ⁹	0 05-0 5 × 10 ⁹	1.4-4 8	
Basófilos	$0-0.3 \times 10^9$	0-0 3 × 10 ⁹	0-0 3*	
Trombocitos (plaquetas)	150-450 × 10 ⁹	150-450 × 10 ⁹		

^{*}Porcentaje de jeucocitos

cerca de 1000 veces más eritrocitos (\sim 5 × 10^{12} células/L de sangre) que leucocitos (\sim 7 × 10^{9} L de sangre).

■ PLASMA

Si bien las células de la sangre son el principal objeto de interés en la histología, también puede ser útil un breve comentario sobre el plasma. La composición del piasma se resume en la tabla 10-2. Más del 90% del peso del plasma corresponde a agua, que sirve como disolvente para una variedad de solutos, como proteínas, gases disueltos, electrólitos, sustancias nutritivas, moléculas reguladoras y materiales de desecho. Los solutos del plasma contribuyen a mantener la homeostasis, un estado de equilibrio que proporciona una osmolaridad y un pH óptimos para el metabolismo celular.

Las proteínas plasmáticas son principalmente albúmina, globulinas y fibrinogeno.

La albumina es el principal componente proteínico del plasma y representa más o menos la mitad de las proteínas plasmáticas totales. Es la proteína plasmática más pequeña (alrededor de 70 kDa) y se sintetiza en el hígado. La albúmina es responsable de ejercer el gradiente de concentración entre la sangre y el líquido tisular extracelular Esta importante presión osmótica en la pared de los vasos sanguineos, llamada presión coloidosmótica, mantiene la proporción correcta de volumen sanguineo con respecto al volumen de líquido tisular. Si una cantidad importante de albúmina escapa de los vasos sanguineos hacia el tejido conjuntivo laxo o se pierde en la orina, la presión coloidosmótica de la sangre disminuye y se incrementa la proporción de líquido en los tejidos. Este aumento de líquido an los tejidos se observa con facilidad por el edema de los tobillos al final del día. La albúmina también actúa como una proteína transportadora; une y transporta hormonas (tiroxina), metabolitos (bilirrubina) y fármacos (barbitúricos)

Las globulinas comprenden las inmunoglobulinas (y-globulinas), el mayor componente de la fracción globulínica, y las globulinas no inmunitarias (globulinas a y ß). Las inmunoglobulinas son anticuerpos, una clase de moléculas funcionales del sistema inmunitario secretadas por las células plasmáticas. Los anticuerpos se describen en el capítulo 14.

Las globulinas no immunitarias son secretadas por el hígado. Contribuyen a mantener la presión osmótica dentro del sistema vascular y también suven como proteínas transportadoras para diversas sustancias, como el cobre (transportado por la ceruloplasmina), el hierro (transportado por la transferrina) y la proteína hemoglobina (transportada por la haptoglobina). Las globulinas no inmunitarias también incluyen fibronectina, lipoproteínas, factores de coagulación y otras moléculas que pueden intercambiarse entre la sangre y el tejido conjuntivo extravascular.

El fibrinógeno, la proteína plasmática más grande (340 kDa), se sintetiza en el hígado. En una serie de reacciones en cascada con otros factores de la coagulación, el fibrinógeno soluble se transforma en la proteína insoluble fibrina (323 kDa). Durante la conversión de fibrinógeno en fibrina, las cadenas de fibrinógeno se fragmentan para producir monómeros de fibrina que se polimerizan con rapidez para formar fibras largas. Estas fibras establecen enlaces cruzados entre si y forman una red impermeable en el sitio de los vasos sanguineos lesionados, lo que impide una hemorragia adiciona

Con excepción de estas grandes proteínas plasmáticas y de las sustancias reguladoras, que son proteínas o polipéptidos pequeños, la mayoría de los componentes del plasma son suficientemente pequeños como para atravesar la pared de los vasos sanguíneos en los espacios extracelulares del tejido conjuntivo contiguo.

TABLA 10-2 Composición del plasma sanguíneo Componente 91-92 Proteínas (albúmina, globulinas, fibrinógeno) 7-8 Otros solutos: 1-2 Electrolitos (Na+, K+, Ca2+, Mg2+, C1+, HCO3 PO43-, SO42-) Sustancias nitrogenadas no proteínicas (urea, ácido urico, creatina, creatinina, sales de amoníaco) Nutrientes (glucosa, lípidos, aminoácidos) Gases sanguíneos (oxígeno, dióxido de carbono, nitrógeno) Sustancias reguladoras (hormonas, enzimas)

En general, las proteínas plasmáticas reaccionan con los fijadores comunes y con frecuencia quedan retenidas dentro de los vasos sanguíneos en los cortes histológicos. Las proteínas plasmáticas no poseen una forma estructural por arriba del nivel molecular, por lo tanto, cuando quedan atrapadas en los vasos sanguíneos, aparecen como una sustancia que se colorea de manera uniforme con la eosina en los cortes histológicos teñidos con hematoxilina-eosina (H&E).

El suero es igual al plasma sanguíneo, excepto que está desprovisto de los factores de coagulación.

Es una práctica usual que, con fines de diagnóstico, se extraigan muestras de sangre de una vena (procedimiento denominado venopunción). Cuando se saca de la circulación, la sangre se coagula de inmediato. Un coágulo sanguineo consiste sobre todo en eritrocitos incluidos en una red de fibras finas compuestas por fibrina. Para prevenir la coagulación de una muestra de sangre, se le añade un anticoagulante como el citrato o la heparina. El citrato fija los iones de calcio, que son esenciales para la activación de la cascada de reacciones de la coagulación, y la heparina desactiva los factores de coagulación en el plasma. El plasma que carece de factores de coagu lación se denomina suero. Para muchas pruebas bioquímicas de laboratorio, puede utilizarse plasma o suero indistintamente. Se prefiere el suero para varias pruebas especificas, ya que los anticoagulantes en el plasma pueden interferir con los resultados Sin embargo, las pruebas de coagulación necesitan que estén conservados todos los factores de la coaguiación; por lo tanto, el suero no es apropiado para estas

El líquido intersticial de los tejidos deriva del plasma sanguíneo.

El líquido que rodea las células, denominado líquido intersticial, tiene una composición electrolítica que refleja la del plasma sanguí neo, del que deriva. La composición del líquido intersticial en los rejidos no conjuntivos está sujeta a una modificación considerable por las actividades absortivas y secretoras de los epitelios. Los epitelios pueden crear microambientes especiales que le permitan su función. Por ejemplo, existe una barrera hematoencefálica entre la sangre y el tejido nervioso. También existen barreras entre la sangre y el tejido del parénquima en el testículo, el timo, los ojos y otros compartimentos epiteliales. Los líquidos, las barreras y sus funciones se analizan más adelante en los capítulos que se ocupan de estos órganos particulares,

Para la valoración de las células de la sangre se deben utilizar técnicas de preparación y tinción especiales.

El método de preparación que mejor permite examinar los tipos de células de la sangre periférica es el frotis sanguíneo. Este método difiere de la preparación habitual que se observa en el laboratorio de histología porque la muestra no se incluye en parafina ni se secciona. En lugar de ello, se coloca una gota de sangre directamente en un portaobjetos y se extiende sobre su superficie para producir una monocapa celular (fig. 10-2a). Después, la preparación se seca al aire y se núe. Otra diferencia en la preparación de un frotis sanguíneo es que, en lugar de H&E, se utilizan mezclas especiales de colorantes para teñir las células. El frotis con o sia cubreobjetos puede examinarse a través de un objetivo de inmersión (fig. 10-2b y lám. 17, p. 328).

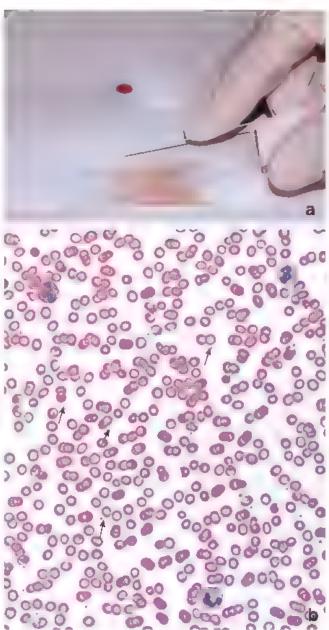


FIGURA 10-2. Frotis sanguineo: técnica de preparación y microfotografía panorámica, a. Fotografía en la que se ilustra el método para realizar un frotis sanguíneo. Se coloca una gota de sangre directamente sobre un portaobjetos de vidno y se extiende por la superficie de este con el borde corto de otro portaobjetos b. Microfotografía de un frotis sanguíneo periférica, teñido con la técnica de Winght, en donde la mayoría de los elementos formes están distribudos de manera uniforme. Las células son principalmente entrocitos. Están presentes tres jeucocitos. Las flechas seña, an plaquetas 350×

La tinción de Romanovsky modificada, que suele utilizarse para los froris sanguíneo, consiste en una mezcla de azul de metileno (colorante alcalino), azures similares (también colorantes alcalinos) y eosina (colorante ácido). De acuerdo con su aspecto después de la tinción, los leucocitos se dividen tradicionalmente en granulocitos (neutrófilos, eosinófilos y basofilos) y agranulocitos (linfocitos y monocitos). Si bien ambos tipos de leucocitos pueden contener gránulos, los granulocitos poseen granulaciones específicas evidentes en su citoplasma. En general, los colorantes básicos tiúen los núcleos, los gránulos de los basófilos y el ARN del citoplasma, en tanto que el colorante ácido uñe los eritrocitos y los gránulos de los eosinôfilos. Antes se pensaba que las granulaciones finas de los neutrófilos eran teñidas por un "colorante neutro" que se formaba cuando el azul de metileno y sus azures similares se combinaban con la eosina. Aún no se entiende por completo el mecanismo por el cual se tiñen los gránulos específicos de los neutrófilos. Algunos de los colorantes básicos (los azures) son metacromáticos y pueden conferir un color rojo violáceo al material que tiñen.

ERITROCITOS

Los eritrocitos son discos bicóncavos anucleados.

Los eritrocitos son células anucleadas que carecen de orgánulos típicos. Funcionan solo dentro del torrente sanguineo para fijar oxígeno y liberarlo en los tejidos y, a manera de intercambio, fijan dióxido de carbono para eliminarlo de los tejidos. Su forma es de disco bicóncayo con un diámetro de 28 µm, un espesor de 2.6 µm en su borde y un espesor central de 0.8 µm (fig. 10-3). Esta forma maximiza el área de superficie de la célula (~140 µm²), una cualidad importante para el intercambio de gases.

La vida media de los eritrocitos es de 120 días. En una persona sana, cerca del 1% de los entrocitos se eliminan de la circulación cada día debido a la senescencia (envejecimiento); sin embargo, la médula ósea produce continuamente nuevos eritrocitos para reemplazar a los eliminados. La mayoría de los eritrocitos envejecidos (~90%) experimentan fagocitosas por los macrófagos del bazo, la médula ósea y el hígado. El resto de los eritrocitos envejecidos (~10%) se desintegran por vía intravascular y liberan cantidades insignificantes de hemoglobina hacia la sangre.

En los cortes teñidos con H&E, los eritrocitos suelen medir 7 8 µm de diámetro. Como su tamaño es bastante constante en el tejido fijado, se pueden utilizar para estimar el tamaño de otras células y estructuras en los cortes histológicos; por ello, el eritrocito se considera apropiadamente la "regla del histologo".

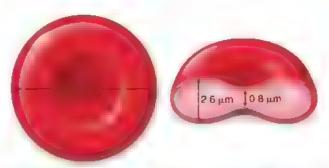


FIGURA 10-3. Eritrocitos. El entrocito es una célu a anucleada con forma de disco bicóncavo que contiene hemoglobina. El área de superficie de un entrocito es de aproximadamente 140 µm² y su volumen corpuscular (cérula) medio es de 80-99 fL (1 fL = 10-15 L)

A causa de que los eritrocitos, tanto vivos como fijados, suelen aparecer como discos bicóncavos, pueden dar la impresión de que son rígidos e inflexibles (fig. 10-4). Sin embargo, son, de hecho, muy deformables. Atraviesan con faculidad los capilares más estrechos, ya que se pliegan sobre sí mismos. Se tiñen de manera uniforme con eosina. En cortes finos vistos con el microscopio electrónico de transmisión (MET), el contenido de un entrocito aparece como un material denso finamente granulado.

La forma del eritrocito es mantenida por proteínas de la membrana en esociación con el citoesqueleto, que proporciona la estabilidad mecánica y la flexibilidad necesarias para resistir las fuerzas ejercidas durante la circulación.

A medida que los entrocitos en la circulación navegan a través de una pequeña red de capilares, se exponen a grandes cantidades de fuerza de fricción que hacen que experimenten deformaciones rápidas y reversibles. Para hacer frente a esta fuerza, la membrana celular de los entrocitos tiene una estructura exclusiva de citoesqueleto. Además de una bicapa lipídica normal, contiene dos grupos de proteínas importantes desde el punto de vista funcional:

- Las proteines integrales de la membrana son la mayoría de las proteínas en la bicapa lipídica. Consisten en dos grandes famulias de proteínas transmembrana (glucoforinas y proteínas banda 3). Los dominios extracelulares de estas proteínas integrales de la membrana están glucosilados y expresan antígenos específicos de grupo sanguíneo (cuadro 10-1). La glucoforina C desempeña un papel importante en la adhesión de la red de proteína del citoesqueleto subyacente a la membrana celular. La proteina banda 3 es la proteína transmembrana más abundante en la membrana celular de los eritrocitos. Esta fija la hemoglobina y actúa como un sitio de anclaje para las proteínas del ciroesqueleto (fig. 10-5).
- Las proteines periférices de la membrana residen en la superficie interna de la membrana celular. Se organizan en una red bidimensional de patrón hexagonal que forma una lámina sobre la superficie interna de la membrana. Esta red se ubica paralela a la membrana y se compone principalmente de proteínas del citoesqueleto, como las moléculas de espectrina e y B. Estas forman un heterodímero antiparalelo unido por enlaces múltiples laterales. A continuación, los dímeros se unen cabeza con cabeza para producir tetrámeros largos y flexibles. Los filamentos de espectrina están anclados a la bicapa lipídica por dos grandes complejos de proteínas. El primero es el complejo de proteinas de banda 4.1, que contiene banda 4.1, actina, tropomiosina, tropomodulina, aductina y dematina (véase fig. 10-5); este complejo interactúa con la glucoforina C y otras proteínas transmembrana. El segundo es el complejo de proteinas de anquirina, que contiene anquirina y la proteína de banda 42, este complejo interactúa con la banda 3 y otras proteínas de la membrana integral (véase fig. 10-5).

Esta particular organización del citoesqueleto contribuye a darle forma al eritrocito y le confiere propiedades de flexibilidad y estabilidad mecánica a la membrana. El citoesqueleto no es estático. Por ejemplo, las uniones moleculares a lo largo de la longitud de las moléculas de espectrina se pueden disociar y volver a asociar a medida que el eritrocito experimenta una deformación en respuesta a diversos factores físicos y químicos. Por lo tanto, las interacciones flexibles entre los dímeros de espectrina, anquirina y complejos de banda 4.1 son reguladores clave de la flexibilidad y la estabilidad mecánica de la membrana, Cualquier defecto en la expresión de los genes que codifican estas proteínas citoesqueléticas puede generar la formación de entrocitos fragiles y de configuración anómala



FIGURA 10-4. Morfología de los eritrocitos, a. Micrototografia de tres capilares (Cap) que se unen para formar una vénula (V) como se observa en el tel do adiposo dentro de un preparado de mesenterio entero. Los eritrocitos se disponen en una fila en uno de los capilares tios otros dos están vacios). El área central pálida en algunos de los eritrocitos es producto de su forma bicónicava. Los eritrocitos son muy plásticos y pueden pregarse sobre si mismos a pasar por capilares muy estrechos, Las estructuras redondeadas grandes son celuras adiposas (A). 470×6. Microfotografía electrónica de barrido de entrocitos recogidos en un tubo para sangre. Nótese la forma cónicava de las células. Los rimeros o plas de entrocitos en estas preparaciones son frecuentes y se conocen como rollos o "rouleaux" (de, frances). Tales formaciones in vivo indican un mayor nivel de annunoglobulinas plasmáticas. 2800×

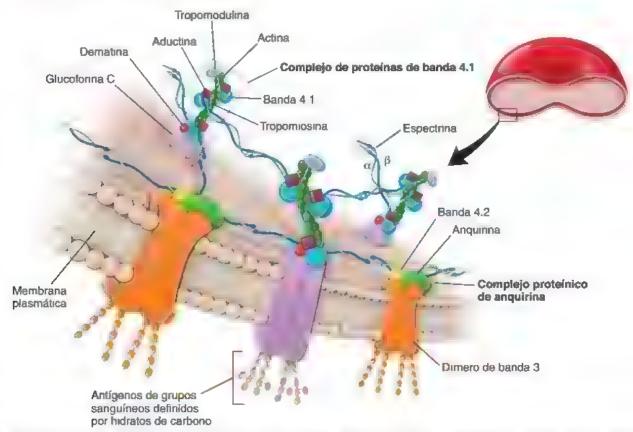


FIGURA 10-5. Organización de la membrana del entrocito. En el diagrama se muestra la disposición de las proteinas periféricas e integrales de membrana. La proteina integral de membrana glucoforma C se asocia con el complejo de proteinas periféricas de membrana de banda 4.1. Del mismo modo, la proteina integral de membrana de banda 3 se une a complejo proteinico de anquir na Estos complejos periféricos interactuan con la espectrina para formar una red hexagona de citoesqueleto inmediatamente advacente a la superficie citopiasmatica de imembrana plasmática. La red de espectrina con los complejos de proteina periférica de membrana esta anciada a la membrana plasmática por la giucoforma C y as proteinas de banda 3, que en la superficie extracelular están glucos ladas y sostienen la mayoria de los antigenos de grupo sanguíneo definidos por los hidratos de carbono.

Por ejemplo, la esferocitosis hereditaria es causada por una mutación autosómica dominante que afecta el complejo de las proteinas de anguirina (banda 3, banda 4.2, espectrina y otras proteinas integrales de la membrana del eritrocito), que tienen una función de anclaje entre la membrana plasmatica. del eritrocito y el citoplasma. Los defectos en estas proteinas de anclaje ocasionan que la membrana plasmàtica del eritrocito se desprenda del citoplasma y los eritrocitos sean esféricos. Otra anomalia de la membrana de los entrocitos, la aliptocitosis hereditaria, es provocada por una de varias mutaciones autosómicas dominantes que afectan las moléculas de espectrina. En esta mutación, las uniones laterales de espectrina-espectrina y espectrina-anquirina-proteinas de banda 4.1 son defectuosas. La membrana plasmática de las células afectadas no se recupera de las deformaciones y se alarga progresivamente, lo que determina que se formen eritrocitos elipticos. En ambas alteraciones, los eritrocitos son incapaces de adaptarse a los cambios en su entorno (p. ej., presión osmótica y deformaciones mecánicas), lo que causa su destrucción o hemolisis prematuras.

Los eritrocitos contienen hemoglobina, una proteína especializada en el transporte de oxígeno y dióxido de carbono.

Los eritrocitos transportan oxígeno y dióxido de carbono unidos a la proteina hemoglobina (68 kDa). La función de la hemoglobina es fijar las moléculas de oxígeno en los pulmones (lo cual requiere alta afinidad por el oxígeno) y, después de transportarlas a través del sistema circulatorio, liberar el oxígeno en los tejidos (que tienen baja afinidad por el oxígeno). Un monómero de la hemoglobina es similar en composición y estructura a la mioglobina, la proteína firadora de oxigeno que está en el músculo estriado. La forma de disco del eritrocito facilita el intercambio de gases porque una cantidad mayor de moléculas de hemoglobina está más cerca de la membrana plasmática de lo que estaría en una célula esferoidea. Por lo tanto, los gases tienen menos distancia para difundirse dentro de la célula hasta alcanzar un sitio de fijación en la hemoglobina. Dentro de los eritrocitos hay una alta concentración de hemoglobina, que es la causa de la tinción uniforme con eosina y de la granularidad citoplasmática visible con el MET.

La hemoglobina se compone de cuatro cadenas polipeptídicas de globina α, β, δ y γ. Cada cadena forma un complejo con un

CUMBRO 10-1

CORRELACIÓN CLÍNICA: SISTEMAS DE GRUPOS SANGUÍNEOS ABOY RIV

Sistema ABO de grupo sanguíneo

Un factor importante en las transfusiones de sangre es e sistema de grupos sanguíneos ABO, que esencialmente consiste en tres antígenos denominados A, B y O (tabla C-10-1-1). Estos antígenos son glucoproteínas y glucolípidos, y solo difieren levemente en su composición. Están presentes en la superficie de los entrocitos y se unen a los dominios extracelulares de proteínas integrales de membrana llamadas glucoforinas y proteinas de banda 3. La presencia de antigenos A. B o O determina los cuatro grupos sanguineos principales: A, B, AB y O Todos los seres humanos poseen enzimas que catalizan la síntesis del antígeno O. La sangre se clasifica en un grupo de acuerdo con la presencia o ausencia de los antígenos del grupo AB. Los individuos con un grupo de sangre A tienen una enzima adicional (Afacetilgalactosamina-transferasa o A-glucositransferasa) que añade Al-acetilgalactosamina al antígeno O. Las personas con grupo sanguíneo B tienen una enzima (galactosa-transferasa o B-glucosiltransferasa) que añade galactosa al antigeno O (fig. C10-1-1). Los individuos con el grupo sanguineo AB expresan ambas enzimas, mientras que las personas con grupo sanguineo tipo O carecen de ambas enzimas. En los seres humanos, los genes ABO consisten en por lo menos siete

exones, y se localizan en el cromosoma 9. El alelo O es recesivo, mientras que los alelos A y B son codominantes.

Las diferencias en las moléculas de hidratos de carbono de estos antígenos se detectan por anticuerpos específicos contra los antígenos A o B. Las personas con antígenos A poseen anticuerpos anti-B séricos que están dirigidos contra el antígeno B. Las personas con antígenos B poseen anticuerpos anti-A séricos que se dirigidos contra el antígeno A. Las personas con grupo sanguíneo AB no tienen anticuerpos dirigidos contra los antígenos A o B. Por lo tanto, son receptores universales de cualquier tipo de sangre. Las personas del grupo O poseen anticuerpos tanto anti-A como anti-B en su suero y no tienen antígeno A ni B en sus entirocitos. En consecuencia, estas personas son donantes universales de sangre.

Si un individuo es transfundido con sangre de un tipo incompatible, sus anticuerpos atacarán los entrocitos del donante, causando una reacción transfusional hemolítica o destrucción de los entrocitos transfundidos. Para evitar una complicación potencialmente mortal, la sangre para transfusión debe ser siempre compatible con la sangre del destinatario. En este procedimiento, el suero del receptor se mezcla con entrocitos del donante. Si no hay reacción a esta prueba

TABLA C10-1-1. SISTEMA ABO DE GRUPO SANGUÍNEO

Grupo sanguineo	Antigeno de superficie eritrocitario	Anticuerpo sérico	Puede donar a	Puede recibir de
A	Antigeno A	Ant-B	A y AB	AyO
В	Antigeno B	Ant-A	B y AB	ВуО
AB	Antigenos A y B	Sin anticuerpos	Solo AB	A, B, AB y O (receptor uni- versal)
0	Antigeno O (sin antigenos A o B)	Anti-A y anti-B	A, B, AB y O (donante universal)	Solo O

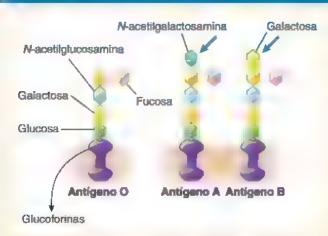


FIGURA C10-1-1. Antígenos de grupos sanguineos ABO. Los antigenos ABO no son productos génicos primarios, sino que derivan de reacciones enzimáticas (glucosilaciones). En esta representación esquemática se muestran las diferencias entre los tres antigenos principales que forman el sistema de grupos sanguíneos ABO. La estructura inmunodominante del antigeno O se ilustra adhenda a un dominio extracelular de glucoforinas, las proteinas integrales de las membranas celulares de entrocitos. Nótese que las diferencias entre el antigeno O y el antigeno A se deben a la presencia de una molécula de glucido adicional, N-acetiigalactosamina (flecha azul, centro), que se añade por una N-acetilgalactosamina-transferasa funcional codificada genéticamente expresada en individuos del grupo A. De manera similar, los individuos con el grupo B tienen una motécula de galactosa (flecha azul, derecha) añadida por la enzima galactosa-transferasa. Las personas del grupo AB expresan ambas enzimas (por lo tanto, tienen ambos antígenos A y B) y las personas del grupo O carecen de ambas enzimas funcionales. Por ello, solo poseen la estructura central inmunodominante del antigeno O.

de compatibilidad cruzada, entonces la sengre del donante puede utilizarse para la transfusión

Sistema Rh de grupo sanguíneo

El otro sistema de grupo sanguíneo importante, el sistema Rh, se basa en el antigeno Rhesus (Rh). En los seres hu-

manos, este sistema está representado por el polipéptido Rh30 transmembrana no glucosilado de 40 kDa que comparte sitios antigénicos con entrocitos de mono rhesus. El polipéptido RH30 es un componente más grande (90 kDa) de proteina integral de membrana eritrocitica que incluye la glucoproteina Rh50 Si bien el posipéptido RH30 expresa muchos sitios de antígeno en su dominio extracelular, solo tres de ellos, los antigenos D, C y E, trenen importancia clinica. Las interacciones entre las moléculas de RH30 y Rh50. son esenciales para la expresión de los antigenos D, C y E. Solo un antígeno D determina el estado del Rh. Por lo tanto, una persona que posee solo uno de estos tres antígenos es clasificada como Rh positivo (Rh+), mientras que un individuo que no expresa el antígeno D se considera como Rh negativo (Rh-). Todos los antigenos estimulan la producción de anticuerpos anti-Rh en los individuos que carecen de los mismos antigenos

La incompatibilidad Rh es cuando una mujer Rh(D-) tiene un feto Rh(D+), y puede llegar a ser un problema clínico grave en el embarazo si no se detecta a tiempo y se implementan medidas preventivas. Si una mujer es Rh(D+) y estáembarazada con un feto Rh(D+), ella desarrolla anticuerpos anti-D en contra del antigeno D en los entrocitos fetales. Este proceso se conoce como sensibilización Rh(D+) Los anticuerpos pueden alcanzar la circulación materna durante el embarazo, el parto o después de un aborto. Por lo general, en el primer embarazo no existen suf cientes anticuerpos para causar una reacción en el feto. No obstante, cuando una mujer sensibilizada vuelve a embarazarse con un feto Rh(D+), los anticuerpos cruzan la placenta y atacan a los antigenos Rh(D+) en los entrocitos fetales. Ello puede conducir a una reacción hemolítica postransfusión, y en los fetos provoca la enfermedad hemorifica eritroblastosis fetal. La administración de anticuerpos anti-D (RhoGAM) a toda mujer Rh(D+) durante y después de cada gestación o aborto destruye cualquier entrocito fetal Rh(D+) que persista en la sangre de la madre, evitando así reacciones de incompatibilidad Rh en embarazos futuros

grupo hemo que contiene hierro (fig. 10-6). Durante la oxigenación, cada uno de los cuatro grupos hemo que contienen hierro puede unir una molécula de oxígeno de manera reversible. Durante los períodos gestacional y posnatal, la sintesis de las cadenas polipeptidicas de hemoglobina varía, lo que da origen a diferentes tipos de hemoglobina (fig. 10-7). Según la activación de distintos genes de globina y la síntesis de la cadena de globina particular que haya en la macromolécula, se pueden distinguir los siguientes tipos de hemoglobina:

- Hemoglobina HbA. Tiene gran prevalencia en los adultos y representa alrededor del 96% de la hemoglobina total. Es un tetrámero con dos cadenas α y dos cadenas β (α₂β₂) (cuadro 10-2)
- Hemoglobina HbA2. Constituye el 1.5-3% de la hemoglobina total en los adultos. Está compuesta por dos cadenas a y dos cadenas δ (α₂δ₂)
- Hemoglobina Hbf. Comprende menos del 1% de la hemoglobina en los adultos. Contiene dos cadenas a y dos cadenas y (11272) y es la forma principal de hemoglobina en el feto. La producción de HbF disminuye de forma drástica después del nacimiento; sin embargo, en algunas personas la HbF se produce durante toda su vida. Si bien la HbF persiste en un

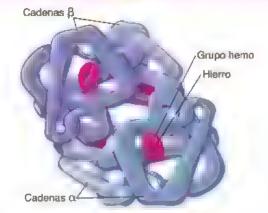


FIGURA 10-6. Estructura de la molécula de hemoglobina. Todas las moléculas de hemoglobina están compuestas por cuatro subunidades. Cada una de estas contiene una molécula hemo (la porción que porta el hierro) dentro de una hendidura hidrófoba de la cadena de globina. El plegamiento de la cadena de globina coloca al hemo cerca de la superficie de la molécula, en donde es accesible para el oxígeno Existen cuatro tipos diferentes de cadenas de globina: α, β, δ y y, que siempre están en pares. Los tipos de cadenas de globina presentes son los que determinan el tipo de hemoglobina. En la figura se ilustra la hemoglobina A (HbA), que se compone de dos cadenas α y dos β.

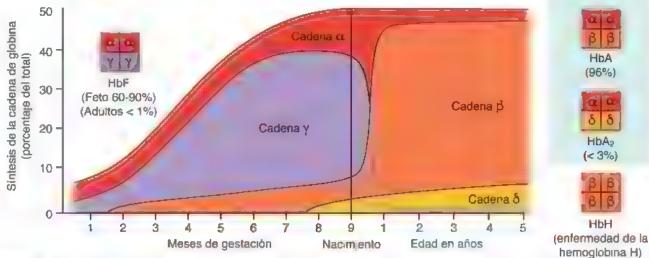


FIGURA 10-7. Síntesis de la cadena principal de globina y composición de la hemoglobina en períodos prenatales y posnatales. El tipo de hemoglobina di fiere en los periodos de gestación y después del parto. Este diagrama representa una linea de tiempo para la sintesis de las cuatro principales cadenas de globina (α), δ γ γ) γ para la composición de la hemoglobina. En las primeras etapas de desarrollo las cadenas α γ γ forman la hemoglobina feta (HbF) que es predominante en el nacimiento. En el segundo mes de gestación la umenta de manera gradua la sintesis de cadenas β . Después del nacimiento, se intensifica de forma drástica para formar la hemoglobina adulta, predominante mente compuesta por cadenas α (HbA). Durante este tiempo la sintesis de la cadena γ disminuye. Más tarde en la edad prenata la producción de cadena δ se nicia para formar hemoglobina que contiene dos cadenas δ γ dos cadenas α (HbA2). Las hemoglobinas adultas HbA (96%) γ HbA2, < 3%) dentro de recuadro azuliciaro se consideran como tipos normales. Los rastros de hemoglobina HbF se consideran normales en concentraciones por debajo del 1%. Un ejemplo de la hemoglobina anóma a que se muestra en este diagrama es la hemoglobina HbH, que se forma como un tetrámero de cadenas β

porcentaje un poco mayor que el normal en la drepanocitosis y en la talasemia, no parece desempeñar un papel en sus patogenias.

Las mutaciones en los genes que codifican las cadenas de globina pueden causar alteraciones en la producción de hemoglobina. Un ejemplo es la enfermedad de la hemoglobina. Un ejemplo es la enfermedad de la hemoglobina. H. (HbH) que es causada por defectos moleculares de los genes de la cadena de globina α , los cuales disminuyen la expresión de la cadena. A nivel molecular, la enfermedad de la HbH se caracteríza por la acumulación excesiva de cadenas β que forman tetrámeros ($\beta_2\beta_2$; vease fig. 10-7). En la clínica, se caracteriza por anemia hemolítica crónica leve con recuentos altos de reticulocitos (5-10%). Otro ejemplo es una mutación en el gen que codifica la cadena de globina β que causa la drepanocitosis (cuadro 10-3). Curiosamente, se han identificado más de 550 tipos de moléculas de hemoglobina

anómala, sin embargo, la mayoría de ellas carecen de importancia clínica.

■ LEUCOCITOS

Los teucocitos se subclasifican en dos grupos generales. El fundamento para esta división es la presencia o ausencia de granulos específicos prominentes en el citoplasma. Como se señaló antes, las oélulas que contienen gránulos específicos se clasifican como granulocitos (neutrófilos, eosinófilos y basófilos; lám. 17. p. 328), y las células que carecen de gránulos específicos se clasifican como agranulocitos (linfocitos y monocitos; lám. 18, p. 330). No obstante, ranto los granulocitos como los agranulocitos poseen una pequeña cantidad de gránulos azurófilos inespecíficos, que son los lisosomas. La cantidad relativa de los diversos leucocitos se detalla en la tabla 10-1.

CUADRO 10-2.

CORRELACIÓN CLÍNICA: HEMOGLOBINA EN PACIENTES CON DIABETES

Como se mencionó en el texto, aproximadamente el 96% de la hemoglobina total en los adultos corresponde a hemoglobina de tipo HbA. Alrededor del 8% de la HbA consta de varios subtipos que muestran leves diferencias químicas. Estos subtipos son las hemoglobinas HbA1a1, HbA1a2, HbA1b y HbA1c. De estos subtipos, el tipo de hemoglobina A1c es de importancia clínica debido a que se une de forma irreversible a la giucosa. Se le conoce como hemoglobina glucosade o glucosileda. Las concentraciones de este subtipo de hemoglobina se utilizan para controlar la glucemia de una persona durante los utimos 2-3 meses (prueba que en la clínica se denomina determinación de HbA1c). Las personas con diabetes tienen un aumento de la concentración de

hemoglobina HbA1c glucosilada en la sangre debido a su glucema elevada. Dado que la vida media normal de los entrocitos es de unos 120 días (véase p. 318) la hemoglobina glucosilada solo puede ser eliminada cuando los entrocitos que la contienen se destruyen. Por lo tanto, los valores de HbA1c son directamente proporcionales a la concentración de glucosa en la sangre durante toda la vida del entrocito. En personas sanas y en pacientes con diabetes controlada con eficacia, la concentración de HbA1c no debe ser superior al 7% de la hemoglobina total. Dado que los valores de HbA1c no están sujetos a las fluctuaciones a corto plazo de la glucemia, la sangre para la prueba de HbA1c se puede obtener sin tener en cuenta el ayuno.

CORRELACIÓN CLÍNICA: ALTERACIONES DE LA HEMOGLOBINA

Anemia

La anemia se define clínicamente como una disminución de la concentración normal de hemoglobina en la sangre para la edad y sexo de una persona. Una concentración baja de hemoglobina se suele definir como menos de 13.5 g/dL (135 g/L) en los hombres y menos de 12 g/dL (120 g/L) en las mujeres. En ciertas anemias, esta reducción de la concentración de la hemoglobina se produce por una disminución. en la cantidad de hemoglobina en cada célula. No obstante, la mayoría de las anemias son causadas por una reducción en la cantidad de eritrocitos. Entre las causas de la anamia se encuentran la pérdida de sangre (hemorragia), producción insuficiente de entrocitos o destrucción acelerada de los entrocitos en la circulación. Una ingesta insuficiente de hierro en la dieta o insuficiencias vitaminicas, como la de vitamina B₁₂ o ácido fólico, pueden disminuir la producción de entrocitos. La atrofia gástrica, como resultado de una enfermedad autoinmunitaria con la destrucción concomitante de las células parietales que secretan el factor intrinseco. una molécula esencial para la absorción de la vitamina B₁₂ por las células en el fleon, es la causa de una forma de anemia llamada anemia pemiciosa. Los síntomas clínicos de la anemia varían segun el tipo, la causa subyacente y otras alteraciones clínicas asociadas. Los síntomas frecuentes de la anemia leve incluyen debilidad, fatiga y pérdida de energía Los otros síntomas relacionados con la anemia son dificultad respiratoria, dolores de cabeza frecuentes, dificultad para concentrarse, confusión mental, pérdida del deseo sexual, mareos, calambres en las piernas, insomnio y piel pá ida.

Drepanocitosis

La drepanocitosis es causada por una sola mutación puntual en el gen que codifica la cadena de globina β de la hemoglobina A (HbA). El resultado de esta mutación es una cadena de globina β anómala en la que se sustituye el aminoácido valena por ácido glutámico en la posición 6. La hemoglobina que contiene esta cadena de globina β anómala se designa hemoglobina falciforme (HbS). La sustitución de la valina hidrófoba por ácido glutámico hidrófilo hace que las moléculas de HbS se aglomeren en condiciones de baja saturación de oxígeno y crezcan en longitud más allá del diámetro del entrocito. En vez de la forma normal de disco bicóncavo,



FIGURA C10-3-1. Microfotografía de un frotis sanguineo de un paciente con drepanocitosis. En este frotis sanguineo teñido con la técnica de Wright pueden verse los entrocitos faiciformes y naviculares anómalos de un paciente con esta enfermedad. 400×.

muchos de los eritrocitos adquieren una forma semilunar o en hoz, de ahí el nombre de esta enfermedad (fig. C10-3-1). El proceso de formación de células falciformes es reversible y comienza cuando la saturación de oxigerio se reduce a menos del 85% en individuos homocigotos y a menos del 40% en individuos heterocigotos. Los entrocitos falciformes son más rígidos que los normales y se adhieren con mayor facilidad a la superficie endotelial. Por lo tanto, la sangre se vuelve más viscosa y los entrocitos falciformes pueden acumularse en los capilares más pequeños, privando a porciones de tejidos y órganos de oxígeno y sustancias nutritivas. También puede ocurrir la obstrucción de vasos mayores, que en los niños suese conducir a un ictus. Los antrocitos falciformes también son más frágiles y se desintegran o se destruyen con mayor rapidez (después de 20 días) que los eritrocitos normales.

La drepanocitosis es una alteración genética homocigótica recesiva. No obstante, las personas heterocigotas con el rasgo drepanocítico a veces pueden tener manifestaciones clínicas a grandes alturas o en condiciones de gran estrés físico

Neutrófilos

Los neutrófilos son los leucocitos más abundantes y los granulocitos más frecuentes.

En los frotis sanguíneo, los neutrófilos miden 10-12 µm de diámetro y claramente son más grandes que los entrocitos. Si bien su nombre se debe a la ausencia de tinción ciroplasmática, también se caracterizan por las múltiples lobulaciones de su núcleo; por esta razón, también reciben el nombre de neutrofilos polimorfonuclearos o polimorfos. Los neutrófilos maduros poseen de dos a cuatro lóbulos unidos por finas hebras de material nuclear (lám. 17, p. 328) Esta organización no es estática, sino que en los neutrófilos vivos los lóbulos y sus hebras de conexión cambian de forma, posición y hasta de cantidad.

La cromatina de los neutrófilos tiene una distribución característica. Amplias regiones de heterocromatina se encuentran principalmente en la periferia del núcleo en contacto con la envoltura nuclear. Las regiones de eucromatina se encuentran sobre todo en el centro del núcleo, con las regiones relativamente más pequeñas en contacto con la envoltura nuclear (fig. 10-8). En las mujeres, el corpuscuto de Barr (el cromosoma X inactivo condensado) se observa como un apéndice en forma de "baqueta" o "palillo de tambor" en uno de los lóbulos nucleares.

Los neutrófilos contienen tres tipos de gránulos.

El citoplasma de un neutrófilo contiene tres tipos de gránulos. Estos diferentes tipos de gránulos reflejan las diversas funciones fagociticas de la célula:

 Los granulos azurófilos (granulos primatios) son más grandes y menos abundantes que los gránulos específicos. Surgen en el inicio de la granulocitopoyesis y aparecen en todos los granulocitos, así como en los monocitos y los linfociros. Los gránulos azurófilos son los lisosomas de los neutrófilos y contienen mieloperoxidasa (MPO; una enzima peroxidasa), la cual con el MET

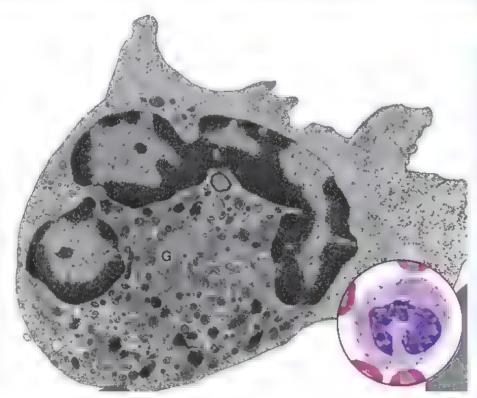


FIGURA 10-8. Microfotografia electrónica de un neutrofilo maduro humano. El núcieo generalmente es multirobulado y posee heterocromatina en la periferia y eucromatina en la región central. Se puede observar un pequeño aparato de Goigi (G), los demás orgánulos son escasos. El aspecto punteado del citoplasma contiguo a la convexidad del núcleo se debe a la presencia de partículas de glucógeno. En la concavidad nuclear hay una gran cantidad de gránulos. Los gránulos específicos son menos densos y más redondos que los azurófilos. Estos ultimos son menos abundantes y muy electrodensos. 22000× (cortesia de la Dra Dorothea Zucker-Franklin) Con fines comparativos, en el detalle se muestra un neutrófilo de un frotis sangulneo visto con el microscopio óptico. 1800×

se aprecia como un material granulado fino. La mieloperoxidasa ayuda a la formación de hipoclorito y cloraminas, unos bactericidas altamente reactivos. Además de una variedad de hidrolasas ácidas típicas, los gránulos azurófilos también contienen proteínas catiónicas llamadas defensinas, que funcionan de forma análoga a los anticuerpos, y el péptido antimicrobiano catolicidina, que destruye los patógenos.

- Los gránulos específicos (gránulos secundanos) son los más pequeños y por lo menos dos veces más abundantes que los gránulos azurófilos. Apenas son visibles en el microscopio óptico; en las microfotografías electrónicas, aparecen de forma elipsoidal (véase fig. 10-8). Los gránulos específicos contienen diversas enzimas (colagenasa tipo IV, gelatinasa, fosfolipasa), así como activadores del complemento y otros paptidos antimicrobianos (lisozima, lactoferrina)
- Los gránulos terciarios son de dos tipos en los neutrófilos. Un tipo contiene fosfatasas (enzimas que extraen un grupo fosfato de un sustrato), que a veces se llaman fosfasomas. El otro tipo contiene las metaloproteinasas, como colagenasas y gelatinasas, que se piensa que facilitan la migración de los neutrófilos a través del tejido conjuntivo.

Aparte de estos gránulos, los orgánulos limitados por membrana están muy dispersos. En el centro de la célula se observa un aparato de Golgi pequeño y las mitocondrias son relativamente escasas (*véase* fig. 10-8).

Los neutrófilos son células móviles; abandonan la circulación y migran hacia su sitio de acción en el tejido conjuntivo.

Una propiedad importante de los **neutrófilos** y otros leucocitos es su movilidad. Para lograr realizar sus funciones inmunitarias de vigilancia y eliminación de patógenos, los leucocitos deben estar en movimiento contínuo a través de los compartimentos corporales.

Los vasos sanguíneos y linfáticos funcionan como las principales vías por la que los neutrófilos y otros lencocitos se mueven. Estas células cruzan el endotelio de los vasos en varias ocasiones mediante un proceso altamente regulado, la diapédosis, a la vez que entran (intravasación) y salen (extravasación) de la circulación. Los neutrófilos son los más abundantes de la primera onda de células que llegan a un sitio de lesión tisular. La diapédesis tiene lugar en las vénulas poscapilares altamente especializadas (VAF) de los órganos linfáticos secundarios (véase p. 488), el endotelio de las vénulas poscapilares en los tejidos periféricos con inflamación o daño, y en los capilares del hígado y los pulmones cuando existe inflamación. Su migración es controlada por la expresión de motéculas de adhesión en la superficie de los neutrófilos que interactúan con los ligandos correspondientes en las células endoteliales (fig. 10-9).

La diapédesis comienza cuando los neutrófilos interactúan con fa superficie luminal del endotello.

La face inicial de la migración de neutrófilos se produce en las vénulas poscapilares y es regulada por un mecanismo que consiste en el reconocimiento neutrófilo-célula endotelial. La selectina E y la selectina P (moléculas de adhesión celular) se encuentran en la superficie de las células endoteliales de la vénula poscapilar, ambas interactúan con los neutrófilos circulantes que expresan una cantidad relativamente alta de hidratos de carbono Sialyl Lewis* (s-Le*) en su superficie. Debido a la breve unión reversible de la selectina E y la selectina P con los hidratos de carbono s-Le^a, los neutrófilos quedan adheridos a la célula endotelial (véase fig. 10-9). Como consecuencia de esta interacción, reducen su velocidad y ruedan sobre la superficie del endorelio. La interacción entre neutrófilos y endorelio puede compararse con una pelota de tenis que rueda (neutrófilos) en una superficie inclinada cubierta con velcro (superficie endotelial). A medida que la pelota rueda, ganchos en miniatura (que representan las selectinas) en la superficie con velcro atrapan la pelota

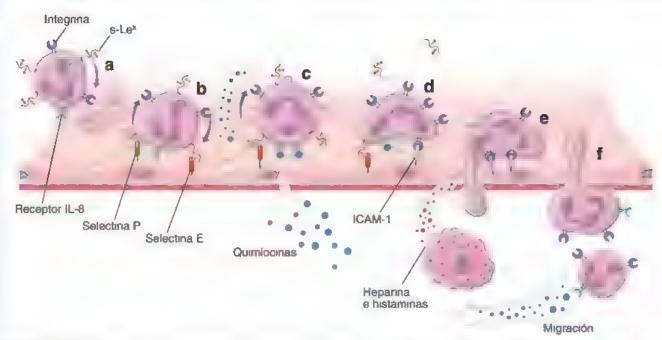


FIGURA 10-9. Diagrama de los fenómenos que ocurren en la migración de un neutrófilo desde una vena poscapilar hacia el tejido conjuntivo. a. Un neutrófilo que viaja por los vasos sanguineos expresa un gran numero de moiéculas de reconocimiento de una-cé uta como los hidratos de carbono Sialy Lewis "s-Le") la integrina y los receptores de interleucina b. Los neutrófilos circulantes reducen su verocidad por la interacción de sus moléculas superficiales s-Le" con las selectinas E y P expresadas en el endote lo de la venuía poscapitar c. Como resultado de esta interacción, la delida fueda sobre la superficie de endote lo A continuación el neutrófilo se adhiere al endoteiao y responde a las quemico nas (pie interieucina 8) secretadas por las células endoteiales d. Su secreción induce la expresión de otras moiéculas de adhesión en la superficie de los neutrófilos como las integrinas (pie j. VLA-5) que proporcionan vinculos estrechos con la superficie del endote lo Estas interacciones proporcionan una adhesión firme de los neutrófilos a superficie del endote lo Estas interacciones proporcionan una adhesión firme de los neutrófilos a superficie endoteílal e. A continuación le neutrófilo extiende un seudópodo a una unión intercellular que se descompone para permitir que se forme un espacio paracellar. La histamina y la heparina liberadas de la circulación y entra en el tejido conjuntivo permiten que el neutrófilo migra a través de la paredivascular. É una vez que el neutrófilo sale de la circulación y entra en el tejido conjuntivo, su postenor migración esta dirigida por moleculas quirmiotácticas que interactuan con receptores especificos en su superficie.

fibrosa, cubierta de felpa. Esta interacción desacelera y, finalmente, denene el movumiento de la pelota.

En la segunda fase, la unión estrecha de los neutrófilos a la superficie endotelial se logra por otro grupo de moléculas de adhesión que se expresa en la superficie de los neutrófilos llamadas integrinas (p. ej., VLA-5). Estas se activan por señales de quimiocinas de las células endoteliales. Las integrinas expresadas en la superficie de los neutrófilos se unen a las moléculas de adhesión de la superfamilia de las inmunoglobulinas que residen en las células endoteliales (p. ej., molécula de adhesión intercelular 1 [ICAM 1, intercellular adhesión molecule-1] y molécula de adhesión celular vascular 1 [VCAM-1, vascular cell adhesión molecule-1]). Algunas quimiocinas, como la interleucina B (IL-8), se adhieren a sus propios receptores situados en los neutrófilos y colaboran con su migración hacia el sitio designado de inflamación. Estas interacciones garantizan una adherencia estable de los neutrófilos a la superficie endotelial, lo que permite que inicie el proceso de diapédesis.

La diapèdesis se realiza mediante vias transcelulares o paracelulares.

La diapedesis continúa cuando los neutrófilos, o cualquier otro leucocito, extienden sus seudópodos a través de la unión paracelular que se forma entre dos células endoteliales (via paracelular) o por el poro transcelular dentro de la célula endotelial (via transcelular). Ambas vías requieren energía. La formación de un poro transcelular requiere que la membrana plasmática tenga un remodelado drástico, que consiste en la reorganización del citoesqueleto y el desplazamiento de los orgánulos intracelulares. De manera similar, la abertura de una brecha paracelular también requiere energía para descomponer las uniones intercelulares.

La via de la diapédesis que tomará cada una de las células es la "via de menor resistencia", que está determinada por diversos factores relacionados con el endotelio específico, el upo de leucocito y los estímulos de migración e inflamación. En muchos órganos predomina la diapédesis transcelular. Por ejemplo, la extravasación de las células recién diferenciadas en la medula ósea se lleva a cabo mediante la vía transcelular, pues cruzan el endotelio de los sinusoides de la médula ósea (véase p. 323). En el caso de una enfermedad, la migración de los leucocitos (extravasación) a través de las barreras hematoencefálica y hematorretiniana depende de la via transcelular.

En la vía paracelular, la diapédesis se presenta a medida que los neutrófilos extienden un seudópodo entre la unión intercelular. Es necesario descomponer las uniones intercelulares para crear la brecha paracelular. La histamina y la heparina liberadas en el sitio de la lesión por los mastocitos perivasculares contribuyen al proceso de migración. Las proteasas secretadas por la migración de neutrófilos degradan la membrana basal, lo que permite a los neutrófilos entrar en el tejido conjuntivo contiguo.

Con el MET, los contenidos citoplasmáticos del seudópodo de un neutrófilo aparecen como una expansión de la matriz citoplasmática granular fina sin orgánulos membranosos (véase fig. 10-8). El aspecto granular fino se atribuye a la presencia de filamentos de actina, algunos microtúbulos y glucógeno. Estos participan en la extensión del citoplasma para formar el seudópodo y en la contracción ulterior que permite el avance de la célula. Una vez que el neutrófilo

se ha introducido en el tejido conjuntivo, la nugración adicional hacia el sitio de la lesión es dirigida por un proceso conocido como quimiotaxis, que consiste en la unión de moléculas quimiotácticas y proteínas de la matriz extracelular a receptores específicos en la superficie de los neutrófilos.

Los neutrófilos son fagocitos activos que utilizan una gran variedad de receptores de superficie para reconocer bacterias y otros agentes infecciosos en los sitios de inflamación.

Una vez en el sino de la lesión tisular, el neutrófilo primero debe reconocer sustancias extrañas antes de que ocurra la fagocitosis. Al igual que la mayoría de las células fagocíticas, los neutrófilos tienen una variedad de receptores en su membrana celular que pueden reconocer y fijar bacterias, organismos extraños y otros agentes infecciosos (fig. 10-10). Algunos de estos organismos y agentes se unen de forma directa a los neutrófilos (no se requieren modificaciones de sus superficies), mientras que otros tienen que estar opsonizados (cubiertos con anticuerpos o complemento) para ser más atractivos a los neutrófilos. Los receptores utilizados con mayor frecuencia por los neutrófilos durante la fagocitosis incluyen los siguientes:

- Receptores de F_e. Están en la superficie del neutrófilo y se unen a la región F_e expuesta de los anticuerpos IgG que cubren las superficies bacterianas (véase fig. 10-10). La unión de bacterias cubiertas de IgG activa la función fagocítica de los neutrófilos y genera un rápido aumento del metabolismo intracelular.
- Receptores de complemento (RC). Estos facilitan la fijación y la captación de complejos inmunitarios opsonizados por la proteína C3 activa del complemento, en particular, C3b. La unión de bacterias u otros antígenos cubiertos con C3b a los RC desencadena

- la fagocitosis, cuyo resultado es la activación de los mecanismos líticos y las reacciones de estallido respirarorio del neutrófilo.
- Receptores (agocíticos (acevengers). Son un grupo estructuralmente diverso de glucoproteínas transmembrana que se unen a formas modificadas (acetiladas u oxidadas) de lipoproteínas de baja densidad (LDL, low-density lipoproteíns), moléculas polianiónicas que con frecuencia se encuentran en la superficie de bacterias tanto grampositivas como gramnegativas y cuerpos apoptóticos. La unión a estos receptores aumenta la actividad fagocítica de los neutrófilos.
- Receptores de tipo Toll a receptores de reconocimiento de patrunes. Son receptores de neutrófilos que reconocen moléculas de patógenos (p. ej., endotoxinas, lipopolisacáridos, peptidoglucanos y ácidos lipoteicoicos) organizadas en patrones moleculares asociados con patógenos (PAMP, pathogen-associated molecular patterns) predecibles y que suelen expresarse en las superficies de las bacterias y otros agentes infecciosos. Al igual que otras células fagocíticas, los neutrófilos poseen una gran variedad de receptores de tipo Toli que reconocen PAMP. La unión de antigenos bacterianos a estos receptores lleva a la fagocitosis y liberación de citocinas, como la interleucina (IL) 1, la IL-3 y el factor de necrosis tumoral & (TNF-a, tumor necrosis factor a) por tos neutrófilos. La IL-1, conocida históricamente como pirogeno (agente causante de la fiebre), induce la sintesis de prostaglandinas, que a su vez actuan sobre el centro termorregulador del hipotalamo para producir fiebre. Por lo tanto, la fiebre es consecuencia de la reacción aguda frente a patógenos invasores que causan una respuesta neutrófila masiva.

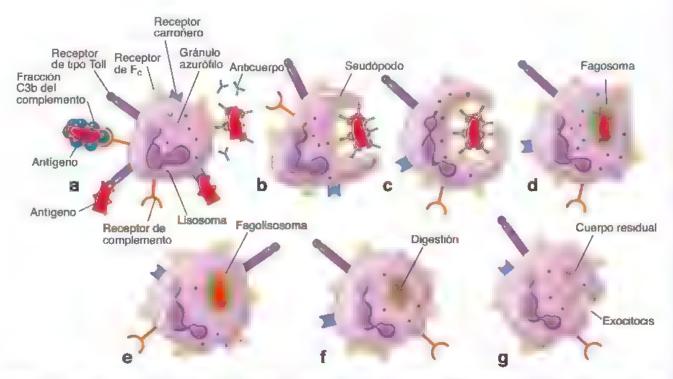


FIGURA 10-10. Fagocitosis neutrófila. a La fagocitosis comienza con el reconocimiento y la fijación dei material extraño (antigeno) principalmente por receptores de fi_c que interactuan con la región fi_c de los anticuerpos un dos a antigeno **b**. Entonces le antigeno es rodeado por los seudópodos del neutrófilo **c**. Conforme los seudópodos entran en contacto y se fusionan le antigeno es incorporado **d**. Una vez formado el fagosoma la digestión se inicia por la activación de las oxidasas unidas a la membrana fagosómica **e**. A continuación los gránulos tanto específicos como acurófilos se fusionan con el fagosoma y liberan su conten do para formar un fagolisosoma. Esta fusión y liberan con de os gránulos conoce como *desgranulación*. **f**. El contenido enzimatico de los granulos mata al microorganismo y lo digiere. Todo el proceso digestivo ocurre dentro del fago sosoma lo qua protega a la célula frente a la autodigestión **g**. El material digendo experimenta exocitosis hacia el espacio extracelular o se almacena en forma de cuerpos residuales dentro del neutrófilo.

Las bacterias fagocitadas son destruidas dentro de los fagolisosomas por la acción de los intermediarios reactivos del oxígeno producidos durante el estallido respiratorio.

La fagocitosis se micia cuando el neutrófilo reconoce y se une al antígeno. Los seudópodos que extiende el neutrófilo rodean el antígeno y lo internalizan para formar un fagosoma (véase fig. 10-10). Los gránulos azurófilos y los específicos se fusionan con la membrana del fagosoma, y las hidrolasas lisosómicas de los gránulos azurófilos digieren el material extraño. Durante la fagocitosis, la utilización de glucosa y de oxígeno por el neutrófilo aumenta de forma notable, lo que se conoce como estallido respiratorio. Su resultado es la sintesis de varios compuestos oxugenados llamados intermediarios reactivos del oxigeno (IRO) Estos incluyen radicales libres, como los radicales de oxígeno e hidroxilo que se utilizan en la inmovilización y la destrucción de bactenas vivas dentro de los fagolisosomas. Por definición, los radicales libres poseen en su estructura química un electrón no apareado que los hace muy reactivos y, por lo tanto, capaces de dañar moléculas intracelulares, inclusive lípidos, proteínas v ácidos nucleicos.

El proceso por el cual se destruyen los microorganismos en los neutrófilos se denomina muerta intracalular dependienta de oxigeno. En general, dos mecanismos bioquímicos intervienen en este proceso: el primero es el sistema oxidasa del fagocito (phox, phagocyte oxidase) que utiliza el complejo de la fosfato de dinucleotido de nicotinamida y adenina (NADPH, nicotinamide adenine dinucleotido phosphato)-oxidase del fagocito que está en la membrana del fagolisosoma; el segundo se relaciona con la enzima lisosómica mieloperoxidasa en los gránulos azurófilos de los neutrófilos (fig. 10-11)

El sistema phox produce NADPH que finalmente genera radicales libres.

En el mecanismo oxidasa del fagocito o sistema phox, la fagocitosis progresa por medio de la señalización para que la célula produzca cantidades suficientes del NADPH necesario para generar aniones superóxido. El aumento de la captación de glucosa y la derivación del metabolismo del NADPH se logra a través de la vía de los fosfatos de pentosa (también conocida como lanzadera de las pentosas). El NADPH citosólico se convierte en un donante de electrones: el

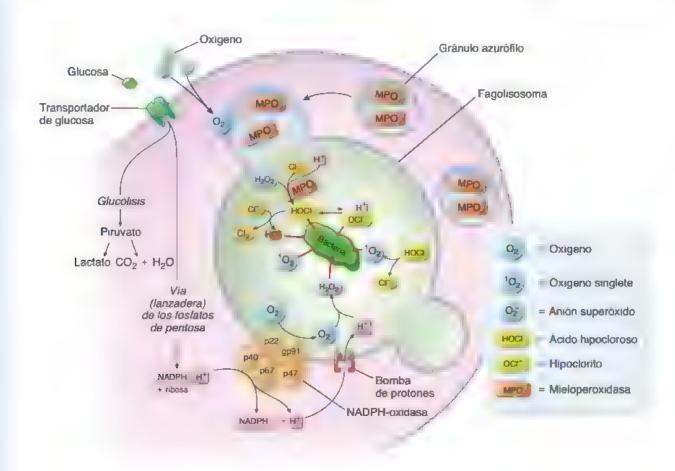


FIGURA 10-11. Mecanismos que conducen a la síntesis de intermediarios reactivos del oxígeno durante las reacciones de estallido respiratorio del neutrófilo. En este diagrama se muestra un fago isosoma que contiene una bacteria fagocitada. Se presentan dos mecanismos de muerte dependientes de oxígeno. El primer mecanismo depende de un sistema de oxidasa de fagocito (phox) que utiliza el complejo de la NADPH oxidasa formado por cinco subunidades. Este complejo transporta un exceso de electrones a través de la membrana del fago isosoma donde estos interactuan con el oxigeno molecular para generar aniones superóxido libres. Estos aniones se convierten en intermediarios reactivos dei oxigeno. Otra enzima, la superóxido dismutasa, convierte los aniones superóxido en oxigeno singlete y peróxido de hidrógeno, que reacciona adicionalmente con los aniones superóxido para producir radicares hidroxilo bactericidas y más moieculas de oxigeno singlete. En e segundo mecanismo participa la enzima I sosómica mieroperoxidasa (MPO) que se encuentra en los gránulos azurófilos de los neutrófilos. La MPO cataliza la produccion de ácido hipocioroso a partir de peróxido de hidrógeno y aniones cloruro. El ácido hipocioroso se metaboliza adiciona mente para conventrise en hipoclorito (lejia) muy toxico y cloro. Un podo de hipocior to puede degradarse de forma espontanea para producir oxigeno singlete tóxico e iones cloruro. Todas las moieculas generadas durante el estallido respiratorio en los neutrófilos (asociadas con flechas rojas) son muy eficaces para destruir las bacterias fagocitadas.

complejo enzimático de la NADPH oxidasa transporta electrones a través de la membrana al O_2 molecular dentro del fagolisosoma para generar radicales libres **aniones superóxido** (O_2). Estos aniones superóxido se convierten en IRO. La superóxido dismutasa convierte los aniones superóxido en oxígeno singlete (1O_2) y peróxido de hidrógeno (H_2O_2), que además reaccionan con aniones superóxido para producir radicales hidroxilo (OHT) bactencidas (la forma neutra del ion hidroxilo) y más moléculas de oxígeno singlete (*véase* fig. 10-11).

El sistema refacionado con la mieloperoxidasa utiliza hemo como cofactor.

La destrucción dependiente de oxigeno con la participación de MPO se produce cuando los gránulos azurófilos que contienen MPO se fusionan con los fagosomas que contienen bacterias fagocitadas. Durante el estallido respiratorio del neutrófilo, la MPO, que utiliza hemo como cofactor, cataliza una reacción que produce ácido hipocloroso (HOGI) a partir de peróxido de hidrógeno (H₂O₂) y un anión cloruro (Cl⁻). El ácido hipocloroso, que es unas mil veces más eficaz en la destrucción bacteriana que el peróxido de hidrógeno, se metaboliza adicionalmente para convertirse en un hipoclorito (OCI⁻) muy tóxico (lejía) y cloro (Cl₂). Un poco del hipoclorito puede degradarse de forma espontánea para producir oxígeno singlete (¹O₂) tóxico y iones cloruro (Cl⁻) (*véase* fig. 10-11)

El óxido nítrico participa en los mecanismos de citotoxicidad intracelular, pero no está presente en los humanos.

Además, el óxido nitrico (NO) y otros intermediados del nitrógeno reactivo (INR) también participan en los mecanismos de citotoxicidad intracelular. El NO se ha encontrado en los neutrófilos; sin embargo, se considera que en los seres humanos los mecanismos

de muerte mediados por INR no cumplen una función decisiva. El papel principal del NO derivado de los neutrófilos es inducir la vasodilatación, que a su vez facilita la migración de los neutrófilos de los vasos sanguíneos hacia el tejido conjuntívo circundante.

Las bacterias fagocitadas también pueden ser destruidas por un arsenal de diversos mecanismos de muerte independientes del oxígeno que utilizan enzimas bacteriolíticas y péptidos antimicrobianos.

Además de las reacciones de estallido respiratorio dependientes de oxigeno, los microorganismos pueden ser destruidos por las enzimas bacteriolíticas y los péptidos catiónicos antimicrobianos que se almacenan en los gránulos del citoplasma de los neutrófilos. Estos mecanismos de muerte independientes de oxigeno están dirigidos bacia la membrana de la célula bacteriana, lo que ocasiona su degradación y permeabilidad. Los neutrófilos contienen cantidades particularmente grandes de proteínas catiónicas antimicrobianas, como defensinas y péptidos antimicrobianos, llamados catelicidinas. Al igual que las lisozimas y las catepsinas almacenadas en los gránulos específicos, estas proteínas catiónicas antimicrobianas degradan la pared bacteriana. Además, las enzimas hidrolíticas lisosómicas que digieren las proteínas bacterianas y las lactoferrinas que quelan el hierro de las vías bacterianas nutricionales contribuyen a la destrucción de las bacterias invasoras. Estos mecanismos no son tan eficientes como los mecanismos de destrucción dependientes de oxigeno. Los neutrófilos de pacientes con defectos de los mecanismos dependientes de oxigeno, como los que padecen enfermedad granulomatosa crónica (cuadro 10-4), en cierto grado todavía son capaces de destruir las bacterias fagocitadas. Sin embargo, debido a la poca eficiencia de estos

CUADRO 10-4

CORRELACIÓN CLÍNICA: ALTERACIONES HEREDITARIAS DE LOS NEUTRÓFILOS (ENFERMEDAD GRANULOMATOSA CRÓNICA)

Un ejemplo primario de la inmunodeficiencia genética que afecta los mecanismos de muerte dependientes de oxígeno es la enfermedad granulomatosa crónica (EGC). En esta alteración hereditaria de los neutrófilos y otras células fagociticas, uno de los componentes del complejo de la NADPH-oxidasa (sistema phox) ha mutado o está ausente En consecuencia, los neutrófilos no pueden producir IRO EL complejo de la NADPH-oxidasa se compone de cinco moléculas. Dos de ellas, la glucoproteina 91 (gp91) y la proteina 22. (p22), son parte de un citocromo unido a membrana llamado. citocromo B558 (véase fig. 10-11). Otros tres componentes citosólicos, la proteina 47 (p47), la proteina 67 (p67) y la proteina 40 (p40), son componentes de la GTPasa Rac-2, que se necesita para la actividad de oxidasa. La activación y estimulación del neutrófilo por la fagocitosis determina que las proteínas ortosólicas se transporten a la membrana piasmática del fagolisosoma para ensamblar el complejo NADPH-oxidasa activo. La enzima ensamblada transporta e ectrones del NADPH citosólico a través de la membrana hasta el O₂ molecular que reside dentro del fagolisosoma. para generar aniones superóxido O2T y otros IRO bactericidas

Alrededor del 50-70% de todos los casos de EGC se deben a una mutación en el gen *CYBB* (citocromo B, subunidad b) localizado en el cromosoma X. Este gen codifica la glucoproteína 91 (gp91), que es necesana para la función adecuada del complejo de la NADPH-oxidasa. Dado que la insuficiencia de gp91 es una enfermedad ligada al cromosoma X, la EGC causada por esta mutación suele denominarse enfermedad X91. El restante 20-40% de los pacientes con EGC tienen mutaciones en el gen NCF1 en el cromosoma 7 que codifica la proteína 47. Las mutaciones en el gen NCF2 (que codifica la proteína 67) y en el gen CYBA (que codifica la proteína 22) son infrecuentes y representan menos del 10% de todos los casos de EGC. Las mutaciones en los genes NCF1, NCF2 y CYBA producen formas autosómicas recesivas de EGC.

La EGC disminuye la capacidad de los neutrófilos para destruir ciertos tipos de bacterias y hongos. Las personas con esta enfermedad con frecuencia se ven afectadas por infecciones bacterianas y micóticas recurrentes que amenazan la v da, así como alteraciones inflamatorias crónicas. Los cambios patológicos más habituales se producen en los tejidos y órganos que forman barreras contra la entrada de microorganismos desde el entorno. Estos incluyen la piel (infecciones cutáneas), las enclas (enclas inflamadas y tumefactas), los pulmones (neumonía), los ganglios linfáticos (linfadenitis), el tubo digestivo (ententis, diarrea), el higado y el bazo. Otro rasgo característico de la EGC es el desarrollo de masas agrandadas, similares a tumores, flamadas granulomas. La presencia de granulomas puede causar graves problemas en el tubo digestivo por obstrucción del paso de alimentos, y en las vías unnanas, por bloqueo del flujo de la onna desde los riñones y la vejiga

procesos, los individuos con estos defectos son más susceptibles de presentar infecciones graves

Después de la digestion intracelular realizada por el neutrófilo, los restos de material degradado se almacenan en cuerpos residuales o experimentan exocitosis. La mayoría de los neutrófilos mueran en este proceso; la acumulación de bacterias destruidas y neutrófilos muertos constituye el espeso exudado ilamado pus. El cotor amarillo verdoso del pus y de las secreciones mucosas (p. ej., de los pulmones infectados) proviene del pigmento hemo de la enzima MPO almacenada en los gránulos azurófilos de los neutrófilos

En la inflamación y la cicatrización de las heridas también participan los monocitos, los linfocitos, los eosinofilos, los besófilos y los fibroblastos.

Los monocitos también entran en el tejido conjuntivo como respuesta secundaria a la lesión tisular. En el sitio de la lesión, se transforman en macrofagos que fagocitan detritos celulares y tisulares, fibrina, bacterias restantes y neutrófilos muertos. La cicatrización normal de las heridas depende de la participación de los macrófagos en la respuesta inflamatoria; se convierten en el principal tipo de células en el sitio de inflamación después de que se consumen los neutrófilos. Al mismo tiempo que los macrófagos se activan en el sitio

de la inflamación, los fibroblastos cercanos incrementan su actividad y las células mesenquimatosas indiferenciadas en la adventicia de los vasos pequeños locales comienzan a dividirse y diferenciarse en fibroblastos y miofibroblastos que secretarán las fibras y la sustancia fundamental para reparar la lesión. Al igual que los neutrófilos, los monocitos son atraídos hacia el sitio de la inflamación por el mecanismo de quimiotaxis. Los linfocitos, los eosinófilos y los basofilos tambien desempenan un papel en la inflamación pero intervienen más en los aspectos inmunitarios del proceso (véase cap. 14). Los eosinófilos y los linfocitos son más abundantes en los sitios de inflamación cronica (cuadro 10-5).

Eosinófilos

Los **eosinófilos** tienen más o menos el mismo tamaño que los neutrófilos, y su núcleo habitualmente es bilobulado (fig. 10-12; lám. 17, p. 328). Al igual que en los neutrófilos, la heterocromatina compacta de los eosinófilos está principalmente junto a la envoltura nuclear, mientras que la eucromatina está ubicada en el centro del núcleo.

Los eosinófilos reciben su nombre a causa de los grandes gránulos refringentes de su citoplasma.

El citoplasma de los eosinófilos contiene dos tipos de gránulos: los específicos, que son grandes, alargados y abundantes, y los azurófilos



FIGURA 10-12. Microfotografía de un basófilo humano. El nucleo es fobulado pero el segmento de unión no se muestra en el corre Los granulos frenen un tamano moderado en comparación con los de los basófilos, as mismo, muestran un cuerpo crista inó (Cr) dentro de la matriz menos electrodensa del gránulo. Mi mitocondria 26000 × (cortesia de la Drai Dorothea Zucker-Franklin, Detalla. Eosinófilo de un frotis sanguíneo visto con el microscopio óptico. 1800×

CORRELACIÓN CLÍNICA: DEGRADACIÓN DE LA SANGRE E ICTERICIA

Si se inhíbe la conjugación de la bilirrubina o su excreción en la bilis por las células del hígado, o si se produce la obstrucción del sistema de conductos biliares, la **bilirrubina** puede reingresar en la sangre, provocando un aspecto amarillo de la esclera del ojo y la piel. Esta alteración se llama *ictericia*. La ictencia puede ser causada por la destrucción de los entrocitos circulantes. Un ejemplo de esta alteración es una **reacción transfusional hemolítica** cuando se administra sangre incompatible por ABO a un paciente, en general debido a un error de administración. La hemólisis masiva de los entrocitos transfundidos puede asociarse con complicaciones sistémi-

cas graves, como la hipotensión (presión arterial baja), la insuficiencia renal e incluso la muerte

La ictericia también es característica de varios tipos de anemías hemolíticas que son consecuencia de alteraciones hereditanas en los eritrocitos (p. ej., esferocitosis hereditana) o factores externos, como microorganismos patógenos, venenos de animales, productos químicos y fármacos. En los neonatos es frecuente la aparición de una cierta ictericia (ictericia fisiológica) causada por la ineficiencia del sistema conjugador de bilirrubina en el higado neonatal

(salvo por estos, los orgánulos membranosos están poco representados en el eosmófilo).

- Gránulos azurófilos (gránulos primarios). Son lisosomas. Contienen una variedad de las hidrofasas ácidas lisosomicas habituales y otras enzimas hidrofíticas que funcionan en la destrucción de parásitos y en la hidrófisis de los complejos antígeno antícuerpo fagocitados por el eosinófilo.
- Granulos específicos (granulos secundarios). Estos gránulos de los eosmófilos contienen un cuerpo cristaloido que se observa fácilmente con el MET, rodeado por una matriz menos electrodensa. Estos cuerpos cristaloides son responsables de la birrefringencia de los gránulos en el microscopio óptico. Estos contienen cuatro proteínas principales: una proteína con arginina abundante llamada proteins básics mayor (MBP, major basic protein), que le confiere la acidofilia intensa al gránulo; la proteine cationice de eosinófilo (ECP, eosinophil cationic protein); la peroxidasa de eosinófilo (EPO, eosinophil peroxidase), y la neurotoxina derivada de eosinófilo (EDN, eosinophil-derived neurotoxin). La MBP se localiza en el cuerpo cristaloide; las otras tres proteínas se encuentran en la matriz del gránulo. Las MBP, ECP y EPO ejercen un fuerte efecto citotóxico sobre protozoarios y helmintos parásitos; la EDN causa la disfunción del sistema nervioso en los organismos parásitos; la histaminasa neutraliza la acción de la histamina y la arilsulfatasa neutraliza los leucotrienos secretados por los basófilos y los mastocitos (véase cap. 6). Los gránulos especificos también contienen histaminasa, arilsulfatasa, colagenasa y catepsinas.

Los eosinófilos se asocian con reacciones atérgicas, infestaciones parasitarias e inflamación crónica.

Los eosinófilos se desarrollan y maduran en la médula ósea. Una vez que se liberan de la médula, circulan en la sangre pertérica y después migran al rejido conjuntivo. Los eosinófilos son activados por interacciones con anticuerpos lgG, IgA o IgA secretora. La liberacción de arilsulfatasa e histaminasa por los eosinófilos en los sitios de reacciones alergicas modera los efectos potencialmente nocivos de los agentes vasoactivos inflamatorios. El eosinófilo también participa en otras respuestas inmunitarias y fagocita complejos antigeno-anticuerpo. Por lo tanto, la cantidad de eosinófilos en las muestras de sangre de personas con alergias o parasitosis suele ser elevada (eosinofilia). Los eosinófilos desempeñan un papel importante en la defensa del hospedero contra los helmintos parásitos. También se encuentran en gran cantidad en la lámina propia de la mucosa

intestinal y en otros sitios de inflamación cronica potencial (los tejidos pulmonares en los pacientes con asma)

Basófilos

Los basófilos tienen más o menos el mismo tamaño que los neutrófilos y se denominan así debido a que los abundantes gránulos de gran tamaño que hay en su citoplasma se tiñen con colorantes básicos (lámina 17, p. 328).

Los basófilos son los menos abundantes de todos los leucocitos y representan menos del 0.5% del total.

A menudo, para encontrar un solo basofilo en un frotis sanguíneo hace falta examinar varios centenares de leucocitos. El núcleo lobulado de los basófilos suele quedar cubierto por los gránulos en los frotis sanguíneo tefuda; sin embargo, sus características se pueden apreciar en microfotografías electrónicas (fig. 10-13). La heterocromatina es principalmente periférica y la eucromatina está ubicada sobre todo en el centro del núcleo; los orgánulos citoplasmáticos típicos son escasos. La membrana plasmática del basófilo posee abundantes receptores de F₀ de alca afinidad para anticuerpos IgE. Además, una proteína específica de 39 kDa llamada "CD40L" se ex presa en la superficie de los basófilos. La CD40L interactúa con un receptor complementario (CD40) en los linfocitos B, lo que produce un aumento de la síntesis de IgE.

El citoplasma del basófilo contiene dos tipos de gránulos: los específicos (que son mayores que los gránulos específicos de los neutrófilos) y los azurófilos mespecíficos.

- Gránulos azurófilos (gránulos primarios). Son los lisosomas de los basófilos y contienen diversas hidrolasas ácidas lisosómicas que son similares a las de otros leucocitos.
- Gránulos específicos (gránulos secundarios) Cuando se obser van con el MET, presentan una textura granulada y figuras de mielina. Estos gránulos contienen una gran variedad de sustancias, a saber, heparina, histamina, heparán sulfato, leucotrienos, IL-4 e IL-13. La heparina, un glucosaminoglucano sulfatado, es un anticoagulante. La histamina y el heparán-autiato son agentes vasoactivos que, entre otras acciones, causan la dilatación de los vasos sanguíneos pequeños. Los leucotrienos son lípidos que desencadenan la contracción prolongada del músculo liso de las vías respiratorias (véase p. 198). La IL-4 y la IL-13 promueven la síntesis de anticuerpos IgE. La basofilia intensa de estos gránulos específicos se correlaciona con la concentración elevada de sulfatos dentro de las moléculas de los glucosaminoglucanos de la heparina y del heparán-sulfato.

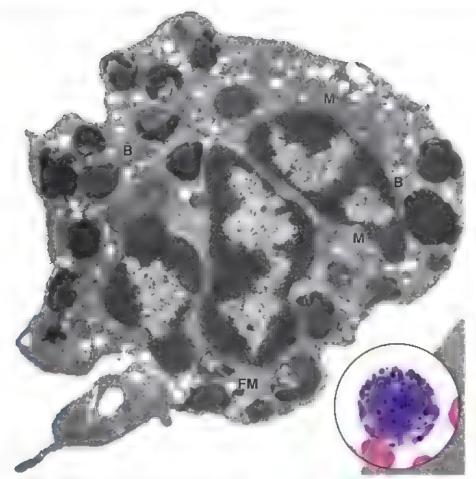


FIGURA 10-13. Microfotografía de un basófilo humano. El nucleo aparece como tres corpusculos separados porque los segmentos de conexión no estan en el plano del corte. Las granulaciones basófilas (B) son muy grandes y su mortologia es irregurar. En algunos granulos se observan figuras de mielina (FM). M mitocondina. 26 000× (cortesía de la Dra. Dorothea Zucker-Franklin, Detaile. Basófilo de un frotis sangunae visto con el microscopio óptico. 1800×

La función de los basófilos está muy relacionada con la de los mastocitos.

Los basófilos están relacionados desde el punto de vista funcional con los mastocitos del tejido conjuntivo, pero no son idénticos (tabla 6-6, p. 195). Tanto los mastocitos como los basófilos fijan un anticuerpo secretado por células plasmáticas, la IgE, a través de los receptores F, de alta afinidad expresados en la superficie celular. La exposición y la reacción posterior al antígeno específico (alérgeno) para la IgE desencadena la activación de los basófilos y los mastocitos, así como la liberación de vasoactivos de los gránulos celulares. Estas sustancias causan las alteraciones vasculares importantes relacionadas con reacciones de hipersensibilidad y anafilaxía

• Además, tanto los basofilos como los mastocitos derivan de la misma célula progenitora de basofilos/mastocitos (CPBM) Si una CPBM específica expresa el factor de transcripción relacionado con los granulocitos CCAAT/proteina amplificadora de unión α (C/EBPα, enhancer-binding protein α), la célula queda predestinada a diferenciarse en una célula progenitora de basófilos (BaP) Los basófilos se desarrollan y se diferencian en la médula ósea y se liberan en la sangre periférica como células maduras. En ausencia del factor de transcripción C/EBPα, una célula CPBM migra hacia el bazo y después de la diferenciación adicional se traslada en forma de célula precursora de mastocitos (CPM) hacia el intestino, donde se convierte en un mastocito maduro.

Linfocitos

Los linfocitos son las principales células funcionales del sistema linfático o inmunitario.

Los linfocitos son los agranulocitos más abundantes y representan aproximadamente el 30% del total de los leucocitos sanguíneos. Para comprender la función de los linfocitos, debe tenerse en cuenta que la mayoría de los linfocitos que se encuentran en la sangre o la linfa representan cétulas inmunocompetentes recirculantes (células que han adquirido la capacidad de reconocer y responder a antígenos y están en tránsito desde un rejido linfático a otro). Por lo tanto, los linfocitos son diferentes en varios aspectos de otros leucocitos;

- Los linfocitos no son células terminalmente diferenciadas.
 Cuando se les estimula, son capaces de experimentar divisiones y diferenciaciones en otros tipos de células efectoras.
- Los linfocitos pueden salir desde la luz de los vasos sanguineos en los tejidos y, posteriormente, recurcular hacia los vasos sanguíneos.
- A pesar de que las células progenitoras linfoides comunes (véase p. 315) se originan en la médula ósea, los linfocitos pueden desarrollarse fuera de esta en los tejidos asociados con el sistema inmunitario (véase cap. 14).
- En los tejidos relacionados con el sistema inmunitario se pueden identificar tres grupos de linfocitos de acuerdo con su tamaño: linfocitos pequeños, medianos y grandes, con un diámetro que

va desde 6 hasta 30 µm. Los linfocitos grandes son linfocitos activados, que poseen receptores de superficie que interactúan con un antígeno específico, o linfocitos citolíticos naturales (NK, natural killer). En el torrente sanguíneo, la mayoría de los linfocitos son pequeños y medianos, de 6-15 µm de diámetro. En su mayoría (más del 90%) son linfocitos pequeños.

En los frotis sanguíneo, el tamaño de un linfocito pequeño es semejante al de un eritrocito.

Cuando se observa en el microscopio óptico un frotis sanguíneo, los linfocitos pequeños tienen una coloración intensa, con una leve escotadura en el núcleo esférico (lám. 17, p. 328). El ciroplasma aparece como un reborde muy fino azul pálido alrededor del núcleo. En general, no se observan orgánulos citoplasmáticos, salvo por algunos gránulos azurófilos finos. Con el MET se observa que los componentes primarios del citoplasma son principalmente ribosomas libres y unas pocas mitocondrías. Los demás orgánulos son tan escasos que no suelen aparecer en los cortes finos. A veces se ven los lisosomas pequeños y densos que corresponden a los gránulos azurófilos observados en el microscopio óptico; un par de centríolos y un pequeño aparato de Golgi se encuentran en el centro de la célula, el área de la escotadura nuclear

En los linfocitos medianos, el citoplasma es más abundante, el núcleo es más grande y menos hererocromático, y el aparato de Golgi está un poco más desarrollado (fig. 10-14). En estas células también hay una mayor cantidad de mitocondrias y politribosomas, así como pequeñas cisternas del retículo endoplasmático rugoso (RER). Los ribosomas son la causa de la leve basofilia que exhiben los linfocitos en los frotis sanguíneo teñidos.

En el organismo hay tres tipos de tinfocitos distintos desde el punto de vista funcional: linfocitos T, linfocitos B y linfocitos NK.

La caracterización de los tipos de linfocitos se fundamenta en su función, no en su tamaño o morfología. Los linfocitos T se denominan así porque experimentan su diferenciación en el timo; los linfocitos B, porque fueron identificados en su momento como una población separada en la bolsa de Fabricio de las aves y en los órganos equivalentes a esta (p. ej., médula ósea) de los mamíferos. Los linfocitos NK se originan de las mismas células precursoras que los linfocitos B y T, pero se denominan así porque están programadas para destruir ciertos tipos de células transformadas.

 Los tinfocitos T tienen una vida media prolongada y participan en la inmunidad mediada por células. Se caracterizan por la

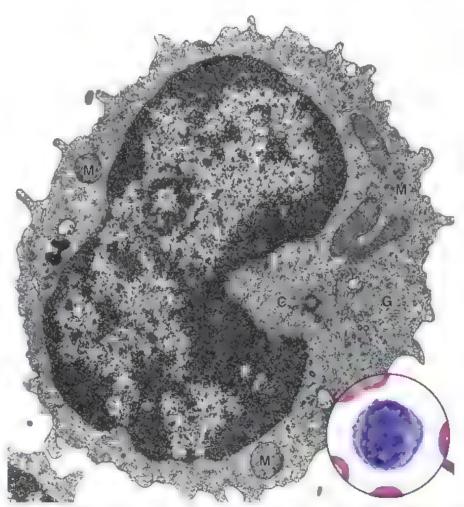


FIGURA 10-14. Microfotografía electrónica de un linfocito mediano. El aspecto punteado del crioplasma es consecuencia de los númerosos nibosomas libres. También aparecen várias mitocondrias (M. El centro celular o centroesfera de la célula (a la altura de la escotadura nuclear) contiene un aparato de Goigi (G) pequeño y un centrolo (C). 26 000 × (cortesia de la Dra. Dorothea Zucker-Franklin). Detalla, unifocito mediano de un frotis sanguineo visto con el microscopio óptico. 1800 ×

presencia en su superficie de proteínas de reconocimiento denominadas receptores de linfocitos T (TLR, T lymphocyte receptor), que en la mayoría de los linfocitos T incluyen dos cadenas glucoproteínicas llamadas cadena α y cadena β de los TLR. Ex presan en su superficie proteínas marcadoras CD2, CD3, CD5 y CD7; sin embargo, se subclasifican con base en la presencia o ausencia de proteínas CD4 y CD8. Los linfocitos T CD4* poseen el marcador CD4 y reconocen antígenos unidos a moléculas del complejo mayor de histocompatibilidad II (MHC II, major histocompatability complex II). Los linfocitos CD8* poseen el marcador CD8 y reconocen antígenos unidos a moléculas del MHC I.

- Los linfocitos B tienen una vida media variable y participan en la producción de anticuerpos circulantes. En la sangre, los linfocitos B maduros expresan IgM e IgD, así como moléculas del MHC II, en su superficie. Sus marcadores específicos son CD9, CD19 y CD20.
- Los finfocitos NK se programan durante su desarrollo para destruir ciertas células infectadas por virus y algunos cipos de células tumorales. También secretan un antiviral, el interferón y (IFN-γ). Los linfocitos NK son más grandes que los linfocitos B y T (-15 μm de diámetro) y poseen un núcleo arriñonado. Dado que las células NK contienen varios gránulos citoplasmáticos azurófilos de gran tamaño fácilmente visibles por microscopía óptica, también se les llama linfocitos granulares grandes (LGG). Sus marcadores específicos incluyen CD16, CD56 y CD94.

Los linfocitos T no se pueden distinguir de los linfocitos B en frotis sanguíneos ni en cortes histológicos; para poder identificarlos, deben usarse técnicas inmunocitoquímicas para diferentes tipos de marcadores y receptores en la superficie celular. Los linfocitos NK se pueden identificar en el microscopio óptico por su tamaño, con figuración nuclear y presencia de gránulos citoplasmáticos; sin embargo, se utiliza la tinción inmunocitoquímica de sus marcadores específicos para confirmar la identificación microscópica.

Los linfocitos T y B expresan diferentes moléculas de superficie.

Si bien los linfocitos T y B no se pueden distinguir por su morfología, sus proteínas de superficie distintivas (proteínas CD) se pueden utilizar para identificar las células con técnicas de inmunomarcación. Además, las inmunoglobulinas se expresan en la superficie de los linfocitos B que funcionan como receptores de antígenos. En contraste, los linfocitos T no tienen anticuerpos, pero expresan TLR. Estas proteínas de reconocimiento aparecen durante etapas bien definidas en la maduración de las células dentro del timo. En general, las moléculas de superficie median o aumentan funciones específicas de los linfocitos T y son necesarias para el reconocimiento o la unión de los linfocitos T a los antígenos presentados en la superficie de las células diana.

En la sangre humana, el 60-80% de los linfocitos son linfocitos T maduros y el 20-30% son linfocitos B maduros. Aproximadamente entre el 5 y 15% de las células carecen de marcadores superficiales asociados con linfocitos T o B. Estas son los linfocitos NK que forman parte de la inmunidad no específica (innata). Los linfocitos NK tienen la capacidad de matar a ciertos tipos de celulas diana de manera similar a como los hacen los linfocitos T CD8+ citotóxicos. Después de la activación, los linfocitos NK liberan perforinas y granzimas (fragmentinas), que crean canales en la membrana plasmática e inducen la fragmentación del ADN.

Se han identificado varios tipos diferentes de linfocatos T: citotóxicos, cooperadores (helper), supresores y gamma/delta ($\gamma\delta$).

Las actividades de los linfocitos Τ citotóxicos, cooperadores, supresores y yδ están mediadas por moléculas situadas en su superficie. Mediante el uso de técnicas de inmunomarcación se han podido identificar los tipos específicos de linfocitos T y estudiar sus funciones:

- Linfocitos T citotóxicos (LTC) o CD8*. Son las células efectoras primarias en la inmunidad mediada por células. Los linfocitos CD8* son células T sensibilizadas de forma específica que reconocen antígenos a través de los TLR en células hospederas infectadas por virus o que han presentado transformación neoplasica. Los linfocitos T CD8* citotóxicos solo reconocen los antígenos unidos a moléculas del MHC I. Después de que el TLR se une al complejo antígeno-MHC I, los LTC secretan linfocinas y perforinas que producen conductos iónicos en la membrana de la célula infectada o neoplásica, lo que ocasiona su lisis (véase cap. 14). Los LTC desempeñan un papel significativo en el rechazo de aloinjertos y en la inmunología tumoral.
- Linfocitos T cooperadores o CD4°. Son decisivos para la inducción de una respuesta inmunitaria frente a antígenos extraños. El antígeno unido a moléculas del MHC II es presentado por células presentadoras de antígeno (p. ej., macrófagos) a un linfocito T cooperador. La unión del TLR al complejo antígeno-MHC II activa al linfocito T cooperador. A continuación, el linfocito activado produce interleucinas, que actúan por vía autocrina para estimular la proliferación y diferenciación de más linfocitos T cooperadores. Las células recién diferenciadas sintetizan y secretan linfocinas que afectan tanto la función como la diferenciación de los linfocitos B, T y NK. Los linfocitos B se diferencian en plasmocitos y sintetizan antícuerpos. Se han identificado diversos subgrupos de linfocitos T cooperadores (TH1, TH2 y TH17). Para mayor información, véase el capítulo 14.
- Linfocitos T reguladores (supresores). Constituyen una población de linfocitos T diversa en cuanto a su fenotipo, que puede suprimir funcionalmente una respuesta inmunitaria frente a antígenos extraños o propios mediante su efecto sobre la actividad de otras células del sistema inmunitario. Los linfocitos T reguladores CD4*CD25*FOXP3* representan un ejemplo clásico de células que pueden inhibir la capacidad de los linfocitos T para iniciar la respuesta inmunitaria. El marcador de FOXP3 indica una expresión de factores de transcripción de la familia forkhead que son característicos de muchos linfocitos T. Además, los linfocitos T supresores CD8*CD45RO* relacionados con el rumor secretan IL-10 y suprimen la activación de linfocitos T. Los linfocitos T supresores también pueden actuar al evitar la diferenciación de los linfocitos B y la regulación de la maduración celular eritroide en la médula ósea.
- Linfocitos T gamma/delta (γδ). Son una población pequeña de linfocitos T que poseen un TLR distintivo en su superficie. Como se mencionó antes, la mayoría de los hnfocitos T tienen un receptor TLR compuesto por dos cadenas de glucoproteína (cadenas α γ β). En contraste, los linfocitos T γδ poseen receptores TLR formados por una cadena γ y una cadena δ. Estas células se desarrollan en el timo y migran hacia varios tejidos epiteliales (p. ej., piel, mucosa bucal, intestino y vagina). Una vez que colonizan un tejido epitelial, no recirculan entre la sangre y los órganos linfáticos. También son conocidos como finfocitos intraepiteliales. Su ubicación en la piel y en la mucosa de los órganos internos les permite funcionar en la primera linea de defensa contra organismos invasores.
- Linfocitos T invariables asociados con mucosas. Son un subtipo de los linfocitos T que expresan receptores compuestos por dos cadenas invariables α y β. Estas células reconocen los metabolitos de la vía de la síntesis de riboflavina (vitamina B₂) en los hongos y las bacterias. Después de su activación, secretan IFN-γ y TNF-α, y pueden destruir células infectadas.

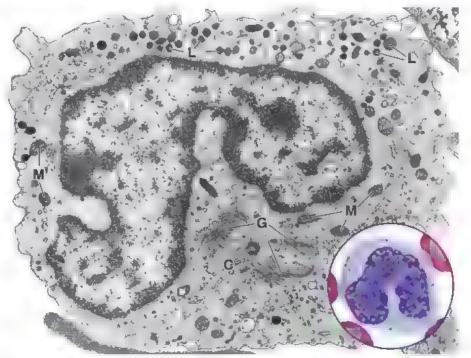


FIGURA 10-15. Microfotografía electrónica de un monocito maduro humano. La escotadura nuclear es muy pronunciada y junto a ella se observan un centricio (C) y varias disternas del aparato de Golgi (G). Los pequenos gránulos oscuros son gránulos azurófilos, los escomas (t) de la célula. Las estructuras un poco mayores y menos densas son mitocondrias (M). 22 000 × (cortesia de la Dra. Dorothea Zucker-Franklin). **Detalla.** Monocito de un frotis sanguíneo visto con el microscopio óptico. 1800 ×

Monocitos

Los monocitos son los precursores de las células del sistema fagocítico mononuclear.

Los monocitos son los leucocitos más grandes de un frons sanguíneo (diámetro promedio de 18 μm). Viajan de la médula ósea a los tejidos del cuerpo, donde se diferencian en los diversos fagocitos del sistema fagocítico mononuclear, por ejemplo, los macrófagos del tejido conjuntivo, los osteoclastos, los macrófagos alveolares, los macrófagos perismusoidales hepáticos (células de Kupffer) y los macrófagos de los ganglios linfáticos, el bazo y la médula ósea, entre otros (wiase cap. 6). Los monocitos permanecen en la sangre solamente unos 3 días.

El núcleo del monocito rípicamente posee una escotadura más pronunciada que la del linfocito (fig. 10-15 y lám. 18, p. 330). A la altura de la escotadura está el centro celular, donde se encuentran los centríolos y un aparato de Golgi bien desarrollado. Los monocitos también contienen retículo endoplasmático liso, retículo endoplasmático rugoso y mitocondrias pequeñas. Si bien se clasifican como agranulocitos, en su citoplasma hay pequeños gránulos azurófilos densos. Estos gránulos contienen enzimas lisosómicas tipicas similares a las que se encuentran en los gránulos azurófilos de los neutrófilos.

Los monocitos se transforman en macrófagos que actúan como células presentadoras de antígenos en el sistema inmunitario.

Durante la inflamación, el monocito abandona el vaso sanguí neo en el sitio de la inflamación, se transforma en macrófago de los tejidos y fagocita bacterias, otras células y detritos tisulares. El monocito-macrófago es una célula presentadora de antigenos y desempeña un papel importante en las respuestas inmunitarias. El macrófago degrada parcialmente los antígenos y presenta sus fragmentos en las moléculas MCH-II ubicadas en su superficie a los linfocitos T cooperadores para su reconocimiento.

■ TROMBOCITOS

Los trombocitos son pequeños fragmentos citoplasmáticos limitados por una membrana y anucleados que derivan de los megacariocitos.

Los trombocitos (plaquetas) derivan de grandes células poliploides (cuyos núcleos contienen múltiples juegos de cromosomas) en la médula ósea llamadas megacariocitos (fig. 10-16). En la formación de las plaquetas aparecen múltiples conducton de demarcación plaquetaria en las regiones periféricas del megacariocito que separan pequeñas porciones del citoplasma. La membrana que reviste estos conductos se origina por invaginación de la membrana plasmática; por lo tanto, los conductos están en comunicación con el espacio extracelular. El desarrollo y la fusión constante de las membranas de demarcación plaquetaria determinan que los fragmentos citoplasmáticos se separen por completo para formar las plaquetas individuales. Después de la entrada en el sistema vascular de la médula ósea, las plaquetas circulan como estructuras discoidales de alrededor de 2-3 µm de diámetro. Su vida media es de unos 10 días.

Desde el punto de vista estructural, las plaquetas pueden dividirse en cuatro zonas según su organización y su función.

La MET muestra que la organización estructural del citoplasma del trombocito puede dividirse en las siguientes cuatro zonas (fig. 10-17):

- Zona periferica. Esta zona consiste en la membrana celular cubierta por una gruesa capa superficial de glucocáliz. El glucocáliz consta de glucoproteínas, glucosaminoglucanos y varios factores de coagulación absorbidos desde el plasma sanguíneo. Las glucoproteínas integrales de membrana actúan como receptores en la función plaquetaria.
- Zona estructural. Está compuesta por microrúbulos, filamentos de actina, miosina y proteínas de enlace de actina que forman

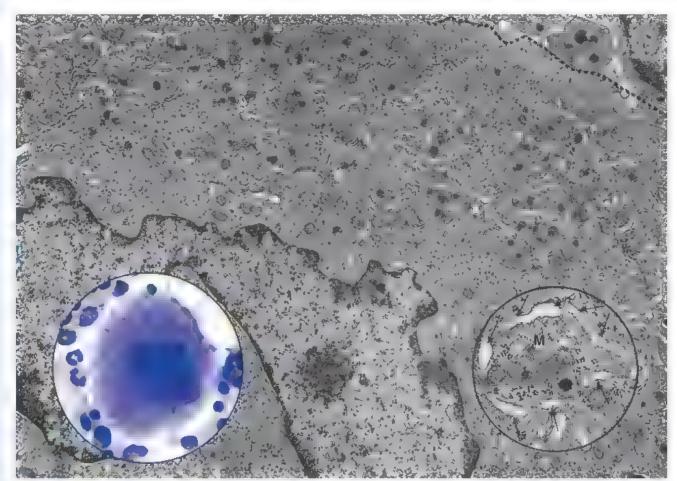


FIGURA 10-16. Microfotografía óptica y electrónica de un megacarlocito. En esta microfotografía electrónica se aprecia parte de un megacarlocito de un corte de médula ósea. Se incluyen dos lóbulos nucleares y un podo de citoplasma circundante. El imite de a celula está senalado por la linea punteada tamba derecha. En el citoplasma aparecen indicios de plaquetogénesis en forma de conductos de demarcación piaquetaria de distribución ampira. 13.000 × Detalle izquierdo. Megacar ocito completo de un trotis de médula ósea y sto con el microscopio óptico. Su nucleo es multiriobulado y esta replegado sobre si mismo de niodo que su contorno es irregular. Las caracteristicas "espumosas" de citoplasma per férico de megacar ocito son el producto de la segmentación que está ocurriendo para formar las piaquetas. Las de ulas más pequenas que lo rodean pertenecen a las otras series hematopoyéticas medulares. 1000 × Detalle derecho. Mayor aumento de una porción de citoplasma que está cas completamente separada por los conductos de demarcación plaquetar a tilechas. También se ven mitocondiras (M.), un gránulo o muy denso y particulas de gludógeno. Con fines de comparación, en la figura 10-17a se muestra una plaqueta circulante madura. 30,000 ×

una red de sostén para la membrana plasmática cerca de la periferia. Justo por debajo de la red de filamentos de actina se encuentra la banda marginal, que contiene un haz de 8-24 microtúbulos. Estos microtúbulos se disponen de forma circunferencial y son responsables de mantener la forma de disco de la plaqueta.

Zona de orgánulos. Esta zona ocupa el centro de la plaqueta. Contiene mitocondrias, peroxisomas, partículas de glucógeno y al menos tres upos de gránulos dispersos en el citoplasma. Los más abundantes son los gránulos u (300-500 nm de diámetro), que contienen principalmente fibrinógeno, factores de coagulación, plasminógeno, inhibidor del activador del plasminógeno y factor de crecimiento derivado de plaquetas. Los contenidos de estos gránulos desempeñan un papel importante en la fase micial de la reparación vascular, la coagulación sanguínea y la aglomeración plaquetaria. Los gránulos ó, más pequeños y densos, pero menos abundantes, contienen principalmente difosfato de adenosina (ADP, adenosine diphosphate), trifosfato de adenosina (ATP, adenosine triphosphate), serotonina e histamina. Estos facilitan la adhesión plaquetaría y la va-

soconstricción en el sitio de la lesión vascular. Los granulos λ son similares a los lisosomas que se encuentran en otras células y contienen varias enzimas hidrolíticas. El contenido de gránulos λ actúa en la reabsorción del coágulo durante las etapas avanzadas de la reparación vascular

• Zona membranosa. Esta zona se compone de dos tipos de conductos membranosos: 1) el sistema canalicular abierto (SCA) y 2) el sistema tubular denso (STD). El SCA es un remanente del desarrollo de los conductos de demarcación plaquetaria y es simplemente una membrana que no participó en la subdivisión del citoplasma de los megacariocitos. En efecto, los canalículos abiertos son invaginaciones de la membrana plasmática en el citoplasma. El STD contiene un material denso en electrones originado en el retículo endoplasmático rugoso del megacariocito, que sirve como sitio de almacenamiento de iones de calcio. Los conductos del STD no están en comunicación con la superficie de la plaqueta; sin embargo, tanto el SCA como el STD se fusionan en diversas regiones de la plaqueta para formar complejos de membrana que son importantes en la regulación de la concentración intraplaquetaria del calcio.

Las plaquetas actúan en la vigitancia continua de los vasos sangumeos, la formación de coágulos de sangre y la reparación del tejido lesionado.

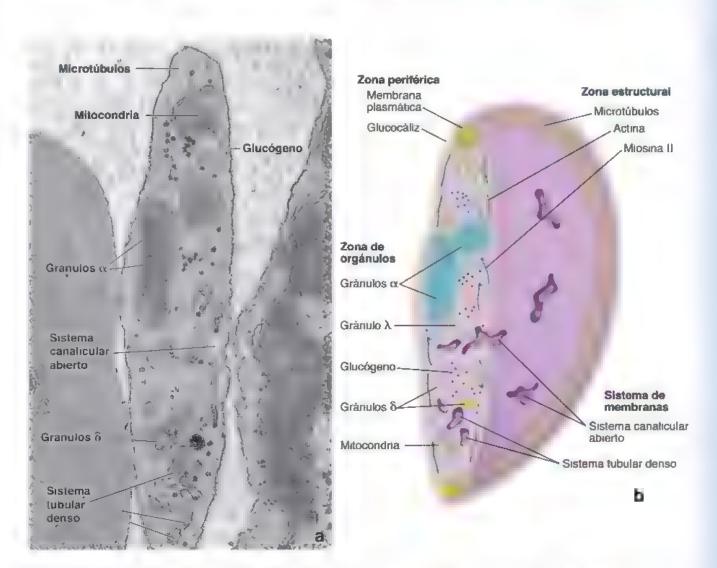
Las plaquetas intervienen en varios aspectos de la hemostasia (detención de la hemorragia). De manera constante inspeccionan el revestimiento endotelial de los vasos sanguineos en busca de brechas o roturas. Cuando la pared de un vaso sanguineo se lesiona o se rompe, el tejido conjuntivo expuesto en el sitio del daño promueve la adhesión plaquetaria. La adhesión de las plaquetas desencadena su desgranulación y la liberación de serotonina, ADP y tromboxano A₂.

Las serotonins es un potente vasoconstrictor que causa la contracción de las células musculares lisas de los vasos, con lo cual se reduce el flujo sanguíneo local en el sitio de la lesión. El ADP, un nucleótido, y el tromboxano A2, una molécula de señal, son responsables de la aglomeración plaquetaria adicional para formar un tapón hemostático primario. La masa de plaquetas aglomeradas detiene la extravasación de la sangre.

Al mismo tiempo, las plaquetas activadas liberan el contenido de sus gránulos α y δ, que consiste en factores de coagulación, como el factor tromboplástico plaquetario (PF_a) y serotonina adicional.

El glucocáliz plaquetario provee una superficie de reacción para la conversión del fibrinógeno soluble en fibrina. Entonces, la fibrina forma una red laxa sobre el tapón inicial y se estabiliza aun más por enlaces cruzados covalentes que producen una aglomeración densa de las fibras (fig. 10-18). En la red, quedan atrapadas plaquetas y entrocitos. El tapón plaquetano inicial se transforma en el coágulo definitivo, llamado tapon hemostatico secundario, por la acción de factores tisulares adicionales secretados por las cálulas del vaso lesionado.

Después de que se ha formado el tapón hemostático secundario, las plaquetas provocan la retracción del coágulo, probablemente mediante la función de la actina y la miosina que se encuentran en la zona estructural de la plaqueta. La contracción del coágulo permite el retorno del flujo sanguíneo normal a través del vaso. Finalmente, después de que el coagulo ha cumplido su función, es lisado por la plasmina, una enzima fibrinolítica que circula



HGURA 10-17. Microfotografía electrónica y diagrama de una plaqueta. a. Microfotografía electrónica de gran aumento en la que se muestra una plaqueta situada entre un entrocito a la *izquierda* y una célula endotel al a ia *derecha*. Entre las estructuras visibles se encuentran una mitocondria, varios microtubulos una unica silueta del sistema canal cular abierto que comunica con la superficie algunos elementos del sistema tubu ar denso, los gránulos que de densidad moderada, un solo gránulo δ muy denso y algunas particulas de glucogeno. Los microfilamentos no son visibles sobre la matriz de fondo de la plaqueta. **b.** Diagrama de plaqueta en el que se illustran los componentes de las culatro zonas estructura es

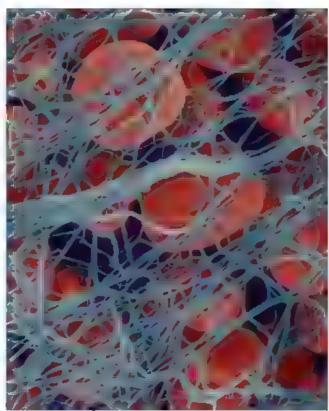


FIGURA 10-18. Microfotografía electrónica de barrido de un coagulo sanguineo. En esta microfotografía electrónica de barrido con gran aumento se muestra la etapa inicial de la formación de un coágulo sanguineo. Los entrocitos están atrapedos en una malla laxa de fibras de fibrina que han establecido multiples enlaces cruzados para formar un tapón hemostático impermeable que sinpide la salida de las células y el tíquido de la luz del vaso tesionado. 1600× (copyright Dennis Kunkel Microscopy, Inc.)

en el plasma en una forma inactiva conocida como *plasmi*nógeno. Las enzimas hidrolíticas liberadas de los gránulos λ colaboran en este proceso. El activador para la conversion del plasminógeno, el activador tísular del plasminógeno (TPA, tissue plasminogen activator), deriva principalmente de las celu as endotenales. En la actuandad se utiliza una forma sintética del TPA como tratamiento de urgencia para disminuir el daño causado por los ictus debidos a coagulos.

Una función adicional de las plaquetas es contribuir a la reparación de los tejidos lesionados más allá del vaso. El factor de crecimiento derivado de plaquetas liberado desde los gránulos a estimula las células musculares lisas y los fibroblastos para que se dividan y permitan la reparación de los tejidos.

HEMOGRAMA

El hemograma es el análisis de sangre completo que se solicita con mayor frecuencia al laboratorio. Proporciona cantidades relativas y cálculos obtenidos a partir de las células (eritrocitos y leucocitos) y elementos formes (trombocitos) en la muestra de sangre. Por lo general, estos cálculos son realizados por contadores hemáticos automatizados que analizan diferentes componentes de la sangre, utilizando el principio de diseño de la citometría de flujo.

En la preparación para el análisis, la muestra sanguínea se diluye en un líquido de suspensión. A medida que una corriente delgada de líquido con células suspendidas fluye a través del tubo estrecho en el contador de células, el detector de luz y el sensor de impedancia eléctrica identifican diferentes tipos de células en función de su tamaño y resistencia eléctrica. Los datos obtenidos de los analizadores automáticos de sangre solían ser muy precisos debido a la gran cantidad de células contadas (~10000) en cada categoría. En la actualidad, los sistemas de análisis de células sanguíneas asistidos por sistemas informáticos utilizan cámaras y tecnologías de procesamiento de imágenes para contar y analizar las células automáticamente. No obstante, en algunos casos sigue siendo necesamo el recuento manual de células con un microscopio óptico. Un hemograma típico incluye lo siguiente

- Recuento de loucocitos. Un recuento elevado de leucocitos (leucocitosis) puede indicar una respuesta de reacción inflamatoria (infecciones, quemaduras, fracturas, otras lesiones corporales). Este recuento también puede ser elevado después del ejercicio vigoroso a causa del estrés o durante el embarazo y el trabajo de parto. La hiperleucocitosis (recuento de leucocitos > 100 × 109 células/L) es con frecuencia una indicación de leucemia (un tipo de cáncer sanguíneo). El recuento disminuido de leucocitos (leucopenía) generalmente se asocia con la radia ción y la quimioterapia, enfermedades autoinmunitarias, enfermedades de la médula ósea (anemia aplásica), uso de fármacos específicos (antipsicóucos, antiepilépticos, inmunosupresores), infección por VIH y sida.
- Tipos de leucocitos (diferencial). Los principales tipos de leucocitos identificados son neutrófilos, eosinofilos, basófilos, linfocitos y monocitos. También se informa el recuento de neutrófilos inmaduros (neutrófilos en banda). Cada tipo de estas células desempeña un papel diferente en la protección del cuerpo, y los porcentajes de su distribución en la muestra de sangre dan información importante sobre el estado del sistema inmunitario. Las descripciones y las funciones de estas células se describen en las secciones correspondientes de este capítulo.
- Recuento de eritrocitos. El recuento elevado de eritrocitos (policitemia) puede estar relacionado con factores intrínsecos que afectan la producción de estas células en la médula ósea (policitemia primaria) o como respuesta a los estímulos producidos por otros órganos (p. ej., hormonas) que promueven la eritropoyesis en el organismo. Ejemplos de la policitemia primaria pueden incluir enfermedades genéticas como la policitemia vera o la policitemia primaria familiar y congénita. La policitemia secundaria por lo general se debe a una mayor producción de eritropoyetina en respuesta a la hipoxia crónica, una gran altitud o la presencia de un tumor secretor de eritropoyetina. La disminución del recuento de eritrocitos (anemia) es causada por la pérdida de sangre (hemorragia externa o interna), insuficiencias de hierro o vitamina B₁₂, desnutrición, embarazo, enfermedades crónicas y alteraciones genéticas (p. ej., anemía drepanocítica).
- Hematócrito. El hematócrito mide el porcentaje del volumen de entrocitos en la muestra de sangre.
- Hemoglobina (Hb). La concentración de hemoglobina en la sangre es un reflejo de la capacidad de un eritrocito para transportar oxígeno. Los valores normales de Hb son de 14-18 g/dL (140-180 g/L) en los hombres y de 12-15 g/dL (120-150 g/L) en las mujeres. Los valores de hematócrito y hemoglobina son las dos pruebas principales que demuestran la presencia o la ausencia de anemia o policitemia.
- Indices de eritrocitos. Por lo general se incluyen cuatro índices de eritrocitos en el hemograma: volumen corpuscular medio (VCM), que se refiere al tamaño de los eritrocitos de la sangre;

hemoglobina corpuscular media (HCM), que muestra la cantidad de hemoglobina en un eritrocito promedio; concentración de hemoglobina corpuscular media (CHCM), que ofrece el porcentaje de la concentración de hemoglobina en un eritrocito promedio, y amplitud de la distribución de los eritrocitos (ADE), que muestra si los eritrocitos son todos iguales o si son diferentes en tamaño o forma. Estos índices se calculan automáticamente a partir de otras mediciones y son útiles en el diagnóstico diferencial.

Recuento de trombocitos (plaquetas). Las plaquetas son importantes en la coagulación de la sangre y su elevación (trombocitemia) puede estar relacionada con alteraciones proliferativas de la médula ósea, inflamación, función disminuida del bazo o ser resultado de una esplenectomía. Un recuento bajo de trombocitos (trombocitopenia) puede estar asociado con la producción disminuida de plaquetas en la médula ósea (síndromes hereditarios, leucemia, infecciones, deficiencia de vitamina B₁₂) o un aumento de la destrucción de los trombocitos en los tejidos periféricos (enfermedades autoinmunitarias, alteraciones genéticas, coagulación intravascular diseminada). La destrucción de trombocitos también puede ser inducida por el consumo de fármacos. Además, se puede calcular el volumen ploquetario medio (VPM) para proporcionar el tamaño medio de las plaquetas en el volumen de sangre examinado.

■ FORMACIÓN DE LAS CÉLULAS DE LA SANGRE (HEMATOPOYESIS)

La hematopoyesis (o hemopoyesis) incluye tanto la eritropoyesis como la teucopoyesis (desarrollo de los eritrocitos y leucocitos, respectivamente), así como la trombopoyesis (formación de plaquetas; fig. 10-19). Las células sanguíneas tienen una vida media limitada; se producen y se destruyen de manera continua. La hematopoyesis se encarga de mantener una concentración constante de los diferentes tipos de células que hay en la sangre periférica. Tanto el eritrocito (vida media de 120 días) como las plaquetas (vida media de 10 días) de los seres humanos permanecen toda su vida en la sangre circulante. Sin embargo, los leucocitos migran fuera de la circulación poco después de haberla alcanzado al salir de la medula ósea y pasan la mayor parte de sus vidas de longitud variable en los tejidos (en donde realizan todas sus funciones).

En el adulto, eritrocitos, granulocitos, monocitos y plaquetas se forman en la médula ósea roja; los linfocitos también se forman en la médula ósea roja y en los tejidos linfáticos. Para estudiar las etapas de la hematopoyesis, se prepara un frotis de aspirado de médula ósea (véase p. 325) y se tiñe de manera similar a la de un frotis sanguíneo.

La hematopoyesis inicia en las primeras semanas del desarrollo embrionario.

Durante la vida fetal, tanto los eritrocitos como los leucocitos se forman en varios órganos antes de la diferenciación de la médula ósea. La primera etapa o fase del saco vitelino de la hematopoyesis se inicia en la tercera semana de gestación y se caracteriza por la formación de angioblastemas en la pared del saco vitelino del embrión. En la segunda etapa, o fase hepática, que ocurre en el inicio del desarrollo fetal, los centros hematopoyéticos aparecen en el hígado (fig. 10-20). La hematopoyesis en estos sitios está en gran parte limitada a las células entroides, aunque en el hígado se produce algo de leucopoyesis. El hígado es el órgano hematopoyético fetal principal durante el segundo trimestre. La tercera etapa o fase medular ósea de la hematopoyesis fetal y la leucopoyesis ocurre en

la médula ósea (y otros tejidos linfáticos) y comienza durante el segundo trimestre del embarazo. Después del nacimiento, al igual que en el adulto, la hematopoyesis solo ocurre en la médula ósea roja y en algunos tejidos linfáticos (fig. 10-21). Los precursores tanto de las células sanguíneas como de las células germinales tienen su origen en el saco vitelino.

Teoria monofilética de la hematopoyesis

Los células de lo sangre derivan de una célula madre hematopoyética común.

La célula madre hematopoyética común de la teoría monofilética de la hematopoyesis se denomina célula madre hematopoyética (CMH), o célula madre pluripotencial. La célula madre no solo puede diferenciarse en todos los linajes de las células de la sangre, sino que también se autorienueva (el fondo común de células madre hematopoyéticas se autosustenta). Las CMH también tienen el potencial de diferenciarse en múltiples linajes de células no sanguíneas y contribuir a la regeneración celular de diversos rejidos y muchos órganos. Durante el desarrollo embrionano, las CMH están presentes en la circulación y experimentan una diferenciación específica de tejido en diversos órganos. Las CMH humanas se han aislado a partir de sangre del cordón umbilical, el hígado feral y la médula ósea feral y del adulto. En el adulto, las CMH tienen el potencial de reparar tejidos enfermos (p. ej., lesión isquémica, însuficiencia orgánica). Las CMH humanas expresan proteínas marcadoras moleculares específicas, como CD34 y CD90, y al mismo tiempo no expresan marcadores específicos de linaje (Lin-), que se encuentran en los linfocitos, granulocitos, monocitos, megacariocitos y células eritroides. Las CMH humanas pueden ser identificadas por los marcadores de superficie celular Lin*, CD34*, CD90* y CD38*. Las CMH no pueden identificarse en los preparados de rutina; sin embargo, se pueden reconocer y aislar con métodos inmunocitoquímicos.

Una CMH en la médula ósea origina múltiples colonias de células madres progenitoras.

En la médula ósea, las descendientes de las CMH se diferencian en dos colomas principales de células progenitoras multipotenciales: las progenitoras micloides comunes (PMC) y las progenitoras linfoides comunes (PLC)

Al final, las cétules progenitores mieloides comunes, antes lla madas unidades formadores de colonias de granulocitos, eritrocitos, monocitos y megacariocitos (UFC-GEMM), se diferencian en progenitores específicos restringidos en cuanto a linaje (tabla 10-3; véase p. 321).

- Células progenitoras de megacariocitos/eritrocitos (PME). Estas
 células madre bipotenciales dan origen a células progenitoras
 monopotenciales predestinades a convertirse en megacariocitos (PMK o UFC-Meg) y otras células progenitoras monopotenciales predestinades a convertirse en eritrocitos (PEr o UFC-É) que
 producen el linaje eritrocítico.
- Células progenitoras de granulocitos/monocitos (PGM). El desarrollo de las células PGM (UFC-GM) requiere una expresión alta del factor de transcripción PU.1. Estas células dan origen a los progenitores da neutrófilos (PNe o UFC-G), que se diferencian en el linaje de los neutrófilos; progenitores de eosinófilos (PEo/UFC-Eo o UFC-Eo), células que dan origen a los cosmófilos; progenitores de basófilos/mestocitos (PBM), que dan origen tanto a los progenitores de basófilos (PBa o UFC-Ba) en la médula ósea como a progenitores de mastocitos en la mucosa

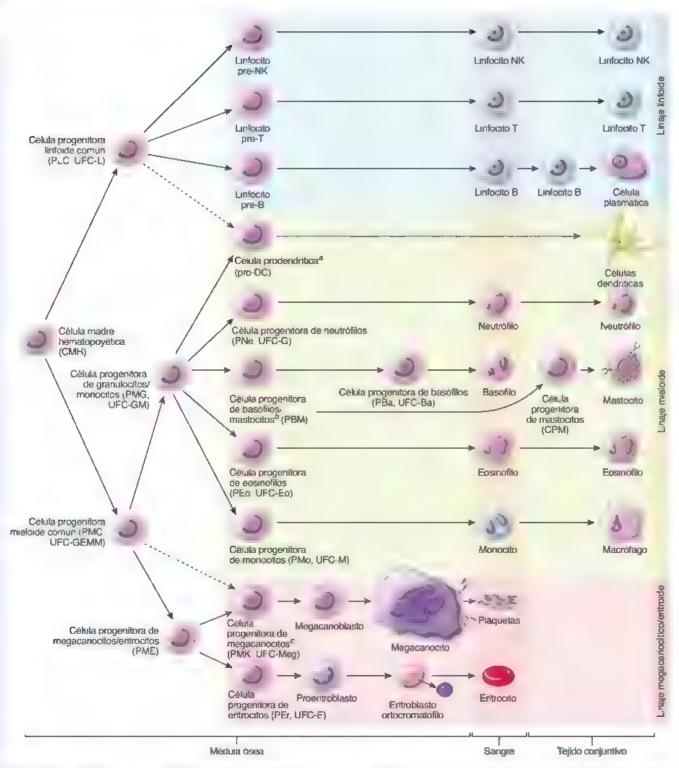


FIGURA 10-19. Hematopoyesis. Este gráfico tiene su fundamento en los conceptos más recientes con respecto a la hematopoyesis. Se muestra el desarrollo de las celulas de la sangre desde las células madre hematopoyeticas de la medula ósea hasta las células maduras y su distribución en los compartimentos del tej do sanguineo y el tejido conjuntivo. En todos los linajes, durante la diferenciación, ocurre una proiferación extensa. Las oltocinas tinou dos los factores de crecimiento hematopoyéticos) pueden actuar de forma individual o conjunta en quier etapa del proceso desde la primera célula madre hasta la celula sanguinea o conjunt ya madura.

"Las células prodendriticas pueden diferenciarse a partir de la célula progenitora linfoide común

[&]quot;Si esta predestinada a entrar en el línaje de mastocitos" a célula progenifora de basóli os/mastocitos migra hacia el bazo, donde se diferencia en una célula progenitora de mastocitos. Después de experimentar diferenciación adiciona, en el bazo, la célula migra hacia el intestino para convertirse en una célula precursora de mastocitos.

^{*}La célula progenitora de megacariocitos también puede diferenciarse directamente a partir de una célula progenitora mielo de comun.

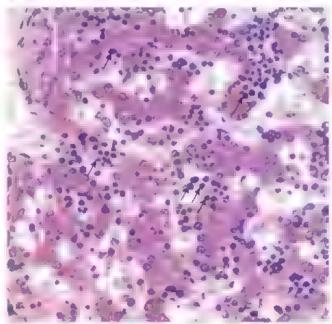


FIGURA 10-20. Etapas hepéticas de la hematopoyesis. Microfotografia de higado feta, teñido con H&E en la que se muestra la hematopoyesis activa. Los pequeños cuerpos redondos (flechas) principalmente son nucleos de los entrocitos en desarrollo Aunque es complicado distinguirlas, estas células se encuentran entre las células hepáticas en desarrollo y la pared del seno vascular 350×

gastrointestinal; y por último, los progenitores de monocitos (PMo o UFC-M), que originan el linaje monocitico. Además de los progenitores de linaje específico, las células PGM pueden dar lugar a las células dendriticas, que son células presentadores de antígeno expertas. Las células dendríticas se comentan en el capítulo 14.

Las PLC (antes unidades formadoras de colonias Imfáticas [UFC-1]) son capaces de diferenciarse en linfocitos T, linfocitos B y linfocitos NK. Se piensa que los linfocitos NK son el prototipo de los linfocitos T; ambos tienen una capacidad similar para destruir otras células. Los linfocitos se comentan en el capítulo 14. Las células dendriticas también pueden derivar de células PLC.

La figura 10-22 muestra las etapas de desarrollo de las células sanguíneas, en donde se incluyen los tipos de células que se pueden observar mediante el microscopio óptico en un corte histológico o frotis de médula ósea. La hematopoyesis se inicia de una manera aparentemente aleatoria cuando las CMH individuales comienzan a diferenciarse en una de las células progenitoras restringidas en cuanto a linaje. Las células progenitoras tienen receptores superficiales para citocinas específicas y factores de crecimiento, incluidos factores estimulantes de colonias (CSF, colony-stimulating factors) que influyen en su proliferación y maduración hacía un linaje específico.

Formación de los eritrocitos (eritropoyesis)

Los eritrocitos se desarrollan a partir de PMC que, bajo la influencia de la eritropoyetina, IL-3 e IL-4, se diferencian en células PME. Para la diferenciación terminal de células PME en el linaje eritroide definitivo, se necesita la expresión del factor de transcripción GATA-1. Bajo la acción del GATA-1, las células PME se transforman en progenitores sensibles a la eritropoyetina predestinados a convertirse en eritrocitos (PEr o UFC-E), que dan origen al proeritroblasto.

La primera célula precursora de la eritropoyesis reconocible morfológicamente se denomina proeritroblasto.

El prooritroblesto es una célula relativamente grande que mide 12-20 µm de diámetro. Contiene un gran núcleo esférico con uno

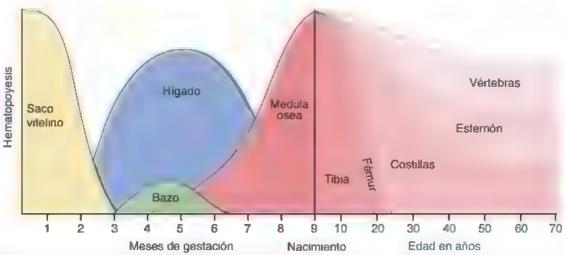


FIGURA 10-21. Dinámica de la hematopoyesis desde la vida embrionaria hasta la vida adulta. Durante la vida embrionaria y fetal, los entrocitos se forman en varios órganos. En esencia los órganos principales que intervienen de manera secuencia en la hematopoyes sison tres el saco vite ino en las etapas miciales de desarrollo del embriori, el higado en el segundo trimestre de la gestación y la médula ósea durante e tercer trimestre. El bazo participa en grado muy limitado durante e segundo trimestre de embarazo. Para el momento del nacimiento la mayor parte de la hematopoyesis ocurre en la médula ósea roja. En los niños y los adultos jóvenes la hematopoyesis se produce en la médula ósea roja de todos los huesos, incluso los huesos largos como el femur y la tibla. En los adultos, esta se mantiene principalmente en huesos planos (p. el j. huesos de la pelvis, sacro, costillas, esternón, cráneo) y vértebras.

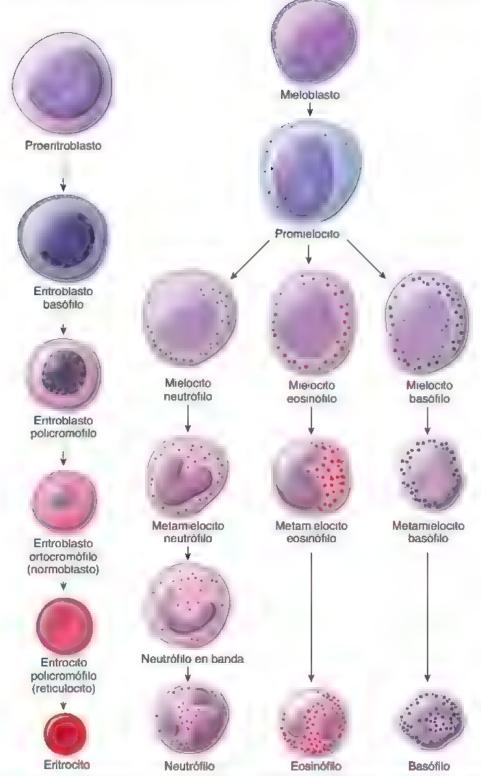


FIGURA 10-22. Etapas de la diferenciación eritrocítica y leucocítica granular Illustración de las dela medula ósea humana como aparecerían en un frotis tipico.

o dos nucléolos visibles. El citoplasma muestra una basofiha leve a causa de la presencia de ribosomas libres. Dentro del proentroblasto, se comienzan a acumular los componentes necesarios para la producción de hemoglobina. Esta etapa dura cerca de 24 h. Aunque es reconocible, el proeritroblasto no suele identificarse fácilmente en los frotis de médula osea de rutina.

El eritroblasto basófilo es más pequeño que el proeritroblasto, del cual deriva posteriormente la división mitática.

El núcleo del **eritroblasto basófilo** es más pequeño (10-16 µm de diámetro) y cada vez más heterocromático con las mitosis sucesivas. El citoplasma muestra una basofilia intensa debido a la gran cantidad de ribosomas libres (politribosomas) que sintetizan hemoglo-

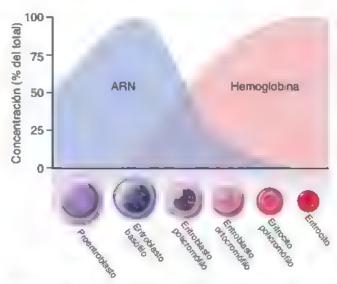


FIGURA 10-23. Linea del tiempo de las concentraciones relativas de ARN y hemoglobina durante la eritropoyesis.

bina (fig. 10-23). La acumulación de hemoglobina en la célula cambia gradualmente la reacción de tinción del citoplasma, de manera que comienza a teñirse con la eosina. Esta etapa dura cerca de 24 h. En la etapa en la que el citoplasma muestra acidofilia, a causa de la tinción de la hemoglobina, y basofilia, por el pigmento en los ribosomas, la célula se denomina aritroblasto policromófilo.

El eritroblasto policromófilo tiene un citoplasma que muestra tanto acidofilia como basofilia.

Las reacciones de tunción del **eritroblasto policromófilo** se pueden mezclar para darle una coloración general gris o lila al citoplasma, o pueden mantenerse separadas con regiones rosadas (acidófilas) y púrpuras (basófilas). El núcleo de la célula es más pequeño que el núcleo del eritroblasto basófilo, y los gránulos gruesos de heterocromatina forman un patrón cuadriculado que ayuda a identificar este tipo de células. Esta es la última etapa en la que el eritroblasto policromófilo puede dividirse mediante mitosis para producir dos células hijas en la misma etapa de maduración celular. Esta etapa dura cerca de 30 h.

El eritroblasto ortocromófilo se reconoce por su citoplasma acidófilo y su núcleo condensado.

La próxima etapa de la eritropoyesis es la del eritroblasto ortoeromofilo (normoblasto). Esta célula tiene un pequeño núcleo compacto e hipercromático. El citoplasma es eosinófilo debido a la
gran cantidad de hemoglobina (fig. 10-24). Esta célula apenas es
más grande que un eritrocito maduro. En esta etapa, el eritroblasto
ortocromático ya no es capaz de dividirse. Al final de esta fase, se
expulsa el núcleo de la célula. A menudo, quedan algunos pequeños
fragmentos del núcleo que son conocidos como cuerpos de Howellfolly. Esta etapa dura cerca de 48 h.

El eritrocito policromófilo ha expulsado su núcleo.

El eritroblasto ortocromófilo pierde su núcleo al expulsarlo de la célula; entonces, está listo para pasar a los sinusoides sanguíneos de la médula ósea roja. Algunos politribosomas que todavía pueden sintetizar hemoglobina se mantienen en la célula. Estos politribosomas

confieren una ligera basofilia a las células, de otro modo eosinófilas; por esta razón, estas nuevas células se denominan eritrocitos políeromófilos (fig. 10-25). Los polirribosomas de los nuevos eritrocitos también se pueden mostrar con tinciones especiales, que hacen que los polirribosomas se agrupen y formen una red. En consecuencia, los eritrocitos policromófilos también (y con mayor frecuencia) son llamados reticulocitos. Por lo general, los eritrocitos policromófilos permanecen en la médula ósea durante 24 h y después migran a la circulación penférica otras 24 h. Después de este breve período en la circulación periférica, son captados por el bazo. Los reticutocitos suelen constituír aproximadamente el 1-2% del recuento total de hematies. Sin embargo, si aumenta la cantidad de aritrocitos que entran en el torrente sanguineo (como sucede cuando el organismo trata de compensar una hemorragia por estimulación de la hematopoyesis), también aumenta la cantidad de reticulocitos.

El estado de maduración de los eritrocitos puede determinarse mediante la exploración atenta del núcleo y el citoplasma.

A medida que el eritrocito madura, pueden presenciarse algunas tendencias (véase fig. 10-22), a saber:

- Cambio en el tamaño general de la célula. Cuando el proeritroblasto se diferencia en un eritroblasto, su diámetro dismunuye de 12-20 a 7.8
 µm.
- Cambio en el tamaño del núcleo. Durante la diferenciación, disminuye el tamaño del núcleo de forma más franca de lo que se reduce el tamaño de la célula. Como consecuencia, la razón núcleo:citoplasma disminuye de 1:8 en el proeritroblasto a 1:2 en el eritroblasto ortocromófilo.



FIGURA 10-24. Microfotografía electrónica de un eritroblasto ortocromófilo (normoblasto). Aqui aparece la célula poco antes de que se produzca la exputsión nuclear. El crtoplasma contiene un grupo de mitocondrias justo debajo del nucleo y algunas vacuolas citoplasmáticas pequeñas. La densidad citoplasmática relativa es producto del contenido de hemoglobina. Las particulas finas y densas diseminadas por todo el citoplasma son ribosomas. 10000× (cortesía de la Dra. Dorothea Zucker-Frank n)



FIGURA 10-25. Microfotografía electrónica de un eritrocito policromófilo (reticulocito). El núcleo está ausente y el citoplasma presenta las características evaginaciones franjeadas que aparecen justo después de la expulsión nuclear Todavia se observan mitocondias, asi como endosomas y ribosomas tempranos y tardios. 18500× (contesia de la Dra. Dorothea Zucker-Franklin).

- Cambio en el número de nucléolos. Dado que los nucléolos representan los sitios de síntesis activa de ácido ribonucleico ribosómico (ARNr), estos desaparecen después de la síntesis de hemoglobina y otras proteínas.
- Cambios en el patrón de la eromatina nuclear. A medida que se diferencia el proeritroblasto, la heterocromatina se hace más gruesa, aglomerada y condensada. Finalmente, el núcleo del eri troblasto ortocromófilo se condensa tanto que no puede distinguirse un patrón de cromatina.
- Cambio en el aspecto de la tinción del citoplasma. A medida que se diferencian las células, cambia el aspecto de su citoplasma, de azul oscuro (basófilo) a gris y rosado (eosinófilo). La basofilia del citoplasma se relaciona con la cantidad de ARN y de orgánulos presentes (mitocondria, RER, politribosomas y ribosomas) en las etapas iniciales del desarrollo. Dado que la cantidad de ARN y orgánulos se reduce en los eritroblastos en desarrollo (véase fig. 10-23), la basofilia citoplasmática disminuye y finalmente es sustituida por eosinofilia, que se asocia con la cantidad de hemoglobina presente en la célula en maduración.

Cinética de la eritropoyesis

Las mitosis ocurren en los proeritroblastos, los eritroblastos basófilos y los eritroblastos policromófilos.

En cada una de estas etapas de desarrollo, el eritroblasto se divide en varias ocasiones. Tarda aproximadamente 1 semana para que la progenie de un eritroblasto basófilo recién formado llegue a la circulación. Casi todos los eritrocitos se liberan en la circulación ni bien se han formado; la medula ósea no es un sitio de almacenamiento de eritrocitos. La formación y la liberación de eritrocitos son reguladas por la aritropoyetina, una hormona glucoproteínica de 34 kDa sintenzada y secretada por el riñón como reacción a la disminución de la concentración de oxígeno en la sangre. La eritropoyetina actúa sobre los receptores específicos expresados en la superficie de los PEr

En los seres humanos, los eritrocitos tienen una vida media de alrededor de 120 días.

Cuando los eritrocitos alcanzan los 4 meses de edad (~120 dias), envejecen. El sistema de macrófagos del bazo, médula ósea e hígado fagocita y degrada los eritrocitos viejos. El grupo hemo y las giobinas se disocian, y estas últimas se hidrolizan a aminoácidos, que entran en el fondo metabólico común para su reutilización. El hierro del hemo se libera, entra en el fondo común de depósito de hierro en el bazo en forma de hemosiderina o fertitina, y se almacena para su reutilización en la síntesis de hemoglobina. El resto del grupo hemo de la molécula de hemoglobina se de grada parcialmente a bilierabina unida a la albúmina, se libera en la circulación y se transporta hacia el hígado, donde se conjuga y se excreta a través de la vesícula biliar como el glucurónido de bilirabina de la bilis.

Formación de los trombocitos (trombopoyesis)

Todos los días, la médula ósea de un adulto sano produce cerca de 1 × 10¹¹ plaquetas, una cantidad que puede aumentar 10 veces en los momentos de mayor demanda. La trombopoyests a partir de los progenitores de la médula ósea es un proceso complejo de división y diferenciación celular que requiere el apoyo de interleucinas, factores estimulantes de colonias y hormonas.

Los trombocitos (plaquetas) derivan de una célula progenitora de megacariocitos/eritrocitos bipotencial, que se diferencia en la célula progenitora predestinada a convertirse en megacariocito y por último en un megacariocito.

Las plaquetas se forman en la médula ósea a partir de las mismas PMC que las series eritroide y mieloide. Bajo la influencia del factor estimulante de colonias de granulocitos-macrófagos (GM-CSF, granulocyte-macrophage colony-stimulating factor) y la IL-3, un citoblasto PMC se diferencia en una célula PME bipotencial. El desarrollo adicional avanza hacia una célula PMK o UFC-Meg, que continúa su desarrollo hacia el megacariobiasto. El megacanoblasto que surge de esta PMC es una célula grande (de alrededor de 30 µm. de diámetro) con un núcleo no lobulado. No hay indicios de la formación de plaquetas en esta etapa. El megacarioblasto experimenta endomitosis sucesivas (los cromosomas se duplican); sin embargo, no ocurre cariocinesis ni citocinesis. Bajo la estimulación por trombopoyetine, una hormona glucoproteínica de 30 kDa producida por el hígado y los riñones, la ploidía aumenta de 8n a 64n antes de que cese la replicación cromosómica. La célula se convierte en un megacariocito productor de plaquetas, una célula de 50-70 µm de diámetro con un núcleo multilobulado complejo y gránulos azurófilos dispersos. Tanto el núcleo como la célula aumentan de tamaño en

proporción a la ploidía celular. Con el MET, en estas células también se pueden observar múltiples centríolos y varios aparatos de Golgi.

Cuando se examina la médula ósea en un frotis, una gran parte del citoplasma periférico del megacanocito se ve lleno de campos de plaqueras. Cuando se examina con el MET, el citoplasma periférico del megacariocito parece estar dividido en pequeños compartimentos por invaginacion de la membrana plasmática. Como ya se describió, estas invaginaciones forman los conductos de demarcación de plaquetas (véase fig. 10-16). La trombocitopenia (disminución de la cantidad de plaquetas en la sangre) es una alteración clinica importante en el tratamiento de pacientes con enfermedades del sistema inmunitario y cancer (leucemia). Aumenta el riesgo de presentar hemorragias y, en pacientes con cancer, a menudo limita la dosis de los quimioterápicos.

Formación de los granulocitos (granulocitopoyesis)

Los granulocitos se originan a partir de la PMC multipotencial, que se diferencia en PGM bajo la influencia de citocinas como el GM-CSF, el factor estimulante de colonias de granulocitos (G-CSF, granulocyte colony-stimulating factor) y la IL-3. El GM-CSF es una citocina secretada por células endoteliales, linfocitos T, macrófagos, mastocitos y fibroblastos. Estimula las células PGM para producir granulocitos (neutrófilos, eosmófilos y basófilos) y monocitos. El progenitor de neutrofilos (PNe) pasa por seis etapas morfológicamente identificables en el proceso de maduración: mieloblasto, promielocito, mielocito, metamielocito, célula en cayado o en bandas (inmadura) y neutrófilos maduros. Los eosmófilos y los basófilos experimentan una maduración morfológica similar a la de los neutrófilos. Cuando las células PGM son inducidas por el GM-CSF, la IL-3 y la IL-5, se diferencian en progenitores cosinófilos (PEo) y, por ultimo, maduran hasta convertirse en eosinofilos. La falta de IL-5 hace que las células PGM se diferencien en progenitores de basófilos (PBa), que producen basófilos. Los precursores eosinófilos o basófilos no pueden diferenciarse morfológicamente de los precursores neutrófilos con el microscopio óptico hasta que las células alcanzan la etapa de mielocito, cuando aparecen los gránulos específicos.

Los mieloblastos son las primeras células reconocibles que inician el proceso de la granulocitopoyesis.

El mieloblasto es la primera célula precursora de neutrófilos microscópicamente reconocible en la médula ósea. Tiene un núcleo esferoideo eucromático grande con tres a cinco nucléolos. Mide 14-20 µm de diámetro y tiene una relación núcleo:citoplasma alta. La pequeña cantidad de citoplasma agranular es intensamente basófila. Con frecuencia se observa una región del aparato de Golgi donde el citoplasma no está teñido. El mieloblasto se convierte en promielocito.

Los promielocitos son las únicas células que producen gránulos azurofilos.

El promielocito tiene un núcleo esferoideo grande con gránulos azurófilos (primanos) en su citoplasma. Estos gránulos se producen solo en los promielocitos; las células en las fases posteriores de la granulocitopoyesis no los producen. Por esta razón, la cantidad de gránulos azurófilos se reduce con cada división del promielocito y su progenie.

Los promielocitos no presentan subtipos. El reconocimiento de los linajes neutrófilos, eosinófilos y basófilos solo es posible en la siguiente etapa, la de mielocito, cuando comienzan a formarse los gránulos específicos (secundarios) y terciarios.

Los mielocitos son los primeros en poseer gránulos específicos.

Los mielocitos comienzan con un núcleo más o menos esferoideo que se vuelve cada vez más heterocromático y adquiere una escotadura distinta durante las divisiones subsecuentes. Los gránulos específicos comienzan a surgir de la superficie convexa del aparato de Golgi, mientras que los gránulos azurófilos se ven en el lado cóncavo. La importancia de esta separación no está clara. Los mielocitos continúan dividiéndose y dan lugar a metamielocitos.

El metamielocito es la etapa en la cual se pueden identificar bien los linajes de neutrófilos, eosinófilos y basófilos por la presencia de muchos gránulos específicos.

En el citoplasma de cada metamietocito hay unos pocos centenares de gránulos, y los gránulos específicos de cada linaje superan en
cantidad a los gránulos azurófilos. En los neutrófilos, esta relación
entre los gránulos específicos e inespecíficos es más o menos 2:1. El
núcleo se torna más heterocromático y la escotadura se profundiza
hasta alcanzar una estructura con forma armionada. En teoría, la
etapa de metamielocito de la granulocitopoyesis viene seguida por
la etapa de banda o cayado, y después por la etapa segmentada. Si
bien estas etapas son visibles en la sene neutrófila, es poco frecuente
encontrarlas, si acaso se les localiza, en las series eosinófila y basófila, en las que la próxima etapa del desarrollo que se reconoce con
facilidad es la de cosinofilo y basófilo maduros.

En la serie neutrófila, la célula en banda (célula en cayado) es anterior al desarrollo de los primeros lóbulos nucleares discernibles.

El núcleo de la cétula en benda es alargado y de un ancho casi uniforme, lo que le confiere un aspecto de herradura. Más tarde, aparecen constricciones nucleares en el neutrófilo en banda y se vuelven más prominentes hasta que se pueden reconocer de dos a cuatro lóbulos nucleares; entonces, la cétula se considera un neutrofilo maduro, también llamado neutrófilo polimorionuclear o segmentado. Si bien el porcentaje de células en banda en la circulación es casi siempre bajo (0-3%), este puede aumentar en la inflamación y la infección aguda o crónica.

Cinética de la granulocitopoyesis

La granulocitopoyesis en la médula ósea tarda unas 2 semanas.

La fase mitótica (profiferativa) en la granulocitopoyesis dura alrededor de 1 semana y se detiene en la etapa de mielocito tardío. La fase posmitotica, caracterizada por la diferenciación celular, de metamielocito a granulocito maduro, también dura alrededor de 1 semana. El tiempo que tardan la mitad de los neutrófilos segmentados circulantes en abandonar la sangre periférica es de alrededor de 6-8 h. Los neutrófilos salen de la sangre de forma aleatoria, es decir, un neutrófilo dado puede circular durante unos pocos minutos o hasta por 16 h antes de entrar en el tendo conjuntivo perivascular (la vida media medida de los neutrófilos circulantes humanos es de solo 8-12 h)

Los neutrófilos viven 1 2 días en el tejido conjuntivo, después de lo cual se destruyen por apoptosis y, posteriormente, son fagocitados por macrófagos. Además, se pierde una gran cantidad de neutrófilos por la migración hacía la luz del tubo digestivo, desde donde se eliminan junto con las heces.

La médula ósea mantiene una reserva grande de neutrófilos totalmente funcionales lístos para reemplazar o suplementar a los neutrófilos circulantes en los momentos en los que aumente la demanda.

En condiciones normales, la médula ósea produce más de 10¹¹ neutrófilos todos los días. Como consecuencia de la liberación de neutrófilos desde la medula ósea, esta suele contener una cantidad de neutrófilos maduros y semimaduros 5-30 veces mayor que la presente en la circulación. Este fondo común de reserva de la medula ósea libera neutrófilos hacia la circulación de forma constante y es surtido por células en proceso de maduración Los neutrófilos de reserva pueden liberarse bruscamente en respuesta a la inflamación, la infección o el ejercicio intenso.

En el compartimento vascular también hay un reservorio de neutrofilos. Esta reserva consiste en un fondo comun
libre circulante y un fondo común de neutrofilos marginados; este ultimo se encuentra en los vasos sanguíneos de
pequeño calibre. Los neutrofilos se adhieren al endotelio
de una manera similar a como lo hacen antes de salir del
sistema vascular en los sitios de lesión o infección (véanse
pp. 299-300). Sin embargo, los neutrófilos marginados normales están adheridos de manera laxa a través de la acción
de las selectinas y pueden ser reclutados con mucha rapidez.
Están en equilibrio dinámico en el fondo común circulante,
que es aproximadamente igual al tamaño del fondo común
de neutrófilos marginados.

El tamaño del fondo común de reserva en la médula ósea y en el compartimento vascular depende del ritmo de la granulocitopoyesis, la longevidad de los neutrófilos y la velocidad de migración hacia la circulación y el tejido conjuntivo. Todo el proceso hematopoyético se muestra en la tabla 10-3.

Los factores de transcripción controlan el destino de las células hematopoyéticas, mientras que las citocinas y los mediadores locales regulan todas las etapas de la hematopoyesis.

Las interacciones estrechas entre las CMH y su microambiente medular óseo permiten la redefinición de la identidad y de las vías de diferenciación de estas células madre multipotenciales mediante la activación de vías de diferenciación específicas. Las moléculas de señalización provenientes de una variedad de células de médula ósea inician mecanismos intracelulares que, en última instancia, actúan sobre un grupo selecto de proteínas inhibidoras y activadoras conocidas como factores de transcripción. Estas se unen específicamente a las regiones promotoras o amplificadoras del ácido desoxirinbonucleico (ADN) en la célula afectada. Mediante el control de la transcripción de los genes específicos corriente abajo, estos factores de transcripción desencadenan una cascada de cambios genéricos que finalmente determina el curso de las células durante la diferenciación.

Además de identificar los diversos factores de transcripción intracelulares, algunos estudios recientes han identificado y comenzado a describir numerosas moléculas de señalización que se encuentran en la médula ósea. Entre ellas, se encuentran las glucoproteínas, que actúan como hormonas circulantes y mediadores locales para regular el progreso de la hematopoyesis y la tasa de diferenciación de otros upos celulares (tabía 10-4). Algunas hormonas específicas, como la eritropoyetina o la trombopoyetina, comentadas en la sección anterior, regulan el desarrollo de los entrocitos y los trombocitos, respectivamente. Otros factores, colectivamente llamados CSF, se subclasifican según la célula o grupo de células que afectan. Entre los factores aislados y caracterizados recientemente de una forma más completa, se encuentran algunos que estimulan la formación de granulocitos y monocitos, como el GM-CSF, el G-CSF y el factor estimulante de colonias de macrófagos (M-CSF, macrophage colony-stimulating factor). Las interleucinas, producidas por los linfocitos, actúan sobre otros leucocitos y sus progenitores. La IL-3 es una citocina que parece afectar a la mayoría de las células progenitoras e incluso a células con diferenciación terminal. Cualquier citocina particular puede actuar en una o más etapas de la hematopoyesis y afectar la división, la diferenciación o la función de las células. Estos factores son sintetizados por muchos tipos de células diferentes, como las células renales (eritropoyetma), los hepatocitos (trombopoyetina), los linfocitos T (IL-3), las células endoteliales (IL-6), las células adventicias en la médula ósea (IL-7) y los macrófagos (factores que afectan el desarrollo de granulocitos y macrófagos).

El aislamiento, la caracterización, la elaboración y los estudios clínicos de citocinas para el tratamiento de enfermedades humanas son las principales actividades de la floreciente industria de la biotecnología. Varias citocinas hematopoyeticas y linfopoyéticas elaboradas mediante la tecnología de ADN recombinante ya se utilizan en la práctica clínica. Estas incluyen eritropoyetina recombinante, G-CSF, GM-CSF e IL-3; otras están en fase de desarrollo activo. El GM-CSF (sargramostim, filgrastim) se utiliza clínicamente para estimular la producción de leucocitos después de la quimioterapia y para acelerar la recuperación leucocitica posterior a la quimioterapia o un trasplante de medula ósea.

Formación de los monocitos (monopoyesis)

Los citoblastos PMC multipotenciales también originan a las células que siguen la línea de desarrollo de monocitos-macrófagos.

Los monocitos se producen en la médula ósea a partir de una célula madre PGM que puede madurar en un monocito o en algún otro de los tres linajes de células granulocíticas. Además, la célula PGM da lugar a células dendríticas. La proliferación y diferenciación de la célula PMC en una célula PGM predestinada está controlada por la IL-3. El desarrollo adicional del linaje de células progenitoras de monocítos (PMo) depende de la presencia continua de los factores de transcripción PU.1 y Egr-1, y es estimulado por la IL-3 y el GM-CSF. Este último también controla la diferenciación adicional en células maduras, que después se liberan en la circulación La transformación de las células PMo en monocitos tarda alrededor de 55 h, y los monocitos permanecen en la circulación cerca de 16 h antes de emigrar hacia los tejidos donde se diferencian, bajo la acción tanto del GM-CSF como del M-CSF, en macrófagos tisulares. Su vida útil posterior aún no se comprende del todo.

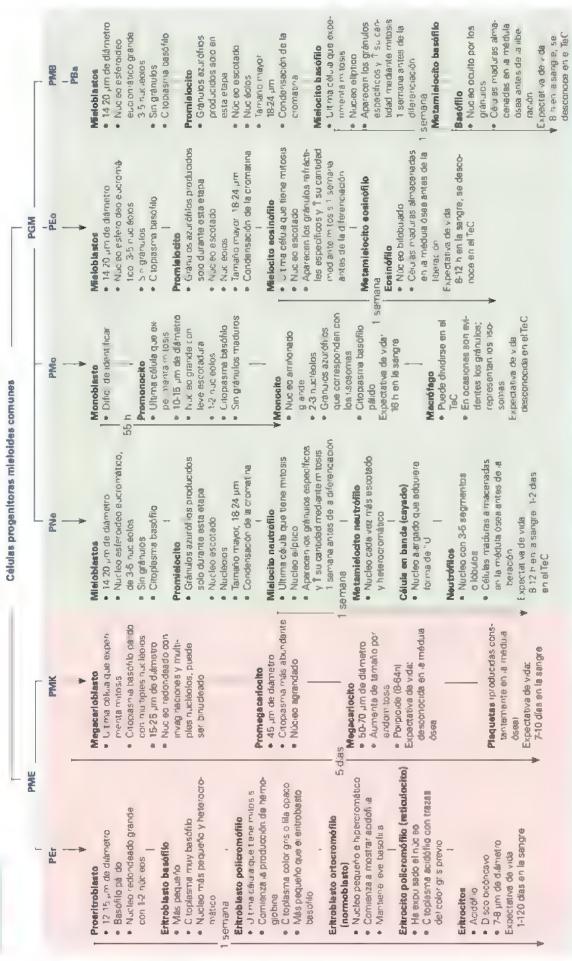
Formación de los linfocitos (linfopoyesis)

El desarrollo y la predestinación del linaje de las cétulas linfoides progenitoras comunes dependen de la expresión de diversos factores de transcripción.

Si bien los linfocitos proliferan continuamente en los órganos linfáticos periféricos, la médula ósea sigue siendo el sitio primario de

Caracte

Características de las células durante la maduración de la célula progenitora mieloide común



Maduración de es sanguness de acuerdo con sus caracteristicas histológicas en sus diversas etapas i empo de madu acón y vida media después de abandonar a médua osea 👡 os tiempos noticados en las sergiococoe, sedese est estre opera xolide apoliced le sedeseites esentiPBa céula progenitora de basófilos, PEc céula progenitora de ecsinófilos, PEr céula progenitora de entrocitos, PMA céula progenitora de mastocitos, PME céula progenitora de megacariocitos/entrocitos en mestocitos/basófilos. PME céula progenitora de megacariocitos/entrocitos entro de megacariocitos/entrocitos entro de megacariocitos/entrocitos entro de megacariocitos entro de megacariocitos entro de megacariocitos entro de megacariocitos entrocitos entro de megacariocitos entro de megacarios entro de megacariocitos entro de megacario de megacario de megacario de megacarios entro de megaca

Citocinas hematopoyéticas, sus fuentes y sus células diana

Citocina	Símbolo	Fuente	Diana
Factor estimulante de colonias de granulocitos y macrófagos	GM-CSF	Linfocitos T, células endotéliales, fibro- b astos	PMC, PEr, PGM, PEo, PBa, PMK, todos los granulocitos, eritrocitos
Factor estimulante de colo- nias de granulocitos	G-CSF	Células endoteliales, monocitos	PEr, PGM, PEo, PBa, PMK
Factor estimulante de colo- nias de monocitos	M-CSF	Monocitos, macrófagos, células endo- teliales y adventicias	PGM, PMo, monocitos, macrófagos, osteoclastos
Eritropoyetina	E.PO	R ñón, higado	PMC, PME, PEr
Trombopoyetina	TPO	Hígado, nñones, musculo esquelético, médula ósea	PMK, megacariocitos
Interferón y	IFN-γ	Linfocitos T CD4 ⁺ , linfocitos NK	Linfocitos B, linfocitos T, linfocitos NK, neutrófilos, monocitos
Interleucina 1	IL-1	Neutrófilos, monocitos, macrófagos, células endoteliales	Linfocitos T CD4 ⁺ , linfocitos B
Interleucina 2	IL-2	Linfocitos T CD4*	Linfocitos T, linfocitos B, linfocitos NK
Interleucina 3	IL-3	Linfocitos T CD4°	PMC, PEr, PGM, PEo, PBa, PMK, todos los granulocitos, células eritroides
Interleucina 4	IL-4	Linfocitos T CD4*, mastocitos	Linfocitos B, linfocitos T, mestocitos
Interieucina 5	IL-5	Linfocitos T CD4+	PEo, eosinófilos, linfocitos B
Interleucina 6	IL-6	Células endoteliales, neutrófilos, macrófagos, linfocitos T, adipocitos, osteoblastos	PMC, PEr, PGM, linfocitos B, linfo- citos T, macrófagos, hepatocitos, osteocitos, osteoclastos, adipocitos
Interleucina 7	IL-7	Células adventicias de la médula ósea	Linfocitos pre-B y pre-T iniciales
Interleucina 8	IL-8	Macrófagos, células endote la les	Linfocitos T, neutróf los
Interleucina 9	IL-9	Linfocitos T CD4*	Linfocitos T CD4*, PMC, PEr
Interleucina 10	IL-10	Macrófagos, linfocitos T	Linfocitos I, linfocitos B, linfocitos NK
Interleucina 11	IL-17	Macrófagos	PMC, PEr, PGM, linfocitos T, linfocitos B, macrófagos, megacariocitos
Interleucina 12	IL-12	Macrófagos, células dendríticas, linfo- citos B	Linfocitos T
Interieucina 13	IL-13	Linfocitos T	Linfocitos B

"Las citocinas hematopoyéticas indiuyen factores est mulantes de coion as iCSF coiony stimulating factors) interieucinas y factores inhibidores. Casi todas son giucoprote has con una cadena poi peptidica básica de alrededor de 20 kDa. Práct camente todas actuan sobre las céluias madre progen toras, celuias progenitoras restingidas en cuanto a linaje, ce uias predestinadas, céluias en proceso de maduración y céluias maduras. En consecuencia las dianas que se mencionan en esta tabla son más bien líneas celulares que células individuales.

PBa, progenitor basófilo. PEo. progenitor de eosinófilo. PEr progenitor predestinado a convertirse en entrocito, PGM progenitor de granulocito/ monocito. PMC célula progenitor de mieloide comun. PME progenitor de megacariocito/eritrocito, PMK, progenitor de monocito. NK, citolítico natural.

la linfopoyesis en los seres humanos. Los miembros de la familia ficaro de factores de transcripción desempeñan un papel importante en la diferenciación de las CMH plumpotenciales en las células progenitoras linfoides comunes (PLC). La diferenciación de las PLC se resume a continuación:

- Los linfocitos T derivan de la progenie de las PLC que expresan
 el factor de transcripcion GATA-3. Estas células salen de la médula ósea como linfocitos pre-T y se dirigen al timo, donde
 completan su diferenciación y educación tímica (véase cap. 14)
 A continuación, ingresan en la circulación como linfocitos T pequeños de vida larga.
- Los tinfocitos B derivan de las PLC en las que se han activado genes específicos para los linfocitos B por un factor de transcripción llamado Pans. Estos se desarrollan en lo que se

- conoce como órganos equivalentes de la bolsa, como la médula ósea, el tejido linfático asociado con el intestino y el bazo.
- Es muy probable que las células NK se diferencien, bajo la influencia de IL-2 e IL-15, en células pre-NK inmaduras y que, después de la adquisición de funciones efectoras de células NK (citotoxicidad y capacidad de secretar interferón), se conviertan en células NK maduras. Sin embargo, aún se desconoce mucho acerca de los factores que influyen en el desarrollo y la diferenciación de los linfocitos NK. La médula ósea es el órgano principal de producción de estas células. No obstante, algunos estudios recientes señalan que los ganglios linfáticos o el timo fetal también pueden contener células progenitoras NK. Los linfocitos constituyen hasta el 30% de todas las células nucleadas de la médula ósea. La producción y diferenciación de los linfocitos se describen con mayor detalle en el capítulo 14.

■ MÉDULA ÓSEA

La médula ósea roja se localiza dentro de los huesos, tanto en la cavidad medular de los huesos largos jóvenes como en los espacios del hueso esponjoso.

La médula ósea está compuesta por vasos sanguíneos, las umdades especializadas de vasos sanguíneos llamadas sinusoides y una red similar a una esponja de células hematopoyéticas (fig. 10-26). Los sinusoides de la médula ósea proporcionan una barrera entre el compartimento hematopoyético y la circulación periférica. En los cortes, las células hematopoyéticas parecen formar "cordones" entre sinusoides o entre sinusoides y hueso.

El sinusoide de la médula ósea roja es una unidad vascular única. Se localiza en la posición generalmente ocupada por un capilar, es decir, se interpone entre las arterías y las venas. Se piensa que deriva de vasos que han irrigado el tejido óseo cortical. Los sinusoides se originan a partir de estos vasos en la unión corticomedular. La pared sinusoide consiste en un revestimiento endotelial, una lámina basal discontinua y un recubrimiento incompleto de células adventicias. El endotelio es un epitelio plano símple.

La cétula adventicia, rambién llamada cétula reticular, envía extensiones laminares en la sustancia de los cordones hematopoyéticos, que proporcionan cierto grado de sostén a las células sanguíneas en desarrollo. Además, las células adventicias producen fibras reticulares. También actúan estimulando la diferenciación de las células de las series hematopoyéticas en los elementos formes maduros de la

sangre por la secreción de varias citocinas (p. ej., CSF, IL-5, IL-7). Cuando la hematopoyesis y el paso de las células maduras hacia los sinusoides son activos, la célula adventicia y la lámina basal son desplazadas por las células sanguíneas maduras al aproximarse al endotelio para entrar en el sinusoide desde la cavidad medular ósea.

El sistema de sinusoides de la médula ósea es una circulación cerrada; los elementos formes nuevos tienen que atravesar el endotelio para entrar en la circulación.

Conforme una célula sanguínea ya madura o la prolongación de un megacariocito empuja una célula endotelial, se comprime la membrana plasmática abluminal contra la membrana plasmática luminal hasta que ambas se fusionan, y forman así un poro transitorio de dispédesis transcelular. Los complejos cis-SNARE facilitan la fusión en ambas membranas plasmáticas endoteliales como parte de un proceso similar a la fusión de una vesícula de transporte con la membrana diana (véanse pp. 40-42). La célula migrante o la prolongación del megacariocito literalmente perfora la célula endotelial. Los poros transcelulares tienden a formarse cerca de las uniones intercelulares intactas, donde el endotelio es más delgado. Por lo tanto, la migración a través del endotelio de la médula ósea es un fenómeno transcelular y no intercelular. Cada célula de la sangre debe pasar a través de una abertura para entrar en la luz de un sinusoide. Del mismo modo, una prolongación de megacariocitos debe sobresalir a trayés de una abertura de manera que las plaquetas puedan liberarse directamente a la luz del sinusoide. El poro se contrae durante el paso transcelular, lo que mantiene la integridad de

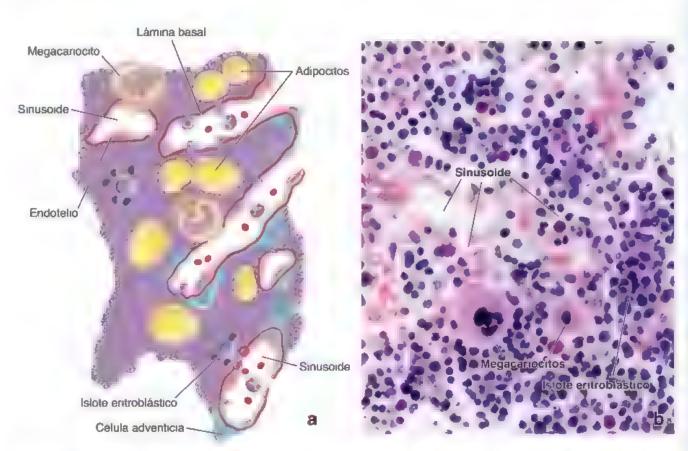


FIGURA 10-26. Médula ósea con hematopoyesis activa, a Esta representación esquemática de la médula ósea muestra los nidos entroblásticos que están produciendo entrocitos. Ios magacariocitos que están liberando plaquetas en los sinuscides las cérulas endotelia es trosal contiguas a una lamina basal vrojo oscuro) que es escasa en algunos sitios y ausente en donde las células maduras de las progen es están en los sinuscides las células adventicias o reticulares (azul) que se extienden desde la lámina basal hacia el compartimento hematopoyético y algunas células adventicias o reticulares (azul) que se extienden desde la lámina basal hacia el compartimento hematopoyético y algunas células adventicias o reticulares (azul) que se extienden desde la lámina basal hacia el compartimento hematopoyéticos activos cercanos a os sinuscides medulares 420×

la célula endotelial. Además, las interacciones entre las moléculas de adhesión de la superficie endotelial (p. ej., ICAM-1 e VICAM-1) y las integrinas de los leucocitos disminuyen la alteración sobre la barrera endotelial. El poro transcelular se cierra a medida que la célula sanguínea ha completado su paso hacia la luz del sinusoide o el proceso del megacariocito se retira.

En la médula ósoa roja activa, los cordones de las células hematopoyéticas contienen principalmente células sanguíneas en desarrollo y megacariocitos. Los cordones también contienen macrófagos, mastocitos y algunas células adiposas. Si bien los cordones de tejido hematopoyético parecen desorganizados, los tipos específicos de células sanguíneas se desarrollan en cúmulos o nidos. Cada cúmulo eritropoyético contiene un macrófago. Estos cúmulos están ubicados cerca de la pared de un sinusoide. Los megacariocitos también están localizados junto a la pared sinusoidal y emíten sus plaquetas directamente en el sinusoide a través de poros transcelulares en el endotelio. Los granulocitos se desarrollan en nidos celulares alejados de la pared sinusoidal. Cuando está maduro, el granulocito migra hacia el sinusoide y entra en la circulación.

La méduta ósea que no es activamente hematopoyética contiene sobre todo adspocitos, lo que le da el aspecto de tejido adiposo.

La médula ósea mactiva se llama médula ósea amarilla. Es la forma principal de médula ósea en la cavidad medular de los huesos del adulto que ya no son hematopoyéticamente activos, como los huesos largos de los brazos, las piernas y los dedos de manos y pies. En estos huesos, la médula ósea roja se ha sustituido completamente por grasa. Incluso en la médula ósea hematopoyéticamente activa en los seres humanos adultos, como las costillas, vértebras, pelvis y cintura escapular, alrededor de la mitad del espacio medular está ocupado por tejido adiposo y la otra mitad por tejido hematopoyético (cuadro 10-6). No obstante, la médula ósea amarilla retiene su potencialidad hematopoyética y, si es necesario, como ocurre después de una hemorragia grave, puede volver a convertirse en médula ósea roja tanto por la extensión

CUADRO 10-6

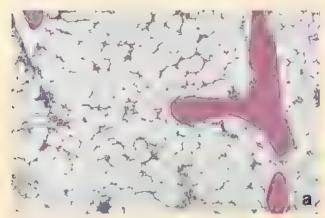
CORRELACION CLÍNICA: CELULARIDAD DE LA MÉDULA ÓSEA

La celularidad de la médula ósea es uno de los factores más importantes en la valoración de su función. Esta valoración es semicuantitativa y corresponde a la proporción de células hematopoyéticas con respecto a los adipocitos. La determinación más fidadigna de la celularidad se obtiene mediante el examen microscópico de una biopsia de médula ósea que conserva la organización medular. Los frotis no son adecuados para obtener la celularidad de la médula ósea.

Los valores de esta eva uación cambian con la edad del paciente. La ceiularidad medular ósea normal para una edad especifica se puede calcular restando la edad de una persona a 100 y sumando (para el rango mayor) o restando (para el rango menor) el 10%. Por lo tanto, la médula ósea de una persona de 30 años de edad contiene entre el 60 y 80% de las células hematopoyéticas activas (100 – 30 = 70 + 10%), en cambio, una persona de 70 años de edad está en

el intervalo del 20-40% (100 - 70 = 30 + 10%). La médula ósea con un índice normal para la edad específica se denomina *médula ósea normocelular*. La desviación de los índices normales para las edades específicas indica un cambio patológico en la médula ósea.

En la médula ósea hipocelular, que aparece en la anemia aplásica o después de la quimioterapia, la biopsia medular presenta solo una pequeña cantidad de células hematopoyéticas (fig. C10-6-1a). Por lo tanto, una persona de 50 años de edad con esta alteración podría tener un índice de celulandad medular ósea del 10-20%. En una persona de la misma edad con leucemia mieloide aguda, el índice de celulandad medular ósea podría ser del 80-90%. La médula ósea hipercelular es característica de la médula ósea afectada por tumores originados de células hematopoyéticas (fig. C10-6-1b).



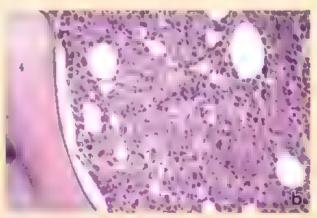


FIGURA C10-6-1. Cetularidad de la méduta ósea a Microfotografia de la méduta ósea hipocelular de una persona con anem a aplásica. La méduta ósea está compuesta principalmente por adipocitos y carece de actividad hematopoyética normal. 120X b. Esta microfotografía de un corte medutar óseo de una persona con leucemia mieloide aguda muestra una méduta hipercetutar. Obsérvese que todo e campo unto a a trabécula osea está repleto de mieloblastos muy apretados. En esta magen solo aparecen unos pocos adipocitos. 280× (reimpreso con autorización de Rubin El Gorstein Fl Schwarting Rillet al Rubinis Pathology. 4th ed. Bait more Elippincott Williams & Wilkins, 2004, Fig. 20–12, Fig. 20–54).

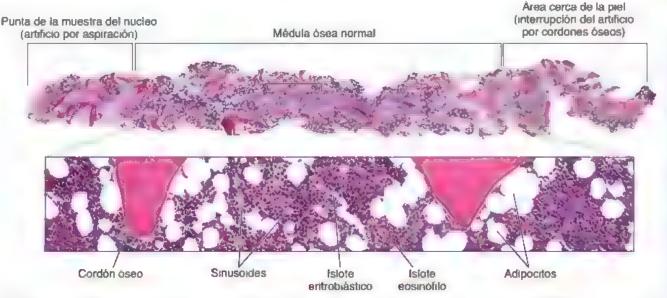


FIGURA 10-27. Muestra nuclear de una biopsia de médula ósea. En esta microfotografía de bajo aumento (arriba) se revela la fongitud completa de una muestra para biopsia del centro de una médula ósea obtenida de la parte poster or de la cresta iliaca de una mujer de 25 años de edad con antecedentes breves de fiebre, sudores nocturnos fatiga, le "cocitosis con linfocrtos siabsoluta esplenomegalia, reacción en cadena de la polimerasa "PCR polymerase chain reaction) positi va para oftemega ovirus y proliferación clonal de infocrtos T CD8*. El lado derecho de la imagen muestra la interrupción de los sias trabeculas óseas una indicación de un artificio de inserción de la aquia en el área cercana a la superficie de la piet El area mas ciara y eosinófila cerca de la punta de la muestra de nucleo sin patron de medula ósea evidente corresponde al artificio por aspiración 12%. La microfotografía (abajo) muestra un mayor aumento de area indicada por el rectángulo superior. La medula ósea en este par ente parece ser normocelurar (70% de celular dad) con hematopoyesis norma (véase cuadro 10-6 para una explicación de la celular dad) con hematopoyesis norma (véase cuadro 10-6 para una explicación de la celular dad) con hematopoyesis norma (véase cuadro 10-6 para una explicación de la celular dad) con hematopoyesis norma (véase cuadro 10-6 para una explicación de la celular dad) con hematopoyesis norma (véase cuadro 10-6 para una explicación de la celular dad) con hematopoyesis norma (véase cuadro 10-6 para una explicación de la celular dad) con hematopoyesis norma (véase cuadro 10-6 para una explicación de la celular dad) con hematopoyesis norma (véase cuadro 10-6 para una explicación de la celular dad) con hematopoyesis norma (véase cuadro 10-6 para una explicación de la celular dad) con hematopoyesis norma (véase cuadro 10-6 para una explicación de la celular dad) con hematopoyesis norma (véase cuadro 10-6 para una explicación de la celular dad) con hematopoyesis norma (véase cuadro 10-6 para una explicación de la celular da

del tejido hematopoyético hacia la médula amarilla como por la repoblación de esta con células madre circulantes.

El examen de médula ósea es esencial para el diagnóstico y el tratamiento de muchas alteraciones sanguíneas y medulares.

El examen de aspirado medular y la biopsia con aguja gruesa de la médula ósea es esencial para el diagnóstico de alteraciones medulares. Ambos métodos son complementarios y proporcionan una valoración completa de la médula ósea. Las indicaciones para el examen de médula ósea incluyen anemia inexplicable (recuento bajo de eritrocitos), morfología anómala en el frotis sanguíneo periférica, diagnóstico y estadificación de enfermedades malignas hemáticas (leucemia) y metastasis sospechosa de médula osea Por lo general, el diagnostico definitivo se basa en una combinacion de hallazgos clínicos y varios procedimientos de diagnóstico, incluyendo análisis de sangre periférica, aspirado de médula ósea y biopsia con aguja gruesa y otras pruebas específicas (p. ej., inmunofenotipificación, estudios genéticos moleculares).

En la aspiración de medula óses se inserta una aguja a través de la piel hasta que penetra en el hueso. El sitto anatómico prefe-

rido para una biopsia medular es la parte posterior de la cresta díaca (hueso de la cadera). Se obtiene una pequeña cantidad de médula ósea mediante la aplicación de presión negativa con una jeringa conectada a la aguja. El aspirado se extiende entonces como un preparado en un portaobjetos de vidrio y la muestra se examina con el microscopio para determinar la morfología celular individual. En la biopsia del núcleo de la medula ósea se obnene médula ósea intacta para el análisis de laboratorio. Por lo general, se hace una pequeña incisión en la piel para permitir que la aguja pase al hueso. La aguja para biopsia avanza a través del hueso con un movimiento de rotación (similar al movimiento del sacacorchos a través del corcho). y después se retira junto con una pequeña pieza sólida de médula ósea en su interior. Después de retirarse la aguja, se extrae la muestra nuclear y se procesa para la elaboración de preparados de rutina con H&E. La muestra de núcleo para biopsia obtenida mediante este procedimiento sirve para el análisis de la arquitectura de la médula ósea (fig. 10-27). Suele utilizarse para diagnosticar y determinar los estadios de diferentes tipos de câncer y supervisar los resultados de la quimioterapia.



TEJIDO SANGUÍNEO

FUNDAMENTOS DE LA SANGRE

- La sangre es un tendo conjuntivo liquido que circula a través del sistema cardiovascular lista compuesta por una matriz extracelular liquida abundante en proteínas, llamada plasma, y elementos celulares (leucocitos, entrocitos y trombocitos).
- El volumen de eritrocitos en el total de la sangre se llama hematócrito; el hematócrito es de alrededor del 45% en los hombres y las mujeres.
- Los leucocitos constituyen el 1% del volumen sanguineo

PLASMA

- Las principales proteinas plasmáticas son la albumina (responsable de la presión osmotica coloidal), las globulinas (incluyendo inmunoglobulinas y globulinas no inmunitarias) y el fibrinógeno (que interviene en la coagulación de la sangre). La mayoria de las proteínas plasmáticas son secretadas por el hígado.
- El suero es el plasma sanguíneo del que se han eliminado los factores de coagulación.

ERITROCITOS

- Los eritrocitos son discos biconcavos anucleados (de 7 8 µm de diametro) que están llenos de hemoglobina y diseñados para soportar las fuerzas de cizallamiento experimentadas durante la circulación. Su expectativa de vida es de unos 120 días.
- La hemoglobina es una proteina especializada que se compone de cuatro cadenas de globinas con grupos hemo que contienen hierro para la unión, el transporte y la liberación de O2 y CO2.
- Hay tres tipos principales de hemoglobina en los seres humanos adultos: HbA (=96% del total de hemoglobina), HbA₂ (~3%) y HbF (> 1%, pero abundante en el feto).

LEUCOCITOS

- Los leucocitos se subclasifican en dos grupos de acuerdo con la presencia o ausencia de gránulos especificos en el citoplasma: granulocitos (neutrófilos, eosinofilos, basófilos) o agranulocitos (linfocitos, monocitos).
- Los neutrofilos (47-67% del total de leucocitos) tienen nucleos polimorfos multilobulados. Sus granulos específicos contienen diversas enzimas, activadores del complemento y peptidos antimicrobianos (lisozima, lactoferima) para la destrucción de microorganismos en los sitios de inflamación.
- Los neutrofilos abandonan la circulación a través de las vénulas poscapilares en un proceso de reconocimiento celular neutrofilo-endotellal. Ello implica la presencia de moleculas de adhesion celular (selectinas e integrinas) y la posterior diapédesis (migración transendotellal) de los neutrófilos.
- Los eosinofilos (1-4% del total de leucocitos) tienen nucleo bilobulado y granulos eosinofilos específicos que contienen
 proteinas que son citotóxicas para las protozoos y los helmintos. Los eosinófilos se relacionan con reacciones alérgicas, infecciones parasitarias e inflamación ciónica.
- Los basófilos (< 0.5% del total leucocitos) tienen nucleos lobulados irregulares cubiertos por grandes gránulos basófilos
 especificos, que contienen heparina, histamina, heparan-sulfato y leucotrienos. Estas sustancias desempeñan un papel importante en las reacciones alérgicas y las inflamaciones crónicas.
- Los linfocitos (26-28% del total de leucocitos) son las principales células funcionales del sistema inmunitario. Varian en tamaño y tienen núcleos esferoideos densos rodeados por un borde delgado de citoplasma.
- Hay tres tipos principales de linfocitos. linfocitos T (participan en la inmunidad mediada por células), linfocitos B (producen anticuerpos) y células citolíticas naturales (NK) (programadas para matar cierras celulas infectadas por virus y cancerosas).
- Los monocitos (3-9% del total de leucocitos) tienen núcleos escotados. Después de la migración desde el sistema vascular, se transforman en macrofagos y otras celulas del sistema fagocítico mononiclear. Funcionan como celulas presentadoras de antígenos en el sistema immunitario.

TROMBOCITOS (PLAQUETAS)

- Los trombocitos son pequeños fragmentos citoplasmáticos anucleados delimitados por membrana derivados de megacariocitos.
- Se dividen en cuatro zonas (periférica, estructural, organulos y membrana) según su organización y función.

FORMACION DE LAS CELULAS DE LA SANGRE (HEMATOPOYESIS)

- La hematopoyesis inicia durante el desarrollo embrionario temprano e incluye la eritropoyesis (formación de eritrocitos), leucopoyesis (formación de leucocitos) y trombopoyesis (formación de plaquetas)
- En los adultos, las células madre hematopoyeticas (CMH) residen en la médula ósea Bajo la influencia de citocinas y factores de crecimiento, se diferencian en células progenitoras mieloides comunes (PMC), que dan origen a megacariocitos, entrocitos, neutrofilos, eosinofilos, basófilos o mastocitos y monocitos, y células progenitoras linfoides comunes (PLC), que dan origen a linfocitos T, linfocitos B y linfocitos NK.
- Durante la eritropoyesis, los entrocitos evalucionan de proeritroblastos y basófilos, eritroblastos policromófilos y ortopolicromófilos en eritrocitos policromófilos y maduros.
- Los eritrocitos en desarrollo se hacen mas pequeños, cambian su apanencia citoplasmática (de azul a rojo) debido a una intensa acumulación de hemoglobina y extruyen sus núcleos.
- En la trombopoyesis, los trombocitos (plaquetas) son producidos en la medula osea por megacariocitos (celulas poliploides grandes de la medula ósea roja) que se desarrollaron a partir de los mismos citoblastos PMC, como los entroblastos.
- En la granulocitopoyesis, los granulocitos se originan a partir de la celula madre PMC, que se diferencia en progenitores de granulocitos/monocitos (PGM). Los citoblastos PMC también originan monocitos.
- Las células progenitoras de neutrófilos (PNe) atraviesan seu erapas morfológicamente identificables en el desarrollo
 mieloblastos, promielocito, mielocito (el primero en exhibir gránulos especificos), metamielocito, células en banda
 (inmaduras) y neutrofilos maduros. El desarrollo de otros granulocitos sigue un camino similar.
- En la linfopoyesis, los linfocitos se desarrollan a partir de células madre PLC y dependen de la expresión de factores de transcripción específicos. Se diferencian en la médula ósea y otros tejidos linfáticos.

MEDULA ÓSEA

- La médula ósea roja contiene cordones de células hematopoyeticas activas que se encuentran dentro de la cavidad medular en los niños y en los espacios de hueso esponjoso en los adultos.
- La medula osea contiene vasos sanguineos especializados (sinusoidos) en los cuales se liberan las oflulas y plaquetas neodesarrolladas de la sangre.
- La medula ósea inactiva para la hematopoyesis contiene predominantemente células de rejido adiposo y se denomina médula ósea amarilla.

LÁMINA 17 ERITROCITOS Y GRANULOCITOS

La sangre se considera un tejido conjuntivo líquido y se compone de elementos celulares y plasma. Los eritrocitos, los leucocitos y los trombocitos (plaquetas) constituyen los elementos celulares. En conjunto, representan el 45% del volumen sanguineo. Los eritrocitos transportan e intercambian el oxigeno y el dióxido de carbono. Constituyen el 99% de las celulas sanguineas. Los leucocitos se clasifican como agranulocitos y granulocitos. Los agranulocitos se subclasifican como linfocitos y monocitos. Los granulocitos, denominados así por el contenido de los gránulos en su citoplasma, incluyen a los neutrófilos, los eosinofilos y los basofilos. Cada tipo de leucocito tiene una función específica en la respuesta inmunitaria y defensiva del organismo. Por lo general, abandonan la circulación y se introducen en el tendo conjuntivo para realizar su función específica. En cambio, los entrocitos solo funcionan dentro del sistema vascular. Las plaquetas son responsables de la hemostasia. Por lo tanto, desempenan un papel esencial en los casos de lesión a los vasos pequeños.

Los frotis sanguineo se utilizan para el examen con microscopio y la identificación de las cantidades relativas de leucocitos circulantes. El frotis sanguineo se prepara colocando una pequeña gota de sangre en un portaobjetos de vidrio que después se extiende a través de la corredera con el borde de otro portaobjetos. Si se realiza de forma correcta, este método proporciona una capa uniforme individual de elementos formes de la sangre que se seca al aire y luego se tine. Por lo general, se utiliza la tinción de Wright, una modificación de la técnica de Romanovsky. En el análisis de la muestra con el microscopio, es util emplear poco aumento para encontrar áreas en las que las células de la sangre tienen una distribución uniforme, como la que se observa en el frotis de la página siguiente. Una vez logrado esto, al cambiar a un aumento mayor, se pueden identificar los distintos tipos de leucocitos y, de hecho, determinar la cantidad relativa de cada tipo de célula. Un recuento de leucocitos normal es como sigue: neutrófilos, 48.6-66.7%; eosinofilos, 1.4-4.8%; basófilos, 0-0.3%; linfocitos, 25.7-27.6%; y monocitos, 8.6-9.0%.



Frotis sanguineo, humano, tinción de Wright, 200×.

Esta microfotografia con poco aumento muestra parte de un frotis sanguíneo en el que las células se distribuyen de manera uniforme La gran mayoría de las células son **eritrocitos**. Debido a su forma bicóncava, la mayoría de los eritrocitos aparecen con forma de rosquilla. Se observan dos leucocitos, ambos granulocitos. Un granulocito es un **neutrófilo** (N), el otro es un **eosinófilo** (E). Sin embargo, con este aumento, la principal característica diferencial se encuentra en la tinción de su cuoplasma. Un aumento mayor, como en las imágenes siguientes, permite una caracterización más precisa del tipo de célula.



Neutrofilos, frotis sanguíneo, humano, tino on de Wright, 2 200 ·

Los **neutrófilos** muestran variamones en el tamaño y la morfulogia nuclear que están relacionadas con la edad de la célula. La microfotografía de la *taquienla* muestra el núcleo de un neutrófilo que

acaba de pasar la etapa de cayado y ha entrado recientemente en la circulación. La célula es relativamente pequeña, su circulasma revela gránulos finos distintivos. El neusrófilo en la microfotografía del *medio* es considerablemente más grande y

su citoplasma contiene gránulos más finos. El núcleo todavia presenta forma de "U", pero en varios sitios la lobulación (flechas) es cada vez más evidente por la constricción del núcleo. El neutrófilo en la microfotografía de la derecha muestra una mayor madurez en virtud de su lobulación muy distintiva. Aquí, los lóbulos están conectados por "puentes" nucleares muy delgados. Una característica muy distintiva asociada con el núcleo de esta célula es la presencia de un cuerpo de Bart (flecha), el cual indica que la sangre se ha extraído de una mujer.



Eosinófilos, frotis sanguineo, humano, tinción de Wright, 2200×.

Los eosinófilos observados en estas microfotografías representan etapas de madurez diferentes. El eosinófilo en la microfotografía de la tequienda es relativamente pequeño y está empezando

a mostrar lobulación. El citoplasma está casi totalmente lleno de gránulos eosinófilos, que caracterizan a este tipo de célula. Es probable que la región menos renida, desprovista de gránulos, corresponda al sitio del aparato de Golgi (flecha) El eosinofilo que se muestra en la microfotografia del centro es más grande y su núcleo está ahora distintivamente bilobalado. En un sitio se observan tres gránulos definidos (flechas). Debe notarse su forma esferoidea y su tamaño relativamente uniforme. El eosinófilo de la microfotografía de la derecha es más maduro y exhibe por lo menos tres lóbulos. Cuando se juega con el ajuste del foco, los gránulos de los eosinófilos a menudo adquieren un brillo debido a su estructura cristalma.



Basófilos, frotis sanguíneo, humano, tinción de Wright, 2200×.

Las células que se muestran aquí son **basófilos** y también representan diferentes etapas de maduración. El basófilo de la microfoxografía de la *tequenda* es relativamente joven y pequeño. Los

granulos de los basófilos son variables en tamaño y tienden a oscutecer la morfología del núcleo. Además, son menos abundantes que los gránulos del eosinofilo. El núcleo del basofilo de la microfotografía del medio parece bilobulado, pero los gránulos que se encuentran sobre el nucleo de nuevo tienden a ocultar la forma precisa. Es probable que el basófilo de la microfotografía de la derecha sea más maduro. Los gránulos ocultan casí en su rotalidad la forma nuclear. Unas pocas plaquetas de la sangre (puntas de flecha) se ven en varias de las microfotografías. Por lo general, aparecen como pequeños cuerpos de forma irregular,

E. eosmófilo

N, neutrófilo

puntas de flecha, plaquetas

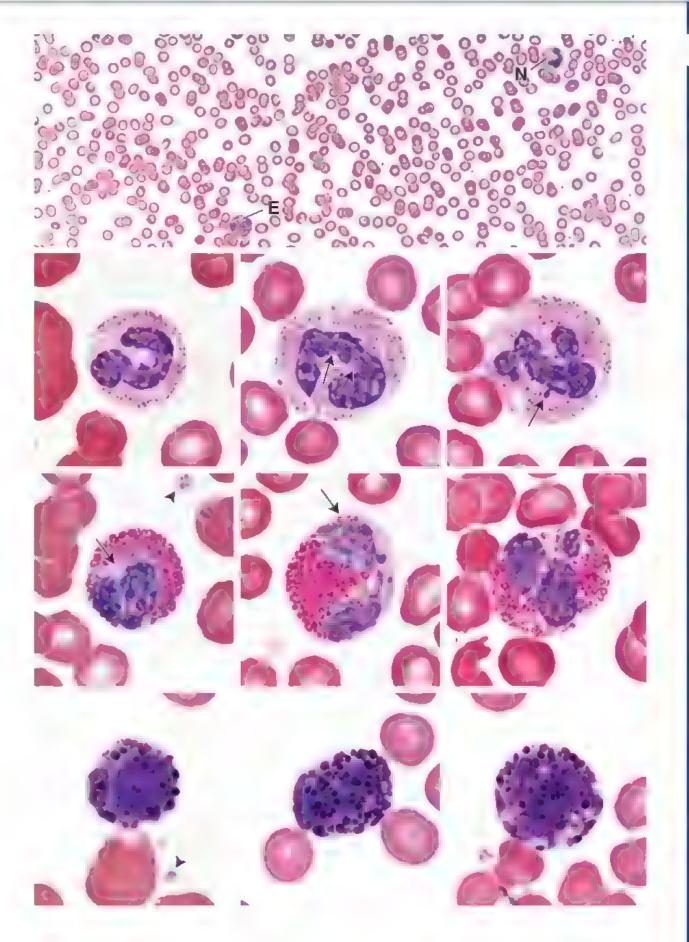


LÁMINA 18 - AGRANULOCITOS Y MÉDULA ÓSEA ROJA

Linfocitos frot s sangu neo, humano, tinción de Wright, 2150×.

Los **linfocitos** que se muestran aqui varían en tamaño, pero cada uno representa una célula madura. Los linfocitos circulantes se describen generalmente como pequeños, medianos y grandes. En la

microfotografía de la izquierda se muestra un linfocito pequeño. Las dimensiones de los linfocitos de esta categoría oscilan entre 7 y 9 µm. En la microfotogra-

fia de la derecha se ve un linfocito de gran tamaño. Estas ofiulas pueden medir hasta 16 µm. El linfocito en la microfotografia central es de tamaño intermedio. La diferencia de tamaño se puede atribuir principalmente a la canndad de ci-toplasma presente. Sin embargo, el núcleo también contribuye al tamaño de la célula, pero en un grado menor. En los recuentos diferenciales, el tamaño de los linfocitos no se tiene en cuenta. En la unagen de la azquienda pueden observarse dos plaquetas (flechar)



Monocitos, frotis sanguineo, humano, tinción de Wright, 2150×.

Los leucucitos en estos paneles son **monocitos** maduros. Su samaño varía aprimimadamente de 13 a 20 µm, con la mayor parte en la parte superior del rango. El núcleo muestra el rasgo más caracteristico del monocito, a saber, una escotadura, que a veces es tan promunente que presenta una forma de "U", como se aprecia en la microfotografia de la derecha. El citoplasma es débulmente basófilo. Los pequeños gránulos azurófilos (lisosomas) también son característicos del citoplasma y son similares a los observados en los neutrófilos. Las plaquetas (flechai) están presentes en las microfotografías de la izquienda y del medio.



Frotis de medula ósea, humano, Giemsa, 180 ×.

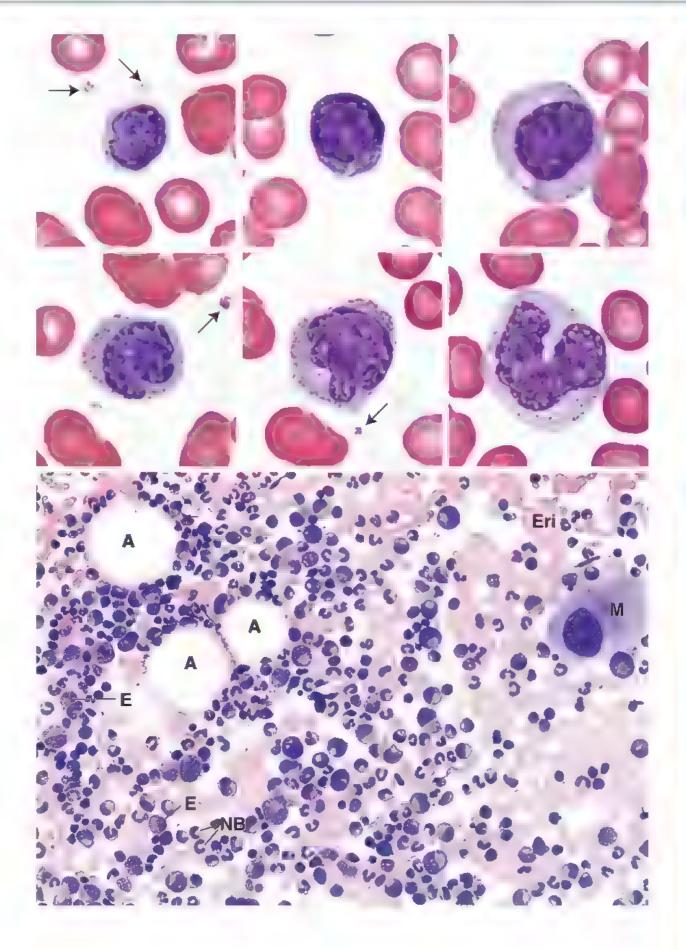
Esta microfotografia de bajo aumento muestra un **frotis de médula ósea**. Este tipo de preparación permite el estudio de los leucocitos y los eritrocisos en desarrollo. Un frotis de médula

ósea se realiza de una manera similar a la de un frotis de sangre periférica. Una innestra de médula ósea se aspira de un hueso, se coloca en un portaobjetos y se extiende como una monocapa fina de células. Una amplia variedad de tipos de células están presentes en el frotis de médula ósea. La mayoría de las células son granulocitos y eritrocitos en desarrollo. También hay entrocitos (Eri) maduros en gran cantidad. Se identifican fácilmente por su falta de núcleo y su tinción cosinófila. A menudo, entremezclados con los eritrocitos hay grupos pequeños de reticulocitos. Estos son los eritrocitos muy jóvenes que contienen ribosomas residuales en su ciroplasma. La presencia de los ribosomas altera levemente el

color de los reticulocitos, lo que les otorga una coloración azul apenas perceptible en comparación con el eritrocito eosmófilo maduro. Los reticulocitos se distinguen mejor con grandes aumentos. Además, los adipocitos (A) se encuentran en cannidades variables. En muestras como escas, el contenido de lípidos se pierde durante la preparación y el reconocimiento de la oélula se basa en un espacio circular claro o sin teñis. Otra célula grande que generalmente está presente es el megacariocito (M). Es la célula productora de plaquetas. El megacariocito es una célula poluplos de que revela un núcleo grande de contorno irregular.

Con este escaso aumento, es dificil distinguir las erapas anteriores de les tipos de células en desarrollo. Sin embargo, los ejemplos de cada erapa de desarrollo en ambas lineas celulares se presentan en las siguientes láminas. En cambio, muchas células en su erapa avanzada de desarrollo, particularmente en la serie de granulocitos, pueden identificarse con algun grado de oerreza con poco aumento. Por ejemplo, algunos **neutrófilos** en bandas (NB) y **eosinófilos** jóvenes (F) pueden ser identificados por sus caractensticas de morfologia y tinción.

A, adipocitos E, eosinófilos Eri, entrocitos M, megacanocito NB, neutrófilos en banda flechas, plaquetas



E, entrocitos

LÁMINA 19 ERITROPOYESIS

La eritropoyesis es el proceso por el cual, en condiciones normales, la concentración de eritrocitos en la sangre periférica se mantiene en un estado de equilibrio. La estimulación de los citoblastos entroides (PEr o UFC-E) por la acción hormonal causa una proliferación de células precursoras que experimentan diferenciación y maduración en la médula ósea. El precursor entrocitico identificable de manera más temprana as el proeritroblasto. Estas cálulas carecen de hemoglobina. Su citoplasma es basófilo y el núcleo exhibe una estructura de cromatina densa y varios nucléolos. El aparato de Golgi, cuando es evidente, aparece como una región pálida. El eritroblasto basófilo es más pequeño que el procritroblasto, del cual deriva después de la división mitótica. Su nucleo es más pequeno. El citoplasma tiene una basofilia intensa debido a la cantidad creciente de ribosomas que intervienen en la síntesis de hemoglobina. La acumulación de hemoglobina en la célula cambia gradualmente la reacción de tinción del citoplasma, de modo que comienza a teritrse con la eosina. La presencia de hemoglobina en la célula, identificable por su tinción, indica la transición celular a la etapa de eritroblasto policromófilo. En la parte inicial de esta etapa, el citoplasma

puede presentar un color azul grisáceo. Con el tiempo, se sintetiza una cantidad cada vez mayor de hemoglobina y, de forma concomitante, disminuye la cantidad de ribosomas. El nucleo del eritroblasto policromófilo es más pequeño que el del eritroblasto basófilo y la cromatina es mucho más gruesa. Al final de esta etapa, el núcleo se ha reducido bastante y el citoplasma se ha tornado más eosinófilo. Esta es la última etapa en la que se produce la mitosis. La siguiente etapa definible es la del aritroblasto ortocromófilo, también llamado normoblasto. Su núcleo es más pequeño que el de etapas anteriores y está muy condensado. El citoplasma es considerablemente menos azul y tiende a una coloración rosa o eosinófila. Solo es apenas más grande que un eritrocito maduro. En esta etapa, ya no es capaz de dividirse. En la siguiente etapa, el entrocito policiomófilo, con mayor frecuencia llamado reticulocito, ha perdido su núcleo y está listo para pasar a los sinusordes sangumeos de la médula ósea roja. Algunos ribosomas que todavía pueden sintetizar hemoglobina están. presentes en la célula. Estos ribosomas crean una basofilia muy leve en la célula. La comparación de esta célula con los eritrocitos maduros tipicos en el frotis de médula ósea revela una ligera diferencia en la coloración.

N, nucléolos

Proeritroblasto, frotis de medula osea, humano, Giernsa, 2200×. El proeritroblasto que se muestra aqui es una célula grande, más grande que las células que siguen en el proceso de desarrollo.	Obsérvese el gran tamaño del núcleo que ocupa la mayor parte del volumen celular. Varios nucléolos (N) son evidentes. El citoplasma es basófilo. La división de esta célula genera el eritroblasto basófilo.
Eritroblasto basófilo, frotís de médula ósea, humano, Giemsa, 2200×. El eritroblasto basófilo que se muestra aquí es más pequeño que se predecesor. La relación nucleo:citoplasma ha disminuido. El	citoplasma más abundante es intensamente basófilo en comparación con el del proefitroblasto. Por lo general, no se ven nucléolos. Conforme continúa la maduración, la célula disminiye de tamaño.
Eritroblasto policromófilo, frotis de médula osea, humano, Giernsa, 2200×. En esta microfotografía se ven dos aritroblastos policromófilos. La célula más grande y menos madura presenta grumos gruesos de cromanna. El citoplasma es basófilo, pero su color es	considerablemente más claro que el del eritroblasto basófilo. En el citoplasma también se comprueba un poco de eosinofilia, la cual indica síntesis de hemoglobina. La célula más pequeña corresponde a una etapa más tardía de un eritroblasto policromófilo. Obsérvese cuánto más densa aparece la cromatina y cuánto más pequeño se ha tortiado el núcleo. Asimismo, el citoplasma ahora tiende a ser eosinofilo. No obstante, todavia se ve algo de basofilia
Eritroblasto policromófilo, frotis de médula ósea, humano, Giernsa, 2200×. En esta microfotografía se ven dos eritroblastos ortocromófilos . Sus núcleos se han tomado aún más pequeñas y su	tinción es densa y compacta. El citoplasma es predominantemente eosinófilo; sin embargo, todavía conserva cierto grado de basofilia. En general, la célula es apenas mayor que un eritrocito maduro. En esta etapa la célula ya no es capaz de dividurse.
Eritrocito policromófilo, frotis de médula ósea, humano, Giemsa, 2200×. En esta aucrofosografía se ve un eritrocito policromófilo (EP). Su núcleo se ha eliminado y el citoplasma presenta una basofilia leve. En la proximidad hay varios eritrocitos madu-	FOS (E). Debe compararse la coloración del eritrocito policromófilo con la de los entrocitos maduros. Los eritrocitos policromófilos también pueden identificarse fácilmente con tinciones especiales que hacen que los ribosomas residuales en el citoplasma se agrupen y formen un reticulo visible; por lo tanto, el eritrocito policromófilo suele recibir el nombre de reticulocito.

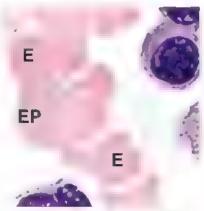
EP, entrocito policromófilo



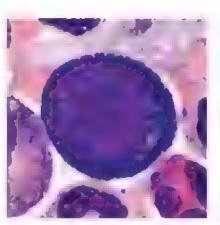
Proeritroblasto (pronormoblasto)



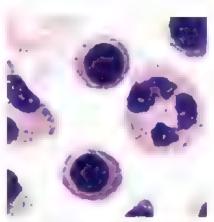
Eritroblasto policromófilo (normoblasto policromófilo)



Entrocito policromófilo (reticulocito)



Eritroblasto basófilo (normoblasto basófilo)



Eritroblasto ortocromófilo (normoblasto)

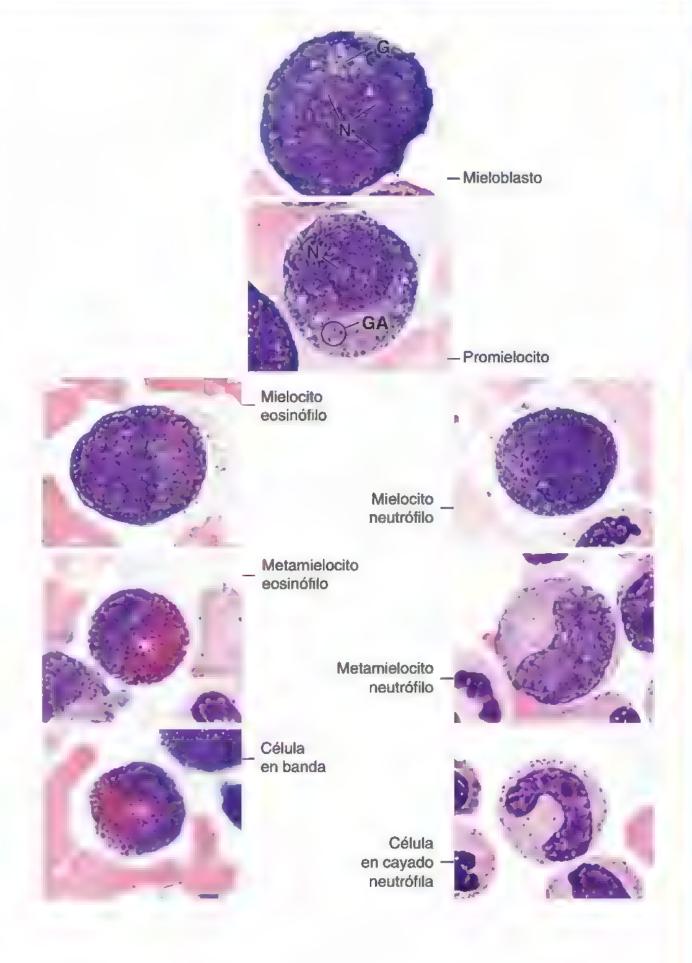
LÁMINA 20 GRANULOCITOPOYESIS

La granulocitopoyesis es el proceso por el cual los granulocitos (neutrófilos, eosmóñios y basófilos) se diferencian y maduran en la médula ósea. La etapa identificable más temprana es la de mieloblastos, a la cual le siguen de forma consecutiva las etapas de promielocito, mielocito, metamielocito, célula en cayado y, finalmente, granulocito maduro. No es posible diferenciar morfologicamente los precursores eosinófilos, basófilos o neutrófilos hasta la etapa de mielocito, cuando aparecen los gránulos específicos característicos de cada tipo de célula. Las células del linaje de basófilos son extremadamente dificiles de localizar en un frotis de médula ósea debido a la cantidad minima de estas células en la médula

El mieloblasto se caracteriza por un núcleo esferoideo, eucromático y grande con tres a cinco nucléolos. La célula mide 14-20 µm de diámetro. El citoplasma es intensamente basofilo. La presencia de una región pálida o poco teñida indica un aparato de Golgi. El promielocito presenta una gama de tamaño similar: 15-21 µm; en su núcleo hay nucleolos. El citoplasma del promielocito se tiñe de manera similar al del mioblasto, pero se distingue por la presencia de grandes. granulos azurófilos o primanos de color negro azulado, tam-

bién llamados gránulos inespecíficos. El mielocito oscila entre 16 y 24 µm. Su cromatina está más condensada que la de su precursor y los nucléolos están ausentes. El citoplasma del mielocito neutrofilo se caracteriza por gránulos específicos pequenos de color rosa a rojo y algunos gránulos azurófilos. El linaje eosinófilo tiene un núcleo de aspecto similar, pero sus gránulos específicos son grandes. El metamielocito oscila entre 12 y 18 um. La relación nucleo:citoplasma se reduce más y el núcleo adopta una forma arriñonada. En esta etapa hay pocos gránulos azurófilos en las células y hay un predominio de pequenos gránulos específicos. entre rosado y rojo. El metamielocito eosinófilo muestra un aumento en la cantidad de gránulos específicos en comparación con el metamielocito neutrófilo. Las células en banda son de tamano aún menor: 9-15 um. La cromatina del nucleo presenta una condensación adicional y tiene una forma de herradura. En la célula en cayado neutrófila, los pequenos gránulos específicos, entre rosado y rojo, son el unico tipo de gránulo presente. La célula en banda eosinófila muestra poco o ningun cambio con respecto a los gránulos específicos, pero el nucleo presenta una forma armñonada. Los granulocitos maduros se muestran en la lámina 17.

	Giernsa, 22002 Li meloblasto que se con una región más el	Mieloblasto, frotis de médula ósea, humano, Giernsa, 2200×. El meloblasto que se muestra aque tiene un etroplasma azu oscuro con una región más clara que corresponde al aparato de Golgi (G). El núcleo es redondo. Varios nucléolos (N) son evidentes.	
	Giemsa, 2200	un núcleo redono es basofilo y contic	ula ósea, humano, lo con uno o más nucléo- ne gránulos azurófilos (GA) do.
0	Mielocito eosinofilo, frotis de medula óso humano, Giernsa, 2200×. El mielocito eosinofilo muestra un núcleo igual al del mielo neutrófilo. Sin embargo, el ciroplasma contiene granulos especió grandes caracteristicos de los eosinófilos, pero en menor cantida	cito	Mielocito neutrofilo, frotis de medula osea, humano, Giernsa, 2200×. El mielocito neutrofilo conserva el nucleo redondo, pero ya no hay nucleolos. El ciroplasma contiene granulos específicos pequeños de color rosado a rojo.
•	Metarnielocito eosinofilo, frotis de medu ósea, humano, Giernsa, 2200×. El metarnielocito eosinofilo exhibe un núcleo artiñonado o forma de haba. El cicoplasma muestra gran cantidad de grán eosinofilos característicos que están presentes en todo el ciroplas	con ulos	Metamielocito neutrofilo, frotis de medula ósea, hurnano, Giemsa, 2200×. El metam electro neutrofilo difiere de su precursor por la presencia de un múcleo en forma de ritión o baba. En el citoplasma, ahora se observan pequeños granulos específicos, entre rosado y rojo, y gun gránulo azurófilo.
	Celula eosínofila en banda, frotis de médula ósea, humano, Giemsa, 2200×. La célula en cayado cosmofila presenta un núcleo en forma de he dura. Su citoplasma está lleno de gránulos eosinófilos.	2	Celula neutrófila en banda, frotis de médula ósea, humano, Giemsa, 2200×. La célula neutrófila en banda o neutrófilo no segmentado poser un nucleo en forma de herradura y un citoplasma con abundantes granulos específicos pequeños de rojo a rosado.
G an	arato da Golgo	z. rófilos	N nuclánios



TEJIDO MUSCULAR

FUNDAMENTOS Y CLASIFICACIÓN DEL MÚSCULO / 336 MÚSCULO ESQUELÉTICO / 337

Miofibrillas y miofilamentos / 339
Ciclo de los puentes transversales
de actomiosina / 345
Regulación de la contracción muscular / 347
Inervación motora / 348
Inervación sensitiva / 351
Histogénesis, reparación, cicatrización
y renovación / 352

MÚSCULO CARDÍACO / 354

Estructura del músculo cardíaco / 354 Lesión y reparación / 358

■ FUNDAMENTOS Y CLASIFICACIÓN DEL MÚSCULO

El tejido muscular tiene a su cargo el movimiento del cuerpo, así como los cambios en el tamaño y la forma de los órganos internos. Este tejido se caracteriza por acumulaciones de células alargadas especializadas dispuestas en haces paralelos que cumplen la función principal de contracción (fig. 11-1).

La interacción del miofilamento es la causa de la contracción de las celulas musculares.

Dos tipos de miofilamentos se asocian con la contracción celular

- Los fitamentos delgados (6-8 nm de diámetro, 1.0 µm de largo) están compuestos principalmente por la proteína ectina. Cada filamento delgado de actina filamentosa (actina F) es un polímero formado sobre todo por moléculas de actina globular (actina G).
- Los filamentos gruesos (~15 nm de diámetro, 1.5 µm de largo) están compuestos principalmente por la proteína miosina N. Cada filamento grueso consiste en 200-300 moléculas de miosina II. Las largas porciones de la cola con forma de bastón de cada molécula se aglomeran de manera regular paralela pero escalonada, mientras que las partes correspondientes a las cabezas se proyectan hacía afuera según un patrón helicoidal regular.

Los dos tipos de miofilamento ocupan casi todo el citoplasma, que en las células musculares también recibe el nombre de sarcoplasma (gr. sarcas, carne: plasma, objeto con forma). Las células musculares (miocitos) contienen una gran cantidad de filamentos contráctiles alneados que las células utilizan con el único propósito de crear trabajo

MÚSCULO LISO / 358

Estructura del musculo liso / 359
Aspectos funcionales del músculo liso / 363
Renovación, reparación y diferenciación / 364
Cuadro 11-1 Consideraciones funcionales:
metabolismo muscular e isquemia / 342
Cuadro 11-2 Correlación clínica: distrofias
musculares. Distrofina y proteínas asociadas /

Cuadro 11-3 Correlación clínica: miastenia grave / 350

Cuadro 11-4 Consideraciones funcionales: comparación entre los tres tipos de músculo / 364

HISTOLOGIA 101 / 366



mecánico. La actina y la miosma también están presentes en la mayoría de los otros tipos celulares (aunque en cantidades considerablemente menores), donde cumplen una función en actividades celulares como la citocinesis, la exocitosis y la migración celular.

El músculo se clasifica en función del aspecto de las células contractiles.

Existen dos tipos de músculo:

- Musculo estriado. En este músculo, las células exhiben estriaciones transversales visibles con el microscopio electrónico.
- Musculo tiso. Este tipo de músculo tiene células que no presentan estriaciones transversales.

El tejido muscular estríado puede subclasificarse según su ubicación en los siguientes tipos:

- Musculo esquelético. Se fija al hueso y es responsable del movimiento de los esqueletos axial y apendicular, así como del mantenimiento de la posición y la postura corporal. Además, los músculos esqueléticos del ojo (músculos oculares extrínsecos) ejecutan un movimiento ocular preciso.
- Musculo estriado viscoral. Es morfológicamente idéntico al músculo esquelético, pero está restringido a los tejidos blandos, a saber, lengua, faringe, parte lumbar del diafragma y parte superior del esófago. Estos músculos tienen un papel esencial en el habla, la respiración y la deglución.
- Músculo cardiaco. Es un tipo de músculo estriado que se encuentra en la pared del corazón y la desembocadura de las venas grandes que llegan a este órgano.



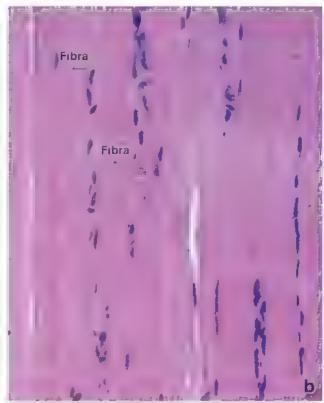


FIGURA 11-1. Microfotografía de tejido muscular esquelético, a En esta microfotografía de poco aumento se muestra un corte longitudina de tejido muscular esquelético. Las fibras musculares (células) se disponen en fasciculos paralelos, su orientación es vertical y la longitud de cada fibra es tal que se extiende más al á de los bordes superior e inferior de la microfotografía. Los fasciculos parecen tener diferentes espesores. Esto es principalmente derivado de lángulo de corte a través de musculo. Obsérvese a la izquierda el epimisio la varia de tejido conjuntivo denso que rodea el musculo. 160 x. b. Con mayor aumento las estraciones transversales de las fibras musculares se observan facilmente. Los nucleos de las fibras de musculo esquelético están ubicados en el citoplasma justo debajo de la membrana plasmatica. 360 x.

Las estriaciones transversales en el músculo estriado se producen en gran parte por una disposición intracitoplasmática específica de los miofilamentos delgados y gruesos. Esta disposición es la misma en todos los tipos de células musculares estriadas. Las diferencias principales entre las células musculares esqueléticas y las cardíacas están en su tamaño, forma y organización relativa entre ellas.

Las células musculares lisas no presentan estriaciones transversales debido a que los miofilamentos no alcanzan el mismo grado de orden en su distribución. Además, los miofilamentos que contienen miosina en el músculo liso son muy lábiles. El músculo liso se limita a las vísceras y el sistema vascular, los músculos erectores del pelo en la piel y los músculos intrínsecos del ojo.

■ MÚSCULO ESQUELÉTICO

Cada célula de músculo esquelético constituye un sincitio multinucleado.

En el músculo esquelético, cada célula muscular, a menudo denominada fibra muscular, es en realidad un aincitio multinucleado. Una fibra muscular se forma durante el desarrollo mediante la fusión de pequeñas células musculares individuales conocidas como mioblastos (véase p. 353). Cuando se observa en un corte transversal, la fibra muscular multinucleada madura revela una forma poligonal con un diámetro de 10-100 µm (lám. 21, p. 368). Su longitud varía desde casi un metro, como en el músculo sartorio del miembro inferior, hasta unos pocos milímetros, como en el músculo estapedio del oído medio (nota: no debe confundirse una fibra muscular con una fibra del tejido conjuntivo; las fibras musculares son células del músculo esquelético, mientras que las del tejido conjuntivo son productos extracelulares de las células de ese tejido).

Los núcleos de la fibra musculoesquelética están ubicados en el citoplasma, justo debajo de la membrana plasmática. Esta última también se conoce como sarcoloma, que está compuesto por la membrana plasmática de la célula muscular, su lámina externa y la lámina reticular que la rodea.

El músculo esquelético consiste en fibras musculares estriadas que se mantienen juntas gracias al tejido conjuntivo.

El tejido conjuntivo que rodea tanto a las fibras musculares individuales como a los haces de fibras musculares es imprescindible para la transducción de fuerzas (fig. 11-2). En el extremo del músculo, el tejido conjuntivo continúa en forma de tendón o alguna otra estructura de fibras de colágeno que sirve para fijarlos, en general, a los huesos. En el tejido conjuntivo hay una gran cantidad de vasos sanguíneos y nervios.

El rejido conjuntivo asociado con músculo se designa en función de su relación con las fibras musculares:

- El endomisio es una fina capa de fibras reticulares que rodea directamente las fibras musculares individuales (véase fig. 11-2a).
 En esta capa solo se encuentran vasos sanguíneos de pequeño calibre y ramificaciones nerviosas muy finas, que discurren de forma paralela a las fibras musculares.
- El perimisio es una capa de tejido conjuntivo más gruesa que rodea un grupo de fibras para formar un haz o traciculo. Los fascículos son unidades funcionales de fibras musculares que tienden a trabajar en conjunto para realizar una función específica. El perimisio presenta vasos sanguíneos y nervios grandes.
- El opimisio es la vaina de tejido conjuntivo denso que rodea todo el conjunto de fasciculos que constituyen el músculo (véase fig. 11-1a). En la anatomía macroscópica, también se conoce como tascia profunda, que rodea no solo a los músculos



FIGURA 11-2. Organización general del múscuto esquelético. a. Esta microfotografía e ectrónica de barndo (MEB) con chofractura de un tejido conjunt vo intramuscular se obfuvo de un musculo semitendinoso boy no. La muestra se fijó con la tecnica de rutina para MEB y después se trató con hidróx do de sodio de acuerdo con el método de maceración ce unar para retirar las células musculares. Nótese la delicada estructura de panal de abejas del endomis o altededor de las células musculares andividuales. ABON b. En esta representación esquemática se muestra la organización general de musculo esque ético y su relación con el tejido conjuntivo que o rodea. Obsérvese la organización de endomisio, que rodea las células musculares individuales (fibras), el perimisio, que rodea cada fasciculo muscular y el epimisio, que rodea el musculo compieto (reimpreso con autorización de Nshimura T. Hattori A. Takahashi K. Structural changes en intramuscular connective tissue during the fattening of Japanese black cattle effect of marbling on beef tenderization. J Anim Sci. 1999. 77:93–104)

individuales, sino a los grupos musculares para formar compartimentos. Los principales componentes de la irrigación y la inervación del músculo penetran el epimisio.

Las fibras musculares esqueléticas se caracterizan por la rapidez de su contracción, velocidad enzimática y actividad metabólica.

La clasificación actual de las fibras musculares esqueléticas se basa en la rapidez de su contracción y la velocidad enzimática de la reacción de la ATPasa miosínica de las fibras, así como el perfil metabólico. La rapidez de contracción determina la celetidad con la que la fibra puede contraerse y relajarse. La velocidad de reacción de la ATPasa de la miosina indica el ritmo con el que esta enzima es capaz de escindir las moléculas de trifosfato de adenosina (ATP, adenosine triphosphatase) durante el ciclo contráctil. El perfil metabolico se refiere a la capacidad para producir ATP mediante la fosforilación oxidativa o glucólisis. Las fibras caracterizadas por un metabolismo oxidativo contienen grandes cantidades de mioglobina y una mayor cantidad de mitocondrias, con sus complejos constitutivos de citocromos transportadores de dectrones. La mioglobina es una pequeña proteína globular fijadora de oxígeno, de 17.8 kDa, que contiene una forma ferrosa de hierro (Fe2+). Es muy semejante a la hemoglobina de los eritrocitos y se encuentra en cantidades variables en las fibras musculares. La función principal de la mioglobina es almacenar oxigeno en las fibras musculares, lo que proporciona una fuente eficaz para el metabolismo muscular. Las lesiones traumáticas producidas en el sistema osteomuscular (p. ej., lesiones por accidentes) causan la degradación (rabdomiólisis) y la liberación de mioglobina desde las célutas musculares lesionadas hacia la circulación. La mioglobina es eliminada de la circulación por los riñones. Sin embargo, las grandes cantidades de mioglobina son tóxicas para el epitelio tubular renal, lo que puede causar insuficiencia renal aguda. La detección de mioglobina en sangre es una prueba sensible pero inespecifica para la tesión muscular.

Los tres tipos de fibras musculares esqueléticas (rojas, blancas e intermedias) pueden distinguirse por se color en vivo.

Desde hace mucho tiempo se sabe que las fibras musculares esqueléticas en vivo difieren en su diámetro y color natural. Las diferencias de color no se observan en los cortes teñidos con hematoxilina-eosina (H&E). Sin embargo, las reacciones histoquímicas basadas en la actividad enzimática oxidativa, específicamente las reacciones de la succinato-deshidrogenasa y del dinucleotido de nicotinamida y adenina-tetrazolio-reductasa (NADH-TR, nicotinamide adenina dinucleotide-tetrazolium reductasa) y de la miosina-ATPasa, confirman las observaciones en el tejido en fresco y revelan varios tipos de fibras musculares esqueléticas (fig. 11-3). La nomenclatura más obvia para describir estas diferencias es la división en fibras rojas, blancas e intermedias.

Segun la actividad enzimática, los tres tipos de fibras musculares esqueléticas son las de tipo I (oxidativas lentas), tipo IIa (glucolíticas oxidativas rápidas) y tipo IIb (glucolíticas rápidas).

Es frecuente que en cualquier músculo esquelético determinado se encuentren tres tipos de fibras; la proporción de cada tipo de fibra varía según la actividad funcional del músculo.

Las fibras de tipo I u oxidativas lortas son fibras pequeñas que aparecen rojas en las muestras frescas y contienen muchas muocondrias y grandes cantidades de mioglobina y complejos de citocromo. Su concentración elevada de enzimas oxidativas mitocondriales se demuestra por la gran intensidad de tinción con las reacciones histoquímicas de la succinato-deshidrogenasa y la NADH-TR, como se describió (véxe fig. 11 -3). Las fibras de tipo I son unidades motoras de contracción lenta resistentes a la fatiga. Estas tienen gran resistencia a la fatiga, aunque generan menos tensión que otras fibras. La velocidad de reacción de la ATPasa miosínica es la más lenta de todas entre los tres tipos

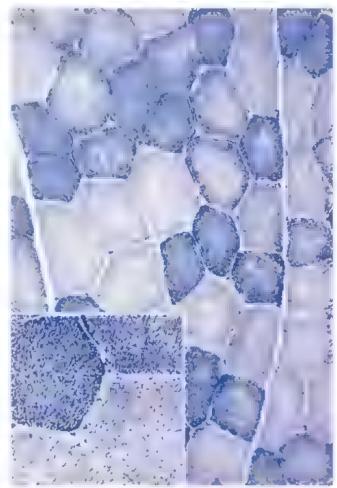


FIGURA 11-3. Corte transversal de fibras musculares esqueléticas. En este corte transversa de fibras musculares tenido con reacción NADH-TR se muestran dos tipos de fibras. Las fibras musculares pequeñas y de tinción más oscura revelan actividad enzimática oxidativa intensa y corresponden a las fibras oxidativas lentas de tipo I. 280× Recuadro. Porciones de los dos tipos de fibras con mayor aumento. La reacción también detecta las mitocondras que contienen enzimas oxidativas. Los componentes contráctiles, es decir, las microfibrillas, no se tiñen. 550× (muestra original del Dr. Scott W. Ballinger)

de fibras. Las fibras de tipo I son típicas de los músculos de las extremidades de los mamíferos y del músculo pectoral de las aves migratorias. Más importante aún es que son las fibras principales de los músculos fargos erectores de la columna en el dorso de los seres humanos, donde se edaptan particularmente a las contracciones prolongadas y fentas necesanas para mantener la postura erecte. Un alto porcentaje de estas fibras constituyen los músculos de los atletas de alta resistencia, como los corredores de maratones.

- Las fibras de tipo lle o fibras glucolíticas oxidativas rápidas son las fibras intermedias que se observan en el rejido fresco. Son de tamaño mediano, con muchas mitocondrias y un contenido alto de hemoglobina. A diferencia de las fibras de upo I, las de tipo IIa contienen grandes cantidades de glucógeno y pueden realizar la glucólisis anaeróbica. La reacción de la ATPasa miosínica es rápida. Estas fibras constituyen las unidades motoras de contracción rápida resistentes e la fatiga, las cuales generan un gran pico de tensión muscular. Entre los atletas que tienen un alto porcentaje de estas fibras glucolíticas oxidativas rapidas, se encuentran los corredores de 400 y 800 m, los nadadores de distancias medias y los jugadores de hockey.
- Las fibras de tipo lib o glucoliticas rápidas son fibras grandes que se observan de color rosa pálido en las muestras en estado fresco y contienen menos mioglobina y menor cantidad de mi-

tocondrias que las fibras de tipo I y IIa. Tienen una baja concentración de enzimas oxidativas, pero presentan una actividad enzimática anaeróbica alta y almacenan una cantidad considerable de glucógeno. Estas fibras integran las unidades motoras de contracción rápida propensas a la fatiga y generan un gran pico de tensión muscular. La velocidad de reacción de la ATPasa miosínica es la más rápida de todos los tipos de fibras. También se fatigan rápidamente a causa de la producción de ácido láctico. Por lo tanto, las fibras de tipo IIb están adaptadas para la contracción rápida y los movimientos finos y precisos. Constituyen la mayoria de las fibras de los musculos extrinsecos del ojo y los musculos que controlan los movimientos de los dedos. Estos musculos tienen una cantidad mayor de uniones neuromusculares que las fibras de tipo I, lo que permite un control nervioso más preciso de los movimientos. Los corredores de distancias cortas, los levantadores de pesas y otros atletas de campo tienen un elevado porcentaje de fibras de tipo (lb.

Miofibrillas y miofilamentos

La subunidad estructural y funcional de la fibra muscular es la miofibrilla.

Una fibra muscular está repleta de subunidades estructurales dispuestas de forma longitudinal denominadas miofibrillas (fig. 11-4).

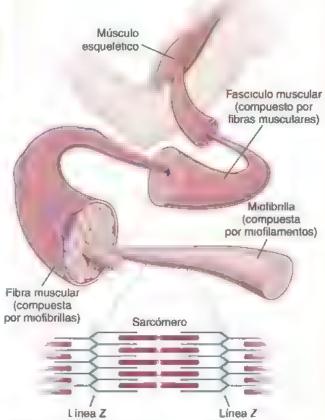


FIGURA 11-4. Organización del musculo esquelético. Un músculo esquelético consiste en haces de fibras musculares denominadas fasciculos, cada uno compuesto por un conjunto de fibras musculares alargadas. La fibra muscular consiste en una sene de unidades longitudinales, las miofibrillas, a su vez compuestas por miofilamentos de dos tipos gruesos (miosina) y delgados (actina). Los miofilamentos están organizados de un modo específico que confiere a la miofibrilla y la fibra un aspecto estriado transversal. La unidad funcional de la miofibrilla es el sarcómero, que se extiende en ambas direcciones, desde una línea Z hasta la siguiente. La banda A marca la extensión de los filamentos de miosina. Los filamentos de actina se extienden desde la línea Z hasta la región de la banda A, donde se interdigitan con los filamentos de miosina, como se illustra en la figura.

Las miofibrillas son visibles en los preparados histológicos propicios y se observan mejor en los cortes transversales de las fibras musculares. En estos cortes, le confieren a la fibra un aspecto punteado. Las miofibrillas se extienden a lo largo de toda la célula muscular.

Las miofibrillas están compuestas por haces de miofilamentos.

Los miofilamentos son polímeros filamentosos individuales de miosina II (filamentos gruesos) y de actina y sus proteínas asociadas (filamentos delgados). Los miofilamentos son los verdaderos elementos contráctiles del músculo estriado. Los haces de miofilamentos que componen la miofibrilla están rodeados por un retículo endoplasmánco liso (REL) bien desarrollado, también denominado reticulo sarcoplasmático. Este retículo forma una red tubular muy bien organizada alrededor de los elementos contráctiles en todas las células musculares estriadas. Las mitocondrias y los depósitos de glucógeno se localizan entre las miofibrillas en asociación con el REL.

Las estriaciones transversales son la principal característica histológica del músculo estriado.

Las estriaciones transversales son evidentes en los preparados de cortes longitudinales de fibras musculares teñidas con H&E. También pueden verse en preparados de fibras musculares vivas sin tinción cuando se examinan con los microscopios de contraste de fase o de polarización, en los cuales aparecen como bandas claras y oscuras alternadas. Estas bandas se denominan benda A y benda 1 (véase fig. 11 4).

En el microscopio de polarización, las bandas oscuras son birrefringentes (alteran la luz polarizada en dos planos). Por lo tanto, las bandas oscuras, al ser doblemente refráctiles, son anisotropicas y reciben el nombre de banda A. Las bandas claras son monorrefringentes (no alteran el plano de luz polarizada). Por consiguiente, son isotropicas y reciben el nombre de banda I.

Ambos tipos de bandas están divididas en dos partes por regiones estrechas de densidad contrastante (véase fig. 11-4). La banda 1 clara está dividida en dos por una línea densa, la línea Z, también llamada disco Z (del alemán Zuvichenscheibe, disco intermedio). La banda A oscura está dividida por una región menos densa, o clara, denominada benda H (del alemán hell, clara). Además, en la mitad de la banda H clara se observa una fina linea densa denominada línea M (del alemán mutte, medio). La línea M se muestra mejor en las microfotografías electrónicas (fig. 11-5), aunque en preparados óptimos teñidos con H&E se puede detectar con el microscopio óptico.

Como se mencionó, el patrón de bandas transversales del músculo estriado se debe a la disposición de los dos tipos de miofilamentos. Para comprender el mecanismo de contracción, este patrón de bandas debe considerarse en términos funcionales.

La unidad funcional de la miofibrilla es el sarcómero, el segmento de la miofibrilla ubicado entre dos líneas Z adyacentes.

El sercomero es la unidad contráctil básica del músculo estriado. Es la porción de una miofibrilla entre dos líneas Z adyacentes. Un sarcómero mide 2-3 µm en el músculo relajado de un mamífero. Puede distenderse a más de 4 µm y, durante la contracción extrema, puede reducirse hasta alcanzar 1 µm (fig. 11-6). Todo el miocito muestra estriaciones porque los sarcómeros de miofibrillas adyacentes están alineados con sus líneas Z.

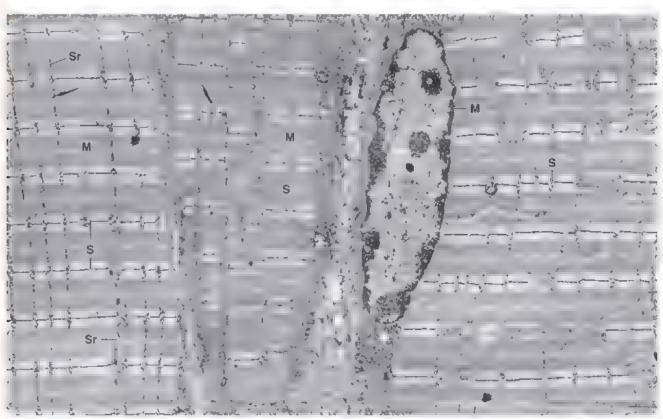


FIGURA 11-5. Microfotografía electrónica de la fibra muscular esquelética. En esta microfotografía electrónica de bajo aumento se muestra la organización general de las fibras musculares esqueléticas. Aqui se incluyen pequenas porciones de las tres fibras musculares seccionadas en sentido longitudinar. En la fibra muscular a la derecha se observa un nucleo periférico. Dos fibras una en medio γ otra a la izquierda, contienen mior bil las irregulares separadas por una fina capa de sarcoplasma (5r, que las rodes. Cada segmento repetido de la mioribil la entre las línees Z contiguas es un sarcomero (5). El patrón de bandas transversales visible en esta microfotografia refie a la disposición, en registro de las mioribillas individuales (M) un patrón semejante encontrado en la mioribilità refleja la disposición de los mioribilamentos. Las caracteristicas deta ladas de sarcómero se muestran con mayor aumento en la figura 11-10a. La presencia de tej do conjuntivo en el espacio extracelular entre las fibras corresponde at endomisio del músculo. 6500×

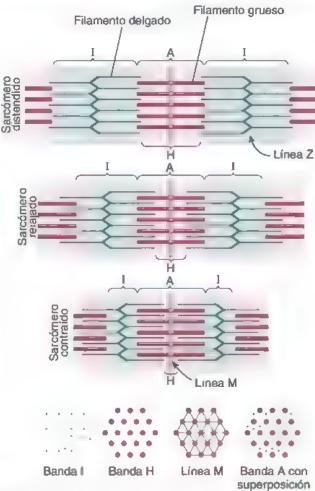


FIGURA 11-6. Diferentes estados funcionales de los sarcómeros. En el estado relajado (medio), la interdigitación de los filamentos delgados (actina) y gruesos (miosina) no está completa las bandas H e I son relativamente amplias. En el estado contraído (abajo), la interdigitación de los filamentos delgados y gruesos aumenta segun el grado de contracción. En el estado distendido (amba), los filamentos delgados y gruesos no interactuan, y las bandas H e I son muy amplias. La longitud de la banda A siempre permanece igual y corresponde a la longitud de los filamentos gruesos, mientras que la longitud de las bandas H e I cambia en proporción al grado de relajación o contracción del sarcómero. También se muestran los cortes transversales a través de las diferentes regiones del sarcómero (de izquierda a derecha): por los filamentos delgados de la banda I; por los filamentos gruesos de la banda H; por el centro de la banda A, donde los filamentos gruesos contiguos se vinculan para formar la línea M, y por la banda A, donde los filamentos gruesos y delgados se superponen. Nótese que cada filamento grueso está dentro del centro de una formación hexagonal de filamentos delgados.

La disposición de los filamentos gruesos y delgados origina las diferencias de densidad que producen las estriaciones transversales de las miofibrillas.

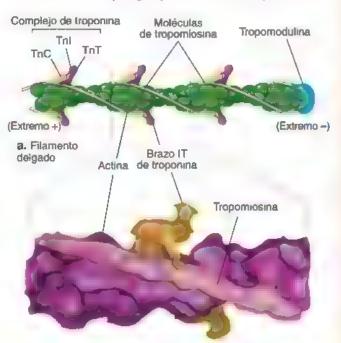
Los filamentos gruesos que contienen miosina tienen un largo aproximado de 1.6 µm y están restringidos a la porción central del sarcómero (la banda A). Los filamentos delgados que contienen actina se fijan a la línea Z y se extienden dentro de la línea A hacia el borde de la banda H. Las porciones de dos sarcómeros, en cada lado de la línea Z, constituyen la banda I y sólo contienen filamentos delgados. En el corte longitudinal de un sarcómero, la línea Z aparece como una estructura en zigzag, con material de matriz (matriz del disco Z) que divide a la mitad la línea zigzagueante. La línea Z y su material de matriz sujetan los filamentos delgados de sarcómeros contiguos a los ángulos del zigzag a través de la actinina u, una proteína fijadora de actina. La matriz Z incluye una gran cantidad de proteínas (p. ej., teletonina, talina, desmina, miotilina, filamina C)

que sujetin las líneas Z a las miofibrillas vecinas y a la membrana celular contigua (véanse figs. 11-4 y 11-6).

El filamento consiste principalmente en moléculas de actina polimerizadas acopiadas con proteinas reguladoras y otras proteínas asociadas con el filamento delgado que se enroscan juntas.

Un filamento delgado típico tiene un diámetro de 5-6 nm y consiste en una hélice de doble hebra de monómeros de actina polimenzada (fig. 11-7). Cada filamento delgado está calibrado a alrededor de 1.0-1.3 µm de longinid, según el tipo muscular. Las dos proteínas reguladoras importantes en los músculos estriados, la tropomiosina y la troponina, se enroscan con dos hebras de actina. Otras proteínas asociadas con el filamento delgado incluyen la tropomodulina y la nebulina.

• La actina G es una molécula pequeña de 42 kDa que se polimeriza para formar una hélice de doble hebra llamada filamento de actina F. Estos filamentos de actina son polares. Todas las moléculas de actina G están orientadas en la misma dirección. El extremo positivo (barbado) de cada filamento está unido a la línea Z por la actinina a con la ayuda de la nebulina. El extremo negativo (puntiagudo) se extiende hacia la línea M y está protegido por la tropomodulina, una proteína formadora de casquetes (véase fig. 11-7). Cada molécula de actina G del filamento delgado tiene un sitio de unión para la miosina. En el músculo en reposo, este sitio de unión está protegido por la molécula de tropomiosina.



B. Reconstrucción 3D de una microfotografía cricelectrónica.

FIGURA 11-7. Filamento delgado de actina, a. El filamento delgado está compuesto principalmente por dos hebras de filamentos de actina (actina F) que giran en forma helicoidal. Cada molécula de actina contiene sitios de fijación para la miosina, que es bloqueada fisicamente por la tropomiosina para evitar la contracción muscular El complejo de troponina es una proteina reguladora clave. Su componente TnC fija el calcio. Ello inicia un cambio de configuración en el complejo de troponina, cuya consecuencia es la reposición de la tropomiosina y de la troponina fuera de los sitios de fijación de las moléculas de actina b. Esta reconstrucción tridimensional de un segmento estirado de 10 moléculas de actina de un filamento delgado se basa en las estructuras crista inas de la actina, tropomiosina y troponina, está filtrada con una resolución de 25 A. Obsérvense la forma asimétrica de la molècula de troponina con su brazo IT extendido y la tropomiosina con forma de bastón alargada. TnC, troponina C, TnI, troponina I, TnT, troponina T (reimpreso con autonzación de Pirani A, Xu C, Hatch V. at al. Single particle analysis of relaxed and activated muscle thin f aments. J Mol Biol 2005 346 761-772)

CONSIDERACIONES FUNCIONALES: METABOLISMO MUSCULAR & ISQUEMIA

Como todas las células, las musculares dependen de la fuente de energia contenida en los enlaces de fosfato de alta energia del ATP y la fosfocreatina. La energía almacenada en estos enlaces de fosfato de alta energía proviene del metabolismo de los ácidos grasos y la glucosa. La glucosa es el sustrato metabólico primano en el músculo en contracción activa. Esta deriva de la circulación general, así como de la degradación de glucógeno, que en general se almacena en el citoplasma de la fibra muscular. Hasta el 1% del peso seco de los musculos esquelético y cardíaco podría ser glucógeno.

En los musculos de contracción rápida, como los de los miembros inferiores al correr o los musculos extrinsecos del ojo, la mayor parte de la energía para la contracción proviene de la glucólisis anaeróbica del glucógeno almacenado Et aumento de los metabolitos intermedios desde esta vía, en particular el ácido láctido, puede producir un déficit de oxígeno que causa dolor isquémico (calambres) en casos de

esfuerzo muscular extremo. No obstante, los estudios recientes indican que la producción de ácido láctico por sí sola no es suficiente para desencadenar este dolor, pues el cambio en el pH ocasionado por el ácido láctico es muy leve. Se determinó que el ATP liberado por el musculo isquémico actua en conjunto con el ácido láctico para disminuir la sensibilidad al pir de los canales iónicos 3 sensibles el ácido (ASIC3, acid-sensing ion channel 3) para detectar la acidosis láctica y producir el mensaje de dolor isquémico.

La mayor parte de la energía utilizada por el músculo para recuperarse de una contracción o por el musculo en reposo denva de la fosfoníación oxidativa. Este proceso sigue de cerca la β-oxidación de los ácidos grasos en la mitocondria que libera dos fragmentos de carbono. El oxígeno necesario para la fosforilación oxidativa y otras reacciones metabólicas proviene de la hemoglobina en los entrocitos circulantes y del oxígeno unido a la mioglobina en las células musculares.

- La tropomiosina es una proteína de 64 kDa que también consiste en una doble hélice de dos polipépudos. Esta forma filamentosa se ubica en el surco que hay entre las moléculas de actina F en el filamento delgado. En el músculo en reposo, la tropomiosina y su proteína reguladora, el complejo de tropomna, ocultan el sitio de umón a la miosina que hay en la molécula de actina.
- El complejo de troponina consiste en tres subunidades globulares. Cada molécula de tropomiosina contiene un complejo de troponina:
 - La troponina C (TnC) es la subunidad más pequeña del complejo de troponina (18 kDa). Fija Ca²⁺, un fenómeno esencial para el inicio de la contracción.
 - La troponina T (TnT), una subunidad de 30 kDa, se une a la tropomiosma, que fija el complejo de tropomna.
 - La troponina I (TrI), también una subunidad de 30 kDa, se fija a la actina e inhibe la interacción entre la miosina y la actina.

Las subunidades TnT y TnI se unen para formar un brazo IT asimétrico, que es visible en una reconstrucción tridimensional del complejo de troponina (véase fig. 11.7). Las TnT y TnI se expresan en el músculo cardiaco como isoformas específicas que no se encuentran en otros tejidos. Por lo tanto, estas subunidades pueden utilizarse como marcadores de alta especificidad del daño de los cardiomiocitos (vease p. 358).

- La tropomodulina es una proteína fijadora de actina de ~40 kDa que se une al extremo libre (negativo) del filamento delgado. Esta proteína formadora de casquetes de actina mantiene y regula la longitud del filamento de actina en el sarcómero. Las variaciones en la longitud del filamento delgado (como aquellas en las fibras musculares de tipo I y IIb) afectan la relación tensión longitud durante la contracción muscular y, por lo tanto, influyen sobre las propiedades fisiológicas del músculo.
- La nebutina es una proteína alargada, inelástica, de 600 kDa, unida a las líneas Z que abarca la mayor parte del filamento delgado, excepto por su extremo negativo puntiagudo. La nebulina actúa como una "regla molecular" para la longitud del filamento delgado, debido a que el peso molecular de las diferentes isoformas de nebulina se correlaciona con la longitud de los filamentos delgados durante el desarrollo muscular. Además, la nebulina añade estabilidad a los filamentos delgados sujetos por la actinina q a las líneas Z.

El filamento grueso está compuesto principalmente por moléculas de miosina.

El componente principal de los filamentos gruesos es la miosina II, un miembro de la superfamilia de la miosina de proteínas motoras que da motilidad mediante la interacción cíclica con las subunidades de actina en el músculo estriado. Este ciclo de puentes transversales de actomiosina hace que los filamentos gruesos y delgados se deslicen uno sobre otro, produciendo movimiento.

La miosine II, una proteína motora larga de 510 kDa con forma de bastón relacionada con la actina, es un dímero compuesto por dos cadenas polipeptidicas pesadas (222 kDa cada una) y cuatro cudenas ligeras. La miosina tiene dos cabezas globulares (región S1) conectadas por brazos de palanca (región S2) con una larga cola (fig. 11-8). Cada monómero de miosina contiene una tadena ligera esencial de 18 kDa y una cadena ligera reguladora de 22 kDa que se envuelven alrededor del brazo de palanca justo debajo de la cabeza de miosina (véase fig. 11-8).

La cadena ligera reguladora estabiliza el brazo de palanca. La interacción entre las cadenas pesadas y ligeras determina la velo-

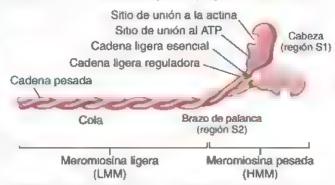


FIGURA 11-8. Diagrama de la molécula de miosina II. Una molécula completa de miosina tiene dos cabezas giobulares (región S?), brazos de palanca (región S2) y una cola larga. Se caracteriza por la presencia de dos cadenas pesadas y dos pares de cadenas ligeras. Una subdivisión adicional de la miosina por dos proteasas, la quimotripsina de y la papaina. La escisión enzimática con quimotripsina di produce fragmentos semejantes a colas largas denominados meromiosina legera y meromiosina pesada, que pueden ser escindidas aún más con la papalina en las regiones de la cabeza (S1) y los brazos (S2). La cabeza contiene tanto sitios de unión al ATP, que expresa la actividad de ATPasa, como sitios de unión al la actina.

cidad y la fuerza de la contracción muscular. Cada cabeza globular representa un dominio motor de cadena pesada que se proyecta en un ángulo aproximadamente recto en uno de los extremos de la molécula de miosina. La cabeza de miosina tiene dos sitios de unión específicos, uno para el ATP con la actividad ATPasa y otro para la actina. La digestión enzimática de la miosina produce dos fragmentos, una meromiosina pesada y otra meromiosina ligera. La meromiosina pesada está formada por las cabezas, los brazos de palanca y ambos pares de cadenas ligeras, mientras que la ligera está formada por la cola (véase fig. 11-8).

Las moléculas de miosina en el músculo estriado se agrupan cola con cola para formar filamentos gruesos bipolares de míosina. Los segmentos de la cola se superponen de modo tal que las cabezas globulares se proyectan desde el filamento grueso (fig. 11-9). La "zona desnuda" en medio del filamento no presenta proyecciones globulares. Los filamentos gruesos están conectados entre sí en sus zonas desnudas por una familia de proteínas de la línea M (fig. 11-10)



a. Nucleación del armado del filamento grueso



b. Armado de miosina en un filamento grueso bipolar



c. Filamento grueso de miosina



d. Reconstrucción 3D de una microfotografía crioefectrónica

FIGURA 11-9. Nucleación, ensamblado y estructura de un filamento grueso bipolar de miosina II. a. El armado del filamento grueso inicia con la unión de las colas de las moiéculas de miosina de modo antiparalelo (cola con cola) b. Diagrama del armado adicional de las moléculas de miosina en un flamento grueso o polar. Las cabezas de miosina apuntan hacia afuera desde la zona desnuda, que carece de cabezas de miosina. Obsérvese que las colas de miosina en la zona desnuda se organizan de forma paraleta y antiparaiela, pero en la porción distat de filamento se superponen solo de modo paralelo, c. Diagrama del corte de un filamento grueso bipolar de miosina. Nótese la disposición espiralada de las cabezas de miosina. d. Reconstrucción Indimensional de un filamento grueso chohidratado de tarántula, filtrado a una resolución de 2 nm. Muestra vanas cabezas de miosina (amarillo) y las colas de las moléculas de miosina en una disposición paratela (reimpreso conautorización de Alamo L, Wriggers W, Pinto A, et al. Three-dimensional reconstruction of tarantula myosin filaments suggests how phosphorylation may regulate myosin activity. J Mol Biol 2008;384:780-975).

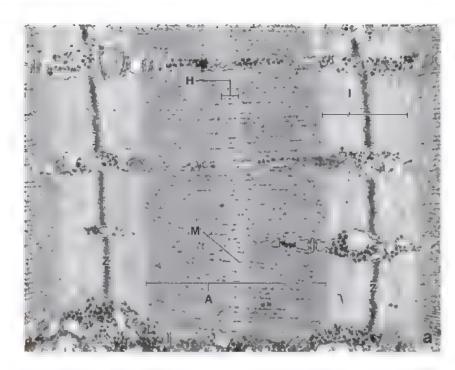
Las proteínas accesorias mantienen la alineación precisa de los filamentos delgados y gruesos dentro del sarcómero.

Para mantener la eficiencia y la velocidad de la contracción muscular, tanto los filamentos delgados como los gruesos en cada miofibrilla deben estar alineados de forma precisa y mantener una distancia óptima entre sí. Las proteínas conocidas como proteínas accesorias son imprescindibles para la regulación del espacio, la fijación y el alineamiento de los miofilamentos. Estos componentes estructurales proteínicos de las fibrillas musculares esqueléticas representan menos del 25% de las proteínas totales de la fibra muscular. Estas proteínas incluyen las siguientes (véase también fig. 11-10):

- Titina. Es una proteína gigante (2 500 kDa) que abarca la mitad del sarcómero. La titina se extiende desde la línea Z y el filamento delgado en su terminal N hasta el filamento grueso y la línea M en su terminal C. Entre los filamentos gruesos y delgados, dos porciones con forma de resorte de esta proteína contribuyen a centrar el filamento grueso en medio de las dos líneas Z. Debido a la presencia de los "resortes" moleculares, la titina impide el esturamiento excesivo del sarcómero al desarrollar una fuerza de recuperación pasiva que colabora con su acortamiento.
- Actinina a. Es una proteína fijadora de actina, bipolar, corta, de 190 kDa y con forma de bastón que organiza los filamentos delgados en disposición paralela y los fija en la línea Z. Además, forma enlaces transversales con la terminal N de la titina incluida en la línea Z.
- Desmina. Es un tipo de filamento intermedio de 53 kDa que forma una malla alrededor del sarcómero a la altura de las líneas Z; une estas últimas entre sí y a la membrana plasmática a través de la unión con la proteina anquirina, y forma enlaces cruzados estabilizadores entre las miofibrillas vecinas.
- Proteinas de la linea M Incluyen varias proteinas fijadoras de miosina que mantienen los filamentos gruesos en la línea M y adhieren las moléculas de titina a los filamentos gruesos. Las proteínas de la línea M incluyen la miornesina (185 kDa), la proteina M (165 kDa), la oscurina (700 kDa) y la fosfocreatina muscular (81 kDa)
- Proteina C fijadore de miosina. Proteína de 140-150 kDa que contribuye al armado y estabilización de los filamentos gruesos.
 Forma varias líneas transversales bien definidas en ambos lados de la línea M que interactúan con las moléculas de titina.
- Distrofina. Se considera que esta proteína grande de 427 kDa vincula la laminina, que reside en la lámina externa de la célula muscular, con los filamentos de actina. La falta de esta proteina está relacionada con la debilidad muscular progresiva, una alteración de origen genético conocida como distrofía muscular de Duchenne. La distrofina está codificada en el cromosoma X, por lo que esta enfermedad solo afecta a los hombres. En la actualidad se investiga la terapia génica para restablecer la función normal en las personas con esta alteración (cuadro 11-2).

Cuando un músculo se contrae, cada sarcómero se acorta, pero no se modifica la longitud de los miofilamentos.

Durante la contracción, el sarcómero y la banda I se acortan, mientras que la banda A permanece con la misma longitud. Para mantener los miofilamentos con una longitud constante, el acortamiento del sarcómero debe ser ocasionado por un incremento en la superposición de los filamentos gruesos y delgados. Esta superposición es visible al comparar microfotografías electrónicas de músculos contraídos y relajados. La banda H se estrecha y los filamentos delgados penetran la banda H durante la contracción. Estas observaciones indican que los filamentos delgados se deslizan sobre los filamentos gruesos en la contracción.



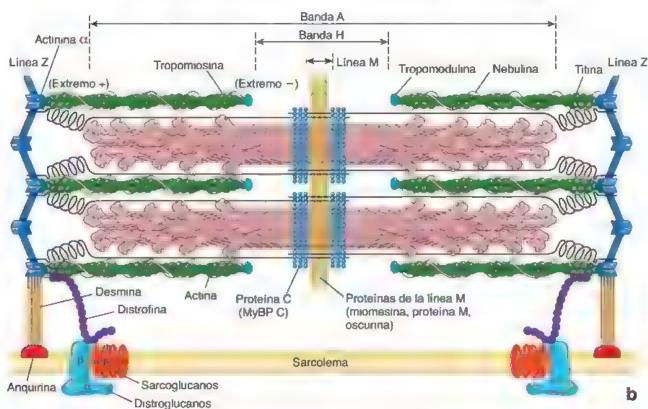


FIGURA 11-10. Microfotografía electrónica del músculo esquelético y la correspondiente estructura molecular de un sarcómero. 🐞. En esta microfotografia electrónica con gran a imento se muestra un corte longifudina, de las miofibrilias. La banda l (/) que está seccionada. en dos mitades iguales por la linea Z (Z) se compone de filamentos delgados (actina) apenas visibles. Están adheridos a la linea Z y se extienden a través de la banda hacia la banda A (A) Los hamentos gruesos compuestos por miosina ocupan toda la longitud de la banda A. Obsérvese que en la banda A hay bandas y lineas adicionales. Una de estas la línea M (M) se observa en medio de la banda A, otra la banda H (H) menos electrodensa, esta formada solo por filamentos gruesos. Las partes laterales de la banda A son más efectrodensas y corresponden a las regiones en donde los filamentos delgados se interdigitan con los filamentos gruesos 35000 - b. Diagrama que illustra la distribución de los miofilamentos y las proteinas accesor as dentro de un sarcómero. Las proteinas accesorias son la titina, una molecula grande y elástica que fija los filamentos gruesos (de miosina) a la linea Zi la actirina di, que agrupa filamentos de gados (de actina) en formaciones parale as y los fila a la linea. Zi la nebui na luna proteina alargada y no e astica unida a las lineas Zique se enrosca alrededor de los filamentos delgados y ayuda a la actinina 🛭 a fijar os a las ineas Zi la tropomodulina, una proteina de coronación (de casquete) de la actina que mantiene y regula la longitud de los filamentos delgados, la tropomiosina, que estabiliza los filamentos deigados y junto con la troponina, regula la unión de los iones de calcio, las proteinas de la inea M (miomesina, proteina Miloscunna), que mantienen los Flamentos gruesos en coincidencia con la linea Milia profeina Cifijadora de miosina, que contribuye al ensamblado norma, de los filamentos gruesos e interactua con la titina y dos proteinas illa desmina y la distrofina). que fijan los sarcomeros en la membrana plasmática. Las interacciones de estas proteinas mantienen la alineación precisa de los filamentos delgados y gruesos en el sarcómero y la almeación de los sarcómeros dentro de la célula

CORRELACION CLÍNICA: DISTROFIAS MUSCULARES DISTROFINA Y PROTEÍNAS ASOCIADAS

La distrofina es una prote na del citoesqueleto con forma de bastón; se compone de una cabeza corta y una cola larga que se localiza justo debajo de la membrana de la célula musculoesquelética. La actina F se une a la porción final de la cola. Dos grupos de proteínas transmembrana, los distroglucanos α y β y los sarcoglucanos α , β , γ y δ , participan en un complejo distrofinaglucoproteína que vincula la distrofina con las proteínas de la matriz extracelular, la laminina y la agrina. Los distroglucanos forman el verdadero enlace entre la distrofina y la laminina; los sarcoglucanos simplemente están asociados con los distroglucanos en la membrana. La distribución de la distrofina en las personas sanas se visualiza a través de métodos de inmunotinición (fig. C11-2-1)

Varias formas de distrofia muscular se atribuyen a mutaciones de genes individuales que codifican proteínas del complejo distrofina-glucoproteína. La distrofia muscular de Duchenne (DMD) y la distrofia muscular de Becker están asociadas con las mutaciones que afectan la expresión de la distrofina (fig. C11-2-2), diferentes formas de distrofia muscular de las cinturas de los miembros son causadas por mutaciones en genes del brazo corto del cromosoma X que codifican los cuatro diferentes sarcoglucanos, y otra forma de distrofia muscular congénita es ocasionada por una mutación en el gen que codifica la cadena α₂ de la faminina muscular. Los casos de DMD, en su mayoría, se deben a una frecuencia elevada de deleciones génicas que crean desviaciones del marco de fectura y cuya

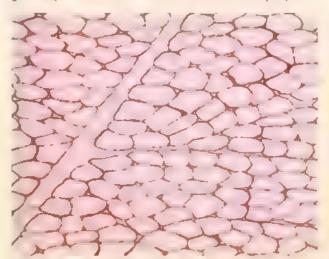


FIGURA C11-2-1. Distribución de la distrofina en el músculo esquelético humano. Este corte transversal de fibras musculares esqueléticas, de una persona sana, se tiño con el método de inmunoperoxidasa con un arricuerpo policional de cabra contra la distrofia. Dado que la distrofina y los complejos distrof na-glucoproteina asociados conectan el citoesqueleto muscular con la matriz extracelluar circundante a través de la membrana celular, la localización de la distrofina delinea la membrana celular Obsérvese la forma regular de las células musculares esqueléticas y el patrón de distribución de la distrofina. 480× (cortesía del Dr Andrew G. Engel)

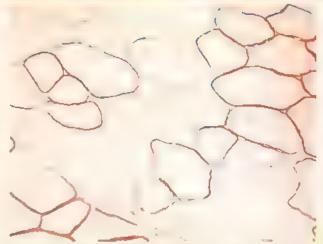


FIGURA C11-2-2. Distribución de la distrofina en el músculo esquelético de una persona con distrofia muscular de Duchenne. Este corte transversal de musculo esquelético se obtuvo de un paciente con DMD. La preparación es similar a la de la figura C11-2-1. Compárese el patrón y la intensidad de la distribución de la distrofina dentro de las fibras musculares afectadas con las de la persona sana. Este musculo muestra signos de hipertrofia. Algunas fibras no expresan distrofina, otras continuan expresando cantidades vanables de la proteina. 480× (cortesia del Dr. Andrew G. Engel).

consecuencia es la ausencia de distrofina en las fibras musculares afectadas. El reconocimiento del gen de la distrofina y sus productos ha permitido la detección genética dirigida y el diagnóstico prenatal de esta anomalía

Debido a su herencia como un rasgo recesivo ligado al cromosoma X, la DMD afecta principalmente a niños varones (se calcula una incidencia mundial de 1 de cada 3500 niños). La DMD comienza entre los 3 y 5 años de edad y progresa con rapidez. La mayoría de los niños afectados pierden la capacidad de caminar a los 12 años de edad, y deben usar un ventilador mecánico para los 20 años. La distrofia muscular de Becker es similar a la de Duchenne, excepto que progresa un ritmo mucho más lento. Los síntomas suelen aparecer a los 12 años de edad, y el promedio de edad en el que se pierde la capacidad para caminar está entre los 25 y 30 años. Hasta el momento, no hay cura para las distrofias musculares y los tratamientos disponibles están centrados en controlar los síntomas para maximizar la calidad de vida. Los esfuerzos intensivos de la investigación tienen como objetivo implementar la terapia génica en el tratamiento de los pacientes afectados. El abordaje general es reemplazar los genes de distrofina defectuosos dentro de las células musculares mediante un virus especialmente creado para portar genes "normales", infectar las células e inducir la expresión de distrofina. El otro método es el trasplante de células satélite "saudables" (células madre) que puedan dividirse y diferenciarse en células musculares normales. El tratamiento con células madre ha sido probado en animales de laboratorio con resultados prometedores

Ciclo de los puentes transversales de actomiosina

Cuando el músculo está relajado, la tropomiosina evita que las cabezas de muosina se unan con las moléculas de acuna al cubrir los sitios de unión a miosina en estas moléculas (fig. 11-11a). Después de la estimulación nerviosa, se libera Ca²⁺ en el sarcoplasma que se une a la troponina. Entonces, la troponina actúa sobre la tropomiosina para exponer los sitios de unión a la miosina en las moléculas de actina (fig. 11 11b). Una vez que los sitios de unión están expuestos,

las cabezas de miosina pueden interactuar con las moléculas de actina y formar puentes transversales, y los dos filamentos se deslizan uno sobre el otro.

El acortamiento de un músculo consiste en interacciones repetidas rápidas entre las moléculas de actina y miosina que mueven los filamentos delgados junto con los filamentos gruesos.

El ciclo de los puentes transversales en el músculo esquelético recibe el nombre de ciclo de los puentes transversales de actomiosina y suele

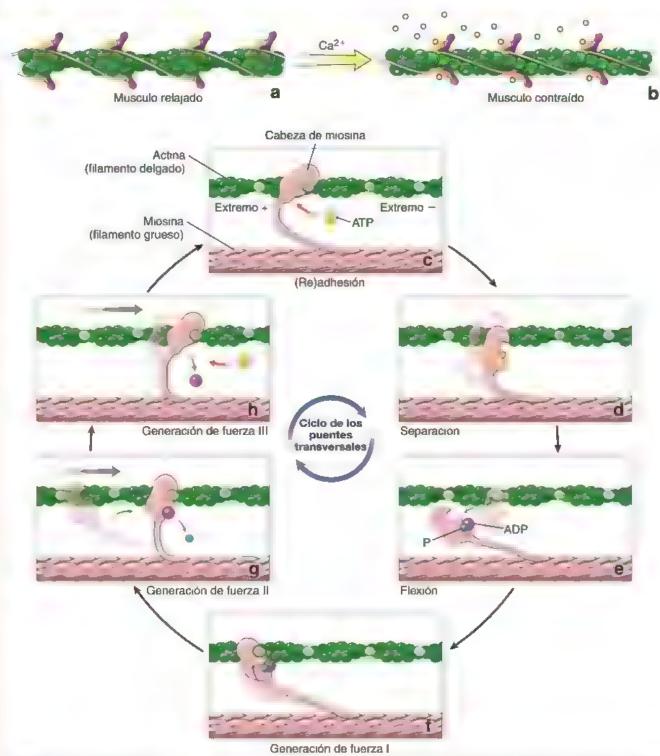


FIGURA 11-11. Ciclo de los puentes cruzados de actomiosina. Para una descripción más defallada de este ciclo referirse al texto del capítulo que corresponde a cada etapa representada a. y b. Solo se muestran los compiejos de tropomiosina y de tropom na para mayor ciandad c-h. El fullamento deligado se muestra sin las proteinas accesorias de actina. ADP, diflostato de adenosina, ATP trifosfato de adenosina. P fosfato inorgan co

describirse como una serie de fenômenos bioquímicos y mecánicos acoplados. La miosina, como proteína motora asociada con la actina con actividad ATPasa, convierte la energía química en fuerza mecánica al intercambiar de forma cíclica entre los estados de actina adhenda y no adhenda durante su ciclo de actividad ATPasa. Cada ciclo de puentes transversales se compone de cinco etapas: adhesión, separación, flexión, generación de fuerza y readhesión. En los músculos cardíacos o lisos, la duración relativa de las etapas individuales puede alterarse por los cambios en la composición de las moléculas de la

miosina específica del tejido. Sin embargo, se piensa que el ciclo básico es el mismo para todas las interacciones entre miosina y actina.

La adhesión es la etapa inicial del ciclo; la cabeza de miosina está fuertemente unida a la molécula de actina del filamento delgado.

Al inicio del cido de los puentes transversales, la cobeza de miosina está fuertemente unida a la molecula de actina del filamento del gado, y el ATP está ausente (fig. 11-11c). La posición de la cabeza de miosina en esta etapa tiene una conformación erguida. Esta dispo-

sición de muy corta duración se conoce como configuración ngida. El endurecimiento y la rigidez musculares que comienzan en el momento de la muerte se deben a la falta de ATP, lo que se conoce como rigidez cadavérica (rigor mortis). En un musculo en contracción activa, esta etapa culmina con la fijación de ATP a la cabeza de miosina.

La separación es la segunda etapa del ciclo. La cabeza de miosina se desacopla del filamento delgado.

En esta etapa del ciclo de los puentes transversales, el ATP se une a la cabeza de miosina e induce cambios de conformación del sitio de unión a la actina. Lo anterior reduce la afinidad de la cabeza de miosina por la molécula de actina del filamento delgado y determina que la cabeza de miosina se desacople del filamento delgado (fig. 11-11d).

La flexión es la tercera etapa del cíclo y "reinicia" el motor de la miosina; la cabeza de miosina, como resultado de la hidrolisis del ATP, asume su posición previa al golpe activo.

El sitio de fijación de ATP en la cabeza de miosina experimenta cambios de conformación adicionales, que hacen que la cabeza de miosina se flexione al rotar el brazo de palanca para asumir su posición previa al golpe activo. Este movimiento inicia con la separación del ATP en difosfato de adenosina (ADP, adenosine diphosphate) y fosfato inorgánico. No obstante, ambos productos permanecen unidos a la cabeza de miosina (fig. 11 11e). En esta etapa del ciclo, el desplazamiento lineal de la cabeza de miosina en relación con el filamento delgado es de unos 5 nm. A veces, esta etapa se denomina golpe de recuperacion.

La generación de fuerza es la cuarta etapa del ciclo. La cabeza da miosina libera el fosfato inorgánico y se produce el golpe activo.

La cabeza de miosina se fija débilmente al sino de unión en la nueva molécula de actina del filamento delgado (fig. 11-11f), lo que causa la liberación del fosfato inorgánico (fig. 11-11g). Esta liberación tiene dos efectos. Primero, se incrementa la afinidad de fijación entre la cabeza de miosina y su nuevo sitio de unión. Segundo, la cabeza de miosina genera fuerza conforme retorna a su posición erguida original. Por lo tanto, a medida que la cabeza de miosina se endereza, impulsa el movimiento del filamento delgado a lo largo del filamento grueso. Este es el "goipe activo" del ciclo. Durante esta etapa, se pierde el ADP de la cabeza de miosina (fig. 11-11h).

La readhesión representa la quinta y última etapa del ciclo; la cabeza de miosina se una de forma estrecha con una nueva molécula de actina.

La cabeza de miosina otra vez se une de forma estrecha a la nueva molécula de actina del filamento delgado (configuración de rigidez) y el ciclo puede repetirse (véase fig. 11-11c).

Las dos cabezas de la molécula de miosina trabajan juntas de un modo productivo y coordinado. Aunque una cabeza de miosina se separe del filamento delgado durante el ciclo, las cabezas de otras miosinas del mismo filamento grueso se adherirán a las moléculas de actina, lo cual genera el movimiento. Dado que las cabezas de miosina se disponen en forma de espejo a cada lado de la banda H (organización antiparalela), esta acción arrastra los filamentos delgados hacia la banda A, con lo que se acorta el sarcómero.

Regulación de la contracción muscular

En la regulación de la contracción muscular participan el Ca²⁺, el retículo sarcoplasmático y el sistema de túbulos transversos.

El Ca²⁺ debe estar disponible para la reacción entre la actina y la miosina. Después de la contracción, el Ca²⁺ debe eliminarse. El

envio y eliminación rápido de Ca²⁺ se logra por el trabajo combinado del retículo sarcoplasmático y el sistema de túbulos transversos.

El reticulo sarcoplasmático forma un compartimento membranoso de cisternas aplanadas y conductos anastomosados que sirven como reservorios de iones de calcio. Ocupa del 1-5% del volumen de la fibra muscular y está organizado como una serie de redes repetidas alrededor de las miofibrillas. Cada red del retículo se extiende desde una unión A-I hasta la siguiente unión A-I dentro de un saccómero. La red contigua del retículo sarcoplasmático continúa desde la unión A-I hasta la siguiente unión A-I del sarcómero vecino. Por lo tanto, una red del resículo sarcoplasmático rodea la banda A y la red contigua rodea la banda I (fig. 11-12). En el sitio donde se juntan ambas redes, a la altura de la unión entre las bandas A e I, el retículo sarcoplasmático forma conductos anulares de configuración apenas más grandes y regulares que envuelven el sarcómero. Estos agrandamientos se denominan elsternes terminales y sirven como reservorios para el Ca2+. La membrana plasmática de las cisternas terminales contiene abundantes canales con compuerta para la liberación de Ca²⁺

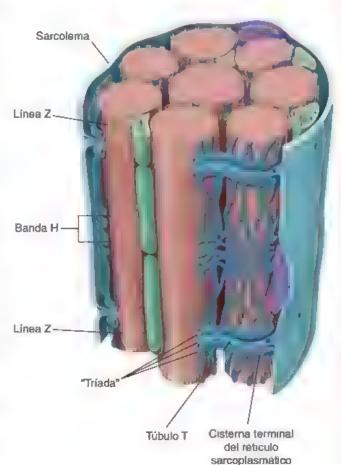


FIGURA 11-12. Diagrama de la organización de la fibra muscular estriada. En el diagrama se ilustra la organización del retículo sacoplasmático y su relación con las miofibrillas. Obsérvese que en las fibras musculares estriadas, a cada sarcómero le corresponden dos tubulos transversos (T). Cada tubulo T está ubicado a la altura de la unión entre las bandas A e I, y se forma como una invaginación del sarcolema del musculo estriado. Además, está asociado con dos disternas terminales de retículo sarcoplasmático, que rodea cada miofibrilla, una disterna a cada lado del tubulo T. La estructura triple, como se observa en el corte transversal, donde las dos disternas terminales fanquean el túbulo transverso a la altura de la unión entre las bandas A e I, se denomina triada. La despolarización de la membrana del tubulo T inicia la liberación de iones de calcio desde el retículo sarcoplasmático y finalmente desencadena la contracción muscular

denominados receptores de rianodina (RyR1 es la isoforma primaria en el músculo esquelético), que participan en la liberación de Ca2+ en el sarcoplasma. Alrededor de las miofibrillas y en asociación con el retículo sarcoplasmático, se localiza una gran cantidad de mitocondrias y gránulos de glucógeno, que proveen la energía necesaria para las reacciones que intervienen en la contracción. La superficie luminal del retículo sarcoplasmático contiene calsocuestrina, una proteína fijadora de calcio muy ácida capaz de fijar hasta 50 iones de Ca2+ internalizados. La calsecuestrina permite que los iones de Ca2+ necesarios para el inicio de la contracción muscular se almacenen en una concentración alta (hasta 20 mM), mientras que la concentración de Ca²⁺ libre dentro de la luz del retículo sarcoplasmático permanece muy baja (menos de 1 mM). Este proceso disminuye significativamente el gradiente de concentración en contra del que las bombas de Ca2+ activadas por ATPasa deben transportar iones Ca2+ hasta la luz del retículo sarcoplasmático.

El sistema de tubulos transversos, o sistema T, está compuesto por numerosas invaginaciones de la membrana plasmárica; cada una recibe el nombre de túbulo T. Los rúbulos T penetran en todos los niveles de la fibra muscular y se localizan entre las cisternas terminales contiguas a la altura de las uniones A-I (véase fig. 11-12). Contienen proteinas sensoras de voltaje denominadas receptores sensibles a la dihidropiriclina (DHSR, dihydropyridine-sensitive receptora), que son canales transmembrana sensibles a la despolarización que se activan cuando se despolariza la membrana plasmática. Los cambios en la conformación de estas proteínas afectan directamente a los canales con compuerra para la liberación de Ca²⁺ (isoforma RyR1) ubicados en la membrana plasmática contigua a las cisternas terminales.

El complejo formado por un túbulo T y dos cistemas terminales contígues se denomína triada. Estas estructuras se encuentran en el músculo esquelético a la altura de las umones A-l. Las tríadas son elementos importantes para los fenómenos de adhesión extracelular (p. ej., estimulación nerviosa) con respuestas intracelulares (p. ej., liberación de Ca²⁺) que conducen a la contracción muscular.

La despolarización de la membrana del túbulo T desencadena la liberación de Ca²⁺ desde las cisternas terminales para iniciar la contracción muscular por cambios en los filamentos delgados

Cuando un impulso nervioso llega a la unión neuromuscular, la liberación del neurotransmisor (acetilcolina) desde el extremo nervioso desencadena la despolarización localizada de la membrana plasmática en la célula muscular. La despolarización, a su vez, provoca la abertura de los canales de Na+ regulados por voltaje en la membrana plasmática, lo que permite la entrada de Na* desde el espacio extracelular hacia el interior de la célula muscular. La entrada de Na* produce una despolarización generalizada que se extiende con rapidez sobre toda la membrana plasmática de la fibra muscular, Cuando la despolarización encuentra la abertura del túbulo T, se transmite a lo largo de las membranas del sistema T hasta las profundidades de la célula. Los cambios eléctricos activan las proteinas sensoras de voltaje DHSR ubicadas en la membrana del túbulo T. Estas proteínas tienen las propiedades estructurales y funcionales de los canales de Ca2+. Durante la despolarización del músculo esquelético, la activación breve de estos sensores no basta para abrir los canales de Ca²⁺, por lo que no se produce su transporte desde la luz del rúbulo T hacia el sarcoplasma. En cambio, la activación de estos sensores abre los canales con compuerta para la liberación de Ca²⁺ (RyR1) en los sacos terminales contiguos del retículo sarcoplasmático que almacena grandes cantidades de Ca2+. La apertura de los canales de liberación de Ca2+ en el retículo sarcoplasmático provoca la liberación rápida y masiva de Ca2+ hacia el sarcoplasma. El incremento en la concentración de Ca2+ en el sarcoplasma inicia la contracción de la miofibrilla al unirse a la porción TnC del complejo de troponina en los filamentos delgados (véanse pp. 341 342). El cambio en la conformación

molecular de la TnC hace que la TnI se disocie de las moléculas de actina; esto permite que el complejo de troponina deje al descubierto los sitios de unión a miosina en las moléculas de actina. Las cabezas de miosina ahora tienen libertad para interactuar con las moléculas de actina para iniciar el ciclo de contracción muscular.

La relajación muscular es el resultado de la reducción de la concentración de Ca²⁺ citosólico libre.

Al mismo tiempo, una bomba de ATPasa activada por Ca²⁺ en la membrana del retículo sarcoplasmático transporta Ca²⁺ de regreso al sitio de almacenamiento en el sarcoplasmático es mantenida por la calsecuestrina, una proteína fijadora de calcio que colabora en la eficiencia de la captación de Ca²⁺. La unión del Ca²⁺ a la calsecuestrina dentro del retículo sarcoplasmánico reduce el gradiente de concentración de Ca²⁺ libre contra el cual debe funcionar la bomba de ATPasa activada por el ion. La concentración de Ca²⁺ en reposo se restablece en el cirosol en menos de 30 milisegundos. Esta restauración de la concentración de Ca²⁺ en reposo cerca de los miofilamentos generalmente relaja el músculo y provoca que la contracción se detenga. No obstante, la contracción se mantendrá mientras los impulsos nerviosos continúen despolarizando la membrana plasmática de los túbulos T.

Inervación motora

Las fibras del músculo esquelético son inervadas por las motoneuronas que se originan en la médula espinal o en el tronco del encéfalo. Los axones de las neuronas se ramifican a medida que se acercan al músculo, dando origen a ramos terminales que terminan sobre fibras musculares individuales (fig. 11-13).



FKGURA 11-13. Microfotografía de uniones neuromusculares. Esta preparación argéntica muestra un nervio motor y sus ramificaciones finales, que conducen a las uniones neuromusculares (placas motoras terminales). Las fibras musculoesqueléticas están onentadas de forma horizontal en el campo y son cruzadas perpendicularmente por las fibras nerviosas motoras. Obsérvese que estas fibras pierden su vaina de mielina en su porción distal y se dividen en muchos engrosamientos pequenos para formar un cumulo de uniones neuromusculares. 620×

La unión neuromuscular se refiere al contacto entre las ramificaciones terminales del axón y la fibra muscular.

A la altura de la union neuromuscular (placa motora terminal) finaliza la vaina de mielina del axón, y el segmento terminal de este permanece cubierto solo por una delgada porcion del neuri-

temocito (célula de Schwann) con su lámina externa. El extremo del axon se ramifica en varias terminaciones, cada una de las cuales yace en una depresión poco profunda en la superficie de la fibra muscular, la región receptora (fig. 11 14). La terminación del axón es una estructura presinaptica normal y posee numerosas

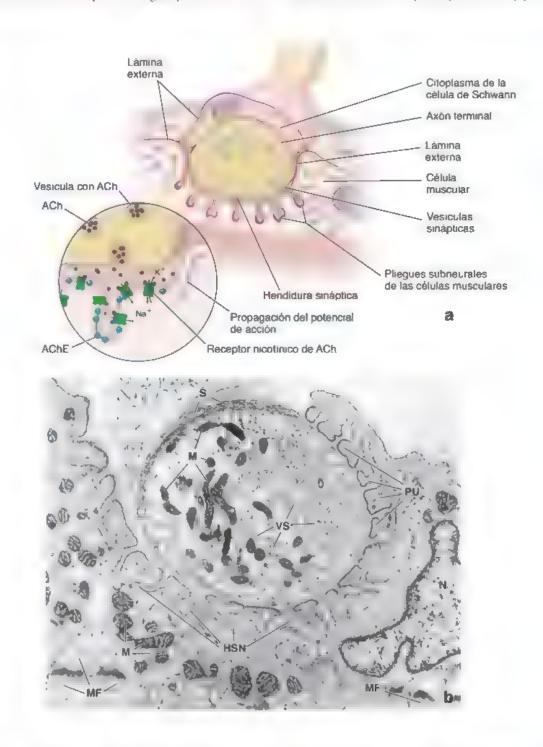


FIGURA 11-14. Unión neuromuscular, a. Diagrama de una unión neuromuscular. Se muestra un axón que establece sinapsis con una célula muscular. Obsérvese cómo los pliegues subneuraies de la célula muscular aumentan el área de superficie dentro de la hendidura sináptica. La iám na externa se introduce en toda a extensión de la hendidura. El terminal axónico está cubierto por el citoplasma de la célula de Schwann. El detalle muestra los receptores nicot nicos de acetilcolina en un piregue de unión que se abrió después de la estimulación por acetilcolina (ACh), in que permite que los iones de sodio y potasio entren y salgan de la célula, respectivamente. La acetilcolinesterasa (AChE) degrada la ACh y, de este modo impide la estimulación continua. **b.** Microfotografia electrónica de una unión neuromuscular en la que se muestra el final del axón dentro de la hendidura sináptica de la fibra muscular esquelética. Se puede observar un cumulo de mitocondrias (M) y vesicuas sinápticas (VS) abundantes. La parte del termina axónico motor que no entra en contacto con la fibra muscular esta cubierta por el cropiasma de la célula de Schwann (S), pero no se observar melina de fibra muscular pliegues de la unión (PU) y las hendiduras subneurales (HSN) entre estos. La ámina externa de la fibra muscular es apenas visible dentro de las hendiduras subneurales. Otras estructuras presentes son agiomeraciones de mitocondrias de la fibra muscular (M) en la región de la unión neuromuscular, el nucleo (M) de la fibra muscular y algunas miof brillas (MF). 32.000 × (cortesia del Dr. George D. Pappas).

CORRELACIÓN GLÍNICA: MIASTENIA GRAVE

Durante la función normal, las moléculas de aceticolina (ACh) liberadas en la hendidura sináptica de la unión neuro-muscular se unen a los receptores de ACh nicotínicos en el sarcolema de la célula muscular esquelética. Como se co-mentó antes, estos receptores corresponden a canales de Na* regulados por transmisores que controlan la entrada del Na* necesario para generar un potencial de acción que conduzca al inicio de la contracción muscular. Después de estimular a sus propios receptores, las moléculas de ACh son degradadas con rapidez por la enzima acetilcolinesterasa (AChE) en ácido acético y colina, la cual es captada por la terminación axónica y se reutiliza para la síntesis de ACh (véase p. 395)

En la **miastenia grave**, los receptores de ACh nicotínicos son bloqueados por anticuerpos dirigidos contra la proteína receptora del propio organismo. Por lo tanto, la miastenia grave as una enfermedad autoinmunitaria causada por una disminución de la cantidad de sitios receptores de ACh funcionales. Además, también ocurren otras anomalías dentro de la hendi-

dura sináptica (p. ej , ensanchamiento de la hendidura sináptica, desaparición de los pliegues subneurales) que reducen aún más la eficacia de las fibras musculares. La miastenia grave se caracteriza por la debilidad notable de la fibra muscular en respuesta al estimulo nervioso. Al principio, la debitidad comienza en los músculos extrínsecos del ojo y ocasiona ptosis palpebral, diplopía (visión doble) y debilidad muscular generalizada. Pueden afectarse otros musculos somáticos, incluidos los musculos respiratorios. A medida que la enfermedad progresa, se reduce la cantidad de uniones neuromusculares. Un tratamiento farmacológico eficaz para la miastenia grave es la administración de inhibidores de la AChE. Estas sustancias refuerzan la transmisión neuromuscular al extender la permanencia de la ACh liberada dentro de la hendidura sináptica. Además de los inhibidores de AChE, se utilizan el tratamiento inmunosupresor y la extirpación del timo agrandado (si lo hay). para reducir la actividad del sistema inmunitario y el ritmo de producción de los anticuerpos contra los receptores de ACh-

mitocondrias y vesículas sinápticas que contienen el neurotransmisor acetilcolina (ACh).

La liberación de acetilcolina en la hendidura sináptica inicia la despolarización de la membrana plasmática, lo que conduce a la contracción de la célula muscular.

La membrana plasmática de la fibra muscular que subyace en las hendiduras sinápticas tiene numerosos pliegues de unión (pliegues subneurales) profundos. Los receptores colinérgicos específicos para la ACh están limitados a la membrana plasmática en el borde inmediaro de la hendidura y en la porción apical de los pliegues. La lámina externa se extiende hacia el interior de los pliegues de unión (véase fig. 11 14a). Las vesículas sinápticas de la terminal axónica liberan ACh hacía la hendidura, que entonces se une a los receptores de ACh nicotinicos (nAChR, nicotinic ACh receptors) en el sarcolema del músculo estriado. El receptor de ACh nicotínico en los músculos estriados es un canal de Not regulado por neurotransmisor. La unión de la ACh abre los canales de Na⁺, con lo que se produce la entrada del ion en la célula muscular estnada. Esta entrada causa la despolarización localizada de la membrana, que a su vez conduce a los fenómenos ya descritos (véase fig. 11 14a). Una enzima conocida como acetifolinesterese (AChE) descompone rápidamente la acetilcolina para prevenir la estimulación continua. Para una mayor descripción de la función de la ACh, véase el capítulo 12.

La transmisión neuromuscular puede bloquearse debido a toxinas bacterianas y fármacos. Por ejemplo, la toxina botulinica, producida por una bacteria anaerobia llamada Clostridium botulinum, bloquea la liberación de ACh desde la terminal axónica. La toxina botulinica escinde las proteínas del receptor de proteína soluble de unión al factor sensible a M-etilmaleimida (SNARE, soluble N-ethylmaleimide-sensitive factor attachment protein receptor), que son esenciales para la unión y la fusión de las vesículas sinápticas con la membrana presináptica (vease p. 40). La transmision en la unión neuromuscular también puede ser inhibida mediante el bloqueo postsinaptico por varias toxinas y fármacos. Los derivados del curare, un veneno paralizante utilizado en las puntas de flecha en Sudamérica, se une a los receptores de ACh nicoti-

nicos sin abrir los canales lónicos. El veneno causa parálisis de los músculos esqueléticos (incluido el diafragma) sin afectar directamente la contracción del musculo cardiaco. Otros compuestos farmacológicos, como la succinilcolina, se unen al nAChR, lo que causa la apertura de los canales iónicos. La succinilcolina se utiliza como un relajante muscular a corto plazo en la medicina de urgencias y durante los procedimientos quirurgícos (cuadro 11-3).

El citoplasma de la fibra muscular que está por debajo de los pliegues de unión contiene núcleos, numerosas mutocondrias, retículo endoplasmático rugoso (RER), ribosomas libres y glucógeno. Se piensa que estos orgánulos citoplasmáticos intervienen en la síntesis de los receptores específicos de acerilcolina en la membrana de la hendidura, así como en la acerilcolinesterasa.

Una neurona junto con las fibras musculares específicas que inerva se denomina unidad motora.

Existen más fibras musculares que motoneuronas, por lo que una sola neurona puede inervar a varios cientos o más de fibras musculares. Una unidad motora está compuesta por una sola motoneurona y un grupo de fibras musculares que reciben inervación de esta. Los músculos capaces de realizar los movimientos más delicados poseen la cantidad más pequeña de fibras musculares por motoneurona en sus unidades motoras. Por ejemplo, en los músculos oculares, la relación de inervación es de alrededor de una neurona por cada tres fibras musculares. En los músculos posturales del dorso, una sola neurona puede inervar cientos de fibras musculares. En el gastrocnemio, un músculo del miembro inferior, la proporción de inervación es de una motoneurona por cada 1000-2000 fibras musculares. Por lo tanto, la despolarización en unas pocas unidades motoras puede generar grandes fuerzas para producir cambios repentinos en la posición del cuerpo.

La naturaleza de la contracción muscular está determinada por la cantidad de terminaciones de las motoneuronas y la cantidad de tipos de fibras musculares específicos que las despolarizan. Si bien la despolarización de una fibra muscular en una sola unión neuromuscular se caracteriza como un fenómeno de "todo o nada",

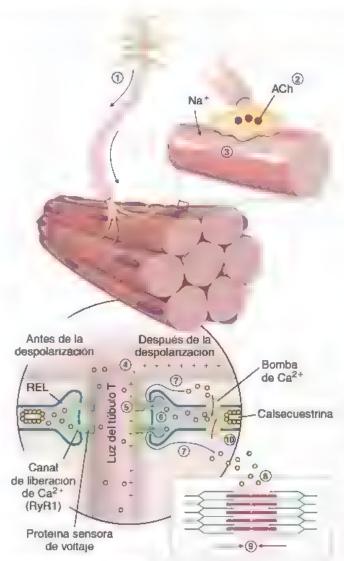


FIGURA 11-15. Fenómenos que desencadenan la contracción del musculo esquelético. Véase el texto para una descripción detallada de los fenómenos indicados por la numeración. ACh, acetilcolina.

no todas las terminales nerviosas se disparan al mismo tiempo, lo que permite una respuesta graduada al estímulo contráctul.

La inervación es necesaria para que las células musculares mantengan su integridad estructural.

La célula nerviosa motora no solo indica a las células musculares que se contraigan, sino que también ejerce una influencia trófica sobre estas. Si se interrumpe la inervación de un musculo, las células musculares experimentan cambios regresivos conocidos como atrofia tisular. El signo más evidente de esta atrofia es el adelgazamiento del músculo y de sus células. Si la inervación se restablece por medio de cirugía o por el proceso más lento de regeneración natural del nervio, el músculo puede recuperar su forma y fuerza normales.

Los fenómenos que conducen a la contracción del músculo esquelético pueden resumirse en una serie de pasos.

Los fenómenos que ocurren en la contracción se pueden resumir como sigue (los números corresponden con los de la fig. 11 15):

 La contracción de una fibra muscular esquelética se inicia cuando un impulso nervioso que avanza a lo largo del axón de una motoneurona llega a la unión neuromuscular.

- El impulso nervioso desencadena la liberación de ACh en la hendidura sináptica, que se une a canales de Na⁺ regulados por ACh, lo que causa la despolarización local del sarcolema.
- Se abren los canales de Na* regulados por voltaje y los iones entran en la célula.
- La despolarización se generaliza a través de la membrana plasmánica de la célula muscular y continúa a lo largo de las membranas de los tubulos T.
- Las proteínas DHSR sensoras de voltaje en la membrana plasmática de los túbulos T cambian su conformación.
- 6. A la altura de las triadas de las células musculares, los túbulos T están en estrecho contacto con las expansiones laterales del retículo sarcoplasmánico, donde los canales RyR1 con compuerta para la liberación de Ca²⁺ son activados por los cambios de conformación de las proteínas DHSR sensoras de voltaje.
- 7 El Ca²⁺ se libera con rapidez desde el retículo sarcoplasmático hacia el sarcoplasma.
- El Ca²⁺ acumulado se difunde a los miofilamentos, donde se fija a la porción de la TnC del complejo de troponina.
- 9. Se inicia el ciclo del puente transversal de actomiosina.
- El Ca²⁺es devuelto a los depósitos terminales del retículo sarcoplasmático, donde se concentra y es capturado por la calsecuestrina, una proteína fijadora de Ca²⁺.

Inervación sensitiva

Los receptores sensitivos encapsulados en los músculos y los tendones son ejemplos de receptores propiocaptivos. Estos receptores son parte del sistema sensitivo somático que provee información acerca del grado de estiramiento y tensión en un músculo. Los propioceptores informan al sistema nervioso central acerca de la posición y el movimiento del cuerpo en el espacio.

El huso muscular es un receptor de estiramiento especializado ubicado dentro del músculo esquelético.

El huso muscular es un receptor de estiramiento especializado que se encuentra en todos los músculos esqueléticos. Está compuesto por dos tipos de fibras musculares modificadas denominadas células fusales y terminales neuronales (fig. 11-16). Ambos ripos de fibras musculares modificadas están rodeados por una cápsula intema. Un espacio lleno de liquido separa la cápsula interna de una cápsula externa. Un tipo de célula fusal, la fibre del saco nuclear, contiene un conjunto de núcleos en una región media expandida; el otro tipo, denominado fibra de la cadena nuclear, tiene muchos núcleos dispuestos en una cadena. Un huso muscular normal está compuesto por dos a cuatro fibras de saco nuclear y alrededor de seis a ocho fibras de cadena nuclear. El huso muscular transmite información acerca del grado de estiramiento en un músculo. Los dos tipos de fibras nerviosas sensitivas aferentes (la y II) transmiten información desde el huso muscular. Las fibras tipo la poseen terminaciones anuloespirales que se disponen en forma de espiral alrededor de la región media de ambos tipos de células fusales, y las fibras tipo II tienen terminaciones en forma de "arreglo floral" sobre las porciones estriadas de las fibras de sacos.

Cuando el músculo esquelético se estira, las terminales nerviosas de los nervios sensitivos se activan y transmiten información acerca de la longitud del músculo y la velocidad de estiramiento. Además, las células fusales reciben inervación motora (eferente) desde la médula espinal y el cerebro a través de dos tipos de fibras nerviosas motoras eferentes (tipo γ), que se piensa que regulan la sensibilidad de los receptores de estiramiento. Las fibras dinámicos γ (γ -0) y las fibras estáticas γ (γ -S) inervan a las células fusales durante la fase dinámica de estiramiento muscular o durante la fase estática,

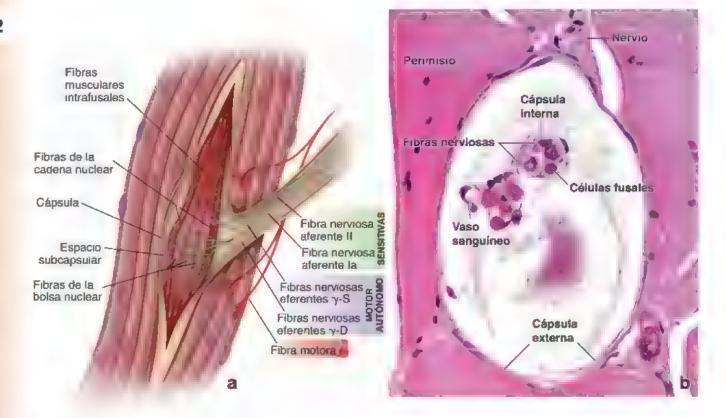


FIGURA 11-16. Huso neuromuscular a. Diagrama de un huso muscular El diámetro del huso está expandido para illustrar detalles estructurales. Cada huso contiene aproximadamente entre dos y cuatro fibras de bolsa nucleares y de seis a ocho fibras de cadena nuclear. En las fibras de la boisa nuclear los nucleos de las fibras musculares están agrupados en la porción central expandida de la fibra, por ello el nombre de *boisa.* En cambro los nucleos concentrados en la porción central de las fibras de la cadena nuclear están organizados en una cadena. Las fibras nerviosas tanto aterentes. Il (sensitivas) como eferentes y (motoras) nervan a las células del huso muscular. Las fibras nerviosas aferentes responden a estiramiento muscular exces vol que a su vez inhibe la estimulación motora somática del musculo. Las fibras nerviosas eferentes regular la sensibilidad de la terminación aferente en el huso neuromuscular. **b.** Microfotografía de un corte transversa de un huso neuromuscular en la que se musestran dos haces de células flusales en el receptor encapsulado con contenido iguido. En un haz varias células flusales en hai seccionado a la aftura de sus nucleos. Una cápsula internal rodea las células flusales. La cápsula externa de huso muscular y el perimisio contiguo se ven como un tenue limite biestratificado de receptor uusto por encima y por fuera del huso neuromuscular hay un nervio que podria estár inervandoio. En este corte tenido con H&E es imposible distinguir los diversos tipos de nervios asociados con las células fusales, ni el tipo de células fusales. Cerca de uno de los haces de células fusales hay un pequeño vaso sangulneo. El material floculento dentro de la cápsula está compuesto por proteoglucanos y glucoproteínas precipitados del líquido que estaba dentro del huso antes de la hjación. E50×

cuando el estiramiento no afecta la longitud del músculo. Los husos musculares transmiten sus impulsos al sistema nervioso central, que a su vez modula la actividad de las motoneuronas inervando ese músculo en particular.

Los órganos tendinosos de Golgi, unos receptores encapsulados similares, están presentes en los tendones del músculo y responden al aumento de la tensión. Estos receptores solo contienen fibras nerviosas sensitivas (aferentes, Ib) y mantienen la tensión muscular (o la fuerza de contracción) dentro de un rango óptimo.

Histogénesis, reparación, cicatrización y renovación

El desarrollo del linaje de las células madre miógenas depende de la expresión de varios factores reguladores miógenos.

Los miobiastos derivan de una población autorrenovable de células madre miógenas multipotenciales que se originan en el embrión a la altura del mesodermo paraaxial no segmentado (progenitores de los músculos craneales) o del mesodermo segmentado de las somitas

(progenitores musculares epiméricos e hipoméricos). En el desarrollo embrionario inicial, estas células expresan el factor de transcripción MyoD, que, junto con otros factores miógenos reguladores (MRF, myogenic regulatory factors), cumplen con un papel fundamental en la activación de la expresión de genes específicos del músculo y en la diferenciación de todos los linajes musculares esqueléticos. La expresión del gen de la miostatina conduce a la síntesis de miostatina, una proteína de 26 kDa perteneciente a la superfamilia de la proteína morfogénica ósea/factor de crecimiento transformante β (BMP/ TGF β, bone morphogenetic protein/transforming growth factor β), que logra un efecto equilibrante en el desarrollo del músculo esquelético. La miostatina ejerce un efecto inhibidor sobre el crecimiento y la diferenciación musculares. Se considera que el factor MyoD regula preferentemente la expresión del gen de la miostatina y controla la miogénesis no solo durante los períodos embrionario y fetal, sino también en las etapas posnatales de desarrollo. Los fenotipos hipermusculares que se observan en la inactivación del gen de la miostatina en animales y humanos han confirmado el papel de la miostatina como un regulador negativo del desarrollo

del musculo esquelètico. Algunos estudios experimentales han demostrado que la masa muscular se incrementa a través de la inhibición de la miostatina, por lo que el mecanismo de señalización de la miostatina podría ser un buen punto de intervención terapéutica en el tratamiento de las enfermedades con atrofía muscular, como la distrofía muscular, la esclerosis lateral amiotrófica (ELA), el sida y el cáncer

Los progenitores del músculo esquelético se diferencian en mioblastos iniciales y avanzados.

Los progenitores del músculo esquelético se diferencian en dos tipos:

- Los mioblastos tempranos son responsables de la formación de los miotubos primarios, estructuras similares a cadenas que se extienden entre los tendones del músculo en desarrollo. Los miotubos primarios están formados por la fusión casi sincrónica de los mioblastos iniciales. Los miotubos se someten a una mayor diferenciación en las fibras musculares esqueléticas maduras. Los miotubos primarios observados en el microscopio óptico exhiben una cadena de núcleos centrales múltiples rodeados por los miofilamentos.
- Los mioblastos tardios originan a los miotubos secundarios, que se forman en la zona inervada del músculo en desarrollo donde los miotubos tienen contacto directo con las terminales nerviosas. Los miotubos secundarios continúan formándose porque nuevos mioblastos se fusionan secuencialmente en posiciones aleatorias en toda su longitud. Los miotubos secundarios se caracterizan por tener un diámetro menor, núcleos más separados entre sí y una mayor cantidad de miofilamentos (fig. 11–17) En la fibra muscular madura multinucleada, los núcleos están todos en el sarcoplasma periférico, justo adentro de la membrana plasmática.



FIGURA 11-17. Microfotografia de miotubos de músculo esquelético en desarrollo. En esta imagen se muestra un corte transversal (a la izquierda) y un corte longitud nal (a la derecha) de fibras de musculo esquelético en desarrollo en la etapa de miotubos secundanos. Estos miotubos se forman por la fusión secuencial de mioblastos para producir estructuras tubulares alargadas. Obsérvese que los miotubos tienen un diámetro pequeno y núcieos centrales bien separados que son desplazados de forma gradual hacia la perifena celular por el incremento de la cantidad de miofilamentos recién sintetizados. En la fibra muscular multinucleada madura (amba, a la izquierda), todos los núcleos están ubicados en el sarcoplasma periférico, justo debajo de la membrana celular piasmàtica. 220×



FIGURA 11-18. Imagen de microscopia confocal de células satélite. Esta magen confocal de una soia fibra muscular esquelética de diafragma muestra estriaciones en la superficie de la membrana celular. El patrón de estriación es visible debido a la tinción con colorante RH414 esténil lipófilo sensible al voltaje (naranja-rojo) y coincide con una distribución de tubulos T en la fibra muscular. Los nucleos de musculo esquelético se tinen con propidio yodado (verde). Dos nucleos teñidos de blanco corresponden a las células satélite. Estas ultimas se tiñen por la presencia del factor de transcripción Pax7, 550× (cortesía de Dr. Garry C. Sieck, Mayo Cinici)

Algunos núcleos que parecen pertenecer a la fibra muscular esquelética, en realidad son núcleos de las células satélite.

En la última parte del desarrollo fetal, la población de células madre multipotenciales miógenas generan células satélite, que se caracterizan por la expresión del factor de transcripción Pax7. En consecuencia, en un músculo en desarrollo se mantiene una reserva de células no diferenciadas que tienen el potencial de experimentar diferenciación miógena. Estas son las células satélite y se interponen entre la membrana plasmática de la fibra muscular y su lámina externa. Las células satélite son pequeñas con escaso citoplasma; constituyen el 2-7% de todos los núcleos asociados con una sola fibra muscular. Con el microscopio óptico, el citoplasma se confunde con el sarcoplasma de la fibra muscular, lo que dificulta su identificación. Cada célula satelite tiene un núcleo único con una red de cromatina más densa y gruesa que la de los núcleos de la célula muscular.

Las células satélite son la causa de la capacidad de regeneración del músculo esquelético, aunque esta es limitada. Por lo general, son mitóticamente inactivas, y debido al hecho de que expresan el factor de transcripción Pax7, pueden identificarse utilizando métodos de înmunofluorescencia (fig. 11-18). Sin embargo, después de una lesión del rejido muscular, algunas células satélite son activadas y m convierten en precursores miógenos de los miocitos; reingresan al ciclo celular y comienzan a coexpresar Pax7 con MyoD, que es un factor de transcripción clave para la diferenciación miógena. Después, las células precursoras miógenas dismínuyen la expresión de Pax7 y se diferencian, con lo que dan origen a nuevos mioblastos Mientras la lámina externa permanezca intacta, los mioblastos se fusionan dentro de ella para formar miotubos, que después maduran en una nueva fibra. En cambio, si la lámina externa se destruye, los fibroblastos reparan el sitio de la lesión con la consecuente formación de tejido de cicatrización.

Las distrofias musculares se caracterizan por la degeneración progresiva de las fibras musculares esqueléticas, lo cual impone una exigencia constante a las células satélite para que reemplacen las fibras que se han degenerado. Al final, la reserva de células satélite se agota. Algunos datos experimentales nuevos indican que, durante este proceso, otras células miógenas adicionales se reclutan de la medula espinal y complementan las células satelite disponibles. Sin embargo, la velocidad de degeneración excede la de regeneración y su consecuencia es la pérdida de la función muscular. Una futura estrategia terapéutica para las distrofías musculares podria incluir el trasplante de células satelite o sus equivalentes miogenos medulares óseos en el musculo dañado, o encontrar formas en las que se pueda restaurar su función

■ MÚSCULO CARDÍACO

El músculo cardiaco tiene los mismos tipos y la misma organización de los filamentos contráctiles que el músculo esquelético. En consecuencia, las células musculares cardíacas y las fibras que forman presentan estriaciones transversales evidentes en los cortes histológicos de rutina. Además, las fibras musculares cardíacas muestran bandas cruzadas bien teñidas, denominadas discos intercalares, que atraviesan las fibras de modo lineal o con frecuencia de una manera que recuerda los peldaños de una escalera (fig. 11-19 y lám. 24,

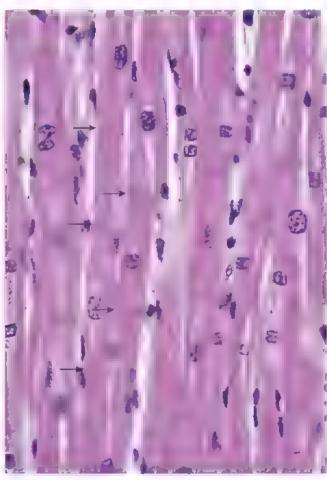


FIGURA 11-19. Microfotografía de músculo cardiaco en corte longitudinal. Las flechas señalan los discos intercalares. Los discos consisten en uniones interce plares especializadas entre las cérulas musculares cardiacas. Obsérvese también la ciara ramificación de las fibras musculares. 360×

p. 374). Los discos intercalares son sinos de adhesión especializa dos entre células contiguas. Esta adhesión célula-célula lineal de las células musculares cardíacas produce "fibras" de longitud variable. A diferencia de las fibras musculares estriadas viscerales y esqueléticas que están constituidas por células individuales multinucleadas, las fibras musculares cardíacas están compuestas por numerosas células cilindricas dispuestas extremo con extremo. Asimismo, algunas células musculares cardíacas en una fibra pueden unirse con dos o más células a través de los discos intercalares para crear, de ese modo, una fibra ramificada. Las fibras musculares cardíacas están rodeadas por una delgada capa de rejido conjuntivo, el endomisio, que contiene una red con abundantes capilares.

Estructura del músculo cardíaco

El núcleo del músculo cardíaco está en el centro de la célula.

Los cardiomiocitos tienen cerca de 15 µm de diámetro y 80 µm de longitud, que pueden variar según la etapa de la contracción muscular Todos los cardiomiocitos tienen un solo núcleo; sin embargo, a menudo se encuentran cardiomiocitos binucleados. La ubicación central del núcleo en las células musculares cardíacas es una característica que ayuda a distinguirlas de las fibras musculares esqueléticas multinucleadas, cuyos núcleos están bajo la membrana plasmática. El microscopio electrónico de transmisión (MET) muestra que las miofibrillas del músculo cardíaco se separan para rodear el núcleo, y así delimitan una region yuxtanuclear bicónica en donde se concentran los orgánulos celulares. Esta región posee abundantes metocondrías y contiene el aparato de Golge, gránulos del pigmento lipofuscina y glucógeno. En las aunculas cardiscas, los granulos auriculares, que miden entre 0.3 y 0.4 µm de diámetro, también se concentran en el citoplasma yuxtanuclear. Estos gránulos contienen dos hormonas polipeptidicas: el factor natriurético auricular (ANF, arrial natriurette factor) y el factor natriurético cerebral (BNF, brain natriuretic factor). Ambas hormonas son diuréricas y afectan la excreción urinaria de sodio; además, inhiben la secreción de renina por el riñón y la secreción de la aldosterona por la glándula suprarrenal. También inhiben las contracciones del músculo liso vascular. En la insuficiencia cardíaca congestiva, la concentración de BNF circulante se incrementa.

Junto a cada miefibrilla se encuentran numerosas mitocondrias grandes y depositos de glucógeno.

Además de la mitocondria yuxtanuclear, las células musculares cardíacas se caracterizan por presentar grandes mitocondrías que están muy apretadas entre las miofibrillas. Estas mitocondrías voluminoses se extienden con frecuencia por toda la longitud de un sarcómero y contienen numerosas crestas muy juntas (fig. 11-20). Las concentraciones de granulos de glucógeno también se localizan entre las miofibrillas. Por lo tanto, las estructuras que almacenan energía (gránulos de glucógeno) y las que liberan y recapturan energía (mitocondrias) se localizan en las estructuras (miofibrillas) que utilizan la energía para impulsar la contracción.

Los discos intercalares consisten en uniones entre las células musculares cardiacas.

Como ya se mencionó, el disco intercalar representa el sitio de unión entre las células musculares cardíacas. Con el microscopio óptico, el disco aparece como una estructura lineal bien teñida que está orientada de forma transversal con respecto a la fibra muscular.

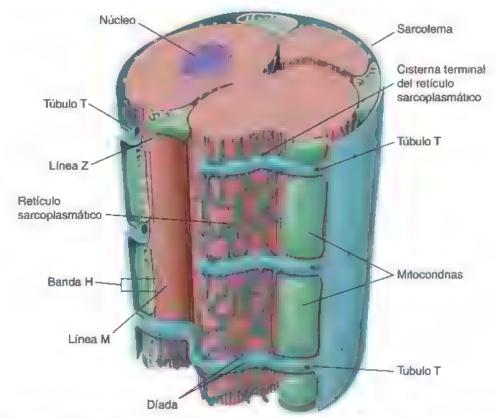


FIGURA 11-20. Diagrama de la organización de la fibra muscular cardíaca. Los tubulos T del musculo cardíaco son más grandes que los del musculo esqueiético y llevan una cubierta de material de lámina externa hacia el interior de la célula. También son diferentes porque están ubicados a la altura de la linea Z. La porción del reficulo sarcoplasmático contigua al tubulo T no tiene la forma de una disterna dilatada, sino que está organizado como una red anastomosada llamada diada.

A menudo, consiste en segmentos cortos dispuestos en forma de peldaños de una escalera (fig. 11-21). Cuando el sitio de un disco intercalado se examina con el MET, la estructura con una tinción intensa visible con el microscopio ópuco puede atribuirse a la presencia de un componente transversal que cruza las fibras en ángulo recto con respecto a las miofibrillas. El componente transversal es análogo a los peldaños de una escalera. Un componente tateral (no visible con el microscopio ópuco) ocupa una serie de superficies perpendiculares al componente transversal y se ubica paralelo a las miofibrillas. El componente lateral es análogo a fas huellas de los peldaños de una escalera. Ambos componentes del disco intercalar contienen uniones especializadas célula-célula entre las células musculares cardíacas contiguas:

• La fascia adherente (unión adherente) es el principal constituyente del componente transversal del disco intercalar y es el elemento que se observa en los preparados de rutina teñidos con HôtE. Sostiene las células musculares cardíacas por sus extremos para formar la fibra muscular cardíaca funcional (véase fig. 5-20, p. 141). Siempre aparece como un límite transversal entre las células musculares cardíacas. El MET revela un espacio intercelular entre las células contiguas, que se llena con material electrodenso semejante al que se localiza en la zónula adherente de los epitelios. La fascia adherente sirve como el sitio de fijación de los filamentos delgados del sarcómero terminal a la membrana plasmática. De esta forma, la fascia adherente es similar desde el punto de vista funcional a la zónula

adherente de los epitelios, donde también se fijan los filamentos de actina del velo terminal.

- Las máculas adherentes (desmosomas) unen las células musculares individuales entre sí. Su principal función es evitar que las células se separen frente a la tensión de las contracciones regulares repetitivas. Estas refuerzan la fascia adherente y se encuentran en el componente tanto transversal como lateral de los discos intercalares.
- Las uniones comunicantes constituyen el principal elemento estructural del componente lateral del disco intercalar. Estas uniones proporcionan continuidad iónica entre las células musculares cardíacas contiguas y, así, permiten que las macromoléculas de información pasen de una célula a otra. Este intercambio permite que las fibras musculares cardíacas se comporten como un sincitio al tiempo que retienen su integridad e individualidad celular. La posición de las uniones de hendidura sobre las superficies laterales de los discos intercalares las protegen de las fuerzas generadas durante la contracción.

En las células musculares cardíacas, el REL se organiza en una red individual a lo largo del sarcómero, la cual se extiende de una linea Z a otra.

A diferencia del músculo esquelético, el REL del músculo cardíaco carece de una buena organización. No separa los haces de miofilamentos en miofibrillas bien definidas. Los túbulos T del músculo cardíaco penetran en los haces de miofilamentos a la altura de la línea Z_a entre

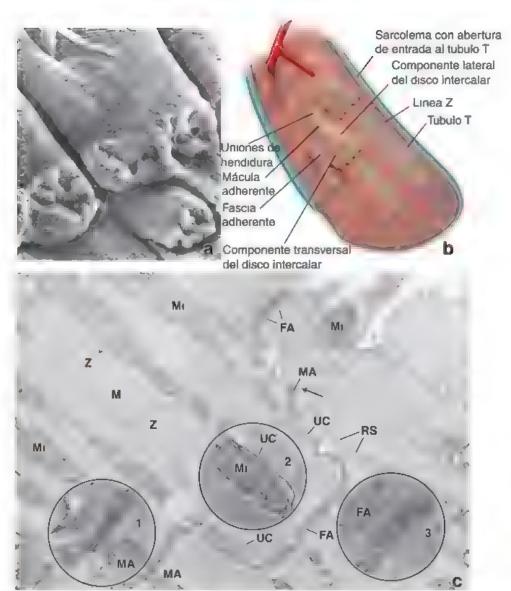


FIGURA 11-21. Estructura de la fibra muscular cardíaca. a. En esta microfotografía electrónica de bamdo se presenta el preparado de terdo muscular cardiaco obtenido del ventriculo derecho da un simio. La muestra fue sometida a un ultrasonido dentro de hidróx do de sodio, lo qua produjo la digestión de las fibras de colágeno y la separación de los mijos tos cardiacos a la altura de los discos intercalares. Obsérvense el patròn de ramificación de los miocitos y los componentes transversa es claramente visibles del disco intercalar 32 000 x b. Esquema trid mensional de un disco intercalar, que es un sitio de adhesión muy especializado entre las células musculares cardiacas adyacentes. El disco intercalar esta conformado por un componente transversal que cruza las fibras en ángulo recto con respecto a las miofibrillas (análogo a las contrahuellas de una escaleral y un componente lateral que ocupa una serie de superficies perpendiculares a componente transversa y paralelas a las miofibril as ide manera similar a los peldanos de una escalera). La fascia adherente es el elemento principal del componente transversal. Sostiene las cé u as musculares cardiacas por sus extremos y sirve como sitio de fijación para los filamentos delgados. Las máculas adherentes refuerzan la fascia adherente y fambién se encuentran en los componentes latera es. Las uniones de hendidura (nexos) se ha lan soio en el componente latera, del disco interca ar 🕰 En esta microfotografia electrónica se observan porciones de dos células musculares cardiacas unidas por un disco intercalar La linea de unión entre las dos cellulas toma un curso escaleriforme irregular con varios giros en angulo casi recto. En su trayecto. se distinguen las diferentes partes del discolintercalar. Estos son los componentes transversa es ifascia adherente y mácula adherente, y los componentes latera es tuniones comunicantes y mácula adherente. La mácula adherente (MA) está ampilada en el detalle 1 (62 000 ×). La fascia adherente (FA) es mas extensa que la mácula adherente. En contraste con la mácula adherente, la fascia adherente ocupa un área mucho mayor a lo largo del borde irregular del componente transversa de disco intercalar. La unión comunicante (UC) esta ampilidad en el detalle 2 (62 000 ×) La fascia adherente (FA) está ampliada en el detalle 3 (62 000 ×). La fascia adherente de discointercalar es un equivalente de la zónula adherente de los tejidos epite ales. También se ven otras estructuras tipicas de la cellua muscular cardiaca imitocondria (Mr), reticuio sarcoplasmático (RS) y componentes del sarcómero, incluyendo las linea Z (Z) la linea M (M) y los miof amentos. Esta muestra particular esta en un estado muy contraido y en consecuencia, la banda l está parcialmente oculta, 30,000 × (la parte 🛭 fue reimpresa con autorización de Zhang . Ina K, Kitamura H, et al. The intercalated discs of monkey myocardial cells and Purkinje fibers as revealed by scanning electron microscopy Arch Histol Cytol 1996;59 453-465)

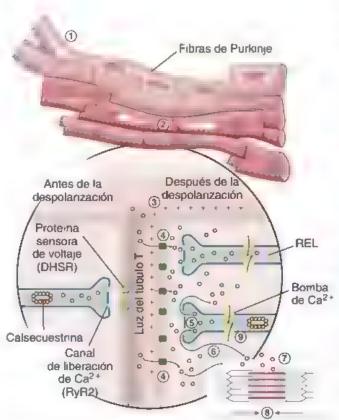
los extremos de la red de REL. Por lo tanto, hay un solo tubulo T por sarcómero en el músculo cardíaco. Unas pequenas cistemas terminales del REL estan cerca de los tubulos T para formar una diada a la altura de la linea Z (vease fig. 11 20). La lamina externa se adhiere

a la membrana plasmática invaginada del tubulo T al penetrar en el ciroplasma del miociro. Los tubulos T son más grandes y abundantes en el musculo cardiaco ventricular que en el músculo esqueletico. Sin embargo, son menos numerosos en el musculo cardiaco auricular.

El paso de Ca²⁺ desde la luz del túbulo T al sarcopiasma de la célula muscular cardíaca es indispensable para el inicio del ciclo de la contracción.

Como se comentó en la sección sobre tejido muscular esquelético, la despolarización de la membrana del túbulo T activa las proteinas sensoras de voltaje (DHSR), las cuales son similares en estructura y función a los canales de Ca2+. A diferencia de lo que ocurre en el músculo esquelético, la despolarización de larga duración en el músculo cardíaco activa las DHSR y estimula su lento cambio de conformación hasta convertirse en canales de Ca2+ funcionales (fig. 11-22). Por consiguiente, en esta primera etapa del ciclo de contracción del músculo cardíaco, el Ca2+ de la luz del túbulo T se transporta hacia el sarcoplasma de la célula muscular cardíaca, lo cual abre los canales con compuerta para la liberación de Ca2º en los sacos terminales del retículo sarcoplasmático. Estos canales en el músculo cardíaco están compuestos por la isoforma RyR2 de los receptores de rianodina, que es la isoforma principal en el músculo cardíaco. Este mecanismo de liberación de calcio activado por calcio ocasiona una liberación masiva y rápida de Ca²⁺ que inucia los pasos subsiguientes del ciclo de contracción, los cuales son idénticos a los del músculo esquelético.

Las diferencias entre la iniciación de las contracciones del músculo cardíaco y las del esquelético, la despolarización de la membrana de duración más larga y la activación de los canales de Ca²⁺ sensibles al voltaje en la pared del túbulo T ocasionan un retraso de aproximadamente 200 ms desde el comienzo de la despolarización en la contracción muscular cardíaca (*véase* fig. 11-22). Además, a di-



FÍGURA 11-22. Resumen de los fenómenos que desencadenan la contracción del musculo cardiaco. Véasa el texto para una descripción detallada de los fenómenos indicados por la numeración. DSHR, receptor sensible a la dibidropiridina, REL, retícuio endopiasmático liso, RyR2, receptor de nanodina 2

ferencia de lo que ocurre en el músculo esquelético, la sola liberación de Ca²⁴ del retículo sarcoplasmático no es suficiente para iniciar la contracción muscular cardíaca.

Las mutaciones en el gen que codifica el receptor RyR2 se asocian con taquicardia ventricular helicoidal (torsades de pointes) inducida por esfuerzo. Este tipo de taquicardia (frecuencia cardiaca elevada) está caracterizada por una frecuencia cardiaca anomala que puede ser de 150-250 latidos por minuto y viene acompañada por hallazgos específicos en el electrocardiograma (ECG). Estos hallazgos incluyen una serie de complejos QRS helicoidales, en relación con la linea isoelectrica, que pueden ir de positivos a negativos y a la inversa. A menudo, la taquicardia ventricular polimórfica se relaciona con intervalos QT prolongados en el ECG. Las personas con este sindrome pueden experimentar episodios breves autolimitados de taquicardía o episodios recurrentes persistentes que provocan la fibrilación ventricular y la muerte cardiaca subita

Las células musculares especializadas de conducción cardiaca (células de Purkinje) revelan una contracción rítmica espontánea.

La contracción espontánea intrínseca o latido del músculo cardíaco se observa tanto en las células musculares cardíacas embrionarias como en las células musculares cardíacas de cultivos de tejidos. El latido cardíaco es iniciado, regulado localmente y coordinado por las células musculares cardíacas modificadas que están especializadas, denominadas células cardíacas conductoras (lám. 25, p. 376). Estas células están organizadas en un sistema de conducción cardíaco. Estas células forman nódulos (grupos celulares en la aurícula derecha) y fibras de conducción especializadas llamadas fibras de Purtúnje, que generan y transmiten con rapidez el impulso contráctil a las diversas partes del miocardio en una secuencia precisa.

A diferencia de las células musculares cardíacas, las células de las fibras de Purkinje son más grandes y sus miofibrillas se localizan en gran parte en la periferia celular. El citoplasma entre el núcleo y las miofibrillas ubicadas en la penferia se tiñe muy poco debido a la gran cantidad de glucógeno presente en esta parte de la célula. Las fibras de Purkinje, en su mayoría, carecen de túbulos T. En algunas ocasiones, se pueden encontrar rúbulos T y su frecuencia depende del tamaño del corazón.

En los nódulos terminan las fibras nerviosas simpáticas y parasimpáticas. La estimulación símpatica acelera el latido cardiaco porque aumenta la frecuencia de los impulsos transmitidos a las celulas de conducción cardiaca. La estimulación parasimpática torna más lento el latido cardiaco porque disminuye la frecuencia de los impulsos. Los impulsos transmitidos por estos nervios no inician la contracción, sino que solo modifican la frecuencia de la contracción muscular cardiaca intrínseca por sus efectos sobre los nódulos. La estructura y las funciones del sistema de conducción cardíaco se describen en el capítulo 13.

Los episodios que conducen a la contracción del músculo cardíaco pueden ser resumidos en una serie de pasos.

Los episodios que ocurren en la contracción muscular cardíaca son los siguientes (los números corresponden con los de la figura 11-22):

 La contracción de la fibra muscular cardíaca inicia cuando la despolarización de la membrana celular propagada a través de las fibras de Purkinje alcanza su destino en los muocitos cardíacos.

- La despolarización general se extiende sobre la membrana plasmática de la célula muscular, lo que causa la apertura de los canales de Na⁺ regulados por voltaje. El Na⁺ entra en la célula.
- La despolarización general continúa a través de las membranas de los rúbulos T.
- Las proteínas sensoras de voltaje (DHSR) de la membrana plasmática de los túbulos T cambian su conformación hasta convertirse en conductos de Ca²⁺ funcionales.
- El aumento en la concentración citoplasmática de Ca²⁺ abre los canales RyR2 regulados para la liberación de Ca²⁺ en el retículo sarcoplasmático.
- 6 El Ca²⁺ se libera con rapidez del retículo sarcoplasmático e incrementa la reserva de Ca²⁺ que ingresó en el sarcoplasma a través de los canales de calcio en la membrana plasmática.
- 7 El Ca²⁺ acumulado se difunde a los miofilamentos, donde se fija a la porción de TnC del complejo de troponina.
- Se inicia el ciclo de los puentes transversales de actomiosina, que es surular al del músculo esquelético.
- El Ca²⁺es devuelto a las cistemas terminales del reticulo sarcoplasmático, donde se concentra y es capturado por la calsecuestrina, una proteína fijadora de Ca²⁺.

Lesión y reparación

Una de las razones más frecuentes de muerte de los cardiomiocitos (necrosis) es el infarto de miocardio (IM), derivado de una irrigación inadecuada (isquemia) del miocardio (véase cuadro 11-1). Las lesiones localizadas del tejido muscular cardiaco con muerte de las células se reparan mediante la formación de tejido conjuntivo fibroso. En consecuencia, la funcion cardiaca se interrumpe en el sitio de la lesión. Este patrón de lesión y reparación se observa en el IM no mortal. La confirmación del IM en una persona puede hacerse a través de la detección de marcadores especificos en la sangre Estos marcadores son las subunidades estructurales Tnl y TnT del complejo de la troponina cardiaca. Estas moléculas suelen liberarse desde los cardiomiocitos en estado de necrosis hacia la circulación unas 3-12 h después de un IM La concentración de Tnl permanece elevada hasta 2 semanas desde el momento en el que se produjo la lesión inicial; por lo tanto, se considera un excelente marcador para el diagnóstico del IM que ha ocurrido de forma reciente

Las células musculares cardíacas maduras tienen la capacidad de dividirse.

La muerte del musculo cardiaco conduce a la pérdida de la función cardiaca y la capacidad de bombeo. Antes se pensaba que las celulas cardiacas destruidas no podian ser reemplazadas por células musculares nuevas. No obstante, las investigaciones que se realizaron en la decada pasada demostraron que los cardiomiocitos conservan cierta capacidad de división. Además, diversos estudios han identificado progenitores de cardiomiocitos endogenos en el corazón y la médula ósea.

Algunos estudios recientes realizados en corazones extraídos de pacientes que recibieron trasplantes detectaron la presencia de nucleos de cardiomicoitos en proceso de mitosis. Si bien la cantidad de nucleos mitoticos en estos corazones es escasa (0.1%), al fenómeno indica que las células dañadas tienen el potencial de comenzar de nuevo el ciclo celular, sintetizar ácido desoxirribonucleico (ADN) e iniciar la mitosis y la citocinesis, que culminan en la división celular. Los estudios recientes con carbono-14 (14C) para comprobar

la edad de los cardiomiocitos muestran que el corazón de un adulto contiene una pequeña cantidad de cardiomiocitos generados a lo largo de la vida. Estos estudios han estimado que la tasa de producción de cardiomiocitos es del 1% cada año en los jóvenes, y que esta disminuye a la mitad con el envejecimiento

La mayor parte de la síntesis del ADN que se lleva a cabo en los card omiocitos no conduce a la formación de celulas nuevas. Los cardiomiocitos pueden completar la mitosis sin división celular, por lo que se producen células binucleadas. Se estima que el 25-57% de los miocitos humanos son binucleados.

Además, los cardiomiccitos pueden experimentar la replicación cromosómica sin completar la mitosis o la citocinesis, lo que produce núcleos poliploides que contienen más de un conjunto de cromosomas. En el corazón del adulto, se estima que la mayoría de los nucleos de los cardiomiccitos son poliploides. Estos se forman mediante al menos una (4n; tetraploide) o dos (8n; octoploide) rondas adicionales de replicación cromosómica. La poliploidia de los cardiomiccitos aumenta cuando se presenta la hipertrofia miccárdica o debido a otras causas de lesión calular; no se debe confundir con división calular

La investigación ha demostrado que los progenitores de cardiomiocitos en los adultos pueden diferenciarse de forma limitada en cardiomiocitos y otros tipos celulares presentes en el corazón (miocitos endoteliales y lisos). En la actualidad, los esfuerzos se centran en definir los mecanismos que desencadenan que los progenitores se diferencien en cardiomiocitos para regenerar el tejido.

■ MÚSCULO LISO

El musculo liso generalmente se presenta en forma de haces o láminas de células fusiformes alargadas con finos extremos agudos (fig. 11-23 y lám. 26, p. 378). Las células musculares lisas, también denominadas fibras, carecen del patrón estriado que se observa en los músculos cardíaco y esquelético. Tienen una longitud que va desde 20 µm en las paredes de los pequeños vasos sanguíneos hasta cerca de 200 µm en la pared del intestino; pueden alcanzar los 500 µm en la pared del útero durante la gestación. Las células musculares lisas están interconectadas por uniones comunicantes, que son las uniones de comunicación especializadas entre las células (fig. 11-24). Las pequeñas moléculas o iones pueden pasar de una célula a otra a través de estas uniones y proveen vínculos de comunicación que regulan la contracción del haz o la lámina completa del músculo liso.

Debido a las concentraciones de actina y miosina que contiene, el citoplasma del músculo liso se tiñe de manera bastante uniforme en las preparaciones de rutina con H&E. Los núcleos en el músculo liso se ubican en el centro de la célula y con frecuencia tienen un aspecto de tirabuzón en el corte longitudinal. Esta característica se debe a la contracción de la célula durante la fijación y suele ser útil para distinguir las células musculares lisas de los fibroblastos en los cortes histológicos de rutina. En una célula no contraída, el núcleo aparece como una estructura alargada con bordes romos, ubicado en el centro del eje celular. Cuando el núcleo queda inclindo en un corte transversal de una fibra muscular lisa, aparece como una silueta redondeada o circular sin importar que la célula esté contraída o relajada. El MET muestra que la mayoría de los orgánulos citoplasmáticos están concentrados en cada extremo del núcleo. Estos incluyen abundantes mitocon-

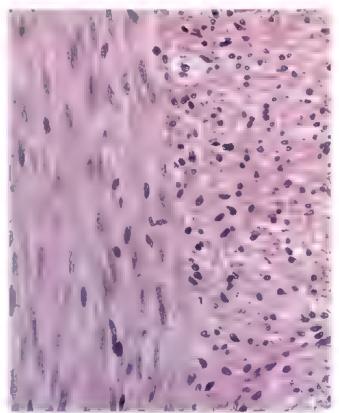


FIGURA 11-23. Microfotografía de músculo liso de un colon humano. El músculo liso que se muestra en esta microfotografía está dispuesto en dos capas. A la izquierda, las células musculares están seccionadas longitudinalmente, a la derecha, el corte es transversal Las células musculares lisas son alargadas y tienen extremos estrechos. Obsérvese que los nucleos en las células musculares en corte longitudinal son alargados y sus extremos son romos para adaptarse a la forma celular. En cambio, los nucleos de las células musculares en corte transversal tienen una silueta circular. Asimismo, en este corte transversal parece que algunas células carecen de núcleo, un reflejo de que la células se accionó a la altura de uno de sus extremos. Además, obsérvese que los lámites entre las fibras musculares lisas seccionadas de forma longitudina, no son nítidos por el modo en el que las células se ubican una sobre otra en el espesor del corte. 400×

drias, algunas cisternas del RER, ribosomas libres, gránulos de glucógeno y un pequeño aparato de Golgi.

Estructura del músculo liso

Las células musculares lisas poseen un aparato contráctil de filamentos delgados y gruesos, así como un citoesqueleto compuesto por filamentos intermedios de desmina y vimentina.

El resto del sarcoplasma está repleto de filamentos delgados que forman parte del aparato contráctil. Los filamentos gruesos de miosina están dispersos por todo el sarcoplasma de la célula muscular lisa. Son muy lábiles y tienden a desaparecer durante la preparación del tejido. Sin embargo, se pueden utilizar técnicas especiales para retener la integridad estructural de los filamentos gruesos y, así, identificarlos con el MET. Los filamentos delgados en una célula muscular lisa están adheridos a las densidades citoplasmáticas o cuerpos densos que son visibles entre los filamentos (fig. 11-25). Estas estructuras se distribuyen por todo el sarcoplasma en una red de filamentos intermedios de la proteína desmina. Los filamentos intermedios son parte del citoesqueleto celular. Obsérvese que la célula muscular lisa contiene filamentos de vimentina además de los filamentos de desmina.

Los componentes del aparato contráctil en las células musculares lisas son los siguientes:

- Filamentos delgados, que contienen actina, la isoforma muscular lisa de la tropomiosina, y dos proteínas especificas del músculo liso, la caldesmona y la calponina. No hay troponina asociada con la tropomiosina muscular lisa. La actina participa en la interacción generadora de fuerza con las moléculas de miosina del músculo liso (SMM, imooth muscle myosin). La investigación indica que la posición de la tropomiosina en el filamento de actina está regulada por la fosforilación de las cabezas de miosina. La caldesmona (120-150 kDa) y la calponina (34 kDa) son proteínas fijadoras de actina que bloquean el sitio de unión para la miosina. La acción de estas proteínas depende del Ca²⁺ y también está controlada por la fosforilación de las cabezas de miosina.
- Filamentos gruesos, que contienen SMM y difieren levemente de los que se encuentran en el músculo esquelético. También están compuestos por dos cadenas pesadas de polipéptidos y cuatro cadenas tigeras. Sin embargo, la estructura de los filamentos gruesos en el músculo liso es diferente de la de aquellos que están en el músculo esquelético. En lugar de tener una disposición bipolar, las moléculas de SMM están orientadas en

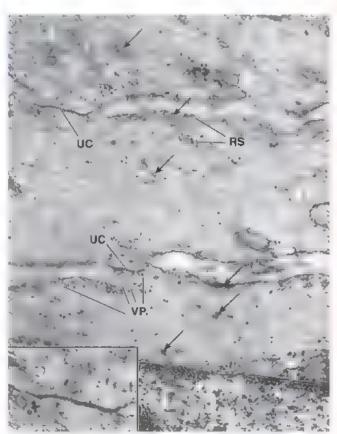


FIGURA 11-24. Microfotografía electrónica de células musculares lisas. En esta microfotografía electrónica se muestran partes de tres células musculares lisas. El nucleo de una de las células se encuentra en la parte infenor de la microfotografía. Casi todo el citoplasma está ocupado por filamentos delgados (de actina), que apenas se distinguen con este aumento. Las densidades citoplasmáticas, o cuerpos densos, que contienen actinina o, son visibles entre los miotilamentos (flechas). También se señalan los elementos del reticulo sarcoplasmático (RS) y de las vesículas pinocíticas (VP). Las otras dos células en el medio y en la parte supenor de la microfotografía poseen uniones comunicantes visibles (UC) que permiten la comunicación entre las células adyacentes. Las pequeñas particulas oscuras son de glucógeno. 25000×. Recuadro. Ampración de la unión comunicante. Obsérvese la presencia de vesiculas pinocíticas. 35000×.

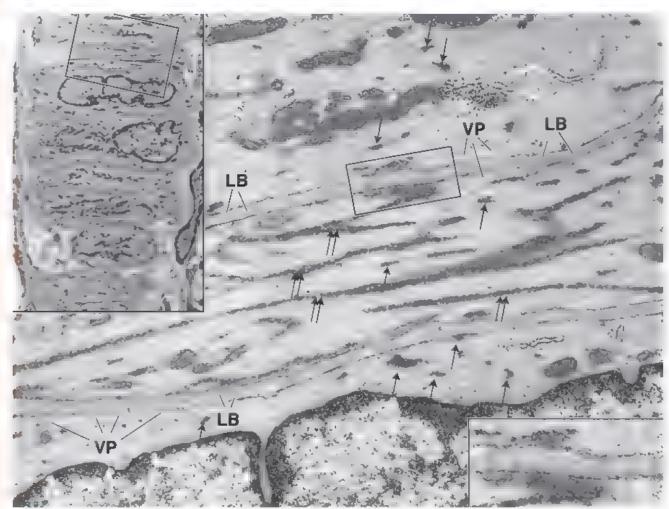


FIGURA 11-25. Microfotografía electrónica en la que se muestran densidades citoplasmáticas en células musculares lisas vasculares. Recuadro superior. El plano de corte solo incluye las células musculares lisas en la pared vascular. El rectángulo en el recuadro muestra porciones de tres células musculares lisas que aparecen con mayor aumento en la microfotografía electrónica grande Las densidades citoplasmáticas con conten do de actinina di (flechas simples) suelen aparecer como masas irregulares, que en algunos casos entran en contacto con la membrana piasmática y se adhieren a ella. La célula en el centro de la microfotografía se seccionó en un plano mas cercano a su superficre y muestra las mismas densidades como "na estructura ramificada fiechas dobles». Un mode o tridimensiona de las densidades citoplasmáticas evidenciaria su aspecto de red anastomosada. LB, lámina basal (externa). VP, vesiculas pinociticas 27000 × Recuadro inferior. Mayor aumento de las densidades citoplasmáticas adheridas a la membrana piasmática del área indicada por el rectángulo. Obsérvese que cada célula posee una famina basa (externa). Además, las vesiculas pinociticas aparecen en diferentes etapas de su formación. 49500 ×

una dirección en un lado del filamento y en la dirección opuesta en el otro. En esta distribución, las moléculas de miosina estan escalonadas en paralelo entre dos vecinas inmediatas y tambien estan unidas a una companera antiparalela mediante una superposición breve en el extremo distal de sus colas (fig. 11-26)

La polaridad de las cabezas de miosina es la misma en toda la longitud de un lado del filamento y la opuesta en el otro. Este filamento de miosina polar lateral tampoco tiene una "región desnuda", sino que, mas bien, tiene extremos desnudos puntuagudos asimétricos. Esta organización maximiza la interacción



FIGURA 11-26. Comparación de los filamentos de miosina del musculo esquelético y el musculo liso. En este diagrama se muestran las diferentes organizaciones de los filamentos gruesos de miosina a. Los filamentos gruesos o polares están presentes en el musculo esquelético y cardiaco. Sus moléculas de miosina se organizan de forma para el a-antiparalela helicoida con sus cabezas globulares proyectándose desde ambos extremos del filamento. Este filamento tene una "zona desnuda" en su segmento medio, que no posee cabezas globulares. b. Los filamentos gruesos no helicoidades polares latera es están presentes en el musculo liso. En estos filamentos las moléculas de miosina II están desfasadas en paralela mediante una superposición breve a la artura del extremo terminal de sus colas. La polaridad de las cabezas de la miosina es la misma en toda la longitud de un lado del filamento y la opuesta en el otro lado. No hay una "zona desnuda" centra, en cambio, el filamento muestra extremos desnudos adelgazados as métricos.

entre los filamentos gruesos y delgados, lo que permite que los filamentos delgados superpuestos sean arrastrados en toda la longitud de los filamentos gruesos.

Varias proteínas más se relacionan con el aparato contráctil y son andispensables para el inicio o la regulación de las contracciones del músculo liso.

- La cinasa de cadena ligera de miosina (MLCK, myosin light cham kinase) es una enzima de 130-150 kDa importante para el mecanismo de contracción en el músculo liso. Inicia el ciclo de la contracción después de su activación por el complejo de Ca²⁺ calmodulina. La MLCK activa fosforila una de las cadenas ligeras reguladoras de la miosina para permitirle formar un enlace cruzado con los filamentos de actina.
- La calmodulina es una proteína fijadora de Ca²⁺ de 17 kDa relacionada con la TnC del músculo esquelético; regula la concentración intracelular de Ca²⁺. Un complejo Ca²⁺-calmodulina se fija a la MLCK para activar esta enzima. Junto con la caldesmona, también regula la fosforilación y la separación de la actina F.
- La actinina e es una proteína de 31 kDa que forma el componente estructural de los cuerpos densos.

Los cuerpos densos proveen un sitio de fijación para los filamentos delgados e intermedios.

Los cuerpos densos contienen una variedad de proteínas de placa de adhesión, incluida la actinina e, que fija filamentos tanto delgados como intermedios al sarcolema, de forma directa o indirecta. Cumplen un papel importante en la transmisión de fuerzas contráctiles generadas dentro de la célula hacia la superficie celular, lo que altera la forma de la célula (fig. 11-27). Se expresan de manera abundante en el músculo liso dos proteínas de filamentos intermedios, la desmina y la vimentina. Los filamentos intermedios compuestos por estas proteínas son esenciales para crear enlaces entre los cuerpos densos, el citoesqueleto y el sarcolema. Estos enlaces facilitan la contracción de los miocitos lisos al estabilizar los cuerpos densos y permitir el movimiento interno de la membrana celular circundante (que cambia la forma celular).

Los cuerpos densos son análogos intracelulares de las líneas Z del músculo estriado. Este concepto está sustentado por el hallazgo de que los cuerpos densos, si bien con frecuencia se ven como pequeños cuerpos electrodensos irregulares y aislados, también pueden aparecer como estructuras lineales irregulares. En cortes fortuitos, exhiben una configuración ramificada consistente con una red anastomótica tridimensional, que se extiende desde el sarcolema hacia el interior de la célula (véase fig. 11-25).

La contracción en los músculos lisos se inicia por una variedad de impulsos que incluyen estimulos mecánicos, eléctricos y químicos.

Los mecanismos que causan la contracción de las células de músculo liso son muy diferentes de los de las células del músculo estriado. El músculo liso tiene diversos mecanismos de transducción de señales que inician y modulan la contracción de sus células. Todos ellos conducen un aumento de la concentración intracelular de Ca²⁺, que es el responsable directo de la contracción muscular. Por lo tanto, la contracción muscular puede desencadenarse por lo siguiente:

- Impulsos mecánicos, como el estiramiento pasivo del musculo liso vascular que activa los canales iónicos mecanosensibles y conduce al inicio de la contracción muscular espontánea (reflejo miógeno).
- Despolarizaciones eléctricas, como las que ocurren durante la estimulación nerviosa del músculo liso, que provocan la libera-

- ción de los neurotransmisores acetilcolina y noradrenalina desde sus terminaciones nerviosas sinápticas y estimulan los receptores ubicados en la membrana plasmática neuronal y cambian el potencial de la membrana. Esto causa la apertura de los canades de Co²⁴ sonsibles al voltojo (véase más adelante).
- Estimulos quimicos, como los producidos por la angiotensina II, la vasopresina o el tromboxano A2, que actúan sobre receptores de membrana celular específicos y conducen a la contracción muscular. Estas sustancias utilizan vias de segundo mensajero que no requieren la generación de un potencial de acción y la despolarización celular para desencadenar la contracción. Las vías de segundo mensajero utilizadas con mayor frecuencia por el músculo liso son los mecanismos del inositol 1,4,5-trifosfato (IP2), los acopiados a la proteina G y el del oxido nitrico (NO)-GMPc.

Las células musculares lisas carecen de un sistema T.

Un elemento característico de las células musculares lisas es la presencia de una gran cantidad de invaginaciones de la membrana celular que parecen eavéolas (véase fig. 11 25). Bajo la membrana plasmática, y con frecuencia cercanas a las escasas cisternas del REL, se encuentran las vesículas citoplasmáticas. Se considera que las invaginaciones de la membrana celular y las vesículas subyacentes junto con el REL funcionan de una manera análoga al sistema T del músculo estriado para entregar Ca²⁺ al citoplasma. Las concentraciones intracelulares de Ca²⁺ son muy importantes en la regulación de la contracción del músculo liso.

Un incremento en las concentraciones intracelulares de Ca2+ en el músculo liso se logra por la despolanzación de la membrana celular con la ulterior activación de los canales de Ca2+ sensibles al voltaje o por la activación directa de los canales regulados para la liberación de Ca24 (receptores de rianodina modificados) en el REL por una molécula de segundo mensajero, en general 1P3. El receptor IP3 se localiza en la membrana del REL y tiene propiedades similares a las de los canales regulados para la liberación de Ca2+. En una célula no contraída, la cantidad de Ca2+ que entra a la célula después de la activación de sus canales sensibles al voltaje suele ser insuficiente para iniciar la contracción del músculo liso y necesita ser complementada con la liberación de Ca2+ desde el REL. Después, el Ca2+ se une a la calmodulina, que activa la fosforilación de la cinasa de las cadenas ligeras de la miosina para miciar la contracción. Después de que comienza el ciclo de contracción, el Ca2+ es retirado del sarcoplasma por las bombas de catcio dependientes de ATP y se vuelve a secuestrar en el REL o se envía al medio extracelular.

La contracción del músculo tiso se inicia por un cambio mediado por Ca²⁺ en los filamentos gruesos que utiliza el sistema calmodulina-cinasa de las cadenas ligeras de la miosina.

Una versión modificada del modelo de deslizamiento de los filamentos puede explicar la contracción tanto en el músculo estriado como en el liso (*véase* fig. 11-27). Como en el músculo estriado, la contracción se inicia por un incremento en la concentración de Ca²⁺ en el citosol; sin embargo, la contracción no ocurre a través de un complejo troponina-tropomiosina sobre el filamento delgado. En realidad, en el músculo liso, un incremento en la concentración de Ca²⁺ estimula la MLCK para fosforilar una de las dos cadenas ligeras reguladoras de la molécula de miosina del musculo liso. El Ca²⁺ se fija a la calmodulina para formar el complejo Ca²⁺-calmodulina, que a su vez se fija a la MLCK para activar la reacción de fosforilación de la cadena ligera reguladora de la miosina (fig. 11-28). Cuando se fosforila la cadena ligera, el SMM cambia su conformación de

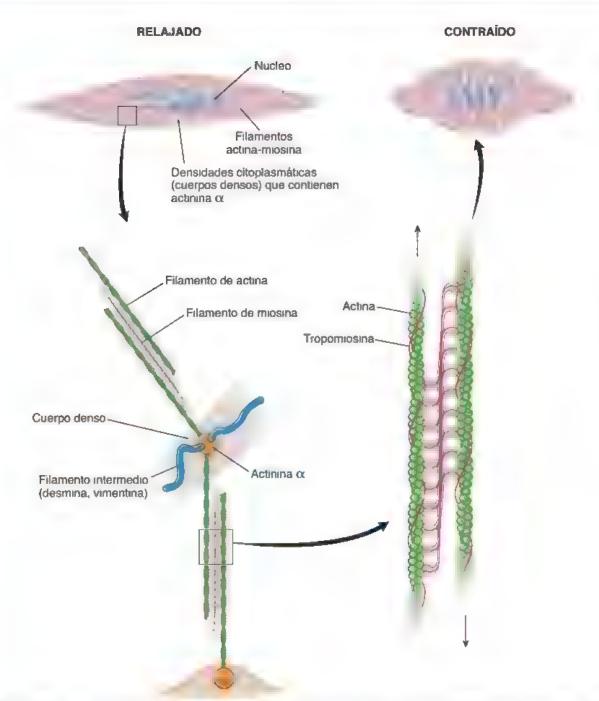


FIGURA 11-27. Modeto propuesto para la contracción de las células musculares lisas. Haces de miofilamentos que contienen filamentos de gados y gruesos loafe oscurol se adhieren a una red de lineas mas gruesas interconectadas beigel que representan las densidades citopiasmaticas (cuerpos densos). Estas son visibles en los miocitos relajados y contra dos en la parte superior de esta figura. Al segur la flecha desde las células relajadas el agrandamiento de dos filamentos muestra la disposición de los filamentos polares latera es en interacción con los filamentos de gados de actina. Ambos miofilamentos estan anciados a las densidades o topiasmáticas que son consideradas analogas interacciónes Z del musculo estriado. Contienen activina u una prote na fijadora de actina y sitios de unión para los filamentos estan unidas al sarco ema. Observese el fragmento agrandado del filamento grueso latera polar de miosina y su interacción con los filamentos de actina a la derecha. Durante el ciclo de contracción ambos filamentos de actina se destizan en direcciones opuestas del filamento de miosina, lo que acorra toda la longitud del miofilamento. Dado que los haces de filamentos contractives están orientados de forma en "tirabuzón" del nucleo.

inactiva (plegada) a una activa (desplegada) que puede adherirse a los filamentos de miosina polares laterales.

La fosforilación también activa el sitio de fijación para la actina en la cabeza de miosina, lo que permite la adhesión al filamento de actina. En presencia de ATP, la cabeza de miosina se flexiona y produce la contracción. Cuando se desfosforila, la cabeza de miosina se disocia de la actina. Esta fosforilación ocurre lentamente

y suele tomar hasta 1 s alcanzar la contracción máxima. Además, la desfosforilación promueve el desarmado de los filamentos de miosina y el regreso de estos a su estado de plegado inactivo (*véase* fig. 11 28).

La SMM hidroliza el ATP en cerca del 10% de la proporción que le corresponde al músculo esquelético, lo que produce un ciclo lento de formación de puentes cruzados que conduce a una con-

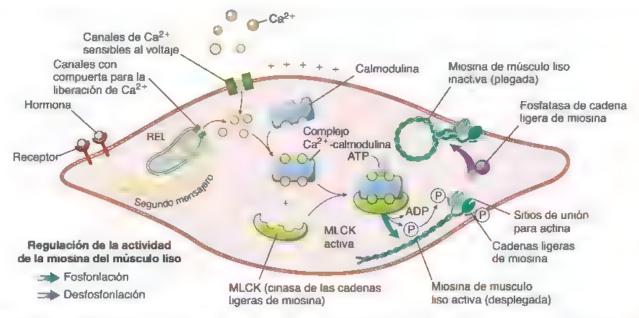


FIGURA 11-28. Pasos que conducen al ínicio de la contracción del músculo liso. Para iniciar la contracción del músculo liso, es necesario un aumento de la concentración de Ca²* dentro del citosol. Este incremento se logra por la despolarización inicial de la membrana celular o la estimulación hormonal de los receptores superficiales de la célula. El Ca²* intracitosólico se une a la calmodul na icuatro iones de Ca²* por cada molécula de ca mod, lina) para formar el complejo Ca**-calmodul na. Después leste complejo se une a la canasa de las cadenas ligeras de miosina (M_L CK imposin light chain kinase) para fosforiar una de las dos cadenas ligeras reguladoras de la molécula de miosina del musculo liso. Una vez fosforilada, la miosina cambia su conformación de mactiva (plegada) la activa (desplegada). la cual puede entonces ensamblarse en los filamentos polares latera es. El sido de unión para la activa en la cabeza de miosina está activado permitiêndora que se una ar filamento de activa. En presencia de ATP la cabeza de miosina se flexiona y produce la contracción. La desfostor lacion de las moléculas de miosina de musculo liso producida por la fosfatasa promueve el desarme de los filamentos de miosina. ADP difosfato de adenosina. ATP, tirfosfato de adenosina, REL, retículo endoprasmático liso.

tracción lenta de estas células. Por lo tanto, las células musculares lisas y las células no musculares que se contraen mediante el mismo mecanismo pueden tener contracciones sostenidas durante lapsos prolongados con el empleo de solo el 10% del ATP que utilizaría una célula muscular estriada para realizar el mismo trabajo.

La fuerza de la contracción del músculo liso puede mantenerse durante períodos prolongados en un "estado tónico".

Además de la fosforilación normal de las cadenas ligeras reguladoras de la miosina, las células musculares lisas poseen un mecanismo secundario que les permite mantener una contracción prolongada con un gasto escaso de ATP. Este mecanismo se detecta, por ejemplo, en los músculos lisos vasculares y se utiliza para mantener la fuerza de la contracción (tono de los vasos sanguíneos) durante un período prolongado. Este estado tónico de la contracción del músculo liso ocurre después de la fosforilación inicial de la miosina dependiente de Ca²⁺. La cabeza de miosina adherida a la molécula de actina se desfosforila, lo que causa una disminución de su actividad ATPasa. Como consecuencia de la reducción de la actividad del ATP, la cabeza de miosina pierde la capacidad de desprenderse del filamento de actina, lo que mantiene el estado contraído. El estado tónico puede compararse en muchos aspectos con la rigidez cadaversea en el musculo estriado

Aspectos funcionales del músculo liso

El músculo liso está especializado para la contracción lente y prolongada.

Como ya se mencionó, las células musculares lisas pueden entrar en el estado tónico y permanecer contraídas durante lapsos prolongados sin fatigarse. Pueden contraerse a modo de onda y producir movimientos penstálticos, como los del tubo digestivo y el conducto espermático del varón, o la contracción puede ocurrir en todo el músculo al mismo tiempo para producir movimientos expulsivos (p. ej., los movimientos de la vejiga urinaria, la vesícula biliar y el útero). El músculo liso exhibe una actividad contractil espontánea en ausencia de estimulos nerviosos.

La contracción del músculo liso suele estar regulada por neuronas posganghonares del sistema nervioso autónomo (SNA); la mayor parte del músculo liso está inervado de forma directa por los nervios simpáticos y parasimpáticos. En el tubo digestivo, el tercer componente del SNA, la división entérica, es la fuente principal de nervios para las capas musculares.

Si bien el Ca2+ ingresa en el citoplasma durante la despolarización a través de los canales de Ca2+ activados por voltaje, algunos de estos canales, denominados canales de Ca2+ regulados por ligando, son activados por hormonas mediante sus vías de segundo mensajero (véase fig. 11-28). Por lo tanto, la contracción del músculo liso también puede ser iniciada por ciertas hormonas secretadas desde la hipófisis posterior (neurohipófisis) como la oxitocina y, en menor medida, la vasopresina u hormona antidiurética (ADH, antidiurette hormone). La oxitocina es una potente estimuladora de la contracción del músculo liso, por lo que su liberación por el lóbulo posterior de la hipófisis desempeña un papel importante en la contracción uterina durante el parto. A menudo se utiliza para la inducción o la potenciación del parto. Además de responder a la oxitocina, las células musculares lisas pueden ser estimuladas o inhibidas por otras hormonas secretadas en la médula suprarrenal (p. ej., adrenalina y noradrenalina). Otros peptidos secretados por las células entercendocrinas también

estimular o inhiben la contracción del musculo liso, en especial en el tubo digestivo y los órganos asociados.

Las terminales nerviosas en el músculo liso solo se observan en el tejido conjuntivo adyacente a las células musculares.

Las fibras nerviosas discurren a través del rejido conjuntivo dentro de los haces de células musculares lisas; los engrosamientos en la fibra nerviosa que se atraviesa, o botones de paso (boutons en passant; véase p. 389), se presentan contiguos a las células musculares que son inervadas. Los engrosamientos contienen vesículas sinápticas con transmisores neuromusculares. No obstante, el sitio neuromuscular no es comparable con la unión neuromuscular del músculo estríado. Por el contrario, la terminal neurosa puede estar separada del músculo liso por una distancia considerable, a menudo de 10-20 µm (en algunos sitios, hasta de 200 µm). El neurotransmisor liberado por la terminal nerviosa tiene que difundirse a través de esta distancia para alcanzar el músculo.

Sin embargo, no todas las células musculares están expuestas de forma directa al neurotransmisor. Como ya se comentó, las células musculares lisas establecen contacto con las células adyacentes mediante uniones comunicantes. Como en el músculo cardíaco, la contracción se propaga de una célula a otra por medio de uniones de hendidura, con lo que se consigue una actividad coordinada dentro de un haz o una capa de músculo liso. La unión comunicante entre dos células musculares lisas originalmente se designó como nexo, un término que continúa utilizándose,

Las células musculares lisas también secretan matriz de tejido conjuntivo.

Las célules musculares tiese tienen los orgánulos típicos de las células secretoras. En la zona permuclear se encuentra un RER y un aparato de Golgi bien desarrollados. Las células musculares lisas sinterizan colágeno tipo IV (lámina basal) y ## (reticular), además de elastina, proteoglucanos y glucoproteínas multiadhesivas. Las células musculares lisas están rodeadas por una lámina externa, excepto a la altura de las uniones de hendidura. En algunos sitios, como las paredes de los vasos sanguíneos y el útero, las células musculares lisas secretan grandes cannidades de colágeno tipo I y elastina.

Renovación, reparación y diferenciación

Las células musculares lisas tienen la capacidad de dividirse para mantener o incrementar su cantidad.

Las células musculares lisas pueden responder ante una lesión mediante mitosis. Además, el músculo liso contiene poblaciones de células que se duplican con regularidad. El músculo liso del útero prolifera durante el ciclo menstrual normal, así como durante el embarazo; ambas actividades se encuentran bajo control hormonal. Las células musculares lisas de los vasos sanguíneos también se dividen con regularidad en el adulto, según se presume, para reemplazar las células seniles o dañadas; el músculo liso de la túntea muscular externa del estómago y el colon se replica de forma regular y puede engrosarse poco a poco durante toda la vida.

Se ha comprobado que las células musculares lisas nuevas se originan de las células madre mesenquimatosas indiferenciadas en la adventicia de los yasos sanguíneos. La diferenciación de las células progenitores musculares lises es regulada por una gran variedad de estímulos intracelulares y ambientales, y los músculos en desarrollo muestran un amplio espectro de fenotipos diferentes en las distintas etapas de su desarrollo. Hasta la fecha no se han identificado factores de transcripción que sean característicos para el linaje de células musculares lisas. Sin embargo, se ha demostrado que el factor de respueste sérico (RF, serum response factor), un miembro de la familia de los factores de transcripción MADS-box, regula la mayoría de los genes marcadores de diferenciación del músculo liso. También se ha comprobado que las células musculares lisas se desarrollan a partir de la división y la diferenciación de células endoteliales y pericitos durante el proceso de reparación después de una lesión vascular.

Los pericitos vasculares se localizan dentro de la lámina basal de los capilares y las vénulas poscapilares. Estos funcionan como células progenitoras mesenquimatosas multipotenciales. En los capilares, su morfología citoplasmánica es difícil de distinguir de la de la célula endotelial. En las vénulas poscapilares y pericíticas, pueden formar un revestimiento casi completo del vaso con células que se parecen a las musculares lisas (véase cap. 13).

Los fibroblastos en las heridas en proceso de cicarrización pueden desarrollar las características morfológicas y funcionales de las células musculares lisas (miofibroblastos; véase p. 191). Las células epiteliales de varios sitios, en particular en las glándulas sudoríparas, las glándulas mamarias, las glándulas salivales y el uris del ojo, pueden adquirir las características de las células musculares lisas (oólulas mioepiteliales). Las células mioepiteliales). Las células mioepiteliales). Las células mioes de los testículos tienen una función contráctil en los túbulos seminíferos, y las células del perineuro, una capa concéntrica de tejido conjuntivo que rodea grupos de fibras nerviosas y divide los nervios periféricos en fascículos bien definidos, funcionan como células contráctiles y como células de barrera de transporte (cuadro 11-4)

NOTATO HOT IN

CONSIDERACIONES l'UNCIONALES COMPARACIÓN ENTRE LOS TRES TIPOC DE MÚSCULO

El musculo cardíaco comparte características estructurales y funcionales con el musculo esquetético y el musculo liso. En los músculos cardíaco y esquetético, los elementos contráctiles y los filamentos gruesos y finos están organizados en sarcómeros rodeados por el REL y las mitocondrias. Tanto las células musculares cardíacas como las lisas retienen su individualidad aunque ambas están en comunicación funcional con las células adyacentes a través de uniones comunicantes. Además, las

cálulas musculares cardíacas y lisas tienen una contracción espontánea que es regulada, pero no iniciada, por un estímulo hormonal o autónomo. Ambas poseen núcleos centrales y orgánulos pennucleares. Estas características en común indican que el musculo cardíaco evolucionó en dirección del musculo esquelético a partir del musculo liso de sistemas circulatorios primitivos. En la tabla adjunta se resumen las características principales de los tres tipos de musculo.

CONSIDERACIONES FUNCIONALES COMPARACIÓN ENTRE LOS TRES TIPOS DE MÚSCULO (CONTINUACIÓN)

Comparación entre los tres tipos de músculo

	Esquelético	Cardiaco	Liso
Caracteristicas estructi	urates		
Meocito	Célula grande, alargada, 10-100 µm de diámetro, hasta 100 cm de longitud (musculo sartorio)	Céiula corta, angosta, 10-100 µm de diámetro, 80-100 µm de on- gitud	Célula corta, alargada, fusi- forme, 0.2-2 µm de diámetro, 20-200 µm de longitud
Ubicación	Musculos del esqueleto y es- triados viscerales (p. ej., len- gua, esófago, diafragma)	Corazón, vena cava superior e infe- rior y venas pulmonares	Vasos, órganos y vísceras
Caractensticas estructi	urates		
Componentes del tejido conjuntivo	Epimisio, perimisio, endomisio	Endomisio (tejido conjuntivo suben- docárdico y subpericárdico)	Endomisio, vainas y fasciculos
Fibra	Célula muscular esquelética individua	Disposición ramificada linea de varias células musculares	Célula muscular lisa individual
Sarcómero	Presente	Presente	Ausente
Estriación	Presente	Presente	Ausente
Núcleo(s)	Muchos pentéricos	Unico, central y rodeado por una región yuxtanuclear	Unico central
Tübulos T	Sí, a la artura de la unión A-l (triada con dos disternas ter- minales), dos túbulos T por sarcómero	SI, a la altura de las Ineas Z (diada con una cisterna terminal pequena), un túbulo T por sas cómero, las fibras de Purkinje tie- nen menor cantidad de tubulos T	No, REL bien desarrollado, muchas invaginaciones y vesículas seme- jantes a cavéolas
Uniones célula-célula	Ausentes	Discos intercalares con 1. Fascia adherente 2. Mácula adherente (desmosoma) 3. Uniones comunicantes	Uniones comunicantes (nexos)
Correctorísticas especiales	Túbulos T y REL bien desarro- lados	Discos intercalares y fibras de Putísinje	Cuerpos densos, filamentos de desmina y vimentina, cavéolas y vesículas citoplasmáticas
Funciones			
Tipo de inervación	Voluntaria	Involuntaria	Involuntaria
inervación eferente	Somática	Autónoma	Autónoma
Tipo de contracción	"Todo o nada" (fibras de tipo l γ (l)	Ritmica de tipo "todo o nada" (marcapasos del sistema de conducción cardíaca)	Contracciones lentas, parciales, rítmicas y espontáneas (marcapa- sos gástricos)
Regutación de la contracción	Por fijación del Ca ²⁺ en la TnC, causa el movimiento de la tro- pomiosina y deja expuestos los sitios de unión para la miosina en los fijamentos de actina	Por fijación del Ca ²⁺ en la TnC, causa el movimiento de la tro- pomiosina γ deja expuestos los sitios de unión para la miosina en os filamentos de actina	Mediante fosforuación de las cadenas ligeras de miosina por la cinasa de estas cadenas en presencia del complejo Ca ²⁺ -calmodulina
Crecimiento y regenera	acion		
Mitosis	Ausente	Ausente (en condiciones normales)	Presente
Respuesta a la demanda	Hipertrofia	Hipertroha	Hipertrofia
Regeneración	Limitada (células satélite y células miógenas de la médula ósea)	Ninguna (en condiciones normales)	Presente



TEJIDO MUSCULAR

FUNDAMENTOS DEL TEJIDO MUSCOLAR

- El tejido muscular tiene a su cargo el movimiento del cuerpo y los cambios en el tamaño y la forma de los órganos internos.
- Existen tres upos principales de tejido muscular.
 esquelático, cardíaco y liso.

MUSCULO ESQUELÉTICO

- Las celulas del musculo esquelético, denominadas fibres, son sincitios multinucleados muy largos y cilíndricos con diámetros de entre 10 y 100 μm.
- Las fibras del musculo esquelético se sostieneo juntas mediante el tejido conjuntivo. El endomisio rodea las fibras individuales, el permisio rodea un grupo de fibras para formar un fasciculo, y el epimisio es tejido conjuntivo denso que rodea todo el músculo.
- Se distinguen tres tipos de fibras musculares esqueleticas con base en la rapidez de su contracción, velocidad enzimatica y perfil metabolico. Los tres tipos de fibras son rojas (de tipo I, oxidativas lentas), intermedias (de tipo IIa, glucolíticas oxidativas rápidas) y blancas (de tipo IIb, glucolíticas rápidas).
- La subunidad estructural y funcional de la fibra muscular es la miofibrilla. Esta se compone de miofilamentos
 almeados de forma precisa, los filamentos gruesos que connenen miosina y los filamentos delgados que
 connenen actina. La unidad contráctil más pequeña del músculo estriado es el sarcómero.
- La disposicion de filamentos gruesos y delgados origina las diferencias de densidad que producen las estruaciones transversales de las miofibrillas. La banda I isotrópica de tincion clara contiene principalmente filamentos delgados adheridos a ambos lados de la línea Z, y la banda A anisotrópica de tincion oscura presenta principalmente filamentos gruesos.
- Los filamentos gruesos están compuestos principalmente por moléculas de miosina II, los filamentos delgados estan conformados por actina y dos proteinas reguladoras principales (tropomiosina y troponina)
- Las líneas Z entre sarcómeros contienen proteinas fijadoras de actina (actinina ti) y proteinas de la matriz Z
- El ciclo de los puentes transversales de actomiosina consiste en una serie de fenómenos bioquimicos
 y mecanicos acoplados que ocurren entre las cabezas de la miosina y las moléculas de la actina que conducen a la
 contracción muscular. Existen cinco etapas reconocibles del ciclo: adhesion, separación, flexion, generación de fuerza y readhesión.
- En la regulación de la contracción muscular participan el Ca²⁺, el reticulo sarcoplasmático y el sistema de tubulos transversos.
- El reticulo sarcoplasmàtico forma grandes cisternas terminales que suven como reservonos para el Ca²⁺. Su
 membrana plasmatica contiene una abundante cantidad de canales con compuerta para la liberación de Ca²⁺
 (receptores de rianodina [RyR1]).
- Los túbulos transversos (tubulos T) están formados por invaginaciones del sarcoplasma que penetra en la fibra muscular entre las cisternas terminales adyacentes. Tienen una gran cantidad de proteinas sensoras de voltaje (receptores sensibles a la dihidropiridina [DHSR]).
- Los rúbulos T y las dos cisternas terminales contiguas se denominan una tnada. Las triadas se localizan en la unión entre las bandas A e I (dos por cada sarcómero).
- La despolarización de la membrana del túbulo T desencadena la liberación de Ca⁺⁺ desde las cisternas terminales para iniciar la contracción muscular mediante la unión al complejo troponina-tropomiosina.
- La relajación muscular se produce por la reduccion de la concentración de Ca²² citosolico libre.
- La union neuromuscular (placa motora terminal) es el área de contacto entre las terminaciones axónicas y la fibra muscular. La terminal axónica contiene el neurotransmisor acetificolina (ACh).
- La liberación de ACh en la hendidura sinaptica de la unión neuromuscular inicia la despolazización de la membrana plasmática, la cual conduce a la contracción muscular.
- Los husos musculares encapsulados y los órganos tendinosos de Golgi son los receptores sensoriales de estiramiento (propioceptores) en los músculos y los tendones.

MÚSCULO CARDIACO

- El músculo cardíaco es estrado y tiene el mismo tipo y distribución de filamentos contráctiles que el músculo esquelético.
- Las células musculares cardíacas (cardiomiocitos) son células cilíndricas cortas con un solo nucleo posicionado centralmente. Estan unidas entre sí por discos intercalares para formar una fibra muscular cardíaca.
- Los discos intercalares consisten en uniones especializadas de adhesión célula-célula, e incluyen la fascia adherente, las uniones comunicantes y las máculas adherentes (desmosomas)
- Las cisternas terminales son mucho mas pequenas que las del musculo esquelético y con los tubulos T forman diadas que se ubican a la altura de la línea Z (una por sarcómero).
- El paso de Cair de la luz del rúbulo T al sarcoplasma del cardiomiocito es esencial para iniciar el ciclo de contracción.
- Las células musculares especializadas de conducción cardíaca (células de Purkinje) presentan una contracción ritmica espontánea. Generan y transmiten con rapidez potenciales de acción a varias partes del miocardio.
- El sistema nervioso autónomo regula el ritmo de contracción muscular cardíaca.

MUSCULO LISO

- El músculo liso en general se presenta como haces o láminas de células fusiformes pequeñas y alarga das (denominadas fibras) con finos extremos puntiagudos. Se especializan en las contracciones lentas y prolongadas.
- Las células musculares lisas poseen un aparato contráctil de filamentos delgados y gruesos, así como un citoesqueleto de filamentos intermedios de desmina y vimentina. La miosina del musculo liso se ensambla en filamentos gruesos de miosina polares laterales.
- No forman sarcómeros ni muestran estriaciones.
- Los filamentos delgados contienen actina, tropomiosina (una isoforma del músculo liso), caldesmona y calponina. No hay troponina relacionada con la tropomiosina del músculo liso.
- Los filamentos delgados estan unidos a densidades citoplasmaticas o **cuerpos densos**, que contienen actinina **q** y se ubican en todo el sarcoplasma y cerca del sarcolema.
- La contracción del músculo liso se desencadena por una variedad de impulsos, incluidos los estímulos mecanicos (estiramiento pasivo), eléctricos (despolarización en los extremos nerviosos) y quimicos (hormonas que actúan mediante un segundo mensajero).
- Debido a que las células musculares lisas carecen de túbulos T, el Ca²⁺ es distribuido por cavéolas y vesículas citoplasmáticas.
- La contracción del musculo liso se inicia por la activación de la cinasa de las cadenas ligeras de miosina mediante el complejo de Ca²⁺-calmodulina.

HISTOGENESIS, REPARACION, CICATRIZACION Y RENOVACION

- Los mioblastos denvan de las celulas madre miógenas multipotenciales que se originan en el mesodermo. Al comienzo del desarrollo, estas celulas expresan el factor de transcripción MyoD, que desempena un papel clave en la activación de las expresiones genicas especificas del musculo y la diferenciación de todos los linajes musculares esqueléticos.
- La reparación del músculo esqueletico y su regeneración puede ocurrir a partir de las celulas madre miogenas multipotenciales denominadas celulas satelite. Estas celulas son restos del desarrollo fetal y expresan el factor de transcripción Pax7.
- Despues de una lesion tisular, las celulas satelite se activan Junto con MyoD, expresan Pax7 para convertirse en precursores miógenos de células musculares esqueléticas.
- La leston en el tejido muscular cardíaco produce la muerte de los cardiomiocitos. El músculo cardíaco es reparado con tejido conjuntivo fibroso.
- Las celulas musculares lisas tienen la capacidad de dividirse para mantener o incrementar su cantidad y tamaño.

LÁMINA 21 MÚSCULO ESQUELÉTICO I

El tejido muscular se clasifica según el aspecto de sus células contráctiles. Los dos tipos principales reconocidos son el musculo estnado, en el que la célula exhibe un patrón de estriaciones transversales cuando se observa con el microscopio óptico, y el musculo liso, en el que las células carecen de estriaciones. El musculo estriado, además, se subclasifica segunsu ubicación como esquelético, estriado visceral y cardiaco. El musculo esquelético está unido al hueso y se encarga del movimiento del esqueleto axial y apendicular, así como del mantenimiento de la postura y la posición corporal. Desde el punto de vista morfológico, el musculo estriado visceral es identico al esquelético, pero se restringe a los tejidos blandos, como la lengua, la fannge, la parte superior del esófago y el diafragma. El musculo cardíaco es un tipo de músculo estriado que se encuentra en el corazón y la desembocadura de las venas grandes que vierten su sangre en el corazón.

Las estriaciones transversales en el musculo estriado se deben a la organización de los elementos contráctiles que

hay en la célula muscular, a saber, filamentos delgados compuestos en su mayor parte por la proteina actina y filamentos gruesos. compuestos por la proteina miosina II. Los dos tipos de miofilamentos ocupan la mayor parte del citoplasma. Las células musculares estriadas esqueléticas y viscerales, con mayor frecuencia llamadas fibras, son un sincitio multinucleado formado durante el desarrollo por la fusión de pequeñas células musculares individuales, denominadas miobiastos.

Alrededor de cada fibra se encuentra una delicada red de fibrillas de colageno que recibe el nombre de endomisio. A su vez, los haces de fibras musculares que forman unidades funcionales dentro de un músculo están rodeadas por una capa de tejido conjuntivo más gruesa. Este tejido conjuntivo recibe el nombre de perimisio. Por último, una vaina de tejido conjuntivo denso que rodea el músculo en su totalidad recibe el nombre de epimisio. La fuerza generada por las fibras musculares individuales es transferida a los elementos colágenos de cada una de estas cubiertas de tejido conjuntivo, las cuales terminan en un tendon.



Tejido muscular esquelético, humano, H&E, 33×.

Esta microfotografía de baja resolución muestra un corte longitudinal del músculo estriado. El rejido muscular dentro del musculo está dispuesto en series de fascículos (F) Las fibras musculares individuales dentro de un fasciculo están muy próximas unas de otras, pero no pueden distinguirse individualmente. Sin embargo, las estructuras azules pequeñas semejantes a puntos son los núcleos de las fibras. Si bien resulta dificil de observar con este aumento, entre los fascículos hay tendo conjuntivo, el perimisio (P) En esta microfotografía también puede verse un nervio (Nv)



Tejido muscular esqueletico, humano, H&E, 33 -

Esta microfotografía revela parte de un músculo que ha sido cortado de forma transversal. Nuevamente, los haces individuales de fibras musculares o fascículos (F) pueden identificarse con

rapidez. A diferencia de la microfotografía previa, e incluso con este bajo aumento, con un examen cuidadoso pueden identificarse las fibras musculares (MF) individuales en muchos de los fascículos, cada uno de los cuales está limitado por tejido conjuntivo, que constituye el **perimisio** (P). En esta mscrofotografia también puede identificarse un tejido conjuntivo denso alrededor del músculo, denominado **opirnisio** (E)



Tejido muscular esquelético, humano, H&E, 256×; recuadro 700×.

Esta imagen de mayor aumento de un corte long,tudinal de un músculo permite observar dos fascículos musculares (F) Con este aumento, el patrón de bandas transversales es apenas

perceptible. Salvo algunas pocas excepciones, los núcleos (N), que tienden a disponerse en formaciones lineales, pertenecen a las fibras musculares individuales. En esta microfotografía también se ve un pequeño vaso sanguineo (VS) El recuadro, comado de un fragmento de tendo incluido en plástico y fijado en glutaraldehido, es una ampliación de una porción de dos fibras musculares. Las

bandas principales se identifican fácilmente con este aumento y con este grado de preservación de la muestra. Las bandas gruesas de tinción oscura son las bandas A. Entre las bandas A hay un área de tinción palida, las bandas I, que están seccionadas en dos mitades por la línea Z. Los dos múcleos (N) alargados pertenecen a las fibras musculares. Por debajo de ellos se observa un capilar (C) y una porción de un múcleo de la célula endorehal (End). Con este mayor anmento, los núcleos endoteliales y los núcleos de los fibroblastos pueden distinguirse de los núcleos de la célula muscular por su menor tamaño y por la heterocromarina, que les da una coloración oscura. Los núcleos (N) de la célula muscular presentan más eucromatina con grumos de heterocromatina, lo que les confiere un aspecto de tinción más clara.



Tejido muscular esquelético, humano, H&E. 256×.

En el corte transversal, las fibras musculares (FM) individuales se disciernen con facilidad, a diferencia de lo que ocurre en los cortes longitudinales. Por ejemplo, si se imagina

un corte que atraviesa una cantidad de células (línea discontinua), la gran

cercanía de las células musculares puede enmascarar el límite entre las células individuales dentro del fasciculo cuando se observa en el plano opuesto o longitudinal El tejido conjuntivo (TC), visible aqui, pertenece al perimisio que separa los fasciculos. Los núcleos de las fibras individuales están ubicados en la periferia de la célula. Con este aumento es dificil distinguir entre los núcleos de fibroblastos ocasionales que pertenecen al endomisso y los nucleos de las células musculares

C, capitar

E. enimisio

End, nucleo de la célula endotelial

E fasciculo

FM, fibras musculares

N. núcleos Nv, nervio P, perimisio TC, tejido conjuntivo VS, vaso sanguineo

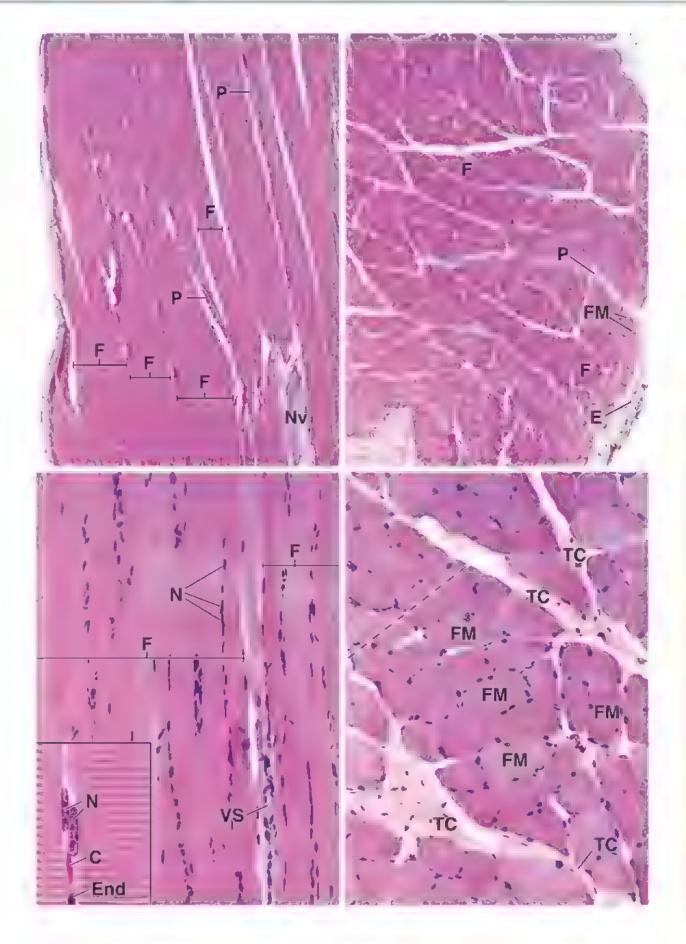


LÁMINA 22 MÚSCULO ESQUELÉTICO II Y MICROSCOPÍA ELECTRÓNICA

La miofibrilla es una subunidad estructural y funcional de la fibra muscular que contiene sarcómeros. En la microscopia óptica, las miofibrillas se observan mejor con mayor aumento en un corte transversal de la célula, donde aparecen como estructuras puntiformes. El efecto general es un aspecto punteado del citoplasma. Cada miofibrilla está compuesta por dos tipos de miofilamentos dispuestos en sarcómeros: 1) filamento grueso de miosina II y 2) actina y sus proteínas asociadas que componen los filamentos delgados. La disposición de los filamentos gruesos y finos produce diferencias de densidades, que a su vez crean las estnaciones transversales de la miofibrilla cuando se observan en un corte longitudinal. El sito de superposición de los filamentos delgados y gruesos

produce una banda A oscura. La banda I clara contiene los filamentos delgados. Un cuidadoso examen de la banda A con el microscopio óptico permite observar un área de tinción pálida en su centro. Esta región se denomina banda H y está ocupada por filamentos gruesos y desprovista de filamentos delgados. En el centro de cada banda l aparece la línea Z delgada y densa, a la cual se filan los filamentos delgados.

La distancia entre las dos líneas Z se conoce como sarcómero. Cuando un músculo se contrae, el sarcómero y la banda I se acortan. Sin embargo, los filamentos mantienen una longitud constante. Por lo tanto, la contracción se produce por un incremento en la superposición entre los dos tipos de filamentos.

Tejido muscular esqueletico, humano, H&E, 512×; recuadro 985×.

Esta microfotografia muestra un corte transvessal de un fasciculo muscular. Las **fibras musculares** (FM) individuales presentan una forma poligonal aunque levemente variable en su diáme-

tro. Solo algunos de los muchos núcleos que se pueden observar en este plano de corte pertenecen a las fibras musculares. Los núcleos de la fibra muscular (NFM) parecen estar incluidos dentro de la periferia extrema de la fibra. Por el contrario, los núcleos de los fibroblastos (NF), que pertenecen al endomisio, se ven claramente fuera de las fibras musculares; generalmente son más pequeños y

muestran una mayor densidad que los núcleos de las fibras musculares. Entre las fibras musculares también se encuentran los capilares (C). Los núcleos de las células endoteliales (NCE) rambién son relativamente densos. Otros núcleos que pueden estar presentes, peto son muy difíciles de identificar, pertenecen a las células sarelire. El recuadro, que muestra el área dentro del cuadrado negro, permite observar varios núcleos, dos de los cuales pertenecen a las fibras musculares (FM). El núcleo poqueño, muy denso (NF), probablemente sea parte de un fibroblasto del endomisio. También es muy evidente un capilar (C) corrado transversalmente. La característica más notable con este aumento es el aspecto de las mofibrillas de las células musculares, que aparecen como estructuras similares a puntos o punteadas.

Tejido muscular esquelético, humano, H&E, 512×; recuadro 985×.

Esta microfotografía de un corte longitudinal de un tejido incluído en plástico y fijado con glutaraldehido revela cuatro **fibras musculares** (*FM*). Si bien se observan marcadas diferencias

en su diámetro, la diferencia se debe principalmente al plano de corte a través de cada una de las fibras. Dado que los micleos de las fibras musculares están ubicados en la penferia de la célula, su localización es variable cuando se observa en un corte longitudinal. Por ejemplo, se ven tres micleos (N) en lo que parece ser el centro de la fibra. Ello se debe a que el corte pasó de forma tangencial por la periferia de esta fibra. El espacio claro en cada extremo de dos de estos núcleos

corresponde a la ponción citoplasmática de la célula que contiene orgánulos y carece de miofibrillas. Otros núcleos de fibras musculares (NFM) pueden observarse en la periferia de las fibras. Nórese que muestran un patrón de cromatina similar al de los tres núcleos antes descritos. En esta microfiotografía está presente un Capillar (C) que discurre a lo largo del centro de la imagen. En este plano de corre es dificil distinguir con claridad entre los núcleos de las células endoreliales y los núcleos de los fibrioblastos en el endomisto. Tal vez la caracteristica más importante del corre longitudinal de una fibra muscular consiste en las estriaciones que muestra. El versado permite ver con mayor aumento el patrón de bandas de la fibra muscular. Las litieas de tinición oscura corresponden a la banda A. El área de tinición clara es la banda 1, que está dividida en dos mitades iguales por la linea Z oscura.

Tejido muscular esqueletico, humano, microfotografia electrónica, 5000×.

La microfotografía electrónica de baja potencia presentada aqui debe compararse con el recuadro de las fibras musculares seccionadas de forma longitudinal de más atriba. Se muestra una porción

de tres **fibras musculares** (FM), dos de las cuales exhiben un núcleo (N). Entre las células se encuentran diferentes cantidades de fibras de colágeno, que componen el **endomisio** (E). En la microfotografía se ilustra con claridad el patrón de bandas de las **miofibrillas** (Mio). A diferencia del músculo seccionado de forma longitudinal en el recuadro de arriba, en esta microfotografía se pueden identificar las miofibrillas (Mio) individuales. Estas corresponden a las estructuras semejantes a puntos que se observan en el recuadro de las fibras musculares corradas transversalmente artiba. Obsérvese que las miofibrillas advacentes se alinean entre sí con respecto a su parrôn de bandas y que también muestran diferentes diámetros. Cada fibrilla muscular es esencialmente una estructura cilíndrica, semejante a una espega; por lo tanto, cuando se corta en un plano longitudinal, el diámetro de cada miofibrilla varía según la porción de la estructura cilíndrica que se seccione

C, capitares E, endomisio FM, fibras musculares

N, núcleo NCE, núcleos de las células endoteliales

Mio, miofibrilla

NF, nucleos de los fibroblastos NFM, núcleos de las fibras musculares

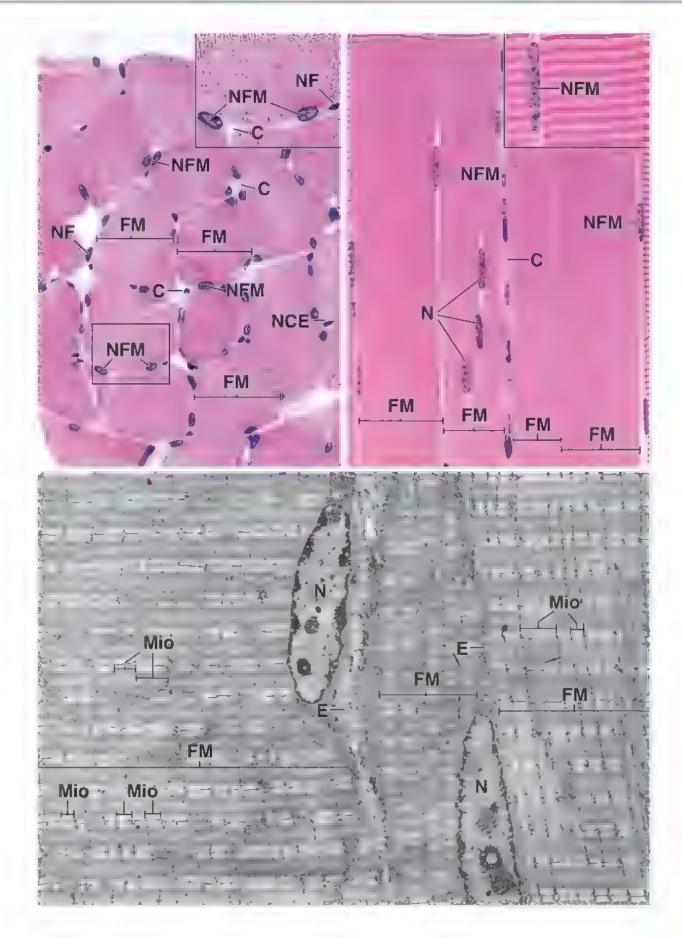


LÁMINA 23 UNIÓN MIOTENDINOSA

La fuerza generada por el músculo esquelético para permitír el movimiento corporal se transmite a través de los tendones, a los que están unidas las fibras musculares. El sitio de unión entre la fibra muscular y el colágeno de un tendón recibe el nombre de unión miotendinosa. Las fibras musculares en el sitio de unión terminan en numerosas evaginaciones citoptasmáticas digitiformes que incrementan el área de contacto entre el músculo y el tendón. En los extremos de cada prolongación y entre estas evaginaciones, las fibrillas de colágeno

del tendon se unen a la cetula en su lámina basal (véase la microfotografía electrónica en esta lámina). Con el microscopio óptico,
estas evaginaciones digitiformes parecen fundirse en el tendón. La
relacion detallada se observa con el microscopio electrónico. Los
ultimos sarcómeros en la fibra muscular terminan donde comienzan las proyecciones digitiformes. En este punto, el sarcómero
final carece de su línea Z y los filamentos de actina de la banda A
continuan en el interior de los dedos citoplasmáticos terminando
en el sarcolema



Unión miotendinosa, mono, H&E, 365 -

En esta microfotografía óptica se muestra un **tendón** (*T*) y, junto a este, varias **fibras musculares** (*FM*). El tendón contiene tendinocitos dispersos cuyos núcleos (*N*) están comprimidos

entre los haces de colágeno del rendón. Varias de estas fibras musculares (FM') se observan en el sitio donde terminan y se unen a las fibras del tendón. El área en el rectángulo se muestra con mayor aumento en la microfotografía de abajo



Union miotendinosa, mono, H&E, 1560×.

La **fibra muscular** (FM) en esta microfotografía se observa en el sitio donde termina. Notese el patron de bandas de la fibra muscular. Con este aumento se ven con claridad las evaginaciones digitiformes (flechas) en el extremo de la fibra muscular. Entre las estructuras digitiformes se encuentran las fibras de colageno del tendón. Los múcleos de los tendinocitos (Te) se encuentran en el tendón, donde este continua desde la fibra muscular.



Unión miotendinosa, mono, microfotografía electrónica, 24000×.

Esta microfotografía electrónica muestra el extremo de una parte de un músculo. Obsérvese que el ultimo **sarcómero** (S) carece de linea Z. Los filamentos de actina parecen extenderse desde la banda A y continuan por toda la longitud de las evaginaciones digriformes y, al parecer, se adhieren al sarcolema. Entre las evaginaciones digriformes están las fibrillas de colágeno (**flochas**) que forman el tendón (corresía del Dr. Douglas Kelly).

FM, fibras musculares

FM', fibras musculares terminales

N, nucleos

S, sarcómero

T, tendon

Tc, tendinocitos

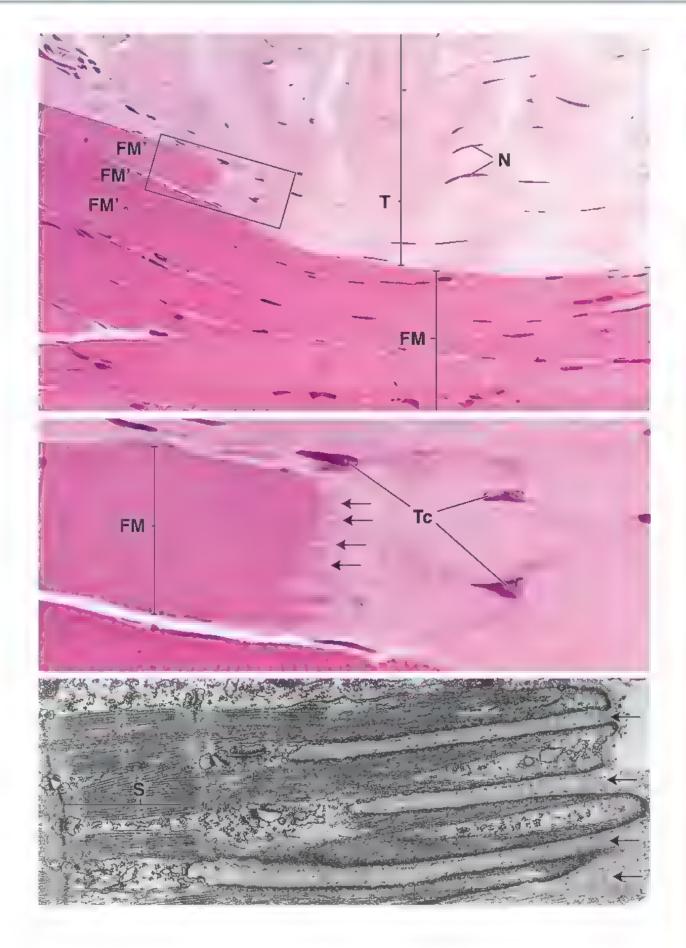


LÁMINA 24 MÚSCULO CARDÍACO

El músculo cardiaco está compuesto por fibras que poseen la misma organización de los filamentos contractiles y, por lo tanto, el mismo modelo de bandas transversales que el musculo estriado esquelético y visceral. Si bien el musculo cardiaco tambrén es estriado, difiere en muchos aspectos importantes con respecto al músculo esquelético y el estriado visceral. El músculo cardiaco está compuesto por células individuales que estan vinculadas a través de uniones com-

plejas para formar una unidad funcional (fibra). Las diferencias histológicas evidentes entre el músculo cardíaco y las otras fibras musculares estriadas son la presencia en el musculo cardiaco de discos intercalares (el reflejo microscopico óptico de las uniones complejas), la ubicación del núcleo de los cardiomicotos en el centro de la fibra y la ramificación de las fibras musculares cardiacas. Todas estas caracteristicas son evidentes en un corte longitudinal del músculo bien preparado.

Tejido muscular cardíaco, corazón, humano, H&E, 160×.

En esta figura se muestra un corte longitudinal del músculo cardíaco. Las fibras musculares están dispuestas de forma horizontal en la dustración y muestran estriaciones transversales. Sin embargo,

en la distracion y muestran estraciones transversales. Sin embargo, además de las estriaciones transversales negulares (las más frecuentes), existe otro grupo de bandas transversales muy pronunciadas, los discos intercalares (DI). Los discos intercalares suclen observarse como una banda secta, pero en ocasiones se disponen de forma escalonada (véase también la imagen de la dencha). Estos discos no siempre se ven en los corres de rutina teñidos con HôcF y, por consiguiente, no se puede depender de estas estructuras para identificar el musculo cardiaco. Los discos intercalares son contactos entre los extremos

enfrentados de dos células distintas. Por lo tanto, las fibras musculares cardiacas difieren en un aspecto muy fundamental con respecto a las esqueléticas. La fibra muscular cardiaca está compuesta por una alineación extremo con extremo de las células individuales (cardiomiocitos). Por el contrario, la fibra muscular esquelética es una unidad protoplasmática multinucleada única. En el examen de un corte longitudinal del músculo cardiaco, es útil analizar las fibras específicas junto con sus ejes mayores. Al hacer esto, se pueden encontrar sitios donde las fibras se ramifican. Dos de estas ramificaciones están indicadas por flechar en esta figura. Las fibras musculares están rodeadas por endomisio, una capa delgada de tejido conjuntivo (TC) que está representada en esta figura por los núcleos alargados de los fibroblastos.

Tejido muscular cardiaco, corazon, humano, H&E, 400×.

Al igual que el musculo esquelético, el musculo cardíaco está compuesto por unidades contractiles lineales, las **miofibrillas**. Estas se observan aqui como estructuras lineales en disposición longi-

se observan aqui como estructuras lineales en disposición longitudinal que se extienden a lo largo de la célula. Las miofibrillas se separan para desviar los núcleos y, al hacerlo, delinean una región perinuclear de cisoplasma carente de miofibrillas y de sus estrucciones transversales. Estas áreas citoplasmáticas perinucleares (autericos) contienen los organillos citoplasmáticos que no participan de forma directa en el proceso contractil. Muchas células musculares cardiacas son binucleadas; ambos núcleos habitualmente ocupan la región carente de miofibrillas del citoplasma, como se muestra en la célula marcada por los atterisos. El tercer núcleo en esta región parece pertenecer al tendo conjuntivo que está por encima o por debajo del plano de corte que está "en foco". La tisción de los núcleos de la célula muscular en una muestra específica suele ser muy característica, en especial cuando se observa en una vista frontal como aquí. En el núcleo entre los asservicos, obsérvense los nucléolos bien teñidos y el delicado patrón de lo que resta del nucleo. Una vez que se han identificado estos rasgos en una muestra particular, se vuelve fácil detectar los núcleos con características de tinción similares en el mismo preparado. Por ejemplo, examine el campo en la figura de la asquienda en busca de nucleos con características similares. Una vez hecho esto, es sustancialmente mas fácil identificar los núcleos de las células del rejido conjuntivo (TC), porque tienen propiedades tintomales distintas y no están ubscados en la misma posición con respecto a los de las células musculares. Además, se pueden visualizar varios discos intercalares (DI) en esta figura. A menudo se observan como bandas rectas, pero también pueden verse en una disposación escalonada

Tejido muscular cardíaco, corazón, humano, H&E, 160×.

En esta imagen se muestran fibras musculares cardíacas en corte transversal. Muchas tienen contornos poligonales o redondeados. No obstante, algunas fibras en general son más irregulares y poseen contornos alargados. Es probable que estas imágenes correspondan tanto a una fibra como a una ramificación de la fibra. La región más pálida en el centro

de muchas fibras corresponde al área celular carente de miofibrillas mencionada antes y señalada por los asteritos en la imagen cuperior derecha. Las fibras musculares individuales están rodeadas por un rejido conjuntivo delicado. Este contiene capilares y, en ocasiones, vasos de mayor calibre, como la vénula $\{V\}$ que aparece en el centro del haz de fibras musculares. Los haces de fibras están rodeados por cantidades mayores de rejido conjuntivo $\{TC\}$ que contiene vasos sanguineos más grandes, como la arteriola $\{A\}$ señalada en esta imagen.

Tejido muscular cardíaco, corazón, humano, H&E, 400×.

Con mayor aumento, es posible observar los cabos seccionados de las muofibrillas. Estos cabos aparecen como muchas áreas rojas que le dan un aspecto punseado a la superficie de corre de la cétula muscular. Los núcleos (N) ocupan una posición central rodeados por las

miofibrillas. Recuérdese que los núcleos de las fibras del músculo esquelético están ubicados en la periferia de la célula. Obsérvese también que, como ya se mencionó, la región central de la célula sin núcleos y carente de miofibrillas muestra áreas de citoplasma perinuclear similares a las señaladas con asteriscos en la figura de arriba. Observese que el tejido conjuntivo que rodea a cada fibra muscular contiene capilares (C) y, en ocasiones, vasos de mayor tamaño, como la vénula (V)

A, artenola C, capilares

Di. discos intercalares

N, nucleos de los cardiomiocitos TC, tendo conjuntivo

V. vécuta

asteriscos, áreas de citopiasma perinuclear flechas, lugares de ramificación de fibras

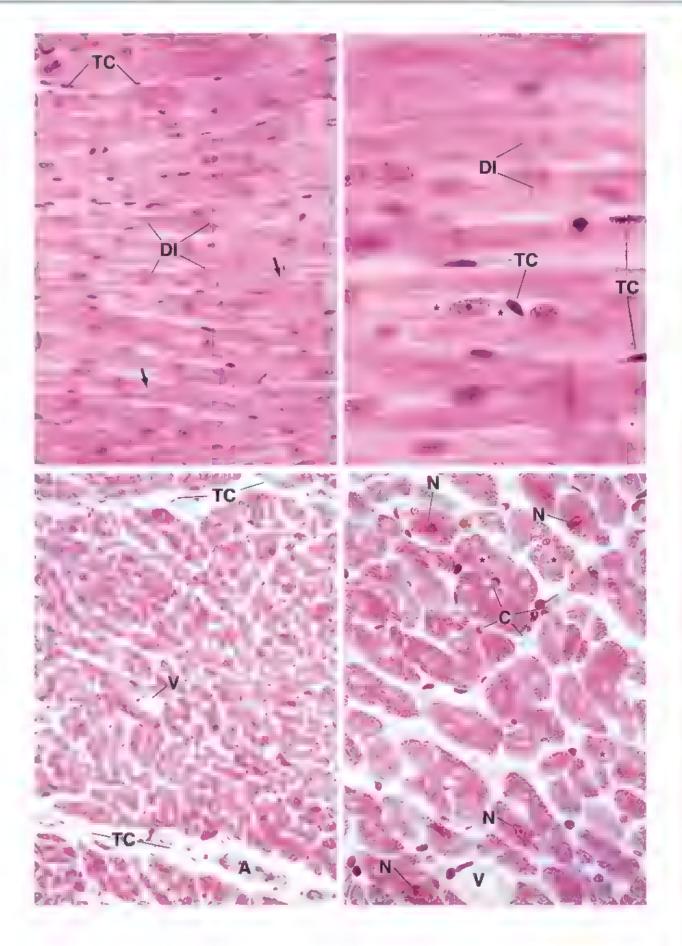


LÁMINA 25 MÚSCULO CARDÍACO Y FIBRAS DE PURKINJE

Los cardiomiocitos presentan la capacidad de contraerse ritmicamente de forma espontánea. La contracción o latido del corazón es regulado y coordinado por cardiomiccitos modificados y especializados, que se encuentran en los nodos y haces musculares. El latido del corazón se inicia en el nodo sinoauricular (SA), que consiste en un grupo de cardiomiocitos especializados que están situados a la altura de la desembocadura de la vena cava supenor en auricula. derecha. El impulso se propaga desde el nodo a lo largo de las fibras musculares cardiacas de las aurículas. A continuación, el impulso es recibido en el nodo auriculoventricular (AV), que está ubicado en el tabique interno o medio del ventrículo derecho contiguo a la válvula tricuspide. Entonces, los cardiomiocitos especializados conducen los impulsos desde el nódulo AV a lo largo del tabique interventricular hacia las paredes ventriculares. Dentro del tabique interventricular, las células especializadas se agrupan en un fascículo, el haz AV (de His). Este haz se divide después en dos ramas principales, una izquierda y una derecha. La primera se dirige hacia el ventriculo izquierdo; la segunda, hacia el ventrículo derecho. Las fibras de conducción especializadas transmiten el impulso unas cuatro veces más rápido que las fibras musculares cardíacas. Son las responsables de la distribución final del estimulo electrico al miocardio. Si bien el nodo SA presenta un ritmo inherente o constante propio, está modulado por el sistema nervioso autónomo. Por lo tanto, la frecuencia del latido cardiaco puede disminuir por la acción de las fibras parasimpáticas del nervio vago o incrementarse por las fibras de los ganglios simpáticos. Las células de conducción especializadas dentro de los ventrículos reciben el nombre de fibras de Purkinje. Les célules que constituyen les fibres de Purkinje difieren de las células musculares cardiacas en que son más grandes y tienen sus miofibrillas ubicadas en su mayor parte en la periferia de la célula. Sus nucleos también son más grandes. El citoplasma entre el nucleo y las miofibrillas ubicadas

en la periferia se tiñe muy poco debido a la gran cantidad de glucógeno presente en esta parte de la célula

Microfotografía de orientación. La imagen que se ve aqui corresponde a un corte sagital que muestra parte de la pared auricular (A) y de la pared ventricular (V). Entre estas dos cavidades cardiacas se encuentra el tabique auriculoventricular (TA). El espacio corresponde a la luz de la auricula.





Fibras de Purkinje, corazón, humano, Masson, 180×.

En esta microfotografía se muestra el área en el rectángulo de la nucrofotografía de orientación. En este sitio, el **endocardio** (Ec) ocupa las tres cuartas partes superiores de la microfotogra-

fia. Está compuesto por el **endotelio** (Er) que reviste el ventrículo, pero es apenas detectable con este anmento. Debajo del endotelio está la **capa** subendotelial de tejido conjuntivo denso (CSTCD), en la

que se encuentran fibras elásticas, así como algunas celulas musculares lisas. La capa más profunda del endocardio se denomina capa subendocárdica (CSE); conuene haces de fibras de Purkinje (FP) haz de His) que discurren a lo largo de la pared del ventriculo. La parte más profunda de la CSE está compuesta por tejido conjuntivo denso irregular (TCDI), con vasos sanguineos y adipocitos ocasionales, que separa las fibras de Purkinje del miocardio (MI) en la parte inferior de la microfotografía. Obsérvese cuánto más oscura es la tinción de las fibras musculares cardíacas en comparación con la de las fibras de Purkinje



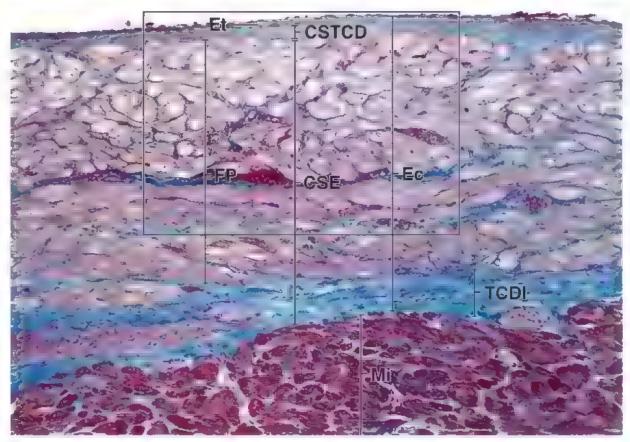
Fibras de Purkinje, corazón, humano, Masson, 365×.

Esta microfotografia es un aumento del dren en el recuadro de la trucrofotografia superior. Revela las células endoteliales (CEn) del endocardio y las células musculares lisas (MI). La parte restante de

la microfotografía debajo de la capa subendotelial del tajido conjuntivo denso (CSTCD) está ocupada por la capa subendocárdica (CSF) del endocardio, donde las fibras de Purkinje están corradas en diferentes perfiles. Las fibras seccionadas de forma transversal y oblicua están cerca del extremo superior de la microfotografía, y las fibras seccionadas de forma longitudinal están en la parte inferior. En las fibras cortadas transversalmente, las miofibrillas (M) se observan en la periferia de la célula. El citoplasma en la porción interna de la célula aparece sin tinción. En los sitios en los que han quedado incluidos en el corte de la célula, los núcleos están rodeados por el citoplasma claro. En la parte inferior de la imagen se pueden ver varias fibras de Purkinje cortadas de forma longitudinal. Obsérvense los **discos intercalares** (DI) en las fibras cortadas longitudinalmente. El recuadro muestra los discos intercalares y las miofibrillas con sus bandas transversales. Obsérvese el área clara o citoplasma sin títición alrededor de los núcleos.

A, pared auricular!
 CEn, células endoteliales
 CSE, capa subendocárdica del endocardio
 CSTCD, capa subendotelia: del tejido
 conjuntivo denso

Di, discos intercalares Ec, endocardio Et, endotelio FP, fibras de Purkinje M. mofibrillas Mi, miocardio
ML, células de músculo liso
TA, tabique auriculoventricular
TCDI, tejido conjuntivo denso irregular
V, pered ventricular



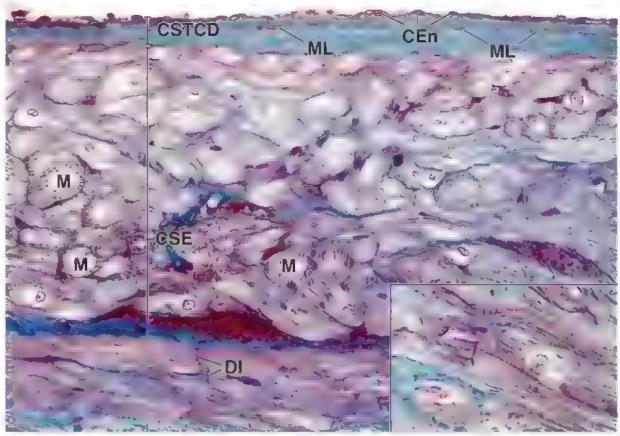


LÁMINA 26 MÚSCULO LISO

El músculo liso es el músculo intrínseco del tubo digestivo, los vasos sanguineos, los sistemas genitourinario y respiratorio y otros órganos huecos y tubulares. También es un componente del pezón, el escroto, la piel (musculo erector del pelo) y el ojo (iris). En la mayoría de los sitios, el músculo liso está compuesto por fasciculos o capas de cálulas fusiformes alargadas. Estas células carecen de un patrón de bandas estnadas como se encuentra en las células musculares esqueleticas y cardiacas. La longitud de las células del músculo liso oscila entre los 20 µm en las paredes de los pequeños vasos sanguineos y los 200 µm en la pared intestinal. En el caso del útero, pueden llegar a los 500 μm de largo durante la gestación. Las células musculares lisas están unidas por las uniones comunicarrtes, que permiten el paso de las pequenas moléculas o iones de una célula a otra y la regulación de la contracción de todo el fasciculo o de toda la lámina del músculo liso. El cito-

plasma de las células musculares lisas se colorea de manera uniforme con eosina en las preparaciones tenidas de rutina con H&E. debido a la concentración de actina y miosina que poseen estas células. El núcleo está ubicado en el centro de la célula y es alargado con los extremos romos, de modo que se ajusta a la forma celular Cuando la célula está en estado de contracción máxima, el nucleo adquiere una forma de tirabuzón. Con un grado menor de contracción, el núcleo puede aparecer con forma de espiral poco plegada. Es frecuente que en los preparados con H&E se tiña el músculo liso casi igual que el tejido conjuntivo denso-Una característica distintiva del músculo liso es que sus nucleos son considerablemente más numerosos y tienden a ser uniformes, con una silueta alargada en el corte longitudinal y circular en el corte transversal. En cambio, los núcleos del tejido conjuntivo denso, aunque más escasos por unidad de área, pueden presentar formas variadas en un corte dado

Músculo liso, intestino delgado, humano, H&E, 256×.

En esta nucrofotografía de baja resolución se muestra parte de la pared del insestino delgado, la **muscular externa**. El margen taquierdo de la microfotografía muestra dos fascículos, ambos en

un corte longitudinal (CL), inientras que en el margen derecho los fascículos del músculo liso se observan en un corte transversal (CT). Obsérvese que los núcleos

de las células musculares lisas en todos los fasciculos seccionados longitudinalmente están alatgados, en cambio, los nucleos en los fasciculos de músculos lisos cortados transversalmente aparecen como siluetas circulares. Entre los fascículos musculares hay rejido conjuntivo denso irregular (*TCDI*). Si bien las células musculares lisas y el tejido conjuntivo denso se tiñen con eosina, el rejido conjuntivo denso muestra una carencia de núcleos en comparación con los fascículos de las células musculares lisas.



Músculo liso, intestino delgado, humano, H&E, 512×

En esta microfotografía de mayor aumento se muestra un fasciculo de **células musculares lisas** (CML). Obsérvese cómo los núcleos presentan una forma ondulante u ondeada que undica que las células están parcialmente contraídas. En cambio, los núcleos observados en el tendo conjuntivo denso irregular (TCDI) exhiben una gran variedad de formas. Las fibras de colágeno en este caso, como en la microfotografía previa, cienen una coloración ma más bullante que el citoplasma de las células musculares lisas, lo que proporciona una mayor distinción entre los dos tipos de tejido. Sin embargo, ello no siempre es así, y los dos pueden aparecer teñidos de forma semejante.



Musculo liso, intestino delgado, humano, H&E, 256×.

En esta microfotografía de poco aumento se muestran varios fasciculos de músculo liso (FML) en un corte transversal. De nuevo, obsérvese que los fasciculos del músculo liso están separados entre si por **tejido conjuntivo denso irregular** (*TCDI*) y las numerosas silveras circulares de los nucleos de las celulas musculares lisas.

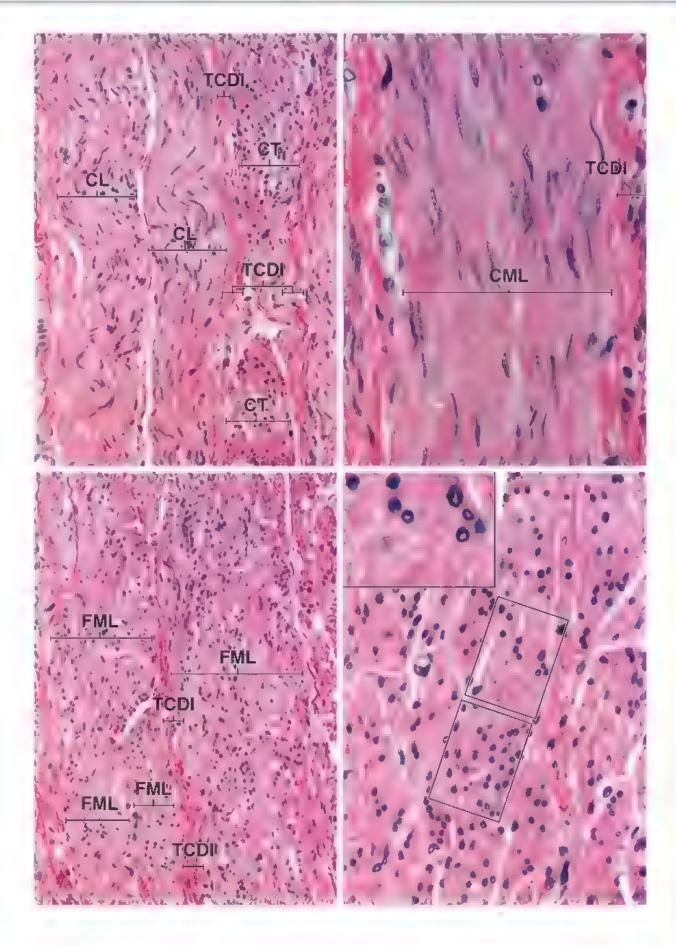


Músculo liso, intestino delgado, humano, H&E, 512×; recuadro 1185×.

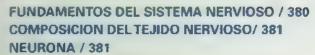
En este caso, se observa el músculo liso en un come transversal con mayor aumento. Como ocurre habitualmente, la distribución de los núcleos de las células musculares luas no es uniforme. Ass, en

algunas regiones parece que hubiera hacinamiento de núcleos (rectangulo infenor), mientras que en otras los núcleos parecen escasos (rectangulo superior). Ello es un reflejo de la orientación laterolateral de las células musculares lisas. Por lo tanto, en esta región las células están alineadas de modo tal que los núcleos no han quedado incluidos en este plano de corte. El rectuado es una ampliación de esta área y muestra las células musculares lisas en un corte transversal como siluetas circulares de tamaño variado. En el sitio en donde los núcleos parecen más abundantes, las células simplemente están alineadas de un modo que ha permitido que el corte incluyera el núcleo.

CL, corte longitudinal CML, cé ulas de musculo liso CT, corte transversal FML, fasciculo de músculo liso TCDI, tejido conjuntivo denso irregular



12 TEJIDO NERVIOSO



Cuerpo celular / 382
Dendritas y axones / 384
Sistemas de transporte neuronal 388
Sinapsis / 389

CÉLULAS DE SOSTEN DEL SISTEMA NERVIOSO: NEUROGLÍA/ 395

Neuroglía periférica / 395 Celulas de Schwann y valna de mielina / 395 Celulas satelite / 398 Celulas neurogliales entéricas / 398 Neuroglía central / 398 Conduccion del impulso / 405

ORIGEN DE LAS CÉLULAS DEL TEJIDO NERVIOSO / 405

ORGANIZACIÓN DEL SISTEMA NERVIOSO PERIFÉRICO / 406

Nervios perifericos / 406
Componentes del tejido conjuntivo del nervio periferico / 407
Receptores aferentes / 408

ORGANIZACIÓN DEL SISTEMA NERVIOSO AUTÓNOMO / 408 Divisiones simpáticas y parasimpáticas del sistema nervioso autónomo / 409 División entérica del sistema nervioso autonomo / 411

Resumen de la distribución autonoma / 411

ORGANIZACIÓN DEL SISTEMA NERVIOSO CENTRAL / 412

Células de la sustancia gris / 412 Organización de la médula espinal / 413 Tejido conjuntivo del sistema nervioso central / 414 Barrera hematoencefálica / 415

RESPUESTA DE LAS NEURONAS A UNA LESIÓN / 416

Degeneración / 416
Regeneración / 418
Cuadro 12-1 Correlación clínica:
enfermedad de Parkinson / 390
Cuadro 12-2 Correlación clínica:
enfermedades desmielinizantes / 397
Cuadro 12-3 Correlación clínica:

formación de cicatrices en el sistema nervioso central (gliosis reactiva) / 419

HISTOLOGIA 101 / 420



■ FUNDAMENTOS DEL SISTEMA NERVIOSO

El sistema nervioso permite que el cuerpo responda a los cambios continuos en su medio externo e interno. Además, controla e integra las actividades funcionales de los órganos y los sistemas orgánicos. Desde el punto de vista anatómico, el sistema nervioso está dividido de la siguiente manera:

- Sistema nervioso central (SNC). Está integrado por el encéfalo y la médula espinal, que se encuentran contenidos en la cavidad craneal y en el conducto vertebral, respectivamente.
- Sistema nervioso periférico (SNP). Está compuesto por los nervios craneales, espinales (raquideos) y periféricos, que conducen impulsos desde el SNC (nervios eferentes o motores) y hacia este (nervios aferentes o sensitivos), los conjuntos de somas

neuronales ubicados fuera del SNC, denominados gangtios, y las terminaciones nerviosas especializadas (tanto motoras como sensitivas). Las interacciones entre los nervios sensitivos (aferentes) que reciben estímulos, el SNC que los interpreta y los nervios motores (eferentes) que inician las respuestas originan las vien nerviosas. Estas vías median las acciones reflejas denominadas avcos reflejos. En los seres humanos, la mayoría de las neuronas sensitivas no entran directamente en el encéfalo, sino que se comunican mediante terminaciones especializadas (sinapsis) con las motoneuronas localizadas en la médula espinal.

Desde el punto de vista funcional, el sistema nervioso está dividido de la siguiente manera:

 Sistema nervioso somático (SNS). Consiste en las partes somáticas (soma, cuerpo) del SNC y del SNP. El SNS controla las funciones que están bajo el control voluntario consciente, con excepción de los arcos reflejos. Proporciona inervación sensitiva y motora a todas las partes del cuerpo, excepto las vísceras, los músculos liso y cardíaco y las glándulas

Sistema nervioso autónomo (SNA). Está compuesto por las partes autónomas del SNC y del SNP. El SNA provee mervación motora involuntaria eferente al músculo liso, el sistema de conducción cardíaca y las glándulas. También proporciona inervación sensitiva aferente desde las visceras (dolor y reflejos autónomos). Además, el SNA se subclasifica en una división aimpática y una división parasimpática. Un tercer componente del SNA, la división enterica, inerva el tubo digestivo. Se comunica con el SNC a través de las fibras nerviosas parasimpáticas y simpáticas. Sin embargo, también puede funcionar independientemente de las otras dos divisiones del SNA (véase p. 408).

■ COMPOSICIÓN DEL TEJIDO NERVIOSO

El tejido nervioso está compuesto por dos tipos principales de células, las neuronas y las células de sostén.

La neurona o celula nerviosa es la unidad funcional del sistema nervioso. Está compuesta por el soma, que contiene el núcleo y varias evaginaciones de longitud variable. Las neuronas están especializadas para recibir estímulos desde otras células y para conducir impulsos eléctricos hacia otras partes del sistema a través de sus evaginaciones. Son varias las neuronas que generalmente participan en la transmisión de impulsos desde una parte del sistema hacia otra. Estas neuronas están organizadas a manera de eslabones de una cadena, como una red de comunicaciones integrada. Los contactos especializados entre las neuronas, que permiten la transmisión de información especializada desde una neurona a la siguiente, se denominan sinapsis.

Las celulas de sostén son células no conductoras y están ubicadas cerca de las neuronas. Se denominan células gliales o solo glia. El SNC contiene cuatro tipos de células gliales: oligodendrocitos, astrocitos, microglía y ependimocitos (véase p. 398). En conjunto, estas células se denominan neuroglia central. En el SNP, las células de sostén se conocen como neuroglia periférica e incluyen las células de Schwann, las células satélite y una gran variedad de otras células relacionadas con estructuras específicas. Las células de Schwann rodean las evaginaciones de las neuronas y las aíslan de las células y de la matriz extracelular contiguas. Dentro de los ganglios del SNP, las células gliales periféricas se denominan cólulos satólito. Estas rodean los somas neuronales, la parte de la célula que contiene el núcleo, y son análogas de las células de Schwann. Las células de sostén de los ganghos en la pared del tubo digestivo se denominan cálulas neurogliales entéricas. Desde los puntos de vista morfológico y funcional, son similares a la neuroglia central (véase p. 398).

Las funciones de los diferentes tipos de células gliales incluyen las siguientes:

- Sostén físico (protección) para las neuronas
- Aislamiento para los somas y las evaginaciones neuronales (lo que facilita la rápida transmisión de impulsos nerviosos)
- Reparación de la lesión neuronal
- Regulación del medio líquido interno del SNC
- Eliminación de los neurotransmisores de las hendiduras sinápticas
- Intercambio metabólico entre el sistema vascular y las neuronas del sistema nervioso

Además de las neuronas y las células de sostén, tanto el SNC como el SNP presentan un componente vascular extenso. Los venos

sangumeos están separados del tejido nervioso por las láminas basales y por cantidades variables de tejido conjuntivo, según el tamaño del vaso. El límite entre los vasos sanguíneos y el tejido nervioso en el SNC excluye muchas sustancias que generalmente abandonan los vasos sanguíneos para entrar en otros tejidos. Esta restricción selectiva de sustancias de transmisión sanguínea en el SNC se denomina barrera hematoencefalica y se comenta en la página 415.

El sistema nervioso permite una rápida respuesta a los estímulos externos.

El sistema nervioso evoluciona desde el sistema neuroefector simple de los animales invertebrados. En los sistemas nerviosos primitivos, para responder a los estímulos externos solo existen simples arcos reflejos que constan de un receptor y un efector. En los animales superiores y en los seres humanos, el SNS retiene la capacidad de responder a los estímulos del medio externo a través de la acción de las células efectoras (como el músculo esquelético), pero las respuestas neuronales son infinitamente más variadas. Estas respuestas oscilan desde simples reflejos que requieren solo la participación de la médula espinal hasta operaciones encefálicas complejas que incluyen la memoria y el aprendizaje.

La parte autónoma del sistema nervioso regula la tunción de los órganos internos.

Los efectores específicos en los órganos internos que responden a la información transportada por las neuronas autónomas incluyen lo siguiente:

- Musculo liso. La contracción del músculo liso modifica el drámetro o la forma de las visceras tubulares o huecas, como los vasos sanguíneos, el intestino, la vesícula biliar y la vejiga urinaria.
- Celulas de conducción cardiaca (fibras de Purkinje). Están ubicadas dentro del sistema de conducción del corazón. La frecuencia inherente de despolarización de la fibra de Purkinje regula el ritmo de contracción muscular cardíaca y puede ser modificada por impulsos autónomos.
- Epitello glandular. El sistema nervioso autônomo regula la síntesis, la composición y la liberación de las secreciones.

La regulación de la función de los órganos internos incluye la cooperación estrecha entre el sistema nervioso y el sistema endocrino. Las neuronas en varias partes del encéfalo y en otros sitios se comportan como células secretoras y reciben el nombre de tojido neuroendocrino. Los diversos papeles desempeñados por las neurosecreciones en la regulación de las funciones de los sistemas endocrino, digestivo, respiratorio, urinario y reproductor se describen en los capítulos siguientes.

■ NEURONA

La neurona es la unidad estructural y funcional del sistema nervioso.

El sistema nervioso humano contiene más de 10000 millones de neuronas. Si bien las neuronas muestran la mayor variación en tamaño y forma que cualquier otro grupo de células en el cuerpo, pueden agruparse en tres categorías generales.

Nouronas sensitivas. Transmiten impulsos desde los receptores hacia el SNC. Las evaginaciones de estas neuronas están incluidas en las fibras nerviosas aferentes somáticas y aferentes viscerales. Las fibras aferentes somáticas transmiten sensaciones de dolor, temperatura, tacto y presión desde la superficie corporal. Además, estas fibras transmiten dolor y propiocepción (sensación inconsciente) desde los órganos internos del cuerpo

(p. ej., músculo, tendones y articulaciones) para brindar al encéfalo información relacionada con la orientación del cuerpo y las extremidades. Las fibras aforentes viscorales transmiten impulsos de dolor y otras sensaciones desde los órganos internos, las membranas mucosas, las glándulas y los vasos sanguíneos.

- Motoneuronas. Estas transmiten impulsos desde el SNC o los ganglios hasta las células efectoras. Las evaginaciones de estas neuronas están incluidas en las fibras nerviosas eferentes somáticas y eferentes viscerales. Las neuronas eferentes somáticas envían impulsos voluntarios a los músculos esqueléticos. Las neuronas eferentes viscerales transmiten impulsos involuntarios hacia los músculos lisos, las células de conducción cardíaca (fibras de Purkinje) y las glándulas (fig. 12-1).
- Interneuronas. También llamadas neuronas intercalares, forman una red de comunicación y de integración entre las neuronas sensitivas y las motoras. Se estima que más del 99.9% de todas las neuronas pertenecen a esta red integradora.

Los componentes funcionales de una neurona incluyen el soma, el axón, las dendritas y las uniones sinápticas.

El soms (pericarion) de una neurona contiene el núcleo y aquellos orgánulos que mantienen la célula. Las evaginaciones que se extienden desde el soma constituyen una estructura individual común característica de todas las neuronas. La mayoría de las neuronas poseen un solo axón, que suele ser la prolongación más larga que se extiende desde la célula; este transmite impulsos desde la célula hasta una ter-

SISTEMA NERVIOSO CENTRAL encarion Dendritasi Sinapsis Corpúsculos de Nassi Cono axónico Oligodendrocito Segmento micial Axón Mielina Nódulo de Ranvier SISTEMA NERVIOSO PERIFERICO Célula de Schwann Mielina Placa motora terminal Músculo esquelético

FIGURA 12-1. Diagrama de una motoneurona. El cuerpo calular, las dendritas y la parte proximal del axón están dentro del SNC. El axón abandona el SNC, y una vez en el SNP es parte de un nervio (no se muestra en la figura) que se extiende hasta sus efectores (musculo estriado). En el SNC, la mielina para el axón es producida por un oligodendrocito, del cual forma parte. En el SNP la mielina es producida por una cé ula de Schwann de la cual forma parte.

minación especializada (sinapsis). La sinapsis establece contacto con otra neurona o con una célula efectora (p. ej., una célula muscular o una célula epitelial glandular). Una neurona suele contener muchas dendritas, que son evaginaciones más cortas que transmiten impulsos desde la periferia (otras neuronas) hacia el soma.

Las neuronas se clasifican según la cantidad de evaginaciones que se extenden desde el soma.

Desde el punto de vista anatómico, la mayoría de las neuronas pueden caracterizarse de la siguiente manera:

- Las neuronas multipolares son las que tienen un axón y dos o más dendritas (fig. 12.2). La dirección de los impulsos es desde la dendrita hacia el soma, y desde este hacia el axón o desde el cuerpo neuronal hacia el axón. Desde el punto de vista funcional, las dendritas y el soma de las neuronas multipolares son las porciones receptoras de la célula, y su membrana plasmática está especializada para la generación de impulsos. El axón es la porción conductora de la célula, y su membrana plasmática está especializada para la conducción de impulsos. La porción terminal del axón, la terminación sináptica, contiene diversos neurotransmisones, moléculas cuya liberación a la altura de la sinapsis afecta otras neuronas, células musculares y células epiteliales glandulares. Las motoneuronas y las interneuronas constituyen la mayor parte de las neuronas multipolares del sistema nervioso.
- Las neuronas bipolarea son las que tienen un axón y una dendrita (véase fig. 12-2). Las neuronas bipolares son raras. Suelen estar asociadas con los receptores de los sentidos especiales (gusto, olíato, olído, vista y equilibrio). En general, se encuentran en la renna del ojo y en los ganglios del nervio vestibulococlear (nervio craneal [NC] VIII) del olído. Algunas neuronas en este grupo no se ajustan a las generalizaciones ya descritas. Por ejemplo, las células amacrinas de la retina carecen de axones y los receptores olfatorios se parecen a las neuronas de los sistemas neuronales primitivos porque retienen una ubicación superficial y se regeneran a un ritmo mucho más lento que otras neuronas.
- Las neuronas seudounipolares (umpolares) son las que tienen una sola prolongación, el axón, que se divide cerca del soma en dos ramas axónicas largas. Una rama se extiende hacia la periferia (rama dendritica periférica) y la otra, hacia el SNC (rama axónica central; véase fig 12-2). Las dos ramas axónicas son las unidades de conducción. Los impulsos son generados en las arborizaciones (ramificaciones) periféricas de la neurona, que son la porción receptora de la célula. Cada neurona seudounipolar se desarrolla desde una neurona bipolar a medida que su axón y su dendrita migran alrededor del soma neuronal y se fusionan en una prolongación individual. La mayoría de las neuronas seudounipolares son neuronas sensitivas que se ubican cerca del SNC (fig. 12-3). Los somas de las neuronas sensitivas están situados en los ganglios de la raiz dorsal y de los nervios craneales.

Cuerpo celular

El soma celular de una neurona tiene las características de las células sintetizadoras de proteínas.

El soms es la región dilatada de la neurona que contiene un núeleo eucromático grande, con un nucléolo prominente y el eltoplasma perinuclear circundante (fig.12-4a, lám. 27, p. 422). Bajo el microscopio electrónico de transmisión (MET), en el ciroplasma perinuclear se observa abundantes retículos endoplasmáticos rugosos (RER) y ribosomas libres, una característica congruente con su actividad de síntesis proteínica. Con el microscopio óptico, el

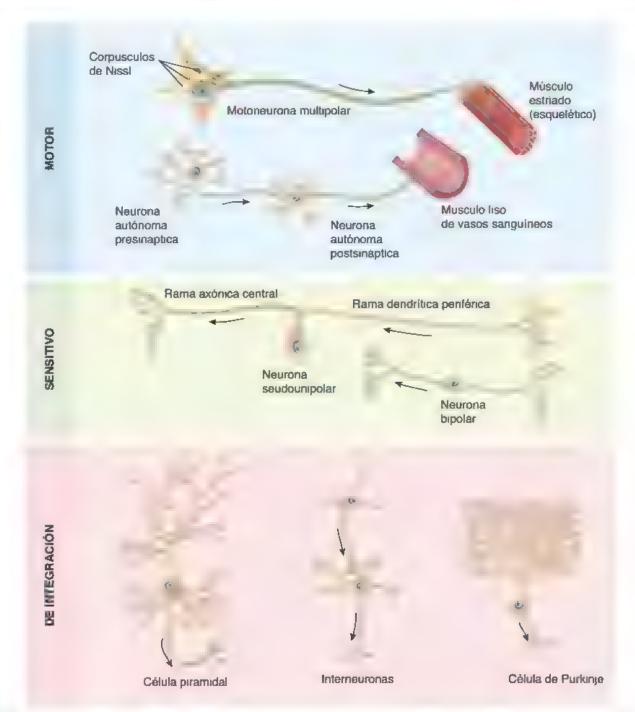


FIGURA 12-2. Diagrama de diferentes tipos de neuronas. Los somas de las neuronas seudounipolares (unipolares), bipolares y autónomas posts nápticas se loca zan fuera del SNC. Las de usas de Purk nje y las piramida es están restringidas al SNC imuchas de ellas tienen arborizaciones dendríticas elaboradas que facilitan su identificación. La rama axónica central y todos los axones en las delu las restantes se indican en verde.

contenido ribosómico aparece como pequeñas granulaciones denominadas corpusculos do Nissi, que se tiñen de forma intensa con pigmentos básicos y metacromáticamente con pigmentos de tionina (véase fig. 12-4a). Cada corpúsculo de Nissi corresponde a una pila de RER.

El citoplasma perínticlear también tiene numerosas mitocondrias, un gran aparato de Golgi perinticlear, lisosomas, microtúbulos, centro organizador de microtúbulos (MTOC, microtúbule-organizang center; centrosoma), neurofilamentos (filamentos intermedios), vesículas de transporte e inclusiones (fig. 12-4b). Los corpúsculos de Nissl, los ribosomas libres y, de manera ocasional, el aparato de Golgi se extienden dentro de las dendritas, pero no dentro del axón. El núcleo eucromático, el nucléolo grande, el aparato de Golgi y los

cuerpos de Nissl prominentes indican la gran actividad anabólica que se requiere para mantener estas células de gran tamaño.

La ubicación del MTOC en el ciroplasma perinuclear suele corresponder al sitio de origen del axón. Esta área del soma, llamada cono axónico, carece de orgánulos citoplasmáticos grandes y sirve como punto de referencia para distinguir los axones de las dendritas en los preparados tanto para microscopio óptico como para MET.

Las neuronas no se dividen; sin embargo, en algunas regiones del encéfalo hay cálulas madre neurales que son capaces de diferenciarse y reemplazar las neuronas lesionadas.

Si bien las neuronas no se duplican, sus componentes subcelulares se recambian con regularidad y tienen una vida media que se mide

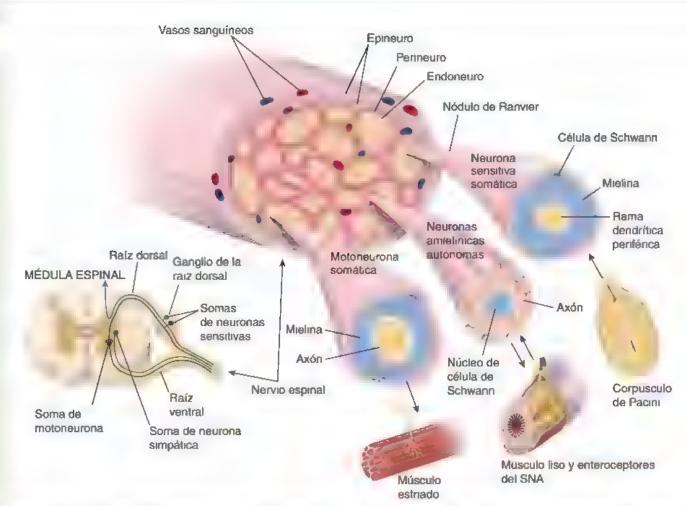


FIGURA 12-3. Diagrama de la disposición de las neuronas sensitivas y motoras. El soma de una motoneurona está ubicado en el asta ventral (anterior) de la sustancia gris de la médula espinal. Su axón irodeado por miel na, abandona la médula espinal a través de la raiz ventral (anterior) y se vuelve parte de un nervio espinal que lo transporta hacia su destino en las fibras de musculo estrado (esque ético). La neurona sensitiva se origina en la piel dentro de un receptor (aqui un corpusculo de Pacini) y continua como un componente de un nervio espinal, introduce endose en la médula espinal a traves de la raiz dorsal (poster or). Observese la ubicación de su soma en el ganglio de la raiz dorsal (ganglio sensitivo). Se ha magnificado un segmento del nervio espinal para mostrar la relación de las fibras nerviosas con el tejido conjuntivo circundante (endoneuro perneuro y epineuro). Además los segmentos de las neuronas sensitivas, motoras y no miel nizadas autónomas se han magnificado para mostrar la relación de los axones con las células de Schwann. SNA, sistema nervioso autónomo.

en horas, días y semanas. La necesidad constante de reemplazar enzimas, sustancias neurotransmisoras, componentes de membrana y otros complejos moleculares es congruente con los aspectos morfológicos característicos de un alto nível de actividad de síntesis. Las moléculas de proteína neosintetizadas se transportan hacia sitios distantes dentro de una neurona en un proceso llamado transporte axónico (véase p. 388).

En general, se acepta que las neuronas no se dividen. No obstante, se ha demostrado recientemente que el encéfalo adulto retiene algunas células con el potencial para regenerarse. En ciertas regiones del encéfalo, como el bulbo olfatorio y el giro dentado del hipocampo, estas células madre neurales son capaces de dividuse y generar nuevas neuronas. Estas se caracterizan por la expresión prolongada de una proteína de filamento intermedio de 240 kDa, la nestina, la cual se utiliza para identificar estas células por medio de métodos histoquímicos. Las células madre neurales también son capaces de migrar hacia sitios de lesión y diferenciarse en neuronas nuevas. Algunas investigaciones en modeios animales han identificado que las células recién generadas maduran hasta convertirse en neuronas funcionales en el encefalo de un mam fero adulto. Estos hallazgos podrian conducir a estrategias terapéuticas que utili-

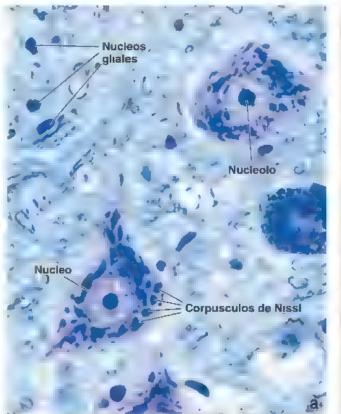
cen células madre neurales para reemplazar neuronas destruidas o dañadas por trastornos neurodegenerativos, como las enfermedades de Alzheimer y de Parkinson (cuadro 12-1).

Dendritas y axones

Como se comentó anteriormente, las neuronas emiten dos tipos de evaginaciones características: 1) las dendritas y 2) los axones. Ambas contienen diferentes proteínas y orgánulos, por lo que su estructura y función también son distintas.

Les dendrites son evaginaciones receptoras que reciben estimulos desde otras neuronas o desde el medio externo.

La principal función de las dendritas es recibir información de otras neuronas o del medio externo y transportar esta información hacia el soma. En general, las dendritas se ubican en las cercanías del soma neuronal. Tienen un diámetro más grande que el de los axones, no suelen estar mielinizadas y son puntiagudas. Las dendritas forman extensas arborizaciones denominadas árboles dendriticos. Los árboles dendríticos incrementan significativamente el área de superficie receptora de una neurona. Muchos tipos de neuronas se caracterizan por la extensión y la forma de sus árboles dendríticos (véase fig. 12-2). La mayoría de las neuronas excitadoras poseen espinas dendriticas.



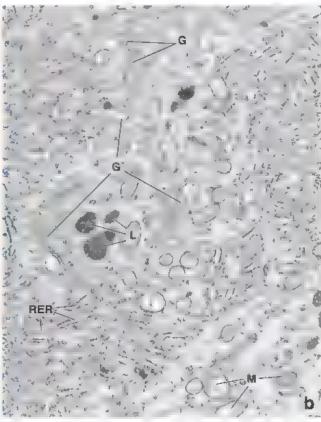


FIGURA 12-4. Somas neuronales, a. En esta microfotografía se observa una región del asta ventral (antenor) de una médula espinal humana tenida con azu de tofuid na. Las características tipicas de los somas neuronales y sibles en esta imagen incluyen nucleos grandes y esfer cos teñidos de azu pátido, con un solo nucleolo prominente y abundantes corpusculos de Nissi dentro del citoplasma del soma neuronal. La mayoria de los nucleos pequenos pertenecen a las células gia es. El resto del campo está poblado por fibras nerviosas y crtoplasma de las células neurogla es centrales. 640 × b. Microfotografía el ectrónica de un soma neuronal. El citoplasma está ocupado por conuntos de ribosomas libres y perfiles de reticulo endoplasmático rugoso (RER) que constituyen los corpusculos de Nissi de la microscopia óptica. El aparato de Goig. Gi aparece como areas aisiadas que confilenen siluetas de sacos apianados y vesiculas. Otros organulos caracteristicos noluyen mitocondinas (M) y lisosomas (L) Los neurofilamentos y los neurofilades de distinguir con esta resolución relativamente baja. 15000 ×

Por lo general, los contenidos del citoplasma perinuclear del soma y el citoplasma de las dendritas son semejantes. Otros orgánulos característicos del soma neuronal, como los ribosomas y el RER, también se hallan en las dendritas, en especial a la altura de sus bases. Además, se observan pequeños puestos de avanzada de Golgi (estructuras funcionales que no están conectadas con el aparato de Golgi del soma celular) en el citoplasma de las dendritas, que surven como centros de nucleación para los microtúbulos.

Las dendritas se caracterizan por la presencia de espinas dendriticas implicadas en la plasticidad sináptica, el aprendizaje y la formación de la memoria.

Una gran cantidad de neuronas en el SNC tienen dendritas que pueden identificarse mediante la presencia de espinas dendriticas (fig. 12-5). Estas representan pequeñas protrusiones de la membrana plasmática que contienen filamentos de actina y densidad postsináptica. Su forma es diversa y va desde proyecciones cortas semejantes a filopodios delgados hasta estructuras con forma de hongo. Las espinas con forma de hongo se consideran espinas maduras, y conforman la mayoría de las espinas dendríticas (~70-80%).

Las microfotografías electrónicas de las espinas dendríticas maduras muestran la presencia de una densidad postsináptica que contiene grupos de receptores de neurotransmisores y canales regulados por voltaje de Na⁺ y K⁺, como los que se observan en las sinapsis nerviosas. Es posible que las espinas también tengan un citoesqueleto de actina bien desarrollado, asociado con diversas

proteínas de unión a la actina, algunos microtúbulos y vesículas de retículo endoplasmático con perfiles elongados. La densidad postsináptica está junto a la membrana plasmática del axón contiguo que contiene una zona con vesículas sinápticas redondas (fig. 12-6) y forman una sinapsis completamente funcional. La mayoría de las sinapsis formadas entre las espinas dendríticas y los axones contienen el neurotransmisor glutameto (GLU), que regula la transmisión sináptica excitadora rápida en el SNC (véase p. 394).

Las espinas dendríticas son dinámicas y pueden formarse o eliminarse con rapidez; no obstante, algunas permanecen estables y persisten durante meses o años. En los modelos de experimentación en animales, la obtención de nuevos recuerdos se asocia con el aumento de la densidad de las espinas en las células piramidales en el SNC. El proceso de aprendizaje induce la formación de espínas estables que pueden persistir durante meses después del aprendizaje. Estos hallazgos experimentales brindan evidencia de que las espinas dendríticas están implicadas en la plasticidad sináptica y el aprendizaje, y median la codificación a largo plazo de la memoria en la correza cerebral.

Los axones son evaginaciones efectoras que transmiten estímulos a otras neuronas o células efectoras.

La principal función del axón es transmitir información desde el soma a otra neurona o célula efectora, como una célula muscular. Cada neurona tiene un solo axón, que puede ser muy largo. Los axones provenientes de neuronas ubicadas en los núcleos motores del

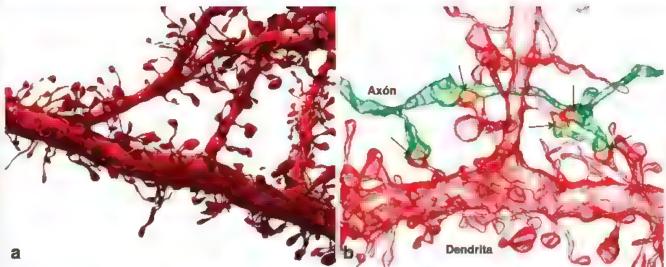


FIGURA 12-5. Reconstrucciones tridimensionales (3D) de las avaginaciones de las células nerviosas de la corteza cerebral somatosensitiva de un raton. Estas mágenes son representaciones computarizadas de las células nerviosas y sus evaginaciones extraidas de una serie de 1850 imagenes de microscopia electrónica de barndo (MEB) de tejido encefárico en cortes seriados. Se utilizó un ultramicrotomo automático de registro para obtener cortes de 29 nm de grosor, que después fueron teñidos con osmio y cubiertos con carbono para observarse con la MEB a suficiente resolución para distinguir las vesiculas sinapticas individuales. Después ise analizó un grupo de imagenes digitales de multiple escala para registrar y segmentar de manera automática las evaginaciones y orgánidos de ula residente su el corte se do direction manualmente con un software sobre la información tridimensional a. En la imagen se muestra una representación en 3D de una sola dendirita con espinas. Observese el patrón de ramiticación de la dendirita beneficia solo semitransparente de las interacciones sinápticas entre la dendirita virgio) y el axón (verde). En esta imagen, las espinas dendiriticas forman cinco sinápsis (flechas) con el mismo axón las densidades posta napticas están indicadas en amantilo. 13 000 × (cortesia de los Dres. Danie. Berger y Jeff W. Lichtman, Harvard University, Cambridge, MA).

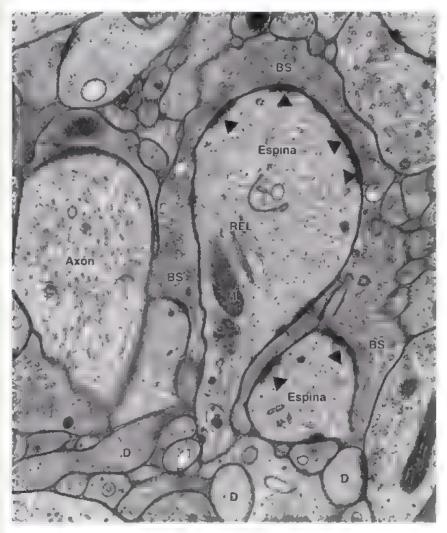


FIGURA 12-6. Microfotografía de las espinas dendriticas en las dendritas proximales de las células piramidales en el hipocampo de un ratón. Se cultivaron cortes delgados (300 µm) de tejido encefálico durante 1-2 semanas para permitor que, al eliminar los restos celulares, el tejido se recuperara y reorganizara in vitro. Después del periodo de incubación se prepararon los cortes para la microscopia electrónica (ME) mediante congelamiento a alta presión con chosustitución de aqua con acetona, después, se tiñeron con osmio y se incluyeron. en un medio apto para la ME. Esta preparación ofrece una calidad inigua able de imágenes de ME al evitar la distorsión del tejido causada por la desnaturalización de las proteinas derivada de la filación con aldehídos. Obsérvese que las espinas dendríticas están rodeadas por un botón sináptico (BS) de gran tamaño que contiene vesiculas sinápticas. Las puntas de flecha indican las densidades postsinápticas. En estas áreas, as hendiduras sinápticas son visibles después de separar las zonas activas de los elementos presinápticos de las densidades posts» nápticas. El citoplasma de las espinas contiene un citoesqueleto de actina en el que ocasionamente se observan perf es del retículo endoplasmát co liso (REL) y vesículas de transporte en la parte estrecha de la espina. Obsérvese el organulo eletrodenso, que con mayor probablidad corresponde a una mitocondria (M). También se observan algunos perfiles de dendritas (D) El gran perfil a la izquierda probablemente. represente un corte oblicuo del axón no mielnizado, en el que se observan las siluetas de los microtubulos 95000× (cortes/a del Prof Michael Frotscher, Institute for Structural Neurobiology, Center for Molecular Neurobiology. Hamburg, Germany)

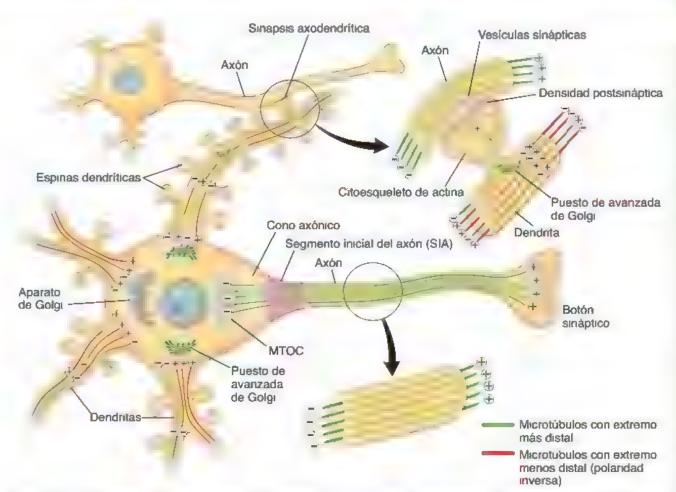


FIGURA 12-7. Organización de los microtubulos en los axones y las dendritas. La organización de la redide microtubulos en la neurona difere entre las dendritas y los axones. Todos los microtubulos en los axones se originan del centro organizador de microtubulos (MTOC) y están orientados de manera uniforme con sus extremos más (+) en dirección dista. En contraste, los microtubulos en las dendritas tienen polaridad inversa, con el extremo menos (-) dirigido distamente con respecto al cuerpo celular. Los microtubulos con polaridad norma (extremo más en dirección dista, son escasos en las dendritas. En el sistema nervioso central (SNC), algunas de estas terminan en el cropiasma de las espinas dendriticas. Obsérvese la ubicación del cono axón co, el área en donde los materiales de carga destinados para el transporte axónico son puestos sobre las prote nas motoras asociadas con los microtubulos, as cinesimas. Además, el segmento inicia del axón (SIA) separa las proteinas y los lipidos de la membrana plasmática axónica de la deriresto de laxón. Obsérvese también que las espinas dendriticas forman sinapsis axodendriticas con los axones presinápticos vecinos. Dentro de cuerpo celular neurona, se encuentra un aparato de Goigi. No obstante una de las características más distritivas de la dendrita es la inclusión de pequeños puestos de avanizada de Goigi. Estas son estructuras funcionales de Goigi independientes del aparato de Goigi pri opar y pueden encontrarse dentro de las dendritas en las uniones con el soma neuronal, Los tubulos con polaridad invertida no están anclados con el MTOC, y los puestos de avanizada de Goigi sinven como centros de nucleación.

SNC (neuronas de Golgi tipo I) pueden extenderse más de 1 m para alcanzar sus dianas efectoras, el músculo esquelético. En cambio, las interneuronas del SNC (neuronas de Golgi tipo II) tienen axones muy cortos. Si bien un axón puede dar origen a una ramificación recurrente cerca del soma neuronal (una rama que describe un giro que la hace retornar hacia el soma) y a otras ramificaciones colaterales, la ramificación del axón es más extensa en la cercanía de sus dianas.

El axón se origina desde el cono axónico. Este último a menudo carece de orgánulos citoplasmáticos grandes, como los corpúsculos de Nissl y las cisternas de Golgi. Los microtúbulos, los neurofilamentos, las mitocondrias y las vesículas atraviesan el cono axónico hacia el interior del axón (fig. 12-7). La región superficial del axón entre el vértice del cono axónico y el inicio de la vaina de mielina (véase más adelante) se denomina segmento inicial del axón (SIA). La composición molecular de la membrana plasmática del SIA actúa como una barrera de difusión para excluir el paso de las proteínas y los lípidos que no pertenecen a la membrana plasmática axónica. El citoesqueleto de actina subyacente también

funciona como un filtro selectivo de orgánulos y vesiculas de transporte que intentan ingresar en el citoplasma axónico. Esta función puede compararse con la de un puerto migratorio en una frontera, donde se verifica que los viajeros tengan la autorización adecuada para entrar en un país.

El segmento unicial es el sitio en el cual se genera un potencial de acción en el axón. El potencial de acción (que se describe con detalle más adelante) es estimulado por impulsos transportados hacia el cono axónico en la membrana del soma neuronal después de que otros impulsos se reciben en las dendritas o el soma.

La organización de los microtúbulos y su disposición en los axones y las denáritas son únicas e indispensables para la polaridad funcional de las neuronas.

Los microtúbulos son reguladores relevantes de la polaridad celular. Como se comentó en el capítulo 2, los microtúbulos son parte del citoesqueleto. Están compuestos por dímeros de tubulma y constan de dos extremos distintos, uno más (+) y uno menos (-). Al inicio del extremo más (+) los microtúbulos se elongan mediante la polimerización de tubulina y se extienden a la periferia de la célula. El extremo menos (-) suele estar anclado al MTOC.

La red de microtibulos dentro de las neuronas tiene características únicas. En general, los microtúbulos son más estables en los axones que en las dendritas debido a las modificaciones postraduccionales en la tubulina y a la función protectora de las proteínas asociadas con microtúbulos (MAP, microtubule-associated proteins). Los microtúbulos de los axones están orientados de manera uniforme con su extremo más (+) en dirección distal (véase fig. 12-7). Estos microtúbulos se originan del área del MTOC localizada en el citoplasma perinuclear. En contraste, los microtubulos en las dendritas menen una orientación polar mixta: tanto el extremo más (+) como el menos (-) están orientados distalmente desde el cuerpo celular, aunque los microtúbulos con polandad inversa (con el extremo menos (+) en dirección distal) corresponden a la mayoría dentro de las dendritas (véase fig. 12-7). Estos microtúbulos son, en general, más estables y se comparan con aquellos onentados con el extremo más (+) en los axones. Estos hallazgos sugieren que los microtúbulos con polaridad inversa no están anclados al MTOC y su nucleación se presenta de manera independiente a este en el citoplasma de las dendritas. Esta disposición es un regulador único de la polaridad celular, por lo que tiene implicaciones en el transporte dendrítico,

Algunas terminales axónicas grandes pueden sintetizar proteínas locales, que podrían intervenir en los procesos de memoria.

Casi todas las moléculas de proteínas estructurales y funcionales se sintetizan en el soma neuronal. Estas moléculas se distribuyen a los axones y las dendritas a través del sistema de transporte neuronal (véanse pp. 388-389). Sin embargo, en oposición a la opinión general de que el soma neuronal es el único sitio de síntesis proteínica, algunos estudios recientes indican que la síntesis local de las proteínas axónicas tiene lugar en algunas terminaciones nerviosas grandes. Algunas terminaciones axónicas vertebrales (p. ej , en la retina) contienen polirribosomas con una maquinana traduccional completa para la síntesis proteínica. Estas áreas biacas periaxoplasmáticas, poseen las características bioquímicas y moleculares de la síntesis proteínica activa. La síntesis proteínica dentro de las placas periaxoplasmáticas es modulada por la actividad neuronal. Estas proteínas podrían intervenir en los procesos de memoria celular neuronal.

Sistemas de transporte neuronal

Las sustancias necesarias en el axón y las dendritas se sintetizan en el soma neuronal y deben transportarse hacia esos sítios.

Dado que la actividad de síntesis de la neurona ocurre principalmente en el cuerpo, se requiere el transporte neuronal con microtúbulos para enviar los productos recién creados al compartimento neuronal correcto. El transporte suele ocurrir a través de distancias prolongadas desde los sinos de síntesis hasta la diana en los axones o las dendricas. El transporte neuronal sirve como medio de comunicación intracelular, pues envía moléculas e información por los microtúbulos. El transporte neuronal es bidireccional y nene lugar en las neuronas y los axones. Las neuronas son especialmente vulnerables a los defectos en el transporte, pues la longitud de los procesos neuronales es grande. Las mutaciones en las tubulinas α o β y los motores moleculares de los microtúbulos se han asociado con diversos trastornos neurológicos en el SNC y el SNP. La alteración del transporte neuronal con certeza es la responsable de la acumulación anómala de proteinas del citoesqueleto

y orgánulos en los axones en las enfermedades de Parkinson, Alzheimer, Huntington y la esclerosis lateral amiotrófica (ELA)

Los motores de cinesina y dineina conducen el transporte axónico mediante el control del movimiento de las vesículas de carga y los orgánulos entre el cuerpo celular y el axón terminal.

El transporte axónico es esencial para llevar proteínas, lípidos y neurotransmisores recién sintetizados hasta la parte distal del axón y su terminal y mantener la transmisión sináptica. Además, se transportan las proteínas y los orgánulos envejecidos desde el axón distal hasta el soma para que sean degradados y reciclados. Los motores moleculares regulan el transporte axónico a lo largo de vías formadas por una disposición uniforme de microtúbulos con sus entremos más (+) en dirección distal hacia la terminal axónica. El transporte axónico se describe de la siguiente manera:

- Transporte anterógrado. Este tipo de transporte lleva material desde el soma neuronal hacia la periferia. Dado que todos los microníbulos en los axones están polarizados en la misma dirección, con el extremo más (+) hacia la terminal axónica, las cinesinas (proteínas motoras asociadas con los microtúbulos) participan en el transporte anterógrado. Las cinesinas mueven las vesículas de transporte dirigidas a los axones a lo largo de los microtúbulos hacia el extremo más (+). Usan la energía de la hidrólisis del trifosfato de adenosina (ATP, adenosine triphosphate) para generar movimiento.
- Transporte retrógrado. Este tipo de transporte lleva material desde la terminal axónica y las dendritas hacia el soma neuronal.
 Es mediado por otra proteína motora asociada con los microrúbulos, la dineine, que viaja sobre los microrúbulos hacia el extremo menos (—) (véase p. 65).

Las propiedades de la cinesino y la dineina son reguladas por señales externas que permiten que las vesículas de carga aceleren o desaceleren su movimiento. Esto probablemente se logre por el empleo alternante de conformaciones activas e inactivas de estas proteínas motoras unidas a las vesícula de carga. La presencia de diversas proteínas motoras en la misma vesícula de carga permite que pasen sobre obstáculos para evitar "cortes en el camino" o "un tránsito lento" al cambiar de vía de microtúbulos sin perder los motores unidos a las vesículas de carga.

Los sistemas de transporte también pueden distinguirse según la velocidad de desplazamiento de esas sustancias:

- Sistema de transporte lento anterógrado. Lleva sustancias desde el soma hacia el botón terminal a una velocidad de 0.2-4 mm/día. Los elementos estructurales, como las moléculas de tubulina (precursores de los microtúbulos) y actina, así como las proteínas que forman neurofilamentos, son transportados desde el soma neuronal por el sistema de transporte lento. También emplean este sistema de transporte las proteínas de la matriz citoplasmática, como la actina, la calmodulina y varias enzimas metabólicas.
- Sistema de transporte rápido. Transporta sustancias en ambas direcciones a una velocidad de 20-400 mm/día. Por lo tanto, es un sistema de transporte tanto anterógrado como retrógrado. El sistema de transporte anterogrado rápido lleva hacia la terminal axónica diferentes orgánulos limitados por membrana (como componentes del RER, vesículas sinápticas y mitocondrias) y materiales de bajo peso molecular (como monosacáridos, aminoácidos, nucleótidos, algunos neurotransmisores y calcio). El sistema de transporte retrogrado rápido envía hacia el soma

neuronal muchos de los mismos materiales, así como proteínas y otras moléculas que experimentaron endocitosis en la terminal axónica. El transporte rápido en cualquier dirección necesita ATP, que es consumido por las proteínas motoras relacionadas con microrúbulos, y depende de la disposición del microrúbulo que se extiende desde el soma neuronal hasta la terminación axónica. El transporte retrógrado es el mecanismo seguido por las toxinas y los virus que entran en el SNC a través de las terminaciones nerviosas. En la actualidad, se utiliza el transporte retrógrado de enzimas exógenas, como la peroxidasa del rábano, y de trazadores radiomarcados o inmunomarcados para tastrear las vías nerviosas y para identificar los somas neuronales relacionados con terminaciones nerviosas específicas.

Los motores moleculares de dineína están implicados principalmente en el transporte dendrítico, que es más complejo que el axónico, pues los microtubulos están en distribución antiparalela.

El transporte dendritico se realiza a lo largo de haces de microtubulos de polaridad mixta, que contienen microstíbulos "normales" con el extremo más (+) en dirección distal y microrúbulos con el extremo menos (-) en dirección distal. Por lo tanto, un solo tipo de proteína motora unidireccional es capaz de realizar el transporte bidireccional de vesículas (anterógrado y retrógrado) al cambiar entre microtúbulos con polandad normal y polandad inversa. Los estudios recientes indican que las dineinas desempeñan un papel importante en la elección inicial de las vesículas que se destinan al transporte dendrítico. Las dineínas que viajan a lo largo del microtúbulo en dirección menos (-) también forman parte exclusiva del transporte anterógrado de las vesículas de carga hacia las dendritas a trayés de microtúbulos con polaridad invertida. Las dineínas también son responsables del transporte retrógrado de vesículas desde las evaginaciones dendríticas hacia el soma. Las cinesinas solo apoyan y asisten en el transporte dendritico una vez que la vesícula de transporte está dentro de la dendrita.

Axoaxónica Axosomática Espina dendrítica Dendritas

FIGURA 12-8 Diferentes tipos de sinapsis. Las sinapsis exodendríticas son el tipo de conexión más frecuente entre la terminal axónica presinàptica y las dendritas de la neurona postsinàptica. Obsérvese que algunas de las sinapsis exodendríticas poseen espinas dendriticas, que se relacionan con el aprendizaje y la memoria. Las sinapsis exosomáticas se forman entre la terminal axónica presináptica y el soma neuronal postsináptico, y las sinapsis exoaxónicas se forman entre la terminal axónica de la neurona presináptica y el exón de la neurona postsináptica. La sinapsis exoaxónica puede mejorar o inhibir la transmisión sináptica exodendrítica (o exosomática)

tora de la neurona postsináptica. Con frecuencia, el axón de la neurona presináptica discurre a lo largo de la superficie de la neurona postsináptica y establece varios contactos sinápticos denominados boutons en passant (botones de paso). El axón, entonces, continúa su camino hasta que al final se ramifica en una estructura con un extremo dilatado, el botón terminal o bulbo terminal. La cantidad de sinapsis en una neurona o sus evaginaciones, que puede variar de unas pocas a decenas de miles por neurona (fig. 12-9), este número

Sinapsis

Las neuronas se comunican con otras neuronas y con células efectoras mediante sinapsis.

Las sinapsis son uniones especializadas entre las neuronas que facilitan la transmisión de impulsos desde una neurona (presináptica) hacia otra (postsináptica). Las sinapsis también ocurren entre los axones y las células efectoras (diana), como las células musculares y las células glandulares. Desde el punto de vista morfológico, las sinapsis entre neuronas pueden clasificarse de la siguiente manera:

- Axodendriticas. Estas sinapsis ocurren entre los axones y las dendritas. En el SNC, algunas sinapsis axodendriticas se encuentran sobre espinas dendriticas (fig. 12-8)
- Axosomáticas. Estas sinapsis ocurren entre los axones y el soma neuronal.
- Axoaxónicas. Estas sinapsis se llevan a cabo entre los axones y otros axones (véase fig. 12-8).

Las sinapsis no pueden observarse en los preparados de rutina con hematoxulma-eosina (H&E). Sin embargo, los métodos de tinción por precipitación argéntica (p. ej., método de Golgi) no solo permiten observar la forma general de algunas neutonas, sino también las sinapsis como corpúsculos ovalados sobre la superficie de la neurona receptora. Por lo general, un axón presináptico realiza varios de estos contactos en forma de botones con la porción recep-



FIGURA 12-9. Microfotografía electrónica de barrido del soma neuronal. En esta microfotografía se observa el soma de una neurona. Las terminaciones axónicas que forman sinapsis axosomáticas se visual zan como numerosos corpúsculos ovalados con apéndices en forma de cola. Cada corpusculo ovalado corresponde a una terminal axónica presináptica de diferentes neuronas haciendo contacto con el gran soma neuronal postsináptico. 76 000 × (cortesia del Dr. George Johnson)

CAPÍTULO 12, TEJIDO NERVIOSO IN NEURONA

CORRELACIÓN CLÍNICA: ENFERMEDAD DE PARKINSON

La enfermedad de Parkinson es una alteración neurológica de progresión lenta ocasionada por la pérdida de las células secretoras de doparrina (DA) en la sustancia negra y en los ganglios. de la base del encéfalo. La DA es el neurotransmisor responsable de la transmisión sináptica en las vías nerviosas que coordinan la actividad fluida y precisa de la musculatura esquelética. La pérdida de las células secretoras de DA está asociada con un patrón clásico de síntomas, que incluyen los siguientes.

- Temblor de reposo en los miembros, en especial de la mano cuando está en una posición relajada; el temblor suele aumentar durante una situación de estrés y con frecuencia es más grave en uno de los lados del cuerpo-
- Rigidez o aumento del tono (dureza) en todos los musculos.
- Lentitud de movimientos (bradicinesia) e incapacidad para iniciar el movimiento (acinesia)
- Falta de movimientos espontáneos
- Pérdida de reflejos posturales, lo que conduce a falta de equilibrio y a un andar anómalo (marcha festinante)
- Dificultad en el habla, lentitud de pensamiento, escritura pequeña y comprimida (micrografía)

La causa de la enfermedad de Parkinson idiopática, en la que las neuronas secretoras de dopamina en la sustancia negrase lesionan y se pierden por degeneración o apoptosis, se desconoce. Sin embargo, algunos indicios señalan una predisposición hereditaria, pues casi el 20% de los pacientes con Parkinson tienen un miembro de su familia con sintomas similares.

Algunos síntomas parecidos a los de la enfermedad de Parkinson idiopática pueden ser debidos a infecciones (p. ej., encefalitis), toxinas (p. ej , metilfeniltetrahidropindina), fármacos utilizados en el tratamiento de trastornos neurológicos

(p. ej., neurolépticos utilizados para tratar la esquizofrenia) y traumatismos reiterados. Los síntomas con estas causas se denominar parkinsonismo secundario.

A escala microscópica, la degeneración de las neuronas en la sustancia negra es muy evidente. Esta región pierde su pigmentación típica y se observa un incremento en la cantidad de células guales (gliosis). Además, las neuronas en esta región muestran inclusiones intracelulares características que reciben el nombre de cuerpos de Lewy, que corresponden a la acumulación de neurofilamentos intermedios en asociación con las proteínas sinucleina d y ubicultina.

El tratamiento de la enfermedad de Parkinson es principalmente sintomático y debe lograr un equilibrio entre el alivio de los síntomas y la disminución de los efectos colaterales psicóticos. La t-dopa es un precursor de la dopamina que puede cruzar la barrera hematoencefálica y, luego, convertirse en dopamina. Con frecuencia, es el fármaco primario que se emplea para tratar la enfermedad de Parkinson. Entre otros fármacos que se utilizan se encuentra un grupo de antagonistas de receptores colinérgicos y la amantadina, un fármaco que estimula la fiberación de DA por las neuronas.

Algunos pacientes se benefician del tratamiento conocido como estimulación encefálica profunda. En este procedimiento, se implantan electrodos en el nucleo subtalámico y se unen a un estimulador que genera pulsos eléctricos. Los pulsos eléctricos actuan sobre las neuronas y regulan los impulsos nerviosos. Se ha comprebado que este tratamiento disminuye el temblor, la lentitud del movimiento y la rigidez asociados con la enfermedad de Parkinson. También reduce la necesidad de tornar il-dopa para el control de síntomas, lo que ayuda a mitigar los efectos debilitantes del fármaco

parece tener relación directa con la cantidad de impulsos que una neurona recibe y procesa.

Las sinapsis se clasifican en químicas y eléctricas.

La clasificación depende del mecanismo de conducción de los impulsos nerviosos y de la manera en la que se genera el potencial de acción en las células diana. Por lo tanto, las sinapsis también pueden clasificarse de la siguiente manera:

- Sinapsis químicas. La conducción de impulsos se logra mediante la liberación de sustancias químicas (neurotransmisores) desde la neurona presináptica. Después, los neurotransmisores se difunden a través del estrecho espacio intercelular que separa la neurona presinápuca de la neurona postsináptica o célula diana. En el receptor de las células ciliadas del oído interno y en las células fotorreceptoras de la retina se encuentra un tipo especializado de sinapsis química denominada sinapsis en cinta (sus estructuras y funciones se describen en el cap. 25).
- Sinapsis eléctricas. Estas sinapsis, que son frecuentes en los învertebrados, contienen uniones de hendidura que permiten el movimiento de iones entre las células y, en consecuencia, permiten la propagación directa de una cornente eléctrica de una célula a otra. Estas sinapsis no necesitan neurotransmisores para cumplir su función. Los equivalentes mamíferos de las sinapsis eléctricas incluyen uniones comunicantes en el músculo liso y las células musculares cardíacas.

Una sinapsis química normal contiene un elemento presináptico, una hendidura sináptica y una membrana postsináptica.

Los componentes de una sinapsis química normal son los siguientes:

 Un elemento presinaptico (bulbo presináptico, componente presináptico o botón sináptico) es el extremo de la prolongación neuronal desde el cual se liberan los neurotransmisores. El elemento presináptico se caracteriza por la presencia de vesiculas sinápticas, estructuras limitadas por una membrana cuyo diámetro oscila entre 30 y 100 nm y que contienen los neurotransmisores (fig. 12-10). La unión y la fusión de las vesículas sinápticas a la membrana plasmática presináptica son mediadas por una familia de proteínas transmembrana que reciben el nombre de receptores de unión de factor sensible a N-etilmaleimida soluble (SNARE, soluble NSF [N-ethylmaletmide-sensitive factor] attachment receptors) (véase p. 40). Las proteínas SNARE que participan especificamente en esta actividad incluyen la sinaptobrevina, una v SNARE unida a vesícula, la sintaxina y la SNAP-25 que son proteínas r-SNARE unidas a la membrana diana y se encuentran en áreas especializadas de la membrana presináptica. Otra proteína unida a vesícula denominada sinaptotagmine 1 reemplaza el complejo SNARE, el cual es subsecuentemente desarmado y reciclado por los complejos proteítucos NSF/SNAP25. Se presentan acumulaciones densas de proteínas en el lado citoplasmático de la membrana plasmática presináptica. Estas densi-

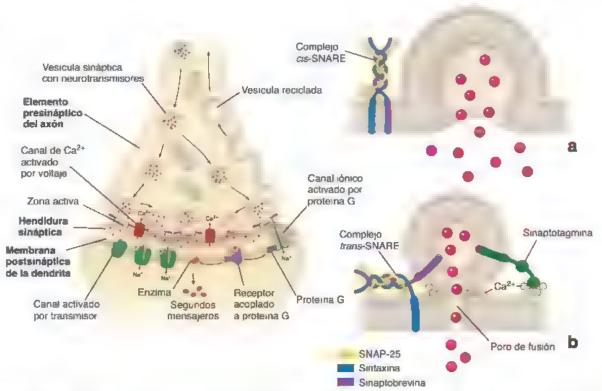


FIGURA 12-10. Sinapsis química axodendrítica. En este diagrama se illustran tres componentes de una sinapsis tipica. El botón presinábtico se localiza en el extremo distat del axón i desde el cua se liberan los neurotransmisores. El elemento presináptico del axón se caracteriza por la presencia de numerosas vesiculas sinápticas que contienen el neurotransmisor da membrana plasmática del botón presináptico se recicla mediante la formación de vesiculas endocificas revestidas con clatrina. La hendidura sináptica separa el botón presináptico del axon de la membrana postsinaptica de la dendrita. La membrana posts naptica de la dendrita sue e caracterizarse por presentar una densidad posts naptica y contiene receptores con afinidad para los neurotransmisores. Obsérvese que hay dos tipos de receptores, moléculas coloreadas de verde que representan los canales activados por transmisor y una estructura coloreada de purpura que representa al receptor acoplado a proteina G que quando se fila a ineurotransmisor puede actuar sobre canales iónicos activados por proteina Gio sobre enzimas que producen un segundo mensa ero a Diagrama sobre a opinión actual en quanto a la liberación de un neurotransmisor desde un botón presinaptico mediante la fusión de las vesiculas presinánticas con la membrana presinántica. El mecanismo de fusión que implica las proteinas SNARE se detalla en el capitulo 2. Cabe destacar la presencia de un compiejo cis-SNARE que se crea después de que la ves cula se fusiona con la membrana presinaptica. b. Diagrama de un modelo de aberación de neurotransmisor mediante porocitosis propuesto recientemente. En este modelo la vesicula sináptica esta anciada y yuxtapuesta a los canales selectivos de calcio en la membrana presinaptica. En presencia de Ca²⁺ las bicapas de la vesicula y las membranas presinàpticas se reorganizan para crear un poro transitor o de 1 nm que conecta la luz de la vesicula con la hendidura sinàptica. lo que permite la liberación de un neurotransmisor. Obsérvese la presencia de un complejo trans-SNARE y de la sinaptotagmina que fijan la vesícula a las zonas activas dentro de la membrana plasmática del elemento presináptico

dades presinápticas son áreas especializadas denominadas zonas activas, en donde se acoplan vesículas sinápticas y se liberan neurotransmisores. Las zonas activas tienen abundantes complejos de acoplamiento Rab-GTPasa (véase p. 40), t-SNARE y proteinas fijadoras de sinaptotagmina. La membrana vesicular que se añade a la membrana presináptica es recuperada por endocitosis y reprocesada en vesículas sinápticas por el retículo endoplasmático liso (REL), ubicado en la terminación nerviosa. En el elemento presináptico también se encuentran numerosas mitocondrías pequeñas.

- La hendidura sinàptica es un espacio de entre 20 y 30 mm que separa la neurona presinaptica de la neurona postsinàpuea o de la céfula diana, y que el neurotransmisor debe atravesar.
- La membrana postsináptica (componente postsináptico) contiene sitios receptores con los cuales interactúan los neurotransmisores. Este componente está formado por una porción de la membrana plasmática de la neurona postsináptica (fig. 12-11) y se caracteriza por una capa subyacente de material denso. Esta densidad postsináptica es un elaborado complejo de proteínas interconectadas que cumple numerosas funciones, como la traducción de la interacción neurotransmisor-receptor en una señal

intracelular, la fijación de receptores de neurotransmisores a la membrana plasmática (y su tránsito hacia ella) y la fijación de diversas proteínas que modulan la actividad receptora.

Transmisión sináptica

Los canales de Ca²⁺ regulados por voltaje en la membrana presináptica controlan la liberación del transmisor.

Cuando un impulso nervioso alcanza el botón sináptico, la inversión de voltaje a través de la membrana producida por el impulso (llamada despolarización) provoca que los canales de Ca²⁺ regulados por voltaje se abran en la membrana plasmática del botón. La entrada de Ca²⁺ desde el espacio extracelular causa la migración, fijación y fusión de las vesículas sinápticas con la membrana presináptica, lo cual produce la liberación del neurotransmisor hacia la hendidura sináptica por exocitosis. El acoplamiento y la fusión de las vesículas son impulsados principalmente por la actión de las proteínas SNARE y la sinaptotagmina. Una alternativa a la liberación masiva de neurotransmisores después de la fusión de vesículas es el proceso de porocitosis, en el que las vesículas ancladas en las zonas activas liberan neurotransmisores a través de un poro transitorio que

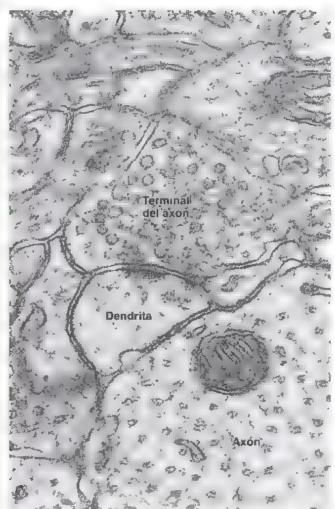


FIGURA 12-11. Microfotografia electrónica de las evaginaciones nerviosas en la corteza cerebral. Puede observarse una sinapsis en el centro de la microfotografia donde una terminal del axón está yuxtapuesta a una dendinta. La terminal axónica exhibe numerosas vesiculas sinápticas que contienen neurotransmisores y aparecen como siluetas circulares. La membrana postsináptica de la dendirita muestra una densidad postsináptica. Una sustancia de densidad similar también está presente en la hendidura sináptica (espacio intercelular) de la sinapsis 76000× (cortesia de los Drs. George D. Pappas y Virginia Kriho)

conecta la luz de la vesícula con la hendidura sináptica. Al mismo tiempo, la membrana presináptica del botón sináptico que liberó el neurotransmisor forma con rapidez vesículas endocíticas que regresan al compartimento endosómico del botón para el reciclaje o recarga con el neurotransmisor.

El neurotransmisor se une a los canales regulados por transmisor o a los receptores acoplados a proteínas G ubicados en la membrana postsináptica.

Las moléculas del neurotransmisor liberadas se unen a la porción extracelular de los receptores de membrana postsináptica llamados canales regulados por transmisor. La unión del neurotransmisor induce un cambio en la conformación de estos canales de proteínas que provoca la apertura de sus poros. La respuesta que finalmente se genera depende de la identidad del ion que entra en la célula. Por ejemplo, la entrada de Na⁺ causa la despolarización local en la membrana postsináptica, que en condiciones favorables (cantidad suficiente y duración de liberación del neurotransmisor) estimula la apertura de los canales de Na⁺ regulados por voltaje, con lo que se genera un impulso nervioso.

Algunos neurotransmisores compuestos por aminoácidos y amina pueden unirse a los receptores ecoplados a proteina G para generar respuestas postsinápticas más diversas y de mayor duración. El neurotransmisor se une a una proteína transmembrana receptora en la membrana postsináptica. La unión al receptor activa las proteínas G, que se desplazan a lo largo de la superficie intracelular de la membrana postsináptica y finalmente activan las proteínas efectoras. Estas proteínas efectoras pueden incluir los canalos lónicos regulados por proteínas G o enzimas transmembrana que sintetizan moléculas de segundo mensajero (véase p. 393). Varios neurotransmisores (p. ej., acetilcolina) pueden generar diferentes acciones postsinápticas según el sistema receptor sobre el cual actúen (véase más adelante).

La porocitosis es la secreción de un neurotransmisor que no comprende la fusión de vesículas sinápticas con la membrana presináptica.

Para explicar la liberación regulada de los neurotransmisores, de forma reciente se ha propuesto un modelo alternativo de secreción de neurotransmisores denominado porocitosis, que tiene su fundamento en la valoración de la información fisiológica y en la organización estructural de las sinapsis nerviosas. En este modelo, la secreción desde las vesículas se produce sin la fusión de la membrana vesícular con la membrana presináptica. En cambio, la vesícula sináptica se fija a la membrana presináptica contigua a los canales selectivos de Ca²⁺ mediante las proteínas SNARE y la sinaptotagmina. En presencia de Ca²⁺, la vesícula y las membranas presinápticas se reorganizan para crear un poro transitorio de 1 nm que conecta la luz de la vesícula con la hendidura sináptica. Entonces, los neurotransmisores pueden liberarse de forma controlada a través de estos poros transitorios de la membrana (véase fig. 12-10).

La naturaleza química del neurotransmisor determina el tipo de respuesta en esa sinapsis en cuanto a la generación de impulsos neuronales.

La liberación del neurotransmisor por el componente presí náptico puede causar excitación o inhibición en la membrana postsináptica.

- En las sinapsis excitadoras, la liberación de neurotransmisores como acetilcolina, glutamina o serotonina abre los canales de Naº activados por transmisores (u otros canales de cationes), lo que estimula la entrada de Naº y causa la inversión local del voltaje de la membrana postsináptica hasta un nivel umbral (des polarización). Esto conduce al inicio de un potencial de acción y a la generación de un impulso nervioso.
- En las sinapsis inhíbidoras, la liberación de neurotransmisores como acido γ-aminobutirico (GABA, γ-aminobutyric acid) o glicina abre los canales de Cl activados por transmisor (u otros canales amónicos), lo que provoca la entrada de Cl en la célula y la hiperpolarización de la membrana postsináptica, lo cual la torna aún más negativa. En estas sinapsis, la generación de un potencial de acción se vuelve más difícil.

La generación definitiva de un impulso nervioso en una neurona postsináptica (descarga) depende de la suma de los impulsos excitadores e inhibidores que llegan a esta. Esto permite una regulación precisa de la reacción de una neurona postsináptica (o fibra muscular o célula glandular). La función de las sinapsis no es simplemente transmitir impulsos de manera inalterada de una neurona a otra. En lugar de ello, las sinapsis permiten el procesamiento de los impulsos recibidos por las neuronas. Por lo general, el impulso que pasa de una neurona presináptica a una postsináptica es modificado en la sinapsis por otras neuronas que, aunque no están en la vía directa, aun así tienen acceso a la sinapsis (véase fig.12-8). Estas otras neu-

ronas pueden influir en la membrana de la neurona presináptica o postsináptica y facilitar o inhibir la transmisión de impulsos. La generación de impulsos en la neurona postsináptica se debe a la acción sumatoria de cientos de sinapsis.

Neurotransmisores

Se han identificado varias moléculas que actúan como neurotransmisores en diversas partes del sistema nervioso. Un neurotransmisor que es liberado desde un elemento presináptico se difunde a través de la hendidura sináptica hacia la membrana postsináptica, donde interactúa con un receptor específico. La acción del neurotransmisor depende de su naturaleza química y de las características del receptor presente en la placa postsináptica de la oélula efectora.

Los neurotransmisores actúan sobre receptores ionotrópicos para abrir los canales iónicos de la membrana o sobre los receptores metabotrópicos para activar la cascada de señalización de la proteína G.

Casi todos los neurotransmisores conocidos actúan sobre múltiples receptores, que son proteínas integrales de la membrana. Estos receptores pueden dividirse en dos clases principales: los receptores ionotrópicos y los receptores metabotrópicos. Los receptores lonotropicos contienen canales iónicos integrales transmembrana, también conocidos como canales regulados por ligando o neurotransmisor. La unión del neurotransmisor a los receptores ionotrópicos desencadena un cambio de conformación de las proteínas receptoras que conduce a la apertura del canal y al desplazamiento posterior de tones selectivos hacia adentro o hacia afuera de la célula. Esto genera un potencial de acción en la célula efectora. En general, la señalización que utiliza canales ionotrópicos es muy rápida y ocurre en las principales vías neuronales del encéfalo y en las vías somáticas motoras en el SNP. Los canales metabotrópicos son responsables no solo de la unión a un neurotransmisor específico, sino también de la interacción con la proteína G en su dominio intracelular. La proteína G es una proteína importante que está implicada en la señalización intracelular. Transmite señales desde el exterior de la célula hacia el interior mediante la alteración de las actividades de las enzimas que participan en la síntesis de un segundo mensajero. La activación de receptores metabotrópicos, en gran parte, interviene en la modulación de la actividad neuronal.

Los neurotransmisores más frecuentes se describen a continuación. En la tabla 12 1 se resumen los neurotransmisores seleccionados y sus características, tanto en el SNP como en el SNC.

Acetilcolina (ACh) La ACh es el neurotransmisor entre los axones y el músculo estriado a la altura de la unión neuromuscular (véase p. 349) que actúa como un neurotransmisor en el SNA. La ACh es secretada por las neuronas simpáticas y parasimpáticas presinápticas y sus efectores. Las neuronas parasimpáticas postsinápticas, al igual que un tipo específico de neurona simpática postsináptica que inerva las glándulas sudoríparas, rambién secretan ACh. Las neuronas que utilizan ACh como su neurotransmisor se denominan neuronas colinergicas. Los receptores para la ACh en la membrana postsináptica se conocen como receptores colinérgicos y se dividen en dos clases. Los receptores metabotrópicos interactúan con la muscarina, una sustancia aislada de hongos venenosos (receptores muscannicos de ACh), y los receptores ionotrópicos interactúan con la nicotuna aislada de las plantas de tabaco (receptores nicotínicos de ACh). El receptor muscarinto de ACh en el corazón es un ejemplo de receptor acoplado a proteína G que está ligado a los canales de K⁺. La liberación de ACh debido a la estimulación parasimpática del

corazón abre los canales de K*, lo cual conduce a la hiperpolarización de las fibras musculares cardíacas. Esta hiperpolarización disminuye la contracción rítmica del corazón. En cambio, el receptor nicotínico de ACh en músculo esquelético es un canal de Na* ionotrópico activado por ligando. La apertura de este canal produce una rápida despolarización de las fibras muscula res esqueléticas y el inicio de la contracción. Diversos fármacos afectan la liberación de ACh hacia la hendidura sináptica, así como la unión a sus receptores. Por ejemplo, el curare, un veneno aplicado a las puntas de las flechas en Sudamérica, se fija a los receptores nicotínicos de ACh y bloquea sus canales de Na* integrales, lo que causa parálisis muscular La atropina, un alcaloide extraído de la planta belladona (Atropa belladona), inhibe la acción de los receptores muscarinicos de ACh.

- Catecolaminas (noradrenalina, adrenalina y dopamina). Estos neurotransmisores se sintenzan mediante una serie de reacciones enzimánicas a partir del aminoácido tirosina. Las neuronas que utilizan catecolaminas como su neurotransmisor se denominan neuronas catecolaminas como su neurotransmisor se denominan neuronas catecolaminargicas. Las catecolaminas son secretadas por células en el SNC que participan en la regulación del movimiento, el estado anímico y la atención. Las neuronas que utilizan adrenalina (epinefrina) como su neurotransmisor se llaman neuronas adrenalina) como su neurotransmisor se llaman neuronas adrenalina en adrenalina, que surve como un transmisor entre los axones simpáticos postsinápticos y los efectores en el SNA. La adrenalina también es liberada en la circulación sanguínea por las células endocrinas (células cromafines) de la medula suprarrenal durante la respuesta de "lucha o huida".
- Serotonina o 5-hidroxitriptamina (5-HT). La serotonina se forma por la hidroxilación y descarboxilación del triptófano. Funciona como un neurotransmisor en las neuronas del SNC y en el sistema nervioso entérico. Las neuronas que utilizan serotonina como su neurotransmisor reciben el nombre de serotoninérgicas. Después de la liberación de serotonina, una parte es reciclada mediante la recaptación de neuronas serotoninérgicas presinápticas. Se ha determinado que la serotonina es una molecula importante en el establecimiento del desarrollo asimétrico derecho-izquierdo en los embriones.
- Aminoácidos. Por ejemplo, el ácido γ-aminobutírico (GABA), el glutamato (GLU), el aspartato (ASP) y la glicina (GLY), que también funcionan como neurotransmisores, principalmente en el SNC
- Oxido nítrico (NO). Es un gas simple con propiedades de radical libre que también se ha identificado como un neurotransmisor. A concentraciones bajas, el NO transporta impulsos nerviosos de una neurona a otra. A diferencia de otros neurotransmisores, que se sintetizan en el soma neuronal y se almacenan en las vesículas sinápticas, el NO se sintetiza dentro de la sinapsis y se utiliza de inmediato. Se piensa que el neurotransmisor excitador GLU induce una reacción en cadena en la cual se activa la NO sintasa para producir NO, que a su vez se difunde desde el borón presináptico a través de la hendidura sináptica y la membrana postsináptica hacia la célula contigua. Las acciones biológicas del NO se deben a la activación de la guantiato-ciclasa, la cual produce monofosfato de guanosina cíclica (cGMP, eyelic guanosine monophosphate) en las células diana. El cGMP a su vez actúa sobre la síntesis de proteína G y, en última instancia,

Tipo de	Neurotransmisor			D
molécula	Neurotransmisor	lonotrópico	Metabotrópico	Papel fisiológico
Éster	ACh	Receptores ACh nicotí- nicos (RAChn); activa canales de Na*	Receptor ACh muscari- nico (RAChm), actúa a través de la proteina G	Transmis ón excitadora sináptica rápida en la unión neuromuscular (que actua sobre RAChn), también presente en el SNP (p. ej., ganglio simpático, médula suprarrenal) y en el SNC, acción tarito excitadora como inhibidora (actua sobre RAChm), por ejemplo, disminuye el ritmo cardíaco, relaja el musculo listi del tubo digestivo.
Monoamina	Adrenalina, noradrenalina	N/A	Receptores adrenérgicos α y β, actua a través de la proteina G	Transmis ón sináptica lenta en el SNC y en musculos lisos
	Dopamina	N/A	Receptores de dopamina D ₁ y D ₂ , actúa a través de la proteína G	Transmisión sináptica lenta en el SNC
	Serotonina	Canal de Na*/K* activado por ligando 5-HT ₃ , activa canales iónicos	Receptores 5-HT _{1,2,47}	Transmisión sináptica excitadora rápida (actúa sobre 5-HT ₃), acción excitadora e inhibidora segun el re- ceptor, actúa en el SNC y en el SNP (sistema entérico)
Aminoácido	Glutamato	NMDA, kainīta y AAMP actīva canales de Na*, K* γ Ca ²⁺	Receptor RGLum; actúa a través de la proteina G	Transmisión sináptica excitadora rápida en el SNC
	GABA	Receptor de GABA _A , activa canales de CIT	Receptor GABAs, actúa a través de la proteína G	Transmisión sináptica inhibidora rápida y tenta en el SNC
	Glicina	Receptor de glicina (RGIy), activa canales de CIT	N/A	Transmis ón sináptica inhibidora rápida en el SNC
Péptido pequeño	Sustancia P	N/A	Receptor de neurocinina 1 (NK1), actúa a través de la proteina G	Excitación lenta de los musculos lisos y neuronas sensitivas en el SNC, en especial cuando transmiten una sensación de dolor
	Encefalinas	N/A	Receptores de opicides δ y μ, actua a través de la proteína G	Reducen la excitabilidad sináptica (señalización sináptica lenta), relajan el musculo fiso en el tubo digestivo, producen analgesia
	Endorfina β	N/A	Receptor de opioides ic; actua a través de la pro- teína G	Señalización sináptica lenta en el en- céfalo y la médula espinal, produce analgesia
Radical libre	NO	El NO no actua sobre receptores, activa la guanilato- ciciasa y, después, a través de la seña ización de cGMP, aumenta la síntesis de proteina G en las célu- las ciana		Influye en la liberación de neurotrans- misores en el SNC y el SNP; actua como un vasod atador poderoso y relaja el musculo liso en el tubo digestivo

AAMP, ácido «-amino-3-hidrox»-5-metil-4-isoxazolepropiónico, ACh, acet icolina, GABA, ácido y-aminobutínco, cGMP, monofosfato de guanosina ciclico, 5-HT 5-hidrox triptamina. N/A, no aplica, N/MDA, receptor M-metil-b-aspartato. NO. óxido nitrico. RGium receptor de giutamato metabotrópico. SNC. sistema nervioso central, SMP, sistema nervioso periférico.

conduce a la generación o modulación de potenciales de acción neuronales.

 Péptidos poqueños. También se ha demostrado que acrúan como transmisores sinápticos. Entre ellos se encuentran la sustancia P (llamada así porque se descubrió originalmente en el polvo de los extractos acetónicos del encéfalo y el intestino), las hormonas liberadoras hipotalámicas, los peptidos opioides endogenos (p. ej., endorfinas β, encefalinas, dinorfinas), el péptido intestinal vesoactivo (VIP vasoactive intestinal peptide), la colecistocinina (CCK) y la neurotensína. Muchas de estas sustancias son sintetizadas y liberadas por células enteroendocrinas del tubo digestivo. Pueden actuar de inmediato sobre las

células adyacentes (secreción paracrina) o ser transportadas por la sangre como hormonas para actuar sobre células diana distantes (secreción endocrina). También son sintetizadas y liberadas por órganos endocrinos y por las neuronas neurosecretoras del hipotalamo.

Los neurotransmisores liberados en la hendidura sinàptica pueden ser degradados o recapturados.

La degradación o la recaptación de neurotransmisores es necesaria para limitar la duración de la estimulación o la inhibición de la membrana postsináptica. El proceso más frecuente para la eliminación del neurotransmisor después de su liberación hacia la hendidura sináptica se denomina recaptación de alta afinidad. Cerca del 80% de los neurotransmisores liberados se eliminan por este mecanismo, en el cual se unen a proteinas específicas transportadoras de neurotransmisores localizadas en la membrana presmáptica. Los neurotransmisores que fueron transportados al citoplasma del botón presináptico se destruyen enzimáricamente o se recargan en las vesículas sinápticas vacías. Por ejemplo, la acción de las extecolaminas en los receptores postsinápticos finaliza por la recaptación de neurotransmisores en el botón presináptico mediante el uso de transportadores dependientes de Na". La eficacia de esta captación puede ser regulada por varios fármacos, como las anfetaminas y la cocaina, que bloquean la recaptación de catecolaminas y prolongan las acciones de los neurotransmisores sobre las neuronas postsinápticas. Una vez dentro del botón presináptico, las catecolaminas son recargadas en vesículas sinápticas para su empleo futuro. El exceso de catecolaminas es inactivado por la enzuna catecol-O-metiltransferasa (COMT) o destruido por otra enzima encontrada en la membrana mitocondrial externa, la monoaminooxidasa (MAO). Los fármacos que inhiben la acción de la MAO suelen. utilizarse en el tratamiento de la depresión clínica; también se han desarrollado inhibidores selectivos de la COMT

Las enzimas asociadas con la membrana postsináptica degradan el 20% restante de los neurotransmisores. Por ejemplo, la acetitoclinesterasa (AChE), que es secretada por la célula muscular hacia la hendidura sináptica, degrada con rapidez la ACh en ácido acético y colina. Entonces, la colina es captada por el botón colinergico presináptico y reutilizada para la síntesis de ACh. La acción de la AChE en la unión neuromuscular puede ser inhibida por varios compuestos farmacológicos, agentes nerviosos y pesticidas, cuyo resultado es una contracción muscular prolongada En la clinica, los inhibidores de AChE se han utilizado en el tratamiento de la miasteria grave (vease cuadro 11-3, cap. 11), una alteración neuromuscular degenerativa, y el glaucoma. Los inhibidores de la AChE tambien disminuyen muchos de los sintomas de la enfermedad de Alzheimer y se consideran como tratamiento de primera linea para estos pacientes.

■ CÉLULAS DE SOSTÉN DEL SISTEMA NERVIOSO: NEUROGLÍA

En el SNP, las células de sostén se denominan neuroglia periferica; en el SNC, reciben el nombre de neuroglia central.

Neuroglía periférica

La neuroglía periférica comprende las oétutes de Schwann, las oblutas satélite y una gran variedad de otras células relacionadas con órganos o rejidos específicos. Los ejemplos de estos últimos son la neuroglía terminal (teloglía) asociada con la placa terminal motora, la neuroglia entérica asociada con los ganglios ubicados en la pared del tubo digestivo y las células de Müller, en la retina.

Células de Schwann y vaina de mielina

En el SNP, las células de Schwann producen la vaina de mielina.

La función principal de las células de Schwann es ser el sostén de las fibras celulares nerviosas mielinizadas y no mielinizadas. Las células de Schwann se desarrollan a partir de las células de la cresta neural y se diferencian mediante la expresión del factor de transcripción Sox-10. En el SNP, las células de Schwann producen una capa con lípidos abundantes, denominada vaina de mielina, que rodea los axones (fig. 12-12). La vaina de mielina aísla el axón del compartimento extracelular circundante del endoneuro. Su presencia asegura la conducción rápida de los impulsos nerviosos. El cono axónico y las arborizaciones terminales donde el axón establece sinapsis con sus células diana no están cubiertos por mielina. Las fibras no mielinizadas también están envueltas y nutridas por el citoplasma de la célula de Schwann. Además, las células de Schwann colaboran con la limpteza de los detritos del SNP y guían la reproliferación de axones del SNP

La mielinización comienza cuando una célula de Schwann rodea el axón y su membrana celular se polariza.

Durante la formación de la vaina de mielina (también llamada mielinización), el axón inicialmente se ubica en un surco en la superficie de la célula de Schwann (fig. 12-13a). Después, un segmento axónico de 0.08-0.1 mm queda envuelto dentro de cada célula de Schwann ubicada a lo largo de este axón. La superficie de la célula de Schwann se polariza en dos dominios de membrana con funciones distintas. Un dominio corresponde a la parte de la membrana de la célula de Schwann que está expuesta al medio externo o al endoneuro, la membrana plasmática abaxónica. El otro dominio consiste en la membrana plasmática abaxónica o periaxónica, que está en contacto directo con el axón. Cuando el axón queda completamente envuelto por la membrana de la célula de Schwann, se crea un tercer dominio, el mesaxón (fig. 12 13b) Este tercer dominio es una membrana doble que conecta las membranas abaxónica y adaxónica, y envuelve el espacio extracelular angosto.

La vaina de mielina se forma a partir de capas compactadas del mesaxón de células de Schwann, enrolladas en forma concéntrica alrededor del axón.

La formación de la voino de mielina se inicia cuando el mesaxón de la célula de Schwann rodea el axón. Después, una extensión laminar del mesaxón se enrolla alrededor del axón con un movimiento en espiral. Las primeras capas o táminas de la espiral no están dispuestas de forma compacta, es decir, parte del citoplasma queda en las primeras pocas capas concéntricas (fig. 12-13c). El MET revela la presencia de una brecha de 12-14 nm entre las hojuelas externas (extracelulares) y el citoplasma de la célula de Schwann que separa las hojuelas internas (citoplasmaticas). A medida que el enrollamiento progresa, el citoplasma es extraído de entre la membrana de las capas concéntricas de la célula de Schwann.

Externo y contiguo a la vaina de mielina en formación, hay un collar externo de citoplasma perinuclear que recibe el nombre de vaina de Schwann. Esta parte de la célula está envuelta por una membrana plasmática abaxônica y contiene el núcleo y la mayoría de los orgánulos de la célula de Schwann. Alrededor de la célula de Schwann se encuentra la lámina basal o externa. La aposición del mesaxón de la última capa sobre sí, a medida que cierra el anillo de la

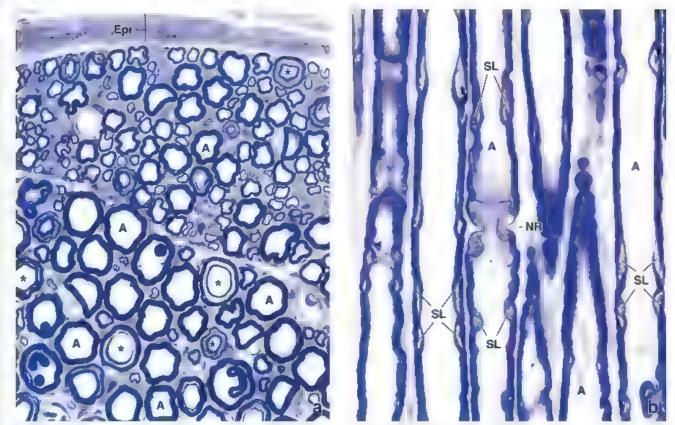


FIGURA 12-12. Microfotografías de un nervío periférico en cortes transversal y longitudinal, a Microfotografía de un corte transversal de un nervío periférico tenido de azul de tolu dina, fijado con osmio. Los axones (A aparecen transparentes La mielina está representada por un anillo oscuro alrededor de los axones. Obsérvese la variación en el diámetro de los axones individua es. En algunos nervíos la mielina parece consistir en dos anillos separados (asteriscos). Esto es causado por el corte que pasa a través de la incisura de Schmidt-Lanterman. Epi, epineuro 640 x. b. Microfotografía de axones nerviosos mielinizados (A) cortados de forma longitudinal, de mismo preparado. Cerca del centro de la microfotografía se observa un nódulo de Ranvier (NR). En el mismo axón se vel una incisura de Schmidt-Lanterman (SL) a cada lado de nodulo. Además, se pueden apreciar varias incisuras de Schmidt-Lanterman en los axones adyacentes. El citopiasma perinodula de Schwann en el nódulo de Ranvier y el citopiasma de la céluia de Schwann en la incisura de Schmidt-Lanterman aparecen practicamente sin tinción. 640 x.

espiral, produce el mesautón externo, el espacio intercelular estrecho contiguo a la lámina externa. Internamente, respecto a las capas concéntricas de la vaina de mielina en formación, hay un collar interno de citoplasma de la célula de Schwann rodeado por la membrana plasmática adaxónica. El espacio intercelular estrecho entre las membranas del mesaxón se comunica con la membrana plasmática adaxónica para producir el mesaxón interno (fig. 12-13d).

Una vez que el mesaxón se enrolla sobre sí mismo, las brechas de 12-14 nm desaparecen y las membranas forman la vaina de mielina compacta. La compactación de la vaina coincide con la expresión de proteinas transmembrana específicas de mielina, como la proteina 0 (P0), la proteina periférica de la mielina de 22 kDa (PMP22) y la proteina básica de la mielina (MBP, myelin basic protein). Las hojuelas internas (citoplasmáticas) de la membrana plasmática se acercanmucho como consecuencia de los dominios citoplasmáticos con carga positiva de la P0 y la MBP. Con el MET, estas hojuelas internas bien almeadas son electrodensas y aparecen en la forma de las llamadas #neas densas mayores de la nuclina (véase fig. 12-13d). Las laminillas concéntricas densas se alternan con las línees intraperiódicas un pocomenos densas, que están formadas por hojuelas externas de membrana, muy juntas pero no fusionadas. El espacio de 2.5 nm corresponde al espacio extracelular restante que contiene dominios extracelulares de la proteína P0 (véase fig. 12-13d). La P0 es una molécula de adhesión celular de 30 kDa que se expresa dentro de la membrana plasmática mesoaxónica durante la mielinización. Esta glucoproteína transmembrana media adhesiones fuertes entre las dos capas de membrana opuestas y es un componente estructural clave de la mielina nerviosa periférica. Los estudios estructurales y genéticos indican que las mutaciones en los genes humanos que codifican la PO producen una mielina inestable y pueden contribuir al desarrollo de alteraciones desmielinizantes (cuadro 12-2)

El espesor de la vaina de mislina producida en la mislinización está determinado por el diámetro del axón y no por la célula de Schwann.

La mielinización es un ejemplo de comunicación intercelular en la que el axón interactúa con la célula de Schwann. Algunos estudios experimentales muestran que la cantidad de capas de mielina está determinada por el axón y no por la célula de Schwann. El espesor de la vaina de mielina es regulado por un factor de crecimiento denominado nourregulina (Ngr1) que actúa sobre las células de Schwann. La Ngr1 es una proteína transmembrana que se expresa en el axolema (membrana celular) del axón.

El nódulo de Ranvier es la unión entre dos células de Schwann advacentes.

La vaina de mielina está segmentada porque la constituyen numerosas células de Schwann dispuestas de forma secuencial a lo largo del axón. La unión donde se encuentran dos células de Schwann adyacentes carece de mielina. Este sitio recibe el nombre de nódulo

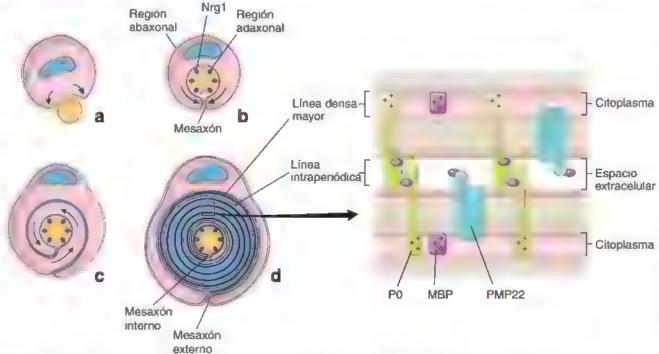


FIGURA 12-13. Etapas sucesivas en la formación de mielina por la célula de Schwann, a. El axón se ubica inicia mente en un surco de la superficie de la célula de Schwann b. El axón está rodeado por una célula de Schwann. Observense las dos regiones de la célula de Schwann la membrana piasmática adaxònica y la membrana plasmática abaxònica. La membrana piasmática del mesaxòn une estas regiones una membrana del mesaxòn in cia la miel nización a rodear a axón envuelto de Después una extensión laminar de la membrana mesaxònica se enrolla atrededor del axón y forma multiples capas de membrana di Durante el proceso de enrollamiento el citopiasma se exprime de entre las dos membranas plasmáticas de la celula de Schwann, las cuales entonces se compactan para formar mielina. El mesaxòn externo corresponde a la membrana plasmática invaginada que se extiende desde la superficie adaxònica de la celula de Schwann la parte que está enfrentada con el axón) haca la miel na El detalle muestra las prote nas principaies para la compactación de la valna de miel na MBP, proteina básica de la miel na, Nrg 1 neutregulina, PO, proteína 0, PMP22, proteína de miel na periférica de 22 kDa

de Ranvier. Por lo tanto, la mielina que se encuentra entre dos nódulos de Ranvier en secuencia se denomina segmento internodular (lámina 28, p. 424). El nódulo de Ranvier constituye una región donde el impulso eléctrico se regenera para la propagación a alta velocidad del axón. La mayor densidad de los canales de Na⁺ activados por voltaje en el sistema nervioso ocurre en el nódulo de Ranvier. Su expresión está regulada por interacciones con el citoplasma perinodular de las células de Schwann.

La mielina está compuesta por aproximadamente un 80% de lípidos debido a que, conforme se entolla la membrana de la célula

CUADRO 12-2

CORRELACION GLÍNICA: ENFERMEDADES DESMIELINIZANTES

En general, las enfermedades desmielinizantes se caractenzan por una lesión de la vaina de mielina. Los síntomas clínicos de estas enfermedades están relacionados con la disminución o pérdida de la capacidad para transmitir impulsos eféctricos a lo largo de las fibras nerviosas. Varias enfermedades autoinmunitarias afectan la varia de mielina.

El síndrome de Guillain-Barré, conocido también como politradiculoneuropatía desmielinizante inflamatoria aguda, es una de las enfermedades graves más frecuentes del SNP El examen microscópico de las fibras nerviosas obtenidas de pacientes afectados por esta enfermedad muestra una gran acumulación de linfocitos, macrófagos y piasmocitos alrededor de las fibras nerviosas dentro de los fascículos nerviosos. Algunos segmentos grandes de la vaina de mielina están dañados, lo que deja los axones expuestos a la matriz extracelular. Estos haliazgos son congruentes con la respuesta inmunitaria mediada por linfocitos T dirigida contra la mielina, que causa su destrucción y hace más lenta la conducción nerviosa o la bloquea. Los pacientes exhiben síntomas de parálisis de músculos ascendentes, falta de condinación muscular y pérdida de sensibilidad cutánea.

La esclerosis múltiple (EM) es una enfermedad que ataca a la mielina en el SNC. La EM también se caracteriza por un daño preferencial de la mielina, la cual se separa del axón y finalmente se destruye. Además, se produce la destrucción de la oligodendroglía, responsable de la síntesis y el mantenimiento de la mielina. La proteína básica de la mielina parece ser la diana autoinmunitaria principal en esta enfermedad. Los cambios químicos en los componentes lipídicos y proteínicos de la mielina producen múltip es placas irregulares en toda la sustancia blanca del encéfalo. Los síntomas de la EM dependen del área del SNC en la cual la miel na está dañada. La EM suele caracterizarse por diferentes episodios de insuficiencias neurológicas, como alteración unilateral de la visión, pérdida de sensibilidad cutánea, falta de coordinación muscular y de movimiento, y pérdida del control vesical e intestinal.

El tratamiento de ambas enfermedades consiste en la disminución de la respuesta inmunitaria causal mediante un tratamiento inmunorregulador con interferón y anticuerpos monoclonales dirigidos a las dianas moleculares de las células inmunitarias. Para las formas progresivas (las más graves de la enfermedad) pueden utilizarse fármacos inmunosupresores de Schwann alrededor del axón, el citoplasma de esta célula, como ya se comentó, se extrae de entre las capas opuestas de la membrana plasmática. No obstante, en las microfotografías electrónicas es normal que se observen pequeñas cantidades de citoplasma en varios sitios (figs. 12-14 y 12-15): el collar interno del citoplasma de la célula de Schwann, entre el axón y la mielina; las incisuras de Schmidt-Lanterman, pequeños islotes dentro de laminillas de mielina sucesivas; el citoplasma perinodular, en el nódulo de Ranvier; y el collar externo del citoplasma perinuclear, alrededor de la mielina (fig. 12-16). Estas regiones del citoplasma corresponden a lo que los microscopistas ópticos identificaban como vaina de Schwann.

Si se desenrollara imaginariamente la prolongación de la célula de Schwann, como se observa en la figura 12-17, podría apreciarse su extensión total y se comprobaría que el collar citoplasmático interno es contiguo al soma celular a través de las incisuras de Schmidt Lanterman y del citoplasma perinodular. El citoplasma de las incisuras contiene lisosomas y, en ocasiones, mitocondrias y microtúbulos, así como inclusiones catoplasmáncas o cuerpos densos. La cantidad de incisuras de Schmidt-Lanterman se correlaciona

CS

FIGURA 12-14. Microfotografía electrónica de un axón en el proceso de mielinización. En esta etapa del desarrollo, la mielina (M) consta de alrededor de seis capas de membrana. El mesaxón interno (MI) y el mesaxón externo (ME) de la célula de Schwann (CS) son partes de la membrana del mesaxón. Hay otro axón (A, arriba a la zquierda) que no ha sido incluido dentro del mesaxón de la célula de Schwann. Otras estructuras importantes son la jámina basat externa (LB) y la cantidad considerable de crtoplasma de la célula de Schwann asociado con el proceso de mielinización 50000× (cortesía del Dr. Stephen G. Waxman)

con el diámetro del axón; los axones más gruesos presentan mayor cantidad de incisuras.

Los axones no mielinizados en el sistema nervioso periférico están envueltos por las células de Schwann y sus láminas externas.

Los nervios en el SNP que se describen como no mielinizados están envueltos por el citoplasma de las células de Schwann, como se muestra en la figura 12-18. Las células de Schwann son alargadas y se ubican en paralelo al eje longitudinal de los axones, y los axones se localizan en surcos en la superficie de la célula. Los bordes del surco pueden estar separados y exponer una porción del axolema del axón a la lámina externa contigua de la célula de Schwann o los bordes pueden estar en contacto y formar el mesaxón.

En una sola invaginación de la superficie de la célula de Schwann pueden quedar incluidos un solo axón o un grupo de ellos. Las células de Schwann grandes en el SNP pueden tener 20 surcos o más, cada uno de los cuales contiene uno o más axones. En el SNA, es frecuente que los haces de axones no mielinizados ocupen un solo surco.

Células satélite

Los somas neuronales de los ganglios están rodeados por una capa de pequeñas células cúbicas denominadas oélulas actélita. Aunque forman una cubierta completa alrededor del soma, en las tinciones de rutina con H&E solo suelen observarse sus nú cleos (figs. 12-19a y b). En los ganglios paravertebrales y perifericos, las evaginaciones de las células neuronales deben penetrar entre las células satélite para establecer una sinapsis (no hay sinapsis en los ganglios sensitivos). Estas células contribuyen a establecer y mantener un microentorno controlado alrededor del soma neuronal en el ganglio, con lo que proveen aislamiento eléctrico, así como una vía para el intercambio metabólico. Por lo tanto, el papel funcional de las células satélite es análogo al de las células de Schwann, excepto que no producen mielina.

Células neurogliales entéricas

Las neuronas y sus evaginaciones, ubicadas dentro de los ganglios de la división entérica del SNA, están asociadas con las células neurogliales entéricas. Estas células son morfológica y funcionalmente similares a los astrocitos en el SNC (véase más adelante). Las células neurogliales entéricas comparten funciones comunes con los astrocitos, como sostén estructural y metabólico y protección de las neuronas. Sin embargo, algunos estudios recientes indican que las células neurogliales entéricas también podrían participar en la neurotransmisión entérica y contribuir a coordinar las actividades de los sistemas nervioso e inmunitario del intestino.

Neuroglía central

Existen cuatro tipos de neuroglia central:

- Astrocitos. Células de morfología heterogénea que proporcionan sostén físico y metabólico a las neuronas del SNC.
- Otigodendrocitos. Células pequeñas activas en la formación y el mantenimiento de la mielina en el SNC.
- Microglin. Células poco visibles con núcleos pequeños, oscuros y alargados que poseen propiedades fagocíticas.
- Ependimocitos. Células cilíndricas que revisten los ventrículos del encéfalo y el conducto central de la médula espinal.

En las tinciones histológicas de rutina del SNC, solo se observan los núcleos de las células gliales. Para identificar la forma de la célula

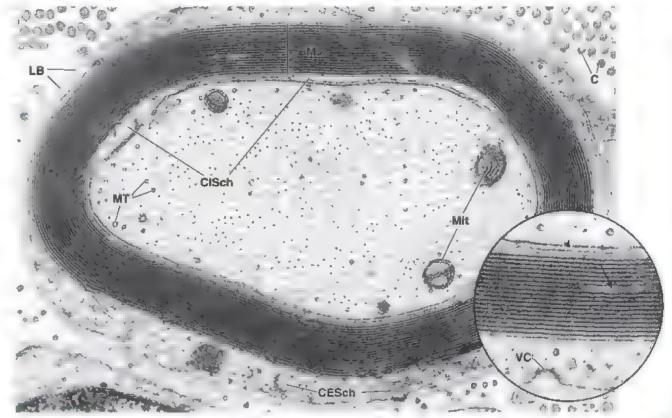
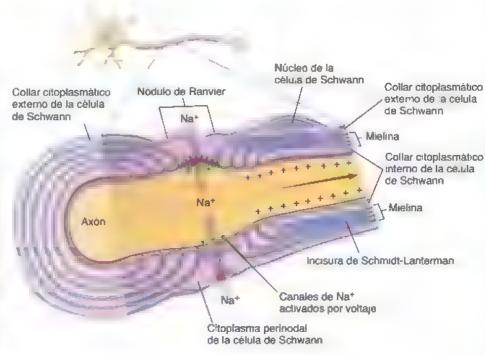


FIGURA 12-15. Microfotografia electronica de un axón mielinizado maduro. La vaina de mie na (M) que se muestra aqui consiste en 19 capas pares de la membrana de la célula de Schwann. El empare,amiento de las membranas en cada capa es causado por la extrusión de citoplasma de la celula de Schwann. El axón muestra abundancia de neurofilamentos la mayoria de los cuales han sido seccionados de forma transversal, brindando al axón un aspecto punteado. En el axón también son evidentes los microtubulos (MT) y varias mitocondinas (Min). En la célula de Schwann el collar externo de citoplasma (CESch) es relativamente abundante comparado con el collar interno (CISch). Las fibrilas de colágeno (C) conforman el componente fibrilar del endoneuro. LB lámina basal (externa). 70,000 × Detalle. Mayor alimento de la mielina la flecha apunta al citoplasma dentro de la mielina que contribulha a aspecto de la incisura de Schmidt-Lanterman como se observa en el microscopio óptico. Aqui aparece como una región aisiada debido a la delgadez del corte. El espacio interce ular entre el axón y la celula de Schwann está indicado por la punta de flecha. En el coliar o top asmático externo de la célula de Schwann, aparece una vesicula con cubierta (VC) en una primera etapa de su formación. 130000× (cortesia del Dr. George D. Pappas)

FIGURA 12-16. Nodulo de Ranvier y célules de Schwann asociadas. En este diagrama se muestra un corte longitudinal del axón y su rejación con la mielina, el croplasma de la célula de Schwann y el nódulo de Ranvier. El citoplasma de la celula de Schwann está presente en cuatro ubicaciones los colares interno y externo de la célula de Schwann, los nódulos de Ranvier y las incisuras de Schmidt-Lanterman. Observese que el citoplasma en toda la cé ula de Schwann es continuo (vease fig. 12-17) y que no se trata de una sene de islotes citoplasmaticos como aparecen en el corte longitudinal de la vaina de mielina El nódulo de Ranvier es el sitio donde se encuentran dos células de Schwann contiguas Las membranas plasmáticas adyacentes de las cérulas de Schwann no están adhendas con firmeza a la altura del nódulo, y el liquido extracelular tiene libre acceso a la membrana plasmática neuronal. Además, el nódulo de Ranvier es el sitio de despolarización de la membrana plasmática neuronal durante la transmisión del impulso nervioso y contiene grupos muy densos de canales de Na* regulados por voltaje



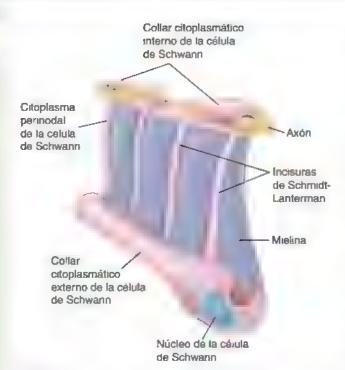


FIGURA 12-17. Diagrama tridimensional de la relación entre la mielina y el citopiasma de la célula de Schwann. En este diagrama se muestra la imagen hipotética de una célula de Schwann desenrollada. Se debe observar que el collar citopiasmàtico interno de la célula de Schwann es continuo con el collar citopiasmàtico externo a través de las incisuras de Schmidt-Lanterman

glial completa, se deben utilizar métodos de inmunocitoquímica o técnicas de impregnación con metales pesados.

Si bien durante mucho tiempo las cétules de la glia se han considerado células de sostén del tejido nervioso en un sentido puramente físico, los conceptos actuales enfatizan la interdependencia funcional entre las células neurogliales y las neuronas. El ejemplo más obvio de sostén físico ocurre durante el desarrollo embrionario. El encéfalo y la médula espinal se desarrollan a partir del tubo neural embrionario. En la región cefálica, el tubo neural se somete a un engrosamiento y plegamiento acentuados, con lo que al final adquiere su estructura de encéfalo. Durante las etapas iniciales del proceso, las células gliales embrionarias se extienden a través de todo el espesor del tubo neural de forma radial. Estas células gliales radioles sirven como el andamiaje físico que dinge la migración de las neuronas hacia su posición adecuada en el encéfalo.

Los astrocitos tienen una relación estrecha con las neuronas para sustentar y modular sus actividades.

Los astrocitos son las células gliales más grandes. Forman una red de células dentro del SNC y se comunican con las neuronas para sustentar y modular muchas de sus actividades. Algunos astrocitos se extienden a través de todo el espesor del encéfalo, con lo que proporcionan un andamiaje para las neuronas migrantes durante el desarrollo del encéfalo. Otros astrocitos extienden sus evaginaciones desde los vasos sanguíneos hacia las neuronas. Los extremos de la prolongación se expanden para formar el pie terminal que cubre grandes áreas de la superficie externa del vaso o axolema.

Los astrocitos no producen mielina. Se han identificado dos clases de astrocitos:

- Astrocitos protoplasmáticos. Prevalecen en la cubierta más externa del encéfalo, denominada sustancia gris. Estos astrocitos tienen abundantes evaginaciones citoplasmáticas cortas y ramificadas (fig. 12-20).
- Astrocitos fibrosos. Son más frecuentes en el núcleo interno del encéfalo, llamado sustancia blanca. Estos astrocitos tienen menos evaginaciones y estas son relativamente rectas (fig. 12-21)

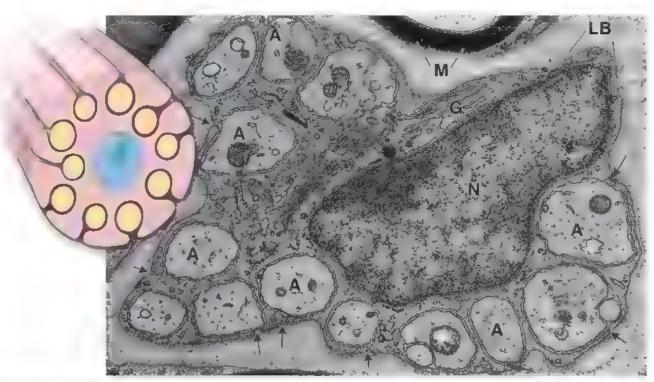


FIGURA 12-18. Microfotografia electrónica de fibras nerviosas no mielinizadas. Las fibras o los axones individuales (A) estan inmersos en el citop asma de la célula de Schwann. Las *flechas* indican el sitio de los mesaxones. En efecto, cada axón está rodeado por el citoplasma de la célula de Schwann, excepto por el espacio intercelular de mesaxón. Otras estructuras visibles en la célula de Schwann son su nucleo (N) el aparato de Golgi (G) y la amina basa, externa (LB), circundante. En la parte superior de la microfotografia, también se ve (a miel na (M) de dos nervios mie inizados. 27000 × **Detalle.** Diagrama de la relación de los axones envueltos por la célula de Schwann.

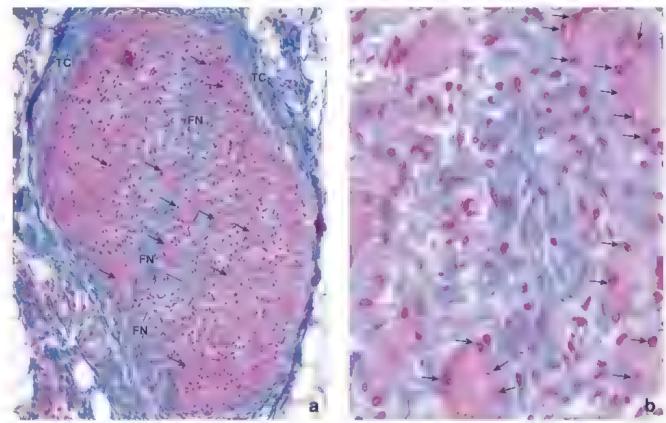


FIGURA 12-19. Microfotografía de un ganglio nervioso: a. Microfotografía de un ganglio tenido con el método de Maiory-Azan. Nótense los somas neuronales grandes (**lechas) y las fibras nerviosas (**FN) ganglionares. Las células saté le están representadas por nucleos muy pequeños en la periferia de los somas neuronales. El ganglio está rodeado por una cápsula de tejido con unitivo (**FC**) denso irregular, que es comparable a lepineuro del nervio y se continua con este. 200 x. b. Mayor aumento de ganglio en el que se observan axones individuales y unos pocos somas neuronales con células saté ite (**flechas** ...os nucleos en la región de los axones son len su mayona, nucleos de las células de Schwann. 640 x.

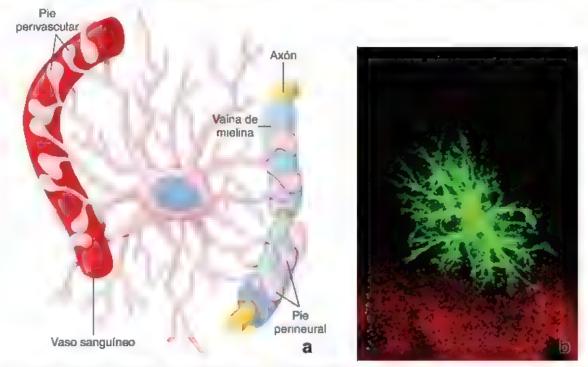


FIGURA 12-20. Astrocito protoplasmático en la sustancia gris del encéfalo. a. En esta lustración se muestran los pies terminales de astrocito protoplasmático que finalizan en un vaso sanguineo y la proiongación axón da de una neurona. Las evaginaciones de pie que ferminan en un vaso sanguineo contribuyen a la formación de la barrera hematoencefálica. Las regiones desmudas del vaso, como se muestran en el dibujo están cubiertas por las evaginaciones de los astrocitos advacentes y de esta manera forman la barrera completa b. Esta magen concei de barrido las en de un astrocito protopiasmático en la sustancia gris del giro dentado se visualizó mediante un método de marcado intracción de ar En los cortes histologicos con fijación leve, los astrocitos se eccionados son atravesados e inyectados iontoforéticamente con colorante fluorescente (Alexa Filuor 568®) mediante pulsos de corriente negativa. Obsérvese la densidad y la distribución espacial de las evaginaciones cel ulares. 480 x fre impreso con autorización de Bushong E.A. Martone ME. Elisman MH. Examination of the relationship between astrocyte morphology and laminar boundaries in the molecular layer of adult dentate gyrus. J Comp Neuro. 2003. 462. 241–251}

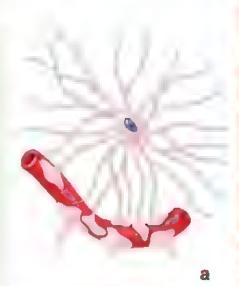




FIGURA 12-21. Astrocitos fibrosos en la sustancia blanca del encéfalo. a. Diagrama de un astrocito fibroso en la sustancia blanca de encéfalo b. Microfotografia de la sustancia blanca de encéfalo en la que se muestran abundantes evaginaciones o topiasmàticas irradiantes que e dan nombre a los astrocitos. Estas se visualizan mejor como se muestra aqui con métodos de inmunot no on que utilizan anticuerpos contra la proteina àcida fibrilar gillal (GFAP ghal fibrillary àcidic protein). 220 × (reimpreso con autorización de Fuller GN, Burger PC. Centra nervous system. En Sternberg SS, ed. Histology for Pathologists. Philadelphia: Lippincott-Raven, 1997).

Ambos tipos de astrocitos contienen haces de filamentos intermedios promunentes compuestos por la proteina ácida fibrilar glial (GFAP, glial fibrillary acidic protein). No obstante, los filamentos son mucho más abundantes en los astrocitos fibrosos, de ahí su nombre. Los anticuerpos de GFAP se unlizan como colorantes específicos para identificar astrocitos en cortes y cultivos de rejidos (véase fig. 12-21b). Los turnores que se originan a partir de los astrocitos fibrosos, los astrocitomas fibrosos, representan cerca del 80% de los tumores encefalicos primarios del adulto. Pueden identificarse por el aspecto en el examen microscópico y por la especificidad de GFAP

Los astrocitos cumplen funciones importantes en el movimiento de metabolitos y desechos desde las neuronas y hacía estas. Contribuyen a mantener las uniones estrechas de los capilares que forman la barrera hematoencefálica (véase p. 415). Además, los astrocitos proveen una cubierta para las "regiones desnudas" de los axones mielinizados, por ejemplo, a nivel de los nódulos de Ranvier y de las sinapsis. Estas células pueden confinar los neurotransmisores en la hendidura sináptica y eliminar su exceso por pinocitosis. Los astrocitos protoplasemáticos en las superficies del encéfalo y de la médula espinal extienden sus evaginaciones (pies subpiales) hacía la lámina basal de la piamadre para formar la membrana limitante glas, una barrera relativamente impermeable que rodea el SNC (fig. 12-22).

Los astrocitos modulan las actividades neuronales por la amortiguación de la concentración de K* en el espacio extracelular del encélalo.

En la actualidad, en general se acepta que los astrocitos regulan las concentraciones de K* en el compartimento extracelular del encéfalo para mantener, de ese modo, el microambiente y modular las actividades de las neuronas. La membrana plasmática del astrocito contiene abundantes bombas y canales de K* que median la transferencia de iones K* desde regiones de alta concentración hacia regiones de baja concentración. La acumulación de grandes cantidades de K* intracelular en los astrocitos reduce los gradientes de K* extracelular. La membrana del astrocito se despolariza y la carga se disipa a través de una amplia superficie mediante una extensa red de

evaginaciones astrocíticas. El mantenimiento de la concentración de K⁺ en el espacio extracelular del encéfalo se denomina **amortigua**ción espacial del potasio.

Los oligodendrocitos producen y mantienen la vaina de mielina en el SNC

El oligodendrocito es la célula responsable de la producción de mielina en el SNC. La vaina de mielina en el SNC está formada por capas concéntricas de membrana plasmática oligodendrocítica. Sin embargo, la formación de la vaina en el SNC es más compleja que el simple enrollamiento de las membranas del mesaxón de la célula de Schwann que ocurre en el SNP (véanse pp. 193-194).

Con el uso del microscopio óptico y en preparados teñidos con técnicas especiales, los oligodendrocitos se observan como pequeñas células con evaginaciones relativamente escasas, en comparación con los astrocitos. Con frecuencia, están alineados en hileras entre los axones. Cada oligodendrocito emite varias evaginaciones con forma de lengüetas que llegan hasta los axones vecinos. Todas las prolongaciones se enrollan alrededor de un segmento de un axón para formar un asgmento internodular de mielina. Las múltiples evaginaciones de un oligodendrocito individual pueden mielinizar un axón o vanos axones cercanos (fig. 12-23). La región que contiene el núcleo del oligodendrocito puede estar un poco distante del axón que mieliniza.

Dado que un oligodendrocito individual podría mielinizar de manera simultánea varios axones cercanos, la célula no puede incorporar múltiples axones en su citoplasma y permitir que la membrana del mesaxón forme una espiral alrededor de cada axón. En cambio, cada prolongación con forma de lengüera parece rotar alrededor del axón, manteniéndose siempre cerca de este, hasta que se forma la vaina de mielina.

La vaina de mielina en el SNC difiere de la vaina en el SNP.

Existen otras diferencias importantes entre las vainas de mielina en el SNC y aquellas en el SNP. Los oligodendrocitos en el SNC expresan proteínas específicas de mielina durante la mielinización, que son diferentes de las expresadas por las células de Schwann en el SNP En

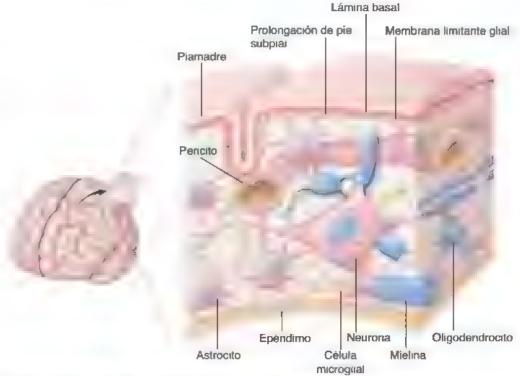


FIGURA 12-22. Distribución de tas células gliates en el encéfato. En este diagrama se muestran los cuatro tipos de células giales (astroctos, oligodendrocitos microgia y ependimocitos) que interactuan con varias estructuras y células que se encuentran en el telido encefático. Obsérvese que los astrocitos y sus evaginaciones interactúan con los vasos sanguineos al igual que con los axones y las dendritas. Los astrocitos también envian sus evaginaciones hacia la superficie encefática, donde entran en contacto con la lámina basar de la plamadre para formar la membrana en tante gliaf. Además las evaginaciones de los astrocitos se extienden hacia los espacios llenos de liquido del SNC donde entran en contacto con las células ependimar as de revestimiento. Los oligodendrocitos participan en la miejinización de las fibras nerviosas del SNC La microglia desempeña funciones fagocíticas.

lugar de la PO y la PMP22, que se expresan solo en la mielina del SNP, otras proteínas, como la proteína proteólipidica (PLP, proteólipid proteín), la glucoproteína de mielina-oligodendrocitos (MOG), myelin oligodendrocyte glycoproteín) y la glucoproteína de oligodendrocitomielina (OMgp, oligodendrocyte myelin glycoproteín), cumplen

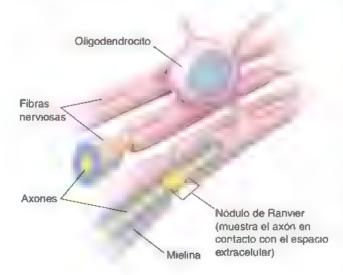


FIGURA 12-23. Vista tridimensional de un oligodendrocito en relación con varios axones. Las evaginaciones citoplasmáticas del soma de un oligodendrocito forman vainas citoplasmáticas aplanadas que se enrollan alrededor de los axones. La relación del citoplasma y la mielina es esencialmente la misma que la de las cérulas de Schwann.

funciones similares en la mielina del SNC. La insuficiencia en la expresión de estas proteinas es importante en la patogenia de varios trastornos desmielinizantes autoinmunitarios del SNC.

Con el microscopio, la mielina en el SNC presenta menos incisuras de Schmidt-Lanterman porque los astrocitos proveen sostén metabólico para las neuronas del SNC. A diferencia de las células de Schwann del SNP, los oligodendrocitos no tienen una lámina externa. Además, por la manera en la que los oligodendrocitos forman la mielina del SNC, puede haber poco o nada de citoplasma en la capa más externa de la vaina de mielina, y ante la ausencia de la lámina externa, la mielina de los axones adyacentes puede entrar en contacto. Por lo tanto, donde se tocan las vainas de mielina de axones contiguos, pueden compartir una línea intraperiódica. Por último, los nódulos de Ranvier en el SNC son más grandes que los del SNP. Las regiones más amplias del axolema expuesto tornan aún más eficaz la conducción saltatoria (véase más adelante) en el SNC.

Otra diferencia entre el SNC y el SNP en lo que se refiere a las relaciones entre las células de sostén y las neuronas es que las neuronas no muelinizadas en el SNC suelen estar desnudas, es decur, no están incluidas en las evaginaciones de las células gliales. La falta de las células de sostén alrededor de los axones no mielinizados y la ausencia de material de lámina basal y de tejido conjuntivo dentro de la sustancia del SNC contribuye a distinguirlo del SNP en los cortes histológicos y en las muestras para el MET.

La microglia presenta propiedades fagociticas.

La microglia son células fagocíticas. En el SNC del adulto, generalmente constituyen cerca del 5% de todas las células de la glía; sin embargo, proliferan y se tornan activamente fagocíticas (microgha

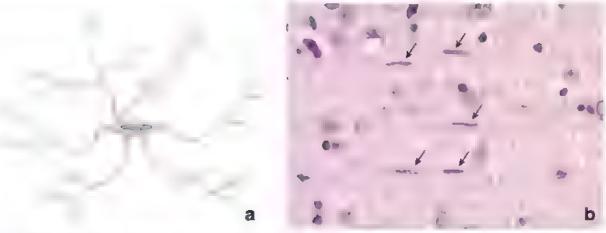


FIGURA 12-24. Célula de la microglía en la sustancia gris del encéfalo a En el diagrama se muestran la forma y las caracter sticas de una ceil, a de la microglia Observese el nucleo elongado y las relativamente podas evaginaciones que emanan del cuerpo bi Microfotografia de microglia (flechas) con sus nucleos elongados característicos La muestra se obtuvo de una persona con microgliosis difusa. En esta enfermedad la microglia está presente en grandes cantidades y se observa con facilidad en preparados de rutina ten dos con H&E. 420 × (reimpreso con autorización de Fuller GN. Burger PC. Central nervous system. En Sternberg SS, ed. Histology for Pathologists. Philade phia. ...ippincott-Raven. 1997).

reactiva) en las regiones lesionadas o enfermas. Las células microgliales son consideradas parte del sistema fagocítico mononiuclear (véase cuadro 6-4, p. 197) y se originan a partir de las células progenitoras de granulocitos/monocitos (PGM). Las células precursoras de la microglía entran en el parénquima del SNC desde el sistema vascular. Los datos recientes indican que la microglía cumple una función decisiva en la defensa contra los microorganismos invasores y las células neoplásicas. Etiminan las bacterias, las células lesionadas y los detritos de las células que experimentan apoptosis. También median las reacciones neuroinmunitarias, como aquellas que ocurren en las alteraciones por dolor cronico.

La microglía son las células neurogliales más pequeñas; tienen núcleos alargados y relativamente pequeños (fig.12-24). Cuando se somete a impregnación con metales pesados, la microglía presenta evaginaciones enroscadas cortas. Tanto las evaginaciones como el soma celular están cubiertos con numerosas púas. Las púas son el equivalente del borde festoneado observado en otras células fagoci-

ticas. El MET permite observar la abundancia de lisosomas, inclusiones y vesículas. Sin embargo, la microglía contiene poco RER y escasos microrúbulos o filamentos de acrina.

Las células ependimarias forman el revestimiento epitelial de los ventriculos del encéfalo y el conducto espinal.

Las células ependimarias o **opendimocitos** forman el revestimiento epitelial de las cavidades llenas de líquido del SNC. Conforman una sola capa de células (entre cúbicas y cilíndricas) que poseen las características morfológicas y fisiológicas de las células transportadoras de líquido (fig.12-25). Están estrechamente unidas por complejos de unión ubicados en las superficies apicales. A diferencia del epitelio típico, las células ependimarias carecen de una lamina basal. Con el MET, la superficie celular basal exhibe numerosos pliegues que se interdigitan con las evaginaciones astrocíticas adyacentes. La superficie apical de la célula posee cilios y microvellosidades. Estas últimas participan en la absorción del líquido cefalorraquideo.

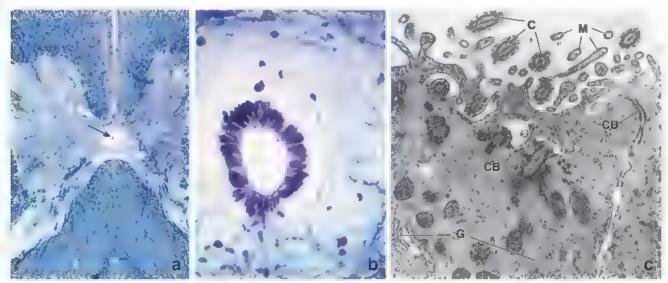


FIGURA 12-25. Revestimiento ependimario del conducto central espinal, a. Microfotografia de la región centra de la médula espinal ten da con azul de touidina. La flecha señala el conducto central. 20 % b. Con mayor aumento se puede ver que las células ependimarias que revisten el conducto central, consisten en una capa simple de células cilindricas. 340 % (cortes a del Dr. George D. Pappas, c. Microfotografia electronica de transmisión de una porción de la región apica de dos células ependimarias cilindricas. Estas se encuentran adheridas por un compiejo de un ón (CD) que separa la luz de conducto de espacio intercelular lateral. La superficie apica de las células ependimarias tiene cilios (C) y microvetios dades (M). También son visibles los cuerpos basales (CB) y el aparato de Goig. (G) dentro del citopiasma apica. 20000 % icortesia del Dr. Paul Reier)

Los tanicitos son células ependimarias especializadas. Son más abundantes en el suelo del tercer ventrículo. La superficie líbre de los tanicitos está en contacto directo con el líquido cefalorraquídeo, pero, a diferencia de las células ependimarias, no poseen cilios. El soma de los tanicitos origina una prolongación larga que se proyecta dentro del parénquima encefálico. Su papel no está claro. Sin embargo, están involucrados en el transporte de las sustancias desde el liquido cefalorraquídeo hacia la sangre en la circulación portal del hipotálamo. Los tanicitos son sensibles a la concentración de glucosa. Por lo tanto, podrían intervenir en la detección y la respuesta a los cambios en el equilibrio de energía, así como en el control de otros metabolitos en circulación en el líquido cefalorraquídeo.

Dentro del sistema ventricular encefalico, el revestimiento ependimario atraviesa una modificación adicional para producir el líquido cefalorraquídeo por medio del transporte y la secreción de materiales derivados de las asas capilares contiguas. Las células ependimarias modificadas y los capilares asociados forman en conjunto los plexos coroideos.

Conducción del impulso

Un potencial de acción es un proceso electroquímico desencadenado por impulsos que llegan al cono axónico, después de que otros impulsos se reciben en las dendritas o en el soma neuronal musmo.

Un impulso nervioso es conducido a lo largo de un axón de modo similar a como una llama avanza sobre la mecha de un perardo. Estos procesos electroquímicos implican la generación de un potencial de acción, una onda de despolarización de membrana que comienza en el segmento inicial del cono axónico. La membrana contiene una gran cantidad de canales de Na" y K" regulados por voltaje. En respuesta a un estímulo se abren los canales de Na⁺ activados por voltaje en el segmento inicial de la membrana del axón, lo que provoca la entrada de Na⁺ en el axoplasma. Este ingreso de Na⁺ invierte (despolariza) brevemente el potencial de membrana negativo de la membrana en reposo (-70 mV) a uno positivo (+30 mV). Después de la despolarización, los canales de Na+ activados por voltaje se cierran y los canales de K⁺ activados por voltaje se abren. El K⁺ abandona rápidamente el axón y devuelve la membrana a su potencial de reposo. La despolarización de una parte de la membrana envía corriente eléctrica a las porciones adyacentes de la membrana no estimulada, que siguen con carga positiva. Esta corriente local estimula las porciones vecinas de la membrana del axón y repite la despolarización a lo largo de la membrana. Todo el proceso tarda menos de una milésima de segundo. Después de un período muy breve (refractario), la neurona puede repetir el proceso de generación de un potencial de acción una yez más.

La conducción ràpida del potencial de acción se atribuye a los nádulos de Ranvier.

Los axones mielinizados conducen impulsos con mayor rapidez que los axones no mielinizados. Los fisiólogos describen el impulso nervioso como un "salto" de nódulo a nódulo a lo largo del axón mielinizado. Este proceso se denomina conducción saltatoria o discontinua. En los nervios mielinizados, la vaina de mielina alrededor del nervio no conduce la corriente eléctrica y forma una cubierta aislante alrededor del axón. Por ello, la inversión del voltaje puede ocurrir solo en los nodulos de Ranvier, donde el axolema carece de vaina de mielina. Aquí, el axolema está expuesto a líquidos ex tracelulares y posee una gran concentración de canales de Na* y K* regulados por voltaje (véanse figs. 12-16 y 12-23). Debido a esto, la inversión del voltaje (y, por lo tanto, del impulso) salta a medida que la corriente fluye de un nódulo de Ranvier al siguiente. La velocidad

de la conducción saltatoria no solo está relacionada con el espesor de la mielina, sino también con el diámetro del axón. La conducción es más rápida a lo largo de los axones de mayor diámetro.

En los axones no mielinizados, los canales de Na⁺ y K⁺ se distribuyen de manera uniforme a lo largo de toda la fibra. El impulso nervioso es conducido con mayor lentitud y se desplaza como una onda continua de inversión de voltaje a lo largo del axón.

■ ORIGEN DE LAS CÉLULAS DEL TEJIDO NERVIOSO

Las neuronas del SNC y la glía central, con excepción de las células microglíales, derivan de las células neuroectodérmicas del tubo neural.

Las neuronas, los oligodendrocitos, los astrocitos y las células ependimarias derivan de células del tubo neural. Después de que las neuronas en desarrollo han migrado hasta sus ubicaciones predestinadas en el tubo neural y se han diferenciado en neuronas maduras, ya no se dividen. Sin embargo, en el encéfalo del mamífero adulto, una cantidad muy pequeña de células que persisten desde el desarrollo embrionario, llamadas células madre neurales, conserva la capacidad de dividurse. Estas células migran hacia los sitios de lesión y se diferencian en células nerviosas completamente funcionales.

Los precursores de los oligodendrocitos son células muy migratorias. Estas células parecen compartir un linaje evolutivo con las motoneuronas, que migran desde su sitio de origen hacia las evaginaciones axónicas en desarrollo (tractos) en la sustancía blanca del encéfalo o la médula espinal. Entonces, los precursores proliferan en respuesta a la expresión local de señales mitogénicas. El apareamiento de los oligodendrocitos con los axones se logra a través de una combinación de regulación local de la proliferación, la diferenciación y la apoptosis celular.

Los astrocitos también derivan de las células del tubo neural Durante las erapas embrionaria y posnatal temprana, los astrocitos inmaduros migran hacia la corteza, donde se diferencian y se convierten en astrocitos maduros. Las celulas ependimarias derivan de la proliferación de células neuroepiteliales que rodean de forma inmediata el conducto del tubo neural en desarrollo.

A diferencia de lo que ocurre con otros miembros de la neuroglia central, las cétulas microgilales derivan de los precursores de macrófagos mesodérmicos, específicamente de las cétulas progenitoras de granulocitos/monocitos (PGM) en la médula ósea. Estas cétulas infiltran el tubo neural en las etapas iniciales de su desarrollo y, bajo la influencia de los factores de crecimiento, como el factor estimulante de colonias 1 (CSF-1, colony stimulating factor-1) producido por las cétulas nerviosas en desarrollo, experimentan proliferación y diferenciación en las celulas ameboides móviles. Estas cétulas móviles son frecuentes en el encéfalo en desarrollo. Como las únicas cétulas gliales de origen mesenquimatoso, la microglia posee filamentos in termedios de vimentina que pueden ser de utilidad para identificar estas cétulas cuando se utilizan métodos inmunociroquimicos.

Les célules ganglionares del SNP y la glia periférica derivan de la cresta neural.

El desarrollo de las cétulas ganglionares del SNP comprende la proliferación y la migración de las células precursoras desde la cresta neural bacia sus sitios ganglionares futuros, donde atraviesan una proliferación adicional. Allí, las células desarrollan evaginaciones que alcanzan sus dianas distantes (p. ej., rejido glandular o células musculares lisas) y territorios sensitivos. Inicialmente, se producen más células de las necesarias. Aquellas que no establecen contacto funcional con un rejido diana experimentan apoptosis.

Las células de Schwarm también derivan de células migrantes de la cresta neural que se relacionan con los axones de los nervios embrionarios iniciales. Varios genes se han asociado con el desarrollo de las células de Schwarm. Para la generación de todos los miembros de la glia periférica a partir de células de la cresta neural es necesaria la región determinante sexual del cromosoma Y (SRY, sec-determining región Y) box 10 (Sox10). La neurregulina1(Nrg-1) derivada de axones sustenta los precursores de las células de Schwarm que experimentan diferenciación y se dividen a lo largo de las evaginaciones nerviosas en crecimiento. El destino de todas las células de Schwarm inmaduras está determinado por las evaginaciones nerviosas con las que establecen contacto inmediato. Las células de Schwarm inmaduras que se asocian con los axones de gran diámetro maduran en células de Schwarn mielínicas, mientras que aquellas que están relacionadas con axones de menor diámetro maduran en células amielínicas.

■ ORGANIZACIÓN DEL SISTEMA NERVIOSO PERIFÉRICO

El sistema nervioso periférico (SNP) está compuesto por nervios periféricos con terminaciones nerviosas especializadas y ganglios que contienen somas neuronales que se encuentran fuera del sistema nervioso central

Nervios periféricos

Un nervio periférico es un haz de fibras nerviosas que se mantienen juntas por tejido conjuntivo.

Los nervios del SNP están compuestos por muchas fibras nerviosas que transportan información sensitiva y motora (efectora) entre los órganos y los tejidos del cuerpo, así como entre el encéfalo y la médula espinal. El término fibra nerviosa se utiliza de diferentes maneras, por lo que puede resultar confuso. Puede referirse al axón con todas sus cubiertas (muelma y células de Schwann), como se ha usado hasta aquí, o puede hacer alusión al axón solo. También se emplea para designar cualquier prolongación de una neurona, ya sea dendrita o axón, en especial si la información disponible es insuficiente para identificar la prolongación como una u otro.

Los somas de los nervios periféricos pueden ubicarse dentro del SNC o fuera de este en los ganglios periféricos. Los ganglios contienen acumulaciones de somas neuronales y de fibras nerviosas entrantes o salientes (véase fig. 12-16). Los somas en los ganglios de la raíz dorsal, así como los ganglios de los nervios craneales, pertenecen a las neuronas sensitivas (aferentes aomáticas y aferentes viscerales que pertenecen al sistema nervioso autónomo, el cual se describe más adelante), cuya distribución se restringe a ubicaciones específicas (tabla 12-2; véase también fig. 12-3). Los somas en los ganglios paravertebrales, prevertebrales y terminales pertenecen a las neuronas "motoras" posisinápticas (aforentes viscerales) del sistema nervioso autónomo (véanse tabla 12-1 y fig. 12-19).

Para comprender el SNP, también es necesario describir algunas partes del SNC.

Los somas de las motoneuronas del SNP están en el SNC.

Los somas de las motoneuronas que inervan el músculo esquelético (eferentes somaticas) se ubican en el encéfalo, el tronco encefalico y la médula espinal. Los axones abandonan el SNC y discurren a través de los nervios periféricos hacia el músculo esquelético que inervan. Una sola neurona transmite impulsos desde el SNC hacia el órgano efector.

TABLA 12-2 Ganglios periféricos*

Ganglios que contienen somas de neuronas sensitivas; no son estaciones sinápticas

- Ganglios de la raíz dorsal de los nervios espinales
- Ganglios sensitivos de los nervios craneales
 - Ganglio trigeminal (semilunar, de Gasser) del nervio trigémino (V)
 - Ganglio geniculado del nervio facial (VII).
 - Ganglio espiral (contiene neuronas bipolares) de la división coclear del nervio vestibulococlear (VIII)
 - Ganglio vestibular (contiene neuronas bipolares) de la división vestibular de nervio vestibulococlear (VIII)
 - Ganglio superior e inferior del nervio glosofaringeo (IX)
 - Ganglio superior e inferior del nativio vago (X)

Ganglios que contienen somas de neuronas autónomas (postsinápticas); son estaciones sinápticas

Ganglios simpáticos

- Ganglios del tronco simpatico (paravertebrali el mas alto de estos es el ganglio cervical superior)
- Ganglios prevertebra es (contiguos a los sitios de origen de las ramas mayores no apareadas de la aorta abdominal), nóluidos el celíaco, el mesentérico superior, el mesentérico inferior y los aorticorrenales
- Medula suprarrenal que puede considerarse un ganglio simpático modificado (cada una de las células secretoras de la médula, asi como las células gang ionares reconocibles, está inervada por fibras nerviosas simpáticas presinápticas col nérgicas)

Ganglios parasimpáticos

- Ganglios cefálicos
- Ganguos ciliares asociados con el nervio ocuiomotor (III)
- Gang los submandibulares asociados con el nervio facial (VII)
- Ganglios pterigopalatinos (esfenopalatinos) del nervio facial (VII)
- Gangilos óticos asociados con el nervio glosofaringeo (IX)
- Ganglios terminales (cerca o en la pared de los órganos) incluidos ganglios de los plexos submucoso (de Meissner) y plexo mientérico (de Auerbach) del tubo digestivo (también son ganglios de la división entérica del SNA) y celulas ganglionares ais adas en una variedad de órganos.

^{*}Nota práctica los somas neuronales que aparecen en cortes histológicos como lengua, pánoreas, veliga un naria y corazon son invariablemente ganglios terminales o "células ganglionares" del sistema nervioso parasimpático

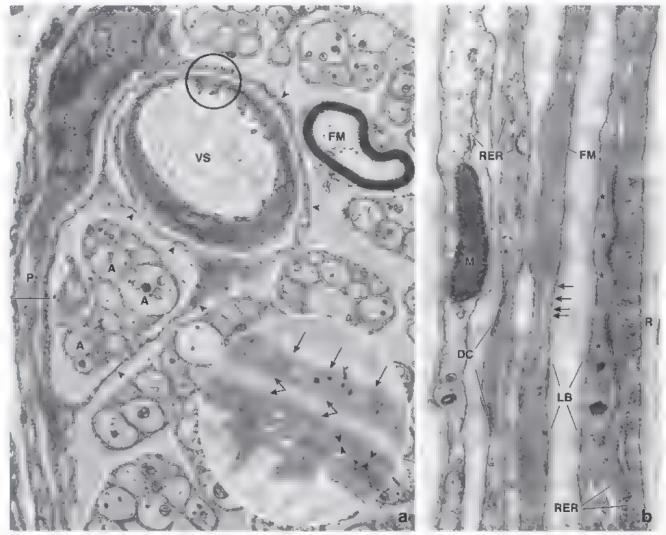


FIGURA 12-26. Microfotografía electrónica de un nervio periférico y su perineuro circundante, a. Microfotografía electrónica de las fibras nerviosas no mie inizadas y una fibra mielinizada (FM) individual. El perineuro (P), compliesto por varias capas celulares, se observa a la izquierda de la microfotografía. Las evaginaciones de las células per neurales (cabezas de fiechas) también se extienden hacia el nervio para rodear al grupo de axones (A) junto con sus células de Schwanni as como a los vasos sanguineos (VS) de pequeño calibre. Este grupo de axones corresponde a la raicilia de una rama nerviosa pequeña que se une o abandona un fasciciulo más grande. 10000 x. El area dentro del detalle que abarca el endotelho de vaso y el citopiasma de perineuro advacente se muestra en el detalle con mayor aumento. Nótense las láminas basales (externas) de los vasos y de las células del perineuro difechas). También se observa la unión entre las células endotelhales del vaso sariguineo, cabezas de flechas). 46000 x. b. Microfotografía electrónica del perineuro de un nervio. Pueden observarse cuatro capas celulares de perineuro. Cada capa i ene en sus dos superficies una lamina basal externa (LB) asociada. Otros componentes morfológicos de la célula perineura son su contenido abundante de microfilamentos de actina (MF), vesiculas pinociticas (flechas) y densidades citoplasmáticas (DC). Estas estructuras son caracteristicas de as celulas musculares las capa celular más interna de perineuro (derecha) exhibe las uniones estrechas vasteriscos) donde una célula se superpone a una segunda célula para formar la valna. En el citopiasma celular aparecen mitocondrias (M), reticulo endoplasmático rugoso (RER) y ribosomas libres (R). 27000 x.

Los somas de las neuronas sensitivas están ubicados en los ganglios que están fuera del SNC, pero carca de este.

En el sistema sensitivo (componentes tanto **aferente somático** como **aferente viscoral**), una sola neurona conecta el receptor, a través de los ganglios sensitivos, con la médula espinal o el tronco encefálico. Los **ganglios sensitivos** están ubicados en las raíces dorsales de los nervios espinales y en asociación con los componentes sensitivos de los nervios craneales V, VII, VIII, IX y X (*véase* tabla 12 2)

Componentes del tejido conjuntivo del nervio periférico

La mayor parte de un nervio peritérico está compuesta por fibras nerviosas y sus células de sostén (de Schwann). Las fibras nerviosas individuales y sus células de Schwann asociadas se mantienen juntas por el tejido conjuntivo organizado en tres componentes distintos, cada uno con características morfológicas y funcionales específicas (fig. 12-26; véase también fig. 12-3):

- Endoneuro. Comprende el rejido conjuntivo laxo alrededor de cada fibra nerviosa individual
- Perineuro. Se compone del tejido conjuntivo especializado alrededor de cada fascículo nervioso.
- Epinouro. Está formado por el rejido conjuntivo denso irregular que rodea todo un nervio periférico y llena los espacios entre los fascículos nerviosos.

El endoneuro está compuesto por tejido conjuntivo laxo asociado con fibras nerviosas individuales.

El endoneuro no es visible en los preparados de rutina para el microscopio óptico, pero las técnicas especiales para tendo conjuntivo permiten su detección. Con el microscopio electrónico,

las fibrillas de colágeno que componen el endoneuro se identifican con facilidad (*véanse* figs. 12-14 y 12-15). Esas fibrillas discurren paralelas a las fibras nerviosas y las rodean para unurlas de manera funcional en un fascículo o haz. Dado que los fibroblastos son relativamente escasos en los intersucios de las fibras nerviosas, es probable que la mayoría de las fibrillas colágenas sean secretadas por las células de Schwann y las neuronas de la raíz dorsal. Esta conclusión está apoyada por los estudios en cultivos de tejido en los que las fibrillas de colágeno se forman a partir de cultivos puros de células de Schwann y neuronas de la raíz dorsal.

Además de los fibroblastos ocasionales, las únicas otras células de tejido conjuntivo que aparecen generalmente dentro del endoneuro son los mastocitos y los macrófagos. Los macrófagos median la vigilancia immunitaria y también participan en la reparación del tejido nervioso. Después de una lesión nerviosa, los macrófagos proliferan y fagocitan de forma activa los detritos de mielina. En general, la mayoría de los núcleos (90%) encontrados en los cortes transversales de los nervios penféricos pertenecen a las células de Schwann. El 10% restante se distribuye de manera equitativa entre fibroblastos ocasionales y otras células como las células endoteliales de los capilares, los macrófagos y los mastocitos.

El perineuro es el tejido conjuntivo especializado que rodea un fasciculo nervioso y contribuye a la formación de la barrera bematonerviosa.

Alrededor del haz nervioso se encuentra una vaina de células con juntivas especiales que constituyen el perineuro. El perineuro funciona como una barrera de difusión metabólicamente activa que contribuye a la formación de la barrera hematonerviosa. Esta barrera mantiene el medio iónico de las fibras nerviosas envainadas. De manera similar a las propiedades que exhiben las células endoteliales de los capilares encefálicos que forman la barrera hematoencefálica (véase p. 415), las células porineurales poseen receptores, transportadores y enzimas que proporcionan el transporte activo de sustancias.

El perineuro puede tener el espesor de una sola capa celular o más, según el diámetro del nervio. Las células que componen esta capa son planas. Cada capa exhibe una lámina externa (basal) en ambas superficies (véase fig. 12-26b y lám. 27, p. 422). Las células son contráctiles y contienen una cantidad notable de filamentos de actina, una característica de las células musculares lisas y otras células contráctiles. Además, cuando hay dos capas celulares permeurales o más (en los nervios más grandes puede haber hasta cinco o seis capas), entre las capas celulares se hallan fibrillas de colágeno, pero los fibroblastos están ausentes. Las uniones estrechas proporcionan la base para la barrera hernatonerviosa y están presentes en las células ubicadas dentro de la misma capa del perineuro. En efecto, la disposición de estas células como una barrera por la presencia de uniones estrechas y de material de la lámina externa (basal), las hace semejantes a las células del tejido epitelial. Por otro lado, su naturaleza contráctil y su aparente capacidad para producir fibrillas de colágeno también las asemeja a las células del músculo liso y a los fibroblastos.

La cantidad limitada de tipos celulares conjuntivos dentro del endoneuro (véase p. 407) sin duda es un reflejo del papel protector que cumple el perineuro. Las células rípicas del sistema inmunitario (linfocitos, plasmocitos) no se encuentran dentro de los compartimentos del endoneuro y el perineuro. Esta falta de células inmunitarias (diferentes de los mastocitos y los macrófagos) se explica por la barrera protectora creada por las células perineurales. En general, solo los fibroblastos, una cantidad reducida de macrófagos residentes y los mastocitos ocasionales están presentes dentro del compartimento nervioso.

El epineuro está compuesto por tejido conjuntivo denso irregular que rodea y una los fascículos en en haz común.

El **opineuro** forma el tejido más externo del nervio periférico. Es un **tejido conjuntivo denso** típico que rodea los fascículos formados por el perineuro (lám. 28, p. 424). En los nervios más grandes, el tejido adiposo suele estar asociado con el epineuro.

Los vasos sanguíneos que irrigan los nervios discurren en el epineuro y sus ramificaciones penetran el nervio y corren dentro del perineuro. El tejido a la altura del endoneuro está muy poco vascularizado; el intercambio metabolico de sustratos y desechos en este tejido depende de la difusión desde los vasos sanguíneos y hacia ellos a través de la vaina perineural (*véase* fig. 12-26).

Receptores aferentes

Los receptores aferentes (sensitivos) son estructuras especializadas ubicadas en los extremos distales de las evaginaciones periféricas de las neuronas sensitivas.

Si bien los receptores pueden tener diferentes estructuras, todos comparten una característica básica: pueden iniciar un impulso nervioso en respuesta a un estímulo. Los receptores se clasifican de la siguiente manera.

- Exteroreceptores. Estos receptores reaccionan ante estímulos del medio externo; por ejemplo, térmicos, olfatorios, táctiles, auditivos y visuales.
- Intrarrecaptores. Estos receptores reaccionan ante estímulos provenientes del interior del organismo; por ejemplo, el grado de llenado o de distensión del tubo digestivo, la vejiga unnaria y los vasos sanguíneos.
- Propiorreceptores. Estos receptores, que también reaccionan ante estímulos internos, perciben la posición corporal, el tono y el movimiento muscular

El receptor más simple consiste en un axón desnudo llamado terminación nerviosa no encapsulada (libra) Esta terminación se encuentra en los epitelios y el tejido conjuntivo, así como en estrecha asociación con los folículos pilosos.

La mayoría de las terminaciones nerviosas sensitivas adquieren cápsulas o vainas de tejido conjuntivo de complejidad variable.

Las terminaciones nerviosas sensitivas con vainas de tejido conjuntivo se denominan terminaciones encapsuladas. Muchas terminaciones encapsuladas son mecanorreceptores ubicados en la piel y las cápsulas articulares (bulbos terminales de Krause, corpúsculos de Ruffini, corpúsculos de Meissner y corpúsculos de Pacini) y se describen en el capítulo 15. Los husos musculares son terminaciones sensitivas encapsuladas que están en el músculo esquelético y se describen en el capítulo 11, Tejido muscular (véase p. 352). Los órganos tendinosos de Golgi, que tienen un parentesco funcional con los anteriores, son receptores encapsulados de tensión que se encuentran en las uniones musculorendinosas.

■ ORGANIZACIÓN DEL SISTEMA NERVIOSO AUTÓNOMO

Si bien el SNA se presentó antes en este capítulo, aquí conviene describir algunas de las características sobresalientes de su organización y su distribución. El SNA se clasifica en tres divisiones:

- División simpática
- División parasimpática
- Division entérica

El SNA controla y regula el medio interno del organismo.

El SNA es la parte del SNP que se encarga de enviar impulsos involuntarios hacia el músculo liso, el músculo cardíaco y el epitelio glandular. Estos efectores son las unidades funcionales de los órganos que responden a la regulación del tejido nervioso. A veces se utiliza el término visceral para caracterizar el SNA y sus neuronas, que se denominan motoneuronas viscerales (eforentes). Sin embargo, las motoneuronas viscerales suelen estar acompañadas por las neuronas sensitivas viscerales (aferentes), que transmiten el dolor y los reflejos desde los efectores viscerales (vasos sanguíneos, membranas mucosas y glándulas) hacia el SNC. Estas neuronas seudounipolares presentan la misma disposición que otras neuronas sensitivas, es decir, sus somas se encuentran ubicados en los ganglios sensitivos y poseen largos axones periféricos y centrales, como ya se describió.

La principal diferencia de organización entre el flujo eferente de impulsos hacia el músculo esquelético (efectores somáticos) y el flujo eferente hacia el músculo liso, el músculo cardíaco y el epitelio glandular (efectores viscerales) es que una sola neurona transmite los impulsos desde el SNC hacia el efector somático, mientras que una cadena de dos neuronas transmite los impulsos desde el SNC hacia los efectores viscerales (fig. 12-27). Por lo tanto, hay una estación sináptica en un ganglio autónomo situado fuera del SNC, donde una neurona presináptica entra en contacto con neuronas postsinápticas. Cada neurona presináptica estableor sinapsis con varias neuronas postsinápticas.

Divisiones simpáticas y parasimpáticas del sistema nervioso autónomo

Las neuronas presinápticas de la división simpática se encuentran en las porciones torácica y lumbar superior de la médula espinal.

Las neurones presinéptices envían axones desde la médula espinal torácica y lumbar superior hacia los ganglios vertebrales y paravertebrales. Los ganglios paravertebrales en el tronco simpático contienen los somas de las neuronas efectoras postsinápticas de la división simpática (fig. 12-28; véase también fig. 12-27).

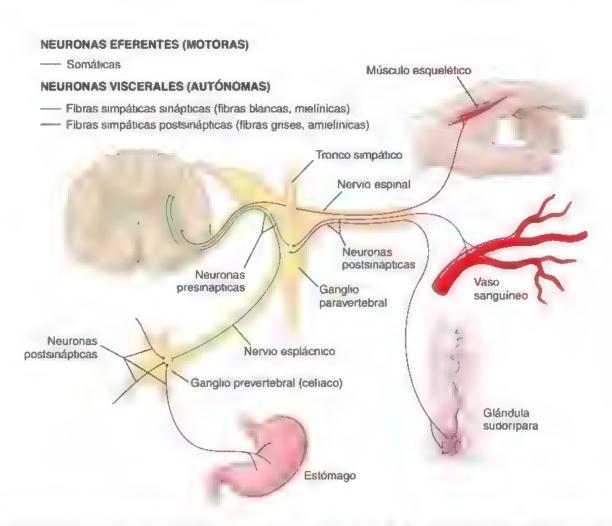


FIGURA 12-27. Neuronas somáticas eferentes y neuronas viscerales eferentes. En el sistema eferente somático (motor) una neurona conduce los impulsos desde el SNC hasta el efector (musculo esque ético). En el sistema eferente visceral lautónomo) representado en este esquema por una división simpática del SNA una cadena bineurona conduce los impulsos una neurona presináptica ubicada dentro de SNC y una neurona posts náptica localizada en los ganglios paravertebrales o prevertebrales. Además cada neurona presináptica cada tentro de sináptico con más de una neurona postsináptica ulas fibras simpáticas postsinápticas inervan e imusculo liso (como en los viscos sanguineos) o el epitelio glandular (como en las giándulas sudoriparas). Las neuronas del SNA que inervan los órganos del abdomen lo hacen a través de los nervios espiacnicos. En este ejempio, el nervio esplácnico se une con el gang lo celiaco donde ocurren la mayoría de las sinapsis de la cadena bineuronal.

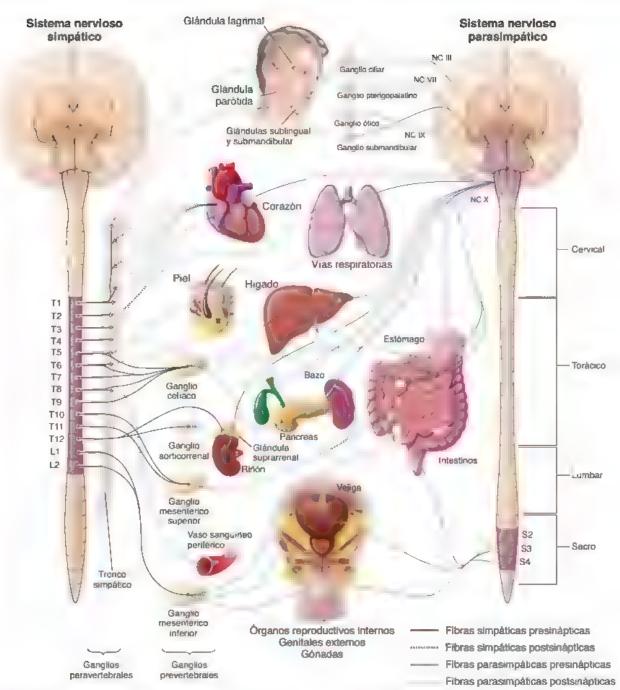


FIGURA 12-28. Disposición general de las neuronas simpáticas y parasimpáticas del SNA. Las eferencias simpáticas se muestran a la izquierda y las parasimpáticas a la derecha. La eferencia simpática (toracolumbar) abandona e. SNC desde los segmentos torácico y lumbar superior (11 y L21 de la medula espinal. Estas fibras presinápticas se comunican con las neuronas postsinápticas en dos sitios, los ganglios paravertebraies y los ganglios prevertebrales. Los primeros están ligados y forman dos troncos simpáticos en cada lado de la columna vertebra lulustrado como una sola columna a un lado de la medula espinal. Los ganglios prevertebrales están asociados con las ramas principales de la aorta abdominal lovalos amanllos! Cabe destacar la distribución de las fibras nerviosas simpáticas postsinápticas hácia las visceras. La eferencia parasimpática (craneosacra) abandona el SNC desde la sustancia gris del tronco del encétalo dentro de los narvios craneales. II. y II. X y X, asi como desde la sustancia gris de los segmentos sacros (S2-S4) de la médula espinal y se distribuyen hacia las visceras. Las fibras presinápticas que visian con los nervios craneales. II. y II. X y X, asi como desde la sustancia gris de los segmentos sacros (S2-S4) de la médula suprimental y la cabeza y la región del cuello tóvalos amanllos frente a la cabeza y las fibras presinápticas que van con el nervio cranea. X y las de los segmentos sacros (S2-S4) tienen sus sinapsis con neuronas posts nápticas en la parad de los órganos viscerais (ganglios termina es). Por lo tanto las visceras tienen inervación simpática y parasimpática. Observese que la cadena bineuronal transmite impulsos a todas las visceras, excepto la médula supramenal.

Las neuronas presinápticas de la división parasimpática están ubicadas en el tronco encefálico y la porción sacra de la médula espinal.

Las neuronas parasimpáticas presinápticas envían axones desde el tronco encefalico, es decir, desde el mesencefalo, la protuberancia (puente) y la médula oblongada (bulbo raquideo), así como desde los segmentos sacros de la médula espinal (\$2-54) hacia los ganglios viscerales. Los ganglios que estan dentro o cerca de la pared de los organos abdominales y pélvicos, al igual que los ganglios motores viscerales de los nervios craneales III, VII, IX y X, contienen los somas de las neuronas efectoras postsinápticas de la division parasimpática (veanse figs. 12-27 y 12-28)

Las divisiones simpática y parasimpática del SNA con frecuencia inervan los mismos órganos. En estos casos, las acciones de ambas divisiones suelen ser antagónicas. Por ejemplo, la estimulación simpática incrementa la frecuencia de contracción del músculo cardíaco, mientras que la estimulación parasimpática la reduce.

Muchas funciones del SNS son similares a las de la médula suprarrenal, una glándula endocrina. Esta similitud funcional se explica, en parte, por las relaciones evolutivas entre las células de la médula suprarrenal y las neuronas simpáticas postsinápticas. Ambas derivan de la cresta neural, son inervadas por las neuronas simpáticas presinápticas y producen compuestos fisiológicamente activos con un parentesco muy cercano, la adrenalina y la noradrenalina. Una diferencia importante radica en que las neuronas simpáticas entregan el compuesto directamente al efector, mientras que las células de la médula suprarrenal lo hacen de un modo indirecto, a través de la circulación. La inervación de la médula suprarrenal puede ser una excepción a la regla que duce que la inervación autónoma consiste en dos cadenas neuronales desde el SNC hacia un efector, salvo que la célula medular suprarrenal sea considerada el equivalente funcional de la segunda neurona (en efecto, una neurona neurosecretora).

División entérica del sistema nervioso autónomo

La división entérica del SNA consiste en los ganglios y sus evaginaciones que inervan el tubo digestivo.

La división enterios del SNA consiste en un conjunto de neuronas y sus evaginaciones dentro de las paredes del rubo digestivo. Controla la motilidad (contracciones de la pared intestinal), las secreciones exocrinas y endocrinas, así como el flujo sanguíneo a través del tubo digestivo. Asimismo, regula los procesos inmunitarios e inflamarorios.

El sistema nervioso entérico puede funcionar de manera independiente al SNC y se considera el "oprebro del intestino". Sin embargo, la digestión requiere la comunicación entre las neuronas entéricas y el SNC, la cual está dada por las fibras nerviosas parasimpáticas y simpáticas. Los enterorreceptores ubicados en el tubo digestivo proporcionan información sensitiva al SNC con respecto al estado de las funciones digestivas. Después, el SNC coordina la estimulación simpática, que inhíbe la secreción gastrointestinal, la actividad motora y la contracción de los esfínteres y los vasos sanguíneos gastrointestinales, así como la estimulación parasimpática que produce las acciones opuestas. Las interneuronas integran la información desde las neuronas sensitivas y la transmiten a las motoneuronas entéricas en la forma de teflejos. Por ejemplo, el reflejo gastrocólico se produce cuando la distensión del estómago estimula la contracción de la musculatura del colon para desencadenar la defecación

Los ganglios y las neuronas poststnápticas de la división entérica están localizados en la lámina propia, la muscular de la mucosa, la submucosa, la muscular externa y la subserosa del tubo digestivo desde el esófago hasta el ano (fig. 12-29). Dado que la división entérica no necesita los impulsos presinápticos del nervio vago ni de las eferencias sacras, el intestino continúa los movimientos peristálticos aun después de que el nervio vago o los nervios esplácnicos pélvicos son seccionados.

Las neuronas de la división entérica no están sostenidas por las células satélite ni por las células de Schwann; en cambio, las células gliales entéricas, que se parecen a los astrocitos, son las que les proporcionan sostén (véase p. 398). Las células de la división en-

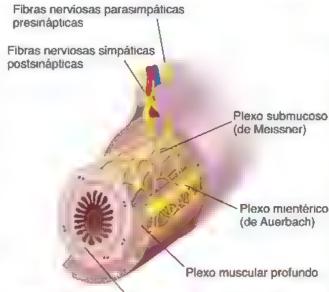


FIGURA 12-29. Sistema nervioso entérico. En este diagrama se muestra la organización del sistema entérico en la pared del intestino delgado. Obsérvese la ubicación de dos plexos nerviosos que contienen células ganglionares. El plexo más superficial, el piexo mentérico (de Auerbach), se ubica entre dos capas musculares. Más profundo en la región de la submucosa, hay una red de fibras nerviosas no mielinizadas y células ganglionares que forman el piexo submucoso (de Meissner). Las fibras parasimpáticas provenientes del nervio vago ingresan en el mesenteno de intestino delgado y hacen sinapsis con las células ganglionares de ambos plexos. Las fibras nerviosas simpáticas postsinápticas también colaboran con el sistema nervioso entérico.

térica también son afectadas por las mismas alteraciones patológicas que pueden ocurrir en las neuronas del encefalo. En las paredes del intestino grueso se han encontrado cuerpos de Lewy, asociados con la anfermedad de Parkinson (véase cuadro 12-1, p. 390), así como placas amiloides y ovillos neurofibrilares asociados con la enfermedad de Alzheimer. Este hailazgo puede conducir a la implementación de biopsias rectales de rutina para el diagnóstico precoz de la enfermedad de Alzheimer y la detección post mortem de la enfermedad de Parkinson, ya que la biopsia de encefalo es mas compleja y riesgosa.

Resumen de la distribución autónoma.

En las figuras 12-27 y 12-28 se resumen los orígenes y la distribución del SNA. El estudiante debe referirse a estas figuras al leer las secciones descriptivas. Debe notarse que los diagramas indican tanto la inervación par (parasimpática y simpática) común al SNA como las excepciones importantes a esta característica general.

Cabeza

- Las oferencias presinàpticas perasimpàticas de la cabeza abandonan el encéfalo junto con los nervios craneales, como se indica en la figura 12-28, pero las vías son bastante complejas. Los somas neuronales también pueden hallarse en estructuras diferentes de los ganglios mencionados en la tabla 12-1 y la figura 12-27 (p. ej., en la lengua). Estos son "ganglios terminales" que contienen los somas neuronales del sistema parasimpático.
- Las eferencias presinapticas simpaticas de la cabeza provienen de la región torácica de la médula espinal. Las neuronas postsinapticas tienen sus somas en el ganglio cervical superior. Los axones abandonan el ganglio en una red nerviosa

que rodea la pared de las *arterias* carótida interna y externa para formar los plexos nerviosos periarteriales. Los plexos de la carótida interna y la externa siguen las ramas de las arterias carótidas para alcanzar su destino.

Тогах

- Las eferencias presinapticas parasimpaticas de las visceras torácicas viajan a través del nervio vago (X). Las neuronas postunápticas tienen sus somas en las paredes o en el parénquima de los órganos del tórax.
- Las elerencias prezinápticas simpáticas de los órganos del tórax provienen de los segmentos torácicos superiores de la médula espinal. La mayoría de las neuronas postsinápticas simpáticas para el corazón están, sobre todo, en los ganglios cervicales. Las neuronas postsinápticas para las otras visceras torácicas están en los ganglios de la porción torácica del tronco simpático. Los axones viajan a través de los pequeños nervios esplácnicos desde el tronco simpático hasta los órganos dentro del tórax y forman los plexos pulmonar y esofágico.

Abdomen y pelvis

- Las eferencias presinapticas perasimpáticas de las visceras abdominales provienen de los nervios vago (X) y esplácnico. Las neuronas posisinápticas del sistema parasimpático para los órganos abdominopélvicos están en los ganglios terminales que, en su mayoría, se ubican en las paredes de los mismos órganos, como los ganglios del plexo submucoso (de Meissner) y del plexo mientérico (de Auerbach) en el tubo digestivo. Estos ganglios son parte de la división entérica del SNA.
- Las eferencias presinapticas simpáticas de los órganos abdominopélvicos provienen del segmento torácico inferior y del segmento lumbar superior de la médula espinal. Estas fibras liegan a los ganglios prevertebrales a través de los nervios esplácnicos abdominopélvicos, que consisten en los nervios esplácnicos lumbares y torácicos mayor, menor e inferior. Las neuronas postunápticas tienen la mayor parte de sus somas en los ganglios prevertebrales (véase fig. 12-27). Solo las fibras presinápticas que terminan en las células en la médula de la glándula suprarrenal tienen su origen en los ganglios paravertebrales del tronco simpático. Las células medulares suprarrenales funcionan como un tipo especial de neurona postsináptica que libera neurotransmisores directamente hacia el torrente sanguíneo en lugar de hacia la hendidura sináptica.

Extremidades y pared del cuerpo

Ni la pared corporal ni las extremidades tienen eferencias parasimpáticas. Desde el punto de vista anatómico, la inervación autónoma en la pared del cuerpo es solo simpática (véase fig. 12-27). Cada nervio espinal contiene fibras simpáticas postsinápticas, es decir, eferentes viscerales no mielinizados de las neuronas cuyos somas se encuentran en los ganglios paravertebrales del tronco simpático. Para las glándulas sudoríparas, el neurotransmisor liberado por las neuronas "simpáticas" es la ACh en lugar de la noradrenalina habitual.

■ ORGANIZACIÓN DEL SISTEMA NERVIOSO CENTRAL

El sistema nervioso central está compuesto por el encéfalo, ubicado en la cavidad craneal, y la médulo espinal, localizada en el conducto vertebral. El SNC está protegido por el cráneo y las vértebras y está rodeado por tres membranas de tejido conjuntivo denominadas *meninges*. El encéfalo y la médula espinal esencialmente flotan en el líquido cefalorraquídeo, que ocupa el espacio entre las dos capas meníngeas internas. Además, el encéfalo se subdivide en cerebro, cerebelo y tronco del encéfalo, el cual se continúa con la médula espinal.

En el encéfalo, la sustancia gris forma una cubierta externa o corteza mientras que la sustancia blanca forma un centro interno o médula.

La corteza cerebrat, que forma la capa más externa del encéfalo, contrene los somas neuronales, los axones, las dendritas y las células de la glía central, y es el sitio donde se producen las sinapsis. En un cerebro disecado en fresco, la corteza cerebral tiene un color gris, que recibe el nombre de sustancia gris. Además de ubicarse en la corteza, la sustancia gris también se encuentra en forma de istotes, conocidos como nucleos, en la profundidad del cerebro y del cerebelo.

La sustancia blanca solo contiene axones de neuronas, además de las células gliales y los vasos sanguíneos asociados (los axones en preparados frescos tienen un aspecto blanquecino). Estos axones viajan de una parte a otra del sistema nervioso. Si bien muchos de los axones que van hacía una región específica o vuelven de ella se agrupan en fascículos que están relacionados funcionalmente (denominados tractos), estos no presentan límites definidos. Para identificar un tracto en la sustancia blanca del SNC es necesano un procedimiento especial, como la destrucción de los somas que proveen fibras al tracto en cuestión. Las fibras dañadas pueden detectarse a través de métodos de tinción o marcado adecuados y después rastrearse. Aun en la médula espinal, donde el agrupamiento de los tractos es más pronunciado, no existen límites nítidos entre los tractos contiguos.

Células de la sustancia gris

Los tipos de somas encontrados en la sustancia gris varían según la parte del encéfalo o de la médula espinal que se examine.

Cada región funcional de la sustancia gris tiene una variedad característica de somas asociados con una red de evaginaciones axónicas, dendríticas y gliales.

La red de evaginaciones axónicas, dendríticas y gliales asociadas con la sustancia gris se denomina *neurópilo*. La organización del neurópilo no puede demostrarse en corres teñidos con H&E. Es necesario utilizar métodos diferentes del histológico para descifrar la citoarquitectura de la sustancia gris (lámina 29, p. 426).

Si bien los programas histológicos generales no suelen incluir las disposiciones reales de las neuronas en el SNC, la presentación de dos ejemplos contribuirá a una mejor apreciación de los cortes teñidos con H&E que los estudiantes suelen examinar. Estos ejemplos son una región de la corteza cerebral (fig. 12-30) y una región de la corteza cerebelosa (fig. 12-31), respectivamente.

El tronco del encéfato no tiene una separación clara en regiones de sustancia gns y sustancia blanca. No obstante, los núcleos de los nervios craneales ubicados en el tronco encefálico aparecen como islotes rodeados por tractos de sustancia blanca más o menos definidos. Los núcleos contienen somas de las motoneuronas de los nervios craneales, y son los equivalentes morfológicos y funcionales de las astas anteriores de la médula espinal. En otros sitios en el tronco encefalico, como en la formación reticular, la distinción entre sustancia blanca y sustancia gris es aún menos evidente.

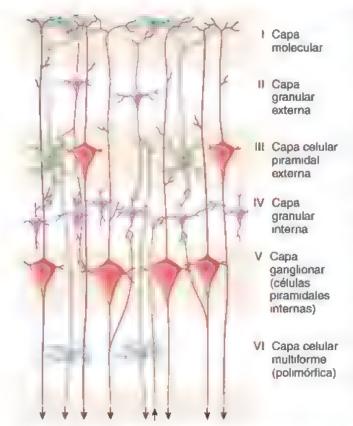


FIGURA 12-30. Células nerviosas en los circuitos cerebrales intracorticales. Organización y conexiones entre células de diferentes capas de la corteza que contribuyen con las fibras aferentes corticales (flechas hacia amba) y fibras eferentes corticales (flechas hacia abajo) Las pequeñas interneuronas están indicadas en amarillo

Organización de la médula espinal

La médula espinal es una estructura cilíndrica aplanada que está en continuidad directa con el tronco encefálico. Está dividida en 31 segmentos (8 cervicales, 12 torácicos, 5 lumbares, 5 sacros y 1 coccígeo) y cada segmento está conectado a un par de nervios espinales. Cada nervio espinal se une a su segmento correspondiente de la médula por varias raicillas agrupadas como raíces dorsales (posteriores) o ventrales (anteriores) (fig. 12-32; véase también fig. 12-3).

En un corte transversal, la médula espinal presenta una sustancia interna con forma de mariposa pardo grisácea, la sustancia gris, que rodea el conducto central, y una sustancia periférica blanquecina, la sustancia blanca (fig. 12-33). La sustancia blanca (véase fig. 12-3) contiene solo rastros de axones mielinizados y no mielinizados que discurren desde y hacia otras partes de la médula espinal, y desde y bacia el encéfalo.

La sustancia gris contiene los somas neuronales y sus dendrims, junto con axones y células de la glia central (lám. 31, p. 430). Los grupos de somas neuronales en la sustancia gris que están relacionados funcionalmente se denominan nucleos. En este contexto, el término núcleo significa un conjunto o grupo de somas neuronales, además de fibras y glia. Los núcleos del SNC son equivalentes morfológicos y funcionales de los ganglios en el SNP. Las sinapsis ocurren solo en la sustancia gris.

Los somas de las motoneuronas que inervan el músculo estriado se ubican en el asta ventral (anterior) de la sustancia gris.

Las motoneuronas ventrales, también llamadas células de las astes anteriores, son grandes células basófilas que se identifican con facilidad en los preparados histológicos de rutina (véanse fig. 12-33 y lám. 31, p. 430). Dado que la motoneurona conduce impulsos hacia afuera del SNC, es una neurona eferente.

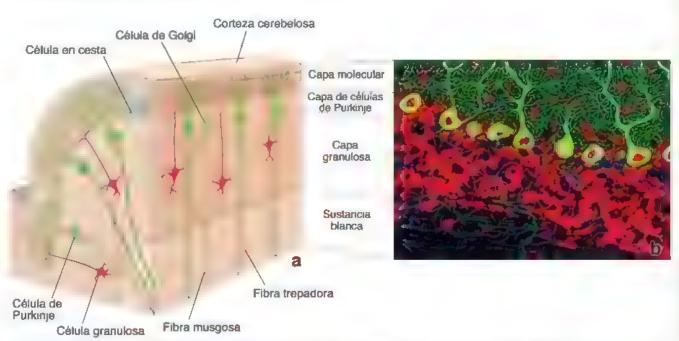


FIGURA 12-31. Citoarquitectura de la corteza cerebelosa, a. En este diagrama se muestra el corte de una iam nilla, un giro angosto semejante a una hoja, de la corteza cerebelosa. El borde de corte más iargo es paralelo a la lamin la Obsérvese que la corteza cerebelosa contiene sustancia bianca y sustancia gris. En el diagrama se identifican tres capas diterentes de sustancia gris la capa molecular, ubicada superficialmente la capa media de cérulas de Purkinje y la capa granulosa adyacente a la sustancia bianca. Las fibras musgosas y las tibras trepadoras son fibras aterentes importantes del cerebelo. b. Capa de células de Purkinje de cerebelo de una rata visualizadas con métodos de marcado de doble fluorescencia. El ADN teñ do de rojo indica los nucleos de las células en un corte deigado de las capas molecular y granulosa. Obsérvese que cada célula de Purkinje exhibe abundantes dendritas. 380 × (cortesía de Thomas J. Deerinck).

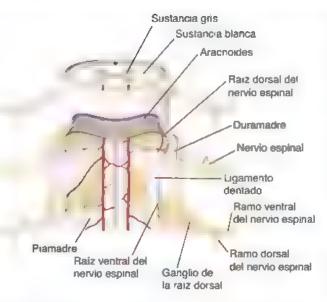


FIGURA 12-32. Vista posterior de la médula espinal con las meninges que la cubren. Cada nervio espinal se origina a partir de la médula espinal a través de raicillas, que se juntan para formar raices nerviosas dorsales (posteriores) y ventrales (anteriores). Estas raíces se unen para formar un nervio espinal que, después de un tiempo, se divide en ramos primarios ventrales (anteriores) más gruesos y dosales (posteriores) más finos. Obsérvese la duramadre (la capa expinante de las meninges) alrededor de la médula espinal y los nervios espinales emergentes. También es visible el ligamento dentado de la piamadre que fija la médula espinal a la pared de conducto espinal.

El axón de una motoneurona abandona la médula espinal, atraviesa la raíz ventral (antenor), se convierte en un componente del nervio espinal de ese segmento y, como tal, se dirige hacia el músculo. El axón está mielinizado, excepto en su origen y en su terminación. Cerca de la célula muscular, el axón se divide en muchas ramas terminales que forman las uniones neuromusculares (véase p. 348)

Los somas de las neuronas sensitivas se localizan en los ganglios ubicados en la raíz dorsal del nervio espinal.

Las neuronas sensitivas en los ganglios de la raíz dorsal son seudounipolares (lám. 27, p. 422). Tienen una sola prolongación que se bifurca en un segmento periférico, que trae información desde la penferia hacia el soma neuronal, y en un segmento central, que lleva información desde el soma neuronal hacia la sustancia gris de la médula espinal. Dado que la neurona sensitiva conduce impulsos hacia el SNC, es una neurona aferente. Los impulsos se generan en las arborizaciones receptoras terminales del segmento periférico.

Tejido conjuntivo del sistema nervioso central

Tres membranas secuenciales de tejido conjuntivo, las meninges, cubren al encéfalo y la médula espinal

- La duramadre es la capa más externa.
- La aracnoides es una capa que se ubica debajo de la duramadre.
- La piamadre es una delicada capa que está en contacto directo con la superficie del encéfalo y la médula espinal.

Puesto que la aracnoides y la piamadre derivan de la capa simple de mesénquima que rodea el encéfalo en desarrollo, habitualmente con conocidas como *pia-araenoides*. En los adultos, la piamadre corresponde a la hoja visceral, y la aracnoides, a la hoja panetal

de la misma capa. Este origen común de la pia aracnoides se torna evidente en las meninges del adulto, donde una gran cantidad de bandas de tejido conjuntivo (trabéculas aracnoideas) pasan entre la piamadre y la aracnoides.

La duramadre es una lámina relativamente gruesa de tejido conjuntivo denso.

En la cavidad craneal, la capa gruesa de tejido conjuntivo que forma la duramadre es continua en su superficie externa con el periostio del cráneo. Dentro de la duramadre, hay espacios revestidos por el endotelio (y reforzados por el periostio y la duramadre) que actúan como conductos principales para la sangre que regresa del encéfalo. Estos senos veriosos (durales) reciben sangre de las principales venas cerebrales y la transportan hacía las venas yugulares internas.

Las extensiones laminares de la superficie interna de la durama dre forman tabiques entre partes del encéfalo, sostienen esas partes dentro de la cavidad craneal y llevan la aracnoides hasta alguna de las regiones encefálicas más profundas. En el conducto espinal, las vértebras tienen su propio periostio y la duramadre forma un tubo separado alrededor de la médula espinal (véste fig. 12-32).

La aracnoides es una lámina deficada de tejido conjuntivo adyacente a la superficie interna de la duramadre.

La aracnoides limita con la superficie interna de la duramadre y extiende trabéculas aracnoideas hacia la piamadre en la superficie del encéfalo y la médula espinal. Las trabéculas en forma de red de la aracnoides son las estructuras que le dan el nombre a esta membrana. Las trabéculas están compuestas por hebras de tejido conjuntivo laxo con fibroblastos alargados. Este espacio que cruzan los

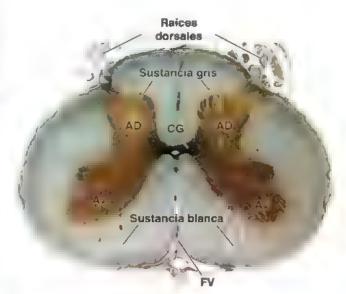


FIGURA 12-33. Corte transversal de la médula espinal humana.

En la microfotografía se muestra un corte transversal en un nivel lumbar bajo (probablemente L4-L5) de la médula espina, teñida por el método de impregnación argéntica de Bielschowsky. La médula espinal está organizada en una parte externa, la sustancia blanca, y una parte interna, la sustancia gris, que contiene somas neuronales y fibras nerviosas asociadas. La sustancia gris de la médula espinal aparece en forma de manposa. Las prominencias anteriores y postenores se denominari astas ventrales (AV) y astas dorsales (AD), respectivamente. Están conectadas por la cornisura gris (CG). La sustancia blancia contiene fibras nerviosas que forman tractos ascendentes y descendentes. La superficie externa de la médula espinal está rodeada por la piamadre. En este corte se observan los vasos sanguíneos de la piamadre, la fisura ventral (FV) y algunas raíces dorsales de los nervios espinales. 5×

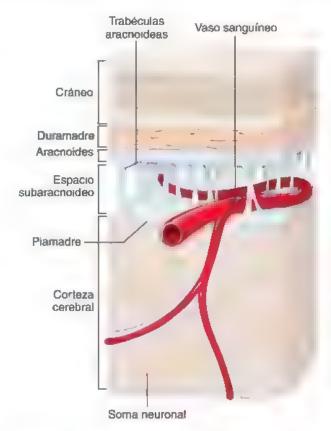


FIGURA 12-34. Meninges cerebrales. La capa externa, la duramadre, se une a hueso contiguo de la cavidad craneal (no se muestra en la figura). La capa interna, la piamadre, se adhiere a la superficie cerebra, y sigue todos sus contomos. Obsérvese que la piamadre sigue las ramas de las arterias cerebrales a medida que entran en la corteza cerebral. La capa intermedia, la aracnoides, es advacente, pero no está unida a la duramadre. La aracnoides emite numerosas trabéculas en forma de telaraña hacia la piamadre. Entre la aracnoides y la piamadre se ubica el espacio subaracnoideo que contiene liqui do cefalorraquideo. El espacio también contiene grandes vasos sanguíneos (arterias cerebrales) que envian tambas hacia la sustancia encefálica.

cordones es el espacio subaracnoideo, el cual contiene el tiquido cefalorraquideo (fig. 12-34).

La piamadre está en contacto directo con la superficie del encéfalo y la médula espinal.

La piamadre también es una delicada capa de tejido conjuntivo. Está en contacto directo con la superficie del encéfalo y la médula espinal y es continua con la vaina de tejido conjuntivo perivascular de los vasos sanguíneos encefálicos y medulares. Ambas superficies de la aracnoides, la superficie interna de la piamadre y los cordones, están revestidas con una fina capa epitelial escamosa. Tanto la aracnoides como la piamadre se fusionan alrededor de los orificios de salida para los nervios craneales y espinales en la duramadre.

Barrera hematoencefálica

La barrera hematoencefálica protege al SNC de las concentraciones fluctuantes de electrólitos, hormonas y metabolitos celulares que circulan en los vasos sanguíneos.

La observación hace más de 100 años de que los colorantes vitales inyectados en el torrente sanguíneo pueden penetrar y teñir casi todos los órganos, excepto el encéfalo, proporcionó la primera descripción de la barrera hematoencefálica. En años recientes, los avances en las técnicas de microscopía y biología molecular han permitido identificar la ubicación precisa de esta barrera única y el papel de las células endoteliales en el transporte de sustancias esenciales hacia el tejido encefálico.

La barrera hematoencefálica se desarrolla temprano en el embrión por medio de una interacción entre los astrocitos de la glía y las células endoteliales capilares. La barrera es creada en gran parte por las intrincadas uniones estreches entre las células endotellales que forman capilares de tipo continuo. Los estudios realizados con el MET en los que se utilizaron trazadores opacos para los electrones muestran que hay uniones estrechas complejas entre las células endoteliales. Desde el punto de vista morfológico, estas uniones se parecen más a las uniones estrechas epiteliales que a las uniones estrechas presentes entre otras células endoteliales. Además, los estudios con MET demuestran una estrecha asociación de los astrucitos y sus evaginaciones de pies perivasculares con la lámina basel endotelial (fig. 12-35). Las uniones estrechas eliminan las brechas entre las células endoteliales y evitan la difusión simple de los solutos y el líquido hacia el tejido nervioso. Los indicios sugieren que la integridad de las uniones estrechas de la barrera hematoencefálica depende del funcionamiento normal de los astrocitos asociados. Diversas enfermedades encefálicas se caracterizan por alteraciones en la barrera hematoencefalica. En el examen de tejido encefálico en estas enfermedades con MET se comprueba una desaparición de las uniones estrechas, asi como alteraciones en la morfologia de los astrocitos. Otros datos experimentales indican que los astrocitos liberan factores solubles que incrementan las propiedades de la barrera y el contenido proteinico de la unión estrecha.

La barrera hematoencefálica restringe el paso de ciertos iones y sustancias desde el torrente sanguineo hacia los tejidos del SNC.

La presencia de solo unas pocas vesículas pequeñas indica que la pinocitosis a través de las células endoteliales del encéfalo está muy restringida. Las sustancias con un peso molecular **mayor de 500 Da**, en general, no pueden atravesar la barrera hematoencefálica. Muchas

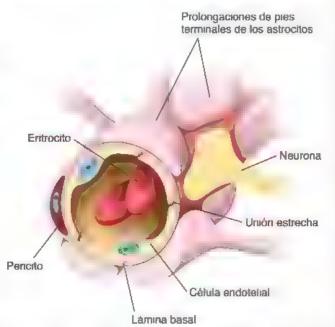


FIGURA 12-35. Barrera hematoencefálica. En esta ustración se muestra la barrera hematoencefálica, que está compuesta por células endoteliales adhendas por uniones estrechas elaboradas y complejas, la ámina basal del endotelio y las evaginaciones de pies terminales de os astrocitos.

moléculas que son necesarias para la integnidad neuronal entran y salen de los capilares sanguíneos a través de las células endoteliales. Por lo tanto, el O₂ y el CO₂, al igual que ciertas moléculas liposolubles (p. ej., etanol y hormonas esteroides), penetran en la célula endotelial con facilidad y se desplazan libremente entre la sangre y el líquido extracelular del SNC. Debido a la gran permeabilidad al K⁺ de la membrana neuronal, las neuronas son particularmente sensibles a los cambios en la concentración del K⁺ extracelular. Como ya se describió, los astrocitos tienen a su cargo la amortiguación de la concentración de K⁺ en el líquido extracelular encefálico (véase p. 402). Son asistidos por las células endoteliales de la barrera hematoencefálica que limitan con eficacia el desplazamiento del K⁺ hacia el líquido extracelular del SNC.

Las sustancias que logran atravesar la pared capilar son transportadas de forma activa por endocitosis mediada por receptores específicos. Por ejemplo, la glucosa (de la cual depende la neurona casi de forma exclusiva para la obtención de energía), aminoácidos, nucleósidos y vitaminas son transportados activamente por proteínas transportadoras transmembrana específicas. La permeabilidad de la barrera hematoencefálica a estas macromoléculas se atribuye al nivel de expresión de las proteínas transportadoras específicas en la superficie de la célula endotelial.

Otras proteínas que residen dentro de la membrana plasmática de las células endorchales protegen al encéfalo porque metabolizan ciertas moléculas, como fármacos y proteínas extrañas, y les impiden atravesar la barrera. Por ejemplo, la L-dopa (levodopa), el precursor de los neuromediadores dopamina y noradrenalina, atraviesa con facilidad la barrera hematoencefalica. Sin embargo, la dopamina formada a partir de la descarboxilación de la L-dopa en las células endoteliases no puede atravesar la barrera y se restringe del SNC. En este caso, la barrera hematoencefalica regula la concentración de L-dopa en el encéfalo. Desde el punto de vista clínico, esta restricción explica por qué para el tratamiento de la deficiencia de dopamina (p. ej., enfermedad de Parkinson) se administra L-dopa en lugar de dopamina.

Estudios recientes indican que los pies perivasculares de los astrocitos también desempeñan un papel importante en el mantenimiento de la homeostasis del agua en el tejido encefálico. Los canales de agua (acuaporina AQP4), por los que esta atraviesa la barrera hematoencefálica, se encuentran en las evaginaciones de los pies pervivasculares. En estados patológicos, como el edema cerebral, estos conductos desempeñan un papel clave en el restablecimiento del equilibrio osmótico en el encéfalo.

Las estructuras de la línea media que bordean el tercer y el cuarto ventrículo son regiones únicas del encéfalo que se encuentran fuera de la barrera hematoencefálica.

Algunas partes del SNC no están assladas de las sustancias transportadas en el torrente sanguineo. La barrera es ineficaz o inexistente en los sitios ubicados a lo largo del tercer y el cuarto ventrículos del encéfalo, denominados de forma conjunta organos circunventricutores. Los órganos circunventriculares incluyen la glándula pineal, la emmencia media, el órgano subfornical, el área postrema, el órgano subcomisural, el órgano vascular de la lámina terminal y el lóbulo posterior de la hipófisis. Es probable que estas regiones de barrera insuficiente participen en la verificación de las sustancias circulantes en la sangre que generalmente son excluidas por la barrera hematoencefálica y, luego, en la entrega de información acerca de estas sustancias al SNC. Los órganos periventriculares son importantes para la regulación de la homeostasis del líquido corporal y para el control de la actividad neurosecretora del sistema nervioso. Algunos investigadores los describen como las "ventanas del encéfalo" dentro del sistema neurohumoral central.

■ RESPUESTA DE LAS NEURONAS A UNA LESIÓN

La lesión neuronal induce una secuencia compleja de acontecimientos denominados degeneración axónica y regeneración nerviosa. Las neuronas, las células de Schwann, los oligodendrocitos, los macrófagos y la microglía intervienen en estas respuestas. A diferencia de lo que ocurre en el SNP, en el cual los axones lesionados se regeneran con rapidez, los axones interrumpidos en el SNC con frecuencia no pueden regenerarse. Es probable que esta diferencia notable se relacione con la incapacidad de los oligodendrocitos y las células de la microglía para fagocitar con rapidez los detritos de mielina y con la restricción de grandes cantidades de macrófagos migratorios por la barrera hematoencefálica. Debido a que los residuos de mielina contienen varios inhibidores de la regeneración de axones, su eliminación es indispensable para que progrese la regeneración.

Degeneración

La porción de una fibra nerviosa distal al sitio de lesión se degenera debido a la interrupción del transporte axónico.

La degeneración de un axón distal al sitio de una lesión se denomina degeneración anterograda (wallemana; figs. 12-36a y b). El primer signo de lesión, que ocurre 8-24 h después de dañarse el axón, es la tumefacción axónica seguida por su desintegración. Esto conduce a la degradación del citoesqueleto axónico. Los microtúbulos, los neurofilamentos y otros componentes del citoesqueleto se desarman, lo que produce la fragmentación del axón. Este proceso se conoce como desintegración granular del citoesqueleto axónico. En el SNP, la pérdida del contacto con el axón causa la desdiferenciación de las células de Schwann y la degradación de la vaina de mielina que lo rodeaba. Las células de Schwann inhiben la expresión de proteínas específicas de mielina (véase p. 396) y al mismo tiempo estimulan y secretan varios factores de crecimiento gliales (GGF, glial growth factors), miembros de una familia de neurregulinas asociadas con el axón y de potentes estimuladores de la proliferación. Bajo la acción de los GGF, las células de Schwenn presentan mitosis y se disponen en hileras a lo largo de sus lâminas externas. Dado que las evaginaciones axónicas distales al sitio de la lesión se han eliminado por fagocitosis, la disposición lineal de las láminas externas de las células de Schwann forma un largo tubo con una luz vacía (véase fig. 12-36b). En el SNC, la supervivencia de los oligodendrocitos depende de las señales de los axones. A diferencia de lo que ocurre con las células de Schwann, si los oligodendrocitos pierden contacto con los axones, responden activando el proceso de muerte celular programada (apoptosis).

Las células más importantes en la eliminación de los detritos de mielina del sitio de la lesión nerviosa son los macrófagos derivados de monocitos.

En el SNP, incluso antes del arribo de las células fagocíticas al sitto de la lesión nerviosa, las células de Schwann inician la eliminación de los detritos de mielina. Algunos estudios recientes confirman que los macrófagos residentes (generalmente presentes en pequeñas cantidades en los nervios periféricos) se activan después de una lesión nerviosa. Estas células migran hacia el sitio de la lesión, proliferan y, después, fagocitan los detritos de mielina.

La eliminación eficaz de los detritos de mielina en el SNP se atribuye al reclutamiento mastvo de macrófagos derivados de monocitos que migran desde los vasos sanguíneos e infiltran las inmediaciones de la lesión nerviosa (fig. 12-37). Cuando un axón se lesiona, la barrera hematoneural (véase p. 416) se interrumpe a lo largo de toda la longitud del axón dañado, lo cual permite la entrada de estas células al sitio de la lesión. La presencia de una gran cantidad de ma-

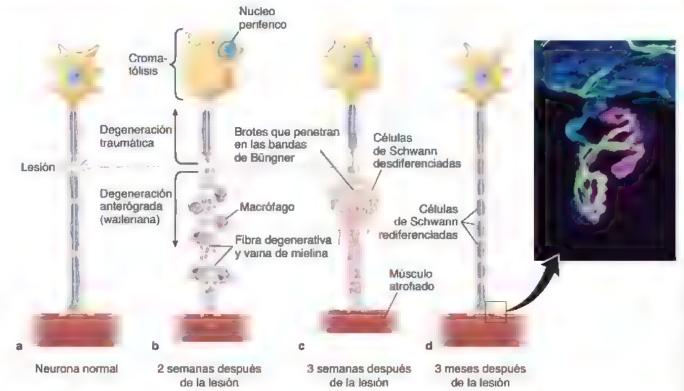


FIGURA 12-36. Respuesta de las fibras nerviosas a una lesión, a. Fibra nerviosa normal en el momento de la resión con su soma neurona y la cerula efectora (musculo esquelético estriado). Nótese la posición de los nucleos neuronales y la cantidad y distribución de los corpusculos de Nissl. b. Cuando la fibra se esiona el nucleo neuronal se desplaza hacia la periferia cerular y la cantidad de corpusculos de Nissl se reduce en gran parte. La fibra nerviosa distal a la lesión degenera unto con la vaina de mielina. Las células de Schwann se desdiferencian y proliferan, y los detritos de mielina son fagocitados por macrófagos ic. Las células de Schwann en proliferación forman los cordones celulares de Bungner que son penetrados por el brote axonico en crecimiento. El axón crece a un ritimo de 0.5-3 mm/dia. Observese que las fibras musculares muestran una atrofia pronunciada. d. Si el brote axonico en crecimiento a canza la fibra muscular la regeneración es exitosa y se desarrollan nuevas uniones neuromusculares con lo que se restablece la función del musculo esquelético. Recuadro, Imagen de inmunofluorescencia confocal de musculo esquelético de un ratón reinervado. Los axones motores regenerados se tinen de color verde debido a los neurofiliamentos y las conexiones restablecidas con dos uniones neuromusculares se visual zan de color rosa, lo que refleja una tincón específica para los receptores posta nápticos de acetido na luas células de Schwann se tinen de azu/ con \$100, que corresponde a una proteína fijadora de caico específica de las celulas de Schwann. Los axones en proceso de regeneración se extendieron a lo largo de las células de Schwann lo que los condujo a los sitios sinápticos originales en las fibras musculares. 840× (cortesia del Dr. Young-Jin Son)

crófagos derivados de monocitos acelera el proceso de eliminación de mielina, que en los nervios periféricos suele completarse en 2 semanas.

En el SNC, la eliminación ineficaz de los detritos de mielina debido al acceso limitado de los macrótagos derivados de monocitos, la actividad fagocítica ineficaz de la microglia y la formación cicatricial de origen astrocítico restringen gravemente la regeneración nerviosa.

Una diferencia clave en la respuesta del SNC a una lesión axonios se relaciona con el becho de que la barrera hematoencefálica (véase p. 417) se interrumpe solo en el sitio de la lesión y no en toda la longitud del axón lesionado (véase fig. 12-37). Esto limita la infiltración al SNC por los macrófagos derivados de monocitos y reduce de forma drástica el proceso de eliminación de mielina, que puede tardar meses o incluso años. Si bien la cantidad de células de la microglía se incrementa en los sitios del SNC lesionados, esta microglía reactiva no posee las capacidades fagocíticas completamente desarrolladas de los macrófagos migrantes. La eliminación ineficaz de detritos de mielina es un factor importante en el fracaso de la regeneración nerviosa en el SNC. Otro factor que afecta la regeneración nerviosa es la formación de una cicatriz glial (de origen astrocítico) que llena el espacio vacío dejado por los axones degenerados. La formación de cicatrices se comenta en el cuadro 12-3.

La degeneración traumática ocurre en el segmento proximal del nervio lesionado.

Parte de la degeneración retrógrada también ocurre en el axón proximal y se denomina degeneración traumatica. Este proceso parece ser histológicamente similar a la degeneración anterógrada (walleriana). La magnitud de la degeneración traumática depende de la gravedad de la lesión y, por lo general, se extiende a lo largo de uno o unos pocos segmentos internodales. En ocasiones, la degeneración traumática se extiende proximalmente por más de unos pocos nódulos de Ranvier y puede causar la muerte del soma neuronal. Cuando se corta una fibra motora, el músculo inervado por esa fibra experimenta arrofia (fig. 12-36c).

La transmisión retrógrada de señales bacia el soma neuronal de un nervio lesionado produce un cambio en la expresión génica que inicia la reorganización del citoplasma perinuclear.

La lesión axónica también inicia la transmisión retrógrada de señales hacia el soma neuronal, lo que conduce a la estimulación de un gen llamado e-jun. El factor de transcripción e-jun participa en las etapas tanto iniciales como avanzadas de la regeneración nerviosa. La reorganización de los orgánulos y el citoplasma permuchear comienza a los pocos días. El soma de la neurona lesionada crece y su núcleo se desplaza hacia la periferia. Al principio, los corpúsculos de

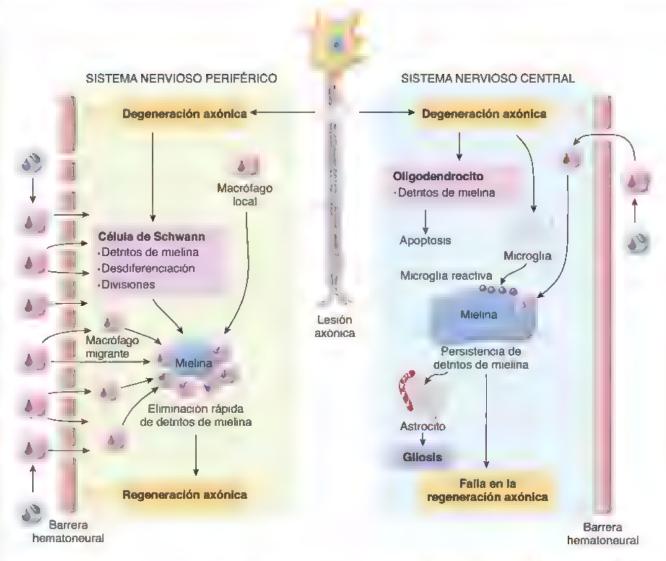


FIGURA 12-37. Respuesta a una lesión neuronal dentro de los sistemas nerviosos periférico y central. Las lesiones de las evaginaciones nerviosas (axones y dendritas) tanto en el SNP como en el SNC inducen la degeneración de laxón y la regeneración neuronal. Estos procesos no solo involucran a las neuronas, sino también a las cérculas de soporte como las cérculas de Schwann y los oligodendros tos, así como a asicércia si fagos ticas icomo macrótagos y microglia). Las lesiones a los axones en el SNP conducen a su degeneración la cual se acompaña de mitos si y desdiferenciación de las cérculas de Schwann las icomo a la interrupción de la batrera hematoner viosa en toda la fongitud del axón lesionado. Esto permite la infiltración masiva de los macrótagos derivados de monocitos, que son responsables del proceso de eliminación de miel na La el iminación rápida de detritos de miel na permite la regeneración del axón y la consecuente restauración de la barrera hematoner viosa. En el SNC la interrupción limitada de la barrera hematoencefa ica restringe la infiltración de los macrótagos derivados de monocitos y desacelera diastricamente el proceso de eliminación de miel na Además la apoptosis de oligodendriocitos una actividad fagocitica neficaz de la microglia, y la formación de una cicatriz derivada de un astriccito conducen a fa los en la regeneración nerviosa en el SNC.

Nissl desaparecen del centro de la neurona y se desplazan hacia la periferia en un proceso denominado *gromatólista*. La cromatólisis se observa por primera vez 1 2 días después de la lesión y alcanza su pico alrededor de las 2 semanas (*véase* fig. 12-36b). Los cambios en el soma neuronal son proporcionales a la cantidad de axoplasma destruido por la lesión. Una gran pérdida de axoplasma puede conducir a la muerte de la célula.

Antes del desarrollo de las técnicas modernas de rastreo de colorantes y radioisótopos, la degeneración walleriana y la cromatolisis se utilizaban como instrumentos de investigación. Estos instrumentos permitian a los investigadores identificar las vías y los destinos de los axones, así como la

ubicación de los somas neuronales en nervios lesionados de forma experimental.

Regeneración

En el SNP, las células de Schwann se dividen y forman bandas celulares que atraviesan la cicatriz neoformada y dirigen el crecimiento de las evaginaciones perviosas nuevas.

Como ya se mencionó, la división de las células de Schwann desdiferenciadas es el primer paso en la regeneración de un nervio periférico seccionado o aplastado. Al principio, estas células se organizan en

CORRELACIÓN CLÍNICA: FORMACIÓN DE CICATRICES EN FL SISTEMA NERVIOSO CENTRAL (GLIOSIS REACTIVA)

Cuando se lesiona una región del SNC, los astrocitos cercanos a la lesión se activan. Estos se dividen y experimentan
una marcada hipertrofia con un incremento visible en la cantidad de sus evaginaciones citoplasmáticas. Con el tiempo,
las evaginaciones se empaqueran de forma densa con los
filamentos intermedios de GFAP. Finalmente se forma
tejido o catricial. Este proceso se denomina gliosis reactiva,
mientras que la cicatriz permanente derivada de este proceso
recibe el nombre de placa. La gliosis reactiva varia ampliamente en duración, grado de hiperplasia y curso temporal de
expresión de GFAP en la inmunotinción.

Se han propuesto var os mecanismos biológicos para la inducción y el mantenimiento de la gliosis reactiva. El tipo de célula gital que responde durante este proceso depende

de la estructura encefálica dañada. Además, la activación de la población de células de la microglía se produce casi inmediatamente después de cualquier tipo de lesión en el SNC. Esta microglía reactiva migra hacia el sitio de la lesión y muestra una marcada actividad fagocitica. Sin embargo, su actividad fagocitica y su capacidad para eliminar los detritos de mielina es mucho menor que la de los macrofagos derivados de monocitos. La gliosis es una característica prominente de muchas enfermedades del SNC, incluyendo ictus, daño neurotóxico enfermedades genéticas, desmielinización inflamatoria y a teraciones neurodegenerativas, como la escleros simúltiple. La mayoria de las investigaciones sobre la regeneración del SNC estan enfocadas en la prevención o la inhibición de la formación de cicatrices gliales.

una serie de cilindros denominados tubos endoneurales. La eliminación de los detritos axónicos y la mielina desde el interior de los tubos determina finalmente su colapso. Las células de Schwann en proceso de proliferación se organizan en bandas celulares que parecen columnas longitudinales denominadas bandas de Büngner. Las bandas celulares guían el crecimiento de nuevas evaginaciones nerviosas (neuritas o brotes) de los axones en regeneración. Una vez que las bandas están en su lugar, grandes cantidades de brotes comienzan a crecer desde el muñón proximal (véase fig.12-36c). Se desarrolla un cono de crecimiento en la porción distal de cada brote, compuesto por filipodios con abundantes filamentos de actina. Los extremos de los filopodios establecen una dirección para el avançe del cono de crecimiento. Estos interactúan preferentemente con proteínas de la matriz extracelular, como la fibronectina y la laminina encontradas dentro de la lámina externa de la célula de Schwann. Por lo tanto, si un brote se asocia con una banda de Bûngner, se regenera entre las capas de la lámina externa de la célula de Schwann. Este brote crecerá a lo largo de la banda a una velocidad de 3 mm al día. Si bien muchos brotes nuevos no establecen contacto con bandas celulares y degeneran, su gran cantidad incrementa la probabilidad de restablecer conexiones sensitivas y motoras. Después de atravesar el sitio de la lesión, los brotes ingresan en las bandas celulares sobrevivientes en el muñón distal. Entonces, estas bandas guían a las neuritas a su destino, al tiempo que les proporcionan un microentorno adecuado para el crecimiento continuo (fig. 12-36d). La regeneración axónica lleva a la rediferenciación de la célula de Schwann, que ocurre en sentido protumal a distal. Las células de Schwann rediferenciadas estimulan los genes para las proteínas específicas de mielina e inhiben el gen c-jun.

Si se restablece el contacto físico entre una motoneurona y su músculo, la función suele recuperarse.

Las técnicas microquirúngicas que restablecen con rapidez la aposición estrecha entre los extremos de corte de nervio y vasos sanguíneos han convertido la reimplantación de extremidades y dedos cortados, con el consiguiente restablecimiento de la función, en un procedimiento relativamente frecuente. Si los brotes axónicos no restablecan su contacto con las celulas de Schwann adecuadas, entonces los brotes crecen de forma desorganizada, lo que produce una masa de evaginaciones axónicas enmaranadas conocidas como neuroma traumático o de amputación. Desde el punto de vista clinico, el neuroma traumático aparece como un nódulo de movimiento libre en el sitto de la lesión nerviosa y se caracteriza por dolor, en particular a la patpación. El neuroma traumático del nervio motor lesionado evita la reinervación del musculo afectado



TEJIDO NERVIOSO

FUNDAMENTOS DEL SISTEMA NERVIOSO

 El sistema nervioso permite que el organismo responda a los cambios en el ambiente externo y controla las funciones de los órganos y los sistemas internos.

Desde el punto de vista anatómico, el sistema nervioso se divide en sistema nervioso
central (SNC, encéfalo y médula espinal) y sistema nervioso periférico (SNP, nervios
crancales y periféricos y ganglios).

 Desde el punto de vista funcional, el sistema nervioso se clasifica en sistema nervioso somático (SNS; bajo control voluntario consciente) y sistema nervioso autónomo (SNA, bajo control involuntario)

Además, el SNA se subclasifica en las divisiones simpatica, parasimpática y entérica
 La división entérica inerva el tubo digestivo y regula la función de los órganos internos mediante la inervación de las oclulas del músculo liso y cardiaco, así como del epitelio glandular.

CELULAS DE SOSTEN DEL SISTEMA NERVIOSO NEUROGLIA

- La neuroglia periférica incluye las células de Schwann y las células satélite.
- En los nervios mielinizados, las celulas de Schwann producen la vaina de mielina desde las capas compactadas de sus propias membranas celulares que se enrollan de forma concentrica alrededor de la prolongación de la neurona.
- La región donde se encuentran dos celulas de Schwann adyacentes se denomina nodulo de Ranvier y es el sitio donde el impulso eléctrico se regenera por la propagación a alta velocidad a lo largo del axón.
- En los nervios no mielinizados, las evaginaciones nerviosas son envueltas en el citoplasma de las células de Schwann.
- Las celulas satelite mantienen un medio controlado alrededor de los somas neuronales en los ganglios del SNP
- Hay cuarro tipos de neuroglía central astrocitos (proporcionan sostén físico y metabólico a las neuronas del SNC), oligodendrocitos (producen y mantienen la vaina de mielina en el SNC), microglia (posee propiedades fagociticas y media
 reacciones neuroinmunitarias) y ependimocitos (revisten los ventriculos del encéfalo y el conducto espinal)

NEURONA

- El tejido nervioso está compuesto por dos tipos principales de células las neuronas (células especializadas que conducen impuisos) y las células de sostén (celulas no conductoras en estrecha proximidad con las neuronas y sus evaginaciones)
- La neurona es la unidad estructural y funcional del sistema nervioso.
- Las neuronas no se dividen, no obstante, en ciertas regiones del encéfalo, las células madre neurales pueden dividirse y diferenciarse en nuevas neuronas.
- Las neuronas se agrupan en tres caregorías. neuronas sensitivas (transmiten impulsos desde los receptores hacia el SNC), motoneuronas (transportan impulsos desde el SNC, o los ganglios hasta las celulas efectoras) e interneuronas (encargadas de la comunicación entre las neuronas sensitivas y motoras).
- Todas las neuronas están compuestas por un soma o pericarion (que contiene el núcleo, los corpúsculos de Nissl y otros
 orgánulos), un axón (a menudo, la prolongación más larga, transmite impulsos desde el soma neuronal) y varias dendritas
 (evaginaciones más cortas que transmiten impulsos hacia el soma neuronal)
- Las neuronas se comunican con otras neuronas y con celulas efectoras mediante uniones especializadas denominadas sinapsis.
- La sinapsis química es el tipo mas frecuente de sinapsis. Cada sinapsis tiene un elemento presinaptico, que contiene
 vestculas con neurotransmisores; una hendidura sinaptica, en donde se liberan los neurotransmisores de las vesiculas
 presinapticas, y una membrana postsinaptica, que contiene los receptores a los que se unen los neurotransmisores
- Las sinapsis eléctricas son las menos frecuentes y estan representadas por las uniones de hendidura
- La estructura química de un neurotransmisor determina una respuesta activadora (p. e), acetilcolina, glutamina) o inhibidora (p. ej., GABA, glicina) desde la membrana postsináptica.

ORIGEN DE LAS CÉLULAS DEL TEJIDO NERVIOSO

- Las neuronas del SNC y la glia central, a excepción de las células microgliales, derivan de las células neuroectodermicas del tubo neural
- Las células ganglionares del SNP y la glía periférica derivan de la cresta neural.

ORGANIZACION DEL SISTEMA NERVIOSO PERIFERICO

- El SNP esta compuesto por nervios periféricos con terminaciones nerviosas especializadas (sinapsis) y ganglios que contienen los somas neuronales.
- Los somas de las motoneuronas del SNP se encuentran en el SNC y los somas de las neuronas sensitivas se localizan en los ganglios de la raíz dorsal.
- Las fibras nerviosas individuales se mantienen juntas mediante el tejido conjuntivo organizado en el endoneuro (que rodea cada fibra nerviosa individual y la células de Schwann asociadas), el perineuro (que rodea cada fasciculo nervioso) y el epineuro (que rodea un nervio periférico y completa los espacios entre los fasciculos nerviosos)
- Las células perineurales estan conectadas por uniones estrechas y contribuyen a la formación de la barrera hematonerviosa

ORGANIZACION DEL SISTEMA NERVIOSO CENTRAL

- El SNC está compuesto por el encéfalo y la médula espinal. Este se encuentra protegido por el cráneo y las vértebras y
 está rodeado por tres membranas de tejido conjuntivo denominadas meninges (duramadre, aracnoides y piamadre)
- El liquido cefalorraquideo (LCR) producido por los plexos coroideos en los ventriculos encefalicos ocupa el espacio subaracnoideo, el cual se ubica entre la aracnoides y la piamadre. El LCR rodea y protege al SNC dentro de la cavidad craneal
 y la columna vertebral.
- En el encéfalo, la sustancia gris forma una capa externa de la correza cerebral, mientras que la sustancia bianca forma el núcleo interno que esta compuesto por axones asociados con celulas gliales y vasos sanguíneos
- En la medula espinal, la sustancia gris presenta una sustancia interna con forma de mariposa, mientras que la sustancia blanca ocupa la periferia.
- La corteza cerebral contiene los somas neuronales, los axones, las dendritas y las celulas de la neuroglia central
- La barrera hematoencefalica protege al SNC de las concentraciones fluctuantes de electrolitos, hormonas y metabolitos celulares que circulan en los vasos sanguíneos.

ORGANIZACION DEL GISTEMA NERVIOSO AUTONOMO

- El SNA controla y regula el medio interno del organismo. Sus vías neurales estan organizadas en una cadena de dos neuronas (neuronas presináptica y postsinaptica) que transmiten impulsos desde el SNC a los efectores viscerales.
- El SNA además se subdivide en las divisiones simpática, parasimpática y entérica.
- Las neuronas presinapticas de la división simpática se ubican en las porciones rorácica y lumbar de la medula espinal, mientras que las neuronas presinapticas de la división parasimpática se localizan en el tronco encefálico y en la medula espinal sacra.
- La division entérica del SNA consiste en los ganglios y sus evaginaciones, que inervan el tubo digestivo.

RESPUESTA DE LAS NEURONAS A UNA LESION

- Los axones lesionados en el SNP suelen regenerarse, mientras que los axones seccionados en el SNC no son capaces de hacerlo
 Esta diferencia se relaciona con la incapacidad de los oligodendrocitos y las células de la microglia para fagocitar de forma
 eficaz los detritos de mielina.
- En el SNP, al principio, la lesión neuronal induce la degeneración completa del axón distal al sitio de la lesión (degeneración walleriana)
- La degeneración traumática se produce en la porción proximal del nervio lesionado, seguido por la regeneración neuronal, en la cual las celulas de Schwann se dividen y forman bandas celulares que guian el crecimiento de los brotes axonicos hacia el sitio efector.

LÁMINA 27 GANGLIOS SIMPÁTICOS Y DE LA RAÍZ DORSAL

Los ganglios son conjuntos de somas neuronales ubicados fuera del sistema nervioso central (SNC); las fibras nerviosas llegan hasta los ganglios y salen desde ellos. Los ganglios sensitivos se ubican justo fuera del SNC y contienen los somas neuronales de los nervios sensitivos que conducen impulsos hacia el SNC. Los ganglios autónomos son ganglios pertféricos motores del sistema nervioso autónomo (SNA) y contienen somas de neuronas postsinapticas que conducen impulsos nerviosos al músculo liso, el musculo cardiaco y las glándulas. Las sinapsis entre las neuronas presinápticas (todas aquellas que tienen somas en el SNC) y las neuronas postsinápticas se producen en los ganglios autónomos. Los ganglios simpaticos constituyen la principal subclase de

ganglios autónomos; los ganglios parasimpáticos y los ganglios entéricos constituyen las otras subclases.

Los ganglios simpáticos se ubican en la cadena simpática (paravertebrales) y en la superficie anterior de la aorta (prevertebrales). Estos envian largos axones postsinàpticos a las visceras. Los ganglios parasimpáticos (terminales) se localizan dentro de los órganos inervados por sus neuronas postsinàpticas, o muy cerca de estos. Los ganglios entéricos se encuentran en los plexos submucoso y mientérico del tubo digestivo. Reciben eferencias parasimpáticas presinàpticas, así como eferencias intrínsecas de otros ganglios entéricos, e inervan el musculo liso de la pared intestinal.

Ganglio simpático, humano, impregnación argéntica y H&E, 160×.

Aqui se dustra un ganglio sampático sometido a una impregnación argéntica y teórdo con una coloración de contraste H&E. La ventaja de esta preparación es que pueden verse varios haces bien definidos de fibras nerviosas (FN) y abundantes estructuras circulares grandes, los cuerpos celulares (CC) de las neuronas postainápticas. También se observan

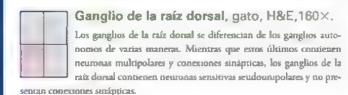
pairones desordenados de fibras nerviosas. Además, un examen munuciono de los somas neuronales permite comprobar que algunos emiten varias evaginaciones. Por lo tanto, estas son neuronas multipolares (una que está dentro del revidingulo se muestra con mayor aumento). En general, el tendo conjuntivo no es visible en un preparado con impregnación argêntica, aunque puede identificame como consecuencia de su ubicación con respecto a los vasos sanguineos (VS) grandes, en particular en la parte supersor de esta figura

Ganglio simpático, humano, impregnación argéntica y H&E, 500×.

Los somas neuronales en los ganguos simpáticos suelen ser grandes, y el que está rorulado aqui presenta varias evagnaciones (E). Además, el soma neuronal contiene un nucleo (N) esferoideo grande

y pándo, que a su vez posee un nucléolo (NI) esférico muy bien teñido. Estas

características, a saber, un núcleo voluminoso que se tiñe pálidamente (por su cromatina muy extendida) y un nucléolo grande, son indicativas de una célula activa en la síntesis proteinica. En el soma también se observan acsimulaciones de lipofuscina (L), un pigmento amarillo oscurecido por la plata. Debido al gran tamaño del soma neuronal, el núcleo no siempre está incluido en el corte; en ese caso, el soma aparece como una masa ciroplasmática redondeada.



En esta microfotografía se muestra parte de un ganglio de la raíz dorsal tefudo con H&E. La muestra incluye el borde del ganglio, donde está cubierto por tepdo conjuntivo (TC). El ganglio de la raíz dorsal contiene grandes cuerpos celulares (CC) dispuestos en agrupaciones muy juntas. Además, entre las agrupaciones celulares y a su alrededor hay haces de fibras nerviosas (FN). La mayoria de los haces de fibras señalados se han corsado en sentido longitudinal.

Ganglio de la raíz dorsal, gato, H&E, 350×.

Con un aumento mayor del mismo ganguo, los componentes de la fibra nerviosa muestran su estructura característica, a saber, un axón (A) ubicado centralmente y rodeado por un espacio con mielina (no señalado), el cual a su vez está limitado en su borde externo por la delgada lámina citoplasmática del neurúema (puntar de flechas)

Los somas de las neuronas sensitivas muestran nucleos (N) grandes, esféricos y pálidos, y nucléolos (NL) que se tifien intensamente. En esta preparación teñida con H&E también se observan los micleos de las células sanélite (CSat) que rodean por completo el soma neuronal y son continuas con las células de Schwann, que revisten el aitón. Obsérvese el tamaño menor de estas celulas con respecto al de las neurotias. Las acumulaciones celulares con aspecto epitelial (asterisos) dentro del ganglio corresponden a vistas frontales de células saiélite donde el corte tangencial las incluyó, pero apenas rozó el soma neuronal adyacente

A, axón
CC, cuerpo celular de la neurona
CSat, células satélite
E, evaginaciones del cuerpo celular

FN, fibras nerviosas L, lipofuscina N, núcleo de la cétula nerviosa NL, nucléolo TC, tejido conjuntivo VS, vasos sanguíneos asteriscos, cúmulos de células satélite puntas de flecha, neurilema

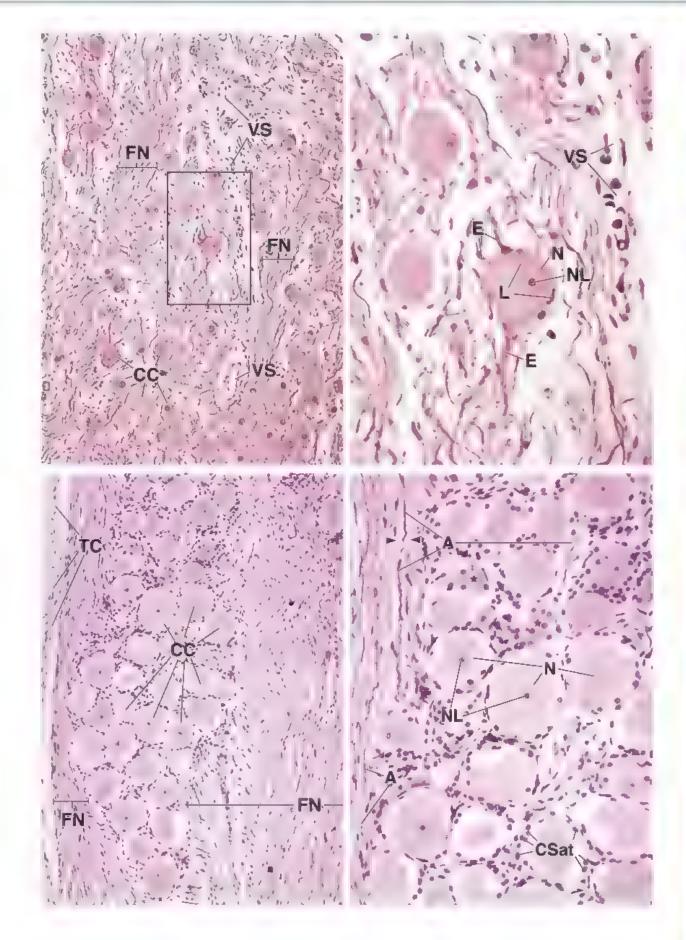


LÁMINA 28 NERVIO PERIFÉRICO

Los nervios periféricos están compuestos por fascículos de fibras nerviosas que se mantienen juntas gracias al tejido conjuntivo y una capa (o capas) especializada de células, el perineuro. El tejido conjuntivo consiste en una capa externa, el epineuro, que rodea todo el nervio, el perineuro, que rodea cada fasciculo de fibras nerviosas; y el endoneuro, asociado con las neuronas individuales. Cada fibra nerviosa está compuesta por un axón rodeado por una cubierta celu-

lar denominada **neurilema** o vama de Schwann. La fibra puede estar mielinizada o no. La mielina, cuando está presente, se situa inmediatamente alrededor del axón y se forma por el enrollamiento concéntrico de la célula de Schwann sobre el axón. Este, a su vez, está rodeado por la porción principal del citoplasma de la célula de Schwann que forma el neurilema. Los axones no mielinizados se ubican en los surcos de la celula de Schwann

Nervio periférico, corte transversal, nervio femoral, H&E, 200× y 640×.

En este corte transversal se observan varios fasciculos de fibras nerviosas (FFN). La cubierta externa de todo el nervio es el **epineuro** (Epi), la capa de tesido conjuntivo denso que se toca cuando un jedado expuesso durante una disección. El epineuro también es parte

nervio ha quedado expuesto durante una disección. El epineuro también es parte de la cubierta más externa de los fascículos individuales. Posee vasos sangumeos $\langle VS \rangle$ y puede contener algunos adipocitos. En general, el tejido adiposo $\langle TA \rangle$ se encuentra alrededor del nervio.

La figura de la derecha muestra, con mayor aumento, el tabique del perineuro (marcado con flechas en la imagen de la exquierda, que ahora está rotada y dispuesta de forma verocal)

La capa que se encuentra debajo del epineuro y que rodea directamente el fascículo de fibras nerviosas es el **perineuro** (Pe). Como se observa en el corte transversal del nervio, los trácleos de las células perineurales aparecen aplanadas y alargadas; en realidad, se están viendo de perfil y persenecen a células planas que también están de perfil. De nuevo, como se advierte por la distribución de los núcleos, se puede comprobar que el perineuro tiene solo unas pocas células de espesor. El perineuro es una capa especializada de células y material extracelular

cuya disposición no es visible en los corres reñidos con H&E. El penneuro (Pr) y el epineuro (Epi) se distinguen bien en el área triangular formada por el perineuro divergente de los dos fasciculos nerviosos contuguos.

La mayoría de las fibras nerviosas incluidas en la figura de la deveka son mselinscas, y dado que el nervio está sectionado de forma transversal, las fibras nerviosas también son visibles en este plano. Cuando se observan en un corte transversal, adoptan un aspecto característico. Cada fibra nerviosa presenta un axón (A) de ubicación central, que se encuentra rodeado por un espacio de mielina (M) en el cual puede retenerse algún precipirado de disposición radial, como ocurre en esta muestra. En la parte externa del espacio de mielina se aprecia un reborde citoplasmânco delgado que representa el neurilema. En ocasiones, el núcleo de una célula de Schwann (SS) parece posarse en el neurilema. Como se muestra en la slustración, el borde superior de la semiluna nuclear pareciera ocupar el mismo plano que el neurilema (NI). Estas características permiten identificar el nucleo como perteneciente a una célula de Schwann (neurilema) Otros núcleos no están relacionados con el neurilema, sino que más bien aparecen entre las fibras nerviosas. Tales núcleos pertenecen a los escasos fibroblastos (F) del endoneuro. Este último es el delicado tejido conjuntivo que hay entre las fibras nerviosas individuales; es muy escaso y contiene los capilares (C) del fasciculo nervioso



Nervio periférico, corte longitudinal, nervio femoral, H&E, 200× y 640×.

En la microfotografia *izquierda* se muestra el borde de un fasciculo nervioso seccionado en sentido longitudinal, una porción del mismo fasciculo nervioso se muestra con mayor aumento en la

mismo fasciculo nervioso se muestra con mayor aumento en la nucrofotografia de la derecha. El límite entre el epineuro (Ept) y el perineuro no está hien definsido. Dentro del fasciculo nervioso, las fibras nerviosas exhiben un patrón de ondas característico. Incluidos entre las fibras nerviosas onduladas se encuentran núcleos que pertenecen a las célufas de Schwann y las célufas dentro del endoneuro. Un mayor aumento permite identificar cierros componentes específicos de los nervios. Nótese que las fibras nerviosas (FN) ahora

se muestran en un corre longitudinal. Además, cada fibra nerviosa mielinizada muestra un axón (A) ubicado centralmente, rodeado por un espacio de mielinia (M) que a su vez está limitado en su borde externo por una banda citoplasmárica delgada del neurílema (NI). Otra caracteristica diagnóstica de las fibras nerviosas mielinizadas que también se observa en el corre longitudinal recibe el nombre de **nódulo de Ranvier** (NR). Aqui es donde se encuentran los extremos de las dos células de Schwann. Desde el punto de vista histológico, el nódulo aparece como una construcción del neurilema, y algunas veces la construcción está marcada por una banda transversal, como en la figura de la derecha. Es dificil determinar si los núcleos (N) mostrados aqui pertenecen a células de Schwann o fibroblastos endoneurales.

A, axón

C, capitar

Epi, epineuro

E fibrobiasto

FFN. lasciculo de fibras nerviosas

FN. fibra nerviosa

M, mielina

N, núcleo de la célula de Schwann

NI, neurilema

NR, nódulo de Ranvier

Po. penneuro

SS, núcleo de la célula de Schwann

TA, tejido adiposo

VS, vasos sanguineos

flechas, tabique formado por perineuro

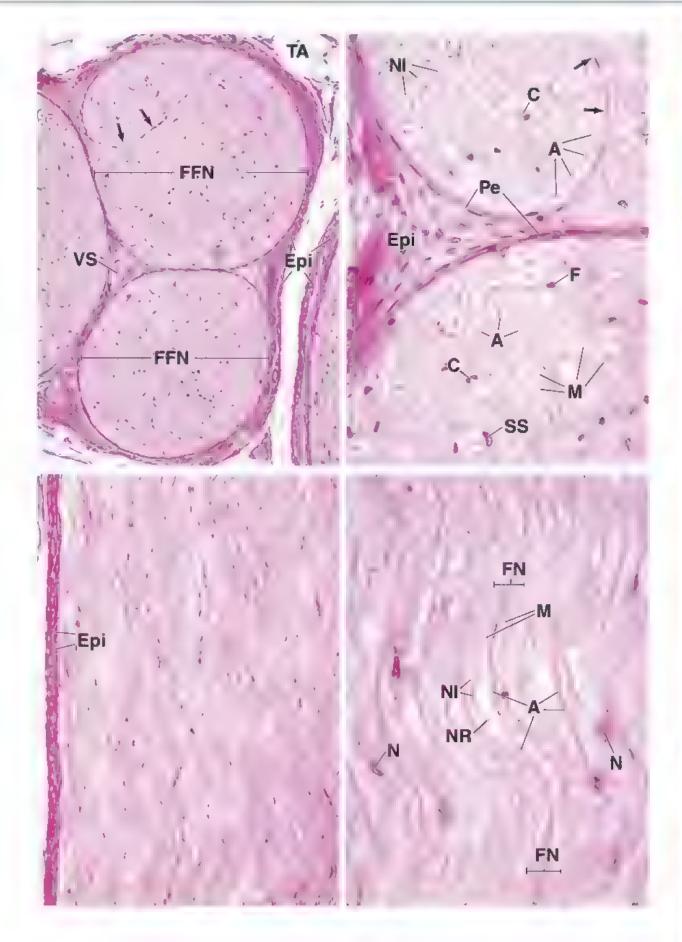


LÁMINA 29 CEREBRO

El cerebro es la porción principal del encéfalo y contiene neuronas que reciben y almacenan la información sensitiva, controlan la actividad motora voluntaria; e integran y coordinan la actividad de otras neuronas, además de los nervios y las vías neuronales que constituyen la memoria.

Corteza cerebral, encéfalo, humano, azul luxol rápido-acido peryodico de Schiff, 65×.

En esta microfotografía se muestra una vista de la corteza cerebral (CC) con poco aumento. Incluye todo el espesor de la sustancia gris y una pequeña cantidad de sustancia blanca (SB) en la parte inferior.

La sustancia blanca contiene muy pocas células por unidad de área, estas son células de la glía, porque los somas neuronales están presentes en la correza. La correza está cubierta por la piamadre (PM). También puede apreciarse una vena (V) dentro de la piamadre y un vaso sanguineo (VS) de menor calibre que se está introduciendo en la sustancia cortical. Las seis capas de la correza están separadas por linear de puntos que solo sirven como marcas aproximadas de los limites. Cada capa se distingue según el tipo de célula predominante y la disposición de las fibras (axón y dendritas). Salvo que se tiñan de manera específica, las fibras no pueden usarse como ayuda adicional para la identificación de las capas. En lugar de ello, la delimitación de las capas, como se sidentifican aqui, se basa en los tipos celulares y, más específicamente, en la forma y el aspecto de las células.

Las seis capas de la corteza se denominan y se describen de la siguiente manera:

1 La capa plexiforme (o capa molecular) está compuesta principalmente por fibras que en su mayoria discurren paralelas a la superficie y por una escasa cantidad relativa de oflulas, la mayoria de las cuales son células neurogliales y algunas cuantas células borizontales de Cajal.

- II La capa celular piramidal pequeña (o capa granulosa enterna) consiste principalmente en pequeñas células piramidales y células granulares, cambien denominadas células estrelladas.
- III La capa celular pirarnidal media (o capa de las células piramidales enternas) no está claramente separada de la capa II. Sin embargo, las células piramidales son de algún modo más grandes y poseen una forma piramidal ripica.
- IV La capa granulosa (o capa granulosa interna) se caracteriza por la presencia de muchas células granulares pequeñas (células estrelladas).
- V La capa de células piramidales grandes (o capa interna de células piramidales) contiene células piramidales que, en muchas partes del cerebro, son más pequeñas que las células piramidales de la capa III, pero en el área motora son muy grandes y se denominan células de Betz.
- VI La capa de células polimorfas contiene células con diferentes formas, muchas de las cuales tienen un huso fusiforme. Estas células se denominan células fusiformes.

Además de las células piramidales, las células granulosas y las células fusiformes, en la corteza cerebral están también presentes otros dos tipos de células que no se reconocen en este preparado: las células horizontales de Cajal, que están presentes solo en la capa I y emiten sus evaginaciones de forma lateral, y las células de Martinotti, que estuten sus axones hacia la superficie (en sentido opuesto a los de las células piramidales).

Capa I de la corteza cerebral, encéfalo, humano, azul luxol rápido-ácido peryodico de Schiff, 350×.

Esta microfotografía corresponde a un aumento mayor de la capa l, la capa plexiforme. Consiste en fibras nerviosas, abundantes

Capa II de la corteza cerebral, encéfalo, humano, azul luxol rápido-ácido peryódico de Schiff, 350×.

En esta microfotografía se muestra la capa II, la capa celular piramidal pequeña. Se encuentran muchas células paramidales

Capa IV de la corteza cerebral, encefalo, humano, azul luxol rápido-ácido peryodico de Schiff, 350×.

En esta microfotografía se muestra la capa IV, la capa granulosa. Aquí, muchas de las células son neuronas granulosas, aunque tam-

Capa VI de la corteza cerebral, encéfalo, humano, azul luxol rápido-ácido peryódico de Schiff, 350×.

En essa microfotografía se muestra la capa VI, la **capa de células** polimórficas, denominada así debido a la diversidad de formas

Sustancia blanca, encéfalo, humano, azul luxol rápido-ácido peryódico de Schiff, 350×.

En esta microfotografía se muestra la porción más externa de la sustancia blanca. Los pequeños núcleos (NN) redondos percélulas neurogliales (NN) y algunas cuantas células horizontales de Cajal. Las células gliales aparecen como núcleos desnudos y el citoplasma no se puede distinguir de las fibras nerviosas que forman la masa de esta capa. También se observa un capilar (Cap) pequeño. El borde rosa del vaso se debe a su membrana basal teñida por la reacción de PAS.

(CP) pequeñas. Las células granulosas (CG) rambién son abundantes, aunque es dificil identificarlas en esta imagen.

bién abundan las células gliales. En la microfotografía también se revelan algunos capilares. Obsérvese cómo se desplazan en vanas direcciones.

de las células en esta región. Las células piramidales (CP) se reconocen con facilidad. Otros tipos celuiares presentes incluyen las células fusiformes (CF), las células granulosas y las células de Martinotti.

tenecen a las células de la neuroglía. Como en la corteza, el citopíasma de la célula no puede distinguirse. Por lo tanto, aparecen como núcleos desnudos en el lecho de las evaginaciones nerviosas. El neurópilo es esencialmente un conjunto compacto de fibras nerviosas y células gliales.

Cap, capilar

CC, corteza cerebral

CF, células fusiformes

CG, células granulosas

CP, células piramidales

NN, núcleos neurogliales

PM, plamadre

SB, sustancia blanca

V, vena

VS, vaso sanguíneo

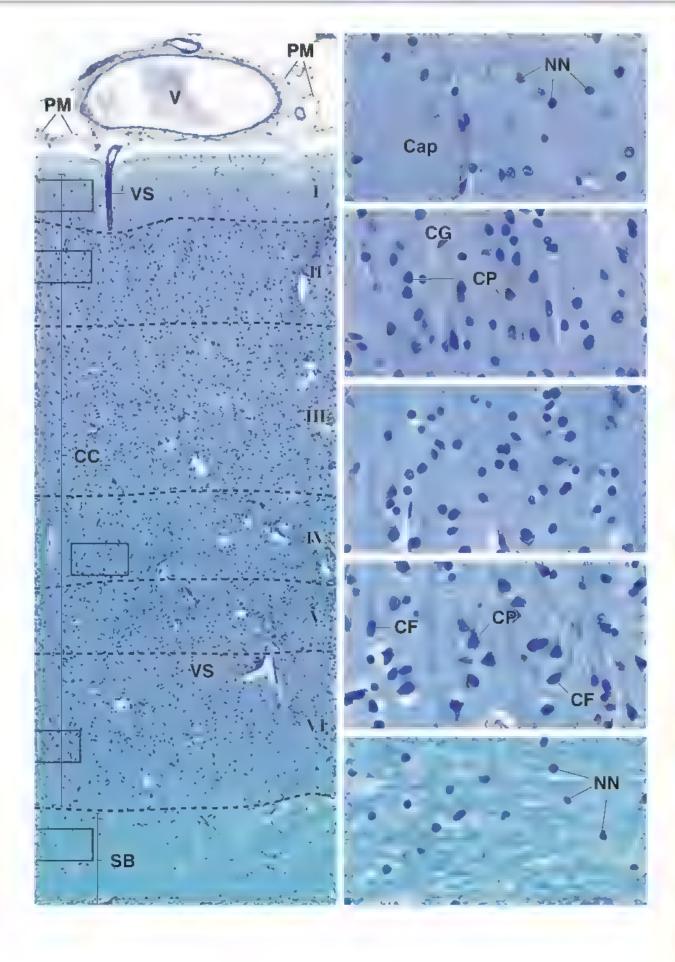


LÁMINA 30 CEREBELO

El cerebelo es un órgano del encéfalo que está ubicado por debajo y por detrás del carebro. Sirve para coordinar tanto los movimientos voluntarios como la función muscular en el mantenimiento de la postura normal.



Cerebelo, encéfalo, humano, H&E, 40×.

La **corteza cerebelosa** tiene el mismo aspecto sin importar que región se examine. En esta vista con poco aumento del cerebelo, la capa más externa, la **capa molecutar** (Mol), se tiñe levemente con eostna, Debajo de esta se encuentra la **capa granulosa** (Gr),

que se tiñe intensamente con hematoxílina. Estas dos capas en conjunto constituyen la correza del cerebelo. Profunda con respecto a la capa granulosa, se encuentra otra región que se tiñe poco con H&E y, excepto por la ubicación, un

muestra características histologicas distintivas. Esta es la sustancia blanca (SB). Como en el cerebro, contiene fibras nerviosas, células gliales de sostén y vasos sangumeos de pequeño calibre, pero no posee somas neuronales. La cubierta fibrosa en la superficie cerebelosa es la piamadre (Pia). Los vasos sanguineos (VS) cerebelosos discurren en esta capa (un artificio de retracción ha separado la piamadre de la superficie cerebelosa). El área rectangular se muestra con mayor aumento en la figura de la slerecha



Cerebelo, encéfalo, humano, H&E, 400×.

En el límite entre las capas molecular y granulosa, se encuentran los grandes somas de las **células de Purkinje** (*Pkj*) que tienen forma de matraz. Estas células son características del cerebelo. Cada una posee abundantes dendritas (*D*) que se arborizan en la capa

molecular. La célula de Purkinje tiene un solo axón que no suele ser evidente en los corres teñidos con H&E. Esta fibra nerviosa representa el comienzo de las eferencias cerebelosas

En la figura se observan relativamente pocos somas neuronales, los de las céhilas en cesta (CCe), en la capa molecular. Están muy separados unos de otros y, en el mejor de los casos, muestran solo una pequeña cantidad de citoplasma que rodea el núcleo. En cambio, la capa granulosa presenta un aspecto general azul moreado por la tinción con hematoxilina de muchos núcleos pequeños. Estas pequeñas neuronas, denominadas **células granulosas**, reciben los impulsos que provienen de otras partes del SNC y envian axones hacia la capa molecular, donde se ramifican en la forma de una "T" para poder entrar en contacto con las dendritas de varias células de Purkinje y en cesta. Las fibras aferentes (musgosas) contraen las células granulosas en las regiones pálidas denominadas gloriérulos (flechas). El examen minucioso de la capa granulosa donde colinda con la capa molecular permite detectar un grupo de núcleos (G) que son más grandes que los de las células granulosas. Estas pertenecen a las células de Golgi tipo II



Cerebelo, encefalo, humano, impregnación argéntica, 40×.

La muestra en esta figura se ha teñado con un procedimiento de unpregnación argéntica. Tales procedimientos no siempre colorean la muestra de manera uniforme, como lo hacen las récnicas con

H&E. Obsérvese que la parte de la capa molecular a la derreha es mucho más oscura que la de la parte *requienda*. Un área rectangular a la requierda se ha seleccionado para su estudio con mayor aumento en la figura inferior derecha. Aun

con el aumento relativamente bajo que se muestra aquí, la impregnación argéntica permite reconocer las células de Purkinje por el gran tamaño de sus somas, su forma característica y su ubicación entre una capa molecular (Mol) externa y una capa de células granulosas (Gr) interna. La principal ventaja del preparado con impregnación argéntica es que permite comprobar que la **sustancia blanca** (SB) está formada por fibras. Estas fibras se han ennegrecido por el procedimiento de impregnación argéntica. La piamadre (Pia) y los vasos sanguineos (VS) cerebelosos también son visibles en este preparado.



Cerebelo, encéfalo, humano, impregnacion argéntica, 400×.

Con un aumento mayor, los somas de las células de Purkinje (Phy) se destacan como el upo neuronal más distintivo y vasible del cerebelo, también pueden verse muchas ramificaciones

dendrincas (D) Obsérvense rambién las fibras renidas de negro dentro de la capa

granulosa (Gr), alrededor de los somas de las células de Purlunje y en la capa molecular (Mol) dispuestas en dirección horizontal (en relación con la superficie cerebelosa). Las células en cesta (CCr) son las neuronas que se observan con mayor frecuencia en la capa molecular. La flecha indica un giro en "T" característico de la circunvolución que realizan los axones de las células granulosas. Como estas ramificaciones axónicas discurren de forma horizontal, hacen contacto sinápsico con muchas células de Purkinje.

CCe, cé ulas en cesta D, dendritas

G, células de Golgi tipo 11 Gr, capa granu osa

Mol, capa molecular

Pia, piamadre

Pki, células de Purkinje

SB, sustancia blanca

VS, vasos sangu neos

áreas rectangulares, áreas mostradas con mayor aumento

flechas, figura superior derecha, glomérulos figura interior derecha, giro en "T" de un axón en la capa molecular

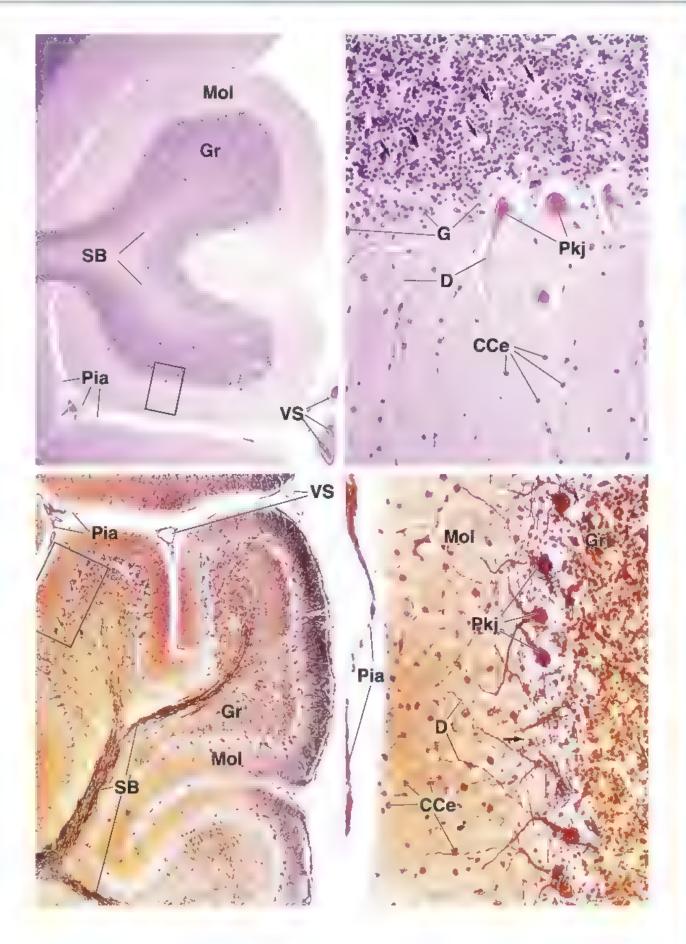


LÁMINA 31 MÉDULA ESPINAL

La medula espinal está organizada en dos partes bien definidas. La parte externa, denominada sustancia bianca de la médula por su aspecto en muestras no fijadas, contiene fibras nerviosas ascendentes y descendentes. Algunas de las fibras van hacia el encéfalo y otras salen de este, mientras que otras más conectan diferentes niveles de la médula espinal. La parte interna de la médula espinal, denominada sustancia gris por su aspecto en muestras no fijadas, contiene somas neuronales y fibras nerviosas. La sustancia gris forma una "H" o un patrón en forma de mariposa que rodea el conducto central. La sustancia gris presenta astas (cuernos) dorsales (posteriores) y astas ventrales (anteriores). Las

astas ventrales contienen somas grandes de las neuronas ventrales motoras, mientras que las astas dorsales contienen neuronas que reciben, procesan y retransmiten información desde las neuronas sensitivas cuyos somas se localizan en los ganglios de la raiz dorsal. El tamano de la sustancia gris y, por lo tanto, el tamaño de la médula espinal son diferentes en distintos niveles. Donde la sustancia gris contiene muchas motoneuronas grandes que controlan el movimiento de los miembros supenores e inferiores, la austancia gris y la médula espinal son considerablemente más grandes que en aquellos sitios donde la sustancia gris contiene solo motoneuronas para los músculos del tórax.



Médula espinal, humano, impregnación argentica, 16×.

Aqui se muestra un corte transversal de la medula espinal a traves de la región lumbar inferior. El objetivo de esta preparación es teñir la sustancia gris que está rodeada por las fibras nerviosas ascenden-

tes y descendentes. Si bien las fibras que tienen origenes y destinos comunes en sentido fisiológico están dispuestas en tractos, estos no pueden distinguirse a menos que hayan sido marcados con técnicas especiales, por ejemplo, mediante una lesión de los somas neuronales de los cuales surgen o el empleo de colorantes especiales o radioisótopos para marcar los axones.

La sustancia gris de la médula espinal aparece en forma de mariposa. Las prominencias antenores y posteriores se denominan artas ventrales (AV) y astas donales (AD), respectivamente. El istmo que las conecta se denomina comisione gra (CG). Los somas neuronales que se encuentran dentro de las astas ventrales (neuronas del asta ventral) son tan grandes que pueden verse aun con este aumenso can bajo (flechas). El maserial fibroso pálido que rodea la médula espinal es la piamadre (Pia). Sigue estrechamente la superficie de la médula espinal y se sumerge en la gran fisura ventral (FV) y dentro de los surcos menos profundos. Los vasos sanguineos (VS) están presentes en la piamadre. Algunas raíces dorsales (RD) de los nervios espinales (raquideos) están incluidas en este corte.



Asta ventral, medula espinal, humano, impregnación argentica, 640×.

Este preparado muestra una región del asta ventral. El núcleo (N)de la célula del asta ventral (neurona ventral motora) se ve como una estructura grande, esferoidea y pálida dentro del soma La célula del asta ventral posee varias evaginaciones visibles. Algunos otros núcleos perrenecen a las células de la neuroglía. El citoplasma de estas células no es visible. El campo restante corresponde a fibras nerviosas y células gliales cuya organización es dificil de interpretat. Este conjunto recibe el nombre de neurópilo (Np).



Asta ventral, medula espinal, humano, azul de toluidina, 640×.

Este preparado de medula espinal es de una región comparable con la imagen de la requienda. Se observan tres células de las astas ventrales (motoneuronas ventrales). Como consecuencia del plano de

corre, solo dos de estas muestran un núcleo pásido (N) con nucléolos oscuros en el centro. El azul de toluidina revela los cuerpos de Nissi (CN), que aparecen como grandes motas oscuras en el ciroplasma. Los cuerpos de Nissi no se extuenden dentro del cono axónico. El axón abandona el soma a la altura del cono axónico. Aqui rambién son visibles los núcleos de las células neurogliales (NN)

AD, asta dorsal AV, asta ventral CG, comisura oris CN, cuerpos de Nissi

FV, fisura ventral

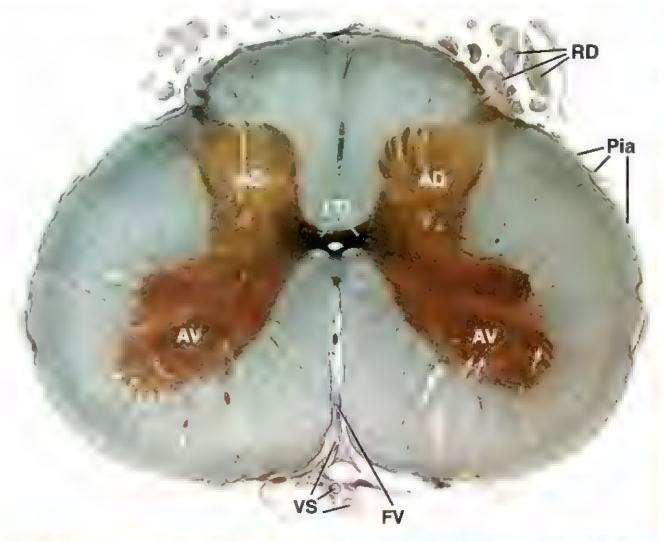
No, neuropilo Pla, parnadre RD, ratz dorsal

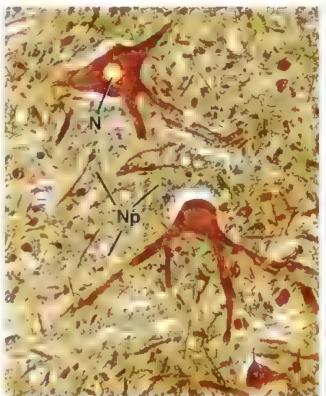
N, núcleo de una célula del asta ventral

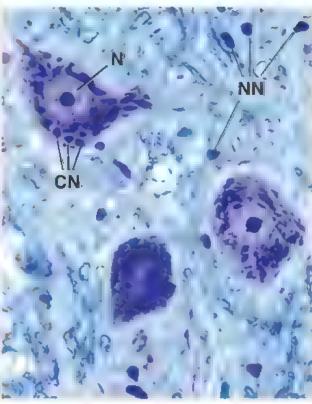
NN, nucleo de una célula neurogual

VS, vasos sanguineos

flechas, cuerpos celulares de células del asta ventral







13 SISTEMA CARDIOVASCULAR

FUNDAMENTOS DEL SISTEMA CARDIOVASCULAR / 432 CORAZÓN / 433

Pared del corazón / 434 Válvulas cardiacas / 436

Regulación intrinseca de la frecuencia cardíaca / 438 Regulación sistémica de la frecuencia cardíaca / 439

CARACTERÍSTICAS GENERALES DE LAS ARTERIAS Y LAS VENAS / 440

Capas de la pared vascular / 440 Endotelio vascular / 442

ARTERIAS / 447

Arterias grandes (arterias elásticas) / 447 Arterias medianas (arterias musculares) / 450 Arterias pequeñas y arteriolas / 451

CAPILARES / 452

Clasificación de los capilares / 453 Aspectos funcionales de los capilares / 454

ANASTOMOSIS ARTERIOVENOSAS / 455 VENAS / 455

Vénulas y venas pequeñas / 455 Venas medianas / 456 Venas grandes / 457

VASOS SANGUÍNEOS ATÍPICOS / 458

VASOS LINFÁTICOS / 459

Cuadro 13-1 Correlación clínica: ateroesclerosis / 442 Cuadro 13-2 Correlación clínica: hipertensión / 448 Cuadro 13-3 Correlación clínica: coronariopatía / 460

HISTOLOGIA 101 / 462



■ FUNDAMENTOS DEL SISTEMA CARDIOVASCULAR

El sistema cardiovascular es aquel que lleva sangre y linfa hacia los tejidos del cuerpo y de regreso. Los elementos constitutivos de estos líquidos incluyen oclulas, sustancias mutritivas, productos de desecho, hormonas y anticuerpos.

El sistema cardiovascular incluye el corazón, los vasos sanguíneos y los vasos lintáticos.

El sistema cardiovascular consiste en una bomba, representada por el corazón, y los vasos sanguíneos, que proveen la ruta por la cual circula la sangre desde una parte del cuerpo hacia otra (fig. 13-1). El corazón bombea la sangre a través del sistema arterial con una presión considerable; la sangre retorna al corazón a baja presión con la ayuda de la presión negativa que hay en la cavidad torácica durante la inspiración y la compresión de las venas por el músculo esquelético. Los vesos sanguineos están organizados de modo que la sangre impulsada desde el corazón alcance con rapidez una red vascular estrecha y de paredes delgadas, los capilares sanguineos, dentro o cerca de los tejidos en todas las partes del organismo.

En los capilares ocurre un intercambio bidireccional de líquido entre la sangre y los demás tejidos. El líquido, llamado filtrado san-

guineo, transporta oxígeno y metabolitos y atraviesa la pared capilar En los tejidos, estas moléculas se intercambian por dióxido de carbono y productos de desecho. La mayor parte del líquido vuelve a la sangre por el extremo distal o venoso de los capilares sanguíneos. El líquido restante entra en los capilares infáticos en forma de la linfa y finalmente regresa a la sangre a través de un sistema de vasos tinfáticos que está comunicado con el sistema de vasos sanguíneos donde las venas yugulares internas se unen con las venas subclavias. Por lo general, muchos de los leucocitos transportados por la sangre abandonan los vasos sanguíneos para introducirse en los tejidos. Esto ocurre a la altura de las vénulas poscapilares. Cuando se producen alteraciones patológicas en el organismo, como en la reacción inflamatoría, una gran cantidad de leucocitos migran desde estas venulas.

Las arterias son los vasos que llevan sangre hasta los capilares. Las arterias más pequeñas, llamadas arteriolas, están asociadas funcionalmente con las redes de capilares que conducen la sangre. Las arteriolas regulan la cantidad de sangre que ingresa en estas redes capilares. En conjunto, las arteriolas, la red capilar asociada y las vénulas poscapilares forman una unidad funcional denominada lecho microcárculatorio o microvascular de ese tejido. Las venas, que comienzan con la vénula poscapilar, recogen la sangre del lecho microvascular y la retornan al corazón.

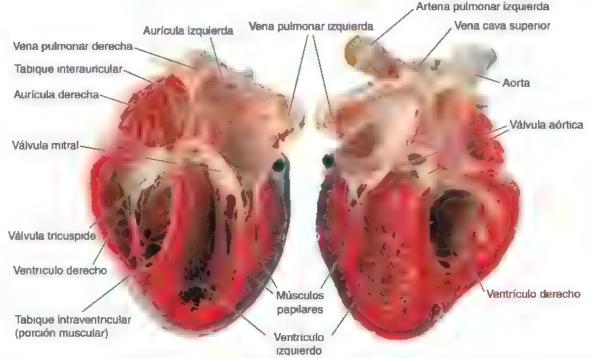


FIGURA 13-1. Fotografía del corazón humano. Esta muestra se seccionó por un plano obliculo para ver todas las cavidades cardiacas. La parte posterior de corazón está a la izquierda la parte anterior se ha separado y se exhibe a la derecha. Nótese el espesor de las paredes ventriculares y el tabique interventricular. También se observa el tabique interauricular, que separa las auriculas (atrios).

Dos circuitos distribuyen la sangre en el organismo: la circulación pulmonar y la circulación sistémica.

El corazón y los vasos sanguíneos forman dos vías de circulación

- La circulación pulmonar transporta la sangre desde el corazón hacia los pulmones y desde los pulmones hacia el corazón (fig. 13-2).
- La circulación sistémica transporta la sangre desde el corazón hacia los tejidos del organismo y desde ellos de retorno hacia el corazón

Si bien la disposición general de los vasos sanguíneos en ambas circulaciones es de arterias a capilares y después a venas, en algunas partes la circulación sistémica está modificada de manera que una vena o una arteriola se interpone entre dos redes capilares; estos vasos constituyen el sistema porta. Estos sistemas se componen de los vasos que llevan sangre hacia el higado, el sistema porta hepático (vena porta), y los vasos que irrigan la hipófisis, el sistema porta hipotalámico-hipofisario

■ CORAZÓN

El corazón está situado de forma oblicua en la cavidad toricica y desplazado hacía la izquierda (alrededor de dos terceras partes) en el mediastino medio (un espacio delimitado por el esternón, la columna vertebral, el diafragma y los pulmones). Está rodeado por un saco fibroso resistente, el pericardio, que también contiene los segmentos finales e iniciales de los grandes vasos que llegan o salen del corazón. A través del pericardio, el corazón está firmemente adhendo al diafragma y a los órganos adyacentes que se encuentran en la cavidad torácica.

El corazón es una bomba muscular que mantiene el flujo unidireccional de la sangre.

El corazón tiene cuatro cavidades: las auriculas (atrios) derecha e izquierda y los ventrículos derecho e izquierdo, a través de las cuales bombea la sangre (*véase* fig. 13-1). A la salida de las cavidades hay

válvulas que impiden el flujo retrógrado de la sangre. Un tabique interauricular y uno interventricular separan los lados derecho e izquierdo del corazón.

El lado derecho del corazón bombea la sangre a través de la circulación pulmonar. La **auncula derecha** recibe la sangre que regresa

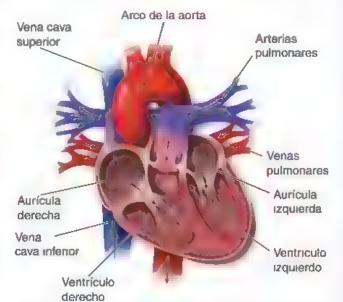


FIGURA 13-2. Circulación de la sangre a través del corazón. La sangre retorna de los tejidos del organismo a través de la vena cava superior y la vena cava inferior. Estas dos venas principales desembocan en la aurícula derecha. Después, la sangre pasa de la aurícula al ventrículo derecho, y desde aquí se bombea hacia el tronco pulmonar para continuar por las artenas pulmonares derecha e izquierda hasta los pulmones. En los pulmonas, la sangre se oxigena y después vuelve a la aurícula izquierda por las venas pulmonares. De la aurícula pranaporta hacia los demás tejidos del organismo. El trayecto desde al corazón hasta los pulmones y de regreso ai corazón constituye la carculación pulmonar, y el trayecto desde el corazón hasta el resto de organismo y desde ahí otra vez al corazón constituye la circulación sistémica.

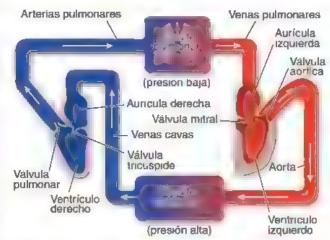


FIGURA 13-3. Circulación sanguines. En este diagrama se muestran los lados derecho e izquierdo del corazón separados de forma artificial. El lado derecho del corazón bombea sangre a través del circuito pulmonar de baja presión. La aurícula derecha recibe sangre desoxigenada que retorna del cuerpo a través de las venas cavas inferior y superior. El ventrículo derecho recibe la sangre desde la aurícula derecha y la bombea hacia los pulmones para su oxigenación, à través de las artenas pulmonares. El lado izquierdo del corazón bombea sangre a través del circuito sistémico, de alta presión. La aurícula izquierda recibe la sangre oxigenada que retorna de los pulmones a través de las cuatro venas pulmonares. El ventrículo izquierdo recibe la sangre desde la aurícula izquierda y la bombea hacia la aorta para su distribución en el resto del cuerpo.

del cuerpo a través de las venas cavas inferior y superior, las dos venas más grandes del organismo (fig. 13-3). El ventriculo derecho recibe la sangre desde la aurícula derecha y la bombea hacia los pulmones para su oxigenación, a través de las arterias pulmonares. El lado izquierdo del corazón bombea la sangre a través de la circulación sistémica. La aurícula izquierda recibe la sangre oxigenada que retorna de los pulmones a través de las cuatro venas pulmonares. El ventrículo izquierdo recibe la sangre desde la aurícula izquierda y la bombea hacia la aorta para su distribución en el resto del cuerpo. El corazón contiene:

- Una estructura muscular, compuesta por musculo cardiaco para impulsar la sangre.
- Un esqueleto fibroso, que consta de cuatro anillos fibrosos alrededor de los orificios valvulares, dos trígonos fibrosos que conectan los anillos y la porción membranosa de los tabiques interauricular e interventricular. Los anillos fibrosos se componen de tejido conjuntivo denso arregular Rodean la base de las dos arterias que salen del corazón (aorta y tronco pulmonar) y los orificios que hay entre las aurículas y los ventrículos (orificio auriculoventricular [AV] derecho e izquierdo; fig. 13-4). Estos anillos son el sitio de inserción para las valvas de las cuatro válvulas cardiacas que permiten el flujo sanguíneo en una sola dirección a través de los orificios. La porción membranosa del tabique interventricular carece de músculo cardíaco; consiste en un tendo conjuntivo denso que contiene un segmento corto del haz auriculoventricular del sistema de conducción cardíaca. El esqueleto fibroso provee puntos de fijación independientes para el miocardio auricular y ventricular. También actúa como aislante eléctrico porque impide el libre flujo de impulsos eléctricos entre las aurículas y los ventrículos.
- Un sistema de conducción, para inuciar y propagar las despolarizaciones rítmicas que producen las contracciones rítmicas del músculo cardíaco (fig. 13-5). Este sistema está formado por celulas musculares cardíacas modificadas (fibras de Purkinje) que generan y conducen los impulsos eléctricos con rapidez a

través del corazón. En el paro cardiaco, la detención subita del ritmo cardiaco normal que conduce al case repentino de la circulación sanguinea, el sistema de conducción del corazón deja de producir o conducir los impulsos eléctricos que generan la contracción cardiaca para distribuir la sangre a los tejidos del cuerpo. El paro cardiaco es una urgencia medica; el tratamiento de primeros auxilios, como la reanimación cardiopulmonar (RCP) y la desfibrilación (la aplicación de una dosis terapeutica de energia eléctrica al corazón), puede mejorar las probabilidades de supervivencia. Si no se trata, el paro cardiaco conduce a la muerte cardiaca súbita. Las patologias del ritmo relacionadas con el paro cardíaco incluyen taquicardia (aceleración del ritmo cardiaco), fibrilación (contracciones irregulares, rápidas e ineficaces), bradicardía (ritmo cardiaco desacelerado) y asistolia (ausencia total de ritmo cardiaco)

Un sistema da vasoa coronarioa, que consta de dos arterias coronarias y las venas cardíacas. Las arterias coronarias derecha e izquierda proveen la sangre arterial al corazón. Se originan en un segmento inicial de la aorta ascendente cerca de la válvula aórtica, circundan la base del corazón y emiten ramas que convergen hacia el vértice del órgano. El drenaje venoso del corazón se produce a través de varias venas cardíacas, la mayoría de las cuales desembocan en el seno coronario ubicado en la superficie posterior del corazón. El seno coronario drena en la aurícula derecha.

Pared del corazón

La pared del corazón está compuesta por tres capas: epicardio, miocardio y endocardio.

La organización estructural de la pared del corazón es continua en las auriculas y los ventriculos. La pared cardíaca está compuesta por tres capas. De afuera hacia adentro son las siguientes:

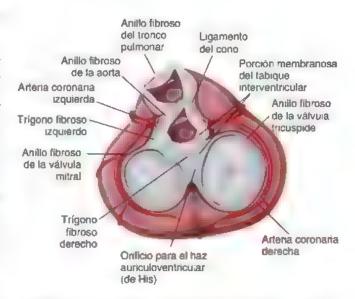


FIGURA 13-4. Esqueleto fibroso del corazón según se observa al retirar las dos auriculas. La malla fibrosa (coloreada en azul claro) sirve para la fipación del músculo cardiaco y también para la inserción de las valvas valvulares entre las auriculas y los ventrículos, así como las válvulas semilunares aórtica y pulmonar. El haz auriculoventricular atraviesa la porción membranosa del tabique ventricular del esqueieto fibroso en su trayecto desde la aurícula derecha.

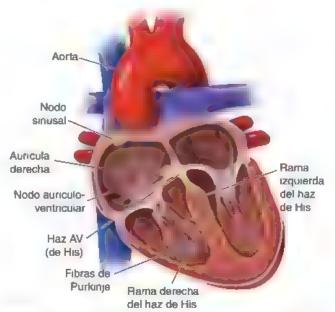


FIGURA 13-5. Cavidades cardiacas y sistemas de conducción de los impulsos. El corazón se muestra seccionado en un plano frontal para dejar expuesto su interior y las partes principales del sistema de conducción cardiaca (coloreado en amanllo). Los impulsos se generan en el nodo sinusal, se transmiten a través de la pared auncular hasta el nodo auriculoventricular y, después de atravesar el haz AV, se distribuyen por las fibras Purkinje. AV, auniculoventricular.

El epicardio, también conocido como capa visceral del pericardio seroso, se adhiere a la superficie externa del corazón (fig. 13-6). Se compone de una sola capa de células mesoteliales, así como de tejido conjuntivo y adiposo. Los vasos sanguíneos

- y los nervios que îrrigan e inervan el corazón se encuentran en el epicardio y están rodeados por tejido adiposo que protege al corazón en la cavidad pericárdica. El epicardio se refleja a la altura de los grandes vasos que llegan y abandonan el corazón como la capa parietal del pericardio seroso, que reviste la superficie interna del pericardio que rodea el corazón y las raíces de los grandes vasos. Por lo tanto, existe un espacio potencial que contiene una cantidad mínima (15-50 mL) de líquido seroso (pericárdico) entre las capas visceral y parietal de la serosa pericárdica. Este espacio se conoce como cavidad pericardica; su revestimiento es de células mesoteliales (vésue fig. 13-6)
- La alteración en la que se acumula con rapidez un exceso de líquido (sangre o derrame pericárdico) en la cavidad pericárdica se llama taponamiento cardiaco. Las causas habituales son los traumatismos torácicos tanto penetrantes como romos y las roturas del miocardio o la pericarditis (inflamación del pericardio). Es una alteración potencialmente mortal en la que el liquido que se acumula comprime el corazón y evita el lienado adecuado de las cavidades cardiacas con la sangre. El alivio de la compresión se logra mediante la pericardiocentesis (un procedimiento para drenar el líquido de la cavidad pericardica).
- El miocardio está formado por músculo cardíaco, el componente principal del corazón. Los detalles de la estructura histológica y la función del músculo cardíaco se comentan en el capítudo 11. El miocardio de las aurículas es sustancialmente más delgado que el de los ventrículos. Las aurículas reciben la sangre de las venas grandes y la entregan a los ventrículos contiguos, un proceso que requiere una presión relativamente baja. El miocardio de los ventrículos es sustancialmente más grueso debido a la mayor presión necesaria para bombear la sangre a través de las circulaciones pulmonar y sistémica (fig. 13-7).

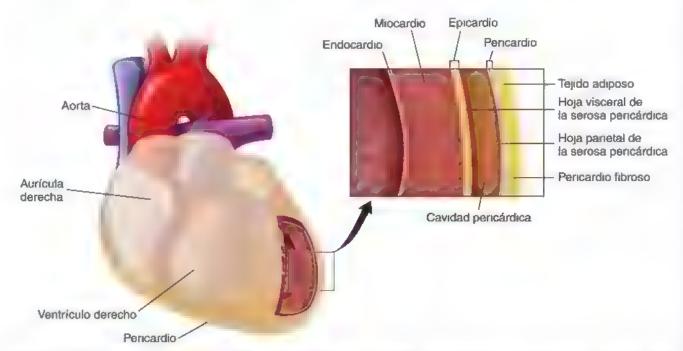


FIGURA 13-6. Capas del corazón y el pericardio. En este diagrama se muestra la relación anatómica entre las capas del corazón. En el mediastino medio el corazón y as raices de los grandes vasos están rodeados por el pericardio, que a menudo esta cubiento por cantidades muy variables de tejido adiposo. El pericardio tiene dos capas una capa fibrosa externa resistente liamada pencardio fibroso y una capa paneta serosa pericárdica que reviste su superficie interna. La capa paneta de la serosa pencárdica a la alfura de los grandes vasos que entran o saten del corazón se refie a para formar la capa visceral de la serosa pencárdica o epicardio reviste la superficie externa del corazón. La cavidad pericárdica es un espacio entre las capas visceral y parietal de la serosa pericárdica y está cubierta por celulas mesotella es. Profundo con respecto al epicardio se encuentra el miocardio que consiste en el musculo cardiaco. Nótese la pequena cantidad de tejido adiposo de epicardio que contiene las arterias coronarias y las venas cardiacas. La capa interna del miocardio se llama endocardio y tiene un revestimiento de mesotello con una fina capa subyacente de tejido conjuntivo.

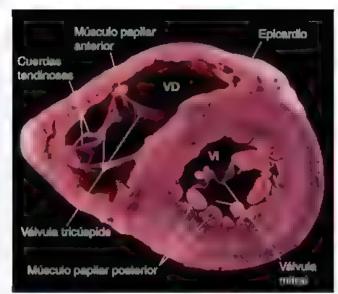


FIGURA 13-7. Corte horizontal a través de los ventriculos cardiacos. Esta fotografía muestra un corte transversal de corazón humano a la alfura de los ventriculos. Pueden verse las valvas tanto de la válvula mitral en el ventriculo izquierdo con sus inserciones en las cuerdas tendinosas. También son visibles los cortes transversales de los musculos papilares en ambos ventriculos. Deben tenerse en cuenta las diferencias en el espesor entre la pared de los ventrículos derecho el izquierdo. El tejido ad poso de epicardio contiene ramas de las arterias coronarias y tributarias de las venas cardiacas. VD. ventriculo derecho. VI ventriculo izquierdo (cortesia dei Dr. William D. Edwards).

 El endocardio consta de una capa interna de endotelio y tejido conjuntivo subendotelial, una capa media de tejido conjuntivo y células de músculo liso, así como una capa más profunda de rejido conjuntivo, también llamada capa subendocardica. Esta ultima es continua con el tejido conjuntivo del miocardio. El sistema de conducción del corazón se encuentra en la capa subendocardica del endocardio (véase la sección Regulación intrinseca de la frecuencia cardiaca).

El tabique interventricular es la pared que separa los ventrículos derecho e izquierdo. Contiene músculo cardiaco, excepto en su porción membranosa. Ambas superficies del tabique están revestidas por endocardio. El tabique interauricular es mucho más delgado que el antenor. Excepto en ciertas regiones localizadas que contienen rejido fibroso, este tabique posee una capa central de músculo cardíaco y un revestimiento de endocardio frente a cada cavidad auricular

Válvulas cardíacas

Las válvulas cardíacas son estructuras compuestas por tres capas de tejido conjuntivo revestidas por endocardio.

Las válvulas cardíacas están fijadas al complejo del esqueleto fibroso de tejido conjuntivo denso no moldeado, que forma los anillos fibrosos y rodea los orificios que contienen las válvulas (fig. 13-8). Cada valvula se compone de tres capas, la fibrosa, la esponjosa y la ventricular (en la superficie ventricular de las válvulas semilunares aórtica y pulmonar) o la auricular (en la superficie auricular de las válvulas auriculoventriculares mitral y tricúspide)

 Fibrosa La capa fibrosa se localiza en la superficie ventricular de las valvulas auriculoventriculares y la superficie arterial (aorta o tronco pulmonar) de las válvulas semilunares. Esta capa se deríva del tendo conjuntivo denso stregular de los anillos esqueleticos del corazón. Esta compuesta principalmente por fibras de colageno.

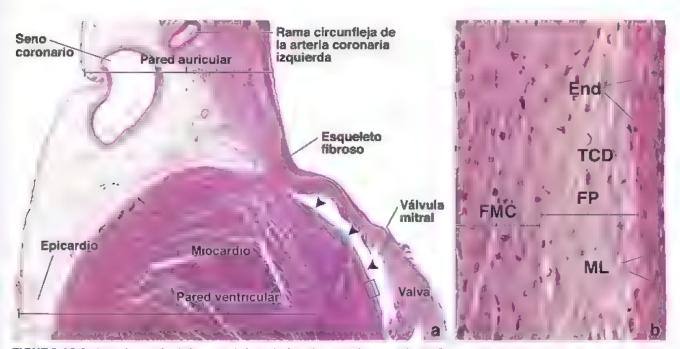


FIGURA 13-8. Microfotografia de la pared de la auricula y el ventriculo izquierdos, a. En esta microfotografia se muestra un corte sagitat de la pared posterior de la auricula y el ventriculo izquierdos. La linea de la sección cruza el surco coronario auricul oventricular (AV) que aloja el seno coronario y la rama circunfle a de la arteria coronaria izquierda. Nótese que el corte ha atravesado el anificio broso de la valvula mitral que proporciona el sitio de inserción para el musculo de la auricula y el ventriculo izquierdos, asi como para una cuspide de la valvula mitral. La pared ventricular consiste en tres capas. 1) endocardio (puntas de flecha). 2) miocardio y 3) epicardio i una soso sangulneos y sibles se encuentran en el epicardio y están rodeados por tel do ad poso. Las capas de la válvula mitral se muestran con mayor aumento en la flgura 13-9b. 35 k. Este gran aumento de la región inciu da en el rectángulo muestra los rasgos característicos de la superficie interna del corazón. Debe considerarse que el endocardio consiste en una capa interna plana de endotelio (find), una capa intermedia de fejido conjuntivo denso (fico) subendocaldica que contiene células de musculo so (ML) y una capa más profunda subendocárdica que contiene has de Purkinje (FP). El miocardio contiene fibras musculares cardíacas (FMC), y puede verse a la izquierda. 120×



Lado auricular

FIGURA 13-9. Valvula mitral del corazón humano, a En esta microfotografía se muestra un corte sagital de la pared posterior del ventrículo izquierdo y la valva posterior de la válvula mitral. Nótese el espesor del micrardio en el ventriculo izquierdo. La superficie enterna brillante del corazón corresponde al endocardio la superficie exterior del micrardio está cubierta por el episardio. 2 × (cortesia dei Dr. William D. Edwards). b. Microfotografía de una valvia mitra. En esta microfotografía se observa un corte a través de una de las dos valvas de la valviu a mitra. Ambos lados de la valvia están revestidos por el endotelio. Observese que la válvula presenta una arquitectura de capas. Comenzando desde el lado auricular (parte superior de la imagen), la primera capa que hay debajo dei endotelio es la arteria, que esta compuesta por colágeno densamente dispuesto y fibras elásticas. La segunda capa (media, es la esponjosa que forma la mayor parte de tejido con unitivo denso en el centro de la válviu y contiene fibras de colágeno laxas incluidas en la sustancia fundamenta con abundantes proteogliucanos y glucosaminogliucanos. Esta capa se adelgaza en dirección a la inserción de la valvia mitral en el anillo fibroso y se engrosa hacia el borde i bre de la valva. La tercera capa la fibrosa, esta formada por tejido conjuntivo denso que contiene capas de amini as elásticas y fibras de colágeno. Con este aumento es complicado identificar los núcieos de las células valvulares intersticiales que se asemejan a los fibroblastos. 125 ×

tipo I (74%) y III (24%) densamente agrupadas, además de fibras elásticas que están en disposición paralela al borde libre de la valva. En las superficies ventricular y arterial, la fibrosa está cubierta por una capa de células endoteliales. Esta brinda rigidez a la valva. En las válvulas auriculoventriculares, continúa hacia las cuerdas tendinosas, que son prolongaciones similares a cuerdas que también están revestidas de endotelio (fig. 13-9). En los sitios en los que se insertan las cuerdas tendinosas, la fibrosa cambia de una capa plana a una cuerda cilíndrica que permite que las fuerzas se transmitan desde la cuerda hasta la valva sin producir la deformación de esta última. Las cuerdas tendinosas se extienden desde las superficies ventriculares de las válvulas mitral y tricúspide hasta unas proyecciones de la pared ventricular que se conocen como musculos papilares.

- Esponjosa. Es la capa media de la valva. Consiste en fibras elásticas y de colágeno en una disposición laxa infiltradas con una gran cantidad de sustancia fundamental que contiene proteoglucanos y glucosaminoglucanos. La capa esponjosa actúa como un amortíguador, ya que reduce las vibraciones asociadas con el cierre de la válvula. También confiere flexibilidad y plasticidad a las cúspides de la valva. Es delgada en la base y se hace más prominente cuando llega al borde libre de la valva, donde contribuye a la aposición correcta de las valvas durante el cierre valvular para permitur el reflujo (regurgitación).
- Ventricular/auricular. Está contigua a la superficie ventricular o auricular de cada valva y tiene un revestimiento endotelial. Representa una capa de tejido conjuntivo denso con fibras de colágeno bien organizadas con un gran número de fibras y laminitias olás-

tiens. La capa ventricular/auricular favorece el movimiento de las válvulas permitiendo la extensión y el retroceso de las valvas durante el ciclo de contracción cardíaca. En las válvulas auriculoventriculares, esta capa también contiene cardiomiocitos derivados de las aurículas (no de los ventriculos) y pequeños haces de células de músculo liso que es posible que regulen la rigidez y la deformación de la valva durante el cierre valvular.

Aunque las válvulas cardiacas comparten un patrón estructural y requisitos funcionales básicos, cada una tiene una estructura distinta. Existe evidencia que indica que algunas variaciones moleculares mantienen las diferencias estructurales y biomecánicas de cada una de las válvulas.

Las valvas son avasculares y contienen células valvulares intersticiales especiales que mantienen la estructura interna de la válvula durante toda la vida.

Las valvas son, por lo general, avasculares. Se pueden encontrar pequeños vasos linfáticos y sanguíneos, nervios y músculo liso solo en la base de las válvulas tricúspide y mitral. Las superficies valvulares están expuestas a la sangre y las valvas son lo suficientemente delgadas como para permitir que las sustancias nutritivas y el oxígeno se difundan desde la sangre.

Las valvas tienen células Intersticiales especiales con características únicas que manuenen la homeostasis valvular a lo largo de la vida. Estas células se originan de las células endoteliales endocárdicas; sin embargo, en la microscopia son semejantes a los fibroblastos. Son positivas a la vimentina y la condromodulina 1, que inhiben la formación de vasos sanguíneos. En condiciones normales, mantienen la expresión génica de la matriz extracelular necesaria para la reparación y la sintesis de las fibras de tejido conjuntivo y las proteínas de la matriz extracelular. No obstante, en condiciones de activación (p. ej., durante el desarrollo valvular o las valvulopatías), las células valvulares intersticiales transicionan a células similaras a miofibroblastos para expresar los genes que codifican para las proteínas necesarias para la sintesis de colágeno, elastina, proteoglucanos, actina te del músculo liso, metaloproteinassa de la matriz y citocinas inflamatorias, que remodelan con rapidez la matriz extracelular de la válvula.

Varias enfermedades afectan a las válvulas del corazón, producen su degeneración (p. ej, calcificación, fibrosis) y causan un mai funcionamiento cardiaco por insuficiencia o estenosis de los orificios valvulares. Estas alteraciones, conocidas colectivamente como valvulopatias cardiacas, incluyen la cardiopatía reumática, la endocarditis infecciosa, la estanosis valvular aórtica calcificada degenerativa y la calcificación. anular mitral. A nivel celular, las valvulopatias se caracterizan por la activación de las células valvulares intersticiales y la expresión de los genes que codifican las proteinas de la matriz extracelular y las enzimas de remodelado. Los cambios patológicos de las válvulas pueden dividirse en tres categorias segun el tipo de daño valvular. La primera categoria es la degeneración de la matriz extracelular por la acumulación de proteoglucanos daninos, degeneración del colageno y fragmentación de las fibras elásticas. Estos cambios son característicos de la valvulopatía mitral mixomatosa y conducen a una válvula laxa que es susceptible de prolapso y regurgitación. La segunda categoría incluye la fibrosis, que se caracteriza por la acumulación de colageno, la degradación de proteoglucanos y la fragmentación de las fibras elásticas. Estos cambios se presentan en la cardiopatia reumática como consecuencia de una válvula gruesa, rígida e inflexible que es susceptible de restricción del movimiento y estenosis. La fibrosis inicia con la inflamacion de las válvulas (valvulitis), que se presenta durante la infección bacteriana (fiebre reumática). La inflamación conduce a la angiogenesis en la válvula y la vascularización de las capas de la válvula generalmente avasculares. Este cambio afecta con mayor frecuencia a la válvula mitral (66-70%) y la válvula aórtica (20-25%). La inflamación conduce al reemplazo progresivo del tejido elastico por masas irregulares de fibras de colágeno, lo que causa que la válvula se engruese. La tercera categoria incluye la calcificación nodular que comienza dentro de las células valvulares intersticiales. Estos cambios se presentan en la estenosis valvular aórtica calcificada degenerativa, que se caracteriza por el engrosamiento de las valvas y la formación de nódulos de calcio. La calcificación valvular también es un hallazgo tardío en la enfermedad renal crónica y en los adultos mayores.

Regulación intrínseca de la frecuencia cardíaca

La contracción del corazón es sincronizada por fibras musculares cardíacas especializadas.

El músculo cardíaco se puede contraer de manera rítmica sin ningún estímulo directo desde el sistema nervioso. Para que el corazón actúe como una bomba eficaz, es necesario que las aurículas y los ventrículos se contraigan de una manera rítmica y coordinada. La actividad eléctrica (impulsos eléctricos) que estimula las contracciones cardíacas se inicia y se propaga por la acción del sistema de conducción cardiaco. La frecuencia de la despolarización del músculo cardiaco varia en las diferentes partes del sistema de conducción; la más rápida corresponde a las aurículas, y la más lenta, a los ventrículos. El ciclo de contracción cardiaco se inicia en las aurículas para empujar la sangre hacia los ventrículos. A continuación, en el vértice del cotazón comienza una onda de contracción ventricular y empuja la sangre hacia la aorta y el tronco pulmonar.

El sistema de conducción cardiaco consta de dos nodos, el sinoauricular (o sinusal) y el auriculoventricular, así como una serte de fibras de conducción o haces. Los impulsos eléctricos son generados en el nodo sinoauricular (SA), un grupo de células musculares cardíacas especializadas que se ubican cerca de la unión de la vena cava superior y la aurícula derecha (véase fig.13-5). Dado que tiene la frecuencia de despolarización más rápida, el nodo SA rambién recibe el nombre de marcapasos cardiaco. La frecuencia del nodo SA oscila entre 60 y 100 latidos por mínuto. El nodo SA inicia un impulso que se propaga a través de las fibras musculares cardíacas de las aurículas y a través de los haces internodales compuestos por fibras musculares cardíacas modificadas. Así, el impulso llega al nodo auriculoventricular (AV) y es conducido a través del esqueleto fibroso hacia los ventrículos por el haz de His (o haz AV). El haz se divide en una rama derecha y una izquierda más pequeña, y después en ramas subendoteliales, habitualmente llamadas fibras de Purkinje. Los componentes del sistema de conducción transmiten impulsos a una velocidad unas cuatro veces más rápida que las fibras musculares cardíacas, y son los únicos elementos que pueden propagar impulsos a través del esqueleto fibroso.

Si el nodo SA deja de funcionar (p. ej., por una irrigación sanguinea insuficiente), entonces se hace cargo la región con la frecuencia intrinseca de despolarización siguiente. En esta situación, el nodo AV impulsa las contracciones cardiacas a una velocidad de alrededor de 50 latidos por minuto. En el bloqueo cardiaco completo, en el cual se interrumpe la conducción de los impulsos eléctricos hacia los ventriculos, estos se contraen con su propia frecuencia de alrededor de 30-40 latidos por minuto, impulsada por la despolarización de las fibras de Purkinje. Estas fibras tienen la frecuencia intrinseca de despolarización mas baja de todo el sistema de conducción La propagación de los impulsos electricos a través del miocardio puede verificarse y grabarse por medio de un electrocardiograma (ECG), que se obtiene mediante la colocación de electrodos en diferentes puntos de la piel a distancias específicas del corazón. Los electrodos registran la actividad eléctrica del corazón midiendo las diferencias de voltaje entre los diferentes puntos. La propagación coordinada de la actividad eléctrica a través del corazón es responsable de la forma de las ondas del ECG, cuyo análisis mínucioso puede proporcionar información sobre la frecuencia y el ritmo cardiacos, los tiempos de conducción a través de diversas partes del corazón, los efectos de la concentración de los electrólitos y de la medicación card aca, así como la ubicación de las tesiones patologicas (isquémicas) del corazón.

Las células musculares cardiacas nodales, tanto del nodo SA como del nodo AV, son fibras musculares cardiacas modificadas con un tamaño menor que las células musculares auriculares circundantes. Contienen menos miofibrillas y carecen de discos intercalares típicos. El haz de His, sus ramas y las fibras de Purkinje también se componen de células musculares cardíacas modificadas de un tamaño mayor que las células musculares ventriculares circundantes (fig. 13-10 y lám. 32, p. 464). Los estudios de electrofisiología de las células en el nodo SA indican la existencia de dos grupos celulares

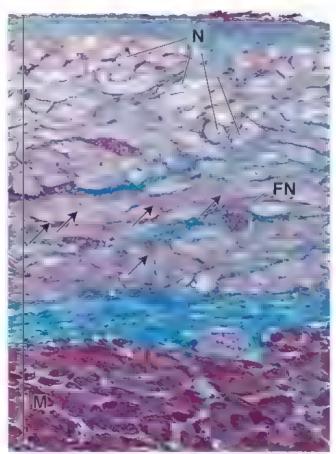


FIGURA 13-10. Microfotografía de la pared ventricular que contiene el sistema de conducción. En esta microfotografía se muestra un corte de la pared ventricular de un corazón humano teñido con la técnica de Mallory-Azan. Las dos terceras partes superiores de la imagen corresponden al endocardio que contiene una capa gruesa. de fibras de Purkinje. La superficie luminal libre del ventrículo (arriba). está cubierta por endotelio y una capa subyacente de tejido conjuntivo subendotelial (tenida de color azul). La capa más extema del endocardio contiene las fibras de Purkinje. Nótense los discos intercalares en las fibras (flechas). Las fibras de Purkinje contienen gran cantidad. de glucógeno, que aparecen como regiones homogéneas pálidas en la parte central de la célula rodeadas de las miof brillas. Los nucleos (N) son redondos y más grandes que los de las células del musculo cardiaco en el miocardio (M). Con frecuencia están rodeados por el citoplasma menos tenido de la Lamada región yuxtanuclear de la célula. Debido al considerable tamaño de las células de Purkmje, a menudo el núcleo no está incluido en el plano de corte. Entre las fibras de Purkinje discurren fibras nerviosas (FN) que pertenecen al sistema nervioso autónomo 320 x

funcionales. Estos son las células del marcapasos (células P) con función de marcapasos intrínseca, que generan impulsos, y las células transicionales (células T), que son responsables de la propagación de los impulsos a la aurícula derecha. Las células P están agrupadas en conjuntos alargados a la mitad del nodo SA.

La disfuncion de los miocitos nodales, conocida como disfunción sinusal o sindrome del seno enfermo (SSE), es una enfermedad principalmente de los adultos mayores, y es la indicación más frecuente en todo el mundo para la implantación de un marcapasos electrónico. Se debe a la degeneración asociada con la edad de los miocitos nodales en el nodo SA, que afecta la capacidad para generar y transmitir impulsos al musculo auncular. El SSE se distingue por provocar alteraciones del ritmo cardiaco, que incluyen frecuencia cardiaca anómala lenta (bradiarritmia) que alterna con una frecuencia cardiaca rápida (taquiarritmia) El fallo de las células del marcapasos se manifiesta como una pausa sinusal de hasta 3 s o más sin generación de impulsos. El fallo de las células transicionales se observa como un bloqueo SA, que consiste en que las células no pueden transmitir los impulsos hacía el musculo auricular. Los sintomas del SSE incluyen palpitaciones (frecuencia cardiaca irregular) e hipoperfusión tisular que conduce a fatiga, presincope (mareos, debilidad muscular, visión borrosa y sensación de desmayol y sincope (desmayo). Los estudios genéticos recientes en pacientes con SSE han identificado que existen diversas mutaciones relacionadas con las formas congénita y familiar del SSE El tratamiento principal para el SSE es la colocación de un marcapasos electrónico permanente

Las ramificaciones terminales del sistema de conducción consisten en fibras de Purkinje.

Las célules cardiaces de conducción que componen el haz de His se originan en el nódulo AV, pasan por el esqueleto fibroso del corazón, discurren a lo largo de ambos lados del tabique interventricular (véase fig. 13-5) y terminan como fibras de Purkinje en el miocardio de los ventrículos. Las células que forman las fibras de Purkinje son más grandes que las células musculares ventriculares. Sus miofibrillas se encuentran en la periferia de la célula. Los núcleos son redondeados y más grandes que los de las células del músculo cardíaco en el miocardio. Debido al considerable tamaño de las células, el núcleo a menudo no está incluido en el plano de corte. En las fibras de Purkinje hay discos intercalares, pero su aspecto y cantidad varían según su ubicación. Las células son positivas para la tinción con ácido peryódico de Schiff (PAS, periodic acid-Schiff), debido a la gran cantidad de glucógeno que contienen. Con hematoxilinaeosina (H&E) y la mayoría de las otras coloraciones, la porción central de la célula provista de glucógeno aparece homogénea y se tiñe pálidamente (véase fig. 13-10). Debido al glucógeno almacenado, las células de las fibras de Purkinje son más resistentes a la hipoxía que las células musculares ventriculares.

Regulación sistémica de la frecuencia cardíaca

Como ya se mencionó, el corazón late de forma independiente a cualquier estimulación nerviosa. Este nimo cardíaco espontáneo puede ser alterado por los impulsos nerviosos en la división tanto simpática como parasimpática del sistema nervioso autónomo. Los nervios autónomos no inician la contracción del músculo cardíaco, sino más bien regulan la frecuencia cardíaca (efecto cronotrópico) según las necesidades inmediatas del cuerpo.

La estimulación de los nervios paresimpéticos disminuye la frecuencia cardiaca.

La inervación perasimpática del corazón se origina en el nervio vago (nervio craneal [NC] X). Las fibras parasimpáticas presinápticas establecen sinapsis con las neuronas postsinápticas dentro del corazón. Sus fibras postsinápticas cortas terminan principalmente en los nodos SA y AV, pero también se extienden hacia las arterias coronarias que irrigan el corazón. La liberación del neurotransmisor aceticolina desde las terminaciones de estas fibras disminuye el ritmo cardiaco (un efecto conocido como bradicardia), reduce la fuerza del fatido cardiaco y contrae las arterias coronarias.

La estimulación de los nervios simpáticos aumenta la frecuencia cardiaca.

Las fibras simpéticas presinépticas que inervan el corazón se originan en las astas laterales de los segmentos T1 T6 de la médula

espinal. Conducen las señales eléctricas hacia los cuerpos celulares de las neuronas postsinápticas situados en los ganglios paravertebrales cervicales y torácicos de los troncos simpáticos (véase fig. 12-25, p. 410). Las fibras postsinápticas terminan en los nódulos SA y AV, se extienden hacía el miocardio y también pasan a través del epicardio para llegar a las arterias coronarias. Las fibras autónomas secretan noradrenalina, que regula la frecuencia de los impulsos provenientes del nodo SA. El componente simpatico hace que se incremente la frecuencia (efecto conocido como taquicardia) y la fuerza de contracción muscular. La estimulación simpática produce dilatación de las arterias coronarias por la inhibición de su contracción

Las hormonas circulantes y otras sustancias pueden regular la frecuencia cardíaca y la fuerza de la contracción.

Los cambios en la fuerza y la frecuencia de las contracciones del músculo cardíaco son regulados por las hormonas secretadas por la médula suprarrenal. Estas hormonas incluyen la adminatina y la noradronolino, que llegan a las células musculares del corazón a través de la circulación coronaria. La activación de los receptores adrenérgicos (principalmente de tipo β₁) por la adrenalina y, con menos eficacia, la noradrenalina aumenta la fuerza de contracción tefecto inotrópico positivo) y la frecuencia cardiacas (efecto cronotrópico positivo). Otras sustancias que tienen efectos inotrópicos y cronotrópicos positivos en el corazón incluyen el Ca2+, las hormonas tiroideas, la cafeina, la teofilma y el glucósido cardíaco digoxina. Estas sustancias aumentan la concentración intracelular del Ca2+ en las células musculares cardíacas. Las sustancias que ejercen efectos inotrópicos y cronotrópicos negativos en el músculo cardiaco incluyen antagonistas de los receptores adrenergicos, como el propranoloj o los antagonistas de los canales de Ca²⁺ Estas sustancias disminuyen la frecuencia cardiaca y la fuerza de contracción del musculo cardiaco

El sistema nervioso central verifica la presión arterial y la función cardiaca a través de los receptores especializados, ubicados en el sistema cardiovascular.

La actividad del sistema cardiovascular es vigilada por centros especializados en el sistema nervioso central (SNC). En las paredes de los grandes vasos sanguíneos cercanos a y dentro del corazón, hay receptores nerviosos sensitivos especializados que proporcionan información aferente sobre la presión arterial. La información recibida de todos los tipos de receptores cardiovasculares inicia los reflejos fisiológicos adecuados. Los receptores funcionan como:

- Barorreceptores (receptores de alta presión). Detectan la presión arterial general. Estos receptores están ubicados en el seno carotideo y en el arco aórtico.
- Receptores de volumen (receptores de presión baja). Están situados dentro de las paredes de las auriculas y los ventrículos. Detectan la presión venosa central y proveen información al SNC acerca de la distensión cardíaca.
- Quimiorreceptorea. Detectan alteraciones en el oxígeno, la tensión de dióxido de carbono y el pH. Estos receptores son el cuerpo carotideo y el cuerpo aórtico, que están ubicados en la bifurcación de las carótidas y en el arco aórtico, respectivamente.

Los cuerpos carotídeos constan de cordones y grupos irregulares de células epitelioides. Una fuente abundante de fibras nerviosas está asociada con estas células. Los elementos nerviosos son tanto aferentes como eferentes. La estructura de los cuerpos aórticos es, en esencia, similar a la de los cuerpos carotídeos. Ambos teceptores funcionan en reflejos nerviosos que permiten el ajuste del volumen cardíaco y la frecuencia respiratoria.

■ CARACTERÍSTICAS GENERALES DE LAS ARTERIAS Y LAS VENAS

Capas de la pared vascular

Las paredes de las arterias y las venas están compuestas por tres capas llamadas *túnicas*.

Las tres capas de la pared vascular, desde la luz hacia fuera (fig. 13-11 y lám. 33, p. 466), son las siguientes:

• Túnica intima. Es la capa más interna de la pared del vaso; consta de tres componentes: 1) una capa simple de células epiteliales planas, el endotelio; 2) la tímina basad de células endoteliales (una delgada capa extracelular compuesta principalmente por colágeno, proteoglucanos y glucoproteínas), y 3) la capa subendotelial, que consta de tejido conjuntivo laxo. En este tejido a veces se encuentran células musculares lisas. La capa subendotelial de la íntima en las arterias y las arteriolas contiene una capa o lámina de material elástico fenestrado que recibe el nombre de mombrona elástica intema. Las fenestraciones permiten que las sustancias se difundan con facilidad a través de la capa y alcancen las células más profundas dentro de la pared del vaso.

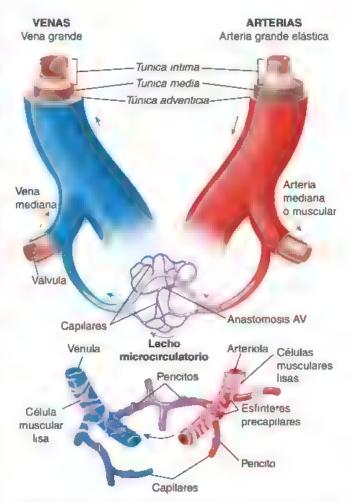


FIGURA 13-11. Principales características morfológicas de los vasos sanguineos. En los dos paneles superiores están serialadas las capas o tunicas que componen la pared vascular. En el panel inferior se illustra la organización del lecho microcirculatorio en ciertas partes del cuerpo. Nótese la ubicación de los periotos y su relación con la lám na basal. En el fecho microcirculatorio también se muestra una anastomosis arteriovenosa (AV)

- Túnica media. También llamada capa media, se compone principalmente de capas organizadas en estratos circunferenciales de células musculares lisas. En las artertas, esta capa es relativamente gruesa y se extrende desde la membrana elástica interna hasta la membrana elastica externa. La membrana elástica externa es una lámina de elastina que separa la túnica media de la túnica adventicia. Entre las células musculares lisas de la túnica media hay cantidades variables de elastina, fibras reticulares y proteoglucanos. Las hojas o láminas de elastina son fenestradas y están dispuestas en capas circulares concéntricas. Todos los componentes extracelulares de la túnica media son producidos por las células musculares lisas.
- Tunica adventicia. Es la capa de rejido conjuntivo más externa; se compone principalmente de rejido colágeno de disposición longitudinal y algunas fibras elásticas. Estos elementos del rejido

conjuntivo se mezclan de forma gradual con el tejido conjuntivo laxo que rodea los vasos. El espesor de la rúnica adventicia oscila entre relativamente delgado en la mayor parte del sistema arterial hasta bastante grueso en las vénulas y venas, donde es el componente principal de la pared vascular. Además, la rúnica adventicia de las arterias y las venas grandes contiene un sistema de vasos ilamados vasa vasorum que irriga las paredes vasculares, al igual que una red de nervios autónomos llamados nervios vasculares (nervi vasorum), que controlan la contracción del músculo liso en las paredes de los vasos.

Desde el punto de vista histológico, los diversos tipos de arterias y venas se distinguen unos de otros por el espesor de la pared vascular y las diferencias en la composición de las capas. En la tabla 13-1 se resumen las características de los diversos tipos de vasos sanguíneos.

DANKE TO THE

Características de los vasos sanguíneos

Arterias				
Vaso	Diámetro	Tunica intima (capa interna)	Tunica media (capa media)	Tunica adventicia (capa externa)
Arteria grande (arteria elástica)	> 10 mm	Endotalio Tejido conjuntivo Muscula Iso	Musculo liso Lammillas elásticas	Más delgada que la tunica media Tejido conjuntivo Fibras elásticas
Arteria mediana (arteria muscular)	2-10 mm	Endoteiro Tejido conjuntivo Musculo liso Membrana interna elástica prominente	Musculo liso Fibras de colágeno Relativamente escaso tejido elástico	Más delgada que la tunica media Tejido conjuntivo Algunas fibras elásticas
Arteria pequeña	0 1 2 mm	Endote io Tejido conjuntivo Musculo iso Membrana elástica interna	Musculo liso (8-10 capas de cálulas) F bras de colágeno	Más delgada que la tunica media Tejido conjuntivo Algunas fibras elásticas
Arteriola	10-100 µm	Endote io Tejido conjuntivo Musculo liso	Musculo liso (una o dos capas de celulas)	Delgada, vaina mali definida de tejido conjuntivo
Capiler	4·10 μm	Endoteio	Ninguna	Ninguna
Venas				
Vaso	Diametro	Tunica intima (capa interna)	Tünice media (cape media)	Túnica adverticia (capa axterna)
Vénulas poscapilares	10-50 μ/π	Endote o Pencros	Ninguna	Ninguna
Vénulas musculares	50-100 μm	Endoteio	Musculo liso (una o dos capas de células)	Más gruesa que la tunica media Tejido conjuntivo Algunas fibras elásticas
Venas pequeñas	0 1-1 mm	Endoteilo Tejido conjuntivo Musculo (iso (dos o tres capas de cérulas)	Musculo liso (dos o tres capes que se continuan con la tunica intima)	Más gruesa que la tunica media Tejido conjuntivo Algunas fibras elásticas
Venas medianas	1-10 mm	Endote io Tejido conjuntivo Musculo liso En algunos casos, membrana interna elastica	Musculo liso Fibras de colágeno	Más gruesa que la tunica media Tejido conjuntivo Algunas fibras elásticas
Venas grandes	> 10 mm	Endote io Tejida conjuntivo Musculo lisa	Musculo liso (2-15 capas) Fibras de colágeno	Mucho más gruesa que la tunica media Tejido conjuntivo Algunas fibras elásticas, musculo áso iongitudinal Extensiones de musculo cardiaco (mangas miocárdicas) hacia tas grandes venas cercanas al corazón

Endotelio vascular

En el cuerpo humano adulto, el sistema circulatorio consta de alrededor de 96 500 km de vasos de diferentes tamaños cuya superficie interna está revestida por un epitelio plano simple llamado endotelio. El endotelio está formado por una capa continua de células endoteliales aplanadas, alargadas y de forma poligonal que se alnean con sus ejes mayores en la dirección del flujo sanguineo. En la superficie luminal, expresan una gran variedad de moléculas de adhesión y receptores de superficie (receptores de lipoproteínas de baja densidad [LDL, low-density lipoproteins], insulina e histamina). Las células endoteliales desempeñan un papel importante en la homeostasis de la sangre. Las propiedades funcionales de estas células cambian en respuesta a diversos estímulos. Este proceso, conocido como activación andotalial, también es responsable de la patogenía de muchas vasculopatías (p. ej., ateroesclerosis; cuadro 13-1). Entre los inductores de la activación endotelial se encuentran los antigenos bacterianos y víncos, las citotoxinas, los productos del complemento y los lipidicos, así como la hipoxia. Las

CUADRO 13-1-

CORRELACIÓN CLÍNICA: ATEROESCLEROSIS

Las lesiones ateroescleróticas son las alteraciones adquiridas más frecuentes de los vasos sanguineos. Más de la mitad de las muertes anuales en los Estados Unidos están relacionadas con complicaciones de la enfermedad ateroesclerótica. entre etlas la coronariopatía (véase cuadro 13-3), el infarto de miocardio, el ictus y la arteriopatía periférica. Las lesiones se desarrollan principalmente en la túnica íntima de las artenas elásticas grandes después de una lesión endotelia., lo que conduce a la disfunción endotelial Los factores que predisponen a las lesiones endotaliales incluyen lipoproteínas de baja densidad (LDL) elevadas, hiperlipidemia, hiperglucemia (en la diabetes), hipertensión, aumento de las concentraciones de toxinas asociadas con el consumo de cigarrillos y ciertas infecciones víncas y bacterianas, como las causadas por citomegalovirus (CMV) o Chlamydia pneumoniae, respectivamente. La alteración de la función del endotelio vascular conduce a mayor expresión de moléculas de adhesión de superficie (p. ej., iCAM-1), aumento de la permeabilidad a las LDL e incremento de la adherencia de los leucocitos (principalmente monocitos) al endotelio. La lesión endotelial au-

menta la producción de especies reactivas de oxígeno como O_2 *, H_2O_2 , $OH^*\gamma$ $ONOO^*$, que a su vez oxidan las LDL en la tunica íntima de la artena

En respuesta a esta lesión, los monocitos provenientes de la circulación se introducen en la túnica íntima y se diferencian en macrófagos. Los macrófagos fagocitan LDL oxidadas y se transforman lentamente en cálulas espumosas a medida que su citoplasma se llena con vesiculas de contenido lipídico, lo que les confiere su aspecto esponjoso característico. Las células espumosas y los linfocitos T infiltrados forman la lesión ateroesclerótica inicial o estría grasa. En esta lesión temprana, las células de músculo liso de la túnica. media proliferan y migran hacia la estría grasa en respuesta. al factor de crecimiento derivado de piaquetas producido por las células endoteliares. En etapas posteriores, esta lesión se remodela aun más para convertirse en una placa fibrograsa. conforme las células musculares lisas migran desde la tunica media y sintetizan colágeno para formar una cápsula protectora de tejido conjuntivo que encierra el núcleo de lípidos crecientes (fig. F13-1-1)

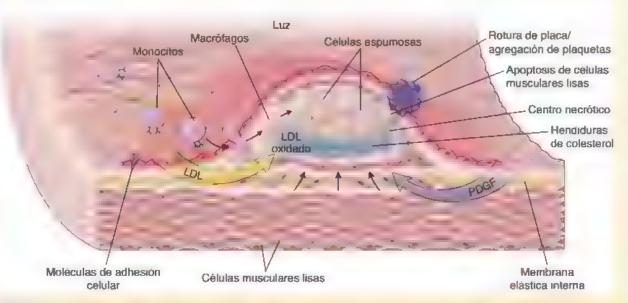
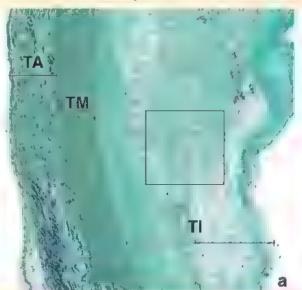


FIGURA C13-1-1. Interacciones celulares en la formación de una placa ateromatosa. Las células endoteliales disfuncionales (rojo) incrementan la expresión de moléculas de adhesión celular y aumentan la permeabilidad de las moléculas de lipoproteínas de baja densidad (LDL flecha amarilla Los monos tos circulantes se adhieren al endotelio lesionado y migran entre las células endoteliales a la tunica intima donde se diferencian en macrófagos. Los radicales libres producidos por las células endoteliales oxídan las LDL que poster ormente son fagocitadas por los macrófagos. É factor de crecimiento derivado de plaquetas (PDGF) y otros factores de crecimiento (flecha azul) liberados por las células endoteliales estimulan la migración de las células de musculo iso de la tunica media hacia la tunica intima. Las células espumosas derivadas de macrófagos (y también de células de musculo liso) acumulan LDL intracelulares, mientras que e colesteros se deposita en los cristales dentro del centro necrótico. En la tunica intima las celulas de musculo liso producen grandes cantidades de matriz extrace ular (proteoglucanos, colágeno) que aumentan aum más el espesor de la tunica intima.

CORRELACION CLÍNICA: ATEROESCLEROSIS (CONTINUACION)

Una gruesa capa de tejido conjuntivo fibroso en el que están dispersas células da musculo liso, macrófagos, células espumosas, linfocrtos I, cristales de colesterol y detritos celulares recibe el nombre de placa ateromatosa. La progresión de la piaca se caracteriza por la acumulación de lipidos y el aumento de la actividad enzimática que degrada la matriz, por lo que se acumula el tejido necrótico. La pérdida gradual de las células de musculo liso por apoptosis y la pérdida de la integridad del endotello conducen a la rotura de la placa, que viene seguida por la unión de plaquetas y la coagulación (trombosis). En las lesio-

nes avanzadas, la estasis sangulnea y la coaguiación pueden conducir a la oclusión del vaso. Otros cambios que se observar en las lesiones avanzadas incluyen adeigazamiento de la tunica media, calcificación de los lípidos extracelulares aglomerados y acumulación de cristates de colesterol visibles en los cortes histológicos como espacios abiertos en forma de aguja llamados hendiduras de colesterol (fig. C13-1-2a,b). La progresión de las lesiones simples a lesiones complicadas se puede encontrar en algunas personas tan pronto como a los 20 años y en la mayoría de las personas a los 50 o 60 años de edad.



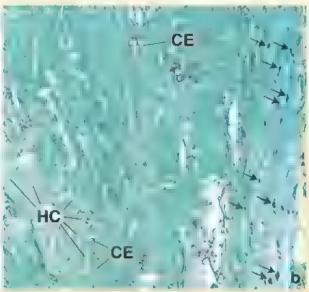


FIGURA C13-1-2. Microfotografías de una lesión ateromatosa a. Esta muestra proviene de una aorta humana y se ha tenido con la récinica tincrómica de Masson La lesión que recibe el nombre de *placa fibrosa*, consiste en fibras de fejido conjuntivo, células de musculo liso macrótagos que contienen grasa ice ulas espurmosas) y materia necrótico. Ocupa el sito de la tunica intima (ΤΙ) cuyo espesor ha aumentado en gran medida. ΤΜ, funica media. ΤΑ, funica adventicia. 40 × b. Aumento mayor de la región includa en el rectánguto en a. A la derecha, es visible parte del te ido conjuntivo fibroso de la piaca. Las flechas senalar los nucleos de las células de musculo liso que han producido las fibras de colágeno de la placa fibrosa. Tamb én pueden verse las células espurmosas (*CE*) y las características bendiduras de colesterol (*HC*). Estas ultimas son los espacios ocupados anteriormente por cristales de colesterol que se han disuerto durante la preparación de la muestra. El resto de la placa consiste en material necrótico y lípidos. 240×

células endoteliales activadas presentan nuevas moléculas de adhesión en su superficie y producen diferentes clases de citocinas, línfocinas, factores de crecimiento y moléculas vasoconstrictoras y vasodilatadoras, así como moléculas que controlan la coagulación de la sangre.

Las células endoteliales contribuyen a la integridad estructural y funcional de la pared vascular.

Las células endoteliales son participantes activas en una variedad de interacciones entre la sangre y el tejido conjuntivo subyacente, y son responsables de muchas de las propiedades de los vasos (tabla 13-2, p. 446). Estas propiedades incluyen las siguientes:

Mantenimiento de una barrera de permeabilidad selectiva, lo que permite el paso selectivo de las pequeñas y grandes moléculas de la sangre hacia los rejidos y viceversa. La barrera está mediada por complejos de adhesión endotelial de célula con célula, que incluyen las umones estrechas, la zónula adherente y una gran variedad de otras moléculas de adhesión que están conectadas con el citoesqueleto de actina. Este movimiento está relacionado con el tamaño y la carga eléctrica de las moléculas. El endotelio es permeable para las moléculas hidrófobas (lipo-

solubles) pequeñas (p. ej., oxígeno, dióxido de carbono) que pasan con facilidad a través de la bicapa lipídica de la membrana celular endotelial (un proceso denominado difusión simple) Sin embargo, el agua y las moléculas hidrófilas (hidrosolubles) (p. ej., glucosa, aminoácidos, electrólitos) no pueden difundir a través de la membrana de las células endoteliales. Estas moléculas y solutos deben ser transportados activamente a través de la membrana plasmática y liberarse en el espacio extracelular (via transcelular) o atravesar las uniones estrechas entre dos células epiteliales (via paracelular; véase cap. 5). La via transcelular utiliza numerosas vesículas micropinociticas y macropinociticas (una forma de endocitosis independiente de clatrina) para transportar un gran volumen de material de la sangre hacia la célula. Además, algunas moléculas específicas (p. ej., LDL, colesterol, transferrina) se transportan mediante una endocitosis mediada por receptores (un proceso dependiente de claritina), que utiliza receptores específicos de la superficie endotelial. En algunos vasos sanguíneos, las moléculas más grandes se transportan a través de fenestraciones dentro de las células endoreliales que se observan en los preparados para la microscopía electrónica de transmisión (MET)

- Mantenimiento de una barrera antitrombotica entre las plaquetas de la sangre y el tejido subendotelial que se realiza por la producción de anticoaguiantes (sustancias que previenen la coagulación, como la trombomodulina y otros) y sustancias antitrombóticas (sustancias que evitan o interfieren con la agregación plaquetana y la liberación de factores que causan la formación de coágulos, o trombos, como la prostaciclina [PGI2] y el activador tisular del plasminógeno). Además, la superficie de las células endoteliales tiene abundantes glucosaminoglucanos sulfatados similares a la heparina que se unen y activan las sustancias antitrombóticas circulantes. El endotelio normal no permite la adherencia de las plaquetas o la formación de trombos en su superficie. En una lesión, las células endoteliares hacen que se liberen protrombóticos (agentes que promueven la formación de trombos), como el factor de Von Willebrand o el inhibidor del activador del plasminógeno.
- Modulación del flujo sanguineo y la resistencia vascular, que se consigue mediante la secreción de vasoconstrictores (endotelinas, enzima convertidora de angiotensina [ACE, angiotensinconverting enzyme], prostaglandina H₂, tromboxano A₂) y vasodilatadores (óxido nítrico [NO], prostaciclina). Este tema se trata con mayor detalle en la siguiente sección
- Regulación y modulación de respuestas inmunitarias por el control de la interacción de los linfocitos con la superficie endotelial, que se consigue principalmente a través de la expresión de moléculas de adhesión y sus receptores en la superficie endotelial libre, así como por la secreción de tres clases de interleucinas (IL): IL-1, IL-6 e IL-8.
- Sintesis hormonal y otras actividades metabolicas realizadas mediante la síntesis y la secreción de diversos factores de crecimiento, por ejemplo, factores estimulantes de colonias hematopoyéticas (CSF, colony-stimulating factors) como el CSF de granulocitos-macrófagos (GM-CSF), CSF de granulocitos (G-CSF) y CSF de macrófagos (M CSF), factor de crecimiento de fibroblastos (FGF, fibroblast growth factor) y factor de crecimiento derivado de plaquetas (PDGF, platelet-derived growth factor). Las células endoteliales también sintetizan inhibidores del crecimiento, como la heparina y el factor de crecimiento transformante β (TGF β, transforming growth factor β) Las células endoteliales funcionan en la conversión de angiotensina l a angiotensina II en el sistema renina-angiotens na que controla la presión arterial, así como en la inactivación o la conversión de varios compuestos transportados en la sangre (noradrenalina, trombina, prostaglandinas, bradicinina y serotonina) en sus formas inactivas.
- Modificación de las tipoproteínas por exidación, pues las lipoproteínas, en su mayoría LDL con un alto contenido de colesterol y lipoproteínas de muy baja densidad (VLDL, very low-density lipoproteíns), son exidadas por los radicales libres producidos por las células endoteliales. Las LDL modificadas, a su vez, son incorporadas rápidamente por endocitosis por los macrofagos que forman células espumosas (véase fig C13-1-1). Las células espumosas son un rasgo característico de la formación de las placas ateromatosas.

El endotelio de los vasos sanguineos controla la contracción y la relajación de las células de músculo liso en la túnica media, lo que influye sobre el flujo y la presión de la sangre.

Históricamente, el factor de relajación derivado del endotelio (EDRF, endothelial-derivad relaxing factor) fue uno de los primeros compuestos en ser descubiertos en las células endoteliales que causaba dilatación de los vasos sanguíneos. Durante años, los inves-

tigadores tuvieron dificultades para caracterizar el EDRF desde el punto de vista químico. Ahora se sabe que la mayoría de los efectos vasculares del EDRF se pueden atribuir al óxido nítrico (NO) y sus compuestos afines, que son liberados por las células endoteliales en las arterias, los capilares sanguíneos e incluso los capilares linfáricos. Como compuesto químico, el NO es un gas con una vida media fisiológica muy breve, cuantificable en segundos; de ahí la dificultad para llegar a su descubrimiento.

Las fuerzas de cizallamiento producidas durante la interacción del flujo sanguineo con las células endoteliales vasculares inician la dilatación de los vasos sangumeos causada por el óxido nítrico (NO).

La vasoditatación (la relajación de las células de músculo liso) aumenta el diámetro luminal de los vasos y disminuye la resistencia vascular y la presión arrerial sistémica. El óxido nétrico (NO) derivado del endotelio es uno de varios reguladores decisivos de la homeostasis cardiovascular, Regula el diámetro de los vasos sanguíneos, inhibe la adhesión de los monocitos a las células endoteliales disfuncionales y mantiene un ambiente antiproliferativo y antiapoptótico en la pared vascular.

El NO es un gas vasodilatador endógeno sinterizado de forma continua en las células endoteliales por la óxido nítrico-sintasa endotelial (eNOS, endothelial nitric oxide synthase). Esta enzima dependiente de Ca2+ cataliza la oxidación de la t-arginina y actúa a través de la cascada de transmisión de señales de la proteína G. Las células endoteliales están sometidas de modo constante a fuerzas de cizallamiento, la fuerza de arrastre generada por el flujo sanguíneo. Las fuerzas de cizallamiento aumentan la síntesis de un potente estimulador de la eNOS, el factor de crecimiento del endotelio vascular (VEGF, vascular endothelial growth factor), y desencadenan una gran variedad de cambios moleculares y físicos en la estructura y función de las células endoteliales. Una vez que las células endoteliales producen el NO, se difunde a través de la membrana celular y la membrana basal hacia la rúnica media subyacente y se une a la guanilato-ciclasa en el citoplasma de las células de músculo liso. Esta enzima aumenta la producción de monofosfato de guanosma cíclico (cGMP, cyclic guanosine monophosphate), el cual activa la proteína-cinasa G (PKG, protem kinase G) de las células de músculo liso. La activación de la PKG tiene un efecto negativo en la concentración intracelular de Ca2+ y causa la relajación del músculo liso (fig. 13-12). El NO también es una molécula de señalización en numerosos procesos patoiogicos y fisiologicos. Actua como un antiinflamatorio en condiciones fisiologicas normales, pero su sobreproducción induce inflamación. El NO también participa en las reacciones inmunitarias (que estimulan a los macrófagos para liberar altas concentraciones de NO), es un potente neurotransmisor del sistema nervioso y contribuye a la regulación de la apoptosis La patogenia de las alteraciones inflamatorias de las articulaciones, el intestino y los pulmones está asociada con la producción excesiva local de NO. Recientemente, se han utilizado los inhibidores de NO para tratar una gran cantidad de enfermedades, incluyendo algunas enfermedades inflamatorias, la migraña y los traumatismos cranecencefálicos.

El estrés metabólico en las células endoteliales también contribuye a la relajación del músculo liso. Los factores de relajación denvados del endotelio incluyen la prostaciclina (PGI₂), que además de relajar el músculo liso es un potente inhibidor de la agregación plaquetaria. La PGI₂ se une a los receptores en el músculo liso, estimula la proteína-cinasa A (PKA, protein kinase A) activada por monofosfato de adenosina cíclico (cAMP, cyclic adenosine monophosphate) que, a su vez, fosforila la cinasa de las cadenas ligeras de la miosina (MLCK,

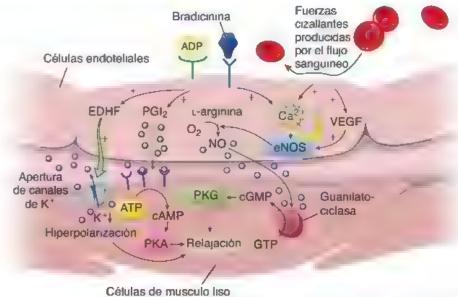


FIGURA 13-12. Mecanismo molecular de la vasodilatación, La relajación de las células de musculo liso en la pared del vaso sanguíneo causa un aumento de su diámetro y disminuye la resistencia vascular y la presión anteria sistémica. El óx do nitrico (NO) producido en las células endoteliales por la óxido nitrico-sintetasa endote ial (eNOS) es una molecula importante que regula la relajación de musculo liso vascular. Otras moléculas incluyen difostato de adenos na (ADP) factor de crecimiento endotelial vascular. VEGE, bradicinina, prostaciclina. PGE) y factor hiperpolar zante derivado de endote lo (EDHF). Las fuerzas de ciza amiento producidas entre los entrocitos y células endoteliales, as como el VEGF activan la eNOS lo cua aumenta la sintesis de NO. Una vez que se produce NO se difunde al musculo Iso subyacente y por medio de la acción de la guanilato-ciclasá, activa la producción de CGMP que a su vez activa las vias metabólicas de la profema-cinasa G. PKG) dependiente de cGMP con lo que provoca la relajación de musculo liso. El estres metabólico de las células endotelia es causado por el aumento de la concentración de ADP o PGI, estimula la via metabólica de la profema cinasa A. (PKA) activada por cAMP en el musculo iso, lo que ocasiona su relajación de ADP o PGI, estimula la via metabólica de ja profema cinasa A. (PKA) activada por cAMP en el musculo iso, lo que ocasiona su relajación mayor. ATP tirfosfato de adenosina, cAMP monofosfato de adenosina cic. co. cGMP monofosfato de guanosina (basado en Nobie A. Johnson R. Thomas A. et al. The Cardiovascular System. London. Churchil Livingstone. 2005)

myosin light cham lemase) y evita la activación del complejo calciocalmodulina. Este tipo de relajación ocurre sin cambios en la concentración intracelular del Ca²⁺, El factor hiperpolarizante derivado del endotelio (EDHF, endothelium-derived hyperpolarizing factor) es otro factor de relajación derivado del endotelio que actúa sobre los canales de K⁺ dependientes de Ca²⁺ para causar la hiperpolarización y relajación de las células vasculares del músculo liso (véase fig. 13-12).

Las endotelinas producidas por las células endoteliales vasculares desempeñan un papel importante en los mecanismos tanto fisiológicos como patológicos del sistema circulatorio.

La vasoconstricción (contracción del músculo liso) en la rúnica media de las pequeñas arterias y arteriolas reduce el diámetro de la luz de estos vasos y aumenta la resistencia vascular. La vasoconstricción aumenta la presión arterial sistémica. Antes se pensaba que la vasoconstricción era inducida principalmente por impulsos nerviosos u hormonas circulantes. Hoy se sabe que los factores derivados del endorello cumplen una función importante en los mecanismos fisiológicos y patológicos del sistema circulatorio. Los péptidos miembros de la familia de la endotelina de 21 ammoácidos producidos por células endoteliales vasculares son los vasoconstrictores más potentes. La familia está compuesta por tres miembros: endotelina 1 (ET-1), endotelina 2 (ET-2) y endotelina 3 (ET-3). Las endotelinas acrúan principalmente como agentes paracrinos y autocrinos, y se unen a los receptores de las células epiteliales y el músculo liso (fig. 13-13). La ET-1 es el vasoconstrictor natural más potente que interactua con el receptor de endotelmas A (ETA) en las células de músculo liso vascular. Los altos niveles de expresión del gen de la ET-1. se asocian con muchas enfermedades que son causadas, en parte, por la vasoconstricción sostenida inducida por al endotelio. Entre estas enfermedades se encuentran la hiperten-

sión sistémica (cuadro 13-2, p. 448), la hipertensión pulmonar, la ateroesclerosis, la insuficiencia cardiaca congestiva, la miocardiopatia idiopática y la insuficiencia renal. Cabe destacar que el veneno de la serpiente Atractaspis engaddensis contiene sarafotoxina, una proteina muy toxica que tiene un muy alto grado de homología de secuencía con la ET-1. Después de que se introduce en la circulación, se une a receptores ETA y produce una vasoconstrucción coronaria intensa que pone en peligro la vida. Esto es notable porque la endotelina es un compuesto natural del sistema vascular humano, mientras que la sarafotoxina es una toxina en el veneno de la serpiente. Los otros vasoconstrictores derivados del endotelio incluyen tromboxano A₂ y prostaglandina H₂. El tromboxano A₂ se sintetiza a partir de la prostaglandina H₂. Además, la disminución en la velocidad de la producción de NO o la inactivación de NO por el amón superóxido (O2) tiene el efecto de contracción del músculo liso (véase fig. 13-13).

En resumen, en condiciones fisiológicas normales, las células endoteliales vasculares se activan en presencia de factores ambientales, como los estímulos mecánicos (presión y cizallamiento) y las sustancias químicas (hormonas y sustancias vasoactivas secretadas localmente). En respuesta a estos estímulos, el endotelio libera factores que regulan la función vasomotora, los procesos inflamatorios, el crecumiento celular y la hemostasia. No obstante, la disfunción endotelial (un término que describe diversos defectos potenciales de las células endoteliales) puede alterar la acción del endotelio y causar la disminución de la vasoditatación y algunas anomalias proliferativas, protrombóticas y proinflamatorias. La disfunción endotelial es una acontecimiento temprano relevante que puede conducir a diversas enfermedades, como la ateroesclerótica progresiva (véase cuadro 13-1).

y el colesterol

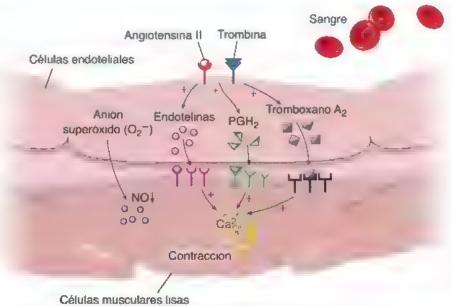


FIGURA 13-13. Mecanismos moleculares de la vasoconstricción. La contracción del musculo liso en un vaso sanguineo (vasoconstricción) disminuye el diámetro y aumenta la resistencia vascular lo que conduce a un aumento de la presión arterial sistèmica. La unión de la angiotensina il y la trombina a las células endotella es vasculares estimula la sintesis de factores derivados del endotello que regulan la contracción de musculo (so if stos incluyen endotel nas (la familia más potente de vasoconstrictores) prostaglandina H₂ (PGH₃) y su derivado el tromboxano A₂. Estos agentes se unen a sus propios receptores en la membrana celular del musculo liso lo que causa una entrada de Ca₂" y un aumento en la liberación de Ca₂" almacenado de forma intracelular desde el reticulo sarcoplasmático. La disminución del ritmo de producción del óxido nitrico (NO), que es un potente vasodilatador lo la nactivación del NO por el anión superóxido (O₂") tienen un efecto estimulante sobre la contracción del musculo iso (basado en Noble A, Johnson R, Thomas A, et al The Cardiovascular System. London Churchil Livingstone. 2005)

Resumen de las propiedades y las funciones de las células endoteliales

Propiedades principales	Funciones asociadas	Moleculas activas que intervienen
Mantenimiento de una banera de permesbilidad selectiva	Difusión simple Transporte activo Pinocitosis Endocitosis mediada por receptores	Oxígeno, dióxido de carbono Glucosa, aminoácidos, electrólitos Agua, moléculas pequeñas, proteínas solubles LDL, colesterol, transfernna, factores de crecimiento, anticuerpos, comprejos MHC
Mantenimiento de una barrera antitrombótica	Secreción de anticoagulantes Secreción de antitrombóticos Secreción de protrombóticos	Trombomodulina Prostaciona, activador del plasminógeno de los tejidos antitrombina III, heparina Tromboplastina de los tejidos, factor de Von Willebrand, inhibidor del activador del plasminógeno
Modulación del flujo sanguíneo y de la resistencia vascular	Secreción de vasoconstrictores Secreción de vasod atadores	Endote ina, enzima convertidora de angiotensina Factor de relajación derivado del endotello lóxido nitrico, prostaciclina
Regulación de la proliferación celular	Secreción de factores estimulantes del crecimiento Secreción de factores inhibidores del crecimiento	Factor de crecimiento derivado de plaquetas factores estimulantes de colonias hematopoyéticas (GM-CSF, CSF, M-CSF) Factor de crecimiento transformante β
		Selectinas, integrinas, moléculas marcadoras CD Interleucinas (IL-1, L-6, IL-8) moléculas del MHC
Mantenimiento de la matriz extracelular	Síntesis de lámina basal Síntesis de glucocáliz	Colágeno tipo IV, laminina Proteoglucanos
Participación en el metabo- lismo de las lipoproteinas	Producción de radicales libres Oxidación de LDL	Especies reactivas de oxigeno, LDL, VLDL

CD cumu-o de diferenciación G-CSF factor estimulante de colonias de granu ocitos GM-CSF factor estimulante de colonias de granulante de colonias de macrófagos MHC, comprejo mayor de histocompatibilidad VLDL, lipoproteinas de muy baja densidad.

ARTERIAS

De forma tradicional, las arterias se clasifican en tres tipos según su tamaño y las características de su túnica media.

- Arterias grandes o elásticas, como la aorta y las arterias pulmonares, que transportan la sangre del corazón al circuito sistémico y pulmonar, respectivamente (véase fig. 13-2). Sus ramas principales (tronco braquiocefálico, carótida común, subclavia e ilíaca común) también están clasificadas como arterias elásticas.
- Arterias medianas o musculares (la mayoría de las arterias del cuerpo que tienen nombre), que no pueden distinguirse claramente de las arterias elásticas. Algunas de estas arterias son difíciles de clasificar porque tienen características que son intermedias entre estos dos tipos.
- Arterias pequeñas y arteriolas, que se distinguen una de otra por la cantidad de capas del músculo liso en la rúnica media.
 Por definición, las arteriolas poseen una capa o dos, y las arterias pequeñas pueden tener hasta ocho capas de músculo liso en su túnica media.

Arterias grandes (arterias elásticas)

Las arterias elásticas tienen múltiples capas de laminillas elásticas en sus peredes.

Desde el punto de vista funcional, las arterias elásticas sirven principalmente como vías de conducción; no obstante, también favo-

recen el movimiento continuo y uniforme de la sangre a través de las vías. El flujo sanguineo se produce de la siguiente manera: los ventrículos del corazón bombean la sangre hacia las arterias elásticas durante la sistole (la fase de contracción del ciclo cardíaco). La presión generada por la contracción de los ventrículos empuja la sangre a través de las arterias elásticas y a lo largo del árbol arterial. Al mismo tiempo, también hace que se distienda la pared de las grandes arterias elásticas. La distensión está limitada por la red de fibras colágenas en la túnica media y la túnica adventicia (fig. 13-14), Durante la diastole (la fase de relajación del ciclo cardiaco), cuando el corazón no genera presión, la retracción elástica de la pared arterial distendida sirve para mantener la presión arterial y el flujo de sangre dentro de los vasos. La retracción elástica inicial empuja la sangre tanto hacia dentro como hacia fuera del corazón. El flujo sanguíneo hacia el corazón determina el cierre de las válvulas aórtica y pulmonar. La retracción elástica continua mantiene entonces el flujo continuo de sangre desde el corazón.

La túnica íntima de la arteria elástica se compone de un endotelio, un tejido conjuntivo subendotelial y una membrana elástica interna po visible.

La túnica intima de las arterias elàsticas es relativamente gruesa y consiste en lo siguiente:

Endotello de revestimiento con l
 imina basal. Las c
 élulas t
 ípicas
 son planas y alargadas, con sus ejes mayores orientados paralelos
 en la direcci
 ón del flujo sangu
 íneo en la arteria (fig. 13-15). En

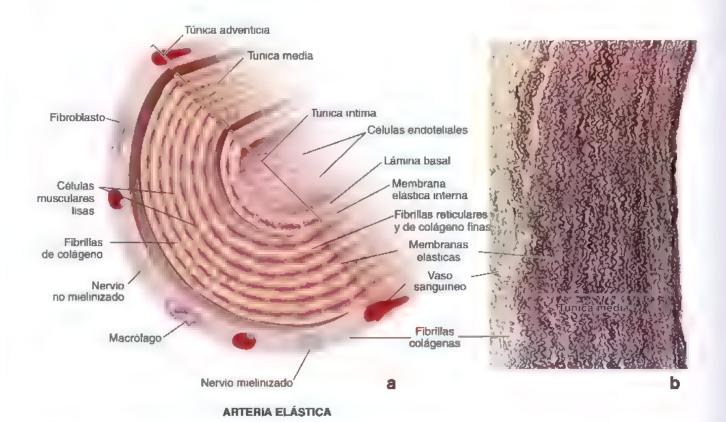


FIGURA 13-14. Diagrama y microfotografía de una arteria elástica, a En este diagrama de una arteria elástica normal se muestran los componentes celulares y extracelulares. Debe tenerse en cuenta la organización de las celulas musculares lisas en la tunica media y la distribución de las aminillas elásticas. La membrana elástica interna no está bien definida y se corresponde con la laminilla elástica más interna de la pared arteria. b. En esta microfotografía de baio alumento se muestra el corte de la pared de la aorta humana tenida con resorcina-fucsina de Weigert para ver las laminillas elásticas entremezcladas con las celulas de musculo I so de la tunica media. En la imagen solo se ha identificado la tunica media, que es la más gruesa de las tres capas de las arterias elásticas. Nótese que las laminillas elásticas, las fibrilias de colágeno y los vasos sanguineos están presentes en la túnica adventicia. 48×

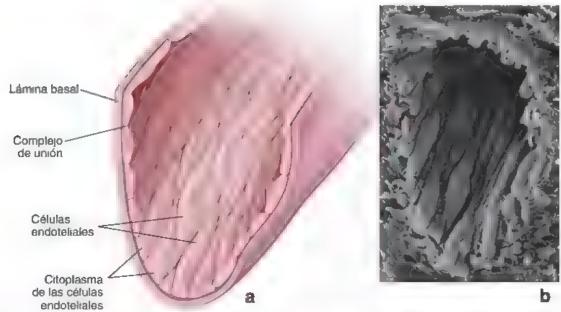


FIGURA 13-15. Diagrama y microfotografía electrónica de barrido del endotelio, a. En esta illustración se muestra la superficie luminal del endotelio. Las células son aiargadas y su ele longitudina les paralelo a la dirección del flujo sanguineo. Los nucieos de las células endoteliales también están aiargados en la dirección del flujo sanguineo. b. Microfotografía electrónica de barrido de una vena pequena, en la que se observan las células del revestimiento endotelia. Observese la forma celular ahusada con su diámetro mayor para elo al eje longitudinal del vaso. 1100 ×

CUADRO 13-2.

CORRELACION CLÍNICA: HIPERTENSIÓN

La hipertensión se produce en airededor del 25% de la población y se define como una presión diastólica constantemente por arriba de los 80 mm Hg o una presión sistólica constante mayor de 130 mm Hg. A menudo, la hipertensión se asocia con vasculopatía ateroesclerótica y con un alto nesgo de altefaciones cardiovasculares, como ictus y angina de pecho. En la mayoría de los casos de hipertensión, se reduce el diámetro de fa fuz de las pequeñas arterias y arteriolas musculares, lo que conduce a un aumento de la resistencia vascular. La reducción del tamaño de la luz también puede producirse por la contracción activa del músculo liso en la pared del vaso o por un aumento en la cantidad de músculo liso en la pared.

En las personas con hipertensión, las células del músculo liso se multiplican. El músculo liso adicional aumenta el espesor de la tunica media. Al mismo tiempo, algunas de las células musculares lisas acumulan lípidos. Esta es una de las razones por las que la hipertensión es un factor de riesgo para la ateroesclerosis. En los animales alimentados con lípidos, la hipertensión acelera la tasa de acumulación de lípidos en las paredes del vaso. Con las dietas hipolipidicas, la hipertensión aumenta la velocidad de engrosamiento de la tunica lintima que se produce naturalmente con el envejecimiento.

El musculo cardíaco también se ve afectado por la hipertensión crónica que conduce a la sobrecarga de presión, lo que produce hipertrofia ventricular izquierda compensadora. La hipertrofia ventricular en esta alteración es causada por un aumento del diametro (no de la longitud) de las células musculares cardíacas, con núcleos agrandados y rectangulares característicos. La hipertrofia ventricular izquierda es una manifestación habitual de la cardíopatía hipertensiva. La hipertrofia ventricular torna de forma uniforme la pared del ventrículo izquierdo más gruesa y menos elástica, y el corazón entonces debe trabajar más para bombear la sangra (fig. C13-2-1). La cardiopatía hipertensiva no tratada puede conducir a insuficiencia cardíaca. Algunos estudios recientes han demostrado que la reducción prolongada de la presión arterial en los pacientes con hipertrofia ventricular por hipertensión crónica puede disminuir el grado de hipertrofia.

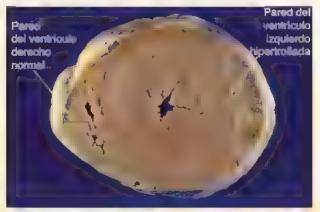


FIGURA C13-2-1. Corte horizontal de un corazón con hipertrofia ventricular izquierda. En esta fotografía se muestra un corte transversal de los ventrículos del corazón de un paciente con hipertensión crónica. Las paredes del ventrículo izquierdo tienen un engrosamiento concéntrico que se ha producido por una disminución del diámetro de la cavidad. Obsérvese que la pared del ventrículo derecho tiene dimensiones normales (reimpreso con autorización de Rubin R, Strayer DS, Rubin E, et al. Rubin's Pathology. Clirucopathologic Foundations of Medicine. 5th ed. Baltimore. Lippincott Williams & Wilkins, 2008)

la formación de la lámina epitelial, las células están unidas por uniones estrechas (zónula ocluyente) y uniones comunicantes. Las células endotehales poseen en su citoplasma inclusiones conforma de bastón llamadas cuerpos de Weibel-Palade. Estos orgánulos endoreliales específicos son estructuras electrodensas que contienen el factor de Von Willebrand y la selectina P. El factor de Von Willebrand es una glucoproteína sintenzada por las células endoreliales arrenales. Cuando se secreta hacia la sangre, se une al factor VIII de coagulación y desempeña una función importante en la adhesión de plaquetas al sitio de una lesión endorchal. Los anticuerpos contra el factor de Von Willebrand suelen usarse como un marcador inmunohistoguimico para la identificación de los tumores derivados del endotelio. La selectina P es una molécula de adhesión celular que interviene en el mecanismo de reconocimiento neutrófilo-célula endorelial. Esta inicia la migración de neutrófilos desde la sangre hacia su sitio de acción en el tejido conjuntivo (véase p. 299)

Capa subendotelial de tejido conjuntivo. En las arterias elásticas más grandes, consta de tejido conjuntivo, colágeno y fibras elásticas. El tipo de célula principal en esta capa es la célula muscular lisa. Es contráctil y secreta sustancia fundamental extracelular, así como fibras de colágeno y elásticas. También puede haber macrófagos ocasionales.

 Membrana elastica interna. En las arterras elásticas no es visible debido a que es una de las muchas capas elásticas de la pared del vaso. Por lo general, se identifica solo por ser la capa elástica interna de la pared arterial.

Las células endoteliales contribuyen a la integridad estructural y funcional de la pared vascular.

Las células endotellales no solo proporcionan una barrera física entre la sangre circulante y los tejidos subendoteliales, sino que también producen vasoconstrictores que provocan la constricción y relajación de los músculos lisos vasculares subyacentes. Las mústiples funciones del revestimiento endotelial de los vasos sanguíneos se describen con detalle al comienzo de este capítulo (véume pp. 442-445).

La túnica media de las arterias elásticas consiste en capas de células musculares lisas separadas por laminillas elásticas.

La túnica media es la más gruesa de las tres capas de las arterias elásticas y se compone de lo siguiente:

 Elastina, en forma de hojas o laminillas fenestradas entre las capas de la célula muscular lisa. Estas laminillas se disponen en capas concéntricas (fig. 13-16a; véanse fig. 13-14 y lám. 33, p. 466). Como

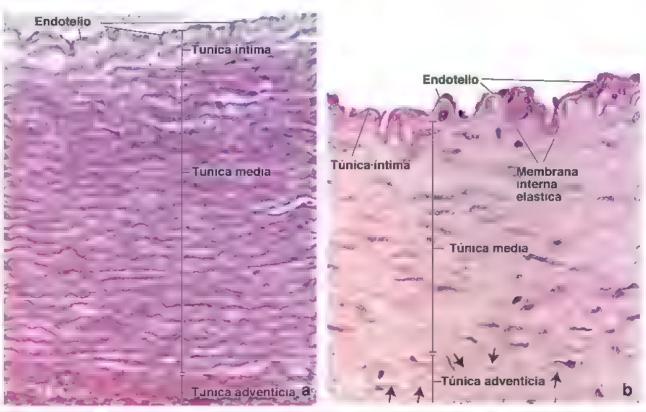


FIGURA 13-16. Microfotografías de la pared de una arteria elástica y de una arteria muscular, a. En esta microfotografía se muestra un corte transversa de una aorta humana tenida con resorcina fuciana para mostrar el materia elástico. Se pueden identificar tres capas la tunica intima, la tunica media y la tunica adventicia la tunica intima consiste en un revestimiento de células endote la esique se apoya sobre una capa fina de tejido conjuntivo que contiene de las de musculo liso aigunos macrofagos y fibras colágenas y elásticas. El limite entre este y el tejido configuro la tunica media no está ciaramente definido. La funica media contiene abundantes células de musculo liso finucleos tenidos de azulh y numerosas membranas elásticas fenestradas (aminillas onduladas rojas). La tunica adventicia la capa más externa carece de láminas elásticas se compone principalmente de tejido con untivo y contiene los vasos sanguineos y os nervios que nervan la parediaórtica. 300 x b. En esta microfotografía de un corte transversa de la paredide una arteria muscular en un preparado de rutina tenido con H&E se muestra que la paredide la arteria muscular se divide también en las mismas tres capas que las de la arteria elástica. La funica intima consiste en un revestimiento endotelial, una pequeña cantidad de telido conjuntivo y la membrana elástica interna. Esta estructura tiene un aspecto festoneado cuando el vaso esta contrado y es muy refractivo. La constricción también causa que los nucleos de las células endote ales se vean redondos. La funica media se compone principalmente de células de musculo iso en disposición circular y fibras de colageno y elásticas. Los nucleos de las células de musculo so cuando se contraen tienen un aspecto en tirabuzón. La funica adventica se compone principalmente de telido conjuntivo. En este vaso no se observa una membrana elástica externa bien definida, pero si son visibles varias siluetas de material elástico (flechas). 360 x

se ha senalado, las fenestraciones en las láminas facilitan la difusión de sustancias dentro de la pared arrerial. La cantidad y el espesor de estas láminas están relacionados con la presión arterial y la edad. Al nacer, la aorta no tiene casi ninguna laminilla; en el adulto, la aorta tiene 40-70 laminillas. En las personas con hipertensión, aumentan tanto la cantidad como el grosor de las láminas.

- Células de musculo liso vascular, distribuidas en capas. Las células de músculo liso describen una espiral de poca pendiente en relación con el eje longitudinal del vaso; así, en los cortes transversales de la arteria aparecen con una distribución circular. Las células de músculo liso son fusiformes y tienen un núcleo alargado. Están rodeadas por una lámina externa (basal), excepto en donde se unen por uniones comunicantes. Los fibroblastos no estan presentes en la túnica media. Las células de músculo liso sintetizan el colágeno, la elastina y otras moléculas de la matriz extracelular. Además, como consecuencia de la acción de los factores de crecimiento (PDGF, FGF) producidos por las células endoteliales, las células de musculo liso pueden proliferar y migrar hacia la tunica intima adyacente. Esta característica es importante en la reparación normal de la pared vascular y en los procesos patológicos similares a los que ocurren en la ateroesclerosis.
- Fibras de colageno y sustancia fundamental (proteoglucanos).
 Son sintetizadas y secretadas por las células musculares lisas vasculares.

La túnica adventúcia en la arteria elástica es una capa de tejido conjuntivo relativamente delgada.

En las arterias elásticas, la túnica adventicia suele ser menos de la mitad del grosor de la túnica media. Consta de lo siguiente:

- Fibras de colágeno y fibras elásticas. Forman una red fibrilar laxa (pero no láminas) que está menos organizada que los de la rúnica media. Las fibras de colágeno contribuyen a prevenir la expansión de la pared arterial más allá de los límites fisiológicos durante la sistole del ciclo cardíaco.
- Fibroblastos y macrófagos. Las células principales de la rúnica adventicia.
- Vesa vasorum (vasos sanguíneos). Comprenden ramificaciones de arterias pequeñas; sus redes capilares y venas son semejantes a las del sistema vascular general.
- Nervios vasculares. También llamados nervi vasorum, representan fibras nerviosas simpáticas postsinápticas no mielinizadas.
 Estas neuronas liberan noradrenalina (NE) como neurotransmisor sináptico, lo que causa el estrechamiento de la luz del vaso sanguíneo afectado (vasoconstricción)

La función de los *vasa vasorum* es entregar sustancias nutritivas y oxígeno a la pared vascular y eliminar productos de desecho.

En los vasos más grandes, el transporte de oxígeno, sustancias nutritivas y productos de desecho desde y hacia la luz se complementa mediante la difusión de la red de vasos sanguíneos pequeños llama dos vasa vasorum. Se compone de arterias pequeñas que entran en la pared vascular desde fuera del vaso y después se dividen en una red de arteriolas y capilares que irrigan la parte externa de la pared. Las venas pequeñas que salen de la red vasa vasorum drenan los capilares y las vénulas en las venas más grandes que acompañan a las arterias. La parte interna de la pared vascular es irrigada por la difusión de

sustancias nutritivas desde la luz. En los humanos, los vasos con una luz de menos de 0.5 mm de diámetro generalmente carecen de vasa vasorum. En este upo de vaso, la túnica media suele ser más delgada que una capa de 30 células. La función de los vasa vasorum es entregar sustancias nutritivas y oxígeno a la pared vascular y eliminar los productos de desecho producidos por las células que residen en la pared o que son difundidas desde la luz del vaso. Existe una fuerte asociación entre la mayor densidad de vasa vasorum en una pared arterial y la gravedad de la formación de placas ateromatosas. El impacto hemodinámico tel aumento de la presión de oxígeno y el aumento de la entrega o eliminación falfida de colesterol LDL) en la función de los vasa vasorum puede tener algún papel en la patogenia de las placas ateromatosas.

Arterias medianas (arterias musculares)

Las arterias musculares tienen más músculo liso y menos elastina en la túnica media que las arterias elásticas.

Por lo general, en la región de transición entre las arterias elásticas y las arterias musculares grandes, la cantidad de material elástico disminuye y las células musculares lisas se convierten en el componente predominante de la túnica media (fig. 13-17 y lám. 34, p. 468). Además, se vuelve visible una membrana elástica interna prominente, lo que ayuda a distinguir las arterias musculares de las arterias elásticas. En muchos casos también se puede reconocer una membrana elástica externa

La túnica íntima es más delgada en las arterias musculares y contiene una membrana elástica interna prominente.

La túnica intima es relativamente más delgada en las arterias musculares que en las arterias elásticas y consiste en un revestimiento endotelial con su lámina basal, una capa subendotelial delgada de tendo conjuntivo y una prominente membrana elástica interna. En algunas arterias musculares, la capa subendotelial es tan escasa que la lámina basal del endorelio parece entrar en contacto con la membrana elástica interna. En los cortes histológicos, la membrana elástica interna generalmente aparece como una estructura ondulada bien definida debido a la contracción del músculo liso (fig. 13-16b).

El espesor de la túnica intima varia con la edad y otros factores. En los niños pequeños es muy delgada. En las arterias musculares de los adultos jóvenes, la túnica intima comprende aproximadamente una sexta parte del espesor total de la pared. En los adultos mayores, la túnica intima puede estar expandida por depósitos lipidicos, que a menudo forman estrias grasas irregulares.

La túnica media de las arterias musculares está compuesta casi totalmente por músculo tiso vascular con escaso material elástico.

La tunica media de las arterias musculares consiste en células de músculo liso entre fibras de colágeno y relativamente poco material elástico. Las células de músculo liso están dispuestas en forma de espiral en la pared arterial. Su contracción ayuda a mantener la presión arterial. Al igual que en las arterias elásticas, en esta capa no hay fibroblastos. Las células musculares lisas poseen una lámina externa (basal), excepto a la altura de las uniones de hendidura, y producen colágeno extracelular, elastina y sustancia fundamental.

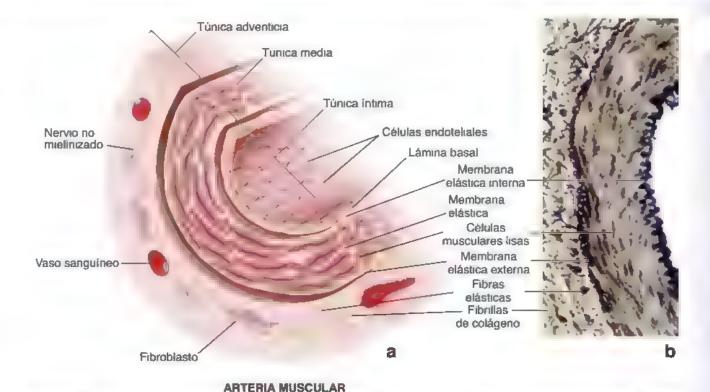


FIGURA 13-17. Diagrama y microfotografia de una arteria muscular a. En este diagrama de una arteria muscular se senaran los componentes celulares y extrace ulares. Obsérvese la distribución de los componentes celulares en las tres tunicas y las ubicaciones de la membrana elástica externa e interna. b. En esta microfotografia de un corte transversal a través de una arteria muscular ten do con la técnica de resorcinafuciana de Weigert, pueden observarise las dos capas nitidas de tejido elástico, una capa interna de aspecto oridulado de la membrana elástica interna y una capa externa bien definida de la membrana elástica externa. La tunica media relativamente gruesa en medio de las membranas elásticas interna y externa consiste principalmente en células de musculo liso en distribución o roular co ágeno y fibras elásticas finas. En este preparado, la tunica interna no se distingue, la tunica adventica está bien definida y se compone principalmente de tejido conjuntivo con fibras de colágeno y elásticas. 175×

La túnica adventicia de las arterias musculares es relativamente gruesa y suele estar separada de la túnica media por una membrana elástica externa identificable.

La túnica adventicia de las arterias musculares está compuesta por fibroblastos, fibras de colágeno, fibras elásticas y, en algunos vasos, adipocitos diseminados. En comparación con la túnica de las arterias elásticas, la adventicia de las arterias musculares es relativamente gruesa, más o menos del mismo espesor que la túnica media. Las fibras de colágeno son el componente extracelular principal. Sin embargo, a menudo hay una concentración de material elástico justo en el límite con la túnica media que, como tal, constituye la membrana elástica externa. En la túnica adventicia se encuentran nervios y vasos de pequeño calibre que se tamifican para penetrar en la capa media de las arterias musculares grandes, como los vasa vasarram.

Arterias pequeñas y arteriolas

Las arterias pequeñas y las arteriolas se distinguen una de otra por la cantidad de capas del músculo liso en la túnica media.

Como ya se mencionó, las arteriolas tienen solo una o dos capas, y una arteria pequeña puede tener hasta ocho capas de músculo liso en la túnica media (fig. 13-18 y lám, 35, p. 470). Es normal que la túnica íntima de una artena pequeña tenga una membrana elástica

mterna, mientras que, en una arteriola, esta membrana puede estar presente o no. El endotelio en ambas es, en esencia, similar al de otras arterias, excepto que con el microscopio electrónico pueden verse uniones comunicantes entre las células endoteliales y las células musculares lisas de la túnica media. Por último, la túnica adventicia es una delgada vaina conjuntiva mal definida que se mezcla con el tejido conjuntivo en el que discurren estos vasos.

Las arteriolas controlan el flujo sanguíneo hacia las redes capilares por contracción de las células del músculo liso.

Las arteriolas sírven como reguladoras del flujo hacía los lechos capilares. En la relación normal entre una arteriola y una red capilar, la contracción del músculo liso en la pared de la arteriola aumenta la resistencia vascular y disminuye o bloquea la sangre que va a los capilares. El engrosamiento leve del músculo liso en el origen de un lecho capilar de una arteriola se denomina estinter precapilar. La mayoría de las arteriolas pueden dilatarse el 60-100% de su diámetro en reposo y pueden mantener una constricción de hasta el 40% durante mucho tiempo. Por lo tanto, una gran disminución o un gran aumento de la resistencia vascular tiene un efecto directo en la distribución del flujo sanguíneo y la presión arterial sistémica. Esta regulación dirige la sangre hacia donde más se necesita. Por ejemplo, durante el ejercicio físico intenso, como al correr, el flujo de sangre hacia el musculo esquelético se incrementa por la ditatación de las arteriolas, y el flujo

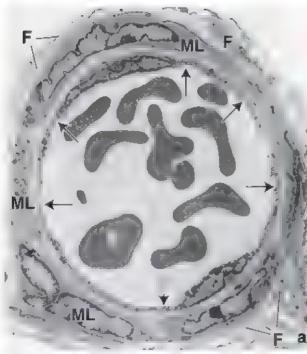




FIGURA 13-18. Microfotografía electrónica y microfotografía de arteriolas, a. En esta microfotografía electrónica se muestra un corte transversa de una arteriola. La tunica intima de vaso se compone de un endotelio y una capa muy delgada de tejido conjuntivo subendotelia: (hibrilitàs de colágeno y sustancia fundamental). Las flechas indican el sitio de unión entre cé uias endotelia es contiguas. La tunica media se compone de una sola capa de células musculares lisas (Mt.). La tunica adventicia se compone de fibrillas de colágeno y varias capas de fibribilistos (f.) con evaginaciones muy atenuadas. En la luz se observan entrocitos 6000 × b. Microfotografía de las arteriolas y las venulas en la dermis. Una arteriola aparece en un corte iongritudinal y la otra se ve en un corte transversal. Los nucleos redondos y ovoides en la parece de la arteriola seccionada longritudinal mente pertenecen a las células de musculo liso de la tunica media. La forma de nucleo redondeada u ovoide indica que estas celulas se han seccionado de forma transversal. Los nucleos alargados (flechas pertenecen a las células endoteliales 320 × Recuadro. Aqui se muestra con mayor aumento la arteriola en corte transversal, y los nucleos de las células endoteliales sobresalen en la luz (flechas). Se refiejan a lo largo de la sección transversal. Los nucleos de las células endoteliales sobresalen en la luz (flechas). Se refiejan a lo largo de la sección transversal. Los nucleos de las células endoteliales sobresalen en la luz (flechas). Se refiejan a lo largo de la sección transversal.

de sangre hacia los intestinos se reduce por la constricción arteriolar. Sin embargo, después de la ingesta de una comida abundante, ocurre lo contrário.

■ CAPILARES

Los capilares son los vesos sanguineos de diámetro más pequeño; con frecuencia, su diámetro es menor que el de un eritrocito.

Los capilares forman redes vasculares sanguíneas que permiten que líquido con gases, metabolitos y productos de desecho se muevan a través de sus paredes delgadas. El cuerpo humano contiene alrededor de 80 000 km de vasos capilares. Cada uno consta de una sola capa simple de células endoteliales y su lamina basal. Las células endoreliales forman un tubo lo suficientemente grande como para permitir el paso de los eritrocitos, uno a la vez. En muchos capilares, la luz es tan estrecha que los eritrocitos literalmente se pliegan sobre si para pasar a través del vaso (fig. 13-19). Los eritrocitos ocupan prácticamente toda la luz del capilar, con lo que se reduce al mínimo la trayectoria de difusión de los gases y las sustancias nutritivas entre el capilar y el tejido extravascular. En cortes transversales y con MET, el tubo parece estar formado por una sola célula o porciones de varias células. Debido a sus paredes delgadas y a su asociación física estrecha con las células y los tejidos metabólicamente activos, los capilares están particularmente bien adaptados para el intercambio de gases y metabolitos entre las células y el torrente sanguíneo. La proporción entre el volumen capilar y la superficie endotelial también favorece el movimiento de sustancias a través de la pared del vaso.

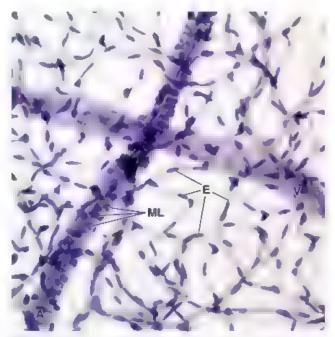


FIGURA 13-19. Microfotografía de la red capitar de la retina. Esta magen es de una muestra completa, sin cortar, de capitares de la retina. Después de la digestión enzimática leve, la retina se extendió sobre un portaobjetos de vidrio, se tiñó con la técnica de PAS γ se realizó una coloración de contraste con hematoxilina. Una antena (A), en la cual se ve con clandad la capa de células de musculo liso (ML) de disposición circular, atraviesa verticalmente la imagen. Una vénula (V) cruza de forma perpendicular la antena. Nótese la extensa red de capitares que conectan ambos vasos. Los nucleos de las células endoteliales (Ε) se observan con clandad en los capitares. Con este aumento, los penctos son dificiles de discernir 560× (cortesía de Mr. Denifieid W. Player).

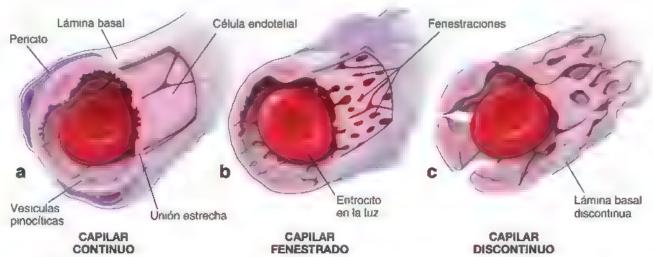


FIGURA 13-20. Diagrama de los tres tipos de capilares, a. Los capilares continuos se caractenzan por un endotelio vascular ininterrumpido que descansa sobre una lamina basal continua. Las cerulas endote ales individuales se unen por uniones estrechas que restringen el paso de moiecuras desde la luz hacia el tejido contiguo. b. Los capilares fenestrados tienen celulas endoteales que se caracterizan por la presencia de muchas fenestraciones. La lamina basal continua rodea este tipo de capilar. En algunos órganos, las fenestraciones pueden tener un diafragma deligado no membranoso a través de sus aberturas. c. Los capilares discontinuos icapilares sinuscidades o sinuscidades o sinuscidades aberturas en sus celulas endotelia es y estan separados por espacios intercer ulares anchos rregulares. Además, las celulas endotelia es descansan sobre una lámina basal discontinua, que en algunos órganos es rudimentaria y puede no estar presente.

Clasificación de los capilares

Hay tres tipos de capilares: continuos, fenestrados y discontinuos.

La estructura de los capilares varía en diferentes tejidos y órganos. Según su morfología, se describen tres tipos de capilares: continuos, fenestrados y discontinuos (sinusoidales).

Los capilares continuos generalmente se encuentran en el tejido conjuntivo; los músculos cardíaco, esquelético y liso; la piel, los pulmones y el SNC. Se caracterizan por un endotelio vascular ininterrumpido que descansa sobre una lámina basal continua (fig. 13-20a) Las células endorehales contienen los orgánulos habítuales, unas pocas microvellosidades cortas en su superficie luminal, una cantidad variable de vesículas unidas a la membrana electrodensa y muchas vesículas pinocíticas que son contiguas con las superficies tanto luminal como basal de la membrana plasmática. Las vesículas miden unos 70 nm de diámetro y participan en la transoltosis, un proceso que transporta moléculas grandes entre la luz del capilar y el tejido conjuntivo, y viceversa. En cortes transversales con el uso de MET, se pueden ver capilares continuos a manera de dos membranas plasmáticas que encierran una banda de citoplasma. que a veces incluye el núcleo (fig. 13-21). Las células endoreliales individuales están unidas por uniones estrechas (oclusión) que se pueden ver en el corte transversal normal de un capilar continuo. Las uniones estrechas restringen el paso de las moléculas entre las células endotehales contiguas y solo permiten el paso de moléculas relativamente pequeñas (< 10 000 kDa).

Los capitares fenestrados generalmente se encuentran en las glándulas endocrinas y sitios de absorción de líquidos o metabolitos, como la vesícula biliar, los riñones, el páncreas y el tubo digestivo. Sus células endoteliales se caracterizan por la presencia de muchas aberturas circulares denominadas tenestraciones (70 80 nm de diámetro), que proveen conductos a través de la pared del capilar (fig. 13-20b) La támina basal continua se encuentra a través de las fenestraciones en las superficies de la membrana plasmática basal. Las células endoteliales de los capilares fenestrados también tienen numerosas vesículas pinocíticas. Las fenestraciones tienen una mayor tendencia a formarse cuando una vesícula pinocítica en desarrollo abarca la capa citoplasmática estrecha y, al mismo tiempo, se abre en

la superficie opuesta (fig. 13-22). Las fenestraciones pueden tener un diafragma no mombranoso delgado a través de su apertura. Visto desde la superficie luminal, este diafragma tiene forma de rueda de carreta con un engrosamiento central y 14 espacios cuneiformes. Deriva del glucocáliz incluido previamente en la vesícula pinocítica,

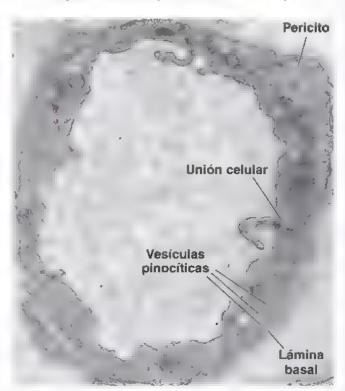


FIGURA 13-21. Microfotografia electrónica de un capitar continuo. Las cé ulas endoteliales que forman la pared de un capitar continuo presentan muchas vesículas pinocíticas. Las uniones celulares con frecuencia son marcadas por pliegues citopiasmáticos (marginales) que sobresalen hacia la luz. Los nucleos de las células endote iales no están incluidos dentro de plano de corte en a microfotografía. Det mismo modo, se muestra solo una pequeña cantidad de citopiasma de periorio. Debe considerarse que el citopiasma del periorio está en medio de la ámina basal. 30 000 ×

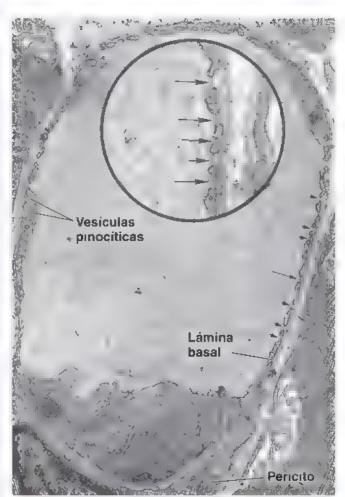


FIGURA 13-22. Microfotografía electrónica de un capitar fenestrado. El crioplasma de las células endoteliales contiene numerosas fenestraciones (fiechas pequeñas). En algunas de las regiones más gruesas de las células endoteliales donde las fenestraciones están ausentes, se pueden observar vesículas procriticas. En la parte infenor de la microfotografía electrónica aparece parte de un pencito cuyo núcleo se observa en la esquina infenor izquierda. 21500×. El detalla permite una fácil visualización de las fenestraciones y el diafragma que cierra las aberturas (fiechas grandes). 55000×.

de la cual se pudo haber originado la fenestración. Estas fenestraciones, también conocidas como poros de filtración, constituyen los situos específicos de transporte dentro de las células endoteliales y no permiten el paso de plasma, como sí lo hacen los espacios entre las células endoteliales en los capilares discontinuos (véase fig. 13-20b).

Los capilares fenestrados en el tubo digestivo y la vesícula biliar tienen menos fenestraciones y una pared más gruesa cuando no se realiza la absorción. Cuando ocurre la absorción, las paredes finas y la cantidad de vesículas pinocíticas y fenestraciones aumenta con rapidez. Los cambios iónicos en el tejido conjuntivo perivascular, causados por los solutos absorbidos, estimulan la pinocítosis. Estos hallazgos sustentan la manera en la que se sugiere la formación de las fenestraciones que se comentó antes.

Los sinusoides (también llamados capitares sinusoidates o discontinuos) suelen observarse en el hígado, el bazo y la médula ósea. Tienen un diámetro mayor y una forma más irregular que otros tipos de capilares. Las células endoteliales vasculares que revisten estos capilares tienen grandes aberturas en su citoplasma y están separadas por espacios intercelulares amplios e irregulares, que permiten el paso de proteínas del plasma sanguíneo (fig. 13-20c). Las células endoteliales descansan sobre una lámina basal discontinua. Las características estructurales de estos capilares varían de un órgano a otro e incluyen células especializadas. Las células de Kupffer (macrófagos sinusordes estrellados) y las células de tto (células estrelladas hepáticas), que almacenan vitamina A, se encuentran asociadas con las células endoteliales de los sinusoides hepáticos. En el bazo, las células endoteliales exhiben una forma ahusada singular con brechas entre las células vecinas; la lámina basal contigua en el endotelio es rudimentaria y puede faltar parcial o completamente.

Los pericitos corresponden a una población de células madre mesenquimatosas indiferenciadas que están asociadas con los capilares.

Los capilares y algunas vénulas poscapilares se relacionan con oéhulas perivasculares que presentan evaginaciones celulares que rodean las células endoteliales vasculares. Los pericitos (históricamente conocidos como células de Rouget) son ejemplos de células perivasculares que están asociadas con el endotelio (véanse figs. 13-21 y 13-22). Rodean de forma estrecha el capilar, con sus evaginaciones citoplasmáticas ramificadas, y están encerrados por una lámina basal que es continua con la del endotelio. Los pericitos son contráctiles y están controlados por el NO producido por las células endoteliales. Existen datos que señalan que los pericitos pueden modular el flujo sanguineo capilar en lechos capilares específicos (p. ej., encéfalo).

Los pericitos proveen sustento vascular y promueven la estabilidad de los capilares y las vénulas poscapilares a través de una comunicación físico-química compleja y bidireccional con las células endoteliales vasculares. Desde el punto de vista histológico, los pericitos presentan características de cólulas madre mesenquimatosas Indiferenciados de núcleos grandes con abundante heterocromatina. Los experimentos han identificado que las señales ambientales pueden estimular la proliferación, la capacidad migratoria y la diferenciación de pericitos en una variedad de tipos celulares, incluyendo adipocitos, fibroblastos, condrocitos, osteocitos y células del sistema osteomuscular. Durante el desarrollo embrionario o la angiogénesis (p. ej , cicatrización de heridas), los pericitos dan lugar a células tanto endoteliales como de musculo liso. Los pericitos participan de forma directa en la patogenia de las enfermedades causadas por factores vasculares (p. ej., retinopatia diabetica y angiogénesis tumoral). Además, la mitosis descontrolada de los pericitos da lugar al hemangiopericitoma, una neoplasia vascular poco frecuente que puede aparecer en cualquier sitio del cuerpo donde existan capilares.

Aspectos funcionales de los capilares

Para comprender la función capilar, deben considerarse dos puntos importantes: la vasomotilidad (el flujo sanguíneo capilar) y la densidad de la red capilar.

El flujo sanguíneo se controla a través de señales locales y sistémicas. En respuesta a vesodilatadores (p. ej., NO, presión baja de O2), el músculo liso en las paredes de las arteriolas se relaja, lo cual conduce a la vasodilatación y un aumento del flujo sanguineo a través del sistema capilar. La presión dentro de los capilares aumenta y gran parte del liquido plasmatico es impulsado hacia el tejido. Este proceso se produce en el edema periferico. Los factores locales derivados del endotelio, las señales sistemicas transmitidas por el sistema nervioso autónomo y la noradrenalina liberada por la glandula suprarrenal causan la contracción del musculo liso de las arteriolas (vasoconstricción), lo que produce una disminución del flujo sanguineo a través del lecho capilar. En esta situación, puede disminuir la presión capilar y aumentar mucho la absorción de liquido del tejido. Esta circunstancia se produce durante la disminución del volumen sanguineo y puede añadir una considerable cantidad de liquido a la sangre, lo que evita el choque hipovolemico

La densidad de la red capilar determina el área total de la superficie disponible para el intercambio entre la sangre y el tejido. Esta se relaciona con la actividad metabólica de los tejidos. El hígado, los riñones, el músculo cardíaco y el músculo esquelético poseen redes capilares abundantes. El tejido conjuntivo denso tiene una actividad metabólica menor y sus redes capilares son menos extensas.

ANASTOMOSIS ARTERIOVENOSAS

Las anastomosis arteriovenosas permiten que la sangra evite los capilares porque proporcionan rutas directas entre las arterias y las venas.

Por lo general, en un lecho microvascular, las arterias transportan sangre hacia los capilares y las venas transportan sangre desde estos. Sin embargo, no necesariamente toda la sangre pasa desde las arterias hacia los capilares y las venas. En muchos tejidos hay rutas directas entre las arterias y las venas que desvían la sangre de los capilares. Estas rutas se llaman anastomosis arteriovenosas (AV) (véase fig. 13-11). Las anastomosis AV son frecuentes en la piel de la punta de los dedos, la nariz y los labios, y en el tejido eréctil del pene y el clitoris. La arteriola de las anastomosis AV suele estar enrollada como un solenoide, tiene una capa de músculo liso relativamente gruesa, está encerrada en una cápsula de tejido conjuntivo y posee una mervación abundante. Por el contrario, el esfinter precapilar ordinario, en la contracción del músculo liso de las arteriolas de la anastomosis AV, envia la sangre a un lecho capilar; la relajación del músculo liso envía la sangre a una vénula, sin pasar por el lecho capilar. Las anastomosis AV intervienen en la termorregulación de la superficie del cuerpo. El cierre de una anastomosis AV en la piel determina que la sangre fluya a través del lecho capilar, de manera que aumenta la pérdida de calor. La apertura de una anastomosis AV en la piel reduce el flujo sanguineo a los capilares cutáneos, con lo que se conserva el calor del cuerpo. En el tejido erèctil, como el del pene, el cierre de las anastomosis AV dirige el flujo sanguineo hacia el interior de los cuerpos cavernosos para iniciar la respuesta eréctil.

Las vías preferenciales, cuyo segmento proximal se llama metarteriola (fig. 13-23), también permiten que un poco de sangre pase

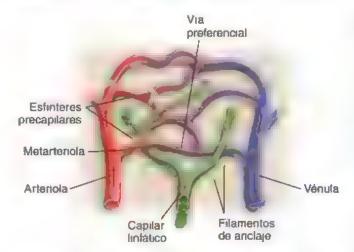


FIGURA 13-23. Diagrama de la microcirculación. En este diagrama se muestra una metarteriola (segmento inicial de una vía) que da origen a los capilares. Los esfinteres precapilares de la arteriola y la metarteriola controlar la entrada de sangre en los capilares. El segmento distal de la vía recibe capilares del lecho microcirculatorio y no hay esfinteres donde los capilares aferentes entran en estas vías. Se muestran los vasos linfáticos o egos en asociación con el lecho capilar. Obsérvese la presencia de filamentos de anclaje y del sistema válvular dentro de los capilares linfáticos.

de forma más directa de la arteria a la vena. Los capitares surgen tanto de las arteriolas como de las metarteriolas. Si bien los propios capilares no tienen músculo liso en sus paredes, en su origen se encuentra un esfinter del músculo liso llamado esfinter precapitar, ya sea de una arteriola o de una metarteriola. Estos esfínteres controlan la cantidad de sangre que pasa a través del lecho capilar.

VENAS

Las rúnicas de las venas no están tan bien definidas como las de las arterias. Por tradición, las venas se clasifican en cuatro tipos según su tamaño.

- Vénulas. Se subclasifican adicionalmente en poscapitares y musculares. Reciben la sangre de los capilares y su diámetro es tan pequeño como 0.1 mm.
- Venas pequeñas. Miden menos de 1 mm de diámetro y son la continuación de las vénulas musculares.
- Venas medianas. Corresponden a la mayor parte de las venas que tienen nombre. Suelen estar acompañadas por arterias y tienen un diámetro de hasta 10 mm.
- Venas grandes. Suelen tener un diámetro mayor de 10 mm.
 La vena cava superior, la vena cava inferior y la vena porta son algunos ejemplos de estas.

Si bien las venas grandes y medianas tienen tres capas, también llamadas tintea intima, túnica media y túnica adventicia, estas no están can definidas como las de las arterias. Las venas grandes y medianas suelen discurrir junto con las arterias grandes y medianas; las arteriolas y las vénufas musculares intercelulares a veces viajan juntas, lo que permite su comparación en los cortes histológicos. Por lo general, las venas tienen paredes más finas que sus arterias acompañantes y la luz de la vena es mayor que la de la arteria. La luz de las arteriolas suele ser permeable, mientras que la de la vena a menudo está colapsada. Muchas venas, en especial las que transportan la sangre en contra de la gravedad, como las de las extremidades, presentan válvulas que permiten que la sangre fluya en una sola dirección, de retorno hacia el corazón. Las válvulas están formadas por valvas semilunares que constan de un núcleo de rejido conjuntivo fino cubierto por células endoteliales.

Vénulas y venas pequeñas

Las vénulas poscapilares recogen la sangre de la red capilar y se caracterizan por la presencia de pericitos.

Las vénulas poscapitares poseen un revestimiento endotelial con su lámina basal y pericitos (lám. 35, p. 470). El endotello de las vénulas poscapilares es el principal sitio de acción de los agentes yasoactivos, como la histamina y la scrotonina. La respuesta a estos agentes produce la extravasación de líquido y la emigración de los leucocitos desde el vaso durante la inflamación y las reacciones alérgicas. Las vénulas poscapilares de los ganglios linfáticos también participan en la migración transmural de los linfocitos, desde la luz vascular hacia el tejido linfático. Dado que están cubiertos por células endoteliales cúbicas o cilíndricas, a menudo se denominan vénulas endoteliales altas (VEA). En el capítulo 14 puede consultarse la descripción y función de las VEA. Los pericitos forman las conexiones umbeliformes de las células madre mesenquimatosas con las células endoteliales. La relación entre las células endoreliales y los pencitos promueve su proliferación y supervivencia mutua. Ambos sintetizan y comparten la lámina basal (véase fig. 13-21), producen factores de crecimiento y se comunican entre sí a través de las uniones estrechas y comunicantes. La cubierta de pericitos es más extensa en las vénulas poscapilares que en los capilares.

Las del endotelio alto son vénulas poscapilares especializadas que se encuentran en los tejidos linfáticos, las cuales tienen niveles altos de migración de linfocitos desde la sangre.

Las vénulas poscapilares en el sistema linfático también se conocen como vénulas endoteliales altas (VEA), como consecuencia del aspecto cúbico prominente de las células endoteliales con núcleos ovoides. Se encuentran en todos los órganos linfáticos secundarios (periféricos), con excepción del bazo, como los ganglios linfáticos, las amígdalas y los nódulos linfáticos agrupados y solitarios. El endotelio de las VEA tiene la capacidad de reclutar una gran cantidad de linfocitos; con frecuencia se les puede observar migrando a través de la pared de la vénula. Cuando se observan con un microscopio electrónico, las células endoteliales de las VEA tienen un aparato de Golgi prominente, abundantes polarinbosomas y una extensa red de retículo endoplasmático rugoso (RER). Estas características son típicas de las células con función secretora, que se refleja por la presencia de vesículas secretoras en su citoplasma. También contienen cuerpos multivesiculares, vesículas de transporte y cuerpos de Weibel-Palade.

Las vénulas musculares se distinguen de las vénulas poscapilares por tener una túnica media.

Las vénulas musculares se ubican a continuación de las vénulas poscapilares en la circulación venosa de retorno al corazón y tienen un diámetro de hasta 0.1 mm. Si se considera que las vénulas poscapilares no tienen una verdadera túnica media, las musculares tienen una o dos capas de músculo liso que constituyen una túnica media. Estos vasos también presentan una rúnica adventicia delgada. Por lo general, en las vénulas musculares no se encuentran perícutos.

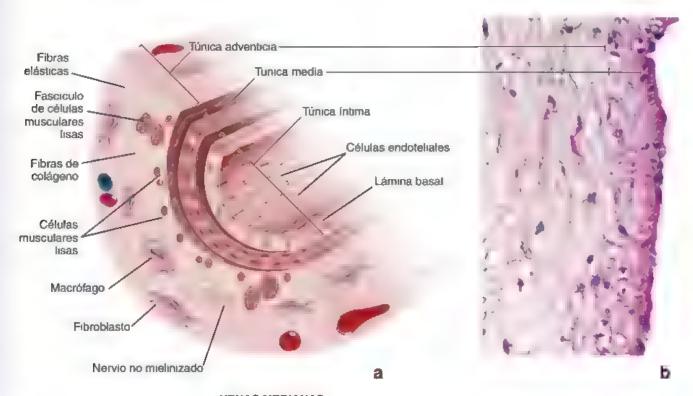
Las venas pequeñas son una continuación de las vénulas muscutares.

Las venas pequeñas son una continuación de las vénulas musculares y sus diámetros varían de 0.1 a 1 mm. Las tres túnicas están presentes y se pueden reconocer en un preparado de rutina. La túnica media generalmente constituye dos o tres capas de músculo liso vascular. Estos vasos también tienen una túnica adventicia más gruesa.

Venas medianas

Las venas medianas tienen un diámetro de hasta 10 mm, La mayoría de las venas profundas que acompañan a las artenas se encuentran en esta caregoría (p. ej., la vena radial, la tibial y la poplitea). Las válvulas son un rasgo característico de estos vasos y son más abundantes en la porción inferior del cuerpo, en particular en los miembros inferiores, para evitar el movimiento retrógrado de la sangre por acción de la gravedad. Con frecuencia, las venas profundas de los miembros inferiores son el sitio de formación de trombos (coagulos de sangre), una alteración conocida como trombosis venosa profunda (TVP). La TVP se asocia con la inmovilización de los miembros inferiores debido a la postración en cama (después de una cirugia u hospitalizacion), férulas ortopedicas o restricción de movimientos (como en los vuelos de larga distancia). La TVP puede hacer que un coágulo originado en las vanas profundas se desprenda y se atasque en la arteria pulmonar, lo que se conoce como embolia pulmonar

Las tres túnicas de la pared venosa son visibles en las venas medianas (fig. 13-24).



VENAS MEDIANAS

FIGURA 13-24. Diagrama y microfotografía de una vena mediana, a En el diagrama se senalan los componentes celulares y extracelulares. Obsérvese que la tunica media contiene unas pocas células de musculo liso de disposición circular entremezciadas con fibras de colágeno y fibras elásticas. Además, hay células de musculo liso en disposición longitudinal en el limite con la tunica adventicia. **b.** En esta microfotografía se muestra un corte de la pared de una vena de tamano mediano tenido con H&E. La tunica intima consta de un endotelio y una capa subendotelial muy degada de rejido conjunt vo que contiene a gunas cércias de musculo liso. La tunica media contiene unas pocas capas de cércilas de musculo liso en disposición circular en espira, con fibras colágenas y elásticas. Nótese que la capa más gruesa es la tunica adventicia, que contiene muchas fibras de colágeno y algunas elásticas. Los pocos nucleos observados en esta capa pertenecen a los fibrobiastos. 360 x.

- La tunica ortima consta de un endotelio con su lámina basal, una capa subendotelial fina con células musculares lisas ocasionales dispersas en los elementos del tejido conjuntivo y, en algunos casos, una membrana elástica interna fina discontinua.
- La túnica modia es mucho más delgada que la misma capa en las arterias de tamaño mediano. Contiene varias capas de células musculares lisas dispuestas circularmente con fibras de colágeno y elásticas intercaladas. Además, pueden estar presentes células musculares lisas con una disposición longitudinal justo debajo de la túnica adventicia.
- La túnica adventicia suele ser más gruesa que la túnica media y consta de fibras de colágeno y redes de fibras elásticas (véase fig. 13-24b).

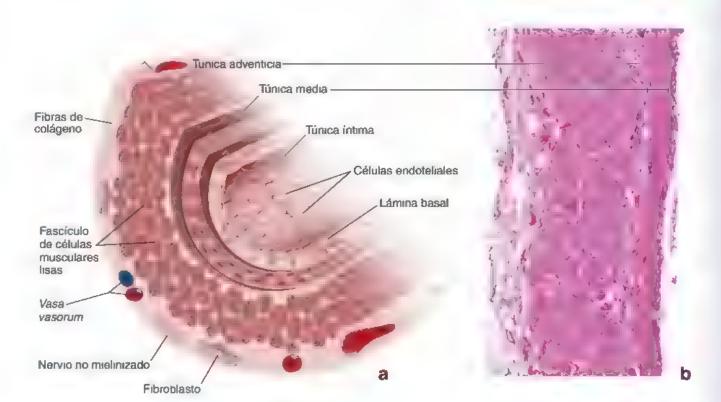
Venas grandes

En las venas grandes, la túnica media es relativamente más delgada y la túnica adventicia, gruesa.

Las venas con un diámetro mayor de 10 mm se clasifican como grandes.

 La túnica intima de estas venas (fig. 13-25 y lám. 34, p. 468) consiste en un revestimiento endotelial con lámina basal, una pequeña cantidad de tejido conjuntivo subendotelial y algunas células de músculo liso. A menudo, el límite entre la túnica in-

- tuma y la media no está claro, y no siempre es fácil decidir si las células de músculo liso cercanas al endotelio perrenecen a la túnica íntima o a la media.
- La túnica media es relativamente delgada y contiene células de músculo liso en disposición circunferencial, fibras de colágeno y algunos fibroblastos.
 - La túnica adventicia de las venas grandes (p. ej., las venas subclavia, porta y cavas) es la capa más gruesa de la pared vascular. Junto con las fibras de colágeno, las fibras elásticas y los fibroblastos, la túnica adventicia también contiene células de músculo liso con disposición longitudinal (fig. 13-26). Las extensiones del miocardio auricular, conocidas como mangas miocárdicas, están presentes en la túnica adventicia en la vena cava tanto superior como inferior, así como en el tronco pulmonar. La disposición, la longitud, la orientación y el espesor de las mangas miocárdicas pueden variar entre personas. La presencia de una extensión miocárdica que contenga cardiomiocitos en la tunica adventicia de las venas grandes puede provocar fibrilación auricular, la alteración que consiste en un ritmo cardiaco anomalo que contribuya con mayor frequencia a la morbilidad y la mortalidad cardiaca. El análisis post mortem de las venas pulmonares de los pacientes con fibrilación auricular revela con frecuencia la presencia de mangas miocárdicas que contienen cardiomiocitos alterados.



VENA GRANDE

FIGURA 13-25. Diagrama y microfotografía de una vena grande, a. En el diagrama se señalan los componentes celulares y extracelulares. Nótense en la fina capa de tunica media las células de musculo liso de disposición circunferencial y en la tunica adventicia la gran cantidad de haces de musculo I so dispuestos longitudinalmente. b. En esta microfotografía se muestra un corte de la pared de una vena porta humana tenido con H&E. La tunica intima no se distingue con este aumento. La tunica media contiene una capa de células de musculo liso en distribución circunferencia con fibras de colageno y elasticas. Obsérvese que la capa mas gruesa de esta pared es la funica adventica. Además de una extensa red de fibras de colageno y elásticas, la funica adventica contiene una amplia capa de células de musculo liso dispuestas en haces longitudinales. Estos haces varian en tamaño y se encuentran separados unos de otros por fibras de tejido conjuntivo. 125 · (cortesia de Dr. Donald J. Lowrie Jr., University of Cincinnati College of Medicine).



FIGURA 13-26. Microfotografia de una vena grande. En esta microfotografía se muestran las tres túnicas en un corte de la pared de la vena porta teñido con H&E. La tunica intima consta de un endote io y una capa suberidotefial deigada de tejido conjuntivo que contiene unas pocas cérulas de musculo liso. La túnica media contiene una prelativamente delgada de células de musculo liso dispuestas circularmente. La túnica adventica es la capa más gruesa de este vaso. Contiene una gruesa capa de haces de músculo liso en disposición longitudinal (visto aquí en corte transversal) separados por fibras de colágeno y elásticas. Obsérvese una capa de tejido conjuntivo que corritene gruesas fibras de colágeno y elásticas que separa os haces longitudinales de musculo liso de la túnica adventica en la tunica media. 240× (cortesía del Dr. Donald J. Lowne Jr., University of Cincinnati Coilege of Medicine)

■ VASOS SANGUÍNEOS ATÍPICOS

En varios sirios del organismo hay vasos sanguíneos, tanto arterias como venas, que tienen una estructura atípica. Estos incluyen los siguientes:

• Arterias coronarias. Se consideran arterias musculares medianas, se onginan en la parte proximal de la aorta ascendente y discurren por la superficie del corazón, en el epicardio, rodeadas por tejido adiposo. Las paredes de las arterias coronarias suelen ser más gruesas que las de las arterias comparables en los miembros superiores o inferiores, debido a la gran cantidad de capas circulares de células musculares lisas en la túnica media. En los preparados de rutina teñidos con H&E, la capa subendotelial de la túnica íntima de las personas jóvenes es poco visible; sin embargo, se torna progresivamente más gruesa conforme aumenta la cantidad de células musculares lisas y el rejido fibroelástico a causa del envejecimiento (fig. 13-27). La membrana elástica interna está bien desarrollada, aunque puede estar fragmentada, duplicada o localmente ausente en los adultos mayores. La consisten-

- cia relativamente "laxa" de la túnica adventicia está reforzada por los haces longitudinales de fibras de colágeno que permiten cambios continuos del diámetro vascular. Las alteraciones ateroescleróticas en las arterias coronarias que restringen el flujo sanguineo y el suministro de oxigeno al musculo cardiaco conducen a la apanción de coronariopatias (cuadro 13-3)
- Senos venosos durales. Representan los conductos venosos en la cavidad craneal. En esencia, son espacios amplios dentro de la duramadre que están revestidos por células endoteliales y carecen de células de músculo liso.
- Vona safona magna. Representa una vena larga subcutánea del miembro inferior que se origina en el pie y drena en la vena femoral, justo debajo del ligamento inguinal. Esta vena se describe a menudo como una vena muscular a causa de la presencia de una cantidad poco frecuente de músculo liso (fig. 13-28). Además de la gruesa capa de células de músculo liso de distribución circular en su túnica media, la vena safena magna posee numerosos baces musculares lisos longitudinales en la túnica íntima y en la túnica adventícia bien desarrollada. La túnica íntima está separada de la túnica media por una membrana elástica interna delgada poco desarrollada. La vena safena magna se extrae con frecuencia del miembro inferior y se utiliza para autotrasplante en la cirugia de revascularización por deri-

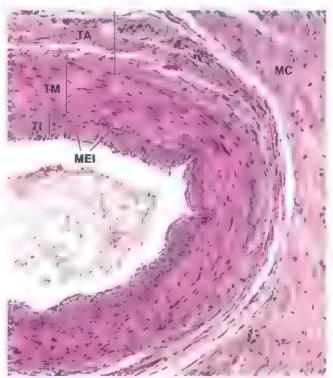


FIGURA 13-27. Microfotografía de una arteria coronaria. En esta microfotografía de un corte transversal de la arteria coronaria de un humano adulto se muestran las tres tunicas vasculares similares a las de las arterias musculares. Debido al proceso de envejecimiento, la capa subendotelial de la tunica íntima (17) es considerablemente más gruesa que una arteria muscular comparable. La membraria elástica intema (MEI) se observa en el limite con la tunica media (7M), que también es más gruesa que las de otras arterias de tipo muscular el tejido conjuntivo de la tunica adventicia (7A) es de organización laxa y contiene haces longitudinales de fibras de colágeno de ubicación periférica, Hay una separación artificial entre el musculo cardíaco (MC) y la tunica adventicia. 175×

vación coronaria con injerto (DCI) cuando no se dispone de material de injerto arterial (a menudo, obtenido de la arteria torácica interna) o se necesita mucho material para multiples anastomosis de revascularización. La DCI es uno de los procedimientos quirurgicos más frecuentes en los Estados Unidos.

Vena central de la medula suprarrenal. Esta vena pasa a través de la médula suprarrenal; sus tributarias tienen una túnica media poco habitual. Esta túnica contiene varios fascículos de células de músculo liso en orientación longitudinal, los cuales varían en tamaño y aspecto (fig. 13-29). Estos haces de músculo liso de disposición irregular (también llamados almohadillas musculares) se extienden dentro de las tributarias de la vena central de la médula suprarrenal. Esta particular disposición excéntrica de haces de músculo liso es la causa de las irregularidades en el espesor de la pared vascular. En las zonas donde no hay haces musculares, las células de la médula suprarrenal o, en ocasiones, la corteza suprarrenal están separadas de la luz de la vena solo por una delgada capa de rúnica íntima (véase fig. 13-29). La contracción del músculo liso dispuesto longitudinalmente en la túnica media aumenta la liberación de hormonas desde la médula suprarrenal hacia la circulación.

Las venas de algunos otros sittos (p. ej., retina, placenta, cordones del bazo) también tienen paredes atípicas y se comentan en los capítulos en los que se describen estos órganos.

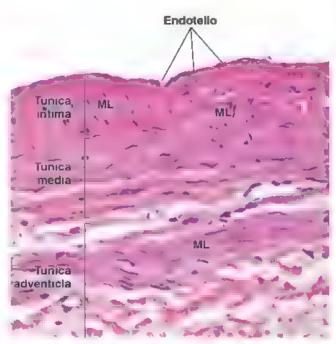


FIGURA 13-28. Microfotografía de la vena safena magna. En esta microfotografía se muestra un corte de la pared de la vena safena magna. La tunica íntima suele ser más gruesa que en las ótras venas de tamaño medio, y se caracteriza por la presencia de númerosos haces longitudinales de musculo liso (ML) separados por fibras de tejido conjuntivo. La túnica media contiene una capa re ativamente gruesa de musculo liso en disposición circular. La túnica adventicia está bien desarrollada y contiene capas adicionales de fibras musculares lisas dispuestas en haces longitudinales, oblicuos y en espiral. 380× (cortesia del Dr. Joseph J. Maleszewski)



FIGURA 13-29. Microfotografía de la vena central de una médula supramenal. En esta microfotografía de una glándula supramena, humana teñida con H&E aparece una vena central de la médula suprarrenal con una de sus tributarias. La pared de la vena es muy rregular y contiene vanos haces iongitudinales de células de musculo iso (ML) que se extranden hacia la pared de la tributaria. Esta disposición excéntrica unica del musculo iso, a veces flamada almohadilla muscular, da lugar a la irregulandad del espesor de la pared vascular Obsérvese que, en la hendidura entre dos haces de musculo liso (asterisco), la fuz de la vena se separa de las células cromafines de la médula supramena solo por la tunica íntema. En el lado opuesto de la pared, los haces supramenal están ausentes (puntas de flecha) y las células de la corteza supramenal están en contacto directo con la tunica íntema. 120× (cortesia del Dr. Donaid J. Lowrie Jr., University of Cincinnati College of Medicine)

VASOS LINFÁTICOS

Los vasos linfáticos transportan liquido desde los tejidos hacia el torrente sanguineo.

Además de los vasos sanguíneos, existe otro conjunto de vasos por los que circula un líquido llamado *línfa* a través de la mayoría de las partes del cuerpo. Estos vasos linfáticos son auxiliares de los vasos sanguíneos. A diferencia de los vasos sanguíneos, que transportan sangre hacia y desde los tejidos, los vasos linfáticos son unidireccionales y transportan líquido solo desde los tejidos.

Los vasos linfáncos más pequeños se denominan capitares tintáticos. Son especialmente abundantes en el tejido conjuntivo laxo subyacente al epitelio de la piel y las membranas mucosas. Los capilares linfáncos comienzan como conductos ciegos en los lechos microcapilares (viase fig. 13-23). Los capilares linfáncos convergen en vasos colectores cada vez más grandes conocidos como vasos lintáticos. Por último, se unen para formar dos conductos principales que desembocan en el torrente sanguíneo a la altura de las venas grandes en la base del cuello. La linfa entra en el sistema vascular a la altura de la unión de las venas yugular interna y subclavía. El vaso linfárico más grande, que drena la mayor parte del cuerpo y desemboca en el ángulo venoso izquierdo, es el **conducto toracico**. El otro conducto principal es el **conducto linfático derecho**.

Los capilares linfáticos son más permeables que los capilares sanguíneos y recogen el exceso de líquido con proteínas abundantes que hay en los tejidos.

Los capitares infáticos son una parte singular del sistema circulatorio, y forman una red de pequeños vasos en los tendos. Debido a su mayor permeabilidad, los linfáticos son más eficaces que los capilares sanguíneos en la eliminación del líquido abundante en proteínas de los espacios intercelulares. También están especializados en la captación de moléculas inflamatorias, lípidos de la dieta y células inmunitarias. Una vez que el líquido recogido entra en el vaso linfático, se denomina línfa. Los vasos linfáticos también sirven como vías de transporte de las proteínas y los lípidos que son demasiado grandes para atravesar las fenestraciones de los capilares de absorción en el intestino delgado.

CUADRO 13-3.

CORRELACIÓN GLÍNICA: CORONARIOPATÍA

La coronariopatía isquémica es ocasionada por un desequilibrio entre la oferta y la demanda de sangre oxigenada al corazón. Esta alteración es el tipo más frequente de cardiopatía en los Estados Unidos, y afecta aproximadamente al 6% de la población. La causa más frecuente de coronariopatía isquémica es la ateroesclerosis. El nesgo de desarrollar ateroesclerosis aumenta con la edad, los antecedentes familiares, la hipertensión, el hábito tabáquico, la hipercolesterolemia y la diabetes. En la ateroesclerosis, la luz de las artenas coronarias se estrecha progresivamente debido a la acumulación de lípidos, matriz extracelular y células, lo que conduce al desarrollo de placas ateromatosas (fig. C13-3-1) Las placas se forman por depósito intracelular y extracelular



FIGURA C13-3-1. Microfotografia de una placa ateromatosa en una arteria coronaria. En esta microfotografía se muestra con poco aumento un corte transversal de una arteria coronaria. humana con coronariopatía isquémica crónica. El corte se tiño con la técnica Verhoeff van Gieson para fibras de te, do elástico y conjuntivo. Las lineas negras corresponden a laminillas elásticas una membrana elástica interna (MEI) conservada y bien defin da está presente entre la túnica media (TM) tenida de color rojo oscura, que contiene células musculares lisas, y la tunica intima (71), que presenta alteraciones patológicas. Los tonos rosados variables corresponden a las fibras de colágeno depositadas en una tunica. intima gruesa, que contiene la placa ateromatosa avanzada con calcificaciones visib es (color naranja rosado oscuro) y la acumulación de lipidos extracelulares (hendiduras de colesterol). El color rosa claro que rodea la luz del vaso corresponde al depósito más reciente de material patogénico. Obsérvese que la luz del vaso está obstruida en casi el 90%, lo que condujo a un flujo sanguíneo coronario inadecuado. La tunica adventicia (TA) es la capa más externa del vaso 34× (cortesia del Dr William D. Edwards)

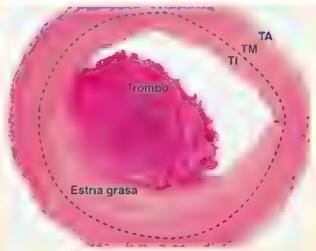


FIGURA C13-3-2. Microfotografía de una arteria coronaria con un trombo mural. En esta microfotografía se muestra un corte transversal de la arteria coronaria en una etapa menos avanzada de la enfermedad ateroesclerótica. Puede verse una placa fibroad posa en la tunica intima (71) y un trombo desamollado superpuesto sobre una placa que obstruye parcalmente la luz arterial. La línea punteada indica la frontera entre la tunica íntima y la túnica media (7M). La tunica advent cia (7A) forma la capa más externa del vaso. 40x (cortesía del Dr. William D. Edwards).

de lípidos, proliferación de células de musculo liso y aumento de la síntesis de proteoglucarios y colágeno dentro de la tunica íntima de la pared vascular. El flujo de sangre se vuelve crítico cuando se reduce en un 90% o más. Una obstrucción repentina de la luz por un trombo (coáquio de sangre). liberado de la superficie de una placa ateromatosa precipitaun episodio isquémico agudo. Los episodios isquémicos se caracterizan por dolor de angina relacionado con la pérdida de flujo de sangre exigenada en la región del corazón irrigada. por el vaso coronario afectado. La trombosis de las arterias coronarias generalmente antecede y precipita un infarto, es decir, una insuficiencia repentina del suministro de sangre que conduce a la muerte de un área de células del músculo. cardíaco. Puede desarrollarse un trombo mural que por lo general se asocia con la disfunción o rotura del endotello que recubre la placa ateromatosa (fig. C13-3-2). Con el tiampo, el área del corazón afectada por el infarto de miocardio se cura Se forma una cicatriz y se sustituye al tejido dañado. Sin embargo, el área de infarto pierde la función contráctil. La acumulación de infartos a lo largo del tiempo puede producir la pérdida de la función cardiaca lo suficiente como para causar la muerte. Los infartos tamb én ocurren frecuentemente en cerebro, bazo, nñón, polmón, intestino, testículos y tumores (especialmente ováricos y uterinos)

Antes de que la linfa retorne a la sangre, pasa a través de los ganglios linfáticos, donde es expuesta a las células del sistema inmunitario. Por lo tanto, los vasos linfáticos no solo surven como un complemento del sistema vascular de la sangre, sino también como un componente integral del sistema inmunitario.

Los capitares linfáticos, en esencia, son conductos de endotelio que, a diferencia de los capitares sanguíneos típicos, carecen de una lámina basal continua. Esta lámina basal incompleta es la causa de su alta permeabilidad. Entre la lámina basal incompleta y el colágeno perivascular se extienden filamentos de anclajo. Los filamentos de anclaje consisten en microfibrillas de fibrilina. Estas microfibrillas se componen de moléculas de fibrilina 1 y emilina 1 asociadas con microfibrillas; este tipo de microfibrillas son similares a las encontradas en las fibras elásticas del tejido conjuntivo. Los filamentos de anclaje manuenen la permeabilidad de los vasos durante los momentos de aumento de presión del tejido, como en la inflamación. La deficiencia de la síntesis de emilina 1 en los animales está relacionada con defectos estructurales y funcionales de los capilares linfáticos.

A diferencia de lo que ocurre con los capilares linfáticos, los vasos linfáticos cuentan con ciertas características para evitar que la linfa se filtre. Estas incluyen las uniones estrechas continuas entre las células endoteliales y la lámina basal continua que está rodeada por las células musculares lisas. A medida que los vasos linfáticos aumentan su tamaño, la pared se vuelve más gruesa y se añaden fascículos de tejido muscular liso. Los vasos linfáticos poseen vilvulas que evitan el reflujo de la linfa para ayudar, de esta manera, al flujo unidireccional (lám. 35, p. 470). El sistema vascular linfático carece de una bomba central. La linfa se mueve con lentitud, impulsada principalmente por la compresión de los vasos linfáticos por el músculo esquelético contiguo. Además, la contracción de la capa de músculo liso que rodea los vasos linfáticos puede contribuir al impulso de la linfa.



SISTEMA CARDIOVASCULAR

FUNDAMENTOS DEL SISTEMA CARDIOVASCULAR

- El sistema cardiovascular está compuesto por el corazón y los vasos sangumeos y linfaticos. Transporta la sangre y la linfa hacia y desde los diversos rejidos del cuerpo.
- El sistema cardiovascular consiste en la circulación pulmonar (transporta sangre arterial del corazón a los pulmones y devuelve la sangre venosa al corazón) y la circulación sistémica (transporta sangre arterial del corazón a todos los demás rejidos y devuelve la sangre venosa al corazón).

CORAZON

- El corazón es una bomba muscular de cuatro cámaras (dos auriculas y dos ventrículos). Contiene músculo cardiaco (para la contracción que impulsa la sangie), un esqueleto fibroso (para la fijación de las válvulas y la separación de la musculatura auricular y ventricular), un sistema de conducción (para la iniciación y propagación de las contracciones ritmicas) y vesos coronarios (arterias coronarias y venas cardíacas).
- La pared del corazón está compuesta por tres capas: epicardio, miocardio y endocardio.
- El epicardio (capa visceral de pericardio seroso) es la capa externa del corazon y consiste en celulas mesoteliales con tejido conjuntivo y adiposo contiguo. Contiene los vasos coronarios.
- El miocardio es la capa intermedia y consiste en el músculo cardíaco.
- El endocardio es la capa interior y consta de endotelio, tejido conjuntivo subendotelial y una capa subendocardica que con tiene células del sistema de conducción del cotazón.
- Las válvulas cardiacas estan compuestas por tres capas. la fibrosa, la esponjosa y la ventricular (en las válvulas semilunares) o auricular (en las válvulas auriculoventriculares).
- La contracción cardíaca es iniciada y sincronizada por el sistema de conducción, que consiste en miocitos cardíacos modificados que forman el nodo sinoauricular (o sinusal) (SA), el nodo auriculoventrícular (AV), el haz AV (haz de His) y fibras de Purkinje
- La frecuencia cardiaca está regulada por los nervios simpáticos (aumentan la velocidad) y parasimpáticos (disminuven la frecuencia), así como por las hormonas circulantes (adrenalina y noradrenalina) y otras sustancias (Carrenalina), hormonas titoideas, cafeína, etc.).

CARACTERISTICAS GENERALES DE LAS ARTERIAS Y LAS VENAS

- Las paredes de las arterias y las venas están compuestas por tres capas llamadas túnicas.
- La tunica intima la capa mas interna del vaso, se compone de endotelio, una capa subendotelial de tejido conjuntivo y una membrana elástica interna.
- La tunica media, la capa intermedia, consiste en capas de células musculares lisas con disposición circunferencial y
 laminillas elásticas interpuestas entre estas. En las arterias, la tunica media es relativamente gruesa y se extiende entre las
 membranas elásticas internas y externas.
- La tunica adventicia, la capa mas externa de repido conjuntivo, se compone principalmente de colageno con unas
 pocas fibras elásticas dispersas. Contiene los vasa vasorum y una red de nervios autónomos llamados nervios vasculares (nervi vasorum).
- Las celulas endoteliales interactúan de forma activa con las celulas musculares lisas contiguas y el tejido conjuntivo.
 Además de mantener una barrera de permeabilidad selectiva entre la sangre y el tejido conjuntivo, las células endoteliales impiden la coagulación sanguínea (por secreción de anticoagulantes y antitrombóticos), modulan la resistencia vascular (por secreción de vasoconstrictores y vasodilatadores) y regulan la respuesta inmunitaria.

ARTERIAS

- Las arterias se clasifican en tres tipos según el tamaño y el espesor de su túnica media arterias gran des (elásticas), arterias medianas (musculares) y arterias pequeñas (incluidas las arteriolas)
- La tunica media de las arterias elasticas consiste en capas de celulas musculares lisas separadas por laminillas elásticas. Los fibroblastos no están presentes en la rúnica media.
- Las arterias musculares tienen una tunica media con mas musculo liso y menos laminillas elasticas que las arterias elásticas. También tienen una prominente membrana elástica interna en la túnica íntuma.
- Las arterias pequeñas y las arteriolas se distinguen una de otra por la cantidad de capas del músculo liso en la túnica media.
- Las arteriolas tienen una o dos capas de músculo liso y regulan la resistencia vascular, de manera
 que controlan el flujo de sangre hacia las redes de capilares.
- Las anastomosis arteriovenosas permiten que la sangre evite los capilares, ya que proveen rutas directas entre las arterias y las venas. Esta via esta regulada por la contracción de los esfinteres precapilares en las metarteriolas.

CAPILARES

- Los capilares son los vasos sanguineos de diametro más pequeño y se clasifican en tres tipos di
 ferentes. continuos (caracterizados por el endotelio vascular ininterrumpido), fenestrados
 (caracterizados por numerosas aberturas en la pared capilar y una lamina basal continua; y discontinuos o sinusoidales (más grandes en diametro con aberturas amplias, espacios intercelulares y una
 lámina basal discontinua)
- Los pericitos corresponden a una población de celulas madre mesenquimatosas indiferenciadas que están asociadas con los capilares,

VENAS

- Las venas se dividen en cuatro ripos según su tamaño (diámetro), vénulas (< 0 1 mm), venas pequeñas (< 1 mm), venas medianas (< 10 mm) y venas grandes (> 10 mm).
- Las venulas poscapilares recogen la sangre de la red capilar y se caracterizan por la presencia de pericitos. En el tendo linfatico, estan revestidas por endotello cúbico (venulas de endotello alto), lo que facilita la extensa migración de linfocitos de la sangre.
- Las venas pequenas, medianas y grandes tienen una capa relativamente delgada de túnica media y una rúnica adventicia más pronunciada.
- Las venas, especialmente las de las extremidades, pueden contener válvulas que impiden el flujo retrógrado de sangre.
- Las venas grandes cerca del corazón pueden contener mangas miocárdicas en la túnica adventicia.

VASOS LINFÁTICOS

- Los vasos linfáticos transportan liquido intersticial desde los tejidos hasta el torrente sanguíneo.
- Los vasos linfáticos mas pequeños y más permeables se denominan capitares linfáticos. Drenan la linfa en los vasos linfáticos mas grandes y despues en el conducto toracico o conducto linfático derecho antes de desembocar en el sistema venoso.
- Todos los vasos linfáticos poseen válvulas que impiden el flujo retrógrado de la linfa.

LÁMINA 32 CORAZÓN

El sistema cardiovascular es un sistema de transporte que lleva la sangre y la linfa hacía y desde los tejidos del cuerpo. El sistema cardiovascular se compone del corazón, los vasos sanguineos y los vasos linfáticos. Los vasos sanguineos proporcionan la ruta por la que circula la sangre hacía y desde todas las partes del cuerpo. El corazón bombea la sangre. Los vasos linfáticos transportan líquido derivado de los tejidos, llamado linfa, de regreso al sistema vascular sanguíneo.

El corazón es un órgano con cuatro cavidades, que son las aurículas (atrios) derecha e izquierda y los ventrículos derecho e izquierdo. La sangre del cuerpo retorna a la aurícula derecha, de donde pasa al ventrículo derecho. La sangre se bombea desde el ventriculo derecho hacia los pulmones para

que se exigene, y regresa a la auricula izquierda. La sangre de la auricula izquierda entra en el ventrículo izquierdo, de donde se bombea al resto del cuerpo, es decir, a la circulación sistémica.

El corazón, que se desarrolla a partir de un tubo vescular recto en el embrión, tiene la misma estructura básica con tres capas en su pared que los vasos sanguíneos de mayor tamaño que los capilares y las vénulas poscapilares. En los vasos sanguíneos, las tres capas se denominan túnica intima, incluyendo el endotello vascular y el tejido conjuntivo subyacente; túnica media, una capa muscular con espesor variable en arterias y venas; y túnica adventicia, la capa más externa de tejido conjuntivo relativamente denso. En el corazón, estas capas se denominan endocardio, miocardio y epicardio, respectivamente.

Tabique auriculoventricular, corazón, humano, H&E, 45×; recuadro 125×.

En el campo de esta microfotografía se muestra parte de las paredes aunculares (A) y ventriculares (V) a la altura del **tabique** auriculoventricular y la raíz de la válvula mural (VM).

Ambas cavidades y la válvula están revestidas por el endotchio (End) plano del endocardio. Las fibras de Purkinje (FP) del sistema de conducción cardíaca se observan en la pared auricular entre el rendo conjuntivo (TC) subendocárdico relativamente escaso y los cardiomiocitos (CM) modificados del nodo auriculoventricular (NAV). El rejido conjuntivo denso (TCD), que se comunúa con el tabique y las capas subendocárdicas de la auricula y el ventrículo, se extiende desde la raíz de la válvula hacia el interior de la valva. También pueden

verse delgadas fibras sussculares cardiacas que se extienden desde la pared auricular hacia la porción superior de la válvula. Recuadro. Este ausmento mayor de la región incluida en el verdingulo (girada ~90°) muestra con mayor claridad la capa endotelial (End) del endocardio y el tejido conjuntivo denso del subendotelio, así como la capa subendocárdica. Una fina capa de músculo liso (MI) aparece entre el tejido fibroso más compacto ubicado justo debajo del endotelio y el tejido fibroso menos denso del subendocardio. Son particularmente evidentes los cortes longitudinales de las fibras de Purkinje del sistema de conducción cardiaco. Estas celulas de músculo cardiaco modificadas contienen el mismo sistema filamentoso contráctil que sus contrapartes más pequeñas en el miocardio; sin embargo, las fibrillas son menos abundantes, están más separadas entre si y a menudo rodean lo que parecen ser regiones vacuoladas. En algunos sitios se observan los discos intercalares (DI) típicos de la organización de los cardiomocitos



Arteria coronaria y vena cardíaca, corazón, humano, H&E, 30×.

En esta microfotografía se muestran cortes transversales de una arteria coronaria y la vena cardíaca en el susto coronario. El tejido adiposo (AT) circundante sirve como almohadilla protectora para

los vasos sanguíneos que discurren en el surco coronario. La **arteria coro-**naria (AC) en la parte inferior exqueento de esta microfotografia se encuentra
rodeada por haces minúsculos de cardiomiocitos (CM) pequeños que forman
parte del nodo auriculoventricular (NAV). Junto a la arteria se observa un pequeño ganglio linfárico (GL) y un asa del **haz de conducción** (HC) que
contiene fibras de Purkinje. La trimca intima (TT) teórida con mucha intensi-

dad está limitada por una membrana elastica interna (MEI), que se distingue con facilidad en este aumento relativamente bajo. La gruesa túnica media (TM) muscular también se distingue con facilidad de la túnica adventicia (TA) fibrosa más delgada. Un vaso arterial más pequeño (A^*) se aprecia en la parte superior exquiento de la imagen, El vaso más grande, la vena cardiaca (VC), nene una gran luz y una pared delgada en relación con su tamaño, una característica típica de las venas, en comparación con las arterias. La túnica fintima de esta vena aparece de nuevo como una capa más oscura. Con este aumento, no es posible distinguir la túnica media de la adventicia. También hay agregados parciales de elementos celulares sanguineos (S) en las luces de los vasos.

A, aurícula

A', arteria pequeña

AC, arteria coronaria

AT, tejido adiposo (adipose tissue)

CM, cardiomiocito

DI. discos intercalares

End, endotelio

FP, fibras de Purkinje

GL, ganglio linfático

HC, haz de conducción

MEI, membrana elástica interna

ML, músculo liso

NAV, nodo auriculoventricular

S. sangre

TA, túnica adventicia

TC, tejido conjuntivo

TCD, tejido conjuntivo denso

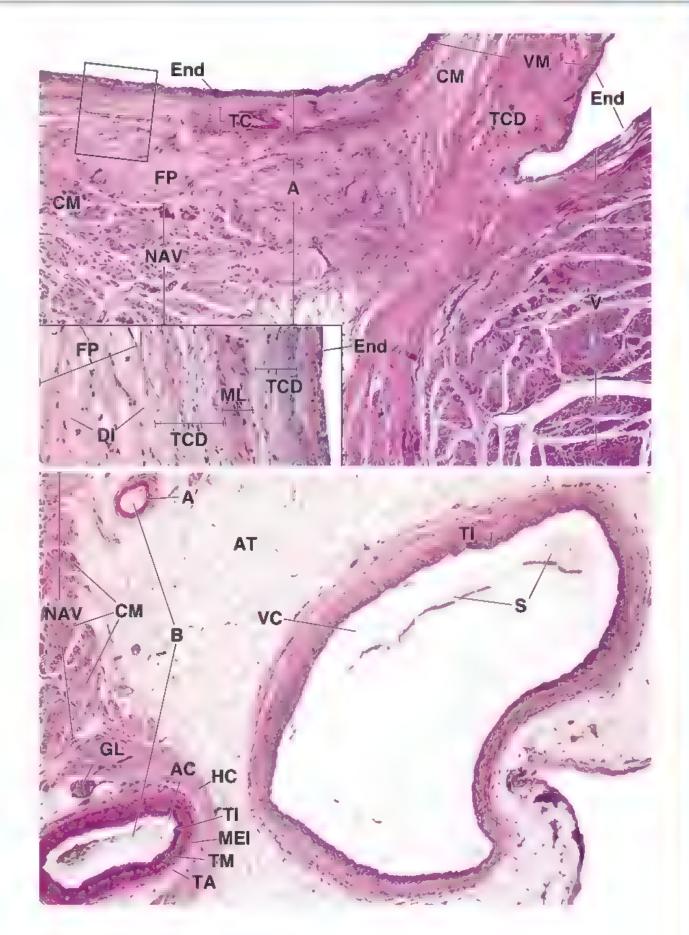
TI, tunica intima

TM, túnica media

V, ventriculo

VC, vena cardiaca

VM, válvula mitral

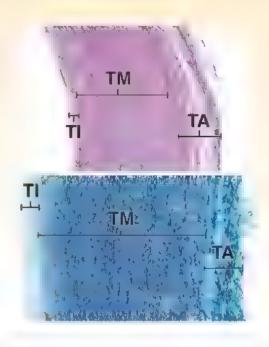


La aorta, la principal arteria sistémica del organismo, es una arteria elástica. La presencia de numerosas laminillas elásticas fenestradas le permite resistir las variaciones de presión causadas por la contracción rítmica del ventriculo izquierdo. La túnica íntima es comparativamente mucho más gruesa que la que se observa en las arterias musculares. La capa subendotelial de la túnica intima consta de tejido conjuntivo con fibras de colageno y elásticas. El componente celular consiste en células de músculo liso y fibroblastos. El borde externo de la túnica íntima está delimitado por una membrana elástica interna, que representa la primera capa de las muchas laminillas fenestradas concentricas en la tunica media del vaso. La túnica media constituye la mayor parte de la pared. Entre las laminillas elásticas hay fibras de colágeno y células de músculo liso. Estas últimas son responsables de la síntesis de fibras de colágeno y elásticas. Con la edad, aumenta la cantidad y el espesor de las laminillas elasticas en la pared. A los 35 años de edad, en la aorta torácica se encuentran hasta 60 laminillas. Alrededor de los 50 años de edad, las faminillas comienzan a mostrar signos de degeneración y gradualmente son reemplazadas por colágeno que conduce a una perdida gradual de la elasticidad de la pared aórtica

La túnica adventicia está formada por tejido conjuntivo denso irregular con fibras elásticas entremezcladas, las cuales tienden a estar organizadas en un patrón circunferencial. También contiene pequenos vasos sanguineos que irrigan la parte externa de la tunica media. Estos son los vasa vasorum de la aorta. También hay capilares linfáticos presentes en la tunica adventicia.

Microfotografía de orientación. En la microfotografía superior se muestra un corte transversal de una aorta humana infantil tañida con H&E La túnica intima (71) se tiñe de forma considerablemente menos intensa que la túnica media (7M) contigua. La tunica adventicia (7A) contigua.

gran cantidad de fibras de colageno y se tiñe con mayor intensidad que las túnicas media o intima. La microfotografía inferior es de un adulto y se ha teñido para revelar el componente elástico de la pared del vaso. La túnica intima (TI) aparece muy pálida en este caso debido a la escasez de material elástico. La tunica media (TM) se ha teñido con mucha intensidad debido a la presencia de grandes cantidades de láminas elásticas. La tunica adventicia (TA) contiene, además del tejido conjuntivo denso, una cantidad moderada de fibras elásticas.



Aorta, humano, H&E, 365×; recuadro 700×.

En esta microfotografía se muestran las capas de la pared aórtica. La túnica íntuma consiste en un endotelio (End) que recubre el tejido conjuntivo laxo (TCL). La porción más gruesa de la pared del vaso

es la trinica media (TM). El material ondulado cosmófilo corresponde a fibras de colágeno. La tinción de costna no revela las láminas elásticas. Los nucleos perce-

necen a células de músculo liso. Los fibroblastos están ausentes. La capa externa de la pared del vaso es túnica adventicia (TA). El material eoxinófilo corresponde a tejido conjuntivo denso. Los núcieos que son visibles perienecen a los fibroblastos. También debe tenerse en cuenta el vaso sanguineo (VS) pequeño en la rúnica adventicia. El recusadro mutestra la túnica íntima con mayor aumento e incluye una parte de la rúnica media. Debe observarse el End. El material eoxinófilo en la rúnica íntima corresponde a fibras de colágeno (FC). El tipo de célula principal es la célula de truisculo liso (CML)



Aorta, humano, hematoxilina férrica y azul de anilina, 255×; recuadro 350×.

La muestra que aparece aquí se ha teñido para distinguir el colágeno del material elástico. La túnica intima (TT) se compone principalmente de fibras de colageno. El endotelio (End), representado

por varios núcleos, apenas es visible. La túnica media (TM) contiene numerosas laminillas elásticas que aparecen como lineas onduladas negras. El material

interpuesto teñido de azul corresponde a fibras de colágeno. Un examen cuidadoso de la túnica permite identificar los núcleos de las células de músculo liso dispersos entre las laminillas elásticas. El recuadro muestra la túnica intima con mayor aumento. Obsérvense los núcleos de las células endoteliales (CEn) en la superficie luminal. El resto de la tunica íntima se compone principalmente de fibras de colágeno (teñidas de azul) con algunas fibras elásticas (FF) identificadas por su coloración más oteura. Los núcleos de los fibroblastos y las células de músculo liso (CMI) ocasionales parecen dispuestos al azar.



Aorta, humano, hematoxilina férrica y azul de anilina, 255×.

En esta microfotografía se muestra la parte externa de la runica media (TM) con sus laminillas elásticas. La mayor parte de la nucrofotografía está ocupada por la rúnica adventicia (TA). Aquí, las fibras de colágeno (FC) gruesas se reconocen con facilidad. La porción externa de la túnica adventicia contiene muchas fibras elásticas que aparecen como estructuras en forma de puntos negros. Estas fibras elásticas están dispuestas en un patrón circunferencial, por lo tanto, cuando se cortan, aparecen como estructuras en forma de puntos negros

CEn, células endoteliales CML, células de musculo liso End, endotelio

FC, fibras de colágeno

FE, fibras elásticas TA, túnica adventicia TCL, tejido conjuntivo laxo TI, túnica intima TM, túnica media VS, vaso sanguíneo

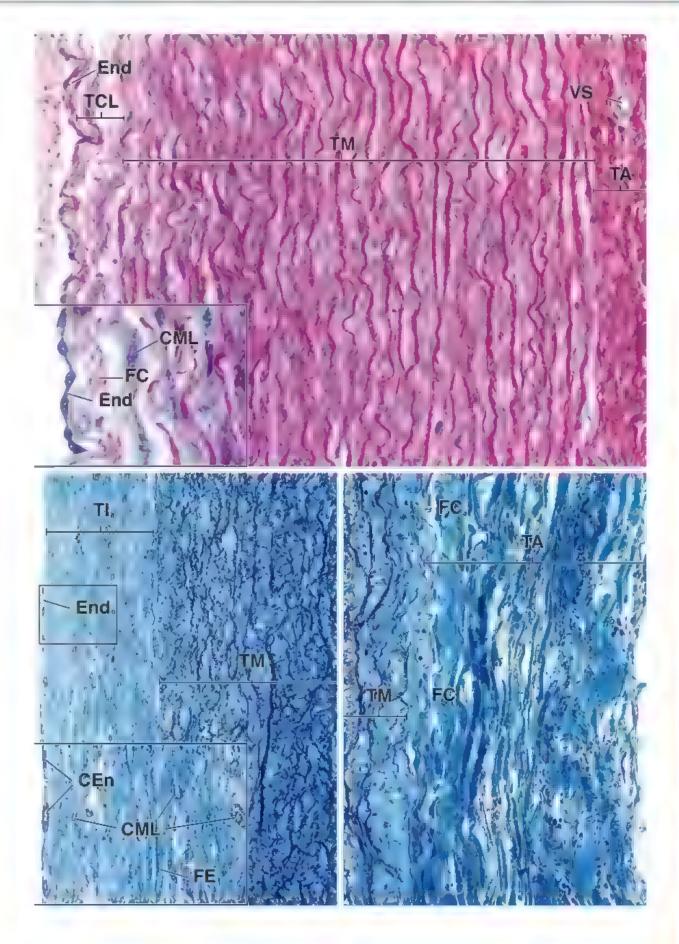


LÁMINA 34 ARTERIAS MUSCULARES Y VENAS MEDIANAS

Las arterias musculares tienen más musculo liso y menos elestina en la túnica media que las arterias elésticas. Por lo tanto, conforme el árbol arterial se aleja del corazón, el tejido elástico se reduce considerablemente y el músculo liso se convierte en el componente predominante de la túnica media. Sin embargo, las arterias musculares se caracterizan por una membrana elástica interna refractiva que separa la túnica intima de la túnica media y, por lo general, por una membrana elástica externa que separa la túnica.

media de la túnica adventicia. Las arterias musculares, o arterias de mediano calibre, constituyen la mayoría de las arterias del organismo que han recibido nombre. Las venas suelen acompañar a las arterias a medida que discurren en el tejido conjuntivo laxo. Las venas tienen las mismas tres capas en sus paredes, pero la túnica media es más delgada que en la arteria que acompaña, y la túnica adventicia es la capa predominante en la pared Las venas suelen tener el mismo nombre que la arteria que acompañan.



Arteria muscular y vena mediana, mono, H&E, 365×.

En esta stucrofotografía, la luz de la arteria está a la inquierdo y la luz de la vena está a la derecho. En medio de la imagen, ambos vasos están unidos por sus capas más externas de núnica media.

El endorelio arrerial (EnA) se observa claramente en la superficie ondulada de la túnica intima, mientras que el endorelio venoso (EnV) es algo más dificil de distinguir. La membrana elastica interna (MEI) se ve como una zona clara delgada justo debajo de la capa endorelial, y separa la túnica intima del músculo

liso (ML) subyacente de la túnica media (TM). La membrana elástica externa con fibras elásticas (FE) separa la túnica media de la túnica adventicia (TA') de la arteria. Es evidente que la túnica media es casi el doble de gruesa que la TA' La túnica media de la vena de la deveche es delgada y difícil de observar. Contiene una capa de pequeñas células de músculo liso pequeño (MLp) que están junto a la túnica adventicia (TA) gruesa, que es cerca del doble de gruesa que la túnica media de la vena. La trutica adventicia representa la capa de tejido conjuntivo más externa que contiene haces de fibras de colágeno con núcleos (N) visibles de fibrablastos.



Arteria muscular, mono, H&E, 545×.

Esta microfotografía corresponde a una imagen con mayor aumento de la región incluida en el rectángulo de la figura anterior, rotada 90°. Con este aumento, se observa con claridad que las células endoteliales (CEn) aplanadas siguen los contornos

de las membranas elásticas internas (MFI), refractivas y onduladas, que se apo-

yan directamente sobre la capa máx interna de las células de músculo liso (ML) de la túnica media gruesa. La porción inferior de la microfotografía está ocupada por la túnica adventicia de la arteria (TA^*) , que es unas tres veces más delgada que la túnica media. Los núcleos (N) de los fibroblastos son visibles entre los haces de fibras de colágento (FC) y fibras elásticas (FE) en la intersección entre la túnica media (TM) y la túnica adventicía de la arteria (TA^*)



Vena mediana, mono, H&E, 600×.

En esta vista con mayor aumento de una parte de la pared de la vena en la figura anterior, las células endoteliales (CEn) se distinguen mejor y se ven más voluminosas que las del endotelio arterial El límite entre la túmica íntuma (TT) y la túmica media (TM) del-

gada es duficil de discernir, pero las células de músculo liso (MI) de la núnica

son más fáciles de reconocer que en la figura anterior debido a la forma de sus núcleos y la leve basofilia de su citoplasma. La rúnica adventicia (7/1) es aproximadamente dos veces más gruesa que la túnica media y parece contener solo haces de fibras de colágeno y fibroblastos, estos últimos reconocibles por sus núcleos (//). Los haces de colageno del tejido conjuntivo laxo debajo de la túnica adventicia son más grandes que los de la adventicia, y hay menos células en esta porción de la muestra.

CEn, celu a endotelia: EnA, endotelio artenal

EnV, endotelio venoso FC, fibras de colágeno

FE, fibras elásticas

MEI, membrana elástica interna

ML músculo liso

MLp, músculo liso pequeño

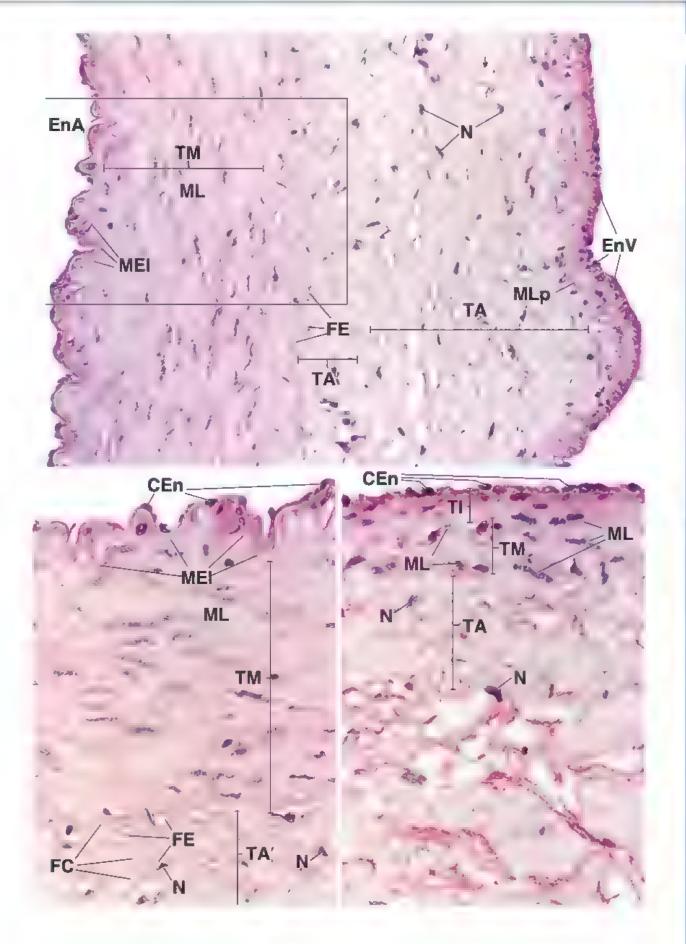
N. núcleo

TA, tunica adventicia de la vena

TA', tunica adventicia de la artena

TI, túnica întima

TM, túnica media



ARTERIOLAS, VÉNULAS Y VASOS LINFÁTICOS LÁMINA 35

Los componentes terminales del árbol arterial justo antes de un lecho capitar o una anastomosis arteriovenosa son las arteriolas. Las arteriolas tienen un revestimiento endotelial y musculo liso en su pared, pero el espesor del musculo liso esta limitado a una o dos células. Puede haber una membrana elástica interna, segun el tamaño del vaso. Las arteriolas controlan el flujo sanguineo hacia las redes capilares. En la relación normal entre una arteriola y una red capilar, la con-

tracción del musculo liso de la pared artenolar reduce o bloquea el flujo sanguineo hacia los capilares. Un esfinter precapilar està formado por un leve engresamiento del musculo liso en el origen de un lecho capilar de una arteriola. Los impulsos nerviosos y la estimulación hormonal pueden hacer que las células de los musculos se contraigan, dingiendo la sangre hacia los lechos capilares donde más se necesita.



Arteriola, vénula y nervio pequeño, pulpejo de dedo, humano, H&E, 600×.

En esta microfotografía se muestran dos cortes transversales de arteriolas (A) y una vénula (V). La arteriola de la inquiende se identifica como grande por la presencia de dos capas bien defi-

audas de células musculares lisas que forman la rúnica media del vaso. Los núcleos de las células musculares aparecen en corre longitudinal como resultado de la disposición circunferencial de las células. Los núcleos de las células endoteliales del vaso aparecen como pequeñas siluetas alrededor de la luz. Estas células

son alargadas y su eje longirudinal está orientado en la dirección del flujo. Por lo ranto, aquí se observan cortes transversales de los núcleos. La arteriola de la dereche es muy pequeña, tiene una sola capa de músculo liso. Una vez más, los núcleos de las células del músculo se ven en corres longitudinales. Los núcleos de las células endoteliales aparecen como pequeñas siluetas redondas en la superficie luminal. Cerca de la arteriola más grande se observa una vénula y cerca de la arteriola pequeña se ve el corte transversal de nervio perdérico (N). Compárese la pared de la **vénula**, que consiste solamente en endotelio y una capa delgada de rejido conjuntivo, con las arteriolas. Además, debe notarse la luz relativamente grande de la vénula



Arteriola, pulpejo de dedo, humano, H&E, 350×.

En esta microfotografía se muestra un corte longitudinal de una arteriola Debido a su trayecto tortuoso en el corte, la pared se ha reducido de tal manera que la capa única de células de músculo

liso de la túnica media se observa en diferentes planos en toda su longitud. En el segmento señalado con el número I, a la inquierda, la pared del vaso se seccionó de manera rangencial. Por lo tanto, la luz del vaso no está incluida en el plano del corte, pero los núcleos de las células de músculo liso de la túnica media se venseccionados longitudinalmente. Después de que la arteriola describe una curva

cerrada (segmento indicado por el número 2), la pared del vaso se corta para revelar la luz. Aquí, los núcleos del músculo liso aparecen como siluetas redondas y los núcleos de las células endoteliales que revisten la superficie luminal aparecen en el perfil longitudinal. En el segmento número 3, la pared del vaso otra vez apenas fue rozada. En el segmento número 4, el corte es más profundo y de nuevo se ven la luz y algunas siluctas de las células endoteliales (puntas de flecha). El área pálida sobre la región marcada con el número « corresponde a rejido adiposo (AT). El área debajo del vaso está ocupado por rejido compintivo denso irregular (TCDI), que contiene una terminación nerviosa encapsulada conocida como corpisculo de Pacini (P), el cual detecta la presión y la vibración ejercida sobre la superficie cutánea.



Vaso linfático, pulpejo de dedo, humano, H&E. 175 -

El vaso linfático de esta muestra describe una región donde el vaso està haciendo un giro en forma de "U" en el plano del corte; por lo tanto, desaparece en las partes superior e suferiar de la ma-

crofotografía. La pared del vaso consiste en un revestimiento endotelial y una pequeña cantidad de tendo conjuntivo, sin que pueda distinguirse uno del otro.

Dentro del vaso, se observa una válvula (Val), la cual es característica de los vasos linfáticos. Está formada por una capa minúscula de rejido conjuntivo cubierra en ambos lados por endotelio. Las fleches indican los núcleos que son apenas visibles con este anmento; la mayoria de ellos perienecen a las células endoreliales. Por lo general, la luz contiene material linfático (L) precipitado; en ocasiones, pueden estar presentes los linfocitos, Junto al vaso, a la derrebe, se ve el tejido adiposo (AT) y en la parte superior izquierda se ve el tejido compuntivo denso irregular (TCDI)



Vaso linfático, pulpejo de dedo, humano, tricromica de Mallory, 375×.

El vaso linfático que se muestra aquí está contenido dentro del TCDI. La luz es irregular, por lo que se percibe como estrecha por debajo del nivel de la válvula (Val). Son evidentes unos pocos nú-

cleos de las células endoreliales (fleches). Una capa delgada de rejido conjuntivo que está presente fuera del endotelio se mezcla con el tejido conjuntivo denso

más alla de la pared del vaso. También están presentes una vénula (V) y una arteriola (A); pueden distinguirie del vaso finfático con facilidad porque contienen eritrocitos en su luz. Además, al fondo a la izquienda, puede observarse un solo adipocito (Asl) que ha perdido su gotita lipidica durante la preparación del corte En contraste con la luz del vaso linfático, que contiene linfa (L) precipitada, el espacio de la gotita lipidica no tiene borde y es claro.

A. arteriola

Ad. adinocito

AT tejido adiposo (adipose tissue)

N. nervio

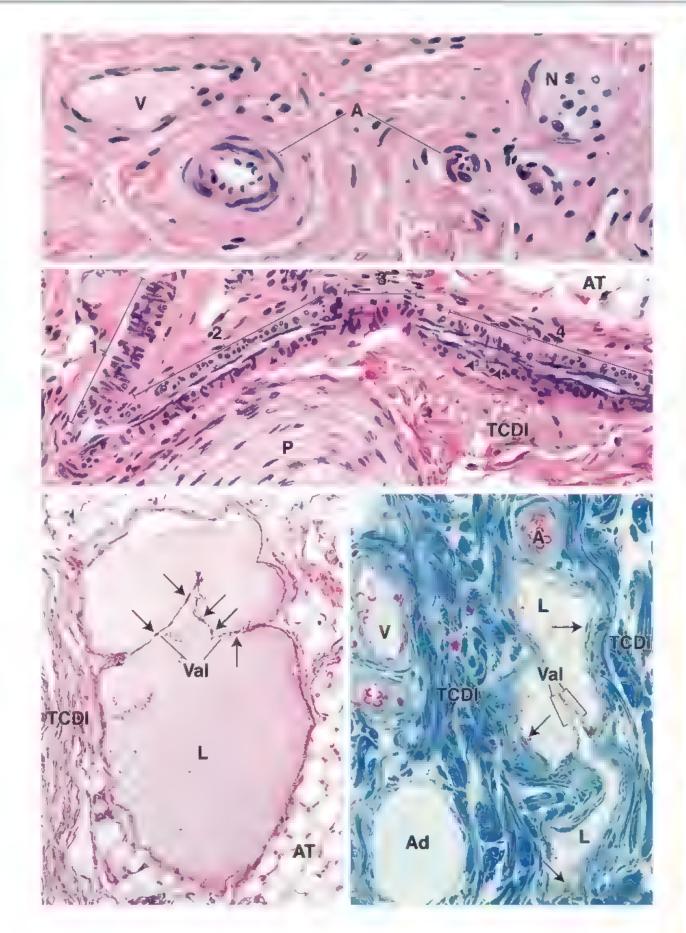
2 corpusculo de Pacini

TCDI, te, do conjuntivo denso irregular

Wall, váloula

flechas, nucieos de las células endoteliaies

puntas de flecha, células endoteliales



SISTEMA INMUNITARIO Y TEJIDOS Y ÓRGANOS LINFÁTICOS

FUNDAMENTOS DE LOS SISTEMAS INMUNITARIO Y LINFÁTICO / 472

CÉLULAS DEL SISTEMA INMUNITARIO / 474

Fundamentos / 474

Linfocitos / 475

Activación de los linfocitos Ty 8 / 481

Células presentadoras de antigenos / 485

TEJIDOS Y ÓRGANOS LINFÁTICOS / 488

Vasos linfáticos / 488

Tejido linfático difuso y nódulos linfáticos / 489

Ganglios linfáticos / 493

Celulas de la malla reticular / 493

Timo / 498

Barrera hematotímica y educación tímica / 501

Bazo / 502

Circulación sanguínea en el bazo / 507

Cuadro 14-1 Consideraciones funcionales: origen

de los nombres de los linfocitos T y B / 479

Cuadro 14-2 Correlación clínica: reacciones

de hipersensibilidad / 480

Cuadro 14-3 Correlación clinica: virus de la inmunodeficiencia humana y sindrome

de inmunodeficiencia adquirida / 491

Cuadro 14-4 Correlación clínica: Imfadenitis reactiva (inflamatoria) / 505

HISTOLOGIA 101 / 510



■ FUNDAMENTOS DE LOS SISTEMAS INMUNITARIO Y LINFÁTICO

El papel fisiológico del sistema immunitario es defender al cuerpo frente a los microorganismos infecciosos y patógenos, así como de las sustancias ajenas no infecciosas y las células alteradas y sus productos. El sistema linfático es la contraparte morfológica del sistema immunitario; consiste en un grupo de células, tejidos y órganos que vigilan las superficies corporales y los compartimentos hídricos internos (fig. 14-1). Por lo tanto, el término sistema sumunitario indica la función fisiológica (mecanismos de defensa) del sistema linfático. Dentro del sistema linfático se incluyen los órganos linfáticos primarios y secundarios, conectados por los vasos linfáticos que culminan en el sistema circulatorio. Los dos sistemas están tan intimamente asociados que son prácticamente indistinguibles. A lo largo de la historia, se ha observado que quienes se recuperan de ciertas enfermedades, como la varicela, el sarampión y las paperas, adquieren resistencia o inmunidad a esa enfermedad. Otro hallazgo que data de hace mucho tiempo es que la inmunidad es específica, es decir, la inmunidad para la varicela no evita la infección por el virus del sarampión También se reconoce ahora que el sistema inmunitario puede reaccionar contra el propio cuerpo y causar enfermedades autoinmunitarias, como el lupus eritematoso, la anemia hemolítica autoinmunitaria, algunas formas de diabetes mellitus y la tiroiditis autoinmunitaria (de Hashimoto)

Casi todas las células del sistema inmunitario se derivan de células madre hematopoyéticas (CMH) en el hueso. Según la célula madre progenitora (véase p. 313), las células inmunitarias se derivan del linaje mieloide (monocitos, macrófagos, granulocitos y células dendriticas) o linfoide (todos los linfocitos). Los linfocitos son las células características y efectoras del sistema inmunitario que actúan ante las sustancias dañinas. El rejido linfático sirve como sitio principal de proliferación, diferenciación y maduración de los linfocitos. El timo y la médula ósea son los órganos linfáticos primarios en los mamíferos (véase fig. 14-1), pues en ellos "nacen" y son "educados" los linfocitos. Además, en estos sitios adquieren los diversos receptores de antigenos necesarios para reconocer y destruir antigenos específicos. Después de madurar y ser seleccionados cuidadosamente en los órganos linfáticos primarios, los linfocitos migran a los organos y tajidos linfáticos secundarlos, como el bazo, los ganglios

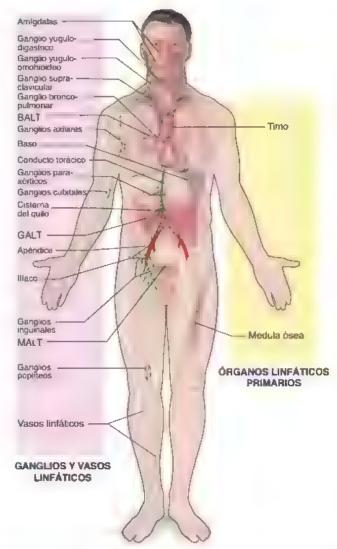


FIGURA 14-1. Estructuras que conforman el sistema linfático. El sistema linfático está compuesto por un grupo de células, tejidos y órganos que se encargan de la vigilancia de las superficies corpora es y los compartimentos internos para combatir microorganismos extranos, células transformadas y otras sustancias nocivas. Los finfocitos son las células más importantes del sistema linfático. Se diferencian y adquieren inmunocompetencia en los órganos linfáticos primarios (centrales) que, para los linfocitos B, son la médula ósea y el tejido Imfático asociado con el intestino (GALT); y para los linfocitos T, es el timo. Entonces, los linfocitos entran en la sangre o en los vasos infáticos para colonizar los tejidos linfáticos secundanos (periféricos), donde experimentan las últimas etapas de la activación dependiente de antígenos. Los tejidos linfáticos secundarios están compuestos por varios grupos de ganglios linfáticos y agregaciones de nódulos linfáticos, como las amigdalas, el tejido infático asociado con los bronquios (BALT) en los pulmones, el GALT y el tejido linfático asociado con las mucosas (MALT) en todo el aparato genitourinario (aqui se muestra la mucosa de la vejiga). La linfa es el líquido que se extrae de los espacios extracelulares de los tejidos conjuntivos. Fluye por los vasos linfáticos hacia los nódulos linfáticos, que se intercalan en el trayecto de los vasos linfáticos superficiales (asociados con la piel y con la fascia superficial) y de los vasos linfáticos profundos (asociados con las arterias principales). Por ultimo, los vasos linfáticos desembocan en el torrente sanguineo a la altura de las grandes venas en la base del cuello. El conducto torácico es el vaso linfático más grande.

linfáticos, el apéndice, los nódulos linfáticos y los tendos linfáticos difusos (véase fig. 14-1). Ante la presencia de un antígeno dentro de los tejidos linfáticos secundarios, los linfocitos interactúan entre sí y

con células no linfoides para activarse y convertirse en linfocitos inmunocompetentes efectores T o B. Estas células pueden distinguir entre las moléculas propias (normales en el organismo) y no propias (moléculas extrañas que en general no están presentes) e iniciar la respuesta inmunitaria apropiada.

Un antigeno es cualquier sustancia que puede inducir una respuesta inmunitaria específica.

El cuerpo está constantemente expuesto a organismos patógenos (que causan enfermedad) y sustancias peligrosas del medio externo (microbios, toxinas y células y tejidos no propios). Además, las células pueden experimentar cambios (transformación de células normales en células cancerosas) que les confieren características de células extrañas. Una respuesta inmunitaria se genera contra un antigeno específico, que puede ser una sustancia soluble (p. ej., una proteína, un polisacárido o una toxina extraños) o un organismo infeccioso, un tejido extraño o un tejido transformado (como los infectados por virus o con procesos cancerosos). La mayoría de los antigenos deben ser "procesados" por las células del sistema inmunitario antes de que otras células puedan iniciar la respuesta inmunitaria.

Históricamente, la palabra antigeno se ha utilizado para nombrar cualquier sustancia que puede producir una respuesta inmunitaria específica (adaptativa) que conduce a la producción de anticuerpos con capacidad para unirse a este antígeno. No obstante, se sabe que algunos antígenos son demasiado pequeños (menores de 20 kDa) o dificiles de detectar por las células del sistema inmunitario, por lo que no desencadenan una respuesta inmunitaria. Por esta razón comenzó a utilizarse la palabra inmunidario para describir un tipo específico de antígeno que siempre desencadena una respuesta inmunitaria. En consecuencia, todos los inmunógenos son antígenos, pero no todos los antígenos son inmunógenos. Con frecuencia, las palabras antígeno e inmunógeno se utilizan de manera indistinta. En este capitulo, la diferencia entre inmunógeno y antígeno no es relevante, por lo que siempre se utiliza el término antígeno.

La respuesta inmunitaria puede dividirse en defensa inespecífica (innata) y específica (adaptativa).

El cuerpo tiene dos líneas de defensa inmunitaria contra los invasores extraños y las células transformadas: la înmunidad inespecífica y la inmunidad específica.

 En la inmunidad inespecífica (innata), las defensas inespecífica cas preexistentes constituyen la respuesta inmunitaria innata. En todos los organismos vivos, la inmunidad innata representa la primera línea de defensa contra la agresión microbiana. Estas defensas consisten en: 1) barreras físicas (p. ej., la piel y las mucosas) que impiden que los organismos extraños invadan los tejidos; 2) defensas químicas (p. ej., pH bajo) que destruyen muchos microorganismos invasores; 3) varias sustancias secretoras (p. ej., trocianato en la saliva, lisozimas, interferones, fibronectina y complemento en el suero) que neutralizan las células extrañas; 4) cólulas del sistema inmunitario innato, que incluyen fagocitos (p. ej., macrófagos, neutrofilos y monocitos), linfocitos citolíticos naturales (NK, natural killer), mastocitos, basófilos y células dendríticas. Por ejemplo, los neutrofilos pueden reconocer las bacterias invasoras mediante los receptores de reconocimiento de patrones (PRR, pattern recognition receptors), como los receptores de tipo Toll (TLR, Toll-like receptors) Estos receptores reconocen una serie de moléculas asociadas con patogenos que suelen expresarse en la superficie bacteriana (pero no en la superficie

de las células propias), lo que desencadena la respuesta inmunitaria (véase p. 301). Los PRR son esenciales en el sistema inmunitario innato. En el caso de las infecciones vírices, las células infectadas producen una sustancia antiviral inespecifica, el interferón, que inhibe la replicación de muchos virus.

Cuando las defensas mespecíficas fracasan, la inmunidad especifice (adaptativa) brinda los mecanismos que permiten atacar a los invasores específicos. Los linfocitos proveen la especificidad y la memoria inmunitaria, que son las características de la respuesta inmunitaria adaptativa. El contacto inicial con un antígeno o un agente extraño específico inicia una cadena de reacciones en la que participan células efectoras del sistema inmunitario, y con frecuencia conduce a un estado de memoria inmunitaria. La inmunidad adaptativa induce la resistencia adquirida contra la agresión microbiana mediante reorganizaciones somàticas aleatorias de los genes que codifican inmunoglobulinas adheridas a la membrana de los linfocitos B (receptores de linfocitos B (BCR, B-cell receptors)) y los receptores específicos de los linfocitos T (FCR, T-cell receptors). Este rearregio ocurre en el timo para el caso de los linfocitos T, y para los linfocitos B es en la medula ósea. Durante la respuesta inmunitaria adaptativa, los linfocitos B yT específicos se activan dentro de los órganos y los tejidos linfáticos secundarios para destruir organismos invasores

Ambos sistemas inmunitarios, inespecífico (innato) y específico (adaptativo), convergen y se conectan entre sí. En la mayoría de los casos, la inmunidad innata se activa antes. Poco después de que se presenta la invasión por un microorganismo patógeno, el sistema inmunitario innato activa la respuesta inflamatoria para destruir a los causantes de la infección. Los neutrófilos son el principal tipo de células reclutadas durante las fases iniciales de la respuesta inflamatoria. Como ya se ha comentado, los neutrófilos cuentan con PRR y receptores del complemento que desencadenan la fagocitosis y la destrucción de los agentes patógenos. La acción de los neutrófilos viene seguida por la acción de los monocitos, que se diferencian en macrófagos. Tanto los macrófagos como los neutrófilos se conocen como células inflamatorias. Dado que el sitio de la inflamación drena a través de los vasos linfáticos, los agentes patógenos viajan junto con la linfa a los tejidos linfáticos adyacentes, lo que activa los linfocitos B y T. Estas células generan una respuesta inmunitaria específica (adaptativa) que puede conducir a una memoria a largo plazo en contra de esos microorganismos.

La inmunidad específica (adaptativa) puede dividirse en inmunidad humoral y celular.

La inmunidad adaptativa es desencadenada por la inmunidad innata (respuesta inflamatoria), y por lo general este proceso inicia cuando esta última fracasa. En general, la presencia de un antígeno específico desencadena una respuesta en la que predomina una respuesta inmunitaria ya sea humoral (producción de anticuerpos) o celular (mediada por células). Estas dos defensas específicas son iniciadas por diferentes tipos de linfocitos. No obstante, generalmente están implicados ambos sistemas inmunitarios (humoral y celular), pero uno de ellos predomina según el estímulo.

 La respuesta humoral (inmunidad humoral) está mediada por la secreción de proteínas denominadas anticuerpos, que revisten y neutralizan los invasores (toxinas, virus y bacterias) y los marcan para que otras células inmunitarias los destruyan. Los linfocitos B son las principales células efectoras en este sistema. Una vez que los linfocitos B reconocen los antígenos patogenos, proliferan y se diferencian en células plasmáticas que secretan anticuerpos. La respuesta humoral representa el principal mecanismo de defensa extracelular (en las superficies celulares y en las luces de las vías digestivas, respiratorias y urogenitales) y en los líquidos corporales (sangre, linfa, entre otros) en contra de los microorganismos patógenos y sus toxinas. La inmunidad humoral promueye la eliminación de los invasores mediante los macrófagos y la activación del sistema del complemento, que consiste en proteínas de pequeño tamaño que intensifican la función de los anticuerpos y los macrófagos. En algunas enfermedades (p. ej., tétanos), una persona no inmunizada puede adquirir inmunidad al recibir una inyección con anticuerpos purificados de la sangre de una persona o animal con inmunidad frente al patogeno. La eficacia de esta transferencia pasiva es la evidencia de que el anticuerpo es lo que confiere la protección

La respuesta mediada por células (inmunidad celular) es licvada a cabo por los linfocitos T y sus productos (citocinas), que están dirigidos a las células transformadas por cáncer o infectadas por virus para que sean destruídas por las células específicas citolíticas ("asesinas"). Los linfocitos CD8+ están implicados en la destrucción directa de las células infectadas. La inmunidad cehilar también promueve la destrucción de los microorganismos infecciosos dentro de las células fagocíticas, como las células hospederas infectadas por virus o bacterias y las células extrañas (trasplantadas). Los linfocatos T no producen anticuerpos; sin embargo, cuentan con receptores de antigenos especializados que reconocen los antígenos derivados de péptidos. Los antígenos deben ser presentados a los linfocitos T por las moléculas del complejo mayor de histocompatibilidad (MHC, major histocompatibility complex; véanse pp. 480-481), que se expresan en la superficie de la mayoría de las células. La inmunidad mediada por células es una defensa importante ante las infecciones viricas, micoticas y micobacterianas, así como en contra de las células tumorales. Este tipo de inmunidad también es responsable del rechazo a los trasplantes.

■ CÉLULAS DEL SISTEMA INMUNITARIO

Fundamentos

Las células del sistema inmunitario incluyen a los linfocitos y diversas células de sosten.

Los linfocitos y una gran variedad de células de sostén constituyen las células del sistema inmunitario. Se reconocen tres tipos principales de tinfocitos: linfocitos B, linfocitos T y linfocitos citolíticos naturales (NK., natural killer). Las células de sostén interactúan con los linfocitos y desempeñan funciones importantes en la presentación de los antígenos a los linfocitos y la regulación de las respuestas inmunitarias. Estas células incluyen monocitos, macrofegos, neutrofilos, basofitos, mastocitos, eosinofilos, células reticulares, células dendriticas, células dendriticas foliculares, células de Langerhans y células epiteliorreticulares. Además, una serie de células epiteliales y del estroma especializadas proveen el entorno para que se produzcan numerosas reacciones inmunitarias mediante la secreción de sustancias específicas que regulan el crecimiento, la migración y la activación de las células efectoras y las células de sostén.

Las células de sostén en los órganos linfáticos están organizadas en redes laxas.

En los nódulos linfáticos, los ganglios linfáticos y el bazo, las células reticulares y las fibras reticulares producidas por estas células forman redes altamente organizadas. Los linfocitos, los macrófagos, las células dendríticas foliculares y otras células del sistema inmunivario residen en estas redes, así como en el tejido conjuntivo laxo del organismo. Las células de Langerhans se encuentran solo en el estrato espinoso de la epidermis. En estos sitios, llevan a cabo su misión de vigilancia y defensa. En el timo, las células epiteliorreticulares forman una red estructural dentro del tejido. A pesar de su nombre, estas células no producen fibras reticulares ni están relacionadas con ellas.

Los diferentes tipos de cálulas del tajido linfático se identifican por medio de un grupo específico de moléculas de diferenciación que hay en sus superficies.

Las diferentes células del tejido linfático y el tejido hematopoyético poseen moléculas de superficie celular exclusivas. Estos marcadores específicos, denominados grupos de moléculas de diferenciación (CD, cluster of differentiation), son designados con números de acuerdo con un sistema internacional que los relaciona con antígenos expresados en diferentes etapas de su diferenciación. Las moléculas CD pueden visualizarse mediante métodos inmunohistoquímicos que utilizan anticuerpos monoclonales, y son útiles para la identificación de subtipos específicos de células linfáticas o hematopoyéticas. Algunos marcadores CD son expresados por células durante toda su vida; otros se expresan solo durante una fase de la diferenciación o durante la activación celular. La tabla 14-1 muestra los marcadores más útiles desde el punto de vista clínico.

Linfocitos

Los linfocitos circulantes son los principales componentes celulares del tejido linfático.

Para comprender la función de los tinfocitos, se debe tener en cuenta que la mayoría de estos (alrededor del 70%) en la sangre o la linfa constituyen una reserva circulante de células inmunocompetentes. Estas células participan en un ciclo durante el cual abandonan la circulación sistémica para entrar en el tejido linfático. Mientras están en el rejido linfático, se encargan de la vigilancia inmunitario de los tejidos circundantes. Después, los linfocitos regresan a la circulación sistémica. Esta población de células corresponde principalmente a linfocitos maduros, de vida larga (en su mayor parte linfocitos T), que han desarrollado la capacidad de reconocer y responder a antigenos extraños y se encuentran en tránsito desde un sitio de tejido linfático hacia otro.

El 30% restante de los linfocitos en los vasos sanguineos no circula entre los rejidos linfáticos y la circulación sistémica. Esta población consiste en su mayoría de células inmaduras o células activadas de vida corta cuyo destino es un tejido específico. Estas células abandonan los capilares y migran directamente hacia los tejidos, en especial hacia el tejido conjuntivo subyacente al epitelio de revestimiento de los sistemas respiratorio, digestivo y urogenital, así como hacia los espacios intercelulares de esos epitelios. Desde el punto de vista funcional, se presentan tres tipos principales de linfocitos en el cuerpo: linfocitos T, linfocitos B y linfocitos NK. La clasificación funcional de los linfocitos es independiente de sus características morfológicas (tamaño)

Los linfocitos T se diferencian en el timo y representan la mayoría de los linfocitos circulantes.

Los linfocitos T reciben su nombre por diferenciarse en el timo. Tienen una vida media prolongada y participan en la inmunidad mediada por cátulas. Representan el 60-80% de los linfocitos circulantes. Los linfocitos T expresan los marcadores CD2, CD3, CD5 y CD7, así como los TCR. Sin embargo, se subclasifican de acuerdo con la presencia o ausencia de otros dos marcadores de superficie importantes: CD4 y CD8.

- Los linfocitos T CD4* cooperadores (helper) son linfocitos T que también expresan marcadores CD4. Además, estas células se subdividen según su capacidad para secretar citocinas (véase p. 485). Los linfocitos T cooperadores que sintetizan principalmente interferón γ (IFN γ) y otras citocinas (interleucina [IL] 2) se denominan linfocitos TH1. Estas células activan los macrófagos, esenciales para el control de patógenos intracelulares como las bacterias y otros microorganismos. El segundo grupo de linfocitos T cooperadores sintetiza IL-4, IL-5, IL-10 e IL-13, y las células se denominan linfocitos TH2. Son indispensables para activar eosinofilos, mastocitos y linfocitos B (para producir inmunoglobulina [Ig] E). Los linfocitos TH2 inician las respuestas inmunitarias mediadas por IgE, mastocitos y eosinófilos, que destruyen los parásitos extracefutares (helmintos). El tercer tipo de linfocitos T cooperadores sinterizan IL-17 y IL-22 y se denominan linfocitos TH17. Su principal función es destruir las bacterias y los hongos extrace ulares al reclutar neutrófilos al sitio de la inflamación. Además, la IL-22 producida por los linfocitos TH17 aumenta la secreción de peptidos antimicrobianos (p. ej. defensinas) y apoya la función epitelial de barrera. La función deficiente de los TH17 se asocia con el sindrome de Job (sindrome de hiper IgE), caracterizado por infecciones micóticas y bacterianas recurrentes de la piel
- Los linfocitos T CD8* citotóxicos son linfocitos T que también expresan marcadores CD8. Después del reconocumiento del antígeno y la consiguiente activación, matan las células diana por medio de proteínas citotóxicas que inducen la apoptosis. Las principales proteínas citotóxicas que se encuentran en los gránulos citoplasmáticos de estos linfocitos T son las mismas que están presentes en los linfocitos NK, e incluyen granzimas, perforina y granulisina. Intervienen en la destrucción de células díana, como aquellas infectadas por virus, transformadas por cancer o infectadas por microorganismos intracelulares y parásitos, asimismo, participan en el rechazo agudo de las celulas y órganos trasplantados.
- Los linfocitos T reguladores (supresores) consutuyen una población de linfocitos T diversa en cuanto a fenotipo que puede suprimir funcionalmente una respuesta inmunitaria frente a antigenos
 extraños o propios mediante la influencia sobre la actividad de
 otras células del sistema inmunitario. Por ejemplo, los linfocitos T
 reguladores provistos con marcadores CD4*CD25*FOXP3* son
 un ejemplo clásico de células que pueden disminuir la capacidad
 de los linfocitos T para iniciar la respuesta inmunitaria. El marcador FOXP3 indica la expresión de factores de transcripción de la
 familia forbhead, que son característicos de diversos linfocitos T.
 Otro linfocito T asociado con rumores provisto con los marcadores CD8*CD45R0* puede inhibir la activación del linfocito T.
 Los linfocitos T supresores también pueden participar en la supresión de la diferenciación de los linfocitos B y en la regulación
 de la maduración celular eritroide en la medula ósea.

TABLA 14-1

Marcadores de grupos de diferenciación de empleo más frecuente en la práctica clínica

Marcador	Expresión celular principal	Funcion/identidad	Peso molecular (kDa)
CD1	Linfocitos T en la etapa intermedia de su desarrollo, células de Lan- gerhans, células dendriticas	Presentación del antigeno lipidico a los linfocitos T Moléculas similares al MHC I asociadas con microgiobulina β ₇ Marcadores del desarrollo de los linfocitos T y las células de Langer- hans de la piel	49
CD2	Linfocitos T, linfocitos NK	Moréculas de adhesión Se utilizan como marcadores de la activación de linfocitos T	50
CD3	Linfocitos ₹	Forma un complejo con el receptor de linfocitos T	25:28
CD4	Linfocitos T cooperadores, monoci- tos, macrófagos	Miembros de la superfamilia de las inmunoglobulinas Interactuan con las moiéculas MHC II Se unen a la proteina vinca gp 120 del VIH-1 y el VIH-2	56
CD5	Linfocitos T y algunos linfocitos B	Moléculas coestimuladoras que están presentes en los linfocitos B y T maduros Se requieren para la diferenciación de linfocitos TH2 y TH17 Altas concentraciones en la feucemia finfocítica crónica	67
CD7	Linfocitos T, células hematopoyéticas pluripotenciales	Miembros de la superfamilia de las inmunoglobutinas Se unen a la cinasa Pt-3 Son marcadores clínicos útiles para la leucemia linfobiástica aguda de linfocitos T y las leucemias de cérulas madre	40
CD8	Linfocitos T citatáxicos	Miembros de la superfamilia de las inmunoglobulinas Interactuan con las moiéculas del MHC I	34
CD9	Linfocitos B, linfocitos T, monocitos, eosinófilos, basófilos, piaquetas, células endoteliales	Facilita la aglomeración de plaquetas, la adhesión celular y la migración celular	24
CD10	Linfocitos pre-B, Infocitos pre-T, monocitos, eosinófilos	Metaioprotessa de zinc Marcador frecuente para la leucemia linfobiástica aguda	100
CD16a	Linfocitos NK	Marcadores clinicos de los linfocitos NK Funciona como receptor de F _c para la 1gG agiomerada Regula la fagocitosis y la citotoxicidad mediada por células dependientes de anticuerpos	50-70
CD16b	Neutrófilos, macrófagos	Funciona como receptor de F _e para la Ig G agiomerada Regula la activación de neutrófilos	50-70
CD19	Linfocitos B, cé ales dendríticas	Correceptor con CD21 y CD81 Marcador clínico para todas las etapas del desarrollo de linfocitos B	95
CD20	Linfocitos B	Forma canales de Ca ²⁺ Participa en la activación de linfocitos B y en el desarrollo de las células piasmáticas Marcadores del desarrollo tardio de los linfocitos B	35-37
CD21	Linfocitos B, células dendríticas foliculares	Receptor para la proteina C3d del complemento y para el virus de Epstern-Barr	145
CD22	Linfocitos B	Motécula de adhesion de ular de linfocitos B Media la adhesión de los linfocitos B a los linfocitos T	130-140
CD23	Linfocitos B, monocitos, macrófagos, eosinófilos, plaque- tas, cérulas dendríticas	Baja afinidad receptora para el fragmento F_c de la IgE que media la citotoxicidad dependiente de IgE γ la fagocitosis por macròfagos γ eosinófilos	45
CD24	Linfocitos B, granulocitos, células epite ales	Sialogiucoproteína en la superficie celular Expresado en las etapas avanzadas de la diferenciación de finfocitos B	41
CD25	Linfocitos T y B activados	Se une a la li. 2 (cadena o: del receptor de li. 2)	55
CD28	Linfocitos T (todos los CD4* y en más del 50% de los CD8* en los humanos)	Molécula coestimuladora de finfocitos que interactua con CD80 (8.7-1) y CD86 (8.7-2) la señal coestimuladora induce la activación de linfocitos T y la producción de IL 2	44
CD34	Celulas madre hematopoyéticas (CMH)	Marcador clínico para CMH y ligando para CD62Ł. Regula la adhesión de las células madre a la matriz extracelular de la médula ósea	105-120



Marcadores de grupos de diferenciación de empleo más frecuente en la práctica clínica (continuación)

Marcador	Expresión celular principal	Función/identidad	Peso molecula (kDa)
CD35	Linfocitos I, linfocitos B, monocitos, células dendríticas, granulocitos, entrocitos	Receptor 1 del complemento Promueve la fagocitosis de partículas cubiertas de complemento Se une a las proteinas C3b y C4b del complemento	250
CD38	Linfocitos B y T tempranos, linfoci- tos T activados	NAD-glucohidrolasa Utilizado como marcador para la activación y proliferación de linfocitos T	45
CD40	Linfocitos B, macrófagos, células dendríticas foriculares, células den- dríticas, monocitos activados, cé- lulas de musculo liso endotelia es y vasculares	Activo en los importos 8 en proliferación Molècula coestimuladora para CD401. (CD154) Facilita la producción de citocinas en macrófagos y células dendríticas	48
CD46L	Linfocitos T CD4* activados, conoci- dos como CD154	Facilita la interacción entre los linfocitos T y 8 Regula la función del linfocito B Molécula coestimuladora para CD40	39
CD45	Todos los leucocitos humanos	Tirosina-fosfatasa Antigeno leucocítico habitual Necesario para la transducción de señal receptora de los linfocitos T y B	220
CD45R0	Linfocitos T de memoria, algunos lin- focitos B, monocitos, macrófagos	Tirosina-fosfatasa Isoforma de CD45 Regula la activación de los linfocitos B y T	180
CD56	Linfocitos NK	Marcadores cilnicos de los linfocitos NK Isoforma de las moléculas de adhesión nerviosas (N-CAM)	135-220
D62E	Células endote ales (unicamente)	Representa la molécula de adhesión de leucocitos endotelial 1 Se une a los hidratos de carbono sia il Lewis' (s-Le*) de los leucocitos	140
CD62L	Leucocitos	Se une a CD34 Corresponde a la selectina L, una molécula de adhesión leucocitica que permite que los linfocitos rueden sobre la superficie endotella	150
CD80	Linfocitos B, macrólagos, células dendríticas, monocitos, conocido como receptor 87 1	Molécula coestimuladora de APC que interactua con CD28 y CTLA-4	60
CD86	Linfocitos B activados, macrófagos, monocitos, células dendríticas, células endotenaies, conocido como receptor B7-2	Molécula coestimuladora de APC que interactua con CD28 y CTLA-4	80
CD94	Linfocitos NK	Regula la función de los linfocitos NK Marcadores cimicos de los linfocitos NK	43

APC, cé ula presentadora de antigeno. CTLA-4, profeina asociada con los infocitos Ticitotóxicos 4, Ig., inmunoglobulina, MHC, comprejo mayor de histocompatibilidad, NAD, dinucleót do de nicot namida y adenina, N-CAM, morêcula de adhesion celular neural, NK. linfocitos citolíticos natura es

- Los linfocitos T gamma/delta (γ/δ) constituyen una pequeña población de linfocitos T (menor del 5%) cuyas superficies poseen un TCR distinto compuesto por una cadena γ y una cadena δ. Casi todos los otros TCR están compuestos por dos cadenas de glucoproteínas denominadas cadenas α y β de TCR. Estas células se desarrollan en el timo y migran hacia verios telidos epiteliales (p. ej., la piel, las mucosas bucal y respiratoria, los intestinos y la vagina). Una vez que colonizan un tejido epitelial, estas células no recirculan entre la sangre y los órganos linfáticos. Los linfocitos T γ/δ se colocan de manera estratégica en las interfases de los medios interno y externo y funcionan como la primera línea de defensa frente a los organismos invasores. Se encuentran con el antígeno en la superficie de las células epiteliales, aun antes de que atraviese el epitelio del organismo.
- Los linfocitos invariables T asociados con mucosas (LITAM) son un subripo de linfocitos T que expresan receptores compuestos por dos cadenas invariables α y β. Estas células reconocen los metabolitos de la via de la santesis de ribo-

tlavina (vitamina B₂) en los hongos y las bacterias. Estos metabolitos deben ser presentados a los LITAM por otras células que expresan complejos similares al MHC I, denominadas proteínas relacionadas con el MHC I (MR1, MHC I-related proteínas). Después de la activación, las células LITAM secretan citocinas inflamatorias como el IFN-γ y el factor de necrosis tumoral α (TNF α, tumor necrosu factor α), con lo que son capaces de destruir las células infectadas. Las células LITAM componen cerca del 50% de todos los linfocitos en el hígado. Con toda seguridad representan un segundo mecanismo de defensa en contra de los microorganismos que cruzan la barrera mucosa epitelial del tubo digestivo e ingresan en la circulación portal.

Los linfocitos B se diferencian dentro de un órgano equivalente a la bolsa y participan en la inmunidad humoral.

Los linfocitos B se llaman así debido a que fueron identificados en su momento como una población separada en la bolsa de Fabricio de las aves (*véase* p. 479) y en los órganos equivalentes

a la bolsa (p. ej., médula ósea) de los mamíferos (cuadro 14-1). Estas células tienen vidas útiles variables y participan en la producción y secreción de los diferentes anticuerpos circulantes, también denominados inmunogiobulinas (Ig), que son las proteínas inmunitarias asociadas con la inmunided humoral (fig. 14-2 y tabla 14-2). Los linfocitos B constituyen entre el 20 y el 30% de los linfocitos circulantes. Además de secretar inmunoglobulinas circulantes, los linfocitos B expresan formas de inmunoglobulina limitadas por membrana denominadas receptores de linfocitos B (BCR) que sirven como sitio de fijación para antígenos específicos. Durante la diferenciación, el isotipo del BCR cambia de inmunoglobulina M (lgM) en los linfocitos B inmaduros a una mezcla de IgM e inmunoglobulina D (IgD) en los linfocitos B maduros. El reconocimiento de los antigenos por los BCR activa estos linfocitos e inicia la respuesta humoral. Los linfocitos B también expresan las moléculas del complejo mayor de histocompatibuldad II en su superficie celular para la presentación del antígeno a los linfocitos T. Sus marcadores CD son CD9, CD19 y CD20. Los linfocitos B maduros con IgM e IgD en su membrana ingresan en la circulación y migran a la periferia, en donde colonizan el bazo y otros órganos linfaticos secundarios.

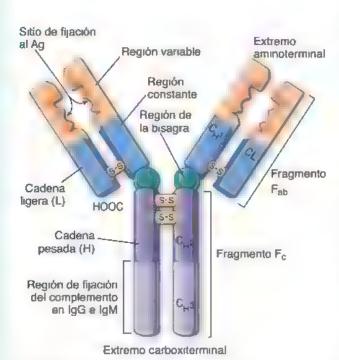


FIGURA 14-2. Molécula de un anticuerpo. Los anticuerpos son moléculas con forma de "Y" sintetizadas por las células piasmáticas. Están compuestos por dos cadenas polipeptidicas pesadas (H, heavy) y dos ligeras (L, light) conectadas por enlaces disulfuro (S-S). Tanto las cadenas pesadas como las ligeras están compuestas por dominios de aminoácidos que tienen secuencias constantes (en el extremo carboxiteminal) o variables (en el extremo aminoteminal). Los cincotipos diferentes de immunoclobulinas están determinados por el tipode cadena pesada presente. Una molécula de un anticuerpo fija un antígeno (Ag) en los dos sitios del extremo aminoterminal donde la cadena pesada y la cadena ligera se asocian entre sí. La digestión de una molécula de anticuerpo por la enzima proteolítica papaina escinde el anticuerpo en dos fragmentos F_{ab} y un fragmento F_c cristalizable. Los fragmentos Fat proporcionan la especificidad de fración al antigeno, mientras que el fragmento F_c, que está compuesto por dos segmentos carboxiterminales de cadena pesada (CH2 y CH3), cumplenfunciones efectoras (p. ej., en la activación del complemento). Muchas cé u as expresan receptores para la porción F_c en su superficie, lo que les permite anclar anticuerpos a la membrana

Los linfocitos citalíticos naturales no son linfocitos T o B, y están especializados en destruir ciertos tipos de células diana.

Los linfocitos NK son parte de la inmunidad inespecífica (innata). Los linfocitos NK, que se desarrollan a partir de las mismas células progenitoras linfoides (CPL) que los linfocitos B y los linfocitos T, reciben su nombre por la capacidad de destruir ciertos tipos de células diana. Constituyen entre el 5 y 10% de los linfocitos circulantes. Dado que los linfocitos NK son más grandes que los B o T y cuentan con gránulos citoplasmáticos, a menudo suelen nombrarse como linfocitos granulares grandes (LGG). No maduran en el timo y, por lo tanto, no expresan TCR. Sin embargo, durante su desarrollo, se programan genéticamente para reconocer las células transformadas. Los linfocitos NK destruyen células diana de forma semejante que los linfocitos T CD8+ citotóxicos. Después del reconocimiento de una célula transformada, los linfocitos NK se activan y liberan porforinos y granzimos (fragmentinas), sustancias que crean conductos en la membrana plasmática celular e inducen la fragmentación del ADN. Estos fenómenos conducen a la apoptosis o lisis de la célula diana. La regulación de los linfocitos NK es mediada por la activación y la inhibición de receptores de citotoxicidad natural (NCR, natural cytotoxicity receptors) en su superficie celular. Sus marcadores específicos incluyen CD16a, CD56 y CD94.

Desarrollo y diferenciación de los linfocitos

Los linfocitos experimentan una diferenciación independiente de antígenos en los órganos linfáticos primarios.

En los humanos y otros mamíferos, la medula ósea (que es el órgano equivalente a ta boisa) y el timo se han identificado como órganos linfáticos primarios (centrales). Los linfoctos se diferencian en células inmunocompetentes en estos órganos. Al principio, los linfocitos son programados genéticamente para reconocer un antígeno individual entre un número casi infinito de antígenos posibles, un proceso denominado diferenciación y proliferación independiente de antigenos. Entonces, estas células inmunocompetentes ingresan en la sangre o la linfa y son transportadas hacia todo el organismo, donde se dispersan en los órganos linfáticos secundarios.

Los linfocitos experimentan una activación dependiente de antígenos en los órganos linfáticos secundarios.

Los linfocitos inmunocompetentes (junto con las células plasmáticas derivadas de linfocitos B y los macrófagos) se organizan alrededor de las células reticulares y sus fibras reticulares para formar los tendos y los órganos linfáticos, efectores adultos (nódulos linfáticos, ganglios linfáticos, amígdalas y bazo). Dentro de estos órganos linfáticos secundarios (periféricos), los linfocitos T y B virgenes experimentan una activación dependiente de antigenos para convertirse en linfocitos efectores y de memoria

Respuestas inmunitarias frente a antígenos

La inflamación es la respuesta inicial frente a un antigeno.

La reacción inicial del cuerpo frente a la invasión de un antigeno, ya sea una molécula extraña o un organismo patógeno, es la defensa mespecífica conocida como respuesta inflamatoria. La respuesta inflamatoria puede capturar al antigeno y digerirlo fisicamente mediante enzimas secretadas por los neutrófilos o activar la fagocitosis y degradar al antigeno en el citoplasma de los macrófagos. La degradación de los antigenos llevada a cabo por los macrófagos puede conducir a la posterior presentación de una porción del antígeno en las moléculas de MHC II a los lin-



Características de las inmunoglobulinas humanas

Isotipo	Peso molecular (kDa)	Concentración sérica (mg/mL)	Porcentaje de todas las ig en la sangre del adulto	Células a las que se une por la región F _c	Funciones principales
lg G	145	12 0	8 5	Macrófagos, linfocitos B linfocitos NK, neutrófi- los, easinófilos	Principal Ig en la respuesta inmunitana secundaria Tiene la vida media más prolongada de las cinco Ig (23 días) Activa el complemento Estimula la quimiotaxis Atraviesa la placenta para conferir inmunidad pasiva al neonato
IgM	190 (950)*	15	5-10	Linfocitos B	Principal lg producida durante la respuesta inmunitana primana Es la lg más eficaz para fijar el complemento Activa macròfagos Sirve como receptor de Ag en los linfocitos E
IgA	160 (385) ^b	2 0	S-15	Linfocitos B	lg presente en vanas secreciones del orga- nismo, como lágrimas, calostro, saliva y secreciones vaginales, nasales, bronquiales, intestinales y prostáticas Protege contra la proliferación de microor- ganismos en estos ilquidos y contribuye a la defensa contra microorganismos y moléculas extrañas que penetran en el organismo a través de los revestimientos celulares de estas cavidades
lgD	185	0.03	< 1	Linfocitos B	Actua como receptor antigénico (junto con IgM) en la superficie de los linfocitos B meduros (solo hay trazas en el suero)
lgE	190	3 × 10-6	< 1	Mastocitos, basófilos	Estimula a los mastocitos para que liberen histarrina, haparina, laucotrienos y factor quimotáctico para eosinófilos Es responsable de las reacciones de hiper- sensibilidad anafiláctica Aumenta su concentración en las parasitosis

La igM se encuentra en el suero como una molécula pentamérica

HITATORIO LA

CONSIDERACIONES FUNCIONALES DRIGEN DE LOS NOMBRES DE LOS LINFOCITOS T Y B

A principios de la década de 1960, los investigadores que utilizaban embriones de pollo demostraron que la bolsa de Fabricio, una masa de tejido linfático asociado con la cloaca de las aves, era uno de los sitios anatómicos de diferenciación de los linfocitos. Cuando se destrula este tejido en los embriones de pollo (por extirpación quirurgica o por administración de dosis altas de testosterona), los pollos adultos eran incapaces de producir anticuerpos, lo que conducía a la alteración de la inmunidad humoral. En estos pollos también se detectaba una marcada reducción de la cantidad de linfocitos en las regiones especificas dependientes de la bolsa en el bazo y los ganglios linfáticos. Por lo tanto, estos linfocitos afectados se denominaron linfocitos B o células B. El órgano equivalente a la bolsa en los mamíferos (incluidos los seres humanos) es la médula ósea, donde los linfocitos B se dife-

rencian en células inmunocompetentes. Por consiguiente, la "B" hace referencia a la **bolsa de Fabricio** de las aves o a los **órganos equivalentes a la bolsa** en los mamíferos

Los investigadores que estudiaban ratories neonatos descubrieron que la extirpación del timo causaba deficiencias graves en las respuestas inmunitarias mediadas por células. El rechazo de la piel trasplanteda de un donante heterólogo es un ejemplo de la respuesta inmunitaria mediada por células. Los ratories timectomizados exhiben una marcada reducción en la cantidad de linfocitos en regiones específicas del bazo y los ganglios linfáticos (regiones dependientes del timo). Las regiones de carencia son diferentes de las que se identificaron después de la extirpación de la bolsa de Fabricio en los pollos. Estos linfocitos afectados se denominaron, entorices, *linfoci*tos T o células T; por lo tanto, la "T" hace alusión al timo

⁶La IgA se encuentra en el suero como una molécula diménca.

Ag, antigeno; Ig, inmunoglobulina; NK, citolitico natural

focitos cooperadores inmunocompetentes CD4[°] para obtener una respuesta inmunitaria específica.

Las respuestas immunitarias específicas pueden ser primarias o secundarias.

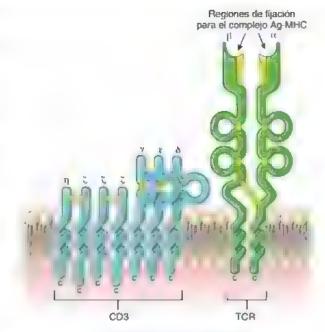
Cuando las células inmunocompetentes se encuentran con un antigeno extraño (p. ej., antígeno asociado con microorganismos patógenos, trasplante de rejido o toxinas), se genera una respuesta inmunitaria específica contra ese antígeno.

Una respuesta inmunitaria primaria se refiere al primer encuentro del organismo con un antígeno. Esta respuesta se caracteriza por un período de latencia de varios días, antes de que puedan detectarse en la sangre los anticuerpos (principalmente IgM) o los linfocitos específicos dirigidos contra el antígeno invasor. La primera respuesta a un antígeno es iniciada por un solo linfocito B o unos pocos de estos, que han sido programados genéticamente para responder ante ese antigeno específico. Después de esta respuesta inmunitaria inicial, unos pocos linfocitos B específicos para el antigeno permanecen en la circulación como células de memoria

La respuesta immunitaria accundaria suele ser más rápida e intensa (se caracteriza por una mayor concentración de anticuerpos secretados, por lo general de la clase IgG) que la respuesta primaria, porque ya hay linfocitos B de memoria que están programados para responder ante ese antigeno específico. La respuesta secundaria es la base de la mayoria de las vacunas contra enfermedades bacterianas y viricas frecuentes. Algunos antigenos, como la penicifina y los venenos de insectos, pueden desencadenar respuestas inmunitarias secundarias intensas que producen reacciones de hipersensibilidad, como las de tipo I, también conocidas como hipersensibilidad anafiláctica (cuadro 14-2). Sin embargo, los anticuerpos por si solos no destruyen los antigenos invasores, sino que simplemente los marcan para su destrucción por las células del sistema inmunitano.

Los linfocitos T cooperadores y los citotóxicos reconocen y se fijan a los antígenos que están unidos a moléculas del MHC.

Los linfocitos T cooperadores y citotóxicos tienen una papel fundamental en el inicio de la respuesta Inmunitaria específica (humoral y mediada por células), pues actúan como "patrullas" del



CITOPLASMA DEL LINFOCITO T

FIGURA 14-3. Estructura molecular del complejo CD3-TCR. La morécula CD3 consiste en cinco cadenas polipeptidicas diferentes con pesos moleculares que oscilan entre 16 y 28 kDa. Esta molécula se asocia de forma estrecha con el receptor de infocitos T (TCR), que trene dos cadenas polipeptídicas (a y ß). El linfocito T puede activarse después de la interacción del TCR con el antigeno exhibido en la superficie de una morécula del complejo mayor de histocompatibilidad (Ag-MHC). Esta interacción transmite las seña es al interior de la célula a través de la morécula CD3. Esta señal estimula el Infocito T para que secrete interfeucinas, que a su vez estimula la proiferación y la diferenciación de estos linfocitos.

sistema inmunitario. Ambos tipos de linfocitos tienen un TCR, una proteína transmembrana cuya porción expuesta se encuentra en la membrana del linfocito T en estrecha proximidad con el marcador CD3 (fig. 14-3). El TCR reconoce el antígeno solo cuando está unido a "moléculas de identificación", las moleculas del MHC Además, los linfocitos T cooperadores solo pueden reconocer un antígeno cuando es "presentado" a ellos por células denominadas

CUADRO 14-2.

CORRELACION CLÍNICA: REACCIONES DE HIPERSENSIBILIDAD

Cuando una persona es sensibilizada inmunitariamente por la exposición a un antigeno, una exposición ultenor podría conducir no solo a la respuesta secundaria sino también a reacciones indeseables que lesionan los tejidos (reacciones de hipersensibilidad). Estas reacciones se observan en los humanos sensibilizados después de picaduras de insectos o de inyecciones de penicilina. Existen varios tipos de reacciones de hipersensibilidad, no obstante, el tipo más frecuente es la reacción alérgica (tipo I, hipersensibilidad inmediata o anafiláctica). La reacción suele desarrollarse alrededor de 15-30 min después de la exposición al antígeno (alérgeno). y puede causar una gran variedad de síntomas en la piel (urticana, eccema), los ojos (conjuntivitis), la cavidades nasales (rinorrea, nnitis), los pulmones (asma) y el tubo digestivo (gastritis). Las reacciones alérgicas están mediadas por los anticuerpos IgE, que son responsables de la desgranulación inducida por anticuerpos de los mastocitos o los gránulos.

basófilos. Estos gránulos contienen mediadores preformados (histamina, proteasas de serina, factor quimiotáctico para eosinófilos) y mediadores recién sintetizados (leucotrienos, interleucinas) que causan las características más molestas y preocupantes de las reacciones de hipersensibilidad Los eosinófilos son atraídos por el factor gurmiotáctico para eosinófilos al sitio de desgranulación del mastocito, donde neutralizan los efectos de los mediadores liberados por los mastocitos y los basófilos. Por ello, los eosinófilos se observan con frecuencia en el tejido conjuntivo de los sitios en los que ocurren reacciones alérgicas o de hipersensibilidad de otro tipo. Las reacciones alérgicas son aumentadas por el factor de activación de plaquetas (PAF, platelet activation factor), que causa la aglomeración de plaquetas y la liberación adicional de histamina, heparina y sustancias vasoactivas. El tratamiento de los síntomas se logra mediante antihistaminicos que bloquean los receptores de histamina

células presentadoras de antigenos (APC, antigen-presenting cells). Los linfocitos T citotóxicos solo pueden reaccionar ante un antígeno "extraño" expuesto en otras células del organismo, como las transformadas por cáncer o infectadas por un virus.

Las dos clases de moféculas del MHC exponen péptidos en la superficie de las células.

Las moléculas de MHC sirven como péptidos que presentan moléculas para que sean reconocidas por los linfocitos T. Exhiben fragmentos cortos digendos de las proteínas "extrañas" y "propias" sobre la superficie celular. Estas proteínas se fijan a las moléculas del MHC dentro de las células y después son transportadas hacia la superficie celular. Las moléculas del MHC I y el MHC II son productos de un "super gen" localizado en el cromosoma 6 en los humanos, conocido como complejo génico mayor de histocompatibilidad. La expresión de este complejo génico produce moléculas que son específicas no solo de la célula individual que lo produce, sino también del tipo de tejido y del grado de diferenciación celular.

El MHC I se expresa en la superficie de rodas las células nucleadas y las plaquetas. Las moléculas del MHC I presentan fragmentos de péptidos derivados de proteínas catosólicas a los linfocitos T CD8". Las moléculas del MHC I realizan esta función al exponer en su superficie fragmentos cortos de todos los péptidos (8-10 aminoácidos) sintetizados activamente por la célula. Las moléculas del MHC I actúan como dianas para permitir la eliminación de las células hospederas anómalas (como las infectadas por virus o con transformación cancerosa). Por lo tanto, todos los péptidos endógenos "propios" se exhiben en la superficie de cada célula en el organismo, pero los péptidos de virus o específicos de cáncer solo se observan en la superficie de las células infectadas o transformadas (fig. 14-4).

El MHC II tiene una distribución limitada (véase fig. 14-4). Se expresa en la superficie de todas las APC (p. ej., macrófagos, células dendríticas y linfocitos B) y es decisivo en las interacciones inmunitarias. Las moléculas del MHC II presentan péptidos extraños que han experimentado endocitosis y han sido parcialmente digendos (18-20 aminoácidos de longitud) a los linfocitos T CD4 cooperadores.

Activación de los linfocitos T y B

La activación de los linfocitos T requiere la presencia de señales coestimuladores.

Tanto los linfocitos T cooperadores como los citotóxicos necesitan dos señales estimuladoras para activarse completamente, diferenciarse y proliferar. La interacción del TCR y las moléculas CD4 o CD8 con el complejo antigeno-MHC es la primera senal. La segunda señal, que se denomina señal coestimuladora, se consigue por la interacción de moléculas de la membrana de los linfocitos T conmoléculas superficiales de las APC. Las interacciones más importantes se producen entre la molécula CD28 expresada en la membrana del Imfocito T y las moléculas B7, ya sea B7-1 (CD80) o B7-2 (CD86), expresadas en la membrana de la APC. Otro par de señales coestimuladoras se genera por la interacción del CD40 (en las APC) con el CD40L (CD154) en los linfocitos T. Un linfocito T rambién contiene un receptor inhibidor de alta afinidad conocido como proteina asociada con los linfucitos T estotóxicos 4 (CTLA-4, cytotoxic T lymphocyte-associated protein 4), que compite por la unión con la proteína B7 (CD80 y CD86). Por lo ranto, la CTLA-4 es un mhibidor competitivo de la interacción B7-CD28, e inhibe la respuesta inmunitaria, lo que es importante para mantener la tolerancia (ausencia de respuesta) ante los antígenos propios. De forma reciente, se ha desarrollado una proteina de fusión CTLA-4-lg

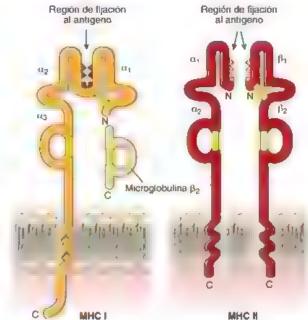


FIGURA 14-4. Estructura de las moléculas MHC I y MHC II. La moiécula del complejo mayor de histocompatibilidad (MHC) I es una glucoproteina que se expresa en la superficie de todas las células nucleadas del cuerpo y las plaquetas. Estas moléculas presentan péptidos sintetizados de forma endógena para su reconocimiento por los linfocitos T CD8* (citotóxicos). Por lo tanto, la molécula del MHC l'actúa como la diana para la eliminación de las células propias que producen proteínas anómalas (p. ej., células infectadas por un agente intrace, dar, como un virus, o células que han sido transformadas por el cáncer). El MHC Lestá compuesto por una cadena pesada u (45 kDa) y una cadena polipeptidica más pequeña de microgiobulina β₂ (12 kDa) unida de forma no covalente. La microglobulina β₂ promueve la maduración de los linfocitos T y actua como un factor quimiotáctico. La molécula MHC II también es una glucoproteína, pero se expresa en una población restringida de células conocidas como células presentadoras de antigenos. Las moléculas MHC II presentan péptidos exógenos (extraños) a los linfocitos T CD4* (cooperadores) Están formadas por dos cadenas, una cadena o (33 kDa) y una cadena β (29 kDa), cada una de las cuales posee grupos de oligosacáridos. Obsérvese que la región de fijación al antigeno en la molécula MHC I es más angosta que en la moiécula MHC II. Por lo tanto, el tamaño de los péptidos exhibidos varía entre 8 y 10 aminoácidos en el MHC I y entre 18 y 20 amindácidos en el MHC II

para inhibir la respuesta inmunitaria al bloquear la señal coestimuladora de B7-CD28 Esta proteina, que consiste en el dominio extracelular del receptor CTLA-4 fusionado con el fragmento F_c de la IgG humana, se une a las moléculas B7 para bloquearias. La CTLA-4-Ig (abatacept) se utiliza para el tratamiento de la artritis idiopática juvenil y reumatoide, y se encuentra en estudios clínicos para la prevención del rechazo de trasplantes.

Cuando un linfocito T cooperador (CD4*) reconoce un antígeno unido a una molécula de MHC, el TCR se une al complejo antígeno-MHC II. La unión del TCR al complejo antígeno-MHC II en presencia de una señal coestimuladora (derivada de la interacción CD28-B7) activa el linfocito T cooperador para que libere químicos rimunitarios o citocinas. Las citocinas son sustancias inmunitarias (proteínas) que actúan como moduladores biológicos de las respuestas inmunitarias. Las citocinas específicas secretadas por los linfocitos T CD4* cooperadores se denominan interioriemas (IL). Las interleucinas estimulan a otros linfocitos T, linfocitos B y linfocitos NK para que se diferencien y proliferen.

Cuando un linfocito T CD8° citotóxico reconoce un complejo antígeno-MHC I, el TCR se une a este. Por lo general, cuando se presenta una señal coestimuladora (derivada de la interacción de CD40 y CD40L), el linfocito T citotóxico se activa. Una vez activado, este linfocito también libera citocinas que estimulan la proliferación celular y la destrucción de las células propias anómalas. Algunos linfocitos T citotóxicos pueden destruir las células diana con antígenos extraños expuestos sin señales coestimuladoras.

Los linfocitos T CD8* citotóxicos se encuentran restringidos al MHC I y los linfocitos T CD4* cooperadores están restringidos al MHC II.

Las moléculas del MHC son reconocidas por los linfocitos T CD4⁺ cooperadores o por los linfocitos T CD8⁺ citotóxicos, según la clase de molécula del MHC que particípe. Esta presentación restringida de antígenos extraños por moléculas del MHC a los linfocitos T citotóxicos o cooperadores es un componente clave de la vigilancia inmunitaria.

La molécula del MHC I con el antígeno peptídico expuesto en su superficie interactúa solo con el TCR y la molécula CD8 expresada en los linfocitos T CD8* citotóxicos. En consecuencia, estas células se describen como restringidas al MHC I. Esta interacción permite a los linfocitos T citotóxicos reconocer células diana infectadas o transformadas (fig. 14-5a).

En cambio, la molécula del MHC II con el antígeno peptidico expuesto en su superficie solo interactúa con el TCR y la molécula CD4 expresada en los linfocitos T CD4* cooperedores (fig. 14-5b); se dice que estas células están restringidas al MHC II. Las moléculas del MHC II se encuentran en las APC, como los macrófagos, cuya función principal es presentar antígenos a los linfocitos T.

Para que los linfocitos B se activen y se diferencien en células plasmáticas, tienen que interactuar con los linfocitos T cooperadores.

Cada **Enfocito 8** ha sido programado genéticamente para reaccionar con un solo antígeno o un solo tipo de sitio antigenico. La activación de los linfocitos B requiere de dos señales. La primera deriva de la interacción entre los BCR y el antígeno. Las moléculas del antigeno fijadas se incorporan en los linfocitos B por endocitosis mediada por receptor y, luego, los fragmentos del antígeno se
exponen en la superficie celular con la ayuda de las moléculas del
MHC II. Los linfocitos T cooperadores con TCR complementarios
se fijan a los linfocitos B y proporcionan la segunda señal coestimutedora. La umón implica la reacción entre las moléculas CD40 en la
superficie de un linfocito B con sus ligandos (GD40L o CD154) que
residen en la superficie del linfocito T cooperador. Estas interacciones completan el proceso de activación de un linfocito B e inducen
en un linfocito T parucipante la secreción de citocinas específicas
que estimulan la mitosis y la diferenciación de los linfocitos B. Los
detalles de la activación del linfocito B se ilustran en la figura 14-6.
Los linfocitos B activados se diferencian en células plasmáticas y en
linfocitos B de memoria.

- Las célules plasmàticas sintetizan y secretan un anticuerpo específico. Durante este proceso, los linfocitos B activados experimentan un cambio, pues en lugar de sintetizar sus BCR como proteínas integrales de la membrana, producen una versión soluble que recibe el nombre de anticuerpo.
- Los linfocitos B de memoria responden con mayor rapidez ante el próximo encuentro con el mismo antígeno. Los linfocitos B de memoria expresan grandes cantidades de proteínas Bcl-2, que actúan como agentes antiapoptóticos en los linfocitos, lo que contribuye a su larga vida. En los humanos, uno de los marcadores de los linfocitos B de memoria es el CD27

El anticuerpo específico producido por una célula plasmática se une al antígeno estimulador para formar un complejo antigeno-anticuerpo. Estos complejos se eliminan de diferentes maneras, entre ellas la destrucción por linfocitos NK y la fagocitosis por macrófagos y eosmófilos.

En la citotoxicidad mediada por células dependiente de anticuerpos, las moléculas de IgG dirigen los linfocitos NK hacia sus dianas.

Las membranas de muchas células, incluidos los linfocitos NK, los macrófagos, los neutrófilos y los cosinófilos, poseen receptores

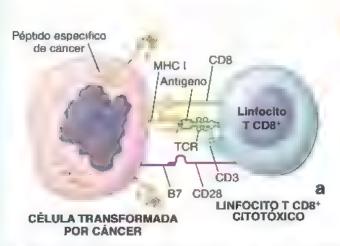




FIGURA 14-5. Interacciones moleculares que ocurren durante la presentación de antígenos. Para activarse los infocitos T, tanto citotóxicos como cooperadores inecesitan identificar antigenos presentados como "ajenos" y reconocer la clase apropiada de moléculas del MHC. Obsérvese que cada interacción entre un complejo antigeno-MHC y receptor de infocitos T (TCR) específico necesita una señal coestimuladora proveniente de la interacción de CD28 con las moleculas B7 Sin una seña coestimuladora e infocito T no puede activarse por completo a. En todas las células nucleadas de cuerpo un antigeno de virus o las proteinas de cancer respecíficas de fumor) se exhiben en el contexto de las moléculas MHC I para interactuar con los infocitos T CD8* citotóxicos b. En las células presentadoras de antigeno (p. ej., macrófagos) los antigenos extraños se exhiben en el contexto de las moléculas MHC II para interactuar con un infocito T CD4* cooperador.

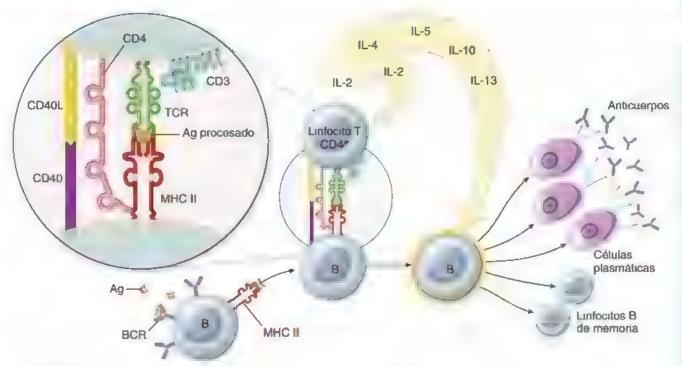


FIGURA 14-6. Activación de los linfocitos B que conduce a la formación de células plasmáticas y de linfocitos B de memoria. Los linfocitos B se activan por la unión de un antigeno (Ag) a los receptores de los infocitos B BCR; anticuerpos unidos a la membrana) expresados en su superficie. Como célula presentadora de antigenos un infocito B internaliza el complejo BCR antigeno, digiere parcia mente el antigeno y después exhibe partes de este en la superficie de sus propias moiéculas de complejo mayor de histocompat b idad (MHC) II. El receptor de linfocitos T , TCR) en un linfocito T CD4* cooperador (linfocito T H2) reconoce tanto el antigeno como la molécula del MHC II y se activa. El linfocito T cooperador activado libera las interleucinas il 2. 1.4. IL-5. IL-10 e il 13. que promileven la mitos siy la diferenciación de los linfocitos B en cèlulas plasmáticas y linfocitos B de memoria. Obsérvese la presencia de un complejo de moléculas coestimuladoras entre los linfocitos B y T

de F_c de inmunogiobutinas, y pueden destruir ciertas células diana. Los linfoctos NK reconocen la región F_c de los anticuerpos y atacan y destruyen de forma preferencial las células diana, en general las que están cubiertas con anticuerpos IgG (fig. 14-7). El reconocimiento y la posterior destrucción de las células diana cubiertas con anticuerpos se denomina eitotoxicidad mediada por células dependiente de anticuerpos (CMCDA). Los anticuerpos en la CMCDA que cubren las células diana suelen incluir anticuerpos específicos

para tumores. Esta unión (a través de la región F_c) produce la apoptosis y la lisis de la célula diana.

Si el antígeno es una bacteria, el complejo antígeno-anticuerpo también puede activar un sistema de proteínas plasmáticas denominado sistema del complemento y hacer que uno de sus componentes, por lo general C3, se una a la bacteria y actúe como un ligando para su fagocitosis por macrófagos. Las células extrañas unidas al complemento también son dianas de la CMCDA.

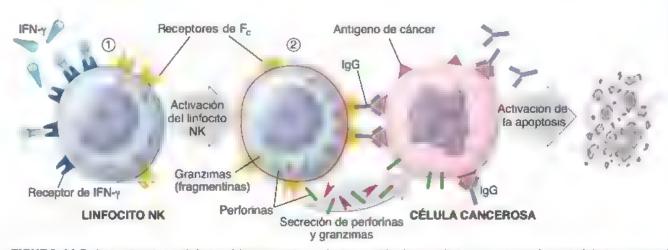


FIGURA 14-7. Activación de los linfocitos NK que conduce a la destrucción de una célula tumoral transformada (célula cancerosa) por citotexicidad mediada por células dependiente de un anticuerpo (CMCDA). La reacción de CMCDA consiste en (1) la activación de los linfocitos NK por la unión del interferon γ (IFN-γ) un poderoso activador de células NK al receptor en su superficie celular treceptor de IFN-γ) γ (2) la unión de una célula a un anticuerpo o un complejo anticuerpo-célula diana cubierta por el complemento a un Infocito NK portador de receptores para F_c. Estas reacciones inducen la apoptosis o la lisis de la célula diana, generalmente a través de la acción de anticuerpos específicos de tumores o la acción de performas y granzimas (fragment nas) secretadas por los (infocitos NK activacios).

En la respuesta immunitaria mediada por células, los linfocitos T CD8* citotóxicos (LTC) alcanzan y destruyen las células infectadas por virus y las células transformadas.

Cuando el TCR de un LTC reconoce y se une a un complejo antígeno-MHC I en la superficie de una célula infectada por virus o una célula transformada, se desencadena el proceso de activación. Primero, los LTC son someridos a la "expensión clonal" al ingresar en el ciclo celular y proceden con las mitosis celulares seguidas por la diferenciación en células efectoras ("asesinas"). Durante la diferenciación, se forma una gran cantidad de vesículas secretoras que contienen proteínas específicas, entre las que se hallan perforinas y granzimas (fragmentinas). Como consecuencia de la interacción con el antigeno, los LTC secretan estas proteínas. Las perforinas son proteínas formadoras de poros que ingresan en la célula diana mediante la formación de conductos transmembrana anulares en sus membranas celulares. Estos conductos causan un incremento en la permeabilidad de la membrana que contribuye a la muerte celular. Las gronzimas son serina-proteinasas exógenas que se liberan desde los gránulos citoplasmáticos, y pasan a las células diana a través de los poros creados por las performas. Una vez dentro de la célula, las granzimas activan las caspasas que inducen la apoptosis

celular (fig. 14-8). Después de la destrucción de la célula diana, la mayoría de los LTC activados se destruyen (por apoptosis); sin embargo, algunos de estos que interactuaron con linfocatos T cooperadores se convierten en células de memoria.

Los linfocitos T CD4*CD25*FOXP3* reguladores representan un subgrupo de linfocitos T CD4* capaz de inhibir las respuestas inmunitarias de otros linfocitos.

Una vez que las reacciones immunitarias se inician por contacto con el antígeno, el sistema inmunitario puede controlar la magnitud de esta respuesta y terminarla después de un tiempo. Como ya se ha comentado, este proceso es regulado por los receptores CTLA-4 expresados en los linfocitos T activados, que inhiben las señales estimuladoras de B7 CD28. Además, ciertos linfocitos T denominados linfocitos T reguladores disminuyen o inhiben las respuestas de otros linfocitos ante el antígeno. Desempeñan un papel importante en la regulación y el mantenimiento de la autotolerancia immunitaria para evitar las enfermedades autoinmunes. La caracterización de estas células ha resultado dificil; sin embargo, algunos estudios recientes han demostrado de forma convincente que estas células pertenecen a la población de linfocitos T CD4⁺ que coexpre-

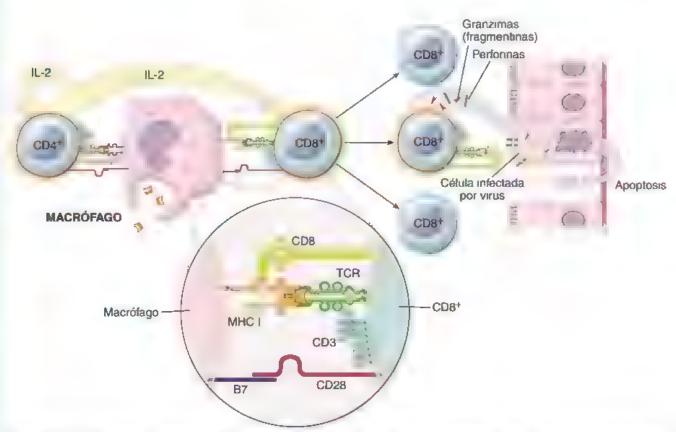


FIGURA 14-8. Activación de un linfocito T que conduce a la eliminación de una céfula infectada por virus. El complejo TCR-CD3 en un linfocito T cooperador reconoce el antigeno extraño presentado por el MHC II en la superficie de un macrólago. Este reconocimiento desencadena una rápida respuesta de los infocitos T y la fiberación de interieucina 2 (IL-2). El mismo macrólago también expresa moléculas del MHC I (como fodas las otras céluras del organismo) que interactuan con el TCR adecuado en la superficie de un infocito T citotóxico. El infocito T citotóxico también posee receptores de IL-2 unadas a estos receptores estimulan la célula para que se divida y se diferencia. El Infocito T citotóxico recien formado migra al sitio de la infección y rica. Ahi lel TCR reconoce los antigenos del virus exhibidos en las superficies del MCH I de las celulas infectadas. Después del reconocimiento exitoso de estás profeinas "alenas" el Infocito T citotóxico secreta performas y granzimas que destruyen las células infectadas. Obsérvese que la interacción de los infocitos T citotóxicos con una célula infectada no neces ta senales coestimuladoras.

san las proteínas marcadoras CD25 y FOXP3⁺. Los linfocitos T CD4⁺CD25⁺FOXP3⁺ se originan en el timo y constituyen cerca del 5% de la población total de linfocitos T. Secretan citocinas como la IL-10 y el factor de crecumiento transformante β (TGF β, transforming growth factor β), que es un potente supresor de la proliferación de tipos específicos de linfocitos efectores T y B.

Los linfocitos T reguladores disminuyen o inhiben la formación de anticuerpos por los linfocitos B; de igual manera reducen la capacidad de los LTC para desarrollar una respuesta inmunitaria mediada por delulas. Estos linfocitos desempenan funciones importantes en las reacciones de hipersensibilidad retardada (reacciones de hipersensibilidad tipo IV) mediante la inhibición de las respuestas a los antigenos que entran en el cuerpo a traves de la pier o las mucosas. El ejemplo cias co de las reacciones de hipersensibilidad retardada es la prueba de tuberculina (Mantoux) en la que la tuberculina (extra da de Mycobacterium tuberculosis) es inyectada entre las capas de la dermis, con lo que se produce el endurecimiento de la piel y el eritema (enrojecimiento) en los individuos expuestos a la tuberculosis. La reacción de Mantoux alcanza su pico 48 h después de la inveccion de tuberculina.

Los linfocitos T reguladores participan en la patogenia de muchas enfermedades autoinmunitarias e infecciosas, y también cumplen un papel importante en la prevención del rechazo de injertos. Los tinfocitos T reguladores también pueden funcionar en el control de la maduración de las celulas eritroides en la médula ósea.

Los Imfocitos T activados sintetizan una gran variedad de citocinas.

Las citocinas son sustancias polipeptídicas solubles, sintetizadas principalmente por los linfocitos T activados, que afectan la función de las células efectoras del sistema inmunitario (linfocitos T y B), los monocitos, los macrófagos y otras APC. En general, las citocinas y los factores de crecimiento son moléculas con propiedades semejantes. La diferencia entre ambos está relacionada con sus efectos sobre las poblaciones diana de células. Las citocinas se definen como sustancias que participan en los mecanismos de defensa inmunitaria y actuan sobre los linfocitos, mientras que los factores de crecimiento actúan sobre otras células somáticas. Entre estas sustancias se encuentran agentes quimiotácticos y mitógenos, factores inhibidores de la migración, interferón e interleucinas.

Las citocinas funcionan como mensajeros químicos entre las células del sistema inmunitario y actúan de forma local sobre la misma célula que las secreta (control autocrino) o sobre las células adyacentes (control paracrino). Al igual que las hormonas, también pueden comunicar el estado del sistema inmunitario a las células en otros sistemas (p. ej., el sistema nervioso central, el sistema endocrino y el sistema hematopoyético). Las citocinas funcionan a través de receptores específicos. Por lo tanto, las células reguladas por citocinas poseen receptores de citocinas.

Las interieucinas son sintetizadas principalmente por los linfocitos T CD4° cooperadores y en menor medida por los monocitos, los macrófagos y las células endoteliales. Las interleucinas promueven el crecimiento y la diferenciación de los linfocitos T, los linfocitos B y las células hematopoyéticas. Actualmente, se han identificado más de 29 interleucinas. La interleucina 2 (IL-2) fue la primera citocina en ser descubierta y se descrita. También es la citocina más importante en inducir la proliferación de linfocitos T. Diversos fármacos inmunosupresores (p. ej., ciclosporina A, tacrólimus, rapamicina) se utilizan con frecuencia para evitar el rechazo de trasplantes. Estos fármacos inhiben la proliferación de los linfocitos T al evitar la expresión del gen que codifica la IL-2, un factor de crecimiento importante para los linfocitos T. La rapamicina también inhibe la proliferación de linfocitos T al detener su ciclo celular en la fase G₁ y promover la apoptosis.

Se han identificado las mutaciones de algunos de los genes que codifican diversos receptores de citocinas en las alteraciones por inmunodeficiencia (cuadro 14-3, p. 491), la septicemia bacteriana, ciertos tipos de câncer linfoide y las enfermedades auto inmunitarias. Por ejemplo, las personas con una mutación en el gen del receptor de IL-12 no pueden niciar una respuesta inmunitaria eficaz en contra de las infecciones micoticas. Además, actualmente se están utilizando las citocinas para revertir las deficiencias celulares después de la quimioterapia y la radioterapia, así como para el tratamiento de algunos tipos de câncer. Las principales funciones de algunas interleucinas se resumen en la tabla 14-3.

Células presentadoras de antígenos

Les APC interactúen con los linfocitos T cooperadores CD4* para potenciar las respuestas inmunitarias.

La interacción entre la mayoría de los antígenos y los anticuerpos es suficiente para estimular las respuestas inmunitarias. El antígeno debe descomponerse en péptidos pequeños y ser presentado en conjunto con las moléculas del MHC II por las APC especializadas a los infocitos cooperadores CD4*. Los antígenos también pueden ser procesados como parte de la vía de activación de los linfocitos B (véate fig. 14-6). La mayoría de las APC pertenecen al sistema fagocítico mononuclear (SFM, véase cap. 6). Entre las APC se encuentran los macrófagos, los macrófagos perisinusoidales (celulas de Kupffer) del higado, las células de Langemans en la epidermis y las células dendriticas del bazo y de los ganglios linfáticos. Dos APC que no pertenecen al SFM son los linfocitos B y las células epiteliorreticulares upos II y III del timo.

Para presentar un antígeno al linfocito T cooperador, la APC primero procesa el antígeno intracelularmente y después expone los péptidos antigénicos en su superficie por medio de moléculas del MHC II. El procesamiento del antígeno comienza cuando la APC lo incorpora por endocitosis y lo descompone en péptidos de 18-20 aminoácidos. En el compartimento endosómico de la APC, los péptidos se unen a las moléculas del MHC II. Después, el complejo antígeno-MHC II se transloca a la membrana plasmática de la APC y se expone en la superficie celular (fig. 14-9).

Además de actuar como APC, los macrófagos cumplen otras funciones decisivas en la respuesta inmunitaria.

Además de presentar antígenos a los linfocitos T y B, los mecrófisgos tienen otras funciones importantes, aunque inespecificas, en la respuesta inmunitaria:

- Incorporan por endocitosis y degradan parcialmente tanto los antígenos proteínicos como los antígenos de tipo polisacárido antes de presentarlos en conjunto con las moléculas del MHC II a los linfocitos T CD4* cooperadores.
- Digieren microorganismos parógenos a través de la acción lisosómica en combinación con los linfocitos T CD4* cooperadores.
- Secretan múltiples citocinas, entre las que se encuentran linfocinas, componentes del complemento e interleucinas, así como hidrolasas ácidas, proteasas y lipasas.



Características de las interleucinas

Interleucina 2	IL-3	Neutrófilos, monocitos, macrófagos, células endoteliales	Est mula diversas células en la respuesta inflama- toria Induce fiebre
	IL-2		Facilità la proliferación de linfocitos T CD4° y la pro- liferación y diferenciación de los linfocitos B
Interleucina 3		Linfocitos T	Induce la prol feración y diferenciación de los linfo- citos T CD4* y, en menor medida, de los linfoci- tos T CD8*, los linfocitos B y los linfocitos NK
	IL-3	Linfocitos T CD4*, células epiteliorreticulares del timo, células del estroma	Induce la prol feración temprana de las células madre hematopoyèticas
Interleucina 4	IL-4	LinfocitosT CD4*, mastocitos	Induce la prol feración y la diferenciación de los linfocitos 8 y los linfocitos T CD4° Activa los macrótagos Promueve la sintesis de IgE e IgG
Interleucina 5	IL-5	Linfocitos 7 CD4*, mastocitos	Induce la proliferación y diferenciación de los eosinófilos Estimula los Infocitos B para que secreten IgA
Interleucina 6	IL-6	Células endoteliales, neutrófilos, macrófagos, linfocitos T	Est mula la diferenciación de les células hemato- poyéticas Induce el crecimiento de los linfocitos 8 activados e induce la diferenciación de los linfocitos TH17
Interleucina 7	IL·7	Células adventigas de la médula ósea	Induce la proliferación y la diferenciación de los progenitores de los Infocitos B y T
Interleucina 8	IL-8	Macrófagos, células endoteliales	Induce la proliferación y la diferenciación de los progenitores de los Infocitos B y T
Interleucina 9	IL-9	Linfocitos T CD4*	Mejora el crecimiento y la activación de los mas- tocitos Estimula el crecimiento de linfocitos TH2 CD4* y células hematopoyéticas
Interleucina 10	IL·10	Macrófagos, células dendríticas, finfocitos 8	Actua sobre les infocites T como un factor inhibi- dor de la síntesis de citocinas Inh be las funciones de los macrófagos
Interleucina 11	IL 11	Céulas del estroma de la médula ósea (fibroblastos)	Favorece la proliferación de cé ulas hematopoyéti- cas, sobre todo de megacariocitos
Interleucina 12	IL-12	Macráfagos, células dendriticas	Est mula la proliferación de los linfocitos NK, los linfocitos TH1 CD4* y los linfocitos T CD8*
Interfeucina 13	IL-13	Linfocitos [⊤]	Modula las respuestas de los linfocitos B y pro- mueve la síntesis de IgE Est mula la activación alternativa de los macrófa- gos M2
Interleucina 14	IL 14	Linfocitos T, células dendriticas foliculares, linfoci- tos B malignos	Induce la proliferación de linfocitos B normales y malignos
Interleucina 15	IL-15	Macrófagos, monocitos y otros tipos celulares	Induce la proliferación y la diferenciación de los Enfocitos T CD8*
Interleucina 16	IL-16	Linfocitos T, mastocitos, eosinófilos	Activa la migración de infocitos T CD8*, los mono- citos y los eosinófilos
Interleucina 17	IL-17	Łinfocitos TH17, linfocitos T CD8*, linfocitos T γ/δ, neutrófilos	Est mula las células endoteliales y los fibroblastos para que secreten citocinas
Interleucina 18	IL-18	Macrófagos activados y células de Kupffer	Induce la diferenciación de Infoctos T CD4* Induce la síntesis de IFN-y por los linfocitos T y NK
Interleucina 19	IL 19	Monocrtos	Activa los monocitos
Interleucina 20	IL-20	Linfocitos TH1 CD4*, monocitos, células epiteliales	Promueve la diferenciación de linfocitos T _H 2 CD4*

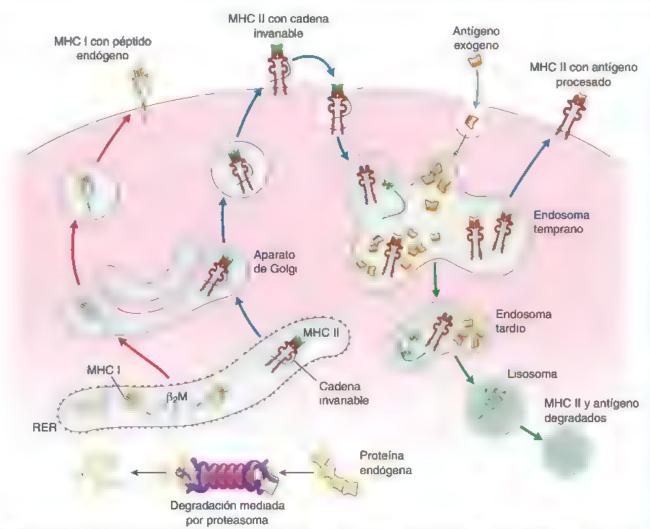


FIGURA 14-9. Mecanismos de procesamiento para la síntesia del MHC I y el MHC II y la presentación de antigenos. Durante el procesamiento y presentación de antigenos (Ag citoplasmát cos para el MHC (tifiechas royas) los antigenos protein cos en el citoplasmá experimentan una degradación mediada por proteasoma en fragmentos de 8-10 aminoácidos que después se introducen en el retículo endoplasmático rugoso (RER). En el RER, las cadenas (t recién sintetizadas de moléculas de MHC i interactuan tanto con el antigeno procesado (t amando) como con la microglobul na $β_2$ ($β_2M$) y forman un complejo estable. Este complejo abandona el RER siguiendo la via secretora norma la través del aparato de Go gi. El complejo antigeno-MHC I se exhibe en la superficie celular, donde queda disponible para su reconocimiento por los infocitos I citotóx cos ulas moléculas MHC. Ese ensamblan en el RER y después se unen a una cadena invariable el superficie celular (hechas azules). Después de una breve permanencia en a superficie cel al el MHC. Il y la cadena invariable atraviesan un proceso de endocitosis y, dentro de un endosoma temprano la cadena invariable se degrada. El antigeno extrano lexógeno inaranya) experimenta endocitosis y es digenido parcialmente por degradación proteolítica en los endosomas (tiechas grises). La molécula del MHC. Il ahora puede fi ar el antigeno extraño procesado y regresar con este a la superficie celular. En la superficie celular el complejo antigeno-MHC. Il es reconocido por los linfocitos T cooperadores lo cual in cia la respuesta inmunitaria. Si la molécula del MHC. Il no consigue capturar el antigeno, este será degradado en el compartimento lisosómico (flechas verdes).

Los macrófagos activados destruyen bacterias fagocitadas y antígenos extraños.

Después del contacto con el antígeno, los linfocitos T cooperadores CD4⁺ activados desencadenan el proceso de activación de macrófagos. Después del contacto con un antígeno, los macrófagos experimentan uno de dos procesos de activación caracterizados por múltiples cambios funcionales y morfológicos. Cuando los linfocitos TH1 son estimulados por el antígeno, las células expresan marcadores CD40L en la superficie y secretan IFN-γ. Los macrófagos que son activados por IFN γ y coestimulados por la interacción de CD40L y CD40 (en la superficie del macrófagos de activación clásica (macrófagos M1). Estos macrófagos aumentan de tamaño, como lo hacen muchos lusoso-

mas y vacuolas citoplasmáticos (fig. 14-10). Los macrófagos M1 se tornan ávidamente fagocíticos con una gran capacidad para la lisis de microorganismos patógenos ingeridos y antígenos extraños. Promueven la inflamación, la destrucción de la matriz extracelular y la apoptosis. En cambio, los macrófagos que son activados por las interleucinas producidas por los linfocitos TH2 se denominan macrófagos de activación alterna (macrófagos M2). Estos inhiben la inflamación; promueven la reconstrucción de la matriz extracelular, la proliferación de fibroblastos, la síntesis de colágeno; y estimulan la angiogénesis. Las citocinas producidas por las células TH2 también inhiben a los macrófagos de activación clásica. En el capítulo 6 se presenta una descripción detallada de ambos tipos de macrófagos, sus mecanismos de activación y sus funciones.

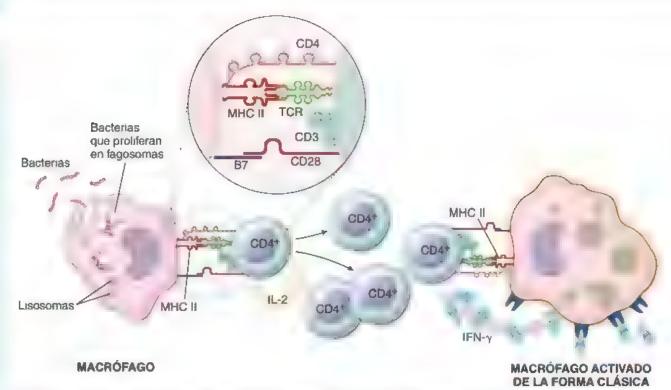


FIGURA 14-10. Proceso de activación clásica del macrófago por un linfocito T cooperador. Los linfocitos T cooperadores reconocen el antigeno bacteriano expresado en el MHC ill en la superficie de un macrófago que ha fagocitado bacterias. El reconocimiento de MHC la activa el linfocito T, que a su vez secreta IL-2 La IL-2 actúa como una hormona autocrina al estimular la mitosis y la diferenciación. Los linfocitos T cooperadores CD4 * recien formados también interactuan con el MHC II y liberan interferón y (IFN-y). Esta citocina estimula al macrófago para que se transforme en un macrófago activado de forma clásica (M1) y destruya las bacterias dentro de sus fagosomas. Las moieculas CD4 en la superficie del linfocito T también promueven las reacciones antibacterianas. MHC. complejo mayor de histocompatibilidad. TCR, receptor de linfocitos T.

Los macrótagos también desempeñan una función vital al secuestrar y eliminar materiales extraños y microorganismos que no despiertan una respuesta inmunitaria o que son fagocitados pero no digeridos. Aquí se incluyen particulas orgânicas e inorgânicas (p. ej., particulas de carbono), pigmentos (p. ej., de los tatuajes), celulosa y asbesto, así como los bacilos de la tubercutosis y la lepra y los microorganismos que ocasionan paludismo y otras enfermedades. En todos estos ejemplos, los macrófagos suelen fusionarse a fin de formar las calulas gigantes multinucleadas de cuerpo extraño, denominadas células gigantes de Langerhans, que aíslan estos patógenos del organismo.

■ TEJIDOS Y ÓRGANOS LINFÁTICOS

Vasos linfáticos

Los vasos limitácos son la vía a través de la cual las células y las grandes moléculas retornan a la sangre desde los espacios del tejido.

Los vasos linfáticos comienzan como redes de capilares ciegos en el tendo conjuntivo. Son más abundantes debajo del epitelio de la piel y de las membranas mucosas. Estos vasos eliminan sustancias y líquido desde los espacios extracelulares de los tejidos conjuntivos para formar la linfa. Debido a que las paredes de los capilares linfáticos son más permeables que las de los capilares sanguíneos, las grandes moléculas, como los antígenos y las células, logran entrar

con mayor facilidad en los capilares linfáticos que en los capilares sanguíneos.

A medida que la linfa circula a través de los vasos sanguíneos, atraviesa los ganglios linfáticos. Dentro de los ganglios linfáticos, las sustancias extrañas (antígenos) transportadas en la linfa son atrapadas por las células dendríticas foliculares. El antígeno expuesto en la superficie de las células dendríticas puede ser procesado por las APC presentes dentro del ganglio linfático

Los linfocitos circulan a través de los vasos linfáticos y de los vasos sanguíneos.

La circulación de linfocitos a través de los vasos linfáticos y del torrente sanguíneo les permite desplazarse de un sitio del sistema linfático hacia otro en diferentes etapas de su desarrollo y llegar a los lugares donde se necesitan. Los linfocitos transportados por la linfa ingresan en los ganghos linfáticos a través de los vasos linfáticos aferentes, mientras que los linfocitos transportados por la sangre ingresan en el ganglio a través de las paredes de las vénulas poscapilares (vénulas de endotello alto [VEA]; fig. 14-11). Los linfocttos B y T migran hacia diferentes regiones dentro del ganglio linfático donde se asientan. Algunos linfocitos atraviesan el parénquima ganglionar y lo abandonan a través de los vasos linfáticos eferentes, que los llevan hacia el conducto linfático derecho o hacia el conducto torácico. A su vez, estos dos conductos desembocan en la circulación sanguínea a la altura de las uniones de la yugular interna y las venas subclavias en la base del cuello. Los linfocitos se transportan hacia varios tejidos linfáticos y, desde ellos, a través de los vasos sanguíneos.

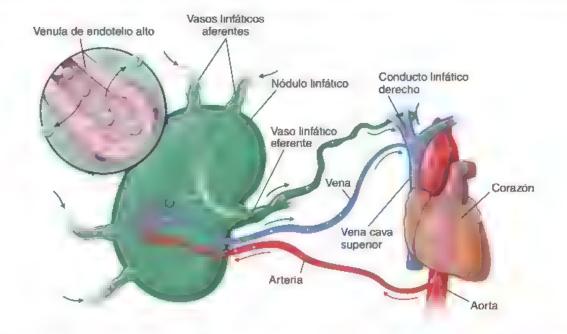


FIGURA 14-11. Diagrama de la circulación de los limfocitos en el organismo. Los infocitos ingresan en los ganglios intáticos mediante dos vias los vasos linfáticos aferentes y la pared de las vénulas de endote lo alto (VEA) en la corteza profunda. El detalle muestra las caracteristicas de las vEA que incluyen el endotello cubico la membrana basal continua y los perio tos ocasionales (purpura. Algunos infocitos se despiazan hacia las regiones T y B del ganglio, mientras que otros atraviesan el parenquima ganglionar y lo abandonan a través de un vaso linfático eferente. Por ultimo los linfocitos ingresan en un vaso linfático de granica per en este caso al conducto infático derecho que desemboca en la unión de la vena yugular interna derecha y la vena subclavia derecha. Los linfocitos se dirigen hacia el lado arterial de la circulación a través de las arterias, hacia los tejidos infáticos de organismo o hacia los tejidos, en donde participan en reacciones inmunitárias. Desde los tejidos linfáticos, los linfocitos retornan a los ganglios linfáticos y se introducen en ellos a través de las V£A.

Tejido linfático difuso y nódulos linfáticos

El tejido linfático difuso y los nódulos linfáticos protegen al organismo frente a los agentes patógenos y son el sitio de la respuesta inmunitaria inicial.

El tubo digestivo, las vías respiratorias y el aparato urogenital están protegidos por acumulaciones de tejido linfático que no están envueltas por una cápsula. Los linfucitos y otras células libres de este tejido se encuentran en la lámina propia (tejido subepitelial) de estos sistemas. Esta forma de tejido linfático se denomina tejido linfático difuso o tejido linfático asociado con las mucosas (MALT, mucosa-associated lymphatic tiesus) por su relación con las membranas mucosas (fig. 14-12) Estas células están ubicadas de forma estratégica para interceptar antígenos e iniciar una respuesta inmunitaria. Después del contacto con el antígeno, se desplazan hasta los ganglios linfáticos regionales, donde experimentan su proliferación y diferenciación. Entonces, la progenie de estas células regresa a la lámina propia como linfocitos B y T efectores.

La împortancia del tejido linfático difuso en la protección del organismo frente a los antígenos está indicada por dos factores:

- La presencia frecuente de grandes cantidades de células plasmáticas, especialmente en la lámina propia del tubo digestivo, que es una indicación morfológica de la secreción local de anticuerpos.
- La presencia de gran cantidad de eosmófilos, también detecta dos con frecuencia en la lámina propia de las mucosas digestivas y respiratorias, que es una indicación de inflamación crónica y reacciones de hipersensibilidad.

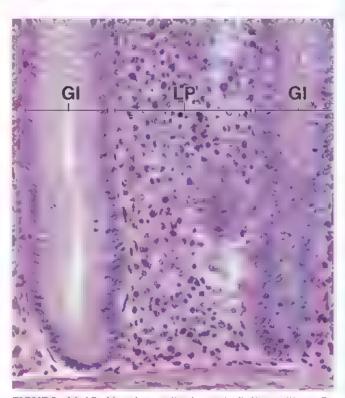


FIGURA 14-12. Microfotografía de tejido linfático difuso. En esta microfotografía se muestra el tejido linfático difuso en la lámina propia (LP) del intestino grueso. También se observa la pocición inferior de dos glándulas intestinales (GI). El tejido linfático difuso, muy celular, incluye fibroblastos, células plasmáticas y eosinófilos. Sin embargo, el componente celular más abundante, cuya presencia caracteriza a este tipo de tejido, es el linfocrto, que puede identificarse por su nucleo pequeno, redondo e hipercromático. 320×

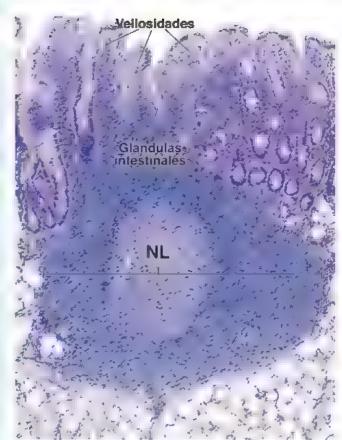


FIGURA 14-13. Microfotografia de un nódulo linfático. En esta microfotografía se muestra un corte de la pared del intestino delgado (duodeno). En la parte superior de esta microfotografía pueden verse veliosidades cortas y glándulas intestinales. Casi todo el resto de la imagen está ocupado por un nódulo linfático (NL). La región central más clara del nódulo es el centro germinativo. Los linfocitos en el centro germinativo son más grandes que los de la región más densa del nódulo. Las células tienen una mayor cantidad de citoplasma, por lo que sus nucleos están más dispersos y el aspecto general es el de una masa cellular menos compacta. 120×

Los nódulos linfáticos son concentraciones bien definidas de linfocitos contenidas eo una malla de células reticulares.

Además del tejido linfático difuso, en las paredes del tubo digestivo, las vías respiratorias y el aparato urogenital suelen encontrarse concentraciones localizadas de linfocitos. Estas concentraciones, denominadas nodulos o foliculos linfáticos, se encuentran bien definidas aunque no encapsuladas (fig. 14-13). Un nódulo linfático que consiste principalmente en pequeños linfocitos recibe el nombre de nódulo primario. Sin embargo, la mayoría de los nódulos son nódulos secundarios y tienen características distintivas, que incluyen las siguientes:

Un centro perminativo ubicado en la región central del nódulo (fig. 14-14), que en los cortes histológicos aparece reñido pálidamente. El centro germinativo se desarrolla cuando un linfocito que ha reconocido un antígeno regresa a un nódulo primario y experimenta una gran división y proliferación. La tinción más pálida es atribuible a la presencia de linfocitos grandes (linfoblastos) y linfocitos B migratorios destinados a secretar anticuerpos denominados plasmoblastos. Estos linfocitos tienen grandes cantidades de eucromatina dispersa en sus núcleos en lugar de la heterocromatina densa de los linfocitos pequeños. Las células dendríticas foliculares (CDF), los linfocitos T cooperadoras foliculares CD4* (THF) y los macrófagos residentes también están presentes en los centros germinativos dispersos entre las poblaciones de linfocitos B. El centro germinativo es una indicación morfológica de respuesta del tejido linfático al antígeno. La presencia de un centro germinativo es el resultado de una cascada de fenómenos (llamada con frecuencia resoción del centro germinativo) que incluyen la activación de los

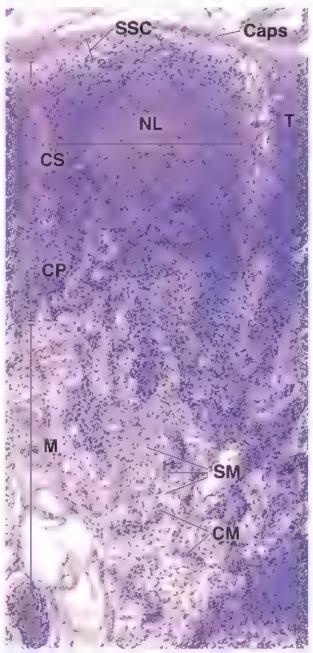


FIGURA 14-14. Microfotografía de un ganglio linfático. En esta m crofotografia se muestra la corteza superficial (CS), la corteza profunda (CP) y la médura (M) de un ganglio finfático en un preparado de rutina teñido con H&E. La cápsula (Caps) está compuesta por tejido conjuntivo denso desde el cual las trabéculas (7) ingresan en el degano. Debajo de la cápsula está el seno subcapsular (SSC), el cual recibe linfa desde los vasos infáticos aferentes que penetran la cápsula. El seno subcapsular se continúa con los senos trabeculares que discurren a lo largo de las trabéculas La corteza superficial contiene nódulos linfáticos (NL). La corteza profunda no contiene nódulos, consiste en linfocitos muy juritos y contiene vénulas de endotelio alto especiales ino visibles con este aumento). La médula está compuesta por bandas estrechas anastomosadas de tejido linfático que recibenel nombre de cardones medulares (CM), que están separados por espacios ciaros, los senos medulares (SM). Los senos medulares reciben finfa desde los senos trabeculares, así como linfa que se ha filtrado a través del tejido cortical 140×

CORRELACIÓN CLÍNICA: VIRUS DE LA INMUNODEFICIENCIA HUMANA: SÍNDROME DE INMUNODEFICIENCIA ADQUIRIDA

E virus de la inmunodeficiencia humana (VIH) es un retrovirus de ARN, contiene una enzima denominada transcriptasa. inversa. Este virus causa el sindrome de inmunodeficiencia adquirida (sida). Tiene un período de incubación que puede durar hasta 11 años antes de que aparezcan los síntomas clínicos del sida. La gran mayoría de las personas infectadas por el VIH finalmente desarrollan el sida. El VIH se introduce en los linfocitos I cooperadores al unirse a las moléculas CD4 Entonces, el virus inyecta su propia información genética en el citoplasma celular (fig. C14-3-1). Esta información genética inyectada consiste en ARN monocatenario. El ARN del virus se incorpora en el genoma del linfocito T hospedero infectado mediante la transcripción inversa del ARN vínco en el ADN humano. El linfocito T hace copias del virus que salen de la célula por exocitosis. Estas partículas de VIH infectan después otros linfocitos Ticooperadores. El sistema inmunitario responde a esta situación con la producción de linfocitos T citotóxicos CD8* y anticuerpos dirigidos contra las partículas víncas. Los linfocitos T citotóxicos CD8* destruyen los linfocitos T CD4⁺, con lo que reducen el número de linfocitos T cooperadores (el recuento de linfocitos Ticooperadores se utiliza como un indicador clínico de la progresión de la infección

por VIH). A medida que se agota la población de linfocitos T CD4* cooperadores, las personas infectadas finalmente se vueiven incapaces de generar una respuesta inmunitaria contra las infecciones bacterianas o vír cas. Suelen morir a causa de infecciones secundanas producidas por microorganismos oportunistas o cáncer.

El tratamiento anti-VIH es la principal estrategia contra las infecciones por el VIH y el sida. La azidotimidina (AZT o zidovudina), un inhibidor de la transcriptasa inversa, fue el primer fármaco prometedor en ser utilizado para tratar la infección por VIH. Actualmente, lo más eficaz es un tratamiento farmacológico multiple conocido como terapia antirretroviral combinada (TAC), que utiliza una combinación de diversos fármacos quimioterápicos. Estos incluyen inhibidores nucleosídicos de la transcriptasa inversa (INTI) más un inhibidor no nucleosídico de la transcriptasa inversa, un inhibidor de la proteasa (que bloquea la proteasa vínca) o un inhibidor de la transferencia de cadenas de la integrasa (que evita la integración del virus a la célula hospederal. La TAC ofrece diversas ventajas sobre el monotratamiento, por la acción sinérgica de la dosis y reducción de los efectos colaterales, así como disminución de la resistencia a los fármacos

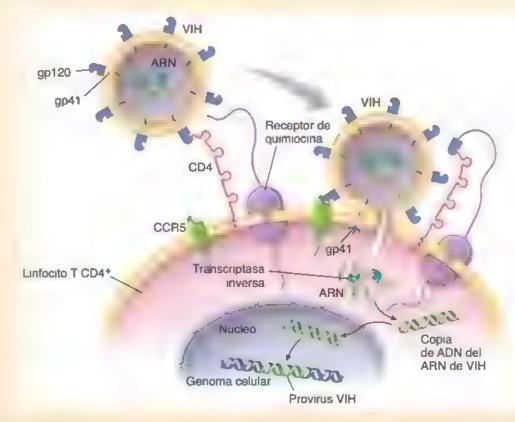


FIGURA C14-3-1. Diagrama de la interacción entre el VIH y el linfocito T CD4* cooperador. El virus de la inmunodeficiencia humana (VIH) es un virus de ARN que posee la enzima transcriptasa inversa. La envoltura del VIH contiene una gran concentración de glucoproteinas denominadas gp120, que se unen a las moléculas CD4 en los linfocitos T cooperadores. Ello conduce a la formación de complejo CD4-gp120, el cual extrae la proteina de su envoltura para permitir que otra glucoproteina i la gp41, quede expuesta en la superficie del virus. La gp41 expuesta interactua con el infocito T cooperador hijando el virus a la membrana celular. Además la gp120 interactua con el receptor de la quimiocina C-C tipo 5 (CCR5), el cual es un correceptor importante de esta union. Otros receptores de la quimiocina también pueden interactuar con proteinas gp120. Entonces la envoltura del virus se fusiona con la membrana del linfocito T para permitir que este inyecte su información genética (ARN vinco con transcriptasa inversa) en el citoplasma del linfocito T. La transcriptasa inversa produce una copia bicatenana de ADN a partir de ARN monocatenano y no. Entonces, el ADN vinco recién sintetizado se transporta hacia e inucieo del linfocito T Con la colaboración de otra enzima integrasa vírica, este ADN que contiene información del virus se incorpora al genoma de la célula hospedera y en este punto recibe el nombre de "provirus" Al mismo tiempo, el mecanismo de producción de proteínas traduce el ARN del virus en el citopiasma del linfocito T para sintetizar nuevas proteínas víricas.

Infocitos T dependientes de células, la proliferación y diversificación génica de los linfocitos B, la generación de los linfocitos B de memoria, la diferenciación de células plasmáticas y la producción de anticuerpos. En los centros germinativos suelen observarse figuras minóticas, lo cual es un reflejo de la proliferación de nuevos linfocitos en estos sitios. La cantidad de CDF y macrófagos en el centro germinativo con frecuencia experimenta un drástico aumento después de un período de respuesta intensa a un antígeno.

 Una zona del manto o corora que corresponde a un anillo externo de pequeños linfocitos que rodea el centro germinativo.
 Estos linfocitos representan los linfocitos B vírgenes que no han sido estimulados por el antígeno.

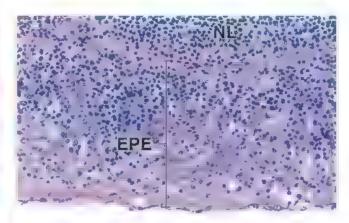
Los nódulos linfáticos suelen hallarse en las estructuras asociadas con el tubo digestivo, como las amigdalas, el ileon y el apéndice vermiforme.

Por lo general, los nódulos están dispersos individualmente de manera aleatoria. No obstante, en el tubo digestivo algunas acumulaciones de nódulos se encuentran en ubicaciones específicas. Estas incluyen las siguientes:

 Las amigdalas, que forman un anillo de tejido linfático en la entrada de la bucofaringe. Las amigdalas faringeas (adenoides, localizadas en el techo de la faringe), las amigdalas palatinas (o simplemente amígdalas, localizadas a cada lado de la faringe y entre los arcos palatofaríngeo y palatogloso) y las amigdalas faringeas en la base de la lengua contienen agregados de nódulos linfáticos. Las amígdalas palatinas consisten en cúmulos densos de tejido linfático localizado en la membrana mucosa. El epitelio plano que forma la superficie de las amígdalas se invagina en el tejido conjuntivo subyacente en numerosos sítios para formar las criptas amigdalinas (fig. 14-15). Las paredes de estas criptas suelen tener nódulos linfáticos abundantes. Al igual que otros cúmulos de nódulos linfáticos, las amígdalas no poseen vasos linfáticos aferentes. Sin embargo, la linfa drena desde el tejido linfático de la amígdala a través de los vasos linfáticos eferentes.

- Las placas de Payer, que están localizadas en el íleon (la porción distal del intestino delgado), consisten en múltiples cúmulos de nódulos linfáticos que contienen linfocitos T y B (fig. 14-16). Asimismo, a lo largo de los intestinos grueso y delgado hay numerosos nódulos linfáticos individuales (solitarios).
- El apéndice vermiforme emerge del ciego. La lámina propia está muy infiltrada de linfocitos y contiene numerosos nódulos linfáticos. Si bien el apéndice suele describirse como un órgano vestigial, el abundante tejido linfático que contiene





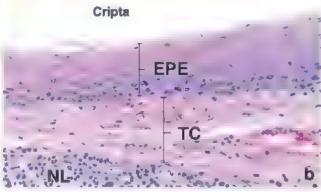


FIGURA 14-15. Microfotografías de una amigdala palatina, a. Esta microfotografía con poco aumento muestra un corte teñido con H&E de una amigdala parat na. El epitello estratificado piano, que forma la superficie de la amigdala se invagina en el terido conjuntivo subyacente en numerosos sitios para formar las criptas amigdalhas. 25 % b. Esta microfotografía con mayor aumento de la región rectangular en a muestra el el telio plano estratificado (EPE) que reviste la cripta amigdalha. En la porcion de la microfotografía que esta deba o de la fuz de la cripta el EPE está bien definido y separado por una capa de tejido conjuntivo (TC) del nódulo linifático (NL). En la porción superior de la imagen, el epitello plano estratificado apenas puede reconocerse debido a la fuerte infiltración de linifocitos, sin embargo, las cálcias epitelía es están presentes, aunque sean difici es de identificar. En efecto, el nódulo linifático literalmente ha protiferado dentro del en telio, lo ha distors onado y ha hecho desaparecer el limite bien defin do que generalmente se observa entre el tejido conjuntivo y el tejido epitelial. 450 ×

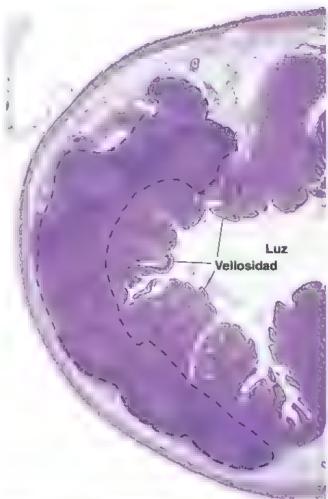


FIGURA 14-16. Microfotografía de aglomeraciones de nódulos en la pared del íleon. En esta microfotografía con poco aumento se presenta un ejemplo de nódulos aglomerados. En el fleon, con frecuencia se encuentran multiples nódulos linfáticos (línea discontinual con centros germinativos vis-bles. Este cumulo de tejido linfático se conoce como placa de Peyer. Los nódulos se originan en la tám na propia y se extienden en la submucosa del íleon. 5×

durante las primeras etapas de la vida indica que está asociado funcionalmente con las reacciones inmunitarias. Con la edad, la cantidad de tejido linfático dentro del órgano involuciona y se torna dificil de reconocer

Como ya se ha mencionado, el tejido linfático difuso y los nódulos linfáticos reciben su nombre según la región o el órgano en donde aparecen. En el tubo digestivo se conocen con el nombre colectivo de tejido linfático asociado con el intestino (GALT, gut-associated lymphatic tissue); en las vías respiratorias se llaman tejido linfático asociado con los bronquios (BALT, bronchus-associated lymphatic tissue) El término tejido linfático asociado con la mucosa (MALT, mucosa-associated lymphatic tissue) incluye el GALT y el BALT. El tejido linfático difuso y los nódulos linfáticos del MALT están presentes en varias otras regiones del organismo donde la mucosa está expuesta al medio externo (p. ej., el aparato reproductor de la mujer). Todos los nódulos linfáticos aumentan de tamaño como consecuencia de los encuentros con antígenos.

Ganglios linfáticos

Los ganglios tintáticos filtren la linfa a lo largo de la via de los vasos lintáticos y comienzan la respuesta inmunitaria adaptativa a antigenos.

Los ganglios linfáticos son órganos linfáticos encapsulados pequeños. Su tamaño oscila entre 1 mm (apenas visible a simple vista) y cerca de 1-2 cm en su dimensión mayor. Los ganglios linfáticos están interpuestos a lo largo de los vasos linfáticos (fig. 14-17) y sirven como filtros a través de los cuales la linfa se filtra en su camino hacia el sistema sanguíneo vascular. Dada su ubicación, los ganglios linfáticos tienen acceso a los antígenos que ingresan al organismo a través de los epítelios o se originan en los rejidos drenados por los vasos linfáticos. A medida que los antígenos ingresan en el ganglio linfático, activan los linfocitos específicos para antígenos que proliferan y se diferencian en células efectoras. Estas células salen del ganglio linfático y viajan al rejido en donde ejercen su función. Aunque están ampliamente distribuidos a lo largo del cuerpo, los ganglios linfáticos están concentrados en ciertas regiones, como las axilas, las ingles, el cuello y los mesenterios.

Son dos los tipos de vasos linfáricos que se relacionan con el gangho linfárico:

- Los vasos linfáticos aferentes transportan la linfa hacia el ganglio y lo penetran en varios puntos de la superficie convexa de la cápsula.
- Los vesos linfáticos eferentes extraen la linfa del ganglio a la altura del hilio, una depresión en la superficie cóncava del ganglio que también sirve como entrada y salida para los vasos sanguineos y los nervios.

Los elementos de soporte del ganglio linfatico son los siguientes:

- La cápsula, compuesta por tejido conjuntivo denso que rodea al ganglio.
- Las trabéculas, que también están conformadas por tendo conjuntivo denso que se extiende desde la cápsula hacia el parénquima del gangho para formar una red gruesa.
- El tojido roticular, compuesto por células y fibras reticulares que forman una fina malla de sostén a lo largo del resto del órgano (fig. 14-18). La red reticular de los tejidos y órganos linfáticos (excepto el timo) está constituida por células de origen mesenquimatoso y la sustancia fundamental producida por esas células.

Células de la malla reticular

La maila reticular del ganglio linfático contiene varios tipos de células que lievan a cabo diferentes funciones en la generación de respuestas inmunitarias.

Las cétutas de la red reticular aparecen como células estrelladas o alargadas con un núcleo ovalado eucromático y una pequeña cantidad de citoplasma acidófilo. Estas células pueden captar colorantes y materiales coloidales. La microscopía electrónica de transmisión y las técnicas inmunocitoquímicas han permitido identificar varias poblaciones de estas células.

Las células reticulares son indistinguibles de los fibroblastos normales. Estas células sintetizan y secretan colágeno ripo III (fibras reticulares) y la sustancia fundamental asociada que forma el estroma visible con el microscopio óptico (lám. 38, p. 516). Las evaginaciones citoplasmáticas alargadas de estas células envuelven los haces de las fibras reticulares, con lo que

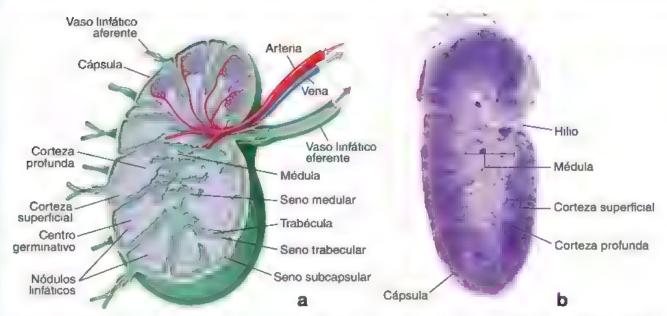


FIGURA 14-17. Estructura de un ganglio linfático, a. En este diagrama se rustran las características generales de un corte del ganglio linfático. El parenquima del ganglio linfático se divide en una corteza que incluye una corteza profunda y una medula. La corteza es la región más externa y contiene aglomeraciones de infocitos esferoidales u ovoides denominados nodulos tinfáticos. En un gánglio linfático activo. Los nódulos exhiber un centro más claro denominado centro germinativo. La médula es la región más interna del ganglio y consiste en fejido linfático que se distribuye en cordones irregulares separados por los senos linfáticos medulares. La densa población de infocitos ubicada entre la corteza superficial y la médula constituye la corteza profunda. Esta es la región que contiene las venulas del endotello alto. Airededor del ganglio linfático hay una cápsula de tejido conjuntivo denso de la que parten las trabéculas que se extenden hacia e parenquima del ganglio. Bajo la capsula y unto a las trabéculas, se encuentran el seno subcapsular y los senos trabeculares y linfáticos, respectivamente. Los vasos infáticos aferentes (flechas) penetran la capsula y desembocan en el seno subcapsular. El seno subcapsular y los senos trabeculares se comun can con los senos mediares. En la parte superior de diagrama se muestra una arteria y una vena las como la ubicación de las vénulas del endote lo a tolen el ganglio Infático. b. Microfotografia de un corte de un ganglio infático tenido con H&E. La porción externa más densa es la corteza la cual consiste en agiomeraciones de infocitos organizados en nódulos y en una corteza profunda sin nódulos La porción mas interna la médula se extiende hasta la superficie del hijo donde entran y sa en los vasos sanguineos y los vasos linfáticos eferentes abandonan el órgano. Airededor del ganglio kintático está la cápsula y justo debajo de ella se encuentra el seno subcapsular. 18×

aíslan eficazmente a estos componentes estructurales del parénquima de los tejidos y los órganos linfáticos (fig. 14-19). Además de su función de sostén, expresan moléculas de superficie y producen sustancias (quimiocinas) que atraen linfocitos y células dendríticas.

- Las vélules dendríticos (OC, dendrític ceits) son APC especiales que derivan de la médula ósea. Las DC vigilan el entorno local para detectar sustancias extrañas que después procesan y presentan a los linfocitos T específicos de antígenos. Son mucho más eficaces en la presentación de antígenos que otras APC, y pueden presentar casi cualquier forma de antígenos proteinicos en las moléculas de MHC I y MHC II. Expresan un nivel excepcionalmente alto de MHC II y las moléculas coestimuladoras necesarias para la activación de los linfocitos T. En el ganglio linfático, las DC suelen localizarse en las zonas con gran cantidad de linfocitos T.
- Los mecrótegos son células fagocíticas y presentadoras de antígenos que expresan MHC I, MHC II y moléculas coestimuladoras. Sin embargo, los niveles de expresión de MHC II y de las moléculas coestimuladoras son mucho más bajos que los de las células dendríticas, lo que las convierte en APC menos eficaces. En cambio, tienen una inmensa capacidad para la endocitosis y la digestión de materiales internalizados. La estructura, las características microscópicas y las funciones de los macrófagos se describen en el capítulo 6.
- Las células dendriticas foliculares (CDF) tienen múltiples eva ginaciones citoplasmáticas muy finas y ramificadas, semejantes al pelo, que se interdigitan entre los linfocitos B en los centros

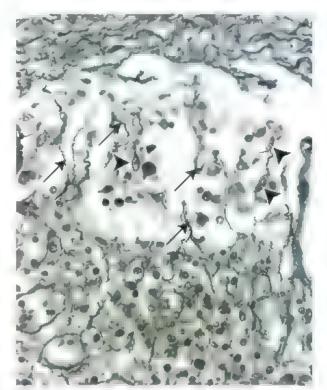


FIGURA 14-18. Microfotografía de un ganglio linfático. En esta impregnación argéntica se observan la cápsula de tejido conjuntivo (arriba), los senos subcapsulares y la corteza superficial del ganglio linfático (abajo). Las fibras retuculares (flechas) forman una red anastemosada irregular a lo largo del estroma gangionar. Nótense los núcleos ovalados alargados de las células retuculares (puntas de flecha), en numo contacto con las fibras retuculares en el seno. 640 ×

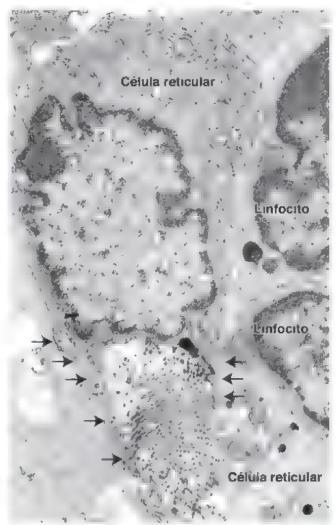


FIGURA 14-19. Microfotografía electrónica de una célula reticular. En esta microfotografía se observa e cuerpo de una célula reticular y sus evaginaciones (flechas). La disposición de la célula reticular contiene y aísla las fibrillas de colágeno de la exposición a los linfocitos. Obsérvense los linfocitos contiguos a la derecha de la microfotografía. Con el microscopio óptico y las técnicas de impregnación argéntica, estas fibrillas de colágeno se identificarian como una fibra reticular. 12600×

germinativos (fig. 14-20). Los complejos antígeno-anticuerpo se adhieren a las evaginaciones citoplasmáticas dendríticas por medio de los receptores para el fragmento F_c de los anticuerpos, y la célula puede retener un antígeno en su superficie durante semanas, meses o años. Si bien este mecanismo es similar al de la adhesión de los complejos antígeno-anticuerpo a los macrófagos, el antígeno no suele experimentar endocitosis, como ocurre en el caso del macrófago. Por lo tanto, las CDF no son células presentadoras de antígenos, pues no cuentan con moléculas del MHC II

Arquitectura general del ganglio linfático

El parénquimo del ganglio linfático se divide en una corteza y una médula (fig. 14-21). La corteza forma la porción externa del ganglio, excepto a la altura del hilio. Consiste en una masa densa de rejido linfático (armazón reticular, células dendríticas, células dendríticas foliculares, linfocitos, macrófagos y células plasmáticas) y senos linfáticos que son conductos para la linfa. La méduta es la parte interna del gangho linfático.

Los linfocitos en la corteza superficial se encuentran organizados en nódulos.

Como en otros tejidos, los nódulos linfáticos de la corteza se denominan nódulos primarios si están compuestos principalmente por linfocitos pequeños, y nódulos secundarios si poseen un centro germinativo. Los nódulos linfáticos se encuentran en la parte externa de la corteza, denominada corteza superficial (nodular) (lám. 37, p. 514). La porción de la corteza entre la médula y la corteza superficial está libre de nódulos y se denomina corteza profunda (paracorteza). Esta región contiene la mayoría de los linfocitos T en el ganglio linfático (fig. 14-22a) Debido a su dependencia del timo, la timectomía perinatal en los animales impide el correcto desarrollo de la corteza profunda. Por este motivo, la corteza profunda también se denomina corteza dependiente del timo.

La médula del ganglio linfático está compuesta por cordones medulares y senos medulares.

La medula, la porción interna del ganglio linfático, está compuesta por cordones de tejido linfático separados por senos linfáticos denominados senos medulares. Como ya se describió, una red de células reticulares y fibras atraviesa los cordones y los senos medulares y sirve como un armazón del parénquima. Además de las células reticulares, los cordones medulares contienen linfocitos (la mayoría linfocitos B), macrófagos, células dendriticas y células plasmáticas (fig. 14-22b). Los senos medulares convergen cerca del hilio, donde desembocan en los vasos linfáticos eferentes.

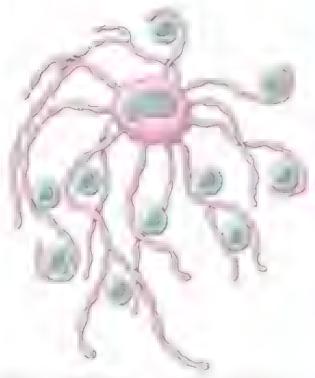


FIGURA 14-20. Diagrama de una célula dendritica folicular. Esta célula, que suele encontrarse en los centros germinativos, tiene múltiples evaginaciones citoplasmáticas filiformes que se interdigitan entre los linfocitos B. Los complejos antígeno-anticuerpo se adhieren a las evaginaciones citoplasmáticas dendriticas por medio de los receptores de F_B. Las células dendriticas foliculares no son células presentadoras de antigenos porque carecen de moiéculas del MHC II

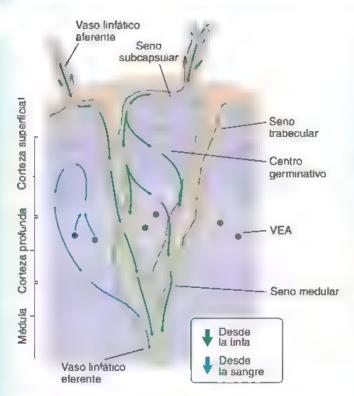


FIGURA 14-21. Diagrama de la circulación de los linfocitos en un ganglio linfático. Las flechas verdes indican el trayecto de circulación de los linfocitos que ingresan en el ganglio linfático junto con la linfa Los vasos linfáticos aferentes transportan la linfa proveniente de los tejidos circundantes y de los ganglios infáticos adyacentes hacia la compleja red de senos linfáticos. La pared de los senos permite que la linfa se filtre con libertad hacia la corteza superficial y profunda para que los linfocitos realicen la vigiancia inmunitaria. Los linfocitos que entran en el tejido después retornan a los senos y abandonari el gangio linfático junto con la linfa. Los Infocitos que migran hacia el ganglio lintático desde la sangre (flechas azules) ingresan en la corteza profunda a través de las vénulas de endotelio alto (VEA) y también migran hacia la corteza superficial. Aquí, los linfocitos realizan las mismas funciones que los linfocitos que ingresan a través de os vasos infáticos También abandonan el ganglio linfático por os vasos linfáticos eferentes.

La filtración de la linfa en el ganglio linfático ocurre dentro de una red de conductos linfáticos interconectados conocidos como senses

En el ganglio linfático hay tres tipos de conductos linfáticos llamados senos. Justo debajo de la cápsula del ganglio linfático hay un seno interpuesto entre la cápsula y los linfocitos corticales denominado seno subcepsular (cortical) (lám. 38, p. 516). Los vasos linfáticos aferentes drenan la linfa hacia este seno. Los senos trabeculares, que se originan a partir de los senos subcapsulares, se extienden a trayés de la corteza a lo largo de la trabécula y desembocan en los senos medulares. Los linfocitos y los macrófagos, o sus evaginaciones, van y vienen con facilidad entre los senos linfáticos y el paténquima del ganglio. Los senos tienen un revestimiento de endotelio que es continuo donde está junto al tejido conjuntivo de la cápsula o trabécula, pero discontinuo en el lado del parénquima linfático. Si bien un macrófago puede residir en el parénquima linfánco, con frecuencia envía seudópodos (evaginaciones citoplasmáticas largas) hacia el seno a través de estas discontinuidades endoteltales. Estos seudópodos controlan la linfa a medida que se filtra a través del seno.

Los senos tinfaticos no son espacios abiertos, como lo son los senos sanguíneos. Particularmente en la médula, las evaginaciones de los macrófagos junto con las fibras reticulares rodeadas por evaginaciones de las células reticulares atraviesan la luz del seno y forman una malla entrecruzada que retarda el flujo libre de la linfa y mejora su fibración. El material antigénico y las células transformadas del cáncer metastásico son atrapados por este filtro mecánico y, despues, fagocitados por los macrófagos. En el cáncer metastásico, el sistema puede ser abrumado por una centidad excesiva de células cancerosas que fluyen a través de los senos linfaticos. Como consecuencia, las células pueden establecer un nuevo foco de metástasis en el ganglio linfático.

Las vénulas del endotelio alto especializadas son el sitio de absorción de líquidos y la entrada de los linfocitos circulantes en el ganglio linfático.

Además de la linfa, los Nafocitos también circulan a través de los ganglios linfáticos. Si bien algunos linfocitos entran en los ganglios a través de vasos linfáticos aferentes como componentes de la linfa, la mayoría (cerca del 90%) entran al ganglio a través de las paredes de las vénulas poscapilares ubicadas en la corteza profunda (véanse fig. 14-21 y lám. 38, p. 516). Dado que las vénulas poscapilares

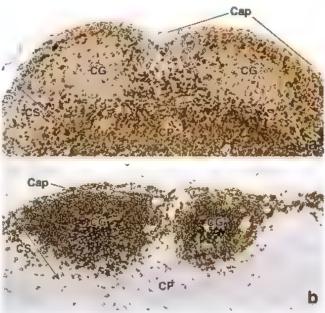
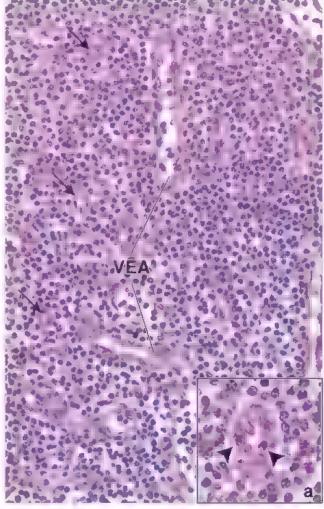


FIGURA 14-22. Distribución de los linfocitos T y B en la corteza superficial del ganglio linfático, a. La distribución de los linfocitos T en el ganglio linfático de un mono titi se visualizó con el uso de un método inmunphistoquirnico que emplea anticuerpos contra la proteina CD3, un marcador específico de linfocitos T. Los cortes de tejido inicialmente se trataron con un anticuerpo primano antihumano hecho en conejo contra el marcador CD3, y postenormente se incubaron con un anticuerpo. securidario anticonejo biotinilado hecho en cerdo. Después de la incubación con el complejo avidina-biotina-peroxidasa, la respuesta positiva se visualizó con una solución de diaminobencidina (DAB, reacción de color pardol. Los núcleos celulares se sometieron a una coloración de contraste con hematoxilina. Nótese que la mayoría de los linfocitos T se distribuyen dentro de la corteza profunda (CP) una pequeña cantidad de linfocitos T se encuentra en la corteza superficial (CS), sobre todo alrededor de los centros germinativos (CG) b. Con la misma reacción de inmunoperoxidasa y DAB descrita antes, se identificaron los linfocitos 8 por medio del empleo de anticuerpos monoclonales primanos contra la proteína CD20 humana (un marcador específico para linfocitos B). A continuación, se utilizaron anticuerpos secundarios antirratón de conejo para detectar la ubicación de los linfocitos B, que se encuentran en cúmulos en los centros germinativos (CG) de la corteza superficial (CS) Cap, cápsula. 200× (cortesía del Dr. Douglas F. Paulsen).



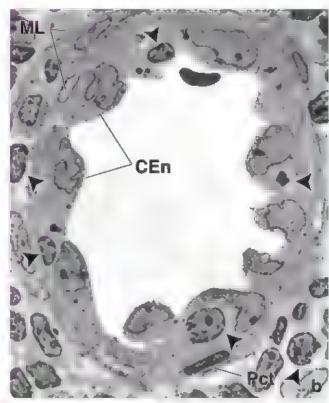


FIGURA 14-23. Microfotografía de la corteza profunda de un ganglio linfático con vénulas de endotelio alto, a. En esta microfotografía se muestran varias vénulas de endotelio a to (VEA) en cortes longitudina ly transversal (flechas). Estos vasos están revestidos por celulas endotelia es cubicas. En algunos preparados las paredes de una VEA pueden estar infiltradas por linfocitos en proceso de migración lo que difecula su identificación. 400 × Recuadro. En el corte transversal de una VEA que se muestra aqui con mayor aumento se observan varios linfocitos (puntas de flecha) en proceso de migración desde la VEA hacia el parenqui ma del ganglio Infático 640 × b. En esta microfotografía de poco aumento se muestra un corte transversa de una vénula de endote lo alto de la corteza profunda de un ganglio Infático revestido por células endotefiales cubicas (CEn). Las células están sobre una lámina basa fenestrada y rodeadas por musculo I so (ML), esporádico y perio tos (Pct). Obsérvense los multiples linfocitos (L) en diversas etapas de migración entre la luz de los vasos y el parênquima del ganglio Infático. 5000 × (copyright © 2010. Regents of the University of Michigan. Reimpreso con autorización).

están tevestidas por células endoteliales cúbicas o cilíndricas, se conocen como vénulas del andotelio alto. En los cortes histológicos, la pared de la vénula suele estar infiltrada por una gran cantidad de linfocitos en diversas etapas de migración (fig. 14-23). Las VEA también están presentes en otras partes del sistema linfático, como el tejido linfático difuso y los nódulos linfáticos en las placas de Peyer.

Las células de las VEA cumplen una función importante en la atracción de los linfocitos T y B para iniciar la migración hacia los tejidos linfáticos subyacentes mediante la expresión de moléculas de adhesión y la secreción de quimiocinas específicas. Las células endoteliales también participan en la circulación y concentración de la linfa, pues transportan alrededor del 35% del líquido y los electrólitos que ingresan por los vasos linfáticos aferentes hacia la circulación. Las células de las VEA expresan una alta concentración de conductos acuosos (moléculas de acuaporina 1 [AQP1]). La reabsorción rápida del líquido intersticial hacia la sangre a través de los conductos acuosos hace que la línfa que entra a través de los vasos linfáticos aferentes sea atraída hacia la corteza profunda mediante el mecanismo de arrastre del disolvente.

La migración de los linfocitos T y B virgenes a través de las VEA hacia el ganglio linfático está mediada por moléculas de adhesión y quimiocinas específicas.

Los linfocitos T y B vírgenes circulantes son linfocitos maduros que no han sido estimulados anteriormente por un antígeno. Estas células recirculan entre la sangre y los órganos linfáticos. Las células endoteltales altas de las VEA poseen moléculas de adhesión específicas que interactúan con la polectina L y las integrinas expresadas en los linfocitos en migración. Tanto los linfocitos B como los linfocitos T abandonan la circulación al pasar por el endotelio mediante diapédesis, es decir, por medio de la migración entre las células endoteliales, de modo similar al que se describe para los neutrófilos (véase fig. 10-9, p. 300). Las citocinas que determinan y regulan la migración de los linfocitos a través de las VEA en los ganglios linfáticos se llaman químiocinas, y se unen a los receptores de quimiocinas de los linfocitos. Las quimiocinas indican a los linfocitos que salgan de la circulación y migren hacia el ganglio linfático. Los linfocitos T expresan receptores CCR7 que interactúan con las quimiocinas

CCL19 y CCL21 producidas por las células endoteliales de las VEA. De manera similar, los linfocitos B expresan otra clase de receptores, los CXCR5, a los que se une una quimiocina llamada "CXCL13". Las interacciones entre las quimiocinas y sus receptores en los linfocitos B y T es lo que permite que estos ingresen al ganglio linfático.

Las quimiocinas también determinan la distribución regional de los linfocitos B y T dentro del ganglio linfático. Los linfocitos T permanecen en la corteza profunda dependiente del timo, pues fueron atraídos por las quimiocinas CCL19 y CCL21 producidas por las células reticulares y estromales de esta región. Los linfocitos B migran a la corteza superficial como consecuencia de la secreción de la quimiocina CXCL13 por las células dendríticas foliculares en los nódulos linfáticos y los centros germinativos de la corteza superficial (wase fig. 14-22). Después de que los linfocitos B han sido expuestos a un antígeno, un grupo de los linfocitos T se diferencia en linfocitos T cooperadores foliculares CD⁶⁺ (THF), que también expresan receptores CXCR5 (los mismos que aquellos en los linfocitos B). Estas células son esenciales para la formación y la función de los centros germinativos, especialmente en la producción de los linfocitos B de memoria.

El ganglio linfático es un sitio importante para la fagocitosis y el inicio de las respuestas inmunitarias.

La fagocitosis de partículas realizada por macrófagos y APC dentro de los ganglios linfáticos representa un paso importante en el ínicio de la respuesta immunitaria. Los antigenos transportados en la linfa se filtran a través de los senos y penetran los nódulos linfáticos para iniciar la respuesta immunitaria. Algunos antígenos quedan atrapados en la superficie de las células dendríticas foliculares, mientras que otros son procesados por los macrófagos, las células dendríticas y los linfocitos B, lo que conduce a la activación de linfocitos B y T. Los linfocitos B activados se diferencian en células plasmáticas, linfocitos B de memoria y plasmoblastos. Estos plasmoblastos representan la población de linfocitos B en migración destinada a secretar anticuerpos.

Las células plasmáticas migran a continuación hacia los cordones medulares, donde sintetizan anticuerpos específicos y los liberan en la linfa que fluye a través de los senos. Las células plasmáticas representan el 1-3% de las células en los nódulos linfáticos en reposo. Su canudad aumenta drásticamente durante una respuesta inmunitaria, con lo cual se incrementa la cantidad de inmunoglobulinas en la circulación. Los plasmoblastos salen del ganglio linfático y migran hacia la médula ósea, donde se diferencian en células plasmáticas que secretan anticuerpos durante largos períodos. Los linfocitos 8 de memoria pueden salir de los ganglios linfáticos y circular hacia varias regiones en el organismo, donde proliferan como respuesta a las exposiciones subsecuentes a antígenos específicos. La presencia de linfocitos de memoria en varios sitios de todo el cuerpo asegura una respuesta secundaria más rápida a un antígeno.

Los ganglios linfáticos, en los que los linfocitos están activos en una respuesta ante antigenos, con frecuencia aumentan de tamaño, un reflejo de la formación de centros germinativos y la proliferación de linfocitos. Esta fenómeno se observa a menudo en los ganglios linfáticos del cuello por una infección nasal o bucofaringea, y en las regiones axitar e inguinal debido a una infección en las extremidades. La linfadenitis, un agrandamiento reactivo (inflamatorio) del ganglio linfático, es una complicación frecuente de las infecciones microbianas. Estos ganglios linfáticos agrandados suelen denominarse adenopatias o ganglios inflamados (cuadro 14-4, p. 505) La salida de los linfocitos T y B del ganglio linfático está regulada por el lípido quimiotáctico esfingosma-1-fosfato y la expresión de se receptor en la superficie del linfocito.

La mayoría de los linfocitos salen del ganglio linfático para entrar en los senos linfáticos, desde donde circulan hacia un vaso linfático eferente. La salida de los linfocitos está regulada por la vía de salida S1P, que depende de la expresión del receptor de esfingosina-1fosfato 1 (S1PR1, sphingosine-1-phosphata receptor 1) en la superficie del linfocito, así como de la interacción del receptor con la esfingosina-1-fosfato (S1P, sphingosina-1-phosphata). La S1P tiene propiedades de señalización similares a las de las quimiocinas, y es un lípido circulante que está presente en altas concentraciones en la linfa, la sangre y otros tejidos. Los linfocitos T virgenes que ingresan en el gangho linfático expresan pequeñas cantidades de S1PR1. Si no logran reconocer el antígeno durante algunas horas, la expresión de S1PR1 aumenta, con lo que los linfocitos T pueden salir del ganglio linfático a través de los vasos linfáticos eferentes. Si los linfocitos T vírgenes son activados por un antígeno, disminuye la expresión de SIPR1 durante algunos días y se suspende la capacidad del linfocito para salir del ganglio linfático. Este proceso permite que los linfocitos T activados permanezcan en el ganglio linfático y se dividan y diferencien en linfocitos T efectores y de memoria que finalmente regresarán a la circulación mediante la vía de salida STP.

Los linfocitos B vírgenes que no son activados por antígenos salen del ganglio linfático de manera similar que los linfocitos T virgenes. Los linfocitos B activados que se han diferenciado en linfocitos B de memoria y plasmoblastos también salen del ganglio linfático y regresan a la circulación mediante la vía S1P.

La regulación de la salida de los linfocitos de los ganglios linfáticos y otros órganos linfáticos secundarios es el fundamento para el desarrollo de nuevos fármacos inmunomoduladores. Por ejemplo, un metabolito derivado de los hongos, el fingolimod, se utiliza para el tratamiento de la esclerosis multiple (EM). Cuando se administra, es fosforilado para semejar la actividad de la molécula S1P. Después de la unión con el receptor S1PR1 en los linfocitos, el complejo S1PR1 es internalizado, lo que inhibe la respuesta inmunitaria y previene que los linfocitos efectores inmunicompetentes salgan del ganglio linfático. Los linfocitos son reclutados en los órganos linfáticos secundarios, lo que provoca linfopenia periférica (concentración anormalmente baja de linfocitos en la sanore).

En la cabla 14-4 (*véase* p. 509) se resumen las características especificas de los ganglios linfáticos en comparación con otros órganos linfáticos principales.

Timo

El timo es un órgano linfoepitelial localizado en el mediastino superior.

El timo es un órgano bilobulado localizado en el mediastino superior, por delante del corazón y los grandes vasos. Se desarrolla bilateralmente a partir de la tercera (algunas veces la cuarta) bolsa faringea (bucofaringea). Durante el desarrollo embrionario, el epitelio se invagina y el timo rudimentario crece caudalmente como una proyección tubular del epitelio endodérmico hacia el mediastino del tórax. El extremo en avance prolifera y, finalmente, se desconecta del epitelio

branquial. Las células progenitoras linfoides (CPL) comunes de la médula ósea, cuyo destino es desarrollarse en linfocitos T inmuno-competentes, invaden el rudimento epitelial y ocupan espacios entre las células epiteliales.

De este modo, el timo está formado por completo al momento del nacimiento. Persiste como un órgano de gran tamaño hasta el momento de la pubertad, cuando la diferenciación y proliferación de linfocitos T disminuye y la mayor parte del tejido linfático es reemplazado por tejido adiposo linvolución). No obstante, la maduración de los linfocitos T puede continuar durante la vida adulta dentro del timo. El organo puede ser reestimulado en situaciones específicas que demandan una gran cantidad de linfocitos T, como en el caso de los receptores de trasplantes de medula ósea

Arquitectura general del timo

El timo está rodeado por tejido conjuntivo que lo divide en lobulillos timacos.

El timo posee una delgada cápsula de tejido conjuntívo desde donde se extienden las trabéculas hacia el parénquima del órgano. La cápsula y las trabéculas contienen vasos sanguineos, vasos linfáticos eferentes (pero no aferentes) y nervios. Además de las fibras de colágeno y los fibroblastos, el tejido conjuntivo del timo contiene una cantidad variable de oélulas plasmáticas, granulocitos, linfocitos, mastocitos, células adiposas y macrófagos.

Las trabéculas establecen dominios en el timo llamados *tobu-*titlos tímicos. En realidad, no son verdaderos lobulillos, sino casquetes corticales circunvalados pero continuos al tejido modular
interno (fig. 14-24 y lám. 41, p. 522). En algunos planos de corre,
la disposición "lobular" del casquete cortical y el tejido medular
determina que su aspecto sea similar al de un nódulo linfánco con
un centro germinativo, lo cual suele confundir a los estudiantes.
Otras características morfológicas (que se describen más adelante)
permiten la identificación del timo en los cortes histológicos.

El parénquima tímico contiene linfocitos T en desarrollo en una red extensa formada por células epiteliorreticulares.

La porción externa del parénquima, la corteza tímica, es muy basófila en los cortes teñidos con hematoxilina-eosina (H&E) debido a los linfocitos T en desarrollo que están muy juntos y tienen núcleos teñidos intensamente. Estos linfocitos T en desarrollo, también denominados timocitos, ocupan espacios dentro de una extensa red de células epitelioreticulares (fig. 14-25). Entre las células corticales, también hay macrófagos dispersos. Los linfocitos T en desarrollo derivan de las CPL, que a su vez se originan en la médula ósea. A medida que progresa el desarrollo en el timo, las células derivadas de las CPL atraviesan una serie de etapas evolutivas que se distinguen por la expresión de diferentes moléculas CD.

Como su nombre lo indica, las células epiteliorreticulares tienen características tanto de células epiteliales como de células reticulares. Proveen un armazón o estroma para los linfocitos T en desarrollo; por lo tanto, son los equivalentes de las células reticulares y sus fibras reticulares asociadas en los demás tendos y órganos linfáticos. Las células de tejido conjuntivo reticular y sus fibras no están presentes en el parénquima tímico. Las células epiteliorreticulares ex hiben ciertos rasgos característicos del epitelio, como las uniones intercelulares y los filamentos intermedios.

Se reconocen seis tipos de células epiteliorreticulares según su función: tres tipos en la corteza y tres en la médula. Cada tipo está



FIGURA 14-24. Microfotografía del timo de un lectante humano. En este preparado teñido con H&E se observan múltiples lobulillos separados por trabéculas de tejido con, intivo que se extenden hacia el órgano desde la cápsula circundante. Cada lobulillo está compuesto por una corteza basófila más oscura y una médula más pálida y relativamente eosinófila. La médula en realidad es una masa ramificada continua que está rodeada por la corteza. La corteza contiene muchos linfoc tos muy juntos, mientras que la médula los presenta en menor cantidad. Nótese que en algunos casos la médula puede guardar cierta semejanza con los centros germinativos de los nódulos linfáticos (arriba, a la derecha y en el centro a la izquierda). Estas regiones medulares aisledas son contiguas con todo el tejido medular, aunque tal continuidad puede no ser evidente en de este plano de corte. 25×

designado con un número romano. En la corteza, se reconocen los siguientes tipos de células:

- Células epiteliorreticulares tipo I. Están ubicadas en el límite de la corteza y la cápsula de tejido conjuntivo, así como entre el parénquima cortical y las trabéculas. También rodean la adventicia de los vasos sanguíneos corticales. En esencia, las células epiteliorreticulares típo I sirven para separar el parénquima tímico del tejido conjuntivo del órgano. Las uniones ocluyentes que hay entre estas células son un reflejo de su función como barrera, que aísla los linfocitos T en desarrollo del tejido conjuntivo del órgano, es decur, de la cápsula, las trabéculas y el tejido conjuntivo perivascular.
- Células epiteliorreticulares tipo III. Se localizan dentro de la corteza. El microscopio electrónico de transmisión (MET) permite observar las máculas adherentes (desmosomas) que se unen a las evaginaciones citoplasmáticas largas de las células adyacentes. El cuerpo celular y las evaginaciones citoplasmáticas contienen abundantes filamentos intermedios. Debido

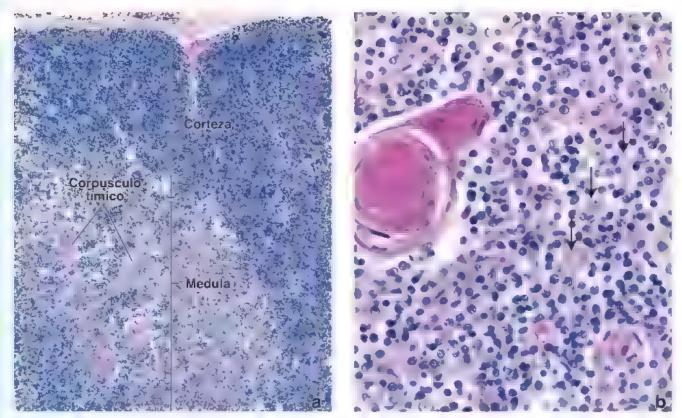


FIGURA 14-25. Microfotografía de un timo humano, a La corteza contiene una población densa de linfocitos T pequeños en proceso de maduración que producen la tinción oscura de esta región de timo. La médula en cambio, aparece más chara. Esta fambién contiene los cor pusculos timicos que se tiñen con la eos na y le proporcionan una caracteristica adicional para distinguir (a 120 × b). En esta microfotografía con mayor aumento se muestran la médula con un corpusculo timico (*izquierda*) y las ceiulas circundantes. Los corpusculos timicos son masas asiadas de células en fe iorreticulares tipo VI muy juntas, dispuestas de forma concéntrica que presentan nucleos aplanados. La masa mas central del corpusculo contiene células completamente queratinizadas. Además de muchos linfocitos en la microfotografía también se muestran células espite preticulares tipo vi tilechas,, con sus citopiasmas eosinói los y sus nucleos grandes pálidos. 600 «

a sus evaginaciones, estas células tienen una forma estrellada. Poseen un núcleo grande que se tiñe pálidamente con H&E por su abundante eucromatina. Esta característica nuclear permite su fácil identificación en los preparados para el microscopio óptico. Las células upo II compartimentalizan la corteza en regiones aisladas para los linfocitos T en desarrollo. A diferencia de lo que ocurre con las células tipo I, las de tipo II expresan moléculas del MHC I y el MHC II, que participan en la educación de los timocitos.

- Células epiteliorreticulares tipo III. Están ubicadas en el límite entre la corteza y la médula. El MET permite detectar las uniones oclusivas entre las evaginaciones citoplasmáticas laminares de las células contiguas. Al igual que las células tipo I, las células epiteliorreticulares tipo III crean una barrera funcional, en este caso, entre la corteza y la médula. Al igual que las células tipo II, poseen moléculas del MHC I y el MHC II.
- Macrófagos. Estos se encuentran dentro de la corteza tímica y son responsables de la fagocitosis de los linfocitos T que no cumplen con las exigencias de la educación tímica. Estos linfocitos T están programados para morir antes de safir de la corteza. Alrededor del 98% de los linfocitos T experimentan apoptosis y después son fagocitados por los macrófagos. Los macrófagos en la corteza son difíciles de identificar en los preparados tenidos con H&E. Sin embargo, la reacción de ácido peryódico de Schiff (PAS, periodic acid-Schiff) los define con facilidad, porque tiñe sus numerosos lisosomas grandes. A causa de esta propiedad tintorial, se dice que los macrófagos son cálulas PAS.

Si bien las células epiteliorrenculares de la corteza tímica desempeñan un papel importante en el desarrollo de los linfocitos T inmunocompetentes, algunos datos recientes indican que los linfocitos T en las diferentes etapas de diferenciación controlan la microarquitectura de las células epiteliorreticulares tímicas, un fenómeno denominado intercomunicación. Por lo tanto, los linfocitos en desarrollo y las células epiteliorreticulares influyen unas sobre otras durante el desarrollo de los linfocitos T.

Los corpúsculos tímicos o de Hassall (que derivan de las células epiteliorreticulares tipo VI) son una característica distintiva de la médula del timo.

La médula tímica, la porción interna del parénquima, contiene una gran cantidad de células epiteliorreticulares y linfocitos. Tagrupados de forma laxa (véase fig. 14-25). La médula se tiñe con menos intensidad que la corteza porque contiene principalmente linfocitos grandes. Estos linfocitos tienen núcleos pálidos y cuantitativamente más citoplasma que los linfocitos pequeños. Al igual que la corteza, la médula también contiene tres tipos de células epiteliorreticulares:

Células apitellorreticulares tipo IV. Están localizadas entre la corteza y la médula cerca de las células tipo III. Poseen eva ginaciones laminares con uniones ocluyentes entre células adyacentes, así como entre ellas y las células tipo III. En cooperación con las células tipo III, crean la barrera a la altura de la umón corticomedular.

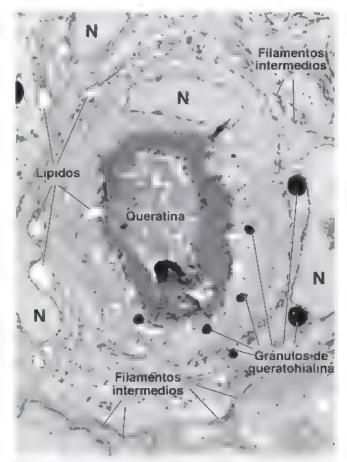


FIGURA 14-26. Microfotografía electrónica de un corpúsculo timico (de Hassati). En esta microfotografía electrónica, con un aumento relativamente bajo, se muestran algunos de los núcleos (N) y citoplasmas de las células epiteliorreticulares dispuestas en forma concéntrica de un corpusculo tímico (de Hassati). En el citoplasma de las células epiteliorreticulares también se ven haces de filamentos intermedios, gránulos de queratohialina e inclusiones lipídicas. En el centro del corpusculo tímico se observan las células que han experimentado una queratimización completa lestratos de color negro). 5000× (cortesía del Dr. Johannes A. G. Rhodin).

- Célules epiteliorreticulares tipo V. Se distribuyen por toda la médula. Al igual que las células tipo II localizadas en la corteza, las evaginaciones de las células adyacentes están unidas por desmosomas para proporcionar el armazón celular de la médula y para compartimentalizar grupos de linfocitos. Sus núcleos presentan un claro contraste con los núcleos de linfocitos que se tiñen con gran intensidad.
- Células epiteliorreticulares tipo VI. Forman el rasgo más carac terístico de la médula tímica, los corpusculos tímicos (de Hausall) (fig. 14-26 y lám. 41, p. 522). Los corpúsculos tímicos son masas aisladas de células epiteliorreticulares tipo VI muy juntas dispuestas de forma concéntrica que exhiben núcleos aplanados. Los estudios de estas células realizados con MET revelan gránulos queratohialinos, haces de filamentos intermedios e inclusiones lipídicas en el citoplasma. Las células están unidas por desmosomas. El centro de un corpúsculo tímico puede presentar indicios de queratinización, un rasgo que no es una sorpresa, pues estas células derivan del epitelio bucofaríngeo. Los corpúsculos tínucos son componentes multicelulares activos de la médula muy particulares desde el punto de vista antigénico. Si bien su función no se comprende del todo, se postula que los corpúsculos tímicos producen interleucinas (IL-4 e IL-7) que actúan en la diferenciación y la educación de los linfocitos T en el timo.

Los vasos sanguíneos abandonan las trabéculas para ingresar en el parénquima del timo. Por lo general, los vasos sanguíneos entran en la médula desde las partes más profundas de las trabéculas y llevan con ellos una vama de tejido conjuntivo. Esta vama de tejido conjuntivo perivascular tiene un espesor variable. Es más gruesa alrededor de los vasos de mayor calibre y se afina gradualmente alrededor de los vasos más pequeños. Donde es gruesa, contiene fibras reticulares, fibroblastos, macrófagos, células plasmáticas y otras células halladas en el tejido conjuntivo laxo; donde es delgada, puede contener solo algunas fibras reticulares y fibroblastos. Los rasgos específicos del timo, en comparación con otros órganos linfáticos principales, se resumen en la tabla 14-4 (véase p. 509).

Barrera hematotímica y educación tímica

La barrera hematotímica protege a los linfocitos en desarrollo de la exposición a los antígenos.

A los linfocitos que alcanzan la corteza tímica se les impide el contacto con antígenos por medio de una harrera física denominada barrera hematotímica (fig. 14-27). Los siguientes componentes constituyen la barrera hematotímica entre los linfocitos T y la luz de los vasos sanguíneos corticales, desde la luz vascular hacia afuera:

El ondotello que reviste la pared capilar es continuo con uniones ocluyentes. Es muy impermeable a las macromoléculas y se

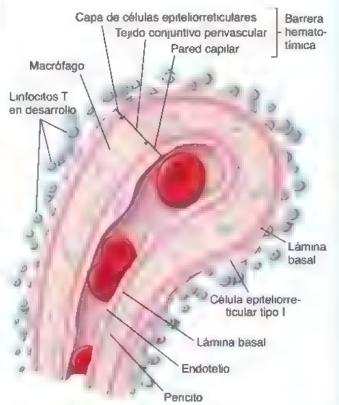


FIGURA 14-27. Diagrama de la barrera hematotimica. La barrera hematotimica está compuesta por tres elementos principales: 1) el endotelio capilar y su lámina basal, 2) el tejido conjuntivo perivascular que contiene macrófagos y 3) células epiteliorreticulares tipo I con su lámina basal. El tejido conjuntivo perivascular está encerrado entre la lámina basal de las células epiteliorreticulares y la lámina basal de las células epiteliorreticulares y la lámina basal de las células encorreticulares y la lámina basal de las células encorreticular

considera un componente estructural importante de la barrera en el parénquima cortical. La lámina basal subyacente de las células endoteliales y los paricitos ocasionales son parte de la pared capilar.

- Los macrófagos que están en el rejido conjuntivo perivascular circundante pueden fagocitar las moléculas antigénicas que escapan de la luz capilar hacia el parénquima cortical.
- Las células epiteliorreticulares tipo I con sus uniones ochiventes proveen protección adicional a los linfocitos T en desarrollo. Las células epiteliorreticulares rodean la pared capilar en la corteza y, junto con su lámina basal, representan otro componente estructural importante de la barrera hematorímica.

El timo es el sitio de la educación de los finfocitos T, en la que los timocitos deben superar pruebas de vida o muerte para lograr sobrevivir.

Durante la vida fetal, el timo está poblado por células madre linfoides multipotenciales que provienen de la médula ósea y están destinadas a convertirse en linfocitos T inmunocompetentes. La maduración de las células madre también se denomina educación timbes (fig. 14-28) y se lleva a cabo en un orden específico para rearreglar los genes del receptor de linfocitos T. Este proceso se caracteriza por la expresión y la desaparición de moléculas CD superficiales específicas. Estos cambios de superficie indican el estado de maduración funcional de los linfocitos T, por lo que las proteínas CD se utilizan como marcadores de la diferenciación de los linfocitos T.

La expresión de las moléculas CD2 y CD7 en la superficie de los linfocitos T indica una etapa temprana de la diferenciación (etapa doble negativa). El término doble negativa hace referencia a la falta de moléculas CD4 y CD8. A esta etapa inicial le sigue la expresión de la molécula CD1, que indica la etapa intermedia de la diferenciación de los linfocitos T. A medida que progresa la maduración, los linfocitos T expresan CD3, así como moléculas CD4 y CD8. Esta es la etapa doble positiva de la diferenciación de los linfocitos T. En esta etapa, los linfocitos T doble positivos, que se han desarrollado sin estimulación antigénica alguna, comienzan a expresar TCR.

Después, los linfocitos experimentan una selección positiva para asegurarse de que cuentan con TCR funcionales. Los linfocitos T doble positivos se enfrentan con células epiteliorreticulares de los tipos II y III que exhiben una gran gama de péptidos unidos a las moléculas del MHC I y II. Si el linfocito reconoce las moléculas del MHC y los péptidos propios presentados con suficiente afinidad como para generar las señales de supervivencia, supera el proceso de selección positiva. Si los TCR del linfocito no reconocen las moléculas del MHC propias, el linfocito es eliminado mediante un proceso conocido como muerte por negligencia (una vía de apoptosis). Durante el proceso de selección positiva, los linfocitos con TCR que reconocen las moléculas del MHC I propias se convierten en linfocitos T citotóxicos CD8⁺ (pierden CD4 y mantienen CD8), mientras que las células que reconocen las moléculas propias del MHC II se convierten en linfocitos T cooperadores CD4* (pierden CD8 y mantienen CD4). Esta etapa de la diferenciación de los linfocitos T se conoce como positiva simple

Las células que superan las pruebas de selección positiva salen de la corteza e ingresan en la médula. En este lugar, son sometidas a más pruebas para verificar que sus TCR no respondan de manera exagerada ante los antigenos propios. El proceso de selección negativo elimina mediante apoptosis las células que reconocen los péptidos propios presentados por los complejos propios del MHC con gran avidez. Cualquier estimulación de estas células inmaduras por los antígenos propios (péptidos propios) en esta etapa se considera indeseable, por lo que son eliminadas.

Las células que sobreviven a ambos procesos de selección salen del timo y pasan de la médula a la circulación como linfocitos T maduros (pero vírgenes). El proceso de educación tímica es promovido por sustancias secretadas por las células epiteliorreticulares, entre las que se encuentran interleucinas (IL-4 e IL-7), factores estimulantes de colonias e IFN y.

Es importante enfatizar que cerca del 98% de los timocitos que se dividen y proliferan en el timo no superan la educación tímica y mueren dentro del timo por apoptosis. Los fragmentos celulares son fagocitados por los macrófagos, que se encuentran en todo el timo. La intensa educación de los linfocitos T para aprender a reconocer los péptidos propios es un factor importante para el desarrollo de la autotolorancia, que se define como la capacidad del sistema inmunitario para reconocer que los antígenos propios no son una amenaza, y a la vez actuar ante las sustancias ajenas.

Bazo

El bazo tiene el tamaño aproximado de un puño; es el órgano linfático más grande. Se localiza en el cuadrante superior izquierdo de la cavidad abdominal y tiene una irrigación sanguinea abundante. No tiene una conexión directa con la circulación linfática; en su lugar, capita antígenos, microorganismos patógenos y otras partículas (p. ej., complejos inmunitarios) directamente desde la circulación sanguínea.

El bazo filtra la sangra e inrcia una reacción inmunitaria adaptativa ante los antigenos transportados por la sangre.

El bazo tiene funciones de filtración tanto morfológica como inmunitaria. Además de una gran cantidad de linfocitos, contiene espacios o conductos vasculares especializados, una red de células y fibras reticulares, así como un suministro abundante de macrófagos y células dendriticas. Estos componentes permiten que el bazo vigile la sangre desde el punto de vista inmunitario, del mismo modo que los macrófagos y las células dendríticas de los ganglios linfáticos lo hacen con la lunfa.

El bazo está rodeado por una capsula de tejido conjuntivo denso desde donde las trabéculas se extienden hacia el parénquima del órgano (fig. 14-29). El tejido conjuntivo de la cápsula y de las trabéculas contrene miofibroblastos. Estas células contráctiles también producen las fibras extracelulares del tejido conjuntivo. En muchos mamíferos, el bazo almacena grandes volúmenes de eritrocitos como reserva. En ellos, la contracción en la cápsula y las trabéculas contribuye a la liberación de los eritrocitos almacenados bacia la circulación sistémica. El bazo humano por lo general retiene poca cantidad de sangre, pero tiene la capacidad de contraerse por acción de las células contráctiles capsulares y trabeculares.

El hillo, ubicado en la superficie medial del bazo, es el sirio por donde pasan la arteria y la vena esplénicas, los nervios y los vasos linfáticos. Los vasos linfáticos se originan en la pulpa blanca cerca de las trabéculas y constituyen una vía por la cual los linfocitos salen del bazo.

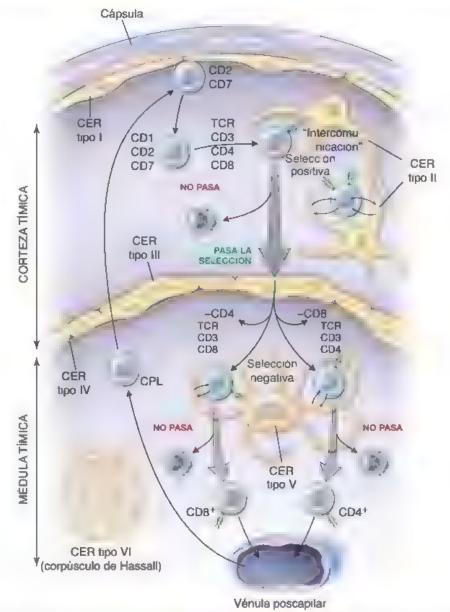


FIGURA 14-28. Principales etapas en la educación tímica. El proceso de maduración y diferenciación de las cérulas progenitoras infordes (CPL) comunes en los infoctos T inmunocompetentes ocurre por la expresión y desapanción de antigenos CD de superficie específicos i Las CPL entran en la médula del timo a través de una vénula poscapilar y después, migran hacia la perfena de lobulillo timico. La presencia de moléculas CD2 y CD7 en la superficie cerular indica una etapa inicial de la diferenciación. A esto le sigue la expresión de la molécula CD1 que indica la etapa intermedia de la diferenciación de infocito T A medida que progresa la maduración, las células expresan TCR CD3, CD4 y CD8. Ahora las células epiteriorreticulares (CER) tipo lly fil les presentan antigenos propios y extranos a estos lintocitos. Si el infocito reconoce las moléculas del MCH propias y los antigenos propios o extranos, entonces sobrevivirá a proceso de selección positiva) si no lo hace, morira las células que pasan la prueba de se ección positiva abandonan a corteza y entran en la médula. Aqui atraviesan otro proceso de selección legativa) las células que actuan intensamente contra antigenos propios presentados por la molécula MHC propia son el minados (selección legativa). Las células estreviven a esta selección se tornan después en infoctos T CD8* citotóxicos o TCD4* cooperadores. Estas células ahora están listas para actuar en la respuesta inmunitaria abandonan el timo desde la médula y entran en la circulación sangulhea. Algunas sustancias hormonales secretadas por las células epiteliorreticulares (de Hassaii) promueven el proceso de la educación timica. Notese la distribución de los seis tipos de células epiteliorreticulares.

La mayor parte del bazo se compone de pulpa esplénica. Desde los puntos de vista funcional y morfologico, la pulpa esplénica puede dividirse en dos regiones: la pulpa blanca y la pulpa roja, según el color de cada una en el estado fresco. La pulpa blanca se observa como regiones blancas grisáceas circulares o alargadas rodeadas por la pulpa roja.

La pulpa blanca está compuesta por una densa acumulación de linfocitos alrededor de una arteria.

La pulpa blanca está compuesta por tendo linfárico, en su mayor parte linfocitos altamente compactados, lo que da la impresión de nódulos blancos que contrastan con los eritrocitos en el fondo dentro

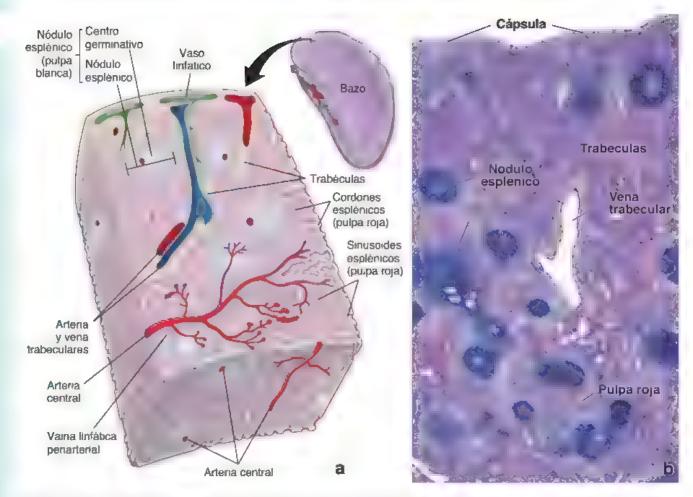


FIGURA 14-29. Diagrama y microfotografía de la estructura esplénica a. Et parénquima esplénico se divide en pui pa blanca y pulpa roja La pui pa blanca consiste en una masa cilindrica de linfocitos dispuestos alrededor de una arteria central para formar la vaina infática periarteria (VLPA). Los nódulos esplénicos aparecen en toda la iongitud de la VLPA. Cuando se observa un corte transversa de una parte de la vaina que contiene un nódulo la arteria centralitiene una ubicación excéntrica dentro de la masa infática. La puipa roja consiste en los senos espienicos rodeados por los cordones espiénicos (cordones de Billioth). Alrededor dei bazo hay una capsula desde donde parterillas trabéculas que se introducen en el parenquima del órgano. Tanto la capsula como las trabéculas en una aspecto de tejido conjuntivo denso infiltrado por numerosos miofibrobiastos. Los vasos sanguineos atraviesan la capsula y las trabéculas en su trayecto hacia y desde el parénquima. Los vasos infaticos se originan en la pulpa bianca cerca de las trabéculas b. En esta microfotografía de bajo aumento del bazo se revelan los mismos componentes mostrados en el diagrama. Obsérvese la capsula con varias trabéculas que se proyectan dentro del bazo se revelan los mismos componentes mostrados en el diagrama. Obsérvese la capsula con varias trabéculas que se proyectan dentro del parênquima esplênico. En el *centro* hay una trabécula que contiene una vena trabecula ar a través de la cual la sangre abandona el órgano. La pulpa roja constituye la mayor parte de lejido esplênico. La pulpa roja constituye la mayor parte de lejido esplênico. La pulpa roja constituye la mayor parte de lejido esplênicos. 45×

de los senos y cordones esplénicos. En los cortes teñidos con H&E, la pulpa blanca es basófila debido a la densa heterocromatina en los núcleos de los numerosos linfocitos (lám. 39, p. 518). Dentro de la pulpa blanca, la rama de la arteria esplénica se denomina arteria contrat. Los linfocitos que se aglomeran alrededor de la arteria central constituyen la vaina linfática periarterial (VLPA). La VLPA tiene una configuración más o menos cilíndrica que se ajusta al trayecto de la arteria central. En los cortes transversales, la VLPA tiene un aspecto circular y puede parecerse a un nódulo linfático. La presencia de la arteria central distingue la VLPA de los nódulos linfáticos típicos encontrados en otros sitios. En la VLPA, los nódulos aparecen como expansiones localizadas que desplazan la arteria central, de manera que esta ocupa una posición excéntrica en lugar de central. La arquitectura de la pulpa blanca es análoga a la organización del ganglio linfárico, donde los linfocitos B y T están separados en zonas diferentes. Además de los linfocitos, la pulpa blanca contiene células dendríticas especializadas y macrófagos. Estos desempeñan un papel

importante en la fagocitosis de los linfocitos B apoptóricos que se denvan de la reacción del centro germinativo.

La migración de los linfocitos B y T hacia el bazo es diferente a la que se observa en el ganglio linfático.

Los linfocitos B y T vírgenes liberados desde el timo y la médula ósea ingresan en el bazo desde la circulación. En contraste con los ganglios linfáticos, no hay VEA en el bazo, por lo que la entrada de los linfocitos no está regulada y no hay necesidad de moléculas de adhesión (selectina, integrinas) o quimiocinas durante el proceso de entrada.

A continuación, los linfocitos T y B son atraidos a la superficie externa de las arterias pequeñas y arteriolas que componen la pulpa blanca. Los nódulos linfáticos en la pulpa blanca son el territorio de los linfocitos B; los otros linfocitos de la VLPA son principalmente los linfocitos T que rodean los nódulos. Por lo tanto, la VLPA puede considerarse una región dependiente del timo, como la correza profunda del ganglio linfático. La distribución de los linfocitos T y B

CORRELACION CLÍNICA: LINFADENITIS REACTIVA (INFLAMATORIA)

La linfadenítis reactiva (inflamatoria) hace referencia al agrandamiento de los ganglios linfáticos que suele ser secundano a infecciones bacterianas y microbianas. Los ganglios linfáticos aumentan de tamaño debido al edema y la hiperpiasia de los nódulos linfáticos y sus componentes celulares (fig. C14-4-1). Entre ellos se encuentran los linfocitos B, los linfocitos T, los macrófagos y otras células presentadoras de antígenos. Además, también es prominente la inflitración de los senos linfáticos por neutrófilos. En las infecciones bacterianas graves, la linfadenitis puede acompañarse de linfangitis, una inflamación de vasos linfáticos aferentes que transportan la linfa infectada hacia los ganglios linfáticos regionales. Los vasos linfáticos inflamados pueden ser visibles como estrías rojas bajo la piet de la región de drenaje linfático afectada

Los síntornas más frecuentes de la linfadenitis aguda consisten en ganglios linfáticos inflamados (adenomegalia) que son dolorosos a la paipación, fiebre, escalofrios, pérdida del apetito, taquicardia y debilidad general. Los ganglios linfáticos suelen ser palpables y dolorosos al tacto, y la piel que los cubre se observa entematosa. En los casos graves de necrosis supurativa (necrosis con formación de pus), puede desarrollarse una fístula (abertura artificial) que permite el drenaje de pus desde el nódulo linfático agrandado hacia la superficie.

Los microorganismos que causan linfadentis con mayor frecuencia son los estreptococos y los estafilococos. Otros organismos menos frecuentes son los virus (como en la mononucleosis o la rubéola), los protozoarios, las rickettsias, los hongos y el bacilo de la tuberculosis. La amigdalitis, las infecciones originadas en los dientes y la fanngitis bacteriana son las causas más frecuentes de linfaden tis en la zona de

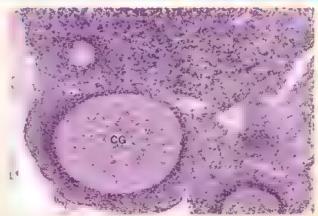


FIGURA C14-4-1. Microfotografía de un ganglio linfático con linfadenitis reactiva. Corte a través de la corteza superficial de un ganglio linfático que muestra un centro germinativo hiperplásico (CG) que se proyecta hacia la cápsula de tejido conjuntivo. La mayoría de las cálu as de tinción pálida que ocupan el centro germinativo corresponden a linfoctos B y macrófagos, la acumulación de linfoctos T forma una región del manto o corona bien definida que rodea el centro germinativo. 120× (reproducido de Schwarting R McKenzie S. Rubin R Hematopathology in Rubin R Strayer DS, eds Rubin's Pathology Clinicopathologic Foundations of Medicine, 5th ed. Baltimore. Lippincott Wulliams & Wilkins. 2008)

cuello. La linfadenopatía generalizada es típica de la artritis reumatoide y se detecta como signo precoz de la infección por VIH. En la linfadenitis crónica, los ganglios linfáticos están agrandados, pero su palpación no es dolorosa.

depende de la producción de diversas citocinas por las células estromales y la expresión de los receptores específicos en los linfocitos B (CXCR5) y T (CCR7) en un proceso semejante al que ocurre en el ganglio linfático (véanse pp. 497-498). Los nódulos suelen contener centros germinativos que, como en otros tejidos linfáticos, se desarrollan a medida que los linfocitos B proliferan después de su activación por antígenos. La salida de los linfocitos de la pulpa blanca hacia la pulpa roja está regulada e implica una vía de la \$1P, similar a la que se utiliza en los ganglios linfáticos (véase p. 498).

Los linfocitos atraviesan el bazo con gran velocidad; cerca del 50% de los linfocitos circulan por el bazo cada 24 h. En los humanos, los centros germinativos se desarrollan dentro de las 24 h siguientes a la exposición a un antígeno y pueden tornarse extremadamente grandes y visibles a simple vista. Estos nódulos de gran tamaño se denominan nódulos esplénicos o corpúsculos de Malpighi (no deben confundirse con los corpúsculos renales, que tienen el mismo nombre).

La pulpa roja contiene una gran cantidad de eritrocitos, a los que filtra y degrada.

La pulpa roja presenta este color tanto en el estado fresco como en los preparados histológicos debido a que contiene una gran cantidad

de eritrocitos (lám. 40, p. 520). En esencia, la pulpa roja está compuesta por senos esplénicos separados por los cordones esplénicos (cordones de Billroth). Los cordones esplénicos están compuestos por la ya mencionada red laxa de células reticulares y fibras reticulares, que contienen moléculas de colágeno tipo III y V. Dentro de la red reticular de los cordones esplénicos hay abundantes eritrocitos, plaqueras, macrófagos, linfocitos, células dendríticas, células plasmáticas y granulocitos. Los macrófagos de la pulpa roja son diferentes que los de la pulpa blanca; estos fagocitan principalmente los eritrocitos dañados y otros materiales que deben eliminarse de la sangre. El hierro de los eritrocitos destruidos es liberado por el macrófago o almacenado por la célula como ferririna o hemosiderina, que es un complejo insoluble de ferritina parcialmente degradada. Las inclusiones de ferritina pueden observarse con facilidad en los macrófagos de la pulpa roja. Los macrófagos de la pulpa roja son esenciales para comenzar el proceso de degradación de la hemoglobina y la recuperación del hierro, que es fundamental para la formación de nuevos eritrocitos.

La pulpa roja también es un gran reservorio de monocitos, que están agrupados en los cordones esplénicos rojos. Esta reserva de monocitos es mayor que la cantidad de estas células circulantes en la sangre, y puede ser rápidamente liberada del bazo (p. ej., ante una infección). Los megacanocitos también están presentes en algunas especies como los roedores y los gatos, pero no en los humanos fuera de la etapa fetal. Los rasgos específicos del bazo, en comparación con otros órganos linfáticos principales, se resumen en la tabla 14-4 (véase p. 509).

Los senos esplénicos o venosos son vasos sinusoidales especiales revestidos por células endoteliales bastoniformes.

Las células endotellales que revisten los senos esplénicos son muy largas. Su eje longitudinal corre paralelo a la dirección del vaso (fig. 14-30). Existen pocos puntos de contacto entre las células ad-

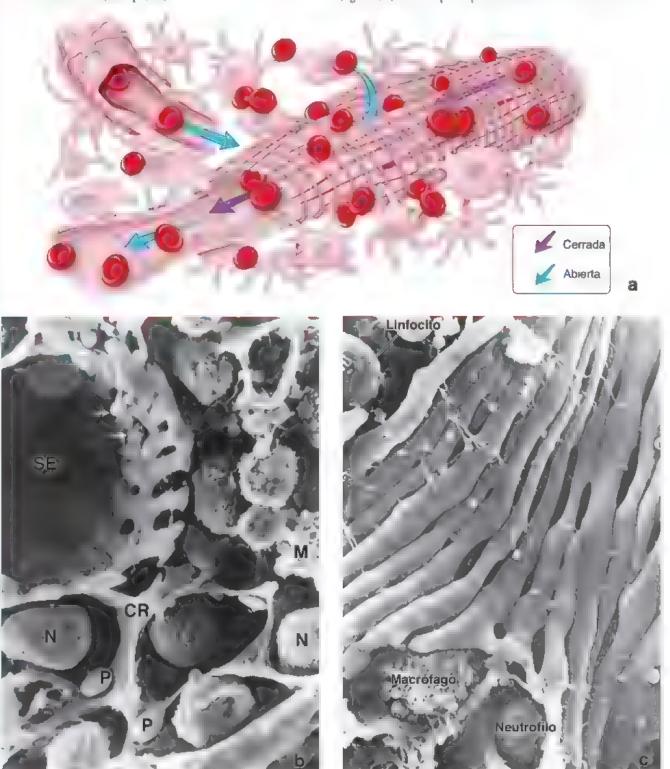


FIGURA 14-30. Estructura del sinusoide esplénico y del cordón esplénico, a. Diagrama de seno espiénico. Obsérvese la dirección del fujo sanguineo en las circulaciones abiertas y ceriadas. b. En esta microfotografía electrón da se muestra un corte transversal del seno espiénico (SF) que revela la estructura reticular de la pared. Los procesos de las células reticulares (CR) con su superficie lisa característica. Los espacios de la red de células reticulares contienen neutróficios (N), macrófagos (M) y plaquetas (P) 4400 × c. Microfotografía electrónica de barrido del sinusoide esplenico en la qual se muestra la arquifectura de la pared sinusoida vista desde la Lz del vaso. Las células endote iales con forma de bastón discurren paralelas y se conectan entre si a intervaios por evaginaciones ateriales. En el ángulo infarior derecho se muestra la tumefacción nuclear. También son visibles a gunos de los extremos aguzados de las células endote iales baston formes. El macrófago, e neutróf lo y el linfoc to están fuera de la nuscide. 5300 × (reimpreso con autorización de Fujita T, Tanaka K, Tokunga J. SEM Atlas of Cells and Tissues. Tokyo. Igaku-Shoin, 1981)

yacentes, por lo que se producen espacios intercelulares prominentes. Estos espacios permiten que los eritrocitos entren y salgan de los senos con facilidad. Las imágenes del MET demuestran claramente que los eritrocitos humanos regresan a la circulación desde los cordones esplénicos al pasar en medio de los espacios intracelulares entre las células endoteliales sinusoidales (fig 14-31). Las células endoteliales contienen filamentos de actina (fibras de esfuerzo) en una disposición longitudinal justo por debajo de la membrana plasmática. Las fibras de esfuerzo son más evidentes en los bordes de las células adyacentes. La presencia de actina, filamentos similares a la miosina y actina α en las fibras de estrés es indicativa de las propiedades contráctiles y el posible papel de estas estructuras en la regulación del tamaño de los espacios intercelulares, lo que a su vez controla el paso de los eritrocitos desde los cordones esplénicos hacia los senos.

Los senos carecen de una lámina basal continua. Las fibras de lámina basal que contienen colágeno tipo IV y laminina rodean el seno como si fueran los anillos metálicos que sostienen unidas las duelas de un barril. Estas fibras están en ángulo recto en relación con los ejes de las células endoteliales. Este material se tiñe con impregnaciones argénticas o con la reacción de PAS (lám. 40, p. 520). En la pared de los senos esplénicos no hay células de músculo liso ni pericitos. Las evaginaciones de las células reticulares pueden extenderse hacia la superficie basal de las células endoteliales, y es probable que estén asociadas con las fibras reticulares, que parecen mezclarse con los anillos perisinusoidales de la lámina basal. La sangre llena los senos y los cordones de la pulpa roja y, a menudo, oculta las estruc-

turas subyacentes y dificulta que pueda distinguirse entre cordones y senos en los cortes histológicos.

Circulación sanguínea en el bazo

La circulación dentro de la pulpa roja permite que los macrófagos detecten antigenos en la sangre.

Las ramas de la arteria esplénica se introducen en la pulpa blanca desde las trabéculas. La arteria contrat de algunos animales no humanos emite ramas hacia la pulpa blanca y hacia los senos de su periferia denominados senos marginales (véase fig. 14-29). En contraste con otros animales (ratones y ratas), los humanos no cuentan con senos marginales. La arteria central continúa hacia la pulpa roja, donde se ramifica en varias arteriolas bastante rectas llamadas arteriolas peniciladas. Estas arteriolas terminan por convertirse en capilares arteriales. Algunos capilares arteriales están rodeados por cúmulos de macrofagos y, por lo tanto, se denominan capilares envainados. Los capilares envainados, entonces, terminan directamente en la malla reticular de los cordones esplénicos en lugar de conectarse con los senos esplénicos revestidos de endotelio. La sangre que entra en la pulpa roja de esta manera se filtra a través de los cordones y queda expuesta a sus macrófagos antes de retornar a la circulación atravesando las paredes de los senos esplénicos. Además, algunas evaginaciones de los macrófagos se extienden entre las células endoteliales hacia la luz de los senos para detectar antígenos extraños en la sangre circulante (fig. 14-32; véase también fig. 14-31).

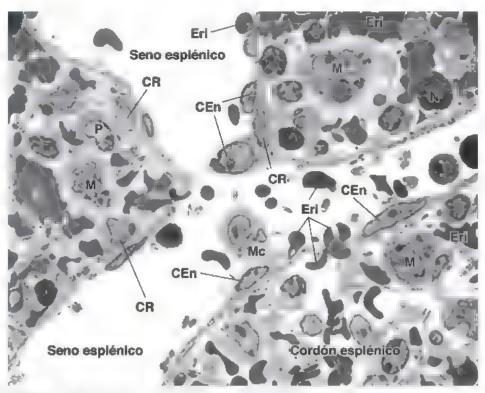


FIGURA 14-31. Microfotografía de la pulpa roja del bazo. En esta microfotografía de bajo aumento se muestra un corte de la pulpa roja del bazo. La unión de los dos senos espéricos es evidente en el centro. Los senos están rodeados por celulas estroma es de la pulpa roja. Los nucleos alargados pertenecer la las celulas endotellales (CEn) con forma de bastón que revisten los senos. Obsérvese la gran carbidad de perfises de entroctos (En) en la pulpa roja y los senos espécios algunos de estos se encuentran en el proceso de pasar a través de los especios intercella area entre las células endoteixa es. Las células endoteixa es Las células endoteixa es. Las células endoteixa es Las células endoteixa es. Las células endoteixa es Las células endoteixa es Las células endoteixa es Las células endoteixa es la pared del seno. Pilasma, Mc, monocito, N. neutrófilo. 2800 × (copyright © 2010. Regents of the University of Michigan. Reimpreso con autorización)

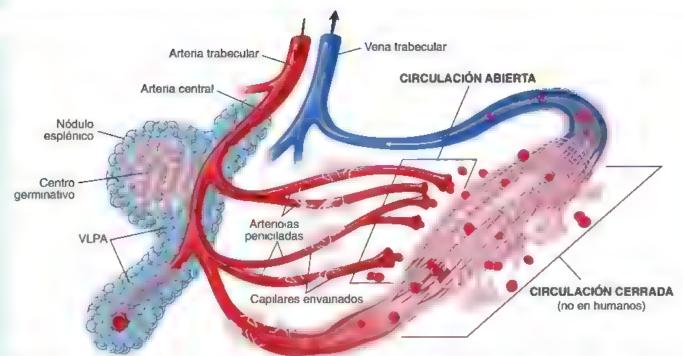


FIGURA 14-32 Diagrama de las circulaciones esplénicas abierta y cerrada. En la circulación abierta que ocurre en los humanos las arteriolas peniciladas desembocan directamente en la mal a reticular de los cordones en lugar de conectarse con los senos esplénicos revestidos de endoteiro. Entonces la sangre que entra en la pulpa roja se filtra a través de los cordones y queda expuesta a los macrofagos que se alojan afli. En la circulación cerrada, que es tipica de otras especies, las arteriolas peniciladas desembocan directamente en los senos espiénicos de la pulpa roja. VLPA, vaina linitática penarterial

Este tipo de circulación se denomina eireulación abierta, y es la única vía por la cual la sangre retorna a la circulación venosa en los seres humanos. Es importante saber que la información derivada de las investigaciones y los modelos en tercera dimensión apoya la idea de que la circulación esplénica es un sistema completamente abierto en los humanos. En otras especies, como ratas y perros, parte de la sangre de los capilares envainados pasa directamente a los senos esplénicos de la pulpa roja. Este tipo de circulación se conoce como circulación cerrada.

La circulación abierta expone la sangre de forma más eficiente a los macrófagos de la pulpa roja. Las microfotografías electrónicas de transmisión y de barndo suelen mostrar entrocitos en tránsito a través del endotelio sinusoidal, que se postula que están reingresando en el sistema vascular desde los cordones de la pulpa roja (véase fig. 14-31). La sangre recolectada en los senos drena en las tributarias de las venas trabeculares, que después convergen en venas más grandes y, finalmente, salen del bazo a través de la vena esplénica. La vena esplénica, a su vez, se une a las venas que drenan el intestino para formar la vena porta hepática.

El bazo inicia la respuesta immunitaria adaptativa y realiza la hematopoyesis.

Debido a que el bazo filtra la sangre, como los ganglios linfáticos filtran la linfa, funciona en los sistemas tanto inmunitario como hematopoyético.

Las funciones del bazo en el sistema inmunitario incluyen las siguientes:

 Presentación de antígenos por las APC (sobre todo células den dríticas y macrófagos) e inicio de la respuesta inmunitaria ante antígenos transportados en la sangre.

- Activación y proliferación de linfocitos B y T.
- Producción de anticuerpos contra antígenos presentes en la sangre circulante.
- Eliminación de los antígenos macromoleculares de la sangre.

La activación y la proliferación de los linfocitos T y la diferenciación de los linfocitos B y las células plasmáticas, así como la secreción de anticuerpos, se producen en la pulpa blanca del bazo; en este sentido, la pulpa blanca es el equivalente de otros órganos linfaticos.

Las funciones hematopoyéticas del bazo incluyen las siguientes:

- Captación y destrucción de eritrocitos y plaquetas envejecidos, dañados y anómalos.
- Recuperación del hierro de la hemoglobina de los entrocitos.
- Formación de eritrocitos durante la vida fetal inicial
- Almacenamiento de sangre, en especial de eritrocitos, en algunas especies.

El papel de la pulpa roja es principalmente la fittración de la sangro (la eliminación del material particulado, los antígenos macromoleculares y los eritrocitos y plaquetas envejecidos, anómalos o dañados de la circulación sanguínea). Estas funciones son realizadas por los macrófagos incluidos en la red reticular de la pulpa roja, en especial por aquellos que se localizan directamente bajo el endotelio de los senos esplénicos. La circulación abierta en el bazo asegura que todos los materiales circulantes en la sangre tengan acceso directo a los macrófagos de la pulpa roja. Los eritrocitos envejecidos, dañados o anómalos son degradados por los lisosomas de los macrófagos; el hietro de la hemoglobina se recupera y se almacena en forma de ferritina o hemosiderina para su reciclaje futuro. El grupo hemo de la molécula se degrada a bilirrubina, la cual es transportada hacia el



Comparación de los órganos linfáticos principales

Características	Nódulos linfáticos (BALT, GALT, MALT)	Ganglios linfáticos	Tima	Bazo
	TO	9		
Funciones principales	Vigilancia inmunitana de las membranas mucosas	Filtran la linfa, generan respuestas inmunitarias a los antígenos en la linfa	Desarrolla Infocitos T inmunocompe- tentes	Filtra la sangre Elimina entrocitos viejos Genera respuestas inmuni- tarias a los antígenos circu- lantes
Cápsula de tejido conjuntivo	No	Si	S	SI, contiene miofibrobiastos
Corteza	No	Si	S	No
Mėdula	No	Sı	St	No
Nódulos linfáticos	S	SI; solo en la corteza superficial	No	Sí, solo en la pulpa blanca
Vasos lintáticos aferentes	No	Sí, atraviesan la cáp- sula	No	No
Vasos linfáticos eferentes	SI	Sí, abandonan el nódulo por el hílio	Sí (pocos), se ongi- nan en el tabique y la cápsula del tejido conjuntivo	Sí; escasos, se originan en la pulpa blanca cerca de las trabéculas
Vénules de endotelio alto	SI, en nódulos linfáticos bien establecidos tamigdalas, apéndice, placas de Peyer)	Sí, asociadas con la corteza profunda	No	No
Características distintivas	Tejido linfático difuso con nódulos linfáticos distribuidos de forma afeatoria subyacentes a la superficie epitelial	Presencia de senos linfàticos (subcep- sular, trabecular y medular) Malla reticular	Lóbulos tímicos Malía de células epiteliorreticu- lares Corpusculos de Hassail solo en la medu a	Pulpa blanca, con nódulos esplénicos a lo largo de la VLPA que contienen la arteria central Pulpa roja que contiene senos esplénicos, arterias peniciladas, capilares envainados y cordones esplénicos

BA, 7 tejido linfático asociado con bronquios. GAL7 tejido infático asociado con e intestino. MAL7 tejido linfático asociado con la mucosa. ₹LPA, vaina linfática periartenal

hígado a través del sistema porta y ahí se conjuga con ácido glucurónico. La bilirrubina conjugada es secretada hacia la bilis, lo que le confiere su color característico.

Los macrófagos de la pulpa roja reconocen los entrocitos envejecidos o anómalos mediante varios mecanismos diferentes.

- Los mecanismos inespecíficos incluyen cambios morfológicos y bioquímicos que ocurren en los eritrocatos envejecidos; estos se tornan más rígidos y, por lo tanto, son atrapados con mayor facilidad en la red de la pulpa roja.
- Los mecanismos específicos comprenden la opsonización de la membrana celular con anticuerpos IgG antibanda 3, lo cual desencadena la fagocitosis eritrocítica dependiente del receptor F_c. Además, los cambios específicos en la glucosilación de las glucoforinas (véase p. 293) en los eritrocitos que envejecen actúan

como una señal de reconocimiento que desencadena la eliminación de eritrocitos envejecidos por los macrófagos.

A pesar de estas importantes funciones, el bazo no resulta indispensable para la vida humana. Puede extirparse quirúrgicamente (esplenectomía), lo cual se realiza con frecuencia despues de un traumatismo que causa rotura esplenica con hemorragia incontenible. La captación y destrucción de los eritrocitos envejecidos se producen en la médula ósea y en el hígado. Los estudios en pacientes esplenectomizados demuestran el papel esencial del bazo en la protección en contra de los patogenos transportados en la sangre, pues estas personas son incapaces de comenzar una respuesta inmunitaria ante diversos tipos de bacterias. Los pacientes sin bazo pueden estar en riesgo de padecer infecciones graves



SISTEMA INMUNITARIO Y TEJIDOS Y ÓRGANOS LINFÁTICOS

FUNDAMENTOS DEL SISTEMA LINFÁTICO

- El sistema inmunitario es el sistema de defensa del cuerpo que genera respuestas inmunitarias en contra de las células propias transformadas y los invasores externos. El sistema linfático es prácticamente indistinguible del sistema inmunitano; consiste en grupos de células, tejidos y órganos que participan en las respuestas inmunitarias
- Los linfocitos son las células esenciales para el sistema inmunitario, además de ser las células efectoras en las respuestas introdutarias.
- Los tejidos y órganos del sistema linfático incluyen el tejido linfático difuso, los nódulos linfáticos, los ganglios linfáticos, el bazo, la médula ósea y el timo.
- Las respuestas immunitarias pueden dividirse en inmunidad inespecífica o innata (representa la primera línea de defensa frente a la agresión microbiana) y la intriunidad específica o adaptativa (se adquiere de forma gradual y se micia mediante el contacto con el antígeno y la presentación de este a diversos tipos de linfocitos).
- Dos tipos de respuestas distinguen a la immunidad especifica: respuesta humoral (producción de anticuerpos contra antígenos extraños invasores) y respuesta celular (elimina células transformadas e infectadas por virus por medio de limfocitos citoróxicos específicos).

CÉLULAS DEL SISTEMA INMUNITARIO

- Existen tres tipos principales de linfocitos en el cuerpo: linfocitos T, linfocitos B y linfocitos NK.
- Los linfocitos T se diferencian y se tornan immunocompetentes en el timo, y se caracterizan por la presencia de receptores de linfocitos T (TCR). Constituyen entre el 60 y 80% de los linfocitos circulantes y se subclasifican según la presencia de diferentes proteínas marcadoras de superficie, llamadas así por el sistema numerador de moleculas, el grupo de diferenciación (CD)
- Los linfocitos B se diferencian en los órganos equivalentes de la bolsa y se caracterizan por la presencia de receptores de linfocitos B (IgM e IgD unidas a membranas celulares). Participan en la immunidad humoral y se diferencian en células plasmáticas productoras de anticuerpos.
- Los linfocitos citolíticos naturales (NK, natural killer) están especializados para destruir ciertos tipos de células diana mediante la liberación de performas y granximas.
- Los linfoctos experimentan diferenciación dependiente de antígenos en los órganos linfáticos primarios (timo y médula ósoa). Los linfoctos experimentan activación dependiente de antígenos en los órganos linfáticos secundarios.

TIPOS DE RESPUESTA INMUNITRIA

- La respuesta inmunitaria primaria hace referencia al primer encuentro del cuerpo con el antigeno; tiene un período de latencia de vanos días y secreta principalmente anticuerpos IgM
- La respuesta immunitaria secundaria es más rápida e intensa que la respuesta primaria, y secreta anticuerpos IgG
- La inmunidad humoral (mediada por anticuerpos) es mediada por anticuerpos producidos por los linfocitos B y por las células plasmáticas.
- La inmunidad celular (mediada por células) es meduda por linfocitos T citotóxicos específicos.
- En la citotoxicidad mediada por células dependiente de anticuerpos (CMCDA), las moléculas de IgG durgen los linfocatos NK hacia sus dianas.

ACTIVACIÓN DE LOS LINFOCITOS T Y B

- Para iniciar la respuesta inmunitaria, los linfocitos T cooperadores y citotoxicos deben reconocer y unirse a un antígeno (polipéptido) que se exhibe en las moléculas del complejo mayor de histocompatibilidad (MHC)
- En las células se encuentran dos clases de moléculas del MHC.
 el MHC I se expresa en la superficie de todas las células nucleadas y las plaquetas; el MHC II nene una distribución limitada y se expresa solo en la superficie de las células presentadoras de antigenos (APC)
- Loa linfocitos CD8* citotóxicos están restringidos al MHC I y los linfocitos T CD4* cooperadores están restringidos al MHC II.
- Para que se activen los linfoctos T, es necesario que el TCR y las moléculas CD4 o CD8 interactúen con el antigeno exhibido en la molécula MHC (primera señal), y se requiere la interacción entre las diferentes moléculas CD (señal coestímuladora)
- Los linfocitos T cooperadores activados liberan citocinas (interleucinas) que estimulan a otros linfocitos T, B y NK para su diferenciación y proliferación. Los linfocitos T citotóxicos activados también liberan citocinas que estimulan a las células para su proliferación y la destrucción de las células propias anómalas.
- La activación de los linfocitos B requiere la interacción con los hisfocitos T cooperadores para producir citocinas específicas y para que se diferencien en células plasmáticas y linfocitos B de memoria.
- Los linfocitos T reguladores (supresores) inhiben las respuestas inmunitarias de otros linfocitos activados, con lo que previenen las enfermedades autoinmunitarias.

TEJIDOS Y ÓRGANOS LINFÁTICOS

- El tajido linfático difuso en el intestino (GALT), las vias respirarorias (BALT) y el apararo genitourinario (MALT) protege al organismo frente a los agentes patógenos.
- El rejido lintárico difuso es un sitto para la respuesta inmunitaria inicial, que se caracteriza por la proliferación clonal de los linfocitos B y el posterior desarrollo de los nódulos linfáticos (o folículos)
- El centro germinativo esta abacado en el centro dei nodulo lintauco, contiene linfocitos B activados, plasmoblastos, celulas
 dendriticas foliculares (CDF) presentadoras de antigenos y un upo de linfocitos T cooperadores.
- Los nodulos linfaticos se encuentran en e. CALT (amigualas, placas de Peyer, nódulos linfaticos solitarios y apendice vermiforme) en el BALT (árbol bronquial) y en el MALT (en la mucosa del aparato genitourinario).
- Los vasos linfáticos comienzan como redes de capitares ciegos en el tejido conjuntivo laxo que recogen la linfa, la cual esta compuesta
 por liquido extracelular, moleculas grandes (antigenos) y celulas (sobre todo linfocitos). Muchos vasos hinfaticos se originan en el tejido
 linfatico difuso.

GANGLIOS LINFÁTICOS

- A medida que la linfa circula a traves de los vasos linfáticos, atraviesa los ganglios linfáticos, que son organos pequenos y encapsulados dentro de los cuales las CDF capturan antígenos y los exponen a los linfocitos para su activación.
- Los vasos linfáticos aferentes atraviesan la capsula y penetran la corteza del ganglio linfático. Despues, la linfa es filtrada dentro de una red de senos lintáticos interconectados (subcapsular, trabecular y medicar) y abandona el ganglio lintático a traves de un vaso linfático eferente
- La malla reticular del ganglio linfanco contiene celulas reticulares, celulas dendriticas, celulas dendriticas fonculares y macrofagos. Estas
 celulas interactuan con los linfocitos I y B que se encuentran dispersos en la corteza superficial, la corteza profunda y la médula del
 ganglio linfático.
- Los infociros de los vasos sanguineos ingresan en el ganglio linfanco a traves de las vénulas de endotello alto (VEA) localizadas en la conteza profunda, la cual connecie la mayoría de los linfocitos T
- La mayona de los linfocitos B estan ubicados en los nódulos linfaticos dentro de la corteza superficial.

TIMO

- El timo es un órgano linfoepirea al ubicado en el mediastino superior que connene finfocitos T en desarrollo, dentro de una malla extensa
 de celulas epiteliorreticulares interconeciadas. El timo esta completamente formado a, momento del nacimiento y se mantiene hasta
 la puberrad.
- Las células epiteliorreticulares forman compartimentos (corteza y médula), secretan citocinas, todean los vasos sanguíneos en la barrera hematorimica y, similar a las APC, participan en la intercomunicación con los linfocitos T en desarrollo
- El rasgo microscópico mas característico de la médula timica es la presencia de corpúsculos timicos (de Hassall) formados por células epiteliorieticulares tipo VI
- Dumite la educación timica (caracterizada por la sintesis de TCR y la expresión y desapanción de moleculas (D superficiales especificas),
 los lintócitos I experimentan una diferenciación y un proceso de selección de dos etapas (selección positiva y negativa) que conduce al desarrollo de la tolerancia inmunitaria mediante la climinación de todos los linfocitos I dirigidos contra los propios tejidos del cuerpo.

BAZO

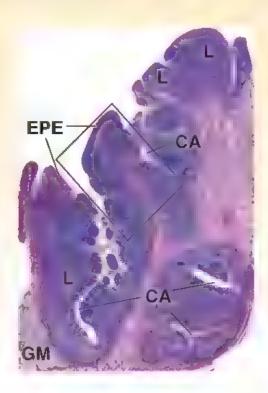
- El bazo es el organo linfatico mas grande y se ubica en la cavidad abdominal. El bazo filtra la sangre e induce respuestas inmunitarias a los
 antigenos que circulari en esta. Elimina los entrocitos envejecidos y detectuosos y recicla el hierro de la hemoglobina degradada.
- El bazo tiene dos regiones desde e, punto de vista funcional y mortologico: la pulpa blanca y la pulpa roja.
- La pulpa blanca esta compuesta por tendo lintanco asociado con ramas de la arteria centra. Los lintocitos I que se agiomeran alrededor de la arteria central constituyen la vaina linfática periarterial (VLPA)
- La pulpa roja consiste en senos esplenicos separados por cordones esplénicos, que contienen grandes cantidades de entrocatos, macrófagos y otras células sumunitarias.
- Los senos esplénicos están revestidos por celulas endoreliales con forma de bastón y bandas de lamina basa, incompleta, que rodean
 la parte externa.
- La sangre que ingresa en el bazo fluve en una circulación abierta, donde los capitares se abren directamente hacia los cordones esplenicos (fuera del sistema circulationo), o en una circulación cerrada, en la cua, la sangre cucula sur abandonar la red vascular. En los humanos, la circulación abierta es la única vía por la cual la sangre regresa a la circulación venosa.

LÁMINA 36 AMÍGDALAS PALATINAS

Las amigdalas palatinas son estructuras pares compuestas por masas de tejido linfático ubicadas en ambos lados. de la faringe. Junto con las amigdatas faringeas (adenoides). y las amigdalas linguales, forman un anillo en la entrada de la bucofaringe (anillo de Waldeyer). Desde el punto de vista estructural, las amigdalas contienen abundantes nódulos linfáticos situados en la mucosa. El epitelio plano estratificado que cubre la superficie de la amigdala palatina (y faringea) se sumerge en el tejido conjuntivo subyacente para formar varias criptas, las **criptas amigdalinas**. Las paredes de estas criptas contienen nódulos linfáticos. El revestimiento epitelial de las criptas generalmente se encuentra infiltrado por linfocitos y con frecuencia a un grado tal que el epitelio es difícil de identificar. Mientras que los nódulos ocupan sobre todo el tejido conjuntivo, la infiltración del epitello por los linfocitos tiende a enmascarar el límite de los tejidos conjuntivo y epitelial. Las amigdalas protegen el orificio de la faringe, la entrada común a los sistemas respiratorio y digestivo. Las amigdalas palatinas y faringeas pueden inflamarse debido a infecciones repetidas en la bucofaringe y la nasofaringe; asimismo, pueden albergar bacterias que causan infecciones recurrentes cuando son abrumados por ellas. Cuando esto ocurre, las amigdalas inflamadas se extirpan mediante cirugia (amigdalectomía y adenoidectomía). Las amigdalas, como otros conjuntos de nódulos linfáticos, no poseen vasos linfáticos aferentes. Sin embargo, la linfa se drena desde el tejido linfático amigdalino a través de los vasos linfáticos eferentes.

Microfotografía de orientación. En esta microfotografía con poco aumento se muestra un corte a través de una amígdala palatina. Las regiones tenidas con hematoxilina corresponden a tejido linfático (L). La amigdala está recubierta por epitelio plano estratificado (EPE), que se sumerge en el tejido

conjuntivo subvacente para formar las criptas amigdalinas (CA). En la base de una de las criptas se observan varias glándulas secretoras de moco (GM).





Amigdala, humano, H&E, 47 -

En esta microfotografía se muestra el área en el rectángulo de la rucrofotografía de orientación. Con este aumento mayor, se identifica fácilmente una parte del epitelio superficial (ES) de la amigidala. En otros sitros, los linfocitos (Lin) han infiltrado el epitelio

en un grado tal que se dificulta su identificación. El cuerpo de cada nódulo (N) está situado en la mucosa y, debido a su gran proximidad, tienden a confluir. Varios de los nódulos se han cortado en un plano que incluye su centro germinativo (CG). Nótese la tinción eosinófila de estas regiones. Debajo de los nódulos se encuentra la submucosa (S) compuesta por tejido conjuntivo denso que se continúa con el tejido conjuntivo denso situado más alla del tejido anugdalino.



Amigdala, humano, H&E, 365×.

Con el mayor aumento en esta microfotografía, se observa fácilmente el caracter invasor de los linfocitos en el epitelio superficial Obsérvese el limite nítido entre el epitelio y la lámina propia subyacente en el sector inferior izquiento de la microfotografía. Pueden

identificane las células basales (CB) del epitelio plano estratificado. La lámina propia subyacente está ocupada por abundantes linfocitos; solo unos pocos han angresado en el compartimento epitelial. Obsérvese también la banda delgada

de fibras de colageno (FC) situada en el limite entre el epitelio y la lámina propia. En cambio, en el sector inferior derecho de la microfotografía se ven muchos linfocitos que han invadido el epitelio. Más interesante es la presencia de lo que parecen ser islotes de células epiteliales (CEp) atsladas dentro de la periferia. La fina banda de colageno (C) situada en la interfase del epitelio está tan interrumpida en esta región que parece compuesta de pequeños fragmentos. En efecto, la pequeña porción de nódulo que se ve en el sector derecho de la microfotografía literalmente ha proliferado dentro del epitelio, con la consiguiente desaparición del limite bien definido entre el tejido epitelial y el tejido conjuntivo.

C, colágeno

CA, enotas amigdalinas

CB, célu as basales

CEp, islotes de células epiteliales

CG, centros germinativos

EPE, epitelio plano estratificado

ES, epitelio superficial

FC, f bras de colágeno

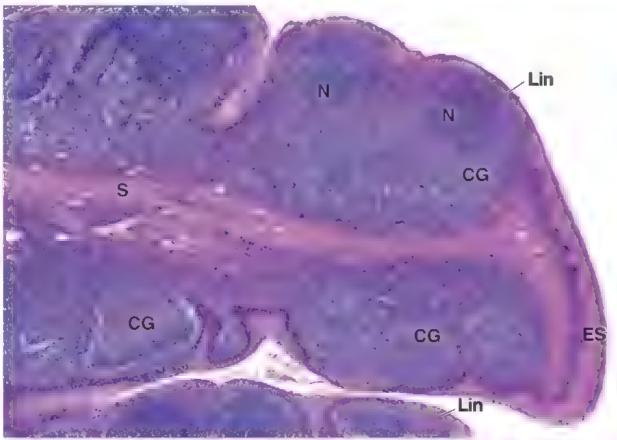
GM, glándulas secretoras de moco

L, tejido linfático

Lin, finfocitos

N, nódulo

S, submucosa



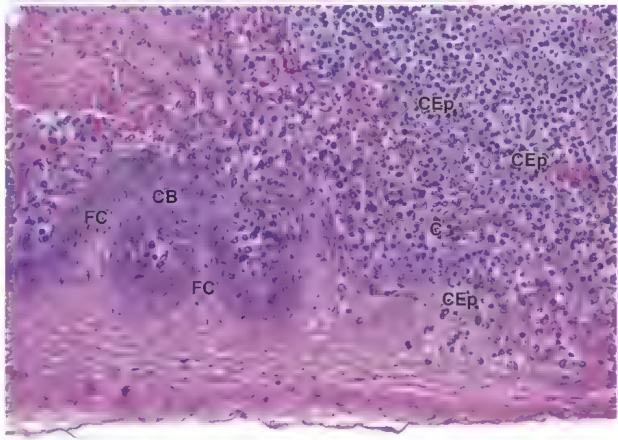
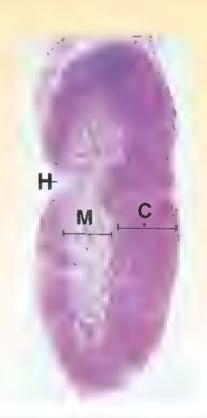


LÁMINA 37 GANGLIO LINFÁTICO I

Los ganglios linfáticos son pequeños órganos linfáticos encapsulados que se ubican en el trayecto de los vasos linfáticos. Funcionan como filtros de linfa y como el sitio principal en el cual los linfocitos T y B pasan por la proliferación dependiente de antigenos y la diferenciación en linfocitos efectores (cálulas plasmáticas y linfocitos T) y linfocitos T y B de memoria. En esta página se muestra una microfotografía con poco aumento (14×) de un corte a través de un ganglio linfático humano con finas de orientación. La cápsula aparece como una fina cubierta de tejido.

El parénquema ganglionar está formado por una masa de tejido linfático organizada en una corteza (C) que rodea una región menos densa, la médula (M). La corteza se interrumpe en el hilio (H) del órgano, donde hay una cavidad reconocible. Es aquí donde los vasos sanguíneos arteriales entran en el órgano y los vasos venosos lo abandonan; los vasos linfáticos eferentes también abandonan el ganglio por el hilio.

Los vasos linfáticos aferentes penetran la cápsula en múltiples sitios para vaciar la linfa en un espacio revestido de endotelio, el seno cortical o subcapsular. Este seno drena en los senos trabeculares que se extienden a través de la corteza a lo largo de los cordones y después desembocan en los senos medulares. Estos, a su vez, desembocan en los vasos linfáticos eferentes que abandonan el ganglio a la altura del hílio.



-0

Corteza de ganglio linfático, humano, H&E, 120×

Aqui se muestra con mayor aumento una parte de la **corteza**La **cápsula** (Caps) está compuesta por tejido conjuntivo denso
desde el cual parten **trabéculas** (T) hacia el interior del órgano.

fusto debajo de la cipsula está el **seño subcapsular** (SC) o marginal, que recibe la lunfa de los vasos linfáticos aferentes después de que penetran la cápsula. El seño subcapsular se continúa con los seños trabeculares (ST) que discurren a lo largo de los cordones

La corteza contiene los nódulos linfáticos (NL) y un componente más profundo que carece de nódulos, conocido como carteza profunda. Mientras que los nódulos linfáticos y sus centros germinativos de tinción más palida caracterizan a la corteza externa o superficial, una masa más densa de linfócitos, la cual proporciona una basofilia distintiva, caracteriza a la corteza profunda. A diferencia de estas regiones, la médula se caracteriza por presentar cordones estrechos anastomosados de tejido linfático que contienen abundantes linfocitos, los cordones medulares (CM), separados por espacios claros conocidos como senos medulares (SM). Los senos medulares reciben linfa de los senos trabeculares y la linfa que se ha filtrado a través del tejido cortical.



Nódulo linfático, ganglio linfático, humano, H&E, 400×; recuadro, 640×.

En esta microfotografia con mayor aumento de un nodalo infarico de la foto de arriba, se ilustra el **centro germinativo** (CG) que comene linfocisos medianos y grandes (la mayoría son linfoci-

usa B activados). Los centros germinativos rambién contienen células plasmáticas. Los linfocitos en proceso de mitosis se muestran con un aumento un poco mayor en el detalle (flechas), que corresponde a la región encerrada dentro del detalle en esta figura. El detalle también permite ver los núcleos de las **células retícu-**

laros (CR) que forman el estroma de rejido conjuntivo de todo el órgano. La célula reticular ovoide tiene un micleo grande pálido y su citoplasma emite evaginaciones largas que rodean a las fibras reticulares. En los preparados teñidos con H&E, las fibras reticulares y el citoplasma que las rodea son difíciles de identificaz. Las células reticulares se observan mejor en los senos, donde se extienden a través del espacio linfánico y nelativamente no quedan ocultas por otras células.

Un ripo de vaso muy particular, las **vénulas de endotelio alto** (VEA), esta relacionado con los nódulos linfáticos, en particular en la correza profunda. Estos vasos tienen un endotelio formado por células altas entre las cuales migran los linfocitos desde la luz vascular hacia el parénquima del órgano.

C, corteza Capa, capsula CG, centro germinativo

CM, cordon medular CR, célula reticular H, hilio

M, médula NL, nédulo linfático

SC, seno cortical o subcapsular

SM, seno medular

ST, seno trabecular T, trabécula

VEA, vénulas de endotelio alto flechas, linfocitos en división

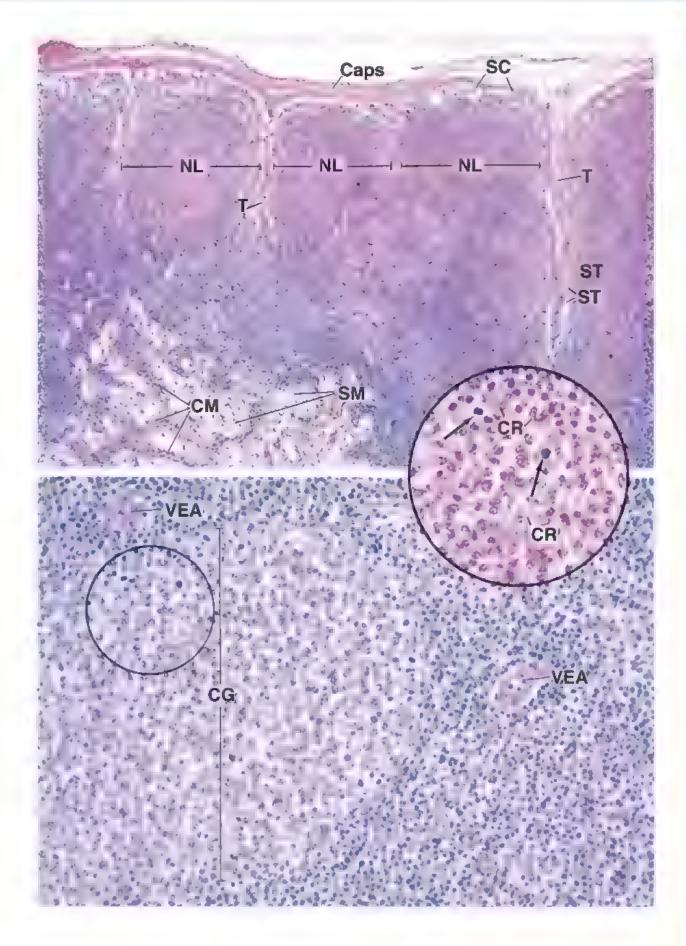


LÁMINA 38 GANGLIO LINFÁTICO II

Los Infocrtos B inmunocompetentes que han sido expuestos a un antígeno que pueden reconocar y fijar migran hacia un ganglio linfático, donde experimentan activación y comienzan una serie de divisiones mitóticas que producen una gran cantidad de linfocrtos inmaduros. Estos linfocrtos continuan su profiferación en la corteza superficial para generar clones de linfocrtos que se diferencian en célules plasmáticas secretoras de anticuerpos y linfocrtos de memoria. La proliferación de linfocitos 8 y su diferenciación ocurra en los centros germina-

tivos en la corteza superficial del ganglio linfático. La activación y la diferenciación de linfocitos T ocurre en la corteza profunda. Las cálulas plasmáticas recién diferenciadas migran hacia la médula, desde donde liberan anticuerpos hacia la linfa que abandona el ganglio. También pueden salir del ganglio, entrar en el sistema vascular sanguineo a la altura de la desembocadura del conducto torácico y trasladarse hacia sitios ubicados en el tejido conjuntivo, donde pueden continuar la producción de anticuerpos.



Corteza profunda, ganglio linfático, humano, H&E, 365×.

En esta nucrofotografía se muestra la corteza profunda del ganglio linfático. Como se comentó en la lámina previa, esta parte de la corteza se ubica debajo de la región que contrene los nódulos

linfáticos y consuste en linfocitos dispuestos muy juntos. En esta región se puede ver una gran cantidad de vasos sanguineos. Si bien hay vasos sanguineos de pequeño calibre típicos, como capilares (Cap) y vénulas, también se hallan aqui las vénulas poscapilares menos frecuentes que reciben el nombre de vénulas de endotelio aito (VEA). Un vaso de pequeño calibre, que puede identificarie como una vénula (Ven) por el tamaño de su luz y el espesor de su pared, se

observa en un punto de transición para convertirse en una vénula de endotelio alto (puntat de flecha). Los nucleos de la célula endotelial en este punto de umón han adquirido una forma cúbica. La vénula de endotelio alto se identifica por su endotelio, que está compuesto por células cúbicas. En el recuadro se intentira un corte intenersad de una vénula poscapilar visto con un mayor atimento (700×). Los núcleos de las células endoteliales son redondos y se tiúen pálidamente, a diferencia de los núcleos de los linfocitos circundantes, que son de forma y tamaño semejantes, pero su tinción es más intensa. En este vaso también se observan tres linfocitos (flechas) que están en el proceso de migrar a través de la pared vasculaz. A la altura del singulo inferior derecho de esta figura hay una concentración de linfocitos bastante menor. Esta región, una parte de la médula, contiene espacios que corresponden a senos medulares (SM)



Región del hilio, ganglio linfatico, humano, H&E, 250×.

La región que aparece aquí, cerca de la región del hilio ganglionar, contiene parte de un **nódulo linfático** (NI), el **seno cortical** (SC) justo debajo de la cápsula (Caps) y algunos senos me-

dulares (SM). Tanto el seno subcapsular como el medular están atravesados por

células reticulares (CR). Estas células envuelven los haces de colageno que forman el armazón trabecular de sostén del ganglio. En el recuadro se muestra con un mayor aumento la región encuadrada (530×). Los núcleos de las células reticulares (CR) son más grandes y están menos condensados que los nucleos de los linfocitos, que son redondeados e hipercromaticos. En los preparados teñidos con H&E, estas características permiten distinguir entre la célula reticular y el linfocito.



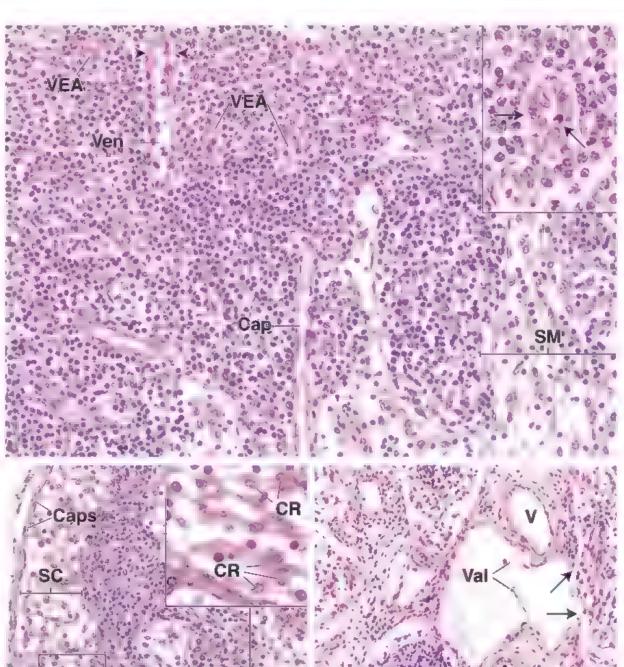
Región del hilio, ganglio línfático, mono, H&E, 530×.

En esta microfotografía se muestra una porte de la región del hilio del ganglio. Dos de los vasos que se observan son **linfáticos** eferentes, ambos contienen una válvula (Val). El vaso linfárico superior exhibe lo que parece ser una pared incompleta. Los orificios en la pared vascular (flechat) son los sitios por los cuales los senos medulares desembocan en el vaso linfárico. También se observa una pequeña arteria (A) y una vena (V)

A, arteria Cap, capilar Caps, cápsula CR, células reticulares

NL, nódulo linfático SC, seno cortical SM, seno medular V, vana Val, vályula VEA, vénulas de endotelio alto Ven, vénula flechas, imagen de arriba, células endoteliales de la VEA, imagen de abajo, deaembocadura de los senos medulares en un vaso finfático

puntas de flecha, células endoteliales de la vénula poscapilar



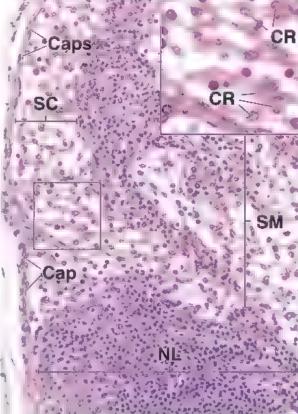




LÁMINA 39 BAZO I

El bazo es el órgano linfatico más grande. Está rodeado por una cápsula y se ubica en el trayecto del torrente sanguineo (erteria y vena esplénicas). El bazo filtra la sangre y reacciona inmunitariamente a los antigenos que circulan en ella. Tiene funciones de filtrado tanto morfológico como inmunitario. El parénquima del bazo, la pulpa esplénica, está compuesto por la pulpa roja y la pulpa blanca, llamadas así debido a su aspecto en el tejido fresco. La pulpa blanca contiene una gran cantidad de linfocitos que forman una vaina linfática periar-

terial (VLPA) alrededor de las ramas de la arteria esplénica que la penetran. La pulpa roja contiene una gran cantidad de eritrocitos, a los que filtra y degrada. Los entrocitos envejecidos, dañados o anómalos son atrapados por los macrófagos que están asociados con los raros senos vasculares de la pulpa roja. Estos macrófagos degradan los eritrocitos, inician la degradación metabólica de la hemoglobina y recuperan y almacenan el hierro del grupo hemo para su reutilización en la eritropoyesis que tiene lugar en la médula ósea



Bazo, humano, H&E, 65×.

En esta microfotografía con poco aumento del bazo se observan sus dos componentes principales, la **pulpa roja** (PR) y la **pulpa bianca** (PB). En el estato de la figura hay una trabécula que contiene un vaso sanguíneo, una vena trabecular (VT) a través de

la cual la sangre abandona el órgano. La pulpa roja constituye la mayor parte del tejido esplénsor. En el organismo vivo, la pulpa roja tiene textuta blanda y es roja a causa de la coloración natural de sus munerosos entrocims, de ahi su nombre

La pulpa blanca, en cambio, se denomina asi porque su contenido de linfocitos le brinda una coloración bianquecina en el organismo. Sin embargo, en los cortes histológicos, los núcleos de los linfocitos demastado juntos deterrunam que la coloración general sea azul. El tejido linfático que constituye la pulpa blanca difiere de los nódulos observados en otras partes porque sigue y envaína un vaso sanguineo, la arteria central. El tejido linfático que rodea la arteria emite expansiones periódicas para formar, de ese modo, los nódulos. Cuando ello ocurre, la **arteria central** (AC) es desplazada hacia la periferia del nódulo.

En las regiones donde el tendo linfático carece de forma nodular, aparece como un manguno delgado alrededor de la arteria central y se designa vana linfática persarterial. Si el plano de corre no incluye la arteria, la vaina puede aparecer solo como una aglomeración de linfocitos focalizada e irregular.



Pulpa roja, bazo, humano, H&E, 160×.

En esta figura se observa, con un aumento mayor, la **pulpa POJA** y una porción de la vena trabecular de la región incluida en el rectángulo más arriba de la imagen superior. La pulpa roja está compuesta por dos elementos; los **Senos venosos** (SV) y los

cordones esplénicos (de Billioth), es decir, el rejido que se ubica entre los senos. En esta muestra, los senos venosos pueden observarse mejor porque los eritrocitos en su luz ban experimentado lisis y aparecen como "fantasmas" sin refierse; solo los nucleos de los leucocitos son fácilmente visibles (esto se ilustra mejor en la lámina 40). Así, las regiones más pálidas, sin tinción, corresponden a la luz sinusoidal

Cerca del extremo superior de la microfotografía hay dos senos venosos (flechos) que desembocan en la vena trabecular (VT), con lo que se demuestra la continuidad entre estos dos tipos de estructuras vasculares. La pared de la vena es delgada, pero la trabécula (T) que contiene el vaso parece ser parte de la pared vascular. En los humanos, así como en otros mamíferos, la cápsula y las mabéculas que se extienden desde la cápsula contienen miofibroblastos. En condiciones de estrés físico creciente, estas células se pueden contraer y causar la rápida expulsión de la sangre desde los senos venosos hacia las venas trabeculares y, de ese modo, hacia la circulación general. Obsérvese la pequeña área de pulpa blanca en la parción superior derecha de esta imagen con la zona marginal (ZM) euquetada, la cual separa la pulpa blanca de la roja. Esta anna no es franca en los humanos.



Pulpa blanca, bazo, humano, H&E, 240×.

Esta microfomgrafía corresponde a una imagen con mayor aumento del **nódulo esplénico** contenido en el rectángulo de la porción derecho de la figura de amba. Se observan un **centro** germinativo (CG) y una arteria central (AC) de paredes

gruesas que se seccionó en sentido transversal. Como ya se mencionó, la ubicación de la arteria central en el nódulo es excéntrica. La zona marginal (ZM) no

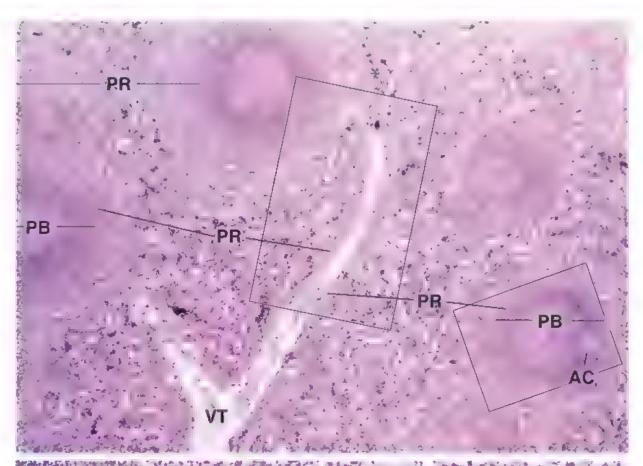
está bien definida en los humanos, pero se asume que es la región que separa la pulpa blanca de la pulpa roja (PR). Los pequeños vasos arienales y capilares, ramas de la arreria central, urigan la pulpa blanca y algunos pasan a la malla reticular de la zona marginal para terminar en un orificio con forma de embudo. Los detalles de la irrigación vascular son, en el mejor de los casos, difíciles de determinar en preparados tipicos teñidos con H&E. Las arteriolas peniciladas, que son las ramas terminales de la arteria central e irrigan la pulpa roja, también son difíciles de observar

AC, arteria central CG, centro germinativo PB, pulpa blanca

PR, pulpa roja

SV, seno venoso T, trabéculas VT, vena trabecular ZM, zona marginal

flechas, senos venosos que vacían hacia la vena trabecular



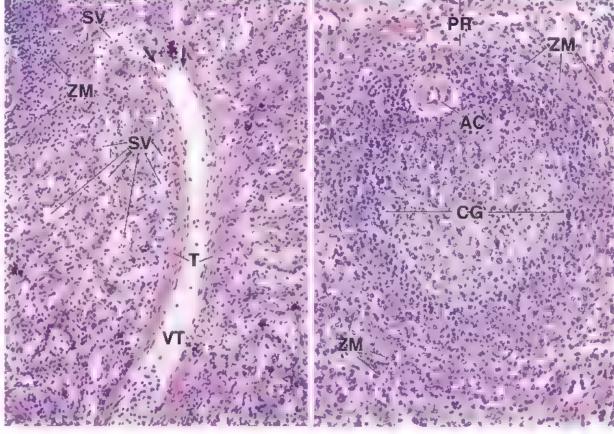


LÁMINA 40 BAZO II



Pulpa roja, bazo, humano, H&E, 360×.

Como ya se se mencionó, la **pulpa roja** consiste en **sanos** venosos (SV) y la región situada entre ellos, los **cordones** esplénicos (CE). En esta muestra, los eritrocitos han experimentado lisis, por lo que solo se observa una silueta clara de las cé-

lulas individuales. En consecuencia, los espacios relativamente claros con núcleos dispersos corresponden a la luz de los senos venosos; los núcleos pertenecen a los leucocitos. Cuando la pared de un seno venoso (PSV) se corta de forma cangencial, como en esta figura, las células endoteliales, que tienen forma de bastón, aparecen como una serie de cuerpos lineales delgados.



Pulpa roja, bazo, humano, H&E, 1200×.

En esta microforografía se muestra con mayor aumento la región incluida en el rectángulo de la microfotografía anterior. Los **SONOS VENOSOS**, en el *centro* de la microfotografía, se han cortado en sentido transversal. Además de los eritrocimos lisados, que apa-

recen como silueras circulares vacias, en la luz hay un gran número de linfoctos (Lin). La pared del sinusoide que se observa aquí está compuesta por células endoreliales con forma de bastón (CEn) que se han seccionado en sentido trans-

versal. Entre las células adyacentes se encuentra un espacio intercelular estrecho pero claramente visible. Estos espacios permiten que los etitrocitos entren y salgan con facilidad de los senos. Además, las evaginaciones de los macrófagos ubicados fuera de los senos en los cordones espléricos se extienden entre las células endoteliales y dentro de la luz de los senos para detectar antigenos extraños en la sangre circulame. Los núcleos de las células endoteliales (NCE) sobresalen en la luz del vaso y parecen estar apoyados sobre la superficie celular apical. Justo por fuera del sinusosde se observa un macrófago (M), que se identifica por los citerpos residuales en su citoplasma.



Bazo, humano, H&E, 160×.

Esta imagen muestra una **voria trabecular** (VI) y la pulpa roja circundante. En el extremo superior de la microfotografía se pueden observar dos senos venosos (fleches) que desembocan en la vena trabecular. Estas pequeñas venas trabeculares convergen en grandes venas, que finalmente se unen para dar origen a la vena esplénica.



Bazo, humano, impregnación argéntica, 128×.

En esta microfotografía se muestra un **nódulo esplénico** (NE) que ocupa la porción superior de la microfotografía y la pulpa roja (PR) subyacente. Los componentes que pueden identi-

ficarse son un centro germinativo (CG), una arteria central (AC) y senos venosos (SV) en la pulpa roja. Los elementos estructurales que se han impregnado con la plara en el nódulo son las fibras reviculares. Cabe destacar su escasez dentro del centro germinativo. El debcado material fibrilar impregnado, que rodea los sinusoides venosos, es una modificación habitual de la membrana basal.



Sínusoides venosos, bazo, humano, impregnación argéntica, 515×.

En esta microfotografía se muestran varios **Seños Veñosos** (SV). En los sitios en los que la pared del vaso se ha corrado de

forma tangencial, la **membrana basal** (MB) aparece como una estructura semejante a una escalera. En los situos en los que el vaso se ha cortado más profundamente a lo largo de su eje longitudinal, la membrana basal aparece en forma de puntos (puntas de flecha). Una reconstrucción tridimensional de la membrana basal permuturía comprobar que consiste en una serie de estructuras anulares,

AC, artena central

CE, cordones esplénicos

CEn, células endoteliales bastoniformes

CG, centros germinativos

Lin, linfocitos

M, macrófago

MB, membrana basal

NCE, nucleos de las células endotefiales

NE, nódulo espiénico

PR, pulpa roja

PSV, pared del seno venoso

SV, senos venosos

VT, vena trabecular

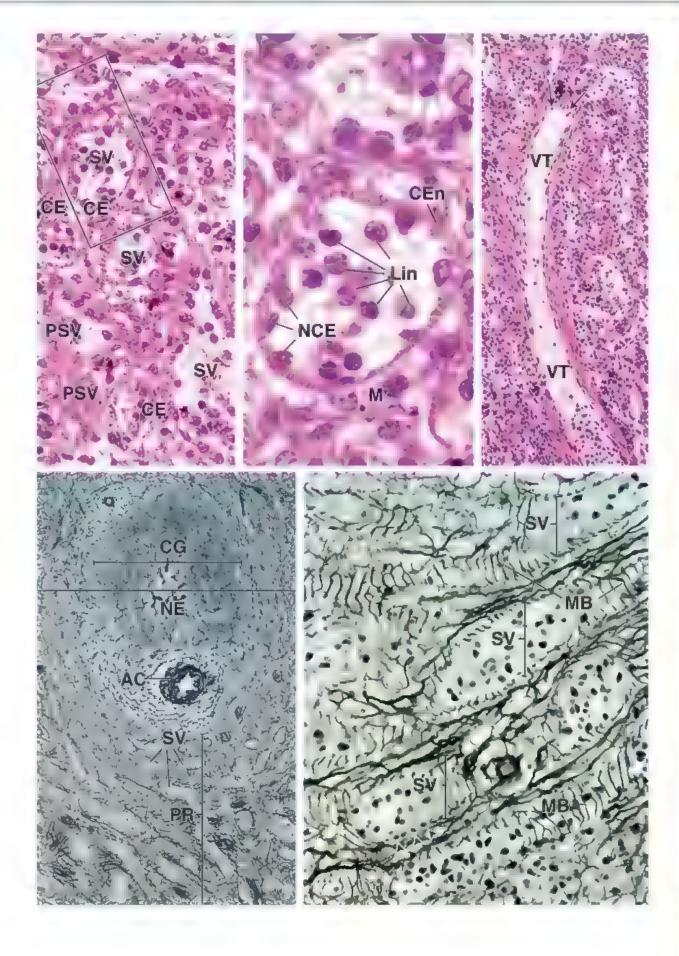


LÁMINA 41 F TIMO

El timo es un órgano linfático que exhibe ciertas caracteristicas estructurales únicas. El estroma reticular de sosten deriva del epitelio endodérmico y produce un retículo calular. No hay fibras reticulares asociadas con estas células; en su lugar, las células epíteliometiculares sirven como estroma. En los intersticios del retículo celular se acumulan linfocitos y estos dos elementos celulares, los linfocitos y las células epiteliometiculares, constituyen la mayor parte del órgano. Los precursores linfociticos que migran hacia el rudimento endodérmico del embrión derivan del saco vitelino y, más tarde, de la médula ósea roja. Estos linfocitos proliferan y se toman inmunocompetentes en el timo al diferenciarse en linfocitos dependientes del timo (linfocitosT). Algunos de estos linfocitos migran hacia otros tejidos para poblar las regiones dependientes del timo de los ganglios linfáticos y del bazo, así como para alojarse en el

tejido conjuntivo laxo. Muchos linfocitos mueren o son destruidos en el timo, pues en el proceso aleatorio mediante el cual adquieren la capacidad de reconocer y reaccionar frente a los antigenos, se programan contra los antigenos "propios". Numerosos macrofagos están presentes para fagocitar esos linfocitos destruidos. Las células epiteliorreticulares envainan el tejido conjuntivo perivascular del timo para formar la barrera hematotímica. Además, no existen vasos linfaticos aferentes hacia el timo. Por lo tanto, no puede reaccionar contra antigenos circulantes. El timo involuciona durante la adolescencia y suele ser dificil de reconocer en el adulto.

Una cápsula (Caps) de tejido conjuntivo rodea cada uno de los dos tóbulos del timo y envía trabéculas (T) hacia el parenquima para delimitar los tobulillos, los cuales no son unidades con separación completa, sino que se interconectan a causa de la indote discontinua de las trabéculas.



Timo, humano, H&E, 40×.

La exploración del timo con poco aumento permite comprobar que los lobulillos (L) consisten en una **corteza** (C) basófila muy teñada y una medula (M) **relativamente eosinófila** más pálida. La correza contiene muchos linfocitos demassado juntos, mientras que la médula contiene menos linfocitos y, por lo tanto, se encuentran más separados. La cápsula de tejido conjuntivo del timo envía trabéculas (T) hacía el panenquima glandular para formar lobulillos. No obstante, las trabéculas no separan por completo los lóbulos, pues son discontinuas.



Timo, humano, H&E, 140×

La diferencia relativa en la población de linfocitos (por unidad de superficie) y, en particular la tincion de sus nucleos con hematoxilma son la causa de la diferencia de aspecto entre la **corteza** (C) y la **módula** (M). Obsérvese que algunas regiones medulares

tienen cierta semejanza con los centros germinativos de otros órganos linfáticos porque la médula aparece como regiones circulares aisladas (ectremo superior lequiendo de la figura de arriba). No obstante, el componente medular es en realidad una masa ramificada continua que está rodeada por el tendo cortical. Por lo tanto, las siluctas medulares "aisladas" en realidad están quudas entre sí, aunque

no en el plano de corte. Una indicación de esta continuidad puede verse en la mitad derecha de la figura de arriba, donde la médula parece extenderse a través de varios lobulillos.

Los principales componentes del timo son los linfocitos (timocitos), con sus característicos nucleos pequeños, redondos e hipercromáticos, y las células de sostén epiteliorreticulares, con sus núcleos grandes y pálidos. Ambos tipos de células pueden distinguirse en la figura de la derecha, que corresponde a una vista con mayor aumento de la médula. Dado que tiene menos linfocitos, la médula es el sitio de elección para examinar las células epiteliorreticulares. El timo también contiene macrófagos, sin embargo, son difíciles de distinguir de las células epiteliorreticulares.



Medula, timo, humano, H&E, 600×.

La médula suele contener cantidades variables de cuerpos circulares, llamados corpusculos de Hassall (CH) o corpusculos tímicos. Además de las células epiteliorreticulares (CER) tipo VI y V que sirven como estroma reticular de la

médula, los corpúsculos de Hassall contienen grandes capas de **cédulas** epiteliorreticulares tipo IV planas (puntas de flecha). Se tiñen bien con la cosma y pueden distinguirse fácilmente con poco aumento, como en la figura superior y la inferior caquienda (flechas). El centro del corpusculo, en particular de uno

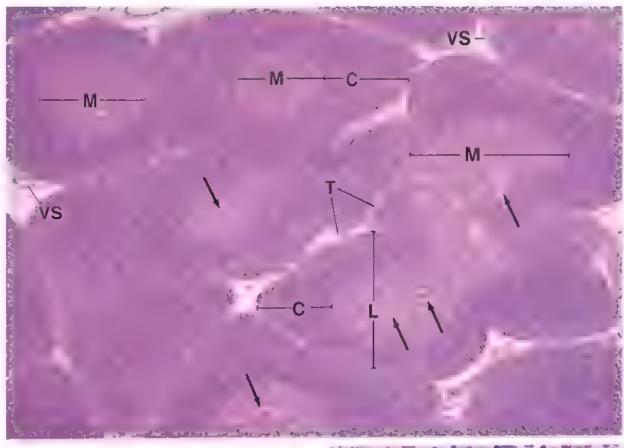
grande, puede mostrar indicios de queratinización y percibirse bastante amorfo. Obsérvese el vaso sanguineo (VS) en la médula que está rodeado por linfocitos.

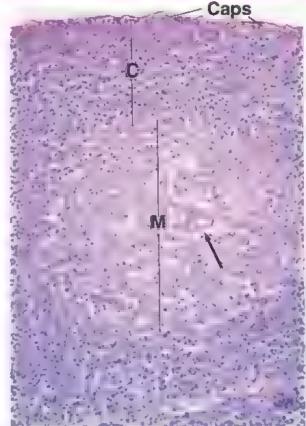
El timo se mantiene como una estructura grande hasta la pubertad. En ese momento, ocurren los cambios regresivos que generan una reducción importante en la cantidad de tejido tímico. El timo joven es muy celular y contiene un mitumo de tejido adiposo. En cambio, en el timo de mayor edad se encuentra mucho rejido adiposo entre los lobulillos. Con la involución continua, los adipociros aparecen aún dentro de la correza tímica. Además, en la periferia de la corteza tímica en involución, pueden encontrarse células plasmáticas dispersas.

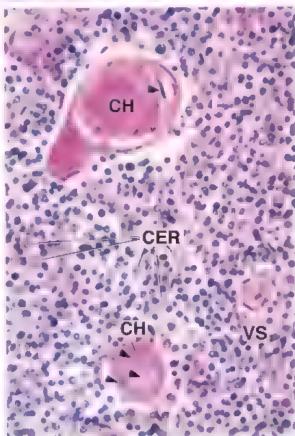
C, corteza Caps, cápsula CER, cérulas epiteliorreticulares CH, corpúsculos de Hassall

L, lobuliito
M, médula
T, trabéculas
VS, vasos sangulneos

flechas, corpúsculos de Hassall puntas de flecha, nucleos de las células epiteliorreticulares tipo IV de los corpúsculos de Hassall







15 SISTEMA TEGUMENTARIO

FUNDAMENTOS DEL SISTEMA TEGUMENTARIO / 524

ESTRATOS DE LA PIEL / 525

Ep dermis | 525 Dermis / 527

CÉLULAS DE LA EPIDERMIS / 529

Querat nocitos / 529 Melanocitos / 532 Ce ulas de Langerhans / 535 Celulas de Merkel / 536

ESTRUCTURAS DE LA PIEL / 536

Inervacion / 536 Anexos cutáneos / 541 Cuadro 15-1 Correlación clínica: tipos de cáncer de origen epidérmico / 527

Cuadro 15-2 Correlación clínica: cirugía micrografica de Mohs / 537

Cuadro 15-3 Consideraciones funcionales: color de la piel / 543

Cuadro 15-4 Consideraciones funcionales crecimiento y características del pelo / 544

Cuadro 15-5 Correlación clinica: sudoración y enfermedad / 544

Cuadro 15-6 Correlación clínica: reparación cutanea / 550

HISTOLOGIA 101 / 552



■ FUNDAMENTOS DEL SISTEMA TEGUMENTARIO

La piel (eutis, tegumento) y sus derivados constituyen el sistema tegumentario. La piel forma la cubierta externa del cuerpo y es su órgano más grande, ya que constituye el 15-20% de su masa total. La piel consta de dos estratos principales:

- La epidermis está compuesta por un epitelto plano estratificado queratinizado que crece continuamente; sin embargo, mantiene su espesor normal por el proceso de descamación. La epidermis deriva del ectodermo.
- La dermis está compuesta por un tejido conjuntivo denso que proporciona sostén mecánico, resistencia y espesor a la piel. La dermis deriva del mesodermo.

La hipodernis contiene cantidades variables de tejido adiposo organizado en lobulillos separados por tabiques de tejido conjuntivo. Se encuentra a mayor profundidad que la dermis y equivale a la fescio subcutánea para los anatomistas. En individuos bien nutridos y en aquellos que víven en climas fríos, el tejido adiposo puede ser bastante grueso.

Los derivados epidermicos de la piel (anexos cutáneos) comprenden las estructuras y los productos tegumentanos que siguen:

- Foliculos pilosos y pelo
- Glandulas sudoriparas
- Glándulas sebáceas

- Unas
- Glandulas mamarias

El sistema tegumentario cumple funcionas esenciales relacionadas con su ubicación en la superficie externa.

La piel y sus anexos constituyen un órgano complejo compuesto por muchos tipos celulares diferentes. La diversidad de estas células y su capacidad para trabajar en conjunto proporcionan numerosas funciones que permiten a la persona enfrentarse con el medio externo. Las principales funciones de la piel son las siguientes:

- Actúa como una barrera que protege contra agentes físicos, químicos y biológicos del medio externo (barrera mecánica, barrera de permeabilidad, barrera ultravioleta).
- Provee información immunitaria obtenida durante el procesamiento de antígenos a las células efectoras adecuadas del tejido linfático.
- Participa en la homeostasis mediante la regulación de la temperatura corporal y la pérdida de agua.
- Transmite información sensitiva acerca del medio externo al sistema nervioso.
- Desempeña funciones endocrinas a través de la secreción de hormonas, citocinas y factores de crecimiento al convertir moléculas precursoras en moléculas con actividad hormonal (vitamina D₃).
- Interviene en la excreción a través de la secreción exocrina de las glándulas sudoríparas, sebáceas y apocrinas.

Además, ciertas sustancias liposolubles pueden absorberse a través de la piel. Aunque no es una función de la piel, esta propiedad se usa con frecuencia en la administración de fármacos terapeuticos. Por ejemplo, la nicotina, las hormonas esteroideas y los medicamentos contra el mareo sualen administrarse por vía cutánea mediante pequeños apósitos o parches. Para reducir los sintomas de abstinencia de nicotina cuando se abandona el habito tabaquico, a menudo se utilizan parches de nicotina para brindar una dosis pequeña y constante que carece de los petigrosos efectos del humo del tabaco.

La piel se clasifica en delgada y gruesa, un reflejo de su espesor y su ubicación.

El espesor de la piel varía a través de la superficie del cuerpo, desde menos de 1 mm hasta más de 5 mm. Sin embargo, la piel es diferente desde los puntos de vista macroscópico y microscópico en dos sittos; las palmas de las manos y las plantas de los pies. Estas regiones están sometidas a una fricción intensa, carecen de pelo y poseen una capa epidérmica mucho más gruesa que la piel de cualquier otro lugar. Esta piel sin pelo se denomina piel gruesa. En otros lugares, la piel posee una epidermis más delgada y se llama piel delgada, la cual contiene folículos pilosos en casi toda su extensión.

Los términos puel gruesa y puel delgada, como se utilizan en la descripción histológica, son nombres inapropiados y se refieren solo al espesor de la capa epidérmica. Desde el punto de vista anatómico, la piel más gruesa se encuentra en la parte superior del dorso donde la dermis tiene un gran espesor. Sin embargo, la epidermis de esta región es comparable a la de la piel delgada que hay en otras partes del cuerpo. En cambio, en algunos otros sitios, como el párpado, la piel es muy delgada.

■ ESTRATOS DE LA PIEL

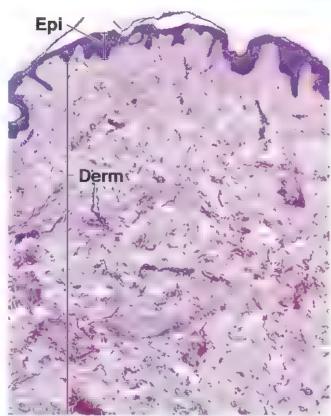
Epidermis

La **opidornits** está compuesta por un epitelio plano estratificado, en el que pueden identificarse cuatro estratos bien definidos. En el caso de la piel gruesa, hay un quinto estrato (figs. 15-1 y 15-2). Desde la profundidad hasta la superficie, los estratos son:

- Estrato basal. También llamado estrato germinal por la presencia de células con actividad mitórica, que son las células madre de la epidermis.
- Estrato espinoso. También denominado cape espinoso o de cálulas planas por el aspecto microscópico óptico característico de sus componentes celulares, los cuales tienen proyecciones cortas que se extienden de una célula a otra.
- Estrato granuloso. Sus células contienen gránulos abundantes que se tiñen con intensidad.
- Estrato lúcido. Limitado a la piel gruesa y considerado una subdivisión del estrato córneo.
- Estrato cómoo. Compuesto por células queratinizadas (cornificadas).

La diferenciación de las células epiteliales constituya una forma especializada de apoptosis.

La diferenciación terminal de las células de la epidermis, que comienza con las divisiones celulares en el estrato basal, se considera una forma especializada de la apoptosis. Las células en el estrato granuloso presentan la típica morfología nuclear apoptótica, incluida la fragmentación de su ADN. Sin embargo, la fragmentación celular asociada con la apoptosis normal no se produce; en cambio, las células



FRGURA 15-1. Microfotografía de las capas de la piel delgada. En esta muestra de piel humana teñida con hematoxilina-aosina (H&E) se pueden ver dos capas principales la epidermis (Epi) y la dermis (Derm). La epidermis es la más superficial, consiste en un epitelio plano estratificado queratirizado. La dermis se compone de dos capas la papilar, que es la capa más superficial y es contigua a la epidermis, y la reticular, que es de ubicación más profunda. El firmite entre estas dos capas no es visible, sin embargo, la capa papilar es más celular que la reticular Además, los haces de fibras de colágeno de la capa reticular son gruesos (se distinguen bien en la parte inferior de la figura), los de la capa papilar son deigados. 45×

se llenan de filamentos de la proteína intracelular queratina y más tarde se descaman de la superficie cutánea.

El estrato basal tiene a su cargo la renovación de las células epidérmicas.

El estrato basal consiste en una capa de una sola célula de espesor que se apoya en la membrana basal (lám. 42, p. 554). Contiene las célules medre a partir de las cuales las nuevas células, los queratinocitos, se originan por división mitótica. Por esta razón, el estrato basal también se llama estrato germinal. Las células son pequeñas y cúbicas o cilíndricas bajas. Tienen menos citoplasma que las células del estrato anterior, en consecuencia, sus núcleos están muy juntos. Los núcleos muy juntos, en combinación con el ciroplasma basófilo de estas células, le confieren una basofilia más intensa al estrato basal. Las células basales también contienen cantidades variables de melanina (se describe más adelante) en su citoplasma que se transfieren desde los melanocitos vecinos intercalados en este estrato. Las células basales presentan muchas uniones celulares; las células están unidas entre sí y a los queratinocitos por los desmosomas, y a la membrana basal subvacente por los hemidesmosomas, A medida que surgen por división mitótica en este estrato, los nuevos queratinocitos se trasladan al siguiente estrato para comenzar el proceso de migración hacia la superficie. Este proceso termina cuando la célula

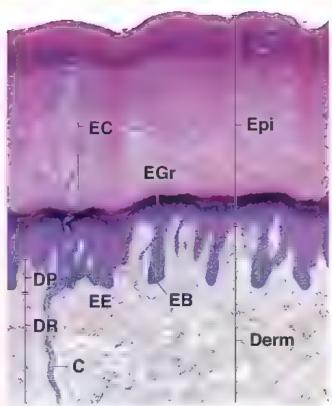


FIGURA 15-2. Microfotografia de las capas de la piel gruesa Esta muestra obtenida de piel de la planta del pie muestra una epidermis (Epi) con un estrato córneo (EC) muy grueso. El resto de los estratos de la epidermis (salvo el estrato lúcido, que no aparece en este preparado), es decir, el estrato basal (EB), el estrato espinoso (EE) y el estrato granuloso (EGr), se aprecian bien en este corte teñido con H&E El conducto (C) de una glándula sudoripara se puede observar a la izquierda mientras atraviesa la dermis (Derm), para después seguir un trayecto en espira, a través de la epidermis. En los sitios donde los conductos de la glándula sudoripara se introducen en la epidermis, se ven brotes epidérmicos en profundidad conocidos como crestas interpapilares. La dermis contiene papilas, protrusiones de tejido conjuntivo que se encuentran entre las crestas interpapilares También debe tenerse en cuenta la mayor celularidad de la dermis papilar (DP) y que los haces de fibras de colágeno de la dermis rescular (DR) son más gruesos que los de la dermis papilar 65×

se convierte en una célula queratunizada madura, que finalmente se descama en la superficie de la piel.

Las células del estrato espinoso presentan proyecciones espinosas características.

El estrato espinoso tiene por lo menos varias células de espesor. Los queratinocitos en esta capa son más grandes que los del estrato basal. Presentan múltiples evaginaciones citopiasmáticas o espinas, que le dan nombre a este estrato (fig. 15-3 y lám. 42, p. 554). Las evaginaciones están unidas a otras evaginaciones semejantes de células contiguas por medio de desmosomas. Con el microscopio óptico, el sitio donde está el desmosoma aparece como un engrosamiento leve llamado nodo de Bizzozero. Las evaginaciones suelen ser visibles, en parte porque las células se encogen durante la preparación de la muestra y el espacio intercelular entre las espinas se expande. Debido a su apariencia, las células que constituyen esta capa se denominan con frecuencia célules espinoses. A medida que las células maduran y se mueven hacia la superficie, aumentan de tamaño y se adelgazan en un plano paralelo a la superficie. Esta disposición es particularmente evidente en las células planas más superficiales, donde los núcleos también se alargan en lugar de ser ovoides, para adecuarse a la forma aplanada adquirida por las células.

Las células del estrato granuloso contienen numerosos gránulos de queratohialina.

El estrato granuloso es la capa más superficial de la porción no queratinizada de la epidermis. Este estrato tiene de una a tres células de espesor. Los queratinocitos en esta capa contienen muchos gránulos de queratohialina, de ahí el nombre del estrato, Estos gránulos contienen proteínas con cistina e histidina abundantes, las cuales son las precursoras de la proteína filagrina (filaggrin, de kenatin filament aggregating proteín), que aglomera los filamentos de queratina que se hallan dentro de las células queratinizadas del estrato córneo. Los gránulos de queratohialina tienen una forma irregular y un tamaño variable. En los cortes histológicos de rutina, se idenufican con facilidad debido a su intensa basofilia.

El estrato cómeo consiste en células escamosas anucleadas repletas de filamentos de queratina.

Por lo general, hay una transición brusca entre las células nucleadas del estrato granuloso y las anucleadas, planas y desecadas del estrato cómeo. Las células del estrato córneo son las más diferenciadas de la epidermis. Pierden su núcleo y sus orgánulos citoplasmáticos



FIGURA 15-3. Microfotografía de los estratos basal y espinoso. La epidemiis de la piel delgada se muestra aqui con mayor aumento. La capa de una célula de espesor en la base de la epidermis justo por encima dei tejido conjuntivo (TC) de la dermis es el estrato basal (EB). Las células de esta capa se encuentran sobre la membrana basal. Una capa denominada estrato espinoso (EE) se encuentra justo por encima del estrato basal. Se compone de células que tienen procesos espinosos en sus superficies. Estas evaginaciones de aspecto espinoso están unidas a las evaginaciones espinosas de las células contiguas por medio de desmosomas y en conjunto se ven como puentes intercelulares. 640 x

y se llenan casí por completo con los filamentos de queratina. En la porción más profunda de este estrato, la membrana plasmática gruesa de estas células queratinizadas (cornificadas) está cubterta por fuera con una capa extracelular de lipidos que forman el componente principal de la barrera contra el agua en la epidermis.

El estrato córneo es la capa de espesor más variable y de mayor grosor en la piel gruesa. El espesor de este estrato constituye la principal diferencia entre la epidermis de la piel gruesa y la delgada. Esta capa córnea se torna aún más gruesa en los sitios sometidos a una fricción mayor, como ocurre con la formación de callos en las palmas de las manos y en los dedos.

El estrato lucido, considerado una subdivisión del estrato córneo por algunos histólogos, solo suele observarse bien en la piel gruesa. Con el microscopio óptico suele presentar un aspecto refringente y se tiñe poco. Este estrato muy refringente contiene células eosinófilas en las que el proceso de queratinización está muy avanzado. El núcleo y los organulos citoplasmáticos se destruyen y desaparecen a medida que la célula se llena gradualmente de queranna.

Dermis

La adherencia de la epidermis a la dermis està potenciada por un aumento en la interfaz entre los tejidos.

Vista con el microscopio óptico, la unión entre la epidermis y la dermis (unión dermospidérmica) exhibe un contorno muy irregular, excepto en la piel más delgada. Los cortes de piel perpendiculares a la superficie permiten observar abundantes evaginaciones digitiformes del tejido conjuntivo, llamadas papilas dérmicas, que se extienden hacia la superficie profunda de la epidermis (véanse figs. 15-1 y 15-2). Las papilas se complementan con lo que parecen ser protuberancias similares a la epidermis, llamadas erestas epidérmicas o interpapilares, que se hunden en la dermis. Sin embargo, si el plano de corte es paralelo a la superficie de la epidermis y pasa a través de las papilas dérmicas, el tejido epidérmico se observa como una lámina continua de epitelio, la cual contiene islotes circulares de tejido conjuntivo. Estos islotes son los cortes transversales de las papilas dérmicas digiuformes verdaderas, que se extienden hacia la superficie basal de la epidermis. En los artios donde la piet

está sometida a mayor estrés mecánico, las crestas epidérmicas son mucho más profundas (el epitelio es más grueso) y las papilas dérmicas son mucho más largas y están más juntas, lo que crea un límite más extenso entre la dermis y la epidermis. Este fenómeno es particularmente evidente en los cortes histologicos que incluyen las superficies palmar y dorsal de la mano, como ocurre en el corte de un dedo

En la piel gruesa hay crestas interpapilares verdaderas, además de las papilas dérmicas.

Las crostas interpapilares tienden a tener una disposición paralela, con las papilas dérmicas ubicadas entre ellas. Estas crestas forman un patrón distintivo que es genéticamente único en cada individuo y se refleja en la aparición de surcos y pliegues epidérmicos que se observan en la superficie cutánea. Estos patrones son el fundamento de la ciencia de la dermatoglifia o identificación de huellas dactilares y plantares.

Las crestas y las papilas dérmicas son muy prominentes en la piel gruesa de las superficies palmares y plantares. Aquí, la superficie basal de la epidermis supera ampliamente la de su superficie libre. Por lo tanto, el estrato germinal está extendido sobre una gran superficie; si se supone que su ritmo de mitosis es casi constante, entran más células por unidad de tiempo en el estrato córneo de la piel gruesa que en el de la piel delgada. Se piensa que estas células adicionales son la causa del espesor mayor del estrato córneo en la piel gruesa.

Los hemidesmosomes fortalecen la adhesión de la epidermis al tejido conjuntivo subyacente.

Cuando se estudia con el microscopio electrónico de transmisión (MET), la superficie basal de las células epidérmicas exhibe un patrón de protuberancias citoplasmánicas irregulares que aumentan la superficie de unión entre la célula epitelial y su membrana basal sub-yacente. Una serie de hemidesmosomas une los filamentos intermedios del citoesqueleto con la membrana basal. Además, también están presentes las adhesiones focales que vinculan los filamentos de actina en la membrana basal. Estas uniones de anclaje especializadas se comentan en las páginas 155-157.

CUADRO 15-1.

CORRELACIÓN GLÍNICA: TIPOS DE CÁNCER DE ORIGEN EPIDÉRMICO

Tres tipos principales de cáncer de piel se originan a partir de células de la epidermis. En general, el cáncer de piel es ocasionado por la exposición prolongada y sin protección a la radiación ultravioleta de la luz solar. El tipo más frecuente es el carcinoma basocelular (de células basales) que, bajo el microscopio, como su nombre lo indica, parece estar compuesto por células del estrato basal de la epidermis. El carcinoma basocelular es un turnor de crecimiento lento que, por lo general, no produce metástasis. En general, las células cancerosas surgen de la protuberancia folicular de la vaina radicular externa del folículo piloso. En casi todos los casos de carcinoma basocelular, el tratamiento recomendado es la extirpación del tumor mediante cirugía micrográfica de Mohs. La vigilancia histológica del tumor extirpado durante el procedimiento de resección permite identificar las células malignas. y asegurar que los márgenes del tendo extraído estén libres de cáncer (para más detalles en cuanto a la cirugía micrográfica de Mohs, véase cuadro 15-2)

El segundo tipo de cáncer de piel más frecuente es el carcinoma epidermoide (de células escamosas), con más de 200 000 casos al año. Las personas con este tipo de cáncer suelen desarrollar una placa o un pequeño nódulo indoloro que está rodeado por un área de inflamación. El carcinoma epidermoide se caracteriza por células muy atípicas en todos los niveles de la epidermis (carcinoma in situ). La fragmentación de la membrana basal produce la propagación (metástasis) de las células neoplásicas a los ganghos linfáticos. Este carcinoma se caractenza por patrones de diferenciación vanables, que comprenden desde las células planas poligonales dispuestas en lobulillos ordenados y zonas de queratinización hasta células redondeadas con focos de necrosis y células queratinizadas individuales ocasionales. El tratamiento del carcinoma epidermoide depende del tipo histológico, el tamaño y la ubicación. del tumor. Puede incluir la extirpación quirurgica, el raspado y la electrodesecación, la cnoterapia (congelación con nitrógeno líguido), la gusmioterapia o la radioterapia

(continua)

CORRELACIÓN CLÍNICA: TIPOS DE CÁNCER DE ORIGEN EPIDÉRMICO (DONTINUNCION)

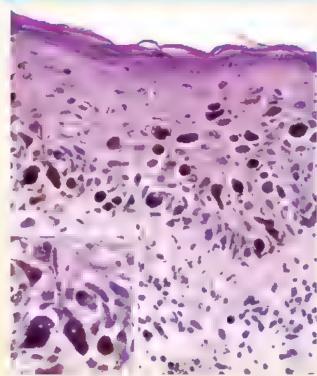


FIGURA C15-1-1. Microfotografia de una lesión de melanoma maligno en la etapa inicial de la fase de crecimiento. Este corte de pie muestra una capa de la epidermis que contiene células atípicas (hiperplásicas) repletas de gránulos del pigmento melanina pardo oscuro. Estas células representan melanocitos atípicos que generalmente se encuentran solo en el estrato basal de la epidermis. En esta etapa de la enfermedad, estos melanocitos anómalos migran a las capas superiores de la epidermis (hiperplasia melanocitica). En la dermis hay pequeños nidos de células atípicas dispersos. Debe tenerse en cuenta la acumulación de lanfocitos en la dermis superficial. 320× El recuadro muestra con mayor aumento un nido de melanocitos con procesos claramente visibles que contienen gránulos de melanina. 640×

El melanoma meligno es la forma más grave de cáncer de piel cuando no se identifica en una etapa inicial y se extirpa quirúrgicamente. Las células individuales del melanoma, que se originan a partir de melanocitos, contienen grandes núcleos con contornos irregulares y nucléolos eosinófilos prominentes. Estas células se acumulan en un punto o se dispersan por todo el espesor de la epidermis (fig. C15-1-1). Pueden alojarse solo en la epidermis (melanoma in situ) o extenderse por la capa papilar subyacente de la dermis. Con el paso del tiempo, el melanoma tiene una fase de crecimiento radial. Los melanocitos proliferan en todas direcciones, hacia arriba en la epidermis, hacia abajo en la dermis y periféricamente en la epidermis. En esta etapa inicial, el melanoma tiene la tendencia a no producir metástasis. En la superficie de la piel, se

presenta como una lesión multicolor de pigmentación irregular, de aspecto negro con partes pardas oscuras o claras y una mezcla de rosa a rojo o tonos azulados (fig. C15-1-2). Algun tiempo después (alrededor de un año o dos), los melanocitos exhiben actividad mitótica y forman nódulos redondos que crecen perpendicularmente a la superficie de la piel. En esta fase de crecimiento vertical. los melanocitos muestran poca pigmentación o carecen de ella y, por lo general, producen metástasis a los ganglios linfáticos regionales.

La **regla ABCD** es util para recordar los signos y síntomas del melanoma (*véasa* fig. C15-1-2)

- Asimetría en la esión cutánea
- Borde irregular de la lesión
- Color variable; los melanomas suelen tener colores multiples
- Diámetro de la lesión cutánea, es muy probable que los lunares de más de 6 mm sean sospechosos

La cirugía es el tratamiento de elección para el melanoma maligno localizado en la piel. Para una etapa avanzada se utiliza un abordaje multidisciplinario, incluida la cirugía combinada con quimioterapia o inmunoterapia con tratamiento adyuvante.



FIGURA C15-1-2. Fotografía de la plet con melanoma maligno durante la fase de crecimiento radial. En este paciente, la lesión relativamente plana y de pigmentación multicolor irregular corresponde a un melanoma maligno. El nódulo más grande es de color negro como el ébano. Se encuentra junto a una zona levemente elevada de tonos que van del café oscuro al café claro, con dos nódulos más pequeños de color rojzo. En esta etapa temprana, los melanocitos proliferan en todas direcciones, hacia arriba en la epidermis, hacia abajo en la dermis y penifericamente en la epidermis (reproducido de Storm CA, Elder DE The Skin. En Rubin R, Strayer DS, eds. Rubin's Pathology C nicopathologic Foundations of Medicine, 5th ed. Beltimore Lippincott Williams & Wilkins, 2008)

La dermis está compuesta por dos capas: la dermis papilar y la dermis reticular.

La exploración de todo el espesor de la dermis con el microscopio óptico permite identificar dos capas de estructura bien definida.

 La dormis papilar, la capa más superficial, consiste en tejido conjuntivo laxo ubicado justo debajo de la epidermis (lám. 43, p. 556) Las fibras de colágeno en esta parte de la dermis no son tan gruesas como las de la porción más profunda. Esta delicada red de colágeno contiene sobre todo moléculas de colágeno de los tipos I y III. La cantidad y el diámetro de las fibras de colágeno disminuyen con la edad, mientras que la proporción de fibras tipo III aumenta en comparación con las de tipo I. De igual modo, las fibras elásticas son filiformes y se organizan en una

red irregular. La dermis papilar es relativamente delgada e incluye la sustancia de las papilas y las crestas dérmicas. Contiene vasos sanguíneos que irrigan la epidermis, pero no entran en ella. También contiene evaginaciones nerviosas que, o bien terminan en la dermis, o penetran en la membrana basal para introducirse en el compartimento epitelial. Debido a que los vasos sanguíneos y las terminaciones nerviosas sensitivas se concentran en esta capa, son particularmente evidentes en las papilas dérmicas.

La capa reticular se encuentra más profunda que la capa papilar. Si bien su espesor varía en diferentes partes de la superficie corporal, siempre es bastante más gruesa y contiene menos células que la dermis papilar. Se caracteriza por los gruesos haces irregulares de fibras de colágeno, la mayoría de tipo I, y por las fibras elásticas más ásperas. Las fibras de colágeno y elásticas no están orientadas al azar, sino que forman las lineas regulares de tension de la piel llamadas lineas de Langer. Cuando las incisiones cutáneas se realizan paralelas a las lineas de Langer, dejan cicatrices menos prominentes

En la piel de las aréolas, el pene, el escroto y el periné, las células del músculo liso forman una red laxa en las partes más profundas de la dermis reticular. Esta disposición causa las arrugas de la piel en estos sitios, en particular en los órganos eréctiles.

Justo debajo de la dermis reticular pueden encontrarse capas de tejido adiposo, músculo liso y, en algunos sitios, musculo estriado.

El paniculo adiposo es una capa de tajido adiposo de espesor variable que se ubica en un plano más profundo que la dermis reticular. Esta capa es un importante sitto de almacenamiento de energía y también funciona como aislante. Es bastante gruesa en las personas que viven en climas fríos. Esta capa y su tejido conjuntivo laxo asociado constituyen la hipodermis o fascia subcutánea.

Las células musculares lisas, individuales o en forma de pequeños fascículos, que se originan en esta capa forman los músculos erectores del pelo, que conectan la parte profunda de los folículos pilosos con la dermis más superficial. La contracción de estos músculos en los humanos produce la erección de los pelos y el fruncimiento en la piel conocido como "piel de gallina". En los animales, la etección del pelo funciona tanto en la regulación térmica como en las reacciones de temos.

En muchos animales hay una delgada capa de músculo estriado, el panículo carnoso, debajo de la fascia subcutánea. Si bien en gran parte es vestigial en los humanos, permanece bien definido en la piel del cuello, la cara y el cuero cabelludo, donde constituye el músculo platisma y los otros musculos de la expresión facial.

■ CÉLULAS DE LA EPIDERMIS

Las células de la epidermis pueden pertenecer a cuatro tipos celulares diferentes:

- Queratinocitos. Son células epiteliales altamente especializadas diseñadas para cumplir una función muy específica; la separación del organismo de su medio ambiente. Constituyen el 85% de las células de la epidermis.
- Melanocitos. Son las células productoras de pigmento de la epidermis. Constituyen aproximadamente el 5% de las células de la epidermis.
- Células de Langerhans. Participan en la respuesta inmunitaria al presentar antígenos. Constituyen entre el 2 y 5% de las células de la epidermis.

 Células de Merkel. Son células mecanorreceptoras asociadas con terminaciones nerviosas sensitivas. Componen cerca del 6-10% de las células en la epidermis.

Queratinocitos

El queratinocito es el trpo celular predominante de la epidermis. Estas células se originan en el estrato epidérmico basal. Al abandonar este estrato, los queratinocitos realizan dos actividades esenciales:

- Se encargan de producir queratinas (citoqueratinas), las principales proteínas estructurales heteropoliméricas de la epidermis (véase tabla 2-3, p. 70). Las queratinas forman filamentos intermedios; constituyen casi el 85% de los queratinocitos diferenciados por completo.
- Participan en la formación de la barrera epidermica contra el agua.

Los queratinocitos del estrato basal contienen abundantes ribosomas libres, filamentos intermedios (queratina) de 7-9 nm dispersos, un pequeño aparato de Golgi, mitocondrias y retículo endoplasmático rugoso (RER). El citoplasma de los queratinocitos inmaduros se observa basófilo en los cortes histológicos debido a la gran cantidad de ribosomas libres, la mayoría de los cuales participan en la síntesis de queratina, que después se ensambla en los filamentos de queratina. Estos filamentos se clasifican como filamentos intermedios, aunque lo más frecuente es que se llamen tonofilamentos.

A medida que las células entran y se mueven a través del estrato espunoso, la síntesis de filamentos de queratina continúa, y estos se agrupan en haces lo suficientemente gruesos como para ser visibles con el microscopio óptico. Estos haces se llaman tonofibrilles. El citoplasma se toma eosinófilo por la reacción tintorial de las tonofibrillas que lo llenan cada vez más.

Los gránulos de queratohialina contienen proteínas asociadas con los filamentos intermedios, que contribuyen a la agragación de los filamentos de queratina.

En la parte superior del estrato espinoso (fig. 15-4), los ribosomas libres dentro de los queratinocitos comienzan a sintetizar gránulos de queratohialina, que se convierten en la característica distintiva de las células en el estrato granuloso (lám. 42, p. 554). Los gránulos de queratohialina contienen las dos principales proteínas asociadas con los filamentos intermedios; filagrina y tricohíalina. La aparición de los gránulos y la expresión de la filagrina en los queratinocitos se utilizan a menudo como un marcador clínico para el inicio de la fase final de la apoptosis. A medida que aumenta la cantidad de gránulos, su contenido se libera en el citoplasma de los queratinocitos. La filagrina y la tricohialina funcionan como promotoras de la agregación de los filamentos de queratina en tonofibrillas, lo cual inicia la conversión de células granulares en las células queratinizadas. Este proceso se denomina queratinización y se produce en 2-6 h, el tiempo que tardan las células en abandonar el estrato granuloso y entrar en el estrato córneo. Las fibrillas de queratina que se forman en este proceso son de queratina blanda, a diferencia de la queratina dura del cabello y de las uñas (véase más adelante).

La transformación de una célula granulosa en una queratinizada también implica la desintegración del núcleo y otros orgánulos, así como el engrosamiento de la membrana plasmática. Ello se acompaña de un cambio en el pH, que disminuye de un valor cercano al punto neutro (pH 7.17) en el estrato granuloso a un pH ácido en la superficie del estrato cómeo, con valores que oscilan entre 4.5 y 6.

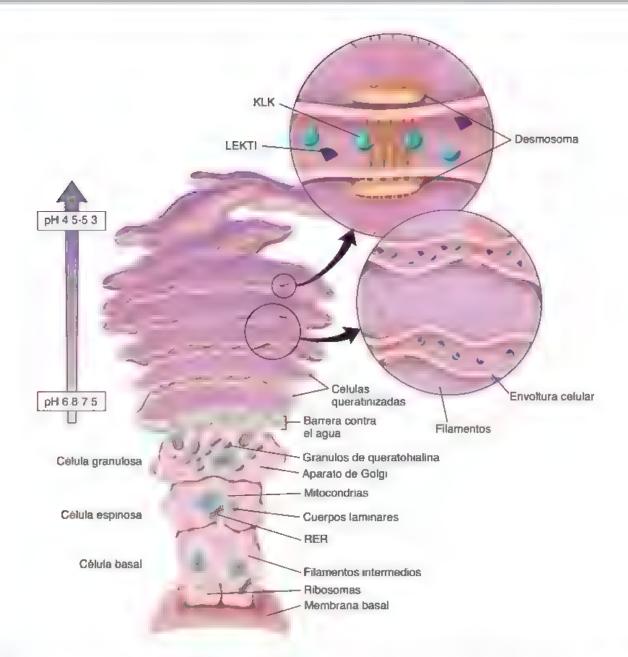


FIGURA 15-4. Queratinocitos en la épidermis. En la figura se illustran las diferentes etapas del ciclo de vida del queratinocito en su migración desde la capa basa hasta la superficie de la pie donde se exfolia. La célu a basal comienza a sintetizar filamentos intermedios (queratina) estos se agrupan en haces, y con el microscopio óptico se observan como tonof bil las. Después la célula entra en el estrato espinoso, donde continua la sintesis de filamentos intermedios. En la parte más superficial del estrato espinoso, las células comienzan a producir gránulos de queratorialina que contienen proteinas asociadas con los filamentos intermedios y cuerpos laminares que contienen glucolipidos. En el estrato granuloso, la celula expulsa los cuerpos aminares que contribuyen a la formación de la barrera epidermica contra el agual el resto del citoplasma de la celula contiene abundantes gránulos de queratoria na que len relación estrecha con los tonofilamentos, forman la envolturá celular. Las celulas superficiales están queratinizadas contienen una envoltura celular gruesa y haces de tonofilamentos en una matriz especializada. La descamación de las células queratinizadas es controlada por la actividad de las KLK y su interacción con el LEKT en los desmosomas lo que a su vez depende del pH. Los queratinicitos situados cerca del estrato granuloso tienen un pH neutro que mantiene las interacciones desmosómicas y len la matriz extracellular permite una fuerte interacción entre el LEKT y las KLK se disocian, lo que libera estas ultimas en el espacio extracellular. En las capas más superficiales de querat nocitos el pH es lo suficientemente bajo como para que las moieculas de KLK activas digieran las capas más superficiales de querat nocitos el pH es lo suficientemente bajo como para que las moieculas de la californa de la capa más superficial de queratinocitos. KLK, ser na-peptidasas relacionadas con la califerina. LEKTI inhibidor linfoepitelial de tipo Kaza. RER, reticulo endopiasmático rugoso.

La descamación de los queratinocitos superficiales del estrato córneo es regulada por la degradación proteolítica de los desmosomas de las células.

Las células se exfolian o descaman con regularidad de la superficie del estrato córneo. La exfoliación continua de los queratinocitos superficiales es un proceso proteolítico regulado que consiste en la degradación de los desmosomas de las células. Las serina-peptidasas relacionadas con las calicreínas (KLK, kallikrein-related serine pepti-

dasei) humanas, como KLK5, KLK7 y KLK14, causan la escisión desmosómica dependiente del pH. Un inhibidor fisiológico de la serina proteasa, el inhibidor linfoepitelial de tipo Kazal (LEKTI, lymphoepithelial Kazal-type inhibitor), a través de sus interacciones con las KLK en un pH neutro, impide la escisión desmosómica. Sin embargo, conforme el pH disminuye en las porciones más superficiales del estrato córneo, según se comentó, el LEKTI libera de forma progresiva las KLK con el pH más bajo y, así, permite que estas enzimas degraden los desmosomas y determina la separación de los queratinocitos (véase fig. 15-4). En condiciones normales, el proceso permite una renovación controlada de la epidermis por medio de su gradiente de pH. Existen mutaciones patológicas del gen llamado inhibidor de la serina-protessa de Kazal tipo 5 (SPINK5, serine protessa inhibitor Kazal-type 5), que codifica el LEKTI. El sindrome de Netherton, una alteración genética poco frecuente asociada con un gen SPINK5 defectuoso, se caracteriza por la disminución de la función cutánea de barrera, el enrojecimiento generalizado de la piet (eritrodermia) y la descamación.

Los cuerpos laminares contribuyen a la formación de la barrera epidérmica intercelular contra el agua.

Una barrora opidórmica contra el agua es esencial para los epitelios "secos" de los mamíferos, y es la responsable de mantener la homeostasis corporal. La barrera se establece principalmente por dos factores en los queratinocitos en diferenciación terminal: 1) el depósito de proteínas insolubles en la superficie interna de la membrana plasmática y 2) una capa de lípidos que se adhiere a la superficie externa de la membrana plasmática.

A medida que los queratinocitos en el estrato espinoso comienzan a producir gránulos de queratohialina, también forman unas vesículas limitadas por membrana que reciben el nombre de cuerpos laminares (gránulos de revestimiento de la membrana). Estos cuerpos laminares son orgánulos limitados por membrana, con forma tubular u ovoide, exclusivos de la epidermis de los mamiferos. Las células espinosas y granulares sinterizan una mezcla heterogénea de los lípidos probamera y sus respectivas enzimas procesadoras de lípidos, como glucoesfingolipidos, fosfolipidos, ceramidas, esfingomielinasa ácida y fosfolipasa A2 secretora; esta mezcla pasa al interior de los cuerpos laminares que se forman en el aparato de Golgi (fig. 15-5). Además, los cuerpos laminares contienen protessas (enzima quimiotripsinica SC, catepsina D, fosfatasa ácida, glucosidasas, inhibidores de proteasa). El contenido de los gránulos se secreta por exocitosis hacia el espacio intercelular entre el estrato granuloso y el estrato córneo. La formación de la barrera epidérmica contra el agua (fig. 15-6) es producto de la organización que tienen estas láminas lipidicas intercelulares. Además de su importante papel en la homeostasis de la barrera, los cuerpos laminares participan en la formación de la envoltura queratinizada, la descamación de las células queratinizadas y las defensas antimicrobianas de la piel.

Así, la barrera opidermica contra el agua se compone de dos elementos estructurales:

- La envoltura celular (EC) es una capa de proteínas insolubles de 15 nm de espesor depositada sobre la superficie interna de la membrana plasmática que contribuye a las propiedades mecánicas de resistencia de la barrera. El espesor de la EC aumenta en los epitelios sometidos a gran estrés mecánico (p. ej., labio, palma de la mano, planta del pie). La EC se forma por el esta blecimiento de enlaces cruzados entre proteínas pequeñas con protina abundante (SPR, small proline-rich proteína). Las proteínas estructurales incluyen cistatina, proteínas desmosomicas (desmoplaquina), elafina, envoplaquina, filagrina, involucrina, cinco cadenas diferentes de quevatina y loricrina. La loricrina es la principal proteína estructural y constituye casi el 80% del total de la masa de proteínas de la EC. Esta proteína insoluble de 26 kDa tiene el contenido de glicina más alto que cualquier otra proteína conocida en el organismo.
- La envoltura lipidica es una capa de 5 nm de espesor de lípidos adheridos a la superficie celular por enlaces éster. Los componentes principales de los lípidos de la envoltura lipídica son coramidas, que pertenecen a la clase de los esfingolípidos, colesterol

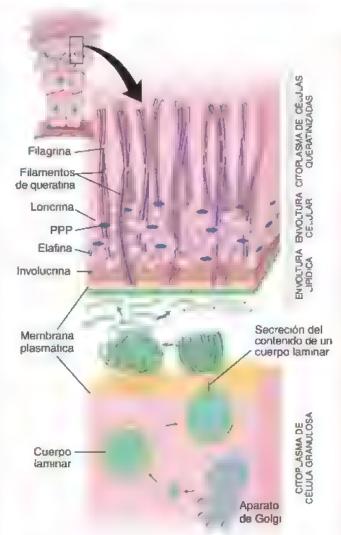


FIGURA 15-5. Diagrama de la barrera epidérmica contra el agua. La mezcla heterogénea de glucoesfingo pidos, fosfolipidos y ceramidas forma las laminillas de los cuerpos laminares. Los cuerpos laminares, producidos en el aparato de Golgi, se secretan por exoc tosis hacia los espacios intercelulares entre el estrato granuioso y el estrato cómeo, donde forman la envoltura lipídica. La disposición laminar de moléculas de lipidos se ilustra en el espacio intercelular justo debajo de la membrana plasmàtica engrosada, que forma la envoltura celular de los queratinocitos queratinizados. La parte más interna de la envoltura celular consiste principalmente en moiéculas de loncrina (esferas rosadas) que están interconectadas a través de elafina y prote nas pequeñas con abundante prolina (PPP) La capa contigua a la superficie citoplasmàtica de la membrana plasmàtica està compuesta por dos proteínas muy juntas entre sí la involucrina y la cistatina α. En la envoltura celular están fijados filamentos de queratina (tonofilamentos) unidos por filagrina.

y ácidos grasos libros. Sin embargo, el componente más importante es la capa monomolecular de acilglucosilceramida, que proporciona una cubierta similar al teflón a la superficie celular. Las ceramidas también desempeñan un papel importante en la transmisión de señales celulares y de forma parcial inducen la diferenciación de las células, desencadenan la apoptosis y reducen la proliferación celular. A medida que las células continúan desplazándose hacia la superficie libre, la barrera es mantenida constantemente por los queratinocitos que entran en el proceso de diferenciación terminal. Las láminas pueden permanecer como discos reconocibles en el espacio intercelular o pueden fusionarse en grandes capas o placas.

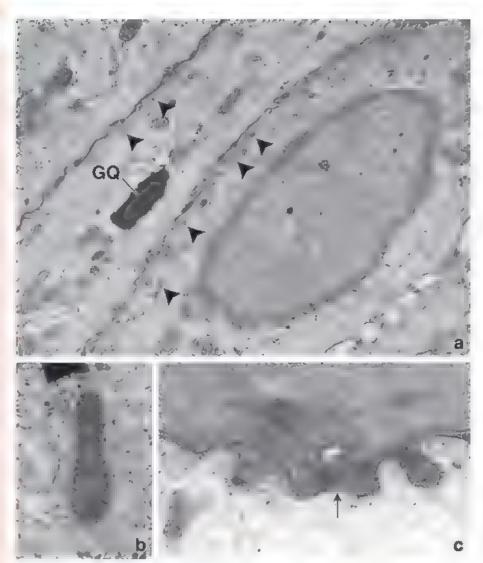


FIGURA 15-6. Microfotografías electrónicas de queratinocitos, a. Una granparte del citoplasma de los queratinocitos está ocupada por tonofilamentos. Uno de los queratinocitos presenta un gránulo de gueratorialina (GO). Cerca de la membrana plasmática orientada hacia la superficie (amba en la parte izquierda), dos queratinocitos contienen cuerpos laminares (puntas de flecha). B500× b. Cuerpo aminar observado con mayor aumento 135000× c. Parte de una célula queratinizada y el queratinocito subyacente Entre las cérulas se halla el contenido de ios cuerpos farminares, que se expulsó hacia el espacio intercelular (flecha) para formar la envoltura lipídica 90000× (cortesia del Dr. Albert I. Farbmani.

Varios experimentos han demostrado que la epidermis de los animales con deficiencia de ácidos grasos esenciales (DAGE) inducida es más permeable al agua de lo normal. Los gránulos de revestimiento de la membrana también tienen menos láminas de lo normal. La destrucción de la barrera epidermica contra el água en regiones extensas, como ocurre en las quemaduras graves, puede conducir a la pérdida de liquido (deshidratación) que pone en petigro la vida

La epidermis está en un estado de equilibrio dinámico, en el cual las cálulas queratinizadas exfoliadas son reemplazadas de forma constante por un flujo contínuo de cálulas terminalmente diferenciadas.

El reemplazo de las células epidérmicas se mantiene mediante los siguientes procesos:

- Mitosis de las células basales en el estrato basal
- Diferenciación y muerte celular programada, conforme las células ascienden hacia el estrato córneo.
- Pérdida de células por la exfoliación de la superficie cutánea.

Para mantener este equilibrio, cada célula individual en la epidermis tiene una cantidad predeterminada de tiempo para realizar funciones específicas. Varios experimentos científicos y cálculos empíricos concluyeron que el nempo de rotación para el compartimento de queratinocitos (estrato espinoso y granuloso) es de unos 31 días, con un adicional de 14 días para el estrato cómico (espesor medio en los humanos de 16-20 capas de células). Con la adición de 1-2 días para las divisiones mitóticas en el estrato basal, el tiempo total de rotación epidérmica es de unos 47 días (fig. 15-7). Se ha verificado que una capa de células en el estrato córneo se produce y se exfolia cada 22.4 h. En las enfermedades hiperproliferativas, como la paoriasis, la rotación epidérmica es más rápida y tarda alrededor de 8-10 días. Esta alteración se manifiesta por un aumento en el grosor epidérmico y una disminución en la muerte celular. En la clínica, la psoriasis aparece como manchas rojas elevadas que producen prurito cutáneo (picazón en la piel), a menudo cubiertas por escamas de color blanco plateado. Las manchas varian en tamaño y, por lo general, aparecen en las rodillas, los codos, el dorso inferior y el cuero cabelludo.

Melanocitos

Los melanocitos derivan de células de la cresta neural y están dispersos entre las células del estrato basal.

Durante la vida embrionaria, las cétules precursores de los melanocitos migran desde la cresta neural y se introducen en la epidermis en desarrollo. Así se establece una asociación funcional especifica, la unidad melanoepidérmica, en la que uno de los melanocitos se manuene asociado con una cantidad dada de queratinocitos. En los humanos, se calcula que cada unidad melanoepidérmica contiene un

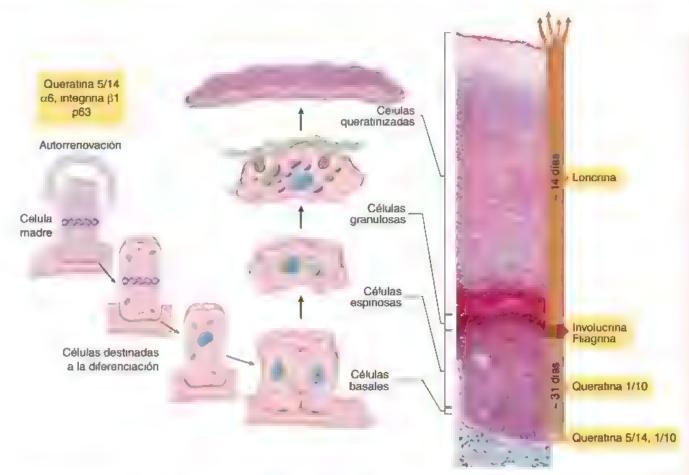


FIGURA 15-7. Diagrama de la diferenciación y sustitución de células epidérmicas. La sustitución de la célula epidérmica nicia con la división de as células madre en el estrato basal. Las celulas recién formadas experimentan una división adiciona en el estrato basal y ascienden a medida que se diferencian en células queratinizadas, las cuales finalmente se eliminan por exforiación en la superficie de la piel. Para mantener este equilibrio entre las divisiones celulares y la pérdida de células en la superficie cutánea, cada de ula tiene un tiempo predeterminado para desplazarse a través de compart mentos específicos de la epidermis y para realizar funciones específicas. Las divisiones mitóticas en el estrato basal se producen en un lapso de 1-2 dias después de eligilios querat nocitos se desplazan por el estrato espinoso células espinosas, y se diferencian en células granulosas en el estrato granuloso. Se requieren de otros 14 dias para que la célula queratinizada atraviese el estrato córneo (si se supone un espesor promedio de 16-20 células en los seres humanos). Por lo tanto, el tiempo total de renovación epidermica es de cerca de 47 dias. En cada etapa de la diferenciación las celulas expresan diferentes marcadores moleculares (veanse os cuadros de color amariko) que pueden ser utites para identificar células especificas con el uso de metodos inmunohistoriumicos. El detalle de la derecha muestra un corte de espesor completo de la epidermis de un pulpejo humano tenido con la técnica tricrómica de Mallory. 260 -

melanocito asociado con cerca de 36 queratinocitos. La relación melanocitos: queratinocitos o sus precursores en el estrato basal puede variar de 1:4 a 1:40 o incluso más, según la zona del cuerpo. Esta relación es constante en todos los grupos étnicos, pero es modificada por la edad y los factores ambientales, como la exposición al sol.

En los adultos, un fondo común de melanoblastos indiferenciados reside en la región del folículo piloso llamada protuberancia folícular. La diferenciación del melanoblasto está regulada por la expresión del gen Pax3, que pertenece a la familia de factores de transcripción de caja apareada (PAX, paired box). El Pax3 activa la expresión del factor de transcripción de microftalmia (MITF, microphthalmia transcripción factor), que es decisivo para el desarrollo y la diferenciación de melanocitos (melanogénesis). Los melanocitos conservan la capacidad de duplicarse durante toda su vida, aunque lo hacen a una velocidad mucho menor que la de los queratinocitos, con lo que mantienen la unidad melanoepidérmica.

El melenocito epidérmico es una célula dendrítica que se encuentra entre las células basales del estrato basal (fig. 15-8). Se consideran células dendríticas porque el cuerpo celular redondeado, que se sitúa en la capa basal, emite evaginaciones largas entre los queratinocitos del estrato espinoso. Ni las evaginaciones ni el cuerpo celular establecen uniones desmosómicas con los queratinocitos adyacentes. No obstante, los melanocitos situados cerca de la membrana basal presentan estructuras que se asemejan a hemidesmosomas. En los cortes de rutina teñidos con hematoxilina-eosina (H&E), los melanocitos se observan en el estrato basal como celulas con núcleos alargados, rodeados por un citoplasma claro. Sin embargo, con el MET son identificados fácilmente a causa de los gránulos de melanina en desarrollo y maduros presentes en el citoplasma (véase fig. 15-8)

Los melanocitos producen melanina y la distribuyen a los queratinocitos.

Los melanocitos epidérmicos producen y secretan el pigmento denominado melanina. La función más importante de la melanina es proteger al organismo frente a los efectos dañinos de la radiación ultravioleta no ionizante. La melanina es producida por la oxidación de la tirosina a 3.4-dihidroxifenilalanina (DOPA) a través de la acción de la tirosinasa y la ulterior conversión de la DOPA en melanina. Estas reacciones ocurren inicialmente en orgánulos relacionados con el lisosoma y limitados por membrana llamados prometanosomas, que

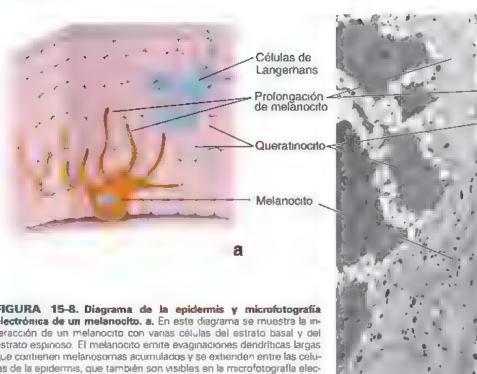


FIGURA 15-8. Diagrama de la epidermis y microfotografía electrónica de un melanocito. a. En esta diagrama se muestra la interacción de un melanocito con varias células del estrato basal y del estrato espinoso. El melanocito emite evaginaciones dendriticas largas que contienen melanosomas acumulados y se extienden entre las células de la epidermis, que también son visibles en la microfotografía electrónica. La de Langerhans es una célula dendritica que con frecuencia se confunde con un melanocito, pero en realidad es parte del sistema fagocítico mononuclear y funciona como célula presentadora de antigenos del sistema inmunitario en la iniciación de reacciones de hipesensibilidad cutánea (dermatitis alérgica por contacto). b. El melanocito posee varias evaginaciones que se extienden entre los queratinocitos advacentes. Los pequeños corpusculos oscuros son los melanosomas 9500× (cortesía del Dr. Bryce L. Munger)

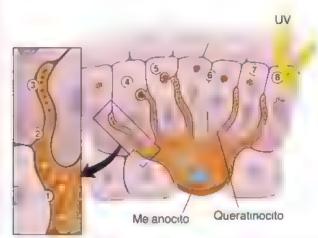


FIGURA 15-9. Formación de la melanina y mecanismo de donación de pigmentos. Los melanocitos producen estructuras limitadas por membrana relacionadas con el lisosoma que se originan en el aparato de Golgi, como los premelanosomas (1) que intervienen en la sintesis de melanina. La melanina se produce a partir de la tirosina mediante una serie de reacciones enzimáticas y su acumulación es visible. en los primeros melanosomas (2). A medida que progresa la maduración, los melanosomas se trasladan hacia los extremos de las evaginaciones de los meianocitos. Los meianosomas maduros (3) tienen una gran concentración de melanina y se acumulan en los extremos de las evaginaciones de los melanocitos que se invaginari en la membrana celular del queratinocito (4). Los queratinocitos fagocitan las puntas de las evaginaciones de los melanocitos que contienen los melanosomas (5) En el proceso descrito como "donación de pigmento", la melanina se transfiere a los queratmocitos adyacentes en vesículas que contienen melanosomas con una pequeña cantidad de citoplasma. del melanocito (6). Una vez dentro de los gueratinocitos, los melanosomas se liberan en el citoplasma (7). Los melanosomas se distribuyen. dentro de los queratinocitos con una acumulación más pronunciada en las zonas sobre los núcleos, creando"sombrillas oscuras" (8), que protegen el ADN nuclear de la radiación ultravioleta (UV) dañina del sol

derivan del aparato de Golgi (fig. 15-9). La sintesis de melanina está regulada por la acción de la hormona estimuladora de los melanocitos (MSH, melanocyte-stimulating hormone). La MSH producida por el lóbulo anterior de la hipófisis se une al receptor de melanocortina 1 (MC1R, melanocortin I receptor) de los melanocitos, y a través de la cascada de señalización de la proteína G aumenta la actividad de la tirrosinasa y, de ese modo, estimula la síntesis de melanina.

Los premelanosomas y los melanosomas iniciales o tempranos, que tienen poca melanina, presentan una estructura interna ordenada cuando se examinan con el MET, lo cual es un reflejo de su contenido de moléculas de tirosinasa. A medida que se produce más melanina por oxidación de la tirosina, la estructura interna del premelanosoma se va ocultando hasta que se forma el gránulo de melanina maduro, el melanosoma, que aparece entonces como un gránulo electrodenso. Los premelanosomas se concentran cerca del aparato de Golgi; los melanosomas casi maduros lo hacen en las bases de las evaginaciones de melanocitos; y los melanosomas maduros suelen verse en toda la extensión de las evaginaciones y, en especial, en sus extremos (véase fig. 15-9). Los melanosomas en desarrollo y su contenido de melanina se transfieren a los queratinocitos adyacentes por donación pigmentaria. Este proceso, que consiste en la fagocitosis del extremo de la prolongación melanocítica por los queratinocitos, es un upo de secreción altocrina porque también se fagocita una pequeña cantídad del citoplasma que rodea al melanosoma.

Los melanosomas y su contenido se degradan en el proceso de macroautofagia con diversas tasas en diferentes personas. En las de piel más oscura, la melanina se degrada lentamente y los melanosomas se mantienen discretos; en las de piel más clara, la melanina se degrada más rápido.

Dada la complejidad de la biogénesis de la melanina, el transporte de las proteinas, el movimiento de los orgânulos y las interacciones célula-célula en la unidad melanoepidér-

mica, incluso pequeños cambios en el entorno celular pueden afectar la estructura de los melanosomas y el proceso de donación pigmentaria. Muchos factores intrinsecos y extrinsecos también son responsables de la pigmentación cutánea, como la edad, el origen étnico y las diferencias de sexo, las variaciones de las concentraciones de hormonas y las afinidades por sus receptores, los defectos genéticos, la radiación ultravioleta, los cambios climaticos y estacionales, así como la exposición a sustancias químicas, toxinas y contaminantes.

Células de Langerhans

Las células de Langerhans son células presentadoras de antigenos de la epidermis.

Las células de Langerhams son células presentadoras de antígenos de aspecto dendrítico que se localizan en la epidermis. Se originan a partir de células progenitoras linfoides (CPL) comunes en la médula ósea, migran a través de la circulación y, por último, se introducen en la epidermis, donde se diferencian en células inmunocompetentes. Las células de Langerhans captan y presentan antígenos que entran a través de la piel. Por lo tanto, constituyen parte del sistema fagocítico mononuclear (SFM; p. 197) y proveen inmunovigilancia para la epidermis.

Las células de Langerhans se especializan en "percibir" el microentorno de la epidermis mediante la extensión de sus prolongaciones a través de las uniones estrechas intercelulares para muestrear las capas más externas de la piel (estrato córneo). Una vez que el antígeno es fagocitado y procesado por la célula de Langerhans, y exhibido en su superficire, la célula migra de la epidermis hacia un ganglio linfático regional. Dentro del ganglio linfático, la instrucción de las células de Langerhans con los linfocitos inicia la señal para que el sistema inmunitario adaptativo lleve a cabo la tolerancia inmunitaria o la activación inmunitaria, así como la respuesta ante el antígeno. La exposición a la radiación ultravioleta provoca el agotamiento de las células de Langerhans y la capacidad de la presentación de antígenos. Varios estudios experimentales determinaron que la relación de células de Langerhans a otras células en la epidermis de la piel humana normal es un índice de 1:53 constante.

Las células de Langerhans no se pueden distinguir con certeza en los cortes de parafina teñidos con H&E de ritina. Al igual que los melanocitos, las células de Langerhans no establecen uniones desmosómicas
con los queratinocitos adyacentes. El núcleo se tiñe intensamente con
hematoxilina y el citoplasma se observa claro. Con técnicas especiales,
como la impregnación con cloruro de oro o la inmunonnción con anticuerpos contra moléculas CD1a, las células de Langerhans se pueden
ver con facilidad en el estrato espinoso (fig. 15-10). La estructura de



FIGURA 15-10. Microfotografía electrónica de una célula de Langerhans. El nucleo (N) de una célula de Langerhans exhibe muchas muescas caracteristicas y el citopiasma contiene corpusculos con forma de bastondi os distintivos (flechas). Notese a presencia de tonofilamentos (f) en los queratinocitos (Q) contiguos y la ausencia de estos en las de ulangerhans. 1900 y . Recuadro. Microfotografía de la epidermis en la que se muestra la distribución y la indoie dendritica de las células de uangerhans, que se tineron mediante tech cas de inmunotinición con anticuerpos contra el antige lo de superficie CD1a 300 y (reimpreso con autorización de Urmacher CD. Norma. Skin. In. Sternberg. SS. ed. Histology for Pathologists. Philadelphia. Lippincott-Raven, 1997-25–45).

las moléculas CD1a está relacionada con las moléculas del compleyo mayor de histocompatibilidad 1 (MHC 1, major histocompatibility complex I) en la superficie de las células de Langerhans (véase más adelante). Las células de Langerhans poseen evaginaciones dendriticas que se asemejan a las del melanocito. Con el MET pueden observarse varias características distintivas de una célula de Langerhans (véase fig. 15-10). Su núcleo habitualmente presenta escotaduras en muchos sitios, por lo que su contorno es irregular. Además, posee gránulos de Birbeck, con su forma característica de raqueta de tenis. Corresponden a vesículas de tamaño relativamente pequeño y se ven como bastoncillos con una expansión bulbosa en un extremo.

Al igual que los macrófagos, las células de Langerhans expresan las moléculas MHC I y MHC II, que son esenciales para la presentación del antígeno a los linfocitos T citotóxicos CD8⁺ y cooperadores CD4⁺. Además, también expresan los receptores de Fc para la inmunoglobulina (Ig) G, los receptores para el componente C3b del complemento y cantidades variables de moléculas CD1a, que sirven como marcadores clínicos de las células de Langerbans. En su papel como célula presentadora de antigenos, la célula de Langerhans interviene en las reacciones de hipersensibilidad retardada (p. ej., dermatitis alérgica de contacto y otras respuestas inmunitarias cutáneas mediadas por células) a través de la captación de antigenos en la piel y su transporte hacia los ganglios linfaticos. Las muestras de piel para biopsia de personas con sida o con el complejo relacionado con el sida permiten comprobar que el citoplasma de las células de Langerhans contiene VIH. Estas células, al parecer, son más resistentes que los finfocitos T a los efectos mortales del VIH y, por lo tanto, pueden funcionar como un reservorio para el virus.

Además, una transformación maligna de las células de Langerhans causa la histiocitosis X (histiocitosis de células de Langerhans), un grupo de enfermedades inmunitarias caracterizadas por el aumento y la acumulación de las celulas de Langerhans que puede derivar en tumores en diversas partes del cuerpo, como huesos, pulmones y cráneo, entre otros.

Células de Merkel

Las células de Merkel son células epidérmicas que intervienen en la percepción sensitiva cutánea.

Las cétules de Merket son células dendriticas localizadas en el estrato basal. El origen de estas células es desconocido; poseen marcadores antigénicos de tipo epidérmico y nervioso. Son muy abundantes en la piel en donde la percepción sensorial es aguda, como en las yemas de los dedos. Las células de Merkel están unidas a los queratinocitos contiguos a través de desmosomas y contienen filamentos intermedios (de queratina) en su citoplasma. El núcleo es lobulado y el citoplasma es un poco más denso que el de los melanocitos y las células de Langerhans. Pueden contener algunos melanosomas en su citoplasma, pero se caracterizan mejor por la presencia de gránulos de neurosecreción de centro denso de 80 nm semejantes a los que se encuentran en la médula suprarrenal y el cuerpo carotídeo (fig. 15 11). Las células de Merkel están estrechamente relacionadas con los bulbos terminales expandidos de las fibras nerviosas mielinicas aferentes. La terminación nerviosa pierde su cubierta de células de Schwann y de inmediato perfora la membrana basal, donde se expande en una estructura en forma de placa llamada disco receptor, que se encuentra en contacto estrecho con la base de la célula de Merkel. La combinación de la fibra nerviosa y la célula epidérmica, llamada corpusculo de Merkel, forma un mecanomeceptor sensitivo.

El carcinoma de células de Merkel (CCM) es un tipo de cancer cutáneo poco frecuente, pero muy agresivo, que se

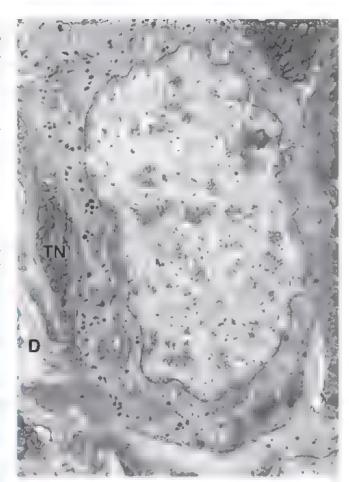


FIGURA 15-11. Microfotografía electrónica de una célula de Merkel. La célula contiene pequeños gránulos de neurosecreción en el citoplasma y entra en contacto con una term nación nerviosa periférica (TN) La dermis (D) es visible en la parte infenor de la imagen 14450× (cortesía del Dr. Bryce L. Munger)

desarrolla cuando las células de Merkel experimentan una proliferación descontrolada. Comienza con mayor frecuencia en las zonas de la piel expuestas al sol, como la cabeza, el cuello y los miembros superiores e inferiores. El CCM tiene la tendencia a crecer con rapidez y producir metástasis a través de los vasos linfáticos en una etapa temprana.

■ ESTRUCTURAS DE LA PIEL

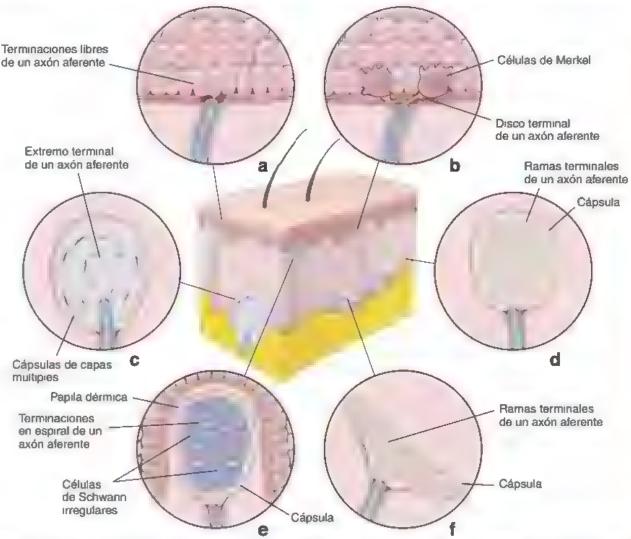
Inervación

La piel está dotada de receptores sensoriales de diversos tipos que son terminaciones periféricas de nervios sensitivos (fig. 15-12), También está bien inervada con terminaciones nerviosas motoras para los vasos sanguíneos, los músculos erectores del pelo y las glándulas sudoriparas.

Las terminaciones nerviosas libres son los receptores neuronales más abundantes de la epidermis.

Las terminaciones nerviosas libres en la epidermis finalizan en el estrato granuloso. Las terminaciones son "libres" porque carecen de una cubierta de tejido conjuntivo o de células de Schwann. Estas terminaciones nerviosas tienen modalidades sensitivas multiples, como tacto fino, calor, frío y dolor, sin una distinción morfológica evidente. Las redes de terminaciones dérmicas libres rodean la mayor parte de los folículos pilosos y se fijan a su vaina radicular

(continua en la p. 540)



HGURA 15-12. Receptores sensoriales de la piel. a. Terminales epidérmicas fibres **b.** Corpusculos de Merkel que contienen células de Merkel y discos receptores de axones aferentes mie nizados **c.** Corpusculo de Pacini, situado en la capa profunda de la dermis profunda y la hipodermis **d.** Bu bo terminal de Krause que actua como receptor de fino **e.** Corpusculo de Meissner en la papilia dermica **f.** Corpusculo de Ruffin en las capas profundas de la dermis. Debe tenerse en cuenta que los axones sensitivos de los receptores mostrados en **c.f** se encapsulan.

CUADRO 15-2.

CORRELACION CLÍNICA: CIRUGÍA MICROGRÁFICA DE MOHS

La cirugia micrográfica de Mohs (CMM), o cirugía de Mohs, es una técnica especializada guiada por microscopía para extirpar ciertos tipos de cáncer de piel. Esta técnica fue deserrollada por el Dr. Frederic E. Mohs en la década de 1930 y ha sido perfeccionada a lo largo de las siguientes décadas. Utiliza cortes congelados de la piel extraída para guiar la escisión de la lesión en su total dad.

Por lo general, la muestra quirurgica tiene forma de disco y se coloca en un portaobjetos de vídrio de modo tal que el margen quirurgico esté contra la superficie del portaobjetos. Es importante que los márgenes quirurgicos estén en el mismo plano que el resto de la muestra. Para logrario, se realiza una incisión circunferencial de rela ación en sentido paralelo al borde que resultó de la resección cutánea. Suelen requerirse cuatro cortes radiales para lograr que el margen quirurgico sea plano (figs. C15-2-1 y C15-2-2a). Los bordes de la muestra se marcan con color para lograr su orientación. Se vierte un medio de fijación para congelamiento sobre la

muestra y el sostén metálico. A continuación, la muestra (aun una superficie quirúrgica plana unida al portaobjetos) se gira de manera que se fije en la parte superior de la superficie metálica. Se coloca nitrógeno líquido a la pieza metálica para congelar de inmediato la muestra. Se retira el portaobjetos para exponer la superficie quirurgica incluida en el medio de fijación, la muestra se transfiere al criostato (un microtomo dentro de un congelador) para que sea cortada. Los cortes son secciones horizontales en extremo delgadas de las capas más profundas de la muestra. Estas secciones se colocan en un portaobjetos, se tiñen con H&E y son analizadas bajo el microscopio por el cirujario (véase fig. C15-2-1).

Aplanar la muestra como se ha descrito permite que el 100% del margen quirurgico verdadero sea visible en el primer corte del criostato. Esta técnica durante la extracción de los tumores permite que se examinen por completo los másgenes periférico y profundo de la muestra en un solo plano focal (véase fig. C15-2-2a). Esta técnica difiere de la sección

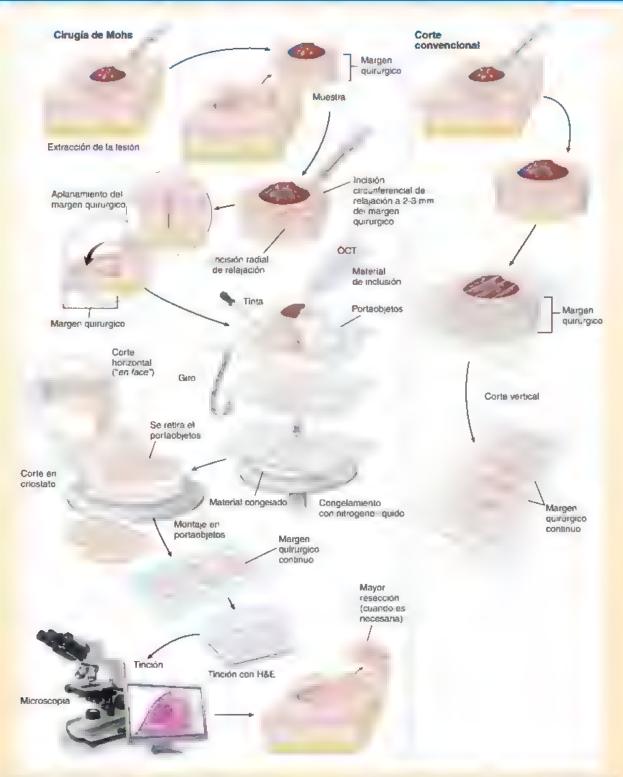


FIGURA C15-2-1. Pasos de la cirugía micrográfica de Mohs en comparación con la preparación quirúrgica convencional. La técnica de Mohs permite un procesamiento histológico especial del tej do extirpado que puede ser examinado por el cirujano durante la cirugía de extracción del tumor. En esta preparación se muestra el 100% del margen quirurgico en el mismo plano focal que el margen profundo. Los cortes congelados son seccionados horizontalmente de las capas más profundas de la muestra obtenida. Si las células tumorales están presentes en el margen durante la exproración microscópica, el cirujano puede retirar una mayor cantidad de fej do de área específica reconocida por las señales de color hechas con tinta las cuales indican las regiones de incisión en la piel del paciente. En los cortes convencionales las muestras se cortan verticalmente y cada uno de estos muestra una superfície discontinua de los margenes per ferrico y profundo. Es posible que se pierdan celulas cancerosas entre los cortes. Además, es complicado orientar la ubicación del tumor sobre la región cutánea del cuerpo del paciente. OCT, medio de inclusión de temperatura óptima para el corte.

CORRELACION CLÍNICA: CIRUGÍA MICROGRÁFICA DE MOHS (CONTINUIDADO)

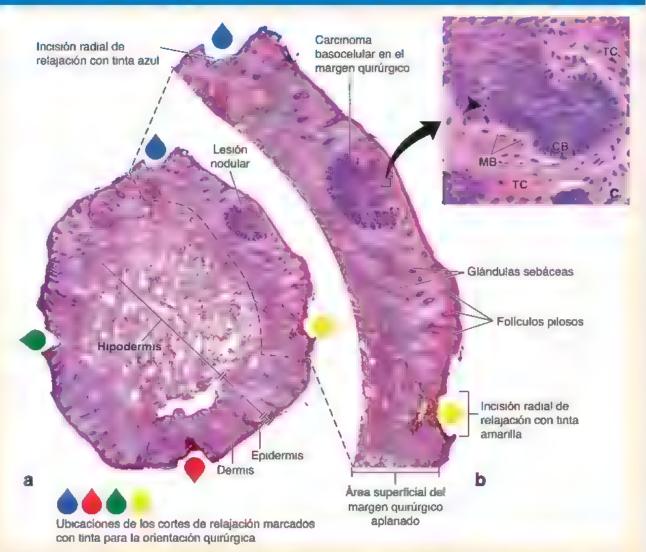


FIGURA C15-2-2. Microfotografía de una muestra extraída de lablo superior durante la cirugía micrográfica de Mohs. Se ha extraído una pequeña muestra de piel de 0.5 cm de diametro de un paciente con diagnostico de carcinoma basoceiular y se ha procesado de acuerdo con la técnica de preparación de tej dos para las secciones congeladas del procedimiento de Mohs. a. En esta imagen se presenta toda la muestra con sus margenes qui rurgicos claramente visibles y aplanados y la hipodermis en un solo plano focal. Nótese que el 100% del margen es visible. Se pueden observar cuatro incisiones radiales con cuatro colores de tinta distintos para la orientación. Con este bajo aumento, un nódulo con trición más intensa indica la presencia de células cancerosas en el margen qui rurgico de la nicisión. 8 x b. Esta mayor ampinificación de la superificia de margen qui rurgico muestra las características de la piel incluida a epidermis. La dermis con foliculos pilosos y las glándulas sebáceas un estructura de nódulo es claramente visible. Contiene muitiples cordones e islotes bien definidos que consisten en celulas epiteliales basófilas intensamente teñidas. Esta lesión nodular es característica de carcinoma basoce unar que crece hacia la profundidad de la dermis y no tiene conexión con las capas supenores de la epidermis. 20 · c. El mayor aumento muestra un islote de células cancerosas rodeado de tejido conjuntivo (7C) de la dermis. El insore está compuesto por capas cellulas del estrato basal, por lo que se conocen como células basaloides. CB. En la periferia, las células basaloides están organizadas en disposición paralela con los ejes longitudinales perpendiculares a la membrana basal (MB subvacente. Sus nucleos elongados son basófilos y están rodeados por un pequeno borde de citopiasma, en ocasiones, también se visualiza mitosis (punta de fischa). Las células en el centro del isiote son fusiformes y más regulares. 280 × (muestra cortesia del Dr. Kevin Christensan Winona Health).

vertical convencional, que no permite que el cirujano visualice el borde quirúrgico continuo del material extraído (véase fig. C15-2-1)

Dado que los bordes de la muestra se tiñen con tinta de diferentes colores visible con el microscopio, el cirujano puede identificar la ubicación exacta de las células cancerosas restantes. Entonces, el cirujano puede eliminar el área correspondiente, lo que permite que se conserve una mayor cantidad de tejido en comparación con una resección estándar a ciegas. Por ello, está técnica es ideal para extraer turnores cutáneos de ciertas partes del cuerpo, como el rostro, las manos, los pies y los genitales.

La CMM solo funciona en los casos de turnores contiguos, pues las lesiones multiples pueden dar la impresión equivocada de que cuentan con márgenes negativos. Por fortuna, la mayoría de los casos de cáncer de piel primario, incluidos los carcinomas epidermoide y basocelular, crecen de manera contigua y son susceptibles de ser examinados mediante esta técnica. En la CMM, el cirujano también sirve como patólogo, pues corta el tejido y examina de manera progresiva los cortes procesados. Esto permite que se realice una correlación clínica directa y la identificación precisa de la ubicación del tumor. Una vez que el tumor se ha extraído por completo, puede realizarse la reconstrucción de la henda el mismo día de manera ambulatoria.

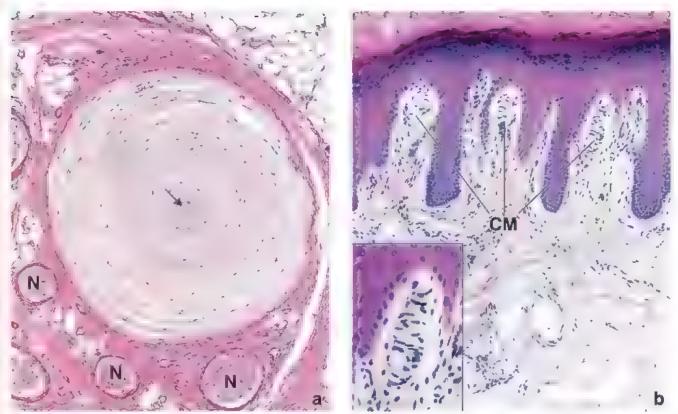


FIGURA 15-13. Corpúsculos de Pacini y de Meissner en cortes teñidos con H&E a. En esta microfotografia, las laminillas cel·ulares concentricas del corpusculo de Pacini son visibles a causa de las cél·ulas de sosten aplanadas de tipo fibrobiástico. Aunque no es visible en el corte histológico estas cél·ulas son continuas con el endoneuro de la fibra nerviosa. Los espacios que hay entre las laminillas contienen principalmente liquido ula terminación nerviosa de corpusculo de Pacini se despiaza en sentido longitudinal a través del centro de la estructura (flecha). Junto a corpusculo hay varios nervios (M) 85 × B. En esta microfotografia se senatan tres corpusculos de Meissner (CM) en las papias dérmicas. Debe notarse la contiguidad directa entre el corpusculo y la superficie profunda de la epidermis 150 • Recuadro. Corpusculo de Meissner con mayor aumento. La fibra nerviosa termina en el polo superficial de corpusculo. Observese que las cél·ulas de sosten estan or entadas más o menos perpendiculares al eje longitudinal del corpusculo. 320 ×

externa (figs. 15-13 y 15-14). En esta posición, son particularmente sensibles al movimiento del pelo y actúan como mecanorreceptores. Esta relación confiere un grado de especialización sofisticado a los receptores que rodean los pelos táctiles (vibrisas), como los bigotes de los felinos o los roedores, en los que las vibrisas tienen una representación específica en la corteza cerebral.

Otras terminaciones nerviosas de la piel están encerradas en una cápsula de tejido conjuntivo. Entre las terminaciones nerviosas encapsuladas se encuentran las siguientes.

- Corpúsculos de Pacini. Detectan los cambios de presión y las vibraciones aplicadas a la superficie cutánea.
- Corpúsculos de Meissner. Se encargan de percibir las sensaciones táctiles leves.
- Corpusculos de Ruffini Son sensibles al estiramiento y la tensión de la piel.

Los corpúsculos de Pacini son barorreceptores profundos que captan estimulos mecánicos y vibratorios.

Los corpúsculos de Pacini son estructuras ovoides grandes que se encuentran en la dermis y la hipodermis (en particular, en los dedos), en el tejido conjuntivo en general y en asociación con las articulaciones, el periostio y las vísceras. Los corpúsculos de Pacini suelen tener dimensiones macroscópicas y miden más de 1 mm en su diámetro mayor. Están compuestos por una terminación nerviosa mielínica rodeada por una estructura capsular (veanse figs. 15-12 y 15-13a). La fibra nerviosa perfora la cápsula en un polo con su vaina de mielina intacta. La mielina es retenida por uno o dos nódulos y después

desaparece. La porción amielínica del axón se extiende hacia el polo opuesto al de su entrada, y su longitud está cubierta por una serie de láminas muy juntas de células de Schwann aplanadas, que forman el múcleo interno del corpúsculo. El resto o la mayor parte de la cápsula, el núcleo externo, está formado por una serie de láminas concéntricas; cada lámina se separa de su vecina por un espacio estrecho que contiene un líquido semejante a la linfa (lám. 46, p. 562). El aspecto de las láminas concéntricas, visibles con el microscopio óptico, evoca la superficie de corte de una cebolla hemiseccionada. Cada lámina está compuesta por células aplanadas que son equivalentes a las células del endoneuro que está fuera de la cápsula. Además de líquido, entre las láminas hay escasas fibrillas de colágeno y pocos capilares.

Los corpúsculos de Pacini responden a la presión y la vibración a través del desplazamiento de las láminas capsulares. Este desplazamiento provoca la despolarización eficiente del axón.

Los corpúsculos de Meissner están situados en las papilas dérmicas y funcionan como receptores del tacto.

Los corpúsculos de Melasner (véanse figs. 15-12 y 15-13b) son receptores del tacto que responden particularmente a los estimulos de baja frecuencia en la dermis papilar de la piel lampiña (p. ej., los labios y las superficies palmares y plantares, en especial las de los dedos de las manos y los pies). Por lo general, son cilindros de extremos adelgazados que miden alrededor de 150 µm en su diámetro mayor y tienen una orientación perpendicular a la superficie de la piel. Los corpúsculos de Meissner están ubicados en las papilas dérmicas justo debajo de la membrana basal epidérmica (lám. 46, p. 562). En estos receptores, una o dos terminaciones amielínicas de fibras nerviosas mielínicas

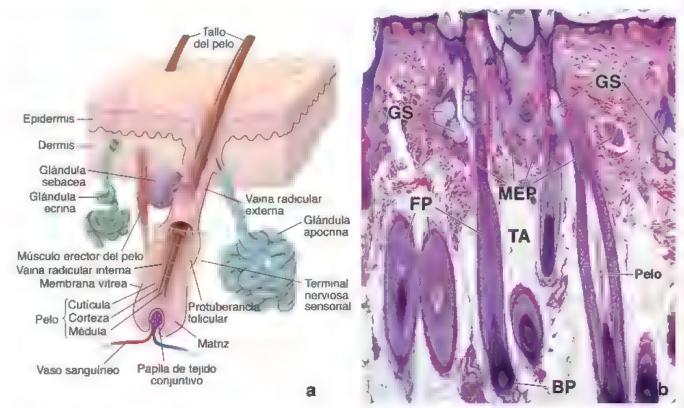


FIGURA 15-14. Foliculo piloso y otros anexos cutáneos. a. D agrama de un foliculo piloso Observense las capas de cérulas que forman el taro del pelo y las valhas radiculares externas el nternas circiondantes. La glándula sebácea consiste en un adenómero y un conducto corto que desemboca en el ntundíbulo la parte superior del foliculo piloso. El misculo erector de pelo acompaña a la giándula sebácea, la contracción de este musculo il so contribuye a la secreción de la giándula y expulsa el sebo en el infundibulo del foliculo piloso. La proyección de la valha radicular externa cerca de la inserción del musculo erector del pelo forma la protuberancia folicular que contiene las celulas madre epidérmicas una terminaciones nerviosas la maniforir rodeen la protuberancia folicular con la inserción cercana del musculo erector de pelo. La giándula sudoripara apocina también desemboca en el infundíbulo. Debe tenerse en cuenta que las giándulas sudoriparas ecrinas son estructuras independientes y no estan asociadas de forma directa con el foliculo piloso. b. Microfotografia de un corte de pie degada de cuero cabe judo ten do con H&E. El extremo en orecimiento de un foliculo piloso consiste en un bulbo piloso. (BP) expandido de las celulas que se diferencian en el eje del pelo y en la valha radicular interna del foliculo piloso (FP). Debe tenerse en cuenta que varios cortes oblicuos y longitudinales de los foliculos pilosos están incluidos en el fejido ad poso (FP). Debe tenerse en cuenta que varios cortes oblicuos y longitudinales de los foliculos pilosos están incluidos en el fejido ad poso (FP). Debe tenerse en cuenta que varios cortes oblicuos y longitudinales de los foliculos pilosos están incluidos en el fejido ad poso (FP). Debe tenerse en cuenta que varios cortes oblicuos y longitudinales de los foliculos pilosos están incluidos en el fejido ad poso (FP). Debe tenerse en cuenta que varios cortes oblicuos y longitudinales de los foliculos pilosos están incluidos en asociación con el infundibulo del foliculo piloso 60

describen trayectos en espiral dentro del corpúsculo. El componente celular consiste en células de Schwann aplanadas que forman varias láminas irregulares, entre las cuales discurren los axones hasta el polo del corpúsculo. En los preparados teñidos con H&E de cortes sagitales, esta estructura es sumilar a una madeja de lana trenzada de forma laxa. Son las células de Schwann las que dan esta impresión.

Los corpúsculos de Ruffini responden al desplazamiento mecánico de las fibras de colageno adyacentes.

Los corpúsculos de Ruffini son los mecanorreceptores encapsulados más simples. Tienen una forma alargada fusiforme y miden 1-2 µm de longitud (véase fig. 15-12f). Desde el punto de vista estructural, consisten en una delgada cápsula de tejido conjuntivo que encierra un espacio lleno de líquido. Las fibras de colágeno del tejido conjuntivo circundante atraviesan la cápsula. El elemento nervioso consiste en una sola fibra mielínica que perfora la cápsula, pierde su vaina de mielína y se ramifica para formar una arborización densa de terminaciones axónicas delgadas, que finalizan en una pequeña dilatación bulbosa. Las terminaciones axónicas se encuentran dispersas y entrelazadas dentro de la cápsula. Responden al desplazamiento de las fibras de colágeno inducido por estrés mecánico continuo; por lo tanto, responden al estiramiento y la torsión. Desde el punto de vista funcional, los corpúsculos de Ruffini pertenecen a la familia

de los receptores de adaptación rápida (receptores fásicos) que generan potenciales de acción breves al principio y al final de un estímulo.

Anexos cutáneos

Los anexos cutáneos derivan de brotes profundos del epitelio epidérmico durante el desarrollo embrionario. Estos incluyen los siguientes:

- Foliculos pilosos y su producto, el pelo.
- Giándulas sebáceas y su producto, el sebo
- Glándulas sudoriparas ecrinas y su producto, el sudor.
- Giándulas sudoríparas apocrinas y su producto mixto, que consiste en una forma de sudor con una concentración elevada de hidratos de carbono, lípidos y proteínas.

Tanto los pelos como las glándulas sudoríparas desempeñan funciones específicas en la regulación de la temperatura corporal. Las glándulas sebáceas secretan una sustancia oleosa que puede tener funciones de protección. Las glándulas apocrinas producen una secreción serosa que contiene feromonas que actúan como sustancias de atracción sexual en animales y quizás también en los humanos. El epitelio de los anexos cutáneos (en especial el de los folículos pilosos) puede servir como fuente de nuevas células madre epiteliales para la reparación de las heridas de la piel.

Folículos pilosos y pelo

Cada folículo pitoso as una invaginación de la epidermis en la que se forma un pelo.

Los fotículos pilosos y los pelos están distribuidos por casi toda la superficie corporal; están ausentes solo en los bordes y las palmas de las manos, los bordes y las plantas de los pies, y los labios y la piel periorificial de los aparatos urinario y genital. La distribución del pelo recibe la influencia, en un grado considerable, de las hormonas sexuales; por ejemplo, en el hombre, los pelos faciales gruesos y pigmentados comienzan a crecer en la pubertad y también en esta etapa se desarrolla el vello púbico y axilar en ambos sexos. En el hombre, la línea de implantación pilosa en el cuero cabelludo tiene la tendencia a retroceder según avanza la edad; en ambos sexos, el cabello se adelgaza con la edad debido a la menor secreción de estrógenos y sus análogos.

El foliculo pitoso se encarga de la producción y el crecimiento de un pelo. La coloración del pelo está dada por el contenido y el tipo de melanina que posee. El aspecto histológico del folículo varía dependiendo de si está en fase de crecimiento o de reposo. El folículo en crecimiento muestra una estructura más compleja, que es la que se describe aquí.

El folículo piloso se divide en cuatro regiones:

- Infundibulo. Se extrende desde el orificio superficial del folículo hasta la altura del orificio de su glándula sebácea. El infundíbulo es una parte del conducto pilosebáceo, el cual se utiliza como una vía para la descarga del sebo.
- Istmo. Se extiende desde el infundíbulo hasta la altura de la inserción del músculo erector del pelo.
- Protuberancia folicular. Sobresale del folículo piloso cerca de la inserción del músculo erector del pelo y contiene las células madre de la epidermis (véase fig. 15-14).
- Segmento inferior. En el folículo en proceso de crecimiento (véase fig. 15-14) tiene un diámetro casi uniforme salvo en su base, donde se expande para formar el butbo. La base del bulbo se invagina por un ovillo de rejido compuntivo laxo vascularizado llamado, como es lógico, papila dármica (lám. 47, p. 564).

Las otras células que forman el bulbo, incluso las que rodean la papila dérmica de rejido conjuntivo, reciben la denominación colectiva de *matriz del pelo*, que consiste simplemente en células matriciales. Estas células, inmediaramente contiguas a la papila dérmica, constituyen la población de células en división y diferenciación rápidas provententes de la protuberancia folicular que contiene las células madre (fig. 15-15). La división y proliferación de estas células son responsables del crecimiento del pelo. Los melanocitos se encuentran dispersos en este estrato germinal. Proporcionan melanosomas a las células del pelo en desarrollo, de manera análoga a la que ocurre en el estrato basal de la epidermis. Las células matriciales en división se diferencian en las células productoras de queratina del pelo y en la vaina radicular interna.

La varna raducular interna es una cubierta celular multiestratificada que rodea la parte profunda del pelo; tiene tres capas:

- Capa de Henle. Está constituida por una sola capa exterior de células cúbicas. Estas células se encuentran en contacto directo con la parte más externa del folículo piloso, que es una invaginación de la epidermis y recibe el nombre de volno radicular externa.
- Capa de Huxley. Consiste en una capa simple o doble de células aplanadas que forman la placa intermedia de la vaina radicular interna.



FIGURA 15-15. Foliculo piloso y mecanismos de migración de las células madre epidérmicas. En este diagrama se muestran la abicación y los mecanismos de migración de las células madre epidérmicas que se encuentran en la protuberancia folicular. En situaciones normales, las células madre epidermicas ascienden hacia la giándula sebácea y descienden hasta llegar a la matriz del pelo en el bulbo del foliculo (flechas negras). La matriz del pelo està formada por las células en diferenciación que migran a través de la vaina radicular externa desde la protuberancia folicular. Conforme la diferenciación progresa, las céfulas dejan la matriz, forman capas de células que se diferencian en el tallo del cabe lo que contiene (1) la médula, (2) la corteza y (3) la cuticula del pelo y la vaina radicular interna, que se compone de (4) a cutícula propia, (5) la capa de Huxley y (6) la capa de Henie. Durante una tesión de la epidermis, las células madre epidermicas migrari desde la protuberancia folicular hacia la superficie de la piel (flecha roja) y participan en la regeneración inicial de la epidermis esionada

 Cuticula de la vaina radicular interna. Se compone de células planas (o escamosas) cuya superficie libre externa está en contacto con el tallo del pelo.

Un nicho de células madre epidérmicas que se encuentra en la prominencia folicular de la vaina radicular externa provee las células madre para el crecimiento del pelo y la regeneración de la piel.

El seguimiento de la vaina radicular externa del foliculo piloso hacia la superficie epidérmica permite identificar el sitio de inserción del músculo erector del pelo y el origen del conducto de la glándula sebácea desde la pared del conducto folicular (véase fig. 15-14). Las terminaciones nerviosas rodean la vaina radicular externa a la altura de la inserción del músculo erector del pelo. En esta región general se halla una aglomeración de células epiteliales relativamente indiferenciadas, llamada prominencia folicular. Algunos estudios recientes identifican la prominencia folicular como un nicho de células madre epidérmicas (CME, véase fig. 15-15). Las CME pueden permanecer en esta región por tiempo indefinido y presentar autorrenovación o diferenciación en línajes celulares específicos. En condiciones normales, las CME son las encargadas de proveer células madre para el crecimiento de los folículos pilosos (la matriz del pelo, la vaina radicular interna, la corteza y la médula), así como de las glándulas sebáceas (véese fig. 15-15). Las CME que generalmente se encuentran en la prominencia folicular no contribuyen a la población de las células

CONSIDERACIONES FUNCIONALES: COLOR DE LA PIEL

El color de la piel de una persona se debe a varios factores que incluyen determinantes genéticos importantes, varios genes modificadores, factores ambientales (como la exposición a la radiación ultravioleta) y el sexo de la persona El más significativo es el contenido de melanina. Si bien la cantidad de melanocitos es en esencia la misma en todos los grupos étnicos, el destino de la melanina producida por los melanocitos es diferente. Por ejemplo, debido a la actividad lisosómica de los queratinocitos, la melanina se degrada con mayor rapidez en las personas de piet clara que en aquellas de piel oscura. En las primeras, los melanosomas están más concentrados en los queratinocitos más cercanos al estrato basal y son relativamente escasos en la región media del estrato granuloso. En cambio, la piel oscura puede exhibir melanosomas en toda la apidermis, incluido el estrato córneo

Además, el pigmento melanina se compone de dos formas distintas. Una de ellas, la eumelanina, es un pigmento de color café a negro. La otra forma, la feomelanina, es un pigmento rojo amarillento. Ambas están determinadas genéticamente. La coloración es más visible en el pelo debido a la concentración de gránulos de pigmento de melanina, pero también puede verse en la coloración de la piel.

La exposición a la radiación ultravioleta, en particular a los rayos del sol, se llama bronceado. Esta exposición aumenta la cantidad de melanocitos y acelera la tasa de producción de melanina, con lo que protege contra otros efectos de la radiación. La respuesta a la radiación ultravioleta está determinada genéticamente y es más pronunciada en las personas con una piel de color más oscuro.

El aumento de la pigmentación de la piel también puede deberse a un desequilibrio hormonal, como ocurre en la enfermedad de Addison. La falta de pigmentación se produce en una alteración conocida como **albinismo**. En esta afección hereditaria, los melanocitos producen premelanosomas, sin

embargo, debido a la falta de tirosinasa, la tirosina no se convierte en 3,4-dihidroxifenilalanina (DOPA) y entonces no hay DOPA que convertir en melanina. Por lo tanto, no hay pigmentación en la piel o el pelo de estas personas.

Dos genes, Bcl2 y Mrtf, parecen ser responsables del proceso de encanecimiento. La expresión de Bcl2 en las células madre melanocíticas es esencial para mantener su población dentro del nicho de la protuberancia folicular. La insuficiencia en la expresión de Bol2 causa la apoptosis de los melanoblastos y la consiguiente disminución en la cantidad de meianocitos. El agotamiento de los melanocitos ocurre con la edad, lo que produce una disminución de la tasa de donación de pigmento a los queratinocitos. En consecuencia, la piel se vueive más clara con el aumento de la edad, y la incidencia de cancer cutáneo también se incrementa. El agotamiento de los melanocitos causado por un automantenimiento defectuoso de los melanoblastos también está vinculado con la aparición de canas, el signo más evidente de envejecimiento en los humanos. Las personas con una mutación en el gen Bcl2 pueden encanecer prematuramente

Otros factores normales que afectan la coloración de la piel incluyen la presencia de oxihemoglobina en el lacho vascular dérmico, que confiere un color rojo la presencia de carotenos, un pigmento naranja exógeno tomado de los alimentos que se concentra en los tejidos que contienen lípidos, y ciertos pigmentos endógenos. Estos ultimos incluyen productos de degradación de la hemoglobina, como la hemosiderina, que contiene hierro, y la bilimbina, los cuales brindan color a la piel. La hemosiderina es un pigmento pardo dorado, mientras que la bilimbina es un pigmento de color pardo amarillento. La bilimbina habitualmente se extrae de la circulación por el higado y se elimina a través de la bilis. El color amarillento de la piel como resultado de la acumulación anómala de bilimbina indica una disfunción hepática y se manificata como lictericia.

madre basales de la epidermis. No obstante, cuando la epidermis se lesiona o se pierde (como ocurre en las quemaduras cutáneas extensas y en las heridas superficiales de la piel), las CME se reprograman, migran hacia la superficie de la herida desde sus nichos foliculares y participan en la formación inicial de una nueva superficie epidermica en la herida

Los pelos están compuestos por células queratinizadas que se desarrollan a partir de folículos pilosos.

La queratinización del pelo y de la vama radicular interna se produce poco después de que las células dejan la matriz en una región llamada la zona queratógena, ubicada en el tercio inferior del folículo. A medida que las células corticales pasan a través de esta zona, se diferencian, expulsan sus orgánulos y se compactan con los filamentos intermedios de queratina reticulados. Cuando el pelo emerge del folículo, ya está queratinizado por completo como queratina dura. La vaina radicular interna, que consiste en queratina blanda, no emerge del folículo junto con el pelo, sino que se desintegra a la altura del istmo folícular, en donde las secreciones sebáceas ingresan al folículo. Una membrana basal gruesa, llamada membrana vitrea, separa el folículo piloso de la dermis. Alrededor del folículo hay una vaina de rejido conjuntivo denso irregular. El músculo erector del pelo se inserta cerca de la protuberancia folicular que, como ya se indicó, funciona como un nicho de células madre epidérmicas.

Los pelos son estructuras filamentosas alargadas que se proyectan desde los folículos pilosos. Se componen de queratinas duras fuertemente reticuladas y constan de tres capas (véase fig. 15-14).

- Méduin. Forma la parte central del tallo del pelo y contiene una columna de células queratinizadas grandes, conectadas de forma laxa, que contienen queratina blanda. La médula está presente solo en los pelos gruesos.
- Corteza. Es la capa más grande y constituye alrededor del 80% de la masa total del pelo. Se encuentra fuera de la médula y se compone de células corticales llenas de filamentos intermedios de queratina dura. Cada filamento está rodeado por un espacio amorfo que contiene protentas asociadas con la queratina (KAP, koratin-associatod protenta). Estas KAP de alto contenido de azufre son responsables de la formación del tallo piloso rígido al generar un extenso reticulado de los filamentos intermedios de queratina a través de enlaces disulfuro. La corteza determina la textura, la elasticidad y el color del pelo. La melanina, responsable del color del pelo, es producida por los melanocitos presentes en el estrato germinal del bulbo piloso.
- Cuticula del pelo. Es la capa más externa del pelo. Contiene varias capas de células planas superpuestas, semitransparentes y queratinizadas. Estas células se asemejan a las escamas de un pez o a tejas de techos, con sus bordes libres alejados del folículo piloso.

CONSIDERACIONES FUNCIONALES: CRECIMIENTO Y CARACTERÍSTICAS DEL PELO

A diferencia de la ranovación de la superficie de la epidermis, el crecimiento del pelo no es continuo, sino que es un proceso cíelico. El **periodo de crecimiento (anágeno)** se continua por un período breve en el que el crecimiento se detiene (catágeno) El catágeno es seguido por un periodo de reposo prolongado (telógeno), en el cual el foliculo se atrofia y el pelo finalmente. se pierde. Las células madre epidérmicas presentes en la protuberancia folicular pueden dar lugar a células madre precursoras de foliculos anágenos maduros. Durante el ciclo de crecimiento capilar, el pelo anágeno maduro pasa por apoptosis de forma periódica e involuciona a la fase catágena. En esta fase, la división celular se detiene, la matriz involuciona, la papila dérmica se retrae, la nutrición capilar disminuye y folículos completos se retraen hacia la capa epidérmica. A medida que la base del folículo retraído se acerca a la protuberancia folicular, el tallo del pelo no puede sar sostenido por el bulbo anágeno con abundantes nutrientes y finalmente es expulsado desde el folículo telógeno en reposo. Este proceso deja un espacio disponible para un nuevo tallo, el cual crecerá durante la regeneración anágena.

El pelo en la fase anágena es susceptible de destrucción mediante los procedimientos de eliminación de pelo por láser (EPL). Dado que el crecimiento del pelo es cíclico, se requieren de multiples sesiones de tratamiento para eliminar los folículos nuevos en fase anágena. En la actualidad, se encuentran disponibles equipos profesionales y para uso en casa destinados a eliminar el "pelo no deseado" (que se refiere al pelo facial y corporal, pero no al cabelludo).

Del total de más de 100 000 cabellos en el cuero cabelludo normal, más del 80% están en la lase anágena. En la fase catágena, la zona germinal se limita a una hebra epitelial unida al vestigio de la papila dérmica. En la fase telógena, el foliculo atrofiado se contrae a la mitad o menos de su longitud original. El cabello puede permanecer unido al folículo durante varios meses en esta etapa, lo que se conoce como pelo telógeno (o claviforme debido a su forma característica en el extremo proximal)

El pelo varía en tamaño desde un **pelo terminal** largo y aspero que puede llegar a medir hasta 1 m o más (pelo del cuero cabel udo y la barba en los hombres) hasta un **vello** corto y delgado que es visible solo con la ayuda de un fente de aumento (vello de la frente y la superficie antenor del antebrazo). El pelo terminal es producido por folículos targos y anchos, mientras que el pelo velloso se origina de folículos pequeños. El pelo terminal puede permanecer durante años en el estado anágeno y solo unos pocos meses en el telógeno. El crecimiento promedio del pelo es de 0.4 mm/día (1.2 cm/mes), pero con la edad esta tasa disminuye, así como el grosor del pelo. El pelo gris es la consecuencia de la disminución de la producción de melanina dentro de la matriz capilar.

En las personas calvas, los foliculos terminales grandes se convierten gradualmente en folículos vellosos pequeños tras varios ciclos de crecimiento. La proporción de foliculos vellosos frente a los terminales aumenta a medida que progresa la calvicie. El cuero cabelludo "calvo" no está desprovisto de pelo, sino que cuenta con folículos vellosos que producen pelo delgado y permanecen durante periodos relativamente largos en la fase telógena.

La cutícula protege el pelo del daño físico y químico y determina su porosidad.

La estructura del pelo en los seres humanos está determinada por factores genéticos multiples, incluidos 17 genes de queratina (11 genes para el tipo I y 6 genes para el tipo II) y más de 85 genes KAP

Glándulas sebáceas

La mayoria de las glándulas sebaceas están asociadas con folículos pilosos y forman unidades pilosebaceas.

Las glándules sebáceas suelen encontrarse en asociación con folículos pilosos en la mayor parte de la superficie corporal, excepto en las palmas de las manos y las plantas de los pies. Forman unidades pliosobácease compuestas por cuatro estructuras: folículo piloso, pelo, músculo erector del pelo y glándula sebácea. El rostro cuenta con la mayor densidad de glándulas sebáceas. En algunas áreas, como los párpados (glándulas de Zeis y Meibomio), las aréolas (regiones pigmentadas alrededor de los pezones de las mamas) y el bermellón de los labios, las glándulas sebáceas no se acompañan de folículos pilosos y desembocan directamente en la superficie de la piel.

Las glándulas sebáceas surgen temprano en el desarrollo fetal como evaginaciones de la vaina de la raíz externa del folículo piloso en la epidermis. Pueden ser unifobulares o multifobulares (fig. 15-16 y lám. 45, p. 560). Durante el segundo trimestre del desarrollo fetal, las glándulas sebáceas adquieren su función completa y su secreción contribuye a la generación de la wirmir casseosa, una sustancia similar al queso de color blanco cremoso que cubre la piel del recién nacido.

CUADRO 15-5

CORRELACION CLÍNICA: SUDORACIÓN Y ENFERMEDAD

Aunque muchos factores nerviosos y emocionales pueder alterar la composición del sudor, esto también puede ser un signo de enfermedad. Por ejemplo, las concentraciones elevadas de sodio y cloruro en el sudor pueden servir como un indicador de fibrosis quística. Las personas con esta enfermedad tienen una cantidad de sodio y cloruro en el sudor dos a cinco veces mayor de lo normal.

En la **uremia**, cuando los mônes son incapaces de eliminar la urea del cuerpo, la concentración de urea en el sudor aumenta. En esta alteración, después de que se evapora el agua, se pueden observar cristales sobre la piel, en especial en el labio supenor Estos incluyen cristales de urea y se conocen como escarcha ureica.



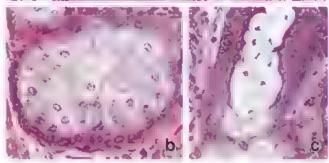


FIGURA 15-16. Microfotografia de una glándula sebácea. a. En esta microfotografia se muestran los adenómeros secretores y su conducto pilosebáceo de dos glándulas sebáceas. El conducto de la glándula de la izquierda está a punto de introducirse en el folículo piloso que se observa en la parte supenor de la microfotografía. El conducto de la glándula sebácea de la derecha se ha seccionado de manera que permite ver toda su pared 60× b. Aquí se muestra con mayor aumento el componente secretor del adenómero ubicado en el cuadro infenor de la imagen a. Obsérvese el aspecto pálido de las células secretoras debido: a la falta de tinción del sebo que contienen. Estas células producen sebo activamente. Las células basales en la perifena del adenómero. proliferan para generar nuevos sebocitos. Además, el músculo erector del pelo (MEP), compuesto por fibras de musculo liso, es visible en la perfena del adenómero. 120× c. Aqui se muestra con mayor aumento el componente secretor del adenómero en el cuadro superior de la imagen a Los sebocitos ahora están dentro del conducto. Obsérvense sus nucleos picnóticos, lo que indica la muerte de la célula. 120×

El desarrollo de las glándulas sebáceas está regulado por diversos factores de transcripción, como Sox9, Blump1, Wnt, BMP y la vía hedgehog. La proliferación, la diferenciación y el metabolismo de estas glándulas están regulados por las hormonas sexuales, en especial por los andrógenos. La actividad de la glándula sebácea aumenta poco después del parto, pero disminuye pasados los primeros meses posnatales. El aumento de los andrógenos en la pubertad coincide con el aumento de la actividad de las glándulas sebáceas y la secre-

ción del sebo. La producción del sebo disminuye con la edad en cerca del 23% cada década en los hombres y el 32% en las mujeres.

Los sebocitos son células epitelíates diferenciadas terminalmente que producen y acumulan sebo.

Los sebocitos son las principales células dentro de las glándulas sebáceas; producen y acumulan lípidos. La sustancia oleosa y cerosa denominada sebo se produce en los sebocitos maduros en un proceso conocido como secreción holocrina. En este proceso, toda la célula produce y se llena de material graso a la vez que experimenta muerte celular programada (apoptosis). En última instancia, tanto el producto de secreción como el detrito celular se eliminan desde la glándula hacia el infundibulo del folículo piloso que, junto con el conducto corto de la glandula sebácea, forma el conducto pilosebáceo. La actividad mitótica de las células basales en la periferia de la glándula produce células nuevas, y las células en la glándula permanecen unidas entre sí por los desmosomas y uniones comunicantes sin importar la etapa de diferenciación. La membrana basal de estas células es continua con la de la epidermis y el folículo piloso. Las células basales de la glándula sebácea contienen retículo endoplasmático liso (REL) y RER, ribosomas libres, mitocondrias, glucógeno y un aparato de Golgi bien desarrollado. A medida que los sebocitos se alejan del estrato basal y comienzan a sintetizar el producto de secreción lipídica, la cantidad de REL aumenta, lo que es un reflejo de la función del REL en la síntesis y secreción de lípidos. Las células se llenan de manera gradual de múltiples gotitas lipídicas, separadas por tabiques delgados de citoplasma. El proceso de producción de sebo toma cerca de ocho días desde la mitosis de la célula basal hasta la secreción del sebo.

La compleja mezcla de sustancias oleosas que constituyen el sebo brinda una firma química personalizada que es única para cada persona.

El sebo representa una mezda oleosa compleja compuesta por triglicéndos, diglicéndos y ácido grasos libres (57%), ésteres cerosos (26%), escualeno (12%) y colesterol, así como ésteres de colesterol (2%). Debido a su compleja composición, el sebo humano es bastante específico como consecuencia de las variaciones genéticas en la concentración de enzimas, pH y temperatura. El sebo secretado brinda a cada persona una firma quimica única. Los animales con un sentido del olfato altamente desarrollado, como los petros, son capaces de identificar a las personas con base en su firma química específica. Además de contribuir al mantenimiento de la barrera epidérmica funcional y a la secreción de las glándulas de Meibomio altamente especializadas en los párpados, no se conoce con certeza la función del sebo en la piel humana. Algunas teorías indican que puede tener una función en la protección contra la radiación ultrayioleta, mientras que otras investigaciones apuntan a que tiene funciones inflamatorias y comunicantes derivadas de la presencia de antioxidantes (especialmente vitamina E), sustancias antiinflamatorias y proinflamatorias, péptidos antimicrobianos y feromonas en la superficie curánea.

La diferenciación, la proliferación y la secreción de las sustancias lipidicas por los sebocitos son controladas por vías endocrinas comple,as. En general, los andrógenos aumentan la función de las glándulas sebáceas, mientras que los estrógenos tienen una función inhibidora en la producción de sebo. Ademas, la histamina, la sustancia P, la corticotropina (CRH, corticotropin-releasing hormone) y las sustancias de la dieta (ácidos grasos libres, azucares, grasas) pueden inducir la producción de sebo. El aumento de la secreción de sebo y los cambios en la composición lipidica durante la pubertad,

tanto en hombres como en mujeres, suele asociarse con la enfermedad inflamatoria orônica de la unidad pilosebácea, conocida como acné vulgar. Los tres acontecimientos fundamentales en el desarrollo del acné son 1) exceso de producción de sebo (seborrea), 2) queratinización folicular anómala del conducto pilosebáceo y 3) proliferación de *Propionibacterium acnes* dentro de la unidad pitosebácea. Al estudio histológico, el acné se caracteriza por la retención de sebo en el istmo del foliculo piloso con infiltración linfocitica variable. En casos graves, pueden desarrollarse abscesos dérmicos junto con la inflamación de los folículos pilosos.

Glándulas sudoriparas

Los humanos tienen cerca de 4 millones de giándulas sudoriparas que se clasifican según su estructura y tipo de secreción. Se reconocen dos tipos de glándulas sudoríparas:

- Giandulas sudoríparas ecrinas. Se distribuyen sobre toda la su perficie del cuerpo, salvo los labios, los lechos ungueales y ciertas partes de los genitales externos (glande del pene, clítoris y labios menores). La mayor densidad de glándulas sudoríparas se en cuentra en las palmas de las manos, las plantas de los pies y la piel de las axilas, la frente y el tórax.
- Giandulas sudoriparas apocrinas. Se limitan a la axila, la aréola
 y el pezón de la glándula mamaria, así como a la región perianal y
 los genitales externos. Las glándulas coruminosas del conducto
 auditivo externo y las glándulas apocrinas de las postañas
 (glándulas de Moll) también son glándulas de tipo apocrino.

Glándulas sudoriparas ecrinas

Las glándulas sudoríparas ecrinas son glándulas tubulares simples que regulan la temperatura corporal.

Las glándulas sudoriparas ecrinos son estructuras independientes, no asociadas con el folículo piloso, que se originan como brotes en la profundidad de la epidermis fetal. Cada glándula ecrina está dispuesta como una estructura tubular simple, enrollada y de fondo ciego. Se compone de dos segmentos: 1) un segmento secretor, situado en la dermis profunda o en la parte superior de la hipodermis y 2) un segmento canaticular menos tortuoso, que se continúa di rectamente con el anterior y desemboca en la superficie epidérmica (fig. 15-17 y lám. 44, p. 558).

Las glándulas sudoríparas ecrinas desempeñan un papel importante en la regulación de la temperatura a través del enfriamiento causado por la evaporación del agua del sudor sobre la superficie del cuerpo. Las glándulas sudoríparas ecrinas en la piel de las palmas de las manos y las plantas de los pies aumenta la fuerza de agarre. La porción secretora de las glándulas produce una secreción de composición semejante a la de un ultrafiltrado de la sangre. La resorción de un poco de sodio y agua en el conducto excretor genera la emisión de un sudor hipotónico hacia la superficie de la piel. Esta solución acuosa hipotónica es baja en proteínas y contiene cantidades variables de cloruro de sodio, urea, ácido úrico y amonio. Por lo tanto, la glándula sudorípara ecrina también actúa, en parte, como un órgano excretor.

La sudoración excesiva puede conducir a la pérdida de otros electrólitos, como potasio y magnesio, y a una deshidratación importante. Por lo general, el cuerpo pierde alrededor de 600 mL de agua al día a través de la evaporación pulmonar y cutánea. En condiciones de alta temperatura ambiente, la pérdida de agua puede aumentar de una manera regulada por un incremento de la sudoración. Esta sudoración termorreguladora se inicia en la región frontal de la cabeza y en el cuero oabelludo, se extiende a la

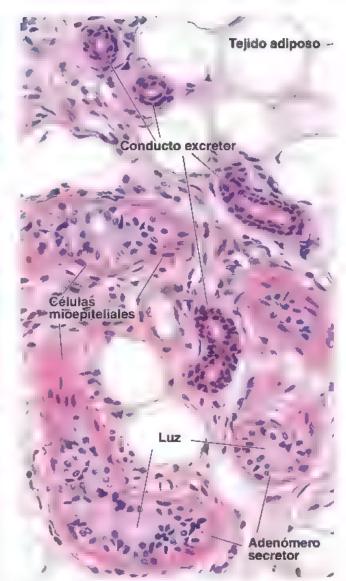


FIGURA 15-17. Microfotografía de una glándula sudorípumecrina. En esta microfotografía de un preparado de piel humana tenido con H&E se muestran las siluetas del adenómero secretor y del conducto excretor de una glándula ecr na El adenómero secretor aparece como una dob e capa de células epitebales cúbicas y una capa de células micepiteliares penféricas dentro de la membrana basa. El conducto excretor de la glándula tiene un diámetro externo y una luz menores que los del adenómero. Está compuesto por una capa doble de células cubicas pequeñas sin gélulas micepiteliales. 320×

cara y al resto del cuerpo y, por ultimo, aparece en las palmas de las manos y las plantas de los pies. En cambio las palmas de las manos, las plantas de los pies y las axilas son las primeras superficies que sudan en situaciones de tension emocional. El control de la sudoración termorreguladora es colinergico, mientras que la sudoración emocional podría ser estimulada por terminaciones adrenergicas de la división simpática del sistema nervioso autónomo.

El segmento secretor de la glándula sudoripara ecrina contiene tres tipos celulares.

En el adenómero de las glándulas ecrinas hay tres tipos de células: claras, oscuras (ambas son células epiteliales secretoras) y mioepiteliales, que son células epiteliales de tipo contráctil (fig. 15-18 y lám. 45, p. 560). Todas las células se encuentran en contacto con

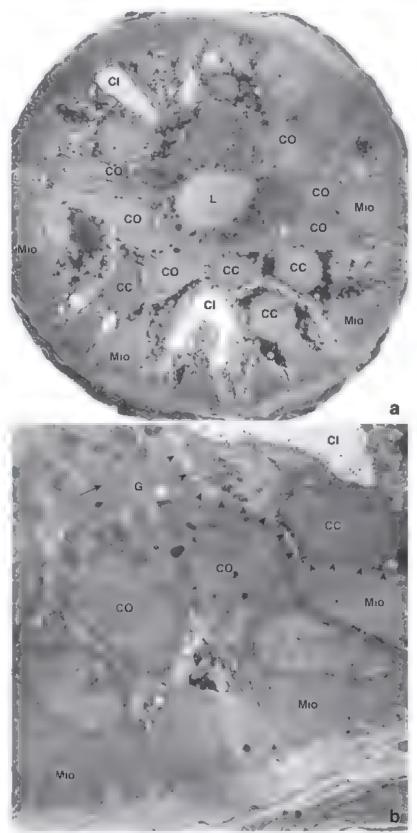


FIGURA 15-18. Microfotografias electrónicas de una glándula sudoripara ecrina, a. En esta microfotografia se muestran ce ulas micepitelia es (Mio) y dos tipos de cé ulas giandulares distintivas las células oscuras (CO) y fas células claras (CC). La porción apical de la célula oscura es amplia está en contacto con la luz (L) de la glandula y contiene numerosos gránulos secretores. La linea discontinua marca e i mite de una célula oscura. La célula clara está más alejada de la luz de la grandula. Su base se apoya en las células micepiteliales o directamente sobre la membrana basa. Casi toda la superficie libre de la célula clara mira hacia un cana culo intercelular (CI). Las células ciaras contienen muchas mitocondrias, numerosos pilegues de la membrana plasmática y abundantes notusiones electrodensas de glucógeno 5600 y b. Con mayor aumento, se observa que as celulas oscuras poseen bastante RER (hecha) y un aparato de Goig (G), además de gránulos de secreción. En las células claras hay numerosos pliegues de la membrana, mitocondrias y glucógeno. Las células micepite ales. Mio) contienen una gran carridad de filamentos contract es de actina. La serie de flechas cortas y anchas tarriba a la derechal marcan el mite de una célula clara. 17500 x (cortesia de Dr. John A. Terzakis)

la membrana basal, su distribución es la de un epítelio seudoestratificado. Los tres tipos de células se describen a continuación:

- Las células claras se caracterizan por la abundancia de glucógeno. El glucógeno es visible en la figura 15-18a debido a su gran cantidad; se tiñó intensamente con el método del ácido peryódico de Schiff (PAS, periodic acid-Schiff). En los preparados de rutina con H&E, el citoplasma de células claras se tiñe muy poco. Los orgánulos membranosos incluyen numerosas mitocondrias y cistemas del REL, así como un aparato de Golgi relativamente pequeño. La membrana plasmática está muy ampliada en las superficies laterales y apicales por extensos pliegues citoplasmáticos. Además, la superficie basal de la célula posee repliegues, aunque son mucho menos complejos que los citoplasmáticos. La morfología de estas células indica que producen el componente acuoso del sudor.
- Las células occuras se caracterizan por un RER y abundantes gránulos de secreción (véase fig. 15-18). El aparato de Golgi es relativamente grande, una característica que concuerda con la actividad secretora de glucoproteínas de estas células. El citoplasma apical contiene gránulos de secreción maduros y ocupa la mayor parte de la superficie luminal (véase fig. 15-18a). Las células claras tienen una exposición citoplasmática a la luz mucho menor; la secreción de su producto ocurre en gran parte a través de las superficies laterales de la célula, que están en contacto con canalículos intercelulares que permiten que la secreción acuosa alcance la luz. Aquí se mezcla con la secreción proteínica de las células oscuras.
- Las células mioepiteliales se limitan al aspecto basal del segmento secretor. Se encuentran entre las células secretoras, con sus evaginaciones orientadas en sentido transversal con respecto al túbulo. El citoplasma contiene muchos filamentos contráctiles (de actina) que se tiñen intensamente con eosina, lo que permite su fácil identificación en los preparados de rutina teñidos con H&E. La contracción de estas células produce la expulsión rápida del sudor desde la glándula.

El segmento canalicular de las glándulas ecrinas está revestido por un epitelio cúbico estratificado y carece de células mioepiteliales.

El conducto excretor de la glándula continúa de forma tortuosa desde la porción secretora. En los preparados histológicos, es habitual que aparezcan siluetas del conducto entre los perfiles de las zonas secretoras. A medida que asciende a través de la dermis, el conducto adquiere un trayecto en espiral hasta que alcanza la epidermis, donde continúa hasta la superficie describiendo una espiral más compacta. No obstante, cuando el conducto entra en la epidermis, las células canaliculares desaparecen y las células epidérmicas forman la pared del conducto. Desde el punto de vista clínico, la parte dérmica del conducto ecrino se conoce como siringe, mientras que la porción intraepidérmica que desemboca en la superficie cutánea se denomina acrosiringio. Los tumores benignos de la siringe reciben el nombre de siringomas y los tumores del acrosiringio se conocen como poromas. El acrosiringio también es un sitio de origen para el porocarcinoma ecrino, un tipo infrecuente de cancer de piel

La porción dérmica del conducto está compuesto por un epitelio cúbico estratificado, que consiste en una capa de células basales y una capa celular luminal. Las células del conducto son más pequeñas y aparecen más oscuras que las células de la porción secretora de la glándula. Además, el conducto tiene un diámetro menor que el de la porción secretora (adenómero). A diferencia de la porción secretora de la glándula ecrina, la porción de conducto carece de células mioepiteliales. Estas características son útiles para distinguir el conducto del adenómero en un corte histológico (véase fig. 15-17).

Las células basales o periféricas del conducto tienen un núcleo redondeado u ovoide que contiene un nucléolo prominente. El citoplasma está repleto de mitocondrias y ribosomas. Las células apicales o luminales son más pequeñas que las células basales; sin embargo, sus núcleos presentan un aspecto semejante. La característica más llamativa de las células luminales es el aspecto vítreo (hialinizado) muy teñido de su citoplasma apical. El aspecto vítreo se debe a la presencia de una gran cantidad de tonofilamentos aglomerados en el citoplasma apical.

Glandulas sudoriparas apocrinas

Las glándulas apocrinas son glándulas tubulares de luz amplia que están asociadas con los folículos pilosos.

Las glándulas sudoriparas apocrinas tienen su origen en los mismos brotes epidérmicos de los que surgen los folículos pilosos. La conexión con el folículo se conserva, lo que permite que la secreción de la glándula drene en él, con frecuencia a una altura justo por encuma de la desembocadura del conducto sebáceo. Desde aquí, el producto hace su camino a la superficie.

Al igual que las glándulas ecrinas, las apocrtnas son glándulas rubulares enrolladas. A veces son ramificadas. La porción secretora de la glándula está ubicada en la dermis profunda o, con mayor frecuencia, en la región más superficial de la hipodermis.

La porción secretora (adenómero) de las glándulas apocrinas tiene una luz más amplia que la de las glándulas ecrinas y está compuesta por un solo tipo celular.

El adenómero de las glándulas apocrinas difiere en varios aspectos del de las glándulas ecrinas. La diferencia más evidente, visible con el microscopio óptico, es su luz muy amplia (fig. 15-19 y lám. 44, p. 558). En contraste con las glándulas ecrinas, las apocrinas almacenan su producto de secreción en la luz. Los adenómeros de la glándula apocrina están compuestos por un epitelio simple. Tienen un solo tipo celular y el citoplasma de las células es eosinófilo. La superficie apical de las células suele presentar una protrusión vesiculosa. Antes se pensaba que esta parte de la célula se desprendía hacia la luz para formar la secreción apocrina, de ahí el nombre de la glándula. Sin embargo, los estudios con el MET confirmaron que la secreción es de tipo merocrino. El citoplasma apical contiene abundantes gránulos pequeños, el material de secreción dentro de la célula, los cuales se eliminan por exocitosis. Otras características de la célula incluyen numerosos lisosomas y gránulos del pigmento lipofuscina. Estos últimos corresponden a lisosomas secundarios y terciarios. Las mirocondrias también son abundantes. Durante la fase refractaria, después de la expulsión del material de secreción, el aparato de Golgi aumenta de tamaño en preparación para una nueva fase secretora.

Las células mioepíteliales también están presentes en la porción secretora de la glándula y se encuentran entre las células secretoras y la membrana basal contigua. Al igual que en las glándulas ecrinas, la contracción de las evaginaciones de las células mioepiteliales facilita la expulsión del producto de secreción de la glándula.



FIGURA 15-19. Microfotografía de una glándula sudorípara apocrina. En este corte de piel de la región peranal de un adulto hay varias glándulas sudoríparas apocrinas (anales), que se identifican con facilidad por la gran fuz de sus adenómeros. Esta glándula sudoripara apocrina está cerca de un folículo piloso (centro de la microfotografía) y profunda con respecto al tejido conjuntivo denso rregular de la dermis, 45× Recuadro. El componente secretor visto con mayor aumento muestra los tipos de células de la glándula apocrina. La giándula consiste en un epitelio simple cuyas células son cilindricas bajas o cúbicas, y en células mioepiteliales ubicadas en la porción basal de la capa celular epitelial. 230×

El segmento canalicular de las glándulas ecrinas está revestido por epitelio cubico estratificado y carece de celulas micepiteliales.

El conducto de tas glandulas apocrinas es similar al conducto ecrino, con una luz estrecha. Sin embargo, desde la porción secretora de la glándula, continúa con un trayecto bastante recto que desemboca en el conducto folicular. Dado su trayecto, se reduce la probabilidad de ver el conducto y la porción secretora de una glándula apocrina en el mismo corte histológico. También en contraste con el conducto ecrino, no hay resorción de sustancias en el conducto apocrino. La secreción no se altera en su paso a través del conducto.

El epitelio del conducto es cúbico estratificado, por lo general de dos capas celulares de espesor, aunque a veces pueden ser tres capas de células. El ciroplasma apical de las células luminales aparece hialinizado, una consecuencia de la acumulación de tonofilamentos en el citoplasma apical. En este aspecto, se asemejan a las células huminales del conducto ecrino.

Las glandulas apocrinas producen una secreción con proteinas abundantes que contiene feromonas.

Las glandulas apocrinas producen una secreción que contiene proteínas, hidratos de carbono, amonio, lípidos y ciertos compuestos orgánicos que le confieren color. Sin embargo, las secreciones varían según el sitio anatómico. En la axila, la secreción es lechosa y un tanto viscosa. Cuando se secreta, el líquido es inodoro; sin embargo, por la acción de bacterías en la superficie de la piel, adquiere un olor acre.

Las glándulas apocrinas se vuelven funcionales en la pubertad; al igual que ocurre con el vello pubico y axilar, su desarrollo depende de las hormonas sexuales. En la mujer, las glándulas apocrinas axilares y areolares experimentan cambios morfológicos y secretores que se corresponden con el ciclo menstrual

En muchos mamíferos, algunas glándulas similares segregan feromonas, señales químicas utilizadas en la demarcación de territorio, las conductas de cortejo y ciertos comportamientos maternales y sociales. En general, se piensa que las secreciones apocrinas funcionarian como feromonas en los seres humanos. Las feromonas masculinas (androstenol y androstenona) en la secreción de las glándulas apocrinas tienen un impacto directo sobre el ciclo menstrual femenino. Por otra parte, las feromonas femeninas (copulínas) ejercen influencia en la percepción masculina de las mujeres y también inducirian cambios hormonales en los hombres

Las glandulas ecrinas y apocrinas están inervadas por la porción simpática del sistema nervioso autónomo.

Las glandulas sudoriparas ecrinas son estimuladas por el neurotransmisor colinérgico acetilcolina; de forma paradópica, este es secretado por fibras nerviosas simpáticas que con frecuencia utilizan noradrenalina y no acenteolina (la acetifeolina suele ser un neurotransmisor en las fibras nerviosas parasimpáticas). Por lo tanto, las glándulas sudoríparas ecrinas tienen una inervación funcional colinérgica, pero son anatómicamente simpáticas. Las glandulas apocrinas son estimuladas por el transmisor adrenérgico noradrenalina, que está relacionado con fibras nerviosas simpáticas. Como se comentó antes, las glándulas ecrinas reaccionan ante el calor y el estrés. La inervación simpática de las glándulas sudoríparas está mediada por el centro termorregulador del hipotálamo. Las glándulas apocrinas están implicadas en la sudoración emocional a causa de estrés, temor, dolor y estimulación sexual, pero no responden ante el calor. La hiperhidrosis es una anomalia que afecta al 0.6-5% de la población, y se caracteriza por la producción excesiva de audor, más allá del necesario para la termorregulación. Puede ser idiopática (hiperhidrosis primaria) o a causa de otra anomalia endocrina, neurológica o infecciosa. La hiperhidrosis primaria se caracteriza por sudoración incontrolable, exces va e impredecible, que se presenta en el reposo y no se relaciona con la temperatura. Los sintomas de hiperhidros sipueden afectar gravemente la calidad de vida y ocasionar verguenza, aislamiento, ansiedad y depresión. Las opciones de tratamiento incluyen fármacos anticolmérgicos tópicos y orales, cirug as (simpatectomia torácica endoscopica), terapia láser e inyección de toxina botulinica.

Uñas

Las placas ungueales son células queratinizadas que contienen queratina dura.

Las uñas de los dedos de las manos y los pies se encuentran levemente arqueadas y se denominan placas ungueatos, las cuales se unen firmemente a los lechos ungueales. El lecho ungueal consiste en células epiteliales que son continuas con el estrato basal y el estrato espinoso de la epidermis (fig. 15-20 y lám. 47, p. 564).

La parte proximal de la uña, la raiz ungueal, está oculta por un pliegue de la epidermis y cubre las células de la zona gorminal o matriz. La matriz contiene una variedad de células, como células madre, células epiteliales, melanocitos, células de Merkel y células de Langerhans. Las células madre de la matriz se dividen conregularidad, mugran hacia la raíz y ahí se diferencian para producir la queratina de la uña. La queratina de la uña es queratina dura, como la de la corteza del pelo. A diferencia de la queratina blanda de la epidermis, la queratina dura no se descama. Se compone de filamentos de queratina muy juntos incluidos en una matriz amorfa de queratina con un contenido elevado de azufre, que es el responsable de la dureza de la uña. El proceso de formación de queratina dura, al igual que en la corteza del pelo, no incluye la aparición de gránulos de queratohialma. Además, una envoltura celular queratinizada contiene proteínas similares a las encontradas en la epidermis.

La adición constante de células nuevas en la raíz y su producción de queratina son la causa del crecimiento de las uñas. A medida que crece la superficie de la uña, se desliza sobre el lecho ungueal. La velocidad de crecimiento de las uñas de las manos se estima en 2-3 mm/mes, mientras que la de los pies es de 1 mm/mes; por lo tanto, el reemplazo total de la uña de la mano es de 6 meses y la del pie, de 18 meses. Desde el punto de vista microscópico, la superficie de la uña contiene sormocitos interdigitados muy juntos que carecen de núcleo y orgánulos.

El área blanca en forma de media luna ubicada cerca de la raíz de la uña, la lunula, delimita la porción distal de la zona germinal. Su color deriva de la capa gruesa y opaca de células de la matriz parcialmente queratinizadas en esta región. Cuando la superficie de la uña se queratiniza por completo, es más transparente y adquiere el color del lecho vascular subyacente. El borde del pliegue cutáneo que cubre la raíz de la uña es el **oponiquio** o **cuticula**. La cutícula también se compone de queratina dura; por lo tanto, no se descama. Debido a su delgadez, tiene la tendencia a separarse, por lo que muchas personas la recortan o la empujan hacia atrás. Una capa epidérmica engrosada, el hiponiquio, asegura el borde libre de la placa ungueal en el extremo del dedo.

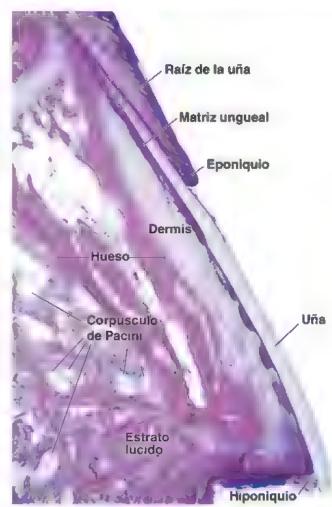


FIGURA 15-20. Microfotografia de corte sagital de una falange distal unida a la uña. La uña es una placa queratinizada situada en la cara dorsal de las falanges distales. Bajo el borde libre de la uña hay una capa limitante, el hiponiquio, que es continuo con el estrato cómeo de la epidermis contigua. El extremo proximal, la raíz de la uña, está cubierto por un repliegue cutáneo, el eponiquio, que también es continuo con el estrato cómeo de la epidermis contigua. Profunda con respecto a la uña hay una capa de epidermis contigua. La poción proximal de este epitelio se denomina matriz de la uña. El hueso en esta sección corresponde a una falange distal. En el tepdo conjuntivo del lado palmar hay muchos corpusculos de Pacini. Obsérvese que, incluso con este poco aumento, el estrato iucido es visible en la epidermis de la yema del dedo. 10×

CUADRO 15-6

CORRELACION CLÍNICA: REPARACIÓN CUTÁNEA

El proceso de cicatrización de heridas cutáneas por tradición se clasifica en unión primaria o secundaria. La cicatrización por unión primaria (primera intención) se produce después de las incisiones quirurgicas, en las cuales las heridas, que suelen ser limpias y asépticas, trenen sus bordes aproximados por suturas. La cicatrización por unión secundaria (segunda intención) ocurre en heridas traumáticas con bordes separados, que se caracterizan por una pérdida más extensa de células y tejidos. La cicatrización de hendas, en estos casos, consiste en la generación de una gran cantidad de tejido de granulación, el cual se compone de un tejido especializado que se forma durante el proceso de reparación.

Para la reparación de una incisión o una laceración de la p el, se requiere la proliferación estimulada tanto de la demis como de la epidermis. La reparación dérmica incluye 1) la formación de un coagulo sanguíneo, 2) la eliminación de las fibras de colágeno dañadas, sobre todo a través del esfuerzo de la actividad de los macrófagos que se asocia con la inflamación, 3) la formación de tejido de granulación, 4) la reepitelización de la superficie expuesta, 5) la proliferación y migración de fibroblastos y la diferenciación de miof broblastos que participan en la contracción de la herida, y 6) el depósito y remodelado de la matriz extracelular del tejido conjuntivo subyacente. La cicatrización por unión primaria después de la aplicación de suturas reduce la extensión de la zona de reparación a través del cierra máximo de una herida, disminuyendo la formación de cicatrices. Las incisiones quirurgicas generalmente se realizan a lo largo de las líneas de división, el corte se efectua paralelo a los haces de fibras de colágeno para reducir, de ese modo, la necesidad de un

CORRELACIÓN CLÍNICA: REPARACIÓN CUTÁNEA

exceso de producción de colágeno y la inherente formación de una cicatriz prominente.

La reparación de la epidermis comprende la proliferación de los gueratinocitos basales en el estrato germinativo de los sitios no dañados que rodean la henda (fig. C15-6-1). La actividad mitótica se incrementa mucho en las primeras 24 h. Al poco tiempo, el sitio de la herida queda cubierto por una costra que corresponde al coágulo de sangre deshidratado Las células basales proliferantes del estrato basal comienzan su migración por debajo de la costra y en toda la superficie de la herida. La velocidad de migración alcanza hasta 0.5 mm/dia. y el proceso comienza entre 8 y 18 h después de producida la herida. La proliferación y diferenciación ulterior ocurren detrás del frente de la migración, lo que conduce a la restauración de la epidermis multiestratificada. A medida que nuevas células se queratinizan y al final se exfolian, la costra suprayacente se separa junto con las células descamadas, lo que explica por qué una costra se desprende de su penfena hacia el centro.

En los casos en los que se pierde todo el espesor de la capa epidérmica, ya sea por traumatismo o en cirugla, partes de los folículos pilosos (la protuberancia folícular que contiene el nicho de células madre epidérmicas) producen células que migran sobre la superficie expuesta para restablecer una capa epitelial completa (epidermis). La destrucción masiva de todas las estructuras epiteliales de la piel, como ocurre en una quemadura de tercer grado o en las abrasiones extensas de todo el espesor cutáneo, impide la reepitelización. Estas heridas solo se pueden curar con injertos de epidermis para cubirr el área resionada. Sin un injerto, la herida, en el mejor de los casos, se reepitelizará con lentitud y de manera imperfecta por proliferación celular desde los bordes.

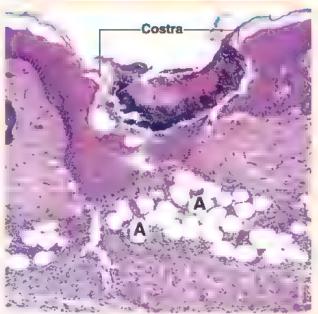


FIGURA C15-6-1. Microfotografía de una etapa avanzada en la reparación epidérmica de una herida cutánea. La herida inicial lue causada por una incision a través de todo el espesor de la piel y parte de la hipodermis, que contiene adipocitos (A). La epidermis se ha vuelto a formar debajo de la costra. El asterisco marca un artificio donde el epite io se ha separado durante la preparación de la muestra. La costra, que contiene abundantes neutrofuos muertos en su cara profunda, está a punto de desprenderse. En esta etapa, la dermis exhibe pocos cambios durante el proceso de reparación, pero al final se restablecerá para formar una capa continua. 110×



SISTEMA TEGUMENTARIO

FUNDAMENTOS DEL SISTEMA TEGUMENTARIO

- El sistema tegumentario se compone de la piel y sus derivados (anexos curáneos)
- La piel tiene dos capas la epidermis, una capa superficial que consiste sobre todo en un epitelio plano estratificado queratinizado (cornificado), y la dermis, una capa mas profunda de tejido conjuntivo denso irregular.

 La hipodermis se encuentra a mayor profundidad en la piel y contiene cantidades variables de tejido adiposo.

EPIDERMIS

- La epidermis se compone sobre todo de queratinocitos (85%), que experimentan diferenciación para formar el epitelio plano estratificado queratinizado.
- En la epidermis se pueden distinguir cuatro capas (estratos).
- El estrato basal es una capa monocelular de células cúbicas pequeñas con actividad mitótica que estan unidas al tejido conjuntivo subyacente (por hemidesmosomas) y entre si (por desmosomas).
- El estrato espinoso contiene varias capas de queratinocitos mas grandes que estan unidos entre sí por desmosomas situados en los extremos de sus evaginaciones ciroplasmánicas y que contienen filamentos intermedios (filamentos de queratina).
- El estrato granuloso es una capa distintiva de queratinocitos aplanados repletos de gránulos de queratohialina (connenen precursores de la filagrina), que aglomera filamentos de queratina y cuerpos laminares que contienen lípidos, los cuales, cuando se secretan, son responsables de la formación de la barrera contra el agua en la epidermis.
- El estrato cómeo es la capa mas superficial de células (sin nucleo) planas terminalmente diferen ciadas, las cuales estan llenas casi por completo de filamentos de queratina. Estas celulas estan en constante descamación en la superficie de la piel.
- El tiempo total de renovación epidérmica es de alrededor de 47 días.

CÉLULAS ESPECIALIZADAS DE LA EPIDERMIS

- Los melanocitos (5% de las celulas de la epidermis) se encuentran en el estrato basal y emiren eva ginaciones largas que se extienden entre los queratinocitos en el estrato espinoso.
- Los melanocitos sintetizan el pigmento melanina en los melanosomas, que es transferido (donación de pigmento) a los queratinocitos advacentes. El pigmento transferido se acumula por encima de los nucleos de los queratinocitos para proteger el ADN nuclear de la radiación y del daño producido por los rayos ultravioleta (UV).
- Otras células en la epidermis incluyen las células de Langerhans (2-5%), que son células presentadoras de antigeno que participan en la señalización del sistema inmunitario, y las **células de** Merkel (6-10%), que son células mecanorreceptoras asociadas con terminaciones nerviosas sensitivas.

DERMIS

- La dermis está compuesta por dos capas.
- La capa papilar es superficial y consiste en tejido conjuntivo laxo (colageno tipo I y III) que contiene un plexo extenso de sangre, vasos linfáticos y terminaciones nerviosas sensitivas.
- La capa reticular es más protunda y se compone de tejido conjuntivo denso irregular que contiene colágeno tipo I, fibras elásticas y vasos sanguíneos más grandes.
- La unión dermoepidermica tiene muchas evaginaciones digitiformes de tejido conjuntivo llamadas papilas dérmicas, que se corresponden con las protuberancias similares a la epidermis (crestas interpapilares)
- Las papilas dermicas contienen terminaciones nerviosas y una red de capilares sanguineos y linfáticos.

RECEPTORES NERVIOSOS SENSITIVOS CUTÁNEOS

- La epidermis contiene terminaciones nerviosas libres que detectan el tacto fino, el calor, el frio y el dolor.
- Ademas, los corpúsculos de Merkel (celulas de Merkel con una terminación nerviosa) son un mecanorreceptor sensitivo.
- La dernis contiene varias terminaciones nerviosas encapsuladas, por ejemplo, corpusculos de Pacini para detectar presion y vibraciones, corpusculos de Meissner para detectar sensaciones tacti les ligeras y corpúsculos de Ruffini para detectar estiramiento y torsión cutánea.

PELO Y UÑAS

- El pelo y los folículos pilosos están presentes en casi todo el cuerpo.
- El folículo piloso contiene un reservorio de celulas madre epidérmicas (protuberancia folícular) que son responsables de la diferenciación en células matriciales formadoras de pelo.
- El pelo esta formado por la diferenciación de las células matriciales en el segmento inferior del folicilo piloso (bulbo) para formar la medula, corteza (80% de la masa de pelo) y cuticula del tallo del pelo.
- El tallo del pelo está rodeado por la vama radicular interna y externa. La vaina radicular interna
 tiene tres capas. la capa de Henle, la capa de Huxley y la cutícula de la vama radicular interna.
 La vaina radicular externa es continua con la epidermis.
- Las unas son placas de celulas querannizadas que descansan sobre los lechos ungueales, que contienen queratina dura formada en la raiz ungueal en la parte proximal de la uña. Los queratinocitos proliferan ahí y se diferencian para formar queratina dura.
- A medida que la placa ungueal crece, se desliza sobre el lecho ungueal con bordes cubiertos por los pliegues cutáneos.

GLANDULAS DE LA PIEL

- Las glándulas sebáceas producen el sebo que recubre la superficie del pelo y la piel. El sebo es
 producido mediante secreción holoctina por los sebocitos y desemboca en el foliculo piloso a traves
 del conducto pilosebáceo.
- Las glándulas sudoríparas apocrinas secretan sudor con abundancia de proteinas en los foliculos pilosos, pero se limitan a regiones específicas del cuerpo (axilas, periné).
- Las glandulas sudoriparas apocrinas son glandulas tubulares enrolladas con luz amplia. Sus parres secretoras contienen células mioepiteliales, cuya contracción es responsable de la expulsion del sudor.
- Las glándulas sudoriparas ecrinas no están relacionadas con los folículos pilosos. Producen sudor de composición similar a un ultrafiltrado de la sangre en el riñón.
- Las glandulas sudoriparas ecrinas desempenan un papel importante en la regulación de la temperatura a través del enfriamiento causado por la evaporación del agua del sudor sobre la superficie del cuerpo. Las partes secretoras también contienen células mioepiteliales.

LÁMINA 42 PIEL I

La piel, o tegumento, se compone de dos capas principales; la epidermis, conformada por epitelio plano estratificado que está queratinizado, y la dermis, formada por tejido conjuntivo. Bajo la dermis hay una capa de tejido conjuntivo laxo llamada hipodermis, que en general también se conoce como tejido subcutáneo o, por los anatomistas, como fascia superficial. En general, la hipodermis contiene una gran cantidad de tejido adiposo, en particular en una persona mal alimentada.

La epidermia de origen a uñas, pelos, glandulas sebaceas y glandulas sudoriparas. En las palmas de las manos y las plantas de los pies, la epidermis tiene una capa queratinizada exterior que es sustancialmente más gruesa que en las otras partes del cuerpo. En consecuencia, la piel de las palmas y las plantas se conoce como *piel gruesa*, a diferencia de la piel sobre otras partes del cuerpo, que se conoce como *piel delgada*.

No hay pelo en la piel gruesa. Además, el límite entre la epidermis y la dermis es más complejo en la piel gruesa que en la piel delgada. Las evaginaciones digitiformes de la dermis contra la base de la epidermis, las papilas dérmicas, son mucho más largas y están mucho más cerca unas de otras en la piel gruesa. Esto proporciona una mayor resistencia frente a las fuerzas de fricción que actuan sobre esta piel.



Piel gruesa, humano, H&E, 45×.

En esta muestra de prel gruesa, la **epidermis** (Ep) està en la parte superior; el resto del campo está ocupado por la dermis, en la que se puede observar una gran cantidad de **glándulas sudoripa-ras** (CSu). Si bien las capas de la epidermis se examinan mejor con

mayor aumento, es fácil de ver, incluso con este aumento relativamente bajo, que alrededor de la mitad del espesor de la epidermis se compone de una capa superficial distuntiva que se tiñe más claro que el resto de la epidermis. Esta es la capa

queratinizada. Los contornos de la superficie en forma de cúpula representan un corte transversal a través de los diminutos plugues en la superficie de la piel gruesa, que producen las huellas dactilares de una persona.

Además de las glándulas sudoriparas, la dermis contiene vasos sanguineos (VS) y tejido adiposo (TA). Los conductos excretures (C) de las glándulas sudoriparas se extienden desde las glándulas hacia la epidernis. Se observa uno de los conductos que entra en la epidernis a la altura del vértice de una cresta epitelial. Este atraviesa la epidernis con un trayecto en espiral para abrirse sobre la superficie de la piel.



Piel delgada, humano, H&E, 60×.

Se presenta una muestra de piel delgada para comparar con la piel gruesa de la figura anterior. Observese la capa delgada de epidermis (Ep.) queratinizada, en comparación con la piel gruesa. Además de las glandulas sudoríparas, la piel delgada contiene foliculos pi-

losos (FP) y sus **giándulas sebáceas** (GS) asociadas. Cada glándula sebácea se abre en un foliculo piloso. A menudo, como en esta muestra de tejido, los foliculos pilosos y las glándulas, tanto sebáceas como sudoriparas, se extienden más allá de la dermis (De) hacia el interior de la bipodermis. Obsérvense los vasos sanguineos (VS) y el tejido adiposo (TA) en la hipodermis



Epidermis, piel, humano, H&E, 320×; recuadro 640×

Aqui se muestran las **capas de la epidermis de la piel delgada** con mayor aumento. La capa de células que ocupa el lugar más profundo es el **estrato basal** (EB). Tiene una sola célula de

espesor. Justo encima hay una capa de varias celulas de espesor, el **estrato espinoso** (EE). Se compone de células que tienen procesos espinosos en su superficie. Estas evaginaciones entran en contacto con las evaginaciones espinosas de las células adyacentes y, juntas, se observan como puentes intercelulares (flechas, recuadro). La siguiente capa es el estrato granuloso (EGr), cuyas células contienen gránulos de queratolisalina (punta de flecha, recuadro). En la superficie está el estrato cómeo (EC), que está formado por células querannizadas, es decir, células que ya no poseen múcleos. Las células queratinizadas son planas y generalmente se adhieren a otras células por atriba y por abajo sin que puedan discernirse limites celulares. En la piel gruesa se ve una quinta capa, el estrato búcido, que se encuentra entre el estrato granuloso y el estrato cómeo. El pigmento en las células del estrato basal es la melanna; algo de este pigmento (P) también está presente en algunas células del tejido conjuntivo de la dermis. Obsérvense los vasos sanguineos (VS) que se extienden hacia las papilas dérmicas.

C, conducto de la glándula sudorípara

De, dermis

EB, estrato basal

EC, estrato córneo

EE. estrato espinoso

EGr, estrato granuloso

Ep, epidermis

FP, foliculo piloso

GS, glándula sebácea

GSu, glándula sudoripara

P. pigmento

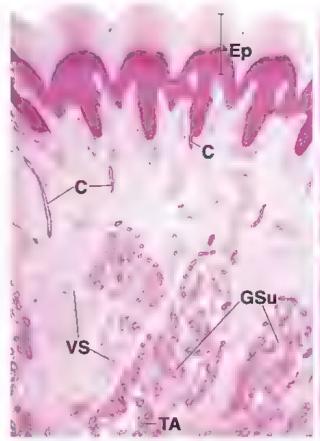
TA, tejido adiposo

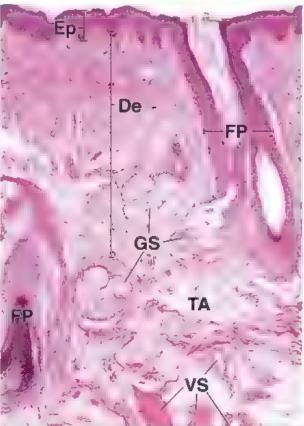
VS, vasos sanguineos

flechas, puentes intercelulares

punta de flecha, gránulos en la célula del

estrato granuloso





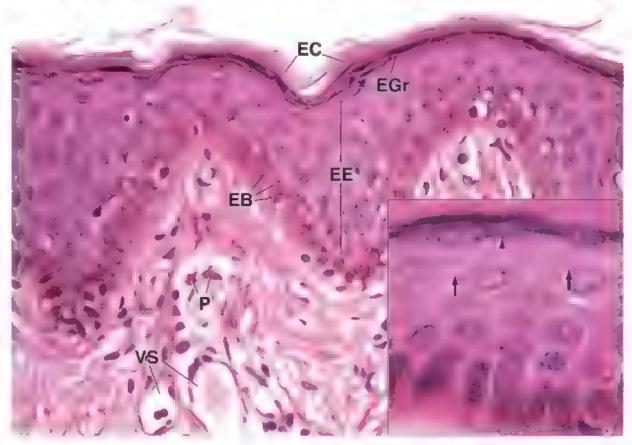


LÁMINA 43 PIEL II

La epidermis contiene cuatro tipos celulares distintos: queratinocitos, melanocitos, células de Langerhans y células de Merkel Los queratinocitos son las células más abundantes; se generan en el estrato basal y avanzan hacia la superficie. Al hacerlo, producen la proteina intracelular queratina y al lípido extracelular especial que sirve como barrera contra el agua en las capas superiores de la epidermis. Desde el punto de vista histológico, los gueratinocitos son las células que exhiben evaginaciones como espinas en el estrato espinoso. Los otros tres tipos de células no se identifican con facilidad en los cortes de parafina tenidos con H&E. Sin embargo, el producto del melanocito si se percibe en los cortes teñidos con H&E, y esto se considera en las dos primeras figuras de esta lámina.

La piel contiene un pigmento, la melanina, que protege el tejido contra los efectos nocivos de la luz ultravioleta. Este pigmento está formado por melanocitos que después lo entregan a los queratmocitos. En la piel oscura hay más pigmento que en la piel clara; esto se puede apreciar mediante la comparacion de la piel clara (figura de amba) y la piel oscura (figura del medio). En cada una de las figuras se muestra la epidermis y una pequeña cantidad de la dermis. Mientras que la parte profunda de la piel oscura contiene pigmento abundante, la cantidad de pigmento en la piel clara es insuficiente para que se observe con este aumento. Las células productoras de pigmento están presentes en ambos tipos de piel y en cantidades aproximadamente iguales. La diferencia se debe a una degradación más rapida del pigmento por los lisosomas de los queratinocitos en la piel clara Después de la exposición prolongada a la luz solar, en la piel clara también se produce pigmento en cantidad suficiente para que sea visible.



Piel clara, humano, H&E, 300×.

En los cortes de parafina teñidos con HôcE de muestras de piel clara, como en esta microfotografía, los melanocitos se ven como células pequeñas, redondeadas y claras (CC), mezcladas conlas otras células del estrato basal. Sin embargo, no todas las células claras de la epidemus son melanocitos. Por ejemplo, las células de Langerhans también pueden aparecer como células claras, pero están situadas más superficialmente en el estrato espinoso. Las células de Metkel también pueden aparecer como células claras, por lo que se dificulta la identificación exacta de estos tres tipos de células.



Piel oscura, humano, H&E, 300×.

En la piel oscura, la mayor parte del pigmento está en la porción basal de la epidermis, pero también está presente en las células que avanzan hacia la superficie y dentro de las células anucleadas de la capa queratinizada. Las flechas inducan el pigmento melanina en los queratinocitos del estrato espinoso y en el estrato córneo. En la piel clara, la melanina se degrada antes de saltr de la porción más superficial del estrato espinoso. Por lo tanto, el pigmento no se observa en las capas superiores de la epidermis



Dermis, piel, humano, H&E y técnica para elastina, 200×; recuadro 450×.

Esta imagen se incluye en la lámina porque muestra ciertas caracteristicas de ai dermis 12 capa de tendo conjuntivo de la piel. La dermis se divide en dos capas; la capa papilar (CP) de tejido

conjuntivo laxo y la capa reticular (CR) de sejido conjuntivo más denso. La capa papilar esta justo debajo de la epidermis. Incluye las papilas de rejido conjuntivo que se proyectan hacia la superficie epidérmica profunda, La capa reticular es profunda con respecto a la capa papilar. El límite entre estas dos capas no está marcado por ninguna característica estructural específica, excepto por el cambio en la composición histológica de ambas.

Esta muestra se tiñó con H&E, así como con una técnica para visualizar las fibras elásticas (FE). Estas son relativamente gruesas y visibles en la capa reticular (véase tombién el recuadro), donde aparecen como silueras de color azul oscuro, algunas de las cuales son alargadas, mientras que otras son corras. En la capa papilar, las fibras elásticas son más delgadas y relativamente escasa (fleches). El recuadro muestra la tinción ensinófila tipica de las fibras de colageno gruesas en la capa reticular. Si bien con el poco atimento de esta microfotografia los haces de fibras de colageno no se observan tan prominentes, es posible observar que son más gruesos en la capa rencular que en la capa papilar. La capa papilar es francamente más celular que la capa reticular. Muchas de las pequeñas siluetas de color azul oscuro en la capa reticular representan cortes oblicuos y transversales de fibras elásticas (véase el recusadro), y no núcleos de células.

CC, cérulas claras CP, capa papilar

CR, capa reticular

FE, fibras elásticas flechas, microfotografia central, pigmento en diferentes capas de la epidermis,

microfotografia inferior, fibras elásticas delgadas

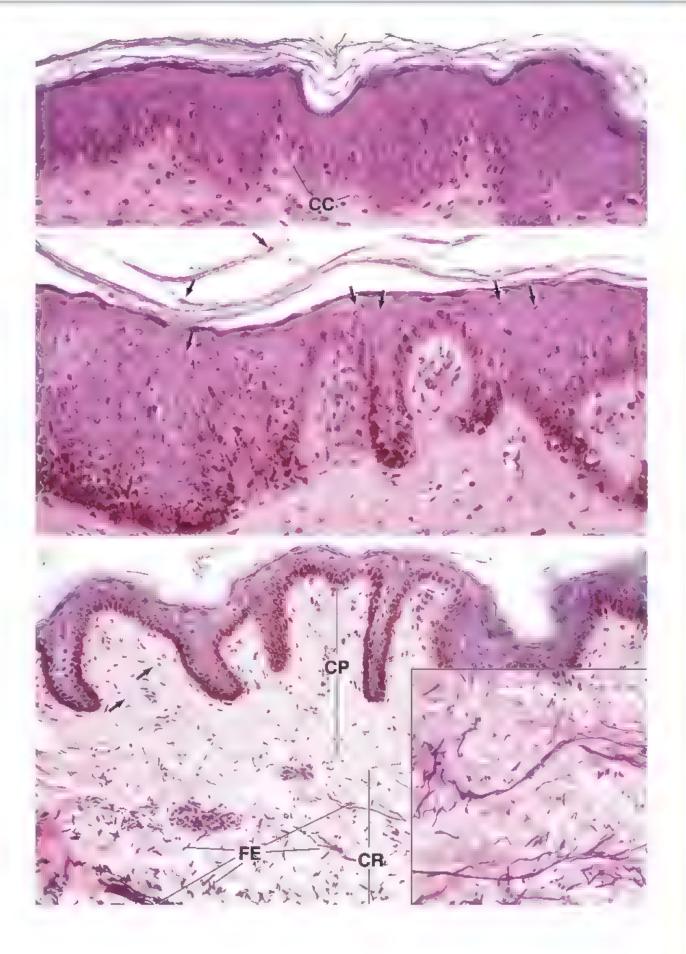
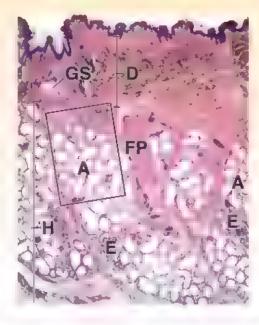


LÁMINA 44 GLÁNDULAS SUDORÍPARAS APOCRINAS Y ECRINAS

La piel posee tres tipos de glándulas: ecrinas, apocrinas y sebáceas. Las glándulas sudoríparas ecrinas están distribuidas por toda la superficie del cuerpo, con excepción de los labios, el glande del pene, el prepucio, el clitoris y los labios menores. Son especialmente abundantes en la piel gruesa de las manos y los pies. La evaporación del sudor secretado en la superficie de la piel refresca el cuerpo.

Las glándulas sudoriparas apocrinas se encuentran en axilas, aréolas, regiones perineal y perianal, prepucio, escroto, monte del publs y labios mayores. Muchas de las células epiteliales en el segmento secretor de estas glándulas presentan una protuberancia apical en forma de vesicula que antes se creía que estaba relacionada con su mecanismo de secreción (desprendimiento de la vesícula como el producto de secreción, de ahí el nombre de apocrinas). En la actualidad se sabe que la secreción apocrina es un proceso merocrino. La secreción es un producto transparente y viscoso que se torna odorifero por la acción de los microorganismos residentes en la superficie de la piel. En el humano, su papel no está claro, pero por lo general se piensa que la secreción puede actuar como un atrayente sexual (feromona). Las glandulas apocrinas están presentes al nacer, pero no alcanzan su desarrollo pieno ni se tornan funcionales hasta la pubertad. En la mujer, estas glandulas presentan cambios que acompañan al ciclo menatrual

Microfotografía de orientación En esta microfotografía de la piel de la axila se muestran las glandulas apocrinas (A) tubulares ramificadas grandes y las glandulas ecrinas (E) tubulares simples más pequenas en la hipodermis {*H*}. También se ve un folículo piloso (*FP*) cortado de forma tangencial. La dermis (*D*) suprayacente está formada por tejido conjuntivo denso e incluye parte de una glandula sebácea (*GS*).



Glandulas sudoriparas apocrinas, piel, humano, H&E, 33×.

Microfotografía con poco aumento del segmento secretor de las glándulas sudoriparas apocrinas. Las siluetas de come vistas aqui corresponden a varias ramificaciones enrolladas de una sola glándula rodeada por tejido conjuntivo denso (TCD). En la parse superior de esta imagen, hay dos **glándulas sudoriparas** (GSw) también rodeadas por tejido conjuntivo denso. Obsérvese la considerable diferencia en diámetro y tamaño de la luz de los dos tipos de glandulas.



Glandulas sudonparas apocrinas, piel, humano, H&E, 256×.

El epitello (Ep) de la **giándula audoripara apocrina** de la región incluida en el rectángulo de la exquierda es cilíndrico simple. Las células individuales tienen altura variable y algunas muestran protrusiones vesiculares (V). En la base del epuello se encuentran las células moepueliales fusiformes. En algunas regiones del rúbulo, estas células se han cortado en sentido longitudinal y, por lo tanto, aparecen como una banda eosinófila (BF). En otros sitios, las células se han cortado de forma tangencial y aparecen como una serie de formas lineales (Mio) y paralelas



Glándulas sudoríparas ecrinas, piel, humano, H&E, 256×.

En esta mucroforografía con mayor aumento, se observa la **glándula sudorípara ocrina** de la imagen de amba. Se pueden observar tanto las porciones secretoras como los conductos. El segmento secretor (SS) tiene un diámetro más ancho y una luz más grande que el conducto excretor (CE). El epitelio de la porción secretora ex cilíndrico simple; el epitelio del conducto excretor presenta dos capas celulares de espesor y se clasifica como cúbico estratificado. Además, la porción secretora posee un componente mioepitelial



Glandulas sudonparas ecrinas, piel, humano, H&E, 512×.

En esta microfotografía se muestra una imagen con mucho aumento de las dos formas de corte transversal del segmento secretor (SS) y de un corte de un conducto excetor (CE), que aparecen

en la región incluida en el rectángulo de la *taquiende*. Cuando la pared tubular de la porción secretora se corta en un plano perpendicular, la cualidad cilíndrica simple del epitelio (*Ep*) se torna visible. Dado que el tubulo es tan sinsioso,

el epitelso suele aparecer multiestratificado. En esta microfotografía, las células mioepiteliales de la porción secretora aparecen tanto en forma de una handa circunferencial (BC), como en la forma de una colección cortada en forma transversal (Trant) que se asemeja a los dientes de una sierra. En ocasiones, los micleos de las células mioepiteliales (NMio) aparecea en el plano de corte. Estos cortes dan la apariencia de un epitelio seudoestratificado. El conducto excretor (CE) carece de mioepitelio y cambién se diferencia porque su epitelio es estratificado cúbico. Vésse la siguiente lámina.

A, glándula apocrina

BC, banda circunferencial

BE, banda eosinót a

CE, conducto excretor

D. dermis

E, glándula ecrina

Ep, epitello

FP. foliculo piloso

GS, glándula sebácea

GSu, glándulas sudoríparas

H, hipodermis

Mio, perfiles lineales de las células

micepiteliales

NMio, núcleos de las células mioepiteliales

SS, segmento secretor

TCD, tejido conjuntivo denso

Trans, disposición transversal

V, protrusiones vesiculares

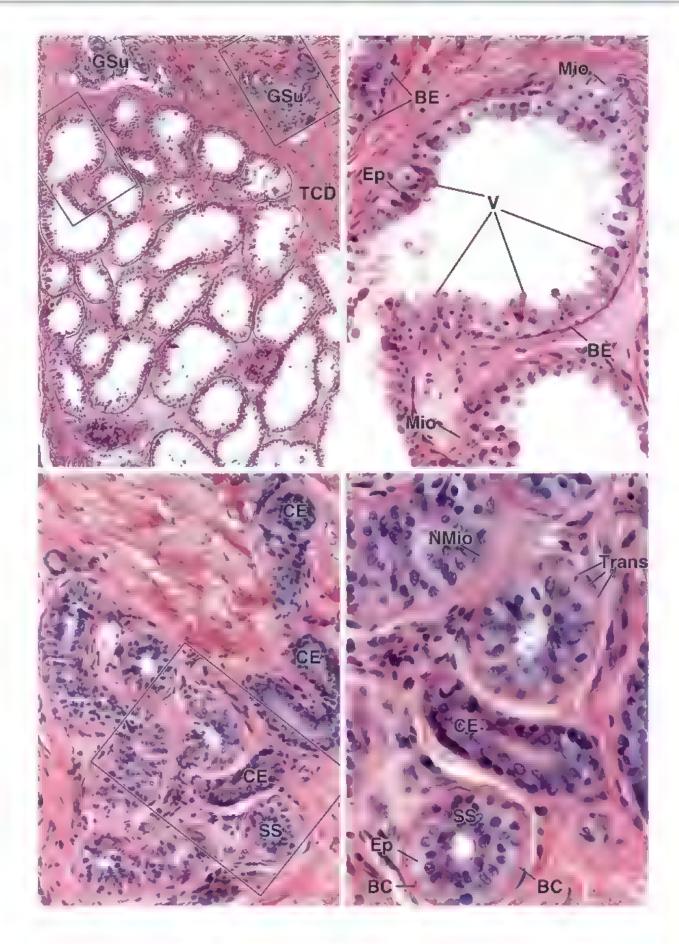


LÁMINA 45 GLÁNDULAS SUDORÍPARAS Y SEBÁCEAS

Por lo general, el cuerpo pierde alrededor de 600 mL de agua al día a través de la evaporación pulmonar y cutánea. En condiciones de alta temperatura ambiental, la pérdida de agua se incrementa por un aumento de la sudoración. Esta sudoración termorreguladora se inicia en la región frontal de la cabeza y el cuero cabelludo, se extiende a la cara y el resto del cuerpo y, por último, aparece en las palmas de las manos y las plantas de los pies. Sin embargo, la sudoración emocional se produce en primer lugar en las palmas de las manos y las plantas de los pies, así como en las axulas. La sudoración está

tanto bajo control nervioso, a través del sistema nervioso autónomo, como bajo control hormonal.

Las glándulas sebáceas secretan sebo, una sustancia oleosa que recubre la superficie del pelo y la piel. La secreción sebácea es de tipo holocrino; todas las células elaboran el producto de secreción graso y se llenan de él mientras experimentan de forma simultánea una destrucción progresiva, seguida de apoptosis, conforme el producto llena la célula. Tanto el producto de secreción como los restos celulares se eliminan hacia el conducto pilosebáceo.



Glándula sudonpara, piel, humano, H&E, 1000×.

Este corte a través de una **giándula sudoripara** muestra cinco cortes del conducto (C) y dos cortes del adenómero (Ade). La porción socretora de tamaño mayor se seccionó donde describia un

gun en "U" y por ello que muestran dos luces. Las luces de conductos y adenómeros están indicadas con asterios:

La unidad secretora de la glándula sudoripara ecrina contiene dos tipos celulares epitelules y células mioepitelules (Mio). Las puntos de flecho muestran pequeños cortes transversales de citoplasma de la célula zuoepitelul; las flechos grander indican contornos más alargados de citoplasma mioepitelial. Las células epiteliales son de dos tipos, oscuras y claras. Por desgracia, la intensa tinción citoplasmática de las células oscuras no es evidente a menos que se tomen procauciones especiales para preservar los gránulos secretores en su citoplasma apical. Sin embargo, debe señalarse que las células oscuras están más cerca de la luz, mientras que las células claras están más cerca de la base de la capa epitelial y entran en contacto con la membrana basal o, lo que es más frecuente, con las células mioepiteliales. Además, las células claras delimitan canaliculos intercel·lulares. Varios de estos canaliculos intercel·lulares (flechas pequeñas) se observan en las unidades sectenoras. Esta figura también muestra que el conducto se compone de dos capas de células cúbicas pequeñas.



Glándula sebácea, piel, humano, H&E, 160×.

Las glándulas sebáceas se desarrollan a partir de células epiteliales del foliculo piloso y eliminan su secreción hacia el folículo, desde donde llega a la superficie de la piel. La secreción sebácea es abun-

dante en tipidos, y esto se refleja en las células de la glandula sebácea. En esta figura se muestra un corre de una glándula sebácea y su foliculo piloso relacionado. En este nível, el folículo piloso se compone de la vaina radicular externa

(VRE') que rodea el tallo del pelo. La **glándula sebácea** (GS) aparece como un conjunto de células llamadas **sebocitos**, la mayoría de los cuales muestran un ciroplasma claro de aspecto vacío o renculado fino. Esto ocure porque estas células contienen muchas inclusiones lipidicas que desiparecen al disolvene en los solventes de grasa utilizados durante la preparación de rutina de la muestra de parafina teñida con H&CE. En el ángulo inferior derecho se ve la desembocadura de la glándula sebácea en el foliculo piloso a través de la vaina radicular externa (VRF)



Glándula sebacea, piel, humano, H&E, 280 <

Aqui se muestran con más aumento la glándula **sebácea** y el **conducto pilosebáceo**. Los *números 1-á* señalan una sene de células productoras de sebo llenas de una mayor cantidad de li-

pido creciente y cada vez más cercanas a la desembocadura del conducto pilosebáceo (CPS) que se va introduciendo en el foliculo piloso. La secreción sebácea comprende la célula entera y, por lo tanto, las células necesitan ser reemplazadas constantemente en la glandula funcional. Las células en la penferia de la glándula son células basales (CBar). Las células que experimentan minosis en la capa basal sustituyen a las que se pierden con la secreción.

Ade, adenómero de la glándula sudoripara ecrina C, conducto de la giándula sudoripara ecrina CBas, cérulas basa es CPS, conducto pi osebáceo GS, giándula sebáceas Milo, cárulas micepiteliales

VRE*, va.na radicular externa del fosculo plicos asteriscos, fuces de glándulas y conductos flechas grandes, citopiasma de cé ula impepitelial (corte longitudinal)

VRE, unión entre la glandula sebácea

y la va na radicular externa

TC, tejido conjunt vo

flechas pequeñas, canasculos intercelulares números 1-4 (imagen de abajo a la derecha), vease e texto puntas de flecha, citopiasma de la célula mioepite al icorte transversal)

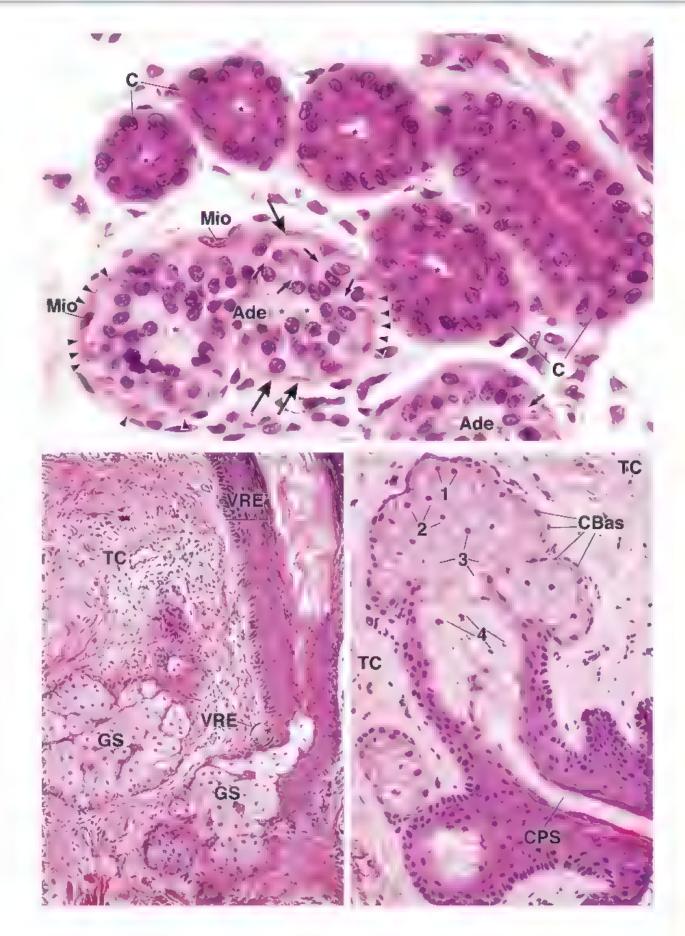


LÁMINA 46 PIELY RECEPTORES SENSORIALES

La piel está dotada de abundantes receptores sensoriales de varios tipos. Estos receptores son las terminaciones periféricas de los nervios sensitivos cuyos cuerpos celulares se hallan en los ganglios espinales dorsales. Los receptores de la piel se describen como terminaciones nerviosas libres y terminaciones nerviosas encapsuladas. Las terminaciones nerviosas libres son las mas abundantes. Perciben las sensaciones de tacto fino, calor y frio, y se encuentran en las capas basales de la epidermis como una red alrededor de la vaina

radicular de los fotículos pilosos. Las terminaciones nerviosas encapsuladas compranden los **corpúsculos de Pacini** (presión), los **corpúsculos de Meissner** (tacto, en especial en los labios y la piel gruesa de los dedos de las manos y de los pies) y los corpusculos de Ruffini (tensión mecánica sostenida en la dermis).

Las terminaciones motoras del sistema nervioso autonomo inervan los vasos sanguineos, los musculos erectores del pelo y las glandulas sudoriparas apocrinas y ecrinas.



Piel, pulpejo, humano, H&E, 20×.

Esta muestra corresponde a un corte de la piel gruesa de un pulpejo en el que se observan la **epiderrnis** (*Ep*) y la **derrnis** (*De*) y, debajo de la puel, una porción de la **hipoderrnis** (*Hipo*). El espesor de la epiderrnis se debe, en gran parte, al espesor del estrato córneo. Este estrato se tiñe con menor intensidad que las porciones

más profundas de la epidermis. Obsérvense, incluso con este aumento escaso, las fibras de colágeno gruesas en la capa reticular de la dermis. Las **glándulas sudonparas** (GSu) están presentes en la parte superior de la hipodermis y vanos de sus conductos sudoríparos (C) pasan a través de la epidermis. Un aspecto interesante de esta muestra es que contiene receptores sensitivos que pueden ser

reconocidos en un corre de parafina teñido con H&E; estos son los corpusculos de Meissner y los corpusculos de Pacini (CP). En la proximidad de los corpúsculos de Pacini se ven varios fasciculos nerviosos (N). Los corpúsculos de Meissner están en la parte superior de la dermis, en las papilas dérmicas justo debajo de la epidermis. Estos corpúsculos son pequeños y dificiles de identificar con poco aumento; sin embargo, su ubicación es característica. Saber dónde están ubicados es un paso importante en la búsqueda de los corpusculos de Meissner en un corte de tejido; se muestran con gran atimento en la siguiente figura.

Los corpúsculos de Pacini se observan en la parie profunda de la hipodermis. Estos corpúsculos son estructuras grandes, levemente ovaladas, que incluso con poco aumento exhiben un patrón estratificado o multifaminar.



Corpúsculo de Pacini, prel, humano, H&E, 320×.

Con el aumento mayor de esta microfotografía se observan las capas o láminas concéntricas del **corpusculo de Pacini**, que están formadas por células escamosas. Estas son células de tipo fi-

broblástico, y si bien no es evidente en el corte, se continúan con el perineuro de la fibra nerviosa. El espacio entre las láminas celulares contiene principalmente liquido. La terminación nerviosa del corpúsculo de Pacini se desplaza en sentido longitudinal a través del centro del corpúsculo. En esta muestra, el corpusculo se seccionó en sentido transversal, una puesa de flecha indica la fibra nerviosa en el centro del receptor



Corpúsculo de Meissner, piel, humano, H&E, 190×.

En esta microfotografia de gran aumento se muestran partes del campo supersor usquierdo de la figura anterior, en la que dos **corpusculos de Meissner** (CM) entran en contacto directo con la

superficie profunda de la epidermis en las papítas dérmicas adyacentes. El corte

muestra el eje longitudinal de los corpúsculos. Los corpúsculos de Meissner constan de un axón (a veces dos) que describe un trayecto en espiral desde un polo del corpúsculo hasta el ocro. La fibra nerviosa rermina en el polo superficial del corpusculo. En consecuencia, como se ve aqui, las fibras nerviosas y las células de sostén se orientan casi en angulo recto al eje longitudinal del corpúsculo. Los corpúsculos de Meissner son particularmente abundantes cerca de los pulpejos de los dedos de las manos y de los pies



Corpúsculo de Meissner, piel, humano, H&E, 550×.

Con el aumento todavía mayor de esta figura, puede comprobarse muy bien la contigüidad directa del corpusculo de Meissner con la superficie profunda de la epidermis, en toda la papila dérmica. Aqui se observa el trayecto en espiral compacta de la neutona (no visible) y sus células de sosten, así como la cápsula fibrosa (CF) que rodea el receptor.

C, conductos sudoriparos

CM, corpúsculos de Meissner

CF, capsula fibrosa

CP, corpusculos de Pacini

De, dermis

Ep, epidermis

GSu, glandulas sudoriparas

Hipo, hipodermis

N, fascículos nerviosos

punta de flecha, fibra nerviosa en el centro dei corpusculo de Pacini.

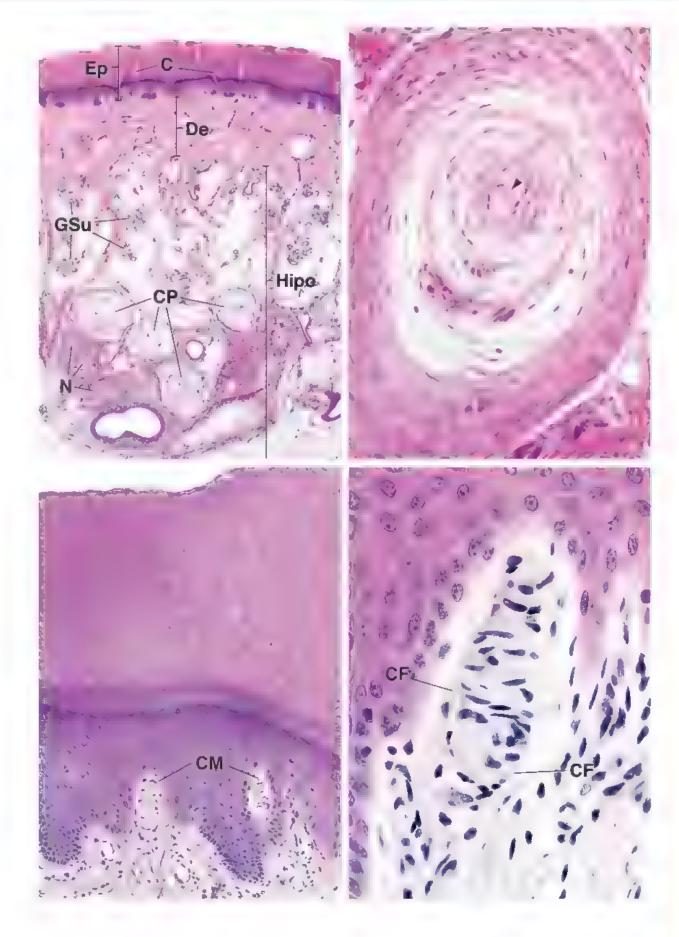


LÁMINA 47 FOLÍCULO PILOSO Y UÑA

El **pelo** está compuesto por células que ratinizadas que se desarrollan a partir de foliculos pilosos. El pelo está presente sobre casi toda la superficie corporal y solo se observa su falta en las caras laterales y las palmas de las manos, en las caras laterales y las plantas de los pies, en los labios y en la piel que rodea los orificios urogenitales. La coloración del pelo está dada por el contenido y tipo de melanina que posee. El folículo varia en apariencia, según esté en fase de crecimiento o de reposo; el folículo en crecimiento es el más complejo.

Los anexos cutáneos, en especial los folículos pitosos y las glándulas sudoríparas, son de particular importancia en la cicatrización de las hendas cutáneas. Sirven como fuente de cálulas epiteliales nuevas cuando hay una destrucción apidermica extensa, como en las abrasiones profundas y quemaduras de segundo grado.



Foliculo piloso, piel, humano, H&E, 300×; recuadro 440×.

El extremo en crecamiento de un **folículo piloso** consta de un bulbo expandido de células epiteliales que se invagina por una papila (FL) del rejido conjuntivo. Las oflulas epiteliales que rodean

la papila en la punta del foliculo todavía no están especializadas; constituyen la matriz, que es la región del folículo piloso donde se produce la división celular. A medida que abandonan la matriz, las células forman capas que se convertirán en el tallo del pelo y las vainas radiculares internas y externas del folículo piloso.

Las células que daran origen al **tallo del pelo** se ven justo a la denecha del bulho expandido. Estas constituyen la correza (C), la médula (M) y la curicula (auteriseas) del pelo. Las células de la correza se queratinizan. Esta capa formara la mayor parte del tallo del pelo como un cilindro grueso. La médula forma el eje ubicado en el centro del tallo piloso; este eje no siempre se extiende a través de toda la longitud del pelo y en algunos pelos está ausente. La cusícula se compone

de células superpuestas que finalmente pierden su núcleo y se llenan de querauna. La cuticula cubre el cabello como si fuera una capa de tejas superpuestas.

La venna redicular (VR) tiene dos partes: la vaina radicular enterna, que es continua con la epidermis de la piei, y la vaina radicular interna, que se extiende solo hasta la altura en la que las glándulas sebaceas desembocan en el folículo piloso. La vaina radicular interna se divide en tres capas: 1) la capa de Henle, 2) la capa de Huxley y 3) la cuticula de la vaina radicular interna. Estas capas se ven en el folículo piloso en crecimiento y se muestran con mayor atimento en el recuadro con los números 1-5: I) céhalas de la vaina radicular externa, 2) capa de Henle, 3) capa de Huxley, 4) curícula de la vaina radicular interna y 5) futura cuticula del pelo.

Muchas de las células del foliculo piloso en crecimiento contienen pigmento que contribuye al color del pelo. La mayor parte de este pigmento se halla dentro de la célula (recuadro), sin embargo, en el pelo muy oscuro también hay algo de pigmento extracelular

El tejido conjuntivo que rodea el foliculo del pelo forma una capa distinta que se conoce como vaina, o vaina dermica (VD), del foliculo piloso.



Uña, humano, H&E, 12×.

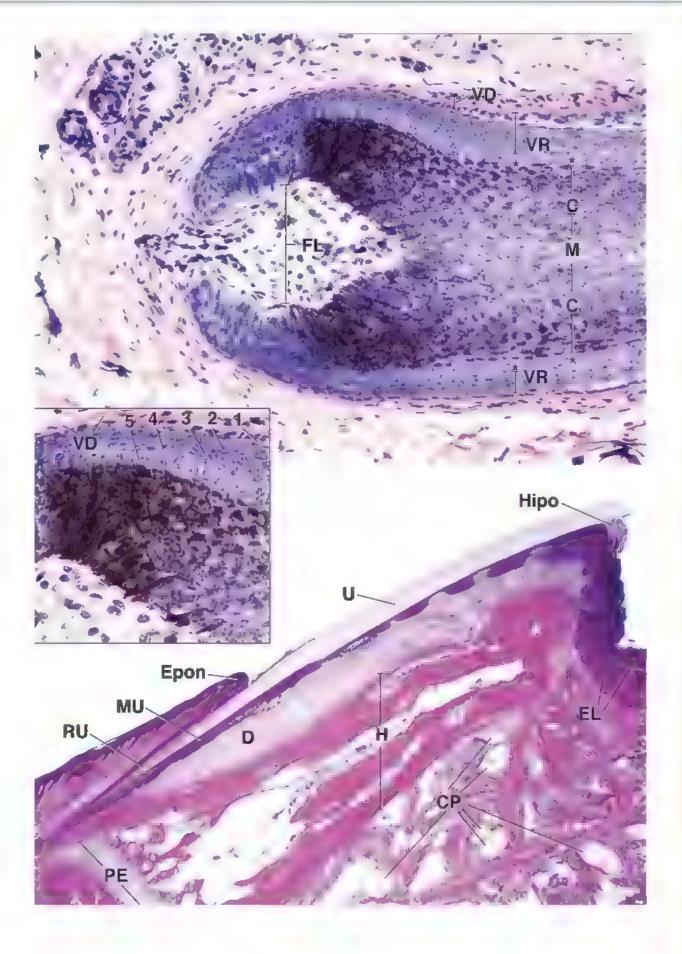
La uña es una placa queratinizada situada en la cara dorsal de las faianges distales. Aquí se muestra un corte a través de una placa unguezl. La **una** (U) propiamente dicha es dificil de señir. Bajo su borde libre hay una capa lamitante, el **hiponiquio** (Hipo), que se

continua con el estrato cómeo de la epidermis adyacente. Sobre el borde proximal de la uña se superpone la piel; aquí, la región de unión se llama **eponíquio** (Epon) y también es continuo con el estrato cómeo de la epidermis adyacente Bajo la uña hay una capa de epitelio, cuya porción más proximal se conoce como matriz unguest (MU). Las células de la matriz ungueal permiten el crecimiento de la uña. En conjunto, el epitelio debajo de la uña y la dermis subyacente (D) constituyen el lecho de la uña. La porción proximal de la uña, cubierta por el pliegue de la piel, es la raíz ungueal (RU)

En esta microfotografía también se ilustra la relación de la uña con otras estructuras en el extremo distal del dedo. El hueso (H) en la muestra corresponde a una falange distal. Debe tenerse en cuenta que en este hueso hay un disco epifisario (PF) de crecimiento en el extremo proximal del hueso, pero no en el extremo distal. El tejido conjuntivo de la cara palmar del dedo connene abundantes corpúsculos de Paciní (CP). También se ve muy bien el estrato lúcido (EL) en la epidermis de la piel gruesa de la porción distal del dedo

C, corteza
CP, corpusculos de Pacini
D, dermis
EL, estrato lucido
Epon, eponiquio

FL, papila dermica del foliculo piloso H, hueso Mipo, hiponiquio M, médula MU, matriz ungueal PE, piaca epri saria RU, raiz ungueal U, uña o placa unguea VD, vaina dérmica VR, vaina radicular asteriscos, cufícula del pelo numeros. I) va na radicular externa 2) capa de Henie 3) capa de Hux ey 4) cuticula de la vaina radicular interna 5) futura cuticula del pelo



SISTEMA DIGESTIVO I: CAVIDAD BUCAL Y ESTRUCTURAS ASOCIADAS

FUNDAMENTOS DEL SISTEMA DIGESTIVO / 566 CAVIDAD BUCAL / 567

LENGUA / 569

DIENTES Y SUS TEJIDOS DE SOPORTE / 573

Esmalte / 574

Cemento / 581

Dentina / 582

Pulpa dental y cavidad pulpar central (cámara pulpar) / 583

Tejidos de soporte de los dientes / 584

GLÁNDULAS SALIVALES / 585

Acinos secretores glandulares / 585 Conductos salivales / 590 Glándulas salivales mayores / 590 Saliva / 591

Cuadro 16-1 Correlación clínica:

el fundamento genético del gusto / 575

Cuadro 16-2 Correlación clinica: clasificaciones de las denticiones permanente (secundaria) y decidual (primaria) / 578

Cuadro 16-3 Correlación clínica: caries dentales / 586

Cuadro 16-4 Correlación clinica: tumores de las glándulas salivales / 592

HISTOLOGIA 101 / 594



■ FUNDAMENTOS DEL SISTEMA DIGESTIVO

El sistema digestivo está formado por el tubo digestivo y sus órganos asociados principales, a saber: la lengua, los dientes, las glándulas salivales, el páncreas, el hígado y la vesícula biliar. Las principales funciones de este sistema incluyen el transporte de agua y alumentos ingeridos a través del tubo digestivo; la secreción de líquidos, electrólitos y enzimas digestivas; la digestión y absorción de los productos digendos, y la excreción de los detritos no digeribles.

La luz del tubo digestivo es física y funcionalmente exterior al cuerpo.

Al pasar por el tubo digestivo, los alimentos se degradan física y químicamente para que los productos de esa degradación puedan ser absorbidos por el cuerpo. Los diferentes segmentos del **tubo digestivo** están especializados morfológicamente para cumplir aspectos específicos de la digestión y la absorción.

Cada día se ingieren alrededor de 2 L de agua y alimentos (fig. 16-1). Después de la maceración, la humidificación y la formación de un bolo alimenticio por acción de las estructuras de la cavidad bucal y la secreción de las glándulas salivales, la comida pasa con

rapidez a través de la faringe hasia el esófago. El paso rapido de los alimentos por la faringe garantiza solo breves interrupciones de la vía aérea para que pueda pasar el aire. El movimiento de los alimentos a través del tubo digestivo es más lento y se le agregan los jugos digestivos secretados que pueden alcanzar cerca de 7 L al día. Durante el tránsito de los alimentos a través del estómago y del intestino delgado se producen las principales modificaciones asociadas con la digestión, la solubilización y la absorción. La mayoría de estos líquidos y sustancias nutritivas se absorben sobre todo a través de la pared del intestino delgado, pero una pequeña parte lo hace en el intestino grueso (véase fig. 16-1). El alimento no digerido y otras sustancias dentro del rubo digestivo, como mucosidades, bacterias, células descamadas y pigmentos biliares, se excretan en forma de sólidos (heces).

La mucosa digestiva es la superficie a través de la cual la mayoría de las sustancias entran en el organismo.

La mucosa digestiva desempeña numerosas funciones en su papel de mediadora entre el organismo y el ambiente. Estas funciones incluyen las siguientes:

 Secreción. El revestimiento del tubo digestivo secreta enzimas digestivas, ácido clorhídrico, mucina y anticuerpos en algunos situos específicos.



FIGURA 16-1. El tubo digestivo y su función en la secreción y la absorción de liquidos. En este diagrama se muestran as regiones del tubo digestivo junto con sus glándulas exocrinas asociadas, que contribuyen a la secreción de jugos digestivos. Casi toda la absorción de liquidos, electrólitos y sustancias nutritivas se produce en el intestino delgado.

- Absorción. El epitelio de la mucosa absorbe sustratos metabólicos (p. ej., los productos de degradación de la digestión), así como vitaminas, agua, electrólitos, materiales reciclables (p. ej., componentes biliares y colesterol) y otras sustancias esenciales para las funciones del organismo.
- Barrera. La mucosa sirve como una barrera para impedir la entrada de sustancias nocivas, antígenos y microorganismos
- Protección immunitaria. El tejido linfático dentro de la mucosa actúa como la primera línea de defensa inmunitaria del cuerpo.

Las funciones mencionadas en esta lista se comentan al inicio del capítulo siguiente. En esta obra, el tema del sistema digestivo se encuentra distribuido en tres capítulos que se ocupan, respectivamente, de la cavidad bucal y la faringe (este capítulo); el esófago y el tubo digestivo (cap. 17); y el higado, la vesícula biliar y el páncreas (cap. 18).

■ CAVIDAD BUCAL

La cavidad bucal consiste en una serie de estructuras que incluyen la lengua, los dientes y sus medios de soporte (periodonto), las glandulas salivales mayores y menores y las amigdalas.

La cavidad bucal se divide en un vestíbulo y la cavidad bucal propiamente dicha. El vestíbulo es el espacio que hay entre los labios, las mejulas y los dientes. La cavidad bucat propiamente dicha se ubica detrás de los dientes y sus otros límites son los siguientes: bacia arriba el paladar duro y el paladar blando; hacia abajo la lengua y el piso de la boca, hacía atrás la entrada a la bucofaringe

Cada una de las tres glandulas salivales mayores es una estructura par; estas glándulas son las siguientes:

- Giandula parótida, que es la más grande de las tres y está ubicada en la región infratemporal (parotidomaseterina) de la cabeza. Su conducto excretor, el conducto parotídeo (de Stensen), desemboca en la papila parótida, una pequeña eminencia de la mucosa yugal ubicada frente al segundo molar superior.
- Glándula submandibular, que se encuentra localizada en el triángulo submandibular del cuello. Su conducto excretor, el conducto submandibular (de Wharton), desemboca en una pequeña prominencia carnosa (la carúncula sublingual) a cada lado del frenillo lingual en el piso de la cavidad bucal.
- Giándula sublingual, que está ubicada bajo la lengua, en los pliegues sublinguales del piso de la cavidad bucal. Tiene varios conductos excretores pequeños; algunos se unen al conducto submandibular y otros desembocan de forma independiente en la cavidad bucal.

Las glándulas parótida y submandibular tienen conductos relativamente largos que se extienden desde la porción secretora de la glándula hasta la cavidad bucal. Los conductos de la sublingual son relativamente cortos.

Las glandulas salivales menores se encuentran en la submucosa de la cavidad bucal. Desembocan directamente en la cavidad a través de conductos cortos y se denominan de acuerdo con su ubicación (glándulas bucal, labial, lingual y palarina).

Las amigdalas son cúmulos de nódulos linfáticos que se congregan alrededor del istmo de las fauces, en la bucofaringe y en la nasotaringe.

El tejido linfático está organizado en un anillo amigdalino (de Waldeyer), de protección inmunitaria, ubicado en la región anatómica inicial compartida por los sistemas digestivo y respiratorio. Este tendo linfático rodea los orificios posteriores de las cavidades bucal y nasal, y contiene cúmulos de nódulos linfáticos que comprenden las siguientes estructuras:

- Amigdales palatines, o simplemente amigdales, que se encuentran a cada lado de la entrada de la bucofaringe, entre los arcos palatogloso y palatofaringeo.
- Amigdalas tubericas, localizadas en las paredes laterales de la nasofaringe, posteriores a la desembocadura de las trompas auditivas.
- Amigdalas fanngeas o adenoides, que se ubican en el techo de la nasofaringe.
- Amigdalas linguales, que están en la superficie dorsal de la base de la lengua.

La cavidad bucal está revestida por una mucosa masticatoria, una mucesa de revestimiento y una mucesa especializada.

La mucosa masticatoria se encuentra en las encías y el paladar duro (fig. 16-2). Posee un epitelio plano estratificado queratinizado y, en algunas regiones, paraqueratinizado. El epitelio paraqueratinizado

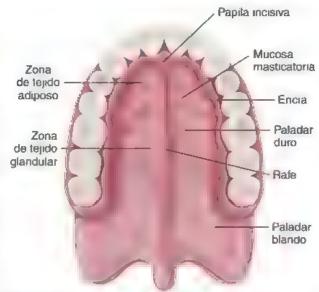


FIGURA 16-2. Techo de la cavidad bucal. El paladar duro, que se compone de hueso, está dividido en las mitades derecha e izquierda por un rafe. En la parte anterior, en la zona adiposa, la submucosa del paladar duro contiene tejido adiposo; en la parte posterior, en la zona glandular, hay glandu as mucosas dentro de la submucosa. El rafe y la encía carecen de submucosa, allí la mucosa está adherida directamente al hueso. El paladar biando tiene musculo en lugar de hueso y sus glándulas submucosas son una continuación de las que se encuentran en el paladar duro.

es similar al epitelio queratinizado, salvo que las células superficiales no pierden sus núcleos y su citoplasma no se tiñe intensamente con eosina (lám. 48, p. 596). Los núcleos de las células paraqueratiniza das son picnóticos (muy condensados) y se mantienen hasta que la

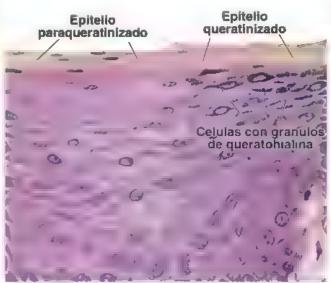


FIGURA 16-3. Epitelio plano estratificado en la unión mucocutánea del labio. En esta imagen se muestra una transición en la mucosa bucal desde un epitelio plano estratificado y queratinizado (a la izquierda). Las células superficiales aplanadas del epitelio queratinizado están desprovistas de nucleos. En este tipo de epitelio se aprecia bien la capa de células que contienen gránulos de queraton alina. Las células superficiales aplanadas del epitelio paraqueratinizado nuestran las mismas características que las células queratinizadas, excepto que conservan sus núcleos. Además, cabe destacar la escasez de gránulos de queratohalina en el estrato celular debajo de las células paraqueratinizadas. 380×

célula se exfolia (fig. 16-3). El epiteho queratinizado de la mucosa masticatoria se asemeja al de la piel, pero carece de estrato lúcido. La lámina propia subyacente consiste en una capa papilar gruesa de teudo conjuntivo laxo que contiene vasos sanguíneos y nervios; algunos de los nervios envian terminaciones axónicas desnudas hacia el interior del epitelio para que actúen como receptores sensoriales, varios de los cuales terminan en los corpúsculos de Meissner. En la parte profunda de la lámina propia hay una capa reticular de tejido conjuntivo más denso.

Al igual que en la piel, la profundidad y la cantidad de papilas de tejido conjuntivo contribuyen a la immovilidad relativa de la mucosa masticatoria, lo cual la protege de las fuerzas de fricción y cizallamiento. En la línea media del paladar duro (rafe palatino), la mucosa se adhiere firmemente al hueso subyacente. La capa reticular de la lámina propia se funde con el periosito y, por lo tanto, no hay submucosa. Lo mismo ocurre en la encía. En los sitios donde hay submucosa bajo la lámina propia del paladar duro (véase fig. 16-2), esta contiene tejido adiposo en la parte anterior (zona adiposa) y glándulas mucosas en la parte posterior (zona glandular), que se continúan con las del paladar blando. En las regiones de la submucosa hay bandas gruesas de colágeno que se extienden desde la mucosa hasta el hueso.

La mucosa de revestimiento se encuentra en los labios, las mejillas, la superficie mucosa alveolar, el piso de la boca, la superficie ventral de la lengua y el paladar blando. En estos sitios, la mucosa de revestimiento cubre el músculo estriado (labios, mejillas y lengua), el hueso (mucosa alveolar) y las glándulas (paladar blando, mejillas, superficie ventral de la lengua). Esta mucosa tiene papilas menos abundantes y más cortas, de modo que puede adaptarse al movimiento de los músculos subyacentes.

En general, el epitelio de la mucosa de revestimiento no está queratinizado, aunque en algunos lugares puede estar paraqueratinizado (véase fig. 16-3). El epitelio del borde bermellón del labio (la porción rojiza entre la mucosa húmeda interna y la piel facial) está queratinizado. El epitelio de revestimiento sin estrato córneo es más grueso que el epitelio queratinizado. Se compone de solo tres capas:

- Estrato basal, que es una sola capa de células que se assentan sobre la lámina basal.
- Estrato espinoso, que tiene varias células de espesor.
- Estrato superficial, la capa de células más superficial y que también se conoce como capa superficial de la mucosa.

Las células del epitelio de la mucosa son similares a las de la epidermis de la piel e incluyen queratinocitos, células de Langerhans, melanocitos y células de Merkel.

La lámina propia contiene vasos sanguíneos y nervios que envian terminaciones axónicas desnudas hacia el estrato basal del epitelio y terminaciones sensoriales encapsuladas en algunas papilas. El fuerte contraste entre las numerosas papilas profundas de la mucosa alveolar y las papilas poco profundas del resto de la mucosa de revestimiento permite una fácil identificación de las dos diferentes regiones en un corte histológico.

Debido a que está muy vascularizada, la absorción de los fármacos a través de la mucosa bucal se utiliza a menudo como un método alternativo de administración sistémica de medicamentos. La administración transmucosa bucal ofrece varias ventajas porque la sustancia absorbida ingresa directamente en la circulación sistémica, por lo que se eluden el tubo digestivo y la circulación portal, evitando así el metabolismo en el higado. Diversos medicamentos cardiovasculares como la nitroglicerina, así como analgésicos, sedantes,

antieméticos, medicamentos contra la disfunción erectil y los hormonales están disponibles como formulaciones transmucosas bucales. Algunos de estos farmacos se administranpor colocación debajo de la lengua (administración sublingual); otros se administran por colocación entre la mejilla y la encia (administración bucal)

Bajo la mucosa de revestimiento, hay una submucosa bien definida, salvo en la superficie ventral de la lengua. Esta capa contiene bandas amplias y elásticas de fibras de colágeno que unen la mucosa al músculo subyacente; también contiene las múltiples glándulas salivales menores de los labios, la lengua y las mejillas. A veces se encuentran glandulas sebaceas no asociadas con un folículo piloso en la submucosa justo al lado de los ángulos labrales y en las mejillas, frente a los molares. Se aprecian a simple vista y se llaman granulos de Fordyce. La submucosa contiene los vasos sanguíneos y los nervios de mayor calibre, así como vasos linfáticos que forman las redes neurovasculares subepiteliales de la lámina propia en toda la cavidad bucal.

La mucosa especializada está relacionada con el sentido del gusto y se encuentra restrungida a la superficie dorsal de la lengua. Contiene papilas y botones gustativos responsables de generar la sensación gustativa mediante estímulos químicos.

La mucosa bucal forma una barrera protectora importante entre el medio externo de la cavidad bucal y el medio interno de los tejidos circundantes. Es resistente a los germenes patógenos que entran en la cavidad bucal y a los microorganismos nativos que residen alli en forma de flora microbiana. Las células epiteliales, los neutrofilos migratorios y la saliva contribuyen a mantener la salud de la cavidad bucal. así como la protección de la mucosa bucal contra infecciones por bacterias, hongos y virus. Los mecanismos protectores incluyen varios péptidos antimicrobianos salivales, las defensinas β expresadas en el epitelio, las defensinas α expresadas en los neutrófilos y la inmunoglobulina A secretora (slgA). Sin embargo, en las personas que padecen inmunodeficiencia o están sometidas a tratamiento con antibióticos, en quienes el equilibrio entre los microorganismos patógenos y los mecanismos de protección se encuentra alterado, las infecciones bucales son bastante frecuentes

■ LENGUA

La longua es un órgano muscular que se proyecta dentro de la cavidad bucal desde su superficie inferior. Los músculos linguales (los músculos de la lengua) son tanto extrínsecos (con un punto de inserción fuera de la lengua) como intrínsecos (confinados por completo dentro del órgano, sin inserción externa). El músculo estriado de la lengua está organizado en fascículos que, por lo general, se disponen en tres planos más o menos perpendiculares entre sí. Esta distribución de las fibras musculares permite una enorme flexibilidad y precisión en los movimientos de la lengua, que son esenciales para el habla humana, así como para su función en la digestión y en la deglución. Esta forma de organización muscular es exclusiva de la lengua, lo que permite su fácil identificación como músculo lingual. Entre los grupos de fibras musculares hay cantidades variables de rejido adiposo.

La superficie dorsal de la lengua se divide anatómicamente por una depresión en forma de "V", el surco terminal, en dos tercios anteriores y un tercio posterior (fig. 16-4). El vértice de la "V" apunta hacia atrás y es el sitio donde está el foramen clego, un remanente del sitio desde el cual se produjo una evaginación del piso de la faringe embrionaria para formar la glándula tiroides.

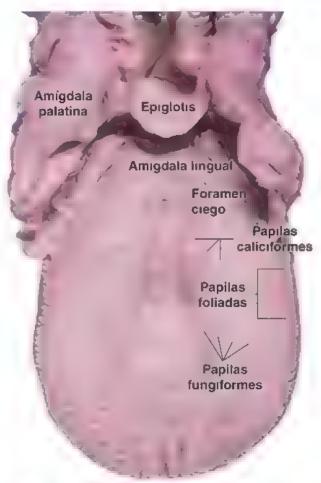


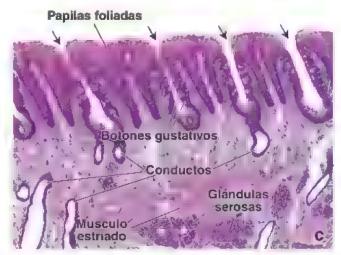
FIGURA 16-4. Langua humana. Las papilas caliciformes se disponen en una configuración en "V" que separa los dos tercios antenores del tercio postenor de la lengua. Las papilas fungiformes y filiformes están en la parte antenor de la superficie dorsa, de la lengua. El contomo irregular de la superficie del tercio posterior de la lengua se debe a las amigdalas linguales. Las amigdalas paiatinas están en el límite entre la cavidad bucal y la faringe

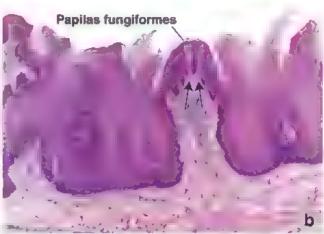
La superficie dorsal de la lengua se encuentra cubierta de papilas.

Numerosas irregularidades mucosas y prominencias llamadas papílas linguales cubren la superficie dorsal de la lengua por delante del surco terminal. Las papilas linguales y sus botones gustativos asociados constituyen la mucosa especializada de la cavidad bucal. Existen cuatro tipos de papilas: filiformes, fungiformes, caliciformes y foliadas.

- Papilas filiformes. Son las más pequeñas y abundantes en los humanos. Son proyecciones de tejido conjuntivo, cónicas, alargadas, revestidas por un epitelio plano estratificado muy queratinizado (fig. 16-5a y lám. 49, p. 598). Este epitelio no contiene botones gustativos. La función de las papilas es solo mecánica. Las papilas filiformes se distribuyen sobre toda la superficie dorsal anterior de la lengua, con sus extremos apuntando hacia atrás. Parecen formar filas que divergen hacia la izquierda y derecha de la línea media y son paralelas a los brazos del surco terminal.
- Papilas fungiformes. Como su nombre lo indica, son proyecciones en forma de hongo situadas en la superficie dorsal de la lengua (fig. 16-5b). Se proyectan más arriba que las papilas filiformes, entre las que se encuentran dispersas, y se ven a simple vista como pequeñas manchas (véanse fig. 16-4 y lám. 50, p. 600). Tienen la rendencia a ser más abundantes cerca de la punta de la







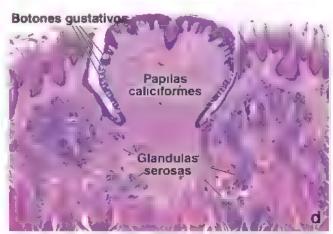


FIGURA 16-5. Papilas linguales, a Desde un punto de vista estructural las papilas fi iformes son proyectiones cónicas del epitelio curvadas hacia atrás. Estas papilas no poseen botones gustativos y se componen de epitelio plano estrafit cado queratinizado 45 × b. Las papilas fungiformes son protuberancias un poco redondas que se distribuyen entre las papilas filiformes. Un tej do conjuntivo muly vascularizado forma e centro de la papila fungiforme y se proyecta hacia la base de lepitelio superficial. Debido a la penetración profunda del tejido conjuntivo en el epitelio (*/lechas*) y a la gran de gadez de la superficie queratinizada i las papilas fungiformes se observan como pequenos puntos rojos cuando la superficie dorsal de la lengua se examina a simple vista. 45 · c. En un corte las papilas foliadas pueden distribuidas en hiteras y separadas por hendiduras profundas (*/lechas*). Las papilas to adas estan revestidas por un epitelio piano estratificado no queratinizado que contiene abundantes botones gustativos en sus superficies laterales. El epitelio superficial libre de cada papila es grueso y fiene varias papilas de te do conjuntivo secundario que se proyectan dentro de su superficie inferior. El tejido conjuntivo dentro y debajo de las papilas calciformes estan revestidas por un epitelio plano estratificado que puede estar un poco queratinizado. Cada una esta rodeada por un surco o hendidura En las papilas calciformes y la presencia de botones gustativos. La superficie dorsa de la papila es las El surco profundo que rodea a las papilas calciformes y la presencia de botones gustativos en las paredes lateralas, y no en su superficie son las características que las distinguen de las papilas fungiformes. El tejido conjuntivo cercano a las papilas calciformes también contiene numerosas glándulas de tipo seroso que desembocan, a través de conductos, en el fondo de los surcos. 25 ×

lengua. En el epitelio plano estratificado de la superficie dorsal de estas papilas se encuentran los botones gustativos.

- Papilas caliciformes. Son estructuras grandes en forma de cúpula que se encuentran en la mucosa, justo por delante del surco terminal (véase fig. 16-4). La lengua humana tiene 8-12 de estas papilas. Cada papila está rodeada por un surco profundo revestido por epitelio plano estratificado que contiene numerosos botones gustativos (fig. 16-5d). Los conductos de las glandulas salvales linguales (de Von Ebner) yacían su secreción serosa en la base de los surcos. Se supone que esta secreción expulsa el material acumulado en los surcos para que los botones gustativos puedan responder con rapidez a los estímulos cambiantes.
- Papilas foliadas. Consisten en crestas bajas, paralelas, separa das por hendiduras profundas de la mucosa (wianse fig. 16-5c y lám. 50, p. 600) alineadas en ángulo recto con respecto al eje longitudinal de la lengua. Se localizan en los bordes laterales de la lengua. En los adultos mayores, las papilas foliadas pueden ser irreconocibles, en las personas más jóvenes se

descubren con facilidad en la superficie lateral de la lengua y contienen muchos botones gustativos en el epitelio de las paredes enfrentadas de papilas contiguas (véase fig. 16-4). En las hendiduras desembocan glándulas serosas pequeñas. En algunos animales, como el conejo, las papilas foliadas constituyen el sitio principal de congregación de los botones gustativos

La superficie dorsal de la base de la lengua exhibe protuberancias redondas que indican la presencia de las amígdalas linguales en la lámina propia (*véase* fig. 16-4).

Los botones gustativos se localizan en las papilas fungiformes, caliciformes y foliadas.

En los cortes histológicos, los botones gustativos se ven como estructuras ovaladas pálidas que se extienden a través de todo el espesor del epitelio (fig. 16-6). El orificio pequeño en la superficie epitelial, a la altura del vértice del botón, recibe el nombre de poro gustativo.

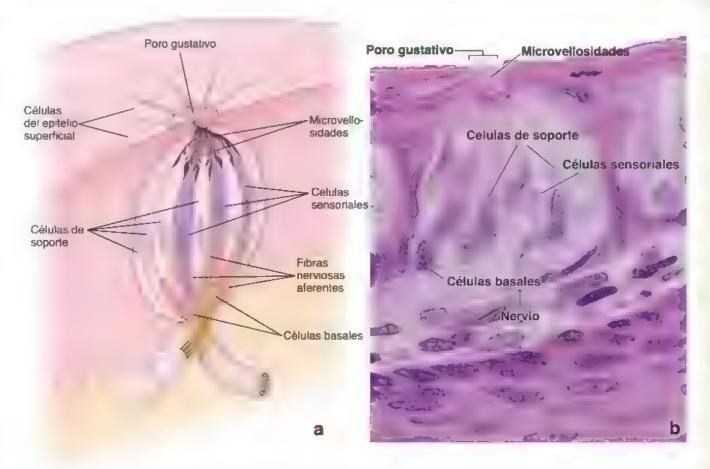


FIGURA 16-6. Diagrama y microfotografia de un botón gustativo, a. En este diagrama de un botón gustativo se illustran las de ulas neuroepiteliales isensonales, de soporte y basales. Una de las celulas basales está en proceso de mitosis. Hay fibras nerviosas que establecen sinaps sicon las celulas neuroepiteliales (basado en Warwick R, Williams PL, eds. Gray's Anatomy. 35th ed. Edinburgh. Churchi Livingstone. 1973)

b. Se muestra, con gran aumento la organización de las células dentro de un botón gustativo. Las células sensonales y de soporte se extienden
a través de todo e espesor del botón gustativo. La superficie apical de estas células posee microvellosidades. Las células basales se hailan en e
fondo de botón gustativo. Obsérvese que el botón gustativo se abre en la superficie por medio de un poro gustativo. 1100 x

En los corpúsculos gustativos se encuentran tres tipos celulares principales:

- Cétutas neuroepiteliales (sensoriales). Son las células más numerosas del botón gustativo. Estas células alargadas se extienden desde la lámina basal del epitelio hasta el poro gustativo, a través del cual la superficie apical adelgazada de cada célula emite microvellosidades (véase fig. 16-6). Cerca de su superficie apical están unidas a las células adyacentes, ya sean neuroepiteliales o de soporte, a través de uniones ocluyentes (zonulae occludens). A la altura de su base, forman una sinapsis con la prolongación aferente de neuronas sensitivas ubicadas en los núcleos encefalicos de los nervios facial (nervio craneal [NC] VII), glosofaringeo (NC IX) o vago (NC X). El tiempo de recambio de las células neuroepiteliales es de alrededor de 10 días.
- Células de soports. Son menos abundantes. También son células alargadas que se extienden desde la lámina basal hasta el poro gustativo. Al igual que las células neuroepiteliales, contienen microvellosidades en su superficie apical y poseen uniones herméticas, pero no establecen sinapsis con las células nerviosas. El tiempo de recambio de estas células también es de unos 10 días.
- Célules besales. Son células pequeñas situadas en la porción basal del botón gustativo, cerca de la lámina basal. Son las células madre que originan los otros dos tipos celulares.

Además de estar relacionados con las papilas, los botones gustativos también están presentes en el arco palatogloso, el paladar blando, la superficie posterior de la epiglotis y la pared posterior de la faringe hasta la altura del cartilago cricoides.

El gusto es un tipo de sensibilidad en la cual diversas sustancias químicas estimulan las células neuroepitellales de los botones gustativos.

El gusto se clasifica como una sensibilidad a estímulos químicos en la que diversas sustancias súpidos (que tienen sabor), contenidas en los alimentos o las bebidas, interactúan con los receptores gustativos situados en la superficie apical de las células neuroepiteliales. Estas células reaccionan a cinco estímulos básicos: dulco, salado, amargo, agrio y umami (sabroso en japonês). La acción molecular de las sustancias sápidas puede implicar la apertura y el paso a través de los canales iónicos (sabores salados y ácidos), su cierre (gusto agrio) o la estimulación de un receptor específico del gusto acoplado a proteínas G (amargo, dulce y umami).

Los estimulos amargos, duices y umami interactúan con receptores del gusto acoplados a proteínas G que pertenecen a las familias T1R y T2R de receptores quimiosensoriales.

Los sabores amargos, dukes y umami son detectados por receptores proteínicos codificados por dos genes receptores del gusto (T1R y T2R). Sus productos se clasifican como receptores del gusto acoplados a las proteínas G.

 El sabor amargo es detectado por unos 30 tipos diferentes de receptores quimiosensoriales T2R. Cada receptor es una proteína transmembrana individual acoplada a su propia proteína G. Después de la activación del receptor por la sustancia sápida, la proteína G estimula a la enzima fosfolipasa C, lo que conduce a un aumento en la producción intracelular de inositol 1,4,5-trifosfato (IP₂), una segunda molécula mensajera. El IP₃, a su vez, activa canales de Na* especificos del gusto que permiten la entrada de iones Na* que despolarizan la célula neuroepitelial. La despolarización de la membrana plasmática determina la apertura de canales de Ca²⁺ activados por voltaje en las células neuroepiteliales. El aumento de la concentración de Ca²⁺ intracelular, ya sea por su influencia extracelular (el efecto de la despolarización) o su liberación desde los depósitos intracelulares (por estimulación directa del IP₃), produce la liberación de moléculas de neurotransmisores que generan impulsos nerviosos a lo largo de las fibras nerviosas aferentes gustativas (fig. 16-7a).

- Los receptores del sebor dulos también son receptores acoplados a proteínas G. A diferencia de los receptores del sabor amargo, tienen dos subunidades de proteína, T1R2 y T1R3. Las sustancias dulces unidas a estos receptores activan la misma cascada de reacciones del sistema de segundos mensajeros que los receptores del sabor amargo (véase fig. 16-7a).
- El sabor umanvi está vinculado con ciertos aminoácidos (p. e) ,
 L glutamato, aspartato y compuestos relacionados) y es habitual
 en espártagos, tomates, quesos y carne. Los receptores del sabor umami son muy similares a los receptores del sabor dulce; tam-

bién se componen de dos subumidades. Una subumidad, la T1R3, es idéntica a la homónima del receptor del sabor dulce, pero una segunda subunidad formada por la proteína T1R1 es exclusiva de los receptores de sabor umami (véase fig. 16-7a). El proceso de transducción es idéntico al descrito antes para las vías del sabor amargo. El glutamato monosódico, que se añade a muchos alimentos para realzar su sabor (y el ingrediente principal de la salsa de soya [soja]), estimula los receptores de sabor umami.

El mecanismo de la transducción puede ser similar en varios sabores (amargo o dulce), pero es importante recordar que las células neuroepiteliales solo expresan selectivamente una clase de proteínas receptoras. Por lo tanto, los mensajes acerca de lo amargo o lo dulce de los alimentos se transfieren al sistema nervioso central a lo largo de diferentes fibras nerviosas.

Los iones sodio e hidrógeno, que son responsables de los sabores salado y ácido, respectivamente, actúan de forma directa sobre los canales iónicos.

Los mecanismos de transmisión de señales, en el caso de los sabores ácido o salado, son semejantes a otros mecanismos de señalización localizados en la sinapsis y las uniones neuromusculares.

 El sabor ácido es generado por los protones H⁺ que se forman por la hidrólisis de los compuestos ácidos. El H⁺ bloquea primero los canales de K⁺ que se encargan de generar el potencial

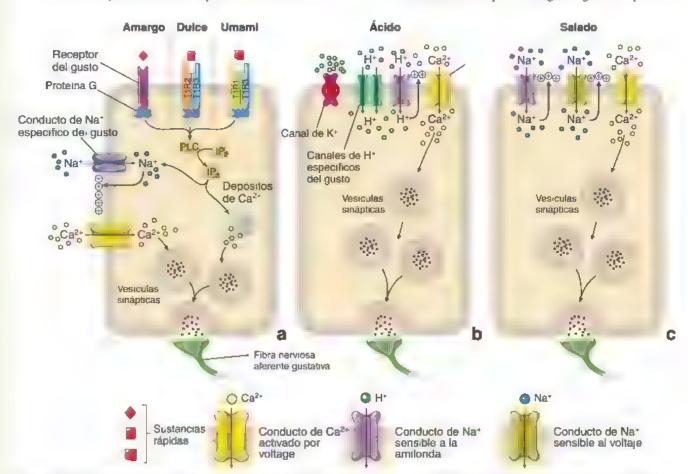


FIGURA 16-7. Diagrama de los receptores del gusto y su mecanismo de transmisión de señales, a. En este diagrama se muestra el mecanismo de transmisión de señales de los receptores de gusto para los sabores amargo, dulce y umami en las celulas neuroepiteliales. Estas células expresan de manera sa ectiva solo una ciase de receptor de proteinas por razones dicácticas, los tres receptores se justian en una membrana celular apical *Véase* e texto para más detalles. IP₂, inositol-1 4-diflosfato. IP₃, inositol-1 4-5-triosfato. PLC fosfolipasa C. b. El mecanismo de transmisión de señales en el estimulo acido es generado por protones. H° que bioquean principalmente os canales de Na * sensibles a la amiliorida y a través de canales de Na * sensibles a la amiliorida y a través de canales de Na * sensibles a la amiliorida canales de na solo (PKD1L3 y PKD2. 1) que se expresan exclusivamente en las células neuroepiteliales a traves de canales de Na * sensibles a la amiliorida. El Na * intracelular causa una despolarización de la membrana y la activación de más canales de Na * y Ca²⁺ sensibles al voltaje. La liberación mediada por calcio de los neurotransmisores contenidos en la vesicula sináptica produce la estimulación de la fibra nerviosa gustativa.

de membrana celular que causa su despolarización. Además, los protones H⁺ entran en la célula a través de canales de Na⁺ sensibles a la amilorida y a través de canales de especificación. liamados PKD1L3 y PKD2L1, que se encuentran en las células neuroepiteliales dedicadas de forma exclusiva a la transducción del sabor ácido. La entrada de H* en la célula receptora activa los canales de Ca²⁺ sensibles al voltaje. La entrada del Ca²⁺ desencadena la migración de las vesículas sinápticas, su fusión y la liberación del transmisor, lo cual provoca la generación de potenciales de acción en fibras nerviosas sensoriales contiguas (fig. 16-7b).

 El gusto de la salado que estimula la sal de mesa (NaCl) deriva, en esencia, del gusto de los iones de sodio. El Na* entra en las células neuroepiteliales a través de los canales específicos de Na* sensibles a la amilorida (los mismos involucrados en la transmisión del sabor ácido). Estos canales son diferentes de los de Na* sensibles al voltaje que generan potenciales de acción en las células nerviosas o musculares. La entrada de Na* en la célula receptora causa una despolanzación de su membrana y la activación de más canales de Na⁺ y canales de Ca²⁺ sensibles al voltaje. Como ya se describió, el ingreso de Ca2+ desencadena la migración de las vesículas sinápticas y la liberación del neurotransmisor contenido en ellas, lo que provoca la estimulación de las fibras nerviosas gustativas (fig. 16-7c).

Algunas de las regiones de la lengua responden más a ciertos sabores que otras.

En general, los botones gustativos en la punta de la lengua detectan estímulos dulces; los de los lados y hacia atrás de la punta, los estímulos salados; y los que están un poco más posterolaterales, los ácidos. Los botones gustativos en las papilas caliciformes detectan los estímulos amargo y umami. Sin embargo, algunos estudios con estimulación térmice de la lengua han demostrado que los mapas clásicos de sabor que hemos descrito constituyen una simplificación de la distribución de los receptores del gusto. En toda la lengua hay sensibilidad para todas las calidades de sabores, pero algunas regiones responden más a ciertos sabores que otras (cuadro 16-1).

Las amigdalas linguales son cúmulos de tejido linfático ubicadas en la base de la lengua.

Las amigdalas linguales están situadas en la lámina propia de la raíz o base de la lengua. Se ubican detrás del surco terminal (véase fig. 16-4). Las amígdalas linguales contienen rejido linfático difuso con nódulos linfáticos que contienen centros germinativos. Estas estructuras se describen en el capítulo 14, Sistema inmunitario y tejidos y órganos linfáticos.

Las criptas epiteliales se invaginan con frecuencia en la amígdala lingual. Sin embargo, la estructura del epitelio puede ser difícil de distinguir debido a la gran cantidad de linfocitos que generalmente la invaden. Entre los nódulos, el epitelio lingual tiene las características del epitelio de revestimiento. Las glándulas salivales linguales mucosas pueden verse dentro de la amigdala lingual y pueden extenderse al interior del tejido muscular de la base de la lengua.

La inervación compleja de la lengua está dada por nervios craneales y el sistema nervioso autonomo.

- La sensibilidad general de los dos tercios anteriores de la lengua (por delante del surco terminal) es transmitida por el ramo mandibular del nervio trigémino (NC V). La sensibilidad general del tercio postenor es transmitida por el nervio glosofaringeo (NC IX) y por el nervio vago (NC X).
- La sonsibilidad gustativa es transmitida por la cuerda del timpano, un ramo del nervio facial (NC VII) por delante del surco

- terminal, y por los nervios glosofanngeo (NC IX) y vago (NC X) por detrás de dicho surco.
- La inervación motora para los músculos de la lengua está dada per el nervio hipogloso (NC XII).
- La inervación vascular y glandular está a cargo de los nervios simpático y parasimpático. Estos nervios mervan los vasos sanguíneos y las pequeñas glándulas salivales linguales. En la lengua suele haber células ganglionares. Estas son neuronas posganglionares parasimpáticas que inervan las glándulas salivales menores linguales. Los cuerpos celulares de las neuronas postsinápticas simpáticas están localizados en el ganglio cervical superior.

DIENTES Y SUSTEJIDOS DE SOPORTE

Los dientes son un componente importante de la cavidad bucal y son indispensables en el comienzo del proceso digestivo. Estos están incluidos y fijados en los procesos alveolares del maxilar y la mandíbula. Los niños rienen 10 dientes deciduales (primarios o de leche) distribuidos de la siguiente manera en cada hemiarco dental:

- Un incisivo medial (central), el primer diente que brota (por lo regular en la mandíbula) más o menos a los 6 meses de edad (en algunos niños el primer diente puede no emerger hasta los 12 o 13 meses de edad).
- Un incisivo lateral, que brota alrededor de los 8 meses.
- Un canino, cuya erupción se produce hasta los 15 meses.
- Dos molares: el primero brota entre los 10 y 19 meses y el segundo entre los 20 y 31 meses,

Durante un período de varios años, que suele comenzar más o menos a los 6 años de edad y terminar entre los 12 o 13 años, los dientes deciduales son reemplazados de forma gradual por 16 dientes permenentes (secundarios) en cada maxilar (cuadro 16-2, p. 578) Cada lado de los maxilares superior e inferior consta de lo siguiente:

- Un incisivo medial (sentral), que emerge a los 7 u 8 años
- Un incisivo lateral, que brota entre los 8 y 9 años de edad.
- Un canino, cuya erupción ocurre entre los 10 y 12 años de edad.
- Dos premolares, que emergen entre los 10 y 12 años.
- Tres moleres, que brotan en diferentes momentos; el primer molar suele aparecer a los 6 años de edad, el segundo en los primeros años de la adolescencia y el tercero (muela del juicio) durante la adolescencia tardía o a partir de los 20 años de edad.

Los incisivos, los caninos y los premolares tienen solo una raíz, excepto el primer premolar de los maxilares que tiene doble raíz. Los molares tienen dos raíces (mandibula) o tres (maxilar) y, en raras ocasiones, cuatro raíces. No obstante, todos los dientes tienen la misma estructura básica.

Los dientes están compuestos por varias capas de tejidos especializados.

Los tres tejidos especializados que conforman los dientes son:

- Esmatte, una capa delgada, dura y translúcida de tejido mineralizado acelular que cubre la corona del diente.
- Dentina, el tejido dental más abundante; está situada debajo del esmalte en la corona y el cemento en la raíz. Su estructura tubular única y su composición bioquímica sostienen el esmalte, más rígido, y el cemento que recubre la superficie del diente.
- Cemento, una capa delgada, amarilla pálida, de tejido calcificado simular al hueso que cubre la dentina de la raíz de los dientes. El cemento es más suave y más permeable que la dentina y se elimina con facilidad por abrasión cuando la superficie de la raíz está expuesta al ambiente de la cavidad bucal.

Esmalte

El esmalte es la sustancia más dura de todo el organismo; el 96-98% de su masa es hidroxiapatita.

El esmelte es un rejido mineralizado acelular que cubre la corona del diente. Una vez formado no se puede reemplazar. Es un tejido singular porque, a diferencia del hueso, que se forma a partir de tejido conjuntivo, es un material mineralizado derivado de epitelio. El esmalte está altamente mineralizado y es más duro que cualquier otro tejido mineralizado en el cuerpo; consiste en 96-98% de hidroxiapatita. El esmalte expuesto y visible por encima de la línea de las encías se llama corona clínica, mientras que la corona anatómica incluye toda la superficie del diente cubierta por el esmalte, incluida la porción que está por debajo de la línea gingival. El espesor del esmalte varía en diferentes partes de la corona y puede alcanzar un máximo de 2.5 mm en las cuspidos (superficies de corte y trituración) de algunos dientes. La capa de esmalte termina en el cuello, o región cervical, del diente a la altura del timite entre el comento y el esmatte (fig. 16-8); así, la raíz del diente está cubierta por el cemento, un material similar al hueso.

El esmalte está compuesto por bastones que atraviesan todo el espesor de su capa.

Los cristales de hidroxiapatita carbonatada no estequiométrica, que forman el esmalte, se organizan en forma de bastonea que miden 4 µm de ancho y 8 µm de alto. Cada bastón se extiende a través del espesor del esmalte desde la unión amelodentinaria hasta la superficie

del esmalte. Cuando se examinan en un corte transversal con gran aumento, tienen la forma de un ojo de cerradura (fig. 16-9); la parte dilatada, o cabeza, se orienta hacia la superficie y la cola hacia la profundidad en dirección a la raíz del diente. Los costales de esmalte se orientan principalmente en paralelo al eje longitudinal de los prismas en la región de la cabeza; en la cola su orientación es más oblicua (fig. 16-10; véase también fig. 16-9). Los límites entre los bastones también están llenos de cristales de esmalte. Las estrías observadas en los bastones de esmalte (estrías de Retzius) serían indicios del crecimiento rítmico del esmalte durante el desarrolfo dental. Se observa una línea más ancha de hipomineralización en el esmalte de los dientes deciduales. Dicha línea, llamada línea neonatal, demuestra los cambios nutricionales que ocurren entre la vida prenatal y posnatal.

Aunque el esmalte de un diente que ha hecho erupción carece de células y proyecciones celulares, no se trata de un tejido estático. Tiene influencia sobre él la secreción de las glándulas salivales, que son indispensables para su mantenimiento. Las sustancias en la saliva que afectan a los dientes incluyen enzimas digestivas, anticuerpos secretados y una gran variedad de componentes inorgánicos (minerales).

El esmalte maduro contiene muy poco material orgânico. A pesar de su dureza, el esmalte puede ser descalcificado por bacterias productoras de acido que actúan sobre los alimentos adheridos a la superficie del esmalte. Este es el motivo de que se produzca la caries dental. El fluoruro añadido al complejo de hidroxiapatita torna el esmalte más resistente a la desmineralización por ácido. El uso generalizado de fluor

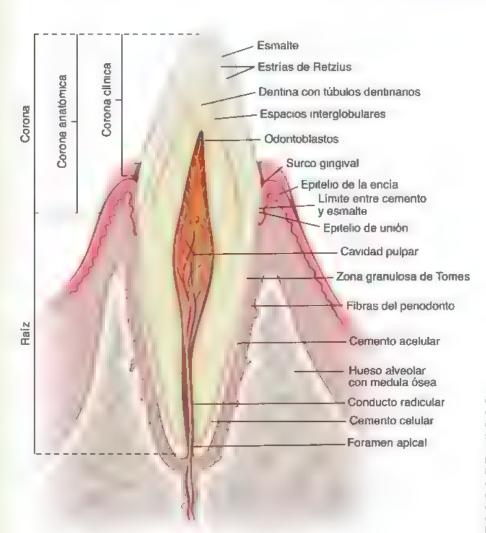


FIGURA 16-8. Diagrama del corte de un diente incisivo y de las estructuras óseas y mucosas circundantes. Los tres componentes immeralizados del diente son la dentina, el esmalte y el cemento El nucleo blando central del diente es la pulpa. El ligamento penodontal (membrana) contiene haces de fibras de colágeno que fijan el diente al hueso alveolar circundante. La corona clínica del diente es la porción que se proyecta dentro de la cavidad bucal. La corona anatómica es la totalidad de la porción del diente cubierta por esmalte.

CORRELACION GLÍNICA: EL FUNDAMENTO GENÉTICO DEL GUSTO

El sentido general del gusto y la capacidad de percibir sabores específicos están determinados genéticamente. Los estudios realizados en grandes poblaciones demuestran que las variaciones del gusto son frecuentes. Alrededor del 25% de la población tiene más papilas linguales de lo normal y una gran densidad de botones gustativos, a ellos se les conoce como "superdegustadores" Muy pocos dentro de este grupo, como los catadores de vino, brandy, café o té, tienen prodigiosas facultades de discriminación y memoria de los sabores. Estas personas se caracterizan por su extrema sensibilidad a la fenitocarbamida (PTC, phenylthiocarbamide) y su derivado, el 6-N-propiltiouracijo (PROP, propylthiouracij), perciben un sabor muy amargo cuando se coloca una gota de solución de PTC/ PROP en la punta de su lengua. En el otro extremo del espectro (alrededor del 25% de la población) están las personas conocidas como "no degustadores", que tienen menos papilas. linguales de lo normal y una densidad muy baja de botones gustativos. Cuando se someten a la prueba con solución de PTC/PROP, estas personas no detectan el sabor amargo

Muchas alteraciones clínicas pueden influir en la percepción de los sabores. Estas incluyen lesiones en los nervios que transmiten la sensibilidad gustativa hacia el sistema

nervioso central, infiamación de la cavidad bucal, anomalías de la mucosa (incluida la inflamación de la mucosa lingual. inducida por radiación), deficiencias nutricionales, enfermedades endocrinas (como diabetes mellitus, hipogonadismo y seudohipoparatiroidismo) y fluctuaciones hormonales durante la menstruación y el embarazo. Algunas alteraciones genéticas poco frecuentes también afectan la sensibilidad gustativa La disautonomia familiar de tipo I (síndrome de Riley-Day) causa hipogeusia grave (disminución de la capacidad para detectar sabores) debido a la ausencia de desarrollo de las papilas fungiformes y botones gustativos. Esta neuropatía autónoma sensitiva es una afección autosómica recesiva causada por una mutación en el gen DYS (también conocido como el gen IKBKAP) localizado en el cromosoma 9. Además de hipogeusia, estas personas presentan otros síntornas relacionados con defectos embrionarios en los sistemas nerviosos. periférico y autónomo, como lagrimeo disminuido, termorregulación defectuosa, hipotensión ortostática, sudoración excesiva, pérdida de la sensibilidad al doior y la temperatura, así como ausencia de refiejos. Se ha desarrollado una prueba que detecta la mutación en el gen DYS que puede ser utilizada. para confirmar el diagnóstico de disautonomía familiar

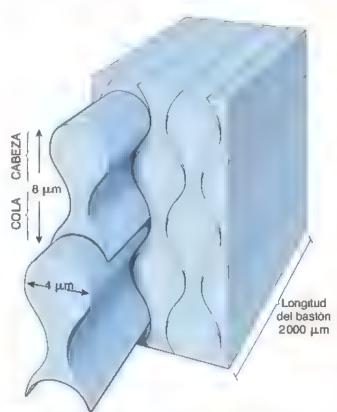


FIGURA 16-9. Diagrama de la estructura y organización básicas de los bastones de esmalte. El bastón de esmalte es una estructura delgada que se extiende desde la unión amelodentinana hasta la superficie del esmalte. Los bastones son más largos ahí donde el esmalte es más grueso, en el vértice de la corona, donde miden hasta 2000 jum de longitud. En corte transversal, los bastones tienen una forma semejante al ojo de una cerradura. La parte superior (más diatada) del bastón se llama cabeza y está orientada hacia arriba, la parte inferior (llamada cola) está onientada hacia abajo. En la cabeza, la mayoria de los bastones de hidroxiapatita tienen una disposición paraiela al eje longitudinal del bastón. Dentro de la cola, los bastones están orientados de forma más oblicua.

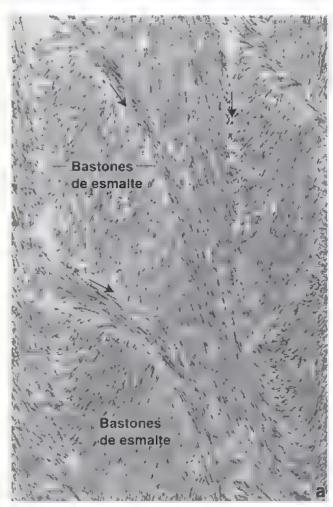
en el agua potable, pastas dentales, suplementos vitaminicos pediátricos y enjuagues bucales reduce de forma significativa la incidencia de la caries dental (cuadro 16-3, p. 586).

El esmalte es producido por los ameloblastos del órgano adamantino (del esmalte), y la dentina por los odontoblastos que derivan de las crestas neurales del mesénquima contiguo.

El órgano adamantino es una formación epitelial que deriva de células epiteliales ectodérmicas de la cavidad bucal. El inicio del desarrollo dental está marcado por la proliferación del epitelio bucal para formar una banda de tejido celular en forma de herradura, llamada lámina dental, en el mesénquima contiguo donde se desarrollarán el maxilar y la mandíbula. En el sitio de cada futuro diente, hay una mayor proliferación de células surgidas en la lámina dental, que produce un brote celular redondeado, uno para cada diente, que se proyecta en el tejido mesenquimatoso subyacente. Este brote, conocido como etapa de yema, representa el órgano adamantino inicial (fig. 16-11a). Poco a poco, la masa celular redondeada aumenta de tamaño y luego desarrolla una concavidad en el lado opuesto al de su origen en la lámina dental; esto se conoce como etapa de casquete (fig. 16-11b). Su crecimiento y desarrollo ulteriores llevan a la etapa de campana (figs. 16-11c y d). En esta etapa el órgano adamantino posee cuatro capas celulares identificables:

- Epitelio externo del esmalte, compuesto por una capa celular que forma la superficie convexa.
- Epitelio interno del esmeite, formado por una capa celular que da lugar a la superficie cónicava.
- Estrato intermedio, una capa celular que aparece por dentro del epitelio interno del esmalte.
- Reticulo estrellado, compuesto por células que tienen aspecto estrellado y ocupan la porción interna del órgano adamantino.

Los preodontoblastos, derivados de la cresta neural, están alineados dentro de la "campana" contiguos a las células del epitelio interno del esmalte, adoptan una configuración cilíndrica y tienen una apariencia de tipo epitelial. Se convertirán en los



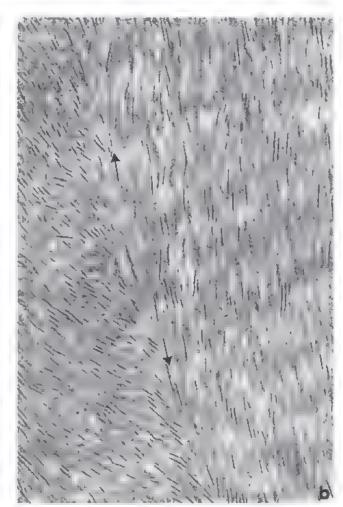


FIGURA 16-10. Estructura del esmalte joven la. En esta microfotografia electrónica se muestran los bastones de esmalte en corte obliculo cas flechas indican los limites entre bastones contiguos. 14.700 × b. Se observan con mayor aumento partes de dos pastones contiguos cas flechas marcan el limite entre dos bastones. Cas situetas oscuras que parecen aguas son cristales, óvenes de hidroxiapatita la sustancia que hay entre los bastones es la matriz organica del esmalte en desarrollo. Conforme el esmalte madura, los bastones de hidroxiapatita crecen y la mayor parte de la matriz orgánica se elimina. 60.000 ×

odontobiastos que forman la dentina del diente. Las celulas del epitelio interno del esmalte se convertiran en los amelobiastos. Junto con las celulas del estrato intermedio, serán responsables de la producción del esmalte. En la primera etapa, justo antes de la dentinogenesis y la amelogenesis, la lamina dental se degenera, lo cual separa al primordio del diente en desarrollo de su sitio de origen.

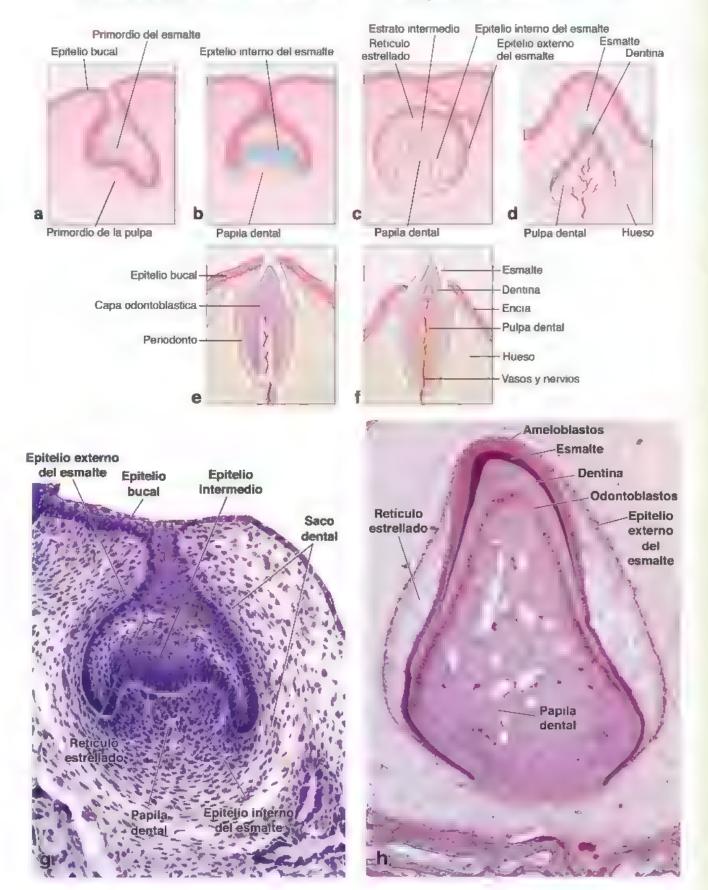
El esmalte dental se forma por un proceso de biomineralización mediado por matriz conocido como **amelogenesis**. Las etapas principales de la amelogenesis son las siguientes

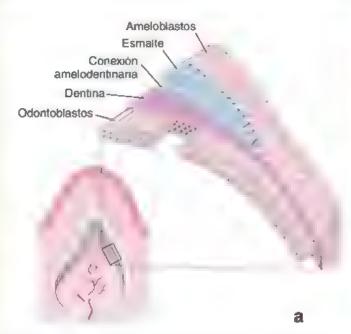
 Producción de la matriz o etapa secretora. En la formación de los rejidos mineralizados del diente, la dentina se produce

FIGURA 16-11. Diagramas y microfotografias de un diente en desarrollo, a. En esta etapa de brote le epitelio buca prolifera hacia el mesénguima subyacente para dar origen al organo adamantino (primordio de lesmaite). Las células mesenguimatosas configuas al brote denta comienzan a diferenciarse y forman, a papila denta, que sobresaie en el brote del diente, b. Germen dentario en etapa de casquete. En esta etapa las células ubicadas en la concavidad de casquete se dife encian en celulas ci indricas alargadas (ameioblastos, y forman el epitelio interno del esmalte. El mesenquima condensado se invagina en el epitello interno de lesma tel formando la papilla denta que da lugar a la dentina y la puipa c. En esta etapa de campana la conexión con el epitello bucal casi ha desaparecido. El órgano adamantino consiste en una capa fina de epiterio externo "n epitelio interno formado por ameioblastos ivarias capas condensadas de células que forman el estrato intermedio y el reticulo estre ado de cé ulas muy separadas entre s. La papila dental está p of Indamente, nvaginada contra el órgano del esmalte. d. En esta etapa de aposición de la dentina con el esmarte, el germen dentario esta completamente diferenciado y se ha independizado del epitello bucar. Se observa con claridad la relación de los dos tejidos minera zados de la corona denta lles decir el esmalte y la dentina. El mesénquima circundante se está convirtiendo en telido oseo e. En esta etapa de erupción denta lei vértice de diente emerge a traves de la sique ficie de lepitelio buca. La capa de odontobiastos reviste la cavidad pulpar. Obsérvense los ligamentos periodonta es desarrollados que filan la raiz del diente a hueso. circundante. El vertice de la raiz todavia es muy amplio, pero después de la erupción se hace más estrecho. f. Etapa de diente funcional. Nótese la distribución del esmalte y la dentina. El diente esta incrustado en el hueso y la encia circuridantes. 🙎 En esta microfotografia del diente en desarrollo en etapa de casquete (comparable con bi se muestra su conexión con el epite lo buca. El órgano adamantino se compone de una capa. simple de cei lias cubicas que forman el epitelio externo de lesma te le epitelio interno se ha diferenciado en ameioblastos cilindricos y la capa de las cé:- as contiguas a lepite lo interno del esma te forman el estrato intermedio. El resto de la estructura esta ocupada por el reticulo estre lado. El mesenquima de la papila denta ha prol terado y se ha introducido en el órgano adamantino. En esta etapa lel diente en formación esta rodeado por un mesenquima condensado, denominado saco dentar que da lugar a estructuras periodontales, 300 x. h. En esta microlofografia se muestra la corona de un incisivo en desarro lo rodeada por el epitelio de lesma telexitarno y restos de liret culo estre lado. Es comparable con di La capa de dentina subyacente, que se tiña con menor intensidad, es un producto de los odontobiastos. Estos odontoblastos cilindricos y ajargados se hari diferenciado a partir de células de la papila dental. La cavidad pulpar está ocupada por la pulpa denta ly en el tejido pulpar hay vasos sangulneos. 40 × i

primero. Después se deposita marriz adamantina mineralizada (fig. 16-12) directamente sobre la superficie de la dentina previatmente formada. Las celulas productoras de esta matriz organica parcialmente mineralizada se llaman ameloblastos en etapa secretora. De forma similar a como los osteoblastos forman hueso,

estas células producen una matriz orgánica proteinácea por la actividad del reticulo endoplasmático rugoso (RER), el aparitro de Golgi y los granulos de secreción. Los ameloblastos secretores continúan produciendo la matriz adamantina hasta que se al canza el espesor del futuro esmalte.





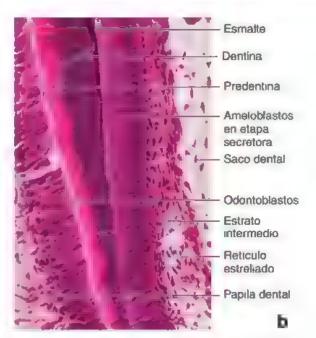


FIGURA 16-12. Diagrama y microfotografía de las relaciones celulares durante la formación del esmafte. a. En la etapa secretora micia los odontoblastos producen dentina. Después, y directamente sobre la superficie de la dentina formada previamente depositan la matriz de esmafte. Los ameioblastos de la etapa secretora continuan produciendo matriz de esmafte hasta que se adquiere el espesor definitivo de futuro esmafte. b. En esta microfotografía de un corte tenido con H&E de un diente humano en desarrollo se muestra una etapa temprana en la formación del esmafte (ameiogénesis). Los ameioblastos de la etapa secretora son directamente contiguos al esmafte en desarrollo que se deposita sobre la capa de dentina. El comienzo del depósito del esmafte se indica con una flecha. Conforme se incrementa la cantidad de esmafte los ameioblastos se alejan de la capa de dentina. Los dominios basales de los ameioblastos en etapa secretora son contiguos a las células en el estrato intermedio (una parte del órgano ademantino). La dentina es secretada por los odontoblastos. Debe notarse que la capa poco tenida de la matriz orgánica (predentina) recién secretada se ubica en aposicion a las superficies apicales de los odontoblastos. La predentina atravesa un proceso de mineralización adicional para madurar como dentina (capa tenida más oscura). La capa de odontoblastos separa el esmafte de la puipa dentaf. 240 - (cortesia dei Dr. Arthur R. Hand)

Maduración de la matriz. La maduración de la matriz adamantina parcialmente mineralizada consiste en la eliminación de material orgánico, así como la provisión continua de calcio y fosfato para el esmalte en proceso de maduración. Las células que participan en esta segunda etapa de la formación del esmalte se llaman ameloblastos en etapa de maduración. Estas células de maduración se diferencian de los ameloblastos secretores y su función primaria es la de un epitelio de transporte, además de regular la entrada y salida de sustancias en el esmalte en proceso.

de maduración. Los ameloblastos de maduración experimentan modificaciones cíclicas en su morfología que concuerdan con la entrada regular de calcio en el esmalte.

Los ameloblastos secretores son células cilíndricas polarizadas que producen esmalte.

Los ameloblestos en etapa secretora están en contacto directo con el esmalte en desarrollo. En el polo apical de cada ameloblasto hay una prolongación, llamada proceso de Tomes, que está rodeada por

CUADRO 16-2.

CORRELACIÓN GLÍNICA: CLASIFICACIONES DE LAS DENTICIONES PERMANENTE (SECUNDARIA) Y DECIDUAL (PRIMARIA).

Existen tres sistemas para clasificar los dientes permanentes (secundanos) y deciduales (primarios, fig. C16-2-1)

- Sistema de Palmer. Es la notación más utilizada en todo el mundo. En este sistema, las letras mayúsculas se usan para los dientes deciduales y los numeros arábigos se emplean para los dientes permanentes. Cada cuadrante en este sistema se designa por lineas en ángulo, para el superior derecho (SD), para el superior izquierdo (SI), para el inferior derecho (ID) y para el inferior izquierdo (II). Por ejemplo, los caninos permanentes reciben el numero 3 en cada cuadrante y el cuadrante se designa con su ángulo correspondiente.
- Sistema internacional. Utiliza dos números arábigos para designar cada ciente. En este sistema, el primer dígito indica la ubicación del diente en un cuadrante específico. Los cuadrantes permanentes son 1 = superior derecho, 2 = superior izquierdo, 3 = inferior izquierdo y 4 = inferior derecho, los cuadrantes de la dentición decidual se desig-
- nan con los números 5 = superior derecho, 6 = superior izquierdo, 7 = inferior izquierdo y 8 = inferior derecho. El segundo dígito indica cada diente individual, que se numera empezando desde la línea media. Por ejemplo, los caninos permanentes reciben los numeros 13, 23, 33 y 43, donde los caninos deciduales serían 53, 63, 73 y 83
- Sistema americano (universal). Es la notación más usada en Norteamérica. En este sistema, la dentición permanente se designa con numeros arábigos y la dentición decidual, con letras mayúsculas. Para la dentición permanente, la numeración comienza en el cuadrante superior derecho (SD), donde el tercer molar se designa con el numero 1. La numeración continua de forma consecutiva en todo el arco dental maxilar hasta el tercer molar izquierdo, al que se designa con el número 16. El diente numero 17 es el tercer molar situado en el cuadrante inferior izquierdo (II), que es el opuesto al diente número 16. Entonces, la numeración avanza en el arco dental mandibular y termina con el diente.

CORRELACIÓN CLÍNICA: CLASIFICACIONES DE LAS DENTICIONES PERMANENTE: (SECUNDARIA) Y DECIDUAL (PRIMARIA)

numero 32, que es el tercer moiar inferior derecho. En este sistema la suma de los numeros de dientes opuestos es siempre 33. Para la dentición decidua se sigue el mismo modeio pero se usan las letras A hasta la T para designar ios dientes individuales. Por lo tanto, en este sistema, los caninos permanentes se designan 6, 11, 22 y 27, mientras que los caninos deciduales son C. H. M y R.

Observese también que en la figura C16-2-1 el esquema de color muestra la relación entre las denticiones deciduales y permanentes. La inspección de la tabla permite comprobar que os moiares deciduales son reemplazados por los premolares permanentes después de la exfoliación y que los molares permanentes no tienen precursores deciduales.

		Γ	Segundo	Primer	Canino	Incisivo Iatoral	Incisivo media:	ncisivo media	(naisivo arterat	Canino	Primer	Segundo molar			
- Denkopn deddus -			,	131	ı	1		ń	1	r	11	,			
			A	В	С	D	E	F	G	Н	- 1	٦			
			55	54	53	52	51	61	62	63	64	85			
		L	E	D	C	티	A	A	(8	<u> C</u>	D	E			
Tercer molar	Segundo motar	Primer molai	Segundo premoiar	Pomer premolar	Canino	Incisivo Iatorai	Incisivo mediat	Incisivo medial	Incisivo lateral	Canino	Primer premolar	Segundo premolai	Primer motar	Segunda malar	Tercer moia/
		. 3.		رَ	,	i	í	1	1	I	3,		6.		1.
1	2	3	4	5	6	7	В	9	10	11	12	13	14	15	16
18	17	16	15	14	13	12	11	21	22	23	24	25	26	27	28
8	7	6	5	4	3	2	1	1	[2	[3	4	5	6	[7	B
8	77	6	3	य	3	2	न	1	2	3	T T	5	18	7	8
48	47	46	45	44	43	42	41	31	32	33	34	35	36	37	38
32	31	30	29	28	27	26	25	24	23	22	21	20	19	18	17
À	الله قرار	1 .	,		,	-	L		ī		T	4	,	,	5
Tercar	Segundo	Primer	Segundo	Primer premolar	Carino	tncisivo laterai	Incisivo medial	Incisivo medial	Incisivo lateral	Canino	Prymer premolar	Segundo premoiar	Primer	Segundo	Tercer
		Г	E	D	ী	B	Ā	A	B	C	D	E			
			85	84	B3	82	81	71	72	73	74	75			
Denitoton decidua			T	S	R	a	Р	0	N	М	L	К			
			7,	.^		ſ	ŗ				,	-			iistema le Paimer Sistema nternation Sistema
			Segundo	Primer mota/	Carano	Incisivo Iaterai	Incisivo media)	ncisivo media.	ovizoni	Сапіпо	Primer	Segundo			unericano

FIGURA C16-2-1. Clasificación de los dientes deciduales y permanentes. Se utilizan tres sistemas de clasificación de los dientes. El panel central dei diagrama muestra los dientes permanentes imientras que los paneles superior e inferior muestrar los dientes deciduales La dentadura se divide en cuatro cuadrantes, superior izquierdo (SI), superior derecho (SD), inferior, zquierdo (III), e inferior derecho (ID). Cada cuadrante incluye ocho dientes permanentes o cinco dientes deciduales. En el sistema americano (universal, en azul) ios dientes permanentes se designan con números arábigos. La númeración comienza desde la muela de juicio, en el cuadrante superior derecho, que recibe ei numero 1 y continua a lo largo de todos los dientes en el maxíar superior hasta el numero 16 que es el tercer moiar superior izquierdo La numeración continua en la mandibula y comienza en el tercer moiar infenor izquierdo, que recibe el numero 17 y termina con el tercer molar derecho des gnado con el numero 32. En el sistema norteamencano, a los dientes deciduales se les asigna individua mente, una etra mayuscula. El patrón es el mismo que el utilizado con los dientes permanentes por lo que la numeración se inicia a partir del segundo molar superior derecho y termina con el segundo mo ar interior derecho. En el sistema internacionar (en raja), también conocido como el sistema de dos digitos, cada diente se designa con dos numeros, el primero, ndica el cuadrante de la dentadura, que recibe un numero del 1 a. 4 o del 5 al 8 en sentido horario y se comienza en el quadrante superior derecho para los dientes permanentes o deciduales, respectivamente. El segundo numero específica los dientes individuales en cada cuadrante a partir de la linea media, donde los incisivos media es se designan con el numero 1 y los terceros molares reciben el numero 8. En el sistema de Palmer (en amarillo), la dentadura se clasifica en cuatro cuadrantes mediante ángulos rectos: La linea vertical de la marca divide la dentadura en un lado derecho y otro izquierdo a partir de la linea media. La linea horizontal del angulo divide la dentadura en las partes superior e interior para designar los dientes en el maxilar o la mandibula. En el sistema de Palmer los dientes permanentes se designan con números arábigos a partir de la linea media. A los dientes deciduales se les designa con letras mayusculas también a partir de la linea media. Para designar un dienté con el sistema de Palmer se requieré de un angulo y del número o la letra correctos (diseño de tabla por cortesía del Dr. Wade T. Schuttz)

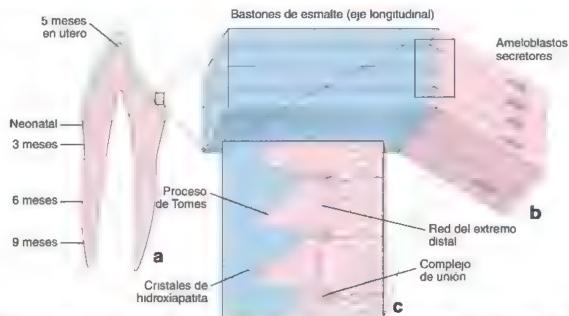


FIGURA 16-13. Diagrama de un diente en formación para illustrar los detalles de la amelogénesia, a. En el esmalte se illustran los bastones, que se extienden desde a conexión amelodent nana hasta la superficie de diente. Si bien el esmalte está formado en todo su espesor, la dentina todavia no adquiere su espesor definitivo. Las "neas de contorno en la dentina indican el grado de desarrollo alcanzado en un momento determinado como se senala en la propia il ustración. Cabe senalar que la cavidad pulpar en el centro del diente se hace más pequeña a medida que se desarrolla la dentina icon base en Schour I. Massler M. The neonata line in the enamer and dentin of the human deciduous teeth and first permanent molar. J. Am. Dent Assoc. 1936 23. 1948). Durante la amelogenesis, la formación del esma te resulta afectada por el trayecto de los ameloblastos. El bastón producido por el ameloblasto se forma detrás de la célula. De esta manera en el esmalte maduro, secretores están los procesos de Tomes, rodeados por el esmalte en desarrollo. Tamb én se muestran complejos de unión en el poio apical y la red terminal distal. Obsérvese la gran carridad de ves culas secretoras que contiene la matriz en el citopiasma de los procesos.

el esmalte en desarrollo (fig. 16-13). Un conjunto de mitocondrias y una acumulación de filamentos de actina en la red terminal proximal en la base de la célula son la causa de la eosmofilia de esta región en los cortes de parafina teriudos con hematoxilma y eosina (H&E) (figs. 16-14 y 16-15a). Adyacente a las mitocondrias se halla el núcleo; en la columna citoplasmática principal se encuentran el RER, el aparato de Golgi, los gránulos de secreción y otros componentes celulares. Hay complejos de unión en los extremos celulares tanto apical como basal. Estos complejos mantienen la integridad y la orientación de los ameloblastos conforme se alejan de la unión amelodentinaria. Los filamentos de actina fijados a estos complejos de unión participan en el desplazamiento del ameloblasto secretor sobre el esmalte en desarrollo. El bastón formado por el ameloblasto le sigue detrás. Así, en el esmalte maduro la dirección de los bastones es una copia de la trayectoria seguida antes por los ameloblastos en etapa secretora.

La superficie basal de los ameloblastos secretores es contigua a una capa de células del órgano adamantino llamada estrato intermedio (véanse figs. 16-11b, c, g y 16-12b). La membrana plasmática de estas células, especialmente en la base de los ameloblastos, contiene fosfatasa alcalina, una enzuma activa en la calcificación. Las células estrelladas del órgano adamantino son externas con respecto al estrato intermedio y están separadas de los vasos sanguíneos contiguos por una lámina basal.

Los ameloblastos en etapa de maduración transportan las sustancias necesarias para la maduración del esmalte.

La característica histológica que marca los ciclos de los **amelo**blastos en etapa de meduración es el borde estriado en su superficie apical (fig. 16-15b). En esta etapa, los ameloblastos se someten a modulación, un cambio cíclico en el que aparece el borde estriado, luego desaparece y finalmente reaparece. Durante la modulación, los ameloblastos en etapa de maduración experimentan una remodelación extensa que alterna entre mostrar un borde estriado o un borde fiso. Los ameloblastos en etapa de maduración con borde estriado representan aproximadamente el 70% de todas las células sometidas a modulación cíclica. Un borde estriado bien desarrollado es responsable de la secreción de iones bicarbonato (HCO₃⁻); también contiene la denominada bomba

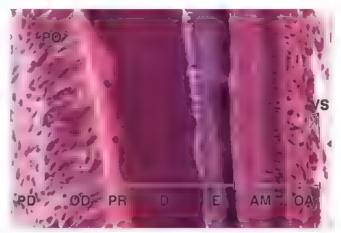
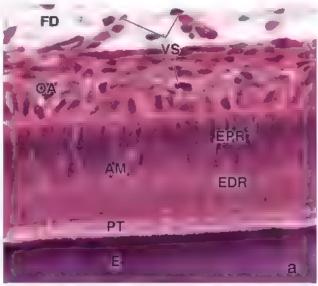


FIGURA 16-14. Células del órgano adamantino y odontoblastos en un diente en desamollo. En esta microfotografía de un corte teñido con H&E de un diente humano en desarrollo se muestran los amelobiastos y los odontoblastos conforme comienzan a producir esmalte (E) y dentina (D), respectivamente. El esmalte es depositado por los amelobiastos secretores (AM) sobre la dentina previamente formada. En esta imagen, el esmalte aparece de color *purpura oscuro* y es contiguo a la capa de color *purpura rojizo* de la dentina madura (D). Los vasos sanguíneos (VS) a la derecha pertenecen al órgano adamantino (CA) parcialmente formado por células del estrato intermedio. Los dominios basales de los odontoblastos (CD) a la *izquierda* están en contacto con la pulpa dental (PD). El citoplasma de los odontoblastos es contiguo a la predentina (PR). En este punto, los procesos citoplasmáticos de los odontoblastos (PO) se extienden dentro de los tubulos dentinarios de la predentina. 280× (cortesía del Dr Arthur R. Hand).



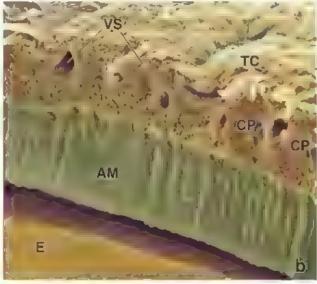


FIGURA 16-15. Ameloblastos en etapa de secreción y maduración, a. En esta microfotografía de gran aumento de una muestra tenida con H&E se observan los ameioblastos secretores (AM). Notense los tenues procesos de Tomes (PT) de la parte apical de los ameloblastos y el esmalte (E) muy tenido justo debajo Las lineas distintivas de color rosa están relacionadas con la acumulación de Hamentos de actina en los ameiobiastos. La primera linea entre los procesos de Tomes y el citopiasma de los ameioblastos corresponde al extremo distal de la red (EDR). y la segunda linea en la base de los amelobiastos es el extremo proximal de la red (EPR). El órgano adamantino (OA), que contiene vasos sanguineos (VS) es contiguo a la capa de ameioblastos. El estroma de los foliculos dentales (FD) es visible en la parte superior de esta imagen 480 x (cortes a del Dr. Arthur R. Hand). b. Micrototografia electrónica de barr do coloreada. Preparado de criofractura de un diente que muestra una capa de amelobiastos (AM, en verde) de superficie lisa en etapa de maduración sobre una superficie del esmalte ven naranja). En el polo basal de los amelobiastos se observan células de la capa papilar (CP) que contienen vasos sanguineos (VS) y tejido conjuntivo (TC) axo. En esta etapa de maduración de los ameioblastos ya no hay una capa de estrato intermedio. Durante la preparación de muestras, las superficies apicaies de los amelobiastos se separan del esma tel 1300 × (cortesia de SPL/Photo Researchers, Inc., reproducida con autorización).

de calcio de la membrana plasmàtica (PMCA, plasma membrane Ca2+ -ATPase) que extrae iones de calcio del esmalte en maduración. Los ameloblastos en etapa de maduración con bordes apicales lisos representan aproximadamente el 30% de esta población celular. Aunque no hayan detectado actividad de la Ca2+ ATPasa, producen y secretan enzimas para degradar y reabsorber la matriz extracelular que ya no sea necesaria.

En esta etapa no hay estrato intermedio en el órgano adamantino durante la maduración del esmalte. Las células del estrato intermedio subyacente, del retículo estrellado y del epitelio dental externo colapsan entre sí y se reorganizan, lo que hace imposible distinguirlas como capas individuales. Finalmente, los vasos sanguíneos se invaginan en esta capa recién reorganizada para formar la capa papilar que contiene cátulas papilares estrelladas adyacentes a los ameloblastos en etapa de maduración.

Los ameloblastos en etapa de maduración y las células papilares contiguas se caracterizan por la presencia abundante de mitocondrias. Lo anterior indica una actividad celular que requiere grandes cantidades de energía y es reflejo del funcionamiento de los ameloblastos en etapa de maduración y de las células papilares contiguas como epitelio de transporte.

Los avances recientes en biología molecular de los productos génicos de los ameloblastos han revelado que la matriz del esmalte es muy heterogénea. Contiene proteínas codificadas por varios genes diferentes. A continuación se enumeran las principales proteínas de la matriz extracelular del esmalte en desarrollo:

- Amelogenines. Proteinas importantes para establecer y mantener el espacio entre los bastones en las etapas iniciales del desarrollo del esmalte.
- Ameloblastinas. Proteínas de señalización producidas por los ameloblastos desde sus etapas secretoras iniciales hasta las etapas finales de maduración. Su función no se conoce bien; sin embargo, su patrón de desarrollo indica que las ameloblastinas

- desempeñan un papel mucho más amplio en la amelogénesis que las otras proteínas. Se piensa que las ameloblastinas guían el proceso de mineralización del esmalte al controlar el alargamiento de los cristales adamantinos y para la formación de complejos de unión entre bastones individuales.
- Enamelinas. Proteínas distribuidas por toda la capa de esmalte. Estas proteínas experimentan escisión proteolítica conforme madura el esmalte. Los productos de esta escisión, de bajo peso molecular, se retienen en el esmalte maduro, a menudo situados en la superficie de los cristales de esmalte.
- Turbatinas. Primeras proteínas detectadas cerca de la conexión amelodentinaria. Su carácter ácido e insoluble contribuye a la nucleación de los cristales de esmalte. Las tufrelinas se encuentran en penachos adamentinos y explican la hipomineralización, pues estos tienen un mayor porcentaje de material orgánico que el resto del esmalte maduro.

La maduración del esmalte en desarrollo es producto de su mineralización continua, de manera que se convierte en la sustancia más dura del cuerpo. Las amelogeninas y las ameloblastinas se eliminan durante la maduración del esmalte. Por lo tanto, el esmalte maduro contiene solo enamelinas y tuftelinas. Los ameloblastos se degeneran una vez que el esmalte está completamente formado, más o menos al momento de la erupción dentaria a través de la encía.

Cemento

El cemento cubre la raiz del diente.

La miz es la parte del diente que está insertada en el atvocio del maxilar o la mandíbula. El comento es una capa delgada de material similar al hueso; cubre las raíces de los dientes y comienza en la porción cervical del diente (en la conexión entre cemento y esmalte) y continúa hasta el ápice. El cemento es producido por comentoblustos (células cúbicas grandes que se parecen a los osteoblastos de la superficie del hueso en crecimiento). Los cementoblastos



FIGURA 16-16. Microfotografia electrónica de las fibras de Sharpey Las fibras de Sharpey se extrenden desde el ligamento periodontal (derecha) hasta el cemento. Se componen de fibrillas de colágeno Las fibras de Sharpey dentro del cemento están mineralizadas, mientras que dentro del ligamento periodontal no lo están 13.000×

secretan una matriz extracelular llamada comentoide que recibe una mineralización adicional. En la superficie externa del cemento, conugua al ligamento periodontal, hay una capa de cementoblastos. Durante la cementogénesis, los cementoblastos se incorporan en el cemento y se convierten en comentocitos, células muy similares a los osteocitos del hueso. Al igual que el hueso, el 65% del cemento es mineral y contiene más concentración de flúor que cualquier otro tejido mineralizado. Las lagunas y canalículos en el cemento contienen los cementocitos y sus proyecciones, respectivamente. Se asemejan a las estructuras del tejido óseo que contienen los osteocitos y las proyecciones osteocíticas. A diferencia del hueso, el cemento es avascular. Además, las lagunas se distribuyen de manera irregular en todo el cemento y sus canalículos no forman una red anastomosada. Las fibras de colágeno, que se proyectan fuera de la matriz del cemento y se introducen en la matriz ósea de la pared alveolar, forman la mayor parte del ligamento periodontal. Estas fibras son

otro ejemplo de fibras de Sharpey (fig. 16-16). Además, las fibras elásticas son también un componente del ligamento periodontal. Este modo de fijación del diente a su alvéolo permite cierto grado de movimiento dental natural. También constituye la base de los procedimientos de ortodoncia utilizados para enderezar los dientes y reducir la mala oclusión de las superficies dentales de corte y trituración maxilares y mandibulares. Durante los movimientos dentales correctivos, el hueso alveolar se resorbe y se resintetiza, lo cual no ocurre con el cemento.

Dentina

La dentina es un material calcificado que constituye la mayor parte de la sustancia del diente.

La dentina se ubica por debajo del esmalte y el cemento. Contiene menos hidroxiapatita que el esmalte (alrededor del 70%), pero más que la que se encuentra en el hueso y el cemento. La dentina es secretada por los odontoblastos, que forman una capa epitelial sobre la superficie dentinaria interna, es decir, la superficie que está en contacto con la pulpa (fig. 16-17). Al igual que los ameloblastos, los odontoblastos son células cilíndiricas que contienen un RER bien desarrollado, un gran aparato de Golgi y otros orgánulos asociados con la síntesis y la secreción de grandes cantidades de proteína (fig. 16-18). La superficie apical de los odontoblastos está en contacto con la dentina en proceso de formación; a esa altura, complejos de union entre los odontoblastos separan el compartimento dentinario de la cámara pulpar.

La capa de odontoblastos retrocede a medida que se deposita la dentina; sin embargo, deja en esta última las proyecciones odontoblásticas dentro de conductos estrechos llamados tubulos dentinados (véase fig. 16-17). Los túbulos y proyecciones continúan alargándose conforme la dentina sigue aumentando de espesor por crecimiento rítmico. El crecimiento rítmico produce "líneas de crecimiento" en la dentina (líneas incrementales de Von Ebner y líneas más gruesas de Owen), que marcan momentos importantes del de-

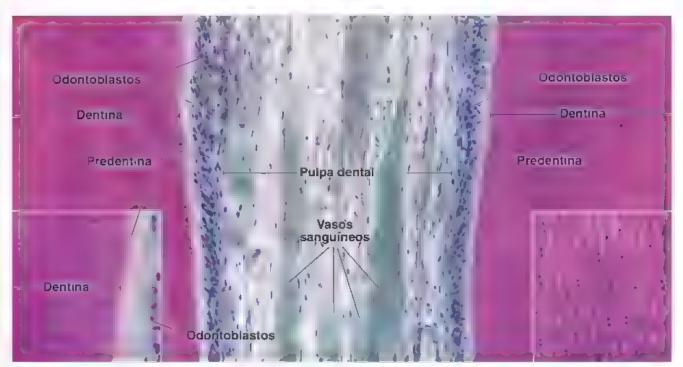


FIGURA 16-17. Pulpa dental y estructura de la dentina. En esta microfotografia de un diente descalcificado se observa la pulpa dentia ubicada en el centro y rodeada por la dentina en ambos lados. La pulpa dential es un nucleo de tejido biando del diente que parece tejido conjuntivo embrionario iniciuso en el adu to. Presenta vasos sanguineos y nervios. La dentina contiene las proyecciones citoplasmáticas de los odonitoblastos dentino de los tibulos dentinanos. Se extienden hasta la conexión amelodentinana. Los cuerpos celulares de los odonitoblastos dentina mineralizada. Lamada predentina. 120 x. Recuadro izquierdo. Corte long tudinal de los tubulos dentina nanos. 240 x. Recuadro derecho. Corte mansversa de los tubulos dentinarios. El contorno oscuro de los tubulos dentinarios como se ve en ambos recuadros representa la dentina peritubular, que es la parte más mineralizada de la dentina. 240 x.

sarrollo, como el nacimiento (linea neonatal) y el momento en el que algunas sustancias no habituales, como el plomo, se incorporaron al diente en crecimiento. El estudio de las lineas de crecimiento es de utilidad para la medicina forense.

La prodentino es la matriz orgánica recién sintetizada, más cercana al cuerpo del odontoblasto, que todavía tiene que mineralizarse. Si bien la mayoría de las proteínas en la matriz orgánica son similares a las del hueso, la predentina contiene dos proteínas exclusivas:

- Fosfoproteina de la dentina (DPP, dentin phosphoprotein), una proteína fosforilada muy ácida de 45 kDa; tiene abundancia de ácido aspártico y fosfoserina y fija una gran cantidad de calcio. La DPP participa en la iniciación de la mineralización y el control del tamaño y la forma del mineral.
- Sialoproteina de la dentina (DSP, dentin sialoprotein), un proteoglucano de 100 kDa que tiene mucho ácido aspártico, ácido glutámico, serina, glicina y condroitín-6-sulfato. La DSP también interviene en el proceso de mineralización.

Una característica poco frecuente de la secreción de colágeno e hidroxiapatita por los odontoblastos es la presencia, en las vesículas de Golgi, de matrices de un precursor de colágeno filamentoso formado. Los gránulos, que se supone contienen calcio, se unen a estos

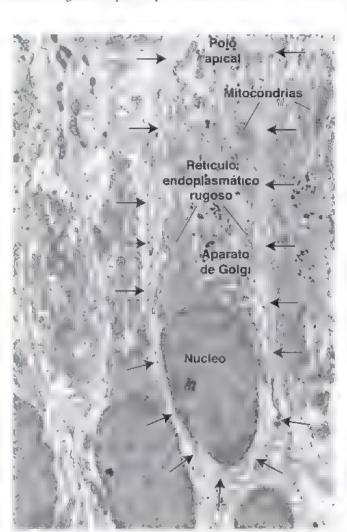


FIGURA 16-18. Microfotografía electrónica de odontoblastos. Se senala con flechas la membrana plasmática de un odontoblasto. La célula contiene una gran cantidad de retículo endopiasmático rugoso y un gran aparato de Golgi. Los procesos odontoblásticos no aparecen en esta imagen, un proceso se extendería desde el polo apicat de cada célula (amba). Las manchas negras en la región del aparato de Golgi son los cuerpos en ábaco. El tepdo se trató con proantimonato, que forma un precipitado oscuro con el caido. 12000X

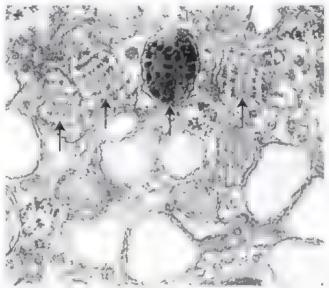


FIGURA 16-19. Aparato de Golgi en un odontoblasto. En esta microfotografia electrónica se muestra una región del aparato de Golgi que contiene numerosas vesículas grandes. Considérense los cuerpos en ábaco (flechas) que contienen matrices paralelas de filamentos salpicados de gránulos. 52 000 X

precursores, lo que da lugar a estructuras llamadas euerpos en ábaco (fig. 16-19; véase también fig. 16-18). Los cuerpos en ábaco se van condensando a medida que maduran en los gránulos de secreción.

La dentina es producida por los odontoblastos.

La dentina es el primer componente mineralizado que aparece en el diente. La dentina más externa, que se conoce como dentina del manto, está formada por células subodontoblásticas que producen pequeños haces de fibras de colágeno (fibras de Von Korff). Los odontoblastos se diferencian a partir de células en la periferia de la papila dental. Las células progenitoras tienen el aspecto de células mesenquimatosas típicas, es decir, connenen poco citoplasma. Durante su diferenciación en odontoblastos, aumenta el volumen citoplasmático y de los orgánulos característicos de las células sintetizadoras de colágeno. Las células forman una capa en la periferia de la papila dental y secretan la matriz orgánica de la dentina, o predentina, en su polo apical (lejos de la papila dental; fig. 16-20). A medida que aumenta el espesor de la predentina, los odontoblastos se mueven o son desplazados hacia el centro (*véase* fig. 16-13). Una ola de mineralización sigue a los odontoblastos en retroceso; este producto mineralizado es la dentina. Conforme las células se mueven hacia el centro, las proyecciones odontoblásticas se alargan, las más largas quedan rodeadas por la dentina mineralizada. En la dentina recién formada, la pared del túbulo dentinario consiste simplemente en los bordes de la dentina mineralizada. Con el tiempo, la dentina que delimita el túbulo dentinario se mineraliza aún más, y esta vaina más mineralizada se conoce como dentina peritubular El resto de la dentina se llama dentina intertubular

Pulpa dental y cavidad pulpar central (cámara pulpar)

La cavidad pulpar del diente es un compartimento de tejido conjuntivo limitado por la dentina.

La cavidad puipar control es el espacio, dentro de un diente, ocupado por la pulpa dental; se trata de un tejido conjuntivo laxo con extensa vasculanzación y muy inervado. La cavidad pulpar adopta la forma del diente. Los vasos sanguíneos y los nervios entran en la cavidad pulpar por el vértice (ápice) de la raíz, en un sitio llamado

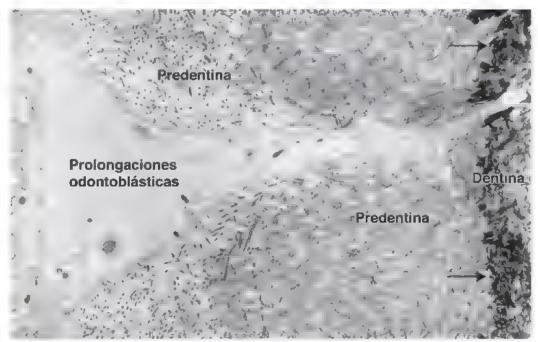


FIGURA 16-20. Protongación en un odontoblasto joven. En esta microfotografía electrónica se muestra una protongación odontoblastica que se introduce en un tuburo dentinario. La protongación se extiende dentro de la predentina y después de atravesar el frente de mineralización (*flechas*), se introduce en la dentina. Las fibrillas de colágeno en la predentina son más finas que las fibrillas más gruesas y maduras del frente de mineralización y más allá de él. 34000×

foramen apical (las denominaciones ápice y apical en este contexto se refieren solo al extremo angostado de la raíz del diente y no a una superficie luminal [apical], como se utiliza en la descripción de los epirelios de absorción y secreción).

Los vasos sanguíneos y los nervios se extienden hasta la corona del diente, donde forman redes vasculares y nerviosas debajo y dentro de la capa de odontoblastos. Algunas fibras nerviosas desnudas también se introducen en las porciones proximales de los túbulos de la dentina y entran en contacto con las proyecciones odontoblásticas. Se piensa que las proyecciones odontoblásticas tienen una función transductora al transmitir estímulos de la superficie del diente hasta los nervios de la pulpa dental. En los dientes con más de una cúspide, los cuornos pulpares que contienen una gran cantidad de fibras nerviosas se extienden dentro de las cúspides. En los túbu los dentinarios se extiende una mayor cantidad de estas fibras que en otros sitios. Dado que la dentina continúa secretándose durante toda la vida, la cavidad pulpar disminuye su volumen con la edad.

Tejidos de soporte de los dientes

Los tendos de soporte de los dientes incluyen el hueso alveolar de los procesos alveolares del maxilar y la mandíbula, el petiodonto y la encía.

Los procesos alveolares del mexilar y de la mandíbula contienen los alvéolos para las raíces dentales.

El hueso alveolar proplamente dicho, una capa delgada de hueso compacto, conforma la pared del alvéolo (véate fig. 16-8) y es el hueso al cual se fija el periodonto. El resto del proceso alveolar consiste en rejido óseo de soporte.

La superficie del hueso alveolar suele exhibir regiones de resorción ósea y depósito de tejido óseo, en particular cuando se mueve un diente (fig. 16-21). La enfermedad periodontal suele conducir a la destrucción del hueso alveolar, al igual que cuando hay una falta de oclusión funcional de un diente con su contraparte

El periodonto es el tendo conjuntivo fibroso que une al diente con su hueso circundante. Este ligamento también es llamado membrana periodontica, pero ninguno de los términos describe su estructura y función de manera adecuada. El periodonto interviene en lo siguiente:

- Adhesión (fijación) dental
- Soporte dental

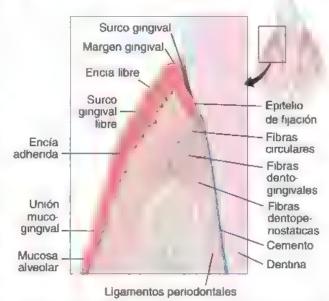


FIGURA 16-21. Diagrama de una encía. Este diagrama corresponde a una ampliación de la región rectangular de la figura superior derecha. El epitelio gingival se adhiere al esmalte del diente Aquí, la unión entre el epitelio y el tejido conjuntivo es uniforme. En otros sitios, el epitelio gingival está interdigitado por papilas de tejido conjuntivo y la unión entre ambos es irregular. Las líneas negras representan fibras de colágeno del cemento del diente y de la cresta del hueso alveolar que se extienden hacia el epitelio gingival. Nótense la papilas poco profundas en la mucosa de revestimiento (mucosa alveolar) que contrastan con las de la encía.

- Remodelación ósea (durante el movimiento de un diente)
- Propiocepción
- Erupción dental

Un corte histológico del periodonto permite comprobar que tiene regiones de tejido conjuntivo denso y laxo. El tejido conjuntivo denso contiene fibras de colágeno y fibroblastos alargados paralelos al eje longitudinal de las fibras de colágeno. Se piensa que los fibroblastos avanzan y retroceden, por lo que dejan una estela de fibras de colágeno. Los fibroblastos periodónticos también contienen fibrillas de colágeno fagocitadas que son digeridas por las enzimas hidrolíticas de los lisosomas citoplasmáticos. Estas observaciones indican que los fibroblastos no solo producen fibrillas de colágeno, sino que también las reabsorben, de manera que se ajustan de manera continua a las exigencias de la tensión y el movimiento dentales.

El tejido conjuntivo laxo en el periodonto contiene vasos sanguíneos y terminaciones nerviosas. Además de fibroblastos y fibras de colágeno finas, el periodonto también contiene finas fibras de oxitatán con distribución longitudinal, Estas se hallan unidas a los huesos o al cemento en cada extremo. Algunas aparecen asociadas con la adventicia de los vasos sanguíneos.

La mucosa gingival es la parte de la membrana mucosa que se conoce como encia.

La mucosa gingival es una parte especializada de la mucosa bucal ubicada alrededor del cuello del diente. Está adherida con firmeza a los dientes y el tejido óseo alveolar subyacente. En la figura 16-21 se presenta un diagrama simplificado de la encia. La encía se compone de dos partes:

- Mucosa gingival, que es un sinónimo de la mucosa masticatoria ya comentada.
- Epitelio de fijación, o epitelio de unión, que se adhiere firmemente al diente. Este epitelio secreta un material de tipo lámina basal que se adhiere con firmeza a la superficie del diente. Después, las células se fijan a este material a través de hemidesmosomas. La lámina basal y los hemidesmosomas se denominan, en conjunto, fijación epitelial. En las personas jóvenes esta figación se realiza sobre el esmalte; en las personas mayores, en quienes la erupción dental pasiva y el retroceso gingival exponen las raices, la fijac on ocurre sobre el cemento

Por encima de la fijación epitelial al diente, una hendidura superficial, llamada surco gingival, se alinea con el epitelio crevicular, que es continuo con el epitelio de fijación.

El término periodonto se refiere a todos los tendos que intervienen en la fijación de un diente a la mandíbula o al maxilar. Estos comprenden el epitelio crevicular y de fijación, el cemento, el ligamento periodontal y el hueso alveolar. La periodontitis es una enfermedad bucal inflamatoria que conduce a la destrucción del tejido periodontal involucrado en la union del diente. Aunque existen terapias convencionales para controlar el proceso inflamatorio, no pueden restaurar las estructuras periodontales danadas. Con el descubrimiento de celulas madre multipotenciales del ligamento periodontal (PDLSC, periodontal ligament stem cells), el tratamiento regenerativo periodontal para restaurar la funcion fisiològica de los dientes al reconstruir los tejidos de soporte periodontales dañados (incluyendo el hueso alveolar, la encia, los ligamentos periodontales y el cemento) podría hacerse realidad. En los humanos, las PDLSC se pueden obtener a partir de dientes sanos permanentes o deciduales. Cuando las PDLSC humanas aisladas se trasplan-

tan a animales de laboratorio, se diferencian en ligamentos periodontales, hueso alveolar, cemento, nervios periféricos V Vasos sanguineos

GLÁNDULAS SALIVALES

Las glándulas salivales mayores son órganos pares con conductos extremos largos que desembocan en la cavidad bucal.

Las glandulas salivales mayores, como ya se mencionó, son la parótida, la submandibular y la sublingual. Las glándulas parótidas y submandibulares en realidad están ubicadas fuera de la cavidad bucal; sus secreciones alcanzan la cavidad a través de conductos. La glándula parótida es subcuránea y está situada por debajo y por delante del oído externo en el espacio entre la rama de la mandíbula y la apófisis estiloides del hueso temporal. La glandula submandibular se encuentra bajo el piso de la boca, en el triángulo submandibular del cuello. La glandula sublingual se ubica en el piso de la boca, por delante de la glándula submandibular.

Las glándulas salivales menores se encuentran en la submucosa de diferentes partes de la cavidad bucal. Comprenden las giándulas linguales, labiales, bucales, molares y palatinas.

Cada glándula salival se origina en el epitelio embrionario de la cavidad bucal. Al principio, la glándula toma la forma de un cordón celular que prolifera hacía el interior del mesénquima. La proliferación de las células epiteliales produce al final cordones muy ramificados con extremos bulbosos. La degeneración de las células más internas de los cordones y de los extremos bulbosos conduce a su canalización. Los cordones se convierten en conductos y los extremos bulbosos se vuelven acinos secretores que corresponden a acinos secretores.

Acinos secretores glandulares

Los acinos secretores se organizan en lobulillos.

Las glándulas salivales mayores están rodeadas por una cápsula de tejido conjuntivo de densidad moderada, de la cual parten tabiques que dividen las porciones secretoras de la glándula en lóbulos y lobulillos. El tabique contiene los vasos sanguíneos de mayor calibre y conductos excretores. El rejido conjuntivo asociado con los grupos de acinos secretores se mezcla imperceptiblemente con el tejido conjuntivo laxo circundante. Las glándulas salivales menores no tienen cápsula.

En el tejido conjuntivo que rodea los acinos de las glándulas salivales mayores y menores hay gran abundancia de linfocitos y plasmocitos. Su importancia en la secreción de anticuerpos salivales se comentará más adelante

Hay tres tipos de acinos secretores: serosos, mucosos y mixtos.

La unidad básica de secreción de las glándulas salivales, la statona, consiste en el acino, el conducto intercalado y el conducto excretor (fig. 16-22). El acino es un saco ciego compuesto por células secretoras. El término acinus (lat., baya o uva) se refiere a la unidad de secreción de las glándulas salivales. Los acinos de las glándulas salivales contienen células serosas (secretoras de proteínas), células mucosas (secretoras de mucina) o ambas. La frecuencia relativa de los tres tipos de acinos es una característica importante mediante la cual se distinguen las glándulas salivales mayores. Por lo tanto, se describen tres tipos de actnos:

- Acinos serosos, que contienen solo células serosas y, en general, son esféricos.
- Acinos mucosos, que incluyen solo células mucosas y suelen ser más tubulares.
- Acinos mixtos, que presentan tanto células serosas como mucosas. En los preparados de rutina teñidos con H&E los acinos

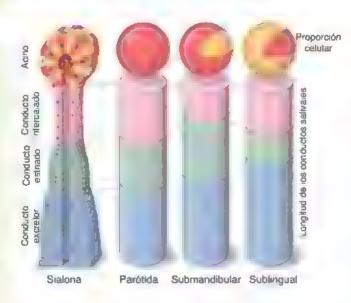


FIGURA 16-22. Diagrama comparativo de los componentes de la sialona en las tres glándules salivales mayores. Las cuatro partes principales de la sialona (acino, conducto intercalado, conducto estriado y conducto excretor) tienen un código de color. En las tres columnas a la derecha de la sialona se comparan las longitudes de os diferentes conductos en las tres glándulas salivales. Las células de color rojo en el acino son tas células serosas y las células de color amanillo son las células mucosas. La proporción entre las células serosas y las células mucosas se (lustra en los acinos de las diversas glándulas).

mucosos tienen un casquete de células serosas que se piensa que secretan su producto hacia el espacio intercelular lobulado entre las células mucosas. Debido a su aspecto en los cortes histológicos, estos casquetes reciben el nombre de semilunas serosas.

Las semilunas serosas son artificios del método de fijación tradicional.

Como ya se dijo, cada acino muxto, como los que se encuentran en la glándula sublingual y submandibular, contiene células serosas y mucosas. En los preparados de rutina para las microscopías óptica y electrónica, las células serosas tradicionalmente se consideraron como las estructuras que forman la semiliuna. Estudios recientes con microscopía electrónica contradicen esta interpretación clásica de la semiliana. La congelación rápida del rejido en nitrógeno líquido, como parte de una sustitución por congelación con tetróxido de osmio en acetona fría, revela que tanto las células mucosas como las serosas están alineadas en la misma hilera para rodear la luz de los acinos secretores. No se encontró ninguna semiluna serosa. En los cortes de la misma muestra realizados por el método convencional se observan célules mucosas inflamadas con gránulos secretores agrandados. Las células serosas forman semilunas típicas y están situadas en la región periférica del acino con delgadas proyecciones citoplasmáticas interpuestas entre las células mucosas. Estos hallazgos indican que la semiluna observada con el microscopio óptico o electrónico es un artificio del método de fijación convencionul (fig. 16-23). El proceso de formación de las semilunas se explica por la expansión del mucinógeno, un componente importante de

CUADRO 16-3. CORRELACIÓN CLÍNICA: CARIES DENTALES

La caries dental es una enfermedad infecciosa microbiana de los dientes cuya consecuencia es la destrucción de los tejidos calcificados afectados, es decir, el esmalte, la dentina y el cemento. Las lesiones de la caries suelen ocumir bajo masas de colonias bacterianas denominadas placa dentobacteriana. La aparición de la caries dental se asocia, principalmente, con colonias bacterianas de *Streptococcus mutans*, mientras que los lactobacilos se asocian con la progresión activa de la enfermedad. Estas colonias bacterianas metabolizan los hidratos de carbono y producen un ambiente ácido que desmineral za la estructura dental subyacente. La ingesta frecuente de sacarosa está fuertemente asociada con el desarrollo de estas colonias bacterianas acidogénicas.

Las cantidades mínimas de **flúor** de fuentes como el agua potable (de 0.5 a 1 0 ppm es lo óptimo), las pastas dentifincas e incluso la dieta pueden mejorar la resistencia a los efectos de las bacterias cariogénicas. El flúor mejora la resistencia de la estructura dental al ácido, actua como un agente antimicrobiano y promueve la remineralización de las lesiones cariosas pequeñas. La resistencia a la degradación ácida del esmalte es facilitada por la sustitución de iones hidroxilo por iones fluoruro en los cristales de hidroxiapatita. Esto disminuye la solubilidad de los cristales adamantinos en el ácido

El tratamiento de las lesiones cavitadas o "caries dentales" (fig. C16-3-1) incluye la excavación del tejido dental infectado y su reemplazo con materiales dentales como amalgamas, resinas compuestas y cementos de ionómeros vítreos. La invasión microbiana de la estructura dental puede alcanzar la "pulpa" del diente y provocar una respuesta inflamatoria. En este caso, por lo general, se recomienda el tratamiento ortodóncico o "tratamiento de conducto", con





FIGURA C16-3-1. Microfotografía de una caries. a. Imagen de un diente preparado por el método de desgaste en el que se distingue una lesión por caries (LC) que ha perforado todo el espesor del esmalte (E) y se ha diseminado lateralmente a le altura de la conexión amelodentinaria. D, dentina. b. La lesión aqui está más avanzada. E esmalte (E) fue socavado y debilitado, por lo que se fracturó y se produjo una cavidad. En este momento las bacterias pueden invadir y avanzar por los tubulos dentinales expuestos, lo que genera focos de licuefacción destructiva en la dentina (D) y, en ultima instancia, la exposición de la pulpa. 16× (fuente Eveson JW, Scully C Color Atlas of Oral Pathology, London, Times Mirror International Publishers, 1995)

la posterior colocación de una corona para añadir fuerza a la estructura dental coronal afectada

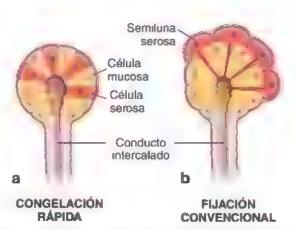


FIGURA 16-23. Relación entre las células serosas y las células mucosas en el acino mixto. a. En este diagrama se ilustra la relación entre las células mucosas y serosas tai y como se observa en el microscopio electrónico después de aplicar el método de congelación rápida. Las células serosas se extienden desde la lámina basal hasta la tuz del acino b. Se ilustran las células serosas que ocupan la periena del acino y forman la denominada semiliuna serosa. Esta característica es visible en los preparados de rutina fijados por inmersión. Las células mucosas inflamadas han expulsado a las células serosas, dejando pequeños restos del citopíasma entre las células mucosas.

los gránulos secretores, durante la fijación de rutina. Esta expansión aumenta el volumen de las células mucosas y desplaza las células serosas de su posición original, con lo que se crea el efecto semilunar. Algunas veces se observa un fenómeno similar en la mucosa intestinal, en donde las células caliciformes inflamadas desplazan las células absortivas contiguas.

Las células serosas son células secretoras de proteínas.

Las cétulas serosas tienen una forma piramidal, con una superficie basal relativamente amplia en contacto con la lámina basal y una superficie apical reducida orientada hacia la luz de los acinos. Contienen una gran cantidad de RER y ribosomas libres, un aparato de Golgi prominente y muchos gránulos de secreción esferoideos (fig. 16-24). Como en la mayoría de las células secretoras de proteínas que almacenan sus secreciones en gránulos de cimogeno, los gránulos se encuentran en el citoplasma apical. La mayor parte de los orgánulos restantes se hallan en el citoplasma basal o perínuclear En los cortes tenidos con H&E, el citoplasma basal de las células serosas se tiñe con hematoxilina debido al RER y los ribosomas libres, mientras que la región apical se tiñe con eosina en gran parte debido a los gránulos de secreción.

Cuando se examina con el microscopio electrónico de transmisión (MET), la base de la célula serosa puede exhibir pliegues de la

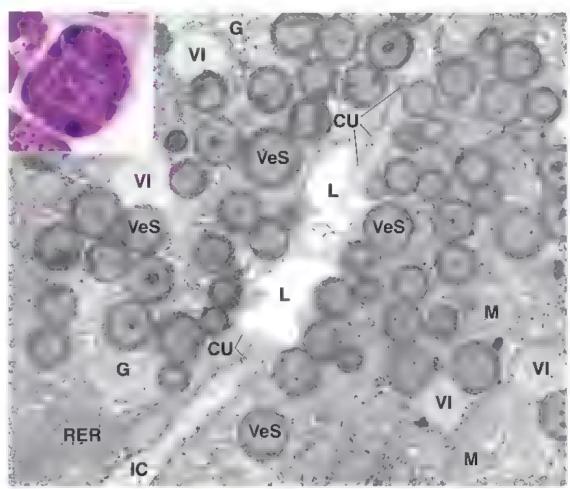


FIGURA 16-24. Microfotografía electrónica de la porción apical de las células serosas de la glándula parótida. Como puede apreciarse segun el recuadro en la microfotografía de orientación, so o se muestran las porciones apicales de la célula serosa de la glándula parótida serosa Las células estan polarizadas, con su producto dentro de las vesiculas secretoras (VeS) cerca de la Liz (L) de lacino. Las células muestran retorulo endopiasmatico rugoso (RER) y varios dictiosomas del aparato de Golg. Con Las vesiculas secretoras (nimaduras (VI) se ubican cerca de aparato de Golg. En el polo apical de las células hay compiejos de unión (Cu). El espacio intercelular (IC) está dilatado y en él se ven siluetas de pliegues laterales seccionados. M. mitocondr as. 15000×

membrana plasmática basal y basolaterales en forma de proyecciones que se entrecruzan con otras similares de células contiguas. Las células serosas se unen cerca de su superficie apical a células adyacentes mediante complejos de unión del acino (véase fig. 16-24).

Las células mucosas son células secretoras de mucinas.

Al igual que en otros epitelios mucosecretores, las células mucosas de los acinos salivales mucosos manifiestan actividad cíclica. Durante parte del ciclo la mucosa se sintetrza y se almacena dentro de la célula en forma de granulos de mucinogeno. Cuando se elimina el producto, después de la estimulación hormonal y nerviosa, la célula comienza a resintetizar mucosa. Después de que ha descargado la mayor parte o la totalidad de sus gránulos de mucinógeno, es dificil distinguir una célula mucosa de una célula serosa inactiva. Sin embargo, las células mucosas contienen una gran cantidad de gránulos de mucinógeno en su citoplasma apical, y debido a que el mucinógeno se pierde en los cortes de parafina teñidos con H&E, dicha porción apical suele aparecer vacía. En los preparados para el MET, el RER, las mitocondrias y otros componentes se ven sobre todo en la porción basal de la célula; esta porción también contiene el núcleo, que suele estar aplanado contra la membrana plasmática basal (fig. 16-25). En los preparados realizados con el método de congelación rápida (fig. 16-26), las células aparecen redondas y con una separación clara entre unas y otras. Los núcleos son esferoideos y se ubican en el centro de la célula. La porción apical de la célula mucosa contiene abundantes gránulos de mucinógeno y un gran aparato de Golgi, en el que se añaden grandes cantidades de hidratos de carbono a una base de proteínas para sintetizar la glucoproteína de la mucina. Las células mucosas poseen

complejos de unión apicales idénticos a los que se observan entre las células serosas.

Las células mioepiteliales son células contráctiles que abarcan la región basal de las células secretoras del acino.

Las células mioepiteliales son células contráctiles con muchas proyecciones. Están ubicadas entre la membrana plasmática basal de las células epiteliales y la lámina basal del epitelio (fig. 16-27). Las células mioepiteliales también están bajo las células de la porción proximal del sistema de conductos. En ambos sítios, las células mioepiteliales son fundamentales para impulsar productos de secreción hacía el conducto excretor. Las células mioepiteliales a veces son difíciles de identificar en los cortes refudos con H&E. El núcleo de la célula con frecuencia aparece como una pequeña silueta redondeada cerca de la membrana basal. Los filamentos contráctiles se tiñen con eosina y, a veces, se reconocen como una delgada banda eosinófila contigua a la membrana basal.

El sindrome de Sjögren primario es una enfermedad inflamatoria autommunitaria sistémica que afecta a las glándulas salivales y lagrimales, produce sequedad de boca y ojos El corte histológico de la glándula salival de un individuo afectado muestra una infikración linfocítica local con un gran número de macrofagos y plasmocitos. En estadios avanzados, los acinos secretores normales son reemplazados por linfocítos. Algunos estudios recientes también indican la alteración de las células mioepiteliales. La cantidad de actina α del musculo liso (α-SMA, smooth muscle actin), responsable de las propiedades contractivas de las células mioepiteliales an las glándulas salivales, se reduce de manera significativa

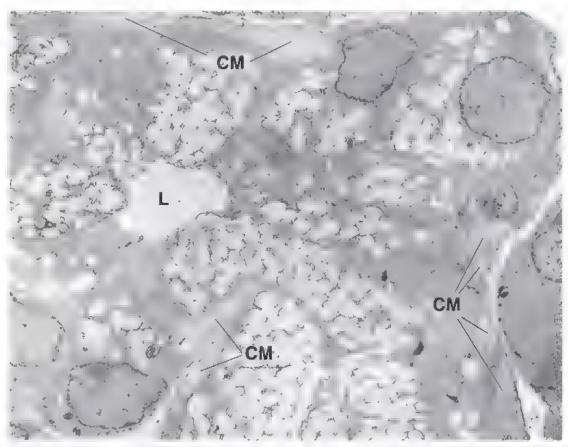


FIGURA 16-25. Microfotografia electrónica de un acino mucoso visto con poco aumento. Las células mucosas contienen abundantes gránulos de mucinógeno. Muchos de los gránulos han confitu do para formar masas irregulares de un tamano mayor que en ultima instancia se vueican en la uz (L) de acino. En la periferia del acino se observan proyecciones de dé ulas micoepite iales (CM). 5000 ×

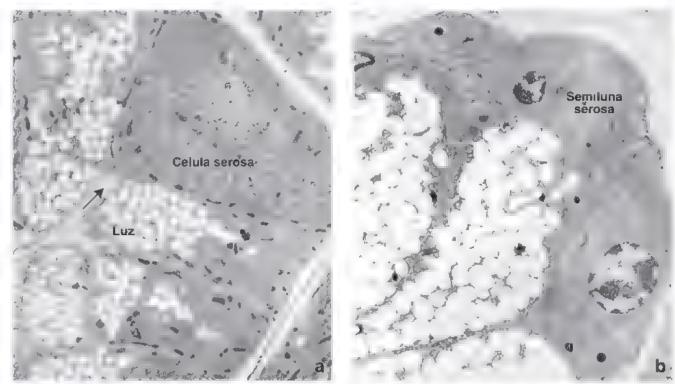


FIGURA 16-26. Microfotografías electrónicas de acinos míxtos, a. En esta microfotografía electrónica de bajo aumento de la glándula sub inqual preparada por enfinamiento rápido con un método de sustitución por congelación, se muestra la distribución de las células dentro de un solo acino. Las células mucosas tienen granulos de mucinógeno redondos bien conservados. Las células mucosas y serosas están a neadas para rodear la uz del acino. No se ven semilunas serosas 6000× b. Microfotografía electrónica de la glándula sublingual filada en formalden do de manera tradicional. Observense la expansión y confluencia considerables de los gránulos de mucinógeno, así como la formación de una semiluna serosa. 15000× (cortesia del Dr. Shohel Yamashina).

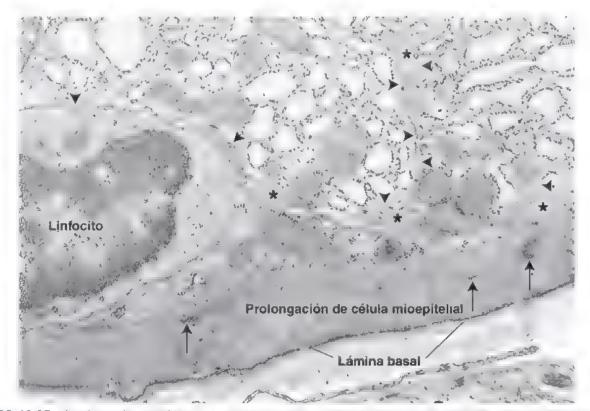


FIGURA 16-27. Microfotografía electrónica de la porción basal de un acino. En la magen se muestra a porción basa de dos células secretoras de una giándula submandibular También se aprecia la proiongación de una célula micepite ial. Nótese que la proiongación de la célula micepite ial esta ubicada del lado epitella de la lámina basa. El citoplasma de la célula micepite ial contiene firamentos contractiles y densidades (flechas) similares a las que se observan en las células musculares I sas. La célula de la izquierda con un núcleo pequeno es un linfocito. Dado que ha emigrado a través de la lámina basal también está dentro de compartimento epitellal. Puntas de flecha, mites celulares lasteriscos, pliegues basolaterales. 15000 x.

en los pacientes con síndrome de Sjögren primario en comparación con los individuos sanos. Esto puede ocasionar una perdida de soporte mecanico para los acinos y para el sistema de conductos, contribuyendo a la reducción del flujo salival.

Conductos salivales

La luz del acino salival es continua con la del sistema de conductos, que puede tener hasta tres segmentos secuenciales, a saber:

- Conducto intercalado, que parte del acmo.
- Conducto estriado, llamado así porque tiene "estrías", repliegues de la membrana plasmática basal de las células cilíndricas del epitelio que forman el conducto.
- Conductos excretores, que son los conductos más grandes que desembocan en la cavidad bucal.

El grado de desarrollo de los conductos intercalados y los estriados varía según el tipo de secreción acinar (véase fig. 16-22). Las glándulas serosas tienen conductos intercalados y estriados bien desarrollados; estos modifican la secreción serosa por absorción de componentes específicos y por secreción de componentes adicionales para formar el producto final. Las glándulas mucosas, en las cuales la secreción no se modifica, poseen conductos intercalados muy poco desarrollados que pueden no ser reconocibles en los cortes teñidos con H&CE. Además, estas glándulas no exhiben conductos estriados.

Los conductos intercalados están ubicados entre un acino y un conducto de mayor calibre.

Los conductos intercatados están revestidos de epítelio cúbico simple que no suele poseer ninguna característica distintiva indicativa de una función que no sea la de conducir la secreción. Sin embargo, las células de los conductos intercalados poseen actividad de carbonato-deshidratasa. Las glándulas secretoras de serosa y las glándulas mixtas han demostrado que

- Secretari HCO₁ en el producto de los acinos.
- Absorben Cl^{*} del producto de los acinos.

Como ya se comentó, los conductos intercalados son más prominentes en las glándulas salivales que producen una secreción serosa acuosa. En las glándulas salivales mucosas, los conductos intercalados, cuando están presentes, son cortos y difíciles de identificar.

Las células del conducto estriado tienen numerosos pliegues en su membrana plasmática basal.

Los conductos estriados están revestidos por epitelio cúbico simple, que se convierte en cilíndrico conforme se aproxima al conducto excretor. Los pliegues de la membrana plasmática basal se ven como "estrías" en los cortes histológicos. Encerradas en los pliegues, hay mitocondrias alargadas que se orientan longitudinalmente. Los pliegues basales asociados con mitocondrias alargadas son una especialización morfológica relacionada con la reabsorción de líquidos y electrólitos. Las células de los conductos estriados también tienen abundantes pliegues basolaterales entrelazados con los de las células contiguas. El núcleo ocupa generalmente un lugar central (y no basal) en la célula. Los conductos estriados son los sitios de:

- Reabsorción de Na* desde la secreción primaria.
- Secreción de K* y HCO₂- en el producto glandular.

Se reabsorbe más Na⁺ que el K⁺ que se secreta, por lo que la secreción se vuelve hipotónica. Cuando la secreción es muy rápida, en la saliva definitiva aparece más Na⁺ y menos K⁺ porque los sistemas de reabsorción y secreción secundaria no pueden mantener el ritmo de la secreción primaria. Por lo tanto, la saliva puede llegar a tornarse de isotónica a hipertónica.

El diámetro de los conductos estriados con frecuencia supera al de los acinos secretores. Los conductos estriados están ubicados en el parénquima de las glándulas (son conductos intraiobulillares), pero pueden estar rodeados por una pequeña cantidad de tejido conjuntivo en el que los vasos sanguíneos y los nervios están orientados en sentido paralelo al conducto.

Los conductos excretores discurren en el tejido conjuntivo interlobulillar e interlobular.

Los conductos excretores son los principales conductos de cada una de las glándulas de mayor calibre. Finalmente, desembocan en la cavidad bucal. El epítelio de los pequeños conductos excretores es cúbico simple. Cambia de forma gradual a cilíndrico seudoestratificado o cúbico estratificado. A medida que aumenta el diámetro del conducto, con frecuencia se observa un epitelio cilíndrico estratificado, y conforme se acerca a la cavidad bucal, puede haber un epitelio plano estratificado. El conducto parotideo (conducto de Stensen) y el conducto submandibular (conducto de Wharton) discurren en el tejido conjuntivo de la cara y el cuello, respectivamente, a una cierta distancia de la glándula antes de penetrar en la mucosa bucal.

Glándulas salivales mayores Glándula parótida

Las glándulas parótidas son completamente serosas.

Las glándulas parótidas, serosas y de estructura par, son las glándulas salivales mayores más grandes. El conducto parotideo se desplaza desde la glándula (que se encuentra debajo y delante del oído) para ingresar en la cavidad bucal opuesta al segundo diente molar superior. Las unidades secretoras en la parótida son serosas y rodean numerosos conductos intercalados largos y estrechos. Los conductos estriados son grandes y muy visibles (fig. 16-28a)

En la glándula parótida suele haber una gran cantidad de tejido adiposo; esta es una de sus características distintivas (lám. 52, p. 604). El nervio facial (NCVII) atraviesa la glándula parótida en los preparados de rutina con H&E de la glándula se pueden encontrar grandes secciones transversales de este nervio y son utiles para identificaria. Las paperas, una infección virica de la glándula parótida, pueden dañar el nervio facial

Glandula submandibular

Las submandibulares son glándulas mixtas que en los humanos están compuestas principalmente por acinos serosos.

Las glandulas submandibulares, que son órganos pares más o menos grandes, están ubicadas debajo de cada lado del piso de la boca, cerca de la mandibula. De cada glándula parte un conducto, con un trayecto central y hacia adelante, hasta una papula situada en el piso de la boca, lateral al frenilio de la lengua. Entre los acinos serosos predominantes suelen aparecer algunos acinos mucosos coronados por semilunas serosas. Los conductos intercalados son menos abundantes que en la glándula parótida (fig. 16-28b y lim. 51, p. 602)

Glandula sublingual

Las glándulas sublinguales son pequeñas glándulas mixtas que, en los humanos, se encuentran formadas principalmente por acinos mucosos.

Las giándules sublinguales (las más pequeñas de las glándulas salivales mayores pares) se encuentran en el piso de la boca, anteriores con respecto a las glándulas submandibulares. Sus múltiples conductos sublinguales pequeños desembocan en el conducto subman-





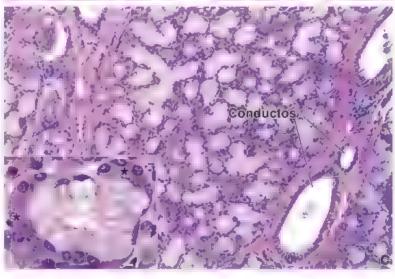


FIGURA 16-28. Microfotografías de las tres glándulas salivales mayores. a. La glándua parótida en el humano está compuesta en su totalidad por acinos serosos y sus conductos. Es normal que también haya adipocitos distribuidos a lo largo de la glándula. En la parte infenor de la imagen se observa un conducto excretor dentro de un tabique de tejido conjuntivo. 120× Recusdro. Mayor aumento de las cé ulas serosas de los acinos 320× b. Las glánduras submandibulares poseen acinos tanto serosos como mucosos. En los humanos predominan los componentes serosos. Los acinos mucosos se distinguen fácilmente, incluso a bajo aumento, debido a su tinción tenue. El resto del campo se compone, en su mayoría, de acinos serosos. En el campo se observan varios conductos excretores, estriados e intercalados 120× Recuadro izquierdo. Acino con una semiluna serosa que rodea las células secretoras de mucosa a mayor aumento 360× Recuadro derecho. Conducto estriado con mayor ampliación. Estos conductos tienen un epitelio cilíndaco con estrias basales visibles. 320× c. La glaridula sublingual contiene elementos tanto serosos como mucosos. Aguí predominan los acinos mucosos. Estos son visibles debido a su tinción tenue. La inspección minuciosa de los acinos mucosos con este aumento relativamente baio revela que no son estructuras esferoideas sino, más bien, estructuras alargadas o tubulares con rarnificaciones. Así, el acino es bastante grande y no suele verse completo en el plano de un solo corte. Los conductos de la glándula sublingual que aparecen con mayor frecuençia en un corte son los conductos interiobulillares. 120× Recuadro. El componente seroso de la glándula consiste principalmente en semilunas (asteriscos), que son artificios de la fijación convencional 320×

dibular y también, de forma independiente, sobre el piso de la boca. Algunos de los acinos mucosos predominantes poseen semilunas serosas, pero es muy raro hallar acinos serosos puros (fig. 16-28c y lám 53, p 606). Los conductos intercalados y estriados son cortos, dificiles de localizar y a veces inexistentes. Las unidades secretoras mucosas pueden ser mas rubulares que acinares

Saliva

La saliva comprende las secreciones combinadas de todas las glándulas salivales: mayores y menores.

La mayor parte de la sativa es producida por las glandulas salivales Una cantidad mas pequena proviene del surco gingival, las criptas

CORRELACIÓN GLÍNICA: TUMORES DE LAS GLÁNDULAS SALIVALES

En general, los **tumores de les glándulas salivales** se producen en las glándulas salivales mayores (perótida, submandibular y sublingual), sin embargo, un pequeño porcentaje ocurre en las glándulas menores ubicadas dentro de la mucosa bucal, el paladar, la uvula, el piso de la boca, la lengua, la faringe, la laringe y los senos paranasales. Cerca de 80% de los tumores de las glándulas salivales son benignos. La mayoría se originan en la glándula parótida (fig. C16-4-1a). Es sitio más frecuente de los tumores en las glándulas salivales menores es el paladar.

El tumor benigno más frecuente es el **aderioma preo- morfo**, que corresponde al 65% de todos los tumores de las grandulas salivares. Se caracteriza por tejido epitefial con células ductales y mioepiteliales entremezcladas con áreas que tienen el aspecto de la sustancia fundamental de los tejidos conjuntivos (p. ej., del cartilago). Estos tejidos similares a

los conjuntivos son producidos por las células micepitenales (fig. C16-4-1b)

La mayoría de los pacientes con turnores benignos tienen una tumefacción indolora en la glándula afectada. Dado el compromiso nervioso, también aparecen signos como entumecimiento o debilidad de los músculos inervados. Por ejemplo, en algunas personas con turnores parotídeos puede presentarse parálisis de los musculos faciales o dolor facial persistente.

El tratamiento más frecuente es la extirpación quirurgica del tumor. Para los tumores de la glándula parótida es necesaria una parotidectomía total (extirpación de la glándula parótida). Cuando el tumor es canceroso, también se aplica radioterapia postoperatoria. Las complicaciones del tratamiento quirúrgico de los tumores de la glándula parótida incluyen la disfunción del nervio facial y el sindrome de Frey (también conocido como síndrome auriculotemporal).





FIGURA C16-4-1. Adendma pleomorfo de la glándula parótida, a. En la imagen se muestra a un paciente con una masa parótida ubicada cerca del ángulo de la mandíbula la b. En esta microfotografia de bajo aumento se observan las características de un adendma pleomorfo (contesia de Dr. Kerry D. Olsen). Nótese que el tejido normal de la parótida (regiones basótilas tenidas en la parte inferior) se separa por la cápsula fibrosa de un nódulo que contiene fejido de aspecto conjuntivo parecido a la matriz extracelular del cartilago. 40×. El recuadro, con mayor aumento, muestra un nido de células neopiásicas separadas por un estroma menos eosinófilo que se asemeja a la matriz extracelular del cartilago hiatino. 200× (cortesia del Dr. Joaquín J. García).

amigdalinas y la trasudación general desde el revestimiento epitelial de la cavidad bucal. Una de las características singulares de la saliva es el volumen grande y variable que se produce. El volumen de saliva (por peso de tejido glandular) excede al de otras secreciones digestivas hasta 40 veces. El gran volumen de saliva producida, sin duda, está relacionado con sus múltiples funciones, de las cuales solo algunas tienen que ver con la digestión.

La saliva cumple funciones protectoras y digestivas.

Las glándulas salivales producen alrededor de 1200 ml. de saliva al día. La saliva tiene numerosas functiones relacionadas con actividades metabólicas y no metabólicas:

 Humedecer la mucosa bucal, lo que ayuda a controlar la ingesta de agua. La falta de saliva es indicio de sed.

- Humedecer los alimentos secos para contribuir a la masticación y la deglución.
- Proveer un medio para los alimentos disueltos y en suspensión que estimulan químicamente los botones gustativos.
- Amortiguar los contenidos en la cavidad bucal, dada su alta concentración de iones bicarbonato.
- Digerir hidratos de carbono por la acción de la enzima digestiva amilasa α, que rompe los enlaces glucosídicos y continúa su acción en el esófago y el estómago.
- Controlar la microbiota bacteriana de la cavidad bucal mediante la acción de la muramidasa (lisozima), una enzima que degrada el ácido murámico de ciertas bacterias (p. ej., estafilococos).

La composición específica de la saliva se resume en la tabla 16-1.

TABLA 16-1

Composición de la saliva no estimulada

Componentes organicos	Media (mg/mL)						
Proteina	220 0						
Amilasa	380						
Mucina	2 7						
Muramidasa (lisozima)	22 0						
Lactoferrina	0.03						
Marcadores de grupo AB	0 005						
EGF	34						
sigA	19 0						
lgG	14						
lgM	0 2						
Glucosa	10 200						
Urea							
Ácido úrico	15						
Creatinina	0 1 8 0						
Colesterol							
cAMP	70						
Componentes inorgá	nicos						
Sodio	15.0						
Potasio	80 0						
Tiocianato							
Fumadores	9.0 2.0						
No fumadores							
Calcio	58						
Fosfato	16.8						
Cloruro	50						
Fluoruro	Vestigios (segun lo ingerido						

cAMP, monofosfato de adenosina cíclico, EGF, factor de crecimiento epitelial; Ig, immunoglobulina, sIgA, IgA secretora.

Modificado de Jenkins GN The Physiology and Biochemistry of the Wouth, 4th ed. Oxford: Blackwell Scientific Publications, 1978

La saliva contiene agua, varias proteínas y electrólitos.

La saliva contiene principalmente agua, proteínas y glucoproteínas (enzimas y anticuerpos), así como electrólitos. Tiene una gran concentración de potasio, aproximadamente siete veces mayor que la de la sangre; cerca de una décima parte del sodio sanguíneo y casi tres veces más bicarbonato que el hemático; así como grandes cantidades de calcio, fósforo, cloruro, tiocianato y urea. Sus principales enzimas son la lisozima y la amilasa ti (véase tabla 16-1).

La saliva es una fuente indispensable de iones de calcio y fosfato para lograr el desarrollo y mantenimiento normales de los dientes.

El calcio y el fosfato de la saliva son esenciales para la mineralización de los dientes recién salidos y para la reparación de las lesiones en el esmalte. Además, la saliva cumple muchas otras funciones en la protección de los dientes. Las proteínas en la saliva revisten los dientes con una cubierta protectora llamada película adquirida. Los anticuerpos y otros agentes antibacterianos retrasan la acción bacteriana que, de otro modo, provocaría caries. Los pacientes cuyas glándulas salivales son irradiadas (como puede ocurrir en el tratamiento de tumores de las glandulas salivales) dejan de producir saliva en cantidades normales (cuadro 16-4); estos individuos suelen desarrollar muchos dientes cariados. Los fármacos anticolinérgicos que se utilizan para tratar algunas cardiopatias también reducen mucho la secreción salival, lo que provoca caries dentales

La saliva tiene funciones inmunitarias.

Como ya se indicó, la saliva contiene anticuerpos del tipo inmunoglobulina A (IgA) salival. La IgA es sintetizada por las células plasmáticas en el rejido conjuntivo que rodea los acinos secretores de las glándulas salivales; se libera en las formas dimérica y monomérica hacia la matriz conjuntiva (fig. 16-29). Las células de las glándulas salivales sintetizan una proteína, el receptor de inmunoglobulina polimérica (pigR, polymeric immunoglobulin receptor), que se inserta en la membrana plasmática basal para servir como receptor de la IgA dimérica (dIgA).

Cuando la IgA dimérica se une al receptor, el complejo pigR-digA es transportado a través de la célula acinar hacia la membrana plasmática apical mediante endocitosis mediada por receptor. Ahí, el plgR se escinde proteolíticamente y la porción extracelular del receptor, que está unida a la dIgA, se libera hacia la luz en forma de IgA socretora (sigA). Este proceso de síntesis y secreción de IgA es, en esencia, idéntico al que se produce en las partes más distales del tubo digestivo, donde la sIgA se transporta a través del epitelio cilíndrico absortivo del intestino delgado y del colon (véase p. 633).

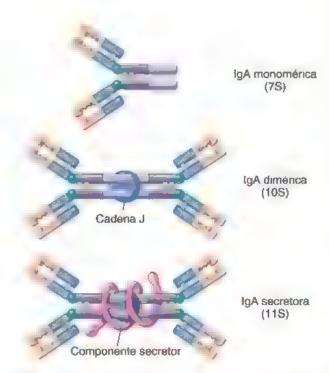


FIGURA 16-29. Diagrama de las diferentes formas de inmunoglobulina A (IgA). En la ilustración se muestra el monómero de IgA (amba). El dímero de IgA es un producto del plasmocito y contiene una cadena J que conecta dos monómeros (centro). El componente secretor, un producto de la escisión proteolítica del pIgR, se añade al dímero para formar la IgA secretora (sIgA, abajo). pIgR, receptor de inmunoglobulinas poliméricas.



SISTEMA DIGESTIVO I: CAVIDAD BUCAL Y ESTRUCTURAS ASOCIADAS

FUNDAMENTOS DEL SISTEMA DIGESTIVO

El sistema digestivo está formado por el tubo digestivo, sus órganos asociados (lengua, dientes)
y las glándulas exocrinas (glándulas salivales, hígado, páncreas).

 Las principales funciones del sistema digestivo son el transporte del agua y los alimentos ingendos a través del tubo digestivo, la secreción de liquidos, electrolitos y enzimas digestivas, la digestion y absorción de los productos digeridos, y la excreción de los restos no digeridos.

Debido a que la luz del rubo digestivo corresponde al exterior del cuerpo, desde los puntos de vista
físico y funcional, la mucosa digestiva (revestimiento del sistema digestivo) es responsable de proveer protección inmunitaria y actúa como una barrera entre la luz y el ambiente interno del cuerpo.

CAVIDAD BUCAL

- La cavidad bucal se compone de la boca, que incluye la lengua, los dientes y sus estructuras de soporte, así como las glandulas salivales mayores y menores y las amigdalas.
- La mucosa bucal reviste la cavidad bucal. Según su ubicación, se divide en mucosa masticatoria (encia y paladar duro), que es un epitelio plano estratificado queratinizado o paraqueratinizado; mucosa de revestimiento (partes de la cavidad bucal, con excepcion del dorso de la lengua), que es un epitelio plano estratificado sin estrato córneo, y mucosa especializada (superficie dorsal de la lengua), que contiene papilas linguales.

DIENTES

- Los seres humanos tenemos 32 dientes permanentes, cada diente tiene una raiz incrustada en el hueso alveolar y
 una corona clínica que se proyecta en la cavidad bucal. La cavidad pulpar céntrica contiene tejido conjuntivo
 laxo, vasos y nervios.
- El diente tiene tres rejidos especializados un esmalte visible que cubre su corona anatomica, el cemento, que se
 encuentra en la raiz del periodonto: y la dentina, que se ubica por debajo del esmalte y del cemento.
- El esmalte es producido por los ameloblastos (durante el desarrollo embrionario del órgano adamantino de los dientes) y se compone de bastones de esmalte paralelos. La producción del esmalte es regulada por proteinas específicas (p. ej., amelogeninas, ameloblastinas y enamelinas).
- El comento es una estructura similar al hueso que cubre la raiz del diente. Las fibras de colágeno se proyectan hacia fuera del cemento y forman los ligamentos periodontales que fijan el diente al alvéolo.
- La dentina se deposita inicialmente a traves de los odontoblastos como predentina, la cual, bajo la influencia
 de la fosfoproteina dentina (DPP) y la sialoproteina dentina (DSP), se mineraliza en dentina. Esta posee
 túbulos que contienen proyecciones alargadas de odontoblastos.

LENGUA

- La mucosa especializada en la superficie dorsal de la lengua tiene cuatro tipos de papilas linguales que se proyectan filiformes (formadas por epitelio plano estratificado quetatinizado), foliadas, fungiformes y caliciformes (cubierras por epitelio plano estratificado sin estrato córneo).
- Las papelas foliadas, fungiformes y caliciformes contienen corpúsculos gustativos en su superficie con celulas neuroepiteliales (sensitivas) para la derección de los cinco sabores básicos: dulce, salado, amargo, ácido y umami.
- Los sabores dulce, amargo y umarni son derectados por los receptores del gusto acopiados a proteínas G, mientras que los sabores ácido y dulce acrian sobre los canales de Na* y K*.

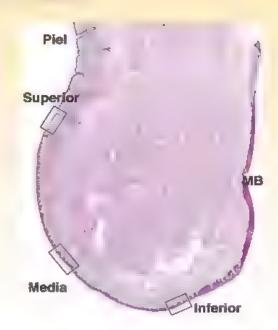
GLANDULAS SALIVALES

- La sialona es la unidad secretora básica de cualquier glandula salival y consiste en el acino, el conducto intercalado y el conducto excretor.
- El acino es la porcion secretora de la sialona. Los acinos son esferoideos (contienen células serosas secretoras de proteinas), tubulares (contienen colulas mucosas secretoras de mucina) o mixtos (con ambos upos de células). En los preparados de ruuna, los actnos muxtos muestran semilunas serosas (artificios de la fijacion). Las células muoepiteliales estan en la región basal de las celulas secretoras.
- La secreción de los acinos es conducida por el conducto intercalado (revestido por epitelio cubico simple) que se fusiona con el conducto estriado (epitelio cilindrico simple con estrias basales distintivas) y continua en el conducto excretor (epitelio cubico o cilindrico estratificado), el cual está rodeado por tejido conjuntivo.
- Las células de los conductos estriados tienen muchos pliegues en su membrana plasmática basal, los cuales contienen mitocondrias. Los repliegues se especializan en la reabsorción de los electrolitos de
- Las glándulas salivales mayores son las glándulas paróndas, submandibulares y sublinguales. todas ellas pares.
- Las glandulas parótidas solo contienen acinos serosos con tendo adiposo distribuidos en toda la
- Las glandulas submandibulares contienen acinos predominantemente serosos, pero tambien.
- Las glandulas sublinguales también son mixtas, pero contrenen una mayoría de acinos mucosos alargados. El componente seroso se observa en forma de semiluna.
- La saliva es producida por las glándulas salivales, y tiene funciones protectoras y digestivas. Contiene agua, proteínas y glucoproteínas (enzimas y anticuerpos), así como electrólitos.

LÁMINA 48 LABIO Y UNIÓN MUCOCUTÁNEA

Los iabios son el punto de entrada al tubo digestivo. Ahí, el delgado epitelio queratinizado de la piel de la cara cambia al epitelio paraqueratinizado grueso de la mucosa bucal. A la altura de la unión mucocutánea, la porción roja de los labios se caracteriza por una profunda penetración de papilas de tejido conjuntivo en la base del epitelio plano estratificado queratinizado. Los vasos sanguineos y las terminaciones nerviosas en estas papilas son la causa tanto del color como de la exquisita sensibilidad tàctil de los labios.

Microfotografia de orientación La imagen de la derecha muestra con poco aumento (8×) un corte sagital de lablo teñido con H&E, en el cual se observa la piel de la cara, el borde libre del labio y la transición a la mucosa bucal (MB). Los rectángulos indican regiones representativas de cada uno de estos sitios, que se muestran a mayor aumento en las hileras de las imágenes superior, media e inferior de la lámina contigua. Nótese el cambio en el espesor del epitelro desde la superficie externa o facial del labio (la superficie vertical a la izquierda) hasta la superficie interna de la cavidad bucat (la superficie que comienza a la altura del rectangulo inferior y asciende por la derecha).



Epitelio queratinizado abio, humano, H&E. 120×.

E. epitelio (EP) queratinizado de la cara es relativamente delgado y tiene las caracteristicas generales de la piel fina que se encuentra en otros sitios. Este epitelio está asociado con los folículos

pilosos (FP), las glándulas sebáceas (GS) y los vasos sangumeos (VS)



Epitelio queratinizado, labio, humano, H&E, 380×.

Aqui se muestra con mayor aumento la región incluida en el detalle de la imagen de la inaquienda. El material de color pardo rojizo en las células basales es el pigmento denominado melanina (M) y el azul

oscuro, cerca de la superficie, es el estrato granuloso (FG), cuyas células contienen gránulos queratolisalinos.



Borde libre, labio, humano, H&E, 120×.

El epirelio del **borde tibre** (**bermellón**) del labio es mucho más grueso que el de la piel de la cara. El estrato granuloso todavia está presente; por lo tanto, el epitelio es queraturizado. La caracteristica que representa la coloración rojiza del borde libre es la

penerración profunda de las papilas de tejido conjuntivo en el epitelio (puntas de flecha). La delgadez del epitelio combinada con la gran vascularidad del rejido conjuntivo subyacente, en particular los abundantes vasos sanguíneos (VS) venosos, permite que el color de la sangre se vea a través de la superficie epitelial (EP).



Borde libre, labio, humano, H&E, 380×.

La sensibilidad del borde libre de los labios (p. ej., a estímulos táctiles leves) se debe a la presencia de una gran cantidad de receptores sensonales. De hecho, cada una de las dos papilas profundas que se observan en la imagen de la izquienda contiene un corpúsculo

de Meissner (CM), una de las cuales se ve más claramente en esta figura.



Unión mucocutánea, labio, humano, H&E, 120 ·

En esta imagen se observa bien la transición entre el borde libre queratinizado y el epitelio (£ l¹) piano estratificado paraqueratinizado, bastante grueso, de la mucosa bucal. Nótese cómo desaparece

de repente el estrato granuloso. Esto se aprecia mejor a mayor aumento en la imagen de la derecha.



Unión mucocutánea, labio, humano, H&E, 380 .

Más allá del sino donde desaparece el estrato granuloso se observan los nucleos de las celulas superturales llegar hasta la superficie (flechas). El epítelio también es mucho más grueso en este sitio y

permanece así en toda la cavidad bucal.

CM, corpúsculo de Meissner

EG, estrato granuloso

EP, ep tel o

FP, foliculo piloso

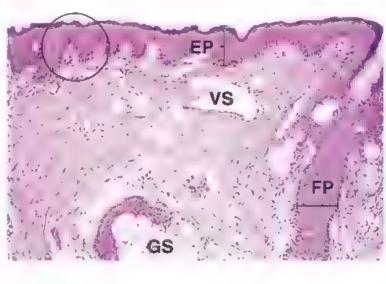
GS, glándula sebácea **M**, melanina

MB, mucosa bucal

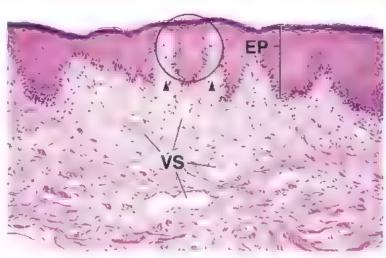
VS, vasos sanguineos venosos

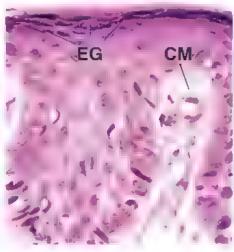
flechas, nucleos de células superficiales visibles hasta la superficie

puntas de flecha, papilas de tejido conjuntivo









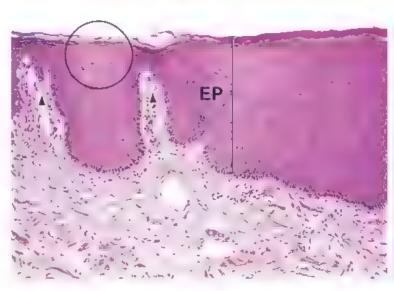




LÁMINA 49 LENGUA I

La lengua es un órgano muscular que se proyecta en la cavidad bucal desde su superficie inferior. Está cubierta por una membrana mucosa que consiste en un apitello plano estratificado, en partes queratinizado, que se apoya sobre un tejido conjuntivo laxo. La superficie ventral de la lengua es relativamente simple. Sin embargo, la mucosa de la superficie dorsal está modificada para formar tres tipos de papilas: filiformes, fungiformes y caliciformes. Las papilas caliciformes forman una hitera en forma de "V" que divide la lengua en un cuerpo y una raíz; la superficie dorsal del cuerpo, es decir, la porción anterior de las papilas caliciformes, contiene papilas filiformes y fungiformes. En los bordes de la lengua hay crestas paralelas que tienen corpúsculos gustativos

particularmente evidentes en los lactantes. Cuando se seccionan en ángulo recto a su eje longitudinal, tienen el aspecto de papilas, y si bien no son papilas verdaderas, se denominan papilas foliadas.

La lengua contiene músculo estriado voluntario intrinseco y extrinseco. Los músculos estriados de la lengua se distribuyen en tres planos entrelazados, cada uno de ellos dispuesto de forma perpendicular a los otros dos. Esta disposición es exclusiva de la lengua y provee una enorme flexibilidad y precisión en los movimientos linguales, indispensables para el habla humana y para las funciones de digestión y deglución. Esta disposición tambien permite identificar con facilidad el musculo lingual

Superficie dorsal, lengua, simio, H&E, 65×; recuadro 130×.

En esta microfotografía æ observan las **papifas filiformes** (*P fil*) en la superficie dorsal de la lengua. Son las más abundantes de los tres tipos de papilas. Desde un punto de vista estructural,

son proyecciones cónicas y curvadas del epitelio cuyo punto de proyección está dingido posteriormente. Estas papilas no poseen corpúsculos gustativos y se componen de epitelio plano estratificado queratinizado.

Las papilas fungiformes estin distribudas entre las papilas filiformes y apareceu como estructuras aisladas, emergentes y un poco redondeadas. En el

recusadro se muestra una papila fungiforme. Una gran núcleo de tejido conjuntivo (papila primaria) forma el centro de la papila fungiforme, desde donde se proyectan papilas más pequeñas de tejido conjuntivo (papilas secundarias) hacia la base de la superficie del epitelio (punta de flecha). El tejido conjuntivo de las papilas esta muy vascularizado. Debido a la penetración profunda de tejido conjuntivo en el epitelio, combinado con la gran delgadez de la superficie queratinuada, las papilas fungiformes aparecen como pequeños puntos rojos cuando la superficie dorsal de la lengua se examina a simple vista.



Superficie ventral, lengua, simio, H&E, 65×.

En esta unagen se muestra la superficie ventral de la lengua. La superficie lisa del **epitelio plano estratificado** (EP) contrasta con la superficie stregular del dorso de la lengua. Por otra

parte, el epitelio de la superficie ventral de la lengua no está queratinizado. El sejido conjuntivo (TC) se localiza justo debajo del epitelio, a una profundidad mayor está el músculo estriado (ME). Las numerosas papilas de tejido conjuntivo que se proyectan hacia la base del epitelio, tanto en la superficie ventral como en la dorsal, confieren un comorno urregular al lunite conjuntivo epitelial. A menudo estas papilas de tejido conjuntivo se corran de forma oblicua y después aparecen como pequeños islotes de tejido conjuntivo en la capa epitelial (véste la figura anterior)

El tejido conjuntivo se extiende hasta el músculo sin cambiar sus caracteristicas y no es reconocible una submucosa. El músculo es estriado (MF) y tiene una organización singular porque las fibras discurren en tres planos. Por lo tanto, la mayoría de los cortes exhibirán haces de fibras musculares cortadas en sentido longitudinal y perpendiculares entre si, así como haces cortados en sentido transversal. Los nervios (N) que inervan el músculo también se observan con frecuencia en los tabiques de tejido conjuntivo que separan los fasciculos musculares.

La superficie de la lengua detrás de las papilas amuralladas (la taiz de la lengua) contiene amigdalas linguales (no mostradas). Estas son similares en su estructura y apanencia a las amugdalas palatinas que se dustran en la lámuna 36

EP, epitelio
ME, musculos estriados (haces)
N. nervios

P fil, papilas filiformes TC, tejido conjuntivo puntas de flecha (recuadro), papila secundana (tejido conjuntivo)

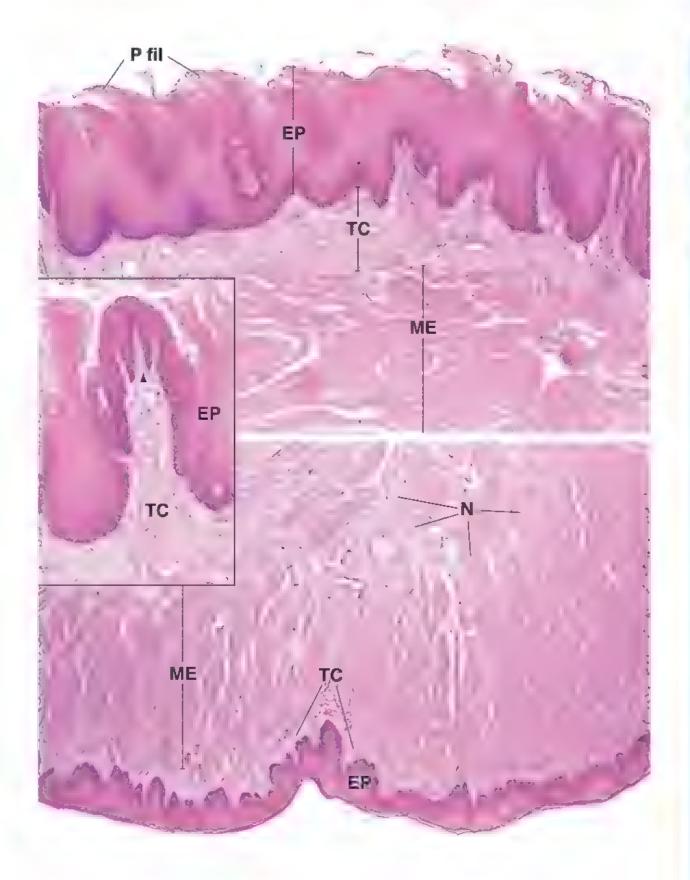


LÁMINA 50 LENGUA II. PAPILAS FOLIADAS Y CORPÚSCULOS GUSTATIVOS

Las papilas y sus corpúsculos gustativos asociados constituyen la mucosa especializada de la cavidad bucal. Si bien las papilas filiformes no poseen corpusculos gustativos, los otros tres tipos (foliadas, fungiformes y caliciformes) si contienen estos corpusculos en su epitelio. Las papilas fungiformes (en forma de hongo: véase el recuadro de la lámina 49) son muy abundantes cerca de la punta de la lengua. Los corpusculos gustativos están presentes en el epitelio en la superficie dorsal. Los corpusculos gustativos en el epitelio que reviste las papilas caliciformes y foliadas están ubicados en los surcos profundos que separan las papilas de la mucosa contigua o las papilas entre sí, respectivamente. Los conductos de las glandulas salivales linguales (glandulas de Von Ebner, un componente de las glandulas salivales menores) transportan sus secreciones serosas hasta el surco que rodea cada papila

caliciforma. Las secreciones limpian el surco para permitir que los corpusculos gustativos respondan a estimulos nuevos. Del mismo modo, los conductos de las glándulas serosas pequeñas desembocan en las hendiduras entre las papilas foliadas. Los corpusculos gustativos en el corte aparecen como cuerpos ovalados pálidos que se extienden a través del espesor del epitelio. El pequeño onficio en la superficie epitelial se llama poro gustativo. Los corpúsculos gustativos reaccionan solo a cinco estímulos: dulce, salado, amargo, ácido y umamí. La sensibilidad a todos estos estimulos está distribuida en la totalidad de la lengua; sin embargo, algunos receptores parecen estar más concentrados en regiones específicas; los corpusculos en la punta de la lengua detectan estimulos dulces, los que se encuentran en una posición posterolateral con respecto a la punta detectan estímulos salados y los de las papilas caliciformes detectan los estimulos amargo y umami.

Papilas foliadas, lengua, humano, H&E, 50 X.

Las papilas foliadas consisten en una serie de crestas paralelas que están separadas por hendiduras estrechas y profundas de la mucosa (vénse la fotografia de orientación, p. 569). Se alinean de

forma perpendicular al eje longitudinal de la lengua en su borde posterolateral En las personas jóvenes se identifican con facilidad al eramen macroscópico. Sin embargo, con la edad, las papilas foliadas podrian no ser reconocibles. Esta emagen muestra tres papilas, cada una separada de la advacente por una hendiduta (H) estrecha. La superficie de estas papilas está cubierta por un grueso

epitelio estratificado no queratinizado (EEnq). La superficie epitelial basal es muy irregular debido a la presencia de profundas y penetrantes papilas de tejido. conjunzivo (PTC). En contraste, el epitelio (EP) que reviste las hendiduras es relativamente delgado y uniforme y contiene abundantes corpúsculos gustativos. Estos corpusculos son las estructuras de tinción tenue que se observan en el epirelio de las hendiduras. Por debajo del epirelio se encuentra una capa de tejido conjuntivo laxo (TCL) y un núcleo central de rejido conjuntivo denso. Dentro de este núcleo, entre los baces de fibras musculares debajo de las papilas, hay glándulas serosas (GSe) linguales. Estas glándulas, al igual que las glándulas serosas asociadas con las papilas caliciformes, tienen conductos (C) que desembocan en la base de las hendiduras situadas entre las papilas



Corpúsculos gustativos, lengua, humano, H&E. 500 -.

En esta microfotografia a gran aumento se observan los COFpusculos gustativos ubicados dentro del epitelio de las hendiduras. Los corpúsculos gustativos aparecen generalmente como estructuras ovaladas palidas que se extrenden a través de gran parte del espesor del epitelio. Por debajo del corpúsculo gustativo hay fibras nerviocas (FN) que también se tiñen tenuemente. En el vértice del corpusculo gustativo hay un pequeño orificio en el epítelio denominado pero gustattos (PG)



Corpúsculos gustativos, lengua, humano, H&E. 1100×.

En esta microfotografía se muestran con claridad el porto gustativo (PG), las células del corpusculo gustativo y sus fibras nerviosas (FN) asociadas. Las células provistas de un núcleo redondo grande son células sensoriales neuroepitelia-

les (CSN). Estas son las células más abundantes del corpusculo gastativo. En

su superficie apical poseen microvellosidades que se extrenden en el interior del poro gustativo. En su superficie basal establecen sinapsis con las fibras sensitivas aferentes que componen el nervio subyacente. Entre las células sensitivas hay células de soporte (CS). Estas células tienen microvellosidades en su superficie apical. En los corpúsculos gustativos, y también en su base, hay células pequeñas conocidas como **células basales** (CB), una de ellas se señala aqui, Estas son las celulas madre de las células de soporte y neumepiteliales, que tienen una vida media de alrededor de 10 dias.

C, conducto

CB, células basales

CS, células de soporte

CSN, cétula sensitiva neuroepitelial

EEnq, epitelio estratificado no queratinizado

EP, epitelio de las herididuras

FN, fibras nerviosas

GSe, glándulas serosas (linguales)

H. hendidura

PG, poro gustativo

PTC, papila dei tejido conjuntivo TCL, tejido conjuntivo laxo

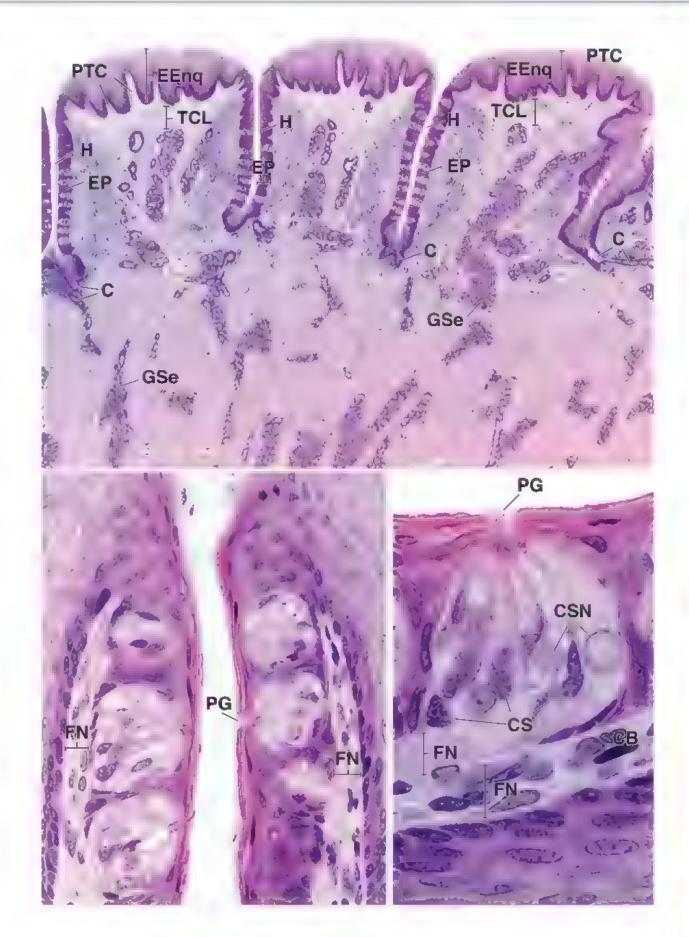
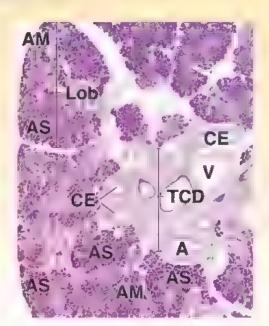


LÁMINA 51 GLÁNDULA SUBMANDIBULAR

Al igual que las glándulas parótidas, las glándulas submandibulares se encuentran fuera de la cavidad bucal. Están debajo del piso de la boca, a ambos lados, cerca de la mandibula. Un conducto se extiende hacia adelante y por en medio desde cada una de las dos glandulas hasta una papila ubicada en el piso de la boca, justo al tado del frentilo de la lengua. El componente secretor de las glandulas submandibulares son los acinos, que son de tres tipos: acinos serosos (secretores de proteinas, como los de la glándula parótida), acinos mucosos (secretan mucina) y acinos que contienen células secretoras tanto mucosas como serosas. En los acinos mixtos, las células mucosas están limitadas por las células serosas, que suelen describirse como semilunas. Estudios recientes indican que la semiluna es un artificio de la técnica histológica y que todas las células están alineadas para secretar hacia la luz del acino. Parece que la fijación tradicional en formaldehido expande las células mucosas con la consiguiente compresión de las células serosas hasta que adquieren su posición similar a un casquete.

Microfotografía de orientación. En esta microfotografía se muestra una porción de la glándula submandibular. En la parte superior de la microfotografía se observa un lóbulo (Lob) individual bien definido. En la porción central de la glándula hay un núcleo de tejido conjuntivo denso (TCD) que contiene arterias (A), venas (V) y conductos excretores (CE) de gran calibre de la glándula. La glándula submandibular es una glandula moxta; las regiones provistas de acinos serosos (AS) se tinen oscuras, mientras que las regiones que albergan los acinos mucosos (AM) tienen un aspecto más claro.





Glándula submandibular, humano, H&E, 175×.

En esta imagen se muestran los diversos componentes de la glándula submandibular. Los **acinos serosos** (AS) se observan oscuros en comparación con los **acinos mucosos** (AM), que

aparecen más tenues. Además, los acinos serosos generalmente son esferoideos Los acinos mucosos son más tubulares o alargados y a veces se ramifican. La secreción de los acinos se introduce en un conducto intercalado. Estos son los conductos más pequeños y relativamente corros. Están situados en el lóbulo, pero suelen ser dificiles de encontrar debido a su tamaño. Estos conductos, a su vez, desembocan en el **conducto estriado** (CEa) más grande. Este tipo de conducto se aprecia mejor en la imagen de abajo. Sus contenidos se vacían en un **conducto excretor** (CEa) que se identifica por su epitelio estratificado o seudoestratificado. Otras características en esta microfotografía son las artenas (A) y las venas (V) que discurren en el tejado conjuntivo con los conductos más grandes. También es evidente una región de linfocitos (Lin) y plasmocitos aglomerados.



Glandula submandibular, humano, H&E, 125×.

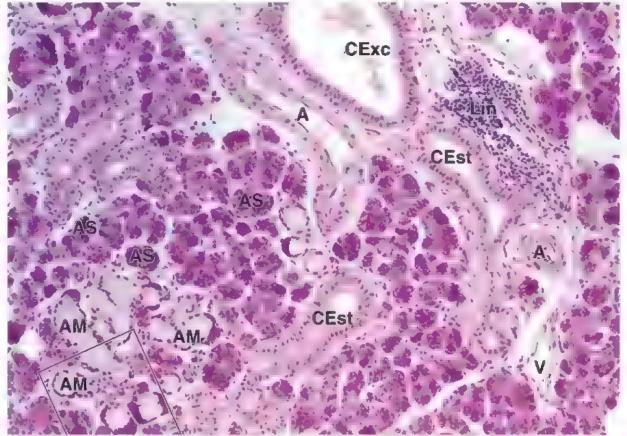
La region incluida en el recusadro de la microfotografía anterior se muestra con mayor aumento. En la microfotografía pueden verse varios **Beinos mucosos** (AM) a la tequierda, cierra cantidad

de **acinos serosos** (AS) a la dereche y, en el centro, dos **acinos mixtos** (AMx) que consisten en células mucosas y serosas. Por lo general, las células mucosas rienen un citoplasma palido y su núcleo está aplanado en la base de la célula. En contraste, las células serosas se tuten con untensidad y exhiben núcleos redondos. Además, la luz (I) de los acinos relacionados con las células mucosas

es relativamente amplia, mientras que la luz de los acinos serosos es bastante estrecha y dificil de identificar. Cabe destacar que las células serosas de los acinos motos aparecen en general como un casquete que corona un grupo de células miscosas. Esa estructura peculiar recibe el nombre de semiluna. Al evaluar algunos de los acinos que parecen de indole serosa, es posible que en realidad correspondan a un corte tangencial de una semiluna. En la imagen se aprecia un conducto estriado (CEa); se llama así debido a las estrías débiles que se pueden observar en su citoplasma basal. Estos conductos, como se mencionó, reciben la secreción desde los conductos intercalados y desembocan en los conductos excretores más grandes.

A, acterias
AM, actnos mucosos
AMx, actnos mixtos
AS, actnos serosos

CEx, conductos excretores CExc, conductos excretores CEst, conducto estrado L, luz Lin, linfocitos (y cálulas plasmáticas) Lob, lóbulo TCD, tejido conjuntivo denso (núcleo) V, vena



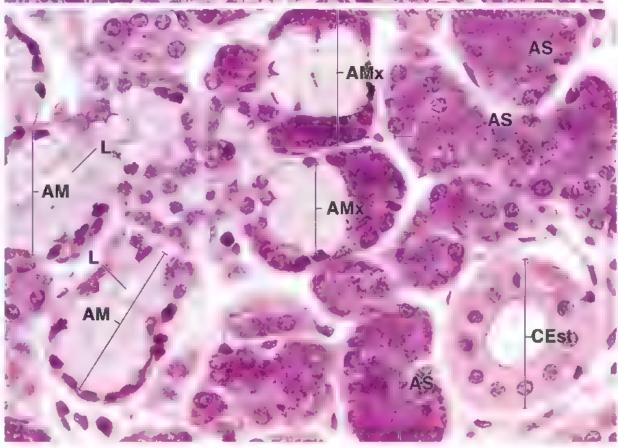


LÁMINA 52 GLÁNDULA PARÓTIDA

Las **glándulas parótidas** son las más grandes de las glándulas salivales mayores. Se componen de alvéolos que contienen exclusivamente cálulas secretoras serosas. Con frecuencia hay tejido adiposo dentro de la glandula parótida y puede ser una de sus características distintivas. El nervio facial (NC VII) pasa a

través de la glandula parotida; los cortes transversales grandes de este nervio, que a menudo aparecen en los preparados de rutina de la glándula teñidos con H&E, también pueden contribuir a la identificación de la parotida. Las paperas, causadas por un virus en la glándula parotida, pueden lesionar el nervio facial.



Glandula parótida, humano, H&E,160×.

En el humano, la **glándula parótida** está compuesta casa por complem por acinos serosos (AS) y sus conductos. Sin embargo, a lo largo de la glándula se distribuyen numerosos **adipocitos** (Adi). Tanto los acinos serosos como el sistema de conductos en

la glándula parótida son comparables en cuanto a estructura y disposición con los mismos componentes en la glandula submandibular. Dentro del lobulillo

se aprecian bien los conductos estriados (CEn). Estos exhiben un epitelio cilindrico simple. Los conductos intercalados son más pequeños y con el aumento escaso de esta microfotografía son dificiles de reconocer. Se señalan algunos conductos intercalados (CInc). La parte inferior de la figura permite ver un conducto excretor (CEx) dentro de un tabique de tejido conjuntivo (TC). El epitelio de este conducto excretor tiene dos capas de núcleos, por lo que es seudoestratificado o quizá ya es un epitelio estratificado verdadero.

Glándula parótida, simio, fijación en glutaraldehido-tetróxido de osmio, H&E, 640×.

En esta muestra, las **células serosas** están perfectamente conservadas y exhiben sus granulos de secreción (cimógeno). Los grácen como objetos finos parecidos a puntos dentro del citoplasma. El

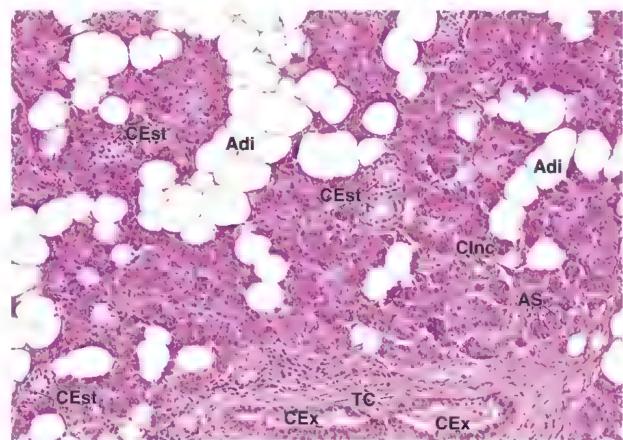
nulos aparecen como objetos finos parecidos a puntos dentro del citoplasma. El acino en la parte superior derecha de la figura se seccionó en sentido transversal y su luz (I) es visible. El pequeño rectangulo dibujado en el acino representa una región comparable a la de la figura 16-24. La silueta del acino grande a la sequierdo del conducto estriado (CEst) confirma que los acinos un son esferas simples, sino más bien estructuras alargadas urregulares. Debido a su pequeño tamaño y a la

variabilidad en el plano de corre, la luz del acino puede observarse solo con muy poca frecuencia.

A la sequierda de la imagen aparece un conducto intercalado (Clnc) en corre transversal; nótese su epitelio cúbico simple. En la parte superior del conducto se ve un solo núcleo aplanado y puede pertenecer a una de las células mioepiteliales que se asocian con el comienzo del sistema canalicular o con los acinos (AS). El conducto grande que ocupa el centro de la microfotografía es un conducto estriado (CEs) compuesto por epitelio cilindrico. Las estrías (Es) que dan nombre al conducto son fácilmente visibles. Igualmente importante es la presencia de plasmocitos (Pla) en el rejido conjuntivo que rodea el conducto. Estas células producen las inmunoglobusticas captadas y nuevamente secretadas por las células acinares, en particular la IgA secretora (sIgA).

Adi, adipocito
AS, acino seroso
CEx, conducto excretor

CEst, conducto estriado Cine, conducto intercalado Est, estrias del conducto L, luz del acino Pla, plasmocitos TC, tejido conjuntivo



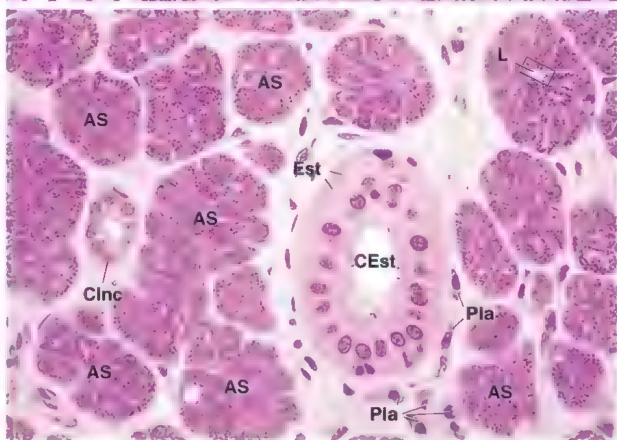


LÁMINA 53 GLÁNDULA SUBLINGUAL

Las glándulas subtinguales son las más pequenas de las glándulas salivales mayores pares. Sus múltiples conductos excretores de tamaño pequeño desembocan en los conductos submandibulares, así como de forma directa sobre el piso de la cavidad bucal. La glándula sublingual se asemeja a la glándula submandibular, ya que contiene elementos tanto serosos como mucosos. Sin embargo, en la glándula sublingual predominan los acinos mucosos. Algunos de los acinos mucosos predominantes poseen semilunas serosas, pero es muy raro hallar acinos serosos puros.

La saliva incluye las secreciones combinadas de todas las glàndulas salivales mayores y menores. Las funciones de la saliva incluyen la humectación de los alimentos secos para ayudar a la deglución; la disolución y suspensión de los componentes del alimento que estimulan químicamente a los corpusculos gustativos, la amortiguación del contenido de la cavidad bucal por su concentración elevada del ion bicarbonato; la digestión de hidratos de carbono por acción de la enzima digestiva amilasa ot (que rompe los enlaces glucosídicos 1-4 y continua actuando hasta que el bolo llega al esófago y el estómago); y el control de la microbiota bacteriana de la cavidad bucal por medio de la enzima antibacteriana lisozima.

La saliva es una fuente de iones de calcio y fosfato indispensables para el desarrolto y mantenimiento normales de los dientes. También contiene anticuerpos, en particular sigA salival. La salivación es parte de un arco reflejo y generalmente es estimulada por la ingesta de alimentos, aunque ver, oler e incluso pensar en los alimentos también pueden estimular la salivación.

Glándula sublingual, humano, H&E, 160×.

En esta imagen se muestra una **glándula sublingual** con poco aumento. Los acinos mucosos (AM) son conspicuos debido a su poca tinción. La inspección minuciosa de la acinos mucosos con este aumento relativamente bajo revela que no son estructuras esfe-

roideas sino, más bien, estructuras alargadas o tubulares con ramificaciones. Así, el acino es bastante grande y no suele verse completo en el plano de un solo corte.

El componente seroso de la glándula está formado sobre todo por semilunas, pero hay algunos acunos serosos. Como ya se mencionó, algunas semilunas serosas pueden seccionarse en un plano que no incluye el componente mucoso del acino, lo cual les da la apariencia de acinos serosos

Los conductos de la glándula sublingual que se ven con mayor frecuencia en un corre son los conductos intralobuliflares. Son el equivalente del conducto estriado de las glandulas submandibular y parótida, pero carecen de los pliegues basales extensos y de la distribución mítocondrial que crea las estrias. Uno de los conductos intralobulillares (C/m) es visible en esta figura (arriba, a la derecha). La región contenida en el rectangulo incluye parte del conducto que se muestra con mayor ampliación en la microfotografía de abajo.



Glándula sublingual, humano, H&E, 400×.

A través de un plano de corte al azar se observa cómo la luz del acino mucoso (AM) (arriba, a la derecha) se une a la luz del conducto intercalado (Clnc). La unión entre el acino y el miclo del conducto intercalado está señalada por una flecha

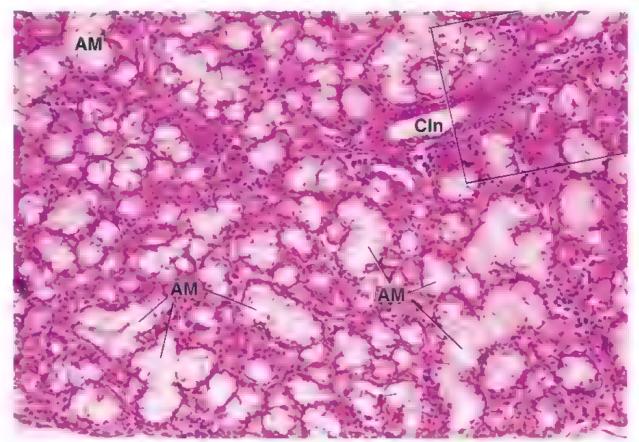
hueca. El conducto intercalado está formado por un epitelio plano o cilindrico delgado, similar al observado en las otras glándulas salivales. No obstante, los conductos intercalados de la glandula sublingual son muy cortos y, por lo tanto, suelen ser difíciles de ballar. El conducto intercalado que se aprecia en esta microfotografía se une con uno o más conductos intercalados para formar el COnducto intralobulillar (Cln), el cual se identifica por su epitelio cilíndrico y su luz relativamente grande. Sin embargo, el punto de transición del conducto intercalado al intralobular no es observable, ya que la pared del conducto solo se ha rozado y no se puede determinar la forma de las células.

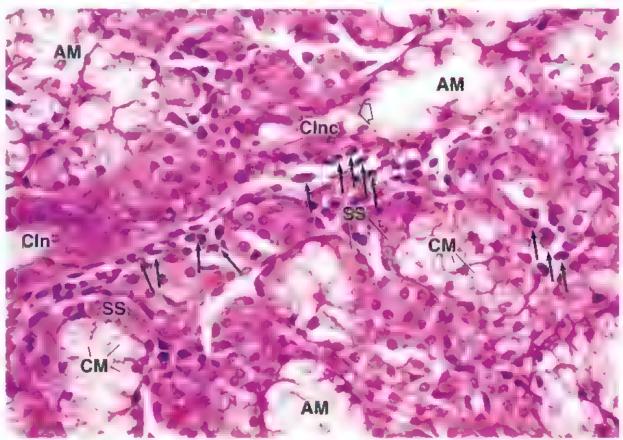
El examen de los acinos a mayor aumento también permite ver las semilunas serosas (SS). Nótese cómo forman un casquete adosado a los acinos mucosos. El aspecto citosógico de las células mucosas (CM) y las serosas es esencialmente el mismo que el descrito para la glándula submandibular. La región escogida para esta mayor ampliación también contiene agrupaciones celulares asisladas que guardan cierta aemejanza con los acinos serosos. Ea probable, sin embargo, que estas celulas en realidad sean células mucosas que, o bien se han reducido en un plano paralelo a su base y no incluyen las porciones celulares que contienen mucinógeno, o se encuentran en un estado de actividad en el cual, tras la eliminación de sus gránulos, la producción de nuevos gránulos de mucinógeno no basta todavia para darle la apariencia característica de células "vacias"

Una característica adicional importante del estroma del tejido conjuntivo es la presencia de muchos linfocitos y plasmocitos. Algunas de las células plasmáticas están señaladas por *fleches*. Los plasmocitos se asocian con la producción de IgA salival y también se encuentran en las demás glándulas salivales.

AM, acinos mucosos Cin, conducto intralobulillar Cinc, conducto intercalado

CM, células mucosas SS, semilunas serosas fiecha hueca, unión dal acino mucoso al conducto intercalado fiechas, plasmocitos





SISTEMA DIGESTIVO II: TUBO DIGESTIVO

FUNDAMENTOS DEL TUBO DIGESTIVO / 608

Mucosa 609
Submucosa / 610
Muscular externa 610
Serosa y adventicia / 611

ESOFAGO / 611

ESTÓMAGO / 613

Mucosa gastrica 614
Renovacion celular epitelial en el estómago / 622
Lamina propia y muscular de la mucosa / 626
Submucosa gastrica / 626
Muscu ar gastrica externa / 626
Serosa gastrica / 626

INTESTINO DELGADO / 626

Submucosa / 634

Muscular externa / 635

Serosa / 635

Renovac on celular epite ial en el intestino delgado / 635

INTESTINO GRUESO / 635

Mucosa / 636
Renovacion celular epitelial en el intestino grueso 637
Lamina propia / 637

Muscular externa / 638

Submucosa y serosa / 638

Ciego y apéndice / 638

Recto y conducto anal / 639

Cuadro 17-1 Correlación clínica: anemía perniciosa y enfermedad ulcerosa peptica / 617

Cuadro 17-2 Correlación clínica: sindrome de Zollinger-Ellison / 618

Cuadro 17-3 Consideraciones funcionales: sistema endocrino gastrointestinal / 619

Cuadro 17-4 Consideraciones funcionales: funciones digestivas y absortivas de los enterocitos / 624

Cuadro 17-5 Consideraciones funcionales: funciones inmunitarias del tubo digestivo / 633

Cuadro 17-6 Correlación clínica: patrón de distribución de los vasos linfáticos y enfermedades del intestino grueso / 639

Cuadro 17-7 Correlación clinica: cáncer colorrectal / 641

HISTOLOGÍA 101 / 642



■ FUNDAMENTOS DELTUBO DIGESTIVO

La porción del tubo digestivo que se extiende desde el extremo proximal del esófago hasta el extremo distal del conducto anal es un tubo hueco de diámetro variable, con la misma organización estructural básica en toda su longitud. Su pared está formada por cuatro capas distintivas. Desde su luz y hacia afuera (fig. 17-1), estas capas son las siguientes:

 Mucosa, que está conformada por un epitelio de revestimiento, un rejido conjuntivo subyacente al que se le conoce como *lámina propia* y la muscular de la mucosa, que se com pone de músculo liso.

- Submucosa, compuesta por tejido conjuntivo denso irregular.
- Muscular externa, formada en su mayor parte por dos capas de músculo liso.
- Serona, una membrana formada por un epitelio plano simple, el mesotelio, y una pequeña cantidad de tejido conjuntivo subyacente. En el lugar donde la pared del tubo está directamente unida o fija a las estructuras adyacentes (la pared del cuerpo y algunos órganos retroperitoneales) se encuentra una adventicia, que está formada solo por tejido conjuntivo.

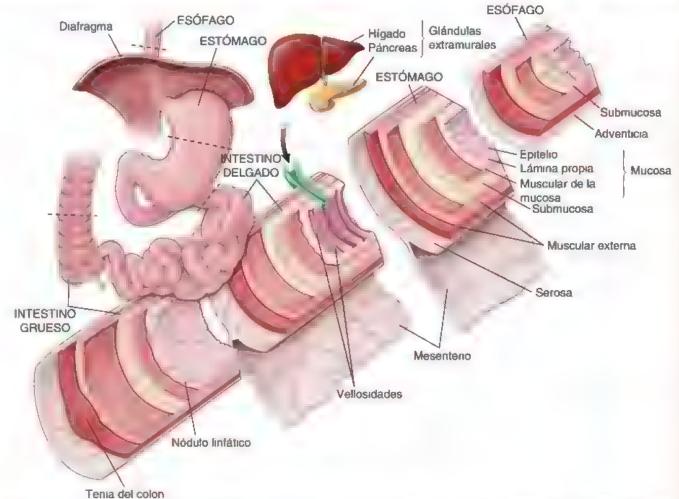


FIGURA 17-1. Diagrama de la organización general del tubo digestivo. En este diagrama combinado se muestra la estructura de la pared del tubo digestivo en cuatro órganos representativos esófago estómago intestino delgado e intestino grueso. Cabe destacar que las ve osidades un rasgo característico del intestino delgado faltan en las otras partes de tubo digestivo. Las glandulas mucosas están presentes a todo o largo del tubo digestivo sin embargo son escasas en el esófago y en la cavidad buca. En el esófago y el duodeno hay glándulas submucosas. Las glándulas extramurales (higado y páncreas) vierten sus secreciones en el duodeno (primera porción del intestino delgado). Los tejidos intáticos difusos y los nódulos se encuentran en la lámina propia a todo lo largo del tubo digestivo (aqui se muestran solo en el intestino grueso). Los nervios los vasos sanguineos y los vasos linfaticos alcanzan el tubo digestivo a través del mesenterio o a través del te, do conjunt vo contiguo (tunica adventicia en los órganos retroperitoneares).

Mucosa

Las estructuras del esófago y el tubo digestivo varían de manera considerable de una región a otra; la mayor variabilidad ocurre en la mucosa. El epitelio se diferencia a lo largo del tubo digestivo y tiene funciones específicas en cada una de sus regiones. La mucosa desempeña tres funciones principales; protección, absorción y secreción. Las características histológicas de esta capa y sus funciones se describen más adelante en relación con las regiones específicas del tubo digestivo.

El epitetio de la mucosa sirve como una barrera que separa la luz del tubo digestivo del resto del organismo.

La barrera epiteltal separa el entorno luminal externo del tubo de los tejidos y órganos del cuerpo. La barrera ayuda protegiendo al organismo de la entrada de antígenos, gérmenes patógenos y otras sustancias nocivas. En el esófago, un epitelio plano estratificado no queratinizado brinda protección contra la abrasión física cau sada por los alimentos ingendos. En la porción gastrointestinal del tubo digestivo, las uniones ocluyentes o herméticas (zonula occludens) entre las células epiteliales cilíndricas de la mucosa forman

una barrera de permeabilidad selectiva. La mayoría de las células epiteliales transportan productos de la digestión y otras sustancias esenciales, como el agua, a través de la célula y hacia el espacio extracelular que está por debajo de las uniones ocluyentes.

La función absortiva de la mucosa permite el movimiento de los alimentos digeridos, el agua y los electrólitos hacia los vasos sanguíneos y linfáticos.

La absorción de los alimentos digendos, el agua y los electrólitos es posible gracias a las evaginaciones de la mucosa y la submucosa hacia la luz del tubo digestivo. Estas evaginaciones superficiales incrementan mucho la superficie disponible para la absorción y varían en tamaño y orientación. Están compuestas por las siguientes estructuras especializadas (véase fig. 17-1):

- Pliegues circulares. Pliegues submucosos orientados de forma circunferencial en casi toda la longitud del intestino delgado.
- Vellosidades. Evaginaciones de la mucosa que cubren toda la superficie del intestino delgado, el sitio principal de absorción de los productos de la digestión.

 Microvellosidades. Evaginaciones microscópicas muy juntas ubicadas en la superficie apical de las células absortivas intestinales. Aumentan aún más la superficie disponible para la absorción.

Además, el glucocalia está conformado por glucoproteínas que se proyectan desde la membrana plasmática apical de las células epitebales absortivas. Esto provee superficie adicional para la absorción y contiene enzimas secretadas por las células absortivas, indispensables para las etapas finales de la digestión de proteínas y glúcidos. El epitelio absorbe de forma selectiva los productos de la digestión, tanto para sus propias células como para ser transportados al sistema vascular para su distribución hacia otros tejidos.

La función secretora de la mucosa provee lubricación y suministra enzimas digestivas, hormonas y anticuerpos a la luz del tubo digestivo.

La nocroción es llevada a cabo, principalmente, por glándulas distribuidas a lo largo de todo el tubo digestivo. Diversos productos de secreción proporcionan moco para la lubricación protectora, así como para la amortiguación del revesimiento del tubo y las sustancias que contribuyen a la digestión, como enzimas, ácido clorhídrico, hormonas peptidicas y agua (véase fig. 17-1). El epitelio mucoso también secreta anticuerpos que recibe desde el rejido conjuntivo subyacente.

Las glándulas del tubo digestivo (vénse fig. 17-1) derivan de invaginaciones del epitelio luminal e incluyen:

- Giandulas mucosas, que se extienden dentro de la lámina propia.
- Giàndulas submucosas, que suministran sus secreciones directamente a la luz de las glándulas mucosas o a través de conductos que atraviesan la mucosa hacia la superficie luminal.
- Giándulas extramurales, situadas fuera del tubo digestivo y que entregan sus secreciones a través de conductos que atraviesan la pared del intestino para desembocar en la luz. El hígado y el páncreas son glándulas digestivas extramurales (véase cap. 18, Sistema digestivo III: hígado, vesícula biliar y páncreas) que incrementan en gran medida la capacidad secretora del sistema digestivo. Envían sus secreciones hacía el duodeno, primera parte del intestino delgado.

La lámina propia contiene giándulas, vasos que transportan sustancias absorbidas y componentes del sistema inmunitario.

Como se mencionó, las glándulas mucosas se extienden dentro de la lámina propia a todo lo largo del tubo digestivo. Además, en varias partes del tubo digestivo (p. ej., el esófago y el conducto anal), la lámina propia contiene aglomeraciones de glándulas secretoras de moco. En general, lubrican la superficie epitelial para proteger la mucosa de lesiones mecánicas y químicas. Estas glándulas se describirán más adelante en relación con regiones específicas del tubo digestivo.

En los segmentos del tubo digestivo donde ocurre la absorción, sobre todo en los intestinos grueso y delgado, los productos absorbidos de la digestión se difunden hacia los vasos sanguineos y lintáticos de la lámina propia para ser distribuidos. Por lo general, los capilares sanguíneos son del tipo fenestrado y recolectan la mayoría de los metabolitos absorbidos. En el intestino delgado, los capilares lintáticos son abundantes y reciben algunos de los lípidos y proteínas absorbidos.

 Los telidos linfáticos en la lámina propia funcionan como una barrera inmunitaria integrada que protege frente a agentes patógenos y otras sustancias antigénicas que podrían, potencialmente, atravesar la mucosa desde la luz del tubo digestivo. Los tejidos linfáticos que integran la lámina propia son los siguientes:

- Tejido liniático difuso, constituido por numerosos linfocitos y plasmocitos ubicados en la lámina propia, así como por linfocitos que residen de manera transitoria en los espacios intercelulares del epitelio.
- Nódulos Enfaticos, que incluyen centros germinativos bien desarrollados.
- Eosinófilos, macrófagos y, a veces, neutrófilos.

El rejido linfático difuso y los nódulos linfáticos en conjunto se conocen como tejido linfático asociado con el intestino (GALT, gut-associated lymphatic tissue). En el intestino delgado distal (el (leon), gran parte de la lámina propia y la submucosa están ocupadas por aglomeraciones extensas de nódulos linfáticos llamadas placas de Peyer. Tienen la tendencia a ubicarse en el borde antimesentérico del intestino, es decir, el lado opuesto al de la inserción del mesenterio. En el apéndice vermiforme también hay cúmulos de nódulos linfáticos.

La muscular de la mucosa forma el límite entre la mucosa y la submucosa.

La muscular de la mucosa (mucularis mucosae), que representa la porción más profunda de la mucosa, está compuesta por células musculares lisas dispuestas en una capa interna circular y una capa externa longitudinal. La contracción de este músculo produce el movimiento de la mucosa para formar crestas y valles que facilitan la absorción y la secreción. Este movimiento localizado de la mucosa es independiente del movimiento peristáltico de toda la pared del rubo digestivo.

Submucosa

La submucosa está compuesta por una capa de tejido conjuntivo denso irregular que contiene vasos sanguíneos y linfáticos, un plexo nervioso y glándulas ocasionales.

La submucosa contiene vasos sanguíneos de gran calibre que envían ramas hacia la mucosa, la muscular externa y la serosa. En la submucosa también hay vasos linfáticos y un plexo nervioso. La extensa red nerviosa de la submucosa contiene fibras sensitivas viscerales de origen principalmente simpático, ganglios parasimpáticos (terminales) y fibras nerviosas parasimpáticas preganglionares y posganglionares. Los somas neuronales de los ganglios parasimpáticos y sus fibras nerviosas posganglionares forman el alstoma nervioso enterios, la tercera división del sistema nervioso autónomo. Este sistema es responsable sobre todo de la inervación de las capas musculares lisas del tubo digestivo y puede funcionar de forma totalmente independiente del sistema nervioso central. En la submucosa, la red de fibras nerviosas amielínicas y las células ganglionares constituyen el plexo submucoso intemo (también llamado plexo de Meissner).

Como ya se mencionó, en algunos sitios de la submucosa se encuentran glándulas de forma ocasional. Por ejemplo, están presentes en el esófago y la porción inicial del duodeno. En los corres histológicos, la presencia de estas glándulas suele contribuír a la identificación de una región o un segmento específico del rubo digestivo.

Muscular externa

En la mayor parte del rubo digestivo, la muscular externa está compuesta por dos capas concéntricas de músculo liso relativamente gruesas. Las células en la capa interna forman una espiral apretada, descrita como una capa con orientación circular, mien-

tras que las células de la capa externa forman una espiral laxa denominada capa con orientación longitudinal. Entre las dos capas musculares se encuentra una delgada capa de tejido conjuntivo. Dentro de este tejido conjuntivo se localiza el plexo mientérico (también denominado plexo de Auerbach), el cual contiene somas de neuronas parasimpáticas posganglionares y neuronas del sistema nervioso entérico (células ganglionares), así como vasos sanguíneos y linfáticos.

Las contracciones de la muscular externa mezclan e impuisan el contenido del tubo digestivo.

La contracción de la capa circular interna de la muscular externa, comprime y mezcla el contenido del tubo digestivo por construcción luminal; la contracción de la capa longitudinal externa impulsa el contenido mediante el acortamiento del tubo. La contracción rítmica y lenta de estas capas musculares bajo el control del sistema nervioso entérico produce el movimiento peristáltico (ondas contráctiles). Las ondas pensiálticas se caracterizan por la construcción y el acortamiento de los distintos órganos, lo cual impulsa su contenido a lo largo del tubo digestivo.

Unos pocos sinos del tubo digestivo presentan variaciones en la muscular externa. Por ejemplo, en la pared de la porción proximal del esófago (el esfinter faringoesofágico) y alrededor del conducto anal (esfinter anal externo), el músculo estriado forma parte de la muscular externa. En el estómago aparece una tercera capa de músculo liso, con orientación oblicua, externa a la capa circular. Por último, en el intestino grueso, parte de la capa muscular lisa longitudinal está engrosada para formar tres bandas longitudinales bien definidas y equidistantes denominadas tenias del colon. Durante la contracción, las tenias del colon facilitan el acortamiento del tubo para mover su contenido.

La capa de músculo iiso circular forma esfinteres en sitios específicos a lo largo del tubo digestivo.

En varios puntos a lo largo del tubo digestivo, la capa muscular circular está engrosada para formar esfinteres o válvulas. Desde la bucofaringe hasta el extremo distal del tubo, las estructuras incluyen:

- Estinter taringoesofágico. En realidad, la parte inferior del músculo cricofáringeo se conoce, en fisiología, como estinter esotágico superior. Este impide la entrada de aire en el esófago.
- Estinter esofagico inferior. Como su nombre lo indica, el esfinter esofagico inferior está localizado en el extremo inferior del esófago y su acción es reforzada por el diafragma, que rodea esa parte del esófago, a medida que pasa a la cavidad abdominal. Esto crea una diferencia de presiones entre el esófago y el estómago que evita el reflujo de contenidos gásticos bacia el primero. La relajación anómala de este esfinter permite que el contenido ácido del estómago regrese al esófago (reflujo). Si no se trata, esta alteración puede convertirse en la enfermedad por reflujo gastroesofágico (ERGE), que se caracteriza por la inflamación de la mucosa esofágica (esofagitis por reflujo), constricciones y dificultad para deglutir (disfagia) con dolor toracico asociado.
- Esfinter pilorios. Localizado a la altura de la unión del piloro del estómago y el duodeno (esfinter gastroduodenal), controla la liberación del quimo, que es contenido gástrico parcialmente digerido, hacia el duodeno. La óxido nitrico-sintasa (NOS), que produce óxido nitrico (NO), es la responsable de la

relajación fisiológica del esfínter pilórico. La falta de NOS causa espasmo del musculo liso del esfinter pilórico y, subsequentemente, estenosis pilorica hipertrófica Esta afección ocurre con mayor frecuencia durante las primeras 2-12 semanas de vida y provoca la obstrucción en el flujo de quimo hacia el duodeno, lo que ocasione vómitos en proyectil (sin bilis) después de la alimentación. Si no se trata, puede causar deshidratación y alcalosis metabólica hipocalémica e hipoclorémica. La hipertrofia del musculo pilórico se puede diagnosticar mediante ecografia; tambien es fácilmente palpable como una "ace tuna" en el cuadrante superior derecho del abdomen La piloromiotomia laparoscópica, que implica la sección transversal del musculo pilòrico sin alteración de la mucosa subyacente, sigue siendo el tratamiento quirurgico de referencia.

- Vătvula Heocecal. Ubicada en el limite entre el intestino delgado y el intestino grueso, impide el reflujo de contenidos del colon, con su abundancia de bacterias, hacia el fleon distal, que generalmente contiene poca cantidad de bacterias.
- Esfinter interno del ano. El más distal de los esfinteres rodea el conducto anal e impide el paso de las heces hacia este conducto desde el recto no distendido.

Serosa y adventicia

La capa más externa del tubo digestivo es la serosa o adventicia.

La serosa es una membrana compuesta por una capa de epitelio plano simple, denominado mesotelio, y una pequeña cantidad de tejido conjuntivo subyacente. Es el equivalente al peritoneo visceral que se describe en la anatomía macroscópica. La serosa es la capa más superficial de aquellas partes del tubo digestivo que están suspendidas de la cavidad peritoneal. Como tal, la serosa es contigua tanto con el mesenterio como con el revestimiento de la cavidad abdominal.

Los vasos sanguíneos y linfáticos de gran calibre y los troncos nerviosos atraviesan la serosa (desde y hacia el mesenterio) hasta alcanzar la pared del tubo digestivo. En el tejido conjuntivo de la serosa (y en el mesenterio) puede acumularse una gran cantidad de tejido adiposo.

Hay partes del tubo digestivo que no poseen serosa. Estas partes incluyen la porción torácica del esófago y las estructuras abdomínales y pélvicas que están fijadas a la pared de la cavidad (duodeno, colon ascendente y descendente, recto y conducto anal). Estas estructuras están adheridas a las paredes del abdomen y la pelvis por un tejido conjuntivo, la adventicia, que se mezcla con el tejido conjuntivo propio de la pared correspondiente.

■ ESÓFAGO

El esófago es un tubo muscular fijo que conduce los alimentos y las bebidas desde la faringe hasta el estomago.

El esofago atraviesa el cuello y el mediastino, sittos en los que está fijado a las estructuras adyacentes por medio de tejido conjuntivo. A medida que ingresa en la cavidad abdominal, queda libre por una corta distancia, alrededor de 1 2 cm. La longitud total del esófago es de unos 25 cm. En un corte transversal (fig. 17-2), la luz en su estado normal colapsado presenta un aspecto ramificado debido a los pliegues longitudinales. Cuando un bolo alimenticio atraviesa el esófago, la luz se expande sin lesionar la mucosa.

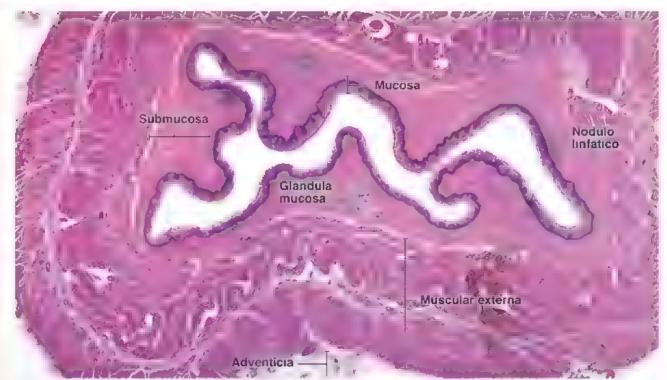


FIGURA 17-2. Microfotografia del esofago. En esta microfotografia se muestra, con podo aumento, un corte de esofago ténido con hematoxilina-eosina (H&E). En é se observa e plegamiento característico de su pared, que le da un aspecto viregular a a luz. La mucosa está compuesta por un en ten el plano estratificado, re ativamente grueso, una capa delgada de lámina propia que contiene algunos nódu os linfáticos y una muscular de la mucosa. En la submucosa hay glandillas mucosas, sus conductos excretores que desembocan en a luz de esófago no se observan en este corte. Por fuera de la submucosa en esta parte del esófago se encuentra una muscular externa gruesa compuesta por una capa interna de musculo liso de disposición circular y una capa externa de musculos i sos organizados en sentido longitudinal. La adventicia se observa justo por fuera de la muscular externa. 8×

La mucosa, que reviste el esófago en toda su longitud, tiene un epitelio plano estratificado sin estrato córneo (fig. 17 3 y lám. 54, p. 644). No obstante, en muchos animales el epitelio está queratinizado, lo cual es un reflejo del consumo de alimentos sin procesar. En los humanos, las células superficiales pueden exhibir algunos gránulos de queratohialina, pero generalmente no se produce la queratinización. La lámina propia subyacente es semejante a la del resto del tubo digestivo; el tejido linfático difuso está distribuido en toda su extensión y los nódulos linfáticos se presentan con frecuencia en la proximidad de los conductos de las glándulas mucosas esofágicas (vésse p. 614). La capa profunda de la mucosa, la muscular de la mucosa, está compuesta por músculo liso organizado de forma longitudinal que comienza cerca de la altura del cartílago cricoides. Es muy gruesa en la porción proximal del esófago y se piensa que contribuye al acto de la deglución.

La submucosa consiste en tejido conjuntivo denso irregular, que contiene vasos sanguíneos y linfáticos de gran calibre, fibras nerviosas y células ganglionares. Las fibras nerviosas y las células ganglionares forman el plexo submucoso interno (plexo de Meissner). En este también hay glándulas (véare p. 610). Además, el tejido linfático difuso y los nódulos linfáticos están presentes sobre todo en las porciones superior e inferior del esófago, donde las glandulas submucosas son predominantes.

La muscular externa se divide en dos estratos musculares, una capa circular interna y una capa longitudinal externa (lám. 54, p. 644). Esta capa es diferente de la muscular externa del resto del rubo digestivo porque su tercera parte superior está compuesta por músculo estriado, una continuación del músculo de la faringe. Los músculos estriados y lisos se mezclan y se entrelazan en la muscu-

lar externa del tercio medio del esófago; la muscular externa del tercio distal consta únicamente de músculo liso, como en el resto del tubo digestivo. Un plexo nervioso, el plexo mientórico (plexo de Auerbach), se ubica entre las capas musculares interna y externa. Al igual que en el plexo submucoso interno (plexo de Meissner), este tiene fibras nerviosas y células ganglionares. Este plexo inerva la muscular externa y estimula la actividad penstáltica.

Como ya se mencionó, el esófago está fijado a las estructuras contiguas en casi toda su longitud y, por lo tanto, su capa externa está compuesta por adventicia. Después de introducirse en la cavidad abdominal, el resto más corto del tubo se encuentra cubierto de serosa, el peritoneo visceral.

Las glándulas mucosas y submucosas del esófago secretan moco para lubricar y proteger la parad luminal.

Las giandulas están presentes en la pared del esófago y son de dos tipos. Ambas secretan moco, pero difieren en sus ubicaciones:

- Las glandulas esofagicas propiamente dichas se encuentran
 en la submucosa. Estas glándulas están dispersas a todo lo largo
 del esófago, aunque un poco más concentradas en la mitad superior. Son glándulas pequeñas, tubuloacinares y compuestas
 (fig. 17-4). Su conducto excretor está conformado por epitelio
 plano estranficado y suele ser visible al corte porque tiene un
 aspecto dilatado.
- Las glándulas esofágicas cardiales se denominan así por su similitud con las glándulas cardiales del estómago y se encuentran en la lámina propia de la mucosa. Están presentes en la parte terminal del esófago y con frecuencia, aunque no siempre, en la porción inicial del esófago.

El moco producido por las mismas glándulas esofágicas es levemente ácido y sirve como lubricante de la pared luminal. En los conductos se producen quistes temporales debido a que la secreción es relativamente viscosa. Las glándulas esofágicas cardiales secretan moco neutro. Las glándulas ubicadas cerca del estómago protegen el esófago de los contenidos gástricos regurgitados. Sin embargo, en ciertas situaciones, su eficacia no es completa y el reflujo excesivo produce pirosis, una alteración major conocida como acidaz. Esta afección pueda evolucionar hasta convertirse en ERGE.

El músculo de la parad esofágica está inervado por los sistemas nerviosos autónomo y somático.

La musculatura estriada en la parte superior del esófago está inervada por motoneuronas somáticas del nervio vago (nervio craneal [NC] X), ubicadas en el núcleo ambiguo. El músculo liso de la parte inferior del esófago está inervado por motoneuronas viscerales del vago, localizadas en el núcleo motor dorsal. Estas motoneuronas establecen sinapsis con las neuronas postsinápticas cuyos somas están ubicados en la pared del esófago.

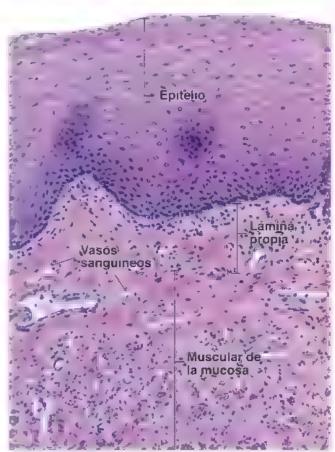


FIGURA 17-3. Microfotografía de la mucosa del esófago. En esta microfotografía se muestra, con mayor aumento que en la antenor, la mucosa de la pared del esófago en un corte teñido con H&E. Se compone de un epitelio plano estratificado, una lámina propia y una
muscular de la mucosa. El limite entre el epitelio y la lámina propia es
nítido, aunque irregular, debido a las papisas del tejido conjuntivo. El
estrato basal del epitelio se tiñe con intensidad y aparece como una
banda oscura porque es células basales son más pequeñas y tienen
una relación nucleo-citoplasma elevada. Cabe notar que el tejido conjuntivo de la lámina propia es muy celular y contiene muchos linfocitos. La parte más profunda de la mucosa es la muscular de la mucosa,
que se distribuye en dos capas (una interna circular y una externa longitudinal) similares en onentación a las de la muscular externa.

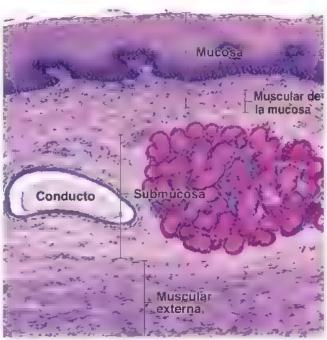


FIGURA 17-4. Microfotografía de una glándula esofágica submucosa. En esta microfotografía se muestra un corte del esófago teñido con mucicarmín. En la submucosa se observan una glándula esofágica, tenida de rojo intenso por el carmín, y un conducto excretor contiguo. Estas pequeñas glándulas tubuloacinares compuestas producen moco que lubrica la superficie epitelial del esófago. Nótese el moco teñido dentro del conducto excretor. La submucosa restante está compuesta por tejido conjuntivo denso e irregular. La capa interna de la muscular externa (abajo) está conformada por musculo liso de disposición circular. 110×

■ ESTÓMAGO

El estómago es una región dilatada del tubo digestivo que se ubica justo debajo del diafragma. Recibe el bolo de alimento macerado desde el esófago. La mezcla y la digestión parcial del alimento en el estómago, por la acción de sus secreciones gástricas, producen una mezcla líquida pulposa denominada quimo, el cual pasa después al intestino delgado para continuar el proceso de digestión y absorción.

Desde el punto de vista histológico, el estómago se divide en tres regiones según el tipo de glándula que contiene cada une.

La anatomía macroscópica subdivide al estómago en cuatro regiones: el cardias, que rodea el orificio esofágico; el fundus o fondo, que se extiende por encima de un plano horizontal que atraviesa el orificio esofágico (cardial); el euerpo, que se ubica debajo de ese plano; y el antro gástrico, que es la región con forma de embudo que desemboca en el pitoro, la región estrecha distal del esfinter entre el estómago y el duodeno. Los histólogos también subdividen el estómago, pero solo en tres regiones (fig. 17-5). Estas subdivisiones no se basan en la ubicación, sino en los tipos de glándulas que hay en la mucosa gástrica. Las regiones histológicas son las siguientes:

- La región cardial (cardias), la parte cercana al orificio esofágico que contiene las glándulas cardiales (fig. 17-6 y lám. 55, p. 646).
- La región pilórica (piloro), la parte proximal con respecto al esfinter pilórico que contiene las glándulas pilóricas.
- La región fúndica (fundus), la parte más grande del estómago, situada entre el cardias y el píloro, contiene las glándulas fúndicas o glándulas gástricas (véase fig. 17-6).

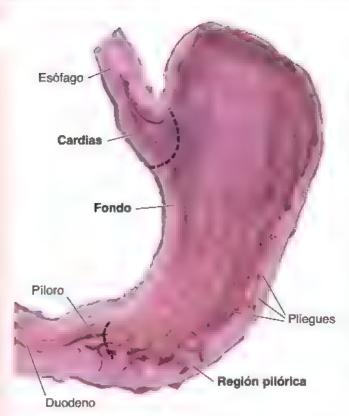


FIGURA 17-5. Fotografía de un estómago humano hemisecclonado con sus divisiones histológicas. En esta fotografía se muestra la superficie mucosa de la pared posterior del estómago. Se observan abundantes pliegues gástricos longitudinales. Estos pliegues gástricos permiten que el estómago se distienda a medida que se va llenando. Las divisiones histológicas del estómago son diferentes de las anatómicas. Las primeras están basadas en los tipos de glándula que se encuentran en la mucosa. Desde el punto de vista histológico, la porción del estómago contigua a la desembocadura del esófago es la región cardial (cardias), en la que se localizan las glándulas cardia es Una línea discontinua señala su límite aproximado. Una región un poco más grande que conduce hacia el esfínter pilónco, la región pilónca, contiene las glándulas pilóncas. Otra línea discontinua indica el límite aproximado del estinter pilórico. El resto del estómago, la región fúndica, se ubica entre las regiones cardial y pilónica y contrene las glándulas fundicas (gástricas)

Mucosa gástrica

Los pliegues longitudinales rugosos de la submucosa permiten que el estómago se distienda cuando se llena.

El estómago tiene un mismo modelo estructural general en toda su extensión, que consiste en mucosa, submucosa, muscular externa y serosa. Una exploración de la superficie interna del estómago vacío permite descubrir varios pliegues longitudinales o rugosidades denominados pliegues pástricos. Estos pliegues son prominentes en las regiones más estrechas del estómago; sin embargo, están poco desarrollados en la porción superior (véase fig. 17-5). Cuando el estómago se distiende por completo, los pliegues gástricos, compuestos por la mucosa y la submucosa subyacente, casi desaparecen. Los pliegues gástricos no modifican la extensión de la superficie total, sirven para posibilitar la expansión ante el llenado del estómago.

Al observar la superficie del estómago con una lupa, se distinguen regiones más pequeñas de la mucosa (formadas por surcos o hendiduras poco profundas) que la dividen en áreas abultadas irregulares denominadas regiones mamiliformes. Estos surcos aumentan un poco la extensión de la superficie de secreción de la mucosa. A mayor aumento, pueden observarse muchos orificios en la superficie de la mucosa. Se trata de las criptas gástricas o fovéolas. Estas se aprecian muy bien con el microscopio electrónico de barrido (fig. 17-7). Las glándulas gástricas desembocan en el fondo de las foveolas.

Hay células mucosas superficiales que revisten la superficie interna del estómago y las criptas gástricas.

El epitelio que reviste la superficie y las fovéolas del estómago es cilíndrico simple. Las células cilíndricas se denominan células mucosas superficiales. Cada porción apical celular posee un gran cáliz de gránulos de mucinogeno, lo que crea una lámina glandular de células (fig. 17-8). El cáliz con los gránulos representa la mayor parte del volumen de la célula. Por lo general, aparece vacio en los cortes tenidos con hematoxilina eosma (H&E) de rutina porque el mucinógeno se pierde durante la fijación y la deshidratación. Cuando el mucinógeno se conserva por una fijación adecuada, los gránulos se tiñen de forma intensa con azul de toluidina y con la reacción del ácido peryódico de Schiff (PAS, penodic acid-Schiff). La tinción con azul de toluidina indica la presencia de numerosos grupos aniónicos fuertes en la glucoproteína de la mucina, entre los que se encuentra el hicarbonaro.

El múcleo y el aparato de Golgi de las células mucosas superficiales se localizan debajo del cáliz de los gránulos de mucinógeno.



FIGURA 17-6. Microfotografía de la unión esofagogástrica. En esta microfotografía con poco aumento se muestra la unión entre el esófago y el estómago. En la unión esofagogástrica, el epitelio plano estratificado del esófago termina de manera súbita y comienza el epitelio cilindrico simple de la mucosa del estómago. La superficie del estómago contiene numerosas depresiones bastante profundas, denóminadas criptas gástricas, formadas por el epitelio superficial. Las glándulas cercanas al esófago (glándulas cardiales) se extienden desde el fondo de estas criptas. Las glándulas fundicas (gástricas también se originan en la base de las criptas gástricas y pueden verse en el resto de la mucosa. Obsérvese la muscular externa bastante gruesa. 40×

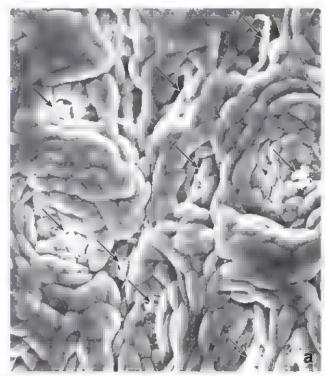




FIGURA 17-7. Superficie mucosa del estómago, a. Microfotografia electrónica de barrido de la superficie mucosa del estómago. Las criptas gástricas contienen material de secreción en su mayor parte moco (*flechas*). El moco de la superficie se ha eliminado para que se vean las células mucosas superficia es 1000 γ. b. Ampliación que muestra la superficie apica de las células mucosas superficiales que revisten el estómago y las criptas gástricas. Nótese la forma alargada poligonal de las células, 3000×.

La base de la célula contiene pequeñas cantidades de retículo endoplasmático rugoso (RER) que pueden conferir una tenue basofilia al citoplasma cuando se observa en muestras bien preservadas.

Diversos mecanismos ayudan a proteger la mucosa gástrica de agresiones exógenas y contribuyen a la recuperación de su integridad funcional después de algun daño.

La primera línea de defensa contra las lesiones a la mucosa gástrica es la secreción de moco desde las células mucosas superficiales. Se le describe como moco visible debido a su apariencia turbia que forma una capa espesa, viscosa, similar a un gel que se adhiere a la superficie del epitelio. Protege frente a la abrasión de los componentes más ásperos del quimo. Además, su atta concentración de bicarbonato y potacio protege al epitelio del contenido ácido de los jugos gástricos. El bicarbonato, que alcaliniza el moco, es secretado por células superficiales, pero su retención dentro de la capa mucosa evita que se mezcle rápidamente con el contenido de la luz gástrica.

La segunda línea de protección está relacionada con la regulación sanguínea submucosa por parte de varios mediadores, entre los que se incluyen prostaglandinas (PGE₂), óxido nítrico (NO) y neuropéptidos sensoriales. Las PGE₂ y el NO parecen desempeñar un papel importante en la protección de la mucosa gástrica. Las PGE₂ estimulan la secreción de bicarbonatos e incrementan el espesor de la capa mucosa, acompañado de vasodilatación, en la lámina propia. El NO liberado por el endotelio vascular, los nervios aferentes sensitivos y el epitelio gástrico aumenta el flujo sanguíneo hacia la mucosa gástrica, mejorando así el suministro de nutrientes a sus áreas dañadas. Esta capacidad de la mucosa gástrica para optimizar las condiciones para la reparación del tejido después de una lesión (independientemente de la inhibición de la secreción de ácido) se conoce como citoprotección gástrica.

El revestimiento del estómago no desempeña una función absortiva importante. No obstante, la mucosa gástrica puede absorber algunas sales, agua y compuestos químicos liposolubles. Por ejempto, el alcohol y ciertos fármacos, como el ácido acetitsalicítico y los antiinflamatorios no esteroideos (AINE), ingresan en la lámina propia por una lesión en la superficie del epiteño. Incluso dosis pequeñas de ácido acetitsalicítico suprimen la producción de prostaglandinas protectoras de la mucosa gástrica. Además, el contacto directo de este fármaco con la pared del estómago interfiere con las propiedades hidrófobas de la mucosa gastrica.

Glándulas fúndicas de la mucosa gástrica

Las glándulas fúndicas producen el jugo gástrico del estómago.

Las glandulas fundicas, o gástricas, están presentes en toda la mucosa gástrica, excepto en las regiones relativamente pequeñas ocupadas por las glándulas cardiales y pilóricas. Las glándulas fúndicas son
tubulares simples y ramificadas, y se extienden desde el fondo de
las criptas gástricas hasta la muscular de la mucosa (véase fig. 17-8).
Entre la fovéola y la glándula que está debajo hay un segmento corto
conocido como ástrio. El istimo de la glándula fúndica es donde se
replican y se diferencian las células madre (nicho de células madre).
Las células destinadas a convertirse en células mucosas superficiales
migran hacia arriba de las criptas gástricas en dirección a la superficie del estómago. Otras células migran hacia abajo para mantener la
población del epitelio de la glándula fúndica.

Por lo general, varias glándulas desembocan en una sola cripta gástrica. Cada glándula posee un cuello estrecho y relativamente largo, así como una base amplia o segmento fúndico más corto. La base de la glándula suele dividirse en dos, y a veces tres, ramas que se enrollan levemente cerca de la muscular de la mucosa. Las células

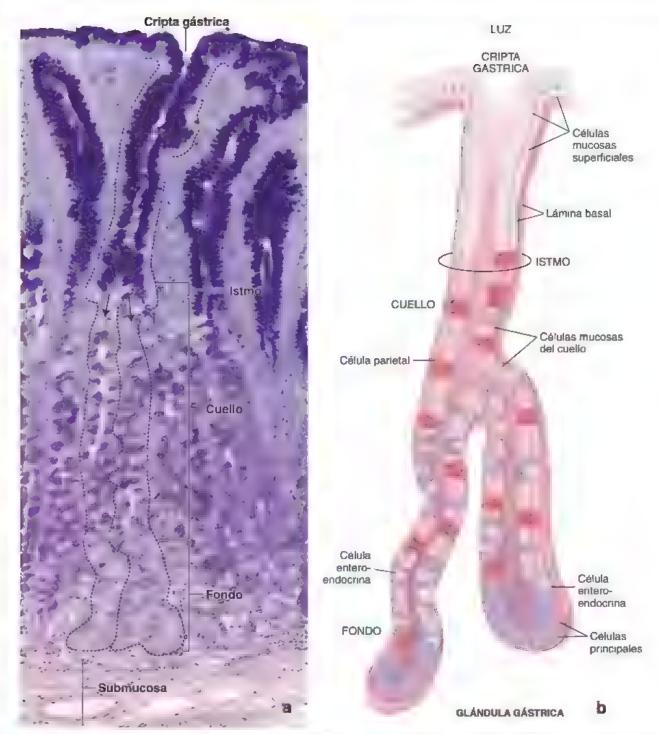


FIGURA 17-8. Giándulas gástricas, a. Microfotografia de la mucosa fundica en un preparado teñido con azul de aicián/PAS para detectar mucinas Notese que el epitelio superficial se invagina para formar las criptas gastricas. Las celulas de la mucosa superficial y las que revisten las criptas gástricas se identifican con facilidad en este preparado porque el moco neutro dentro de estas celulas se tine de forma intensa. Una de las criptas gástricas y sus glándulas fundicas asociadas está delimitada por las tineas punteadas. Esta glándula es tubular simple y ramificada (las flechas indican el patrón de tamificación). Se extiende desde el fondo de la cripta gástrica hasta la musou ar de la mucosa. Nótense los segmentos de la glándula el istimo corto, en sitio de las divisiones celulares, e cuello ibastante largo) y un fondo más corto y más ampiro. La secreción mucosa de las celulas del cuello es diferente de la producida por las celulas mucosas superficiales, como lo demuestra la tricción purpura mas clara en esta región de la glándula. 320 × b. Glándula gástrica o obsérvese que la región del istimo contiene células en división e indiferenciadas la region del cuello contiene celulas mucosas del cuello decirilas panetales y células entercendocrinas includas celulas capitadoras y descarboxiladoras de precursores aminicos (APUD amine precursor uptake and decarboxylation). Las panetales y varios tipos de entercendocrinas.

de las glándulas gástricas producen el jugo gástrico (cerca de 2 L/dia), que contiene una gran variedad de sustancias. Además de agua y electrolitos, el jugo gastrico contiene cuatro componentes principales

 Ácido clorhidrico (HCI), en una concentración que oscila entre 150 y 160 mmol/L, que hace que el jugo gástico tenga un pH bajo (< 1 0-2 0) Es producido por las celuias parietales e inicia la digestión de las proteínas de la diera (promueve la hidrólisis ácida de sustratos). También convierte el pepsinogeno inactivo en la enzima activa pepsina. Dado que el HC les bacteriostatico, destruye la mayor a de las bacterias que entran al

CORRELACION CLÍNICA: ANEMIA PERNICIOSA Y ENFERMEDAD ULCEROSA PÉPTICA

La aclorhidria es una enfermedad autoinmunitana crónica que se caracteriza por la destrucción de la mucosa gástrica. Por consiguiente, ante la falta de células parietaies, no se secreta factor intrínseco, lo cual conduce a la aparición de anemía perniciosa. La carencia de factor intrínseco es la causa más frecuente de la insuficiencia de vitamina B₁₂. Sin embargo otros factores, como la proliferación excesiva de las bacterias gramnegativas anaerobias en el intestino delgado, se asocian con la insuficiencia de vitamina B₁₂. Estas bacterias se fijan al complejo vitamina B₁₂-factor intrínseco e impiden su absorción. Las infecciones con plate/mintos parásitos también producen síntomas clínicos de anemía perniciosa. Dado que el hígado tiene grandes reservas de vitamina B₁₂, la enfermedad suele pasar inadvertida hasta mucho después de que han ocumdo alteraciones importantes en la mucosa gástrica

Otra causa de secreción reducida del factor intrinseco, y la ulterior anemia perniciosa, es la pérdida de epitelio gástrico en una gastrectomía parcial o total. La pérdida del epitelio gástrico funcional también ocurre en la **enfermedad ulcerosa péptica (EUP)** crónica o recurrente. Con frecuencia, las regiones ulceradas y posteriormente curadas producen insuficiente factor intrínseco. La pérdida repetida de epitelio y la cicatrización posterior de la mucosa gástrica pueden reducir de manera importante la cantidad de mucosa funcional.

Los fármacos antagonistas de los receptores histamínicos H₂, como la rarutidina y la cimetidina, que bioquean la unión de la histamina a sus receptores en la mucosa gástrica, suprimen la producción de ácido y de factor intrinseco y se han utilizado en el tratamiento de las ulceras pépticas y la enfermedad por reflujo gastroesofágico (ERGE). Estos fármacos evitan una mayor erosión de la mucosa y promueven la curación de la superficie previamente erosionada. Sin embargo, su uso prolongado puede causar insuficiencia de vitamina B₁₂ En fechas recientes, se han diseñado nuevos inhibidores de la bomba de protones (p. ej., omeprazol y lansoprazol) que inhiben la acción de la ATPasa H*/K* Estos fármacos suprimen la producción ácida en las células parietales sin afectar la secreción del factor intrinseco.

Aunque en general se pensaba que las células parietales eran la diana directa de los antagonistas de los receptores de H₂, estudios recientes con una combinación de hibidación in situ, histoquímica y tinción con anticuerpos han permitido comprobar inesperadamente que los plasmocitos secretores de inmunogrobulina A (IgA) y algunos de los macrófagos en la lámina propia exhiben una reacción positiva para el ARNm del receptor de gastrina, no las células parietales. Estos hallazgos indican que los fármacos utilizados para tratar las úlceras pépticas actuarían directamente sobre los plasmocitos o los macrófagos y que estas células, entonces, transmitirían sus efectos a las células parietales para inhibir la secreción de HCI El factor que media la interacción entre las células del tejido conjuntivo y las células epiteliales aún no se ha identificado.

Ahora se sabe que la mayoría de las olceras pépticas (95%) en realidad son causadas por una infección crónica de la mucosa gástrica por parte de la bacteria *Helicobacter pylori*. Los antígenos lipopolisacáridos que se expresan en su superficie imitan a los de las células epiteliales gástricas humanas. Esta simulación parece ocasionar una tolerancia inicial al patógeno por parte del sistema inmunitario del hospedero, lo que contribuye a aumentar la infección y, finalmente, estimular la producción de anticuerpos. Estos anticuerpos contra *H. pylon* se fijan a la mucosa gástrica y lesionan sus células. El tratamiento incluye la erradicación de la bacteria por medio de antibióticos. Estos tratamientos para la enfermedad ulcerosa han vuelto poco frecuentes las intervenciones quirurgicas que eran habituales en el pasado.

estómago con el alimento. Sin embargo, algunas bacterias pueden adaptarse al pH bajo de los contenidos gastricos. Helicobacter pylori contiene una gran cantidad de ureasa (la enzima que hidroliza la urea) en su citoplasma y en su membrana plasmática. Esta enzima altamente activa crea una "nube de amoniaco" básica, protectora, alrededor de la bacteria, lo que le permite sobrevivir en el medio ácido del estómago (cuadro 17-1).

- Pepsina, una potente enzima proteolítica. Se forma a partir del pepsinógeno proveniente de las células principales por acción del HCl a un pH inferior a 5. La pepsina hidroliza las proteínas a pequeños péptidos rompiendo los enlaces peptídicos internos. Los péptidos son digendos aún más, hasta sus aminoácidos constitutivos, por las enzimas del intestino delgado.
- Mooo, una cubierta protectora ácida para el estómago secretada por varios tipos de células mucoproductoras. El moco y los bicarbonatos atrapados dentro de la cubierta mucosa mantienen un pH neutro y contribuyen a la llamada barrera fisiologica de la mucosa gastrica. Además, el moco actúa como una barrera física entre las células de la mucosa gástrica y el material ingerido dentro de la luz del estómago.
- Factor intrinseco, una glucoproteína secretada por las células parietales que se fija a la vitamina B₁₂. Es indispensable para la absorción de esta vitamina, lo cual ocurre en la porción distal del íleon. La falta de factor intrinseco conduce a anemia perniciosa e insuficiencia de vitamina B₁₂ (vease cuadro 17-1).

Además, la gastrina y otras hormonas y secreciones de tipo hormonal son producidas por las células entercendocrinas en las glándulas fúndicas y son secretadas hacia la lámina propia, donde ingresan a la circulación o actúan localmente sobre otras células gástricas epíteliales.

Las glándulas fúndicas están compuestas por cuatro tipos celulares con funciones diferentes.

Las células que componen las glándulas fúndicas pertenecen a cuatro tipos funcionales. Cada una tiene un aspecto distintivo. También se observan células îndiferenciadas que dan origen a los tipos celulares maduros. La diversidad celular que constituye la glándula incluye

- Células mucosas del cuello
- Células principales
- Células parietales (células exínticas)
- Células entercendocrinas
- Células madre adultas indiferenciadas

Las células mucosas del cuello se encuentran en la región cervical de la glándula y se entremezcian con las células parietales.

Como su nombre lo indica, las células mucosas del cuello están localizadas en la región cervical de la glándula fúndica. Entre los grupos de estas células suele haber células parietales intercaladas. La célula mucosa del cuello es mucho más corta que la célula mucosa superficial y contiene bastante menos mucinógeno en el

citoplasma apical. En consecuencia, estas células no presentan una dilatación apical prominente. Además, el núcleo tiende a ser esferoideo en comparación con el núcleo alargado y más grande de la célula mucosa superficial.

Las células mucosas del cuello secretan un moco soluble menos alcalino en comparación con el moco turbio, insoluble y muy alcalino producido por la célula mucosa superficial. La liberación de gránulos de mucinógeno es inducida por la estimulación vagal y, por lo tanto, la secreción desde estas células no se produce en el estómago en reposo. Estas células mucosas del cuello se diferencian a partir de las células madre localizadas en la región cervical de la glándula fúndica. Se les considera precursores inmaduros de las células mucosas superficiales.

Las células principales están ubicadas en la parte profunda de las glándulas fúndicas.

Las cétulas principales son típicas células secretoras de proteínas (fig. 17 9 y lám. 57, p. 650). El abundante RER en el citoplasma basal le confiere a esta región de la célula un carácter basófilo, mientras que el citoplasma apical es eosinófilo debido a las vesículas secretoras, también llamadas gránulos de zimógeno por su contenido de precursores enzimáticos. La basofilia, en particular, permite una fácil identificación de estas células en cortes teñidos con H&E. La eosinofilia puede ser débil o inexistente cuando las vesículas secretoras no están preservadas de manera adecuada. Las células principales secretan pepsinogeno y una lipasa débil. En contacto con el jugo gástrico ácido, el pepsinógeno se convierte en pepsina, una enzima proteolítica.

Las células parietales secretan HCl y factor intrinseco.

Las células parietales (oxinticas) se encuentran en el cuello de las glándulas fúndicas, entre las células mucosas del cuello y la parte profunda de la glándula. Estas células tienen la tendencia a set más abundantes en los segmentos superior y medio del cuello. Son células grandes y a veces binucleadas. En algunos cortes aparecen triangulares con el vértice dirigido hacia la luz de la glándula y la base apoyada sobre la lámina basal. El núcleo es esferoideo y el citoplasma se tiñe con eosma y otras tinturas ácidas. Su tamaño y sus propiedades tintoriales distintivas permiten distinguirlas con facilidad de las demás células de las glándulas fúndicas.

Al examinar las células parierales con el microscopio electrónico de transmisión (MET; fig. 17-10), se observa que poseen un extenso sistema de canalículos intracelulares que se comunican con la luz de la glándula. Desde la superficie de los canalículos se proyecta una gran cantidad de microvellosidades, y en el citoplasma contiguo a ellos hay un sistema membranoso tubulovesicular complejo. En una célula

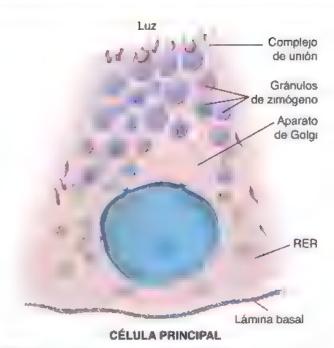


FIGURA 17-9. Diagrama de una célula principal. La gran cantidad de RER en la porción basal de la célula explica la intensa tinción basófila observada en esa región. Las vesiculas secretoras (gránulos de zimógeno), que contrenen pepsinógeno y una lipasa débil, no siempre se conservan de forma adecuada; por lo tanto, la tinción en la región apical de la célula es un tanto variable. Esta célula produce y secreta la enzima precursora de la secreción gástrica.

en proceso de secreción activa, la cantidad de microvellosidades en los canalículos aumenta y el sistema tubulovesicular se reduce mucho o desaparece. Las membranas del sistema tubulovesicular sirven como un reservorio de membrana plasmática que contiene bombas de protones activas. Este material membranoso puede insertarse en la membrana plasmática de los canalículos para incrementar la extensión de su superficie y la cantidad de bombas de protones disponibles para la producción de ácido. Las abundantes mitocondrias con crestas complejas y muchos gránulos en la matriz proveen la gran cantidad de energía necesaria para la secreción de ácido.

El HCl se produce en la luz de los canalículos intracelulares.

Las sélulas parietales presentan tres tipos diferentes de receptores de membrana para sustancias que activan la secreción de HCI, de gastrina, histamínicos M₂ y acatilcolinicos M₃. La activación de los receptores de gastrina por la gastrina, una hormona peptídica gastrointestinal (cuadro 17-2), es el mecanismo principal para la es-

CUADRO 17-2.

CORRELACIÓN CLÍNICA: SÍNDROME DE ZOLLINGER-ELLISON

La secreción excesiva de gastrina suele tener su origen en un turnor de las células entercendocrinas que la producen, localizadas en el duodeno o en los islotes pancreáticos. Esta alteración, conocida como síndrome de Zollinger-Ellison o gastrinoma, se caracteriza por la secreción excesiva de ácido clorhídrico (HCl) por las células parietales estimuladas de forma continua. El exceso de ácido no puede neutralizarse de manera adecuada en el duodeno, por lo que conduce a la formación de uficeras gástricas y duodenales. Las úlceras gástricas ocurren en el 95% de los pacientes con este síndrome y son seis veces más prevalentes que las ulceras duodenales. Los pacientes con síndrome de Zollinger-Ellison pueden experimentar dolor abdominal intermitente, diarrea y

esteatorrea (deposiciones con gran cantidad de grasa). En los pacientes asintomáticos que presentan una ulceración grave del estómago y el intestino delgado, en especial si no responden al tratamiento convencional, también debe sospecharse la presencia de un tumor que produce el exceso de gastrina. Antes, el tratamiento del síndrome de Zollinger-Ellison consistia en el bloqueo de tos receptores de membrana de la célula panetal que estimulan la producción de HCI. Hoy en día, los inhibidores de la bomba de protones se han convertido en el tratamiento de elección para la hipersecreción de HCI. Ademas, la extirpación qui rurgica de, tumor siempre que sea posible elimina la fuente de producción de gastrina y alivia los sintomas.

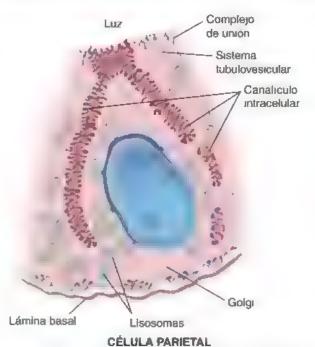


FIGURA 17-10. Diagrama de la celula parietal. El citoplasma de la celula parietal. El citoplasma de la celula parietal. El citoplasma de membrana (que forma canalículos intracelulares), el sistema tubulovesicular, las mitocondinas y la escasez relativa de ribosomas. Esta cêlula produce HCl y factor intrinseco

rimulación de las células parietales. Después de la estimulación, ocurren varios fenómenos que conducen a la producción de HCl (fig. 17-11):

- Producción de iones H*en el citoplasma de la célula paneral por acción de la enzima carbonato-deshidratasa. Esta enzima caraliza la combinación de H₂O y CO₂ para producir ácido carbónico (H₂CO₃), que se disocia rápidamente en H* y HCO₃⁻. El dióxido de carbono (CO₂), necesario para la síntesis del ácido carbónico, se difunde bacia la célula a través de la membrana basal desde los capilares sanguíneos en la lámina propia.
- Transporte de iones H⁺ desde el citoplasma a través de la membrana y hacia la luz de los canalículos por acción de la bomba de protones ATPasa H⁺/K⁺. Al mismo tiempo, se transportan K⁺ desde los canalículos hasta el citoplasma celular en intercambio por los iones H⁺.
- Transporte de iones K* y Cl⁺ desde el citoplasma de la célula paretal hacia la luz de los canaliculos mediante la activación de los canales de K* y Cl⁺ (uniportadores) en la membrana plasmática.
- Formación de HCl a partir del H⁺ y del Cl⁻ que se transportaron hacia la luz de los canalículos.

En los humanos, el factor intrinseco es secretado por las células parietales (en otras especies lo hacen las células principales). Su secreción es estimulada por los mismos receptores que desencadenan la secreción del ácido gástrico. El factor intrinseco es una glucoproteina de 44 kDa que forma un complejo con la

READRO 1743

CONSIDERACIONES FUNCIONALES DISTEMA ENDOCRING QASTROINTESTINAL

Las células entercendocrinas son células especializadas de la mucosa del tubo digestivo. Comprenden menos del 1% de todas las células epiteliates en el tubo digestivo, pero, en conjunto, forman el "órgano" endocrino más grande del organismo. Las células entercendocrinas también se encuentran en los conductos del páncreas, el hígado y el sistema respiratorio, otro derivado endodérmico que se origina por invaginación del epitelio del intestino anterior embrionario. Puesto que se parecenbastante a las células neurosecretoras del sistema nervioso central (SNC), que secretan muchas de las mismas hormonas, moléculas de señalización y agentes reguladores, las células entercendocrinas también se denominan células neuroendocrinas. La mayoría de estas células no se agrupan en conjuntos en ninguna parte específica del tubo digestivo. Por el contrario, se distribuyen aisladas por todo el epitelio gastrointestinal. Por esta razón se describen como parte constitutiva de un sistema neuroendocrino difuso (SNED). La figura 17-13 muestra las partes del tubo digestivo desde las cuales se producen los péptidos gastrointestinales. Una excepción notable a este patrón de distribución se encuentra en el páncreas. Ahí, las células entercendocrinas, derivadas de los brotes pancreáticos que también se originan del intestino anterior embrionario, forman acumulaciones especializadas que se conocen como islotes endocrinos de Langerhans (véase p. 687)

Según la opinión actual, el SNED comprende tanto neuronas como células endocrinas que comparten características en común, como la expresión de marcadores específicos (p. ej., neuropéptidos, cromograninas y enzimas procesadoras de neuropéptidos) y la presencia de gránulos de secreción de centro denso. Los productos de secreción de las células entercendocrinas derivan de una variedad de genes, se expresan de diferentes formas a causa del empalme y el procesamiento diferencial alternativos. La secreción de las células entercendocrinas es regulada por los receptores acoplados a proteina G y por la actividad de la tirosina-cinasa. Existen indicios de que la cromogranina A regula la biosíntesis de los gránulos de secreción de centro denso, mientras que la cromogranina B controla la clasificación y el envasado de los péptidos producidos en las vesículas secretoras. La tabla 17-1 enumera hormonas gastrointestinales importantes, sus sitios de origen y sus funciones principales.

Las transformaciones neoplásicas de las células del SNED son responsables del desarrollo de tumores neuroendocrinos gastroenteropancreáticos (GEP). Estos tumores son neoplasias raras del tubo digestivo y del páncreas que a menudo secretan sustancias con actividad hormonal, lo que ocasiona síndromes clínicos bien definidos. El apéndice es el sitto gastrointestinal más frecuente de origen de tumores neuroendocinos. El ejemplo clásico es el síndrome carcinoíde, causado por diversas sustancias con actividad hormonal liberadas por células tumorales. Los síntomas incluyen diarrea (causada por la serotonina), episodios de enrojecimiento, broncoconstricción y valvulopatía cardíaca derecha.

Desde el punto de vista funcional, algunas células enteroendocrinas pueden clasificarse como células que captan y descarboxilan precursores amínicos (APUD, amíne precursor uptake and decarboxylation). Sin embargo, no deben confundirse con las células APUD derivadas de la cresta neural embrionaria que migran hacia otros sitios en el organismo. Las células APUD secretan una variedad de sustancias reguladoras en tejidos y órganos, incluyendo el epitelio respiratorio, la médula suprarrenal, los islotes de Langerhans, la glándula tiroides (células parafoliculares) y la hipófisis. Las células enteroendocrinas se diferencian a partir de la progenie

CONSIDERACIONES FUNCIONALES: SISTEMA ENDOCRINO CASTROINTESTINAL

CONTINUACION

de las mismas células madre de las que derivan todas las demás células epiteliales del tubo digestivo. El hecho de que dos células diferentes puedan sintetizar productos similares no implica que tengan el mismo origen

Las cé ulas entercendocrinas no solo forman hormonas gastrointestinales como la gastrina, la grelina, la secretina, la colecistocinina (CCK), los péptidos inhibidores gástricos (GIP, gastric inhibitory polypeptide) y la motilina, sino que también producen hormonas paracrinas. Estas hormonas se diferencian de las hormonas endocrinas por difundirse localmente hacia su célula diana, en lugar de ser transportadas hacia ella por el torrente sanguíneo. Una sustancia bien conocida que parece actuar como hormona paracrina dentro del tubo digestivo y el páncreas es la somatostatina, que inhibe otras células endocrinas gastrointestinales y de los islotes pancreáticos.

Además de las hormonas gastrointestinales establecidas, varios péptidos gastrointestinales aun no se han clasificado de manera definitiva como hormonas u hormonas paracinas. Estos péptidos se denominan *candidatos hormonales* o *pre-*

Otras sustancias con actividad local que se han aislado de la mucosa gastrointestinal son los **neurotransmisores**. Estos agentes se liberan de las terminaciones nerviosas cercanas a la célula diana, a menudo el musculo liso de la muscular de la mucosa, la muscular externa o la túnica media de un vaso sanguíneo. Las células entercendocrinas también pueden secretar neurotransmisores que activan neuronas aferentes, enviando señales al SNC y la división entérica del sistema nervioso autónomo. Además de la acetilcolina (que no es un péptido), los que se encuentran en las fibras nerviosas del tubo digestivo son péptidos intestinales vasoactivos (VIP, vasoactiva intestinal peptido), bombesina y encefalinas. Por lo tanto, un péptido particular puede ser producido por células endocrinas y paracrinas, pero también puede localizarse en las fibras nerviosas.

vitamina B₁₂ en el estómago y el duodeno, un paso necesario pará la absorcion posterior de la vitamina en el ileon. Los autoantícuerpos dirigidos contra el factor intrinseco o las células parietales conducen a la insuficiencia del factor, lo que genera malabsorción de la vitamina B₁₂ y anemia perniciosa (véase cuadro 17-1)

Las células entercendocrinas secretan sus productos hacia la lámina propia o los vasos sanguineos subyacentes.

Las células entercendocinas se encuentran en todos los niveles de la glándula fundica, aunque tienden a ser más prevalentes en la base (cuadro 17-3). En general, pueden distinguirse dos tipos de células entercendocinas a lo largo del tubo digestivo. La mayoría son

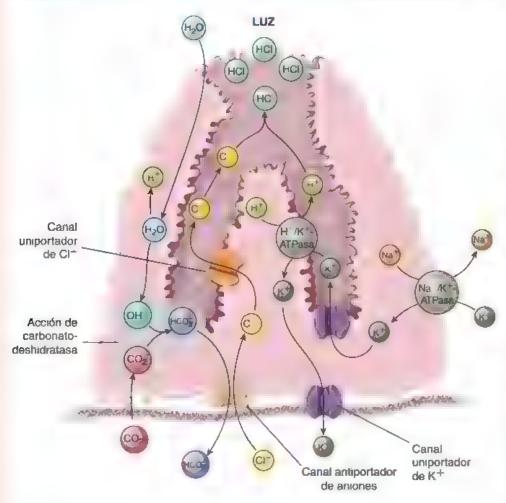


FIGURA 17-11. Diagrama de la sintesis de HCl por la célula parietal. Después de la estimulación de la cétula panetal, la producción de HCI ocurre en varias etapas. El dióxido de carbono (CO₂) de la sangre se difunde hacia la célula a través de la membrana basal para formar H₂CO₃. El H₂CO₃ se disocia en H* y HCO₃T La reacción es catalizada por la carbonato-deshidratasa, lo que lleva a la producción de iones H* en el citoplasma, que después son transportados a través de la membrana hacia la luz del canaliculo intrace/ular por la bomba de protones ATPasa H*/K* Al mismo tiempo, el K* que está dentro del canaliculo se transporta hacia la cé uia a cambio de los iones H* Los iones Cl" también son transportados desde el citoplasma de la célula panetal hacra la luz del canaliculo mediante los conductos de CIT que están en la membrana. Posteriormente, se forma el HCl a partir del H* y el CIT. Los conductos aniónicos de HCO3T/CIT mantienen la concentración normal de ambos iones en la célula, al igual que la ATPasa Na⁴/K⁴ en la membrana ce-Jular basolateral

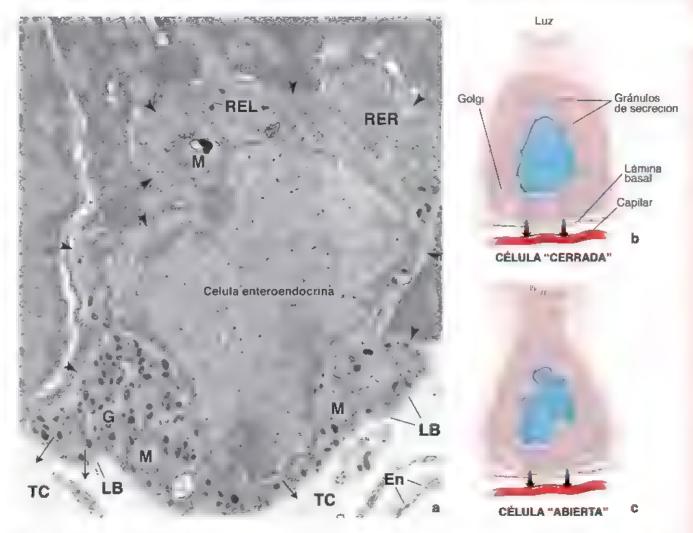


FIGURA 17-12. Microfotografía electrónica y diagramas de las células entercendocrinas. a. En esta microfotografía electrónica se muestra una celula entercendocrina "cerrada" Las puntas de flecha marcan e Imite entre la célula entercendocrina y as células epide ales contiguas. La base de la célula entercendocrina se apoya en la lamina basa (i. B). Esta célula no se extiende a las superficies epitella ini lumina Los abundantes gránulos de secreción. G) de la base de ular se secretan hadia el le do conjuntivo (TC) la través de la lamina basal len el sentido que sena an las flechas. En, endotello de capillar. Minitocondria. REL reticulo endopiasmático iso. RER reticulo endopiasmático rugoso. b. En este diagrama de una célula entercendocrina camada" se muestra que la célula no llega a la superficie epite ial. Los gránulos de secreción sue len desaparecer durante el preparado histológico de nutina. Debido a que la célula no posee otros orgânicos con propiedades tintona es distintivas os nucieos aparecen rodeados por una pequeña cantidad de ciopiasma ciaro en los cortes teñidos con m&E. C. La célula entercendocrina "abierta" se extiende hasta la superficie epitella. Las microveldocidades en la superficie apical de estas células poseen receptores del gusto y son capaces de detectar estimulos dulces amargos y umam. Estas células actuan como células quimiorreceptoras que vigian el medio en la superficie del apitello y participan en la regulación de la secreción de las hormonas gestrointestinales.

células pequeñas que se apoyan sobre la lámina basal y no siempre alcanzan la luz; estas células se conocen como células enteroendoorinas "corradas" (figs. 17-12a y b y lám. 57, p. 650) Sin embargo, algunas poseen una extensión citoplasmática delgada con microvellosidades expuestas a la luz glandular (fig. 17-12c); estas se denominan células entercendocrinas "abiertas". Las células abiertas, como quimiorreceptores primarios, toman muestras del contenido de la luz glandular y liberan hormonas de acuerdo con la información obtenida. Se han identificado receptores del gusto, similares a aquellos que se encuentran en los corpúsculos gustativos de la mucosa bucal especializada (pp. 570-573), en la superficie libre de las células enteroendocrinas abiertas y detectan los sabores dulce, amargo y umami. Pertenecen a las familias T1R y T2R de receptores acoplados a proteína G que se describen en el capítulo 16, Sistema digestivo l' cavidad bucal y estructuras asociadas. No obstante, la secreción desde las células cerradas es regulada por el contenido luminal de forma indirecta a través de mecanismos nerviosos y paracrinos,

Las microfotografías electrónicas permiten observar pequeños gránulos de secreción unidos a la membrana en todo el citoplasma; sin embargo, en los corres teñidos con H&E los gránulos generalmente han desaparecido y el citoplasma se observa de color claro debido a la falta de suficiente material teñible. Si bien estas células suelen ser dificiles de identificar debido a su pequeño tamaño y a la falta de tinción distintiva, el citoplasma celular claro a veces se destaca por contraste con las células principales o parietales contiguas, lo que permite su fácil reconocimiento.

Los nombres dados a las células enteroendocrinas en la bibliografía hacían referencia a su capacidad de tinción con sales de plara y cromo (enterocromafines, argentafines y argirófilas). En la actualidad, se identifican y se caracterizan por métodos iamunoquímicos de tinción que detectan los más de 20 agentes reguladores peptidicos y polipeptídicos de tipo bormonal que secretan (en la fig. 17-13 y las tablas 17-1 y 17-2 se mencionan muchos de estos agentes y se describen sus acciones). Con la ayuda del MET se han identificado

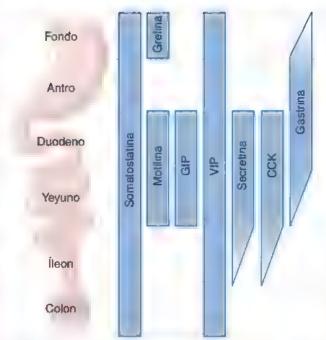


FIGURA 17-13. Hormonas gastrointestinales. Diagrama esquemático de la distribución de las hormonas peptidicas gastrointest nales producidas por las células entercendocinas en el tubo digestivo. CCK, colecistocinina, GIP, péptido inhibidor gástrico, VIP, péptido intestinal vascactivo.

al menos 17 tipos diferentes de células enteroendocumas según su tamaño, forma y la densidad de sus gránulos de secreción.

Glándulas cardiales de la mucosa gástrica

Las glándulas cardiales están compuestas por células secretoras de moco.

Las glandulas cardiales están limitadas a una región estrecha del estómago (el cardias) que rodea el orificio esofágico. Su secreción, en combinación con las de las glándulas cardiales esofágicas, contribuye a formar el jugo gástrico y ayuda a proteger el epitelio esofágico con-

tra el reflujo gástrico. Las glándulas son tubulares, algo tortuosas y a veces ramificadas (fig. 17-14 y lám. 56, p. 648). Están compuestas principalmente por células secretoras de moco, mezcladas con unas pocas células enteroendocrinas. Las células mucosecretoras tienen un aspecto semejante al de las células de las glándulas cardiales esofágicas. Poseen un núcleo basal aplanado y el citoplasma apical generalmente está repleto de gránulos de mucina. Un segmento corto del conducto formado por células cilíndricas, con núcleos alargados, se interpone entre la porción secretora de la glándula y las criptas poco profundas hacia las que secretan las glándulas. El conducto es el segmento en el que se producen las células mucosas superficiales y las células glandulares.

Glándulas pilóricas de la mucosa gástrica

Las células de las glándulas pilóricas son similares a las células mucosas superficiales y contribuyen a proteger la mucosa pilórica.

Las glándules pilorioes están ubicadas en el antro pilórico (la parte del estómago entre el fundus y el píloro). Son glándulas tubulares, enrolladas y tamificadas (lám. 58, p. 652). La luz es relativamente amplia y las células secretoras tienen un aspecto similar al de las células mucosas superficiales, lo cual sugiere una secreción bastante viscosa. Las células enteroendocrinas se encuentran intercaladas dentro del epitelio glandular junto con algunas células parietales. Las glándulas se vacían dentro de las enptas gástricas profundas que ocupan cerca de la mitad del espesor de la mucosa (fig. 17-15).

Renovación celular epitelial en el estómago

Las células mucosas superficiales se renuevan aproximadamente cada 3-5 días.

La vida media relativamente corta de las cétulas mucosas superficiales, de 3-5 días, es compensada por la actividad mitórica en el istmo, que es el segmento estrecho que hay entre la cripta gástrica y la glándula fúndica (fig. 17-16). El istmo de la glándula fúndica contiene una reserva de células madre tisulares que experimentan actividad mitórica, lo que proporciona una renovación celular

TABLA 17-1

Acciones fisiológicas de algunas hormonas gastrointestinales

	Acción principal		
Hormona	Sitio de sintesis	Estimula	Inhibe
Gastrina	Células G del estómago	Secreción ácida gástrica	
Grelina	Células Gr del estómago	Secreción de hormona de crecimiento Apetito y percepción de hambre	Metabolismo de los lípidos Utilización de grasa en el tepdo adiposo
Colecistocinina	Células I del duodeno y el yeyuno	Contracción de la vesicula biliar Secreción de enzimas pancreáticas Secreción pancreática del ion bicarbonato Crecimiento pancreático	Vaciamiento gástrico
Secretina	Células S det duodeno	Secreción de enzimas pancreáticas Secreción pancreática del ion bicarbonato Crecimiento pancreático	Secreción ácida gástrica
Péptido inhibidor gástrico	Células K del duodeno y el yeyuno	Liberación de insulina	Secreción ácida gástrica
Motilina	Células Mo del duodeno y el yeyuno	Motilidad gástrica Motilidad intestinal	

Acciones fisiológicas de otras hormonas gastrointestinales

Acción principal

	Action principal			
Hormona	Sitio de síntesis	Estimula	Inhibe	
Candidatos hormonales				
Polipéptido pancreático	Células PP del páncreas	Vaciamiento gástrico y motilidad intestinal	Secreción de enzimas pancreáticas Secreción pancreática de bicar- bonato	
Péptido YY	Células L en el fleon y el colon	Absorción de electrólitos y agua en el coion	Secreción ácida gástrica Vaciamiento gástrico Ingesta de alimentos	
Péptido similar al glucagón de tipo 1	Células L en el íleon y el colon	Liberación de insulina	Secreción ácida gástrica Vaciamiento gástrico	
Hormonas paracrinas				
Somatostațina	Células D de la mucosa de todo el tubo digestivo		Liberación de gastrina Secreción ácida gástrica Liberación de otras hormonas GI	
Histamina	Mucosa de todo el tubo digestivo	Secreción ácida gástrica		
Hormonas neuro- endocrinas				
Bombesina	Estómago	Liberación de gastrina		
Encefal nas	Mucosa y musculo liso de todo el tubo digestivo	Contracción del musculo liso	Secreción intestinal	
Péptido inhibidor vasoactivo	Mucosa y músculo liso de todo el tubo digestivo	Secreción de enzimas pancreáticas Secreción intestinal	Contracción del musculo liso Contracción de estinteres	

GI, pastrointestinal.

Modificado de Johnson LR, ed. Essential Medical Physiology, 2nd ed. Philadelphia. Lippincott-Raven. 1998.



FIGURA 17-14. Microfotografia de glándulas cardiales. En esta microfotografía se muestra la unión esofagogástrica. Nótese la presercia de epitelio plano estratificado del esófago en el ángulo superior derecho de la microfotografía. Las glándulas cardiales son tubulares, un poco tortuosas y a veces ramificadas. Están formadas sobre todo por células mucosecretoras de aspecto similar al de las células de las glándulas esofágicas. La secreción mucosa alcanza la luz de la cripta gástrica a través de un conducto breve que contiene células cálnicincas. 240×



FIGURA 17-15. Microfotografía de las glándulas pilóricas. En esta microfotografía se observa un corte de la pared del piloro. Las glándulas pilóricas son muy rectas en la mayor parte da su longitud, pero se enrollan cerca de la muscular de la mucosa. La luz es relativamente amplia y las células secretoras presentan un aspecto similar al de las células de la mucosa superficial, ello indica una secreción bastante viscosa. Estas células están restringidas a la mucosa y vierten su secreción en las criptas gástincas. No obstante, el límite entre las criptas y las glándulas es difícil de determinar en los preparados de rutina tenidos con H&E. 120×

CONSIDERACIONES FUNCIONALES FUNCIONES DIGESTIVAS Y ABSORTIVAS DE LOS ENTEROCITOS

La membrana piasmática de las microvellosidades del enterocito participa tanto en la digestión como en la absorción. Las enzimas digestivas están ancladas en la membrana plasmática y sus grupos funcionales se extienden hacia afuera para formar el glucocáliz. Esta disposición acerca los productos finales de la digestión a su sitio de absorción. Entre las enzimas se encuentran las peptidasas y las disacandasas. La membrana plasmática de las microvellosidades apicales también contiene la enzima enteropeptidase (enterocinasa), la cuales de particular importancia en el duodeno, donde convierte el tripsinógeno en tripsina. Entonces, la tripsina puede continuar la conversión adicional de tripsinógeno en tripsina. La tripsina convierte otros zimógenos pancreáticos en sus enzimas activas (fig. C17-4-1). En los párrafos que siguen se describen la digestión y la absorción de los tres tipos principales de sustancias nutritivas

La digestión final de los **hidratos de carbono** es realizada por las enzimas unidas a las microvellosidades de los enterocitos (fig. C17-4-2). La galactosa, la glucosa y la fructosa son absorbidas directamente por los capitares venosos y son

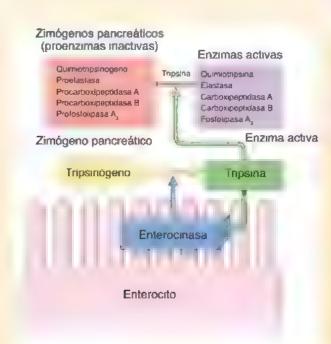


FIGURA C17-4-1. Acontecimientos durante la activación de las enzimas proteolíticas del páncreas. La mayona de las enzimas pancreáticas (proteasas) se secretan como proenzimas inactivas. Su activación se desencadena por la llegada del quimo al duodeno. Esto estimula a las células mucosas para que liberen y activen la enterocinasa *icaja azuli* dentro del giudocá z. La enterocinasa activa el tripsinógeno y lo converte a su forma activa, la tripsina (cuadro verde). A su vez, la tripsina activa otras proenzimas pancreáticas (cuadro rigio) a sus formas activas (cuadro púrpura). Las proteasas actives hidrolizan enlaces peptidicos de proteinas y polipéptidos y los reducen a péptidos pequeños y aminoácidos.

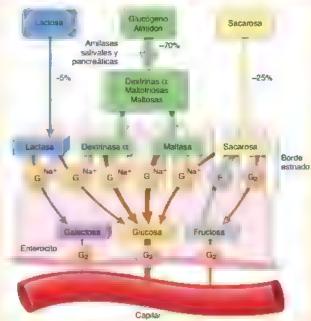


FIGURA C17-4-2. Digestión y absorción de hidratos de carbono por el enterocito. Los hidratos de carbono llegan al tubo digestivo como monosacáridos (p. ej., glucosa, fructosa y galactosa), disacândos (p. ej., sacarosa, lactosa y maitosa) y polisacândos (p. ej., glucógeno y almidón). Las enzimas que participan en la digestión de hidratos de carbono se clasifican como amilasas salivales y pancreáticas. La digestión adicional se realiza en el borde estriado de los enterocitos por la acción de enzimas que degradan oligosacáridos y polisacándos en tres monosacándos básicos (glucosa, galactosa y fructosa). La glucosa y la galactosa son absorbidas por el enterocito mediante un transporte activo que utiliza un transportador de glucosa dependiente de Na* (SGLT1, sodium-glucose linked transporter 1). Este transportador se localiza en la membrana celular apical (circulos indicados con G y Na*). La fructosa se introduce a la célula mediante el transporte facilitado independiente de Na* que utiliza G_UT5 (circulo gris con leyenda F) y transportadores de glucosa GLUT2 (octágonos naranja con leyenda G₂). Los tres monosacáridos absorbidos atrav esan entonces la membrana basal del enterocito, para lo cual utilizan transportadores de glucosa GLUT2, y pasan a los capilares subvacentes de la circulación portal que los conducen hacia su destino final en el higado.

transportadas al higado a través de los vasos del sistema hepático portal. Algunos lactantes y un gran porcentaje de los adultos no pueden tolerar la leche ni los productos lácteos no fermentados debido a la ausencia de lactasa, una disacandasa que divide la lactosa en galactosa y glucosa. Si estas personas ingieren leche, presentan distensión abdominal por el gas producido por la digestión bacteriana de la lactosa no procesada y padecen diarrea. Esta alteración se alivia por completo si se elimina la lactosa (disácando lácteo) de la dieta. En algunos individuos, la intolerancia a la leche también se puede aliviar, de forma parcial o total, mediante el uso de productos lácteos reducidos en lactosa o de tabletas de lactasa (enzima que digiere la lactosa) que se consiguen como medicamentos de venta libre.

CONSIDERACIONES FUNCIONALES FUNCIONES DIGESTIVAS Y ABSORTIVAS DE LOS ENTEROCITOS

Los trigliceridos se degradan a glicerol, monoacilgliceroles y ácidos grasos de cadenas corta, mediana y larga. Estas sustancias son emulsificadas por las sales biliares y se introducen en la región apical del enterocito. Aquí, el glicerol y los ácidos grasos de cadena larga se resintetizan para formar triglicéridos. Los triglicéridos resintetizados aparecen primero en las vesículas apicales del REL (véase fig. 17-21), después en el aparato de Golgi (donde se convierten en quilomicrones, pequeñas gotas de grasa neutra) y, por ultimo, en vesículas que transportan los quilomicrones hacia el espacio intercelular. En lugar de ser absorbidos directamente por los capilares venosos, fos quilomicrones se alejan del intestino a través de los vasos linfáticos (quiliferos) que penetran en cada vellosidad. Entonces, la linfa con quitomicrones abundantes. drena en el conducto torácico que desemboca en el sistema venoso sanguineo. Cuando entran en la circulación sanguinea, los quilomicrones se desintegran con rapidez y sus lípidos constituyentes son utilizados en todo el cuerpo. Los ácidos grasos de cadenas corta y mediana, además del glicerol, atraviesan la membrana celular apical y entran y salen del enterocito exclusivamente a través de capilares tributarios de la vena porta que llega al hígado

La digestión y la absorción de las proteínas se ilustran en la figura C17-4-3. Los principales productos finales de la d gestión proteinica son los aminoácidos (cerca del 30%) y los oligopéptidos (alrededor del 70%), que son absorbidos por los enterocitos. El mecanismo de absorción de amnoácidos es conceptualmente idéntico al de los hidratos de carbono. La membrana plasmática apical de los enterocitos contiene al menos cuatro cotransportadores de aminoácidos dependientes de Na* Los dipéptidos y los tripéptidos son transportados a través de la membrana apical hacia el citoplasma celular por el cotransportador oligopéptido-H* (PepT1). La mayoría de los dipéptidos y tripéptidos son degradados por las peptidasas citoplasmáticas a aminoácidos libres, los cuales posteriormente son transportados a través de la membrana basal (sin la necesidad de un cotransportador) hacia los capilares subyacentes de la circulación portal. En una alteración de la absorción de aminoácidos (enfermedad de Hartnup) aparecen aminoácidos libres en la sangre cuando a los pacientes se les administran dipéptidos, pero no cuando reciben aminoácidos libres. Esto sustenta la conclusión de que los dipéptidos de ciertos aminoácidos se absorben a través del cotransportador PepT1, que participa en mecanismos diferentes de los utilizados por los aminoácidos libres

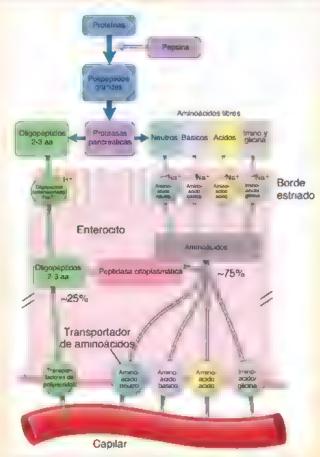


FIGURA C17-4-3. Digestión y absorción de las proteínas por el enterocito. Las proteínas que imgresan en el tubo digestivo son digeridas completamente hasta aminoácidos libres (aa) y pequeños fragmentos de dipéptidos y tripéptidos. La digestión proteínica inicia en el estórnago con la pepsina, que hidroliza proteínias en polipéptidos grandes. La siguiente etapa ocurre en el intestino deligado por acción de las enzimas proteolíticas pancreáticas. El proceso de activación se illustra en la figura C17-4-1. Los aminoácidos libres son transportados por cuatro cotransportadores de aminoácidos. Na* diferentes. Los dipéptidos y tripéptidos son transportados à través de la membrana apical hacia la célula por los cotransportadores de oligopéptido. H* (PepT1), La mayoría de los dipéptidos y tripéptidos son degradados por peptidasas citoplasmáticas, mientras que los aminoácidos libres se transportan a través de la membrana basal hacia los capilares subyacentes de la circulación portal.

continua. La mayoría de las células recién producidas en este sitio se convierten en células mucosas superficiales. Estas células migran hacia arriba a lo largo de la pared de la cripta hasta la superficie luminal del estómago y, finalmente, se exfolian hacia la luz del estómago.

Las células de las glándulas fúndicas tienen una vida media bastante prolongada.

Otras células del istmo bajan hasta las glándulas gástricas para originar células parietales, principales, mucosas glandulares y enteroendocrinas que constituyen el epitelio glandular. Estas células tienen una vida media relativamente larga. Las células parietales cuentan con la vida media más larga, de 150-200 días. Si bien estas células evolucionan a partir de las mismas células madre indiferenciadas, su vida media es muy diferente. Se ha planteado la hipótesis de que las células parietales pueden haberse originado a partir de un hongo llamado Neurospora crassa, que antiguamente vivía en relación simbiótica con las células del estómago humano. El fundamento de esta hipótesis es que la bomba de protones humana (ATPasa H⁺/K⁺), que se encuentra en las células parietales, guarda una semejanza genética notable con las bombas protónicas de este organismo. Se piensa que el ADN micótico fue translocado y posteriormente incorporado al núcleo de las células madre, quizás con la colaboración de un virus.



FIGURA 17-16. Microfotografía de una célula en división en el istmo de una glándula pilórica. Las criptas gástricas en esta microfotografía se seccionaron en un plano oblicuo al eje de la cripta. Nótese que, en este corte, las criptas gástricas (flechas) pueden reconocerse como inivag náciones del epitelio superficial rodeadas por lámina propia La támina propia es muy celular debido a la gran cantidad de linfocitos. 240 × Recuadro. Con un aumento mayor de la región indicada por el cuadrado, se puede observar una célula en división en el stmo 580 ×

Se estima que las célules principales y las célules entercendocrines viven entre 60 y 90 días antes de ser reemplazadas por nuevas células que migran hacia abajo desde el istmo. La célula mucosa del cuello, en cambio, posee una vida media mucho más corta, de unos 6 días.

Lámina propia y muscular de la mucosa

La támina propia del estómago es relativamente escasa y se encuentra restringida a los espacios estrechos que rodean las criptas gástricas y las glándulas. El estroma está compuesto en gran parte por fibras reticulares relacionadas con células musculares lisas y fibroblastos. Otros de los componentes incluyen células del sistema inmunitario, es decir, linfocatos, plasmocitos, macrófagos y algunos eosinófilos. Cuando hay inflamación, como suele ser el caso, los neutrófilos también pueden ser abundantes. Además, se encuentran unos cuantos nódulos linfáticos que a menudo se introducen, de forma parcial, en la muscular de la mucosa.

La muscular de la mucosa está compuesta por dos capas bastante delgadas que, en general, están dispuestas como una capa circular interna y una capa longitudinal externa. En algunas regiones puede existir una tercera capa cuya orientación tiende a seguir un patrón circular. Algunos finos haces de células musculares lisas se extienden hacia la superficie en la lámina propia desde la capa interna de la muscular de la mucosa. Se piensa que estas células musculares lisas en la lámina propia contribuyen a la expulsión de las secreciones de las glandulas gástricas.

Submucosa gástrica

La submucosa está compuesta por tejido conjuntivo denso que contiene cantidades variables de tejido adiposo y vasos sanguíneos, así como fibras nerviosas y células ganglionares que componen el plexo submucoso (plexo de Meissner). Este último inerva los vasos de la submucosa y el músculo liso de la muscular de la mucosa.

Muscular gástrica externa

La muscular externa del estómago tradicionalmente se describe como compuesta por una capa longitudinal externa, una capa circular intermedia y una capa oblicua interna. Esta descripción puede ser engañosa, ya que distinguir las capas bien definidas a veces es algo dificil. Al igual que con otros órganos huecos esferoideos (p. ej., la vesícula biliar, la vejiga urinaria y el útero), el músculo liso de la muscular externa del estómago está orientado de una forma más aleatoria de lo que queda implicado en el término capa. La capa longitudinal está ausente en gran parte de las superficies gástricas anterior y posterior; además, la capa circular está poco desarrollada en la región periesofágica. La disposición de las capas musculares es importante, pues está relacionada con su papel en el mezclado del quimo durante el proceso digestivo, así como con su capacidad para desplazar el contenido parcialmente digerido hacia el intestino delgado. Entre las capas musculares se encuentran grupos de células ganglionares y haces de fibras nerviosas amielínicas. En conjunto, forman el plexo mientérico (de Auerbach) que inerva las capas musculares.

Serosa gástrica

La serosa del estómago es como la que ya se describió para el rubo digestivo en general. Se continúa con el peritoneo parietal de la cavidad abdominal a través del omento mayor y con el peritoneo visceral del hígado a través del omento menor. Aparte de eso, no exhibe características especiales.

■ INTESTINO DELGADO

El intestino delgado es el componente más largo del tubo digestivo; mide más de 6 m y se divide en tres porciones anatômicas:

- El duodeno (con cerca de 25 cm de longitud) es la primera porción, y la más corta y ancha, del intestino delgado. Comienza a la altura del piloro del estómago y termina en el ángulo duodenoyeyunal (lám. 59, p. 654).
- El yeyuno (de casí 2.5 m de longitud) comienza en el ángulo duodenoyeyunal y constituye las dos quintas partes proximales del intestino delgado. Cambia de forma gradual sus características morfológicas hasta convertirse en el íleon (lám. 60, p. 656).
- El floor (de aproximadamente 3.5 m de longitud) es la continuación del yeyuno y constituye las tres quintas partes distales del intestino delgado. Termina en la válvula floocacat, la unión del fleori distal y el ciego (lám. 61, p. 658).

El intestino delgado es el sitio principal para la digestión de alimentos y la absorción de los productos de la digestión.

El quimo del estómago ingresa en el duodeno, hacia donde también se envían las enzimas del páncreas y la secreción biliar hepática, para continuar con el proceso de solubilización y digestión. Las enzimas, en particular las disacaridasas y las dipeptidasas, también se localizan en el glucocáliz de las microvellosidades de los enterocitos, que son las células absortivas intestinales. Estas enzimas contribuyen al proceso digestivo completando la degradación de la

mayoría de los glúcidos y de las proteínas en monosacáridos y aminoácidos que después se absorben (cuadro 17-4, p. 624). El agua y los electrólitos que llegan al intestino delgado con el quimo, así como las secreciones pancreáticas y hepáticas, también se reabsorben en el intestino delgado, en particular en la porción distal.

Los pliegues circulares, las vellosidades y las microvellosidades incrementan la extensión de la superficie absortiva del intestino delgado.

La superficie absortiva del intestino delgado está amplificada por el tejido y las especializaciones celulares de la mucosa y de la submucosa

Los pliegues circulares, también conocidos como válvulas de Kerckring, son pliegues transversales permanentes que contienen un centro de submucosa. Cada pliegue circular rodea entre la mitad y dos terceras partes de la circunferencia de la luz (fig. 17-17). Los pliegues comienzan a aparecer unos 5-6 cm después del piloro. Son más abundantes en la porción distal del duodeno y en el comienzo del yeyuno; asimismo, su tamaño y frecuencia se reducen desde la mitad del ileon.

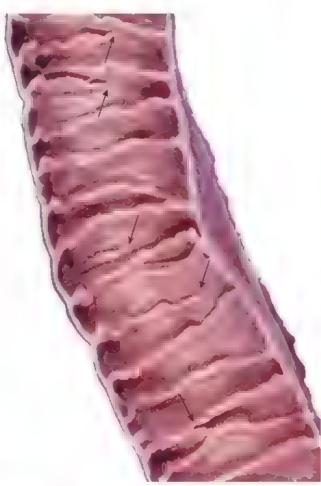


FIGURA 17-17. Fotografia de la superficie mucosa del intestino delgado. En esta fotografia del segmento de un yeyuno humano se muestra la superficie mucosa. Los pliegues circulares (válvulas conniventes) aparecen como una sene de crestas orientadas de forma transversal que se extienden parcialmente alrededor de la luz. En consecuencia, algunos pilegues circulares parecen terminar (o comenzar) en vaños situos a lo largo de la superficie luminal (flechas). Toda la mucosa presenta un aspecto aterciopelado debido a la presencia de veliosidades.

- Las vellosidades son evaginaciones digitiformes o foliáceas singulares de la mucosa; se extienden dentro de la luz intestinal a una distancia de 0.5-1.5 mm desde la superficie mucosa teórica (fig. 17-18). Las vellosidades cubren por completo la superficie del intestino delgado, lo que le confiere un aspecto aterciopelado cuando se examina a simple vista.
- Las microvellosidades de los enterocitos proporcionan la principal ampliación de la superficie luminal. Cada célula posee varios miles de microvellosidades muy juntas que son visibles con el microscopio óptico, y brindan a la región apical de la célula un aspecto estriado, el llamado borde estriado (en cepillo). Los enterocitos y sus microvellosidades se describen más adelante.

Las vellosidades y las glándulas intestinales, junto con la lámina propia, el GALT asociado y la muscular de la mucosa, constituyen los rasgos esenciales de la mucosa del intestino delgado.

Las vellosidades, como ya se mencionó, son evaginaciones de la mucosa. Están compuestas por un centro de tejido conjuntívo laxo cubierto por un epitelio cilíndrico simple. El centro de la vellosidad es una extensión de la lámina propia, que contiene abundantes fibroblastos, células musculares lisas, linfocitos, plasmocitos, eosinófilos, macrófagos y una red de capilares sanguíneos fenestrados, ubicados justo debajo de la lámina epitelial basal. Además, la lámina propia de la vellosidad contiene un capilar linfático central de fondo ciego, el vaso quilifero central (fig. 17-19 y lám. 60, p. 656). Las células musculares lisas derivadas de la muscular de la mucosa se extienden hacia la vellosidad y acompañan al vaso quilifero. Estas células musculares lisas podrían ser la causa de la contracción y el acortamiento intermitente de las vellosidades, una acción que impulsaria la linfa desde el vaso quilífero hacia la red de vasos linfáticos que rodean a la muscular de la mucosa.

Las glàndulas intestinales, o criptas de Lieberkuhn, son estructuras simples tubulares que se extienden desde la muscular de la mucosa a través del espesor de la lámina propia, donde desembocan en la superficie luminal del intestino, a la altura de la base de las vellosidades (véase fig. 17-18). Las glándulas están compuestas por un epitelio cilíndrico simple que es continuo con el epitelio de las vellosidades.

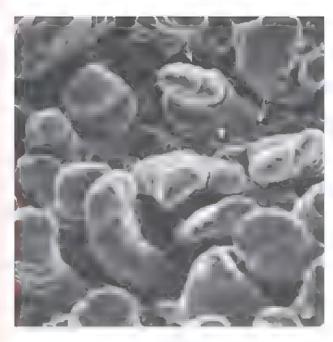
Al igual que en el estómago, la lámina propia rodea las glándulas intestinales y contiene abundantes células del sistema inmunitario (linfocitos, plasmocitos, mastocitos, macrófagos y eosinófilos), sobre todo en las vellosidades. La lámina propia también contiene numerosos nódulos de tajido linfatico, que son uno de los componentes principales del GALT. Los nódulos son particularmente grandes y abundantes en el íleon, donde se localizan de manera preferencial en el lado del intestino opuesto a la fijación mesentérica, es decir, en el borde antimesentérico del intestino (fig. 17-20). Estas aglomeraciones nodulares se conocen como conglomerados linfonodulares ileados o placas de Payor. En la anatomía macroscópica aparecen como conjuntos de motas blanquecinas en la mucosa.

La muscular de la mucosa está compuesta por dos capas delgadas de células musculares lisas, una capa circular interna y una capa longitudinal externa. Como ya se mencionó, los haces finos de células musculares lisas se extienden desde la muscular de la mucosa hacia la lámina propia de las vellosidades.

En el epitelio de la mucosa intestinal se encuentran al menos cinco tipos de célula.

Las células maduras del epirelio intestinal se encuentran en las glándulas intestinales y la superficie de las vellosidades. Estas células incluyen:

- Enterocitos, cuya función primaria es la absorción.
- Células caliciformes, que son glándulas unicelulares secretoras de mucina.



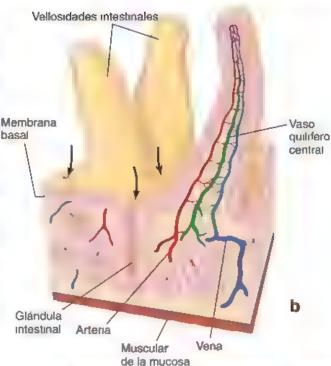


FIGURA 17-18. Vellosidades de la mucosa del intestino delgado, a. Microfotografia electrónica de barndo de la mucosa intestinal en la que se ven sus vellosidades. Nótense los orificios (fiechas) ubicados entre las bases de las vellosidades que comunican con las glándulas intestinales (criptas de L'eberkuhn). 800 × b. En este diagrama tridimensional de las vellosidades intestinales se muestra la continuidad del epite lo que las reviste con el epitello que cubre las glandulas intestinales. Nótense los vasos sangumeos y el capitar infático de terminación diegal denominado vaso quilifero central, en el centro de la vellosidad. Entre las bases de las vellosidades se pueden ver los orficios de las glándulas intestinales (fiechas). Además, los orficios pequenos que aparecen en la superficie de las vellosidades indican la ubicación de las cálulas cal ciformes que han uberado sus gránulos.



FIGURA 17-19. Microfotografia de una vellosidad intestinal. La superficie de la vellosidad consiste en cérulas epitelhales cilíndricas, sobre todo enterocitos provistos de borde estriado apical. También hay células caliciformes identificadas con facilidad por la acumulación apical de gránulos de mucinógeno. Debajo dei epitelho está la lámina propia que consiste en tejido conjuntivo laxo muy celurar. Contiene grandes cantidades de células redonideadas, en su mayoría linfocitos. Además, pueden identificarse células musculares lisas. Un capitar linfático, denominado vaso quilifiero central, ocupa el centro de la vellosidad. Cuando está dilatado, como en esta muestra, se identifica fácilmente. 160×

- Células de Paneth, cuya función principal es mantener la inmunidad innata de la mucosa mediante la secreción de sustancias anumicrobianas.
- Célules enteroendocrinse, que producen varias hormonas endocrinas y paracrinas.
- Células M (células con microphegues), que son células especializadas (enterocitos) en el epitelio que cubren los nódulos linfáticos en la lámina propia,

Los enterocitos son células absortivas especializadas en el transporte de sustancias desde la luz del intestino hacia el sistema circulatorio.

Los **enterocitos** son células cilíndricas altas con un núcleo posicionado de forma basal (fig. 17-21; *véase también* fig. 17-18). Las microvellosidades incrementan la superficie apical hasta 600 veces; en los cortes para la microscopía óptica se reconocen como un **borde** o **chapa estriado** en la superficie luminal.

Cada microvellosidad tiene un centro de microfilamentos de actina orientados de forma vertical, anclados a la villina ubicada en la punta de la microvellosidad y también adheridos a las microvellosidades de la membrana plasmática por moléculas de miosina I. Los microfilamentos de actina se extienden dentro del citoplasma apical y se insertan en el volo terminal, una red de microfilamentos contráctiles orientados de manera horizontal que forman una capa en el citoplasma más apical y se unen a la densidad intracelular asociada con la zónula adherente. La contracción del velo terminal determina que las microvellosidades se separen, lo cual aumenta el espacio entre ellas para permitir una mayor superficie de exposición para que ocurra la absorción. Además, la contracción del velo terminal contribuiría a "certar" las brechas dejadas en la lámina epitelial por la exfoliación de las células envejecidas. Los enterocitos están unidos entre sí y a las células calici

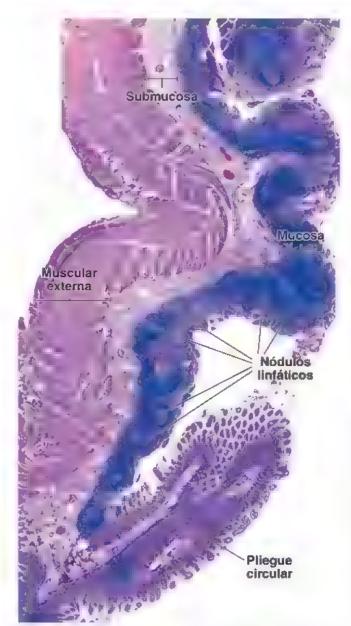


FIGURA 17-20. Microfotografía de las placas de Peyer. En esta microfotografía se muestra un corte longitudinal a través de la pared de un fleon humano. Nótese la gran cantidad de nódulos linfáticos localizados en la mucosa y el corte de un pliegue circular que se proyecta hacia la uz del fleon. Los nódulos linfáticos de la placa de Peyer se ubican principalmente dentro de la lámina propia, aunque muchos se extienden dentro de la submucosa. Están cubiertos por el epitello intestinal que contiene enterocitos, algunas célu as caliciformes y celuias. Mi transportadoras de antigeno especializadas. 40×

formes, las células enteroendocrinas y otras células del epitelio por complejos de unión.

Las uniones ocluyentes establecen una barrera entre la luz intestinal y el compartimento intercelular epitelial.

Las uniones ocluyontes o herméticas entre la luz intestinal y el compartimento de tejido conjuntivo del organismo permiten la retención selectiva de sustancias absorbidas por los enterociros. Como se mencionó en el capítulo 5, el "hermetismo" de estas uniones puede variar.

En las relativamente impermeables uniones ocluyentes, como las del íleon y el colon, se requiere de un transporte activo para mover solutos a través de la barrera. En términos simples, los sistemas de transporte activo, como las bombas de sodio (ATPAsa Na*/K*) localizadas en la membrana plasmática lateral, reducen de forma transitoria la concentración citoplasmática de Na* al transportarlo

a través de esta membrana hacia el espacio extracelular por debajo del nivel de la unión ocluyente. Este transporte de Na⁺ crea una concentración intercelular alta del catión, lo cual determina que el agua de la célula salga hacia el espacio intercelular y se reduzcan así las concentraciones de agua y Na⁺ en la célula. En consecuencia, el agua y el Na⁺ ingresan en la célula por su superficie apical, la atraviesan y salen por su membrana plasmática lateral mientras la bomba de sodio continúe funcionando. El incremento de la osmolaridad en el espacio intercelular atrae el agua hacia este espacio y esto crea una presión hidrostática que impulsa el Na⁺ y el agua a través de la lámina basal hacia el tejido conjuntivo.

En los epitelios con uniones ocluyentes más permeables, como las del duodeno y el yeyuno, una bomba de sodio también crea una baja concentración de Na⁺ intracelular. Cuando el contenido que pasa bacia el duodeno y el yeyuno es hipotónico, se produce una absorción considerable de agua junto con Na⁺ adicional y otros pequeños solutos, directamente a través de las umones ocluyentes de los enterocitos en los espacios intercelulares. Este mecanismo de absorción se conoce como arrastro del solvente.

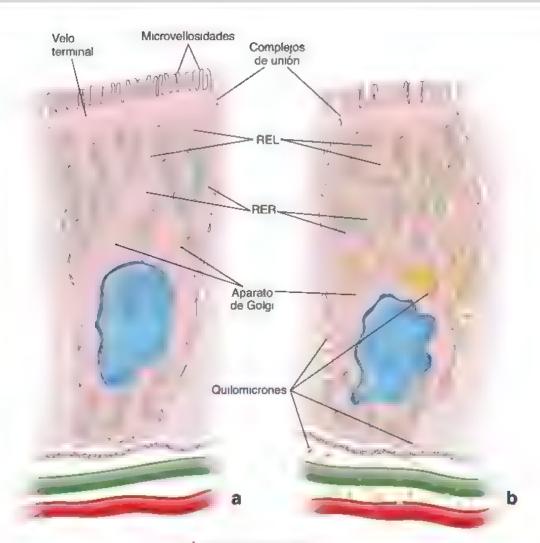
Otros mecanismos de transporte también aumentan las concentraciones de sustancias específicas en el espacio intercelular, como glúcidos, aminoácidos y otros solutos. Estas sustancias luego se difunden o fluyen a favor de sus gradientes de concentración dentro del espacio intercelular para cruzar la lámina basal epitelial e ingresar a los capilares fenestrados en la lámina propia, ubicados justo debajo del epitelio. Las sustancias que son demasiado grandes para entrar en los vasos sanguíneos, como las partículas lipoproteínicas, ingresan en el vaso quilifero linfático.

La superficie celular lateral de los enterocitos exhibe evaginaciones citoplasmáticas complejas, aplanadas (phegues), que se entrelazan con las evaginaciones de las células contiguas (véase fig. 5-24). Estos pliegues incrementan la extensión de la superficie lateral de la célula, con lo que aumentan la cantidad de membrana plasmática que contiene enzimas de transporte. Durante la absorción activa, en especial de solutos, agua y lípidos, estos pliegues laterales se separan y agrandan el compartimento intercelular. El aumento de la presión hidrostática de los solventes y los solutos acumulados causa un flujo direccionado a través de la lámina basal del epitelio hacia la lámina propia (véase fig. 5-1).

Además de las especializaciones de membrana asociadas con la absorción y el transporte, el citoplasma del enterocito también está especializado para estas funciones. Las mitocondinas alargadas que suministran la energía para el transporte están concentradas en el citoplasma apical, entre el velo terminal y el núcleo. Los túbulos y las cisternas del retículo endoplasmático liso (REL), que participa en la absorción de ácidos grasos y glicerol, así como en la resíntesis de las grasas neutras, se encuentran en el citoplasma apical debajo del velo terminal.

Los enterocitos también son células secretoras que producen las anzimas necesarias para la digestión terminal y la absorción, así como para la secreción de agua y electrolitos.

La función secretora de los enterocitos, que consiste principalmente en la síntesis de enzimas glucoproteinicas que se insertarán en la membrana plasmárica apical, tiene como correlato morfológico el apilamiento de cisternas de Golgi en la región supranuclear inmediata, así como la presencia de ribosomas libres y RER a los lados del aparato de Golgi (véase fig. 17-21). En el citoplasma apical, justo debajo del velo terminal y a lo largo de la membrana plasmática lateral, hay pequeñas vesículas de secreción que contienen glucoproteínas destinadas a la superficie celular. Para distinguir estas vesículas de secreción de las vesículas endocíticas, o de lisosomas pequeños, es necesario utilizar métodos histoquímicos o autorradiográficos.



CÉLULAS ABSORTIVAS

FIGURA 17-21. Diagrama de un enterocito en diferentes fases de absorción a. Esta celula trene un borde estrado en su superficie apica y comprejos de unión que aisian la fuz de intestino de espacio intercelular lateral. En el diagrama se representa el complemento característico de los principales orgánicios b. Esta célula muestra la distribución de lipidos durante la absorción de las grasas italicomo se observa con el microscopio electrónico. Al principio los lipidos aparecen asociados con las microvellos dades del borde estriado. Entonces son capitados por la célula y se ven dentro de las vesiculas del reticulo endopiasmàtico I so (REL) en la región apical de citoplasma. Los lipidos limitados por una pueden rastrearse hasta el centro de la célula donde se fusionan muchas de las vesiculas que los contienen. Después se expulsan hacia el espacio interce ular. Los lipidos extracellulares conocidos como quitomicrones, atraviesan la fámina basal para ser transportados hacia los vasos linfáticos (verdes), los vasos sanguineos (rojos) o ambos. RER, reticulo endoplasmático rugoso.

El intestino delgado también secreta agua y electrólitos. Esta actividad ocurre principalmente en las células dentro de las glándulas intestinales. Se piensa que la secreción que ocurre en estas glándulas contribuye al proceso de digestión y absorción al mantener el estado líquido adecuado del quimo intestinal. En situaciones normales, la absorción de líquidos por el enterocito de una vellosidad está equilibrada con la secreción de líquido por el enterocito de una glándula intestinal.

Las células caliciformes son glándulas unicelulares dispersas entre fas otras células del epitelio intestinal.

Al igual que en otros epitelios, las células caliciformes producen moco. En el intestino delgado, las células caliciformes incrementan su cantidad desde el duodeno hasta la porción terminal del fleon. Además, dado que el mucinógeno hidrosoluble se pierde durante la preparación de cortes teñidos con HôcE de rutina, la parte de la célula que suele contener gránulos de mucinógeno aparece vacía. El examen con el MET permite observar una gran acumulación de gránulos de mucinógeno en el citoplasma apical, que distiende esa región de la célula y distorsiona la forma de las células adyacentes (fig. 17-22). Con la región celular apical repleta de gránulos de mucinógeno, la

porción basal de la célula parece una columna delgada. Esta porción basal es muy basófila en los preparados histológicos debido a que está ocupada por un núcleo heterocromático, un RER extenso y los ribosomas libres. Las mitocondrias también se concentran en el citoplasma basal. La forma característica de esta célula, con su dilatación apical por la acumulación de gránulos y su región basal muy estrecha, es la causa del nombre "caliciforme", por su semejanza con un cáliz. Una estructura extensa de cisternas de Golgi aplanadas forma una concavidad amplia alrededor de los gránulos de mucinógeno recién formados, que es contigua a la porción basal de la célula (véate fig. 17 22a). Las microvellosidades de las células caliciformes están restringidas al reborde delgado de citoplasma (la teca) que rodea la porción apicolateral del cútnulo de gránulos de mucinógeno. Las microvellosidades son más evidentes en las células caliciformes inmaduras que hay en la mitad profunda de las glándulas intestinales.

Las células de Paneth cumplen una función en la regulación de la microbiota bacteriana normal del intestino delgado.

Las células de Paneth se localizan en las bases de las glándulas intestinales (a veces también se encuentran en pequeñas cantidades en el colon normal; su cantidad puede aumentar en ciertos estados pa-

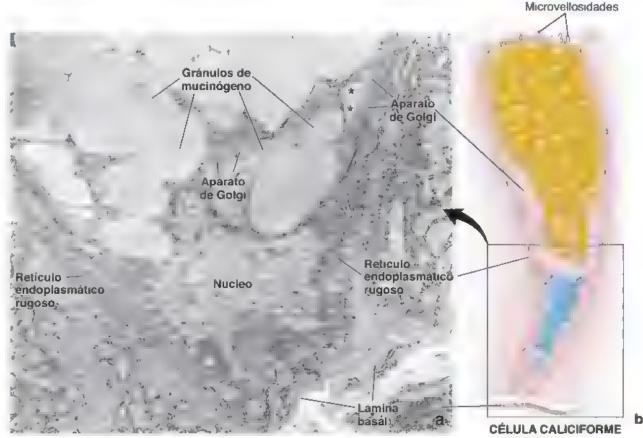


FIGURA 17-22. Microfotografia electrónica y diagrama de una célula caliciforme, a En esta microfotografia electrónica se muestra la región basa de una célula caliciforme que se illustra en el diagrama contiguo. La célula está apoyada en la famina basa una región basal de la célula contiene el nucleo, el ret culo endoplasmàtico rugoso y las mitocondrias. Justo encima del nucleo se observa una cantidad abundante de dictiosomas de aparato de Goigi. A medida que el producto mucoso se acumula en las cisternas de Goigi estas se dilatan (asteriscos). Los granulos de mucinogeno grandes ocupan casi toda la región apical de la célula y en conjunto constituyen el "cáliz mucoso" que se observa con el microscopio óptico. 15,000 × b. Este diagrama muestra una célula caliciforme compieta, un región inicitida en el recuadro de este diagrama corresponde a la región de la que probablemente se obtuvo la microfotografia el ectrónica contigua. El nucleo está ubicado en la porción basal de la célula. La mayor parte de la célula está llena de gránulos de mucinógeno que le conceden la forma de copa o caiz mucoso que se observa al microscopio óptico. En la base y en la parte inferior de los lados del cáliz mucoso se encuentran los sácutos aplanados de gran aparato de Goig. Los otros orgánulos se distribuyen en el resto del citopiasma, en especia en el citopiasma perinuclear en la base de la célula.

tológicos). Estas células tienen un citoplasma basal basófilo, un aparato de Golgi supranuclear y grandes gránulos de secreción apicales que son muy acidófilos y con capacidad de refracción. Estos gránulos permiten su fácil identificación en los cortes histológicos de rutina (fig. 17-23). Los gránulos de secreción contienen la enzima antibacteriana lisozima, defensinas ot, otras glucoproteinas, una proteína con abundante arginína (que puede ser la causa de la acidofilia intensa) y zinc. La lisozima digiere las paredes celulares de ciertos grupos de bacterias. Las defensinas ot son homólogas da los peptidos que funcionan como mediadores en los linfocitos T CD8* citotoxicos. Su acción antibacteriana y su capacidad para fagocitar ciertas bacterias y protozoos indican que las células de Paneth desempeñan un papel en la regulación de la microbiota bacteriana normal del intestino delgado.

Las células entercendocrinas en el intestino delgado producen, casi todas, las mismas hormonas peptidicas que en el estómago.

Las células enteroendocrinas en el intestino delgado se parecen a las que se encuentran en el estómago (véave fig. 17-12). Las "células cerradas" se concentran en la porción basal de la glándula intestinal, mientras que las "células abiertas" pueden encontrarse en todos los niveles de cada vellosidad. La activación de los receptores del gusto en la membrana celular apical de las "células abiertas" comienza la cascada de señalización iniciada por proteínas G, que produce la liberación de péptidos que regulan una gran variedad de funciones gas-

trointestinales. Estas funciones incluyen la regulación de la secreción pancreática, la inducción de la digestión y la absorción, así como el control de la homeostasis energética al actuar sobre los mecanismos nerviosos del eje encefaloenteroadiposo. Casi todas las hormonas peptidicas identificadas en este tipo celular en el estómago pueden detectarse en las células enteroendocrinas del intestino (véase tabla 17-1). La colecistocinina (CCK, cholecystokinin), la secretina, el polipeptido inhibidor gástrico (GIP, gastric inhibitory polypeptide) y la motilina son los reguladores más activos de la fisiología gastrointestinal que se liberan en esta porción del intestino (véase fig. 17-13). La CCK y la secretina aumentan la actividad del páncreas y la vesícula biliar, además de uthibir la función secretora gástrica y la motilidad. El GIP estimula la liberación de insulina por el páncreas, y la motilina induce la motilidad gástrica e intestinal. Si bien se han aislado otros péptidos producidos por las células enteroendocrinas, todavía no se consideran hormonas y, por lo tanto, se denominan candidatos hormonaion (véase p. 623). Las células entercendocranas también producen al menos dos hormonas, la somatostatina y la histamina, que actúan como hormonas paracrinas (véase p. 623; hormonas que tienen un efecto local y no circulan en el torrente sanguíneo). Además, las células nerviosas localizadas en la submucosa y la muscular externa secretan varios péptidos. Esos péptidos, denominados hormones neurocrines, están representados por el péptido intestinal vasoactivo (VIP, vasoactive intestinal peptide), la bombesina y las encefalinas. Las funciones de estos péptidos se describen en la tabla 17-2.

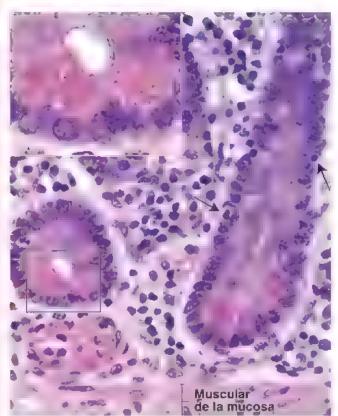


FIGURA 17-23. Microfotografía de las glándulas intestinales con células de Paneth. En esta microfotografía se muestra la base de las glándulas intestinales (yeyunales) en un preparado teñido con H&F. La glándula de la derecha aparece en un corte longitudinal; a la zquierda de la imagen hay otra glándula seccionada en sentido transversal que aparece como una silueta circular. Las células de Paneth generalmente se ubican en la base de las glándu as intestinales y se ven fácilmente con el microscopio óptico debido a la intensa tinción de sus gránulos con eosina. La lámina propia contiene abundantes plasmocitos, linfocitos y otras células del tejido conjuntivo. Nótese que hay varios linfocitos en el epitelio de la glándula (flechas) 240× Recuadro. La amplificación de la región conten da en el rectángulo muestra el citoplasma basófilo característico de la porción basal de las células y los grandes cúmulos de gránulos de secreción intensamente tenidos, eosinófilos y refractivos en la porción apical de la célula. Es probable que una proteína rica en arginina, que se encuentra en los gránulos, sea la causa de la intensa reacción eosinôfila 680×

Las células M transportan microorganismos y otras macromoléculas desde la luz intestinal hacia las placas de Peyer.

Las células M son células epiteliales que cubren las placas de Payer y otros nódulos linfáticos grandes; son muy diferentes de las células epiteliales intestinales circundantes (cuadro 17 5). Las células M tienen una forma muy interesante debido a que cada célula desarrolla un receso profundo con forma de bolsillo conectado al espacio extracelular. Las células dendríticas, los macrófagos y los linfocitos T y B se localizan en este espacio. Debido a esta forma única, la superficie celular basolateral de la célula M se ubiça a unos pocos micrones de su superficie apical, con lo que se reduce mucho la distancia que las vesículas endocíticas deben recorrer para cruzar la barrera epitelial. En su superficie apical, las células M tienen micropliegues en lugar de microvellosidades y una capa delgada de glucocáliz. La superficie apical expresa abundantes receptores de la glucoproteína 2 (GP2) que fijan macromoléculas específicas y bacterias gramnegativas (p. ej., Escherichia coli). Las sustancias unidas a los receptores GP2 son captadas por las vesículas endocíticas y transportadas a la superficie celular basolateral del receso con forma de bolsillo. Dentro del receso, el contenido liberado se transfiere de inmediato a las células

inmunitarias que están en ese espacio. Por lo tanto, las células M funcionan como células transportadores de antigeno altamente especializadas que relocalizan antígenos intactos desde la luz intestinal a través de la barrera epitelial. Los antígenos que alcanzan de este modo las células inmunitarias estimulan una respuesta en el GALT que se describe más adelante.

Las células intermediarias constituyen el compartimento de amplificación del nicho de células madre intestinales.

Las célules intermediaries constituyen la mayoría de las células del nicho de células madre intestinales que se localiza en la mitad basal de la glándula intestinal. Estas células conforman el compartimento de amplificación de las células que mantienen la capacidad de dividirse y suelen experimentar una o dos mitosis antes de comprometerse con la diferenciación en células caliciformes o absortivas. Estas células tienen microvellosidades irregulares, corras, con filamentos centrales largos que se extienden en profundidad hacia el citoplasma apical y establecen numerosas uniones maculares (desmosomas) con las células contiguas. Algunos pequeños gránulos secretores similares a la mucina forman una columna en el centro del citoplasma supranuclear. Las células intermedias que están destinadas a convertirse en células caliciformes desarrollan un pequeño cúmulo redondo de gránulos secretores justo debajo de la membrana plasmánica apical, mientras que las células seleccionadas para convertirse en células absortivas pierden los gránulos secretores y comienzan a acumular mitocondrias, RER y ribosomas en el citoplasma apical.

El GALT es prominente en la lámina propia del intestino delgado.

Ya se mencionó que la términa propia del tubo digestivo está superpoblada por elementos del sistema inmunitario; alrededor de una
cuarta parte de la mucosa está compuesta por una capa de organización laxa que contiene nódulos linfáticos, linfocitos, macrófagos,
plasmocitos y eosinófilos en la lámina propia (lám. 55, p. 646). Los
linfocitos también se localizan entre las células epiteliales. Este GALT
actúa como una barrera inmunitaria en toda la extension del tubo
digestivo. En cooperación con las células epiteliales subyacentes, en
particular las células M, el tejido linfático toma muestras de los antígenos que hay en los espacios intercelulares del epitelio. Los linfocitos, los macrófagos y otras células presentadoras de antígenos
procesan los antígenos y migran hacia los nódulos linfáticos de la lámina propia donde son activados (wéase p. 481), lo que causa la secreción de anticuerpos por los plasmocitos recién diferenciados.

La superficie mucosa está protegida por respuestas mediadas por inmunoglobulinas.

La superficie mucosa del tubo intestinal es desafiada de manera constante por la presencia de los microorganismos (p. ej., virus, bacterias, parásitos) y las toxinas ingeridos, los cuales después de afectar la barrera epitelial pueden causar infecciones o enfermedades. Un ejemplo de un mecanismo de defensa específico es la respuesta mediada por inmunoglobulinas, en la que participan anticuerpos de tipo inmunoglobulina (Ig) A, IgM e IgE. La mayoría de los plasmocitos de la lámina propia del intestino secretan anticuerpos IgA diméricos (dIgA) en lugar de IgG, que son más habituales. Otros plasmocitos producen IgM pentamérica e IgE (véase p. 593). Los anticuerpos dIgA están compuestos por dos subunidades de IgA monoméricas y una cadena J de polipéptidos (véase fig. 16-28). Las moléculas de dlgA secretadas se unen al receptor de inmunogiobulina polimérica (pigR, polymeric immunogiobulin receptor) localizado en el dominio basal de las células epiteliales (fig. 17-24). El receptor pIgR es una glucoproteína transmembrana (75 kD2) sintetizada por enterocitos y expresada en la membrana plasmática basal. Entonces, el complejo plgR-dlgA experimenta endocitosis y se transporta a tra-

CONSIDERACIONES FUNCIONALES: FUNCIONES INMUNITARIAS DEL TURO DIGESTIVO

Los inmunólogos han demostrado que el GALT no solo responde a estímulos antigénicos, sino que también posee capacidad de vigitancia inmunitaria. Esta función se ha esclarecido de forma parcial para los nódulos linfáticos del tubo digestivo Las células M, que cubren las placas de Peyer y los nódulos linfáticos, poseen micropliegues superficiales distintivos que podrían confundirse con microvellosidades gruesas en los cortes. Las células se identifican con facilidad en el microscopio e ectrónico de barrido porque los micropliegues de su superficie contrastan mucho con las microvellosidades que componen el borde estriado de los enterocitos contiguos.

Con la **glucoproteina GP2** (que se utiliza como marcador molecular para las células M) se ha demostrado que las células M captan proteínas y bacterias por endocitosis desde la luz intestinal, las transportan en vesículas a través de la célula y expulsan su contenido por exocitosis hacia recesos profundos que son continuos con el espacio extracelular (fig. C17-5-1). Las células dendríticas y los linfocitos que hay dentro de los recesos del espacio extracelular tomán muestras de las pro-

teinas, incluso antigenos, provenientes de la luz intestinal, así, tienen la oportunidad de estimular el desarrollo de anticuerpos específicos contra los antigenos. El destino de estos linfocitos expuestos aún no se ha determinado con certeza. Algunos se mantienen dentro del tejido linfático local, pero otros pueden estar destinados a otros sitios del organismo (p. ej., glándulas salivales y mamanas). Se debe recordar que, en las glándulas salivales, las células del sistema inmunitario (plasmocitos) secretan IgA que el apitello glandular convierte luego en sIgA. Algunos estudios experimentales indican que el contacto con el antigeno necesario para que los plasmocitos produzcan IgA ocurre en los nódulos linfáticos de los intestinos. Los haliazgos recientes de estudios que utilizaron ratories carentes de GP2 muestran que la interacción de esta glucoproteína con la bacteria tiene un papel importante en las respuestas inmunitanas. específicas contra antigeno en las placas de Peyer. Esto puede llevar al desarrollo no solo de nuevas vacunas orales contra enfermedades infecciosas, sino también a tratamientos innovadores de tumores y enfermedades inflamatorias del intestino.

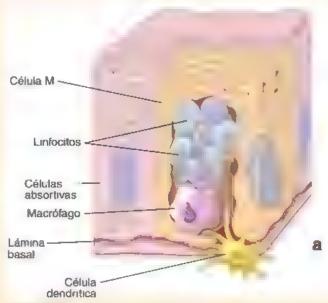




FIGURA C17-5-1. Diagrama de células M que cubren un nódulo linfático del intestino, a. En este diagrama se muestra la relación entre las células M (celulas con micropliegues) y las células absortivas en el epitero que cubre un nódulo infático. La célula M es una celula epiteral que muestra micropliegues en lugar de microve los dades en su superficie apical. Tiene recesos profundos dentro de los cuales los linfocitos, los macrófagos y las evaginaciones de las células dendrificas se acercan a la luz del intestino de gado. Un antigeno intacto proveniente de la luz intestinal se transfiere a través de la capa de gada del citoplasma apical de la célula M los linfocitos y otras células presentadoras de antigenos que ocupan los recesos. b. Microfotografia electrónica de barrido de un nódulo linfático de una placa de Peyer que sobresalle en la luz del fleon. Notese que el área de foliculo, cub enta por celulas M está rodeada por proyecciones digitiformes productoras de moco en la región cubierta por las células M tiene un aspecto liso. La falta de células absortivas y de células calidromes productoras de moco en la región cubierta por las células M facilita las reacciones inmunitar as ante los antigenos. 80× (reproductos con autorización de Owen RL Johns A. Epithelial cell specialization within fruman Peyer's patiches lan ultrastructural study of intestinal tymphoid follicles. Gastroeriterology 1974,66: 189-203)

vés del epitelio hasta la superficie apical del enterocito (este tipo de transporte se conoce como transcitosis). Después de que el complejo plgR dlgA alcanza la superficie apical, el plgR se escinde proteolíticamente y la porción extracelular del receptor, que estaba unida a la dlgA, se libera en la luz intestinal (vésse fig. 17 24). Este dominio extracelular de unión escindido del receptor es conocido como componente secretor (CS); la dlgA secretada en asociación con el CS

se denomina IgA secretora (sIgA). La liberación de sIgA es decisiva para mantener una vigilancia inmunitaria adecuada por el sistema inmunitario de la mucosa. En la luz, la sIgA se une a antigenos, toxinas y microorganismos. La sIgA impide la adherencia y la invasión de virus y bacterias a la mucosa, ya sea inhibiendo su motilidad, causando una aglomeración microbiana o enmascarando los sitios de adhesión de los agentes

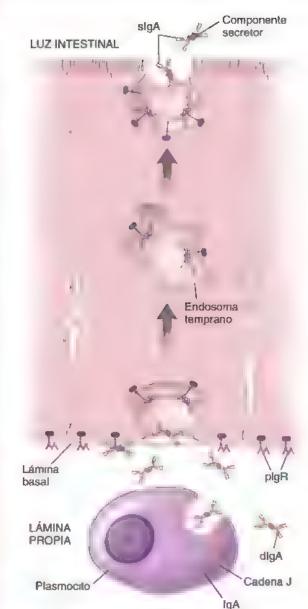


FIGURA 17-24. Diagrama de la secreción y el transporte de la inmunoglobulina A (IgA). El plasmocito sintetiza una forma monomérica de la inmunoglobulina A (IgA). La IgA se secreta hacia la lám na propia en la forma dimérica dIgA. La dIgA está compuesta por dos subunidades IgA monoméricas y una cadena J de polipéptidos, también sintetizada por el plasmocito. En la lám na propia, la dIgA se une al receptor de la immunoglobulina polimènca (plgR), en la membrana celular basal de enterocito. El complejo pigR-fgA ingresa en la cé u a por endocitosis y se transporta dentro de las vesículas endocíticas hasta el compartimento endosómico temprano y después hasta la superficie apical (un proceso llamado transcitosis). Las vesículas endocíticas se fusionar con la membrana plasmática apical, el plgR se escinde de forma proteolítica y la dígA se libera con la porción extracelular del receptor pigR. Esta porción del pigR permanece con el dimero IgA y se convierte en el componente secretor de la IgA secretora (slgA)

patógenos en la superficie epitellal. Por ejemplo, la sigA se une a una glucoproteina situada en la envoltura del virus de la inmunodeficiencia humana (VIH) y evita su adhesión, incorporación y replicación ulterior en la célula.

La IgA secretora es la principal molécula inmunitaria de la mucosa. Sin embargo, las moléculas de IgM utilizan mecanismos similares de transcitosis mediada por receptores para alcanzar la su perficie de la mucosa. Algunas IgE se fijan a las membranas plasmáticas de los mastocitos de la lámina propia (véanse pp. 194-198), lo

cual sensibiliza de forma selectiva a antígenos específicos provenientes de la luz intestinal.

Submucosa

Una característica distintiva del duodeno es la presencia de glándulas submucosas.

La submutosa está compuesta por tejido conjuntivo denso y sitios localizados que contienen cúmulos de adipocitos. Una característica visible en el duodeno es la presencia de glándulas submucosas, también denominadas glándulas de Brunner

Las glándulas submucosas tubulares ramificadas del duodeno poseen células secretoras con características tanto de células productoras de 2imógeno como de moco (fig. 17-25).

La secreción de estas glándulas tiene un pH de 8.1 9.3 y contiene glucoproreínas neutras y alcalinas, así como iones bicarbonato. Es probable que esta secreción tan alcalina sirva para proteger al intestino delgado proximal neutralizando el contenido ácido del quimo recibido. También acerca el pH del contenido intestinal a valores casi óptimos para la activación de las enzimas pancreáticas que también llegan al duodeno.

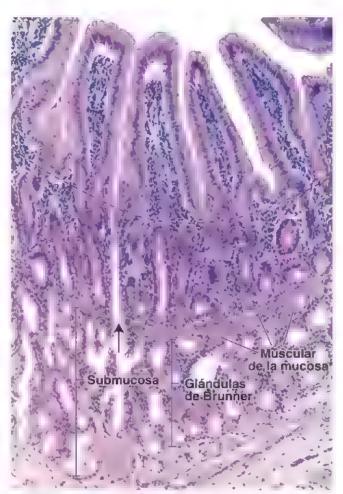


FIGURA 17-25. Microfotografía de las glándulas de Brunner en el duodeno. En esta microfotografía se muestra parte de la pared duodenal en un preparado teñido con H&E. Una característica distintiva del duodeno es la presencia de las glándulas de Brunner. La línea discontinua marca el límite entre las veilosidades y las glándulas intestinales típicas (criptas de Lieberkuhn). Estas ultimas se extienden hacia la muscular de la mucosa. Debajo de la mucosa se encuentra la submucosa que contiene las glándulas de Brunner. Estas son glándulas tubulares ramificadas cuyos componentes secretores están formados por células cilíndicas. El conducto de las glándulas de Brunner se abre en la luz de la glándula intestinal (flechas). 120×

Muscular externa

La muscular externa está compuesta por una capa interna de células musculares lisas dispuestas de forma circular y una capa externa de células musculares lisas dispuestas de modo longitudinal. Los componentes principales del plexo mientérico (plexo de Auerbach) se localizan entre estas dos capas musculares (fig. 17-26). En el intestino delgado se producen dos clases de contracción muscular. Las contracciones locales desplazan el contenido intestinal de forma tanto proximal como distal y reciben el nombre de contracciones de segmentación. Estas contracciones son ocasionadas sobre todo por la capa muscular circular. Sirven para movilizar localmente el quimo, de manera que se mezcle con los jugos digestivos y hace que entre en contacto con la mucosa para la absorción. La segunda clase de contracción es el peristaltismo, una acción coordinada de las capas musculares circular y longitudinal que desplaza distalmente el contenido intestinal

Serosa

La serosa de las partes del intestino delgado que están cubiertas por pentoneo dentro de la cavidad abdominal corresponde con la descripción general presentada al comienzo de este capítulo.

Renovación celular epitelial en el intestino delgado

Todas las células maduras del epitelio intestinal provienen de una sola población de células madre.

Las células madre están situadas en la base de la glándula intestinal. Este nicho de cálulas madre intestinales (zona de replicación celular) está restringido a la mitad basal de la glándula y contiene células intermedias muy proliferativas (como ya se explicó) y células

en diversas etapas de diferenciación. Una célula destinada a convertirse en caliciforme o absortiva suele experimentar varias mitosis adicionales después de abandonar el reservorio de células madre. Las células epiteliales migran hacia arriba en la glándula intestinal y ascienden por la vellosidad hasta que atraviesan un proceso de apoptosis y se exfolian hacia la hiz. Algunos estudios autorradiográficos han mostrado que el tiempo de renovación para las **cétulas caliciformes** o absortivas en el intestino delgado humano es de 4-6 días.

Las células entercendocrinas y las células de Paneth también derivan de las células madre de la base de la glándula intestinal. Al parecez, las células enteroendoctinas se dividen solo una vez antes de diferenciarse. Migran junto con las células absortivas y caliciformes, pero a un ritmo más lento. Las células de Paneth migran hacia abajo y permanecen en la base de la glandula intestinal. Viven alrededor de 4 semanas y después son reemplazadas por diferenciación de una célula "comprometida" cercana en la glándula intestinal. Las células que se reconocen como células de Paneth ya no se dividen. Como se mencionó en el capítulo 5, Tejido epitelial (véase p. 160), la expresión del factor de transcripción Math1 parece determinar en el nucho de células madre intestinales el destino de las células en diferenciación. Las células destinadas al linaje secretor (las que se diferenciarán en células caliciformes, enteroendocrinas y de Paneth) tienen un aumento de la expresión de Math1. La inhibición de la expresión de Math1 caracteriza el mecanismo de desarrollo, por defecto, que da origen a las células intestinales absortivas (enterocitos).

■ INTESTINO GRUESO

El intestino grueso comprende el ciego con su apéndice vermiforme, el colon, el recto y el conducto anal El colon a su vez se subdivide, según su ubicación anatómica, en colon ascendente, transverso, descendente y sigmoide. Las cuatro capas características

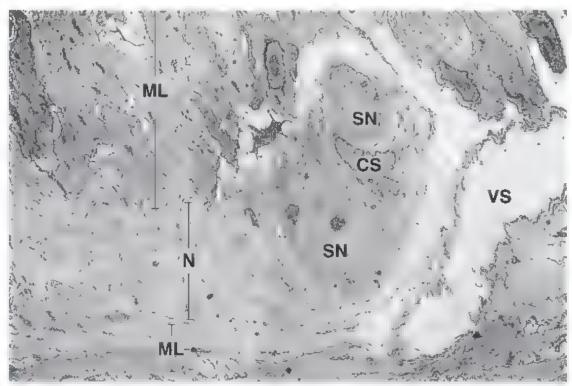


FIGURA 17-26. Microfotografía electrónica del plexo mientérico (de Auerbach). El plexo está ubicado entre las dos capas de musculo liso ML) de la muscular externa. Esta compuesto por somas neuronales (SN) y una gran red de fibras nerviosas (N). Junto a los somas neuronales se observa una célula satélite (CS) también conocida como neurogliocito enterico. Estas células tienen caracteristicas estructurales y químicas en común con los neurogliocitos del sistema nervioso central. VS, vaso sanguíneo. 3800×

del tubo digestivo también aparecen en todo el intestino grueso. Sin embargo, a escala macroscópica se comprueban varios rasgos distintivos (fig. 17-27):

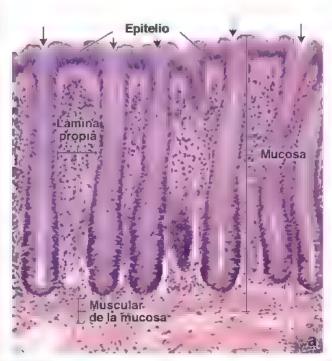
- Tenias del colon, que son tres bandas equidistantes, estrechas y gruesas, formadas por la capa longitudinal externa de la muscular externa. Se observan principalmente en el ciego y el colon, pero están ausentes en el recto, el conducto anal y el apéndice vermiforme.
- Haustras colònicas, que son saculaciones visibles entre las tenias del colon en las superficies externas del ciego y el colon.
- Apéndicas omentales, que son pequeñas proyecciones adiposas de la serosa que se observan en la capa externa del colon.

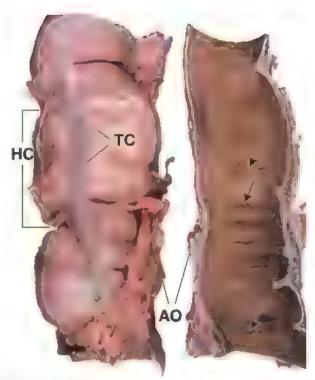
Mucosa

La mucosa del intestino grueso tiene una superficie "lisa", sin pliegues cuculares ni vellosidades. Contiene abundantes glándulas intestinales tubulares y rectas (criptas de Lieberkühn) que se extienden en todo su espesor (fig. 17-28a). Las glándulas consisten en el mismo epitelio cilíndrico simple que posee la superficie intestinal desde la que se invaginan. Al microscopio, la exploración de la superficie luminal del intestino grueso permite observar los orificios de las glándulas que se distribuyen según un patrón ordenado (fig. 17-28b).

Las funciones principales del intestino grueso son la reabsorción de agua y electrolitos, así como la eliminación de alimentos no digendos y desachos.

La función principal de las células absortivas cilindricas es la reabsorción de agua y electrólitos. La morfología de las células absortivas es, en esencia, idéntica a la de los enterocitos del intestino delgado. La reabsorción se logra mediante el mismo sistema de





FRGURA 17-27. Fotografía del intestino grueso. Se muestran las superficies externa (serosa; a la *izquierda*) e interna (mucosa, a la *derecha*) del colon transverso. Nótense las características distintivas de intestino grueso en la superficie externa: una banda de musculo liso bien definida que corresponde a una de las tres ternas del colon (*TC*), las haustras colònicas (*HC*) o saculaciones del colon ubicadas entre las temas, así como los apéndices omentales (*AO*), pequeñas proyecciones pentoneales repletas de tejido adiposo. La superficie mucosa lisa presenta priegues semilunares (*flechas*) formados como respuesta a las contracciones de la muscular externa. Compárese la superficie mucosa que se muestra aqui con la del intestino delgado (fig. 17-17)

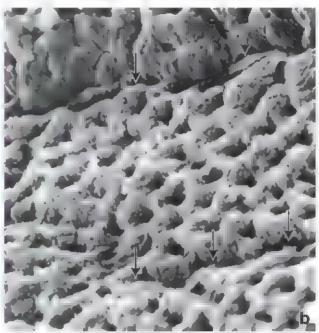


FIGURA 17-28. Mucosa del intestino grueso, a. En esta microfotografia de un corte tenido con H&E se muestra la mucosa y parte de la submucosa E epitelio superficia se continua con las glándulas intestinales criptas de Lieberkuhni que son tubulares, rectas y no ramificadas Las flechas indican los orificios de las glándulas en la superficie intestinal Las células epitelia es son, principalmente células absortivas y células caliciformes. Conforme se sigue el epite lo hacia la profundidad de la glándula, la cantidad de células absortivas se reduce inientras que las células caliciformes se torian cada vez más abundantes. La lámina profundidad de la giándula, la cantidad de células absortivas se reduce inientras que las células caliciformes se torian cada vez más abundantes. La lámina profundidad de la superficie mucosa del intestino grueso futimano. La superficie se divide en territorios mediante surcos (flechas). Cada territorio contiene 25-100 orificios glándulares. 140 × (reproducido con autor zación de Fenoglio CM, Richart RM, Kaye G1. Comparative electron-microscopic features of normal, hyperplastic and adenomatous human colonic epithelium. Il variations in surface architecture found by scanning electron microscopy. Gastroenterology 1975 69 100–109)

transporte impulsado por la ATPasa activada por Na⁺/K⁺ descrito para el intestino delgado.

La eliminación de los materiales de desecho sólidos o semisólidos es facilitada por la gran cantidad de moco secretado por las abundantes obtulas caliciformes de las glándulas intestinales. Las células caliciformes son más numerosas en el intestino grueso que en el intestino delgado (véanse fig. 17-28a y lám. 62, p. 660). Estas células producen mucina, que es secretada de forma continua para lubricar el intestino, lo que facilita el paso de un contenido cada vez más sólido.

El epitelio mucoso del intestino grueso contiene los mismos tipos celulares que el intestino delgado, excepto las cálulas de Paneth, que generalmente están ausentes en los humanos.

Las cétulas absortivas cilendricas predominan sobre las células caliciformes (4:1) en casi todo el colon, aunque esto no siempre se observa en los cortes histológicos (véase fig. 17 28a). Sin embargo, esta proporción disminuye para aproximarse a 1:1 cerca del recto, donde se incrementa la cantidad de células caliciformes. Si bien las células absortivas secretan glucocáliz a un ritmo rápido (el tiempo de recambio en los humanos es de 16-24 h), no se ha comprobado que esta capa contenga enzimas digestivas en el colon. No obstante, al igual que en el intestino delgado, la ATPasa Na⁺/K⁺ es abundante y está localizada en las membranas plasmáticas laterales de las células absortivas. El espacio intercelular frecuentemente está dilatado, lo que indica el transporte activo de líquido.

Las células caliciformes podrían madurar en la porción profunda de la glándula intestinal, aun en la zona de replicación (fig. 17-29). Secretan moco de forma continua, incluso hasta el momento que alcanzan la superficie luminal. Aquí, en la superficie, el ritmo de secreción excede al de síntesis, y en el epitelio aparecen células caliciformes "agotadas". Estas células son altas y delgadas y presentan una pequeña cantidad de gránulos de mucinógeno en el citoplasma centroapical. En el epitelio colónico también se ha descrito un tipo celular que no se observa con mucha frecuencia, la célula caveolada "en penacho"; sin embargo, este tipo celular puede ser una forma de célula caliciforme agotada.

Renovación celular epitelial en el intestino grueso

Todas las células epiteliales intestinales en el intestino grueso derivan de una sola población de células madre.

Al igual que en el intestino delgado, todas las células epiteliales mucosas del intestino grueso se originan a partir de células madre localizadas en la base de la glándula intestinal. La tercera parte basal de la glándula constituye el nicho de células madre intestinales, donde las células recién generadas tienen dos o tres divisiones adicionales a medida que comienzan a migrar hacia la superficie luminal para exfoliarse unos 5 días más tarde. Los upos de célula intermedia que se encuentran en la tercera parte basal de la glándula intestinal son idénticos a los del intestino delgado.

Los tiempos de recambio de las células epiteliales del intestino grueso son similares a los del intestino delgado (cerca de 6 días para las células absortivas y caliciformes y 4 semanas para las células enteroendocrinas). Las células epiteliales seniles que alcanzan la superficie de la mucosa pasan por el proceso de apoptosis y se exfolian hacía la luz en el punto medio entre dos glándulas intestinales contiguas.

Lámina propia

Si bien la témina propia del intestino grueso contiene los mismos componentes básicos que el resto del tubo digestivo, muestra

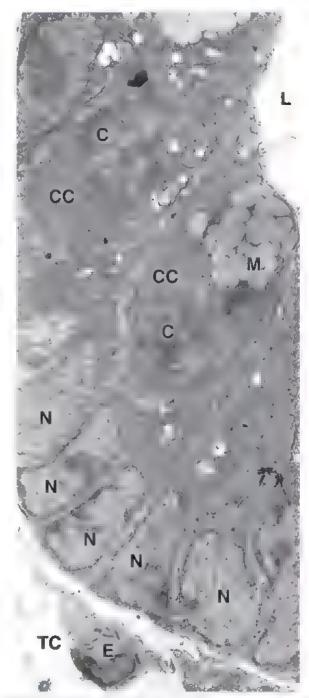


FIGURA 17-29. Microfotografía electrónica de células caliciformes en proceso de división. En esta microfotografía se muestra que ciertas células del intestino continuan su división aun después de haberse diferenciado. Aquí aparecen dos células caliciformes (CC) en proceso de división. Por lo general, estas células se alejan de la lámina basal y se acercan a la luz. Una de las células caliciformes contiene gránuios de mucinógeno (M) en su citoplasma apical. Los cromosomas (C) de las células en división no están rodeados por una envoltura nuclear Compárese con los núcleos (N) de las células epiteliales intestinales que no están en proceso de división. La luz de la glándula (L) está en el ángulo supenor derecho. E, eosinófilo, TC, tejido conjuntivo. 5000×

algunas características estructurales adicionales y también mayor desarrollo. Esto incluye lo siguiente:

Meseta de colágeno, que es una capa gruesa de colágeno y proteoglucanos que se ubica entre la lámina basal del epitelio y la de los capilares venosos absortivos fenestrados. Esta capa mide alrededor de 5 µm de espesor en el colon humano normal y puede ser hasta tres veces más gruesa en los pólipos colónicos hiperplásicos. La meseta de colágeno participa en la regulación del transporte de agua y electrólitos desde el compartimento intercelular del epitelio hacia el compartimento vascular.

- Vaina fibroblastica perioriptica, que es una población bien desarrollada de fibroblastos cuyas células se replican con regularidad. Los fibroblastos se dividen justo debajo de la base de la glándula intestinal, junto a las células madre del epitelio (tanto en el intestino delgado como en el grueso). Los fibroblastos pueden diferenciarse y migrar hacia arriba de forma paralela y sincrónica con las células epiteliales. Aunque el destino final del fibroblasto perioriptico es desconocido, la mayoría de estas células, después de alcanzar el nivel de la superficie luminal, adoptan las características morfologicas e histoquímicas de los macrófagos. Algunos datos indican que los macrófagos del centro de la lámina propia del intestino grueso se originarían como una diferenciación terminal de los fibroblastos periorípticos.
- GALT, que es continuo con el íleon terminal. En el intestino grueso, el GALT está más desarrollado; algunos nódulos linfáticos grandes distorsionan el espaciado regular de las glándulas intestinales y se extienden hacia la submucosa. Es probable que el desarrollo extenso del sistema inmunitario en el colon sea un reflejo de la cantidad y variedad de microorganismos y productos finales del metabolismo nocivos que hay en la luz colónica normal.
- Vasos linféticos, aunque, en general, no hay vasos linfáticos en el centro de la lámina propia o entre las glándulas intestinales, y ninguno se extiende hacia la superficie luminal del intestino grueso. No obstante, mediante el uso de nuevos marcadores muy selectivos para el epitelio linfático, los investigadores han encontrado algunos vasos linfáticos de pequeño calibre a la altura de las bases de las glándulas intestinales. Estos vasos drenan hacia la red linfática de la muscular de la mucosa. El siguiente paso en el drenaje linfático ocurre en los plexos linfáticos de la submucosa y en la muscular externa antes de que la linfa abandone la pared del intestino grueso y drene en los nódulos linfáticos regionales. Para comprender la importancia clínica del patrón linfático en el intestino grueso, véase el cuadro 17-6.

Muscular externa

Como se mencionó, en el ciego y el colon (ascendente, transverso, descendente y sigmoide), la capa exterior de la muscular externa está parcialmente condensada en bandas musculares longitudinales prominentes denominadas tenias del colon, que pueden observarse a simple vista (véase fig. 17-27). Entre estas bandas, la capa longitudinal forma una lámina extremadamente delgada. En el recto, el conducto anal y el apéndice vermiforme, la capa longitudinal externa de músculo liso tiene un espesor grueso y uniforme, como en el intestino delgado.

Los haces musculares de las tenias del colon penetran la capa muscular interna circular a intervalos irregulares en toda la longitud y circunferencia del colon. Estas discontinuidades visibles en la muscular externa permiten que diferentes segmentos del colon se contraigan de forma independiente, lo cual lleva a la formación de las haustras del colon, que son saculaciones en la pared colónica.

La muscular externa del intestino grueso produce dos tipos principales de contracciones: de segmentación y penstálticas. Las contracciones de segmentación son locales y no propulsan el contenido intestinal. El peristaltismo causa el movimiento masivo distal del contenido colónico. Los movimientos peristálticos masivos son poco frecuentes. En las personas sanas suelen ocurrir una vez al día para vaciar el colon distal.

Submucosa y serosa

La submuoosa del intestino grueso se corresponde con la descripción general ya estudiada. En los sitios en los que el intestino grueso está en contacto directo con otras estructuras (como sucede en gran parte de su superficie posterior), su capa externa es una adventicia; en el resto del órgano, la capa externa es una serosa típica.

Ciego y apéndice

El ciego forma una bolsa oculta distal a la válvula ileocecal; el apéndice es una evaginación delgada, digitiforme, de esa bolsa. La histología del ciego es muy similar a la del resto del colon; el apéndice difiere del colon porque tiene una capa uniforme de músculo longitudinal en la muscular externa (fig. 17-30 y lám. 63, p. 662). El rasgo más evidente del apéndice es la gran cantidad de nódulos linfáticos que se extienden dentro de la submucosa. En una grancantidad de adultos, la estructura normal del apendice desaparece y el órgano se llena con tejido cicatricial fibroso. La obstrucción del orificio de comunicación entre el apéndice y el ciego, en general debido a cicatrices, produce la acumulación de moco viscoso o materia fecal que se introduce en la luz del apéndice proveniente del ciego y puede causar apendicitis (inflamación del apendice). El apendice también es un sitio habitual de aparición de carcinoide, un tipo de tumor que se origina a partir de las células entercendocrinas de la mucosa de revestimiento (véase cuadro 17-3).

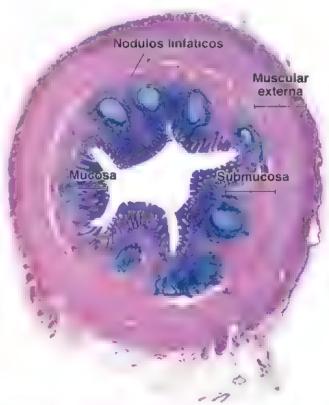


FIGURA 17-30. Microfotografia de un corte transversal a través del apéndice vermiforme. El apéndice vermiforme posee las mismas cuatro capas que el intestino grueso, pero su diármetro es menos. Por lo general los nódulos linfáticos se observan dentro de la mucosa entera y con frecuencia se extienden hacia la submucosa. Nótense los centros germinativos bien delimitados dentro de los nódulos linfáticos. La muscular externa está compuesta por una capa circular bastante gruesa y una capa longitudinal externa mucho más fina El apéndice está cubierto por una capa serosa que es continua al mesoapéndice (abajo, a la derecha). 10×

CORRELACION CLÍNICA: PATRÓN DE DISTRIBUCIÓN DE LOS VASOS LINFÁTICOS. Y ENFERMEDADES DEL INTESTINO GRUESO

La ausencia de drenaje l'infático desde la lámina propia del intestino grueso se descubrió con el uso de técnicas estándar para el análisis de muestras de tejido obtenidas de biopsias con los microscopios óptico y electrónico. Actualmente, se utiliza un anticuerpo monoclonal específico llamado D2-40 para estudiar la distribución de los vasos linfáticos dentro de la lárnina propia, que puede estar asociada con varios procesos patológicos. El anticuerpo D2-40 reacciona con una sialoglucoproteína de 40 kDa (O-glucosilación) expresada en el endotelio linfático. Por ejemplo, en la inflamación superficial crónica del colon y el recto conocida como colitís ulcerosa. la formación de tejido granuloso está relacionada con la proliferación de vasos sanguíneos y linfáticos dentro de la lámina. propia. La linfangiogénesis (formación de vasos finfáticos) de esta enfermedad está vinculada con la expresión de los factores de crecimiento del endotelio vascular). El progreso del tratamiento de la colitis ulcerosa se puede verificar por medio de biopsias que muestran la desaparición de vasos linfáticos de la lámina propia. Por el contrano, una mayor cantidad de vasos Infáticos es indicativa de infiamación activa

El descubrimiento de la distribución de los vasos linfáticos en el intestino grueso estableció las bases para el tratamiento actual de los adenomas (pólipos adenomatosos del intestino grueso). Se trata de neoplasias intraepiteriales. localizadas en la masa de tejido que sobresale en la luz del intestino grueso (fig. C17-6-1). La ausencia de vasos linfáticos en la lámina propia fue importante para entender el ritmo lento de la metástasis en ciertos tipos de cáncer de colon. Los cánceres que forman grandes pólipos adenomatosos en el colon pueden crecer excesivamente dentro del epitelio y la lámina propia antes de tener acceso a los vasos linfáticos que hay a la altura de la muscular de la mucosa. Dado que casi el 50% de todos los pólipos adenomatosos del intestino grueso se localizan en el recto y el colon sigmoide, se pueden detectar por medio de una rectosigmoidoscopia Mientras la lesión esté confinada a la mucosa, la extirpación endoscópica de estos pólipos se considera un tratamiento clínico adecuado. Sin embargo, la decisión terapéutica final debe ser confirmada después de un examen microscópico cuidadoso de la muestra obtenida.





FIGURA C17-6-1. Pólipo adenomatoso de intestino grueso. a. En esta imagen se muestra una vista macroscópica de un pólipo icerca de 2 cm de diámetro, que fue extirpado qui rurgicamente de intestino grueso durante una colonoscopia endoscópica. Tiene una superficie irreguiar característica (con tumefacciones redondeadas) y un pediculo mediante el cua se une a la pared de colon. b. Esta microlotografia se obtuvo del centro del pólipo. En el extremo del pólipo se nota un patrón repet tivo de tubulos cubiertos con células epiteliales neoplásicas que han migrado y se han acumulado en la superficie intestinal. El pedículo en el centro es continuo con la submucosa del colon. Notese también en la base del pediculo el epitello ci indico simple normal del intestino grueso (reproducido de Mitros. FA, Rubin E. The Gastromtestinal Tract. En: Rubin R, Strayer DS, eds. Rubin's Pathology. Clinicopathologic Foundations of Medicine, 5th ed. Baltimore: Lippincott Williams & Wilkins, 2008)

Recto y conducto anal

El recto es la porción distal dilatada del tubo digestivo. Su parte supenor se distingue del resto del intestino grueso por la presencia de pliegues denominados pliegues rectales transversos. La mucosa del recto es similar a la del resto del colon distal y posee glándulas intestinales tubulares rectas con muchas células caliciformes.

La porción más distal del rubo digestivo es el conducto anal. Tiene una longitud media de 4 cm y se extiende desde la cara su perior del diafragma pélvico hasta el orificio anal (fig. 17-31). La porción superior del conducto anal presenta pliegues longitudinales denominados columnas anales. Las depresiones que hay entre estas

columnas reciben el nombre de senos anales. El conducto anal está dividido en tres zonas de acuerdo con las características del revestimiento epitelial:

- Zona colorractal, que se encuentra en la tercera parte superior del conducto anal y contiene epitelio cilíndrico simple, con características idénticas a las del epitelio del recto.
- Zona de transición anal (ZTA), que ocupa el tercio medio del conducto anal. Constituye la transición entre el epitelio cilín drico simple de la mucosa rectal y el epitelio plano estratificado de la piel perianal. La ZTA posee un epitelio cilíndrico estratificado interpuesto entre el epitelio cilíndrico simple y el plano

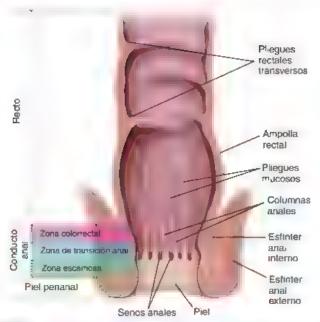


FIGURA 17-31. Ilustración del recto y del conducto anal. El recto y el conducto anal son las porciones terminales del intestino grueso. Están revestidos por la mucosa colorrectal que posee un epitello cilíndrico simple formado en su mayor parte por células caliciformes y una gran cantidad de glándulas anaites. En el conductio anal, el epitello cilíndrico simple experimenta una transición a epitello cilíndrico estratificado (o cubico) y después a epitello plano estratificado Esta transición se produce en la región conocida como zona de transición anal, que ocupa la tercera parte media del conducto anal, entre la zona colorrectal y la zona escamosa de la piel perianal

- estratificado, que se extiende hacía la zona cutánea del conducto anal (fig. 17-32 y lám. 64, p. 664).
- Zona escamosa, que se encuentra en la tercera parte inferior del conducto anal. Esta zona está revestida con epitelio plano estratificado (escamoso) que es continuo al de la piel perianal.

En el conducto anal, las glandulas anales se extrenden dentro de la submucosa e incluso dentro de la muscular externa. Estas glándulas tubulares rectas ramificadas secretan moco en la superficie anal a través de conductos revestidos por un epitelio cilíndrico estratificado. A veces, las glándulas anales están rodeadas por tejido linfático difuso. Con frecuencia conducen a la formación de fistulas patológicas (un orifico entre el conducto anal y la piel perianal).

La piel que rodea el orificio anal contiene grandes glándulas apocrinas llamadas glándulas perianales. En algunos animales la secreción de estas glándulas actúa como una sustancia de atracción sexual. En este sítio también se encuentran folículos pilosos y glándulas sebáceas.

La submucosa de las columnas anales contiene las ramificaciones terminales de la arteria rectal superior y el plexo venoso rectal. La dilatación de estas venas de la submucosa son las hemorroides internas, que están relacionadas con el aumento de la presión venosa en el circuito de la vena porta (hipertensión portal). No hay tenias colónicas en el recto; la capa longitudinal de la muscular externa forma una lámina de espesor uniforme. La muscular de la mucosa desaparece más o menos a la altura de la ZTA, donde la capa circular de la muscular externa se engrosa para formar el esfinter anal interno. El esfinter anal externo está formado por músculo estriado del periné (cuadro 17-7).

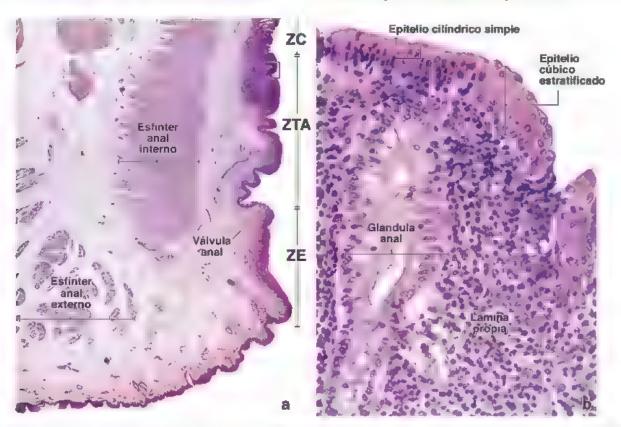


FIGURA 17-32. Microfotografías del conducto anal. a. En esta microfotografía se muestra un corte longitudinal a través de la pared del conducto anal. Nótense las tres zonas de conducto anal. a zona escamosa (ZE), que contiene un epitello piano estratificado la zona de transición anal. (ZTA) que contiene un epitello piano estratificado cubico o cinidrico estratificado y cumdrico simple de la mucosa rectal. y la zona colorrecta. (ZC), que contiene solo un epitello piano estratificado cubico o cinidrico estratificado y cumdrico simple de la mucosa rectal. y la zona colorrecta. (ZC), que contiene solo un epitello cinidrico simple como el resto del colon. Obsérvese la valvula anal que indica la transición entre la zona de transición y la escamosa. El estinter interno del ano es producto de engrosamiento de la capa circular de a muscular externa. En el tejido subcutáneo se y una pequena por ción del estinter externo de ano. 10 - b. En esta ampliación de la región dentro del rectangulo en a se ve con mayor detalle la zona de transición de conducto ana. Es necesano notar la transición brusca entre el epitello cubico estratificado y el cilindrico simple. El epitello cilindrico simple de las grandulas analles se extende hacia la submucosa. Estas giandulas tubulares, rectas, que secretan moco, están rodeadas por tejido infático difuso. 200 -

CORRELACIÓN GLÍNICA: GÁNCER GOLORRECTAL

El cáncer colomectal (cáncer de colon o recto) es una de las principares causas de muerte relacionadas con cáncer en los Estados Unidos. Cada año se diagnostican casi 100000 cánceres de colon y 40000 rectales en los Estados Unidos, los cuales conducen a más de 50000 decesos. El cáncer colomectal sue le presentarse entre los 60 y 79 años de edad en personas con dietas bajas en fibra y altas en grasas. La mayoría de los cánceres colomectales (cerca del 98%) son adenocarcinomas y comienzan como pequeñas masas de células benignas que se originan en el epitexo glandular. Estas masas forman pólipos adenomatosos que generalmente se pueden detectar mediante colonoscopia o sigmoidoscopia. En los exámenes microscópicos, las glándulas intestinales irreguiares están revestidas por una o más capas de células neoplásicas que se tiñen de oscuro, con o sin producción de moco (fig. C17-7-1)

El cáncer de colon varía en su distribución a lo largo del intestino grueso. Aproximadamente el 38% de los cánceres se localizan en el ciego y en el colon ascendente, otro 38% en el colon transverso, el 18% en el colon descendente y un 8% más en el colon sigmoide. En la actualidad se piensa que

la mestabil dad cromosómica asociada con la acumulación escalonada de las mutaciones en los protooncogenes y en los genes supresores desempeña un papel decisivo en el desarrollo del cáncer colorrectal. Inicialmente, cuando las células epiteliales pierden el gen supresor de turnores APC (adenomatous polyposis coli), desarrollan pequeños pólipos A continuación, la mutación en el protooncogén K-Ras transforma el pólipo en un adenoma benigno. Estas células experimentari mutaciones o deleciones adicionales por el gen supresor de tumores p53 y et gen DCC, lo que conduce a desarrollo de una forma invasora de adenocarcinoma. La segunda via que lleva al desarrollo de cáncer colorrectal es causada por lesiones genéticas en el gen de reparación de incompatibilidad de ADN en las células epiteliales del colori El cancer colorrectal en esta etapa temprana suele producir sintomas generales, como cambios en la defecación, estreñimiento persistente o diarrea, cólicos o sangrado rectales, lo que puede ser un indicador de una malignidad en desarrollo Con una detección temprana, la cirugía, la radiación y la quimioterapia pueden ser tratamientos eficaces



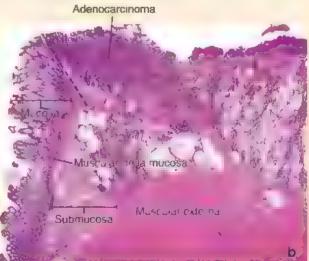


FIGURA C17-7-1. Características macroscópicas y microscópicas del adenocarcinoma de colon, a. En esta fotografía se muestra una masa elevada y con una uicera en posición central que fue extirpada quirurgicamente de colon. b. En esta magen con poco aumento se presenta un sector de un tumor fomado desde un borde libre de la lesión para mostrar tanto la mucosa norma de intestino grueso (laquierda) como un adenocarcinoma invasor (arriba, a la laquierda). La transición abrupta al adenocarcinoma está marcada por la linea discontinua. Las giandulas intestina es en la parte norma del epide estan revestidas por una capa simple de células ca ciformes y absortivas y ocupan todo el espesor de la mucosa. En cambio el tejido invadido por el adenocarcinoma muestra un patrón irregular de glándulas sin producción de moco. Las células y sus nucleos se tinen intensamente con hematox una (hipercromáticos. Nótese que las fibras musculares derivadas de la muscular de la mucosa discurren entre las glándulas colonicas. 120 x (ambas imágenes por cortes a del doctor Thomas C. Smyrk).



SISTEMA DIGESTIVO II: TUBO DIGESTIVO

FUNDAMENTOS DEL TUBO DIGESTIVO

- El tubo digestivo, que se extrende desde el esófago hasta el conducto anal, es un conducto hueco compuesto por cuatro capas bien definidas (desde la luz hacia afuera) mucosa, submucosa, muscular externa y serosa (cuando el organo esta cubierto por peritoneo) o adventícia (cuando está rodeado por tendo conjuntivo).
- La mucosa siempre se asocia con la lamina propia subvacente (tejado conjuntivo laxo) y la muscular de la mucosa (capa muscular lisa). El tipo de epitelio mucoso varía de una region a otra, al igual que el espesor de la lamina propia y la muscular de la mucosa.
- La submucosa esta compuesta por tendo conjuntivo denso irregular, que contiene vasos sanguineos y linfaticos, un plexo nervioso
 y, a veces, glándulas.
- La muscular externa mezcla y propulsa el contenido del conducto. Consiste en dos capas de músculo liso: una capa interna circular
 y otra externa de orientación longitudinal, entre ellas se encuentra el plexo nervioso mientérico.
- La serosa o adventicia es la capa más externa del tubo digestivo.

ESÓFAGO

- La mucosa del esofago posee un epitelio plano estratificado sin estrato córneo. La submucosa contiene glándulas esofágicas propias que lubrican y protegen la superficie de la mucosa. La muscular externa es estriada en su parte superior y es
 reemplazada de manera gradual por la capa de músculo liso hacia la parte inferior.
- En la unión esofagogastrica, el epitelio plano estratificado sin estrato córneo cambia de forma súbita a un epitelio cilíndrico simple de la mucosa gastrica. Las glandulas cardiales esofágicas estan presentes en la lámina propia de la unión

ESTÓMAGO

- El estómago tiene tres regiones histológicas la región cardial que rodea al orificio esofágico, la región pilórica cerca de la unión gastroduodenal y la región fundica (anatomicamente ocupada por el fondo y el cuerpo)
- La mucosa de la region fundica forma varios pliegues longitudinales (rugae). Las células mucosas superficiales revisten la su
 perficie interna del estomago y las criptas gástricas, que son los orificios en las glandulas fúndicas ramificadas. Las células mucosas
 superficiales producen una cubierta viscosa e insoluble (parecida al gel) que contiene iones de bicarbonato para proteger la superficie
 epitelial contra agresiones físicas y químicas.
- Las glandulas fundicas producen jugo gastrico que contiene cuatro componentes principales: acido clorhídrico (HCl), pepsina (enzima proteolítica), factor intrinseco (para la absorcion de vitamina B₁₂) y moco (protector contra el acido gastrico)
- El epitelio de la glándula fúndica uene cuatro upos celulares principales las células mucosas del cuello, que producen secreciones mucosas solubles y poeo alcalinas, las células parietales, responsables de la produccion de HCl en la luz de su sistema de canaliculos intracendares, las celulas principales, que secretan pepsinogeno, las celulas enteroendocrinas, que producen pequenas hormonas paracrinas y reguladoras gastrointestinales, y las celulas madre, precursoras de todas las celulas de la glándula fúndica.
- Las células mucosas del cuello producen secreciones mucosas solubles ligeramente alcalinas
- Las celulas parietales son grandes celulas localizadas a mitad de la giandula que se encargan de la producción de HCl dentro de la luz del sistema de canalículos intracelulares. Estas células también secretan factor intrínseco.
- Las cétulas principales se localizan en la parte profunda de la glandula fundica y secretan la proteína pepsinógeno, la cual se convierte en pepsina, una enzuma proteolítica activa, al contacto con el pH bajo del jugo gástrico.
- Las células enteroendocrinas se encuentran en rodos los niveles de la glandula fundica. Producen pequeñas hormonas reguladoras gastrointestinales y paracrinas.
- Las celulas madre son precursoras de todas las celulas de la glándula fundica y se localizan en la region del cuello de la glandula.
- Las glandulas cardiales estan compuestas totalmente por celulas secretoras de moco intercaladas con algunas células enteroendocrinas.
- Las glándulas pilóricas son ramificadas y estan revestidas por celulas de aspecto semejante al de las celulas mucosas superficiales y por algunas células enteroendocrinas.

INTESTINO DELGADO

- El intestino delgado es el componente mas largo del tubo digestivo. Está dividido en tres regiones anatomicas el duodeno
 (con glandulas de Brunner secretoras de moco en la submucosa) el yeyuno y el ileon (con placas de Peyer en la submucosa).
- La mucosa del intestino delgado esta revestida por epitelio cilindrico simple v su superficie absortiva esta incrementada por los pliegues circulares y las vellosidades. Las glandulas intestinales tubulares simples (o criptas) se extienden desde la muscular de la mucosa y desembocan en la luz de la base de la vellosidad.
- El epitelio mucoso intestinal alberga al menos cinco tipos celulares enterocitos, que son células absortivas especializadas para el transporte de sustancias desde la luz hacia los vasos sanguineos o lintaticos; celulas caliciformes, que son glandulas unicelulares mucosecretoras intercaladas con otras células del epitelio intestinal, células de Paneth, que secretan sustancias antimicrobianas (p. ej., lisozima, defensinas α), células enteroendocrinas, que producen diversas hormonas endocrinas y paractinas gastrointestinales, y celulas M, que estan especializadas como celulas transportadoras de antigeno y cubren los nódulos linfáticos de la lámina propia.
- Las celulas del epitelio mucoso intestinal se hallan tanto en las glándulas intestinales como en la superficie de las vellosidades, sus proporciones cambian según la región.
- Los anterocitos son células absortivas especializadas en el transporte de sustancias desde la luz hacia los vasos sanguíneos el Inférios.
- Las celulas caliciformes son glandulas unicelulares secretoras de mucina dispersas entre otras células del epitelio intestinal
- Las celulas de Paneth se encuentran en la base de las glándulas intestinales, su función primaria es secretar sustancias antimicrobianas (p. ej., lisozima, defensinas cr).
- Las células entercendocrinas producen diversas hormonas gastrointestinales endocrinas y paracrinas.
- Las celulas M (que poseen microphegues) están especializadas como células transportadoras de antigenos. Cubren los nódulos linfáticos de la lámina propia.
- Los celulas madre son precursoras de todas las células de las glandulas intestinales y se localizan cerca del fondo de la elándula.
- La muscular externa coordina las contracciones de las capas interna circular y externa longitudinal para producir el peristaltismo que desplaza el contenido intestinal en dirección distal. El plexo mientérico (plexo de Auerbach) autonomo inerva la muscular externa.

INTESTINO GRUESO

- El intestino grueso está compuesto por el ciego (con su apéndice vermiforme), el colon, el recto y el conducto
 anal. El apendice tiene una gran cantidad de nodulos finfáticos que se extienden hacia la submucosa
- La mucosa del intestino grueso contiene abundantes glandulas intestinales (criptas de Lieberkuhn) tubulares, rectas, que se extienden en rodo su espesor. Las glándulas estan cubiertas por enterocitos (para la reabsorción de agua) y por celulas caliciformes (para lubricación).
- La muscular externa del colon tiene su capa externa condensada en tres prominentes bandas longitudinales, las tenias colónicas, que forman saculaciones en la pared del intestino grueso (haustras colónicas).
- En el conducto anal, el epitelio cilinótico simple se torna estratificado en la zona de transición anal (tercio medio del conducto anal). La parte inferior del conducto anal está cubierta por epitelio plano estratificado que se continua con la piel perineal.

LÁMINA 54 ESÓFAGO

El esófago, la primera parte del tubo digestivo, es un conducto muscular que conduce los alimentos y otras sustancias desde la bucofaringe hasta el estómago. La mucosa, que reviste el esofago a todo lo largo, posee un epitelio plano estratificado sin estrato córneo. La lámina propia subyacente es semejante a la del resto del tubo digestivo; el tejido linfático difuso está disperso en toda su extensión y también hay nódulos linfáticos. La capa profunda de la mucosa, la muscular de la mucosa, está compuesta por fascículos de fibras muscularea lisas con onentación longitudinal. La submucosa consiste en tejido conjuntivo denso, irregular, que contiene vasos sengui-

neos y linfáticos de gran calibre, fibras nerviosas y células ganglionares. Las fibras nerviosas y las células ganglionares forman el plexo submucoso (plexo de Meissner). La muscular externa se divide en dos capas musculares, una capa circular interna y una capa longitudinal externa. El tercio superior de la muscular externa está compuesto por músculo estriado, una continuación del músculo de la faringe. El musculo estriado y los fasciculos de musculo liso se mezclan y se entretejen en la muscular externa del tercio medio del esófago. La muscular externa del tercio inferior está formada solo por músculo liso, como en el resto del tubo digestivo.



Esófago, simio, H&E, 60×; recuadro, 400×.

En essa microfotografía se muestra un corre transversal de la pared del esofago. La **rnucosa** (Mue) está compuesta por epitelio plano estratificado (Ep), una **lámina propia** (LP) y la **muscular de la mucosa** (MM). El límite entre el epitelio

y la lámina propia es nitido, aunque irregular, como resultado de la presencia de numerosas papilas profundas de iejido conjuntivo. La capa basal del epitelio se tiñe intensamente y aparece como una banda oscura que es bastante visible con poco aumento. Esto se debe, en parte, a la basofilia citoplasmárica de las células basales. El hecho de que las células basales sean pequeñas incrementa la relación núcleo:citoplasma, lo cual intensifica todavia más la tinción de esta capa con hematoxílina.

La **submucosa** está compuesta por tejido conjuntivo denso, no modelado, que contiene los vasos sanguíneos y los nervios más grandes. En esta figura no se observan glándulas en la submucosa; sin embargo, suelen hallarse en toda esta capa y es probable que queden incluidas en algún corte de la pared Microtras el limite entre el epitelio y la lámina propia es claro, el límite entre la mucosa (Misc) y la submucosa (SubM) está menos definido, aunque se discierne con bassante facilidad



Mucosa, esófago, simio, H&E, 300×.

Como en otros epitellos planos estratificados, las células muevas se producen en el estram basal, desde donde migran hacia la superficie. Durante esta migración cambian la forma y la orientación de las células. Este cambio en la forma y orientación celular también se refleja

en el aspecto de los núcleos. En las capas profundas, los núcleos son esféricos; en las capas más superficiales, los núcleos son alargados y se orientan de forma paralela al plano de la superficia. El hecho de que puedan observarse núcleos en todo el espesor La **muscular externa** (ME) que se muestra aquí está compuenta por dos capas musculares, una capa ctrcular interior mucho más delgada que la capa longitudinal externa (Long). En este caso, la muscular externa (ME) está conformada en gran parte por musculo liso, pero también contiene áreas de músculo estriado. Si bien las estrías no son visibles con este poco aumento, las regiones de eosimofilia intensa (asternosi) corresponden a músculo estriado cuando se observan con mayor aumento. El recuadro, que corresponde a una región de la mitad inferior de la figura, corrobora esta identificación.

En el recuadro se muestran los músculos liso y estriado con orientación ciscular. El músculo estriado se tiñe más intensamente con eosina, pero es más importante la distribución y la cantidad de núcleos. En el centro del recuadro se encuentran abundantes núcleos alargados y orientados de forma uniforme que pertenecen al músculo liso (ML). Por arriba y por debajo hay unos pocos núcleos alargados; además, están situados sobre todo en la periferia de las fibras. Este es músculo estriado (MEn), cuyas estrías transversales son apenas perceptibles en algunos sitios. La muestra que se observa aquí pertenece a la mitad del esófago, donde hay tanto músculo liso como estrado. La muscular externa del tercio distal del esófago solo posee músculo liso, mientras que el tercio proximal solo connene músculo estrado. Por fuera de la muscular externa se encuentra la adventicia (Adv.), que consiste en rejido conjuntivo denso.

del revestimiento, en particular en las células superficiales, indica que el epitelio no está queratinizado. En algunos casos, el epitello de las regiones superiores del esófago puede estar paraqueratinizado o, con mucha menos frecuencia, queratinizado.

Como se muestra en esta imagen, la **lámina propia** (LP) es un rejido conjuntivo laxo, muy celular, que contiene muchos linfocitos (Lin), vasos sanguineos pequeños y vasos linfáticos (VL). La parte más profunda de la mucosa es la muscular de la mucosa (MM). Esta capa de músculo liso define el límite entre la mucosa y la submucosa. Los núcleos de las células musculares lisas de esta capa se observan esferoideos porque el plano de corte es transversal a la fibra.

Adv., adventicia
Ep, epitelio estratificado plano
Lin, infocitos
Long, capa iongitudinal de la muscular
externa
LP, lámina propie

ME, muscular externa
MEst, musculo estrado
ML, musculo liso
MM, muscular de la mucosa
Mue, mucosa
SubM, submucosa

VL, vasos linfáticos asteriscos (figura superior), regiones de musculo estrado en la muscular externa flechas (figura inferior), linfocitos en el épiteleo

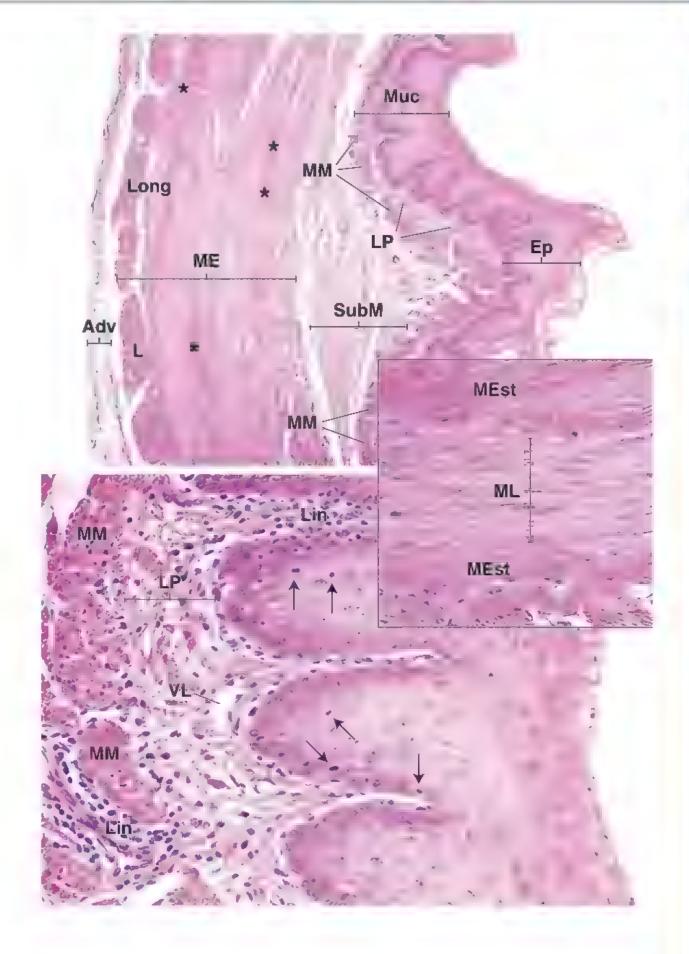


LÁMINA 55 ESÓFAGO Y ESTÓMAGO, REGIÓN DEL CARDIAS

La unión esofagogástrica marca un cambio funcional desde lo que es un simple conducto (esófago) hacia un verdadero órgano digestivo (estómago). El epitello de la mucosa cambia desde plano estratificado (protección) hasta cilindrico simple

(secreción), que forma las glandulas que secretan mucinogeno, enzimas digestivas y ácido clorhídrico. La lámina propia, muy celular, contiene abundante tejido linfático difuso, lo cual enfatiza la contribución de esta capa al sistema inmunitario.

Unión esofagogástrica, esófago y estómago, humano, H&E, 100×.

Aquí se muestra la transición entre el esófago y el estómago. El esófago está a la derecho y la región cardial del estómago a la izquienda. El rectangulo grande marca una región representativa de la mucosa.

cardial que se aprecia con mayor aumento en la figura de abajo, el rectángulo pequeño muestra una parte de la transición que se examina con mayor ampliación en la imagen de la derecho.

Como se observa en la lámina 54, el esófago tiene un revestimiento interno de **epítelio plano estratificado** (Ep) cuya superficie basal está interdigitada por papilas profundas de rejido conjuntivo. Cuando estas se seccionan en sentido oblicuo (como ha sucedido aquí con cinco de ellas), aparecen como islotes de rejido conjuntivo deniro del epitelio grueso. Debajo del epitelio están

la lámina propia, a menudo infiltrada por linfociros (Lin) y la muscular de la mucosa (MM). En la transición entre el esófago y el estómago (véase también la figura del centro a la derecha), el epitelio plano estratificado del esófago termina de forma abrupta y comienza el **epitelio cilíndrico simple** de la superficie del estómago.

La superficie del estómago contiene numerosis depresiones relativamente profundas denominadas criptas gastricas (CG), o fovéolas, que poseen un epitelio similar al de la superficie con el cual se continúa. Las **glándulas** que desembocan en la base de las criptas non las glándulas cardiales (GC). Toda la mucosa gástrica contiene glándulas. Existen tres tipos de glándula gástrica: cardial, fúndica y pilórica. Las glándulas cardiales se encuentran en las inmediaciones de la abertura del esófago, las glándulas pilóricas se localizan en la porción en forma de embudo (infundibuliforme) del estómago (que conduce al duodeno) y las glándulas fúndicas se encuentran a lo largo del resto del estómago.

Región del cardias, estómago, humano, H&E, 260>

Las **glándulas cardiales** y las criptas gástricas (CG) observadas en la figura superior están rodeadas por una lámina propia muy celular. A mayor aumento se puede observar que muchas células

de la lámma propia son linfocitos y otras células del sistema immunitario. Entre las células musculares lisas de la muscular de la mucosa (MM) puede haber una gran cantidad de linfocitos (Lm), por lo que esta capa parece inserrumpida. Además, las flechos indican algunos linfocitos intraepiteliales.

Las glàndulas cardiales (GC) están restringidas en una región estrecha alrededor del ortício del cardias. Vacían sus secreciones a través de conductos (C) en el fondo de las criptas gástricas. No hay un límite preciso entre el cardias y la región fundica del estómago que contiene células parietales y principales. Por ello, en el límite entre estas dos regiones, en las glándulas cardiales podemos observar algunas células parietales.

En algunos animales (p. ej., rumiantes y cerdos), la anatomía y la histologia del estómago son diferentes. En ellos, al menos una parte del estómago está revestida por epitelio plano estratificado.

Unión esofagogástrica, esófago y estómago, humano, H&E, 440×.

Las células cilindricas de la superficie del estómago y de las **crip- tas gástricas** (CG) producen moco. Cada célula de la superficie general y de las criptas contiene un cáliz mucoso en su

citoplasma apical que forma una lámina glandular de **células mucosas superficiales** (CMS). El contenido del cáliz mucoso suele perderse durante la preparación del tendo; por eso la región del cáliz apical de las células aparece vacia en los cortes de parafina teñidos con H&E (como estos). Notese la aparición de rejido conjuntivo suelto de la lámina propia (LP) que separa las criptas gástricas (CG)

Region del cardias, estómago, humano, H&E, 440×

> El epitelio de las glándulas cardiales (GC) también está compuesto por células mucosas glandulares (CMG). Como se observa en la nucrofotografía, el núcleo de la célula glandular generalmente está

aplanado, un lado es contiguo a la base de la célula, mientras que el otro es contiguo al citoplasma de tinción pábda. De nuevo, el moco se pierde durante el procesamiento del tendo y eso provoca el aspecto pálido del citoplasma. Si bien la mayoría de las glándulas cardiales no son ramificadas, a veces se

observan algunas ramificaciones. Las glándulas vierten sus secreciones a través de conductos (C) en la base de las criptas gástricas. Las células que forman los conductos son cilindricas y el citoplasma se tiñe bien con eosina. Esto facilita la distinción entre las células del conducto y las células glandulares mucosas. Entre las células que forman la porción del conducto de la glándula están las que experimentan división mitótica para reemplazar las células mucosas superficiales y las glandulares. Las glándulas cardiales también contienen células enteroendocrinas; sin embargo, son difíciles de identificar en los cortes rutinarios de parafina teólidos con H&E. En la cercanía de la glándula se observan baces interrumpidos de músculos lisos de la muscular de la muscular de la musculos (MM)

C, conducto de glándula cardial CG, criptas gástricas CMG, células mucosas glandulares CMS, células mucosas superficiales Ep, epitello GC, giándulas cardiales Lin, linfocitos LP, lámina propia MM, muscular de la mucosa flechas, finfocitos intraepiteliales

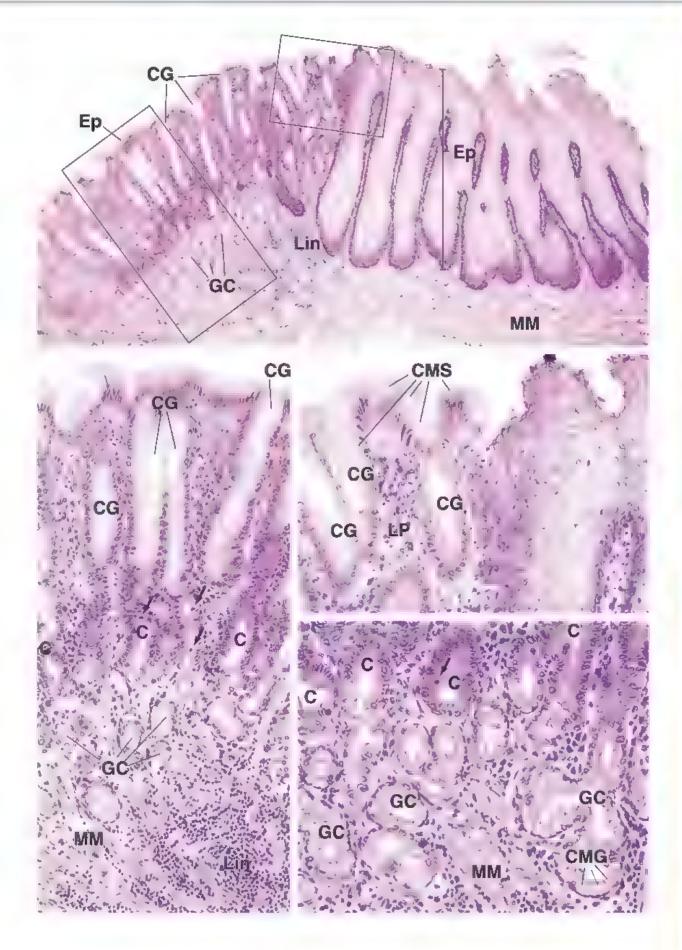


LÁMINA 56 ESTÓMAGO I

Histologicamente, el estómago se divide en tres regiones: el cardias, que está junto al esófago y contiene glandulas cardiales que secretan principalmenta mucinógeno; el píloro, proximal respecto al esfinter gastroduodenal (pilórico) y que contiene glándulas piloricas que secretan un mucinógeno semejante al de las células mucosas superficiales; y el fondo gástrico, el cuerpo o parte más grande del estomago,

que contiene glandulas fundicas (gástricas). Las glandulas fundicas presentan células parietales (oxínticas), que son acidófilas y secretan HCI 0.16 N; y células principales, que son basófilas y contienen granulos de secreción acidofila en su citoplasma apical. Los gránulos contienen principalmente pepsinógeno. En las glándulas de todas las regiones del estómago hay células entercendocrinas.

C m

Estómago, humano, H&E, 40×.

Como sucede en otras partes del tubo digestivo, la pared del estómago está formada por cuatro capas: mucosa (Muc), submucosa (SubM), muscular externa (ME) y serosa. La mucosa es la capa más interna y tiene, a su vez, tres regiones distintivas (flecha).

La región más superficial (en contacto con la luz del órgano) contiene criptas gástricas; la región intermedia presenta los cuellos de las glándulas (que se tiñen bien con eosina) y la región más profunda (alejada de la luz) se tiñe intensamente con hematoxílina. Los tipos de célula de esta región (basófila) de la mucosa fundica se consideran en la figura de abajo. Las células de las tres regiones y sus características de tunción se estudian en la lámina 57

La superficie interna del estómago vacío presenta pliegues largos conocidos como pliegues longitudinales o arrugas (**rugae**). Aquí se muestra el corte

transversal de uno de esos pliegues. Está compuesto por mucosa y submucosa (esternos). Estos pliegues no son permanentes y desaparecen cuando se estira la pared gástrica, como ocume cuando el estómago se distiende. También son vistbles las regiones mamuliformes (M), elevaciones leves de la mucosa que semejan castos rodados. Las regiones mamuliformes consisten solo de mucosa, no tienen submucosa.

La **submucosa** y la **muscular externa** se tiñen predominantemente con eostna, pero la muscular externa aparece más oscura. El músculo liso de la muscular externa le confiere un aspecto homogéneo y sólido uniforme. En cambio, la submucosa, por ser rejido conjuntivo, puede contener adipocitos y posee vasos sanguíneos (VS) abundantes. La **Serosa** es tan delgada que con poco aumento no se alcanza a ver como una capa definida.



Unión cardiofúndica, estómago, humano, 240×.

Esta figura y la de abajo muestran la **unión cardiofúndica**, entre el cardias y las regiones fundicas del estómago. Esta transición puede identificanse en los cortes histológicos según la estructura

de la mucosa. Las cripras gástricas (CG), de las cuales se observan algunas que desembocan en la superficie (flechat), son similares en ambas regiones, pero las

glándulas son diferentes. Están compuestas, sobre todo, por células mucosecretoras y algunas células enteroendocrinas. El limite entre las glándulas cardiales (GC) y las glándulas frindicas (GF) está señalado por *lineas discontinuas* en cada imagen.

Aquí se muestra todo el espesor de la mucosa gástrica, como lo indica la presencia de la muscular de la mucosa (MM) debajo de las glandulas fúndicas. La muscular de la mucosa debajo de las glandulas cardiales está desdibujada por la gran infiltración de linfocitos, los cuales forman un nódulo linfático (NL).



Unión cardiofundica, estomago, humano, 640×.

En esta imagen es posible comparar con mayor aumento las glándulas cardiales y las glándulas fundicas. Las **glándulas cardiales** (GC) están compuestas por células mucosas glandulares

distribuidas en forma de epitelio ciàndrico simple; el nucleo se encuentra en la parte más basal de la célula y aparece un poco aplanado. El citoplasma parece un reticulo pálido de material que se tiñe poco. La fuz (L) de las glándulas cardiales es bastante amplia. Por otro lado, las **glándulas fúndicas** (GF) (a la requerda de la linea discontinua) son pequeñas y su luz solo puede verse,

de manera fortuita, en algunos cortes. En consecuencia, la mayoría de las glándulas aparecen como cordones de células. Dado que es una región profunda de la mucosa fúndica, la mayoría de las células son principales. La porción basal de la célula principal contiene el núcleo y un extenso ergastoplasma, de ahí su basofiha. El citoplasma apical, generalmente ocupado por los granulos de secreción que se perdieron durante la preparación del rejido, se tiñe poco. Dispersas entre las células principales están las células parietales (CP). Estas células tienen un núcleo redondo característico rodeado por citoplasma eosinófilo. Entre las células de la lámina propia se ven algunas con núcleos alargados pálsdos. Se trata de células musculares lisas (CM) que se extienden hacia la lámina propia desde la muscular de la

CG, enptas gástricas

CM, cétulas musculares fisas

CP, cé was parietales

GC, glándulas cardiales

GF, glándulas fundicas

L luz

M, región mamiliforme

ME, muscular externa MM, muscular de la muçosa Muc, mucosa ML, nódulo linfático

SubM, submocosa VS, vaso sanguineo **asteriscos**, submucosa en los rugae **flechas**, imagen superior izquierda tres regiones de la mucosa fundica con tinciones diferentes, imagen superior derecha, onficios de las criptas gástricas

limea discontinua, limite entre las glándulas cardiales y fundicas

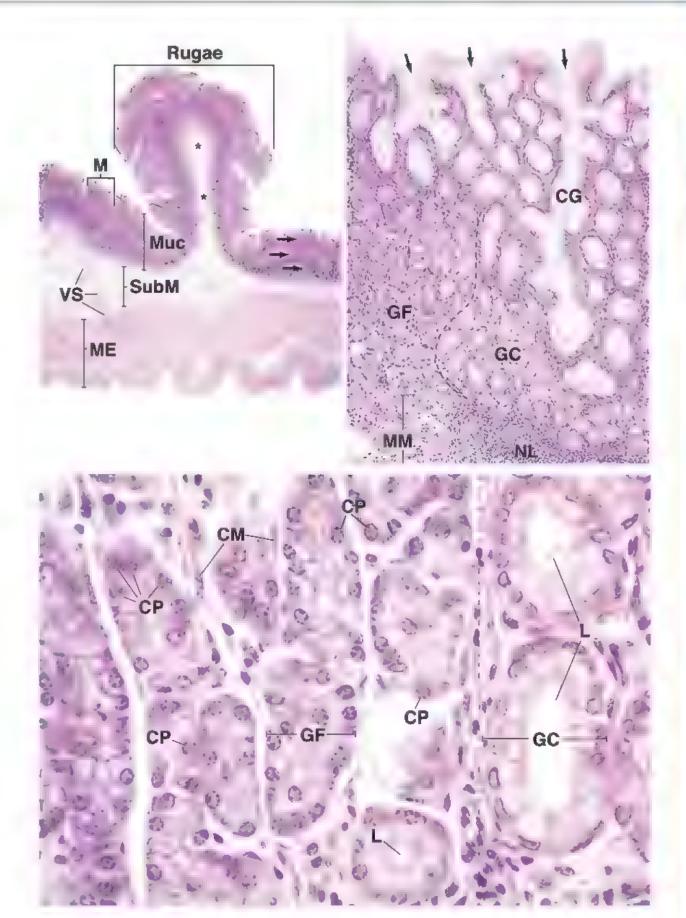


LÁMINA 57 ESTÓMAGO II

El revestimiento epitelial del tubo digestivo es un epitelio que se renueva de forma regular; cada porción tiene un tiempo de recambio y una ubicación de sus células madre caracteristicos. En el estómago, los células madre se ubican en los cuellos mucosos. Las células que migran hacia arriba para formar las células mucosas de las criptas gástricas y de las de superficie tienen un tiempo de recambio de entre 3 y 5 dias; las células que migran hacia abajo para formar las células parietales, las células principales y las células entercendocrinas de las glándulas tienen. un tiempo de recambio de cerca de 1 ano.



Glándulas fúndicas, estómago, s mio, H&E, 320 ×

En esta imagen se muestra una región de la mucosa fúndica que incluye el fondo de las criptas gastricas y el cuello, así como el cuerpo de las glandulas fúndicas. Incluye las regiones señaladas por

flechas en la imagen superior impuerda de la lámina 56. Las células mucosas superficiales (CMS) de las cripras gástricas se identifican con facilidad debido a que el cáliz mucoso, en el polo apical de cada célula, tiene un aspecto vacio o deslavado. Justo debajo de las criptas gástricas están los cuellos de las glándulas findicas (Cir), donde se pueden identificar células mucosas del cuello (CMC) y células parietales (CP). Las células mucosas del cuello forman una secreción mucinosa que difiere de la producida por las células mucosas superficiales. Como se observa aquí, las células mucosas del cuello muestran un citoplasma pálido; no hay regiones citoplasmáticas que se tiñan con intensidad, ni la ausencia característica de tinción local, como ocurre en el cáliz mucoso de las células mucosas superficiales. Estas células también son las células madre que se dividen para originar las células mucosas superficiales y las células glandulares.

Las células parietaies se distinguen sobre todo por la eosinofilia pronunciada de su citoplasma. Sus núcleos son redondos, como los de las células principales, pero tienden a ubicarse más cerca de la lámina basal del epitelio que de la luz de la glandula debido a la configuración piriforme de la célula parietal.

Esta imagen también permite observar las características importantes de las células principales (CP): el núcleo redondo de ubicación basal, el ergastoplasma muy basófilo (fácilmente visible, en particular en algunas de las células principales en las que el múcleo no ha quedado incluido en el plano de corte) y el ciroplasma apscal eosinófilo pálido (generalmente ocupado por granulos de secreción)



Submucosa, estómago, simio, H&E, 320×

En esta figura se muestra el fondo de la mucosa gástrica, la Subrnucosa (SubM) y parce de la muscular externa (ME). La muscular de la mucosa (MM) es la parte más profunda de la mucosa. Está compuesta por células musculares lisas dispuestas en al

menos dos capas. Como se observa en la smagen, las células musculares lisas, contiguas a la submucosa, se han cortado en sentido longitudinal y exhiben núcleos de contorno alargado. Justo encima de esta capa, las células musculares lisas se han cortado en sentido transversal y sus núcleos se observan redondos.

La submucosa está compuesta por un tejido conjuntivo de densidad moderada. En la submucosa se encuentran adipocitos (Adi), vasos sanguineos (VS) y un grupo de células ganglionares (CGa). Estas células en particular pertenecen al plexo submucoso (pleso de Meusner [PM]). El recuadro muestra algunas células ganglionares (CGe) a mayor aumento. Estos son los somas voluminosos de las neuronas entéricas. Cada soma neuronal está rodeado por células satélite que se hallan estrechamente adosadas a él. Las puntas de flecha señalan los nucions de las células satélite



Glándulas gástricas, estómago, tinción argentica, 160×

Las células enteroendocrinas constituyen una clase de células que pueden detectarse con métodos histoquímicos especiales o con tinción argêntica, pero que no son visibles con facilidad en los corres renidos con H&E. Aquí se muestra la distribución de las células según una técnica especial de rinción argénnea (flechar). Debido al procedimiento usado para retirlas, estas células reciben el muy adecuado nombre de células argentafines. Las células mucosas superficiales (CMS) en esta imagen señalan el fondo de las empras gástricas y permuten corroborar que los cuellos de las glandulas fúndicas quedaron incluidos en el corre. Las células argentafines se ven negras en esta muestra. Una ampliación relativamente baja permite que el observador pueda calcular la frecuencia de distribución de estas células.



Giándulas gástricas, estómago, tinción argentica, 640×.

A mayor aumento se puede observar que las células argentafines (fleches) están ennegrecidas casa por completo (por la tinción con plata), aunque en algunas se distingue un núcleo tenue.

La plata tiñe el producto de secreción que se pierde durante la preparación con otros metodos de rutina y, en concordancia con esto, en los cortes de parafina refudos con H&E, la célula argentafin aparece como una célula clara. La técnica especial de tinción argéntica en esta imagen y en la de la raquienda muestra que muchas células argentafines tienen la tendencia a ubicarse cerca de la lámina basal y lejos de la luz de la glándula.

Adi, adipocitos

CGs, células ganglionares CMC, ce ulas mucosas del cuello

CMS, células mucosas superficiales

CP, células panetales

CPr. células principales

Cu, cuelto de las glándulas fúndicas

ME, muscular externa

MM, muscular de la mucosa

PM, plexo de Meissner

SubM, submucosa VS, vaso sanguineo

flechas, celulas argentafines

puntas de flecha, nucleos de las cefulas

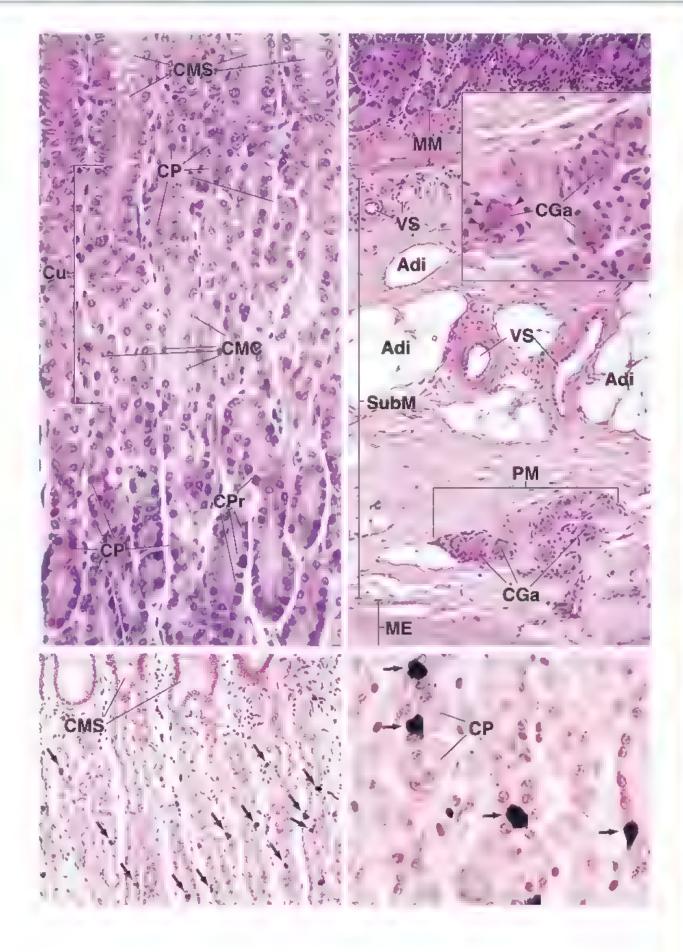


LÁMINA 58 UNIÓN GASTRODUODENAL

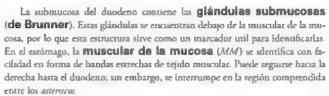
La unión gastroduodenal marca la entrada en la porcion absorbente del tubo digestivo. El engrosamiento de la capa circular de la muscular externa en este sitio forma el esfinter pilórico que regula el paso del quimo desde el estómago hacia el intestino. La secreción mucosa de las glándulas pilóricas contribuye a neutralizar el quimo a medida que ingresa en el intestino.



Unión gastroduodenal, estómago y duodeno, simio, H&E, 40×.

Aqui se muestra la **transición gastroduodenal** entre el estómago y el duodeno. La mayor parte de la mucosa que se observa en la unagen permenece al estómago; se trata de la **mucosa pi**-

lórica (MucP). El esfintes pilórico (EP) aparece como una región engrosada de musculo liso debajo de la mucosa pilórica. En el extremo derrebo se encuentra la **mucosa duodenal**, que es la primera parte de la mucosa intestinal (MucP). La región incluida en el recidiosido se muestra con mayor ampliación en la imagen de abajo. La imagen permite comparar las dos regiones de la mucosa y también muestra las glandulas submucosas (glandulas de Brunner)



En esta arragen también se muestra una región engrosada de la muscular externa gástrica, donde finaliza el estómago. Este es el esfinter pilónico (EP). Su espesor, debido en gran parte a la amplificación de la capa circular de músculo liso de la muscular externa, puede apreciarse por comparación con la muscular externa (MF) en el duodeno.



Uπión gastroduodenal, estomago y duodeno, simio, 120×.

E examen de esta region a mayor aumento permite comprobar que, además de las glándulas intestinales (GIn) que están en la mucuia, en la submucosa duodenal también hay glándulas. Se trata

de las **glándulas submucosas** (**de Brunner**) (GSB) Puede observarse que algunos de los elementos glandulares (fleches) pasan de la submucosa a la mucosa, por lo que interrumpen la **muscular de la mucosa** (MM) Las glándulas submucosas envian sus secreciones bacia la luz intestinal a través de conductos (C). En cambio, las glándulas pilóricas (GPt) son bastante rectas en la mayor parte de su longitud; iln embargo, se enrollan en la región más profunda de la mucosa y a veces se ramifican. Están restringidas a la mucosa y des-

cargan en las criptas gástricas profundas. No obstante, el límite entre las criptas y las glándulas es difícil de identificar en los cortes reñidos con H&E.

Con respecto a los aspectos citológicos de la miscosa gastroduodenal, como ya se mencionó, las glándulas del estómago se vacían en las criptas gástricas. Son depresiones y, por lo tranto, cuando se corran en un plano oblicuo o en ángulos rectos a su eje mayor, como en este caso, las criptas pueden reconocerse como tales porque están rodeadas de lámina propia. En contraste, la superficie interna del intestino delgado tiene vellosidades (V). Estas son proyecciones hacia la luz de altura levemente vanable. Cuando la vellosidad se secciona en sentido transversal u oblicuo, se ve rodeada por la luz, como se observa en una de las vellosidades mostradas aquí. Además, las vellosidades tienen lámina propia (LP) en su parte central.



Union gastroduodenal, estómago y duodeno, simio, H&E, 640×.

La región dentro del rectangulo en la figura de abajo se muestra aqui con mayor aumento. Se observa que el epitelio del estómago difiere del epitelio del intestino. En ambos casos, el epitelio es cilindrico

sumple y la lámina propia (LP) subyacente es muy celular por la presencia de una gran cantidad de linfocitos. El limite entre el epirelio gástrico y el duodenal

está señalado por una flecha. En el lado de la flecha perteneciente al estómago, el epitelio consiste en células mucosas superficiales (CMS). Estas células superficiales tienen una región apical de material mucoso que generalmente aparece vacía en los cortes teñidos con H&E. Por el contrario, las células absortivas (CA) del inrestino no poseen moco en su citoplasma. Si bien las células caliciformes se encuentran en el epitelio intestinal y están dispersas entre las células absortivas, no forman una lámina mucosa completa. Las células absortivas intestinales también poseen un borde estriado que se muestra en la lámina 60

C. conductos

CA, cétulas absortivas

CMS, células mucosas superficiales

EP, estinter pilorico

Gin, glandulas intestinales

GPI, glándulas pitóricas

GSB, glándulas submucosas (de Brunner)

LP, lárnina propia
ME, muscular externa
MM, muscular de la mucosa
Mud, mucosa intestinal
MudP, mucosa pilonda
V, vellosidades

asteriscos, interrupción de la muscular de

flechas, imagen interior elementos de las glándulas de Brunner que pasan de la submucosa a la mucosa imagen superior derecha, límite entre los epitelios gástrico y duodenal

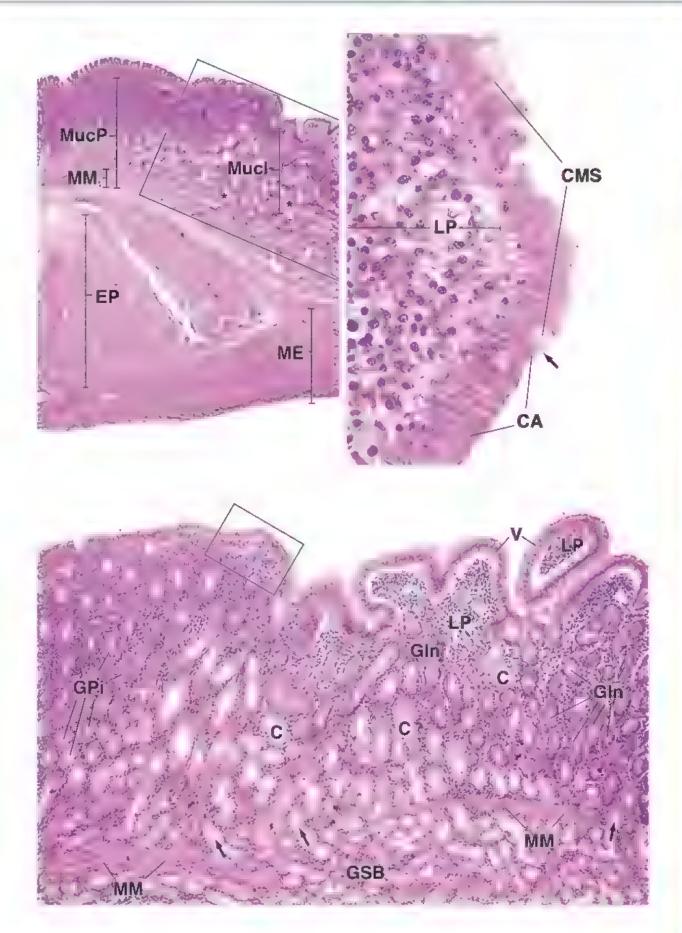


LÁMINA 59 DUODENO

El intestino delgado es el sitio principal para la digestión de alimentos y la absorción de los productos de la digestión. Es el componente más largo del tubo digestivo, mide más de 6 m y se divide en tres segmentos: duodeno (casi 25 cm), vevuno (cerca de 2.5 m) e ileon (casi 3.5 m). El primer segmento, el duodeno, recibe un boto alimenticio semidigendo (quimo) desde el estómago, así como secreciones del estómago, el pancreas, el higado y la vesicula biliar, que contienen enzimas digestívas, precursores de enzimas y otros productos que contribuyen a la digestión y la absorción.

El intestino delgado se caracteriza por los pliegues circularas (válvulas conniventes) permanentes, transversales, con un centro de submucosa y vellosidades que son proyecciones digitiformes y foliáceas de la mucosa que se extrenden dentro de la luz intestinal. Las microvellosidades, que son multiples evaginaciones digitiformes de la superficie apical de cada célula epitelial intestinal (enterocito), incrementan la superficie de absorción de metabolitos.

Las glándulas mucosas se extienden hacia la lámina propia. Contienen a las células madre y en desarrollo que finalmente migrarán. a la superficie de las vellosidades. En el duodeno, las glándulas submucosas (de Brunner) secretan moco alcalino que ayuda a neutralizar el guimo ácido. Los enterocitos no solo absorben metabolitos digeridos en la luz intestinal, sino que también sintefizan enzimas que se insertan en la membrana de las microvellosidades para la digestión terminal de los disacándos y los dipeptidos.



Duodeno, simio, H&E, 120×.

En esta imagen se muestra un segmento de la pared duodenal. Al gual que en el estómago, las capas de la pared en orden desde la luz son las siguientes, mucosa (Muc), submucosa (SubM), muscular externa (ME) y serosa (S). En la muscular ex-

terria se pueden distinguir tanto la capa longitudinal (Long) como la capa círcular (Cir). Si bien los pliegues circulares se encuentran en la pared del intestino delgado, incluido el duodeno, ninguno aparece en esta imagen.

Una característica distintiva de la mucosa intestinal son las proyecciones digitiformes y foliáceas hacia la luz intestinal que reciben el nombre de vellosidades. La mayoría de las vellosidades (V) que se observan aqui presentan formas que coinciden con su descripción como digitiformes. Una vellosidad tiene forma de boja y, por lo tanto, es foliacea (asterisco). La linea discontinua señala el límite entre las vellosidades y las glándulas intestinales (también llamadas *emptas de Lieberkühn*). Estas ultimas se extienden hasta la muscular de la mucosa (MM)

Debajo de la mucosa se encuentra la submucosa, que contiene **glándu**las submucosas de Brunner (GSB). Estas son glandulas tribulares ramificadas o subuloacinares ramificadas cuyos componentes secretores, que se muestran con mayor aumento en la imagen de abajo, consisten en epitelio cilindrico. En esta imagen, y con mayor ampliación en la de abigo, se señala con una fleche un conducto (C) a través del cual las glandulas desembocan en la luz del duodeno.



Mucosa, duodeno, simio, H&E, 240>

Las características lustológicas de la mucosa duodenal se muestran aquí con mayor aumento. Es posible reconocer dos ripos de célula en la capa epitelial que forma la superficie de la vellosidad. los enterocitos (células absortivas) y las células ca-

liciformes (CC). La mayoría de las células son absortivas. Poseen un borde estriado visible con mayor aumento en la lámina 60; sus núcleos alargados se localizan en la mitad basa, de la célula. Las células caliciformes se identifican confacilidad por el cáliz mucoso apical, que aqui aparece vacío. La mayoria de los nucleos redondos hipercromaticos, que también se ven en la capa epitelial que cubre las vellosidades, pertenecen a los linfocitos.

La lámina propia (LP) forma el centro de la vellosidad. Contiene gran cantidad de células redondeadas cuya identidad individual no puede detectatse con este aumento. Sin embargo, debe notarse que en su mayoría son linfocitos (y otras células del sistema inmunitario), lo que explica la designación de

la lámina propia como tejido linfático difiso. La lámina propia alrededor de las glandulas intestinales (G/n) está compuesta por grandes cantidades de linfocitos y células relacionadas. La lámina propia también contiene componentes de tejido conjuntivo laxo y células musculares lisas aisladas.

Las **glándulas intestinales** (G/n) son bastante rectas y tienden a dilararse en su base. Las bases de las cripras sutestinales contienen células madre a partir de las cuales se originaron todas las otras células del epitelio intestinal. l'ambién contienen células de Paneth. Estas células poscen granulos cosmónlos en sus citoplasmas apicales. Los granulos contienen lisozuma, una enzima bacteriolítica que, se piensa, desempeña un papel en la regulación de la flora microbiana intestinal. El tipo celular principal en la cripra intestinal es una célula cilíndrica relativamente indiferenciada. Estas células son más pequeñas que los enterocitos de las vellosidades superficiales; suelen experimentar dos mitosis antes de diferenciarse en células absortivas o caliciformes. En las criptas intestinales también se encuentran algunas células caliciformes maduras y células enternendocrinas.

C. conducto

CC, células caliciformes

Cir, capa circular (interna) de la muscular externa

Gin, glandu as intestinales (criptas)

GSB, glándulas submucosas (de Brunner)

Long, capa longitudinal (externa) de la

muscular externa LP, lámina propia

ME, musc par externa

MM, muscular de la mucosa

Muc. mucosa

S, serosa

SubM, submucosa

V. vellosidades

asterisco, vellosidad foliácea

flecha, conducto de la giándula de Brunner

linea discontinua (imagen superior)

limite entre la base de las vellosidades v

las glándulas intestinales

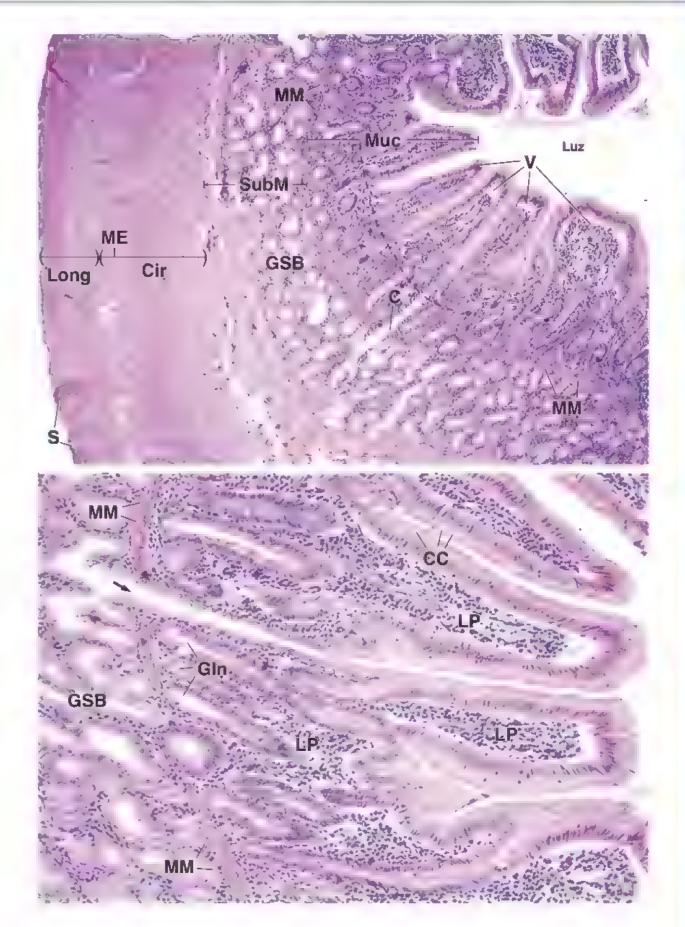


LÁMINA 60 YEYUNO

El yeyuno es el principal sitio de absorción de sustancias nutritivas en el íntestino delgado. Las vellosidades son más digitiformes que foliaceas y están cubiertas, sobre todo, por celulas epiteliales cilíndricas absortivas (enterocitos), aunque también hay células caliciformes y células enteroendo-

crinas. Las células madre de las que derivan todas estas células y las células de Paneth, que secretan la enzima antibacteriana l'escrima, se encuentran en la base de las glándulas intestinales. Las células en replicación revisten la mitad basal de la glandula.



Yeyuno, simio, 22×.

Este es un corte longatudinal del yeyunn en el que se muestran los pliegues circulares (PC) permanentes o válvulas conniventes del intestino delgado. Estos pliegues o crestas se disponen con su eje mayor en ángulo casa recto respecto al eje longatudinal del

intestino; por lo tanto, los pliegues circulares se muestran aqui seccionados en sentido transversal. Las válvulas conniventes están compuestas por **mucosa** (Mue) y **submucosa** (SubM). La amplia banda de tejido, externa a la submucosa, es la **muscular externa** (ME) y no está incluida en el pliegue

(la serosa no puede distinguirse con este aumento.) La mayoria de las **vello-sidades** (V) en esta muestra se han corrado en sentido longarudinal, por lo que se ven en toda su longatud y además se comprueba que algunas son un poco más cortas que otras. Se piensa que dicho acortamiento se debe a la contracción de las células musculares lisas en las vellosadades. También se observan aquí los vasos quiliferos (VQ) centrales, que en la mayoría de las vellosidades se encuentran dilatados. Los vasos quiliferos son capilares lunfáticos que comtenzan en las vellosidades. Transportan ciertos lípidos y proteínas absorbidos de la dieta desde las vellosidades hacia los vasos linfáticos más grandes que hay en la submurosa.



Pliegue circular, yeyuno, simio, H&E, 60×

Aqui se muestra con mayor aumento parte del pliegue circular señalado por los parentess en la unagen de arriba. Obsérvense la muscular de la mucosa (MM), las **glándulas intestinales** (Gln) y las **vellosidades** (V). El lenise entre las glándulas y las vellosidades

está señalado por la linea discontinua. Algunas glándulas se han seccionado en sentido longrusdinal y otras en sentido transversal, pero la mayoría de las vellosidades están seccionadas longritudinalmente. Para conceptualizar la estructura de la mucosa del intestino delgado, es importante comprender que las glándulas son depressones epiteliales que se proyectan baria la pared del intestino, mientras que las vellosidades son proyecciones que se extienden hacia la luz. Las glándulas están rodeadas por célutas de la lámina propia, las vellosidades están rodeadas por la luz intestinal. La lámina propia con su vaso quilifero ocupa una posición central en la vellosidad, en tanto que la luz ocupa la posición central de la glándula. También debe destacarse que la luz de la glándula tiene la tendencia a estar dilatada en su base. Algunos estudios de preparados de mucosa realizados por asslamiento enzimático inuestran que las bases de las glandulas suelen dividirse en dos o tres estensiones digniformes que se apoyan en la muscular de la mucosa. Con este bajo aumento, la serosa (S) y las dos capas musculares de la muscular externa (MF) son dificiles de distinguir



Vellosidades intestinales, yeyuno, simio, H&E, 500×

En esta unagen con mayor aumento se observan partes de dos vellosidades contiguas. El epurebo está compuesto principalmente por **enterocitos**. Los enterocitos son células absortivas cilindricas que generalmente exhiben un **borde estriado** (BE), que es

la unagen microscópica óptica de las microvellosidades en la superficie celular apical. La banda oscura en la base del borde estriado corresponde al velo terminal de la célula, una capa de filamentos de actina que se extiende a través de la región celular apical y que actita como sitio de fijación para los filamentos de actina de los centros de las microvellosidades. Los núcleos de los enterocitos tienen esencialmente la misma forma, orientación y características tintoriales. Aun si los limites citoplasmánicos no fueran visibles, los núcleos serían un indicador de la forma cilindrica y la orientación de las células. Los enterocitos se apoyan en una famina basal que no se observa en los cortes de parafina teñidos con H&CE. La

linea eosmófila (fleche) en la base de la capa celular, donde se esperaria encontrar una membrana basal, en realidad corresponde a las evaginaciones citoplasmáticas laterales aplanadas de los enterocitos. Estas evaginaciones delimitan parcialmente los espacios intracelulares basolaterales (estericos) dilatados, como puede observarse aqui, durante el transporte activo de las sustancias absorbidas.

Las células epiteliales con el citoplasma apical expandido en forma de cáliz son las **células caliciformes** (CC). En esta muestra, el nucleo de casi todas las células caliciformes se encuentra justo en la base del cáliz y la banda citoplasmática delgada (no siempre visible) se extiende hasta la altura de la membrana basal. Los núcleos redondeados dispersos dentro del epitelio pertenecen a los linfocios (Lin)

La **lámina propia** (LP) y el vaso quilifero central se localizan debajo del epitelio intestinal. Las células que forman el vaso quilifero son parte del epitelio plano simple (células endoreliales, CE). Dos núcleos de estas células aparecen expuestos en la luz del vaso quilifero; otro núcleo alargado y un poco alejado de la luz es parte de una célula de músculo liso (ML) que acompaña a los vasos quiliferos.

BE, borde estriado

CC, cétula caliciforme

CE, célula endotelial

Gin, glándulas intestinales (criptas)

Lin. linfocitos

LP, fámina propia

ME, muscular externa

ML, músculo liso

MM, muscular de la mucosa

Muc. mucosa

PC, pliegues circulares (válvulas conniven-

tes)

S. serosa

SubM, submucosa

V, vellosidades

VQ, vaso quilifero

asteriscos, espacios intercelulares basolaterales

flecha, evaginaciones basales del ente-

linea discontinua, límite entre las vellosidades y las giándulas intestinales

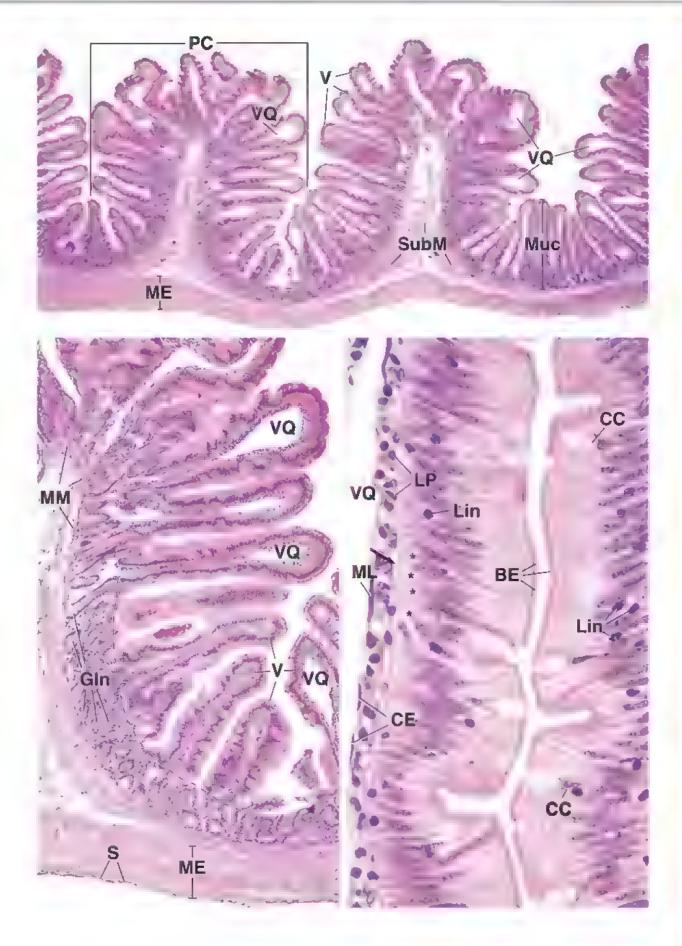


LÁMINA 61 / ÍLEON

El ileon es el sitio principal de reabsorción de agua y electrólitos del intestino delgado. En esencia, tiene las mismas características histológicas que el yeyuno, pero con algunas diferencias características. Las vellosidades en el ileon suellen ser foliaceas y el tejido linfático en la lámina propia está organizado en nódulos pequeños y grandes que se encuentran más concentrados en el borde antimesentenco del ileon. Los nódulos se fusionan para formar grandes cúmulos de tejido linfático denomínadas placas de Peyer.

El epitelio superficial del intestino delgado se renueva cada 5-6 días. Las células madre están restringidas a la base de las glándulas de la mucosa y la zona de replicación celular está límitada a la mitad basal de la glándula. Las células migran hacia las vellosidades y se exfolian desde su extremo. Todas las células epiteliales, absortivas y caliciformes, así como las células entercendocrinas y las de Paneth, derivan de la misma población de células madre; sin embargo, las entercendocrinas migran con lentitud y las de Paneth no migran.



lieon, simio, 20×.

En el corre transversal del fleon que se muestra aqui se señalan la **submucosa** (SubM) y la **muscular externa** (ME) con fines de orientación. Por dentro de la submucosa se encuentra la mucosa; por fuera de la muscular externa se encuentra la serosa. La

mucora tiene diversas vellosidades (V) seccionadas en sentido longitudinal y están señaladas; otras no se han marcado, pero se pueden identificar con facilidad por su aspecto de islores de tejido rodeados completamente por la luz. Desde luego, no sen islores, y su aspecto se debe al plano de corre que pasa a través de algunas vellosidades en sentido oblicido o transversal, lo cual las separa de su base. Debajo de las vellosidades se encuentran las glandulas intestinales, muchas de las cuales están seccionadas en sentido oblicido o transversal y pueden identificarse con facilidad, como en las láminas previas, porque están rodeadas por completo de lámina propia.

Se observan entre 8 y 10 proyecciones de rejido hacia la luz intestinal que son bastante más grandes que las vellosidades. Se trata de los pliegues circulares.

Como ya se mencionó, el pliegue suele tener orientación circular, pero puede desplazarse en sentido longitudinal por distancias cortas y puede ramificarse. Además, aún cuando todos los pliegues tuvieran una disposición circular, si el corte fuese un tanto oblicuo, quedarian seccionados en ángulo, como parece que sucede con varios pliegues en esta imagen. Una de las características distintivas del untestino delgado son los **nódulos linfáticos individuales y** aglomerados en la pared intestinal. Los nódulos aislados de tejido linfático se observan con frecuencia en el extremo proximal del conducto intestinal. A medida que se progresa en sensido distal a lo largo de los intestinos, los nódulos linfáticos aparecen en cantidades cada vez mayores. En el íleon suelen vene grandes aglomerados de nódulos linfáticos a los que se denomina **placas de Payer** En esta microfotografía se muestran varios nódulos linfáticos (M) que forman una placa de Peyer. Los nódulos se encuentran parcialmente dentro de la mucosa del fleon y se extrenden hacia la submucosa. Si bien no es evidente en esta imagen, la ubicación caracteristica de los nóciulos es en el borde antimesentenco del intestino.



Pliegue circular (válvula connivente), ileon, simio, H&E, 40×.

En ocasiones, en un corre transversal del intestino, los pliegues presencan una silueta transversal definida como se muestra aquí. Se debe observar de unevo que la **Submucosa** (SubM) se constiruye desde el centro del phegue circular en la muscular externa (ME). Si bien muschas de las **Vollosida des** (V) en esta imagen tiènen los contornos esperados para una proyección digitiforme, otras claramente no. En particular una vellosidad (señalada con tres *atteriosi*) exhibe la siluera amplia de una proyección de tipo foliáceo en corte longitudinal. Si esta misma vellosidad fuese cortada en un angulo recto al plano que se muestra aquí, entonces su aspecto sería digitiforme



Nodulo linfático aglomerado (placa de Peyer), ileon, simio, H&E, 100×; recuadro 200×.

Aqui se muestra con mayor aumento parte de un **nódulo linfá**tico aglomorado (placa de Peyer) y parte del epitelio supra-

yacense. Los linfocitos y las células relacionadas son tan abundantes que ocultan casi por completo las células de la muscular de la mucosa. No obstante, su ubicación puede estimarse cercana al sitio indicado (\mathcal{MM}^2) porque la muscular de la mucosa generalmente es contigua a la base de las glándulas intestinales (Gin). Además, al examinar esta región con mayor aumento (recusidos), pueden verse

grupos de células musculares lisas (MM) separados por muchos linfocitos próximos a las glándulas intestinales (Gln). Claramente, los linfocitos del nódulo se ubican en ambos lados de la muscular de la mucosa y, por lo tanto, dentro de la mucosa y de la submucosa.

En algunos utios, el nódulo linfático está cubierto por el epitelio intestinal. Si bien la indole del epitelio no puede apreciarse en su totalidad con el microscopio óptico, las microfotografías electrónicas (tanto de barrido como de transmisión) han permitido comprobar que entre las células epiteliales hay células especiales, llamadas células M, que toman muestras del contenido intestinal (en busca de antigeno) y transfieren este antigeno a las células denditicas y a los linfocitos en el estrato epitelial.

Gin, glándulas intestinales ME, muscular externa MM, muscular de la mucosa ¿WM?, presenta ubicación de la muscular de la mucosa NL, nódulo linfático

SubM, submucosa V, vellosidades asteriscos, vellosidad foliácea

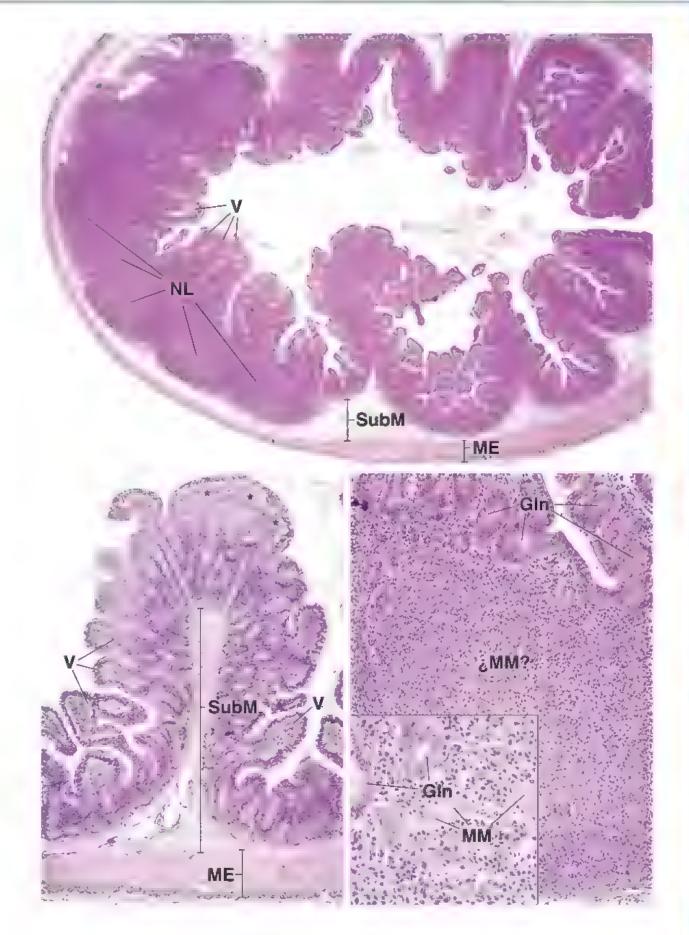


LÁMINA 62 COLON

Las funciones principales del colon son la reabsorción de electrólitos y agua, así como la eliminación de alimento no digerido y otros desechos. La mucosa tiene una superficie lisa sin pliegues circulares ni vellosidades. Las abundantes glándulas simples (criptas de Lieberkuhn) se extienden a través de todo el espesor de la mucosa. Las glándulas, así como la

superficie, están revestidas por un epitelio cilindrico simple que contiene células caliciformes, absortivas y entercendocrinas, pero que generalmente no posee células de Paneth También aquí, las células madre están restringidas al fondo de las glándulas (criptas) y la zona normal de replicación se extiende hasta cerca de una tercera parte de la altura de la cripta.



Colon, simio, H&E, 30×.

Aquí se muestra, con poco aumento, un corte transvenal del intescino grueso. Se ven las cuatro capas que forman la pared del colon. rnucosa (Muc), submucosa (SubM), muscular externa (ME) y SOFOSA (S). Si bien estas capas son las mismas que se en-

cuentran en el intestino delgado, deben destacarse varias diferencias. El intestino grueso no tiene vellosidades su pliegues circulares. Por otro lado, la muscular externa se organiza de una manera distintiva muy evidente en esta microfotografía. La

capa longitudinal (ME/l) es sustancialmente más fina que la capa circular (ME(c)), excepto en tres sitios en los que el músculo liso longitudinal se dispone en forma de una banda gruesa. En esta imagen aparece una de estas bandas gruesas denominadas **tenías del colon** (TC). Como el colon se ha seccionado en sentido transversal, la tenía también se seccionó de forma transversal. Las tres tenías del colon se exnenden a lo largo de todo el intentino grueso hasta el recto, aunque no dentro de él

La submucosa consiste en tejido conjuntivo bastante denso e irregular. Contiene vasos sanguineos (VS) de gran calibre y regiones de tejido adiposo (véate A en la imagen de abajo)



Mucosa, colon, simio, H&E, 140×.

La mucosa (Muc) vista con mayor aumento contiene **glándu**las tubulares (criptas de Lieberkühn) rectas, no ramificadas, que se extienden hacia la muscular de la mucosa (MM) Las flechas señalan las desembocaduras de algunas glándulas en la

superficie intestinal. En general, la luz de las glándulas es estrecha excepto en su

porción más basal, donde suele estar levermente dilatada (asterisca, imagen de abajo a la izquienda). Entre las glándulas (Gla) se encuentra una lármina propia (LP) que contiene una cantidad considerable de linfocitos y otras células del sistema inmunitario. Obsérvese la submiticosa (SubM) que contiene tendo conjuntivo denso, irregular, con áreas de tendo adiposo (A). Los dos rectingulas incluyen regiones de la mucosa que se examinan con mayor aumento en las unágenes de abajo



Lámina propia, colon, simio, H&E, 525×.

En esta imagen se observan la **muscular de la mucosa** (MM) y las células de la **lámina propia** (LP), muchas de las cuales pueden reconocerse como linfocitos y plasmocitos. Las celulas musculares lisas de la muscular de la mucosa se organizan en

dos capas. Debe notarse que las células musculares lisas señaladas por las puntar de flecha muestran núcleos esferoideos, sin embargo, otras células musculares lisas aparecen como regiones eosinófilas más o menos redondas. Estas células muscu-

lares lisas se han seccionado en sentido transversal. Justo encima de estas células musculares lisas, cortadas transversalmente, aparecen otras en corte longitudinal que exhiben nucleos alargados y bandas largas de citoplasma eostrófilo. Nótese también el revesumiento epitelial de la mitad inferior de las glandulas intestinales, cuyas luces están marcadas con atteriors. La mayoría de las células son células caliciformes (CC); sin embargo, hay varias figuras mitóticas (M). Son células intermedias en división (células madre) capaces de experimentar división y diferenciación en células absortivas o caliciformes.



Glándulas intestinales, colon, simio, H&E, 525 ·

Las células que revisten la superficie luminal del colon y de las glandulas son principalmente células absortivas (CA) y células caliciformes (CC). Las células absortivas tienen un

fino borde estriado visible donde las *fleche*s señalan los orificios de las glándulas. Dispersas entre las células absortivas se encuentran las células caliciformes (*CC*). Hacia el interior de las glándulas, las células absortivas se tornan escasas, mientras que las células caliciformes aumentan en cannidad. Otras células en la glándula son las enteroendocrinas, que no son fáciles de identificar en los cortes rutinarios de parafina teriudos con H&E. En la porción basal de la glandula hay células midiferenciadas de la zona de replicación, que derivan de las células madre ubicadas en la base de la cripta. Las células indiferenciadas se identifican con facilidad si estan en proceso de división por las figuras mitóticas (M) que generan (vésse magen de la izquierda)

A, tejido adiposo
CA, céfulas absortivas
CC, céfulas caliciformes
Gla, giándulas intestinales
LP, amina propia
M, figuras mitóticas
ME, muscular externa

ME(c), capa circular de la muscular externa ME(l), capa longitudinal de la muscular externa MM, muscular de la mucosa

Muc, mucosa S, serosa SubM, submucosa
TC, tenias del colon
VS, vaso sanguíneo
asteriscos, luz de la glándula intestina
flechas, orificio de las glándulas intestinales
puntas de flecha, células musculares lisas
con núclaos redondos

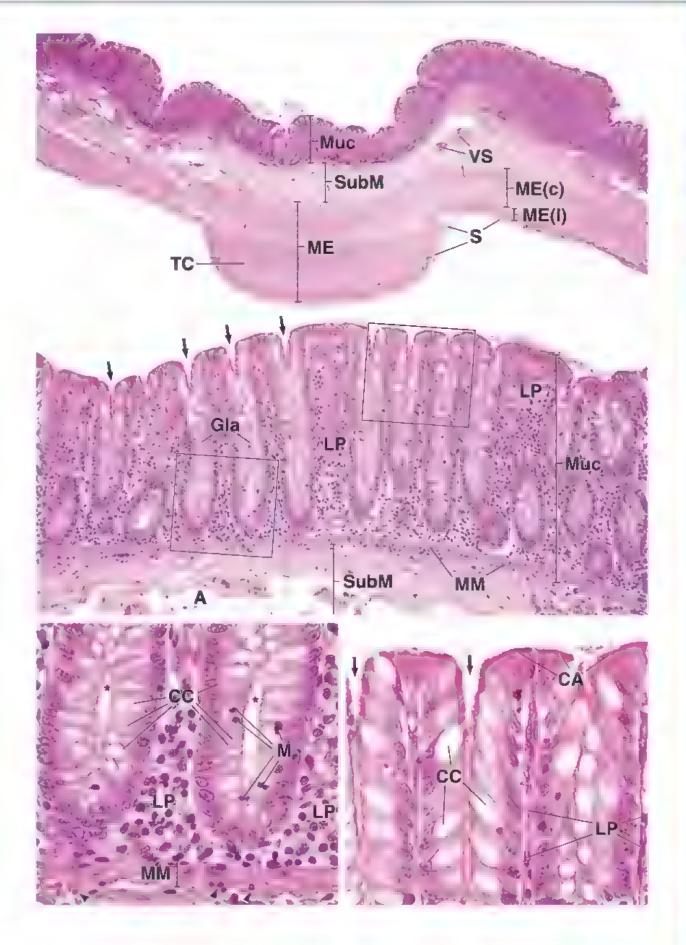


LÁMINA 63 APÉNDICE

El apéndice (apéndice vermiforme) generalmente se describe como una estructura con forma de dedo o gusano (lat. vermis, gusano). Pende del ciego (el primer segmento del intestino grueso; los otros en orden consecutivo son colon ascendente, colon transverso, colon descendente, colon sigmoide, recto y conducto anal) y es un órgano tubular cerrado en un extremo cuya longitud varía entre 2.5 y 13 cm (la longitud media es de casi 8 cm). Dado que es un fondo de saco ciego, el contenido intestinal puede quedar atrapado o secuestrado en el apéndice, lo que puede provocar inflamación e infección. En los lactantes y ninos tiene una longitud relativa y absoluta mayor que en los adultos; contiene abundantes nódulos linfáticos, lo que podría indicar que cumple una función inmunitaria. Algunos datos recientes senalan que (junto con el ciego y el íleon terminal) sería el órgano

"equivalente a la bursa" de los mamíferos, es decir, la parte del sistema inmunitario inmaduro donde los linfocitos B potenciales alcanzan la inmunocompetencia (un equivalente de la bolsa de Fabricio de las aves)

La pared del apéndice es muy parecida a la del intestino delgado porque tiene una capa longitudinal completa de muscular externa, pero carece de pliegues circulares y de vellosidades. Así, la mucosa es similar a la del colon porque tiene glándulas simples. Sin embargo, aun esta semejanza suele quedar oculta por la gran cantidad y el tamaño de los nódulos linfáticos que a menudo se fusionan y se extrenden hacia la submucosa. Con el paso de los años, la cantidad de tejido linfático en el apéndice disminuye, con la consecuente reducción de su tamaño. En muchos adultos la estructura normal se pierde y el apéndice es reemplazado con tejido fibroso cicatricial.



Apendice, humano, H&E, 25×.

Corte transversal del apendioe de un preadolescente en el que se observan las diversas estructuras que componen su pared. Se idenrifican la luz (L), la mucosa (Muc), la submucosa (SubM), la muscular externa (MF) y la serosa (S).



Apéndice, humano, H&E, 80×; recuadro 200×.

En esta nucroforografia se muestra, con mayor aumento, la región incluida en el *cuadrado* de la imagen de arriba. Se observan las **glándulas** (*Gla*) rubulares recras que se esquenden hasta la musculas de

la mucosa. Debajo se encuentra la **Submucosa** (SubM), que contiene **nó- dulos linfáticos** (NL) y una cantidad considerable de rejido linfático difuso.
Nótense los centros germinativos (CGe) bien definidos de los nódulos linfáticos y sit zona del manto (ZM) onentada hacia la luz. La porción más superficial de la submucosa se mezcla y se confunde con la lámina propia de la mucosa debido a los

abundantes Infocitos en estos dos sitios. La parte más profunda de la submiscosa nene una infiltración linfocitica relativamente escasa y contiene vasos sanguineos (VS) de gran calibre y nervios. La muscular externa (ME) está compuesta por una capa circular interna bastante gruesa y una capa longitudinal externa mucho más delgada. La serosa (S) aparece solo de forma parcial en esta miscrofotografía.

En el recuadro se muestra, a mayor aumento, la región incluida en el rectángulo de la imagen de abaja. Nótese que el epitelio de las glandulas en el apéndice es similar al del intestino grueso. La mayoría de las células epiteliales contienen mucinogeno, de alli el aspecto claro del citoplasma apical. La làmina propia, como ya se mencionó, está muy infiltrada de linfocitos y la muscular de la mucosa, en la base de las glándulas, es dificil de reconocer (flechas)

CGe, centros germinativos Gla, glánduja L, luz ME, muscular externa Mue, mucosa ML, nódulo linfático S, serosa SubM, submucosa VS, vaso sanguíneo ZM, zona del manto flechas, muscular de la mucosa en la base de las glánduras

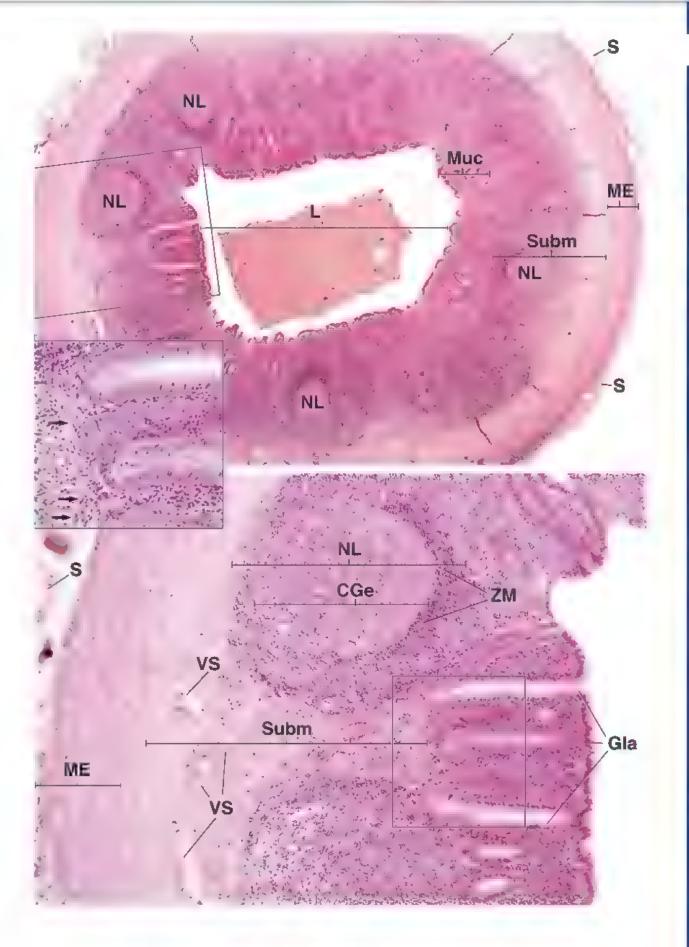


LÁMINA 64 CONDUCTO ANAL

En el conducto anal hay una transición desde el epitelio cilindrico simple de la mucosa intestinal hasta el epitelio plano estratificado queratinizado de la piel. Entre estos dos epitelios diferentes existe una región estrecha (la zona de transición del conducto anal) donde el epitelio primero es cilíndrico estratificado (o cubico estratificado) y después plano estratificado sin estrato cómeo. A la altura del conducto anat desaparece la muscular de la mucosa. En este mismo nivel, la capa circular de la muscular externa se engrosa para convertirse en el esfinter anal interno. El esfinter externo del ano se forma por musculos estriados del piso de la pelvis.



Conducto anal, humano, 40×.

Esta es una imagen del conducto anal vista con poco aumento. En el extremo superior exquierdo se observa la muscosa característica del intestino (zona colorrectal). Esta región corresponde a la parte proximal del conducto anal, y las glandulas intestinales

son las mismas que las del colon. La muscular de la mucosa (MM) se identifica con facilidad como una banda estrecha de tejido debajo de las glándulas.
Tanto las glándulas intestinales como la muscular de la mucosa terminan dentro
del rectángulo de la inquienta del campo; aqui, el pequeño rombo señala el sitio
donde ocurre el primer gran cambio en el epuelio. Esta región, denominada
zona de transición anal, se examina con mayor aumento en la imagen de
abajo a la inquienta. El rectángulo de la derecha incluye al epatelio plano estrati-

ficado (EPe) y su transición a epitello plano estratificado queratinizado [EPe(q)] de la piel en la **ZORB ESCAMOSA** o pavimentosa del conducto anal, y se examina a mayor aumento en la timagen de abajo a la derecha.

Entre los dos pequeños rumbos de los rectangulos ne muestra el epitelio de la parte distal del conducto anal. Debajo de este epitelio hay un nódulo linfárico que tiene un centro germinativo bien formado. No debe considerarse que los nódulos linfáncos (NL) aislados debajo de las membranas mucosas poseen ubicaciones fijas. Al contrario, según las necesidades locales, pueden estar presentes o no.

Además, con poco aumento puede observarse el esfinter muscular interno del ano (EIA), es decir, la porción distal más engrosada de la capa circular de musculo liso de la muscular externa. Debajo de la psel, a la derecha, se encuentra la parte subcutánea del esfinter muscular externo del ano (EEA). Está formada por fibras de músculo estriado, que aquí se observan en un cotte transversal.



Zona de transicion anal, conducto anal, humano, H&E, 160×; recuadro 300×

La transición entre el epirelio cilíndrico simple (EG) y el epirelio estratificado (EF), la denominada zona de transición anal, está señalada mediante el pequeño rombo. El epirelio cilín-

drico simple de la parte proximal del conducto anal contiene células caliciformes

abundantes y, como en la mucosa del colon, se continúa con el epitelio de las glándulas intestinales (GIn). Estas glándulas siguen hasta casi el musmo sirio que la muscular de la mucosa (MM). Es característico que la lámina propia contenga una gran cantidad de Imfocitos (Lin), en particular en la región señalada. En el recuadro se muestran con mayor aumento el epitelio cilindrico estratificado (ECe) y el epitelio cibico estratificado (ECee) de la zona de transición.



Zona escamosa, conducto anal, humano, H&E, 160×.

Aqui se muestra el último cambio de epitelio que ocurre en la **2018** escamosa del conducto anal. A la derecha se encuentra el epitelio plano estratificado [EPe(q)] de la piel. La condición que-

ratinizada de la superficie es evidente. En cambio, el epitelio plano estratificado (EPe) debajo del nivel señalado por el pequeño rombo no está querannizado y pueden verse células con núcleos en todo el espesos hasta la superficie. De nuevo hay abundancia de linfocitos (Lin) en el tejido conjuntívo subyacente y muchos han migrado hacia el epitelio sin estrato córneo.

EE, epiteuo estratificado
EEA, estinter externo del ano
ECe, epitelio cilindrico estratificado
ECs, epitelio cilindrico simple
ECue, epitelio cibico estratificado
EIA, estinter interno del ano

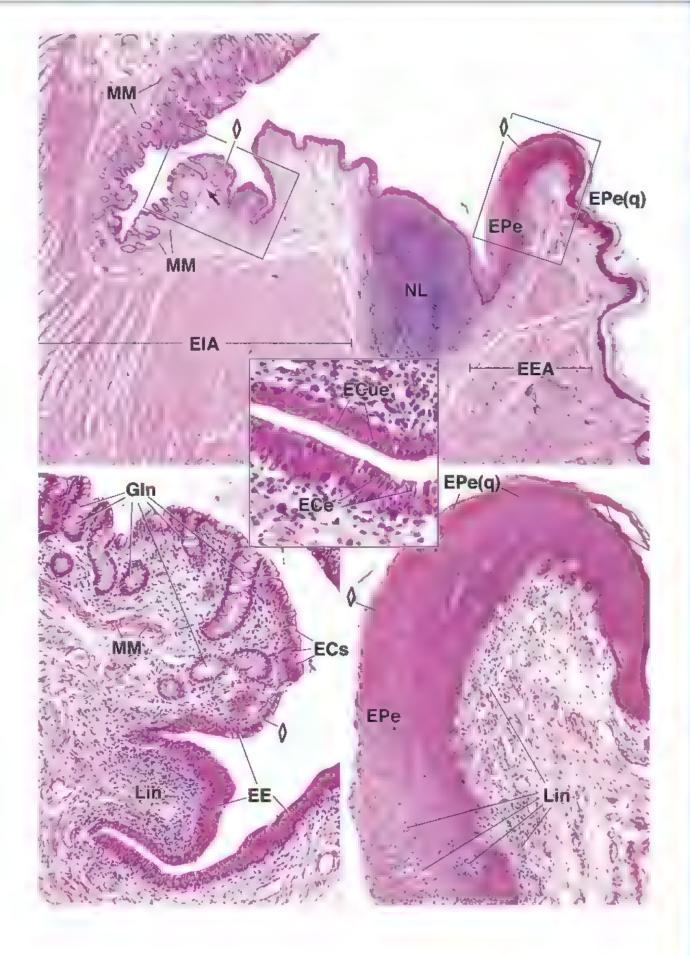
EPe, epitelio piano estratificado
EPe(q), epitelio piano estratificado (queratinizado)
Gin, glandulas intestinales
Lin, linfocitos

MM, muscular de la mucosa

NL, nódulo linfático

Recha, terminación de la muscular de la muscular de la mucosa

pequeño rombo, transición entre diferentes tipos de epitelio



SISTEMA DIGESTIVO III: HÍGADO, VESÍCULA BILIAR Y PÁNCREAS

HÍGADO / 666

Fundamentos / 666 Fisiología hepática / 666 Irrigación hepática / 669 Organización estructural del higado / 670 Via linfatica / 675 Hepatocitos / 675 Árbol biliar / 678

VESICULA BILIAR / 680 PÁNCREAS / 683

> Fundamentos / 683 Pancreas exocrino / 684

Sistema de conductos del páncreas exocrino / 685 Pancreas endocrino / 687

Cuadro 18-1 Correlación clinica: lipoproteínas / 668 Cuadro 18-2 Correlación clinica: insuficiencia cardíaca congestiva, sobredosis de paracetamol y necrosis hepática / 674

Cuadro 18-3 Correlación clinica: producción de insulina y enfermedad de Alzheimer / 690 Cuadro 18-4 Consideraciones funcionales: síntesis de insulina, un ejemplo de procesamiento postraduccional / 691

HISTOLOGIA 101 / 692



■ HÍGADO

Fundamentos

El higado es la masa de rejido glandular más grande del organismo y el órgano interno más voluminoso; tiene un peso aproximado de 1500 g, que corresponde más o menos al 2.5% del peso corporal de un adulto. Se localiza en el cuadrante superior derecho y en parte del cuadrante superior izquierdo de la cavidad abdominal, protegido por la parrilla costal. El hígado está encerrado en una cápsula de rejido conjuntivo fibroso (cápsula de Glisson); una cubierta serosa (peritoneo visceral) rodea la cápsula, excepto donde el hígado se adhiere directamente al diafragma o los otros órganos.

Anatómicamente, el hígado está dividido por surcos profundos en dos grandes lóbulos (derecho e izquierdo) y dos lóbulos pequeños (el lóbulo cuadrado y el caudado; fig. 18-1). Esta división anatómica solo tiene importancia topográfica, porque relaciona los lóbulos hepáticos con otros órganos ahdominales. La división en segmentos funcionales o quirúrgicos, que corresponde a la irrigación sanguínea y el drenaje biliar, tiene una relevancia clínica mayor.

En el embrión, el hígado se desarrolla como una evaginación endodérmica desde la pared del intestino anterior (específicamente, a la altura de la porción que se convertirá en el duodeno) para formar el diverticulo hepático. El divertículo prolifera y origina los hepatocitos, que se organizan en cordones celulares (hepáticos) para formar el parénquima del hígado. El pedículo original del divertículo hepático se convierte en el colédoco (conducto biliar común). Un brote del colédoco forma el divertículo cistico que da origen a la vesícula biliar y al conducto cistico

Fisiología hepática

Numerosas proteinas plasmáticas en circulación son producidas y secretadas por el hígado. El hígado desempeña un papel importante en la captación, el almacenamiento y la distribución de sustancias nutritivas y vitaminas que circulan en el torrente sanguíneo. También mantiene la concentración sanguínea de glucosa y regula las concentraciones circulantes de lipoproteinas de muy baja densidad (VLDL, very low-density lipoproteina). Además, el higado degrada o conjuga muchos fármacos y sustancias tóxicas, pero puede ser rebasado por dichas sustancias y presentar lesiones. El higado también es un órgano exocrino: produce la billa que contiene sales biliares, fosfolípidos y colesterol. Por último, el hígado desempeña impor tantes funciones de indole endocnna.

El higado produce la mayoria de las proteinas plasmáticas que circulan en el organismo.

Las proteinas plasmáticas circulantes producidas por el higado incluyen:

 Atbuminas, que participan en la regulación del volumen plasmático y el equilibrio de líquidos en los rejidos mediante el mantenimiento de la presión oncótica del plasma.

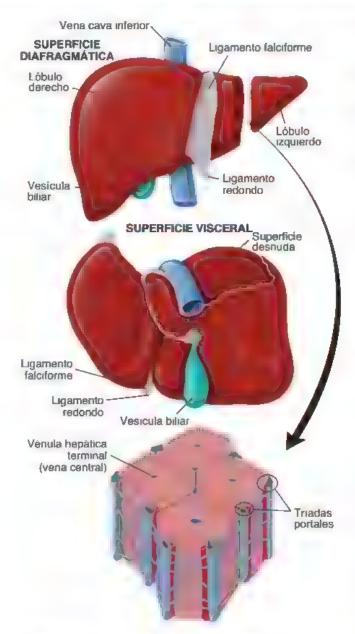


FIGURA 18-1. Estructura anatómica del hígado. En este diagrama se ilustra una vista macroscópica de las superficies diafragimát ca y visceral dei hígado, con puntos de referencia anatómicos marcados en ambas superficies. El corte transversal del higado visto con un aumento mayor (abajo) muestra la organización microscópica general del higado en lobulillos. Cabe resaltar la presencia de tríadas portales potales en la perfena de cada lobulillo, con la vénula hepática terminal (vena central) en el centro del jobulillo.

- Lipoproteinas, en particular las VLDL. El hígado sintetiza la mayoría de las VLDL que participan en el transporte de triglicéridos desde el hígado hacia otros órganos. El hígado también produce pequeñas cantidades de otras lipoproteinas plasmáticas como las lipoproteinas de baja densidad (LDL, low-density lipoproteina) y alta densidad (HDL, high-density lipoproteina). Las LDL transportan ésteres de colesterol desde el hígado hacia otros tejidos. Las HDL extraen el colesterol de los rejidos periféricos y lo transportan hacia el hígado (cuadro 18-1)
- Giucoproteinas, que incluyen proteínas que participan en el transporte de hierro, como la haptoglobina, la transferrina y la hemopexina.
- Protrombina y fibrinogeno, componentes importantes de la cascada de coagulación de la sangre.

 Giobulinas no inmunitarias α y β, que también ayudan a mantener la presión oncóuca y sirven como proteínas transportadoras para vartas sustancias (véase cap. 10, Tejido+ sanguineo).

El higado almacena y convierte vitaminas liposolubles.

Varias vitaminas liposolubles se captan desde la sangre y después son almacenadas o modificadas bioquímicamente por el hígado. Estas vitaminas incluyen:

- Vítamina A (retinol), importante para la visión. La vitamina A es el precursor del retinol, necesario para la sintesis de rodopsina en la retina del ojo. El hígado desempeña un papel importante en la captación, almacenamiento y mantenimiento de las concentraciones circulantes de vitamina A. Este moviliza sus depósitos en las células hepáticas estrelladas cuando disminuye la concentración sanguínea de vitamina A (véase p. 675). Entonces, la vitamina A se fibera hacia la circulación en forma de retinol unido a la proteina fijadora de retinol (RBP, retinol-hinding protein). El higado también sintetiza RBP; la sintesis de RBP es regulada por la concentración plasmática de vitamina A. La ceguera nocturna y múltiples alteraciones de la piel están relacionados con la insuficiencia de vitamina A.
- Vitamina D (colecalciferol), importante en el metabolismo del calcio y el fosfaro. La vitamina D se adquiere de la vitamina D; de la diera y también se produce en la piel durante la exposición a la luz ultravioleta por la conversión del 7 deshidrocolesterol. A diferencia de la vitamina A, la vitamina D no se almacena en el higado, sino que se distribuye en el músculo esquelético y en el tejido adiposo. El higado desempeña un papel importante en el metabolismo de la vitamina D al convertir la vitamina D, en 25-hidroricolecalciferol, la forma predominante de vitamina D en la circulación. En los riñones tiene lugar la conversión adicional a 1,25-dihidroxicolecalciferol (calcitriol), que es 10 veces más activo que la vitamina D.3. La vitamina D es indispensable para el desarrollo y crecimiento del esqueleto y los dientes. La insuficiencia de vitamina D se asocia con el raquitismo y con las alteraciones de la mineralización ósea.
 - Vitamina E, que representa un grupo de tocoferoles y tocotrienoles liposolubles. La mayor parte de la vitamina E del cuerpo
 se encuentra en forma de tocoferol ti, un poderoso anuoxidante
 que rompe cadenas y evita la propagación de radicales libres.
 La vitamina E se transporta al hígado en quilomicrones y se
 une a la proteína de transferencia de tocoferol α (α-TTP, tecopherol
 transfer proteín). La secreción de tocoferol α desde los hepatocitos
 está relacionada con el ensamblado de VLDL. Las personas con
 higado graso y esteatohepatitis no alcohólica (ENA) tienen
 concentraciones reducidas de vitamina E circulante.
- Vitamina K, importante para la síntesis hepática de la protrombina y de varios otros factores de coagulación. Al igual que la vitamina D, la vitamina K deriva de dos fuentes: la dieta y la síntesis por la microbiota bacteriana del intestino delgado. La vitamina K se transporta con los quilomicrones hacia el hígado, donde se absorbe con rapidez, se utiliza de forma parcial y después se secreta, en parte, con la fracción de VLDL. La insuficiencia de vitamina K se asocia con la hipoprotrombinemia y con alteraciones hemorrágicas.

El hígado es un órgano clave para el suministro, almacenamiento, metabolismo y excreción de hierro y cobre.

El higado participa en el almacenamiento, metabolismo y homeostasis del hierro. Sintetiza casi todas las proteínas que intervienen en el metabolismo y en el transporte del hierro, como la transfertina, la haptoglobina y la hemopexina. La transfertina es una proteína plasmática

CORRELACIÓN CLÍNICA: LIPOPROTEÍNAS

Las tipoproteinas son complejos formados por proteínas y lipidos que intervienen en el transporte de colesterol y triglicéridos en la sangre. El colesterol y los triglicéridos no circulan libremente en el plasma porque los lípidos, por sí solos, no pueden permanecer en suspensión. La asociación de una proteína con el nucleo lipídico torna el complejo lo suficientemente hidrófilo como para quedar suspendido en el plasma.

Las lipoproteínas desempeñan varias funciones en las membranas calulares y el transporte y metabolismo de los lípidos. Los precursores de las lipoproteínas son producidos por los hepatocitos, el componente lipídico se sintetiza en el REL, el componente proteínico, en el RER. Los complejos de lipoproteínia pasan al aparato de Golgi, donde brotan vesículas de secreción con partículas lipoproteínicas, electrodensas, que después se liberan desde la superficie celular que limita el espacio perisinusoidal para entrar en la circulación sanguínea. Varias hormonas, como los astrógenos y las hormonas tiroideas, regulan la secreción de las lipoproteínas

Se han definido cuatro clases de lipoproteína segun sus características de densidad, peso molecular, tamaño y composición química quilomicrones, VLDL, LDL y HDL. Estas lipoproteínas difieren en su composición química y pueden ser aisladas del plasma de acuerdo con sus propiedades de flotación, desde la más grande y menos densa hasta la más pequeña y más densa

Los quilomicrones, las más livianas de todas las lipoproteinas, solo se producen en el intestino delgado. Su función principal es el transporte de grandes cantidades de grasa absorbida hacia la circulación sanguinea

Las VLDL son más densas y pequeñas que los quilomicrones, se sintetizan predominantemente en el hígado y, en menor medida, en el intestino delgado. Las VLDL contienen una gran cantidad de triglicéridos. Su función es transportar la mayorla de esos triglicéridos desde el hígado hacia otros órganos. Las VLDL hepáticas están asociadas con la apolipoproteina B-100 circulante, también sintetizada en el hígado, que contribuye a su secreción. En las enfermedades hepáticas congénitas, como la abetalipoproteinemia, y en menor medida en las alteraciones aguidas y crónicas, el hígado es incapaz de producir apolipoproteina B-100, lo cual causa el bloqueo de la secreción de VLDL. En las biopsias hepáticas de estos pacientes se comprueba que la mayor parte del citopiasma de los hepatocitos está ocupada por gotitas lipídicas.

Las LDL y las HDL se producen en el plasma; sin embargo, una pequeña cantidad de estas fracciones es producida por el hígado. Las LDL son más densas que las VLDL y las HDL son más densas que las LDL. La función de las LDL es transportar ésteres de colesterol desde el hígado hacia los órganos periféricos. Las HDL participan en el transporte de colesterol desde los tejidos periféricos hacia el hígado. Las altas concentraciones de LDL se correlacionan con un aumento del riesgo de padecer una enfermedad cardiovascular, mientras que las concentraciones altas de HDL, o bajas de LDL, se asocian con una disminución de ese riesgo.

transportadora de hierro. La haptoglobina se une a la hemoglobina libre en el plasma, desde donde todo el complejo es captado por el higado para conservar el hierro. La hamopaxina participa en el transporte del grupo hemo libre en la sangre. El hierro se almacena en el citoplasma de los hepatocitos en la forma de ferritina o puede convertirse en gránulos de hamosidarina. Estudios recientes indican que los hepatocitos son los sitios principales de almacenamiento de hierro a largo plazo. La sobrecarga de hierro (como ocurre en las transfusiones sanguineas multiples) puede conducir a la hamocromatosis, una forma de tesión hepática que se caracteriza por cantidados excesivas de hemosiderina en los hepatocitos

El higado desempeña un papel importante en la disponibilidad del cobre. Este se absorbe desde el tubo digestivo hacia la circulación portal, donde se une a la albúmina y los aminoácidos como la histidina. Luego pasa a través del hígado, donde los hepatocitos son el suto primario de captación y acumulación de cobre en este órgano. La excreción de cobre en la bilis está regulada por una enzima llamada ATPasa transportadora de cobre (ATPasa de Wilson o ATP7B), que promueve la incorporación del cobre en la apoceruloplasmina (una enzima inestable sin el cobre) para formar ouruloplasmina, principal proteína transportadora de cobre en la sangre-La ceruloplasmina es una enzima glucoproteínica de 151 kDa, presenta seis átomos de cobre en su estructura y contiene más del 95% del cobre plasmático. Las mutaciones en el gen ATP7B, que codifica la ATPasa de Wilson, son las responsables de la enfermedad de Wilson, una alteración autosómica recesiva caracterizada por una sintesis deficiente de ceruloplasmina y la excreción biliar de cobre. El cobre se acumula en el higado y conduce a un daño hepático progresivo. Además, se acumula en el cerebro y otros tejidos. Los individuos afectados pueden tener sintomas de insuficiencia hepatica y manifestaciones neuropsiquiatricas. El tratamiento es de por vida con un agente quelante oral con capacidad de fijación del cobre o con sales de zinc. Para los pacientes que no responden al tratamiento medico, es necesario un trasplante de higado.

El higado degrada fármacos y toxinas.

Los hepatocitos participan en la degradación de fármacos, toxinas y otras proteínas extrañas al organismo (zenobióticos). Muchos fármacos y toxinas no son hidrófilos y, por lo tanto, los riñones no pueden eliminarlos con eficacia de la circulación. El hígado convierte estas sustancias en formas más solubles. Este proceso lo realizan los hepatocitos en dos fases:

- Fase I (oxidación), que comprende la hidroxilación (adición de un grupo "OH) y carboxilación (adición de un grupo "COOH) a un compuesto extraño. Esta fase ocurre en el retículo endoplasmático liso (REL) y en las mitocondrias del hepatocito. El mecanismo incluye una serie de reacciones bioquímicas con proteínas que, en conjunto, se denominan citocromo P450.
- Fase II (conjugación), que comprende conjugaciones con ácido glucurónico, glicina o taurina. Este proceso transforma al producto de la fase I en formas aún más hidrosolubles, de modo que pueda ser eliminado con mayor facilidad por los riñones.

El higado participa en muchos otros mecanismos metabólicos importantes.

El higado es importante en el metabolismo de los hidratos de carbono porque mantiene un suministro adecuado de sustancias nutritivas para los procesos celulares. En el metabolismo de la giucosa, el higado fosforita la giucosa absorbida desde el tubo digestivo a giucosa-6-fosfato. Según las necesidades energéticas, la glucosa-6-fosfato se almacena en el higado en forma de giucógono o se utiliza en meca-

Componente

Agua

Fosfolipidos (p. ej., lecrona) y colesterol

Sales biliares (también flamadas ácidos biliares)

Primarias (secretadas por el higado) ácido cólico, ácido quenodesexi-

Secundanas (convertidas por la microbiota bacteriana en el intestino) ácido desoxicólico, ácido (itocólico

Pigmentos biliares, sobre todo los glucurónidos de la bilimubina producida en el bazo, la médula ósea y el higado por la degradación de la hemoalobina

Electrólitos, Na*, K*, Ca2*, Mg2+, ClT y HCO3T

Función

Actua como solvente en el que se transportan otros componentes

Son sustratos metabólicos para otras celulas del organismo, actuan como precursores de los componentes de membrana y los esteroides, en su mayoría se reabsorben en el intestino y se reciclan

Actúan como emulsionantes que colaboran con la digestión y la absorción de lípidos en el intestino y ayudan a mantener el colesterol y los fosfoiípidos de la bilis en solución, en su mayoría se recician y participan en la circulación enterohepática

Desintoxican la bilimubina, el producto final de la degradación de la hemoglobina, y la transportan hasta el intestino para su eliminación

Establecen y mantienen la bilis como un líquido isotónico, también se reabsorben casi por completo en el intestino.

nismos glucolíticos. Durante el ayuno, el glucógeno se degrada por el proceso de glucogenólisis y la glucosa se libera al torrente sanguíneo.

Además, el hígado participa en el metabolismo lipidico. Los ácidos grasos provenientes del plasma son consumidos por los hepatocitos en la **B-oxidación** para proveer energía. El hígado también produce cuerpos catónicos que son utilizados como combustible por otros órganos (el hígado no puede usarlos como fuente de energía). La participación en el metabolismo del colestarol (síntesis y captación desde la sangre) también es una función importante del hígado. El colesterol se utiliza en la formación de sales biliares, la síntesis de VLDL y la biosíntesis de orgánulos.

El hígado también participa en el metabolismo de les proteínes. Es el sitio de la síntesis de proteínas y de la absorción y metabolismo de los ammoácidos. El hígado también tiene la capacidad de desaminar aminoácidos, por lo que sintetiza la mayor parte de la uren en el cuerpo a partir de iones de amonio derivados de la degradación de las proteínas y los ácidos nucleicos. Por último, el hígado participa en la síntesis y conversión de aminoácidos no esenciales.

La producción de bilis es una función exocrina del higado.

El hígado está involucrado en numerosas conversiones metabólicas en las que participan sustratos transportados por la sangre desde el rubo digestivo, el páncreas y el bazo. Algunos de estos productos intervienen en la producción de la bilis, una secreción exocrina del hígado. La bilis contiene productos de desecho y degradados que se devuelven al intestino para su eliminación, así como sustancias que se unen a metabolitos en el intestino para colaborar con su absorción (tabla 18-1). La bilis es transportada desde el parénquima del hígado a través de las vías biliares que se fusionan para formar el conducto hepático. Entonces, el conducto cístico transporta la bilis hacia la vesícula biliar, sitio donde se concentra. La bilis regresa por el conducto cístico hacia el colédoco, que la lleva hasta el duodeno junto con la que proviene directamente del hígado (véase fig. 18-14).

Las funciones de tipo endocrino del higado están representadas por su capacidad para modificar la estructura y la función de muchas hormonas.

El higado modifica la acción de las hormonas liberadas por otros órganos. Las acciones de tipo endocrino por parte del higado comprenden la modificación de las siguientes hormonas:

 Tiroxina, una hormona secretada por la glándula tiroides como tetrayodotironina (T₄), que en el hígado se convierte a su forma biológicamente activa, la triyodotironina (T₂), por un mecanismo de desyodación.

- Hormona del crecimiento (GH. growth hormone), una hormona secretada por la hipófisis. La acción de la GH es estimulada por el factor de crecimiento insulínico de tipo 1 (IGF 1, insulm-like growth factor 1), producido por el hígado, e inhibida por la somatostatina secretada por las células enteroendocrinas del tubo digestivo. Se han encontrado deficiencias genéticas de IGF-1 en ciertos grupos étnicos cuyos miembros tienen promedios de estatura inferiores a los estandar, como los pigmeos Bayaka en África central. Los estudios hormonales indican que estos individuos tienen concentraciones normales de GH; sin embargo, la concentración de IGF-1 en su población. adolescente es un tercio más baja que la de los controles. Como el IGF-1 es el principal responsable del crecimiento puberal normal, los miembros de esta población no experimentan el crecimiento acelerado tipico de la pubertad, lo que tiena como resultado una estatura de menos de 150 cm.
- Insulina y glucagón, ambas hormonas pancreáricas. Estas hormonas se degradan en muchos órganos, pero el hígado y los riñones son los sitios más importantes en dicho proceso.
- Vitamina D_b, que también se convierte en el hígado en el 25-hidroxicolocaleiferol, un metabolito biológicamente activo de la vitamina D₃ y la forma predominante de vitamina D circulante (véase p. 667).

Irrigación hepática

El hígado tiene un abastacimiento dual de sangre único en el organismo, que consiste en un suministro venoso (portal) a través de la vena porta hepática y uno arterial a través de la arteria hepática. Ambos vasos ingresan en el hígado por el hilio hepático, el mismo sitio donde el conducto colédoco transporta la bilis secretada por el hígado y los vasos linfáticos salen del hígado. Por lo tanto, la bilis fluye en dirección opuesta a la de la sangre.

El hígado recibe la sangre que irrigó antes los intestinos, el páncreas y el bazo.

El hígado es único entre los órganos, pues recibe su irrigación principal (casi el 75%) de la vena porta hepática, que transporta sangre venosa con poca concentración de oxígeno. La sangre que llega al hígado mediante la vena porta hopática proviene del tubo digestivo y los principales órganos abdominales, como el páncreas y el bazo.

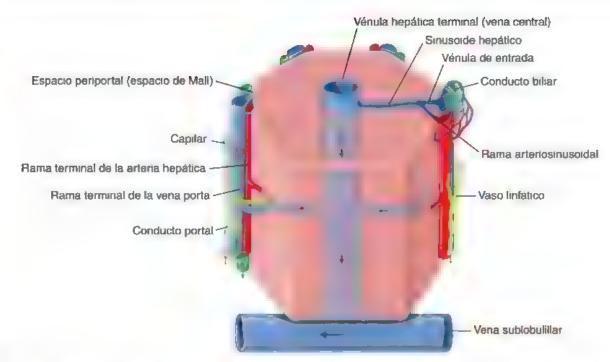


FIGURA 18-2. Irrigación sanguinea del hígado: la tríada portal (hepática). La triada portal está compuesta por ramas de la arteria hepática y la vena porta, así como por el conducto binar. La sangre de las ramas terminales de la arteria hepática y la vena porta ingresa en los sinuscides hepáticos. La mezo a de sangre venosa y arterial es conducida por los sinuscides hasta la vénula hepática termina, tivena centra.) Desde ahi la sangre drena hacia las venas subiobuillares que son tributarias de la vena hepática. Nótese la red de capilares y vasos pequeños en el tej do conjuntivo perivascular que rodea cada triada porta, dentro de conducto portal. También se debe observar el espacio periportal de Malí que se localiza entre el conducto portar y los hepatocros mas penier cos. Este espacio también contiene una pequeña cantidad de tej do conjuntivo en la que se inicia el drenaje linfático. Desde a il, los capilares infáticos diegos forman vasos linfáticos de mayor calibre que acompañan las ramas de la arteria hepática.

La sangre portal que entra en el higado contiene:

- Sustancias nutritivas y materiales róxicos que han sido absorbidos en el intestino.
- Entrocitos y sus productos de degradación en el bazo.
- Secreciones endocrinas del páncreas y de las células enteroendocrinas del tubo digestivo.

De esa manera, el hígado se interpone directamente en el trayecto de los vasos sanguíneos que transportan las sustancias absorbidas en el tubo digestivo. Si bien el hígado es el primer órgano en recibir sustratos metabólicos y sustancias nutritivas, también es el primero que se expone a los compuestos tóxicos que se han absorbido.

La arteria hopática, una rama del tronco celíaco, transporta sangre oxigenada al hígado y provee el 25% restante de su irrigación. Dado que la sangre de las dos fuentes se mezcla justo antes de irrigar los hepatocitos del parénquima hepático, estos nunca se exponen a sangre totalmente oxigenada.

Dentro del hígado, las ramas de distribución de la vena porta y la arteria hepática, que llevan sangre a los capilares sinusoidales (sinusoides) que irrigan los hepatocitos y las ramas de drenaje de la vía biliar, que desembocan en el conducto hepático común, discurren juntas en una relación que recibe el nombre de triadas portales (hepáticas). Si bien es un término práctico, no es una denominación correcta, ya que siempre hay uno o más vasos del sistema de drenaje linfático del hígado que discurren con la vena, la arteria y el conducto biliar (fig. 18-2).

Los sinusoidos están en contacto estrecho con los hepatocitos y colaboran con el intercambio de sustancias entre la sangre y las células hepáticas. Estos sinusoides desembocan en la vénulo hepática terminal (vena central), que a su vez drena en las venas sublobuli-

Bares. La sangre abandona el hígado a través de las venas hepaticas que desembocan en la vena cava inferior.

Organización estructural del hígado

Como ya se mencionó, los componentes estructurales del hígado comprenden lo siguiente:

- Parérquima, que consiste en cordones bien organizados de hepatocitos, que en el adulto generalmente tienen una sola célula de espesor, separadas por capilares sinusoidales. En los niños de hasta 6 años de edad, los hepatocitos se distribuyen en cordones de dos células de espesor.
- Estroma de tejido conjuntivo, que se continúa con la cápsula fibrosa de Glisson. Los vasos sanguíneos, nervios, vasos linfáticos y conductos biliares discurren dentro del estroma de tejido conjuntivo.
- Capilares sinusoidales (sinusoides), que conforman el conducto vascular entre los cordones de hepatocitos.
- Espacios perisinusoidales (espacios de Disso), que se encuentran entre el endotelio sinusoidal y los hepatocitos.

Lobulillos hepáticos

Existen tres maneras de describir la estructura del hígado en términos de unidades funcionales: el lobulillo clásico, el lobulillo portal y el acino hepático. El lobulillo clásico es la manera tradicional de describir la organización del parénquima hepático y es relativamente fácil de visualizar. Se fundamenta en la distribución de las ramas de la vena porta y de la arteria hepática dentro del órgano, así como en el trayecto que sigue la sangre para irrigar finalmente a los hepatocitos

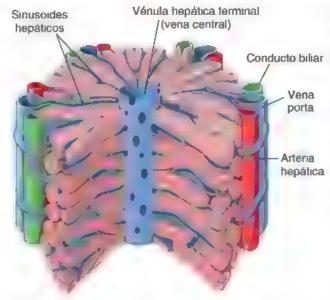
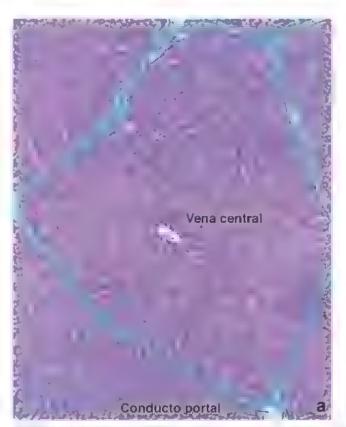


FIGURA 18-3. Diagrama de un lobulillo hepático clásico. Un lobu illo hepático clásico puede ser representado como un prisma poliedrico de seis caras con triadas portales (arteria hepática, vena porta y conducto biliar) en cada ángulo. Los vasos sanguíneos de las tríadas envían ramas de distribución a lo targo de las caras del lobu illo, y estas ramas desembocan en los sinuscides hepáticos. Por el eje longitudina del lobulido discurre la vénula hepática terminal (vena central) que recibe la sangre desde los sinuscides hepáticos. Obsérvese que se ha retirado una parte de tejido lobulillar para una mejor visualización de la vénula hepática terminal. Los cordones anastomosados de hepatocitos adoptan una disposición racial desde la vénula hepática terminal hagia la per feria del lobulillo.

El lobulillo hepático clásico es una masa de tejido más o menos hexagonal.

El lobulillo clásico (fig. 18-3 y lám. 65, p. 694) está compuesto por pilas de cordones anastomosados de hepatocitos, de una sola célula de espesor, separados por el sistema interconectado de sinusoides que perfunde las células con una mezcla de sangre portal y arterial. Cada lobulillo mide alrededor de 2 × 0.7 mm. En el centro del lobulillo se encuentra una vénula relativamente grande, la venula hepatica terminal (vena central), en la cual desembocan los sinusoides. Los cordones de células se irradian desde la vena central hacia la periferia del lobulillo, al igual que los sinusoides. En los ángulos del hexágono se encuentran las áreas portales (conductos portales), que consisten en tejido conjuntivo laxo del estroma caracterizado por la presencia de tríadas portales. Este tejido conjuntivo finalmente se continúa con la cápsula fibrosa que rodea al hígado. El espacio portal está bordeado por los hepatocitos más periféricos del lobulillo. En los bordes del conducto portal, entre el tejido conjuntivo del estroma y los hepatocitos, existe un pequeño espacio denominado espacio periportal (espacio de Mall). Se piensa que este espacio es uno de los sittos donde se origina la linfa en el hígado.

En algunas especies (p. ej., el cerdo, fig. 18-4a), el lobulillo clásico se identifica con facilidad porque los espacios portales están conectados entre sí por capas algo gruesas de tejido conjuntivo. En cambio, en los humanos lo normal es que haya muy poco tejido conjuntivo interlobulillar. Por esa razón, cuando se examinan cortes histológicos hepáticos, es necesario trazar líneas imaginarias entre los espacios portales que rodean a una vena central para tener alguna idea del tamaño del lobulillo clásico (fig. 18-4b).



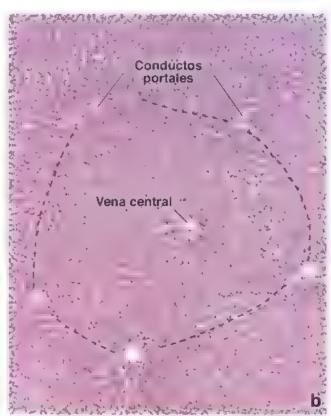


FIGURA 18-4. Microfotografías de higados de cerdo y humano. a. En esta microfotografía se muestra el corte transversal de un lobulillo hepatico porcino tenido con el metodo de Mai ory-Azan para destacar los componentes del tejido conjuntivo. Obsérvese el tejido conjuntivo interlobulillar bastante grueso (tenido de azul) que rodea al lobulillo. La vénula hepática termina (vena central) se velen el centro del lobulillo. 65 x. b. Microfotografía de un preparado nutrinario de higado humano tenido con H&E. Se debe senaiar que la diferencia del higado porcino, los lobulillos del higado humano carecen de tabiquies de telido conjuntivo. Las cordones de hepatocrios de un lobulillo se confunden con los lobulillos vecinos. No obstante los limites de un lobulillo pueden determinarse si se traza una línea (linea discontinua) desde un conducto portal hasta el siguiente circunsor biendo al lobulillo. 65 x.

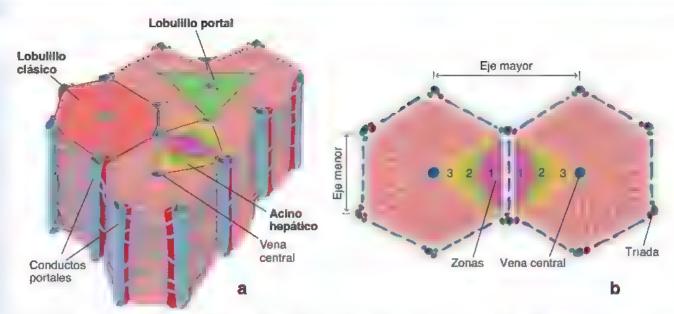


FIGURA 18-5. Comparación de tres modelos hepáticos de organización y funcion. a. En este corte de tejido hepático son visibles los contornos de un iobu illo hapático ciásico un iobu illo porta y un acino hepático. Se puede observar que el iobu illo clásico con forma hexagona viojo tiene una venula hepática terminal (vena central) en el centro y conductos portales que abarcan las triadas portales en los ángulos perifericos del lobulido portal triangular (verde) posee un conducto portal en su centro y venas centrales en sus ángulos. El acino hepático con forma rombolidal (multicolar, presenta vasos de distribución en su ecuador y venas centrales en cada polo b. El acino hepático es una interpretación funcional de la organización hepática. Consiste en sectores adyacentes de campos hexagonales vecinos de obulillos casicos para alimente separados mediante la distribución de vasos sanguineos. Las zonas marcadas son irrigadas con sangre que tiene mayor cantidad de sustancias nutritivas y exigeno en la zona 1 que en en la zona 3. Las venas centrales en esta interpretación se ha lan en los extremos senalados del acino en lugar de aparecer en el centro como en un lobulino ciasico. Las triadas portales tramas terminales de la vena portal y de la arteria hepátical y los conductos bilares de menor calibre se muestran en los angulos del hexagono que contornea el perfil, seccionado de forma transversal, del lobulillo ciasico.

El lobulillo portal enfatiza las funciones exocrinas del higado.

La función exocrina principal del hígado es la secreción de bilis. Por lo tanto, el eje morfológico del tobutitto portat es el conducto biliar interlobutillar de la triada portal del tobutillo clásico. Sus bordes externos son líneas imaginarias trazadas entre las tres venas centrales que se encuentran más cercanas a la triada portal (fig. 18-5a). Estas líneas definen un bloque de tejido más o menos triangular que incluye esas porciones de los tres lobutillos clásicos que secretan la bilis que drena en su conducto bihar axial. Este concepto permite uma descripción de la estructura del parénquima hepático comparable con la de otras glándulas exocrinas.

El acino hepático es la unidad estructural que proporciona la mejor correlación entre la perfusión sanguinea, la actividad metabólica y la hepatopatía.

El acino hepático tiene forma romboidal y es la unidad funcional más pequeña del parénquima hepático. El eje menor del acino está definido por las ramas terminales de la tríada portal que siguen el límite entre dos lobubilos clásicos. El eje meyor del acino es una línea trazada entre las dos venas centrales más cercanas al eje menor. Por lo tanto, en una vista bidimensional (fig. 18-5b), el acino hepático ocupa partes de los lobulilos clásicos contiguos. Este concepto permite una descripción de la función secretora exocrina del hígado comparable con la del lobulillo portal.

Los hepatocitos en cada acino hepático se describen dispuestos en tres zonas elípticas concéntricas que rodean el eje menor (véase fig. 18-5b):

- Zona 1, la más cercana al eje menor y la irrigación proveniente de las ramas penetrantes de la vena porta y la arteria hepática.
 Esta zona corresponde a la perifería de los lobulillos clásicos.
- Zona 3, la más lejana al eje menor y la más cercana a la vena hepática terminal (vena central). Esta zona corresponde al centro del lobubilo clásico que rodea la vena hepática terminal.

 Zona 2, se encuentra entre las zonas 1 y 3, pero no tiene límites nítidos.

Esta división en zonas es importante para la descripción e interpretación de patrones de degeneración, regeneración y efectos tóxicos específicos en el parénquima hepático, relacionados con el grado o la calidad de la perfusión vascular de los hepatocitos. Como resultado del flujo sanguineo sinusoidal, el gradiente de oxigeno, la actividad metabolica de los hepatocitos y la distribución de enzimas hepaticas varían a lo largo de las tres zonas. La distribución de las lesiones hepáticas por isquemía y exposición a sustancias tóxicas puede explicarse con el uso de esta interpretación por zonas.

Las células en la zona 1 son las primeras en recibir oxigeno, nutrientes y toxinas desde la sangre sínusoidal; también son las primeras en mostrar cambios morfológicos después de la oclusión del conducto biliar (estasis biliar). Son las ultimas celulas en morir cuando la circulación se ve afectada y las primeras en regenerarse. En contraste, las células en la zona 3 son las primeras en presentar necrosis isquémica (necrosis centrolobulillar) en situaciones de perfusión reducida y las primeras en acumular lípidos. Son las últimas en responder a las sustancias tóxicas y la estasis bihar. Entre las zonas 1 y 3 también se observan las variaciones normales de la actividad enzimática, la cantidad y las dimensiones de los orgánulos citopiasmáticos, y el tamaño de los depósitos celulares de glucogeno. Las células de la zona 2 tienen características morfològicas y funcionales, así como respuestas intermedias entre las de aquellas en las zonas 1 y 3 (cuadro 18-2).

Vasos sanguíneos del parénquima

Los vasos sanguíneos que ocupan los conductos portatos se denominan vasos interiobutiliares. Solo los vasos interiobubiliares que forman las tríadas portales más pequeñas envian sangre hacia los sinusoides. Los vasos interiobulillares mayores se ramifican en

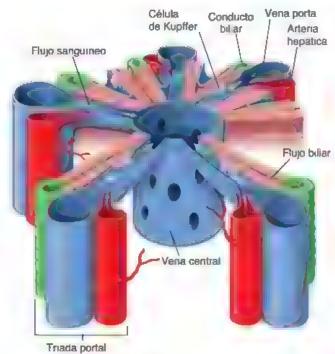


FIGURA 18-6. Diagrama del flujo sanguíneo y biliar en el hígado. Este esquema muestra los componentes de un lobulillo clás co. las triadas, los serios, la vénula terminal (vena central) y los cordones de hepatocitos asociados. Las flechas blancas indican la dirección del flujo sanguíneo en los sinusoides. Obsérvese que la dirección del flujo biliar (flechas verdes) es opuesta a la del flujo sanguíneo.

los vasos de distribución que se ubican en la periferia del lobulillo. Estos emiten vasos de entrada hacia los sinusoides (fig. 18-6). En los sinusoides, la sangre fluye de forma centrípeta hacia la vena central. La vena central discurre a lo largo del eje central del lobulillo hepático clásico, aumenta su calibre a medida que avanza a través del lobulillo y desemboca en una vena sublobulillar. Varias venas sublobulillares convergen para formar las venas hepáticas más grandes que desembocan en la vena cava inferior.

La estructura de la vena porta y sus ramas dentro del higado es la típica para las venas en general. La luz de esta vena es mucho más grande que la de la arteria asociada con ella. La estructura de la arteria hepática es como la de otras arterias (tiene una pared muscular gruesa). Además de proporcionar sangre arterial directamente a los sinusoides, la arteria hepática suministra sangre oxigenada al tejido conjuntivo y otras estructuras en los conductos portales más grandes. Los capilares en estos conductos portales más grandes. Los capilares en estos conductos portales más grandes devuelven la sangre a las venas interiobulillares antes de que estas se vacíen en el sinusoide

La vena contrat (vena centrolobulillar) es un vaso de paredes delgadas que recibe sangre desde los sinusoides hepáticos. Su revestumiento endorelial está rodeado por pequeñas cantidades de fibras de tejido conjuntivo dispuestas en espiral. La vena central, llamada así debido a su posición central en el lobulillo clásico, es en realidad la vénula terminal del sistema de venas hepáticas y, por lo tanto, es más apropiado llamarla vénula hepática terminal. La vena aubiobulillar, que es el vaso que recibe sangre desde las vénulas hepáticas terminales, posee una capa bien definida de fibras de tejido conjuntivo, tanto de colágeno como elásticas, justo por fuera del endotelio. Las venas sublobulillares, así como las venas hepáticas en las que desembocan, discurren solas. Dado que son vasos solitarios, se pueden distinguir con facilidad en los cortes histológicos de las ramas de la vena porta que son miembros de la tríada. En las venas hepáticas no hay válvulas.

Los sinusoides hepáticos están revestidos por un endotelio discontinuo y delgado.

El endoteilo sinusoldal discontinuo poser una lámina basal discontinua que falta en grandes áreas, lo que es obvio por dos razones:

- Hay fenestraciones grandes sin diafragmas en las células endorellales.
- Hay brechas amplias entre las células endoteliales contiguas.

Los sinusoides hepáticos difieren de otros sinusoides porque un segundo tipo celular, llamado macrófago sinusoidal estrellado o célula de Kupffer (fig. 18-7 y lám. 66, p. 696), es un componente habitual del revestimiento del vaso.

Las células de Kupffer son parte del sistema fagocítico mononuclear.

Al igual que otros miembros del sistema fagocítico mononuclear, las cétules de Kupifer derivan de los monocitos. En la microscopía

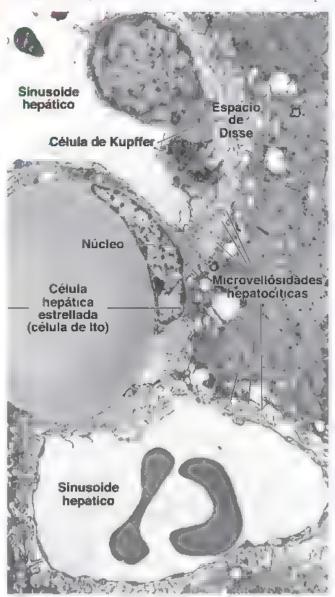


FIGURA 18-7. Microfotografía electrónica de dos sinusoides hepáticos. En uno de los sinusoides hepáticos (arriba) apareca un macrófago sinusoida estrellado (célula de Kupffer). El resto de este sinusoide, lo mismo que el otro, está revestido por el delgado citoplasma de las células endotelia es. Airededor de cada sinusoide se encuentra el espacio perisinusoida/ (espacio de Disse), que contiene abundantes microvellosidades de hepatocitos. En el espacio pensinusoidal también hay una célula hepática estrellada (célula de Ito) con una gotta (inclusión) lipidica grande y varias más pequeñas. Su nucleo se adapta a la curva de la gotita lipídica. 6600 ×

CORRELACIÓN CLÍNICA: INSUFICIENCIA CARDIAGA CONGESTIVA: SOBREDOSIS DE PARACETAMOL Y NECROSIS HEPÁTICA

Una lesión hepática se puede desencadenar por alteraciones hemodinàmicas en el sistema circulatorio. En la insuficiencia cardíaca congestiva, el corazón ha perdido la capacidad para impulsar suficiente sangre oxigenada à fin de cumplir con los requerimientos metabólicos de muchos telidos y órganos, incluido el higado, el cual resulta afectado con facilidad por la hipoperfusión y la hipoxia (bajo contenido de oxigeno en la sangre). La zona 3 del acino hepático es la primera en verse. afectada por esta afección. Los hepatocitos en esta zona son los ultimos en recibir la sangre que pasa por los sinusoides y, en consecuencia, reciben sangre prácticamente sin oxígeno La biopsia hepática de un paciente con insuficiencia cardíaca congestiva revela el patrón distintivo de la necrosis hepática. En los hepatocitos de la zona 3, ubicada alrededor de la vena central, hay evidencia de necrosis isquémica. En general, no se observan cambios notorios en las zonas 1 y 2, ubicadas en la penferia del lobulillo clásico. La necrosis de este tipo se denomina necrosia centrolobuliller. La figura C18-2-1 muestra la porción centrolobulillar de un lobulillo ciásico. Las multiples vacuolas redondeadas son producto de la acumulación de lipidos. Las alteraciones atróficas son causadas por la muerte de hepatocitos que se autofagocitan. La necrosis centrolobulillar producida por hipoxia recibe el nombre de cirrosis cardiógena; sin embargo, y a diferencia de la cirrosis verdadera, la regeneración nodular de los hepatocitos es mínima.

La necrosis centrolobulillar también puede ocumir en individuos que ingieren una gran cantidad de paracetamol, uno de los analgésicos de venta libre más ampliamente utilizados. Las sobredosis de paracetamol, ya sean accidentales o intencionales, son la causa principal de insuficiencia hapática aguda en los Estados Unidos e implican casi 500 muertes al año. El paracetamol se transporta al higado a través de la circulación portal donde se convierte en los hepatocitos con la ayuda de los citocromos P450, en un intermediario tóxico a tamente reactivo conocido como Macetii-p-benzoguinoneimina (NAPQI N-acetyl-p-benzoquinone iminel. A dosis terapeuticas, el NAPQI se elimina de manera eficiente por el glutatión al formarse un conjugado inerte paracetamol-glutatión que se excreta en la onna. Sin embargo, en una sobredosis de paracetamol, e exceso de NAPQI agota el glutatión hepático. El NAPQI no conjugado se une covalentemente a proteinas y orgánulos en los hepatocitos (sobre todo en la zona 3), causando una muerte celular rápida y necrosis hepática centrolobuliliar que puede conducir a la insuficiencia hepática aguda y la muerte.

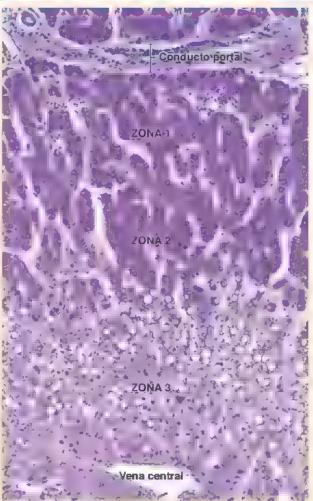


FIGURA C18-2-1. Microfotografía de higado humano con necrosis centrolobulillar. Muestra de una biops a hepática tenida con Hâte de un paciente con insuficiencia cardiaca congestiva. Las alteraciones patológicas (conocidas como necrosis isquémica) son más graves en los hepatocitos de la zona 3. Esta zona rodea la vériula hepática terminal (vena central). Este tipo de necrosis se ama necrosis centrolobulillar. Notense las múltiples formas redondeadas que indican una gran acumulación de ipidos. No se ven cambios en la perifena del lobulido (zona 1 y en gran parte de la zona 2). 320×

electrónica de barrido (MEB) y en la de transmisión (MET) se muestra con claridad que las células de Kupffer forman parte del revestimiento del sinusoide. Antes se consideraban como revestimiento de la superficie luminal de las células endoteliales. Es probable que esta vieja descripción histológica tuviera su origen en el hecho de que las evaginaciones de las células de Kupffer a veces se superponen con las evaginaciones endoteliales en el lado luminal del vaso. Las células de Kupffer no están unidas a las células endoteliales adyacentes.

Las evaginaciones de las células de Kupffer con frecuencia parecen atravesar la luz sinusoidal e incluso pueden ocluirla parcialmente. Los fragmentos de entrocitos y hierro en forma de ferritina en el citoplasma de las células de Kupffer indican que participan en la degradación final de algunos eritrocitos dañados o envejecidos que llegan al hígado desde el bazo. Parte del hierro ferritinico puede convertirse en granulos de hemosiderina y almacenarse en las células. Este proceso se incrementa mucho después de una esplenectomia; entonces, se vuelve esencial para eliminar eritrocitos.

Espacio perisinusoidal (espacio de Disse)

El espacio perisinusoidal es el sitio de intercambio de materiales entre la sangre y los hepatocitos.

El espacio perisinusoidal (espacio de Disse) se encuentra entre las superficies basales de los hepatocitos y las células endoteliales y de Kupffer que revisten a los sinusoides. Desde la superficie basal de los hepatocitos se proyectan pequeñas microvel·losidades irregulares hacia este espacio (fig. 18-8).

Las microvellosidades incrementan hasta seis veces la extensión de la superficie disponible para el intercambio de sustancias

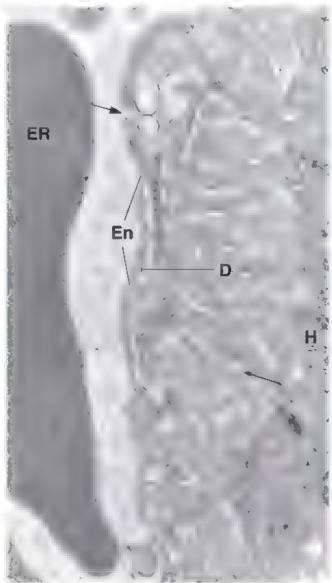


FIGURA 18-8. Microfotografía electrónica que muestra el espacio perisinusoidal (de Disse). El espacio perisinusoidal de Disse (D) está locaizado entre los hepatocitos (H) y el sinusoide. Una brecha (flecha grande) separa las células endoteliales (En) que revisten al sinusoide. Está brecha permite el paso fácil de sustancias pequeñas entre el sinusoide y el espacio pensinusoidal. Muchas microvellosidades se extienden desde los hepatocitos hacia el espacio perisinusoidal. Estás prolongaciones son largas y con frecuencia están ramificadas (flecha pequeña). Dentro del sinusoide hay un entrocito (ER). 18000×

entre los hepatocitos y el plasma. Debido a las grandes brechas en la capa endorelial y la falta de una lámina basal continua, no existe una harrera importante entre la sangre plasmática en el sinusoide y la membrana plasmática de los hepatocitos. Las proteínas y las lipoproteínas sintetizadas por el hepatocito se transfieren a la sangre a través del espacio perisinusoidal; todas las secreciones hepáticas siguen este mecanismo, excepto la bilis.

En el higado fetal, el espacio entre los vasos sanguineos y los hepatocitos contiene islotes de células hematopoyéticas. En los casos de anemia cronica en el adulto pueden reaparecer células hematopoyeticas en el espacio perisinusoidal.

Las células hepáticas estrelladas (células de Ito) almacenan vitamina A; sin embargo, en algunas afecciones se diferencian en miofibroblastos y sintetizan colágeno.

El otro upo celular encontrado en el espacio pensmusoidal es la célula estrellada hepática (con frecuencia llamada célula de Ito). Estas células de origen mesenquimatoso son el sitio principal de

depósito de la vitamina A bepática en la forma de ésteres del retinol dentro de las gotitas lipidioss citoplasmàticas (véase fig. 18-7). La vitamina A se libera de la célula estrellada hepática como retinol
(la forma alcohólica) unido a la RBP. Después se transporta desde
el hígado hasta la retina, donde su estereoisómero 11-cis-retinal se
une a la proteína opsina para formar rodopsina, el pigmento visual
de los bastones y conos de la retina. Los aceites derivados de los
higados de pescado (p. ej., aceite de higado de bacalao) han
sido fuentes nutricionales importantes de vitamina A; ahora
se toman en forma de suplementos nutricionales.

En algunas hepatopatias, como la inflamación crónica o la cirrosis, las cálulas estrelladas hepáticas pierden su capacidad para almacenar vitamina A y lipidos, y se diferencian en células con las características de miof broblastos. Estas cálulas parecen desempeñar un pagel importante en la fibrogénesis hepatica; sintetizan y depositan colageno de los tipos I y III dentro del espacio perisinusoidal, con lo que aparece la fibrosis hepática. Este colágeno es continuo con el tejido conjuntivo del conducto portal y el que rodea la vena central. Un incremento en la cantidad de estroma fibroso perisinusoidal es un signo temprano de respuesta hepática a sustancias tóxicas. El citoplasma de las células estrelladas hepáticas contiene. elementos contráctiles, como la desmina y los filamentos de actina di del musculo liso. Durante la contraccion celular aumenta la resistencia vascular en los sinusoides por la reducción luminal de estos vasos, lo cual conduce a la hipertension portal. Ademas, las células estrelladas hepaticas intervienen en la remodelación de la matriz extracelular durante la restauración de una lesión hepática.

Vía linfática

La linfa hepática se origina en el espacio perisinusoidal.

El plasma que persiste en el espacio perisinusoidal drena en el tejido conjuntivo periportal, donde se describe un intersticio pequeño, el espacio periportal (espacio de Mell, fig. 18-9) entre el estroma del conducto portal y los hepatocitos más periféricos. Desde este sitio de recolección, el líquido entra entonces en los capilares linfáticos que discurren con los otros componentes de la tríada portal.

La linfa avanza por los vasos de mayor calibre en la misma dirección que la bilis (desde los hepatocitos hacia los conductos portales y finalmente hacia el hilio hepático). Alrededor del 80% de la linfa hepática sigue esta vía y desemboca en el conducto torácico, donde forma la porción principal del conducto linfático torácico.

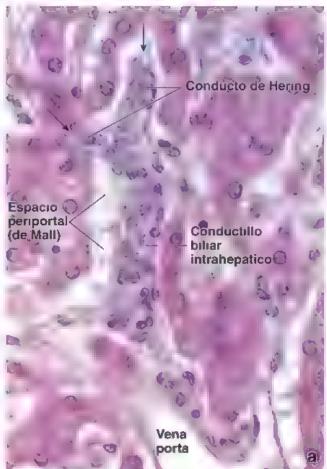
Hepatocitos

Los hepatocitos forman los cordones celulares anastomosados del lobulillo hapático.

Los hepatocitos son células poligonales grandes que miden entre 20 y 30 µm por lado. Conforman alrededor del 80% de la población celular del hígado.

El núcleo de los hepatocitos es grande y esferoideo y ocupa el centro de la célula. Muchas células en el hígado del adulto son binucleadas; la mayoría de los hepatocitos del adulto son tetraploides (contienen el doble [4a] de ADN). La heterocromatina aparece en grumos dispersos en el nucleoplasma y como una banda bien definida bajo la envoltura nuclear. En cada núcleo hay dos o más nucléolos bien desarrollados.

Los hepatocitos tienen una vida relativamente larga para ser células asociadas con el sistema digestivo; su vida media es de unos 5 meses. Además, los hepatocitos tienen una gran capacidad de regeneración cuando el tejido hepático se pierde por procesos hepatotóxicos, enfermedades o círugia.



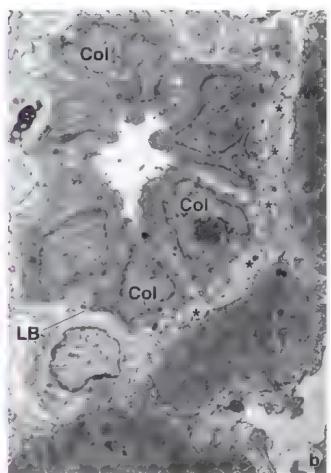


FIGURA 18-9. Conductos de Hering y conductillo biliar intrahepático. a. Microfotografia de una región cercana a un conducto portal. Las flechas señalar los sid os donde os canalidades biliar intrahepático. a. Microfotografia de una región cercana a un conducto portal. Las flechas señalar los sid os donde os canalidades por colangio ocitos. Este conducto drena en el conductillo biliar intrahepático rodeado de hepator tos, a diferencia de lo que ocurre con el conducto biliar interior biliar que se encuentra incluido en el tejido conjuntivo de conducto porta. Se observa una rama termina de la vena porta tabajo a la derecha acompañada por un conductillo biliar pequeño. 800 x. b. Microfotografia electrônica de un conductillo biliar intrahepático (colangio ob. E. conductillo recoge la bilia de los conductos de Hering. Se encuentra cerca de los hepatocitos, pero la comunicación real entre os canaliculos biliares y el conductillo intrahepático no se velen este piano seccionado. El conductillo está compuesto por colangiocitos (Corl) rodeados por una lamina basal completa (LB). El espacio estrecho (asteriscos) hacia el cual se proyectan las microvellosidades de los hepatocitos es el espacio periportal (de Mailly y no el espacio perisinusoidal (de Disse). 6000 «

El citoplasma hapatocitico, en general, es acidófilo. Los siguientes componentes citoplasmáticos específicos pueden identificarse mediante técnicas comunes o especiales de tinción:

- Regiones basófilas que corresponden al retículo endoplasmático rugoso (RER) y ribosomas libres.
- Mitocondrias abundantes; con colorantes vitales o histoquímica enzimática se pueden detectar entre 800 y 1000 mitocondrias por célula.
- Múltiples complejos de Golgi, pequeños, observables mediante tinciones específicas.
- Gran cantidad de peroxisomas que se detectan con técnicas inmunocitoquímicas
- Depósitos de glucógeno que se tiñen con la reacción del ácido peryódico de Schiff (PAS, periodic acid—Schiff). No obstante, en un corte teñido con hematoxilina-eosina (H&E) de muestras bien conservadas, el glucógeno también se ve como espacios irregulares que suelen conferir un aspecto vacuolado fino al ciroplasma.
- Gotitas lipídicas de diversos tamaños que se observan después de una fijación apropiada y tinción Sudán o con azul de toluidina (lám. 66, p. 696). En los preparados histológicos de rutina a veces se observan espacios redondeados que corresponden a las gontas lipídicas. La cantidad de gotitas se incrementa después de la inyección o ingesta de ciertas hepatotoxinas, incluido el etanol.

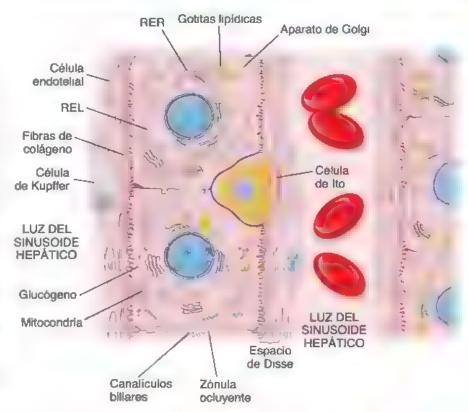
 Lipofuscina en los lisosomas, visible en los cortes renidos con H&E en cantidades variables. También pueden visualizarse como gránulos pardos bien delimitados mediante la reacción de PAS.

Como ya se mencionó, el hepatocito es pohédrico; por conveniencia, se describe como con seis caras, pero podrían ser más. En la figura 18-10 se muestra un esquema del corre transversal de un hepatocito cúbico. Dos de sus caras enfrentan el espacio perisinusoidal. La membrana plasmática de las otras dos caras está enfrentada a un hepatocito adyacente y un canalículo biliar. Si asumimos que la célula es cúbica, las dos superficies restantes, que no aparecen en el diagrama, también enfrentarían a hepatocitos contiguos y canalículos biliares. Las caras enfrentadas al espacio perisinusoidal son el equivalente de la superficie basal de otras células epiteliales; las caras que dan a hepatocitos vecinos y canalículos biliares equivalen a las superficies lateral y apical, respectivamente, de otras células epiteliales.

Los peroxisomas son abundantes en los hepatocitos.

Los hepatocitos pueden tener entre 200 y 300 peroxisomas por célula. Son relativamente grandes y su diámetro es de 0.2-1.0 μm (fig. 18-11a). Los peroxisomas son un sitio importante de consumo de oxígeno y, de esta manera, desempeñan una función similar a la de las mitocondrias. Contienen una gran cantidad de oxidasa que genera el compuesto tóxico peróxido de hidrogeno (H₂O₂). La

FIGURA 18-10. Esquema de un cordón de hepatocitos entre sinusoides. En el diagrama se representa un segmento de un cordón de hepatocitos (de una célula de espesor) entre dos se nuscides. Si convenimos en que las células sean cúbicas, dos caras de cada cé ula (ilustradas) estarían frente a los sinusoides hepáticos, otras dos caras (ilustradas) estarian frente a los canalculos biliares y las dos caras restantes (no ilustradas) también estarian frente a los cana culos biliares. Obsérvense la ubicación y las características de la cérula hepática estrellada (célula de Ito) llena de inclusiones citoplasmáticas que contienen vitamina A. Las escasas fibras de colágeno en el espacio perisinusoidal (de Disse) son producidas por las cérulas de ito. En algunas afecciones estas cé u as pierden sus vacuolas de almacenamiento y se diferencian en miofibroblastos que sintetizan fibras de colageno y provocan fibrosis hepática. Cabe destacar que el macrófago sinusoidal estrellado (célula de Kupffer) forma parte integral de revestimiento sinusoida REL, retículo endoplasmático liso, RER, retículo endoplasmático rugoso.



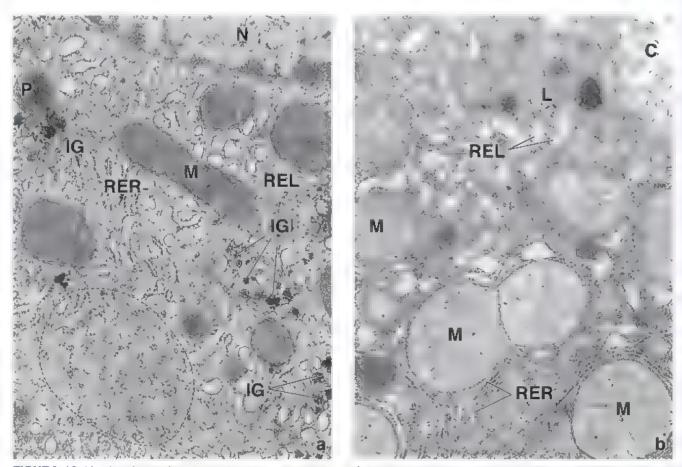


FIGURA 18-11. Microfotografías electrónicas de un hepatocito. a. Se observan orgánulos y otras estructuras citoplasmáticas cerca de nucleo (N). Entre estas estructuras hay un perox soma (P mitocondrias (M), inclusiones de glucógeno (IG) reticuio endoplasmático iso (REL) y reticulo endoplasmático rugoso (RER, Abajo la la izquierda, las membranas del RER se han cortado en un plano tangencia que permite ver los ribosomas (circunscritos por una linea discontinua) en la cara citoplasmática de la membrana. 12 000× **b.** En esta microfotografía se muestra una región de citoplasma cercana a un canaliculo bilar (C). Incluye un Esesoma (L), mitocondrias (M), así como los reticulos endoplasmáticos liso (REL) y rugoso (RER). Obsérvense las microvellosidades en el canaliculo biliar. 18 000×

enzima catalasa, que también se localiza dentro de los peroxisomas, degrada el peróxido de hidrógeno a oxígeno y agua. Estos ripos de reacción intervienen en muchos procesos de desintoxicación que ocurren en el higado (p. ej., la del alcohol). En efecto, cerca de la mirad del etanol que se ingiere es convertido en acetaldehído por la acción de las enzimas contenidas en los peroxisomas hepáticos. En los humanos, los peroxisomas también contienen catalasa y p-aminoécido-oxidasa, así como alcohol-deshidrogenasa. Además, los peroxisomas también participan en la degradación de ácidos grasos (β-oxidación), la glucogénesis y el metabolismo de las purinas.

El REL puede ser extenso en los hepatocitos.

En los hepatocnos, el REL puede ser extenso, pero varía según la actividad metabólica (fig. 18-11b). Este orgánulo contiene enzimas que intervienen en la degradación y la conjugación de toxinas y fármacos, así como en la síntesis del colesterol y el componente lipídico de las lipoproteínas. En situaciones en las que un hepatocito se sobrecarga de fármacos, toxinas o estimulantes metabólicos, el REL puede convertirse en el orgánulo predominante en la célula. Además de estimular la actividad del REL, ciertos fármacos y hormonas inducen la síntesis de nuevas membranas de REL y sus enzimas asociadas. Este organulo experimenta hipertrofia después de la administración de alcohol, fármacos (p. ej., fenobarbital, esteroides anabólicos y progesterona) y ciertos quimioterápicos utilizados para tratar el cáncer. La estimulación del REL con etanol aumenta su capacidad para desintoxicar de otros fármacos, ciertos carcinógenos y algunos pesticidas; sin embargo, incrementa los efectos lesivos que ejercen algunos compuestos tóxicos, como el tetracloruro de carbono (CCl₄) y el 3,4-benzopireno, sobre el hepatocito.

El gran aparato de Golgi de los hepatocitos puede contener hasta 50 unidades (dictiosomas) de Golgi.

La exploración de los hepatocitos mediante MET permite determinar que el aparato de Golgi es mucho más complejo de lo que se observa en los cortes histológicos de rutina. Las tinciones con metales pesados (unción de Golgi) de cortes hepáticos gruesos proveen indicios de la extensión de la red de Golgi. En los hepatocitos se encuentran hasta 50 dicnosomas de Golgi, cada uno compuesto por tres a cinco cisternas estrechamente apiladas, además de muchas vesículas grandes y pequeñas. Estas "unidades" en realidad son ramas del tortuoso aparato de Golgi que se observa en los preparados teñidos con metales pesados. Se piensa que los elementos del aparato de Golgi concentrados cerca del canalículo biliar están asociados con la secreción exocrina de bilis. Las cisternas y las vesículas del aparato de Golgi cercanas a las superficies sinusoidales de la célula contienen gránulos electrodensos, de 25-80 nm de diámetro, que se considera que corresponden a precursores de VLDL y otras lipoproteínas. En última instancia, estas sustancias se liberan en la sangre como parte de la función secretora endocrina de los hepatocitos. En las porciones dilatadas del REL y, a veces, en los extremos distendidos de las cisternas del RER, donde se sintetizan, se observan glóbulos densos similares.

Los lisosomas concentrados cerca del canalículo bitiar corresponden a los cuerpos densos peribiliares que se observan en los cortes histologicos.

Los fisosomas hepatocíticos son tan heterogéneos que solo pueden identificarse con certeza, incluso unlizando la MET, por medios histoquímicos. Además de las enzimas lisosómicas normales, con la MET se pueden identificar otros componentes:

- Gránulos de pigmento (lipofuscina)
- Orgánulos citoplasmáticos parcialmente digeridos
- Figuras de mielina

Los lisosomas hepatocíticos también son un sitio normal de almacenamiento de hierro (como complejo de ferrituna) y un lugar de acumulación anómala de hierro en ciertas enfermedades por depósito. La cantidad de lisosomas se incrementa en una gran variedad de afecciones, que varian desde la estasis biliar obstructiva simple hasta la hepatitis virica y la anemia. Sin embargo, si bien el espectro de la función hepática normal (en particular el ritmo de secreción biliar) es bastante amplio, no se producen cambios morfológicos estadisticamente significativos en el aparato de Golgi o los lisosomas del citoplasma peribilíar que se correlacionen con el ritmo de la secreción biliar

Árbol biliar

El arbot biliar es el sistema tridimensional de conductos de diámetro creciente por el que fluye la bilis desde los hepatocitos hacia la vesícula biliar, y desde ahí al intestino. En el hígado de un humano adulto existen más de 2 km de conductos y conductillos biliares interconectados, de diferentes tamaños y formas. Estas estructuras no solo son conductos pasivos, también pueden modificar el flujo biliar y cambiar su composición en respuesta a la estimulación hormonal y nerviosa.

El árbol biliar tiene un revestimiento de colangiocitos que vigilas el flujo biliar y regulan su contenido.

Los colangiocitos son células epiteliales que integran el revestimiento interno del árbol biliar. Los conductillos biliares están recubiertos por pequeños colangiocitos, principalmente de forma cúbica; no obstante, a medida que aumenta el diámetro del conducto biliar, se vuelven progresivamente más grandes y de forma más cilíndrica. Cuando se examinan mediante MET, los colangiocitos se identifican por su citoplasma con escasos orgánulos, uniones herméticas entre células contiguas y lámina basal íntegra. La región apical de los colangiocitos tiene un aspecto semejante a la de los hepatocitos, con microvellosidades que se proyectan en la luz. Además, cada colangiocito contiene un cilio primario que detecta los cambios en el flujo biliar que producen alteraciones en su secreción (fig. 18-12).

Un canalículo biliar es un pequeño canal formado por surcos yuxtapuestos en la superficie de los hepatocitos adyacentes.

Las ramas más pequeñas del árbol biliar son los canalículos biliares, hacia los cuales los hepatocitos secretan la bilis. Forman un anillo completo alrededor de las cuatro caras de los hepatocitos idealmente hexaédricos (fig. 18-13 y lám., 66, p. 696). Tienen un diámetro luminal aproximado de 0.5 µm y están aislados del

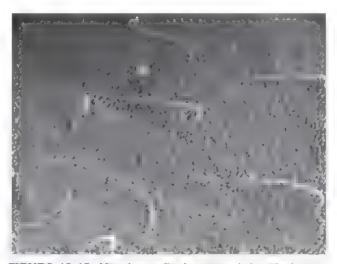


FIGURA 18-12. Microfotografía electrónica de barrido de la superficie luminal del conducto biliar. El conducto biliar está cubierto por células de revest miento epitelial denominadas colangiocitos. Sus superficies apicales exhiben abundantes microvellosidades cortas que se proyectan hacia la luz del conducto biliar. Cada colangiocito posee un cilio primano largo que detecta los cambios del flujo luminal de la bilis. Obsérvese que todos los cilios están inclinados en la dirección dei flujo biliar 3600x (imagen cortesia de la Dra Tetyana V. Masyuk).

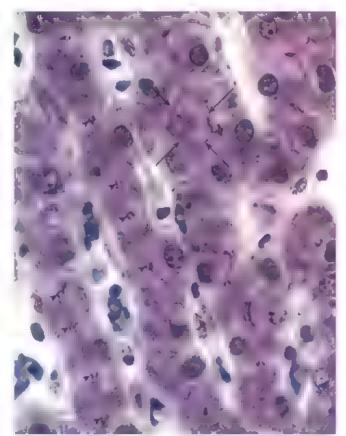


FIGURA 18-13. Microfotografia de canalículos biliares. Gran ampliación de cordones de hepatocitos (de una célula de espesor) separados por sinuscides hepáticos. El plano de corte en ciertas regiones es paraisio a los canalículos biliares. En este plano, los canalículos reve an la distribución, en cuatro caras, de los hepatocitos (flechas) Las puntas de flecha señalar los canalículos biliares que solo son observables en un corte transversal. 1240x

resto del compartimento intercelular por uniones herméticas, que son parte de los complejos de unión que también comprenden uniones adherentes y desmosomas. Las microvellosidades de dos hepatocitos contiguos se extienden hacia la luz canalicular. En las membranas plasmáticas de los canalículos pueden detectarse adenosina-trifosfatasa (ATPasa) y otras fosfatasas alcalinas, lo cual sugiere que la secreción bihar hacia este espacio es un proceso activo. El flujo biliar es centrífugo, es decir, desde la región de la vénula hepática terminal (vena central) hacia el conducto portal (en sentido opuesto al flujo sanguíneo). Cerca del conducto portal, pero aún dentro del lobulillo, los canalículos biliares se transforman en conductos de Hering de trayecto corto.

Una característica distintiva del conducto de Hering es su revestimiento formado por dos tipos de células: hepatocitos y colanguocitos.

El conducto de Hering está revestido en parte por hepatocitos y en parte por colangiocitos cúbicos. Al igual que los colangiocitos, los hepatocitos poseen microvellosidades en su superficie apical y uniones herméticas, y su área basal se localiza sobre una lámina basal, lo cual es característico de todo el epitelio biliar distal. Desde un punto de vista funcional, según se ha demostrado mediante videomicroscopía, el conducto de Hering tiene una actividad contráctil que contribuye al flujo biliar unidireccional hacia el conducto portal. Debido a que el conducto de Hering es el tributario más pequeño y proximal al árbol biliar que contiene colangiocitos, con frecuencia interviene en las mismas enfermedades que afectan a las vias biliares pequeñas. La alteración funcional en la actividad contráctil, así como la lesión o la destrucción

de los conductos de Hering, podría contribuir a una colestasis intrahepática (obstrucción del flujo biliar).

El conducto de Hering funciona como un reservorio de células hepáticas progenitoras.

Debido a su ubicación en la superficie de contacto crucial entre hepatocitos y colangiocitos, se ha postulado que el nicho de citobinstos hepáticos se encuentra en los conductos de Herring o en sus cercanías. Esta hipótesis se apoya en la aparición de precursores de células hepáticas cerca de los conductos de Hering en la mayoría de los trastornos caracterizados por daño entenso a los hepatocitos. Estas células podrían migrar y diferenciarse en hepatocitos o en células del conducto biliar. La reconstrucción tridimensional de las reacciones canaliculares en la necrosis hepática indica que los colangrocitos pequeños, que revisten los conductos de Hering, proliferan profusamente y migran hacia el parénquima hepático. En las técnicas de tinción inmunocitoquímica, estas células expresan marcadores de antígenos tanto biliares como hepatocíticos y, según parece, participan en la reparación del tendo hepático lesionado por procesos patológicos cróntoos. La presencia de células madre hepaticas en esta ubicación tiene varias implicaciones clínicas Por ejemplo, algunos estudios de laboratorio sugieren que, en un futuro, estas células madre hepáticas se podrán usar terapéuticamente en el tratamiento de enfermedades hepáticas.

El conductillo biliar corresponde a la parte del árbol biliar revestida completamente por colangiocitos.

La bilis del conducto de Hering contunúa su flujo hacra el conductillo biliar intrahepático (véase fig. 18-9), el cual está revestido por completo por colangiocitos. El análisis tridimensional de cortes seriales del hígado, teñidos con técnicas inmunocitoquímicas, permite observar que el conducto de Hering suele cruzar el límite del lobulillo y convertirse en un conductillo biliar en el especio periportal (de Mail) (véase fig. 18-9). La diferencia principal entre el conducto de Hering y el conductillo biliar no es su ubicación dentro del lobulillo, sino si la estructura está parcial o completamente revesuda por colangiocitos.

Los conductillos biliares intrahepáticos llevan la bilis hacia los conductos hepáticos.

Los conductilos tienen un diámetro aproximado de 1.0-1.5 µm y conducen la bilis hacia los conductos bilisres interiobulillares que forman parte de la tríada portal. El diámetro de estos conductos oscila entre 15 y 40 µm; los colangiocitos que los forman son cúbicos cerca de los lobulillos y se tornan cada vez más cilíndricos a medida que los conductos se acercan al hilio hepático. Las células cilíndricas tienen microvellosidades bien desarrolladas, como las de los conductos biliares extrahepáticos y la vesícula biliar. A medida que se agrandan, los conductos biliares se rodean progresivamente de una cubierta de tejido conjuntivo denso con abundantes fibras elásticas. Conforme se aproximan al hilio, aparecen células musculares lisas en este tejido conjuntivo. Los conductos interlobulillares se unen para formar los conductos hepáticos derecho e izquierdo, que a su vez se unen para formar el conducto hepático común a la altura del bilio (fig. 18-14).

En algunas personas, en el tejido conjuntivo que hay entre el hígado y la vesícula biliar, cerca del cuello vesicular, se hallan los conductos de Luschka. Estos conductos se conectan con el conducto cístico y no con la luz de la vesícula biliar. Desde un punto de vista histológico, son similares a los conductos biliares intrahepáticos y podrían ser remanentes de conductos biliares embrionarios aberrantes.

Los conductos bilíares extrahepáticos llevan la bilis hacia la vesícula biliar y el duodeno

El conducto hepático común mide cerca de 3 cm de largo y está revestido por células epiteliales cilíndricas alargadas, muy parecidas

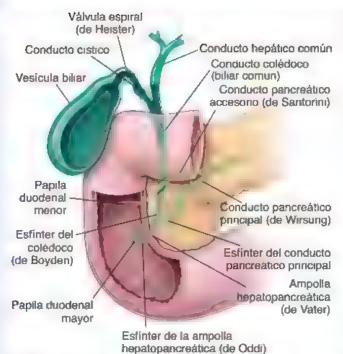


FIGURA 18-14. Diagrama de la relación entre los conductos del higado, el páncreas y la vesícula biliar. La vesícula biliar es un saco ciego unido a un solo conducto cístico en el cual numerosos pliegues mucosos forman la válvula espiral (de Heister). El conducto cístico se une con el conducto hepático común y juntos forman el conducto coiédoco (biliar comun) que conduce al duodeno. En su desembocadura en el duodeno, el coledoco se une con el conducto pancreático principal (de Wirsung) para formar la ampolla hepatopancreática (de Vater) y juntos ingresan en la segunda porción del duodeno. En la región distal de estos conductos pueden encontrarse esfinteres. Los esfinteres del colédoco (de Boyden), el conducto pancreático principal y la ampolla hepatopancreática (de Oddi) controlan el flujo de la bilis y la secreción pancreática hacia el duodeno. Cuando el esfinter de Boyden se contrae, la bilis no puede pasar al duodeno; entonces retrocede y fluye hacia la vesícula biliar, donde se concentra y almacena

a las de la vesícula biliar. En este conducto están presentes todas las capas del tubo digestivo (véase p. 609), excepto la muscular de la mucosa. El conducto cietico conecta el conducto hepático común con la vesícula biltar. Tiene numerosos pliegues de mucosa en forma de caracol que forman la válvula en espiral (de Heister). El conducto cístico conduce la bilis dentro y fuera de la vesícula biliar. Tanto el conducto como la válvula espiral contienen fibras musculares lisas que responden a estímulos farmacológicos, hormonales y nerviosos. Sin embargo, no hay evidencia histológica de músculo esfinteriano en el conducto cístico, que funciona principalmente como un conducto pasivo para la bilis. Distal a la unión con el conducto cístico, el conducto fusionado se denomina conducto colédoco (o biliar comun) y se extrende cerca de 7 cm hacia la pared del duodeno para terminar en la ampollo hepatopancreático (de Vater). Proximal a la ampolla hepatopancreática, un engrosamiento en la capa circular de fibras musculares lisas forma el estinter del cotédoco (de Boyden), el cual controla el flujo de bilis hacía la ampolla. Además, un engrosamiento de la muscular externa duodenal forma el esfinter de la ampolla hepatopancreatica (de Oddi), que se proyecta en la luz del duodeno como papila (caruncula) duodenat. Dado que la ampolla de Vater tiene forámenes para el colédoco y para el conducto pancreatico, acrúa como una válvula para regular el flujo de la bilis y del jugo pancreático hacia el duodeno.

El higado de un humano adulto secreta, en promedio, 1 L de bilis por día.

La bilis tiene dos funciones principales: interviene en la absorción de las grasas y es utilizada por el hígado como vehículo para la excreción de colesterol, bilirrubina, hierro y cobra. La composición de la bilis y las funciones específicas de la mayoría de sus componentes se resumen en la tabla 18-1. Como se menciona ahí, muchos componentes de la bilis se reciclan a través de la circulación portal.

- Afrededor del 90% de las sales bitiares se reabsorben en el intestino delgado y regresan al hígado con la sangre por la vena porta.
 Después, las hepatocitos los reabsorben a través de la membrana sinusoidal y los secretan. Además, los hepatocitos sintetizan nuevas sales biliares para reemplazar las que se pierden en las heces.
- El colesterol y el fosfolípido lecitina, así como la mayoría de los electrólitos y el agua que llegan al intestino con la bilis, también se reabsorben y se reciclan.

El glucurónido de bilirrubina, producto final conjugado de la degradación de la hemoglobina, no se recicla. Se excreta con las heces, a las que les confiere su color. La ineficiencia en la absorción de la bilirrubina (o en la capacidad para conjugarla) o la secreción del glucurónido puede provocar ictericia.

El flujo biliar desde el hígado es regulado por mecanismos hormonales y neuronales. La velocidad del flujo sanguíneo hacia el hígado y la concentración de sales biliares en la sangre tienen efectos reguladores sobre el flujo biliar. Este flujo se incrementa cuando hormonas como la colecistocinina (CCK, cholecystaknin), la gastrina y la motilina son liberadas por las células enteroendocrinas durante la digestión. Las hormonas esteroideas (p. ej., los estrógenos durante el embarazo) disminuyen la secreción biliar hepática. Además, la estimulación parasimpática aumenta el flujo biliar al incentivar la contracción de la vesícula biliar y la relajación del esfinter de Oddi. La bilis que abandona el hígado por medio del conducto hepático común fluye hacia la vesícula biliar a través del conducto cístico. Después de su estimulación, la vesícula biliar se contrae de forma constante y envía la bilis hacia el duodeno a través del colédoco.

El higado posee inervación simpática y parasimpática.

El hígado (y la vesícula bihar) está inervado por las divisiones simpática y parasimpática del sistema nervioso autónomo. Los nervios ingresan por el hilio y se ramifican por todo el hígado siguiendo los conductos portales, junto con los miembros de la triada portal. Las fibras almpáticas inervan los vasos sanguíneos, y una mayor estimulación de este sistema produce un incremento de la resistencia vascular, la disminución del volumen sanguíneo hepático y el aumento rápido de la concentración sérica de la glucosa. Se piensa que las fibras parasimpáticas inervan los conductos de gran calibre (los cuales contienen músculo liso en sus paredes) y quizás también los vasos sanguíneos; su estimulación promueve la captación de la glucosa y su utilización. Cerca del hilio suelen hallarse los somas de las neuronas parasimpáticas.

■ VESÍCULA BILIAR

La vesicula biliar es un saco distensible, con forma de pera, que en los seres humanos contiene alrededor de 50 mL de bilis (*véase* fig. 18-14). Está adhenda a la superficie visceral del hígado. La vesícula biliar es un derivado secundario del intestino embrionario; se ongina como una evaginación del conducto biliar primitivo que comunica el hígado embrionario con el intestino en desarrollo.

La vesícula biliar almacena y concentra la bilis.

La vesícula biliar es un saco ciego que conduce, por medio de un cuello, al conducto cístico. A través de este tubo recibe bilis dutuda desde el conducto hepático. La vesícula biliar puede almacenar la bilis entrante y extraer cerca del 90% del agua que contiene, lo cual incrementa hasta 10 veces la concentración de sales biliares, colesterol y bilirrubina. Las hormonas secretadas por las células enteroendocrinas del intestino delgado, en respuesta a la presencia de grasa en el duodeno proximal, estimulan las contracciones de músculo liso de la vesícula biliar. Estas contracciones ayudan a descargar la bilis concentrada en el colédoco, que la conduce hasta el duodeno.

La mucosa de la vesícula biliar tiene características distintivas.

Una vesícula biliar vacía (o parcialmente llena) tiene numerosos pliegues profundos en su mucosa (fig. 18-15). La superficie de la mucosa está compuesta por opitolio cilindrico simple (fig. 18-16). Las células epiteliales alargadas (colangiocitos) exhiben las siguientes características.

- Muchas microvellosidades apicales cortas y poco desarrolladas.
- Complejos de unión apicales que unen células contiguas y forman una barrera entre la luz y el compartimento intercelular.
- Abundantes mitocondrías localizadas en el citoplasma apical y hasal.
- Pliegues complejos de membranes laterales

Estas células se parecen mucho a las células absortivas del intestino. Además de que ambas células comparten las características antes mencionadas, en sus membranas plasmáticas laterales, las dos contienen ATPasa activada por Na*/K* y sus citoplasmas apicales tienen vesículas secretoras llenas de glucoproteínas.

La támina propia de la mucosa está particularmente bien provista de capilares fenestrados y pequeñas vénulas, pero no posee vasos linfáticos. Esta capa también es muy celular y contiene una gran cantidad de linfocitos y plasmocitos. Las características de la lámina propia son semejantes a las del colon, otro órgano especializado en la absorción de electrólitos y agua.

En la lámina propia de la vesícula biliar humana normal, a veces hay glándulas mucosecretoras, en especial cerca del cuello del órgano, pero son más frecuentes en las vesículas biliares inflamadas. En estas glándulas también hay células de aspecto idéntico al de las células enteroendocrinas del intestino.

La pared de la vesícula biliar carece de muscular de la mucosa y submucosa.

Por fuera de la lámina propia se encuentra una muscular externa con abundantes fibras de colágeno y elásticas entre los haces de células musculares lisas. A pesar de su origen como un divertículo derivado del intestino proximal, la vesícula biliar no tiene muscular de la mucosa ni submucosa. Los haces musculares lisos están orientados aleatoriamente, a diferencia de la organización en capas del intestino.



FIGURA 18-15. Microfotografía de la pared de la vesicula billar. La mucosa de la vesicula billar es un revestimiento de células epite iales cilindricas simples y una lám na propia de tejido conjuntivo laxo, generalmente exhibe numerosos pliegues profundos. Debajo de esta capa hay un estrato más o menos grueso, la muscular externa. No hay muscular de la mucosa in submucosa, uos haces de musculo liso de la muscular externa están orientados de forma aleatoria. Por fuera del musculo se encuentra una adventicia que contiene te, do adiposo y vasos sanguineos ua porción de la vesicula billar que no está adher da al higado tiene una capa serosa tipica en fugar de adventicia. 175x

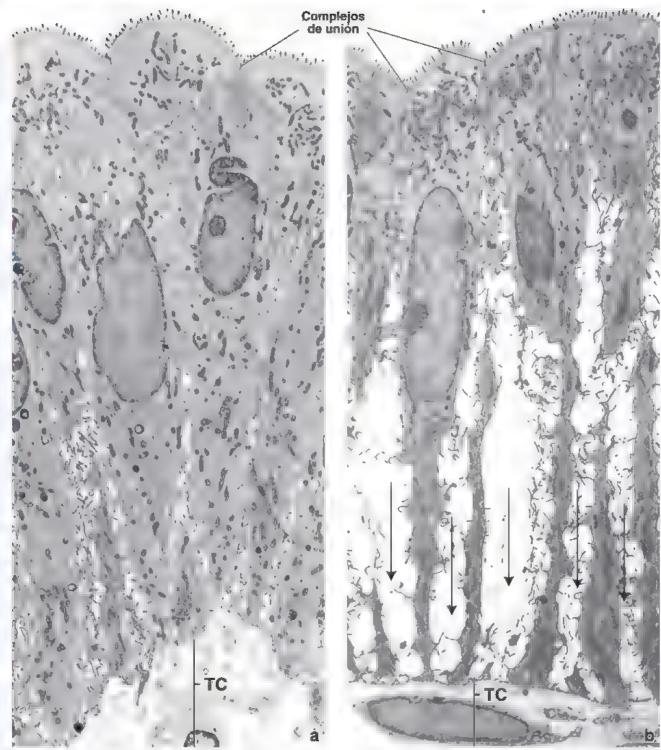


FIGURA 18-16. Microfotografia electrónica del epítello de la vesícula billiar. a. Las células cilindocas alargadas muestran las caracteristicas tipicas de las células absortivas con microvellosidades en su superficie apical, un compiejo de unión apical que separa la luz vesicular de espacio intercelular lateral y abundantes mitoconditas en la región apica de la célula 3000x. b. Durante el transporte activo de líquidos se bombea sa desde el diopiasma hácia el espacio intercelular y la sal viene seguida por el agua. Entonces desde la luz se difunden la sal y el agua hácia la célula. A medida que este proceso continua, el espacio intercelular se distiende cada vez más (flechas). El liquido se despiaza desde el espacio intercelular di atado (flechas) a traves de la lamina basa hacia el tejido conjuntivo (TC) subyacente y despues hacia los vasos sanguineos. El aumento de tamano del espacio intercelular lateral, durante el transporte activo de liquidos se puede distinguir con un microscopio optico. 3000x

La contracción del músculo liso reduce el volumen vesicular, lo que impulsa la salida de su contenido a través del conducto cístico.

Por fuera de la muscular externa hay una capa gruesa de tejido conjuntivo denso (véase fig. 18-15). Esta capa contiene vasos sanguíneos de gran calibre, una red linfática extensa y nervios autonómicos que inervan la muscular externa y los vasos sanguíneos (en la pared del conducto cístico se observan somas de neuronas parasimpáticas).

El tejido conjuntivo también contiene abundantes fibras elásticas y tejido adiposo. La capa de tejido donde la vesícula biliar se adhiere a la superficie hepática se conoce como adventicia. La superficie no adherida está cubierta por una serosa o peritoneo visceral que consiste en una capa de mesotelio y una capa delgada de tejido conjuntivo laxo.

Además, los divertículos profundos de la mucosa, llamados senos de Rokitansky-Aschoff, a veces se extienden a través de la muscular



FIGURA 18-17. Microfotografia de los senos de Rokitansky-Aschoff en la pared de la vesicula biliar. Invaginaciones profundas de la mucosa que se extenden hacia la muscular externa. Estas invaginaciones reciben el nombre de senos de Rokitansky-Aschoff 120×

externa (fig. 18-17 y lám. 67, p. 698). Se piensa que son una indicación de alteraciones patologicas y que se desarrollan como resultado de la hiperplasia (crecimiento excesivo de las células) y la herniación de las células epiteliales a través de la muscular externa. Asimismo, en estos senos pueden acumularse bacterías causantes de inflamación crónica, un factor de riesgo para la formación de cálculos biliares.

La concentración de la bilis requiere el transporte coordinado de sales y agua.

Las células epiteliales de la vesícula biliar transportan activamente Na*, Cf* y HCO₂* desde el citoplasma hacia el compartimento intercelular del epitelio. La Na*/K*-ATPasa se localiza en las membranas plasmáticas laterales de las células epiteliales. Este mecanismo de transporte activo es, en esencia, idéntico al descrito en el capítulo 17 para los enterocitos del intestino delgado y las células absortivas del colon. Las células epiteliales de la vesícula biliar también expresan dos tipos de canales de acuaporinas (AQP1 y AQP8), unas proteínas integrales que facilitan el movimiento pasivo rápido del agua (véase cap. 20, Aparato urmario, cuadro 20-5). Las acuaporinas en las membranas plasmáticas apical y basolateral de las células epiteliales de la vesícula biliar sugueren que podrían intervenir en la absorción y secreción de agua.

Los electrólitos se transportan activamente a través de la membrana plasmática de las células epiteliales de la vesícula biliar.

El transporte activo de Na*, Cl* y HCO₃* a través de la membrana plasmática lateral hacia el compartimento intercelular (paracelular)

hace que aumente la concentración de electrólitos en el espacio intercelular. El incremento en la concentración de electrólitos crea un gradiente osmótico entre el espacio intercelular y el citoplasma, así como entre el espacio intercelular y la luz del órgano. El agua se desplaza desde el citoplasma y la luz hacia el espacio lateral intercelular debido a dicho gradiente osmótico (se mueve a favor de su gradiente de concentración; vésse fig. 18-16b). Si bien el espacio lateral intercelular puede distenderse hasta un grado visible con el microscopio óptico, dicha capacidad es limitada. El desplazamiento de electrólitos y agua origina una presión hidrostática que fuerza la salida del líquido casi isotónico del compartimento intercelular hacia el tejido conjuntivo subepitelial (lámina propia). El líquido que ingresa en la lámina propia pasa con rapidez hacia los abundantes capilares fenestrados y las vénulas que subyacen muy cerca del epitelio.

Los estudios de transporte de líquidos en la vesícula biliar fueron los primeros en demostrar el papel esencial del compartimento intercelular en el transporte transepitelial de un líquido isotónico desde la luz hacia los vasos. Por lo tanto, la modificación final de la bilis es principalmente el resultado del transporte activo de Na⁺, Cl⁺ y HCO₃⁻, así como del transporte pasivo de agua (mediado por acuaponnas), a través de la membrana plasmática de las células epiteliales de la vesícula biliar.

■ PÁNCREAS

Fundamentos

El pánerses es una glándula alargada con las siguientes partes: cabeza, cuerpo y cola. La cabeza es la porción amplia que se localiza en la curva, con forma de "C", del duodeno (fig. 18-18). Está unida al duodeno por medio de tejido conjuntivo. El cuerpo del páncreas, de ubicación central, atraviesa la línea media del cuerpo humano y la cola se extiende en dirección al hilio del bazo. El conducto penerentico

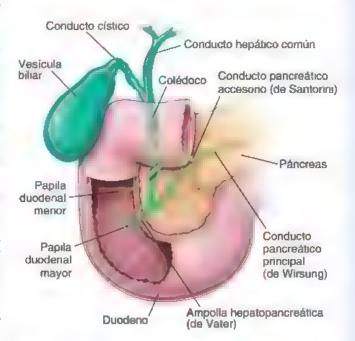


FIGURA 18-18. Diagrame del páncreas, el duodeno y los conductos excretores asociados. El conducto pancreático principa (de Wirsung) atraviesa toda la longitud del páncreas y entra en el duodeno después de unirse al colédoco. Es frecuente un conducto pancreático accesono (de Santorini), como se ilustrá aquí, que desemboca en el duodeno a la altura de la papila duodenal menor separada. El sitio de entrada del colédoco y el conducto pancreático principal en el duodeno generalmente está marcado por la papila duodenal mayor, visible sobre la superficie interna del duodeno

(de Wirsung) recorre toda la longitud de la glándula y desemboca en el duodeno a la altura de la ampolla de Vetev, a través de la cual también se introducen en el duodeno el colédoco y la vesícula biliar. El esfintar de Oddi rodea la ampolla y no solo regula el flujo de la bilis y el jugo pancreático hacia el duodeno, sino que impide el reflujo de los contenidos intestinales hacia el conducto pancreático. Algunas personas tienen un conducto pancreático accesorio (de Santorini), vestigio del origen del páncreas a partir de dos primordios endodérmicos embrionarios que se evaginan del intestino proximal.

Una capa delgada de rejido conjuntivo laxo forma una cápsula alrededor de la glándula. Desde esta cápsula, los tabiques se extienden hacia la glándula, dividiéndola en lóbulos mal definidos. En estos, un estroma de rejido conjuntivo laxo rodea las unidades parenquimatosas. Entre los lóbulos, cantidades abundantes de rejido conjuntivo rodean los grandes conductos, los vasos sanguíneos y los nervios. Además, en el rejido conjuntivo que rodea el conducto pancreático existen glandulas mucosas pequeñas que drenan en el conducto.

El páncreas es una glándula exocrina y endocrina.

A diferencia del hígado, en el cual las funciones exocrinas y secretoras (endocrinas) se llevan a acabo en la misma célula, la función doble del páncreas se reparte en dos componentes estructuralmente

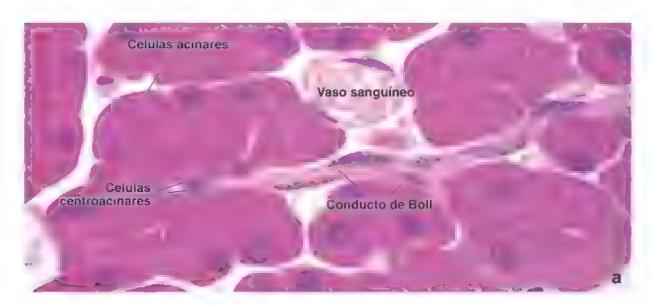
- El componente exocrino sintetiza y secreta enzimas hacia el duodeno, indispensables para la digestión en el intestino.
- El componente endocrino sintetiza las hormonas insulina y glucagón y las secreta a la sangre. Estas hormonas regulan el metabolismo de glucosa, lípidos y proteínas en el organismo.

El componente exocrino se localiza en toda la glándula; dentro del páncreas exocrino se encuentran dispersos grupos celulares bien definidos, denominados *telotes de Langerhans*, que constituyen el componente endocrino.

Páncreas exocrino

El páncreas exocrino es una glándula serosa.

Histológicamente, el **páncreas exocrino** es muy parecido a la glándula parótida, con la que se confunde. Las unidades de secreción (adenómeros) tienen forma acinar o tubuloacinar y están formadas por epitelio simple de células serosas piramidales (fig. 18-19a y lám. 68, p. 700).



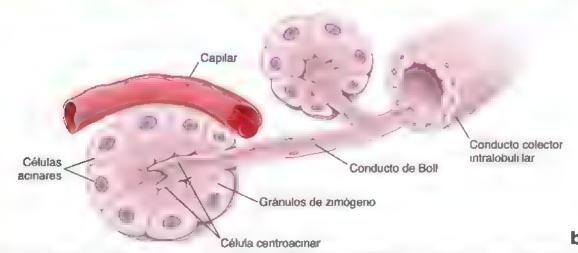


FIGURA 18-19. Acino pancreático y su sistema de conductos. a. En esta microfotografia de un corte fino de material, incluido en plástico y tenido con H&E puede observarse el micro de un conducto de Boll dentro de un acino pancreático. Las células que forman el conducto dentro del acino son las células centroacinares. En el citoplasma apica, de las células parenquimáticas se pueden observar claramente granulos de cimógeno eos nófillo. 860 x. b. En el esquema se observa el comienzo de conducto de Boll. Nótense la ubicación y las formas de las células centroacinares dentro de acino. Constituyen el revestimiento epitelial inicia de conducto de Boll que drena en un conducto colector intra obuillar.

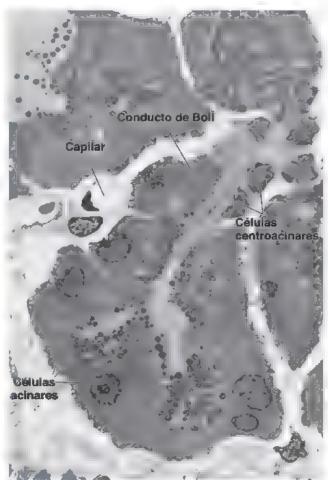


FIGURA 18-20. Microfotografía electrónica del acino pancreático y del conducto de Boll. Obsérvese que el acino pancreático está formado por cé ulas acinares piramidales. Su región basal contene el núcleo rodeado por RER extenso y por el aparato de Golgi. La región apica, exhibe gránulos de cimógeno bien conservados. Es visible el origen del conducto de Boll revest do por células centroacinares. 5 800× (imagen cortesta del doctor Holger Jastrow)

Las células poseen una superficie libre (luminal) angosta además de una superficie basal ancha. El tejido conjuntivo periacinar es mínimo.

Las células secretores seroses del acino producen precursores enzunáticos digestivos secretados por el páncreas. Los acinos pencreáticos son únicos entre los acinos glandulares porque el conducto inicial que parte desde el acino, el conducto intercalado (de Boll), en realidad comienza dentro del adenómero mismo (figs. 18-19b y 18-20). Las células del conducto ubicadas dentro del acino son conocidas como células centroscinares

Las células acinares se caracterizan por una basofilia bien definida en el citoplasma basal y por gránulos acidófilos de cimógeno en el citoplasma apical (véanse figs. 18-19a y 18-20). Los gránulos de cimógeno son más abundantes en el páncreas de las personas que están en ayuno. Las células centroacinares planas carecen de retículo endoplasmático rugoso y gránulos de secreción (véate fig. 18-20), por lo tanto, se tiñen muy pálidamente con cosina. Esta tinción débil sirve para identificarlas en los cortes histologicos de rutina.

Los gránulos de cimógeno contienen una gran variedad de enzimas digestivas en una forma inactiva.

Las enzimas pancreáticas pueden digerir la mayoría de las susrancias alimenticias. A continuación se enumeran las enzimas inactivas, o proenzimas, contenidas en los gránulos de cimógeno pancreático, junto con las sustancias específicas que digieren una vez activadas:

- Endopeptidasas (tripsinógeno, quimiotripsinógeno) y exopeptidasas proteolíticas (procarboxipeptidasa, proaminopeptidasa), que digieren proteínas mediante la escisión de sus enlaces peptidicos internos (endopeptidasas) o de los aminoácidos de los extremos terminales carboxilo o amino del péptido.
- Enzimas amilolíticas (amilasa ti), que digieren los hidratos de carbono al romper los enlaces glucosídicos de los polímeros de la glucosa.
- Lipasas, que digieren lípidos por escisión de los enlaces éster de los triglicéndos para producir ácidos grasos libres.
- Enzimas nucleolíticas (desoxirribonucleasa y ribonucleasa), que digieren ácidos nucleicos para producir nucleótidos.

Las enzimas digestivas pancreáticas se activan solo después de alcanzar la luz del intestino delgado. Al principio, la actividad proteolítica de las enterocinasas en el glucocáliz de las microvellosidades de las células absortivas intestinales convierte el tripsinógeno en tripsina, una enzima proteolítica poderosa. Después, la tripsina cataliza la conversión de otras enzimas inactivas, así como la digestión de proteínas en el quimo.

Con la MET se observa que la basofilia citoplasmática de las células actuares pancreáticas corresponde a un extenso conjunto ordenado de RER y ribosomas libres. La presencia de estos numerosos orgánulos concuerda con el alto grado de actividad de síntesis proteínica de las células actuares (fig. 18-21). En el citoplasma apical hay un aparato de Golgi bien desarrollado que participa en la concentración y envasado de los productos secretados. Las mitocondrias son pequeñas y, si bien están en toda la célula, se concentran entre las cistemas del RER. Las células acinares están unidas entre sí por complejon de unión en sus polos apicales; de esta manera forman una luz aíslada hacia la cual se extienden pequeñas microvellosidades desde la superficie celular apical y se liberan los gránulos de comógeno por exocitosis.

Sistema de conductos del páncreas exocrino

Las células centroacinares (*véanse* figs. 18-19a y 18-20) son los sitios donde surge el sistema de conductos del páncreas exocrino. Tienen un núcleo central aplanado y un citoplasma escaso característico de las células escamosas.

Las células centroacinares son células interductales (conducto de Boll) localizadas en el acino.

Las cétulas centroacinares se continúan con las células del conducto de Boll corto que se ubica por fuera del acino. La unidad estructural del acino y las células centroacinares se parece a un pequeño globo (el acino) contra el cual se hubiese empujado un tubo (el conducto de Boll). Los conductos de Boll son cortos y drenan en conductos colectores intralobulillares. En el páncreas no hay conductos estriados (secretores).

La compleja red ramificada de conductos intralobulillares desemboca en los grandes conductos interlobulillares revestidos de epitelio cilíndrico poco profundo, donde pueden encontrarse células enteroendocrinas y algunas células caliciformes. Los conductos interlobulillares, a su vez, desembocan directamente en el conducto de Wirsung, que atraviesa toda la glándula de forma paralela a su eje longitudinal; ello le confiere a esta porción del sistema de conductos un aspecto de espinazo de pescado (véate fig. 18-18). En la cabeza del páncreas surge un segundo conducto (accesorio) grande, el conducto de Santorini

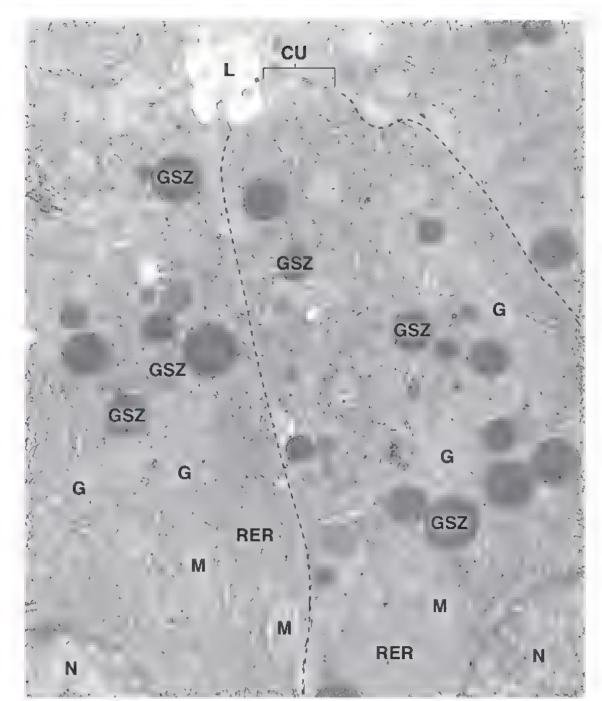


FIGURA 18-21. Microfotografía electrónica del citoplasma apical de varias células pancreáticas acinares. Una célula pancreática acinares está circumsor la por la linea discontinua ulos nucleos (N) de dos células contiguas se pueden distinguir en la parte inferior de la imagen. El citoplasma apica contiene un extenso reticulo endoplasmático rugoso (RER), mitocondinas (M), gránulos secretores con contenido de cimógeno (GSZ) y siltietas de Goig. Gil La superficie apical da a una luz (L. en la cual se liberan los gránulos de cimógeno. Se señala un complejo de unión (CU) cerca de la luz. 20000x

Los conductos de Boll añaden bicarbonato y agua a la secreción exocrina.

El páncreas secreta cerca de 1 L de líquido por día, casi el mismo volumen inicial de la secreción hepática biliar. Mientras que la bilis se concentra en la vesícula biliar, todo el volumen de la secreción pancreática se entrega al duodeno. Si bien los acinos secretan un pequeño volumen de líquido con proteínas abundantes, las cétulas del conducto de Boli secretan un gran volumen de líquido rico en sodio y bicarbonato. El bicarbonato sirve para neutralizar la acidez del quimo que entra en el duodeno desde el estómago y para establecer el pH óptimo para la actividad de las principales enzimas pancreáticas.

La secreción exocrina pancreática está sometida a un control hormonal y neuronal

Dos hormonas secretadas por las oélulas enteroendocrinas del duodeno, la socretina y la CCK, son los reguladores principales del páncreas exocrino (vésse tabla 17-1, p. 622). La entrada del quimo ácido en el duodeno estimula la liberación de estas hormonas en la sangre:

La secretira es una hormona polipeptidica (27 residuos de aminoácidos) que estimula las células de los conductos para secretar un gran volumen de líquido con una alta concentración de HCO₃*, pero sin ningún contenido enzimático o con muy pocas enzimas.

 La CCK es una hormona polipeptidica (33 residuos de aminoácidos) que determina que las células acinares secreten sus proenzimas.

La acción coordinada de las dos hormonas provoca la secreción de un gran volumen de líquido alcalino, abundante en enzimas, hacia el duodeno. Además de la influencia hormonal, el páncreas también recibe inervación autónoma. Las fibras nerviosas simpáticas intervienen en la regulación del flujo sanguíneo pancreático. Las fibras parasimpáticas estimulan la actividad de las células acinares y centroacinares. Los somas neuronales que a veces se observan en el páncreas pertenecen a las neuronas posganglionares parasimpáticas.

Páncreas endocrino

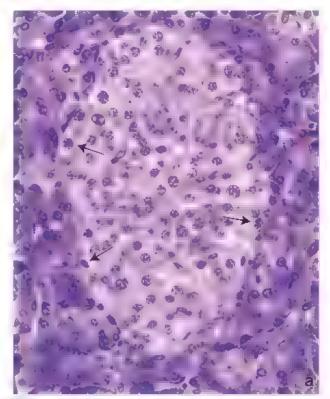
El páncreas endocrino es un órgano difuso que secreta hormonas que regulan la concentración de glucosa en la sangre.

Los laiotes de Langerhans, el componento endocrino del páncreas, están dispersos por todo el órgano en forma de grupos celulares de tamaño variable (fig. 18-22). Se estima que entre 1 y 3 millones de islotes constituyen entre el 1 y 2% del volumen del páncreas humano, y que son más abundantes en la cola. Los islotes individuales pueden contener desde unas cuantas células hasta varios centenares de ellas (lám. 68, p. 700). Sus células poligonales están dispuestas en cordones irregulares cortos rodeados por una profusa red de capilares fenestrados. Las células endocrinas definitivas de los islotes se desarrollan entre la novena y la duodécima semanas de gestación.

En cortes tefudos con H&E, los islotes de Langerhans aparecen como grupos de células poco tefuidas rodeados por acinos pancreáticos que se tiñen con mayor intensidad. En los preparados de rutina no es práctico intentar la identificación de los diversos tipos de células que hay en los islotes (fig. 18-23). Sin embargo, después de la fijación en Zenker-formol y de la tinción con el método



FIGURA 18-22. Microfotografía del páncreas. Corte tendo con H&E donde se ven varios lobulillos pancreáticos separados por tabiques de tendo conjuntivo continuos con la cápsula delgada que rodea la glándula. Estos consisten en acinos exocirinos y sus sistemas de conductos intralobulillares. La mayoría contiene pequeñas siluetas tenues y redondeadas que corresponden a los istotes de Langerhans (flechas). Junto a los lobulillos, abajo a la izquierda, hay un conducto interiobulillar grande que pertenece al páncreas exocirino. 25×



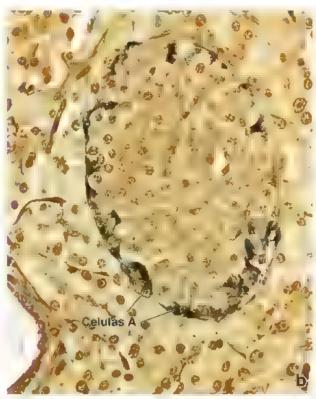


FIGURA 18-23. Microfotografias de los islotes de Langerhans. a. En este preparado de rutina itenido con H&E es dificil identificar los tipos celulares especificos de los islotes sin utilizar colorantes especiales. En el mejor de los casos, se puede suponer que las pequeñas células t/lechas) ubicadas en la pentena del islote probablemente seán células A 360x b. Islote de Langerhans, obtenido de pancreas de una rata, que fue sometido a una impregnación argéntica con la técnica de Grima lus que fue las células secretoras de glucagón). Las células A de páncreas de la rata, impregnadas con plata, están distribuidas en la pentiena del islote, algo que no ocurre con las células pancreaticas humanas. 360x

Tipos celulares principales de los islotes pancreáticos

Tipo celular	Porcentaje	Tinción del citoplasma con Mallory-Azan	Producto	Granulos (MET)
A	15-20	Rojo	Glucagón	Alrededor de 250 nm; núcleo denso, excentrico rodeado por una sustan- cia clara
В	60-70	Pardo anaranjado	Insulina	Alrededor de 300 nm; muchos con núcleo denso, cristalino (anguloso) rodeado por una sustancia clara
D	5-10	Azul	Somatosta- tina	Alrededor de 325 nm; matriz horno- génea

MET, microscopio electrónico de transmisión

de Mallory-Azan, es posible identificar tres tipos celulares principales designados células A (a), B (β) y D (δ) (tabla 18-2). Con este método, las células A se tiñen de rojo, las B de pardo anaranjado y las D de azul. Parece que alrededor del 5% de las células no se tiñen con este procedimiento. La MET permite identificar los principales tipos celulares por el tamaño y la densidad de sus gránulos de secreción. La diferente disposición celular en los islotes de Langerhans también puede demostrarse con el empleo del método de inmunofluorescencia (fig. 18-24).

Además de los tres principales tipos de células insulares, se han identificado tres tipos de células insulares menores mediante el uso de MET en combinación con inmunocitoquímica (tabla 18-3).

Las células de los islotes, excepto las B, son la contraparte de las células entercendocrinas de la mucosa gastrointestinal.

Cada tipo celular puede correlacionarse con una hormona específica, y cada uno tiene una ubicación determinada en el islote.

Las células 8 constituyen entre el 60 y 70% del total de células insulares en los humanos, por lo general, se localizan en su porción central. Estas células secretan insulina (*vease* tabla 18-2). Las célu-

FIGURA 18-24. Islote de Langerhans en el páncreas humano adulto. En esta imagen de inmunofluorescencia se muestra el islote de Langerhans y la distribución de las células A que secretan glucagón (verde) y células B que secretan insulina (rojo) en el páncreas de un adulto. Las células se sometieron a una coloración de contraste con 4',6-diamidino-2-fenilindol (DAFI) que tiñe el ADN nuclear y muestra fluorescencia azul sobre los nucleos. Obsérvese que las células B comprenden la mayoría de las células del islote y que las células A están dispersas. 280x (tornado de Scharfmann R, Xiao X, Heimberg H, et al. Beta cells within single human isiets originate from multiple progenitors. PLoS ONE 2008,2 e3559)

las B contienen abundantes gránulos de secreción, de unos 300 nm de diámetro, con un centro poliédrico denso y una matriz pálida. Se piensa que el centro poliédrico es insulina cristalizada.

Las células A constituyen entre el 15 y 20% de la población insular en los humanos y, en general, se localizan en la periferia de los islotes. Estas células secretan glucagón (véase tabla 18-2). Las células A contienen gránulos de secreción de unos 250 nm de diámetro; son más uniformes en tamaño y se encuentran más juntos en el citoplasma que los gránulos de las células B. Los gránulos son los sittos donde se almacena glucagón (fig. 18-25)

Las oétules D conforman entre el 5 y 10% del tejido pancreático endocrino total y también se localizan en la periferia de los islotes. Las células D secretan sometostatina dentro de sus gránulos de secreción, que son más grandes que los de las células A y B (de 300-350 nm) y contienen material de densidad electrónica media o baja (véase fig. 18-25)

Las cétulas insulares menores representan cerca del 5% del tejido tisular y pueden corresponder a las células pálidas observadas después de la tinción con Mallory-Azan. Sus características y funciones se resumen en la tabla 18-3.

Cierta evidencia sugiere que algunas células pueden secretar más de una hormona. La tinción inmunocitoquímica ha permitido verificar la presencia de varias hormonas, además del glucagón, en el citoplasma de las células A. Estas incluyen péptido inhibidor gástrico (GIP, gastric inhibitory peptide), CCK y corticotropina (ACTH, adrenocorticotrophic hormone) endorfina. Si bien no existe evidencia morfológica clara sobre la presencia de células G (células de gastrina) en los islotes, la gastrina también podria ser secretada por una o más células insulares Ciertos tumores de las células insulares pancreaticas secretan grandes cantidades de gastrina, por lo que producen una secreción excesiva de ácido en el estómago (sindrome de Zollinger-Ellison)

Funciones de las hormonas pancreaticas

Todas las hormonas secretadas por el páncreas endocrino regulan las funciones metabólicas de manera sistémica, regional (en el tubo digestivo) o local (en el propio islote)

La insulina, la principal hormona que secreta el tejido insular, disminuye la concentración de la glucosa sanguinea.

La Insulina es la secreción endocrina más abundante. Sus principales acciones se producen en el higado, el músculo esquelético y el tejido adiposo. La insulina tiene múltiples efectos individuales en cada uno de estos tejidos. En términos generales la insulina estimula:

 La captación de la glucosa desde la circulación. Los transportadores específicos de glucosa en la membrana celular (GLUT4,

Tipos celulares menores de los islotes pancreáticos Tipo celular Ubicación (además Secreción Acciones del islote) Célula PP Polipeptido pancreático Estimula las células gástricas principales (célula F)* Inhibe la secreción bijar y la motiridad intestinal Inhibe la secreción de HCO₃⁻¹ y enzimas pancreáticas Célula D, Péptido intestinal Similares a las del glucagón (hiperglucemica y glu-También en los acinos exocrinos y en vasoactivo el epitello de los conductosª cogenolitica) También afecta la actividad secretora y la motilidad en el intestino. Estimula la secreción exocrina pancreática Célula EC Secretina, motilina También en los acinos exocrinos y en Secretina: actua loca mente para estimular la y sustancia P el epitello de los conductosª secreción de HCO₃⁻ en el jugo pancreático y la secreción enzimática del páncreas Motilina: incrementa la motifidad gástrica e intestinal. Sustancia Pi posee propiedades neurotransmisoras Célula épsilon Grelina Epitelio que reviste el fondo gástrico^b Estimula el apetito

PP, polipéptido pancreático; FC, enterocromafín.

- glucose transporter 4) son estamulados e insertados en la membrana celular de las celulas musculates y los adipocitos.
- El almacenamiento de la glucosa, por la activación de la glucógeno sintasa y la inhibición de la glucógeno-fosforilasa en las celulas musculares y el hígado. Estas acciones conducen a la sintesis ulterior de glucogeno (glucogenesis).
- La utilización de la glucosa, al promover la glucolisis dentro de las células. Esto se logra al activar la piruvato-deshidrogenasa y la fosfofructocinasa en las celulas musculares esqueleticas y el higado.
- La degradación de quilomicrones y otras LDL en ácidos grasos libres, por activación de la lipoproteina-lipasa (LPL). El aumento de la concentración de acidos grasos libres incrementa los

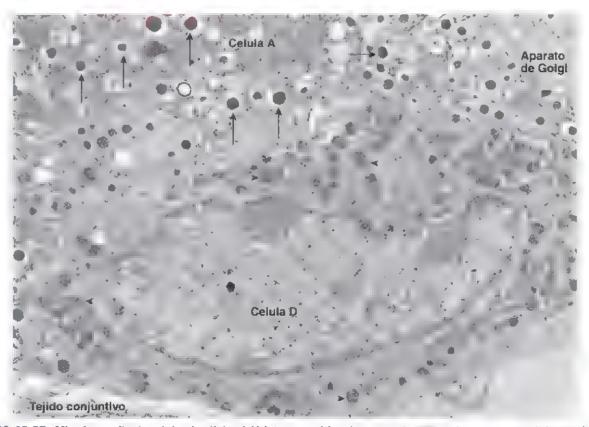


FIGURA 18-25. Microfotografía electrónica de células del islote pancreático. La porción de celula en la parte superior de la microfotografía es una célula A. Contiene los granulos característicos (fiechas) que muestran un centro esfercideo denso rodeado por un espacio claro y después una membrana. Esta célula también tiene un aparato de Goigi característicamente bien desarrollado. La célula que se observa en la parte inferior es una célula D. Contiene una gran cantidad de gránulos (imitados por membrana de una densidad moderadamente baja (puntas de fiecha). 15000×

^{*}Esta ubicación pone de relieve la ontogénesis del páncreas como derivado del intestino embrionano.

La grelina es producida en el estómago por las células P/D₁ (G_i)

CORRELACION GLÍNICA: PRODUCCIÓN DE INSULINA Y ENFERMEDAD DE ALZHEIMER

Se ha identificado la expresión de insulina y de factores de crecimiento insulinicos (IGF, insulin-like growth factor) de los tipos I y II en las neuronas de varias regiones del encéfalo. La resistencia a la insulina, una característica de la diabetes mellitus, está vinculada con la degeneración neuronal, la disfunción cognitiva y la demencia. El ritmo lento de producción de insu ina y de IGF en el encefalo contribuye a la degeneración de las neuronas, un sintoma inicial de la enfermedad de Alzheimer. El estudio post mortem del tejido encefálico de

pacientes con diagnóstico de enfermedad de Alzheimer confirmó que las concentraciones de insulina y de IGF eran muy reducidas en el hipocampo (la región del encéfalo responsable de la memoria), en los lóbulos frontales y el hipotálamo, no así en el cerebelo (que generalmente no resulta afectado por la enfermedad de Alzheimer). Investigaciones adicionales sobre estas anomalías en la producción de la insulina podrían conducir al desarro lo de nuevas terapias para la enfermedad de Alzheimer cuyos objetivos sean la insulina y los IGF.

triglicéridos, lo que conduce a la formación de gotitas lipídicas (lipogénesis).

 La síntesis de proteinas en células musculares esqueléticas y en hepatocitos, por aumento de la captación celular de aminoácidos y la activación de la vía de la diana de la rapamicina en mamíferos (mTOR, mammalian targes of rapamyem), lo cual incrementa la producción de ribosomas y disminuye la proteólisis celular.

La falta o insuficiencia de insulina conduce al incremento de la concentración sanguinea de glucosa (hiperglucemia) y a la presencia de glucosa en la orina (glucosuria), signos de una alteración conocida como diabetes mellitus. La diabetes mellitus es una crisis de salud publica a escala mundial y afecta a cerca del 8.3% de la población de los Estados Unidos. Las complicaciones de esta enfermedad pueden ser cardiovasculares (disfuncion de las celulas endotel ales con lesión a su membrana basal; p. ej., hipertensión, cardiopatia y derrame cerebral), renales, retinopáticas o neuropáticas. La insuficiencía de insulina y de somatomedinas en el sistema nervioso central (SNC) se ha vinculado recientemente con la enfermedad de Alzheimer (cuadros 18-3 y 18-4)

El glucagón, que se secreta en cantidades casi tan altas como las de insulina, aumenta la concentración de la glucosa sanguinea.

En esencia, las acciones del glucagón son recíprocas a las de la insulina. El glucagón estimula la liberación de glucosa hacia la sangre y favorece la glucogénesia (síntesis de glucosa a partir de metabolitos de aminoácidos) y la glucogenólisis (degradación de glucógeno) en el hígado. El glucagón también estimula la proteólisis para promover la gluconeogénesis, moviliza las grasas desde los adipocitos (lipólisis) y estimula la lipasa hepática.

La somatostatina inhibe la secreción de insulina y de glucagón.

La somatostatina es secretada por las células D de los islotes. Es idéntica a la hormona secretada por el hipotálamo, que regula la liberación de la somatotropina (hormona de crecimiento) desde la adenohipófisis. Aunque el papel preciso de la somatostatina en los islotes no está claro, se ha demostrado que inhíbe la secreción de insulina y glucagón. También suprime la secreción exocrina del páncreas.

Las características moleculares de las principales hormonas, y algunas otras menores, sintetizadas por los islotes de Langerhans se resumen en la tabla 18-4.

Regulación de la actividad del islote

Una glucemia superior a la normal (70 mg/dL) estimula la liberación de insulina desde las células B, lo cual conduce a la capitación y almacenamiento de la glucosa por parte del hígado y el músculo. La consecuente disminución de la glucemia denene la secreción de insulina. Algunos aminoácidos también estimulan la secreción de insulina, sola o en conjunto con una hiperglucemia. El aumento en la concentración de ácidos grasos también estimula la liberación de insulina, como lo hacen la gastrina, la CCK y la secretina circulantes. La CCK y el glucagón liberados en el islote por las células A actúan como un mecanismo paracrino para estimular la secreción de insulina por parte de las células B.

Una glucemia inferior a 70 mg/100 mL estimula la liberación de glucagón, y una muy superior a 70 mg/100 mL inhibe su secreción El glucagón también se libera en respuesta a una concentración baja de ácidos grasos en la sangre. La insulina inhibe la liberación de glucagón por las células A, pero debido a la circulación en cascada del islote (véase más adelante), esta inhibición se ve afectada por la actividad hormonal de la insulina transportada en la circulación general.

Los islotes poseen inervación simpática y parasimpática. Cerca del 10% de las células insulares poseen terminaciones nerviosas en contacto directo con su membrana plasmática. Entre las células insulares hay uniones comunicantes bien desarrolladas. Los intercambios iónicos desencadenados por los transmisores sinápticos en las terminaciones nerviosas ocurren a través de dichas uniones. Los nervios autonómicos pueden tener efectos directos sobre la secreción hormonal de las células A y B.

La estimulación parasimpática (colmérgica) incrementa la secreción de insulina y glucagón; la estimulación simpática (adrenérgica) aumenta la liberación de glucagón, pero inhibe la de insulina. Este control nervioso de la insulina y el glucagón contribuiría a la disponibilidad de la glucosa circulante en las reacciones de estrés.

Características de las hormonas pancreáticas

Hormona	Peso molecular (Da)	Estructura
Insuline	5700-6000	Dos cadenas proteí- nicas ligadas por puentes disulfuro cadena α, 21 arni- noácidos, cadena β, 30 aminoácidos
Glucagón	3500	Polipéptido lineal: 29 aminoácidos
Somatos- tatina	1638	Polipéptido cíclico: 14 aminoácidos
VIP	3300	Polipéptido lineal 28 aminoácidos
Polipéptido pancreático	4200	Polipéptido lineal 36 aminoácidos

VIP pépado intestinal vasoactivo

CONSIDERACIONES FUNCIONALES: SÍNTESIS DE INSULINA UN EJEMPLO DE PROCESAMIENTO POSTRADUCCIONAL

La **insulina** se sintetiza dentro de las células B del páncreas. Es una pequeña proteína formada por dos cadenas polipeptídicas unidas por puentes disulfuro. Su biosíntesis es un claro ejemplo de la importancia del procesamiento postraduccional en el logro de la estructura activa final de una proteína

Originalmente, la insulina se sintetiza como una cadena polipeptídica simple, de 110 aminoácidos, con un peso molecular de alrededor de 12 kDa. Dicho polipéptido se denomina *pre-proinsulina*. La preproinsulina contiene en su extremo amino terminal la secuencia del péptido señal (de 24 aminoácidos de longitud) necesaria para que la preprohormona ingrese en el RER. A medida que la molécula se inserta en la cisterna del RER, el péptido señal se escinde proteolíticamente para formar *proinsulina*. El procesamiento postraduccional reduce la preproinsulina a un polipéptido con un peso molecular de alrededor de 9000 Da. La proinsulina es una sola cadena polipeptidica de 81-86 aminoácidos que tiene la forma aproximada de la letra "G" (fig. C18-4-1). Dos puentes disulfuro conectan la barra de la "G" a la parte alta del asa.

Durante el empaquetado y almacenamiento de la proinsulina en el aparato de Golgi, una enzima similar a la catepsina escinde la mayor parte del asa, lo que deja a la barra de la "G" como una cadena A de 21 aminoácidos unida transversalmente por puentes disulfuro a la parte superior del asal que se convierte en la cadena B de 30 aminoácidos. El péptido de 35 aminoácidos eliminado del asa se denomina péptido C (péptido de conexión). Este péptido se almacena en las vesículas de secreción y se libera con la insulina en cantidades equimolares. No se ha identificado ninguna función fisiológica para el péptido C.

Dado que el péptido C posee una vida media más larga que la insulina, se detectan mayores concentraciones de este en la sangre periférica. Por estas razones, la cuantificación del péptido C circulante brinda información clínica importante acerca de la actividad secretora de las céluias B. Como el péptido C es eliminado del organismo por los niñones, la cuantificación de su excreción urinaria proporciona información util acerca de la secreción del insulina por las células B. Con frecuencia, la cuantificación del péptido C se utiliza para determinar la función de las células B residuales en pacientes tratados con insulina, para distinguir entre las diabetes de los tipos 1 y 2 o para diagnosticar y evaluar el tratamiento del **insulinoma (tumor de las células B)** El péptido C también puede emplearse para verificar la evolución de un trasplante de páncreas o de células insulares

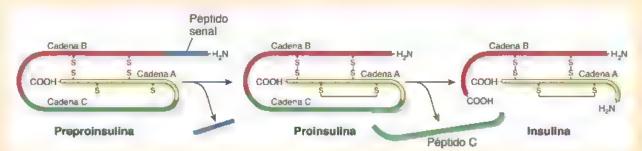


FIGURA C18-4-1. Procesamiento postraduccional de la insulina. La insulina se sintetiza como preproinsulina, una cadena polipeptidica simple que experimenta modificaciones postraduccionales. Primero se elimina el péptido señal dentro de las cistemas de IRER. La cadena polipeptidica resultante, más corta y conocida como *proinsulina*, se transporta a laparato de Goig. Ahi es modificada por la formación de puentes disulfuro internos y la eliminación de la cadena C. que produce la insulina biológicamente activa.

La irrigación sanguínea del páncreas provee una perfusión en cascada de los islotes y los acinos.

Como se señaló antes, los islotes de Langerhans comprenden solo entre el 1 y 2% de la masa total del páncreas; sin embargo, reciben cerca del 10-15% del flujo sanguíneo pancreático. En los islotes de Langerhans existen dos patrones predominantes de flujo sanguíneo. El patrón más frecuente es el ingreso de sangre en el centro del islote, al que irriga en primer lugar, que después se esparce hacia la periferia. En el segundo patrón varias arteriolas ingresan en la periferia de los islotes y se ramifican en capilares fenestrados para irrigar el centro del islote. En los humanos es más probable que los capilares primero irriguen las células A y D en la periferia, antes de que la sangre alcance las células B centrales. Los vasos de mayor calibre en los tabiques que penetran la porción central del islote también se acompañan de células A y D, de modo que la sangre que llega a las células B siempre ha irrigado primero las células A y D. Algunos estudios recientes de

imagen de fluorescencia in vivo muestran las diferentes dinámicas de flujo sanguineo en los islotes de Langerhans. Estos estudios indican que el flujo sanguineo está regulado por la concentración de glucosa sanguinea, además de la interacción compleja entre vasodilatadores y vasoconstrictores, los péptidos gastrointestinales y el sistema nervioso autonomo.

Los capilares eferentes grandes abandonan el islote y se ramifican en redes de capilares que rodean los acinos del páncreas exocrino. Este flujo en cascada es parecido a los sistemas porta de otras glándulas endocrinas (hipófisis, suprarrenal).

Las secreciones de las células de los islotes poseen efectos reguladores sobre las células acinares:

- La insulina, el péptido intestinal vasoactivo (VIP) y la CCK estimulan la secreción exocrina.
- El glucagón, el polipéptido pancreático (PP) y la somatostatina inhiben la secreción exocrina.



SISTEMA DIGESTIVO III: HÍGADO, VESÍCULA BILIAR Y PÁNCREAS

FUNDAMENTOS DEL HÍGADO

- El hígado es el órgano interno más voluminoso y la masa de tejido glandular más grande

 Il horsepueno.
- El hígado desempeña un papel importante en la capración, almacenamiento y distribución de sustancias nutritivas. Produce la mayoria de las proteínas plasmáticas circulantes (p. ej , albuminas), almacena hierro, convierte vitaminas y degrada fármacos y toxinas.
- El hígado también actúa como un órgano exocrino (produce bilis) y desempena funciones
- El hígado posee una irrigación doble: un suministro venoso a traves de la vena porta hepatica y un suministro arterial a traves de la arteria hepatica

ESTRUCTURA DEL HÍGADO

- Los componentes estructurales del higado incluyen el parénquima (cordones de hepatocitos), el estroma de tejido conjuntivo, los capilares sinusoidales (sinusoides hepaticos) y los espacios perisinusoidales (de Disse)
- Existen tres formas de describir la estructura del higado en términos de unidades funcionales: el lobulillo clásico (de forma hexagonal), el lobulillo portal (de forma triangular) y el acino hepático (una unidad estructural de forma romboide que tiene tres zonas y provee la mejor concordancia entre perfusion sanguinea, actividad metabolica y hepatopatía)
- Los hepatocitos (como se observa en los lobunillos clásicos) están organizados en cordones anastomosados irregulares que se irradian hacia una vena central. Los angulos del lobulillo clásico poligonal estan ocupados por la tnada portal, la cual contiene tamas de la vena porta y la arteria hepática, conductos biliates y vasos linfaticos de pequeño calibre.
- Los sinusoides hepáticos forman canaliculos vasculares irregulares que discurren paralelos y entre los cordones de hepatocitos.
 Reciben sangre mixta. 75% de sangre venosa de la circulación portal y 25% de sangre arterial de la circulación sistemica.
- Los sinusoides hepaticos están revestidos por un delgado endotelio discontinuo. El espacio perisinusoidal (espacio de Disse) se encuentra entre los hepatocitos y el endotelio, es el sino de intercambio de materiales entre la sangre y los hepatocitos.
- El endotelio sinusordal esta compuesto por macrofagos sinusordales estrellados (células de Kupffer) especializados que eliminan los eritrocitos envejecidos y reciclan moléculas de hierro.
- Las células estrelladas hepáticas (células de lto) se localizan en los espacios perisinusoidales y contienen gottas lipidicas para el almacenamiento de vitamina A. En presencia de alteraciones, las celulas de lto tienen la capacidad de diferenciarse en miofibroblastos.

HEPATOCITOS

- Los hepatocitos (que conforman el 80% de las células hepaticas) son células poligonales grandes, con núcleos esferoideos (con frecuencia binucleados) y ciroplasma acidófilo que contiene REL, RER, abundantes mitocondrias y peroxisomas, así como múltiples complejos de Golgi pequeños.
- La superficie basal de los hepatocitos esta en contacto con el espacio perisinusoidal (de Disse), mientras que la superficie
 apical se comunica con el hepatocito contiguo para formar un canalículo biliar.
- Los canaliculos biliares desembocan en los conductos de Hering de travecto corto, que estan cubiertos en parte por hepatocitos y en parte por colangiocitos cúbicos (células que revisten el árbol biliar).
- Los conductos de Hering albergan citoblastos hepáticos específicos.

ARBOL BILIAR

El árbol biliar está revestido por células epiteliales cubicas o cilindricas denominadas colangiocitos, que vigilan el flujo

biliar y regulan su contemdo.

La bilis (producida por los hepatocitos) es recogida por los canaliculos biliares y drena hacia los conductos de Hering Desde alli, continua su flujo hacia los conductillos biliares intrahepáticos y, mas adelante, hacia los conductos biliares interlobulillares (que forman parte de la triada portal). Los conductos interlobulillares finalmente se mezclan para formar los conductos hepáticos izquierdo y derecho que abandonan el higado a la altura del hilio.

Los conductos biliares extrahepáticos transportan la bilis hacia la vesicula biliar y el duodeno.

FUNDAMENTOS DE LA VESÍCULA BILIAR

La vesicula biliar es un saco distensible, pinforme, que concentra (elimina el 90% del agua) y almacena bilis.

 La mucosa de la vesícula biliar tiene muchos pliegues profundos (para incrementar la extension superficial), una lámina propia muy vascularizada y una muscular externa bien desarrollada (carece de muscular de la mucosa y submucosa)

 Los colangíocitos cilíndricos alargados estan especializados en la captación de agua desde la bilis. Expresan acuaporinas (conductos acuosos proteinicos) que facilitan el desplazamiento pasivo rápido del agua.

Los diverticulos profundos de la mucosa, denominados senos de Rokstansky-Aschoff, con frecuencia se extienden a traves
de todo el espesor de la muscular externa.

 La contracción de la muscular externa reduce el volumen de la vesicula biliar y fuerza la expulsión de la bilis a traves del conducto elstico y el colédoco hacia el duodeno.

FUNDAMENTOS DEL PANCREAS

• El páncreas es una glandula exocrina y endocrina localizada en el espacio retroperitoneal del abdomen.

El componente exocrino sintetiza y secreta enzimas digestivas hidrolíticas hacia el duodeno, las cuales son indispensables
para la digestion en el intestino. Este componente contiene acinos (adenómeros) serosos que conforman la mayor parte de la
masa del páncreas.

 Los acinos panereáticos son únicos porque sus conductos de Boll (intercalados) comienzan dentro del adenómero mismo; por consiguiente, las células del conducto que estan dentro del acino se conocen como células centroacinares (una característica distintiva del páncreas)

 La celula actuar pancreática tiene forma piramidal con gránulos de secreción (cimógeno) localizados en su citoplasma apical. En su region basal hay aparatos de Golgi, RER y un nucleo grande.

 Los conductos de Boil secretan una gran cantidad de sodio y bicarbonato para neutralizar la acidez del quimo que ingresa en el duodeno desde el estomago

Los conductos de Boll drenan los acinos pancreáticos en los conductos intraiobulillares, en los grandes conductos interiobulillares, y, por último, en el conducto pancreático que desemboca en el duodeno.

El componente endocrino (islotes de Langerhans) sintetiza y secreta hormonas que regulan el metabolismo de la glucosa,

la licidad de la componente endocrino (islotes de Langerhans) sintetiza y secreta hormonas que regulan el metabolismo de la glucosa,

la licidad de la componente endocrino (islotes de Langerhans) sintetiza y secreta hormonas que regulan el metabolismo de la glucosa,

la licidad de la componente endocrino (islotes de Langerhans) sintetiza y secreta hormonas que regulan el metabolismo de la glucosa,

la licidad de la componente endocrino (islotes de Langerhans) sintetiza y secreta hormonas que regulan el metabolismo de la glucosa,

la licidad de la componente endocrino (islotes de Langerhans) sintetiza y secreta hormonas que regulan el metabolismo de la glucosa,

la licidad de la componente endocrino (islotes de Langerhans) sintetiza y secreta hormonas que regulan el metabolismo de la glucosa,

la licidad de la componente endocrino (islotes de Langerhans) sintetiza y secreta hormonas que regulan el metabolismo de la glucosa,

la licidad de la componente endocrino (islotes de la componente de la componente de la glucosa),

la licidad de la componente endocrino (islotes de la componente de la

los lípidos y las proteínas en la sangre

Los islotes de Langerhans estan dispersos en el pancreas y contienen tres tipos principales de células A (que producen glucagón), células B (que producen insulina) y células D (que producen somatostatina)

LÁMINA 65 HÍGADO I

El hígado es la glándula más grande de todo el organismo y la viscera de mayor tamaño. Es excepcional porque recibe su imigación principal desde la vena porta hepática, que trae sangre venosa desde el intestino delgado, el páncreas y el bazo. Así, el hígado está ubicado directamente en la vía que transporta materiales absorbidos en el intestino. Esto le permite ser el primero en estar expuesto a los sustratos metabólicos y las sustancias nutritivas. Una de las funciones principales del hígado es degradar o conjugar sustancias tóxicas para hacerlas inofensivas. No obstante, puede ser dañado seriamente por la exposición excesiva a tales sustancias.

Cada cétula hepática (hepatocito) tiene funciones exocrinas y endocrinas. La secreción exocrina del higado, denominada bilis, contiene productos de desecho degradados y conjugados que se devuelven al intestino para su etiminación. La bilis también contiene sustancias que se unen a metabolitos en el intestino para facilitar su absorción. Una serie de conductos de diàmetro y complejidad crecientes, que comienza con los canalículos biliares situados entre los hepatocitos individuates y termina con el colédoco, transporta la bilis desde el higado y la vesícula biliar hasta el duodeno.

Las secreciones endocrinas del higado se liberan de forma directa en la sangre que imga los hepatocitos; entre estas secreciones se encuentran albúmina, globulinas α y β no inmunitarias, protrombina y glucoproteinas como la fibronectina. La glucosa, obtenida del glucogeno almacenado, y la triyodotironina (T₃), el producto más activo de la desyodación de la tircxina, también se liberan directamente en la sangre.

Las unidades funcionates del higado, que pueden ser lobulillos o acinos, están formadas por cordones anastomosados e irregulares de hepatocitos, separados entre sí por los sinusoides sanguineos



Higado, humano, H&E, 65×; recuadro 65×.

Microfotografía de bajo aumento en la que se observa una gran cantidad de hepatocitos distribuidos de manera unuforme en todo el campo. Están organizados como lobulifíos discretos (los lunites de un lóbulo están marcados con la línea punteado) con una

vena central (VC) en medio. Los **hepatocitos** están dispuestos en hileras de una sola célula de espesor Cuando se seccionan, se ven como cordones anastomosados de una o dos células de espesor segun el plano de corre. Los sinusoldes aparecen como regiones claras entre los cordones celulares; esto se observa mejor en la figura de abajo (antericos).

En esta imagen también puede apreciarse un **conducto portal**. Este es un tabique de tejido conjuntivo que contiene tamas de la attena hepánica (AH) y de la vena porta (VP), así como conductos biliares (CB), vasos linfáricos y nervios. La arteria y la vena, junto con el conducto biliar, se denominan colectivamente triada portal (hepática) Las ramas de la arteria hepática y la vena porta se identifican con facilidad porque están relacionadas entre sí dentro del tendo conjuntivo que las rodea en el conducto portal. La vena generalmente tiene paredes delgadas; la arteria es de menor calibre y posee una pared más gruesa. Los conductos bilhares están compuestos por un epitelio cilindrico o cúbico simple, según el tamaño del conducto. En el conducto portal también son visibles múltiples vasos sanguineos y condisctos biliares debido a ramificaciones o su salida del plano de corte y su posterior regreso.

El vaso a cravés del cual la sangre sale del higado es la vena hepática. Esta vena se identifica con facilidad porque discutre sola (recuadro) y está rodeada por una cantidad apreciable de tejido conjuntivo (TC), a menudo con pequeños nódulos linfáticos (NL). Si hay más de una vena dentro del tejido conjuntivo, pero no se observan ni arterias ni conductos biliares, el segundo vaso también será una vena hepática. Este es el caso que se presenta en el recuadro, donde se observa la silueta de una pequeña vena hepática justo sobre la vena hepática (VH), de mayor calibre.



Lobulillo hepático, hígado, humano, H&E, 160×.

Las vénulas hepáticas terminales o venas centrales (VC) son las ramas más distales de la vena hepática y, al igual que ella, sambién discurren solas. Sus características distintivas son los

sinusoides (señalados con attensor) que perforan su pared y la escasez de tejido conjuntivo circundante. Estas características se aprecian mejor en la lámina 66.

Para identificar los límites de un lobulillo, conviene examinar las imagenes del higado con poco aumento. Un lobulillo se identifica mejor cuando se corra de forma transvenal. La vena central aparece, entonces, como una silueta circular y los hepatocitos se ven como cordones que irradian desde ella. Uno de los lobutillos está delimitado por una linea discontinua en la microfotografía de arriba

Los limites del lobulillo están definidos, en parte, por el conducto portal. En ocras direcciones los cordones de lobulillo no parecen tener límite, es decia, parece que se fusionan con los cordones de lobulillos contiguos. Sin embargo, se pueden calcular las dimensiones del lobulillo trazando un círculo en el que la vena central conicida con el centro e incorporando los cordones que exhiben una disposición radial hasta el punto donde baya un conducto portal. 51 el lobulillo se ha seccionado en sentido transversal, el límite radial escará determinado por la ubicación de uno o más conductos portales, como lo indican los conductos biliares (CB) en esta imagen.

AH, arteria hepática CB, conducto belar NL, nódulo infático TC, tejido conjuntivo VC, vena central (vénula hepática terminal) VH, vena hepática

VP vena porta

asteriscos (imagen inferior), sinuscides sanguineos

limea discontinua (imagen superior), límites aproximados de un lobu illo

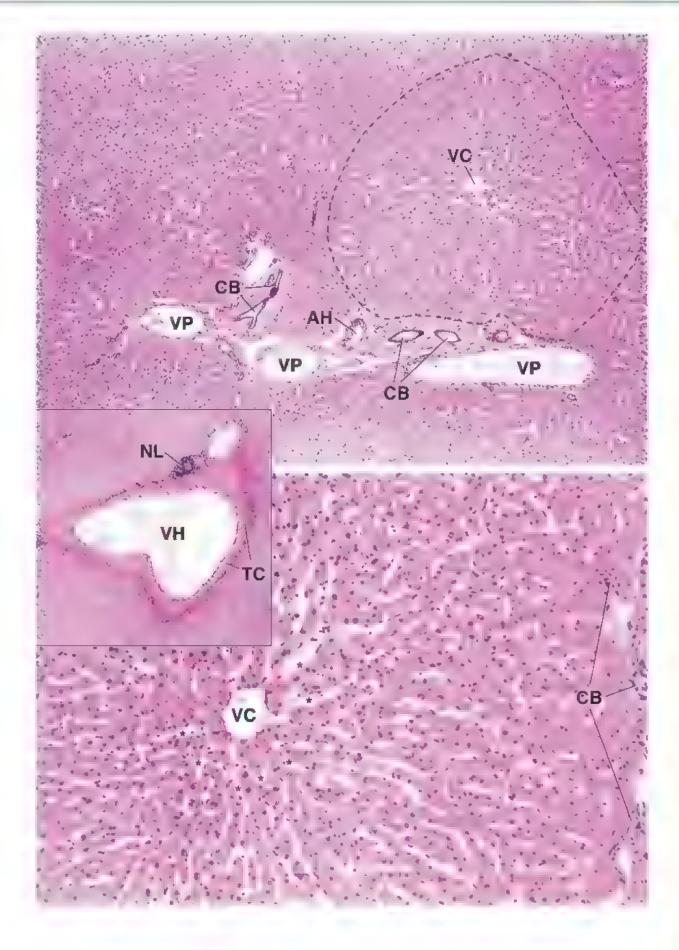


LÁMINA 66 HÍGADO II

Existen tres maneras de describir el parénquima hepático en términos de unidades funcionales: lobulillos "clásicos", lobulillos portales y acinos. El lobulillo clásico es una porción de tejido casi hexagonat que posea en su centro la vénula hepática terminal (vena central) y en sus seis àngulos los conductos portales (tríadas portales), cada uno con una rama de la vena porta, una rama de la arteria hepática y un conducto biliar. El lobulillo portal tiene una configuración triangular que pone de relieve la función secretora exocrina. Su eje es el conducto biliar de la tríada portal del lobulillo clásico y sus tres lados externos son líneas imagi-

narias trazadas entre las venas centrales mas cercanas a la triada. El acino hepático provee la mejor correlación entre perfusión sanguinea, actividad metabólica y patología hepática. El acino es una masa de tejido pequena, con forma de rombo, cuyo eje menor son las ramas delgadas de la triada portal que discurren a lo largo del límite entre dos lobulillos clásicos; su eje mayor es una linea trazada entre las dos venas centrales más cercanas al eje menor. Los hepatocitos en cada acino se describen como dispuestos en tres zonas elipticas concentricas alrededor del eje corto, la zona 1 es la más cercana y la zona 3 es la más lejana a ese eje.

Vena central, higado, humano, H&E, 500 × ; recuadro 800 ×

La vena central y los hepatocitos circundantes, en la microfotografla *inferior* de la lámina 65, se muestran aquí con mayor aumento El ciroplasma de los **hepatocitos** de esta muestra tiene un aspecto

espumoso debido a la extracción del glucógeno y de los lípidos durante la preparación del tejido. En algunos sítios se distinguen los limites entre los heparocitos individuales, pero no entre las células en las que la cuchilla ha pasado justo a través del límite celular en un plano oblicuo. Cuando los límites celulares se observan con un aumento aún mayor (premadro), suelen verse contornos circulares u ovales muy pequeños justo a la mutad. Estos contornos corresponden a los canaliculos bihares (CB)

Sinusoides hepáticos, higado, rata, fijacion en glutaraldehido-osmio, azul de tolu dina, 900 ·

Esta imagen corresponde a una muestra de higado incluido en resina plástica, que se fijó por un método que generalmente se unliza para la microscopía electrónica. A diferencia de lo que ocurre con los corres teñsdos con H&E, los preparados de este tipo permiten ver muy bien el detalle citológico de los hepatocitos y los simisoides (Si). Los hepatocitos se tiñen intensamente con azul de toluidina, Cabe destacar que el citoplasma exhibe massa trregulares de color magenta (flechai). Se trata del glucógeno que ha quedado retenido por la fijación en glutaraldehído y se ha trefudo metacromáticamente con el azul de toluidina. También son visibles las gotiras lipidicas (GL) de

exhibe masas trregulares de color magenta (fechas). Se trata del glucógeno que ha quedado retenido por la fijación en glutaraldehído y se ha teñido metacromáticamente con el azul de coluidina. También son vixibles las goriras lipidicas (GL) de tamaño variable que se han conservado y teñido de negro con el osmio utilizado como fijador secundario. Las cantidades de lipidos y glucógeno son variables y, en circunstrancias normales, son un reflejo de la ingesta dietética. La exploración del ciroplasma del hepatocito también permite descubrir pequeños corpúsculos

Las células que revisten los sinusoides (SI) muestran muy poco o ningún detalle ciroplasmático en las preparaciones de rutina. Los macrófagos perisinusoidales (células de Kupffer [CK]) generalmente se reconocen por sus núcleos ovoides y por sobresalir dentro de la luz. La célula endotelial, en cambio, es una célula plana o escamosa que posee un núcleo alargado o adelgazado y más pequeño. Algunos núcleos que concuerdan con esta descripción son visibles en la microfotografia

Las flechas curvas señalan la terminación de dos sinusoides y su desembocadura en la vena central (VC). Obsérvese que la pared de la vena está reforzada por tejido conjuntivo, sobre todo colágeno, que aparece como material eosmófilo homogeneo (auterisca). Los fibroblastos (F) dentro de este tejido conjuntivo se pueden identificar y distinguir de las células endoteliales (CE) que revisten la vena

puntiformes de color anul oscuro que resaltan sobre el fondo ciroplasmático de color anul más claro. Esos corpusculos son las mirocondrias. Otra característica de esta muestra es la muy clara visualización de los canaliculos biliares (CB) entre los heparocinos. Cuando se seccionan en senudo transversal, aparecen como silueras circulares vacias; sin embargo, cuando el corre es longitudinal, se ven como conductos alargados (ángulo inferior derecho de la foto)

Las células de revestimiento de los sinusoides son de dos tipos bien definidos. Las células de Kupffer (CK) son más prominentes. Poseen un gran núcleo y una gran cantidad de citoplasma. Sobresalen en la luz y puede parecer que la octuyen. Sin embargo, no bloquean el conducto. La superficie de la célula de Kupffer exhibe un contorno dentado o muy irregular debido a las abundantes evaginaciones que añaden extensión a su superficie. La célula endotellal (CF) posee un núcleo más pequeño, un citoplasma adelgazado y una superficie lisa de contorno regular.

Un tercer tipo celular, el lipocito perisinusoidal (célula de Ito), que se observa con menor frecuencia, no aparece en esta microfotografía. El lipocito se vería como una célula clara con abundantes gotitas lipidicas. Las gotitas lipidicas contienen vitamina A almacenada

CB, canalículo biliar

CE, célula endotesal

CK, célula de Kupffer

F, fibroblasto

GL, gotitas lipídicas

SI, sinusoide
VC. vena central
asteriscos, tendo conjuntivo de la
vena central
flechas, glucógeno

flechas curvas, desembocadura de un sinusoide en la vena central

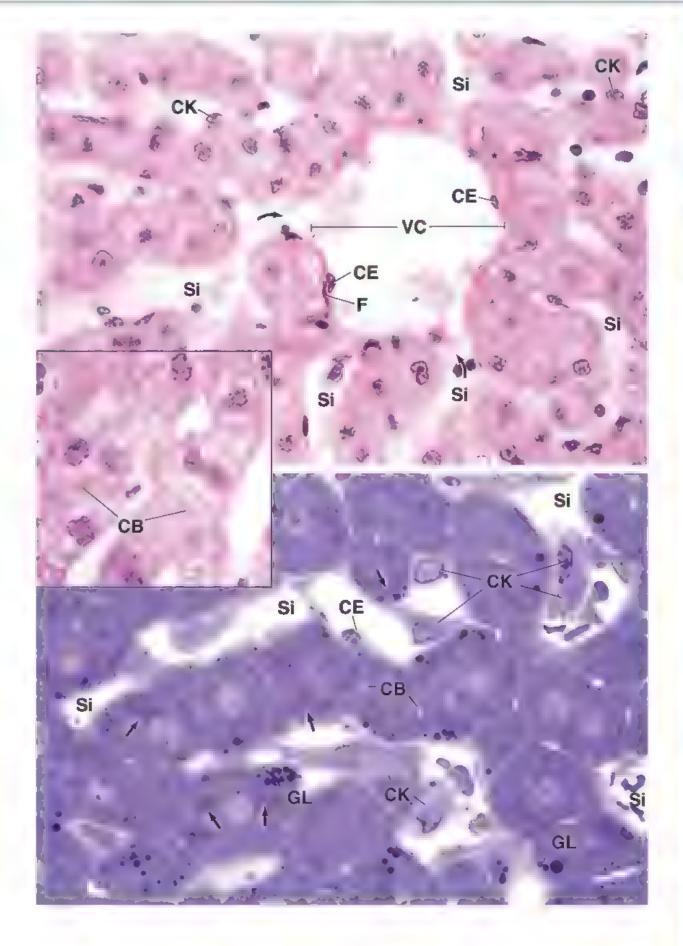


LÁMINA 67 VESÍCULA BILIAR

La vesícula biliar concentra y almacena bilis para ser distribuida en el duodeno. La bilis debido a la absorción de sales hacia la sangre y por el movimiento pasivo del agua en respuesta al transporte selino. La mucosa se caracteriza por un epitelio cilíndinco absortivo, que se parece mucho al del intestino delgado y el colon, tanto en su morfologia como en su función. Las células epiteliales se caracterizan por abundantes microvellosidades apicales cortas, complejos de unión apicales, concentraciones de mitocondrías en el citoplasma apical y basal, así como pliegues laterales complejos. Además, en la membrana plasmática lateral de estas células epiteliales se localiza (a Na*/K*-ATPasa activada



Vesicula biliar, humano, H&E, 45×

La vesseula biliar es un órgano hueco, pinforme, que concentra y almacena la bilis. Aquí se muestra todo el espesor de su pared. Está compuesta por una mucosa (Mue), una muscular (Mus) y una adventicia (Adv), en su superficie libre (que no aparece en la ima-

gen), hay una serosa. La **muscosa** se puede apreciar, con mayor aumento, en la imagen de abapa. La **muscular de la muscosa** consiste en haces entrelazados de musculo liso (ML). La **adventicia** (Adv) está compuesta por rejido conjuntivo denso irregular a través del cual discurren los vasos sanguíneos (VS) de mayor calibre, y por cantidades variables de tejido adiposo (TA), sobre todo en la periferia.

La mucosa tiene numerosos pliegues, altamente pronunciados cuando la muscular está muy contraída. Nótese la presencia de varias invaginaciones de la mucosa llamadas senos de Rokitansky-Aschoff (SRA). Este es el aspecto histológico más frecuente de la vesícula biliar, a menos que, por supuesto, se tomen medidas para fijarla y conservarla en un estado distendido. A veces, el corte pasa a través del receso de un pliegue y este puede semejar una glándula (flechar). Sin embargo, la mucosa no poste glándulas salvo en la región del cuello, donde hay algunas glandulas mucosacretoras (véne la imagen inferior derecha)



Mucosa, vesicula biliar, humano, H&E, 325×

La **mucosa** está compuesta por un epitelio cilindrico simple, alargado y absortivo $\langle Ep \rangle$ que descansa sobre una lámina propia de tejido conjuntivo laxo irregular $\langle TC \rangle$ que contiene vasos san-

guineos (VS). El epitelio posse caracteristicas que lo distinguen del epitelio absortivo de otros órganos, como el de los intestinos. En la capa epitelial hay un solo upo de células, las cilindricas alargadas (véase la imagen superior derecha)

Los núcleos se encuentran en la región basal de la célula. La célula posee un delgado borde estrado apical. Sin embargo, este no siempre es visible en los cortes de rutina teáudos con H&E. El ciroplasma se tiñe casi de manera uniforme con la eosina. Esto se asocia con su función absortiva y contrasta con la tinción de las células encargadas de sintetizar proteinas. La función absortiva de las células se demuestra aún más por sus espactos intercelulares distendidos en su estado basal (véase la imagen superior derecha, fischas). Esta casacterística está asociada con el transporte de liquido a través del epitelio y, cumo se mencionó, también es habitual en las células absortivas intestinales



Mucosa, vesícula biliar, humano, H&E, 550 ×

La **lámina propia** subyacente al epitelio suele ser muy celular. En esta muestra, además de los linfocitos (*Lin*), un hallazgo relativamente frecuente, también hay una gran cantidad de plasmocitos (Pla) dentro de la lámina propia (la gran concentración de plasmocitos es indicativa de inflamación crónica). Orra característica notable de la lámina propia son las numerosas invaginaciones de la miscosa denominadas senoi de Rokitaniky-Aschoff, además de las ya mencionadas en la región del cuello. Los senos se identifican con facilidad en la imagen imperior izquienda y parte de la pared de los senos de Rokitaniky-Aschoff (SRA) se muestra a mayor aumento en la imagen de abajo.



Mucosa, cuello de la vesícula biliar, humano, H&E, 550×

La más pequeña de las dos estructuras con aspecto glandular en el tejido conjuntivo (TC) está compuesta por **células muco-sas** (CM) y corresponde a un corre a través de una **glandula**

mucosa (GM). Esta muestra se obtuvo de un sitio cercano al cuello de la vesícula biliar, donde suele haber giándulas mucosas. Obsérvense los núcleos aplanados característicos en la base celular y la palidez del citoplasma, características distuntivas de las células secretoras de mucina. En cambio, el epitelio de la silueta seudoglandular más grande, que se ha incluido solo parcialmente, tiene núcleos redondeados u ovoides. Esta estructura epitelial no es una glándula verdadera, sino que corresponde a una invaginación de la membrana mucosa que se extiende hacia la capa muscular y con frecuencia atraviesa todo su espesor. Esas invaginaciones se conocen como senos de Rokitansky-Aschoff (SRA)

Adv, adventicia CM, cétulas mucosas

Ep, epitelio
GM, glándula mucosa

Lin, linfocitos

ML, músculo liso

Mue, mucosa

Mus, muscular de la mucosa

Pla, plasmocito

SRA senos de Rokitansky-Aschoff

TA, tejido adiposo

TC, tejido conjuntivo, lámina propia

VS, vaso sanguineo

flechas, imagen supenor izquierda, recesos de la superficie luminal; imagen superior derecha, espacio intercelular

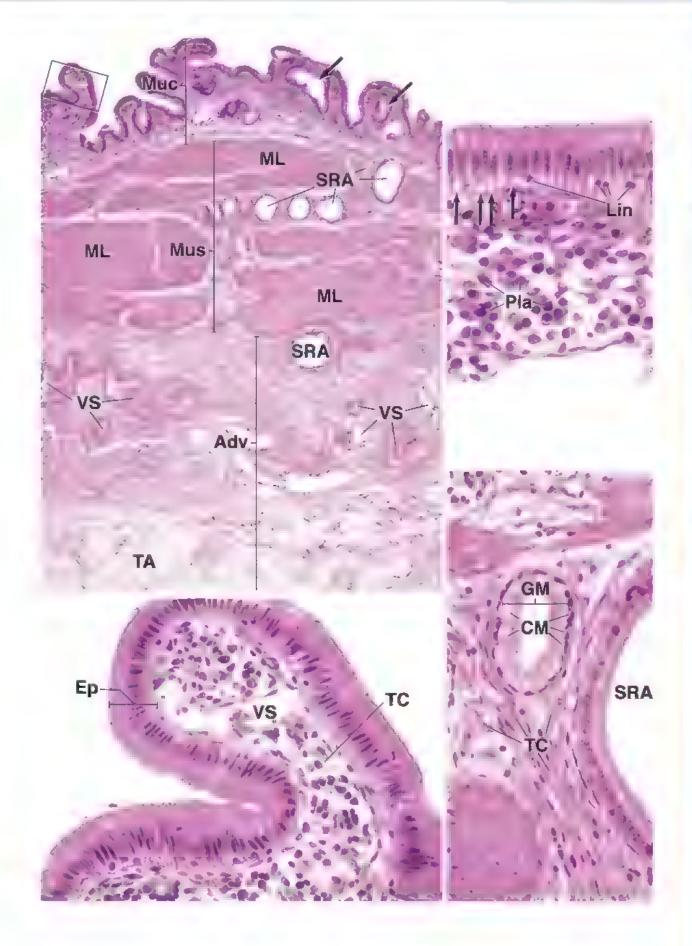


LÁMINA 68 PÁNCREAS

El páncreas es una glandula digestiva extramural alargada, con una cabeza alojada en la curvatura del duodeno, un cuerpo que cruza la linea media del abdomen y una cola que se extiende a través de la parte posterior del abdomen. Es una glándula mixta con un componente exocrino y un componente endocrino que poseen características bien definidas. El componente exocrino consiste en una glándula tubuloacinar compuesta y una rad ramificada de conductos que transportan las secreciones exocrinas hasta el duodeno. Estas secreciones contienen principalmente las formas inactivas de potentes enzimas proteolíticas, así como amiliasa, lipasa, nucleasa, electrólitos y, en particular, HCO₃°.

El componente endocrino está aislado como islotes muy vascularizados de tejido epitelioide (islotes de Langerhans).

Las células de los islotes secretan una gran variedad de hormonas polipeptidicas y proteínicas, entre las cuales las más destacadas son la insulina y el glucagón, que regulan al metabolismo de la glucosa en todos los demás tejidos del organismo. Otras hormonas secretadas por los islotes incluyen la somatostatina, el polipéptido pancreático, el péptido intestinal vasoactivo, la secretina, la motilina y la sustancia P. Todas estas sustancias, con excepción de la insulina, también son secretadas por la población de células entercendocrinas del intestino, el órgano desde el cual se originó el páncreas durante el desarrollo embrionario. Mientras que la insulina y el glucagón actúan principalmente en la regulación endocrina de células distantes, las otras hormonas (y el glucagón) desempeñan papeles importantes en la regulación paracrina de las células B secretoras de insulina del islote pancreatico.

Páncreas, humano, H&E, 160×; recuadro 360×

El páncreas está rodeado por una delicada cápsula de rejido conjuntivo de densidad moderada. De está cápsula parten tabiques que dividen el páncreas en lobuallos, uno de los cuales se mues-

tra aqui, limitado por rejido conjuntivo (TC). Los vasos sanguineos de mayor calibre (VS) discurren dentro de los tabiques de rejido conjuntivo; los nervios también discurren por los tabiques, pero casi nunca se ven. Dentro del iobulillo hay numerosos acinos del componente exocrino, un conducto intralobulillar (C/m), conductos de Boll (que no son fáciles de identificar con este aumento baso) e islotes de Langerhans (II y línea discontinua). También dentro del

lobulillo hay vasos sanguineos de pequeño calibre y rejido conjuntivo que sirve como estroma para los elementos parenquimatosos de la glandula.

Esta imagen muestra un islote de Langerhans (II) entre los acinos que son mucho más abundantes (los islotes son muy numerosos en la cola del páncreas, pero escasos en la cabeza). Las células que forman los islotes están dispuestas en cordones urregulares. En los preparados de rutina no es posible identificar los diferentes tipos celulares dentro de los islotes. Sin embargo, cabe destacar que las células B que producen insulina son las más numerosas. Las que le siguen en cantidad son las células A, que produces glucagón. En el recasados se muestran también muchos capilares (flechus). Las letras A y B no señalan células específicas, sino que muestran aquellas partes de los islotes donde las células A y B aparecen en mayor cantidad.

Pancreas, humano, H&E, 600>

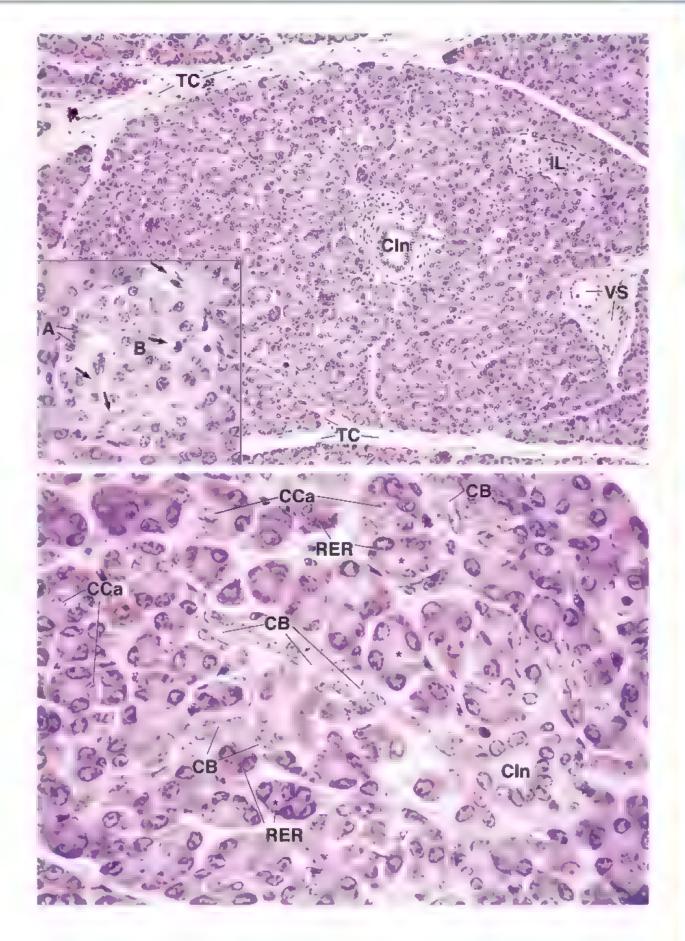
Los **acinos** del páncreas están compuestos por células serusas. En los cortes, los acinos presentan silueras circulares e irregulares. La luz del acino es pequeña y solo queda incluida en cortes fortuntos (asteriscos). El núcleo está ubicado de manera característica en la región basal de

la célula acinar. Hay una región de intensa basofilia contigua al núcleo. Esta región corresponde al reticulo endoplasmático rugoso (RER) y refleja la presencia del RER que se encarga de la sintesia de enzimas pancreáticas. En algunos acinos aparece una célula más clara, de ubicación central, cuyo citoplasma no muestra características tintoriales especiales en los cortes de parafina teñidos con H&E. Son las células centroacinares (CCa) y pertenecen al segmento incial de los conductos de Boll La morfología y las relaciones de los conductos de Boll se ilustran muy bien en esta imagen. Nótese, en primer lugar, el conducto intralobulillar (CIn) compuesto por epitelio cúbico y seccionado en sentido transversal (no hay con-

ductos estriados en el páncreas) En el conducto intralobulillar desemboca un conducto de Boil (CB), que en el corre transversal se ve distante del conducto intralobulillar y después, en el corte longitudinal, se ve en el correr de la ilustración a medida que se desplaza hacia el conducto intralobulillar. La luz es visible donde el conducto de Boll está seccionado en sentido transversal, pero no se ve en el corre longitudinal. Esto se debe a que el plano de corte pasa principarmente a través de las células en lugar de por la luz. Como consecuencia, esta imagen provee una buena vista de los núcleos de las células del conducto. Son alargados, con su eje mayor orientado en la dirección del conducto. Además, su patrón tintorial es similar al de las células centroacinares y diferente al de los núcleos de las células parenquimarosas.

Una vez que las cétulas del conducto de Boll se han identificado con seguridad en una parte del corte, sus características tintoriales y su ubicación pueden utilizarse para identificar los conductos de Boll de otras partes del lobulillo, varios de los cuales están señalados (CB)

A, región con más células A B, región con más células B CB, conductos de Boll CCa, célula cantroacinar Cla, conducto intralobulitar IL, islotes de Langerhans RER, reticulo endoplasmático rugoso TC, tejido conjuntivo VS, vaso sanguineo asteriacos, luz de los acmos flechas, capilares



SISTEMA RESPIRATORIO

FUNDAMENTOS DEL SISTEMA RESPIRATORIO / 702 CAVIDADES NASALES / 703

Vestíbulo de la cavidad nasal / 704
Región respiratoria de la cavidad nasal / 704
Región olfatoria de la cavidad nasal / 705
Senos paranasales / 708

FARINGE / 708 LARINGE / 708 TRÁQUEA / 710

> Epitelio traqueal / 711 Membrana basal, lámina propia y submucosa / 713

BRONQUIOS / 715 BRONQUIOLOS / 716

> Estructura bronquiolar / 717 Función bronquiolar / 719

ALVÉOLOS / 719 IRRIGACIÓN SANGUÍNEA/ 724 VASOS LINFÁTICOS / 725 INERVACIÓN / 725

Cuadro 19-1 Correlación clinica: afecciones frecuentes de la mucosa nasal / 715 Cuadro 19-2 Correlación clinica: metaplasia escamosa en las vías respiratorias / 717 Cuadro 19-3 Correlación clínica: asma / 718 Cuadro 19-4 Correlación clinica: fibrosis quística /

Cuadro 19-5 Correlación clinica: enfermedad pulmonar obstructiva crónica y neumonía / 726

HISTOLOGIA 101 / 728



■ FUNDAMENTOS DEL SISTEMA RESPIRATORIO

El sistema respiratorio está compuesto por dos pulmones y una serie de vías respiratorias que los comunican con el exterior. Den tro del pulmón, las vías respiratorias se ramifican en tubos cada vez menores hasta alcanzar los espacios aéreos más pequeños, llamados atvéolos (fig. 19-1).

Este sistema cumple tres funciones principales: 1) conducción del aire, 2) filtración del aire e 3) intercambio de gases (respiración). Esto último ocurre en los alvéolos. Además, el aire que atraviesa la teringo sirve para generar los sonidos del habla, y el aire que pasa sobre la mucosa offatoria, en las cavidades nasales, transporta estímulos para el sentido del olfato. El sistema respiratorio también cumple, en menor grado, funciones endocrinas (producción y secreción de hormonas) y participa en la regulación de las respuestas inmunitarios a los antígenos inhalados.

Los pulmones se desarrollan a partir del divertículo laringotraqueal del endodermo del intestino proximal y el mesénquima torácico esplácnico circundante.

El desarrollo de la porción superior del sistema respiratorio, que contiene a las cavidades nasales, los senos paranasales, la nasofaringe y la bucofaringe, se asocia con el desarrollo de la cavidad bucal. La porción inferior del sistema respiratorio, que contiene la

laringe, la tráquea, los bronquios con sus divisiones y los pulmones, se desarrolla en el embrión como una evaginación ventral del intestino proximal llamada diverticulo laringotraqueal (respiratorio). Por lo tanto, el epitello de las vías respiratorias es de origen endodérmico. Este divertículo inicial se convierte en el mesénguima torácico esplácnico que rodea al intestino proximal. Conforme su extremo distal se agranda, el divertículo forma un corpusculo pulmonar en forma de bulbo. Este se divide en los corpusculos bronquiales izquierdo y derecho, que aumentan de tamaño para formar el primordio de los bronquios primarios izquierdo y derecho, Los corpúsculos bronquiales, junto con el mesénquena torácico circundante, se diferencian en bronquios tobulares con divisiones progresivas ulteriores en bronquios segmentarios. Cada bronquio segmentario, con su mesénquima circundante, se diferencia y se divide para formar los segmentos broncopulmonares del pulmón. Los cartílagos bronquiales, el músculo liso y otros elementos del rejido conjuntivo derivan del mesénquima torácico.

Las vías aéreas del sistema respiratorio se divíden en una porción conductora y una respiratoria.

La porción conductora del sistema respiratorio está formada por las vías aéreas que conducen a los sittos de respiración dentro de los pulmones donde tiene lugar el intercambio de gases. Las vías de conducción comprenden tanto las que están fuera como las que están dentro de los pulmones.

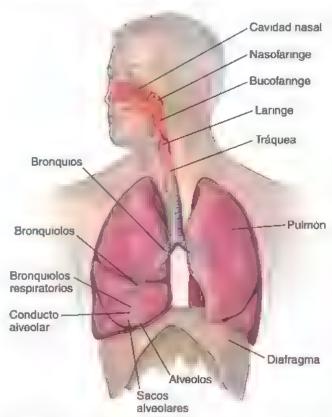


FIGURA 19-1. Diagrama de las vías respiratorias. Las cavidades naseles, la nasofaringe, la bucofaringe, la laringe, la tráquea, los bronquios y los bronquiolos constituyen la porción conductora del sistema respiratorio. La porción respiratorio del sistema, donde se produce el intercambio gaseoso, está compuesta por los bronquiolos respiratorios, los conductos alveolares, los sacos alveolares y los alvéolos

Las partes de la via aérea que se encuentran fuera de los pulmones son las siguientes:

- Cavidados nosales, que representan dos espacios grandes llenos de aire ubicados en la región más proximal del sistema respiratorio (y, durante la respiración forzada, la cavidad bucat se ubica debajo de las cavidades nasales).
- Nasofaringe, que se localiza por detrás de las cavidades nasales y por arriba del nivel del paladar blando y se comunica, por debajo, con la bucofaringe, la cual está por detrás de la cavidad bucal.
- Laringe, un órgano tubular hueco provisto de un armazón cartilaginoso y que tiene a su cargo la generación de sonidos.
- Tráquea, un tubo flexible que se extiende desde la laringe hasta el tórax. Sirve como un conducto para el aire y en el mediastino se bifurca en un par de bronquios principales.
- Bronquios principales (primarios) en pares, que se introducen en ambos pulmones a través del hilio.

Dentro de los pulmones, los bronquios principales experimentan una extensa ramificación (cerca de 23 generaciones de ramificaciones) para finalmente dar origen a los bronquiolos. Los bronquiolos son la parte final de la porción conductora. En conjunto, los bronquios intrapulmonares y los bronquiolos forman el arbol bronquial

La porción respiratoria es la parte de la vía aérea en la que se produce el intercambio gaseoso. De forma secuencial, comprende las siguientes estructuras.

 Bronquiolos respiratorios, que participan tanto en la conducción del aire como en el intercambio gaseoso.

- Conductos alveolares, que son vías respiratorias alargadas que conectan los bronquiolos respiratorios con los sacos alveolares.
- Sacos alveolares, espacios formados por grupos de alvéolos.
- Alveolos, unidades respiratorias terminales donde se produce principalmente el intercambio gaseoso.

Los vasos sanguineos entran en los pulmones junto con los bronquios. Las arterias se ramifican en vasos más pequeños mientras siguen al árbol bronquial dentro del parénquima pulmonar. Los capilares establecen un contacto cercano con los alvéolos. Esta estrecha relación entre los espacios aéreos alveolares y los capilares pulmonares es el fundamento estructural para el intercambio de gases dentro del parénquima pulmonar. Las características esenciales de la irrigación sanguínea pulmonar se describen en la página 724.

El aire que pasa a través de las vías aéreas tiene que ser acondicionado antes de que alcance las unidades respiratorias Imminales.

El acondicionamiento del aire se produce en la porción conductora del sistema respiratorio, principalmente en las cavidades nasales. Incluye el calentamiento, la humidificación y la eliminación de partículas del aire inhalado. La temperatura del aire inhalado que pasa a la nasofaringe alcanza una temperatura de 31-34°C (88-93°F), con una humidad relativa del 90-95%. Las partes inferiores del sistema respiratorio solo participan de forma mínima en el acondicionamiento. Durante la espiración, las vías respiratorias nasales extraen parcialmente el calor y la humidad del aire exhalado, lo que reduce la pérdida de calor y humidad durante la respiración.

Las secreciones mucosas y serosas desempeñan un papel importante en el proceso de acondicionamiento. Estas secreciones humedecen el aire y también arrapan las partículas que hayan conseguido eludir los pelos gruesos y cortos especiales de las cavidades nasales llamados vibrisas. Casi el 95% de las partículas con un diámetro mayor de 15 µm se eliminan del aire inspirado. El moco, aumentado por las secreciones serosas, también împide la deshidra tación del epitelio subyacente por el aire en movimiento. Casi toda la superficie luminal de las vías de conducción está cubierta por moco producido por las células caliciformes y las glándulas mucosecretoras de las paredes de las vías aéreas. El moco y las demás secreciones son desplazados hacia la faringe mediante movimientos de barrido coordinados de los cilios, que después generalmente se ingieren.

CAVIDADES NASALES

Las cavidades nasales son cámaras pares separadas por un tabique osoo y cartilaginoso. Son espacios alargados con una base amplia que se localiza sobre los paladares duro y blando, así como un vértice estrecho que apunta hacia la fosa craneal anterior. El esqueleto de las cavidades nasales está formado por huesos y cartilagos; la mayor parte se localiza dentro del cráneo, a excepción de aquellos de la pequeña región anterior que están encerrados dentro de la nariz. Cada cavidad se comunica por delante con el exterior a través de las narinas anteriores (fosas nasales); por detrás, con la nasofaringe a través de las connas; y lateralmente, con los senos paranasales y el conducto nasologrimal que drena las lágrimas dentro de la cavidad nasal (fig. 19-2). Las cavidades se dividen en tres regiones:

- Vestíbulo nesal, un espacio dilatado de la cavidad nasal, justo en el interior de las narinas, revestido por piel.
- Región respiratoria, la parte más extensa (dos tercios infertores) de las cavidades nasales revestida por mucosa respiratoria.
- Región offatoria, que se localiza en el vértice (tercio superior) de cada cavidad nasal y está cubierta por una mucosa olfatoria especializada.

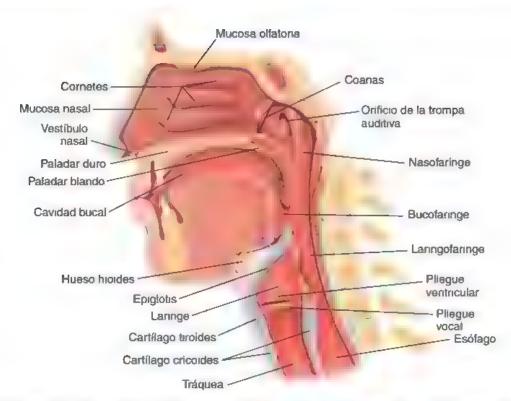


FIGURA 19-2. Diagrama de la faringe con los sistemas respiratorio y digestivo. La faringe se divide en tres partes la nasofaringe la bucofaringe y a laringofaringe. Se encuentra detrás de las cavidades nasales y de la cavidad buca li y se extiende por debajo de la laringe. La faringe es compartida por los sistemas respiratorio y digestivo. Este corte sagifal también hemisecciona los cartilagos que forman e lesque eto de la aringe (la epiglotis y los cartilagos tiro des y cricoides). Obsérvense los pliegues ventricular y vocal en la región media de la laringe más o menos a la altura del cartilago tiroides. Esta parte de la faringe corresponde a la porción mas estrecha del sistema respiratorio y es responsable de generar sonidos por la vibración audible de los pliegues vocales.

Vestíbulo de la cavidad nasal

El vestibulo nasal integra la parte externa de la nariz y se comunica por delante con el exterior. Cuenta con un revestimiento de epitelio plano estratificado, continuación de la piel de la cara, que contiene una cantidad variable de vibrisos que atrapan partículas grandes antes de que sean transportadas por la corriente de aire al resto de la cavidad. También hay glándulas sebáceas y sus secreciones ayudan a atrapar partículas. Hacia atrás, donde termina el vestibulo, el epitelio plano estrauficado se adelgaza y se transforma hasta convertirse en el epitelio cilíndrico seudoestratificado que caracteriza la región respiratoria. En ese sitio no hay glándulas sebáceas.

Región respiratoria de la cavidad nasal

La región respiratoria constituye la mayor parte del volumen de las cavidades nasales. Esta región se encuentra revestida por mucosa respiratoria, que contiene epitelio cilíndrico seudoestratificado y ciliado en su superficie. El área superficial de la mucosa respiratoria es de entre 100 y 200 cm². La lámina propia subyacente se adhiere con firmeza al periostio y al pericondrio del hueso o cartilago contiguo.

La pared medial de la región respiratoria, el tabique nasal, es lisa, pero las paredes laterales forman pliegues por la presencia de tres (rara vez cuatro) proyecciones óseas en forma de repisas llamados cometes nasales. Los cornetes dividen cada cavidad nasal en cámatas aéreas separadas y desempeñan una doble función: incrementan la extensión de la superficie y causan turbulencia en el flujo del aire para permitir un acondicionamiento más eficaz del aire inspirado.

El epitello cilindrico seudoestratificado ciliado de la mucosa respiratoria está compuesto por cinco tipos de células:

- Células ciliadas, células calíndricas alargadas con cilios que se proyectan dentro del moco que cubre la superficie del epitelio.
 Son las células más abundantes (constituyen hasta el 70%) en el epitelio.
- Células caticiformes, que sintetizan y secretan moco. Representan el 5-15% de todas las células en el epitelio.
- Cétulas en copillo, designación general para las células de las vías respiratorias que poseen microvellosidades romas y cortas. Son celulas quimiosensoriales receptoras estrechamente conectadas con las fibras nerviosas sensoriales.
- Células de gránulos pequeños (células de Kulchitsky), que se parecen a las células basales, pero con gránulos de secreción. Son células endocrinas del sistema APUD (amine precursor uptake and decarboxilation; véase cuadro 17-2).
- Células basales, ubicadas en la membrana basal, sin contacto con la superficie epitelial, son oélulas madre de las que derivan los otros tipos celulares.

El epitelio de la región respiratoria de la cavidad nasal es, en esencia, el mismo que el epitelio que reviste la mayoría de las partes que siguen en el sistema de conducción. Debido a que el epitelio respiratorio de la tráquea se estudia y examina con referencia al de la cavidad nasal, los tipos de célula mencionados se analizan en la sección dedicada a la tráquea (véase p. 711).

La mucosa de la región respiratoria catienta, humedece y filtra el aire inspirado; también contiene células que proporcionan una respuesta inmunitaria local a los xenoantigenos inhalados.

La lámina propia de la mucosa respiratoria posee una red vascular extensa que incluye un juego complejo de asas capilares. La disposición de los vasos permite que el aire inhalado se caliente por la sangre que fluye a través de la parte del asa más cercana a la superficie. Los capilares ubicados cerca de la superficie están dispuestos en hileras; la sangre fluye perpendicular al flujo de aire, de modo semejante a como se encontraría en un sistema mecánico de intercambio de calor. Estos mismos vasos pueden congestionarse y trasudar líquido durante las reacciones alergicas o las infecciones víricas como el restriado comun. La lámina propia se distiende por acumulación de líquido y la membrana mucosa sufre una pronunciada inflamación, con la consiguiente restricción en el paso del aire, lo cual dificulta la respiración.

La lámina propia también contiene glándulas mucosas, muchas con semilunas serosas. Estas glándulas poseen conductos que se abren en pequeñas criptas en la superficie epitelial. Los conductos están revestidos por un epitelio cúbico estratificado de dos capas. Sus secreciones suplementan las de las células caliciformes que hay en el epitelio respiratorio.

Al aumentar la extensión de la superficie de la mucosa, los connotos nosales incrementan la eficacia con la que se calienta el aire inspirado. Los cornetes también aumentan la eficacia de filtración del aire inspirado a través del proceso de precipitación turbulenta. La corriente de aire es dividida en remolinos por los cornetes. Las partículas suspendidas en la corriente de aire son expulsadas del flujo y se adhieren a la pared cubierra de moco de la cavidad nasal. Las partículas atrapadas en esta capa de moco son transportadas hacia la faringe por medio de los movimientos de barrido coordinados de los cilios y después se degluten. También pueden expulsarse con fuerza de la cavidad nasal mediante el estornudo. El reflejo de estomudo generalmente es provocado por partículas extrañas atrapadas en el moco de la cavidad nasal. Estimulan los receptores sensitivos que transmiten impulsos al centro de estornudos en el bulbo raquideo (médula oblongada). Inicialmente, una inspiración rápida llena los pulmones con aire; las cuerdas vocales, los pliegues vestibulares y la epiglotis de la laringe se cierran hermeticamente para atrapar el aire inspirado en el pulmón. A estole sigue una contracción repentina y energica del diafragma y otros músculos respiratorios accesorios, lo que aumenta aun más la presion en los pulmones. Una vez que se alcanza una presión suficientemente alta, las cuerdas vocales, los pliegues vestibulares y la epiglotis se abren de manera repentina, y el aire se expuisa rápidamente de los pulmones a traves de la nariz. Las gotitas de liquido y las particulas extrañas se expulsan por la nariz a una velocidad cercana a los 50 m/s (180 km/h).

La mucosa respiratoria de la cavidad nasal también contiene células involucradas en la immunidad de la mucosa. Estas células incluyen una variedad de poblaciones de linfocitos que residen tanto en el epitelio respiratorio como en la lámina propia. La mayoría de las células encontradas en estas regiones son linfocitos T gamma/ delta que expresan el receptor de linfocitos T (TCR, T-cell receptor), con un papel importante en la inmunidad local contra los xenoantígenos inhalados (véase p. 477). En la lámina propia también se acumulan otros ripos de células, como linfocitos T cooperadores, linfocitos T reguladores (supresores), linfocitos B, neutrófilos, macrófagos y mastocitos.

Región olfatoria de la cavidad nasal

La región olfatoria se localiza en parte del techo de cada cavidad nasal y, en una extensión variable, en las paredes contiguas lateral y medial. Está revestida por una mueosa olfatoria especializada. En los tejidos vivos, esta mucosa se distingue por su color pardo amarillento tenue causado por pigmento en el epítelio olfatorio y las glándulas olfatorias asociadas. En los humanos, la extensión total de la mucosa olfatoria es de solo unos 10 cm²; en los animales con un sentido agudo del olfato, la superficie total de la mucosa olfatoria es mucho más extensa. Por ejemplo, ciertas razas de perro tienen más de 150 cm².

La lámina propia de la mucosa olfatoria está en contigüidad directa con el periostio del hueso subyacente (lám. 69, p. 730). Este tejido conjuntivo contiene abundantes vasos sanguineos y linfáticos, nervios olfatorios amielínicos, nervios mielínicos y glandulas olfatorias.

El epitelio olfatorio, al igual que el epitelio de la región respiratoria, rambién es seudoestratificado, pero contiene tipos celulares muy diferentes. Además, carece de células caliciformes (fig. 19-3 y lám. 69, p. 730)

El epitello offatorio se compone de los siguientes tipos de células:

- Celuías de receptores offatorios, que son neuronas olfatorias bipolares que ocupan todo el espesor del epirelio y entran en el sistema nervioso central.
- Células de soporte, que son células cilindricas semejantes a las células gliales que proporcionan soporte mecánico y metabólico a las células de receptores olfatorios. Sintetizan y secretan proteínas fijadoras de sustancias odoriferas.
- Cétulas basales, que son células madre a partir de las cuales se diferencian las nuevas células de receptores olfatorios y las células de soporte.
- Cétulas en cepillo, que corresponden al mismo tipo celular que aparece en el epitelio del sistema respiratorio.

Las células de receptores offatorios son neuronas bipolares que poseen una prolongación apical con cilios.

El polo apical de cada célula receptora olfatoria tiene una sola prolongación dendritica que se proyecta por artiba de la superficie epitelial como una estructura bulbosa llamada vesicula offatoria. Varios cilios largos y delgados (10-23) con cuerpos basales típicos surgen de la vesícula olfatoria y se extienden radialmente en un plano paralelo al de la superficie epitelial (véase fig. 19-3). Los cilios suelen medir hasta 200 μm de longitud y pueden superponerse con los cilios de las células de receptores olfatorios contiguas. Los cilios son considerados inmóviles, si bien algunas investigaciones indican que tendrían una movilidad limitada. El polo basal de la célula da origen a una prolongación axónica amielínica que abandona el compartimento epitelial. Los grupos de axones de las células de receptores olfatorios no se reúnen para formar un solo nervio, sino que se agrupan en fascículos que atraviesan la delgada lámina cribosa del hueso esmoides y cruzan la duramadre y la aracnoides, y, por último, les rodea la piamadre para introducirse en el bulbo olfativo del encéfalo. Los conjuntos de axones de las células de receptores olfatorios forman el nervio olfatorio (nervio craneal [NC] I). Los axones olfatorios son muy frágiles y pueden lesionarse durante los traumatismos cranecencefalicos. Tambien pueden cortarse de forma permanente, lo que produce anosmia (pérdida del sentido del olfato)

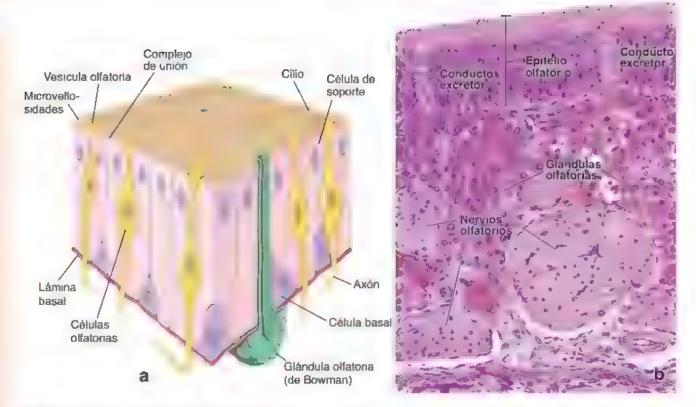


FIGURA 19-3. Mucosa olfatoria de la cavidad nasal. a. En este diagrama se muestran los tres tipos principales de células ubicadas en el epite o olfatorio la célula de soporte y la celula basa. La célula olfatoria es la célula receptora posee una expansión apical la vesicula olfatoria desde la cuai se extienden los cilios largos inmóv les. Desde su superficie basal se extiende un axón hacia el tejido conjunt vo y se une a los axones de otras células distorias para formar el nervio olfatorio. Las células son pequeñas y cubicas. Están restringidas a la parte basal de lepitello. En cambio, las células de soporte son cilindricas y se extrenden por todo el espesor de lepitello sus nucleos se encuentran en la región apica de la célula. Nótense la glándula o fatoria (de Bowman) y su conducto excretor que se abre en la superficie de la mucosa b. Microfotograha de la mucosa olfatoria. El epite lo olfatorio exhibit nucleos en la mayor parte de su espesor pero los tipos celulares individuales a los que pertenecen no son discernibles el tejido conjuntivo subyacente está ocupado en gran parte por numerosas giandulas o fatorias (de Bowman) inervidos ofatorios y vasos sanguineos. Obsérvese que los conductos de las glándulas olfatorias se extienden desde la porción secretora de la glándula hasta la superficie epitelial. 240×.

Algunos estudios autorradiográficos han demostrado que las células de receptores olfatorios tienen una vida útil de alrededor de 1 mes. Si se lesionan, se reemplazan con rapidez. Las células de receptores olfatorios (y algunas neuronas de la división entérica del sistema nervioso autónomo) parecen ser las únicas neuronas en el sistema nervioso que se reemplazan con facilidad durante la vida posnatal.

Tienen lugar mecanismos completos de transducción olfatoria en los cilios de las células de receptores olfatorios.

Todas las moléculas que participan en la transducción offatoria se encuentran dentro de los ciltos largos que surgen del bulbo olfatorio. Primero, las sustancias odoríferas entrantes se solubilizan en el moco olfatorio. A continuación, se unen de manera selectiva a las proteinas fijadoras de sustancias odoríferas (OBP, odorant-binding proteina) concentradas en el moco olfatorio (fig. 19-4). Las OBP son proteínas hidrosolubles pequeñas (10-30 kDa) sintenizadas y secretadas por las células de soporte. Actúan como transportadores moleculares de las sustancias odoríferas y las entregan a los receptores olfatorios (OR, offactory receptors) ubicados en la membrana plasmáxica de los cilios.

Hasta la fecha se han identificado más de 350 OR diferentes en humanos. Los receptores olfatonos son específicos de las células de receptores olfatorios y pertenecen a la familia de receptores ecoplados a proteínas G (que se conocen como Got). Cuando son estimulados por sustancias odoríferas, los OR Golf activan la enzima adendato-

ciclasa e inician la cascada mediada por el monofosfato de adenosina cíclico (cAMP, cyclic adenosine monophosphate) (véase fig. 19-4). Ello incluye la unión del cAMP a canales proteínicos de Na⁺ y Ca²⁺, así como la entrada de estos iones a la célula, lo que despolariza la membrana plasmática y genera un potencial de acción.

Los 350 OR de los humanos son capaces de detectar con precisión varios miles de moléculas odoríferas diferentes mediante un sistema de decodificación especial para diferentes impulsos. Esto se logra mediante un esqueme de decodificación poblecional en el que cada proteína OR se une a distintas sustancias odoríferas con una sensibilidad diferente. Por lo tanto, el sistema olfatorio debe decodificar los impulsos olfatorios provenientes no solo de una célula individual, sino de toda una población de células en el epitelio olfatorio.

Las células de soporte proporcionan sostén mecánico y metabólico a las células de receptores olfatorios.

Las células de aoporte son las más abundantes del epitelio olfatorio. Los núcleos de estas células cilíndricas y alargadas ocupan una posición más apical en el epitelio que los de los otros tipos celulares, lo cual contribuye a su identificación en la microscopia óptica (véanse fig. 19-3 y lám. 69, p. 730). Estas células poseen microvellosídades abundantes en su superficie apical y muchas mitocondrias. En su citoplasma hay una gran cantidad de cisternas del retículo endoplasmatico liso (REL) y, en un grado más limitado,

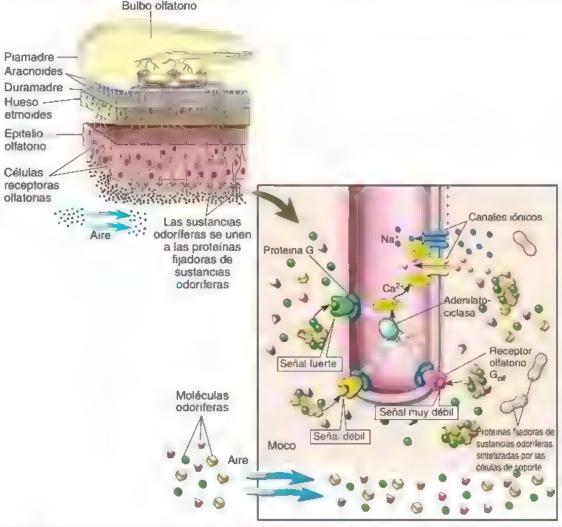


FIGURA 19-4. Diagrama del mecanismo olfatorio de transducción. Este diagrama muestra las interacciones entre las moléculas odoriferas y las proteinas asociadas con la célula olfatoria receptora. Las moléculas odoriferas que legan con el are inspirado se solubilizar en el moco de a mucosa olfatoria y se unen a las proteinas filadoras de sustancias odoriferas que las entregan a los receptores olfatorios. Es interesante que distintas moléculas odoriferas se unan con diferentes afinidades a los receptores olfatorios. La unión de gran afinidad en la cual la molécula odorifera (verde) coincide a la perfección con el sitio de unión que tiene el receptor produce una sena filierte (véase el receptor offatorio acopiado a la portenia Giazuli. Otros receptores olfatorios (amanito y rosa) establecen uniones de menor afinidad lo que da lugar la senales más debiles. Cuando son estimulados por moleculas odoriferas, los receptores olifatorios activan la enzima adendato-ciclasa el nician la cascada desencadenda por cAMP que conduce a la apertura de canales especificos de Nañ y Ca²º La entrada de Nañ y Ca²º es responsable de la despolarización de la celula. El potencial de acción generado es fransmitido por los axones de las celulas de receptores olfatorios de la cavidad nasal al bulbo olífativo del encéfalo, después de atravesar el hueso etmoides y las meninges circundantes.

del retículo endoplasmático rugoso (RER). También poseen gránulos de lipofuscina. Entre estas células y las células receptoras olfatorias hay uniones adherentes, pero faltan las uniones comunicantes (de hendidura) y las uniones ocluyentes (herméticas). Las células de soporte funcionan de manera comparable a la de las células gliales porque proveen sostén metabólico (secreción de moléculas de OBP) y físico a las células receptoras olfatorias.

Las células en cepillo participan en la transducción de las sensaciones en general y en la quimiosensibilidad de la mucosa de la cavidad nasal.

El epitelio olfatorio también contiene colulas en capillo en cantidades mucho menores que las células cihadas. Estas células también están presentes en el epitelio de otras partes de las vías aéreas de conducción. Con el microscopio electrónico (ME), las células en cepillo exhiben grandes microvellosidades romas en su superficie apical, una característica que origina su nombre. Además, la membrana plasmática apical contiene cúmulos de receptores del gusto T2R ecopiados a proteínas G para el sabor amargo, similares a los encontrados en las células neuroepiteliales de las papilas gustativas de la lengua. Los diferentes receptores quimiosensoriales T2R, en las células en cepillo, responden a una variedad de ligandos naturales (irritantes) que probablemente ingresen en las vías respiratorias en forma de aerosoles y partículas de polvo. La superficie basal de una célula en cepillo establece contacto sináptico con fibras nerviosas que penetran la lámina basal. Las fibras nerviosas son ramificaciones terminales del trigémino (nervio craneal V) que intervienen en la sensación general y en la mediación de reflejos como los estornudos o la tos, en respuesta a químicos inhalados o a agentes parógenos irritantes.

Además, la presencia de un borde con microvellosidades, vesículas cerca de la membrana celular apical y un aparato de Golgi bien desarrollado sugiere que las células en cepillo podrían cumplir funciones tanto de absorción como de secreción.

Las células hasales son las progenitoras de los otros tipos de células en la mucosa olfatoria.

Las células basales son células redondas y pequeñas situadas cerca de la lámina basal. Sus núcleos con frecuencia se encuentran invaginados y se sitúan por debajo de los núcleos de las células receptoras olfatorias. El citoplasma contiene pocos orgánulos, una característica concordante con su función de célula de reserva o célula madre. Una característica congruente con su diferenciación en células de soporte es la aparición, en algunas células basales, de evaginaciones que cubren parcialmente la primera porción del axón de la célula de receptores olfatorios. De esta manera mantienen una relación con la célula receptora olfatoria, incluso en su estado indiferenciado.

Las glándulas olfatorias son una característica distintiva de la mucosa olfatoria.

Las glandulas offatorias (glandulas de Bowman), una característica distintiva de la mucosa, son glándulas rubuloalveolares serosas ramificadas que envían sus secreciones proteínicas hacia la superficie olfatoria a través de conductos (véanse fig. 19-3 y lám. 69, p. 730). Los gránulos de lipofuscina prevalecen en las células glandulares y, en combinación con los gránulos de lipofuscina de las células de soporte del epitelio olfatorio, le confieren a la mucosa su coloración natural pardo amarillenta. Diversos conductos excretores cortos compuestos por células cúbicas parten de las glándulas y atraviesan la lámina basal en el epitelio olfatorio para seguir hasta la superficie epitelial, donde vierten su contemido.

La secreción serosa de las glándulas olfatorias actúa como trampa y solvente para las sustancias odoríferas. El flujo constante desde las glándulas libera a la mucosa de los restos de sustancias ya detectadas, de manera que los nuevos olores se puedan percibir de forma continua a medida que aparecen.

En un preparado histológico, la característica distuntiva de la región olfatoria de la mucosa nasal son los nervios olfatorios en combinación con glándulas olfatorias en la lámina propia. Los nervios son particularmente visibles, debido al diámetro relativamente grande de las fibras amielínicas individuales que contienen (véanse figs. 19-3 y 19-4).

Senos paranasales

Los senos paranasales son espacios llenos de aire en los huesos de las paredes de la cavidad nasal.

Los senos paranasales son extensiones de la región respiratoria de la cavidad nasal y están revestidos por epitelio respiratorio. Los senos reciben su nombre según el hueso en el que se encuentran (hueso ermoidal, frontal, esfenoides o maxilar). Estos se comunican con las cayidades nasales a través de orificios estrechos en la mucosa respiratoria. Probablemente desempeñen un papel en la resonancia de la voz. La superficie de la mucosa de los senos es un epitelio cilíndrico delgado, ciliado, seudoestratificado que contiene abundantes células caliciformes. La lámina propia es delgada y se continúa con el periostio subyacente. Contiene solo unas pocas glándulas pequeñas. El moco producido en los senos es barrido hacia las cavidades na sales por los movimientos ciliares coordinados. Los senos pueden convertirse en el sitio de una infeccion bacteriana secundaria (sinusitis) después de una infección virica de las vias aéreas superiores. Las infecciones graves pueden requerir de drenaje fisico.

Los senos paranasales son los sitios principales para la producción de óxido nítrico (NO) en las vias respiratorias.

La investigación realizada en la última década ha demostrado que el epitelio respiratorio de los senos paranasales contiene grandes cantidades de óxido nítrico-sintasa, una enzima responsable de la producción de óxido nítrico (NO). El NO es un potente neurotransmisor y mensajero químico. Las concentraciones de NO producidas continuamente en los senos paranasales son varias veces más altas que las de otras partes del sistema respiratorio. Debido a que el aire circula entre los senos paranasales y la cavidad nasal, ingresan en esta última grandes cantidades de NO y pueden desempeñar un papel importante en el mecanismo nasal de defensa contra microorganismos invasores. Además, el NO de los senos paranasales llega a los pulmones con cada inhalación, donde facilita el intercambio gaseoso y reduce la resistencia vascular pulmonar al relajar los músculos vasculares lisos.

■ FARINGE

La faringe comunica las cavidades nasales y bucal con la laringe y el esófago. Permite el paso de aire y alimentos, y actúa como una cámara de resonancia para la funación. La faringe está situada por detrás de las cavidades nasal y bucal y se divide regionalmente en nasofaringe y bucofaringe, respectivamente (wéase fig. 19-2). Las trompas auditivas (de Eustaquio) comunican la nasofaringe con ambos oídos medios. En la pared de la nasofaringe hay tejido linfático difuso y nódulos linfáticos. El grupo de nódulos linfáticos concentrados en la umón entre las paredes superior y posterior de la faringe se denomina amigdala faringes.

LARINGE

La parte de la vía aérea que se encuentra entre la bucofaringe y la tráquea es la laringe (véase fig. 19-2). Además de servir como un conducto para el paso del aire, la laringe sirve como órgano para la fonación. Este segmento tubular complejo del sistema respiratorio está formado por placas irregulares de cartilago hialino y elástico (la epiglotis y las apófisis vocales de los cartilagos aritenoides). Los cartilagos de la laringe están conectados entre sí por articulaciones, membranas y ligamentos, y sus movimientos están controlados por músculos laringoos intrinsecos. La mucosa de la laringe forma dos pares de pliegues en forma de repisas que se proyectan en la luz de la laringe de manera bilateral. Ambos pliegues están orientados en una dirección anteroposterior, por lo tanto, en la sección frontal de la laringe son visibles en sección transversal (cortadas perpendicularmente a su longitud) separados por la invaginación de la mucosa laringea llamada ventrículo (fig. 19-5). El par superior de pliegues, los pliegues vestibulares, es inmóvil; sin embargo, el par inferior, los pliegues vocales, es móvil y desempeña un papel importante en la fonación.

Los pliegues vocales controlan el flujo de aire a través de la laringe y vibran para producir sonido.

Los ptiegues vocales, también conocidos como cuerdas vocales (fig. 19-6 y lám. 70, p. 732), definen los límites laterales de la abertura de la laringe, la hondidura glótica. Dentro de cada phegue vocal hay un ligamento de soporte y un músculo esquelético, el músculo vocal. Los ligamentos y los músculos intrínsecos de la laringe unen las placas cartilaginosas contiguas y generan la tensión en los pliegues vocales para abrir y cerrar la glotis. Los músculos extrínsecos

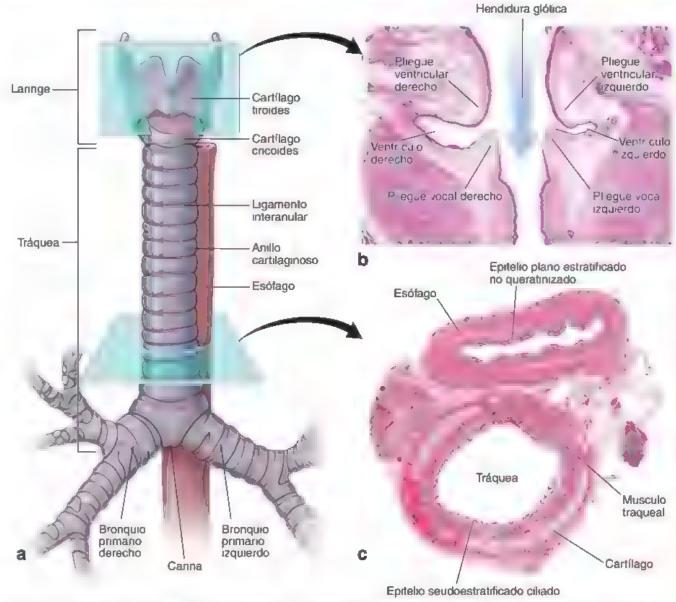


FIGURA 19-5. Anatomia topográfica de la laringe y la tráquea a. La laringe es una estructura muscuioligamentosa hueca reforzada por un esqueleto cartilaginoso. Se localiza en la región de cuello y su cavidad es continua inferiormente con la traquea y posteriormente con la buccifaringe. La cavidad laringea contiene los pliegues vestibulares y voca es orientados en dirección anteroposterior. La traquea se extiende desde la laringe hasta el tórax y se divide en los dos bronquios principales, primarios la nivel de las vértebras torácicas 14-15. Inmediatamente detrás de la tráquea se encuentra el esófago que continua hacia el abdomen. b. Esta muestra, obtenida de un corte fronta la través de la laringe presenta pliegues vocales y ventriculares en sección transversal. Nótese que los pliegues vocales y ventriculares están separados por el ventriculo, una invaginación de la mucosa laringea. 15 x. c., La microfotograf a muestra una sección horizontal de la tráquea y el esófago fefales, así como su estrecha relacion en el tórax. El musculo traqueal en la pared posterior de la traquea es adyacente a la pared anterior del esófago. La luz de la tráquea es redonda y permanece abierta debido a la disposición de los antilos cartilaginosos. 10 x.

de la laringe se insertan en los cartílagos de la laringe; sin embargo, se originan en estructuras extralaringeas. Estos músculos mueven la laringe hacia arriba y hacia adelante durante la deglución.

El aire expulsado de los pulmones que pasa por el espacio estrecho de la glotis provoca la vibración de los pliegues vocales. Las vibraciones cambian al modularse la tensión aplicada en los pliegues vocales y variando el diámetro de la apertura glótica. Esta modificación de las vibraciones produce sonidos de diferentes tonos. Unas cuerdas vocales relajadas dan origen a un tono más profundo, mientras que si están estiradas y tensas dan lugar a un tono más alto. Los sonidos generados en la laringe durante el proceso de fonación se modifican en las porciones superiores del sistema respiratorio (nasofaringe, cavida-

des nasales y senos paranasales) y en la cavidad bucal (bucofaringe, paladares blando y duro, lengua, dientes, labios, etc.) para producur cada sonido del lenguaje (diferentes vocales y consonantes).

Los pliegues ventriculares ubicados por arriba de los pliegues vocales son las "cuerdas vocales falsas".

Por arriba de los pliegues vocales hay un nicho alargado en la laringe llamado vontriculo. Justo arriba del ventrículo hay otro par de pliegues de la mucosa llamados pliegues ventriculares o cuerdas vocales falsas (véanse fig. 19-6 y lám. 70, p. 732). Estos pliegues no tienen un revestimiento muscular intrínseco como las cuerdas vocales verdaderas y, por lo tanto, no se modulan durante la fonación. No

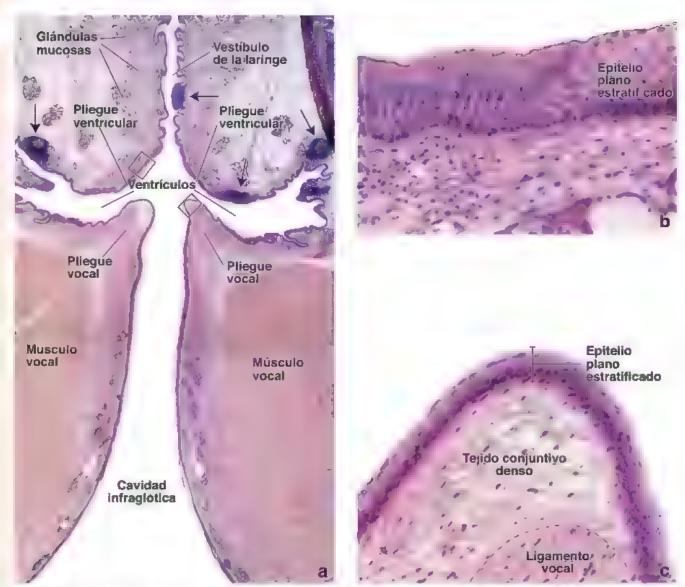


FIGURA 19-6. Microfotografía de un corte frontal de la laringe, a. En esta imagen se muestran tres partes de la laringe el vestibulo, por amba de los pregues ventriculares, los ventriculos tentre os pliegues vestibulares y por amba de los pliegues vocales), y a cavidad infraglótica, que se extiende desde los pregues vocales hasta el cartillago cricoides. Nótese que las glándulas mucosas son prominentes en los pliegues ventriculares y que están revest das por epiterio seudoestratificado ciliado tipico. El pregue vocal está compuesto por el epitelio, el ligamento voca y el musculo voca subvacente. Dentro de la mucosa de la laringe también hay abundantes nódulos lintáticos (fiechas). 10 × b. Gran aumento de la región de pliegue ventricular indicada por el rectangulo superior en a) que permite ver a la izquierda, el epitelio seudoestratificado ciliado que reviste la mayor parte de la aringe. Muchos adultos no fumadores ly prácticamente todos los fumadores) tienen placas de epitelio plano estratificado, como se aprecia a la derecha de la microfotografía. 240 × c. Un mayor aumento de la superficie del pregue vocal lindicado por el rectangulo inferior en al permite ver el epitelio piano estratificado norma en este sitio l'usisto debajo dei epitelio está el tej do conjunt vo conocido como espacio de Reinke. Este sitio de importancia carece de vasos finfáticos y está poco vascularizado. En la parte interior de la microfotografía se aprecia el ligamento vocal delimitado por la línea discontinua. 240 ×.

obstante, los pliegues ventriculares y el ventriculo laringeo son importantes para crear resonancia. La inflamación y la tumefacción de la laringe causadas por virus (como el del resfriado común) y otros agentes microbianos recibe el nombre de laringitis aguda. Los sintomas de la laringitis aguda pueden incluir disfonía o, en casos más graves, afonía (perdida total de la voz), tos y dificultad deglutoria y respiratoria. La laringitis crónica suele ser causada por la exposición prolongada a irritantes como el humo del tabaco, el polvo o el aire contaminado.

La laringe tiene revestimiento de epitelio cilindrico seudoestratificado ciliado y plano estratificado.

La superficie luminal de las cuerdas vocales está cubierta por epitello plano estratificado, como la mayor parte de la epiglotis (lám. 70, p. 732). El epitelio sirve para proteger a la mucosa de la abrasión causada por la corriente de aire en movimiento rápido. El resto de la laringe está revestida por el epitelio cilíndrico seudoestratificado ciliado que caracteriza a las vías respiratorias (véanse fig. 19-6 y lám. 70, p. 732). El tejido conjuntivo de la laringe contiene glándulas mucoserosas mixtas que secretan a través de conductos hacia la superficie de la laringe.

■ TRÁQUEA

La traques es un rubo corto y flexible de unos 2.5 cm de diámetro y unos 10-12 cm de longitud. Sirve como conducto para el paso del aire; además, su pared contribuye al acondicionamiento del aire inspirado. La tráquea se extiende desde la laringe hasta la mitad del

tórax y se coloca en la parte frontal y adyacente al esófago (*véase* fig. 19-5). En el tórax se divide en los dos **bronquios principales** (**primarios**) que entran en los pulmones derecho e izquierdo. La luz de la tráquea permanece abierta debido a la disposición de sus anillos cartilaginosos (*véase* más adelante).

La pared de la tráquea está compuesta por cuatro capas bien definidas:

- Mucosa, compuesta por un epitello cilíndrico seudoestratificado ciliado y una lámina propia elástica rica en fibra.
- Submutosa, constituida por un tejido conjuntivo un poco más denso que el de la lámina propia.
- Cartilaginosa, que está conformada por cartílagos hialinos en forma de "C".
- Adventícia, formada por tejido conjuntivo que adhiere la tráquea a las estructuras contiguas.

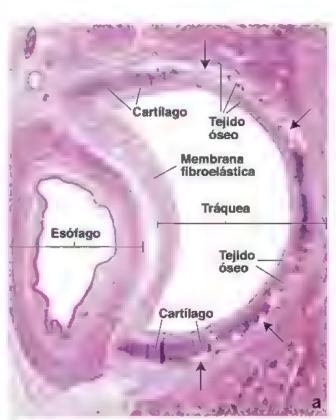
Una característica singular de la tráquea es la presencia de una serie de cartílagos hialinos en forma de "C", apilados uno encima de otro para formar una estructura de soporte (fig. 19-7). Estos cartílagos, que podrían describirse como un armazón esquelético, impiden el colapso de la luz traqueal, sobre todo durante la espiración El tejido fibroelástico, el músculo liso y el músculo traqueal cierran la brecha entre los extremos libres de los cartílagos en forma de "C" en el borde posterior de la tráquea, contiguos al esofago.

Epitelio traqueal

El epitelio traqueal es semejante al epitelio respiratorio en otras partes de la vía aérea de conducción.

Los principales tipos celulares del epitelio cilíndrico seudoestratificado ciliado de la triquea son las células cilíndricas ciliadas, las células mucosas (caliciformes) y las células basales (figs. 19-8 y 19-9). También hay células en cepillo, pero en pequeñas cantidades, así como células granulares pequeñas.

- Las cétules cétades, que son el tipo celular traqueal más abundante, se extienden a través de todo el espesor del epitelio. En los cortes histológicos, los cílios se ven como pelos cortos que se proyectan desde la superficie celular apical (lám. 71, p. 734). Cada célula tiene unos 250 cilios. Justo debajo de los cílios se ve una línea oscura formada por sus cuerpos basales dispuestos uno junto al otro (fig. 19-10). Los cilios proveen un movimiento de barndo coordinado de la cubierta mucosa desde las partes más distales de las vías aéreas hacia la faringe. En efecto, las células ciliadas acrúan como "barrido mucociliar" que sirve como un mecanismo protector importante para la eliminación de pequeñas partículas inhaladas de los pulmones.
- Las cétutas mucosas tienen un aspecto similar al de las cétulas caliciformes intestinales y por ello a menudo se designan con el mismo nombre. Están dispersas entre las células ciliadas y también se extienden a través de todo el espesor del epitelio (vésse fig. 19-10). Se



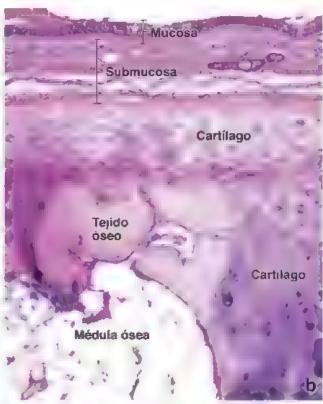


FIGURA 19-7. Microfotografía de un corte transversal de la tráquea y el esófago, a. En esta muestra obtenida de una persona de edad avanzada, es posible ver la relación entre la tráquea y el esófago en la base del cua o Los anillos cartilaginosos traqueales, que mantienen permeable a tráquea tienen forma de "C" El espacio sin cartilago donde la tráquea se une a la pared de esófago, está cubierto por una membrana fibroelástica. Esta membrana contiene el musculo traquea y glándulas seromucosas abundantes. En esta muestra, el anillo traqueal se ha transformado en parte en tejido óseo. Un proceso que ocurre con la edad. El materia basófilo es cartilago imientras que en la porción eosmófila este ha sido reemplazado por tejido óseo. Las regiones muy tenues (flechas) corresponden a espacios medulares. 325 x. b. En esta microfotografia de gran aumento se muestra una region del aniro traqueal que se ha transformado parcialmente en hueso. La parte superior de la imagen presenta la mucosa y la submucosa traqueales. Por debajo fiay una parte del aniilo traquea. Sin embargo, en esta región particular una porción sustancial de cartí ago ha sido reempiazada por médula y telido óseos. El tejido óseo presenta laminifias típicas y osteocitos. En contraste en e tejido cartilaginoso se ven cumulos de condrocitos. 100 ×

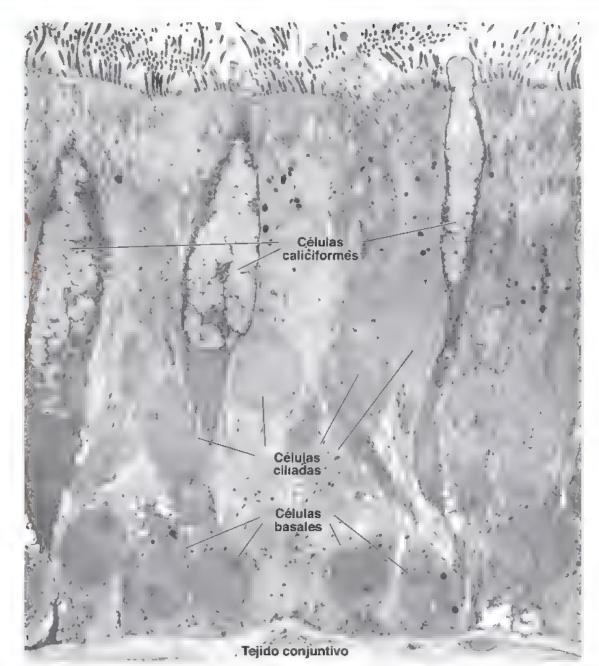


FIGURA 19-8. Microfotografía electrónica de una tráquea humana. En esta microfotografía electrónica se muestran los tres tipos de ulares principales de este epitello respiratorio. Están representados por de ulas epitella es ciliadas que se extienden hasta la superficie (donde tienen los dilios), deluias da ciformes con gránulos de muonógeno y deluias basales que se imitan a la porción basal de la capa epitellal (cerca del tejido conjuntivo), 1800× (cortesía del Dr. Johannes A. G. Rhodin)

identifican con facilidad en la microscopía óptica después de que han acumulado gránulos de mucinógeno en su citoplasma. Si bien es típico que el mucinógeno haya desaparecido en los preparados teñidos con hematoxilina-eosina (H&E), la identidad de la célula se torna evidente por la región clara restante en el citoplasma y la falta de los cilios en la superficie apical. A diferencia de lo que ocurre con las células ciliadas, la cantidad de células mucosas aumenta durante la irritación crónica de las vías aéreas.

- Las células en cepito poseen las mismas características generales que las descritas para el epitelio respiratorio de la cavidad nasal (fig. 19-11). Son células cilíndricas que portan microvellosidades romas. La superficie basal de las células está en contacto sináptico con una terminación nerviosa aferente (sinapsis epiteliodendrítica). Como ya se mencionó, las células en cepillo se consideran células sensoriales generales y quimiorreceptoras.
- Las células granulares pequeñas (células de Kulchitsky) son los equivalentes respiratorios de la clase general de cétulas enteroendocrinas del intestino y sus derivados (véase fig. 19-11). Su presencia se explica por el desarrollo de las vías respiratorias y de los pulmones a partir de una evaginación del intestino primitivo. Las células granulares pequeñas suelen aparecer individualmente en la tráquea y están dispersas entre los otros tipos celulares. Con el microscopio óptico son difíciles de distinguir de las células basales, a menos que se utilicen récnicas especiales como la impregnación argéntica, en la que la plata reacciona con los gránulos. El núcleo está situado cerca de la membrana basal, el ciroplasma es un poco más extenso que el de las células basales más pequeñas. Con el microscopio electrónico de transmisión (MET), a veces se ve una prolongación citoplasmática con su extremo adelgazado que se extiende hacia la luz. Además,

con el MET también se comprueba que en el citoplasma hay muchos gránulos de centro denso unidos por su membrana. En un tipo de célula de gránulos pequeños, la secreción es una catecolamina. Un segundo tipo de célula produce hormonas polipeptídicas como la serotonina, la calcitonina y el péptido liberador de gastrina (bombesina). Algunas células granulares pequeñas parecen estar inervadas. La función de estas células no se conoce bien. Algunas se reúnen en grupos en asociación con fibras nerviosas y forman corpúsculos neuroepiteliales que, se piensa, participan en los reflejos que regulan el calibre de la vía aérea o los vasos sanguíneos.

 Las células basales sirven como una población celular de reserva que mantiene el reemplazo de células individuales en el epitelio. Las células basales tienen la tendencia a ser promunentes porque sus núcleos forman una hilera muy cerca de la lámina basal. Si bien en este mismo espacio común dentro del epitelio

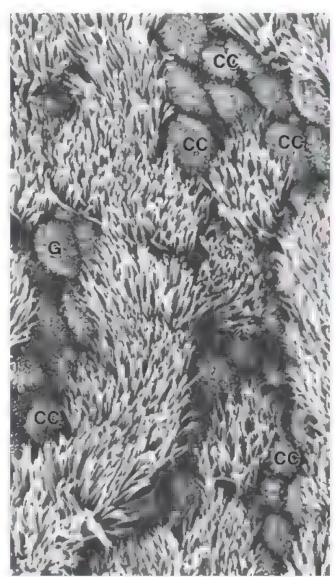


FIGURA 19-9. Microfotografía electrónica de barrido de la superficie luminal de un bronquio. Las células no ciliadas son las células caliciformes (CC). Su superficie se caracteriza por pequeñas microvellosidades romas que le dan un aspecto punteado a la célula con este podo aumento. En el resto de la microfotografía aparecen los cilios de las numerosas células ciliadas. Nótese la disposición "sincronica" (inclinados de manera uniforme en la misma dirección) en esta imagen, tal como estaban cuando se fijaron en un momento específico durante su movimiento endular 1200×

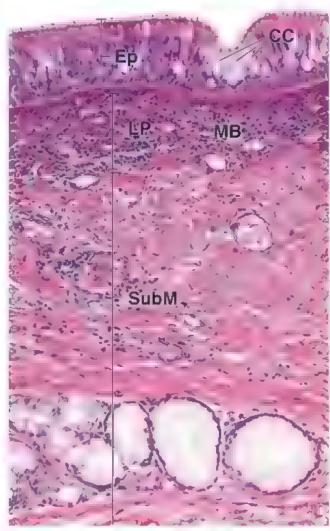


FIGURA 19-10. Microfotografia del epitello traqueal Hay tres tipos de células principales en el epitelio traqueal (Ep) células cilíndricas ciliadas, células caliciformes (CC) mucosecretoras (dispersas entre las cérulas cilladas) y células basales que están cerca de la membrana basal (MB). Las células cilindricas ciliadas se extienden desde la membrana basal hasta la superficie. En su superficie libre tienen cilios abundantes que en conjunto, parecen las cerdas de un cepillo. En la base de los cilios se ve una linea eosinófica densa. Esto se debe a la acumulación lineal de estructuras denominadas cuerpos basales, situados en el extremo proximal de cada cilio. Si bien en los preparados teñidos con H&E no es habitual que se vean las membranas basales, una estructura identificada como tal se ve con regulardad debajo del epite o de la tráquea humaria. La fámina propia (LP) subyacente consiste en tejido conjuntivo laxo. La submucosa (SubM) que está más abajo contiene tejido conjuntivo denso irregular con vasos sanguineos y linfáticos, nervios y abundantes glandulas traqueales mucosecretoras 400×

hay núcleos de otras células, son relativamente escasos. Por ello la mayoría de los núcleos cercanos a la membrana basal pertenecen a las células basales.

Membrana basal, lámina propia γ submucosa

El epitelio traqueal se caracteriza por tener una "membrana basal" gruesa.

Situada debajo del epitelio traqueal hay una capa bien definida que generalmente recibe el nombre de membrana basal (véase fig. 19-10). Suele aparecer como un estrato poco tenido, vitreo u homogéneo, de entre 25 y 40 µm de espesor. La microscopía electrónica permite

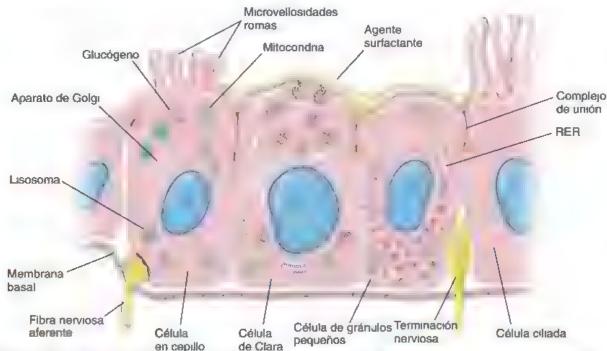


FIGURA 19-11. Diagrama del epítello bronquiotar terminal. En la imagen se muestran diversas células que se encuentran en el epítello respiratorio. La célula de Clara como se lustra aqui, se interpone entre la célula en cepillo y la célula de granulos pequeños. La célula de Ciara es una célula no ciuada que tiene una superficie apical redonda un reticuio endoplasmàtico rugoso (RER) basar bien desarrollado, un aparato de Goigi y vesiculas de secreción repletas de agente surfactante (tensoactivo). Contiguia a esta se encuentra la célula en cepillo que contiene microvellosidades romas y tiene contacto sináptico, sinápsis apitellodendritical con una fibra nerviosa aferente, características distintivas de dicha célula el a El citoplasma de la célula de acelula en cepillo muestra un aparato de Golgi i sosomas mitocondrias e inclusiones de glucógeno. Entre la célula de Clara y la célula ciliada hay una célula de gránulos pequenos. Esa célula contiene pequenas vesiculas de secreción ha mayoría de las cuales están en su porción basal. Además de las vesiculas, los orgánulos más y sibles de esta célula son el RER, e la parato de Golgi y las mitocondrias. En el epitello se observa una terminación nerviosa.

observar que se trata de fibras de colágeno densamente compactadas justo debajo de la lámina basal epirelial. Desde un punto de vista estructural, puede considerarse una lámina reticular muy gruesa y densa y, como tal, parte de la lámina propia. En los fumadores, en particular en los que padecen tos crónica, esta capa puede ser bastante más gruesa, lo cual es una respuesta a la irritación de la mucosa. En las personas con asma, la membrana basal tambien es más gruesa y pronunciada, sobre todo a la altura de los bronquiolos.

El tímite entre la mucosa y la submucosa está definido por una membrana elástica.

La lámina propia, excepto la parte designada como membrana basal, aparece como un tejido conjuntivo laxo típico. Es muy celular y contiene linfocitos abundantes, muchos de los cuales infiltran el epitelio. El resto de los tipos celulares que se observan en esta capa son plasmocitos, blastocitos, eosinófilos y fibroblastos. En la lámina propia y la submucosa de la pared traqueal siempre hay rejido linfárico de las formas difusa y nodular. También se encuentra en otras partes del sistema respiratorio que intervienen principalmente en la conducción del aire. Este tejido linfático es el equivalente, en cuanto a su desarrollo y función, del tejido linfático asociado a los bronquios (BALT, bronchus-associated lymphatic tissue). Dispersas entre las fibras de colágeno hay una gran cantidad de fibras elásticas. Donde termina la lámina propia, el material elástico es más abundante; en las muestras tefudas para detectar estas fibras se observa una banda bien definida de materral elástico. Esta banda o membrana elastica marca el límite

entre la lámina propia y la submucosa. Sin embargo, en los preparados teñidos con H&E, este límite no es evidente.

Esta submucosa es diferente a la de la mayoría de los otros ór ganos, donde generalmente este tendo conjuntivo es denso. En la tráquea, la submucosa es un tejido conjuntivo bastante laxo, similar en aspecto al de la lámina propia, lo que dificulta determinar el sitio donde comienza. Es característico que, desde la lámina propia, dentro de esta capa se extiendan tejido linfático difuso y nódulos linfáticos. La submucosa contiene los vasos sanguíneos de distribución de mayor calibre y los vasos linfáricos de la pared traqueal. En la submucosa también hay glándulas compuestas por acinos mucosecretores con semilunas serosas. Sus conductos son de epitelio cúbico simple y se extienden a través de la lámina propia para llevar su producto de secreción, en su mayor parte glucoproteínas, hacia la superficie epitelial. Las glándulas son especialmente abundantes en el espacio sin cartílago que hay en la parte posterior de la tráquea. Algunas penetran la capa muscular en este sitio y, por lo tanto, también ocupan la adventicia. La capa submucosa termina cuando sus fibras de tejido conjuntivo se mezclan con el pericondrio de la capa cartilaginosa.

Los cartilagos traqueales y el musculo traqueal separan la submucosa de la adventicia.

Los cartilagos traqueales, que son cerca de 16 a 20 en los humanos, constituyen la siguiente capa de la pared traqueal. Como ya se mencionó, los cartílagos tienen forma de "C". A veces se anastomosan con los cartílagos adyacentes, pero su disposición provee flexibilidad al tubo traqueal y también mantiene la permeabilidad de la luz. Con la edad, el cartílago hialino puede ser reemplazado

CORRELACION CLÍNICA: AFECCIONES FRECUENTES DE LA MUCOSA NASAL

La inflamación de la mucosa nasal se denomina rinitis Este proceso inflamatorio también puede extenderse a los senos paranasales (rinosinusitis) debido a su proximidad y conexiones con la cavidad nasal. Los virus (incluidos los nnovirus, los mixovirus, los coronavirus y los adenovirus) son la causa más frecuente de la inflamación de la mucosa nasal, conocida como rinitis virica o "resfriado comun" La nnitis vírica ocurre con mayor frecuencia en niños que en adultos. La tumefacción de la mucosa nasal, a menudo llamada inflamación de la mucosa, puede provocar congestión u obstrucción nasal que ocasiona una reducción del flujo aéreo y aumento de la secreción nasal debido al estrechamiento simultáneo de las aberturas de los senos paranasales. Los haliazgos microscópicos en la inflamación de la mucosa incluyen acentuada inflamación tisular y edema de la mucosa respiratona con incremento significativo de infiltración de la lámina propia por las células inflamatorias, como eosinófilos, neutrófitos, basófilos, mastocitos, células plasmáticas y linfocitos (fig. C19-1-1). La infección vírica puede conducir a una infección bacteriana secundaria (rinosinusitis bacteriana aguda o crónica). Los haliazgos microscópicos revelarían una lámina propia muy infiltrada y un epitelio respiratorio con células

inflamatorias, como neutrófilos y linfocitos T. La nnosinusitis bacteriana aguda generalmente se trata con antibióticos

La rinitis alérgica, conocida como "fiebre del hano", es causada por reacciones alérgicas a partículas en el aire como pólenes de hierba, polvo, moho o alérgenos animales que se depositan en la mucosa nasal. Dichas particulas desencadenan reacciones inmunitanas agudas o crónicas. Los alérgenos en combinación con anticuerpos IgE (secretados por células plasmáticas en la lámina propia) se unen a los receptores de F_c de alta afinidad expresados en la superficie de los mastocitos La activación de los mastocitos desencadena la liberación, desde los gránulos celulares, de agentes vasoactivos y mediadores inflamatorios (p. ej., histamina y leucotrienos; véanse pp. 195-198). Esta liberación granular provoca rinorrea o "escummiento" y congestión nasales. Los hallazgos microscópicos característicos de la rinitis alérgica incluyen la infiltración de la mucosa nasal por gran cantidad de eosinófilos, plasmocitos y mastocitos. En la rinitis alérgica crónica se observa a menudo un mayor número de mastocitos y engrosamiento de la membrana basal. El tratamiento de la rinitis alérgica incluye antihistamínicos para contrarrestar las reacciones inmunitarias y corticoesteroides antiinflamatorios para inhibir los síntomas

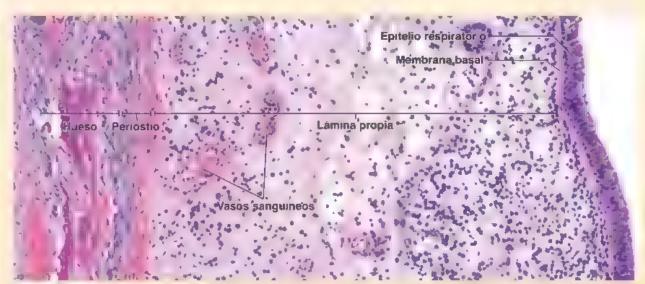


FIGURA C19-1-1. Microfotografía de una biopsia de la mucosa del seno maxilar de un paciente con rinosinusitis. Los haliazgos microscópicos en la tinosinus tis incluyen inflamación de la mucosa respiratoria de las fosas hasales y de los senos paranasa es Obsérvese que el epite lo respiratório está separado de hueso del seno maxilar por una lámina propia inflamada. En la muestra la lámina propia esta notablemente engrosada (edematosa) con vasos sanguineos agrandados y affamente intitrada por células inmunitarias isobre todo linfocitos eosinófilos y plasmocitos. 480× (cortesia del Or Joaquín J. García)

en parte por tejido óseo (*véase* fig. 19-7), lo cual hace que se pierda gran parte de su flexibilidad.

La adventicia, que es la capa más externa, está ubicada por fuera de los anillos cartilaginosos y del músculo traqueal. Fija la tráquea a las estructuras contiguas en el cuello y el mediastino, contiene los vasos sanguíneos de mayor calibre y los nervios de la pared traqueal, así como los vasos linfáticos mayores que la drenan.

BRONQUIOS

La tráquea se divide en dos ramas que forman los bronquios principales (primarios). Desde un punto de vista anatómico, estas divisiones suelen designarse simplemente como bronquios principales derecho e laquierdo, terminología más útil a causa de la diferencia física entre los dos. El bronquio derecho es más amplio y mucho más corto que el izquierdo. Al entrar en el hilio pulmonar, cada bronquio principal se divide en bronquios lobulares (bronquios secundarios). El pulmón izquierdo se divide en dos lóbulos; el pulmón derecho se divide en tres lóbulos. Así, el bronquio derecho se divide en tres ramas bronquiales lobulares y el izquierdo en dos ramas bronquiales lobulares, cada rama abasteciendo un lóbulo. El pulmón izquierdo se subdivide en ocho segmentos broncopulmonares y el pulmón derecho en diez de estos segmentos. Por lo tanto, en el pulmón derecho los bronquios lobulares dan origen a diez bronquios segmentarios (bronquios terciarios); los bronquios lobulares del pulmón izquierdo dan lugar a ocho bronquios segmentarios.

Un bronquio segmentario y el parénquima pulmonar que depende de él constituyen un segmento broncopulmonar. La importancia del segmento broncopulmonar en al pulmon humano se hace evidente cuando se considera la necesidad de una extirpación quírurgica, que puede estar indicada en algunas enfermedades. Los segmentos, cada uno con su irrigación sanguinea y sus tabiques de tejido conjuntivo, son subunidades convenientes que facilitan el procedimiento quirúrgico.

Al uncio, los bronquios tienen la misma estructura histológica general de la tráquea. En el sitio donde los bronquios entran en los pulmones para convertirse en bronquios intrapulmonares, la estructura de la pared bronquial cambia. Los anillos de cartílago son reemplazados por placas cartilaginosas con forma irregular. Las placas se distribuyen con una organización lineal alrededor de toda la circunferencia de la pared, lo cual imparte a los bronquios una forma circular o cilíndrica en contraste con la forma ovoide con una pared postenor aplanada de la tráquea. A medida que los bronquios disminuyen de tamaño, a causa de su ramificación, las placas de cartílago se hacen más pequeñas y menos abundantes. Las placas por fin desaparecen en el sitio donde la vía aérea alcanza un diámetro de alrededor de 1 mm, y a partir de ahí la ramificación comienza a llamarse bronquioto.

Los bronquios pueden identificarse por sus placas de cartílago y una capa circular del músculo liso.

El segundo cambio observado en la pared del bronquio intrapulmonar es la adición de musculo liso para formar una capa circular completa. El músculo liso se convierte en una capa cada vez más evidente conforme disminuye la cantidad de cartilago. Al principio, el músculo liso se organiza en haces entrelazados que forman una capa continua. En los bronquios más pequeños, el músculo liso puede ser discontinuo.

Dado que el músculo liso forma un estrato separado, es decir, una capa muscular, puede considerarse que la pared del bronquio tiene cinco capas:

- Mucosa, compuesta por un epitelio seudoestratificado con la misma composición celular que la de la tráquea. La altura de las células disminuye a medida que los bronquios reducen su calibre. En las muestras tenidas con H&E, la "membrana basal" es visible en los bronquios primarios; sin embargo, disminuye rápidamente su espesor y desaparece como estructura definida en los bronquios secundarios. La lámina propia es semejante a la de la tráquea, pero su cantidad disminuye en proporción al diámetro de los bronquios.
- Muscular, una capa continua de músculo liso en los bronquios mayores. En los bronquios menores es más delgada y menos organizada; puede ser discontinua debido a su trayectoria en espiral. La contracción del músculo permite regular el diámetro adecuado de la vía aérea.

- Submucosa, que permanece como un tejido conjuntivo bastante laxo. En los bronquios mayores hay glándulas, así como tejido adiposo.
- Cartilago, que son placas cartilaginosas discontínuas que se hacen cada vez más pequeñas conforme se reduce el diámetro bronquial.
- Adventicia, un tejido conjuntivo de densidad moderada que se continúa con el de las estructuras contiguas, como las ramas de la arteria pulmonar y el parénquima pulmonar.

BRONQUIOLOS

Los segmentos broncopulmonares se subdividen en lobulillos pulmonares; a cada lobulillo lo abastece un bronquiolo. Los delicados tabiques de tejido conjuntivo que separan parcialmente los lobulillos contiguos pueden apreciarse en la superficie del pulmón como regiones poligonales apenas delineadas. Los acinos pulmonares son las unidades estructurales más pequeñas que conforman los lobulillos. Cada acino consta de un bronquiolo terminal, bronquiolos respiratorios y alvéolos que reciben aire de él (fig. 19-12). Así, la unidad funcional más pequeña de la estructura pulmonar es la unidad bronquiolar respiratoria. Se compone de un único bronquiolo respiratorio y los alvéolos a los que envía el aire.

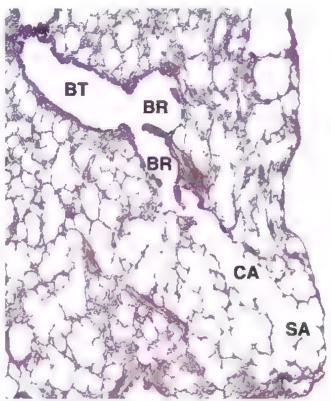


FIGURA 19-12. Microfotografía de la porción respiratoria del árbol bronquial. En esta imagen aparece el corte longitudinal de un bronquiolo terminal (BT) que se ramifica en dos bronquiolos respiratorios (BR). El bronquiolo terminal es la porción más distal de la via aérea de conducción del sistema respiratorio y no interviene en el intercambio gaseoso. El bronquiolo respiratorio si participa en el intercambio gaseoso y es el primer segmento de la porción respiratoria del árbol bronquial. Los bronquiolos respiratorios dan origen a los conductos ábronquial. Que son vías respiratorias alargadas que casi no tienen pared, sino solo alveolos alrededor de su espacio central. Los sacos alveolares (SA) son espacios al final de los conductos alveolares y también están rodeados por a véolos. 120×

Estructura bronquiolar

Los bronquiolos son vías aéreas de conducción que miden 1 mm o menos de diámetro. Los bronquiolos más grandes son ramas de los bronquios segmentarios. Estos conductos tienen ramificaciones consecutivas para dar origen a los bronquiolos terminales más pequeños (que también ramifican). Los bronquiolos terminales finalmente dan origen a los bronquiolos respiratorios

En los bronquiolos no hay placas cartilaginosas ni glándulas.

Los bronquiolos de mayor diámetro tienen al inicio un epitelio cilíndrico seudoestratificado ciliado que se transforma gradualmente en un epitelio cilíndrico simple ciliado conforme el conducto se estrecha. Las células caliciformes todavía están presentes en los bronquiolos más grandes, pero faltan por completo en los bronquiolos terminales. Una excepción se da en los fumadores y en otras personas expuestas a sustancias irritantes en el aire. No hay glándulas subepiteliales en los bronquiolos. Las placas cartilaginosas, características de los bronquios, también están ausentes en los bronquiolos. En lugar de ello puede haber pequeños restos de cartilago, especialmente en los puntos de ramificación. Una capa bastante gruesa de músculo liso se halla en la pared de todos los bronquiolos.

Los bronquiolos pequeños tienen un epitelio cúbico simple. Los bronquiolos de conducción más pequeños, los bronquiolos terminales, están revestidos por un epitelio cúbico simple en el que hay dispersas células de Clara entre las células ciliadas (fig. 19-13). Las células de Clara aumentan en cantidad, mientras que las células ciliadas disminuyen a lo largo del bronquiolo. Ocasionalmente, también aparecen células en cepillo y células de gránulos pequeños. Debajo del epitelio hay una pequeña cantidad de tejido conjuntivo, y debajo de este, en sus porciones conductoras, se localiza una capa circular de músculo liso.

Las célules de Ciara son células no ciliadas que tienen una prominencia redondeada característica, o en forma de cúpula, en la superficie apical. Con el MET se aprecia que tienen características de células secretoras de proteínas (fig. 19-14). Poseen un RER basal

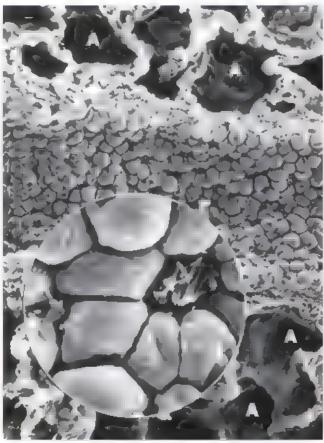


FIGURA 19-13. Microfotografía electrónica de barrido de un bronquiolo terminal. Imagen del corte longitudinal de un bronquiolo terminal donde se aprecian los alvéolos (A) circundantes. Nótese que la superficie apical de la célula de Clara no es ciliada y tiene el aspecto en forma de cúpula característico. 150× El detalle muestra algunas de las células de Clara a mayor aumento y los cilios de una célula ciliada vecina, que en esa parte son muy escasos. Obsérvese la poca cantidad de cilios en estas células pequeñas. 1200×

CUADRO 19-2 CORRELACIÓN CLÍNICA: METAPLASIA ESCAMOSA EN LAS VÍAS RESPIRATORIAS

En la mucosa respiratoria humana, el epitelio cilíndico seudoestratificado ciliado puede cambiar a epitelio plano estratificado. Este cambio de epitelio cilíndico a plano se conoce como *metaplasia cilindrica a escamosa* o simplemente como *metaplasia escamosa*. Las alteraciones epiteliales de esta clase son reversibles y se caracterizan por el cambio desde un tipo de célula madura bien diferenciada a un tipo diferente de célula adulta. Un tipo de célula madura no se transforma en otro tipo, más bien la proliferación de las células basales origina un nuevo tipo de célula diferenciada. Se considera que estos cambios celulares están controlados y son adaptativos.

La metaplasia plana es normal en las porciones más expuestas y redondas de los cornetes nasales, en los pliegues vocales y en algunas otras regiones

No obstante, los cambios en el carácter del epitelio de las vías respiratorias pueden ocurrir en otros sitios del epitelio ciliado cuando el patrón del flujo de aire se altera o cuando el aire es impulsado con fuerza, como en la tos crónica. En la bronquitis crónica y en la bronquiectasia es frecuente que

el epitelio respiratorio, en ciertas regiones, cambie a plano estratificado. El epitello modificado es más resistente al estrés físico y las lesiones, pero es menos eficaz desde el punto de vista funcional. Este tipo de cambio epitelial ocurre en los fumadores. En un primer momento, los cilios en las células ciliadas pierden su patrón de movimiento sincrónico a causa de los elementos nocivos en el humo. Por lo tanto, se altera la eliminación de las mucosidades. Para compensar, la personacomienza a toser, lo que facilita la expulsión del moco acumulado en las vías respiratorias, en particular en la tráquea. Con el tiempo, la cantidad de células ciliadas disminuye a causa de la tos crónica. Esta reducción de la cantidad de células ciliadas perjudica aun más al epitelio normal y conduce a su reemplazo por un epitelio plano estratificado en los sitios afectados de la via aérea. Si no se eliminan los factores que predisponen. a la metapiasia escamosa (p. ej., el consumo de tabaco), el epitelio metaplásico puede sufnr una transformación maligna En consecuencia, una de las dos formas más frecuentes de cáncer en las vías respiratorias, el carcinoma epidermoide, tiene su origen en las células metaplásicas planas.

CORRELACION CLÍNICA: ASMA

El asma es una enfermedad inflamatoria crónica que afecta las vías aéreas de los pulmones y es causada por una combinación de factores genéticos y ambientales. La enfermedad afecta a personas de todas las edades, razas y grupos étnicos de todo el mundo. Se caracteriza por la recurrente obstrucción del flujo de aire causada por una combinación de inflamación de los bronquietos y constricción de sus musculos I sos (broncoespasmo). La obstrucción de las vias aéreas dificulta el ingreso y la salida de aire de los alvéolos pulmonares. lo que causa síntomas como respiración sibilante, tos, dificultad para respirar y opresión torácica. En los pacientes con asma se observa inflamación de la mucosa respiratoria, del tejido conjuntivo contiguo y de los musculos lisos de los bronquiolos. Se caracteriza por la infiltración de la pared bronquiolar por eosmófilos (en algunos casos neutrófilos), linfocitos (principalmente linfocitos T cooperadores activados) y mastocitos. El epitelio bronquiolar es grueso, contiene un gran numero de cè-Iulas caliciformes (por lo tanto, produce más mucosa) y tiene

una membrana basal gruesa debido al aumento en el depósito de fibras de colágeno en la lámina reticular (f.g. C19-3-1). La capa de músculo liso también es más pronunciada y contiene varias capas de células musculares lisas hiperpiásicas

Los fármacos utilizados para tratar a los pacientes con asma incluyen **broncodilatadores** (reiajantes del musculo liso), **antiinflamatorios** (suprimen las reacciones inflamatorias) y modificadores de leucotrienos (inhiben la producción de leucotrienos), que son mediadores de lípidos vinculados con una mayor actividad del musculo liso y secreción de moco. Los fármacos para el asma se clasifican en dos categorías generales según su tiempo de acción en el tratamiento general de la enfermedad: 1) **fármacos de alivío rápido**, como los broncodilatadores agonistas β-adrenérgicos para revertir la constricción del músculo liso, o 2) **fármacos de control a largo plazo**, como los corticoesteroides inhalados, los broncodilatadores β-agonistas de acción prolongada y los modificadores de leucotrienos

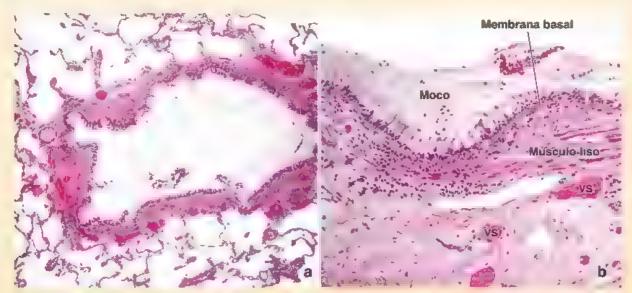


FIGURA C19-3-1. Microfotografía del pulmón de un paciente con asma, a. En este corte del pulmón de un paciente con asma se muestra un bronquiolo en el centro con atvéolos circundantes. La pared bronquiolar es gruesa, esta infiamada y tiene vasos sanguneos (VS) agrandados 100× b. En esta imagen con mayor aumento se muestra la estructura de un epitello di núnico seudoestratificado bronquiolar que contiene una gran cantidad de células caliciformes. El moco en la luz es producto de las células caliciformes. Nótese la presencia de un gran numero de eosinófilos (células con citop asma rojo), linfocitos y otras células del tendo conjuntivo que infiltraron la ámina propia y la submucosa del bronquio o ula membrana basa les gruesa y está bien definida. La capa de musculo liso también es gruesa y la adventicia subyacente contiene vasos sanguíneos (VS) agrandados. 680× (cortesía del Dr. Joseph P. Grande)

bien desarrollado, un aparato de Golgi supranuclear o lateral, gránulos de secreción que contienen proteínas y muchas cisternas del REL en el citoplasma apical. Las células de Clara secretan un agente surfactante (tensoactivo), una lipoproteína que impide la adhesión luminal si la pared de la vía aérea se colapsa sobre sí misma, en particular durante la espiración. Además, las células de Clara producen una proteína de 16 kDa conocida como proteína de socre-

ción de la cálula de Clara (CC16), un componente abundante en las secreciones de las vías respiratorias. Las afecciones pulmonares crónicas, como la enfermedad pulmonar obstructiva crónica (EPOC) y el asma, se asocian con cambios en la cantidad de CC16 en los líquidos de las vías respiratorias y el suero. La secrecion de CC16 en el árbol bronquial disminuye durante la lesión pulmonar (debido al daño de las células de Clara),

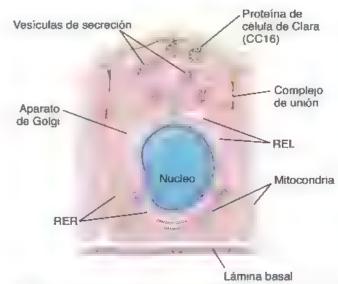


FIGURA 19-14. Diagrama de una célula de Clara entre células epiteliales bronquiales ciliadas. El núcleo trene ubicación basal. El reticulo endoplasmático rugoso (RER), el aparato de Goigi y las mitocondrias son principalmente basales y paranucleares. El retículo endoplasmático liso (REL) y las vesiculas de secreción están principalmente en el citoplasma apical. Un par de vesiculas de secreción están vaciando su contenido sobre la superficie de la célula.

mientras que su concentración sérica puede aumentar por filtración a través de la barrera hematogaseosa. La CC16 se utiliza como un marcador pulmonar mensurable en el líquido de lavado broncoalveolar y el suero.

Función bronquiolar

Los bronquiolos respiratorios son la primera parte del árbol bronquial que permite el intercambio gaseoso.

Los bronquiolos respiratorios forman una zona de transición en el sistema respiratorio, participan tanto en la conducción del aire como en el intercambio gaseoso. Tienen un diámetro reducido y están revestidos por epitelio cúbico. El epitello de los segmentos iniciales de los bronquiolos respiratorios contiene celules ciliadas y célules de Ctara (véase fig. 19-13). Hacia la parte distal predominan las células de Ctara. A lo largo del bronquiolo respiratorio también aparecen algunas células en ceptilo y con gránulos de centro denso. La luz de los bronquiolos respiratorios tiene evaginaciones de paredes delgadas, los alvéolos, diseminadas en toda sir longitud (véase fig. 19-12). Los alvéolos son los sitios por los que sale y entra el aire en el bronquiolo para permitir el intercambio gaseoso.

■ ALVÉOLOS

Los alvénios son los sitios donde ocurre el intercambio gaseoso.

La superficie disponible para el intercambio gaseoso se incrementa por los alvéolos pulmonares. Los **alvéolos** son los espacios aéreos terminales del sistema respiratorio y en ellos ocurre el intercambio gaseoso entre el aire y la sangre. Cada alvéolo está rodeado por una red de capilares que ponen la sangre en estrecha proximidad con el aire inhalado en su interior. En cada pulmón de un adulto hay entre 150 y 250 millones de alvéolos; su superficie interna combinada

es de alrededor de 75 m², más o menos las dimensiones de una cancha de tenis. Cada alvéolo es una cavidad poliédrica de paredes delgadas que mide unos 0.2 mm de diámetro y confluye en un saco alveolar (fig. 19-15).

- Los conductos niveolares son vías aéreas alargadas que casi no tienen paredes, solo alvéolos, como sus límites periféricos. En los tabiques interalveolares con aspecto de rodetes hay anillos de músculo liso (véase el siguiente párrafo)
- Los sacos alveolares son espacios rodeados por grupos de al véolos. Los alvéolos circundantes se abren hacía estos espacios.

Los sacos alveolares suelen estar al final de un conducto alveolar, no obstante, pueden aparecer en cualquier punto de su longitud. Los alvéolos están rodeados y separados unos de otros por una capa extremadamente fina de tejido conjuntivo que contiene capilares sanguíneos. El tejido entre espacios aéreos alveolares adyacentes se denomina tabique interatveolar o parad septal (fig. 19-16).

El epitelio alveolar está compuesto por células alveolares de los tipos I y II, así como por algunas células en cepillo.

La superficie abreolar es una frontera biológica vulnerable sometida a muchas fuerzas desestabilizadoras y la exposición continua a partículas inhaladas, patógenos y toxinas. El epitelio alveolar se compone de varias células especializadas y sus productos, algunos de los cuales desempeñan funciones defensivas y protectoras:

 Las células atveolares tipo I, también conocidas como neumocitos upo I, comprenden solo el 40% de la totalidad de las células del revestimiento alveolar. Son células planas muy delgadas que

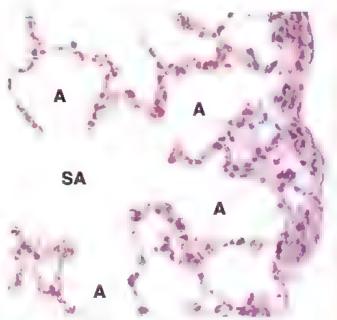


FIGURA 19-15. Microfotografía de un saco alveolar con alvéolos contiguos. En la imagen se muestran los componentes terminales del sistema respiratorio, a saber, el saco alveolar (SA) y los alvéolos circundantes (A). Los alvéolos están rodeados y separados unos de otros por finas láminas de te_ido conjuntivo, los tabiques interalveolares, que contienen capillares sanguíneos. A la derecha aparece la superficie del pulmón, que está cubierta por la pieura visceral que contiene epitelio plano simple y una capa subyacente de tejido conjuntivo. 360×

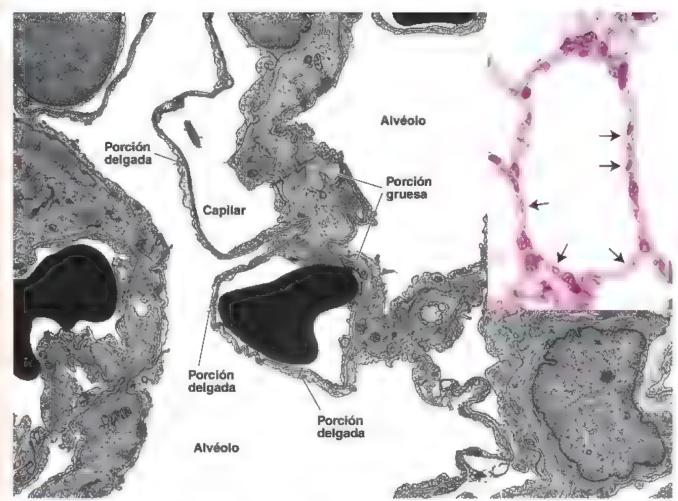


FIGURA 19-16. Microfotografía electrónica de alvéolos pulmonares. En esta microfotografía electrónica se muestran dos espacios alveolares separados por un tablique interalveolar que contiene capitares algunos de ellos con entrocitos. Obsérvense as áreas de porciones deligadas y gruesas del tablique interalveolar. Estas se aprecian con mayor ampliación en la figura 19-20 5800 / Recuadro. Microfotografía de un alveolo para comparar con la pared alveolar como se ve en una microfotografía electrónica. Las flechas señalan capitares alveolares que contienen entrocitos. 480 / Electrónica de alveolar como se ve en una microfotografía electrónica.

revisten la mayor parte de la superficie (95%) de los alvéolos (véase fig. 19-16). Estas células están unidas entre sí y a las otras células del epitelio alveolar por uniones ocluyentes (herméticas) (fig. 19-17). Dichas uniones forman una barrera eficiente entre el espacio aéreo y los componentes de la pared septal. Las células alveolares tipo I no experimentan división celular

Las células alveolares tipo II, también llamadas neumocitos tipo II o células de los tabiques, son células secretoras. Estas células cúbicas están dispersas entre las células tipo I; sin embargo, tienen la tendencia a congregarse en las uniones septales. Las células tipo II constituyen el 60% de las células del revestimiento alveolar, pero debido a su forma diferente cubren solo el 5% de la superficie alveolar. Al igual que las células de Clara, las células tipo II sobresalen dentro del espacio aéreo (véase fig. 19-17). Su citoplasma apical está repleto de gránulos que con el MET (fig. 19-18) se ven como pilas de laminillas membranosas paralelas: los cuerpos laminares. Tienen una gran cantidad de una mezcla de fosfolípidos, lípidos neutros y proteínas que se secreta por exocitosis para formar una cubierta alveolar, un agente llamado surfactante (tensoactivo). Además de secretar el agente surfactante, las células alveolares tipo II son las progenitoras de las células alveolares tipo I. Después de una lesión puimonar proliferan y se restauran ambos tipos de célutas alveolares dentro de los alveolos. La hiperplasia de las células alveolares tipo II es un

importante marcador de lesión alveolar y de reparación de los alvéolos

 Las células en cepillo también se localizan en la pared alveolar, pero en escaso número. Sirven como quimiorreceptores que controlan la calidad del aire en el pulmón.

El surfactante disminuye la tensión superficial alveolar y participa activamente en la eliminación del material extraño.

La capa de surfactante producida por las células alveolares tipo II reduce la tensión superficial en la zona de contacto entre el aire y el epitelio. El agente más decisivo para la estabilidad del espacio aéreo es un fosfolípido específico llamado dipalmitoilfosfatidileolina (DPPC, dipalmitoylphosphatidylcholine), causante de casi todas las propiedades reductoras de la tensión superficial del surfactante. La síntesis de surfactante en el feto se produce después de la trigésimo quinta semana de gestación y es modulada por varias hormonas, como el cortisol, la insulina, la prolactina y la tiroxina. Sin una secreción adecuada de surfactante, los alvéolos colapsarian en cada espiración sucesiva. Este colapso ocurre en los lactantes prematuros cuyos pulmones no se han desarrollado lo suficiente como para producir surfactante, lo que causa el sindrome de dificultad respiratoria neonatal (SDRN). La administración profilàctica de surfactante exógeno al momento del nacimiento en neonatos prematuros reduce la incidencia de SDRN. Además, el empieo de corticoesteroides en las mu-

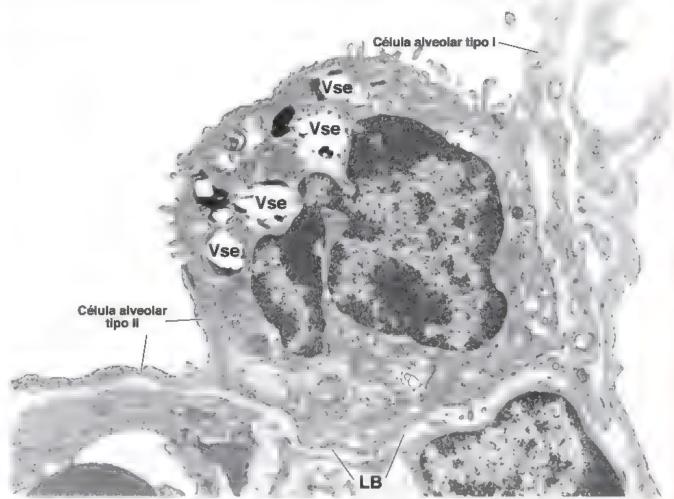


FIGURA 19-17. Microfotografia electronica de una celula alveolar tipo II. La célula alveolar tipo II tiene una superficie apical en forma de cupula con aigunas microveliosidades cortas en su perferia y un centro apical bastante I so. Las superficies laterales de las células están cubiertas en grado variable por extensiones de las células alveolares tipo I que se unen a las de tipo. Il mediante las un ones herméticas. Ambos tipos de célula apoyados sobre la lámina básal (LB). En esta muestra el contenido de la mayor parte de las vesiculas de secreción (Vse) se ha disuelto, pero su carácter laminar se aprecia bien en la figura 19-186. 4000×

jeres con amenaza de parto prematuro dismínuye la mortalidad neonatal

Las proteínas del surfactante contribuyen a organizar la capa de esta sustancia y modular las respuestas inmunitarias de los alvéolos.

Para la estructuración y el funcionamiento del surfactante son necesarias, además de los fosfolípidos, proteínas hidrófobas. Estas proteínas son las siguientes:

- Proteina tensoactiva A (PTA), la más abundante del agente surfactante. Es la responsable de la homeostasis del surfactante (regula su síntesis y secreción por las células alveolares tipo II). Modula también las respuestas inmunitarias contra virus, bacterias y hongos.
- Proteina tensoactiva B (PTB), una proteína importante para la transformación del cuerpo laminar en la delgada película superficial del surfactante. Es una importante proteína organizadora, responsable de la adsorción y la diseminación del surfactante sobre la superficie del epitelio alveolar.
- Proteins tensoactive C (PTC), que constituye solo el 1% de la masa total de proteína tensoactiva, Junto con la PTB, la PTC contribuye a la orientación de la DPPC dentro del surfactante y al mantenimiento de la delgada película dentro de los alvéolos.

Proteina tensoactiva D (PTD), una proteína primaria que participa en la defensa del hospedero. Se une a diversos microorganismos (p. ej., bacterias gramnegativas) y linfocitos. La PTD participa en la respuesta inflamatoria local como consecuencia de una tesión pulmonar aguda, y junto con la PTA modula una respuesta alérgica a diversos antigenos inhatados.

La barrera hematogaseosa está en el tabique interalveolar.

La barrera hernatogaseosa está formada por las células y los productos celulares a través de los cuales tienen que difundirse los gases entre los compartimentos alveolar y capilar. La barrera hematogaseosa más delgada consiste en una fina capa de sustancia tensoactiva, una célula epitelial tipo I y su lámina basal, así como una célula endotelial capilar y su lámina basal. Con frecuencia, estas dos láminas basales se fusionan (fig. 19-19). Las células y las fibras del tejido conjuntivo que pueden estar entre las dos láminas basales ensanchan La barrera hematogaseosa. Estas dos disposiciones producen una porción delgada y una porción gruesa de la barrera (fig. 19-20). Se piensa que la mayor parte del intercambio gaseoso ocurre a través de la porción delgada de la barrera. Se considera que la porción gruesa es un sitio donde se puede acumular líquido tisular e incluso cruzar hacia los alvéolos. Los vasos linfáticos en el tejido conjuntivo de los bronquiolos terminales drenan el líquido que se acumula en la porción gruesa del tabique.

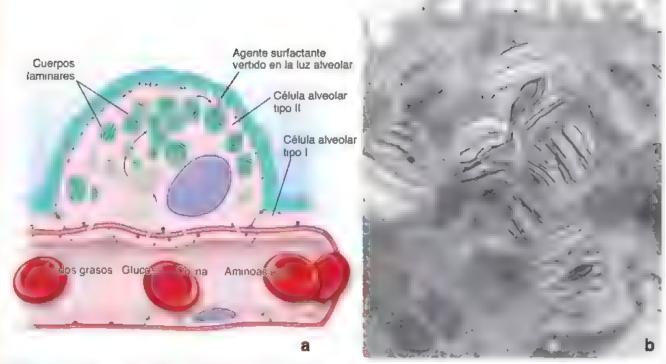


FIGURA 19-18. Diagrama de una célula alveolar tipo II y microfotografia electrónica de cuerpos laminares. a. El surfactante es una mezd à oleosa de proteinas fosfolipidos y lipidos neutros que se sintetiza en el RER a partir de pracursores que existen en la sangre. Estos precursores son la glucosa los acidos grasos la colina y los aminoàcidos los componentes proteinicos del agente surfactante se producen en el RER y se almacenan en el citoplasma dentro de los cuerpos laminares que drenan en la luz de alveolo. Con la ayuda de las proteinas tensoaca tivas e lagente surfactante se distribuye sobre la superficia de las que revisten los alveolo. Con la ayuda de las proteinas tensoaca que red, ce la tensión superficia. b. Microfotografia electrónica a gran alimento en la que se muestra el patrón laminar tipico de las ves culas de secrección en las cétulas alveolares tipo II. Estas vesiculas contienen las proteinas precursoras del agente surfactante pulmonar 38000 x.

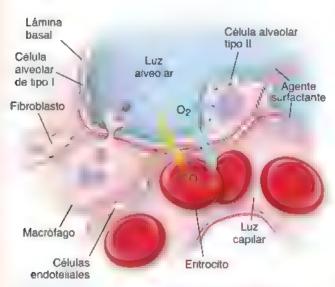


FIGURA 19-19. Diagrama de un tabíque interalveolar. La figura muestra las porciones gruesa y delgada del tabique interalveolar. La porción delgada forma la barrera hernatogaseosa y es responsable de la mayor parte del intercambio gaseoso que se produce en el pulmón. Las flechas indican la dirección del intercambio de CO₂ y O₂ entre el espacio aéreo alveolar y la sangre. La porción gruesa del tabique interalveolar desempeña un papel importante en la distribución de os liquidos y en su dinámica. Contiene céluas del tejido conjuntivo. Nótese el macrófago, en la porción gruesa, que extiende sus evaginaciones hacia la luz del alvécio.

Los macrofagos alveolares eliminan particulas inhaladas de los espacios aéreos y eritrocitos del tabique.

Los macrófagos alveolares son singulares porque funcionan en el espacio aéreo del alvéolo (fig. 19-21). En dichos espacios aéreos barren la superficie para eliminar las partículas inhaladas (p. ej., polvo y polen), lo que les confiere uno de sus nombres alternativos: células del potvo. Los macrófagos alveolares derivan de monocitos de la sangre y pertenecen al sistema fagocítico mononuclear (véase p. 197) Fagocitan los entrocitos que puedan introducirse en los alvéolos en la insuficiencia cardíaca (véase fig. 19-21). Algunos macrófagos distendidos pasan por el árbol bronquial en el moco y se eliminan por deglución o expectoración al llegar a la faringe. Los macrófagos septales residen en el tejido conjuntivo de los tabiques interalveolares. Representan una población de macrófagos alveolares que regresaron de los espacios aéreos de los alvéolos o permanecieron estacionarios en el rejido conjuntivo de los tabiques interalveolares. Están repletos de material acumulado de la fagocitosis y pueden permanecer en los rabiques durante una gran parte de la vida de una persona (fig. 19-22). Por lo tanto, en la autopsia, los pulmones de los habitantes urbanos y fumadores suelen exhibir muchos macrófagos alveolares y septales repletos de particulas de carbono, pigmento antracótico y particulas aciculares birrefringentes de silice. Los macrófagos alveolares también fagocitan organismos infecciosos como Mycobacterium tuberculosis, que puede identificarse dentro de las células en muestras teñidas de forma adecuada. Estos bacilos no son digeridos por los macrofagos, por ello, otras infecciones o alteraciones que dañan

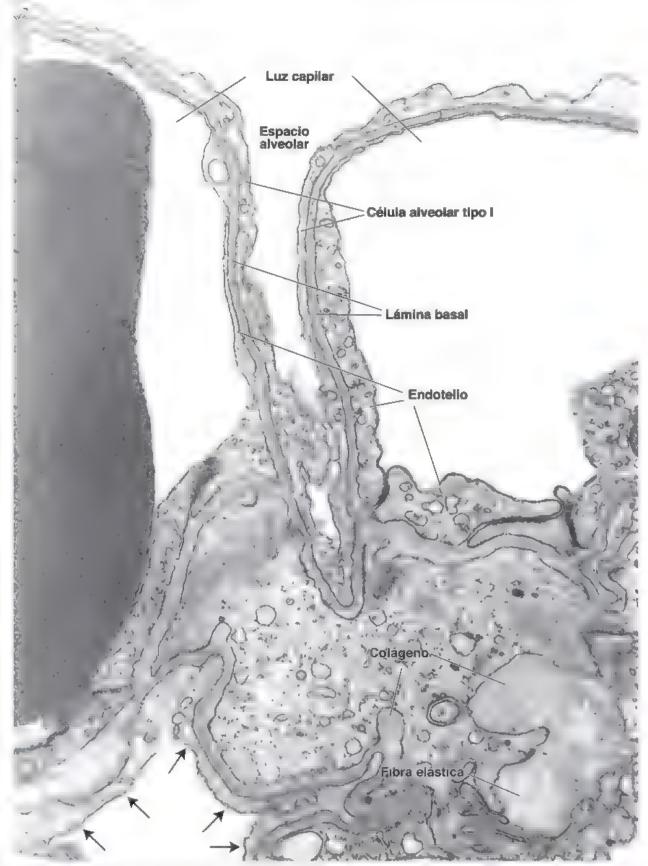


FIGURA 19-20. Microfotografía electrónica del tabique interatveolar. Esta imagen a gran aumento muestra la porción delgada de la barrera hematogaseosa donde está formada por célu as alveolares tipo 1 endotelio capitar y la lámina basal fusionada compartida por ambos tipos celulares. En la porción gruesa se localiza la célula alveolar tipo 1 (flechas) sobre una lámina basal de lado opuesto hay tejido con untivo en el que se destacan fibrilias de colágeno y fibras elásticas. 33 000×

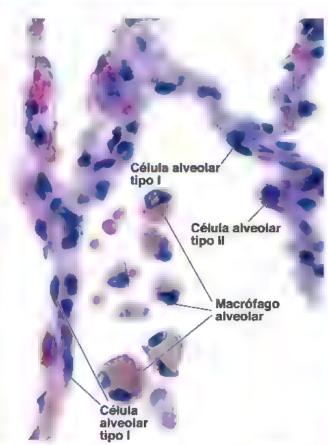


FIGURA 19-21. Microfotografía de macrófagos alveolares. En la imagen se muestra, con gran aumento, la estructura del tabique alveolar y la fuz de un alvéolo que tiene macrófagos alveolares y entrocitos. El citopiasma de los macrófagos a veolares si existe en cantidad suficiente, a menudo contiene el pigmento pardo de hemosiderina proveniente de entrocitos fagocitados. Estos macrófagos repletos de hemosiderina (a menudo llamados "células de la insuficiencia cardíaca") son típicos de las enfermedades cardíacas, en su mayoría insuficiencias ventriculares izquierdas que causan congestión pulmonar y edema. Esto produce una dilatación de los capilares alveolares y hemorragias pequeñas en los alvéolos. 560×

a los macrófagos alveolares pueden provocar la liberación de las bacterias y una tuberculosis recurrente. Además, los datos más recientes sugieren que la apoptosis de los macrófagos septales contribuye al deserrollo del enfisema.

La circulación aérea colateral, a través de los poros alveolares, permite el paso del aire entre los alveolos.

Los estudios de la estructura alveolar con el microscopio electrónico de barrido demuestran la existencia de onficios en los tabiques interalveolares que permiten la circulación de aire de un alvéolo a otro. Estos poros alveolares (de Kohn) pueden ser de gran importancia en algunos estados patológicos en los cuales la enfermedad pulmonar obstructiva bloquea el paso normal de aire a los alvéolos. Los alvéolos distales, con respecto al sitio de bloqueo, pueden continuar recibiendo aire a través de los poros desde un acino o lobulillo contiguo.

En la figura 19-23 se presenta una reseña básica de la información relacionada con el sistema respiratorio.

■ IRRIGACIÓN SANGUÍNEA

Los pulmones tienen circulación tanto pulmonar como bronquial.

La circulación pulmonar irriga los capilares del tabique interalveolar, la cual deriva de la arteria pulmonar que sale del ventrículo derecho del corazón. Las ramas de la arteria pulmonar discurren con los bronquios y los bronquiolos y llevan la sangre hasta los lechos capilares de los alvéolos. Esta sangre se oxigena y es recogida por capilares venosos pulmonares que se unen para formar vénulas. Al final forman las cuatro venas pulmonares que devuelven la sangre a la aurícula izquierda del corazón. El sistema venoso pulmonar se encuentra a cierta distancia de las vías respiratorias, en la periferia de los segmentos broncopulmonares.

La circulación bronquial, a través de las arterias bronquiales (que son ramas de la aorta), irriga todo el tejido pulmonar, excepto los alvéolos (las paredes de los bronquios y los bronquiolos, así como el tejido conjuntivo pulmonar, salvo el de los tabiques interalveolares). Las ramas más finas del árbol arterial bronquial también desembocan en los capilares pulmonares. Por lo tanto, las circulaciones bronquial y pulmonar se anastomosan más o menos a la altura de la transición entre la porción conductora y la porción respiratoria. Las venas bronquiales drenan solo el tejido conjuntivo de la región hiliar de los pulmones. La mayor parte de la sangre que llega a los pulmones a través de las arterias bronquiales los abandona través de las venas pulmonares.

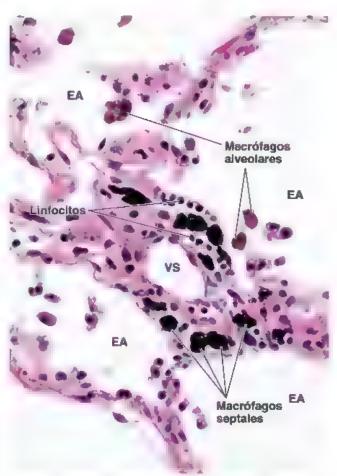


FIGURA 19-22. Microfotografía de macrófagos alveolares y septales. En esta microfotografía se muestran con gran aumento tabiques alveolares que rodean el espacio aéreo alveolar (EA). En medio el tabique contiene un vaso sanguineo (VS) granda. Los macrófagos que fagocitaron detritos celuiares y contaminantes ambientales inhalados (p. ej., partículas de polvo, sílice, alquitrán de los cigamillos y microorganismos) en la luz alveolar vuelven a migrar hacia los tabiques alveolares, donde permanecen durante toda la vida. Aqui, estos macrófagos septales se ven como células grandes, de forma irregular, cargadas de inclusiones citoplasmáticas negras que oscurecen la visión del nucleo. Nótese que los macrófagos septales están rodeados por linfocitos, un signo de la respuesta inflamatona. Los macrófagos alveolares que contienen el pigmento pardo de hemosidenna de los entrocitos fagocitados también están presentes en la luz alveolar. 580×

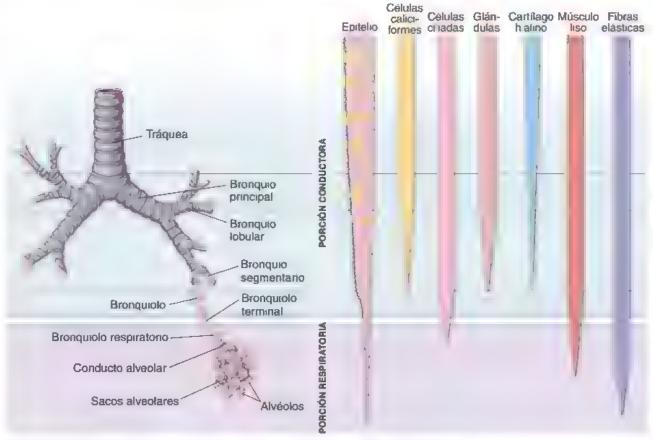


FIGURA 19-23. Divisiones del árbol bronquial y resumen de sus carecterísticas histológicas.

■ VASOS LINFÁTICOS

Un tronsje tinfático pulmonar doble establece un paralelismo con la irrigación sanguínea doble. Un conjunto de vasos linfáticos drena el parénquima pulmonar y sigue las vías respiratorias hasta el hilio. Los ganglios linfáticos se encuentran a lo largo del trayecto de los vasos linfáticos de mayor calibre. Un segundo conjunto de vasos linfáticos drena la superficie pulmonar y discurre en el tejido conjuntivo de la ploura viscoral, una membrana serosa compuesta por un mesotelio superficial y el tejido conjuntivo subyacente.

■ INERVACIÓN

La mayoría de los nervios del pulmón no son visibles al microscopio óptico. Son componentes de las divistones simpática y parasimpática del sistema nervioso autónomo y median reflejos que modifican las dimensiones de las vías respiratorias (y los vasos sanguíneos) por contracción del músculo liso que hay en sus paredes. Además, el sistema nervioso autónomo controla la secreción glandular de la mucosa respiratoria.

CUADRO 19-4

CORRELACION CLÍNICA: FIBROSIS QUÍSTICA

La fibrosis quistica (FQ, mucoviscidosis) es una enfermedad pulmonar obstructiva crónica de los niños y los adultos jóvenes. Es una alteración autosómica recesiva causada por una mutación en un gen ilamado regulador de la conductancia transmembrana de la fibrosis quística (CFTR, cystic fibrosis transmembrana regulator), ubicado en el cromosoma 7. El producto de este gen, la proteína del canal de CIT, participa en la alteración final del moco y las secreciones digestivas, el sudor y las lágrimas. Todas las mutaciones del gen CFTR conducen al transporte epitelial anómalo de CIT que afecta la viscosidad de la secreción de las glándulas exocrinas. Casi todas las giándulas exocrinas secretan un moco de viscosidad anomala que obstruye las glándulas y sus conductos excretores

La evolución de la enfermedad está determinada, en gran medida por el grado de afectación pulmonar. Al nacimiento, los pulmones son normales. Sin embargo, la proteina del canal de CIII defectuosa en el epitelio bronquial hace que disminuya la secreción de CIII y aumente la reabsorción de Na* y agua desde la luz (fig. C19-4-1). Como resultado, el "barrido mucociliar" deja de funcionar de forma correcta y se acumula una secreción mucosa inusualmente espesa. Es probable que la lesión pulmonar se inicia por la obstrucción de los bronquiolos. La obstrucción bronquiolar ocluye las vías respiratonas y conduce a un engrosamiento de las paredes bronquiolares y a otras alteraciones degenerativas en los alvéolos. Debido a que los líquidos permanecen atrapados en los pulmones, las personas con fibrosis quística sufren infecciones frecuentes de las vías respiratorias.

CORRELACION GLÍNICA: FIBROSIS QUÍSTICA MONTINUMOIÓN

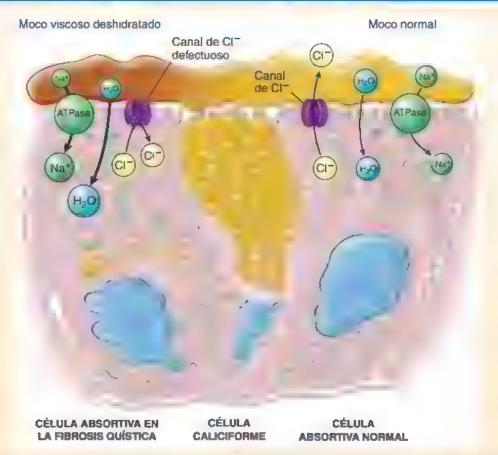


FIGURA C19-4-1. Diagrama de la fibrosis quistica. En la fibrosis quistica la secreción de aniones CIT hacia la luz del árbol bronquial esta muy disminuida debido a la falta o el mai funcionamiento de una proteina de cana de cloro La reabsorción de Na" desde la luz del árbol bronquial aumenta y provoca la entrada de agua en la celula. Como resultado la capa mucosa en el árbol bronquial se deshidrata y se torna muy viscosa. Este moco espeso esidifici de quitar mediante el mecanismo de barrido mucocular y obstruye la luz de árbol bronquial, lo cual obstaculiza el flujo de aire.

CUADRO 19-5.

CORRELACIÓN CLÍNICA: ENFERMEDAD PULMONAR OBSTRUCTIVA CRÓNICA Y NEUMONÍA

La enfermedad pulmonar obstructiva crónica (EPOC) es una afección pulmonar caracterizada por la obstrucción crónica del flujo de aire. Se han identificado vanos subtipos de EPOC, que incluyen a la bronquitis crónica, el asma obstructiva crónica y el enfisema. Sin embargo, la gravedad de la EPOC es clínicamente más importante que el reconocimiento del subtipo específico.

El enfisema es una afección pulmonar caracterizada por un agrandamiento permanente de los espacios aéreos distales al bronquiolo terminal. Este agrandamiento se acompaña de la destrucción de la pared alveolar (fig. C19-5-1a) Por lo tanto, en esta enfermedad se pierde mucha superficie originalmente destinada al intercambio gaseoso. El enfisema es relativamente frecuente, se ve en cerca de la mitad de todas las autopsias y es fácil de reconocer. El enfisema suele ser consecuencia de inhalaciones crónicas de partículas extrañas, como potvo de carbón, fibras textues y polvo de las construcciones. La causa más frecuente, sin embargo, es el hábito tabáquico

La destrucción de la pared alveolar puede estar asociada con un exceso de isis de elastina y de otras proteínas estructurales en los tabiques interalveolares. La elastasa y otras proteasas son segregadas por neutrófilos pulmonares, macrófagos y monocitos. Una enfermedad genética específica, la insuficiencia de antitripsina α_1 , causa una forma particularmente grave de enfisema en individuos tanto heterocigotos como homocigotos. Si no se trata, generalmente es letal para los individuos homocigotos, pero su gravedad puede reducirse suministrando un inhibidor de la enzima de manera exógena.

Neumonia es un término genérico para describir la inflamación del parénquima pulmonar. A menudo es producto

CORRELACIÓN CLÍNICA: ENFERMEDAD PULMONAR OBSTRUCTIVA CRÓNICA Y NEUMONÍA

de infecciones víricas o bacterianas y, con menor frecuencia, de otros microorganismos. Algunos medicamentos (inmunosupresores) y las enfermedades autoinmunitarias aumentan el nesgo de ciertos tipos de neumonía. A pesar del impacto de los antibióticos, la neumonía causada por Streptococcus pneumoniae es bastante frecuente (casi el 50% de los casos), sobre todo en adultos jóvenes y de mediana edad. Otras bacterias habituales que causan neumonía incluyen Haemophilus influenzae, Chlamydophila pneumoniae, Mycoplasma pneumoniae, Staphylococcus aureus y varios microorganismos gramnegativos. La neumonía es adquirida con mayor frecuencia por individuos sin alteraciones primarias del sistema inmunitario en un entorno comunitario (neumonía adquirida en la comunidad). Sin embargo, también puede adquintse por la propagación de la infección en un entorno hospitalario (neumonia intrahospitalaria) o como una neumonia oportunista en individuos con sistemas inmunitarios comprometidos

En la etapa más temprana de la neumonía bacteriana, un líquido rico en proteínas (que contiene numerosos microorganismos) flena los alvéolos pulmonares. El marcado engrosamiento de los capilares que rodean a los alvéolos viene seguido por una migración masiva de neutrófilos y entrocitos hacia el espacio aéreo alveolar (fig. C19-5-1b). En esta etapa, el pulmón se encuentra firme y rojo (se parece al higado), por esta razón a menudo se le denomina estadio de hepatización roja de la neumonía. En el siguiente estadio, los macrófagos fagocitan neutrófilos fragmentados, así como otros restos celulares y tisulares. Esta etapa se denomina estadio de hepatización gris, en la que la congestión disminuye pero el pulmón permanece firme. Después, el exudado atveolar es retirado, los espacios alveolares gradualmente vuelven a ilenarse de aire y los pulmones regresan a su func onamiento normal





FIGURA C19-5-1. Microfotografías de enfisema y neumonía a fin esta imagen de un corte del pulmón de una persona con enfisema se muestra la destrucción parcial de tabiques interalveolares que conduce al agrandamiento permanente de los espacios aéreos. Notese que los cambios en el parenquima pulmonar se acompanan de engrosamiento de la pared de los vasos pulmonares (fiechas) y de abundancia de cel lias dentro de los espacios aereos. Estas cel las son los macrofagos alveolares que se ven con mayor aumento en la figura 19-21, 240 · b. En esta imagen de un corte de pulmón se muestra la etapa nicial de una neumonia (ini amación de pulmón) aguda. Obsérvese que los espacios aéreos están fienos de un exudado que contrene leucocitos (sobre todo neutróficos) entrocitos y fibrina ulos capitares en el tabique interalveolar estan dilatados y congestionados con entrocitos. Los patólogos llaman estado de hepatización roja a esta etapa de la neumon a fin esta, durante el examen macroscópico. La porción afectada de pulmón aparece roja (por os capitares di atados. firme (por la fatta de espacios aereos) y pesada (por el exudado dentro de los alveolos) el termino hepatización deriva de la semelanza del tejido pulmonar afectado con el de higado. 240 · Recuadro. Parte de un alveolo visto con mayor aumento. Notese el capitar congestionado y dilatado dentro del tabique interalveolar. El espacio aéreo está fleno de neutróficos y entrocitos. En el anguto inferior derecho se ve la organización nicial del exudado intraalveolar, nótese que la red de fibrina en desarro lo contiene neutróficos y venos entrocitos que han quedado atrapados. 420 ·



SISTEMA RESPIRATORIO

FUNDAMENTOS DEL SISTEMA RESPIRATORIO

- El sistema respiratorio está compuesto por dos pulmones y una serie de vías aéreas que los comunican con el exterior.
- los comunican con el exterior.

 Las tres funciones principales del sistema respiratorio son la conducción del aire, su filtra-
- ción y el intercambio gaseoso (respiración).
 La parte superior del sistema respiratorio (cavidades nasales, senos paranasales, nasofaringe y bucofaringe) se desarrolla a partir de la cavidad bucal primitiva.
- La parte inferior del sistema respiratorio (laringe, tráquea, bronquios con sus divisiones y los pulmones) se desarrolla desde la evaginación ventral del endodermo del intestino anterior y los pulmones) se desarrolla desde la evaginación ventral del endodermo del intestino anterior.
- La porcion conductora del sistema respiratorio incluye la porción superior del sistema respiratorio, la laringe, la traquea, los bronquios y la mayoria de los bronquiolos (hasta los bronquiolos terminales)
- La porcion respiratoria consiste en los bronquiolos respiratorios, los conductos alveolares, los sacos alveolares y los alvéolos.

CAVIDADES NASALES

- Las cámaras pares de las cavidades nasales se dividen en vestíbulos (entrada a las cavidades nasales), regiones respiratorias y regiones offatorias.
- La region respiratoria esta revestida por una mucosa respiratoria que contiene epitelio cilíndrico seudoestratificado ciliado
- El epitelio respiratorio se compone de células cilindricas alargadas con cilios (para mover las secreciones y otras partículas en la superficie de la mucosa), células caliciformes (mucosecretoras), células en cepillo (para la inervacion sensitiva), células de gránulos pequenos (células enteroendocrinas para la secreción de hormonas y citocinas) y células basales (células madre).
- La mucosa respiratoria cahenta, humedece y filtra el aire inspirado. Posee una red vascular extensa en la lámina propia, así como abundantes glándulas secretoras de mucosa y serosa.
- La región olfatoria, ubicada en el techo de la cavidad nasal, esta revestida por un epitelio olfatorio seudoestratificado sin células caliciformes.
- El epitelio offatorio se compone de células de receptores offatorios (neuronas bipolares), células de soporte, células en cepillo y células basales.
- Las células de receptores offatorios poseen culos apicales inmóviles con los receptores acoplados a la proteina G que participan en la vía de transducción olfatoria.
- Las glandulas olfatorias (glandulas de Bowman) son una característica distintiva de la mucosa olfatoria.

FARINGE Y LARINGE

- La faringe es una continuación posterior de las cavidades bucal y nasal. Es el paso del alimento hacia el esofago y del aire hacia la laringe.
- La laringo es la conexión entre la faringe y la tráquea. Contiene plioguos vocalos que controlan el flujo de aire a traves de la laringe y vibran para productir sonido.
- La laringe está revestida por la mucosa respiratoria, con excepcion de la superficie luminal de las cuerdas vocales, mismas
 que están cubiertas por un epitello plano estratificado.

TRAQUEA

- La tráquea se extrende desde la laringe basta el mediastino, donde se divide en dos bronquios principales (primarios).
- La pared de la traquea consiste en cuatro capas mucosa (compuesta por un epitelio seudoestratificado ciliado sobre una membrana basal gruesa), submucosa (tejido conjuntivo denso irregular), cartilago (cartilagos hialinos con forma de "C") y adventicia (que adhiere la tráquea a las estructuras contiguas).

BRONQUIOS Y BRONQUIOLOS

- La traquea se divide en bronquios principales (primarios) derecho e izquierdo que se introducen en los pulmones y se dividen consecutivamente hasta terminar en los bronquiolos.
- Los bronquios estan revestidos por mucosa respiratoria con la misma composicion celular que la de la traquea. Poseen
 placas cartilaginosas y una capa circular de músculo liso.
- Los bronquiolos son ramas de los bronquios segmentarios que tienen un diámetro de 1 mm o menos y no poseen placas cartilaginosas ni glándulas.
- Los bronquiolos terminales conductores mas pequenos estan revestidos por un epitelio cúbico simple que contiene células de Clara. Estas celulas producen un agente surfactante (tensoactivo) que previene el colapso de las vías respiratorias.
- Los bronquiolos respiratorios son la primera parte del arbol bronquial que permite el intercambio gaseoso

ALVÉDLOS

- El bronquiolo respiratorio se divide en conductos alveolares, que conducen a los sacos alveolares rodeados por cumulos de alvéolos.
- Los alvéolos son los espacios aereos terminales del sistema respiratorio. Sus tabiques son el sitio donde ocurre el intercambio gaseoso entre el aire y la sangre.
- El epitelio alveolar se compone de células alveolares de los tipos 1 y II (neumocitos) con algunas celulas en ceptilo.
- Las células alveolares tipo I son celulas planas muy delgadas que recubren el 95% de la superficie alveolar y forman la barrera entre el espacio aéreo y la pared septal.
- Las células alveolares tipo II son celulas secretoras que producen y secretan surfactante, el cual disminuye la tensión super ficial alveolar. Frenen cuerpos laminares característicos que se pueden observar con el microscopio electronico.
- El tabique interalveolar es el suto donde esta la barrera hernatogaseosa. Se compone de una capa delgada de surfactante, celulas epiteliales tipo 1 y celulas endoteliales capilares, ambas con su lamina basal. A menudo, esas dos láminas basales se fusionan.
- Los macrofagos alveolares y septales estan presentes en los espacios aéreos alveolares y en el tejido conjuntivo septal, respectivamente.

IRRIGACIÓN, INERVACIÓN Y DRENAJE LINFÁTICO

- Los pulmones tienen circulación tanto pulmonar como bronquial
- La circulación pulmonar lleva sangre a través de las ramas de la arteria pulmonar hasta la red de capilares que rodean los
 alveolos para su oxigenación. La sangre es recolectada por capilares venosos pulmonares que generalmente conforman las venas
 pulmonares.
- La circulación bronquial, a traves de las arterias bronquiales, irriga las paredes de los bronquios, los bronquiolos y al resto del rejido conjuntivo pulmonar.
- Los nervios autonomos siguen las ramas de las artenas pulmonares e inervan el musculo liso de los vasos sanguineos, el árbol bronquial y la mucosa respiratoria.
- Un drenaje linfático pulmonar doble establece un paralelismo con la irrigación sanguinea doble. Cerca de los bronquios de mayor calibre suele haber acumulación de tejido linfático asociado a los bronquios (BALT) y ganglios linfáticos.

LÁMINA 69 MUCOSA OLFATORIA

La mucosa offatoria se encuentra en el techo y en parte de las paredes de la cavidad nasal. Su epitelio seudoestratificado es más grueso que el epitelio no sensitivo y actua como receptor del offato. El epitelio olfatorio consista en células offatorias, de soporte, basales y en cepillo.

Las células olfatorias son neuronas bipotares. La región apical de la célula está expandida en una vesícula olfatoria desde la cual se extienden cilios inmóviles, que son los verdaderos receptores, hacia las secreciones superficiales. La región celular basal se adelgaza para formar una prolongación axónica que se introduce en la lámina propia y se une a los axones de otras células receptoras para formar el nervio olfatorio. Las células de Schwann, grandes y cubicas, son una característica destacada de estos axones que le confiere al nervio un aspecto poco habitual.

Las células de soporte son células cilindricas con microvellosidades apicales. Se adhieren a las células de receptores offatorios a través de las uniones adherentes y proporcionan soporte mecánico y metabolico. Las células basales son células madre desde las cuales, por diferenciación, se crean células offatorias y células de soporte. Las células en cepillo corresponden al mismo tipo celular que se produce en el epitelio respiratorio no sensitivo.

La lámina propia está en contiguidad directa con el periostio. Contiene gran número de vasos sanguineos y linfáticos, nervios amielinicos y mielínicos, así como glándulas olfatorias. Estas son glandulas tubuloalveolares serosas cuya secreción acuosa sirve como trampa y solvente para las sustancias odoriferas y, además, lava continuamente la superficie olfatoria.



Mucosa olfatoria, cavidad nasal, humano, Azan. 75×.

Microfotografía de orientación con poco aumento: parte de la pared de la cavidad nasal. Se señalan la **mucosa offatoria** (MO), el hueso etmoides (HE) adyacente y el seno etmoidal (SE)

La mucosa olfatoria está adhenda de forma directa al tejido óseo; no hay submucosa. Sin embargo, en esta muestra, la mucosa se separa del tejido óseo debido a la retracción, un artificio de técnica muy frecuente. El **epitelio olfatorio** (EpO) es seudoestratificado, como el epitello respiratorio; sin embargo, generalmente es trás grueso. Nótese el **apitello respiratorio** (EpR) incluido en la parte inferior derecha de la imagen. La caracteristica más útil para identificar la mucosa olfatoria es la abundancia de nervios (N) amiebnicos grandes y de **glándulas olfatorias** (**de Bowman**) (GB) en el tejido conjuntivo de la mucosa. También se pueden observar algunos vasos sanguneos (arterias [A] y venas). Obsérvese que la mucosa respiratoria adyacente carece de nervios y tiene escasez relativa de glándulas.



Mucosa olfatoria, cavidad nasal, humano, Azan, 375×.

A mayor aumento es posible distinguir de modo general los tres tipos de células principales del epitelio olfatorio, esto de acuerdo con su aspecto y ubicación nuclear, así como por cierras carac-

porte (CS) son un poco más densos y se encuentran más cerca de la superficie epitelial. Están dispuestos en una sola capa discreta. La célula de soporte tiene forma cilindrica y se extiende desde la membrana basal a través de todo el espesor del epitelio. Justo debajo de esta capa están los cuerpos celulares de las células de receptores oifatorios (CRO). Se encuentran a diversas profundidades dentro del espesor del epitelio. La exploración minuciosa de los núcleos de estas células neuronales bipolares permite comprobar que contienen más eucromatina que los núcleos de las células de soporte y, a menudo, exhiben varios nucléolos. En esta muestra, los nucléolos aparecen como pequeños corpúsculos redondos y rojos. En algunos casos, en particular cuando hay retracción, se puede observar la prolongación dendrítica adelgazada que se

extiende hacia la superficie olfatoria. Del mismo modo, a veces puede distinguirse una prolongación axónica en la región basal. Las **cétulas basales** (CBat), que son las menos abundantes entre los tipos celulares principales, se caracterizan por núcleos redondos pequeños y citoplasma escaso. Están espaciadas de forma irregular y se encuentran en la proximidad de la membrana basal Nótese que la mucosa olfatoria, a diferencia de la mucosa respiratoria, carece de cétulas caliciformes.

La **lámina propia** contiene muchos vasos sanguíneos (capilanes [Cap] y venas [V]) y linfáricos, nervios olfatorios (N) y glandulas olfatorias (de Bowman) (GB). Las **glándulas de Bowman** son estructuras tubulnalveolares ramíficadas. Tienen una luz muy pequeña (flechar). Los conductos encretores se extienden desde la porción secretora de la glándula (desde muy cerca del epitelio suprayacente, punta de flecha) y atraviesan directamente el epitelio para verter sus secreciones en la superficie. Los conductos son muy cortos, lo que dificulta su identificación. Las delgadas evaginaciones axónicas (EA) de las células olfatorias a veces son vinhles en la lámina propia antes de ser envueltas por las células de Schwann para formar los prominentes nervios olfatorios. Los micleos observables en los nervios olfatorios pertenecen a las células de Schwann (CSch)

A, artena

Cap, capilar

CBas, células basales

CRO células de receptores olfatorios

CS células de soporte

CSch, núcleos de células de Schwann

EA, evaginación axónica

EpR, epitelio olfatorio EpR, epitelio respiratorio

GB glandulas de Bowman

HE hueso etmo des

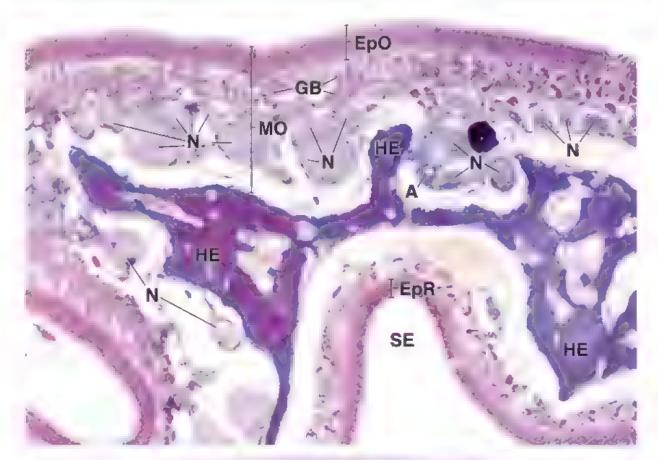
MO, mucosa olfatona

N, nervios olfatorios

SE, seno etmoidal

V, vens

flechas, luz de las glandulas de Bowman punta de flecha, conducto de una glandula de Bowman que se introduce en el epitelio



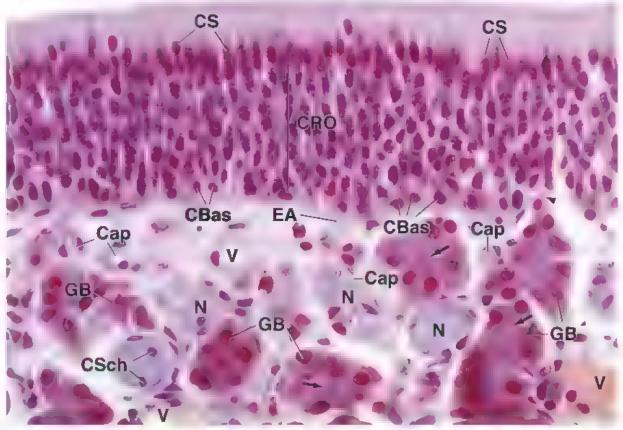


LÁMINA 70 LARINGE

La laringe es la parte de las vias respiratorias ubicada entre la bucofaringe y la tráquea que interviena en la fonación. Consiste en un esqueleto cartilaginoso al cual están unidos los músculos intrínsecos y extrinsecos, así como una superficie mucosa que cambia las características de su epitello, desde seudoestratificado en la vía aérea hasta plano estratificado en las regiones sometidas a la abrasión por la corriente de aire. Los musculos mueven algunos cartilagos y, al hacerlo, aumentan o disminuyen la abertura de la glotis e incrementen o reducen la tensión de los pliegues vocales (cuerdas). De esta manera, se generan vibraciones de diferentes longitudes de onda en el aire que pasa y se produce el sonido.



Laringe, simio, H&E, 15×.

Los pliegues vocales son estructuras con forma de crestas y una orientación anteroposterior (ventral-dorsal). En los cortes frontales, los pliegues vocales (PVa) se seccionan en sentido transversal, dando la apariencia aquí observada. Los dos pliegues

vocales y el espacio que hay entre ellos constituyen la gloris. Justo por encama de cada pliegue vocal hay una cavidad alargada llamada ventriculo (Ven), y

por encima del ventriculo hay otro pliegue llamado pliegue ventricular (PVe) o, a veces, cuerda vocal falsa. Por debajo, y laterales a los pliegues vocales, están los músculos vocales (MV). Dentro del pliegue vocal hay una cantidad considerable de material elástico, aunque no suele ser visible en los preparados de rutina teriudos con H&E. Este material elastico es parte del ligamento vocal. Se encuentra en dirección anteroposterior dentro del pliegue vocal y desempeña un papel importante en la fonación



Pliegues ventricular y vocal, laringe, simio, H&E, 160×.

Las superficies de los pliegues vocales ventriculares, dentro del rectángulo I de la figura de arriba, se muestran aquí a mayor aumento y con una rozación de 90° en el sentido de las agujas del

reloj. En la parte medial, ambos pliegues están revestidos de epitelio plano estratificado (EPe). Ahí el contacto entre las superficies es considerable. Lateralmente, las superficies constan de un epitelio cilindrico estratificado (ECc). El contacto entre estas superficies causa menos desgaste. En la lámina propia de la mucosa de la laringe hay glandulas pequeñas (GL).



Cavidad infragiótica, laringe, simio, H&E, 160×.

Aqui se muestra con mayor atimento el contenido del rectangulo 2 de la microfotografia de arreba. Esta región de la laringe, situada por debajo de los ventrículos y la hendidura glótica, se comunica con la

tráquea y recibe el nombre de canidad infraglática. En ella es visible la transición entre el epitelio plano estratificado (EPr), con sus células superficiales aplanadas, y el epitelio cilíndrico estratificado (ECe), con sus células superficiales alargadas. La lámina propia está formada por tejido conjuntivo que contiene glándulas (GL)



Cavidad infraglotica, laringe, simio, H&E,

Justo debajo de la porción de la latinge que se muestra en la microfotografia de arriba, el revestimiento epitelial de la cavidad infraglotica de la laringe cambia de nuevo para conventisse en epitello

cilíndrico seudoestratificado (ECSe) y cihado. Observense las columnas de citoplasma que indican claramente la estirpe cilindrica de las células superficiales. En la parte superior de la figura, el epitelio es cilindrico estratificado y en la parte inférior es cilindrico seudoestratificado. Esta distinción es difical de hacer

con el examen de una sola muestra, como la que ae ve aqui, y se necesita mayor información para lograrla. La información adicional es la presencia de cilios en el epitelio cilindrico seudoestratificado, pues este epitelio es tipicamente ciliado Aunque no sea evidente en las microfotografías, debe tenerse en cuenta que el epitelio cilindrico estratificado tiene una distribución muy limitada y suele estar entre epitelio plano estratificado y algunos otros tipos epiteliales (p. ej., cilindrico seudoestratificado [aquí] o cilíndrico simple en la unión anomectal, lám. 64). La lámina propia es un rejido conjuntivo celular laxo y contiene también algunas glándulas (GL).

ECe, epitelio cilindrico estratificado ECSe, epitelio cilindrico seudoestratificado EPe, epitelio plano estratificado

MV, múseulo vocal

GL, glándulas

PVe, pliegues ventriculares

PVo, pliegues vocales Ven, ventriculos



LÁMINA 71 TRÁQUEA

La tráquea es un tubo corto de unos 2.5 cm de diámetro y unos 10 cm de longitud. Se extiende desde la laringe hasta más o menos la mitad del tórax, donde se divide en dos bronquios principales (bronquios primarios). Su función principal es la de servir como un conducto para el aire. La luz de la tráquea se mantiene abierta por medio de una serie de cartilagos hialinos en forma de "C" que se apilan uno encima de otro para formar una estructura de soporte. Tejido fibroelástico y musculo liso (el músculo traqueal) rellenan la brecha entre los extremos libres de los cartilagos en el borde poste-

nor de la tráquea, contigua al esofago. La tráquea y los bronquios primarios están revestidos por el epitelio típico de las vias respiratorias (cilindrico seudoestratificado ciliado)

Al introducirse en los pulmones, los bronquios primarios se ramifican de inmediato para dar lugar a los bronquios lobulares (bronquios secundarios) que abastecen los dos lóbulos del pulmón izquierdo y los tres lóbulos del pulmón derecho. En el pulmón, los cartilagos en forma de "C" son sustituidos por una cubierta de placas cartilaginosas (a veces superpuestas) que rodes completamente los bronquios.



Traquea, humano, H&E, 90×.

Microfosografía con poco aumento de la pared posterior de la tráquea humana; se muestra el **epitelio cilindrico seudoestratificado ciliado** (ECS) sobre una **membrana basal** (MB) buen desarrollada. La membrana basal, que consiste en fibras

de colágeno finas y compactas, es en realidad una capa reticular inusualmente gruesa y densa y, por lo tanto, es parte de la lamina propia. Es particularmente evidente en la tráquea humana y puede engrosarse por artifación crônica, como ocurre

con los fumadores. En el epitelio respiratorio se pueden observar abundantes células caliciformes (CC) en forma de espacios ovosdes claros. Bajo este epitelio hay una lámina propia (LP) delgada y una submucosa (SubM) gruesa y densa. Hay glandulas seromucosas (GL) a ambos lados del músculo traqueal (MT), que es una banda de tejido muscular liso que rellena la brecha entre los extremos posteriores de los cartilagos traqueales en forma de "C" (no ilustrados) que sirve para separar la tráquea del esófago. El tejido actiposo (Adi) también está presente en la submucosa entre el esófago y la tráquea.



Tráquea, humano, H&E, 65×.

En esta microfotografía se muestra la pared de la tráquea a la altura de un extremo del carollago traqueal (CT) con forma de "C". La porción del apitelio cilindrico seudoestratificado ciliado (ECSc) no presenta tantas celulas calculormes como la

figura anterior. Sin embargo, la **membrana basal** (MB) es evidente, como lo son la **lárnina propia** (LP) muy celular y la **submucosa** (SubM) de la

tráquea. Una vez más, las glandulas seromucosas (GL) son evidentes por debajo de la submucosa. Los extremos de los haces del músculo traqueal (MT) están situados hacia la linea media, posteriores con respecto a las glándulas. Un pequeño nódulo linfánco (NL) se encuentra junto al extremo de uno de los haces. En el trijido conjuntivo que se localiza entre el músculo traqueal y la pared del esófago (no mostrado en esta imagen), hay una cantidad importante de tejido adiposo (Adt).



Tráquea, humano, H&E, 250×; recuadro 500×.

En essa microforografia de la pared traqueal vista con mayor aumento y en el detalle, los cilios del **epitelio cilindrico seudoestratificado ciliado** (ECSe) se identifican muy bien, al

igual que la linea densa formada por los cuerpos basales (CuB) de los cílios (Ci) en el ciroplasma apical de las células epiteliales. Las **células caliciformes**

(CC) se reconocen con facilidad, y el desplazamiento de su nucleo aplanado (N) hacia la base de la célula es evidente. El espesor y la densidad de la **mornbrana** basal (MB) son más fáciles de apreciar aquí que con el menor aumento de las otras imágenes. En el centro de la submucosa se observa una vénula (V) que contiene "fantasmas" de eritrocisos; también hay algunas células inflamatorias (Cin), probablemente linfocitos, junto a la vena y dispersos en la submucosa, pero con mayor densidad en la lámina propia. En el extremo inferior de la imagen se ven apenas algunas partes de las glándulas seromucosas (GL)

Adi, tejido adiposo CC, células caliciformes

CE, cilios

Cin, células inflamatorias CuB, cuerpos basales

CT, cartilago traqueal

ECSc, epitelio cilíndrico seudoestratificado ciliado

GL, glándulas LP lámina propia

MB, membrana basal

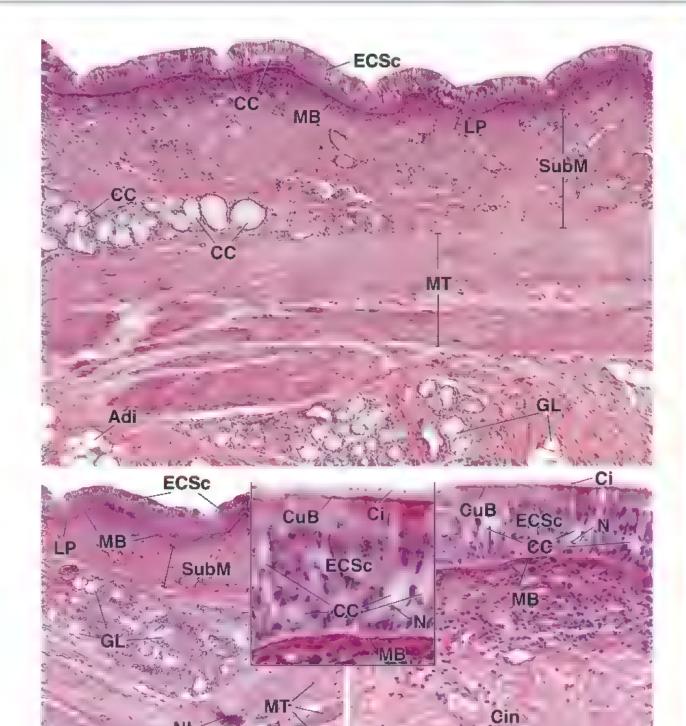
MT músculo traqueal

N, nucleo de cétula caliciforme

NL, nódulo linfático

SubM, submucosa

V, vena



Adi

GL

LÁMINA 72 BRONQUIOLOS Y VÍAS AÉREAS TERMINALES

El bronquio primario que entra en cada pulmón se divide en bronquios secundarios y terciarios más pequeños. A medida que los bronquios se vuelven más pequeños, algunos componentes de la pared desaparecen o se reducen en cantidad. Por último, la vía respiratoria adquiere caracteristicas muy diferentes de las de un bronquio y comienza a llamarse bronquiolo. Las caracteristicas que distinguen a los bronquiolos son la falta de cartilago, la pérdida de las glándulas submucosas y la desaparición gradual de las células caliciformes. El epitello cambia de cilindrico seudoestratificado a cilindrico simple ciliado e, incluso, algunas células cilindricas carecen de cilios. El musculo liso ocupa una porción relativamente mayor en la pared bronquiolar respecto a la pared bronquial.

Los bronquiolos de conducción de diámetro más pequeno, los bronquiolos terminales, están revestidos por un epitelio cúbico simple citiado que entre las células citiadas tiene células de Clara, las cuales secretan un agente surfactante (tensoactivo) que impide la adhesión luminal de las paredes bronquiolares durante la espiración. Los bronquiolos respiratorios son la primera parte del árbol bronquial que permite el intercambio gaseoso. Los bronquiolos respiratorios constituyen una zona de transición en la que se producen tanto conducción de aire como intercambio gaseoso. Las evaginaciones dispersas de paredes delgadas que emite el bronquiolo respiratorio reciben el nombre de alvéolos, que son las estructuras en las que se produce el intercambio gaseoso entre el aire inspirado y los capilares sanguineos.

Ŏ.

Bronquiolo, pulmones, humano, H&E, 75×

Aquí se muestra un **bronquiolo** (B) tipico. A su lado siempre hay vasos sanguíneos (VS) Las características principales de la pared bronquiolar muy evidentes en la imagen son los haces de músculo liso (ML) y el epitelio de revestimiento (que se observa con mayor aumento en la lám. 73). Un aumento mayor mostraría que el epitelio es ciliado La cantidad de rejido conjuntivo es mínuma, y con tan poco aumento no es visible. Sin embargo, está presente y separa el músculo en haces (la capa muscular no es una capa única y continua). El tejido conjuntivo contiene colágeno y algunas fibras elásticas. No hay glándulas en la pared del bronquiolo. A su alrededor hay espacios aéreos o alvéolos que conforman la mayor parte del pulmón.



Bronquiolo terminal y bronquiolos respiratorios, pulmón, humano, H&E, 75×.

En esta microfotografía puede vense el corre longitudinal de un segmento corto de bronquiolo (B) que se ramifica en dos **bronquiolos respiratorios** (BR). La última porción de un bronquiolo,

que se dividirá en bronquiolos respiratorios, se denomina bronquiolo tarminal. No participa en el intercambio entre aire y sangre; sin embargo, los bronquiolos respiratorios sí participan en dicho intercambio. Las fleches marcan el lugar donde finaliza el bronquiolo terminal. No es raro encontrar cartilago (Cur) en la pared bronquiolar, donde se produce la ramificación. Junto al bronquiolo hay vasos sanguineos (VS) y un nódulo de linfocitos (Lin).

El bronquiolo respiratorio tiene una pared formada por dos componentes: uno consiste en recesos con una pared similar a la de los alveolos y, por lo tanto, capaz de intercambiar gases; el otro tiene una pared formada por células cubicas pequeñas que parecen estar apoyadas en un pequeño haz de material eosinófilo Este es el musculo liso rodeado por una delgada cubierta de tejado conjuntivo. Ambos componentes se aprecian con mayor aumento en la lámina 73



Alvéolos, pulmones, humano, H&E, 75×.

El componente más distal de la vía respiratoria es el alvéolo. Los grupos de alvéolos que comparten una abertura común reciben el nombre de **saco alveolar** (SA). Los alvéolos que forman un

nubo se denominan **conductos alveolares** (CA). La superficie emerior del tendo pulmotrar es la serosa (S); consiste en un revestimiento de células mesote-liales apoyadas sobre una pequeña cantidad de rejido conjuntivo. Esa es la capa que los anatomistas llaman **pleura visceral**

no

B, bronquiolo

BR, bronquiolo respiratorio

CA, conducto alveolar

Car, cartilego

Lin, nódulo de linfocitos

ML, musculo liso

S, serosa

SA, saco alveolar

VS, vasos sanguineos

flechas, final del bronquiolo terminal

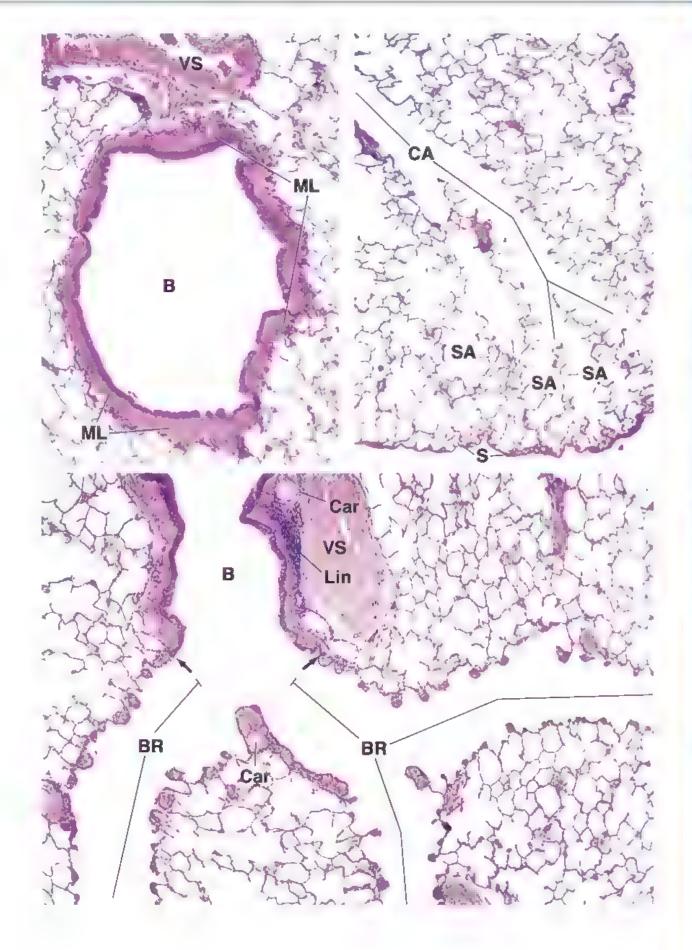


LÁMINA 73 BRONQUIOLO TERMINAL, BRONQUIOLO RESPIRATORIO Y ALVÉOLOS

Los bronquiolos respiratorios continuan dividiendose para formar los conductos alveolares, vias respiratorias cuya pared está compuesta por hileras de alvéolos que tienen anillos de músculo liso, con aspecto de rodetes, en los tabiques interalveolares. Los conductos alveolares terminan en sacos alveolares, espacios grandes rodeados por cúmulos de alvéolos que se abren a estos espacios. Los alvéolos están revestidos por células alveolares tipo i, células planas muy delgadas que cubren alrededor del 95% de la superficie alveolar, así como células alveolares tipo ii, células cúbicas que

secretan surfactante (tensoactivo), que diaminuye la tensión superficial en la frontera entre el aira y el epitello. El tejido que hay entre los alvéolos adyacentes se denomina tabique interalveolar. Está formado por células epitellales alveolares y su lâmina basal, la lámina basal del endotello capilar subyacente y las células endotellales mismas, así como cualquier otro elemento de tejido conjuntivo que pudiera encontrarse entre las dos láminas basales. El tabique interalveolar es el sitio donde está la barrera hematogaseosa

3

Bronquiolo terminal, pulmón, humano, H&E, 550×.

Aqui se muestran las caracteristicas histològicas de la pared bronquiolar terminal. El epitelio ciliado se extiende desde la parte superior de la figura hasta el indicador con forma de rombo. Este es o ciliado (ECS). Todorio

un **epitelio cilíndrico seudoestratificado ciliado** (ECSc). Todavia hay algunas células basales, de allí la designación de seudoestratificado. En otras partes, el epitelio puede ser cilíndrico simple ciliado, sin embargo, justo antes de convertirse en un bronquiolo respiratorio, puede incluir células cúbicas o semicilindricas no ciliadas. Estas células no ciliadas son **células de Clara** (*CCI*) más allá del indicador con forma de rombo. Las células de Clara producen un agente surfactante que contribuye a la expansión de los pulmones. El músculo liso (MI) de la pared bronquiolar se organiza en haces, otras células bajo el epitelio y alrededor del músculo liso perrenecen al tejido conjuntivo



Bronquiolo respiratorio, pulmón, humano, H&E, 550×.

Aquí y en la figura inferior inquiendo se muestra la pared de un bronquioto respiratorio. Los alvéolos (Alv) son los espacios aéreos terminales que se aprecian a la izquiendo en ambas

figuras. La luz del bronquiolo respirarorio está a la dereche. Por lo general, la pared del bronquiolo respiratorio consiste en regiones alternadas gruesas y del-

gadas. Las regiones gruesas son similares a la pared del bronquiolo, excepto que su superficie está formada por células de Clara cúbicas y no por células epiteliales cilindricas. Por lo santo, como se observa aquí, las **células de Clara** (*CCl*) son las células que recubren la superficie de las regiones gruesas, y debajo de ellas hay haces de músculo liso (*ML*) con una pequeña cantidad interpuesta de rejido conjuntivo. Las regiones delgadas son semejantes a la pared alveolar; esto se considera más adelante



Bronquiolo respiratorio, pulmón, humano, H&E, 550×.

E. bronquiolo respiratorio que se muestra en esta imagen es un poco más distal que el de la imagen superior derecho. Desde

un punto de vista estructural, la pared del bronquiolo respirarorio está rodeada por alvéolos (Alv.) y muestra esencialmente idénticas características a las que se observan en la imagen superior derreha, excepto que hay menos células de Clara y los haces de musculo liso (ML) son un poco más delgados.



Alvéolos, pulmón, humano, H&E, 800×.

El componente central de la pared alveolar es el **capilar** (Cap) y en ciertos lugares existe tripdo conjuntivo asociado. A cada lado, donde encara los alvéolos (Alv), entre el capilar y los espacios aereos se interpone una célula plana. Se trata de un **neumocito**

tipo I. En algunos sitios, la célula tipo I está separada de la célula endotelial capilar por una sola lámina basal compartida por las dos células. Esta es la porción delgada del complejo alveolo-capilar, que se aprecia claramente en la parte superior de la figura (flechas). El intercambio gaseoso se produce a través de la

porción delgada del complejo alvéolo-capilar. Por otra parte, el tejido comjuntivo se interpone entre el neumociro tipo I y la célula endotelial del capilar, cada una de estas células epiteliales conserva su propia lámina basal.

Un segundo tipo de celula, la célula del tabique (CT) o **neumocito** tipo II, también recubre el espacio aéreo alveolar. Esta célula tiene forma tips-camente redonda (en lugar de aplanada) y su núcleo está rodeado por una notable cantidad de citoplasma, parte del cual puede ser claro. La célula del tabique produce un agente surfactante diferente del de la célula de Clara, que también permite que el pulmón se espanda

Alv, alvéolo Cap, capilar

CCI, cé ula de Clara

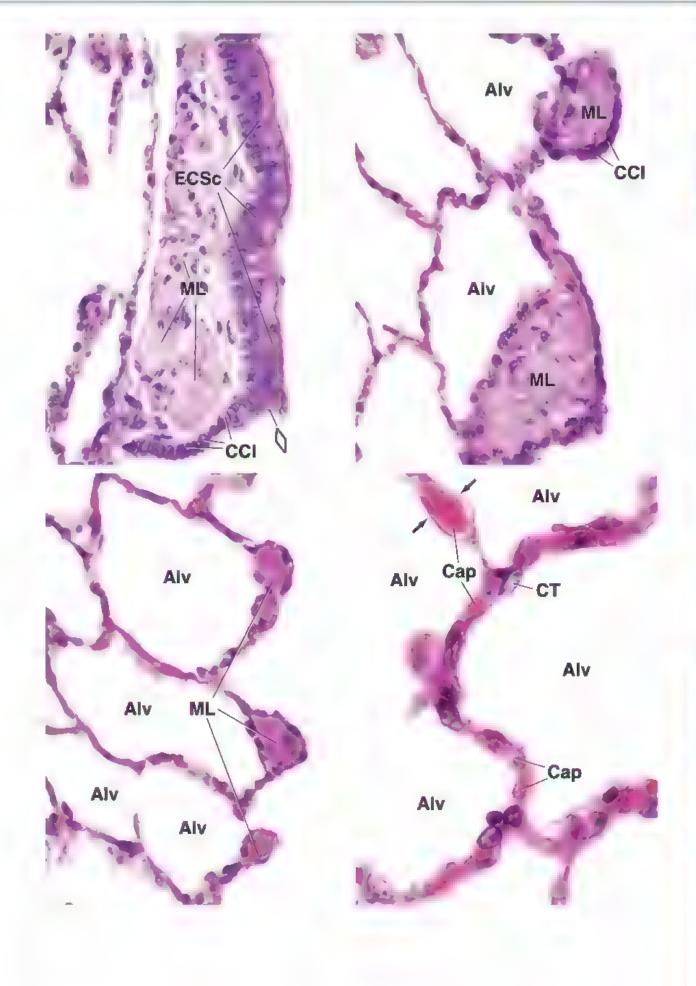
CT, célula del tabique (neumocito tipo II)

ECSc, epitelio cilindrico seudoestratificado ciliado

ML, músculo liso

flechas, porción delgada del complejo alvéolo-capitar

rombo, transición de epitelio cilíndrico seudoestratificado a cérulas de Clara



20 APARATO URINARIO

FUNDAMENTOS DEL APARATO URINARIO / 740 ESTRUCTURA GENERAL DEL RIÑÓN / 741

Cápsula / 741

Corteza y médula / 742

Lóbulos y lobulillos renales / 743

Nefrona / 743

Conductos colectores / 746

Aparato de filtración del riñón / 747

Mesangio / 752

Aparato yuxtaglomerular / 753

FUNCIÓN TUBULAR RENAL / 756

Tubulo contorneado proximal / 756

Túbulo recto proximal / 758

Segmento delgado del asa renal (de Henle) / 758

Tubulo recto distal / 759

Túbulo contorneado distal / 760

Tubulo conector / 760

Conductos colectores corticales y medulares / 760

CÉLULAS INTERSTICIALES / 761

HISTOFISIOLOGÍA DEL RIÑÓN / 762

IRRIGACIÓN SANGUÍNEA / 763

VASOS LINFÁTICOS / 765

INERVACIÓN / 765 URÉTER, VEJIGA Y URETRA / 766

Ureteres / 768

Vejiga / 768

Uretra / 769

Cuadro 20-1 Consideraciones funcionales: riñón v vitamina D / 741

Cuadro 20-2 Correlación clínica: glomerulonefritis inducida por anticuerpos antimembrana basal glomerular (sindrome de Goodpasture) / 754

Cuadro 20-3 Correlación clínica: sistema renina angiotensina-aldosterona e hipertensión / 755

Cuadro 20-4 Correlación clínica: uroanálisis (examen general de orina) / 756

Cuadro 20-5 Consideraciones funcionales: estructura y función de los canales de acuaporina / 762

Cuadro 20-6 Consideraciones funcionales: regulación de la función del conducto colector por la hormona antidiurética / 763

HISTOLOGIA 101 / 770



■ FUNDAMENTOS DEL APARATO URINARIO

El aparato urmano está compuesto por los dos riñones; los dos urétores, que conducen la orina desde los riñones hasta la vejiga, y la uretra, que transporta la orina desde la vejiga hacia el exterior del organismo.

Los riñones desempeñan un papel importante en la homeostasis corporal mediante la conservación de líquidos y electrólitos, así como la eliminación de desechos metabólicos.

Al igual que los pulmones y el hígado, los riñones recuperan biomoléculas esenciales y eliminan desechos. Para mantener la homeostesis, los riñones conservan agua, electrólitos y algunos metabolitos. Estos son indispensables para mantener el pH plasmático constante regulando el equilibrio acidobásico; lo antenor se logra mediante la excreción de iones hidrógeno cuando los líquidos corporales se tornan demastado ácidos o con la excreción de bicarbonato cuando los líquidos corporales se vuelven muy alcalmos. Los riñones desempeñan un papel importante en la regulación y el mantenimiento de la composición y el volumen del líquido extracelular. Los productos de desecho metabólicos se excretan desde las células hacia la circulación y después, en los riñones, se eliminan de la sangre por filtración y excreción en la orina.

Los riñones son órganos muy urugados; reciben alrededor del 25% del gasto cardíaco. La función renal tanto excretora como homeostánica comienza cuando la sangre llega al aparato de filtración en el gloméruto. Inicialmente, el plasma se separa de las células y las proteínas grandes y se obtiene un uttrafiltrado glomorutar de la sangre, la orina primaria, que las células del riñón modifican mediante

CONSIDERACIONES FUNCIONALES: RIÑÓN V VITAMINA E

A pesar de su nombre, la vitamina D es en realidad un precursor inactivo que requiere una serie de transformaciones para convertirse en la hormona totalmente activa que reguia la concentración del calcio en el plasma. En el cuerpo humano, la vitamina D proviene de dos fuentes.

- La piel, en la cual la vitamina D₃ (colecalciferol) se produce con rapidez por la acción de la luz ultraviolata sobre el precursor 7-deshidrocolesterol. La piel es la fuente principal de vitamina D₃, en especial en regiones donde los alimentos no están complementados con esta vitamina Por lo general, entre 30 min y 2 h de exposición solar al día pueden proporcionar suficiente vitamina D para cubrir las necesidades corporales dianas
- La dieta, de la cual se absorbe la vitamina D₂, asociada con quilomicrones, en el intestino delgado.

En la sangre, la vitamina D₃ se une a la **proteína fijadora** de vitamina D y es transportada hacia el hígado. La primera transformación ocurre en el parenquima hepático e implica la hidroxilación de la vitamina D₃ para formar **25-OH vitamina D₃**. Este compuesto se libera en el torrente sanguíneo, donde una segunda hidroxilación en los túbulos proximales del riñón produce la **1,25-(OH)₂ vitamina D₃ (calcitriol)**, altarmente activa. El proceso es regulado de forma indirecta por un incremento en la concentración plasmática de Ca²⁺ que desencadena

la secreción de hormona paratiroidea, o directamente mediante la reducción de los fosfatos circulantes, lo que a su vez estimula la actividad de la 1α-hidroxilasa, responsable de la conversión de la 25-OH vitamina D₃ en 1,25-(OH)₂ vitamina D₃ activa. La 1,25-(OH)₂ vitamina D₃ estimula la absorción intestinal de Ca²⁺ y fosfato, así como la movilización del Ca²⁺ de los huesos. Por consiguiente, esta vitamina es necesaria para el desarrollo y crecimiento normales de los huesos y dientes. Un compuesto relacionado, la **vitamina D₂ (ergocalciferol**), expenimenta las mismas conversiones que la vitamina D₃ y produce idénticos efectos biológicos.

Los pacientes con **enfermedades renales** (**nefropatias**) **crónicas** en etapa terminal no pueden convertir de manera adecuada la vitamina D en sus metabolitos activos, lo que conduce a insuficiencia de vitamina D₃. En los adultos, la insuficiencia de vitamina D₃ se manifiesta como alteraciones en la mineralización y reducción de la densidad ósea. Los pacientes con nefropatías crónicas (en especial aquellos sometidos a hemodiásisis renal prolongada) con frecuencia necesitan complementos de vitamina D₃ y calcio para evitar la alteración grave de la homeostasis del calcio, producto del hiperparatiriodismo secundario, una complicación habitual en este tipo de pacientes. La insuficiencia de vitamina D₃ durante la niñez causa **raquitismo**, una enfermedad deformadora de los huesos causada por alteraciones en la osificación

reabsorción selectiva y secreción específica. La orina definitiva es transportada por los uréteres hacia la vejiga, donde se almacena hasta que se elimina a través de la uretra.

La orina definitiva contiene agua y electrólitos; productos de desecho como urea, ácido úrico y creatinina; así como productos de la degradación de diversas sustancias.

El riñón también funciona como un órgano endocrino.

Las actividades endocrinas del rinón comprenden las siguientes:

- Sintesis y secreción de la hormona glucoproteínica eritropoyetina (EPO), que actúa sobre la médula ósea y regula la formación de eritrocitos en respuesta a la reducción de la concentración de oxígeno en la sangre. La EPO es sintetizada por las células endoteliales de los capilares peritubulares en la corteza renal y actúa sobre receptores específicos expresados en la superficie de las células progenitoras eritrocíticas (Er-P, erythrocyte progenitor) en la médula ósea. La eritropoyetina humana recombinante (epoetina) se utiliza para el tratamiento de la anemía en los pacientes con enfermedad renal en etepa terminal. También se emplea para el tratamiento de la anemía ocasionada por mielodepresion, como fa que desarrollan los pacientes con sida que reciben tratamiento con fármacos antirretrovirales, como la zidovudina (ZDV).
- Síntesis y secreción de la proteasa ácida renina, una enzima que interviene en el control de la presión arterial y el volumen san guíneo. La renina es producida por las células yuxtaglomerulares y escande el angiotensinógeno circulante para liberar angiotensina I (proangiotensina; véase p. 769).
- Hidroxilación de 25-hidroxicoleculciferol (25-hidroxivitamina D₂), un precursor esteroide producido en el higado, hacia su forma hormonalmente activa 1,25-dihidroxivitamina D₃. Este paso es regulado sobre todo por la hormona paratiroidea (PTH, parathyroid

hormone), que estimula la actividad de la enzima 10-hidroxilasa y aumenta la producción de la hormona activa (cuadro 20-1).

■ ESTRUCTURA GENERAL DEL RIÑÓN

Los rinones son grandes órganos rojizos con forma de haba ubicados a cada lado de la columna vertebral en el espacio retroperitoneal de la cavidad abdominal. Se extrenden desde la duodécima vertebra torácica hasta la tercera vértebra lumbar; el riñón derecho está ubicado un poco más bajo que el izquierdo. Cada riñón mide aproximadamente 10 cm de largo × 6.5 cm de ancho (desde el borde cóncavo hasta el borde convexo) × 3 cm de espesor. En el polo superior de cada riñón, incluida dentro de la fascia renal y de una gruesa capa protectora de tendo adiposo perimenal, se ubica la glándula supramenal. El borde medial del riñón es cóncavo y contiene una incisura vertical profunda denominada hillo, que permite la entrada y salida de los vasos y los nervios renales, así como la salida de la petvis renal, es decir, el segmento que posteriormente da origen al uréter, dilatado a manera de embudo. Un corte del riñón muestra la relación entre estas estructuras tal como aparecen justo por dentro del hilio en un espacio denominado seno renel (fig. 20-1). Si bien no se muestra en la ilustración, el espacio entre estas estructuras y a su alrededor está lleno de rejido conjuntivo laxo y rejido adiposo.

Cápsula

La superficie del rinón está cubierta por una cápsula de tejido conjuntivo. Dicha cápsula está compuesta por dos capas bien definidas, una capa externa de fibroblastos y fibras de colágeno, y una capa interna con un componente celular de miofibroblastos (fig. 20-2). La contractilidad de los miofibroblastos contribuiría a resistir las variaciones de volumen y presión que pueden acompañar a las variaciones en el funcionamiento renal. Sin embargo, se desconoce su

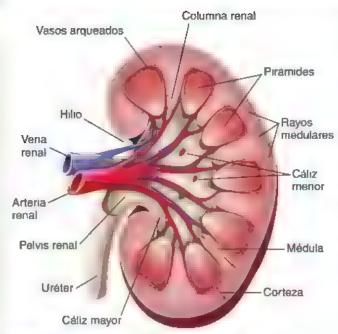
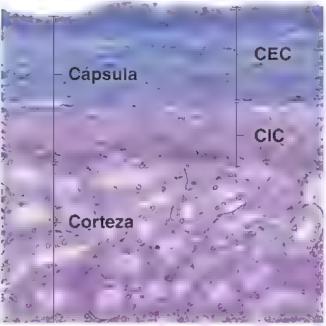


FIGURA 20-1. Diagrama de la estructura del riñón. En la imagen se ilustra la hemisección de un nñón que ravela su organización estructural

papel específico. La cápsula se introduce a la altura del hilio, donde forma el rejido conjuntivo que cubre el seno y se torna continuo con el tejido conjuntivo que forma las paredes de los cálices renales y la pelvis renal (véase fig. 20-1).



TIGURA 20-2. Microfotografía de la capsula de un rinón humano. En esta imagen de un corte teñ do con Mallory-Azan se muestra la cápsula y parte de la corteza subyacente. La capa externa de la capsula (CEC) está compuesta por tejido conjuntivo denso. Los fibroblastos en esta parte de la cápsula son relativamente escasos, sus nucleos aparecen como siluetas estrechas, alargadas y rojizas contra el fondo azul que corresponde a las fibras de colageno teñidas. La capa interna de la cápsula (CIC) está conformada por una gran cantidad de miofibroblastos, cuyos núcleos aparecen como siluetas rojizas, redondas o alargadas, según su orientación dentro del corte. Nótese que las fibras de colágeno en esta capa son bastante escasas y que los nucleos de los miof broblastos son más abundantes que los de los fibroblastos de la capa externa de la cápsula. 180×

Corteza y médula

El examen a simple vista del corte de un riñón fresco hemiseccionado permite observar que está dividido en dos regiones diferentes:

- Corteza (parte externa pardo rojiza)
- Médule (la parte interna mucho más pálida)

El color observado en la superficie del corte del riñón sin fijar es un reflejo de la distribución de la sangre dentro del órgano. Aproximadamente el 90-95% de la sangre que pasa a través del riñón está en la corteza, y solo el 5-10% está en la médula.

La corteza se caracteriza por la presencia de corpúsculos renales con sus túbulos asociados.

La corteza está compuesta por corpúsculos renales (junto con los tubulos contorneados y los túbulos rectos de la nefrona), tubulos conectores, conductos colectores y una red vascular extensa. La nefrona es la unidad funcional básica del ruión y se describe más adelante. Los corpúsculos renales son estructuras esféricas apenas observables a simple vista. Consutuyen el segmento inicial de la nefrona y contienen una red capilar singular denominada glomérulo.

El examen de un corte a través de la corteza en un ángulo perpendicular a la superficie del riñón permite observar una serie de estriaciones verticales que parecen emanar desde la médula (*véase* fig. 20-1). Esas estriaciones son los rayos medulares (de Ferrein). Su nombre alude a su aspecto, ya que las estrías parecen emanar de la médula. Desde la médula hacia la corteza se proyectan unos 400-500 rayos medulares.

Cada rayo medular es una aglomeración de túbulos rectos y conductos colectores.

Cada rayo medular contrene túbulos rectos de las nefronas y conductos colectores. Las regiones que hay entre los rayos medulares contrenen los corpúsculos renales, los túbulos contorneados de las nefronas y los túbulos conectores. Estas regiones se denominan laberintos corticales. Cada nefrona y su túbulo conector (que se comunica con un conducto colector en el rayo medular) forman el tubulo urinario.

La médula se caracteriza por túbulos rectos, conductos colectores y una red capilar especial, los vasos rectos.

Los tubulos rectos de las nefronas y los conductos colectores continúan desde la corteza hacia la médula. Están acompañados por una red capilar, los vasos rectos (vasa recta), que discurren en disposición paralela a diversos túbulos. Estos vasos conforman la parte vascular del sistema de intercambio por contracorriente que regula la concentración de la orina.

A causa de su distribución y sus diferentes longitudes, los túbuios en la medula forman en conjunto una gran cantidad de estructuras cónicas denominadas pirámides (fig. 20-3). Por lo general, el
rinón humano tiene entre 8 y 12 pirámides, pero su número puede
alcanzar hasta 18. Las bases de las pirámides están enfrentadas a
la corteza, y sus vértices apuntan al seno renal. El vértice de cada
pirámide, conocido como papila, se proyecta hacia un cáliz menor,
una estructura en forma de copa que corresponde a una extensión
de la pelvis renal. El extremo de la papila, también conocido como
área cribosa, está perforado por las aberturas de desembocadura de
los conductos colectores (fig. 20-4). Los cálices menores se unen
para formar cálices mayores y estos a su vez convergen para formar
la pelvis renal (véase fig. 20-1).

Cada pirámide está dividida en una médula externa (contigua a la corteza) y una médula interna. La médula externa se subdivide a su vez en una franja interna y externa. Estas zonas y franjas se reconocen con facilidad en los cortes sagitales de las pirámides

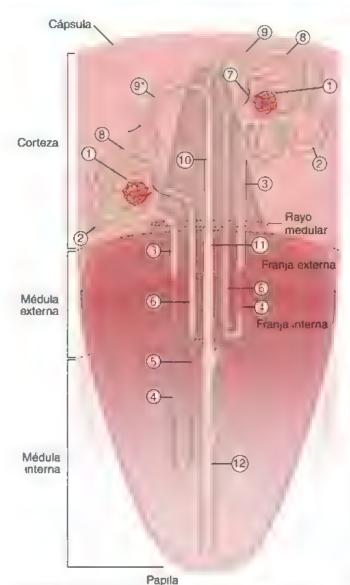


FIGURA 20-3. Diagrama de la nomenclatura estándar para las estructuras del rinón. Se muestran los dos tipos de nefrona en el riñón y sus sistemas asociados de conductos. Una nefrona de asa larga se observa a la izquierda y una de asa corta a la derecha. Se indican las posiciones relativas de la corteza, la médula, la papila y la capsula (no se illustran a escala). La región en la corteza con forma de cono invertido es un rayo medular. Las partes de la nefrona se indican con numeros. 1) corpusculo renal, incluyendo el glomérulo y la cápsula rena. (de Bowman), 2) tubulo contorneado proximal; 3) tubulo recto proximal; 4) rama delgada descendente; 5) rama delgada ascendente, 6) rama gruesa ascendente (tubulo recto distal), 7) mácula densa localizada en la porción final de la rama gruesa ascendente: 8) tubulo contomeado distal; 9) túbulo conector, 9)* tubulo de conexión de la nefrona yuxtamedular que forma un arco (tubulo conector arqueado), 10) conducto colector cortical, 11) conducto colector medular externo y 12) conducto colector medular interno (modificado de Kriz W, Bankir L. A standard nomenclature for structures of the kidney The Renal Commission of the International Union of Physiological Sciences, Kidney Int 1988;33 1-7).

de muestras frescas. Reflejan la ubicación de las diversas partes de la nefrona a diferentes niveles específicos dentro de las pirámides (véase fig. 20-3).

Las columnas renales son tejido cortical contenido dentro de la médula.

Los casquetes de rejido cortical que se ubican sobre las pirámides tienen la extensión suficiente para rodear periféricamente las caras laterales de la pirámide y así formar las columnas renales (de Bertm). Aunque las columnas renales tienen los mismos componentes que el resto del tejido cortical, se consideran parte de la médula. De hecho, la cantidad de tejido cortical es tan extensa que se "derrama" por los lados de la pirámide como si fuese una gran bola de helado que se derrite sobre los márgenes de un cono.

Lóbulos y lobulillos renales

La cantidad de tóbulos en el riñón es igual a la cantidad de pirámides medulares.

Cada pirámide medular y el rejido cortical asociado con su base y sus lados (la mitad de cada columna renal contigua) constituyen un lóbulo del riñón. La organización lobular del riñón ya es evidente en el feto en desarrollo (fig. 20-5). Cada lóbulo se refleja como una convexidad en la superficie externa del órgano, pero suele desaparecer después del nacimiento. Sin embargo, las convexidades superficiales típicas del riñón fetal pueden persistir hasta la adolescencia y, en algunos casos, hasta la edad adulta. Cada riñón humano tiene 8-18 lóbulos. Los riñones de algunos animales poseen una sola pirámide. Estos riñones se clastifican como unilobulares, a diferencia del riñón multilobular de los humanos.

Un lóbulo está compuesto por un conducto colector y todas las nefronas que drena.

Los tóbulos del riñón se subdividen adicionalmente en tobulillos, compuestos por un rayo medular central y el rejido cortical circundante (fig. 20-6 y lám. 75, p. 774). Si bien el centro o eje del lobulillo se identifica con facilidad, los límites entre los lóbulos contiguos no están claramente delineados por tabiques de tendo conjuntivo. El concepto de lobulillo tiene un fundamento fisiológico importante: el rayo medular que contiene el conducto colector para un grupo de nefronas que drenan en él constituye la unidad secretora renal. Es el equivalente de una unidad secretora glandular o lobulillo.

Nefrona

La nefrona es la unidad estructural y funcional del riñón.

La nefrona es la unidad estructural y funcional fundamental del riñón (sease fig. 20-3). Ambos riñones humanos contienen alrededor de 2 millones de nefronas. Las nefronas son responsables de la producción de orina y son el equivalente de la porción secretora de otras glándulas. Los conductos colectores tienen a su cargo la concentración definitiva de la orina y son análogos de los conductos de las glándulas exocrinas, que modifican la concentración del producto de secreción. A diferencia de lo que ocurre con la glándula exocrina típica, en la cual las porciones secretora y excretora se originan a partir de un solo brote epitelial, las nefronas y sus conductos colectores se originan a partir de primordios diferentes y solamente después se conectan.

Organización general de la nefrona

La nefrona está compuesta por el corpúsculo renal y un sistema de túbulos.

Como ya se indicó, el corpúsculo renal constituye el micio de la nefrona. Está formado por el glomérulo, un penacho de capilares compuesto por 10-20 asas capilares, rodeado por una estructura epitelial bilaminar, la cápsula renal (de Bowman). La cápsula renal es la porción micial de la nefrona, donde la sangre que fluye a través de los capilares glomerulares se filtra para producir el ultrafiltrado

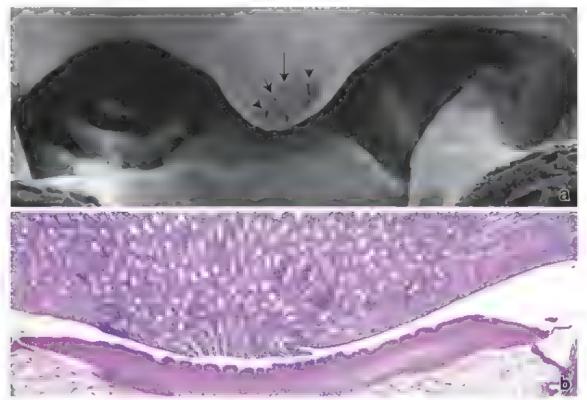


FIGURA 20-4. Papila y cátiz renales, a. Microfotografía electrónica de barrido de la estructura cónica de la papila renal que se proyecta dentro del cáliz renal. El vértice de la papila contiene or ficios (flechas) de los conductos colectores (de Bellini). Estos conductos llevan la orina desde las pirám des hacia los cáfices menores. La superficie de la papila que tiene los orriccios se denomina área cribosa. 24 × b. Microfotografía de un corte de la papila teñido con H&E. Se muestra la porción distal de los conductos colectores que se abren al cáliz menor. 120 × (cortesia de Dr. C. Craig Tisher).

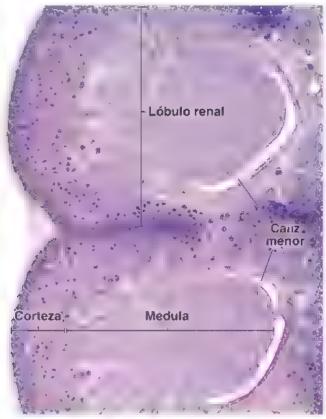


FIGURA 20-5. Microfotografia de un riñon fetal. En esta imagen de un corte de niñon fetal humano, teñido con hematoxiuna-eosina (H&E), se muestra la corteza, la médula y dos pirámides asociadas Obsérvese que cada convexidad de la superficie corresponde a un lóbulo renal. Después del nacimiento, las convexidades lobulares desaparecen y el niñon adquiere una superficie lisa 30×

giomerular. Los capilares glomerulares son irrigados por una arteriola aferente y drenados por una arteriola eferente, que después se ramifica para formar una nueva red de capilares que irriga los túbulos renales. El sitio donde la arteriola aferente entra y la arteriola eferente sale, a través de la capa parieral de la cápsula renal, se denomina polo vascular. En el lado opuesto a este sitio se encuentra el polo urinario del corpúsculo renal, donde se inicia el túbulo contorneado proximal (fig. 20-7)

A continuación de la cápsula renal, las partes restantes de la nefrona (partes tubulares) son las siguientes:

- Segmento grueso proximal, compuesto por el túbulo contorneado proximal (pars convoluta) y el túbulo recto proximal (pars recta)
- Segmento delgado, que constituye la parte delgada del asa renal (de Henle).
- Segmento grueso distal, compuesto por el túbulo recto distal (pars recta) y el túbulo contorneado distal (pars convoluta).

El tubulo contormeado distal se comunica con el conducto colector cortical, con frecuencia a través de un túbulo conector, para formar así el túbulo urinario (la nefrona más el conducto colector; véase fig. 20-3). El conducto colector cortical continúa en la médula como el conducto colector medular y drena en la papila de la pirámide renal. En la nomenclatura clínica, el conducto colector cortical, el conducto colector medular y, a veces, el tubulo conector en conjunto se denominan tubulo colector, que pone de relieve el hecho de que este segmento emerge de la confluencia de muchas nefronas. Para mayor claridad no se utilizará el término "tubulo colector" en este capitulo, ya que se puede confundir fácilmente con "tubulo conector" y no define con precisión la ubicación cortical frente a la ubicación medular del segmento descrito.

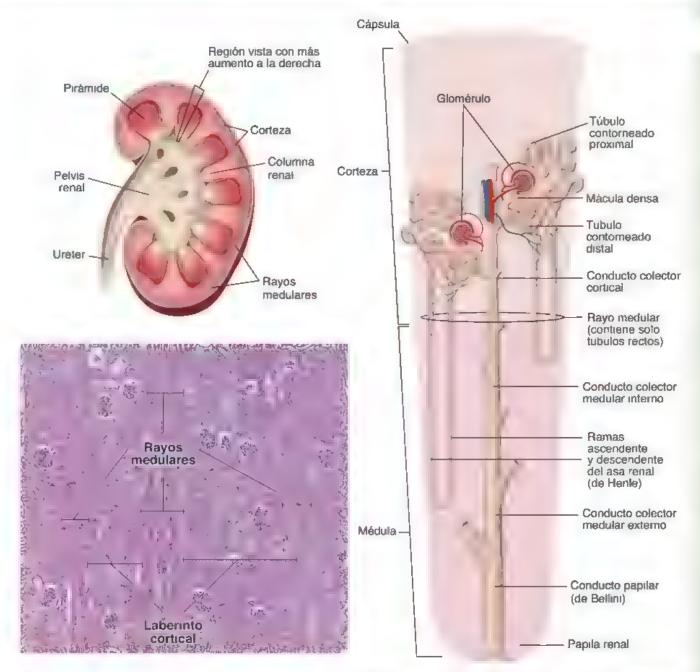


FIGURA 20-6. Diagramas y microfotografía de un rifión humano adulto. El diagrama amba a la izquierda corresponde a la hemisección de un rinón humano adulto y se incluye con fines de orientación. El diagrama a la derecha representa una porción aumentada que muestra la relación de dos nefronas y sus fubulos y conductos con la corteza y la médula. La nefrona superior una nefrona mediocortica, se extiende soio por una corta distancia dentro de la médula y posee un segmento corto y delgado en el asa renal. La nefrona inferior una nefrona yuxtamedular, posee un asa renal arga que se extiende con profundidad dentro de la medula. Ambas nefronas desembocan en los conductos colectores corticales es del rayo medular. En la microfotografía se muestra un corte de la corteza. Está organizada en una serie de rayos medulares que contienen tubulos rectos y conductos colectores corticales, entre los rayos hay laber ntos corticales que contienen corpusculos renales y sus tubu os contorneados distales y proximales asociados. Un lóbulo renal está compuesto por un rayo medular en su centro y la mitad de laberinto cortical contiguo de cada lado. 60×.

Túbulos de la nefrona

Los segmentos tubulares de la nefrona se designan de acuerdo con el trayecto que adoptan (contorneado o recto), su ubicación (proximal o distal) y el espesor de su pared (grueso o delgado).

A partir de la cápsula renal, los segmentos secuenciales de la nefrona consisten en los siguientes túbulos:

- Ribulo contomendo proximal, que se origina en el polo urinario de la cápsula renal. Sigue un curso muy rortuoso o contorneado
- y después ingresa en el rayo medular para continuar como túbulo recto proximal.
- Túbulo rocto proximal, con frecuencia se denomina nama descendente gruesa del asa renal, el cual desciende hacia la médula renal.
- Rama descendente delgada, que es la continuación del túbulo recto proximal dentro de la médula. Describe una curva en forma de "U" y regresa hacia la corteza.
- Rama ascendente delgada, que es la continuación de la rama descendente delgada después de curvarse como asa.

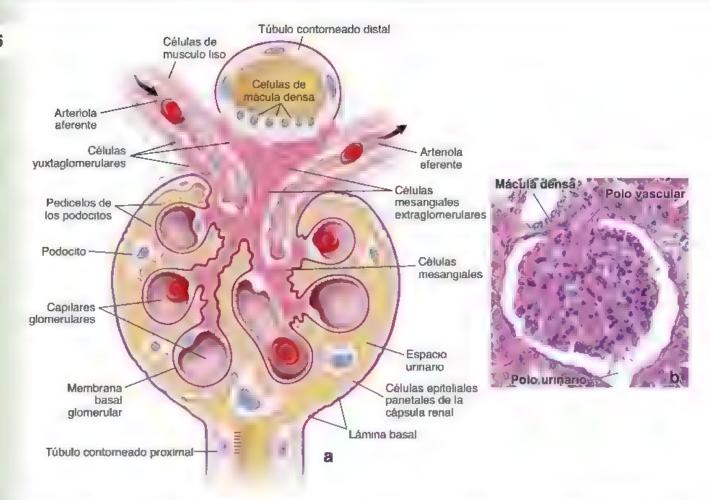


FIGURA 20-7. Estructura del corpusculo renal la. Esquema de la organización del corpusculo renal y las estructuras asociadas con sus polos unhario y vascular las células mesangiales están relacionadas con el endoteilo capitar del glomérulo y la membrana basa iglomerular las células densa del tubulo distal se muestran estrechamente asociadas con las células yuxtaglomerulares de la afferiola aferente y las del la asmesangiales extraglomerulares. b. Microfotografia de un corte teñ do con H&E que muestra un corpusculo rena la mácula densa se observa en estrecha proximidad al polo vascular. 160 × (modificado de Kriz W Saka T Morphological aspects of glomerular function. En Nephrology. Proceedings of the Tenth International Congress of Nephrology. London. Bailliere-Tindall, 1987).

- Túbulo recto distai, también denominado rama ascendente gruesa del asa renal, que es la continuación de la rama ascendente delgada. El túbulo recto distal asciende a través de la médula e ingresa en la corteza en el rayo medular para alcanzar la proximidad de su corpúsculo renal de origen. El túbulo recto distal abandona entonces el rayo medular y entra en contacto con el polo vascular de su corpúsculo renal de origen. En este sitio, las células epiteliales del rúbulo contiguo a la arteriola aferente del glomérulo se modifican para formar la mácula densa. Posteriormente, el túbulo distal abandona la región del corpúsculo y se convierte en el rúbulo contorneado distal
- Tubulo contorneado distal, menos tortuoso que el túbulo contorneado proximal; por consiguiente, en un corte del laberinto cortical hay menos siluetas de túbulos distales que siluetas de túbulos proximales. En su parte final, el túbulo contorneado distal desemboca en el conducto colector cortical de un rayo medular a través de un tubulo conector arqueodo o de un túbulo más corto llamado simplemente tubulo conector.

El asa renai constituye la totalidad de la porción en forma de "U" de la nefrona.

El rúbulo recto proximal, la rama descendente delgada con su asa, la rama ascendente delgada y el túbulo recto distal, en conjunto, se denominan asa ranal (da Henia). En algunas nefronas, los segmentos delgados ascendente y descendente son extremadamente cortos y el asa puede estar formada por el túbulo recto distal.

Tipos de nefrona

Según la localización de sus corpúsculos renales, en la corteza se identifican varios tipos de nefrona (véase fig. 20-3):

- Nefronas subcapsulares o nefronas corticales, que presentan sus corpúsculos en la parte externa de la corteza. Estas tienen asas renales cortas que se extienden solo hasta la médula externa. Son las nefronas típicas ya comentadas en las que el asa aparece a la altura del túbulo recto distal
- Nefronas yuntamedulares, que representan más o menos una octava parte de todas las nefronas. Sus corpúsculos renales se encuentran cercanos a la base de una purámide medular. Tienen asas renales largas y segmentos delgados ascendentes largos que se extienden profundamente en la región interna de la purámide Estas características estructurales son esenciales para el mecanismo de concentración de la orina que se describe más adelante.
- Nefronas intermedias o nefronas mediocorticales, con sus corpúsculos renales en la región media de la corteza. Sus asas renales son de una longitud intermedia.

Conductos colectores

Los conductos colectores corticales comienzan en la corteza a partir de la confluencia de túbulos conectores o túbulos conectores arquendos de muchas nefronas y continúan dentro de los rayos medulares hacia la médula. Cuando los conductos colectores corticales alcanzan la médula, se denominan conductos colectores medulares internos o externos. Estos conductos siguen su trayecto hacia el vértice de la pirámide, donde confluyen en conductos colectores más grandes (hasta 200 µm) denominados conductos pepilares (conductos de Bellíni), que desembocan en el cáliz menor (vease fig. 20-4). La región de la papila que contiene los orificios de desembocadura de dichos conductos colectores se conoce como area cribosa.

En resumen, el aspecto macroscópico del parénquima renal es el reflejo de la estructura de la nefrona. El corpúsculo renal y los túbulos contorneados proximal y distal conforman los laberintos corticales. Las porciones de los túbulos recto proximal y distal, así como las ramas delgadas ascendente y descendente del asa renal en la corteza se ubican en los rayos medulares y forman su mayor parte. Las ramas delgadas ascendente y descendente del asa renal siempre están ubicadas en la médula. Por consiguiente, la distribución de las nefronas (y los conductos colectores corticales) es la razón del aspecto característico de la superficie de corte del riñón, como puede verse en la figura 20-6.

Aparato de filtración del riñón

El corpúsculo renal contiene al aparato de filtración del riñón compuesto por el endotelio glomerular, la membrana basal glomerular subvacente y la capa visceral de la cápsule renal.

El corpusculo renal es esférico y tiene un diámetro promedio de 200 µm. Está compuesto por el ramillete de capilares glomerulares y las capas epiteliales visceral y parietal circundantes de la cápsula renal (fig. 20-8). El aparato de filtración, también llamado barrera de filtración glomerular, encerrado por la capa parietal de la cápsula renal, tiene tres componentes:

 Endoteilo de los capilares glomensiares, con gran cantidad de fenestraciones (fig. 20-9) Estas son más grandes (70-90 nm de diámetro), numerosas e pregulares que las fenestraciones de otros capilares. Además, el diafragma que abarca las fenestraciones en otros capilares no existe en los capilares glomerulares. Las células endoteliales de los capilares glomerulares poseen una gran cantidad de acuaporma 1 (AQP 1), que forma canales en el epítelio y permite el desplazamiento rápido del agua a través de él. Los productos de secreción de las células endoteíra es como el óxido nítrico (NO) o las prostaglandinas (PGE₂), desempenen un papel importante en la patogenia de varias glomerulopatias trombóticas.

Membrana basal glomeruler (MBG), una lámina basal gruesa (300-370 nm) que es el producto conjunto del endotelio y los podocitos, las células de la capa visceral de la cápsula renal. Por su espesor, es notoria en los cortes histológicos teñidos con la reacción del ácido peryódico de Schiff (PAS, periodic acid-Schiff; véase fig. 1-2, p. 6). La MBG está compuesta por una red de colágeno tipo IV (sobre rodo las cadenas α3, α4 y α5), laminina, nidógeno y entactina, junto con proteoglucanos de haparán-sulfato, como la agrina y el perlecano, así como glucoproteinas multiadhesivas (véase p. 189). La MBG también puede verse con técnicas de inmunofluorescencia por medio de anticuerpos contra la cadena ti específica del colágeno tipo IV (fig. 20-10). La mutación del gen que codifica la cadena «6 del colágeno tipo IV provoca el sindrome de Alport (glomerulonefritis hereditaria), que se manifiesta con hematuria (eritrocitos en la orina), proteinuria (cantidades importantes de proteina en la orina) e insuficiencia renal progresiva. En el sindrome de Alport, la MBG se engrosa de manera irregular con la lámina densa laminada y no sirve como barrera eficaz de filtración. El colágeno tipo IV también es la diana de enfermedades autoinmunitarias como al síndrome de Goodpasture y la enfermedad postrasplante de Alport. Ambas enfermedades se caracterizan por autoanticuerpos que atacan a la MBG y



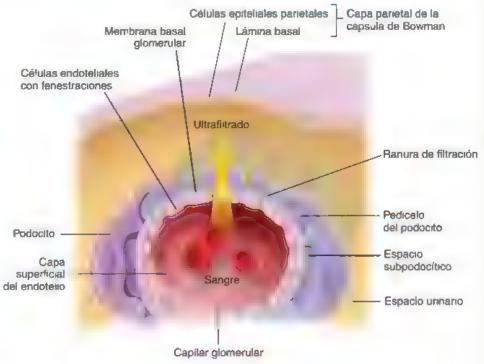




FIGURA 20-9. Microfotografía electrónica de barrido de la superficie interna de un capilar glomerular. La pared dei capilar tiene crestas horizontales formadas por el citoplasma de la céluia endotelial. En el resto de la superficie se observan fenestraciones abundantes en forma de scuetas redondas y ovaladas oscuras. 5600× (cortesia del Dr. C. Craig Tisher)

causan una glomerulonefritis de progresión rápida (cuadro 20-2, p. 754)

Capa visceral de la cápsula renal, que contrene células especializadas denominadas podocitos o células epiteliales viscerales. Estas células emiten sus evagunaciones alrededor de los capilares glomerulares (fig. 20-11 y lám. 76, p. 776). Los podocitos surgen, durante la embriogénesis, de uno de los extremos ciegos de la nefrona en desarrollo mediante la invaginación del extremo del rúbulo para formar un cáliz epitelial bilaminar. La capa celular interna (la capa celular visceral) está yuxtapuesta a la red capilar, el glomérulo, el cual se forma en este sitio. La capa externa



FIGURA 20-10. Membrana basal glomerular de un riñón humano teñida con inmunofluorescencia. La membrana basal glomerular está compuesta por cinco (α1 a α5) de las seis cadenas de colageno tipo IV. Esta microfotografía con gran aumento de la MBG, dentro del giormérulo del niñón, se obtuvo mediante el uso de anticuerpos monoclona es primarios contra la cadena α1 de moléculas de colágeno tipo IV, que se tornaron visibles mediante un anticuerpo secundano conjugado con fluoresceina, un colorante fluorescente 1200× (cortesa del Dr. L. Barison.)

de estas células, la capa parietal, conforma las células planas de la cápsula renal. El cáliz se cierra finalmente para formar la estructura esférica que contiene al glomérulo. A medida que se diferencian, los podocitos extienden evaginaciones alrededor de los capilares y desarrollan numerosas evaginaciones secundarias denominadas pedicelos o pediculos. Los pedicelos se entrelazan con otros de los podocitos adyacentes, un fenómeno que puede observarse con claridad con el microscopio electrónico de barrido (MEB; fig. 20-12). Los espacios alargados entre los pedicelos entrelazados, denominados renuras de filtración, miden cerca de 40 nm de ancho y están cubiertos por un diefragma ultradolgado que abarca la ranura de filtración apenas por encima de la MBG (fig. 20-13, detalle)

La netrina es una proteína estructural importante del diafragma ultradelgado de la ranura de filtración.

Algunos estudios recientes del diafragma de la ranura de filtración han permitido dilucidar su compleja estructura proteínica como una configuración laminar de tipo cremallera con densidad central Una proteína transmembrana, la nefrina, es un componente estrucrural y funcional clave del diafragma de la ranura. Las moléculas de nefrina que emergen desde los pedicelos opuestos interactúan en el centro de la ranura (interacciones homófilas) y producen una densidad central con poros en ambos lados (fig. 20-14). Esta lámina proteínica intercelular también contiene otras moléculas de adhesión, como Neph-1, Neph-2, cadherina P, FAT1 y FAT2. El diafragma de la ranura de filtración está firmemente anclado a numerosos filamentos de actina dentro de los pedicelos de los podocitos. Se ha descubierro que la regulación y el mantenimiento del citoesqueleto de actina de los podocitos son procesos decisivos para la configuración del tamaño, permeabilidad y selectividad de las ranuras de filtración. Las mutaciones del gen de la nefrina (NPHS1) están asociadas con el sindrome nefrótico congenito, una enfermedad que se caracteriza por proteinuria masiva y edema

La capa endotelial superficial de los capilares glomerulares y el espacio subpodocítico también realizan una contribución importente a la función glomerular general.

El aparato de filtración es una barrera semipermeable muy compleja con propiedades que permiten un ritmo acelerado de filtración de agua, el paso no restringido de moléculas pequeñas y medianas, así como la exclusión casi total de las albúminas y otras proteínas séricas de mayor tamaño. El aparato de filtración podría describirse como una barrera que posee dos capas celulares discontinuas, el endotendo de los capilares glomenulares y la capa visceral de la cápsula renal, aplicadas a cada lado de la capa extracelular continua de la membrana basal glomerular. Tradicionalmente, estas tres capas se han considerado la barrera de filtración glomerular. Sin embargo, otras dos capas importantes desde el punto de vista fisiologico se incluyen ahora como parte del aparato de filtración, a saber, la capa superficial del endotelio de los capilares glomerulares y el espacio subpodocitica.

Capa superficial del endotello de los capilares glomerulares, que consiste en una gruesa malla (200-400 nm) rica en hidratos de carbono y adherida a la superficie luminal de las células del endotello glomerular. Contiene el glucocáliz formado por proteoglucanos de carga negativa unidos a la membrana plasmática (como el perlecano, el sindecano y el versicano) asociados con cadenas laterales de glucosaminoglucanos (como los sulfatos de heparano y de condroitina) y proteínas penféricas de membrana. Las proteínas plasmáticas (p. ej., albúminas) adsorbidas desde la sangre revisten la superficie luminal del glucocaliz

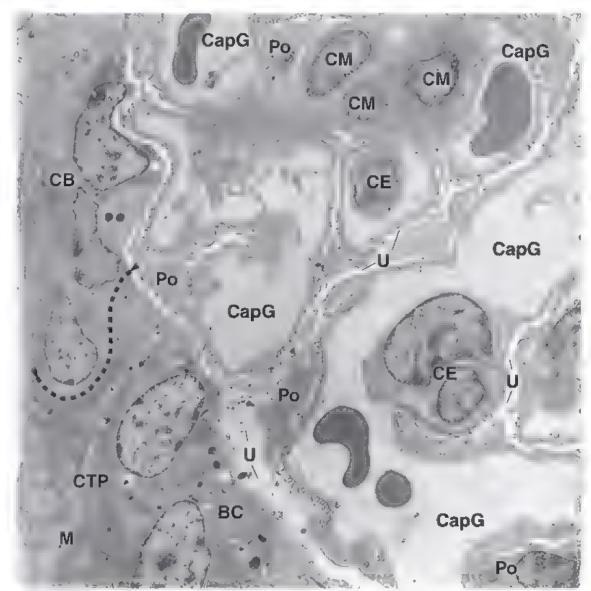


FIGURA 20-11. Microfotografia electrónica de transmisión de un glomérulo en la región del polo urinaño. Las regiones nuclear y pernuciear de asicé ulas endotella esi(*CE*) que revisten los caplares glomerulares (*CapG*) sobresalen dentro de la luz vascular. En la capa externa de los capitares se encuentran las evaginaciones de los podocitos (*Po*). Por fuera de los podocitos se haila e espacio urinario (*U*). La cápsula rena o de Bowman (*CB*) aparece a la izquierdar a la altura de la linea punteada, se continua (marcada por las puntas de flecha) con las células fubulares de tubulo proxima. (*CTP*). Nótese la granicantidad de mitocondrias (*M*) en la base de estas células y el borde en cepillo (*BC*) en el vértice que se proyecta hacia el espacio urinario. Se pueden observar arriba a la derecha, los nucleos de tres células mesangia esi (*CM*) adyacentes. 4700 ×

Espacio subpodocítico, un espacio estrecho entre los pedicelos con sus diafragmas de la ranura de filtración, por un lado, y el cuerpo celular de un podocito, por el otro (véase fig. 20-13). Las reconstrucciones tridimensionales recientes de estos espacios han permitido comprobar su carácter interconectado, pero estructuralmente restrictivo. Cubren alrededor del 60% de la extensión de la superficie de la barrera de filtración glomerular y participarían en la regulación del flujo del líquido glomerular a través del aparato de filtración.

La membrana basal giomerciar actúa como una barrera física y un filtro iónico selectivo.

Como ya se mencionó, la MBG contiene colágeno de los tipos IV y XVIII, sialoglucoproteínas y otras glucoproteínas no colágenas (p. ej., laminina, fibronectina, entactina), así como proteoglucanos (p. ej., perlecano, agrina) y glucosaminoglucanos, en particular

heparán sulfato (fig. 20-15). Estos componentes se ubican en sitios específicos de la MBG:

- La támina rara externa, contigua a las evaginaciones de los podocitos. Tiene una gran abundancia de polianiones, como el heparán-sulfato, el cual impide específicamente el paso de moléculas con carga negativa.
- La lámina rara interna, contigua al endotelio capilar. Sus características moleculares son similares a las de la lámina rara externa.
- La lámina densa, la porción superpuesta de las dos láminas basales; se ubica entre las láminas raras. Contiene colágeno tipo IV que se organiza en una red que actúa como un filtro físico. El colágeno tipo XVIII, el perlecano y la agrina son responsables de la mayoría de las cargas aniónicas encontradas en la membrana basal glomerular. La laminina y otras proteínas presentes en las láminas raras interna y externa participan en la adhesión de las células endoteliales y los podocitos a la MBG

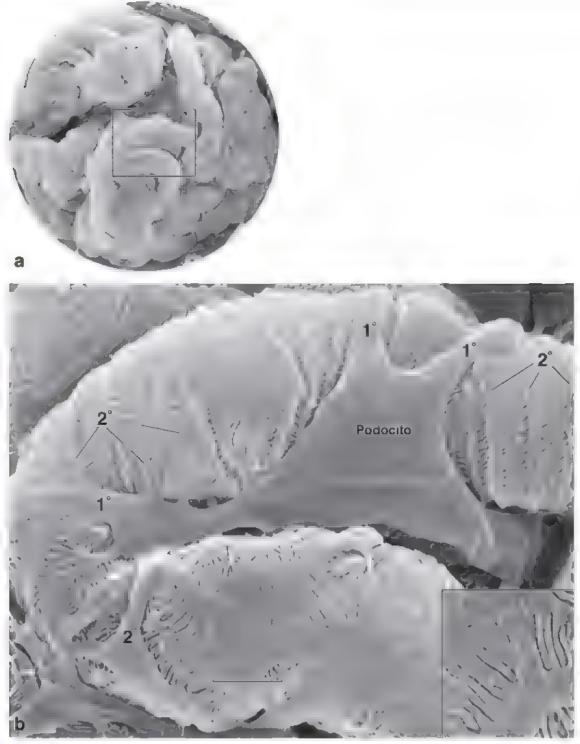


FIGURA 20-12. Microfotografia electrónica de barrido de un glomérulo. a. En está imagen de poco aumento es posible ver el trayecto sinuoso de los capitares glomerulares cubiertos por podocitos 700× b. Mayor ampliación de la región incluida en el rectángulo senalado en a Obsérvese cómo el podocito y sus evaginaciones abrazan la pared capitar Las evaginaciones primarias (1°) de podocito originan evaginaciones secundarias (2°) que la su vez, generan los pedicelos El espacio que existe entre los pedicelos entrelazados crea ranuras de filtración 6000× **Recuadro.** En este mayor aumento de la región contenida en el rectángulo pueden verse las ranuras de filtración. Se muestra claramente que los pedicelos alternantes pertenecen a una célula contigua. 14 000×

La MBG restringe el movimiento de las partículas, en general proteínas, mayores de 70 kDa o 3.6 nm de radio (p. ej., albúmina o hemoglobina). Si bien la albúmina no es un componente habitual, a veces puede encontrarse en la orina, lo cual indica que el tamaño de esta proteína es cercano al tamaño eficaz del poro de la barrera de fil tración. Los glucosaminoglucanos polianiónicos de las láminas raras tienen cargas fuertemente negativas y restringen el movimiento de

las moléculas y partículas aniónicas a través de la MBG, aun aquellas de menos de 70 kDa. A pesar de la capacidad de restrucción proteínica de la barrera de filtración, varios gramos de proteína la atraviesan cada día. Esta proteína se reabsorbe por endocitosis en el túbulo contorneado proximal. La albuminuria (presencia de cantidades importantes de albumina en la orina) o la hematuria (cantidades importantes de eritrocitos en la orina) indican lesión

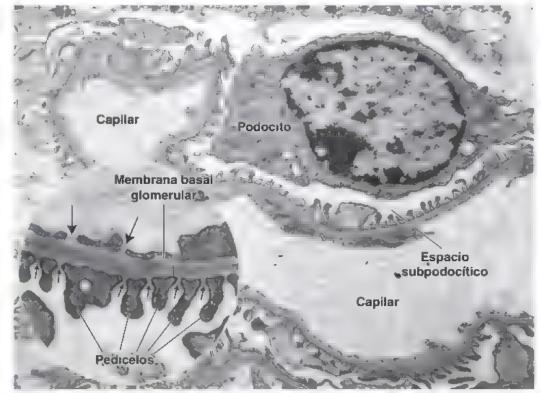


FIGURA 20-13. Microfotografía electrónica de transmisión de un capitar glomerular y el podocito contiguo. Los pedicelos de los podocitos descansan en la lamina basal contigua ai endotelio capitar y en conjunto, los tres componentes tendotelio capitar lamina basal y podocito) forman un aparato de filtración 5600 × Detalle. Las fiechas grandes senaran las fenestraciones en el endotelio. Al otro lado de la lamina basal se encuentran os pedicelos de los podocitos. Nótese el diatragma de las ranuras de filtración (fiechas pequeñas) entre los espacios de los pedicelos contiguos. 12 000 ×

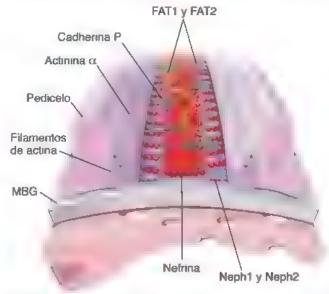


FIGURA 20-14. Diafragma de la ranura de filtración. El diafragma de la ranura de filtración es una estructura laminar compleja parecida a una crema-era, y está formada por una proteina transmembrana, la nefrina. Los dominios extracerulares de las nefrinas emergende los pediceios enfrentados de podocitos adyacentes, y se entrelazan en el centro de la ranura para formar una densidad central con poros a ambos lados. Los dominios intracelu ares de las nefinnas interactuan. con el citoesqueleto de actinina dentro del citoplasma de los pedicelos. La lámina de mo éculas de nefrina está reforzada cerca de su acoplamiento a los pedicelos mediante las proteínas Neph1 y Neph2, que interactuan entre si y con la nefrina. También se encuentran en esta región otras moléculas de adhesión, como la cadherina P, la FAT1 y la FAT2 Obsérvese que los pedicelos de los podocitos están separados por la membrana basal glomerular (MBG) de las células endotelia es fenestradas que revisten los capitares glomerulares (basado en Tryggvason K, Patrakka J, Wartiovaara J. Hereditary proteinuna syndromes and mechanisms of proteinuria. N Engl J Med 2006 354 1387-14011

física o funcional de la MBG. En tales casos (p. ej , nefropatia diabetica), el numero de sitios aniónicos, especialmente en la lámina rara externa, se reduce de manera significativa.

El diafragma de la ranura de filtración actúa como un filtro selectivo por tamaño.

Las ranuras de filtración estrechas (formadas por los pedicelos de los podocitos) y los diafragmas de las ranuras de filtración actúan como barreras físicas para restringir el movimiento de los solutos y los solventes a través de la barrera de filtración. El descubrimiento de las proteínas especificas que integran el diafragma de la ranura ha conducido a un nuevo entendimiento de la función del aparato de filtración del riñón. La mayoría de las proteínas encontradas en el diafragma son cruciales para el desarrollo normal y para el funcionamiento del mñón. Las propiedades de filtración selectiva por tamaño se deben a la arquitectura del diafragma, que determina las características de tamizado molecular del glomérulo. Varios mecanismos impiden la obstrucción de los diafragmas de las ranuras de filtración. Estos incluyen las cargas negativas de los glucosaminoglucanos de la MBG, las cargas negativas de la membrana celular de los podocitos y la función fagocítica de las células mesangiales en el corpúsculo renal.

Los cambios en determinados integrantes del aparato de filtración influyen sobre las funciones de otros componentes.

La estructura y la composición moleculares de cada componente de la barrera de filtración glomerular tienen importantes consecuencias para los componentes contiguos de la barrera. Por ejemplo, los cambios moleculares de la MBG no solo modifican la contribución de esta capa, también modifican la velocidad con la que los solutos y los solventes atraviesan el endoreho de los capilares glomerulares, por un lado, y la capa visceral de la cápsula renal, por el otro.

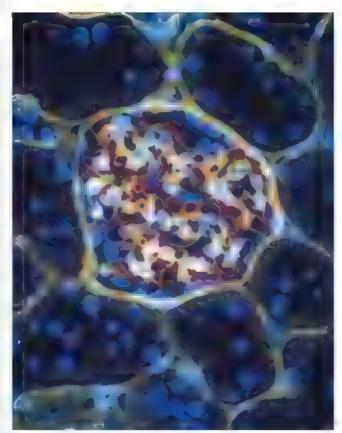


FIGURA 20-15. Glomerulo terido con immunofluorescencia. Microfotografía con exposición triple de un glomérulo de rata adulta normal inmunoteñido con dos anticuerpos diferentes. Un anticuerpo reconoce componentes extracelulares específicos, como el proteoglucano heparan-sulfato en la membrana basal (BM-HSPG, basement membrane heparan sulfate proteoglycan) marcado con rodamina. El otro anticuerpo reconoce al proteoglucano condrottin-sulfato en la membrana basal (BM-CSPG, basement membrane chondroitin sulfate proteoglycari) marcado con fluoresceina. Dado que se trata de una microfotografía de triple exposición, aparece un color amarillo donde los dos marcadores fluorescentes se codistribuyen de manera exacta. La fluorescencia azul corresponde a la tinción de contraste con el colorante nuclear de Hoechst. La imagen muestra que la compartimentalización se produce con respecto a las poblaciones de proteoglucanos glomerulares. La membrana basal del capitar giornerular está compuesta exclusivamente por BM-HSPG, mientras que la matriz mesangial (amanila) contiene tanto BM-HSPG como BM-CSPG. La cápsula renal parece. haberse tenido intensamente solo con anticuerpos BM-CSPG. 360× (cortesia del Dr. Kevin J. McCarthy)

Además, es importante comprender que la barrera de filtración glomerular no es una estructura pasiva sino activa, y puede remodelarse a sí misma modificando su propia permeabilidad

La capa parietal de la cápsula renal está formada por epitelio plano simple.

La capa parietal de la cápsula renal contrene células epítelistes parietales que conforman un epitelio plano simple. En el polo un nario del corpúsculo renal, la capa parietal se continúa con el epitelio cúbico en el rúbulo contorneado proximal (véanse figs. 20-7 y 20-11). La proliferación de células epiteliales parietales es una característica diagnóstica tipica para ciertos tipos de glomerulonefritis (inflamación de los glomerulos). Para observar un ejemplo de esta enfermedad, véase el cuadro 20-2

El espacio entre las capas visceral y parietal de la cápsula renal se denomina espacio urinario o de Bowman (véase fig. 20-11). Es el receptáculo para el ultrafiltrado glomerular (orina primaria) producido por el aparato de filtración del corpúsculo renal. A la altura del polo urinario del corpúsculo renal, el espacio urinario tiene continuidad con la luz del rúbulo contorneado proximal

Mesangio

En el corpusculo renal, la MBG es compartida entre varios capilares para crear un espacio que contiene un grupo adicional de células denominadas células mesangiales. Por lo tanto, las células mesangiales están confinadas por la MBG (fig. 20-16) Estas células y su matriz extracelular conforman el mesangio, el cual es más evidente en el pedículo vascular del glomérulo y los intersucios de los capilares glomerulares contiguos. Las células mesangiales no están confinadas por completo en el corpúsculo renal: algunas se localizan fuera del corpúsculo, a lo largo del polo vascular, donde reciben el nombre de células de Lacis y forman parte de lo que se denomina el aparato yuxtaglomerular (véase fig. 20-7).

Las siguientes son funciones importantes de las células mesangiales:

- Fagocitosis y endocitosis. Las células mesangiales eliminan residuos atrapados y proteínas agrupadas de la MBG y el diafragma de la ranura de filtración, con lo que mantienen el filtro glomerular libre de desechos. Por medio de endocitosis, incorporan y procesan una gran variedad de proteínas plasmáticas e incluso complejos inmunitarios. El objetivo primario de las células mesangiales es mantener la estructura y el funcionamiento de la barrera glomerular
- Soporte estructural. Las células mesangiales producen los componentes de la matriz mesangial extracelular que proporcionan soporte a los podocitos en las regiones donde la membrana basal epitelial falta o está incompleta (véase fig. 20-16). La matriz mesangial difiere sustancialmente de la MBG en su composición y permite que moléculas más grandes pasen de la luz de los capilares al mesangio.
- Secreción. Las células mesangiales sintetizan y secretan una gran variedad de moléculas, como la interleucina (IL) 1, la PGE₂ y el factor de crecimiento denvado de plaquetas (PDGF, platelesderived growth factor), que desempeñan un papel central en la respuesta a la lesión glomerular.
- Modulación de la distensión glomerular. Las células mesangiales tienen propiedades contráctiles. En el pasado se pensaba que la contracción de las células mesangiales podía incrementar el volumen sanguíneo intraglomerular y la presión de filtración Estudios recientes permiten comprobar que la contribución del mesangio a la velocidad de filtración glomerular es mínima y que las células mesangiales actuarían en la regulación de la distensión glomerular en respuesta al incremento de la presión arterial.

En la clínica se ha observado que las células mesangiales proliferan en ciertas enfermedades renales en las que cantidades anómalas de proteinas y complejos proteinicos quedan atrapados en la MBG. La proliferación de las células mesangiales es un signo importante en la nefropatía por inmunoglobulinas A (IgA, enfermedad de Berger), la glomerulonefritis membranoproliferativa, la nefritis lupica y la nefropatía diabética

Desde un punto de vista embriológico, las células mesangiales y las yuxtaglomerulares (que se describen más adelante) provienen de precursores de las células musculares lisas del mesénquima metanéfrico. Durante el desarrollo, estas células se caracterizan por expresar receptores del factor de crecimiento derivado de plaquetas (PDGFR, platelet-derived growth factor receptors). Su migración hacia los glomérulos en desarrollo es guiada por efectos quimiotácticos del factor de crecimiento derivado de plaquetas ß (PDGFB) que se expresan en los podocitos en desarrollo. Si bien las células mesangiales son claramente fagocíticas, son particulares porque no

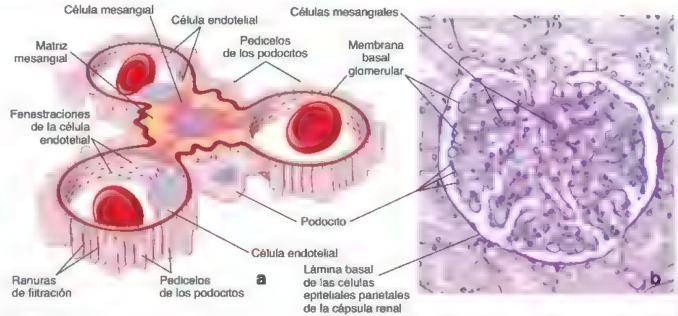


FIGURA 20-16. Diagrama y microfotografía de la relación entre las células mesangiales intraglomenulares y los capilares glomenulares, a. La célula mesangial y su matriz circundante están encerradas por la membrana basal glomenular de los capilares glomer lares. Las células mesangiales se encuentran en el mismo compart mento que las células endotellales y pueden tener una asociación estrecha con la MBG as como con la celulas endotellales sin intervención de la MBG. Nótese que una celula mesangia produce matriz mesangia extrace ular que proporciona soporte a los capilares glomerulares. E. Microfotografía de un glomérulo ten do mediante la reacción del PAS. Obsérvese que la MBG se refleja en el polo vascular para convertirse en la lamina basal de las células mesangia es positivas al PAS se colocan entre las asas de los capilares más hacia el centro del glomérulo. La muestra se tiño con hematoxitina de contraste. 360 ×

provienen de los monocitos circulantes, las células precursoras habituales del sistema fagocítico mononuclear.

Aparato yuxtaglomerular

El aparato yuxtaglomerular comprende la mácula densa, las células yuxtaglomerulares y las células mesangiales extraglomerulares.

La porción terminal del túbulo racto distat de la nefrona se ubica en contigüidad directa con las arteriolas aferentes y eferentes, también junto a algunas células mesangiales extraglomerulares en el polo vascular del corpúsculo renal. En este sitio, la pared del túbulo contiene células que forman la denominada mácula densa. Con el microscopio óptico, las células de la mácula densa se distinguen por ser más estrechas y a menudo más altas que las otras células del túbulo distal (véase fig. 20-7). Los núcleos de estas células aparecen muy juntos, al extremo de parecer parcialmente superpuestos, de ahí el nombre de mácula densa.

En esta misma región se modifican las células musculares lisas de la arteriola aferente contigua (y, a veces, las de la arteriola eferente). Contienen gránulos de secreción y sus núcleos son esféricos, a diferencia del núcleo alargado típico de las células musculares lisas. En la microscopla óptica se requieren colorantes especiales para observar las vesículas de secreción de estas células yuxtaglomerulares (véase fig. 20-7).

El aparato yuxtaglomerular regula la presión arterial mediante la activación del sistema renina-angiotensina-aldosterona.

En algunas situaciones fisiológicas (baja ingesta de sodio) o patológicas (reducción del volumen de sangre circulante por hemorragia o baja perfusión renal debido a la compresión de las arterias renales), las células ytixtaglomerulares son responsables de la activación del sistema renina-angiotensina-aldosterona (SRAA). Este sistema desempeña un papel importante en el mantenimiento de la homeos-

tasis sódica y la hemodinámica renal (cuadro 20-3). Los gránulos de las células yuxtaglomerulares contienen una aspartilo-proteasa denominada renina, sintetizada, almacenada y liberada hacia la sangre desde las células musculares lisas modificadas. En la sangre, la renina cataliza la hidrólisis de una globulina 02 circulante (angiotensinógeno) para producir el decapéptido angiotensina 1. La producción de angiotensina I provoca la siguiente secuencia de acontecimientos:

- La angiotensina I es convertida en el octapéptido activo angiotensina II por la enzima convertidora de angiotensina (ECA) presente en las células endoteliales de los capilares pulmonares.
- La angiotensina II estimula la síntesis y liberación de la hormona aldosterona desde la zona giomerular de la glandula suprarrenal (véase p. 812).
- La aldosterona, a su vez, actua sobre las células principales de los rúbulos conectores y los conductos colectores para incrementar la reabsorción de Na⁺ y agua, así como la secreción de K⁺, con lo que aumenta el volumen sanguíneo y la presión arterial.
- La angiotensina il también es un poderoso vasoconstrictor que desempeña un papel regulador en el control de la resistencia vascular renal y sistémica.

El aparato yuxtaglomerular funciona no solo como un órgano endocrino que secreta renira, sino también como un detector del volumen sanguíneo y la composición del líquido tubular. Las células de la mácula densa verifican la concentración de Na* en el líquido tubular y regulan tanto la velocidad de filtración glomerular como la liberación de renina por las células yuxtaglomerulares. Se piensa que la reducción de la concentración de Na* en el túbulo contorneado distal es un estímulo para las moléculas que transportan iones específicos que se expresan en la membrana apical de las células de la mácula densa. Estas moléculas incluyen cotransportadores de Na*/K*/2Cl*, intercambiadores Na*/H* y canales de K*

(continúa en la p. 756)

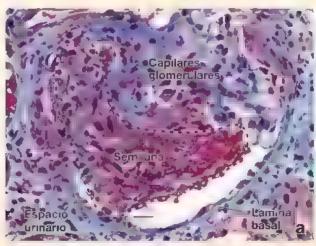
CORRELACIÓN GLÍNICA: GLOMERULONEFRITIS INDUCIDA POR ANTICUERPOS ANTIMEMBRANA BASAL GLOMERULAR (SÍNDROME DE GOODPASTURE)

Como se señaló en la sección sobre el armado de la lámina basal (véase cap. 5), el principal componente estructural. de cualquier membrana basal, incluida la membrana basal glomerular (MBG), es la molécula de colágeno tipo IV. Su estructura central está compuesta por tres monómeros de cadena d, cada uno correspondiente a uno o más de los seis tipos de cadenas o conocidos para el colágeno de tipo IV (véase tabla 6-2, p. 176) Cada molécula posee tres dominios, un dominio 7S aminoterminal, un dominio intermedio helicoidal de colágeno y un dominio NC1 carboxiterminal no colágeno. El conocimiento de la estructura molecular de colageno tipo IV es fundamental para entender la fisiopatología de las nefropatías glomenifares. Por ejemplo, una respuesta autoinmunitaria frente al dominio NC1 no colágeno. de la cadena α-3 del colágeno tipo IV (α3((V)) en la MBG es la causa del desarrollo de la glomerulonefritis inducida por anticuerpos anti-MBG. Esta alteración se caracteriza por el depósito lineal de anticuerpos de inmunoglobulina G (IgG) en la MBG

En algunas personas, los anticuerpos anti-MBG pueden establecer una reacción cruzada con la membrana basal alveolar de los pulmones y producir el **sindrome de Goodpasture** El rasgo clínico de este síndrome es una glomerulonefritis (inflamación de los glomérulos) rápidamente progresiva y hemorragia pulmonar debida a la destrucción de la barrera hematogaseosa. En respuesta al depósito de IgG en el glomérulo, se activa el sistema del complemento y los leucocitos circulantes elaboran una gran variedad de protessas que conducen a la destrucción de la MBG y al depósito de fibrina. La fibrina, a su vez, estimula la proliferación de las célu as parietales que revistan la cápsula renal (de Bowman) y atraen monocitos desde la circulación. El producto de estas reacciones con frecuencia se observa dentro del glomérulo como una semiluna, una característica microscópica distintiva de la glomerulonefritis (fig. C20-2-1). La mayoría de los pacientes afectados por el síndrome de Goodpasture tienen glomerulonefritis grava con semilunas y concentraciones circulantes temporalmente elevadas de anticuerpos anti-MBG. Es muy probable que la formación de anticuerpos anti-MBG sea desencadenada por virus, cáncares, agantes farmaciógicos y compuestos químicos encontrados en pinturas, solventes y colorantes diversos.

Las personas con síndrome de Goodpasture tienen signos y síntomas tanto respiratorios como urinanos. Las manifestaciones clínicas comprenden disnea (sensación de falta de aire), tos y expectoración sanguinolenta, así como hematuria (sangre en la crina), proteinursa (proteínas en la orina) y otros síntomas de insuficiencia renal progresiva

El objetivo terapéutico principal en el tratamiento del síndrome de Goodpasture es eliminar los anticuerpos patógenos circulantes de la sangre. Esto se logra mediante plasmaféresis, donde se extrae el plasma sanguíneo de la circulación y se reemplaza con líquido, proteínas o plasma de donante. Además, el tratamiento con fármacos inmunosupresores y corticoesteroides es utir para impedir que el sistema inmunitario produzca autoanticuerpos.



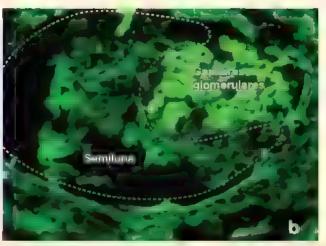


FIGURA C20-2-1. Microfotografia de un glomérulo en el síndrome de Goodpasture, a. En esta muestra de biopsia renal teñida con la técnica tricrómica de Malfory, as moléculas de colágeno en la matriz mesangia y los capitares glomerulares se tinen de azul intenso ula finción de color rojo brillante (dentro del corpusculo renal) corresponde a la fibrina que se filtró desde las asas capitares glomerulares hacia e lespació urinario. Se ha formado una semiluna celular (delimitada por la linea de puntos) por depósitos de la fibrina infiltrada de macrófagos y celulas par etales de la capitalia renal que han proliferado. El color azul ciaro que rodea al giomerulo es rellejo de una reacción edematosa que contiene celulas mediadoras de reacciones infiamatorias. Nótese la lamina basal de la capita par etal de la capital renal. 320 × b. Esta imagen inmunoficiorescente del corpusculo rena muestra la membrana basa glomerular marcada con anticuerpos de gidos contra la IgG humana y visualizada mediante el empleo de anticuerpos secundarios conjugados con un colorante fluorescente. En el sindrome de Goodpasture las IgG se unen al domino. NC1 del colageno tipo la ticadena ti31 que se encuentra en la MBG. Obsérvese el espesor irregular de la MBG que rodea las asas capitares. El espacio restante está ocupado por la semiluna celular. 360× (cortesta del Dr. Joseph P. Grande).

CORRELACIÓN CLÍNICA: SISTEMA RENINA ANGIOTENSINA ALDOSTERONA. E HIPERTENSIÓN

E sistema renina-angiotensina-aldosterona (SRAA) desempeña un papel fundamental en la homeostasis del Na* y el volumen sanguíneo, así como en la regulación a largo piazo de la presión arterial. La renina secretada por el aparato yuxtagiomerular del niñón convierte el angiotensinógeno en angiotensina I (proangiotensina), que a su vez es convertida en los pulmones en angiotensina II (angiotensina) por la enzima convertidora de angiotensina (ECA, hoy denominada peptidil-dipeptidasa A), uno de los vasoconstrictores más poderosos del cuerpo humano. La angiotensina II tiene una función importante en la estimulación de la secreción de la aldosterona en la corteza suprarrenal. La aldosterona reabsorbe Na* y excreta K*, por lo tanto, produce un efecto en la retención del volumen de agua extracelular (fig. C20-3-1)

Durante años, los cardiólogos y los nefrólogos sospecharon que la **hipertensión esencial crónica**, la forma más frecuente de hipertensión, estaba relacionada de alguna manera con una anomalía del SRAA. Sin embargo, en los pacientes afectados con esta enfermedad, la concentración de renina en la onna de 24 h solía ser normal. Hasta que se demostró que un factor en el veneno de una serpiente sudamericana (**Bothrops** jararaca de Brasil) actuaba como potente inhibidor de la ECA pulmonar, los investigadores encontraron una pista sobre la causa de la hipertensión esencial crónica y una nueva sene de fármacos con los cuales tratar esta enfermedad frecuente.

En la actualidad, se piensa que la "lesión" en la hipertensión esencial crónica consiste en la producción excesiva de **angiotensina II** en el pulmón. El desarrollo de los denominados *Inhibidores de la ECA* (captopril, enalapril y derivados del factor tóxico ofídico original) ha revolucionado el tratamiento de la hipertensión esencial crónica. Estos antih pertensivos no causan los efectos colaterales (con frecuencia peligrosos) de los diuréticos y los β-bloqueadores, que antes eran los fármacos más utilizados para el control de esta enfermedad

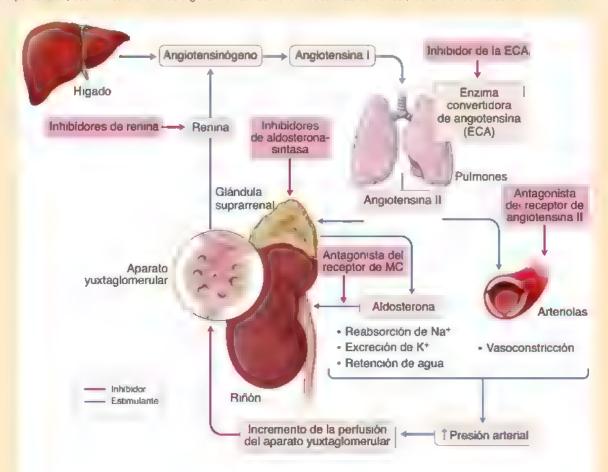


FIGURA C20-3-1. Diagrama del sistema renina-angiotensina-aldosterona (SRAA) en el que se indican los sitios susceptibles de influencia farmacológica. El SRAA es una cascada endocrina multis stémica que regula la homeostasis electrolitica el equi brio de líquidos y la presión arterial at actuar sobre el niñon y el sistema cardiovascular. La disminución de la presión de perfusión en el riñón determina que las células y ustaglomer. Lares liberen ren na en el forrente sanguneo y se inicie la cascada Las flechas azulas indican una acción est mu ante sobre el sistema las tiechas rojas indican la respuesta inhibidora y la acción de los fármacos. Los ejempios de medicamentos de uso frecuente que influyen en el SRAA incluyen los antagonistas de receptores de mineralocorticoides (MC espironolactona, eplerenona), los inhibidores de la ECA (captopini, enalapril), los inhibidores de la reruna (aliskireno) y los bloqueadores de receptores de angiotensina in (va santán ilosantán). Los inhibidores de la aldosterona-sintasa continuan en fase experimenta.

CORRELACION CLÍNICA: UROANÁLISIS (EXAMEN GENERAL DE ORINA)

E uroanálisis es parte importante de la evaluación de los pacientes con sospecha de enfermedad renal. El procedimiento suele incluir la medición de varias características físicas, bioquímicas y microscópicas de la orina, como el pH, la densidad urinaria (medición indirecta de la concentración de iones), la bilirrubina, la concentración de compuestos intermedios derivados del metabolismo de los ácidos grasos (conocidos como cuerpos cetónicos), la hemoglobina y la concentración de proteínas. La excreción de cantidades excesivas de proteína en la orina (proteínuria o albuminuria) es un indicador diagnóstico importante de enfermedad renal y es una parte fundamental del análisis de la orina. Por lo general, con la orina se excretan menos de 150 mg de pro-

teina por día. Si bien la excreción excesiva de proteínas casi siempre indica enfermedad renal, el ejercicio extremo o la deshidratación grave pueden producir proteinuna en personas sin alteraciones renales. El examen microscópico de la orina puede revelar la presencia de eritrocitos y leucocitos, cristales minerales y agentes patógenos como bacterias y hongos. Con frecuencia, estos elementos se encuentran encerrados en estructuras cilíndicas denominadas cilíndicas urinarios. La matriz del cilíndro urinario está formada por una proteina de 85 kDa llamada uromodulina (proteína de Tamm-Horsfall), que se precipita en la luz de los tubulos contorneados distales y los conductos colectores durante un proceso patológico.

regulados por pH y calcio. La activación de las vías de transporte a través de la membrana modifica la concentración iónica intracehilar en las células de la mácula densa e inicia los mecanismos de
señalización mediante la liberación de varios mediadores como el
trifosfato de adenosina (ATP, adenosine triphosphate), la adenosina,
el NO y las PGE₂. Estas moléculas actúan de forma paracrina y
señalizan tanto las células yuxtaglomerulares subyacentes de la arteriola aferente (para que secreten renina) como las células musculares
lisas vasculares para que se contraigan. Un incremento del volumen
sanguíneo suficiente para causar el estiramiento de las células yuxtaglomerulares en la arteriola aferente puede constituir un estímulo
que cierra el circuito de retroalimentación y deuene la secreción
de renina.

■ FUNCIÓN TUBULAR RENAL

A medida que el ultrafiltrado glomerular atraviesa el túbulo urina rio y los conductos colectores del riñón, experimenta cambios que incluyen tanto la absorción activa y pasiva como la secreción.

- Algunas sustancias del ultrafiltrado se reabsorben, unas lo hacen de manera parcial (p. ej., agua, sodio y bicarbonato) y otras de forma completa (p. ej., glucosa).
- Otras sustancias (p. ej., creatinina y bases y ácidos orgánicos) se añaden al ultrafiltrado (la orina primaria) como parte de la actividad secretora de las células tubulares.

Así, el volumen del ultrafiltrado se reduce de modo sustancial y la orina se torna hiperosmótica. Las asas renales largas, los túbulos conectores y los conductos colectores que corren paralelos a vasos sanguíneos rectos son el fundamento para el multiplicador por contracornente. Este mecanismo contribuye a la concentración de la orina que, en consecuencia, se vuelve hiperosmótica.

Túbulo contorneado proximal

El túbulo contorneado proximal es el sitio inicial y principal de la reabsorción.

El túbulo contorneado proximal recibe el ultrafiltrado desde el espacio urmario de la cápsula renal. Las células cúbicas del túbulo contorneado proximal poseen especializaciones superficiales complejas asociadas con las células que se encargan de la absorción y el transporte de los líquidos. Este tipo de rúbulo tiene las siguientes características

- Un borde en cepitlo, compuesto por microvellosidades rectas, muy juntas y bastante largas (fig. 20-17)
- Un somplejo de unión, compuesto por uniones ocluyentes o herméticas (zonula occludens) que aíslan el espacio intercelular lateral de la luz del rúbulo, y uniones adhetentes (zonula adherens) que mantienen la adhesión entre células adyacentes.
- Pliagues o dobleces, ubicados en las superficies laterales de las células, que son grandes evaginaciones aplanadas que se alternan con evaginaciones similares de células contiguas (véase fig. 20-16).
- Extenso entrelazamiento de las evaginaciones basales de células contiguas (figs. 20-18 y 20-19).
- Estrinciones basales, mirocondrias alargadas concentradas en las evaginaciones basales y orientadas en sentido vertical con respecto a la superficie basal (viase fig. 20-18).

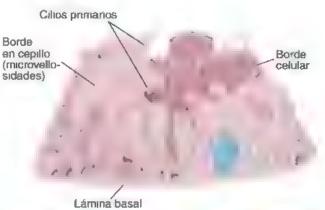


FIGURA 20-17. Ilustración de células tubulares contorneadas proximales. Esquema de una imagen obtenida mediante microscopio electrónico que muestra la cara seccionada (a la derecha) y una vista tridimensional de la superficie basolateral de una célula con un corte longitudinal parcial (a la izquierda). Aquí las partes entrelazadas de la célula contigua se han eliminado para mostrar los entrelazamientos basolaterales. Algunas de las evaginaciones entrelazadas se extienden por toda la aftura de la célula. Estas evaginaciones son largas en la región basal y creán un complejo compartimento extrace ular adyacente a la támina basal. En la superficie apical, les microvellosidades constituyen el borde en cepilio. En algunos sitos, las microvellosidades se han omitido para destacar el carácter contorneado del limite de la célula apical (basado en Bulger RE. The shape of rat kidney tubular cells. Am J Anat 1965 116 253)

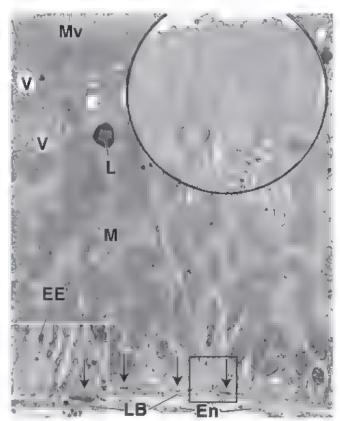


FIGURA 20-18. Microfotografía electrónica de una célula tubular proximal. La superficie apical de la célula muestra microvellosidades (Mv) muy juntas que, en conjunto, se reconocen como un borde en cepillo al microscopio óptico. En el citoplasma apical se encuentran muchas vesículas (V) También se observa un isosoma (L) en la región apical de la célula. El nucleo no ha quedado incluido en el plano. del corte. Hay grandes cantidades de mitocondrias (M) orientadas en sentido longitudinal en la célula, dentro de los entrelazamientos de las evaginaciones. Las mitocondinas son responsables del aspecto de las estriaciones basales que se observan con el microscopio óptico, en particular si el espacio extracelular està dilatado. La microfotografia electrónica también permite ver la lamina basal (LB), una pequena cantidad de tejido conjuntivo y el endotelio fenestrado (En) de un capilar peritubular contiguo, 15000× Detalle superior. Este mayor aumento de la región de las microvellosidades muestra las vesículas endociticas pequeñas que han brotado de la membrana plasmática en la base de las microvellosidades. 32 000 × Recuadro inferior izquierdo. Amp ación de la porción basal de las evaginaciones entrelazadas (FE) por debajo del alcance de las mitocondrias. En el extremo basal de estas evaginaciones existe un material denso (flecha) que corresponde a haces de filamentos de actina (véase fig. 20-16). 30 000 x.

En los preparados histológicos bien fijados, las estriaciones basales y el borde en cepillo apical contribuyen a distinguir las células del rúbulo contorneado proximal de las células de otros túbulos.

En la base misma de las células de los túbulos contorneados proximales, en las evaginaciones entrelazadas, hay baces de microfilamentos de 6 nm (*véanse* las *flechas* en las figs. 20-18 y 20-19). Estos filamentos de actina pueden tener un papel en la regulación del movimiento de los líquidos desde el espacio extracelular basolateral a través de la lámina basal del nibulo hacia el capilar peritubular contiguo.

El túbulo contorneado proximal recupera la mayoría de los líquidos del ultrafiltrado. De los 180 L/día de ultrafiltrado que ingresan en las nefronas, alrededor de 120 L/día (65% del ultrafiltrado) es reabsorbido por el túbulo contorneado proximal. Dos proteínas principales tienen a su cargo la reabsorción de líquidos en los túbulos contorneados proximales.

 ATPasa de Na*/K* (bomba de sodio), una proteina transmembrana que se localiza en los pliegues laterales de la membrana plasmática. Es responsable de la reabsorción de Na⁺, que es la fuerza impulsora principal para la reabsorción de agua en el túbulo contomeado proximal. Al igual que en los epitelios del intestino y la vesícula biliar, este proceso es impulsado por el transporte activo de Na⁺ hacia el espacio lateral intercelular. El transporte activo de Na⁺ viene seguido por la difusión pasiva de Cl⁻ para mantener la neutralidad electroquímica. La acumulación de NaCl en los espacios intercelulares laterales crea un gradiente osmótico que extrae agua de la luz y la envía hacia el compartimento intercelular. Este compartimento se distiende a medida que se incrementa la cantidad de líquido que contiene; los pliegues laterales se separan para permitir dicha distensión.

 Acuaporina 1 (AQP-1), una pequeña proteína transmembrana (cerca de 30 kDa) que funciona como un canal molecular para el

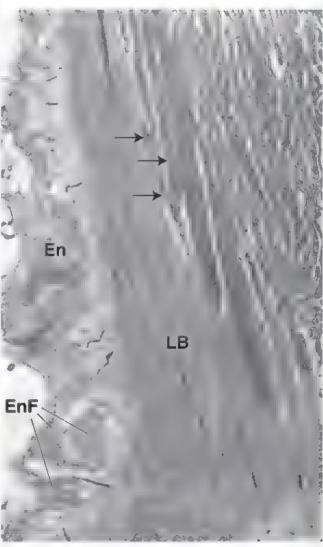


FIGURA 20-19. Microfotografía electrónica de una célula del túbulo contorneado proximal. Este corte es casi tangencial y un poco oblicuo con respecto a la base de una célula del túbulo contorneado proximal y a las láminas basal y capilar subyacentes. En la parte izquierda de la microfotografía se encuentra el endotelio capilar (En). Por lo general, el endotelio posee numerosas fenestraciones (EnF) y en este plano de corte se ven de frente como situetas circulares. El plano de corte también determina que la lámina basal (LB) aparezca como una banda ancha de material fromogéneo. A la derecha de lámina basal se encuentran las evaginaciones basales entrelazadas de las células del túbulo proximal. Las evaginaciones rectas y largas contrenen filamentos de actina orientados en sentido longifudinal (flechas). En este plano de corte el espacio extracelular basal parece un laberinto entre las evaginaciones celulares. 32 000×

agua en la membrana celular de los túbulos contorneados proximales. El desplazamiento del agua a través de estos canales de membrana no necesita la gran cantidad de energía de las bombas ATPasa de Na⁺/K⁺. Para demostrar la presencia de estas proteínas, pueden utilizarse métodos inmunocitoquímicos.

La presión hidrostática, que aumenta en el compartimento intercelular distendido, al parecer asistida por la actividad contráctil de los filamentos de actina en la base de las células tubulares, impulsa un líquido esencialmente isoosmótico a través de la membrana basal tubular hacia el rejido conjuntivo renal. Ahí, el líquido es reabsorbido por la red capilar peritubular.

El túbulo contorneado proximal también reabsorbe casi la totalidad de los aminoácidos, la glucosa y los pequeños polipéptidos.

Al igual que en el intestino, las microvellosidades de las células del rúbulo contorneado proximal están cubiertas por un glucocáliz bien desarrollado que contiene diversas ATPasas, peptidasas y altas concentraciones de disacaridasas. El túbulo contorneado proximal recupera casi el 100% de la glucosa mediante el uso de cotransportadores de Na⁺ glucosa (SGLT2, sadium-glucose linked transporter 2), que simultáneamente absorben Na* y glucosa de la luz del túbulo. La absorción de glucosa por las células epiteliales genera una alta concentración intracelular de glucosa que activa a la familia de los transportadores de glucosa (GLUT2, glucose transporter 2). Los GLUT2 transportan esta molécula a través de la membrana basolateral hacia el rejido conjuntivo, donde ingresa en la luz de los vasos sanguíneos. El rúbulo contorneado proximal también recupera alrededor del 98% de los aminoácidos filtrados, que son absorbidos por varios transportadores de aminoácidos que intercambian iones Na*, H⁺ y K⁺ (transportadores de aminoácidos ácidos) o iones Na⁺ e H⁺ (transportadores de aminoácidos básicos y neutros). El borde en cepillo en el túbulo contorneado proximal se asemeja al borde estriado del intestino delgado, ya que posee muchas peptidasas que degradan proteínas grandes en proteínas pequeñas y polipépudos. Los pequeños polipeptidos son recuperados en un proceso similar al de la glucosa que emplea los cotransportadores de péptidos asociados con el H⁺ de la superficie apical (PepT1 y PepT2). Una vez dentro de la célula, los polipéptidos se degradan con facilidad y se transportan a través de la membrana basolateral como aminoácidos libres.

Las proteínas y los péptidos grandes experimentan endocitosis en el túbulo contorneado proximal.

Hay profundas invaginaciones tubulares entre las microvellosidades de las células del túbulo contorneado proximal. Las proteínas del ultrafiltrado, cuando llegan a la luz del túbulo, se unen a los receptores endocíticos expresados en la membrana plasmática. Cuando las proteínas se unen a los receptores, se inicia el proceso de endocitosis y las vesículas endocíticas que contienen la proteína unida forman grandes endosomas tempranos con contenido proteínico (véase fig. 20-18). Estos endosomas tempranos están destinados a convertirse en lisosomas, y las proteínas incorporadas por endocitosis son degradadas por hidrolasas ácidas. Los aminoácidos producidos en la degradación lisosómica se reciclan y se devuelven a la circulación a través del compartimento intercelular y el tejido conjuntivo intersticial.

Además, el pH del ultrafiltrado se modifica en el túbulo contorneado proximal por la reabsorción de bicarbonato y la secreción, específica hacia la luz, de ácidos orgánicos exógenos y bases orgánicas derivados de la circulación capilar peritubular.

Túbulo recto proximal

Las células del túbulo recto proximal (la rama gruesa descendente del asa renal) no están tan especializadas para la absorción como las del rúbulo contorneado proximal. Son más cortas, con un borde en cepillo menos desarrollado, con evaginaciones laterales y basolaterales en menor cantidad y menos complejas. Las mitocondrias son más pequeñas que en las células del segmento contorneado y se distribuyen de forma aleatoria en el citoplasma. Se encuentran menos invaginaciones apicales y vesículas endocíticas, así como menor cantidad de lisosomas. Las células del túbulo recto proximal están diseñadas para recuperar la glucosa remanente (no recuperada por los túbulos contorneados proximales) antes de que ingrese en el segmento delgado del asa renal. Están dotadas de corransportadores de glucosa de alta afinidad asociados con Na* (SGLT1, sodium-glucose linked transporter 1), que absorben simultáneamente Na+ y glucosa de la luz del rúbulo. Estas células también poseen transportadores de glucosa (GLUT1, glucose transporter 1) complementarios en las membranas basolaterales para llevar glucosa fuera de la célula y hacia la matriz extracelular

Segmento delgado del asa renal (de Henle)

Como ya se mencionó, la longitud del segmento delgado varía según la ubicación de la nefrona en la corteza. Las nefronas yuxtamedulares poseen las ramas más largas, mientras que las corticales tienen las más cortas. Además, en el segmento delgado hay diversos tipos de células. En el microscopio óptico es posible detectar al menos dos clases de túbulos de segmento delgado, uno de ellos con el epitelio más plano que el otro. El examen con microscopio electrónico de los segmentos delgados de varias nefronas permite observar diferencias adicionales, como la existencia de cuatro tipos de células epiteliales (fig. 20-20):

- Epitelio tipo I, que se encuentra en las ramas delgadas ascendente y descendente (del asa renal) de las nefronas de asa corta.
 Consiste en un epitelio simple delgado. Las células casi no presentan entrelazamiento con células adyacentes y tienen pocos orgánulos.
- Epitello tipo II, que se localiza en la rama descendente delgada (de las nefronas de asa larga) en el laberinto cortical y consiste en un epitello más alargado. Estas células poseen abundantes orgánulos y tienen muchas microvellosidades romas y pequeñas. El grado de entrelazamiento lateral con las células vecinas varia según la especie.
- Epitelio tipo III, que se localiza en la rama descendente delgada (en la médula interna) y se trata de un epítelio más delgado. Las células tienen una estructura más simple y menos microvellosidades que las células epiteliales tipo II. No hay entrelazamiento lateral.
- Epitelio tipo IV, que se ubica en la curvatura de las nefronas de asa larga y en toda la rama ascendente delgada; es un epitelio aplanado menos alargado y sin microvellosidades. Las células poseen pocos orgánulos.

El papel específico de cada uno de los cuatro tipos de células se relaciona con su función en el sistema de intercambio por contra corriente que concentra el líquido tubular. Es probable que las diferencias morfológicas, como las microvellosidades, las mitocondrias y el grado de entrelazamiento celular, sean el reflejo de participaciones activas o pasivas.

Las ramas delgadas ascendente y descendente (del asa renal) poseen diferentes propiedades estructurales y funcionales.

Los estudios del ultrafiltrado que entra en la rama delgada descendente y el que sale de la rama delgada ascendente (del asa renal) permiten comprobar cambios radicales en su osmolalidad. El ul-

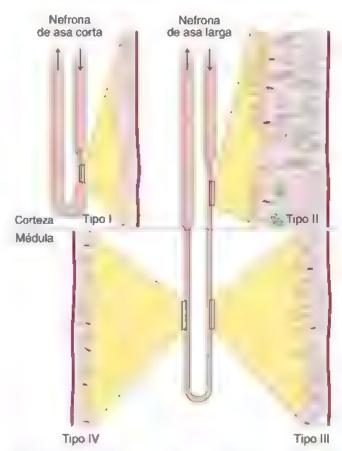


FIGURA 20-20. Esquema de las células epiteliales de la rama delgada del asa renal (de Hente). En este diagrama se muestran los diferentes tipos de aprtelio y la región donde se encuentran en la rama delgada de las asas renales cortas y largas. Los diagramas del epitelio no incluyen las regiones nucleares de las células epitelia-les (modificado de Madsen KM, Tisber CC. Physiologic anatomy of the kidney En: Fisher JW, ed Kidney Hormones, London Academic Press, 1986.3.45–100)

trafiltrado que ingresa en la rama delgada descendente es isoosmotico, mientras que el ultrafiltrado que sale de la rama delgada ascendente es hipoosmótico con respecto al plasma. Este cambio es ocasionado por la mayor reabsorción de sales que de agua. Las dos ramas del asa renal tienen diferentes permeabilidades y, por ende, diferentes funciones.

- La rama delgada descendente del asa renal es muy permeable al agua debido a la presencia de acuaporinas (AQP, aquaporins) que permiten el libre paso del agua. Esta rama es mucho menos permeable al Na⁺ y la urea; sin embargo, permite que pequeñas cantidades entren en la nefrona en este sitio (cuadro 20-5, p. 762). La urea ingresa en este segmento de la nefrona a través de los transportadores de urea A2 (UT-A2, urea transporter A2). Debido a que el líquido intersticial en la médula es hiperosmótico, el agua sale de este segmento de la nefrona por ósmosis, lo que hace que el contenido luminal de Na⁺ y Cl⁻ se concentre de manera progresiva. Las células de esta rama no transportan iones activamente; por lo tanto, la ormolalidad incrementada del líquido tubular en este segmento de la nefrona es causado, en gran medida, por el movimiento pasivo del agua hacia el tejido conjuntivo pertrubular.
- La rema deigeda escendente del asa renal es muy permeable al Na* y al Cl⁻ debido a la presencia de cotransportadores de Na⁺/K⁺/2Cl en las membranas apicales de los plasmocitos. El Na⁺ es bombeado fuera de las células por la ATPasa Na⁺/K⁺,

mientras que el K⁺ y el Cl⁻ se difunden pasivamente a través de sus canales respectivos hacia la médula siguiendo sus gradientes de concentración. Aunque la energía del ATP es necesaria para abrir estos canales, el movimiento del Cl⁻ no es un ejemplo de transporte activo y no requiere de la actividad de la ATPasa estimulada por Cl⁺. Los contraiones, en este caso Na⁺ (la mayoría) y K⁺, lo siguen de forma pasiva para mantener la neutralidad electroquímica. La hiperosmolaridad del intersticio se encuentra directamente relacionada con la actividad de transporte de las células en este segmento de la nefrona. Además, la rama delgada ascendente es muy impormeable al agua; por lo tanto, a medida que aumenta la concentración intersticial de Na* y Cl-, el intersticio se torna hiperosmótico y el líquido en la luz de la nefrona se vuelve hipoosmótico. Por esta razón, la rama delgada ascendente a veces recibe el nombre de sagmento diluyente de la nefrons.

Asimismo, las células epiteliales que revisten la rama gruesa ascendente producen una proteína de 85 kDa denominada uromodulina (proteína de Tamm-Horsfall), que influye en la reabsorción de NaCl y en la capacidad de concentración urinaria. La uromodulina tambien modula la adhesión celular y la transducción de señales mediante la interacción con varias citocinas. Esto también inhibe la aglomeración de cristales de oxalato de calcio (lo que evita la formación de cálculos renales) y proporciona una defensa contra la infección de las vías urinarias. En personas con enfermedades renales inflamatonas se detecta uromodulina precipitada en la orina en forma de cilíndros urinarios (véase cuadro 20-4, p. 756)

Túbulo recto distal

El túbulo recto distal es parte de la rama ascendente del asa renal.

El túbulo recto distal (rama gruesa ascendente), como ya se mencionó, es parte de la rama ascendente del asa renal e incluye las porciones medular y cortical, con esta última ubicada en los rayos medulares. El túbulo recto distal, al igual que la rama delgada ascendente, transporta iones desde la luz tubular hacía el intersticio. La membrana celular apical en este segmento posee transportadores electroneutros (simportadores) que permiten que los iones CI-, Na+ y K+ ingresen en la célula desde la luz. El Na+ es transportado activamente a través de los extensos pliegues basolaterales por la ATPasa de Na⁺/K⁺ (bombas de sodio). El Cl⁻ y el K⁺ se difunden hacia afuera del espacio intracelular por los canales de ClTy K⁺. Algunos iones K⁺ se cuelan de nuevo hacia el liquido tubular a través de los canales de K⁺, lo cual hace que la luz tubular tenga carga positiva con respecto al intersticio. Este gradiente positivo proporciona la fuerza impulsora para la reabsorción de muchos otros iones, como Ca2+ y Mg2+. Nótese que este gran movimiento de iones se produce sin el movimiento de agua a través de la pared del rúbulo recto distal, cuyo resultado es la separación del agua de sus solutos.

En los preparados histológicos de rutina, las células cúbicas grandes del túbulo recto distal se tiñen tenuemente con la eosina y no se ven los límites laterales de las células (lám. 77, p. 778). El núcleo está ubicado en la porción apical de la célula y, a veces, especialmente en el segmento recto, hace que la célula se abulte hacia la luz. Como se ha mencionado, estas células poseen pliegues basolaterales extensos y también muchas mitocondrias asociadas con estos pliegues basales (fig. 20-21). Tienen una cantidad bastante menor de microvellosidades y están menos desarrolladas que las de las células del túbulo recto proximal (compárense las figs. 20-18 y 20-19).

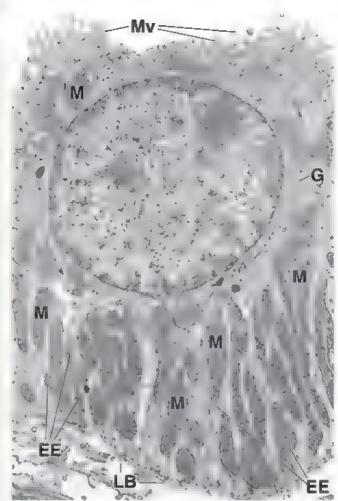


FIGURA 20-21. Microfotografía electrónica de una célula del tubulo contomeado distal. La superficie apical de la célula posee algunas microvellosidades (MV) que no son lo suficientemente largas o numerosas para brindar la apariencia de un borde en cepillo (compárese con la fig. 20-15). El núcleo y el aparato de Golgi (G) se encuentran en la porción superior de la célula. Las mitocondrias (M) se localizan principalmente en la región basal de la célula, dentro de las evaginaciones entrelazadas (EE). Como en la célula del tubulo proximal, las mitocondrias son las responsables del aspecto de las estriaciones basales visibles bajo el microscopio óptico. Una tâm na basal (LB) es visible al iado de la superficie basal de la célula. 12000×

Túbulo contorneado distal

La estructura y la función del túbulo contorneado distal dependen de la distribución y absorción de Na*.

El tubulo contomendo distal, que se localiza en el laberinto cortical, mide más o menos una tercera parte de la longitud (menos de 5 mm) del túbulo contorneado proximal. Comienza a una distancia variable de la mácula densa y se extrende hacia el túbulo conector que comunica la nefrona con el conducto colector corrical. Las células del túbulo contorneado distal se parecen a las del túbulo recto distal (rama gruesa ascendente), pero son bastante más alargadas y carecen de un borde en cepillo bien desarrollado. De forma similar a lo que ocurre en el túbulo recto distal, el epitelio del túbulo contorneado distal también es bastante impermeable al agua. El segmento inicial del túbulo contorneado distal es el sitio primario para la reabsorción del Ca²⁺ regulada por la hormona parattroxdea. Las células del rúbulo contorneado distal presentan mayor actividad de ATPasa Na⁺/K⁺ en sus membranas basolaterales que cualquier otro segmento de la nefrona, lo que provee la fuerza impulsora para el transporte de iones. Este túbulo corto tiene a su cargo las siguientes funciones:

- Reabsorción de Na⁺ y secreción de K⁺ hacia el ultrafiltrado para conservar el Na⁺.
- Reabsorción de lones bicarbonato, con la secrección asociada de iones H⁺, lo que causa una mayor acidificación de la orma.
- Reabsorción de cloruro (CI*), mediada por los transportadores de Na*/CI* sensibles a la tiazida.
- Secreción de amonio, en respuesta a la necesidad de los n
 ñones de excretar ácido y generar bicarbonato.

Túbulo conector

El túbulo conector corresponde a una región de transición entre el túbulo contorneado distal y el conducto colector cortical.

Los túbulos conectores de las nefronas subcapsulares se unen directamente al conducto colector cortical, muentras que los túbulos conectores de las nefronas corticales medias y yuxtamedulares
primero se fusionan con otros túbulos conectores para formar un
túbulo conector arqueado antes de unirse con el conducto colector cortical. El epitelio de este segmento cambia de manera gradual
desde el túbulo contorneado distal hasta el conducto colector, dicho
epitelio consiste en células entremezcladas de ambas regiones (células principales del conducto colector cortical con células del túbulo
contorneado distal). Algunos estudios morfológicos y fisiológicos
demostraron que los túbulos conectores desempeñan un papel importante en la secreción de K⁺ (muy probablemente a consecuencia
de la presencia de las células principales), que en parte está regulada
por los mineralocorticoides secretados por la corteza suprarrenal.

Conductos colectores corticales y medulares

Los conductos colectores corticales y medulares determinan la osmolalidad final de la orma mediante la reabsorción de agua. El conducto colector medular externo también es el sitio de reabsorción de la urea mediante el transporte facilitado que utiliza el transportador de urea A1 (UT A1, urea transporter A1). Los conductos colectores están formados por epitelio simple. Los corticales poseen células aplanadas, cuya forma oscila entre plana y cúbica. Los medulares tienen células cúbicas en transición hacia cilíndricas a medida que los conductos incrementan su tamaño. Los conductos colectores se distinguen con facilidad de los túbulos proximales y distales en virtud de los límites celulares que pueden observarse en el microscopio óptico (lám. 77, p. 778).

En los conductos colectores se pueden identificar dos tipos celulares bien definidos:

- Células claras, también llamadas células principales o células del conducto colector, que son el tipo celular predominante de los conductos colectores. Son células de tinción tenue con verdaderos repliegues basales (en lugar de evaginaciones) que se entrelazan con las de las células comiguas. Poseen un solo cilio primano y relativamente pocas microvellosidades cortas (fig. 20-22). Contienen pequeñas mitocondrias esféricas. Estas células poseen abundantes canales de acuaporina 2 (AQP-2, aquaporin-2), responsables de la permeabilidad al agua de los conductos colectores, regulados por la hormona anudiurética o vasopresina (ADH, anudiuretic hormone; cuadro 20-6). También las acuaporinas AQP-3 y AQP-4 se encuentran en la membrana basolateral de estas células. Las células principales también tienen abundantes receptores mineralocorticoides citoplasmáticos; por lo tanto, son la diana principal de la acción de la aldosterone (véase más adelante).
- Celulas oscuras, también denominadas celulas intercaladas, que aparecen en una cantidad notoriamente menor. Tienen

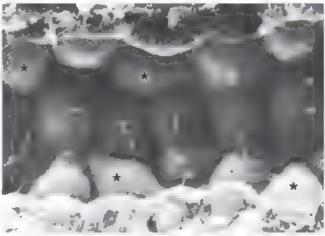


FIGURA 20-22. Microfotografía electrónica de barrido de un conducto colector. En la imagen se muestran células oscuras (astenscos) con abundantes laminopodios o microcrestas cortas y células claras (principales), cada una con un cilio primano en su superficie libre junto con pequeñas microvellosidades. Los términos claro y oscuro se refieren a la tinición de las células seccionadas y no a las diferencias de densidad, que son un retlejo de las características de carga de la superficie cubierta de la muestra (cortesia del Dr. C. Craig Tisher)

muchas mitocondrias y sus citoplasmas son más densos. Los micropliegues (pliegues citoplasmáticos) están en su superficie apical, al igual que las microvellosidades. Los micropliegues se observan con facilidad mediante el microscopio electrónico de barrido (MEB), pero pueden confundirse con las microvellosidades observadas con el microscopio electrónico de transmisión (MET; véase fig. 20-22). No muestran pliegues basales, pero existen entrelazamientos basales con las células adyacentes. En el citoplasma apical aparecen muchas vesículas. Las células intercaladas participan en la socreción de H* (células intercaladas tt) o de bicarbonato (células intercaladas B), según la necesidad del riñón de excretar ácidos o álcalis. Las células intercaladas o secretan activamente H* hacia la luz del conducto colector (a través de bombas dependientes de ATP) y liberan HCO3 a través de intercambiadores Cl-/HCO3 ubicados en sus membranas celulares basolaterales. Las células intercaladas β tienen polaridad opuesta y secretan iones bicarbonato hacia la luz del conducto colector. Debido a la naturaleza de la dieta y, por lo tanto, a la necesidad de excretar ácido, el epitelio de los conductos colectores contiene más células intercaladas ti que B.

Las células de los conductos colectores se vuelven gradualmente más alargadas a medida que los conductos pasan de la médula externa a la médula interna, y se tornan cilíndricas en la región de la papila renal. La cantidad de células oscuras disminuye de forma gradual hasta desaparecer de los conductos cuando se aproximan a la papila.

La aldosterona no actúa en el túbulo contorneado distal, sino en los túbulos conectores y los conductos colectores.

Con fundamento en experiencias con micropuntura, se llegó a la conclusión de que las células del túbulo contorneado distal eran la diana principal de la aldosterona. No obstante, las nuevas metodologías de investigación molecular mostraron que la aldosterona actúa fundamentalmente sobre las células principales (claras) de los conductos colectores. Como ya se mencionó, las células principales no están presentes en el túbulo contorneado distal, pero aparecen de manera dispersa en los túbulos conectores. Por lo tanto, la aldoste-

rona (como la ADH) actúa sobre los conductos colectores corticales y medulares revestidos sobre todo de células principales. La razón de esta confusión se relaciona con el hecho de que el líquido tubular recolectado mediante micropuntura ha tenido frecuentemente contacto con las células de los rúbulos y los conductos colectores corticales, lo que daba la impresión de que el tratamiento experimental con aldosterona tenía un efecto sobre el túbulo contorneado distal. Los estudios moleculares de expresión génica proporcionan claros indicios de la presencia del receptor de mineralocorticoides (de aldosterona) en las células principales.

La aldosterona, unida a los receptores de mineralocorticoides en las células principales, actúa como factor de transcripción de las proteínas que participan en el intercambio de Na* por K*.

La aldosterona es secretada por la corteza suprarrenal y liberada bajo la estimulación de la angiotensina II o mediante el incremento en la concentración de K* en la sangre (hipercalemia). Se une al receptor citoplasmático de mineralocorticoides (MR, mineralocorticosa receptor) y después es translocada al interior del núcleo. El complejo aldosterona-MR actúa como un factor de transcripción que aumenta la expresión génica de varias proteínas que participan en la reabsorción de Na⁺ y en la secreción de K⁺. Estas proteínas incluyen proteínas del canal epstelial de sodio (ENaC, epsthelial sodium channel), proteínas del canal tenal medular externo de potasio (ROMK, renal outer medullary potassium channel) y la ATPasa Na⁺/K⁺. La síntesis de nuevas proteínas de canal y enzimas se realiza en un lapso aproximado de 6 h. Como resultado de la acción de la aldosterona, aumenta la reebsorción de Naty la secreción de K* en las células principales. Esto incrementa la concentración de Na[†] sérico, que a su vez aumenta el volumen sanguíneo y la presión arterial.

■ CÉLULAS INTERSTICIALES

El tejido conjuntivo del parénquima renal, denominado tejido intersticiel, rodea las nefronas, los conductos, así como los vasos sanguíneos y linfáticos. Este tejido aumenta considerablemente en cantidad desde la corteza (donde corresponde a casi el 7% del volumen) hasta la región interna de la médula y la papila (donde puede llegar a más del 20% del volumen).

En la corteza se reconocen dos tipos de células intersticiales: células parecidas a los fibroblastos (situadas entre la membrana basal de los túbulos y los capilares peritubulares contiguos) y algunos macrófagos. En su estrecha relación con la base de las celulas epiteliales tubulares, los fibroblastos del intersticio renal se asemejan a los fibroblastos subepiteliales del intestino. Estas células sintetizan y secretan el colágeno y los glucosaminoglucanos de la matriz extracelular del intersticio.

En la médula, las células intersuciales principales se parecen a los miofibroblestos. Se orientan paralelas a los ejes longitudinales de las estructuras tubulares y desempeñan algún papel en la compactación de dichas estructuras. Las células contienen haces prominentes de filamentos de actina, un retículo endoplasmático rugoso (RER) abundante, un complejo de Golgi bien desarrollado y lisosomas. Las prominentes inclusiones lipídicas en el citoplasma parecen aumentar o disminuir en relación con el estado de diuresis.

La mayoría de los fibrob astos se origina dentro del tejido intersticial a través de un mecanismo denominado transición epiteliomesenquimatosa. La conversion de las células epiteliales tubulares en un fenotipo mesenquimatoso se inicia por la alteración del equilibrio de las concentraciones locales de citocina. Durante la lesión persistente y la inflamación crónica del parenquima ranal, aumenta la cantidad de fibroblastos que, al secretar exceso de matriz extracelular, destruyen

CONSIDERACIONES FUNCIONALES: ESTRUCTURA Y FUNCIÓN DE LOS CANALES DE ACUAPORINA

Las acuaporinas (AQP) constituyen una familia de pequeñas proteínas transmembrana hidrófobas, recién reconocidas, que median el transporte de agua en el riñón y otros ósganos (p. ej., higado, vesícula biliar). Hasta la fecha se han caracterizado y clonado 13 de estas proteínas. El tamaño molecular de las AQP oscila entre 26 y 34 kDa. Cada protelna está compuesta por seis dominios transmembrana. dispuestos de manera que forman un poro bien definido. Los sitios donde se expresan las AQP indican su función en el transporte de agua: en los tubulos renales (reabsorción de agua), el encéfalo y la médula espinal (reabsorción de líquido cefalorraquideo), las células acinares pancreáticas (secreción de líquidos pancreáticos), el aparato lagrimal (secreción y reabsorción de lágrimas) y el ojo (secreción y reabsorción de humor acuoso). La mayoría de las AQP son selectivas para el paso de agua (AQP-1, AQP-2, AQP-4, AQP-5, AQP-6 y AQP-8). mientras que otras, como AQP-3, AQP-7 y AQP-9, denominadas acuaglicaroporinas, también transportan glicarol y otras moléculas más grandes, además de agua. Las AQP más importantes son las siguientes.

 AQP-1, que se expresa en las células renales (túbulos contorneados proximales) y en otros tipos celulares como los hepatocitos y los entrocitos También se expresa en los ganglios linfáticos, las células endoteliales que revisten los senos linfáticos y el endotelio vascular de las vénulas de endotelio alto, así como en las células endoteliales de los vasos quiliferos intestinales

- AQP-2, presente en la porción terminal de los túbulos contorneados distales, los tubulos conectores y el epitelio de los conductos colectores. La hormona antidiurética (ADH, antidiuretic hormone) regula la AQP-2 y, por lo tanto, esta ultima se conoce como canal de agua regulado por la ADH. La mutación del gen que codifica la AQP-2 se ha vinculado con la diabetes insipida refrógena congénita.
- AQP-3 y AQP-4, que también se han detectado en la superficie celular basolateral de «as células claras de los conductos colectores renales, el epitelio gastrointestinal (AQP-3), las células de los acinos pancreáticos (AQP-12) y el encéfalo y la médula espinal (AQP-4)

Las investigaciones actuales sobre la función y estructura de las AQP pueden conducir al desarrollo de bloqueadores de los canales de agua que podrían utilizarse para tratar la hipertensión, la insuficiencia cardíaca congestiva y el edema cerebral, así como para regular la presión intracraneal intraocular.

la arquitectura intersticial normal del riñon. Los estudios de investigación indican que, en la fibrosis renal, más de una tercera parte de todos los fibroblastos relacionados con la enfermedad se originan a partir de las células epiteliales tubulares ubicadas en el sitio de la lesión. La proliferación de fibroblastos en respuesta a mitogenos locales suele conducir a insuficiencia renal irreversible, caracterizada por nefritis tubulointersticial. En casos de fibrosis renal, algunas intervenciones terapéuticas recientes tratan de inhibir la formación de fibroblastos mediante el cambio del equilibrio local de las citocinas a favor de la transición mesenquimoepitelial inversa.

■ HISTOFISIOLOGÍA DEL RIÑÓN

El sistema multiplicador por contracorriente produce orina hiperosmótica.

El término contracorriente indica un flujo de líquidos en estructuras contiguas, pero con direcciones opuestas. La capacidad para excretar orina hiperosmótica depende del sistema multiplicador por contracomiento en el que participan tres estructuras, a saber:

- Asa renei (de Henie), que actúa como un multiplicador por contracorriente. El ultrafiltrado se desplaza dentro de la rama descendente del segmento delgado del asa hacia la papila renal y regresa hacia la unión corticomedular dentro de la rama ascendente del segmento delgado. Los gradientes osmóticos de la médula se establecen a lo largo del eje del asa renal.
- Vasos rectos, que forman asas paralelas al asa renal. Actúan
 como intercambiadores por contracorriente de agua y solutos
 entre la parte descendente (arteriolas rectas) y la parte ascendente (vénulas rectas) de los vasos rectos. Los vasos rectos contribuyen a mantener el gradiente osmótico de la médula.
- Conducto colector en la médula, que actúa como un dispositivo equilibrador osmótico. El ultrafiltrado modificado en los conductos colectores se puede equilibrar aún más con el inters-

ticio medular hiperosmótico. El grado de equilibrio depende de la activación de los canales de AQP-2 dependientes de ADH.

Un gradiente constante de concentración iónica produce orina hiperosmotica mediante un efecto multiplicador por contracorriente.

El asa renal produce y mantiene un gradiente de concentración iónica en el intersticio medular que aumenta desde el límite corticomedular hasta la papila renal. Como ya se mencionó, la rama del gada descendente del asa renal es permeable al agua, mientras que la rama ascendente es imperineable a ella. Además, las células de la rama delgada ascendente añaden Na* y Cl. al intersticio.

Debido a que el agua no puede abandonar la rama delgada ascendente, el intersticio se torna hiperosmótico en relación con el contenido luminal. Si bien parte del ClT y el Na* del intersticio vuelven a difundirse hacia el interior de la nefrona en la rama delgada descendente y el túbulo recto distal, los iones son transportados otra vez hacia afuera por la rama delgada ascendente y por el túbulo recto distal (rama gruesa ascendente). Esto produce el electo multiplicador por contracorriente. Así, la concentración de NaCl en el intersticio se incrementa de forma gradual a lo largo del asa renal y, en consecuencia, también a través del espesor de la médula, desde la unión corticomedular hasta la papila.

Los vasos rectos que contienen arteriolas descendentes y vénulas ascendentes actuan como intercambiadores por contracorriente.

Para una mejor comprensión del mecanismo de intercambio por contracomiente, es necesario reanudar la descripción de la circulación renal desde el sitio en el que la arteriola eferente abandona el corpúsculo renal.

Las arteriotas eferentes de los corpúsculos renales de la mayor parte de la corteza se ramifican para formar la red capilar que rodea las porciones tubulares de la nefrona en la corteza, es decir, la red capilar portubular. Las arteriolas eferentes de los corpúsculos rena-

CONSIDERACIONES FUNCIONALES. REGULACIÓN DE LA FUNCIÓN DEL CONDUCTO COL ECTOR POR LA HORMONA ANTIDIURÉTICA.

La permeabilidad ai agua dei epitello de los conductos colectores se encuentra regulada por la hormona antidiurética (ADH, vasopresina), una hormona producida en el hipotálamo y liberada desde el lóbulo posterior de la hipófisis (neurohipófisis). La ADH incrementa la permeabilidad al agua del conducto colector, lo cual produce, en consecuencia, una orina más concentrada. A escala molecular, la ADH actua sobre los conductos de acuaporina 2 (AQP-2) ubicados en los epitelios de la porción terminal del tubulo contorneado distal, los túbulos conectores y los conductos colectores. No obstante, la acción de la ADH es más importante en los conductos coiectores. La ADH se une a los receptores en las células de estos conductos y desencadena las siguientes acciones.

- Translocación de vesículas intracitoplasmáticas con AQP-2 hacia la superficie celular apical (un efecto a corto plazo). Esto causa el aumento en la cantidad de conductos de AQP-2 disponibles en la superficie celular y, de ese modo, incrementa la permeabilidad del epitelio al aqua.
- Sintesis de AQP-2 y su inserción en la membrana celular apical (un efecto a largo plazo)

Un aumento en la osmolalidad plasmática o una disminución del volumen sanguíneo estimula la liberación de la ADH, como lo hace la nicotina

En ausencia de la ADH, se produce una orina difuida muy abundante. Esta alteración recibe el nombre de diabetes insipida central (DIC). Estudios recientes indican que las mutaciones de dos genes que codifican la AQP-2 y los receptores de la ADH son la causa de una forma de DIC denominada diabetes insipida nefrógena. En esta enfermedad, el riñón no responde a la ADH debido a que las células epiteliales de los conductos colectores sintetizan AQP-2 y receptores de ADH defectuosos. El consumo excesivo de agua también puede inhibir la liberación de la ADH, con lo que se estimula la producción de un gran volumen de orina hiponsmática.

El aumento de la secreción de ADH puede producir una orna hiperosmótica, conservando así el agua en el organismo. El consumo inadecuado de agua o la pérdida de agua debido a transpiración, vómitos o diarrea, estimula la liberación de la ADH. Esto conduce a un incremento de la permeabilidad del epitello de los túbulos contorneados distales y de los conductos colectores, y se promueve la producción de un pequeño volumen de orina hiperosmótica.

les yuxtamedulares forman varias arteriolas no ramificadas que descienden hacia la pirámide medular. Estas arteriolas rectas describen un asa en la profundidad de la pirámide medular y ascienden como vénulas rectas. En conjunto, las arteriolas descendentes y las vénulas ascendentes se denominan vesos rectos. Las arteriolas rectas forman plexos capilares (revestidos por endotelio con fenestraciones) que irrigan las estructuras tubulares de los diferentes niveles de la pirámide medular.

La interacción entre los conductos colectores, las asas renales y los vasos rectos es necesaria para la concentración de la orina mediante el mecanismo de intercambio por contracorriente.

Debido a que la rama gruesa ascendente del asa renal posee un grado muy alto de actividad de transporte y es impermeable al agua, el ultrafiltrado modificado que finalmente llega al rúbulo contorneado distal es hipousmárico. Cuando está presente, la ADH, los túbulos contorneados distales y los conductos colectores son muy permeables al agua. Por lo tanto, dentro de la correza, en la cual el intersticio es isoosmótico con respecto a la sangre, el ultrafiltrado modificado dentro del túbulo contorneado distal se equilibra y se torna isoosmótico, en parte debido a la pérdida de agua hacia el intersticio y en parte por la adición de tones diferentes al Na[†] y al Cl al ultrafiltrado. En la médula, cantidades crecientes de agua abandonan el ultrafiltrado a medida que los conductos colectores atraviesan un intersticio cada vez más hiperosmótico en su trayecto hacia la papila.

Como ya se dijo, los vasos rectos también forman en la médula asas paralelas al asa renal. Esta disposición asegura que los vasos proporcionen circulación a la médula sin alterar el gradiente osmótico establecido por el transporte de Cl⁻ en el epitelio de la rama ascendente del asa renal

Los vasos rectos forman un sistemo de intercambio por contracorriente de la siguiente manera: tanto el lado arterial como el venoso del asa consisten en vasos de paredes delgadas que forman plexos de capilares con fenestraciones en todos los niveles de la médula. A medida que los vasos arteriales descienden a través de la médula, la sangre pierde agua hacia el intersticio e incorpora sal desde él, por lo que en el extremo del asa, profundo en la médula, la sangre está esencialmente en equilibrio con el líquido intersticial biperosmótico.

A medida que los vasos venosos descrenden hacia el límite corticomedular, el proceso se revierte (la sangre hiperosmótica pierde sal hacia el intersticio y recibe agua desde él). Este intercambio pastvo (por contracorriente) de agua y sal entre la sangre y el intersticio ocurre sin gasto energético de las células endoteliales. La energía que conduce este sistema es la misma que conduce al sistema multiplicador, es decir, el movimiento de Na⁺ y Cl hacia afuera de las células de la rama ascendente del asa renal impermeable al agua. En la figura 20-23 se ilustran el sistema de intercambio por contracorriente y otros movimientos de las moléculas en diferentes partes de la nefrona.

■ IRRIGACIÓN SANGUÍNEA

Algunos aspectos de la irrigación sanguínea del riñón se han descrito en relación con funciones específicas (filtración glomerular, control de la presión arterial e intercambio por contracomente). Sin embargo, aún no se ha proporcionado una descripción general de la irrigación sanguínea renal.

Cada riñón recibe una rama grande de la aorta abdominal denominada arteria renal. La arteria renal se ramifica dentro del seno renal y emite arterias interlobulares hacía el parénquima del riñón (fig. 20-24). Estas arterias discurren entre las pirámides hasta la corteza, después se curvan para seguir un trayecto arqueado a lo largo de la base de la pirámide, entre la médula y la corteza. Dichas arterias interlobulares se denominan arterias arqueadas.

Las arterias interiobulillares son ramificaciones de las arterias arqueadas y ascienden a través de la corteza hacia la cápsula. Si bien los límites entre los lobulillos no están definidos, las arterias

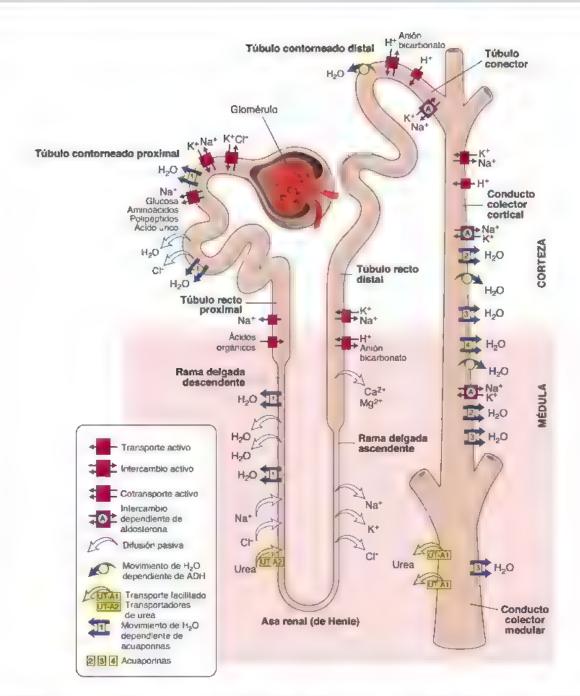


FIGURA 20-23. Esquema que ilustra la entrada y salida de sustancias de la nefrona y del sistema colector. Los simbolos indican el modo de transporte, as como los transportadores dependientes de moiéculas especificas que actuan sobre la nefrona y los conductos colectores (como se señale en el recuadro)

interlobulillares, cuando están incluidas en un corte perpendicular al vaso, se ubican a mitad de camino entre rayos medulares contiguos en el laberinto cortical. A medida que atraviesan la corteza hacia la cápsula, las arterias interlobulillares emiten ramas denominadas arteriolas aferentes, una hacia cada glomérulo. Una arteriola aferente individual puede originarse directamente de la arteria interlobulillar; también un tronco común derivado de ella puede ramificarse para formar varias arteriolas aferentes. Algunas arterias interlobulillares terminan cerca de la perifetia de la corteza, mientras que otras ingresan en la cápsula renal para proveede iringación.

Las arteriolas aferentes originan los capilares que forman el glomérulo. Los capilares glomerulares se reúnen para formar una artenola eferente que, a su vez, da origen a una segunda red de capilares denominados capilares peritubulares. La distribución de estos capilares difiere según provengan de un glomérulo cortical o de uno yuxtamedular:

- Las arteriolas eferentes de los glomérulos corticales originan una red capilar pentubular que rodea a los túbulos urinarios locales (véase fig. 20-24)
- Las arteriolas eferentes de los glomérulos yuxtamedulares descienden hacia la médula a lo largo del asa renal y se subdividen en vasos más pequeños que contimúan hacia el vértice de la pirámide, pero forman asas a diversas alturas para retornar a modo de vasos rectos hacia la base de la pirámide (véase fig. 20-24). Así, las arrenolas eferentes desde los glomérulos yuxtamedulares dan origen a los vasos rectos descendentes que, junto con los vasos rectos ascendentes, participan en el sistema de intercambio por contra-

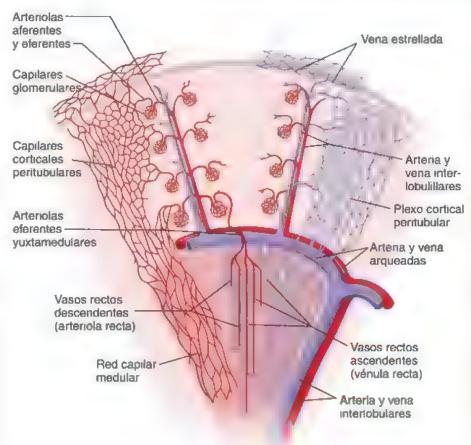


FIGURA 20-24. Esquema de la infgación sangumea renal. La artena renal origina las arterias interiobulares que se ramifican en arterias arqueadas en el límite entre la médula y la corteza. Las arter as interiobulillares se ramifican desde las artenas arqueadas y discurren hacia la cápsula renal, por lo que en su trayecto emiten las arteriolas aferentes que contribuyen con los capilares glomerulares. Los glomérolos en la parte externa de la corteza envían arteriolas eferentes hacia los capilares corticales pentubulares que rodean los tubulos en la corteza. Los giomérulos cercanos a la médula, es decir, los yuxtamedulares, envian arteriolas eferentes casi completamente a la red medular de capilares que contiene los vasos rectos descendentes. La sangre regresadesde la médula por los vasos rectos ascendentes y la red de capitares a través de las venas que entran en las venas arqueadas. Las venas estrelladas cercanas a la cápsula dreman en la red capsular y el plexo peritubular cortical desemboca en las venas interlobulillares y arqueadas

corriente. Drenan a través de la red capilar medular peritubular en las venas arqueadas. Estos vasos se describen en la explicación del sistema de intercambio por contracorriente (véase p. 762).

Por lo general, el flujo venoso en el riñón sigue un trayecto inverso al flujo arterial y las venas discurren paralelas a las arterias correspondientes (véase fig. 20-24). Por lo tanto, el flujo venoso es como sigue:

- Los capitares corticales peritubulares drenan en las venas interiobuilliares, que a su vez drenan en las venas arqueadas, las venas interiobulares y la vena renal.
- La rad vascular modular drena en las venas arqueadas y así sucesivamente
- Los capitares peritubulares cercanos a la superficie renal y a los capitares de la capsula drenan en las venas estreitadas (llamadas así por su patrón de distribución cuando se observan desde la superficie renal), que luego drenan en las venas interiobulillares y así sucesivamente

■ VASOS LINFÁTICOS

Los minones contienen dos redes principales de vasos linfáticos. Estas redes no suelen ser visibles en los cortes histológicos de rutina, pero pueden demostrarse mediante métodos experimentales. Una red está ubicada en las regiones exteriores de la corteza y drena en los vasos linfáticos más grandes de la cápsula. La otra red es más profunda dentro del parénquima del riñón y desemboca en los vasos linfáticos grandes en el seno renal. Existen numerosas anastomosis entre ambas redes linfáticas

■ INERVACIÓN

Las fibras que forman el piexo renal derivan, en su mayor parte, de la división simpática del sistema nervioso autónomo. No existe evidencia de inervación parasimpática del riñón. Los nervios simpáticos postsinápticos que forman el plexo renal son adrenérgicos (secreran noradronalina en sus terminales nerviosas). Corren a lo largo de la arteria y la vena renales, y se distribuyen a todos los segmentos de la vasculatura renal. Las concentraciones más grandes de nervios se observan a lo largo de las arteriolas aferentes, seguidas de las arteriolas eferentes. Causan la contracción del músculo liso vascular y la consiguiente vasoconstricción que regula la producción de orina de la siguiente forma:

- La constricción de las arteriolas aferentes a los glomérulos disminuye la velocidad de filtración y la producción de orina.
- La construcción de las arteriolas eferentes de los glomérulos aumenta la velocidad de filtración y la producción de orina.
- La pérdida de inervación simpática conduce al incremento en la diuresis.

Se ha propuesto que la hiperestimulación crónica de los nervios simpáticos en el plexo renal es un factor importante en la hipertensión resistente al tratamiento. Por lo tanto, se están desarrollando progresivamente técnicas minimamente invasivas dirigidas al plexo renal. Estas incluyen desinervación intraluminal con ablación por radiofrecuencia, desinervación por ultrasonido focalizado de alta intensidad o invección de agentes (etanol o vincristina) que destruyen las fibras nerviosas guiada por tomografía computarizada.

Con base en la evidencia recopilada de pacientes que recibieron trasplante de riñón, es evidente que el suministro de nervios extrinsecos no es necesario para la función renal normal. Aunque las fibras nerviosas del riñón se seccionan durante un trasplante renal, los riñones trasplantados después funcionan con normalidad.

■ URÉTER, VEJIGA Y URETRA

Todas las vias urinarias, excepto la uretra, tienen idéntica organización general.

Al abandonar los conductos colectores en el área cribosa, la orma ingresa en una serie de estructuras que no la modifican, pero que se especializan en almacenada y conducirla hacia el exterior del cuerpo. La orma fluye de forma secuencial a un váliz menor, un cáliz mayor y la polvis renat, y abandona cada riñón a través del urétor hacia la vejiga, donde se almacena. Por último, la orina se elimina a través de la uretra.

Todos los conductos de excreción de la orina, excepto la uretra, tienen la misma organización general, a saber: mucosa (revestida por epirelio de transición), muscular y adventicia (o, en algunas regiones, serosa)

Un epitelio de transición reviste los cálices, los uréteres, la vejiga y el segmento inicial de la uretra.

El epitelio de transición (urotelio) reviste la vía urmana que se micia en el riñón y forma la frontera entre el espacio urinario y los vasos sanguíneos, nervios, tejido conjuntivo y células de músculo liso subyacentes (figs. 20-25 y 20-26). Este epitelio estratificado es esencialmente impermeable a las sales y el agua. Las células en el epitelio de transición estan compuestas por al menos tres capas.

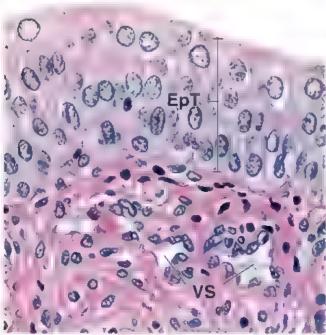


FIGURA 20-25. Microfotografía del epitello de transición (urotello). En este corte tenido con H&E se observa el espesor (de cuatro a cinco capas celulares) del epitello de transición en un uréter relajado Las células superficiales exhiben un perfi) redondeado o en forma de cúpula. El tejido conjuntivo (lámina propia) debajo del epitello (EpT) es bestante calular y contiene algunos linfocitos. Los vasos sanguíneos (VS) también son abundantes en esta región. 450×

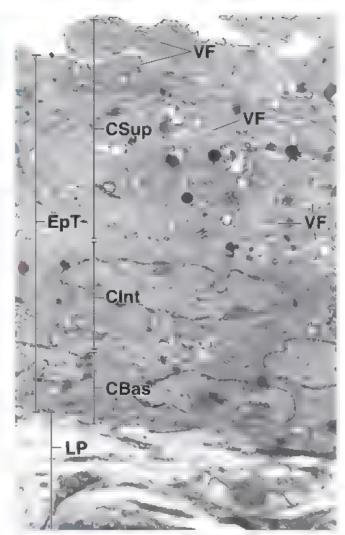


FIGURA 20-26. Microfotografía electrónica de transmisión del epitelio de la vejiga urinaria. La membrana mucosa de la vejiga urinaria está compuesta por epitelio de transición (*EpT*) con una làmina propia (*LP*) subyacente. La capa superficial (*CSup*) contiene células en forma de cupula con vesículas fusiformes (*VF*) peculiares, pues son visibles aquí con relativamente poco aumento. En la figura 20-27b pueden apreciarse con mayor ampliación. La capa intermedia (*CInt*), de espesor variable, contiene células que pueden diferenciarse y reemplazar las células en forma de cúpula perdidas. La capa basaf (*CBas*) contiene células madre del epitelio de transición. 5000×

- La capa superficial contiene células poliédricas grandes, monoucleares o multinucleadas (25-250 µm de diámetro) que sobresalen dentro de la luz. Con frecuencia se les describe como células en cupula o células sombritta, debido a la curvatura de su superficie apical (véase fig. 20-26). La forma de estas células epiteliales depende de qué tan lleno esté el pasaje excretor. Por ejemplo, en una vejiga vacía, las células en forma de cúpula son más bien cúbicas; sin embargo, cuando la vejiga se llena, las células están muy estiradas y se ven aplanadas y lisas. Los bordes de las células exhiben crestas formadas por los entrelazamientos de las membranas apicales de las células contíguas. Este entrelazamiento es similar a una cremallera cerrada y contribuye a la barrera paracelular de alta resistencia que refuerza las uniones herméticas.
- La capa celular intermedia tiene células piriformes conectadas entre sí y células en forma de cúpula con desmosomas super puestos. El espesor de esta capa varía según el estado de expansión de la vía urinaria; en los humanos puede alcanzar hasta

- cinco capas de espesor. Cuando una célula en forma de cúpula suprayacente desaparece, la población de células intermedias se diferencia y reemplaza con rapidez la célula superficial perdida.
- La capa celular basal está hecha de pequeñas células con un solo núcleo que se localiza en la membrana basal. Esta capa contiene celulas madre del urotelio.

El epitelio comienza en los cálices menores con dos capas celulares que aumentan a cuatro o cinco en el uréter y a seis capas o más en la vejiga vacía. Sin embargo, cuando la vejiga se distiende, solo se observan tres capas (wéase fig. 20-26). Este cambio es un reflejo de la capacidad de las células para adaptarse a la distensión. Las células en la vejiga distendida, en particular las grandes células superficiales en forma de cúpula, se aplanan y las células de las capas intermedias se deslizan una sobre otra para adaptarse a la superficie en expansión. A medida que las células individuales se reorganizan en la vejiga distendida, el aspecto resultante corresponde a las tres capas "verdaderas".

La superficie luminal del epitelio de transición está cubierta por placas uroteliales rigidas que contienen uroplaquinas proteínicas cristalinas; estas desempeñan un papel importante en la barrera de permeabilidad.

En la pared de una vejiga no distendida se observa con el MET cómo la membrana plasmática apical de las células en forma de cúpula adquiere un aspecto festoneado inusual. La mayor parte de la membrana plasmática apical está cubierta por plucas urotallales cóncavas, de aspecto rígido, separadas por estrechas regiones bisagra intermedias (fig. 20-27). En los cortes transversales, el estrato externo de la bicapa lipídica tiene el doble de espesor que el estrato interno y la región de la placa urotelial aparece asimétrica, de ahí el nombre de membrana unitaria asimetrica (MUA). El estrato externo (más grueso) de la placa urotelial contiene una estructura cristalina de partículas proteínicas de 16 nm dispuestas de forma hexagonal; está compuesta por una familia de canco proteínas transmembrana conocidas como uropiaquinas (UPIa, UPIb, UPII, UPIIIa y UPIIIb, fig. 20-28). La organización cristalina de las partículas de uroplaquina hace que la placa sea impermeable a las moléculas pequeñas (agua, urea y protones). Junto con las uniones ocluyentes (herméticas), las placas uroteliales desempeñan un papel importante en la barrera de permeabilidad urotelial. Las regiones bisagra de la membrana plasmática contienen todas las otras proteínas que no forman parte de la placa urotelial, típicas de la región celular apical, así como receptores y canales. Alrededor del 85% de las infecciones de vias urinarias son causadas por la bacteria uropatógena Escherichia coli, que coloniza el epitelio de transición. La adhesión inicial al epitelio permite que la bacteria se afrance a la superficie epitelial, lo que evita su eliminación durante la micción. Esta unión es mediada por las adhesinas FimH, localizadas en el extremo del aparato filamentoso de adhesión de E. coli Estas adhesinas interactuan con las uroplaquinas en la membrana unitaria asimétrica de las placas uroteliales. Además, la interacción con las uroplaquinas desencadena una cascada de fenomenos que conducen a la invasión bacteriana de las células del epitelio de transición

El epitelio de transición mantiene una barrera de permeabilidad urotekal, a pesar de los cambios dinámicos en la pared de la vejuga y en otros órganos que contienen orina.

A medida que la vejuga u otros órganos que contienen orina se distienden, la superficie plegada de la mucosa se estura y expande. Las células en forma de cúpula también experimentan cambios en su membrana apical, los cuales están asociados con la presen-

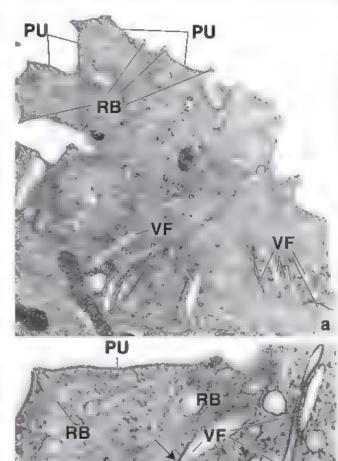


FIGURA 20-27. Microfotografía electronica de transmisión de la porción apical de una célula en forma de cupula. a. El citoplasma posee vesículas pequeñas, filamentos y mitocondrias, pero la característica más distintiva de la célula son sus vesiculas fusiformes (VF). Obsérvese que la membrana plasmática apical está cubierta por placas uroteliales (PU) cóncavas de apariencia rígida, separadas por regiones bisagra (RB) intermedias estrechas 27000× b. Con mayor aumento se aprecia que la membrana que forma las vesículas fusiformes (flecha) es similar a la membrana plasmática apical de la placa urotelial (PU). Ambas membranas están engrosadas y conforman la membrana unitaria asimétrica (MLA), en la cual el estrato externo de la bicapa lipidica es dos veces más grueso que el estrato interno. Las uroplaquinas (proteínas especificas de la piaca urotelial) se producen en el RER y después se transportan al aparato de Golgi, donde experimentan oligomenzación en partículas de 16 nm con el armado final de una estructura or stalina. La red trans-Golgi envuelve las MUA en las vesiculas fusiformes para distribulifas en la membrana celular apica 60 000 x

cia de vesículas fusiformes. Cuando se observan con el MET, las vesículas fusiformes están orientadas de manera perpendicular y muy cercanas a la membrana plasmática apical. Están formadas por membranas unitarias asimétricas similares a las de las placas uroteliales. En respuesta a la distensión de la vejiga, la membrana apical se expande como resultado de la emocitosis de las vesículas fusiformes que devienen parte de la superficie celular (véase fig. 20-28). La mayoría de las vesículas fusiformes se fusionan en las regiones bisagra con la superficie celular apical, mientras que el resto de las vesículas asumen una posición más paralela en relación con la membrana apical. Durante la micción, el proceso se revierte a medida que la membrana apical añadida se recupera por endocitosis y la membrana apical de las células en forma de cúpula se hace más corra.

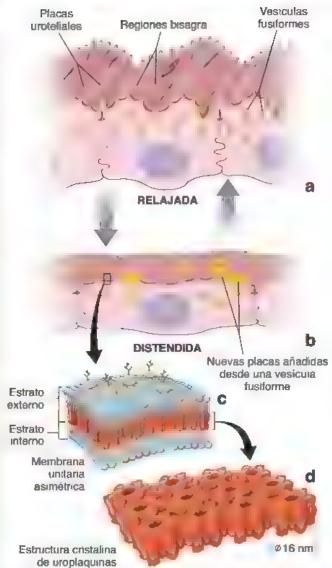


FIGURA 20-28. Esquemas de la superficie luminal de las células en forma de cúpula. a. En esta ilustración se representa la superficie luminal de las céulas en forma de cúpula en una vejiga relajada. Obsérvese que la membrana plasmática apical de cade célula está cubierta por placas uroteliales cóncavas con crestas separadas por estrechas regiones bisagra intermedias. Las vesículas fusiformes (en color diferente), que contienen membranas de placa adicionales, se acumulan en la parte supenor de la célula. La mayoría de ellas están orientadas en sentido vertical y algunas están unidas a las regiones bisagra en la membrana celular apical. b. Este diagrama representa la misma célula del diagrama superior tal y como aparecería en una vejiga distendida. Nótense las placas adicionales que fueron añadidas a la superficie desde las vesículas fusiformes. El resto de las vesículas en esta ilustración son visibles en una posición más horizontar e. La placa urote al en un corte transversa, exhibe características de la membrana unitaria asimétrica (MJA), en la que el estrato externo de la bicapa lipídica es dos veces más grueso que el estrato interno. La MUA está presente en las placas uroteliales y en las vesiculas fusiformes d. El estrato externo (más grueso) de la placa urotelia, contiene una matriz enstalina de proteínas de 16 nm de diámetro, dispuestas de forma hexagonal, compuestas por una familia de proteínas transmembrana conocidas como uroplaquinas.

El urotelio es un participante activo en los mecanismos de señatización entre el medio externo y la orina, las fibras nerviosas y los músculos lisos de las vías urinarias.

Los estudios experimentales han demostrado que el urotelio no actúa solo como uma barrera pasiva de permeabilidad, sino que también

desempeña un papel activo en los mecanismos de señalización de los órganos urinarios. El urotelio responde a estimulos químicos y mecánicos y se encarga de la comunicación autocrina o paracrina con las fibras nerviosas y los músculos lisos de las vías urinarias. La expresión de una gran vanedad de receptores en su superficie (nicotínicos, muscarímicos y adrenérgicos) y la existencia de canales iónicos permitien a las células uroteliales responder a los neurotransmisores liberados por las fibras nerviosas. Además, las células uroteliales pueden producir y secretar acetilcolina, NO y factor de crecimiento nervioso (NGF, nerve growth factor), que regulan la actividad de las fibras nerviosas y los músculos lisos subyacentes.

El músculo liso de las vías urinarias está organizado en haces.

En toda la vía urinaria debajo del urotelio hay una lámina propia de colágeno denso. Las paredes carecen de muscular de la mucosa y de submucosa. En las porciones tubulares (uréteres y uretra) suele haber dos capas de músculo liso bajo la lámina propia:

- Capa longitudinal, el estrato interno que se organiza con un patrón que describe una espiral muy abierra.
- Capa circular, el estrato externo dispuesto en un patrón que describe una espiral apretada.

Cabe destacar que esta disposición del músculo liso es opuesta a la de la muscular externa del tubo digestivo. El músculo liso de las vías urinarias está mezclado con tejido conjuntivo, de modo que forma haces paralelos en lugar de láminas musculares puras. Las contracciones peristálticas del músculo liso impulsan la orina desde los cálices menores, a través del uréter, hasta la vejiga.

Uréteres

Cada ureter conduce la orana desde la pelvis renal hacia la vepga y mide alrededor de 24-34 cm de longitud. La parte distal del uréter ingresa en la vejiga y stgue un trayecto oblicuo a través de la pared vesical. El epitelio de transición (urotelio) reviste la superficie luminal de la pared del uréter. El resto de la pared está compuesto por músculo liso y tejido conjuntivo. El músculo liso está dispuesto en tres capas: una longitudinal interna, una circular media y una longitudinal externa (lám. 78, p. 780). Sin embargo, la capa longitudinal externa está presente solo en el extremo distal del uréter. A menudo el uréter está incluido en el tejido adiposo retroperitoneal. El tejido adiposo, los vasos y los nervios forman la adventicia del uréter.

A medida que la vejiga se distiende por la acumulación de orina, los orificios de los uréteres se comprimen, lo que reduce la posibilidad de reflujo de orina hacia los uréteres. La contracción del músculo liso de la pared de la vejiga también comprime los orificios de desembocadura de los uréteres en la vejiga. Esto contribuye a prevenir la diseminación de infecciones desde la vejiga y la uretra, sitios frecuentes de infección crónica (en particular en las mujeres) hacia los riñones.

En la porción terminal de los uréteres hay una capa gruesa externa de músculo longitudinal, además de las dos ya mencionadas, en particular en el segmento ureteral que atraviesa la pared de la vejiga. La mayoría de las descripciones de la musculatura vesical indican que esta capa longitudinal continúa dentro de la pared de la vejiga hasta formar un componente principal de ella. Sin embargo, el músculo liso de la vejiga no se divide en capas tan claramente definidas.

Vejiga

La vejiga es un reservono distensible para la onna que está ubicada en la pelvis por detrás de la sínfisis del pubis; su tamaño y su forma cambian a medida que se llena. Tiene tres orificios; dos para los uréteres (orificios ureterales) y uno para la uretra (orificio uretral interno). La región triangular definida por estos tres orificios, el trigono, es bastante lisa y tiene un espesor constante; el resto de la pared vesical es grueso y con pliegues cuando la vejiga está vacía, pero delgado y liso cuando la vejiga está distendida. Estas diferencias reflejan los origenes embriológicos del trigono y el resto de la pared vesical. Dado que el trigono proviene de los conductos mesonéfricos embrionarios, carece de muscular de la mucosa y submucosa. Debido a que la mayor parte de la pared de la vejiga se origina en la cloaca (una parte del intestino distal), su pared posee capas comparables con las que se encuentran en el tubo digestivo.

El músculo liso de la pared vesical forma el músculo detrusor. Hacia el orificio de la uretra, las fibras musculares conforman el osfinter uretral interno involuntario, que es un anillo muscular ubicado alrededor del orificio de la uretra. Los fascículos musculares lisos del músculo detrusor están dispuestos de modo menos regular que los de las porciones tubulares de las vías urmarias; por consiguiente, los haces musculares y de colágeno se mezclan de forma aleatoria (lám. 79, p. 782). La contracción del músculo detrusor de la vejiga comprime todo el órgano y expulsa la orina hacia la uretra.

La vejiga está inervada por las divisiones simpáticas y parasimpáticas del sistema nervioso autónomo:

- Las fibras simpáticas forman un plexo en la adventicia de la pared vesical. Estas fibras postsinápticas simpáticas se originan en el plexo hipogástrico inferior y liberan noradrenalina (NA). La NA activa tanto los receptores adrenérgicos β₁, para relajar el músculo detrusor, como los receptores adrenérgicos β₁, para contraer las fibras musculares lisas del esfinter uretral interno. De esta manera, el sistema nervioso simpatico relaja la vejiga y contrae el esfinter uretral interno de manera simultánea.
- Las fibras parasimpárticas se originan de los segmentos S2-S4 de la médula espinal y discurren con los nervios esplácnicos pélvicos hacia los ganglios terminales ubicados en los haces musculares y la adventicia vesical. El aumento de la estimulación de las fibras nerviosas posisinápticas parasimpáticas libera aceticolina (ACh), lo que provoca la contracción de la vejiga al estimular los receptores muscurinicos M₃ en las fibras lisas del músculo detrusor. Estos nervios también liberan óxido nétrico, que relaja los músculos lisos del esfinter uretral interno. Por lo tanto, el sistema parasimpático proporciona fibras eferentes para el reflejo micelonal.
- Las fibras sonsitivas desde la vejiga hasta la porción sacra de la médula espinal son las fibras aferentes del nervio pudendo que envían el reflejo miccional.

El control voluntario de la mucción es proporcionado por las fibras nerviosas somáticas del nervio pudendo (S2-S4), que inervan el músculo esquelético (estriado) del esfinter uretral externo. Las terminales del axón somático en las uniones neuromusculares liberan acetileolina que estimula la contracción del músculo estriado del esfinter externo por la activación de receptores nicotinicos colinérgicos. Este esfinter rodea la uretra membranosa a medida que pasa a través del espacio perineal profundo. Las fibras nerviosas del nervio pudendo mantienen una contracción tónica constante de las fibras del músculo esquelético del esfinter externo. Durante la micción, estas fibras son inhibidas, lo que provoca la relajación del esfinter externo y la expulsión de la orina.

Uretra

La uretra es el tubo fibromuscular que transporta orina desde la vejiga hasta el exterior a través del **orificio externo de la uretra**. El tamaño, la estructura y las funciones de la uretra son diferentes en los hombres y las mujeres.

En el varón, la uretra funciona como segmento terminal tanto de la vía urinaria como de la vía espermática. Mide cerca de 20 cm de largo y tiene tres porciones bien definidas:

- La uretra prostática se extiende entre 3 y 4 cm desde el cuello de la vejiga a través de la glándula prostática (véase p. 833). Está revestida de epitelto de transición (urotelio). Los conductos eyaculadores del aparato genital desembocan en la pared posterior del segmento y numerosos conductos prostáticos pequeños también desembocan ahí
- La uretra membranosa se extrende por alrededor de 1 cm desde el vértice de la glándula prostática hasta el bulbo del pene. Atraviesa el espacio perineal profundo del piso de la pelvis a medida que ingresa en el periné. El músculo esquelético del espacio perineal profundo que rodea la uretra membranosa forma el esfinter externo (voluntario) de la uretra. El epitelio de transición termina en la uretra membranosa. Este segmento está revestido de epitelio cilíndrico estratificado o seudoestratificado que se parece más al epitelio de las vías espermáticas que al epitelio de las porciones más proximales del aparato urinario.
- La uretra esponjosa (peneana) se extrende cerca de 15 cm a través de toda la longitud del pene y se abre a la superficie corporal a la altura del glando. La uretra peneana está rodeada por el cuerpo esponjoso a medida que atraviesa el pene. Está revestida por epitelio cilindrico seudoestratificado, excepto en su extremo distal, donde está recubierta por epitelio plano estratificado que se continúa con la piel del pene. En la uretra peneana desembocan los conductos de las glándulas bulbouretrales (glándulas de Cowper) y de las glándulas uretrales (glándulas de Littré) secretoras de moco.

En la mujer, la uretra es corta, mide entre 3 y 5 cm de longitud desde la vejiga hasta el vestibulo de la vagina, donde generalmente termina justo debajo del clítoris. La mucosa se describe de manera tradicional con pliegues longitudinales. Al igual que en la uretra masculina, al principio, el revestimiento es epitelio de transición, una continuación del epitelio vesical, pero cambia a epitelio plano estratificado antes de su terminación. Algunos investigadores han informado la presencia de epitelio cilíndrico estratificado y seudoestratificado en la porción media de la uretra femenina.

Una gran cantidad de glándulas uretrales pequeñas, en particular en la parte proximal de la uretra, vierten sus secreciones hacia la luz uretral. Otras estructuras, las glándulas parauretraies (de Skene), homólogas de la glándula prostática en el hombre, envían su secreción a los conductos parauretrales comunes. Estos conductos desembocan en cada lado del orificio externo de la uretra. Las glándulas producen una secreción alcalina. La lámina propia es una capa de tejido conjuntivo muy vascularizada que se parece al cuerpo esponjoso del órgano masculino. En el sitio en el que la uretra perfora el diafragma urogenital (parte membranosa de la uretra), el músculo estriado de esta estructura forma el esfinter externo (voluntario) de la uretra.



APARATO URINARIO

FUNDAMENTOS DEL APARATO URINARIO

El aparato urinario incluye los riñones, los uréteres, la vejiga y la uretra.

Las funciones esenciales de los riñones incluyen la homeostasis (a través del control del equilibrio hudroelectrolítico) del pH plasmático, la osmolalidad del rejido y la presión arterial, la filtración y excreción de productos metabólicos de desecho; y las actividades endocrinas, como la secreción de hormonas para regular la critropoyesis de la médula ósea (critropoyetina), la presión arrerial (renina) y el metabolismo del Ca2+ (activación de la vitamina D).

ESTRUCTURA GENERAL DEL RIÑON

 Cada riñón está rodeado por una cápsula de tejido conjuntivo y contiene una corteza externa y una médula interna dividida en 8-12 pirámides renales. La correza se extiende hacia la médula para formar las columnas renales que separan las pirámides renales entre sí.

La corteza se caracteriza por corpúsculos renales y sus túbulos contomeados y rectos asociados. La aglomeración de los túbulos rectos y los conductos colectores en la corteza

forma los rayos medulares.

 Un tóbulo renal incluye a la pirámide renal y su tejido cortical asociado.

 La base de cada pirámide renal enfrenta la corteza, y la porción apical (papila) se proyecta hacia el cáliz menor, una rama del cáliz mayor que, a su vez, es una división de la pelvis renal.

A la altura del hilio, la pelvis renal se extrende hacia el uréter

que transporta la orina hacia la vejiga.

 Cada riñón recibe sangre de la arteria renal, la cual ramifica en las arterias interiobulares (que discurren entre las pirámides) que después se curvan para seguir un trayecto arqueado a lo largo de la base de la pirámide (arterias arqueadas) y se ramifican una vez más en arterias interlobulillares que irrigan la corteza.

En la correza, la arreria interlobulillar emite las arteriolas aferentes (una a cada glomérulo), lo que origina los capi lares que forman el glomérulo. Los capilares glomerulares se reúnen para generar una sola arteriola eferente que, a su vez, da origen a una segunda red de capilares, los capilares

peritubulares

 Algunos de los capilares pentubulares forman asas largas denominadas vasos rectos, que acompañan los segmentos

delgados de las nefronas.

 Los capilares peritubulares desembocan en las venas interlobulillares, que a su vez drenan en las venas arqueadas, venas interlobulares y vena renal.

ESTRUCTURA Y FUNCION DE LAS NEFRONAS

La nefrona es la unidad estructural y funcional del m\u00e4\u00f3n.

 La nefrona está compuesta por el corpúsculo renal y una parte tubular larga que încluye un segmento grueso proximal (túbulo contorneado proximal y túbulo recto proximal), un segmento delgado (parte delgada del asa renal o de Henle) y un segmento grueso distal (túbulo recto distal y túbulo contorneado distal) El rúbulo contorneado distal se comunica con el túbulo conector que se abre a la papila renal.

 El corpúsculo renal contiene un glomérulo rodeado por una doble capa de la cápsula renal (de Bowman).

 El aparato de filtración del riñón está compuesto por el endotelio glomerular, la membrana basal glomerular (MBG) y los podocitos de la cápsula renal.

La MBG cargada negativamente, que contiene colágeno de los ripos IV y XVIII, staloglucoproteinas, glucoproteinas no colágenas, proteoglucanos y mucopolisacándos, actúa como

una barrera física y un filtro tónico selectivo.

Los podocitos extienden sus evaginaciones alrededor de los capilares y emiten numerosas evaginaciones secundarias denominadas pedicelos, que se entrelazan con las de otros podocitos advacentes. Los espacios entre los pedicelos entrelazados conforman ranuras de filtración cubiertas por el diafragma de las ranuras de filtración.

La MBG del corpúsculo renal es compartida por varios capilares para crear un espacio para las células mesangiales y

su matriz extracelular

 Las células mesangiales participan en la fagocitosis, la endocitosis de residuos atrapados en las ranuras de filtración, la secreción de las sustancias paracrinas, el apoyo estructural para los podocitos y la modulación de la distensión glomerular.

 El aparato yuxtaglomerular comprende la mácula densa (que vigila la concentración de Na⁺ en el líquido tubular), las células yuxtaglomerulares (que secretan renina) y las células mesangiales extraglomerulares. Este aparato regula la presión arterial mediante la activación del sistema renina-angiotensina-aldosterona (SRAA)

FUNCION TUBULAR RENAL

- El ultrafiltrado glomerular de la capsula renal atraviesa una serie de tubulos y conductos colectores revestidos por células epiteliales que secretan y absorben varias sustancias para producir la orina definitiva.
- El túbulo contorneado proximal recibe el ultrafiltrado glomerular de la cápsula renal. Este túbulo es el sitio inicial y principal para la reabsorción de glucosa, aminoácidos, polipeptidos, agua y electrólitos.
- La reabsorción del ultrafiltrado continúa a medida que fluye desde el tubulo contorneado proximal hacia el túbulo recto proximal (la rama gruesa descendente del asa renal) que desciende hacia la medula.
- El asa renal (de Henle), con la rama descendente (muy permeable al agua) y la rama ascendente (muy permeable al Na* y el Cl⁻), concentra el ultrafiltrado.
- El tubulo recto distal (rama gruesa ascendente) sube de regreso a la corteza para alcanzar la proximidad del corpúsculo renal, donde hace contacto con la arteriola aferente. En esta región, las células epireliales del túbulo forman la mácula densa
- El túbulo contormeado distal se vacia en el conducto colector cortical que esta en el rayo medular; estos equilibran la concentración de Na⁺ y K⁺ en el ultrafiltrado.
- El conducto colector medular esta revestido por células cúbicas, con una transición a células cilindricas a medida que el conducto aumenta su tamaño. Los conductos colectores poseen acuaporinas y canales para el flujo de agua regulados por la hormona antidiurética (ADH) que regulan la reabsorción de agua.
- Los conductos colectores se abren a la papila renal, y el ultrafiltrado modificado, abora denominado orina, fluye de forma secuencial a través de las vías urinarias.

URÉTER, VEJIGA Y URETRA

- Todas las vias urinarias, excepto la uretra, tienen la misma organización general estan revestidas por una mucosa que contiene epítelio de transición (urotelio) y poseen una capa de muscino liso y una adventicia de tejido conjuntivo (o serosa).
- El epitelio de transición es un epitelio estratificado especializado, con grandes células en forma de cúpula (sombrilla) que sobresalen dentro de la luz.
- Las celulas en forma de cupula poseen una membrana apical modificada con placas y vesiculas
 fusiformes que ajustan el exceso invaginado de membrana plasmatica, el cual es necesario para
 extender la superficie apical cuando el órgano se estira.
- El epitelio de transición crea una barrera de permeabilidad y participa activamente en los mecanismos de señalización molecular.
- El uréter conduce la orma desde la pelvis renal hacia la vejiga. Está revestido por epitelio de transición, músculo liso subyacente dispuesto en tres capas bien definidas y una adventicia de tejido conjuntivo.
- La vejiga tambien está revestida por epitelio de transicion y posee muchos pliegues mucosos, excepto
 en la región del trígono. Su pared muscular es gruesa y está bien desarrollada; forma el músculo
 detrusor.
- La uretra transporta la orana desde la vejaga hasta el orificio externo de la uretra.
- La uretra fernenina es corta y está revesuda por epitelio de transición (mitad superior), epitelio cilindrico seudoestratificado (mitad inferior) así como epitelio plano estratificado (antes de su terminación)
- La uretra masculina es mucho más larga que la femenina y se divide en tres regiones: la uretra
 prostática (revestida por epitelio de transicion): una uretra membranosa corta que perfora el
 esfinter externo de la uretra (recubierta con epitelio cilíndrico estratificado o seudoestratificado), y
 una uretra peneana larga (revestida por epitelio cilíndrico seudoestratificado).

LÁMINA 74 RIÑÓN

El aparato unnario consiste en dos riñones, que producen la orina; dos uristeres, que conducen la orina desde los niñones hasta la vejiga; y, finalmente, la uretra, que conduce la orina de la vejiga al extenor del cuerpo. Los niñones conservan los liquidos y electrófitos del organismo; asimismo, eliminan desechos metabólicos como la urea, el ácido úrico, la creatinina y los productos de degradación de diferentes sustancias. Producen la orina, que inicialmente es un ultrafiltrado de la sangre modificado por la reabsorción selectiva y la secreción específica de las cétulas tubulares renales. Los rinones también funcionan como órganos endocrinos, pues producen eritropoyetina (un factor de crecimiento que regula la formación de eritrocitos) y renina (una hormona que participa en el control de la tensión arterial y del volumen sanguineo). Además, hidroxilan vitamina D, una prohormona esteroide, para producir su forma activa.

Cada rinón es un órgano aplanado con forma de haba que mide alrededor de 10 cm de largo, 6.5 cm de ancho (desde su borde convexo hasta su borde cóncavo) y 3 cm de espesor. En el borde medial cóncavo de cada riñón se encuentra el hilio, una región escotada a través de la cual entran y salen vasos, nervios y vasos linfáticos. El segmento inicial del uréter, que está dilatado en forma de embudo y se llama pelvis renal, también abandona el riñón por el hilio. La superficie de corte de un rinón fresco hemiseccionado permite identificar dos regiones bien definidas una corteza (la parte externa color pardo rojizo) y una médula (una parte interna mucho más clara que se continúa con la pelvis renal). La corteza se caracteriza por los corpúsculos renales y sus túbulos, incluidos los tubulos contorneados y los túbulos rectos de la nefrona, los conductos colectores corticales y una extensa red vascular.

Rinón, humano, muestra fresca, 3×

Aqui se muestra un corre frontal a través de la correza y la médula de un ritión fresco sin fijar, obtenido de una autopsia. La **región hiliar** visible está compuesta por cálices menores (blanco gristoro) rodeados por tejido adiposo de color amarillo. La parte externa del

mión tiene un color pardo rojizo; esta es la GOTTEZA. La médula se distingue con facilidad de la parte interna y a su vez se subdivide en una pocción externa (MF), selentificada aqui por la presencia de vasos sanguineos, los vasos rectos (VR), y una porción interna (MI) más clara y de aspecto más homogéneo. La médula está compuesta por las purámides renales, cuyas bases están frente a la correza y sus vértices (con forma de papila (PI) dingádos hacia el hílio. Las pirárnides están separadas, a veces solo de forma parcial como se aprecia en esta fotografía, por la sustancia cortical que recibe el nombre de columna renal (ColR). La mayor parte de la posición externa de la parámide de la izquiende no ha quedado incluida

en el plano de este corre. Las papilas son los extremos libres de las piramides que se proyectan dentro del primero de una serie de grandes espacios colectores de onna conocidos como **cálices menores** (CM), la superficie interna del cáliz es blanquecina. Los **cálices menores** desembocan en los cálices mayores y estas, a su vez, en la **pelvis renal**, que conduce la orina hasta el urétez.

Una caracteristica interesante en este corte de riñón es que la sangre ha quedado retensda en muchos de los vasos renales, lo cual facilita su identificación. Entre los vasos que pueden identificarse en la superficie de corte del riñón que se muestra aquí están los vasos interlobalillares (VI) dentro de la corteza; las venas (VI) y las arterias arqueadas (AI) en la base de las pirámides; las arterias (AIL) y las venas interlobulares (VIL) entre las pirámides renales; y en la médula, los vasos que entran y salen de la red capilar de la pirámide. Estos últimos vasos, tanto arteriolas como vénulas, son telativamiente rectos y, en conjunto, reciben el nombre de vasos rectos (VIR; cortesía del Dr. Enc. A. Pfeifer).

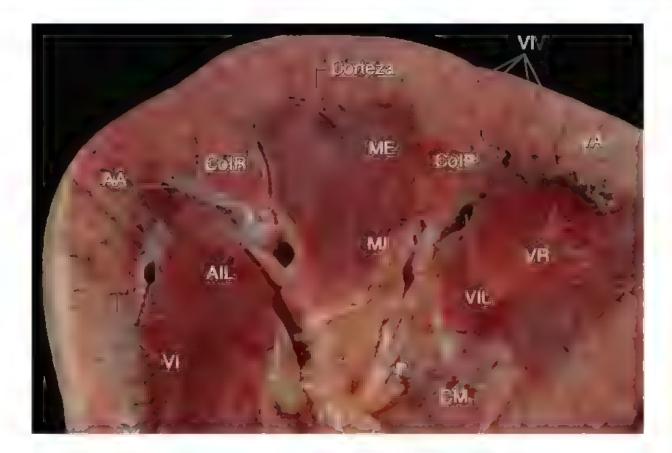
Corteza y médula, riñón, humano, H&E, 20×.

Aquí se muestra un corre histológico que incluye la **corteza** y parte de la **rnédula**. En el limite entre estas dos estructuras (marcado en parte por la *lines ducontinus*) se encuentran numerosas

siluetas de arrerias (AA) y venas arqueadas (VA). La característica más distintiva de la corteza renal, sin importar el plano de corte, es la presencia de los corpusculos renales (CR). Son estructuras esféricas compuestas por un glomérulo (conglomerado vascular glomerular) rodeado por los epitelios viaceral y parietal de la cápsula renal (de Bowman). En la corteza también se observan grupos de túbulos más o menos rectos con disposición radial desde la base de la médula (flechas); estos son los rayos medulares. En contraste, en la médula se observan siluetas de estructuras tubulares que describen cuevas suaves en la región medular externa y se tornan rectas en la región medular interna. La disposición de los túbulos (y de los vasos sanguineos) le confiere a la superficie de corte de la pirámide un aspecto levemente estrución que también es evidente en la muestra macroscópica (vésse la figura de arriba)

AA, arterias arqueadas AIL, arteria interiobular CM, cáliz menor Cotfl, columna renal CR, corpusculos renales

ME, médula externa MI, médula interna P, papila VA, venas arqueadas VI, vasos interlobulillares VIL, vena interlobular
VR, vasos rectos
flechas, rayos medulares
línea discontinua, límita entre la corteza
y la médula



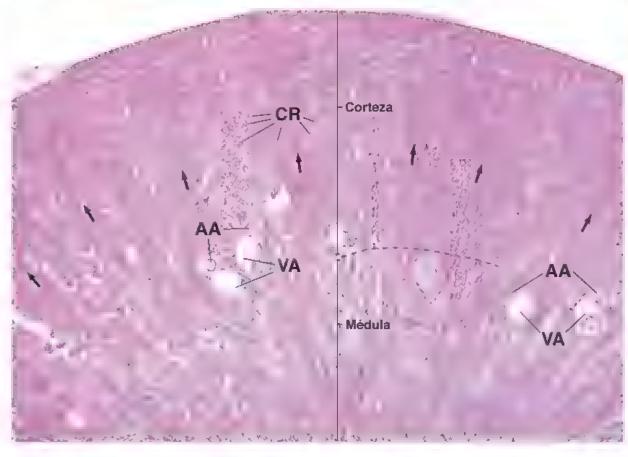


LÁMINA 75 RIÑÓN II

La nefrona es la unidad funcional del rinon. En cada rinon humano hay alrededor de 2 millones de nefronas. Tienen a su cargo la producción de la orina y equivalen a la porción secretora de otras glándulas. Los conductos colectores, que efectuan la concentración definitiva de la orina, son análogos a los conductos excretores de las glándulas exocrinas. La nefrona está formada por el corpúsculo renal y los túbulos renales. El corpúsculo renal está compuesto por el gioméruio, un conglomerado de entre 10 y 20 asas capitares rodeado por una estructura epitelial bilaminar caliciforme, la denominada cápsula renal o de Bowman. Los capitares glomerulares reciben la sangre a la altura del polo vascular de la cápsula renal desde una arteriola aferente y la envían a una arteriola eferente que abandona la cápsula renal por el polo vascular y, a continuación, se ramifica para formar

una nueva red capitar que irriga los túbulos renales. Por el polo opuesto de la capsula renal, el polo urinario, el filtrado abandona la cápsula renal. Las porciones tubulares de la nefrona son el segmento grueso proximal (compuesto por el túbulo contorneado proximal y el túbulo recto proximal), el segmento delgado, que constituye la rama delgada del asa renal (de Henle), y el segmento grueso distal, compuesto por el túbulo recto distal y el túbulo contorneado distal. El asa renal es la porción de la nefrona, con forma de "U", compuesta por los segmentos gruesos rectos de los túbulos proximal y distal, asi como por el segmento delgado que hay entre ellos. El túbulo contorneado distal desemboca en el conducto colector cortical, ya sea mediante el túbulo conector o mediante el túbulo conector arqueado. La nefrona y el túbulo conector conforman el tubulo urinario.

Corteza, rinon, humano, H&E, 60×.

La corteza renal puede dividirse en regiones, las cuales se denominan laberinto cortical (LC) y rayos medulares (RM). El laberinto corrical contiene corpúsculos renales (CR), que parecen estructuras esféricas relativamente

grandes. Alrededor de cada corpusculo renal se encuentran los túbulos contorneados proximal y distal. Estos también son parte del laberanto cortical. Los tubulos contorneados, en particular el proximal, tienen diversas formas, pero en su mayoría son ovalados o circulares; otros, más alargados, tienen forma de "J" de "C" e incluso de "S". Los rayos medulares están compuestos por grupos de túbulos rectos orientados en la misma dirección que parecen irradiar desde la base de la piramide. Cuando los rayos medulares se cortan en sentido longitudinal, como en esta figura, los rúbulos presentan un contorno alargado. Los rayos medulares contienen túbulos rectos proximales (segmentos gruesos, rama descendente del asa renal o de Henle), túbulos rectos distales (segmentos gruesos, ramas ascendentes del asa renal) y conductos colectores corticales.

Corteza, riñón, humano, H&E, 120×.

En esta imagen se muestra otro aspecto de la **corteza renal** a mayor aumento, seccionada en un plano perpendicular al del corte de la figura de *arriba*. En la periferia de la microfotografía se ve el laberinto cortical; en él, los rúbulos presentan un contorno

redondo u ovalado, atinque alguitot son más alargados y curvos. El aspecto es el mismo que el de las regiones del laberinno cornical de la figura más atriha. En el

laberinto cortical también se observa un **corpúsculo renal** (CR). Por el contrario, los contornos que estitben los rúbulos del rayo medular en esta unagen son muy diferentes de los que aparecen en la figura de arriba. Todos los túbulos circunscritos por la linea discontinua pertenecen al rayo medular (RM) y todos han sido seccionados en sentido transversal. Una inspección general de los túbulos del rayo medular indica que es posible reconocer varios tipos distintos según sus dimensiones, la forma de su luz y el tamaño de las células tubulares. Estas características, así como las del laberinto corrical, se copsideran en la lamuna 76.

CR, corpusculo renal LC, laberinto cortical RM, rayo medular

línea discontinua, limite aproximado del rayo medular

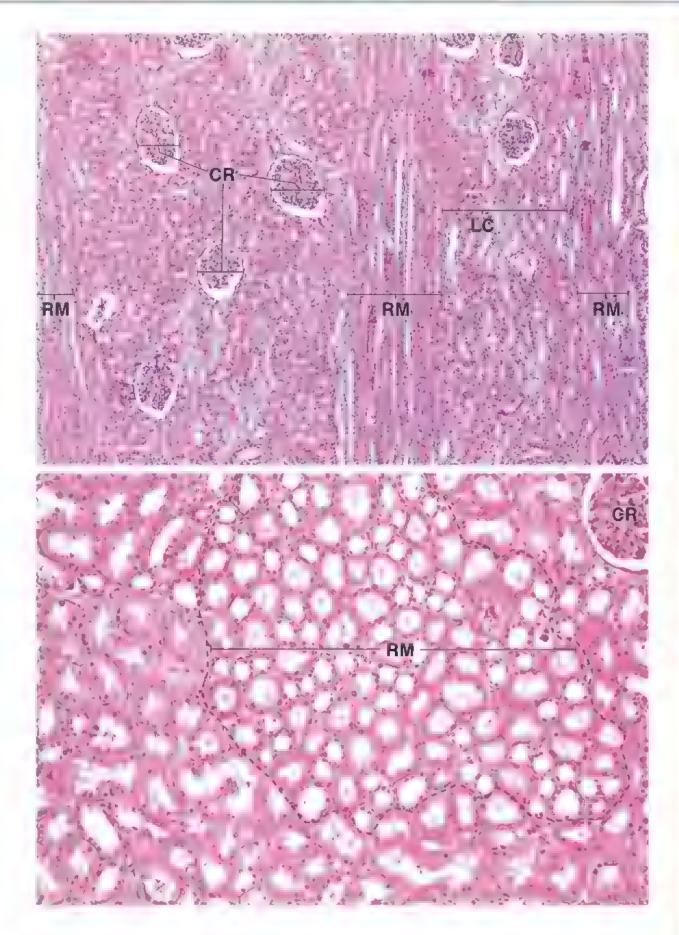


LÁMINA 76 RIÑÓN III

Los túbulos contorneados proximal y distal cuentan con características que contribuyen a su identificación en los cortes de parafina teñidos con H&E. Los túbulos contorneados proximates generalmente tienen un diámetro mayor que los tubulos distales, en los cortes transversales, su luz suele aparecer con forma estrellada. En las células tubulares proximales, con frecuencia se observa un borde en cepillo (microvellosidades apicales). Además, el túbulo contorneado proximal mide más de dos veces el largo del túbulo contorneado distal; en consecuencia, la mayoría de las siluetas tubulares en el laberinto cortical corresponden a túbulos proximales.

Las células mesangiales y su matriz extracelular forman el mesangio del corpúsculo renal. Se encuentran debajo del endotelio de los capilares del conglomerado glomerular y se extienden hacia el polo vascular, donde pasan a formar parte del aparato yuxtaglomerular. La porción terminal del segmento grueso distal de la nefrona se ubica cerca de la arteriola aferente. Las cálulas epiteliales tubulares más cercanas a la arteriola son más delgadas, más altas y están más juntas que otras células tubulares, y constituyen la mácula densa. Las células musculares arteriales lisas ubicadas frente a la mácula densa están modificadas en células yuxtaglomerulares que secretan renina en respuesta a la disminución de la concentración de NaCl en la sangre.

Túbulos contorneados proximal y distal, riñón, humano, H&E, 240×.

En esta microforografia de una región del laberinto cortical se observan seis aluetas de túbulos contorneados distales (CD), Los túbulos contorneados proximales (sin

sdentificar) tienen un diametro externo un poco mayor que el de los túbulos distales. Los túbulos proximales presentan un borde en cepillo, mientras que los rúbulos distales exhiben una superficie luminal más nítida y mejor definida. La luz de los rúbulos proximales con frecuencia tiene forma de estrella, algo que no es observable en los rúbulos distales. Por lo general, aparecen menos núcleos en un corre transversal de un rúbulo proximal que en un segmento equivalente de un rúbulo distal.

La mayoría de los puntos mencionados también se pueden utilizar para distinguir porciones rectas de los segmentos gruesos proximales y distales (en los tayos medulares), como se muestra en la imagen de la derecha.



Túbulos rectos proximal y distal, riñón, humano, H&E, 240×.

En primer lugar, rodas las siluetas tubulares dentro del rayo medular en esta microfotografia son redondas, excepto la del **túbulo** contorneado proximal (CP) incluido en el ángulo inferior

derecho (que pertenece al laberinto cortical contiguo). En segundo lugar, la canti-

dad de silueras de túbulos rectos proximales (P) y rectos distales (D) es casi igual en el rayo medular, como se indica con la leyenda de cada núbulo en esta imagen. Obsérvese que, a diferencia de los **túbulos ractos distales**, los **túbulos rectos proximales** exhiben un borde en cepillo, tienes un diámetro exterior mayor y muchos poseen una luz en forma de extrella. El rayo medular también tiene **conductos colectores corticales** (CCC)



Corpusculos renales, riñon, humano, H&E, 360×.

El corpúsculo renal aparece como una estructura esférica cuya periferia está compuesta por una cápsula delgada que encierra un espacio estrecho de aspecto claro, el **espacio urinario** (as-

tensco), y un conglomerado capilar o glomérulo que aparece como una gran acumulación celular. La cápsula del corpúsculo renal, conocida como **cápsula renal** o **cápsula renal** (**de Bowman**), en realidad posse dos partes, una capa parietal, señalada (CB), y una capa visceral. La **capa parietal** está compuesta por células epiteliales planas simples. La **capa visceral** está constituida por células denominadas **podocitos** (Pod), que se encuentran en la superficie externa del capilar glomerular. Excepto en los sitios donde claramente revisten el espacio urinario (como en las células señaladas en la figura de la inquienda), los podocitos pueden ser difíciles de distanguar de las células endoreliales capilares. Para complicar aún más las cosas, las células mesangiales también son un componente del glomérulo. En general, los núcleos de los podocitos son

más grandes y se tiñen con menor intensidad que los núcleos de las células endoreliales y mesangiales.

En la imagen de la *inquienda* se señala un rúbulo contorneado dustal (CD) y dos túbulos contorneados pronunales (CP). Las células del túbulo distal están más apiñadas en un lado. Estas células apiñadas conforman la **mácula densa** (MD) contigua a la arteriola aferente.

En la imagen de la derecha son evidentes tanto el polo vascular como el polo urinario del corpusculo renal. El polo vascular se caracteriza por tener arteriolas (A), una de las cuales está entrando en el corpusculo o saltendo de él (flecha de dos pantas). La arteriola aferente posee células musculares litas modificadas que contienen granulos, las llamadas células yuctaglomerulares (no visibles en la imagen). En el polo urinario, la capa parietal de la cápsula renal es continua con el micio del tubulo contorneado proximal (CP). Aquí, el espacio urinario del corpúsculo renal continúa en la luz del rúbulo proximal y las células de revestimiento cambian de planas simples a cúbicas simples o cilíndricas cortas con un borde en cepillo.

A. arterioia

C8, capsula renal o de Bowman (capa parietat)

CCC, conductos colectores corticales

CD, túbulo contorneado distal

CP, tubulo contorneado proxima D, tubulo recto dista. MD, mácula densa P, proximal (tubulo recto) Pod, podocito (capa visceral de la cápsula renal)

asteriscos, espacio un nario flecha de doble punta, vaso san

flecha de doble punta, vaso sanguineo en el polo vascular del corpusculo rena

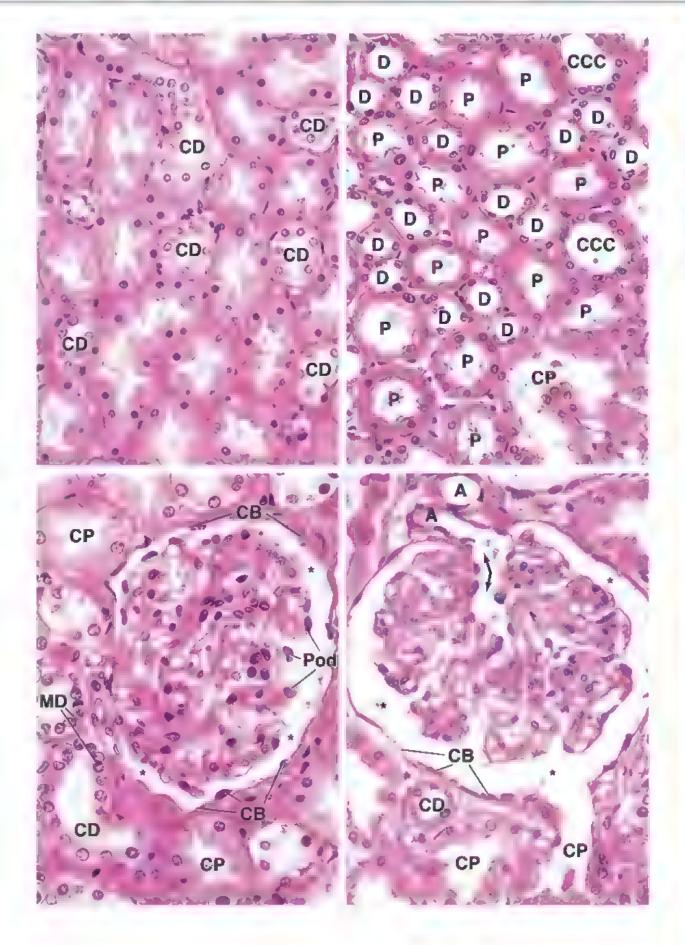


LÁMINA 77 RIÑÓN IV

Los corpusculos renales están restringidos al laberinto cortical. La médula contiene los segmentos gruesos rectos de los tubulos proximal y distal, así como sus segmentos delgados, los conductos colectores y los vasos sanguineos que discurren en paralelo. Estas estructuras funcionan como sistemas multiplicador y de intercambio por contracorriente, que, en ultima instancia, producen orina hipertónica. La orina definitiva drena desde los conductos papilares (de Bellini) hacia los cálices, que la envían, a continuación, a la pelvis renal



Médula, rinón, humano, H&E, 240×.

En esta microfotografía se muestra un corte a través de la **porción** externa de la médula. Esta región contiene segmentos gruesos (proximal y distal), segmentos delgados y conductos colectores medulares. Todos los túbulos son paralelos y todos están cortados

en sentido transversal; por lo tanto, sus silveras son circulares. Los **túbulos** rectos proximales (P) exhiben una luz con forma de estrella y un borde en cepillo (o la superficie celular apical fragmentada desde la cual el borde en cepillo se ha desprendido parcialmente). Estos túbulos tienen diámetros exteriores que, en general, son mayores que los de los **túbulos rectos distales** (D) Como ya se mencionó (y se muestra aquí), los túbulos rectos distales poseen una mayor canadad de núcleos que los que presentan los segmentos equivalentes de las células del rúbulo recto proximal. Nótese que la luz del rúbulo distal en más redonda y que la superficie apical de las células es más nítida. Los **conductos colectores** (CC) tienen un diámetro enterno más o menos igual que el de los níbulos proximales y mayor que el de los túbulos distales. Las células que forman los conductos colectores son cúbicas y más pequeñas que las de los túbulos

proximales; por ello también exhiben una cantidad bastante mayor de núcleos que los segmentos equivalentes de las células del túbulo proximal. ¡Cuéntelos! Por ultumo, los límites entre las células que constituyen los conductos colectores suelen ser visibles (asteriores); esta es una de las características más confiables para la identificación de los conductos colectores.

Los segmentos delgados (SD) poseen las paredes más finas de todos los túbulos renales que hay en la médula. Están formados por epitelio cúbico simple bajo o plano, como se observa aquí, y las luces son relativamente grandes. A veces, un corte incluye la región de transición entre un segmento grueso y uno delgado, que puede reconocerse incluso en un túbulo seccionado en sentido transversal. En esta imagen es visible una transición de este upo (el túbulo con das flechas en su luz). En un lado, la célula túbular (flecha que apunta a la izquienta) es típica del segmento proximal; mene el característico borde en cepillo. El otro lado del túbulo (flecha que apunta a la derecha) está compuesto por células cúbicas costas parecidas a las que forman los segmentos delgados. Además de los túbulos urinanos y de los conductos colectores, hay muchas otras estructuras túbulares pequeñas en esta figura. Se trata de pequeños vasos sanguíneos con paredes delgadas revestidas de endotelio.



Piramide renal, rinón, humano, H&E, 20 -

En esta microfotografía se muestra una **pirámide renal** con poca ampliación. La pirámide es una estructura cónica compuesta principalmente por túbulos rectos medulares, conductos y vasos sanguneos rectos (vasa recta). La linea discontinua a la inquierda señala el limite

entre la correza y la médula, y marca así la base de la pirámide. Obiérvense los vasos arqueados (VA) justo en el límite entre la corteza y la médula. Estos definen el límite. Los pocos corpusculos renales (CR), arriba a la saquenda, pertenecen a la columna renal de la médula. Se conocen coroo corpusculos yocaamedulares.

En esta muestra, la pirâmide está un poco deformada, como lo indica la presencia de los túbulos seccionados en sentido longitudinal (abajo a la sequienda) y los túbulos en cortes transversales y oblicuos en otras regiones. En efecto, parte de la pirâmide estaba doblada, de ahí el cambio de plano de corte de los túbulos. La porción apical de la purámide (piuna de flecha), conocida como **papila nonal**, está alojada en una estructura con forma de copa o embudo que recibe el nombre de cália. Este recoge la orina que sale del extremo de la papila proveniente de los conductos papilares (de Bellini, la punta escata de la papila no se observa dentro del plano de corte y, con este aumento bajo, tamporo se ven los orificios de los conductos). La superficie de la papila que está frente a la luz del **cáliz menor** es epitelio cilindrico o cúbico sample (EpCS) (en algunos sitios, este epitelio se ha separado de la superficie de la papila y aparece como una hebra delgada de tejido). El cáliz está nevestido por epitelio de transición (EpT) Aunque el límite entre el epitelio cilindrico que cubre la papila y el epitelio de transición que cubre la superficie interna del cáliz no es evidente (por el poco aumento utilizado), este se ha señalado con pequeños rombos.

CC, conductos colectores
CR, corpusculo renal
D, tubu o recto dista
EpCS, ap tello clindrico simple
EpT, ep tello de transición
P, túbulo recto proximal

SD, segmento delgado
VA, vasos arqueados
asteriscos, limites entre las células de un
conducto colector

flecha apuntando a la derecha, célula del segmento delgado flecha apuntando a la izquierda, célula tubu ar proximal punta de flecha, vértice de la prámide rombos, limite entre los epitelios de transición y o lindrico

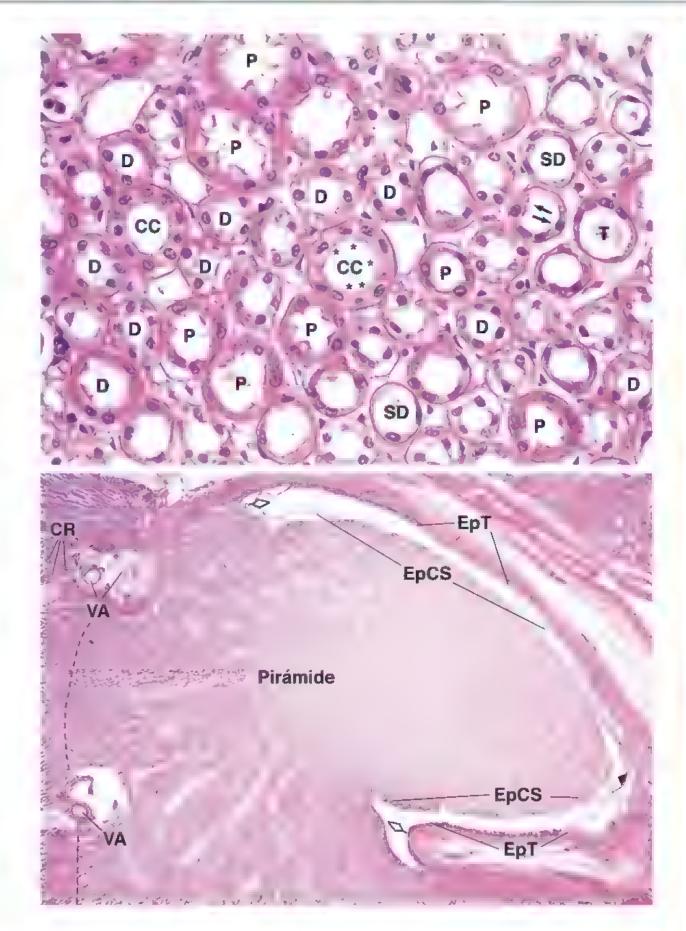
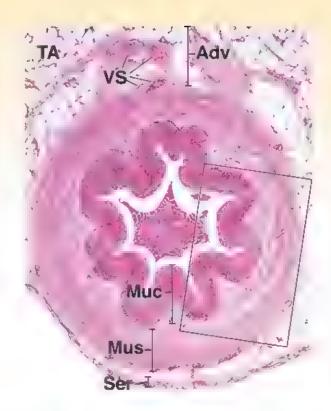


LÁMINA 78 URÉTER

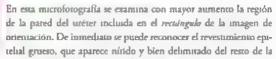
Los uráteres son dos estructuras tubulares que transportan la orina desde los rinones hasta la vejiga. Están revestidos por un epitelio de transición (urotelio), una lámina epitelial impermeable que reviste las vías urmanas desde los cálices renales y hasta a lo largo de la uretra. La capacidad de este epitelio para tornarse más delgado y más aplanado permite que todos estos segmentos se adapten a la distensión causada por la orina.

El apitello sa localiza sobre una lámina propia de colágeno denso que, a su vez, se sobrepone a una capa interna longitudinal y a otra externa circular de musculo liso. Las contracciones peristáticas regulares de este músculo contribuyen al flujo de la orina desde los riñones hasta la vejiga.

Microfotografía de orientación. Como se muestra con el bajo aumento de esta imagen de orientación, la pared del uréter está compuesta por una mucosa (Muc), una muscular (Mus) y una adventicia (Adv). Obsérvese que los uréteres están ubicados detrás del peritoneo de la cavidad abdominal en su trayecto hacia la vejiga. Por lo tanto, puede haber una serosa (Ser) cubriendo una parte de la circumferencia del tubo. Asimismo, y debido a la contracción del músculo tiso de la muscular, la superficie luminal está característicamente plegada, lo que la confiere a la luz una forma de estrella.



Uréter, simio, H&E, 160×.



pared. Este es el **epítello de transición (urotello**; Ep T). El resto de la pared está conformada por resdo conjuntivo (TC) y por músculo liso. Este último puede reconocerse como una capa de tinción más oscura. El corre también muestra un poco de tejido adiposo (TA), que es un componente de la adventicia.

El epitelio de transición y su tejido conjuntivo de soporte constituyen la **mu- COSA** (*Muc*). No se encuentra una submucosa bien definida, aunque la denominación a veces se aplica al tejido conjuntivo que se encuentra más cercano al músculo.

La muscular de la mucosa (Mus) está dispuesta como una capa longrudinal unterna (MLI), una capa circular intermedia (MLL) y una capa longitudinal externa (MLI). Sin embargo, la capa longitudinal externa solo está presente en el extremo infenor del uréter. En un corte transversal del uréter, las capas musculares lisas internas y externas quedan seccionadas de forma transversal, mientras que la capa media circular de las células musculares se aprecia en sentido longitudinal. Es así como aparecen en esta imagen.



Epitelio de transición, ureter, simio, H&E, 400×.

En esta microfotografía se muestra con mayor aumento la **capa** longitudinal interna de musculo liso (MLI). Nótese que los núcleos aparecen como siluetas redondas, lo que indica

que las células musculares se han seccionado en sentido transversal. Esta imagen

también muestra con claridad el **opitolio do transición** (EpT). Las células superficiales del epitelio de transición (urotelio) son en general las más grandes: algunas incluso son binucleadas (flecha). Las células basales son las más pequeñas y, generalmente, los nucleos se ven apiñados debido al escaso citoplasma de cada célula. Las células intermedias parecen formar varias capas y son de tamaño mayor que las células basales, pero menor que las células superficiales.

Adv, adventicia

EpT, epitelio de transición

MLc, capa circular de músculo liso

MLL, capa longitudinal de músculo (iso

Mus, mucosa Mus, muscular de la mucosa Ser, serosa

TA, tej do adiposo

TC, tendo conjuntivo VS, vasos sanguineos

flecha, célula superficial binucleada

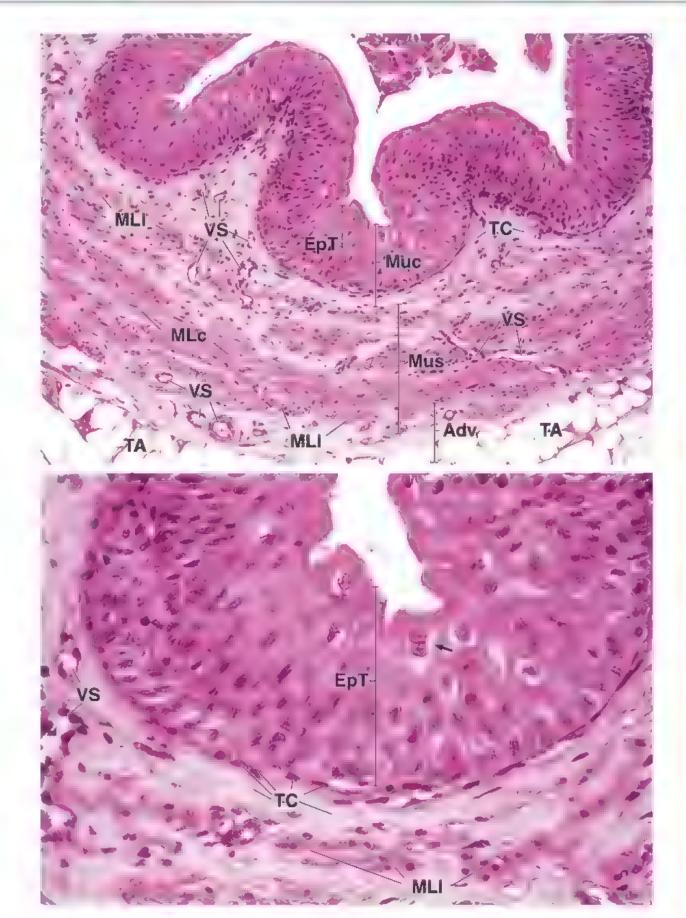


LÁMINA 79 VEJIGA

La vejiga recibe la orina desde los dos uréteres y la almacena hasta que la estimulación nerviosa hace que se contraiga y expulse su contenido a través de la uretra También está revestida por un epitelio de transición (urotelio). Debajo del epitelio y su tejido conjuntivo subyacenta, la pared de la vejiga contiene músculo liso que suele describirse como dispuesto en una capa longitudinal interna, una capa circular intermedia y una capa longitudinal externa. Como en la mayorita de las visceras huecas distensibles que vacian su contenido a través de un orificio estrecho, el musculo liso en la pared de la vejiga está organizado con menos regularidad de la que implica la descripción, lo cual permite que la contracción reduzca el volumen de manera bastante uniforme en toda la vejiga.

Microfotografia de orientación. La imagen muestra todo el espesor de la pared vesical. El epitello de la superficie luminal se encuentra en la parte superior. Se observa uno de los uréteres atravesando la pared de la vejiga para vaciar su contenido en la luz vesical. La mayor parte del tejido que hay a los dos lados y debajo de la silueta del uréter es músculo liso.





Vejiga, humano, H&E, 60×.

En esta microfotografia se muestra casi todo el espesor de la vejuga. Una característica poco habitual es la presencia de uno de los uréteres (U) mientras pass a través de la pared vesical para vaciar su contenido en la luz del órgano. El **epítalio de tran**-

sición (EpT) que reviste la vejuga se aprecia a la derecha. Debajo del epitelio hay una capa bastante gruesa de tejido conjuntivo (TC) que contiene vasos

sangumeos (VS) de diversos tamaños. Nótese que el tejido conjuntivo se tiñe con un poco más de intensidad que el músculo liso de la **muscular** (Misi) subyacente. El epitello y el tejido conjuntivo conforman la muscosa de la vejiga. La muscular está compuesta por misculo liso dispuesto en tres capas bien definidas. Cabe destacar que, a medida que el ureter pasa a través de la pared vesical, lleva consigo una capa de músculo liso orientado de forma longitudinal (MLI). En la muscular de la muscosa a veces se observan arterias (A) y venas (V) de calibre mediano



Epitelio de transición, vejiga, humano, H&E, 250>

Este aumento mayor del rectangulo mquuerdo de la imagen de arriba muestra el **epitelio de transición** (EpT) y el tejido conjuntivo (TC) subyacente que forman la mucosa del urêrer. Junto con la mucosa hay haces de músculo liso en corre longirudinal (MLI) que perrenecen al urêrer. En el tepido conjuntivo contiguo al músculo liso se ve un pequeño vaso linfásico (VL). Nótese la presencia de linfocisos, que se identifican por sus pequeños micleos hipercromáticos redondos dentro de la luz del vaso.



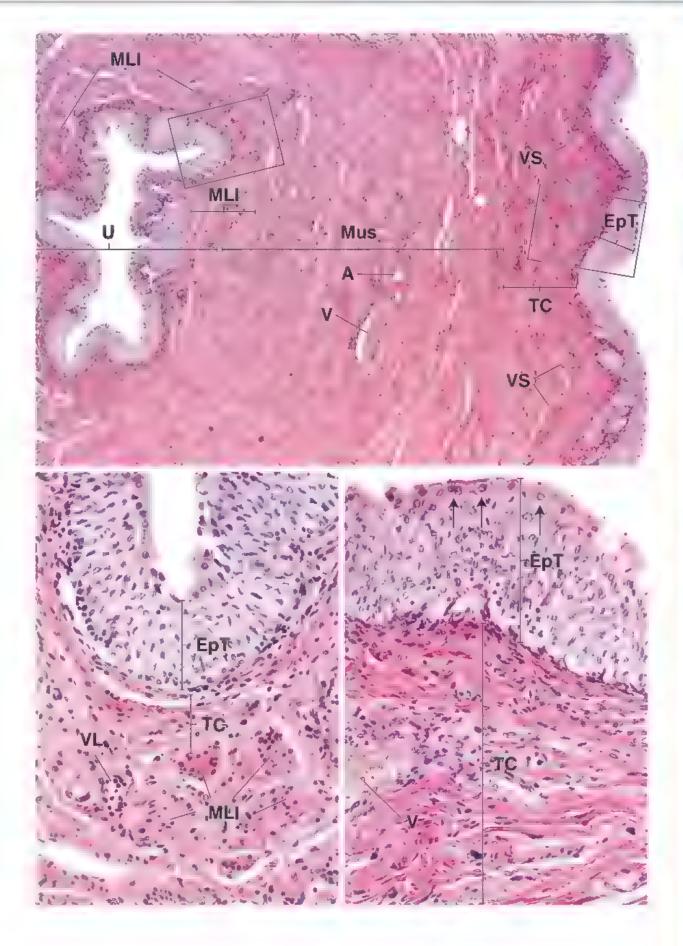
Epitelio de transición, vejiga, humano, H&E, 250×.

Esta mayor ampliación (del rectángulo de la derecha de la figura de arriba) muestra el **epítelio de transición** (EpT) de la vejiga y el rejido conjuntivo (TC) subyacente de la pared vesical. El epite-

lio de transición se caracteriza por tener células superficiales con forma de cupula. Además, muchas de esas células son binucleadas (fleches). El espesor del epitelio de transición es variable. Cuando la vejiga está completamente distendida, se observan al menos tres capas celulares. Aquí, con la vejiga contraída, parece que hay hasta diez capas celulares como resultado del plegado de las células sobre si mismas a medida que el músculo liso se contrac y la superficie de revesimiento se reduce. El tejido conjuntivo está compuesto por baces de fibras de colageno entremezdadas con cantidades variables de lunfocitos que se identifican por sus núcleos redondos densamente teñidos. En el tejido conjuntivo de la mucosa también se aprecia una vena (V) ilena de etitrocitos.

A, arteria EpT, epitello de transición MLI, musculo liso, corte langitudinal Mus, muscular de la mucosa TC, tejido conjuntivo U, urêter V, vena

VL, vaso linfático VS, vaso sanguíneo flechas, células binucleadas



21 ÓRGANOS ENDOCRINOS

FUNDAMENTOS DEL SISTEMA ENDOCRINO / 784

Hormonas y sus receptores / 785
Regulación de la secreción hormonal
y mecanismos de retroalimentación / 787

HIPÓFISIS (GLÁNDULA PITUITARIA) / 787

Estructura macroscópica y desarrollo / 788
Irrigación sanguínea / 789
Inervación / 790
Lóbulo anterior de la hipófisis
(adenohipófisis) / 790
Lóbulo posterior de la hipófisis
(neurohipofisis) / 793

HIPOTÁLAMO / 797 GLÁNDULA PINEAL / 798 GLÁNDULA TIROIDES / 799 GLÁNDULAS PARATIROIDES / 806 GLÁNDULAS SUPRARRENALES / 808

Irrigación sanguínea / 808 Células de la médula suprarrenal / 809 Subdivisión de la corteza suprarrenal /

Zona glomerular / 812

Zona fasciculada / 813

Zona reticular / 815

Glándula suprarrenal fetal / 815

Cuadro 21-1 Consideraciones funcionales:

regulación de la secreción hipofisaria / 788

Cuadro 21-2 Correlación clínica: fundamentos

de las endocrinopatías / 796

Cuadro 21-3 Correlación clínica: enfermedades relacionadas con

la secreción de vasopresina / 796

Cuadro 21-4 Correlación clínica: función tiroidea anómala / 805

Cuadro 21-5 Correlación clínica: células cromafines y feocromocitoma / 814

Cuadro 21-6 Consideraciones funcionales:

biosíntesis de las hormonas suprarrenales / 816

HISTOLOGÍA 101 / 818



■ FUNDAMENTOS DEL SISTEMA ENDOCRINO

El sistema endocrino produce varias secreciones denominadas hormonas (gr. hormaein, excitar, poner en movimiento), que sirven como efectores para regular las actividades de diversas células, tejidos y órganos del cuerpo. Sus funciones son esenciales para el mantenimiento de la homeostasis y la coordinación del crecimiento y el desarrollo corporales; estas son similares a las del sistema nervioso: ambos sistemas transmiten información a células y órganos periféricos. La comunicación en el sistema nervioso se produce a través de la transmisión de impulsos nerviosos a lo largo de las evaginaciones neuronales y la liberación de neurotransmisores. La comunicación en el sistema endocrino se realiza por medio de hormonas que se transportan a su destino a través de los espacios del tejido conjuntivo y por medio de los vasos sanguíneos. Estos dos sistemas se encuentran funcionalmente interrelacionados. El sistema endocrino produce una respuesta más lenta y prolongada que el sistema nervioso. Ambos sistemas pueden actuar de forma simultánea sobre las mismas células y tendos diana, y algunas neuronas secretan hormonas.

Las glándulas endocrinas no poseen conductos excretores y sus secreciones son transportadas a destinos específicos a través de la matriz extracelular del tejido conjuntivo y por medio de los vesos sanguíneos.

En general, las glándulas endocrinas son aglomeraciones de células epitelioides (células epiteliales que carecen de superficie libre) intercaladas dentro del tendo conjuntivo. A pesar de que las glándulas endocrinas varían en tamaño, forma y ubicación en el cuerpo (fig. 21-1), tienen diversas características comunes. Las glándulas endocrinas no poseen conductos excretores; por lo tanto, su secreción se descarga en la matriz extracelular del tendo conjuntivo, generalmente cerca de los capilares. Desde allí, los productos de secreción (hormonas) son transportados hacia la luz de los vasos sanguíneos (o linfáticos) para su distribución por todo el organismo. Estos productos de secreción afectan órganos o tendos diana distantes de la glándula. Por esta razón, las glándulas endocrinas están bien vascularizadas y rodeadas por vastas redes vasculares. La excepción es la placenta, donde las hormonas producidas por el sincitiotrofoblasto pasan de forma



FIGURA 21-1. Ubicación de las principales glándulas endocrinas y los órganos que contienen células secretoras de hormonas. En la ilustración se muestran las principales glándulas endocrinas en las que las células secretoras de hormonas constituyen la mayor parte del paréniquima glandular. Obsérvese que la placenta es un órgano temporal desarrollado a partir de tejidos matemos y tetales, también es el principal órgano endocrino que secreta hormonas proteinicas y esteroideas durante el embarazo (véase cap. 23, Aparato reproductor femenino). Las células secretoras de hormonas, a menudo clasificadas como parte del sistema neuroendocrino difuso (SNED), están presentes en muchos órganos para regular su actividad. Además, el tejido adiposo es un importante tejido hormona mente activo que secreta una variedad de hormonas, factores de crecimiento y citocinas, que en conjunto se denominan adipocinas (véase cap. 9, Tejido adiposo)

directa a la sangre materna que rodea las vellosidades placentarias (véase cap. 23, Aparato reproductor femenino).

Como ya se mencionó, la mayoría de las células que producen hormonas tienen un origen epiteliel, ya sea a partir del sisteme nervioso central (SNC, lóbulo posterior de la hipófisis, glándula pineal), la cresta neural (médula de la glándula suprarrenal) o el epitelio que reviste el tubo intestinal en desarrollo (lóbulo anterior de la hipófisis, glándulas tiroides y paratiroides). Solo unas pocas glándulas y células endocrinas tienen origen mesenquima toso y derivan de las crestas urogenitales (corteza de la glándula suprarrenal, células de Leydig en los testículos y células secretoras de esteroides de los folículos en desarrollo en el ovario).

En este capítulo se describen, en primer lugar, las principales glándulas endocrinas en las que las células secretoras de hormonas constituyen la mayor parte del parénquima glandular. Las células secretoras en el parénquima glandular conforman diversas estructuras, como folículos (glándula tiroides), cordones anastomosados (glándulas suprarrenales) o nidos (glándulas paratiroides). También están presentes en grupos (núcleos en el hipotálamo) o capas que rodean los elementos funcionales y estructurales del órgano (testículos, ovarios o placenta). Estas características son útiles en la identificación microscópica de órganos endocrinos específicos.

Las células secretoras de hormonas especificas están presentes en muchos órganos para regular su actividad.

El conjunto de las cétulas endocrinas individuales en varios órganos conforman el sistema neuroendocrino difuso (SNED; véase p. 619). Además de su función endocrina, las cétulas del SNED ejercen controles autocrinos y paracrinos de la actividad propia y también la de las cétulas epiteliales contiguas por difusión de las secreciones peptidicas. Otros capítulos describen la función endocrina del tendo adiposo y las cétulas aisladas dentro del higado, el páncreas, el riñón y los sistemas gastrointestinal, cardiovascular, respuratorio, genital, linfático y tegumentario (véase fig. 21-1).

Hormonas y sus receptores

En general, una hormona se describe como una sustancia con actividad biológica que actúa sobre células diana específicas.

En la definición clásica, una hormona es un producto de secreción de las células y los órganos endocrinos que pasa a la circulación para ser transportado hasta las células diana. Durante años, este control endocrino de tejidos diana era una parte central de la endocrinología. No obstante, existe una gran variedad de hormonas y sustancias hormonalmente activas que no siempre se liberan en la sangre, sino que pasan a los espacios del tejido conjuntivo. Estas pueden actuar sobre células contiguas o difundirse hacia células diana cercanas que expresen receptores específicos para esas hormonas (fig. 21-2). Este upo de acción hormonal recibe el nombre de control paracrino. Además, algunas células expresan receptores para las hormonas que ellas mismas secretan. Este tipo de acción hormonal se conoce control autocrino. Estas hormonas regulan la propia actividad de la célula. En la figura 21-2 se resumen varios mecanismos de control hormonal.

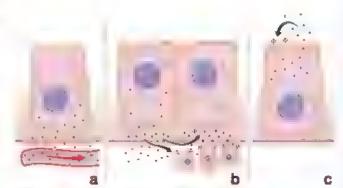


FIGURA 21-2. Mecanismos de control hormonal. En este diagrama se muestran tres tipos básicos de mecanismos de control a. En el control endocrino, la hormona se libera desde una célula en la circulación y se transporta hasta las células efectoras. b. En el control paracrino, la hormona es secretada por una célula y actúa sobre células contiguas que expresen receptores específicos c. En el control autocrino, la hormona responde a los receptores localizados en la misma célula que la produce

Las hormonas incluyen tres clases de compuestos.

Las células del sistema endocrino liberan más de 100 hormonas y sustancias hormonalmente activas que se clasifican, desde un punto de vista químico, en tres clases de compuestos:

- Péptidos (péptidos pequeños, polipéptidos y proteínas), que conforman el grupo más grande de hormonas. Son sintetizados y secretados por células del hipotálamo, la hipófisis, la glándula tiroides, las glándulas paratiroides, el páncreas y las células enteroendocrinas dispersas en el tubo digestivo y el sistema respiratorio. Cuando las hormonas pertenecientes al grupo de los péptidos (insulina, glucagon; hormonas del crecimiento [GH, growth harmone; somatotropina], adrenocorticotropa [ACTH, adrenocorticotropic hormone; corticotropina], foliculoestimulante [FSH, follicle-stimulating hormone, folitropina], lutemizante [LH, luter nizing hormone; lutropina), antidiurética (ADH, antidiuretic hormone; vasopresina]; oxitocina; interleucinas y varios factores de crecimiento) son liberadas en la circulación, se disuelven con facilidad y, en general, no requieren proteínas especiales de transporte. No obstante, la mayoría, sino es que todos los polipéptidos y las proteínas, poseen moléculas transportadoras específicas (p. ej., la proteina 3 fijadora del factor insulinico de crecimiento [IGFBP3, insulin-like growth factor-binding protein 3]).
- Esteroides, compuestos derivados del colesterol, sinterizados y secretados por las células de los ovarios, los testículos y la corteza suprarrenal. Estas hormonas (esteroides gonadales y corticosuprarrenales) se liberan en la circulación y se llevan a las células diana con la ayuda de las proteínas plasmáticas o transportadoras especializadas, como la proteína fijadora de androgenos. Las proteínas transportadoras protegen a las hormonas de la degradación durante su transporte hasta el tendo diana. Cuando es necesario, la hormona se libera desde la proteína transportadora para así activarse.
- Muchas neuronas y una gran diversidad de células, incluidas las de la médula suprarrenal, sintetizan y secretan aminoacidos y analogos del ácido araquidónico, así como sus denvados que incluyen catecolaminas (noradrenaluna y adrenalina [derivadas de fenila lanína/tirosina]), prostaglandinas, prostacelinas y leucotrienos (derivados del ácido araquidónico). También forman parte de este grupo las hormonas tiroideas, los derivados yodados del aminoácido tirosina que sintetiza y secreta la glándula tiroides. Las catecolaminas se disuelven fácilmente en la sangre al ser liberadas en la circulación, a diferencia de las hormonas tiroideas que, en su mayoría, se unen a tres proteínas transportadoras: una globulina especializada fijadora de tirotina (TBG, thyroxine-binding globulin), una fracción de prealbúmina de las proteínas séricas (transtiretina) y una fracción no específica de las albúminas.

Las hormonas interactúan con receptores hormonales específicos para alterar la actividad biológica de las células diana.

El primer paso para la acción de la hormona sobre una célula diana es su unión a un receptor hormonal específico. Sin embargo, algunos estudios recientes indican que ciertas hormonas también participan en respuestas no mediadas por un receptor. Las hormonas interactúan con sus receptores expuestos en la superficie de la célula diana, dentro de su citoplasma o su núcleo. En general, se idenufican dos grupos de receptores hormonales:

Receptores en la superficie celular, que interactúan con las hormonas peptídicas o las catecolaminas que no pueden penetrar la membrana celular. La activación de estos receptores, como resultado de la unión con la hormona, genera rápidamente grandes cantidades de moléculas intracelulares pequeñas denominadas

segundos mensajeros (fig. 21 3a). Estas moléculas amplifican la señal iniciada por la interacción hormona-receptor y son producidas por la activación de las proteinas G asociadas con la membrana (llamadas así por la capacidad de hidrolizar trifosfato de guanosina [GTP, guanosine triphosphate]). Los ejemplos de estos sistemas incluyen el sistema adenilato-ciclasa/monofosfato de adenosina cíclico (cAMP, cyclic adenosine monophosphate; para la mayoría de las hormonas proteínicas y las catecolaminas), el sistema guandato-ciclasa/monofosfato de guanosina ciclico (cGMP, cyclic adenosine monophosphate; un sistema antagónico de la acción del cAMP en algunas hormonas proteínicas), el sistema tirosina-cinasa (para la insulina y el factor de crecimiento epidérmico), el sistema fosfatidilinositol (para ciercas hormonas, como oxitocina, gonadoliberina [GnRH, gonadotropin-releasing bormone], angiotensina II y neurotransmisores, como la adrenalina) y la activación de los canales iónicos (para la mayoría de los neurotransmisores). La mayoría de los segundos mensajeros tienen una función estimulante sobre el metabolismo celular. Ejemplos de segundos mensajeros son: cAMP, 1,2-diacilgircerol, inosítol 1,4,5-trifosfato y el Ca2+. Se logra una respuesta inhibitoria principalmente mediante el cGMP, que interfiere con la producción de cAMP. Las moléculas de segundo mensajero, producidas en las reacciones en cascada de estos sistemas, alteran el metabolismo celular y producen respuestas hormonales específicas (véase fig. 21-3a).

Las hormonas esteroídeas y tiroideas, así como las vitaminas A y D, utilizan receptores intracelulares (fig. 21 3b). Las hormonas esteroideas y las vitaminas A y D pueden penetrar con facilidad las membranas plasmática y nuclear. En ausencia de la hormona, los receptores esteroides para los glucocorricoides y los gonadocorticoides (andrógenos suprarrenales) residen en el citoplasma, mientras que los receptores de estrógenos y progesterona están ubicados en el núcleo. Los receptores inactivos no ocupados para las hormonas tiroideas y las vitaminas A y D también residen en el núcleo. Los receptores intracelulares consisten en grandes complejos multiproteínicos que contienen tres dominios de unión: una región de unión a la hormona o el ligando en el extremo COOH-terminal, una región de unión al ADN y el extremo NH2-terminal que contiene la región reguladora del gen-Debido a que el complejo receptor-ligando debe ingresar en el núcleo para regular la transcripción, los receptores intracelulares contienen una señal de localización nuclear para el tráfico hacia el interior del núcleo (véase fig. 21-3b). La unión de la hormona al receptor causa la transformación alostérica del receptor en una forma que se une al ADN cromosómico y activa la actividad de la ARN polimerasa. Esta, a su vez, incrementa la transcripción del ARNm, lo que causa la producción de nuevas proteínas que regulan el metabolismo celular. Por lo tanto, las hormonas que actúan sobre los receptores intracelulares influyen directamente sobre la expresión génica, sin la colaboración de un segundo mensajero (véase fig. 21 3b). Este tipo de señalización suele describuse como señalizacion de esteroides iniciada en el nucleo.

La acción de las hormonas esteroideas sobre el genoma de la célula para inducir una respuesta biológica en forma de síntesis de una nueva proteína lleva su tiempo (horas o días). Sin embargo, algunas células reaccionan más rápido (en segundos o minutos) a la estimulación hormonal esteroidea mediante el incremento de la concentración de Ca⁺ intracelular y la activación de varias proteínas intracelulares. Este hallazgo condujo al descubrimiento de los receptores de hormonas esteroideas localizadas en la membrana, los cuales presentan una estructura similar a los receptores intracelulares, pero se localizan en la membrana plasmática, con mayor frecuencia dentro de las cavéolas. La unión a los receptores de esteroides de la

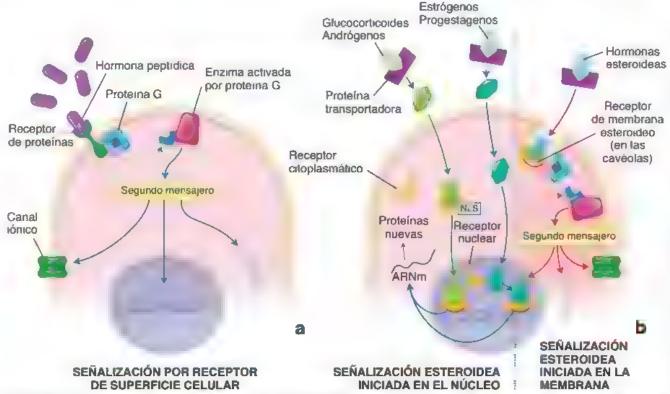


FIGURA 21-3. Mecanismos generales de acción de las hormonas peptidicas y esteroides. a. En este diagrama se muestra el fundamento de la acción de una hormona peptidica por medio de receptores de superficie celular. Las moleculas hormona es se unen a los receptores de superficie (el receptor activado se senala en naranja brillante) e inician una cascada de reacciones de sena zación intracelular que puede inciur a la proteina. Givia varias proteina-cionas que ocasionan la sintesis de las moléculas de segundo mensajero. Estas moléculas, a su vez i provocan respuestas especificas a la hormona en la célula estimulada que pueden influir en los canales ionicos la transcripción nuclear y la sintesis o degradación de proteinas. B. En este diagrama se muestran dos mecanismos de acción para las hormonas esteroideas, que incluyen la senalización esteroidea iniciada en el nucleo (intervienen receptores intracelulares) y la señalización esteroidea iniciada en la membrana. En la senalización iniciada en el nucleo (intervienen receptores intracelulares) y la señalización esteroidea iniciada en la membrana. En la senalización iniciada en el nucleo (intervienen receptores intracelulares) y la señalización esteroidea iniciada en la membrana. En la senalización iniciada en el nucleo (intervienen receptor con Esta unión de la hormona causa una transformación alostèrica del receptor, el complejo resultante se dirige hacia el nucleo guiado por la senal de localización nuclear (NLS. nuclear localization signal), donde se une al ADN y regula la transcripción de genes especificos (naranja brillante). Otras hormonas esteroideas (p. e) , estrógenos progestágenos) se unen a sus receptores especificos directamente en el nucleo (fiechas azules). Esta unión de la hormona a receptor nuclear transforma este complejo en el factor de transcripción del ARNma la producción de nuevas proteinas responsables de respuestas especificas a la hormona por parte de la célula estimulada. En la señalización esteroidea in ciada en la membrana oficial del recep

membrana activa la cascada de senalización de la proteína G, lo que a su vez activa las proteínas-cinasas que causan un rápido cambio en la actividad celular (véase fig. 21-3b). Este tipo de señalización se conoce como senalización esteroidea iniciada en la membrana. Tanto la vía de señalización de esteroides iniciada en la membrana como la iniciada en el núcleo convergen para que la célula diana produzca una respuesta biológica completa a la estimulación hormonal esteroidea.

Regulación de la secreción hormonal y mecanismos de retroalimentación

La regulación de la función hormonal está a cargo de mecanismos de retroalimentación.

La producción hormonal está regulada con frecuencia por mecanismos de retroalimentación desde el órgano diana. En general, la retroalimentación ocurre cuando la respuesta a un estímulo (acción de una hormona) tiene un efecto sobre el estímulo original (célula secretora de hormonas). La naturaleza de esta respuesta determina el upo de retroalimentación. Se reconocen dos tipos de retroalimentación: la negativa, que ocurre cuando la respuesta inhibe el estímulo original y es mucho más frecuente que la positiva, cuando la respuesta refuerza al estímulo original.

Para una mejor comprensión de estos mecanismos, se puede tomar como ejemplo un sistema de aire acondicionado, que también utiliza un sistema de retroalimentación negativa simple. Cuando el compresor produce suficiente aire frío para disminuir la tempera tura por debajo del nivel preestablecido en el termostato, este reacciona apagando el compresor. En este sistema de retroalimentación negativa, el termostato detecta la disminución de la temperatura y reduce la respuesta del compresor (la producción de aire frío se vuelve menor). Cuando la temperatura vuelve a elevarse por arriba del nivel preestablecido, la retroalimentación negativa se suspende y el compresor se enciende de nuevo (véase cuadro 21-1).

Las actividades de las hormonas son vigiladas de forma constante y en muchas fases, desde los procesos biosintéticos moleculares hasta las consecuencias finales de la acción hormonal. En las secciones dedicadas a la hipófisis, el hipotálamo y la glándula tiroides se discuten varios ejemplos de mecanismos de retroalimentación.

■ HIPÓFISIS (GLÁNDULA PITUITARIA)

La hipófisia y el hipotásamo, la porción del encéfalo a la cual se une la hipófisis, están morfológica y funcionalmente implicados en el control endocrino y neuroendocrino de otras glándulas endocrinas.

CONSIDERACIONES FUNCIONALES: REGULACIÓN DE LA SECRECIÓN HIPOFISARIA

La liberación de hormonas desde el lóbulo anterior de la hipófisis está cuidadosamente regulada por un mecanismo de control de tres niveles que comprende lo siguiente

- Nivel uno: secreción de hormonas hipotalámicas requiadoras. La hipófisis está baio supervisión estrecha de hipotálamo, el cual controla la liberación de hormonas reguladoras hipotalámicas en las venas porta hipofisarias. Las hormonas reguladoras del hipotálamo se producen en las células del hipotálamo como respuesta a la concentración de las hormonas circulantes y los impulsos del SNC. Estas hormonas actuan directamente sobre receptores muy específicos acoplados a las proteínas G, las cuales están en la membrana plasmática de las células del lóbulo anterior de la hipófisis. La activación de los receptores genera señales positivas o negativas que afectan la transcripción génica y conducen a la estimulación o la inhibición de la secreción de hormonas hipofisarias. La mayoría de las hormonas tróficas producidas por el lóbulo anterior de la hipófisis son reguladas por las hormonas liberadoras de polipéptidos, con la excepción notable de la doparnina. La producción de prolactina es regulada principalmente por el efecto inhibitorio de la dopamina (la secreción de prolactina es inhibida de forma constante por la liberación de dopamina en el hipotalamo)
- Nivel dos: secreciones paracrinas y autocrinas de las células hipofisarias. La liberación de hormonas por parte de la hipófisis también es regulada por los factores de crecimiento y las citocinas solubles producidas por sus propias células

Nivel tres: retroalimentación por parte de las hormonas circulantes. La concentración hormonal en la circulación sistémica regula las secreciones de las céluias en el lóbulo anterior de la hipófisis. Esto se logra mediante un mecanismo de retroalimentación negativa de las hormonas secretadas por la hipófisis por las hormonas diana. Por ejemplo, la secreción de la tirotropina (TSH) es inhibida por las hormonas tiroideas producidas en la glándula tiroides por la acción de la misma TSH.

Para una mejor comprensión del sistema de retroalimentación negativa, puede considerarse el mecanismo simple que controla la síntesis y la liberación de las hormonas tiroideas T₃ y T₄ (véase fig. 21-18). La secreción de hormonas tiroideas es controlada por la liberación en la sangre de la TSH sintetizada en el lóbulo anterior de la hipófisis. Si la concentración sanguinea de T₃ y T₄ es alta, la hormona liberadora de tirotropina (TRH) no se produce ni libera. En cambio, si la concentración de estas hormonas es baja, el hipotalamo libera TRH en el sistema porta hipotalamohipofisario. La liberación de TRH estimula células específicas dentro del lóbulo anterior de la hipófisis para producir TSH, que a su vez estimula a la glándula tiroides para producir y liberar más hormonas tiroideas. A medida que aumenta la concentración de hormonas tiroideas, la retroalimentación negativa inhibe la liberación de TRH del hipotálamo. Mediante el mismo mecanismo de retroalimentación negativa, las hormonas tiroideas actuan también sobre las células tirótropas en el lóbulo anterior de la hipófisis para inhíbir la secreción de TSH

Debido a que desempeñan papeles centrales en una variedad de sistemas reguladores de retroalimentación, con frecuencia se denominan órganos maestros del sistema endocrino. En el pasado, el control de la secreción hipofisaria efectuada por el hipotálamo se consideraba la función principal del sistema neuroendocrino. Sin embargo, el campo de la neuroendocrinología hoy se ha expandido para comprender múltiples interacciones recíprocas entre el sistema nervioso central (SNC), el sistema nervioso autónomo (SNA), el sistema endocrino y el sistema inmunitario en la regulación de la homeostasis y las respuestas conductuales a los estímulos ambientales. A manera de ejemplo, el papel del eje neuroendocrino en el mantenimiento de la homeostasis energética se comentó en el capítulo 9 (Tejido adiposo).

Estructura macroscópica y desarrollo

La hipófisis está compuesta por tejido epitelial glandular y tejido nervioso (secretor).

La hipófisis o pruntaria (lat. pitunta, moco, que refleja su origen nasofaríngeo) es una glándula endocrina compuesta del tamaño de un gursante que pesa 0.5 g en los hombres y 1.5 g en las mujeres multiparas (que han dado a luz dos veces o más). Se ubica centralmente en la base del cerebro y ocupa una depresión del hueso esfenoides con forma de silla de montar denominada silla turca. Un pedículo corto, el infundibulo, y una red vascular conectan la hipófisis con el hiporálamo.

La hipófisis posee dos componentes funcionales (fig. 21-4)

- Lobulo anterior (adenohipofisis), el rejido epitelial glandular.
- Lóbulo posterior (neurohipófisis), el rejido nervioso secretor.

Estas dos porciones tienen diferente origen embrionario. El lóbulo anterior de la hipófisis deriva de una evaginación del estudermo de la bucoferinge hacía el encéfalo (bolsa de Rathke). El lóbulo posterior de la hipófisis deriva de un brote que prolifera caudalmente (el futuro infundíbulo) desde el neuroectodermo del piso del tercer ventriculo (diencéfalo) del cerebro en desarrollo (fig. 21-5).

El tóbulo anterior de la hipófisis está compuesto por tres derivados de la bolsa de Rathke.

- Porción distal, que comprende la mayor parte del lóbulo anterior de la hipófisis y surge de la pared anterior engrosada de la bolsa.
- Porción Intermedia, que es un resto adelgazado de la pared posterior de la bolsa que linda con la porción distal.
- Porción tuberal, que se desarrolla a partir de las paredes laterales engrosadas de la bolsa y forma un collar o vaina alrededor del infundíbulo.

El infundíbulo embrionario da origen al tóbulo posterior de la hipófisis, el cual está compuesto por las siguientes porciones:

- Porción nerviosa, que contiene axones neurosecretores y sus terminaciones.
- Infundíbulo, que es continuo con la eminencia media y contiene los axones neurosecretores que forman los tractos hipotalamohipofisarios (véase fig. 21-4).

FIGURA 21-4. Hipófisis. a. Microfotografía de una hipófisis. Los ióbulos de la hipófisis pueden identificarse segun su aspecto ubicación e interrelación 7 · b. En esta ilustración se muestran las porciones de la hipófisis y las regiones del hipotálamo relacionadas. El lobulo anterior de la hipófisis está compuesto por la porción distal. la porción ritubera y la porción intermedia el lóbulo poster or está compuesto por el infundibulo y la porción nerviosa. Nótese la distribución de los nucleos neurosecretores de hipotálamo lus nucleos paraventriculares producen oxitocina y los nucleos suprajor cos producen ADH. Estas hormonas son liberadas en la porción nerviosa del lóbulo poster or it as céliu as neurosecretoras de os nucleos ventra eside hipotalamo secretan hormonas liberadoras en hibidoras que son descargadas en os capitares (ubicados en la eminencia media y el infundibulo) del sistema porta hipofisano para llegar a la porción distal de lóbulo antenor.

Irrigación sanguínea

El conocumiento acerca de la inusual irrigación de la hipófisis es importante para entender sus funciones. La hipofisis es irrigada por dos grupos de vasos (fig. 21.6);

 Arterias hipofisarias superiores, que irrigan la porción tuberal, la eminencia media y el tallo infundibular. Estos vasos se originan a partir de las arterias carotidas internas y la arteria comunicante posterior del poligono de Willis.

 Arterias hipofisarias inferiores, que irrigan sobre todo la porción nerviosa. Estos vasos se originan exclusivamente en las arterias carótidas internas. Una observación funcional importante es que la mayor parte del lobulo anterior de la hipofisis no posee una irrigación arterial directa.

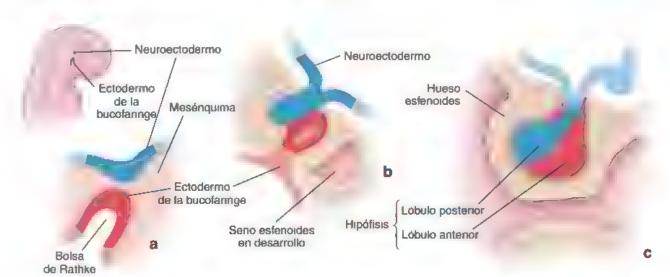


FIGURA 21-5. Desarrollo de la hipófisis, a. La hipófisis se desarrolla a partir de dos estructuras diferentes un diverticulo ectodérmico del techo de la bucotaringe (bolsa de Rathke) y una extensión descendente de neuroectodermico en el piso del diencéta o En esta lustración se muestra la relación entre estas dos estructuras en un embrión de 6 semanas b. A as 10 semanas de desarrollo la hipófisis tiene telido ectodérmico desde la bucofaringe en estrecha proximidad con el tejido nervioso. La boisa de Rathke está cerca de perder su conexión con la bucotaringe c. Las cétulas de la bolsa de Rathke se dividen y se diferencian con rapidez en la porción distal y rodean el infundibulo e cual, junto con la porción nerviosa, forma el lóbulo posterior de la hipófisis derivado del neuroectodermo

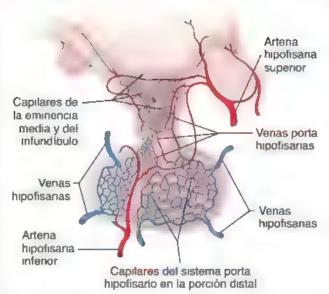


FIGURA 21-6. Diagrama de la irrigación sanguinea y el sistema porta hipotalamohipofisario de la hipófisia. Las arterias hipofisarias superior e inferior se originan a partir de las ramas de las arterias carótidas internas. La arteria hipofisaria superior irriga la porción tuberial la emimencia media y el infundíbulo del hipotálamo, donde origina la red capilar que drena en las venas porta hipofisarias. Estas venas dan origen a una segunda red capilar en la porción distal, donde se liberan las secreciones neuroendocrinas producidas en el hipotálamo y recolectadas en la eminencia media y el infundíbulo. La arteria hipofisaria inferior irriga la porción nerviosa y presenta muy pocas conexiones (si las hay) con el sistema porta hipotalamoh pofisario. La sangre desde la hipófisis drena en el seno cavernoso y abandona la cavidad craneal a través de las venas yugulares internas.

El sistema porta hipotalamohipofisario provee el enlace crucial entre el hipotálamo y la hipotisis.

Las arterias que irrigan la porción ruberal, la eminencia media y el infundibulo dan origen a capilares fenestrados (el plexo capilar primario). Estos capilares drenan en venas porta, denominadas venas porta hipofisarias, que discurren a lo largo de la porción tuberal y onginan una segunda red de capilares sinusoidales fenestrados (el plexo capilar secundario). Este sistema vascular transporta las secreciones neuroendocrinas de las neuronas hipotalámicas desde sus situos de liberación, en la eminencia media y el infundibulo, directa mente hasta las células de la porción distal.

La mayor parte de la sangre de la hipófisis drena en el seno cavernoso en la base del diencéfalo y después en la circulación sistémica. Sin embargo, algunos datos señalan que la sangre puede fluir a través de pequeñas venas porta desde la porción distal hasta la porción nerviosa y desde ahí puede continuar hacia el hipotálamo. Estas comunicaciones cortas proveen una vía mediante la cual las hormonas del lóbulo anterior de la hipófisis podrían ejercer retroalimentación directa sobre el encéfalo sin tener que completar todo el circuito de la circulación sistémica.

Inervación

Los nervios que ingresan en el infundíbulo y la porción nerviosa desde los núcleos hipotalámicos son componentes del lóbulo posterior de la hipófisis (*véase* más adelante la sección sobre neurohipófisis). Los nervios que entran en el lóbulo anterior de la hipófisis son fibras postsinápticas del sistema nervioso autónomo y tienen función vasomotora.

Lóbulo anterior de la hipófisis (adenohipófisis)

El lóbulo anterior de la hipófisis regula otras glándulas endocrinas y algunos tejidos no endocrinos.

La mayor parte del lóbulo anterior de la hipofisis posee la organización típica del rejido endocrino. Las células están organizadas en grupos y cordones separados por capilares sinusoidales fenestrados de diámetro relativamente grande. Estas células responden a seña les del hipotálamo y sinterizan y secretan varias hormonas hipofisarias. Cuatro hormonas del lóbulo anterior, la ACTH, la hormona estimulante de la tiroides (TSH, thyroid-stimulating hormone, tirotropina), la FSH y la LH, reciben el nombre de hormonas tróficas porque regulan la actividad de las células en otras glándulas endocrinas a lo largo del cuerpo. Las dos hormonas restantes del lóbulo anterior, la GH y la prolactina (PRL, prolactin), no son consideradas tróficas, pues actúan de forma directa sobre órganos diana que no son endocrinos. El carácter general y los efectos de las hormonas hipofisarias del lóbulo anterior se desemben en la tabla 21-1

Porción distal

Las células dentro de la porción distal varian en tamaño, forma y propiedades tintoriales.

Las células dentro de la **porción distal** están dispuestas en cordones y nidos con capilares entremezclados. El fundamento de las primeras descripciones de las células dentro de la porción distal radicaba solo en las propiedades tintoriales de las vesículas de secreción dentro de las células. Mediante el uso de mezclas de colorantes ácidos y básicos (fig. 21-7), los histólogos identificaron tres tipos de célula de acuerdo con su reacción tintorial, a saber: **basofilas** (10%), acidofilas (40%) y cromotobas (50%). Sin embargo, esta clasificación no provee información relacionada con la actividad secretora hormonal o con la función de estas células.

En la porción distal, mediante reacciones inmunocitoquímicas, se identifican cinco tipos celulares funcionales.

Todas las hormonas conocidas del lóbulo anterior de la hipófisis son proteínas pequeñas o glucoproteínas. Este becho fundamental permitió identificar de manera definitiva tipos celulares específicos mediante inmunocitoquímica (tabla 21-2). Dichos estudios han clasificado las células del lóbulo anterior de la hipófisis en cinco tipos:

Somatótropas (secretan somatotropina), que se encuentran frecuentemente dentro de la porción distal y constituyen alrededor del 50% de las células parenquimatosas en el lóbulo anterior de la hipófisis. Estas células ovoides, de tamaño mediano, presentan núcleos centrados y redondos; producen la hormona del oracimiento (GH). Debido a la presencia de vesículas eosinófilas en su citoplasma, se les clasifica como acidófilas. Tres hormonas regulan la liberación de GH desde las células somatótropas. Dos de esas hormonas tienen origen hipotalámico con efectos opuestos: la hormona liberadora de la hormona del crecimiento (GHRH, growth hormone-releasing hormone; somatoliberina), que estimula la liberación de GH de las células somatótropas, y la somatostatina, que inhibe la liberación de GH desde dichas células. En 1999 se aisló del estómago una tercera hormona, un péptido de 28 aminoácidos llamado gretina. Es un potente estimulador de la secreción de GH y parece coordinar la ingesta de alimentos con la secreción de GH. Los tumores hormonalmente activos que se originan a partir de las células somatótropas están asociados con la hipersecreción de GH y causan gigantismo en niños y acromegalia en adultos.



Hormonas del lóbulo anterior de la hipófisis (adenohipófisis)

Hormona	Composición	PM (kDa)	Funciones principales
Hormona del crecimiento (GH, somatotropina)	Proteina de cadena recta (191 aa)	21700	Estimula al higado y otros órganos para que sinteticen y secreten el factor de crecimiento insulínico 1 (IGF-I), el cual estimula la división de las células progenitoras en las placas de crecimiento y los músculos esqueléticos. Jo que provoca el crecimiento corporal
Prolactina (PRL)	Proteina de cadena recta (198 aa)	22500	Promueve el desarrollo de las giándulas mamanas, inicia la formación de ieche, estimula y mantiene la secreción de caseína, lactoalbumina, lípidos e hidratos de carbono en la leche
Corticotropina (ACTH)	Pol péptido pequeño (39 aa)	4000	Estimula la secreción de glucocorticoides y gonadocorticoides (andro- genos suprarrenales) por las porciones fasciculada y reticular de la corteza suprarrenal, y mantiene la estructura de ambas porciones
Hormona foliculoestimulante (FSH, folitropina)	Glucoproteina de dos cadenas* (s, 92 aa β.111 aa)	28000	Estimula el desarrollo folicular en el ovano y la espermatogénesis en los testiculos
Hormona luteinizante (LH, lutropina)	Glucoproteina de dos cadenas* (α, 92 aa, β,116 aa)	28300	Regula la maduración final del folículo ovárico, la ovulación y la for- mación del cuerpo luteo, estimula la secreción de estercides por el foliculo y el cuerpo luteo, en los varones es indispensable para e mantenimiento de las células de Leydig (células intersticiales) de- testículo y para que estas secreten andrógenos
Tirotropina (TSH)	Glucoproteina de dos cadenas* (α, 92 aa β,112 aa)	28000	Estimula el crecimiento de las células epiteliales tiroideas, induce la producción y liberación de tiroglobulina y hormonas tiroideas

^{*}Las cadenas α de FSH, LH y TSH son identicas y están codificadas por un unico gen, las cadenas β son específicas para cada hormona laa, aminoáci dos, kDa, kilodalton

- Lactótropas (células PRL, mamótropas), que constituyen el 15-20% de las células parenquimatosas en el lóbulo anterior de la hipófisis. Estas son células poligonales grandes con núcleos ovoides que producen PRL. En su fase de almacenamiento, las células lactórropas exhiben abundantes vesículas acidófilas (característica histológica de un acidófilo). Cuando el contenido de estas vesículas se libera, el citoplasma de las células lactótropas no se tiñe (característica histológica de una célula cromófoba). La secreción de PRL está bajo el control inhibidor de la dopamina, la catecolamina producida por el hiporálamo. Sin embargo, se sabe que la hormona liberadora de tirotropina (TRH, thyrotropin-releasing hormone, tiroliberina) y el péptido inhibidor vasoactivo (VIP, vasoactive inhibitory peptide [también conocido como polipéptido intestinal vasoactivo]) estimulan la sintesis y la secreción de PRL. Durante el embarazo y la lactancia, estas células experimentan hipertrofia e hiperplasia, por lo que hacen que la hipófisis incremente su tamaño. Estos procesos son la causa del mayor tamaño de la hipófisis en las mujeres multíparas.
- Corticótropas, que también conforman el 15-20% de las células parenquimatosas del lóbulo anterior de la hipófisis. Estas células poliédricas medianas, con núcleos redondos y excéntricos, producen una molécula precursora de la ACTH llamada proopiomelanocortina (POMC). Las células corticótropas tienen tinción basofila y también son intensamente positivas a la reacción del ácido peryódico de Schiff (PAS, periodic acid-Schiff) debido a las fracciones glucídicas asociadas con la POMC. La POMC es escindida adicionalmente en varios fragmentos por enzimas proteolíticas de las células corticótropas: ACTH, lipotropina β (βLPH, β lipotropic hormone), hormona estimulante de melanocitos (MSH, melanocyte-stimulating hormone; melanotropina), endorfina β y encefalina. La liberación de ACTH es regulada por la hormona liberadora de corticotropina (CRH, corticotropin-releasing hormone; corticoliberina) producida por el hipotálamo.

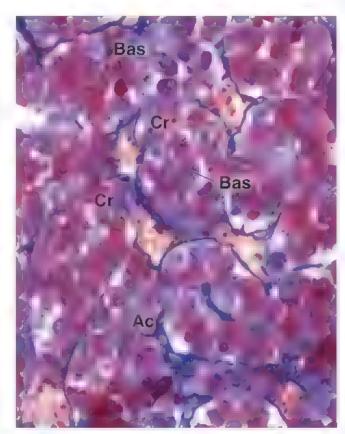


FIGURA 21-7. Porción distal. Esta muestra se ha teñido con escarlata cristal brillante, azul de an lina y amerillo de Martius para distinguir varios tipos celulares y el estroma de tejido conjuntivo. Los cordones de células están rodeados por un delicado estroma de tejido conjuntivo teñido de azul. Los capilares sinusoidales, en estrecha asociación con el parénquima, contienen entrocitos teñidos de amarillo. Las células acidófilas (Ac) son el tipo celular más abundante, su citoplasma se tiñe de color rojo. Las células basófilas (Bas) se tiñen de azul y las cromófobas (Cr), escasas en esta imagen, casi no se han teñido 640×

Características tintoriales de las células encontradas en la adenohipófisis

Tipo de célula	Porcentaje (del total de células)	Tinción general	Tinción específica	Producto
Somatétropa (célula GH)	50	Acidófila	Naranja G (PAS-)	Hormona del crecimiento (GH)
Lactétropa (célula PRL)	15-20	Acidófila	Naranja G (PAS-) Entrosina de Herlant Carmosina de Brooke	Prolactina (PRL.)
Corticótropa (célula ACTH)	15-20	Basóf la	Hematoxilina plumbica (PAS +)	Proopiomeianocortina (POMC) que en los humarios se fragmenta en corticotropina (ACTH) y lipotropina β (β-LPH)
Gonadótropa (células FSH y LH)	10	Basóf la	Aldehido-fucs ha Aidehido-fionina (PAS+)	Hormona folicu oestimulante (FSH) y hormona luteinizante (LH)
Tírótropa (célula TSH)	~5	Basófila	Aldehido-fucsina Aldehido-tionina (PAS+)	Tirotropina (TSH)

PAS, ácido peryódico de Schiff

- Gonadótropas (sintetizan y secretan FSH y LH), que constituyen alrededor del 10% de las células parenquimatosas del lóbulo anterior de la hipófisis. Estas células ovoides pequeñas, con núcleos redondeados y excéntricos, sintetizan LH y FSH. Se encuentran dispersas a lo largo de la porción distal y se tiñen con intensidad tanto con colorantes básicos (de ahí que se clasifiquen como de tipo celular basófilo) como con la reacción del PAS. Muchas células gonadôtropas son capaces de producir FSH y LH. No obstante, algunos estudios inmunocitoquímicos indican que ciertas células gonadótropas producirían solo una de estas dos hormonas. La liberación de FSH y LH es regulada por la GnRH producida por el hipotálamo. Tanto la FSH como la LH desempeñan un importante papel en los sistemas genitales masculino y femenino, lo cual se aborda en los capítulos 22 (Aparato reproductor masculino) y 23 (Aparato reproductor femenino).
- Tirotropas (secretan tirotropina), que constituyen alrededor del 5% de las células parenquimarosas del lóbulo anterior de la hipófisis. Estas células poligonales grandes, con núcleos redondos y excéntricos, producen la hormona tirótropa denominada tirotropina (TSH), la cual actúa sobre las células foliculares de la glándula tiroides para estimular la producción de la tiroglobulina y las hormonas tiroideas. Las células tirótropas exhiben basofilia citoplasmática (basófilas) y se tiñen intensamente con la reacción del PAS. La liberación de TSH se encuentra bajo el control hipotalámico de la TRH, que también estimula la secreción de PRL. La somatostatina posee un efecto inhibidor sobre las células tirótropas y reduce la secreción de TSH.

Las características distintivas de los cinco tipos oclulares del lóbulo anterior de la hipófisis son fácilmente reconocibles mediante el microscopio electrónico de transmisión (MET). Dichas características se mencionan en la tabla 21 3.

TABLA 21-3

Características de las células de la adenohipófisis observadas con el microscopio electrónico

Tipo de célula	Tamaño/forma	Núcleo/ubicación	Características/tamano de la vesicula secretora	Otras características citopiasmaticas
Somatótropa	Mediana/ovalada	Redondo/central, con nucléolos prominentes	Densas 350 nm, muy juntas	Ninguna
Lactótropa	Grande/poligonal	Ovalado/centra	Inactivas 200 nm, escasas Activas densas pleomórficas, 600 nm, escasas	Aumento de lisosomas después de la lactancia
Corticótropa	Mediana/poligonal	Redondeado/excéntrico	100-300 nm	Inclusiones lipidicas, tisosomas grandes, haces perinucleares de filamentos intermedios
Gonadótropa	Pequena/ovalada	Redondeado/excentrico	Densas 200-250 nm	Aparato de Golgi prominente dis- ternas del RER distendidas
Tirótropa	Grande/pol-gonal	Redondeado/excéntrico	Densas < 150 nm	Aparato de Golgi prominente con vesículas abundantes

Además de los cinco tipos de células productoras de hormonas, el lóbulo anterior de la hipófisia contiene células folículoestrelladas.

Las celules foliculoestrelladas del lóbulo anterior de la hipófisis se caracterizan por su aspecto de estrella con evaginaciones citoplasmáticas que rodean a las células productoras de hormonas. Tienen la capacidad de formar conjuntos celulares o folículos pequeños y no secretan hormonas; constituyen el 5-10% de las células del lóbulo anterior de la hipófisis. Las células foliculoestrelladas están interconectadas por uniones comunicantes que contienen la proteína conexina 43. Con base en estudios inmunocitoquímicos y electrofisiológicos, se ha planteado la hipótesis de que la red de células foliculoestrelladas interconectadas por uniones comunicantes transmite señales desde la porción tuberal hacia la porción distal. Estas señales coordinarían y regularían la liberación de hormonas en todo el lóbulo anterior de la hipófisis. El descubrimiento de uniones comunicantes, que interconectan las células foliculoestrelladas con células productoras de hormonas, apoya la existencia de un mecanismo de señalización en el lóbulo anterior de la hipófisis. Por lo tanto, la red foliculoestrellada pareciera tener una función regulatoria adicional al sistema venoso porta hipofisario.

Porción intermedia

La porción intermedia rodea una serie de pequeñas cavidades quisticas, que son restos de la luz de la bolsa de Rathke.

Las células parenquimatosas de la porción intermedia rodean a los folículos llenos de coloide. Las células que revisten estos folículos parecen derivar de las células foliculoestrelladas o de varias células secretoras de hormonas. El MET permite comprobar que estas células forman los complejos apicales de unión y que tienen vesículas más grandes que las de la porción distal. La índole de este coloide folicular aún no se ha determinado; sin embargo, con frecuencia contiene detritos celulares. La porción intermedia posee células basófilas y cromótobas (fig. 21-8). Con frecuencia, las células basófilas y las cavidades quísticas se extienden dentro de la porción nerviosa.

En los humanos, la función de las células de la porción intermedia no ha sido dilucidada. Sin embargo, de los estudios en otras especies se sabe que las células basófilas poseen vesículas dispersas en su citoplasma que contienen endorfinas α o β (compuestos relacionados con la morfina). En las ranas, las células basófilas producen MSH, la cual estimula la producción de pigmentos en los melanocitos y su dispersión en los melanóforos. En los humanos, la MSH no es una hormona funcional bren definida, sino un subproducto del procesamiento postraduccional de la β -LPH. Debido a que en la porción intermedia humana hay una cantidad reducida de MSH, se considera que las células basófilas de esta porción son corticotropas.

Porción tuberal

La porción tuberal es una extensión del lóbulo anterior a lo largo del infundibulo con forma de tallo.

La porción tuberal es una región muy vascularizada que contiene venas del sistema hipotalamohipofisario. Las células parenquimatosas están dispuestas en grupos o cordones pequeños en asociación con los vasos sanguíneos. En esta región hay nidos dispersos de células planas y pequeños folículos revestidos con células cúbicas. Estas células con frecuencia muestran inmunorreactividad para ACTH, FSH y LH.

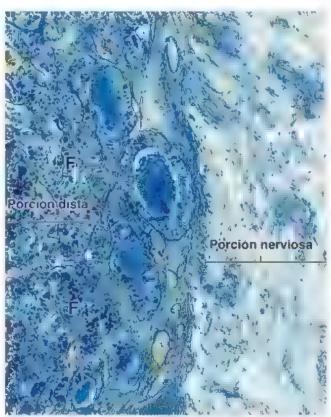


FIGURA 21-8. Microfotografía de la porción intermedia de la hipófisis de un humano adulto. En esta imagen de una muestra teñida con azul de toiuldina se ve la porción intermedia localizada entre la porción distal (a la izquierde) y la porción nerviosa (a la derecha) En los humanos, esta porción de la glándula es algo rudimentaria Sin embargo, una característica distintiva de la porción intermedia es la presencia de foliculos (F) de diferentes tamaños llenos de coloides y pequeños grupos de células cromófobas y basófilas 120×

Lóbulo posterior de la hipófisis (neurohipófisis)

El lábulo posterior de la hipófisis es una extensión del SNC que almacena y libera productos de secreción sintetizados en el hipotálamo.

El tóbuto posterior de la hipófisia, cambién conocido como neurohipófisis, consiste en la porción nerviosa y el infundíbuto que la conecta con el hipotálamo. La porción nerviosa, el lóbulo nervioso de la hipófisis, contiene los axones amielínicos y sus terminaciones nerviosas de alrededor de 100 000 células neurosecretoras, cuyos somas se ubican en los núcleos supreoptico y paraventricular del hipotálamo. Los axones forman el tracto hipotalamohipofisario y son únicos en dos aspectos. En primer lugar, no terminan en otras neuronas o células diana, sino que lo hacen en estrecha proximidad con la red capilar fenestrada de la porción nerviosa. En segundo higar, las neuronas contienen vesículas de secreción en todas sus partes (soma, axón y telodendrón). Debido a su intensa actividad secretora, las neuronas poseen corpúsculos de Nissi bien desarrollados y en este aspecto se parecen a las células del asta ventral y a las células ganglionares.

El tóbulo posterior de la hipófisis no es una glándula endocrina. En cambio, es un sitio de almacenamiento para las neurosecreciones de las neuronas de los núcleos supraóptico y paraventricular del hipotálamo. Los axones amielínicos transportan productos neurosecretores bacia la porción nerviosa. Otras neuronas de los núcleos hipotalámicos (descritas más adelante) también liberan sus productos de secreción en la red capilar fenestrada del infundíbulo, el primer lecho capilar del sistema porta hipotalamohipofisario.

El microscopio electrónico permite distinguir morfológicamente tres vesiculas de neurosecreción bien definidas en las terminaciones de la porción nerviosa.

En la porción nerviosa existen tres tamaños de vesículas limitadas por membrana:

- Vesículas de neurosecreción, con diámetros que oscilan entre los 10 y 30 nm y que se acumulan en las terminales axónicas. También forman cúmulos que dilatan porciones del axónicerca de las terminales (fig. 21-9). Estas dilataciones, denominadas cuerpos de Herring, son visibles con el microscopio óptico (lám. 81, p. 822). En el microscopio electrónico, además de abundantes vesículas de neurosecreción, se aprecia que los cuerpos de Herring contienen mitocondinas, algunos microrúbulos y cisternas del retículo endoplasmático liso (REL; fig. 21-10).
- Las terminaciones nerviosas también contienen vesículas de 30 nm con acetilcolina. Esas vesículas desempeñarían un papel específico en la liberación de las vesículas de neurosecreción.
- Las vesículas más grandes, de 50-80 nm, que se asemejan a las vesículas de núcleo denso de la médula suprarrenal y las termina-

ciones nerviosas adrenérgicas, están presentes en la misma terminal que las otras vesículas limitadas por membrana. Las vesículas de neurosecreción delimitadas por membrana que se agrupanpara formar los cuerpos de Herring contienen oxitocina u hormone antidiuretica (ADH, antidiuretic hormone), rambién llamada vasopresina (tabla 21-4). Cada hormona es un pequeño péprido de nueve residuos aminoacídicos. Las dos hormonas difieren solo en dos aminoácidos. Cada vesicula también contiene trifosfato de adenosina (ATP, adenosine triphosphate) y neurofisina, una proteína que se une a la hormona por enlaces no covalentes. La oxitocina y la ADH son sintetizadas como parte de una molécula grande que incluye la hormona y su neurofisina específica. La molécula grande es escindida proteolíticamente en hormona y neurofisina a medida que se traslada desde el soma neuronal hacia la terminal axónica. La tinción inmunocitoquímica demuestra que la oxitocina y la ADH son secretadas por células diferentes en los núcleos hipotalámicos.

La ADH facilita la reabsorción del agua de los túbulos distales y los conductos colectores del riñón porque modifica la permeabilidad de las células al agua.

El nombre original de la ADH, vasopresma, proviene de la observación de que las grandes dosis no fistológicas aumentan la presión arterial porque favorecen la contracción del músculo liso en las pe-



FIGURA 21-9. Microfotografía electrónica de los cuerpos de Herring en el fóbulo posterior de una rata. Las porciones dilatadas de los axones cerca de sus terminales, denominadas cuerpos de Herring (CH), contienen numerosas vesiculas neurosecretoras lienas de oxitorina o ADH. Están rodeadas por las células gliales especializadas, lamadas prituicitos (P). Obsérvese que los cuerpos de Herring se enquentran muy próximos a los vasos sanguineos (VS), en su mayoria capitares fenestrados revestidos por células endoteliales (En). 6000 × (cortesia dei Dr. Hoiger Jastrow).

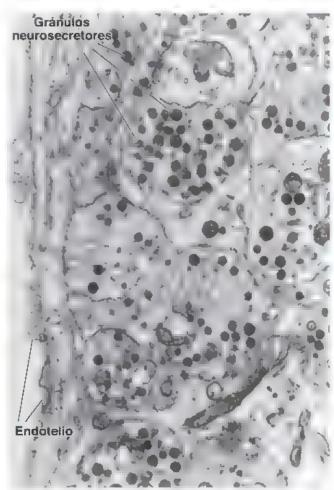


FIGURA 21-10. Microfotografía electrónica del lóbulo posterior de una rata. Los gránulos neurosecretores y las pequeñas vesiculas están presentes en las porciones terminales de las prolongaciones axónicas de las fibras del tracto hipotalamohipofisario. Los capilares con el endotelio fenestrado tienen una gran proximidad con las terminales nerviosas 20000× (cortesia de los doctores Sanford L. Palay y P. Orkland).

queñas arterías y arteriolas. Sin embargo, las concentraciones fisiológicas de la ADH tienen efectos mínimos sobre la presión arterial. La ADH es la principal hormona en participar en la regulación de la homeostasis hidrica y la osmolaridad de los líquidos corporales. El efecto fisiológico primario de la ADH en el riñón es la inserción de canales para agua (acuaporinas) en las células de los túbulos contorneados distales y en las de los conductos colectores, lo que incrementa su permeabilidad al agua. La inserción de la acuaporina 2 (AQP-2) en el dominio apical y de la acuaporina 3 (AQP-3) en el dominio basolateral de estas células causa una rápida reabsorción de agua a través del epitelio rubular. La ADH actua a través de su receptor V2 específico sobre el dominio basolateral de las células que revisten los túbulos contorneados distales y los conductos colectores, la mutación de este receptor es responsable de la diabetes insipida nefrógena (cuadro 21-3)

La osmolalidad plasmática y el volumen sanguineo son vigitados por receptores especializados del sistema cardiovascular (p. ej., cuerpos carotideos y aparato yuxtaglomerular). Un incremento de la osmolal dad o una reducción del volumen sanguineo estimulan la liberación de ADH. Además los somas de las neuronas secretoras hipotalámicas también pueden servir como osmorreceptores que inician la liberación de ADH. El dolor, los traumatismos, el estrés emocional y a gunos compuestos químicos, como la nicotina, también est mulan la liberación de ADH.

La exitocina promueve las contracciones del músculo liso uterino y las células mocepiteliales mamarias.

La oxitocina es un promotor de la contracción del músculo liso más poderoso que la ADH. Su efecto primario incluye estímular la contracción de las células y los tejidos siguientes:

- El músculo fiso uterino durante el orgasmo, la menstruación y el parto. A medida que el parto se acerca, las células musculares lisas uterinas muestran un aumento de su capacidad de respuesta a la oxitocina de alrededor de 200 veces. Esto se acompaña de una mayor formación de uniones comunicantes entre las células musculares lisas y el incremento de la densidad de los receptores de oxitocina.
- Las células mioepiteliales de los alvéolos secretores y los conductos alveolares de la glándula mamaria. La secreción de oxitocina es desencadenada por estímulos nerviosos que llegan al hipotálamo. Esos estímulos inician un reflejo neurohumoral que se asemeja a un reflejo sensitivomotor simple. En el utero, el reflejo neurohumoral se inicia por la distensión de la vagina y el cuelto uterino. En la mama, el reflejo se inicia por el acto de amamantar (succión). La contracción de las células mioepiteliates que rodean la base de las células secretoras alveolares y las células de los conductos más grandes hace que la leche sea liberada y atraviese los conductos que desembocan en el pezón (eyección lactea, véase p. 915).

Hormonas del lóbulo posterior de la hipófisis (neurohipófisis)

Hormona	Composición	Fuente	Funciones principales
Oxitocina	Oligopéptido de nueva aminoácidos	Somas neurona es localizados en los nucleos supraópticos y paraventriculares del hipo- tálamos	Estimula la actividad de las célules contráctiles que rodean los conductos de las glándulas mamarias para que se expulse la lecha, estimula la contracción de las células musculares lisas en el utero durante el embarazo.
Vasopresina (ADH)	Oligopéptido de nueve aminoácidos, tiene dos formas, argin na-ADH (más frecuente en los humanos) y lisina-ADH	Somas neurona es localizados en los núcleos supraópticos y paraventriculares del hipo- tálamo ^a	Reduce el volumen de onna al aumentar la reabsorción de agua por los conductos colectores del riñón, disminuye el nimo de la transpiración en respuesta a la deshidratación, incrementa la presión arterial por la estimulación de las contracciones de las células musculares tisas en la pared de las arteriolas.

Los estudios nimunor toquimicos ndican que la oxitocina y la ADH son producidas por grupos separados de neuronas dentro de los nucleos supraópticos y paraventriculares del hipotálamo. Los estudios bioquimicos han demostrado que e nucleo supraóptico contiene cantidades gua es de ambas hormonas imientras que e nucleo paraventricular contiene más oxitocina que ADH, pero menos que la cantidad hallada en el nucleo supraóptico.

CORRELACIÓN GLÍNICA: FUNDAMENTOS DE LAS ENDOCRINOPATÍAS

Las anomalías de los mecanismos de señalización que coordinan y controlan la función de multiples órganos y procesos biológicos son el fundamento de muchas enfermedades endocinas. La bioquímica clásica, la fisiología y los avances en biológía celular y molecular y genética, combinados con las observaciones clínicas, permiten explicar los mecanismos de acción hormonales y las afecciones endocrinas. Las endocrinopatías pueden clasificarse en cuatro categorías principales

- Producción excesiva de hormona. La causa más frecuente de la sobreproducción hormonal es el aumento de la cantidad total de células que producen una hormona específica. Un ejemplo de este mecanismo es el hipertiroidismo (enfermedad de Graves, véase cuadro 21-4, p. 805). En resumen, la presencia de anticuerpos anómalos que imitan la acción de la TSH estimula un aumento dirástico en la cantidad de células tiroideas. En algunos casos, el aumento de la secreción hormonal está relacionado con una anomalía genética que afecta la regulación de la síntesis y la liberación de la hormona. Además, la mutación de genes supresores de tumores y de protocincogenes puede favorecer la proliferación de células mutantes que producen la hormona específica. Esto ocurre, por lo general, en las células de la adenchipófisis.
- Producción insuficiente de hormona. La producción insuficiente de hormona puede ser el resultado de la destrucción de un órgano endocrino por un proceso patológico (p. ej., tuberculosis de las glándulas suprarrenales) o por autoinmunidad (p. ej., la enfermedad de Hashimoto, donde los anticuerpos anómalos atacan y destruyen a las células productoras de hormonas tiroideas). Además, las anomalías genéticas que conducen al desarrollo defectuoso de las glándulas endocrinas (hipogonadismo hipogonadotrópico), la alteración de la síntesis hormonal (supresión del gen GH) o la regulación anómala de la secreción hormonal (hipoparatiroidismo asociado con la mutación del receptor.)

sensible al calcio que se expresa en las células paratiroldeas) pueden disminuir la concentración sénca o la ausencia de hormonas activas. También puede ser una causa la lesión latrógena de las glándulas endocrinas, como ocurre cuando, durante una tiroldectomía (resección de la glándula tiroldes), se extirpan las glándulas paratiroides.

- Alteración de las respuestas de los tejidos a las hormonas. Esta clase de endocrinopatía se debe con frecuencia a una variedad de mutaciones genéticas de los receptores de hormonas (p. ej., TSH, LH y PTH). En los pacientes diabéticos, la resistencia a la insulina en los musculos y el hígado es causada sobre todo por las señales que se onginan en el tejido adiposo (véase cap. 9, Tejido adiposo).
- Tumores de las glándulas endocrinas. La mayoría de los tumores de las glándulas endocrinas son hormonalmente activos y producen un exceso de hormonas. No obstante, algunos no sintetizan hormonas, sino que comprimen los órganos adyacentes o causan la destrucción de otros órganos por metástasis. Un ejemplo de dichos tumores es el cáncer de tiroides, que puede generar metástasis en todo el organismo sin presentar signos de producción excesiva de hormona tiroidea (hipertiroidismo).

Las hormonas se utilizan para tratar endocrinopatías. Un uso frecuente es en el **tratamiento de reemplazo hormonal**, cuando una glándula endocrina específica no se desarrolla o cesa su producción de una hormona necesaria. Las hormonas y sus análogos sintéticos pueden emplearse para suprimir los efectos de otras hormonas. En general, las hormonas tiroideas y esteroideas pueden administrarse por vía oral, mientras que las hormonas peptídicas (insulina, GH) requieren ser inyectadas. Algunas innovaciones tecnológicas recientes, como las minisombas computarizadas y las inyecciones intramusculares de depósito, han hecho más manejable el tratamiento para los pacientes.

CUADRO 21-3.

CORRELACIÓN CLÍNICA: ENFERMEDADES RELACIONADAS CON LA SECRECIÓN DE VASOPRESINA

La falta o disminución de la producción de ADH conduce a una alteración conocida como diabetes insipida, que se caracteriza por poliuna (producción de un gran volumen de orina diluida, hasta 20 Lipor día) con orina hipotónica e insípida Las personas con esta alteración tienen mucha sed, lo que les permite contrarrestar la pérdida de agua mediante la ingesta de una gran cantidad de líquidos. Esta enfermedad con frecuencia es causada por lesiones en la cabeza, tumores u otras lesiones que pueden dañar el hipotálamo o la neurohipófisis. Esta forma de la enfermedad se clasifica como diabetes. insípida hipotalámica, en contraste con la diabetes insipida. nefrógena, en la cual la secreción de ADH es normal o elevada, pero hay una falta de respuesta renal a las concentraciones de ADH circulante. La diabetes nefrógena suele ser una alteración congénita relacionada con la mutación del gen de los conductos de acuaporina 2 (AQP-2) o diferentes mutaciones del receptor ADH V2 en los túbulos renales. La diabetes insípida hipotalámica suele tratarse con la administración de análogos sintéticos de la ADH (desmopresina), mientras que el tratamiento del tipo nefrógeno está dirigido a la reducción del volumen urmano.

En al sindrome de secreción inapropiada de hormona antidiurética (SIADH, syndrome of inappropriate anti-

diuretic hormone secretion) se detectan concentraciones inusualmente elevadas de ADH, y la afección se caracteriza por hiponatremia (baja concentración de sodio sérico), reducción de la osmoialidad sérica asociada con excesiva excreción urinana de sodio y efevada osmolalidad de la orina. En el SIADH, la concentración elevada de ADH aumenta la absorción de agua, lo cual conduce a la producción de onna concentrada, incapacidad para excretar agua e hiponatremia como consecuencia del exceso de agua, no de la insuficiancia de sodio. El aumento de la secreción de ADH puede relacionarse con alteraciones del SNC (tumores, lesiones, infecciones o ictus), enfermedades pulmonares (neumonía, enfermedad pulmonar obstructiva crónica, absceso pulmonar o tuberculosis), tumores que secretan ADH (carcinoma. pulmonar microcítico, turnores del páncreas, timomas o linformas) y ciertos fármacos (antiinflamatorios, nicotina, diuréticos y muchos otros). El tratamiento del SiADH depende. de la causa subvacente e incluye la restricción de líquidos y el tratamiento farmacològico. En la actualidad se encuentra disponible un antagonista del receptor de ADH V2 (conivaptán) que alivia la hiponatremia y aumenta la diuresis de agualibre, sin pérdida de otros iones, en la orina de los pacientes. con SIADH

Hormona	Composición	Fuente	Funciones principales
Hormona liberadora de somatotropina (GHRH, somatoliberina)	Dos formas en los humanos polipéptidos de 40 y 44 aminoácidos	Somas de neuronas ubicadas en el nucleo arcuato dei hipotálamo	Estimula la secreción y la expresión génica de la GH por las células so- matótropas
Somatostatina	Dos formas en los humanos polipéptidos de 14 y 28 aminoác dos	Somas de neuronas ubicadas en los nucleos periventricular, paraventricular y arcuato del hi- potálamo	Inhibe la secreción de la GH por las células somatótropas y la TSH por las tirótropas, inhibe la secreción de insu ina por las células B de los islotes pancreáticos.
Dopamina	Catecolamina (un derivado de los aminoácidos)	Somas de neuronas ubicadas en el nucleo arcuato del hipotálamo	Inhibe la secreción de PRL por las células lactótropas.
Hormona liberadora de corticotropina (CRH, corticoliberina)	Polipéptido de 41 aminoácidos	Somas de neuronas ubicadas en los nucleos arcuato, periven- tricular y paraventricular medial del hipotáramo	Estimula la secreción de ACTH y la expresión génica para POMC en las células corticótropas.
Hormona liberadora de gonadotropinas (GnRH, gonadoliberina)	Polipéptido de 10 aminoácidos	Somas de neuronas ubicadas en los nucleos arcuato, ventrome- dial, dorsal y paraventricular del hipotálamo	Estimula la secreción de LH y FSH por las células gonadótropas
Hormona liberadora de tirotropina (TRH, tiroliberina)	Oligopéptido de 3 aminoácidos	Somas de neuronas ubicadas cerca de los nucleos ventrome- dial, dorsal y paraventricular del hipotálamo	Estimula la secreción y la expresión génica de TSH por las cérulas tirótropas, estimula la síntesis y la secreción de PRL

ACTH correctropina. FSH, hormana foliculaestimulante. GH, samatatropina. LH lutropina, POMC, proopiamelanocortina, PRL projectina. TSH, tirotropina.

Los análogos sintéticos de la oxitocina suelen ser utilizados en las bombas de infusión intravenosa para iniciar y fortalecer las contracciones uterinas durante el trabajo de parto activo y el parto.

El pituicito es la única célula específica del lóbulo posterior de la hipófisis.

Además de la gran cantidad de axones y telodendrones de las neuronas neurosecretoras hipotalámicas, el lóbulo posterior de la hipófisis contiene fibroblastos, mastocitos y células gliales especializadas, denominadas pituicitos, asociadas con capilares fenestrados. Estas células tienen forma irregular (con varias ramificaciones) y se parecen a los astrocitos. Sus núcleos son redondos u ovoides y en su citoplasma se encuentran vesículas con pigmento. Al igual que la astroglía, los pituicitos poseen filamentos intermedios específicos formados por las proteinas ácidas fibrilares gliales (GFAP, glial fibrillary acidie proteins). Los pituicitos suelen poseer evaginaciones que terminan en el espacio perivascular. Debido a sus numerosas evaginaciones y sus relaciones con la sangre, el pituicito desempeña una función de soporte similar a la de los astrocitos en el resto del SNC (véase p. 400).

■ HIPOTÁLAMO

El hipotálamo regula la actividad de la hipófisis.

El hipotátamo está ubicado en medio de la base del cerebro y rodea la porción ventral del tercer ventrículo. Coordina la mayoría de las funciones endocrinas del cuerpo y sirve como uno de los principales centros de control del sistema nervioso autónomo. Algunas de las funciones que regula incluyen la presión arterial, la temperatura corporal, el equilibrio de líquidos y electrólitos, el peso corporal y el apetito. El hipotálamo síntetiza una gran cantidad de

productos de neurosecreción. Además de oxitocina y ADH, las neuronas hipotalámicas secretan polipéptidos que promueven e inhiben la secreción y liberación de hormonas desde el lóbulo anterior de la hipófisis (tabla 21-5). Estos polipéptidos hipotalámicos también se acumulan en las terminaciones nerviosas cercanas a la eminencia media y al tallo infundibular, y son liberados en el lecho capilar del aistema porta hipotalamohipofisario para su transporte hacia la porción distal de la hipófisis.

Un sistema de retroalimentación regula la función endocrina en dos niveles: la producción hormonal en la hipofisis y la producción de hormonas liberadoras en el hipotálamo.

La concentración circulante de un producto de secreción específico de un órgano diana, una hormona o su metabolito, puede actuar de forma directa sobre las células del lóbulo anterior de la hipófisis o el hipotálamo para regular la secreción de las hormonas liberadoras hipotalámicas (véase fig. 21-18, p. 804, para la esquematización del circuito de retroalimentación hipotálamo-hipófisis-tiroides). Los dos niveles de retroalimentación permiten una sensibilidad exquisita en el control de la función secretora. La hormona misma controla la actividad secretora de las células que regulan su secreción en el hipotálamo y la hipófisis.

Además, la información de la mayoría de los estimulos fisiológicos y psicológicos que llegan al cerebro también alcanza el hipotálamo. El circuito de retroalimentación hipotalamohipofisario proporciona una vía de regulación por donde la información general del SNC contribuye a la regulación del lóbulo anterior de la hipófisis y, en consecuencia, a la regulación de todo el sistema endocrino. La secreción de los pépudos reguladores hipotalámicos representa el mecanismo primario por el cual los cambios en el estado emocional se traducen en cambios en el estado homeostático fisiológico.

■ GLÁNDULA PINEAL

La giándula pineal (cuerpo pineal, epífisis cerebral) es una glándula endocrina o neuroendocrina que regula el ritmo circadiano. Esta glándula se desarrolla a partir del neuroectodermo de la porción posterior del techo del diencéfalo y permanece unida al encéfalo por un pedículo corto. En los humanos se localiza en la pared posterior del tercer ventrículo, cerca del centro del encéfalo. La glándula pineal es una estructura aplanada con forma de piña de pino, de ahí su nombre (fig. 21-11). Mide 5-8 mm de alto, 3-5 mm de diâmetro y su peso oscila entre 100 y 200 mg.

La glandula pineal contiene dos tipos de células parenquimatosas: los pinealocitos y las células intersticiales (gliales).

Los pinealocitos son las células principales de la glándula pineal. Están dispuestos en grupos o cordones dentro de lóbulos formados por un tabique de tejido conjuntivo que penetran la glándula desde la piamadre que cubre su superficie. Estas células poseen un núcleo grande con pliegues profundos (con uno o más nucléolos prominentes) y con inclusiones lipídicas en su citoplasma. Cuando se examinan con el MET, los pinealocitos muestran orgánidos ci-

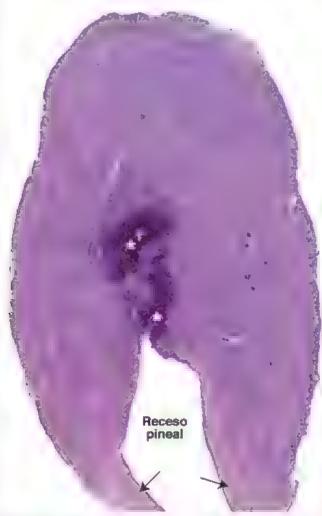


FIGURA 21-11. Microfotografía de la glándula pineal infantil. Preparación teñida con H&E de un corte medio a través de la giándula con forma de piña. El extremo anterior cónico de la glándula aparece en la parte superior de la imagen. Las flechas indican la parte de la glándula que se conecta con la comisura posterior. La glándula está formada por una evaginación de la porción posterior del techo del tercer ventrículo (diencéfalo). Las áreas oscuras indicadas por los asteriscos se deben a una hemorragia dentro de la glándula. 25×.

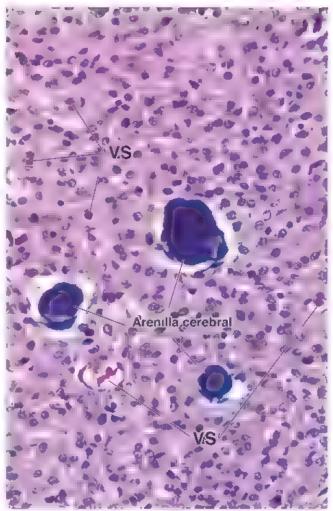


FIGURA 21-12. Microfotografia de una glandula pineal humana. En esta imagen de gran aumento se muestran las calcificaciones características denominadas arenillas cerebrales o cuerpos arenáceos. Los pinealocitos (células principales de la glandula pineal), que constituyen la mayoría de las células observadas en la muestra, están dispuestos en conglomerados o cordones. Los vasos sanguineos (VS) que contienen entrocitos se observan sin dificultad; también hay muchos otros que no se reconocen con este aumento porque no contienen entrocitos, 250×

toplasmáticos típicos junto con muchas vesículas limitadas por membrana, de centro denso, en sus prolongaciones citoplasmáticas alargadas y complejas. Las evaginaciones también contienen abundantes haces paralelos de microtúbulos. Los extremos de las prolongaciones, expandidos y claviformes, están asociados con los capilares sanguineos. Esta característica sugiere categóricamente la existencia de actividad neuroendocrina.

Las colulas intersticiales (gliales) constituyen alrededor del 5% de las células de la glándula. Estas células tienen características tintoriales y ultraestructurales muy semejantes a las de los astrocitos y son una reminiscencia de los piruicitos del lóbulo posterior de la hipófisis.

Además de los dos tipos de células, la glándula pineal humana se caracteriza por calcificaciones denominadas **cuerpos arenáceos** o arenilla carebral (fig. 21-12). Estas calcificaciones parecen denvar de la precipitación de fosfatos y carbonatos de calcio en proteínas transportadoras liberadas en el citoplasma durante la exocitosis de las secreciones pineales. Dichas calcificaciones son reconocibles ya en la niñez y su cantidad aumenta con la edad. Dado que son radioopacas y se localizan en la linea media del encefalo,

Hormona de la glándula pineal

Ногтопа	Composición	Fuente	Funciones principales
Melatonina	Indolamina (A-acetil-5- metoxitriptamina)	Pinealocitos	Regula los ntmos circadianos, inhibe la secreción de GnRH y regula la ac- tividad esteroidogénica de las gónadas, en particular en lo relacionado con el ciclo menstrual. En los animales influye en la actividad sexual estaciona

GnRH, hormona liberadora de gonadotropinas

son marcadores convenientes para realizar estudios radiográficos y de tomografia computerizada (TC).

La glándula pineal del humano relaciona la intensidad y la duración de la luz con la actividad endocrina.

La glándula pineal es un órgano fotosensible y un importante reloj y regulador del ciclo día/noche (ritmo circadiano). Obtiene información acerca de los ciclos de luz y oscuridad desde la retina a través del tracto retinohipotalámico, el cual se conecta en el núcleo su praquiasmático con los tractos neurales simpáticos que llegan a la glándula pineal. Durante el día, los impulsos luminosos inhiben la producción de la principal hormona de la glándula pineal, la melatonina. Por lo tanto, la actividad pineal, según se cuantifica por los cambios en la concentración plasmática de la inelatonina, aumenta durante la oscundad y disminuye a mayor intensidad luminosa. En los humanos, estos cambios en la secreción de melatonina cumplen una función importante en la regulación de los ritmos corporales diarios (circadianos).

La melatonina es liberada en la oscuridad y regula la función reproductiva en los mamíferos por inhibición de la actividad esteroidogénica de las gónadas (tabla 21-6). La producción de los esteroides gonadales se reduce por la acción inhibitoria de la melatonina sobre las celulas neurosecretoras ubicadas en el hipotalamo (nucleo arcuato) que produce GnRH. La inhibición de la GnRH provoca una reducción en la liberación de FSH y LH del lóbulo anterior de la hipófisis. Además de la melatonina, los extractos de las glandulas pineales de varios animales contienen numerosos neurotransmisores como serotonina, noradrenalina, dopamina e histamina, y hormonas hipotalámicas reguladoras, como somatostatina y TRH Desde el punto de vista clínico, los tumores que destruyen la glándula pineal están relacionados con una pubertad precoz (de aparición temprana)

Los estudios en animales demuestran que la información relacionada con la duración de la luz diurna llega a la glándula pineal desde fotorreceptores en la retina. Por lo tanto, esta glándula influye en la actividad sexual estacional. La glándula pineal desempeña un papel en la adaptación a los cambios repentinos en la duración del dia, como los que experimentan los viajeros que atraviesan varios husos horarios (jet lag). Además, la glándula pineal está implicada en la alteración de las respuestas emocionales ante la corta duración del dia (durante el invierno) en las zonas climáticas templadas o subarticas, conocida como trastomo afectivo estacional (TAE)

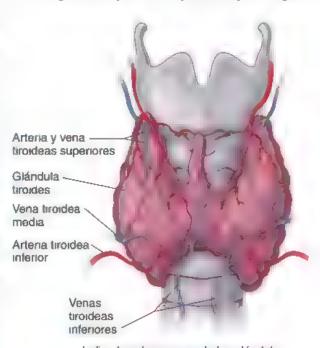
■ GLÁNDULA TIROIDES

La glándula tiroides se localiza en la región anterior del cuello, contigua a la laringe y la tráquea.

La glándula tiroides es una glándula endocrina bilobulada localizada en la región anterior del cuello; consiste en dos grandes tóbulos latorales conectados por un istroo, una banda delgada de tejido tiroideo. Los dos lóbulos, cada uno con una longitud aproximada de 5 cm, un ancho de 2.5 cm y un peso de 20-30 g, se ubican a cada lado de la laringe y la tráquea superior. El istroo atraviesa la superficie anterior de los cartilagos traqueales segundo y tercero. Con frecuencia, un lóbulo piramidal se extiende hacia arriba desde el istroo. Una cápsula delgada de tejido conjuntivo rodea la glándula (fig. 21-13). Esta emite trabéculas hacia el parénquima para delimitar parcialmente los lóbulos y los lobulillos irregulares. Los foliculos tiroidoos constituyen las unidades funcionales de la glándula.

La glándula tiroides se desarrolla a partir del revestimiento endodérmico del piso de la faringe primitiva.

La glándula tiroides comienza su desarrollo durante la cuarta semana de gestación a partir de un primordio que se origina como



Indica las ubicaciones de las glándulas paratiroides en la superficie posterior de los lóbulos laterales

FIGURA 21-13. Topografía e irrigación sanguínea de la glándula tiroides. En esta ilustración se muestra la ubicación de la glándula tiroides en la región antenor del cuello, en estrecha proximidad con la tráquea y los cartilagos laringeos. La glándula está compuesta por dos lobulos laterales conectados por un istrino. En cerca del 40% de los casos, la glándula tiroides presenta un lóbulo piramidal, que es un remanente del conducto tirogloso, una conexión de deserrollo con la base de la iengua. La glándula tiroides es irrigada por la sangre de las artenas tiroideas superior e infenor, y la sangre de la glándula es drenada por las venas tiroideas superior, media e inferior. En la superficie posterior (profunda) de los lóbulos laterales existen dos pares de estructuras ovoides, pequeñas, denominadas glándulas paratiroides superior e inferior. Nótese la ubicación (áreas del mitadas) de las glándulas paratiroides visibles desde una vista anterior.

un engrosamiento endodérmico del piso de la faringe primitiva. El primordio crece caudalmente y forma una invaginación similar a un conducto que se conoce como conducto tirogloso; este desciende a través del tendo del cuello hasta su destino final frente a la trá quea, donde se divide en dos lóbulos. Durante esta migración hacia abajo, el conducto tirogloso experimenta atrofia y deja un resto embrionario, el lóbulo piramidal del uroides, presente en más o menos el 40% de la población.

Alrededor de la novena semana de gestación, las células endodérmicas se diferencian en láminas de oblidas foliculares que se disponen en foliculos. Hacia la decimocuarta semana, los folículos bien desarrollados, revestidos por células foliculares, contienen coloide en su luz. Durante la séptima semana, paralelamente al desarrollo de los folículos tiroideos, las células epiteliales que revisten la invaginación de la cuarta bolsa faríngea (branquial), conocidas como auerpos uttimobranquiales, contienzan su migración hacia la glándula tiroides en desarrollo y se incorporan en los lóbulos laterales. Después de fusionarse con la tiroides, las células del cuerpo ultimobranquial se dispersan entre los folículos y originan las oblulos parafoliculares que quedan incorporadas en el epitelio folicular.

El folículo tiroideo es la unidad estructural y funcional de la glándula tiroidea.

Un foliculo tiroideo es un compartimento de aspecto quístico más o menos esférico, con una pared formada por epitelio cúbico simple o cilíndrico bajo, el epitelio folicular. Centenares de miles de folículos, cuyo diámetro varía de 0.2 a 1 mm, constituyen casi toda la masa de la glándula tiroides humana. Los folículos contienen una masa gelatinosa denominada coloide (fig. 21 14). Las superficies



FIGURA 21-14. Glandula tiroides. Microfotografía de una glándula tiroides humana de un corte teñido con H&E. Se muestran os folículos de la glándula que contrenen coloide. Cada folículo está compuesto por una sola capa de células epiteliales que rodea una masa central de coloide. Las flechas indican algunos capilares sanguíneos entre los folículos. 500×

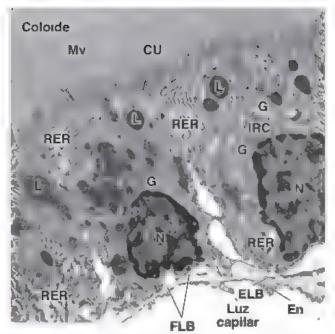


FIGURA 21-15. Microfotografía electrónica de las células foliculares en la glándula tiroldes de una rata. En esta imagen se muestra una sola capa de epitelio que contiene células foliculares cilindricas bajas. Las superficies apicales con microvellosidades (Mv) visibles están en contacto con el coloide, mientras que las superficies basales de las células foliculares se ubican sobre la lámina basal (FLB). Un espacio estrecho de tejido conjuntivo extracelular separa las células foliculares de la luz del capitar Obsérvese que las células endote iales fenestradas (En) que revisten la luz cápitar se ubican sobre la lámina basal (ELB). La acumulación de lisosomas (L) y de inclusiones de reabsorción de coloide (IRC), el gran aparato de Golgi (GI, el retículo endoplasmático rugoso (RERI) y los espacios intercelulares dilatados son indicadores de una intensa actividad de las células foliculares. CU, complejo de unión, N, nucleo. 14000× (cortesía del Dr. Holger Jastrow)

apicales de las células están en contacto con el coloide y las superficies basales se apoyan sobre una lámina basal típica.

El epitetio folicular contiene dos tipos de células: las células foliculares y las células parafoliculares.

El parénquima de la glándula tiroides está compuesto por epitelio que contiene dos tipos de célula.

Células foliculares (células principales), responsables de la producción de las hormonas tiroideas tetrayodotironina (T4) y triyodotironina (T3). Estas células varian en forma y tamaño de acuerdo con el estado funcional de la glándula. En los preparados de rutina, teñidos con hematoxilina-eosina (H&tE), las células foliculares exhiben un citoplasma basal levemente basófilo con núcleos esferoideos que contienen uno o más nucléolos prominentes. El aparato de Golgi es de ubicación supranuclear. Las inclusiones lipídicas y las inclusiones positivas a la reacción PAS pueden identificarse con las técnicas de tinción apropiadas. En el nivel ultraestructural, las células foliculares muestran los orgánulos que habitualmente se asocian con oflulas secretoras y absortivas (fig. 21-15), así como complejos de unión típicos en su extremo apical y microvellosidades corras en la superficie celular. apical. En la región hay abundancia de cisternas del retículo endoplasmático rugoso (RER). Las pequeñas vesículas presentes en el citoplasma apical son morfológicamente similares a las vesículas asociadas con el aparato de Golgi. También en el citoplasma apcal se encuentran lisosomas y abundantes vesículas endocíticas, identificadas como inclusiones de reabsorción coloidal.

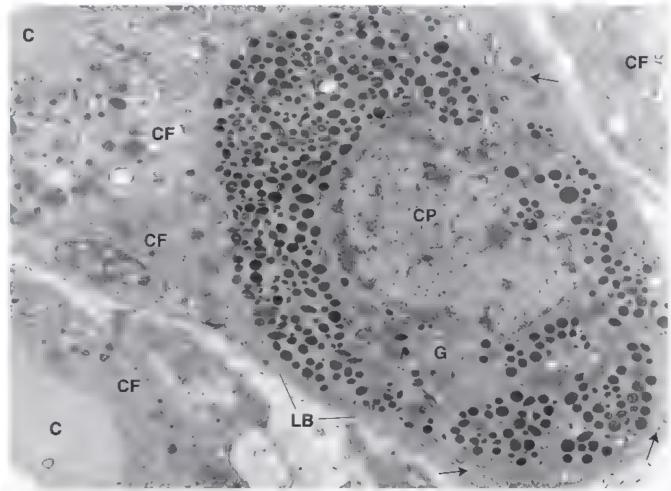


FIGURA 21-16. Microfotografía electrónica de una célula parafolícular. Las evaginaciones citoplasmáticas de las células foliculares (flechas) rodean de forma parciar la célula parafolicular (CP) a cual contiene muchos gránulos e ectrodensos y un aparato de Golgi prominente. Gi Una lámina basa (LB) está asociada con las células foliculares (CF). En dos foliculos contiguos puede observarse una porción de la masa centra del material coloidal (C) en las esquinas izquierdas de la imagen. 12 000 - (cortesia del Dr. Emmanuel-Adrien Nuñez)

Células parafoliculares (células C), que se ubican en la periferia del epitelio folicular y por dentro de la lámina basal del foliculo. Estas células no están expuestas a la luz folicular. Secretan cateitonina, una hormona que regula el metabolismo del calcio. En los preparados de rutina, teñidos con H&E, las células C se tiñen de manera tenue y aparecen como células solitarias o grupos celulares pequeños. Las células parafoliculares humanas son difíciles de identificar con el microscopio óptico. Con el microscopio electrónico, las células parafoliculares muestran numerosas vesículas de secreción pequeñas; tienen un diámetro de 60-550 nm y un aparato de Golgi prominente (fig. 21 16).

Los folículos están rodeados por una extensa red de capilares fenestrados que deriva de las arterias tiroides inferior y superior. En el rejido conjuntivo interfolicular se encuentran capilares linfáticos con extremos cerrados que también podrían proveer una segunda vía para transportar las hormonas desde la glándula.

La función de la glandula tiroides es indispensable para el crecimiento y el desarrollo normales.

La glándula tiroides produce tres hormonas, cada una de las cuales es indispensable para el metabolismo y la homeostasis normales (rabla 21-7).

Tiroxina (3,3;5,5'-tetrayodotivonina [T₄]) y 3,3;5-triyodotironina (T₂), que son sintetizadas y secretadas por las células foliculares. Ambas hormonas regulan el metabolismo basal de rejidos

- y células, así como la producción de calor; rambién influyen en el crecimiento y el desarrollo corporales. La secreción de estas hormonas es regulada por la TSH liberada desde el lóbulo antenor de la hipófisis.
- Calcitonina (tirocalcitorina), sintetizada por las célules parafoliculares (célules C), es un antagonista fisiológico de la hormona paratitoidea (PTH, parathyroid hormone; paratohormona) La calcitonina desempeña una función importante en la regulación de la concentración del calcio sénco en los animales infenores; sin embargo, su función fisiológica en los humanos aún no se ha precisado. La calcumina disminuye la calcemia al suprimir la resorción ósea por parte de los osteoclastos y promover el depósito de calcio en los huesos por aumento del ritmo de calcificación del osteoide. La secreción de calcitonina es regulada de forma directa por la concentración de calcio en la sangre. La calcemia elevada estimula su secreción, mientras que una calcemia baja la inhibe. El hipotálamo y la hipófisis no influyen en la secreción de calcitonina. Varios tumores endocrinos secretan calcitonina (p. ej., el carcinoma medular de la tiroides), por lo tanto, esta hormona se utiliza como marcador tumoral para vigilar el progreso de recuperación después de la resección quirurgica del tumor. Si bien la calcitonina es utilizada para tratar pacientes que padecen diversas alteraciones asociadas con el exceso de resorción ósea (p. ej , osteoporosis y enfermedad de Paget), no existe enfermedad clinica que se asocie con su insuficiencia o carencia después de una tiroidectomia total-

TABLA 21-7 Hormonas de la glándula tiroides

Hormona	Composición	Fuente	Funciones principales
Tiroxina (tetrayodotironina,T ₄) y triyodotironina (T ₃) ^a	Derivados yo- dados de la tirosina	Células foliculares (células principales)	Regulan el metabolismo del tejido basal (aumentan el nitmo de utilización de los hidratos de carbono y la síntesis y degradación de proteínas y lípidos), regulan la producción de calor, influyen en el crecimiento tisular y corporal, así como en el desarrollo del sistema nervioso del feto y el niño; hidrantesido de carbono en el intestino.
Calcitonina (tirocalcitonina)	Polipéptido de 32 aminoácidos	Cérulas parafoliculares (células C)	Reduce la calcemia al inhibir la resorción ósea y estimular la absorción de calcio por los huesos

⁴La glàndura firoides secreta mucha mas T₄ que T₃, sin embargo, a rededor del 40% de la T₄ es convertida periféricamente, en T₃, la cual actua con

El componente principal del coloide es la tiroglobulina, una forma inactiva de almacenamiento de las bormonas tiroideas.

El componente principal del coloide es una glucoproteína yodada grande (660 kDa) denominada tirogiobulina, que contiene alrededor de 120 residuos de tirosina. El coloide también contiene varias enzimas y otras glucoproteínas. Se tiñe con colorantes ácidos y básicos y es intensamente PAS positivo. La tiroglobulina no es una hormona; es una forma inactiva de almacenamiento de las hormonas tiroideas. Las hormonas tiroideas activas se extraen de la tiroglobulina y se liberan en los capilares sanguíneos fenestrados que rodean a los folículos solo después de que se han procesado adicionalmente dentro de las células. La turoides es una glándula endocrina singular porque almacena de manera extracelular grandes cantidades de sus productos de secreción.

La sintesis de las hormonas tiroideas incluye varias etapas.

La sintesis de las dos hormonas tiroideas principales, la tiroxina (T₆) y la triyodotironina (T2), ocurre en el folículo tiroideo en una serie de pasos bien definidos (fig. 21-17):

- 1. Sintesis de tiroglobulina El precursor de la tiroglobulina es sintetizado en el RER de las células epiteliales foliculares. La tiroglobulma es glucosilada de forma postraduccional, en el RER y en el aparato de Golgi, antes de incorporarse en vesículas y secretarse por exocitosis hacia la luz del folículo.
- 2. Reabsorción, difusión y oxidación de yodo. Las células epiteliales foliculares transportan activamente yoduro desde la sangre hacia su citoplasma por medio de cotransportadores unidireccionales de sodio/yoduro dependientes de ATPasa. El cotransportador es la proteína transmembrana de 87 kDa que media la captación activa de yoduro en la membrana basolateral de las células epiteliales foliculares. Estas células son capaces de conseguir una concentración intracelular de yoduro 30-40 veces superior a la del suero. Los iones yoduro se difunden con rapidez hacia la membrana celular apical. De ahí son transportados hasta la luz del folículo mediante un transportador de yoduro/cloruro de 86 kDa denominado pendrina, el cual se encuentra en la membrana celular apical. Luego, el yoduro se oxida de inmediato a yodo, que es la forma activa del yoduro. Este proceso se lleva a cabo en el coloide y es catalizado por una peroxidasa tiroidea (TPO, thyroid peroxidase) unida a la membrana.

- 3. Yodación de la tiroglobulina. Después, uno o dos átomos de yodo se añaden a residuos específicos de tirosma de la tiroglobulina. Este proceso ocurre en el coloide, en la superficie de las microvellosidades de las células foliculares, y también es catalizado por TPO. La adición de un átomo de yodo a un solo residuo de tirosina forma una monoyodotirosina (MIT). La adición de un segundo átomo de yodo al residuo de la MIT forma un residuo de divodotirosina (DIT)
- 4. Formación de T2 y T4 por reacciones de acoplamiento oxidativo. Las hormonas tiroideas se forman por reacciones de acoplamiento oxidativo de dos residuos yodados, muy cercanos, de tirosina. Por ejemplo, cuando los residuos de DIT y MIT vecinos tienen una reacción de acoplamiento, se forma la T₃; cuando dos residuos de DIT reaccionan entre sí, se forma la T₄. Después de la yodación, la T₄ y la T₃, así como los residuos de DIT y MIT que siguen ligados a la molecula de tiroglobulina, se almacenan como coloide dentro de la luz del folículo.
- Reabsorción del coloide. En respuesta a la TSH, las células foliculares captan tiroglobulina del coloide por un proceso de endocirosis mediado por receptores. Si las concentraciones de TSH permanecen altas, la cantidad de coloide en el foliculo se reduce porque se sintetiza, secreta, yoda y reabsorbe demasiado rápido para poder acumularse. Después de la endocitosis, la tiroglobulina sigue por lo menos dos vías intracelulares diferentes.
 - En la vía lisosómica, la tiroglobulina se incorpora y se transporta dentro de vesículas endocíticas hacia los endosomas tempranos; estos, por último, maduran a lisosomas o se fusionan con lisosomas preexistentes. La reabsorción de la tiroglobulina en esta etapa puede confirmarse por la presencia de grandes vesículas endocíticas, denominadas inclusiones de reabsorción coloidal, en la región apical de las células foliculares. A continuación, la tiroglobulina es degradada por proteasas hisosómicas hasta sus aminoácidos e hidratos de carbono constitutivos, dejando libres moléculas de T4, T3, DIT y MIT (véase la via denominada "5L" en la fig. 21-17). En condiciones fisiológicas, esta es la vía principal de reabsorción de coloide
 - En la vie transepitellel, la tiroglobulina se transporta intacta desde la superficie apical hasta la basolateral de las células foliculares. Para ingresar en esta vía, la tiroglobulina se une a su receptor, la megalina, un miembro de 330 kDa de la

Durante el desarrollo, la insuficiencia de Ta y Ta ocasiona la apanción de menos y más pequeñas neuronas, mielinización defectuosa y retraso men-

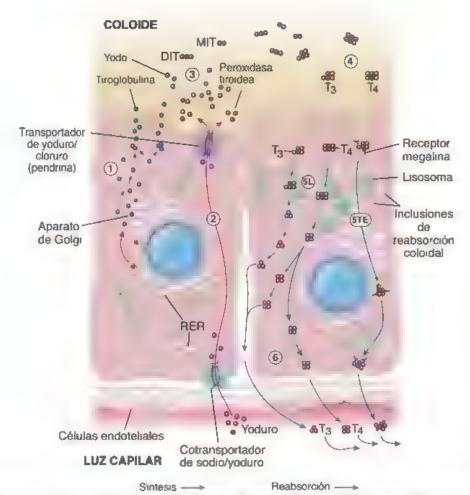


FIGURA 21-17. Esquema de la sintesis de la hormona tiroides. La llustración representa dos células foliculares una en el proceso de sintesis de tiroglobulina (a la izquierda, via senalada en rojo) y la otra en el proceso de reabsordión de tiroglobulina (a la izquierda, via senalada en azuli). A continuación, los números describen con mayor detalle los pasos secuenciares del proceso. La nitesis y secreción de firoglobulina, 2/ captación y concentración de yoduro proveniente de la sangre por los cotransportadores unidireccionaries de sodio/yoduro liberación de yoduro en el coloide via transportadores de yoduro/cloruro (pendina) y oxidación de yoduro a yodo por la peroxidasa tiroidea. 3/ yodación de la tiroglobulina en el coloide 4/ formación de las hormonas T₃ y T₄ en el coloide por reacciones de acoplamiento oxidativo. 5/1/ reabsorción del coloide por la vial sosómica (mecanismo principal). 5/12/ reabsorción del coloide por vial transeprita la mediada por el receptor de megalina y 6/1 beración de T₄ y T₃ desde la celula hacia la circulación. D/1/ diyodotirosina. M/1/ monoyodotirosina. RER reticulo endoplasmático rugoso.

familia de receptores endocíticos de las lipoproteínas de baja densidad (LDL, low-density lipoproteins). La megalina es una proteína transmembrana que se expresa en la superficie apical de las células epiteliales foliculares, que linda directamente con el coloide. La tiroglobulina incorporada por la megalina evita la vía lisosómica y las vesículas endocíticas se envían a la membrana basolateral de las células foliculares (véase la vía denominada "5TE" en la fig. 21-17). En condiciones patológicas de alta estimulación de TSH (o de una hormona similar a esta), la expresión de la megalina se incrementa y grandes cantidades de tiroglobulina siguen la via transepitelial. Esta via puede reducir la magnitud de la liberación de T₄ y T₃ mediante el desvío de la tiroglobulina de la vía lisosomica. Los pacientes con enfermedad de Graves y otras afecciones tiroideas poseen cantidades detectables de tiroglobulina circulante que contrene porciones del receptor de meganna

 Liberación de T₄ y T₃ desde las células foliculares hasta la circulación. Las células foliculares producen predominantemente T₄. en una proporción de T4.T3 de 20:1. La mayor parte de las T4 y T₃ producidas se liberan desde la tiroglobulina por la vía lisosómica; solo cantidades insignificantes de estas se liberan unidas a la tiroglobulina. Tanto T4 como T3 atraviesan la membrana basal e ingresan en los capilares sanguíneos y linfáticos. La mayoría de las bormonas liberadas se unen inmediatamente a una proteína plasmática específica (54 kDa), la globulina fijadora de tiroxina (TBG, thyroxine-binding globulin; cerca del 70%), o a una fracción de prealbúmina de las proteínas séricas denominada transtiratina (cerca del 20%). La T4 se une con mayor fuerza a la TBG, mientras que la T3 se une con mayor firmeza a la transtiretina. Menos del 10% de las hormonas liberadas se unen a una fracción mespecífica de albúmina, dejando solo una pequeña cantidad (cerca del 1%) de hormonas circulantes libres y metabólicamente activas. Las hormonas circulantes libres también influyen en el sistema de retroalimentación que regula la actividad secretora de la glándula tiroides (fig. 21 18). Una tercera parte de la T₄ circulante se convierte en T₃ en los órganos periféricos, como el riñón, el higado y el corazón. La T, es cinco

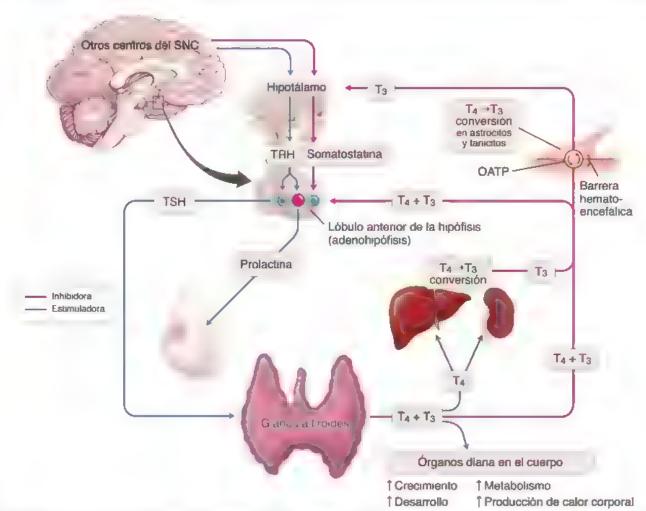


FIGURA 21-18. Producción, transporte y regulación de las hormonas tiroideas. La producción de \mathbb{I}_4 y \mathbb{I}_3 es regulada por un sistema de retroalimentación negat va Las células to iculares de la giándula tiroides producen unas 20 veces más T₄ que T₃ sin embargo, la T₄ es convertida en órganos perifericos (higado ir nones) a una forma más activa de T₃. Afrededor dei 99% de las T₄ y T₃ liberadas a la circulación desde la giándula tiro des se unen a proteinas piasmáticas específicas. El resto de T₄ y T₃ bres ino unidas) ejercen una retroalimentación negativa sobre el sistema e inhiben una mayor, beración de a las mismas. Esta inhibición ocurre en la adenohipófisis y el hipotálamo. En la hipófisis la 🗓 nhiben la secreción de TSH por las células tirótropas. Para obtener un efecto inhibidor en el hipotálamo, ambas hormonas necesitan atravesar, a barrera hematoencefa ca por medio de un polipeptido transportador de aniones organicos (OATP organic-anion-transporting polypeptide) presente en la membrana de las celulas endotefiares. El aumento de la concentración de T_s y T₃ reduce la expresión del OATP como parte del circuito de retroalimentación negativa, y asi disminuye la cantidad de hormonas tiroideas disponibles en el encéfalo. Después de atravesar la barrera hematoencefalica, 1/4 y T₃ son transferidas al interior de los astrocitos vecinos, donde la primera es convertida en la segunda. Observese que la T₃ es la hormona que ingresa de forma predominante a las neuronas La T₄ y la T₃ también son secretadas en el liquido cefa orraquideo y son captadas por los tanicitos (cérulas epend marias especial zadas) y los astrocitos, donde la T₃ es convertida en T₃. Además de la TRH, que estimula la producción de protactina en células factótropas, el hipotálamo secreta somatostatina que tiene un efecto inhibidor sobre la producción de TSH por las células trótropas. El sistema de retroalimentación se activa en respuesta a la baja concentración de hormona tiroldea en la sangre o a necesidades metabólicas. Además de los mecanismos de control quimico, diferentes terminaciones nerviosas en el hipotálamo regulan la secreción de TRH. Por ejemplo, el estrés por frio norementa la secreción de TRH, mientras que el aumento de la temperatura corpora la inhibe. SNC a stema nervioso central, TRH, hormona liberadora de tirotropina, TSH, tirotropina.

veces más potente que la T_4 y es la principal responsable de la actividad biológica por la unión a los receptores nucleares tiros deos en las células diana.

El transporte a través de la membrana celular es indispensable para la acción y el metabolismo de la hormona tiroidea.

Con base en la estructura bioquímica de las hormonas tiroideas, durante mucho tiempo se pensó que estas hormonas ingresaban en la célula por medio de difusión simple. Sin embargo, en la actualidad se ha comprobado que las hormonas tiroideas son transportadas a través de las membranas celulares por diversas moléculas transportadoras. Dentro del SNC, la T₃ y la T₄ son transportadas a través de la barrera hematoencefálica hacia las neuronas y las células gliales por los transportadoras monocarboxilados 8 (MCT8) y 10 (MCT10), así como por una familia de polipéptidos transporta-

dores de aniones orgánicos (OATP, organic-anion-transporting polypepade). Por ejemplo, el transportador OATP1C1 se expresa exclusivamente en las células endoteliales que forman la barrera hematoencefálica y está a cargo de la captación de T₄ al encéfalo. El MCT8 también se encuentra en el corazón, los móones, el hígado y el músculo esquelético. Las mutaciones en el gen MCT8 causan una grave discapacidad psicomotora e intelectual asociada con la concentración sérica elevada de T₃ en pacientes masoulinos, una enfermedad conocida como sindrome de Allan-Hemdon-Dudley. Los transportadores MCT8 defectuosos no pueden transportar la T₃ a las neuronas, lo que interrumpe el desarrollo normal del cerebro. Dado que la T₃ no es utilizada por las neuronas, cantidades excesivas de esta hormona continuan circulando en la sangre y causan signos y sintomas de toxicidad por hormona tiroidea.

CORRELACIÓN CLÍNICA: FUNCIÓN TIROIDEA ANÓMALA

E sintoma más frecuente de la enfermedad tiroidea es el **bocio**, un aumento del tamaño de la glándula tiroidea. Esto puede indicar tanto hipotiroidismo como hipertiroidismo.

El hipotiroidismo puede ser causado por una cantidad insuficiente de yodo en la dieta (bocio por insuficiencia de yodo, bocio endémico) o por una de las vanas enfermedades hereditarias autoinmunitarias, como la tirolditis autoinmunitaria (tiroiditis de Hashimoto). La tiroidites autoinmunitaria se caracteriza por la presencia de autoinmunoglobulinas anómalas dirigidas contra la tiroglobulina (TgAb), la peroxidasa tiroidea (TPOAb) y el receptor de TSH (TSHAb) Los resultados son la apoptosis de las células tiro/deas y la destrucción folicular. La concentración baja de hormonas tirosdeas circulantes estimula la liberación de cantidades excesivas de TSH, que causan hipertrofia de la glandula tiroides por la síntesis de más tiroglobulina. El hipotiroidismo del adolto, antes llamado mixedema (debido al aspecto tumefacto de la piel), se caractenza por la lentitud física y mental. El edemaque se produce en varias etapas del hipotiroidismo se debe a la acumulación de una gran cantidad de ácido hialurónico en la matriz extracelular del tejido conjuntivo de la dermis

En el hipertiroidismo (bocio tóxico o enfermedad de Graves), se libera una cantidad excesiva de hormonas tiroideas en la carculación. Las personas que padecen esta enfermedad presentan concentraciones detectables de autoanticuerpos. Estas inmunoglobulinas G (IgG) anómalas se unen a los receptores de TSH en las células foliculares y

estimulan la actividad de la adenilato-ciclasa. Como resultado, el incremento de las concentraciones de cAMP en las células foliculares conduce a la estimulación continua de las células. y al aumento de la secreción de las hormonas tiroideas. Debido a la retroalimentación negativa, la concentración de TSH en la circulación suale ser normal. Sin embargo, con estaestimulación la glándula tiroides experimenta hipertrofia y las hormonas tiroideas se secretan en una proporción inusualmente alta, lo que ocasiona un aumento del metabolismo. La mayoría de las características clínicas están asociadas con un ritmo metabólico acelerado y con el aumento de las actividades nerviosas simpáticas. El cuadro clínico incluye pérdida de peso, transpiración excesiva, taquicardia y nerviosismo. Los signos visibles incluyen protrusión de los globos oculares y retracción de los párpados, ello como consecuencia del incremento de la actividad simpática y el aumento del depósito de matriz extracelular en el tejido adiposo localizado debajo del globo ocular (fig. C21-4-1a). La glandula pro/des aumentade tamaño. Las características microscópicas incluyen la presencia de células foliculares cilíndricas que revisten los foliculos tiroideos. A causa de la gran utilización de coloide, el folículo tiende a vaciarse en las regiones de contacto con la superficie apical de las células foliculares (fig. C21-4-1b). El tratamiento para la enfermedad de Graves consiste en la cirugia para extirpar la glándula tiroides o radioterapia con yodo radioactivo (131) ingerido, que destruye la mayor parte de las células fouculares activas





FIGURA C21-4-1. Hipertiroidismo, a. Mujer joven con signos de hipertiroidismo. Nótese la tumoración en el cuelto y los sintomas oculares tipicos conocidos como exofialmos b. Microfotografía de una muestra de glandula tiroides de una persona con enfermedad de Graves. Debido ai aumento de la utilización de coioide hay una talta de tinción en la perteria de este, cerca de la superficie apical de la celula folicular. Observese que la mayoria de las celulas son clindricas (reproducido con autorización de Rubin El Gorstein Fl Rubin Riet al Rubins Pathology, Cinicopathologic Foundations of Medicine, 4th ed. Baltimore. Lippincott Williams & Wilkins. 2005)

La hormona triyodotironina (T_3) es biológicamente más activa que la tiroxina (T_4) .

Una vez que las moléculas de T_3 y T_4 ingresan en la célula, interactúan con un receptor nuclear tiroldeo específico de forma similar a la vía de señalización esteroidea iniciada por el núcleo (*véase* fig. 21-3b). La T_3 se une a los receptores nucleares mucho más rápido y con mayor afinidad que la T_4 , por lo que la T_5 es más rápida y biológicamente más activa. Además, la T_3 se une a las mitocondrias y con ello incrementa la producción de ATP. Por consiguiente, la actividad biológica y el efecto metabólico de la hormona tiroidea están en gran medida determinados por la concentración intracelular de T_4 .

Varios factores influyen en la concentración intracelular de T_3 . Estos incluyen la concentración sérica de la T_3 circulante, que depende del ritmo de conversión de T_4 en T_3 en los órganos penféricos, del transporte de hormonas tiroideas a través de la membrana celular por transportadores de hormona tiroidea especializados y de la presencia de **yodotironinas-desyodasas**, que activan o desactivan las hormonas tiroideas. Por ejemplo, dos desyodasas llamadas D_1 y D_2 convierten la T_4 en T_5 , más activa, mientras que una tercera enzima, denominada D_3 , degrada la T_4 a una forma inactiva de T_3 (T_3 inversa) y D1T. Tanto la T_3 como la T_4 son desyodadas y desaminadas en los tejidos diana, conjugadas en el hígado y después trasladadas a la bilis, donde se excretan en el intestino. Las hormonas libres y conjugadas también son excretadas por los riñones.

Las hormonas tiroideas desempeñan un papel esencial en el desarrollo fetal normal.

En los humanos, las hormonas tiroideas son induspensables para el crecimiento normal y el desarrollo. En un embarazo normal, tanto la T₃ como la T₄ atraviesan la barrera placentaria y son fundamentales en las etapas iniciales del desarrollo cerebral. Además, la glándula tiroides fetal comienza a funcionar durante la decimocuarta semana de gestación y también contribuye con hormonas tiroideas adicionales. La insuficiencia de hormonas tiroideas durante el desarrollo fetal causa lesiones irreversibles en el SNC, como disminución de la cantidad de neuronas, defectos de la mielinización y discapacidad intelectual. Si la insuficiencia tiroidea materna ocurre antes del desarrollo de la glandula tiroides fetal, la discapacidad intelectual puede ser grave. Estudios recientes revelan que las hormonas tiroideas también estimulan la expresión génica para la GH en las celulas somatotropas. Por lo tanto, además de las anomalias nerviosas, es característico el retraso generalizado del crecimiento corporal. La combinación de estas dos alteraciones recibe el nombre de hipotiroidismo congenito.

■ GLÁNDULAS PARATIROIDES

Las glándulas paratiroides son glándulas endocrinas pequeñas estrechamente asociadas con la tiroides. Son ovoides, con un diámetro de pocos milímetros y dispuestas en dos pares que constituyen las glándulas paratiroides inferiores y superiores. Suelen estar ubicadas en el tejido conjuntivo de la superficie posterior de los lóbulos laterales de la glándula tiroides (néase fig. 21 13). No obstante, la cantidad y la ubicación pueden variar. En el 2-10% de las personas hay glándulas adicionales asociadas con el timo.

Desde un punto de vista estructural, cada glándula paratiroides está rodeada por una delgada cápsula de tejido conjuntivo que la separa de la tiroides. Un tabique se extiende desde la cápsula hacia el interior de la glándula para dividirla en lóbulos poco definidos y separar los cordones compactos de células. El tejido conjuntivo es más evidente en el adulto, con el desarrollo de adipocitos que se incrementan con la edad y, por último, constituyen el 60-70% de la masa glandular.

Las glándulas reciben su urrigación de las arterias tiroideas inferiores o de anastomosis entre las arterias tiroideas superior e inferior. Como es típico en las glándulas endocrinas, redes extensas de capilares sanguíneos fenestrados y capilares linfáticos rodean el parénquima de las paratiroides.

Las glándulas paratiroides se desarrollan a partir de las células endodermicas derivadas de la tercera y cuarta bolsas faringeas.

Desde un punto de vista embriológico, las glándulas paratiroides inferiores (y el timo) derivan de la tercera bolsa faríngea; las glándulas paratiroides superiores (y el cuerpo ultimobranquial) derivan de la cuarta bolsa faríngea. Al inicio, las glándulas paratiroides in feriores descienden con el timo. Más tarde, las glándulas paratiroides inferiores se separan del timo y se ubican debajo de las glándulas paratiroides superiores. Cualquier error en la separación de estas estructuras produca una asociación atipica de las glándulas paratiroides con el timo en el adulto. Las células principales se diferencian durante el desarrollo embrionario y son funcionalmente activas en la regulación del metabolismo fetal del calcio. Las células oxifilas (acidófilas) se diferencian más tarde, en la pubertad.

Las células principales y las células exífilas constituyen las células epíteliales de las glandulas paratiroides.

- Las cátules principales, las más abundantes de las células parenquimatosas de la paratiroides (fig. 21-19), tienen a su cargo la regulación de la síntesis, el almacenamiento y la secreción de grandes cantidades de PTM. Son células poligonales pequeñas, de 7-10 µm de diámetro, y un núcleo de ubicación central. El citoplasma levemente acidófilo, de tinción tenue, contiene vesículas con lipofuscina, grandes cúmulos de glucógeno e inclusiones lipídicas. Se piensa que las vesículas pequeñas y densas limitadas por membrana, que se observan con el MET o al utilizar colorantes especiales con el microscopio óptico, constituyen la forma de almacenamiento de la PTH. Las células principales pueden experimentar mitosis si son estimuladas de manera crónica por cambios en la concentración sanguínea de calcio.
- Las células exifilas constituyen una porción menor de las células parenquimatosas y no se les conoce una función secretora. Se encuentran aisladas o en grupos, son más redondas y mucho más grandes que las células principales y tienen un citoplasma claramente acidófilo (véase fig. 21-19). Las mitocondrias, a menudo de formas y tamaños grotescos, lienan casi por completo el citoplasma y son la causa de la acidofilia intensa de estas células. No se encuentran vesículas de secreción y el RER está muy poco desarrollado. Los cuerpos de inclusión citoplasmática consisten en lisosomas escasos, inclusiones lipídicas y glucógeno distribuidos entre las mitocondrias.

La hormona paratiroidea regula las concentraciones de calcio y fosfato en la sangre.

Las paratiroides regulan las concentraciones de calcio y fosfato. La hormona paratiroides o paratohormona (PTH) es indispensable para la vida. Por consiguiente, en una tiroidectomia se debe tener especial cuidado de dejar un poco de tejido paratiroideo funcional. Si las glandulas se extirpan por completo, se puede producir la muerte, pues los musculos, incluidos los taringeos y otros músculos respiratorios, entran en contracción tetánica conforme disminuye la calcemia

La PTH es un péptido lineal de 84 aminoácidos (tabla 21 8). En las células diana se une al receptor de PTH específico que interactúa con la proteína G para activar un sistema de segundo mensajero. La liberación de PTH causa el aumento de la calcemia. De manera simultánea, se reduce la concentración de fosfato sérico.

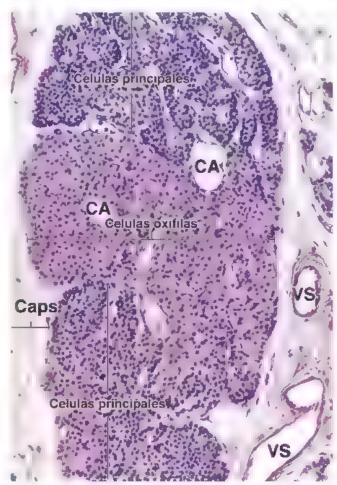


FIGURA 21-19. Microfotografía de una glándula paratiroides humana. En esta muestra teñida con H&E se observa la glándula con parte de su cápsula (Caps) de tejido conjuntivo. Los vasos sanguineos (VS) están ubicados en el tabique de tejido conjuntivo que hay entre los lóbulos de la glándula. Las células principales están dispuestas en dos masas (amba y abajo) y están separadas por una gran aglomeración de células oxifilas (centro). Las células oxifilas son el tipo celular más grande con un citoplasma eosinófilo prominente. Estas pueden presentarse en grupos pequeños o grandes masas, como se observan aquí. Las células principales son más numerosas. Estas células son más pequeñas, tienen menos citoplasma y, en consecuencia, sus nucieos están más cercanos. Las células adiposas (CA) están presentes en cantidades variables aunque limitadas. 175×

La secreción de PTH es regulada por la concentración sérica de calcio a través de un sistema de retroalimentación simple. Cuando los receptores paratiroideos sensibles al calcio (de las células principales) detectan una baja concentración de calcio sérico, estimulan la secreción de PTH, por el contrario, las altas concentraciones de calcio sérico inhiben su secreción.

La PTH actúa en diversos sitios

- Acción sobre el tejido oseo. Hasta hace poco se consideraba que la resorción ósea era el efecto principal de la PTH sobre el hueso. Sin embargo, las acciones de la hormona sobre el hueso son más complejas: acrúa de manera directa e indirecta sobre varios upos de célula. Los receptores para PTH se encuentran en las células osteoprogenitoras, osteoblastos, osteocitos y células que revisten a los huesos. Sorprende el hecho de que los osteoclastos, encargados de la resorción ósea, carezcan de receptores de PTH, por lo tanto, se activan de forma indirecta por el mecanismo de señalización RANK-RANKL (receptor activator of nuclear factor kappa-\$\beta\$ ligand) de los osteoblastos (véase p. 244). La exposición prolongada y continua a la PTH aumenta la producción local de RANK en los osteoblastos y reduce la secreción de osteoprotegerina (OPG). Estos cambios estimulan la diferenciación de los osteoclastos, lo que conduce al aumento de la resorción ósea y la liberación de calcio y fosfatos en el líquido extracelular. La exposición intermitente y breve a la PTH aumenta la masa ósea a través de la vía cAMP/ IGF-1 (insulin-like growth factor-1) en osteocitos y osteoblastos. Este efecto anabolico sobre el hueso, que produce el aumento de la masa ósea por la dosificación intermitente de PTH, se utiliza en el tratamiento de la osteoporosis (véase cuadro 8-2, cap 8, Tejido oseo, pp. 255-256).
- La excreción renal de calcio disminuye por la estimulación de la reabsorción rubular de la PTH, que conserva así el calcio.
- La excreción urinaria de fosfato aumenta por la secreción de PTH, que disminuye de esta manera la concentración de fosfato en la sangre y los líquidos extracelulares.
- La conversion renal de 25-OH vitamina D₂ en la hormona 1,25-(OH)₂ vitamina D₃ activa es regulada principalmente por la PTH, que estimula la actividad de la 1α-hidroxilasa y aumenta la producción de la hormona activa.
- La absorción intestinal de calcio aumenta bajo la acción de la PTH. Sin embargo, la vitamina D₃ posee un efecto mayor que el de la PTH sobre la absorción intestinal de calcio.

La PTH y la calcitonina tienen efectos recíprocos en la regulación de la concentración de calcio en la sangre.

Si bien la PTH aumenta la concentración de calcio en la sangre, el pico máximo después de su liberación no se alcanza hasta pasadas varias horas. Al parecer, la PTH tiene una acción homeostática bastante lenta y duradera. La calchonina, en cambio, disminuye rápidamente la concentración de calcio en la sangre y su efecto máximo ocurre en aproximadamente 1 h; por lo tanto, posee una acción homeostática aguda y rápida.

TABLA 21-8

Hormona paratiroidea

Hormona

Hormona paratiroidea (PTH, paratohormona)

Composición

Polipéptido de 84 aminoácidos

Fuente

Células principales*

Funciones principales

Incrementa las concentraciones sangulneas de calcio de tres maneras.

1) promueve la liberación de calcio desde el hueso (actua sobre los osteoblastos con el sistema de señales RANK-RANKL, lo que incrementa la cantidad relativa de osteocíastos), 2) actua sobre los niñones para estimular la reabsorción de calcio por los tubulos distales mientras inhibe la reabsorción de fosfato en los tubulos proximales, 3) aumenta la formación de la hormona activa 1,25-dihidroscolecalorferol (1,25-(OH]2 vitamina D₃) en los niñones, que promueve la reabsorción tubular del calcio

[&]quot;Algunos datos indicar que las células oxifilas que aparecen primero en la giandula paratiroldea durante la niñez ientre los 4 y los 7 años de edad) y aumentan en cantidad pasada la pubertad, también producen PTH

■ GLÁNDULAS SUPRARRENALES

Las giándulas suprarrenales (o adrenales) son dos órganos pares localizados en el espacio retroperitoneal de la cavidad abdominal. La glándula derecha es aplanada y triangular, mientras que la glándula izquierda tiene forma de semilina. Ambas están incluidas en el tejido adiposo perirrenal a la altura del polo superior de los riñones (fig. 21-20). Las glándulas suprarrenales secretan hormonas esteroideas y catecolaminas.

Las glándulas suprarrenales están cubiertas por una cápsula gruesa de tejido conjuntivo desde la que parten trabéculas que se introducen en el parénquima glandular y lievan vasos sanguíneos y nervios. El tejido parenquimatoso secretor está organizado en dos regiones bien definidas (fig. 21-21):

- La corteza es la porción secretora de esteroides. Se ubica debajo de la cápsula y constituye aproximadamente el 90% del peso de la glándula.
- La médula es la porción secretora de catecolaminas. Se localiza a mayor profundidad que la corteza y forma el centro de la glándula.

Las células parenquimatosas de la corteza y la médula son de origen embrionario diferente.

Desde una perspectiva embriológica, las células corticales se originan a partir del mesénquima mesodérmico, mientras que la médula se origina a partir de las células de la cresta noural que migran

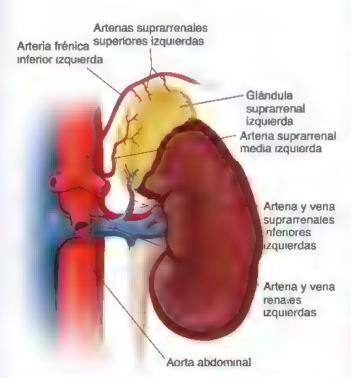


FIGURA 21-20. Topografía a intigación de la glándula supramenal. En esta ilustración se muestra la ubicación de la glándula supramenal en el polo superior del riñón izquierdo. El tejido adiposo perimenal se ha eliminado para poder mostrar la imigación del órgano. Nótese que la glándula supramenal está imigada por tres arterias. La arteria supramenal media se origina directamente en la aorta, mientras que las arterias supramenales superior e infenor se originan a partir de la arteria frénica inferior izquierda y la arteria renal izquierda, respectivamente La sangre drena hacia la vena supramenal que, en el lado izquierdo, se vacía en la vena renal izquierda, en el lado derecho, su homóloga se vacia directamente en la vena cava inferior.



FIGURA 21-21. Microfotografía de la glándula supramenal. En esta imagen con poco aumento de una muestra teñida con H&E se observa el espesor total de la glándula supramenal con corteza en ambas superficies y una región central que contiene la médula En la médula se observan situetas de la vena central. Obsérvese que la porción más profunda de la corteza se tiñe más oscura que la porción externa, un reflejo del lípido descolondo en la zona glomerular y la región externa de la zona fasciculada. Esta sección tembién incluye un corte transversal de la vena suprarrenal, que se caracteriza por los haces de musculo liso dispuestos de forma longitudinal en su pared 20×

hacia la glándula en desarrollo (fig. 21-22). Si bien son de origen embrionario diferente, las dos porciones de la glándula suprarrenal están relacionadas funcionalmente (véase más adelante). Las células parenquimatosas de la corteza suprarrenal están controladas, en parte, por el lóbulo antenor de la hipófisis y participan en la regulación del metabolismo y el mantenimiento del equilibrio electrolítico normal (tabla 21 9).

Irrigación sanguínea

Cada glándula supramenal es irrigada por las arterias supramenales superior, media e inferior, y es drenada por las venas supramenales (véase fig. 21-20). En el lado izquierdo, la vena supramenal drena en la vena renal izquierda; en el lado derecho, la vena supramenal drena directamente en la vena cava inferior. Estos vasos ramifican antes de ingresar en la cápsula y producen muchas arterias pequeñas que la penetran. En la cápsula, las arterias se ramifican para dar origen a tres patrones principales de distribución sanguínea (fig. 21-23) Los vasos forman un sistema que consiste en lo siguiente:

- Capilares capsulares, que irrigan la cápsula.
- Capilares sinusoidales corticales fenestrados, que irrigan la corteza y después drenan en los sinusoides capilares medulares fenestrados.

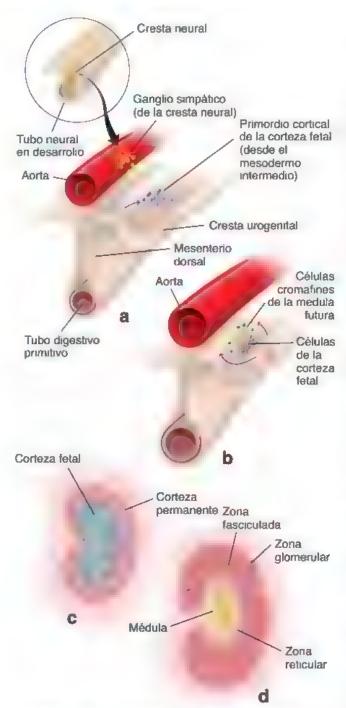


FIGURA 21-22. Desarrollo de la glandula supramenal. a. Se muestra cómo, en una etapa inicial, la corteza surge de células del mesodermo intermedio y la médula se diferencia de células de la cresta neural que migran desde las células del ganglio simpático adyacente. Las células que forman la corteza fetal se onginan a partir de células mesoteliales ubicadas entre la raiz de mesenterio dorsal y las crestas urogenitales en desarrollo (futuras gónadas). Se dividen y se diferencian en cé ulas de la corteza fetal. b. Las células mesodérm cas de la corteza fetal rodean las células de la médula en desarrollo Más tarde, más células mesenquimatosas (legan desde el mesotelio de la pared abdominal postenor. Estas rodean la masa celular original que contiene las células de la corteza fetal y las células cromafines Estas células más tarde dan origen a la corteza permanente c. En esta etapa (alrededor del séptimo mes de desarrollo), la corteza fetal representa cerca del 70% de la corteza. La corteza permanente se desarrolla por fuera de la corteza fetal. d. La corteza suprarrenal completamente desarrollada es visible a la edad de 4 meses. A esta edad, la corteza permanente reempiaza a la corteza fetal, que ha desaparecido por completo. Obsérvese la división de la corteza permanente en zonas totalmente desarrolladas

 Arteriolas medulares, que atraviesan la corteza, ingresan en los tabiques y llevan sangre arterial a los sinusoides capilares medulares

La médula tiene así una irrigación doble: sangre arterial desde las arteriolas medulares y sangre venosa desde los capilares sinusoidales corticales que ya han irrigado la corteza. Las vénulas que se originan a partir de los sinusoides medulares y corticales drenan en las pequeñas venas colectoras suprarrenales medulares, que se reúnen para formar la gran vena adrenomedular central, que desemboca directamente como la vena suprarrenal en la vena cava inferior en el lado derecho y en la vena renal izquierda en el lado izquierdo (véase fig. 21-20). En los humanos, la vena adrenomedular central y sus tributarias son un tanto inusuales, en el sentido de que poseen una túnica media con haces conspicuos de células musculares lisas de orientación longitudinal (fig. 21-24, p. 812). La contracción sincrónica de los haces musculares lisos longitudinales, a lo largo de la vena adrenomedular central y sus tributarias, reduce el volumen de la glandula suprarrenal. Esta disminución de volumen mejora el flujo de salida de las hormonas desde la médula suprarrenal hacia la circulación, una acción comparable a exprimir una esponja empapada de líquido.

Los vasos linfáticos están presentes en la cápsula y el tejido conjuntivo que rodea los vasos sanguíneos de mayor calibre en la glándula. También se les ha encontrado en el parénquima de la médula suprarrenal. Los vasos linfáticos desempeñan un papel importante en la distribución de la cromogranina A, un producto de secreción de las células cromafines. La cromogranina A es un complejo de proteínas de almacenamiento intracelular de 48 kDa para la adrenalina y la noradrenalina, y también es una molécula precursora de varios péptidos reguladores que incluyen la vasostatina, la pancreastatina, la catestatina y la parastatina. Estos péptidos modulan la función neuroendocrina de las células cromafines (efecto autocrino) y otras células en órganos distantes.

Células de la médula suprarrenal

Las células cromafines localizadas en la méduta suprarrenal son inervadas por las neuronas simpáticas presinapticas.

La porción central de la glándula suprarrenal, la medula, está compuesta por el parénquima de células epitelioides grandes (poco sensibles a la tinción) denominadas células cromafines (células medularea), rejido conjuntivo, capilares sinusoidales abundantes y nervios. Las células cromafines son, en realidad, neuronas modificadas (cuadro 21 5, p. 814). Muchas fibras nerviosas simpáticas presinápricas mielínicas pasan directamente a las células cromafines de la médula (véase cap. 12, Tepdo nervioso). Cuando los impulsos nerviosos transportados por las fibras simpáticas alcanzan las células cromafines secretoras de catecolaminas, estas liberan sus productos de secreción. Por lo tanto, las células cromafines son consideradas el equivalente de las neuronas postsinápticas. Sin embargo, carecen de prolongaciones axónicas. Algunos estudios experimentales han mostrado que cuando las células cromafines crecen en cultivo, extienden prolongaciones parecidas a axones. No obstante, el crecimiento axónico se puede inhibir mediante glucocorricoides (hormonas secretadas por la corteza suprarrenal). En consecuencia, las hormonas de la corteza suprarrenal ejercen un control sobre la morfología de las células cromafines e impiden que se formen prolongaciones nerviosas. Por lo tanto, las células cromafines se parecen más a las células endocrinas típicas porque su producto de secreción ingresa en la circulación a través de los capilares fenestrados,

Las cétulas ganglionares también están presentes en la médula. Sus axones se extienden de forma periférica hacia el parénquima de

Hormonas de las glándulas suprarrenales				
Hormona	Composición	Fuente	Funciones principales	
Corteza suprarrenal				
Mineralocorticoides: aldosterona (el 95% de la actividad mineralocorticoide corresponde a la aldosterona)	Harmonas esteroideas (derivadas del colesteroli	Células parenquimatosas de la zona glomerular	Contribuyen a controlar la homeostasis elec- trolítica (actuan sobre los tubulos distales del môdin para aumentar la reabsorción de sodio y reducir la reabsorción de potasio), tienen la función de mantener el equilibrio osmótico en la orina e impedir la acido- sis sença	
Glucocorticoldes: corticoesterona y cortisol (el 95% de la actividad glucocorti- coide corresponde al cortisol)	Hormonas esteroideas (derivadas del colesterol)	Células parenquimatosas de la zona fasciculada (y en menor cantidad de la zona reticular)	Promueven el metabolismo normal, en particular el de los hidratos de carbono taumentan el nitro de transporte de aminoácidos hacia el higado, promueven la eliminación de las proteínas dei musculo esquelético y su transporte hacia el higado, reducen el nitro del metabolismo de la glucosa en las células y estimulan la sintesis de glucógeno en el higado, estimulan la movilización de los líp dos desde sus sitos de depósito para usar la energia), proporcionan resistencia ai estrés, suprimen la respuesta inflamatoria y algunas reacciones aiárgicas	
Gonadocortícoides (andróge- nos suprarrenales): DHEA, DHEAS y androstenodiona (en hombres y mujeres)	Hormonas esteroideas (derivadas del colesterol)	Células parenquimatosas de la zona reticular (y en menor cantidad de la zona fasciculada)	Al igua que los andrógenos débites, inducen el desarrollo del vello axilar y púbico en las mujeres durante la pubertad, causan efec- tos masculinizantes, con una concentración sérica normal, su función es insignificante	
Médula supramenal				
Adrenalina y noradrenalina (en los humanos el 80% de adrenalina)	Catecolaminas (derivadas de los aminoácidos)	Células cromatines	Simpaticomiméticas (producen efectos si- milares a los inducidos por la división sim- pática del sistema nervioso autónomo) " aumentan la frecuencia cardíaca y la presión arteria, reducen el fiujo sanguineo hacia las vísceras y la piel, estimulan la conversión de glucógeno en glucosa, incre- mentan la transpiración; inducen la dilata- ción proriquiolar, aumentan la frecuencia respiratoria, disminuyen la digestión, redu- cen la producción de enzimas por las glán- dulas del sistema digestivo, disminuyen la	

"Las catecolaminas influyen sobre la actividad del epitello giandu ari el musculo cardiaco y el musculo iso ubicados en las paredes de los vasos sanguneos y las visceras. DHEA, deshidroepiandrosterona, DHEAS, sulfato de deshidroepiandrosterona.

la corteza suprarrenal para modular su actividad secretora e inervar los vasos sanguíneos, y continúan fuera de la glándula hacia los nervios esplácnicos que inervan los órganos abdominales.

Las células cromatinas de la médula suprarrenal tienen una función secretora.

Las pélulas eromafines se encuentran organizadas en grupos ovoídes y cordones cortos anastomosados. Los capilares sanguíneos están dispuestos en estrecha relación con el parénquima. Estos se originan a partir de los capilares corticales o como ramas de las arteriolas corticales

Desde un punto de vista estructural, las células cromafines se caracterizan por numerosas vesículas de secreción, cuyos diámetros oscilan entre 100 y 300 nm, cisternas del RER y un aparato de Golgi bien desarrollado. El material secretorio dentro de las vesículas puede teñirse de manera específica para demostrar histoquímicamente que las catecolaminas adrenalina y noradrenalina secretadas por las células cromafines son producidas por diferentes tipos de células (fig. 21-25). El MET también permite observar dos poblaciones de células cromafines que se distinguen por la índole de sus vesículas limitadas por membrana:

producción de onna.

- Las células de una población contienen solamente vesículas de gran tamaño con centro denso. Estas células secretan noradrenalina.
- Las células de la otra población contienen vesiculas más pequeñas, más homogéneas y menos densas. Estas células secretan adrenalma.

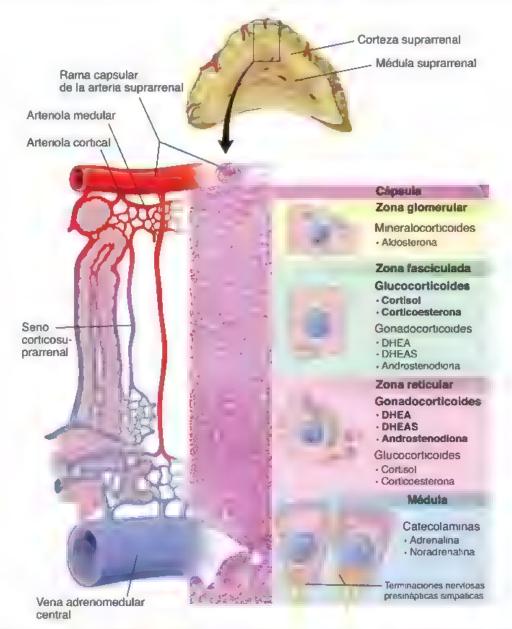


FIGURA 21-23. Organización e irrigación sanguínea de la glándula suprarrenal humana. En este diagrama se muestra la irrigación sanguínea de la corteza y la médula suprarrenales cuas artenolas corticales forman una red de capitares que drenan en una segunda red capitar en la médula. La red capitar medular esta formada principa mente por las arteriolas medulares y drenan en la vena medular centra. Aqui se observan la médula suprarrenal. Las zonas de la corteza y las características de los tipos celulares básicos y sus productos de secreción. DHEA, deshidroepiandrosterona, DHEAS, sulfato de deshidroepiandrosterona.

La exocitosis de las vesiculas de secreción es desencadenada por la liberación de acetilcolina desde los axones simpáticos presinápticos que establecen sinapsis con cada célula cromafin.

La adrenalina y la noradrenalina constituyen menos del 20% del contenido de las vesículas medulares de secreción. Las vesículas también contienen grandes cantidades de proteínas solubles de 48 kDa, denominadas eromograninas, que parecen conferir densidad al contenido de las vesículas. Estas proteínas, junto con el ATP y el Ca²⁺, podrían ayudar a fijar las catecolaminas de bajo peso molecular y se liberan con las hormonas durante la exocitosis. Las catecolaminas, sintetizadas en el citosol, son transportadas al interior de las vesículas por la acción de la ATPasa activada por magnesio en la membrana de la vesícula. Los fármacos como la reserpina, que provocan una disminución de catecolaminas de las vesículas, podrían intervenir mediante la inhibición de este mecanismo de transporte

Los glucocorticoides secretados en la corteza inducen la conversión de la noradrenalma en adrenalma en las células cromatines.

Los glucocorticoidos producidos en la corteza suprarrenal alcanzan la médula directamente a través de la continuidad que hay entre los capilares sinusoidales corticales y los medulares. Estos inducen la enzima que cataliza la metilación de noradrenalina para producir adrenalina. La índole del flujo sanguíneo se correlaciona con las diferencias regionales en la distribución de las células cromafines que contienen noradrenalina y adrenalina. Las células que contienen adrenalina son más abundantes en las regiones de la médula trugadas con sangre que ha pasado a través de los sinusoides corticales y, por lo tanto, contiene glucocorticoides secretados. En algunas especies, las células que contienen noradrenalina son más abundantes en aquellas regiones de la médula irrigadas por capilares derivados de las arteriolas corticales.



FIGURA 21-24. Microfotografia de la vena adrenomedular central. En la magen se muestra el centro de la glándula supramenal con una vena adrenomedular central en medio. La pared de la vena tiene un aspecto muy irreguiar, con varias prominencias de musculo liso (Mi., también llamadas alimohadillas musculares) en la luz. Dichas prominencias son haces longitudinales de músculo liso de la tunica media. En las regiones donde no hay haces musculares, las células de la médula supramenal (parte infenor de la imagen) o a veces la corteza supramenal (parte superior de la imagen) están separadas de la uz solo por una capa delgada de tunica íntima. Obsérvese la estrecha proximidad de la zona reticular con la luz de la vena. 180×

Las catecolaminas, con cooperación de los glucocorticoides, preparan al cuerpo para la respuesta de "lucha o huida".

La liberación subita de catecolaminas establece las condiciones para el uso máximo de energía y, así, para el esfuerzo físico máximo.

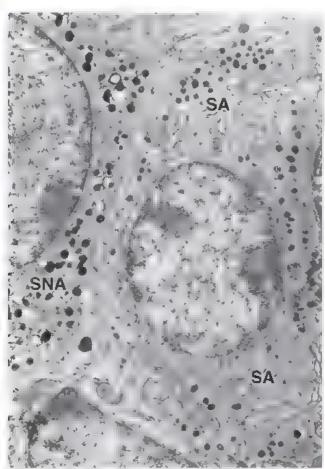


FIGURA 21-25. Microfotografia electrónica de células medulares. Aquí se ven dos tripos de células medulares. Las células secretoras de noradrenalina (SNA) se identifican por sus vesiculas, que contienen un centro muy denso. Las células secretoras de adrena-na (SA) poseen vesículas con gránulos menos electrodensos. 15000×

Tanto la adrenalma como la noradrenalma estimulan la glucogenólisis (liberación de glucosa a la circulación) y la movilización de los ácidos grasos libres desde el tejido adiposo. La liberación de catecolaminas también causa un aumento en la presión arterial, la dilatación de los vasos sanguíneos coronarios, la vasodilatación de vasos que irrigan el sistema musculoesquelético, la vasoconstricción de los vasos que transportan sangre a la piel y el tubo digestivo, el aumento de la frecuencia y gasto cardíacos, así como el incremento de la frecuencia respiratoria y la profundidad inspiratoria.

Subdivisión de la corteza suprarrenal

La **corteza suprarrenal** está dividida en tres zonas de acuerdo con la disposición de sus células (fig. 21-26):

- Zona glomerular, la zona externa angosta que constituye hasta el 15% del volumen cortical.
- Zona fasciculada, la zona media gruesa que representa alrededor del 80% del volumen cortical.
- Zona reticular, la zona interna que constituye el 5-7% del volumen cortical, pero es más gruesa que la zona glomerular dada su ubicación más central.

Zona glomerular

Las células de la zona giomeruiar (las glomus, pelosa) están dispuestas muy juntas en grupos ovoides y columnas curvas que continúan en los cordones celulares de la zona fasciculada (véase fig. 21-26a). Las células de la zona glomerular son relativamente pequeñas y cilíndricas o piramidales (véase fig. 21-23). Sus núcleos esféricos aparecen apiñados y son hipercromáticos. En los humanos, algunas regiones de la corteza pueden carecer de una zona glomerular reconocible. Una red extensa de capilares sinusoidales fenestrados rodea cada grupo celular. Las células poseen abundante retículo endoplasmático liso (REL), múltiples complejos de Golgi, grandes mitocondrias con crestas laminares, ribosomas libres y algo de RER. Las inclusiones lipídicas son escasas.

La zona glomerular secreta aldosterona, que participa en el control de la prezión arterial.

Las células de la zona glomerular secretan un mineralocorticoide primario llamado eldosterona, un compuesto que participa en la regulación de la homeostasis del sodio y el potasio, así como en el equilibrio hídrico. La aldosterona actúa sobre las células principales en los rúbulos distales de la nefrona en los ríñones, la mucosa gástrica y las glándulas salivales y sudoríparas para estimular la reabsorción de sodio en estos sitios y la excreción de potasio de los ríñones. La aldosterona es producida a partir del colesterol por una serie de reacciones enzimáncas controladas por la angiotensina II (véase más adelante). El último paso de la biosíntesis de la aldosterona se ve facilitado por la aldosterona-sintasa, que se expresa exclusivamente en las células de la zona glomerular. Estas células carecen de la enzima 17a-hidrolasa y, por lo tanto, son incapaces de producir otras hormonas esteroideas suprarrenales, como el cortisol o los andrógenos suprarrenales.

El sistema renina-angiotensina-aldosterona proporciona control por retroalimentación para la zona glomerular.

La zona glomerular está bajo control por retroalimentación del sistema renina-angiotensina-aldosterona (SRAA). Las células yuxtaglomerulares del rinón liberan renina en respuesta a la reducción de
la presión arterial o una concentración sanguínea de sodio reducida.

La renina circulante cataliza la conversión del angiotensinogeno
sérico en angiotensina I (proangiotensina), que a su vez es convertida en angiotensina II (angiotensina) por la enzima convertidora de

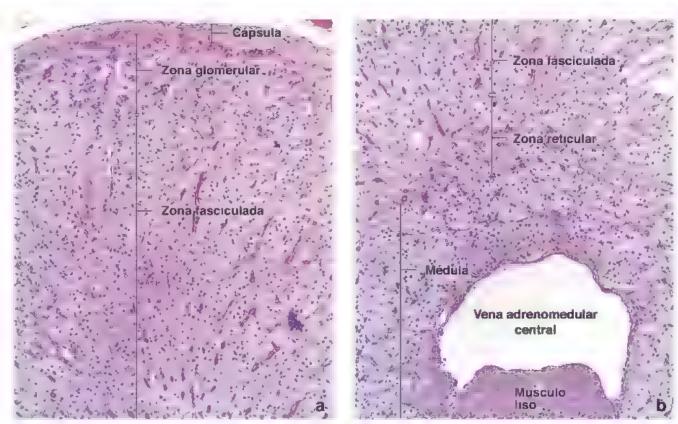


FIGURA 21-26. Microfotografía de la corteza y la médula de la glándula supramenal humana, a. En la magen se muestra la corteza externa tenida con H&E. Aparecen el tejido conjuntivo de la capsula, la zona glomerular y la zona fasciculada. Los cordones celulares rectos que caracterizan la zona fasciculada se encuentran en continuidad con la zona glomerular. Entre los cordones se localizan los capilares y las menos abundantes arteriolas. Las franjas rojizas corresponden a capilares dilatados llenos de entro tos. 120 x. b. Aqui se muestran las regiones profundas de la zona fasciculada la zona reticular y a médula. Nótese que los cordones ineales ordenados de la zona fasciculada ceden lugar a grupos irrego ares de células de la zona reticular. En cambio, la médula está compuesta por grupos de células ovoides y cordones celulares contos interconectados. Aqui también se observa una vena adrenomedular centra. Obsérvese el haz de musculo iso grueso, en corte transversa en parte de su pared. 120×

angiotensina (ECA, ahora denominada peptidil-dipeptidasa A) en el pulmón. Entonces, la angiotensina II estimula las células de la zona glomerular para producir y secretar aldosterona. A medida que la presión arterial, la concentración de sodio y el volumen sanguineo aumentan en respuesta a la aldosterona, se inhibe la liberación de renina desde las células yuxtaglomerulares. Los fármacos que inhiben la ECA en el pulmón son eficaces en el tratamiento de la hipertensión esencial crónica.

Zona fasciculada

Las células de la zone fescioulede (lat. fascis, fasciculo) son grandes y poliédricas. Se disponen en cordones rectos y largos, de una o dos células de espesor, separados por los capilares sinusoidales (véase fig. 21 26a). Las células de la zona fasciculada poseen un núcleo esferoideo que se tiñe levemente. Las células binucleadas son habituales en esta zona. El MET revela las características típicas de las células secretoras de esteroides, a saber: un REL muy desarrollado (más desarrollado que en las células de la zona glomerular) y mitocondrias con crestas tubulares. También presentan un aparato de Golgi bien desarrollado y abundantes perfiles de RER que pueden conferir una basofilia leve a algunas partes del citoplasma (fig. 21-27). Sin embargo, el citoplasma en general es acidófilo y contiene una gran cantidad de inclusiones lipídicas, si bien suele aparecer vacuolado en los cortes histológicos de rutina debido a la extracción de lípidos durante la deshidratación. Las inclusiones lipídicas contietien grasas neutras, ácidos grasos, colesterol y fosfolípidos que son precursores de las hormonas esteroideas secretadas por estas células.

La secreción principal de la zona fasciculada consiste en glucocorticoides que regulan el metabolismo de la glucosa y los ácidos grasos.

Las células en la zona fasciculada no pueden producir aldosterona porque carecen de la enzima aldosterona-sintasa. Sin embargo, poseen otras dos importantes enzimas, la 17α-hidrolasa y la 17,20-liasa, para producir glucocorticoides y pequeñas cantidades de gonadocorticoides (andrógenos supratrenales). Los glucocorticoides reciben su nombre por el papel que desempeñan en la regulación de la gluconeogénesis (síntesis de glucosa) y de la glucogénesis (polimerización de glucógeno). Uno de los glucocorticoides principales secretados por la zona fasciculada, el cortisol, actúa sobre muchas células y tejidos diferentes para incrementar la disponibilidad metabólica de la glucosa y de los ácidos grasos, que son fuentes de energia inmediata. Otro glucocorticoide, la corticoesterona, es secretada y circula en la sangre en concentraciones 10-20 veces infenores a las del cortisol. Entre sus muchas funciones, los glucocorticoides pueden tener efectos distintos (hasta contrarios) en los diferentes rejidos:

- En el higado, los glucocorticoides estumulan la conversión de los aminoácidos en glucosa, estimulan la polimerización de la glucosa en glucógeno y promueven la captación de aminoácidos y ácidos grasos.
- En el tejido adiposo, los glucocorticos des estimulan la degradación de los lípidos en glicerol y ácidos grasos libres.
- En otros tejidos, reducen el rumo de utilización de la glucosa y promueven la oxidación de los ácidos grasos.

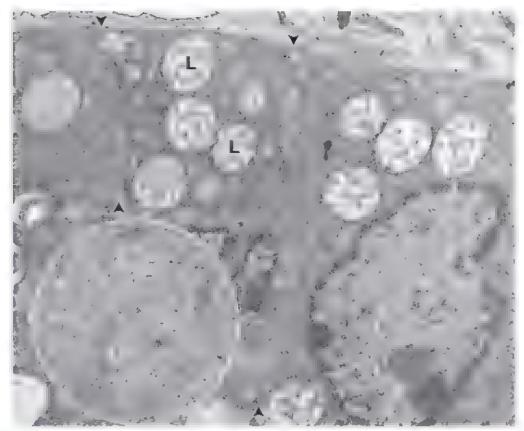


FIGURA 21-27. Microfotografía electrónica de células de la zona fasciculada. El limite entre las celulas contiguas del cordón se indica mediante puntas de fiecha. Las inclusiones lipidicas (L) son abundantes (se ha extra do el lipidio parcia mente 15000× Detatle. Un mayor aumento de una región de la célula en la parte superior de la microfotografía permite ver un REL extenso caracteristico de las celulas secretoras de esterbides También son visibles porciones del aparato de Golg. 40000×

CUADRO 21-5

CORRELACION CLÍNICA: CÉLULAS CROMAFINES Y-FEOCROMOCITOMA

Las células cromatines (ilamadas así porque reaccionan con las sa es de cromo) de la médula suprarrenal son parte del sistema neuroendocrino difuso (SNED). Se piensa que la reacción cromatín incluye la oxidación y la polimerización de las catecolaminas contenidas dentro de las vesiculas de secreción de estas células. Tradicionalmente, las células cromatines se definen como derivadas del neuroectodermo, inervadas por fibras nerviosas simpáticas presinápticas y capaces de sintetizar y secretar catecolaminas.

El feocromocítoma, un tumor raro derivado de las células cromafines, produce cantidades excesivas de catecolaminas. Dado que las células cromafines también se encuentran fuera de la médula suprarrenal, en los ganglios simpáticos paravertebrales, prevertebrales y otros sitios, sus tumores también pueden originarse fuera de la glándula suprarrenal. Estos feocromocitomas extrasuprarrenales se denominan paragangliomas porque los grupos dispersos de células cromafines, que se localizan entre los componentes del SNA o cerca de ellos reciben el nombre de paraganglios. Los feocromocitomas pueden causar síntomas episód cos relacionados con los efectos de la secreción excesiva de catecolaminas, que a menudo se describen como "regia de los 10"

 10% son extrasuprarrenales (paragengliomas) y, de ellos, 10% están fuera del abdomen.

- 10% afectan a niños.
- 10% son multiples o bilaterales
- 10% no están asociados con hipertensión
- 10% son malignos
- 10% son congénitos
- 10% recidivan después de la extirpación quirurgica.
- 10% se encuentran por casualidad durante estudios de diagnóstico por imagen no relacionados

Los feocromocitomas pueden precipitar una hipertensión potencialmente mortal, arritmias cardíacas, ansiedad y temor de una muerte inminente. La mayoría de los feocromocitomas contienen, de forma predominante, células cromafines que secretan noradrenalina, en comparación con la médula suprarrenal normal que se compone (cerca del 85%) de células secretoras de adrenalina. La estimulación de los receptores quadrenérgicos produce aumentos de la presión arterial y de la contractilidad cardíaca, glucogenólisis, gluconeogénesis y relajación intestinal. La estimulación de los receptores β-adrenérgicos provoca aumentos de la frecuencia y la contractilidad cardíacas. La resección quirúrgica del tumor es el tratamiento de elección. Para prevenir las crisis hipertensivas durante la cirugía, es necesario un control riguroso con bloqueadores q y β.

 En células como los fibroblastos, inhiben la síntesis de proteínas e incluso promueven el catabolismo proteínico para proporcionar aminoácidos para su conversión hepárica en glucosa.

Los glucocorticoides también disminuyen las respuestas inmunitarias e inframatorias; como consecuencia de esto último, inhiben la curación de las heridas. La hidrocortisona, una forma sintética del cortisol, se utiliza en el tratamiento de las alergías y la inflamación Disminuye la respuesta inflamatoria al suprimir la producción de las interleucinas (IL) 1 y 2 por parte de los linfocitos y los macrófagos. Los glucocorticoides también estimulan la destrucción de los linfocitos en los nódulos linfáticos e inhiben la mitosis de los linfoblastos transformados.

La ACTH regula la secreción de la zona fasciculada.

La secreción y la producción de glucocorricoides y esteroides sexuales por parte de la zona fasciculada están bajo control por retroalimentación del sistema CRH-ACTH. La ACTH es necesaria para la proliferación y el mantenimiento celulares; también estimula la síntesis de esteroides y aumenta el flujo sanguíneo a través de la glán dula suprarrenal. En los animales, la administración de ACTH causa hipertrofia en la zona fasciculada.

Los glucocorticordes circulantes pueden actuar directamente sobre la hipófisis, aunque generalmente ejercen su control (por retroalimentación) sobre las neuronas del núcleo arcuato del hipotalamo, ocasionando la liberación de CRH en la circulación porta hipotalamohipofisaria. Ciertos hallazgos también indican que los glucocorticoides circulantes y los efectos fisiológicos que producen estimulan centros encefálicos superiores que, a su vez, determinan la liberación de CRH por las neuronas hipotalámicas.

Zona reticular

Las células de la zona reticular (las. rete, red) son notablemente más pequeñas que las de la zona fasciculada y sus núcleos son más hipercromáticos (véase fig. 21-23). Están dispuestas en cordones anastomosados separados por capilares fenestrados. Las células tienen una cantidad relativamente pequeña de inclusiones lipídicas. Se observan células tanto claras como oscuras. Las células oscuras tienen abundantes gránulos de gran tamaño del pigmento lipofuscina y núcleos hipercromáticos. Las células de esta zona son pequeñas debido a que tienen menos citoplasma que las células de la zona fasciculada y, por lo tanto, los núcleos aparecen más compactos. Presentan las características de las células secretoras de esteroides: un REL bien desarrollado y muchas mitocondrias alargadas con crestas tubulares, pero tienen poco RER.

La secreción principal de la zona reticular son los gonadocorticoides (andrógenos suprarrenales).

La secreción principal de las células de la zona reticular consiste en gonadocorticoides (andrógenos suprarrenales), sobre todo deshidroepiandrosterona (DHEA), sulfato de deshidroepiandrosterona (DHEAS) y androstenodiona. Las células también secretan algunos glucocorticoides, pero en cantidades mucho menores que las de la zona fasciculada. Aquí también el glucocorticoide secretado en mayor proporción es el cortisol.

La DHEA y el DHEAS son menos potentes que los andrógenos producidos por las gónadas, pero tienen un efecto sobre el desarrollo de los caracteres sexuales secundarios. En los hombres, los andrógenos suprarrenales son de escasa importancia, dado que la testosterona producida por el testículo es un andrógeno mucho más poderoso. No obstante, en las mujeres, los andrógenos suprarrenales estimulan el crecimiento del vello axilar y púbico durante la

pubertad y la adolescencia. La DHEA puede converturse en una androstenodiona y, después, en andrógenos más potentes, como la testosterona y los estrógenos en los tejidos periféricos. La enzima clave que favorece la conversión de la androstenodiona en testosterona es la 17-cetoesteroide-reductasa (17KSR, tetosteroid reductasa, ahora denominada 17-oxoenteroide-reductasa), y esta reacción es la vía principal de producción de testosterona en la mujer.

La zona reticular también es regulada por el control por retroalimentación del sistema CRH-ACTH y se atrofia después de una hipofisectomía. La ACTH exógena mantiene la estructura y la función de la zona reticular después de una hipofisectomía.

Glándula supramenal fetal

La glándula suprarrenal fetal consiste en una corteza externa permanente estrecha y una corteza o zona fetal interna gruesa.

Una vez que está completamente establecida, la glandula supramenai fetal es musual en términos de su organización y su gran tamaño en comparación con otros órganos en desarrollo. La glándula se origina a partir de las células mesoteliales de origen mesodérmico localizadas entre la raíz del mesenterio y las crestas urogenitales en desarrollo (véase fig. 21-22a). Las células mesodérmicas penetran el mesénquima subyacente y dan origen a una gran masa celular eosinôfila que se convertirá en la corteza fetal funcional (véase fig. 21 22b). Más tarde, una segunda oleada de células derivadas del mesorelio de la pared abdominal posterior rodea la masa celular primaria (vénie fig. 21-22b). Cerca del cuarto mes de gestación, la glándula supramenal alcanza su masa máxima en términos de peso corporal y es solo un poco más pequeña que el riñón contiguo (véase fig. 21-22c). Al final de la gestación, las glándulas suprarrenales son equivalentes en tamaño y peso a las del adulto y producen 100-200 mg de compuestos esteroideos por día, cerca del doble de la producción de las glándulas adultas.

El aspecto histológico de la glándula suprarrenal fetal es superficialmente similar al de la glándula suprarrenal de un adulto. Durante la última etapa de la vida fetal, la mayor parte de la glándula consiste en cordones de células eosinófilas grandes que constituyen aproximadamente el 80% de su masa. Esta porción de la glándula, conocida como cortexa fatal (o también zona fatal), se origina a partir de la migración inicial de células mesodérmicas. El resto de la glándula está compuesta por una capa periférica de células pequeñas con citoplasma escaso. Esta porción, conocida como corteza permanenta, se origina a partir de la migración celular mesodérmica secundaria. Esta angosta corteza permanente, cuando está completamente establecida en el embrión, se parece a la zona glomerular del adulto. Las células están dispuestas en grupos arqueados que se extienden en forma de cordones breves que, a su vez, se continúan con los cordones de la zona fetal subyacente (fig. 21-28). En los preparados teñidos con H&E, el citoplasma de las células de la corteza permanente exhibe algo de basofilia; en combinación con los núcleos compactos, esto le confiere a esta porción de la glándula un tinte azul, en contraste con la tinción eosmófila de la zona fetal.

Con el MET, las células de la corteza permanente exhiben pequeñas mitocondrias con crestas laminares, abundantes ribosomas y pequeñas siluetas de Golgi. Las células de la zona fetal, en cambio, son mucho más grandes y están dispuestas en cordones irregulares de ancho variable. Con el MET, estas células presentan mitocondrias esferoideas con crestas tubulares, inclusiones lipídicas pequeñas, un RER extenso (que es la causa de la eosinofilia del ciroplasma) y múltiples siluetas de Golgi. En conjunto, estas características son distintivas de las células secretoras de esteroides.

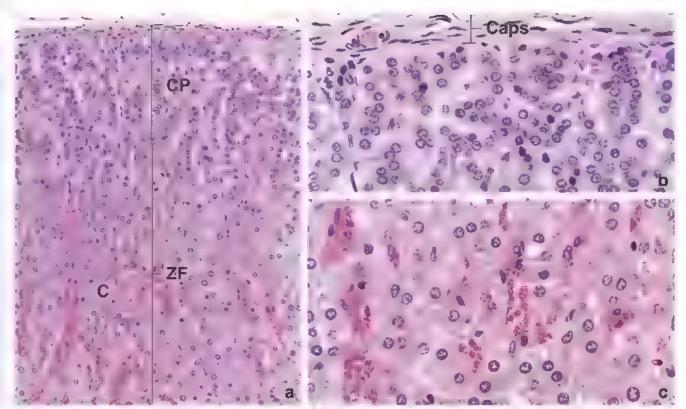


FIGURA 21-28. Microfotografías de la glándula supramenal de un feto humano, a. Imagen con poco aumento de un corte teñido con H&E La corteza permanente (CP) se indica en la parte superior. Abajo se encuentra la zona feta (ZF) con células dispuestas en cordones ineales anastomosados. Algunos de los capitares. C) están dilatados por su contenido de entrocitos, lo que los hace más visibles. 100 × b. Una microfotografía de la misma muestra, pero con mayor aumento, presenta la cápsula (Caps) y la corteza permanente subyacente. Las células están dispuestas en grupos arquieados que se extienden en forma de cordones cortos. Obsérvese la estrecha proximidad de los nucieos y la poca cantidad de cirtoplasma de estas células. 200 × c. En está microfotografía se muestran las células de la zona feta con el mismo aumento que en b. Nótese el tamano (un poco mayor) de los nucieos y la cantidad considerable de citoplasma en cada célula de la zona feta: También obsérvese el citoplasma españo los comparado con el citoplasma más basófilo de las células de la corteza permanente. 200 × (muestra origina cortesia del Dr. William H. Donnelly)

MADRO ZIKI

CONSIDERACIONES FUNCIONALEO: BIOSÍNTESIS DE LAS HORMONAS SUPRARRENALEO

E. colesterol es el precursor básico de varias hormonas esteroideas (corticoesteroides), hormonas sexuales, ácidos biliares y vitamina D. Alrededor de la mitad del colesterol en el organismo proviene de la dieta, la otra mitad procede de la biosíntesis de novo. La síntesis de colesterol se produce en el citopiasma y los orgánulos a partir de acetil-coenzima A. De la cantidad producida en un día, la biosintesis en el higado corresponde a alrededor del 10%, mientras que los intestinos. producen más o menos el 15%. Además, una pequeña porción de colesterol es sintetizada por las células de la corteza suprarrenal. Tanto el colesterol de la dieta como el sintetizado de novo se transportan dentro de las lipoproteínas de baja densidad (LDL, low-density lipoproteins). El colesterol se almacena en las inclusiones lipídicas dentro del citoplasma. de las células de la corteza suprarrenal, en forma de ésteres de colestarol

Las hormonas esteroideas en las glándulas suprarrenales se sintetizan a partir de los ésteres de colesterol por la escisión de parte de la cadena lateral y modificaciones en sitios específicos en el resto de la molécula. Las enzimas que catalizan estas modificaciones se ubican en diferentes zonas de la corteza, así como en diferentes sitios citoplasmáticos dentro

de las células. Por ejemplo, la escisión de la cadena lateral del colesterol es catalizada por la enzima separadora de cadena lateral ligada a P450 (P450scc) o desmolasa, que se encuentra solo en las mitocondrias de las células productoras de esteroides. Esta enzima es inducida por la angiotensina II en la zona glomerular y por la ACTH en las zonas fasciculada y reticular. Las otras enzimas necesarias para la producción de esteroides se localizan dentro del REL, el citosol y las mitocondrias. Por lo tanto, la molécula precursora puede desplazarse desde el REL hacia la mitocondna y regresar varias veces hasta que se obtenga la estructura molecular definitiva de un corticoesteroide dado.

Los ésteres de co-esterol extraldos de las inclusiones lipídicas citoplasmáticas, utilizados en la síntesis de hormonas esteroideas, son repuestos con rapidez a partir de los ésteres de cofesterol contenidos dentro de las LDL transportadas por la circulación sanguínea. Dichos ésteres son la fuente principal del colesterol utilizado en la síntesis de corticoesteroides. En condiciones de estimulación breve o prolongada con ACTH, los depósitos de lípidos en las células corticales suprarrenales se emplean para la síntesis de corticoesteroides.

El desarrollo de la glándula suprarrenal fetal es parte de un proceso complejo de maduración y preparación del feto para la vida extrauterina.

La suprarrenal feral earece de una médula definitiva. Las células cromafines están presentes, pero dispersas, entre las células de la zona fetal y son difíciles de reconocer en los preparados teúidos con H&CE. Las células cromafines se originan a partir de la cresta neural (véase fig. 21-22a) e invaden la zona fetal en el momento de su formación (véase fig. 21-22b). Permanecen en su ubicación en grupos celulares pequeños y dispersos durante la vida fetal (véase fig. 21-22c).

La irrigación de la corteza permanente y de la zona fetal ocurre a través de capilares sinusoidales que discurren entre los cordones, y se unen para formar conductos venosos de mayor calibre en el centro de la glándula. A diferencia de lo que ocurre en la suprarrenal posnatal, en el parénquima de la glándula suprarrenal fetal no hay artenolas.

Desde un punto de vista funcional, la glándula suprarrenal fetal se encuentra bajo el control del sistema de retroalimentación CRH-ACTH a través de la hipófisis fetal. Interactúa con la placenta para funcionar como un órgano secretor de esteroides porque carece de ciertas enzimas necesarias para la síntesis de esteroides que están pre-

sentes en la placenta. De manera similar, la placenta carece de ciertas enzimas necesarias para la síntesis de esteroides que contiene la glándula suprarrenal fetal. Por lo tanto, la glándula suprarrenal fetal es parte de la unidad fetoplacentaria. Los dos órganos intercambian moléculas precursoras para posibilitar la síntesis de glucocorticoides, aldosterona, andrógenos y estrógenos.

A partir del nacimiento, la corteza fetal experimenta una rápida involución, dentro del primer mes posnaral, que reduce la glándula hasta una cuarta parte de su tamaño previo. La corteza permanente crece y madura para formar la zonificación característica de la corteza adulta. Con la involución y la desaparición de las células de la zona fetal, las células cromafines se aglomeran para formar la médula. Si las glándutas suprarrenales no pueden desarrollarse de forma adecuada, ello puede dar lugar a hiperplasia suprarrenal congénita (HSC). La HSC corresponde a un grupo de alteraciones autosomicas recesivas caracterizadas por la insuficiencia de una enzima que participa en la síntesis de cortisol, aldosterona o ambas. La insuficiencia de la enzima 21-hidroxilasa, que participa en la síntesis de aldosterona, es la forma más frecuente de HSC, con hasta un 90% de los casos.



ÓRGANOS ENDOCRINOS

FUNDAMENTOS DEL SISTEMA ENDOCRINO

- El sistema endocrino produce diversas secreciones denominadas hormonas y sustancias hormonalmente activas que ingresan en el sistema circulatorio para su transporte hacia
- Las hormonas y las sustancias hormonalmente activas se clasifican en tres clases de compuestos. péptidos (insulina, GH, ACTH), esteroides (gonadales y adrenocorticales) y análogos de aminoacidos y el acido araquidónico (carecolaminas, prostaglandinas).
- Las hormonas interacrúan con receptores específicos de la superficie celular (hormonas peptidicas o catecolaminas) o receptores intracelulares (esteroides y hormonas titoideas). La regulación de la función hormonal es controlada por mecanismos de retroalimenta-
- ción desde los órganos diana.

HIPÓFISIS (GLÁNDULA PITUITARIA)

- La hipófisis está compuesta por dos partes, el lóbulo anterior (adenohipófisis), que consiste en tendos epiteliales glandulares, y el lobulo posterior (neurohipofisis), formado por tendo nervioso secretor que se desarrolla a partir del neuroectodermo del SNC.
- La adenohipófisis esta integrada por tres porciones: porción distal, porción intermedia y porción tuberal (que rodea
- El sistema porta hipotalamohipofisario uruga la hipófisis y actúa como enlace entre esta y el hipotálamo
- La circulación portal comprende una red de capilares fenestrados en el infundibulo y la eminencia media de, hipotalamo, así como las venas porta hipofisarias y una red secundaria de capilares en la porción distal. La circulación transporta hormonas liberadoras desde las neuronas hipotalamicas hacia las células en la porción distal, donde se controla la secreción celular.
- De acuerdo con las reacciones de tinción de los granulos secretores de las celulas endocrinas, las celulas de la porción distal se identifican como basófilas (10%), acidófilas (40%) y cromófobas (50%).
- En la porción distal, mediante reacciones inmunocitoquímicas, se identifican cinco tipos celulares funcionales somatótropas (celulas GH), que producen la hormona del crecimiento (GH; somatotropina), lactotropas (celulas PRL, mamótropas), que producen prolactina (PRL), corticótropas (celulas ACTH), que producen proopiomelanocortina (POMC), una molécula precursora de la corticotropina (ACTH), gonadotropas (celulas FSH y LH), que producen hormona luternizante (LH) y hormona foliculoestimulante (FSH), y tirotropas (celulas TSH), que producen tirotropina (TSH)
- El lóbulo posterior de la hipofisis (la porción nerviosa y el infundibulo) es una extensión del SNC. Libera hormonas producidas en los nucleos supraopticos (hormona antidiuretica (ADH) o vasopresina) y en los nucleos paraventriculares (oxitocina) del hipotálamo.
- El tracto hipotalamohipofisario envía ADH y oxitocina al lóbulo posterior, donde son almacenadas en las terminales axónicas (cuerpos de Herring) y liberadas a la circulación.

GLÁNDULA PINEAL

- La glándula pineal es una glándula neuroendocrina que se desatrolla a partir del neuroectodermo y permanece unida al
 encefalo. Debido a que posee conexiones con el ojo, mediante el tracto retinohipotalamico, es una reguladora importante del
 ritmo circadiano.
- La glándula pineal contiene dos tipos de células parenquimatosas: los pinealocitos que secretan melatonina y las células intersticiales (gliales) de soporte. Tambien posee calcificaciones características denominadas cuerpos arenáceos o arenilla cerebral.

GLÁNDULA TIROIDES

- La glándula tiroides está localizada en el cuello y se desarrolla a partir del revestimiento endodérmico del piso de la faringe primitiva.
- La giandula tiroides està compuesta principalmente por foliculos tiroideos formados, por lo general, por un epitelio
 folicular cúbico simple. La luz de los foliculos esta llena de una masa gelatinosa, denominada coloide, que contiene tiroglo
 bulina, una forma de almacenamiento inactiva de las hormonas tiroideas.
- El epitelio folicular contiene dos tipos de células, foliculares (que producen las hormonas tiroideas T₄ y T₃) y parafoliculares (que producen calcitonina).
- La síntesis de T₄ y T₃ ocurre en las células foliculares y la luz del foliculo. Conlleva una serie de pasos que comienzan con la sintesis de tiroglobulina y continuan con la captación y oxidación de yoduro, hasta la yodación de la tiroglobulina para formar las hormonas T₄ y T₃.
- En respuesta a la estimulación con TSH, las células foliculares reabsorben coloide y transportan Γ₄ y Γ₃ hacia la circulación.

GLANDULAS PARATIROIDES

- Las glandulas paratiroides (dos pares) se localizan en la superficie posterior de la glándula tiroides. Se desarrollan a partir de la tercera y cuarta bolsas faringeas.
- Las glandulas paratiroides están formadas por dos tipos primordiales de células las celulas principales (que son las mas abundantes y secretan la hormona paratiroidea [PTH]) y las células oxifitas
- La PTH regula las concentraciones sanguineas de calcio y fosfato. Se une a los receptores de la PTH en las celulas diana e incrementa la concentración de Ca²⁺ en la sangre.

GLÁNDULAS SUPRARRENALES

- Las glándulas supramenales son organos pares triangulares incluidos en el tejido adiposo peritrenal del polo supenor de los riñones.
- Están organizadas en dos regiones diferentes, la corteza (porción secretora de esteroides que se desarrolla a partir del mesodermo) y la médula (porción secretora de catecolamina) que se desarrolla a partir de las células de la cresta neural
- Durante el desarrollo embrionario, la glándula suprarrenal fetal esta compuesta por una corteza fetal pero sin una medula definitiva.
- La médula suprarrena! contiene células cromafines que sintetizan adrenalina y noradrenalina para preparar al cuerpo para la respuesta de "lucha o huida".
- La corteza supramenal esta dividida en tres zonas: la zona glomerular (externa), la zona fasciculada (media gruesa) y la
 zona reticular (interna), que la comunica con la médula.
- Las celulas de la zona glomerular forman conjuntos ovoides y producen mineralocorticoides (p. ej., la aldosterona). El sistema renina-angiotensina-aldosterona proporciona el mecanismo de retroalimentación para controlar la secreción de las células de la zona glomerular.
- Las celulas de la zona fasciculada estan dispuestas en cordones rectos y largos que producen glucocorticoides (p. e), cortisol) que regulan la gluconeogenesis (sintesis de glucosa) y la glucogénesis (polimerización de glucogeno). La ACTH regula la secreción de las celulas de la zona fasciculada.
- Las celulas de la zona reticular estan dispuestas en cordones anastomosados separados por capilares fenestrados que producen androgenos débiles (sobre todo DHEA). La ACTH regula la secreción de las celulas de la zona reticular.

LÁMINA 80

La hipófisis se ubica en la base del cerebro y se apoya en una depresión del hueso esfenoides, denominada silla turca, en el piso de la fosa craneal media. Está conectada con el hipotalamo por un pediculo corto. Aunque esta unida al encéfalo, solo el lóbulo posterior de la glándula, la neurohipófisis, se desarrolla desde el neuroectodermo. El lóbulo anterior de la glándula, de mayor tamaño, denominado adenohipófisis, se desarrolla desde el ectodermo bucofaringeo como un divertículo del epitello bucal denominado bolsa de Rathke.

La adenohipófisis regula otras glandulas endocrinas. Está compuesta por grupos y cordones de células epiteliales separados por capilares fenestrados de gran diámetro. La neurohipófisis es un tracto nervioso cuyas terminaciones almacenan y liberan productos de secreción sintetizados por sus somas neuronales ubicados en los núcleos supraóptico y paraventricular. Las secreciones contienen oxitocina o vasopresina (ADH). Otras neuronas del hipotálamo liberan secreciones en los capilares fenestrados del infundíbulo, que es el primer lecho capilar del sistema porta hipofisario que transporta sangre a los capilares fenestrados de la adenohipófisis. Estas secreciones hipotalámicas regulan la actividad de la adenohipófisis.



Hipofisis, humano, H&E, 50×.

Este es un corre sagital de la hipófisis. La neurohipófisis está delimitada por la línea discontinua (señalada por las flechas) que la separan de la adenohipófisis. La porción nerviosa (PN) es la parte expandida de la neurohipófisis que se continua con el

infundibulo. La porción tuberal (PT) de la adenohipófisis se ubica alrededor del tallo infundibular, pero puede cubrir la porción nerviosa en grado variable. La porción intermedia (PI) es una banda estrecha de tejido. ubicada entre la porción distal (PD) y la porción nerviosa. Bordea una pequeña bendidura (H) que constituye un vestigio de la luz de la bolsa de

Rathke. La porción distal del lóbulo anterior de la glándula es su porción más grande. Contiene una variedad de tipos celusares que no están distribuidos de manera uniforme. Esto ocasiona diferencias de tinción (regiones de tinción claras u oscuras) que se observan en toda la porción distal. La hipófisis contiene una cápsula de tejido conjuntivo (Caps) que separa la glándula de las meninges circundantes.

Cuando se examinan con mayor aumento, cada uno de los componentes de la adenohipófisis (la porción distal, la porción tuberal y la porción intermedia) presenta características celulares que contribuyen a su identificación. Estas características se describen en las microfotografías a continuación y en las de



Porcion distal, hipófisis, humano, H&E, 375 -

En esta marofotografia se muestra una region de la porción distal de la adenohipófisis que contiene muchas células acidófilas (A). La cantidad de células basófilas (B) es menor

en este sitio específico. Las células acidófilas se identifican con facilidad por la eosinofilia de su cimplasma, a diferencia de las células basófilas cuyo cimplasma

es claramente basófilo. Las células cromófobas (G) también son muy abundantes en este campo. El citoplasma se tiñe poco en comparación con el de las células acidofilas y basófilas. Las células están dispuestas en cordones o cumulos, entre los que hay capilares (C); algunos de ellos pueden reconocerse, pero la mayor parte se encuentran en estado colapsado y son difíciles de ver con este aumento.



Porción distal, hipófisis, humano, H&E,

En esta microfotografía se muestra una región de la porción distal de la adenobinófisis con numerosas células basófilas (B) En este sitio no se observan células acidofilas reconocibles (en acidófilas y basófilas, aunque generalmente, en una región determinada, un ripo celular supera en cantidad al otro). Las células cromófobas (Cr) también son bastante abundantes en este sitio. En esta región específica, los núcleos cromófobos son visibles; sin embargo, el citoplasma de las células es dificil de distinguir



Porción intermedia, hipófisis, humano, PAS/azul-negro de anilina, 380×.

otros artios es posíble encontrar una distribución más equitativa de células

En esta microfotografía se muestra una pequeña parte de la porción distal (PD); el resto permite ver la porción intermedia (PI) de la adenohipófisia. La porción distal que

se muestra aquí contiene capilares abundantes llenos de entrocitos, lo que

propicia la apariencia rojo brillante. La porción intermedia contiene algunos quistes (Q) pequeños. Las células que forman la porción intermedia, la cual es relativamente pequeña en los humanos, son basófilas y cromófobas pequeñas. Las células basófilas han captado el colorante azul que las hace muy reconocibles. En el extremo derecho hay un área menos celular, se mara de la porción nerviosa (PM)

A, células acidófilas B, células basófilas

C, capitares

Caps, cápsida

Cr. células cromófobas H, hendidura PD, porción distal Pl, porción intermedia

PN, porción nerviosa PT, porción tuberal Q, quiste

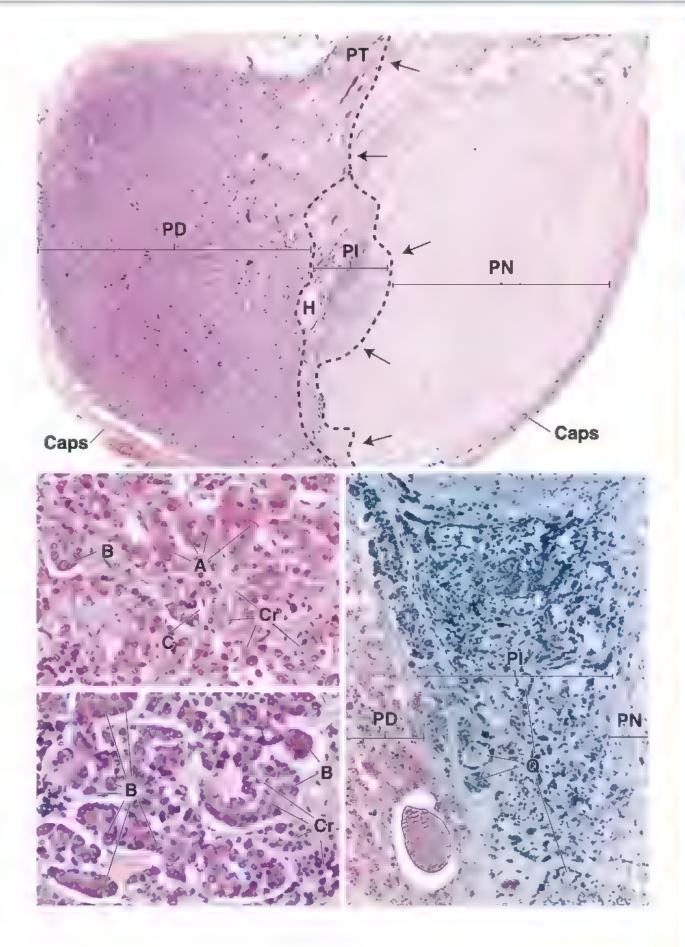


LÁMINA 81 HIPÓFISIS II

El parénquima de la porción distal está compuesto por dos tipos generales de célula. cromófoba y cromófila. Las células cromófobas se tiñen poco; las cromófilas se tiñen bien. Las células cromófilas a su vez se subdividen en acidófilas y basófilas. Las células basófilas se tinen con colorantes básicos o hematoxilina, mientras que el citoplasma de las células acidófilas se tine con colorantes ácidos como la eosina. El citoplasma de las células basófilas también se tiñe con el PAS debido a las glucoproteínas en sus gránulos de secreción.

Las célules acidofilas pueden subdividirse en dos grupos segun sus caracteristicas especiales citoquímicas y ultraestructurales. Una parte de ellas, denominadas somatótropas, producen somatotropina (STH); otras, que son células acidófilas denominadas lactótropas, producen prolactina (PRL).

Los grupos de células basófilas también pueden distinguirse con el microscopio electrónico o con técnicas citoquímicas especiales. Un grupo de **tirótropas** produca tirotropina (TSH); otro grupo de **gonadótropas** sintetiza las gonadotropinas hormona foliculoestimulante (FSH) y hormona luternizante (LH), y un tercer grupo de **corticótropas** produce corticotropina (ACTH) y lipotropina (LPH).

Las células cromófobas también son un grupo heterogèneo de células. Se considera que muchas son acidofilas o basofilas que han agotado sus reservas de producto de secreción.

Porción distal, hipófisis, humano, Mallory, 360×; recuadro 1200×.

En esta microfotografía se muestra una porción distal de una región que presenta una distribución casi igual de **células** acidófilas (A) y basófilas (B). Los cúmulos y cordones de células están delineados por las hebras del tejido conjuntivo (teñidas de usul) que les rodea. Tambien son visibles varios capilares dilatados (C) que contienen

dófilo se tiñe de un color rojo ladrillo o rojo óxido. Las células basófilas se tiñen en una gama entre asul rojeso y asul ascura, mientras que las células **cromófobas** (Cr) exhiben un color asul claro. El recuadro muestra los tres tipos de célula con un mayor aumento. Los gránulos secretores de las células acidófilas (A) y basófilas (B) son apenas discernibles. Los gránulos son los que se tiñen y proporcionan la coloración general a los dos tipos de célula. En cambio, las células cromófobas (Cr) carecen de gránulos y simplemente revelan un fondo de color asul claro.



Porción nerviosa, hipofisis, humano, H&E, 325×.

La **porción nerviosa** de la neurohipófisis que se ve aquí contiene células denominadas *pinicetes* y fibras nerviosas atmelinicas que forman los múcleos supraóptico y paraventricular del hipo-

que forman los múcleos supraoptico y paraventricular del hipotálamo. Los **pituicitos** {P} son comparables con las células de la neuroglia del SNC. Su núcleo es redondo u ovalado, y el citoplasma se extiende desde la region nuclear de la célula en forma de evaginaciones largas. En los preparados teñidos con H&E, como este, el citoplasma del piruicito no puede distinguirse

muchos eritrocitos (teñidos de amarillo). En este preparado, el citoplasma aci-

de las fibras nerviosas amielinicas. Las hormonas de la neurohipófisis, la oxitocina y la vasopresina (ADH), se sintetizan en los núcleos hipotalámicos y llegan a la neurohipófisis a través de las fibras del tracto hipotalamohipofisario, donde se almacenan en las porciones terminales expandidas de las fibras nerviosas. Los productos de neurosecreción almacenados se conocen como **cuerpos de Herring** (CH). En los preparados teñidos con H&E, los cuerpos de Herring se ven como islotes pequeños de material eosinófilo. Los capilares (C) se encuentran entremezclados entre las fibras perviosas.



Porción nerviosa, hipófisis, humano, PAS/ azul-negro de anilina, 250×; recuadro 700×.

En esta muestra de la porción nerviosa, el azul de anílina ha teñido los núcleos de los **pituicitos** (P); las fibras nerviosas han captado un poco del colorante para ofrecer un fondo azul claro. Con esta

técnica de tinción, los **cuerpos de Herring** (CH) aparecen como *ulater ne-*

gros. En el recuadro se observa con mayor aumento un cuerpo de Herring cercano al borde inferior de la microfotografía. La testura granular del cuerpo de Herring, como se observa aqua, es el reflejo de los gránulos secretores acumulados en las terminales nerviosas. En la muestra también destacan los capilares (C) como resultado de la tinción roja contrastante de los eritrocitos en su interior.

A, células acidófilas B, células basófilas C, capilares CH, cuerpos de Herring Cr, célula cromótoba P, primertos

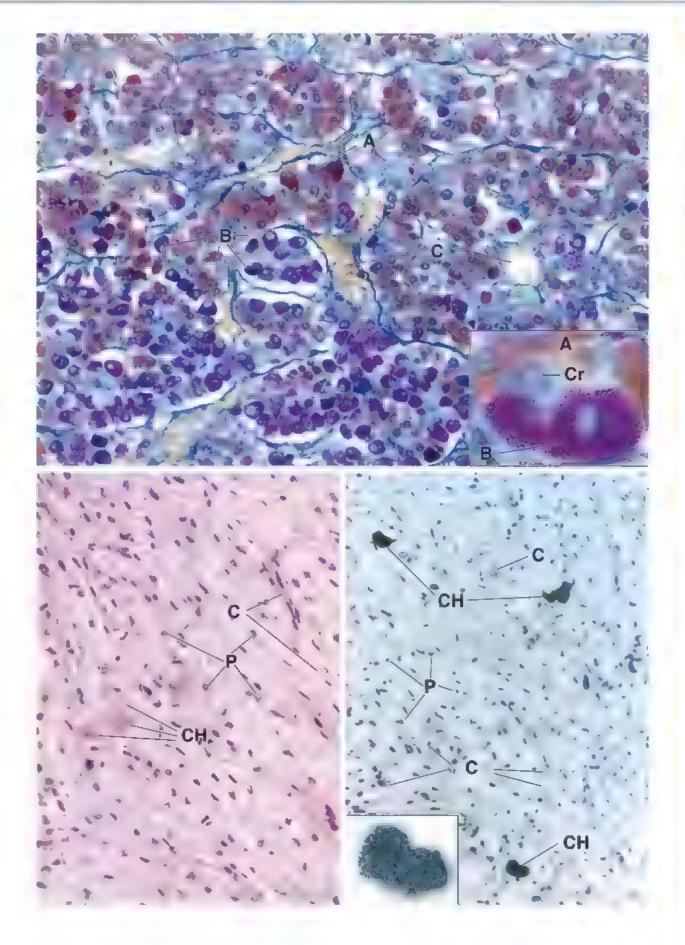


LÁMINA 82 GLÁNDULA PINEAL

La glándula pineal (cuerpo pineal, epifisis cerebral) está situada en el encefalo por amba de los colículos superiores. Se desarrolla a partir del neuroectodermo; sin embargo, en el adulto, se parece muy poco al tejido nervioso.

Dentro de la glándula pineal se han descrito dos tipos de célula: los pinealocitos (células parenquimatosas) y las células de la glía. La proliferación verdadera de estas células no puede ser apreciada sin la aplicación de técnicas especiales de tinción. Con ellas se veria que las células de la glia y los pinealocitos poseen evaginaciones que se expanden hacia su periferia. Los pinealocitos son los más abundantes. En preparados teñidos con H&E, sus núcleos se tiñen de manera tenue. En cambio, los núcleos de las células de la glia son más pequenos y se tinen con mayor intensidad

La secreción de la glandula pineal posee un efecto antigonadal: reduce la producción de esteroides gonadales. Por ejemplo, se ha informado hipogenitalismo en personas con tumores pineales compuestos sobre todo por pinealocitos, mientras que la precocidad sexual (pubertad a una edad temprana inusual) está asociada con tumores de las células de la glia (es probable que los pinealocitos se hayan destruido). Además, los experimentos con animales indican que la glándula pineal tiene una función neuroendocrina y sírve como intermediaria para relacionar a la función endocuna (en particular la función gonadal) con los ciclos de luz y oscuridad. Los estimulos luminosos externos llegan hasta la glándula pineal a través de las vías ópticas que la conectan con el ganglio cervical superior. A su vez, el ganglio cervical superior protruye fibras nerviosas posganglionares hacia la glandula pineal. La glandula pineal desempena un papel en la adaptación a cambios bruscos en la duración diurna (como los que experimentan los viajeros que atraviesan varios usos horarios) y la regulación de tas respuestes emocionales a la reducción de la duración del día, durante el invierno, en zonas templadas y subarticas (trastomo afectivo estacional [TAE]).





Glandula pineal, humano, H&E, 180×.

La glándula pineal está rodeada por una **cápsula** (Caps) muy delgada formada por la piamadre. Desde la cápsula se extienden trabéculas de rejido conjuntivo (TC) que se introducen en el parénquima glandular y lo dividen en lobulillos. Los **lobuli-**

ilos (1) aparecen con frecuencia como grupos poco definidos de células, de

tamaño variable, rodeadas por tejido conjuntivo. La vasculatura sanguinea, en general arterias (A) y venas (V) pequeñas, discurre a través del tejido conjuntivo. Las arterias dan origen a los capilares que rodean y penetran los lobulillos que urigan al parénquima de la glándula. En esta muestra, y aún con este bajo aumento, los capilares (C) se ven abultados como consecuencia de los eritrocitos dentro de su luz



Glándula pineal, humano, H&E, 360×; recuadro 700×.

En esta inicrofotografía se observa con mayor aumento el parénquima de la glándula pineal, así como un componente denominado **arenilla cerebral** (AC) o **cuerpos arenáceos**.

Cuando se observa con mayor ampliación, se puede ver que la arenilla cerebral tiene una estructura lamínar poco definida. Por lo general, se tiñen de manera intensa con la hematoxilina. Estas estructuras son una caracteristica distintiva de la glándula pineal. Un examen cuidadoso con el microscopio óptico de las oélulas dentro de la glándula permite desectar dos tipos específicos de célula

Un tipo celular, el más abundante, son los pinealocitos (células principales de la glándula pineal). Son en realidad neuronas modificadas. Sus núcleos son esféricos y se tiñen relativamente poco debido a la cantidad de eucromatina que connenen. El segundo tipo celular es la célula intersticial o de la glía, que constituye un porcentaje bastante pequeño de células en la glándula. Sus núcleos son más pequeños y más alargados que los de los pinealocitos. El reruadro permite observar varias **células de la glía** (G) ideotificables por sus núcleos hipercromáticos. La mayoría de los núcleos que se aprecian aqui pertenecen a los pinealocitos. En el reruadro también se encuentran varios fibroblastos (F) dentro de la trabecula

A, arteria AC, arenilla cerebral C, capitar

Caps, cápsula F, fibroblasto G, células de la glia L, loburillo TC, tejido conjuntivo V, vena

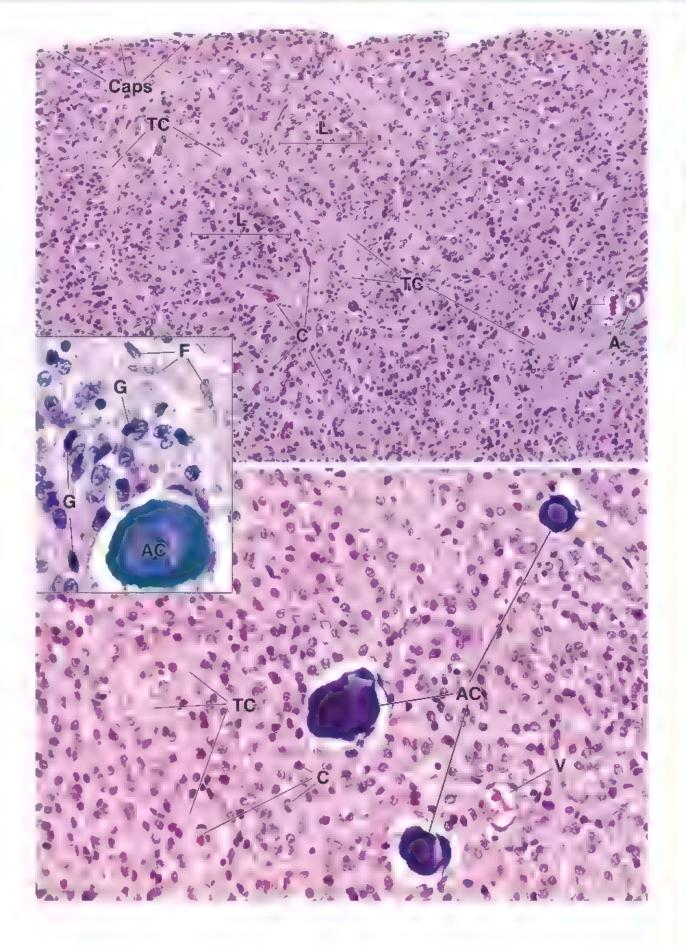


LÁMINA 83 GLÁNDULAS PARATIROIDES Y TIROIDES

Las glándulas paratiroides suelen ser cuatro. Cada una está rodeada por una cápsula y se superpone a la glándula tiroides o está parcialmente incluida en ella. Las trabéculas de tejido conjuntivo se extienden desde la cápsula hasta el parénquima glandular.

Las glándulas paratiroides producen una hormona que influye sobre el metabolismo del calcio y los huesos. La inyección de hormona paratiroidea en animales de laboratorio provoca la liberación de calcio desde el hueso por la acción de los osteocitos (osteólisis osteocitica) y los osteocitos. La extirpación de las glándulas paratiroldes causa una rápida disminución de la concentración sanguinea de calcio.

La glándula tiroides está en el cuello, estrechamente unida a la porción superior de la tráquea y la parte inferior de la laringe. Se compone de dos lóbulos laterales unidos por un istmo estrecho. El foliculo, que consiste en una capa individual de epitelio cúbico o cilindrico bajo que rodea un espacio lleno de coloide, es la unidad funcional de la glándula tiroides. En el tejido conjuntivo que separa los foliculos hay una extensa red capilar sanguínea. El tejido conjuntivo también contiene capilares linfáticos.



Giándula paratiroides, humano, H&E, 320×.

Como se puede apreciar, los vasos sanguíneos (VS) más grandes están asociados con la trabécula y, neastonalmente, con los adipocitos (A). El parénquima de las glándulas paratiroides aparece

como cordones o láminas de células separados por capilares y delicados tabiques de tejido conjuntivo.

En los cortes de rutina tefudos con H&E pueden distinguirse dos tipos de células parenquimatosas: las células principales y las células oxífilas. Las células principales (CP) son más abundantes. Contienen un núcleo exferoideo todeado por una pequeña cantidad de citoplasma. Las células oxífilas (CO) son menos numerosas. Son bastante más grandes que las cé-

lulas principales, pero tienen un nucleo levemente más pequeño que se tiñe con mayor intensidad. Su citoplasma se tiñe con ensina y los limites entre las células suelen estar bien definidos. Además, las células oxifilas están dispuestas en grupos de tamaño variable que aparecen dispersos en un campo más amplio de células principales. Aun con poco aumento, a menudo es posible identificar grupos de células oxifilas debido a que una unidad de superficie contiene menos núcleos que otra unidad comparable de células principales, como es muy evidente en esta imagen. Las células oxifilas aparecen hacia el final de la primera década de la vida y se tornan más abundantes alrededor de la pubertad. En personas mayores, la cantidad de estas células puede experimentar un aumento adicional.



Glándula tiroides, humano, H&E, 240×.

Aquí se muestra un corre histológico de una glándula tiroides. Los foliculos tiroideos (F) varian poco en cuanto a tamaño o forma, y aparecen muy juntos. La masa homogénea en el centro de cada foliculo es el coloide. Las cétulas foliculares de la glándula pa-

recen formar un epitelio cúbsco simple que encierra al coloide. El examen cuidadoso de la superficie apical de las células foliculares revela pequeñas vacuolas, un indicador de reabsorción coloidal. Si bien las células individuales son difícules de distinguir con este aumento, los nucleos celulares sirven como un indicador de su ubicación y distribución. La glándula tiroides está bien vascularizada: los grandes **vasos sanguineos** (VS) se encuentran en el tesido conjuntivo (TC) y en la red capilar que rodea los foliculos.

Esta muestra tiene pocas regiones de grandes grupos de oflulas con núcleos del mismo tamaño, forma y características tintoriales que las células foliculares. Estas regiones corresponden a folículos seccionados de forma tangencial (FST).

A, adipocitos
CO, células oxifilas
CP, células principales

F, foliculo

FST, folículo seccionado de forma tangen-

TC, tejido conjuntivo VS, vasos sanguineos

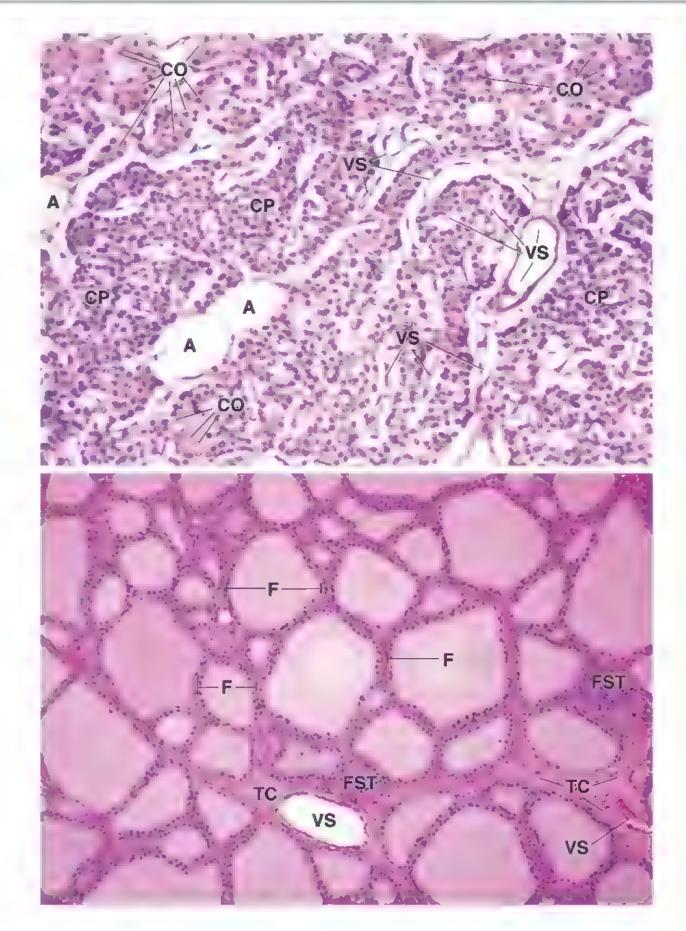


LÁMINA 84 GLÁNDULA SUPRARRENAL I

Hay dos glándulas supramenales, una en el polo superior de cada riñon. Cada glándula posee, a su vez, dos componentes estructurales y funcionales bien definidos: una corteza y una médula. La corteza se desarrolla a partir del mesodermo y secreta hormonas esteroideas, la médula se desarrolla a partir del neuroectodermo de la cresta neural y secreta catecolaminas.

La corteza supramenal se divide en tres zonas de acuerdo con el tipo y la distribución de sus células parenquimatosas. Estas son designadas como zona glomerular, zona fasciculada y zona reticular. La zona glomerular constituye el 15% del volumen cortical y secreta mineralocorticoides (aldosterona). La zona fasciculada representa alrededor del 80%

del volumen cortical y secreta glucocorticordes (cortisol y corticosterona) y una pequeña cantidad de andrógenos suprarrenales. La zona reticular (5-7% del volumen cortical) produce la mayoría de los andrógenos suprarrenales.

La zona fasciculada y la zona reticular son reguladas por la conticotropina (ACTH) secretada por la adenohipófisis en respuesta a la hormone liberadora de corticotropina (CRH) producida por el hipotálamo. La zona glomerular no es regulada por la ACTH, sino por la angiotensina II, que es parte de la retroalimentación del sistema renina-angiotensina-aldosterona, que también regula la presión arterial.



Glándula suprarrenal, humano, H&E, 45×.

Con poco aumento, en esta microfotografia de un corte a través del espesor parcial de una glándula suprairenal se muestra la cápsula externa (Capi), la COTTBZA (Cort) de una superficie de la glándula, la **médula** (Med) subyacente y una porción muy pequeña

de la corteza de la otra superficie de la glándula (Cort, parte inferior central de la imagen). La corteza tiene una apariencia claramente diferente tanto en la organtzación estructural como en las características de tunción. Desde la porción interna, la médula, obsérvese es aspecto más claro del rejido medular. En la parte central superior de la imagen se observa una pequeña cantidad de tejido adiposo (TA) en el que la glándula está parcialmente incluida. El límite corocomedular (líneas disconsinuos) posee un contorno ondulado, reflejo de la forma irregular de la glándula. Dentro de la médula hay una cantidad considerable de vasos sanguineos (VS) relativamente grandes. Son las venas colectoras suprarrenales medulares que drenan tanto la correza como la médula.



Corteza, glándula suprarrenal, humano, H&E, 180×.

Esta es una ampliación de una parte de la cápsula y del espesor toral de la COTTOZA de una zona de la imagen de arriba. La capsula está compuesta por tejido conjuntivo denso en el que discurren las

arterias (A) mayores; estas dan origen a vasos más pequeños que urigazán la corteza y la médula. La **zona giomerular** (ZG) está ubicada en la parte externa de la corteza, justo por debajo de la cápsula. El parenquima de esta zona está compuesto por pequeñas células que aparecen como cordones arqueados o conjuntos ovoides de células

La zona fasciculada (ZF) está compuesta por cordones orientados de forma radial y láminas de células, a menudo de dos células de espesor, que se extienden haría la médula. Las células de la parte externa de la zona fasoculada son, por lo regular, más grandes que las de la porción interna de esta zona; en general, se tiñen poco debido al gran número de inclusiones lipidicas que contienen. Las células de la zona reticular (ZR) son relativamente pequeñas y contienen pocas inclusiones lipidicas o carecen de ellas; en consecuencia, se tiñen muy bien con la cosina. Por lo pequeño de su tamaño, los núcleos están muy próximos, como ocurre con las células de la zona glomerular.



Corteza, glándula suprarrenal, humano, H&E, 245×.

Esta es una imagen más amplia de la región incluida en el rectárgulo requierdo en la microfotografía de arriba. Muestra la **zona** glornerular (ZG) y la porción externa de la **zona fascicu-**

Lada (ZF). Obsérvese el menor ramaño de las células de la zona glomerular con respecto a las de la zona fasciculada. Además, las células de la zona glomerular contienen una menor cantidad de inclusiones fipidicas que las de la zona fasciculada. Por lo general, las células de esta parte de la zona fasciculada están Ilenas de inclusiones lipídicas, lo que causa una muy débif tinción característica de su ciroplasma. Desde la cápsula parten delicadas trabéculas de tejido conjuntivo (fechar) para rodear los grupos glomerulares de células y extenderse entre los cordones de las células de la zona fasciculada. Los capilares y las arteriolas están ubucados dentro de las trabéculas de rejido conjuntivo. A menudo, los capilares están colapsados y, cuando carecen de eritrocitos en su luz, son difíciles de identificax



Corteza, glandula suprarrenal, humano, H&E, 245×.

Imagen con mayor aumento del área incluida en el rectangulo derecho de la microfiorografía de arriba. En esta porción profunda de la zona fasciculada (ZF) se observan células más pequeñas pero todavía dispuestas en cordones y con inclusiones lipidicas, aunque en cantidades menores. Las células de la **zona reticular** (ZR) se distribuyen en cordones anastomosados irregulares y contienen solo una pequeña cantidad de lipidos, por lo que su citoplasma se tiún bien con cosina.

A, arterias Caps, cápsula Cort, corteza Med, médula YA, tej do adiposo VS, vasos sanguíneos ZF, zona fasciculada ZG, zona glomerular ZR, zons reticular flechas, trabécula de tendo conjuntivo lineas discontinuas, límite corticomedular

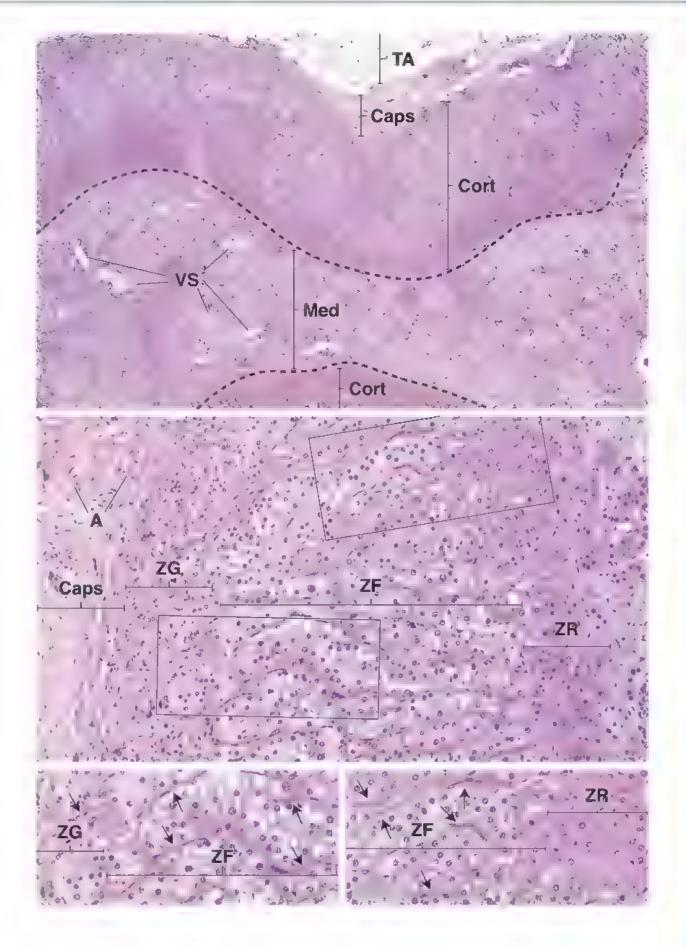


LÁMINA 85 GLÁNDULA SUPRARRENAL II

Las células de la médula supramenal tienen el mismo origen que las células posganglionares del sistema nervioso simpático. Son inervadas directamente por las células preganglionares del sistema simpático y pueden considerarse células posganglionares modificadas especializadas en la secreción de sustancias. Estas células producen las catecolaminas adrenalina y noradrenalina.

La medula supramenal recibe su imigación sanguinea a través de dos vias: les arterioles que atraviesan la corteza y los capilares que se continúan desde la corteza, un tipode circulación portal. Así, una parte de la sangre que imga a la médula contiene secreciones corticales que regulan la función medular. La sangre abandona la médula a través de la vena adrenomedular central. Su estructura resulta poco habitual, va que la tunica media de los vasos contiene haces prominentes de músculo liso orientado de forma longitudinal, cuya contracción facilita la salida rápida de la sangre cuando se liberan las catecolaminas medulares



Medula, glándula suprarrenal, humano, H&E, 175×; recuadro 250×.

En esta microfotografía con aumento moderado se muestran las célolas de la **médula suprarrenal**. Las células medulares están organizadas en grupos ovoides y cordones cornos anastomosados.

El citoplasma de las células medulares se tiñe con diferentes intensidades. El citoplasma de algunas células se tiño muy poco, por lo que aparecen como células cla-

ras, mientras que el de otras capta bien la eosina. En esta microfotografia puede observarse una porción de la pared, es decir, la túnica media (TM), de una vena adrenomedular central. La naturaleza de las venas adrenomedulares centrales se observa en la imagen inferior inquierda. El recuadro muestra los grupos ovoides de células medulares a mayor aumento. Entre estos grupos de células se encuentran los capilares (Cap) que, al igual que en la correza, pueden identificarse cuando contienen eritroutos.



Médula, glándula suprarrenal, humano, H&E, 125×.

En esta microfotografía se muestra una vena adrenomedular central (VAMC) que drena la médula supramenal. La rúnica media (TM) es inusualmente gruesa. El músculo liso, que

constituye esta parte de la pared del vaso, se encuentra en forma de haces que se

disponen de manera longitudinal, es decir, en la misma dirección que el vaso Por lo tanto, el músculo que se observa aqui está cortado de forma transversal. como la vena. Si bien la vena adrenomedular central ocupa la mayor parte de la imagen, las células medulares (CM) pueden observarse en vanos sittos alrededor de la vena. La porción de la imagen incluida en el rectangulo se observa con mayor aumento en la microfotografia inferior derecho.



Vena adrenomedular central, glándula suprarrenal, humano, H&E, 350×.

En esta vista con mayor aumento del reciángulo en la imagen inferror exquiendo se muestra parte de la luz (L) de la vena adrenomedular central en la parte inferior del campo. La túnica

intima (77) del vaso es relativamente delgada, pero puede contener una caritidad variable de tejido conjuntivo. Aquí se ve bien que el músculo liso (ML)

de la núnica media (TM) está organizado en haces en un corte transversal. En esta vena no se encuentra una túnica adventicia diferenciada. Por el contrario, su reisdo comunitivo se fusiona con las entricturas circundantes. Las **células** ganglionares (CG) con frecuencia se encuentran cerca de la pared de la vena adrenomedular central. Son células grandes con un citoplasma moderadamente basófilo. Dado el gran tamaño de la célula, el trúcleo no suele aparecer en el corte y solo se observa el citoplasma celular.

Cap, capilar

CG, cálulas ganglionares

CM, células medulares

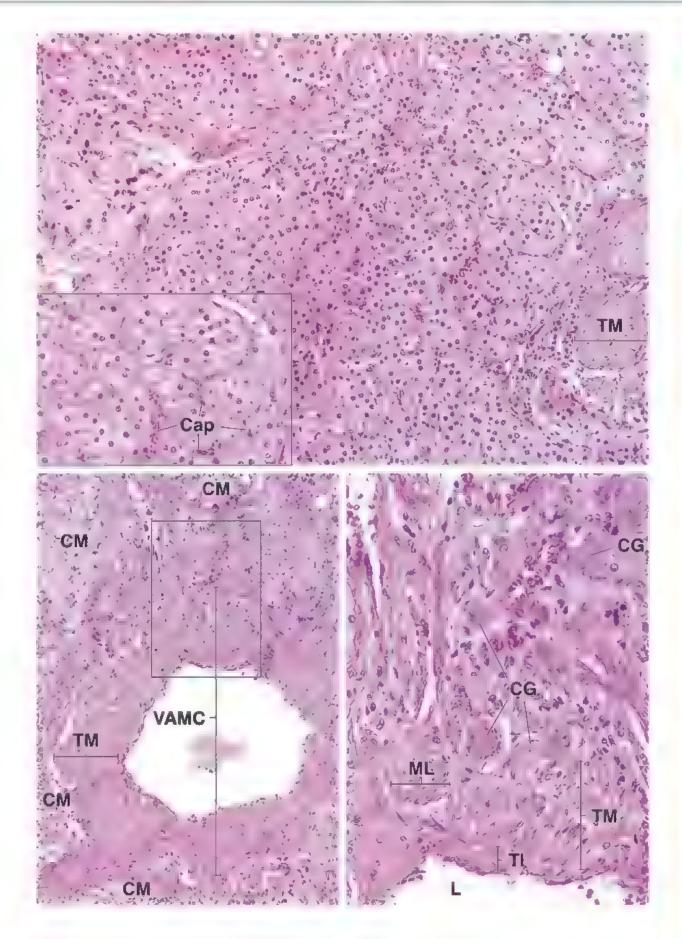
L, luz de la vena adrenomedular centrali

ML, musculo liso

TL túnice intima

TM, túnica media

VAMC, vena adrenomedular central



22 APARATO REPRODUCTOR MASCULINO

FUNDAMENTOS DEL APARATO REPRODUCTOR MASCULINO / 832

TESTÍCULOS / 832

Determinación del sexo y desarrollo de los testículos / 833 Estructura de los testiculos / 835 Células de Leydig / 836

ESPERMATOGÉNESIS / 839

Fase de espermatogonia / 840
Fase espermatocitica o de espermatocito (meiosis) / 841
Fase de espermátido (espermiagónesis) /

Fase de espermátide (espermiogénesis) / 842 Estructura del espermatozoide maduro / 844

TÚBULOS SEMINÍFEROS / 845

Ciclo del epitelio seminifero / 845 Ondas del epitelio seminifero / 845 Cetulas de Sertoli / 846

CONDUCTOS INTRATESTICULARES / 850 SISTEMA DE LAS VÍAS ESPERMÁTICAS / 850

Epididimo / 852 Conducto deferente / 853 GLANDULAS SEXUALES ACCESORIAS / 854

PRÓSTATA / 855

Glandulas bulbouretrales / 859

SEMEN / 859

PENE / 860

Cuadro 22-1 Consideraciones funcionales: regulación hormonal de la espermatogénesis / 839

Cuadro 22-2 Correlación clínica: factores que afectan la espermatogénesis / 840 Cuadro 22-3 Correlación clínica: antígenos

especificos de los espermatozoides y respuesta inmunitaria / 849

Cuadro 22-4 Correlación clinica: hipertrofia prostática benigna y cáncer de próstata / 857 Cuadro 22-5 Correlación clínica: mecanismo de la erección y disfunción erectil / 860

HISTOLOGIA 101 / 862



■ FUNDAMENTOS DEL APARATO REPRODUCTOR MASCULINO

El aparato reproductor masculino está formado por los testículos, las vías genitales espermáticas (de excreción), las glándulas sexuales accesorias y los genitales externos, que incluyen el pene y el escroto (fig. 22-1). Las glándulas sexuales accesorias incluyen las vesículas seminales, la próstata y las glándulas bulbouretrales. Las dos funciones primarias del testículo son la espermatogenesis (producción de espermatozoides, denominados gametos masculinos) y la esteroidogénesia (síntesis de andrógenos, también denominados hormonas sexuales). Los andrógenos, sobre todo la testosterona, son esenciales para la espermatogénesis. También cumplen con una función importante en el desarrollo del embrión masculino para que el feto adquiera el fenotipo típico y son la causa del dimorfismo sexual (características físicas y psicológicas masculinas). Los fenómenos de división celular durante la producción de los gametos masculinos y

femeninos (los ovocitos) incluyen procesos tanto de división normal (mitosis) como de división reductora (meiosis).

El capítulo 3 (Núcleo celular) incluye una breve descripción de la mitosis y la meiosis. Para comprender la producción de los gametos en los aparatos reproductores masculino y femenino, es indispensable tener un conocimiento básico de estos procesos.

■ TESTÍCULOS

Los testículos adultos son órganos ovoides pares que están dentro del escroto, fuera de la cavidad abdominal. Cada testículo se encuentra suspendido en el extremo de un saco musculofascial alargado que está en continuidad con las capas de la pared anterior del abdomen y se proyecta dentro del escroto. Los testículos están conectados con la pared abdominal por los cordones espermáticos y adheridos al escroto por los ligamentos escrotales, que son restos del gubernaculum testis (véase luego en este capítulo).



FIGURA 22-1. Diagrama en el que se muestran los componentes del aparato reproductor masculino. Las estructuras de la linea media se representan en un corte sagital las estructuras bilaterales, incluidos los testiculos el epididimo, el conducto deferente y la vesicula seminal se muestran intactos.

Determinación del sexo y desarrollo de los testículos

La diferenciación sexual se logra a través de una cascada de activaciones génicas.

El sexo genético queda determinado en la fecundación por la presencia o ausencia del cromosoma Y. Sin embargo, los testículos no se forman hasta la séptima semana del desarrollo. El sexo gonadal es determinado por el gen SRY, localizado en la región determinante sexual Y del brazo corto del cromosoma Y. La expresión del gen SRY en el desarrollo embrionario inicial desencadena la determinación sexual de las gónadas en los testículos. Las mutaciones en este gen dan lugar a mujeres XY con disgenesia gonadal, una alteración conocida como sindrome de Swyer. Las mujeres con sindrome de Swyer tienen cromosomas X y Y, así como genitales femeninos funcionales que incluyen la vagina, el utero y las trompas (tubas) uterinas (trompas de Falopio). No obstante, no tienen gónadas femeninas (ovarios). Estas mujeres no producen hormonas sexuales. Se requiere hormonoterapia para inducir la pubertad.

La información genética codificada en el cromosoma Y por sí sola no es suficiente para guiar el desarrollo complejo de las gónadas masculinas. Más bien, el gen SRY opera como un interruptor maestro que controla una cascada de varias activaciones génicas en los autosomas 9, 11, 17 y 19, así como en el cromosoma X. Un factor de transcripción llamado factor determinante testicular (TDF, testis determining factor), codificado por el gen SRY, tiene un dominio molecular que se fija a una región específica del ADN y altera su estructura. El ADN afectado forma un asa que permite la unión de otros factores de transcripción. A su vez, estos factores determinan la expresión de otros genes que inician la formación no solo de los testículos, sino también de otros órganos sexuales masculinos. Otros genes incluyen:

 El gen WF1 (gen del tumor de Wilms 1), necesario para el desarrollo del aparato urogenital y la regulación de la transcripción de SRY. En los ninos con tumor de Wilms familiar y en aquellos con malformaciones urogenitales acompañantes se confirman mutaciones del gen WT-1

- El gen SOX-9 (gen SRY [región determinante del sexo Y]-box 9) activa el gen de la hormona antimullenana (gen AMH), responsable de la sintesis del factor inhibidor antimulleriano. La mutación del gen SOX9 se asocia con la formación de órganos sexuales ambiguos o femeninos en un individuo genéticamente masculino (46,XY).
- El gen del factor esteroidogénico 1 (gen SF-1), que regula la expresión de varios genes esteroidogénicos,
- El gen DAX-1 (inversión de sexo sensible a la dosis, región crítica de hipoplasia suprarrenal, en el cromosoma X, gen 1), que codifica el receptor nuclear DAX 1. La activación de este receptor inhibe el gen SRY durante la diferenciación sexual gonadal y su mutación causa una hipoplasia suprarrenal congenita

Los testículos se desarrollan en la pared posterior del abdomen y luego descienden hasta el escroto.

Los **testiculos** se desarrollan en el retroperitoneo, asociados con el aparato urinario, en la pared posterior de la cavidad abdominal. Los testículos, al igual que los ovarios, tienen tres origenes:

- El mesodenno Intermedio forma las crestas urogenitales en la pared abdominal posterior y da origen a las células de Leydig (células intersticiales) y las células mioides (células contráctiles pertrubulares).
- El epitelio mesodermico (mesorelio celómico) cubre las crestas y origina los cordones epiteliales similares a dedos llamados cordones secuales primarios. Estos cordones crecen hacia el mesodermo intermedio subyacente y son colonizados por células germinales primordiales. Los cordones sexuales primarios también dan origen a las células de Sertoli.
- Las cétulas germinales primordiales migran desde el saco vitelino hacia las gónadas en desarrollo, donde se incorporan a los cordones sexuales primarios. Se diferencian en gonocitos, que son los precursores de las células germinales definitivas llamadas

espermatogonias. En esta etapa, los cordones están compuestos por células germinales primordiales, células pre-Sertoli y una capa circundante de células mioides. Después, los cordones sexuales primarios se diferencian en cordones seminiferos, que dan lugar a los túbulos seminíferos, los túbulos rectos y la red testicular (fig. 22-2).

La expresión de SRY es responsable del desarrollo de los órganos sexuales masculinos en el embrión indiferenciado.

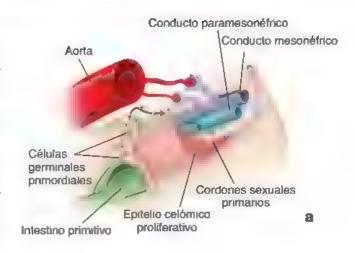
En la primera erapa de desarrollo, los testículos aparecen en la pared abdominal posterior a partir de primordios indiferenciados de las crestas urogenitales que son idénticas en ambos sexos. Durante esta etapa indiferenciada, el embrión tiene el potencial de convertirse en un hombre o una mujer. Sin embargo, la expresión del gen SRY, exclusiva de las células pre-Sertoli, estimula el desarrollo masculino del embrión.

Al principio del desarrollo masculino, el mesénquima que separa los cordones seminíferos da origen a las células (intersticiales) de Leydig, que producen testosterona para estimular el desarrollo del primordio indiferenciado en un testículo. Además, la testosterona causa la proliferación y la diferenciación de los conductos mesonéficos (de Wolff), de los que derivan las vías espermáticas. También en esta etapa inicial, las células (sustentaculares) de Sertoli que se desarrollan dentro de los cordones resticulares producen otra sustancia hormonal importante llamada factor inhibidor múlieriano (MIF, Múllerian-inhibiting factor). La estructura molecular del MIF es similar a la del factor de crecimiento transformante β (TGF-β, maniforming growth factor-β). Es una glucoproteína grande que inhibe la división celular de los conductos paramesonéfricos (de Müller), que a su vez inhibe el desarrollo de los órganos genitales femeninos (fig. 22-3).

El desarrollo y la diferenciación de los genitales externos (también a partir de la etapa sexual indiferenciada) ocurren al mismo tiempo y se deben a la acción de la dihidrotestosterona (DHT), un producto de la conversión de la testosterona mediante la 50-reductasa. Sin la DHT, sin importar el sexo genético o gonadal, los genitales externos seguirán el modelo femenino. La aparición de testosterona, MIF y DHT en el embrión masculino en desarrollo determina su sexo hormonal (cuadro 22-1, p. 839).

Los testiculos descienden del abdomen al escroto a lo largo del conducto inguinal aproximadamente a las 26 semanas de destación.

Aproximadamente a las 26 semanas de gestación, los testículos descienden del abdomen al escroto. Esta migración testicular está dada por el crecimiento diferencial de la cavidad abdominal combinado con la acción de la testosterona que causa el acortamiento del gubernoculum testis, el cual es un ligamento sensible a la testosterona que conecta el polo inferior de cada testículo con el escroto en desarrollo. Los testículos descienden hacia el escroto a través del conducto inguinal, un canal angosto entre la cavidad abdominal y el escroto. Durante su descenso, los testículos llevan consigo sus vasos sanguíneos y linfáticos, sus nervios y su principal sistema de secreción, el conducto deferente. El descenso del testiculo a veces es obstruido, lo que causa criptorquidia o testiculos no descendidos. Esta alteración es frecuente (30%) en los neonatos prematuros y en alrededor del 1% de los neonatos de término. La criptorquidia puede inducir alteraciones histològicas irreversibles en el testiculo y aumenta el riesgo de câncer. testicular. En consecuencia, un testiculo no descendido necesita corrección quirúrgica. La orquiopexía (fijación del testiculo no descendido dentro del saco escrotal) debe realizarse





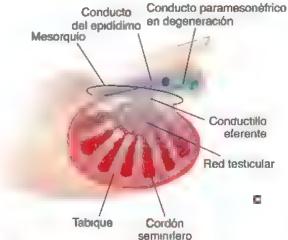


FIGURA 22-2. Etapas del desarrollo testicular. a. Embrión de 5 semanas en etapa de gónadas indiferenciadas. Las crestas gonadales visibles en la pared abdominal posterior son infiltradas por células germinales primordiales (verde) que migran desde el saco vitelino. La mayor parte de la gónada en desarrollo está formada por mesénguma. derivado de apritelio calórnico. Las cálulas germinales primordiales se incorporan en los cordones sexuales primitivos. b. En una etapa ulterior, bajo la influencia hormonal del factor determinante testicular, la gónada embrionaria en desarrollo micia la producción de testosterona. A esto le sigue la diferenciación de los cordones sexuales primitivos en cordones. seminiferos. A la vez, la gónada en desarrollo produce factor inhibidor mullenano que causa la involución del conducto paramesonéfrico y sus estructuras derivadas. Nótese que los tubulos excretores mesonéfricos entran en contacto estrecho con la red testicular en desarrollo Etapas finales del desarrollo testicular. La tunica albuginea que rodea. el testiculo contribuye a la formación de los tabiques testiculares. La red testicular se conecta con los cordones seminíferos y las vías espesmáticas desarrollados a partir de los conductos y tubulos mesonéfricos.

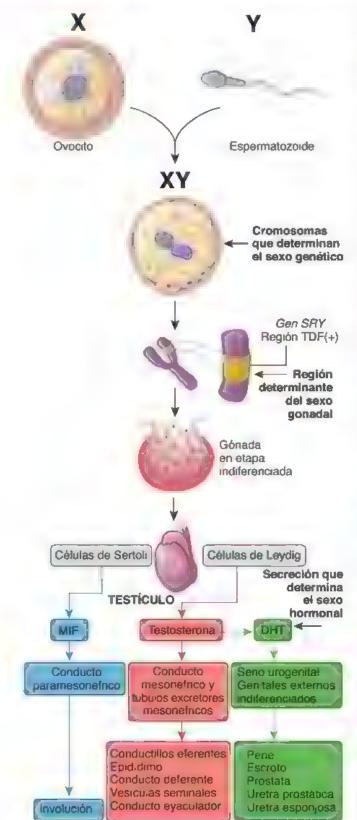


FIGURA 22-3. Desarrollo sexual masculino e influencia hormonal en el desarrollo de los órganos reproductivos. En este diagrama se lustran tres niveles en los que se determina el sexo del embrión en desarrollo. El sexo genético es determinado en el momento de la fecundación, el sexo gonadal se determina por la activación del gen SRY ubicado en el brazo corto del cromosoma Y, mientras que el sexo hormonal lo determina una hormona secretada por la gónada en desarrollo. En el diagrama se muestra la influencia del factor inhibidor mullenano (MIF), la testosterona y la dihidrotestosterona (DHT) sobre las estructuras en desarrollo. TDF factor determinante testicular

preferentemente antes de que las alteraciones histológicas se vueivan irreversibles afrededor de los 2 años de edad.

Para que se lleve a cabo la espermatogénesis, es necesario que los testículos se mantengan por debajo de la temperatura corporal normal.

A medida que los testiculos descienden de la cavidad abdominal hacia el escroto, llevan consigo vasos sanguíneos, vasos linfáticos, nervios autónomos y una extensión del peritorieo abdominal denominada túnica vaginal, la cual cubre su superficie anterolateral. Dentro del escroto, la temperatura de los testículos es 2-3 °C más baja que la corporal. Esta temperatura más baja es indispensable para la espermatogénesis, pero no es necesaria para la producción hormonal (esteroidogénesis), que puede ocurrir a la temperatura corporal normal. Si los testículos se mantienen a temperaturas más altas (p. ej., por una fiebre) o si no descienden al escroto, entonces no se producen espermatozoides.

Cada testículo recibe sangre a través de la arteria testicular, una rama directa de la aorta abdominal. Esta arteria describe un trayecto muy tortuoso cerca del testículo, donde está rodeada por el plexo venoso pampiniforme, que lleva la sangre desde los restículos hacia las venas abdominales. Esta distribución permite el intercambio de calor entre los vasos sanguíneos y contribuye a mantener los testículos a una temperatura más baja. La sangre venosa más fresca proveniente del testículo enfría un poco la sangre arterial antes de que entre en el órgano por un mecanismo de intercambio de calor a contracomente. Además, el músculo creméster, cuyas fibras derivan del músculo oblicuo interno del abdomen en la pared abdominal anterior, responde a los cambios de la temperatura ambiental. Su contracción acerca los testículos a la pared abdominal, mientras que su relapación los desciende dentro del escroto. Las temperaturas frías también provocan la contracción de una lámina delgada de músculo liso (musculo dartos) en la fascia superficial del escroto. La contracción del musculo dartos arruga el escroto cuando hace frio para contribuir a regular la pérdida de calor (cuadro 22-2, p. 840)

Estructura de los testículos

Los testículos tienen una cápsula de tejido conjuntivo de gran espesor llamada túnica albuginea.

Una cápsula muy gruesa de tejido conjuntivo denso, llamada túnica albuginea, cubre cada testículo (fig. 22-4). La parte interna de
esta cápsula, la capa vascular, es una lámina de tejido conjuntivo
laxo que contrene vasos sanguíneos. Cada testículo está dividido en
unos 250 lobulillos mediante tabiques de tojido conjuntivo incompletos que se proyectan desde la cápsula. A lo largo de la superficie posterior del testículo, la túnica albugínea aumenta su espesor
y se mete dentro del órgano para formar el mediastino testicular.
Los vasos sanguíneos, los vasos linfáticos y los conductos espermáticos atraviesan el mediastino testicular al entrar o salir del testiculo.

Cada lobutillo está compuesto por varios túbulos seminíferos muy enrollados.

Cada lobulillo testicular consta de uno a cuatro tubulos seminiferos en los que se producen los espermatozoides, así como un estroma de tejido conjuntivo en el que hay células intersticiales de Leydig que producen testosterona (fig. 22-5). Cada túbulo dentro del lobulillo describe un asa, está muy enrollado debido a su longitud considerable y se pliega sobre sí mismo. Los extremos del asa están cerca del mediastino testicular, donde asumen un curso recto y corto. Este segmento del túbulo seminífero recibe el nombre de túbulo recto y se continúa con la red testicular, que es un sistema de conductos anastomosados dentro del mediastino.

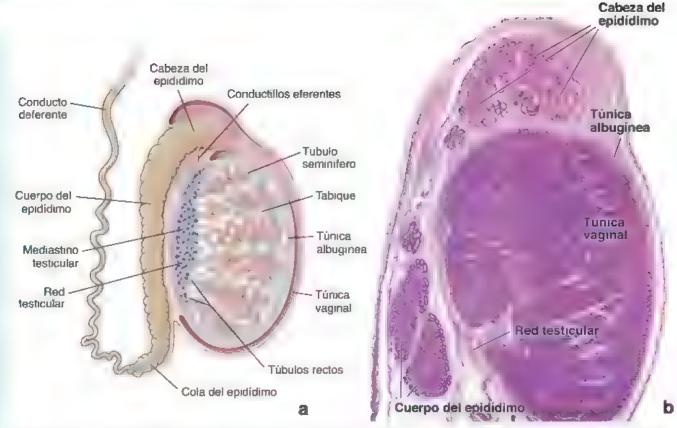


FIGURA 22-4. Corte sagital de testiculo humano. a. En este diagrama se muestra un corte sagital medio del testiculo humano. También aparece el sistema canalicular genital formado por los tubulos rectos, la reditesticular pos conductillos eferentes el conducto del epididimo y el conducto deferente. Obsérvese la cubierta conjuntiva gruesa (tunica albuginea) y la funica vagina la rededor (modificado de Dym M. En Weiss L., ed. Celland Tissue Biology. A Textbook of Histology. 6th ed. Baltimore. Urban & Schwarzenberg. 1988). Corte sagital tenido con hernatox. na-eosina (H&E) del testiculo y la cabeza y el cuerpo del epididimo. De nuevo obsérvense la funica albuginea y la funica vagina, a su afrededor. En este corte se ve solo una pequeña porción de la reditesticular. Su conexión con el sistema de vías espermáticas no es evidente en este plano de corte. 3×

Los túbulos seminíferos están formados por un epitelio seminífero rodeado por una túnica propia.

Cada túbulo seminífero tiene una longitud de unos 50 cm (rango de 30-80 cm) y un diámetro de entre 150 y 250 µm. El epitelio seminífero es un epitelio estratificado complejo y único compuesto por dos poblaciones celulares básicas:

- Las celulas de Sertoli, también conocidas como células de sostén o sustentaculares. Estas células no se dividen después de la pubertad. Las células de Sertoli son cilíndricas y tienen evaginaciones apicales y laterales extensas que rodean las células espermatogénicas contiguas y ocupan los espacios entre ellas. Sin embargo, esta configuración intrincada de las células de Sertoli no puede distinguirse bien en los cortes de rutina teñidos con hematoxilina-eosina (H&E). Las células de Sertoli le confieren organización estructural a los túbulos porque se extienden a través de todo el espesor del epitelio seminífero.
- Las cétulas espermatogénicas, que se dividen regularmente y se diferencian en espermatozoides maduros. Estas células derivan de células germinales primordiales originadas en el saco vitelino que colonizan las crestas gonadales durante el desarrollo temprano de los testículos. Las células espermatogénicas están organizadas en capas mal definidas de desarrollo progresivo entre células de Sertoli adyacentes (fig. 22-6). Las células espermatogénicas más inmaduras, llamadas espermatogonias, descansan sobre la lámina basal. Las células más maduras, llamadas espermátides, están fijadas a la porción apical de la célula de Sertoli, donde estas se encuentran en contacto con la luz del túbulo.

La tunica (lámina) propia, también llamada tejido peritubular, es un tejido conjuntivo de múltiples capas que carece de los fibroblastos típicos. En los humanos está compuesta por tres a cinco capas de células mioides (células peritubulares contráctiles) y fibrillas de colágeno ubicadas por fuera de la lámina basal del epitelio seminífero (véase fig. 22-6). En el nivel ultraestructural, las células mioides muestran características asociadas con las células musculares. lisas que incluyen una lámina basal y una gran cantidad de filamentos de actina. También tienen un retículo endoplasmático rugoso (RER) abundante, lo cual es un reflejo de su papel en la síntesis de colágeno, dado que no hay fibroblastos típicos. Las contracciones rítmicas de las células mioides crean ondas peristálticas que ayudan a mover los espermatozoides y el líquido testicular a lo largo de los túbulos seminíferos hacia las yías espermáticas. Por fuera de la capa mioide hay vasos sanguíneos y una vasculatura linfática extensa, así como células de Leydig.

Al envejecer, la túnica propia aumenta de espesor. Este engrosamiento se acompaña de una disminución del ritmo de producción de espermatozoides y una reducción general del tamaño de los túbulos seminiferos. El engrosamiento excesivo de la túnica propia en la juventud se asocia con infertilidad.

Células de Leydig

Las célules de Leydíg (célules intersticiales) son células grandes, poligonales y eosinófilas que en general contienen gotitas lipídicas (fig. 22-7). A menudo, estas células también se encuentran en el pigmento lipofuscina, así como en cristales citoplasmáticos distintivos en forma de bastoncillos, los cristales de Reinte (fig. 22-8). En

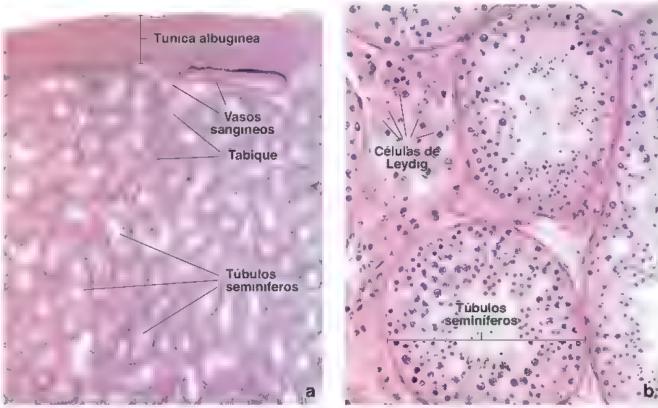


FIGURA 22-5. Microfotografias de testículo humano, a. En esta microfotografia de un corte de testiculo humano tenido con H&E aparecen con poco aumento os tubulos seminíferos y la tunica albuginea. Los vasos sangulneos más grandes están en la superficie interna de la tunica albuginea. Los vasos sangulneos más grandes están en la superficie interna de la tunica albuginea. Los tubulos seminíferos de ahi el aspecto variable de sus situetas en el corte. 30 ° b. Un aumento mayor de la muestra anterior permite ver varios tubulos seminíferos. Observese la población de células de Leydig (intersticiales) que aparecen en cómulos pequenos en el espacio que hay entre los tubulos contiguos. 250×

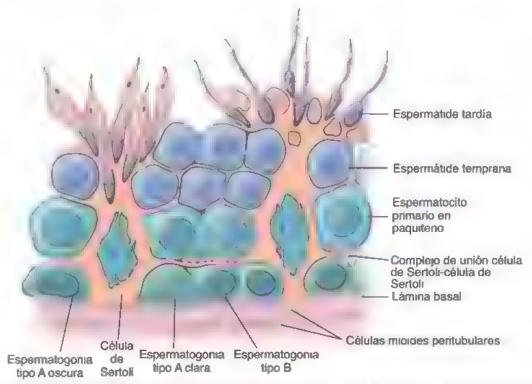


FIGURA 22-6. Diagrama del epitelio seminifero humano. En este diagrama se muestra la relación entre las células de Serto y las células espermatogénicas. El epitelio seminifero está apoyado sobre una lámina basal y una capa de células peritubulares rodea el tubulo seminifero uas espermatogónias (tipo A claras), tipo A oscuras y tipo B claras) y los espermatocitos en preleptoteno están en el compartimento basal de epite o seminifero de comple o de unión que hay entre las celulas de Sertoli contiguas, uos espermatocitos primarios en paquiteno las espermátides iniciales y las avanzadas, con el resto de su citopiasma en proceso de separación (que se convierte en el cuerpo residual) están por encina del complejo de unión en el compartimento luminal (red bujado de Clermont Y The cycle of the seminiferous epithelium in man. Am J Anat 1963,112 35)

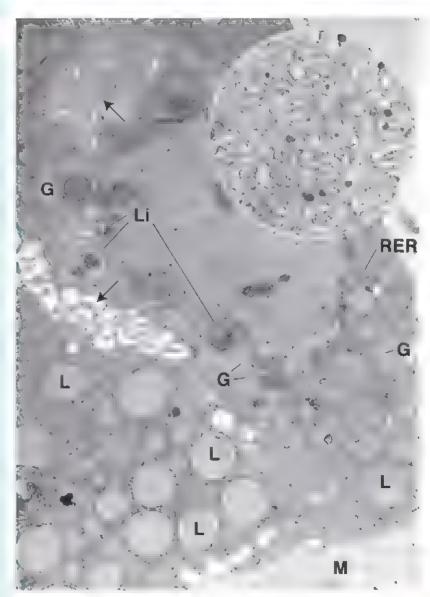


FIGURA 22-7. Microfotografia electrónica de las células de Leydig En esta microfotografia electrónica se muestran diversas porciones de células de Leydig El citoplasma contiene un retículo endoplasmático liso (REL) abundante, una caracteristica de las células de Leydig. Otras características de las células de Leydig vistas en una microfotografia de baja. potencia son las numerosas inclusiones lipidicas (L), los perfiles segmentados del aparato de Golgi (G) y la presencia de una cantidad vanable de lisosomas (Li) También se observan siluetas ocasionales de retículo endoplasmático rugoso (RER). Obsérvese la presencia de microvellosidades à lo largo de porciones de la superficie celular (flechas). M, citoplasma de un macrófago adyacente 10000× Detaile. RER con mayor aumento. Las particulas más densas son glucógeno. 60 000 ×

preparaciones histológicas de rutina, estos cristales son refractivos y miden 3 × 20 μm. Aunque su naturaleza y función exactas se desconocen, probablemente sean un producto proteínico de la célula.

Al igual que otras células secretoras de esteroides, las células de Leydig tienen un retículo endoplasmático liso (REL) elaborado, una característica que explica su eosinofilia (véase fig. 22-7). Las enzimas necesarías para la síntesis de testosterona a partir del colesterol están asociadas con el REL. En las células de Leydig también hay mitocondrias con crestas tubulovesiculares, otra característica de las células secretoras de esteroides.

Las células de Leydig se diferencian y secretan **testosterona** du rante las primeras etapas de la vida fetal. La secreción de testosterona es necesaria para el desarrollo embrionario, la maduración sexual y la función reproductora:

- En el embrión, la secreción de testosterona y otros andrógenos es indispensable para el desarrollo normal de las gónadas en el feto masculino. Además de la testosterona, las células de Leydig secretan la proteina del factor insulínico 3 (INSL3, insulin-like factor 3), que estimula el descenso de los testículos.
- En la pubertad, la secreción de testosterona inicia la producción de espermatozoides, la secreción de las glándulas sexuales accesonas y el desarrollo de los caracteres sexuales secundarios. La secreción de INSL3 también promueve las divisiones meióticas en los túbulos seminíferos.

En el adutto, la secreción de testosterona es indispensable para el mantenimiento de la espermatogénesis, así como de los caracteres sexuales secundarios, las vías espermáticas y las glándulas sexuales accesorias. Las células de Leydig en los testículos adultos son la principal fuente de proteina INSL3 circulante. La medición de INSL3 se usa en analisis clínicos para establecer el indice de capacidad esteroidogenética de las células da Leydig. Además de sintetizar INSL3, las células de Leydig producen y secretan exitocina. La oxitocina testicular estimula la contracción de células mioides que rodean los túbulos seminiferos, moviendo los espermatozoides hacia los conductillos eferentes.

Las células de Leydig son activas en la etapa temprana de diferenciación del feto masculino y después atraviesan un período de inactividad que comienza alrededor de los 5 meses de la vida fetal. Las células de Leydig inactivas son dificiles de distinguir de los fibroblastos. Cuando las células de Leydig se exponen a la estimulación gonadotrópica en la pubertad, otra vez se convierten en células secretoras de andrógenos y permanecen activas toda la vida.

Los tumores de células de Leydig son neoplastas en general benignas que aparecen en dos periodos distintos (en la infancia y en la adultez entre los 20 y 60 años de edad). Son hormonalmente activos y secretan androgenos o una combinación de andrógenos y estrógenos. En general, están com-

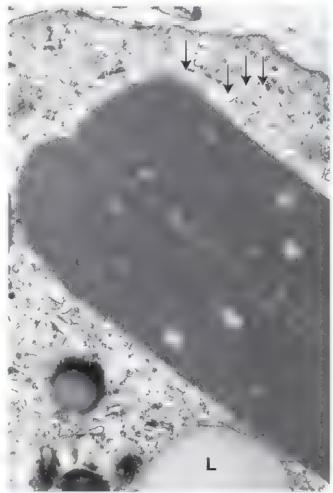


FIGURA 22-8. Microfotografía electrónica en un cristal de Reinke. En esta microfotografia electrónica se muestra la estructura interna de un cristal de Reinke en el citoplasma de una célula de Leydig humana También obsérvese el retículo endoplasmático liso (fiechas) y una gota de lípidos (L) en el citopiasma. 16000× (cortesía del Dr. Don F Cameroni

puestos por células uniformes con todas fas características de fas células secretoras de hormonas esteroideas, incluidos los cristales de Reinke. El primer signo clínico de estos tumores benignos, además del agrandamiento testicular, suele asociarse con un aumento en la producción hormonal. En los varones prepuberes esto conduce a una pubertad precoz (desarrollo sexual a edad temprana), mientras que en los adultos puede observarse feminización (aparición de caracteres sexuaies femeninos) y ginecomastia (desarrollo mamario en el hombre).

ESPERMATOGÉNESIS

La espermatogénesis es el proceso por el cual las espermatogonias dan origen a los espermatozoides.

La espermatogénesis, es decir, el proceso por el cual se producen los espermatozoides, incluye una serie de fenómenos complejos y singulares. Comienza poco antes de la pubertad bajo la influencia de concentraciones cada vez mayores de gonadotropinas hipofisarias y continúa durante toda la vida. Con fines descriptivos, la espermatogénesis se divide en tres fases distintas:

- La fase espermatogonica (de espermatogonia), en la cual las espermatogonias se dividen por mitosis para reemplazarse a sí mismas y para dar lugar a una población de espermatogonias obligadas que en algún momento se diferenciarán en espermatocitos primarios.
- La fase espermatocítica (meiosis), en la cual los espermatocitos primarios experimentan las dos divisiones meióticas que reducen tanto la cantidad de los cromosomas como el contenido de ADN para producir células haploides llamadas espermátides.
- La fase de espermátide (espermlogenesis), en la cual las espermátides se diferencian en espermatozoides maduros.

Al final de la espermatogenesis, las espermátides logran su maduración final y se liberan en la luz del rúbulo seminífero desde las células sustentaculares de Sertoli durante un proceso llamado espermiación.

CONSIDERACIONES FUNCIONALES REGULACIÓN MORMONAL DE LA ESPERMATOGÉNESIS

La función testicular normal depende de hormonas que actuan por mecanismos andocrinos y paracrinos. La función endocana del testículo está a cargo de la población de células de Leydig que sintetizan y secretan el andrógeno circulante principal la testosterona. Casi toda la testosterona es producida por el testiculo, menos del 5% proviene de las grandulas suprarrenales. Se calcula que en los humanos la población total de células de Leydig produce unos 7 mg de testosterona por día. Conforme abandona las células de Leydig, la testosterona se introduce en los capitares sanguíneos. y linfáticos y atraviesa el tejido peritubular para alcanzar el epitelio seminifero.

Para la proliferación y la diferenciación de las células espermatogénicas se necesitan concentraciones locales elevadas de testosterona en los testículos (se calcula que son 200 veces más altas que las concentraciones de la hormona circulante). Estas concentraciones testiculares pueden reducirse. de forma significativa mediante una retroalimentación negativa de hormona exógena. La investigación exhaustiva en este campo se enfoca en el desarrollo de un prototipo de fármaco. anticonceptivo masculino basado en la testosterona. En los estudios clínicos iniciales se ha comprobado que estos medicamentos causan una reducción importante de la concentración testicular de testosterona y la inhibición de la espermatogénesis. Después de suspender el uso del anticonceptivo, se restaura la espermatogénesis. Sin embargo, en algunas personas, este tipo de anticonceptivo no es eficaz y no produce la supresión espermatogénica. También puede provocar efectos colaterales importantes, como acné y depresión.

La testosterona penfénca tiene los siguientes efectos.

- Diferenciación del sistema nervioso central (SNC) y del aparato genital y las vías espermáticas
- Desarrollo y mantenimiento de los caracteres sexuales secundanos (como la barba, la distribución masculina del vello del pubis, la voz grave)
- Crecimiento y mantenimiento de las glándulas sexuales accesorias (vesículas seminales, próstata y glándulas bulbouretrales), el sistema de vias genitales espermáticas y los genitales externos (principalmente subproductos de la conversión de testosterona a DHT)

CONSIDERACIONES FUNCIONALES REGULACIÓN HORMONAL DE LA ESPERMATOGÉNESIS

- Procesos anabólicos y metabólicos generales, incluyendo el crecimiento del esqueleto, el desarrollo del musculo esquelético, la distribución del tejido adiposo subcutáneo y la función renal.
- Efectos sobre el comportamiento, incluida la libido

Las actividades esteroidogénicas y espermatogénicas del testículo son reguladas por la interacción hormonal del hipotálamo, el lóbulo anterior de la hipóf sis y las células gonadales (células de Sertoli, células espermatogénicas y células de Leydig). El lóbulo anterior de la hipófisis produce tres hormonas que participan en este proceso, hormona luteinizante (LH,

luteinizing hormone, lutropina), que en el hombre a veces rec be el nombre de hormona estimulante de las células intersticiales (ICSH, interstitual cell-stimulating hormone), hormona foliculoestimulante (FSH, folicle-stimulating hormone; folitropina), y prolactina (PRL). En respuesta a la liberación hipofisaria de LH, las células de Leydig producen cantidades cada vez mayores de testosterona. La PRL actua en combinación con la LH para intensificar la actividad esteroidogênica de las células de Leydig. Dado que tienen receptores de FSH y testosterona, las células de Sertoli son los reguladores primanos de la espermatogénesis.

Fase de espermatogonia

En la fase espermatogónica, las células madre se dividen para reemplazarse a sí mismas y mantener una población de espermatogonias obligadas.

Las células madre espermatogónicas realizan varias divisiones y producen espermatogonias, que se pueden diferenciar en tres tipos segun el aspecto de sus núcleos en las preparaciones rutunarias de H&E:

 Las espermatogonias tipo A oscuras (Ad) tienen un núcleo ovalado con cromatina granular fina muy basófila. Se piensa que estas espermatogonias son las células madre del epitelio seminífero. Se dividen en intervalos irregulares para dar origen a un par de espermatogonias tipo Ad que permanecen como ociulas modre de resorva, o bien, a un par de espermatogonías tipo Ap.

Las espermatogonias tipo A claras o palídas (Ap) tienen un núcleo ovalado con cromatina granular fina poco teñida. Están obligadas a seguir el proceso de diferenciación que produce espermatozoides, Realizan varias divisiones mitóticas sucesivas que aumentan su cantidad. Las espermatogonias tipo Ap también se conocen como celulas medre de renovación.

CUADRO 22-2

CORRELACION CLÍNICA: FACTORES QUE AFECTAN LA ESPERMATOGÉNESIS

Las células espermatogénicas son sensibles a factores nocivos. Después de la exposición a estos factores, es fácil detectar alteraciones degenerativas como la apoptosis, la exfoliación prematura de las células o la formación de células gigantes multinucleadas. Entre los factores que afectan negativamente la espermatogénesis pueden mencionarse los siguientes

- Deficiencias dietéticas. Se sabe que la reducción en la ingesta dietética deteriora la espermatogénesis. Se ha demostrado que las vitaminas, coenzimas y microelementos como las vitaminas A, B₁₂, C, E, β-carotenos, zinc y selenio afectan la formación de espermatozoides.
- Factores ambientales y estilo de vida. Un estudio reciente realizado en Dinamarca comparó los recuentos de espermatozoides en dos grupos de hombres jóvenes de poblaciones rurales y urbanas. En los varones del grupo rural, el promedio de los recuentos de espermatozoides fue más alto (24%) en comparación con el grupo urbano.
- Alteraciones del desarrollo. Se ha comprobado que la criptorquidia, el hipospadias y factores como el bajo peso al nacer son factores de riesgo importantes para el cáncer testicular asociado con una disminución de la calidad del semen y una reducción de la fertilidad.
- Enfermedades sistémicas o infecciones locales. Las infecciones que afectan los testículos (orquitis) pueden tener un efecto sobre la espermatogénesis. Las alteraciones sistémicas que pueden alterar la espermatogénesis incluyen fiebre, nefropatías, infecciones por VIH y otras infecciones víncas, así como anfermedades metabólicas.
- Temperatura testicular elevada. Un estilo de vida sedentano puede alterar la capacidad para mantener la temperatura baja de los testículos en el escroto. La temperatura escrotal más alta que la promedio se asocia con un fracaso de la espermatogénesis.
- Hormonas esteroideas y fármacos relacionados. La exposición a estrógenos sintéticos (dietilestifibestrol) y otros este-

- roides sexuales puede ejercer una retroalimentación negativa sobre la secreción de FSH, con la consiguiente reducción de la espermatogénesis. La exposición prenatal a los estrógenos puede inhibir en potencia la secreción de las gonadotropinas fetales y la proliferación de las células de Sertoli
- Agentes tóxicos, Los agentes mutágenos, los antimetabolitos y algunos pesticidas, como el dibromodoropropano (DBCP), pueden afectar drásticamente la espermatogénesis y la producción de espermatozoides normales. El DBCP es un nematocida que todavía se usa en algunos paises en desarrollo. En los humanos se ha comprobado que la exposición causa una disminución importante del recuento de espermatozoides e infertilidad. Otros agentes que pueden afectar la fertilidad incluyen sustancias químicas en los plásticos (p. ej., ftalatos), pesticidas (p. ej., DDT), productos de la combustión (p. ej., dioxinas), bifendos policiorados (p. ej., PCB) y otros. La mayoría de estos productos químicos tienen propiedades estrogénicas débiles y se conocen como sustancias químicas que alteran la función endocrina (SOAFE) La toxicidad directa contra la espermatogonia se relaciona con cambios en la calidad de los espermatozoides.
- Radiación ionizante y agentes alquilantes. Se ha comprobado que el gas mostaza nitrogenado y la procarbazina ejercen efectos tóxicos sobre las espermatogonias. La radiación electromagnética y las microondas también afectan la cantidad y la motilidad de los espermatozoides.

Las células en proviferación son particularmente sensibles a los agentes mutágenos y la carencia de metabolitos esenciales. Por lo tanto, las células que no experimentan divisiones, como las células de Sertoli, las células de Leydig y las células madre de reserva, que tienen una actividad mitótica baja, son mucho menos vulnerables que las células espermatogénicas en diferenciación que se dividen activamente

Las espermatogonias tipo B en general tienen un núcleo esférico con cromatina condensada en grandes grumos sobre la envoltura nuclear y alrededor del nucléolo central (véase fig. 22-6).

Una característica poco habitual de la división de una espermatogonia tipo Ad en dos espermatogonias tipo Ap es que las células hijas permanecen unidas por un fino puente citoplasmático. Este mismo fenómeno ocurre en cada división mitótica y meiónica siguiente de la progenie del par original de espermatogonias A (fig. 22-9). Así, toda la progenie de un par inicial de espermatogonias Ap está conectada como las perlas de un collar. Estas conexiones citoplasmáticas permanecen intuctas hasta las últimas etapas de la maduración de las espermándes y son indispensables para el desarrollo sincrónico de cada clon de un par original de células Ap.

Después de varias divisiones, las espermatogonias tipo A se diferencian en espermatogonias tipo B. La aparición de las espermatogonias tipo B es el último acontecimiento de la fase espermatogónica.

Fase espermatocítica o de espermatocito (meiosis)

En la fase espermatocítica (de espermatocito), los espermatocitos primarios realizan una meiosis para reducir tanto la cantidad de cromosomas como el contenido de ADN.

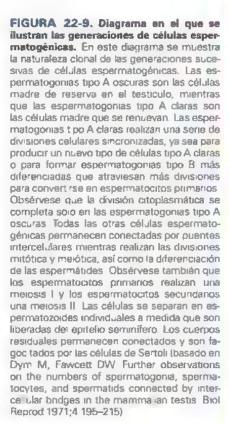
La división mitótica de las espermatogonias tipo B produce espermatocitos primarios. Estos duplican su ADN poco después de que se forman y antes de comenzar la meiosis, de modo que cada espermatocito primario contiene el número cromosómico normal (2n). Como cada cromosoma tiene dos cromátides hermanas, los espermatocitos primarios contienen el doble de la cantidad de ADN (4d).

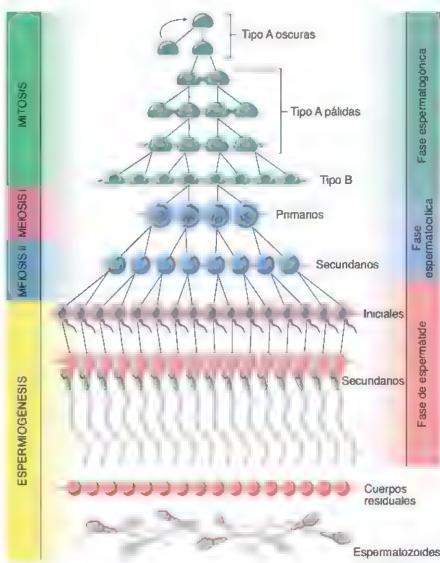
La meiosis i tiene como resultado la reducción de la cantidad de los cromosomas (de 2n a 1n) y de ADN al estado haploide (de 4d a 2d); así, el espermatocito secundario se caracteriza por una cantidad haploide de cromosomas (1n) y una cantidad 2d de ADN. Como la meiosis II no está precedida por una duplicación del ADN, después de esta división cada espermátide tiene la cantidad haploide (1n) de cromosomas, cada uno compuesto por una sola cromátide (1d). La meiosis se describe a detalle en el capítulo 3; a continuación se ofrece una descripción breve de la meiosis espermatocítica.

Cada espermatocito realiza una meiosis para formar cuatro espermátidos haploidos.

La profase de la primera división meiótica, en la cual la cromatina se condensa en cromosomas visibles, dura hasta 22 días en los espermatocitos primarios humanos. Al final de la profase pueden identificarse 44 autosomas y un cromosoma X y otro Y, cada uno con dos hebras de cromatina (cromátides). Los cromosomas homólogos se parean conforme se alinean en la placa de la metafase.

Los cromosomas homólogos pareados, que reciben el nombre de tétradas porque están compuestos por cuatro cromátides, intercambian material genético en un proceso conocido como





recombinación (crossing-over). Durante este intercambio, las cuatro cromátides se reordenan en una estructura tripartira llamada complejo sinaptonémico. Este proceso garantiza la diversidad genética. A través del intercambio genético, las cuatro espermátides producidas a partir de cada espermatocito son diferentes unas de otras y de todas las demás espermátides derivadas de otros espermatocitos.

Una vez completada la recombinación, los cromosomas homólogos se separan y avanzan hacía los polos opuestos del huso meiotico. Así, las tétradas, que fueron modificadas por la recombinación génica, se separan y se convierten en díadas nuevamente. Las dos cromátides de cada cromosoma original (aunque modificadas por la recombinación) permanecen juntas.

El movimiento de un cromosoma particular de un par de homólogos a cualquiera de los polos del huso es aleatorio (es decir, que los cromosomas derivados del padre y los derivados de la madre no se clasifican de acuerdo con su clase sobre la placa ecuatorial de la metafase). Esta distribución aleatoria es otra fuente de diversidad genética en los espermatozoides resultantes.

Las células derivadas de la primera división meiótica reciben el nombre de espermatocitos secundarios. Estas células entran de inmediato en la profase de la segunda división meiótica sin sintetizar ADN nuevo (sin pasar una fase S, véanse pp. 98-99). La segunda división meiótica es corta y solo dura algunas horas. Cada espermatocito secundario tiene un número reducido de cromosomas (1n) que está representado por 22 autosomas y un cromosoma X o Y. Cada uno de estos cromosomas está compuesto por dos cromándes hermanas. El espermatocito secundario tiene la cantidad 2d (diploide) de ADN. Durante la metafase de la segunda división meiótica, los cromosomas se alinean sobre la placa ecuatorial de metafase y las cromátides hermanas se separan y avanzan hacia polos opuestos del huso. Conforme la segunda división meiótica se completa y las membranas nucleares se reconstituyen, se forman dos espermetidos haploides a partir de cada espermatocito secundario, cada una con 23 cromosomas de una sola cromátide (1n) y la cantidad 1d de ADN (fig. 22-10).

Fase de espermátide (espermiogénesis)

En la fase de espermátide, las espermátides experimentan una remodelación celular extensa conforme se diferencian en espermatozoides maduros.

Cada **espermátide** producto de la segunda división meiótica es haploide en cuanto a contenido de ADN (1d) y número de cromosomas (1n), representado por 22 autosomas y un cromosoma X o Y. Después de esto, no hay más divisiones. Las espermátides haploides pasan por un proceso de diferenciación que produce los espermatozoides maduros, que también son haploides. El estado 2d se restablece cuando un espermatozoide fecunda un ovocito.

La extensa remodelación celular que ocurre durante la diferenciación de la población de espermátides en espermatozoides maduros (espermiogénesis) consta de cuarro fases: la fase de Golgi, la fase de casquete, la fase de acrosoma y la fase de maduración. Estas fases ocurren mientras las espermándes están físicamente adheridas a la membrana plasmática de las células de Sertoli por uniones especializadas. Los cambios morfológicos en las cuatro fases que ocurren durante la espermiogénesis se describen a continuación y se esquematizan en la figura 22-11.

Fase de Golgi

Esta fase se caracteriza por la presencia de gránulos positivos al ácido peryódico de Schiff (PAS, periodic acid-Schiff) que se acumulan en los numerosos complejos de Golgi de la espermátide. Estos gránulos proacrosómicos, ricos en glucoproteínas, confluyen en una vesícula limitada por una membrana, la vesicula acrosómico, adyacente a la

envoltura nuclear. La vesícula aumenta de tamaño y su contenudo se incrementa durante esta fase. La posición de la vesícula acrosómica determina el polo anterior del espetmatozoide en desarrollo. También durante esta fase los centriolos migran desde la región yuntanuclear hacia el polo posterior de la espermátide, donde el centriolo maduro se alinea perpendicular a la membrana plasmática. El centriolo inicia el armado de los nueve dobletes de microtúbulos periféricos y los dos microtúbulos centrales que forman el axonema de la cola del espermatozoide

Fase de casquete

En esta fase, la vesícula acrosómica se extiende sobre toda la mitad anterior del núcleo. Esta estructura modificada recibe el nombre de casquete o capueción acrosómico. La porción de la envoltura nuclear que está debajo del casquete acrosómico pierde sus poros y se engrosa. El contenido nuclear también se condensa. El ADN en la espermátide es unas seis veces menor que el ADN en los cromosomas mitóticos. Este nivel de condensación de ADN nuclear se logra gracias a la presencia de pequeñas proteínas básicas llamadas proteínas, que se incorporan en la cromatina durante la espermiogénesis y reemplazan a las histonas centrales.

Fase de acrosoma

En esta fase, la espermátide se reorienta de modo que la cabeza se incluye profundamente en la célula de Sertoli y apunta hacia la lámina basal. El flagelo en desarrollo se extiende dentro de la luz del túbulo seminífero. El núcleo condensado de la espermátide se aplana y se alarga; el núcleo y su acrosoma superpuesto también se mueven hacia una posición justo contigua a la membrana plasmática anterior y el citoplasma es desplazado hacia atrás. Los microtúbulos citoplasmáticos se organizan en una vaina cilíndrica, llamada manguito (manchette), que se extiende desde el borde posterior del acrosoma hacia el polo posterior de la espermátide.

Los centriolos, que ya habían miciado el desarrollo del flagelo, ahora retornan a la superficie posterior del núcleo donde el centriolo inmaduro se fija a un surco poco profundo en el núcleo. Luego, se modifican para formar la pieza de conexión o región del cuello del espermatozoide en desarrollo. De los centriolos adheridos al núcleo surgen nueve fibras gruesas que se extienden dentro de la cola en forma de fibras densas externas por fuera de los microtúbulos del axonema. Estas fibras unen el núcleo con el flagelo, de ahí el nombre de pieza de conexión.

Conforme la membrana plasmática se mueve hacia atrás para cubrir el fiagoto en crecimiento, el manguito desaparece y las mítocondrias migran desde el resto del citoplasma para formar una vaina helicotdal ajustada que rodea las fibras gruesas en la región del cuello y en su extensión posterior inmediata (fig. 22-12). Esta región es la pieza intermedia de la cola del espermatozoide. En dirección distal respecto a la pieza intermedia, una vaina fibrosa compuesta por dos columnas longitudinales y varias "costillas" de conexión rodea las nueve fibras longitudinales de la pieza principal y se extiende casí hasta el final del flagelo. Este segmento corto de la cola, distal con respecto a la vaina fibrosa, recibe el nombre de pieza terminal.

Fase de maduración

Esta última fase de remodelado de la espermátide reduce el exceso de citoplasma de alrededor del flagelo para formar el espermatozolde maduro. Las células de Sertoli fagocitan después este exceso de citoplasma, también llamado euerpo residual. Los puentes intercelulares que han caracterizado los gametos en desarrollo desde las erapas preespermatocíticas permanecen con los cuerpos residuales. Las espermátides ya no están adheridas entre sí y son liberadas de las células de Sertoli

FIGURA 22-10. Comparación de mitosis y meiosis en la espermatogénesis y la ovogénesis. Los pares de cromosomas (2n, de origen materno y paterno están representados en rojo y azul, respectivamente. La división mitótica produce cé Las hillas que son genéticamente idénticas a la celula progenitora (2n). La división meiótica que trene dos componentes, una división reduccional y una división ecuatorial, produce una cé ula que bene solo dos cromosomas (1n, Además, durante el pareamiento cromosomico en la profase il de la meiosis, los segmentos de cromosoma se intercambian, lo que origina una mayor diversidad genética. En los humanos, el primer cuerpo polar no se divide, pero si lo hace en otras especies.

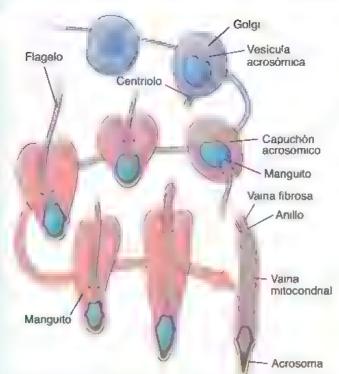


FIGURA 22-11. Diagrama de la espermiogénesis en el humano. Se ilustran los cambios básicos en la estructura de los orgánulos clave de la espermátide, véase el texto para una explicación deta lada (modificado de Dym M. En. Weiss L, ed. Cell and Tissue Biology A Textbook of Histology, 6th ed. Baltimore: Urban & Schwarzenberg, 1988)

Las espermátides son liberadas en la luz de los túbulos seminiferos durante el proceso llamado *espermiación*.

Hacia el final de la fase de maduración de la espermatogénesis, las espermátides alargadas son liberadas desde las células de Sertoli hacia la luz del tribulo seminífero. Este proceso complejo, llamado espermiación, incluye la eliminación progresiva de complejos de unión célula de Sertoli-espermátide y el desprendimiento de las espermándes de las células de Sertoli. La presencia de integrinas ß en las uniones célula de Sertoli-espermánde, así como el aumento de la actividad de la cinasa vinculada con la integrina en el momento de la espermiación, sugieren un control enzimático en la liberación de las espermátides. El ritmo de la espermiación en el testículo determina la cantidad de espermatozoides en el semen eyaculado. Varios tratamientos farmacológicos y compuestos tóxicos, así como la supresión de las gonadotropinas producen un defecto en la espermiación, en el cual las espermátides no son liberadas, sino que son retenidas y fagocitadas por las células de Sertoli

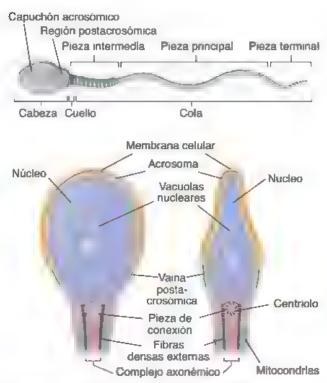
Estructura del espermatozoide maduro

Los fenómenos de la espermiogénesis dan origen a una célula estructuralmente singular.

El espermatozoide humano maduro tiene unos 60 µm de longitud. La cabeza del espermatozoide es plana y puntiaguda y mide 4.5 µm de largo por 3 µm de ancho y 1 µm de espesor (véase fig. 22-12). El casquete acrosómico que cubre los dos tercios anteriores del núcleo contiene hialuronidasa, neuraminidasa, fosfatasa ácida y una protessa similar a la tripsina llamada acrosina. Estas enzimas acrosómicas son indispensables para la penetración de la membrana pelúcida del óvulo. La liberación de las enzimas acrosómicas cuando el espermatozoide entra en contacto con el ovocito es el primer paso de la reacción acrosómica. Este complejo proceso

facilita la penetración del espermatozoide y la ulterior fecundación, e impide el ingreso de otros espermatozoides en el óvulo.

La cola del espermatozoide se subdivide en cuello, pieza intermedia, pieza principal y pieza terminal. El corto cuello contiene



REGIÓN DE LA CABEZA Y EL CUELLO



complejo axonémico





PIEZA PRINCIPAL

FIGURA 22-12. Diagrama de un espermatozoide humano. Las regiones del espermatozoide se indican amba. Las características estructurales fundamentales de la cabeza (vista en cortes frontal y sagistal), de la pieza intermedia y la pieza principal del espermatozoide se ilustran abajo (modificado de Pederson PL, Fawcett DW. En: Hafez ESE, ed Human Semen and Fertility Regulation in the Male St. Louis. CV Mosby, 1976)

los centriolos y el origen de las fibras densas. La pieza intermedia tiene unos 7 µm de longitud y contiene las mitocondrias dispuestas en forma helicoidal alrededor de las fibras densas y el complejo axonémico. Estas mitocondrias proporcionan la energía para el movimiento de la cola y, por ende, son las responsables de la movilidad del espermatozoide. La pieza principal mide unos 40 µm de longitud y contiene la vaina externa de las fibras densas y el complejo axonémico. La pieza terminal, los últimos 5 µm del flagelo en el espermatozoide maduro, solo contiene el complejo axonémico.

Los espermatozoidos recién liberados son procesados en el epididimo, donde adquieren movilidad y pasan por un proceso de maduración adicional.

Los espermatozoides recién liberados son inmóviles y se transportan desde los túbulos seminíferos en un líquido secretado por las células de Serroli. El líquido y los espermatozoides fluyen a lo largo de los tubulos seminiferos, asistidos por las contracciones peristálticas de las células peritubulares contráctiles de la lámina propia. Luego îngresan en los túbulos rectos, que son segmentos cortos de los túbulos seminíferos donde el epitelio está formado solo por células de Sertoli. En el mediastino testicular, el líquido y los espermatozoides ingresan en la red testicular, un sistema de anastomosis cubierto por un epitelio cúbico simple (lám. 87, p. 866). Desde la red testicular, se desplazan hacia la porción extratesticular de los conductillos eferentes, o la primera porción de las vías espermáticas, y después hacia el segmento proximal del conducto del epididimo. Conforme atraviesan los 4-5 m de longitud del conducto del epidídimo, que es extremadamente tortuoso, los espermatozoides adquieren movilidad y experimentan varios cambios madurativos. Estos cambios incluyen lo siguiente:

- La condensación adicional del ADN nuclear debido a una serie de fenómenos de remodelado cromatínico que producen el reemplazo de historias por protaminas. La cabeza del espermatozoide dismuniye de tamaño.
- La reducción adicional del citoplasma. Los espermatozoides se hacen más delgados.
- Cambios en los lipidos, las proteínas y la glucosilación de la membrana plasmática.
- Alteraciones en la membrana acrosómica externa (discapacitación). El factor de discapacitación asociado con la superficie inhibe la capacidad fecundante de los espermatozoides (véase p. 853).

Lo más probable es que el comienzo de la movilidad de los espermatozoides durante su tránsito a lo largo del epidídimo se asocie con cambios en las concentraciones intracelulares de monofosfato de adenosina cíclico (cAMP, cyclic adenosine monophosphate), iones de calcio (Ca²⁺) y una modificación del pH intracelular. Estos factores regulan el movimiento flagelar a través de cambios en la fosforilación proteira, debido a las actividades de proteinas-cinasas y fosfatasas. Por ejemplo, la estimulación farmacológica de la actividad de la proteina-cinasa A aumenta la movilidad de los espermatozoides, mientras que la inhibición de la actividad de la fosfatasa puede iniciar o estimular esta movilidad. Esto sugiere que las fosfatasas desempeñan un papel importante en la regulación de la actividad cinética de los espermatozoides.

Las contracciones del músculo liso que rodea los conductos progresivamente más distales y de calibre mayor siguen moviendo los espermatozoides por acción peristáltica hasta que alcanzan la porción distal del conducto del epidídimo, donde se almacenan antes de la evaculación.

Los espermatozoides pueden vivir varias semanas en el sistema de vías espermáticas masculino, pero sobrevivirán solo 2 o 3 días en el aparato reproductor femenino. Adquieren la capacidad de fecundar el óvulo solo después de haber pasado algún tiempo en el sistema

reproductor femenino. Este proceso, que incluye la eliminación y el reemplazo de componentes del glucocáliz (glucoconjugados) de la membrana del espermatozoide, se denomina capacitación. La capacitación de los espermatozoides se describe con detalle en el capítulo 23. Aparato reproductor femenino.

■ TÚBULOS SEMINÍFEROS

Ciclo del epitelio seminifero

Las células espermatogénicas en diferenciación no están distributdas aleatoriamente en el epitelio seminifero, ya que existen tipos celulares específicos que se agrupan juntos. Estos grupos o asociaciones se producen gracias a puentes intercelulares entre la progenie de cada par de espermatogonias tipo Ap y porque las células sincronizadas pasan tiempos específicos en cada etapa de la maduración. Todas las fases de la diferenciación ocurren de forma secuencial en cualquier sitio dado de un túbulo seminífero porque la progenie de las células madre permanece conectada por puentes citoplasmáticos y experimenta las divisiones mitóticas y meióticas, así como la maduración de manera sincrónica (véase fig. 22-10).

Cada agrupamiento o asociación colular reconocible se considera una etapa o estadio de un proceso cíclico. La serie de estadios que hay entre dos apanciones sucesivas del mismo patrón de asociación celular en cualquier sitio dado del túbulo seminifero constituye un ciclo del epitelio seminifero. El ciclo del epitelio seminifero se ha estudiado muy bien en las ratas, en las que hay 14 estadios sucesivos en secuencia lineal a lo largo del túbulo. En el ciclo del epitelio seminifero del humano se han podido definir seis estadios o asociaciones celulares (fig. 22-13). Estos estadios no están tan claramente delimitados como los de los roedores porque en el hombre las asociaciones celulares ocurren en parches irregulares que forman un patrón en mosaico.

La duración de la espermatogénesis en el humano es de unos 74 días.

Después de la inyección de un pulso de timidina tritiada, se puede seguir una generación celular específica mediante biopsias secuenciales de los rúbulos seminíferos. De esta manera es posible determinar el tiempo que necesitan las células marcadas para pasar por los diversos estadios. En cualquier sitio y momento dados puede haber varias generaciones de células en desarrollo en el espesor del epitelio seminifero, lo cual produce las asociaciones celulares características. Los estudios autorradiográficos han permitido comprobar que la duración del cicio del epitello seminifero es constante y tarda unos 16 días en los humanos. Se requerirían más o menos 4.6 ciclos (cada uno de 16 días de duración), o sea unos 74 días, para que una espermatogonia derivada de un citoblasto completara el proceso de espermatogénesis. Luego se necesitarian unos 12 dias más para que el espermatozoide atravesara el epididimo. Unos 300 millones de espermatozoides se producen diariamente en los testículos humanos. La duración del ciclo y el tiempo necesario para la espermatogénesis son constantes y específicos de cada especie. Por lo tanto, en cualquier intervención farmacológica (p. ej., el tratamiento contra la infertilidad masculina), si se administra un medicamento que afecta las fases iniciales de la espermatogenesis, se necesita que transcurran unos 86 días para ver los efectos de ese compuesto sobre la producción de los espermatozoides

Ondas del epitelio seminífero

Como ya se señaló, el ciclo del eputelio seminifero describe los cambios que ocurren con el tiempo en cualquier sitio del túbulo. Además, la onde del epitelio seminifero describe la distribución de los patrones de asociación celular (estadios o etapas espermatogénicas) en

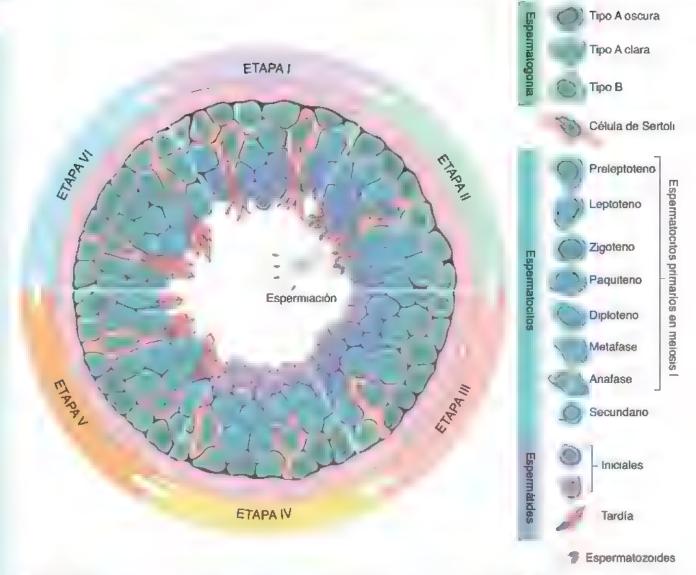


FIGURA 22-13. Diagrama de los estadios o etapas del epítelio seminífero en el humano. En este diagrama se muestra cada una de las seis asociaciones de uiares reconocibies (etapas o estadios) que ocurren en al cicio de lepite lo seminífero en los humanos. Estas etapas de la espermatogenes sise definen artificia mente de acuerdo con los cambios observados en las espermatides durante los distintos pasos de diferenciación. En 1952 un estudio de Lebiond y Clermont describió por primera vez seis etapas del epite o seminifero desde entonces fueron adoptadas por la mayor a de los investigadores. Las etapas se escriben con los numeros romanos de la vI (las asociaciones celulares mostradas en esta i ustración se basan en Ciermont Y The cycle of the seminiferous epithelium in man. Am J Anat 1963 112 35–51)

toda la longitud del túbulo. En roedores y otros mamíferos estudiados, incluso primates no humanos, cada estadio ocupa una longitud significativa del túbulo seminifero y los estadios parecen ocurrir secuencialmente a todo lo largo del túbulo. En la rara, hay cerca de 12 ondas en cada rúbulo. Un corte transversal del rúbulo seminífero suele mostrar un solo patrón de asociaciones celulares. En el epitelio seminífero humano no hay ondas y la organización de los estadios espermatogénicos a lo largo del túbulo seminífero es aleatoria. Cada patrón de asociaciones celulares (estadios espermatogénicos) tiene una distribución en parche en los túbulos seminíferos del humano (fig. 22-14). Estos parches o territorios no se extienden alrededor de la circunferencia del rúbulo y rampoco están en secuencia. Por lo tanto, en un corte transversal de un túbulo seminífero humano pueden verse hasta seis estadios diferentes del ciclo distribuidos en cuñas, como las porciones de una tarra, alrededor de la circunferencia del rúbulo.

Células de Sertoli

Las células de Sertoli constituyen el verdadero epitelio del túbulo seminífero.

Las células de Sertoli (células sustentaculares) son células epiteliales cilíndricas altas que no se dividen y descansan sobre la lámina basal multiestratificada gruesa del epitelio seminífero (fig. 22-15). Son las células de sostén para los espermatozoides en desarrollo que se fijan a su superficie después de la meiosis. Las células de Sertoli contienen un REL extenso, un RER bien desarrollado y pilas o rimeros de laminillas anulares. Tienen muchas mitocondrias esferoideas y alargadas, un aparato de Golgi bien desarrollado y cantidades variables de lisosomas, inclusiones lipídicas, vesículas y gránulos de glucógeno.

El citoesqueleto de la célula de Sertoli es uno de los más elaborados en el cuerpo humano y contiene los siguientes componentes:

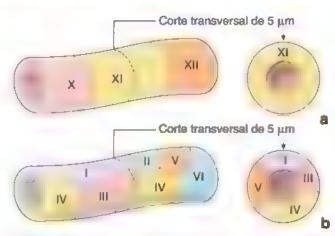


FIGURA 22-14. Diagrama de la organización del epitelio seminifero en humanos y otras especies. a. En los ratones y otras especies de roedores, una asociación celular específica ocupa extensiones variables a lo largo del túbulo. Así, en un corte transversal tip co solo se observa una asociación celular b. En los humanos, las asociaciones celulares ocurren en áreas irregulares a lo largo del tuburo y, por ende, un corte transversal muestra en general dos o más asociaciones celulares.

- Los microtubulos, que son abundantes y están predominantemente orientados de forma paralela al eje longitudinal de la célula. A diferencia de lo que ocurre en muchas otras células, los microtúbulos están nucleados en la periferia de la célula de Sertoli y no en el centro organizador de microtúbulos. Están todos orientados con su extremo negativo (—) hacia el vértice y su extremo positivo (+) hacia la base de la célula. Además de su función en el transporte vesicular, algunos trabajos recientes sugieren que los microtúbulos y las proteínas motoras asociadas con los microtúbulos son responsables de reposicionar las espermándes alargadas incluidas en el citoplasma de la célula de Sertoli.
- Los filamentos intermedios, que son un componente primordial del citoesqueleto de la célula de Sertoli y consisten principalmente en vimentina (proteínas tipo III del filamento intermedio). Forman una vaina perinuclear que rodea y separa el núcleo de otros orgánulos citoplasmáticos. Los filamentos intermedios se extienden desde la vaina perinuclear hasta las uniones similares al desmosoma entre las células de Sertoli contiguas y los hemidesmosomas.
- Los filamentos de aotina, que están concentrados debajo de la membrana plasmática cerca de las uniones intercelulares. Estos filamentos refuerzan y estabilizan las especializaciones de la unión intercelular de la membrana plasmática de la célula de Sertoli.

El núcleo eucromatico de la célula de Sertoli, una característica de esta célula muy reactiva, suele ser ovalado o triangular y puede tener una o más escotaduras profundas. Su forma y su ubicación varían. Puede ser aplanado y estar en la porción basal de la célula, cerca de la membrana celular basal y ser paralelo a ella o puede tener forma triangular u ovalada y estar cerca o a cierta distancia de la base de la célula. En algunas especies, el núcleo de la célula de Sertoli contiene una estructura tripartita singular formada por un nucléolo provisto de ARN flanqueado por un par de corpúsculos provistos de ADN llamados ceriosomes (fig. 22-16)

En los humanos se pueden encontrar cuerpos de inclusión (de Charcot-Bötteher) característicos en el citoplasma basal. Estos finos cristaloides fusiformes miden 10-25 μm de largo por 1 μm de ancho y son visibles en las preparaciones histológicas habituales.

Con la microscopía electrónica de transmisión se observan como paquetes de filamentos mal ordenados, paralelos o convergentes, rectos y densos de 15 nm de diámetro (véase fig. 22-15). Su composición química y función son desconocidas; sin embargo, algunos estudios recientes han permitido detectar una acumulación de proteínas receptoras de lipoproteínas (CLA-1). Esto sugrere que los cuerpos de inclusión participarían en el transporte de lípidos y en su empleo por las células de Sertoli.

El complejo de unión célula de Sertoli-célula de Sertoli está formado por una combinación estructuralmente singular de especializaciones de la membrana y el citoplasma.

Las células de Sertoli están unidas unas a otras mediante un complejo de unión célula de Sertoli-célula de Sertoli singular (fig. 22-17) Este complejo se caracteriza, en parte, por una unión ocluyente o hermética (zonula occludens) que incluye más de 50 líneas de fusión paralelas en las membranas contiguas. Además, existen dos componentes catoplasmáticos que caracterizan este complejo de unión particular:

 Una cistema aplanada del REL es paralela a la membrana plasmática en la región de la unión en cada célula.

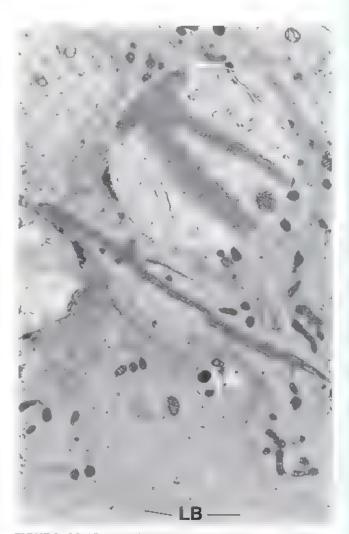


FIGURA 22-15. Microfotografía electrónica de una célula de Sertoli del humano. En esta microfotografía electrónica se muestran los cuerpos de inclusión cristaloides característicos de Charcot-Bottcher en el citopiasma basal de la célula de Sertoli. Para facilitar la onentación, se señala la támina basal (LB) 9000× Detalle. Este aumento mayor muestra filamentos del cristaloide. 27 000× (cortesia del Dr. Don F. Cameron)

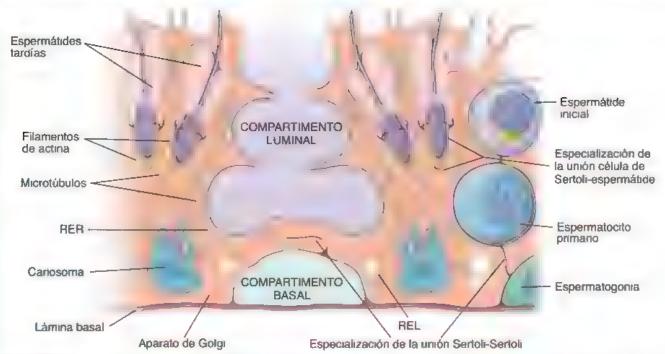


FIGURA 22-16. Diagrama de la célula de Sertoli y su relación con las células espermatogénicas contiguas. En este diagrama se muestra la especialización de la unión célula de Sertoli-cé una de Sertoli entre celulas contiguas as, como la especialización de la unión célula de Sertoli-céspermatide entre la célula de Sertoli y las espermátides fardias. El complejo de unión célula de Sertoli-cé, una de Sertoli-césuna de Sertoli-

 Haces de filamentos de actina, compactados de manera hexagonal, que se encuentran interpuestos entre las cisternas del REL y las membranas plasmáticas.

Un complejo de unión de aspecto similar aparece en la célula de Sertoli en el sitio donde están adheridas las espermátides. Sin embargo, aquí no hay una unión ocluyente y la espermátide no tiene cisternas de REL aplanadas ni haces de filamentos de actina (véanse figs. 22-16 y 22-17). Otras especializaciones de uniones entre las células de Sertoli son las uniones comunicantes (gap o nexos) que hay entre estas células, las uniones de tipo desmosoma que hay entre las células de Sertoli y las células espermatogénicas iniciales, y los hemidesmosomas en la interfase célula de Sertoli-lámina basal.

El complejo de unión célula de Sertoli-célula de Sertoli divide el epitelio seminilero en un compartimento basal y un compartimento luminal que separa el desarrollo y la diferenciación de la célula germinal posmeiótica de la circulación sistémica.

Las uniones célula de Sertoli-célula de Sertoli establecen dos compartimentos epiteliales: un compartimento epitelial baset y un compartimento luminal (véase fig. 22-16). Las espermatogonias y los espermatocitos primarios iniciales están restringidos en el compartimento basal (entre las uniones célula de Sertoli-célula de Sertoli y la lámina basal). Los espermatocitos más maduros y las espermándes están restringidos al lado luminal de la unión célula de Sertoli-célula de Sert

que está por encima. Así, en la diferenciación de las células espermatogénicas, los procesos de la meiosis y la espermiogénesis ocurren en el compartimento luminal.

En ambos compartimentos, las células espermatogénicas están rodeadas por evaginaciones complejas de las células de Sertoli. Debido a la relación estrecha poco habitual entre las células de Sertoli y las células espermatogénicas en diferenciación, se ha propuesto que las células de Sertoli actúan como "nodrizas" o células de sostén (que intervienen en el intercambio de sustratos y desechos metabólicos entre las células espermatogénicas en desarrollo y el aparato circulatorio).

Además, las células de Sertoli fagocitan y degradan los cuerpos residuales formados en la última etapa de la espermiogénesis. También fagocitan cualquier célula espermatogénica que no se diferencie completamente.

El complejo de unión célula de Sertoli-célula de Sertoli forma la barrera hematotesticular.

Además de la compartimentalización física que se acaba de describir, el complejo de unión célula de Sertoli-célula de Sertoli también crea una barrera de permeabilidad llamada barrera hematotesticular. Esta barrera es esencial para establecer una compartimentalización físiológica dentro del epitelio seminífero en lo que se refiere a la composición de iones, aminoácidos, hidratos de carbono y proteínas. Por consiguiente, la composición del líquido en los túbulos seminíferos y las vías espermáticas difiere considerablemente de la composición del plasma sanguíneo y la línfa testicular.

Las proteínas plasmáticas y los anticuerpos circulantes quedan excluidos de la luz de los túbulos seminíferos. Los productos de secreción exocrinos de las células de Sertoli (sobre todo la proteína fijadora de androgenos [ABP, androgen-binding proteín],

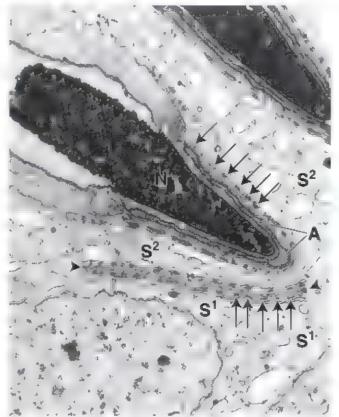


FIGURA 22-17. Microfotografia electronica de las uniones de una célula de Sertoli. En esta microfotografía electrônica se muestra un complejo de unión célula de Sertoli-cé ute de Sertoli y, muy cerca, una especialización de unión célula de Sertoli-espermátida. La condensación y la forma del nucleo (N) de la espermátide están en una fase muy avanzadas. El acrosoma (A) de la espermátide aparece como una situeta con forma de "V" y, en asociación estrecha con él, se halia la especialización de la unión con la célula de Sertoli caracterizada por haces de microfilamentos que aparecen en corte transversal (flechas) La silueta del reticulo endoplasmático asociada está justo contigua a los haces de microfitamentos. La unión cérula de Sertoli-célula de Sertoli se observa en la parte inferior, como una célula de Sertoli (S¹) con la célula de Sertoii (Sº) contigua. Las puntas de flecha indican los limites de la unión. Obsérvese que aquí la unión tiene los mismos elementos, los haces de microfilamentos (flechas) y una silueta del reticulo endoplasmático, que los de la especialización de la unión cé ula de Sertok-espermátide. Con este aumento no puede verse la unión ocuyente asociada con el complejo de unión célula de Sertoli-célula de Sertoli 30 000 ×

que tiene una gran afinidad de umón a la testosterona y la DHT) están muy concentrados en la luz de los túbulos seminíferos y mantienen una concentración elevada de testosterona, lo cual proporciona un microambiente favorable para las células espermatogénicas en proceso de diferenciación.

Más importante aún, la barrera hematotesticular aísla las células germinales haploides (espermatocitos secundanos, espermátides y espermatozoides), que son genéticamente diferentes y por ende antigénicas, del sistema immunitario masculino adulto. Los antígenos producidos por los espermatozoides, o específicos de estos, están impedidos de alcanzar la circulación sistémica. Al contrario, las gammalobulinas y los anticuerpos antiespermatozoide específicos que tienen algunas personas no pueden afcanzar las celulas espermatogenicas en desarrollo dentro de los tubulos seminiferos (cuadro 22-3). En consecuencia, la barrera hematotesticular desempeña un papel fundamental en el aislamiento de las celulas espermatogenicas del sistema inmunitario.

Las células de Sertoli tienen funciones secretoras exocrinas y endocrinas.

Además de secretar un líquido que factitta el paso de los espermatozoides en maduración a lo largo de los túbulos seminíferos hacia los conductos intratesticulares, las células de Sertoli producea factores críticos necesarios para la progresión exitosa de las espermatogonias hasta convertirse en espermatozoides. Secretan la ABP de 90 kDa. La ABP concentra testosterona en el compartimento luminal del túbulo seminífero, donde las altas concentraciones de testosterona son esenciales para la maduración normal del espermatozoide en desarrollo.

En las células de Sertoli hay receptores de FSH y testosterona, por lo tanto, su función secretora es regulada por ambas hormonas (fig. 22-18). Las células de Sertoli también secretan varias sustancias endocrinas como la inhibina, una hormona glucoproteínica de 32 kDa que participa en el circuito de retroalimentación que inhibe la liberación de FSH desde el lóbulo anterior de la hipófisis. Además, las células de Sertoli también sintetizan el activador del plasminógeno, que convierte el plasminógeno en plasmina (una enzima proteolítica activa), transferrina (una proteína transportadora de hierro) y caruloplasmina (una proteína transportadora de cobre). Asimismo, las células de Sertoli secretan otras glucoproteínas que actúan como factores de crecimiento o factores paracrinos, como el MIF, el factor de células madre (SCF, stem cell factor) y el factor neurotrópico derivado de la línea celular de la neuroglía (GDNF, glial cell line-derived neurotrophic factor).

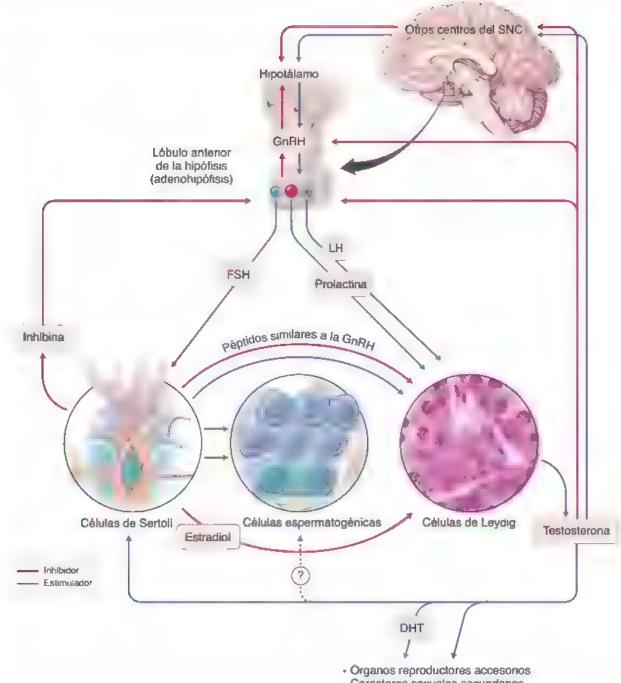
CUADRO 22-3

CORRELACIÓN CLÍNICA: ANTÍGENOS ESPECÍFICOS DE LOS ESPERMATOZOIDES Y RESPUESTA INMUNITARIA

Dos hechos básicos están bien establecidos acerca de la importancia inmunitaria de la barrera hematotesticular

- Los espermatozoides y las células espermatogénicas tienen moléculas que son exclusivas de estas células y son reconocidas como "extrañas" (no propias) por el sistema inmunitario.
- Los espermatozoides se producen recién en la pubertad, mucho después de que la persona se ha vuelto inmunocompetente (capaz de reconocer moléculas extrañas y producir anticuerpos contra elfas)

Si las células espermatogénicas y los espermatozoides no permanecen aislados, el cuerpo produce en consecuencia anticuerpos específicos contra estas células. A veces, una respuesta inmunitaria de este tipo ocurre después de una vasectornia y en algunos casos de infertilidad. Después de la vasectornia se producen anticuerpos antiespermatozoide específicos conforme las células del sistema inmunitario son expuestas a los espermatozoides que puedan filtrarse desde el conducto deferente seccionado. Así, los espermatozoides ya no están aislados del sistema inmunitano dentro del aparato reproductor. En algunos casos de infertilidad, se han encontrado en el semen anticuerpos antiespermatozoide específicos. Estos anticuerpos causan la agrutinación de los espermatozoides, lo cual impide su movimiento y su interacción con el ovocito.



- Caracteres sexuales secundanos
- Efectos metabólicos
- Efectos sobre el comportamiento

FIGURA 22-18. Diagrama de la regulación hormonal de la función reproductiva mascullna. Las flechas azules indican la acción estimuladora sobre el sistema las fiechas rojas indican la retroa mentación inhibidora. Vease el texto para una explicación detaliada. DHT dihidrotestosterona, FSH, hormona foliculoestimulante, GnRH, hormona liberadora de gonadotropinas, LH, hormona uteinizante. SNC, sistema nervioso central.

■ CONDUCTOS INTRATESTICULARES

Al final de cada rúbulo seminífero hay una transición súbira hacia los túbulos rectos. Este segmento terminal corto del túbulo seminífero está revestido solo por células de Sertoli (lám. 87, p. 866). Cerca de su final, los túbulos rectos se estrechan y su revestimiento epitelial cambia a cúbico simple

Los rúbulos rectos desembocan en la red testicular, una serie compleja de conductos anastomosados dentro del tejido conjuntivo muy vascularizado del mediastino testicular (fig. 22 19). Los conductos de la red testicular están revestidos por un epitelio cúbico simple o cilíndrico bajo. Sus células tienen un solo cilio apical y relativamente pocas microvellosidades apicales cortas.

■ SISTEMA DE LAS VÍAS **ESPERMÁTICAS**

Las vias espermáticas (excretoras) derivan del conducto mesonéfrico y de los túbulos excretores mesonefricos.

El desarrollo inicial de las células de Leydig y el comienzo de la secreción de testosterona estimulan el conducto mesonéfrico (de Wolff) para que se diferencie en las vías espermáticas del testículo en desarrollo (fig. 22-20). La porción del conducto mesonéfrico contigua al testículo en desarrollo adquiere un trayecto contorneado y se diferencia en el conducto del epididimo. Además, cierta cantidad (alrededor de 20) de los túbulos excretores mesonéfriços

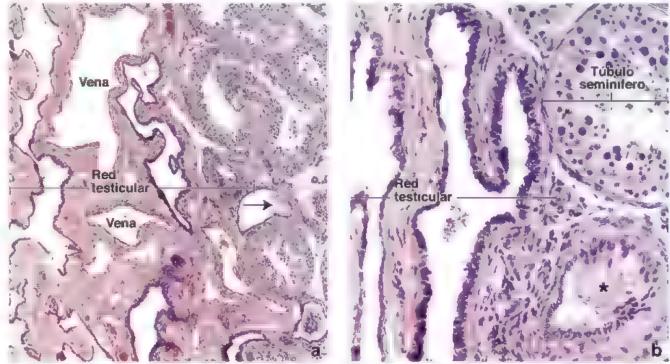


FIGURA 22-19. Microfotografia de un testículo humano. a En este corte tenido con H&E se muestra una parte del mediastino testicular. A la derecha aparecen tubulos seminiferos y a la izquierda los conductos anastomóticos de la red testicular. La flecha senala la terminación de un tubulo recto cuya superficie luminal está revest da soio por células de Sertoi. En este sito, el contenido de tubulo se introduce en la red testicular cuyos conductos tienen un epiteiro cubico simple. 70 × b. Con este aumento mayor de una sección ligeramente más profunda de la misma pieza se muestra la red testicular (izquierda), un corte transversal de un tubu o seminifero (arriba derecha) y un tubulo recto terminal (asterisco) donde está entrando en la red testicular. Obsérvese el cambio sub to del epitello en ese sitio. El epitello de la red testicular es cubico simple. 275 ×

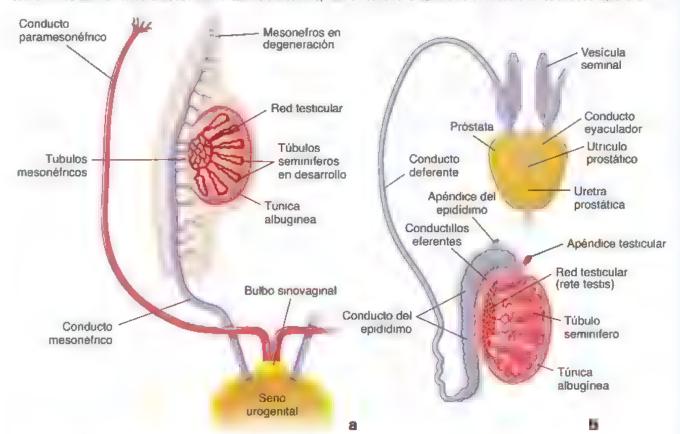


FIGURA 22-20. Diagrama del desarrollo de los conductos intratesticulares y las vias espermáticas, a. En este diagrama se muestra e testiculo en la séptima semana del desarrollo antes de su descenso had a el saco escrotal. Observese que el conducto mesonéfrico y sus tubulos dan origen a los conductos espermáticos del testiculo en desarrollo. E. Corte sagital de un testiculo totalmente desarrollado en su ubicación dentro del escroto. Observese que las vesiculas seminales, los conductos eyaculadores, el conducto deterente y el epidid mo derivan de los conductos mesonéfricos. Los conductivos aferentes derivan de los tubulos seminales. Los tubulos seminales los conductos y la red testicular derivan de las gónadas indiferenciadas. La prostata deriva de las multiples extensiones que se originan de la uretra péticia tun derivado del seno urogenital).

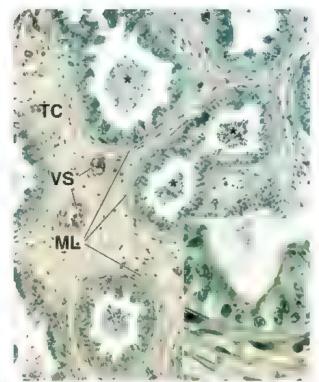


FIGURA 22-21. Microfotografía de los conductillos eferentes. La muestra de esta microfotografía se tiñó con ácido pfor co y hematoxilina para ver mejor los componentes epiteiales de os conductillos eferentes, que están cubiertos por un epitelio cillindrico seudoestrat ficado. La superficie luminal tiene un aspecto imegular y ondulado a causa de la alternancia de grupos de células cilíndricas altas y de células cúbicas. Cada conductillo está rodeado por varias capas de cálulas musculares lisas (ML) con disposición circular. En la luz de los conductillos hay conglomerados de espermatozoides (asternacos). El tejido conjuntivo (TC) constituye el estroma del órgano y contiene vasos sanguineos (VS) de varios tamaños. 120× Recuadro. Este aumento mayor del epitelio seudoestratificado muestra cé uras cilíndricas y cúbicas con cilios dispersos. 500×

restantes en esta región entra en contacto con los cordones testiculares en desarrollo y, por último, se convierte en los conductillos eferentes (fig. 22-21 y lám. 88, p. 868), los cuales conectan la red testicular en proceso de formación con el conducto del epidídimo. La porción distal del conducto mesonéfrico adquiere una gruesa cubierta de músculo liso y se convierte en el conducto deferente. El extremo del conducto mesonéfrico distal da origen al conducto eyaculador y las vesículas sominales.

Los conductillos eferentes están cubiertos por un epitelio cilíndrico seudoestratificado.

En los humanos, unos 20 conductitos eferentes conectan los conductos de la red testicular en el borde superior del mediastino testicular con la porción proximal del conducto del epididimo. Conforme los conductillos eferentes salen del testículo, experimentan un enrollamiento pronunciado y forman 6-10 masas cónicas, los conos eferentes, cuyas bases son parte de la cabeza del epidídimo. Los conos eferentes, de unos 10 mm de largo, contienen conductos muy contorneados que miden 15-20 cm de longitud. En la base de los conos, los conductillos eferentes desembocan en un conducto único, el conducto del epididimo (véase fig. 22-4)

Los conductillos eferentes están cubiertos por un epitelio cilíndrico seudoestratificado en el que hay cúmulos de células altas y bajas, lo cual le da a la superficie luminal el aspecto de dientes de sierra (péase fig. 22-21). Dispersas entre las células cilíndricas hay algunas de tipo basal que actúan como células madre epiteliales. Las células cilíndricas altas tienen cilios. Las células bajas no ciliadas tienen muchas microvellosidades e învaginaciones canaliculares de la superficie apical, así como una gran cantidad de vesículas pinociticas, cuerpos densos limitados por membranas, lisosomas y otras estructuras citoplasmáticas asociadas con la actividad endocítica. La mayor parte del líquido secretado en los túbulos seminiferos se reabsorbe en los conductillos eferentes.

El primer sitio de las vías espermáticas en el que aparece una capa de musculo tiso es el inicio de los conducullos eferentes. Las células musculares lisas forman una capa de varias células de espesor en la que estas se disponen en forma de una vaina circular en la pared del conductillo. Entremezcladas con las células musculares, hay fibras elásticas. El transporte de los espermatozoides en los conductillos eferentes se realiza en gran medida gracias a la acción ciliar y la contracción de esta capa fibromuscular.

Epidídimo

El epidídimo es un órgano que contrene los conductillos eferentes y el conducto del epidídimo.

El epidicimo es una estructura con forma de medialuna apoyada sobre las superficies superior y posterior del testículo. Mide más o menos 7.5 cm de longitud y está compuesto por los conductillos eferentes y el conducto del epidicimo, junto con vasos sanguíneos, músculo liso y cubiertas de tejido conjuntivo asociados (fig. 22-22 y lám. 88, p. 868). El conducto del epidicimo es un tubo muy enrollado que mide 4-6 m de longitud. En el epidicimo se describe una cabeza, un cuerpo y una cola (véase fig. 22-4). Los conductillos eferentes ocupan la cabeza y el conducto del epidicimo ocupa el cuerpo y la cola. Los espermatozoides nuevos que entran en el epidicimo provenientes del testículo maduran durante su paso a lo largo de este conducto, donde adquieren movilidad y la capacidad de fecun-

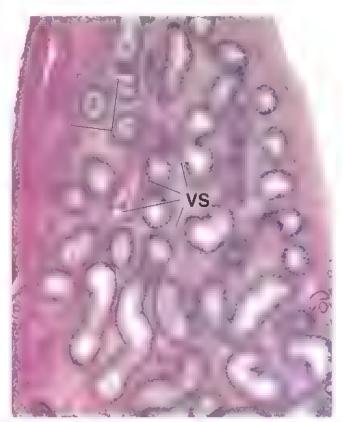


FIGURA 22-22. Microfotografia del epidídimo humano. En esta microfotografia de un corte teñido con H&E se muestra un epididimo muy tortuoso. Su naturaleza enrollada se refleja en los perfiles de diferentes formas del conducto. En el tejido conjuntivo hay muchas siduetas de vasos sanguíneos (VS). Los vasos tienden a seguir el conducto, por lo tanto, también se ven multiples perfiles de varios vasos. El corte del conducto que se ve en el rectángulo se muestra con mayor aumento en la figura 22-23. 30×

dar un ovocito. Durante este proceso de maduración, que depende de los andrógenos, la cabeza del espermatozoide se modifica por la adición del factor discapacitante asociado con la superficie que contiene glucoconjugados del líquido epididimario. Este proceso, llamado discapacitación, inhibe de manera reversible la capacidad fecundante del espermatozoide. Luego, el factor discapacitación, que ocurre en el aparato reproductor femenino justo antes de la fecundación. Después de madurar en el epidídimo, los espermatozoides pueden transportar su contenido haploide de ADN hasta el ovocito y después de la capacitación pueden unirse a receptores de espermatozoides situados en la membrana pelúcida. Esta unión desencadena la reacción acrosómica, en la cual el espermatozoide utiliza las enzimas de su acrosoma para perforar la cubierta externa del ovocito,

Las células principales del epitelio seudoestratificado del epidídimo tienen estereocilios.

Al igual que la mayor parte de las vías espermáticas, el conducto del epidídimo también está cubierto por un epitelio cilíndrico seudoestratificado (fig. 22-23). En general, contiene dos típos celulares:

- Células principalos, que tienen una altura de 80 μm en la cabeza
 del epidídimo y unos 40 μm en su cola. Numerosas microvellosidades largas y modificadas llamadas esternocilios se extienden
 desde la superficie luminal de las células principales (lám. 88,
 p. 868). Los estereocilios tienen una altura de 25 μm en la cabeza y unos 10 μm en la cola.
- Células basalos, que son pequeñas, redondas y descansan sobre la lámina basal. Son las células madre del epitelio del conducto.

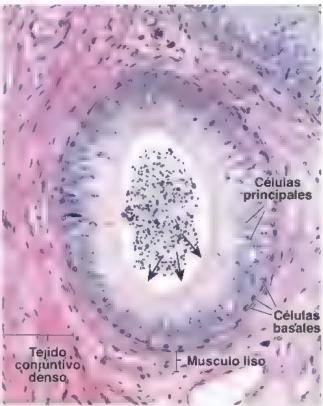


FIGURA 22-23. Microfotografía del conducto del epididimo humano. Con este aumento mayor del recuadro en la figura 22-22 se muestran los dos tipos de células del epitelio epididimanto las células principales y las células basales. Se ven estereoctilos (flechas) en la superficie apical de las células principales. Los nucleos de las células basales son esféricos y se enquentran muy cerca de la membrana basal, mientras que los nucleos de las células principales son cilíndricos y se ajustan a la forma cilíndrica de la célula. Alrededor dei epitelio del conducto hay una capa de células musculares lisas dispuestas circularmente. La luz del conducto contiene numerosos espermatozoides. 250×

Además, en el epitelio a menudo se encuentran linfocitos en migración, llamados cálulas con halo. En condiciones normales, el epitelio del epidídimo es el segmento más proximal de las vías espermáticas en el que hay linfocitos.

Las células epididimarias tienen una función tanto absortiva como secretora.

La mayor parte del líquido que no se reabsorbe en los conductillos eferentes lo hace en la porción proximal del epidídimo. Las células epiteliales también fagocitan cualquier cuerpo residual que no haya sido eliminado por las células de Sertoli, así como los espermatozoides que se degeneran en el conducto. El citoplasma apical de las células principales presenta muchas invaginaciones en la base de los estereocilios, junto con vesículas cubiertas, cuerpos multivesiculares y lisosomas (fig. 22-24).

Las células principales secretan glicerofosfocolina, ácido siálico y glucoproteínas que, además del glucocáliz y los esteroides, contribuyen a la maduración de los espermatozoides. Tienen numerosas cisternas del RER alrededor del núcleo de ubicación basal y un aparato de Golgi supranuclear grande. En el ciroplasma apical también se observan REL y RER.

La cubierta de músculo liso del conducto del epididimo aumenta gradualmente de espesor para adquirir tres capas en la cola.

En la cabeza del epidídimo y en la mayor parte del cuerpo, la cubierta muscular lisa está formada por una capa delgada de músculo liso circular que se parece a la de los conductillos eferentes. En la cola se une una capa longitudinal interna y otra externa. Estas tres capas se continúan después con las tres capas musculares lisas del conducto deferente, que es el segmento que sigue en las vías espermáticas (lám. 89, p. 870).

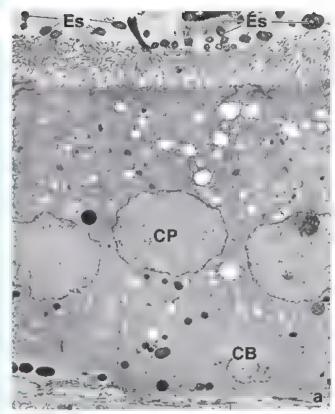
Estas diferencias morfológicas corren parejas con diferencias en la función del músculo liso. En la cabeza y el cuerpo del epidídimo, las contracciones peristálticas rítmicas espontáneas suven para mover los espermatozoides a lo largo del conducto. En la cola, que funciona como el reservorio principal de espermatozoides maduros, se producen pocas contracciones peristálticas. Los espermatozoides maduros son impulsados hacia el conducto deferente por las contracciones intensas de las tres capas musculares lisas después de la estimulación nerviosa adecuada que se asocia con la eyaculación.

Conducto deferente

El conducto deferente es el segmento más largo de las vias espermáticas.

El conducto deferente (vas deferens) es una continuación directa de la cola del epidídimo (véase fig. 22-1). Asciende a lo largo del borde posterior del testículo, cerca de los vasos y los nervios testiculares. Después, se introduce en el abdomen como un componente del cordón espermático al atravesar el conducto inguinal. El cordón espermàtico contiene todas las estructuras que se dirigen hacia el restículo o provienen de él. Además del conducto deferente, el cordón espermático contiene la arteria testicular, arterias pequeñas para el conducto deferente y el músculo cremáster, el plexo pampiniforme, vasos linfáticos, fibras nerviosas simpáticas y el ramo genital del nervio genitofemoral. Todas estas estructuras están rodeadas por fascias derivadas de la pared abdominal anterior. Después de salır del cordón espermático, el conducto deferente desciende en la pelvis hasta la altura de la vejiga, donde su extremo distal se dilata para formar la ampolle del conducto deferente, que recibe el conducto de las vesículas seminales y continúa hasta la uretra prostática a través de la próstata con el nombre de conducto evaculador.

El conducto deferente está recubierto por un epitelio cilíndrico seudoestratificado que se parece mucho al del epidídimo (lám. 89, p. 870). Las células cilíndricas altas también tienen estereocilios



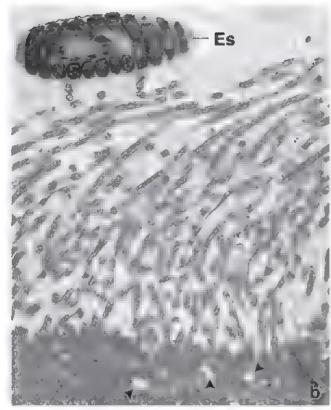


FIGURA 22-24. Microfotografía electrónica del epidídimo. a. Microfotografía electrónica del epide lo epid dimario en la que se muestran las células principales (CP) que se extienden a la luz y una célula basal (CB) imitada à la porción basal de lepideilo. En la luz se ven silvietas de espermatozo des (Es. El citoplasma apical de las células principales muestra multiples microvellosidades (estereocilios). 3000 x. b. Superficie apical de las células epideilaies con sus númerosas microve los dades (estereocilios). En la luz se puede ver la pleza media de un espermatozoide (Es). Los perfises circulares pequeños y claros (puntas de flecha) son vesiculas endocíticas. 13000 x.

largos que se extienden dentro de la luz. Las células basales redondeadas se localizan sobre la lámina basal. Sin embargo, a diferencia de lo que ocurre en el epidídimo, la luz del conducto no es lisa. En los cortes histológicos (fig. 22-25), la mucosa parece tener pliegues longitudinales profundos en la mayor parte de su longitud, probablemente a causa de la contracción de la gruesa cubierta muscular del conducto (1-1.5 mm) durante la fijación.

A medida que el conducto deferente pasa a través del cordon espermático, puede palparse fácilmente en la exploración fisica en el escroto. El acceso fácil a esta estructura es util durante la vasectomia, una opción para la esterilización masculina. Este procedimiento es un metodo seguro y relativamente simple de esterilización y tiene tasas más bajas de morbimortalidad que la esterilización femenina (oclusión de la trompa uterina). En una vasectomía, se hacen pequeñas incisiones en la piel del escroto y se exponen, ligan y seccionan los conductos deferentes de cada testiculo, impidiendo el paso de los espermatozoides a los conductos eyaculadores y la uretra prostática. Después de la vasectomia, ambos testiculos continuan produciendo espermatozoides. En el 1-30% de los casos de vasectomia, el aumento de la presión intraluminal causa distensión del epid dimo y dano mediado por la presion en el epitello seminifero seguido de la formación de granuloma espermatocitico en el sitio de la vasectomia, el apididimo o la red testicular. Un granuloma espermatico és un sitio de fagocitosis de espermatozoides por grandes macrofagos activados. Los productos de degradación de los macrófagos son absorbidos por el epitelio epididimano. Los granulomas espermatociticos rara vez son sintomáticos. Además, debido a la filtración constante de antigenos de espermatozoides en los tejidos, se pueden activar

mecanismos de inmunidad humoral, lo que conduce a la producción de anticuerpos antiespermaticos IgA. Aunque estos anticuerpos se desarrollan en una proporción significativa de hombres después de la vasectomia, no aumentan el riesgo de complejos inmunitarios o enfermedad cardiaca ateroesclerótica. Cada año se realizan unas 500,000 vasectomias en los Estados Unidos, y hasta el 6% de los hombres solicitan la reversión de la vasectomia en forma de vasovasostomia o vasoepididimostomia por varias razones. La investigación indica que, después de una microcirugia de reversión de la vasectomía, se puede alcanzar la permeabilidad del conducto deferente en alrededor del 89% de los casos, y las tasas de embarazo exitosas son de alrededor del 73%

La mucosa de la ampolla del conducto deferente tiene pliegues ramificados más altos que a menudo muestran divertículos glandulares. La cubierta muscular que rodea la ampolla es más fina que la del resto del conducto deferente, y las capas longitudinales desaparecen cerca del origen de los conductos eyaculadores. El epitelio de la ampolla y los conductos eyaculadores parece tener una función secretora. Las células tienen abundantes gránulos de pigmento amarillo. La pared de los conductos eyaculadores no tiene una pared muscular propia; el tejido fibromuscular de la próstata actúa como sustituro.

■ GLÁNDULAS SEXUALES ACCESORIAS

Las dos vesículas seminales secretan un liquido rico en fructosa.

Las vessculas seminales son un par de glándulas tubulares, alargadas y muy tortuosas, ubicadas en la pared posterior de la vejiga urmana





FIGURA 22-25. Microfotografía del cordón espermático de un humano. a. En esta microfotografía de poco aumento se muestra e corte transversal de cordón espermático que contiene varias estructuras, entre ellas el conducto deferente la artena y la vena testicular que lo acompañan, asi como as venas del plexo pampinforme. 15 × Recuadro. Mayor aumento de la vena pampin forme. Observense los haces de cérulas musculares lesas longitudinales ten corte transversal en la tunica adventicia y la tunica intima. 55 x. b. En este corte transversal de conducto deferente se muestra la pared muscular gruesa organizada en tres capas distintas de musculo liso una longitudinal interna (MLILI) al corquia (MLICI) y la longitudinal externa (MLICI). Necuadro. Un mayor aumento permite ver el apitelio seudoestratificado que cubre os conductos deferentes las cérulas principales altas tienen microva losidades argas restereocilos. Flechas) Las celulas basales están situadas cerca de la membrana basal y conbenen nucleos estéricos. 215×

paralelas a la ampolla de los conductos deferentes. Un conducto excretor corto que parte de cada vesícula seminal y se une a las ampollas de los conductos deferentes para formar los conductos eyaculodores. Las vesículas seminales se desarrollan como evaginaciones de los conductos mesonéfricos (de Wolff) en la región de la ampolla futura. La pared de las vesículas seminales contiene una mucosa, una capa de músculo liso delgada y una cubierta fibrosa (fig. 22-26). La mucosa tiene muchos pliegues primarios, secundarios y terciarios que aumentan el área de la superficie secretora (lám, 91, p. 874). Todas las cavidades irregulares así formadas están en comunicación con la luz.

El epitelio cilíndrico seudoestratificado contiene células cilíndricas altas no cihadas y células redondas bajas apoyadas sobre la lámina basal. Las células bajas parecen idénticas a las del resto de las vías espermáticas. Son las células madre de las que derivan las células cilíndricas. Las células cilíndricas muestran la morfologia de las células secretoras de proteínas, con un RER bien desarrollado y vesículas de secreción grandes en el citoplasma apical.

La secreción de las vesiculas seminales es un material viscoso blanco amarillento. Connene fructosa, que es el principal sustrato metabólico para los espermatozoides, junto con otros sacáridos simples, aminoácidos, ácido ascórbico y prostaglandinas. Si bien las prostaglandinas se aislaron por primera vez en la próstata (de ahí su nombre), en las vesículas seminales se sintetizan en gran cantidad. La contracción de la cubierta muscular lisa de las vesículas seminales durante la eyaculación expulsa su secreción hacia los conductos eyaculadores y contribuye a lavar los espermatozoides de la uretra. La función secretora y la morfología de las vesículas seminales están bajo el control de la testosterona.

PRÓSTATA

La próstata, la más grande de las glándulas sexuales accesorias, se divide en varias zonas morfologicas y funcionales.

La próstata es la glándula sexual accesoria más grande del aparato reproductor masculino. Su forma y tamaño son comparables con los de una nuez. La función principal de la próstata es secretar un líquido claro, ligeramente alcalino (pH 7.29), que contribuye a la composición del semen. La glándula está ubicada en la pelvis, debajo de la vejiga, donde rodea el segmento prostático de la uretra. Está compuesta por 30-50 glándulas tubuloalveolares dispuestas en tres capas concéntricas: una capa mucosa interna, una capa submucosa intermedia y una capa periférica que contiene las glándulas prostáticas principales (fig. 22-27). Las glándulas de la capa mucosa drenan directamente en la uretra; las otras dos capas tienen conductos que desembocan en los senos prostáticos, ubicados a cada lado de la cresta uretral en la pared postenor de la uretra.

El paránquima prostático adulto está dividido en cuatro zonas que son anatómica y clínicamente distintas:

La zone central rodea los conductos eyaculadores conforme atraviesan la próstata. Contiene alrededor del 25% del tejido glandular y es resistente tanto a los carcinomas como a la inflamación. En comparación con las otras zonas, las células de la zona central tienen características morfológicas distintivas (citoplasma apenas basófilo y más prominente, así como núcleos más grandes desplazados a diferentes alturas en las células adyacentes). Algunos hallazgos recientes indican que esta zona se origina embriológicamente en la inclusión de células del conducto mesonéfrico en la próstata en desarrollo.

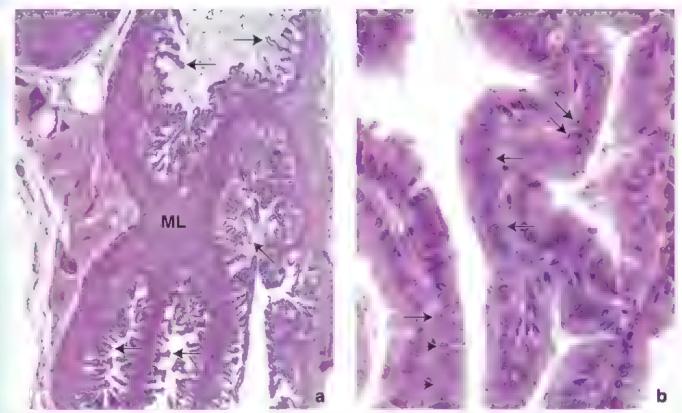


FIGURA 22-26. Microfotografía de vesicula seminal de humano. a. En esta microfotografía de bajo aumento se muestra parte de un corte tenido con H&E de una vesicula semina humana. Esta giandula es una estructura fubular entre adaly en una parte se ve lo que parece ser una serie de uces a sladas. De hecho solo hay una luz ula mucosa se caracteriza por sus numerosos piegues (*flechas*). Descansa sobre una cubierta de musculo liso (*Mt.*) gruesa organizada en dos capas, una capa o rou ar interna y una capa longitudina, externa 20 x **b.** Este aumento mayor muestra los piegues de la mucosa de un epitelio seudoestratificado. Las *flechas* indican las células basa es 500 x

- La zona periférica constituye el 70% del tejido glandular de la
 próstata. Rodea la zona central y ocupa la parte posterior y las
 porciones laterales de la glándula. La mayoría de los carcinomas prostáticos se originan en la zona periférica de la
 próstata. Esta zona se puede palpar en un tacto rectal También es la zona más susceptible a la inflamación.
- La zona transicional rodea la uretra prostática; constituye el 5% del rejido glandular prostático y contiene las glándulas mucosas. En los adultos mayores, las células parenquimatosas de esta zona a menudo experimentan una proliferación extensa (hiperplasia) y forman masas nodulares de cé-

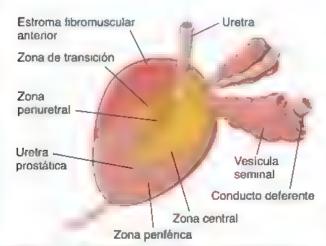


FIGURA 22-27. Diagrama de las zonas de la próstata humana. En este esquema se ilustra la ubicación relativa, por colores, de las cuatro zonas de la próstata y su estroma fibromuscular anterior

- tutas epiteliales. Dado que esta zona de transición está muy cerca de la uretra prostática, estos nódulos la pueden comprimir y causar dificultad miccional. Esta alteración se conoce como hiperplasia prostática benigna (HPB) y sus características clínicas se analizan en el cuadro 22-4.
- La zona periuretral contiene glándulas mucosas y submucosas.
 En las etapas avanzadas de la HPB, esta zona puede experimentar una proliferación patológica, pero sobre todo de los componentes del estroma. Junto con los nódulos glandulares de la zona transicional, esta proliferación causa un aumento de la compresión uretral y una mayor retención de orina en la vejiga.

Además, la superficie anterior de la próstata, por delante de la uretra, está ocupada por un estroma fibromuscular, compuesto por tendo conjuntivo denso uregular con una gran cantidad de fibras musculares lisas

La proliferación del epitelio glandular prostático es regulada por la hormona dihidrotestosterona.

En cada una de las zonas prostáticas, el epitelio giandular es en general cilíndrico simple, pero puede haber parches de epitelio cúbico simple, plano simple y, a veces, seudoestratificado (fig. 22-28) Los alvéolos de las glándulas prostáticas, en especial los de los adutos mayores, a menudo contienen concreciones prostáticas (cuerpos amiláceos) de formas y tamaños diversos, con frecuencia de hasta 2 mm de diámetro (véanse fig. 22-28 y lám. 90, p. 872). En los cortes aparecen como cuerpos formados por laminillas concéntricas y se piensa que son el producto de la precipitación del material de secreción alrededor de fragmentos celulares. Estos cuerpos pueden presentar una calcificación parcial.

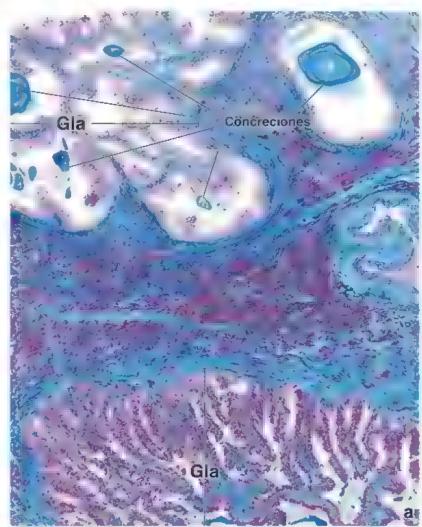




FIGURA 22-28. Microfotografía de la próstata humana. a. En este corte teñido con el método Mallory-Azan se muestran las giándulas tubuloal-veolares (Gla) y el tejido fibromuscular que forma los tabiques entre el fejido glandular. Dentro de las luces aparecen varias concrecionas prostáticas de tamanos diversos da finción utilizada para esta muestra sirve para diferenciar el componente de musculo liso (fenido de rojo) de componente de leido conjuntivo denso (teñido de azul) de estroma 60 %. b. En esta imagen con mayor alimento aparece una región en la que el epitelio glandular es seudoestratificado. Los mucleos redondeados contiguos al tejido conjuntivo (puntas de flecha) pertenecen a las células basales. Los nucleos que son más alargados y están más lejos de la base del epitelio pertenecen a las células secretoras. Observense las barras termina es (flechas) evidentes en la región apical de estas células. Las regiones teñidas de rojo dentro del tejido conjuntivo denso corresponden a células musculares. Sas 635 ×

CUADRO 22-4

CORRELACIÓN CLÍNICA: HIPERTROFIA PROSTÁTICA BENIGNA ** CÁNCER DE PRÓSTATA

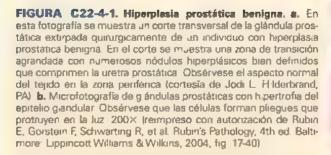
La hipertrofia prostática benigna (HPB, hiperplasia nodular) ocurre casi exclusivamente en las zonas de transición y penuretral y provoca una obstrucción parcial o total de la uretra (f.g. C22-4-1a). Una hipótesis muy aceptada acerca de la patogenia de la HPB se asocia con la acción de la dihidrotestosterona (DHT). La DHT es sintetizada en las células del estroma por conversión a partir de testosterona circulante en presencia de 5¢-reductasa. Una vez sintetizada, la DHT actúa como agente autocrino sobre las células estromales y como sustancia paracrina sobre las células epiteliales glandulares, lo que determina su proliferación (fig. C22-4-1b). Se piensa que al alcanzar los 80 años de edad, todos los hombres habrán desarrollado HPB en mayor o menor medida.

Existen varias opciones terapéuticas para la HPB. El tratamiento no invasivo incluye medicamentos (antagonistas de los receptores α) para relajar el musculo liso prostático y aliviar la presión sobre la uretra. Los estudios clínicos han demostrado que los inhibidores de la 5α -reductasa reducen la concentración de DHT y en consecuencia disminuyen el tamaño de la próstata y la obstrucción uretral.

Las opciones terapéuticas mínimamente invasivas usan láser, microondas o radiofrecuencia para destruir el tejido prostático que provoca la obstrucción. Estos procedimientos incluyen la coagulación láser intersticial, la hipertermia por microondas y la ablación transuretral con aguja. Por último, varios procedimientos quirúrgicos extirpan regiones hipertrofiadas de la próstata. Estos incluyen la incisión prostática transuretral, una extirpación transuretral más extensa de la próstata o prostatectomia transuretral y, más recientemente, una modificación de la resección transuretral que usa energía

CORRELACIÓN GLÍNICA: HIPERTROFIA PROSTÁTICA BENIGNA FCÁNCER DE PRÓSTATA COMPROMOSONO.

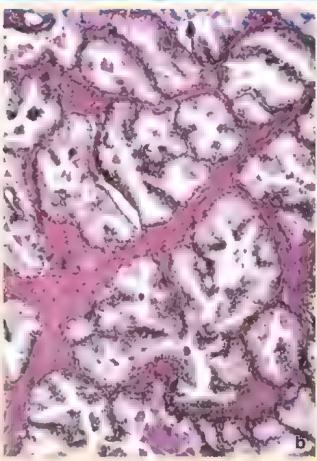




läser para vaporizar el tejido prostático siguiendo el concepto de vaporización fotoselectiva de la próstata con sistema láser de luz verde, llamado *Greenlight PVP*

El cáncer de próstata es uno de los más frecuentes en el hombre el nesgo de por vida de presentario es del 16.7% (1 de cada 6 varones). Su incidencia aumenta con la edad, y se calcula que el 70% de los hombres entre 70 y 80 años de edad tendrán esta enfermedad. Los tumores suelen desarrollarse en la zona periférica de la glándula. Antes, la detección temprana era poco frecuente porque la proliferación anómala del tumor no comprime la uretra y no produce síntomas que requieran atención inmediata. Por lo tanto, el cáncer de próstata a menudo ya era inoperable para el momento en que se descubría. A fines de la década de 1980 se introdujo el método de detección det antígeno prostático específico (PSA, prostate-specific antigen). Su uso, junto con el tacto rectal anual en los programas de detección del cáncer prostático, ha aumentado significativamente el diagnóstico temprano de la enfermedad.

El uso de una detección sistemática del PSA para el cáncer de próstata es debatible. Recientemente, estudios epidemiológicos grandes han demostrado que la proporción de hombres a quienes se diagnostica cáncer de próstata, pero que nunca desarrollan problemas clínicos asociados, puede variar entre un 23 y 66%. La opinión actual es que el valor de la detección sistemática del cáncer de próstata en la mayoría de los casos es bajo debido al hecho de que, para la mayor parte de los hombres, las posibilidades de daño por la detección (pruebas repetidas, terapia agresiva y ansie-



dad del paciente) superan las posibilidades de beneficio. Por lo tanto, la detección sistemática del cáncer de próstata que usa la evaluación con PSA en la actualidad se considera controvertida entre los profesionales sanitarios y las organizaciones que publican pautas y recomendaciones para dichas prácticas destinadas a los profesionales.

El sistema de clasificación de cáncer de próstata de uso más frecuente, la *puntuación de Gleason*, permite predecir el comportamiento del tumor y la tasa de supervivencia del paciente. Se evalua ef tejido de dos biopsias de las regiones más grandes de cáncer prostático y se les asignan grados que van de 1 a 5. El grado 1 índica céluias bien diferenciadas que constituyen la forma de cáncer menos agresiva y de crecimiento más lento. El grado 5 se da a las células poco diferenciadas que son características de los cánceres de crecimiento más rápido. Estos grados, cuando se suman, constituyen una puntuación de Gleason entre 2 y 10. Cuanto más alta la puntuación, mayor la posibilidad de que el cáncer prolifere y se disemine con rapidez

El tratamiento del cáncer es cirugía o radioterapia para los pacientes con la patologia localizada. El tratamiento hormona es el de ejección para el cáncer avanzado con metástasis. Dado que las células del cáncer de próstata dependen de los andrógenos, el objetivo del tratamiento es privarlas de testosterona por medio de la orquiectomia (extirpación testicular) o de la administración de estrógenos o agonistas de la hormona liberadora de gonadotropinas (GnRH) para suprimir la producción de testosterona. A pesar del tratamiento, el pronóstico de los pacientes con metástasis no es bueno.

El epitelio giandular se encuentra bajo la influencia de las hormonas sexuales, como la testosterona y los andrógenos suprarrenales. Estas hormonas se introducen en las células secteroras del epitelio glandular y son convertidas en dihidrotestosterona (DHT) por la enzima 5e-reductiona. La DHT es unas 30 veces más potente que la testosterona. La unión de la DHT y el receptor de andrógenos (AR, androgen receptor) produce un cambio en la conformación del receptor y su traslado desde el citosol hasta el núcleo celular En este sitio, los dímeros fosforilados del complejo AR se unen a una secuencia específica del ADN, llamada elemento de respuesta e la hormona, que está ubicada en las regiones promotoras de los genes diana. La función primaria del AR es la estimulación o inhibición directa de genes específicos. La estimulación de la DHT es un factor tanto para la proliferación como para el crecimiento de la HPB y el câncer de prostata dependiente de andrógenos.

La próstata secreta fosfatasa ácida prostática, fibrinolisina, ácido cítrico y antigeno prostático específico.

Las células epiteliales prostáticas producen varias enzimas, en especial PSA, fosfatasa ácida prostática (PAP, *prostatic acid phosphatase*) y fibrinolisma, además de ácido cítrico.

- El PSA, una serina proteasa de 33 kDa, es uno de los marcadores tumorales de mayor importancia clínica. En condiciones normales, el PSA es secrerado en los alvéolos de la próstata y, en última instancia, incorporado en el líquido seminal. La secreción alveolar es expulsada hacia la tiretra prostática durante la eyaculación por la contracción del tejido fibromuscular de la próstata. Dado que el PSA es liberado predominantemente en la secreción prostática, solo una cantidad muy reducida (en general, menos de 4 ng/mL) circula en la sangre de un hombre sano. Sin embargo, en el cancer de próstata, la concentración sérica de PSA aumenta; el apitelio prostático transformado produce grandes cantidades de PSA y las libera hacia la circulación Las concentraciones elevadas de PSA se usan como marcador clinico para seguir la progresión de la enfermedad. En la actualidad, se acepta que también hay pequeñas cantidades de PSA presentes en muchos tejidos no prostaticos, incluidos los de mama, ovario, glandulas salivales y tejido hepático, así como en varios tumores. Además, las concentraciones circulantes elevadas de PSA también se asocian con afecciones benignas (no cancerosas) como la prostatitis (la infección de la prostata), la interrupción del flujo sanguineo prostático o la HPB (véase quadro 22-4 para más detalles sobre la detección de PSA)
- La fosfatasa ácida prostática (PAP; 100 kDa) regula el crecimiento celular y el metabolismo del epítelio glandular de la próstata. Como las concentraciones séricas elevadas de PAP son frecuentes en los pacientes con câncer de próstata metastasico, esta enzima se utiliza como un marcador alternativo para el PSA en los tumores prostáticos. Las mediciones de PAP y PSA son útiles para evaluar el pronóstico del cáncer de prostata.
- La fibrinolisina, secretada por la glándula prostática, lícua el semen

Glándulas bulbouretrales

Las glándulas bulbouretrales secretan el líquido preseminal.

Las dos glandulas bulbouratrales (de Cowper) son estructuras del tamaño de un chícharo o guisante ubicadas en el diafragma urogenital (véase fig. 22·1). El conducto de cada glándula atraviesa la fascia inferior del diafragma urogenital y se une a la porción inicial de la uretra esponjosa. Estas glándulas son tubuloalveolares

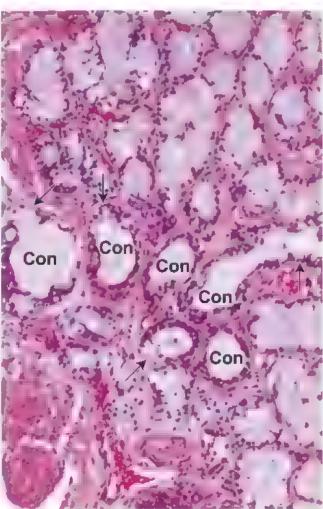


FIGURA 22-29. Microfotografía de las glándulas bulbouretrales del humano. Microfotografía de un corte teñido con H&E de una glándula bulbouretral, que es tubulos veolar compuesta. El epitelio está formado por cálulas cilíndricas secretoras de moco, Los nucleos se hallan desplazados contra la base celular por el material de secreción acumulado dentro de las cálulas. El aspecto del citoplasma es el típico de las cálulas mucosecretoras. Obsérvense vanos conductos (Con) cubiertos por un epitelio cilindrico simple. Estos conductos se reunirán para formar un solo conducto excretor. En algunos sitos, los conductos tienen células secretoras de moco (flechas). 40×

compuestas que estructuralmente se parecen a glándulas secretoras de moco (fig. 22-29). El epitelio cilíndrico sumple, cuya altura varía mucho según el estado funcional de la glándula, está bajo el control de la testosterona.

La secreción glandular clara y mucosa contiene una gran cantidad de galactosa, galactosamina, ácido galacturónico, ácido siálico y metilpentosa. La estimulación sexual determina que se libere esta secreción, la cual constituye la parte principal del liquido preseminal y sirve para lubricar la uretra esponjosa, neutralizando cualquier restro de orina ácida

SEMEN

El semen contiene liquido y espermatozoides del restículo y productos de secreción del epidídimo, el conducto deferente, la próstata, las vesículas seminales y las glándulas bulbouretrales. El líquido seminal proporciona nutrientes (p. ej., aminoácidos, citratos y fructosa) y protección para los espermatozoides durante su paso a través del sistema de vías espermáticas. El semen es alcalino (pH 7.7) y ayuda a neutralizar el entorno ácido de la uretra y la vagina. Los

CORRELACIÓN GLÍNICA: MECANISMO DE LA ERECCIÓN Y DISFUNCIÓN ERÉCTIL

La erección del pene es un acontecimiento vascular iniciado por el SNC y mantenido por interacciones complejas entre eventos vasculares y neurológicos. El SNC responde a estímulos externos o internos (impulsos sensitivos, percepciones, deseos, etc.) en los que interviene la inervación simpática y parasimpática del pene.

La estimulación parasimpática micia la erección mediante la relajación de las cálulas musculares lisas trabeculares y la dilatación de las arterias haircinas. Esto conduce a la expansión de los cuerpos cavernosos y, en menor grado, del cuerpo esponjoso. La sangre arterial se acumula en estos tejidos eréctiles por compresión de las vénulas contra la tunica albuginea no distensible. Este proceso se conoce como mecanismo venocclusivo corporal. La túnica albuginea también comprime las venas más grandes que drenan sangre de los cuerpos cavernosos, de modo que también se bloquea el drenaje venoso, lo que produce la tumescencia y la rigidez del pene

Dos neuromediadores, la acetilcolina y el óxido nítrico, participan en la relajación del músculo liso durante el inicio y el mantenimiento de la erección peneana.

- La aceticolina es liberada por las terminaciones nerviosas parasimpáticas y actúa principalmente sobre las células endoteliales que revisten los espacios vasculares de los cuerpos cavernosos. Esto ocasiona la liberación del péptido intestinal vasoactivo y, lo que es más importante, óxido nítrico.
- El óxido nítrico (NO) activa la guanilato-ciclasa en las células musculares lisas trabeculares para producir monofosfato de guanosina ciclico (cGMP, cyclic guanosine monophosphate) que hace que las células musculares lisas se relajen.

La estimulación simpática termina la erección peneana al causar la contracción de las células musculares lisas trabeculares y las artenas helicinas. Estos acontecimientos reducen el flujo sanguíneo hacia los cuerpos cavernosos y la presión de la sangre en el tejido eréctil a una presión venosa normal. La presión menor dentro del cuerpo cavernoso permite que las venas que drenan estas estructuras se abran y retiren el exceso de sangre.

La distunción eréctif (DE) es la incapacidad para lograr y mantener una erección peneana adecuada para completar un coito satisfactorio. Una imigación artenal adecuada es crucial para la erección y, por ende, cualquier alteración que disminuya el flujo sanguineo hacia los cuerpos cavernosos puede causar insuficiencia eréctif

Muchos casos de disfunción eréctil que no implican daño nervioso parasimpático hoy pueden tratarse de manera eficaz con medicamentos conocidos como inhibidores de la fosfodiesterasa (citrato de sildenafilo, tadalaf lo, vardenafilo y otros). Estos compuestos mejoran el efecto relajante del NO sobre las células del musculo liso de los cuerpos cavernosos al inhibir la fosfodiesterasa, que es responsable de la degradación del cGMP Como ya se mencionó, el cGMP provoca la relajación del musculo fiso que, a su vez, permite la entrada de sangre en los cuerpos cavernosos para iniciar la erección

Sin embargo, cuando existe un daño en el nervio parasimpático (p. ej., una complicación de la cirugía prostática), los inhibidores de la fosfodiesterasa no tienen efecto porque el acontecimiento que involucra la estimulación parasimpática y la liberación de acetilcolina no puede ocurrir. Sin acetilcolina, el NO no puede producir cGMP, y sin este, las células del músculo liso no pueden relajarse para permitir que la entrada de sangre llene el tejido eréctil. En estos casos de disfunción eréctil se pueden emplear bombas especiales que llevan sangre hacia los tejidos eréctiles utilizando presión negativa.

componentes principales del semen se remontan a la secreción de las vesículas seminales (65-75%) y la glándula prostánca (25-30%). Otros componentes adicionales incluyen los líquidos testiculares (25%) que no fueron completamente absorbidos en los túbulos rectos, así como secreciones de las glándulas bulbouretrales (de Cowper), que representan menos del 1%. El semen también contiene prostaglandinas (producidas por las vesículas seminales), que ejercen su influencia sobre el tránsito de los espermatozoides en los aparatos reproductores masculino y femenino, y desempeñan un papel en la implantación del óvulo fecundado.

El eyaculado promedio de semen tiene un volumen de unos 3 mL y en general contiene hasta 100 millones de espermatozoides por millitro. Se estima que el 20% de los espermatozoides en cualquier eyaculación son morfologicamente anómalos y casi el 25% son inmóviles

■ PENE

La erección del pene implica el llenado de los espacios vasculares de los cuerpos cavernosos y el cuerpo esponjoso.

El pene está formado principalmente por dos masas dorsales de tejido eréctil, los cuerpos cavernosos, y una masa ventral del mismo tendo, el cuerpo esponjoso, en el que está incluido el segmento esponjoso de la uretra. Una capa fibroelástica densa, la túnica albuginea, une los tres cuerpos y forma una cápsula alrededor de cada uno (fig. 22-30). Los cuerpos cavernosos contienen abundantes espacios vasculares amplios de forma irregular cubiertos por endotelio vascular. Estos espacios están rodeados por una capa delgada de músculo liso que forma cordones dentro de la túnica albugínea que interconectan y entrecruzan el cuerpo cavernoso. Es frecuente ver los haces irregulares de músculo liso en la forma de "almohadillas subendoteliales" alrededor de los espacios vasculares irregulares (fig. 22-31).

El tejido conjuntivo intersticial contiene muchas terminaciones nerviosas y vasos linfáticos. Los espacios vasculares aumentan de tamaño y adquieren una rigidez mayor al llenarse de sangre, que proviene sobre todo de la arteria profunda del pene que se divide en ramas denominadas arterias helicinas. Estas arterias se dilatan durante la erección (cuadro 22 5) para aumentar el flujo sanguíneo al pene. Existe una anastomosis arteriovenosa (AV) entre la arteria profunda del pene y el sistema venoso periférico (péase cuadro 22-5).

La piel del pene es fina y está fijada de manera laza al tejido conjuntivo lazo subyacente, excepto en el glande del pene, donde es muy fina y está bien adherida. La piel del glande es tan fina que la sangre dentro de sus venas anastomosadas con paredes musculares y de gran calibre que drenan el cuerpo esponjoso puede conferírle un color azulado. No hay tejido adiposo en el tejido subcutáneo. Sin embargo, hay una capa delgada de músculo liso que es continua con la capa de dartos del escroto. En los hombres no circuncidados,

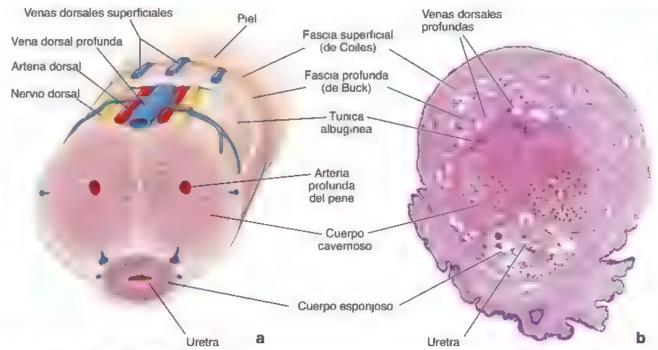


FIGURA 22-30. Corte transversal del pene. a. En este diagrama se muestra un corte transversal del pene con la localización de los principales vasos y nervios y sus relaciones con las capas fasciales y los te, dos erectiles la b. En esta microfotografía se puede ver una muestra tenida con H&E de un corte transversal del pene cerca de la base del órgano. Observese la disposición de los cuerpos cavernosos y el cuerpo esponjoso, este último contiene la unetra. 3×

el glande está cubierto con un pliegue de piel, el prepucio, que se asemeja a una mucosa en su cara interna. En la piel del pene hay muchas glándulas sebáceas proximales en el glande.

El pene está inervado por fibras somáticas y motoras viscerales (simpáticas y parasimpáticas). Hay una gran cantidad de terminaciones nerviosas sensitivas distribuidas por todos los tejidos del pene. Las fibras motoras viscerales inervan el músculo liso de la

trabécula de la túnica albugínea y los vasos sanguíneos. Tanto las fibras nerviosas motoras viscerales como las sensitivas cumplen una función esencial en las respuestas de erección y eyaculación. La estimulación parasimpatica comienza la procción, mientras que la simpática termina la erección y provoca la eyaculación, una contracción rítmica del músculo liso que expulsa el semen de la uretra esponjosa (véase cuadro 22-5).

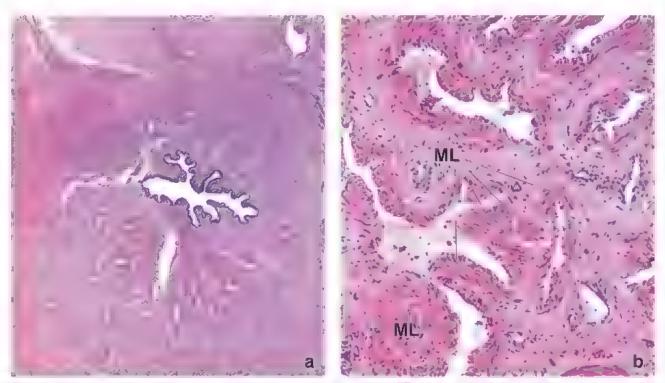


FIGURA 22-31. Microfotografía del cuerpo esponjoso, a. En esta microfotografía de un corte tenido con H&E se muestran el cuerpo esponjoso y la uretra. 20× b. Este mayor aumento del cuerpo esponjoso permite ver la gran cantidad de espacios vasculares de forma irregular Observese la capa circundante de musculo tiso (ML) que forma las "a mohadillas subendote ales 135×



APARATO REPRODUCTOR MASCULINO

FUNDAMENTOS DEL APARATO REPRODUCTOR MASCULINO

El aparato reproductor masculino está formado por los testículos, las vías espermáticas,
 las glandulas sexuales accesorias y los generales externos, que incluyen el pene y el escroto.

Los testiculos se encuentran dentro del escroto y son responsables de la **espermatogénesis** (producción de espermatozoides) y la **esteroidogenesis** (sintesis de hormonas esteroides llamadas andrógenos).

TESTICULOS

 El desarrollo del aparato reproductor masculino es guiado por una cascada de activaciones génicas que inicia en respuesta a la presencia del cromosoma Y (cromosoma determinante del sexo genético).

 La activación del gen SRY en la región determinante del sexo del cromosoma Y ocasiona la producción del factor determinante testicular (TDF), que activa otros diversos genes necesarios para el desarrollo de los órganos reproductores masculinos (región determinante del sexo gonadal).

 La secreción hormonal debida al desarrollo de los testículos permite el crecimiento y la diferenciación de los órganos reproductores masculinos (secreción determinante del sexo hormonal).

Los testículos se desarrollan en la pared abdominal posterior a
partir de tres fuentes: el mesodermo intermedio (que forma
crestas urogenitales), el epítelio mesodérmico (que da lugar
a los cordones sexuales primarios) y las células germinales
primordiales (que migran desde el saco vitelino).

 Bajo la influencia de la testosterona y el factor inhibidor de Müller (MIF), los testículos se desarrollan desde gónadas indiferenciadas hasta órganos completamente desarrollados que descienden al escroto durante el desarrollo fetal.

 La dihidrotestosterona (DHT) es responsable del desarroilo de los genirales externos y las glándulas sexuales accesorias.

 La posición escrotal de los testículos permite que se produzca la espermatogénesis. Este proceso requiere una temperatura más baja que la corporal normal.

 Cada testículo tiene unos 250 lóbulos que contienen de uno a cuarro túbulos seminíferos muy enrollados, rodeados por una lámina propia que contiene sangre, vasos linfáticos y células de Leydig (intersticiales).

 Las células de Leydig (intersticiales) producen testosterona y otras hormonas (p. ej., andrógenos, proteínas similares a la insulina 3) que guían el desarrollo y el descenso de los testiculos.

 Los túbulos seminíferos están formados por un epitelio seminífero que contiene células de Sertoli y células espermatogénicas. Las paredes de los túbulos están formadas por tendo conjuntivo que contiene células mioides (células contráctiles pentubulares).

ECPERMATOGENEGIS

- La espermatogénesis es el proceso por el cual las espermatogonias dan origen a los espermatozoides. Comienza antes de la pubertad y continúa durante toda la vida.
- La espermatogénesis se produce en los tubos semmíferos en dos compartimentos establecidos por las células de Serroli: un compartimento basal que contiene células diploides (2d; espermatogonias) y un compartimento luminal que contiene células haploides (1d; espermatocitos y espermátides).
- Estos compartimentos están separados por complejos de unión entre células de Sertoli que representan el sino de la barrera hematoresticular.
- La espermatogénesis en los humanos dura unos 74 días y se divide en tres fases distintas.
- Durante la fase de espermatogonia, estas células madre realizan la mitosis para reemplazarse y proporcionar una población de células obligadas que finalmente dan lugar a espermatocitos primarios.
- Durante la fase espermatocitica, los espermatocitos primanos realizan una primera división meiótica (que dura hasta 22 días) para producir espermatocitos secundarios. Luego, pasan por una segunda división meiótica (solo unas pocas horas) para producir células haploides llamadas espermátides, que tienen un número reducido de cromosomas (1n) y una cantidad de ADN 1d.
- Durante la fase de espermátide (espermiogénesis), las espermátides experimentan un remodelado celular extenso en asociación con células de Sertoli, incluida la condensación del ADN contenido en el núcleo, la formación de un casquete acrosómico y el desarrollo de un flagelo largo.
- Las espermátides se diferencian en espermatozoides, que son liberados durante la espermiación en la luz del rúbulo seminifero
- Los espermatocitos maduros tienen una cabeza aplanada cubierta por el casquete acrosómico (que contiene enzimas hidrolíticas para la penetración del ovocito) y un complejo axonémico en la cola del espermatozoide que está envuelta helicoidalmente por las mitocondrias.
- Los espermatozoides recién liberados son inmóviles. Su viaje desde los túbulos seminíferos es facilitado por las contracciones de las células mioides. Los espermatozoides ingresan primero en los túbulos rectos cortos y luego en la red testicular, que está conectada a través de los conductillos eferentes con la cabeza del epididimo

SISTEMA DE LAS VÍAS ESPERMÁTICAS

- El sistema de las vias espermáticas se desarrolla de los conductos mesonéfricos (epidídimo, conducto deferente, conductos eyaculadores) y túbulos mesonéfricos (conductillos eferentes).
- Los conductillos eferentes conectan la red restrcular con el conducto del epididimo, que
 forma la cabeza, el cuerpo y la cola del epididimo. Los espermatozoides adquieren monitidad, experi
 mentan una mayor maduración y son almacenados en el epididimo antes de la eyaculación.
- El conducto del epididimo está cubierto por un epitelio cilíndrico seudoestrarificado que contiene
 estereocilios y está rodeado por una capa muscular lisa que aumenta gradualmente su grosor.
- El conducto deferente (vas deferens) es una continuación directa de la cola del epididimo. Esta cubierto por un epitelio cilíndrico seudoestratificado con estereocilios rodeado por una capa muscular gruesa (1-1.5 mm).
- Durante la eyaculación, los espermatozoides son expulsados con fuerza desde el epididimo hasta el conducto deferente e impulsados hacía los conductos eyaculadores.

GLÁNDULAS SEXUALES ACCESORIAS

- Las vesículas seminales están cubiertas por una mucosa que forma numerosos pliegues delgados.
 Producen un líquido rico en fructosa que se convierte en un componente del semen.
- El conducto excretor de cada vesicula seminal se une con la ampolla del conducto deferente para formar el conducto eyaculador, que perfora la próstata para ingresar en la uretra prostática.
- La prostata es una glandula tubuloalveolar que se encuentra debajo de la vejiga y rodea la uretra prostática. El parénquima de la próstata se divide en varias zonas anatómicas y clínicas distintas.
- El epitelio glandular de los alveolos prostaucos es calundrico simple con concreciones prostáticas características que a menudo se encuentran dentro de la luz del glande.
- La prostata secreta fosfatasa ácida prostatica (PAP), fibrinolisma, acido citrico y antigeno prostático específico (PSA)
- Las glándulas buibouretrales (de Cowper) se localizan dentro del diafragma urogenital y drenan sus secreciones directamente en la uretra peneana. Lubrican y protegen la uretra.
- El semen contiene liquido y espermatozoides del testiculo y productos de secreción del epidídimo, el conducto deferente, la próstata, las vesículas seminales y las glándulas bulbouretrales.

PENE

- El pene esta formado por tres tejidos eréctiles dos cuerpos cavernosos, en el dorso del pene, y el cuerpo esponjoso, que contiene la parte esponjosa de la uretra.
- Los tejidos eréctiles connenen espacios vasculares que aumentan de tamaño y rigidez al llenarse de sangre durante la erección.

TESTÍCULO I LÁMINA 86

El aparato reproductor masculino está compuesto por pares de testículos, epididimos y conductos genitales, asi como las glándulas reproductoras accesorias y el pene. Las funciones de los testículos son la producción de semen y la sintesis y secreción de andrógenos, especialmente la testosterona. Los acontecimientos de división celular que conducen a la producción de espermatozoides maduros implican la division celular normal (mitosis) y la división de reducción (meiosis) para producir un número de cromo-

soma y un contenido de ADN haploides. La secreción de los andrógenos por los testiculos comienza temprano en el desarrollo fetal y es esencial para el desarrollo normal continuo del feto masculino. En la pubertad, la producción de los andrógenos se reanuda y es responsable del inicio y el mantenimiento de la producción de espermatozoides (espermatogénesis), la secreción por las glándulas sexuales accesorias (p. ej., próstata y vesículas seminales) y el desarrollo de los caracteres sexuales secundarios.



Testiculo, mono, H&E, 65×.

En este corte de un testiculo se muestran los túbulos seminíferos y la túnica albuginea (TA), la cápsula del órgano. Desde la cápsula muy gruesa se extrenden los tabiques del tejido conjuntivo (Ta) que dividen el órgano en compartimentos. Cada compartimento contiene varios rúbulos seminiferos y representa un lobulillo (Lo). Dentro de la porción interna de la cápsula, la parte denominada túmos narculasa, y en los rabiques del rejido conquintivo hay vasos sanguineos (VS)

Los rúbulos seminiferos están enrollados; por lo tanto, los perfiles se ven de forma variable en el corte. No es poco frecuente que la pared de un túbulo se corre rangencialmente, oscureciendo así la luz y mostrando lo que parece ser una masa sólida de células (X)

Túbulos seminiferos, testiculo, mono, H&E, 400×.

En el examen a mayor aumento, como en esta figura, se muestra una población de celulas interaticiales en pequenos grupos y en el espacio entre los túbulos adyacentes. La mayoría son Célu-

tas de Leydig (CL), la principal fuente de restosterona en el hombre. Se pueden identificar por su ubicación y sus pequeños núcleos redondos y citoplasma eosinófilo. También se encuentran macrófagos cerca de las células de Leydig, pero en menor número. Sin embargo, son dificiles de identificar en los corres con H&E.

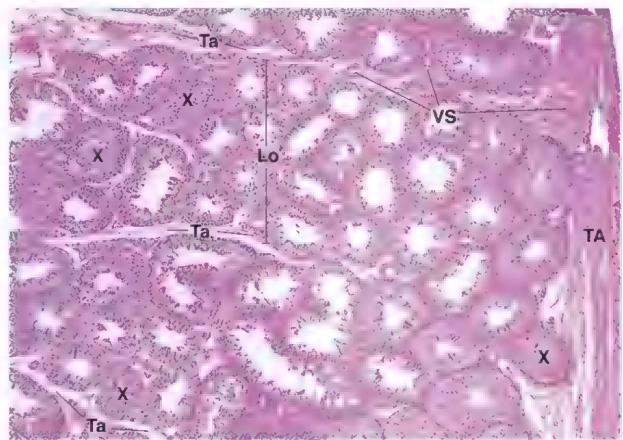
Alrededor del **epitelio** de cada túbulo semmífero hay una capa de células aplanadas muy juncas que forman una cubierra semejante a una vaina. En el humano, esta capa celular que recubre el epitelio del tubulo riene varias células de espesot. Las células de esta cultierta peritubular exhiben características mioides y explican la lenta actividad peristáltica de los túbulos. En la periferia de la capamioide hay un vaso linfático ancho que ocupa un espacio extenso entre los rúbulos. Sin embargo, en los cortes histológicos de rutina los vasos linfáticos suelenestar colapsados y, por lo tanto, no se pueden reconocer. Los elementos celulares que rodean el epitelio del túbulo forman lo que se conoce como lámina propia (LP) o tejudo limitante. Como lámina propia, es atípica porque el tejido conjuntivo no es lazo. De hecho, en circunstancias normales es llamativa la faltade linfocitos y otros tipos celulares relacionados con el sistema inmunitario.

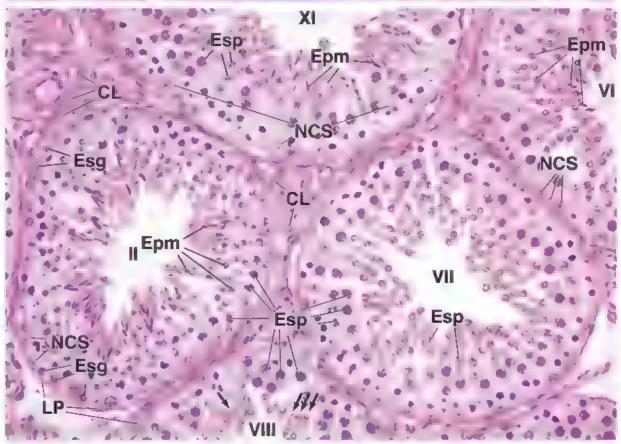
Al examinar el epitelio de los rúbulos, se descubren dos clases de células: una población de células espermatogénicas en proliferación y una población no proliferante de células sustentaculares o de Serroli. Las células de Serroli son mucho. más escasas y pueden recunocerse por sus núcleos pálidos alargados (NCS) y su nucléolo muy visible. El citoplasma de estas células se extiende desde la periferia hasta la luz del nebulo.

Las células espermatogénicas son generaciones sucesivas dispuestas en planos concentricos. Las **espermatogonias** $(E_{\mathcal{S}})$ se encuentran en la pertieria. Los espermiocitos (Esp.), la mayoría de los cuales tienen grandes núcleos redondos con cromanna visible dispuestos en un patrón distintivo, se encuentran por encima de las espermarogonias. La población de espermándes (Epm) está formada por una o dos generaciones y ocupa el sitio más cercano a la luz. Los tubulos en esta unicrofotografía se han identificado de acuerdo con su erapa de desarrollo. El rubulo arriba a la derecha puede identificarse como de erapa VI En esta erapa, la población de **espermátides** maduras (identificadas por sus cabezas azul oscuro y sus flagelos filiformes eosmófilos que sobresalen hacia la luz) está en proceso de liberación (espermiogénesis). La generación más joven de espermátides está compuesta por células redondeadas, cada una con un nucleo esfénco. En sentido borario, el túbulo que se señala como en estadio VII está ligeramente más avanzado. Aquí, las espermandes maduras han desaparecido. Al progresar hacia el estadio VIII, que corresponde al túbulo que está contra el borde inferior de la microfotografía, se observa que la población de espermárides está experimentando un cambio en la forma de los núcleos. Obsérvense los núcleos con un polo ahusado (flechas). La maduración adicional de las espermátides se refleja en el túbulo en la parte superior de la microfotografía, en erapa XI. Por último, el túbulo marcado en etapa II a la izquienda muestra una maduración ligeramente mayor de las espermátides luminales, y con el inicio del anevo ciclo (etapa I), ahora aparece una población de espermándes recién formada. Al examinar la población de espermátides y evaluar el número de generaciones presentes (una o dos) y el grado de maduración, se puede deserminar aproximadamente la etapa de un túbulo (véare fig. 22-14).

CL, células de Leydig Epm, espermátides Esg, espermatogonias Esp, espermiocitos Lo, lobulifio LP fámina propía

NCS, nucleos de las celulas de Sertol. TA, tun ca albuginea Ta, tabique de tejido conjuntivo VS, vasos sanguineos X, corte tangencial de un túbulo con la luz flechas, nucleos de espermátides con modificaciones iniciales de su formanumeros romanos, etapas del epitelio dei túbulo semizifero.





TESTÍCULO II LÁMINA 87

Aunque el testículo maduro se caracteriza por los túbulos seminiferos, el testículo inmaduro se caracteriza por los cordones de células que forman un epitello de células sustentaculares (de Sertoli) que rodean algunos gonocitos, precursores de espermatogonias que derivan de las células germinales primordiales que invadieron la gónada en desarrollo en el embrión. En la pubertad, estos cordones se canalizan. y los gonocitos comienzan las multiples divisiones que dan lugar a las espermatogonias, las cuales, a su vez, se dividirán y diferenciarán en espermatocitos maduros. Los túbulos seminíferos terminan como túbulos rectos cubiertos solo por células de Sertoli. Los tubulos rectos terminan en la red testicular, una serie compleja de conductos anastomóticos en el testículo mediastínico que representan la terminación del sistema de tubulos intratesticulares.



Testículo prepuberal, recien nacido humano, H&E, 180×; recuadro 360×.

Los diversos tipos de células germinales representativas de la espermatogénesas en los túbulos seminiferos maduros no están presentes en los testiculos antes de la pubertad o en los testículos

no descendidos pospuberales. Los "txibulos" están representados por cordones de células sin una luz. Los cordones seminiferos muestran el mismo entollamiento que en el adulto; la túnica albugínea (7A) del testículo, aunque más fina, es del mismo prosor relativo.

Los cordones seminiferos nenen un diámetro considerablemente menor que los túbulos del adulto y están compuestos por dos tipos de células, gonocitos o espermatogonias de primera generación, derivados de las células germinales primordiales que migran desde el saco vírelino hasta la gónada en desarrollo en el embrión, y células que se asemejan a las células de Sertoli del adulto. Este ultimo tipo de célula predomina y constituye la mayor parte del cordon. Las células son ellindricas y sus núcleos están cerca de la membrana basal. Los gonocitos (Go, recusado) son los precursores de las células germinales definitivas, o espermatogonias. Son células redondas con un núcleo esférico central. El ci-

toplasma se tiñe poco y en general aparece como un anillo tenue alrededor del nucleo. Esto le da al gonocito un aspecto distinuvo en los cortes histológicos En general, los gonocitos se encuentran en la periferia del cordón, pero muchos también se encuentran en una posición más central. Los gonocitos producen espermatogonias que comienzan a proliferar en el varón entre las edades de 10 y 13 años. El epitelio seminífero se llena de células en varias etapas de la espermarogenesis, como se ve en el adulto.

Los cordones seminíferos están rodeados por una o dos capas de células con prolongaciones largas y nucleos planos. Se parecen a los fibroblastos a nivel ultra estructural y dan lugar a las células miordes peritubulares del adulto.

En el recién nacido se pueden ver células intermiciales (de Leydig) debido a los efectos residuales de las hormonas maternas. Sin embargo, las células de Leydig involucionan y no se vuelven visibles hasta la pubertad. En esta preparación, pueden verse las células de Leydig (CL, recuadro) entre los cordones. Son ovaladas o poligonales y están estrechamente agrupadas, de modo que las células adyacentes están en contacto entre sí. En general, tienen el mismo aspecto que las células de Leydig del adulto.



Mediastino testicular, testiculo, mono,

H&E. 65 ×

En la porción posterior del tertículo, el tejido conjuntivo de la runica albugínea se extiende más profundamente en el órgano. Esta extensión hacia el interior del tejido conjuntivo se llama me-

diastino testicular Contiene un conjunto de conductos anastomóticos llamados red testicular. En esta figura solo se puede ver una pequeña porción del mediastino resticular (MT). Sin embargo, el área sucluye unos pocos tubulos seminíferos (7S) en la porción superior de la microfotografía y, fortuitamente, el sitio donde uno de los túbulos seminiferos termina y se une a la red

testicular (RT). Esto se puede reconocer en el área delineada por el recidingulo, que se muestra con mayor aumento en la figura a continuación. Como ya se mencionó, los rúbulos seminiferos se disponen formando un asa cuyos extremos se unen en la red resticular. Los tubulos semaniferos desembocan en la red resticular a través de un túbulo recto. Los túbulos rectos son muy cortos y están cubierros por células similares a las de Serrols; no tienen células germinales. El tendo conjuntivo del mediastino es muy denso; sin embargo, no muestra caracteristicas especiales ni tiene músculo liso. Dentro del rejido conjuntivo pueden verse células adiposas (CA) y vasos sanguineos (VS), especialmente venas de tamaño variabie.



Tubulo recto, testiculo, mono, H&E, 400×.

Esta microfotografía es un aumento mayor del área encuadrada en la imagen inmediatamente superior. El túbulo seminifero (75) puede verse en continuidad con el túbulo recto (TR). El túbulo recto es relativamente corto y termina en el punto en donde

ingresa en el conducto de la **red testicular** (RT). La red testicular se identifica por su epitelio cúbico simple. Obsérvese que, debido al ángulo en el que

se seccionó el tubulo recto, parece que el epitelio cúbico que caracteriza la red rentcular comienza en el lado superior del túbulo, antes de verse en el lado inferior de este. La red testicular (RT) es un sistema anastomotico de conductos que llevan a los conductillos eferentes. Las células epiteliales que recubren la red testicular son a veces más planas que cúbicas o, en ocasiones, pueden tener un aspecto cilindrico bajo. En general, tienen un solo cilio (primario); sin embargo, este es dificil de ver en las preparaciones de rotina de H&E.

CA, células adiposas CL, células de Leydig Go, genecites

MT, mediastino testicular RT. red testicular TA, túnica albuginea

TR. túbulos rectos TS, túbulos seminíferos VS, vasos sanguineos

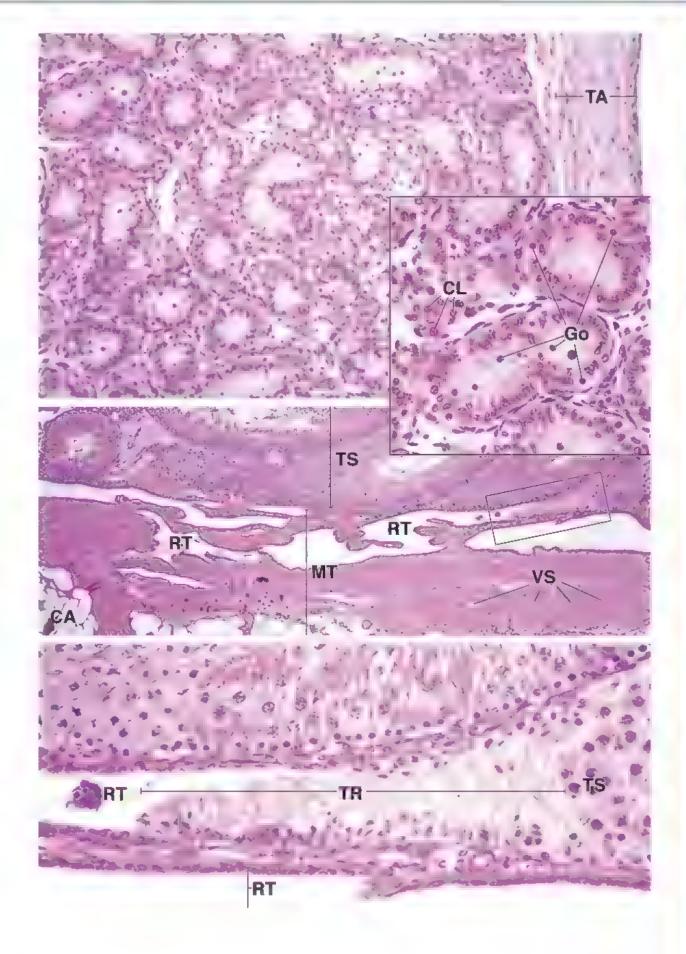


LÁMINA 88 CONDUCTILLOS EFERENTES Y EPIDÍDIMO

La red testicular está conectada mediante ~20 conductillos eferentes (restos de nefronas del rinón mesonefrico fetal) al conducto del epididimo. Estos son los primeros elementos del sistema de vias espermáticas del aparato reproductor masculino. La mayor parte del líquido secretado en los túbulos semin feros es reabsorbido en los conductillos eferentes. La capa muscular caracteristica del sistema de vias espermáticas aparece primero al comienzo de los conductillos eferentes.

tes. El conducto del epididimo es un tubo altamente enrollado, de 4-6 m de largo; los espermatozoides maduran durante su paso a lo largo del conducto, de manera que adquieren motifidad y la capacidad de fertilizar un ovocito. Esta maduración tambien depende de los androgenos e implica cambios en la membrana plasmática de los espermatozoides y la adición al glucocálix de las glucoproteínas secretadas por las células epiteliales del epididimo.



Conductillos eferentes, testiculoepididimo, mono, H&E, 60×; recuadro 360×.

Alrededor de 12-20 conductillos eferentes salen del resticulo y comunican la red testicular con el conducto del epididimo. Cada uno de los conductillos eferentes se enrolla en espiral para formar una serie de estructuras cónicas, en conjunto, estas constituyen la parte inicial de la cabeza del epididimo. Cuando se examinan en un corre histológico, los conductillos inisestran contornos bastante irregulares a causa de sus giros y tortuosidades. Esto

es evidente en el lado derecho de la microfotografía.

El epitelio que reviste los conductillos eferentes tiene la particularidad de que los grupos de células cilíndricas altas alternan con grupos de células cúbicas, ello confiere a la superficie luminal un aspecto irregular. De esta manera se producen pequeñas deptesiones con forma de cuenco en los sistos en los que el epitello contiene grupos de células cubicas o cilindricas bajas. Tipicamente, estas células más corras muestran una superficie apical similar a un borde en cepillo debido a las microvellosidades (punta de flecha, reruadro). La superficie basal del conductillo, en contraste, presenta un contorno liso (véanse la figura y el recuadro a continuación). Algunas de las células, en general las células cilíndricas alcas, tienen cilios (Ci, recuadro). Mientras que las células ciliadas ayudan a mover el contenido del rúbulo hacía el epididimo, las células con microvellosidades son en gran parte responsables de absorber el líquido de la luz. Además de las células cilíndricas y cúbicas, también están las células basales; así, el epitelso se cataloga como cilíndrico seudoestratificado. Las células basales tienen muy poco ciroplasma y se piensa que sirven como células madre.

Los conductillos eferentes presentan una delgada capa de células musculares lisas dispuestas de manera circular (ML, recuadro). El músculo se encuentra cerca de la superficie basal de las células epiteltales y está separado de ellas solo por una pequeña cantidad de tejido conjuntivo (TC, recuadro). Debido a esta estrecha asociación, el músculo liso puede ser pasado por alto o identificarse de manera errónea como tejido conjuntivo. El musculo liso facilita el movumiento de los contenidos luminales del conducillo hacia el conducto del epididimo.



Epididimo, mono, H&E, 180×.

Según su forma, el **spidídimo** se divide en cabeza, cuerpo y cola. La porción inicial de la cabeza contiene el **conducto del spidídimo**, un único conducto convoluto en el que drenan los conductillos eferentes. El conducto está, en principio, muy entoliado, pero se vuelve menos tortuoso en el cuerpo y la cola. Un

corre a través de la **cabeza del epididimo**, como se muestra en la microfotografía de arriba, secciona el conducto del epididimo en varios sirios y, como sucede con los conductillos eferentes, genera contornos de diferentes formas.

El epitelio contiene dos tipos de células: las células cilindricas altas y las céhilas basales similares a las de los conductillos eferentes. Por lo tanto, el epitelio cambien es seudoestratificado. Las celulas cilindricas son más altas en la cabeza del epididimo y reducen su altura mientras se dirigen a la cola. La superficie fibre de la célula presenta estereocilios (Ec) Estas son microvellosidades extremadamente largas y ramificadas. Se adhieren entre sí durante la preparación del tejido formando las finas estructuras cónicas que se ven de forma caracteristica con el microscopio óptico. Los núcleos de las células cilindricas son alargados y se escuentran a una distancia moderada de la base de la célula. Se distinguen fácilmente de los núcleos esféricos de las **células basales** que yacen cerca de la membrana basal. Otras caracteristicas de las células cilindricas visibles con claridad son un aparato Golgi supranuclear muy grande (no visto en el aumento ofrecido aquí), cúmulos de pigmento (Pi) y numerosos lisosomas, que pueden observarse con las técnicas apropiadas.

Debido a la altura poco habitual de las células cilindricas y la tortuosidad del conducto, en algunos sitios aparece una luz irregular, de hecho, incluso se pueden encontrar "islas" de epitello en la luz (véanse flechas, figura anterior). Estas unagenes se explican por los giros súbitos del conducto que determinan que la pared epitellal de un lado de la estructura rubular se vea parcialmente seccionada. Por ejemplo, un corte en el plano indicado por la flecha de dos puntas crearía un islote epitellal aislado de este tipo.

Una fina capa de músculo liso rodea el conducto y tiene un aspecto similar al de la asociada con los conductillos eferentes. Sin embargo, en la porción terminal del epididimo, la cubserta de musculo liso adquiere un espesor mayor y aparecen fibras longitudinales. Por fuera de la cubserta de músculo liso hay una pequeña cantidad de tejido conjuntivo (TC) que mantiene juntos los rulos del conducto y contiene los vasos sanguineos (VS) y los nervios.

CI, cílios Ec, estereocílios ML, músculo liso PI, pigmento TA, tejido adiposo TC, tejido conjuntivo VS, vasos sanguíneos flechas, "islas" de epitelio en la luz

puntas de flecha (recuadro), borde en cepilo



LÁMINA 89 CORDÓN ESPERMÁTICO Y CONDUCTO DEFERENTE

El conducto deferente continúa desde el conducto del epidídimo en la forma de un tubo de pared muscular gruesa que sale del escroto y atraviesa el conducto inguinal como parte del condón espermático. Después de pasar por el anillo inguinal profundo, sigue por la pelvis por detrás de la vejiga, donde se une con el conducto excretor de las vesiculas seminales para formar el conducto eyaculador. Luego, el conducto eyaculador perfora la próstata y desemboca en la uretra

Los espermatozoides maduros son almacenados en la porción terminal (cola) del conducto del epididimo. Estos espermatozoides son expulsados hacia el conducto deferente por las contracciones intensas de las tras capas musculares lisas del conducto deferente después de la estimulación nerviosa adecuada La contracción del musculo liso del conducto deferente continúa desplazando los espermatozoides a través del conducto eyaculador hacia la uretra durante el reflejo de la eyaculación. Las vesiculas seminales (vease lám. 91) no son sitios de almacenamiento de espermatozoides, sino que secretan un líquido rico en fructosa que forma parte del semen. La fructosa es el principal sustrato metabolico de los espermatozoides



Cordon espermático, humano, H&E, 80 . .

En esta microfotografía se observa un corte transversal del COnducto deferente y parte de los vasos y los nervios que lo acompañan en el cordón espermático. La pared del conducto deferente es muy gruesa debido sobre todo a la gran cantidad de

másculo liso que contrene. El músculo se contrae cuando se extrae el tejido para su preparación, de alu que se formen pliegues longitudinales en la mucosa. Por esta razón, en los cortes histológicos transversales la luz (L) suele ser firegular.

El músculo liso del conducto deferente está organizado en una capa longitudinal externa gruesa (ML[L]), una capa circular media gruesa (ML[C]) y una capa longitudinal interna más delgada (ML[L]). Entre el epitelio y la capa longitudinal interna de músculo liso hay una capa de tejido conjuntivo laxo de espesor moderado que corresponde a la lámina propia (LP). El tejido conjuntivo que rodea inmediatamente el conducto deferente contiene nervios y vasos sanguineos menores que mervan e irrigan, respectivamente, este conducto. En efecto, puede verse que algunos de estos vasos penetran la capa longitudinal euterna de músculo liso (auteriscos)

Una característica única del cordón espennático es la presencia de un plexo de venas atípicos (**plexo parapiniforme**) que surgen de las venas espermáticas. Estos vasos reciben la sangre de los testículos (el plexo pampiniforme tambien recibe afluentes del epidadimo). El plexo es una red vascular anastomótica que constituye la mayor parte del cordón espermático. Partes de varias de estas venas (VS) son evidentes arriba a la derecho en la figura previa, junto con una serie de nervios (N). La característica particular de las venas es su gruesa pared muscular que, a simple vista, parece una artería en lugar de una vena. El examen cuidadoso de estos vasos (detalle) muestra que la mayor parte de la pared del vaso está compuesta por dos capas de músculo liso: una capa circular externa ML(C) y una capa longitudinal interna ML(L)



Conducto deferente, humano, H&E, 320×; detalle 250×.

El revestimiento epitellal del **conducto deferente** está formado por epitelso cilindrico seudoestratificado con estereocilio (puntas de flecha). Se asemeja al epitelio del epididimo; sin embargo, las células no son tan altas. Los núcleos alargados de las células cilíndeicas se distinguen fácilmente de los núcleos esféricos de las **células basales** (flechas). El epitelio descansa sobre un rejido conjuntivo laxo conocido como lámina propia (LP), que se extiende hasta el musculo liso; no se describe una submucosa.

L, luz dei conducto deferente LP, fámina propia Lu, luz del vaso sanguineo ML(C), capa circular dei musculo liso ML(L), capa longitudina del musculo liso N, nervio VS, vasos sangu neos asteriscos, arterias pequenas que imgan los conductos deferentes flechas, nucleos de células basa es puntas de flecha, estereocinos

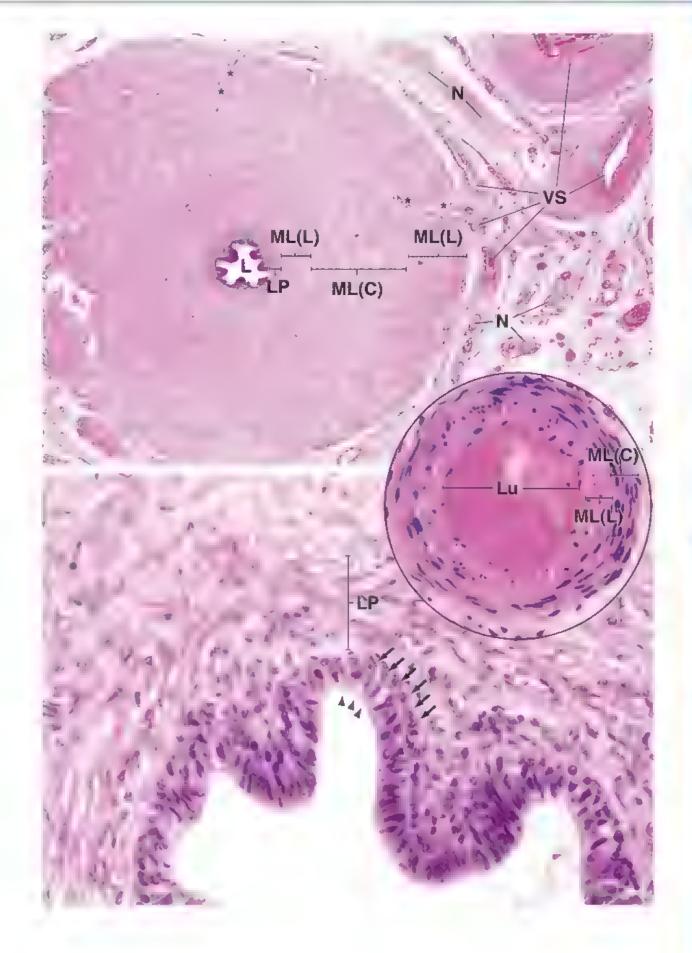


LÁMINA 90 PRÓSTATA

La próstata es la glandula accesoria más grande del aparato reproductor masculino. Está compuesta por 30-50 glandulas tubuloalveolares que rodean la uretra proximal. Debido a esta relación, una alteración habitual en los adultos mayores conocida como hiperplasia prostática benigna puede producir la obstrucción parcial o total de la uretra.

La próstata muestra tres capas concéntricas, una mucosa, una submucosa y una periférica que contiene las glandulas principales. Las glandulas mucosas secretan directamente en la uretra; los otros dos grupos de glandulas envian sus secreciones a través de conductos que desembocan en los senos prostáticos en la pared posterior de la uretra. Todas las glándulas están formadas por un apitelio cilíndrico seudoestra-

bficado que secreta varios componentes del semen, como la fosfatasa ácida, el ácido cítrico (un nutriente para los espermatozoides) y la fibrinolisina (que sirve para licuar el semen). Cumulos de células epiteliales muertas y productos de secreción precipitados forman concreciones prostáticas en los alvéolos glandulares; estas concreciones son una característica distintiva que contribuye a la identificación de la prostata.

El estroma se caracteriza por muchos haces pequenos de músculo liso de modo que también puede describirse como un estroma fibromuscular. La contracción de este músculo, que ocurre durante la eyaculación, expulsa la secreción prostática hacia la uretra. Alrededor de la glandula hay una capsula fibroelástica que también contiene haces musculares lisos pequeños.

Prostata, humano, H&E, 47×.

En esta microfotografía se observa con poco aumento una parte de la **próstata**. En el ángulo superior requierdo aparece una pequeña sección de la cápsula (Cap) de la glándula. El resso del campo contiene los componentes glandulares y del estroma de la próstata. Los

tiene los componentes glandulares y del estroma de la prostata. Los tubuloalvéolos secretores prostáticos tienen formas muy variadas, como es evidente en la figura. Pueden verse como rábulos sumples, alveolos aislados, alvéolos tamificados o túbulos ramificados. Los cortes alveolares tangenciales pueden producir incluso imágenes de "islotes epiteliales" (puntas de flechas) en la luz alveolar. Esto se debe al contorno muy irregular de la superficie epitelial. También hay que destacar que muchos de los alvéolos pueden exhibir una estructura rudimentaria (flechas). Estos simplemente se encuentran en un estado inactivo y se ven cada vez con mayor frecuencia conforme aumenta la edad de la persona. Como ya se mencionó, las aglomeraciones de células epueliales muertas y secreciones precipitadas forman las **concreciones prostáticas** (Col^o) en la luz de los alvéalos; estas aumentan gradualmente en tamaño y cantidad a medida que pasan los años. Las concreciones se tiñen con la cosina y pueden tener un aspecto laminullas concéntrico, como se muestra claramente en el singulo inferior derecho. Con el tiempo pueden cargaise de sales de calcio, lo cual las hace fárilmente reconocibles en las radiografías de la región baja del abdomen



Glándulas y estroma fibromuscular, próstata, humano, H&E, 178×; recuadro superior 350×; recuadro inferior 650×.

En esta imagen con mayor aumento de usta porción de la próstata se ve claramente el **estroma fibromuscular**, que se extiende

tanto debajo del epitelio secretor de los subuloalvéolos como en regiones no secretoras más profundas. En el recuadro superior, que corresponde al recuingulo más grande, la intensidad de la tinción del **músculo liso** (ML) lo distingue bien del tejido conjuntivo fibroso del estroma con el que está intimamente entremezclado. En la próstata no hay haces ni capas de músculo liso con una delimitación nátida, sino que más bien el músculo está distribuido aleatoriamente por todo el estroma. De nuevo son evidentes las **concreciones prostáticas** (CoP) en las luces alveolares, y en un caso el epitello está comprimado en un grado tal que es casi irreconocible. El recuadro inferior, que corresponde al rectángulo más poqueño, muestra claramente la naturaleza cilindrica seudoestratificada del epitello prostático (Ep). Se observan células basales bien delimitadas (puntas de flecho) junto con las células cilindricas secretoras más altas. Un vaso sanguineo (VS) de pequeño calibre situado justo debajo del epitello puede identificarse por los entrocitos que hay en su luz. Una infiltración linfocítica (Li) parece llenar el estroma a lo largo del borde inferior de esta microfotografía, lo cual indica que la glándula pasó por un proceso inflamatorio.

Cap, cápsula CoP, concreciones prostáticas Ep, epitelio Li, linfocitos ML, músculo liso VS, vasos sanguíneos flechas, alvéolos mactivos puntas de flecha, figura superior, "islas epitellales", figura del recuadro inferior, células basales

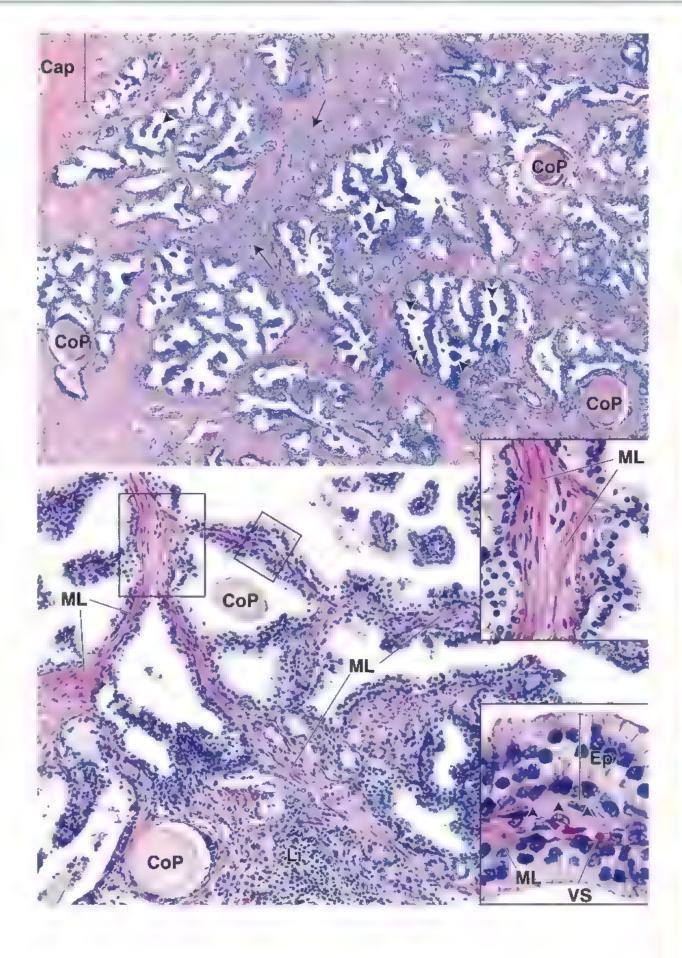


LÁMINA 91 VESÍCULAS SEMINALES

Las vesículas seminales son evaginaciones del extremo de cada conducto deferente que forman tubos muy enrollados. Aunque los cortes a través de esta estructura pueden mostrar muchas luces, todas son imágenes de una sola luz tubular continua. Las vesículas seminales están revestidas por un epitetio cilindrico seudoestratificado que se parece mucho al de la próstata.

La secreción de las vesículas seminales es un material viscoso blanco amarillento que contiene fructosa, otros sacáridos simples, aminoácidos, ácido ascórbico y prostaglandinas. Si bien las prostaglandinas se aislaron inicialmente de la próstata (de ahí su nombre), en las vesiculas seminales

se sintetizan en gran cantidad. La fructosa es la fuente nutritiva primana para los espermatozoides en el semen.

La mucosa descansa sobre una capa gruesa de musculo liso que se continúa directamente con la del conducto deferente, desde donde se evagina la vesicula seminal. El musculo liso forma una capa circular interna poco nítida y una longitudinal externa (compárese con las tres capas del conducto del epididimo y del deferente, lám 88) que son dificiles de distinguir. La contracción de la cubierta de musculo liso durante la eyaculación expulsa las secreciones de las vesiculas seminales hacia los conductos eyaculadores. Por fuera del músculo liso está el tejido conjuntivo de la adventicia



Vesiculas seminales, humano, H&E, 30×.

En esta microfotografía se muestra un corte transversal de una **vo-**sícula seminal Debido a que se encuentra enrollada, la vesícula parece tener dos luces, una junto a otra, casi completamente
separadas. Sin embargo, están comunicadas de manera que, en

efecto, todos los espacios internos son continuos y lo que se ve aquí en realidad es un aspecto bidimensional del enrollamiento del tubo en el espacio.

La **mucosa** de las vesículas semunales se caracteriza por estar muy plegada o arrugada. Los pliegues son de tamaño vanable y tipicamente están ramificados e interconectados. Los más grandes pueden formar recesos que contienen otros pliegues más pequeños, y cuando se seccionan en sentido oblicuo, se ven como arcos de la mucosa que encierran los pliegues más pequeños (flechas). Si el plano

del corre es perpendicular a la superficie, los pliegues de la mucosa adquieren el aspecto de "vellosidades". En algunas regiones, en particular en la periferia de la luz, los pliegues de la mucosa interconectados adoptan la configuración de alvéolos. No obstante, cada una de estas cavidades es simplemente una estructura en forma de boisillo que está abserta y en comunicación con la luz. Por debajo de la superficie mucosa se observa un tejido conjuntivo laxo musy celular (TC) que, a su vez, está rodeado por músculo liso (ML)

Las vesículas seminales son dilataciones pares saculares y alargadas. Cada vesícula está formada por un tubo unico plegado y enrollado sobre sí mismo que tiene diverticulos ocasionales en su pared. El extremo superior termina en un fondo de saco ciego, mientras que el extremo inferior se angosta para dar origen a un conducto recto y estrecho que se une al conducto deferente correspondiente en el que vierte su contenido.



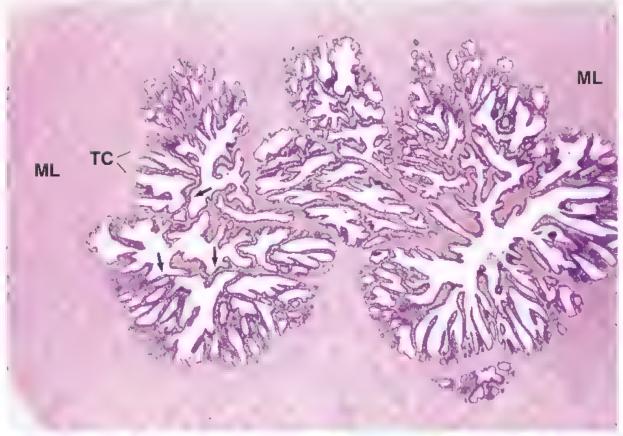
Pliegues mucosos, vesículas seminales, humano, H&E, 220×.

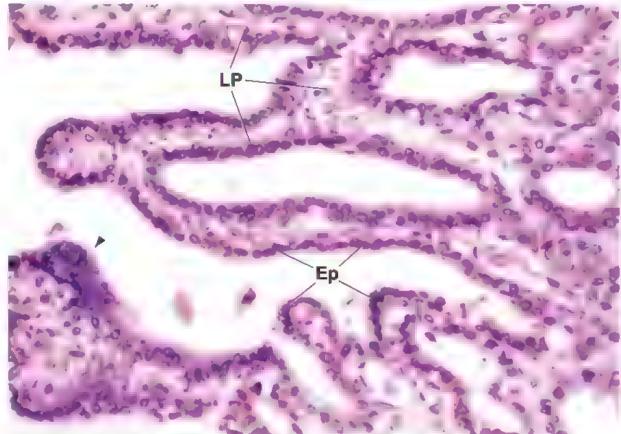
En este aumento mayor de los pliegues de la mucosa se muestra el **opitelio** (*Ep*) y el tejido conjuntivo laxo subyacente o **lámina propia** (*LP*). El epitelio se describe como seudoestratificado.

Está compuesto por células cúbicas o cilindricas bajas y células basales redondas pequeñas. Estas últimas están dispersas al azar entre las células principales más

grandes, pero son relativamente escasas. Por esta razón, puede ser dificil advertir que el epitelio es seudoestratificado. En algunas áreas, el epitelio aparece grueso (punta de flecha) y, por la disposición de los núcleos, da la impresión de ser multiestratificado. Esto se debe al corte tangencial del epitelio y no corresponde a una estratificación real. La lámina propia de la mucosa está compuesta por un tejido conjuntivo muy celular que tiene algunas células musculares lisas y numerosas fibras elásticas.

Ep, epitelio LP, lámina propia ML, musculo liso TC, tejido conjuntivo flechas, arcos mucosos puntas de fecha, corte oblicuo del epitelio





23 APARATO REPRODUCTOR FEMENINO

FUNDAMENTOS DEL APARATO REPRODUCTOR FEMENINO / 876

OVARIOS / 877

Estructura de los ovarios / 877

Desarrollo folicular / 878

Ovulación / 884

Cuerpo iuteo / 886

Capacitacion y fecundacion / 887

Atresia / 889

Irrigación sanguinea y vasos linfaticos / 891

Inervacion 891

TROMPAS UTERINAS / 891

ÚTERO / 893

Cambios cíclicos durante el ciclo menstrual / 896 Implantación / 898

Cuello uterino / 900

PLACENTA / 901

VAGINA / 906

GENITALES EXTERNOS / 907

GLANDULAS MAMARIAS / 909

Regulación hormonal de las glándolas mamar as 913 Involución de las glándulas mamarias / 915 Irrigación sanguinea y vasos linfáticos / 915 Inervación / 915

Cuadro 23-1 Correlación clínica: poliquistosis ovárica / 884

Cuadro 23-2 Correlación clínica: fecundación in vitro / 890

Cuadro 23-3 Consideraciones funcionales: resumen de la regulación hormonal del ciclo ovárico / 894

Cuadro 23-4 Correlación clínica: la placenta / 905

Cuadro 23-5 Correlación clínica: citología de cuello uterino (prueba de Papanicoláu) / 908

Cuadro 23-6 Correlacion clínica: cáncer de cuello uterino e infecciones por virus del papiloma humano / 914

Cuadro 23-7 Consideraciones funcionales⁷ lactancia e infertilidad / 915

HISTOLOGIA 101 / 916



■ FUNDAMENTOS DEL APARATO REPRODUCTOR FEMENINO

El aparato genital femenino está compuesto por órganos sexuales internos y estructuras genitales externas.

Los órganos reproductores internos de la mujer están localizados en la pelvis mientras que las estructuras genitales externas (genitales externos) están situadas en la parte anterior del periné y en conjunto reciben el nombre de *vulvo*.

- Los órganos genitales internos son los ovarios, las trompas (tubas) uterinas, el úrero y la vagina (fig. 23-1). Están situados sobre todo en la cavidad pélvica y en el periné.
- Los órganos genitales externos incluyen el monte del pubis, los labios mayores y menores, el clitoris, el vestíbulo y el orificio de la vagina, el himen y el orificio uretral externo.

Las glándulas mamarias se incluyen en este capítulo debido a que su desarrollo y su estado funcional están directamente relacionados con la actividad hormonal del aparato reproductor de la mujer. Del mismo modo, la placenta está incluida debido a su relación funcional y física con el útero en el embarazo.

Los órganos reproductores femeninos experimentan cambios cíclicos regulares desde la pubertad hasta la menopausia.

Los ovarios, las trompas uterinas y el útero de una mujer sexualmente madura experimentan marcados cambios estructurales y funcionales relacionados con la actividad nerviosa y las modificaciones en las concentraciones hormonales durante cada ciclo menstrual y durante el emberazo. Estos mecanismos también regulan la embriogénesis del aparato reproductor de la mujer. El inicio del ciclo menstrual, denominado menarquio, ocurre entre la edad de 9 y 14 años (la edad promedio es de 12.4 años) y marca el inicio de la vida reproductiva. Durante esta fase de la vida, el ciclo menstrual mene una duración promedio de 21-34 días. Entre la edad de 45 y 55 años (la edad promedio es de 51.4 años), el ciclo menstrual se vuelve irregular y, finalmente, cesa. Este cambio en la función reproductiva se conoce como menopausia o elimeterio. Los ovarios dejan de producir ovocitos y detienen su función endocrina de producción de hormonas que regulan la actividad reproductiva. Otros

Porción uterina Istmo de la

FIGURA 23-1. Diagrama de los órganos sexuales internos de la mujer. Esta imagen corresponde a una vista posterior del aparato reproductor de la mujer. Se han el minado partes de la pared del utero, las trompas uter nas y la vagina para que se aprecie su estructura interna. Notense las tres capas bien defin das de la pared uterina, la capa interna, un endometrio que reviste la cavidad utenna, la capa intermedia más gruesa, el miometrio; y la capa externa o perimetrio, que es la cubierta peritoneal dej útero.

órganos (la vagina y las glándulas mamarias) disminuyen en grado variable sus funciones, en particular la actividad secretora.

DVARIOS

Las dos funciones principales de los ovarios son la producción de gametos y la síntesis de hormonas esteroideas.

Los ovarios tienen dos funciones interrelacionadas. la gametogénesis (producción de gametos) y la esteroidogénesis (producción de esteroides). En la mujer, la producción de gametos se denomina ovogénesis. Los gametos en desarrollo se conocen como ovocitos (oocitos); los gametos maduros se denominan óvulos.

Los ovarios secretan dos grupos principales de hormonas esteroideas: los estrógenos y los progestágenos.

- Los estrógenos promueven el crecimiento y la maduración de los órganos sexuales internos y externos; también producen los caracteres sexuales femeninos que se desarrollan en la pubertad. Estas hormonas también actúan sobre las glándulas mamarias para promover el desarrollo de las mamas al estimular el crecimiento de los conductos y el estroma, así como la acumulación de tejido adiposo.
- Los progestágenos preparan a los órganos sexuales internos, sobre todo al útero, para el embarazo al promover cambios secretores en el endometrio (que se comentan en la sección sobre cambios cíclicos endometriales). Los progestágenos también preparan a las glándulas mamarias para la lactancia al promover la proliferación de los lobulillos.

Ambas hormonas desempeñan un papel importante en el ciclo menstrual porque preparan el útero para la implantación de un óvulo fecundado. Si la implantación no ocurre, el endometrio del útero se degenera y sobreviene la menstruación.

Ampolla de la

Mesosálpinx

Estructura de los ovarios

En las nulíparas (mujeres que todavía no han tenido hijos), los ovarios son estructuras pares color blanco rosado, con forma de almendra, que miden unos 3 cm de longitud, 1.5 cm de ancho y 1 cm de espesor. Cada ovario está fijado a la superficie posterior del ligamento ancho a través un pliegue peritoneal, el mesovario (véase fig. 23-1). El polo superior (tubárico) del ovario está unido a la pared de la pelvis mediante el ligamento suspensorio del ovario, que conduce vasos y nervios. El polo inferior (o uterino) está unido al útero mediante el ligamento ovárioo. Este ligamento es un remanente del gubernáculo, el cordón fibroso embrionario que fija a la gónada en desarrollo al piso de la pelvis. Antes de la puberrad, la superficie del ovario es lisa, pero durante la vida reproductiva adquiere cada vez más cicatrices y se toma irregular debido a las ovulaciones repetidas. En la mujer posmenopáusica, los ovarios tienen aproximadamente un cuarto del tamaño observado durante el período reproductivo.

El ovario está compuesto por una corteza y una medula.

Un corte a través del ovario permite ver dos regiones bien definidas:

- La médula o región medular se encuentra ubicada en la porción central del ovario; contiene tejido conjuntivo laxo, una masa de vasos sanguíneos tortuosos bastante grandes, vasos linfáticos y nervios (fig. 23-2)
- La corteza o región cortical está en la porción periférica del ovario y rodea la médula. La correza contiene los foliculos ováricos incluidos en un tejido conjuntívo muy celular (lám. 92, p. 920). En el estroma que rodea los folículos hay fibras de músculo liso dispersas. El límite entre la médula y la corteza no está definido.

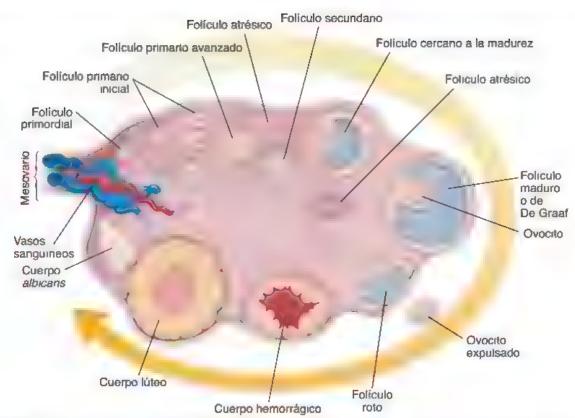


FIGURA 23-2. Diagrama de un corte a través del ovario. En esta imagen se muestran las etapas del desarrollo folicular desde el foliculo primario inicial hasta el foliculo maduro (de De Graaf). La maduración de los foliculos ocume en la dirección de la flecha. Los cambios en el foliculo después de la ovulación conducan al desarrollo del cuerpo luteo y, finalmente, al cuerpo albicans. Obsérvense los vasos sanguíneos muy contorneados en el hirlo y la médula del ovario.

El ovario está cubierto por un "epitelio germinativo" en lugar de un mesotelio.

La superficie del ovario está cubierta por una sola capa de células cúbicas y, en algunas partes, casi planas. Esta capa celular, conocida como epitelio germinativo, conunúa en el mesotelio que reviste al mesovario. El término epitelio germinativo proviene de antaño, cuando se pensaha de forma incorrecta que este era el sitio de origen de las células germinativas durante el desarrollo embrionario. En la actualidad se sabe que las células germinales primordiales (masculinas y femeninas) tienen un origen extragonadal y que migran desde el saco vitelino embrionario hacia la correza de la gónada embrionaria, donde se diferencian e inducen la diferenciación del ovario. Una capa de tejido conjuntivo denso, la túnica albuginea, se localiza entre el epitelio germinativo y la corteza subyacente (lám. 92, p. 920). Los tumores que se originan a partir de la superficie epitelial del ovario constituyen más del 70% de los cánceres ováricos. El origen de los tumores del epitatio superficial podría relacionarse con las roturas y reparaciones repetidas del epitello germinativo durante las ovulaciones.

Los folículos ováricos proporcionan un microambiente para el ovocito en desarrollo.

Distribuidos en el estroma de la correza hay folículos ováricos de vanos tamaños, cada uno con un solo ovocito. El tamaño del folículo
indica el estado de desarrollo del ovocito. Las erapas iniciales de
la ovogénesis ocurren durante la vida fetal, cuando las divisiones
mitóricas incrementan de forma masiva la cantidad de ovogonias
(véase la sección sobre ovogénesis). Los ovocitos presentes en el nacimiento permanecen detenidos en la primera división meiótica de su
desarrollo (véase p. 843). Durante la pubertad, pequeños grupos de
folículos experimentan crecimiento y maduración cíclicos. La ovu-

lación puede ocurrir de manera irregular durante la adolescencia. Por lo general, al tercer año después de la menarquía se establece un patrón cíclico regular de maduración folicular y ovulación.

En general, solo un ovocito alcanza la madurez total y es liberado desde el ovario durante cada ciclo menstrual. Es obvio que la maduración y liberación de más de un ovocito en la ovulación podría conducir a múltiples cigotos. Durante su vida fértil, una mujer produce alrededor de 400 óvulos maduros. La mayoría de los 600 000-800 000 ovocitos primarios (que se estima están presentes al momento del nacimiento) no completan la maduración y se pierden gradualmente a través de la atresia, que consiste en la muerte espontánea y la reabsorción ulterior de los ovocitos inmaduros. Este proceso comienza ya en el quinto mes de la vida fetal y es mediado por la apoptosis de las células que rodean al ovocito. La atresia reduce la cantidad de ovocitos primarios de modo logarítmico a lo largo de la vida, desde unos 5 millones en el feto a menos del 20% de ese valor al momento del nacimiento. Los ovocitos que quedan en la menopausia se degeneran en unos pocos años.

Desarrollo folicular

Desde un punto de vista histológico pueden identificarse tres tipos básicos de foliculos ovarioos según su estado de desarrollo:

- Foliculos primordiales
- Foticulos en crecimiento (que a su vez se subclasifican en folículos primarios y secundarios [o antrales])
- Foliculos maduros o de De Graaf

Algunos histólogos y clínicos identifican etapas adicionales en el espectro continuo del desarrollo folicular. En el ovario, los folículos se encuentran en todas las etapas de desarrollo, aunque predominan los folículos primordiales.

El folículo primordial es la etapa inicial del desarrollo folicular.

Los foliculos primordiales recién aparecen en el ovario durante el tercer mes de desarrollo fetal. El crecimiento inicial de los folículos primordiales es independiente de la estimulación por gonadotropinas. En el ovario maduro, los folículos primordiales se encuentran en el estroma de la corteza, justo debajo de la túnica albugínea. Una sola capa de células foliculares planas rodea al ovocito (fig. 23-3 y lám. 92, p. 920). La superficie externa de las células foliculares está limitada. por una lámina basal. En esta etapa, el ovocito y las células foliculares que lo rodean están estrechamente adosados entre sí. El ovocito en el folículo mide alrededor de 30 µm de diámetro, posee un núcleo excéntrico voluminoso que contiene cromatina finamente dispersa y uno o más nucléolos grandes. El citoplasma del ovocito, conocido como ovoplasma, contiene un cuerpo de Balbiani (véase fig. 23-3a). En sentido ultraestructural, el cuerpo de Balbiani consiste en un cúmulo focalizado de vesículas y membranas de Golgi, retículo endoplasmático, centriolos, numerosas mitocondrias y lisosomas. Además, los ovocitos humanos contienen laminillas anulares y abundantes vesículas pequeñas dispersas a lo largo del citoplasma junto con pequeñas mitocondrias esféricas. Las laminillas anulares parecen membranas de la envoltura nuclear apiladas. Cada capa de la pila incluye estructuras que son morfológicamente idénticas a los poros nucleares.

El foliculo primario es la primera etapa en el desarrollo del foficulo en crecimiento.

A medida que el foliculo primordial se transforma en un foliculo en orocimiento, ocurren cambios en el ovocito, las células foliculares y el estroma contiguo. Inicialmente, el ovocito aumenta de tamaño y las células foliculares aplanadas circundantes proliferan y se tornan cúbicas. En esta etapa, cuando las oélulas foliculares se vuelven cúbicas, el folículo recibe el nombre de foliculo primario. A medida que crece el ovocito, secreta proteínas específicas que se ensamblan en una cubierta extracelular denominada zona palucida.

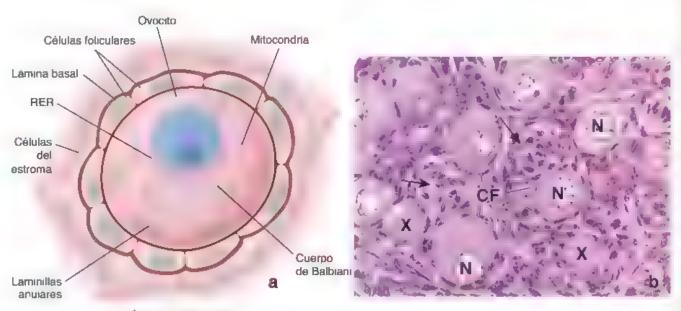
La zona pelúcida está compuesta por glucoproteínas que se unen a los espermatozoides capacitados e inducen la reacción acrosómica.

Esta zona aparece entre el ovocito y las células foliculares contiguas (fig. 23-4). En los humanos, la zona pelúcida (ZP) se compone de cuatro clases de glucoproteínas ácidas sulfatadas denominadas ZP-1 (638 aminoácidos [22]), ZP-2 (745 a2), ZP-3 (424 a2) y ZP-4 (540 aa). Las glucoproteinas ZP humanas están fuertemente glucosiladas. La ZP 3 y la ZP 4 funcionan como receptores primanos de unión a los espermatozoides. La unión es detectada en el casquete acrosómico del espermatozoide. La ZP-I y la ZP-2 actúan como proteínas secundarias de unión que interactúan principalmente con el segmento ecuatorial de la cabeza del espermatozoide. Además, ZP-1, ZP-3 y ZP-4 son las responsables de la inducción de la reacción acrosómica en espermatozoides capacitados (véase p. 888). Después de la fusión de la membrana del espermatozoide con la membrana plasmática del oyocito (ovolema), las glucoproteínas ZP se escinden mediante la acción de metaloendoproteasas (que se liberan de los gránulos corticales), lo que provoca que las proteínas ZP ya no sean reconocibles para unirse con otros espermatozoides.

Al microscopio óptico, la zona pelúcida puede verse con claridad como una capa homogénea y refractiva que se tiñe con intensidad con colorantes acidófilos y con el ácido peryódico de Schiff (PAS, periodic acid-Schiff; lám. 92, p. 920). Recién se torna visible cuando el ovocito, rodeado por una capa simple de células foliculares cúbicas o cilíndricas, ha alcanzado un diametro de 50-80 μm.

Las célutas foticulares se estratifican para formar la capa granulosa del foticulo primario.

A través de una proliferación mitótica rápida, la capa simple de células foliculares origina un epitelio estratificado, la membrana granulosa (estrato granuloso) que rodea al ovocito. Las células foliculares ahora se identifican como células granulosas. La lámina basal



FOLICULO PRIMORDIAL

FIGURA 23-3. Foliculo primordial a. Diagrama de un foliculo primordial en el que se muestra al ovocito detendo en la profase de la primera división meiótica. El ovocito está rodeado muy de cerca por una capa simple de células foliculares apianadas. La capa superficial de estas células está separada del tel do con untivo por una lámina basal. El ovoplasma contiene orgánilios característicos, como se observan con el microscopio electrónico, incluyendo el cuerpo de Baiblani, las lámini as anulares y las mitocondrias esferoideas pequeñas. PER reticulo endop asmático rugoso. b. En esta microfotográfia de los foliculos primordiales se muestran los ovocitos rodeados por una capa simple de células foliculos primordiales se muestran los ovocitos rodeados por una capa simple de células foliculos en nucieo (N) del ovocito se encuentra en una posición excántrica. Se senaian dos ovocitos en los cuales el nucleo no está incluido en el plano de corte (X). De manera similar hay dos foliculos (flechas) que se cortaron tangencialmente y por ello solo se observan las células foliculares y no el ovocito, el cual ha quedado en otro plano. 640×

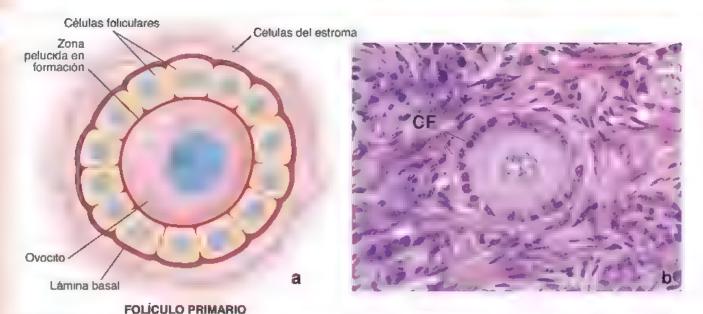


FIGURA 23-4. Folículo primario inicial, a. Diagrama de un foliculo primario en una etapa inicial de desarro o Nótese la formación de la zona perucida entre el ovocito y las celulas foliculares contiguas. Una capa simple de células foliculares cubicas rodea al ovocito en crecimiento b. Micrototografía de un foliculo primar o Obsérvese la capa bien definida de células foliculares (*CF*) que rodean al ovocito 640×

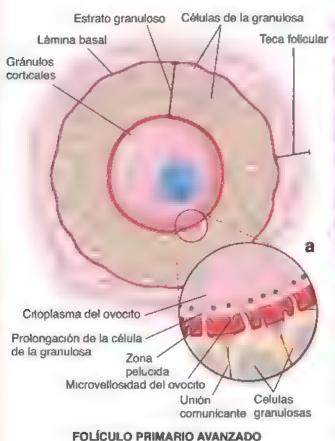
mantiene su posición entre la capa más externa de las células foliculares, que se tornan culíndricas, y el estroma de tejido conjuntivo.

Durante el crecimiento folicular se desarrollan extensas uniones comunicantes entre las células granulosas. Sin embargo, a diferencia de las células de Sertoli en los testículos, la capa basal de las células granulosas no posee uniones ocluyentes o herméticas (zonula occludens) intrincadas, lo que indica la falta de una barrera hematofolicular. El desplazamiento de sustancias nutritivas y pequeñas moléculas de información, desde la sangre hacia el líquido folicular, es indispensable para el desarrollo normal del óvudo y el folículo.

Las células de tejido conjuntivo forman las capas de la teca del folículo primario.

A medida que proliferan las células granulosas, las obiutas del estroma forman una vaina de células de tejido conjuntivo conocida como teca folicular, justo por fuera de la lámina basal (fig. 23-5). La teca folicular se diferencia en dos capas:

 La tucu interna es una capa interior muy vascularizada de células secretoras cúbicas (lám. 93, p. 922). Las células de la teca interna con diferenciación completa tienen las características



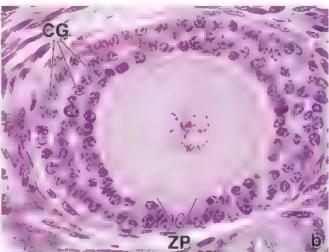


FIGURA 23-5. Foliculo primario avanzado a. Se muestra un cumulo multestratificado de células granulosas (diferenciadas a partir de células foliculares) que rodean al ovocito. Nótese que la capa más intena de las células granulosas es contigua a la zona pelucida y la más externa se localiza en la lámina basal, adyacente a las células del estroma, ahora denominadas teca folicular. El cuerpo de Balbiani en esta etapa se reorganiza en multiples unidades de Golgi, y en el citoplasma aparecen gránulos corticales. El detalle lustra la ultraestructura del ovocito y las células foliculares contiguas. Muchas microvellosidades del ovocito y prolongaciones delgadas de las células granulosas se extienden dentro de la zona pelucida que rodea al ovocito. Estas prolongaciones entran en contacto con la membrana plasmática del ovocito. Microfotografía de un foliculo primario avanzado (simio). Pueden verse multiples capas de células granulosas (CG) que rodean al ovocito primario. La zona pelucida (ZP) se encuentra entre el ovocito y las células foliculares. 640×

ultraestructurales típicas de las células productoras de esteroides y una gran cantidad de receptores de hormona luteinizante (LH, luteinizing hormone; lutropina). En respuesta a la estimulación por la LH, estas células sintetizan y secretan andrógenos, los precursores de los estrógenos. Además de las células secretoras, la tecainterna tiene fibroblastos, haces de fibras de colageno y una red extensa de vasos pequeños típica de los órganos endocrinos.

La toca externa es la capa más exterior de células de rejido conjuntivo. Contiene sobre todo células de músculo liso y haces de fibras de colágeno.

Los límites entre las capas de la teca, así como entre la teca externa y el estroma circundante, no están bien definidos. Sin embargo, la támina basat que hay entre la capa granulosa y la teca interna establece un límite bien establecido entre esas capas. Separa el lecho capilar extenso de la teca interna de la capa granulosa, que es avascular durante el período de crecimiento folicular. El límite de la lámina basal, entre la capa de la granulosa y la teca interna, restringe la entrada de leucocitos y sustancias de alto peso molecular (como las lipoproteínas de baja densidad) en el folículo.

La maduración del ovocito ocurre en el foliculo primario.

La distribución de los orgánulos cambia a medida que madura el ovocito. Múltiples elementos de Golgi dispersos, derivados del único cuerpo de Balbiani del ovocito primordial, se distribuyen en el citoplasma. Aumenta la cantidad de ribosomas libres, mitocondrias, vesículas pequeñas y cuerpos multivesiculares, así como de retículo endoplasmático rugoso (RER). También pueden observarse algunas gotitas lipídicas y cúmulos de pigmento lipocromo. Los ovocitos de gran cantidad de especies, incluidos los mamíferos, tienen vesículas secretoras especializadas conocidas como gránulos corticules (véase fig. 23-5a). Están justo debajo del ovolema. Los gránulos contienen

proteasas liberadas por exocitosis cuando el óvulo es activado por un espermatozoide (ello se describe en la sección sobre fecundación).

Numerosas microvellosidades irregulares se proyectan desde el ovocito hacia el la zona pelucida o espacio perivitelino, entre el ovocito y las células granulosas circundantes, conforme se deposita la zona pelúcida (véase fig. 23-5). Al mismo tiempo, las células granulosas desarrollan evaginaciones delgadas que se proyectan hacia el ovocito, se entremezclan con las microvellosidades ovocíticas y, a veces, invaginan en el ovolema. Pueden formar uniones comunicantes con la membrana plasmática del ovocito. El monotosfato de guenosina cielloo (CGMP, cyclic guanosine monophosphate), producido por las células granulosas, ingresa en el ovocito a través de las uniones comunicantes y detiene la maduración de los ovocitos (en la primera división meiótica) al inhibir la hidrolisis del monofosfato de adenosina ciclico (cAMP, cyclic adenosine monophosphate) por una fosfodiesterasa (PDE3A). Esta inhibición mantiene una alta concentración de cAMP en el ovocito y, por lo tanto, bloquea la progresión meiótica.

El folículo secundario se caracteriza por un antro Heno de liquido.

A medida que incrementa su tamaño, el folículo primario inicial mente se hace más profundo en el estroma cortical, sobre todo por proliferación de células granulosas. Son varios los factores necesarios para el crecimiento folicular y de los ovocitos:

- Hormona foliculoestimularite (FSH, follicle-stimulating hormone)
- Factores de crecimiento (p. ej., factor de crecimiento epidérmico [EGF, epidermal growth factor], somatomedina C o factor de crecimiento insulinico 1 [IGF-I, insulin-like growth factor I])
- lones Ca²⁺

Cuando el estrato granuloso alcanza un espesor de 6-12 capas celulares, entre las células de la granulosa aparecen cavidades con contenido líquido (fig. 23-6). A medida que el líquido con mucho

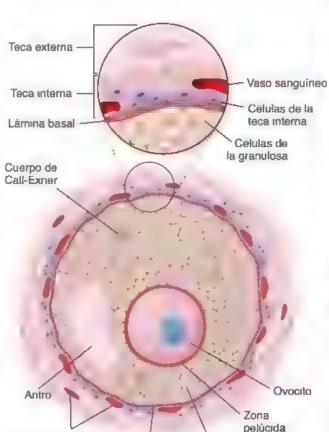


Lámina basal

FOLÍCULO SECUNDARIO

Células

granulosas

Vasos sanguineos

FIGURA 23-6. Folículo secundario. a. Diagrama de un foliculo secundano en el que se muestra el antro lleno de líquido, el cua se forma por la confluencia de cavidades pequeñas llenas de liquido que hay entre las cé ulas de la granulosa Nótese que este folículo en crecimiento activo tiene muchas céfulas de la granufosa en proceso de división. En esta etapa aparecen los cuerpos de Call-Exner. El detalle ilustra la relación entre las células de la granulosa, la lámina basal y las tecas interna y externa. Las células de la teca interna se diferencian en cérulas productoras de esteroides muy vascular zadas. La teca interna está rodeada por una capa externa de células del estroma denominada teca externa. La lámina basal separa las células de la granulosa de la teca interna. b. Microfotografía de un folículo secundario. Dentro del estrato granuloso (EG) es visible el antro (A), lleno de líquido folicular. Por fuera de la támina basal del foliculo secundario se pueden observar múltiples capas de células de la teca interna (7/) y de células de la teca externa (TE) 85×

hialuronato, llamado liquido folicular, continúa acumulándose entre las células de la granulosa, las cavidades comienzan a confluir para finalmente formar una cavidad única con forma de semiluna denominada antro. Este folículo ahora se designa como foliculo secundario o antral (lam. 93, p. 922). El ovocito de posición excéntrica, que ha adquirido un diámetro de 125 µm, ya no crece más.

Los nucleótidos cíclicos desempeñan un papel clave en el mantenimiento de la demora meiótica del ovocito durante el crecimiento y la maduración del folículo.

Los nucleótidos cíclicos oGMP y cAMP, producidos en la granulosa y los ovocitos, son las principales moléculas responsables de mantener la dilación melótica de los ovocitos. Además, la inhibición del crecimiento y la maduración del ovocito también está controlada por la familia de péptidos natriuréticos. Su representante, un péptido de peso molecular pequeño llamado péptido natriurético de tipo C (CNP, C-type natriuretic paptido), es secretado por las células granulosas en el líquido antral y funciona como inhibidor de la maduración de los ovocitos. Se observa una correlación inversa entre el tamaño del folículo secundario y la concentración de CNP. La concentración es máxima en los folículos pequeños y mínima en los folículos maduros. El folículo, que como folículo secundario inicial tenía un diámetro de 0.2 mm cuando apareció el líquido por primera vez, continúa creciendo y alcanza un diámetro de 10 mm o más.

Las células del cúmulo cóforo forman una corona radiada alrededor del ovocito del folículo secretor.

Conforme el foliculo socundario incrementa su tamaño, el antro, revestido por varias capas de células granulosas, también se agranda (fig. 23-7). El estrato granuloso posoe un espesor relativamente uniforme excepto en la región asociada con el ovocito. Aquí, las células de la granulosa forman un montículo abultado, el cúmulo obtoro, que se proyecta dentro del antro. Las células del cúmulo obforo que rodean de inmediato al ovocito y permanecen con él en la ovulación se denominan corona radiada. La corona radiada está compuesta

por células del cámulo que envían microvellosidades penetrantes a lo largo de la zona pelúcida para relacionarse, a través de las uniones comunicantes, con las microvellosidades del ovocito. Durante la maduración folicular, la cantidad de microvellosidades en la superficie de las células granulosas se incrementan y eso se correlaciona con un aumento de los receptores de LH en la superficie libre antral. Entre las células granulosas pueden observarse los llamados cuerpos de Cali-Exnor (véase fig. 23-6a), que consisten en un material extracelular que se tiñe con intensidad y es PAS positivo. Estos cuerpos son secretados por células granulosas y contienen hialuronato y proteoglucanos.

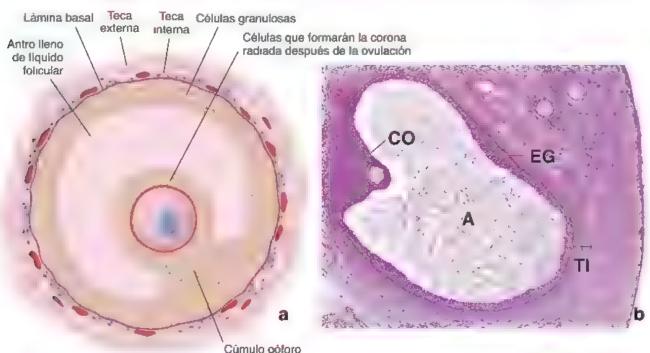
Los foliculos maduros o de De Graaf contienen el ovocito secundario maduro.

El foteulo maduro, también conocido como folículo de De Graef, tiene un diámetro de 10 mm o más. Debido a su gran tamaño, se extiende a través de todo el espesor de la corteza ovárica y sobresale en la superficie del ovario. A medida que el folículo se acerca a su tamaño máximo, la actividad mitótica de las células granulosas disminuye. El estrato granuloso parece tornarse más delgado a medida que el antro incrementa su tamaño. A medida que los espacios entre las células de la granulosa continúan agrandándose, el ovocito y las células del cúmulo se separan de manera gradual del resto de las células granulosas en preparación para la ovulación. Las células del cúmulo que rodean inmediatamente al ovocito ahora forman la capa de células simples de la corona radiada. Estas células y las del cúmulo, mediante una unión laxa, permanecen con el ovocito en la ovulación.

Durante este período de maduración folicular, las capas de la teca se vuelven más prominentes. Las gotitas lipídicas aparecen en el citoplasma de las células de la teca interna y estas adquieren las características ultraestructurales de las células productoras de esteroides.

La síntesis de estrógenos en el ovario requiere una relación de colaboración entre la teca interna y las células granulosas.

La cooperación entre las células de la teca interna y las células granulosas es necesaria para la producción de estrógenos (p. ej., estrona,



FOLÍCULO MADURO O DE DE GRAAF

FIGURA 23-7. Foficulo secundario en una etapa avanzada de su desarrollo. a. Diagrama de un foliculo maduro (de De Graaf) con un gran antro que contiene un ovoc to niciuldo dentro del cumulo obtoro. Las células del cumulo obtoro que rodean de forma inmediata al ovocito permanecen con él después de la ovulación y se denominan corona radiada. b. Microfotografía de un foliculo secundario maduro. Nótese el gran antro (A. Ileno de liquido y el cumulo obtoro (CO) que contiene a ovocito. Las celulas restantes que rodean la luz de lantro forman la membrana granulosa tel estrato granuloso. EG). La superficie del ovario es visible a la derecha. Cabe destacar la presencia de dos foticulos primanos amba, a la derecha. Ti, teca interna. 45 A.

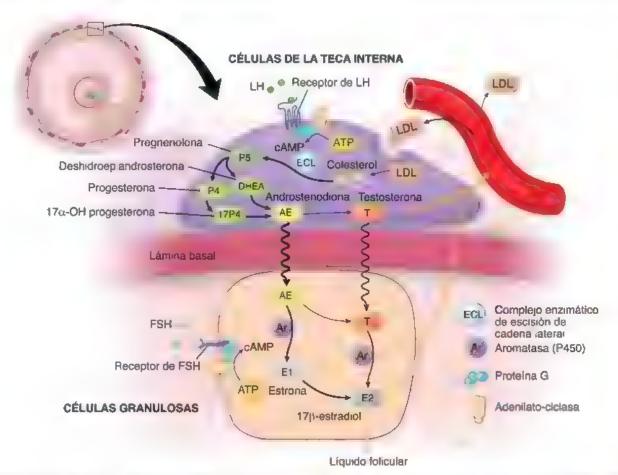


FIGURA 23-8. Sártesis de estrógenos en el foliculo ovárico. La sintesis de estrógenos en el ovano requiere de la colaboración entre las células de la teca interna y las granulosas. Las células de la teca interna expresan en su superficie receptores para LHγ para LDL. La estimulación de las células de la teca interna con LH facilità la conversion del covesterol (liberado de la lactato deshid ogenasa (LDH)) en pregnenolona (P5) y usego la través de intermediarios adicionales, en andrógenos (androstenodiona y tesfosterona). Estos andrógenos se difunden en las celulas granulosas vecinas donde la aromatasa (CYP19A1 de citocromo P450) los convierte en estrógenos. Las células granulosas expresan receptores de F5H y su activación por esta hormona es un estimulador primario de la actividad de la aromatasa. La F5H también promueve la conversión de estrona en 17β-estración ATP, trifosfato de adenosina. cAMP, monofostato de adenos na ciclico. F5H hormona foliculoest mulante (folitropina).

estradiol) en los folículos en desarrollo. Ni las células granulosas ni las de la teca expresan el complemento completo de enzimas necesanas para la síntesis del estradiol, la principal hormona sexual femenína. Las células de la teca interna están en una capa altamente vascularizada del folículo y expresan en su superficie receptores tanto de LH como de lipoproteínas de baja densidad (LDL, low-denuty lipoproteín). Los receptores de LDL en estas células aceleran la absorción de las moléculas de LDL de las que se libera el colesterol, y este se convierte en el sustrato principal para la síntesis de hormonas esteroideas (fig. 23-8).

Cuando son estimuladas por la LH, las células de la teca interna favorecen la conversión de colesterol en pregnenolona y después, por medio de intermediarios adicionales, en andrógenos (deshidroepian-drosterona [DHEA], androstenediol, androstenodiona, testosterona; véase fig. 23-8). Debido a la ausencia de la enzima P450-aromatasa, las células de la teca interna no pueden producir estrógenos. Por el contrario, las células granulosas adyacentes sí contienen la P450-aromatasa. Por lo tanto, los andrógenos secretados por las células de la teca interna ingresan en las células granulosas donde se convierten, en el retículo endoplasmático liso (REL) y por la acción de la P450-aromatasa, en estrógenos como respuesta a la estimulación con FSH (folitropina) (véase fig. 23-8).

La FSH constituye el estímulo primario para la expresión del gen de la P450-aromatasa en las oélulas granulosas. Sin embargo, no todas estas células poseen la misma capacidad para producir estrógenos. Los grados más altos de actividad se ubican en las células periféricas cerca de la teca interna, mientras que los grados más bajos se encuentran en las células que bordean al antro. Casi toda (99%) la aromatización (conversión de andrógenos en estrógenos) en los folículos en desarrollo ocurre en las células granulosas, por lo que es la única fuente de estradiol en la fase folicular del ciclo ovárico. Los estrógenos secretados por las células granulosas estimulan su propia proliferación y, en consecuencia, aumentan el tamaño del folículo.

Los inhibidores de la aromatasa (IA) son una clase de fármacos para tratar el cancer de mama sensible a estrógenos. Este tipo de cancer de mama evoluciona en respuesta a estrógenos. Los IA se unen a diferentes sitios en la aromatasa y evitan la conversión de andrógenos en estrógenos; de esta forma reducen la concentración de estrógenos en el cuerpo y con ello el potencial de crecimiento de las células cancerosas.

El aumento de las concentraciones de estrógenos, de fuentes foliculares y sistémicas, se correlaciona con una mayor sensibilización de las células gonadótropas a la gonadoliberina (GnRH, gonadotropin-releasing hormone). En la adenohipófisis, casi 24 h antes de la ovulación, se induce un aumento en la liberación de LH (y otro un poco menor de FSH). En respuesta al aumento de la LH, sus receptores se regulan negativamente (se desensibilizan) y las oflulas granulosas ya no producen estrógenos. Activada por este aumento, se reanuda la primera división meiótica del ovocito primario. Dicho evento ocurre 12-24 h después de la oleada de LH, lo que ocasiona la formación del ovocito secundario y el primer cuerpo polar. Tanto la granulosa como las células tecales se someten a luteinización y producen progesterona (véanse pp. 886-887, sección Cuerpo lúteo).

CORRELACION CLÍNICA: POLIQUISTOSIS OVÁRICA

La políquistosis ovárica es un sindrome caracterizado por una variedad de signos y síntomas clínicos que incluyen ovanos agrandados bilateralmente con numerosos quistes foliculares, períodos menstruales irregulares, anovulación que puede provocar infertilidad, obesidad, crecimiento excesivo de vello facial, acné y piel grasosa. Morfológicamente, los ovarios se asemejan a pequeños globos blancos líanos de canicas. Los ovarios afectados, a menudo llamados ovarios ostra, tienen una superficie lisa períada sin cicatrices porque no han ocurrido oyulaciones. Su apariencia es atributble a la gran cantidad de quistes foliculares llenos de liquido y folículos secundarios atróf cos que se encuentran debajo de una tunica albuginea inusualmente gruesa.

Aunque la patogenia del síndrome de los ovarios poliquisticos (SOP) no está clara, puede estar relacionada con un defecto en la regulación de la biosintesis de andrógenos que causa su producción en cantidades excesivas, lo que a su vez inhibe la ovulación y provoca el crecimiento anómalo del cabello y el acné, a menudo asociados con el SOP La resistencia a la insulina también parece desempeñar un papel en el SOP

Los tratamientos del SOP se individualizan de acuerdo con los deseos de procrear de las pacientes. Para quienes desean tener hijos, los medicamentos que sensibilizan el cuerpo a la insulina y promueven la pérdida de peso pueden reducir la resistencia a la insulina y provocar la reanudación de la ovulación. Si estas medidas fallan, se prescriben fármacos que estimulan la ovulación y procedimientos quirurgicos laparoscópicos. La fertilización in vitro también puede ser una opción. Para las mujeres que no desean tener hijos, la anti-

concepción combinada (estrégenos y progesterona) puede regular el ciclo menstrual y reducir el acné y el crecimiento anómalo del cabello (fig. C23-1-1).

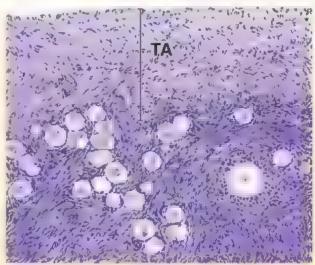


FIGURA C23-1-1. Poliquistosis ovárica. En la microfotografia se muestra un corte a través de la corteza del ovario de una mujer con poliquistosis ovárica. Nótese la tunica albuginea (TA), de un espesor poco habitual, por encima de los abundantes folículos El gran espesor de la túnica albuginea impide la ovulación de los folículos maduros (de De Graaf). Obsérvese que uno de los folículos se ha desarrollado hasta alcanzar la etapa de folículo primano. 45×

Ovulación

La ovulación es un proceso mediado por hormonas cuyo resultado es la liberación de un ovocito secundario.

La ovulnción es el proceso por el cual se libera un ovocito secundario desde el folículo de De Graaf. El folículo destinado a ovular en cualquier ciclo menstrual se recluta de una cohorte de varios folículos primarios durante los primeros días del ciclo. Durante la ovulación, el ovocito atraviesa roda la pared folícular, incluido el epitelio germinativo.

Una combinación de cambios hormonales y efectos enzimáticos es responsable de la liberación del ovocito secundario, lo cual ocurre 14 días antes del inicio del siguiente ciclo menstrual (el día 14 de un ciclo de 28 días). Estos factores incluyen los siguientes:

- Aumento del volumen y la presión del líquido folicular
- Proteólisis enzimática de la pared folicular por plasminógeno activado
- Depósito de glucosaminoglucanos dirigido por hormonas entre el complejo ovocito-cúmulo y el estrato granuloso
- Contracción de las fibras musculares lisas en la capa externa de la teca desencadenada por prostaglandinas

Justo antes de la ovulación, el flujo sanguíneo cesa en una pequeña región de la superficie ovárica sobre el folículo que sobresale. Esta región del epitelio germinativo, conocida como mácula peliticida o estigma folicular, se eleva y luego se rompe (fig. 23-9a). El ovocito, rodeado por la corona radiada y las células del cúmulo cóforo, es expulsado del folículo roto. Al momento de la ovulación, las fimbrias de la trompa uterina entran en contacto estrecho con

la superficie ovárica y dingen suavemente las células que rodean al ovocito o corona radiada, que contiene el ovocito, hacia el interior de la trompa uterina por su orificio abdominal. La corona radiada se adhiere con firmeza a las fimbrias y es transportada de forma activa por las células ciliadas que revisten la trompa uterina, lo cual impide su paso a la cavidad peritoneal. La tecnologia ecográfica no

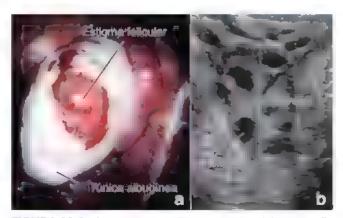


FIGURA 23-9. Examen endoscópico y ecográfico del ovario. a. En esta fotografía se muestra una vista del ovano humano durante una recolección quirurgica endoscópica de ovocitos. El ovario se encuentra en una etapa antenor a la ovulación. Obsérvese el área del folículo que sobresale, donde su estigma folícular es claramente visible. El epítelio germinativo que cubre la tunica albugínea está roto en la región de inminente ovulación. b. El desamollo de técnicas no quirúrgicas, como la ecografía, contribuye a la vigilancia del crecimiento folícular y es úti, para determinar el momento adecuado para la recolección de los ovocitos preovulatorios (cortesía del Dr. Charles C. Coddington, III, Mayo Clinic)

quirurgica puede ser útil para vigilar el desarrollo del foliculo ovárico. El examen ecográfico transvaginal puede proveer información detallada acerca de la cantidad y el tamaño de los foliculos en desarrollo, una información util durante la evaluación y el tratamiento de la infecundidad (fig. 23-9b). Después de la ovulación, el ovocito secundario permanece viable durante unas 24 h. Si la fecundación no ocurre durante este período, el ovocito secundario se degenera mientras atraviesa la trompa uterina.

Los ovocitos que no logran ingresar en la trompa uterina suelen degenerarse en la cavidad peritoneal. Sin embargo, a veces alguno puede ser fecundado e implantarse en la cavidad peritoneal, sobre la superficie del ovario, en el intestino o el fondo de seco rectouterino (saco de Douglas). Un embarazo que se desarrolla en cualquier sitio diferente del endometrio de la cavidad uterina se denomina embarazo ectopico. Un embarazo ectopico no es viable y debe eliminarse quirurgicamente o mediante el uso de ciertos medicamentos (p. ej , metotrexato). El embarazo ectópico continua siendo la causa más frecuente de mortalidad materna durante la primera mitad del embarazo.

Por lo general, solo un folículo completa la maduración en cada ciclo y se rompe para liberar su ovocito secundario. En raras ocasiones, varios ovocitos son expulsados desde folículos que han alcanzado la madurez completa durante el mismo ciclo, lo cual conlleva la posibilidad de cigotos múltiples. Fármacos como el citrato de clomifeno o las gonadotropinas (que estimulan la actividad ovárica) aumentan mucho la posibilidad de tener embarazos multiples porque inducen la maduración simultanea de varios folículos.

El ovocito primario queda detenido entre 12 y 50 años en la etapa de diploteno de la profase de la primera división meiótica.

Los ovocitos primarios dentro de los folículos primordiales inician la primera división meiótica en el embrión; sin embargo, el proceso se detiene en la etapa de diploteno de la profese meiótica (véase la sección sobre meiosis en el capitulo 3, Núcleo celular). La primera profase meiótica no se completa hasta justo antes de la ovulación. Por lo tanto, los ovocitos primarios permanecen detenidos en la primera profase meiótica durante 12-50 años. Este largo periodo de detención meiótica expone al ovocito primario a factores ambientales adversos y puede contribuir a que surjan errores en la división meiótica, como las no disyunciones. Estos errores causan un numero anómalo de cromosomas (aneuploidia), como la trisomia del cromosoma 21 (sindrome de Down)

Una vez completada la primera división meiótica (meiosis) en el folículo maduro (fig. 23-10), cada célula hija del **ovocito primario** recibe una cantidad equivalente de cromatina, pero una de ellas recibe la mayor parte del citoplasma y se convierte en **ovocito secundario**. Este tiene un diametro de 150 µm. La otra célula hija recibe una cantidad mínima de citoplasma y se convierte en el primer cuerpo polar

El ovocito secundario queda detenido en la metafase de la segunda división meiótica, justo antes de la ovulación.

Tan pronto como se completa la primera división meiótica, el ovocito secundario inicia la segunda división meiótica. En cuanto el ovocito secundario (rodeado por las células de la corona radiada) abandona el folículo en la ovulación, comienza la segunda división meiótica (división ecuatorial). Esta división se detiene en la metafase y solo se completa si el ovocito secundario es fecundado por un espermatozoide. Si ocurre la fecundación, el ovocito secundario completa la segunda división meiótica y, entonces, forma un óvulo maduro con el pronucleo materno que contiene un juego

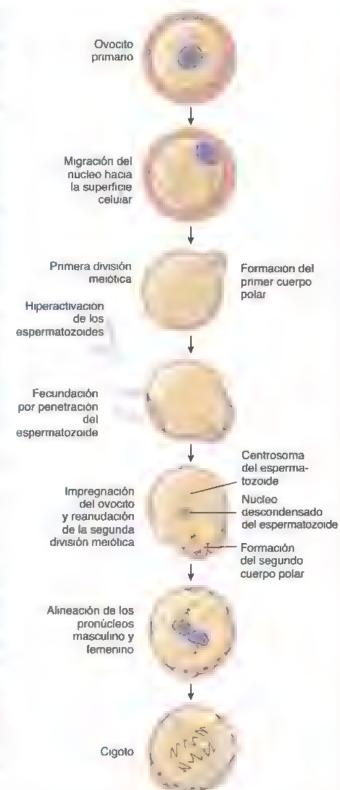


FIGURA 23-10. Diagrama en el que se ilustran los cambios que ocurren durante el crecimiento, la maduración y la fecundación del ovocito. El ovocito primario permanece detenido en la profase I de la meiosis. La primera división meiótica o reduccional se completa hasta después de que el ovocito ha progresado hacia la ovulación. La segunda división meiótica o ecuatorial no se completa a menos que el ovocito secundano sea fecundado por un espermatozoide. Nótese la formación del primer y el segundo cuerpos polares. En algunos mamíferos, el primer cuerpo polar se divide (como se muestra en el diagrama) de modo tal que los productos meióticos totales sean cuatro. Sin embargo, en los humanos el primer cuerpo polar no se divide sino que persiste durante unas 20 h; por lo tanto, un óvulo fecundado puede reconocerse por la presencia de dos cuerpos polares.



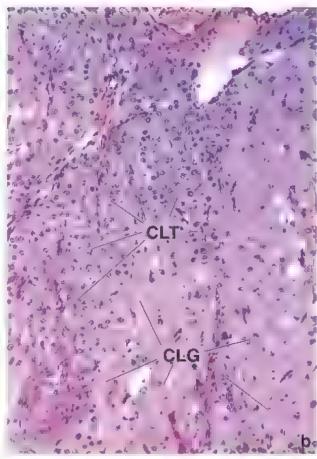


FIGURA 23-11. Microfotografias de un cuerpo luteo humano, a. El cuerpo luteo se forma a partir de la pared foliciliar collapsada con células granulosas y de la tecal Las células luternicas de la granulosa forman una capa plegada gruesa alrededor de la antigua cavidad folicular (Cav.) Dentro de los pilegues se encuentran células de la tecal interna (flechas). 12 × b. Pared de cuerpo luteo a mayor aumento. El cumulo celular principal se compone de células lutein cas de la granulosa (Ct G). Estas células tienen un nucleo esférico grande y una gran cantidad de citoplasma. Las células lutein cas de la tecal (Ct T) también tienen un nucleo esférico, pero su tamano es mucho menor que el de las células de la granulosa. 240 ×

de 23 cromosomas. La otra célula producida en esta división es el segundo cuerpo polar. En los humanos, el primer cuerpo polar persiste durante más de 20 h después de la ovulación, pero no se divide; en consecuencia, el óvulo fecundado puede reconocerse por la presencia de dos cuerpos polares (un primer cuerpo polar diploide y otro segundo haploide). En algunos mamíferos, el primer cuerpo polar también puede dividirse, por lo que el resultado final de la meiosis es un ovocito y tres cuerpos polares haploides (véase fig. 23-10). Los cuerpos polares que no son capaces de tener un desarrollo adicional experimentan apoptosis.

Cuerpo lúteo

Después de la ovulación, el folículo colapsado se reorganiza en el cuerpo lúteo.

En la ovulación, la pared folleular, compuesta por las células granulosas y la teca remanentes, adquiere pliegues profundos a medida que el folículo colapsa y se transforma en el euerpo luteo (cuerpo amarillo) o glándula lúteo (fig. 23-11a y lám. 94, p. 924). Al principio, la hemorragia de los capitares en la teca interna hacia la luz folicular lleva a la formación del euerpo hemorrágico con un coágulo central. El tejido conjuntivo del estroma invade entonces la antigua cavidad folicular. Las células de las capas granulosa y teca interna se diferencian en células lúteas granulosas y tecales en un proceso denominado luteinización. Estas células lúteas experimentan cambios morfológicos drásticos porque aumentan de tamaño y se llenan de goutas lipídicas (fig. 23-11b). Un pigmento liposoluble, el lipocromo (fig. 23-12), en el citoplasma de las células les con-



FIGURA 23-12. Cuerpo luteo de la menstrusción, humano. Corte de un ovario normai extripado durante una ooforectomia. El cuerpo luteo está completamente desarrollado en la corteza del ovario, lo que indica la fase media lutea del ciclo ovárico. La corteza del ovario contiene folículos atrésicos, un pequeño quiste ovárico y un poco de cuerpo albicaris que corresponde a los restos del cuerpo luteo de ciclos ováricos previos. Nótese que la médula del ovario contiene un cuerpo albicaris más granda, un probable remanente del cuerpo luteo de un embarazo. 2× (cortesía del Dr. Edward Uthman)

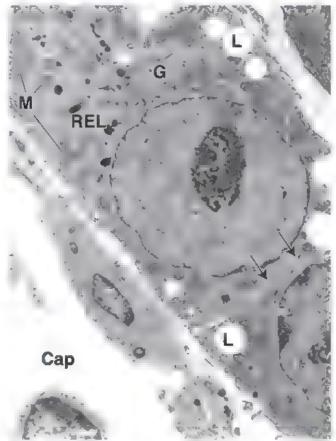


FIGURA 23-13. Microfotografia electrónica de las células luteinicas de la teca del cuerpo lúteo de un simio. En esta etapa inicial de implantación (día 11 de gestación), los cuerpos densos limitados por membrana están aglomerados cerca del aparato de Goigi (G), la mayor parte del citoplasma está repleta de tubulos del reticulo endoplasmático fiso {REL}, inclusiones lipídicas (L} y irritocondinas (M). Nótense el capilar (Cap) y las membranas celulares muy juntas de las células luteinicas de la teca (flechas) 10000× (cortesia de la Dra. Carolynn B. Booher).

fiere un aspecto amarillento en las preparaciones frescas. En el nivel ultraestructural, las células exhiben características asociadas con las células secretoras de esteroides, a saber: un REL abundante y mitocondrias con crestas tubulares (fig. 23-13).

Se identifican dos tipos de células luteas.

- Cétulas tuteinicas de la granulosa, que son cétulas grandes (con un diámetro de alrededor de 30 µm), ubicadas al centro y derivadas de las cétulas de la granulosa. Constituyen alrededor del 80% del cuerpo lúteo y sintetizan estrógenos, progesterona e inhíbina. Esta última regula la producción y la secreción de la FSH desde la adenohipófisis.
- Células luteínicas de la teca, que son más pequeñas (alrededor de 15 μm), teñidas con mayor intensidad y localizadas en la periferia, derivan de las células de la capa interna de la teca (lám 94, p. 924). Corresponden al 20% restante de las células del cuerpo lúteo y secretan androgenos y progesterona.

A medida que el cuerpo lúteo comienza a formarse, los vasos sanguíneos y linfáricos de la teca interna crecen con rapidez en la capa granulosa. Dentro del cuerpo lúteo se forma una red vascular extensa. Esta estructura altamente vascularizada se localiza en la correza del ovario y secreta progesterona y estrógenos. Estas hormonas se encargan de estimular el crecimiento y la actividad secretora del revestimiento del útero, el endometrio, y lo preparan para la implantación del cigoto en desarrollo en caso de que se produzca la fecundación.

El cuerpo lúteo de la menstruación se forma en ausencia de fecundación.

Si la fecundación y la implantación no ocurren, el cuerpo lúteo permanece activo solo durante los siguientes 10 días. En este caso se denomina cuerpo luteo de la menstrueción. En ausencia de gonadotropina coriónica humana (hCG, human chorionic gonadotropin) y de otras luteotropinas, el ritmo de secreción de progestágenos y estrógenos desciende y el cuerpo lúteo comienza a degenerarse alrededor de 10 días después de la ovulación.

El cuerpo hiteo se degenere y atraviesa una lenta involución después del embarazo o la menstruación. Las células se lienan de lípidos, reducen su tamaño y experimentan autólisis. Una cicatriz blanquecina, el cuerpo albicans, se forma a medida que se acumula el material hialino intercelular entre las células del antiguo cuerpo lúteo en degeneración (fig. 23-14). El cuerpo albicans se hunde más profundo en la corteza ovárica conforme desaparece lentamente durante un período de varios meses.

Capacitación y fecundación

Durante la capacitación, los espermatozoides maduros adquieren la capacidad de fertilizar al ovocito.

Para continuar su maduración en el epidídimo, los espermatozoides deben activarse dentro del aparato reproductor de la mujer para que ocurra la fecundación. Durante este proceso de activación, llamado capacitación, se producen cambios estructurales y

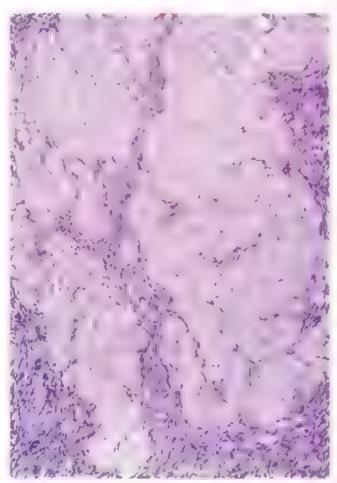


FIGURA 23-14. Microfotografia de un cuerpo albicans en un ovario humano. Entre las células en degeneración del antiguo cuerpo luteo aparece una gran cantidad de material hia ino. El cuerpo albicans está rodeado por estroma ovarico. 125×

funcionales en el espermatozoide que producen una mayor afinidad para unirse a los receptores de la zona pelúcida. Los procesos que conducen a la reacción acrosómica están asociados con la cabeza del espermatozoide, mientras que los relacionados con la motilidad espermática se producen en la cola. La capacitación exitosa se confirma por la hiperactivación de los espermatozoides, que se manifiesta como un patrón de agitación vigorosa de su cola similar a un latigazo.

La capacitación incluye varias modificaciones bioquímicas en el espermatozoide y su membrana plasmática. Entre ellas:

- Aumento de la actividad de la adenilato-ciclasa que conduce a una concentración elevada de cAMP
- Incremento de la tasa de fosforilación de la tirosina por la familia de cinasas Src (la medición de la fosforilación de la tirosina se unliza en la práctica clinica como marcador bioquímico de la capacitación).
- Inhibición la actividad de la serina/treonina (ser/thr) fosfatasa.
- Aumento del pH e hiperpolarización de la membrana plasmática que activa los canales de Ca²⁺, lo cual provoca un aumento de las concentraciones intracelulares de Ca²⁺ esenciales para la adquisición de la motilidad hiperactivada.
- Liberación, desde la superficie de la cabeza de los espermatozosdes, de los glucoconjugados del semen. Estos glucósidos de superficie (también llamados factores de discapacitación), añadidos durante la maduración de los espermatozoides en el epididimo, inhiben la unión a los receptores de la zona pelúcida.
- Modificación extensa de la membrana plasmática del espermatozoide por extracción del colesterol, el principal inhibidor de la capacitación, así como redistribución de los fosfolípidos y las fracciones glucídicas,

La fecundación generalmente ocurre en la ampolla de la trompa uterina.

Por lo general, solo unos pocos centenares de los millones de espermatozoides que hay en el semen eyaculado alcanzan el sitio de fecundación, que normalmente es la ampolla de la trompa uterma. Al llegar, los espermatozoides se encuentran con el ovocito secundario rodeado por la corona radiada. Los espermetozoides deben penetrar la corona radiada para tener acceso a la zona pelúcida. Aunque varios espermatozoides podrían penetrar la membrana pelúcida, solo uno completa el proceso de la fecundación. La capacitación se completa cuando los espermatozoides son aptos para unirse a los receptores de la zona pelucida. La unión a los receptores ZP 1, ZP 3 o ZP 4 en la zona pelúcida desencadena la reacción acrosomica, en la cual las enzimas liberadas del acrosoma (sobre todo hialuronidasas) permiten que un solo espermatozoide penetre dicha zona. La penetración se logra por una proteolisis limitada de la zona polucida por delante del espermatozoide hipermóvil que avanza. Durante la penetración, el esperma debe mantener su adherencia al recubrimiento de los ovocitos mediante una unión secundaria transitoria apoyada por los receptores ZP-1 y ZP-2.

Después de penetrar la zona pelúcida, el espermatozoide entra en el espacio perivitelino que hay entre él y la membrana plasmática del ovocito (ovolema). Aquí, la membrana plasmática del espermatozoide se une al ovolema vía la fertilina (PH 30) y posteriormente se fusiona con él. La fusión de las membranas de ambos gametos se produce mediante la mezcla de lípidos que transforma las dos bicapas en una sola. Después de la fusión, el núcleo de la cabeza del espermatozoide finalmente se introduce en el ovocito. Se conforma así el pronúcleo masculino que contiene los 23 cromosomas paternos. Después de la alineación y disolución de las membranas nuclea-

res de los dos pronúcleos, el **cigoto** resultante, con su complemento diploide (2n) de 46 cromosomas, experimenta una división mitótica o primera segmentación. Esta etapa de dos células marca el inicio del desarrollo embrionario.

Antes de que el espermetozoide pueda fecundar al ovocito secundario, debe adquirir mayor capacidad para penetrar la corona radiada y la zona pelúcida.

Al aproximarse a un ovocito secundario, el espermatozoide se hiperactiva: se desplaza con mayor rapidez y los movimientos de su cola se tornan más fuertes y erráticos. Estudios recientes indican que esta reacción de hiperactivación es causada por la entrada repentina de Ca2+ en la cola de los espermatozoides. La membrana plasmática de la cola del espermatozoide contiene una gran cantidad de canales proteínicos transmembrana de Ca2+ llamados canales catiónicos del espermatozoide (CatSpor, cation channels of sporm). Las proteínas CatSper se expresan solo en las membranas de la cola. La entrada de Ca2+ provoca que la cola sea más activa y se doble con más fuerza, lo que produce un desplazamiento más veloz del espermatozoide a través del medio viscoso de la trompa uterina, Junto con la proteólisis limitada de la zona pelúcida, la hiperactivación es responsable de la penetración física del ovocito. La hiperactivación es necesaria para romper las barreras físicas que protegen de la fecundación al evecito secundario. Por le tante, la activación de las proteinas CatSper es necesaria para la ferti-idad masculina.

La impregnación del ovocito permite que las estructuras que se encuentran dentro del espermatozoide entren en el citoplasma del ovocito.

Después de penetrar la zona pelúcida, el espermatozoide ingresa en el espacio perivitelino entre esta y el ovolema. Después de acoplarse al ovolema, la membrana plasmática del espermatozoide se fusiona con él. Este proceso, denominado impregnación del ovocito, permite que el núcleo del espermatozoide (con ADN muy concentrado), el centrosoma, la pieza intermedia con las mitocondrias y el cinetocilio se incorporen al citoplasma del ovocito. La membrana plasmática de la cola permanece como un apéndice del ovolema.

Un espermarozoide de impregnación genera una señal molecular para la reanudación y la finalización de la **segunda división melótica**. Por lo regular, la difusión de la fosfolipasa C zeta 1 (PLCz1, phospholipase C zeta 1) derivada de esperma en el citoplasma de los ovocitos es el candidato más confiable para este mecanismo de señalización. Esta segunda división meiótica transforma al ovocito secundario en un ovocito maduro y desencadena la expulsión del segundo cuerpo polar hacia el espacio perivitelino.

El material genético masculino, que se encuentra dentro del núcleo de la cabeza del espermatozoide incorporado, se extrae y se utiliza para formar el pronucleo masculino con 23 cromosomas paternos. Las membranas nucleares de los pronúcleos femenino y masculino se desintegran (sin fusionarse) y los cromosomas se almean dentro de un huso mitórico común. El cigoto resultante contiene un complemento diploide (2n) de 46 cromosomas y más tarde experimenta la primera división mitótica o primera segmentación. El centrosoma masculino es indispensable para la alineación del huso mitórico que reparte los cromosomas entre las dos primeras células del embrión. Solo los centrosomas del padre se utilizan para formar el primer y los subsiguientes husos mitóticos. El cinetocilio incorporado finalmente se disuelve y todas las mitocondrias del espermatozoide se eliminan del catoplasma del ovocito. Cabe destacar que todas las mitocondrias de las células humanas generalmente proceden de la madre, pero todos los centrosomas provienen del espermatozoide del padre.

Varios espermatozoides pueden penetrar la zona pelúcida, pero solo uno completa el proceso de la fecundación.

Prevenir la fecundación polispérmica (fecundación del ovocito por más de un espermatozoide) es esencial para un desarrollo embrionario normal. La fecundación polizoospérmica causa defectos cromosómicos graves y mortalidad embrionaria. Una vez que el espermatozoide fecundante penetra el ovoplasma, ocurren al menos tres ripos de reacción, posteriores a la fusión, para impedir que otros espermatozoides ingresen (fecundación polizoospérmica) en el ovocito secundario. Estas reacciones incluyen:

- Bioqueo rápido de la fecundación. La despolarización intensa y prolongada del ovolema (de hasta 1 min) produce un bioqueo eléctrico temporal que impide la fecundación. Lo más probable es que sea producto de la activación de las proteínas del canal de Cl⁻ por parte del Ca²⁺.
- Reacción cortical. Los cambios en la polandad del ovolema desencadenan la liberación de Ca²⁺ desde los depósitos ovoplasmáticos. El Ca²⁺ propaga una onda de reacción cortical en la cual los gránulos corticales se desplazan hacia la superficie y se fusionan con el ovolema, causando un aumento temporal de la extensión superficial del óvulo y la reorganización de su membrana. El contenido de los gránulos corticales se libera al espacio perivitelino.
- Resoción de zona. Las enzimas (proteasas) liberadas de los gránulos corticales no solo degradan los receptores glucoproteínicos de la membrana plasmática del ovocito, que fijan a los espermatozoides, también forman la barrero perivitolina al establecer enlaces cruzados entre proteínas de la superficie de la zona pelúcida. Estos fenómenos producen el bloqueo final y permanente a la fecundación polizoospérmica.

El cuerpo lúteo del embarazo se forma después de la fecundación y la implantación.

Si la fecundación y la implantación ocurren, el cuerpo lúteo aumenta su tamaño para formar el cuerpo lúteo del emberazo. La existencia y la función del cuerpo lúteo dependen de una combinación de secreciones paracrinas y endocrinas que, en conjunto, se describen como luteotropinas.

Las luteotropinas paracrinas son producidas localmente por el ovario e incluyen:

- Estrogenos
- Somatomedinas C y A (factores insulinicos de crecimiento de los upos 1 y 2)

Las luteotropinas endocrinas son producidas lejos de su órgano diana (el cuerpo lúteo) y comprenden:

- hCG, una glucoproteína de 37 kDa secretada por el trofoblasto del corion que estímula los receptores de la LH en el cuerpo lúteo e impide su degeneración (véase p. 886)
- LH y prolactina, ambas secretadas por la hipófisis.
- Insulina, producida por el páncreas.

Las concentraciones elevadas de progesterona, producida a partir del colesterol por el cuerpo lúteo, bloquean el desarrollo cíclico de los folículos ováricos. En las etapas iniciales del embarazo, el cuerpo lúteo mide 2-3 cm y ocupa la mayor parte del ovario. Su función comienza a declinar gradualmente después de 8 semanas de gestación, aunque persiste durante todo el embarazo. Si bien el cuerpo lúteo permanece activo, la placenta produce una cantidad suficiente de estrógenos y progestágenos a partir de precursores maternos y fetales para sustituir la función del cuerpo lúteo después de 6 semanas de

embarazo. La hCG se puede detectar en el suero tan pronto como a los 6 dias de la fecundación y en la orina 10-14 dias después de esta. La detección de la hCG en la orina por medio de anticuerpos específicos es el fundamento de la mayoria de las pruebas de embarazo. El aumento rápido de la concentración de hCG circulante, al principio del embarazo, es responsable de las "náuseas matutinas", una alteración que se caracteriza por arcadas y vómitos. Estos síntomas suelen aparecer en las primeras horas de la mañana y con frecuencia se cuentan entre los primeros signos de embarazo.

Atresia

La mayoría de los folículos se pierden por atresia mediada por la apoptosis de las células granulosas.

Como ya se mencionó, muy pocos de los folículos ováricos que inician su diferenciación en el ovario embrionario completan su maduración. La mayoría de los folículos degeneran y desaparecen a través de un proceso denominado atresia folícular ovárica. La atresia es mediada por la apoptosis de las células granulosas. Una gran cannidad de folículos experimentan atresia durante el desarrollo fetal, las primeras etapas de la vida posnatal y la pubertad. Después de la pubertad, grupos de folículos comienzan a madurar durante cada ciclo menstrual y, por lo general, solo uno completa su maduración. Hoy en día se piensa que la atresia es el mecanismo por el cual unos pocos folículos son estimulados para mantener su desarrollo a través de la muerte programada de los otros folículos. Por lo tanto, un folículo puede experimentar atresia en cualquier etapa de su maduración. El proceso se vuelve más complejo a medida que el folículo avanza hacia la maduración.

En la atresia de los folículos primordiales, y de los folículos pequeños todavía en crecimiento, el ovocito inmaduro reduce su tamaño y degenera; ocurren cambios similares en las células granulosas. Los folículos atrésicos se retraen y por último desaparecen del estroma del ovario a causa de la repetición de episodios de apoptosis y fagocitosis de las células granulosas (lám. 93, p. 922). A medida que las oélulas se reabsorben y desaparecen, las células circundantes del estroma migran al espacio que antes ocupaba el folículo, con lo que se elimina todo rastro de su existencia.

En la atresia de grandes fotículos en crecimiento, la degeneración del ovocito inmaduro se retrasa y parece que ocurre de forma secundaria a las alteraciones degenerativas de la pared folicular (lám. 93, p. 922). Este retraso indica que una vez que el ovocito ha logrado su madurez y habilidad, ya no es sensible a los mismos estímulos que inician la atresia de las células granulosas. Los cambios foliculares comprenden los siguientes acontecimientos secuenciales:

- Iniciación de la apoptosis dentro de las células granulosas, indicada por el cese de las mitosis y la expresión de endonucleasas y otras enzimas hidrolíticas dentro de estas células.
- Colonización de la capa granulosa por neutrófilos y macrófagos,
- Invastón de la capa granulosa por franjas de tejido conjuntivo vasculatizado.
- Exfoliación de las células de la granulosa en el antro folicular,
- Hipertrofia de las células de la teca interna.
- Colapso del folículo conforme continúa la degeneración.
- Invasión de la cavidad del folículo por tejido conjuntivo.

Varios productos genéticos regulan el proceso de la atresia folicular. Uno de estos productos es la proteina inhibitora de la apoptosis neuronal (NAIP, neural apoptosis inhibitory protein), inducida por gonadotropina, que lumita y retrasa los cambios apoptóticos en la célula granulosa. La expresión del gen de la NAIP está presente

CORRELACION GLÍNICA: FECUNDACIÓN IN VITRO

Existen varias indicaciones para la **fecundación in vitro (FIV)**, pero la principal es la infecundidad causada por una lesión no corregible mediante cirugía o la ausencia de las trompas uterinas. Las mujeres que optan por un procedimiento de FIV se someten a una hiperestimulación controlada de los ovarios para inducir el desarrollo y la maduración de varios folículos. La hiperestimulación se logra con diversos tratamientos hormonales en los que se usan gonadotropinas humanas con o sin FSH

Los ovocitos preovalatorios maduros se extraen de los foliculos de De Graaf por aspiración transvaginal o percutánea guiada por laparoscopia o ecografía. Antes de la inseminación, los ovocitos son preincubados en un medio especializado con complementos séricos durante un tiempo determinado por su etapa de madurez

El semen obtenido se coloca en un medio especial. Después, los ovocitos se añaden al medio con el semen para que se produzca la fecundación. Cerca de 12-16 h más tarde se examinan los ovocitos con un microscopio de interferencia diferencial, para determinar la presencia de pronucleos femeninos y masculinos, indicadores de una fecundación exitosa (fig. C23-2-1a). En esta etapa, el ovocito fecundado puede congelarse para futuros procedimientos de FIV.

En general, el 80% de los ovocitos maduros cultivados in vitro se fecundan. El embrión se transfiere a un medio especial de crecimiento durante 24-48 h, y ahí puede crecer hasta la etapa de cuatro a seis células (fig. C23-2-1b). Al tercer o cuarto día después de la aspiración inicial del ovocito, se transfieren varios embriones al interior del utero a través de la vagina y el conducto cervicouterino. Antes de la transferencia del embrión al útero se le ha preparado para recibirlo mediante la administración de las hormonas adecuadas. Los embriones se colocan, entorices, en un utero preparado hormonalmente para ofrecer las condiciones equivalentes a las de una impiantación normal (véase p. 898). Justo después de la transferencia se inicia un tratamiento intensivo con progesterona para simular la función del cuerpo luteo del embarazo.

En los ultimos años, los protocolos de tratamiento existentes se han optimizado a tai grado que las tasas de éxito de embarazo y parto con la FIV han superado el 30% por transferencia de embriones. Se podrían lograr mejorlas adicionaises en los índices de embarazo con la introducción de fármacos nuevos, como la FSH recombinante o antagonistas de la hormona liberadora de gonadotropinas (GnRH, gonadotropin-releasing hormone gonadoliberina), que permitan un tratamiento hormonal individualizado. Por otro lado, la generación de embarazos multiples, que constituye la principal complicación de la FIV, podría limitarse al reducir la cantidad de embriones transfendos.





FIGURA C23-2-1. Etapas iniciales de desarrollo embrionario humano, a. En esta imagen, obtenida con un microscopio de interferencia equipado con óptica Nomarski se muestra un ovocito humano fecundado con dos pronucleos. El cigoto se desarrolla después de la ameación y la disolución de las membranas nucleares de los pronucleos tanto de la mujer como de hombra. La celula resultante contendrá un complemento diplo de de 46 cromosomas. 400 × b. En esta imagen se muestra un embrión humano de 48 h de vida creciendo en un medio de cuit vo especial. En esta etapa, el embrión contiene cuatro cé u as. És en esa etapa cuando el embrión suele transferirse a la cavidad uterina en los procedimientos de FIV. 400 × (cortesía del Dr. Peter Fehr)

en todas las etapas de crecimiento del folículo, pero ausente en los folículos atrésicos. Una concentración elevada de gonadotropinas inhibe la apoptosis en los folículos ováricos porque aumenta la expresión de NAIP en los ovarios.

El ovocito experimenta las alteraciones típicas asociadas con la degeneración y la autólisis, y sus restos son fagocitados por macrófagos invasores. La zona pelúcida, que es resistente a las alteraciones autolíficas que ocurren en las células asociadas con ella, se pliega y se colapsa a medida que se desintegra lentamente dentro de la cavidad del folículo. Los macrófagos en el tejido conjuntivo intervienen en la fagocitosis de la zona pelúcida y los restos de las células que se degeneran. La membrana basal, que separa las células foliculares

de la teca interna, puede desprenderse de las células foliculares e incrementar su espesor para formar una capa hialina ondulada denominada membrana vítrea. Esta estructura es característica de los foliculos en las etapas finales de la atresia.

En algunos folículos atrésicos se produce el agrandamiento de las células de la teca interna. Estas células son similares a las células luteínicas de la teca y se organizan en cordones radiales separados por tejido conjuntivo. En el tejido conjuntivo se desarrolla una red capilar extensa. Estos folículos atrésicos, que asemejan un cuerpo lúteo antiguo, se denominan cuerpos luteos atresicos.

La glándula intersticial surge de la teca interna del folículo atrèsico.

A medida que los folículos atréaicos continúan su degeneración, en el centro de la masa celular aparece una cicatriz con estrías hialinas, lo que le confiere el aspecto de un pequeño cuerpo albicans. Esta estructura finalmente desaparece conforme el estroma ovárico invade el folículo en degeneración. En los ovarios de diversos mamíferos, los cordones de células lúteas no se degeneran de forma inmediata, pero se fragmentan y dispersan en el estroma. Estos cordones de células contribuyen con la glándula intersticial del ovario y producen hormonas esteroideas. El desarrollo de la glándula intersticial es más extenso en las especies animales que tienen muchas crías en cada parto.

En el ovario humano hay relativamente pocas células intersticiales. Son más abundantes en el primer año de vida y durante las fases iniciales de la pubertad, lo cual concuerda con los momentos de mayor atresia folicular. En la menarquia se produce la involución de las células intersticiales y, por lo tanto, son pocas las que quedan durante la vida fértil y la menopausia. Se ha postulado que, en los humanos, las células intersticiales son una fuente importante de estrógenos, los cuales influyen en el crecimiento y desarrollo de los órganos sexuales secundarios en las etapas iniciales de la pubertad. En otras especies se ha demostrado que las células intersticiales producen progesterona.

En el hilio del ovario humano se encuentran las células denominadas cálulas ováricas hiliares, que están asociadas con los espacios vasculares y las fibras nerviosas amielínicas. Estas células, que parecen estar estructuralmente relacionadas con las células intersticiales de los testículos, contienen cristales de Reinke. Las células hiliares parecen responder a los cambios hormonales durante el embarazo y al inicio de la menopausia. La investigación sugiere que las células hiliares secretan andrógenos. La hiperplasia o los tumores asociados con estas células suelen conducir a la masculinización.

Irrigación sanguínea y vasos linfáticos

La irrigación de los ovarios proviene de dos fuentes diferentes: las arterias ováricas y las arterias uterinas.

Las arterios ovoricas son ramificaciones de la aorra abdominal que pasan a los ovarios a través de los ligamentos suspensorios y proporcionan la urrigación arterial principal a los ovarios y las trompas uterinas. Estas arterias se anastomosan con la segunda fuente dirrigación del ovario, las ramificaciones ováricas de las arterias uterinas, que se originan en las arterias ilíacas internas. Vasos relativamente grandes que surgen de esta región de anastomosis atraviesan el mesovario y se introducen en el hilio ovárico. Estas arterias grandes se denominan arterias espirates debido a que se ramifican y enrollan a medida que pasan a la médula ovárica (véase fig. 23-2).

Las venas que acompañan las arterias forman un plexo denominado piexo pampinitorme a medida que emergen del hilio. La vena ovárica se forma a partir del plexo.

En la región corrical del ovario, las redes de vasos linfáticos en las capas de la reca rodean los folículos grandes y en desarrollo, los folículos atrésicos y los cuerpos lúteos. Los vasos linfáticos siguen el trayecto de las arterias ováricas conforme ascienden hacia los ganglios linfáticos paraaórticos en la región lumbar.

Inervación

Los ovarios son inervados por el plexo ovárico autónomo.

Las fibras nerviosas autónomas que inervan el ovario son conducidas sobre todo por el plexo ovárico. Aunque está claro que el ovario recibe fibras simpáticas y parasimpáticas, poco se conoce acerca de su distribución real. En la médula hay grupos dispersos de células ganglionares parasimpáticas. Las fibras nerviosas siguen a las arterias en su paso por la médula y la corteza del ovario e inervan el músculo liso de las paredes vasculares. Las fibras nerviosas asociadas con los folículos no penetran su lámina basal. Las terminaciones nerviosas sensitivas están dispersas en el estroma. Las fibras sensitivas envían impulsos a través del plexo ovárico que alcanzan los ganglios de la raíz dorsal de los primeros nervios lumbares. Por lo tanto, el dolor ovárico se refiere hacia la distribución curánea de estos nervios espinales.

Durante la ovulación, alrededor del 45% de las mujeres padecen dolor a la mitad del ciclo menstrual (Mittelschmerz). Suele describirse como un dolor agudo en la region abdominal baja que dura desde unos pocos minutos hasta 24 h; con frecuencia se acompaña de una hemorragia uterina (metrorragia) leve. Se piensa que este dolor está relacionado con la contracción de las células musculares lisas en el ovario, así como en sus ligamentos. Estas contracciones responden a un aumento en la concentración de prostaglandinas F_{2a} mediado por el incremento subito de LH.

■ TROMPAS UTERINAS

Las trompas (tubas) uterinas son órganos pares que se extienden de forma bilateral desde el útero hasta los ovarios (véase fig. 23-1). También llamadas trompas de Falopio, estos órganos tubulares transportan el óvulo del ovario al útero y proveen el ambiente necesario para la fecundación y desarrollo inicial del cigoto hasta su etapa de mórula. Uno de los extremos de la trompa, contiguo al ovario, se abre hacia la cavidad perítoneal; el otro se comunica con la cavidad uterina.

Cada trompo utorino mide aproximadamente 10-12 cm de longitud y puede dividirse en cuatro segmentos macroscópicos:

- El infundibulo es el segmento de la trompa en forma de embudo contiguo al ovario. Su extremo distal se abre a la cavidad peritoneal. Su extremo proximal continúa en la ampolla. Desde la boca del infundíbulo y hacia el ovario se extienden las fimbrias.
- La ampolla es el segmento más largo de la trompa y constituye alrededor de dos terceras partes de su longitud total; es el sitio donde ocurre la fecundación.
- El istmo es el segmento medio estrecho de la trompa uterina, adyacente al útero.
- La porción uterina o intramural, que mide alrededor de 1 cm de longitud, se ubica dentro de la pared uterina y se abre hacia la cavidad del útero.

La pared de la trompa uterina está compuesta por tres capas.

La pared de la trompa uterina se parece a la de otras visceras huecas; está compuesta por una capa serosa externa, una muscular intermedia y una mucosa interna. Nótese que la trompa carece de submucosa.

 La serosa o peritoneo es la capa más externa de la trompa uterma y está compuesta por mesorelio y una capa delgada de tejido conjuntivo.

- La capa muscular está organizada, en su mayor parte, en una capa circular interna, relativamente gruesa, y otra externa, longitudinal, más delgada. El límite entre dichas capas suele ser poco nítido.
- La mucosa, el revestimiento interno de la trompa uterina, presenta pliegues longitudinales delgados que se proyectan hacia la luz de la trompa en toda su extensión. Los pliegues son más abundantes y complejos en la ampolla (véanse fig. 23-14 y lám. 95, p. 926), pero se vuelven más pequeños en el istmo.

El revestimiento de la mucosa consta de un epitelio cilíndrico simple compuesto por dos tipos de célula: ciliadas y no ciliadas (fig. 23-15b). Estas células representan diferentes estados funcionales de un único ripo celular:

- Las cétulas ciñadas son más numerosas en el infundíbulo y la ampolla. El ondular de los cilios se dirige hacia el útero.
- Las cétulas no ciliadas, en tachuela, son células secretoras que producen el líquido que provee sustancias nutritivas al óvulo.

Las células epiteltales experimentan una hipertrofia cíclica durante la fase folicular y atrofia durante la fase lútea en respuesta a los cambios de las concentraciones hormonales, en particular de estrógenos. Además, la proporción entre células ciliadas y no ciliadas cambia durante el ciclo hormonal. El estrógeno estimula la ciliogénesis y la progesterona incrementa la cantidad de las células secretoras. En el momento de la ovulación, el epitelio alcanza una altura de

unos 30 µm que después se reduce casi a la mutad, justo antes de que unicie la menstruación.

La trompa uterina permite el transporte de manera bidireccional.

La trompa uterina realiza movimientos activos justo antes de la ovulación, conforme las fimbrias entran en contacto estrecho con el ovario y se ubican sobre la región de la superficie ovárica donde ocurrirá la ovulación. Cuando se expulsa el ovocito, las células ciliadas del infundíbulo lo desplazan hacia la abertura de la trompa uterina; ello evita que caiga en la cavidad peritoneal. El ovocito se desplaza a lo largo de la trompa uterina por medio de contracciones peristálticas. Los mecanismos mediante los cuales el espermatozoide y el ovocito se desplazan desde los extremos opuestos de la trompa uterina aún no se comprenden del todo. La investigación sugiere que los movimientos ciliares y la actividad muscular peristáltica están implicados en el desplazamiento del ovocito. Por otro lado, el movimiento de los espermatozoides es demasiado rápido para poder explicarse solo por su movilidad intrínseca. La fecundación suele ocurrir en la ampolla, cerca de la transición al istmo. El huevo permanece en la trompa uterina cerca de 3 días antes de ingresar en la cavidad utenna. Diversas situaciones que alteran la Integridad del sistema de transporte tubárico (p. ej., inflamación, uso de dispositivos intrauterinos, manipulación quirurgica, ligadura de trompas) pueden provocar un embarazo ectópico La mayoria de los embarazos ectopicos (98%) ocurren en la trompa uterina (embarazos tubáricos). Un embarazo ectópico



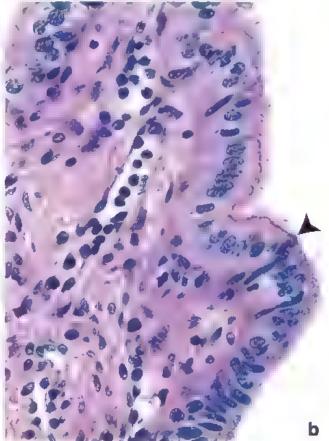


FIGURA 23-15. Microfotografia de trompa uterina humana, a. Este corte transversal se realizó cerca de la región de la ampolla de la trompa uterina. La mucosa se dispersa en pliegues extensos que se proyectan dentro de la luz tubarica. La muscular está formada por una capa interna gruesa de fibras dispuestas de modo circular y una capa externa de fibras longitudinales. Notense las diversas ramas de las arterias uterna y ovárica (Art, que discurren a lo largo de la trompa. 16 × b. La luz de la trompa está revest da por un epitelio cilindrico simple compuesto por células ciliadas (hacia arriba de punto señalado por la punta de fiecha) y células no ciliadas (hacia abajo de punto señalado por la punta de fiecha).

en una trompa uterina puede ocasionar sangrado potencialmente mortal si esta se rompe. Se requiere una intervención quirurgica inmediata para extraer la trompa o medicamento para detener el crecimiento del óvulo fertilizado

■ ÚTERO

El útero recibe una mórula en proliferación rápida proveniente de la trompa uterina. Todo el desarrollo embinonario y fetal posterior ocurrirá dentro del útero, el cual experimenta un incremento drástico en su tamaño y desarrollo. El útero humano es un órgano hueco, pinforme, localizado en la pelvis entre la venga y el recto. En una mujer nulípara pesa 30-40 g y mide 7.5 cm de largo, 5 cm de ancho en su parte superior y 2.5 cm de espesor. Su luz, que también es aplanada, tiene continuidad con la de las trompas y la de la vagina.

Desde un punto de vista anatómico, el útero se divide en dos regiones;

- El cuerpo es la porción superior (grande) del útero. La superficie anterior es casi plana y la superficie posterior es convexa. La parte superior (redonda) del cuerpo que se expande por arriba de la desembocadura de las trompas uterinas recibe el nombre de fondo uterino.
- El cuello uterino (cérvix) es la porción inferior del útero, con forma de barril, separada del cuerpo por el istmo (véase fig. 23-1). La luz del cuello uterino, el conducto cervicouterino, tiene una abertura estrecha en cada extremo. El orificio interno comunica con la cavidad del útero y el orificio externo con la vagina.

La pared uterina está compuesta por tres capas (fig. 23-16). De la luz hacía afuera son las siguientes:

- Endometrio, que es la mucosa del útero.
- Miometrio, que es la capa muscular gruesa. Tiene continuidad con la capa muscular de la trompa uterina y de la vagina. Las fibras de músculo liso también se extienden dentro de los ligamentos conectados al útero.
- Perimetrio, que es la capa serosa externa o la cubierta peritoneal visceral del útero, se continúa con el peritoneo pélvico y abdominal y consiste en un mesotelio y una capa delgada de tejido conjuntivo laxo. Bajo el mesoteho suele haber una capa prominente de tejido elástico. El perimetrio cubre toda la susperficie posterior del útero, pero solo una parte de la superficie anterior. El resto de la superficie anterior consiste en tejido conjuntivo o adventicia.

Tanto el miometrio como el endometrio experimentan cambios cíclicos mensuales con el fin de preparar al útero para la implantación de un embrión. Esos cambios constituyen el ciclo menstrual. Si se implanta un embrión, el ciclo se detiene, ambas capas crecen y se diferencian considerablemente durante el embarazo (como se describe en la siguiente sección).

El miometrio forma un sincitio estructural y funcional.

El miometrio es la capa más gruesa de la pared uterina. Está compuesto por tres capas de músculo liso con límites mal definidos:

- La capa media contiene abundantes vasos sanguíneos grandes (plexos venosos) y vasos linfáticos, y se denomina estrato vascular. Es la capa más gruesa y posee haces entrelazados de músculo liso con un patrón circular o en espiral.
- Los haces musculares lisos en las capas interna y externa se en cuentran onentados predominantemente paralelos al eje longitudinal del útero.

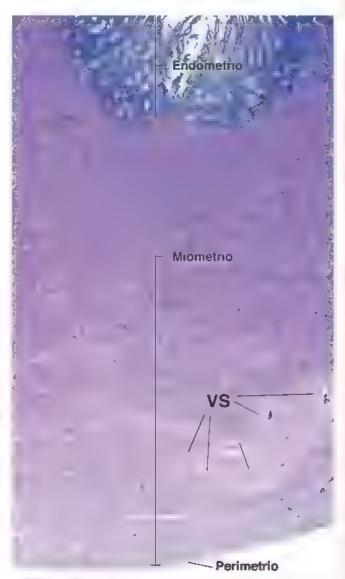


FIGURA 23-16. Microfotografía del corte sagital de un útero humano. En este corte se muestran las tres capas de la pared uterna, el endometrio, la capa más interna que reviste la cavidad uterna, el miometrio, la capa intermedia de musculo liso, y el perimetrio, la capa más delgada de pentoneo que cubre la superficie externa de utero. La porción profunda de marmetrio contiene los vasos sanguineos (VS) más grandes que irrigan el utero. 3×

Al igual que en la mayoría de los órganos huecos con forma de bulbo (como la vesícula biliar y la vejiga), la orientación muscular no está bien definida. Los haces musculares que se observan en los cortes histológicos de rutina parecen estar dispuestos de forma aleatoria. Durante la contracción utenna, las tres capas del miometrio actúan juntas, como un sincitio funcional, para expulsar el contenido luminal a través de un orificio estrecho.

En un útero no gestante, las células musculares lisas miden unos 50 µm de longitud. Durante el embarazo, el útero experimenta un enorme aumento de tamaño. El crecimiento es causado, en primer lugar, por la hipertrofia de las células musculares lisas existentes que pueden alcanzar una longitud de más de 500 µm, en segundo lugar, por el desarrollo de fibras nuevas a través de la división de células musculares existentes y la diferenciación de células mesenquimatosas indiferenciadas. La cantidad de tejido conjuntivo también se incrementa. A medida que progresa el embarazo, la pared uterina se torna cada vez más delgada conforme se estira debido

al crecimiento del feto. Después del parto, aunque algunas fibras musculares se degeneran, el utero vuelve casí a su tamaño original. El colageno producido durante el embarazo para estirar el miometrio es degradado enzimáticamente por las mismas células que lo secretaron. La cavidad uterina se mantiene más grande y la pared muscular más gruesa que antes del embarazo

Comparado con el cuerpo del útero, el cuello uterino posee más tejido conjuntivo y menos músculo liso. Las fibras elásticas son abundantes en el cuello uterino; sin embargo, en el cuerpo del útero solo se encuentran en cantidades apreciables en la capa externa del miometrio.

Ourante un cíclo menstrual, el endometrio prolifera y después se degenera.

A lo largo de la vida férril de la mujer, el endometrio experimenta cambios ciclicos mensuales que lo preparan para la implantación del embrión y los acontecimientos subsecuentes en el desarrollo embrionario y fetal. Los cambios en la actividad secretora del endometrio durante el ciclo están relacionados con la maduración de los folículos ováricos (cuadro 23-3). El final de cada ciclo se caracteriza por la destrucción y el desprendimientos parciales del endometrio, que se acompañan de hemorragia desde los vasos de la mucosa. La eliminación de sangre y restos de tejido por la vagina, que suele durar 3-5 días, se conoce como menstruación o flujo menstrual. Por definición, el ciclo menstrual comienza el día que inicia la menstruación.

Durante la vida fértil de la mujer, el endometrio está compuesto por dos capas o zonas que se diferencian en estructura y función (fig. 23-17 y lám. 96, p. 928)

- El estrato o capa funcional es la porción gruesa del endometrio que se desprende durante la menstruación.
- El estrato o capa basal se retiene durante la menstruación y sirve como fuente para la regeneración del estrato funcional.

El estrato funcional es la capa que prolifera y después se degenera durante el ciclo menstrual.

Durante las fases del ciclo menstrual, el espesor del endometrio varía de 1 a 6 mm. Está revestido por un epitelio cilíndrico simple con una mezcla de células secretoras y ciliadas. El epitelio superficial se invagina en la lámina propia subyacente, el estroma

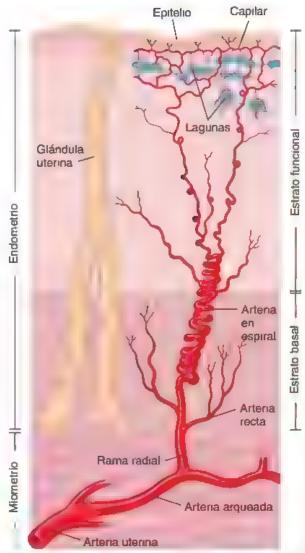


FIGURA 23-17. Diagrama de la irrigación arterial al endometrio del utero. Las dos capas del endometrio, el estrato basal y el estrato funcional, son irrigadas por ramas de la arteria uterina. Las arterias en espiral localizadas en el límite entre estas dos capas se degenerar y regeneran durante el ciclo menstrual por la acción de los estrógenos y la progesterona (basado en: Weiss L, ed. Cell and Tissue Biology. A Textbook of Histology, 6th ed. Baltimore: Urban & Schwarzenberg, 1988)

CITADED FAR

CONSIDERACIONES FUNCIONALES: RESUMEN DE 1 A REGULACIÓN MORMONAL DEL CIGLO OVÁRICO

Durante cada **ciclo menstrual**, el ovario experimenta cambios cíclicos que incluyen dos fases

- Fase folicular
- Fase luteínica

La ovulación ocurre entre estas dos fases (fig. C23-3-1)

La fase foficular se inicia con el desarrollo de una pequeña cantidad de foliculos primarios (10-20) por la acción de la FSH y la LH. La selección de los foficulos dominantes ocurre entre los días 5 y 7 del ciclo menstrual. Durante los primeros 8-10 días del ciclo, la FSH es la principal hormona que influye sobre el

crecimiento de los folículos. Estimula las células granulosas y las de la teca que comienzan a secretar hormonas esteroideas, sobre todo estrógenos, hacia la luz folícular. A medida que se incrementa la producción de estrógenos en el folículo dominante, la secreción de FSH es inhibida por un mecanismo de retroalimentación negativa de la hipófisis. Los estrógenos continuan acumulándose en la luz folícular y finalmente aicanzan una concentración que independiza al folículo de la FSH para la continuación de su crecimiento y desarrollo.

Al final de la fase folicular, antes de la ovulación, la concentración de progesterona comienza a aumentar por efecto de la

CONSIDERACIONES FUNCIONALES RESUMEN DE LA REQUIACIÓN HORMONAL DEL CICLO OVÁRICO

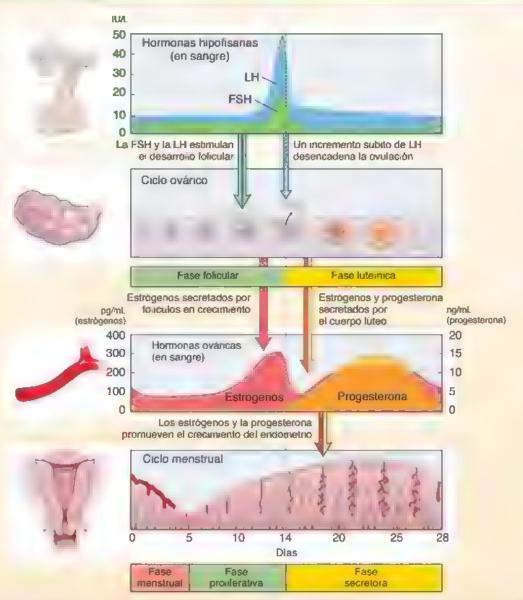


FIGURA C23-3-1. Relación entre los acontecimientos morfológicos y fisiológicos de un ciclo menstrual. En el diagrama se illustra la relación de los cambios morfológicos en el andometrio y el ovario con la concentración sanguinea de las hormonas hipofisarias y ovaricas, así como sus concentraciones plasmaticas, estan indicadas en unidades arbitrarias. *FSH*, hormona foliculoestimulante (folitropina); *LH*, hormona futenizante (lutropina)

LH. La cantidad de estrógenos en la circulación inhibe la producción adicional de FSH por la adenohipófisis. La ovulación es inducida por un aumento repentino de la concentración de LH, que ocurre de forma concomitante con un incremento menor en la concentración de FSH. La expulsión del ovocito se produce unas 34-36 h después del inicio del aumento de la LH o alrededor de 10-12 h postenores al incremento máximo de esta hormona.

La fase lutea se inicia justo después de la ovulación, mientras que las células granulosas y de la teca del folículo roto experimentan una rápida transformación morfológica para formar el cuerpo luteo. El cuerpo luteo secreta estrógenos y grandes cantidades de progesterona. Por la acción

de ambas hormonas, pero sobre todo de la progesterona, el endometrio inicia su fase secretora, que es indispensable para que el utero esté preparedo para la implantación en caso de que el óvulo sea fecundado. La LH parece tener a su cargo el desarrollo y el mantenimiento del cuerpo lúteo durante el ciclo menstrual. Si no ocurre la fecundación, el cuerpo lúteo se degenera en unos pocos días a medida que disminuyen las concentraciones hormonales. En caso de haber fecundación, el cuerpo luteo se mantiene y continua secretando progesterona y estrógenos. La hCG, que inicialmente es sintetizada por el embrión y más tarde por la placenta, estimula el cuerpo luteo y es responsable de su mantenimiento durante el embarazo.

endometrial, para formar las glándulas utermas. Estas glándulas tubulares simples, que contienen menos células ciliadas, a veces se ramifican en la parte más profunda del endometrio. El estroma endometrial, que parece un mesénquima, es muy celular y contiene abundante sustancia fundamental intercelular. Al igual que en la trompa uterina, en este sitio no hay una submucosa que separe el endometrio del miometrio.

La vasculatura del endometrio también prolifere y después se degenera en cada ciclo menstrual.

El endometrio contiene un sistema singular de vasos sanguíneos (véase fig. 23-17). La arteria uterina emite entre 6 y 10 arterias arqueadas que se anastomosan en el miometrio. Las ramas de estas arterias, las arterias radiales, ingresan en la capa basal del endometrio, donde originan pequeñas arterias rectas que irrigan esta área. La rama principal de la arteria radial continúa su trayecto hacia arriba mientras se espiraliza. Por ello, se le conoce como arteria en espiral. Las arterias en espiral emiten muchas arteriolas que con frecuencia se anastomosan y forman un lecho capilar extenso. El lecho capilar incluye segmentos dilatados de paredes delgadas que se denominan lagunas. Las lagunas también pueden formar parte del sistema venoso que drena el endometrio. Las arterias rectas y la porción proximal de las arterias en espiral no se modifican durante el ciclo menstrual. La porción distal de las arterías en espiral, bajo la influencia de los estrógenos y la progesterona, experimenta una degeneración y regeneración con cada ciclo menstrual.

Cambios cíclicos durante el ciclo menstrual

Los cambios ciclicos del endometrio durante el ciclo menstrual están representados por las fases proliferativa, secretora y menstrual.

El ciclo menstrual es un espectro continuo de etapas evolutivas en la capa funcional del endometrio. En última instancia, es controlado por las gonadotropinas secretadas por la porción distal de la hipófisis, que regula las secreciones esteroideas del ovario. Por lo general, el ciclo se repite cada 28 días, durante los cuales el endometrio atraviesa una secuencia de cambios morfológicos y funcionales. Es conveniente describir el ciclo en tres fases sucesivas.

- La face proliferativa ocurre al mismo tiempo que la maduración folicular y se ve afectada por la secreción de los estrógenos ováricos.
- La fase secretora coincide con la actividad funcional del cuerpo lúteo y resulta afectada principalmente por la secreción de la progesterona.
- La fase menstrual comienza cuando la producción hormonal del ovario disminuye con la degeneración del cuerpo lúteo (véase cuadro 23-3).

Las fases son parte de un proceso continuo y no hay una separación abrupta entre ellas.

La fase proliferativa del ciclo menstrual es regulada por los estrogenos.

Al final de la fase menstrual, el endometrio está compuesto por una banda delgada de tejido conjuntivo, de más o menos 1 mm de espesor, que contiene las porciones basales de las glándulas uterinas y las porciones inferiores de las arterias en espiral (véase fig. 23-17). Esta capa es el estrato basal; la capa desprendida era el estrato funcional. La fase proliferativa se inicia por acción de los estrogenos.

Las células del estroma, endoteliales y epiteliales en el estrato basal proliferan con rapidez y pueden observarse los siguientes cambios:

- Las células epiteltales en la porción basal de las glándulas reconstituyen las glándulas y migran para cubrir la superficie endometrial desnuda.
- Las células del estroma proliferan y secretan colágeno y sustancia fundamental
- Las arterias en espiral se alargan a medida que se restablece el endometrio; estas arterias están apenas contorneadas y no se extienden hasta el tercio superior del endometrio.

La fase proliferativa continúa hasta un día después de la ovulación, que ocurre alrededor del día 14 en un ciclo de 28 días. Al final de esta fase, el endometrio ha alcanzado un espesor de casi 3 mm. Las glándulas tienen una luz estrecha y son relativamente rectas porque tienen una apariencia un poco ondulada (fig. 23-18a). En la región basal de las células epiteliales existe una acumulación de glucógeno. En las muestras histológicas de rutina, la extracción del glucógeno durante la técnica de preparación ocasiona que el citoplasma oelular basal aparezca vacio.

La fase secretora del cicio menstrual es regulada por la progesterona.

Por efecto de la progestarona, 1 o 2 días después de la ovulación ocurren cambios notorios en el estrato funcional. El endometrio se torna edematoso y finalmente puede alcanzar un espesor de 5-6 mm. Las giándulas crecen, adquieren un aspecto dentado y su luz se distiende a medida que se llena de productos de secreción (fig. 23-18b). El líquido mucoide producido por el epitelio glandular es rico en sustancias nutritivas, en particular glucógeno, que son necesarias para sustentar el desarrollo en caso de que suceda la implantación. Ahora, las mitosis son poco frecuentes. El crecimiento observado en esta etapa es consecuencia de la hipertrofia de las células epiteliales, el aumento de la vascularización y el edema del endometrio. Sin embargo, las arterias en espiral se alargan y se enrollan aún más. Se extienden casi hasta la superficie del endometrio (fám. 97, p. 930).

La acción secuencial de los estrógenos y la progesterona sobre las cólulas del estroma permite su transformación en cólulas deciduales. El estímulo para la transformación es la implantación del blastocisto. El resultado es la aparición de células grandes y pálidas con abundante glucógeno. Si bien se desconoce su función precisa, es claro que estas células proveen un medio favorable para la nutrición del embrión y crean una capa especializada que facilita la separación de la placenta de la pared uterina después del parto.

La fese menatrual es causade por la disminución de la secreción ovárica de progesterona y estrógenos.

El cuerpo tútico produce hormonas activamente durante unos 10 días si no ocurre la fecundación. Al disminuir con rapidez las concentraciones hormonales, surgen cambios en la irrigación del estrato funcional del endometrio. Al principio, las contracciones periódicas de las paredes de las arterias en espiral, que duran varias horas, causan isquemia en el estrato funcional. Las glándulas detienen su secreción y el endometrio reduce su espesor conforme el estroma se torna menos edematoso. Después de unos 2 días, los periodos prolongados de contracción arterial, con pocos momentos de permeabilidad, provocan la disgregación del epitelio de revestimiento superficial y la rotura de los vasos sanguíneos. Cuando las arterias en espiral se ocluyen, la sangre fluye hacia el estrato basal,

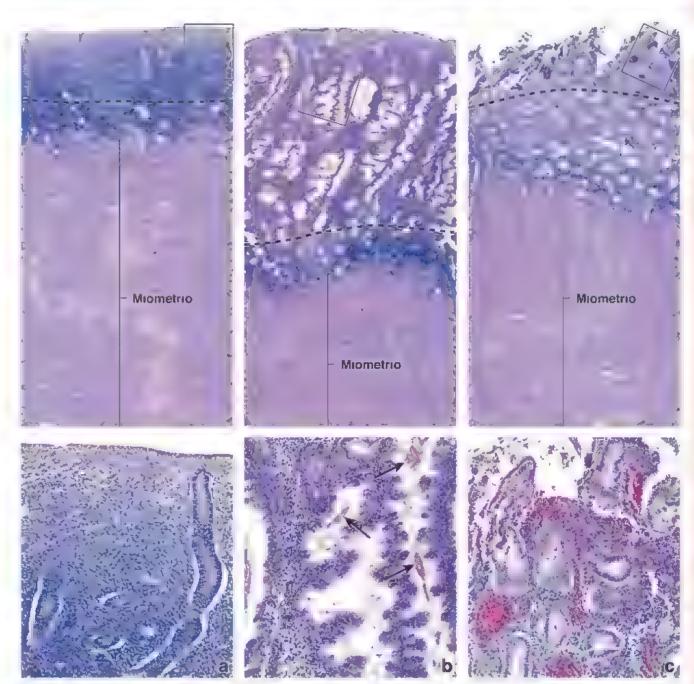


FIGURA 23-18. Microfotografia del revestimiento uterino en las fases proliferativa, secretora y menstrual del ciclo menstrual, a En el panel superior se muestra el endometrio en la fase proliferativa del ciclo. Durante esta fase el estrato funcional (separado del estrato basa por la linea discontinual aumenta mucho su espesor 15×. En el panel inferior se muestran, con mayor aumento, las glándulas endometriales que se extrende desde el estrato basa hacia la superficie 55×. b. En el panel superior se presenta el endometrio en la fase secretora del ciclo Las glándulas han adquirido un aspecto tortuloso dentado) a medida que el endometrio aumenta aun más su espesor. El estrato basa (debajo de la tinea discontinual) exhibie cambios menos drásticos en su morfología. 20×. En el panel inferior aparecen las glándulas uter nas que se han seccionado en un piano cercano al de sus ejes ignigitudinales. Nótense la forma de sacacorchos de las glándulas y la secreción mucosa (flechas) 60×. En el panel superior se observa el estrato funcional (por arriba de la tinea discontinual). Gran parte del estrato funcional se ha degenerado y desprendido. 15×. En el panel inferior se muestran la sangre extravasada y la necrosis de estrato funcional. 55×.

pero no hacia el estrato funcional. El flujo menstrual esta compuesto por sangre, liquido uterino y células epiteliales y del estroma que se han desprendido del estrato funcional. A medida que los fragmentos de tejido se desprenden del endometrio, los extremos desgarrados de las venas, las arterias y las glándulas quedan expuestos (fig. 23-18c). El desprendimiento continúa hasta que solo queda el estrato basal.

La coagulación de la sangre esta inhibida durante este periodo de flujo menstrual. El flujo arterial sanguineo está restringido, excepto por los breves periodos de relajación de las paredes de las arterias en espiral. La sangre sale continuamente desde los extremos abiertos de las venas. Por lo general, el período de flujo menstrual dura alrededor de 5 días. La perdida promedio de sangre durante la fase

menstrual es de 35.50 mL. El flujo sanguíneo a través de las arterias rectas mantiene irrigado el estraro basal.

Como ya se mencionó, este proceso es cíclico. En la figura C23-3-1 del cuadro 23-3 se ilustra un solo ciclo endomernal. Si no hay fecundación, el cese de la hemorragia acompaña el crecimiento y la maduración de nuevos folículos ováricos. A medida que comienza la fase proliferativa del ciclo siguiente, las células epiteliales proliferan con rapidez y migran para restaurar el epitelio de revestimiento.

Si no hay ovulación (ciclo anovulatorio), no se forma el cuerpo lúreo y, por ende, no se produce progesterona. En ausencia de progesterona, el endometrio no avanza a la fase secretora y continúa en la fase proliferativa hasta la menstruación. En los casos de infertilidad, las biopsias endometriales son de utilidad para diagnosticar estos ciclos anovulatorios, así como otras alteraciones del ovario y el endometrio.

Implantación

Si se producen la fecundación y la implantación, la fase menstrual del ciclo se reemplaza por una fase grávida.

Si hay fecundación y la subsecuente implantación, la involución del endometrio se retrasa hasta después del parto. A medida que el blastocisto se incrusta en la mucosa uterina al inicio de la segunda semana, las células en el corion de la placenta en desarrollo comienzan a secretar hCG y otras luteotropinas. Estas hormonas mantienen el cuerpo húteo y lo estimulan para que continúe la producción de progesterona y estrógenos. Así se impide la involución del endometrio y este sigue desarrollándose durante las primeras semanas de la gestación.

La implantación es el proceso mediante el cual un blastocisto se instala en el endometrio.

El óvulo humano fecundado (cigoto) experimenta una serie de cambios mientras atraviesa la trompa uterina y llega a la cavidad del útero; estos lo preparan para su implantación en la mucosa uterina. Desde el comienzo, el embrión en desarrollo inicia un intercambio bioquímico con la madre gestante, indispensable para

su subsecuente implantación y desarrollo. Poco después de la fecundación, el embrión viable secreta el factor de preimplantación (PIF, preimplantation factor), un polipéptido de 15 aminoácidos (MVRIKPGSANKPSDD) específico del embrión que promueve su adhesión al endometrio. En el momento de la implantación, el PIF estimula la proliferación y la invasión del trofoblasto en la decidua basal (véase p. 899).

El cigoto se escinde y después experimenta una serie de divisiones mitóticas, sin crecimiento celular, cuya consecuencia es un aumento rápido de la cantidad de células en el embrión. Al principto, el embrión se encuentra bajo el control de macromoléculas maternas de información que ya se han acumulado en el citoplasma del óvulo durante la ovogénesis. El desarrollo ulterior depende de la activación del genoma embrionario, que codifica diversos factores de crecimiento, componentes de unión celular y otras macromoléculas necesarias para la evolución normal a la etapa de blastocisto. La masa celular que resulta de la serie de divisiones mutóticas se conoce como mórula (lat. morum, mora) y las células individuales son los blastómeros. Durante el tercer día posterior a la fecundación, la mórula (que ha alcanzado una erapa de 12-16 células y continúa rodeada por la zona pelúcida) ingresa en la cavidad uterina. La mórula permanece libre en el útero alrededor de un día mientras continúan sus divisiones celulares y su desarrollo. El embrión inicial da origen a un blastocisto, una esfera celular hueca con un cúmulo de células localizado en su centro. Este macizo calular interno origina los tejidos del embrión propiamente dicho, mientras que la capa de células periféricas, el macizo celular externo, forma el trofoblasto y, después, la placenta (fig. 23-19).

Durante este proceso entra líquido a través de la zona pelúcida y forma una cavidad llena de líquido, la cavidad del blastocisto. Este fenómeno define el comienzo de la etapa del blastocisto. Conforme el blastocisto permanece libre en la luz uterina durante uno o dos días y experimenta divisiones mitóticas adicionales, la zona pelúcida desaparece. El macizo celular externo ahora se llama trofoblasto y el macizo celular interno se denomina embrioblasto.

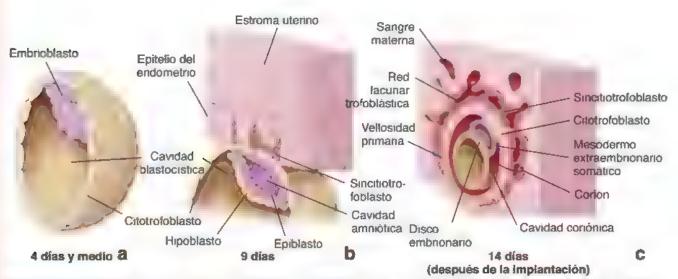


FIGURA 23-19. Diagrama de blastocistos seccionados, a. Blastocisto humano de alrededor de 4.5 dias de desarro o que muestra la formación dei macizo celular interno b. Blastocisto de simio de a rededor de 9 dias de desarrollo. Las celulas trofoblásticas de blastocisto de simio han comenzado a invadir las células epitelia es de endometrio. En los humanos, los biastocistos comienzan a invadir el endometrio cerca del quinto o sexto dia de desarrollo c. Blastocisto humano alrededor del dia 14 después de la implantación. En esta etapa, las células del cito-trofoblasto se han diferenciado en sincitiotrofoblastos y citotrofoblastos.

La implantación ocurre durante un período breve conocido como ventana de implantación.

La adherencia del blastocisto al epitelio endometrial ocurre durante la ventana de implantación, período durante el cual el útero es receptivo a la implantación del blastocisto. Este período breve es generado por una serie de acciones programadas por la progesterona y los estrógenos sobre el endometrio. Los fármacos antiprogesterona, como la mifapristona (RU-486) y sus derivados, compiten por sus receptores en el epitelio endometrial y, asi, bloquean la unión de las hormonas. La imposibilidad para que la progesterona acceda a sus receptores impide la implantación, de manera que se cierra eficientemente la ventana de implantación. En los humanos, la ventana de implantación comienza el día 6 después de la secreción máxima de LH y se completa alrededor del día 10.

A medida que las células trofoblésticas entran en contacto con la pared uterina sobre el polo del embrioblasto, el trofoblasto prolifera con rapidez y comienza a invadir el endometrio. El trofoblasto que incursiona se diferencia en un citotrofoblasto y un sincitiotrofoblasto:

- El citotrofoblasto es una capa celular interna, mitóticamente activa. Esta capa produce células que se fusionan con el sincitiotrofoblasto, que es la capa erosiva externa. La fusión del citotrofoblasto con el sincitiotrofoblasto multinucleado que le rodea puede desencadenarse por medio de apoptosis (muerte celular programada).
- El sincitiotrofoblasto no es mitóticamente activo y consiste en una masa ciroplasmática multinucleada. Invade activamente el epitelio del endometrio, así como su estroma subyacente.

Por la actividad del trofoblasto, el blastocisto queda totalmente sumergido en el endometrio hacia el undécimo día del desarrollo (las evoluciones posteriores del sincitiotrofoblasto y del citotrofoblasto se describen en la sección sobre la placenta).

El sincitiotrofoblasto posee complejos de Golgi bien desarrollados, REL y RER abundantes, muchas mitocondrias y una cantidad bastante grande de inclusiones lipídicas. Estas características son congruentes con la función secretora de progesterona, estrógenos, hCG y coriomamotropina (lactógeno) que cumple esta capa. Los resultados de estudios recientes indican que las células del citotrofoblasto también pueden ser una fuente de hormonas esteroideas y de hCG.

Después de la implantación, el endometrio experimenta la decidualización.

Durante el embarazo, la porción del endometrio que experimenta cambios morfológicos se denomina decidua o membrana caduca (decidua graviditas). Como su nombre lo indica, esta capa se desprende con la placenta al momento del parto. La decidua incluye a todo el endometrio, excepto su capa más profunda. Durante el proceso de decidualización, que generalmente dura 8-10 días, las células del estroma se diferencian en pelulas deciduales (redondas y grandes) en respuesta a las concentraciones elevadas de progesterona (véate p. 896). Las glándulas uterinas aumentan de tamaño y se vuelven más tortuosas durante la primera parte del embarazo, después se adelgazan y aplanan conforme el feto en desarrollo va ocupando toda la luz uterina.

Según su relación con el sitio de implantación, se identifican tres regiones diferentes de la decidua (fig. 23-20):

- La decidua basal es la porción del endometrio subyacente al sitio de implantación.
- La decidua capsular es una porción delgada del endometrio que está entre el sitio de la implantación y la luz uterina.
- La decidua parietal comprende el resto del endometrio en el útero.

Hacia el final del tercer mes, el feto ha crecido hasta el punto en que la decidua capsular se fusiona con la decidua parietal de la pared opuesta, de tal manera que la cavidad uterina se oblivera.

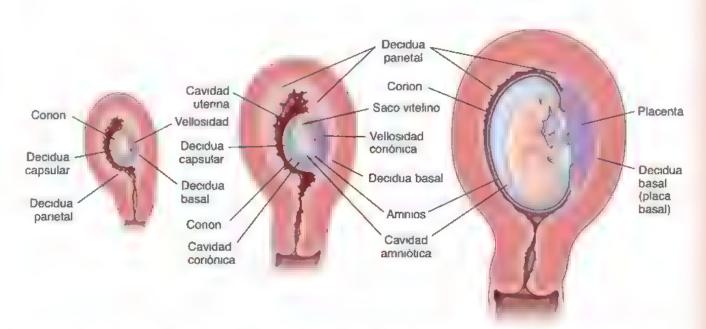


FIGURA 23-20. Desarrollo de la placenta. En estos diagramas se dustra el crecimiento del utero durante la gestación humana y el desarrollo de la placenta y sus membranas. Nótese que existe una obliteración gradual de la luz uterina y desaparición de la decidua capsular a medida que se establece la placenta definitiva (modificado de Villiams J. Placenta circumva lata. Am J. Obstet Gyneco. 1927-13-1-161.

Alrededor del decimotercer día del desarrollo ya ha aparecido un espacio extraembrionario, la cavidad coriónica (véase fig. 23-19c). Las capas celulares que conforman el límite externo de esta cavidad (el sincitiotrofoblasto, el citotrofoblasto y el mesodermo extraembrionario somático) reciben la denominación colectiva de corion. La membrana más interna que envuelve al embrión se denomina amnios (véase fig. 23-20).

Cuello uterino

El endometrio del cuello uterino difiera del resto del útero.

La mucosa cervical mude 2-3 mm de espesor y difiere mucho del resto del endometrio uterino porque contiene glándulas ramificadas grandes (fig. 23-21 y lám. 98, p. 932) También carece de arterias en

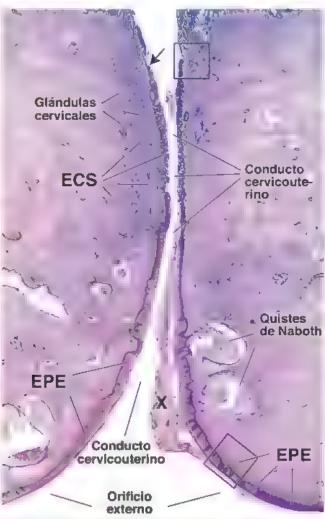


FIGURA 23-21. Microfotografía del cuello uterino humano. Esta muestra teñida con H&E proviene de una mujer posmenopáusica. Su porción inferior se proyecta en la parte superior de la vagina, donde el orificio externo conduce al utero a través del conducto cervicoutenno. La superficie del cuello uterino está tapizada por un epitelio plano. estratificado (EPE) que se continua con el revestimiento epitelia de la vagina. A la altura de la entrada del conducto cervicouterino se produce una transición brusca entre el epite io plano estratificado y el epitelio cilinduco simple (ECS). En esta muestra, el epitelio estratificado se ha extendido dentro del conducto, un fenómeno que ocurre con el envejecimiento. A lo largo del conducto cervicouterino hay glánduras cervicales mucosecretoras. Se trata de glándulas tubulares simples ramificadas que se originari como invaginaciones del revestimiento epitelial del conducto. Con frecuencia, las glándulas se convierten en quistes de Naboth a causa de la retención de la secreción mucosa por el bloqueo de su orificio de salida. El material marcado con una X corresponde al moco secretado por las glándulas cervicales. 10×

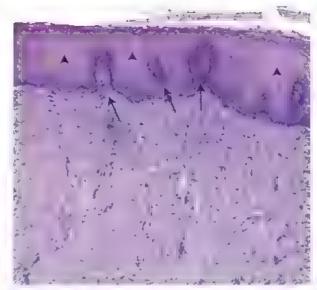


FIGURA 23-22. Epitelio plano estratificado del ectocérvix. El epitelio plano estratificado y el tejido conjuntivo fibroso subyacente, dentro del rectángulo inferior en la figura 23-21, se muestran aqui con un mayor aumento. Las células epiteliales más maduras tienen un citopiasma ciaro (puntas de flecha), un refiejo de su alto contenido de glucógeno. Además, obsérvense las papilas de tejido conjuntivo que sobresalen en el epitelio (flechas). La mayor parte del cuello uterino está formado por tejido conjuntivo fibroso y denso con relativamente poco musculo fiso. 120×

espiral. La mucosa cervical experimenta pocus cambios en su espesor durante el ciclo menstrual y no se desprende durante la menstruación. Sin embargo, durante cada ciclo menstrual las glándulas convicales uenen cambios funcionales importantes relacionados con el transporte del espermatozoide dentro del conducto cervicouterino. La cantidad y las propiedades del moco secretado por las células glandulares varían durante el ciclo menstrual por la acción de las hormonas ováricas. A la mitad del ciclo, la cantidad de moco producido se incrementa unas 10 yeces. Este moco es menos viscoso y parece proporcionar un medio más favorable para la migración espermática. En otros momentos del ciclo menstrual, el moco cervical restringe el paso de los espermatozoides al útero. Por lo tanto, los mecanismos hormonales aseguran que la ovulación y los cambios en el moco cervical estén coordinados; las probabilidades de singamia aumentan si los espermatozoides recién eyaculados y el óvulo llegan de forma simultanea al sitio de fecundación en la trompa uterina.

El bloqueo de los orificios de salida de las glandulas mucosas provoca la retención de sus secreciones y la formación de dilataciones quisticas en la mucosa cervical denominadas quistes de Naboth. Estos se desarrollan con frecuencia, pero son clinicamente importantes solo si se encuentran en gran cantidad y producen un marcado crecimiento del cuello utenno.

La zona de transformación es el sitio de transición entre el epitelio plano estratificado vaginal y el epitello cilíndrico simple cervical.

La porción del cuello uterino que se proyecta en la vagina, la porción vaginal o exocérvix, está revestida por epitelio plano estratificado (fig. 23-22). En la zona de transformación, que en las mujeres en edad fértil se localiza justo fuera del orificio externo, ocurre una brusca transición entre el epítelio plano y el epitelio cilíndrico secretor de moco del conducto carvicouterino, el endocarvix (lám. 98, p. 932). Antes de la pubertad y después de la menopausía, la zona de transformación se encuentra dentro del conducto cervicouterino (fig. 23-23). Los cambios metaplásicos en esta zona de transformación constituyen las lesiones precancerosas del cuello



FIGURA 23-23. Zona de transformación del cuello uterino. Aquí se muestra con mayor aumento la unión escamocilíndrica que aparece dentro del rectángulo supenor de la figura 23-21. Cabe destacar el cambio brusco desde un epitelio plano estratificado hasta uno cilíndrico simple (flecha). Las alteraciones neoplásicas que conducen al desarrollo del cáncer de cuello uterino suelen comenzar en esta zona de transformación Dentro del tejido conjuntivo se encuentran las glándulas cervicales (GC) mucosecretoras, ramificadas, compuestas por un epitelio cilíndrico simple que es contunuo con el revestimiento epitelial del conducto cervicoutenno. 120×

uterino. La metaplasia (gr. meta, más alla; plassein, moldear, dar forma) constituye una respuesta adaptativa y reversible a la lesión persistente del epitelio causada por infecciones crónicas. Se debe a la reprogramación de las células madre epiteliales que comienzan a diferenciarse en un linaje celular nuevo. Dentro del conducto cervicouterino (endocervix) se manifiesta como un reemplazo del epitelio cilindrico simple por epitelio plano estratificado totalmente maduro (fig. 23-24). Las células epiteliales cervicales se exfolian de manera constante hacía la vagina. Las muestras de células cervicales se pueden teñir y examinar por posibles cambios morfológicos (prueba de Papanicoláu (Pap)) o analizarse en busca de cepas de alto riesgo del virus del papitoma humano (VPH), la causa

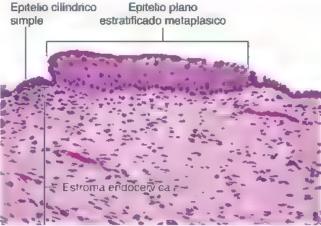


FIGURA 23-24. Epitelio plano estratificado metaplásico del conducto cervicouterino. En esta microfotografía se muestra un islote de epitelio plano estratificado totalmente maduro rodeado por un epitelio di Indinco simple que generalmente se encuentra en el conducto cervicouterino 450× (cortesía de la Dra. Fabiola Medeiros)

principal del cancer cervicouterino. Estas pruebas se usan de manera rutinaria para detectar lesiones precancerosas y cancerosas del cuello uterino.

■ PLACENTA

El feto en desarrollo es mantenido por la placenta que deriva de tejidos fetales y maternos.

La placenta está compuesta por una porción fetal (formada por el corion) y una porción materna (formada por la decidua basal). Las dos porciones participan en el intercambio fisiológico de sustancias entre las circulaciones materna y fetal.

El sistema circulatorio uteroplacentario comienza a desarrollarse alrededor del día 9 después de la fecundación, con la aparición de espacios vasculares denominados lagunas trofoblásticas dentro del sincitotrofoblasto. Los sinusoides maternos, que derivan de los capilares que hay en la porción materna de la placenta, se anastomosan con las lagunas trofoblásticas (fig. 23-25). La presión diferencial entre los vasos arteriales y venosos que se comunican con las lagunas establece un flujo direccional de las arterias a las venas para crear la circulación uteroplacentaria primitiva. Las vesículas pinocíticas abundantes en los sincitiotrofoblastos indican que hay una transferencia de nutrientes desde los vasos maternos hacia el embrión.

La proliferación del citotrofoblasto, el crecimiento del mesodermo coriónico y el desarrollo de vasos sanguíneos dan ongen sucesivamente a las vellosidades coriónicas (fig. 23-26). Los cambios son los siguientes:

- Se forman vellosidades coriónicas primarias debido a la rápida proliferación del citotrofoblasto. Estas vellosidades envían cordones o aglomeraciones celulares al interior de las lagunas trofoblásticas llenas de sangre que hay en el sincitiotrofoblasto (fig. 23-27; véase también fig. 23-19b). Las vellosidades primanas aparecen entre los días 11 y 13 del desarrollo embrionario.
- Las vellosidades coriónicas socundarias están compuestas por un centro de mesénquima rodeado por una capa interna de citotrofoblasto y una capa externa de sincitiotrofoblasto (véase fig. 23-26). Aparecen alrededor del día 16, cuando las vellosidades coriónicas primarias son invadidas por tendo conjuntivo laxo del mesénquima coriónico. Estas vellosidades secundarias cubren toda la superficie del saco coriónico.
- Hacia el final de la tercera semana se forman vellosidades corionicas terciorias, cuando en las vellosidades secundarias aparecen vasos sanguíneos que se han desarrollado en sus centros de tejido conjuntivo (véanse fig. 23-25b y lám. 100, p. 936).

A medida que se forman las vellosidades terciarias, las células del citotrofoblasto en las vellosidades continúan creciendo hacia afuera a través del sincitiotrofoblasto. Cuando llegan al endometrio materno, continúan la proliferación hacia los lados para entrar en contacto con cordones similares provenientes de vellosidades vecinas Así, alrededor del sincitiotrofoblasto se forma una capa delgada de células del citotrofoblasto denominadas escudo trofoblastico. El escudo trofoblástico solo se interrumpe en los sitios donde los vasos maternos se comunican con los espacios intervellosos.

Las vellosidades coriónicas forman continuamente brotes trofoblásticos durante rodo el embarazo. Las vellosidades corionicas pueden permanecer libres (vellosidades flotantes) en la cámara (o espacio) intervellosa o crecer en el lado materno de la placenta (placa basal) para formar las veltosidades primarias o de anciaje El crecimiento futuro de la placenta se logra por el crecimiento intersticial del escudo trofoblástico. Durante el embarazo, las vellosidades maduran y reducen su diámetro. La capa de cirotrofoblastos parece

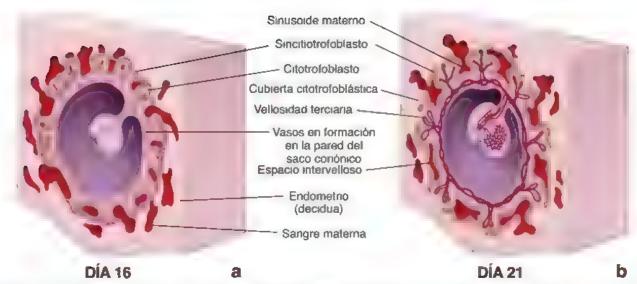


FIGURA 23-25. Diagrama de cortes a través de un embrión humano en desarrollo, a. En este diagrama se representa un saco corrónico y la placenta en el día 16 dias de desarrollo b. El mismo embrión a los 21 días de desarrollo. El diagrama dustra la separación de los vasos sanguineos fetales y maternos por la membrana placentaria, que está formada por el endotello de los capitares, el mesénquima, los citotrofoblastos y el sincitiotrofoblasto.

hacerse discontinua y, en algunas regiones, los núcleos de los sincitiotrofoblastos se reúnen en racimos para formar nodos sincitiales dispersos de manera irregular (véanse fig. 23-26 y lám. 100, p. 936). La cantidad de nodos sincitiales se incrementa con la edad gestacional de la placenta y puede utilizarse para evaluar la madurez de la vellosidad. El aumento de los nodos sincitiales también está asociado con algunas afecciones como la perfusión uteroplacentaria anómala.

En el estroma de tejido conjuntivo de las vellosidades se reconocen varios tipos celulares: células mesenquimatosas, reticulares, fibroblastos, miofibroblastos, células musculares lisas y células presentadoras de antigenos placentarias fetales (macrófagos placentarios), que

históricamente se conocen como celulas de Hofbauer (lám. 100, p. 936) Estas son macrófagos específicos de las vellosidades de origen fetal que participan en las reacciones inmunitarias innatas de la placenta. En respuesta a los antígenos, estas células proliferan y expresan una cantidad mayor de receptores superficiales específicos que reconocen y se unen a una vanedad de patógenos. Al igual que otras células presentadoras de antígenos, si se estimulan, aumenta la cantidad de moléculas del complejo mayor de histocompanhilidad II (MHC II, major histocompatibility complex II) en su superficie. Son más frecuentes en la placenta joven. Las vacuolas de estas células contienen lípidos, glucosaminoglucanos y glucoproteínas. Algunos estudios en placentas infectadas por el virus de inmunodefi-



FIGURA 23-26. Diagrama de las vellosidades coriónicas en varias etapas del desarrollo. En este diagrama se muestran las etapas de desarrollo de una vellos dad coriónica. La vellosidad primaria corresponde a la primera etapa de desarrollo, en la cual el sincitiotrofoblasto y el citotrofoblasto forman extensiones digit formes en la decidua materna. En la vellosidad coriónica secundaria el tejido conjunt vo extraembrionario (mesénquima) crece en las vellosidades y es rodeados por una capa de citotrofoblasto. En la vellosidad coriónica terciaria, los vasos sanguineos y las células de soporte se diferencian dentro del centro mesenquimatoso. Al nicio de lembarazo las vellosidades son grandes y edematosas, con pocos vasos sanguineos rodeados por muchas células de telido conjuntivo. Estas se encuentran cubiertas por una capa gruesa de sincitio-trofoblasto y una capa continua de células de citotrofoblasto. En el embarazo avanzado, la capa de criotrofoblastos parece ser discontinua y los nucleos de los sincitiotrofoblastos se agrupan para formar proyecciones irregularmente dispersas denominadas nodos sincitiales. En el centro del te, do conjuntivo hay más vasos sanguineos feta es, que se tornan menos celulares y contienen menos macrólagos placentar os

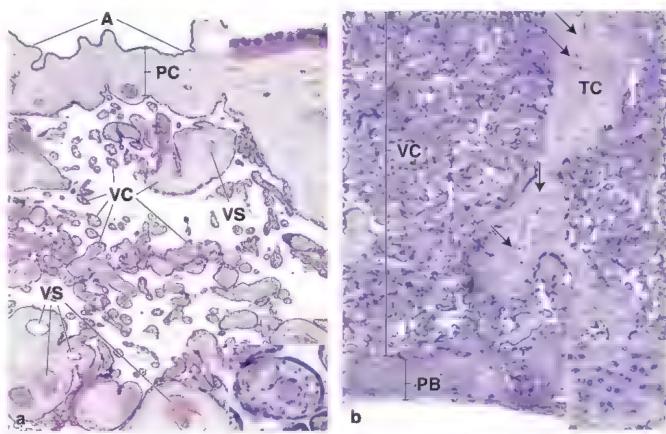


FIGURA 23-27. Microfotografía de una placenta humana, a. En esta muestra teñ da con H&E aparecen la superficie amniótica (A) la placa conón da (PC) y por debajo las siluetas de diversos tamaños de las veliosidades cor ón das (VC). Estas veliosidades surgen de la placa coriónica en la forma de troncos vellosos grandes que se ramifican en vellosidades dada vez más pequenas. En las vellos dades más grandes son visibles sus vasos sanguineos. VS) Las vellosidades más pequenas contienen daplares en los que ocurre e intercambio de sustancias. 60 × Recuadro auperior. Esta magen muestra con mayor aumento e epitello cubico simple del amnios y el tejido con untivo subyacente. 200 × Recuadro inferior. Aqui se aprecia con mayor aumento e corte transversa de una vellos dad que contiene a gunos vasos sanguineos más grandes y una capa deligada de sincitiotrofob asto superficial. 200 × b. En este corte tenido con H&E se observa el lado materno de la placenta. La placa basa. (PB) la porción de lutero a la que se fijan a gunas vellosidades coriónicas (VC) se observa en la parte inferior de la microfolografía. Tamb én es visible un componente de tejido conjuntivo (TC) del estroma parte de la piaca basa, a la que se unen numerosas vellosidades coriónicas. Dentro de la piaca basal y el estroma del tejido conjuntivo hay racimos de ulares las células deciduales (fiechas) que dérivan de células de tejido conjuntivo to 60 × Recuadro. Células deciduales vistas con mayor aumento. 200 ×

ciencia humana (VIH) indican que el virus se encuentra principalmente dentro de las células presentadoras de antigenos placentarias fetales y en el sincitiotrofoblasto

En el inicio del desarrollo, los vasos sanguineos de tas vellosidades establecen comunicación con los vasos del embrión.

La sangre comienza a circular a través del sistema cardiovascular embrionario y las vellosidades alrededor de los 21 días. Los espacios intervellosos son el sitio de intercambio de sustancias nutritivas, productos e intermediarios metabólicos, así como desechos entre los sistemas circulatorios materno y fetal.

Durante las primeras 8 semanas, las vellosidades cubren toda la superficie cotiónica; sin embargo, conforme el crecimiento continúa, las vellosidades en la decidua capsular comienzan a degenerarse y dejan una superficie relativamente avascular denominada corion liso. Las vellosidades contiguas a la decidua basal aumentan en cantidad y tamaño con rapidez y se ramifican mucho. Esta región del corion, que es el componente fetal de la placenta, se denomina corion frondoso o velloso. La capa de la placenta desde la cual se proyectan las vellosidades recibe el nombre de placa corionica (lám. 99, p. 934).

Durante el período de rápido crecimiento del corson frondoso, alrededor del cuarto o quinto mes de gestación, la parte feral de la placenta se divide por acción de los tablques placentarios (decidua-

ios) en 15-25 estructuras denominadas cotiledonos. Los tabiques placentarios con forma de cuña forman los límites de los cotiledones; dado que no se fusionan con la placa coriónica, la sangre materna puede circular con facilidad entre ellos. Los cotiledones aparecen como regiones abultadas en el lado materno de la placa basal.

La decidua basal forma una capa compacta que es el componente materno de la placenta (véase fig. 23-27). La placa basal, la parte más externa de la placenta que entra en contacto con la pared uterina, consta de tejidos embrionarios (escudo trofoblástico que contiene una capa delgada de sincitiotrofoblastos y citotrofoblastos) y tejidos maternos (decidua basal). Los vasos de esta parte del endometrio suministran sangre a los espacios intervellosos. Con muy pocas excepciones, la sangre materna y la sangre fetal no se mezclan.

La sangre fetal y la sangre materna están separadas por la barrera placentaria.

La separación de la sangre fetal y la sangre materna, conocida como barrora placentaria, es mantenida principalmente por capas de tejido fetal (fig. 23-28). A partir del cuarto mes, estas capas se tornan muy delgadas para facilitar el intercambio de productos a través de ellas. El adelgazamiento de la pared de la vellosidad es causado en parte por la degeneración de la capa citotrofoblástica interna (véase fig. 23-27). Sin embargo, estudios recientes indican que si bien la capa citotrofoblástica se vuelve mucho más delgada, no se vuelve discontinua.

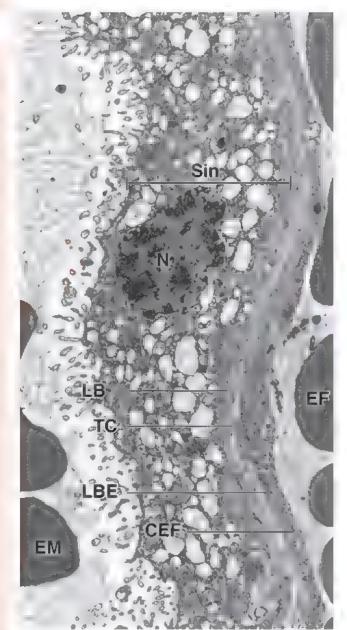


FIGURA 23-28. Barrera placentaria humana en el tercer trimestra da embarazo. En esta microfotografía electrónica de gran aumento se muestra la capa más delgada de una barrera placentaria desarrollada por completo (el corte no incluye las células del citotrofoblasto que forman una capa delgada (o discontinua) en la placenta humana). La luz de la cámara intervellosa que contiene eritrocitos maternos (EM; a la izquierda) está separada del espacio capilar fetal que contiene entrocitos fetales (EF, a la derecha). La câmara intervellosa está revestida. por sincitiotrofoblastos (Sin) multinucleados. Su superficie contiene microyellosidades que se proyectan en el espacio sanguineo materno. El citoplasma del sincitiotrofoblasto contiene nucleos (N) multiples y abundantes vesiculas de transporte, REL, RER, mitocondi as y algunas. inclusiones ipidicas. El sincitiotrofoblasto se localiza sobre la lámina basal (LB), que se encuentra separada de la lám na basal (LBE) de las células endoteliales fetales (CEF) por una deligada capa de tejido conjuntivo (TC): 11000 × (cortesía del Dr. Holger Jastrow).

En su estado más delgado, la barrera placentaria consiste en lo siguiente:

- Strucitiotrofoblasto
- Capa citotrofoblástica interna delgada (o discontinua)
- Lamina basal del trofoblasto
- Tejido conjuntivo (mesenquimatoso) de la vellosidad
- Lámina basal del endorelio
- Endorelio de los capilares placentarios fetales en la vellosidad terciaria

Esta barrera es muy parecida a la barrera hematogaseosa del pulmón, con la cual tiene una analogía funcional importante, como es el intercambio de oxígeno y dióxido de carbono, en este caso entre la sangre materna y la sangre fetal. También se parece a la barrera hematogaseosa porque en su tejido conjuntivo posee un tipo particular de macrófago, que en este caso es la célula presentadora de antígenos placentaria fetal (célula de Hofbauer).

La placenta es el sitio de intercambio de gases y metabolitos entre las circulaciones materna y fetal.

La sangre fetal ingresa en la placenta a través de un par de arterias umbilicales (fig. 23-29). Al pasar por la placenta, estas arterias se ramifican en varios vasos de disposición radial que, a su vez, emiten muchas ramas en la placa coriónica. Las ramas de estos vasos se introducen en las vellosidades y forman redes capilares extensas en asociación es-

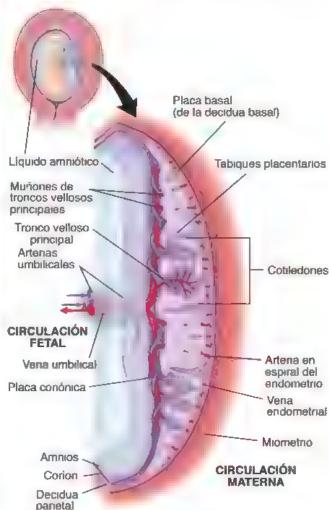


FIGURA 23-29. Diagrama de una placenta humana madura. El corte sagital del utero (arriba) con el embrión en desarrollo muestra la ubicación más frecuente de la placenta. La placenta madura (abajo). está dividida en cotiledones por tabiques placentarios formados por prolongaciones de la decidua basal. La sangre materna ingresa en la placenta a través de muchas artenas endometnales en espiral que perforan la placa basal. Al entrar en el cotiledón, la sangre pasa a la profundidad de la cámara intervellosa (flechas rojas). Después, fluye por la superficie de las vellos dades, donde se produce el intercambio de gases y productos metabólicos. La sangre matema finalmente abandona la cárnara intervel osa (flechas azules) a través de las venas endometriales. La sangre fetal ingresa en la placenta a través de las artenas umbilicales que se dividen en una sene de artenas dispuestas de forma radial dentro de la placa conónica. Las ramas de los vasos pasan. al tronco velloso principal y allí forman redes capilares extensas. Las venas dentro de las vellosidades llevan la sangre de regreso a través de un sistema de venas paraie o al de las arterias fetales

trecha con los espacios intervellosos. Aquí, el intercambio de gases y productos metabólicos ocurre a través de las delgadas capas fetales que separan los dos torrentes sanguíneos. Los anticuerpos también pueden cruzar esta barrera e ingresar en la circulación fetal para proveer inmunidad pasiva contra una gran variedad de agentes infecciosos, como los de la difteria, la viruela y el sarampión. La sangre fetal retorna a través de un sistema de venas paralelas a las arterias, excepto que convergen en una sola vena umbilical.

La sangre materna llega a la placenta a través de 80-100 arternas endometriales en espiral que penetran en la placa basal. La sangre de estas arterias en espiral fluye hacia la base de los espacios intervellosos, que contienen alrededor de 150 mL de sangre materna que se recambia de tres a cuatro veces por minuto. La presión dentro de las arterias en espiral es mucho más alta que la de los espacios intervellosos. Al ser inyectada en cada latido, la sangre llega a la profun didad de dichos espacios. Al disminuir la presión, la sangre refluye sobre las superficies de las vellosidades y finalmente ingresa en las venas endometnales, que también están en la base de estos espacios.

El intercambio de gases y productos metabólicos ocurre mientras la sangre fluye sobre las vellosidades. Por lo general, el agua, el dióxido de carbono, los productos de desecho metabólico y las hormonas son transferidas de la sangre fetal a la sangre materna, mientras que el agua, oxigeno, metabolitos, electrólitos, vitaminas, hormonas y algunos anticuerpos fluyen en la dirección opuesta. La barrera placentaria no excluye muchos de los agentes potencialmente peligrosos, como alcohol, nicotina, virus, fármacos, hormonas exógenas y metales pesados. Por lo tanto, durante el embarazo debe evitarse la exposición a estos agentes o su ingesta para reducir el riesgo de causar lesiones al embrión o feto.

Antes de que se establezca la circulación a través de la placenta, el crecumiento del embrión es sostenido, en parte, por productos metabólicos sintetizados por el trofoblasto o transportados a través de él. El sinctuotrofoblasto sintetiza glucógeno, colesterol y ácidos grasos, así como otras sustancias nutritivas utilizadas por el embrión.

La placenta es un órgano endocrino importante que produce hormonas esteroideas y peptidicas.

La placenta también funciona como un órgano endocrino que produce hormonas esternideas y peptidicas, así como prostaglandinas que desempeñan un papel importante al início del parto. Algunos estudios inmunocitoquímicos indican que el sincitiotrofoblasto es el sitio de síntesis de estas hormonas.

Las hormonas esteroideas (progesterona y estrógenos) son esenciales para mantener el embarazo. A medida que la gestación progresa, la placenta reemplaza al cuerpo lúteo en su papel de secretor principal de estos esteroides. Hacia el final de la octava semana, la placenta produce progesterona suficiente para mantener el embarazo si el cuerpo lúteo se extirpa quirúrgicamente o deja de funcionar. En la producción de estrógenos placentarios, la corteza suprarrenal fetal desempeña un papel crucial porque provee los precursores necesarios para la síntesis de estas hormonas. Debido a que la placenta carece de las enzimas necesarias para la producción de precursores de estrógenos, se establece una unidad cooperativa fetoplacentaria (endocrina). Desde un punto de vista clínico, la vigitancia de la sintesis de estrogenos durante el embarazo se puede utilizar, en algunos casos, como un indice del desarrollo fetal.

La placenta secreta las siguientes hormonas peptidicas:

Se requiere hCG para la implantación y el mantenimiento del embarazo. Su síntesis comienza alrededor del día 6, aun antes de que se forme el sincitiotrofoblasto. La hCG tiene una gran homologia en su secuencia (alrededor del 85%) con la LH, la cual es indispensable para la ovulación y el mantenimiento del cuerpo húteo durante el ciclo menstrual. De manera análoga a la acción de la LH durante el ciclo menstrual, la hCG mantiene el cuerpo húteo durante las etapas iniciales del embarazo. La hCG también tiene una notable similitud con la hormona estimulante de la tiroides (TSH, thyroid-stimulating hormone; tirotropina), to cual podría explicar el hipertiroidismo en el embarazo.

CUADRO 23-4

CORRELACION CLÍNICA: LA PLACENTA

La placenta es un órgano temporal elaborado por el cuerpo únicamente para el embarazo. Una **placenta** madura mide unos 15-20 cm de diámetro y tiene 2-3 cm de espesor, cubre el 25-30% de la superficie uterina y pesa 500-600 g al final del embarazo. Se calcula que la extensión de la superficie de las vellosidades de la placenta humana es de alrededor de 10 m². Las microvellosidades en el sinciplotrofoblasto incrementan la superficie efectiva para el intercambio metabólico a más de 90 m². Después del parto, el utero continúa contrayéndose, reduce la superficie luminal e induce el desprendimiento de la placenta de la pared uterina. Toda la porción fetal de la placenta, las membranas fetales y las proyecciones intercaladas de tejido decidual se fiberan. Durante un parto sin complicaciones, la placenta se desprende de la pared uterina y se expulsa alrededor de 30 min después del nacimiento.

Una de las complicaciones más graves del parto se debe a defectos en la placentación (fijación anómaía de la placenta a la pared utenna). Si el tejido decidual se destruye durante la implantación, la placenta invade la profundidad de la pared utenna. Esto puede causar cualquiera de las tres alteraciones clínicas conocidas como placenta acreta, increta o percreta. La clasificación depende de la gravedad y la profundidad de la fijación placentaria. La placenta acreta, que representa apro-

ximadamente el 75% de todos los casos, ocurre cuando esta se adhiere demasiado profundamente a la pared uterina, pero no penetra en el miometrio. La placenta increta (alrededor del 15% de los casos) se presenta cuando las vellosidades placentarias penetran profundamente en la capa muscular del miometrio. En el restante 10% de los casos, la placenta percreta penetra a través de toda la pared uterina y se fija a otro órgano, como vejiga, recto, intestinos o vasos sanguíneos de gran calibre. Es la complicación más grave de la placentación y puede causar la rotura del útero y otros problemas relacionados con su fijación. Una placenta anómala (o los fragmentos placentanos retenidos) puede causar hemorragias posparto masivas y debe extraerse de forma manual. Las placentas increta o percreta podrían requent de una histerectomía de urgencia.

Después de la expulsión fisiológica de la placenta, las giándulas endometriales y el estroma de la decidua basal se regeneran. La regeneración del endometrio se completa alrededor del final de la tercera semana posparto, excepto en el sitio placentario, donde la regeneración suele extenderse durante otras 3 semanas. Durante la primera semana después del parto, se desprenden restos de la decidua que constituyen las emisiones uterinas pardas rojizas conocidas como loquios (lochia rubra)

por la estimulación de la glandula tiroides materna para incrementar la secreción de tetrayodotironina (T₄). La cuantificación de la hCG se utiliza para la detección temprana del embarazo y la determinación de su viabilidad Otras afecciones que aumentan las concentraciones sanguineas de hCG son las enfermedades trofoblasticas y los embarazos ectópicos.

- Somatomamotropino coriónica humana (hCS, human chorionic somatomammotropin), también conocida como lactogeno placentario humano (hPL, human placentar lactogen), que está muy relacionada con la hormona humana del crecimiento. Se sintetiza en el sincitiotrofoblasto y promueve el crecimiento general, regula el metabolismo de la glucosa y estímula la proliferación de los conductos mamarios en las mamas maternas. Los efectos de la hCS sobre el metabolismo materno son importantes, pero se desconoce su función en el desarrollo fetal.
- Somatomedinas C y A (IGF-I, IGF-II), que son producidas por el citotrofoblasto y estimulan su proliferación y diferenciación.
- Factor de erecimiento endotellal (EGF, endothellal growth factor), que en la placenta joven tiene una acción doble dependiente de la edad. En una placenta de 4-5 semanas, el EGF es sintetizado por el citotrofoblasto y estimula la proliferación del trofoblasto. En una placenta de 6-12 semanas, la síntesis de EGF se traslada al sincitiotrofoblasto; entonces, estimula y mantiene la función del trofoblasto diferenciado.
- Relaxina, que es sintenzada por las células de la decidua y participa en el "ablandamiento" del cuello uterino y los ligamentos pélvicos en preparación para el parto.
- Leptina, que es sintetizada por el sincitiorrofoblasto, en particular durante el último mes de gestación. Al parecer, regula el almacenamiento materno de sustancias nutritivas de acuerdo con las necesidades del feto. También participa en el transporte de las sustancias nutritivas de la madre al feto a través de la barrera placentaria.
- Otros factores de crecimiento, que estimulan la proliferación citotrofoblástica (factor de crecimiento fibroblástico, factor estimulante de colonías 1 [CSF-1, colony-stimulating factor 1], factor de crecimiento derivado de plaquetas e interleucinas [IL-1 e IL-3]) o inhiben el crecimiento y la proliferación del trofoblasto (factor de necrosis tumoral)

VAGINA

La vagina es una vama fibremuscular que comunica los órganos genitales internos con el exterior.

La vagina es una vama fibromuscular que se extiende desde el cuello uterino hasta el vestíbulo vaginal, que corresponde a la región situada entre los labios menores. El introito vaginal puede estar ocluido por el himan, el cual es un pliegue de la membrana mucosa que se proyecta dentro de la luz vaginal. El himen o sus vestigios derivan de la membrana endodérmica que separaba la vagina en desarrollo de la cavidad del seno urogenital definitivo en el embrión.

La pared vaginal (fig. 23-30) tiene los siguientes estratos:

- Una capa mucosa interna que posee pliegues o rugosidades transversales abundantes (véase fig. 23-1) y está revestida por epitelio plano estratificado (fig. 23-31). Las papilas de tejido conjuntivo de la lámina propia subyacente se proyectan hacia el revestimiento epitelial. En los humanos y en otros primates, las células epiteliales pueden contener gránulos de querarolualina, pero en situaciones normales no ocurre la queratinización. Por lo tanto, en todo el espesor del epitelio es posible ver núcleos dentro de las células.
- Una capa muscular intermedia organizada en dos estratos de músculo liso entremezclados (uno circular interno y otro longi-

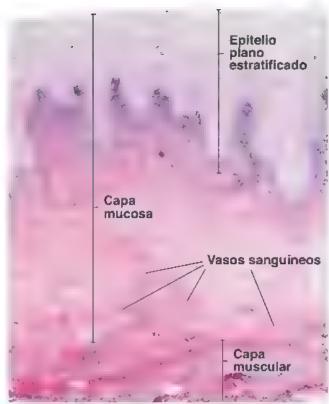


FIGURA 23-30. Microfotografía de una vagina humana. Imagen con poco aumento de un corte tenido con H&E de dos de las tres capas de la pared vaginal las capas mucosa y muscular (la capa más externa de todas, la edventicia, no está incluida). La capa mucosa consiste en un epitelio plano estratificado y el tejido conjuntivo subyacente. El limite del tejido conjuntivo epitelial es por lo general muy irregular, con papilas prominentes que se proyectan hacia la superficie inferior del epitelio. La capa muscular se observa solo en parte y consiste en hacis de células musculares lisas dispuestas de manera irregular. Además, la región profunda del tejido con untivo contiene vásos sangulineos abundantes que irrigan las diversas capas de la pared vaginal. 40×

tudinal externo), a veces indistinguibles. El estrato externo continúa con la capa homóloga en el útero y es mucho más grueso que el estrato interno. A la altura del introito vaginal hay fibras musculares estríadas que pertenecen al músculo bulboesponjoso (lám. 101, p. 938)

• Una capa adventicia externa organizada en un estrato interno de tejido conjuntivo denso, contiguo a la capa muscular, y un estrato externo de tejido conjuntivo laxo que se mezcla con la adventicia de las estructuras vecinas. El estrato interno contiene muchas fibras elásticas que contribuyen a la flexibilidad y la resistencia de la pared vaginal. El estrato externo contiene una gran cantidad de vasos sanguíneos y linfáricos, así como nervios.

La vagina posee un epitelio plano estratificado, sin estrato córneo y sin glándulas.

La luz de la vagina está revestida por un opitolio piono ostratificado y aln ostrato cómoo. Su superficie está lubricada, sobre todo, por el moco producido por las glándulas cervicales. Las glándulas vestibulares mayores y menores, ubicadas en la pared del vestíbulo vaginal, producen moco adicional para lubricat este órgano. En la pared de la vagina experimenta combios cíclicos durante el período menstrual. Bajo la influencia de los estrógenos, durante la fase folicular, las células epiteliales sintetizan y acumulan glucógeno a medida que migran hacia la superficie. Las células se descaman continuamente, pero cerca de la

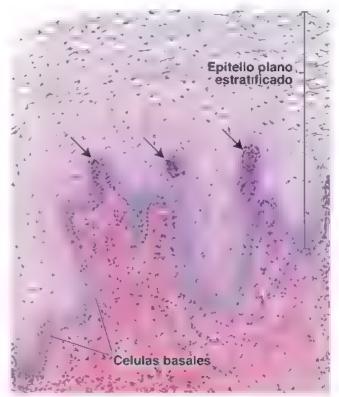


FIGURA 23-31. Microfotografía de la mucosa vaginal. En esta imagen, que corresponde a la figura 23-30 pero con mayor aumento, se aprecia el epitelio plano estratificado y las células maduras con un pequeño nucleo picnótico. Nótese que hay una sola capa de células basales y dos o tres capas de células en proceso de diferenciación (con citoplasma eosinófilo). Las proyectiones papilares del tejido conjuntivo hacia el epitelio le confieren un aspecto megular a esa zona de unión. Los extremos de estas papilas con frecuencia aparecen en los cortes como estructuras aisladas rodeadas de epitelio (flechas). 180×

fase menstrual, o durante esta, la capa superficial del epitelio vaginal puede desprenderse.

La térnine propie presenta dos regiones bien diferenciadas. La región externa justo debajo del epitelio está compuesta por un tejido conjuntivo laxo muy celular. La región más profunda, contigua a la capa muscular, es más densa y podría considerarse una submucosa. Esta región contiene muchas venas de paredes delgadas que simulan tejido eréctil durante la excitación sexual. Justo debajo del epiteho hay una gran cantidad de fibras elásticas, algunas de las cuales se extrenden dentro de la capa muscular. La lámina propia contiene numerosos linfocitos y leucocitos (en particular, neutrófilos) que migran hacia el interior del epitelio. También puede haber nódulos linfáticos solitanos. La cantidad de linfocitos y leucocitos en la mucosa y en la luz vaginal aumenta de manera norable cuando hay flujo menstrual. La vagina posee pocas terminaciones nerviosas sensitivas generales. Es probable que estas terminaciones, que son más abundantes en el tercio inferior de la vagina, estén asociadas principalmente con las sensaciones de dolor y distensión.

■ GENITALES EXTERNOS

Los genitales externos femeninos, que en conjunto se conocen como vulva, poseen un revestimiento de epitelio plano estratificado. Consisten en las siguientes partes:

- Monto del pubio, una prominencia redonda sobre la sínfisis del pubis formada por tejido adiposo subcutáneo.
- Labios mayores, dos pliegues curáneos longitudinales grandes, homólogos de la piel del escroto, que se extienden desde el

- monte del pubis y forman los límites laterales de la hendidura urogenital. Contienen una capa delgada de músculo liso, que se parece al músculo dartos escrotal, y una gran cantidad de tejido adiposo subcutáneo. La superficie externa, así como la del monte del pubis, está cubierta de vello púbico. La superficie interna es lisa y carece de vello. En ambas superficies hay glándulas sebáceas y sudoríparas (fig. 23-32).
- Labios monoros, que son pliegues curáneos pares, sin vello, que limitan el vestíbulo vaginal y son homólogos de la piel del pene. En las células profundas del epitelio hay una gran cantidad de melanina. El centro de tejido conjuntivo dentro de cada pliegue carece de tejido adiposo, pero contiene muchos vasos sanguíneos y fibras elásticas delgadas. En el estroma hay glándulas sebáceas grandes.
- Cittoria, una estructura eréctil homóloga del pene. Su cuerpo está compuesto por dos pequeñas formaciones eréctiles, los cuerpos cavemosos; el glando del clitoria, un diminuto tubérculo redondo en la punta de los cuerpos cavernosos; y los cuerpos parendos (crura), que sujetan firmemente el clítoria a las ramas púbicas. La piel que cubre el glande es muy delgada, forma el prepuedo del clítoria y contiene abundantes terminaciones nerviosas sensitivas.
- Vestibulo, revestido por epitelio plano estratificado. Sobre todo en las cercanías del clitoris y alrededor del orificio externo de la uretra, hay una gran cantidad de glándulas mucíparas pequeñas, las glándulas vestibulares menores (también llamadas glándulas de Skene). Las glándulas vestibulares mayores (también denominadas glándulas de Bartolino) son pares, grandes y homólogas de las glándulas bulbouretrales masculinas. Estas

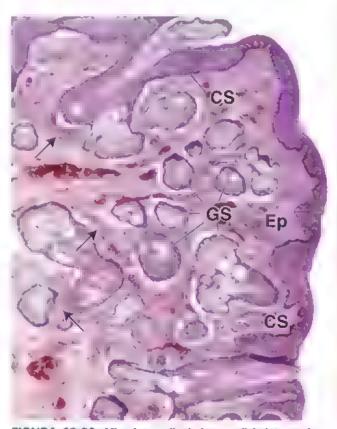


FIGURA 23-32. Microfotografía de la superficie interna de un labio mayor. En esta muestra teñida con H&E de la superficie interna de un abio mayor vista con poco aumento aparecen un epitelio (Ep) no queratinizado y una gran cantidad de glándulas sebáceas (GS). Nótese la continuidad del epitelio de los conductos con el epitelio de la piel y la glándula sebácea. Con este aumento, varios haces de musculo liso son apenas visibles (flechas).

CORRELACION CLÍNICA: CITOLOGÍA DE CUELLO UTERINO (PRUEBA DE PAPANICOLÁU)

El examen de muestras de células cervicates es una valiosa herramienta de diagnóstico para evaluar las mucosas vaginal y cervical (fig. C23-5-1). Las células epiteliales superficiales se eliminan de la mucosa, se agregan a un medio líquido y se envían al laboratorio para su análisis microscópico. Hasta antes de la llegada de la citología cervical en base líquida, las muestras de células cervicales se extendían sobre un portaobjetos de vidrio y se teñlan con la tinción de Papanicoláu (una combinación de hematoxilina, naranja G y eosina azul). La citología cervical proporciona información diagnóstica valiosa acerca del epitello en relación con cambios patológicos, la respuesta a los cambios hormonales durante el ciclo menstrual y el entorno microbiano de la vagina.

Los resultados de la citología cervical se informan utilizando el sistema Bethesda. Este sistema clasifica los resultados en tres categorías principales.

- Megativo para lesiones intraepiteliales o malignidad.
 Esta categoría incluye tanto resultados normales como resultados que indican organismos infecciosos u otros cambios no neoplásicos.
- Otros. Esta categoría se utiliza para informar la presencia de cálulas endometriales de apariencia benigna en una mujer de 45 años de edad o mayor. Este hallazgo podría indicar una anomalía endometrial.
- Anomalias en las células epitellales. Esta categoría se utiliza para informar sobre anomalías tanto en las células escamosas como en las glandulares

Cambios no neoplásicos

La síntesis y la liberación de glucógeno por las células epiteliales del útero y la vagina están directamente relacionadas con los cambios en el pH del líquido vaginal. El pH de este líquido, que generalmente es bajo, alrededor de 4, se torna más ácido cerca de la mitad del ciclo, a medida que *Lacto*bacillus acidophilus (una bacteria vaginal productora de ácido láctico) metaboliza el glucógeno secretado. Un medio alcaino puede favorecer la proliferación de agentes infecciosos como estafilococos, *Corynebactenum vaginale*, *Inchomonas vagi*nalis y *Candida albicans*, lo cual causa un aumento anómalo del trasudado vaginal, inflamación de la mucosa vaginal y de la piel de la vuíva, que en conjunto se conocen como **vuívo-** vaginitis. Estas condiciones anómalas son fácilmente diagnosticables mediante citología cervical. Se pueden utilizar antimicrobianos específicos (antibióticos, sulfonamidas y antimicóticos) junto con una terapia inespecífica (gel de hexetidina acidificado al 0.1%) para restaurar el pH bajo normal en la vagina y así prevenir el crecimiento de agentes infecciosos

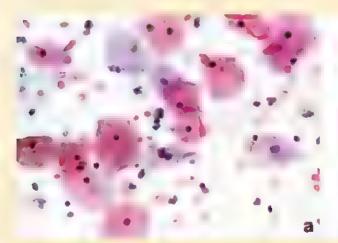
Anomalías en las células epiteliales

La citología cervical se usa ampliamente para detectar las etapas precancerosas del cuello uterino. Dado que puedan existir lesiones cervicales precancerosas hasta por 20 años, las células anómalas que se desprenden del epitelio se detectan fácilmente mediante citología cervical. El análisis microscópico de dichas células permite su diferenciación entre células normales y anómalas, determina su sitio de origen y permite clasificar los cambios celulares relacionados con las metástasis.

En el sistema Bethesda, las lesiones epiteliales se clasifican como escamosas o glandulares en las siguientes categorías.

- Células escamosas
 - Células escamosas atípicas
 - Lesión intraepitelial escamosa de bajo grado
 - Lesión intraepitelial escamosa de alto grado
 - Carcinoma epidermoide
- Células glandulares
 - Atípicas (células endocervicales, endometriales o glandulares)
 - Adenocarcinoma endocervical in situ
 - Adenocarcinoma

La prueba de Papanicoláu es un método de detección muy eficaz y económico para la prevención del cáncer cervicouterino. Como la mayoría de las anomalías celulares detectadas por la prueba de Papanicoláu se encuentran en etapas precancerosas, el examen permite el tratamiento y seguimiento oportunos para prevenir la aparición de un cáncer invasor. Desde 1950, cuando se introdujo por primera vez la citología cervical, las muertes por cáncer del cuello uterino en los Estados Unidos han disminuido casi un 70%. Sin embargo, en los lugares donde la detección del cáncer de cuello uterino no se ha generalizado, las muertes por esta causa siguen siendo numerosas.



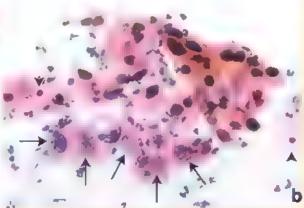


FIGURA C23-5-1. Microfotografías de citologías cervicales, a. Citología negativa Las células escamosas superficia es tienen un nucleo picnótico pequeno y citoplasma abundante. Otras células observables incluyen entrocitos y neutróficos 600× b. Citología anómaia. Muchas de las células en está muestra contienen nucleos grandes sin evidencia de picnosis (flechas). Su citoplasma es relativamente escaso. Otras exhiben un aspecto más normal con núcleos picnóticos y más citoplasma circundante (puntas de flecha). También se observan neutrófilos. 600×

glándulas tubuloalveolares miden alrededor de 1 cm de diámetro y están ubicadas en la pared lateral del vestibulo por detrás del bulbo vestibular. Las glándulas vestibulares mayores secretan moco lubricante. Los conductos de estas glándulas desembocan en el vestibulo cerca del introtro vaginal. Si el conducto de una glándula de Bartolino se obstruye, suele llenarse de secreción glandular y dilatarse. Dicha afección se conoce como quiste de Bartolino, y puede infectarse en unos pocos días y causar dolor intenso, enrojecimiento y tumefacción del labio mayor afectado. Por lo general, el material purulento en el absceso de Bartolino requiere de una incisión quirurgica con drenaje o su extirpación completa

En los genitales externos hay una gran cantidad de terminaciones nerviosas sensitivas.

- Los corpusculos de Meissner son abundantes, en particular en la piel del monte del pubis y los labios mayores.
- Los corpúsculos de Pacini están distribuidos en las capas más profundas del tejido conjuntivo y se encuentran en los labios mayores y en asociación con el tejido eréctil. Los impulsos sensitivos provenientes de estas terminaciones nerviosas desempeñan un papel importante en la respuesta fistológica durante la excitación sexual.
- Las terminaciones nerviosas libres son muy abundantes y están distribuidas de forma equitativa por toda la piel de los genitales externos.

■ GLÁNDULAS MAMARIAS

Las glándulas memarias o mamas son una característica distintiva de los mamíferos. Son órganos estructuralmente dinámicos que varían según la edad, el ciclo menstrual y el estado reproductivo de la mujer. Durante la vida intrauterina hay crecimiento y desarrollo de tejido mamario en ambos sexos. Entre las regiones axilar e inguinal en desarrollo aparecen múltiples glándulas a lo largo de engrosamientos epidérmicos bilaterales denominados crestas mamarias (fineas lácteas). En los humanos lo normal es que un solo grupo de células prolifere para formar una mama a cada lado de la línea media. En el 1% de la población femenina puede aparecer como alteración hereditaria una mama adicional (polimastía) o un pezón supernumerano (politelia). Estas alteraciones, que son muy poco frecuentes, también pueden ocurrir en el varón

En las mujeres, las glándulas mamartas se desarrollan por la acción de las hormonas sexuales.

Hasta la pubertad, las glándulas mamarias tanto femeninas como masculinas se desarrollan de un modo simular. Al comenzar la pubertad en los varones, la testosterona actúa sobre las células mesen quimatosas para inhibir el crecimiento adicional de las glándulas mamarias. En el mismo período, en la mujeres, las mamas siguen desarrollándose por la acción hormonal de los estrógenos y la progesterona. Los estrógenos estimulan el desarrollo adicional de las células mesenquimatosas. La glándula mamaria aumenta de tamaño, sobre todo por la proliferación del tejido adiposo interlobulillar. Los conductos se extienden y se ramifican hacia el estroma de tejido conjuntivo en expansión. La proliferación de las células epireliales es controlada por las interacciones entre el epirelio y el tejido conjuntivo laxo del estroma especializado intralobulillar, que es sensible a las hormonas. En la edad adulta ya se ha establecido la arquitectura canalicular completa de la glándula.

Las glándulas mamarias permanecen en estado inactivo hasta el embarazo, durante el cual adquieren su maduración morfológica y funcional completa. Esto ocurre en respuesta a los estrógenos y la progesterona secretados inicialmente por el cuerpo lúteo y más tarde por la placenta, la prolactina de la hipófisis y los gonadocorticoides sintetizados por la corteza suprarrenal. Al final del embarazo,
en las células epiteliales se encuentran vesículas de secreción, pero
la producción de leche es inhibida por las concentraciones elevadas
de progesterona. El inicio real de la secreción láctas se produce
inmediatamente después del nacimiento y es inducida por la protactina (PRL) secretada por la adenohipófisis. La eyección de leche
de la mama es estimulada por la oxitocina liberada desde la neurohipófisis. Con el cambio en el entorno hormonal que ocurre en la
menopausia, el componente glandular de la mama involuciona y es
reemplazado por tejido conjuntivo y adiposo. En los hombres, después de la pubertad generalmente ocurre algún desarrollo adicional
de las glándulas mamarias, pero estas permanecen rudimentarias.

La exposición a hormonas y la predisposición genética son los principales factores de riesgo para el desarrollo del cancer de mama. En los Estados Unidos es la neopiasia matigna más frecuente entre las mujeres. Se calcula que cada año cerca de 270000 mujeres (y también 2500 hombres) son diagnosticadas con cáncer de mama. La mayoria de los cánceres mamarios están vinculados con la exposición hormonal (la cual aumenta con la edad, la menarquia temprana, la menopausia tardia y el primer embarazo de término a una edad más avanzada). En las mujeres, alrededor del 5% de todos los cánceres de mama se atribuyen a la mutación de los genes del cáncer mamario autosómicos dominantes (BRCA1 y BRCA2).

Las glandulas mamarias son glandulas sudoríparas apocrinas tubuloalveolares modificadas.

Las glandulas mamarias tubuloalveolares, derivadas de las glándulas sudoríparas modificadas en la epidermis, se encuentran en el tejido subcutáneo. La mama adulta inactiva está compuesta por



FIGURA 23-33. Diagrama de una mama humana durante el periodo de lactancia. La mama está compuesta en gran parte por unidades lobulillares de conducto terminal (LLCT) que contienen glándulas tubuloalveolares ramificadas. Las ULCT están dentro de un estroma extenso de tejido conjuntivo y cantidades variables de tejido adiposo

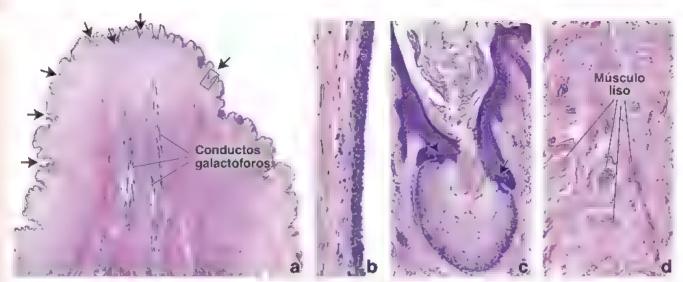


FIGURA 23-34. Microfotografías de un corte a través del pezón femenino, a. En esta imagen con poco aumento de un corte sagitat teñido con H&E a través del pezón se muestra el contorno irregular de la superficie, un epitello plano estratificado delgado y las glándulas sebáceas asociadas (flechas). El centro del pezón está compuesto por tejido conjuntivo denso, haces de musculo liso y conductos galactóforos que desembocan en la superficie del pezón. 6× b. La parecida uno de los conductos galactóforos se muestra aqui con mayor ampliación. Su epite o es cubico estratificado y consiste en capas bicelulares. A medida que se acerca al extremo del pezón, cambia a epite lo plano estratificado y se torna continuo con la epidermis 175× c. Ampiración de la gándula sebacea senalada por el rectangulo en a Nótese cómo el epitefio glandular se continua en la epidermis (flechas) y el sebo cutáneo es secretado en la superficie epidermica. 90× d. Mayor aumento que muestra situetas longitudinales y transversales de haces de musculo liso. 350×

15-20 lóbulos irregulares separados por bandas fibrosas de rejido conjuntivo (fig. 23-33). Irradian desde las papitas mamarias, o pezones, y además se subdividen en numerosos lobulillos conocidos como unidades tobulillares del conducto terminei (ULCT). Algunas de las bandas fibrosas, denominadas ligamentos suspensorios o figementos de Cooper, se unen a la dermis. En el tejido conjuntivo denso de los espacios interlobulillares hay abundante tejido adiposo.

Cada glándula termina en un conducto galactóforo (lactífero) que desemboca en el pezón a través de un orificio estrecho. Debajo de la aréola (la tegión pigmentada que rodea el pezón), cada conducto presenta una porción dilatada que recibe el nombre de sono galactóforo. Cerca de sus orificios, los conductos galactóforos están revestidos por epitelio plano estratificado queratinizado. El revestimiento epitelial del conducto muestra una transición gradual de plano estratificado a dos capas de células cúbicas a la altura de los senos galactóforos y, finalmente, a una sola capa de células cilíndricas o cúbicas en todo el resto del sistema de conductos.

La epidermis del pezón y la aréola del adulto está muy pigmentada y un tanto arrugada; su superficie profunda es atravesada por papilas dérmicas largas (fig. 23-34). Está cubierta por epitelio plano estratificado y queratinizado. La pigmentación del pezón aumenta en la pubertad y este se torna más prominente. Durante el embarazo, la aréola se agranda y el grado de pigmentación aumenta aún más. En la profundidad de la aréola y el pezón hay haces de fibras musculares lisas dispuestas de forma radial y circunferencial en el tejido conjuntivo denso y en sentido longitudinal a lo largo de los conductos galactóforos. Estas fibras musculares permiten que el pezón se torne erecto en respuesta a estímulos diversos.

La aréola contiene glándulas sebáceas, glándulas sudoríparas y glándulas mamarias modificadas (glándulas de Montgomery). Estas glándulas poseen una estructura intermedia entre las glandulas sudoríparas y las verdaderas glándulas mamarias; producea pequeñas elevaciones en la superficie de la aréola. Se piensa que las glándulas de Montgomery producea una secreción lubricante y protectora que modifica el pH de la piel e inhibe la proliferación microbiana. En el pezón hay muchas terminaciones nerviosas sensitivas; en la aréola, la cantidad es menor

La ULCT de la glándula mamaria corresponde a una aglomeración de alvéolos secretores pequeños (en la mama lactante) o de conductillos terminales (en la mama inactiva) rodeados por estroma intralobulillar.

Las ramificaciones sucesivas de los conductos galactóforos conducen a la ULCT. Cada ULCT corresponde a una aglomeración parecida a un racimo de alvéolos pequeños que forma un lobulillo (fig. 23-35) y consta de las siguientes estructuras:

- Conductillos terminales, que están presentes en la glándula inactiva. Durante el embarazo y después del parto, el epitelio de los conductillos terminales, que está compuesto por células secretoras, se diferencia en alvéolos secretores totalmente funcionales que producen leche
- Conducto colector intralobulillar, que transporta las secreciones alveolares al conducto galactóforo.
- Estroma intralobutillar, que consiste en tejudo conjuntivo laxo especializado, sensible a hormonas, que rodea los conductillos terminales y los alvéolos. El tejudo conjuntivo intralobulillar contiene muy pocos adipocitos.

Las células epiteltales y mioepiteliales son las más importantes asociadas con los conductos y los lobulillos mamarios. Las células opitoliales glandulares revisten el sistema de conductos, mientras que las cétulas mioepiteliales están situadas en la profundidad del epitelio entre las células epiteliales y la lámina basal. Estas células, dispuestas en una red de aspecto similar a una cesta, están presentes en las porciones secretoras de la glándula. En los cortes de rutina reñidos con hematoxilina-eosina (H&E), las células mioepiteliales son más evidentes en los conductos de mayor calibre. Sin embargo, en los preparados sometidos a técnicas inmunocitoquímicas, sus estructuras discontinuas en forma de cesta se visualizan mejor dentro de los alvéolos (fig. 23-36). La contracción de las células micepiteliales contribuye a la eyección de la leche durante la lactancia. Algunos estudios de inmunofluorescencia recientes han demostrado que las células progenitoras de la mama, que se encuentran en el epitello canalicular, dan origen tanto a las células glandulares de los alvéolos como a las micapiteliales.

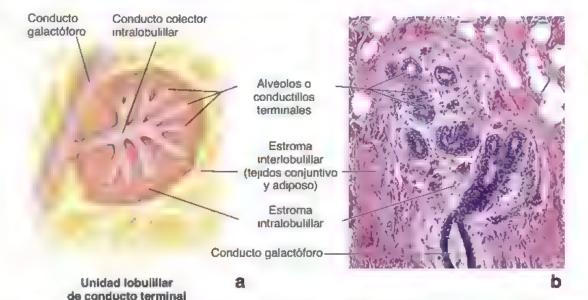


FIGURA 23-35. Unidad lobulillar de un conducto terminal. a. En este diagrama se muestran los componentes de una unidad obulillar de conducto terminal (ULCT). Los conductivos terminales y los conductos colectores intralobulillares están rodeados por un tejido con untivo laxo, sensible a hormonas denominado estroma intralobulillar. Las ULCT están separadas unas de otras por el estroma interiobulillar que contiene una cantidad variable de tejido conjuntivo denso rregular y tejido adiposo. En las glándulas mamarias activas los conductivos conductores de eche. En está microfotografía se muestra la ULCT de una giándula mamaria inactiva una regiones no teñidas en la parte superior de la imagen corresponden a adipocitos. 120×

La morfología de la porción secretora de la glándula mamaria varia con el ciclo menstrual.

En la giandula inactiva, el componente glandular es escaso y consiste, sobre rodo, en elementos del conducto (fig. 23-37 y lám. 102,

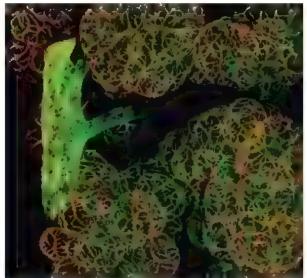


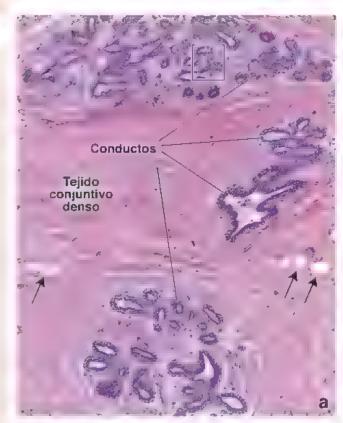
FIGURA 23-36. Células mioepiteliales en la glandula mamaria. Esta imagen de inmunofluorescencia se obtuvo de la glandula mamaria de un ratón lactante 2 días después del parto. El ratón portaba un transgén compuesto por el promotor de la actina α del musculo liso conjugado para potenciar la reacción de la proteina fluorescente verde (GFP, green fluorescent protein). La organización tridimensional de las células micepiteliales se ve de color verde debido a la expresión del transgén promotor en las células mioepiterales. El tejido también se tiño de rojo con el anticuerpo contra la actina di del musculo liso conjugado directamente con el colorante fluorescente CY3. La tinción de color naranja se debe a la superposición de las tinciones verde y roja. Las células en la superficie de la unidad lobulillar de conducto terminal aparecen tenidas. de naranja, mientras que las más profundas en el tejido se tiñen solo de verde, ello debido a que el anticuerpo no penetró profundamente en el tejido. Observese el conducto intralobulillar pequeño que desemboca. en un conducto galactóforo más grande 600× (cortesia del Dr. James J. Tomasek, University of Oklahoma Health Science Center)

p. 940). Durante el ciclo menstrual, la mama inactiva experimenta modificaciones cíclicas leves. Al comienzo de la fase folicular, el estroma intralobulillar es menos denso y los conducullos terminales parecen cordones de células epiteliales con forma cúbica y poca luz o sin ella. Durante la fase lútea, la altura de las células epiteliales aumenta y en los conductos aparece una luz cada vez mayor conforme se acumulan pequeñas cantidades de secreciones. Además, en el tejido conjuntivo se acumula líquido. A esto le sigue una abrupta involución y apoptosis durante los últimos días del ciclo menstrual, antes del inicio de la menstruación

Las glándulas mamarias experimentan una proliferación y un desarrollo notonos durante el embarazo.

Las glandulas mamarias experimentan diversos cambios en su preparación para la lactancia. Estas modificaciones pueden estudiarse según el trimestre del embarazo:

- El primor trimostro se caracteriza por el alargamiento y la ramificación de los conductillos terminales. Las células de revestimiento tanto epiteliales como mioepiteliales proliferan y se diferencian de las células progenitoras mamarias del epitelio de los conductillos terminales. Las células mioepiteliales proliferan entre la superficie basal de las células epiteliales y la lámina basal, tanto en la porción alveolar como en la porción canalicular de la glándula.
- El segundo trimestre se caractenza por la diferenciación de los alvéolos a partir de los extremos en crecimiento de los conductillos terminales. La proliferación del tejido glandular no es uniforme y hay variaciones en el grado de desarrollo aun dentro de un mismo lobulillo. Las células varían su forma desde aplanadas hasta cilíndricas cortas. A medida que la mama se desarrolla, los plasmocitos, los linfocitos y los eosinófilos infiltran el estroma de tejido conjuntivo intralobulillar (lám. 103, p. 942). En esta etapa, la cantidad de tejido glandular y el volumen de la mama aumentan sobre todo a causa de la proliferación de los alvéolos (fig. 23-38).
- En el tercer trimestre comienza la maduración de los alvéolos.
 Las células epiteliales glandulares se tornan cúbicas y sus núcleos se ubican en la superficie celular basal. Estas células desarrollan



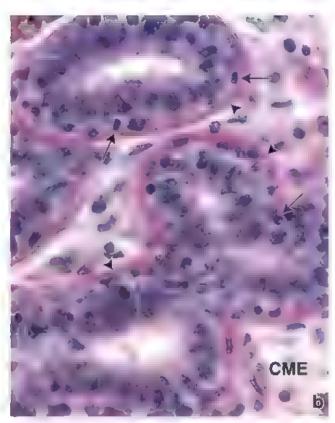


FIGURA 23-37. Microfotografia de una glándula mamaria inactiva, a. En esta magen de una muestra terida con H&E se ven con podo aumento varios lobul los en el tejido conjuntivo denso de la mama. El componente epite al consiste en un sistema de conductos ramificados que forman el iobulido. Las regiones claras (fiechas) son ad pocitos 60 × b. Mayor aumento de la región conten da en el rectangulo de a Las células en el tejido conductos son clindricas y entre ellas hay infocitos (fiechas) que han ingresado en el epitelio. El material teñido circundante (puntas de fiecha) corresponde a células mioepite ales (CME) y a haces de colágeno en el tejido conjuntivo contiguo. 700 ×

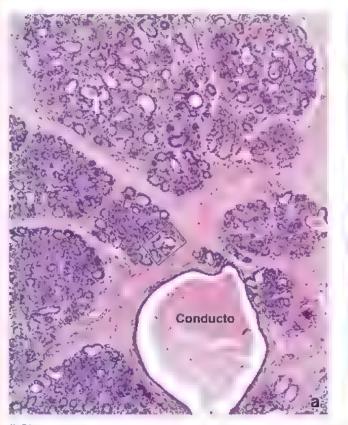




FIGURA 23-38. Microfotografia de una glándula mamaria activa hacia el final del embarazo, a. En esta imagen de una muestra tenida con H&E se ve con poco aumento la marcada proliferación del sistema de conductos que da origen a los alvéolos secretores, que constituyen la porción principal de los lobulidos. Los conductos intraiobal lares son dificies de identificar debido a que su epitello también secreta. Por fuera de los lobulidos hay un conducto excretor de granica bre 60× b. Imagen con mayor aumento de una región de a. Aqui las células alveo ares secretoras en su mayoria son cubicas. En el tejido conjuntivo laxo contiguo pueden identificarse una célula micepitellal (CME) y varios plasmocitos (flechas). 700×

un RER extenso y en su citoplasma aparecen vesículas de secreción e inclusiones lipidicas. La proliferación real de las células del estroma interlobulillar declina y el aumento de tamaño ulterior de la mama se produce por hipertrofia de las células secretoras y la acumulación de producto de secreción en los alvéolos.

Los cambios en el tejido glandular durante el embarazo se acompañan de una reducción en la cantidad de los tejidos conjuntivo y adiposo.

En la producción de leche intervienen procesos de secreción merocrina y apocrina.

Las células secretoras connenen un retículo endoplasmático rugoso abundante, una cantidad moderada de mitocondrias grandes, un aparato de Golgi supranuclear y varios lisosomas densos (fig. 23-39). Según el estado secretor, en el citoplasma apical puede haber inclusiones lipídicas grandes y vesículas de secreción. Las células secretoras sintetizan dos productos distintos que se liberan mediante diferentes mecanismos:

- Secreción merocrina. El componente proteínico de la leche se sintetiza en el RER, se envasa para su transporte en vesículas de secreción limitadas por membrana en el aparato de Golgi y se libera de la célula por fusión de la membrana limitante de las vesículas con la membrana plasmática.
- Secreción apocrina. El componente graso o lipídico de la leche se origina como inclusiones lipídicas libres en el citoplasma. Los lípidos confluyen para formar gotas grandes que se mueven hacia la región apical de la célula y se proyectan hacia la luz del acino. Al liberarse, estas inclusiones son cubiertas por una envoltura de membrana plasmática. Una capa delgada de citoplasma queda atrapada entre la membrana plasmática y la inclusión lipídica,

misma que se libera junto con el lípido, pero la cantidad de citoplasma perdido en este proceso es mínima.

La secreción liberada en los primeros días después del parto se conoce como calostro. Esta preleche es una secreción amanllenta alcalina que tiene más proteínas, vitamina A, sodio y cloruro, así como menos lípidos, hidratos de carbono y potasio que la leche definitiva. Contiene una cantidad considerable de anticuerpos (sobre todo lgA secretora) que proveen cierto grado de inmunidad pasiva al neonato. Se piensa que los anticuerpos en el calostro son producidos por los linfocitos y los plasmocitos que infiltran el tejido conjuntivo laxo de la mama durante su proliferación y desarrollo, y que se secretan a través de las células glandulares, como ocurre en las glándulas salivales y el intestino. A medida que la cantidad de estas células migrantes se reduce después del parto, la producción de calostro cesa y se produce leche con abundancia de lípidos.

Regulación hormonal de las glándulas mamarias

El crecimiento y desarrollo miciales de la glándula mamaría en la pubertad ocurren por la acción de los estrógenos y la progesterona producidos por el ovario en proceso de maduración. Por la influencia hormonal, las ULTC se desarrollan y diferencian en unidades funcionales dinámicas. Después de este desarrollo inicial, durante cada ciclo ovárico ocurren cambios leves en la morfología del tejido glandular Durante la fase folicular del ciclo menstrual, los estrogenos circulantes estimulan la proliferación de los componentes de los conductos gelactóforos. Después de la ovulación, en la fase lútea, la progesterona estimula el crecimiento de los alveolos; el estroma intralobufillar se roma edematoso. Desde un punto de vista clínico, durante la fase lutea las mujeres perciben mayor sensibilidad y un aumento

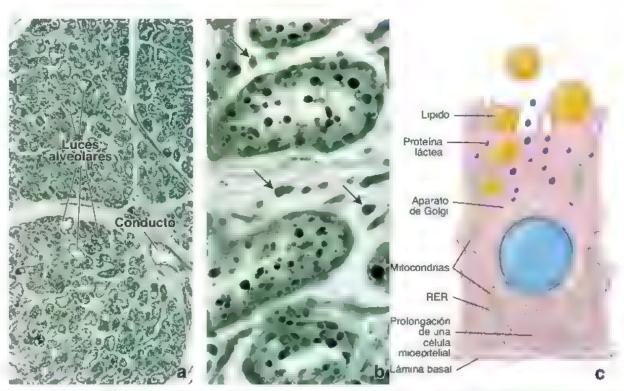


FIGURA 23-39. Microfotografías y diagrama de una glándula mamaria en período de lactancia a. Microfotografía con poco aumento de un corte con teñido rápido de osmio verde de una glándula mamaria en período de lactancia. Se pueden apreciar porciones de varios lobulitios grandes y un conducto excretor. Muchos de los alvedos exhiben una fuz prominente, aun con este aumento, 60 × b. Un aumento mayor de una region de la muestra inclusiones lipidicas (siluetas circulares negras) dentro de las células secretoras de los alvedos así como en la luz alvediar. Las fiechas senalan plasmocitos dentro de los espacios intersticiales. 480 × c. Diagrama de una célula epitelia, de la glándula mamaria en período de lactancia. RER reticulo endoplasmático rugoso (reelaborado a partir de Bloom W. Fawcett DW. A Textbook of Histology. 10th ed Philadelphia. WB. Saunders, 1975).

POR VIRUS DEL PAPILOMA HUMANO

El virus del papiloma humano (VPH) es el virus de transmisión sexual más frecuente en los Estados Unidos. La mayoría de las personas se infectarán con el VPH durante su vida. Se conocen más de 30 tipos de VPH que infectan las regiones urogenital y anal en hombres y mujeres, donde afectan el apitello plano estratificado de la piel perineal o las membranas mucosas. Alrededor de 12 tipos de VPH, tlamados de bajo nesgo, causan verrugas genitales. La mayor proporción de verrugas genitales es causada por los tipos 6 y 11 del VPH. Cerca de 13 tipos de VPH, denominados de alto nesgo, pueden causar cáncer de cuello uterino, ano, vagina, vulva, pene y cabeza y cuello. La mayoría de los casos de cáncer asociado con el VPH son causados por los tipos 16 y 18.

En la mayoría de las mujeres, una infección por VPH se alivia sin tratamiento. Solo un porcentaje pequeño (5-10%) desarrollará una infección persistente. Los factores de nesgo de infección persistente incluyen edad avanzada y tabaquismo. Las infecciones persistentes por un tipo de VPH de alto nesgo se asocian con un mayor nesgo de cáncer de cuello utenno

La mayoría de las lesiones asociadas con el VPH pueden diagnosticarse mediante citología cervical. En casos difíciles, algunas técnicas auxiliares como la hibridación in situ pueden ayudar a confirmar el diagnóstico (fig. C23-6-1). Existen tres vacunas (Cervarix[®], Gardasil[®] y Gardasil[®] 9) aprobadas para la prevención del VPH. Las tres protegen contra los tipos de VPH de alto riesgo 16 y 18. Gardasil[®] protege contra los tipos de VPH de bajo riesgo 6 y 11. Gardasil 9[®] protege contra los tipos 6, 11, 16 y 18 y otros cinco tipos de VPH de alto riesgo. Gardasil[®] y Gardasil 9[®] se recomiendan para ambos sexos entre los 9 y 26 años de edad. Cervarix[®] se recomienda solo para niñas y mujeres

Ninguna de las vacunas es terapéutica (no eliminan una infección previa), pero inducen el desarrollo de inmunidad específica contra las infecciones por el VPH. Las vacunas

son más eficaces en personas sin exposición previa al VPH e inmunizadas antes del inicio de la actividad sexual

Hoy en día, la datección del cáncer de cuello uterino incluye pruebas de VPH, además de la citología cervical, para algunos grupos de edad. Las siguientes son las recomendaciones más recientes para la detección del cáncer de cuello uterino en mujeres que no tienen otros factores de nesgo del American College of Obstetricians and Gynecologists

- Mujeres de 21-29 años de edad, citología cervical (prueba de Papanicoláu) cada año
- Mujeres de 30-65 años, pruebas de VPH más citología cervical cada 5 años (preferentemente) o citología cervical cada 3 años.

Se recomienda aumentar el intervalo entre las pruebas de detección (en oposición a las pruebas anuales) y evitar pruebas de VPH en mujeres más jóvenes para disminuir la cantidad de resultados falsos positivos o procedimientos innecesanos de diagnóstico. En las mujeres jóvenes, la infección por VPH generalmente se alívia sin tratamiento. Cuando las infecciones persisten, en general lo hacen durante muchos años antes de que puedan detectarse cambios precancerosos

El diagnóstico de precâncer del cuello uterino incluye la colposcopia, en la cual se usa un colposcopio (un microscopio diseñado específicamente para visualizar el cuello uterino) para examinar el cuello uterino en busca de lesiones y realizar una biopsia cervical. El tratamiento de las lesiones precancerosas se logra por medio de la eliminación de las células precancerosas mediante biopsia en cono (conización), un procedimiento en el que se extirpa o destruye una porción en forma de cono de telido del cuello uterino que contiene parte del ectocérvix, la zona de transformación y el conducto cervicouterino. La conización se puede realizar con bisturí (conización fria), rayo láser, asa electroquirurgica o mediante congelación (crioconización).

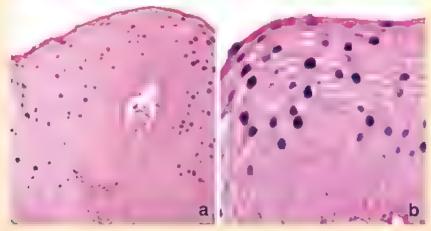


FIGURA C23-6-1. Microfotografia de la hibridación *in situ* de una biopsia cervical humana con infección por VPH, a. En esta imagen se muestra con poco aumento un epitelio piano estratificado del cuelio uter no hibridado con sondas de ADN para los tipos 6 y 11 del VPH, y sometido a una coloración de contraste con rojo nuclear rápido. Nótese que la mayoría de las células infectadas son celulas maduras localizadas en las capas superiores del epitello plano estratificado del ectocérvix. 120× b. En esta ampliación pueden verse las particulas y ricas ten das con color purpura dentro de los nucleos de las células infectadas 225 - (contesía de la Dra Fabiola Medeiros)

CONSIDERACIONES FUNCIONALES: LACTANCIA E INFERTILIDAD

Casi el 50% de las mujeres que amamantan presentan amenorrea (falta de menstruación) e infertilidad durante la lactancia. Este efecto es ocasionado por las concentraciones séricas elevadas de prolactina, que inhiben la secreción de GnRH pulsátil suprimiendo, así, la secreción de LH. La ovulación suele reanudarse después de 6 meses o antes si disminuye la frecuencia de succión.

progresivo del volumen del tejido mamario. En el embarazo, el cuerpo luteo y la placenta producen continuamente estrogenos y progesterona, lo que causa un aumento masivo de las ULCT. Hoy en día se considera que el desarrollo mamario también depende de la prolactina, producida por la adenohipófisis; la hCS, sintetizada por la placenta; y los glucocorticoides suprarrenales.

La lactancia está bajo el control neurohormonal de la adenohipófisis y del hipotálamo.

Si bien los estrógenos y la progesterona son indispensables para el desarrollo físico de la mama durante el embarazo, ambas hormonas también suprimen los efectos de la prolactina y la hCS, cuyas concentraciones se incrementan a medida que progresa la gestación. No obstante, la pérdida repentina de la secreción de estrógenos y progesterona por la placenta y el cuerpo báteo, justo después del parto, permite que la prolactina asuma su función lactógena. La producción de leche también requiere una secreción adecuada de hormona del crecimiento, glucocorticoides suprarrenales y hormonas paratiroideas.

El acto de succionar durante el amamantamiento inicia impulsos sensitivos desde los receptores en el pezón hacia el hipotálamo. Los impulsos inhiben la liberación del factor inhibidor de prolactina y entonces se libera prolactina desde la adenohipófisis. Los impulsos sensitivos también causan la liberación de oxitocina en la neurohipófisis. La oxitocina estimula a las células mioepiteliales que rodean la base de las células alveolares secretoras y la base de las células de los conductos de mayor calibre para que se contraigan y eyecten la leche desde los alvéolos y los conductos. En ausencia de succión, la secreción de teche cesa y las glándulas mamarias comienzan a involucionar y atrofiarse. El tejido glandular retorna entonces a su estado mactivo de reposo.

Involución de las glándulas mamarias

Después de la menopausia, las glándulas mamarias se atrofian porque su estroma especializado involuciona. Al faltar la estimulación hormonal ovárica, las células secretoras de las ULCT se degeneran y desaparecen, pero algunos conductos pueden persistir para crear un patrón histológico que se parece al de la mama masculina. El tejido conjuntivo también presenta alteraciones degenerativas, señaladas por una reducción en la cantidad de fibroblastos y fibras de colágeno, y por la desaparición de fibras elásticas.

Irrigación sanguínea y vasos linfáticos

Las arterias que irrigan la mama derivan de las ramas torácticas de la arteria axilar, la arteria toráctica interna y las arterias intercostales anteriores. Las ramas de estos vasos siguen primordialmente el trayecto de los conductos alveolares cuando alcanzan los lechos capilares que rodean a los alvéolos. Por lo general, las venas siguen el mismo camino que las arterias para drenar al final en las venas axilar y toráctica interna.

Los capilares linfáticos se localizan en el tejido conjuntivo que rodea los alvéolos. Los vasos linfáticos más grandes drenan en los ganglios linfáticos axilares, supraclaviculares o paraestemales.

Inervación

Los nervios que inervan la mama son los ramos cutáneos anteriores y laterales de los nervios intercostales segundo a sexto. Los nervios transportan fibras simpáticas y aferentes hacia la mama y desde ella. La función secretora está principalmente bajo control hormonal; no obstante, los impulsos aferentes asociados con la succión participan en la secreción refleja de prolactina y oxitocina.



APARATO REPRODUCTOR FEMENINO

FUNDAMENTOS DEL APARATO REPRODUCTOR FEMENINO

- El aparato reproductor de la mujer está compuesto por diversos órganos genitales internos (ovarios, trompas (tubas) utermas, útero y vagina) y un órgano genital externo (vulva).
- Los organos sexuales femeninos internos experimentan cambios cíclicos regulares durante cada ciclo menstrual, desde la pubertad hasta la menopausia, que son reflejo de modificaciones en las concentraciones hormonales.

OVARIOS

- Las principal función de los ovarios es la producción de gametos (ovogénesis) y hormonas esteroideas (estrógenos y progesterona; esteroidogénesis)
- Los ovarios poseen una médula en su centro que contiene tejido conjuntivo laxo, nervios, sangre y vasos sanguineos y linfáticos, así como una corteza en su periferia que contiene una gran cantidad de folículos ovaricos que proveen el microambiente para el desarrollo de los ovocitos.
- La superficie del ovario esta cubierta por el epitelio germinativo, un epitebo cúbico simple sobre una capa de tejido conjuntivo denso denominado túnica albuginea.

DESARROLLO DE LOS FOLÍCULOS OVÁRICOS

- Existen tres etapas básicas de desarrollo de un folículo ovárico folículo primordial, folículo en crecimiento (tanto primario como secundario) y folículo maduro (folículo de De Graaf)
- Antes de la puberrad, la correza del ovario está ocupada solo por foliculos primordiales. Estos contienen un único ovocito primano, detenido en la primera profase meiótica, rodeado por una sola capa de células escamosas foliculares
- Después de la puberrad, debido a cambios hormonales cíclicos, una cohorte selecta de tolículos primarios se desarrolla en folículos
 en crecimiento. Las celulas foliculares que rodean al ovocito se vueiven cúbicas y experimentan una estratificación adicional para
 formar el folículo primario.
- Las cétulas del foliculo en crecimiento se convierten en cétulas granulosas, el tejido conjuntivo que rodea al foliculo se diferencia en las tecas interna y externa, el ovocito crece y produce la zona pelucida (ZI), que contiene glucoproteinas especificas de esa zona involucradas en el proceso de la fecundación.
- A medida que proliferan las células granulosas, intervienen en el metabolismo de las hormonas esteroideas (la conversión de androgenos producidos por la teca interna en estrogenos) y secretan activamente líquido folicular que se acumula en las cavidades que existen entre ellas.
- Un folículo en crecimiento que contiene una cavidad unica de liquido (antro) se denomina folículo socundario (antral). Este sigue conteniendo al ovocito primario detenido en la primera profase de la división meiótica.
- A medida que el foliculo secundario se agranda y madura, la capa delgada de células granulosas asociada con el ovocito forma el cúmulo oóforo y la corona radiada.
- El foliculo maduro (foliculo de De Graaf) posee un gran antro y una capa turgente de teca interna productora de esteroides.
 Desencadenada por el aumento subito de la concentración de LH, justo antes de la ovulación, el ovocito reanuda su primera división meiótica y se convierte en ovocito secundario.

OVULACION

- Durante el ciclo ovárico un solo folículo de De Graaf experimenta ovulación. Todos fos otros
 folículos en la cohorte en desarrollo presentan atresta folícular, un proceso de degeneración que
 involucra a la apoptosis.
- Durante la ovulación, un ovocito secundario es liberado por la rotura del folículo de De Graaf
 El ovocito liberado queda detenido en la metafase de la segunda división melótica.
- En la ovulación, la pared folicular, compuesta por las células granulosas y de la teca remanentes, es transformada en el cuerpo luteo. Por accion de la LH en el proceso de luteinización, se forman las celulas luteinicas de la granulosa (producen estrogenos) y las células luteinicas de la teca (producen progesterona).
- El cuerpo luteo de la menstruación se forma cuando no hav fecundación, se degenera 10-12 días después de la ovulación para convertorse en el cuerpo albicans.
- El cuerpo lúteo del embarazo se forma después de la fecundación y la implantación. Es la fuente principal de progesterona y luteotropinas (estrógenos, somatomedinas) durante las primeras 8 semanas del embarazo; posteriormente se degenera y deja una cicatriz permanente en el ovario.

CAPACITACIÓN Y FECUNDACION

- Durante la capacitación, los espermatozoides maduros adquieren la capacidad de fecundar al ovocito dentro del aparato reproductor de la mujer.
- La fecundación ocurre generalmente en la ampolla de la trompa uterina e implica la capacitación del espermatozoide y su penetración en la corona radiada para alcanzar el ovocito.
- Después de la capacitación, el espermatozoide se une a los receptores de la zona pelúcida, lo que
 desencadena la reacción acrosomica. Las enzimas liberadas por el acrosoma permiten que solo un
 espermatozoide penetre en la zona pelúcida e impregne al ovocito.
- Durante la impregnación, todo el espermatozoide, excepto el citoplasma de la cola, se incorpora al
 ovoplasma, ello desencadena la reanudación de la segunda división meiótica (transforma al ovocito secundario en ovocito maduro).
- Al menos tres tipos de reacciones posteriores a la fusión evitan que otros espermatozoides entren en el ovocito: una rápida despolarización del ovolema, una reacción cortical (cambios en la polaridad del ovolema) y la reacción de zona (que forma la barrera perivitelina al establecer enlaces cruzados entre proteínas en la superficie del ovocito y degradar los receptores ZP).
- La cabeza del espermatozoide, dentro del citoplasma del ovocito, experimenta cambios para formar
 el pronúcleo masculino, el cual se fusiona con el pronucleo fernenino para formar un cigoto
 diploide. El cigoto entra de inmediato en su primera división mitótica.

TROMPAS UTERINAS

- Las trompas uterinas son estructuras bilaterales que conectan al útero con los ovarios.
- Cada trompa utenna posee cuatro segmentos el infundibulo (un extremo con forma de embudo rodeado por fimbrias contiguas al ovario), la ampolla (sitio de la fecundación), el istmo (segmento estrecho contiguo al útero) y la porción intramural (que atraviesa la pared utenna).
- La pared de la trompa uterina esta compuesta por tres capas: una serosa externa, una muscular
 gruesa y una mucosa muy plegada.
- El revestimiento mucoso es epitelio cilíndrico simple compuesto por dos tipos celulares células ciliadas y células no ciliadas (en tachuela)
- El ovocito (y el cigoto después de la fecundación) es empujado hacia la cavidad uterina por un movimiento coordinado de los cilios en la superficie de la mucosa y por las contracciones musculares peristálticas de la trompa uterina.

UTERO

- El útero está dividido en un cuerpo (porcion superior que contiene el fondo uterino) y un cuello uterino o cérvix (porción inferior que se proyecta hacia la vagina).
- La pared uterina esta compuesta por el endometrio (revestimiento mucoso del utero), el miometrio (capa muscular lisa) y el perimetrio (una capa serosa del peritoneo visceral).
- Ei endometrio esta revestido por epitelio cilíndoco simple que se invagina en la lámina propia subyacente (estroma endometrial) para formar las glándulas uterinas.
- El endometrio está compuesto por un estrato basal y otro funcional, el cual experimenta cambios ciclicos debido a las concentraciones fluctuantes de estrogenos y progesterona durante el ciclo menstrual.
- El espesor del endometrio, su actividad glandular y su patrón vascular son únicos para cada una de las tres fases (proliferativa, secretora y menstrual) de la menstruación, la cual dura en promedio 28 días.
- La fase proliferativa se ve afectada por los estrógenos que se producen en los folículos en crecemiento. La fase secretora es modificada por la progesterona secretada desde el cuerpo luteo y, si no se produce la implantación, la fase menstrual corresponde a la isquemia del estrato funcional que se desprende durante la menstruación.
- Si el embrion se implanta con exito, el endometrio experimenta la decidualización (proceso de su conversión en decidua) y, junto con las células trofoblásticas del embrión, inicia el desarrollo de la placenta.
- El endometrio del cuello uterino difiere del resto del útero en que no se desprende durante la menstruación. Las glándulas cervicales modifican la viscosidad del moco secretado durante cada ciclo menstrual
- La porcion del cuello uterino que se proyecta en la vagina posee una zona de transformación, donde el epitelio cilíndrico simple del cuello uterino cambia abruptamente al epitelio plano estratificado de la vagina.

PLACENTA

- La placenta permite el intercambio de gases y metabolitos entre las circulaciones materna y fetal.
 Consiste en una porción fetal (corion) y una porción materna (decidua basal).
- Después de la implantación, el trofoblasto invasor se diferencia en sincitiotrofoblasto (macizo
 citoplasmatico multinucleado que invade en forma activa la decidua) y el citotrofoblasto (una capa
 mitóticamente activa que produce células que se fusionan con el sincitiotrofoblasto).
- La sangre fetal y la sangre materna estan separadas por la barrera placentaria que se desarrolla
 en la vellosidad corionica terciaria (provecciones del corion que contienen sincipiotrofoblastos,
 citotrofoblastos, tejido conjuntivo mesenquimatoso y vasos sanguíneos fetales).
- Las vellosidades estan inmersas en la sangre materna que llena los espacios vasculares en la placenta (cotiledones)
- La placenta es uno de los principales organos endocrinos que sostiene el desarrollo del feto. Produce hormonas esteroideas (principalmente progesterona) y peptidicas (p. ej., hCG, hCS, relaxina y leptina).

VAGINA Y GENITALES EXTERNOS

- La vagina se extrende desde el cuello utermo hasta el vestibulo. Está revestida por epitelio plano estratificado no queratinizado y carece de glándulas.
- La parte genital externa de la mujer (vulva) consiste en el monte del pubis (formado por tejido adiposo subcutaneo), los labios mayores (pliegues cutáneos longitudinales que contienen tejido adiposo, una capa delgada de musculo liso y glandulas sebaceas y sudoriparas), los labios menores (centro de tejido conjuntivo que carece de tejido adiposo, pero contiene glándulas sebáceas grandes), el clítoris (tejido erecul homologo al pene) y el vestibulo (revestido por epitelio plano estratificado con muchas glándulas mucosas pequeñas).

GLÁNDULAS MAMARIAS

- Las glándulas mamarias se desarrollan en ambos sexos a partir de las crestas mamarias en el embrión, pero experimentan mayor evolución en las mujeres después de la pubertad por la acción hormonal de los estrógenos y la progesterona.
- Las glandulas mamarias son glandulas sudoríparas tubuloalveolares apocrinas modificadas compuestas por unidades lobulillares del conducto terminal (ULCT). Cada ULCT está conectada
 a sistemas de conductos colectores que forman los conductos galactóforos que desembocan en
 el pezón.
- Las ULCT de la glandula mamaria corresponden a una aglomeración en racimo de pequeños alvéolos secretores (en la glandula lactante activa) o conductillos terminales (en la glandula inactiva) rodeados por un estroma intralobulidar sensible a hormonas
- La morfologia de la porción secretora de la glandula mamaria inactiva varía con el ciclo menstrual.
- Las glandulas mamarias tienen una proliferación y un desarrollo notorios durante el embariazo, en preparación para la lactancia, por la acción de los estrógenos (proliferación de componentes de conducto) y la progesterona (crecimiento de los alvéolos)
- El componente proteinico de la leche es liberado por las celulas alveolares mediante la secreción merocrina, mientras que el componente lipidico es aportado mediante secreción apocrina.

LÁMINA 92 OVARIOS I

Los **ovarios** son dos estructuras ovoides pequenas que al corte exhiben una **corteza** y una **médula**. A un lado se encuentra el hilio para el tránsito de las estructuras neurovasculares; en ese mismo lado se observa el mesovario, que une el ovario al ligamento ancho. Las funciones del ovario son la producción de *óvulos* y la sintesis y secreción de **estrogenos** y **progesterona**.

En la corteza hay una gran cantidad de folículos primordiales desde el momento del nacimiento; estos permanecen sin cambios hasta la maduración sexual. Las ovogonias en estos folículos están detenidos en la profase de la primera división meiotica. En la pubertad, por acción de las gonadotropinas hipofisarias, los ovarios comienzan a experimentar cambios cíclicos que, en conjunto, se denominan ciclo ovárico. Durante cada ciclo, los ovarios generalmente producen un solo ovocito que queda listo para ser fecundado.

Al comienzo del ciclo ovárico, por acción de la FSH, algunos de los foliculos primordiales comienzan a experimentar cambios que conducan al desarrollo de un folículo maduro (de De Graaf). Estos cambios incluyen la proliferación de cálulas foliculares y un aumento del tamano del foliculo. Aunque varios foliculos primordiales inician estos cambios evolutivos, solo uno suele alcanzar la madurez y producir un ovocito. De forma ocasional, dos folículos madurarán y ovularán, lo que conduce a la posibilidad de un embarazo gemelar dicigótico. La expulsión del ovocito y sus células adherentes se denomina ovulación. Al momento de la ovulación, el ovocito completa la primera división meiótica. El ovocito completa la segunda división meiótica solo si tiene lugar la fecundación. Ocurra o no la fecundación, los otros folículos que comenzaron a proliferar en el mismo ciclo degeneran; dicho proceso se denomina atresia.

Corteza, ovario, simio, H&E, 120×.

Aquí se muestra la **corteza** del ovario de una hembra sexualmente maduca. En la superficie, hay una capa simple de células epiteliales designadas como **epitelio germinativo** (EpG). Este epitelio tiene continuidad con la serosa (peritoneo) del mesovario

A pesar de su nombre, este epitelio no da origen a células germinativas. El epitelio germinativo cubre una capa de tejido conjuntivo denso y fibroso, la **túnica** albuginea (TA), bajo la cual se encuentran los folículos primordia-

les (FP). En el ovario es usual observar foliculos en diversas etapas de desarrollo o arresia. En esta microforografia, junto con una gran cantidad de foliculos primordiales, se encuentran cuatro **foliculos en crecimiento** (FC), con una capa eosinófila charamente visible de la zona pelúcida (ZP), un foliculo arrésico (FA) y parte de un foliculo grande, a la derroba. La región del foliculo grande que se muestra en la imagen incluye teca interna (TI), células granulosas (CG) y parte del antro (A)



Foliculos primarios iniciales, ovario, simio, H&E, 450×.

Cuando un **folículo primordial** inicia los cambios que conducen a la formación de un folículo maduro, la capa de células fouculares (*CF*) planas se tiema cúbica, como se observa en esta imagen. Además, las células folículares proliferan y el epirello se vivelve multiestradi-

ficado. Un folículo que experimenta estos cambios muciales se denomina **folículo primario**. En consecuencia, un folículo primario unicial todavía puede ser unilaminar, pero se encuentra rodeado por células cúbicas y este rasgo lo distingue de los folículos primordiales unifasturiares más abundantes que están rodeados por células planas. Obsérvese el núcleo (N) grande del ovocito en el folículo primario. Algunos ovocitos pueden no tener núcleos visibles (séese la célula marcada con la X) debido al plano de corre



Foliculos primordiales, ovario, simio, H&E, 450×.

En esta microfotografía se muestran varios **folículos primor- diales** a mayor aumento. Cada folículo consiste en tin ovocito rodeado por una capa simple de células folículares (F) planas. El nucleo (N) del ovocito es, por lo general, grande, pero el ovocito en sí mismo

es tan grande que su núcleo con frecuencia no queda incluido en el plano de corte; es el caso del ovocito marcado con la X. El grupo de células de aspecto epitelial (puntas de flecha) está formado por células foliculares de un foliculo primordial seccionado en un plano tangencial a la superficie folicular. En este caso, las células foliculares se observan de frente



Folículo primario avanzado, ovario, simio, H&E, 450×.

El folículo primario en esta nucrofotografía muestra un conjunto multiestratificado de **células foliculares** (CF) que rodean un ovocito con un núcleo (N) grande y visible. La capa

más interna de células foliculares es contigua a una lámina eosinófila gruesa de material extracelular homogéneo denominada **zonta pelúcida** (Z^p). En esta

etapa de desarrollo, el ovocito también ha aumentado un poco su tamaño. Toda la estructura rodeada por la membrana pelúcida es el ovocito.

Alrededor de los foliculos se observan células alargadas de rejido conjuntivo muy celular, a las que se denomina células del estroma. Las células del estroma que rodean al foliculo secundario se organizan en dos capas denominadas teca interna y teca externa. Como se observa en la microfotografía de arriba, las celulas del estroma se tornan epitelioides en la teca interna, que es una capa muy celular.

A, antro

CF, células foliculares

CG, células granulosas

EpG, epitelio germinativo

F, cétalas foliculares, primordiales

FA, foliculo atrésico

FC, folículos en crecimiento

FP, foliculos primordiales

N, núcleos de ovocito

TA, tunica albuginea

TI, teca interna

X, evecite sin núcleo

ZP, zona pelucida

punta de flecha, células foliculares

observadas de frente

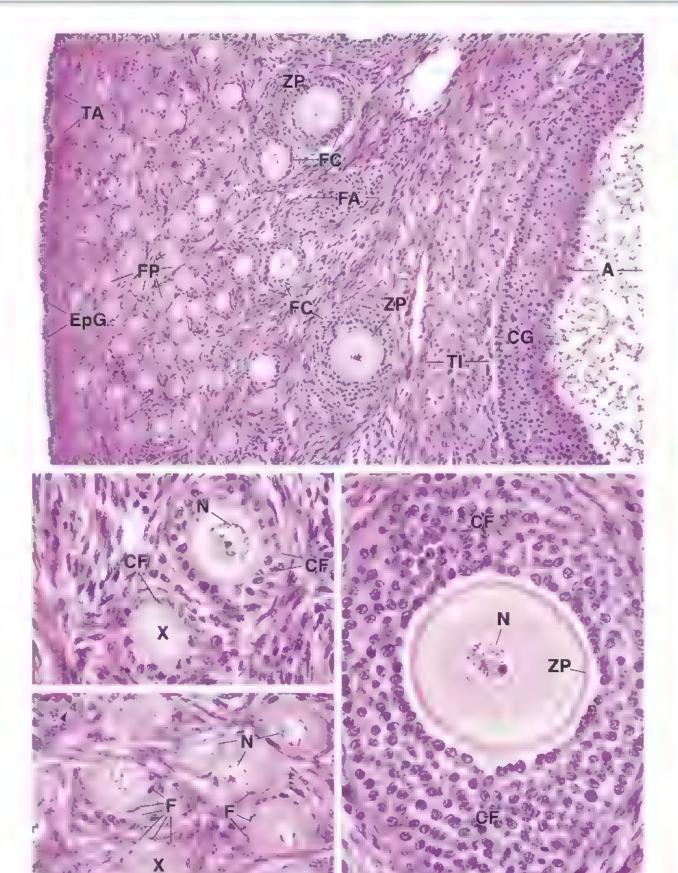


LÁMINA 93 OVARIOS II

La atresia folicular es un fenómeno que ocurre con regularidad en el ovario y comienza en la vida embrionaria. En cualquier corte de un ovario pospuberal se pueden observar foliculos en diversas etapas evolutivas experimentando atresia. En la atresia, los cambios iniciales implican la picnosis de los nucleos de las cálulas foticulares y la disolución de su citoplasma. El folículo es entonces invadido por macrofagos y otras cálulas de tejido conjuntivo. El ovocito degenera y abandona la zona pelucida turgente. Esta puede plegarse hacia

dentro o colapsar, pero suele mantener su espesor y sus características tintonales. Cuando queda incluida en el plano de corte, una zona pelucida distorsionada sirve como característica conflable para establecer el diagnóstico de **folículo atrésico**.

En la atresia de los foliculos grandes, casi maduros, las células de la teca interna persisten para formar racimos de cálulas epitelicides en la corteza ovárica. Estos cúmulos, en conjunto, reciben el nombre de glandulas intersticiales y continuan secretando hormonas esteroideas.

Foliculos secundarios, ovario, simio, H&E, 120×.

En la microforografía de la *inquienta* se nsuestran dos foliculos en execumiento por acción de la FSH. El más avanzado es un **fo- lículo secundario** El ovocito de este foliculo está rodeado

por varias capas de **Células foliculares** (CF) que, en esta crapa, se denominan células granulosas. En una etapa anterior inmediata se habían formado fagunas de liquido entre las células foliculares que abora se fusionan para dar origen a una cavidad más grande y mejor definida llamada **antro folicular** (A), visible en la imagen. El antro también esta lleno de liquido y se tiñe con el PAS, aunque solo levemente. La sustancia positiva al PAS ha quedado reienida en forma de un precipitado eosinófilo en el antro de los folículos secundanos que se muestra aqui y en la imagen de la derecha. Justo por encima del foliculo secundario, más visible, se logra apreciar un foliculo un poco más pequeño. Dado que no hay espacios antrales visibles entre las células foliculares, es apropiado clasificarlo

como un **folículo primario**. En ambos foliculos, pero en particular en el más grande que tiene el antro, las células circundantes del estroma se han modificado para formar dos capas bien definidas denominadas **toca interna** (77) y **toca externa** (7E). La teca interna es una capa más celular y sus células son epiteliosdes. Cuando se observan con el microscopio electrónico, estas células muestran características de células endocritias, en particular de células secretoras de esteroides. En cambio, la teca externa es una capa de tejido conjuntivo. Sus celulas son más o menos fusiformes.

En la microfotografía de la derreba se muestra una erapa posterior en el crecimiento del foliculo secundario. El antro (A) es más grande; el ovocito es excéntrico y está rodeado por un monticulo de células foliculares denominadas cumulo oóforo. Las células foliculares restantes, que rodean la cavidad del antro, se conocen como membrana granulasa (MG) o simplemente células granulasa:

Foliculo atrésico, ovario, simio, H&E, 65×.

Aquí, y con mayor aumento en la figura contigua a la derecha, se muestran folículos atrésicos (FA). Los dos folículos atrésicos más pequeños pueden identificarse en virtud de la zona pelucida (ZP) retenida, señalada en la imagen contigua a la derecha.

Los dos foliculos más grandes y avanzados no muestran los restos de una zona pelúcida, pero exhiben oreas características de la atresia folicular.

Foliculo atrésico, ovario, simio, H&E, 120×.

En la atresia de un foliculo más avanzado, las células foliculares tienen la tendencia a degenerarse con mayor rapidez que las células de la teca interna, y la membrana hasal que las separa se vuelve más gruesa para formar una membrana hialinizada, la membrana

vitrea. Por lo tanto, la **membrana vitrea** (*flechas*) separa una capa externa de células remanentes de la teca interna de las células foliculares internas en degeneración. Las células remanentes de la teca interna (*RTI*) pueden mostrur integridad citológica; estas células intactas de la teca permanecen temporalmente funcionales para la secreción de esteroides.

Foliculos atrésicos, ovario, simio, H&E, 120×.

Aqui se muestran **folículos atrésicos** ,FA) adicionales. De nuevo, algunos exhiben restos de zona pelucida (2P) y dos tienen membrana yltrea (flechat). Nótese que aunque la atresia en estos

folículos está muy avanzada, algunas de las células que hay por fuera de las membranas vitreas mantienen su carácter epiteboide (punta de flecha). Estas son células remanentes de la teca interna.

A, antro del foliculo

CF, células foliculares

FA, folículo atrésico

MG, membrana granulosa

RTI, células remanentes de la teca interna

TE, teca externa

TI, teca interna

ZP, zona pelúcida

flechas, membrana vitrea

punta de flecha, células remanentes

de la teca interna

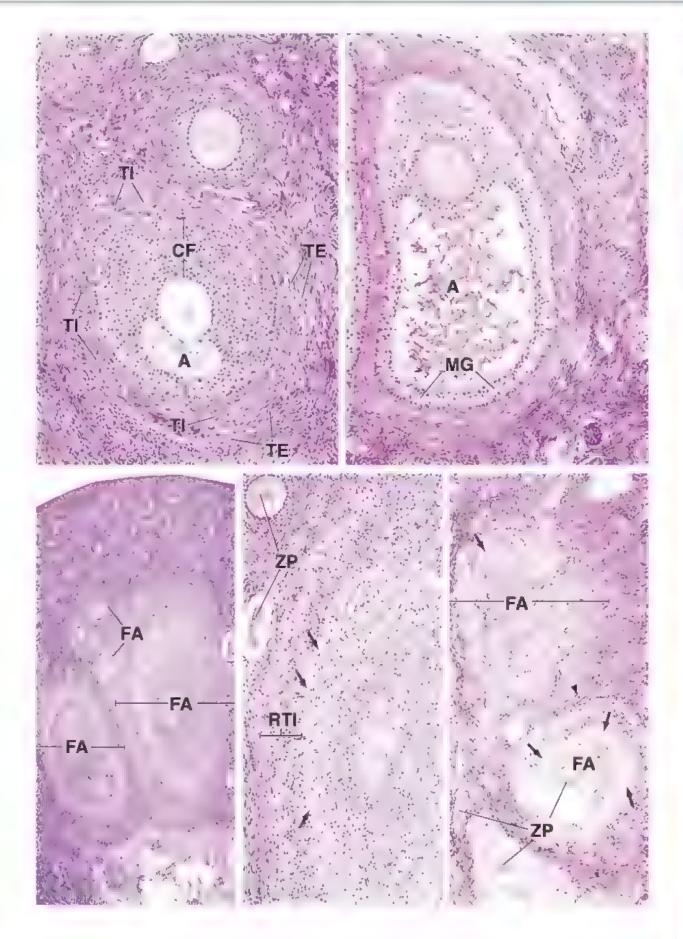


LÁMINA 94 CUERPO LÚTEO

Después de que el ovocito y sus células contiguas circundantes (las células del cúmulo ooforo) han sido expulsados del foliculo ovárico maduro (ovulación), las células foliculares restantes (células granulosas) y las células de la teca interna adyacente se diferencian en una nueva unidad funcional, el cuerpo lúteo.

Las células del cuerpo lúteo (células luteas) aumentan rápidamente de tamano y se llenan de inclusiones lipidicas. Un pigmento liposoluble en el citoplasma de las células, el lipocromo, les confiere su color amarillento en estado fresco. Las microfotografías electrónicas de las células lúteas demuestran que poseen características típicas de las célu-

las secretoras de esteroides, es decir, tienen abundante retículo endoplasmático líso y mitocondrias con crestas tubulares. Se identifican dos tipos de células luteas: células luteínicas de la granulosa, grandes, que se ubican de forma central y derivan de las células granulosas, y células luteínicas de la teca, más pequeñas y localizadas en la periferia, que derivan de la teca interna. En el cuerpo luteo se establece una red vascular extensa, hacia la cuel las células luteínicas secretan progesterona y estrógenos. Estas hormonas estimulan el crecimiento y la diferenciación del endometrio utenno para preparario para la implantación de un óvulo fecundado.



Cuerpo lúteo, ovario, humano, H&E, 20×.

En esta microfotografía se muestra la **corteza** ovarica pom después de la ovulación. La *punta de flecha seña*la la superficie del ovario en el sitio de ovulación. La antigua cavidad folicular (*Cav*) ha sado invadida por tejido conjuntivo (*TC*). La membrana gra-

nulosa se ha plegado y las células granulosas transformadas en células del cuerpo luteo (GTCL) abora se llaman células luternicas de la granulosa.

El pliegue de la membrana granulosa se inicia justo antes de la ovulación y continúa a medida que se desarrolla el cuerpo lúteo. Conforme más se pliega el cuerpo lúteo, la antigua cavidad folicular va dismuniyendo su tamaño. Al mismo tiempo, los vasos sanguíneos (VS) de la teca del folículo invaden la antigua cavidad y las células de la membrana granulosa en transformación. Las células de la teca interna aguen los vasos sanguineos hacia las depresiones más externas de la estructura plegada. Estas células de la teca interna se transforman en células del ciserpo lúteo denominadas células luteriniosi de la teca.



Cuerpo lúteo, ovario, humano, H&E, 20×.

Aqui se muestra una porción del **cuerpo lútico** formado por completo. La mayoría de las células endocrinas corresponden a **células luteínicas de la granuiosa** (CLG). Estas células forman una aglomeración oclular replegada que rodea los restos de

la antigua cavidad folicular (Cav). Por fuera del cuerpo lúteo se encuentra el tejudo conjuntivo (TC) del ovario con una gran cantidad de vasos sanguíneos (VS). Se debe recordar que la teca interna deriva del estroma de tejido conjuntivo del ovario. La ubicación de las **células luteinicas de la teca** (CLT) denota su origen y estas oflulas pueden encontrarse en los recesos externos profundos de la maia glandular, contiguas al tejido conjuntivo circundante.



Cuerpo lúteo, ovario, humano, H&E, 65× (a la izquierda) y 240× (a la derecha).

En la microfotografía de la *naquenta* se muestra un segmento del **cuerpo lúteo** replegado, visto con mayor aumento. Como ya se mencionó, el cúmulo celular principal está compuesto por **Gólu-**

las luteínicas de la granulosa (CLG). A un lado de esta aglomeración celular se encuentra tejido conjuntivo (TC) dentro de la antigua cavidad folicular y, al otro lado, están las células luteinicas de la reca. La misma organización de las células se muestra en la imagen con mayor aumento de la derecha. Las células luteínicas de la granulosa contienen un múcleo esferoideo grande (véase también CLG en la imagen de la derecha) y un citoplasma abundante. El citoplasma contiene pigmento amarillo (que no suele ser visible en los cortes de rutina teñidos con H&CE), de ahí el nombre de cuerpo histeo. Las células luteínicas de la 1808 (CLT) también contienen un núcleo esférico, pero son células más peque-

úas que las células luteinicas de la granulosa. Por lo tanto, cuando se identifican los dos tipos celulares, ademas de la ubicación, se debe considerar que los núcleos de células luteinicas de la teca contiguas, en general, parecen estar más cerca entre sí que los núcleos de células luteinicas de la granulosa adyacentes. El tejido conjuntivo (TC) y los pequeños vasos sanguíneos que invadieron el cúmulo de células luteinicas de la granulosa pueden identificarse como componentes aplanados y alargados que están entre dichas células.

Los cambios a través de los cuales el foliculo ovárico roto se transforma en un cuerpo lúteo ocurren por acción de la LH hipofisaria. A su vez, el propio cuerpo luteo secreta progesterona, la cual ejerce un efecto profundo en el útero estimulado por estrógenos. Si se produce el embarazo, el cuerpo luteo se mantiene funcional, sin embargo, si el embarazo no ocurre, involuciona luego de haber alcanzado su desarrollo máximo, aproximadamente 2 semanas después de la ovulación. Los componentes celulares del cuerpo lúteo en involución son reemplazados por tejudo conjuntivo fibroso y la estructura se denomina entonces cuerpo albumos.

Cev, antigua cavidad foliculár CLG, cálulas lutefinicas de la granulosa CLT, cálulas lutefinicas de la teca GTCL, células granulosas transformadas en células del cuerpo lúteo TC, tejido conjuntivo VS, vasos sanguineos

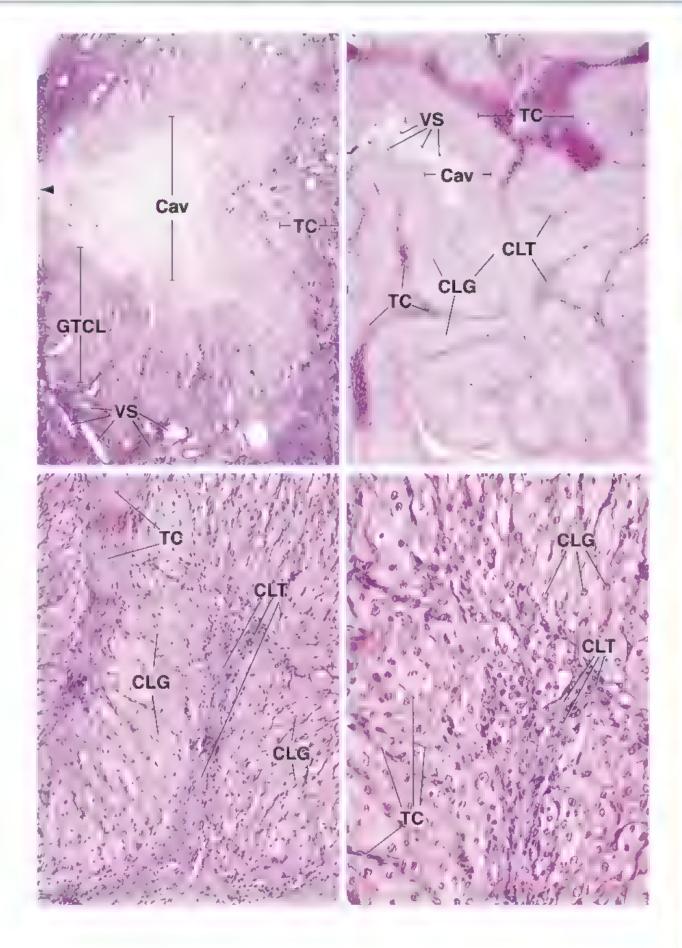


LÁMINA 95 TROMPAS UTERINAS

Las trompas (tubas) uterinas (oviduotos, trompas de Falopio) están unidas al útero y se extienden hacia los ovarios, donde presentan un gran ensanchamiento abierto (el orificio abdominal) para la entrada del óvulo durante la ovulación. Las trompas uterinas experimentan cambios cíclicos que coinciden con los del útero, pero no tan marcados. Las células epiteliales aumentan su altura durante la mitad del ciclo, justo en el momento en el que el óvulo pasa a través de la trompa, y la reducen durante el período premenstrual. Algunas de las células epiteliales son ciliadas. Las células epiteliales dependen de los ovarios para su viabilidad. La cantidad de células ciliadas no solo aumenta durante la fase folicular del ciclo ovárico, también la extirpación de los ovarios conduce a la atrofia del epitello y la perdira de células ciliadas.

A lo largo de toda la trompa uterina varian al tamaño y el grado de plegamiento de la mucosa. Los pliegues de la mucosa son visibles en su porción distal, el infundíbulo, a medida que se acerca a su extremo abierto. Cerca del ori-

ficio, la trompa se expande hacia afuera y recibe el nombre de infundíbulo. Este tiene bordes doblados con flecos denominados fimbrias. Proximal con respecto al infundíbulo está la ampolia, que comprende unas dos terceras partes de la longitud de la trompa, posee los pliegues mucosos más complejos y abundantes, y es el sitio de la fecundación. Los pliegues de la mucosa son mucho menos abundantes en el extremo proximal más angosto de la trompa, porción cerca del utero que se conoce como istmo. La porción uterina o intramural mide alrededor de 1 cm de longitud y atraviesa la pared del utero para desembocar en la cavidad uterina.

La fecundación del óvulo suele ocurrir en la porción distal de la ampolla. Durante los primeros días del desarrollo, a medida que recorre la vía compleja creada por los pliegues mucosos, el embrión se transporta de forma proximal mediante el movimiento de los cilios de las células epiteliales ciliadas y por las contracciones peristalticas de la capa muscular bien desarrollada que está debajo de la mucosa.



Trompa uterina, humano, H&E, 40×.

Aquí se muestra un corre transversal, a la altura de la ampoña, de la trompa uterina. Numerosos pliegues de la mucosa se proyectan hacia la luz (L), y la complejidad de sus pliegues queda demostrada por la variedad visible de contornos. Además de la mucosa (Muc),

el resso de la pared está formado por una muscular (Mur) y tejido conjuntivo.

La muscular está compuesta por músculo liso que forma una capa interna bastante gruesa de fibras circularea y una capa externa más delgada de fibras longitudinales. Las capas no están claramente delineadas y no hay un lumite preciso que las separe



Pliegue mucoso, trompa uterina, humano, H&E, 160×; recuadro 320×.

La región contenida en el rectóngulo de la imagen de artiba se muestra aquí con mayor aumento. En la muestra se aprecia un vaso linfánco (VLm) en corte longitudinal. En otros planos de corte

los vasos linfáricos son dificiles de identificar. En el centro del **pliegue de la mucosa**, junto con un rejido conjuntivo (TC) muy celular y los vasos sangutueos (VS) contenidos en él, se aprecia un vaso linfárico seccionado de manera formita. El epitelio (Ep) que reviste la mucosa se muestra en el recuadro

Las células ciliadas son fáciles de identificas por la presencia de cilios (C) bien formados. Las células no ciliadas (CNC), también llamadas células en sachiela, se identifican con facilidad por la ausencia de cilios, tienen nucleos alargados y a veces parecen estar comprimidas entre las células ciliadas. El tejido conjuntivo (TC) contiene células cuyos núcleos se organizan casi siempre al azar. Su forma varía y pueden ser alargados, ovalados o redondos. Su cimplasma no puede distinguirse del material intercelular (remadro). La composición del tejido conjuntivo en esencia es la misma desde el epitelio hasta la muscular y, por esta razón, no se describe la submucosa.

C, citios CNC, células no citadas Ep, epitelio L, luż Muc, mucosa Mus, muscular TC, tendo conjuntivo VLin, vaso linfático VS, vasos sanguineos

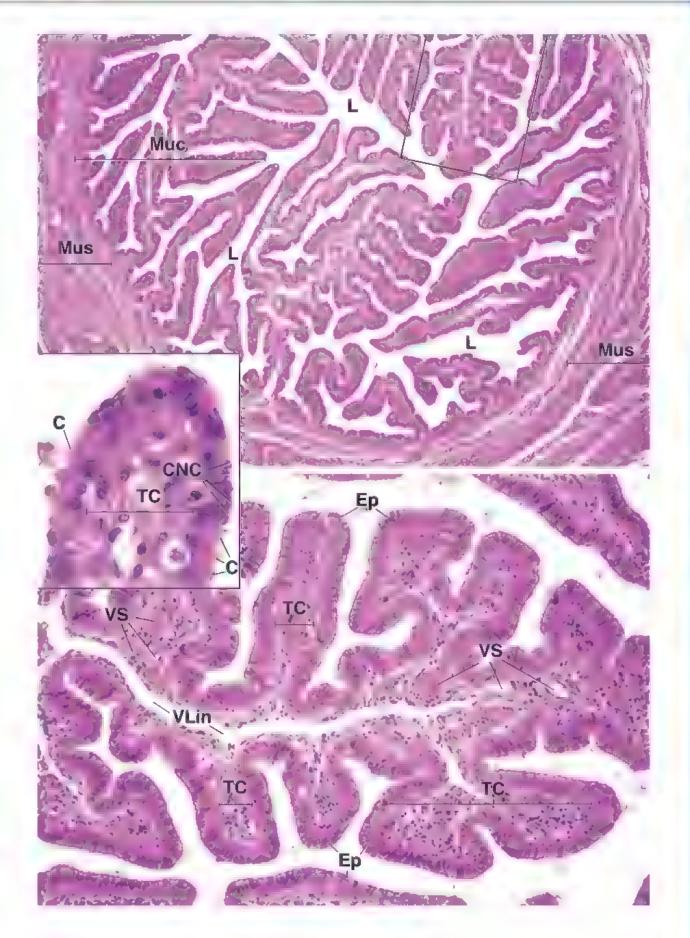


LÁMINA 96 ÚTERO I

El útero es un órgano hueco, piriforme, de pared gruesa y, en estado no grávido, una cavidad estrecha. La pared uterina está compuesta por mucosa (refenda como endometrio), muscular (conocida como miometrio) y una cubierta serosa externa que constituye el perimetrio. El miometrio está formado por músculo liso y tejido conjuntivo y contiene los vasos sanguíneos más grandes, que dan origen a los vasos de menor calibre que irrigan el andometrio.

El utero experimenta cambios ciclicos que se manifiestan en gran parte como modificaciones que ocurren en el endometrio. Si no se implanta un óvulo después de que el endometrio se preparó para ello, el estado de acondicionamiento no se mantiene y una gran parte del endometrio degenera y se elimina en lo que constituye el flujo menstrual. La parte del endometrio que se desecha se conoce como estrato funcional, mientras que la parte que se retiene se denomina estrato basal. El estrato basal es la porción más profunda del endometrio y limita con el miometrio.

El miometrio también experimenta cambios asociados con la implantación de un cigoto. En el útero no gestante, las células musculares lisas tienen una longitud aproximada de 50 µm; durante el embarazo, estas se someten a una enorme hipertrofia, donde su longitud supera con frecuencia los 5000 µm. Además, aparecen fibras musculares nuevas por la mitosis de células musculares preexistentes y por la división y diferenciación de células mesenguimaticas hasta entonces indiferenciadas. El tejido conjuntivo también se incrementa para fortalecer la pared uterina. Los fibroblastos aumentan por mitosis y secretan fibras elásticas y colageno adicionales. Después del parto, el útero retorna casi a su tamaño normal. La mayoría de las fibras musculares recuperan sus dimensiones normales, aunque algunas degeneran. El colágeno secretado durante el embarazo es digerido por las mismas cálulas que lo produjeron, los fibroblastos. De manera similar, pero menos pronunciada, la proliferación y la degeneración de fibroblastos y colágeno se lleva a cabo en cada ciclo menstrual.

Útero, humano, H&E, 25×; recuadro 120×.

Después del desprendimiento del **estrato funcional** (EF), se produce la reparación del endometrio. El recubrimiento epitelial proviene de las glandulas que quedaron en el **estrato** basal (EB). El epitelio glandular simplemente prolifera y recubre

la superficie. En esta microfotografia se muestra el endometrio cal y como aparece cuando la reparación se completa. La región dentro del pequeño recidingulo supersor izquierdo se muestra con mayor aumento en el recuadro de la derecho Obsérvese el epitelio cilindrico simple (EpS) que cubre la superficie endometrial y su similitud con el epitelio glandular (GE). En esta etapa, el endometrio es bastante delgado y más de la mitad corresponde al estrato basal. La región incluida en el pequeño rectángulo superior derecho, situada en el estrato basal, se muestra con mayor aumento en el recusadro de la izquierda. El epitelio glandular de la posción profunda de las glándulas es similar al de la superficie endometrial. Debajo del endometrio se encuentra el miometrio (M), en el que se aprecian diversos vasos sanguineos (VS) grandes.

Endometrio, fase proliferativa, útero, humano, H&E, 25×; recuadro 120×.

Por la acción de los estrógenos, proliferan los diferentes componentes del endometrio (fase proliferanya) por lo que aumenta su espesor total. Como se muestra en esta microfotografía, las glán-

dulas endometriales (GE) llegan a ser bassante largas y siguen un trayecto recto dentro del **estrato funcional** (EF) para alcanzar la superficie. En los dos tercios inferiores del estrato funcional se pueden aprecar varias silueras de vasos sanguineos (VS) que representan arterias en espiral. El **estrato basal** (EB), en esencia, no se ve afectado por los estrogenos y aparece prácticamente igual que en la imagen de arriba. Debajo del estrato basal se encuentra el miometrio (M). Por otro lado, en esta figura, el estrato funcional (EF) ha incrementado su espesor y constituye casi cuatro quintas partes del espesor endometrial.

EB, estrato basal EF, estrato funcional EpS, epitelio superficial
GE, glàndulas endometriales

M, miometrio VS, vasos sanguíneos

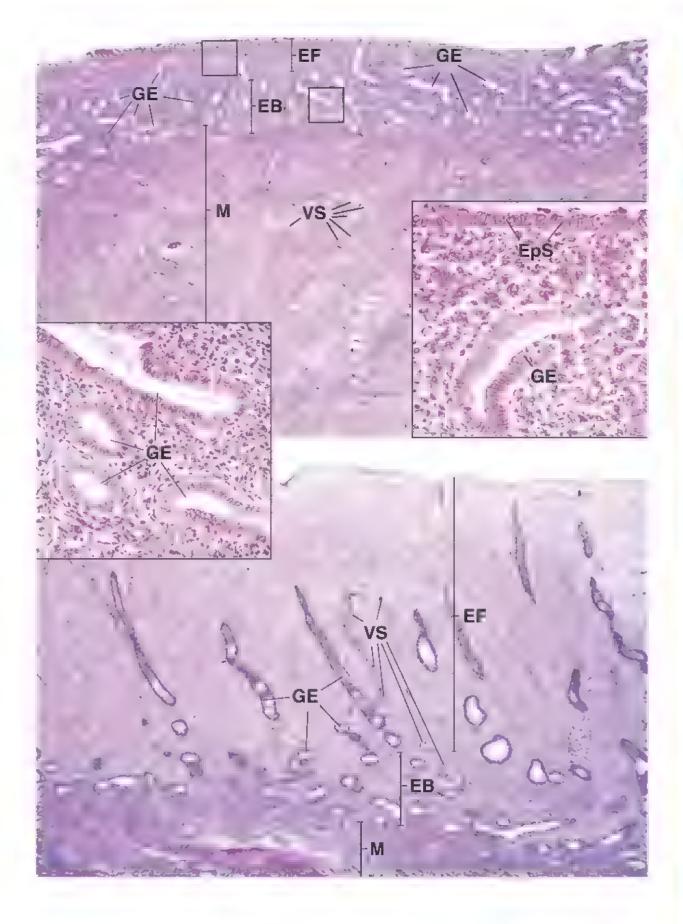


LÁMINA 97 ÚTERO II

Después de que los **estrógenos** desencadenan los acontecimientos uterinos de la fase proliferativa, otra hormona, la progesterona, induce los cambios adicionales que constituyen la fase secretora del ciclo uterino. Esta hormona lleva al endometrio a un estado apto para la implantación, y como consecuencia de sus acciones, el espesor del endometrio aumenta aún más. Se producen cambios notonos en las glandulas, principalmente en el estrato funcional donde las glandulas adoptan una forma de tirabuzón más pronunciada y secretan moco que se acumula en las saculaciones distribuidas por toda su longitud.

El sistema vascular del endometrio también prolifera y después degenera en cada ciclo menstrual. Las arterias radiales se introducen en el estrato basal del endometrio desde el miometrio y emiten arterias rectas pequenas que imigan el estrato basal y continúan por el endometrio para convertirse en arterias en espiral con trayectos muy enredados. Las arteriolas derivadas de las arterias espirales imigan el estrato funcional. La porción distal de las arterias en espiral y las arteriolas se desprenden, junto con el estrato funcional, durante la menstruación. La contracción y la relajación alternadas de las porciones basales de las arterias en espiral evitan una hemorragia excesiva durante la menstruación.

Útero, humano, H&E, 25×.

Esta es una vista del endometrio en la fase secretora, en la que se muestran el **estrato funcional** (EF), el **estrato basal** (EB) y, en la parte inferior izquienda de la microfotografia, una pequeña porción de **miometrio** (M). Las glándulas interinas se han seccionado en un plano próximo a sus eses longitudinales y se observa una glándula (flecha) que desemboca en la superficie urerina. Excepto por unas

Inferativa, la mayoría de las glándulas (GF), incluidas las que se señalan, muestran una gran cantidad de saculaciones superficiales que le confieren al epitelio glandular un aspecto dentado. Esta es una de las caracteristicas distintivas de la fase secretora. Se observa mejor en las regiones en las que el plano de corre está próximo al eje longitudinal de la glándula. A diferencia del curso sinuoso caracteristico de las glándulas del estrato funcional, las glándulas del estrato basal se parecen más a las de la fase proliferativa. No están orientadas de manera especial con respecto a la superficie uterina y muchos de sus contornos alargados incluso son patalelos al plano de la superficie.

Endometrio, fase secretora, útero, humano, H&E, 30×; recuadro 120×.

pocas glándulas cercenes al centro de la imagen, que evocan a las de la etapa pro-

Este aumento un poco mayor del **estrato funcional** muestra las mismas características de las **glándulas endometriales** (GF) ames descritas; también son visibles otras modificacio-

nes que ocurren durante la fase secretora. Una de ellas es la edematización del endometrio. El aumento del espesor endometrial debido al edema se refleja en la presencia de espacios vacíos entre las oclulas y otros elementos celulares. Por lo tanto, muchas regiones de esta imagen, en especial la región que hay dentro y alrededos del rectángulo, exhiben signos histológicos de edema. Además, en esta fase, las células epiteliales glandulares consienzan a secretar una sustancia mucoide con glucógeno abundante. Este producto se secreta hacia la luz de las

glandulas, lo que causa su dilatación. Por lo general, las glandulas del endometrio secretor están más dilatadas que las del endometrio proliferativo.

En el rectingulo en esta imagen se destacan dos glándulas que se prientan con mayor ampliación en el rectudro. Cada una de ellas contiene algo de sustancia dentro de su luz. El caracter mucoide de la sustancia al interior de una de las glándulas puede deducirse de su tinción azulada. Aunque no resulte visible en los cortes de parafina tefudos con HôCE, las ofiulas epiteliales también contienen glucógeno durante la fase secretora y, como se mencionó anteriormente, este se convierte en parte de la secreción. Las puntas de flecho indican células del estroma, algunas de ellas aumentan de tamaño hacia el final de la fase secretora. Estas células del estroma modificadas, que se denominan células deciduales, desempeñan un papel en la implantación.

EB, estrato basal EF, estrato funcional GE, glándulas endometriales M, miometrio flecha, desembocadura glandular de la superficie utenna puntas de flecha, células del estroma

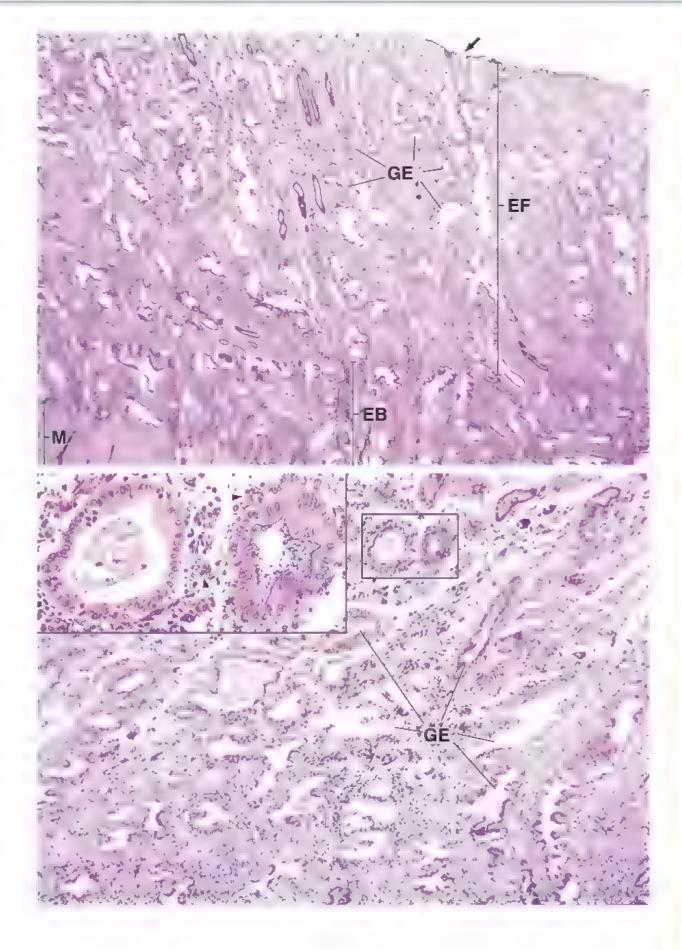


LÁMINA 98 CUELLO UTERINO

El cuello uterino es la porción inferior estrecha o constrenida del utero, parte del cual se proyecta dentro de la vagina. El conducto carvicouterino atraviesa el cuello y provee una via de comunicación entre la vagina y la cavidad uterina. La estructura del cuello uterino se parece a la del resto del útero porque está compuesta por una mucosa (endometrio) y un miometrio. No obstante, existen algunas diferencias importantes en la mucosa.

El **andometrio** del cuello uterino no experimenta la proliferación ni la pérdida cíclicas de tejido que son características del cuerpo y el fondo del útero. Más bien, la cantidad y la composición de la secreción mucosa de su epitelio cilíndrico simple varian en momentos diferentes del ciclo uterino por acción de las hormonas ováricas. A mitad del ciclo, la cantidad producida de moco aumenta 10 veces. Este moco es menos viscoso y proporciona un medio favorable para la migración de los espermatozoides. En otros momentos del ciclo, un moco viscoso restringe el paso de los espermatozoides hacia el útero.

El miometrio conforma el mayor espesor del cuello utenno. Está formado por haces entrelazados de células musculares lisas en una red extensa y continua de tejido conjuntivo fibroso.



Cuello uterino, útero, humano, H&E, 15×.

La porción del cuello uterino que se proyecta dentro de la vagina, porción vaginal o ectocérvix, aparece en los dos tercios superiores de la imagen de arriba. El vercio inferior de la microfotografía muestra la porción del conducto cervi-

conterino (CC). La magen de abajo musestra la continuación del conducto cervicouterino (CC). El plano de corte en ambas figuras pasa a través del eje longitudinal del conducto cervicouterino, el cual se estrecha y adquiere forma cónica en ambos extremos. El extremo superior, el orificio interno, se comunica con la cavidad uterina, el extremo inferior, el orificio externo (OE), se comunica con la vagina. Con fines de orientación, se debe señalar que

en estas imágenes solo aparece un lado del corte longitudinal del cuello uterino y que la muestra real, como se vería en un corte, presentaría una unagen similar al otro lado del conducto cervical.

La **mucosa** (Mur) del cuello uterino es diferente en función de la cavidad que enfrenta. Los das rectárigulos de la unagen superior delinean las regiones representativas de la mucosa que se muestran, con mayor ampliación, en las imágenes de arriba a la derecha y al centro a la derecha, respectivamente.

La imagen de abajo enfatiza las características de las **glándulas cervícales** (GC). Estas glándulas se diferencian de las del útero porque están muy ramificadas. Secretan hacia el conducto cervicouterino un moco que sirve para lubricas la vagina.



Ectocérvix, útero, humano, H&E, 240×.

La superficie de la **porción vaginal del cuello uterino**, el ectocérvix, está cubierta por epitelio plano estratificado (*EpPE*). La unión entre el epitelio y el rejido conjuntivo exhibe un contorno bastante uniforme, en contraste con el contorno irregular

observado en la vagina. En otros aspectos, el epitelio tiene las mismas caracteristicas generales que el epitelio vaginal. Otra similard es que la superficie epitelial del ectocérvix experimenta cambios cíclicos similares a los de la vagina en respuesta a las hormonas ováricas. La mucosa del ectocérvix, al igual que en la vagina, carece de glándulas.



Zona de transformación, cuello uterino, útero, humano, H&E, 240×.

La mucosa del conducto cervicouterino está cubierta con epitelio cilindrico. Dentro de la **zona de transformación** (27), a la altura del orificio vaginal del conducto cervicouterino (orifi-

clos externos), ocurre una transición brusca de epítelio plano estratifi-

cado (EpPE) a **spitelio cilindrico simple** (EpCS). El rectalegulo inferior de la imagen de arriba a la requierda marca este siño, conocido como zona de transformación, que aquí se muestra con mayor aumento. Nótese el cambio epirelial abrupso en la zona de transformación, así como la gran cantidad de linfocuos y vasos sanguineos (VS) presentes en esta región.



Glandulas cervicales, cuello uterino, útero, humano, H&E, 500×.

En esta imagen se muestra un mayor aumento de las porciones de la **giándula cervical** incluidas en el *necióngulo* de la microfotografía de la *nequienta*. Nótense las células epitebales lar-

gas y el cisoplasma supranuclear claro, lo cual es un reflejo de la mucina de la

célula disuelta durante la preparación del tejido. La aglomeración y el cambio en la forma de los núcleos (asterices) en la parción superior de una de las glandulas de esta imagen se deben a un corte tangencial a través de la pared de la glándula a medida que esta salia del plano de corte (no es infrecuente que las glándulas cervicales se desarrollen en quistes como resultado de una obstrucción en el conducto, los cuales se conocen como quistes de Naboth)

CC, conducto cervicoutenno EpCS, epitelio di Indico simple EpPE, epitelio plano estratificado GC, glándula cervical

Muc, mucosa OE, onficio externo VS, vasos sanguíneos ZT, zona de transformación asterisco, corte tangencial de la superficie epitelial

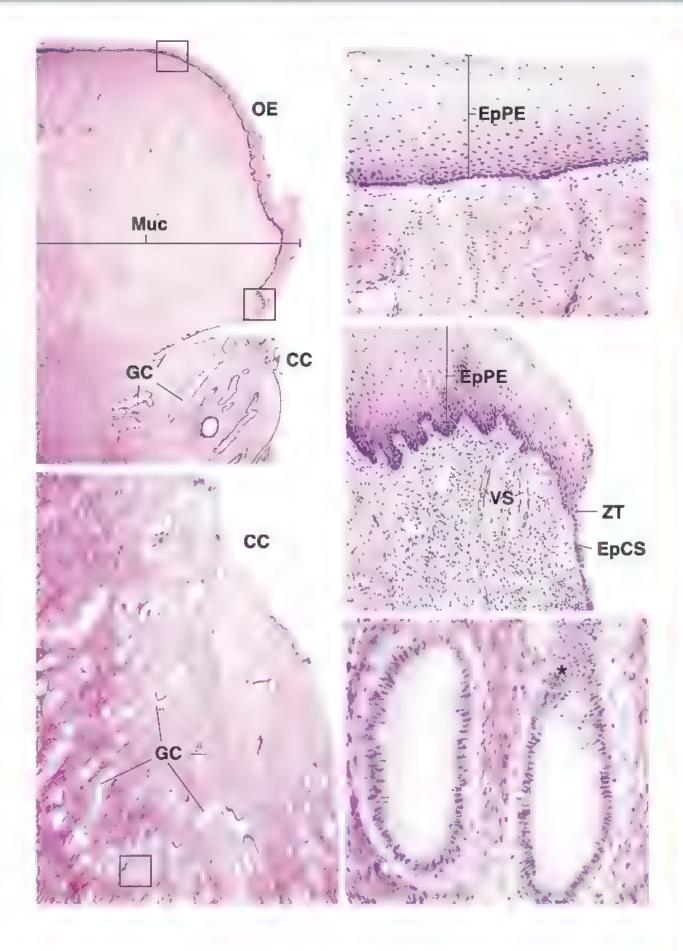


LÁMINA 99 PLACENTA I

La placenta es un órgano con forma de disco que sirve para el intercambio de sustancias entre las circulaciones fetal y materna durante el embarazo. Se desarrolla principalmente a partir de tejido embrionario, el corion frondoso. Un tado de la placenta está incluido en la pared uterina a la altura de la placa basal. El otro lado se dirige hacia la cavidad amniótica que contiene al feto. Después del parto, la placenta se separa de la pared del útero y se elimina junto con las membranas contiguas de la cavidad amniotica.

El cordón umbilical conecta al feto con la placenta. Contrene dos arterias que transportan sangre del feto hacia la placenta y una vena que devuelve sangre de la placenta al feto. Las arterias umbilicales trenen una pared muscular gruesa. Está compuesta por dos capas: una longitudinal interna y otra circular externa. Las laminillas elásticas están poco desarrolladas en estos vasos y, de hecho, pueden faltar. La vena umbilical es similar a las arterias porque también posee una pared muscular gruesa con una capa longitudinal interna y otra circular externa.



Placenta, humano, H&E, 16×.

Aqui se muestra un corre que se entiende desde la superficie amniôtica hacia el interior de la sustancia de la placenta. Esto incluye el **amnios** (A), la **piaca coriónica** (PC) y las **vellosidades coriónicas** (VC). El amnios está compuesto por una capa

de epítelso cúbico simple y una capa subyacente de tejido conjuntivo. El tejido conjuntivo del amnios se continua con el tejido conjuntivo de la placa coriónica como consecuencia de su fusión en un momento previo. Sin embargo, el plano de la fusión no es evidente en los cortes teñidos con H&E, la separación (asteritos) que se observa en partes de esta imagen, en las cercanías de la fusión, es un artificio.

La placa coriónica es una capa gruera de rejido conjuntivo que contiene las ramificaciones de las arterias y la vena umbilicales. Estos vasos (VSPC) no poseen las características organizacionales distintivas de las arterias y las venas; en cam-

bio, se parecen a los vasos del cordón umbilical. Si bien su identificación como vasos sanguineos es relativamente simple, es dificil distinguir cuáles son ramas de las arterias umbilicales y cuáles son tríbutarias de la vena.

La sustancia principal de la placenta consiste en vellosidades conônicas de diferentes tamaños (sésse lám. 100). Estas surgen de la placa conônica como troncos vellosos grandes que se tamifican en vellosidades cada vez más pequeñas. Las tamas de las arterias umbilicales y de la vena umbilical (VSVC, en la imagen de abajo) entran en el tronco velloso y se divaden por toda la red vellosa tamificada. Algunas vellosidades, que reciben el nombre de vellosidades de anclaje, se extienden desde la placa coriônica hasta el lado materno de la placenta y hacen contacto con el tejido materno. Otras vellosidades, las vellosidades libres, simplemente se arborizan dentro de la sustancia de la placenta sin fijarse en el lado materno.



Placenta, humano, H&E, 70×; recuadro 370 ·

En esta microfotografía se muestra el lado materno de la placenta. La **placa basaf** (PB) aparece a la derreha de la magen. Esta es la parte del útero a la cual se fijan las vellosidades corióni-

cas. Junto con los elementos habituales de tejido conjuntivo, la placa basal contiene células especializadas conocidas como **células de la decidua** (CD). Las mismas células se muestran con mayos aumento en el *eccuado*s. Las células de la decidua suelen agruparse en racimos y poseen un aspecto epitelial. Debido a estas características, son fáciles de identificar

Los tabiques de la placa basal se extienden dentro de la porción de la placentra que contiene vellosidades coriónicas. Los tabiques no contienen ramas de los vasos umbilicales y, por ello, con frecuencia pueden disunguirse del tronco velloso grande o sus ramificaciones.

A. amnios

CD, células de la decidua

PB, placa basal

PC, placa coriónica

VC, vellosidades corrónicas VSPC, vasos sanguíneos de la placa conónica VSVC, vasos sanguineos de las vellosidades conónicas

asteriscos, presunta separación, en reali-

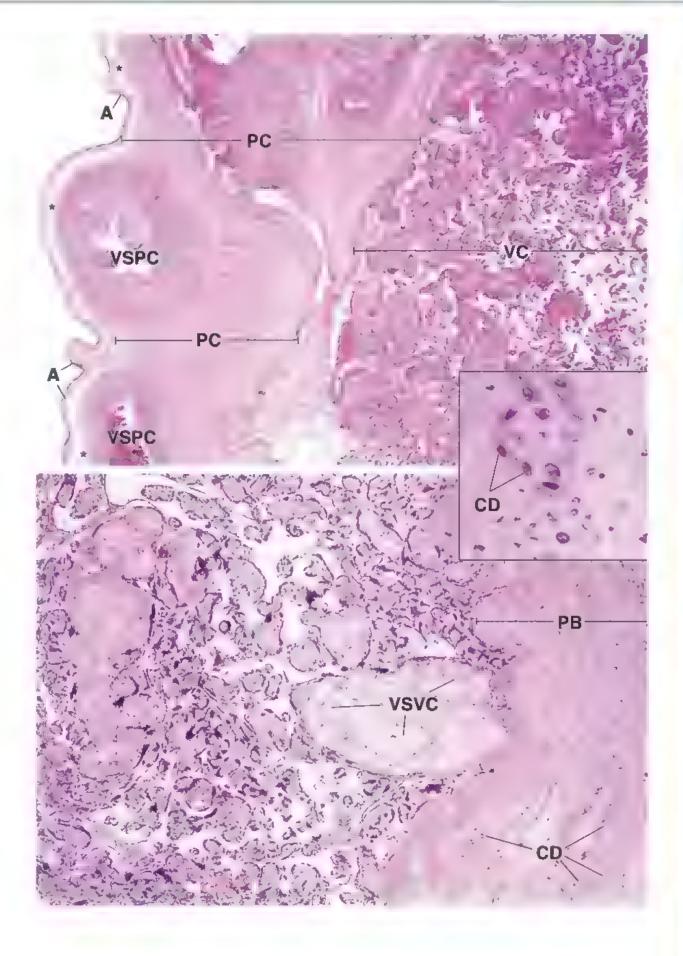


LÁMINA 100 PLACENTA II

A medida que el embrión se desarrolla, la actividad invasora del sincitiotrofoblasto erosiona los capilares maternos y los anastomosa con las lagunas trofoblásticas para formar los sinusoides sanguíneos maternos. Estos se comunican entre si y forman un solo compartimento sanguineo revestido por sincitiotrofoblastos denominado cámera intervellosa. Al final de la segunda semana de desarrollo, las células del citotrofoblasto forman las vellosidades coriónicas primarias. Estas se proyectan hacia el espacio sanguineo materno. En la tercera semana de desarrollo, la invasión de las vellosidades coriónicas primanas por el mesénguima extraembrionario origina las vellosidades coriónicas secundarias. Al final de la tercera semana, el mesenguima central se diferencia en tejido conjuntivo y vasos sanguineos que se conectan con la circulación embrionaria. Estas vellosidades coriónicas terciarias constituyen unidades funcionales para el intercambio de gases, sustancias nutritivas y productos de desecho entre las circulaciones materna y fetal sin contacto directo entre si Esta separación entre la sangre

fetal y materna se conoce como barrera placentaria. Cada vellosidad terciaria está compuesta por un centro de tejido conjuntivo rodeado por dos capas bien definidas de células derivadas de trofoblastos. La capa más externa está compuesta por sincitiotrofoblastos y justo debajo se encuentra una capa de células del citotrofoblasto. Al comienzo del cuarto mes, estas capas se vuelven muy delgadas para facilitar el intercambio de productos a través de la barrera placentaria. El adelgazamiento de la pared de la vellosidad se debe a la desaparición de la capa citotrofoblástica interna. En esta etapa, el sincitiotrofoblasto forma numerosos brotes trofoblásticos que se parecen a las vellosidades coriónicas primarias. Sin embargo, el citotrofoblasto y el tejido conjuntivo crecen más rápidamente en estas estructuras y las transforman en vellosidades terciarias. Al final del embarazo, la barrera placentaria está compuesta por lo siguiente: sincitiotrofoblastos; una capa citotrofoblástica adicional, interna y delgada (o discontinua); la lámina basal del trofoblasto; el tejido conjuntivo de la vellosidad, la lámina basal del endotello, y el endotelio del capilar placentario fetal en la vellosidad terciaria.

Vellosidad coriónica terciaria, placenta, de término, humano, H&E, 280×.

En esta microfotografía se muestra un corte a través de la cámara intervellosa de una placenta de término. Pueden apreciarse

vellosidades coriónicas (VC) de diferentes tamaños y la cámara intervellosa (CIV) circundante. El rejido conjuntivo de las vellosidades contiene ramas y tributarias de la vena umbilicale (VU) y de las arterias umbilicales. La cámara intervellosa suele contener sangre mareria (aqui se muestran solo unas pocas células sanguíneas maternas). La capa más externa de cada vellosidad coriónica deriva de la fusión de células del citotrofoblasto. Esta capa, conocida como sincitiotrofoblasto (S), no posee límises intercelulares y sus nucleos están distributdos de forma bastante uniforme, lo cual le conhere a esta capa un aspecto similar al del epitebo cúbico. En algunos sitios, los núcleos están reunidos en racimos y forman los nodos sincitiales (NS), en otros, la capa de sincitiotrofoblasto parece relativamente libre de núcleos (flechar).

Estos tramos del suncitiotrofoblasto pueden estar tan atenuados en algunos sitios que la superficie de la vellosidad pareciera carecer de cubierta. El sincinotrofoblasto contiene microvellosidades que se proyectan dentro de la cámara intervellosa. En las muestras bien conservadas pueden aparecer como un borde estriado (vénte el rerundro más abajo). El citotrofoblasto está compuesto por una capa tregular de células mononucleadas que están debajo del sincitiotrofoblasto. En las placentas timinaduras, los citotrofoblastos forman una capa casi completa de células. En esta placenta de término solo se pueden distinguir algunas células del citotrofoblasto (C). La mayoría de las células al centro de la vellosidad son fibroblastos típicos del tejido conjuntivo y células endoreliales. Otras células tienen una cantidad visible de citoplasma alrededor del núcleo. Estas se consideran células placentarias fetales presentadoras de antigenos o macrófagos placentarios (MP), historicamente conocidas como células de Holbauer

Vellosidades corionicas secundarias, placenta, tercera semana de desarrollo embrionario, humano, H&E, 320×; recuadro 640×.

En esta microforografía se muestran las vellosidades coriónicas secundarias en la rercera semana de desarrollo embrionario. Estas vellosidades están compuestas por un centro mesenquimatoso (CM) rodeado por dos capas bien definidas de trofoblasto. Las vellosidades secundanas poseen una cantidad mucho mayor de **células del citotrofoblasto** (C) que las vellosidades terciarias maduras y forman una capa de células casi completa justo debajo del **sincitiotrofoblasto** (S) véisse el recuadro). El sincitiotrofoblasto cubre no solo la superficie de las vellosidades coriónicas, sino que también se extiende hacia la placa coriónica. Los eritrocitos maternos están presentes en la cámara intervellosa.



Vellosidades corionicas terciarias, placenta, de término, humano, H&E, 320×.

En esta microfotografia se muestra con mayor aumento un corte transversal de las **vellosidades coriónicas terciarias** inmaduras, rodeadas por la cámara intervellosa (CIV). En esta

etapa, las vellosidades coriónicas crecen por la proliferación de su mesénquima central, el sincitiotrofoblasto (S) y las células endoteliales fetales. Observese la capa discontinua de células del citotrofoblasto (C). El sincinotrofoblasto que

rodea a la vellosidad coriónica (centro de la imagen) forma los **nodos sin-**citiales (NS) presentes en la placenta madura de término. Estos son una
agrupación de núcleos del sincitiotrofoblasto en la superficie de las vellosidades
terminales maduras. Además de los fibroblastos, varias células placentarías fetales presentadoras de antigeno (macrófagos placentarios) (MP) pueden identificarse por la cantidad de citoplasma que
rodea su núcleo.

C, células del citotrofoblasto CIV, cámara intervellosa CM, centro mesenguimatoso MP, macrófagos placentarios NS, nodo sincitial S, sincitiotrofoblasto VC, vellosidades coriónicas VU, vena umbilical

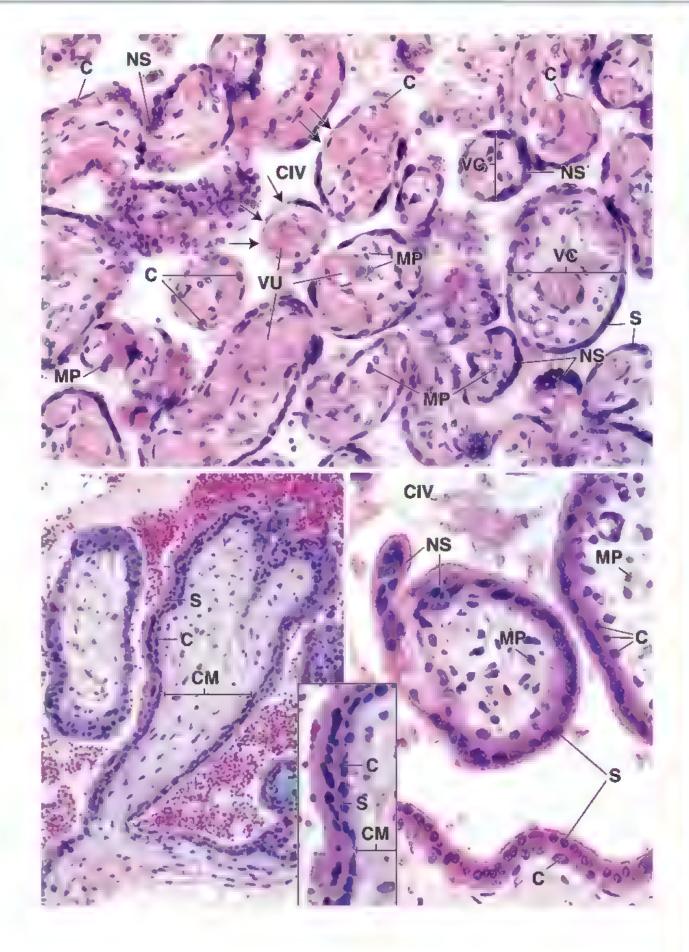


LÁMINA 101 VAGINA

La vagina es el conducto fibromuscular del aparato reproductor de la mujer que se comunica con el exterior del
cuerpo. La pared de la vagina está compuesta por tres capas:
una mucosa, una muscular y una adventícia. El epitello de
la mucosa es plano estratificado y no queratinizado. Experimenta cambios que se corresponden con el ciclo ovárico. La
cantidad de glucógeno almacenado en las células epitellales
aumenta por la acción de los estrógenos, mientras que el
ritmo de exfoliación se incrementa por la acción de la progesterona. El glucogeno liberado desde las células exfoliadas es fermentado por los lactobacilos vaginales, así se
produce al ácido láctico que acidifica la superficie vaginal e
inhibe la colonización por levaduras y bacterias potencialmente dagunas.

La vagina tiene ciertas semejanzas histologicas con la porción proximal del tubo digestivo, pero se distingue por las siguientes características: el epitello no se queratíniza y, excepto por las capas más profundas, en los cortes de rutina tenidos con H&E, las células parecen vacias; la mucosa no contiene glándulas ni muscular de la mucosa; el músculo es liso y no está bien ordenado. Esto la diferencia de la cavidad bucal, la faringe y la porción superior del esófago, donde el musculo es estrado. La porción más distal del esofago, que contiene musculo liso, puede distinguirse con facilidad de la vagina debido a que posee una muscular de la mucosa.

Vagina, humano, H&E, 90×.

La mucosa de la vagina está compuesta por un **epítelio plano estratificado** (Ep) y un rejido conjuntivo (TC) fibroso subyacente que, con frecuencia, parece más celular que otros rejidos
conjuntivos fibrosos. El lunite entre las dos capas se identifica con

facilidad por la tinción más intensa de las células pequeñas y compactas de la capa basal (B) del epitello. Las papilas de tejido conjuntivo se proyectan en la parte inferior del epitello, ello confiere una apariencia liregular al límite entre ambos tejidos. Las papilas pueden cortarse de forma oblicua o transversal y, por lo tanto, podrian aparecer como islotes de tejido conjuntivo (flechar) dentro de la porción inferior del epitello. El epitello por lo regular es graseso, y aunque pueden encontrarse gránulos de queratobialma en las células superficiales, la

queratistización no ocurre en el epitelio vaginal humano. Por lo tanto, en rodo el espesor del epítelio aparecen núcleos a pesar de que el citoplasma de la mayoría de las células encima de las capas basales parece vacío. Por lo general, estas células están llenas de grandes depósitos de glucógeno, pero se pierde en los procesos de fijación e inclusión del tejido. El rectingulo delimita una porción del epitelio y las papilas de tejido conjuntivo que se muestran abajo con mayor aumento. La capa muscular de la pared vaginal está compuesta por músculo liso organizado en dos capas mai definidas. En general, se dice que la capa externa er longitudinal (MLL) y que la capa interna es circular (MLLT); sin embargo, es más habitual que las fibras se organicen en haces entrelazados rodeados por tejido conjuntivo. En el tejido conjuntivo se pueden apreciar muchos vasos sanguíneos (VS).

Mucosa, vagina, humano, H&E, 110×.

Esta imagen corresponde a un mayor aumento del epitelio (Ep), incluida la región delimitada por el rectangulo de la imagen de arriba (rotada 90°). Las porciones de las papilas corradas de forma oblicua y transversal, que aparecen como islotes de tejido conjun-

tivo en el epitelio, se observan con mayor claridad aqui (flechar), en algunos casos delimitadas por las células circundantes muy juntas de la capa epitelial basal. Considerese nuevamente que las células epiteliales, incluso en la superficie, continuan retenzendo sus núcleos y no hay evidencia de queratinización

Mucosa, vagina, humano, H&E, 225×

Esta es una microfotografía con mayor aumento de la porción basal del epitelio (Ep) entre papilas de rejido conjuntivo. Nórense la regularidad y la compactación de las celulas epiteliales basales. Estas son las células madre del epitelio plano estratificado. Las hijas de

organizan de forma menos regular a medida que ascienden. El tejido conjuntivo (TC), muy celular, ubscado justo debajo de la capa basal (B) del epitelio, por lo general conciene muchos linfocitos (Ltn). La cantidad de linfocitos varía según la etapa del ciclo ovárico. Los linfocitos invaden el epitelio más o menos en el momento de la menstruación y aparecen junto con las células epiteliales en las citologias vaginales.

Muscular, vagina, humano, H&E, 125×.

estas células migran hacia la superficie, comienzan a acumular glucógeno y se

En esta microfotografía con gran aumento del músculo liso de la pared vaginal se destaca la irregularidad de la organización de los haces musculares. En el margen derecho de la imagen aparece un haz de musculo liso cortado en sentido longitudinal (MLL). Junto a él hay un haz de músculo liso en un corre transversal (MLT). Este haz se localiza en un vaso linfático (VL) seccionado en sentido longitudinal. A la azquierda del vaso linfático hay otro haz longitudinal de músculo liso (MLL). En el vaso linfático se observa una válvula (Ve). En el músculo liso circular cercano al vaso linfático hay una vena (V) de calibre pequeño.

B, capa basal del epitetio vaginal

Ep, epite io Lin, linfocitos

MLL, musculo liso, corte longitudinai

MLT, musculo so corte transversa-

TC, rejido conjuntivo

V. vena

Va, válvula en un vaso linfát co

VL, vaso linfático

VS, vasos sanguineos

flechas, slotes de teudo conjunt volen el epite o

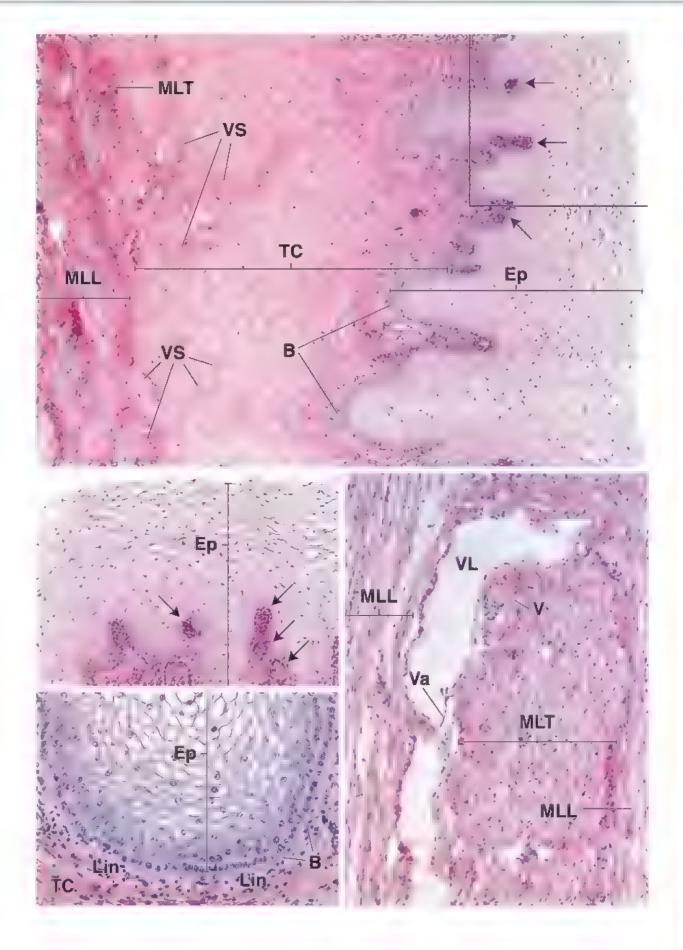


LÁMINA 102 GLÁNDULA MAMARIA SIN ESTIMULACIÓN

Las glándulas mamarias son glándulas tubuloalveolares ramificadas que derivan de la epidermis y se ubican en el tejido subcutáneo (fascia superficial). En la mujer comienzan su desarrollo en la pubertad, pero no alcanzan un estado com-

pletamente funcional hasta después del embarazo. En el varón, también experimentan cierto desarrollo en la pubertad, sin embargo, es límitado y las glándulas suelen permanecer en estado estable.



Glandula mamaria sin estimulación. humano, H&E, 80×.

La microfotografia es de un corte a través de una glándufa sin estimulación. El parenquima se encuentra disperso y está compuesto en su mayor parte por conductos. En el centro del campo se señalan varios conductos (C). En cada uno de ellos puede observarse una luz pequeña. Los conductos están rodeados por tejido conjuntivo laxo (véase TC/L) en la imagen de abajo) y, en conjunto, los conductos y el tejido conjuntivo circundante constituyen el lobulillo. En esta imagen se señalan dos unidades lobulillares del conducto rerminal (ULCI). Más allá de la unidad lobulillar, el tejido conjuntivo es más denso (TC[D]) y contiene adipocitos (A). Los dos tipos de rejido conjuntivo se pueden distinguir incluso con el poco aumento de esta imagen



Glandula mamaria sin estimulación. humano, H&E, 200x; recuadro 400x.

les. Para establecer la diferencia entre los rejidos conjuntivos laxoy denso, se debe sener en cuenta que tanto las características extracelulares como las celulares tienen diferencias apreciables en la imagen y en el recussiro. Notense las fibras de colageno más gruesas en el tejido conjuntivo denso, a diferencia de las fibras mucho más delgadas del rejido conjuntivo laxo El tejido conjuntivo laxo (TC/LJ) contiene mucho más células por unidad de área y una mayor variedad de tipos celulares. En esta figura se muestra un racimo de linfocitos (Lin) y, con un mayor aumento (recuadro), plasmocitos (P) y linfocitos aislados (Lor). Tanto los plasmocitos como los linfocitos son células de forma redonda, pero los plasmocitos son más grandes y tienen más citoplasma. Además, en las regiones citoplasmáticas de las células plasmáticas se muestra basofilia. Los nucleos alargados en las células fusiformes pertenecen a los fibroblastos. En cambio, aunque los tipos celulares en el tejido conjuntivo denso también podrian ser diversos, un simple examen de regiones iguales de rejido conjuntivo laxo y denso mostrará mucho menos células en el rejido conjuntivo denso. Como rasgo característico, el tendo conjuntivo denso tiene muchos cúmulos de adipocitos (A)

Se considera que las células epiteliales dentro de las unidades lobulillares de la mama sin estimulación son, principalmente, conductos (C). Por lo general, no hay alvéolos; sin embargo, sus precursores están presentes como engrosamuentos celulares de la pared del conducto. El epitelio sin estimulación del lobulillo es cúbico y contiene células mioepiteliales. En un nuevo examen del recisados se muestra un engrosamiento del epitello en un sitio, que probablemente corresponda al precursor de un alvéolo, así como células mioepiteliales (M) en la base del epitelio. Como en otros lugares, las células mioepiteliales se encuentran en el lado epirelial de la membrana basal. Durante el embarazo, las glandulas comienzan a proliferar. Este puede considerarse un proceso dual en el que los conductos proliferan y los alvéolos se originan a partir de los conductos.

A, adipocitos C, conductos Lin, linfocitos M, células micepiteliales P. plasmocitos TC[D], tejido conjuntivo denso TC[L], tendo conjuntivo iaxo ULCT, unidades lobulillares del conducto terminal

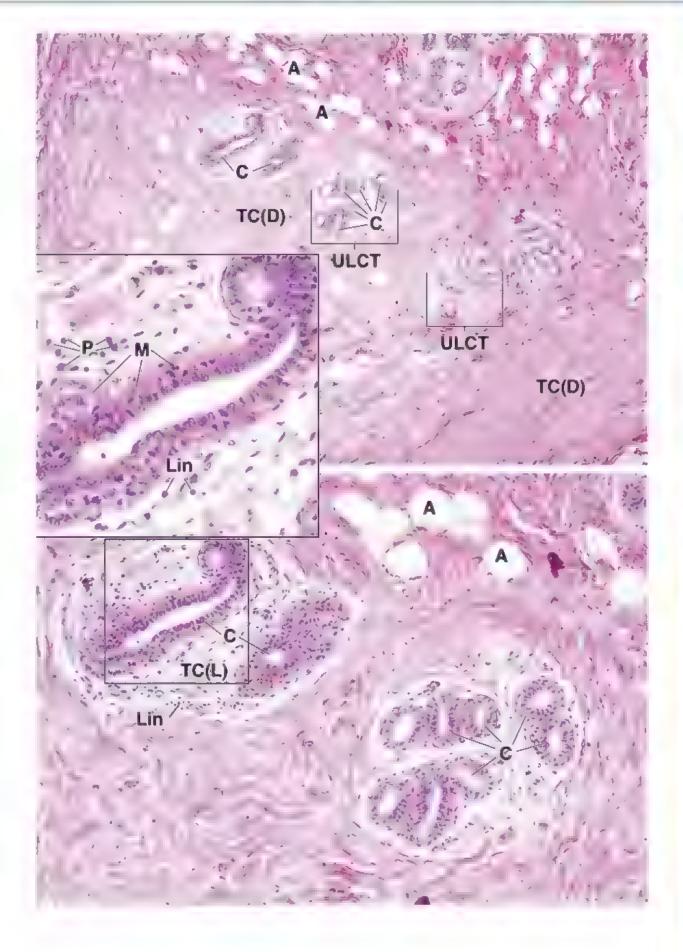


LÁMINA 103 GLÁNDULA MAMARIA EN ETAPA PROLIFERATIVA AVANZADA Y LACTANCIA

Las glándulas mamarias presentan una serie de modificaciones durante el embarazo que las preparan para la lactancia. Los linfocitos y los plasmocitos infiltran el tejido conjuntivo laxo a medida que se desarrolla el tejido glandular Conforme las células de la porción glandular proliferan por division mitótica, los conductos se ramifican y en sus extremos de crecimiento comienzan a desarrollarse alvéolos. El desarrollo alveolar se vuelve más predominante en las últimas etapas del embarazo, cuando en los alvéolos se acumula. producto de secreción. Al mismo tiempo, los linfocitos y los plasmocitos se tornan prominentes en el tejido conjuntivo laxo de los lobulífios en desarrollo. Las células micepiteliales proliferan entre la base de célules epiteliales y la lamina basal, tento en la porción alveolar como en la porción ductal de las glandulas. Estas son más turgentes en los conductos de mayor calibre.

En la producción de leche participan los mecanismos de secreción merocrina y apocrina. El componente proteinico se sintetiza, se concentra y se secreta por exocitosis en la forma tipica en la que se secretan las proteínas. El componente lipidico comienza en forma de gotitas en el citoplasma, que confluyen en inclusiones más grandes en el citoplasma apical de las células alveolares, lo que provoca que la membrana plasmática apical sobresalga en la luz alveolar. Las inclusiones están rodeadas por una capa delgada de citoplasma y están envueltas en membrana plasmática al ser liberadas.

La secreción inicial en los primeros dias después del parto se denomina calostro. Esta prefeche es una secreción alcalina con un contenido más alto de proteinas, vitamina A, sodio y cloruro que la leche, pero un menor contenido de lípidos, potasio e hidratos de carbono. El calostro contiene cantidades considerables de anticuerpos que proporcionan al neonato inmunidad pasiva contra muchos antigenos. Los anticuerpos son producidos por los plasmocitos en el estroma de la mama y son transportados a través de células glandulares de forma símilar a la de la IgA secretora en las glandulas salivales y el intestino. Pocos dias después del parto, la secreción de calostro cesa y se produce leche con gran abundancia de lipidos.

Glándula mamaria, etapa proliferativa avanzada, humano, H&E, 90×; recuadro 560×.

Mientras el desarrollo de los elementos de los conductos en la glándula mamaria se presenta durante la etapa proliferativa temprana, el desarrollo de los elementos alveolares se vuelve evidente en la etapa proliferativa avanzada. Esta microfotografia muestra las unidades lobulillares del conducto terminal (ULCT) en la etapa proliferativa avanzada. Las unidades lobulillares están separadas por un angosto tabique de tejido conjuntivo (T) denso. El tejido conjuntivo dentro de la unidad lobulillar es un tejido conjuntivo lazo típico que ahora es más celular y contiene sobre todo plasmocitos y linfocitos. Los atvéolos están bien desarrollados y muchos contienen producto de secreción precipitado Cada alvéolo está unido a un conducto, aunque dicha relación puede ser difícil

de idensificar El epitelio de los conductos intralobulillares es similar al del epitelio alveolar. Las células de ambos componentes son secretoras. Los alvéolos, al igual que los conductos intralobulillares, están compuestos por una capa simple de células epiteliales cúbicas sostenidas por células mioepiteliales. Con frecuencia, parece observarse que varios alvéolos confluyen (asterisors). Estas siluetas corresponden a unidades alveolares que desembocan en un conducto. Los conductos interlobulillares (CT) se identifican con facilidad por estar rodeados de tejido conjuntivo denso. En algunos casos puede observarse un conducto intralobulillar que desemboca en un conducto interlobulillar (flecha). El recusalro presenta el epitelio secretor con mucho mayor aumento. Nótese que se trata de epitelio cilindrico simple. En la base del epitelio se observa el núcleo de una célula mioepítelial (M). En general, estas células son difíciles de reconocer. También, como ya se mencionó, en el tejido conjuntivo laxo del lobulillo hay abundantes plasmocitos (F) y linfocitos (Lin)

Glándula mamaria, período de lactancia, humano,

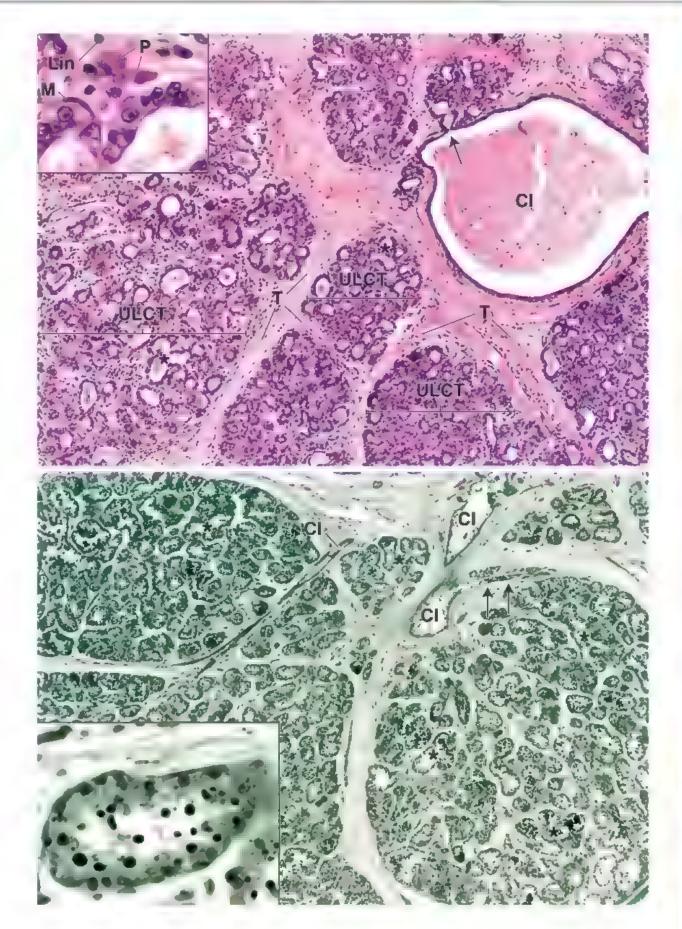
verde de metilo-osmio, 90×; recuadro 700×.

La muestra que se observa aqui pertenece a una **giándula ma**maria en penodo de lactancia. En apanencia, es similar a la glándula en etapa proliferativa avanzada, pero se diferencia

principalmente porque los alveolos cienen una apariencia mas uniforme y su luz es más grande. Al igual que en la erapa proliferativa avanzada, se pueden observar varios alvéolos que confluyen entre si (aucritos). El osmio utilizado para pugmentar esta muestra tiñe el componente lipidico de la secreción. El recuadro

permite ver las inclusiones lipidicas dentro del citoplasma epitelial, ast como lipidos secretados en la fuz del alvéolo. El lipido aparece primero en forma de gotiras dentro de las células epiteliales. Estas inclusiones se vuelven más grandes y finalmente son secretadas en la luz alveolar junto con las proteínas de la leche Las proteínas de la leche están contenidas en vesículas pequeñas en la porción apical de la célula, pero no son visibles por microscopía óptica. Se secretan por exocitosis. En cambio, las inclusiones lipidicas son grandes y están rodeadas por membrana celular apical al desprenderse hacia la luz; por ello esta secreción es apocinia. Se observan varios **conductos interlobulillares** (CI). Uno de estos conductos muestra una pequeña ramificación, un conducto intralobulillar terminal (flechas) que se une al conducto interlobulillas.

Ct, conducto interlobulillar Lin, linfocito M, célula mioepitelia! P, plasmocito T, tabique de tejido conjuntivo
 ULCT, unidades lobulillares del conducto terminal asteriscos, sitios de confluencia alveolar flechas, desembocadura de un conducto intralobulillar en uno interiobulir ar



24 ojo

FUNDAMENTOS DEL OJO / 944 ESTRUCTURA GENERAL DEL OJO / 944

Túnicas del ojo / 944 Cámaras del ojo / 946 Desarrollo embrionario del ojo / 946

ESTRUCTURA MICROSCÓPICA DEL 0J0 / 947

Túnica esclerocorneal / 947 Túnica vascular (úvea) / 951 Retina / 956 Cristalino / 967 Cuerpo vítreo / 969

ESTRUCTURAS ACCESORIAS DEL OJO / 969

Cuadro 24-1 Correlacion clinica: glaucoma / 954

Cuadro 24-2 Correlación clínica: desprendimiento de retina / 955

Cuadro 24-3 Correlación clínica: degeneración macular relacionada con la edad / 956

Cuadro 24-4 Correlación clínica: imágenes clínicas de la retina / 961

Cuadro 24-5 Correlación clinica: daltonismo / 964 Cuadro 24-6 Correlación clínica: conjuntivitis / 968

HISTOLOGIA 101 / 972



■ FUNDAMENTOS DEL OJO

El ojo es un órgano sensorial complejo que proporciona el sentido de la vista. En muchos aspectos, este órgano es similar a una cámara digital. Al igual que el sistema óptico de una cámara, la cómos y el cristalino del ojo capturan y enfocan la luz de manera automática, mientras que el iris ajusta automáticamente el diámetro de la pupila a las diferencias de iluminación. El detector luminoso en una cámara digital, llamado dispositivo acoplado a carga (CCD, charge-coupled device), tiene fotodiodos muy juntos que capturan, reúnen y convierten la imagen luminosa en una serie de impulsos eléctricos. Del mismo modo, las células fotorreceptoras en la retina del ojo detectan la intensidad y el color de la luz (longitudes de onda de la luz visible que son reflejadas por diferentes objetos) y codifican estos parámetros en impulsos eléctricos para su transmisión al cerebro a través del nervio óptico. La retina tiene otras capacidades más allá de las de un CCD: puede extraer y modificar impulsos específicos de la imagen visual antes de enviarlos al sistema nervioso central (SNC).

Sin embargo, el sistema óptico del ojo es mucho más elaborado y complejo que una cámara. Por ejemplo, el ojo puede seguir objetos que se desplazan gracias a los movimientos oculares coordinados. El ojo también puede proteger, mantener, autorreparar y limpiar su sistema óptico transparente.

Como los ojos son órganos pares y están separados espacialmente, se envían al cerebro dos imágenes ligeramente diferentes y superpuestas (campos visuales). El cerebro integra estas dos imágenes de cada ojo en una sola imagen tridimensional (3D) en un proceso llamado estereopsis. La corteza visual primana, ubicada en los lóbulos oc-

cipitales, procesa las diferencias entre las dos imágenes para crear la percepción de profundidad. La imagen final se proyecta en la corteza visual. Además, otros mecanismos neurales complejos coordinan los movimientos oculares, lo que permite refinamientos en la percepción de profundidad y distancia. Por lo tanto, la forma en la que vemos el mundo que nos rodea depende en gran medida de los impulsos procesados dentro de la retina y el análisis e interpretación de estos impulsos por parte del SNC.

ESTRUCTURA GENERAL DEL OJO

El ojo mide unos 25 mm de diámetro. Está sostenido dentro de la cavidad orbitaria ósea por seis músculos extrínsecos que controlan su movimiento. Una capa gruesa de tejido adiposo lo rodea parcialmente y lo amortigua mientras se mueve dentro de la órbita. Los músculos extraoculares están coordinados de manera que los ojos se muevan simétricamente alrededor de sus propios ejes centrales.

Túnicas del ojo

La pared del globo ocular está compuesta por tres capas o túnicas concentricas.

El globo ocular se encuentra formado por tres cubiertas estructurales (fig. 24-1):

 La túnica fibrosa, la capa más externa del ojo, incluye la esclerótica, que es la porción blanca, y la cómoa, que es la porción transparente.

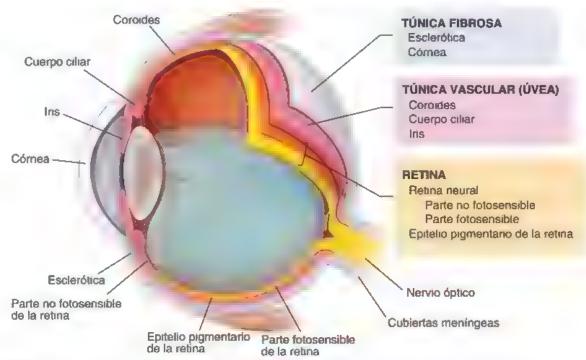


FIGURA 24-1. Diagrama de las capas del ojo. La pared del globo ocurar está organizada en tres capas concéntricas separadas una tunica fibrosa externa de sosten (la capa escierocorneal) una tunica vascular media (o uvea) y una funica interna formada por la retina. Obsérvese que la retina tiene dos capas, la retina neura (amanila) y un epitello pigmentario de la retina (naranja). Las partes fotosensibles y no fotosensibles de la retina neural ocupan diferentes regiones del giobo ocurar La parte fotosensible se encuentra en la parte posterior del ojo y termina en la parte anterior a lo largo de ora serrata. La parte no fotosensible de la retina se encuentra anterior a lora serrata y recubre la cara interna del cuerpo ciliar y la superficie posterior del ins. El cuerpo vitireo (eliminado parcialmente) ocupa un espacio considerable en el globo ocular.

- La túnice vesculer, la capa media también llamada úves, incluye la coroides y el estroma del cuerpo ciliar y el iris.
- La retina, la capa más interna, incluye un epitelio pigmentario externo, una retina nerviosa interna y el epitelio del cuerpo ciliar y el uris. La retina neural es continua con el sistema nervioso central a través del nervio optico.

La túnica fibrosa está formada por la córnea transparente y la esclerótica blanca y opaca.

La cómea ocupa la sexta parte anterior del globo ocular (véase fig. 24-1). En esta región, que puede compararse con una ventana, la superficie del ojo describe una prominencia o convexidad. La córnea está en continuidad con la esclerótica (gr. skleros, duro). La esclerótica está compuesta por tejido conjuntivo fibroso denso que proporciona puntos de fijación para los músculos extrínsecos del ojo. La túnica fibrosa rodea las dos túnicas internas, salvo donde es perforada por el nervio óptico. La esclerótica constituye la parte "blanca" del ojo. En los niños tiene un tinte ligeramente azul debido a su delgadez; en los adultos mayores es amarillenta por la acumulación de lipofuscina en sus células del estroma. Una caracteristica notable de los pacientes con ictericia es la coloración amarilla de la esclerótica (ictericia escleral) causada por una concentración elevada de bilirrubina circulante.

La úvea está formada principalmente por la coroides, la capa vascular que proporciona nutrientes a la retina.

Los vasos sanguíneos y el pigmento melánico le imparten a la coroldes un intenso color pardo oscuro. El pigmento absorbe y dispersa la luz reflejada para reducir el brillo dentro del ojo. La coroides contiene muchos plexos venosos y estratos capilares, y está firmemente adherida a la reuna (véase fig. 24-1). El borde antenor de la capa uveal continúa hacia adelante, donde forma el estroma del cuerpo cillar y el iris.

El cuerpo citiar es un engrosamiento en forma de anillo que se extiende hacia adentro justo detrás del nivel del límbo esclerocorneal. Dentro del cuerpo ciliar se encuentra el músculo citiar, un músculo liso que es responsable de la acomodación del cristalino. La contracción del músculo ciliar cambia la forma del cristalino, lo que le permite enfocar los rayos de luz provenientes de diferentes distancias en la retina.

El itis es un diafragma contráctil que se extiende sobre la superficie anterior del cristalino. También contiene músculo liso y células pigmentadas con melanina dispersas en el tejido conjuntivo. La pupita es la abertura circular central del iris. Parece negra porque lo que se ve a través del cristalino es la región posterior del ojo, que está muy pigmentada. En el proceso de adaptación, la pupila cambia de tamaño para controlar la cantidad de luz que atraviesa el cristalino y llega a la retina.

La retina está formada por dos componentes: la retina neural y el apitelio pigmentario.

La retina es una capa delgada y delicada (véase fig. 24-1) formada por dos componentes:

- La retina neural, que es la capa interna que contiene receptores fotosensibles y redes neuronales complejas.
- El epitello pigmentario de la retina (EPR), que es la capa externa compuesta por un epitello cúbico simple cuyas células contienen melanina.

Por fuera, la retina descansa sobre la coroides; por dentro, se asocia con el cuerpo vítreo. La retina neural está formada, en gran parte, por células fotorreceptoras, llamadas bastories y conos de la retina, así como por interneuronas. La información visual codificada por los bastories y los conos es enviada al cerebro a través de impulsos transmitidos por el nervio óptico.

Cámaras del ojo

Las capes del globo ocular y el cristalino forman los límites de las tres cámaras del ojo.

Las cámaras del ojo son las siguientes:

- La cámara anterior es el espacio entre la córnea y el iris.
- La cámera posterior es el espacio entre la superficie posterior del iris y la superficie anterior del cristalino.
- La cámara vitrea es el espacio entre el cristalmo y la retina neural (fig. 24-2). La córnea y las cámaras anterior y posterior, así como su contenido, constituyen el segmento anterior del ojo. La cámara vitrea, la reuna visual, el EPR, la parte posterior de la esclerórica y la úvea constituyen el segmento posterior.

Los medios ópticos de difracción modifican el trayecto de los rayos luminosos para enfocarlos sobre la retina.

Los componentes del globo ocular refractan los rayos huminosos. La refracción enfoca estos rayos sobre las células fotorreceptoras de la retina. Cuatro componentes transparentes del globo ocular, los medios opticos de difracción (o aparato dióptrico), alteran el trayecto de los rayos luminosos:

- La córnen es la ventana anterior del ojo.
- El humor acuoso es el líquido acuoso localizado en las cámaras anterior y posterior.
- El eristalino es la estructura bicóncava transparente suspendida de la superficie interna del cuerpo ciliar por un anillo de fibras orientadas radialmente llamado zonula de Zinn.
- El cuerpo vítreo está compuesto por una sustancia gelatinosa transparente que llena la cámara vítrea. Se desempeña como un

"amortiguador" que protege la frágil retina durante los movimientos oculares rápidos y contribuye a mantener la forma del ojo. Casa el 99% del cuerpo vítreo es agua con proteínas solubles, hialuronato, glucoproteínas, fibrilías de colágeno muy dispersas y vestigios de otras proteínas insolubles. El componente líquido del cuerpo vítreo se conoce como humor vitreo.

La comoa es el principal componente de refracción del ojo. Tiene un índice de refracción de 1.376 (el aire tiene un índice de refracción de 1). El cristalino es el segundo elemento de importancia para la refracción de los rayos de luz después de la córnea. Debido a su elasticidad, la forma del cristalino puede presentar ligeros cambios en respuesta a la tensión del músculo ciliar. Estos cambios son importantes para la acomodación, que es el enfoque adecuado de los objetos que se encuentran cerca del ojo. El humor acuoso y el cuerpo vitreo desempeñan papeles menores en la refracción. Sin embargo, el humor acuoso cumple con un papel importante al proporcionar nutrientes a dos estructuras avasculares: el cristalino y la cómea. Además de transmittr la luz, el cuerpo vítreo ayuda a mantener la posición del cristalino y contribuye a conservar la retina neural en contacto con el EPR.

Desarrollo embrionario del ojo

Para comprender las poco habituales relaciones estructurales y funcionales del ojo, es útil estudiar cómo se forma en el embnón.

Los tejidos oculares derivan del neuroectodermo, el ectodermo de revestimiento y el mesodermo.

Para el día 22 del desarrollo, los ojos son visibles como depresiones poco profundas (los liamados surcos o ranuras ópticos) en los pliegues neurales a la altura del extremo craneal del embrión. Cuando se cierra el rubo neural, estos dos surcos se evaginan para formar las

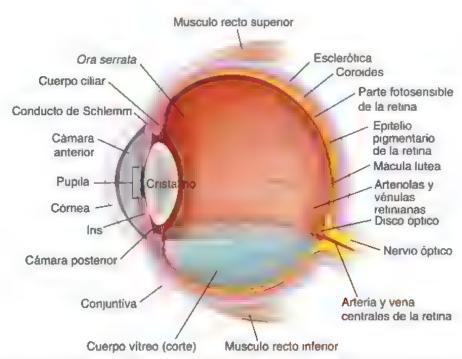
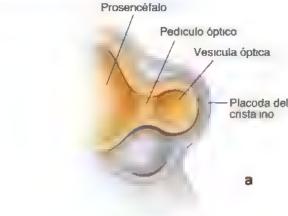


FIGURA 24-2. Diagrama de las estructuras internas del ojo humano. En este diagrama se muestra la relación entre las capas del globo ocular y las estructuras internas. El crista no está suspendido entre los bordes del cuerpo ciliar. Obsérvese la cámara posterior de lojo un espacio estrecho entre la superficie anterior del cristalino y la superficie posterior de liris. Se comunica a través de la pupila con la cámara anterior mas grande que está rodeada por el liris y la cómeza Estos espacios se llenan con el humor acusos producido por el cuerpo ciliar. La gran cavidad posterior al cristal no, la cámara vitrea está ocupada por una sustancia gelabinosa transparente llamáda cuerpo vítreo. En esta figura, la mayor parte del cuerpo vítreo se ha eliminado para ilustrar la distribución de los vasos de la retina central en la superficie de la retina. También se muestran las otras capas del globo ocular y la unión de dos de los musculos extraoculares a la escierótica.





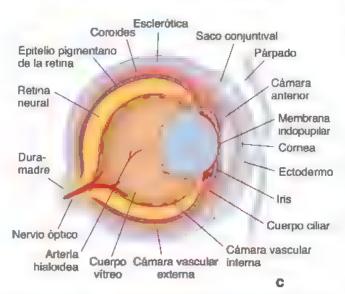


FIGURA 24-3. Diagramas del desarrollo embrionario del globo ocular a. Prosencéfalo y vesiculas ópticas en desarrollo como se ven en un embrión de 4 mm. b. Cúpula óptica bilaminar y vesícula del cristalino en proceso de invaginación en un embrión de 75 mm. El pediculo óptico une el ojo en desarrollo con el cerebro. c. Ojo como se ve en un feto de 15 semanas. Todas las capas oculares están desarrolladas y la arteria hialoidea atraviesa el cuerpo vítreo desde el disco óptico hasta la superficie postenor del cristalino.

llamadas vesículas opticas (fig. 24-3a). A medida que cada vesícula óptica crece lateralmente, la conexión con el prosencéfalo se afina y se forma un pedículo óptico, mientras que el ectodermo de revestimiento suprayacente aumenta de espesor para formar la placoda del cristalino. A estos fenómenos les sigue la invaginación concomitante de las vesículas ópticas y las placodas del cristalino. La invaginación de

la vesícula óptica determina que aparezca una estructura de doble capa con forma de copa llamada cúpula óptica (fig. 24-3b). La capa interna se convierte en la retina neural. La capa externa se convierte en el EPR. El mesénquima que rodea la cúpula óptica da lugar a la escleration.

La invaginación de la región central de cada placoda del cristatino produce las vesiculas del cristalino. Para la quinta semana del desarrollo, la vesícula del cristalino se separa del ectodermo de revestímiento y yace sobre la boca de la cúpula óptica. Una vez que la vesícula del cristalino se desprende del ectodermo superficial, este sitio vuelve a aumentar de espesor para formar el epitelio corneal. Entonces, las cálulas mesonquimatosas de la periferia dan origen al endotelio y el estroma comeal

A lo largo de la superficie inferior de cada cúpula y pedículo ópticos se desarrollan unos surcos que contienen vasos sanguíneos derivados del mesénquima. Estos surcos, conocidos como fisuras coroídoses, permiten que la arteria hialoidea llegue a la cámara interna del ojo. Esta arteria y sus ramas irrigan la cámara interna de la cúpula óptica, la vesícula del cristalino y el mesénquima dentro de la cúpula óptica. La sangre sale de estas estructuras a través de la vena hialoidea. Las porciones distales de los vasos hialoideos degeneran, pero los segmentos proximales se conservan como la arteria y la vena contrales de la retina. Hacia el final de la séptima semana, los bordes de la fisura coroídea se fusionan, y sobre la vesícula del cristalino se forma un orificio redondo, la futura pupila.

La capa externa de la cúpula óptica forma una sola capa de células pigmentadas (fig. 24-3c). La pigmentación comienza al final de la quinta semana. La capa interna experimenta una diferenciación compleja que la transforma en las nueve capas de la retina neural. Para el séptimo mes se pueden encontrar las células fotorreceptoras (conos y bastones), así como las células bipolares, amacrinas y ganglionares. La depresión macular, el sitio de la futura fóvea central, comienza a desarrollarse durante el octavo mes y no se completa hasta unos 6 meses después del nacimiento.

Durante el tercer mes, el crecimiento de la cúpula óptica origina el cuerpo ciliar y lo que será el tris, que forma un epitelio biestratificado delante del cristalino. El mesodermo situado por fuera de esta región se convierte en el estroma del cuerpo ciliar y el iris. Ambas capas epiteliales del iris se pigmentan. Sin embargo, en el cuerpo ciliar solo se pigmenta la capa externa. En el momento del nacimiento, el iris es celeste en las personas de piel clara porque en general no se encuentra pigmentado. Los músculos del esfinter de la pupila y el dilatador de la pupila se desarrollan durante el sexto mes como derivados del neuroectodermo de la capa externa de la cúpula óptica.

Los orígenes embrionarios de cada estructura del ojo se resumen en la tabla 24-1.

■ ESTRUCTURA MICROSCÓPICA DEL OJO

Las tres túnicas del ojo (túnica esclerocomesi, túnica vascular y retina) están compuestas por estratos moleculares complejos y estructuras que reflejan sus múltiples funciones.

Túnica esclerocomeal

La cómea está compuesta por cinco estratos: tres celulares y dos acelulares.

La cómen transparente (véanse figs. 24-1 y 24-2) tiene solo 0.5 mm de espesor en su centro y alrededor de 1 mm en la periferia. Está formada por tres estratos de células de aspecto y origenes diferentes. Estos estratos están separados por dos importantes membranas que parecen homogéneas cuando se observan con el microscopio óptico.



Orígenes embrionarios de cada estructura del ojo

Fuente	Derivados
Ectodermo superficial	Cristalino Epitelio anterior de la cómea, conjuntiva y giándulas lagrimales con sus sistemas de drenaje
Ectodermo neural	Cuerpo vítreo (derivado parcialmente del neuroectodarmo de la cupula óptica y el mesénquima) Epitelio de la retina, el iris y el cuerpo ciliar Músculos esfínter y dilatador de la pupila Nervio óptico
Mesodermo	Esclerática Estroma de la córnea, el cuerpo ciliar el iris y la coroides Musculos extraoculares Párpados (excepto epitelio y conjuntiva) Sistema hialoideo (la mayor parte del cual se degenera antes del nacimiento) Cubiertas del nervio óptico Tejido conjuntivo y vasos sanguíneos del ojo, la órbita ósea y el cuerpo vítreo

Así, los cinco estratos de la comea que se ven en un corre transversal son las siguientes:

- **Epitelio** comesi
- Membrana de Bowman (membrana basal anterior)
- Estroma comeal
- Membrana de Descemet (membrana basal posterior)
- Endotello comesi

El epitelio anterior de la cómea es un epitelio plano estratificado no queratinizado.

El epitelio comesi (fig. 24-4) compuesto por epitelio plano estratificado no queratinizado consta de unas cinco capas de celulas y tiene. en promedio, unos 50 µm. Es continuo con el epitelio conjuntival que yace sobre la esclerotica adyacente. Las céluias epiteliales se adhieren a las células contiguas a través de desmosomas presentes en

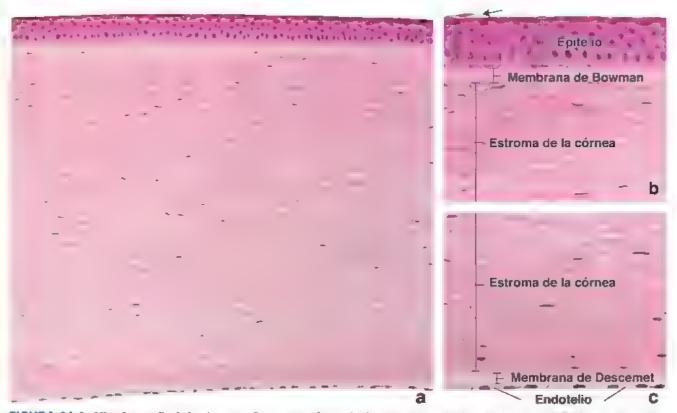


FIGURA 24-4. Microfotografía de la cómea. a En esta microfotografía de un corte a través de todo el espesor de la córnea se observa et estroma comea y las dos superficies de la cornea cubiertas por diferentes tipos de epitelios. El estroma corneal no contiene vasos sanguineos n intáticos 140 x b. Aumento mayor de la superficie anterior de la córnea que muestra el estroma de la córnea cubierto por un epitelio plano estratificado (cornea Las células basales apoyadas sobre a membrana de Bowman, que es una capa condensada homogénea de estroma comea son cundricas bajas en contraste con las celulas superficiales aplanadas. Observese que una de las células superficiales está en proceso de exfoliación (flecha) 280 · c. Microfotografía con mayor aumento de la superficie posterior de la cómea cubierta por un epitelio plano simple lendoteiro corneal). Estas células están en contacto directo con el humor acuoso de la cámara anterior del ojo. Obsérvese la membrana de Descemet (lámina basal) muy gruesa de las células endoteliales de la córnea 280×

prolongaciones interdigitadas cortas. Al igual que en otros epítelios estratificados, como el de la piel, las células proliferan desde un estrato basal y se aplanan conforme alcanzan la superficie. Las células basales son cilíndricas bajas con núcleos redondos u ovoides; las células de la superficie adquieren una forma escamosa o discoide y sus núcleos son aplanados y picnóticos (véase fig. 24-4b). A medida que las células migran hacia la superficie, los orgánulos citoplasmáticos desaparecen de manera gradual, lo que indica una disminución progresiva de la actividad metabólica. El epitelio de la córnea tiene una capacidad regenerativa notable, con un tiempo de recambio de unos 7 días.

Las verdaderas células madre del epitelio corneal, llamadas célules madre comeolimbicas, residen en el limbo esclerocomeal, que es el límite entre la córnea y la esclerótica. El microambiente del limbo es importante para mantener la población de células madre corneolímbicas, que también actúan como una "barrera" que evita la migración de células epixeliales conjuntivales a la superficie corneal. Las células madre corneolimbicas pueden agotarse de manera parcial o total debido a una enfermedad o lesión extensa que produzca alteraciones de la superficie corneal y lleve a la conjuntivalización de la córnea, un fenómeno que se caracteriza por la vascularización y la aparición de células caliciformes y un epitelio imegular e inestable. Estos cambios causan molestias oculares y reducen la visión. Las lesiones menores en la superficie de la cornea se curan con rapidez al inducir la proliferación de células madre y la migración de células desde el limbo esclerocorneal para llenar el defecto.

La gran cantidad de terminaciones nerviosas libres en el epitelio corneal le proporcionan una sensibilidad extrema al contacto. La estimulación de estos nervios (p. ej., por pequeños cuerpos extraños) provoca el parpadeo, la secreción de lágrimas y, a veces, un dolor intenso. Las microvellosidades presentes en las células epiteliales superficiales ayudan a mantener una película humectante sobre toda la superficie corneal. Si la superficie se reseca, la córnea puede ulcerarse.

El ADN de las células epíteliales de la cómea está protegido de la luz ultravioleta (UV) nociva por la ferritina nuclear.

A pesar de la constante exposición del epítelio corneal a la luz UV, el cáncer de este tejido es extremadamente infrecuente. A diferencia de la epidermis, que también está expuesta a la luz UV, en el epitelio corneal no hay melanina como mecanismo de defensa. La presencia de melanina en la cómea disminuiría la transmisión de la luz. En cambio, recientemente se ha demostrado que los núcleos de las células epiteliales corneales contienen tenitina, una proteína que almacena hierro. Algunos estudios experimentales con córneas de aves han mostrado que la ferritina nuclear protege el ADN de las células epiteliales de la córnea de la fesión por radicales libres ocasionada por la exposición a la luz UV.

La membrana de Bowman es una capa de apariencia homogénea sobre la que descansa el epítelio comeai.

La membrana de Bowman (membrana basal anterior) es una lámina homogénea, ligeramente fibrilar, que mide unos 8-10 µm de espesor. Se encuentra entre el epitelio corneal y el estroma corneal subyacente y termina abruptamente en el limbo esclerocorneal. Las fibrillas de colágeno de la membrana de Bowman tienen un diámetro de unos 18 nm y se orientan de forma aleatoria. La membrana de Bowman le imparte cierta resistencia a la córnea, pero lo más importante es que actua como una barrera contra la diseminación de infecciones. No se regenera. Por lo tanto, si se lesiona, se forma una cicatriz opaca que puede afectar la visión. Además, las alteraciones de la membrana de Bowman se asocian con erosiones corneales recurrentes.

El estroma corneal constituye el 90% del espesor de la cómea.

El estroma comeal, rambién llamado sustancia propia, se compone de unas 60 laminillas finas. Cada laminilla consta de haces paralelos de fibrillas de colágeno. Entre las laminillas hay capas casa completas de fibroblastos aplanados y finos. Las fibrillas de colágeno miden unos 23 nm de diámetro y hasta 1 cm de longirud, y están dispuestas en ángulos aproximadamente rectos a los de las láminas adyacentes (fig. 24-5). La sustancia fundamental de la córnea contiene pequeños proteoglucanos ricos en leucina, incluyendo glucosaminoglucanos sulfatados, principalmente proteoglucano de queratán-sulfato (lumicano) y proteoglucano de condroitín-sulfato (denorina). El lumicano regula el ensamblado normal de las fibrillas de colágeno en la córnea y es decisivo para el desarrollo de una matriz de colágeno muy bien organizada.

Se piensa que el espaciamiento uniforme de las fibrillas de colágeno y las laminillas, así como la distribución ortogonal de estas últimas (alternancia en la dirección de las fibrillas en las capas sucesivas), es responsable de la transperencia de la cómea. Los proteoglucanos (lumicano), junto con el colageno tipo V, regulan el diámetro y el espaciamiento precisos de las fibrillas de colágeno para mantener la claridad corneal. El edema de cómea después de una lesión en el epitelio o endotelio altera esta distribución, causando una pérdida de la transparencia característica de la córnea (opacidad corneal). Durante el proceso de curación de las heridas después de una lesión en la córnea, se puede observar un aumento en la expresión del lumicano. En general, la córnea contiene vasos sanguineos no pigmentarios. Durante una respuesta inflamatoria que involucra la córnea, una gran cantidad de leucocitos neutrófilos y linfocitos migran desde los vasos sanguineos del limbo esclerocorneal y penetran entre las laminillas del estroma

La membrana de Descemet es una lámina basal muy gruesa.

La membrana de Descernet (membrana basal posterior) es la lámina basal de las células endoreliales corneales. Es intensamente positiva al ácido peryódico de Schiff (PAS, periodic acid-Schiff) y puede



FIGURA 24-5. Microfotografía electrónica del estroma conneal. En esta microfotografía electrónica se muestran partes de tres laminillas y una porción de un fibroblasto comeal (FC) entre dos de ellas. Obsérvese que las fibrillas de colágeno en las laminillas contiguas están orientadas perpendiculares entre si 16700×

tener hasta 10 µm. La membrana de Descernet tiene un aspecto similar al fieltro y está formada por una red entrerejida de fibras y poros. Separa el endotelio del estroma corneal contiguo. A diferencia de la membrana de Bowman, la membrana de Descemet se regenera con rapidez después de una lesión. Se produce de forma continua, pero se engrosa lentamente con la edad

La membrana de Descernet se extiende de forma periférica por debajo de la esclerótica como una malla trabecular formando el ligamento pectineo. Las hebras que parten de este ligamento penetran en el músculo ciliar y la esclerótica, y pueden contribuir a mantener la curvatura normal de la córnea ejerciendo tensión sobre la membrana de Descemet.

El endotelio corneal permite el intercambio metabólico entre la cómea y el humor acuoso.

El endotello comesi es una capa simple de células aplanadas que reviste la superficie de la córnea que limita la cámara anterior (véase fig. 24-4c). Las células están unidas por uniones adherentes (gonula adherens) bien desarrolladas, uniones ocluyentes o herméticas (zonula occludens) bastante permeables y desmosomas. Casi todos los intercambios metabólicos de la córnea se producen a través del endotelio. Las células endoteliales contienen muchas mitocondrias y vesículas, un extenso retículo endoplasmático rugoso (RER) y un aparato de Golgi. Tienen actividad endocítica y realizan transporte activo. En la membrana plasmática lateral hay ATPasas de Na+/K+.

La transparencia de la córnea requiere una regulación precisa del contenido de agua del estroma. El daño físico o metabólico del endotelio produce con rapidez edema de la cómea, y cuando la lesión es grave, opacidad corneal. Después de la restauración de la integridad endotelial, ocurre la destumefacción (deshidratación necesaria para mantener la transparencia), aunque las corneas pueden edematizarse más atlá de su capacidad de autorreparación. Este edema puede causar opacidades focales permanentes debido a la aglomeración de las fibrillas de colágeno en la córnea edematizada. Los glucosaminoglucanos sulfatados esenciales, que generalmente separan las fibras de colágeno de la córnea, no se encuentran en la córnea edematizada

El endotelio comeal humano tiene una capacidad proliferativa límitada. Cuando el endotelio está dañado, solo puede ser reparado mediante un trasplante de cornea de donante. Algunos estudios recientes indican que la perifena de la córnea presenta una zona de regeneración de células endoteliales corneales. Sin embargo, poco después del trasplante de córnea, las células endoteliales experimentan inhibición por contacto al ser expuestas a la matriz extracelular de la membrana de Descemet. Este hallazgo de factores inhibidores liberados por la membrana de Descemet que impiden la proliferación de las células endoteliales ha centrado parte de la investigación actual de la córnea en la reversión o la prevención de esta inhibición con factores de crecimiento exógenos.

La esclerótica es una capa opaca que está compuesta principalmente por tejido conjuntivo denso.

La esclerótica es una capa fibrosa gruesa que contiene haces de colágeno aplanados que discurren en varias direcciones y planos paralelos a su superficie. Tanto los haces de colágeno como las fibrillas que los componen tienen un diámetro y una disposición irregulares. Dispersas entre los haces de colágeno hay redes finas de fibras elásticas y una cantidad moderada de sustancia fundamental. Los fibroblastos se encuentran dispersos entre estas fibras (lám. 107, p. 980).

La opacidad de la esclerótica, al igual que la de otros tejidos conjuntivos densos, se debe principalmente a irregularidades en su estructura. La esclerótica es perforada por los vasos sanguineos, los nervios y el nervio óptico (véase fig. 24-2); tiene un espesor de 1 mm en la parte posterior, de 0.3-0.4 mm en su ecuador y de 0.7 mm en el borde esclerocorneal o limbo.

La esclera se divide en tres capas con límites poco definidos:

- La lámina epiescieral (epiescierótica), que es la capa externa de rejido conjuntivo laxo contigua con el tejido adiposo pemorbitario.
- La sustancia propia (esclerótica propiamente dicha o cápsula de Tonon), que es la fascia conjuntiva que reviste el globo ocular y está compuesta por una red densa de fibras de colá-
- La lámina supracoroides (lámina fusca), que se corresponde con la superficie interna de la esclerótica, se encuentra junto a la coroides y contiene fibras de colágeno más delgadas y fibras elásticas, así como fibroblastos, melanocitos, macrófagos y otras células del tejido conjuntivo.

Además, el espacio epiescieral (espacio de Tenon) se encuentra entre la lámina epiescleral y la sustancia propia de la esclerótica. Este espacio y el tejido adiposo periorbitario circundante permiten que el globo ocular rote de manera libre dentro de la órbita. Los tendones de los músculos extraoculares se insertan en la sustancia propia de la esclerónica.

El limbo esclerocomeal es la zona de transición entre la córnea y la esclerótica que contiene células madre corneclimbicas.

En la unión de la cómea y la esclerótica (fig. 24-6 y lám. 107, p. 980), la membrana de Bowman termina de manera abrupta. El epitelio suprayacente en este sitio aumenta de espesor desde las cinco capas de células de la córnea hasta las 10 o 12 capas celulares de la conjuntiva. La superficie del limbo está compuesta por dos tipos distintos de células epiteliales: uno es el de las células conjuntivales y el otro el de las células epiteliales de la córnea. La capa basal del limbo contiene célules madre comeolimbices que generan y mantienen el epitelio corneal. Estas células proliferan, se diferencian y migran hacia la superficie del limbo, y después hacia el centro de la córnea para reemplazar las células epireliales lesionadas. Este movimiento de las células en el limbo esclerocorneal también crea una barrera que evita la migración de epitelio conjuntival sobre la córnea. En este cruce, las laminillas de la córnea se vuelven irregulares, ya que se funden con los baces oblicuos de fibras de colágeno de la esclerótica. Aquí también se produce una transición abrupta de la córnea avascular a la esclerótica bien vascularizada.

La región del lumbo, específicamente el ángulo iridocomeal, contiene el aparato de drenaje del humor acuoso (fig. 24-7). En la capa del estroma, varios conductos revestidos de endotelio llamados malla trabecular (o espacios de Fontana) confluyen para formar el seno venoso de la esclera (conducto de Schlemm). Este seno rodea el ojo (véanse figs. 24-6 y 24-7) El humor acuoso es producido por los procesos ciliares que rodean el cristalino en la cámara posterior del ojo. El líquido pasa de la cámara posterior a la cámara anterior a través de una abertura potencial similar a una válvula entre el iris y el cristalino. Luego, el líquido atraviesa los orificios de la malla trabecular en la región del limbo y sigue su curso para entrar en el seno venoso de la esclerótica. Los vasos colectores en la esclerótica, llamados venes acuosas porque transmiten humor acuoso en lugar de sangre, transportan el humor acuoso a las venas (de sangre) ubicadas en la esclerótica. Los cambios en el angulo iridocorneal pueden conducir al bloqueo del drenaje del humor acuoso y causar glaucoma (cuadro 24-1, p. 954). El angulo iridocorneal puede inspeccionarse durante el examen ocular usando un gonioscopio, un dispositivo óptico especial que emplea espe-

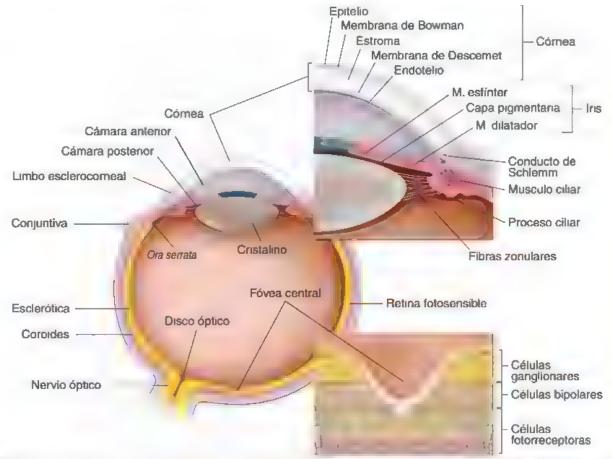


FIGURA 24-6. Diagrama de la estructura del ojo. En este diagrama se muestra un corte honzonta del globo ocular con las capas de su pared señaladas en colores diferentes. Recuadro superior. Aumento de las cámaras antenor y posterior para mostrar mejor los recuadros. Obsérvese la ubicación del ángulo indocorneal y el conducto de Schiemm (seno venoso de la esciera), que drena el humor acuoso de la cámara anterior de ojo. Recuadro inferior. Organización tipica de las células y las fibras nerviosas de la fovea central.

jos o prismas que reflejan la luz del ángulo fridocorneal hacía la dirección del observador. Con una lámpara de hendidura o un microscopio, el oftalmólogo puede examinar esta región para detectar diversas alteraciones oculares asociadas con el glaucoma. El ángulo iridocorneal también se puede visualizar mediante biomicroscopia de ultrasonido. Esta técnica de imagen de alta resolución utiliza un transductor de ultrasonido de alta frecuencia para visualizar el ángulo iridocorneat estrecho en el glaucoma primario de ángulo cerrado.

Túnica vascular (úvea)

El iris, la porción más anterior de la túnica vascular, forma un diafragma contractil delante del cristalino.

El trio se origina en el borde anterior del cuerpo ciliar (véase fig. 24-7) y se une a la esclerótica unos 2 mm por detrás del limbo esclerocorneal. La pupilo es la abertura circular central del iris. El iris es empujado ligeramente hacia adelante a medida que cambia de tamaño en respuesta a la intensidad de la luz. Se encuentra formado por un estroma de rejido conjuntivo extremadamente vascularizado cubierto en su superficie posterior por células muy pigmentadas: el opitelio pigmentario posterior (fig. 24-8). La lámina basal de estas células está orientada hacia la cámara posterior del ojo. El grado de pigmentación es tan grande que ni el núcleo ni las características del citoplasma se pueden observar en el microscopio óptico. Por debajo de este estrato hay una capa de

células mioepiteliales: el mioepitelio pigmentario anterior. Las porciones apicales (posteriores) de estas células mioepiteliales están cargadas de gránulos de melanina, que oscurecen sus límites con las células del epitelio pigmentario posterior contiguo. Las porciones basales (anteriores) de las células mioepiteliales presentan prolongaciones con elementos contráctiles que se extienden de forma radial y que en conjunto forman el músculo dilatador de la pupila del iris. Las prolongaciones contráctiles están rodeadas por una lámina basal que las separa del estroma adyacente.

La constricción de la pupila es producida por las células musculares lisas situadas en el estroma del iris cerca del borde de la pupila. Estas células orientadas circunferencialmente forman en conjunto el músculo esfinter de la pupila

En la superficie anterior del ras hay muchas crestas y surcos que se pueden apreciar con el oftalmoscopio en la clínica. Cuando se examina con el microscopio óptico, esta superficie aparece como una capa discontinua de fibroblastos y melanocitos. La cantidad de melanocitos en el estroma es responsable de la variación en el color de los ojos. La función de estas células pigmentarias en el iris es absorber los rayos de luz. Si hay pocos melanocitos en el estroma, el color de los ojos depende de la luz reflejada por el pigmento presente en las células de la superficie posterior del iris, lo que te da un aspecto azulado. Conforme aumenta la cantidad de pigmento presente en la estroma, el color cambia de azul a verde azulado, gris y, por ultimo, a pardo.

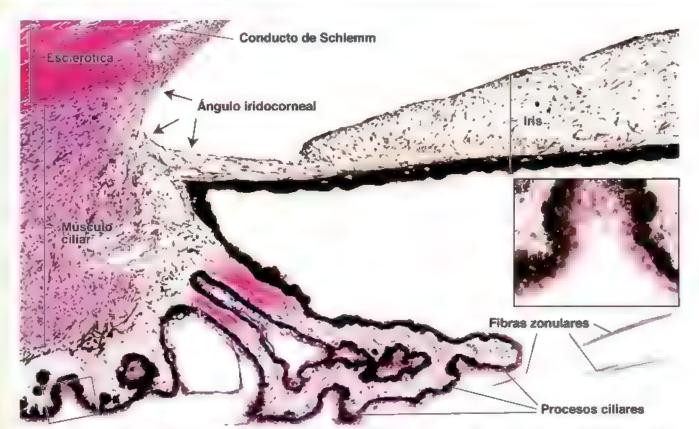


FIGURA 24-7. Microfotografía del cuerpo ciliar y ángulo indocorneal. En esta microfotografía del ojo humano se muestra la porcion anterior del cuerpo ciliar y partes de insignia esclerática. La superficie interna del cuerpo ciliar forma e evaciones con aspecto de crestas orientadas radia mente llamadas procesos ciliares isobre las cuales se ancian las fibras zondares. El cuerpo ciliar contiene musculo ciliar legido conjunt vo con vasos sanguineos de la funica vascular y epitello ciliar, que es responsable de la producción de humor acuoso. Delante del cuerpo ciliar entre el ris y la comea lestá el ángulo indocorneal. El seno venoso de la esclera (conducto de Schiemmi), ubicado muy cerca de este ángulo drena e humor acuoso para regular la presión intraocular. 120 x. El recuadro que muestra el epitello ciliar se compone de dos capas. la capa pigmentaria externa y la capa no pigmentaria (interna. 480 x.).

El esfinter de la pupila está inervado por nervios parasimpáticos; el músculo dilatador de la pupila está bajo control nervioso simpático.

El tamaño de la pupila es controlado por la contracción de los músculos esfínter de la pupila y dilatador de la pupila. El proceso de adaptación (aumento o disminución del tamaño de la pupila) garantiza que solo la cantidad apropiada de luz entre en el ojo. Dos músculos participan activamente en la adaptación:

- El musculo esfinter de la pupila, una banda circular de células musculares lisas (lám. 106, p. 978), es inervado por nervios parasimpáticos transmindos por el nervio oculomotor común (nervio craneal [NC] III) y es responsable de la reducción del tamaño de la pupila en respuesta a la luz brillante. La falta de respuesta pupilar ante la luz intensa ("pupila fija y dilatada") es un signo clinico importante de disfunción nerviosa o encefálica.
- El museulo dilatador de la pupila, una lámina delgada de prolongaciones contráctiles de células mioepiteliales pigmentarias con orientación radial que constituyen el epitelio pigmentario anterior del iris. Este músculo está inervado por nervios simpáticos del ganglio cervical superior y su función es aumentar el tamaño de la pupila en respuesta a la luz tenue.

Justo antes de un examen oftalmoscópico se administran midriaticos, como la atropina, en forma de gotas oculares para provocar la dilatación de la pupila. La acetificolina (ACh) es el neurotransmisor del sistema nervioso parasimpàtico (que inerva el musculo esfinter de la pupila), la administración de atropina bloquea los receptores muscarinicos de la ACh y suprime temporalmente la acción del musculo esfinter, por lo que la pupila permanece bien abierte y no reacciona a luz proveniente del oftalmoscopio.

El cuerpo ciliar es la porción anterior engrosada de la túnica vascular y está situado entre el iris y la coroides.

El cuerpo ciliar se extiende posterolateralmente unos 6 mm desde la raíz del iris hasta la ore serreta (véase fig. 24-2). Visto desde atrás, el borde lateral de la ora serrata presenta 17-34 surcos o crenulaciones. Estos surcos marcan el límite anterior tanto de la retina como de la coroides. El tercio anterior del cuerpo ciliar tiene unas 75 crestas radiales o procesos ciliares (véase fig. 24-7). Las fibras de la zónula surgen de los surcos que hay entre los procesos ciliares.

Las capas del cuerpo ciliar son semejantes a las del iris y consisten en un estroma y un epitelio. El estroma se divide en dos capas:

- Una capa externa de músculo liso, el musculo citiar, que forma la mayor parte del volumen del cuerpo ciliar.
- Una región vascutar interna, que se extiende dentro de los procesos ciliares.

La capa epitelial que recubre la superficie interna del cuerpo ciliar es una continuación directa de las dos capas epiteliales reunianas (véase fig. 24-1).

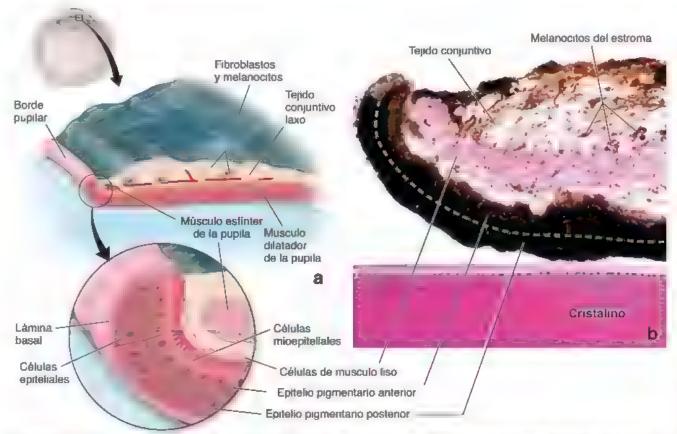


FIGURA 24-8. Estructura del iris. a. En este diagrama se muestran las capas del ns. Obsérvese que las cércias epiteriales pigmentarias se flexionan en el borde pupilar del iris. Las dos capas de cércias epiteriales pigmentarias estan en contacto con el musculo dilatador de la pupila. En la superficie anterior del iris se observa la capa incompleta de fibrobiastos y meianocitos dei estroma. b. Microfotografia con las características historiógicas de esta estructura de liris. El cristalino, que se encuentra por detrás de liris se ha incluido con fines de orientación. El iris se compone de un estroma de tepdo conjuntivo cubierto en su superficie posterior por el epitelio pigmentario posterior la lámina basal (que aqui no se ve) se orienta hacia la camara posterior del ojo. A causa de la intensa pigmentación, las características historiógicas de estas ce ulas no se pueden diferenciar. Justo deiante de estas celulas mosepite la capa de micropriterio pigmentano anterior la línea punteada separa las dos capas. Obsérvese qua la porción posterior de las células microprite la es contiene melan na mientras que la porción anterior contiene los elementos contractiles que forman el musculo dilatador de la pupila del ris. El musculo estinter de la pupila es visible en el estroma. El color del iris depende de la cantidad de melanocitos dispersos en el estroma de tejido conjuntivo. Nótese el castalino en la parte inferior de la microfotografía. 570×

El músculo ciliar está organizado en tres porciones o grupos funcionales de fibras musculares lisas.

El músculo liso del cuerpo ciliar tiene su origen en el espolón escleral, una proyección en forma de cresta de la superficie interna de la esclerotica a la altura del limbo esclerocorneal. Las fibras musculares se extienden en varias direcciones y se clasifican en tres grupos funcionales segun su dirección y el sitio donde se insertan.

- La porción meridional (o longitudinal), formada por fibras musculares externas que se dirigen hacia atrás y se introducen en el estroma de la coroides. La función principal de estas fibras es estirar la coroides. También pueden contribuir a abrir el angulo iridocorneal y facilitar el drenaje del humor acuoso.
- La porción radial (u oblicua), formada por haces de fibras musculares mas profundos que se stradian de una manera similar a un abanico para insertarse en el cuerpo ciliar. Su contracción hace que el cristalino se aplane y, por lo tanto, pueda enfocarse para la visión distante.
- La porcion circular (o esfinteriana), formada por haces de fibras musculares internas orientadas en un patrón circular que forma un esfinter. Su contracción reduce la tensión sobre el cristalino y permite que este se acomode para la visión cercana.

El examen de un preparado histológico no permite discernir con claridad la disposición de las fibras musculares. Mas bien, la agrupación organizativa se comprueba a través de técnicas de microdisección.

Los procesos ciliares son prolongaciones del cuerpo ciliar a manera de crestas desde los que emergen fibras zonulares que se extienden hacia el cristalmo.

Los procesos ciliares son engrosamientos de la región vascular in terna del cuerpo ciliar. Se encuentran en continuidad con las capas vasculares de la coroides. En los procesos ciliares hay dispersas fibras elasticas y macrófagos con granulos de pigmento de melanina (lám. 106, p. 978). Los procesos ciliares y el cuerpo ciliar se encuentran cubiertos por una doble capa de celulas epiteliales cilindricas, el epitelio ciliar, que originalmente deriva de las dos capas de la cupula optica. El epitelio ciliar tiene tres funciones principales, que se mencionan a continuación:

- La secreción del humor acuoso
- La participación en la barrera hematoacuosa (una parte de la barrera hematoocular),
- La secrecion y el anclaje de las fibras zonulares que forman el ligamento suspensorio del cristalino.

CORRELACIÓN CLÍNICA: GLAUCOMA

E glaucoma es una alteración clínica ocasionada por un aumento en la presión intraocular durante un trempo prolongado. Puede ser causado por una secreción excesiva de humor acuoso o una obstrucción a su drenaje en la cámara anterior. Los tejidos internos del ojo, en particular la retina, se nutren mediante la difusión de oxígeno y sustancias nutritivas de los vasos intraoculares. La sangre fluye de manera normal a través de estos vasos (capilares y venas) cuando la presión hidrostática dentro de los vasos supera la presión intraocular. Si se impide el drenaje del humor acuoso, la presión intraocular aumenta debido a que las tunicas del ojo no permiten que se expanda la pared. Esta hipertensión interfiere con la nutrición y la función normales de la retina y causa la atrofia de su capa de fibras nerviosas (fig. C24-1-1).

Hay dos tipos principales de giaucoma

- El glaucoma de ángulo abierto, que es el tipo más frecuente de glaucoma y la principal causa de ceguera entre los adultos. El drenaje del humor acuoso está obstruido por una reducción del flujo a través de la malla trabecular del ángulo indocorneal hacia el seno venoso de la esclera (conducto de Schlemm).
- El glaucoma de ángulo cerrado (glaucoma agudo), que es mucho menos frecuente y se caracteriza por un ángulo indocorneal reducido que obstruye la entrada del humor acuoso en el seno venoso de la esclerótica. En general, se asocia con un bloqueo completo y repentino del seno venoso de la esclerótica y puede dar lugar a una ceguera permanente si no se trata con rapide?

Las alteraciones visuales asociadas con el glaucoma incluyen visión borrosa y anomalías de la adaptación a la oscuridad (sintornas que indican la pérdida de la función normal de la retina), así como la aparición de halos alrededor de las luces. (un síntoma que indica daño endotelial de la córnea). Si la afección no se trata, la retina queda lesionada y sobreviene la ceguera. El tratamiento está dirigido a reducir la presión. intraocular mediante la disminución de la tasa de producción de humor acuoso o la eliminación de la causa de la obstrucción al drenaje normal. Los análogos de prostaglandina tópicos (p. ej , latanoprost, bimatoprost, travoprost) son el tratamiento de primera línea del glaucoma de ángulo abierto. Son muy eficaces para reducir la presión intraocular al aumentar el drenaje del humor acuoso en el conducto de Schlemm. Los inhibidores de la anhidrasa carbónica, que se usaban para disminuir la producción de humor acueso, han side reemplazados en gran medida por los análogos de prostaglandinas, que tienen menos efectos secundarios sistémicos

Existen dos tipos principales de cirugía con láser para tratar el glaucoma. Ambos facilitan el drenaje del humor acuoso desde el ángulo iridocomeal. La trabeculoplastía láser utiliza un rayo para inducir la cicatrización focal de la malla trabecular. Esto genera un estiramiento mecánico de las regiones no tratadas circundantes de la malla, lo que facilita el drenaje del humor acuoso. La trabeculoplastía a menudo se utiliza en el glaucoma de ángulo abierto cuando los medicamentos no son eficaces o causan efectos secundar os intolerables. La iridotomía se emplea en pacientes con glaucoma de ángulo cerrado. En esta, el rayo láser crea una pequeña abertura en la base del insi que amplía el ángulo indocorneal para permitir un mejor drenaje del humor acuoso.



FIGURA C24-1-1. Glaucoma. En esta magen se muestra una vista del fondo del ojo izquierdo de un paciente con glaucoma avanzado. Como consecuencia del aumento de la presión intraocular, las fibras nerviosas de la retina presentan atrofia y se retraen. Obsérvese el disco óptico párido en el centro de la imagen con un borde menos pronunciado debido a la atrofia de las fibras nerviosas. También puede verse el agrandamiento de la cúpula del nervio óptico (zona centra del disco óptico), que es un hallazgo caracter stico del glaucoma. Debe compararse esta imagen con la de la retina normal en la figura 24-15 (cortesía del Dr. Renzo A. Zaldivar).

La capa celular interna del epitelio ciliar tiene una lámina basal orientada hacia las cámaras posterior y vítrea del ojo. Las células de esta capa carecen de pigmento. La capa de células que tiene su lámina basal orientada hacia el estroma de tejido conjuntivo del cuerpo ciliar presenta mucho pigmento y está en continuidad directa con la capa epitelial pigmentaria de la retina. El epitelio ciliar de doble capa continúa sobre el iris, donde se convierte en el epitelio pigmentario posterior y el mioepitelio pigmentario anterior. Las fibras zonulares se extienden desde la lamina basal de las células epiteliales no pigmentarias de los procesos ciliares y se insertan en la cápsula del cristalino (la lámina basal engrosada del cristalino).

La barrera hematoacuosa separa el entorno interno del ojo y la sangre que ingresa al cuerpo ciliar.

Las células de la capa no pigmentaria tienen todas las características de las células de los epitelios que se ocupan del transporte de líquidos, incluidas uniones intercelulares complejas con uniones ocluyentes bien desarrolladas, pliegues laterales y basales extensos, así como ATPasas de Na⁺/K⁺ en la membrana plasmática lateral. Además, tienen un RER y un aparato de Golgi elaborados, lo cual concuerda con su papel en la secreción de las fibras zonulares. Las uniones ocluyentes entre las células epiteliales ciliares no pigmentarias son responsables de mantener la barrera homatoacuosa. Esta barrera

restringe la difusión libre a través del epitelio ciliar para mantener el ambiente característico del humor acuoso, que es bastante difetente del ambiente de los vasos sanguíneos y el estroma del cuerpo ciliar. La barrera hematoacuosa contribuye a la nutrición y el funcionamiento de la cómea y el cristalino. La alteración de la barrera hematoacuosa puede observarse en una inflamación ocular, la cirugía intraocular, los traumatismos y las enfermedades vasculares. El humor acuoso se vuelve turbio debido a la pérdida de proteinas plasmáticas (fibrinógeno) y la migración de célu as inflamatorias desde el estroma del cuerpo ciliar y el iris hacia las cámaras anterior y posterior del ojo

Las celutas de la capa pigmentaria tienen una zona de unión menos desarrollada y, a menudo, muestran grandes espacios intercelulares laterales irregulares. Tanto los desmosomas como las uniones comunicantes (gap) mantienen unidas las superficies apicales de las dos capas celulares, lo que crea espacios "luminales" discontinuos llamados canaies cittares.

El humor acuoso deriva del plasma y se encarga de mantener la presión intraocular.

El humor acuoso es secretado por el epitelio ciliar de doble capa y se origina en los capilares sanguineos. Tiene una composición iónica semejante a la del plasma, pero contiene menos del 0.1% de proteínas (en comparación con el 7% que contiene el plasma). Las principales funciones del humor acuoso son mantener la prosión intraocular, proporcionar sustancias nutritivas y eliminar metabolitos de los rejidos avasculares de la córnea y el cristalino. El humor

acuoso pasa del cuerpo ciliar hacia el cristalino y, luego, continúa entre este y el iris antes de llegar a la cámara anterior del ojo (véase fig. 24-6). En la cámara anterior del ojo, el humor acuoso pasa de forma lateral hacia el ángulo formado entre la córnea y el iris. Allí, penetra en los tejidos del limbo conforme ingresa en los espacios laberínticos de la malla trabecular y, finalmente, alcanza el conducto de Schlemm, que se comunica con las venas de la esclerótica (véase cuadro 24-1). El recambio normal del humor acuoso en el ojo humano es de alrededor de 1,5 a 2 h.

La coroides es la porción de la túnica vascular que cubre la retina.

La soroides es una lámma vascular pardo oscura de un espesor de solo 0.25 mm en la parte posterior y 0.1 mm en la parte anterior. Se encuentra entre la esclerónica y la retina (*véase* fig. 24-1).

La coroides presenta dos capas:

- Capa coriocapilar (una lámina yascular interna)
- Membrana de Bruch (una lámina delgada, amorfa y hialina)

La coroides está firmemente adherida a la esclerótica en los bordes del nervio óptico. Un espacio potencial, el espacio periodero (entre la esclera y la retina), es atravesado por finas laminullas o bandas oblicuas que unen la esclerótica con la coroides. Estas laminullas se originan en la lámina supracoroides (lámina fusca) y están compuestas por melanocitos aplanados grandes dispersos entre elementos de tejido conjuntivo, como fibras de colágeno y elásticas, fibroblastos, macrófagos, linfocitos, plasmocitos y mastocitos.

CUADRO 24-2.

CORRELACIÓN CLÍNICA: DESPRENDIMIENTO DE RETINA

En la retina hay un espacio potencial que es un vestigio del espacio que había entre las superficies apicales de las dos capas epiteliales de la cupula óptica. Si este espacio se expande, la retina nerviosa se separa del epitelio pigmentano de la retina, que permanece adherido a la coroides. Esta aiteración se llama desprendimiento de retina. Como resultado, las células fotorreceptoras dejan de recibir su nutrición desde los vasos subyacentes del plexo coriocapilar de la coroides.

Los síntomas clínicos del desprendimiento de retina incluyen sensaciones visuales que a menudo se describen como "moscas volantes" (miodesopsias). Estas son ocasionadas por los entrocitos extravasados de los vasos capilares lesionados durante el desgarro o desprendimiento de la retina Además, algunas personas describen destelios luminosos repentinos (fotopsias), así como la aparición de una "cortina" o "velo" frente al ojo junto con el inicio de las miodesopsias. El desprendimiento de retina se puede observar y diagnosticar durante el examen oftalmoscópico (fig. C24-2-1)

Otro desprendimiento de retina habitual ocurre con el envejecimiento. A medida que envejece el cuerpo vitreo (en la sexta y séptima décadas de la vida), tiende a encogerse y alejarse de la retina neural, lo que causa uno o vanos desgarros an la retina neural.

Si no se reposiciona rápidamente, el área separada de la retina experimentará necrosis, lo que provocará ceguera. Con frecuencia se usa un láser de argón para reparar el desprendimiento de retina fotocoagulando los bordes del desprendimiento y produciendo tejido cicatricial. Este método impide que la retina se desprenda más y facilita el reposicionamiento de las células fotorreceptoras



FIGURA C24-2-1. Desprendimiento de retina. En esta imagen se muestra una vista del fondo del ojo izquierdo de un paciente con desprendimiento de retina. Los vasos centra es de la retina que emergen dei disco óptico están en foco, pero en el área del desprendimiento de retina parecen estar desenfocados. Como el área de desprendimiento de retina está elevada (obsérvense las multiples crestas y sombras), se encuentra delante del plano de enfoque de oftalmoscopio (cortesía del Dr. Renzo A. Zaldivar).

CORRELACION CLÍNICA: DEGENERACIÓN MACULAR RELACIONADA CON LA EDAD

La degeneración macular relacionada con la edad (DMRE) es la causa más frecuente de cequera en los adultos mayores Aunque la etiologia de esta enfermedad aún se desconoce, la evidencia disponible indica que tiene componentes tanto genéticos como ambientales (irradiación UV ionizante, fármacos). La enfermedad produce la pérdida de la visión central, aunque la visión periférica no se ve afectada. Se reconocendos formas de DMRF: una seca (atrófica, no exudativa) y una húmeda (exudativa, neovascular). Esta ultima se considera una complicación de la primera. La DMRE seca es la forma más habitual (90% de todos los casos) e implica lesiones degenerativas localizadas en el área de la mácula lutea. Las lesiones degenerativas incluyen drusas maculares (que son engrosamientos focales de la membrana de Bruch), atrofia, despigmentación del EPR y obliteración de los capilares en la capa coroidea subyacente. Estos cambios conducen al deterioro de la retina fotosensibie suprayacente, lo que causa la formación de puntos ciegos en el campo visual (fig. C24-3-1). La DMRE húmeda es una complicación de la forma seca provocada por la neovascularización de los puntos degos de la retina en las drusas grandes. Estos vasos recién formados, finos y frágiles con frecuencia se filtran y producen exudados y hemorragias. en el espacio justo debajo de la retina, lo que causa fibrosis y excatnización. Estos cambios son responsables de la pérdida. progresiva de la visión central en poco tiempo. El tratamiento de la DMRE humeda incluye la terapia convencional de fotocoagulación con láser y la terapia farmacológica con inyección intravitrea de ranibizumab, un inhibidor del factor de crecimiento endotelial vascular (VEGF). Recientemente,

se han introducido otros métodos quirurgicos, como la translocación macular. En este procedimiento, la retina desprendida es translocada y se vuelve a unir en una nueva ubicación, lejos del tejido neovascular coroideo. El tratamiento con táser convencional se emplea para destruir los vasos patológicos sin a terar la visión central.



FIGURA C24-3-1. Fotografía que representa el campo visual en los Individuos con degeneración macular relacionada con la edad. Obsérvese que la visión central está ausente debido a los cambios en la región macular de la retina. Para maximizar la visión restante, las personas con esta afección deben ut izar la fijación excéntrica de los ojos.

Las laminillas pasan hacia adentro para rodear los vasos en el resto de la capa cotoidea. En el tejido hay células musculares lisas libres no asociadas con vasos sanguíneos. En la lámina supracoroidea hay conductos linfáticos, llamados espacios linfáticos epicoroideos, vasos ciliares posteriores largos y cortos, así como nervios que discurren hacia la región frontal del globo ocular.

La mayoría de los vasos sanguíneos disminuyen en calibre a medida que se acercan a la retina. Los vasos más grandes continúan hacia adelante más allá de la ora serrata hacia el cuerpo ciliar. Estos vasos pueden verse con el oftalmoscopio. Los más grandes son principalmente venas que describen trayectos arremolinados antes de atravesar de forma oblicua la esclerotica como venas vorticosas. La capa interna de los vasos, organizada en un solo plano, se llama capa coriocapitar. Los vasos de esta capa llevan sustancias nutritivas a las células de la retina. Los capilares fenestrados tienen luces grandes y forma irregular. En la región de la fóvea central, la capa coriocapilar es más gruesa y la red capilar es más densa. Esta capa termina a la altura de la ora serrata

La membrana de Bruch, también llamada tamina vitrea, mide 1-4 µm de espesor y se encuentra entre la capa coriocapilar y el epitelio pigmentario de la retina. Se extiende desde el nervio óptico hasta la ora serrata, donde experimenta modificaciones antes de continuar hacia el cuerpo ciliar. La membrana de Bruch es una lámina amorfa delgada y refractante. Con el microscopio electrónico de transmisión (MET) se comprueba que su estructura es multilaminar con una capa central de fibras elásticas y colágeno. La membrana de Bruch tiene cinco capas diferentes:

- La lámina basal de las células endotelíales de la capa coriocapilar
- Una capa de fibras de colágeno de unos 0.5 μm de espesor
- Una capa de fibras elásticas de unos 2 μm de espesor
- Una segunda capa de fibras de colágeno (con lo que se forma como un "emparedado" con el tejido elástico en el medio)
- La lámina basal de las células epiteliales retinianas

A la altura de la *ora serrata*, las capas de colágeno y elásticas desaparecen en el estroma ciliar y la membrana de Bruch se continúa con la lámina basal del EPR del cuerpo ciliar.

Retina

La retina es la capa más interna del globo ocular.

La retine, derivada de las capas interna y externa de la cúpula óptica, es la más interna de las tres túnicas concéntricas del globo ocular (véase fig. 24-1). Está formada por dos capas básicas:

- La retina neural o retina propiamente dicha es la capa interna que contiene los fororreceptores.
- El epitelio pigmentario de la retina es la capa externa contigua y firmemente adherida a la capa coriocapilar de la coroides a través de la membrana de Bruch.

Entre las dos capas de la retina hay un espacio potencial. Las dos capas se pueden separar mecànicamente durante la preparación de la muestra histologica. La separación de las capas, es decir, el "desprendimiento de retina" (cuadro 24-2, p. 955),

también se produce en la persona viva como consecuencia de enfermedades o traumatismos oculares.

En la retina neural, se distinguen dos regiones o porciones confunciones diferentes:

- La región no fotosensible (porción no visual), situada delante de la ora serrata, recubre la superficie interna del cuerpo ciliar y la superficie posterior del iris (esta porción de la retina se describe en las secciones sobre el iris y el cuerpo ciliar).
- La region fotosenséble (porción óptica) reviste la superficie interna del ojo, detrás de la ora serrata, excepto donde es perforada por el nervio óptico (vésse fig. 24-1).

El sirio donde el nervio óptico se une a la retina se llama disco o papila óptica. Como el disco óptico no tiene células fotorreceptoras, es un punto ciego en el campo visual. La fóvea central es una depresión poco profunda situada a unos 2.5 mm por fuera de la papila óptica. Es la zona de mayor agudeza visual. El eje visual del ojo pasa a través de la fóvea. Una zona con pigmentación amanillenta, llamada mácula lutea, rodea la fóvea. En términos relativos, la fóvea es la región de la retina que contiene la mayor concentración y la disposición mejor ordenada de elementos visuales. La región de la retina alrededor de la mácula lútea puede verse afectada

an los adultos mayores debido a la degeneración macular relacionada con la edad (cuadro 24-3, p. 956).

Capas de la retina

Diez capas de células con sus prolongaciones forman la retina neural.

Antes de iniciar el análisis sobre las diez capas de la retina, es importante identificar los tipos de células que allí se encuentran. Este conocimiento ayudará a comprender sus relaciones funcionales. Algunos estudios de la retina en primates han identificado 15 tipos de neuronas que forman al menos 38 tipos diferentes de sinapsis. Por razones de practicidad, las neuronas y las células de sostén se pueden clasificar en cuatro grupos de células (fig. 24-9):

- Célules fotorrecaptores: bastones y conos de la recina.
- Neuronas de conducción: neuronas bipolares y défulas ganglionares
- Neuronas de asociación y otras: células horizontales, centrifugas, interplexiformes y amacrinas.
- Células de sostén (neuroglia): celulas de Mûller, de la microglia y astrocitos.

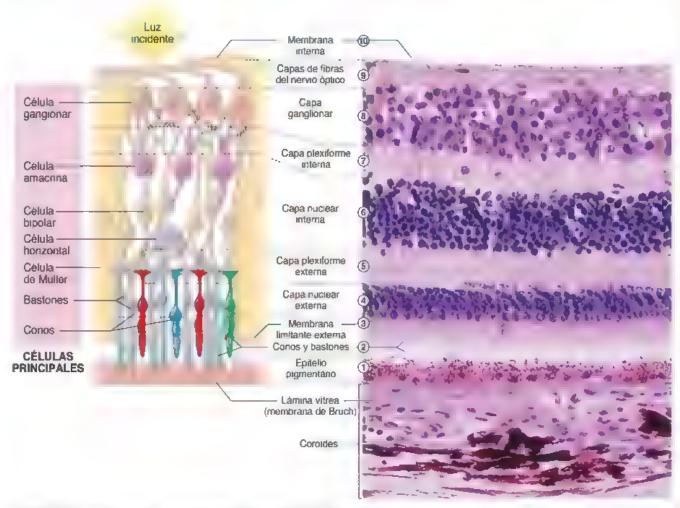


FIGURA 24-9. Rustración y microfotografía de las capas de la retina. De acuerdo con las características histológicas que son evidentes en la microfotografía de la derecha la retina se puede dividir en diez capas. Las capas corresponden a diagrama de la izquierda que muestra la distribución de las principa es células de la retina. Obsérvese que la fuz ingresa en la retina y pasa a fravés de sus capas internas antes de riegar a los fotorreceptores de los bastones y los conos que están estrechamente asociados con el epitello pigmentar o de la retina. Además la interrelación entre las neuronas bipolares y las células ganglionares que transportan impulsos electricos de la retina al cerebro es claramente visible. La membrana de Bruch (lámina vítrea) separa la capa interna del recubrimiento vascular (coroldes) del epitello pigmentario de la retina. 440×

La disposición específica y las asociaciones de los núcleos y las prolongaciones de estas células forman diez capas retinianas que se pueden observar con el microscopio óptico. En individuos vivos también se pueden obtener imágenes de las capas de la retina y examinarias mediante tomografía de coherencia óptica de dominio espectral (cuadro 24-4, p. 962). Desde afuera hacia adentro, las capas son las siguientes (véase fig. 24-9):

- Epitelio pigmentario de la retina. La capa externa de la retina; sin embargo, en realidad no pertenece a la retina neural, sino que está asociada con ella.
- Capa de prolongaciones de conos y bastones. Contiene los segmentos externo e interno de las células fotorreceptoras.
- Mombrana timitante externa. Es el límite apical de las células de Muller.
- Capa nuclear externa. Contiene los cuerpos celulares (núcleos) de los conos y los bastones.
- Capa plexiforme externa. Contiene las prolongaciones de los bastones y los conos retinianos, así como las prolongaciones de las células horizontales, amacrinas y bipolares que se conectan con ellos.
- Capa nuclear interna. Contiene los cuerpos celulares (núcleos) de las células horizontales, amacrinas, bipolares y de Muller.
- Capa piexiforme interna. Contiene las prolongaciones de las células horizontales, amacrinas, bipolares y ganglionares que establecen sinapsis entre sí.
- Capa ganglionar. Contiene los cuerpos celulares (núcleos) de las oflulas ganglionares.
- Capa de fibras del nervio óptico. Está formada por las prolongaciones axónicas de las células ganglionares que salen de la retina hacia el cerebro.
- Membrana limitante interna. Está compuesta por la lámina basal de las células de Müller.

Cada una de las capas se describe con mayor detalle en las secciones que siguen a continuación (véanse los números correspondientes).

Las células del EPR (capa 1) tienen extensiones que rodean las prolongaciones de los conos y los bastones.

El EPR consiste en una sola capa de células cúbicas de unos 14 µm de ancho y de 10-14 µm de alto. Las células descansan sobre la membrana de Bruch de la capa coroidea. Las células pigmentarias son más altas en la fóvea y las regiones adyacentes, lo que explica el color más oscuro de esta región.

Las células del EPR adyacentes están conectadas por un complejo de umión que consiste en uniones comunicantes, así como ela boradas uniones ocluyentes y adherentes. Estos complejos de unión son el sitio de la barrera hematorretiniana, que hace que los vasos retinianos sean impermeables a moléculas mayores de 20-30 kDa.

Las células pigmentarias tienen cubierras cilíndricas en su superficie apical que están asociadas, pero no entran en contacto directo, con el extremo de las prolongaciones de las células fotorreceptoras (conos y bastones) contiguas. Algunas prolongaciones citoplasmáticas complejas se proyectan una distancia breve entre las celulas fotorreceptoras. En muchas de estas prolongaciones hay una gran cantidad de gránulos de melanina alargados, a diferencia de los que aparecen en otros sitios del globo ocular. Se aglomeran en el lado de la célula más cercano a los conos y los bastones, y son la característica más destacada de las células. El núcleo, con sus muchos pliegues irregulares, se encuentra cerca de la membrana plasmática basal contigua a la membrana de Bruch.

Las células también contienen material fagocitado de las prolongaciones de los fotorreceptores en la forma de restos laminillares contenidos en cuerpos residuales o fagosomas. Estos gránulos de lipofuscina residen en el ciroplasma basal de la célula del EPR y son
relativamente difíciles de detectar en la preparación de rutina de
hematoxilina-eosina (H&E). Como el pigmento de lipofuscina es
fluorescente, se puede ver con claridad en el microscopio fluorescente ultravioleta. Un aparato de Golgi supranuclear y una extensa
red de retículo endoplasmático liso (REL) rodean los gránulos de
melanina y los cuerpos residuales presentes en el citoplasma.

El EPR trene varias funciones importantes, a saber:

- Absorbe la luz que pasa a través de la retina neural para evitar la reflexión y el resplandor resultante.
- Aísla las células de la retina de las sustancias de la sangre; es un importante componente de la barrera hernatorratiniana debido a las uniones ocluyentes entre las células del EPR.
- Participa en el restablecimiento de la fotosensibilidad de los pigmentos visuales que se disociaron en respuesta a la luz; el aparato metabólico para la resintesis visual del pigmento está presente en las células del EPR.
- Realiza la tagocitosis y eliminación de los discos membranosos de los bastones y los conos de las células fotorreceptoras de la reuna.

Los bastones y conos (capa 2) se extienden desde la capa extorna de la retina neural hasta el epitelio pigmentario.

Los bastones y los conos son los segmentos externos de las células fotorreceptoras (fig. 24-10; véase también fig. 24-9) cuyos núcleos

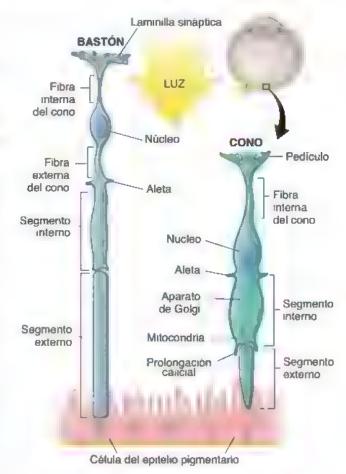


FIGURA 24-10. Diagrama de la ultraestructura de los bastones y conos. Los segmentos externos de los bastones y los conos están estrechamente asociados con el epitello pigmentario adyacente

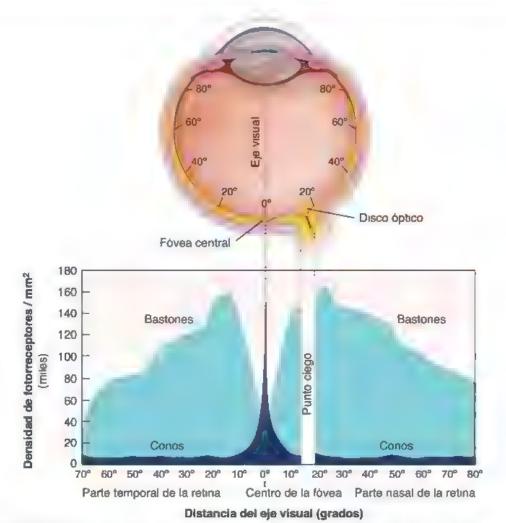


FIGURA 24-11. Distribución de los bastones y los conos en el ojo humano. En este gráfico se muestra la densidad de bastones y conos por milimetro cuadrado a través de la retina. El numero máximo de conos se encuentra en la lóvea central donde aicanzan unos 150,000 conos/mm² La densidad de los bastones alcanza su pico máximo aproximadamente a los 20º desde el eje visua y es aproximadamente la misma que la de los conos. La densidad de los bastones disminuye hacia la penferia de la retina. Obsérvese que no hay fotorreceptores en el disco óptico.

forman la capa nuclear externa de la retina. La luz que llega a las células fotorreceptoras debe atravesar primero todas las capas internas de la retina neural. Los bastones y los conos están organizados en forma de una empalizada; por lo tanto, en el microscopio óptico, aparecen como estrías verticales.

La retina contiene unos 120 millones de bastones y 7 millones de conos. No se distribuyen por igual en toda la porción fotosensible de la retina. La densidad más alta de conos se encuentra en la fovea central, lo que se correlaciona con una mayor agudeza visual y una mejor visión del color (fig. 24-11). La densidad más alta de los bastones se encuentra fuera de la fóvea central, y su densidad disminuye constantemente hacia la periferia de la retina. No se encuentran bastones en la fóvea central ni en el disco óptico, el cual no tiene fotorreceptores (véase fig. 24-11). Los bastones tienen unos 2 µm de espesor y 50 µm de largo (unos 60 µm en la fóvea y 40 µm en la periferia). Los conos varían en longitud de unos 85 µm en la fóvea a 25 µm en la periferia de la retina.

Los bastones son sensibles a la luz tenue y producen imágenes en blanco y negro; los conos son menos sensibles con poca luz y producen imágenes en color.

Desde el punto de vista funcional, los bastones son más sensibles a la luz y son los receptores utilizados en condiciones de baja intensidad

luminosa (p. ej., en el crepúsculo o por la noche). Los pigmentos de los bastones tienen una absorción máxima en los 496 nm del espectro visual y la imagen obtenida se compone de tonos de gris (como una "foto en blanco y negro"). En cambio, hay trus cluses de conos: t., M y S (sensibles a longitudes de ondas largas, medias y cortas [short], respectivamente), que no se pueden distinguir por la morfología. Son menos sensibles a las intensidades de luz escasas, pero más sensibles a las regiones de color rojo, verde y azul del espectro luminoso. Cada clase de cono contiene una molécula de pigmento visual diferente que se activa por la absorción de luz en los rangos del espectro del azul (420 nm), el verde (531 nm) y el rojo (588 nm). Los conos dan una imagen en colores obtenida por la mezcla de las proporciones adecuadas de luz roja, verde y azul. Para una descripción de los diferentes upos de daltonismo, véase el cuadro 24-5 (p. 964).

Cada bastón y cada cono tiene tres partes:

- Un segmento externo, que es más o menos cilíndrico o cónico (de ahí las denominaciones descriptivas de bestón o cono). Esta porción del fotorreceptor está en relación estrecha con las microvellosidades que sobresalen de las células epiteliales pigmentarias contiguas.
- Un pediculo de conexión, que contiene un cilio compuesto por nueve dobletes periféricos de microrúbulos que parten de un

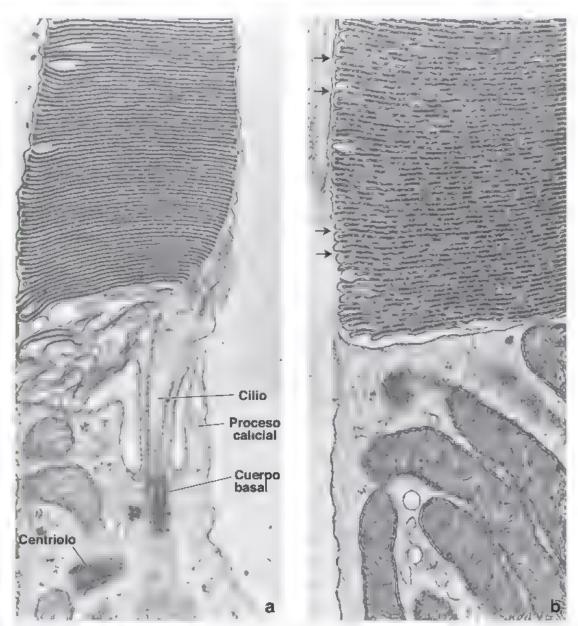


FIGURA 24-12. Microfotografías electrônicas de porciones de los segmentos interno y externo de conos y bastones, a. En esta microfotografía electrónica se muestra la unión entre los segmentos interno y externo de la celula de los bastones ulos segmentos extenores contienen los discos aplanados hor zontalmente. El plano de esta sección pasa a través del pediculo de conexión y el cilio. Se dentifican un centriolo, un cilio y su cuerpo basal las como una prolongación calicial. 32,000 x. b. Otra microfotografía electrônica en la que se muestra una sección similar de una célula cónica. El interior de los discos en el segmento externo del cono es continuo con el espacio extracelular (fiechas) 32,000 x. (cortesía dei Dr. Toich ro Kuwabara).

cuerpo basal. El pedículo de conexión aparece como la región estrecha de la célula que une el segmento interno con el externo. En esta región, una prolongación delgada que se afina en su extremidad, llamada proceso esticial, se extiende desde el extremo distal del segmento interno para rodear la porción proximal del segmento externo (viase fig. 24-10).

Un sogmento interno, que se divide en un elipsoide externo y una porción miolde interna. Este segmento contiene una dotación de orgánulos típicos de células activas en la síntesis de proteínas. El aparato de Golgi prominente, el RER y los ribosomas libres se concentran en la región mioide. Las mitocondrias son muy abundantes en la región elipsoide. Los microrúbulos se distribuyen por todo el segmento interno. En la parte elipsoide externa, raicillas fibrosas con estraciones transversales se pueden extender desde el cuerpo basal entre las mitocondrias.

El segmento externo es el sitio de fotosensibilidad y el segmento interno contiene la maquinaria metabólica que mantiene la actividad de las células fotorreceptoras. El segmento externo se considera un cilio muy modificado, ya que se unió al segmento interior por un pedículo de conexión corto que contiene un cuerpo basal (fig. 24-12a).

Con el MET pueden verse en el segmento externo 600 a 1000 discos membranosos horizontales espaciados a intervalos regula res (véase fig. 24-12). En los bastones, estos discos son estructuras limitadas por membranas de unos 2 µm de diámetro. Están encerrados dentro de la membrana plasmática del segmento externo (véase fig. 24-12a). Las membranas paralelas de los discos tienen unos 6 nm de espesor y son continuas en sus extremos. El espacio central cerrado tiene unos 8 nm de ancho. Tanto en los conos como en los bastones, los discos membranosos se forman por las invaginaciones

CORRELACIÓN CLÍNICA: IMÁGENES CLÍNICAS DE LA RETINA

El examen oftalmoscópico estándar del ojo se complementó recientemente con una queva técnica que utiliza la tomografía de coherencia óptica de dominio espectral (TCODE) Este examen no invasivo y sin contacto no solo es util para visualizar la superficie de la retina, sino que también propociona una imagen transversal de alta resolución de la retina in vivo. Todas las capas histológicas de la retina se pueden diferenciar fácilmente con TCODE (fig. C24-4-1) y hace posible medir objetivamente el grosor y los cambios en el tejido La tecnología TCODE se basa en comparaciones de las características espectrales del haz de luz refleiado desde la retina con las del haz de referencia. Para este propósito, se emplea un ravo láser infrarrojo (de unos 840 nm de longitud de onda con 50 nm de ancho de banda) que puede producir imágenes con una resolución de 5 µm. El rayo láser pasa a través de las estructuras del ojo, es absorbido y se refleja parcialmente segun las características del tejido. La luz reflejada es detectada por un espectrómetro multicanal, y el patrón de

interferencia se compara con el haz de referencia utilizando algontmos informáticos compleios. Las diferencias espectrales se utilizan para construir las imágenes de sección transversal (Inea) como se muestra en la figura C24-4-1 o las imágenes tridimensionales de la retina, como se muestra en la figura C24-4-2 Introducida en la década de 1990, la TCODE ha revolucionado el diagnóstico y el tratamiento de muchas enfermedades oculares. Este estudio se estableció como la modalidad de imagen de elección para el glaucoma (medición del nervio óptico y la capa de fibra del nervio retiniano) y las enfermedades de la retina. Se emplea para la detección temprana y precisa de la degeneración macular, el desprendimiento de retina, los huecos maculares, las membranas epirretinianas y las fositas del disco óptico, así como para la detección de cúmulos de líquido dentro de la retina que ocurren en alteraciones como la retinopatía diabética, el edema macular cistoide y la coroidopatía serosa central

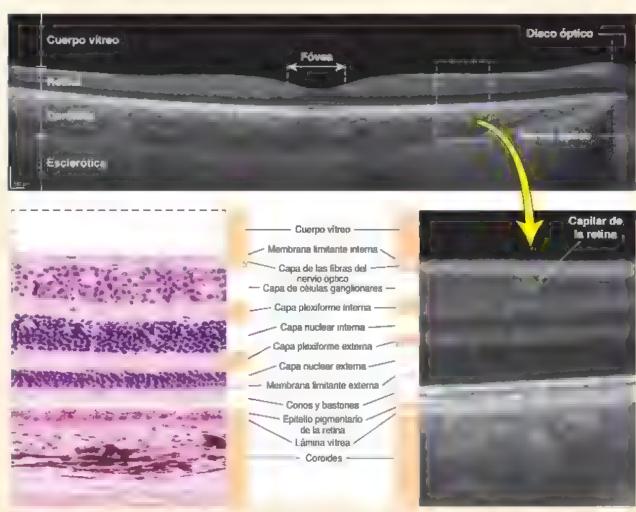


FIGURA C24-4-1. Imagen en sección transversal (linea) de la retina en un ojo sano con tomografia de coherencia óptica de dominio espectral (TCODE). La imagen superior representa una imagen transversal norma de la retina que contiene a fovea y el disco óptico en el iado de echo de la imagen. El cuerpo vitreo ópticamente transparente es invisible y aparece como la región negra en la parte superior de la imagen. Las bandas hiperreflectivas e hiporreflectivas de tejido retiniano corresponden a las capas histo ogicas de la retina. Observese que la capa fotorreceptora que contiene bastones y conos, así como el epiteño pigmentar o de la retina lestán bien definidos y separados de la capa coro dea que contiene vasos sanguineos (cortesia de los Drs. Andrew L. Barkmeier y Denise M. Lewison)

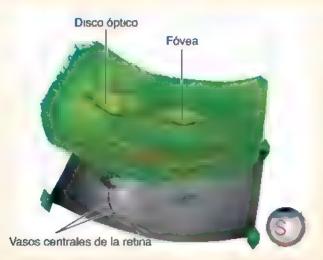


FIGURA C24-4-2. Imagen tridimensional de una tomografía de coherencia óptica de dominio espectral de la retina de un ojo derecho sano. El área de escaneo tiene unos 12 × 9 mm de támano e incluye una porción del disco óptico la la izquierda) y la fovea la la derecha). Se adquiere un conjunto de datos tridimensionales de cuatro imágenes (dos verticales y dos horizontares), que después son procesados con un algoritmo de tecnologia de corrección de movimiento (TCM). El aigoritmo TCM analiza y compara el patrón vascular en cada una de las exporaciones y reduce los artificios y las distorsiones de imagen asociadas con el movimiento ocular. Esta magen tiene dos partes. La imagen superior de falso co or tias densidades ópticas están codificadas en diferentes colores) muestra la superficio y el grosor de todas las capas de la retina y es una representación de volumen tridimensional con corrección según el movimiento de todo el conjunto de datos. La imagen interior de mapa vascular en escala de grises (las densidades ópticas están codificadas en escala de grises) es una representación bidimensiona creada a sumar todos los puedes en cada columna. Está curvada para que concida con la curvatura del ojo cas etras S (para superior) y T (para temporal) en el icono de orientación de lojo en la esquina inferior derecha proporcionan referencia a la posición del escaner en el ojo del paciente (imagen cortesia de Pravin Dugel, MD, Phoenix, Arizona)

transversales repetidas de la membrana plasmática en la región del segmento externo cerca del cilio. Los estudios autorradiográficos han demostrado que los bastones forman nuevos discos mediante la invaginación de la membrana plasmática durante toda la vida de la célula. Los discos se forman en los conos de una manera similar, pero no son reemplazados con regularidad.

Los discos de los bastones pierden su continuidad con la membrana plasmática de origen poco después de haberse formado. Luego, avanzan como una pila de placas, de proximal a distal, a lo largo de la porción cilindrica del segmento externo hasta que se desprenden y son fagocitados por las células del epitelio pigmentario. Por lo tanto, cada disco de un bastón es un compartimento limitado por una membrana dentro del citoplasma. Los discos dentro de los conos conservan su continuidad con la membrana plasmática (fig. 24-12b).

Los bastones tienen el pigmento visual rodopsina; los conos, yodopsina.

La rodopsina (también llamada púrpura visual) es una proteína de 39 kDa de los bastones que inicia el estímulo visual cuando es blanqueada por la luz. Este pigmento se encuentra con una forma globular en la superficie externa de la bicapa lipídica (en el lado citoplasmático) de los discos membranosos. En los conos, el pigmento visual de los discos membranosos es el fotopigmento yodopsina. Cada cono está especializado para responder al máximo a uno de tres colores: rojo, verde o azul. Tanto la rodopsina como la yodopsina contienen una subunidad fijada a la membrana llamada opsina y un segundo componente pequeño que absorbe la luz llamado oromóforo. La opsina de los bastones es la esectopsina; las opsinas

de los conos se llaman fotopsines. El cromóforo de los bastones es un carotenoide derivado de la vitamina A cuyo nombre es retinal. Por lo tanto, un consumo adecuado de vitamina A es esencial para la vision normal. La deficiencia prolongada de esta vitamina lleva a una alteración de la visión en la penumbra (ceguera noctuma).

El interior de los discos de los conos está en continuidad con el espacio extracelular.

La diferencia básica en la estructura de los discos de los conos y los bastones (su continuidad con la membrana plasmática) se asocia con los medios apenas diferentes por los cuales se renuevan los pigmentos visuales en estos tipos de células. La rodopsina recién sinterizada es incorporada a la membrana de los discos de los bastones a medida que estos se forman en la base del segmento externo. En su avance, un disco tarda varios días en llegar al extremo libre de este segmento. En cambio, si bien las proteínas visuales en los conos se producen de manera continua, estas son incorporadas en los discos ubicados en cualquier parte del segmento externo.

La visión es un proceso por el cual la luz que incide sobre la retina es convertida en impulsos eléctricos que son transmitidos al encéfalo.

Los impulsos producidos por la luz que alcanzan las células fotorreceptoras son transmitidos al encéfalo mediante una compleja red de nervios. La conversión de la luz incidente en impulsos nerviosos eléctricos se llama procesamiento visual e implica varios pasos:

 Una reacción fotoquímica que ocurre en el segmento externo de los bastones y los conos. En la oscuridad, las moléculas de rodopsina contienen un cromóforo llamado retinal en su forma isométrica 11-cis-retinal. Cuando los bastones son expuestos a la luz, el 11-cis-retinal experimenta un cambio conformacional de una molécula curvada a una más lineal llamada todo-trans-retinal. La conversión de 11-cis-retinal a todo-trans-retinal activa la opsina, lo que produce la liberación del todo-trans-retinal en el citoplasma del bastón (una reacción llamada bianqueo).

- La opsina activada interactúa con una proteína G denominada transducina, que luego activa la fosfodiesterasa que degrada el monofosfato de guanosina caclico (eGMP, eyelie guanosina monophosphata). En la penumbra, las concentraciones elevadas de moléculas de cGMP producidas en las células fotorreceptoras de la guanilato-ciclasa se unen a la superficie citoplasmática de los canales de Na* activados por eGMP, lo que hace que permanezcan abiertos. La afluencia constante de Na* produce la despolarización de células de la membrana plasmática y la liberación continua del neurotransmisor (glutamato) en la unión sináptica con las neuronas bipolares (fig. 24-13).
- La disminución en la concentración de cGMP dentro del citoplasma del segmento interno de las células fotorreceptoras debida a la acción de la fosfodiesterasa. La disociación de cGMP

de los canales de Na⁺ cierra de forma eficaz los conductos y reduce la entrada del ion en la célula, lo que genera la hiperpolarización de la membrana plasmática. La hiperpolarización provoca una reducción de la secreción de glutamato en las sinapsis con las células bipolares, que es detectada y transmitida en forma de impulsos eléctricos (véase fig. 24-13).

El retinal liberado por la opsina vuelve a su conformación original en las células del EPR y las células de Mütler.

Después de su liberación, el todo-*trans*-retinal se convierte en todo-*trans*-retinol en el citoplasma de los conos y los bastones, y luego es transportado al citoplasma de las células del EPR (desde los bastones) o tanto a las células del EPR como a las células de Müller (desde los conos). La energía para este proceso es provista por las mitocondrias ubicadas en el segmento interno de estos fotorreceptores. Tanto las células de Müller como las del EPR participan en la conversión en varios pasos del todo-*trazs*-retinol a 11-cis-retinal, que es transportado de regreso a las células fotorreceptoras para resintetizar rodopsina. La proteína específica del epitelio pigmentario de la retina de 85 kDa (RPE65) participa en esta conversión; así, el ciclo visual puede comenzar de nuevo.

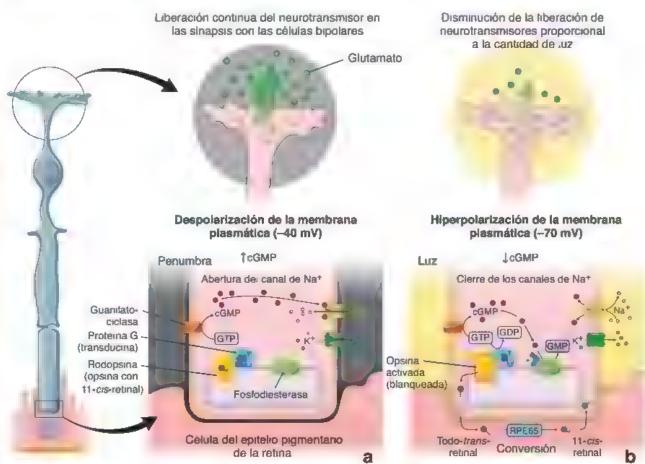


FIGURA 24-13. Diagrama del procesamiento visual en la célula fotorreceptora. a. En la oscundad se observan concentraciones elevadas de cGMP generadas por la guarniato-ciclasa en el citoplasma de bastón. Algunas moleculas de cGMP estan un das a la superficie citopiasmática de os canales de Na* activados por cGMP lo que hace que permanezcan abiertos y se produzca una afluencia continua de Na* y la despolar zacion de la membrana plasmática. Esto da como resultado una iberación constante de glutamato un neurotransmisor en las uniones sinápticas con las neuronas bipolares. También en la oscuridad, las moiéculas de rodopsina que contienen 11-cis-retinal están inactivas. b. Despues de la exposición a la uz el 11-cis-retinal atraviesa un cambio conformacional a todo-frans-retinal. Está conversión activa la opsina cuna reacción llamada blanqueamiento) y libera todo-frans-retinal en el citoplasma de la barra. La opsina activada interactiva con la proteina Gi que luego activa la fosfodiesterasa que descompone el cGMP reduciendo eficazmente la concentración de cGMP en la célula concentración de la membrana plasmatica. Esto ocasiona una disminucion de la secreción de glutamato, que es defectada por las neuronas bipolares y transportada como impulsos eléctricos al cerebro. La retina iberada de la opsina regresa a su conformación original en las células epiteira es del pigmento retiniano por el complejo enzimático GTP trifostato de guanos na

CORRELACIÓN CLÍNICA: DALTONISMO

En los individuos con visión de color normal, los tres colores primarios (rojo, verde y azul) se combinan para lograr el espectro completo de visión de color. Estos individuos se conocen como *tricromatos* y tienen tres canales independientes para transmitir información de color que se derivan de tres ciases diferentes de conos (L. sensibles al rojo, M. sensibles al verde y S. sensibles al azul). Aproximadamente el 90% de los tricromatos pueden percibir cualquier color gracias a los impulsos generados en las tres clases de conos. Algunas personas tienen un deterioro de la visión normal dei color que ocurre cuando uno de los conos está alterado en su sensibilidad espectral. Por ejemplo, aproximadamente el 6% de los tricromatos combinan colores con una proporción inusual de rojo y verde. Estos individuos se denominan *tricromatos anomalos*.

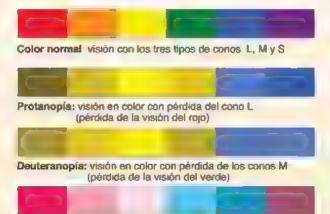
El daltonismo es una alteración en la que los individuos trenen un defecto parcial o total en una clase específica de conos Las personas daltónicas verdaderas son dicromatos y tienen un defecto en los conos L, M o S. En esta alteración faitan totalmente los conos afectados. Los dicromatos solo pueden distinguir diferentes colores haciendo coincidir los impulsos generados por las dos clases normales restantes de conos.

Se han identificado tres tipos principales de daltonismo.

- La protanopía se caracteriza por un defecto que afecta a los conos ¿L de onda larga responsables de la visión roja Los genes que codifican las proteínas fotorreceptoras del cono L se encuentran en el cromosoma X, por lo tanto, la protanopía es una alteración asociada con el sexo que afecta principalmente a los hombres (1% de la población masculina). Estas personas tienen dificultades para distinguir entre el azul y el verde, así como los colores rojo y verde, por lo tanto, esta deficiencia de la visión del color es un factor de nesgo grave al conducir (fig. C24-5-1)
- La deuteranopía se caracteriza como un defecto que afecta a los conos M de longitud de onda media responsables de la visión verde. La deuteranopía es la forma más

habitual de daltonismo, que afecta a aproximadamente el 5% de la población masculina. También es una alteración asociada con el sexo porque los genes que codifican las proteínas fotorreceptoras del cono M se encuentran en la misma región del cromosoma. X que los genes de los conos L. Como en la protanopía, el rojo y el verde son los colores principales del problema (vease fig. C24-5-1).

 La tritanopía se describe como un defecto que afecta a los conos S de longitud de onda corta responsables de la visión azul (véase fig. C24-5-1). El defecto es autosómico e implica la mutación de un solo gen que codifica proteínas fotorreceptoras de cono S que residen en el cromosoma 7 Este daltonismo es muy raro (1 de cada 10000) y afecta a mujeres y hombres por igual.



Tritanopía: visión en color con perdida de los conos S (perdida de la visión del azul)

FIGURA C24-5-1. Deltonismo. En este gráfico se muestra el espectro de seis colores en la visión normal del color y en individuos con los tres tipos de daltonismo.

Durante el funcionamiento normal de las células fotorreceptoras, los discos membranosos del segmento externo son eliminados y fagocitados por las células del epitelio pigmentario (fig. 24-14). Se calcula que cada una de estas células es capaz de fagocitar y eliminar alrededor de 7 500 discos por día. Los discos son reciclados continuamente y la cantidad producida riene que ser igual a la de los discos destruidos.

Tanto los conos como los bastones desprenden discos.

En los bastones, después de un período de sueño, se produce un desprendimiento brusco de discos cuando la luz ingresa al ojo. El momento de desprendimiento de los discos en los conos es más variable. El proceso también permite a estos receptores eliminar secciones superfluas de la membrana. Si bien no se comprende del todo, el proceso de desprendimiento en los conos también altera el tamaño de los discos, de modo que mientras estos se liberan desde el extremo distal, los conos pueden mantener su forma característica.

La membrana limitante externa (capa 3) está formada por una bilera de uniones ocluyentes entre las células de Müller.

La membrane limitente externa no es una membrana verdadera. Es una hilera de uniones ocluyentes que une los extremos apicales de las células de Müller (el extremo orientado hacia el epitelio pigmentario) entre sí y a los bastones y los conos contiguos (véase fig. 24-9) Dado que terminan en la base de los segmentos internos de los receptores, las células de Muller definen la ubicación de esta capa. Así, las evaginaciones de sostén de las células de Muller, sobre las que están apoyados los conos y los bastones, son perforadas por los segmentos internos y externos de las células fotorreceptoras. Se piensa que esta capa es una barrera metabólica que restringe el paso de las moléculas grandes hacia las capas internas de la retina.

La capa nuclear externa (4) contiene los núcleos de los conos y los bastones.

La región del citoplasma de los bastones que contiene el núcleo está separada del segmento interno por una evaginación citoplasmática ahusada. En los conos, los núcleos se encuentran cerca de los segmentos externos y no hay ahusamiento como en los bastones. Los núcleos de los conos se tiñen pálidamente y son más grandes y ovalados que los de los bastones. Los núcleos de los bastones están rodeados solamente por un fino reborde de citoplasma. Por el contrario, el citoplasma que rodea los conos es bastante grueso (véase fig. 24-10)

La capa plexiforme externa (capa 5) está formada por prolongaciones de las células fotorreceptoras y las neuronas.

La capa plexiforme externa está formada por prolongaciones de los bastones y los conos, así como de las células horizontales, inter-

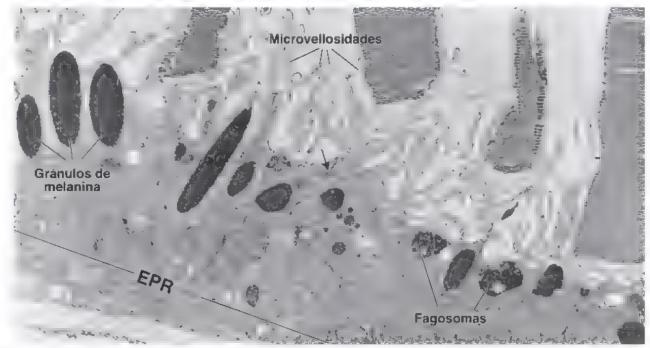


FIGURA 24-14. Microfotografía electrónica del epitelio pigmentario de la retina asociado con los segmentos externos de bastones y conos. Las céluias de epitel o pigmentario de la retina. EPR) contienen numerosos granuios de meianina a argados que se aglomeran en la porción apical de la célula, donde las microvellosidades se extienden desde la superficie hacia los segmentos externos de conos y bastones. Las cé u as epitella es del pigmento retiniano contienen numerosas mitocondinas y fagosomas. La flecha indica la ubicación del complejo de unión entre dos cé ulas advacentes 20000x (cortesia del Dr. Tolchyo Kuwabara)

plexiformes, amacrinas y bipolares. Las prolongaciones permiten el acoplamiento eléctrico entre las células fotorreceptoras y estas interneuronas especializadas a través de sinapsis. Una prolongación fina se extiende desde la región del núcleo de cada bastón o cono hasta una porción terminal expandida con varias prolongaciones laterales pequeñas. La porción expandida se conoce como estérula en los bastones y padículo en los conos. En general, muchas células fotorreceptoras convergen en una célula bipolar y forman redes nerviosas interconectadas. Sin embargo, los conos situados en la fóvea central hacen sinapsis con una sola célula bipolar. La fóvea también es muy particular, porque allí las capas nerviosas internas de la retina están tan comprimidas que los fotorreceptores se orientan de manera oblicua. Las prolongaciones celulares dendríticas horizontales hacen sinapsis con las células fotorreceptoras en toda la retina y así contribuyen a formar las conexiones neuronales complejas de esta capa.

La capa nuclear interna (capa 6) está compuesta por los núcleos de las células horizontales, amacrinas, bipolares, interplexiformes v de Müller.

Las célules de Muller forman el armazón para toda la retina. Sus prolongaciones rodean otras células de la retina de manera tan completa que llenan la mayor parte del espacio extracelular. Los extremos basal y apical de las células de Müller forman las membranas limitantes interna y externa, respectivamente. Las microvellosidades de su superficie apical yacen entre las células fotorreceptoras de los conos y los bastones. Los capilares de los vasos retinianos se extienden solo hasta esta capa. Los bastones y los conos realizan sus intercambios metabólicos junto con los líquidos extracelulares transportados a través de la barrera hematorretiniana del EPR.

Los cuatro tipos de células nerviosas de esta capa, las células bipolares, horizontales, interplexiformes y amacrinas, tienen orientaciones distintivas (véase fig. 24-9):

- Las células bipolares y sus prolongaciones se extienden hasta las capas plexiformes interna y externa. En las regiones periféricas de la retina, los axones de las células bipolares pasan a la capa plexiforme interna, donde hacen sinapsis con varias células ganglionares. A través de estas conexiones, las células bipolares tienen comunicación con múltiples células en cada capa, excepto en la fóvea central, donde harían sinapsis solo con una de las células ganglionares para dar una agudeza visual mayor en esta región,
- Las células horizontales y sus prolongaciones se extienden hasta la capa plesiforme externa, donde se entremezclan con las prolongaciones de las células bipolares. Las células establecen sinapsis con las esférulas de los bastones, los pedículos de los conos y las células bipolares. Se considera que este acoplamiento eléctrico de las células afecta el umbral funcional entre conos y bastones y células bipolares.
- Las cétulas amacrinas y sus prolongaciones se internan y contribuyen a producir una interconexión celular compleja. Las prolongaciones se ramifican extensamente para hacer sinapsis con axones de células bipolares y dendritas de células ganghonares. Además de las células bipolares y ganglionares, las células amacrinas también hacen sinapsis en la capa plexiforme internacon las células interplexiformes y otras células amacrinas (véase
- Las células interplexiformes y sus prolongaciones hacen sinapsis en las capas plexiformes interna y externa. Estas células transmiten impulsos desde la primera capa hacia la segunda.

La capa plexiforme interna (capa 7) está formada por una red compleja de prolongaciones neuronales entremezcladas.

La capa plexiforme interna está formada por las conexiones sinápticas entre los axones de las neuronas bipolares y las dendritas de las células ganglionares. También contiene sinapsis entre las prolongaciones entremezcladas de las células amacrinas y las neuronas bipolares, ganglionares e interplexiformes. El trayecto de las prolongaciones es paralelo a la membrana limitante interna, lo que le da el aspecto de estriaciones horizontales (*véase* fig. 24-9).

La capa ganglionar (capa B) está compuesta por los somas de las neuronas ganglionares, que son grandes y multipolares.

Los somas de neuronas multipolares grandes, que miden 30 µm de diámetro, forman la capa de células ganglionares. Estas células nerviosas tienen un núcleo redondo pálido con nucléolos prominentes y corpúsculos de Nissl en su citoplasma. Del soma neuronal redondo surge una prolongación axónica que ingresa en la capa de las fibras nerviosas y entra en el nervio óptico. Las dendritas se extienden desde el extremo opuesto de la célula para ramificarse en la capaplexiforme interna. En las regiones periféricas de la retina, una sola célula ganglionar puede hacer sinapsis con un centenar de células bipolares. Muy por el contrario, en la mácula lútea que rodea la fóvea central, las células bipolares son más pequeñas (algunos autores las llaman células bipolares enanas) y tienden a hacer sinapsis con una sola célula ganglionar. En la mayor parte de la retina, las células ganglionares contienen una sola capa celular. Sin embargo, en la mácula se apilan para formar hasta ocho estratos, aunque esto no se observa a la altura de la fóvea central. Dispersas entre las células ganglionares hay células gliales pequeñas con núcleos hipercromáticos (véase fig. 24-9)

La capa de fibras del nervio óptico (capa 9) contiene los axones de las células ganglionares.

Las prolongaciones axónicas de las células ganglionares forman una capa aplanada paralela a la superficie de la retina. Esta capa aumenta su espesor conforme los axones convergen en el disco óptico (fig. 24-15). Los axones son prolongaciones amielínicas delgadas que miden hasta 5 µm de diámetro (véase fig. 24-9). Los vasos retinianos, incluida la red capilar superficial, están principalmente en esta capa.

La membrana limitante interna (capa 10) es una lámina basal que sapara la retina del cuerpo vítreo.

La membrana fimitante interna forma el límite interno de la retina. Además, es la lámina basal de las células de Müller (véase fig. 24-9). En las personas jóvenes, los reflejos de la membrana limitante interna producen el brillo retiniano que se ve durante el examen oftalmoscópico del ojo. En los adultos mayores se puede formar una hoja semitranslúcida de células y matriz extracelular sobre la superficie interna de la retina en conjunción con la membrana limitante interna. Esto se conoce como membrana epirretiniana (MER) o pliegue o arruga macular, y es la causa de varios sintomas clínicos, incluyendo la distorsión óptica y la vision borrosa. La MER está formada en principio por células del interior de la retina (células del EPR, células de Müller y astrocitos) que comienzan a proliferar y migrar hacia la superficie de la membrana limitante interna. Posteriormente, la membrana es infiltrada por macrófagos, fibroblastos y miofibroblastos. Para evitar danos en la retina subyacente, sa puede realizar la extirpación guirurgica de la MER

Regiones especializadas de la retina

La tóvea (fovea centralis) aparece como una depresión pequeña (1.5 mm de diámetro), poco profunda, siruada en el polo posterior del eje óptico del globo ocular. Su región central, conocida

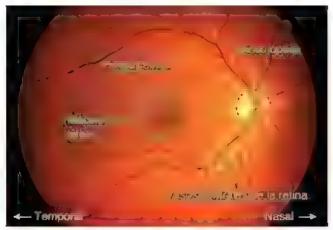


FIGURA 24-15. Vista normal del fondo de ojo en el examen oftalmoscópico del ojo derecho. El sitio donde los axones convergen para formar el nervio óptico se conoce como disco óptico. Como el disco óptico no tiene células fotorreceptoras, es un punto ciego en el campo visual. De centro del nervio óptico (clinicamente llamado cupula óptica) emergen los vasos retinianos centrales. La arteria se divide en ramas superiores e inferiores, cada una de las cuales forma ramas nasales y temporales (obsérvense las direcciones nasal y temporal en la imagen) cas venas tienen un patrón similar de tributanas. La mácula lutea es el área ligeramente ovalada, libre de vasos sanguineos y pigmentanos a unos 17º o 2 5 veces el diámetro del disco óptico por fuera de este. También puede observarse la fóvea, una depresión poco profunda en el centro de la mácula lutea (cortes/a del Dr. Renzo A. Zaldivar).

como fovéola, mide unos 200 µm de diámetro (véase fig. 24-15). Excepto por la capa de fotorreceptores, la mayoría de las capas de la retina están marcadamente reducidas o ausentes en esta región (véase fig. 24-6). Aquí, el fotorreceptor está compuesto completamente por conos (unos 4000) que son más largos y finos que en otros sitios, similares a los bastones. En esta región, la retina está especializada para la discriminación de los detalles y la visión de los colores. La relación entre conos y células ganglionares es cercana a 1:1. No hay vasos retinianos en la fóvea, lo que permite que la luz pase sin obstrucción hasta el segmento exterior del cono. El epitelio pigmentario y la capa coriocapilar adyacentes también están engrosados en esta región.

La mácula kitea es el área que rodea la fóvea central y mide unos 5.5 mm de diámetro. Es amaríllenta debido a la presencia de pigmento amarillo (xantófila). La mácula lútea contiene unos 17 000 conos y los bastones se incrementan en su periferia. En esta región tampoco hay vasos retinianos. Aquí, las células de la retina y sus prolongaciones, especialmente las células ganghonares, se amontonan a los lados de la fóvea de manera que la luz llegue sin obstáculos a esta región muy sensible de la retina.

Vasos de la retina

La arteria y la vena centrales de la retina, vasos que pueden verse y examinarse con un oftalmoscopio, pasan por el centro del nervio óptico e ingresan en el ojo por el disco óptico (véanse fig. 24-2 y pp. 946-947, sección sobre el desarrollo del ojo). La arteria central de la retina proporciona nutrientes a las capas internas de dicha estructura. La arteria en seguida se divide en tamas superiores e inferiores, que se vuelven a dividir a su vez en las ramas nasales y temporales (véase fig. 24-15). Las venas presentan un patrón similar de ramificación. Los vasos inicialmente se acomodan entre el cuerpo

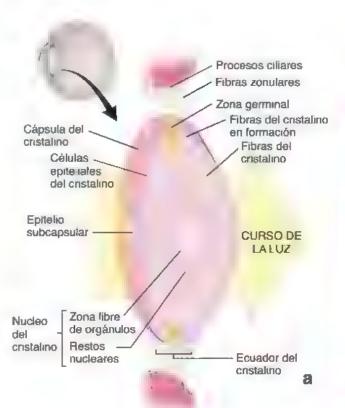
vitreo y la membrana limitante interna. Cuando toman una dirección lateral, se profundizan en las capas internas de la retina. Las ramas de estos vasos forman un plexo capilar que llega a la capa nuclear interna y, por lo tanto, proporciona nutrientes a las capas internas de la retina (capas 6-10; véanse fig. 24-9 y pp. 965-966). El resto de las capas (1-5) se nutren por difusión desde la capa vascular coriocapilar de la coroides. Las ramas de la arteria central de la retina no se anastomosan y, en consecuencia, se clasifican anatómicamente como arterias terminales. La inspección de los vasos retinianos y el aspecto del disco óptico durante la oftalmoscopia no solo proporciona información váliosa sobre el estado de la vista, sino que también ofrece signos clinicos iniciales de una serie de patologias, como el aumento de ta presión intracraneal, la hipertension, el glaucoma y la diabetes.

Cristalino

El cristalino es una estructura biconvexa, avascular y transparente que no tiene vasos ni nervios y está casi totalmente desprovisto de tejido conjuntivo, excepto por una cápsula envolvente de lámina basal. Está suspendido entre los bordes del cuerpo ciliar por las fibras zonulares. La tracción de las fibras zonulares hace que el cristalino se aplane. La liberación de la tensión hace que el cristalino se abombe o se acomode para refractar los rayos luminosos originados cerca del ojo para enfocarlos sobre la retina.

El cristalino tiene tres componentes principales que se describen a continuación (fig. 24-16):

- La cápsula del cristalino es una lámina basal gruesa que rodea la superficie externa del cristalino. Se origina como la lámina basal de la vesícula del cristalino embrionario. La parte anterior de la cápsula es gruesa y mide unos 10-20 μm, y es producida por las células de la parte anterior del cristalino. La parte posterior de la cápsula es mucho más fina; mide 5-10 μm. La cápsula del cristalino, compuesta principalmente por colágeno tipo fV y proteoglucanos, es elástica. Es más gruesa en el ecuador del cristalino, donde las fibras zonulares se unen a ella
- El opítulio subcapsular deriva de las células epiteliales de la parte anterior de la vesícula del cristalino embrionario. Representa una sola capa de células epiteliales cúbicas, presentes solo en la superficie anterior del cristalino. Las células epiteliales de la parte posterior de la vesícula se alargan hacia adelante y forman las fibras primarias del cristalino, que llenan la cavidad de la vesícula óptica.
- Las fibras secundarias del cristalino (celulas de las fibras del cristalino) se forman en la penferia, cerca del ecuador del cristalino. Aquí, las células epiteliales proliferan y migran a lo largo de la cápsula posterior del cristalino para diferenciarse en células maduras. En el centro del cristalino, las células epiteliales están



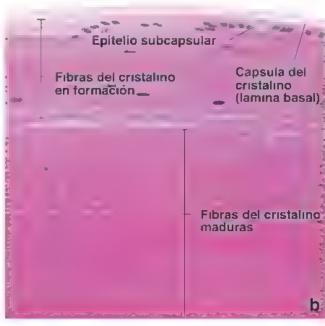


FIGURA 24-16. Estructuras del cristalino. a En esta i ustración del cristalino suspendido de los procesos cinares por las fibras zonulares se muestran sus componentes estructura es. Obsérvese que la cápsula del crista no está formada por la lámina basa de las fibras de los tátino y el epitello subcapsular ubicado en la superficie anterior. Se extrajo una fina de la cápsula en este dibujo para mostrar el epitello subvacente. Tambien obsérvese la ubicación de la zona germinal (amanillo) en el ecuador del cristalino donde las de ulas se dividen y diferencian en las céluas de las fibras ino El centro del cristalino ibre de organulos está ocupado por el nucleo del cristalino b. En esta microfotografia de gran aumento de la zona germina, del cristalino icerca de su ecuador) se muestra el proceso activo de formación de las fibras a partir del epitello subcapsular. Obsérvese la gruesa cápsula del cristalino y la capa subvacente de nucleos de fibras durante su diferenciación. Las fibras del cristalino maduras no tienen nucleos. 570×

CORRELACIÓN CLÍNICA: CONJUNTIVITIS

La conjuntivitis, también conocida como ojos rojos, es una inflamación de la conjuntiva. Puede localizarse en la conjuntiva palpebral o la bulbar. Las personas pueden presentar síntomas y signos relativamente inespecíficos que incluyen enrojecimiento, irritación y secreción acuosa del ojo (fig. C24-6-1). Los síntomas también pueden simular una sensación de cuerpo extraño. El uso prolongado de lentes de contacto puede producir una conjuntivitis alérgica o bacteriana, y ser el primer signo de enfermedad ocular más grave (úlcera comeal). En general, los síntomas que duran menos de 4 semanas se clasifican como conjuntivitis aguda, y los que se extienden por un período más largo se catalogan como conjuntivitis crónica.

La conjuntivitis aguda es causada con mayor frecuencia por bacterias; varios virus, incluido el VIH, el varicela zóster (VVZ) y el del herpes simple (VHS); o por reacciones alérgicas La conjuntivitis bacteriana a menudo causa una secreción purulenta opaca que contiene leucocitos y células ep teliales descamadas. En el examen ocular, la secreción purulenta y las papilas conjuntivales ayudan a diferenciar entre las etiploglas bacteriana y vírica. La conjuntivitis vírica es más habitual en los adultos. En el aspecto clínico, se presenta como una conjuntiva rosada con folículos linfoides particularmente numerosos en la conjuntiva palpebral, a menudo acompañados de ganglios linfáticos preauriculares agrandados. La conjuntivitis vírica es muy contagiosa, y en general se asocia con una infección reciente de vías respiratorias superiores. Se debe aconsejar a los pacientes que eviten tocarse los ojos, se laven las manos con frecuencia y no compartan las toallas

La conjuntivitis bacteriana generalmente se trata con gotas o ungüentos con antibióticos. Para la conjuntivitis vírica no se necesita terapia antimicrobiana. Sin embargo, el tratamiento conservador con lágrimas artificiales para mantener el ojo lubricado puede aliviar los síntomas. Para casos graves se pueden recetar gotas tópicas de corticoesteroides para reducir la incomodidad de la inflamación. Sin embargo, el uso prolongado de estas gotas aumenta el riesgo de efectos secundarios. También deben emplearse gotas de antibióticos para el control de las infecciones secundarias. En general, la conjuntivitis vínca se resuelve en 3 semanas. No obstante, los casos más graves pueden requerir más de un mes



FIGURA C24-6-1. Conjuntivitis. En esta fotografía de la parte infener del globo ocular con el parpado inferior reflejado se muestra una conjuntiva infectada. El agrandamiento de los vasos sanguneos de la conjuntiva es responsable del enrojectmiento moderado del ojo con edema conjuntival. También se puede observar cierta secreción ciara en la conjuntivitis alérgica o puruienta en la conjuntivitis bacteriana (cortesa del Dr. Renzo A. Zaldivar).

inactivas. A medida que las células de las fibras del cristalino se diferencian, experimentan un alargamiento masivo y pierden todos sus orgánulos, incluidos los núcleos, formando la zona libre de orgánulos.

Algunas uniones comunicantes conectan las células cúbicas del epitelio subcapsular. Tienen pocos orgánulos citoplasmáticos y se tiñen poco. La región apical de la célula se dirige hacia la cara interna del cristalino y las fibras del cristalino, con las cuales forman complejos de unión. El cristalino aumenta de tamaño durante el crecimiento normal y, luego, continúa produciendo nuevas fibras a un ritmo cada vez menor a lo largo de la vida. Las nuevas fibras se desarrollan a partir de las células epiteliales subcapsulares ubicadas cerca del ecuador (véase fig. 24-16) y se colocan periféricamente como láminas concéntricas en una disposición similar a una cebolla. Las células en esta región aumentan en altura y después se diferencian en fibras del cristalino.

A medida que se desarrolla el cristalino, sus fibras se alargan más y parecen estructuras finas y aplanadas. Pierden sus núcleos y otros orgánulos a medida que se llenan de proteínas llamadas eristalinas. Las fibras maduras del cristalino alcanzan una longitud de 7-10 mm, un ancho de 8-10 µm y un espesor de 2 µm. En el cristalino adulto, solo las fibras en la región más externa mantienen sus

núcleos y orgánulos. Cerca del centro, en el núcleo del cristalino, se comprimen y condensan hasta tal punto que es imposible reconocer las fibras individuales. El núcleo del cristalino es una zona libre de orgánulos y está compuesto por fibras primarias generadas durante el desarrollo embrionario y fetal. Las fibras del cristalino se unen en sus extremos apical y basal mediante uniones especializadas llamadas suturas. A pesar de su densidad y contenido de proteínas, el cristalino suele ser transparente (véase fig. 24-16). La alta densidad de las fibras del cristalino dificulta la obtención de secciones histológicas de rutina que no contengan artificios.

Los cambios en el cristalino se asocian con el envejecimiento.

Al envejecer, el cristalino pierde gradualmente su elasticidad y capacidad de acomodación. Esta alteración, llamada presbicia, suele aparecer en la cuarta decada de la vida. Se corrige fácilmente usando gafas de lectura o una lupa.

La pérdida de transparencia del cristalino o su cápsula tambien es una aiteración bastante frecuente asociada con el envejec miento. Esta afección, denominada cataratas, puede ser causada por cambios conformacionales de las proteinas. La apar ción de cataratas también puede asociarse con procesos patológicos, enfermedades metabólicas hereditarias o de otro tipo, traumatismos o exposición a agentes nocivos

(como radiación ultravioleta). Las cataratas, que deterioran significativamente la visión, suelen corregirse mediante procedimientos quirurgicos en los que se extirpa el cristalino y es reemplazado por una lente de plástico que se implanta en la cámara posterior.

Cuerpo vítreo

El cuerpo vítreo es la sustancia gelatinosa transparente que ocupa la cámara vítrea del segmento posterior del ojo.

El cuerpo vitreo está fijo de forma laxa a las estructuras adyacentes, incluida la membrana limitante interna de la retina. La porción principal del cuerpo vítreo es un gel homogéneo que contiene alrededor del 99% de agua (humor vítreo), colágeno, glucosaminoglucanos (sobre todo hialuronato) y una pequeña población de células llamadas hialocitos. Se piensa que estas células son responsables de la síntesis de las fibrillas de colágeno y los glucosaminoglucanos. En los preparados de rutina con hematoxilina-eosina (H&cE), los hialocitos son difíciles de ver. A menudo, presentan un RER y un aparato de Golgi bien desarrollados. En la periferia del cuerpo vítreo a veces se ven fibrioblastos y macrófagos. El conducto hialoideo (o conducto de Cloquet), que no siempre es visible, atraviesa el centro del cuerpo vítreo desde la papila óptica en dirección a la cápsula posterior del cristalino. Es el remanente de la vía por donde discurre la arteria hialoidea durante el desarrollo ocular

■ ESTRUCTURAS ACCESORIAS DEL OJO

Las funciones principales de los párpados son cubrir, proteger y lubricar los ojos.

Los parpados representan pliegues de piel modificada que contienen apéndices epidérmicos modificados para cubrir, proteger y lubricar las porciones anteriores de los ojos. La superficie anterior del párpado está cubierta por una piet muy delgada, y su superficie posterior está cubierta por una membrana mucosa especializada, la conjuntiva. La piel de los párpados es laza y elástica para adaptarse a su movimiento. Dentro de cada párpado hay un soporte flexible, la placa tarsai, formada por rejido fibroso y elástico denso. En el párpado superior, el borde libre inferior de la placa tarsal se extiende hasta el margen del párpado, y su borde superior sirve para la fijación de fibras musculares lisas del músculo tarsal superior (de Muller). La superficie interna de la placa tarsal está cubierta por la conjuntiva (fig. 24-17). El músculo estriado orbicular del ojo, un músculo de expresión facial, forma una lámina delgada y ovalada de fibras musculares esqueléticas orientadas circularmente que recubre la placa tarsal. Además, el tejido conjuntivo del párpado superior contiene fibras tendinosas del músculo elevador del párpado superior que abren el párpado (véase fig. 24-17). La unión mucocutánea puede verse entre la piel del párpado y la

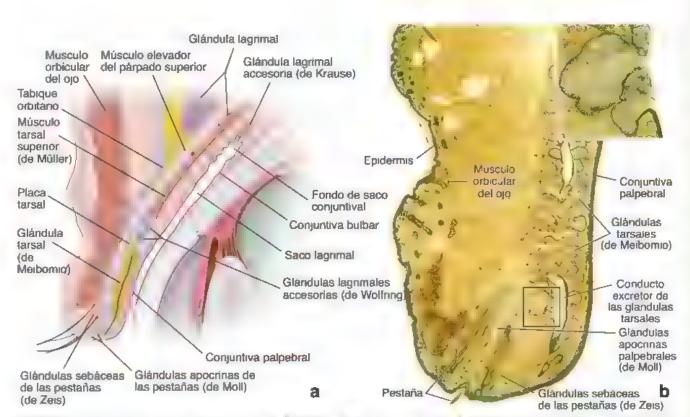


FIGURA 24-17. Estructura del párpado, a. En esta sustración del párpado se muestran a piel los apéndices cutáneos asociados so musculos, os tendones el tejido conjuntivo y la conjuntiva. Observese la distribución de multiples glándulas pequenas asociadas con el párpado y el reflejo de la conjuntiva palpebral en el fondo de saco agrimal para convertirse en la conjuntiva bulbar. b. Microfotografia de una sección sagital del párpado teñido con acido pichico para una mejor visua ización de los componentes epiteirales de la piel y las numerosas giándulas. En esta preparación, el telido muscular (musculo orbicular del ojo) se tiñe de amanillo, y las células epiteirales de la piel la conjuntiva y el epiteiro giandular son verdes. Observese la presencia de numerosas giándulas dentro del párpado. La glandula tarsal es la mayor y se encuentra dentro del tejido conjuntivo denso de las piacas tarsales. Esta giándula sebácea secreta su conten do en los conductos que drenan en los párpados 20×. Recuadro. Mayor aumento de una glándula tarsal del área enmarcada que muestra la estructura tipica de una glándula holocrina. 60×.

conjuntiva cerca del borde del párpado. Las pestañas nacen del borde anterior del párpado. Son pelos cortos, rígidos y curvos que pueden aparecer en filas dobles o triples. Las pestañas en el mismo margen del párpado pueden tener diferentes longitudes y diámetros.

La conjuntiva cubre al espacio entre la superficie interna de los párpados y la superficie anterior del globo ocular alrededor de

La conjuntiva es una membrana mucosa fina y transparente que se extiende desde el limbo comeoescleral situado en el margen períférico de la cómea (conjuntiva bulbar) y cubre la superficie interna de los párpados (conjuntiva palpebral). Está compuesta por un epitello cilindrico estratificado que contiene numerosas células caliciformes y se encuentra sobre una lámina propia compuesta por tejido conjuntivo lato. Las células caliciformes secretan un componente de las lágrimas que bañan el globo ocular. La conjuntivitis, una inflamación de la conjuntiva que con frecuencia se llama ojo rojo, se caracteriza por el enrojecimiento, irritación y lagrimeo de los ojos. Para más información clínica de esta alteración, vease el cuadro 24-6 (p. 968)

Las secreciones de las glándulas modificadas en el párpado proporcionan protección adicional al ojo.

Además de las glándulas sudoríparas ecrinas, que liberan sus secreciones directamente sobre la piel, el párpado contiene otros cuatro tipos principales de glándulas (véase fig. 24-17).

- Glandules tarsales (de Meibomio), que son glandulas sebáceas largas incrustadas en las placas tarsales y aparecen como rayas amarillas verticales en el tejido profundo de la conjuntiva. Sus conductos alargados se abren en el borde del párpado detrás de la hilera de pestañas. En el párpado superior hay unas 25 glándulas tarsales, y el párpado inferior solo nene unas 20. La secreción sebácea de estas glándulas forma una capa oleosa sobre la superficie de la película lagrimal que retrasa la evaporación de la capa normal de lágrimas. El bloqueo de la secreción de la glandula tarsal produce la chalación (lipogranuloma de la glandula tarsal), una inflamación de la glandula tarsal. Suele presentarse como un quiste indoloro del parpado superior que desaparece después de unos meses sin ningun tratamiento
- Glándulas sebácese de las pestañas (de Zeis), pequeñas glándulas sebáceas modificadas conectadas con los folículos en donde vierren sus secreciones. La infección bacteriana de estas glandulas sebaceas provoca el orzuelo (lat. hordeolum), un enrojecimiento elevado y doloroso de la zona afectada. del parpado.
- Giándulas apocrinas de las pestañas (de Moll), que son glándulas sudoríparas pequeñas de conductos excretores sinuosos no ramificados que comienzan como espirales simples.
- Glándulas tagrimales accesorias, que son glándulas tubuloalveolares compuestas serosas de luz muy amplia. Se ubican en la superficie interna de los párpados superiores (giándulas de Wolfring) y en el fondo de saco conjuntival (glándulas de Krause).

Todas las glándulas del párpado humano están inervadas por neuronas del sistema nervioso autónomo y su secreción está sincronizada con las glándulas lagrimales a través de un neurotransmisor común, el polipéptido intestinal vasoactivo (VIP, vasoactive intestinal polypeptide).

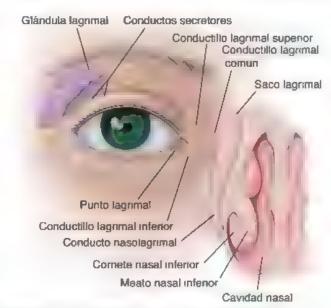


FIGURA 24-18. Diagrama del ojo y el aparato lagrimal. En este dibujo se muestra la ubicación de la glándula lagrimal y los componentes del apareto lagrimal, que drena el liquido lagrimal en la cavidad nasal.

Las glándulas lagrimales producen las lágrimas que humedecen la córnea y fluyen hacia el conducto nasolagrimal.

Las lágrimas son producidas por las glándulas lagrimales y, en menor grado, por las glándulas lagnmales accesorias. Las glándulas lagrimales se encuentran debajo de la conjuntiva en el área lateral superior de la órbita (figs. 24-18 y 24-19). Están formadas por varios lóbulos separados de glándulas serosas tubuloacinares. Los aci-

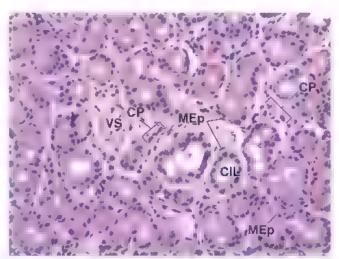


FIGURA 24-19. Microfotografia de glàndula lagrimal. La glárdula lagrimal está formada por unidades secretoras serosas tubuloacinares. Los acinos están cubiertos por células cilindricas serosas secretoras. Hay cálulas mioepiteliales (MEp) debajo de las células epite iales dentro de la lámina basal. El citoplasma de las células secretoras contiene gotitas lipídicas y gránulos con mucina. Los conductos intralobulillares (CIL) cubiertos de cèulas serosas también contienen células mioepiteliales. Ocasionalmente, se encuentran células plasmáticas (CP) y linfocitos entre los acinos de la glándula lagrimai. VS, vasos sanguineos 450×

nos tienen una luz grande revestida de células cilindricas. Las células mioepiteltales, localizadas debajo de las células epiteltales dentro de la lámina basal, ayudan a liberar las lágrimas. Unos 12 conductos excretores de las glándulas lagrimales drenan en el receso conjuntival, justo debajo del párpado superior, conocido como fondo de saco conjuntival.

Las lágrimas salen del ojo a través de los puntos lagrimales, pequeñas aberturas de los conductiflos lagrimales ubicados en el ángulo medial. Los conductillos superior e inferior se unen para formar el conductiflo lagrimal común, que desemboca en el saco lagrimal. El saco se continúa con el conducto nasolagrimal, que desemboca en la cavidad nasal por debajo del cornete inferior. El saco lagrimal y el conducto nasolagrimal están revestidos por un epitelio seudoestratificado ciliado. La dacriocistitis es una inflamación del saco lagrimal que a menudo se debe a una obstrucción del conducto nasolagrimal. Puede ser aguda, crónica o congenita. En general, afecta a adultos mayores y con mucha frecuencia es secundaria a la estenosis de los conductillos lagrimales.

Las lágrimas protegen el epitelio corneal y contienen agentes antibacterianos y protectores contra la luz ultravioleta.

Las tágrimas mantienen húmedos la conjuntiva y el epitelio corneal, y eliminan los materiales extraños de la superficie del ojo a medida que fluyen a través de la córnea hacia el ángulo interno del ojo (véase fig. 24-18). La fina película lagrimal que cubre la superficie de la córnea no es homogénea, sino que es una mezcla de productos secretados por las glándulas lagrimales, las glándulas lagrimales accesonas, las células caliciformes de la conjuntiva y las glandulas tarsales del párpado. La película lagrimal contiene proteínas (albúminas lagrimales, lactoferrina), enzumas (lisozima), lípidos, metabolitos, electrólitos y fármacos, estos últimos en el caso de haberse administrado.

La proteína catiónica lagrimal lactoferrina aumenta la actividad de los antimicrobianos como la lisozima.

La contracción coordinada de los músculos extríasecos del ojo mueve el globo ocular dentro de la órbita.

Hay seis músculos que se fijan a cada globo ocular (rambién llamados musculos extraoculares o extrinsecos). Estos son los músculos rectos medial, lateral, superior e inferior, y los músculos oblicuos superior e inferior. El músculo oblicuo superior está inervado por el nervio troclear (NC IV). El músculo recto lateral está inervado por el nervio abducens (NC IV). Todos los demás músculos extraoculares están inervados por el nervio oculomotor común (NC III). La acción combinada y controlada con precisión de estos músculos permite el movimiento vertical, lateral y rotacional del globo ocular. Por lo general, las acciones de los músculos de los dos ojos están coordinadas de manera que al movimiento de ambos globos oculares coincide (mirada conjugada)



010

FUNDAMENTOS DEL 0.10

- El ojo es un organo sensorial par especializado que proporciona el sentido de la vista.
- Los tejidos del ojo se derivan del neuroectodermo (retma), el ectodermo superficial (cristalino y epitelio comeal) y el mesodermo (esclerótica estroma comeal y capa vascular).
- El globo ocular esta compuesto por tres capas estructurales, el recubrimiento corneoescleral (fibroso) externo, formado por la córnea transparente y la esclerotica
 opaca blanca, la capa vascular media, compuesta por la coroides, el cuerpo cibar y
 el iris; y la capa interna, la retina.
- Las capas del ojo y el cristalino sirven como límites para tres cámaras: la cámara anterior y la cámara posterior, llenas de humor acuoso, y la camara vitrea.
 llena de un gel transparente, el cuerpo vitreo
- El humor acuoso es secretado por los procesos ciliares en la cámara posterior. Desde alla fluye a traves de la pupila hacia la cámara anterior, donde drena en el ángulo iridocomeal hacia el seno venoso escleral (conducto de Schlemm).

CAPAS DE LA PARED DEL 0J0

- La cornea es transparente y tiene cinco capas (comenzando desde la superficie anterior) el epitelio corneal (epitelio plano estratificado no queratinizado), la membrana de Bowman (membrana basal anterior para el epitelio corneal), un estroma comeal
 avascular grueso, la membrana de Descemet (membrana basal posterior para el endotelio corneal) y el endotelio comeal.
- La escleròtica es una capa opaca compuesta principalmente por rejido conjuntivo denso. Se comunica con la cornea en el limbo comeoescleral, que contiene células madra comeolímbicas.
- El iris surge del cuerpo cular y el diametro de su apertura (pupila) es controlado por las fibras musculares lisas del musculo esfinter de la pupila y la capa de celulas mioepiteliales del musculo dilatador de la pupila. Su superficie posterior esta cubierta por epitelio pigmentario y contiene un estroma con abundantes melanocitos.
- El cuerpo citiar se encuentra entre el tris y la coroides Contiene los procesos ciliares, que secretan humor acuoso, ancla
 las fibras zonulares, que suspenden el cristalino, y contiene el musculo ciliar, que modifica la forma del cristalino durante la
 acomodación
- El cristalino es una estructura transparente, avascular y biconvexa que se suspende entre los bordes del cuerpo ciliar. Esta formado por la cápsula del cristalino, el epitelio subcapsular y sas células de las fibras del cristalino.
- La coroides es parte del recubrimiento vascular. Tiene una capa coriocapilar interna con vasos sanguineos que proporcionan nutrientes a la retina y una membrana de Bruch externa que sitve como lámina basal para las celulas endoteliales y las del epitelio pigmentario retiniano.
- La retina deriva de las capas interna y externa de la cúpula óptica. Esta formada por dos capas: la retina neural, que es la capa
 interna que contiene las células fotorreceptoras, y el epitelio pigmentario de la retina (EPR), que es la capa externa que se
 fija a la coroides.

RETINA

- La retina connene diez capas celulares y sus proyecciones. Las principales células de la retina son los fotorreceptores (bastones y conos), las neuronas conductoras (neuronas bipolares y celulas ganglionares), las neuronas de asociación y las células de sostén (p. ej., células de Müller).
- El apritello pigmentario de la retina (capa 1) es la capa más externa y entre sus funciones estan absorber la luz dispersa, contribuir con la barrera hematorretiniana, restaurar la fotosensibilidad de los pigmentos visuales y llevar a cabo la fagocitosis de los discos membranosos de los bastones y los conos.
- Los bastones (capa 2) son las células mas numerosas (†20 millones) en la retina y detectan la intensidad de la luz con sus segmentos
 externos cilindricos. Los conos (capa 2) son menos numerosos (7 millones) y con su segmento externo cónico detectan tres longitudes de onda de luz diferentes que corresponden a los colores primarios azul, verde y rojo.
- Los bastones contienen el pigmento visual rodopsina, formado por la opsina y un pequeno compuesto absorbente de luz, el retinal. Los conos contienen el pigmento visual yodopsina.
- La conversión de la luz en impulsos nerviosos en los fotorreceptores se conoce como procesamiento visual Implica una reacción fotoquímica basada en la conversión de 11-cis-retinal en todo-trans-retinal en la rodopsina. Esto ocasiona la activación de la opsina, que a su vez activa la proteína G e inicia la hiperpolarización de la membrana celular fotorreceptora que las neuronas bipolares detectan como un impulso nervioso.
- La membrana limitante externa (capa 3) esta formada por una hilera de uniones ocluyentes entre las células de Muller.
- La capa nuclear externa (capa 4) contiene los nucleos de los bastones y los conos, y la capa plexiforme externa (capa 5) contiene sus prolongaciones, que hacen sinapsis con las celulas horizontales, amacrinas y bipolares (cuyos nucleos residen en la capa nuclear interna [capa 6]).
- La capa plexiforme interna (capa 7) contiene los axones de las celulas de la capa nuclear interna que hacen sinapsis con las células ganglionares, cuyos cuerpos celulares residen en la capa de celulas ganglionares (capa 8) Estas celulas envian sus axones a la capa de fibras del nervio óptico (capa 9), que constituye el nervio óptico.
- La membrana limitante interna (capa 10) está formada por una lamina basal que separa la retina del cuerpo vítreo.

ESTRUCTURAS ACCESORIAS DEL 0JO

- Los párpados están formados por piel, las placas tarsales, parte del músculo orbicular del ojo, fibras tendinosas del musculo elevador de los párpados superiores (en el parpado superior) y la conjuntiva palpebral
- La conjuntiva esta formada por un epitelio cilindrico estratificado con células caliciformes. La conjuntiva cubre el
 espacio entre la superficie interna de los parpados y la superficie anterior del globo ocular alrededor de la córnea.
- Las glandulas tarsales (de Meibornio) son glandulas sebaceas largas incluidas en las placas tarsales de los párpados supe nores e inferiores.
- Las glándulas lagrimalas producen las lagrimas que humedecen la córnea y fluyen hacia el conducto nasolagrimal

LÁMINA 104 | OJO I

El ojo humano es un órgano sensonal complejo que proporciona el sentido de la vista. La pared del ojo está formada por tras capas o túnicas concéntricas. la retina (la capa interna), la úvea (la capa media o vascular) y la esclerocorneal (la capa fibrosa externa). A menudo, el ojo se compara con una simple cámara fotográfica con una lente para capturar y enfocar la luz, un diafragma para regular la cantidad de rayos luminosos y una película para registrar las imagenes. En el ojo, la córnea y el cristalino concentran y enfocan la luz sobre la retina. El iris, que se encuentra entre la córnea y el cristalino, regula el tamano de la pupila a través del cual la luz entra en el ojo. Las células fotomaceptoras (conos y

bastones) de la retina detectan la intensidad (bastones) y el color (conos) de la luz que les llega y codifican los distintos parámetros para su transmisión al cerebro a través del nervio óptico (nervio craneal [NC] II).

El ojo tiene un diámetro de 25 mm. Está sostenido dentro de la cavidad orbitaria ósea por seis músculos extrínsecos que controlan su movimiento. Los musculos extraoculares estan coordinados de manera que los ojos se muevan simétricamente alrededor de sus propios ejes centrales. Una capa gruesa de tejido adiposo lo rodea parcialmente y lo amortigua mientras se mueve dentro de la órbita

llustración modificada del ojo humano, perspectiva meridional, por E. Sobotta.

La capa más interna es la **retina** (R), formada por varios estratos celulares. Entre ellos se encuentran las células receptoras (conos y

bastones), las neuronas (células bipolares y ganglionares), las células de sostén y un epitelio pigmentario (véuse lám. 105). Los componentes receptores de la retina están ubicados en las tres quintas partes posteriores del globo ocular. En el limite amterior de la capa receptora, la **ora sorrata** (OS), la retina se adelgaza y sus componentes no receptores continuan hacia adelante para cubrir la parte posterior o superficie interna del **cuerpo ciliar** (CC) y el **iris** (I). Esta prolongación anterior no receptora de la capa interna está muy pigmentada y el pigmento (melanina) es evidente como el borde interno negro de estas entructuras.

La ÚVER, la capa media del globo ocular, se compone de la coroides, el cuerpo ciliar y el uris. La coroides es una capa vascular; es bastante fina y dificil de distinguir en la figura adjunta, excepto por su ubicación. De acuerdo con lo anterior, la coroides (Ca) se puede identificar justo por fuera de la capa pigmentaria de la retina. También está muy pigmentada; el pigmento se observa como una capa bien defunida en varios sitios del corte

Por delante de la ora serrato, la uvea aumenta de espesor; aquí, se llama everpo ciliar (CC). Este contiene el músculo ciliar (véuse lám. 106), que efectúa los

ajustes del cristalino para enfocar la luz. El cuerpo ciliar también presenta prolongaciones a las que se unen las fibras zonulares. Estas fibras funcionan como ligamentos suspensorios del cristalino (Cr). El tris (I) es el componente más anterior de la uvea y contiene una abertura central, la pupila

La capa más externa del globo ocular, la **túnica fibrosa**, está formada por la **esclerótica** (ES) y la **córnea** (C). Ambas contienen fibras de colágeno como su elemento estriscrutal principal; sin embargo, la córnea es transparente, mientras que la esclerótica es opaca. Los músculos extrínsecos del ojo se insertan en la esclerótica y producen los movimientos del globo ocular. Estos no están incluidos en la preparación, a excepción de dos regiones pequeñas de Inserción muscular (flechai) situadas abajo a la requienda y arriba en el centro de la ilustración. En la parte posterior, la esclerótica es atravesada por el **nervio óptico** (NO). En la depresión profunda en la retina neural, por fuera del nervio optico (arriba del NO en esta figura), está la fóvea central (FC), que es la región más fina y sensible de la retina neural.

El cristalino se considera en la lámina 107 Justo por detrás del cristalino está la gran cavidad ocular, denominada cavidad vítrea (CV), que se llena con un material espeso gelatinoso conocido como humor o cuerpo vítreo. Por delante del cristalino hay dos compartimentos oculares adicionales llenos de líquido: la cámara anterior (CA) y la cámara posterior (CP), separadas por el iris.

C. cómea

CA, cámera anterior

CC, cuerpo ciliar

Co. coroides

CP, câmara postenor

Cr. cristalino CV, cavidad vitrea

ES, esclerótica

FC, fóvea cantral

Lins

NO, nervio óptico

OS, ora serrata

R, retina

flechas, inserciones musculares

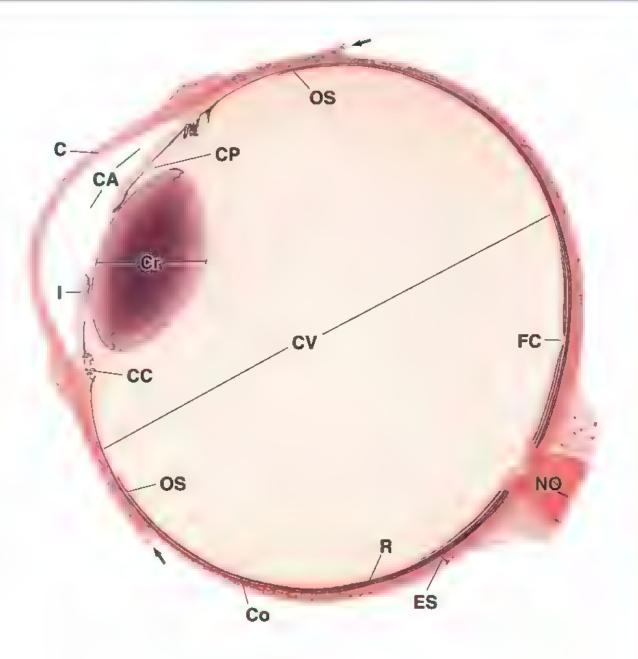


LÁMINA 105 OJO II: RETINA

La retina y el nervio óptico son proyecciones del prosencefalo. La cubierta fibrosa del nervio óptico es una extensión de las meninges cerebrales. La retina neural es una estructura multiestratificada compuesta por fotorreceptores (conos y bastones), neuronas (algunas de las cuales están especializadas en las formas de conducción y asociación) y células de sostén (células de Müller). Por fuera de la retina neural hay una capa de epítelio pigmentario de la retina (EPR) cilíndrico simple. Las células de Müller son comparables a la glía del resto del sistema nervioso central. Las prolongaciones de las células de Muller se ramifican por casi todo el espesor de la retina. La membrana limitante interna es la támina basal de estas células; la membrana limitante externa es, en realidad, una línea formada por los complejos

de unión entre las prolongaciones de estas células y las células fotorreceptoras.

Las neuronas de la retina están ordenadas secuencialmente en tres capas: 1) una capa profunda de conos y bastones; 2) una capa intermedia de células bipolares, horizontales y amacrinas; y 3) una capa superficial de células ganglionares. Los impulsos nerviosos originados en los bastones y los conos son transmitidos a la capa intermedia y, después, a las células ganglionares. Las conexiones ainápticas se producen en la capas plexiformes externa (entre los conos y bastones y la capa neuronal intermedia) e interna (entre la capa intermedia y las células ganglionares), produciendo la suma y la integración neuronal. Por último, las células ganglionares envían sus axones hacia el cerebro como componentes del nervio óptico.

Disco y nervio óptico, ojo, humano, H&E, 65×.

El sitio donde los axones convergen para formar el nervio óptico se conoce como **disco óptico** (DO). Se caracteriza por la presencia de una depresión marcada, evidente aquí. En el disco óptico no

hay células receptoras, y dado que no es sensible a la estimulación luminosa, a veces se conoce como punto crejo.

Las fibras que constituyen el nervio óptico se originan en la retina, para ser más específicos, en la capa de células ganghonares (véase más adelante). Atraviesan la esclerónica por varios orificios (flechas) para formar el nervio óptico (NO). La región de la esclerónica con estos orificios se flama lámina cribosa (LC) o placa cribiforme. El nervio óptico contiene la ameria y la vena centrales de la retina (no visibles aquí), que también atraviesan la lámina cribosa. Las ramificaciones de estos vasos sanguíneos (VS) irrigan la porción interna de la retina.



Retina, ojo, humano, H&E, 325×.

De acuerdo con las características estructurales que son visibles en los corres histológicos, la retina se divide en diez capas que se enumeran a continuación, de la más superficial a la más profunda, y están señaladas en la microfotografía.

- Epitelio pigmentario de la retina (EPR), la capa más externa de la retina.
- 2 Capa de conos y bastones (CyB), la capa fotorreceptora de la retina
- Membrana limitante externa (MLE), una línea formada por los complejos de unión de las células fororreceptoras.
- Capa nuclear externa (CNE), que contiene los núcleos de las células de los conos y los bastones.
- Capa plexiforme externa (CPF), que contiene las proyecciones nerviosas y las sinapsis de los conos y los basiones con las células bipolares, amacrinas, interplexiformes y horizontales.

- Capa nuclear interna (CNT), que contiene los núcleos de las células bipolares, horizontales, interpiexiformes, amacrinas y de Müller
- Capa plexiforme interna (CPI), que contiene las evaguraciones y las smapsis de las células bipolares, horizontales, interplexiformes, amacrinas y ganglionares.
- Capa de cétulas ganglionares (CCG), que tiene los somas celulares y los núcleos de las células ganglionares.
- Capa de fibras nerviosas (CFN), que contiene los axones de las cétulas ganglionares.
- Membrana limitante interna (MLI), formada por la lamina externa (basal) de las celulas de Müllet.

En esta figura tambien se muestra la capa más interna de la coroides (Co), una membrana acelular llamada lámina vitrea (LV), tambien conocida como membrana de Bruch. Las microfotografías electrónicas permiten comprobar que corresponde a la membrana basal del epitelio pigmentario, Justo por fuera de la lámina vitrea está la capa de capilares de la coroides (lámina coriocapilar). Estos vasos irrigan la parte externa de la retina.

CCG, capa de células ganglionares

CFN, capa de f bras nerviosas

CNE, capa nuclear externa (los nucleos de los bastones y los conos)

CNI, capa nuclear interna (los nucleos de las células bipolares, horizontales, interplexiformes, amacrinas y de las células de Murter) Co, coroides

CPE, capa plexiforme externa

CPI, capa plexiforme interna

CyB, capa de las prolongaciones de conos y bastones

DO, disco óptico

EPR, epitelio pigmentario de la retina

LC, lámina cribosa

LV. lámina vítrea

MLE, membrana limitante externa

MLI, membrana limitante interna

NO, nervio optico

VS, vasos sanguineos

flechas, aberturas en la esclerótica (fámina enbosa)

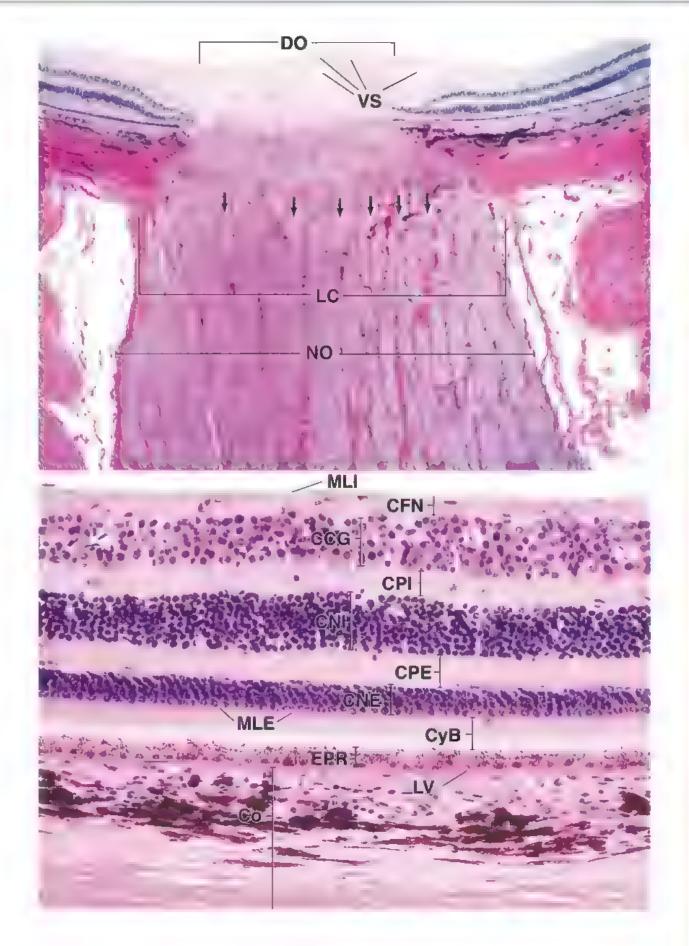


LÁMINA 106 OJO III: SEGMENTO ANTERIOR

El segmento anterior es la parte del globo ocular que está por delante de la ora serreta, la extensión más anterior de la retina neural, e incluye las cámaras anterior y posterior y las estructuras que las definen. Estas comprenden la cómea y la esclera, el iris, el cristalino, el cuerpo ciliar y las conexiones entre la támina basal de las prolongaciones ciliares y la cápsula del cristalino (la támina basal gruesa del epitelio

del costatino) que forman el ligamento suspensono del costatino, las fibras zonulares. La cámara posterior está limitada hacia atrás por la superficie anterior del costatino y hacia adelante por la superficie posterior del iris. El cuerpo citiar forma el tímite lateral. El humor acuoso fluye a través de la pupila hacia la cámara anterior, que ocupa el espacio entre la cómea y el iris, y drena en el conducto de Schlemm



Segmento anterior, ojo, humano, H&E, 45×; recuadro 75×.

En la porción del **segmento anterior** del ojo que se muestra en esta figura aparece parte de la córnea (C), la esclerótica (ES), el tris (I), el cuerpo ciliar (CC), la câmara anterior (CA), la câmara posterior (CP), el cristalino (Cr) y las fibras zonulares (FZ)

Aquí se ve muy bien la relación entre la córnea y la esclerótica, La umón entre ambas (fierhet) se caracteriza por un cambio en la tinción que determina que la sustancia de la córnea parezca más clara que la de la esclerótica. El **opítolio corneal** (EpC) continúa con el **opítolio conjuntival** (EpC) que cubre la esclera. Obsérvese que el epitolio aumenta de espesor de forma considerable a la altura del limbo, o unión esclerocorneal, y se asemeja al de la mucosa bucal El opitolio conjuntival está separado del componente fibroso denso de la esclerótica por un tejido conjuntivo vascular laxo. Juntos, el tejido conjuntivo-opitelial de opitolio constituyen la conjuntiva (Cj.). La unión tejido conjuntivo-opitelial de

la conjuntiva es urregular; en cambio, la superficie basal del epitelho comical tiene un contorno regular

Por fuera de la unión entre la córnea y la esclerótica está el conducto de Schiernm (CS; viese también la siguiente figura). Este conducto describe un trayecto circular alrededor del perímetro de la córnea. Se comunica con la cámara anterior a través de una red trabecular de tejido laxo: los espacios de Fontana El conducto de Schlemm también se comunica con las venas epiesclerales. Por medio de sus comunicaciones, este conducto proporciona una vía para que el liquido en las cámaras anterior y posterior llegue al torrente sanguineo.

El recuestro muestra el extremo del usis. Obsérvese la pigmentación intensa en la superficie posterior del usis, que está cubierra por el mismo epitelio estratificado que el cuerpo ciliar y las prolongaciones ciliares. En el epitelio ciliar, la capa externa está pigmentada y la capa interna no lo está. En el iris, las dos capas epiteliales (Epl) tienen una gran cantidad de pigmento. Bajo el epitelio se ve una parte del músculo (M) constrictos del iris.



Segmento anterior, ojo, humano, H&E, 90×; recuadro 350 ·

Justo por dentro del borde anterior de la escleròtica (ES) está el cuerpo ciliar (CC). El iris (I) surge del borde anterior del cuerpo ciliar. En su superficie interna aparecen elevaciones con forma de cressas de disposición radial, las prolongaciones ci-

liares (PC), en las cuales se fijan las fibras aonulares (FZ). De afuzra hacia adentro, los componentes del cuerpo ciliar son el músculo ciliar (MC), la capa de rejido conjuntivo (vascular, CV), que contiene pequeñas arterias (A, recuadro) y venas (V, recuadro) que representan el recubrimiento coroideo en el cuerpo ciliar, la lámina vitrea (LV, recuadro) y el epitelio ciliar (EpCi, recuadro). El epitelio ciliar se compone de dos capas (recuadro) la capa pigmentaria (CPi) y la capa no pigmentaria

(CnPr). La lámina vitrea es una continuación de la misma capa de la coroides; es la membrana basal de las células epiteliales ciliares pigmentanas.

El músculo ciliar está organizado en tres patrones. La capa externa está justo por debajo de la esclerótica y contiene las fibras de Brücke en una disposición meridional. La fibra más externa se continúa hacia atrás dentro de la coroides y se conoce como musculo tensar de la coroides. La capa intermedia es el grupo radial. Se irradia desde el limbo esclerocomeal hacia el cuerpo ciliar. La capa más interna de células musculares tiene una disposición circular. Estas se ven en el corre transversal. La arteria (AC, apenas distinguible) y la vena (VC) circulares del iris, que también aparecen seccionadas de forma transversal, están justo delante del grupo circular de las células musculares.

A, arteria

AC, arteria circular

C, córnea

CA, camara anterior

CC, cuerpo ciliar

Cj., conjuntiva

CnPi, capa no pigmentaria del epitelio

CP, câmara postenor

CPi, capa pigmentana del epitelio chiar

Cr. cristalino

CS, conducto de Schlemm

CV, capa vascular (def cuerpo ciliar)

EpC, epitelio corneal

EpCi, epitelio ciliar

EpC], epitelio conjuntival

Epl, apitello del ins-

ES. esclerótica

FZ, fibras zonulares

I, ins

LV. Jámina vítrea

M, músculo constrictor del iris

MC, musculo difiar

PC, procesos o liares

V, vena

VC, vena circular

flechas, unión entre la comea

y la esclerótica

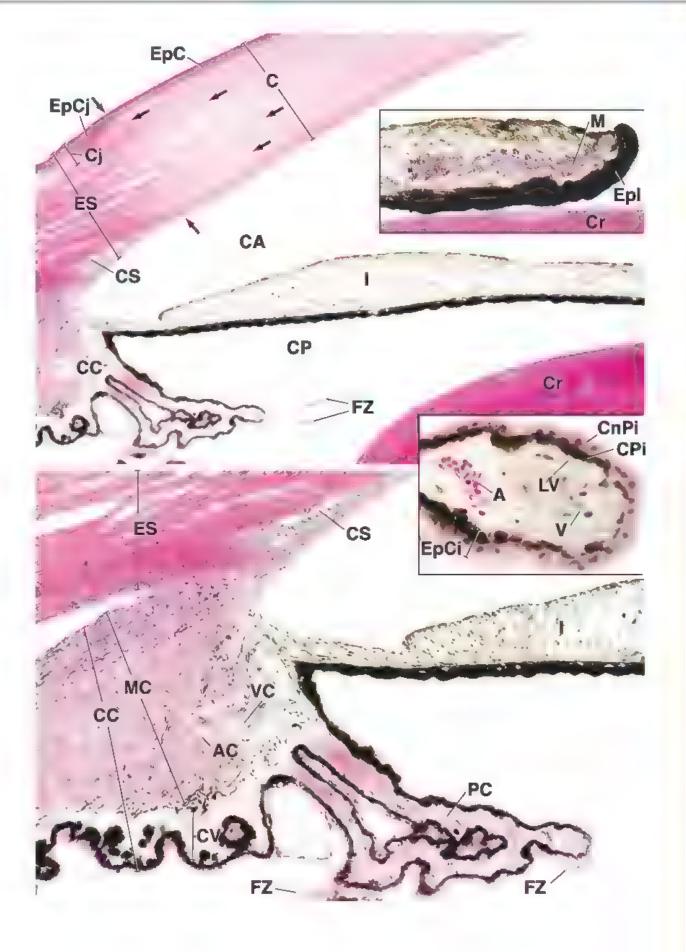


LÁMINA 107 OJO IV: ESCLERÓTICA, CÓRNEA Y CRISTALINO

La córmea transparente es el principal elemento dioptrico (refractario) del ojo y está cubierto por un epitelio plano estratificado sin estrato córneo. Su estroma está formado por laminillas alternadas de fibrillas de colageno y fibroblastos (queratocítos). Las fibrillas en cada lámina tienen un diámetro y un espaciado muy uniformes; las fibrillas de las láminas contiguas están orientadas entre si de manera más o menos perpendicular. Esta disposición ortogonal de fibrillas muy regulares es responsable de la transparencia de la córnea. La superficie posterior está cubierta por una capa simple de células epiteliales cúbicas bajas, el endotelio corneal, que

se apoya sobre una lámina basal gruesa conocida como *mem-brana de Descemet*. Casi todos los intercambios metabólicos de la córnea avascular se producen a través del endotelio. La lesión de esta capa produce edema de córnea que puede llevar a la pérdida temporal o permanente de la transparencia.

El cristalino es una estructura epitelial biconvexa, avascular y transparente que se encuentra suspendida por las fibras zonulares. La tracción de estas fibras mantiene el cristalino aplanado; la reducción de la tensión permite que se abombe o acomode para refractar los rayos luminosos originados cerca del ojo para que se enfoquen en la retina.

Limbo esclerocomeal, ojo, humano, H&E, 130×.

En esta microfotografía con poco aumento se muestra el espesor total de la esclerótica justo al lado del limbo o unión

tica; a la dereche, hay una pequeña canudad de tejudo corneal. El epitelio

conjuntival (EpCj) es de espesor irregular y está apoyado sobre un teµdo conjuntivo lato muy vascularizado. En conjunto, este epitelio y su tejudo conjuntivo subyacente forman la conjuntiva (Cj). El aspecto blanquecino opaco de la esclerótica se debe a la disposición densa irregular de las fibras de colágeno que forman el estroma (ES). El conducto de Schlemm (Ch) y los pequeños vasos sanguíneos (VS) se ven a la requienda, cerca de la superficie interna de la esclerótica y del borde con la cámara anterior (CA) del ojo

Limbo esclerocomeal y conducto de Schlemm, ojo, humano, H&E, 360×.

> La figura supernor es una microfotografía con mayor aumento que muestra la transición entre el epitebo corneal $\{EpC\}$ y el epitebo conjuntival $\{EpC\}$ irregular y más grueso que cubre la esclerótica

> esclerocomeal. A la inquienda de la flecha está la escleró-

Obsérvese que la membrana de Bowman (MB), situada bajo el epitelio corneal, es apenas perceptible, pero desaparece por completo bajo el epitelio conjuntival. En la figura de abajo se muestra el conducto de Schlemm (CS) con mayor aumento que en la figura de arriba a la tequierda. El espacio aqui visible no es un artificio porque hay células endoteliales (En) que lo revisten y miran a la luz.

Cómea, ojo, humano, H&E, 175×.

En esta microfosografía con poco aumento se muestra el espesor de la **cómea** (C) y se puede comparar con la esclerótica mostrada en la figura de la tequierda. El **spitelio corneal** (EpC) presenta un espesor uniforme y el estroma (ES) subyacente tiene

cos que se ven aquí y en la figura de la izquienda son artificos). Entre las laminillas están los núcleos (N) de los queratocitos del estroma. El epitelio corneal se localiza sobre una membrana basal anterior gruesa, llamada inembrana de Bowman (MB). La superficie posterior de la córnea frente a la cámara anterior (CA) está cubierta por un epitelio plano simple, llamado endotelio corneal (EnC); la membrana basal posterior gruesa se conoce como inembrana de Descemet (MD)

presenta un espesor uniforme y el estroma (ES) subyacente tiene un aspecto más homogêneo que el estroma de la esclerótica (los espacios blan-

Epitelio y endotelio comeal, ojo, humano, H&E, 360×.

En la microfotografía superior se muestra con mayor sumento el epitelio comeal (EpC) con sus células superficiales planas, la membrana de Bowrnan (MB), homogenea y muy

gruesa, y el estroma (ES) subyacente. Obsérvese que el tejido del estroma tiene un aspecto homogéneo, un reflejo de la gran densidad de agrapación de sus fibrillas de colágeno. Los núcleos aplanados pertenecen a los queratocitos. La macrofotografía inferior muestra la superficie posterior de la cómea. Nótense la membrana de Descemet (MD), gruesa y homogénea, y el endote-lio comeal (EnC) subyacente.

Cristalino, ojo, humano, H&E, 360×.

En esta microfotografía se muestra una sección del cristalino cerca de su ecuador. El cristalino se compone enteramente de células epiteliales rodeadas por la **cápsula del cristalino** (CCr) de apariencia homogénea a la que se adhieren las fibras zonulares. La

cápsula es la lámina basal muy gruesa de las células epiteliales. En la superficie

anterior del cristalino el epitelio es simple, pero en los bordes laterales las células están muy alargadas y forman capas que se extienden hacia el centro del cristalino. Estas columnas alargadas de citoplasma epitelial se conocen como fibras del cristalino (FCr.). Las células mievas se producen en los bordes del cristalino y desplazan las células viejas hacia el centro. Por último, las células más viejas pierden su núcleo, como es evidente en la porción más profunda de la córnea en esta microfotografía.

C, cómea

CA, cámara anterior

CCr, cápsula del cristalino

Cj., conjuntiva

CS, conducto de Schlemm

En, cé ulas endoteliales

EnC, endotelio comeal

EpC, epitelio corneal

EpCj, epitelio conjuntival

ES, estroma

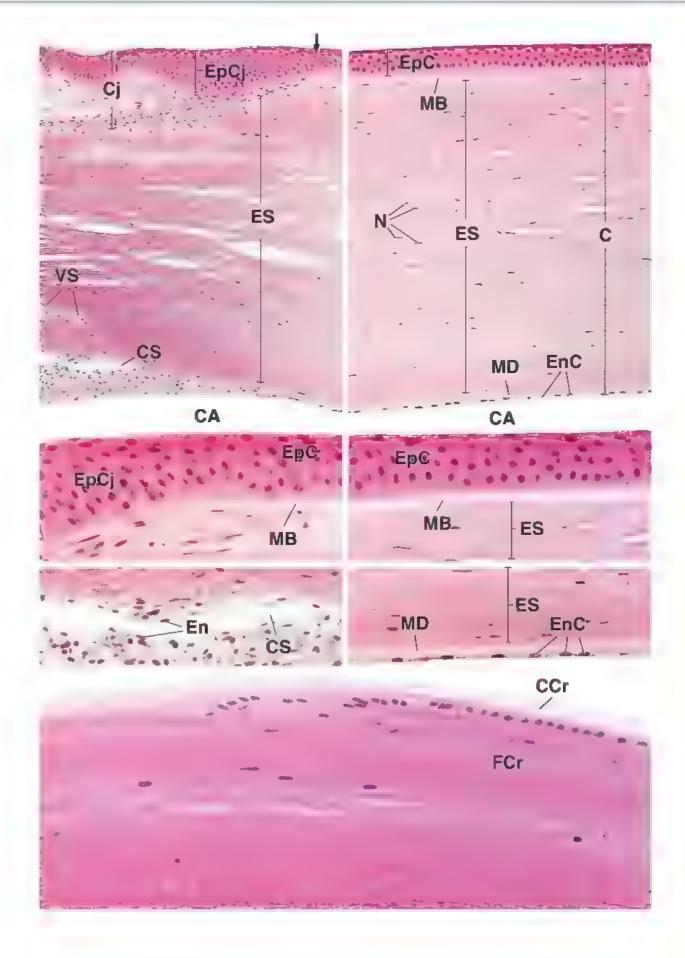
FCr, fibras del cristalino

MB, membrana de Bowman

MD, membrana de Descernet

M, rúcleo

VS, vasos sanguineos



25 oído

FUNDAMENTOS DEL OÍDO / 982 OÍDO EXTERNO / 982 OÍDO MEDIO / 983 OÍDO INTERNO / 987

Estructuras del laberinto óseo / 987
Estructuras del laberinto membranoso / 989
Percepción del sonido / 997

Inervación del oido interno / 998

Vasos sanguineos del laberinto membranoso / 1001

Cuadro 25-1 Correlación clinica: otoesclerosis / 988

Cuadro 25-2 Correlación clinica hipoacusia (disfunción vestibular) / 996

Cuadro 25-3 Correlación clínica: vértigo / 1001

HISTOLOGIA 101 / 1002



■ FUNDAMENTOS DEL OÍDO

El oido es un órgano sensorial compuesto por tres cámaras, que funciona como un sistema auditivo para la percepción del sonido y como un sistema vestibular para el mantenimiento del equilibrio. Cada una de sus tres partes (el oido externo, el oido medio y el oido interno) es un componente indispensable de los aparatos auditivo y vestibular (fig. 25-1). El oido externo y el oido medio reciben y transmiten la energía sonora hacia el oido interno, donde los receptores auditivos la transforman en impulsos eléctricos. Los receptores sensoriales del sistema vestibular responden a la gravedad y el movimiento de la cabeza. Son los encargados del sentido del equilibrio y contribuyen a coordinar los movimientos de la cabeza y de los ojos.

El cida se desarrolla a partir del ectodermo de superficie y de componentes de los arcos faringeos primero y segundo.

El oído interno es la primera de las tres divisiones del oído que comienza a desarrollarse. Al final de la tercera semana, un engrosamiento de ectodormo de superficio, que aparece a cada lado del mielencéfalo, se convierte en la placoda ótica. A principios de la cuarta semana, la placoda ótica se invagina y luego se encoge formando la vesícula ótica (otocisto), la cual se profundiza de la superficie del ectodermo hacia el mesénquima subvacente (fig. 25-2). La vesícula ótica sirve como primordio para el desarrollo de los epitelios que recubren el laberinto membranoso del oído interno, Más tarde, el desarrollo del primer arco faríngeo y parte del segundo proporciona estructuras que aumentan la audición. El componente endodérmico de la primera bolsa da origen al receso tubotimpánico, que finalmente forma la trompa auditiva (de Eustaquio) y el oido medio y su revestimiento epitelial. La invaginación ectodérmica correspondiente del primer surco faringeo origina el conducto auditivo externo y su revestimiento epitelial (véase fig. 25-2). La parte del tejido conjuntivo de los arcos faringeos produce los buesecillos. El martiño y el yunque se desarrollan a partir del primer arco faringeo, mientras que el estribo denva del segundo. Los epitelios sensoriales del laberinto membranoso, que se originan a partir de la vesícula órica, se conectan con el nervio craneal (NC) VIII, el cual es una proyección del sistema nervioso central. La oreja o pabelión auricular del oído externo se origina a partir de seis eminencias auriculares localizadas en los extremos dorsales de los arcos faríngeos primero y segundo, que rodean a la primera hendidura faríngea. Las estructuras cartilaginosas, óseas y musculares del oído derivan del mesénquima que rodea a esos epitelios iniciales.

■ OÍDO EXTERNO

La oreja o pabellón agricular es el componente externo del cido que recoge y amplifica el sonido.

La oreja o pabellón auricular es el apéndice ovalado que se proyecta desde la superficie lateral de la cabeza. Su forma característica está determinada por una estructura de sostén interna de cartílago elástico. La oreja está cubierta por una piel fina con folículos pilosos y glándulas sudoríparas y sebáceas. En los humanos, la oreja se considera una estructura cast vestigial, comparada con el desarrollo y la función que tiene en otros animales. Sin embargo, es un componente primordial para la localización y amplificación del sonido.

El conducto auditivo externo conduce el sonido bacia la membrana timpánica.

El conducto (meato) auditivo externo es un espacio tubular lleno de aire que sigue un trayecto con forma de "S" de unos 25 mm y termina en la membrana timpánica (timpano). La pared del conducto se continúa externamente con el pabellón auricular. El tercio externo del conducto tiene una pared cartilaginosa que se continúa

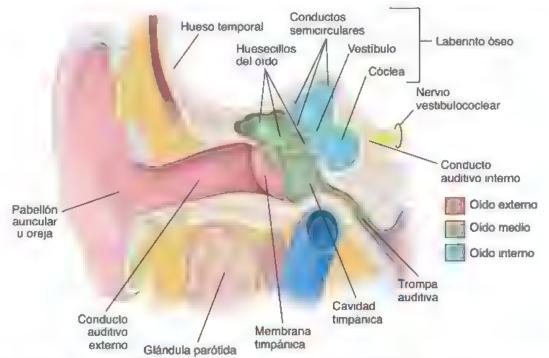


FIGURA 25-1. Divisiones del cido. Las tres divisiones del cido están representadas por diferentes colores, el cido externo (pabellón auricular y conducto auditivo externo rosado), el cido medio (cavidad timpánica, huesec llos del cido membrana timpánica y trompa auditiva, verde) y el cido interno con sus laberintos oseo (conductos semio roulares, vestibulo y cóclea, azul) y membranoso (no visible).

con el cartílago elástico de la oreja. Los dos tercios internos del conducto se encuentran dentro del hueso temporal. Ambas partes del conducto están revestidas por piel, que también se continúa con la de la oreja.

La piel de la porción lateral (externa) del conducto contiene folículos pilosos, glándulas sebáceas y glándulas coruminosas, sin embargo, carece de glándulas sudoríparas ecrinas. Las glándulas ceruminosas tubulares y enrolladas se parecen bastante a las glándulas apocrinas de la región axilar. Su secreción se mezcla con la de las glándulas sebáceas y con células descamadas con las que forma el cerumen o cerille del ordo. Como el conducto auditivo externo es la única bolsa ciega de la piel en todo el cuerpo, el cerumen proporciona el medio para evacuar la descamación de células del estrato córneo, lo cual evita su acumulación en el conducto. El cerumen lubrica la piel y recubre los pelos del conducto para impedir la entrada de partículas extrañas en el oido. También proporciona protección antimicrobiana contra bacterias, hongos e insectos. La acumulación excesiva de cerumen (tapón de cerumen) puede ocluir el conducto y causar hipoacusia de conduccion. La porción medial (interna) del conducto que se encuentra dentro del hueso temporal tiene una piel más fina con pocos pelos y glándulas.

■ OÍDO MEDIO

El oido medio es un espacio lleno de aire que contiene tres huesos pequeños: los huesecillos del oido.

El oido medio se encuentra en un espacio lleno de atre llamado cavidad timpánica dentro del hueso temporal (fig. 25-3). Contiene tres huesos pequeños (huesocillos del oido) que están conectados por medio de dos articulaciones móviles. El oído medio también contiene la trompa auditiva (de Eustaquio), que desemboca en la nasofaringe, además de músculos que fijan los huesecullos.

La cavidad timpánica tiene un piso, un techo y cuatro paredes (anterior, posterior, lateral y medial). La cavidad timpánica contiene un orificio para la trompa auditiva y su cara anterior es una capa ósea delgada que la separa de la arteria carótida interna. La pared postenor de la cavidad timpánica está formada por el hueso esponjoso de la apofisis (proceso) mastoides, que contiene el antro mastoideo y otros espactos aéreos más pequeños, llamados coidillas mastoideas neumáticas. El oído medio está delimitado lateralmente por la membrana timpánica, mientras que el límite medial está formado por la pared ósea del oído interno. El suelo y el techo de la cavidad timpánica están formados por una capa ósea delgada que los separa de la vena yugular interna y la fosa craneal media, respectivamente.

El oído medio es un transformador de energía mecánica. Su función principal es convertir las ondas sonoras (vibraciones del aíre), que llegan desde el conducto auditivo externo, en vibraciones mecánicas, que son transmitidas al oído interno. Dos orificios en la pared media del oído medio, la ventana oval (vestibular) y la ventana redonda (coclear), son componentes indispensables en este proceso de conversión.

La membrana timpánica separa el conducto auditivo externo y el oído medio.

La membrana timpánica, de aproximadamente 1 cm de diámetro, tiene la forma de un cono irregular cuyo vértice coincide con el ombligo, que corresponde al extremo del manubrio del marullo. En el extremo del conducto auditivo externo, el tímpano se encuentra inchinado hacia adelante y hacia abajo. Por ello, la orientación del tímpano se ha comparado con la posición de una antena satelital orientada para recibir las señales que vienen desde el suelo, delante del cuerpo y en el costado de la cabeza. En la exploración otoscópica

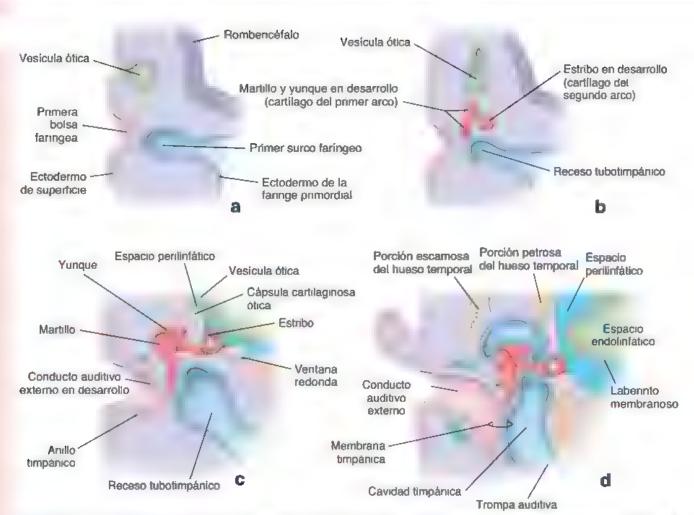


FIGURA 25-2. Diagrama del desarrollo embrionario del oído. a. En este diagrama se muestra la relación de la vesicula ótica denvada de ectodermo de superficie con el primer arco faringeo durante la cuarta semana de desarrollo embrionario. b. La vesicula ótica se adentra en el telido mesenquimatoso y se convierte en el laberinto membranoso. Observese el desarrollo del receso tubotimpàrico cubierto por el endodermo, que después se conviertrà en la cavidad del oido medio y la trompa auditiva. Además, la acumulación de mesénquima del primer y segundo arcos faringeos origina los huesecillos del oido e. En esta etapa evolutiva ulterior del desarrollo el primer surco faringeo crece hacia el receso tubot mpanico en desarrollo. Los huesecillos del oido se encuentran dentro de la cavidad timpànica. d. En esta etapa avanzada del desarrollo se observa como la membrana timpànica se forma a partir de las tres capas germinativas el ectodermo de superficie, el mesodermo y el endodermo. Observese que la pared de la vesicula ótica forma el laberinto membranoso.

de un oído normal, el tímpano tiene un color gris claro, es semitransparente y presenta una concavidad visible hacia el conducto auditivo externo. Debido a su concavidad, la luz del otoscopio se refleja en el tímpano como un cono de luz triangular (reflejo lumínico) que se irradia desde el ombligo hacia adelante y hacia abajo (fig. 25-4). El martillo es uno de los tres huesecillos que se encuentran en el oído medio y es el único que está fijado al tímpano (véase fig. 25-1).

La membrana timpantea forma el límire medial (interno) del conducto auditivo externo y la pared lateral (externa) del oído medio (fig. 25-5). De afuera hacia adentro, las tres capas de la membrana timpántea son las siguientes:

- Piel del conducto auditivo externo
- Centro de tejido conjuntivo con fibras de colágeno con disposición radial y circular
- Mucosa del oído medio

La parte inferior y más grande del tímpano (porción tensa o para tensa) está muy tensa y tiene un centro grueso con fibras de colágeno radiales y circulares, lo que le confiere a la membrana su

forma y su aspecto liso. La porción superior y más pequeña del tímpano, que se encuentra por encima de la apófisis lateral del martillo, es laxa (porción flécida o para fleccida) y no tiene una capa fibrosa media importante (véase fig. 25-4). Las ondas sonoras hacen vibrar la membrana timpánica y estas vibraciones se transmiten a través de la cadena de huesecillos que conectan el oido externo con el oido interno. La perforación de la membrana timpánica puede provocar alteraciones auditivas transitorias o permanentes.

Los huesecillos del pido conectan la membrana timpánica con la ventana oval.

Los tres huesecillos del oído (el martillo, el yunque y el estribo) forman una cadena que atraviesa la cavidad del oído medio y conecta la membrana timpánica con la ventana oval (fig. 25-6). Estos huesos funcionan como un sistema de palancas que aumenta la fuerza transmitida desde la membrana timpánica hacia el estribo al disminuir la proporción de sus amplitudes de oscilación. Los huesecillos contribuyen a convertir las ondas sonoras en vibraciones

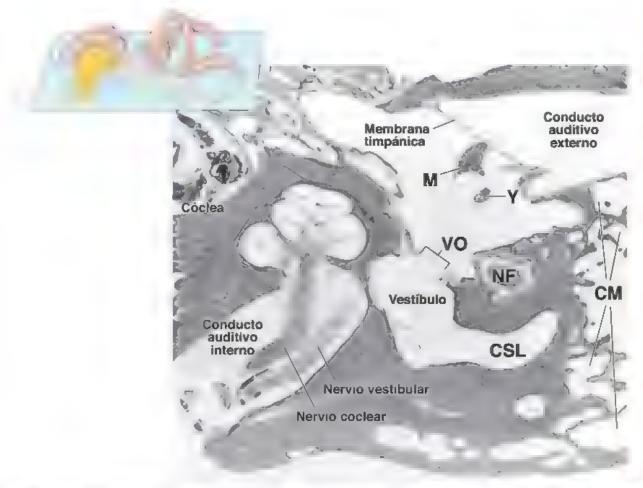


FIGURA 25-3. Corte horizontal a través de un hueso temporal humano. Aqui se muestran las relaciones entre las tres divisiones de oido dentro de la porción petrosa del hueso fempora. Observese el diagrama de orientación que muestra el plano de corte a traves del laberinto óseo. La membrana timpanica separa el conducto auditivo externo de la cavidad i mpánica. Dentro de la cavidad i mpánica se observan cortes del martillo (M) y el yunque (Y), La pared posterior de la cavidad timpanica se asocia con las de dillas mastoideas neumáticas (CM). La pared latera de la cavidad está formada principa mente por la membrana i mpanica. La abertura de lo do interno, lamada ventana oval (VO), se puede apreciar en la pared media de la cavidad (el estrito se ha retirado). Cerca de la ventana oval se puede ver el nervio facial (NF). Se observan la códea, el vestíbulo y una porción del conducto semicircular lateral (CSL) del laber nto óseo. También se dentifican los nervios cocleares y vestibulares, que son las divisiones de nervio cranea VIII dentro del conducto auditivo interno. El diagrama arriba y a la izquierda de la microfotografia muestra el piano de corte a través del laberinto óseo. 65×1.



FIGURA 25-4. Membrana timpánica en el examen otoscópico del oido externo. En el diagrama y la fotografia se muestra la membrana timpánica aquierda vista con el otoscopio en el examen de conducto audit vo externo. Las caracteristicas de la membrana timpánica incluyen el manubrio del martillo con su fuación visible a la porción tensa de la membrana el ombigo a la altura de extremo de manubrio y la apófisis lateral del martillo que sobresale. Por encima de la apófisis lateral del martillo que sobresale. Por encima de la apófisis lateral del martillo que sobresale. Por encima de la apófisis lateral del martillo que sobresale. Por encima de la apófisis lateral del martillo se encuentra una pequena porción fiscida de la membrana timpánica. (cortesía del Dr. Eric J. Moore)

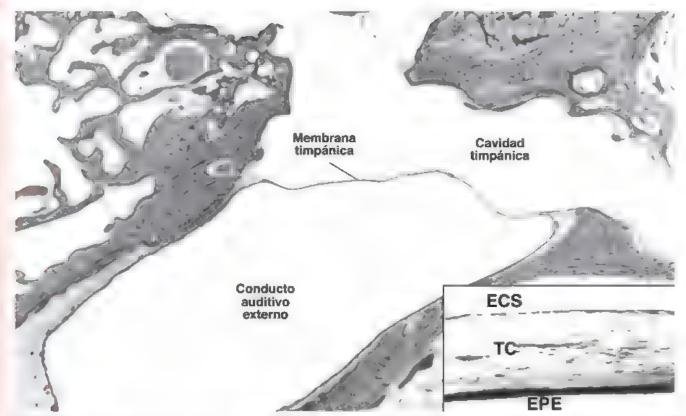


FIGURA 25-5. Corte transversal de una membrana timpánica humana. En esta microfotografia se muestran la membrana timpánica, el conducto auditivo externo y la cavidad timpánica 9 × Recuadro. Membrana timpánica vista con mayor aumento. El epitelio que cubre la superficie externa de la membrana es plano estratificado (EPE), mientras que el de la superficie interna es simple y está formado por células cubicas bajas (epitelio cubico simple. ECS). Entre ambas capas epiteliales hay una capa intermedia de tejido conjuntivo (TC). 190 ×

mecánicas (hidráulicas) en las cavidades tisulares llenas de líquido. Diversas articulaciones sinoviales móviles conectan los huesecillos, que reciben sus nombres según su forma aproximada:

- El martillo, que está fijo a la membrana timpánica y se articula con el yunque.
- El yunque, que es el más grande de los huesecullos y comunica el martillo con el estribo.
- El ostribo, cuya base encaja en la ventana oval y actúa como un pequeño pistón sobre el líquido coclear.

Las enfermedades que afectan el conducto auditivo externo, la membrana timpánica o los huesecillos son la causa de la hipoacusia de conducción (véanse cuadro 25-1, p. 988, y cuadro 25-2, p. 996).

Dos músculos se insertan en los huesecillos y afectan su movimiento.

El musculo tensor del timpano se encuentra en un conducto óseo encima de la trompa auditiva y su tendón se inserta en el martillo. La contracción de este músculo aumenta la tensión de la membrana timpánica. El músculo estapedio surge de una eminencia ósea en la pared posterior del oido medio; su tendón se inserta en el estribo. La contracción del músculo estapedio amortigua el movimiento del estribo a la altura de la ventana oval. El estapedio tiene apenas unos pocos milímetros de longitud y es el músculo esquelético más pequeño.

Los dos músculos del oído medio participan en un reflejo protector llamado reflejo de atenuación. La contracción de los músculos vuelve más rígida la cadena de huesecillos y así reduce

la transmisión de las vibraciones hacia el oído interno. Este reflejo protege el oído interno de los efectos perjudiciales de los sonidos demasiado fuertes.

Le trompa auditiva permite la comunicación del oido medio con la nasofaringe.

La trompa auditiva (de Eustaquio) es un conducto estrecho y apla nado de unos 3.5 cm de longitud. El epitelio que la cubre es cilíndrico seudoestratificado cultado con una quinta parte de células caliciformes. Permite la entrada de aire en el oído medio, igualando su presión con la presión atmosférica. Las paredes de la trompa auditiva en general están cerradas, pero se separan durante el bostezo y la deglución. Las infecciones se suelen extender desde la faringe hacia el oido medio a través de la trompa auditiva (lo que provoca una otitis media). A la altura del orificio faringeo de la trompa auditiva suele hallarse la amigdala tubarica, un pequeño cumulo de tejido linfático.

Las celdillas mastordeas neumáticas se extienden desde el oído medio hasta el hueso temporal.

Un sistema de cetalilas aéreas se proyecta dentro de la porción mastoidea del hueso remporal desde el oído medio. El revestimiento epitelial de estas celdillas es continuo con el de la cavidad timpánica y se encuentra apoyado sobre el periostio. Esta continuidad permite que las infecciones del oído medio se diseminen a través de las celdas aéreas mastoideas y causen mastoiditis. Antes del advenimiento de los antibioticos, los episodios reiterados de otitis media y mastoiditis solian conducir a la sordera



FIGURA 25-6. Fotografía de los tres huesecillos del oido humano articulados. Los tres huesecillos son el martillo, el yunque y el estribo 30×

■ OÍDO INTERNO

El oído interno está compuesto por dos compartimentos laberínticos, uno contenido dentro del otro.

El taberinto óseo es un sistema complejo de cavidades y conductos interconectados en la porción petrosa del hueso temporal. El taberinto membranoso se encuentra dentro del laberinto óseo y está compuesto por un sistema complejo de sacos y túbulos pequeños, que a su vez forman un espacio continuo limitado por una pared de epitelio y tejido conjuntivo.

En el oído interno se localizan tres espacios llenos de líquido:

- El espacio endolinfático, que está contenido dentro del laberrato membranoso. La endolinfa del laberrato membranoso tiene una composición semejante a la del liquido intracelular (con una concentración alta de K* y baja de Na*). La endolinfa se produce en la estría vascular, un área especializada del conducto coclear (véase p. 996). Esta drena a través del conducto endolinfático al saco endolinfático, que termina en el espacio epidural de la fosa craneal posterior.
- El espacio perilinfático, que se encuentra entre la pared del laberinto óseo y la pared del laberinto membranoso. La perilinfo es similar en composición al tíquido extracelular y el liquido cefalorraquideo (tiene una concentración baja de K* y alta de Na*). La perilinfa se produce como un ultrafiltrado en la microvasculatura perióstica dentro del laberinto óseo. Esta drena a través de un canal estrecho dentro del hueso temporal, denominado acueducto coclear, directamente en el líquido

- cefalorraquideo contenido dentro del espacio subaracnordeo de la cavidad craneal
- El espacio cortilinfatico, que se encuentra dentro de los túneles del órgano de Corti de la cóclea. Este es un espacio intercelular verdadero. Las células que rodean el espacio se asemejan a un epitelio absorbente. El espacio cortilinfático se llena con cortilinfa, que tiene una composición similar a la del líquido extracelular

Estructuras del laberinto óseo

El laberinto óseo está formado por tres espacios que se comunican dentro del hueso temporal.

Los tres espacios del laberinto óseo, como se ilustra en la figura 25-7, son los siguientes.

- Vestibulo
- Conductos semicirculares
- Corlea

El vestíbulo es el espacio central que contiene el utrículo y el sáculo del laberinto membranoso.

El vestíbulo es una pequeña cavidad ovalada ubicada en el centro del laberinto óseo. El utriculo y el sáculo del laberinto membranoso se encuentran en los recesos elíptico y esférico, respectivamente. Los canales o conductos semicirculares se extienden hacia atrás desde el vestíbulo, y la cóclea, hacia adelante. La ventana oval, en la que se inserta la base del estribo, se localiza en la pared lateral del vestíbulo

Los conductos semicirculares son espacios tubulares ubicados dentro del hueso temporal dispuestos de manera perpendicular uno con respecto at otro.

Tres conductos semicirculares, cada uno de los cuales forma alrededor de tres cuartas partes de la circunferencia, se extienden desde la pared del vestíbulo y regresan a él. Los conductos semicirculares se identifican como anterior, posterior y lateral, y se ubican dentro del hueso temporal de manera más o menos perpendicular uno con respecto al otro. Ocupan tres planos del espacio; sagital, frontal y horizontal. El extremo de cada conducto semicircular más cercano al vestíbulo se expande para formar la ampolla (figs. 25-8a y b). Los tres canales o conductos se abren en el vestíbulo a través de cinco orificios; los conductos semicirculares anterior y posterior se unen en un extremo para formar la rama ósea común (véase fig. 25-8a)



FIGURA 25-7. Fotografía de un modelo del laberinto óseo del oido Interno. La porción cociear del laberinto óseo aparece en azul verdoso, el vestibulo y los conductos semicirculares se ven rojo anaranjado (cortesia del Dr. Merle Lawrence,

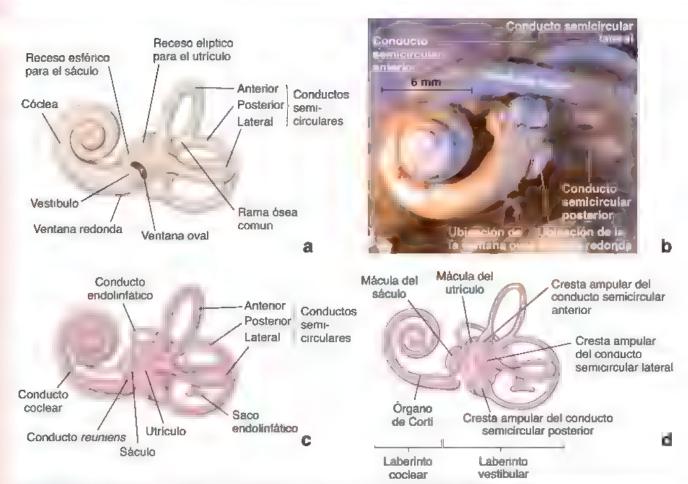


FIGURA 25-8. Diagramas y fotográfia del oido interno humano. a. En esta vista latera del laberinto óseo zquierdo se pueden ver sus divisiones el vestibulo la cóclea y los tres conductos semicirculares. Es posibie observar las aberturas conocidas como ventana oval y ventana redonda. b. En esta fotográfia de un modelo obtenido por inyección de resina de poliéster en un oido interno humano se muestra la forma autentica del laberinto óseo. Obsérvese que el materia inyectado sa el de a cóclea a través de las ventanas oval y redonda. Además en esta imagen se observa el moide de conducto facial que contiene el nervio facia. 5 y (cortesia de a Dra. Elsa Erixon). c. Diagrama de un laberinto membranoso del oido interno dentro del aberinto oseo. Se observa el conducto coclear con su trazado en espiral dentro de la cóclea osea. El saciolo y el utrículo se encuentran dentro del vestíbulo, y los tres conductos semicirculares dentro de sus conductos respectivos. Ésta vista del laberinto membranoso izquierdo permite observar el conducto endo infático y el saco. d. Esta vista del laberinto membranoso izquierdo permite observar el conducto endo infático y el saco. d. Esta vista del laberinto membranoso izquierdo permite observar el conducto endo infático y el saco. d. Esta vista del laberinto membranoso izquierdo permite observar el conducto endo infático y el saco. d. Esta vista del laberinto membranoso izquierdo permite observar el conducto endo infático y el saco. d. Esta vista del laberinto membranoso izquierdo permite observar el conducto endo infático y el saco. d. Esta vista del laberinto membranoso izquierdo permite observar el conducto endo infático y el saco. d. Esta vista del laberinto membranoso izquierdo permite observar el conducto endo infático y el saco. d. Esta vista del laberinto membranoso izquierdo permite observar el conducto endo infático y el saco. d. Esta vista del laberinto membranoso izquierdo permite observar el conducto endo infático y el saco.

CUADRO 25-1-

CORRELACIÓN CLÍNICA: OTOESCLEROSIS

La otoesclerosis es una de las causas más frecuentes de hipoacusia adquirida. Se ha informado que airededor del 13% de la población estadounidense padece otoesclerosis subclínica (otoesclerosis histológica), sin embargo, la incidencia de la enfermedad clínica oscila entre el 0.5 y 1%. Las personas con otoesclerosis presentari una hipoacusia progresiva. Los síntomas se evidencian entre los 20 y 45 años de edad. La otoescierosis es una enfermedad ósea metabólica que afecta unicamente al hueso temporal y los huesecillos del oído, y se caracteriza por un remodelado óseo anómalo Aún se desconoce cuál es el estímulo que inicia el remodelado óseo en la otoesclerosis, no obstante, algunos estudios recientes sugieren una asociación con la infección por el virus del sarampión. El hueso maduro de la región de la ventana. oval en la pared medial de la cavidad timpánica, que separa et eldo medio del oldo interno, es resorbido por los estecclastos y reemplazado por tejido óseo inmaduro mucho más grueso. Como la base del estribo en general encaja en la ventana oval y vibra libremente para permitir la transmisión del sonido hacia el oldo interno, el remodelado óseo en esta región provoca la fijación del estribo al hueso circundante. El estribo "congelado" no puede vibrar e impide que las ondas sonoras. lleguen al espacio dei líquido perilinfático del oído interno y causa una hipoacusia de conducción. El tratamiento de la otoesclerosis incluye varias opciones, tratamiento farmacológico con fluoruros y bisfosfonatos para inhibir el remodelado óseo, amplificación de los sonidos con audifonos y extirpación quirurgica del estribo (estapedectomía) con un implante postenor de una prótesis entre el yunque y la ventana oval. La cirugía suele ser el método más eficaz para controlar la otoesclerosis, más del 90% de los pacientes experimentan una remisión completa de la hippacusia de conducción

La cóclea es una hélice con forma cónica que se comunica con el vestibulo.

La luz espiral de la cóctea, llamada conducto coctear (como los conductos semicirculares), se continúa con la del vestíbulo. Se conecta con el vestíbulo a través de dos aberturas (la ventana redonda y la ventana oval), ambas ubicadas en el lado opuesto a las aberturas de los conductos semicirculares. Entre su base y el ápice, el conducto coclear da aproximadamente 2.75 vueltas alrededor de un núcleo central de hueso esponjoso llamado modiolo (lám. 108, p. 1004). Dentro del modiolo hay un ganglio sensonal, el ganglio espiral (de Corti) Una delgada membrana (la membrana timpánica secundaria) cubre la ventana redonda, mientras que la platina del estribo se encuentra dentro de la ventana oval. Estas dos aberturas se localizan en la base del conducto coclear.

Estructuras del laberinto membranoso

El laberinto membranoso contiene la endolinfa y se encuentra suspendido en el laberinto óseo.

El laberinto membranoso está formado por una serie de sacos y conductos comunicantes que contienen endolinfa. Está suspendido dentro del laberinto óseo (fig. 25-8c) y el espacio testante está lleno de penlinfa. El laberinto membranoso se compone de dos divisiones: el leberinto coclear y el leberinto vestibular (fig. 25-8d).

- El laberinto vestibular contiene las siguientes partes:
- Tres conductos semicirculares dentro de los conductos óseos, continuos con los utrículos.
- El utriculo y el sáculo, contenidos en los recesos del vestibulo y conectados por el conducto utriculosocular membranoso.

El laberinto coclear contiene el conducto coclear, que está contenido dentro de la cóclea y se continúa con el sáculo (*véanse* figs. 25-8c y 25-8d).

Células sensoriales del laberinto membranoso

El laberinto membranoso tiene células sensoriales especializadas en seis regiones.

Las seis regiones sensoriales del laberinto membranoso están compuestas por célules ciliadas sensoriales y células de sostén accesorias. Estas regiones se proyectan desde la pared del laberinto membranoso hacia el espacio endolinfático en cada ofdo interno (véase fig. 25-8d)

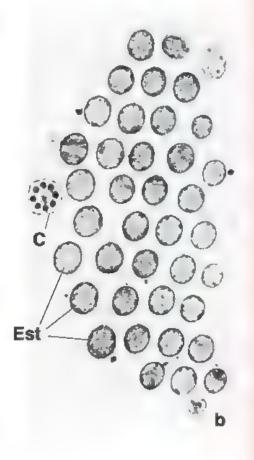
- Tres crestas ampulares, que se localizan en las ampollas membranosas de los conductos semicirculares, son sensibles a la aceleración angular de la cabeza (cuando se gira la cabeza).
- Dos máculas, una en el utrículo (mácula del utriculo) y otra en el sáculo (mácula del sáculo), perciben la posición de la cabeza y su movimiento lineal.
- El órgano espiral de Corti, que se proyecta dentro de la endolinfa del conducto coclear, sirve como receptor del sonido.

Las células citiadas son los mecanorreceptores epiteliales de los laberintos vestibulares y cocleares.

Las células citadas de los laberintos vestibular y coclear funcionan como transductores mecanoeléctricos; convierten la energía mecánica en energía eléctrica, que después se transmite al encéfalo a través del nervio vestibulococlear. El nombre de las células ciliadas proviene del haz organizado de prolongaciones rígidas y agrupadas sobre su superficie apical (fig. 25-9). Esta superficie contiene

FIGURA 25-9. Microfotografías electrónicas del cinocilio y los estereocilios de una célula sensorial ciliada vestibular, a. Microfotografía electrónica de bamdo de una célula sensonal ciliada de la superficie apical de la màcula del utrículo Obsérvese la relación del cinocilio (C) con los estereocitos (Est) 47500× Microfotografía electrónica de transmisión del cinocilio (C) y los estereocilios (Est) de una célula ciliada vestibular en corte transversal. El cinocilio tiene un d'ámetro mayor que el de los estereocilios 47500× (a. Reimpreso con autorización de Rzadzińska AK, Schneider ME, Davies C, et al. An actin molecular treadmill and myosins maintain stereocilia functional architecture and self-renewal. J Cell Biol 2004,164 887-897 b. Reimpreso con autorización de Hunter-Duvar IM, Hinojosa R. Vestibule: sensory epithelia En Friedmann I, Ballantyne J, eds Ultrastructural Atlas of the Inner Ear Londres Butterworth, 1984)





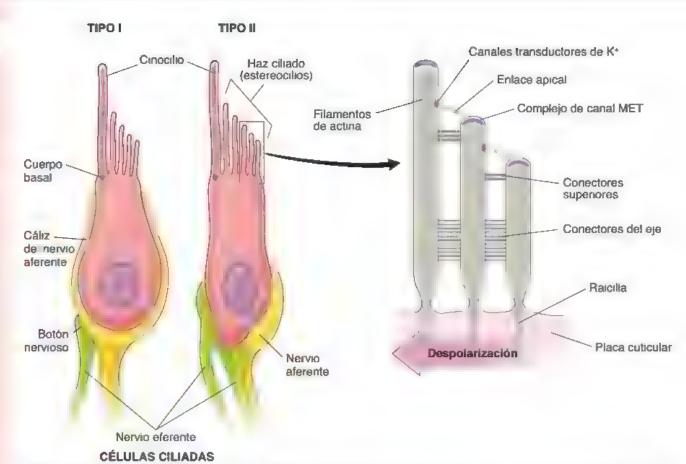


FIGURA 25-10. Diagrama de dos tipos de células ciliadas en las regiones sensoriales del laberinto membranoso. La celula ciliada tipo littene forma de matraz y una base redonda. La base está encerrada dentro de una expansión con forma de cáliz de una terminación nerviosa aferente que tiene varios sitios de sinapsis en cinta además de varios botones sinápticos para las terminaciones nerviosas eferentes. Obsérvense las especializaciones de la superficie apica de estas células, que incluyen un cinocilio y estereocilios. El citop asma apica de las celulas ciliadas presenta cuerpos basales para la fijación del cinocilio y una rediterminal para la fijación de los estereocilios. La célula di ada tipo il es cilindica y en subase presenta varias terminaries para fibras nerviosas tanto aferentes como eferentes. Las especializaciones de la superficie apical son identicas a las de la célula tipo. La organización moiecular de los estereocilios se puede ver en el detalle a la derecha. El enface apical conecta la membrana plasmática lateral del eje del estereocilio donde se encuentran los cana es transductores de K⁺) con el extremo del estereocilio mas corto idonde está el complejo de canal transductor electromecan co [MET, mechanoelectrical transduction]. El desplazamiento de los estereocilios nobes de cinocilio cativa el complejo de canal MET que despolarizan la célula ciliada mientras que el movimiento en la dirección opuesta la ejandose de cinocilio causa una hiperpolarización. Obsérvese que el extremo proximal de cada estereocilio está adelgazado y que sus raicilias estrechas se anclan en el velo termina. Ipiaca cuticular) de la célula ciliada También se ven otros conectores fibriares entre los estereocilios contiguos.

haces de citios formados por hileras de estereocilios llamados cilios sensonales. Las hileras aumentan su altura en una dirección particular a través del haz. En el sistema vestibular, cada célula ciliada tiene un solo cilio verdadero llamado cinocilio, el cual está ubicado detrás de la hilera de estereocilios más largos (fig. 25-10). En el aparato auditivo, las células ciliadas pierden su cilio durante el desarrollo, pero conservan el cuerpo basal. La posición del cinocilio (o del cuerpo basal) detrás de la hilera de estereocilios más largos define la polaridad de este haz ciliar asimétrico. En consecuencia, el movimiento de los estereocilios hacia el cinocilio se percibe de manera diferente al movimiento en la dirección opuesta (véase más adelante)

Los estereocilios de las células ciliadas son estructuras rígidas que contienen proteínas de canal transductoras mecanoeléctricas en sus extremos distales.

Los estereocitos de las células ciliadas tienen una estructura molecular similar a la descrita en la página 121. Los filamentos empaquetados de actina entrelazados con fimbrina y espina (proteínas que unen la actina) forman el núcleo interno de la estructura. Las espinas proporcionan el entrecruzamiento más rigido para los estereocilios; las mutaciones que alteran su estructura causan disfunción coclear y vestibular. La alta densidad de filamentos de actina y el extenso patrón de entrecruzamiento confieren rigidez al

cuerpo del estereocilio. El cuerpo se estrecha en su extremo proximal cerca de la superficie apical de la célula, donde los filamentos centrales de cada estereocilio están anciados dentro de la red terminal (placa cuticular). Cuando los estereocilios se doblan, pivotan en sus extremos proximales como barras rígidas (véase fig. 25-10).

El examen con microscopio electrónico de transmisión del extremo libre distal del estereoculio revela una placa electrodensa en el sitio citoplasmático de la membrana plasmática. Esta placa representa el complejo de canal transductor electromecánico (MET, mechanoelectrical transduction). Un enlace cruzado fibrilar llamado entace apical conecta la punta del estereocilio con el cuerpo de un estereocilio adyacente más largo (vésse fig. 25-10). El enlace apical está anclado a canales iónicos con compuerta mecánica a ambos lados. La inserción superior del enlace apical al cuerpo del estereocilio vecino contiene un grupo de proteínas motoras (miosina VIIa no convencional) que mantienen una tensión de reposo en el enlace apical. La inserción inferior al extremo libre distal del estereocilio está conectada con el complejo de canal MET. El enlace apical está compuesto por tadherina 23 (CDH23) y protocadherina 15 (PCDH15); sin embargo, la composición molecular del complejo de canal MET sigue siendo desconocida. Recientemente, se han identificado dos proteinas similares a los canales transmembrana (TMC, transmembrane channel-like), TMC1 y TMC2, en los canales MET que se expresan en las cétulas citradas en desarrollo. Las mutaciones en los genes que codificanTMC1 causan sordera en los humanos.

El enlace apical desempeña un papel importante en la activación del complejo del canal MET en la punta del estereocilio y la abertura de canales adicionales transductores de K⁺ en el sitio de su umón al cuerpo del estereocilio vecino (véase fig. 25-10). La estructura molecular de los canales transductores de K⁺ se desconoce.

Una mutación que altera el gen que codifica la proteina de unión de actina, la espina, causa sintomas cocleares y vestibulares en experimentos con ratones. Estos animales pierden su audición temprano en la vida, también pasan la mayor parte de su tiempo caminando o dando vueltas en circulos. Los estereccilios de estos animales no mantienen la rigidez necesaria para el funcionamiento adecuado de los canales MET. En los humanos, las mutaciones en un gen ubicado en el cromosoma 1, que codifica la espina, se asocian con sordera sin compromiso vestibular.

Todas las cálulas ciliadas usan canales iónicos activados mecánicamente para generar potenciales de acción.

Todas las células ciliadas del oído interno parecen funcionar moviendo (pivotando) sus estereocilios rígidos. La transducción electromecánica ocurre en los estereocilios, que se desvían hacia sus bordes más altos (hacia el cinocilio si está presente). Este movimiento ejerce tensión en los enlaces apicales, y la fuerza generada se usa para abrir los canales iónicos activados mecanicamente cerca de la punta

del estereocilio. Esto permite el ingreso de K⁺ que provoca la despolarización de la célula receptora. Esta despolarización da como resultado la apertura de canales de Ca²⁺ activados por voltaje en la superficie basolateral de las células ciliadas y la secreción de un neurotransmisor que genera un potencial de acción en las terminaciones nerviosas aferentes. El movimiento en la dirección opuesta (que se aleja del cinocilio) cierra los canales MET, lo que causa la hiperpolarización de la célula receptora. Los medios por los cuales los estereocilios se desvían varían de receptor a receptor; estos se analizan en las secciones que describen cada área del receptor.

Las células ciliadas se comunican con las fibras nerviosas aferentes a través de las sinapsis "en cinta", un tipo especializado de sinapsis química.

La desviación de los estereocilios en las células ciliadas genera una alta tasa de impulsos prolongados que son transmitidos rápidamente a las fibras nerviosas aferentes. Para garantizar la liberación rápida del neurotransmisor glutamato de las vesículas sinápticas, las células ciliadas tienen sinapsis en cinta especializadas que contienen orgánulos únicos llamados cintas. En la microscopía electrónica, las cintas aparecen como placas ovoides de 30 nm de espesor electrodensas ancladas a la membrana presináptica a través de estructuras electrodensas (fig. 25-11). Esta disposición permite que las cintas floten justo por encima de la placa presináptica como globos con una cuerda corta. Las cintas fijan una gran cantidad de vesículas sinápticas en su superficie

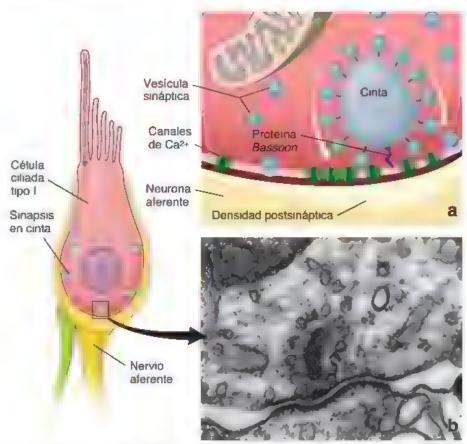


FIGURA 25-11. Diagrams y microfotografia electrónica de una sinapsis en cinta en la célula ciliada. En el diagrama de la *izquierda* se muestra una celula ciliada tipo i con varias sinapsis en cinta especia zadas en transmitir impuisos de larga duración y alto volumen a los extremos de las terminaciones nerviosas alerentes (*amanllo*). **a.** En este esquema de una sinapsis en cinta se muestra el complejo protein de en cinta que contiene diversas proteinas de matriz presinápticas (RIM, RIBE YE, y Piccolo) y que esta adherido a la piaca presinaptica por medio de otra proteina liamada *Bassoon* (por su parecido a un fagot). La superficie de la cinta sirve como situo de adhesión para multi pies vesiculas sinapticas. Observese la presencia de canales de Ca²⁺ activados por voltaje en la membrana presináptica unto a la facción de la cinta. Al ingresar el Ca²⁺ la cinta acelera el movimiento de las vesiculas hacia la membrana presináptica para ograr la fusión (de manera similar a una cinta transportadora que se mueve a alta velocidad). **b.** En esta microfotografía electrónica de la sinapsis en cinta de una célula o cliada cociera de ratón se muestra el complejo proteinico en cinta con sus células sinapticas 27,400× tre impreso con autorización de Neef A. Khimich D. Pinh P et al. Probing the mechanism of exocytosis at the hair cell ribbon synapse. J. Neurosci 2007;27,12933–12944)

que están preparadas para la fusión con la membrana presináptica, la cual contiene una gran densidad de canales de Ca²⁺ activados por voltaje (véase fig. 25-11). Después de la activación de los canales de Ca²⁺, la cinta sirve como una transportadora de rápido movimiento que lleva las vesículas a la membrana presináptica para su fusión. El grupo de vesículas sinápticas fijadas es alrededor de cinco veces más grande que el grupo de las vesículas remanentes. Las cintas contienen diversas proteínas, entre ellas la proteína RIM de zona activa que interactúa con la rab3, una enzima GTPasa que se expresa en la superficie de las vesículas sinápticas. Otras proteínas del complejo de cintas incluyen las proteínas presinápticas de la matriz, como RIBEYE, Bassoon y Piccolo. Una célula cihada por lo general contiene entre 10 y 20 cintas. Estas sinapsis "en cinta" también se encuentran en los fotorreceptores y las células bipolares de la retina.

Hay dos tipos de células en el laberinto vestibular.

Ambos tipos de células ciliadas se asocian con terminaciones nerviosas aferentes y aferentes (véase fig. 25-10). Las células ciliadas tipo I tienen forma de matraz, con una base redondeada y un cuello delgado, y están rodeadas por un cáliz nervioso aferente y unas pocas fibras nerviosas eferentes. Las células ciliadas tipo II son cilíndricas y tienen terminaciones nerviosas aferentes y eferentes en la base de la célula (véase fig. 25-10)

Receptores sensoriales del laberinto membranoso

Las crestas ampulares son sensores de los movimientos angulares de la cabeza.

Cada ampolla del conducto semicircular contiene una crosta ampular, que es un receptor sensorial para los movimientos angulares de la cabeza (figs. 25-12 y 25-13). La cresta ampular es un reborde epitelial transversal grueso orientado perpendicularmente respecto al eje largo del conducto semicircular y está formado por células ciliadas epiteliales y células de soporte (lám. 108, p. 1004).

Una masa gelatinosa de proteínas y polisacáridos, conocida como cúpula, está unida a las células ciliadas de cada cresta (véase fig. 25-12). La cúpula se proyecta hacia la luz y está rodeada por endolinfa. Durante el movimiento de rotación de la cabeza, las paredes de los conductos semicirculares óseos y membranosos se mueven, pero la endolinfa contenida en su interior tiene la tendencia a retrasarse debido a la inercia. La cúpula, que se proyecta hacia la endolinfa, oscila por el movimiento diferencial entre la cresta fijada a la pared del conducto y la endolinfa. La desviación de los estereocilios en el espacio estrecho que hay entre las células ciliadas y la cúpula genera impulsos nerviosos en las terminaciones nerviosas asociadas.

Las máculas del sáculo y el utrículo son sensores de la gravedad y la aceleración lineal.

Las máculas del sáculo y el utrículo son engrosamientos sensitivos mervados del epitelio que están en contacto con la endoluría de estas estructuras vestibulares (fig. 25-14; véase también fig. 25-13). Al igual que en las crestas, cada mácula consiste en células ciliadas de tipo I y N, células de sostén y terminaciones nerviosas asociadas con las células ciliadas. Las máculas del utrículo y el sáculo están orientadas en ángulos rectos una con respecto a la otra. Cuando una persona se encuentra de pie, la mácula del utrículo está en un plano horizontal, mientras que la mácula del sáculo está en un plano vertical.

Las células caliadas están polarizadas con respecto a la estriola, que es un plano imaginario que describe una curva a través del centro de cada mácula (véase fig. 25-14). A cada lado de la estriola, los

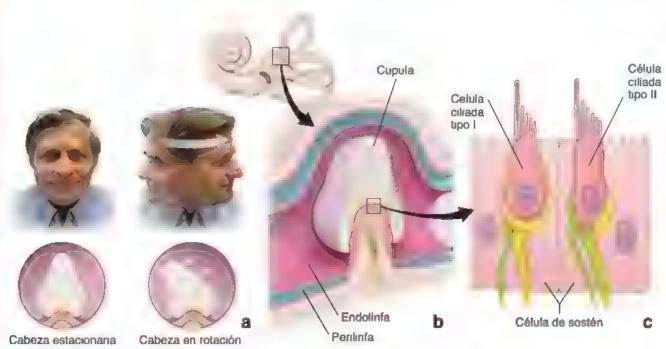


FIGURA 25-12. Diagrama de la función y estructura de la cresta ampular de un conducto semicircular. a. Como se observa en este diagrama, la cresta ampular funcion y estructura de la cresta ampular de un conducto semicircular. a. Como se observa en este diagrama, la cresta ampular funcion a como un sensor del movimiento angular de la cabeza. Por ejemplo i cuando la cabeza de la persona de la imagen rota hacia la izquierda, el laberinto óseo también rota a la misma velocidad junto con la cabeza. Sin embargo, la endo infa se retrasa debido a su propia nercia figurda. Dado que la cresta ampular está figa a la pared de laberinto oseo oscilará a causa del retraso de la endolinfa en la dirección opuesta a movimiento de la cabeza. b. La estructura de la cresta ampular incluye el epite o sensorial y una gran cupula formada por una masa gelatinosa de proteinas y polisacár dos que se proyecta hacia la pared no sensorial de la ampo a. Obsérvese que la ampo a membranosa esta llena de endolinfa y rodeada de penínfa. c. El epiteio sensorial de la cresta ampular está compuesto por células tiliadas tipo. Il y por células de sostén. Los estereocilos y el cinocilo de cada célula ciliada se encuentran incluidos en la ampolla. La defiexión mecánica activa los conductos de K*, to cual provoca la despolarización de la célula.

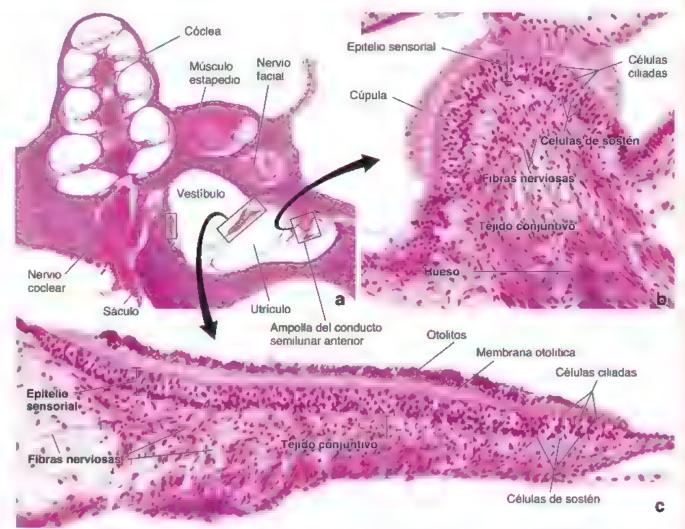


FIGURA 25-13. Microfotografía de la cresta ampular y la mácula del utrículo del oido interno. a En esta vista con poco aumento de un corte horizontal del hueso temporal se muestran diversas regiones de lo do interno. La coclea prominente contiene un conducto cociear bien conservado con un nervio coclear que surge de la base del modicio. Obsérvese e corte transversal de musculo estapedio y el nervio facial La cavidad central del corte representa e vestíbulo, que contiene tres partes del laberinto membranoso el utrículo el sáculo y la ampolla del conducto semicircular anterior. Los sitios de los receptores sensoriales (mácula de utriculo mácula del sáculo y cresta ampular) se encuentran dentro de los rectángulos. 20 × b. En esta vista con mayor aumento de la cresta ampular desde e conducto semicircular anterior se muestra un epitello sensorial grueso que contiene dos tipos de células las células citiadas de la capa superior y las células de sostén de la capa basa. Observese que las evaginaciones cuadas sensoriales de las células son muy dificiles de distinguir y estan cubiertas por la cupula. El tejido conjuntivo laxo subyacente se extrende hasta la pared de laberinto óseo y contiene fibras nerviosas con celulas de Schwann fibroblastos caplares y otras células de tejido conjuntivo laxo subvacente se extrende hasta la pared de laberinto óseo y contiene fibras nerviosas con celulas del utrículo se muestra un epitelio sensorial sin air al de la cresta ampular. El epitelio sensorial se encuentra cubierto por la membrana otoritica que contiene una capa teñida más oscura de otoritos (otoconios) en su superficie. 380 × (copyright © 2010 Regents of the University of Michigan. Reimpreso con autorización)

cinocilios de las células ciliadas se orientan en direcciones opuestas, mirando hacia la estriola en el utrículo y alejándose de ella en el sáculo. Debido a la polarización de las células ciliadas, las máculas del sáculo y el utrículo son sensibles a las múltiples direcciones de aceleración lineal.

El material polisacárido gelatinoso que recubie las máculas se llama membrana otolítica (véase fig. 25-14). Su superficie externa contiene cuerpos cristalinos de 3-5 µm de carbonato de calcio y una proteína (fig. 25-15). Los otolítos (u otoconios) son más pesados que la endolínfa. La superficie externa de la membrana otolítica se halla opuesta a la superficie donde se insertan los estereocihos de las células ciliadas. La membrana otolítica se mueve sobre la mácula de una manera análoga al movimiento de la cúpula sobre la cresta. Los estereocilios de las células ciliadas se doblan a causa de la gravedad cuando el individuo está quieto y la membrana otolítica y sus otolitos tiran de ellos. También se desvían o se inclinan durante el

movimiento lineal cuando la persona se mueve en línea recta y la membrana otolítica arrastra los estereocilios debido a la inercia. En ambos casos, el movimiento de la membrana otolítica hace que los estereocilios se muevan hacia el cinocilio, de manera que se activan los canales MET. Esto despolariza las células ciliadas y genera un potencial de acción. El desplazamiento de los estereocilios en dirección opuesta al cinocilio provoca la hiperpolarización de las células ciliadas e inhibe la generación del potencial de acción.

El órgano espiral de Cortí es el sensor de las vibraciones sonoras.

El conducto occiene divide el conducto coclear en tres compartimentos paralelos o rampas:

- Rampa intermedia (compartimento intermedio del conducto coclear)
- Rampa vestibular
- Rampa timpanica

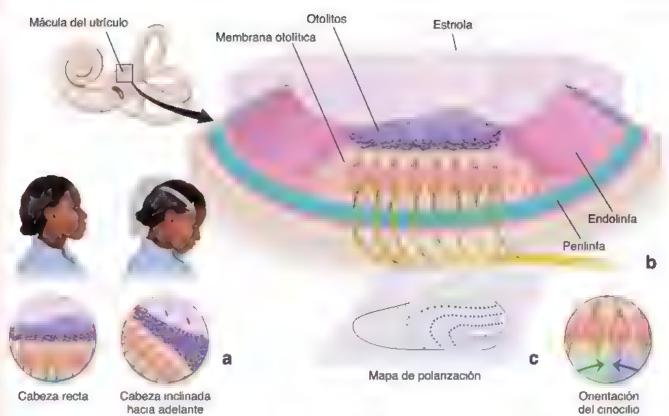


FIGURA 25-14. Diagrama de la función y estructura de la mácula dentro del utrículo. a Como se observa en este diagrama, la mácula del utrículo la igua que la mácula de sáculo) funciona como un sensor de gravedad y aceleración inea. Por ejemplo, cuando la cabeza de la persona de la imagen se inclina hacia adelante pequeños crista es de carbonato de calcio illamados otolitos, se despiazan en la superficie de la membrana otolitica. Este movimiento es detectado por las celulas ciliadas subyacentes. b. La macula está compuesta por el epite lo sensorial que contiene celulas ciliadas tipo y II. Las prolongaciones de la celula ciliadas subyacentes b. La macula está compuesta por el epite lo sensorial que contiene celulas ciliadas tipo. y II. Las prolongaciones de la celula ciliada están incluidas en la membrana otolitica polisacárida gelatinosa. La superficie luminal de la membrana está cubierta por otolitos más pesados que la endolinfa c. Como se ve en el mapa debajo de la mácula. Deservese que a cada lado de la estinola los cinocilios de las celulas ciliadas se orientan en direcciones opuestas y miran hacia la estriola tinótese la dirección de las fiechas azutes y verdes en el mapa de polarización del utrículo). Esta disposición solo se observa en el utrículo ya que en la mácula del sáculo los cinocilios de las células ciliadas se alejan de la estriola.

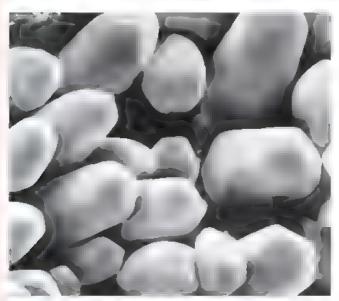


FIGURA 25-15. Microfotografía electrónica de barrido de otolitos humanos. Cada otolito tiene un cuerpo crindrico alargado con facetas de tres cabezas en cada extremo. 5000×

El conducto coclear es, en realidad, la rampa intermedia (fig. 25-16) La rampa vestibular y la timpánica son los espacios por encima y por debajo, respectivamente, de la rampa intermedia. La rampa intermedia es un espacio que contiene endolinfa, que se continúa con la luz del sáculo y contiene, a su vez, el órgano espiral de Corti, el cual está apoyado sobre su pared inferior (véase fig. 25-16).

La rampa vestibular y la rampa timpánica son espacios que contienen perilinfa, que se comunican entre sí en el vértice de la cóclea a través de un pequeño canal llamado helicotreme (véase fig. 25-16b). La rampa vestibular comienza en la ventana oval y la rampa timpánica termina en la ventana redonda.

La rampa intermedia es un espacio triangular con su ángulo agudo unido al mediolo.

En la sección transversal, la rempa intermedia aparece como un espacio triangular con su ángulo más agudo unido a una extensión ósea del modiolo, la lámina espiral ósea (véase fig. 25-16). La pared superior de la rampa intermedia, que la separa de la rampa vestibular, es la membrana vestibular (de Reissner; fig. 25-17). La pared lateral o externa de la rampa intermedia está delimitada por un epitelio característico: la estría vascular. Su función es producir y mantener la endolinfa. La estría vascular encierra una compleja red

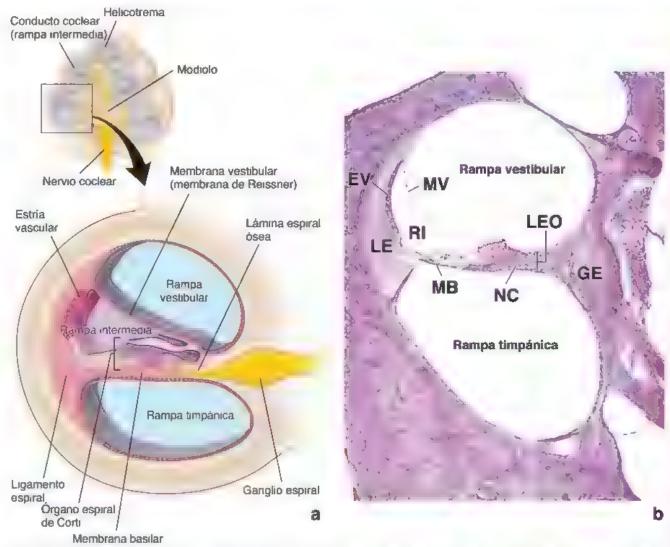


FIGURA 25-16. Diagrama y microfotografía del conducto coclear a. Vista de un corte transversal de la espira basal del conducto coclear en el diagrama de orientación más reducido. En esta vista de un corte mediomodiolar de la cóclea se illustra, a posición del conducto coclear dentro de las dos vueltas y tres cuartos (2.75) de caracol oseo. Obsérvese que en la parte superior de la cóclea las rampas vestibular y timpanica se comunican entre si en la hericotrema. La rampa intermedia y a lamina espiral ósea dividen la cóclea en una rampa vestibular y una rampa timpànica que contienen perillinta. La rampa intermedia (el espacio que hay dentro de conducto coclear) está llena de endolinta y contiene el órgano de Corti. **b.** En esta microfotografía se muestra un corte de la espira basal del conducto coclear. Son visibles la iám na espiral ósea (*LEO*) y su continuación membranosa, la membrana basilar (*MB*), así como la membrana vestibular (*MV*). Notese la ubicación de la *rampa vestibular* la rampa intermedia (*RI*) o conducto coclear y la rampa timpanica. Las tres paredes de la rampa intermedia están formadas en su pared inferior por la membrana basilar, en su pared lateral por la estria vascular (*EV*) y el ligamento espiral (*LE*) subyacente y en su pared superior por la membrana vestibular. El órgano espira de Corti esta en la pared inferior del conducto coclear. Las dendritas del nervio coclear (*NC*), que se originan en el ganglio espiral (*GE*), ingresan en el órgano espira, de Corti. Los axones de las celulas del gangli o espira, forman la porción coclear de inervio vestibulococlear 65 ×



FIGURA 25-17. Microfotografía electrónica de transmisión de la membrana vestibular (membrana de Reissner). Aqui se observan dos tipos de células una célula mesotelia, que mira hacia la rampa vestibular y está bañada por la perilinfa, y una célula epitelia, que mira hacia la rampa intermedia y está bañada por la endolínfa, 8400×

capilar y contiene tres tipos de células (fig. 25-18). Las células marginales, implicadas principalmente en el transporte de K⁺, recubren el espacio endolinfático de la rampa intermedia. Las células intermedias que contienen pigmento se encuentran diseminadas entre los capilares. Las células basales separan la estría vascular del ligamento espiral subyacente. La pared inferior o suelo de la rampa intermedia está formada por la membrana basilar, que es relativamente flácida y aumenta su espesor y disminuye su rigidez a medida que describe una espiral desde la base hasta el vértice de la cóclea. El órgano espiral de Corti descansa sobre la membrana basilar y está cubierto por la membrana tectoria

El órgano espiral de Corti está compuesto por células ciliadas, células falangicas y células de los gilares.

El órgano espiral de Cortí es una capa epitelial compleja ubicada en el suelo de la rampa intermedia (fig. 25-19 y lám. 109, p. 1006). Está formado por los siguientes tipos de células:

- Células citladas internas (cercanas a la lámina espiral) y células ciliadas externas (más alejadas de la lámina espiral)
- Células falangicas internas (de sostén) y células falangicas ex-
- Célules de los pilares

En el órgano de Corti también se encuentran otros tipos de células cuya función se desconoce.

Las células ciliadas se organizan en hileras celulares internas y externas.

Las células ciliadas internas forman una sola hilera a lo largo de las 2.75 vueltas del conducto coclear. La cantidad de células que forman el ancho de la hilera continua de células ciliadas externas es variable. En la parte basal de la espiral se pueden encontrar tres hileras de células ciliadas (fig. 25-20). El ancho de la hilera aumenta de

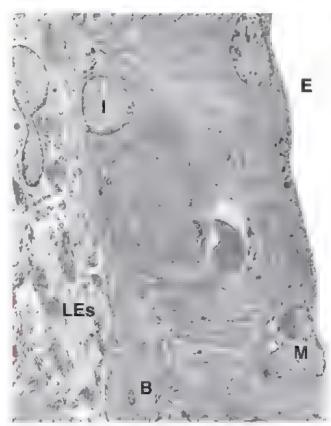


FIGURA 25-18. Microfotografía electrónica de transmisión de la estria vascular. Las superficies apicales de las células marginales (M) de la estría están bañadas por la endolinfa (E) de la rampa intermedia. Las células intermed as (I) se encuentran entre las células marginales y las basales (B). Las células basales separan al resto de las células de la estría vascular del ligamento espiral (LEs). 4700×

CUADRO 25-2

CORRELACIÓN CLÍNICA: HIPOACUSIA (DISFUNCIÓN VESTIBULAR)

Varios tipos de alteraciones pueden afectar el sistema auditivo y vestibular y provocar hipoacusia o mareos (vértigo). Las a teraciones aud tivas se clasifican en neurosensoriales o de conducción. La hipoacusia de conducción se produce cuando las ondas sonoras experimentari un bloqueo mecánico que les impide llegar a los receptores sensoriales auditivos dei oldo interno. En este tipo de hipoacusia estári comprometidos principalmente el oldo externo o las estructuras del oldo medio. La hipoacusia de conducción es el segundo tipo más frecuente de pérdida después de la hipoacusia neurosensonal, y suele implicar una reducción del nivel del sonido percibido o una incapacidad para ofrisonidos de poca intensidad. La hipoacusia de conducción puede ser causada por una otitis media (infección del oido medio), de hecho, esta es la causa más habitual de hipoacusia temporal en los niños. El líquido que se acumula en la cavidad timpánica también puede provocar alteraciones. auditivas importantes en los niños. Otras causas frecuentes de hiposcusia de conducción incluyen la acumulación de cerumen, la presencia de cuerpos extraños en el conducto auditivo. externo o enfermedades que afectan los huesecillos del oído medio (otoesclerosis; véase también cuadro 25-1). En muchos casos, la hipoacusia de conducción se puede tratar de forma médica o quirurgica y la afección puede no ser permanente

La hipoacusia neurosensorial puede deberse a lesiones de las células sensoriales ciliadas en el oido interno, la división cociear del NC VII, las vías nerviosas del SNC o la corteza auditiva Alrededor del 90% de las hipoacusias son neurosensoriales Pueden ser congénitas o adquiridas. Entre las causas de hipoacusia neurosensorial adquirida se encuentran las infecciones del laberinto membranoso (p. ej., meningitis, otitis media crónica), las fracturas del hueso temporal, el traumatismo acustico (exposición prolongada a un ruido excesivo) y la administración de ciertas clases de antibióticos y diuréticos.

Otra variedad de hipoacusia neurosensorial se debe al envejecimiento. La hipoacusia neurosensorial no solo incluye una reducción en el nivel de sonido, sino que también afecta la capacidad para ofricon claridad o distinguir el lenguaje. La pérdida de las células ciliadas sensoriales o las fibras nerviosas asociadas comienza en la espira basal de la cóclea y avanza hacia el vértice conforme pasa el tiempo. La afección característica es la hipoacusia para los sonidos de frecuencia alta, que recibe el nombre de **presbiacusia** (véase presbicia, p. 970)

En algunos pacientes, el uso de un **implante coclear** puede restablecer parcialmente la función auditiva. El implante coclear es un dispositivo electrónico que consiste en un micrófono externo, un amplificador y un procesador del habla conectados a un receptor implantado bajo la piel de la región mastoidea. El receptor está conectado a un implante intracoclear multielectrodo insertado sobre la pared del conducto coclear. Después de un entrenamiento considerable y de la sintonización adecuada del procesador del habla, se puede restablecer parcialmente la capacidad auditiva del paciente en diversos grados, que van desde el reconocimiento de sonidos fundamentales hasta mantener una conversación.

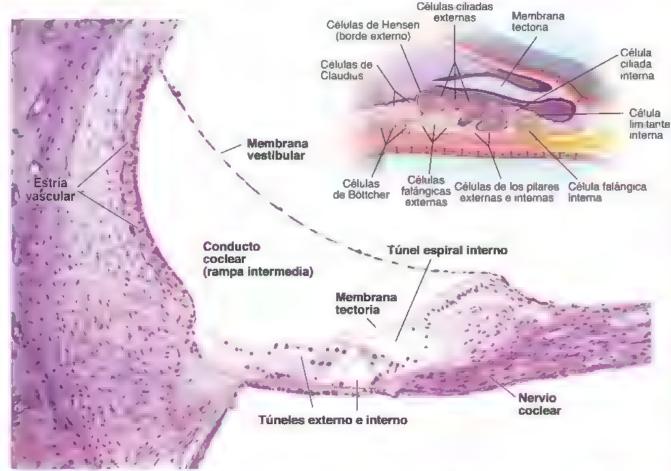


FIGURA 25-19. Microfotografia del conducto vestibular y el órgano espiral de Corti. En esta microfotografia del conducto coclear con un aumento mediano se muestra la estructura del órgano espiral de Corti. Se debe relacionar con el detalle en el cual están senaiadas las características estructurales del órgano espiral 180×. Detalle. Diagrama de las células sensoriales y de sostén del órgano espiral de Corti. Las células sensoriales se dividen en una hilera interna y tres externas de células ciliadas. Las células de sostén son las de los plares interno y externo las falángicas (células de Deiters) internas y externas, las limitantes externas (células de Hensen), las limitantes internas, las de Claudius y las de Böttcher.

forma gradual hasta ocupar cinco hileras de células en el vértice de la cóckea.

Las células falángicas y las células de los pilares proporcionan sostén a las células ciliadas.

Las faténgicas son células de sostén para ambas hileras de células ciliadas. Las células falángicas asociadas con las células ciliadas internas rodean totalmente a estas últimas (fig. 25-21a). Aquellas asociadas con las células ciliadas externas solo rodean por completo su porción basal y envían las prolongaciones apicales hacia el espacio endolinfático (fig. 25-21b). Estas prolongaciones se aplanan cerca de los extremos apicales de las células ciliadas y en conjunto forman una lámina completa que rodea cada célula ciliada (fig. 25-22).

Los extremos apicales de las células falángicas se encuentran unidos estrechamente entre sí, así como a las células ciliadas, por medio de complejas uniones ocluyentes (herméticas). Estas uniones forman la lámina reticular que sella el compartimento endolinfárico y lo separa de los espacios intercelulares verdaderos del órgano de Corti (véanse figs. 25-19 y 25-21b). El líquido extracelular de este espacio es la cortilinta. Su composición es similar a la de otros líquidos extracelulares y a la de la perilinfa.

Las células de los pilares tienen extensas superficies apicales y basales que forman placas y un citoplasma estrecho. Las células del pilar interno están apoyadas sobre el labio timpánico de la lámina espiral; las del pilar externo descansan sobre la membrana basilar. Entre ellas queda formado un túnel triangular: el túnel espiral interno (véase fig. 25-19).

La membrana tectoria se extiende sobre las cálulas del órgano espiral de Corti desde el limbo espiral.

La membrana tectoria está adherida medialmente al modiolo. Su borde libre lateral se proyecta sobre el órgano de Corti y establece contacto con él por medio de los estereocilios de las células ciliadas. Está formada por haces de colágeno tipo II, V y IX de disposición radial incluidos en una sustancia fundamental densa y amorfa. Diversas glucoproteínas distintivas del oído interno, llamadas otogelina y tectorina, se relacionan con los haces de colageno. Estas proteínas también están presentes en las membranas otolíticas que cubren las máculas del utrículo y el sáculo, así como en las cúpulas de las crestas en los conductos semicirculares.

Percepción del sonido

Como se describe en la página 983, las ondas sonoras que golpean la membrana timpánica se traducen en vibraciones mecânicas simples. Los huesecullos del oído medio transmiten estas vibraciones hacia la cóclea.



FIGURA 25-20. Microfotografía electrónica de bamido del órgano espiral de Cortí. En esta microfotografía electrónica se muestra a configuración de los estereocilios sobre las superficies apica es de la bilera interna y tres hiteras externas de las células ciliadas sensoriales cocleares. 3250×

En el oido interno, las vibraciones de los huesecidos se transforman en ondas en la perdunfa.

Los movimientos del estribo en la ventana oval del vestíbulo producen vibraciones u ondas que se propagan hacia la perilinfa de la rampa vestibular. Estas vibraciones luego se transmiten a través de la membrana vestibular hacia la rampa intermedia (conducto coclear), que contiene la endolinfa, y se propagan también hacia la perilinfa de la rampa timpánica. Los cambios de presión en este sistema perilinfático-endolinfático cerrado se reflejan en los movimientos de la membrana que cubre la ventana redonda en la base de la cóclea.

Como resultado de la entrada de las vibraciones sonoras en el oído interno, se genera en la membrana basilar una onda que se propaga (fig. 25-23). Un sonido de una frecuencia específica provoca el desplazamiento de un segmento relativamente largo de la membrana basilar, pero la región de máximo desplazamiento es estrecha. El punto de desplazamiento máximo de la membrana basilar es específico para una frecuencia sonora determinada y es el fundamento morfológico

de la discriminación de frecuencia. Los sonidos de frecuencias altas provocan una vibración máxima en la membrana basilar cerca de la base de la cóclea, mientras que los sonidos de frecuencias bajas ocasionan el desplazamiento máximo cerca del vértice. La discriminación de la amplitud (la percepción de la intensidad del sonido) depende del grado de desplazamiento de la membrana basilar en cualquier frecuencia. Por lo tanto, la codificación de la información auditiva en impulsos nerviosos depende del patrón de vibración de la membrana basilar.

El movimiento de los estereocilios de las células citiadas en la cóclea inicia la transducción neuronal.

Las células ciliadas están adheridas a la membrana basilar (la cual vibra durante la recepción del sonido) a través de las células felángicas. A su vez, los estereocilios de estas células ciliadas están adheridos a la membrana tectoria, que también vibra. Sin embargo, la membrana tectoria y la membrana basilar tienen sus puntos de adhesión en distintos sitios. En consecuencia, se produce un efecto de cizallamiento entre la membrana basilar (y las células que tiene adheridas) y la membrana tectorial cuando las vibraciones sonoras impactan en el oído interno.

Como están adhendos en la membrana tectorial, los estereocilios de las células ciliadas son las únicas estructuras que conectan la membrana basilar y su complejo estrato epítelial con la membrana tectoria. El efecto de cizallamiento entre estas dos membranas desvía los estereocilios y, por ende, distorsiona la porción apical de las células ciliadas. Esta desviación activa los canales MET ubicados en los extremos de los estereocilios y genera potenciales de acción que son transmitidos al encéfalo a través del nervio eoclear (la division coclear del nervio vestibulococlear, NC VIII).

Inervación del oido interno

El nervio vestibular se origina en los receptores sensoriales asociados con el laberinto vestibular.

El nervio vestibulococlear (NC VIII) es un nervio sensonal especial y está compuesto por dos partes: una división vestibular llamada nervio vestibular y una división coclear llamada nervio coclear. El nervio vestibular está asociado con el equilibrio y transmite impulsos desde los receptores sensoriales ubicados en el laberinto vestibular (cuadro 25-3). El nervio coclear está relacionado con la audición y transmite impulsos desde los receptores sensoriales ubicados dentro del laberinto coclear (fig. 25-24).

Los cuerpos o somas de las neuronas bipolares del nervio vestibular se encuentran ubicados en el ganglio vestibular (ganglio de Scarpa) en el conducto auditivo interno. Las evaginaciones dendríticas de las células del ganglio vestibular se originan en las crestas ampulares de los tres conductos senucirculares, la mácula del utrículo y la mácula del sáculo. Las sinapsis se establecen en la base de las células sensoriales ciliadas vestibulares, ya sea en forma de cáliz alrededor de una célula ciliada tipo I o en forma de botones asociados con las células ciliadas tipo II. Los axones del nervio vestibular se originan en el ganglio vestibular, entran en el tronco encefálico y finalizan en cuatro núcleos vestibulares. Algunas fibras neuronales secundarias viajan al cerebelo y a los núcleos de los NC III, IV y VI, que inervan los músculos extrínsecos del ojo.

El nervio coclear se origina en los receptores sensoriales del órgano espiral de Corti.

Las neuronas del nervio coclear también son bipolares y sus somas se encuentran en el ganglio espiral de Cortí dentro del modiolo. Las prolongaciones dendríticas de las células del ganglio espiral salen del modiolo a través de pequeños orificios de la lámina espiral ósea e

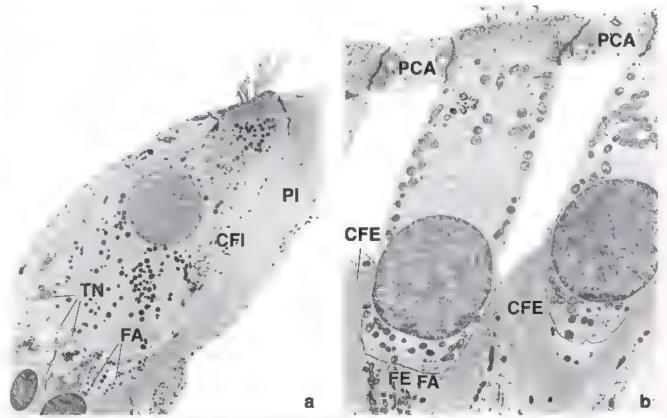


FIGURA 25-21. Microfotografía electrónica de células citiadas interna y externa. a. Observese la base redonda y el cuello estrecho de la célula ciliada interna. En la región basal aparecen las terminaciones nerviosas (TN) de las fibras aferentes (FA), para las células ciliadas CFI, célula fa ángica interna. PI célula de pilar interno. 6300 % b. Aqui se ven las terminaciones nerviosas aferentes (FA) y eferentes (FE) en la base de una célula sensorial ciliada externa. La región basal de estas celulas esta rodeada por las células faiangicas externas (CFE). Las proiongaciones apicales de estas ultimas forman la placa cuticular apical (PCA). Observese que los dominios laferales en el tercio medio de las células ciliadas externas no están rodeados por células de sostén 6300 % (reimpreso con autorización de Kimura RS. Sensory and accessory epithelia of the cochlea. En Friedmann I, Ballantyne ul eds. Ultrastructural Atlas of the Inner Ear Londres. Butterworth. 1984)

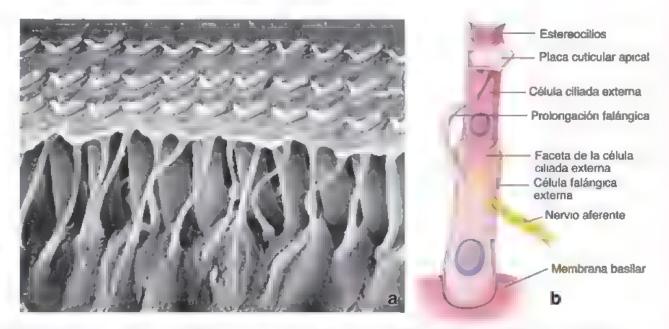


FIGURA 25-22. Estructura de la célula falángica externa. a En esta microfotografia electrónica de barrido se ilustra la arquitectura de las células falángicas externas (de De ters. Cada célula falángica forma un cáliz que rodea la superficie basa de una célula ciliada externa y extiende su prolongación falángica en dirección apical para formar una placa cuticular apical que sost ene las celulas sensoria es ciliadas externas 2 400 x b. Diagrama en el que se muestra la relación de una célula falángica externa con la célula ciliada externa.

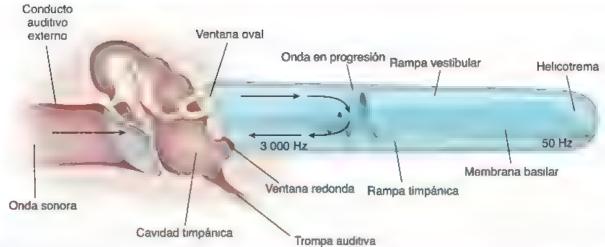


FIGURA 25-23. Diagrama en el que se ilustra la dinámica de las tres divisiones del oido. Aqui, la cóclea se muestra desenrollada Las ondas sonoras llegan al oido externo y de alli son transmitidas hacia el oido medio que las converte en vibraciones mecánicas. En la ventana ova las vibraciones mecánicas son convertidas en corrientes de liquido dentro del oido interno. Las vibraciones de liquido producen e despiazamiento de la membrana basilar (onda que se propagal sobre la que están apoyadas las células sensoriales ciliadas de la audición Este despiazamiento genera la estimulación de las células ciliadas y la descarga de impulsos nerviosos. Los son dos de frecuencia alta causan vibraciones de la porción estrecha y gruesa de la membrana basilar en la base de la cóclea mientras que los de frecuencia baja despiazan la membrana basilar hacia el vértice de la cóclea, cerca de su helicotrema.

ingresan en el órgano espiral. Alrededor del 90% de las dendritas que se originan en las células del ganglio espiral hacen sinapsis con las células ciliadas citiadas internas; el 10% restante lo hace con las células ciliadas externas del ganglio espiral. Los axones de las células del ganglio espiral forman el nervio coclear, que ingresa en la cóclea ósea a través del modiolo y aparece en el conducto auditivo interno (*véase* fig. 25-24). Desde el conducto auditivo interno, el nervio coclear ingresa en el tronco encefálico y termina en los núcleos cocleares de la médula. Las

fibras nerviosas que parten de estos núcleos pasan al núcleo geniculado del tálamo y después a la corteza auditiva del lóbulo temporal.

El órgano de Corti también recibe un pequeño número de fibras eferentes que transmiten impulsos desde el encéfalo y discurren paralelas a las fibras nerviosas aferentes del nervio vestibulococlear (tracto olivococlear, eferentes cocleares de Rasmussen). Las fibras nerviosas eferentes del tronco encefálico pasan a través del nervio vestibular. Hacen sinapsis con las terminaciones aferentes de la célula ciliada in-

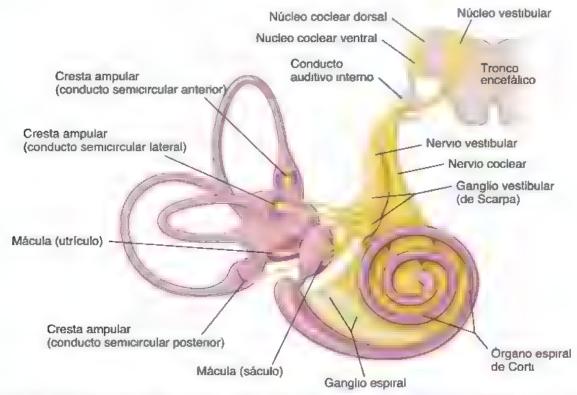


FIGURA 25-24. Inervación de las regiones sensoriales del laberinto membranoso. Obsérvese que los nervios cociear y vestibular forman el nervio vestibulococlear (NC v. I). El nervio coclear leva los impulsos desde el órgano espiral de Corti, ubicado dentro dei conducto coclear, el nervio vestibular leva informaçión sobre el equilibrio desde las tres crestas ampulares de los conductos semicirculares, el utriculo y el sáculo usos somas neuronales de estas fibras sensor ales se encuentran en el ganglio espira (para la audicion) y el ganglio vestibular (para el equilibrio).

CORRELACIÓN CLÍNICA: VÉRTIGO

La sensación de rotación sin equilibrio (mareos, vértigo) es signo de una disfunción del sistema vestibular Algunas causas del vértigo son las infecciones víricas y ciertos férmacos y tumores, como el neurinoma del acústico. Los neurinomas o neuromas del acustico aparecen dentro o cerca del conducto auditivo interno y comprimen la división vestibular del NC VIII o las ramas de la arteria laberíntica. Además, la estimulación excesiva de los conductos semicirculares puede causar vértigo en personas sanas. De igual manera, la hiperestimulación del utrículo (al via_far en barco, automóvil o avión) puede producir mareos en algunas personas.

La afección vestibular más frecuente es el vértigo postural paroxistico benigno (VPPB). Este es causado por el desprendimiento de los otolitos de la mácula del utrículo que se alojan en una de las tres crestas ampulares. Debido a la posición anatómica del conducto semicircular posterior (tiene un orificio por debajo de la mácula), los otolitos desprendidos (81-90%) casi siempre ingresan en este conducto. Los otolitos permanecen flotando libremente dentro del conducto (canalitiasis) o se adhieren a la cúpula (capulolítiasis), lo que ocasiona un movimiento inapropiado de los estereocilios en la superficie apical de las células ciliadas receptoras. Las personas con VPPB manifiestan una sensación errónea de mareos provocada por ciertos movimientos de la cabeza. Los otolitos pueden desprenderse después de un traumatismo o una infección vírica, pero en muchos casos la causa es idiopática.

Algunas enfermedades del oído interno afectan tanto la audición como el equilibrio. Por ejemplo, las personas con enfermedad de Ménière inician su afección con episodios de mareos y acufenos (zumbidos en los oídos), y después desarrollan una hipoacusia para los sonidos de baja frecuencia. Las causas de la enfermedad de Menière se relacionan con un bloqueo del acueducto coclear, que drena el exceso de endol infa del laberinto membranoso. El bloqueo de este conducto provoca un aumento de la presión de la endolinfa y la distensión del taberinto membranoso (hidropesía endolinfática).

terna o con la superficie basal de las células ciliadas externas. Se cree que las fibras eferentes afectan el control de la aferencia auditiva y vestibular en el sistema nervioso central, al parecer potenciando algunas señales aferentes y suprimiendo otras. La lesión del órgano de Corti, el nervio coclear, las vias nerviosas o la corteza auditiva producen hipoacusia neurosensorial (véase cuadro 25-2)

Vasos sanguíneos del laberinto membranoso

El laberinto membranoso recibe sangre arterial a través de la arteria laberíntica; la sangre venosa drena hacia los senos venosos durales.

La irrigación del oldo enterno, el oído medio y el laberinto óseo del oído interno deriva de vasos asociados con las arterias carótidas ex-

ternas. La irrigación arterial de los tejidos del laberinto membranoso del oído interno deriva, dentro del cráneo, de la arteria laberintica, que es una rama común de la arteria cerebelosa anteroinfenor o de la arteria basilar. La arteria laberintica es un vaso terminal no se anastomosa con otras arterias vecinas. Las ramas de esta arteria son exactamente paralelas a la distribución de las partes superior e inferior del nervio vestibular.

El drenaje venoso del laberinto coclear se realiza a través de las venas modiolares espirales anterior y posterior, que forman la vena modiolar común. La vena modiolar común y la vena vestibulococlear forman la vena del acueducto coclear, que drena en el seno petroso inferior. El drenaje venoso del laberinto vestibular se realiza a través de las venas vestibulares, que se unen a la vena del acueducto coclear, y por medio de la vena del acueducto vestibular, que desemboca en el seno sigmoideo.



OÍDO

FUNDAMENTOS DEL OIDO

- El oído es un órgano par sensorial especializado, se encarga de la recepción sonora y el
- Los repdos del oido derivan del ectodermo de superficie (revestimiento epitelial del laberinto membranoso) y de los componentes de la primera bolsa fanngea (trompa auditiva y cavidad del oido medio), el primer surco faringeo (conducto auditivo externo), el primer arco faringeo (martillo, yunque y parte anterior del pabellon auricular) y el segundo arco fanngeo (estribo y parte posterior del pabellon auricular).

OÍDO EXTERNO

- La oreja o pabellón auricular es el componente externo del oído que recoge y amplifica el sonido
- El conducto auditivo externo se extiende desde la oreja hasta el timpano. Ambos estan unidos por
 piel, la cual contiene folículos pilosos, así como las glándulas sebáceas y ceruminosas (que producen
 el cerumen).

OIDO MEDIO

- El oido medio es un espacio lleno de aire cubierto por una mucosa que contiene los tres huesecillos del oído (martillo, yunque y estribo). Está separado del conducto auditivo interno por el timpano y conectado con la nasotaringe por medio de la trompa auditiva (de Eustaquio)
- La membrana timpánica o timpano esta compuesta por la piel del conducto auditivo externo, un centro delgado de tejido conjuntivo y la mucosa del oído medio.
- Los huesecillos del oído (martillo, yunque y estribo) cruzan el espacio del oído medio y comunican el tímpano con la ventana oval. El movimiento de los huesecillos es modulado por el musculo tensor del tímpano, que se inserta en el martillo, y por el estapedio, que se inserta en el estribo.

COMPARTIMENTOS DEL OÍDO INTERNO

- El oído interno está formado por dos compartimentos dentro del hueso temporal el laberinto oseo y el laberinto membranoso, que está dentro del laberinto óseo.
- El oido interno tiene tres espacios llenos de liquido el espacio endolinfático, dentro del laberinto membranoso (que tiene una concentración elevada de K⁺ y una concentración baja de Na⁺), el espacio perilinfático, entre la pared del laberinto oseo y la pared del taberinto membranoso (que tiene una concentración baja de K⁺ y elevada de Na⁺), y el espacio cortilinfático, que se encuentra dentro de los túneles del órgano de Corti en la cóclea.
- El laberinto óseo esta formado por tres espacios conectados, los conductos semicirculares, el vestíbulo y la cóclea, cada uno contiene diferentes partes del laberinto membranoso.
- El laberinto membranoso está formado por una serie de sacos comunicados entre sí (el utrículo, el sáculo y el saco endolinfatico) y varios conductos (tres conductos semicirculares y los conductos coclear, utriculosacular, endolinfático y reuniens) que contienen endolinfa

RECEPTORES SENSORIALES DEL LABERINTO MEMBRANOSO

- Las células sensoriales especializadas se localizan en seis regiones del laberinto membranoso, tres crestas ampulares en la ampolla
 de los conductos semicirculares (receptores en la cabeza para aceleración angular), dos maculas en el utriculo y el saculo (receptores
 para la posición de la cabeza y sus movimientos lineales), y el órgano espiral de Corti (receptores para sonido)
- Las máculas del utriculo y el saculo contienen células ciliadas, que son mecanorreceptores epiteliales. Estas celulas ciliadas contienen haces ciliados en sus superficies apicales (formados por hileras de estereocilios con un solo cinocilio) y estan cubiertas por la membrana otolítica gelatinosa que contiene otolitos (otoconios).
- El movimiento de los otolitos es detectado por los estereocilios, que activan canales iónicos con compuertas mecánicas para generar un potencial de acción.
- Los receptores sensoriales en la cresta ampular también están cubiertos por una masa similar a la gelatina sin otolitos llamada cupula. La cupula se flexiona durante el flujo de endolinfa a traves del conducto semicircular. El movimiento de la cupula estimula los canales iónicos activados mecánicamente y genera un potencial de acción.
- El conducto coclear se divide en tres compartimentos paralelos las rampas intermedia o conducto coclear (el compartimento intermedio lleno de endolinfa que contiene el organo espiral de Corti), vestibular y timpánica (ambas contienen peralinfa)
- La rampa intermedia es un espacio triangular, su pared inferior forma la membrana basilar, sobre la cual se encuentra el
 organo espiral de Cotti. La pared superior (membrana vestibular) separa la rampa intermedia de la vestibular, y la pared lateral
 contiene la estria vascular que produce la endolinfa.
- El órgano espiral de Corti está compuesto por células ciliadas (dispuestas en hileras internas y externas), células falángicas de sosten y celulas de los pilares. El movimiento de los estereoculos de las celulas ciliadas durante la interacción con la membrana tectoria suprayacente genera impulsos eléctricos que son transmitidos al nervio coclear.
- Las ondas sonoras son transmitidas desde la membrana timpánica que vibra a través de los huesecillos hasta la ventana oval, donde producen el movimiento (ondas) de la perilinfa de la rampa vestibular. Esto mueve la membrana basilar y el organo espiral de Corti para generar impulsos nerviosos eléctricos, los cuales son percibidos por el cerebro como sonidos.
- Los impulsos nerviosos de la cresta amoular y de la macula viajan con el nervio vestibular, y los impulsos del organo espiral de Corti viajan con el nervio coclear. Ambos nervios se unen en el conducto auditivo interno para formar el nervio vestibulococlear (NC VIII)

LÁMINA 108 OÍDO

El cido interno, ubicado en el hueso temporal, está formado por un sistema de cavidades y vías que contienen una red de conductos membranosos. Estos sistemas se conocen, respectivamente, como laberintos óseo y membranoso. En algunos sitios, los laberintos membranosos forman el revestimiento de los laberintos óseos; en otros, hay una separación entre ambos. Dentro del espacio limitado por el laberinto membranoso hay un liquido acuoso llamado endolinfa. Por fuera del laberinto membranoso, es decir, entre los laberintos membranoso y óseo, hay otro liquido denominado perilinfa.

Cada laberinto óseo está dividido en tres partes: la cóclea, los conductos semicirculares membranosos y el vestíbuto. La cóclea y los conductos semicirculares contienen contrapartes membranosas con la misma forma. En cambio, los componentes membranosos del vestíbulo tienen una forma más compleja, ya que están compuestos por conductos y dos cavidades: el utriculo y el sáculo. La cóclea contiene los receptores para la audición (el órgano de Corti), los conductos semicirculares contienen los receptores para el movimiento de la cabeza, el utriculo y el sáculo contienen los receptores para la posición de la cabeza.

Oido interno, oido, cobayo, H&E, 20×.

En este corte a través del **Oído interno**, se observa que el hueso rodea toda la cavidad. Debido a su carácter laberíntico, las secciones del oído interno aparecen como varias cámaras y conductos separados. Sin embargo, estas estructuras están todas

superconectadas (excepto los espacios perilinfáticos y endolunfáticos, que permanecen separados). La cavidad más grande es el **vestíbulo** (V). El sector izquierdo de la cámara (flecha negra) lleva a la **cóclea** (C). Justo debajo de la flecha negra y a la derecha esta el ligamento oval (LO) rodeando la hase del estribo (ES). Ambas estructuras han sido seccionadas de forma oblicua y no se ven en su totalidad. El netvio facial (NF) se encuentra en un túnel óseo a la izquierda del ligamento oval. La comunicación del vestíbulo con uno de los conductos semicirculares está señalada con la flecha blanca. Observese la cresta ampular (CA) proyectándose hacia la luz del conducto semicircular. Arriba a la derecha se ven cortes transversajes del laberanto membranoso a través de los componentes del sistema de conductos (SC) semicirculares.

La côclea es una estructura cónica espiralada. La muestra que aparece aqui da tres vueltas y media (en los humanos, da dos vueltas y tres cuartos). El corte pasa por el eje central de la cóclea. Este consiste en un tronco ósen llamado **modiolo** (M). Contiene el inicio del nervio coclear (NC) y los gangatos espirales (GE). Debido al plano del corte y la disposación en espiral del tunel coclear, este aparece seccionado transversalmente en siete síticos (se debe recordar que describe tres vueltas y media). En la lámina 109 se describen con mayor detalle la cóclea y el órgano de Corti.

Conducto semicircular, oído, cobayo, H&E, 85×; recuadro 380×.

Aquí se muestra un aumento mayor de uno de los conductos semicirculares y la **cresta ampular** (CA) dentro del conducto, que aparecen en el ángulo inferior derecho de la microfotografía de

erreba. En cada uno de los conductos semicirculares se encuentra un receptor para el movimiento: la cresta ampular (obsérvense sus relaciones en la micro-fotografía de arreba). La superficie epitelial (SE) de la cresta esta formada por dos tipos de células: las de sostén y las receptoras ciliadas. Con el microscopio electrónico se distinguen dos tipos de células ciliadas. Es difícil adentificar las cé-

lulas ciliadas y las de sostén según sus características específicas. Sin embargo, se pueden distinguir por su ubscación (*véme recuadre*), ya que las **células ciliadas** (*CC*) tienen una disposición más superficial que las células de sostén (*CS*). Una masa gelatinosa, la cúpula (*Cu*), recubre el epitelio de la cresta ampulaz. Cada célula receptora envía una proyección de tipo ciliar que queda inmersa dentro de la sustancia de la cúpula.

El epitelio está apoyado sobre tendo conjuntivo (TC) laxo celular, que a su vez contiene las fibras nerviosas asociadas con las células receptoras. Las fibras nerviosas son dificiles de identificar porque no están organizadas en haces bien definidos.

C. cóclea

CA, cresta ampular

CC, cétula ciliada

CS, célula de sostén

Cu, cúpula

ES, estribo

GE, ganglio espiral

LO, ligamento oval

M. modicio

NC, nervio coclear

NF, nervio facial

SC, sistema de conductos

SE, superficie epitelial

TC, tejido conjuntivo

V. vestibulo

flecha blanca, entrada al conducto semicircular

flecha negra, entrada a la cóclea

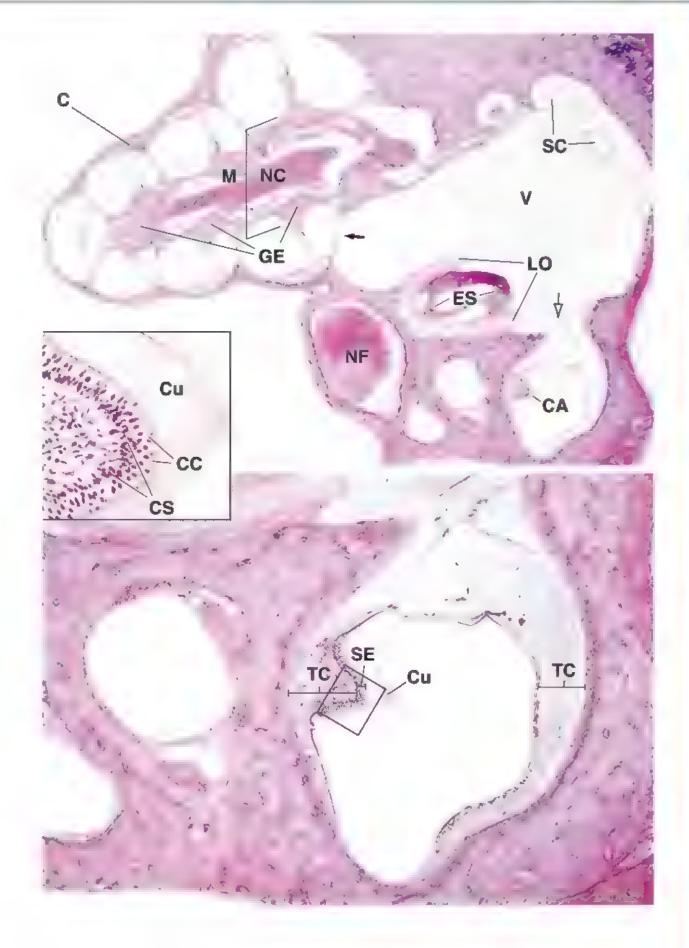


LÁMINA 109 CONDUCTO COCLEAR Y ÓRGANO DE CORTI

La célula ciliada, un mecanorreceptor no neuronal, es la célula receptora común del sistema vestibulococlear. Estas son células epiteliales que tienen una gran cantidad de estereocilios, que son microvellosidades modificadas también conocidas como cilios sensitivos. Convierten la energía mecánica en energía eléctrica, la cual es transmitida hacia el encéfalo a través del nervio vestibulococlear (NC VIII). Las células ciliadas se relacionan con terminaciones nerviosas aferentes y eferentes. Todas las células ciliadas cum-

plen una función receptora gracias a la flexión o inclinación de sus estereocilios. Los medios específicos a través de los cuales los estereocilios se flexionan varían de un receptor a otro; sin embargo, en todos los casos, el estiramiento de la membrana plasmática provocado por la flexión de los estereocilios genera cambios en el potencial transmembrana que se transmiten a las terminaciones nerviosas aferentes asociadas con cada célula. Las terminaciones nerviosas eferentes en las células ciliadas sirven para regular su sensibilidad.

Conducto coclear, oído, cobayo, H&E, 65×; recuadro 380×

Corre a través de una de las espiras de la cóclea. El componente funcional más importante de la cóclea es el órgano de Corti, que está contenido dentro del rectángulo y que se muestra con mayor aumento en la microfotografía de abajo. En esta microfotografía también aparecen otras estructuras. El ligamento espiral (LE) es un engrosamiento del periostio en la parte externa del túnel. Hay dos membranas, la membrana basilar (MB) y la membrana vestibular (MV), que se unen con el ligamento espiral y dividen el túnel coclear en tres conductos paralelos: la rampa vestibular (RV), la rampa timpánica (RT) y el conducto coclear (CCs). Tanto la tampa vestibular como la timpánica son espacios perilinfáticos; se comunican en

el vértice de la cóclea. En cambio, el conducto coclear es el espacio del laberinto membranoso y está lleno de endolinfa. Se piensa que la endolinfa se forma en la porción del ligamento espiral que mira al conducto coclear, es decir, la estría vascular (ESV). Esta se halla muy vascularizada y contiene células "secretoras" especializadas.

Un espacio óseo, la lámuna espiral ósea (LEO), se extiende del modiolo a la membrana basilar. Los ramos del nervio coclear (NC) discurren a lo largo de la lámina espiral hacia el modiolo, donde se forma el tronco nervioso principal. Los componentes del nervio coclear son neuronas bipolares cuyos somas contituyen el ganglio espiral (GE). Estos somas neuronales se muestran con mayor aumento en el recuadro (arriba a la derecha). La lámina espiral sostiene un cúmulo celular, el limbo espiral (LEE). La superficie del limbo está compuesta por células cilindricas.



Órgano de Corti, oído, cobayo, H&E, 180×; recuadro 380×.

El corre transversal del **conducto coclear** (*CCo*) visible en esta imagen aparece como un espacio triangular. La pared superior (techo) de este conducto está formada por la membrana vestibu-

lar (MV) que lo separa de la rampa vestibular (RV). La pared lateral (externa) del conducto coclear está lunitada por la estría vascular (EsV) y el ligamento espural (LE) subyacente. La pared infenor (o suelo) está formada por la membrana basilar, una extensión de la lámina espural ósea con ramas visibles del nervio coclear (NC). La membrana basilar sostiene el **órgano espiral de Corti**. Los componentes del órgano de Corti, que comiencian en el lumbo espiral (LiE), son los siguientes: células limitantes internas (CLI), células falángicas y ciliadas internas (CF y CI), y células del pilar interno (CPI). La secuencia continúa, repitiéndose a la inversa de la siguiente manera: células del pilar externo (CPE), células ciliadas (CCI), células falángicas externas (CFF) y celulas limitantes externas o celulas de Hensen (CH). Las células ciliadas son células receptoras, las demás células reciben la denominación colectiva de células de sostén. Las células falángicas y ciliadas externas se distinguen en esta figura por su ubicación (véase recuadro) y

por que sus núcleos están bien alineados. Como las células ciliadas están apoyadas sobre las células falángicas, se puede concluir que los tres núcleos superiores pertenecen a las células ciliadas externas, mientras que los tres nucleos inferiores lo hacen a las falangicas externas.

Las celulas de sostén se extienden desde la membrana basilar (MB) hasta la superficie del órgano de Cortí (esto no se aprecia en la imagen grande, pero se puede ver en el recuadro), donde forman una membrana reticular (MR). La superficie líbre de las células receptoras se ubica en aberturas de la membrana reticular, y los "cilios" de estas células se proyectan hacia la membrana tectoria (MT), con la que hacen contacto. Esta última es una extensión cisticular de las células cilindricas del limbo espiral. En preparados ideales, el curso de las fibras netviosas puede seguirse desde las células ciliadas hasta el nervio coclear (NC)

En su recorrido desde la membrana basilar hasta la membrana reticular, los grupos de células de sostén quedan separados de otros grupos por espacios que forman túneles espirales. Estos túneles se denominan tunel interno (TI), sunel externo (TE) y túnel espiral interno (TEI). Además de las células de sostén, hay otros dos grupos de células adicionales: las células de Claudius (CCla) y las células de Börtcher (CB)

CB, células de Böttcher

CCI, céfula ciliada

CCIa, cé ulas de Ciaudius

CCo, conducto coclear

CF y Cl, células falángicas y ciliadas

CFE, cé ulas falángicas externas

CH, cè Las de Hensen

CLI, cérulas limitantes internas

CPE, células del pilar externo

CPI, células del pilar interno

EsV, estria vascular

GE, ganglio espiral

LE, ligamento espiral

LiE, limbo espiral

LEO, ámina espiral ósea

MB, membrana bastar

MR, membrana reticular

MT, membrana tectoria

MV, membrana vestibu ar

NC, nervio coclear

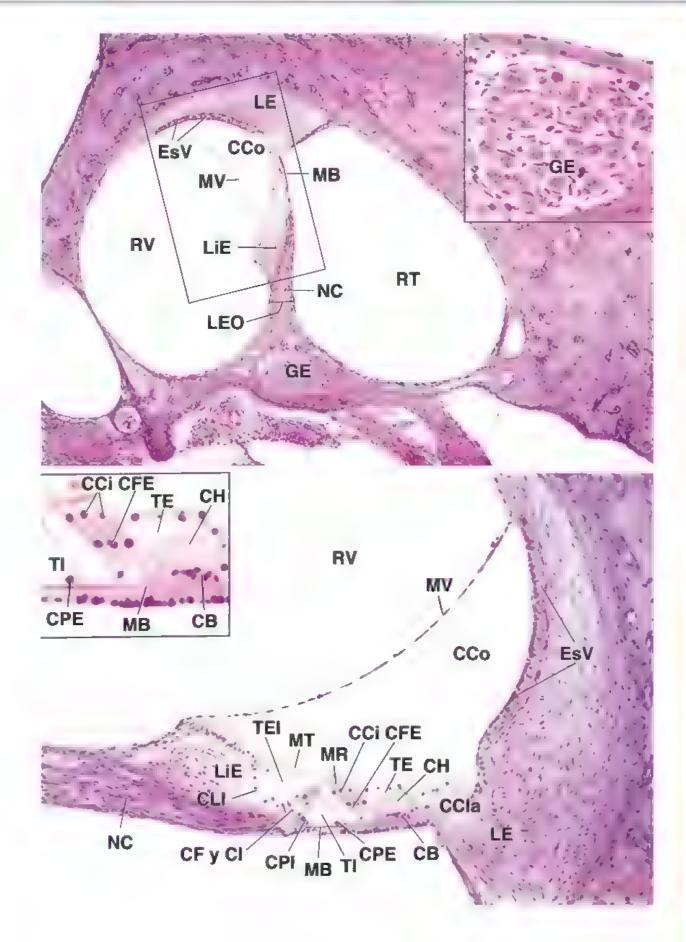
RT, rampa timpanica

RV, rampa vestibular

TE, túnel externo

TEI, túne! espiral interno

TI, tune interno



M ÍNDICE ALFABÉTICO DE MATERIAS

Los números en itálicas indican una figura, los seguidos por "c", una cuadro; los seguidos por "l", una lámina, y los seguidos por "t", una tábla.

A	Acondicionamiento del atre (vias respiratorias), 703,	en la lamina basal, 149
A ₁ c, prueba de, 297c	7()5	en la obesidad, 274
Abdomen, inervación autónoma de, 412	Acoplamiento quimiosmótico, 60	en mass de lipidos, 277
Abetaupoproteinamia, 6682	Acromegalia, 259c	estructura, 276-277, 277, 278
ABO, genes, 295c	Acrosina, 844	lamina externa, 276
ABO, sistema de grupo ranguineo, 295e-296c, 295t	Acrosuringio, 548	madaros, 276, 276
Absorción	Acrosoma, 842, 844, 844	obesidad y merabolismo, 281c
intestino delgado, por el, 626-627	ACTH. Was Hormona adrenocorricutropa	pardos, 276, 280-282, 284-285, 288/ 289/
mucosa bucal, por la, 568-569	Actura es del músculo liso (e-SMA), 191, 196, 196r.	síntesis y secreción por, 275, 275, 2804, 288/
mucosa digestiva, por la, 567, 567, 609-610	588-590	transdaterennación, 276, 284-285
psel, por la, 525	Acura fiamentosa (F), 65	Adipofilma, 280r
mnon (túbulos renales), por el. 756-761	Actina globular (G), 65-66	Adiponectina, 275, 280r
tejsdo epitelial, por el, 118	Actinina 0, 122, 140, 141, 155, 155-156	Administración bucal, 569
Absorción rapida, 680	en el bazo, 507	Administración sublingual, 569
Aceleración lineal, 992-993	en el musculo esquelético, 341, 343, 344	ADN, 10
Acetato de urando, 22	en el musculo lao, 361	entrecruzamiento, 98
Acetalación, 36	Aczivación dependiente de antigeno, 478	fragmentación, 100
Acetilcohna (ACh)	Activador del plasminógeno, 849	genes de reparación de errores de apareamiento
como neurotransmisor, 392, 393, 3941	Activador del receptor del factor nuclear KB (RANK),	6917
erección del pene, 860c	244	metoss y, 91-99
escimulación de las glándulas sudoriparas, 549	Activador usular del plasminógeno (TPA), 312	microscopía de fuerza atómica, 24
estimulación de la médula suprarrenal, 811	Actividad citiar, 126-128	mitocoodnal, 59
función de la unión neuromuscular, 349-350-351,	Actividad enzumática inherente, 3	mitosis y, 95
395	Actividad física, y rejido adiposo, 285	no replicado, punto de control, 92, 93
miastenia grave, 350c, 395	Actividad timpanica, 111, 983, 983, 986	plegamiento y empaquetado, 82-86
regulación cardiaca, 439		precursores radioactivos, 11
vejiga uzinaria, 769	Acuaporinas (AQP), 757-760, 762e	punto de control de daños, ciclo celular, 92, 93
Acetileolina, reneptores, 350, 350c, 393, 394z, 618,	en la homeostasis de agua en el encéfalo, 416	101, 102
7.0	en la vestrula biliar, 683	replicación, 93
Acetalcolinesterasa (AChE), 350, 350c, 395	en las vénulas endotelsales superiores, 497	satélite, 95
	en los capilares giomerulares, 747	
N-Acerilgalacrosamina (GalNAc), 187	función de la ADH, 762, 763c, 795	sonda, 87c
N-Acerilgalactosantina-transferasa, 295c	Acumulación celulas, anomalias, 99, 99	transcripción, 51-52, 53
N-Acerilglucosamuna (GlcNAc), 187	Adaptación de la visión, 945	Adrenalina, 393, 394r, 440, 810r, 811-812. Väise
ACh. Wase Acetalcolina	Adapona, 39, 40	Epinetrina
AChE. Våor Acetilcolinesterasa	Adenocarcinomas, 120r, 641r	Aducata, 67
Acido acerilsalicíbeo 615	glandulares, 120c	Adventura, 608-609, 611
Acido araquidónico, análogos de, 786	Adenohipófisis	brongual, 716
Acido ascórbico (vitamina C), 179, 258c	características en el microscopio electrónico, 792,	esofágica, 612, 644/-645/
Ácido clorhidrico (HCl), 616-620, <i>620</i>	792:	traqueal, 711, 714-715
Ácido desexirtibonicleico. Vine ADN	características en la tinción, 790, 792/	ureteral, 780/-781/
Ácido fólico, deficiencia, 298r	celulas, 790-793, 7921, 8201-8231	vaginal, 906
Ácido hipocloreso (HOCI), 303	control de la lactancia por, 915	vesicula biliar 682, 698/-699/
Acido lisobisfesfatidico, 46	funciones, 790	Afadina, 138, 141, 141-142
Ácidos grasos esenciales, insuficiencia, 532	hormonas, 790, 791r	Agranulacito(s), véase también tipos específicos 29
Ácido ribonucleico. Vane ARN	lóbulo anterior de la hipófisis, 110, 788, 789, 790-	297
Ācido y-aminobitúrico (GABA), 392, 393, 394z	793, 8204-8231	Agrecano, 189, 189, 1904, 212, 212, 218, 220c
Acido(s) graso(s), 32, 33, 279, 342c, 531-532, 813-	oragen, 110	
614	Adenoma, 592r, 639r	Agregados agrecano-hizharônicos, 212
abres, 531	pleomorfo, 592c	proteoglucinos, 188, 212, 218, 224/-225/
Acidofilia, 6, 55	Adenosina-trifostatasa (ATPasa), 7-8, 35-56	Agrina, 150, 747
Acidoblo(s), 790, 820/-823/	bomba activada por calcio (Ca41), 361	Agrio, sabot, 571, 572, 572-573
	cobre (W.Ison), 668	
Acilgluconilceranuda, 531	en el músculo esquelético, 338-339, 343, 346-348	Agujeros maculares, 961c
Acinos, 160, 160		Albinismo, 543c
de la glandula mamaria, 910, 911	en el músculo liso, 363	Albumina, 279, 291, 666, 750-751, 803
de las glándulas salivales, 585-590. 602I-607I	en los canaliculos bihares, 679	Albuminuria, 751
del higado, 670, 672, 672, 696/	en movimiento ciliat, 126-128	Alcohol-deshidrogenasa, 678
del pincreis, 684, 684-685, 685, 691, 7001 7011	ADH. Wate Hormona antidusrética	Aldostemna, 753, 755c, 761, 810s, 812-813
del pulmón, 716	Adhesinas FimH, 767	Alérgeno, 198c, 480c
mixtos, 585-586, 587, 589, 602/-603/	Adhesion(es) focal(es), 134, 139, 1464, 154, 155, 155-	Alimentos no digeridos, 566
mucosos, 585, 588, 588, 6021-6031, 6061-6071	156, 527	Ahneación, en la microscopia óptica, 17c
pulmonanti, 716	Adipoblastos (lipoblastos), 275-276, 276	Almohadilla grasa mamaria, 275
secretores, 585-590, 602/-607/	Adipocinas, 275, 275, 288/	Alveolos
serosos, 585-588, 6021-605/	Adipoeno(s) (célula adiposa), 171, 190, 199, 274,	de la glandula mamaria, 910-911, 913
Aclaramiento de la muestra histológica, 2	288/-2891	del pulmón, 703, 703, 716, 719, 719-724, 721
Aclorhedria, 617c	blancos, 275-277, 276, 284-285, 2881-2891	725, 736/-739/
Acné vulgar, 546	diferenciación, 275-276, 276, 282	barrera alveolocapilar (arre-sangre) 721, 72
Acomodación visual, 945, 946, 967	en el frotis de medula ósea, 330/ 331/	723, 7381-7391

células, 719-720, 721, 722, 722-724, 724,	Ánodo, 21	espermatogénesis en el. 96, 97-98, 832, 835, 839-
73817391	Anaiquis, 102	845
epitelio, 719-720	Апогена легуюза, 278	genitales externos, 832, 860-861
surfaciante, 720-721, 738/	Anosma, 705	glándulas sexuales accesoras, 832, 854-859
diente, 581, 584-585	Anquilosis, 235c	hormonas, 832, 834, 835
Amargo, sabor, 571-572, 572	Anquirina, complejo proteinico, 293, 294	pubertad, 838
Ameloblasunas, 581	Antagonistas del receptor de leucotrienos, 198	regulación hormonal, 839r-840c, 849, 850
Ameloblasto(s), 575-581, 576-577, 578, 580, 581	Antibioneus, 52	resumen, 832
borde liso, 580-581	Anneosgulantes, 292, 444	sistema de conductos eferentes, 832, 845, 850-852,
en etapa de maduración, 578, 580-581, <i>581</i>	Anticuerpos, 7-10, 473, 474, 478. Vaise sambién	851, 852
eri etapa secretora, 577-580, 578, 580, 581	Inmunoglobulina(s)	sistema de las vías espermáticas, 832, 845, 850-852,
Amelogénesis, 576-581, 580	diméricos IgA (dIgA), 632-633	851, 852
Amelogenmus, 581	en los astemas del grupo sanguineo, 295r-296r,	Aparato urinario, 740-771 Véase tombién Riñôn(cs)
Amenorea de la laciancia, 915c	2951	componentes del, 740
AMH, gen, 833	estructura, 478	epitelio del, 118, 119s, 1684-1694, 766, 766-768,
Amagdala(s), 111, 473, 492, 492, 5124-5134, 567,	marcados con pigmento fluorescente, 3	7804783/
569, 573	monoclonales, 8-10, 9r	Aparato vestibutar, 982
faringea o adenoides, 492, 567, 708	policionales, 8-10	Aparatu yumaglomendar, 752, 753-756
Imgual, 492, 567, 569, 573	primarios, 9	APC, gen supresor de numores, 641c
palatina, 492, 492, 5124-5134, 567, 569	producción, 308, 473, 478, 482, 508	Aprilia, 275, 280r
tubárica, 567, 986	secreción por células plasmáticas, 474	Apéndice, 472, 473, 492-493, 635, 638, 638,
Amilasa salival, 593, 593r	secundanos, 9	66.7-6631
D-Aminoácido-oxidasa, 678	Anngeno(s), 7-10, 473, 474	Apendice vermiforme, 472, 473, 492-493, 635, 638.
Aminoácidos, 393, 669, 758, 786	en las reacciones de hipemenatbilidad, 480-480c	638, 662/-663/
no esenciales, 66°)	en los sistemas del grupo sanguísico, 2952-2964,	Apéndices omentales, 636, 636
Ammon, 899, 900, 904	2952	Apendicitis, 638
Amenia, 760	específicos de espermatororden, 849c	Apertura, detector del microscopio confocal de barrido,
Amortiguación espacial de potasio, 402	presentación de (véue tembién Células	20, 20
Ampolla	presentadoras de antigeno), 474, 478-480,	Apolipoproteira B-100, 668c
de la trompa uterna (de Falopio), 877, 888, 891,	482, 482 485 487	Aponeurosis, 174
892, 926/-927/	respuesta immunitaria, 473, 478-480	Apoptosis, 61, 93, 99-102, 99 <i>t</i> , 100-102
del conducto deference, 854	respuesta linfárica, 498	cèlula de la granulosa ovásica, 889-891
del aida interno, 987	Antigeno prostinco específico (APE), 858c, 859	citomucidad mediada por células dependiente de
hepatopancreática, 680, 683, 683-684	Antigeno T del virus sinuano (SV40), 93	anticuerpos (ADCC), 483, 483
Ampolla de Vater (hepatopancreática), 680, 680, 683,	Antihistamínions, 197, 480c	diferenciación celular epitelad, 525
681-684	Annicoflamatorios no esteroideos (AINE), 615	linfocros citolíticos naturales (natural kaller) y, 478
Neuroma de amputación, 419	Antimetabolitos de privación de nutrientes, 101	linfocitos T citatóxicos y, 484. 484
Anafase, 95, 96, 97 I, 96, 98	Antitripsina Q ₁ , insuficiencia, 53, 726c	macrófagos, 194
	Antro	osteoclastos, 245
Anafianta, 1987, 306	foliculo ovanco, 881, 882, 882	Aprendizaje, espinas dendríticas en el. 385 Aracnoides, 414, 414-415, 415
Anageno, 544c	mastoideo, 983	
Análisis cromosómico, 87c	Aorta, 433, 434, 466i-467i	Arbol bilar, 678-680
Anastomosis o cortocucuitos anteriovenosos (AV) 440, 455	AP, 39	Arbol bronquial, 703, 710-724, 725, 734l-739l
	Aparato ciliar, 123	Arboles dendraticos, 384
Anatomia microscópica, 1	Aparato de filtración renal, 740-741, 747, 747-752	Aron faringeos, 982 Aron reflejos, 380
Ancho de distribución eritrocitaria (ADE), 313 Anclaje para la macroscopia de expansión, 12, 13	Aparato de Golga, 29, 56-58	Area cribrosa, 742, 747, 766
Ancurina CII, 212	caracteristicas microscópicas, 30t, 56, 56, 57	Árcas mamelonadas, estómago, 614
Andrógeno(s), 545, 810r, 815, 815, 832, 883, 887	clasificación de señales, 58	Arensla cerebral (acérvulos cerebrales), 798, 798-799,
supramenties, 810r, 813, 815	funciones y enfermedades, 312	8241-8251
Androstenodiona, 810s, 615	bepareciro, 677, 678	Aréola, 909, 910
Anemia, 291, 298,	odontoblasto, 583-583	Aribulfatasa, 305
angioblastemas, 675	procesamiento de proteínas, 57-58	Armazón cromosómico, 85, 85
drepanociuca, 297, 298c	secreción de proteinas, 58, 58	ARN, 10
critropoyetina recombinante para, 741	transporte hacia y desde el terículo endoplasmático	mensajero, 51-52, 53
hemolinea, 297, 305e	ruguso, 46, 47, 54, 54	nucleolar pequeño, 88
perniciosa, 298c, 617, 617c, 620	Арадаю гергодистог	precursores radioactivos, 11
Anexinas, 254-255, 256	bombre, 832-863, 833, 864/-875/ Vene tembren	ribosemico, 51, 86-88
Angioblastemas, 675	Aparato reproductor del hombre	traducción, 52. 53
Angiogénesis, 194, 454	mujer, 876-919, 9201-9431. Vence tembrén Aparato	transcripción de ADN, 51-52, 53
Angiolipoma, 283c	reproductor de la mujer	ARN mensajero (ARNm), 51-52, 53
Angiotensina	Aparato reproductor de la mujer, 876-919,	ARN pequeños nucleolares (ARNpn), 88
I (Angl), 444, 753, 812-813	920/-943/	ARN ribosomico (ARNr), 51, 86-88
П (Angll), 280г, 444, 753, 755с, 813	cambios ciclicos, 876-877, 906	ARN-pointerasa, 786
Angiotensinógeno (AGE), 275, 2801, 812-813	ciclo menstrual, 876, 893, 894-898, 911, 913,	ARNasa (ribonucleasa), 88
Angulina, familia de proteinas, 138	980/-931/	ARNpn. Visce ARN pequeños nucleolares (ARNpn)
Angulo uridocorneal, 950, 952	ciclo ovanco, 894c-895c	Aromatana, 884
Anhidrasa carbónica	тепорация, 876-877, 915	Acrastre del solvente, 629
en células parietales del estómago, 620	cilios, 129	Arreglo ortogonal, 174, 206/-207/, 949
en conductor salivales, 590	componentes, 876, 877	Arrugas de superficie de membrana, 38, 38
en osteoclastos, 245	genuales externos, 876, 907-909	Acteria axilar, 915
Anhidrasa carbónica, inhibidores, 954c	hormonas, 877, 894c-895c	Arteria central del baro, 504, 504, 507, 508.
Anillo amigdalino, 567	órganos atternos, 876, 877	518/521/
de Waldeyer, 567	ovogénesis, 96, 97-98	Arteria esplénica, 504
Anillo citoplasmático, 90, 91	resumen, 876-877	Arteria espienica, 104 Arteria hepática, 669-670, 670, 671, 673, 673
Anillo contractil, 95	the second secon	Arteria laberintica, 1001
Anilio nuclear, 90, 91	Aparato reproductor del hombre, 832-863, 833, 864/-815/	Arteria iaberinisca, 1001 Arteria renal, 763
Anillo terminal, complejo de poro nuclear, 90, 92	cilios en el, 129	Arteria resticular, 835
Anillos fibrosos, cardiacos, 434, 434	componentes del 832	Artena toracaca anterna, 915

conductos intratesticulares del, 850, 851

Arteria trabecular, bazo, 508

Aniones superóxido (O_x1), 303

Arterias, 432, 447-452	Audición, 997-998, 1000	Bazo, 472, 473, 502-509, 504, 509a, 518l-521l
capas de la pared (túmcas), 440, 440-441, 441 <i>t</i>	përdida neurosensonal, 996r, 1001	cilios primacios, 130a
caracteristicas, 441s	Auricula, 354, 433, 433-434, 434, 435, 436	filtración, 502-505-506, 508-509
características generales, 440-446	derecha, 433, 433-434, 434, 435	funciones inmunitaria y hematopoyética, 508-509
grandes o elásticas, 182, 2081-2091, 4411, 447, 447	rzquierda, 433, 434, 434, 436	histogénesis, 110
450, 449, 466/-467/	Auncular (auricularii), 436-437, 437	lámina basal, 152, 153
medianas o musculares, 4411, 447, 449, 450-451.	Autodigestión, 99	Bel-2, familia de protesnas, 61, 100, 102
451, 4681-4691	Autofagia, 47, 47-50, 49, 102	Bcl2, gen, 543c
nutocus, 236, 237	mediada por chaperonas, 49, 50	Bellini, conductos de, 745, 747
pequeñas, 441s	Autofagosoma, 49, 49, 102	Berger, enformedad de, 752
terminales anatómicas, 967	Autorradiografia, 1, 3, 11, 11-12, 22	Bermellón, labios, 568, 596/-597/
Arterias coronarias, 434, 436, 458, 458, 4641-4651	microscópica electrónica, 11, 12, 22	Bethesda, sestema de, para la citologia vaginal, 908/
Arterias espirales, 891, 894, 896, 904	Autosomas. 85	Bicapa lipidica, membrana plasmática, 32, 35
Artenas glules radules, 400	Autotolerancia, 484, 502	Bicarbonato, 615, 686, 760, 761
Artenas helicinas, 860	Andr., 109, 110, 382, 382, 384, 384, 384, 386	Bid, proteína, 102
Arterias hipofisarias, 789, 790	conducción del impulso, 387, 405	Bilitzubina, 305c, 318, 508-509, 543c, 680
Arterias interlobulares, rinón, 763	contacto de la fibra muscular, 349, 349-350	Bilis, 567, 666, 669, 669r, 678-681, 685
Artenas interlopuallares, riñón, 763-764, 765	micrombules, 387-388	canaliculus, 678-679, 679, 694I-697I
Arterias ovanças, 877, 891	nuclinizada, 395-396, 399, 405	conductillo intrahepation, 676, 679
Arterias radiales, 894, 896	no mielinizada, 398, 400, 405	conductor, 666, 678, 678-680, 680, 683, 694l-69
Arteriai supracrenales, 808, 808, 811	respuesta a la lexión 416-418	estasis, 672, 678
Arterias terminales anatómicas, 967	sustancia gris, 412	obstrucción de conducto, 672, 678
Arterias umbilicales, 904, 904-905	Axonema, 75, 122-123, 126, 842	sales, 680
Arterias uterinas, 894	Axonea miclimizados, 395-396, 399, 405	Birm, proteina, 102
ramas ováncas, 891	Azidotumid.na (AZT), 491c, 741	Biomicroscopia por ultrasonido (UBM), 951
Arteriolas, 432, 441s, 447, 451 452, 452, 455.	Azul de roluidina, 5r, 6	Вюряга
4706474		de nucleo de médula ásea, 325, 325
aferentes, 743-744, 746, 764, 765	II	en cono (comzación), 914c
eferentes, 743-744, 746, 762-765, 765	B7, moleculas, 481	Birbeck, granulos de, 536
medulares de las glandulas supramenales, 809, 811	Bahla de reabsorción, 243, 244	Burrefringencia, 21
metarteriolas, 455	Baja frecuencia, estimulos, 540	Bisfosfonatos, 257r
pensciladas, 507, 508	Baisamo de Canada, 2	Bisturf de diamante, 22
rectas, 762-765, 765	Bassis caveolares (cavéoias), 32-33	Blanqueamiento, 963
Arteriopatra periférica, 442c	Balsas lipidicas, 32-33, 33, 35, 139	Blastocisto, 898, 898
Articulación(ei) 233, 235	planas, 32	Blastomeros, 878
sinovial, 233, 235	BALT View Tejudo finfático asociado con los bronquios	Bletaroespasmo. 42
Artificios, en la microscopía, 15	Band 3, proceina, 293, 295c	Bloqueo cardiaco completo 438
Artritus, 235c	Band 4.1, complejo de proteínas, 293, 294	BMP-7, 233
gотова, 235 <i>с</i>	Banda	Bocau, 80%
reureamade, 180, 221, 235c	A, 340, 341, 343, 344	endemico. 805e
artrosis, 211c	H. 340. 341, 343, 344, 347 355	por insuficiencia de vodo 8052
Artrosis, 211c	1, 340, 347, 343	16x1co. 805c
Asa de Henle, 745, 745-746, 758-759, 762-763	Bandas	Bolo, 566, 611
rama ascendente delgada, 745, 758-759	anisotropicas, 340 347 343 344	Bolsa(s)
rama ascendente gruesa, 745-746, 759	hirrefr agentes 540	de Fabricio, 477-478, 479c
rama descendente, 745, 745, 758-759	de Bungner 419	órganos equivalentes, 322, 477-478, 479c
rama descendente delgada, 745, 758-759	monotrettingentes, 340	de Rathke, 788
rama descendente gruesa, 745	Barotreceptures, 440, 540	perineal profunda, 769
segmento delgado, 758-759, 259	Barras terminales, 133-134, 134	faringeas, 806
Asunestía izquierda-detecha, órganos internos, 131	Barrera	Bomba(s), 34
Asma, 194, 198, 714, 718-719, 718c	acuosa de la epidermis, 527, 529, 531, 531-532	de ATPasa activada por calcio (Ca ^{2a}), 348
obstructiva crónica, 726c	alveolocapilar (aire-sangre), 721, 722, 723, 7384-739/	de calcio dependientes de trifostato de adenosina
Aspartano, 393	de difusión paracelalar, 135	(ATP), 361
Aspartilglucosaminuria, 48c	de filtración glomerular, 740-741, 747, 747-752	de Na*/K*-ATPasa, 757
Aspartoacilasa, insuficiencia, 49r	de permeabibdad utorelial, 767-768	de promoes (H*), 46, 60, 245, 246, 618, 625-626
Asptración de la médula ósea, 325	fisiológica de la mucosa gástrica, 617 hematoacuosa, 953, 954-955	de sodio-potasio-ATPata, 757 Bombesina, 623r, 631, 713
Ascas	hematoencefálica, 381, 402, 415, 415-416	Borde
anteriores (ventrales), 413-414, 430/-431/	hematofolicular (ovario), 880	de avance celular, 68
posteriores (dorsales), 43044311	hematonerviosa, 381, 408	de retracción celular, 68
Astrocatoma fibroso, 402	hematooftalmica, 953	en cepillo, 120, 756, 756
Astrocitos, 581, 398-402, 403	hematorretimana, 958	Borde estrado, 120-121
en la barrera hematoencefalica, 402, 415, 475	hematotesticular, 848-849, 849e	amelohlastos, 580-581
en la homeottana del agua, 416	hematetinuca, 501-501-502-5221-5231	de los enterocitos, 628, 656/-657/
en la retina, 957	perivitelina, 889	microvellosidades, 627
fibrasos, 400, 402	placestaria, 903-904. 904	Borde rugoso
origen, 405	Barreras flascas, en la immunidad, 473, 524	ameloblastos, 580-581
protoplasmásico, 400, 401	Basofilo(s), 190, 194, 199, 2912, 305-306, 306,	osteoclastos, 244, 244, 246, 247, 270i-271i
regulación del posasso, 402	328/-329/	Boten es)
Ateruesclerosis. 442c-443c. 445, 450, 460c	Basofilia, 5-6, 55, 55, 88	brong naics, 702
Arg, genes (relacionados con la autofagia), 49	desarrollo, 194, 199, 306, 314, 316, 319-320, 321r	sinaprico 387
ATP7B. gen, 668	en reacciones alérgicas, 198c, 306, 480c	terminal, 489
ATP Véase Trafosfato de adenosma	frente a mastocitos, 1951	vesteuar, 17
ATPana. Võese Adenosina-trifosfatasa	función animunitaria, 473, 474	Bosox* 12
de cobee, 668	tunciones, 306	Bonaismo, 42
de Wilson, 668	gránulos, 305	Bautons en passant (fr. botones de paso), 364, 389-390
Atresta folicular ovanca, 878, 878, 889-891, 922I-923I	maduros, 319	Bowman, cápsula de, 743, 745, 746, 7761-7771
Atrofia, 351	parte distal, 790, 820/-823/	capa parietal, 747, 752, 7761-7771
muscular, enfermedades, 353	parte intermedia, 793	capa visceral, 748, 7764-7771
tistifas, 351	respuerta inflamatoria, 304	podocims, 746, 747, 748. 750, 751, 753
Atropina, 393, 952	Bax, proteina, 102	Bowman, espacio de, 746, 747, 752, 7764-7771
	-	

Bowman, glandulas olfarorias de, 705, 706, 708, 7301-751/	Calcio, mecanismo de liberación de, activado por calcio, 357	de liberación de Ca ² (calcio), 347-348, 351, 357, 357, 361, 363
Bowman, membrana de la córnea, 948, 948, 949, 951.	Calcitoning, 246, 255, 713, 801, 8021, 807-808	de Na* (sodio), 348, 350, 350c, 351
080408.1	Calentoiol, 741c	per ligando, 393
Boyden, esfinter de, 680, 680	Caldesmong, 359	por transmisor, 392-393
BP230, proteína, 156, 156	Calices	Canaliculo lagrimal común, 970, 971
Bradiacritma, 439	mayores, 742, 742, 766, 7721-7731	Canaliculos
Bradicardia, 439	menores, 742, 766, 7721-7731, 7781-7791	bilis, 678-679, 679, 6944-697/
genes, 88c, 909	Caliz renal, 742, 742, 744, 766, 7721-7731, 7781-7791	célula panetal, 618
Broncodalatadores, 718c	Call-Exner, cuerpos de, 881, 882	hueso, 233, 241, 241c
Broncoespasmo, 198, 718c	Callo, reparación ósea, 259, 260-261 blando, reparación ósea, 259, 260, 260	lagrimales, 970, 971
Bronquectais, 717c	Calmodulme, 361	plaqueta, 310, 311 Canalitiasts, 1001c
Bronquiolos, 703, 703, 716-719, 725, 7364-739/	Calostro, 913	Canasta nuclear, 90, 91
respiratorios, 703, 703, 716, 716-717, 719, 725, 7361 7391	Calponina, 359	Canavan, enfermedad de, 49c
tejido epitelial, 714, 717	Calsecuertrina, 348, 357, 357	Cancer: Vianue sambién los tipos específicos
terminales, 714, 716-717, 716-717, 725, 7361-7391	Calvicie, \$44c	colorrectal, 641e
Branquo(s), 713, 715-716	CAM	de cuello uterino, 914c
desarrollo de, 702	dependientes de calcio (Ca24), 139-140	de mama, 88c, 909
cobulares o secondarios, 702, 716, 725	independientes de calcio (Ca ²), 140	de ovano, 878
principales o primarios, 702, 703, 703, 711, 715-	Cámara pulpar, diente, 576-577, 578, 582, 583-584	de piel, 527e-528c, 537e-539c
716, 725	Camara virrea, 946, 946, 9741-9751	de próstata, 856, 857e-858c, 859
segmentarios o terciarios, 702, 716, 725	Cámaras del ojo	metaplana, 120e, 717e, 901, 901 metastásico, 102
Bronquitis crónica, 717c, 726c	anterior, 946, 946, 951, 9741-9751	senos linfaucos, 4%
Brore, erapa de, dienre, 575	posterior, 946, 946, 951, 974/-975/	Cazibalismo celular, 103
Brote pulmonar, 702	cAMP Veuse Monofosfato de adenosina ciclico	Canicie, proceso, 543e
Brotes, 419	Campans, etapa del desarrollo del diente, 575 Campos visuales, 944, 956c, 957	Canon de electrones, 21
Bruch, membrana de, 955-956, 957	Canal(es), 34, 138, 144	Capa hasa dei endometrio, 894
Brunner, glandulas de, 634, 634, 652l-653l, 652l-655l	acuosos extracelulares, 136, 139	Capa cartuaginosa
BSP-1 (osteopontina), 189, 190, 1911, 233, 256	aniônicos dependientes de voltaje, 59, 60, 61, 61	de la tráquea, 711
Bucafaringe, 703, 703, 704, 708	ciliares, 955	de los bronquios, 716
ectodermo, 788, 789	coclear, 989, 995, 1006J-1007/	Capa celular intermedia, urotelio, 766-767
Bulbo pdoso, 542	de demarcación plaquetaria, 309	Capa circular de la muscular externa, 610-611
Bulbo terminal de Kraine, 537	de Henng, 676, 679	Capa coriocapilar de la coroides, 955-956
C	de reabsorción, 253, 254, 266l-267l	Capa de células espinosas (estraso espinoso), 525, 526,
c-fos, 244	de Schlemm, 946, 950, 951, 952, 955, 9781-981/	526, 554/-5554, 568 Consider of July arrangement completes #284-4297
C-jun, 417-418	de Volkmann, 235-236, 236, 239, 264/-265/	Capa de células grantilares, cerebelo, 4281-4291 Capa de Henle, 542
Cabeza (estructura)	hialoide, 969	Capa de Huxley, 542
epididimo, 852, 8681-8691	hadricos entracelulares, 136, 139	Capa funcional, endometrio, 894-896, 897,
espermatozoide, 844, 844	MET, 990-991, 998	9284-931/
páncseas, 683	perforantes, 235-236. 239, 264/-265/	Capa granular, cerebro, 4261-4271
Cabeza del cuerpo, mervación autónoma, 411-412	portales, 670, 671, 672, 671, 672-673, 679,	Capa granulosa, folículo ovirico primario, 879-880,
Cabeza hidrofila polax, 32, 33	694/-697/	880
Cadena	semscirculares (óseos), 983, 987-988, 10041-10051 transmembrana, 144	Capa leucocitaria, 291
de politubucurina, 50	Canales de agua (acuapormas), 757-760, 762c	Capa longitudinal, muscular externa, 610-611
de transporte de electrones, 60, 67 hatrófoba de ácidos grasos, 32, 33	en la homeostasia de agua en el encéfalo, 416	Capa molecular, cerebelo, 428/-429/
tigera esencial (CLE), 342, 342	en la vesicula biliar, 683	Capa muscular
ligera reguladora (CLR), 342, 342, 361	en las vénulas endoteliales superiores, 497	bronquias, 716
respiratoria, 59	en los capslares giomerulares, 747	trompa uterina (de Falopio), 892, 926 <i>l</i> -927 <i>l</i>
Cadenas ligeras	función de la ADH, 762, 763c, 795	ureteral, 780/-781/
de mussma de músculo liso, 359	Canales de carcio	vagina, 938/-939/
de miosina II, 342, 342	cilios primanos, 129, 729	venga urimaria, 7824-7831 Capa muscular de la muscosa, 161a, 608, 609, 610
Cadenas pesadus	regulados, 347-348, 351, 357, 357, 361	esofigica, 612, 644/-645/
de miosina de musculo liso, 359	por ligando, 363	gastrica, 626, 6464-6474, 6484-6517
de minsma II, 342, 342	por voltaje, 391, 572, 572	intestino delgado, 627, 628, 6541-6591
Cadenas pro-tt, 179	sensiblet a voltaje, 361, 573	intestino grueso, 636, 6604-6657
Cadhermas 103-139-144	Canales de cloruro, 245	unión gastroduodenal, 652/-653/
cadherina E, 140, 797 cadherina 23, 290	regulados por transmisor, 392	Capa muscular externa, 608, 609, 610-611
cremolera, 143	Canales de potano, 405, 572, 572	conducto anal, 640
Calchiauon	regulados por voltaje, 405 Canales de sodio	contracciones, 611
cartilago hialino, 221, 221, 249, 2681-2711	específicos para el gusto, 572, 572	esofágica, 612, 612, 6441-6451
nodular, válvulas cardiacas, 438	regulados	gistrica, 364, 626, 6481-6511
vilvulas cardiacas, 438	por cGMP, 963	intestino delgado, 378/-379/, 635, 654/-659/
Calon	por transmisor, 350, 350c, 392	insestino grueso (colon), 364, 638, 660/-663/
almacenamiento óseo, 232, 255-258	por voltage, 348, 351, 392, 405	vencula biliar, 681, 681-683, 698/-699/
aparato reproductor de la muyer, BS1	sensibles a amilorida, 572, 572-573	Capa osteogénica, 249
como segundo mensajero, 786	sensibles a voltaje, 572, 573	Capa papilar derms, 528-529, 556 <i>l</i> -557 <i>l</i>
concentración sanguinea, 807	Canales idintons, 36, 392-393. Vennie también canales	comalte, 581
contracción de musculo cardiaco, 357, 357-358	especificos	Capa panetal
contracción de músculo esquelético, 345, 347-348,	аспуаснов, 786	cápsula de Bowman, 747, 752, 7761-7771
351, 351	en el sentido del gusto, 572, 572-573	pericandio seroso, 435, 435
contracción de múscula liso, 361-362, 363	regulados mecánicamente, 991	Capa pigmentada, cuerpo ciliar, 955
en la saliva, 593	regulados por ligando, 36	Capa plexiforme
insufficiencial, 258c	regulados por proteínas G, 392	cerebro, 4261-4271
metabolismo del. 255-258, 806-808 mineralización mea. 254-255, 256	regulados por voltaje, 36 Canales regulados	enterna, retina, 957, 958, 964-965, 9764-9771

Capa reticular	de reserva, zona, 251, 252, 270/ 271/	epitelio, 730/-731/
dermis, 173, 528-529, 5564-557/	desimallo, 218	estados que afectan, 705, 715c
ahuna prop a. 568	desarrolla esquelético, 214-215, <i>215</i> , 226 <i>l</i> -227 <i>l</i> ,	mervación, 705, 707
Capa subendocárcica: 436	246-249, 250-251, 268/-2711	mucom, 704, 715r, 7304-731/
endocardio, 376/ 377/	mineralización, 253-255	region olfatoria, 703, 705-708
Capa subendoteral 440-449	modelo, 248-249, 250	región respiratoria, 703-705
de tejido conjuntivo denso, 3764-3771	remodelado interno, 212-213	transducción olfarona, 706, 707
Capa vascular, 441, 450	resumen de las caracteristicas, 2191	Cavidades óseas, 235
Capa visceral, pericardio seroso, 435, 435	tumores malignos, 220c	CBFA1, factor de transcripción, 246
Capacitación, 845, 879, 887-888		
1	Cartilago anticular, 210-212, 211e, 215-217, 216, 234,	CC16, proteina secretora de las células de Clara, 718-
Capas germinales, 110-111, 111, 170-172	235, 266/-167/	719
Capas nucleares, retina, 957, 958, 964-965, 9764-9771	Carrilago ericoides, 704, 709	CD folicular cooperador, 490, 498
Capas pleuformes, retina, 957, 958, 964-966,	Cartilago de Mecket, 2721-2731	CD151, proteina, 157
9764-9774	Cartilago elástico, 210, 217, 217, 219t, 228/229/	CD1a, molecular, 535-536
Capilares, 432, 452-455	lanngen, 708	CD27, 482
aspectos funcionales, 454-455	matriz, 217	CD28, 4764, 481
capaulares, 808	Cartilago epifisano, 226/-227/, 249-251, 252	CD3, marcados, 480, 480-481
capsulares supramenales, 808	Cartilago hialino, 210-217, 219t, 224f-225f	CD34*, 313
caracteristicas, 441r	artucular, 210-212, 211c, 215-217, 216, 234, 235,	CD38, 313
	2801-2671	
clauficación. 453, 453-454, 454		CD40, 477s, 481-482, 487
continuos, 453, 453	aspecto mucroscópico, 213, 213-214, 214	CD40L, 477s, 481-482, 487
discontinues, 453, 454	bronqual, 716	proteina, 305
eferences, 691	calcificación, 221, 227, 249, 268/271/	CD90*, marcador de superficie, 313
envainados: 507, 508	celulas, 213, 213-214	Cdc2 (Cdk-1), 94, 94r
fenestrados, 453, 453-454, 454, 747, 808	composición, 210-212, 277	Ceguera nocuuma, 667, 962
diafragma de los, 453-454	desarrollo esquelético, 214-215, <i>215</i> , 226 <i>l</i> -227 <i>l</i> ,	Celdillas mastordeas neumáticas, 983, 986
glomerulares, 743-744, 746-751, 747, 748-749,	246-249, 250-251, 268/-2711	Célula(s), 106. Véanse sombsén componentes celulares
*53, 765	distribución de los componentes, 211, 214, 214	upos de células específicos
anfancus, 455, 459-461	estructura general, 211	acido pervodico de Schiff (PAS), 500
	hidratación, 212-213	acinates, 684, 685, 685, 686, 700/-701/
perinsbulares, 762-765, 765		actividad muótica, 92
ret r 1400s. 952	laringeo, 708	
simasoulases, 454	matriz, 210-214, 212, 214	amacrinas de la retina, 957, 957-958, 965
corticusuptairenales 808	pencondrio. 214, 215, 224/ 225/, 248	aneuploides, 93
Саряцы	proteoglucanos, 211-212, 212	argentafines, 65046511
bazo 502 504	remodeado interno, 212-213	binucleadas, 358
cristalino, 967, 967, 9804-9811	reparación, 219-220	bipolares de la rerina, 951, 957, 957-958, 965
gangho linfático, 493, 494, 499, 514/-517/	traqueal, 709, 711, 711, 714-715	C (células parafoliculares), 800-801, 801
giandula pineal, 799, 824/-825/	Carrilago laringeo: 708	caracteristicas histológicas, 29
giándulas supramenales, 808, 811	Cartilago i roideo. 704, 709	características microscopicas, 307
	Carancula sublingual, 567	centroacutares, 684, 685, 685, 7004701/
giomérulo (vésur Cápsula de Bowman)		citoplasma, 28-91
nigado (cipsula de Glisson), 666, 670	Cascada de señalización de proteinas G, 631	
laguna (matriz hialina del cartilago), 224/-225/	Caspasa(s), 100	compartimentus, 28
ojn (cápsula de Tenon), 950	caspasa 1, enzima, 102	согисоторыя, 791-792, 7921
nñon, 741-742, <i>742</i>	Caspasa, inhihidores, 101-102	cromafines, 809, 809-812, 812, 814r, 830I-831I
timo, 499. 5221-5231	Casquete acrosómico, 842, 844, 844	cubicas, 1644-165/
Cápsula de Bowman, capa visceral, 748, 7761-7771	Catageno, 544c	de captación de precursores de aminas y
Cápsula de Glisson, 666, 670	Catalaga, 678	descarboxilación, 619c-620c
Capsula de Tenon, 950	Catanina, 64	de memoria, 474, 478, 480, 482, 483, 498
Cápsula renal. Wase Cápsula de Bowman	Cataratas, 147, 968-969	de micropliegues. Visue Células M (micropliegues)
	Carástrofe	de prolactina (lactótropas), 791, 7921
Capuchón, fase de, espermiogénesis, 842	tructotubulas, 63	dianas, hormonas, 785-786
Cara extracelular, 22, 34. 34	mitouca, 93, 101, 102	educación timica, 502, 503
Cara P. 22, 54, 34	Carecol-O-menil-transferasa (COMT), 395	
Caracteres sexuales secundanos, 815		en banda o cayado (neutrófilos), 316, 319, 3211
Carcinoma	Catecolammas, 393, 713, 786, 811-812	en cepillo caveolada, 637
basocetular, 527c	Catelordinas, 299, 303	en cúpula, endotelio, 766-767, 767, 768
de células de Merkel (CCM), 536	Catemnas, 138, 140-141, 141	en paraguas, urotelio, 766, 767
epidermoide (de células escamosas), 120c, 527c,	Catepsina(s), 305	endocrinas, cavidad nasal, 704
717c	K, 245	endómeas, 235, 239, 239, 242
tiroideo medular, 801	Cátodo, 21	enteroendocrinas, 160
Cardic ipina 59	CarSpens, 888	ependimarias, 110, 381, 398, 403, 404, 404-405
Cardiomocros 464/-465/	Caveolas, 361	epiteliales (pesse Células epiteliales), 107, 116, 117
modules, 448-439	Caveolinas, 32-33, 37-38	epitelsoides, 116-117, 1681-1691, 784-785
Cardiopatia	Cavidad bucal, 567-595, 703, 704	epiteliorreticulares, 474, 485, 499-502, 501,
cotobatia, 442c, 458 460c		522/-523/
	componentes, 567	
hipertensiva, 448c	descrollo, 110	especialización, 28, 29
reamania, 438	epitelio, 567-568, 568	expermatogénicas, 836, 845, 864/-865/. Visor
valvular 438	oscheación mandibular, 272/-273/	también Espermáxides, Espermatogonia(s)
Carres dental, 575, 586c, 593	propramente dicha, 567	espumosas, 442c, 444
Carrocinesis, 93, 95	techo, 568	estrelladas bepáticas, 673, 675
Cariólisis, 82	Cavidad constitica, 899, 900	estroniales, endometrio, 896
Canomenis, 82	Cavidad de la medida ósea, 268/-269/	F del páncreas, 689r
Carrosomas, 83, 847, 848	Cavidad de la pulpa central, 583-584	falangicas, oído interno, 996-997, 997, 999
Cariotipo, 85-86, 87c	Cavidad del biastocisto, 898	fouculoestrelladas, 793
Castilago, 108, 210-221. Wante tumbién los tipos	Cavidad medular (ósea), 2264-2271, 234, 234, 235,	funciones, 28
	323	
especificos		germinales primondaales, 833-834, 834, 878
calcificación 221, 221	Cavidad pericardica, 435	gigantes de cuerpos extraños, 194
calcificado, zona, 251, 252, 270/-271/	Cavidades articulares, 2264-2271, 2684-2691	gigantes de Langerhans, 488
celulas, 210, 213-214, 218-219	Cavidades nasales, 702, 703, 703-708	glandula peneal, 798, 824 <i>l</i> -825 <i>l</i>
composición, 210	celulas, 704-708, 730/-731/	hiliares ováncas, 891
crecumiento, 218-219, 224/-225/	celulas madre, 704, 707-708	hipertróficas, 249

humontales, retina, 957, 957-958-965	citoplasma, 397-398, 399, 400	desarrollo, 833, 834, 835, 838
inntunocompetentes, 306, 473	función regenerativa, 418, 418-419	secreción de testosterona, 838
intercaladas, conductos colectores, 760-761	origen, 406	tumores, 838-839
intermedias, 632	producción de la vana de melina, 395-396, 398	Celulas de Muller, 395, 957, 957-958, 963-964
interplexiformes, retina, 957, 965	respuesta a la leión, 416, 478	Calulas de Paneth, 160, 628, 630-631, 632, 635
ecomposón 68 sites, 886-887, 887	umón entre, 396-397, 399, 424F4251 Celulas absorbentes	Células de Puritinje, 381, 383, 4287-4297 Células de receptores olfatorios, 705-707, 706, 707,
httelnicas, 9244-925/	cihadacas, 636-637	730/-731/
M (micropliegues), 628, 632, 633c	gastrodundenales, 6521-6531	Células de revestimiento oseo, 233, 239, 242-243, 243
madre hematopoyéticas (CMH), 194, 199, 249,	intestino delgado (enterocitos) 624c-625c, 627-	Célulus de Rouget. Vâtre Pericito(s)
313-315, 314, 472	630, 630, 6541-6571	Células de Schwann, precursores, 406
madre plumposentes (CMP), 313	намения диево, 636-637, 660 <i>l</i> -661 <i>l</i>	Celulas de Serroli, 78, 836, 837, 846-849, 847-849,
malignas, 88	Células alveolates, 719-720	864/-865/
mesangules, 746, 752-753, 753	upo 1, 719-720, 723, 724, 738/-739/	complejo de unión, 837, 847-849, 848-849 desarrollo, 833, 834, 835
mesorchales, 164/-165/ microghales reactivas, 403/-404, 417, 419c	upo II, 720, 721, 722, 724, 7381-7391 Células B. Váne Linfocitos B	Eagocitosis, 842, 844, 848
pigmentadas, del iris, 951	Células basales	Celulas de sostén
progenutoras linfosdes comunes (CLP), 306, 314,	de la cavidad nasat, 704, 705 706, 707-708,	SNC, 109
315, 320-322, 478, 499, 535	73077317	SNP, 109
progenitoras nucloides comunes (CMP), 313, 314,	de la piel, 525-526, 532	Gélulas de tirotropina (tirótropas), 792, 792r
318-320, 3212	de la tráquea, 712, 713, 713	Células del asta anterior, 413-414
mioides, resuculos, 364, 836, 837	de las papilas gustativas, 571, 600/-601/	Células del cirotrofoblasto, 9364-937/
musculares lisas, 358-359, 359, 360, 364, 378/-379/	del conducto deferente, 870/-871/	Células del islote, 688, 688, 689, 689, 691r.
neuroendocrinas. Vēsse Cētulas enteroendocrinas neuroepsteliales, papilas gustanvas, 571, 6001-6011	del epididimo, 853, 868/-869/ del usorelio, 767	Células del marcapasos, 439
neurogliales, 109	Células caliciformes, 148, 158, /58, 160	Celulas del permeuro, 408
neurogliales entéricas, 381, 398	cavidad nasal, 704	Celulas dendriticas, 315
NK. Vine Linfocitos citoliucos naturales (NK)	conjuntria, 970	células de Merkel 536
nacleo, 29, 30r, 31r, 82-105	en el intestino delgado, 627, 630, 630, 635,	epsdérmicas, 533, 536
orgânulos, 28-30	654/-657/	toliculares, 474-475, 490-492, 494-495, 495
características reicroscópicas, 30/	intestino grueso, 637, 637, 660/-661/	melanocitos, 533
funciones y enfermedades, 31z	triquea, 711-712, 712, 713, 734-7351	sistema linfático, 473, 474-475, 485, 490-492, 494-495
paembranosos, 29-62	Células carquecas, 354-357, 438-439	Células en cepillo
movimento, 65. 66 no membranosos, 29-30, 62-75	conductorss, 357, 3761-3771, 381, 434, 438-439, 4641-4651	alvéolos, 720
oscuras de la glándula sudos para ecrina, 546-548,	distribución de filamentos, 68	cavidad nasal, 704, 705, 707
547, 760-761	uruones de, 142, 143	tráquez, 712
ováricas bihares, 891	Células ciliadas	Células endoteliales, 171, 184, 408, 415, 442-445,
oxifilas, 806, 826/-827/	cavidad nasal, 704	4464, 448
oxinticas, 618. View sembrin Célula(s) parietal(es)	oido interno, 121, 129, 989, 989-993, 990.	arterias elásticas, 447, 449
P (del marcapasos), 439	1004/-1007/	capilares, 452, 453, 453-454
pancreaticas a, 688, 688r, 689, 690, 7004-70.1	tráquea, 711, <i>712, 713</i> trompa uterina, 892	higado, 696i-697i sinusoides esplénicos, 506-507
В, 688, 688г, 691с, 700/-701/	Celulas ciliadas del oído interno, 996-997, 997	Células enterocromatines, 6897
8, 688, 6887, 689, 690	canales tónicos y potenciales de acción, 991	abieros, 621, <i>621</i>
£, 689r	еметно, 996-997, 997, 999	cavidad nasal, 704
papilares, 581	función auditiva, 998	cerradas, 621, 621
parafoliculares (células C), 800-801, 801	interno, 996-997, 997, 999	gistricas, 616, 617, 619c, 620-622, 621, 626,
parietales, 616, 616-620, 619, 620, 625-626, 6481-6511	sinapsis, 991, 991-992	648/-651/
PAS, 500	про 1, 992, <i>992</i>	intestinales, 394-395, 628, 631, 635 nomesclatura, 621-622
penésticas, 234, 239, 239, 242	ripo II, 992, 992 Celulas crimducas	regulación pancreática, 686-687
perivasculares. Wase Pericato(s)	absorbentes, 636-637	secretiones, 621-622, 622
planas, 164 <i>l</i> -165 <i>l</i>	del epidulimo, 868/-869/	mempo de vida, 626
plumpotentes inducidas (CPI), 161	Células claras	traquea, 712-713
polimórficas, 426J-427/	de las glándulas ecrinas, \$46-548, 547	Células epiteliales, 107, 116, 117
polvosas, 722-724, 724	conductos colectores, 760, 761	biosintesis de coligena, 180
PP (célula F), 6891	Células de Clara, 717-719, 719, 7384739/	caracteristicat, 116
precursorar de melanocitos, 532 món, 761-762	Células de halo, 853	como receptores, 116, 118 corneales, 949
septales, alveolares, 720, 721, 722	Celulas de Hofbaner, 902, 902 903 Celulas de Ito, 454, 673, 675	cnstalino, 967, 967
similares a los miofibroblastos, 438	Células de Kulchrisky, 704, 712-713	diferenciación, 525
sustentaculares, 705, 706-707, 834. Venne tambien	Células de Kupffer, 454, 485, 673, 673-674, 677.	dominio apical (superficie libre), 107, 116, 117,
los tipos específicos	6964-6971	118, 120-133
T de receptor invariable asociadas con la mucosa	Celulas de la adventicia, 323, 323. Véase sumbién	cilsos, 122-133, 124z
(MAIT), 308, 477	pericito	especialización, 11B
testiculos, 55, 78, 117, 1684-1694, 834-839, 835,	Celulas de la decidua, 896, 899, 934/-935/	estereocilios, 120, 121-122, 123, 124c, 125
837-838 TH1, 475, 487	Células de la granulosa Internicas, 887, 924/-925/	microvellosidades, 120-122, 121, 122, 124a dominio basal, 116, 117, 118, 147-157
TH2, 475	tolicula ovarica, 879-880, 880, 881, 882, 882-883,	membrana basal/lamma basal, 147-155
TH17, 475	883, 889-891	uniones célula-matrix extracelular, 147, 155-157
transacionales, 439	Células de la hormona del crecimiento (somatótropas),	dominio lateral, 116, 117, 118, 133-147
transportadoras de antigenos, 632	790-791, 792:	barras terminales, 133-134, 134
trofoblasticas, 899	Celulas de la marriz, 542, 542	complejos de unión, 134, 134-147, 135
valvulares, 437-438	Celulas de la reca Internicas, 887, 887, 9241-9251	modificaciones morfológicas, 147, 147
valvulares intersticiales, 437-438	Células de Lacis, 752	moléculas de adhesión celular, 133
yuxtaglomerulares, 746, 812-813	Células de Langerhana, 194, 474-475, 485, 535, 535-	sitios de adhesión célula-célula, 133-135
Célula(s) de Merkel, 536 Célula(s) de Schwann, 109, 349, 381, 382, 384, 395-	536 Células de Leydig, 55, 78, 117, 1684 1691, 835-839,	uniones comunicantes, 135, 144-147 uniones de anclaje, 135, 139-143
398, 4244-4257	837, 838. 8644-8671	uniones ocluyentes, 135-139

Células eputeliales (cont.)	ostficación intramembranosa, 246-248, 248.	Células sensonales
epidérmicas, 525-526	2724-2731	de las papilas gustativas, 571, 571, 6001-6011
Jorma, 118	Células muoepiteliales, 364	oldo interno (células pilosis), 121, 129, 989, 989-
glandula mamaria, 910	de las glándulas mamarias, 795, 910, 911,	993, 990, 1004/-1007/
parietal, cápsula de Bowman, 747, 752, 753	2401-24-1. 2401-2431	canales sósucos y potenciales de acción, 991
polandad, 118-120, 135	de las glandulas salivales, 588-590, 589	externo, 996-997, 997 999
renovación, 160-161		función auditiva, 998
	glandulas apocrinas, 548, 5587-5597	
estómago, 622-626	glandulas ecrinas, 546, 546-548, 547, 5584-559/	interno, 996-997, 997, 999)
intestino deligido, 635	urs, 951, 953	sinapsis. 991, 991-992
intestino grueso, 637	Células mucosas	цро I, 992, <i>992</i>
piel, 161, 525-526	de las glándulas salivales, 585, 586, <i>587</i> , 588, <i>588</i> ,	tipo II, 992, <i>992</i>
sebocitos, 545-546	6061-6071	Celulas serosas, 160
superficie basal, 157	del cuello (de la glandula fúndica), 6/6, 617-618,	de las glándulas salivales, 585-588, 587, 604/-605/
superficie lateral, 147, 147	626, 650/-651/	pancreas, 684-685
Celulas foliculares	del estómago, 614-618, 615, 616, 622-626.	Células T Vêne Linfocatos I'
glandula menides, 800, 800-801	6464-6474, 6504-651/	Cemento, 253, 254, 573, 581-582, 582
ovario, 879, 879-880, 880, 920/-921/	de la tráquea, 711-712, 712, 713, 734I-735I	intracelular, 133
	de la vesicula biliar, 6981-6991	linea de, 216, 217
Células fotorreceptoras, 944, 945, 951, 957, 957-965,	superficiales, 614-615, 615, 616, 622-625,	Cemenmhlastos, 581-582
976+977/	64646474, 6504651/	Cementocitos, 582
desarrollo, 947		
discos, 962, 964	Celulas parengamatusas	Cementogénesis, 582
distribucion, 959, 959	glandu a pineal, 798-799	Cementoideo, 581
esférula o pediculo, 965	glandulas suprarrenales, 808	Centrina, 73, 74
citruciura, 958, 959-962, 960	Células piramidales, 117, 383, 426/-427/	Centriolos, 30, 71-75
nacleos, 964	Células placentarias fetales presentadoras de antigeno,	anomalías y cánces, 79e
pigmento visual, 675, 962-963	902, 902-903, 9364 937/	calingénesis, 74-75, 75, 131-133
	Células planas foliculares, ovario, 879	espermiogénesis, 842
procesamento visual, 962-963, 963	Células plasmáticas, 170, 171, 190, 200, 201,	estructura, 73-74, 74
sensibilidad a la luz, 959	2044-2054, 482	formación del cuerpo basal, 72-73, 73, 75, 122-
sensibilidad al color, 959, 964c	aparato de Golgi, 56, 56	123, 131
Células ganglionares, 405	función secretora, 40, 53, 482	función matólica, 73, 73, 75
médula suprarrenal, 810, 830/-831/		
retura, 951, 957, 957-958, 966, 9764-977/	glandula mamaria, 911, 913	inmaduro, 74, 74, 75
Células grapulosas, 428/-429/	respuesta inmunitaria, 474, 482	maduro, 74, 74, 75
cavidad nasal 704	tendo linfánco difuso, 489	microtubulos en triplete, 71-74, 74
pequeñas	Células presentadoras de anugeno (CPA), 197c, 481,	orientación ortogonal, 72
cavidad nasal, 704	482, <i>482</i> , 485, <i>487</i>	Centro de osificación
	células de Langerhans, 485, 535-536	primario, 249, <i>250</i>
triques, 712-713	esplénicus, 508	secundano, 250, 251, 268/-269/
triques, 712-713	ferales placemarias, 902, 902-903, 9364-937/	Centro germinal, 490-492, 494, 496, 514/-521/
Células madre, 118	macrófagos como, 193-194, 309, 485	Centro organizador de microtúbulos (COMT,
adulus, 160, 190, 199-200, 617	Células principales	centrosoma). 30, 62-64, 71-75
cavidad nasal 704, 707-708	conductos colectores (células claras), 760, 761	anomalias y cáncer, 79e
cians, 129	epadulimo, 853	axónico y dendrítico, 387, 388
corneolumbicis, 949, 950		cikogénesis, 74-75, 75, 131-133
epidéraucat, 525, 542, 542-543	estimago, 616, 617-618, 618, 626, 648/-651/	
espermatogonias, 840	glandula pineal, 798	duplicación, 74-75. 75
gástneas, 617	glándula tirondes (células foliculares), 800, 800-801	estructura, 72, 72
hematopoyéticas, 194, 199, 249, 313-315, 314,	glandulas parariroides, 806, 8261-8271	formación del cuerpo basal, 72-73, 73, 75, 122-123
472	Células productoras de la hormona foliculoestimulante	función mitática, 73, 95
	(gonadótropas), 792, 792 <i>t</i>	Centrómero, 85, 95 97
hepaticas, 679	Celulas productoras de la hormona futemizante	Centros fibrilares, nucléolos, 86
intestinales, 160-161, 199, 632, 635, 637	(gonadótropas), 792, 792r	Centrosoma (centro organizador de nticrotúbulos), 30,
agamento periodontal, 585	Células progenitoras	62-64, 71-75
Bidatiocitos, 5432	comprometidas a eritrocitos (ErP o CFU-E), 313	anomalías y clucer, 79e
mesenquimatosas, 199	comprometidas a megacariocitos (MKP), 313, 318-	cilingénesis, 74-75, 75, 131-133
adipocitos, 275, 276, 282	319 3217	duplicación, 74-75, 75
celulas muscislares lisas, 364	de basófilos (BaP), 194, 306, 315, 319, 321a	estructura, 72, 72
células progenitoras óseas, 237-239, 239	de granulocitos/macráfagos (GMP, CFU-GM), 239,	formación del cuerpo basal, 72-73, 73, 75
gelanna de Wharton, 171-172		-
indiferenciadas, 454, 455	243-244, 245	función mutásca, 73, <i>73</i> , 95 Ceramulas, 531
ouficación endocundral, 249	de granulocatos/monocatos (GMP, CFU-GM), 313-	
-	315, 314, 319 321, 404 405	Cerebelo, 412, 428/429/
mogénicas, 352-354	de megacariocitos/eritrocitos (MEP), 313, 314,	Cerebro, 412, 4261-4271
neuronales, 383-384, 405	318-319, 3212	capa de pequeñas células piramidales, 426/-427/
nichos, 160, 199, 542-543, 632, 635, 637	de músculo liso, 364	Cerebro del intestano, 411
pericinos como, 199-200, 364, 454, 455	Imfancas, 306, 314, 315, 320-322	Ceruloplasmina, 668, 849
plunpotentes, 313	micloides, 313, 314, 318-320, 321s	Cerumen, 983
renewacion 840	miogénicas esqueléticas, 282	tapón, 983
reserva, 93-94, 840	muluporentes adultas (CPMA), 199	Cervarit, 914c
tepda, 199	osteoprogenuturas, 233, 237-239, 239, 246-248, 248	17-Cetoesteroide-reductasa (17KSR), 815
Datasees, 199	pluntpotentes, 219-220	cGMP Vees Monofosfato de guanosina ciclico
Joseph Chales, 767	Celulas reticulares, 182, 323, 323	Chalazión, 970
Celulas madre mesenquamatusas, 199		Chaperonas, tratamiento farmacológico, 48c
adipocitos, 275, 276, 282	sistema linfarico, 474-475, 490-495, 494, 495,	_ *
	514/517/	Cicatriz
células musculares lests, 364	Células sanguineas, 290-291, 2911. Véimie también los	derivada de astrocitos, 417
células progenitoras óseas, 237-239, 239	tipos específicos	glul, 417
gelatina de Wharton, 171-172	formación, 313-322, 314	hipersrófica, 196c
indiferenciadas, 454, 455	preparación y cinción, 292, 292-293	queloide, 196e
osaficación endocondral, 249	recalento, 312-313	sastema nervioso, 417, 419c
Células mesenquimarosas	Celulas sateline	tejido conjustavo, 1%c
ojo, 947	musculo esquelético, 353, 353-354	Cicatrización
oxficación endocondral, 248-249	sistema nervinso periférico, 109, 381, 398, 401	heridas, 191, 194, 196c, 200, 304, 550c-551c

hueso, 238, 258-261, 259, 260	brongisial, 722	Cloroguna, 46
músculo esquelético, 352-354	cerrada, 508, 508	Cloruro, reabsorción, 760
diea indirecta (secundaria), 258, 259	esplénica, 507-508, 508	Clottridium
Cicina, 94-95, 94r	materno-feral, 903-905, 904	C. botuliment, 350
B, 94	pulmonar, 433, 433-434, 434, 722	C. perfrrugens, 142e
E-Cdk2. 94	sistemica, 433, 433-434, 434	Coactivator del receptor y activado por proliferadores
Cdk, complejos, 74-75, 94, 94-95	uteroplacentaria, 901, 902	регохиотнов (РРАКу) 1, 282
Cirlo anovulatorio, 898	Carrosas, 76c, 675	Coagulación, 292, 311-312, 312
Circlo celular, 92-99	cardsaca, 674c	Coagulo, 196c, 292, 311-312, 312
anumalias, 88, 88c, 93	hepática alcohólica, 76c	Coanas, 703, 704
cancer, 88c	Carugaa micrográfica de Mohs (CMM), 537e-539e	Coatômeros (COP), 54, 54
ciliogénesis, 74-75, 75	ru-SNARE, complejo, 41, 42	Cobre, 667-668, 680
duplicación del centrosoma, 74-75, 75	Cistatuna, 531	Coclea, 983, 988, 989, 998, 1004/1005/
lases, 92, 92-93	Caternas	Código genético, 51-52
puntos de control, 92, 93, 101, 102	aparato de Golgi, 56, 57	Coestimulación, señal, 481-482
reentrada de las células madre de reserva. 93-94	renculo endoplasmánico rugoso, 51, 51	Cofilina, 67
regulación, 88, 88c, 94, 94-95, 94r	terminales, 347, 347-348, 355, 356-357	Cohesinas, 95, 99
Circlo de Krebs. Vliese Ciclo del acido cirrico	Castinosis, 49c	Cola
Ciclo de los puentes cruzados de acromiosina, 345-	Citocalasina	epididimo, 852
347, 346, 351	B. 76c	espermatozoide, 844, 845
Ciclo del acido citrico, 59-60, 61	D, 76c	Colagenasas, 180, 305
Ciclo menstrual, 876, 893, 894-898 894c-895c, 897	Carocmas, 233, 260, 275, 485	
cambios en la glandula mamaña, 911, 913	activación de linfocitos, 481	Coligeou(s), 174-181
cambins ovarious, 876, 894r-895r, 896-898	hematopoyette.a. 320 322r	bionnesis, 177-180, 178, 190, 675
cambins vaginales, 906		cartilago, 210-211, 217, 218, 224/-225/
consenzo, 894	Sectemon production, 485	dases, 177
dolor a mitad del ciclo (Mittebehmers), 891	Catocinesis 93 95	composición, 176s-177s
lase menatrual, 896-898	Cabocouro	con triple hélice Interrumpida asociados con Sbrillas
· · · · · · · · · · · · · · · · · · ·	B 558 3032	(FACIT) 177, 180
fase proliferativa, 896	sahannad b (gen CYBB), 303c	condresarcoma, 220c
fase secretora, 896, 930/-931/	6, 59 - 00	degradación, 180-181
lactancia, 915r	Croesqueiero, 28 29 139	enfermedades asociadas, 181c
Cirlo ovanico, 894c-895c	caracteristicas microscopicas, 40r	especifico de cartilago, 211, 220, 224/-225/
Circlespona A, 485	elementos, 30s, 31s, 77s (véanse sambién elementos	estructura, 151, 151
Ciego, 635, 638	específicos)	estructura globular, 179
Cierre epiliario, 252	funciones y enfermedades, 31a	fase de mineralización, 255
Cigoteno, 96, 98	proteínas intracelulares, 4	fibritares, 177-180
Cigoto, 95, 885, 888-889, 898	Citologia de cuello uterino, 901, 908c, 914c	formadores de membrana basal, 177
Cilindros urinarios, 756c, 759	Catometria	formadores de redes heuagonales, 177
Ciliogenesis, 74-75, 75, 128, 131-133	de flujo, 7c, 312	functiones, 1764-1774
etapa de elongación, 131	estation, 7¢	hueso, 232, 234, 239
Cilion, 122-133, 124r	Citoplasma, 28-81 Viense sembrén componentes	lámina basal, 148, 149-152, 153
anomalus, 129-131, 133c	específicos del citoplasma	localización, 1761-1771
características microscópicas, 72	apscal, 58	molécula, 175, 175-176, 179, 179-180, 211
clasificación. 123	dendritico, 385	reparación de cartilago, 220
cuerpos basales, formación, 72-73, 73, 75, 122-	hepatocito, 676	tejido adiposo, 277
123, 131	moléculas de adhesión celular, 139-140	пра I, 175, 1764, 177, 179
embrionarios, 131	organulos, 28-30	carollago, 218, 220
formación, 74-75, 75, 128, 131-133	características microscópicas, 307	condrouarcoma, 220c
inmóviles, 123, 129	funciones y enfermedades, 31t	derms, 528-529
microrubulos, 126-129, 127, 128	membranosos, 29-62	**
moviles, 323-129, 124z	movimiento, 65, 66	filmais hepázica, 675 huesos, 232, 239
cuerpos basales de anclaye, 126, 127, 128	по тетрганиям, 29-30, 62-75	
mecanismo de movimiento, 126-128	perinodular, 398, 399	tipo II, 176r, 177, 210, 211, 218, 220c
movimiento de liquidos y partículas, 125	permuclear, 382-383, 395-396	про III, 151-153, 156, 1764, 177, 181-182
patrón ancrónico, 128-129	Schwann, célula de, 397-398, 399, 400	dermis, 528
nodulares, 123, 124 <i>t</i> , 131	transporte hacia/desde el múcleo, 90	fibrous hepática, 675
organización azonémica, 123, 126, 127	Слоразта	secreción por el músculo liso, 364
primarios (monocilios), 123, 1241, 129, 129-131,	aprical, 58	upa IV, 148, 150, 151, 154, 156, 1761
130 <i>t</i> , 131	perinodular, 398, 399	cúrnea, 949
transporte intraflagelar, 131-133, 132	perinuclear, 382-383, 395-396	ensamble de la lámina basal, 151, 151
Cilias moviles, 123-129, 124r	Citoprotección gastrica, 615	glomerulonefritis, 747-748, 754c
aspecto festonesdo, 125-126	Catoqueratinas, 69-70, 70r. View tambén Queratina	membrana basal glomerular, 747, 749
cuerpos basales de anclaje, 126, 127, 128	acidas, 69, 70 <i>i</i>	red, 150
mecanismo de movimiento, 126-128	basacas, 69, 70 <i>i</i>	secreción por el musculo liso, 364
movimiento de líquidos y partículas, 125	Ciroquimica. Vões Histoquimica y citoquímica	про V, 176қ 177, 232
urgangación asonémica, 126	Citosol (matrix citoplasmática), 79	upo VI, 1764, 211
patrón sincrónico, 128-129	Citoroxicidad mediada por células dependiente de	tipo VII, 150, 153, 154, 156, 157, 1761
Cimógeno(s), 624c, 634	anticuerpos (ADCC), 482-483, 483	úpa IX, 1764, 177, 211
Cinasa	Catotrotoblasto, 898, 899, 901, 902	tipa X, 176r, 177, 211, 220c
de adhesión local, 155-156	Catrato de ploroo, 22	tipo XI, 1764, 177, 211
de cadena ligera de mussura (MLCK), 361, 444	Cizallamiento, 444	пра XV, 150, 1764, 177
dependiente de ciclina (Cdk), 74-75, 94, 94-95, 94	CF, canal proteinico, 725c	upo XVII, 154, 156, 157, 176ε, 177
Cinesinas, 65, 66, 388-389	Catrina, 37 39, 40	apo XVIII, 150, 1764, 177
II, 131, 132		при, 175-177, 1764-177¢
Cinemouro, 95, 98	proteinas adaptadoras, 39, 40 Claudina(e), 135, 136, 136, 137, 130	transmenobrana, 177
	Clandina(s), 135, 136, 136, 137t, 139	
Cincidations, 525	claudina-14, 136	triple hélice de, 179
Cinocilio, oido interno. 988-989, 990, 994	Chrosis 876 907	Colagenoparias, 181c
Circulación. Vénne también las estructuras anatómicas	Clitoris, 876, 907	Colangiocims, 678, 678-679
especificas shares 509 509	pilates, 907	Colchicina, 76c
abierta, 508, 508	Claquet, conducto de, cuerpo vitreo, 969	Colecalciferol (vitamina D ₃), 667, 669, 741, 741c, 807

687, 690, 691	Componente secretor (CS), 633, 634	pancreances, 68)
	Componentes amónicos de células y rejidos, 5-6	(ntranobunillares glandula sublingual, 6064-6071
Colettore, 666, 680, 680, 683, 694/	Componentes extracelulares, 106 Concentración urinaria, 762-763	
Colestania autrahepárica, 679 Colesterol, 32, 444, 446 <i>t</i> , 531, 680, 816 <i>t</i> , 883	Concha trofoblastica, 901-902, 902	pancreaucos, 684, 685, 7004-7017 intratesii culares, 850, 851
Coluta alocrosa, 639r	Conchas, 704, 704, 705	Infit.cos, 494, 496, 496, 5144-517/
Colar	Concreciones	mamarios interlobulilares, 942/-943/
externo del citoplasma perinuclear, 395-396	glandula pineal, 798, 798-799	mesonéfaco (wolffiano), 850-852, 851, 855
interno, citoplasma de la celula de Schwann, 396	prostata, 856-859, 872I-873I	nasolagrunal, 703, 970-971
(ueu, 249, 250, 268/269/	Condroblastus, 218-219, 260	usteónico (de Havers), 235, 236, 237 239, 252-
Coloide, 800, 800, 802-803, 803	Condrocutos, 184, 210	253, 264/-265/
Colon, 635-636, 638, 6601-6611. Viane pumbien	carollago elástico, 217, 2284-229/	pancreátion accesorio (de Santorini), 680, 683,
Intestino gracio	cartilago bialino, 210, 213, 213-214, 224/-225/,	684 685
ascendente, 635-636	266/-267/	pancreitaco principal (de Wirsung), 680, 683, 68
descendente, 635-636	desarrollo, 218-219	684, 685
muscular externa, 364	fibrocarrilago, 217, 218, 2301-2311	papilares (de Bellint), 745, 747
musculo liso, 359, 364	grupos taógenos, 213, 230/-231/	paratiroideo (de Stensen), 567
sigmoideo, 635-636	osificación endocundral, 249, 2684-269/	parauretrales, 769
tejido conjuntivo, 204/ 205/	producción de la matriz extracelular, 213-214	pilosebiloro, 542, 545, 560/-561/
tejido epitelial, 1661-1671	Condroclastos, 221	salivales, 567, 585, 590, 602/-607/.
trausverno, 635-636	Condrogénesa, 218	semicirculares (membranusos), 989
Color de piel (pigmentación), 535, 543c, 5564-557/	Condroicin-sulfato, 150, 1871, 211-212, 232, 949	sublingual, 567
Colorante(s)	Condromodulina, 438	submandibular (Wharton), 567
audos, 5-6, 5e	Condrosarcomas, 220c	terminales, glandula mamaria, 910, 911
básicos, 5-6, 51	Conducción aénta, 702	uroglaso, 800
Augrescentes (Eugrocroma), 8	Conducción del impulso	toricico, 460, 473
unión específica, 3	cardsaco, 434, 435	utriculosacular, 989
Согрозсоріа, 914е	nervioso (porencial de acción), 387, 405	westliano, 850-852, 851, 855
Columnas	Conducción disconunha (saltatoria) 403, 405	Conducto, segmento
anales, 639-640, 640	Conductilla biliar intrahepatico, 676, 679	glandulas apocranas, 549
renales, 742, 743, 745, 772I-773I	Conductillos eferentes, 836, 845, 852, 852-853,	glandulas ecrinas, 548, 558/-559/
Compartimentalización de la lamina basal, 154-155	8684869/	Conductos. Viense los tipos de conductos especificos
Comparimento(s)	Conducto(s)	Conectores de núcleo-cuerpo basal (CNCB), 74, 74
basal del epitelio seminifero, 848, 848	alveolares, 703, 703, 716, 719, 725, 7364-7391	Coneuras, 144-147, 745
Inminal del epitelio seminifero, 848, 848	anal, 110, 635, 639-640, 640, 6641-6651	conexina 43, 793
ceituares, 28	andnivo	Conexonas, 144, 145
de receptores de desacrople y ligandos (CURL), 44	externo, 982-983-983-986	Configuración rigida, 347
Complejo antigeno-anticuerpo, 482	interno, 983, 985, 998, 1000	Confirmación erecta, 346-347
anugeno-MHC, 481, 485	biliares extrahepáticos, 679-680	Conjugación hepática, 668
culberna E-camma, 140-142	central de la médula espiral, 413	Conjuntiva, 946, 951, 969, 969, 970
calcio (Ca2+)-calmodulina, 361-362, 444	cervical, 877, 893, 900, 900, 932I-933I	Conjuntivalización de la córnea, 949
ciclina E-Cdk2, 74-75	свягов, 666, 680, <i>680, 683</i>	Conjuntivitis, 968c, 970
de acoplamiento, 40, 42	coclear, 988, 989, 993-996, 995, 997, 1006/-1007/	aguda, 968c
de paro nuclear (CPN), 90, 91	colector corneal, 744, 745, 746-747, 760-761,	crónica, 968c
del receptor para el transportador insubna/glucosa	77(0)/	Cone axérues, 382-383, 387, 387, 405
(GLUT), 45	colector intralobulillar, glándula mamaria, 910, 911	Cono de cierre, 253, 254
ligando-receptor, 44-45, 45	colector medular, 744, 745, 747, 760-761	Cono de corre (canal de resorción), 253, 254,
sinaptonemico, 98, 842	colectores, 742, 746-747, 761 7764-7791	2661-2671
tejido-mordiente-hematoxilina, 5	officials, 760	Cono de crecimiento, regeneración nerviosa, 419
mani-SNARE, 41, 42	como dispositivo de equilibrio manático, 762	Cono de luz en la exploración nuscópica, 984
Complejo mayor de hanncompatibilidad (MHC), 480-	cortical, 744, 745, 746-747, 760-761, 776l-777l	Conos (células fotorreceptoras), 945, 957, 957-965,
482, 485, 487	hunción, 760-763	976/577/
células dendritucas, 494	intersección con el asa de Henle y los vasos rectos,	desarrollo, 947
en la educación de linfoctos T, 502	763	фіясы, 962, 964
expresión en células de Langerhans, 536 MHC I, 45, 481-482, 481, 482	medalar, 744, 745, 747, 760-761	distribución, 959, 959
	regulación por la ADH, 761, 762, 763r, 794-	esférula, 965
MHC II, 45, 194, 308, 478, 481-482, 481, 482	795	estructura, 958, 960
485, 487	de Havers, 235-236, 236, 237, 239, 252-253,	L, 959, 9642
presentación de antigeno, 194, 474, 478-480, 482, 482, 485, 487	264/-267/	M, 959, 964a
	de Luschka, 674	nucleos, 964
recidije, 45	de Santorini, 680, 683, 684, 685	pediculo, 965
Complejos de cohesión especificas de la mesons, 98	de Schlemm, 946, 950, 951, 952, 955, 978/-981/	pigmento visual, 675, 962-963
Complesos de proteínas y fosfolipidos de membrana, 4	de Sternen (parotideo), 567	procesamento visual, 962-963, 963
Complejos de unido, 118, 134, 134-147, 135 cavidad nasal, 706	de Wharton (submandibular), 567	S, 959, 964z
célula de Sertoli-célula de Sertoli, 837, 847-849,	de Wirsting, 680, 683, 683-684, 685	sens, bulidad a la luz, 959
848. 849	deferente, 121, <i>833, 836, 851</i> , 852, 853-854, 870 <i>I</i> -871 <i>I</i>	sensibilidad al color, 959, 964e
como objetivo terapétrico, 142c	del epic/dimo, 845, 851, 852-853, 868/-869/	ирая, 959, 964г
comunicantes, 144-147, 146r		Contacto bicelular, 136, 136
cristalino, 968	estnados, 157, 590, 602,6057 excretorei, 585, 590, 602,6057	recelular, 136, 136
de anclaje, 135, 139-143, 146e	eyaculador, 833, 851, 852, 854, 855	Contracción muscidar, 336
ocluyenees, 135-139, 146r	galactóforos, 909, 910, 911, 913	musculo cardiaco, 357, 357-358, 438
parcesition, 685	hepánco común, 679-680, 680, 683	músculo esquelético, 338, 343-348
renal, 756	hepatico derecho, 679	ciclo de los puentes cruzados de actormosara,
tipos de, 134-135, 143-144	hepático tzquierdo, 679	345-347, 346, 351
vesicula biliar 681, 682	intercalados	gulpe activo (fuerza de contracción), 347
Complejos TIM, 59	de las glândulas salivales, 585, 590, 604/-607/	golpe de recuperación, 347
Complejes TOM, 59	pincress, 684, 685, 685, 685-686, 7001-7011	regulación, 347-348
Complemento, activadores, 299	interlobulillares	resumen de los acontectmientos, 357
Complemento, sistema del. 483	bulis, 679	transmusión neuromuscular, 348, 349, 349-35

numero y pares de, 85

despolarizaciones eléctricas. 361	pelo, 541, 543	segregación de, 95, 96, 98
estímulos quimicos, 361	rinon, 742, 742-743, 743, 745, 7724-7751	sexo, 85, 86, 86, 835
impulsos mecánicos, 361	timo, 499, 499, 500, 522f-523f	sexuales, 85, 86, 86, 835
mediada por Ca24, 361-363	dependiente del timo, 495	X, 85, 86, 86, 835
Contracción tetánica, 807	Corteza suprarrenal, 808, 808-809, 811-815, 813,	Y. 85, 835
	828/-829/	teiómeros de los 85
Contracción, musculo. Véste Contracción muscular		translocacion de, 87c
Contracciones aterinas, 796	celulas de la, 815	
Contracorrente	desatrollo de, 110, 808, 809	CTLA-4, proteina 4, asociada con linfocitos T
efecto mustiplicador, 762	fetal, 815-817, 816	citotóxicos, 481, 484
sistema de intercambio, 742, 762-763	hormonas, 810s, 811-815	Cuello, glándulas gástricas, segmento del, 615, 616
sistema de intercambio térmico, testicular, 835	permanente, 815	Cuello del diente, 574
sistema multiplicados, 762-763	vascularización, 808-809, 811	Cuello uterino, 877, 893, 900, 900-901, 932f-933f
Control hormonal	zonación, 753, 811, 812-815, 814, 828/-829/	cambins metaplásicos, 901, 907
autocrino, 785, 785	Corri, organo espiral de, 988, 989, 993-1001, 995,	endometrio, 900, 900
endocnos, 785, 785	997, 998, 1006/ 1007/	epitelio, 900, 900-901, 932/-933/
рагасили, 785, 785		
COP (customeros), 54, 54, 57	Corticoesterona, 810t, 813	infección por VPH, 901, 914e
Corazón, 432-440, 464/-465/	Corncócropos, 791-792, 792r	meraplasia, 120e
	Cornsol, 810r, 813, 815	Papanicoláu (citologia), 901, 908c
camaras, 433, 433, 435, 436	Cotsledones, 903. 904	porción vaginal (endocérvix), 900, 900.
circulación sangumes, 433, 433-434, 434	Cordinfa, 987, 997	932/-933/
esqueleto fibroso, 434, 434, 436	Cotransportadores de sodiolyodo, 802, 803	zona de transformación, 900-901, 901
hazogénesis, 110	Cowper (bulboureersles), glindulas, 769, 832, 833,	Cuerda del compano, 573
paredes, capas, 434-436, 435, 436	859, 859	Cuerdas tendinosas, 436, 437, 437
regulación extrinseca, 439-440		Cuerdas vocales falsas, 709-710
regulación intrínseca, 438-439	Crecimiento	
sustema de conducción, 357, 434, 435, 438-439,	aposicional, 218-219, 224/-225/, 248	Cuernos pulpares, 584
	del pelo, 544 <i>e</i>	Cuerpo (estructura)
749	detenuón en el crecimento, 544r	epididimo, 852
absession 433	endocondral, 249-252	estómago, 613
Cordones	interspetal, 218-219, 2241-2251, 248	palnoreas, 683
capermáticos 832, 853, 855, 870/-871/	melanoma	utero. 877, 893
esplénicus, 504, 505, 506, 5181-5211	radial, fase de, 528c	Cuerpo(s)
medulares, 495	verucal, fase de, 528c	albicans, 878, 887, 887
seminiferos, 834, 834		
	Cremaster, músculo, 835	am laceus, 856-859, 8721-87 V
setuales primarios, 833-834, 834	Cresta(s)	aórticos, 440
Carian, 899, 900, 904	ampular, 989, 992, 992, 993, 1004 <i>l</i> -1005 <i>l</i>	apoptóncos, 100, 100-101
frondoso, 903	del alda interna, 989	arenácem, 798, 798-799, 8241-825/
leve, 903	de la mitocondria, 59, 60, 61	basal estructuras asociadas, 126
velluso, 903	de Rete, 527	caroudeos, 440
Córnes, 944-951, 945-948 951, 9741-9751, 9801-9811	interpapilares, 527	cavernoso, 833, 861
capacidad proliferativa, 950	mamarias, 90%	celular, 109, 110
capes, 947-948		neurona, 382-384, 484 485
conjuntivalización, 949	neural, 110, 405, 532-533, 785, 808	
desarrollo, 110, 947	Criptas	cerónicas, 669
	amıgdalınas, 492, 492, 5124-513/	ciliar, 945, 945-947, 947, 952, 952-955, 974/-975
intercambio metabólico con el humor acuoso, 950	de Lieberkühn, 627, 660/-661/	9"87.1"07
protección por ferritina, 949	Criprorquadas, 834, 840c	cristaloide de ensinofilas, 305
тавършенска, 949	Cristales de Resolte, 836-838, 839	de Balbianii, 879, <i>87</i> 9
unión con la esclera, 949, 950-951, 951, 980/-981/	Cristalinas, 968	de Barr, 86, 298
Cornetes (conchas), 704, 704, 705	Cristalino, micleo, 967, 968	de Herring, 794, 794, 8221-8231
Cornocitos, 550	Cristalino, 030, 110, 944, 946, 951, 967, 967-969,	de inclusión (de Charcox-Böttcher), 847
Coruides, 945, 945-947, 951, 955-956, 957,	980/-981/	de Lewy, 390c
9744-9751		
Coroldopatia serosa central, 961c	Cristaloxles de Reinke, ovario, 891	de Mallory, 76c
_	Cromaudes, 85, 95, 97	de Niad, 55, 55, 382-383, 382-383, 385, 418,
Corona	Cromanna, 82-86	430/-431/
anatómica del diente, 574, 574	asociada con el nucléolo (nucleosomas), 83	de Weibel-Parade, 449, 456
chnica del diente, 574, 574	collar de perlas, 85	densos, musculo liso, 359, 361, 362
del nódulo lin fi uco, 492	condensación, 82-83, 85	en ábaco, 583, 583
dental, 574, 574	entrocitos, 318	espanjoso, 769, 833, 860, 861
radiada, 882, 882, 888	formas, 82, 83-84, 84	hemorrágico, 878, 886
Coconarioparla, 442c, 458, 460c	marginal, 83	laminares, 531, 531, 720, 722, 856-859
Corpisculo(s)	neutrofilos, 298	lureo, 878, 886, 886-887, 924I-925I
de Hassall (cimicos), 500, 500-501, 522/-523/		
	unidades más pequeñas, 84-85	atresco, 891
de Malpighi (nódulos esplénicos), 504, 505	Cromatolists, 418	de la menstruación, 887, 896-897
de Meissner, 537, 540, 540-541, 5624-5634, 909	Cramofobos, 790, 791, B20/-823/	dei embarazo, 889
de Mezkel, 536, 537	Cromoforo, 962	mamilae, 789
de Pacini, 384, 537, 540, 540, 550, 5624-5631 909	Cromogranina(s), 811	multivesicularei (CMVe), 43-44
de Raffini, 537, 541	A 80°	polares, 96, 98, 885, 885-886
renales, 742, 743, 746, 747-752, 7741-7771	Cramosoma(s), 85-86	residual, 47, 842-844
timicos, 500, 500-501, 522/-523/	arregio alcatono, 98	ultimobranquiales, 800
Cornente eléctrica, flujo entre células, 144	cariotipo, 85-86, 87c	vitreo, 946, 946, 947, 969
	· · · · ·	
Corres congelados, 2, 4e	diploide, 85, 95-99, 888	Cuerpos basales, 73, 75, 122-123, 705, 711, 713,
Corteza	envolstra nuclear, 90-91	734/ 735/
cerebelosa, 412, 413, 4281-4291	espermatogénesis, 841-842	aspecto en la tinción, 125-126
cerebral, 412, 413, 415, 426/-427/	fecundación, 888	características microscópicas, 72
del ganglio linfárico, 494, 495, 496, 497, 498,	formación, 82-83, 85, 95	de anclaje de cilios, 126, 127, 128
51445174 51645171	haploide, 85, 95-99, 841-842	formación, 72-73, 73, 75, 122-123, 131
profunda, 494, 495, 497, 498, 5164-517/	homólogo, 85, 95, 96, 98, 841-842	ordo unterno, 990
superficial, 494, 495, 496, 498, 5164-5171	apareamiento de, 841-842	Сыегроз сачетвовоз
giandusas supracrenales, 808, 808-809, 811-815,	meiosis y, 85, 95-99, 841-842, 843, 888	hombre, 860, 861
813 818/870/	mutacur tr 85 05	mutes DD7

ovario, 877, 9204-9214, 9244-9251

musculo liso, 359-364, 362, 363

Cuerpos de Nusal, 55, 55, 382-383, 382-383, 385,	Desarrollo derecha-tzquierda asimétrico, 393	de rabulma, 62-63, 63, 64, 387-388
418, 430/-431/	Desarrollo embrionario. Vioue estructuras anatómicas	superenrollados, 68-69, 69
hipófisis, 793	espec heas	Dimorfismo sexual, 832
sesión perviosa, 418	Desarrollo feral	Dinamina, 39, 40
Cumulo de diferenciación (CD), 200-201, 475,	estrogenos como indicador 905	Dinemas, 65, 66, 126-128, 127, 131-133, 132, 388-38
4761-4771	hormonas tiroideas 806	axonemicas, 65
moléculas, 475, 476s-477s. Véisse sambién tipos	Descarnación, de queratinocitos, 530-531	charer, 126-128, 127
específicos 100 301	Descapacitación, 853	citoplasmánicas, 65, 131-133, 132
proteinas, 200-201	Deshidratación de maestras, 2	Directorials de continue de la deserva la continue de la continue
Cumulo oóforo, 982, 892	Desintegración granular del citoesqueleto axónico, 416	Dinucleótido de nicotinamida y adenina-tetrazulio-
Cupula, 992, 992, 993	Desintonocación	reductasa (NADH-TR), 338, 339
Cupulakriasis, 1001c	enzumas maximusis, 61-62	Diduzdo de carbono, transporte sanguíneo de, 295-29
Curate, 350, 393	reticulo endoplasmatico liso, 55-56	Dipalmitodforfatidicolina (DPPC), 720
Curtimiento, 543c	Desmina. 701, 71, 343, 359, 361	Diploteno, 96
Cuspides	Desmocouras, 143	Disastonomia familiar de tipo I, 575c
diente, 574	Desmogletnas, 143	Discinena cibar primana (DCP), 131, 133c
válvalas cardiacas, 437, 437-438	Desmolasa, 816c	Disco(s)
Cuticaa	Desmoplaquina(s), 71, 143, 531	eliminación de, células fotorreceptoras, 964
pelo, 541, 543-544	Desmosma, 183, 183	embrionario bilaminat, 123
uña, 550	Desmosomas, 71, 143, 146r, 355, 525, 526, 679	hipoficarios, 214-215
D	celulas de Merkel, 536	intercalados, 354, 354-355, 356, 3744-3774,
Dacriocistitis, 971	degradación, 530-531	464: 465/
Daltonamo, 964c	Despolarización	intervertehral, 217, 218, 230I-231I
	contracción del músculo liso, 361	membranosos, fotorreceptures, 960-961
Darros, músculo, 835	procesamiento visual, 963, 963	óptico (papila óptica), 946, 951, 959, 966, 966,
DAX-1, gen, 833	transmitión sinaptica, 391	9764 977/
DCC, gen, 641c	Desprendimiento retiniano, 955/, 957, 961/	Disfunción erèctil (DE), 860c
Decidua, 899	Detección de señales, 156	Dufunción vestibular, 996c, 1001c
hasal, 899, 899, 903	Determinación del sexo (género), 833, 834, 835	Disgenesia gonadal, 833
capsular, 899, 899	Determinación sexual, interruptor maestro, 833	Dispositivo de carga acoplada (DCA), 22, 944
parietal, 899 899, 904	Deыглаторы, 904г	Dispositivo de equalibrio osmótico, 762
Decidialización, 899-899	Deutetosomas, 75	Distonia, 42
Decorina, 190t, 949	DHEA Veise Dehidmepiandrosterona	Distrofia muscular, 89, 343, 345c, 353-354
Defectos mitocondriales, 60	Diabetes instpida, 762c, 763c, 795, 796c	congenita (DMC), 345e
Defensis quimicas, 473	central (DIC), 763c	de Becker (DMB), 345c
Defensionas, 299, 631	hipotalámica, 796e	de Duchenne (DMD), 343, 345c
a, 631	nefrogénica, 762c, 763c, 795, 796c	de Emery-Dreifus (DMED), 89
Deformudad articular, 211c	Diabetes mellitus, 690, 967	de las cinturas (LGMD). 345c
Degeneración	bemoglobina, 297c	Distrofina, 343, 344, 345c
anterograda (walleriana), 416-418	про 2, 281с, 285	Distrofina glucoproteura, complejo, 345c
axioroca, 416-418, 418	1,2-Diacilglacerol (DAG), 786	Diverticuo
retrógrada, 417	Discineus, 96, 98	hepático, 666
traumanca, 417	Diadas, 355	laringoriaqueal, 702
wallemana, 416-418	Diafins, 234, 234, 266/-267/	quistico, 666
Degeneración macular, 961c	Diafragma, 703, 705	respiratorio, 702
asociada con la edad (DMAE), 956c	urogenital, 769	División celular, 95-99. Viante también los procesos
humeda, 956c	Diagnóstico prenatal, pruehas, 11	específicos
seca, 956c	Diapedesis, 299-301, 323-324, 497	canocinesis, 95
Deglución, 708	transociular, 300, 323-324	cirocinem, 95
Degradación	Diapositiva virtual, 23-24	mercris, 95-99, 96
de fármacos, 668	Diastole, 447	mitoris, 95, 96
fagocitica de colageno, 180, 181	Dicromaticos, 964r	relación con la muerte celular, 99, 99
mediada por protessomas, 50-51, 53	Dienie(s), 573-585, 574, 576-577	División ecuatorial (mesosis II), 98-99
proseolitica de colageno, 180-181	camno, 573	División reduccional (meiosis I), 98
Dehidroepiandrosterona (DHEA), 810s, 815	cemento, 573, 581-582	Divodotirosina (DIT), residuo, 802
Deiodinaia de yodotironina, 806	deciduales, 573, 578c-579c	DMP Visse Proteina de la matriz dentinaria
Dendritas, 109, 382, 382, 384-388	deciduo, 573	Dolor
microtubulos, 387, 387, 388	degradación, 575, 586c, 593	angmoso, 460c
statancia gris, 412	dentina, 573, 582-583	articular, 211e
Denosumab, 257c	desarrollo, 2721-2731	crómico, 211e
Densidad poitsináptica, 385, 387, 391	esmalse, 573-581	de la murad del ciclo, mujeres, 891
Densidades citoplasmáticas en el músculo liso, 359,	ctapa de brote, 575	Dominio(s)
361, 362	horogenesis, 110	aminoterminal (7S) del colágeno IV, 151, 151
Dentición, 573, 578e-579c	molares, 573	citoplasmáricos, 139
Dentina, 253, 254, 573, 574, 582, 582, 583	permanentes, 573, 578 <i>c</i> -579 <i>c</i>	de ata, 85, 85
intertubular, 583	premolares, 573	de poro, 36
perinabular, 583	primacios, 573, 578c-579c	helicoidal colagenoso, 151, 151
Depresión dirica, 395	talz, 574, 574, 581-582	motor, filamentos de maosina, 342-343
Derivación coronaria con injerto (DCI), 458-459	saliva, 593	no colagenoso globular carboxilo-terminal (domini
Derivados epidermicos, 524	secundanos (permanentes), 573, 578c-579c	NC1), 151, 151
Dermarán-sulfaro, 150, 187a	tendos de soporte, 584-585	Donación de pigmento, 534, 534
Dermatoglifos, 527	Diente canato, 573	
		1-Dopa, 416
Dermatophagosdes pierunystenus, 142c	Diferenciación terminal, cido celular, 93 Diferenciación terminal, cido celular, 93	Dopamina, 390c, 393, 394c, 416, 791, 797c, 799
Dermis, 173, 524, 525, 527-529, 5542-5551	Difestato de adenosina (ADP), 311	Drepancitosis, 297, 298c
Capas, 528-529	Difissión, 36, 443	Druss, 956c
Fibrus elásticas, 208/-209/, 528-529	pasiva (simple), 36, 443	Dulce, sabor, 571-572, 572
reparación, 550c-551c	Digestión enximática, 7	Duodeno, 610, 626, 6541-6551, 683. Véase también
tejido adiposo, 2884, 529	Dihadrotestosterona (DHT), 834, 835, 850, 859	Intestino delgado
unión con el rejido conjuntivo. 527	3.4 Dihidroxaemlalanina (DOPA), 533	fluja de bilis, 679-680
unión con la epidermis, 527	D.meros	glándulas, 634, 634, 652/-655/

тисова, 652 <i>l</i> -655 <i>l</i>	independiente de actina, 38	desmielinizante, 396, 397c, 403
papila mayor, 680, <i>680</i> , <i>683</i>	andependiente de clatrina, 37-38, 38	endocrinas, 796c
papila menor, 680, 683	тихыполных, 37,30	glomenular trombótica, 747
Duramadre, 414, 414, 415	mediada por receptores, 37-39, 40, 44-46, 45, 443	granulomatota crónica (EGC), 303-304, 303c
-	proteínas SNARE, 37, 43	bemolitica del recien tracido, 296c
E	renal, 752	periodontal, 584
El 1 (podoplanina), 233	Endodermo, 111, 806	por reflujo gastroesofágico (ERGE), 611, 613, 617
Ecografia transvaginal, 885	derivados de, 111, 111	pulmonar obseructiva crónica (EPOC), 718-719,
Ectopérvix, 900, 900, 932/-933/	Endolinfa, 987, 989, 994, 994	726c
Ectodermo, 110, 946-947, 947	Endometrio, 877, 893, 893-900, 9281-931/	renales inflamatorias, 759
bucofaringe 788, 789	cambios en el embarazo, 899-900	trofobiasticas, 906
denvados del, 110, 111		
neural, 946-947, 948z	cambins ciclicos en (ciclo menstrual), #94-898,	ulcemsa pepeica (EUP), 617c
superficial, 110, 111, 946-947, 948s, 982, 984	8946-895c, 9301-931/	Enfermedad rena-
	capa basal, 894	crónica, 741c
Ecromesénquinta, 171	capa funcional, 894-896, 897, 928/-931/	etapa terminal, 741, 741c
Ectosomas, 254	cervical, 900, 900	glomerular trombótica, 747
Ecuador del cristalino, 967, 968	decidualización, 899, 899	inflamatoria, 759
Edema	implantación, 898-900	Enfisema, 53, 726c
cetular, 99	vascularización, 894, 896	Entactina, 747, 749
corneal, 949. 950	Endomisio, 337, 338, 354, 370/-371/	Entactina/midógeno, 150, 156, 1917
macular quintico, 961 c	Endomitosis, 318	Enteroceptores, 408
periférico, 454-455	Endoneuro, 384, 407-408, 4241-4251	Emerocinasas, 624c, 685
Efecto cronotrápico, 439-440	Endopepridasas, 685	Enteracitos, 160-161, 624e-625c, 627-630, 630
negativo, 440	Endorfinas, 394-395, 394s, 793	6544657/
Efectu inotrópico, 440		
negativo, 440	0.791	Enteropeptidasa, 624c
	β, 394-395, 394, 793	Entosis, 103
positivo, 440	Endosomas, 29, 30r, 31r, 43-45, 58	Entrecruzamiento, moléculas de, en la matriz
Eje encéfalo-intestino-tejido adiposo, 277, 631	mecanismo de acomodación, 44-45, 58, 58	citoplarmática, 79
Elafina, 531, 531	modelo de madoración, 43	Entrecruzamiento genérico, 98, 841-842
Elastina, 182-183, 217, 449-450	modelo del compartimento estable, 43	Envejecimiento cronologico, piel, 186r
gen (ELN), 183	tardros, 43-44	Envoltura nuclear, 82, 88-91
Electrocardsograma (ECG), 438	tempranos, 43, 43-45	Envoplaguina, 531
Electrólitos	Endostio, 235, 236	Enzima(s), 35, 817 Visione también enzimas específica
en la saliva, 593	Endotelinas, 445	actividoras de abicultina, 50
reabsorción, 636-637, 680	Endotelso, 118, 376/-3771, 440, 442-445, 448	amifoliticas, 6B5
transporte activo, 684		hacteriologicas, 303-304
Electrones, 23	activación, 442-443	
retrod spersados, 23	arteria dastica, 449, 449-450	convertidora de angiotensina (ECA), 753
secondarios 24	arteria muscular, 449, 450-451	desintoncarries, 55
Elemento de respuesta hormonal, 859	arterias pequeñas, 451	desubscuitinizantes (DUB), 50, 51
	barrera hematotimica, 501, 501-502	granulares (neutrófilos), 299
Elemento prestnaptico, 390-391, 391	capilates, 452-454	hidraliticas, 45
Eliptocitosas hereditaria, 295	capilares glomerulares, 747, 748-749	Inosómicas, 245
Embarazo, 876	mrneal, 947, 948, 948, 950, 951, 9804-9811	nucleoltócas, 685
cambios en la glándula mamaña, 911-915, 912	dishunción, 442c, 445	curlativas, 61-62
cambios endometriales, 899-900	revestimiento, 447-449	pancreáncas, 624c, 685
cambios uterinos, 894	smusoidal 673	procesadoras de lípidos, 531
concentraciones de hCG, 889, 905-906	discontinuo, 673	proteoliticas, 685
cuerpo luteo, 889	vascular, 118, 440, 442-445, 448	transmisión unáptica, 392
есторист, 885, 892-893 906	venas, 456, 456-457, 457	Eosina, 2-3, 5, 5t
Inpertiroidismo, 905-906	venulas, 455-456	Eosmofilia, 305
placenta, 901-906, 903, 905c, 934l-937l	Endotendón, 174, 206/-207/	
Embolu pulmonar, 456		Easmobles, 170, 172, 291s, 304, 304-305, 3284-331
Embrioblago, 898, 898	Energia, generación mitucundrial, 59-60, δ1	activación, 475
	Enfermedad(es)	desarrollo, 314, 316, 319-320, 321z
Embriogenesis, cilios, 129	arriculares, 235c	en el frotis de médula ásea, 330/331/
Embrión trilaminas, 110	autoantnunitaria, 472, 484, 485, 747-748	en reacciones alérgicas, 201, 305, 480r
Emerina, 71, 89	de Alexander, 76c	función immunitaria, 474
Emilina 1, 184, 461	de Alport postrasplante, 747-748	gránulos, 304-305
Emmencia media, 788, 789	de Alzheimer, 50, 76c, 388, 195, 411, 690	infecciones parasitarias, 201, 305
Emoción, glándula pineal, 799	de células de inclusión (células I), 49a	madaros, 319
Enamelinas, 581	de Danon, 49c	respuesta inflamatoria, 304
Enguerro hipofisario, 259c	de Dupuytren, 196, 196c	tejido conjustavo, 190, 201
Encefahras, 394-395, 3941, 6231, 631	de Gaucher, 48e	tendo linfárico difuso, 489
Enséfalo, 412, 426/-429/	de Ciraves, 803, 805c	
harrera de protección, 381, 402, 415, 415-416	de higado graso, 667	tubo digestivo, 610
células madre, 383-384, 405		Ependimoma, 93
	de Hunnigton, 388	Epicardio, 434-435, 435, 436
homeostasia hidrica, 416	de Krabbe, 48c	Epidermia, 524, 525, 525-526, 5541-5571
organización, 412	de Mémère, 1001c	алехов, 541, 541-550, 5641-5651
sustancia blanca, 412, 426/-427/	de Niemann-Pick, 48c	barrera hidaca, 527, 529, 531, 531-532
sustancia gris, 412, 413, 426I-427I	de ovario poliquístico, 884c	câncer con origen en, 527r-528r
ventriculos, 405	de Paget, 801	capas, 525-527, 554/-555/
Enclas, 567, 568, 574, 584, 584-585	de Parkinson, 388-390c, 411	espinosa, 525, 525, 526, 554/-555/
Endocardio, 118, 3764-3771, 434-436, 435, 436,	adiopática, 390e	celulas, 529-536
464/-465/	de Pompe, 48c-49c	envoltura odular, 531, 537
Endocérvia (conducto cervical), 877, 893, 900, 900,	de rifión poliquístico (ERP), 129-130	envoltura lipidica, 531, 531
93249331	de Sandhoff, 48c	equilibrio dinamico, 532
Endocitosis, 37, 37-39	de Tay-Sachs, 48e	gruess o delgada, 525, 525, 526, 5541-5551
		The state of the s
bloqueo de neurotosumu, 37	de Wilson, 668	histogénesis, 110
dependiente de artina, 38	de Wolman, 49c	ostheaction mandibular, 2721-2731
dependiente de clatina, 37, 39, 40	del almacenamiento de lipidos. 78	pH, 529, 531
formación de endosomas, 43, 43-45, 44, 45	del almacenamiento luosómico (LSD), 47, 48r-49c	recambio, 532

Epideroiis (cont.)	Ergastoplasma, 51, 55, 56	muscular de la mucosa, 612, 6441-6451
receptores neuronales, 536-540	Ergocalcitero. 741r	muscular externa, 612, 612, 6441-6451
receptores sensitivos, 536-541, 537, 562I-563I	Entroblasto, 316, 316-318, 317, 318, 3211, 332I-333I	músculo de la pared, 613
renovación celular, 161, 525-526, 532, 533	basofilo, 316, 316-317, 317, 318, 3211, 332/-333/	musculo estrado, 613
reparación, 550e-551e	priocromatofilo, 316, 317, 317, 3214, 3324-3331	submucosa, 612, 612, 6441-6451
antón con la dermis, 527	policromófilo, 316, 317, 317, 318, 321r, 332/-333/	tendo epitelial, 107, 168/-169/
Epidermólisis	Eritroblastosis fetal, 296	Espacio(s)
ampollosa, 153, 157	Eritrocito(s), 290-291, 291r, 293-297, 3284-333/	cinternal perinuclear, 88
		. *
juntural, 157	aspecto en la tinción, 318	corninfiaco, 987
distriblica ampollosa, 153	como regla histológica, 293	de Fontana, 950
Epididimo, 833, 836, 845, 852-853, 852, 853, 854,	cromaura, 318	de Tenon, 950
8681-8697	desarmllo, 313, 314, 315-318, 316, 317, 321a	endolinfancos, 987, 994
células, 853, 868/-869/	3324-3331	epsescleral, 950
conducto de 845, 851, 852-853, 8681-8691	diametro, 293	intercelular, 142, 143, 147
estereocibos, 121, 853, 868 <i>l</i> -869 <i>l</i>	etapa de maduración, 317-318	intermembrana, minocondria, 59, 60, 61
estructura, 852, 868/-869/	filtración esplénica, 505-506, 508-509	intervelloso, 9361 9371
tejido epitelial, 1664-1674, 853, 853	forma y morfología, 293, 293-295, 294	intracelular, 107
Epiesclera, 950	frotis de médula ósea, 3301-3311	lanfáticos epicoroides, 956
Epifisis, 233, 234, 234, 268/-271/	frotis sanguineo, 328/-329/	paracelulae, 300
Epiglotis, 217, 2284-2294, 569, 704	hemoglobina, 295-297	pericorosdeo, 955
Epilepiia mioclónica aiociada con fibras rojas rasgadas	hemolisia, 295	perilinfático, 987, 994
(EMAFRR), 60	indices, 312-313	periportal (de Mall), 671, 675, 676, 679
	madurus, 332/-333/	
Epimine, 338, 338, 368/-369/		perisinusoidal (de Disse), 670, 673, 674-675, 675
Epinefran. Vlase Adrenalina	nucleo, 317	petivitelino, 881, 888
Ерисию, 384, 407, 408, 424 <i>I</i> -425 <i>I</i>	nucléolos, 318	subaracnoideo, 414-415, 415
Epitelio, 106, 107-108, 116-163, 1644-169l Veanse	período de vida, 293, 318	subpedocation, 747, 748-749, 751
aembién los tipos específicos y localizaciones	policromatófilos, 316, 317, 317, 321s, 332i-333i	urinano, 746, 747, 752, 7761-7771
células, 107-, 16, 117 (veuse también Celulas	recuento, 312	Espasmos
epiteliales)	volumen sólido (hematocrito), 290-291, 291, 312	de músculo liso gastrointestinal, 42
ciliado. 704	Entropoyesis, 313, 315-318, 316, 317, 321t, 332f-333f	esfintences, 42
cíliar, 953-954	Eritropoyetina (EPO), 318, 320, 3221, 741	Espectrina, 67, 121, 122, 293-295, 294
cilindrico, 107, 107, 117, 1194, 1664-1691	recombinance, 320	Espermátides, 96, 97, 836, 837, 841, 842-844,
	recombinante humana (rHuEPO), 741	864/-865/
cilios primarios, 130r		
clasificación. 107-108, 117-118, 119r	Erosiones corneales recutrentes, 949	diferenciación 842-844
como barrera selectiva, 117	Escalera mucocalias, 711	liberación 844
como objetivo terapéutico, 142c	Escara, 551c	tardias, 848
conjuntival, 9784-981/	Escarcha utérnica, 544c	tempranas, 848
corneal, 948 948-949, 951, 971, 9784-979/	Escherichia cali, utopatògena, 767	Espermatocitos, 48
crevicular, 585	Esclerosis lateral amiotrofica (ELA), 353	primarios, 97-841, 848
cúbico, 107, 107, 117, 1194, 1644-169/	Esclemas multuple (EM), 397c, 498	secundanos, 842
de transición, 118, 1197, 1681-1691, 766, 766-768.	Esclerostina, 243	tempranov 848
780/-783/	Esclerótica, 944-945, 945-947, 947, 950-951, 951,	Espermatogénesis, 96, 97-98, 832, 835, 839-844, 84
de umión o anclaje, 585	97449754 9804 981/	80-1/-805/
digestivo glandular extramural, 111	propiamente dicha, 950	duración del ciclo, 845-846, 846
distribución, 116, 1197	Escorbuto, 179, 258c	
		factores que afectan, 841c
en la unidad funcional de membrana, 161c	Escotopana, 962	fase de espermátide, 839, 841, 842-844, 844
esmalse, 575, 576-577, 581	Escroto, 832, 833	fase de espermatocino, 839, 841, 841-842
estratificado, 107, 107-108, 117-118, 1191,	Esferocitosis heroditaria, 295	fase de espermatogonia, 839, 840-841, 841
1664-1697	Estérula, bastón, 965	regulación hormonal, #39c-840c
estructura, 116-117	Eshngouna-1-fosfam, 498	temperация, 835, 841 <i>с</i>
externo del esmalte, 575, 576, 577, 581	Esfinter, 611 Visione también esfinteres específicos	Espermatogonia(s), 833-834, 836, 837, 840-841, 841
folicular, glandula tirordes, 800, 800-801	anal, 611, 640, 6641-6651	864/865/
funciones, 117, 118, 119t	externo, 611, 640, 664/-665/	agrupación o asociación, 845-846, 846
germinal, ovario, 878, 9201-9211	de la ampolla hepatopancreática (de Oddi), 680.	fast, espermasogénesis, 839, 840-841, 841
glandulas, 107, 157-160, 381	684	tipo A oscuro (Ao), 840, 841, 846
hatogénesis, 111	de la uretra, 769	tipo A pálido (Ap), 840-841, 841, 845, 846
interno dei esmalue, 575, 576-577	enterno, 769	иро В, <i>841</i> , 841-842, <i>846</i>
laringeo, 710, 710, 73217331	de Oddi, 680, 684	
		Espermatozoide(s), 96, 97, 841
membrana basal, 116, 117	del coléstoco (Boyden), 680, 680	actividad cinética, 845
mesodérmico, 833, 834	esolagico, 61 l	anticaerpos IgA contra, 854
modificaciones de la superficie, 107-108	inferior, 611	capatitación 845 879, 887 888
тьсько, 609-637	superior, 61 t	descapacitation, 853
no queratinizado, 108	faringoesofágico, 611	estructura, 842, 844, 844-845
olfatorio, 705, 706, 707, 730/-731/	heparopanereárico (de Oddi), 680, 684	fecundación, 885, 887-889, 892-893
paraqueratinizado, 568, 5964-5971	pilónico, 611	formación, 832, 835, 839-845, 841
pigmentario de la retina (EPR), 945-947, 945, 946,	precapilar, 451-452, 455, 470/	inmóyiles, B45
947, 956-958, 957-963-964, 965, 9761-9771	Esmalne, 110, 253, 573-581, 574, 576-577	hiperactivación, 888
pigmentario postenor, .ris, 951, 953	bastones, 574, 575, 580	madutación, 842-844, 845, 853
plano, 107, 107, 117, 119s, 164l-169l	tomposición, 574-575, 575	motalidad, 845
queratinizado, 107-108, 567-568, 568, 596/-597/	CHRAIN, 574	parte principal, 842, 844, 845
renovación, 160-161	epitelio, 575, 576-577, 581	producción, 832, 835, 839-845, 841, 864l-865l
	•	
respiratorio, 704	matriz, 576-578	(where tumbren Espermatogenesis)
seudoestratificado, 118, 119 <i>t</i> , 166 <i>l</i> -167/	órgano, 110, 575	regmento final (cola), 842, 844, 845
simple, 107, 107, 117-118, 119t, 164/-169/	penachos, 581	Espermación, 839, 844
subcapsular, cristalino, 967, 967	producción, 575-581, 576-578, 580, 581	fallo, 844
transporte a través, 118, 138, 138-139	Esófago, 609, 611-613, 6441-6471	Espermiocito(s), 837, 841, 841-842, 8641-8651
Epitendón, 174, 206/-207/	adventicia, 612, 6441-6451	primario, 97, 841, 848
Eponiquio, 550, 550, 5641-5651	mervación, 613	secundario, 98, 842
Erbana, 154, 156	lamina propia, 612, 644/-645/	tempranos, 848
Erección del pene, 860, 860r	mucous, 612, 612, 613, 6441-6451	Espermiogénesis, 839, 847, 842-844, 844

Espiculas, 236, 239, 244, 248-249, 251, 251, 2701 2731	vascular, 994-996, 995, 996 Estnola, 992-993, 994	tz (TNF-tz), 198, 279, 280r, 301, 477 β (TNF-β), 280r
mixtas, 249, 251, 270/-271/	Estrogenos, 545, 887, 892, 896, 905	de preimplantación (PIF), 898
Espina (proteina), 121, 122, 122, 125, 990, 991	celulas lureas, 887	de respuesta (RF), 364
Espinas dendríncas, 384-385, 386, 387	cido mensural, 896	de respuesta al suero (RF), 364
Espiroquetas, 18	finología de la trompa uterina, 892	de saciedad circulante, 275
Esplenectomia, 509	placentarios, 905	de transcripción asociado con el dominio Runt 2
Esqueleto fibroso, cardiaco, 434, 434, 436	regulación de la glándula mamaria, 913-915	(RUNX2), 237
Estadio indiferenciado, desarrollo, 834, 835	sántesis ovárica y secreción, 877-882-883-883	de von Willebrand, 449
Estadio medao, linfocitos, 502	Estrema	determinante de testiculos, 833
Estado tonico, músculo liso, 363	corneal, 947, 948, 948, 949, 949, 951	esteroidogénico 1, gen, 833 estimulante de colonias de granulocitos (G-CSF),
Estallido respiratorno, fagocitosis, 302, 302	endometral, 896	319, 320, 322, 444
Estapedectomia, 988c	fibromuscular, próstata, 856, 872/-873/	extintulante de colonias de granulocitos y
Estapedio, 982, 984-986, 987	mtralobulülar, glándula mamaria, 910, 911	macrófagos (GM-CSF), 319, 320, 3224, 44
Esteatohepatitis no alcohólica (ENA), 667	Estromelismas, 180	estimulante de colonias de monocitos (M-CSF),
Estenosis aórtica, 183, 438	Estructura de repdos, 155	244, 320, 3221
calcificada degenerativa, 438	Estructura globular, colágeno, 179	inhibidor müleriano (MIF), 834, 835, 849
supravalvular, 183	Etapas espermatogénicas, 846	natrinseco, 298c 617, 617c, 619-620
Extensis pilonea, 611	Eucromarina, 82, 83-84, 84, 85	natrapetico apricular (ANF), 354
hipertrófica, 611 Estereoction, 120, 121-122, 123, 1241, 125	Eurodanina, 543c	natriurético cerebral (BNF), 354
del oido interno, 121, 988, 989-990, 990, 998	Evaginación endodermica, 666	neurotrófico derivado de la tinea celular glial (GDNF), 849
epididimo, 121, 853, 868/-869/	Excavación de la papila óptica, 947, 947 Excreción, 740	nuclear KB (NF-KB), 244
Estereovelloudades, 121	piel 524	promotor de la maduración (MPF), 94
Ésteres de retinilo, 675	Extolacion, 540, 532	quimiotáctico de eosmófilos (ECF), 198, 480e
Esteroide(s), 275, 279, 786-787, 787, 799	continua, 530	quimoráctico de neutrófilos (NCF), 198
administración transdérmica, 525	Exocitosi 37, 37, 39-43	relajante derivado del endotelio (EDRF), 444
adrenounticales, 786	bloqueo de neurotoxinas, 37, 41-42	tromboplástico plaquetario (PF3), 311
apararo reproductor de la mujer, 877	proteínas SNARE, 37, 40-43, 42	VIII, 449
aparato reproductor del hombre, 832, 833, 838-	via constitutiva, 39-40, 41	Factores de crecimiento, 786. Vénue también los upo
839, 840c	via secretora regulada, 40, 47	específicos
gonadales, 786, 799	Exofralmia, 805c	endorefial, 444 450, 906
placenes, 905	Exopeptidasas, 685	fibroblástico (FGF), 198, 248, 258, 285, 444
Esteroidogénesis, 832, 833, 838-839, 877	Expansion	foreulo ovinco, 881
Esteroptisis, 944	donal, 484	glules (GGF), 416
Esugma folicular, 884	воторіся, 12	hueso, 233
Estimulación electromagnética de campo pulsada	Exploración	mastocitos y liberación, 198 obesidad, 275
(EECP), 238	oftalmoscópica, 952, 966	placentario, 906
Estómago, 609, 613-626, 646/-651/	отоводраса, 984, 985	santesis, 199, 444
areas mamiladas, 614	Exportina, 90	tendo adiposo, 199, 275
células madre, 617	Expoución al frío y tejido adiposo, 285	Factores de supervivencia, 101-102
glándulas, 613, 614, 615-622, 616, 625-626,	Exteroceptores, 408 Exterocasación, 299	Factores de transcripción
6464-6511 lamma propia, 626, 6464-6471	Extremidades, mervación autónoma de, 412	c-jun, 417-418
mucosa (wiew Mucosa gistrica)	Eyaculación, 845, 855, 861	CBFA1, 246
muscular de la mucosa, 626, 646l-647l, 648l-651l	Eyaculado, 860	esencial (E2c), 93
muscular externa, 364, 626, 648/-651/	Ezrona, 122	Ermilia ficaro, 322
pliegues, 614, 614		GATA-1, 315
región cardiaca, 613, 614, 6464-6491	F	GATA-3, 322
regiones, 613, 614	*F-FDG, 285 <i>c</i>	hemaropoyesis, 320
renovación de células epiteliales, 622-626	Factor	linfopoyesis, 320-322
secreciones (jugo gistrico), 567, 615-620	u-1 de ansón al núcleo, 237	Marh1, 160, 635
serosa, 626, 6481-6491	antisecretor 6 (AF-6), 137¢	MyoD, 352, 353
submucosa, 626, 6481-6511	de activación de plaquetas (PAF), 480c de células madre (SCF), 849	Pax5, 322
superficie interna, 614-615, 615	de coagulación VIII, 449	Pax7, 353
Estrabismo, 42	de crecimiento derivado de plaquetas (PDGF), 233,	PU 1, 313
Estradiol, 850	444, 752-753	relacionados con Ruoz, 237
Estrato	de crecimiento derivado de plaquetas β (PDGFβ),	SOX-9, 718, 220c
basal, 525, 526, 5542-5554, 568	752	SOX-10, 395
diferenciación celular, 525	de creumiento endorelial (EGF), 906	Factores estimulantes de colonias (CSF), 319, 320,
endometrio, 894, 928/-931/ melanocitos, 532-533	de creamiento epidérmico (EGF), 45	322¢, 444
renovación celular, 161, 525-526	de crecimiento fibrobiástico (FGF), 285	Fagocitosis, 37, 38, 39, 46, 47 celulas de Serrosi 842 844 848
córneo, 525, 526, 526-527, 5541-5551	de crecumiento insulinico (IGF)	células del epididimo, 853
descamación de querarinociros del, 530-531	aparam reproductor de la mujer, 889 deficiencias, 669	células mestograles, 752
espinoso, 525, 526, 526, 5544-5554, 568	enfermedad de Alzheimer, asociación, 690e	epitelio pigmentario de la retina, 958
germinal. Veuse Estrato basal	hueso, 237, 245-246, 257-258	estallido respiratorio, 302, 302
granuloso, 525, 526, 526, 554/-5554, 879-880, 880	producción, 669	ganglios linfáricos, 498
intermedio, 575, 576-577, 578, 580, 581	producción placentaria, 906	higado, 673-674
Tucielo, 525, 527, 554/-555/	secreción adipora, 275, 280a	macrófagos, 192-194, 304, 487-488, 722-724, 85
superhead, 568	tipo 1 (IGF-I), 669, 690c, 889, 906	mecanismos de muerre celular dependientes de
vascular, 893 Estrés	бро II (IGF-II), 690с, 889, 906	пиндело, 302-303
mecánico, piel. 527	de crecimiento transformante β (FGF-β), 233,	mecanismos de muerte celular independientes de
metabolico, 444-445	280z, 444	oxigeno, 303-304
Estria(s)	de crecumiento vascular endotelial (VEGF), 250, 639c	mucroglia, 197c, 403-404, 417
banales remaies, 756-757, 757	de descapacitación asociado con la superficie, 853	neutrófilos, 194, 301, 301-304
cruzadas del músculo esqueléuco, 340	de hiperpolarización derivado del endotelio	гегриента изватнатогіа, 478
externa, médula renal, 742-743, 743	(EDHF), 444-445	sistema fagocítico de oxidasa, 302, 302-303, 3030
grasa, 442c	de la sactedad (leptina), 275, 277-279, 2801, 281e	Fagousosoma 301, 302
interna, médula renal, 742-743, <i>743</i>	de necrosia tumoral (TNF), 101, 244, 275	Fagosomas, 38, 39, 46, 47, 301, 302

Faxordina, 76c	cartilago elástico, 217, 217, 2281-2291	reparación desa, 260
Faquenna, 704, 71	composición, 183-184	sintens de colágeno, 180, 190
Faringe, 703, 704, 705, 708	derma, 2081-2091, 528-529	síntesis de fibras elásticas, 184, 190
Farmacos	fomenvejecimiento, 186c	sintesis de fibras reticulares, 182, 190
anticolinérgicos, 593	marriz extracelular, 182, 186	transición epitelio-mesénquima, 761 762
antiprogesterona, 899	válvulas cardiacas, 437	Fibrocurtflago, 210, 217-218, 218, 219s, 2304-231/
inmunosupresores, 485	Fibras y	Fibrogénesis hepática, 675
prutrombogenicos, 444	dinamicas, 352, 352	Fibrolipoma, 283c
transdermacus 5.25 vascuctivos 449	estaticas, 352, 352 Fibras musculares	Fibromatosis palmar, 196, 196c
Fasca	blancas, 338	Fibronectura, 149, 154, 155, 189, 190, 1917, 212, 745
adherente, 142, 142-143, 355, 356	саряна едета, 351, 352	Fibroneso, 191
profunda, 338	cipsula interna, 351, 352	Fibrosis bepática, 675
subcutánea (superficial), 274-275, 524, 529	de contracción rápida, 338-339	renal, 761-762
Fasciculo(s)	glucoliticas oxidativas rápidas, 339	válvula cardiaca, 438
muscular(es), 337, 338, 339, 368k 3691	gluculiucas rápudas, 339	Fibrosis quística (FQ), 544e, 725e-726e
nervioso(s), 408	intermedias, 338	regulador de conductancia transmembrana (CFTR)
tendinoso(s) 174, 206/-207/	misculo cardíaco, 354-356, 355, 356	725¢
Fascina, 66, 121, 122	musculo esquelenco, 337, 337-339, 338, 340,	Fiebre, 301
Fase	168/-11/	del heno, 715c
acrosómica, espermiogénesis, 842	color es vivo, 338	reumatica, 438
de espermatide, espermatogénesis, 839, 841, 842-	glucoliticas oxidativas rápidas (tipo Ila), 339	Fijación, 2, 5, 12, 13
844, 844	glocolíticas rápidas (ripo Rb), 339	Fijadorei, 2-3
de espermatocito, espermatogénesis, 839, 841,	haz o fasciculo, 337, 338, 339	Filagrata, 526, 529, 531, 537
84 - 842	oxidativas lensas (ripo I), 338-339	Filamento grueso de miosina polar lateral, 360-361,
de maduración, espermugéneis, 842-844	perfil metabólico, 338 subunidad estructural y funcional, 339, 339-345	162
folicular, ciclo ovánco, 894r-895r grávida, 898	проз. 338-339, <i>339</i>	Filamentos, 29-30. Vianue también los tipos específicos
hepatica, hematopoyésis, 313, 315	velocidad de contracción, 338	entoplasmáricos, 6
nites, ciclo ovanco, 894r-895r	velocidad enzimatica, 338	de acrina, 29-30, 65-68, 108-109
M, 92, 92-93 Véase también Mitusa	músculo Iao, 358, 359	adherencias locales de, 155, 155-156
menstrual, ciclo menstrual, 896-898, 897	rojas, 338	anomalias, 68, 76c
розпионся, дзинфороуем, 319	union miorendinosa, 3724-373/	caracteristicas, 77s
proliferativa, ciclo menatrual, 896, 897	Fibras nerviosas	distribución, 65. 67 efecto de cinta sin fin, 66, 122
S (atritesia), 92, 92-93, 95, 96, 98	aferentes (sensitavas), 351, 352	en el intestino delgado, 628
secresota, ciclo menstrual, 896, 897, 9304-9311	eferences (motoras), 351-352, 352	en el bazo, 507
Fatiga	ү, 351-352, 352	en el músculo cardiaco, 355
sindrome del seno enfermo y, 439	motoras (eferentes), 351-352, 352	en el múnculo esquelético, 341, 341-343
anidades motoras resistentes a, 338-339	sensitivas, 351-352, 352	en el músculo liso, 191, 196, 196c, 359, 588-590
unidades musculares propensas a. 339	uso del térmano, 406	en el tejido muscular, 336
Fecundación, 85, 885, 887-889, 892-893	Fibras oudativas lentas, 338-339	en la contracción del músculo esquelético, 345-
in witre (FIV), 890c	Fibras perforantes, 234	347, 346
Feminización, 839	Fibras postanapricas, 440	en la construcción del musculo liso, 359, 361,
Fenestraciones, 453, 453	Fibras presmápucas, 439-440 simpliticas, 439-440	362
Fenestras, sanusordes hepáticos, 673 Fenilcocarbamida, 575r	Fibras resculares, 181-182, 782, 190	en la zona clara de osteoclastos, 244
Fengtipos hipermusculares, 352-353	hazo, 507	en la zona estructural de osteoclastos, 310, 311
Feocromocitoma, 282, 814c	membrana basal, 151-152	en las células ciliadas del oido interno, 990
Feomelanina, 543c	sistema linfauco, 475, 493-495, 494, 495	en las células de Serrols, 847, 848, 848
Feromonas, 549	tejido adiposo, 277	en las glándulas salivales, 588-590
Ferritina, 318, 508, 668, 949	Fibras zonulares, ojo, 951, 952, 953, 967, 967	en las microvellosidades, 121, 122
naclear 949	Fibricistina/poliductina, 129	en los estereocilios, 121-122, 125
FGF Vèue Factor de crecimiento fibroblástico	Fibrilación auticulas, 457	en uniones de anclaje, 135, 140, 142
Fibras argilofilas, 182, 182c	Fihrilina, gen (FBN1), 184	en uniones ocluyentes, 135
Fibras conectoras	Fibrilina 1, 183, 461	extremo negativo (punnagudo), 65-66, 67
distales, 74, 74	Fibrilla(s), 180. Váense también los tipos específicos	extremo positivo (espiculado), 61-66, 67 funciones, 68
proximales, 74, 74	de anclaje, 153, 154, 154, 156, 157	moléculas de adhessón celular y, 139-140
Fibras de colageno, 174-181, 183, 2041-2051.	de colageno, 174, 174-175	polumerización, 66, 67
20K/-209/	oérnez, 949	red terminal, 68, 121, 122, 628
arrenas elásticas, 447, 449, 450	Cherron vitres, 946	de anclaje, 157, 455, 461
arterias mysculares, 451, 451 cemento, 582	fibras reticulares, 181-182 formación, <i>179</i> , 179-180	de microesferas, 70z, 71
degradación, 180-181	nervios periféricos, 407-408	de queratina, 526-527, 529, 531
demas, 528-529	upos de colágeno, 180. 180	delgados, 67, 108, 336
fibras elásticas frente a, 182, 182	tubulos semusiferos, 836	celulas, 358-359, 359
formación, 177-180, 178	uznón miotendinosa, 3724-373/	musculo cardiaco, 355
marriz extracetular, 186	de cromatina, 85, 85	musculo esqueléuco, 341, 341-343
penostio, 234	Fibrilogéness, 179, 179-180	musculo liso, 359, 361, 362
válvislas cardiacas, 437	Fibrina, 291, 311	gruesos, 67, 108, 336
Fibras de cromatina, 85, 85	Fibrinogeno, 291, 311, 667	musculo esquelético, 341, 342, 342-343, 343
Fibras de Purkinje, 357, 3761-3771, 381, 434, 435,	Fibrinolisma, 859	360
438-439, 4641-465/	Fibroblasto(s), 170, 171, 190-192, 191, 192	musculo lito, 359-362, 360, 362
Fibras de Rosenthal, 76c	activados, 191	intermedios, 29-30, 68-71
Fibras de Sharpey, 234, 582, 582	arterias elasticas, 450	anomalias en, 76c
Fibras del cristalino/celulas fibrilares del cristalino, 967,	arterias musculares, 451, 451	caracteristicas, 77s
967-968, 9804-981/	diferenciación, 197c, 200	características microscópicas, 69
Fibras elasticas, 182-184, 183, 184, 185, 2081-2091	endoneuro, 408	celulas de Sertoli, 847
arrerus elasticas, 182, 2084-2094, 449, 450	fibrocardiago, 217, 2304-2311	distribución, 71. <i>71</i> en uniones de anclaje, £35. 140
arterias musculares, 451, 451 biosintesis, 184, 184, 190	inBarnación, 304 reparación de heridas, 196, 196c, 200, 304	formación, 68-69, 69
Commission of the state of the	expension on material contract and the	

lamma nuclear, 88-89	amorfo, 255, 256	Gelatinacis, 180
macula adherente, 143		
	Fosfato de dinucleótido de nicotinamida y adenina	Gelificación, por microscopia de espansión, 12, 13
musculo liso, 361	(NADPH)-oxidasa, complejo, 302, 302-303,	Gelsouna, 66-67
tipos, 69-71, 70t	30 1c	Gen(es), 83
Filensina, 704, 71	Fosfato ocracalmos, 255, 256	relacionados con la autofagia (Atg.), 49
Filgrastim, 320	Fosfolipidos, membrana plasmática, 32	Genutales externos
Filopodica, 68	Fosfoproteina dentinana (DPP), 583	hombre, 832, 860-861
Fütranon, lämma basal, 155	Fosforilación, 36	mujer, 876, 907-909
Filtración aérea, 702	condativa, 60	Genoma husuano. 83
Filtrado sanguineo, 452	proteinica, espermatozuides, 845	Proyecto del Genoma Humano, 83
Fimbrias, de trumpa uterina, 877, 892-893, 9261-9271	Festas	Gigantismo, 259c
Fimbrina, 66, 121, 122, 990	de la papila óptica, 961c	Ginecomagna, 839
Fistular anales, 640	gastricas (fisvéolas), 614, 615, 616, 646/-647/	GIP Vine Péptido inhibidor gástrico
Fisuras coroideas, 947, 947	reculuertas 49 40	Glande
Flagetos	Fotocuaguación con láser, 956c	del cirroris, 907
cuerpos basales, formación, 72-73, 73	Fatoenvejecimienta, 1866	del pene, 769, 833, 860-861
espermatozoide, 842, 844, 845	Fotoponas, 962	Glandula(a), 107, 157-160. Venue nembrén glandula
organización azonémica, 123	Fotorreceptores	tipos especificos
Floritmas, 32, 37	porción elipsoide, 960	inflamadas, 498, 505c
Flujo menstrual, 894, 897-898	parción mioide, 960	mecanismo de secreción, 157-158, 158
Flujo sanguíneo, control por las arteriolas, 451-452	Fóvea central 951, 959, 959, 966, 966	macusas, 160, 160
18-Fluor-2-fluoro-2-descus-to-glucosa (**F-FDG), 285c	Fovéola, retina, 966	municelulares, 158, 159r
Fluorescena, 8, 8	Fovéolas (fositas gistricas), 614	porción secretora (parénquima), 116
Fluorocromos, 8	FPALM. Visir Microscopia de fluorescencia de	regulación autónoma, 381
Fluorátoros, 18-19	localizaçãos fotoactivada	serosas, 160, 160
Fluorum, 574-575, 586c		unicelulares, 158, 158
	Fractura por congelamiento, 22-23, 33-34, 34	
Fortculu(s)	Fractura, cicatrización. 238, 258-261, 259, 260	Glandula intersticial, ovano, 891
antral, 881, 881-882	Frecuencia cardiana, 438-440	Gländula lütea (cuerpo luteo), 878, 886, 886-887
cabello (sérse Foliculos pilosos)	Frotis sanguinen, 292, 292-293, 307, 328/-331/	Glandula mamana, 524, 876, 909-915
de De Graaf, 878, 878, 882-883	Fuente de luz, microscopio, 14, 15	acción de la ostrocina, 795, 909, 915
en crecimiento, avario, 878, 879	Fuerza protón motriz, 60	cambios cíclicos (menstruales), 911, 913-915
linfáricos. Ware Ganglios Infáricos		cambios en el embarazo, 911-915, 912
ovárico, 877-883, 920/-923/	G	
		cancer, 88c, 909
atrésico, 878, 878, 889, 891, 9224-923/	G0 (gap 0), fasc, 93	células, 795, 910, 911, 940/-943/
barrera de protesción, 880	G1 (gap 1), face, 92, 92-93, 96	etapa proliferativa tandia, 9424-943/
соваров у отдавиластов, 886, 886-887	G2 (gap 2), fase, 92, 92-93, 96	ezapa proliferativa temprana, 9421-9431
crecumento, 878, 879, 920I-921/	Gaantosa-transferasa, sistemas del grupo sanguineo,	hombre, desarrollo. 839
crecimiento cicliou y desarrollo, 878	295;	mactiva, 909, 911, 972, 9404-941/
desarrodo, 878, 878-883	GALT Vene lendo linfánco asociado con el intestino	inervacion, 915
	Cametogenesis	
liberación de ovocito, 878, 884-886		utvalución, 915
maduro (de Graaf). 878, 878, 882-883	hombre, 832 (véuse tembrén Espermatogénesis)	lactante, 158, 795, 909, 909, 913, 913
microentorno, 878	mujer, 877 (<i>néme también</i> Ovogénesa)	linfáncos, 915
pared, 886	Gameios, 95-97	regulación hormonal, 909, 913-915
prunario, 878, 878-881, 920/-923/	bombre, 832 (wene anninen Espermanozoide,	tejido adiposo, 275, 909
	Espermatogénesis)	terido conjuntivo, 204/-205/
primordial, 878, 878-879, 879, 9204-921/	mujer, 877 (vôsse tumbién Ovocito; Ovogénesis;	
secundario, 878, 878, 881, 881-882, 9221-9231		vascularización, 915
smresar y secreción de estrogenos, 877, 882-883.	Ovuo)	Glandula parósida, 160, 586
883	Ganglios, 110, 110, 380	Glandula pincal, 785, 798, 798-799, 824/-825/
vigilancia y estudios de imagen, 884, 884-885	de la raiz dorsal, 382, 384, 406r, 414, 414, 422l-423l	células, 798-799, 824/-825/
pilasos, 524, 541-544, 542, 548, 564/-565/	entéricos, 422/	concreciones, 798, 798-799
vaina extetrna de la raiz, 541, 542, 542	espurales, 989, 995	desarrollo, 798, 798
	nervius crancales, 382, 406r	
tiruideos, 799, 800, 800, 8261-8271		hormonas, 799. 7991
Fonación, 709	parasimpánicos, 406r, 422f	Glandula sublingual, 567, 585, 590-591, 591,
Fondo, útero, 877	paraverrebrales, 409, 422/	606/-607/
Fondo de saco, saco lagrimal, 970-971	penféricos, 401, 406-407, 4061	turnares, 592c
Foramen	prevertebrales, 422/	Gländula supramenal fetal, 815-817, 816
apical del dienne, 584	sensitivos, 406c, 407	Glandala turoides, 785, 799-806, 8261-8271
•		
ciego, 569, 569	simpáticos, 406r, 4221-4231	células, 800, 800-801, 807
nutricio, 236, 237	terminales, 4221	desarrollo, 111, 799-800
Formación seucular, 412	vestibulares (de Scarpa), 998, 1000	función, 801-802
Formalina, 2	viscerales, 410	anómala, 249c, 805c, 905-906
Fosas nasales, 703	Ganglios linfáticos, 461, 472, 473, 490, 493-498,	tejido epitelial, 800, 800-801
Foxfasoma, 299	5092, 514/-517/	ubicación y estructura, 799-799
Posfarasa acada, 844	actividad fagocírica, 498	unidad estructural y functional, 800, 800
prostitica, 859	axilares, 915	vascularstación, 799
resistente al tartrato, 243	circulación de linfocatos, 496, 496-498	Glandala tubular. 158, 159r
Fosfatasa alcalina (FA), 239-240, 253-255, 256, 679	drenaje de la glandula mamaria, 915	Glandala rubuloalveolas, 158
no especifica de tejido, 239-240, 253-255, 256	drenaje y filtración, 493, 496	Glandalas acmares, 158, 159s
Foofatasa de creatina, 343	elementos de soporte, 493	Glandulas alvenlares, 158
	*	
muscular (MM-CK), 343	estructura, 493, 494 495-498	Glandulas anales, 640, 640
Fosfacasas	paraesternales, 915	Gländulas apocrinas, 541, 541, 548-549, 549,
grinules de neutréfiles, 299	red reticular, 494, 495	558/ 561/, 909-910
proteinucus, 36, 845	supraclaviculares, 915	de las pestañas, 546, 969, 970
Fosfandilinositol, sistema, 786	Gardasil, 914c	modificadas, glándulas mamaries, 909-910
Fosfaro, 807	Gandasil 9, 914c	Glandulas bucales, 585
almacenamiento oseo, 232	Gastrina, 617, 618-619, 618c. 622, 622s, 688-690	Glandulas bulbourerrales, 769, 832, 833, 859, 859
en la saliva, 593	Gastrinomas, 618c	Glandalas cardacas
metabolismo, 258, 807	GATA-1, factor de transcripción, 315	esofágicas, 612, 614
mineralización órea, 254-255, 256	GATA-3, factor de transcripción, 322	gistricas, 622, 623, 646/-649/
Postato de calcio 255, 256	Celatora de Whatton, 171-172, 172	Cland the commitment \$46, 483

Giandulas currunanales, 640	modificadas, glándulas mamarias, 909-910	colágeno como, 175, 175
Glandulus compuestas, 158, 159r, 160	pestañas, 546, 969	cuerpo váreo, 946
Glándulas de Bartolino, 907-909	producción de feromonas, 549	de la membrana lisosomica (LGP), 46
Giandulas de Krause, 969, 970	ecrinas, 541, 541, 546, 546-548, 547, 549,	de la zona pelucida (ZP), 879
Glandulas de las pestañas, 546, 969, 970	5584 561/	de mielina-oligodendrocitos (MOG), 403
Glándulas de Littre, 769	Glandulas supramenales, 741, 753, 785, 808-817,	de oligodendrocitos-mielina (OMgs), 403
Glandulas de Meibomio, 544	828/-831/	GP2 633c
Giándulas de Moll, 546, 969, 970	correza de (misse Correza supracrenal)	lámina basal, 148, 150
Glandulas de Montgomery, 910	desarrollo, 110, 808 809	matrix entracelular, 186-189
Glindulas de Skene, 769, 907	estructura, 808, 808	matriz čora, 232-233, 239
Giandulas de von Ebner (linguales salivales), 570, 585,	feal, 815-817, 816	membrana lisosómica, 46
600s-60.1		
	hormonas, 279, 810t, 811-815, 816c	membrana plasminica, 32, 32
Glándulas de Wolfrang, 969, 970	medula (<i>rease</i> Medula suprarrenal)	multiadherentes (whee Glucoproteinas
Glandulas de Zeis, 544, 969, 970	tejido epiceboide 17	muluadherentes)
Giandulas del cuello urenno 900, 900, 9324-933/	vascatarización, 808-808-809-811	producción hepánica, 667
Glandulas ecrinas, 541, 541, 546, 546-548, 547, 549,	vasos Linaricos, 809	saliva, 593
558/-56-,/	Glandulas tarxales (de Mesbomio), 158, 969, 970	transmembrana, 140
Giandulas endocrinas, 157, 784-785, 785	Glándulas tubuloacinares, 1591	vaina de mielina, 403
cilios primarios, 130s	Glandulas rubuloalveolares, 8721, 909, 909-910	zona pelucida, 879
mecasismo de secreción, 157, 158	Glandulas unicelulares, 158, 758	Glucoproteinas multiadherentes
Glándulas esofágicas propiamente dichas, 612-613, 613	Glandidas uretrales, 769	cartilago hialino, 211, 212, 224/-225/
Giandulas exocrinas, 157-158	Glándislas vestibulares, 907-909	común, 189, 190, 191z
mecanismo de secreción, 157-158, 158	mayores, 907-909	matrix entracelular, 186-189
multicelulares, 158, 159;	menores, 907	matriz deca, 232-233, 239
uninclulares, 158, 758	Glaucoma, 395, 950-951, 954c, 961c, 967	membrana basal glomerular, 747
	4	Gluonea
Giandulas errramurales, 609, 610	agudo, 954c	absorción renal, 758
Glándulas fundicas, 613, 614, 615-622, 616, 625-626,	de ángulo abierto, 954c	
0487-02.1	de angulo cerrado, 954c	almacenamiento, 689
Glándulas gástricas, 613, 614, 615-622, 616, 625-626.	Glia. Võne Cenlas neurogliales	совсевнасіовез запушналь, 690
6469-65.1	Glicina, 175, 175, 392, 3941	digestión, 624e
Gländulas inflamadas, 498, 505r	Glioris, 390c, 419c	metabolismo y regulación, 258, 279, 342r, 668-
Giandulas ansestinales, 627, 628, 652/-655/	(ампоснови) пеастіча, 419с	669, 688-690, 813-815
Giandulas labrales, 585	Globinas, 296, 296, 318	sintesis, 813
Glándulas lagramales, 969, 970, 970-971	Globulinas, 291, 667	Glucosa-6-fosfatasa, 56
accesorias, 970	a, 291, 667	Glucosa-6-fosfato, 668-669
Glándulas linguales, 570, 585, 600/-601/	β, 291, 667	Glucosaminoglucanos (GAG), 5, 186-189, 1871
Glandulas maestras, 787 788	de union a la tiroxina, 786, 803	cartilago, 210
Gándulas molares, 585	γ. 291	matriz duea, 232
Glandulas mucíparas, 160, 160	00 прилитана, 291, 667	membrana basal glomerular, 749
Giandulas mucosas, 610, 612-613	Globulos blancos. VZee Leucocatos	secreción de condrocitos, 213
Glándulas multicelulares, 158, 158, 159r	Glóbulus rojos. Väer Entrocitos	sulfatados similares a la heparina, 444
Gländulas olfatorias, 705, 706, 708, 7304-731/	Glomérido, 740-743, 745, 746, 749, 750	valvolas cardracas, 437
Glándulas palarmas, 585	aparato de filtración, 740-741, 747, 747-752	Glucosalación, 36, 53, 57-58
Gländulas paratiroides, 111, 785, 806-808, 807,	capsula (nine Capsula de Bowman)	Glucuronato, 187
826/-827/	cresciente, glomerulonefritis, 754c	Glucarónido de balirrubina, 318, 680
interiores, 806	distension, 752	Gloramaro, 385, 394r, 963, 991
superiores, 806	Glomerusonefritis, 747 748, 752, 754c	Gluramma, 392
Glándulas parauretrales, 769	de progreso rápido, 747-748	Glucaraldehido, 22
Glandulas parótidas, 567, 585, 590, 591, 604/-605/	hereditatra, 747	Golgi, fase de, espermogénesis, 842
and the second s	inducida por amicuerpos antimembrana basal	
Giándulas pilóneas, 622, 623, 626, 6524-6531		Golpe activo (fuerza de contracción), 347
Glandulas salivales, 585-593. Visone também glándulas	glomenular (ante-GBM), 754c	Golpe de recuperación, 347
específicas	membranoproliferativa, 752	movimentos ciliares, 128
acinos secretores, 585-590, 602/-607/	Glucagón, 690, 690z, 786	Gónacia(s). Véase también Ovario(s); Testiculos
Inguales, 570, 585, 6001-6017	acción, 690, 691	histogénesis, 110
mayores, 567, 585, 590-591, 591, 6021-6071	acción hepática, 669	Gonadocorticoides, 810r, 813. 815
secreciones, 591-593	regulación del tejido adiposo, 279	Gonadotropina comónica humana (hCG), 889, 898,
sistema de conductos, 590, 6021-6071	secreción рапста́иса, 684, 688, 690	905-906
superiores, 567, 585	Glucocabz, 32, 32, 309-310, 311, 610, 748-749, 845	Gonadótropos, 792, 792/
tumores, 592r	Glucocorticoides, 275, 810r, 811-815	Gоплоксорто, 951
anidad funcional, 585, 586	Glacoestingue pidos, 32	Gonocitos, 833-834, 8664-8671
Giandulas seháceas, 524, 541, 541, 542, 544-546, 545,	Glucotoraas, 295e	Gota (arteins gotosa), 235c
5542-5554, 5602-5617	(293	Gotas lipidicas, 274, 276, 280-281, 689
		· ·
asociación con foliculos píleios, 544	Charagenesis 689, 813	Gotatas lipidicas (inclusiones lipidicas), 30¢, 31¢, 77-7
cavidad bucal, 569	Glacogena	gp91, insuficiencia, 303c
pestañas, 969, 970	almacenamiento hepático, 668-669	Gradiente electroquímico de protones, 60, 61
secreción holocrina, 158, 158	degradación (glacogenolisis), 689	Granulocitopoyesis, 316, 319-320
secreciones (sebo), 541, 542, 545-546	digestion 624c	cinénca, 319-420
Giandulas secretoras de mucina, 681	inclusiones, 301, 311, 77-78, 78	Esse metótica (proliferativa), 319
Glándulas serosas, 160, 160	metabolismo, 689	fase posmetórica, 319
Glandulas sexuales accesonas, en el hombre, 832,	musculo cardiaco, 354	Granalocitos, 291t, 297, 3284-3291. Véanie también lo
854-859	propiedades de rinción, 5, 6, 78	upos específicos
Glandulas simples, 158, 159r	sintesis (glucogéneis), 689, 813	desarrollo, 316, 319-320, 3211
Gländulas submandibulares, 567, 585, 590, 597	aora de orgânulos plaquetarios, 310, 371	medula ésea, fondo común de reserva, 320
numores, 592r	Glucogenólisis, 669, 690	reserva circulante, 320
		A
Giandulas submucosas, 610	Ghandan 480	Caralaganal, 320
estómago, 612-613, 613	Glucolins, 689	Granuloma(s), 303c
interino delgado, 634, 634, 652/-653/, 652/-655/	Gluconeogénesis, 690, 813	espermatocitico, B54
Glándulas sudoriparas, 524, 541, 546-549, 554/-555/,	Glucoproteína(s), 190	Granulos
558/563/	91 (gp91), 303c	α, plaquetas, 310, 311
apochhas, 541, 541, 548-549, 5581-5611	cartilago hialino, 211, 212, 224 <i>l</i> -225 <i>l</i>	auriculares, 354

azurofilos, 297, 298-299-304-305	H (HbH), alteraciones, 297, 297	perfusión dismininda, 672
corticules, 881	prenatal y posnatal, 296-297, 297	producción de bilis, 666, 669, 680
de cimógeno, 40, 587, 618, 618, 684, 685	S (HbS), 298c	regeneración, 675
de Fordyce, 569	Hemoglobina corpuscular media (HCM), 313	sintesis de lipoproteínas y regulación, 666-667, 66
de glucogeno, 354	concentración (CHCM), 313	simusoides de, 670, 670, 671, 673, 673, 677
de hemosiderina, 668, 674	Hemograma, 312-313	tejido epitelial, 164/-165/
de la matriz, 59-60, 60	Hemolisis, 295	vascularización, 669-670, 670, 672-673, 673
de mucinógeno, 160, 588, 614, 618	Нетвересіпа, 667, 668	via linfatica, 675, 676
de recubrimiento de membrana, 531	Hemoeroides, 640	Hiba
λ, plaquetas, 310, 311, 311-312	internas, 640	bazo, 502-503
neurosecretores, 536, 536	Hemossderina, 78, 318, 508, 543r	ganglio linfárico, 494
primarios (azurófilos), 297, 298-299, 304-305	Hemostasia, 311	ranon, 741, 742, 77247731
proacrosomicos, 842	Hendidura	Himen, 906
queratohsalmos, 501, 501, 526, 529, 568, 612	de filtración, 747, 748, 751, 753	Hiperhidrous, 549
secretores basófilos, 199	diagrama, 748, 751, 751	primaria, 549
secundanos, 299, 305	de Schmidt-Lanterman, 398, 399, 400	Hiperplana promática benigna (HPB), 856, 857c-85
	glótica, 708, 709	Hiperplasis suprarrenal congenita (HSC), 817
terciarius, 299 Granzimas, 478 484, 484	anaprica, 350, 391, 391, 395	Hiperpolarización procesamiento visua, 963, 963
	Henle, asa de Võese Asa de Hense	Hipersensibilidad anahusetica, 480. 480c
Gravidez, sensores, 992-993		Hipertension, 448r, 450
Grelina, 277-278, 2817, 622, 622r, 689r, 791	Hepatan-sulfato, 150, 1874, 305, 747, 752	esencial crónica, 755c, 813
Grupos aldehido y reactivo de Schiff, 6, 7	Heparina, 187s, 197-198, 300, 305	ротаl, 640, 675
Grupos cariónicos, 6	Hepausis, 678	•
Grupos nógenos, 213, 230/-231/	C 138	resistente, 765
Guatulato-ciclasa/monofosfato de guatiosma cíclico	Hepatocito, 1641-1651, 666, 675-678, 677, 6941-6971	signos oftálmicos, 967
(cGMP), sistema, 786	Henng, canales de, 676, 679	sistemica, 445
Gubernáculo, 832, 834, 877	Heremcromatina, 6, 82, 83-84, 84, 85, 86	Hiperirosdismo, 805c, 905-906
Gusto, 571-573, 572, 575r	constitutiva, 83	Hipertrofia, sona, 251, 252, 270/-271/
TI .	facultativa, 83, 86	Hipertrofia ventricular, 448c
H	Hialociros, 969	izquierda, 448c
Hambre y sacredad, 275, 277-279	Haluronam (acido hialurónico), 187-188, 1877, 211-	Hipocondrio, 550, 550, 5641-5651
Haptoglobina, 668	212, 218, 232, 946	Hipodermis, 524, 529, 5541, 5624-5631
Haustras, colon, 636, 636, 638	H.aluronidata, 844	Hipofisecromia, 815
Haz	Hibernación, 282	Hipófisis, 785, 787 797, 8204-8231
auriculoventricular (AV) (de His), 3761, 434, 435,	H.bernoma, 283c	como glandula maestra, 787-788
438	H.bridación fluorescente in satu (FISH), 10, 10-11, 87c	desarrollo, 110, 788, 789
de electrones, 21-22	Habridación in ittis, 10-11	ентистита пластовобриса, 788, 789
de pelo, 989, <i>990</i>	Hibedoma, 9	meryación, 790
Hebra	Hidratos de carbono, 4, 624e	lóbulo anterior (a/ese Lóbulo anterior de la
de particulas intramembranosas, 136	metabolumo bepatico, 668-669	Jupófisis)
microtraheculares, 79	Hidrocefalia interna, 133c	lábulo posterior (some Lábulo posterior de la
Heces, 566	H.drocortisona, 815	hipófiais)
Helicobacter pylan, 142c, 617, 617c	H.drolasas, 43, 56	regulación, 788c
Helicotrema, 994, 995	acidas, 299	hiporalimica, 788c, 797
Hemangopenciroma, 454	Isosómicas, 245	tejida epiteliaide, 117, 168/
Hematócrato, 290-291, 297, 312	Inosómicas ácidas, 305	ubicación, 788
Hematoma por fractura, 259, 260	Hidroniaparita, 232, 254-255, 256, 2641, 574, 580	vasculanzación, 789-790, 790
Hemasopoyesis, 313-322, 314, 315, 508	nucleación de cristales de, 255	Hipoplasia suprarrenal congénita, 833
dinamica, embrión a adulto, 313, 315	H.droucolecalciferol 25, 667-669, 741, 741r, 807	Ніроргоготвиненца, 667
embrionaria, 313, 314, 315	Herro	Hipotalamo, 785, 787-788, 789, 797
factores de transcripción, 320	complejo de almacenamiento, 78	como glandula maestra, 787-788
fase de medula osea (fetal), 313	homeostasis, 667-668, 680	control de la lactancia, 915
fare de saco vitelino, 313, 375	sobrecarga, 668	hambre/saciedad, 275, 278
fase hepática, 313, 315	Higado, 602, 666-680, 6941-6971	
teoria monofiiéuca, 313-315		oucleos, 789, 793
Hematoxilina, 2-3, 5	acinos, 670, 672, 672, 696/	production hormonal, 763v, 797
Hematoxilina y eosina (H&E), tinción, 2-3, 3	almacenamiento y metabolismo de vetaminas, 667,	regulación de la hipófisis, 788c, 797
figación con formalina, 2	675	Hapotiroldismo, 259e, 805e, 806
pérdida de componentes tisulares, 5	anaromía macroscópica, 666, 667	congénito, 259c, 806
	celulas, 673-678, 694 <i>l</i> -697/(véase sambién	Histamina, 197, 300, 305, 480r, 545, 623r, 799
Hemicanales, 144	r lepatocatol	H, 617c, 618
	celulas maráre. 670	Histaminasa, 305
osteocitos, 241	ciles primarios, 130z	Histocitos Veste Macrolago(s)
Hemidesmosomas, 71, 134, 139, 146r, 154, 156-157	carrosas, 764-6575	Historicitions V. 536
dérmicos, 527	convers ones metacólicas, 669	Histologia
epidérmicos, 525	degradación, 668	definition 1
estructura, 156, 156	desarrollo, 666	metodos utilizados, 1.37
proteinas transmembrana, 156-157	espacios peristrusoidales, 670, 673, 674-675, 675	técnicas auxiliares, 1-2
Hemo, 296, 296, 303, 318	feral, angioblasternas, 675	Historias, 10, 83, 85
Hemocromatosis, 668	fissologia, 666-669	Histoquimica enzimanca, 7, 8
Hernoglobina, 291, 295-297, 296	flujo de bilis, 669, 673. 678-680	Histoquímica y citoquímica, 1, 3-12
A (HbA), 196, 297, 298c	funciones endocrinas, 666-667	autorradiografia, 1, 3, 10-11, 11
A ₂ c (HbA ₁ c), 297c	glucocorticoides en, 813	composición química de las muestras histológicas,
A2 (HbA ₂), 296, 297	hierro y cobre, 667-668	4-1
alteraciones, 297, 298c	mervación, 680	digestión enzimática, 7
degradación, sciericia, 305e	inflamación, 675	fundamentos químicos de la tinción, 5-7
determinación e indices, 312-313	usuficiencia cardiaca congestiva, 674c	colorantes ácidos y básicos, 5-6, 5 <i>t</i>
diabetes mellitus, 297c	lobulillas, 670-672, 671, 672, 6964-697!	grupos aldehído y reactivo de Schiff, 6-7
drepanocítica (HbS, netle hemoglubin), 298c	modificación hormonal, 669	metacromasia, 6, 88
F (HbF), 296-297, 297	necross, 674c	hизоциянса енгиманса, 7, 8
fetal, 296-297, 297	organización estructural, 670-675	nununoconoquamica, 1,7-10
elucoulada, 297c	narénguma, 670, 672-673	técisicas de hibridación, 10-11

Homeostatu	Hormona Rheradora de tirotropina (TRH;	inmaduro, 236-237
agua, 416, 531, 7 95	ttroliberusa), 791, 792, 797s, 799	maduro, 235-236, 238
división celular-muerte celular, 99, 99	Hormona luteimaante (LH; lutropina), 786, 790,	remodelado, 261
energia, 274, 275, 277-279	7914, 792	Hueso esponjoso (trabectalado), 233, 233-234, 234,
h.drica, 416, 531, 795	apurato reproductor de la mujer, 881, 882, 889,	236, 237, 238, 266l 267l
hierro e higado, 667-668, 680	894c-895c	maduro. 236, 238
pérdida y necrosis, 99-100	aparato reproductor del hombre, 840c, 850	Hueso hioides, 704
prel, 524	Hormona parantoidea (PTH), 245-246, 255-258,	Hueso remporal, 983, 983, 985, 986, 987
•	741, 741c, 760, 806-808, 807c	Hueros fargos, 233, 234, 234, 236
plasma, 291	acción	crecimiento, 249-252
паопел, 740-741	anabolica, 257	lijadu (técnica histológica) 2641-2651
Homogeneización mecánica, 12, 73	catabonica, 257	vascularstaction, 236, 237
Hormona(s), 157, 784-787, 785	recombinante humana, 257c	Humor acuoso, 946, 950, 953, 955
acción hepática, 669	Hormonas sexuales, 275	
adenohipófisis, 790, 791a		Humor vitreo, 946
antocrina, 788c	hombre, 83%-840c, 849, 850	Husos mitorious, 73, 73, 93, 95, 97
candidata o putativa, 620e, 623e, 631	mujer, 877, 894c-895c	Husos musculares, 351-352, 352, 408
células diana, 785-786	Hormonas taroideas, 279, 786, 800-806, 802 <i>t. Véame</i>	1
células éseas productoras, 258	tambien hormonas especificas	_
	actividad biologica, 806	Intericia, 305c, 543c, 680, 945
circulante, 788c	liberación, 803-804	escleral, 945
control autocrino, 785, 785	papel en el desarrollo, 806	fisiológica, 305c
control endocnno, 785, 785	regulación, 804	Idurunato, 187
constrol paracenno, 785, 785	sintess glucosa, 802-804, 803, 804	iExM. Võise Microscopia de expansión iterativa
corteza supramenal, 810x 811-815	transporte, 804, 804-806	IgA secretors, 45, 569, 593, 633-634, 633r, 634, 913
definición, 784	hs.73, 50	fleon, 610, 626, 6581-6591. Véase también Intestino
gastrointestinal, 619c-620c, 621-622, 622,	Huellas darrilares, 527	delgado
6221-6231, 631		Humanación de Köhler, 17e
infraproducción, 796c	Huesecillos del osdo, 983, 983-986, 987	IMC. Viser Indice de mass corporal
	desarrollo, 982, 984	· · · · · · · · · · · · · · · · · · ·
liberadoras hipotalámicas, 394-395	enfermedades que afeczan, 986, 988c	Implantación, 898-900
mecanismos de acción, 785, 785	función auditiva, 998	Implante coclear, 996c
mėdula suprarrenal, 810r, 811-812	muscular en movimiento, 986	Importina, 90
neurocrinas, 6231, 631	Hueso(s), 232-263	Inanición, 278
neurobipófisis, 794-797, 795 r	almacenamiento de calcio, 232, 255-258	Incisivos, 573, 574
pancreaticas, 687-690, 690r	alveolar propio, 584	laterales, 573
paracrinas, 620c, 623t, 631, 788c	aspectos fisiológicos, 232, 255-258	mediales (centrales), 573
paratiroides, 806-808, 807r	relulas, 233, 237-246, 239, 247r	Inclusion(es), 28, 29, 77-78
peptidicas, 45, 786, 905-906	como órgano, 233	caracteristicas microscopicas, 30r
* *	compacto (denso), 233-234, 233-237, 237-238,	adoptasmaticas, 77-78
pineal, 799. 799/		crista mas. 78
placentaria, 905-906	252-253, 2664-267/	cristato.des, G2
producción endondial, 444	composición, 232	
regulación y retroalimentación, 787, 788r	cortos, 234	de reabsorcion colondal 800-802, 803
reguladoras del hipotálamo, 797, 797a	crecimiento, 248, 249-252, 259c	funciones y entermedades, 517
respuestas tisulares alteradas, 796c	desarrollo feral, 214-215, <i>215</i> , 2264-2271	glucogeno 78
secretion cutaines, 525	diafisario, 268/-269/	hemosiderina, 78
secuales 275	endocondral, 268/-271/	Lpidicas, 78
hombre, 832, 834, 835, 839c-840c, 849, 850	esponjoso, 233, 233-234, 234, 236, 237, 238,	I-potascina, 77-78
	766/-267/	pigmentadas, 77.78
raujer, 877, 894c-895c, 909, 913-915	estructura, 233-235, 234	Inclunén, medio de, 2
sobreproducción, 796e	fasciculação, 236	Incompatibilidad por Rh., 296c
stiprarrenales, 279	torma, 234	Índice de capacidad esternidogénica, 838
upos, 786		
tiroidea, 279, 786, 800-806, 802r	formación, 246-253	Indice de masa corporal (IMC), 281c
moleculas de transporte 804-806	factores nutricionales, 258e	Inestab lidad dinamica, 29, 63-64, 64
towesdad, 806	osificación endocundral, 214-215, 215,	Infarto cardiaco, 460c
vía transepitelial de síntens, 802-803	226F227L 246-252, 250-251, 268F2711	de macandio (IM), 358
	osificación intramembranosa, 246-248, 248,	Infection
trópica, 790	249, 2724-2731	de vias urinarias, 767
Hormona adrenocorticosropa (ACTH), 786, 790, 791-	inmaduro, 236-237, 238	parasitaria, 142c, 201, 305
792 79.4 815	intramembranoso, 248, 2721 2731	virica, 474
Hormona antidiurética. Véure Vasopresina	treegulares, 234	Infertilidad, 849c, 898, 915e
Hormona antimülleriana (AMH), gen de, 833		Infiltración linfocitica, 588
Hormona del crecimiento (GH; somatotropina),	lammar, 235-236	Inflamación
279, 669, 786, 790-791, 791c Visse	largos, 233, 234, 234, 236	
Somatotropina	lijado (técnica histológica), 264/-265/	alergica crónica, 1986
hipofisaria, 259c	maduro, 235-236, 236, 237, 238	стописа, 194, 675
	marriz, 232-233, 239-240	mucosa, 715c
Hormona estimulante de células intersticiales (ICSH),	mineralización, 236, 253-255, 255, 256, 258	Lofundíbulo
840c	no laminar, 236	foliculo piloso, \$42
Hormona estimulante de melanocitos (MSH), 533-	planos, 234	hipófisis, 788, 789, 793
534, 793	producción hormonal, 258	trompa merina (de Falopio), 877, 891
Hormona estimulante de tirosdes. Wase Tirotropina	reabsorción, 243, 244, 251, 252, 2721	Inh.bidor(cs)
Hormona foliculoestimulante (FSH, fulttropina), 786,	regulación hormonal, 25%	de la acetalcolmesterasa, 395
790, 7914, 792		de la aromatasa, 883
aparato reproductor de la mujer. 881, 883,	remodelado, 253, 253, 254, 259, 261	de la ECA, 755c
8946-8996	reparación, 238, 258-261, 259, 260	
	primaria, 258	de la enzima convertidora de angiotensina (IECA),
aparato reproductor del hombre, 840c, 850	subcondral, 2/6, 217	755c
Hormona liberadora de corsicotroputa (CRH,	superficie externa, 234-235	de la madistación de ovocitos (OMI), 882
coricoliberina), 545, 792, 7977, 815	tendo, 233, 235-237, 236, 2661-2671	de la proteasa, 491e
Hormona liberadora de gunadorropina (GriRH	tejido conjuntavo, 108, 232	de la serina-proteasa de tipo Kazal, 531
gonadoliberina), 792, 7971, 850	vascularización, 236, 237	de la transferencia de cadenas de la integrasa, 491e
Hormona liberadora de hormona del crecimiento	Hueso compacto, 233-234, 233-237, 237-238, 252-	de tejido de las metaloproteinasas (TIMP), 181, 186
(GHRH) 790-791 707a	253-2664267/	del activados del plasminópeno 1, 275, 280s

del factor de crecimiento vascular endotelial	de posasio-sodio, 761	Lris, 945-945, 946, 947, 947, 951-952, 951, 952, 953.
(VEGF), 956c	Intercomunicación, 500	974/975/
linfoepitelial de tipo Kazal (LEKT1), 530-531	Interdigitación	Islote endocrino, 168/-169/
no nucleósidos de la transcriptara inversa, 491e	de los procesos basales, 756, 757	Islotes de Langerhans, 1681-1691, 619c, 684, 687, 687-
nucleósidos de la transcriptasa inversa (INTI), 491c	epitelial, 147, 147	690, 688, 7001 7011
Inhibina, 849, 850, 887	Interfase, 92, 92-93	Isodesmouna, 183, 183
Inmunidad, 473-474	cartilago articular, 216, 217	noSTED. Võise Microscopia de agotamiento de
antigenos específicos para espermatozoniles, 849c	celular, 82	emisión isotrópica estimulada (isoSTED)
basso, 508-509	Inserferop(es), 474	Esquemia
ceiular (mediada por células), 201	γ (IFN-γ), 308, 322, 477, 487	cardiopatia, 460e
células endoreliales, 444, 446r	Interleucina(s) (IL), 194, 198, 233-244, 485, 486r,	ciclo menstrual, 897
especifica, 473-474, 480-481	786	musculo, 342c, 358
ganghos Infáticos est, 498	IL-1, 301, 322r, 486r, 815	omtal
humoral (mediada por anticuerpos), 474, 478	IL-2, 3221, 485, 486r, 815	foliculo piloso, 542
inespecifica (innata), 473-474	IL-3, 301, 320, 322s, 486s	glandula fiindica, 615, 6/6
innara (inespecífica), 473-474	IL-4, 305, 322r, 486r	glandula proides, 799
intestino delgado, 627, 628, 632-634, 633c	IL-5, 3221, 4861	trompa uterina, 877, 891
атила ргоріа, 610	IL-6, 322t, 486t	útero, 893
mediada por antiquerpos (humoral), 201, 474.	IL-7, 322r, 486r	T
478	IL-8, 300, 322r, 486r	J
mediada por células, 201, 474	IL-9, 3221 4861	Jes Log. 794)
шьсова, 705	IL-10, 322r, 486r	Jugos gástricos, 567, 615-620
no especifica (no mnam), 473-474	IL-11, 3221, 4861	K
piel 524	1L-12, 322s, 486s	
respuesta primaria. 480	1L-13, 305, 322r, 486r	KLK14, 530
respuesta secundaria, 480	activación de linfocitos, 481	KLK5, 530
respuestas a antigenos, 478-480	diapedents, 300	KLK7 530
saliva, 593	fagocitosis, 301	L
sistema digestivo, 567	hematopoyesis, 320, 322r	Laberinto(s)
sistensa respiratorio, 702	secreción/producción, 275, 301, 485	coclear, 988, 989
sustancias secretoras, 473	Intermediarios reactivos del natrogeno (IRN), 303	
rabo digestivo, 633c	Intermediarios reactivos del oxigeno (IRO), 302, 302	corticales del riñón, 742, 7744-775/
Immunocinquímica, 1, 7-10	Interneumpas, 382, 383, 411, 957	membranoso, 987, 989-997
Inmunofluorescencia	Internexina ti, 70s, 71	esca, 983, 987-987-989
directa, 9, 9	Intestino delgado, 609, 626-635, 654/-659/	vestibular, 988, 989, 992
induecta, 9, 9, 10	células, 627-632	Labru(s), 568, 568, 5964 597/
Inmunogeno. 473	celulas absortivas (enterocitos), 624c-625c, 627-	mayores, 876, 907, 907
Inmunoglobulina, 45, 291, 478, 479¢	630, 630, 654L657I	menores, 876, 907
mucosa intestinal, 632-634, 634	celulas madre, 160-161, 199, 632, 635	Lactaneia, 795, 909, 910, 913-915, 915c
superfamilia, 140, 140, 300	contracciones, 635	Lacteo, 627, 628
Inmunoglobulina A, 4791	divisiones, 626, 65246591	Lactógeno placentario humano (hPL), 906
anticuerpus anticipermatoroides, 854	flujo de bilis, 679-680	Lactora, 624r
calestro, 913	funciones digestiva y absorbtiva, 567, 626-627	Lactótropos, 791, 792s
intestinal, 632-634, 633e, 634	funciones immunitarias, 627, 628, 632-634, 633c	Lignmas, 971
salival, 569, 593, 593, 633c	glandulas, 627, 628, 652/655/	Laguna de Howship, 243, 244
	lámina propia, 627, 632, 654 <i>l</i> -657/	Laganas
Innunoglobulina ansi-D (RhoGAM), 2%c	mucosa, 627, 627-634, 6524-659/	carrilago, 210, 224 <i>l</i> -225 <i>l</i>
Inmunoglobulina D (IgD), 308, 478, 479;	muscular de la mucosa, 627, 628, 654/-659/	endometrio, 894, 896
Inmunoglobulina E (IgE), 199, 306, 475, 479r, 480c,	muscular externa, 3781-3791, 635, 6541-6591	bueso, 233, 236, 241, 241c
715g	musculo liso, 3784-3791	trofoblasticas, 901
Inmunoglobulina G (IgG), 479r 480, 482-483 509	andulos linfistoss, 492, 493, 610, 627, 629, 632,	Lamsna(s)
Inmunoglobulina M (IgM), 308, 478, 479z, 480, 634	658/659/	A, 70r, 71, 89
Inositol 1,4,5-trifosfato (IP3), 361, 572, 786		B, 704, 71, 89
Inserción epitelial, 585	phegues circulares, 609, 627, 654/-657/	C, 70s 89
Insuficiencia cardíaca congestiva y necrosis hepática,	renovación de células epitelules, 635	nucleares, 70s, 71, 88-89
6*40	secteciones, 567	Lamina, 70r, 71, 88-89
Insuficiencia hepática, 668	serosa, 635, 654/-657/	atas, 126, 127
manifestaciones neuropsiquiatricas, 668	submucosa, 634, 654/-659/	hasal, 108, 134, 148-155
Insuly, sentia renal, 338	uniones estrechas, 629	cribrusa, 9764-9771
Insulina, 688-691, 6901, 786	vellosidades, 609, 627, 628, 654/-659/	de coligeno del intestino grueso, 637-638
acción hepática, 66°)	Intesuno grueso, 609, 635-640, 660/-665/	densa, 148-149, 153, 154 Vesse Lamina basal
efecto sobre la reproducción de la mujer, 289	absorción, 567	membrana basal glomerular, 749-750
enfermedad de Alzheimer, asociación, 690, 690r	eliminación, 636-637	espiral, ónea, 994, 995
estimulación, 688-689, 691	lamana propia, 637-638, 639r, 660/-661/	ехтегла, 149, 150с
procesamiento postraduccional, 691c	тиспы, 636, 636-637	
regulación del tejido adiposo, 277-279	muscular de la mucosa, 636, 660/-665/	musculo lito, 364
secreción pancreásica, 684, 688, 690	mucular externa, 364, 638, 660/-663/	fusca, 950
SIATOM	reabsorción y eliminación, 636-637	lunda, 149
cadena A. 691c	renovación de células epiteliales, 637	nuclear (fibrosa), 88-89, 89
cadena B. 691c	serma. 638	ósca espiral, 994, 995
linul rema, 691r	submucota, 638	propia, 161r, 172, 489, 489, 608, 609, 610
Integrina(s), 36, 102, 139-140, 140, 154-155, 155-	vasos linfáncos, 638, 639c	reticular, 151-152, 997
157, 300, 497	lmestinos. Vine Intestino grueso; Intestino delgido	supracoroidea, 950
α ₄ β ₆ , 156, 156-157	Intravasación, 299	vitrea, 955-956, 957
$\alpha_6 \beta_4$, 157	Invaginaciones epiteliales, 147, 147, 157, 157	Lamina basal, 108, 134, 148-155
Intención (unión), 550c	Involucina, 531, 531	andamiaje de tejidos, 155
secundaria, 550c	Inn(es)	arteria elastica, 447, 447-449
Interacciones célula-matrix extracelular, 150	metales pesados, 22	barrera hematonerviosa, 381, 408
Intercambiadores de proteínas cloruro-carbonato, 245	transporte nucleocatoplasmático, 90	barrera hemasutimica, 501, 502
Intercambio	lones calcio (Ca2+) en la zónula de adhesión, 140-141	capilares, 452-454, 453
4	f l	154 155

Lámina basal (cont.)	Lengua, 569, 569-573, 598I-601I	clasificación funcional, 475
continua, 453	mervación, 573	esimulo de diferenciación (CD), moléculas, 200-
correspondencia con la membrana basal, 149	miscules, 569	201, 475, 4761-4771
de la membrana glial limitante, 402	papilas, 569-570, 570, 5981-6011	desarrollo y diferenciación, 314, 320-322, 472,
de los senos espiénicos, 507	papilas gustamyas, 568, 570, 570-573, 571,	478-481
discontinua, 453, 454	(900/-tu)1/	diferencias con otros lesicocitos, 306
en células no epareliales, 149, 149	superficie donal, 569, 598/599/	distribución en los ganglios lunfáticos, 496, 496-498
en la barrera hematoencefálica, 415	superficie ventral, 5984-5991	efector, 471, 478
endotelial, 415	Lente(s)	en etapa temprana, 502
esplénica, 152, 153	condensadora, 14, 15, 21	especificidad, 474
емпистия, 149-152	de proyección, 22	especificos para antigenos, 493
fibras renculares subyacennes, 151-152	electromagnéncos, 21	esplénicos, 503-505
hitración, 155	тистоясорю, 14, 15, 21-22	estructura, 307, 307
foliculo ovárico, 879. 879-880, 880. 881, 881, 882	objectivo, 14, 15, 21-22	frotis sanguineo, 307, 3304331/
formación, 151, 151	ocular, 14, 15	ganglios linfarcos, 496, 496-497
microscopia electrónica, 149, 149, 150	Leptina, 275, 277-279, 280z, 281c, 906	glandula mamaria, 911, 913, 9404941/
moléculas organoespecíficas, 153-155	Leptoteno, 96, 98	granulares grandes (LGG), 308, 478
regulación y señalización, 155	Lesión	beterngenesdad, 200-201
renal, 152, 152	artacular, 217	infección por VIH, 491c
terminologia, 150c	celular, 35, 99-100	inmunidad especifica (adaptanva), 474
testiculos, d37		
	hepática, 674e	trunupocompetentes, 473
unión con el rejido conjuntivo, 153, 154, 154	noder, 194	intraepiteliales, 308
vasos sanguíneou, 440, 448	Leucocito(s) 290-291, 2911, 297-309, 3281-3311.	memoria inmanatana, 474
Limina propta, 161c, 172, 489, 489, 608, 609, 610	Véante nembién los tipos específicos	migración, 497-498
cavidad bucal, 568	сара Јемсосимса, 291, <i>291</i>	nodaics aniaticos, 490-492
cavidad nasal, 704, 705, 730/731/	dasticaçion, 297	origen del nombre 47%
conducto anal, 640	desarrollo, 313, 314, 316, 319-322, 3211	origenes, 306
del urorelio, 766, 768, 769	granulos, 297	protección de la barrera hematotímica, 501, 501-
esólago, 612, 644/-645/	Lецкороуеля, 313	502, 522/-523/
estómago, 626, 646/-647/	Leucotneno(s), 198, 305, 786	reserva circulante, 475
gástrica, 626	C (LTC4), 198	respuesta unflamatoria, 200, 304
intestino delgado, 627, 632, 654/-657/	D (LTD4), 198	santesis/secreción de citocinas, 485
intestino grueso, 637-638, 639c, 660/-661/	E (LTE4), 198	tejido conjuntavo, 190, 200-201, 204/-205/
texticulos, 836	Levadopa, 416	tipos funcionales, 307-308
triques, 713, 714, 734-7351	LGP VAne Glucoproteínas de la membrana lisosómica	vigilancia inmunitaria, 475
túbulos seminiferos, 836, 8641-8651	Ligamento(s), 174, 182, 206/	Lanfocito(s) B (célula[s] B), 8-9, 200-201, 307-308,
vagina, 907	amanilo 182	475, 477, 478
vesicida biliar. 681, 681, 698/-699/	ancho del ovario, 877	activación, 473, 474, 475, 482, 483
vesículas seminales, 8744-875/	de Cooper, 910	celulas dendriticas foliculares, 494-495
Lamina rara	elasticos, 174, 182	circulación, 488
externa, 749	escrotales, 832	desarrollo, 314, 322, 477-478, 479c
interna, 749	nucil, 182	diferenciación, 477-478, 479c, 482, 498
Laminillas	ovárico, 877, 877	distribución en los ganglios Infáricos, 496, 496-498
anuladas de los ovocitos. 879, 879	pertunado, 950	espiencos, 504-505, 508
arterias elásticas, 447, 447, 449-450	penodontal, 582, 584-585	indiferenciados, 492, 497-498
circunferenciales, 235, 236, 264/-265/	del cristalino, 953	unmunulad especifica (adaptariva), 474
concentriças del hueso, 235, 238	glandulas mamanas, 910	inmunidad mediada por anticuerpos, 201, 474, 478
clasticas, 2084-2091, 437, 447, 447	ovario, 877, 877	mmunocompetentes, 473
hueso, 255-236, 236, 238, 264/-265/	vertebrales, 182	maduros, 478
intersicules, 235, 236, 238, 264/-265/	Lgandos, 35-36, 44-45	memoria, 478, 480, 482, 483, 498
	~	
Inpidicus, 531	Limbo escierocorneal 949, 950-951, 957, 980/981/	migración, 497-498, 504-505
vaina de miclina, 395	LIMP Vitte Proteinas integrales de la membrana	moléculas de superficie, 308
válvislas cardiacas, 437	lusosómica	ongen del nombre, 479c
Laminuna(s), 148, 150-151, 152, 154, 156-157, 191s	Linea(s)	periodo de vida, 308
matrez extracelular, 189, 190	celular productora de anticuerpos, B	períodos de vida, 478
membrana basal glomerular, 747, 749-750	de Langer, 529	presentación de antigeno, 485
Laminopanas, 89	de Retzius, 574, 574	respuesta immunutaria primaria, 480
Lammopedies, 68	densas mayores, 396	respuesta inmunitaria secundaria, 480
LAMPs. Võue Proteinas de membrana asociadas con	epifuaria, 234, 234, 252	Emfocito(s) T (célula[s] T), 200-201, 307-308, 475-
lisosomas	intermedia, 143	476. Veanue también los tipos especificos
Langerhans, islotes, 1681-1691, 619c, 684, 687, 687	interperiodicas, 396	activación, 473, 474, 481-485, 482, 494
690, 688, 7004-7017	M, 340, 341, 344, 355	capacitación, 502, 503
Laringe, 703, 703, 704, 708-710, 709, 710, 7324-7331	neonatal, 583	cavidad nasal, 705
fibras elásticas, 182	Z (disco Z)	CD4*, 194, 308, 475, 480-482, 487, 485
	musculo cardiaco, 355-356, 356	
Laringuis, 709-710		CD8*, 308, 475, 481 482, 482, 484, 484
aguda, 709-710	músculo esquelético, 339, 340-341, 341, 344.	circulación, 488
crónica, 710	347	citulóxicos, 99, 308, 475, 480-482, 482, 484, 484
Laringofaringe, 704	Linfa, 459-461, 493, 496, 675	educación nmica, 502, 503
Láser, elimenación de pelo, 544c	Linfaderutis, 498, 505c	proteína asociada con, 481, 484
Lavado, muestra de tejsdo, 2	ınllamatoria, 505c	VIH/sida, 491c
Leche	reactiva (inflamatoria), 505c	cooperador folicular, 490
eyección, 910	Linfadenopatia, 505c	cooperadores, 308, 475, 480-482, 482
producción, 913	Linfoblastos, 490	capacitación timica, 502, 503
secreción, 909	Linfocinas, 193	tolicular, 490, 498
Lecho	Linfocim(s), 170, 171, 2914, 306-309, 307, 472-485.	interacción con células presentadoras de
capilar, 451-452	Vianae sambién los tipos específicos	antigenos, 194, 308, 485
microcarculatorio, 432, 440, 455	activación, 473-474, 478, 481-485, 482-483.	VIH/sida, 491c
microvascular, 432, 440, 455	493-494	desarrollo y diferenciación, 307, 314, 322, 475.
A	activados, 307	
ungueal, 549-550		479c, 499, 502, 503
Lecitina, 680	circulación, 475, 488, <i>489</i>	distribución en los ganglios linfáticos, 496, 496-498

educación, 502, 503	vias de entrega, 46-47, 47	rubo digestivo, 610
esplénicos, 504-505, 508	Laosomotropismo, 46	Macropinocitosis, 38, 38
etapa negativa doble, 502	Luozima, 593, 631	
		Macropinosomas, 38, 38
etapa positiva doble, 502	Luseria тоносугоденея, 68	Macula
etapa positiva simple, 502	Listeriosis, 68	adherente, 134, 139, 143, 146c, 356
γ/δ, 308, 477, 705	Listones, cetalas caliadas, 991	del idealo, 988-989, 992-993
infección por VIH, 491r	Lobulalots	del atriculo. 988. 989, 992-993, 993, 994
inmunidad especifica (adaptatīva), 474	actions secretores, 585	densa, 745, 746, 746, 753, 7761-7771
inmunidad mediada por células, 201, 474	de la glandula mamana, 909, 9401-9411	lutea, 946, 966, 966
inmunocompetentes, 473	del epididimo (com mucidos), 852	pelúcida, 884
intercomunicación con células epiteliorresculares,	del pulmón, 716	Madurez vellosa, 902
500		To a second seco
	glandula lagrimal, 970	Magnesio (Mg ²¹)
invariantes asociados con mucosa, 308, 477	glandula pineal, 798	polimerización de actina, 66
migración, 497-498, 504-505	hepático clásico, 670-671, 671, 6961-6971	posimeruación de microtubulos, 62
moléculas de superficie, 308, 475	hagado, 670-672, 671, 672, 6964-6971	MAGP 1 184
origen del nombre. 479c	pancrens, 687	Malformaciones genitourinarias, 833
protección de la barrera hematotímica, 501, 501-	portal, 670, 672, 672, 696I-697I	Mama(s) West Glandulas mamanas
502, 5221-5231	ກຄວກ, 743	Mamótropos (lactótropos), 791, 792t
reguladores, 308, 475, 484-485	testiculos, 835	Manchesse, 842, 844
		Mandibua
reguladores CD4° CD25° FOXP3°, 308, 475,	tsmo, 499, 522 <i>l</i> -523 <i>l</i>	
484-485	Löbulo(s)	osificación, 272/-273/
reguladores CD8* CD45R0*, 308	acinos secretores, 585	proceso alveolar, 584-585
supresores, 308, 475, 484-485	del pulmón, 716	Mangas miocárdicas, 457
secreción de citocinas, 485	glandula tiroides, 799	Manosa-6-fosfato, 43, 57-58
subconjuntas, 308	higado, 666, 667	Manosidosis ti, 48c
virgenes, 497-498	hipofisis, 788 (Visie sambién Lóbulo anterior de la	Manto de denuna, 583
Linfocites citoliticos naturales (NK), 99, 307-308,	•	Mantout (tuberculina), prueba de, 485
	hipotisis Lubulo posterior de la hipotisia)	
314, 322, 475, 478	laterales, grandula tiroides, "59	Marcador de superficie celular Lin", 313
activación, 482-483, 483	piramidal-glandusa piramidal, 799	Marcapasos del corazón, 438-439
desarrollo, 478	pulmorares. 216	Marens, 996c, 1001c
función inmanitaria, 473, 474, 478	raman, 744	Martalo, 782, 984-986, 987
repdo conguntivo, 200-201	timicos, 499) 522/533/	Masa cetalar
Linfoma de linfocios B, 61, 100, 102		externa, 898
Linzopovesis, 320-322	Lóbulo anterior de la hipofisis. Visue Adenohipofisis	interna, 898
	Lobulo posterior de la hipófisis. Visue Neurohipófisis	
Lipasas, 279 685	Locomoción, células, 68	Masa en cumulo, 884
Lipidots)	Loquios rojos, 905c	Mastocito(s), 171, 190, 194-198, 195
deposito, 279	Loncina, 531, 537	activación, 475
formación 689	Lanucan 949	basófilo, ožlula progenitora (CPMB), 306, 315, 321
metabolismo en el tejido adiposo pardo, 282-284	Lunula, 450	en reacciones alérgicas, 195, 198, 198c, 306, 480c,
metabolismo hepánico, 668-669	Luteruzación, 886	715ε
movilización, 279	_	endoneuro, 408
oxidación β, 59-60, 62, 669, 678	Luteurropinas, 889	frente a basofilos, 1951
· · · · · · · · · · · · · · · · · · ·	рагастиль. 889	
probarrera, epidermis, 531	Lutropina (LH) Vase Hormona atemizante	función amunitaria, 473, 474
Lipoblastos, 275-276, 276	M	grinulos, 195-198
de estadio medio, 276, 276	M	mucora, 194
tardios, 276, <i>276</i>	Macroautolagia, 49, 49-50	orlgenes, 194, 306
темрганов, 275-276, 276	Macrofago(s), 170, 171, 190, 192-194, 485-488	productos de secreción, 195-197
Lipofuscina, 47, 77-78, 836	activación, 475, 487-488, 488	propiedades de tinción, 194
Lipogéness, 689	activado alternativamente (M2), 194, 487	tejido conjuntivo, 194-195
Lipólisis, 690	activado clasicamente (M1), 194, 487, 488	Mastoiditis, 986
Lipoma, 283c	actividad fagocitica, 193, 304, 487-488, 722-724.	Material pericentriolat, 72
Lipoproteinas, 44, 444, 4461, 666-667, 668r, 816r,	854	Math I, factor de transcripción, 160, 635
883	alveolar 722-724, 724	Masrdismas, 180
de alta densidad (HDL), 667, 668c	арорговія, 194	Matrix
de baja densidad (LDL), 444, 667-668c, 816c,	arterias clásticas, 450	capsular del cartílago, 214, 214
881 883	ateroesclerosis, 442c	cartilago elástico, 217
de baja densidad-receptor, complejo, 44	barrera hemarotimica, 501, 502	carrilago hialino, 210-214, 212, 214, 2241-2251,
de muy haja densidad (VLDL), 444, 666-667, 668c	caracteristicas microscópicas, 193, 193	249. 268/-269/
Liponarcoma, 283r	células de Kupffer, 454, 485, 673, 673-674, 677,	celular, receptores, 156-157
Liquido cefalorraquideo (LCR), 404-405, 415	696/-697/	citoplasmárica, 79
Liquido folicular, 881-882	desarrollo, 192-193, 309, 314, 3211	esmalte (diente), 576-578
Líquido intersticial, 292	eliminación de los desechos de mielina, 416-417	extracelular
Lusis, 99, 478	en reacciones alérgicas, 194	fibrocartilago, 218
Lasosuma(s), 7, 29, 45-50, 58	endoneuro, 408	hueso, 232-233, 239-240
autofagia, 47, 47-50, 49	esplenicos, 505, 507-509	interterritorial, cartilago, 214, 214
biogénesis, 45-46, 47	funciones immunitarias, 473, 474-475, 485-488	
-		mitocondrial, 59-60, 60
características microscópicas, 30#	funón con cuerpos extraños, 194	nuclear, 85
comparimento digestivo mayor, 45	ganglios linfimos, 494	diea, protesnas, 239
endosomas que se convierten en, 43-45	Inosomas, 47, 192-193, 485, 508	pelo, 541, 542, <i>542</i>
entosis, 103	oragen, 192-193	pericelular, cartilago, 214, 214
ектиспиа, 46, 46		pericentriolar del centro organizador de
	perisinusoxlal, 454, 485	
	· ·	
fármacos que los afectan, 46	placentario, 902, 902-903, 936/-937/	microtúbulos (COMT), 72, 72
fármacos que los afectan, 46 funciones y enfermedades, 317	placentario, 902, 902-903, 9361-9371 presentación de antigeno, 193-194, 309, 485	microtubulos (COMT), 72, 72 ungueal, 550, 5641-5651
fármacos que los afectan, 46 funciones y enfermedades, 317 hepatocitos, 678	placentario, 902, 902-903, 936 <i>l</i> -937 <i>l</i> presentación de antigeno, 193-194, 309, 485 proceinas de superficie, 194	microtúbulos (COMT), 72, 72 ungueal, 550, 5641-5651 uña, 550, 550, 5641-5651
fármacos que los afectan, 46 funciones y enfermedades, 31 <i>t</i> hepatocitos, 678 leucocitos, 297	placentario, 902, 902-903, 936 <i>l</i> -937 <i>l</i> presentación de antigeno, 193-194, 309, 485 proceinas de superficie, 194 renal, 761	microtuhulos (COMT), 72, 72 ungueal, 550, 5644-5651 uña, 550, 550, 5644-5651 Z, 341
fármacos que los afectan, 46 funciones y enfermedades, 31 <i>t</i> hepatocinos, 678 leucocitos, 297 macrófagos, 47, 192-193, 485, 508	placentario, 902, 902-903, 936l-937l presentación de antigeno, 193-194, 309, 485 proteinas de superficie, 194 renal, 761 residente, 416	microtuhulos (COMT), 72, 72 ungueal, 550, 5644-5651 uña, 550, 550, 5644-5651 Z, 341 Matriz cartilaginosa, 210
fármacos que los afecian, 46 funciones y enfermedades, 317 heparocinos, 678 leucocitos, 297 macrófagos, 47, 192-193, 485, 508 neutrofilos, 47	placentario, 902, 902-903, 936 <i>l</i> -937 <i>l</i> presentación de antigeno, 193-194, 309, 485 proceinas de superficie, 194 renal, 761	microtuhulos (COMT), 72, 72 ungueal, 550, 5644-5651 uña, 550, 550, 5644-5651 Z, 341
fármacos que los afectan, 46 funciones y enfermedades, 31 <i>t</i> hepatocinos, 678 leucocitos, 297 macrófagos, 47, 192-193, 485, 508	placentario, 902, 902-903, 936l-937l presentación de antigeno, 193-194, 309, 485 proteinas de superficie, 194 renal, 761 residente, 416	microtuhulos (COMT), 72, 72 ungueal, 550, 5644-5651 uña, 550, 550, 5644-5651 Z, 341 Matriz cartilaginosa, 210
fármacos que los afecian, 46 funciones y enfermedades, 317 heparocinos, 678 leucocitos, 297 macrófagos, 47, 192-193, 485, 508 neutrofilos, 47	placentario, 902, 902-903, 936l-937l presentación de antigeno, 193-194, 309, 485 proseinas de superficie, 194 renal, 761 residente, 416 respuesta inflamatoria, 194, 196c, 304, 474, 478-	microtúbulos (COMT), 72, 72 ungueal, 550, 5644-5651 uña, 550, 550, 5644-5651 Z, 341 Matriz carrilagisosa, 210 calcificación, 249, 2684-2711

	1 00	d to the second second
Matriz extracelular (MEC), 108, 140, 170, 186-189,	eventos nucleases, 98	fouculo ovárico, 890-891, 9201-9231
364	Eases, 96, 98	pelo, 541, 543
cartilago 230	fecundación, 888	Memoria
degeneración enfermedad valvular, 438	hombres, 96, 97-98	axones, 388
fibras exasticas, 182	I, 98, 841, 847	espinas dendriticas, 385
histocarrdago, 218	II, 98-99, 841, <i>841</i>	Memoria imminitaria, 474, 478, 480, 482, 498
23		
loroenvercermento, 186c	mitosas frente a, 96	Menarquia, 876
funciones, 186	тијется, 96, 97-98	Meninges, 195, 412, 414, 414-415, 415
hueso, 232-233	ovogenesis, 843	Menopausia, 876-877, 915
interacciones con, 150	proteinas moleculares motoras, 65	Mensajeros primarios, 35-36
mantenumento de celulas endorenales, 4461	Melanina, 532-535, 534-543e, 5564-5571	Мензајегов филисов, 485
producción, 213-214	Melanocato(s), 532-535, 534, 543r, 5564-557l, 951, 953	Menstruación, 897-898
sustancia fundamental, 186-187	Melanocortina 534	cuerpo luteo, 887, 896-897
ansones de anclaje celular, 147	Melanogenesis, 533	definición, 894
Manila, proceso alveolar, 584-585	Melanoma, 528c	Meromiosina, 342, 343
Meunismo	maagno, 578c	ligera (LMM), 342, 343
de dirección, exocitosis, 40, 42	Melanosomas, 534-535, 543z	pesada (HMM), 342, 343
de retroalimentación, 787, 788c, 797	tempranos, 534	Mesangio, 752-753, 753
Mecanorreceptores, 129, 536, 540, 541, 989-990	Melaronina, 799	Mesaxon, 195-396, 397
sensitivos, 122	Membrana, 161c. Visine membranas específicas	externo, 396, 397
Mecanosensibihaad, 156	basilar, 995, 996, 998	interno, 396, 397
Mecanosensores, 123	de audanueuro, 49-50	Mesénguma, 171, 172, 201, 789, 808
Mediadores	da Pharaman retenan 048 048 049 050 057	mesodernuca, 808
	de Descemet, cornea, 948, 948, 949-950, 951.	
de la inflamación, 195-197, 198c	9804-9817	Mesenterio, 2081-2091, 609, 611
preformados 197	de Reissner (vestabular), 994, 995, 997	tejido epitelial, 164/-165/
reción sintetizados, 197	epicreriniana (MER), 961c, 966	Mesodermo, 110, 170-172, 833, 946-947, 948r
Mediastino	granulota, 879-880	coriónico, 901
medio, 433	7	
	limitante externa, retina, 957, 958, 964, 9764-9771	derivados de, 110, 111
abicación del corazón, 433	limitante interna, retina, 957, 958, 966, 9764-9771	intermedio, 833
Medio de montaje, 2		Mesametria, 877
	lumitante glial, 402, 403	
con base en agua, 2	Inosómica, 46, 46	Merosalpina, 877
Medias dióptricos, ojo. 946	mitocondeial externa, 59, 60, 61	Mesorelio, 110, 118, 161c, 164l-165l, 611
gangho limfitton, 494, 495	mutocondrud unterna, 59, 60, 61	celómico, 833, 834
gandous suprarrenales, 808, 808-812, 813,	mucosa, 161e	Mesotehoma, 93
*		
8281-8311 (View tembién Métula supracrenal)	nuclear externa, 88, 89	Mosovario, 877, 877, 878
evano, 877	nuclear interna, 88, 89	Metabolismo
pelo, 541, 543		
	6sea, 248	de lípidos, 55
nñón, 742, 742-743, 743, 7721-7731, 7781-7791	otolitica, 993, 993-994	oxidativo, 338
timo, 499, 500, 500-501, 522/-523/		Metacromasia, 6, 88
	plasmática, 29, 31-43	
Médula espural, 412, 413-414, <i>414</i> , 430 <i>i</i> -431 <i>i</i>	postsinaptica, 391, 391-392, 392	Metafase, 95, 96, 97, 885-886
neuronas presinápticas, 409-411		defusión, 86
	tectoria, 996, 997, 997, 998	
Médula osea, 235 266/-267/, 323-325	vestibular (Reissarer), 994, 995, 997	1, 96, 98
amasilla, 235. 324-325	Membrana basal, 116, 117, 147-155	11. 96
biopiia de núcleo, 325, 325	cornea, 948, 948, 949, 952, 9804 9812	placa, 95, 98
celmandad, 324r	correspondencia con la lámina basal, 149	Merafina, 2261-2271, 234, 234, 2661-2671
células estromales (CEMO), 199	fibras renculares, 151-152	Metales pesados, Jones, 22
como órgano lintárico primario, 472, 473, 478	glomérulo, 746, 747, 747, 751, 748, 751, 752, 753	Meraloelastasas macrofágicas, 181
diferenciación de linfocitos B. 479r	intestinal 148	Metaloproteinasis, 299
	HEIGHTHAIL 190	•
exploración y análism, 325, 325	propiedades de tinción, 147-148, 149	gránulos de neutrófilos, 299
fase de la hemampoyesis feral, 313	reactiva a la plata, 148	de la matriz, 180-181, 186c, 241, 245
fundo común de reserva, 320	senos esplenicos, 520/-521/	Metam.elocato, 316, 319, 3211
Irotis, 330/-333/	terminología, 150c	Metaplasia
hematopoyesis, 313-322	tráquea, 147, 148, 713, 713-714, 7341-7351	cervical, 901, 901
hipernelular, 324c	Membrana celular. Võuse Membrana plasmática	cilíndrica a plana, 120c, 717c
impocelular, 324e	Membrana elástica	epitelial, 120c
		*
normocelular, 324r	externa, 441, 450, 451, 468/469/	plana, 120c, 717c, 901
roja, 235, 313, 323, 323-324	vasos sanguineos, 441, 450, 451, 468l-469l	sistema respiratorio, 717c
		· ·
smusoides, 323, 323-324	interna, 440, 449, 449, 450, 457	Metaartenola, 455, 455
supresión, 741	traqueal, 714	Metilación, 36
tejido adiposo, 275, 324-325		
	Membrana plasmatica, 29, 31-43	Método(s), 1, 27
Médula renal, 742, 742-743, 743, 7721-7731,	abanonica, 395, 397	de inmunoperoxidasa, 10
778/-779/	adaxónica o periasónica, 395, 397	histogramica's catoquimica 1 3-12
	adaxonica o penatonica, 555, 557	
estrias, 742-743, 743	apical, 58, 58, 767, 767	aatorradiografia, 1-11, 11-12
externa, 742-743, 743	basolateral, 58, 58	composición química de las muestras
interna, 742-743, 743	taracteristicas microscópicas, 30s, 31, 32	histologicas, 3, 5
Médula supramenal, 808, 808-811, 813, 8284-8311	dominios fiancionales, 139	digestión enzimatica, 7
células, 809-812, 814c, 830/-831/		fundamentos químicos de la tinción, 5, 7
	ентастига, 31-32, 32	
desarrollo, 808, 809	fractura por congelamiento, 33-34, 34	histoquímica enzimánica, 7, 8
feral, 815-817		inmunocitoquímica, 1
	funciones y enfermedades, 31 <i>t</i>	
hormonas, 810t, 811-812	microdominios (balsas lipidicas), 32-33, 35, 35, 139	técnicas de hibridación 10, 11
vascularmación, 808-809 811	mosano fluido, modero modificado, 32-33	пистокоріа, 1, 12-25
vestculas secretoras, 810-811	movimiento o transporte a través. 36, 36-43	artificio, 15
Megacarioblasto, 318-319, 321/	penaxónica, 395	barrido confocal, 8, 8, 20, 20-21
Megacariocito(s), 309, 310, 318-319, 321£, 330/-331L	1	campo claro, 12-14, 15
	proteinas, 32-35	
506	Membrana serosa. Vžase Serosa	campo oscuro, 18
Megal.ma 803, 804	Membrana timpánica, 982-986, 983, 985, 986	componentes instrumentales, 14, 15
Meiosa, 85, 95-99	perforación, 984	contraste de fases, 15-18
crecimiento y maduración de ovocitos, 882, 885,	porción flácula, 984	de expansión, 10, 12, 13, 14
885-886		
	porción tersa, 984	de Ruorescencia, 18-19
espermatogénesis, B39, 841, B41-842, 843	Membrana vitrea	electrónica, 1, 11, 21-23

fuerza atómica, 1, 23, 24	de transmissón (TEM), 1, 21-23	синбитасной стеста, 346-347
unterferencia, 18	de transmisión de barrido (METB), 23	contracción del músculo esquelético, 338, 345-347,
luz, 1, 12-15, 17c-18c	no óptico, 23	346
во о́роса, 23	ultravioleta (UV), 19-20	contracción del musculo tiso, 359-362, 362
poder de resolución, 12, 14z, 18c	Microtomo, 2	en el músculo esqueletico, 341, 342, 342-343, 343
polaritación, 21	Microtubulo(s), 29, 62-65	de musculo liso, 359-363
superresolución, 1, 21	actividad de nucleación, 62, 63	en la zona estructural de osteoclastos, 310, 311
ultravioleta (UV), 19-20	anomalias, 76c	filamentos gruesos, 67, 108, 336
virtual, 1, 23-25, 25	astral, 73, 95	musculo esquelético, 341, 342, 342-343, 343.
preparación de tejido, 2, 3	axonémicos, 75	360
cornes congelados, 2, 4c	axones y dendriras, 387, 387-388, 389	musculo luo, 359-362, 360, 362
equivalentes lineales, 2t	caracteristicas, 77#	1, 67, 121, /22
hematoulina y cosina con fijación con formalina.	taracterísticas microscópicas, 64, 64-65. 65	11, 67, 95, 121, 722, 336, 342, 342-343
2-3, 3	celula de Serioli, 847, 848	Miosina-ATPasa, reaccaones, 338-339
otros fijadores, 3	cilios, 126-129, 127, 128, 131	Mustatina, 352-353
técnicas ausoliares, 1, 2	cinetocora, 95	Miorubes, 353, 353
MHC 1, proteinas relacionadas (MR1), 477	de polaridad minta, 389	
*	despolimerización, 62-63, 64	primanes, 353
Miasteria grave, 350c, 395 Micrión, control voluntario, 769		secundarios, 353
Microanálisis con sonda de electrones, 23	en triplete, 71 74, 74, 126, 127	Murada conjugada, 971
	estructura, 62, 63	Maf, gen, 543c
Microautofagu, 49, 50	funciones, 62	Mitocondeia, 29 59-61
Microcarculación, 432, 440, 455, 455	mestabridad dinamica, 63-64, 64	cambios morfológicos, 61
Microcompartumentos intracelulares, 29	илинасториниса, 10	caracteristicas microscópicas, 30a, 59, 60, 61
Microcuerpos. View Peroxisoriu(s)	mitorii, 95	configuración condensada, 61
Microespectrofotometria de Feulgen, 7c, 20	objexivos farmacológicos, 76c	configuración orrodoxa, 61
Microfibrillas de fibrilina, 153, 154, 154, 183-184,	polar, 95	en la vesicula biliat, 681
186r	polandad morta, 389	espermatozoides, 844, 845, 888
Microglia, 381, 398, 403, 404, 403-405	polemerización, 62-63, 63	estructura, 59-60, 60
cicarrización del SNC, 419c	proceso de estabilización selectiva, 64	evolución, 59
fagocitosis, 197c, 403-404, 417	proteinas moleculares motoras asociadas, 65, 66	funciones y enfermedades, 31r
retuniana, 957	triplete, 71-74, 74, 126, 127	generación de ATP, 59-60, 61
Micropenocitosis, 37-38, 38	visualización, 64-65	пасіо де la арорковія, 61
Microscopus, 1, 12-25	Mucrovellosidades, 120-122, 121, 122, 1241, 610	musculo cardiaco, 354, 355
artificio, 15	cavidad nasal, 706	músculo liso, 358-359
barrido confocal, 8, 8, 20, 20-21	epididimo, 853, 8684-869/	pérdida de la función, 100
componentes instrumentales, 14, 15	formación del nucleo estructural, 68	termogénesis, 283
contraste de fases, 15-18	hegado, 673, 674-675, 679	Mitosis, 92, 92-93, 95
de agotamiento de emisión estimulada (STED), 21	intestinales, 120-121	células, 92
de agotamiento de emitión isotrópica estimulada	mrestino delgado, 610, 627	centriolos, 73, 75
(150STED), 21	intestinos, 120	
de campo claro, 12-14, 15	minn, 120-121, 756, 756, 758	epidermis, 525-526, 532
de campo oscuro, 18	vesicula bilias, 681	critropoyens, 318
de expunsión, 10, 12, 13, 14	Midriasis, fármacos, 952	espermanugénesis, 841, 843
de expansión iterativa (iExM), 12, 14	MTE. Véne Microscopía de iluminación extructurada	fases, 95, 96, 97
de expansión optimizada para parología (ExPath),	Mielina, desechos, eliminación, 416-417	formación de cromosomas, 85, 95
12	Mielinización, 395-396, 397, 398	granulocitopoyests, 319
de fluorescencia, 18-19	Mieloblastos, 316, 319, 321s	meiosas y, 96
de fluorescencia de localización fotnactivada	Muclocatos, 3/6, 319	писова даятіся, 622-625
(FPALM), 21	Micloma multiple, 8, 9	músculo cardiaco, 358
		ovogenesis 845, 889
de fluorescencia mediante hops de luz (LSFM),	Mieloperoxidasa (MPO), 298-299, 302, 302-303	proteinas moiecaiares motoras, 65, 66
19, 19	Mifepristona, 899	Mittelichmere (dolor a mitad del ciclo menstrual),
de iluminación estructurada (SIM), 21	Mineral(es), almacenamiento óseo, 232	891
de lux, 1, 12-15, 75	Mineralización, 236, 253-255, 255, 256, 258-583	Moco, 612-613, 617, 630
de reconstrucción óptica estocástica (STORM), 21	hiológica, 236, 238, 253-255	ansoluble a nurbia. 618
de superresolución, 1, 21	Mineralocorticoides, 810r	soluble, 618
electrónica, E, 11, 15, 21-23	Mioblastos, 352-353	turbio, 618
fornactivada de localización (PALM), 21	tardios, 353	visible, 615
fuerra atómica, 1, 23, 24	tempranots 353	Modelo
interferencia, 18	Miocardio, 3764-3771, 434-436, 435, 436, 437	de cartílago hialino, 248-249, 250
по бриса, 23	Msocardiopatra, 445	de la maduración de los endosomas, 43
а́риса, 1, 12-15, 15	Maccans, 28, 67, 108-109. Võeuse sambren los tipos	de mosaico fluido modificado, 32, 33
poder de resolución, 12, 14r, 18e	especificos	del compartimento estable, endosomas, 43
polarización, 21	lanuna basal, 149, 749	Modificaciones
por interferencia diferencial, 18	musculo liso, 358-359, 359, 360, 364, 378l-379l	postraduccionales, 36, 52-53, 57-58
altravioleta (UV), 19-20	Mioepitelio pigmentado anterior del iris, 951, 953	postramicropeionales, 52, 53
virtual, 1, 23-25, 25	Miofibroblasto(s), 190-192, 192, 196c, 364, 502, 675,	Modrala, 989. 995, 1004/-1005/
Microscopia óptica, 1, 12-15, 15	741-742, 761	Modo de contacto, microscopia anómica, 23, 24
alineacion, 17c	Muofibrilla(s)	Modulación, ameloblastos, 580-581
artificios, 15	cateniforme (fibra de la cadena nuclear), 351, 352	
estudio de la laminilla histológica, 14-15, 16	musculo cardiaco, 354-356, 3741-3771	Moduladores selectivos del receptor de estrógenos
poder de resolución, 12, 14s, 18c	misculo esquelético, 338, 139, 339-343, 344	(MSRE), 257c
480 correcto, 17 <i>e</i> -18 <i>e</i>	saculiforme (fibra de la bolsa nuclear), 351, 352	Mohs, Frederic E., 537c
Містокорію	Miofilamentos, 67, 108-109	Molécula(s)
confocal de barrido, 8, 8, 20, 20-21	misculo cardíaco, 355-356	de adhesión de unión (JAM), 137t, 138
de contraste de fases, 15-18	anisculo esquelénco, 336, 340, 343	fluorescentes, 18-19
de fuerza atómica (MFA), 1, 23, 24	Mioglobina, 338	heterotromèricas, 175
de interferencia, 18		homotrimérica, 175
	Miomesina, 343, 344	ligando de RANK (RANKL), 244, 246
de polarización, 21	Miometrio, 877, 893, 893-894, 9281-9311	maestra, 141
electrónico (ME), 1, 11, 75, 21-23	Miosina, 108-109	preproceligeno, 179
de barrido (MEB), 1, 15, 21-23	configuración rigida, 347	y vías de señalización, 35-36, 320

Moléculas de adhessón, 133, 139-143, 140, 149	Mucosa gástrica, 614-622	capa muscular externa, 610-611
endorelial, 299, 324, 442-443, 442r, 497-498	barrera fisiológica, 617	caracteristicas, 36%
matrix extracelular, 244	celulas, 617-622 625-626	células. 29
neutrófilos, 299	fármaces que la dañan, 615	comparación con otros tipos de músculo, 364c-365
Moleculas de adhesión celular (CAM), 133, 139-143,	flujo sanguíneo, 615	conductos eferentes, aparato reproductor del
140, 149	glandulas, 613, 614, 615-622, 616, 625-626	hombre, 852
endotelial, 299, 324, 442-443, 442r, 497-498	hormonas. 621-622 622, 622r-623r	contracción, 359-364, 362-363
neutrófilos, 299	protección y recuperación, 615	exterpos densos, 359, 361, 362
Monoanuna, neurotranstrusores, 394/	renovación de células epueliales, 622-626	espasmos. 42
Monoaminooxidasa (MAO) 395	Muelas del juicio, 573	estado tónico, 363
Monoblasto, 3211	Muerre carciaca subita, 434 Muerre celular, 99-103	estractura, 359-363
Monocilio(s) (cilios primarios), 123, 124 <i>t</i> , 129, 129-	accidental (nectodi), 99-100, 99:	fibras musculares, 358, 359 filamentos de actina, 191, 196, 196r
131, 130 <i>t</i> , 131 Monocito(s), 190, 291 <i>t</i> , 309, 309, 330 <i>L</i> -3311	ilteraciones nucleares, B2	filamentos delgados, 359, 361
areroesclerosis, 442c	caristrofe muonca, 93	filamentos gruesos, 359-361, 360, 362
células derivadas, 192-193, 1977, 304, 309, 3217.	independiente de oxigeno, mecanismos, 303-304	hutogéness, 110
416-417, 673	programada, 61, 93, 99-103, 99t, 100-102	inervación, 363
desarrollo. 314, 320, 321t	relación con la división celular, 99, 99	lamina basal, 149, 149
esplénions, 505-506	Muerre intracelular dependiente de origeno, 302-303	nervio terminal, 364
función inmunitaria, 473, 474	Muerte por negligencia, \$02	próxtata, 872/-873/
respuesta inflamatoria, 194, 196c, 304	Mujeres XY, 833	regulación autónoma, 363, 381, 409
sejido conjuntivo, 201	Multiplexmas, 177	renovación, reparación y diferenciación, 364
Monofostato de adenosana ciclico (cAMP), 245-246,	Muscular de la mucosa gástrica, 626	secreción de matriz, 364
257-258, 444, 786, 881-882, 88N	Muscular externa gástrica, 626	sintesis de fibras elásticas, 184
Monofosfaso de guanosana cíclico (cGMP), 361, 394,	Musculo, almohadilas, 459	uterino, 893-894
786, 88, 882 963	Musculo cardiaco, 108, 109, 337, 354-358, 374F 377I,	vaseular
Monomero	434	artena, 447-451
nehcondal, 68-69	caracteristicas, 365e	artenola, 451-452
proteoglucano, 212, 212	células progenutoras, 358	vena, 456-457
Monoyodotarosana (MITI), 802	comparación con otros tipos de musculo. 364/-365/	vias urmanas, 768
Monte del pubis, 876, 907	contracción, 357, 357-358, 438	Músculo orbicular del 030, 969, 969
Montteulos auriculares, 982	емпистига, 354-356	Musculo tarsal superior (de Müller), 969, 969
Mordiente, 5	fibras musculares, 354-356, 355, 356	Músculo sensos del timpano, 986
Mórula, 898	histogénesis, 110	Musculo vocal, 708, 710
Moraico fluido, modelo modificado, 32, 33	lessón y reparación, 358	Músculos de la expresión facial, 529
Motiona, 622, 622, 631, 689;	regeneración, 358	Musculos entraoculares, 971
Motoneuronas (eferentes), 382, 382, 383, 384	uniones célula-célula, 355	Musculos extrínsecos del 030, 971
músculo esquelético, 348-351	Musculo ciliar, 945, 951-952, 952-953, 978 <i>t</i> -979/	Músculos laringeos, 708
restablecimento del contacto con el musculo, 419	porción circular, 953	extrinsecos, 708
somanicas, 382, 406	porción estimerica, 953	Mineulos linguales, 569
ventrales, 413-414	porción mendional, 953	Musculos papdares, 433, 436, 437, 437
viscerales, 382, 409, 409 Movilizacion	porción radial (oblicua), 953	Mycobacterium tubercularis, 485, 722-724
hortonal, 279	Musculo detrusor, 769	MyoD, factor de transcripción, 352, 353
normonal, 279	Musculo dilatador de la pupila, 951-952, 953	N
tejido adiposo, 279	Musculo elevador del párpado superior, 969, 969	Narinas anteriores, 703
Movimuento, anomalias, 42	Musculo erector del pelo, 529, 541, 543 Músculo esfinter de la pupila, 951-952, 953	Namz emerna, 703
Movimento ciliar	Musculo esquelenco, 108, 109, 336-354, 3681-3711	Nasofaringe, 703, 703, 704, 708
eficaz, 128	arofia, 351	Nauseas maturinas, 889
deslizante, 126-128	caracteristicas, 365c	NC1, dominio, 151, 151
Movimiento rotacional, cilios nodulares, 123	comparación con ocros upos de musculo, 364e-365e	NCF1, gen. 303r
Mucohpidosis II, 49e	contracción, 343-351, 346, 351	Nebulina, 341-342, 344
Mucosa (membrana mucosa), 161c, 608-610	desarrollo, reparación, cicatrización y renovación,	Necroptosis, 103
bronquo, 716	352 354	Necrosis, 99-100, 991, 100
cavidad bucal, \$67-569	estraciones cruzadas, 340	centrolobulillar 672, 674c
cavidad nasal (olfatoria), 702, 704-705, 706, 715c,	fibras musculares, 337, 337-339, 338, 340.	hepática, 674c
730173.1	368/37./	Necrina-afadina, complejo, 141-142
cuello uterino, 9321 9331	filamentos delgados, 341, 341-343	Nectinas, 139, 140-142, 141
de revestimiento, 567-568	filamentos gruesos, 341, 342, 342-343, 343, 360	Nefrina, 748
del uroselio, 780/-781/	humgénesis, 110	gen (NPHS1), 748
digestiva, 566-567, 608	husos musculares, 351-352, 352	Nefritis
duodeno, 652/-653/	inervación motora, 348, 348-351, 349	lúpica, 752
esófago, 609-610, 612, 613, 644/-645/	mervación sensitiva, 351-352	tubulointenticial, 762
especializada, 567, 569	inserción tendinosa, 3721-3731	Nefrona(s), 742, 743-746, 7741-7751
estómago (vénte Mucosa gastrica)	lessones transmáticas, 338	corneal, 746
gingival, 585	metabolismo e nquenta 342c	intermedia (cortical media) 746
intestino delgado, 627, 627-634, 652 <i>l</i> -659 <i>l</i>	proteinas accesorias, 34,3, 344	mesocortical, 746
intestino grueso, 636, 636-637, 6601-665/	telajacium 348	organización general, 743-744
masticatoria, 567-568, 568	tejido conjuntivo, 337-338, 338, 3681-3691	segmento de dilución, 759
olfatona, 702, 704, 705 706, 715c, 7304-7311	triada, 347, 348	segmento delgado, 744
piloro. 6524-653/	Musculo estapedio, 986	segmento distal grueso, 744
próstata, 855	Musculo estrado, 108-110, 109, 336-338, 340, 347,	segmento proximal grueso, 744
recto y conducto anal, 639-640	529, 598/	subcapsular (cortical), 746
sistema respiratorio, 704-705, 717c	visceral, 336-337	rubulos, 744-746, 745, 746, 756-761, 776I-779I
udques, 711, 711	Musculo liso, 108-109, 109, 336-337, 358-364,	yuxramedular, 746
trompa userina, 892, 926/-927/	3781-3791	Nefropatia
tuba digestivo, 566-567, 608, 609-610	actividad contráctil espontánea, 363	drabética, 751, 752
vagina, 906, 9381-9391	aspectos funcionales, 363-364	por amunoglobulina A (lgA), 752
veslcula biliar, 681, 681-683, 6984-6991	brongust, 716	Nervio(s), 380
vestculas seminales, 874/-875/	capa muscular de la mucosa, 610	coclear, 985, 997, 998-1001, 1000

ganglios, 382, 406r	integradoras, 382, 383	tubo digestivo, 610
espinales, 413, 414	intercaladas (interneuronas), 382, 383, 411, 957	Neutrófilo-célula endotelial, reconocimiento, 140
facial (NC VII), 571, 590	motoneurona (elerente), 382, 382, 383, 384	Nexina, 126, 127
glosofatingeo (NC DC), 571, 573	musculo esquelético, 348-351	Nesso, 364 Vane Uniones comunicantes
hspogloso (NC XII), 573	restablecimiento del contacto con el musculo, 419	NF-16B. Vitue Factor nuclear KB
intercusules, 915	somáticas, 382, 406	Nichos, células madre, 160, 199, 542-543, 632, 635
olfatorio (NC I), 705, 706	ventrales, 413-414	637
óptico, 944-945, 945, 946, 947, 951, 957, 958,	viscerales, 382, 409. 409	Nicotina, sindromes de abstinencia, 525
966, 974/-977/	multipolares, 382, 383	Nidógeno, 747
periféricas, 380, 406-408, 407, 416-419, 424/-425/	neurosecretoras, 793 nucleo, 382	Nurrato de uranilo, 22
regeneración, 418-419 respuesta a la lexión, 416-418	periodo de vida, 383-384	Nitrosilación, 36
pudenda, 769	postsinápticas, 411-412	No degustadores, 575 <i>e</i> Nodo aurauloventricular (AV), 376 <i>l.</i> 435, 438-439
raquideo, 413, 414	presinapucas, 389, 409-411	Nodo smoarrial (SA), 435, 438-439
respuesta a la lessón, 416-418, 417, 418	рагватрансан, 410	Nodos de células cardsacas conductoras, 357
trigémuno (NC V), 707	renovación, 383-384	Nódalos(s)
división mandibular, 573	respuesta a la lesión, 416-418, 417, 418	condrogénicos, 218
vago (NC X), 571, 573, 613	retinianas, 957	de Ranvier, 182, 184, 396-397, 199, 405, 4241-4251
vasculares, 441, 450	secretiones, 381	esplénicos, 504, 505, 518/-521/
vestibular, 985, 998, 1000	sensitiva (aferenze), 381-382, 383, 384, 407-408, 409	Infances, 472-473, 489-492, 490, 494, 509;
vertibulococlear (NC VIII), 983, 998	ganglios de la raíz dorsal, 414	5144-5171
Nestana, 701, 71, 384	somáticas, 381-382, 406-407	mineralizados, 255, 256, 258
Neumocitos, 719-720, 7381-7391	viscerales, 382, 406-407, 409	primarios, 490
Neumonia, 726c-727c	serotommergicus, 393	primitivos, 123, 131
bacteriana, 727c	seudoun.polares, 382 383	secundanos, 490
extrahospitalaria, 727c	surnat cas	Nedalo(s) linfanco(s), 472-473, 489-492, 490, 494,
hepatización gris 727c	aferentes, 381-382, 406-407	5094, 514/-517/
intrahospitalaria, 727r	eferences, 382, 406	apéndice, 6621-6631
орогияна, 727 <i>с</i>	unspolares, 382, 383	cúmilos, 492-493, 567, 610, 627, 629, 632
Neuramenidaia, 844	Neuronas aferentes (sensitivas), 381-382, 383, 384	intestinos, 492, 493, 610, 627, 629, 632, 6581-6591
Neuralema, 395-396, 424I-425I	ganglios de la raíz dorsal, 414	primario, 490
Neurilemocaus (celulas de Schwann), 109, 349, 381,	somaticas, 381 382, 406-407	secundario, 490
382, 384, 395-398, 424/425/	viscerales, 382, 406-407, 409	rubo digestivo, 610
citoplasma, 397-398, 399, 400	Neuronas eferentes (motoras), 382, 382, 383, 384	unico (sobrario), 492
función regenerativa, 418, 418-419	misculo esquelésico, 348-351	Noradrenalina, 799, 810s, 811-812
origen, 406	restablecimiento del contacto con el músculo, 419	cumo neurotransmissor, 393, 394e
producción de la vaina de mielma, 395-396, 398	somaticas, 382, 406	estimulación de las glándulas sudoriparas, 549
respuesta a la lesión, 416, 418	ventrales, 413-414	regulación cardiaca, 440
unión entre, 396-397, 399, 424I-425I	viscerales, 382, 409, 409	regulación del rejido adipuso, 279, 282, 2
Neurinoma del acustico, 1001a Neurinos, 419	Neuronus sensitivas (aferentes), 381-382, 383, 384	ration, 765
Neuroecodermo, 110, 788, 789, 946-947, 948r	ganghos de la raíz domal, 414 sumatricas 381 382, 406-407	vasoconstrucción, 454
denvados de, 110, 111	viscerales, 382, 406-407, 409	verga armana, 769
Neurofilamentos, 70s, 71	Neuropdo, 412	Normoblasto, 316, 317, 317, 321s, 3326-3331
Neurofisma, 794	Neurospora crassa, 625	NSF/proteína a-SNAP, compleyo, 41, 42 Nucleo, 28, 82-105
Neurogles, 381, 395-405	Neurotensina, 304-305	alteraciones en la rouerre celular, 82
central, 381, 398-405, 405	Neurotoxina derivada de cosmófilos (EDN), 305	
entérica, 381, 398, 411	Neurotranamisores, 392-395, 394z, 549, 963, 991	caracteristical inicroscópicas, 30/
funciones, 381	adrenérgicos, 549	componentes, 82-92 funciones y enfermedades, 31e
independiente de neuronas, 400	caracterizaciones, 394z	neurona, 382
origenes, 405	colinérgicos, \$49	relación con el reticulo endoplasmático rugoso, 82,
periférica, 381, 395-398	ésteres, 394r	83, 88 89
terminal, 395	excitadores, 392-393	resumen, 82
Neurohipófisis (lóbulo posterior de glándula hipófia),	gastrointestinales, 620c	transporte a y desde el citoplasma, 90
788, 789, 793-797, 8207-8237	inhibidores, 392-393	Nucleoformina/B23, 74-75
almacenamiento de neurosecreción, 793-794	pepudicos, 394-395, 394r	Nucleoide, 62
células, 797	госиртиснови, 395	Nucleolo, 6, 30r, 31r, 82, 86, 86-88
estructura, 793	receptores, 393, 394r	material fibrilar 86
hormonas, 794-797, 7951	Neurregulina (Ngr1), 396	marerial granuler, 86
arigen, 793	Nesttrofilo(s), 171, 190, 194, 201, 2914, 298-304.	propiedades de tinción, 88
vesiculas neurosecretoras, 794	328/-331/	regiones mort-ragicas 86
Neuroina	alteraciones, 303-304, 303c	regulation del ciclo celular, 88
de amputación, 419	cromatina, 298	Nucleu onema, 86
traumánco, 419	desarrollo, 374, 376, 319-320, 3217	Nitroropolama, 82 92
Neuromediadores, 109	fagocitosis, 194, 301, 301-304, 478	Nucleoporinas (proteínas Nup), 90
Neurona(s), 109-110, 381-395	frotis de médula ósea, 330/-331/	Nucleoproteuras, 4
adrenergicas, 393 hipolares, 382, 383	función Inmunicaria, 473, 474 granulos, 298-299	Nucleos de sustancia gris, 412, 413
catecolaminérgicas, 393	Inosoniai, 47	Nucleos paraventriculares, hipotálamo, 789, 793
centrifugas, 957	maduro, 299	Nucleos poliploides, 358
colinenpon, 393, 394r	médula ósea, población de reserva, 320	Nucleos supraopticos, hipotilamo, 789, 793
componentes funcionales, 382	motilidad (migración), 299-301, 300	Nucleosomas, 84-85
comunicación, 189-595 (núme tembién	nucleo, 298	Nucleostemina, 88
Neurotransmisones, Sinapsis)	polimorfonucleares, 298, 319	Nudos montales, 902, 902, 9364-9377
cuerpo celular, 109, 382-384, 384, 385, 406-407	диниотахи, 301	Numa, 71, 89
de conducción de la retina, 957	receptores, 301	0
desarrollo, 405	reserva carculante, 320	Ob(Lep), gen. 278
Golgi de tipo I, 387	reserva marginal, 320	Obesidad, 274, 278-279, 281c, 285
Golgi de tipo II, 387	tespuesta inflamatoria, 194, 196c, 474	genes, 281c

uidependiente de neuroglia, 400

segmentados, 319

craneales, 382, 406s, 573

Obscurina, 343, 344	Oligonucleóridos, sondas, 10	арортовія, 245
Ocladina, 135, 136, 136-138, 137r	Onaborulinamtoxina A, 42	borde rugoso, 244, 244, 246, 247, 2701-2711
Ochanón venosa, mecanamo corporal, 860c	Oncogenes, 101	fenotipo similar, 221
Octamero, 85	Onda de mineralización, 255, 583	función de reabsorción, 243, 244, 245, 253, 2721
Odontoblastos, 574, 576, 578, 580, 582-583, 582,	Opsina, 962-963	iliustración esquemánca, 247
583, 584	Oni servata, 946, 951, 952, 9744-9751	tractives, 239, 245
Oido, 982-1003 1004/-1007/	Órbita, 944-971	origen, 243-244, 245
células ciliadas (en cepillo), 121, 129, 989, 989-	Oreja, 982, 983	osulicación endocondusi, 270/-271/
993, 990, 1004/-1007/	Organismos patógenos, 473	region basolaseral, 244, 247
canales iónicos y potenciales de acción, 991	Órgano espiral de Corti, 988, 989, 993-1001, 995,	regulación, 245-246
enterno, 996-997, 597, 999	997, 998, 1006/-1007/	ubicación, 243, 244
	A	
función auditiva, 998	Organos circunventriculares, 416	zona clara, 244, <i>247</i> Osteoide, 239-240
interno. 996-997, 997, 999	Organos grasos primitivos, 276	
ыпарав, 991, 991-992	Organos Infátscos, 488-509	Osreólisis osreocítica, 242
tipo I, 992, 992	mayores, comparación, 5091	Osteomalacia, 258c
npo II, 992, 992	primarios o centrales, 472, 473, 478	Osteona, 235-236, 236, 252-253, 2641-2671
celulas de sortén, 996-997, 999	secundarios o periféricos, 473, 478	Osteofiectina, 233-239, 256
desarrollo, 110, 982, 984	Órganos tendinosos de Golgi, 352	Osteopetrosis, 246
divisiones, 982, 983	Organos vestigiales, 492-493	Osteopontina, 189, 190, 1914, 233, 256
estereocilios, 121, 122, 988, 989-990, 990, 998	Orgánulos, 28-30. Véame sembién los orgánulos	Osteoporosis, 180, 246, 253, 256e-257e, 258e, #01
екріотасібії отокоїріса, 984, 985	específicos	primaria de tipo 1, 256c
externo, 982-983 983	características microscópacas, 30¢	primaria de tipo II, 256c
interno, 982, 983, 987-1001, 988, 1004/-1007/	funciones y enfermedades, 31z	secundaria, 257c
desarrollo, 110, 982	membranosos, 29-62	Osteoprotegerina (OPG), 244
función auditiva, 997-998	movimiento, 65, 66	Osteosarcoma, 93
inervación, 998-1001	no membranosos, 29-30, 62-75	Onns media, 986
laberinto membranoso, 987, 989-1001	Onficio(s)	Otoconios (otolitos), 993, 993, 994
laberanto óseo, 983, 987, 987-989	eutemo, 877, 893, 900, 900, 93249331	Otoesucross 988c
vasna sanguínens, 100.	interno, 877, 893, 9324-933/	Otogelina, 997
medio, 982, 983, 983-986	lagrantales, 970, 971	Otolito(s), 993, 993, 994
desarrollo, 982	uretrales, 769, 876	Otoquiste, 982
huesos, 982, 983-986. <i>9</i> 87	еметло, 769, 876	Ovario(s), 877, 877-891, 878, 920/-923/
infección (ntitis media) 986	interno, 76°)	cambios ciclices, 876-877
percepción del sonido, 997-998	uretéricos, 769	ciclo menstrual, 894r-895r, 896-898
гезител, 982	Onna, 741	dolor de la initad del ciclo, 881
Ordo anterno, 982, 983, 987-1001, 988, 1004/-1007/	Orqupexia, 834	menopausia, 876-877
células ciliadas (en cepillo), 121, 989, 989-993,	Orquitis, 840c	cilios primarios, 130r
990, 997, 1004/-1007/	Orzudo, 970	cortera, 877, 92049214, 9244-9257
canales tónicos y potenciales de acción, 991	Osificacion	epitelio germinal, 878
ememo, 996-997, 997, 999	endocondral, 214-215, 215, 226/-2271, 246-252,	estructura, 877-878
hinción auditiva, 998	250-251, 2681-2711	función endocrina, 785
	intramenibranosa, 246-248, 248, 249, 2721-2731	
interno. 996-997, 997, 999		hatogénesis, 110
sinapsis, 991, 991-992	Osmolandad	mervación, 891
про I, 992, 992	líquidos corporales, 795	medula, 877
tipo 11, 992, 992	plasmática, 795	poliquístico, 884c
cétulas de sostén, 996-997, 999	Osmosensores, 123	sintesis de estrógenos, 882-883, 883, 887, 889
desarrollo, 110, 982	Osteoadherina, 232	tejido epitelioide, 117
estereocilios, 121, 988-989-990, 990-998	Osteoblasto(s), 233, 239, 239-241, 2471	vascularización, 891
función auditiva, 997-998, 1000	activos, 240	vaios lintaticos, 89 i
inervación, 998-1001, 1000	características microscópacas, 239, 239, 240, 246	Ovallos neurofibrilares, 76c
aberinto membranoso, 987, 989-997	comunicación mediante umones comunicantes,	Ovocito, 96, 843, 877
aberinto óreo, 983, 987, 987-989	240-241	desarrollo folicular, 878, 878-883, 885
vasos sanguineos, 1001	diferenciación, 240	detención de la meiosis, 882, 885
Ordo medio, 982, 983, 983-986	пластичнь, 240	fecundación, 885, 887 889, 892-893
desarrollo, 982	mineralización, 253-255	impregnación. 885, 888
huesos, 982-985-986-987	ostheación endocondral, 249 2684-2711	liberación, 878, 884-886
infección (origis media) 986	osificación intramembranosa, 246-248, 248,	maduración, 881
Ojo, 944-973, 974/-981/	2721-2731	microentomo, 878
barreras de protección, 953, 954-955, 958	producción hormonal, 258	primario, 98, B84, 885
cámaras, 946, 946	propiedades de tinción, 239-240	secundario, 98, 884-886
capas, 944-945, 945	reparación ósea, 258, 260-261	Ovogénesis, 96, 97-98, 843, 877, 878, 878-883, 885
color, 951	transformación a estrucitos, 241	Ovulema, 881, 888
desarrollo, 110, 946-947 94", 948r	Osteucalcina, 233, 239, 254, 256, 258	Ovulación, 878, 884-886, 891
estructura general, 944-947	Osteocito(s), 170, 233, 239, 241-242, 247t, 264l-267!	Ovuin, 96, 98, 843, 877, 878, 898
estructura microscópica. 947 969, 957	comunicación mediante umones comunicantes,	Oxidación
estructuras accesorias, 969-971	240-241	higado, 668
exploración oftalmoscópica, 952, 966	estados funcionales, 241-242, 242	oxidación β de ácidos grasos, 59-60, 62, 669, 678
mervación, 944-945, 945-947, 951, 957, 958, 966,	de reabsorción, 242, 242	Oxadasas lipadicas, 56
974/977/	formativos, 242, 242	Óxido nítrico (NO)
medios de refracción (dióptricos), 946	lagunas, 241, 241c	citotoxicidad intracelular, 303
movimentos, 971	osaficación endocondral, 270/-271/	como neurotransmuot, 393-394, 394r
musculos, 945, 951 953, <i>951-953</i> , 969, <i>9</i> 69, 971,	osificación intramembranota, 248, 248, 272I-273I	erección del pene, 860c
978/-979/	periodo de vida, 242	función de la vejaga urinaria, 769
presión (intraocular), 954c, 955	producción hormonal, 258	función renal, 747
resumen, 944	quiescentes, 242, 242	producción de macrófagos, 194
revestimiento esclerocomeal, 944-945, 945, 947-	respuesta a faerzas mecánicas, 241	sistema digestivo, 611, 615
951	transformación de osteoblastos, 241	sistema respiratorio, 708
revestimiento vascular, 945, 945, 951-956	Osteoclasto(s), 197c, 221, 233, 243-246, 247r	vasodilatación, 444
segmento antenos, 978/-979/	activación, 244	Oxido nítrico-eGMP, vía. 36.
CON 1 1 you are you one one one	. 100 745	A character and appropriate and account

Oxigeno, transporte sanguíneo, 295-297	Particulas	de cosmofilos (EPO), 305
Oxitalán, fibras, 585	elementales, 59	tiroidea, 802, 80,1
Oxitocina, 363-364, 786, 794-797, 795t, 838, 909, 915	nucleares, 50, 51	Peróxido de hidrógeno (H2O2), 61, 676-678
análogos de, 797	Parologia	Peroxisoma(s), 29, 30e, 31e, 6, 62
	de expansión, 12	hepatocato, 676-678
	telepatología, 25	Peso
P450	Parrones moleculares asociados con patógenos	regulación a corto plazo, 277-278
aromatasa, 883, 887	(PAMP), 38, 301	regulación a largo plazo, 277-279
enzima de escisión de la cadena lateral unida a, 816c		l'estañas, 970
p53	Pard, gen, 533	
gen supresor de tumores, 64 Iz	Pax5, factor de transcripción, 322	PET Véue l'omografia por emisión de positrones
	Pax7, 353	Pezón, 909, 909-910, 910
mutaciones. 88c	Paxilina, 155, 155-156	Phox (oxidasa fagocitica), sistema, 302, 302-303, 303
proteina de unión, 88	PCR de transcripción invens (RT-PCR), 10	Pia aracnoides, 414
proteina supresora de tumores, 93	Pedicelos de los podocitos, 746, 747, 748, 753	Fiamadre, 414, 414, 415, 415, 430/-431/
proseina supresora tumoral, 93	Pedicula del cono, 965	Picanosis, 82
Paclatanel, 76c	Pelicula adquirida, 593	Per hasal, 126, 127, 128
Pandar	Pelo, 524, 541-544, 544c, 564/-565/	Piel, 524-553, 554/-557/
blando, 568, 704	telógeno, 544c	absurción, 525
duro, 567, 568, 704	terminal, 544c	anexos, 541, 541-550, 564/-565/
PALM. Visse Microscopía fotoactivada de localización		
- 4	velloso, 544z	сарав, 525, 525-529
Palpitaciones, 439	Pelvis, inervacion asitónoma, 412	celulas, 529-536
Paudismo, 46	Pelvis renal, 741, 742, 745, 7724-7731	celulas madre, 525, 542, 542-543
Pancreas, 609, 683, 683-691, 7001-7011	Pendrina, 802, 803	calios primarios, 1301
acinos, 160, 684-684-685, 685, 691, 7001-7011	Pene, 832, 861, 860c, 861	delgada, 525, 525, 5544-555/
células acinares, 684, 685, 685, 686, 7001/701/	ameria profunda, 860, 867	derivados epidérmions, 524
endocenno, 684, 687-691, 700/-701/	Penfigoide ampolloso, 156	envejecimiento cronológico, 186c
exocrino, 684-687, 700/-701/	antigeno 1 (BPAG1), 156	estrés mecanico, 527
mervación, 690		estrucrutas, 536-551
ulates, 168/-169/, 619c, 684, 687, 687-690, 688,	anugeno 2 (BPAG2), 156	
	Pentosa fosfato, via, 302-303	excreçión, 524
**************************************	Pepsina, 617	fotuenyejecimiento, 186c
ulores celulares, 688, 688r, 689, 689r, 691r,	Pepunógeno, 617, 618	funciones, 524-525
700/701/	Péptido C, insulina, 691c	gruess, 525, <i>526</i> , 554/-555/
regulación hormonal y nerviosa, 686-687	Péptido inhibidor gástrico (GIP), 622, 622t, 631	gruena o delgada, 525, 525, 526, 5541-5551
secreciones, 567	Peptido intestinal vasuactivo (VIP), 394-395-622,	inervación, 536-541, 537, 562/-563/
rejido epitelial, 107, 1644-1691	6234, 631, 6894, 6901, 691, 791	lava, 183
vasculanzación, 691	Péptido liberador de gastrina (bombesina), 6231, 631,	producción de vitamina D, 741e
Panicalo		
adiposo, 274-275, 529	713	renovación celular, 161, 525-526, 532
	Péptido natrituérico de tipo C (CNP), 882	reparación, 550c-551c
carnoso, 529	Pépudo similar al glucagón, 623s	secreción, 524
Pantalla fluorescente, 22	Péptido YY (PYY), 277-278, 6231	te)ido adiposo, 288/, 529
Papaniculau (Pap), prueba, 901, 908r	Péptidos	tendo conjuntavo, 173
Papila(s)	antimicrobianos, 299, 303-304	rejido epitelial, 118, 161, 168/-169/
circunvaladas, 569, 570, 570, 598/	salivales, 569	Pigmentación, 535, 543c, 5564-5571
dérmicas, 527, 537, 540-541, 541, 542, 542, 5541	opioides endógenos, 394-395	Pigmento
duodenal mayor, 680	pequeños, neurorcanamisores, 394-395, 394e	de desgaste, 78
filiformes, 569, 570, 5981-5991	señal, 52, 53	de la edad, 47, 78
Joliadas, 569, 570, 570, 5987, 6007-6017		
	Percepción del sonsdo, 997-998, 1000	visual/purpura (rodopsina), 675, 962
fungiformes, 569, 569-570, 570, 598/-599/	Pérdida celular, alteraciones, 99, 99	Pinealocitos, 798, 824/-825/
gustazivas, 569, 570, 570-573, 571, 6001-6011	Pérdala de audición, 983, 984, 986, 988c, 991, 996c,	Pabelión auricular 982
linguales, 569-570, <i>570</i>	1001	Pieza de conesión (cuello) del espermatozoide, 842,
mamana (pezón), 909, 909-910, 910	conductiva, 983, 986, 996c	844
óptica (disco óptico), 946, 951, 959, 966, 966,	Perlenna, 70t, 71	Pinocitosis, 37-38, 38, 46, 47
9764 977/	Perforinas, 99, 478, 484, 484	Paramides medicares, 742, 742-743, 745, 7721-7731
paramondea, 567	Perfusión ateroplacentaria anómala, 902	renales, 742, 742-743, 745, 7721-7731
renal, 742, 744, 745, 77847791	Pericandio, 433, 434-436, 435, 436	Purógeno, 301
Paquiteno, 96, 98	fibroso, 435	Piropiosis, 102
Paraceramol, 674c	seroso, 435	Pirons, 613
Paracorteza (corteza profunda), de ganglios linfáticos,	Pericardiocentesis, 435	Pinucitos, 797, 8224-8237
494, 495, 497, 498	Pericarion. Vaue Soma, de neurona	Pinutaria. Vâne Hipofisis
Parafina, 2	Pencentrins, 73	PKD1, gen, 129
Paraganghomas, 814c	Pericito, 199, 199-200	PKD2, gen., 129
Paranemina, 704, 71	barrera hemarocumica, 501, 502	PKHD1, gen, 129
Paraptosis, 102	capilares, 453, 454, 454	Placa(s)
Parche de senalización, 43	como células madre, 199-200, 364, 454	ateroesclerona, 442r-443c, 450, 460c
Pardificación (browning), 284-285	vénulas poscapilares, 455	ateromatora, 442r-443c, 450, 460c
Pardos, 276, 280-282, 284-285	Pericondrio, 2/4, 215, 217, 224/-225/, 228/-229/, 248	hasal de la placenta, 903, 904, 9344-9351
Pared corporal, increación autónoma, 412	Perilinfa, 987, 994, 994, 998	bornesa, 142
Pated vaginal, 906	Perimetrio, 877, 893, 894	coriónica, 903. 904
Parénquima, 116	Perimisso, 337, 338, 3684-3697	de athesión amplia, 142
ganglio linfárico, 495	Perincuro, 364, 384, 407, 407, 408, 424I-425I	de anclaje, 153, 154
higido, 670, 672-673	Periodo de reposo, crecimiento capilar, 544e	de crecumiento, 214-215, 215, 251-252, 2661-267
próstata, 855-856	Periodontitis, 585	2687-2717
pulmón, 716	Periodonto, 585	de crecimiento epifisario, 214-215, 215, 250, 251-
timo, 499	Periostio, 234, 234, 236	252, 2661-2674, 2681-2711
Parkinsonismo, 390c	Peristaltismo, 611, 635, 768, 892	de Peyer, 492, 493, 610, 627, 629, 632, 658/659/
secundario, 390e	Peritendón, 2064-2071	
		de anión desmosómica, 143
Paro cardiano, 434	Perkerano, 150, 156, 747	de amon intracelular, 156, 156
Paroudins, 590	Permeabilidad selectiva, 443, 446z	erratoria, 95-98
Parpados, 158, 969, 969-971	Permount*, 2	fibrograma, 442c

Particula de reconocimiento de señales (SRP), 52, 53

Peroxidasa

Oxido nítrico-sintasa endotelial (eNOS), 444

Place(s) (cont.)	Polianiones, 6	otros fijadones, 3
fotográfica, 22	Pobesperma, 889	Preproinsulina, 691z
media de la vattia radicular internat. 542	Polimastia, 909	Prepucio
perianoplasmáticas, 388	Fulumerización	del dirons, 907
	dependiente de calcio, 151	
tarial, purpado, 969, 969		del pene, 861
angueal, 549	filamentos de actina, 66, 67	Presbiacuaia, 996c
tejido nervioso, 397c, 419c	hlamentos intermedios, 68-69, 69	Presbucia, 968
arotelial, 767	laminings, 151, 152	Presincope, 439
Placenta, 876, 901-906, 903, 905c, 9344-937/	micronibulos, 62-63, 63	Presion
acreta, 905c	Polímeros, microscopia de expansión, 12	artenal, 444, 753-756, 755c
	hinchanuento, 12	elevada, 445, 448c, 450
anomalias, 905c		
desamillo. 899, 899, 901-902	Polimorfo(s). Viese Neurrófilo(s)	intracraneal, 967
destino tras el nacimiento, 905c	Polipeptidos	introcadar, 954r, 955
función endocrina, 905-906	asociados con la lamina, 71	osniótica coloidal, 291
мистека, 905 <i>с</i>	hipotalámicos, 797	Primer cuerpo polar, 885, 885
infectada por el VIH, 902-903	pancreations, 623r, 689r, 690r, 691	Primera intención, 550c
	pequeños, 758	Prunera señal, 481
intercambio de guies y metabolitor, 904-905		Procentriolos, 72-73, 73, 75, 131
madura, 904, 905z	transportadores de aniones orgânicos (PTAO), 804	
рекстега, 905г	Polictibosomas, 51, 51-52, 52	Procesamiento visual, 962-963, 963
Placoda	Politradiculoneuropatia desmiclinizante inflamatoria	Proceso mastuides, 981
del cristalino, 947, 947	aguda, 397c	Procesos
ótica, 982	Polisonia, 51, 51-52, 52	alveorares, 584-585
		apoptóticos, 101 102
Placoglobinas, 71, 143	Politelia, 909	
Plan de codificación poblacional, 706	Pohubicuit nación, 50	basales, interdigitación de, 756, 757
Plaquesas, 290-291, 2914, 309-312, 3304-331/	Palo	de señalización, 35-36, 156
capa leucocinea, 291, 291	superios, riñôn, 741	de Tomes, 578-580, 580
	urinario, 744, 746, 749, 7761-7771	espinosos, 526, 526
desarrollo, 309, 310, 313, 314, 318-319, 321t		pedunculares, podocisos, 746, 747, 748, 753
estructura, 309-310, 411	vascular, 744, 746, 7764-7771	Procoligeno, 177-179, 178, 179
funciones, 311-312	Poloquistina	
nivel bajo, 319	1, 129	Proeritroblasto, 315-316, 316, 318, 3214, 3321 3331
·	2, 129	Profase, 95, 96
recuento, 313	Perción	1, 98
Plasma, 108, 290-292, 291, 292s	distal, 788, 789, 790-793, 791-8201-8231	Progenitores
Plasminágeno, 311-312	4-	
Plasmoblastos, 490, 498	fibromi, 86	comprometidos a eritrocitos sensibles a
Plasmodium falciparum, 46	granulosa, B6	eritropoyetina (ErP o CFU-E), 315
	intermedia, 788, 789, 793, 793, 820/-821/	de eusinofilos (PEo), 315, 319, 321¢
Plasticidad sináptica, 385	internural, teoropa merina, 891	de mastocoos, 194
Plataformas de señalización, balsas lipídicas, 33		
Platina, microscopio, 14	media, espermatozuide, 842, 844, 845	de monocisos (PMo o UFC-M), 315, 320, 321/
Platisma, 529	nerviusa, 788, 789, 793, 820/-823/	de neutrofilos (PNe), 313-315, 319, 321e
	respiratoria, cavidad masal, 703-705	restringsdos por el linaje, 313-315
Plectura, fasnilia, 71, 154, 156, 156	respiratoria del sistema respiratorio, 703	Progesterona, 877, 887, 889, 894c-895c, 896, 905,
Pleura visoeral, 725, 736/-737/	tuberal, 788, 789, 793, 820/-821/	913-915
Pleκo(s)		
coroideos, 405	Porinas matocondriales, 59	Prohidrolasa, 43
de Auerbach, 611, 612, 626, 635, 635	Poro(s)	Promsulina, 691;
	alveolares (de Kohn), 724	Prolactina (PRL), 790-791, 791r, 840r, 850, 889,
de Messner, 610, 612, 626, 650/-651/	central del complejo de poro nuclear, 90, 91	909, 915
mientérico, 611, 612, 626, 635, 635	de filtración, 454	
renal, 765-766	de fusión, 392	Proliferación y diferenciación dependientes de
submucoso (Messner), 610, 612, 626, 650/651/	gustativo, 570, 571, 600/-601/	antigeno, 478
		Proliferación, 20na de, 251, 252, 2704-2711
venuso pampindoeme, 835, 870/-871/, 891	transcetular, 300	Prolongaciones
Plicaruras larerales	nuclear(es), 82, 88, 89, 89-90, 90, 91	caliciales, 958, 960, 960
intestino delgado, 629	transmembrana, 144	
vestcula bihar, 681	Perocitosis, 391-392	celulares, 68
Pliegue(s), 147, 147, 756	Porosnas, 548	ciliares, 951, 952-954, 9781-9791
		citoplasmánicas, 526, 526
basales, 157, 157	Porta hepático, 669-670, 670	dendriticas, 705 998-1000
circulares, 609, 627, 654/-657/	Potasso (K')	Prometafase, 95
de la membrana basal, 147	mucosa gástrica, 615	
macular, 966	polimenzación de actina, 66	Promielocato, 316, 319, 321t
mucoso, trompa utenna, 9264-9271	regulación de astrocitos, 402	Promonocato, 321r
		Promotor de muerte asociado con Bel-2 (Bad), 102
estómago, 614, 614	Potencial	Pronucleos, 885, 885, 888
rectales transversales, 639, 640	de acción, 387, 405, 991	
urogensiales, 785, 809, 834	de corriente, 241	Propeptudo N-terminal procolágeno de tipo I (PINP),
ventriculares, 704, 709, 709-710, 710, 7324-7331	eléctrico temporal, 241	179
vestibulares, 708	Pre-ARNm, 51-52, 53	6-N-Propúlnouracilo (PROP), 575c
	Preadipocitos, 275-276, 276	Proopiomelanocortina (POMC), 791-792
vocales, 182, 704, 708-709, 709, 710, 7321 7331		Propionibacterium acnes, 546
Pliegues (rugse) gástricos, 614. 614	Precipitación surbulenta, 705	
Ploidia, analisis, 7c	Precocidad sexual, 799, 839	Propioceptores, 351, 408
Pobaciones celulares	Precuesores de mastocitos, 306	Prostaciclina (PGI ₂), 280r 444, 786
celulares de renovación, 92, 160-161	Precuesores cadioactivos	Prostaglandina(s), 615, 747, 786
h	del ADN, 11	análogos de, 954c
rapida, 92		
errantes del tejido conjuntivo, 190	dei ARN 11	D ₂ , 198
estables, 92, 161	Predentina 582 583 584	E ₂ , 615, 747
estáticas, 92	Preusosomas, 44	Fyα, 280ε
	Premelanosomas, 533	H ₂ 445
renovación, 92, 160-161		
lenta, 92	Preodonroblastos, 575-576	12, 2804, 444
rápida, 92	Preparación de repdo, 2-3	Pröstam, 832, 833, 855-859, 857, 8774-8731
residente del tendo conjuntivo, 190	cortes congelados, 2, 4e	concreciones, 856-859, 8724-873/
temporal, 190	equivalentes lineales, 2r	epitelio, 856-859
Podocitos, 746, 747, 748, 750, 751, 753	hematoxílina y eouna con fijación con formalina,	estroma fibromuscular, 856, 872I-873I
Podoplanina (E11), 233	2-3, 3	función, 855
Polaridad, odula epitelial, 118-120, 135	microscopia de expansión, 12, 13	parénguma en el aduko, 855-856

resección transurerral, 857æ858z	Proteina G. 393, 572, 572, 631, 786, 787	Protoplasma, 34
tamores, 859	Proteina Gla matriz, 233	Protrombina, 667
zonas, 855-856, 856	Proteina inhibidora de la apoptosia neuronal (NAIP), 889	Protuberancia folicular, 533, 541, 542, 542
Protaminas, 842	Proteina M. 343, 344	Pruebas
Procanopia, 964c	Proteína mielitura perdérica, 396	citogenéticas, 86, 87c
Processa similar a la empsina, 844	Proteina nuclear, 212	de embaraso, 889
Proteasa, 531	Proteina osteogénica 1 (OP-1), 233	Pioriasis, 532
de serma, 198		
	Proteina p, 73	PU. 1, Esctor de transcripción, 313
Proceasoma(a), 30, 30 <i>t</i> , 31 <i>t</i> , 50-51	Proteína proteolipidica (PPL), 403	Pubertad
Protección mecánica, tejido epitelial, 118	Proteína quimiotáctica de monocitos 1 (MCP-1), 275	hambre, 838
Proteína(s). Véanse también los tipos especificos de	Proteina 5, 233	majer, 889, 891-909, 910, 913
protestas	Proteina similar a la insulina, 838	precest (inscin temprano), 799, 839
accesorius, 343, 349	Proteina surfactante	Puentes crutados en la contracción del músculo
canal, 36, 36	A. 721	esquelético, 345-347, 346
ciroesqueleto intracelmar, 4	B, 721	Puestos de avanzada de Golgi, 385, 387
conectors, 45	C, 721	Pulmón(es), 719-725
de canases, 36-36	D, 721	acinos, 716
de carga, 36, 36	Proteina Tamm-Honfall, 756c, 759	
de conexion, 188		alvéolos, 702, 703, 716, 719, 719-724, 720, 725
	Proteina a de unión CCAAT/promount (C/EBPa)	73617391
de encapuchado de acuna, 67	Proteina-cinasa(s), 36, 845	harrera alveolocapilar (acre-sangre), 721, 722,
dr enlace, 40, 42	A. 444, 845	723, 738/-739/
de entrecruzamiento, 67	mdependientes de segundo mensajero, 36	celulas, 719-720, 721, 722, 722-724, 724,
de entrecruzamiento de actina, 67	Proteinas asociadas con la lumina (LAP), 88-89	~38/ *39/
de filamentos intermedios, 68-69, 771	Proteínas asociadas con la queratina (KAP), 543-544	epitelio, 719-720
de membrana, 32-35, 35, 34, 35, 46	Protestas asociadas con micronibulos (MAP), 63, 77t,	surfactante, 720-721, 738/
de transporte, 36, 46, 138	188	
		desarrollo, 702
de transporte de neurotransmesores, 395	Proteinas chaperonas de shech térmico, 50	meryación, 725
de union 35	Proteinas cortadoras de los filamentos de actina, 66-67	lobulidos, 716
desmosomicas, 531	Proteínas de agrupamiento de actina, 66, 121	labulos, 716
digestion, 62%	Protesnas de canal transductoras mecanoeléctricas	segmentos broncopulmonares, 702, 716
enanctions renal *58	(MET), 990, 990-991, 998	tejido epitelial, 164/-165/
especificas de mienna, 396	Proteinas de la familia similar a la desmoplaquina, 156	vascularization, 703, 724
estructuraces, 15	Proteinas de la linea M., 343, 344	vasos linfaticos 725
extracelulares, 4	Proteinas de membrana asociadas con lisosomas	
hadara de carcio, 239	(LAMP), 46	Cutpa
		bazo,
Hatorescente, 19	Proteinas de membrana periféricas, 32, 33, 293	blanca, 503-504, 504, 508, 51845191
integrales de la membrana, 32-35, 33, 34, 35, 46,	Proteznas del domunio PDZ, 138	roja, 503, 504, 505-508, 507, 51845217
293	Proteínas dependientes de la vitazama K específicas	dental, 576-577, 578, 582, 583-584
metabolismo hepauco, 668-669	óseas, 233	Punto de control
modificaciones postraduccionales, 36, 52-53, 57-58	Proteinas fijadoras de actina (ABP), 66-67, 771, 155.	de ensamble de husus, 92, 93
motora molecular. 65, 66	155-156	de segregación cromosómica, 92, 93
регохиотніса, 62	Proteinas fijadoras de aromas (OBP), 706, 707	* *
plasma, 291-292, 292s, 666-667, 748-749	Proteínas figudoras de sinaptotagmina, 391	en el ciclo celular, 92, 93, 101, 102
•		S de daño del ADN, 92, 93
procesamiento, 51-55, 57-58	Proteinas integrales de la membrana hisosómica	Punto de restricción, ciclo celular, 92, 93
receptor, 34-36 (véanse también Receptor(es))	(LIMP), 46, 58	Printuación de Gleason, 858a
reguladoras, 253	Proteinas moleculares motoras, 65, 66	Pupila, 945, 946, 951
secreción, 160	Proteinus morfogenicus óseas (BMP), 233, 237-238,	6ja y dilatada. 952
sensoras de voltaje, 348, 351, 357, 357, 358	248	Pus, 304
sínteus glucosa, 51-55, 53, 690	Protesnas motoras de actina, 67	
transportadora, 36, 36	Protestas no historia, 83	Q
transporte postraduccional, 52, 53	Proteinas Nup. 90	Queloide, 196c
Proteina 0. 396	Proteínas pequeñas abundantes en prolina (SPR), 531,	Quemaduras, 532
Proteina 4 . 67	531	Queratin-sulfato, 1871, 211-212, 232, 949
Proteina 4 9 67		
	Proteinas similares a la desmoplaquina, 71	Queratina 69-70, 70r, 525-527, 529, 543-544
Proteina 22 303c	Proteinas transmembrana similares a canales (TMC),	barrera hidisca epidérmica, 531, 531
Proteina 40, 303c	990-991	blanda, 529
Proteina 47 303e	Protesnas-cinasas activadas por mitógenos (MAPK), 102	dura, 70, 529, 543, 550
Proteina 6 * 303c	Proteinasas, 180-181	estructural (dura), 70, 529, 543, 550
Proteina ácada fibrilar glad (GFAP), 704, 71, 402,	Proteinuria, 756c	Queratituzación, 529, 543-544, 550
419c, 797	Proteoglacano(s), 190t	Queratinocitos, 525-526, 529-532, 530
Proteina basica de mielina (MBP), 396	artenas dásticas, 450	descamación, 530-531
Proteina basica mayor (MBP), 305	carga negativa, 150	distribución de melanina, 533-535, 534
Proteína catiónica de eounófilos (ECP), 305	cartilago halano, 211-212, 212, 2241-2251	formación de la barrera hidrica, 529
Proteina chaperona de choque térmico, 179	cornea, 949	producción de queranna, 529
Proteína contenectora de dominio PR 16 (PRDM16), 282	diversidad, 188, 789	Quasinis, 98
Proteina cortadora de microtubulos, 64	estructura, 150, 188, 188-189	Qualomicrones, 625c, 668c, 689
Proteína cotransportadora de Na'-fosfato, 255, 256	lamina basal, 148, 150	Quimasa, 198
Proteína de acopiamiento, 52, 53	matriz estracelular, 186-189, 189	Quamiocinas, 497-498
Proteina de intercambio de ATP/ADP 60, 61	matrix diesi, 232, 239	Quamiorreceptores, 440, 621, 704
Proteína de la matriz dentinaria (DMP), 233	membrana basal glomerular, 747, 749, 752	Оштюван, 301
Proteína de señalización Agouti (ASIP), 1374	pequeños abundantes en leucina (SLRP), 949	-
		Quimo, 611, 613, 626
Proceina de susceptibilidad al remoblastoma (pRb), 93	propiedades de tinción, 5	Quiste(s)
Proteina del canal de cloruro, 725c	secreción de condrucitos, 213	de Barrolino, 909
Proteína desacuplante (UCP-1), 282, 283-285	sustancia fundamental, 186-187	de Naborls, 900, 9324-9331
Proteína específica del epirelio pignientario, 963-964	valvulas cardiacas, 437	dermoide, 112c
Proteina entimulante de la acilación (ASP), 2801	Protocadherina 15, 990	
Proteina fijadora de andrógenos (ABP), 786, 848-849	Protofilamento, 62	R
Proteína fijadora de miosina C (MyBP-C), 343, 344	de nsbiausa, 126, 127	Rab-GTPasa, complejos de acoplamiento, 40, 42, 391
Barrers 6-de-d-march (DDD) 467-675	Prozoner hidrómeno miero \$72,573	Ray 1 CTPset 3034

Protooncogén K-Rw, 641e

RAD-51, 887

RBP-4, 275, 280/

m to	1	4 1 .4 1
Radiación	de carga, 38-39, 40	capilar, densidad, 454-455
espermatogenesis. 840c	de complemento (CR), 303	cli-Golgi (CGN), 56, 57
ultravioleta (UV), 543c, 949, 971	de estiramiento, 351-352, 540, 541	del Golge medial, 56, 57
Radicales hidroxdo (OH*), 303	de laufocisos T, 201, 307-308, 475, 480, 480-481,	reticular, ganglio linfárico, 493-495, 494, 495
	705	
Radicales libres como neurogransmusores, 393-394,		testicular, 834, 835, 836, 845, 850. 851, 852,
3941	de muerte, 101, 103	866/-867/
Rafe palatino, 568, 568	de sentidos especiales, 116	trabecular del ojo, 950
Raicilla estriada, 126, 127, 128	de superficie, 36, 786, 787	20205-Golgi (TGN), 56, 57, 58, 58
Raiz ungueal, 550, 550	de upa Toll, 38, 301, 473-474	
rank unguest, 170, 220		vascular medular, rison, 765
Rama	de tomión, 540, 541	Sti-Reductasa, 859
	de volumen, 440	
ascendente del asa de Henle, 745, 745-746, 758-		Reemplazo enzimático, 48c
760	destuno, 44-45, 45	Reflejo
	del fino, 537	de atenuación, 986
andruca central, 482, 383		de atemation, 780
conectora de las células fotorreceptoras, 959-960	del racto, 540, 540-541	de estornudo, 705
	en disco (de Merkel), 536	
dendrítica periférica, 382, 383, 384		lummoso retiniano, 966
окед согнал 987	epitelial, 116, 118	miccional, 769
dechar 438	esteroideos de membrana, 786-787, 787	
GC 144 4 10		пентовитовкі, 795
Rampa	fagociticos (scavengers), 301	Refracción, medios de, ojo, 946
media, 993-996, 995, 997, 1006/1007/	Fc, 194, 199, 301, 305, 482-483, 509, 536	
		Regeneración
timpánica, 993-994, 995, 1006/-1007/	gustativos, 571-572, 572, 707	axónica, 418, 418-419
	genes, 571-572	
vestibular, 993-994, 995		hepática, 675
RANK (activador receptor del factor nuclear KB), 244	hormonales, 785-787, <i>787</i>	neuronal, 416, 418, 418-419
	intracelulares, 36, 786	
RANK-RANKL, mecanismo de señanzación, 244, 246		Región
Rapamicana, 485	ionotrópicus, 393. 3947	basolateral de esteoclastos, 244, 247
	ligados a enzimas, 36	
dana en maniferos (mTOR), 49, 690		cardiaca del estómago (cardias), 6.3-614, 6464-649
Raqueismo, 258c, 667, 741c	nsatraz celular, 156-157	en bisages, 767, 767
	metabotrúpicos, 393, 394/	fundica (fondo) del estómago, 613, 614, 648/
Rayos medulares (de Ferrein), 742, 742, 743, 745,		
7741-7751	mineralocorucoidei, 761	olfatoria, cavidad nasal, 703, 705-708
	muscarinicus de ACh, 393, 394z, 769	puònea (pilom) del exómago, 614, 615, 648/
Reabsorcion		
coloide, 802-803	nicottiucos de ACh, 350, 350z, 393, 394z, 769	Y determinante del sexo, 833
	olfatorio(s), 706, 707	yuxtanuclear, 354
de agua, 636-637, 756-761	***	. f
de sodio, 757, 760	quimiosensores/quimiosensitivos, 123	Regla ABCD para el melanoma, 528c
	sensibles a dihadropurdina (DHSR), 348, 351,	Regla de los 10, 814c
hueso, 243, 244, 251, 252, 253, 2721		
intestino gracio, 636-637	357, 358	Regla histológica, eritrocitos como, 293
	Receptor de andrógeno (RA), 859	Regulación del peso, 277-279
mñon, 756-761		
200a de, 251, 252, 270/271/	Receptor de esfingosina-1-fontato, 498	Relajación, músculo esquelético, 348
	Receptor de Importación nuclear, 90	Relatina, 906
Reaction	_ *	_
acrosomica, 844, 879, 888	Receptor de irumunoglobulina polimérica (PIgR), 593,	Remodelado
	632-634	cartilago, 212-213
alérgica de fase rardia, 198c	D	
corrical, 889	Receptor de lamina B, 71, 89	hueso, 241-242, 253, 253, 254, 259, 261
de Feulgen, 7	Receptor de proteina de unión de factor soluble	6seo, unidad, 253, 254
de hiperiensibilidad inmediata, 198c, 480c	iensible a N-etilmaleimida (SNARE), 37, 40-	osreocutico, 241-242
de modación, 59	43, 42, 350, 390-391, <i>391</i>	Remodelado interno
de zona, 889	Receptor de retinoide X (RXR), 275-276, 276	cartilago, 212-213
del centro germinal, 492	Receptor tiroideo nuclear, 806	hueso, 252
en cadena de la polimerasa (PCR), 10		
	Receptor y activado por proliferadores peroxisômicos	Renina, 741, 753, 812-813
espequiométrica, 7	(PPARγ), 275-276, 276	Renovacion
hemolitica postransfunón, 295e-296e, 305e		
a . i	Receptores acoplados a proteínas G, 36, 391, 392	celular, 92. Winte combien los tipos especificos
postusión, 889	contracción del másculo liso, 361	continua, poblaciones celulares, 160-161
Reacción de acudo peryódico de Schuff (PAS), 6, 6-7		
	receptores del gusto, 571-572, 572, 707	Reparación de heridas (cicastización), 93-94, 191, 194
células caliciformes, 148, 160	receptores olfatorios, 706	196c, 200, 304, 550c-551c
fibras reticulares, 182		
	Receptotes de factor de necrosis tumoral (TNFR), 103	Replicación de ADN, 93
membrana basal, 148, 148, 149	Receptores de gastrina, 618-619	Replicones, 93
usteoblastos, 240		· ·
	Receptores de hormona lutemizante (LH), 881	Repolimerización commuta, estado estacionario, 66
Reacciones al trasplante, 485	Receptores de hormona paratiroidea, 245	Reserpina, 811
Reacciones alérgicas, 198c, 480r		
	Receptores de întegrina, 150, 244, 247	Reserva marginal de neutrófilos, 320
hasofilos, 198c, 306, 480c	Receptores de lamina, 71, 89	Restrudo común, 705, 715c
ensmofilos, 201, 305, 480c	Receptorex de laminina, 149	
		Residans
glucocorticoldes, 815	Receptores de limfocitos B (BCR), 478, 482	de isina, 179
macrófagos, 194	Receptores de linfocitos T (TCR), 201, 307-308, 475.	de prouna, 179
	•	
mastocistos, 195, 198, 198c, 306, 480c, 715c	480, 480-481, 705	Resina eponica, 22
Reacciones de hipersensibilidad, 198c, 306, 480, 480c,	De une see de monacelonismes de narrosse (DDD1 3/01	
. 1	Receptores de reconocimiento de patrones (PRR), 301,	Resunas sintéticas a base de tolueno. 2
485, 536	474-474	Resistencia
retardadas, 485, 536	Receptores de rianodina, 347-348, 351, 357, 357, 358	a la merlina, 281c
Reactivo de captura. 7	Receptores del factor derivado de plaquetas (PDGFR),	adquinda, 474
Reactivo de Schiff, 6-7	752-753	vascular, 444, 445, 446z, 451-452
Reanimation cardiopulmonar (RCP) 434	Receptores sensitivos, 408	Resistana, 275, 280 <i>г</i>
Rec8p. 98	en el musculo esquelético, 351-352	Resonancia acustica, 709
_		
Recaptación	laberinto membranoso, 992-997	Respiración (intercambio gaseoso), 702, 719
de alta afinidad, 395	piel, 536-541, 537, 562/-563/	Respuesta de lucha o huida, 393, 812
neurotransmisonis, 395	Receso пиропитрапист, 982, 984	Respuesta inflamatoria (proceso), 474, 478-480
Receptor(es), 34-36. Viense también los tipos		celulas, 194, 200-201, 244, 304, 305, 474
146	Rechano del injerio, 485	
específicus	Reciclaje, receptor y ligando, 44-45	cicatrización de hendas, 196c 304
activation, 36	Recombinación, 98	hidracormona, 815
adrenérgicos, 394s, 769	Reconocimiento , антогресопосімненто у	mediadores, 195-197, 198c
		necrosis, 100
aferentes (véuse Receptores sensitivos)	alorreconocimiento, 473, 482, 482	
cardiovasculares, 440	Recto, 635-639-640. 640	obesidad, 281c
	Recuento de leucocitos, 312	
citotáxicos naturales (NCR), 478		reacciones alérgicas, 198c
co.inérgicos, 350, 350c, 393, 769	con diferencial, 312	reparación ósea (fractura), 260
	Red	resolución, 194

Respuesta inmanitaria	Ribonucleasa (ARNasa), 88	Sarcolema, 337, 347, 355, 356
primaria, 480	Ribesomas, 30, 30s, 31s, 51, 51-55, 86-88, 385	Sancomero
secondaria 480	bacterianos, 52	musculo cardiaco, 355-356
Reta alo endoplasmatico (RE), 29 Veate también	encarioras, 52	músculo esquelérico, 339, 340, 341, 343, 344, 3701
Reticulo endoplasmático liso: Reticulo	libres, 52, 54-55, 55	unión miotendinosa, 372/ 373/
endoplasmatico riagoso	procarionas, 52	Sarcoplasma, 336, 357
Retículo endoplarmático liso (REL), 29, 55-56	Regar martis, 347	Sargramostim, 320
caracteristicas microscópicas, 304, 55, 55	Ringes, 715c	Sebo, 541, 542, 545-546
célula de Leydig, 838	alegora, 715c	бета диниса, 545
células de Sertoli, 847, 848	vinca, 715c	Sebocatos, 545-546, 560/-561/
desurrossocición, 55-56	Rimosinusaris (simusasa), 715c	
funciones y enfermedades, 31 r	bacteriana aguda, 715c	Secreción, 118. Vianse sirios y sustancias especificas
*		apocrina, 158, 158, 913
hepatocito, 677, 678	bacteriana crónica, 715r	otocrana, 534
metabolismo de lipidos, 55	Rinon(es), 740-766, 7721-7791	endocrina, 157, 158
Rericulo endoplasmárico rugoso (RER), 29, 51-55	aparato de filmación, 740-741, 747, 747-752	exocrina, 157-158, 158
características microscópicas, 30t, 51, 57, 52, 55	borde medial, 741	holocrina, 158, 158, 545, 560/
células secretarias activas, 53-54	capsula, 741-742, 742	mecanismos, 157-158, 158
funciones y enfermedades, 311	cilans, 129, 129, 130r	merocrina, 157, 158, 548, 913
neurona, 385	coetieza, 742, 742-743, 743, 745, 7724-7751	mucosas, 160
punto de control de calidad, 53	desarrollo, 743, 744	paracrina, 394-395
relación del nucleo, 82, 83, 88, 89	estructura, 741-756, 742, 745	serosa, 160
síntesis de proteínas lisosómicas, 46	flujo de orina, 766	Secretina, 622, 6221, 631, 686, 6891, 690
aintens y procesamiento de proteinas, 51-55, 53	función de absorción (reabsorción), 756-761	Secuencia de exportación auclear (SEN) 90
transporte de y hacia el aparato de Golgi, 46, 47,	función de la ADH, 761, 762, 763r, 794-795	Secuencias de señales (péptidos de señal), 52, 53
54, 54	función endocrirsa, 741	Segmentación, intestino delgado, 635
Reticulo estrellado, 575, 576-577, 578, 581	funcion excretora, 740	Segmento(s)
Reticulo surcoplasmático, 55	función homeostática, 740-741	broncopulmonares, 702, 716
miaculo cardaco, 355, 355-356, 358	halio, 741, 742, 7721-7731	fundico, glándulas gástricas, 615
musculo esquelético, 340, 347-348	histofisiologia, 762-763	grueso distal, nefrona, 744
Renculocitos, 316, 317, 318, 321s, 332l-333l		infector, foliculo piloso, 542
Reuna, 944-945 945, 946, 951, 956-969, 974/-9771	histogénesis, 110	micial del asón (SIA), 382, 387, 387
barrera de protección, 958	(nervación, 765-766	internodular, mielina, 397, 402
K	lamina basal, 152, 152	Secretor
сарая, 957, 957-966	lobulos y lobulillos, 743	glándulas apocrinas, 548
nuclear externa, 957, 958, 964, 9764-977/	medula, 742, 742-743, 743, 7721-7731, 7781-7791	glandulas ecrinas, \$46, \$46-\$48, \$58/-\$59/
nuclear interna, 957, 958, 965, 976I-977I	nomenclatura de ais estructuras, 74,3	Segregación de cromosonas, 95, 98
células, 957-966	reabsonción, 757-761	
cilios, 129, 130r	regulación de la vitamina D, 741, 741c	Segundo cuerpo polar, 885, 886
desarrollo, 947, 947	sistema de intercambio contracorriente, 742, 762-	Segundos mensajeros, 361, 363-364, 392, 786
exploración uftalmoscópica, 952, 966	763	Selección negativa, linfocitos T, 502, 503
fototreceptores, 944-945, 951, 957, 958, 959, 957	sistema multiplicación contracorriente, 762-763	Selectinas, 139-140, 140, 299-300, 320, 449, 497
965, 9764-9771 (véase Células fotorreceptoras)	sistema renina-angiotensina-akdosterona, 753-756,	E, 299-300, 300
imágenes, 961c-962c	755c, 812-813	L, 497
neural, 945, 945, 947, 947, 956-957	rejido epitelial, 164/167/	P, 299-300, 300, 449
neuronal, 945, 945, 947, 947, 956-957	tendo interincial y células. 761-762	Semen, 855, 859-860
procesamiento visual, 962-963, 963	unidad fundamental (nefrona), 742, 743-746,	Semilunas, 160, 580, 586-587, 587, 6064-6071
propiamente dicha (neural), 945, 945, 947, 947,	7744.737	glomenum, 754c
956-957	vascularización, 763-765, 765	serosas, 580. 586-587, 587, 6061-6071
red capilar, 452	vasos Imfáticos, 765	Señal de localización nuclear (SLN), 90
regida fatosensible, 945, 946, 951, 957		Seful de reconocimiento peraxisómico, 62
regide no forosensible, 945, 957	Rinón poliquistico	Señales de clasificación, aparato de Golgi, 58
regiones especializadas, 966	enfermedad autosómica dominante (ERPAD), 130	Señalización
	enfermedad autosómica receiva (ERPAR), 130	autocrina, 157, 158
tipos de neuronas, 957	Ritmo metacrónico, cilios, 128-129	celular, 35-36
vasos sanguineos, 966-967	Ritmos circadianos (corporales), 799	dispositivos de, cilios primarios, 129
Retinal	Rodopsma, 675, 962-963	
11-cir, 963	Rootletina, 126	de membrana por esteroides, 787, 787
todo-mms, 963	RU-486 (mufepristona) 899	endocrina, 35-36
Reuniano. 962 963	Rueda de carro, célula plasmárica, 201	nuclear iniciada por esteroides, 786, 787
Retinins pigmentaria, 130		paracrina, 157, 158
Reunol (vitamina A), 667, 675, 786, 962	S	retrógrada, 417-418
Ret nopatra diabetica, 961e	195, particulas reguladoras, 50, 51	Seno(s)
Retroalimentacion	205, particula core, 50 51	anal, 639
h potalamohipofisaria, 797	26S, complejo protessoma, 50, 51	corrical (subcapsular), 5144-5177
Begativa 787 7884	Saco lagrimal, 970, 970-971	de Rulutansky-Archoff, 682-683, 683, 6981-6991
positiva 787	Sacos alveolares, 703, 703, 716, 719, 719, 725,	espiénicos, 504, 505-507, 506, 507, 5184-5211
Revestimiento	736/-739/	ganeratoros, 909, 910
celular (glucocália), 32, 32, 309-310, 377, 610,	Sáculo, 987, 988, 989	linfático, 494, 496, 496, 514/-517/
748-749, 845	Salado, sabor, 571, 572, 572-573	marginales, 507
esclerocomeal, 944-945, 945, 947-951	Saliva, 567, 591-593, 593z	medulares, 494, 495, 496, 496, 51645171
vascular, 030, 945, 945, 951-956	Salivón (glándula salival), 585, 586	paranasal, 703. 708
Rh CD A contract 200	Sangre, 290-327, 328/-335/	renal, 741
(D+), sensibilización, 296c	rirculación, 433, 433-434, 434	trabeculares, 494, 496, 496
(D-), 296c	coagulación, 292, 311-312, 312	venusos
30, polipéptido, 296c	сотронской, 290-291	durales, 414, 458, 1001
50, glucoproteina, 296r	elementos formes, 290-291, 291, 2911	esclerales (conducto de Schlemm), 346, 950,
negativo (Rh.), 296c	filtración esplénica, 502, 505-506, 508-509	951, 952, 955, 9784-9811
positivo (Rh+), 296c	funciones, 290	esplénicos, 504, 505-507, 506, 507, 5181-5211
sistemas del grupo sanguineo, 296c	plasma, 108, 290-292, 291	vexicula biliar, 682-683, 683, 6981-6991
Rhesu (Rh), antigeno, 296c	tejido conjuntivo, 108, 290	Sentidos especiales. Vêses tambien Audición, Visión
RhoGAM, 296c	transporte, 290, 295-297	neuronas bipolares, 382
Diboforma 477	Serufatorunt AdS	C 00

5 1 1 1 1 1 1 1 1 1 1 1 1 1 1 1 1 1 1 1	e las are	1 -4
Serina-peptidasas, relacionadas con la calicreina, 530-	Sinusoide(s), 454 capilares medulates, supramenales, 809	regulación carduca, 439-440 regulación del músculo lino, 363, 381, 409
Seroia (membrana seroia), 161c, 608, 609, 611	glandulas suprarrenales, 808-809, 811	Sistema nervioso autónomo, davisión parasimpática,
estómago (gástrica), 626, 648/-649/	higado, 670, 670, 671, 673, 673, 677	381, 408, 409-412, 410
intestino delgado, 635, 6541-657/	materno, placenta, 901, 902	mervación de la glándula sudompara, 549
intestino griieso, 638	medula ósea, 323, 323-324	mervación de la lengua, 573
trompe uterina, 891	Saringe, 548	inervación de la vejiga umaria, 769
arereral, 7801-7811	Siringomas, 548	mervación del pene, 860c, 861
vestcula bilar 682	Sistema auditivo, 982	inervación bepática, 680
Scrotonina, 311, 392, 393, 394 <i>t</i> , 713, 799	Sistema canalicular abierto (SCA), 310, 311	mervación pancreática, 690
Seux genérato, 833, 835	Sistema cardiovascular, 290, 432-463. Viense tembren sus componentes específicos	inervacion renal, 765-766
gonadal, 833, 835	componentes, 432	regulación cardaca, 439-440 Sistema nervioso central (SNC), 109-110, 380, 412-
hormonal, 834, 835	tesumen 432-433	416
SF-1, gen, 833	vias de circulación, 433	celulas de sostén, 381, 398-405, 403
anafilaction, 198c	Sistema circulatorio uteroplacentario, 901, 902	celulas nerviosas. Võuse Neurona(s)
Inpovolémico, 454	Sistema de adeniŝato-ciclasa/monofosfato de adenosina	calios, 129
Siakoproteinas, 233	ciclico (cAMP), 786	componentes, 109, 412
dentinarias (DSP), 583	Sistema de canalículos intracelular, cefulas ponerales,	histogénesis, 110
óseas, 233	618	origenes de las células, 405
Sida, 491c, 536, 741 Sifilis, 18	Satema de conducción cardiaco, 357, 434, 435, 438- 439, 439	regulación cardíaca, 440 respuesta a la lesión, 416-418, <i>418</i>
Silia turca, 788	Sistema de fagocitos mononucleares (SFM), 38, 197c.	terida conjuntivo, 414-415
Simplekina, 137¢	309, 673-674	varna de mielina, 402-403
Sinapsis, 98, 109, 381, 382, 387, 389-395, 991, 991-	Satema de mecanotransducción, 191-192, 241	vasculatura, 381
992	Sistema de Palmer, denución, 578e-579c	Sistema nervioso periférico (SNP), 109-110, 380
axoaxómicas, 389, <i>389</i>	Sistema de segundo mensajero, 36	axones desmielinizados, 398, 400, 405
axodendriicas, 387, 389, 389, 391	Sistema de transporte rápido, 388-389	células de sostén, 149, 381
anosomanicas, 389, 389	Sistema digestivo. Venue también sus componentes	células sarélite, 398, 401
componentes, 390-391, 391	específicos	división autonoma, 110, 381 (wase también Sistem
de lutón, 390)	absorción 567, 567, 609-610	hervioso autónomo)
eléctricas, 190	funciones, 566-567, 567	histogénesis, 110
excitatorias, 385, 392-393	organos asociados, 566	lamina basal, 149
inhihidotas, 392-393 morfología, 389, <i>389</i>	resursen 566-567 secreciones, 566, 567	organización, 406-408 origenes de las células, 405-406
quimicas, 390-391	mbo digestivo, 566-567, 608-611, 609	regeneración, 418, 418-419
Sinaprobeevina, 41-42, 390-391	Sistema endocrino, 784-819 Véanse nombreu sus	regulación cardiaca, 439-440
Sinaptotagmina, 390	componentes específicos	respuesta a la lenón, 416-418, 417, 418
Sincino 337	celulas, 785	vaina de mielina, 395-398, 396, 397, 399
Sincitiopofoblasto, 898, 899, 902, 9361 9371	сисиронения, 784-785, 785	vasculatura, 381
Sincope, 439	gastrointestural, 619e-620e	Sistema nervioso somático (SNS), 380-381
Sindecano, 189, 189, 1901	hormonas, 784-787, 785 (véasue también sus	Sistema neuroendocrino, 788
Sindrome	hormonas específicas)	difusa (SNED), 619c, 785
carcinoide (tumor), 619c, 638	origenes, 785	Sistema porta
de Alport, 747	regulación de la secreción y retroalimentación, 787, 788c 797	hepático, 433
de Angelman, 50 de cilios inmóviles, 133c	resumen, 784-787	hipotalamohipofisario, 433, 790, 790, 797
de dificultad respiratoria (SDR), 720-721	Sistema fagocitico de oxidasa, 302-302-303, 303/	Sistema renima-angiotensina-aldosterona (SRAA), 444 753-756, 755c, 812-813
de dificultad respiratoria neonatal (SDRN), 720-	Sistema fagocition mononuclear, 38, 197c, 309, 673-	Sistema respiratorio, 702-729
721	674	anaromia, 702, 703
de Dosro, 885	Sistema inmunicano, 472-488. Vitre fomunidad	calins, 128
de Frey, 592c	celulas, 200-201, 474-488	desarrollo, 702
de Goudpasture, 747-748, 754c	papel fisiológico, 472	fonciones, 702
de Gudlam Barrê, 397 <i>c</i>	resumen, 472-474	mervación, 725
de hiper IgE. 475	Sistema internacionali dentición, 578e-579e	metaplasia, 717e
de Huster, 48c de Huster, 48c	Sistema lento de transporte anterógrado, 388 Sistema linfático, 472-474, 488-509	poresón conductora, 702-703
de immunodeficiencia adquinda (sida), 491c, 536,	celulas, 472-473	porción respiratoria, 703
741 Véase también Sula	comparación de los órganos principales, 509/	secreciones mucosas y serosas, 703 tejido epitelial, 111
de Job, 475	componentes, 472-473, 473	vascularización, 703, 724
de Kartagenet, 76c, 133c	órganos y tejidos, 472-473	vasos linfâncos, 725
de Marfan, 153, 184	respuesta immunitaria a antigenos, 498	vias, 702-703, 703, 7561-7371
de Maroteaux-Lamy, 48c	resumen, 472-474	Sistema tegumentario, 524-553. Véase también Pelo;
de Netherton, 531	Sistema nervioso	Piel, Ufia(s)
de Prader-Willi, 278	células de sostên, 381, 395-405 (véase también	Sistema tubular
de Prider-Wills/Angelman (SPW/SA), 87c	Neurogita) celulas nerviosas. Vésse Neurona(s)	denso 310, 311 transvetsal
de Riley-Day, 575c de secreción usapropiada de bocuma antidistrética	divisiones anatómicas, 380	en el musculo cardiaco, 355, 356, 356-358
(SIADH), 796c	divisiones funcionales, 380-381	en el músculo esquelético, 347, 347-348, 351
de Sjögren, 588-590	respuesta a estimulos, 381	Sistema tubulovesicular de membrana, céluias
de Swyer, 833	resumen, 380-381	parierales, 618
de Young, 133r	secretiones, 381	Sistema universal (estadounidense) de nomenclarida
de Zellweger, 62	vasculatura, 381	dental, 578r-579c
de Zollinger-Ellmon, 618r, 688	Sistema nervioso autónomo (SNA), 110, 381, 408-412	Suxemas de transporte neuronal, 384, 388-389
del seno enfermo (SSF), 439	división enterica, 363, 381, 408, 411, 411, 610	Sistemas del grupo rangumeo, 295c-296r, 295r
nefrotico, 748	división parasimpática, 381, 408, 409-412, 410	Sutole, 447
Sinemina, 70t, 71	división ampirica, 381, 408, 409-412, 410	Situs inversus, 131, 133c
Suncoilina, 704, 74 Suncoilina, 41, 42, 390, 397	funciones, 381, 409	SMAC/DIABLO, 100 SNAP 25 41 42 200 207
Sincasina, 41-42, 390, 397 Sinusitis (rinosinusitis), 715c	porción entérica, 363, 381, 408, 411, 4/1, 610	SNAP-25, 41-42, 390, 397 SNARF
Antomotope distancementally C 1 Nr	Sections and the track track and and and and and	V1-5/11/2

especifica dirigida (r-SNARE), 41, 42, 390-391	SV40 (antigeno T del virus simiano), 93	embrionario, 108, 170-172, 171 <i>t</i> , 172
específico de vesículas (SNAREV), 41, 42 proteinas, 37, 40-43, 42, 350, 390-391, 391	T	en la unidad funcional de membrana, 161 <i>e</i> especializado, 108, 171 <i>e</i>
Sodio	Tabique(s)	estroma hepático, 670
constrol de la concentración, 753-756	alveolar, 719, 720, 721, 722, 723, 724, 73847391	fibras, 174-185 Vacue también los upos específicos
tones, gusto, 572-573	auneuloventricular (AV), 464I-465I deciduales, 903. 904	histogénésis, 110
Sol, exposición, 186c, 543c	interalveolas, 719, 720, 721, 722, 723, 724,	hueso como, 108, 232
Solutos, plasma, 291 Somatomamorropina curiónica humana (hCS), 906,	73847391	laco (areolar), 108, 108, 171, 172, 173, 2041-2051 mastocitos (MCTC), 194-195
914	interauricular, 433, 436	matriz extracelular, 170, 186-189, 364
Somatostatina, 622, 623t, 669, 688-691, 690t, 797t,	microentricular, 433, 433-434, 434, 436 nasal, 703, 704	mucoso, 171-172, 172
799	placentarios (deciduales), 903 904	pervips periféricos, 406, 407-408
Somatótropos (células GH), 790-791, 792r	Tacrolimus, 485	primitivo, 171
Sonda de nucleótido, 10	Talasemia, 297	proptamente dicho, 110, 171£, 172-174
Sondas fluorescentes, 11	Talina, 155, 155-156, 244, 247	resumen, 170
Sordera, 991 congénita, 147	Tanicitos, 405	sangre como, 108, 290 sastema nervicio central (SNC), 414-415
heredstaria, 136	Tapón bemostático	submucosa, 610
SOX-9, factor de transcripción, 218, 220c	primario, 311 secundario, 311	rabiques en las glándulas mamarias, 942/-943/
SOX-9, gen, 833	Tapon/transportador central, 89	tabiques en los testiculos, 835, 836, 837
SOX-10, factor de transcripción, 399	Taponamiento cardíaco, 435	tejido con el músculo liso, 378/-379/
SRY, gen, 833, 834, 835	Тадизатити, 439	unión con la dermis, 527
STED. Võise Microscopia de agotamiento de emisión estimulada	Taquicardia, 357, 440	unión con la lámina bisal, 153, 154, <i>154</i> Tendo do empulsos de 196, 260, 550;
STEM Vene Microscopio electrónico de barrido de	ventricular polimórfica, 357	Tendo de granulación, 196e 260, 550e Tendo de revestimienzo óseo, 235
transmisión	Tarrantes, 571	Tejido epitelioide, 116-117, 1684-169/
Submucoss, 173, 608, 609, 610	Teca	Tejido linfático, 472-474, 488-509
bronquio, 716	capas, foliculo ovárico, 880-881 externa, 881, 881, 882, 922/-923/	asociado con bronquios, 473, 493, 5094, 714
cavidad bucal, 569	folicular, 880, 880-881	asociado con el intestino, 493, 5091, 610, 627, 632,
conducto anal, 640	interna, 880-881, 881, 882-883, 883,	6334, 638
ско́гади, 612, 612, 644/-645/	9224-9231	asociado con la mucosa, 473, 489, 493, 509/ cavidad bucal, 567
estómago (gástrica), 648/-651/ intestino delgado, 634, 654/-659/	Tecnicas auxiliares, 1-2	difuso, 472-473, 489, 489-492, 610
іптентно дічено, 638	Técnicas de hibridación, 10-11	funciones y caracteristicas, 5097
triquea, 711, 711, 713, 714-715, 734I-7351	Tectorna, 997	hígado, 675, 676
Succenaro-deshidrogenasa, 338	Tejsdo adiposo, 199, 274-287, 288/-289/ blancos, 274-279, 288/-289/	lamina propia, 610
Succ micolana, 350	catacteristicals, 284r	Tejido linfunco asociado con el intestino (GALT), 493,
Succión (lactancia), 795, 915	como órgano endocrino, 274	509t, 610, 627, 632, 633c, 638
Sudor (sudoración), 541 emocional, 560/	de la glandula mamaria, 909	Tejido linfático asociado con la mucora (MALT), 473, 489, 493, 509z
enfermedad. 544c	en la dermis, 2884, 529	Tejido linfático asociado con los bronquios (BALT),
excesivo, 549	en la glandula mumaria, 275	473, 493, 5091, 714
gustativa, 592c	en la médula ósea, 275, 324-325	Tejido muscular, 106, 108-109, 109, 336-367 Vianie
termorregulador, 546, 560/	en la obesidad. 274 estructura. 276-277-2***	también los tipos específicos
Suero, 292	glacocorrandes en, 813	cilios primarios, 1307
Susfato de dehidroepiandrosserona (DHEAS), 810t,	movilization, *79	clasificación, 336-337
815 Sumoflación, 36	pardos, 274, 279-284, 282, 288/-289/	comparación de upos, 364e-365e contracción (ware Contracción muscular)
Superdegustadores, 575c	PET y, 280, 284, 285c	estriado, 108-110, 109, 336-338, 340, 347, 529,
Superficies articulares, 235	regulación, 277-279, 283-284	598/
Superficies libres, 107-108, 116, 117	sinteus y secreción por, 275, 275, 280r, 288/	hutogénesus, 110
Supresor(es) sumoral(es), 93, 101, 641c	transdiferenciación, 276, 284-285 tumores, 283c	metabolismo e uquemu, 342r, 358
Surco(s)	Tejido adiposo blanco, 274-279, 288/-289/	resumen, 336-337
de segmentación, 95 gingwal, 584, 585	caracterisas. 1847	Tejido nervioso, 106, 109-110, 110, 380-421 Vésse tambien Sistema nervioso
ópticos, 946-947	estructura, 276-277, 277	сопрождов, 381
serminal, 569	funcion, 274-275	histogenesis, 110
Surfactante, 718, 720-721, 738/	regulación, 277 279	origenes de las células, 405-406
Sustancia blanca	transdiferenciación, 284-285	resumen, 380-381
encetalo, 412, 426/-427/	Tejido adiposo multilocular. Wase Tejido adiposo pardo Tejido adiposo pardo, 274, 279-284, 282	Tejido neuroendocrino, 381
medula espanal, 413, 4/4, 430/-431/	actividad metabólica, 283-284	Tejido permibular, testiculos, 836
Sustancia fundamental artenas elasticas, 450	actividad termogénica, 282-284	Tejido sibcunineo (hipodermia), 524, 529, 554 <i>l</i> , 562 <i>l</i> -562 <i>l</i>
citoplasma, 79	caracteristicas, 284r	Tepdo(s), 106-115 Vicuse también les tejidos
del oido interno. 997	neonatos frente a adustos, 279-280	especificos
hueso, 232	PET y, 280, 284, 285c	definition 106
ojo, 949, 950	regulación, 283-284	histogénesis, 110-111
tejido conjuntivo, 170, 187-188	transdiferenciación, 284-285 Tejido adiposo unilocular. Viere Tejido adiposo blanco	identificación, 113
válvulas cardíacas, 437 Sustancia gris	Tejido conjuntivo, 106, 108, 170-201	tipos y clasificación, 106-107
encéfalo, 412, 413, 426/427/	areolar (néme Tejido conjuntivo lano)	Telepatología, 25 Telofase, 95, 96, 97
médula espinal, 413-414, 414, 430/-431/	asociado con el tejido esquelético, 337-338, 338.	1 96. 18
Sustancia P, 394-395, 3941, 545, 6891	36.8/-360/	Telógeno, 544c
Sustancia propia	capa subendorelial, 376I-377I	Teloglia, 395
córnes, 948-948, 949, 949	celulas, 170, 171, 190-201	Telomerasa, 85
exclerótica, 950	cicatrix, 196c	Telemeno, 85
Sustancias antitrombóticas, 444 Sustancias químicas que alteren la función endocrina	cilsos primarios, 129, 130t classificación, 170, 171t	Tenacina, 189, 190, 191s, 212 Tendinocitos, 173, 173-174, 206/ 2071
(SQAFE), 840€	denso, 108. 108. 172-173, 172-174, 204/-207/, 408	Tendón(es), 173, 173-174, 2061-2071
Suturas, cristalino, 968	arregulas, 172, 172-173, 204/-205/, 408	Temas del colon, 611, 636, 636, 638, 6601-6617

Tennoactivo. Véase Surfactante	Tocoferol a, 667	epitelio, 1664-1671, 711-713, 713
Teoria monofilética de la hematopoyesta, 313-315	Tomografía computanzada (TC), 799	membrana hasal, 147, 148, 713, 713-714,
Terapia de reemplazo hormonal, 257c, 796c	Tomografía de coherencia óptica, 958, 961/-962/	7344735/
Teratomas, 112c	de dominio espectral, 958, 961e-962e	mucosa, 711, 711
maduros, 112c	Tomografía por emisión de positrones (PET), 280,	secreciones, 713
ovancos, 112c	284, 285	submucosa, 711, 711, 713, 714-715, 734l-735
tests ulares, 112c	Tone, 709	Traplante
Terminaciones nerviosas	Topofibrillas, 529	bepático, 668
encapsuladas, 408, 537, 540, 540-541, 5621-5631	Tonofilamentos, 529	renal, 766
genitales de la mujer, 909	Toras, mervación autónoma, 412	Trastorno afectivo estacional (TAE), 799
libres (no encapsuladas), 408, 536-540, 537,	Tes cronica, 714	Trastornos de la alimentación, 278
562/-563/, 909	Toxina(s)	Tratamiento antirretroviral, 4912
motoras, 536	borulonca, 37, 41-42, 350	Tratamiento con chaperonas farmacológicas, 48c
no encapsuladas (libres), 408, 536-540, 537,	degradación, 668	Treadmilling (recamble rotatorio), 66, 122
562/5634, 909	teranospasmuna, 42	Ireponema pallidum, 18
Terminales neuronaies, 351	Trabessilas	Triada portal, 667, 670, 670, 673, 694/-697/
Termogenesis, 282-284	aracnoides, 414-415	Tracelul.na, 136, 136, 137r, 138, 139
anaptanya hamana, 283	bazo, 502, 504, 518L-519I	Tracolardina, 529
sth escalotriox 282	ganglio linfárico, 493, 494, 499, 5144-5151	Tricrómazas, 964c
Termogenina 282	hueso, 234, 236, 248, 2664-2674, 2701-2711	Trifosfato de adenosina (ATP), 59-60, 61
Termorregulacida, 455, 546	tamo, 499, 5221-5231	en el músculo esquelético, 338, 346, 346-347
Testiculo(s), 832-839, 833, 864/-867/	Trabeculoplasta, 954c	en el misculo liso, 361-363
barrera de protección, 848-849, 849e	Tracto(s)	polimerazación de actina, 66
células, 55, 78, 117, 364, 834, 835, 836-839	retinoto potalárnico, 799	termogénetis, 283
cilios primarios, 130/	hipotalamohipofisarios, 788, 789, 793	transporte rápido, 389
conductos, 850, 851	SNC, 405, 412	venculas neurosecretoras, 794
dearrollo, 110, 833-835, 834, 838	Traducción, 52, 53	Trifosfato de adenosina (ATP)-untasa, 35, 60
espermasogénesis, 832, 835, 839-845, 841	Transcausis, 45, 453	Trifosfato de guanosma (GTP), 62-63, 90
estructura, 835, 835-836, 837	Transcripción, 51-52, 53	Trigémino, división mandibular, 573
función endocrina, 785	Transcriptana inversa, 491c	Traglacendos, 274, 279, 288/, 625c
inmaduro (prepuber), 8664-867/	Transduction	Tragono, 769
obulikos, 835	de señales, 35-36, 156	Triple hélice de colágeno, 179
mediasting, 835, 836, 866/ 867/	olfamra, 706, 707	Empana, 624c, 685
sin descender 834, 840c	Transducina, 963	Тпрплодено, 624с, 685
tejsko epitelial (epitelioide), 117, 1684-1694, 836	Transductores mecanocléctricos, 989	Triptasa, 198
temperatuca, 835, 840 <i>c</i>	Transferencia génica, enfermedades de almacenamiento	Trisomia cromosómica, 885
vasculanzación, 835	lisusomucu, 48r	Tratanomalia (trictomatismo anómalo), 964c
Textosterona, 832, 834, 835, 838, 839c-840c, 850	Transferrina, 45, 668, 849	Tritanopia, 964r
Téranos, 37, 42, 474	Transfusiones, 295c-296c	Triyodotuonina (T ₃), 669, 801-806, 802 <i>t</i>
Tétradas, 841 842	donantes universales, 295c	Trofoblasm, 898, 898–899
Tetrámero escalonado, 69, 69	receptores universales, 295r	Trombo(s), 444
Tetrayodotironina (T4), 669, 801-806, 802r	upificación, 295e-296e, 295e	Тготроспорена, 319
Terróudo de osmio, 3, 22	Transmon	Trombocato(s) Vease Plaqueta(s)
Timidina 3H, 11	epitelio-mesénquima, 761-762	Trombopoyeus, 313, 318-319, 321e
Timo 472, 473, 478, 498-502, 509r, 522/-523/	mesenquimatosa-epitelial, revenión, 762	Trombopoyetina, 318, 320, 322/
arquitectura, 499, 499-501, 500	Translocación, 87e	Trombosis, 197, 460c
barrera con la sangre, 501, 501-502, 5221-5231	macular, 956c	de arteria coronaria, 460c
células epsteliorretsculares, 475, 485, 499-502, 501,	Translocator, 52, 53	venosa profunda (TVP), 456
5224-52-17	Translocasa de la membrana mitocondrial	Tromboxano A, 311, 445
desarrollo, 498-499	essema (complejos TOM), 59	Trompa auditiva, 111, 704, 982, 983, 983, 986
desarrollo de linfocitos I, 307, 322, 475, 479c, 499.	interna (complejos TIM), 59	Trompa de Eustaquio. Véase Trompa auditiva
502, 503	Transmuión sináptica, 391-395	Trompas interinas (de Falopio), 876, 877, 891-89;
histogeness, 111	excusadores, 385, 392-393	892, 9261-9271
tepdo eputeliaide, 117	inhibidares, 392-393	cambios ciclicos, 876-877
Timocitos, 499 Véanse también Linfocitos B (células	Transportadores	capas, 891-892
B)	de glucosa, 284, 688	етвагало есторисо, 885, 892-893
Timpano. Väue Membrana umpánica	de monocarbusalato, 804-806	porción unema, 891
Tincion	de urea, 759, 760	segmentos, 891
base química, 5-7	dependientes de sodio, 395	transporte badireccional, 892-893
colorantes ácidos y básicos, 5-6, 51	Transporte	Tronco del encéfalo, 412
de Feulgen, 6-7	activo, 36, 36	Tronco simpiano, 409
de Mallory, 6	anterogrado, 54, 54, 388-389	
metacromana, 6, 88	гарию, 388-389	Tropocolágeno (molécula de colágeno), 175, 175
pérdida de componentes tisulares, 5	2x00xc0, 388-389	Tropomodulina, 68, 121, 341, 341-342, 344, 359 Tropomodulina, 67, 68, 341, 341-342, 344
Tiroglobulina, 802	de membrana, 36, 36-43	Troponina, 68
Tiroidectomía, 806-807	dendritico, 389	C, 347, 342
Tiroidas	epirelial, 118, /38, 138-139	
autommunitaria, 805c	intraflagelar, 131-133, 132	cardíaca, complejo, 358 complejo de troponina, 341, 342, 358
de Hashimoto, 805c	neurocitoplasmático, 90	
Tirosina, 533	neuronal, 384, 388-389	1, 347, 342, 358 T 247, 342, 359
Tirosona-conasa, 155, 155-156	разлуп, 36, 36	T. 341, 342, 358 Tuberrulina prueba 485
sistema, 786	postraduccional, proteinas, 52, 53	Tuberculina, prueba, 485 Tuberculous, 23Sc 722-726
Tirosmara, 533	retrogrado, 54, 54, 57, 388-389	Tuberculosis, 235c, 722-724
Tirorropas, 792, 7921	retrogrado rapido, 489	Tubo digestivo, 566, 567, 608-611, 785. Viene
Tirotropusa (hormona estimulante de tiroides) (TSH),	vesicular, 37 37 43	ambén sus componentes específicas
790. 791, 792, 905-906	Transuscena 786, 803	epitelio, 111, 609 funciones inmunitarias, 633e
Tiroxina, 669, 801-806, 802 <i>t</i>		
Tinna, 343, 344	Traquea, 703, 703-704, 709, 710-715, 711-712, 714/-735/	organización, 608-611, 609 Tubo neural, 110, 111, 400, 405, 809
TNAP. Võise Fosfatasa alcalina no especifica de tejido	advesticia, 711, 714-715	embrionario, 400
TNFR. Véase Receptores de factor de necrous tumoral	cartilago, 2244-2251, 709, 711, 711, 714-715	Tubos endoneurales, 418-419

Tubulina	arterias grandes (elásticas), 447, 449, 449-450,	formación de hebras, 136-138
a, 62, 63, 75	466/467/	intestino delgado, 629
β, 62, 63, 75	arterias medianas (musculares), 449, 450-451, 457,	membrana semipermeable, 443
γ, 62-63, 63-64, 72, 72, 73, 74	4681-4691	permeabilidad, 139
6, 73	amerius pequeñas, 451	proteinas, 136-138, 137t
	in the second se	
ε, 73	venas, 455, 457, 457, 458, 4681-4691	transporte a través de, 138, 138-139
ζ, 73	Túnica vaginal, 833, 835, 836	tricelulares, 136, 136, 139
η, 73	Túnica vascular, 835	uso por virus, 136-138, 142c
moléculas diméricas, 62-63, 63, 64	U	Urato-oxidasa (uricasa), 62
Tübulo(s)	The state of the s	Urea, 669
colector, 744	Ubicuitina, 50, 51	Uremia, 544c
conector arquesdo, 746-747	Ubicurenación, 36, 50-51, 51	Uréter(es), 740, 742, 745, 768, 7801-7811
conectates, 742, 746-747, 760	Ulcera péptica, 617e	flujo urinario, 766
contorpeado 742, 744-746, 745-746, 760,	Ultrafiltrado glomerular, 740-741, 743, 747, 756	tejido epitelial, 766, 766-768
7764-7771	Ultravioleta, radiación. Vasse Radiación ultravioleta	rejidos epizeliales, 766-768, 780/-781/
	(UV)	Uretra, 740, 769
distal, 744, 745, 746, 746, 760, 7761-7771	Umami, sabor, 571-572, 572	
proximal, 745, 745, 746, 756, 757, 756-758,	Umbo (timpano), 983	compresión por la próstata, 856
7761-7771	Uña(s), 524, 549-550, 5641-5651	esponjosa, 769
dentinarios, 582, 582	Unidad bronquiolas, 716-717	hombre, 769, 833
mesonéfricos, 850-852		membranosa, 769
recto, 835	respiratoria, 716-717	mujer, 769, 876
distal, 745-746, 753, 759, 7764-7791	Unidad de membrana asimerrica (UMA), 767, 767	peneana, 769
proximal, 745, 758, 7761-7771	Unidad epidermis-melantna, 532-535	prostática, 769, 833
rectos, ritión, 742, 745, 745-746, 753, 758, 759,	Unidad fetoplacentaria, 817	tejido epitelial, 111, 766-768
7761-7791	endocrina, 905	Uridina 3H, 11
	Unidad motora, 350-351	Uroanálisis (examen general de orina), 756c
rectos, testiculos, 835, 836, 845, 850, 851,	contracción lenta, resistente a la fatiga, 338-339	Uromodulina, 756c, 759
8661-8671	contracción rápida, propensa a la fatiga, 339	
renales, 742, 745, 746, 756-761, 7764-779L Vianue	contracción rápida, resistente a la faziga, 339	Uroplaquinas, 767
núbulos específicos	Unidades linfoides formadoras de colonias, Véase	Urotelia, 118, 119t, 1684-1694, 766, 766-768,
seminiferos, 836, 836, 837, 845-849, 8641-8671		7801-7831
asociación celular en, 845-846, 846	Células linfoides progenitoras comunes (CLP)	Utera, 876, 877, 893, 893-901, 9284-9311
T	Unidades lobulares de conductos terminales (TDLUs),	acción de la oxitocina, 796
en el músculo esquelético, 347, 347-348, 351	909-910, 911, 9421-9431	cambios ciclicos, 876-877, 893, 894-898,
musculo cardíaco, 355, 356, 356-358	Unidades mieloides formadoras de colonias. Visor	894e-895e
	Células mieloides progenitoras comunes	cambios en el embarazo, 894
testiculares, 835, 836, 845, 850, 851, 8661-8671.	(CMP)	pared, capas de, 893
Vense también Tubulos seminiferos	Unidades pilosebáceas, 544	regiones anatómicas, 893
urinario, 742	Union(cs), 550c	
Tubulos seminiferos, 836, 836, 837, 845-849,	anorrectal, rejido epitelial, 1681-1691	Utrículo, 987, 988, 989, 992-993
8641-8671	célula-matriz extracelular, 147	Uvea, 945, 945, 951-956, 9741-9751
asociaciones celulases, 845-846, 846		V
barrera de protección, 848-849, 849c	celulares, 106, 107, 116, 117	The state of the s
células, 836, 846-849, 847-849	cemento-esmalte, 574, 574	Vacunas (inmunizaciones), 480
desarrollo, 834, 834	comunicantes, 135, 144-147, 146r	contra el virus del papiloma humano (VPH), 914c
	condroósea, 216, 217	Vagina, 876, 877, 906, 906-907, 9381-9391
epitelia, 836, 845-846, 846, 864/-865/	de anclaje, 135, 139-143, 146t, 155	tejido epitelial, 1664-167/
células de Serroli, 846-849	de baja resistencia, 144	Vaina
ciclo, 845-846	dermoepidérmica, 527	de la raíz, pelo, 541, 542, 5641-5651
compartimento basal, 848, 848	duodenoyeyunal, 626	de mielina, 109
compartimento luminal, 848, 848	esolagogástrica, 614, 6461-6471	enfermedades asociadas, 396, 397r, 403
distribución en parches, 846, 847	estrechas. Vasse Uniones ocluyentes	sistema nervioso central, 402-403
етара, 845, 845	fundocardiaca, 648/-649/	sistema nervioso periférico, 395-398, 396, 397.
onda, 845-846	gastroduodenal, 652/-653/	The state of the s
Tuftelinas, 581		398, 399
Tumor(es)	beterorápica, 139	de Schwann, 395-396, 4241-4251
	homodpica, 139	fibroblástica pericriptica, intentino grueso, 638
de Wilms, 833	ilencecal, 626	fibrosa, espermatosoides, 842, 844, 845
familiar, 833	miotendinosa, 372/-373/	linfática periarterial, 504, 504-505, 508, 5184-5191
endocrinos, 796c	mucocutanea, 568, 5961-5971	radicular interna
neuroendocrinos, 619c	neuromuscular, 348, 349, 349-351, 395	cuticula, 542
gastroenteropancreáticos (GEP), 619e	ocluyentes, 134, 135-139, 137, 1461	pelo, 541, 542, 542
paratiroideos, 592c	primaria, cicarrización, 550e	de Schwang, 395-396, 4241-4251
Timel espical interno, oldo, 997, 997	secundaria, cicarrización, 550c	Valvas valvulares, 437, 437-438
Túnica (lámina) propia, testiculos, 836	tendon-músculo, 3721-3731	Válvula(s), 611
Túnica adventicia, 200, 440, 441, 4411, 4641-4651	Uniones comunicantes, 135, 144-147, 1464, 243	
зота, 4664-467/		aortica, 433, 434, 436, 438, 447
	cardiomiocinos, 355, 356	cardiacas, 433, 433, 436, 436-438, 437, 447,
arrerias grandes (elásticas), 447, 449, 450, 466/-467/	células del cristalino, 968	464/-465/
arterias medianas (musculares), 449, 451, 4681-4691	células éseas, 240-241	esponjosas, 436-437, 437
arterias pequeñas, 451	como equivalente sináptico, 390	de Kerckring (pliegues circulares), 609, 627,
versas, 455, 457, 458, 468L-4691	enfermedades asociadas, 147	6541-6571
Tünica albuginea	estructura, 144, 145	espirales (de Heisser), 680, 680
hombre, 834, 835, 836, 837, 860, 8641-8671	estudio, 144	ileocecal, 611
mujer, 878, 920/-921/	formación, 144	mitral, 433, 434, 436, 436-438, 437, 4641-4651
Tunica intima, 440, 440, 441s, 464/-465/	microscopia de fuerza atómica, 145, 145	mixomatosa, 438
aorta, 466/-467/	músculo liso, 358, 364, 378/	pulmonas, 434, 436, 447
	The state of the s	
arrerias grandes (elássicas), 447, 447-449, 4661-4671	Uniones ocluyentes, 134, 135-139, 137, 146 <i>t</i>	semilunar, 436
arterias medianas (musculares), 449, 450, 451,	arbol hiliar, 678-679	tricuspide, 433, 434, 436, 436-437
4681-4691	arterias, 447-449	vasos linfáticos, 461, 470/-471/
arterias pequeñas, 451	barrera hematoencefălica, 402, 415, 415	venosas, 455, 456
versas, 455, 456-457, 457, 458, 468l-469l	barrera hematonerviosa, 408	Valvulitis, 438
Tánica media, 440, 441, 4411	bicelulates, 136	Valvulopatia cardiaca, 438
aprez. 4661-4671	capilares, 453, 453	Variaciones en el número de copias (CNV), 83

Vaus masorum, 441, 450	hepárica, 433, 669-670, 670	Via(s)
Vasculatura coronaria, 434	Vena safena magna, 458-459, 459	acentriolar, 72-73, 73, 131
Vasectomia, 849c, 854	Vena suprarrenal medular central, 459, 459	centriolar, 72-73, 73, 75, 131
reversión, 854	Vena trabecular del bazo, 508, 520/-521/	constitutiva, 37, 39-40, 41, 46, 47, 57
		de señalización Fas, 103
Vasoconstricción, 445, 446, 454	Vena umbilical, 904, 905	lisosómica, sintesis de hormona tiroidea, 802
Vasoconstrictores, 444	Venas acuosas, 950	neurales, 380
Vasodilaración, 444-445, 445, 454	Venas estrelladas, riñón, 765, 765	oral gransmucosa, 568-569
Vasodilaradores, 444, 454	Venas interlobulillares, riñón, 765, 765	
Vasomotilidad, 454-455	Venas porta hipofisarias, 790, 790	paracelular, 138, 139, 300, 443
Vasopresina (ADH), 763c, 786, 794-795, 795t, 797	Venas sublobulares, 670, 670, 673	respiratorias, 702-703, 703, 7361-7371
acuaporinas, 762, 763c, 795	Venas suprarrenales, 808, 808	secretora de vesículas cubiertas derivadas de Golgi,
conductos colectores, 761, 762, 763e, 794-795	Venas vestibulares, 1001	46, 47
en el músculo liso, 363	Venopunción, 292	secretora regulada, 40, 41, 57
enfermedades asociadas, 796e	Ventana	secretoras, 39-40, 41, 46, 47
Vasos arqueados, 742, 763-765, 765, 7781-7791	coclear (redonda), 983, 988, 989, 994	transcelulares, 138, 138, 300, 443
	de implantación, 899	transmucosa, 568-569
Vasos deferentes, Vase Conductos deferentes	and the second s	Vibraciones sonoras, 998
Vascu interlobulares, higado, 672-673	oval (vestibular), 983, 984-986, 988, 989, 994	Vibrian, 703, 704
Vasos linfáricos, 432, 459-461, 4701-4711, 473, 488	redonda (coclear), 983, 988, 989, 994	Vigilancia inmunitaria, 475, 633
aferences, 488, 489, 493, 494, 496	vestibular (oval), 983, 984-986, 988, 989, 994	VIH/sida, 491c, 536, 634, 741, 902-903
eferences, 488, 489, 493, 494, 496, 5164-5171	Ventricular, 436-437	Villina, 121, 122
glándulas mamarias, 915	Ventriculos	Vimentina, 70¢, 71, 71
glándulas supramenales, 809	corazón, 433, 433-434, 434, 435, 436	adipocisos, 277
histogénesis, 110	derecho, 433, 434, 434, 435, 436	células de Sertoli, 847
intestino grueso, 638, 639c	erscéfalo, 405	
ajo, 956	izquierdo, 433, 434, 434, 436	células valvulares intersticiales, 438
ovarios, 891	laringe, 708, 709, 709-710, 710, 732l-733l	microglia, 405
	Vénulas, 455, 455, 455-456, 4701-4711. Véanse combiés	músculo liso, 359, 361
pulmones, 725		Vinblastina, 76e
rinon, 765	los tipos específicos	Vincristina, 76c
tubo digestivo, 610	endoteliales alras, 118, 455-456, 488, 489, 496,	Vinculina, 140, 141, 155, 155-156, 244, 247
Vasos rectos, 742-743, 762-765, 765	496-497, 514/-517/	Virus
ascendentes, 763-765, 765	hepáticas terminales, 667, 670-672, 670-673, 673,	complejos de unión, 136-138, 142c
Vasos retinianos centrales, 946, 947, 966, 966-967	679, 6941-6971	de inmunodeficiencia humana (VIH), 491c, 536,
Vasos sanguineos, 432, 440-446. Vésse tembién	musculares, 4414, 455, 456	634, 741, 902-903
Arterias; Capilares; Vena(s)	poscapilares, 118, 299, 300, 364, 432, 4414, 455-	del papiloma humano (VPH), 901, 914e
апрісы, 458-459	456, 488	del sarampión (VS), 141-142
capas de la pared (núnicas), 440, 440-441, 441t,	rectas, 763-765, 765	simuno (VS), 93
4641-4651	Vernix caseosa, 544	Visfatina, 275, 280r
características, 4417	Verrugas genitales, 914c	Visión
caracteristicas estructurales, 440	Versicano, 1904, 218	
		acomodación, 945, 946, 967
constricción y dilatación, 444-445, 445-446,	Vérugo, 996c, 1001c	adaptación, 945
454	posicional paroxístico benigno (VPPB), 1001c	en color, 959, 964c
endotelio, 118, 440, 442-445, 448	Vesicula(s)	estereopsis, 944
histogénesis, 110	acrosómica, 842, 844	proceso, 962-963, 963
VEGF. Véuse Factor de crecimiento vascular endotelial	biliat, 680-683, 683, 6981-6991	sensibilidad a la luz, 959
Vejiga urinaria, 740, 768-769, 782/-783/	de endocitosis, 29	sensibilidad al color, 959, 964e
aberturas, 769	de la matriz, 239, 253-255, 256	vitamina A, 667, 675, 962
Bujo urinario, 766	de la membrana plasmánica, 35, 100, 100	Vitamina(s), almacenamiento y metabolismo hepático
inervación, 769	de transporte, 29, 54, 54, 57, 57, 58	667, 675
tejido epitelial, 111, 118, 1684-1691, 766, 766-768,	recubiertas con COP-1, 57	Vitamina A, 667, 675, 786, 962
7821-7831	recubiertas con COP-II, 54, 54, 57, 57	Viramina B, 619-620
trigono, 769	del cristalino, 947	B ₂ , 477
Velloxidades, 609	fusiformes, 767	
	macropinockicas, 443	B ₁₂ , 298c, 617, 617c, 620
coriónicas, 899, 901-903, 902, 934I-937I		Insuficiencia, 179, 258c
primarias, 901, 904	micropinockicas, 443	Vitamina D, 667, 669, 741, 741c, 807
de anclaje, 901, 934/-935/	neurosecretoras, 794	deficiencia (raquitismo), 258e, 667, 741e
flotantes, 901, 934I-935I	nucleares densas, 810	receptores, 786
intestinales, 609, 627, 628, 654l-659l	olfatoria, 705, 706	regulación, 807
libres (Botantes), 901, 9341-9351	ópticas, 946-947, <i>947</i>	regulación renal, 741, 741c
Velocidad de las fibras musculares	óticas, 982	Vitamina E, 667
conveictil, 338	pinocíticas, 29, 453, 453-454, 454	Viramina K, 667
enzimánica, 338	secretoras, 30s, 31s, 58	Voladizo del microscopio de fuerza atómica, 23, 24
Vena(s), 432, 455-457	seminales, 832, 833, 852, 854-855, 856,	Volumen
capas de la pared (minicas), 440, 440-441, 441¢,	8741-8751	celular, 100
455, 456-457, 457, 458	sinápticas, 387, 390-391, 391	corpuscular medio (VCM), 312-313
características, 441r	unidas a la membrana, 157	plaquetario medio (VPM), 313
A CAMPAGE CONTRACTOR		
caracteristicas generales, 440-446	Vesicula biliar, 680-683, 683, 698/-699/	Vos., producción, 708-710
cardiness, 434	almacenamiento de bilis y concentración, 681, 683	Vulva, 876, 907-909
grandes, 4411, 455, 457, 457, 458	complejos de unión, 681, 682	Vulvovaginitis, 908c
hepaticus, 670, 673	desarrollo, 666, 680	W
medianas, 441s, 455, 456-457, 4681-4691	fluja de bilis, 669, 678-680	WT-1, gen. 833
musculares, 458-459	mucosa, 681, 681-683, 698I-699I	11 2-2, But, 13,5
pequeñas, 441r, 455-456	muscular externa, 681, 681-683, 6981-6991	X
Vena cava, 433, 433-434, 434	senos de, 682-683, 683	X91, enfermedad, 303c
Vena central del higado, 670, 670, 671, 672, 671, 673,	tejido epitelial, 107, 681, 682	Xantomatosis familiae, 49c
673, 679, 6941-6971	Vesiculación de la membrana, 35, 100, 100	
Vena central suprarrenal medular, 459, 459, 809, 811,	Vestibulo	Xenobiáticos, 668
812, 830/-831/	cavidad bucal, 567	Y
Vena modiolar común, 1001	cavidad nasal, 703-704, 704	Yeyuno, 626, 6561-6571. Veste también Intestino
Vena porta, 433, 669-670, 670, 671, 673, 673, 676,	oido, 983, 987, 988, 1004/-1005/	delgado
60416051	proinc 976 907 009	Vadesión de rispublication ROZ

Yodo, 802
Vodopsina, 962
Yoduro, 802
Yoduro/cloruro, transportador, 802, 803
Yunque, 982, 984-986, 987
Z
ZO-1, proteina, 1374, 138, 143
ZO-2, proteins, 137s, 138
ZO-3, proteína, 137s, 138
Zona
acrivas de sinapsis, 391
de ácinos hepáticos
1, 672
2, 672
3, 672

calcificada del cartilago articular, 216, 217

central de la próstata, 855-856, 856 clara de los osteoclastos, 244, 247

colorrectal, 639, 640, 6641-6651

de membrana, plaquetas, 310, 311 de orgânulos, plaquetas, 310, 311

de transformación, cuello userino, 900-901, 901, 9321-9331
de transición
cartilago articulas, 216, 217
cilios, 126, 128
próstata, 856, 856
de transición anal (ZTA), 639-640, 640,
6641-6651
del manto, nódulo linfárico, 492
desnuda en los filamentos gruesos de miosina, 343,
estructural, plaquetas, 310, 311
fasciculada, 811, 812, 813-815, 814, 828/-829/ fetal, 815, 816
germinativa, uña, 550
glomerular, 753, 811, 812-813, 828I-829I
intermedia (transicional), cartilago articular, 216, 217
libre de orgânulos, cristalino, 967, 968
pelucida, 879, 880, 881, 888-889, 920/-921/
periférica
plaquetas, 309-310, 311

periurerral, próstata, 856 plana, conducto anal, 640, 640, 664/-665/ queratogénica, 543 radial (profunda), cardiago articular, 216, 217 reticular, 811, 812, 815, 828/-829/ superficial (tangencial), cartilago articular, 215-217. 216 Zónula adherente, 134, 139-143, 141, 1461 composición, 140-142 función, 140 microscopia electrónica, 141, 142 Zónula de Zinn, 946 Zónula ochyente, 134, 135-139, 137, 146r aprovechamiento por virus, 136-138, 142c bicelulares, 136 formación de hebras, 136-138 permeabilidad, 139 proteinas, 136-138, 137r transporte a través, 138, 138-139 tricelulares, 136, 136, 139

próstata, 856, 856

HISTOLOGÍA TEXTO Y ATLAS CORRELACIÓN CON BIOLOGÍA MOLECULAR Y CELULAR

Ross. Histología: Texto y Atlas es el texto por excelencia para el estudio de la histología y su correlación con la biología molecular y celular para estudiantes y académicos de ciencias de la salud. Es el recurso más confiable para comprender la histología tanto desde la ciencia básica como desde la perspectiva clínica. Esta 8.ª edición recoge los últimos avances en la disciplina y conserva el formato, ahora clásico, de atlas y libro de texto que ha distinguido a esta obra desde sus primeras ediciones.

Cada capítulo concluye con secciones independientes tipo atlas que proporcionan láminas etiquetadas y de gran formato con leyendas detalladas que resaltan y resumen los elementos y características tisulares más destacadas. Ross. Histología: texto y atlas es, por lo tanto, "dos libros en uno". Repleto de herramientas pedagógicas que facilitan la lectura, el texto está pensado no con el objetivo de memorizar datos detallados, sino para facilitar la absorción rápida y progresiva de información gracias a la claridad y concisión en la redacción, los diferentes niveles de presentación del texto y los recursos de revisión e inmersión rápida en la disciplina.

Características principales:

- Nuevo diseño de texto que facilita la visión de las nuevas ilustraciones y fotografías y que hace que la navegación del texto sea aún más fácil que antes
- Inclusión de información actualizada para crear un marco sólido sobre el cual continuar la exploración científica y la aplicación clínica
- Revisión y actualización de todas las ilustraciones e imágenes clínicas a todo color
- Se han añadido figuras nuevas para una interpretación más actual de conceptos importantes, y varios dibujos conceptuales se han alineado lado a lado con las más de 430 fotomicrografías digitales en alta resolución
- Más de 100 imágenes de atlas para aclarar estructuras clave
- Texto codificado por colores que resalta los términos clave y la información clínica para una referencia rápida y eficiente
- Cuadros de correlación clínica y funcional con microfotografías de tejidos u órganos afectados, sintomatología, descripciones histopatológicas breves y bases moleculares para la intervención clínica
- · Múltiples tablas que condensan y facilitan la abstracción y comprensión de conceptos
- Revisión y rediseño de la sección Histología 101, con resúmenes claros y concisos para una revisión rápida del material presentado
- Actualización completa del contenido sobre biología celular y molecular
- Material en línea disponible en thePoint con una cuidada selección de contenidos
- ¡Incluye eBook VitalSource gratuito!

